АКАДЕМ ИЯ НАУК СССР институт научной информации

РЕФЕРАТИВНЫЙ ЖУРНАЛ

XИМИЯ РЕФЕРАТЫ 10757—14288

*

№ 4

ИЗДАТЕЛЬСТВО АКАДЕМИИ НАУК СССР

МОСКВА

Н. В. Агесь, В. В. Алпатов Г. Д. Афанасьев, В. Ю. Ломоносов, А. Н. Микайлов (председатель), О. М. Никольский, К. Ф. Огородников, В. В. Покшишевсь Л. Н. Седов, В. В. Серпинский, С. А. Шиканов (важ. председателя), Э. В. Шпольский

СОДЕРЖАНИЕ

ОВЩИВ ВОПРОСЫ	Удобрения.
Методология. Нотория. Научные учренцения и нопференции. Преподавание. Вопросы библиографии и	Пестиция. Влентрохимические производства. Влентроосания
научном документация	Химические источники тока
Новые журнажи	Rерамина. Стенло. Строительные материалы
онзическая хемия	Стекно.
Общие вопросы	Керамина
Атом	Вянущие материалы, бетон и другие отроительное материалы.
Молекула. Химическая свящь	Получение и разделение газов
Кристаним	Подготовна воды. Сточные воды
	Переработна твердых горючих менопаемых
Изотоны. Термохимии. Разновески. Фанко- химпческий авадия. Фанко- денствеский авадия. Фанко-	CMASKE
Кинстина, Горение, Варывы. Топохимия. Катализ 61	Промышленный органический синтев
Фотохимия, Радвационная химия. Теория фотографического процесса	Промышленный синтев прасителей
Растворы. Теория инспот в оснований	риалов
Влектрохимия	Варывчатые вещества. Пяротехнические составы. Сриства химической ващиты
Иомный обыем	Лекарственные вещества. Витамины. Антибиотики
Химия моллондов. Дисперсиме системы	Фотографические материалы
НВОРГАНИЧЕСКАЯ XИМИЯ. КОМПЛЕКСНЫЕ СО- ЕДИНЕНИЯ	Душистые вещества. Эфириме масла. Парфомерия в
ВОСМОХИМИЯ. ГЕОХИМИЯ. ГИПРОХИМИЯ 108	Каучун натуральный и синтетический. Резина 🛴
ОРГАНИЧЕСКАЯ ХИМИЯ	Синтетические полимеры. Пластилссы
Теоретические в общие вопросы органической дамии 14	Лесохимические продунты. Целлюнова и ее производиме.
Свитетические в общие попросы органической дина 114	Искусственные и синтетические волокия
Природные вещества и их опитетические аналоги 194	Жиры и масла. Восии. Мыла. Моющие средства. Одохо-
химия высокомолекулярных веществ 222	pearents
АНАЛИТИЧЕСКАЯ ХИМИЯ	Углеводы и их переработка
Общие вопросы	Пащевая промышленность.
AHARES OPPRINTED SOMEOUS	Кожа. Мех. Желатина. Дубители. Технические бели
ОВОРУДОВАНИЕ ЛАВОРАТОРИЙ, ПРИБОРЫ, ИХ	Прочие производства
твория, конструкция, примененив 278	коррозия. Ващита от коррозии
ХИМИЧЕСКАЯ ТЕХНОЛОГИЯ. ХИМИЧЕСКИЕ ПРО- ДУКТЫ И ИХ ПРИМЕНЕНИВ	процессы и оворудования химически
Общие вопросы	Процессы и аппараты камической технологии
Химино-технологические вопросы идерной технини . 290 Сермая нискота, сера и ее соединения 291	Контрольно-измерительные приборы. Антоматическо
Авотная промышленность	ТЕХНИКА БЕЗОПАСНОСТИ. САНИТАРНАЯ ТЕХНИКА.
Содовая промышиемность	новые книги, поступившие в редакции
Минеральные соли. Окновы, Кислоты. Основания. 292	АВТОРСКИЙ УКАЗАТЕЛЬ
Люминесцентные материами	VEASATERS DEPENATEDED HATERTOS

Адрее реданции: Москва Д-219, Балтийский пос., д. 42 Б

MUX

РЕФЕРАТИВНЫЙ ЖУРНАЛ химия

главный редактор В. В. Серпинский. ученый секретарь Е. А. Терентьева руководители секторов: Д. А. Бочеар, В. В. Кафаров, В. Л. Кретович, Д. Н. Курсанов, К. С. Топчиев

Рефераты 10757 — 14288

No 4

25 февраля 1957 г.

общие вопросы

методология, история, научные учреждения и конференции, преподавание, вопросы библиографии и научной документации

Редактор Д. И. Тумаркин

757. К вопросу о мировоззрении великого русского ученого Д. И. Менделеева, Желтухина Е. И. Тр. Воронежск. ун-та, 1956, 41, 107—123 Анализируя высказывания Менделеева, содержа-

писся в его сочинениях (включая архивные материалы), втор отмечает прогрессивность его взглядов. 10758. Борьба Д. И. Менделеева с идеализмом и религлозными предрассудками. Прокофьев В. И. Химия в школе, 1956, № 6,18-24

Е. С. Федоров и кристаллохимия. Бокий Г. Б. Тр. Ин-та истории естествози. и техн. АН СССР,

1956, 10, 19-27

7060. Е. С. Федоров и современная кристаллография. Ан шелес О. М. Тр. Ин-та истории естествозн. птехн. АН СССР, 1956, 10, 13—18

№ 18 см. Ан СССР, 1936, 10, 15—16
№ 161. К шестидесятилетию универсального метода
Е. С. Федорова. Е л и с е е в Н. А. Тр. Ин-та истории естествозн. и техн. АН СССР, 1956, 10, 66—84
№ 162. Е. С. Федоров как геометр. Д е л о н е Б. Н. Тр. Ин-та истории естествозн. и техн. АН СССР, 1956, 10, 5—12
№ 163. Е. С. Федоров и Академия наук. Ш а ф р аворов и И и Тр. Ин-та истории естествозн.

моз. Е. С. Федоров и Академия наук. III афра-вовский И. И. Тр. Ин-та истории естествозн. в техн. АН СССР, 1956, 10, 28—65 10764. Одиннадцать неопубликованных писем Шарля Жерара к Ж.-Б. Дюма. Жак (Onze lettres inédites de Charles Gerhardt à J.-B. Dumas. Jacques Jean), Bull. Soc. chim. France, 1956, № 10, 1315— 1324 (франц.)

тексты писем и примечания автора. Д.Т. 7765. Краткий очерк научной деятельности профессора Харьковского университета П. Эйнбродта. Комарь Н. П. Уч. зап. Харковск. ун-та, 1956, 71, 223—236

П. Эйнбродт (1809—1857) преподавал химию в Харь**поском** ун-те в 1842—1854 г.г. Библ. 36 назв.

О книге А И. Ходнева «Курс технической тыми» (Неорганическая часть). Изд. 1855 года. Новаковский М. С. Уч. зап. Харьковск. ун-та, 1956, 71, 237—247 Характеристика книги и разбор ее содержания. Д. Т.

0767. Абрам Семенович Комаровский.— Ж. аналит. химин, 1956, 11, № 5, 646—647 Пекролог проф. А. С. Комаровского (1865—1956), престного своей многолетней научной и педагогич. пельностью в области аналитич, химин.

10768. Артур Ландауэр Стерн. Гопкинс (Arthur Landauer Stern. H o p k i n s R e g i n a l d H a y d n), J. Chem. Soc., 1956, Oct., 3985 (англ.) Некролог А. Л. Стерна (1867—1956), работавшего в

области химии углеводов и химии бродильных произ-в.

10769. Некролог профессора А. Я. Клёйвера. К и и г м а-Болтьес, Верхувен (In memoriam. Prof. Dr. Ir. A. J. Kluyver. Kingma Boltjes T. Y., Verhoeven W.), Chem. weekbl., 1956, 52, № 36, 661—665 (голл.)

А. Я. Клёйвер (1888—1956), микробиолог и биохимик, проф. Дельфтского ун-та. Приведен дополнительный перечень научных публикаций (1918—1956); основной перечень см. Chem. weekbl., 1939, 36, 320. 10770. Сергей Руфович Мардашев,— Вопр. химин, 1956, 2, № 5, 393—394

К 50-летию со дня рождения и 26-летию научно-пе-дагогич. деятельности проф. С. Р. Мардашева (род. дагогич. деятельности проф. С. Р. мардашого 1906), чл.-корр. Академии медиции. паук СССР, ис-10771. Научные работы школы И. П. Вибаута. А р е и с,

Сиксма (Het wetenschappelijke werk uit de school van J. P. Wibaut (1919—1956). Arens J. F., Sixma F. L. J.), Chem. weekbl., 1956, 52, № 38, 694—705 (голл.)

Обзор работ, проводившихся в лаборатории органич. химии Амстердамского ун-та в период 1919—1956 г. в следующих областях: замещение в ароматич. ряду, алкалонды, производные тропина, химия пиридина углеводороды. Библ. 137 назв.

7772. Связь школы с производством. Евтеева 3. В. Химия в школе, 1956, № 6, 60—62

Из опыта преподавания. Математика и естественные науки в средней иколе Югославии. Сойни (Matematiikan ja luon-nojpin asema Jugoslavian oppikouluissa. Soi ni Erkki), Mat. Aineiden Aikakauskirja, 1956, 20, № 3, 75—82, 96 (фин.; рез. англ.)

Органическая химия во взаимосвязи е другими предметами в средней школе. Кальюне и (Orgaanisen kemian suhde muihin kouluaineisiin. Kaljunen Hilkka), Mat. Aineiden Aikaka-uskirja, 1956, 20, № 3, 83 — 87, 96 (фин.; рез.

англ.) 0775. Преподавание биохимии в средней школе. 10775.

c X

B 8

19

epe

B (K

İtu

19

1080

ru

gir

ill.

XI

II :

уп

yq-

C T

Co

ма

BH

10807

RB.

HHZ

XHA

mo

geh

sisc

sch

wee

Из TRA

куля

прета

зрени

Лиэл

Стеве

TPHUT.

крист RIE

Движ

бек (

B pa

10808 хан

qua

j. 1

10809

физ

10810

Час fysi

10806

1080

1080

luissa. Erkama Jorma), Mat. Aineiden Alkaka-uskirja, 1956, 20, № 3, 68—75, 96 (фин.; рез. англ.) 10776. Изучение темы «Кремний» в IX классе. Глориозов П. А. Химия в школе, 1956, № 6, 27 - 37

Подробные методики 8 уроков.

10777. Задачи для устного решения по теме «Железо». Пании П. С. Химия в школе, 1956, № 6, 37—40. См. также РЖХим, 1956, 11984.

10778. Роль эксперимента при обучении решению задач по химии. Грицкевич (Роля эксперыменту пры навучанні рашэнню задач па хіміі. Гры цкевіч Е.), Совецкая школа, 1956, № 5, 60—64 (белорус.)

Автор рекомендует при решении задач на вычисление в средней школе демонстрировать учащимся соответствующие р-ции.

10779. Практические занятия по химии в средней школе Королев Д. П. Уч. зап. Ленингр. гос. пед.ин-та, 1956, 19, 243—269

Приводятся методики работ для VIII кл. (нейтр-ция и титрование, определение кон-ции хлора в водном р-ре, свойства кислорода и его выход по р-ции получения), IX кл. (приготовление p-ра к-ты и проверка его кон-ции), определение содержания Na₂CO₃ в продажной соде) и X кл. (испытание качества смазочного масла).

10780. Демонстрационные опыты, иллюстрирующие закон М. В. Ломоносова. Павленко М. М. Химия в школе, 1956. № 6, 46-47

Описан простой опыт прокаливания металла в закрытом сосуде; может быть использован также для демонстрации кол-ва О2 в воздухе; рекомендуется для классных и внеклассных занятий.

 Видоизменение некоторых демонстрационных опытов по химии. М о ж е й П. Д. Химия в школе, 10781. 1956, № 6, 48-52

Описание опытов: горение Р в Cl; взаимодействие PCl₅ с водой; горение Al в Br; взаимодействие Al с J; горение свечи в O2 и в воздухе; действие H2SO4 на сахар; диффузия КМпО4 в воде; самодельный огнетушитель; горение NH₃ в О₂ и О₂ в NH₃.

10782. Опыт разложения известняка на уроках химии. Тэмп А. Н., Тэмп Е. В. Химия в школе, 1956, № 6, 53

Подробное описание простого опыта термич. разложения известняка.

1783. Аппарат для дистилляции воды с вепрерывным действием. Кальпчиев К. И. Химия в школе, 1956, № 6, 47—48

Описание и чертеж лабораторной установки. Д. Т. Прибор для электролиза водного раствора поваренной соли. Н о в и к о в И. А. Химия в школе, 1956, № 6, 41-42

Подробное описание и рисунки. Стенная газета как одна из форм внеклассной 10785. работы по химии. Родина М. В. Химия в школе, 1956, №, 6, 54-57

Из опыта работы кафедры химии Уральского пед. ин-та.

7786. Синтез гексахлорана на занятиях химиче-ского кружка. Кривонос Ф. Ф., Денисов А. А. Химия в школе, 1956, № 6, 44—46 10786.

Подробное описание опыта. 10787. Внеклассные опыты по сельскохозяйственной тематике. Стышнов А.И. Химия в школе, 1956, № 6, 58-59

Описание опытов, поясняющих: 1) теорию вымывания СаСОв из почвы; 2) преимущества гранулированного удобрения.

10788 K. 9788 К. Краткий толковый химический словарь. (Пхеньян, Чосон мингугуы инмин конхвакук квахак-

вин, 1955, 888 стр.) (кор.) 10789 К. Александр Владимирович Палладии. Утевский А. М. Киев, АН УССР, 1956, 66 стр.) Палладин. илл. Печ. произведения А. В. Палладина, стр. 45-66.

1 р. 15 к. 10790 К. Десять лет развития науки в Народной Польше (Dziesięć lat rozwoju nauki w Polsce Ludowej. Warszawa, Państw. Wydawn. Nauk., 1956, 722.

nlb. s., 80 zł.). (польск.) 10791 К. Исследовательск Исследовательские центры французской химической промышленности (Les centres de recherches des industries chimiques françaises. Paris, Union industr. chim., 1955, 78 р., ill.) (франц.)

2-й год обучения. Фоконье (Cours de chimie générale et minérale. 2 ann. Fauconnier Pierre. Paris, Centre docum. univ. S. E. D. E. S., 1955, 197 p., ill.) (6 (франц.)

793 К. Задачи и упражнения по общей химии. [Для нехимических вузов]. Изд. 8-е (стереотиц.). Глинка Н. Л. М., Госхимиздат, 1956, 232 стр.,

4 р. 60 к. 10794 К. С Составление химических уравнений. Учебное пособие для химико-технологических вузов и факультетов]. Изд. 2-е переработ. и доп. Кудрявцев А. А. М., «Сов. наука», 1956, 244 стр., илл., 6 р. 30 к.

илл., о р. 50 к.

Конспект лекций по курсу упражнений по физической химии. Часть І. 1954/55 учебный год. Моризи - Кьорболи (Riassunto delle lezioni del corso di esercitazioni di chimica fisica, Parte I. 10795 K. Anno accad. 1954—55. (Univ. studi Bologna. Ist. chim. «G. Ciamician»). Morisi Chiorboli Gabriella. Bologna, 1955, 300 р.) (итал.)

10796 К. Лекционные опыты и демонстрационные материалы по органической химии. Зонис С. А., М азуров С. М. Л., Госхимиздат, 1956, 508 стр., илл., 12 р. 30 к. 1797 К. Общая биохимия. Краткий курс. Стан-

10797 K. чев (Общая биохимвя. Кратьк, курс. Станчев В. София, Наука и изкуство, 1956, 112 стр., 2. 70 лв.) (болг.)

798 К. Математические, физические и химиче-ские таблицы для VII и VIII классов. Изд. 7-е. Чех, Главичка, Груша, Поспвшил, Шпа-Тртилек (Matematické, fysikální a chemické tabulky pro sedmý a osmý postupný ročník. 7. vyd. čech Eduard, Hlavička Alois, Hruša Karel, Pospíšil Jan, Špaček Miroslav, Trtílek Josef. Praha, SPN,

1956, 63, [1] s., 1 Kčs) (чеш.) 1799 К. Неорганическая химия. Учебник для VII 10799 K. класса (Anorganishe Chemie, Lehrbuch für die VII. Bukarest, Staatsverl. Didakt. und Pädagog., 1956, 223 S., ill., 2,50 lei) (нем.)

10800 К. Химия для VIII класса. Принкман К. (Keemia. VIII klassile. Prinkman Karl. Tallinn, Eesti riiklik kirjastus, 1956, 178 lk., 2. 25 rbl.)

10801 К. Химия. Учебник для VIII класса средней школы. Ходаков Ю. В., Цветков Л. А., Шаповаленко С. Г., Эпштейн Д. А. Перев. с русс. (Хімія. Підручник для 8 кл. серед. школи. Ходаков Ю. В., Цветков Л. О., Щаповаленко С. Г., Епштейн Д. А. Перекл. з рос. Київ, «Радянська школа», 1956, 136

перем. 3 рос. Тина, чтадиневка школам, 1990, 199 стор, 1 крб. 50 коп.) (укр.) 1802 К. Химия. Учебник для VIII класса средней школы. Ходаков Ю. В., Цветков Л. А., Шаповаленко С. Г., Эпштейн Д. А. Перев. 10802 K.

on

W.

nie e.

p.,

w.

...

p.,

ıŭ. ВОВ

Д-

p.,

OI. oni

1. Ist. li

ные

A., тр.,

а н-

лв.)

ичеex,

па-

emi-

k. 7.

0 i 8,

ček

SPN,

VII.

gog.,

н К.

arl.

rbl.)

едней

. A., еред.

1. 0.,

A. 136

едней I. A., Герев.

е русс. (Хімія.Падручнік для VIII кл. сярэд. школы. Хадакоў Ю. В., Цветкоў Л. А., Шапа-валенкаС. Г., Эпштэйн Д. А. Выд. 1-е з

2-га рускага. Мінск, Дзярж. вуч.-пед. выд-ва БССР, 1956, 126 стар., 1 р. 50 к.) (белорусс.) 10803 К. Химия. Учебник для VIII—XI классов средней школы. Левченко В. В., Иванцова М. А., Соловьев Н. Г., Фельдт В. В. (Kimija. Māc bas grāmata vidusskolu. 8.-11. klasei. [kulkojums]. Levčenko V., Ivancova M., Solovjovs N., Feldts V. R'gā, Latv. valsts izd-ba, 1956, 416 lpp., 4 rbl. 80 кар.) (латыш.) 1984 К. Химия для I класса общеобразовательной

тимнажин. Изд. 2-е. К юронья (Kémia az általános gimnáziumok 1. oszt. számara. 2. kiad. K ű ron y a lstvan. Budapest, Tankönyvkiadó, 1956, 198 l., ill. lsk. ára 5 ft) (венг.)

10805 К. Задачи и упражнения по химен. Для VIII-XI классов общеобразовательной школы. Ц о к о в а, Павлова, Гылыбов, Пенев (Задачи и упражнения по химия. За VIII—XI кл. на общообраз. уч-ща. Цокова Василка, Павлова Кръстина, Гълъбов Иван, Пенев Ангел. София, Нар. просв., 1956, 116 стр., ил., 3 лв.) (болг.) 10806 К. Химия. Часть 2. Учебник для 2-го курса

машиностроительных, электротехнических, сельскохозяйственных, экономических и текстильных техникумов. Иванов, Миладинов (Химия.

Ч. 2. Учебник за 2 курс на техникумите по машиностроене, електротехника (и на) селскостоп., икон. и текстилните техникуми. Иванов Калчо, Миладинов Петър. София. Нар. просв., 1956, 196 стр., 4, 90 лв.) (болг.)

См. также: Классификация: каменные угли 12827; мнер. удобрення 12829; нефть 12903, 12904; эфирные масла 13352. Терминология: молочная пром-сть 13889. История: иск. минералы 12519; хим. пром-сть 12311; пищевая пром-сть 13929, 13934, 13974; n-аминсфенол 13081; гидросульфит и ронгалит 13229. Институты: нол 13001; гидросульрих и ролисть 13890, 13891; песохимия 13627; молочная пром-сть 13890, 13891; коррозия 14088. Конференции: физиология 4366Бх; релакс. явления 10807; микроэлементы 3366Бх; хроматография 11401; петрография 11530; глины 11533; произ-во азотной к-ты 12331; стекло, цемент, бетои 12517, 12518, 12686, 12699; сточные воды 12777; кондит. пром-сть 13866; коррозия 14087. Уч. лит-ра: физ. химия 10810; неорганич. химия 11479; органич. химия 11607—11612, 11805; аналитич. химия 12031—12031; биохимия 3453Бх, 3454Бх, 4384Бх; фармакология 3455Бх, строит. материалы 12621; шамотное произ-во 12622; топливные газы 13008; технология органич. в-в 13083; взрывчатые в-ва 13262; гидролизное и сульфитно-спиртовое произ-во 13705; химич. волокна 13725; пищевая пром-сть 14037, 14038. Документацвя: кристаллография 10919; аналитич, химия 12029

ФИЗИЧЕСКАЯ ХИМИЯ

общие вопросы

Редактор А. Б. Нейдинг

Симпознум по интерпретации релаксационных явлений с точки зрения молекулярной теории, организованный секцией неорганической и физической химии Нидерландского химического общества 1—2 декабря 1955 г. в Лейдене (Symposium over moleculaire interpretatie van relaxatieverschijnselen gehouden door de sectie voor anorganische en phy-sische chemie van de koninklijke nederlandse chemische vereniging op 1 en 2 dec. 1955 te Leiden.—), Chem. weekbl., 1956, 52, № 25, 445—494 (голл.)
Изложение докладов: Фаст (Fast J. D.)—Интерпрета-

ция релаксационных явлений с точки зрения моле-кулярной теории, Бётчер (Böttcher C. J. F.) — Интерпретация явлений диэлектрич, релаксации с точки зрения молекулярной теории, Поли (Poley J. Ph.) -Диэлектрич. релаксация простых полярных молекул, Стевелс (Stevels J. M.), Волгер (Volger J.) — Диэлектрич. потери в твердых в-вах как результат искажений кристаллич. решетки, Шварцл (Schwarzl F.) — Явления механич. релаксации, Хейбур (Heijboer J.) — Движение атомных групп в твердых полимерах. Овербик (Окарады. П. Т.) бек (Overbeck J. Th. G.) — Релаксационные явления в растворах электролитов. 10808. О различных интерпретациях квантовой механики. Бунге (Survey of the interpretations of

К. Вопросы теории подобия в области физико-химических процессов. Дьяконов Г. К. Физико-химических процессов: Д Б Я К О И О В Г. К. М. — Л., АН СССР, 1956, 206 стр., илл., 11 р. 45 к. 1810 К. Сборник задач по физической химин. Часть 1. Изд. 2-е. П и к, Ф р и д (Sbírka příkladů z fysikální chemie. 1 část. 2. vyd. P i c k J i ř í,

quantum mechanics. Bunge Mario), Amer. J. Phys., 1956, 24, № 4, 272—286 (англ.)

Fried Vojtěch. Praha, SNTL, 1956, 55, (2)

s., il., 3,04 Kes) (чен.) 10811 К. Элементы того 811 К. Элементы теоретической химин. Гумин-екий (Elementy chemii teoretycznej. Guminski Kazimierz. Krakow, Panstw. Wydawn. Nauk., 1956, 506 V, 1 nlb. s., il., 17.50 zl.— Tekst maszynopis powiel) (польск.)

АТОМНОЕ ЯДРО

Редактор Γ . А. Соколик

10812. а-Частичная модель Ne²⁰. Гамба, Монкассоли (The α-particle model of 20Ne. Gam b a A., Moncassoli A.), Nuovo cimento, 1955, 2, № 5, 1119—1120 (англ.)

Исследуется а-частичвая модель Ne²⁰. Согласно ранее опубликованной работе (Teller E., Wheeler J., Phys. Rev., 1938, 53, 778) предполагается, что с-частицы расположены в вершинах треугольной бипирамиды. Модель позволяет предсказать ряд вран ательных уровней. Энергетич. уровни задаются ф-лой $E_{J..K} = \{J\,(J+1)\,-\,$ $-K^2$ R+ K^2 r, где $R=h^2/2A$ и $r=h^2/2B$ (A и B- моменты инерции относительно осей в плоскости основання пирамиды, образованной а-частицами, и перпендикулярно к нему соответственно). Идентифицируя первые два возбужденных состояния Ne²⁰ с предсказанными ф-лой вращательными, можно предсказать врашательный уровень 7,09 Мэв, лежан ий выше уровня 6,74, Мев, который связывается с колебательным уровнем. Г. Соколик

10813. Магнитный дипольный ядерный момент и угловой момент Ти¹⁶⁹. Л и и де и б е р г е р (Magnetisches Kerndipolmoment und Kerndrehimpulsquantenzahl des ₆,Tm¹6. Linden berger Karl Heinz), Z. Physik, 1955, **141**, № 4, 476—485 (нем.) Возбужденный спектр Ти¹6 в интервале между 3450 и 4000 А измерялся с помощью интерферометра ФабриПерро в полом катоде. 26 линий являются дублетами. Линия $\lambda=3848$ А имеет также третью, слабую, компоненту. 17 линий не распрапляются, причем и и одна линия не имеет более двух сильных компонент. Величина распрапения позволяет определять магнитный дипольный момент, равный $\mu_{\rm I}=0.205\pm0.02~\mu_{\rm RL}$. Угловой момент ${\rm Tu}^{109}$ равен I=1/2. Резюме автора 10344. Вихтичнее томогиес изменения сладивания станования польных видерация в положения и польных видерация в положения и получения в положения получения в п

0814. Впутреннее тормозное излучение, сопровождающее электронный захват. Глобер, Мартин (Freinage interne accompagnant la capture électronique. Glauber R. J., Martin P. C.), J. phys. et radium, 1955, 16, № 7, 573—574 (франц.;

рез. англ.)

Вычислена форма непрерывного спектра тормозного γ -излучения, сопровождающего захват орбитальных электронов. В отличие от прежних работ учтен не только K-захват, но и элхват с других оболочек; учтено также влияние кулоновского поля ядра. Вычислена вероятность радмационного перехода электрона. Результаты предстивлены графически для случая Fe^{55} . Для захвата на s-состояний спектр γ -лучей имеет вид x (1-x) 2 , где $x=E\gamma/E_{(\text{макс.})}$; для захвата из p-состояний имеет место быстрое возрастание интенсивности при малых энергиях, что вполяе объясияет полученные недавно эксперим. γ -спектры при захвате. Для данной энергии отношение вклада от p-состояний к вкл цу от s-состояний растет пропорционально Z^2 ; таким образом, при больших зарядах ядра доминирует спектр от захвата из 2p-состояния, что также согласуется с экспериментом. М. Листенгартен

10815. О внутреннем и внешнем тормозном излучении Рм¹⁴⁷ и Рг¹⁴³. Ланжевен-Жолио (Sur le rayonnement de freinage interne et externe de ¹⁴⁷Pm et de ¹⁴³Pr. Langevin-Joliot Hélèn e), C. r. Acad. sci., 1955, 241, № 19, 1286—1288

(франц.)

При помощи люминесцентной спектрографии изучены спектры внутреннего тормозного излучения Pm^{147} и Pr^{143} . В случае Pm^{147} число квантов, испускаемых в результате внутреннего тормозного излучения с энергиями больше $60~\kappa$ 99, в 4,5 раза больше, чем следует из теоретич. оценок. Эксперим. значение средней энергии тормозного излучения на распад для $E_{(\text{торм.})} < 130~\kappa$ 90 составляет $(4.4 \pm 0.6) \cdot 10^{-2}~\kappa$ 90 вместо теоретич. значения $1,47 \cdot 10^{-2}~\kappa$ 90. Приведены также результаты измерения спектров тормозного излучения Pm^{147} в С и Al. И. Лемберг

10816. Ядерная резонансная флуоресценция Ni⁶0. Меңгер (Nuclear resonance fluorescence in Ni⁶0. Меtzger Franz R.), Phys. Rev., 1956, 103,

№ 4, 983—987 (англ.)

 γ -Излучение, испускаемое источником ${\rm Co^{60}Cl_2}$, использовано для возбуждения уровня ${\rm Ni^{60}}$ с E 1,33 M эв. Угловое распределение резонансного излучения задает спин возбужденного 1,33 M эв состояния, равный 2, и спин основного состояния ${\rm Ni^{60}}$ С ${\rm Cpeдний}$ T_{1_1} возбужденного состояния ${\rm Ni^{60}}$ с E 1,33 M эв найден равным $(1,1\pm0,2)\cdot 10^{-12}$ сек. Резюме автора 10817. Вариации количества изотонов и изобаров,

испытывающих α- и β-распад. Payr (Variation of the number of isotopes and isobars in alpha and beta decay. Raut H. K.), Current Sci., 1956, 25, № 5,

152-153 (англ.)

Приведены кривые, показывающие кол-во изотопов, испытывающих α - и β -распад, в зависимости от атомного номера. Миним. кол-во α -излучателей при Z=80. Далее число α -излучателей растет и при Z=88—92 принимает постоянное значение. Затем их кол-во сновуменьщается, оставаясь постоянным после Z=93. Для β -излучателей наблюдаются периодич. флоктуации. Максимум, равный 6, получается при Z=81 и 91, мини-

мумы — при Z=84, 85, 86 и 96. Число α -активных изотопов больше, чем соответствующее число β -активных изотопов для всех Z, и чиная с Z=84. Наименьшее кол-во изобаров, испытывающих α -распад, при A=210. Затем крив и растет, проходя через ряд максимумов и минимумов. Максим. значения имеют место для A=224, 226 и 228. Для β -излучателей максимумы и минимумы идут с правильными интервалами. 1-й максимум для A=210, 2-й при A=234. Как и в случае изотопов, кол-во изобаров, испытывающих α -распад. Замечено, что число изобаров больше в случае четного A, чем в случае нечетного, что связано с большей стабильностью четно-четных ядер. М. Дембровский 10818. Яперные реакции при бомбарлировке $N\alpha^{23}$

27но-четных ядер.

2818. Идерные реакции при бомбардировке №23, Al²7 и Si²9 протопами. К о з и (Protoninduced reactions in №23, Al²7 and Si²9. С о h е п В е г п а г d L.), Phys. Rev., 1956, 102, № 2, 453—455 (англ.)

Измерялись сечения и функции возбуждения р-ций, №23, Al²2, 200, Останования и №3, №3, Al²2, 200, Остано

Измерялись сечения и функции возбуждения р-ций, вызванных протонами в Na²³, Al²⁷ и Si²⁹. Образцы облучались протонами с E 32 Mos. Na²³ под действием протонов образует то же промежуточное ядро Mg²⁴, что и в случ е бомбардировки В¹о ионами N¹¹. В случае бомбардировки нонами N¹¹ были найдены активности: О¹⁵, F¹³, N¹³ и С¹¹ с T₁¹, 2,¹; 112; 10; 20 мин. соответственно. В случае протонной бомбардировки найдены О¹⁵ и F¹в, для которых приведены функции возбуждения. Эти активности приписаны р-циям скалывания (р, 2an) с пороговой энергией 18,7 Мов и р-ции (р, da) или (р, pna) с пороговыми значениями 19,5 и 21,8 Мов соответственно. Бомбардировка Аl²² приводит к промежуточному ядру Si²в, которое образуется в р-ции, идущей под действием ионов N¹⁴ с E 26 M ss. При бомбардировке нонами N¹⁴ образовались активности О¹⁵ и N³в с T₁, 2,1 и 10 мин. соответственно. При бомбардировке протонами Al²² найдена активность с T₁, 10 мин. Бомбардировка протонами Si²9 приводит к р-ции Si²9(р, 2р, 12в, причем T₁, Al²в равен 2,3 мин. Г. Соколик 10819. Ядерная химия и атомная энергия. Ц и м е в

0819. Ядерная химия и атомная энергия. Цимен (Kernchemie und Atomkraft. Zimen Karl-Erik), Naturwissenschaften, 1956, 43, № 17, 381— 387 (нем.)

См. также: Элементарные частицы, атомное ядро 10823. Радиоактивные изотопы 11079—11086, 11093, 11094, 11099, 11101, 11103—11105

ATOM

Редактор Н. М. Яшин

10820. Применение теории возмущений Релея-Предивrepa к атому водорода. Трис (Application of the Rayleigh-Schrödinger perturbation theory to the hydrogen atom. Trees Richard E.), Phys. Rev., 1956, 102, № 6, 1553—1556 (англ.)

Вигнер (РЖхим, 1956, 53583) вычислил энергию основного состояния атома H во втором приближения теории возмущений, считая возмущением весь электростатич. потенциал ядра. Результат не совпал с известной энергией атома H. Автор показывает, что точное значение энергии во втором приближении теории возмущений может быть получено, если часть заряда ядра учесть уже в нулевом приближении. Электростатич. потенциал ядра представляется в виде $Ze^2/r = Z_1e/r + (Z-Z_1)e^2/r$, а возмущением считается второй член справа. Точное значение энергии атома H получается также в пределе $Z_1 \rightarrow 0$. В отличие от результатов Вигнера волновые функции нулевого приближения имеют теперь наряду со сплошным спектром

также если атома эйниг рассм отся выше сходи 10821.

high

A m

195

Для дейсти атомог при ко с вычи лись в ет вид тенция действ как ве 2,32 А ведены сти, вя

Talor.

(Часть

10822.

spar

Ярес Изм питенс в областрафе 1 5000 А памере ровала америц очень вой спества сдимеет На чанз 4

Чай 1, № При пась снектра чена ст расщеных ма ствий; А = 0,30; квадруг 0 = — 4

10823.

мент

причем ленная (113). С A = [2l] нитного работы лучено (

См. та 10813. Р

X 10-24

T-

ш

(a)

108

вке

OM-

THE

e H

1-

дин-the

hys.

ргию енни

ктро-

Bect-90НРО

B03аряда

or pe-

ибли-

также и дискретный спектр. Показано также, что если производить расчет энергии основного состояния атома Н с помощью ур-ния Шредингера в гиперсфере Эйнштейна, то весь электростатич, потенциал может рассматриваться как возмущение. При этом получартся точные значения энергии во всех приближениях, выше первого, но последовательность волновых функций сходится медленно. Т. Ребане сходится медленно.

Mean Sections.

1. Tecanological Paccessure быстрых нейтральных частиц. V. Heon-neon. Амдур, Мейсон (Scattering of high velocity neutral particles. V. Neon-neon. Amdur I., Mason E. A.), J. Chem. Phys., 1955, 23, № 3, 415—416 (англ.)

Для определения вида потенциальной функции взаимодействия двух атомов неона исследовалось рассеяние нейтр. этомов неона с энергией в интервале 500—2100 ж на неоне при комнатной т-ре. Полученные результаты сравниваются с вычисленными значениями сечения. Последние находились в предположении, что потенциал взаимодействия имеет вид $V(r)=k/r^8$. Получена полуэмпирич. ф-ла для потенциальной функцин $V(r)=5,00\cdot 10^{-10}/r^{0.99}$ эре (r в A), действительная для r в интервале 1,76—2,13 A. Так как величина V(r), вычисленная из этой ф-лы для r2.32 А, в пределах 1% совпадает с величиной V (r), выведенной из экспериментов по исследованию сжимаемости, визкости и кристаллич. свойств неона, авторы считают, что эта ф-ла справедлива для г от 1,76 до 2,32 А. (Часть IV см. РЖфиз, 1956, 556). В. Чекин

10822. Искровой спектр америция. Тори (The spark spectrum of americium. Thorne R. P.), Spectrochim. Acta, 1956, 8, № 2, 71—87 (англ.) Измерены длины воли и оценены относительные

интенсивности 1300 линий искрового спектра америция в области 2500—8000 А. Спектр получен на 3-м спектрографе Берда с диффракционной решеткой. Спектр ниже 5000 А изучался в 3-м порядке и достигнута точность измерения ± 0,03 А; другая часть спектра регистрировалась в 1-м порядке с точностью ± 0,1 А. Спектр америция состоит из ряда весьма сильных линий и очень большого кол-ва слабых, чем напоминает искровой спектр европия. На основании этого внешнего сходства сделан вывод, что Am II в нормальном состоянии имеет конфигурацию 5*f*⁷7*s*¹ (для Eu II — 4*f*⁷6*s*¹). На части линий наблюдена сверхтонкая структура вз 4 разрешенных компонент.

0823. Спектроскопическое определение ядерных мо-ментов Си⁶³ и Си⁶⁵. Калитеевский Н. И., Чайка М. П., Оптика и спектроскопия, 1956, 1, № 5, 606-611

При помощи интерферометра Фабри—Перо исследовалась сверхтонкая структура линий 5700 и 5782 А на спектрах разделенных изотопов меди (Cu^{69} и Cu^{65}). Изучева структура $3\,d^94s^2$ $^2D_{a|a}$ терма. По сверхтонкому расщеплению этого терма подсчитаны значения постоянвых магнитного (A) и квадрупольного (B) взавмодействий; $A(\mathrm{Cu^{63}}) = 64,4 \times 10^{-8}$, $A(\mathrm{Cu^{65}}) = 65,7 \times 10^{-8}$, $A(\mathrm{Cu^{65}}) = 6,30 \times 10^{-8}$ и $B(\mathrm{Cu^{65}}) = 0,23 \times 10^{-8}$ см⁻¹. Величина квадрупольного момента Q ядра вычислялась по ф-ле $Q = -8BI(2I-1)J(2J-1)/3e^2 < r^{-3} > <3\cos^2\theta - 1>$, причем для $<3\cos^2\theta - 1>$ взята величина $^2/_6$, вычисленная ранее (Schüler, Schmidt, Z. Phys., 1936, 100, 113). Оценка $< r^{-3} >$ проделана авторами по ф-ле $A = [2l(l+1)/J(J+1)I]\mu_0\mu < r^{-3} >$, а величина маг-00CTA-2/r = 1 BTOштного момента μ соответствующего ядра взята из работы Паунда (Pound, Phys. Pev. 1948, 73, 523). Получено Q (Cu⁸³) = -0.28×10^{-24} см² н Q (Cu⁶⁵) = $-0.22 \times$ ма Н X 10-24 CM2. Н. Яшин

См. также: Периодич. системы 10817. Атомные спектры ктром 10813. Радиус ионов 10838. Атомная поляризуемость 10892

МОЛЕКУЛА. ХИМИЧЕСКАЯ СВЯЗЬ

Редактор М. Е. Дяткина

Линейная комбинация ортогональных функций Эринта как истод рассмотрения одномерных моделей молекул в квантовой химии. Сообщение I. Хейльброннер, Гюнтхард, Гердиль (Linearkombination Hermite'scher Orthogonalfunktionen, ein Verfahren zur Behandlung eindimensionaler Molekel-Modelle der Quanten-Chemie. I. Mitteilung. Heilbronner E., Günthard Hs. H., Gerdil R.), Helv. chim. acta, 1956, 39, № 4,

1171—1181 (нем.; рез. англ.) Если частица двежется в одномерном потенциальном поле, заданном в виде полинома четной степени k и $V\left(\xi\right)$ = $=(\hbar\omega_0/4)\sum_{l=1}^k v_l \xi^l$, то целесообразно представить приближенное решение ур-ния Шредингера в виде линейной комбинации ортогональных функций Эрмита Ф (ξ) = $=\sum_{n=0}^{n}c_{n}u_{n}(\xi)$ (ω_{0} — классич. частота осциллятора, к которому относятся функции $u_n(\xi)$). Свойства функций Эрмита значительно облегчают вычисление элементов вековой матрицы $H_{mn}=\int_{-\infty}^{\infty}u_{n}\left(\xi\right)\left[-\left(\hbar\omega_{0}\left/2\right)\times\left(d^{2}\left/d\xi^{2}\right)+V\left(\xi\right)\right]u_{m}\left(\xi\right)d\xi$. Для H_{mn} получаются простые алгебранч. выражения. Так как отличны от нуля только те матричные элементы H_{mn} , у которых оба индекса одинаковой четности, то вековое ур-ние разбивается на 2 ур-ния (стеї ень векового ур-ния понижается вдвое). Табулированы значения $H_{n,\,n-r}$ как ливейные функции коэфф. v_1 для случая k=6; n=0,1,2...,11; $r = 0, 1, 2 \dots, 6$. В качестве примера, собственные функции гармонич. осциллятора аппроксимируются линейными комбинациями собственных функций, относящихся к гармонич. осциллятору с вдвое меньшей частотой

Т. Ребане Применение электронных счетных машин ж проблемам молекулярных орбит. II. Новое приближение для систем с гетероатомами. Притчард, Самнер (The application of electronic digital computers to molecular orbital problems. II. A new approximation for hetero-atom systems. Pritchard H. O., Sumner F. H.), Proc. Roy. Soc., 1956, A235, № 1200, 136—143 (англ.)

Описывается метод нахождения МО с самосогласованным полем с учетом интегралов неортоговальности, основанный на следующих приближениях: 1) величива основанный на следунных приопиленти. В систем кулоновского интеграла $H_{\tau\tau}$ атома r отождествляется с электроотрицательностью (ε) той орбиты, которая участвует в образовавии связи (для атома С p-орбита с ε =6,0 \mathscr{D}); 2) обменный интеграл между различными атомами сводится к обменным интегралам между одинаковыми атомами $H_{rs}^{ab} = 1/2 (H_{rs}^{aa} + H_{rs}^{bb})$, 3) неднагональные члены матрицы энергии экспоненциально изменяются с расстоянием $H_{rs}^{a\dot{a}} = NH_{rr} \exp{(-R_{rs})}$, причем N определяется решением векового ур-ния для бензола и имеет значение 13,631 для связывающей орбиты и 1,5 для орбиты с узлом между атомами г и в. Процесс самосогласования основан на известной параболич. зависимости электронных энергий ионов с одним и тем же атомным номером от заряда. Ур-ние решается с заданными матричными элементами, затем находятся заряды атомов; по этим величинам находят новые матричные элементы и т. д. Основная трудность при решении задачи с гетероатомами состоит в выборе наиболее рациональных значений д. Простейший способ состоит в том, что решение начинается без учета π -электронов, т. е. берутся значения H_{rr} , соответствую-

Nº 4

бреже

таты

такую

радик

да М

ближа

не пр

ветств нилме

10831.

rine

tur.

Mer

вклад

замен

вание

на СН

понов

актив

нов у

M OIII

можн

≈ 13.

водны 3-, 26.7

10832

(Su

bui

195

HDH I

реакі

Угле

фена

B TO

фено.

мета

усто

MHOL

зона

зиро

драт

Перг

ласт

в обл

толь

боли

KHME

ное (

П

щие q=0 для всех атомов. Иногда же, как, напр., у пиррола, выгодно удалять с гетероатома даже два электрона, оставляя N^{2+} . Этим методом получены следующие величины зарядов атомов, считая от азота вдоль кольца: $1,022;\ 1,015;\ 0,967;\ 1,014$ для пирридина и $1,82;\ 1,078;\ 1,181$ для пиррола. Сообщение I см. РЖХим, 1956, 38651.

10826. К расчету π-электронной плотности в молекулах монозамещенных бензола на основе металлической модели. Алмазов А.Б., Бочвар Д.А., Докл. АН СССР, 1956, 109, № 1, 121—123

На основе металлич, модели рассматривается вопрос о влиянии природы заместителя в бензоле на распрепедение плотности π-электронов по бензольному кольцу. Из условий симметрии волновых функций относительно плоскости, нормальной к кольцу и проходящей через заместитель и пара-положение к заместителю, и из общих свойств решения одномерного ур-ния Шредингера с симметричными граничными условиями вытесуществование абс. максимума плотности π-электронов в пара-положении к заместителю. Различие в потенциале между кольцом и заместителем изображается прямоугольным углублением в одномерном потенциальном ящике. Изменение параметров углубления (или горба) не влияет на наличие указанного абс. максимума. Возможно наличие относительных максимумов π-электронной плотности в других точках бензольного кольца (напр. вблизи орто- или мета-положений к заместителю). Суммарная плотность электронов вблизи обоих орто- или обоих мета-положений может, по мнению авторов, оказаться больше плотности в пара-положении, что должно играть значительную роль при рассмотрении кинетич. задач. Общие положения, излагаемые авторами, иллюстрируются на примере расчета хлорбензола, проведенного Т. Н. Рекашевой (РЖХим, 1956, 9018), в котором потенциальная яма, связанная с заместителем, считалась прямоугольной при бесконечно большой высоте барьера со стороны заместителя. Сопряжение с неподеленной парой электронов.

I. Теоретическая часть. На ип (Conjugation with ione-pair electrons. I. Theoretical. Nash T.), J. Аррі. Сhem., 1956, 6, № 7, 300—302 (англ.) Излагаются теоретич, соображения и опытные данные, приводящие к предпочтительности транс-сопряжения неподеленной пары электронов О с соседней двойной связью С=С по сравнению с *цис*-сопряжением, причем атомный диполь становится закрепленным. Это сопряжение приводит к дополнительному электрич. натяжению, что благоприятствует копланарности или коллинеарности диполей. В частности, для винилогов Н2О2, которая сама неплоская, это натяжение столь велико, что для них известны только енольные ароматич. формы. Если в одной молекуле имеются 2 атома с неподеленными парами электронов, то указанное натяжение может привести к хиноноподобной системе, для которой механизм окисления-восстановления включает свободные радикалы. Автор распространяет этот механизм на более восстановленные системы,

предлагая следующую гипотетич, схему восстановления

а-кетола в кетон (оба приведены в енольных формах):

I обязательно должен быть енолом, а не насыщ, диолом, так как последний не имеет сопряженной системы.

Е. Шусторович 10828. Расчет атомных самополяризуемостей и аналогичных величин в методе молекулярных орбит. Браун (The calculation of atom self-polarizabilities and similar quantities in the molecular-orbital theory. Brown R. D.), J. Chem. Soc., 1956, March, 767—769 (англ.)

Предлагается удобное при численных расчетах видоизменение выведенных ранее (Coulson, Longuet-Higgins, Proc. Roy. Soc., 1947, A191, 39) ф-л для атомных самополяризуемостей и аналогичных величин в методе МО. Выражение для атомной самополяризуемости $\pi_{\mu\mu}=$ = $1/\pi_i \int_{\Gamma} \{\Delta_{\mu\mu}(e) / \Delta(e)\}^2 de$ (1) $\Delta(e)$ — вековой определитель рассматриваемой системы, $\Delta_{\mu\mu}$ (e) — определитель, получаемый из векового ур-ния вычеркиванием μ-ой строчки и μ-го столбца, а контуры интегрирования $\Gamma(\gamma)$ охватывают все нули $\Delta(e)/D(x)$, соответствующие полностью занятым орбитам, преобразуется с помощью подстановки $(\alpha - e) / \beta = x$ к виду $\pi_{\mu\mu} =$ = $-1/\pi i \beta \int_{\gamma} \{D_{\mu\mu}(x) / D(x)\}^2 dx$ (2), $D(x) = D_{\mu\mu}(x)$ определители, получающиеся из Δ (e) и $\Delta_{u.u.}$ (e) делением всех столбцов на 3. Контурный интеграл (2) равен, согласно теореме вычетов, $\pi_{\mu\mu}=-1/\beta\sum_{j}\nu_{j}R_{j}$ (3), где ν_{j} — число электронов, занимающих j-орбиту, а R_{j} вычет подинтегральной функции в полюсе x_j , и так как это полюс второго порядка, то имеем $D\left(x\right)=(x-x_{j})\times \times F_{j}\left(x\right),\ R_{j}=d/dx\left[\left\{D_{\mu\mu}\left(x\right)/F_{j}\left(x\right)\right\}^{2}\right]_{x=x_{j}}=2D_{\mu\mu}(x_{j})/2$ $(F_j(x_j)^3 \, \{F_j(x_j) \, D'_{\mu\mu}(x_j) - F'_j(x_j), D_{\mu\mu}(x_j)\}$. Согласно определению $F_j(x) \, D'(x_j) = F_j(x_j), \, D''(x_j) = 2F_j(x_j),$ откуда $\pi_{\mu\mu}=1/\beta \sum_j \nu_j D_{\mu\mu}(x_j)/[D'(x_j)]^3 \{D''(x_j)D_{\mu\mu}(x_j) -2D'(x_i) D'_{u,u}(x_i)$ (4). Использование ф-лы (4) иллюстрируется расчетом самополяризуемости для конечного атома бутадиена и для бензола, где симметрия молекулы позволяет сократить общие множители в $D\left(x\right)$ 10829. Расчет и измерение магнитной восприимчи-

матнитной восприничивости алленовых углеводородов. Ги, Тийё, Оаро, Годмар, Гросс (Calcul et mesure de la susceptibilité magnétique des carbures alléniques. Guy Jean, Tillieu Jacques, Hoarau Jean, Gaudemar Marcel, Gross Вегпаг d), C. r. Acad. sci., 1956, 243, № 1, 34—35 (франц.)

С помощью метода, использованного ранее для связей С — С и СН (РЖХим, 1956, 28228, 67615), вычислены компоненты тензора магнитной восприимчивости связи с - С при тригональной гибридизации орбит одного атома С и диагональной гибридизации другого атома $^{\rm C}$ (106) $\chi_{zz}=-1,95, \chi_z^L=-2,29; \; \chi_{yy}^L=-3,26, \; \chi_{yy}^+==+0,53; \; \chi_{({\rm cp.})}=-2,47.$ На основании этих данных вычислены средние восприимчивости ряда алленовых углеводородов х (мол.) и сопоставлены с измеренными авторами опытными значениями (1-я цифра — расчет, 2-я цифра — опыт, все значения 106) п-бутилаллен 71,86; 73,5; изобутилаллен 71,86; 73,6; амилаллен 83,15; 83,6; 1,3-диметилаллен 49,47; 49,10; 1,3-метилэтилаллен 60, 76; 60,9 1,3 метил-и-пропилаллен 72,05; 72,10. Вычислены инкременты, приходящиеся на двойные связи, определенные как разности между опытными значениями х (мод.), вычисленными по новой схеме Паскаля, которые лежат в пределах $+3,15+5,6\cdot10^{-6}$ и близки к инкременту двойной связи у этилена $(+5,5\cdot10^{-6})$. Дублетные состояния радикала

Мори (Doublet states of benzyl radical. Могі Yuji), J. Chem. Phys., 1956, 24, № 6, 1253 (англ.) Автор рассчитал уровни энергии радикала бенавла, рассматривая последний как бензол, взаимодействующий с $2p\pi$ функцией метиленовой группы, при преве-

K

X

)/

OF

),

0-

0-

0-

x)

HE

H-

a-la

es.

a -

35

ны

HEF ого

ома

=

ж

зых

AME

2-я

,86; 3,6;

76;

ены

лен-

n.),

жат

нту

гнер

ила.

ori гл.)

ла,

y10-

ене-

брежении интегралами неортогональности. Результаты расчета описанным методом дают приблизительно такую же картину распределения дублетных уровней радикала бензила, как и при применении обычного метода МО. Указывается, что энергия возбуждения на ближайший дублетный уровень в радикале бензила пе превышает 3.8 эв. Переходу аналогичного типа соответствует слабая полоса поглощения радикала трифе-вилметила при ~5000 A. В. Алексанян В. Алексанян

Применение теории реакционной способности в реакциях разрыва кольца метилкумарина. Джакометти (Una teoria della reatività chimica applicata alla reazione di apertura dell'anello di cumarine-metilate. Gia com et ti Giovanni), At-ti Accad. naz. Lincei. Rend., Cl. Sci. fis., mat. e natur., 1954 (1955), 17, № 6, 379—384 (итал.)

Методом МО в первом гриближении теории возмущений вычисляется вклад ΔH_{π} в энергию активации р-ции разрыва лактонового кольца метилкумаринов (II). ΔH_{π} представляет разность энергий π -электронов в

активированном комплексе вида I и в V.00. молекуле II. Замещение H на CH_а приводит к увеличению электроотрицательности атома С. Энергия π-электронов на орбите j равна $E^j = E_0^j + \int \psi_i^* \Delta H \psi_i d\tau$,

где E_0^j — энергия π -электронов в молекуле кумарина, вклад вносят кулоновские члены, энергия π -электронов в замещенной молекуле равна $E=E_0+\Sigma_rq_r\alpha_r$. Суммирование происходит по всем атомам С, у которых Н замещен на $\mathrm{CH_3}, q_r$ —плотность у этих атомов C, а α_r —разность кулоновских интегралов замещ. и незамещ. атомов. Энергия активации равна $a_r(q_r-q_r')$, где q_r' — плотность электронов у г в активном комплексе. Результаты вычислений и опыта показывают, что все замещенные кумарины можно разделить на две группы: с энергией активации ≈ 13,7 ккал/моль — кумарин и его 5- и 7-метилпроизводные — и с энергией активации $\approx 18,2$ ккал/моль — 3-, 6- и 8-метилкумарины. При этом α равно 26.7 ккал/моль. Е. Никитин 26.7 ккал/моль. 10832. О метаболических превращениях канцероген-

ных углеводородов. Пюльман, Пюльман (Sur les transformations métaboliques des hydrocarbures cancérogènes. Pullman Alberte, m-me, Pullman Bernard), Bull. Soc. chim. France, 1954, № 9, 1097—1104 (франд.) Путем расчета методом МО — ЛКАО энергий

ж-электронов ряда ароматич, диолов и получающихся при их дегидратации фенолов рассмотрена метаболич. реакционноспособность канцерогенных углеводородов. Углеводороды небольших размеров (нафталин, антрацен, фенантрен) образуют при метаболизме диолы и фенолы, в то время как для углеводородов больших размеров в качестве продуктов метаболизма выделены только фенолы. Обычно предполагается, что первой стадией метаболизма является образование диолов, которые в последнем случае не удается выделить из-за их не-устойчивости. Расчет подтверждает, что в случае многоядерных углеводородов выигрыш в энергии резонанса при переходе от диола к полностью ароматизированной системе больше, так что стремление к дегидратации в них, действительно, должно быть сильнее. Пергидроксилирование имеет место не в области К, наиболее активной к р-ции присоединения, и не в области L, наиболее активной к р-циям замещения, а в области M, соседней с K. Этот факт можно объяснить, только предположив в качестве первой стадии метаболизма образование комплекса между областью К и какими-то элементами клетки, которое изменяет электронное строение молекулы в сторону повышения реакцион-

носпособности области М. Образование комплекса не является простой р-цией присоединения, выключающей область К из сопряженной системы молекулы, иначе все реакционноспособные центры, напр. в 1.2-бензантрацене, оказались бы в нафталиновом, а не бензольном ядре, между тем пергидроксилирование происходит именно в последнем. Скорее можно предположить хиноидоподобное распределение электронов в комплексе. Расчет 1,2-бензантраценхинона-3,4 показывает, что наибольшая конц-ия зарида происходит на углероде 3' бензантраценовой системы, т. е. в области M, а наибольшей свободной валентностью обладают углероды 9 и 10 области L. Образование при пергидроксилировании транс-диолов ограничивает выбор возможных механизмов р-ции прямым присоединением свободных радикалов ОН или промежуточным образованием окиси. Направление р-ции пергидроксилирования исключительно в область М, а не L, говорит, в соответствии с полученными данными, о распределении электронов, против радикального механизма, за промежуточное образование окиси, которое, согласно некоторым данным, протекает по электрофильному механизму. Таким образом, основная гипотеза теории канцерогенной активности о наличии электронного взаимодействия между областью К и некоторыми элементами клетки позволяет также объяснить ход метаболизма ароматич. Н. Гамбарян углеводородов.

Триарилметил-радикалы. Сообщение 1: трио-толизметил. К теории стабильности углеродных радикалов. Тейлаккер, Вессел - Эвальд. (Triarylmethyl-Radikale, 1. Mitt.: Das Tri-o-tolyl-methyl. Theilacker Walter, Wessel-Ewald Marie-Luise), Liebigs Ann. Chem.,

1955, 594, № 3, 214-224 (нем.)

Рассмотрена пространственная конфигурация три-отолилметил-радикала (I). Построены геометрические модели I и гекса-о-толилэтана (II) с использованием эффективных радиусов г, рассчитанных Стюартом (Stuart H. A., Molekülstruktur, Berlin, 1934, 48; Z. physik. Chem [В], 1934, 27, 354) и авторами (W. Theilacker, Z. Naturforsch., 1948, 3b, 233). Показано, что могут скег, 2. Natunoiscu., 1946, 203). показано, 410 могул существовать 2 модели I, где фенильные кольца распо-ложены под углом 120° и имеют наименьшее отклоне-ние от копланарности: A— одно кольцо перпендикулярно плоскости, в которой лежат 2 других, \hat{B} — все кольца повернуты из плоского положения на угол 34 — 45° (в зависимости от выбора г). Аналогичные расчеты для трифенилметила (III) приводят к минимальному углу поворота $18-21^\circ$. Выигрыш энергии делокализации ж-электронов при диссоциации димера для модели А 47 кал/моль, В 45 кал/моль, т.е. меньше чем для III, что должно приводить к пониженной степени диссоциации II. Но в II пространственные затруднения вызывают увеличение расстояния связи С-С, так что имеется 2 конкурирующих фактора, влияющих на диссоциацию. Измерена магнитная восприимчивость I в бензоле. Показано, что в 8,8%-ном р-ре при 19° содержание радикалов I составляет 83 ± 2%, и образования хинометана (IV) не происходит. И диссоциирует на радикалы сильнее, чем гексафенилэтан, о,м,пдитолилтетрафенилэтаны, о,м,п-тетратолилдифенил-этаны, м,п-гексатолилэтаны. Делается вывод, что пространственное действие ортозаместителя уменьшает стабильность радикалов, но вместе с тем препятствует соединению их в молекулы, причем второй фактор преобладает над первым. Измерены спектры I в бензоле. В спектре I не наблюдаются полосы поглощения ~5000 A, характерные для спектра III, что подтверждает поворот фенильных колец из копланарного состояния для I больший, чем для III. 10834. Простые модели в теории строения молекул. Колос (Proste modele w teorii budowy cząsteczek.

Nº 4

пается

панны

D(CH

личин I (NO₂ име.

= 31,

тенсив

винев

n (NO

10840.

DOM.

tion

se

J. (

Изм

пия (I

(13,2±

NF++

F_(~

+ F- -

молек

преде.

энерги

таков D (NF

NF+

лов N

ные н

превы

уда К р

imp

J., 405

По

ставл

Trans

CF4

полож

потен

n CF

перех

лекул

отриг

элект

При

ными D(С F

€ 9.

10842

ний (Ма

Î., Fr

No

По

Pb: T

ТИЛТ

бути.

тетра

тоду 1951,

массразлі

алки

NF₃

Kolos Wlodzimierz), Postępy fiz., 1956, 7, № 4, 301—315 (польск.)

Влияние запаздывания на силы Лондона-Ван-дер-Ваальса. Лич (The influence of retardation on the London-van der Waals forces. Leech J. W.), Philos. Mag., 1955, 46, № 383, 1328—1336 (англ.) Рассмотрено взаимодействие двух идентичных ато-мов через электромагнитное поле. Вычисления производятся по схеме теории возмущений при последовательном учете запаздывания электромагнитного взаимодействия. Возмущением является энергия взаимодействия электронов обоих атомов с полем, а малым нараметром — заряд электрона. Для простоты рассматриваются только атомы, основное состояние которых -S-состояние, а единственное достижимое возбужденное — трехкратно вырожденное Р-состояние. рупольные (и следующие мультипольные) эффекты не учитываются. Бесконечности, неизбежно появляющиеся в таких квантовоэлектродинамич. расчетах, устраняются путем отбрасывания взаимодействия каждого атома в отдельности с полем и учета одного лишь взаимодействия атомов друг с другом через Энергетич. поправка четвертого приближения (предыдущие равны нулю) содержит обычную лондоновскую энергию притяжения (электростатич. происхождения), пропорциональную R^{-6} (R—расстояние между атомами), а также ряд других членов, связанных с запаздыванием взаимодействия. На больших расстояниях энергия взаимодействия пропорциональна R^{-3} (притяжение).

III. Коган 10836. Группировка молекул водорода при высоком давлении. Лондон (Alignment of hydrogen molecules by high pressure. London F.), Phys. Rev. 1956, 102, № 1, 168—171 (англ.)

Посмертная публикация (статья составлена учениками автора по его недоработанным материалам).

Расчет ван-дер-ваальсового взаимодействия между молекулами H₂ в твердом водороде показывает, что вследствие большого молярного объема анизотропия межмолекулярных сил недостаточна, чтобы молекулы имели преимущественную ориентацию. Прилагая достаточно высокое давление, можно увеличить взаимодействие соседних молекул, что приведет к ориентации молекул. При этом осуществляется переход от спектра уровней энергии свободного волчка с квантовыми числами J, Mк спектру уровней энергии двумерного изотропного гармонич. осциллятора $E=h\mathbf{v}\,(n_1+n_2+1);\;\;|M|=$ $= |n_1 - n_2|$, (M - B направлении ориентации молекул). Уровень основного пара-состояния ($J=0,\ M=0,\ I=0$) и трижды вырожденный уровень ортосостояния (J=1, $M=0,\ I=1)$ сливаются, образуя четырежды вырожденное состояние. При изотермич. сжатии параводорода и достижении теплового равновесия энтропия его повышается на $R\ln 4$ на 1 моль, т. е. поглощается теплота $RT\ln 4$. При адиабатич. сжатии т-ра уменьшается до величины, соответствующей расщеплению ядерной магнитной тонкой структуры $\sim 3\cdot 10^{-6}\,^{\circ}$ К. Практич. использованию эффекта для охлаждения в случае $\rm H_2$ может помещать медленность достижения теплового равновесия. Адиабатич. сжатие может быть использовано для охлаждения в случае асимметричных молекул HD. Используя результаты измерения сжимаемости H_2 п D_2 (РЖХим, 1955, 5278), автор оценивает необходимое давление в 10 000 кг/см². Ориентация молекул в сжатом твердом HD должна привести к наличию резонанса на радиочастотах. Для свободно вращающихся молекул HD резонанс должен отсутствовать, что и имеет место для твердого НД. Для полностью закрепленных молекул HD рассчитаны характеристич. частоты 27,7; 75,6; 103,3 кгу. Измерения резонансных частот позволяют оценить степень отклонения молекул HD от произвольной ориентации при сжатии. Т. Бирштейн

Взаимодействия между симметричными многоатомными молекулами. Балеску (Interactions between symmetric polyatomic molecules. Ваlевси Radu), Physica, 1956, 22, № 3, 224—230 (англ.) Принимается, что взаимодействие двух молекул складывается из взаимодействия каждого атома одной молекулы с каждым атомом другой молекулы по закону «6—12». Вычисления производятся в системе координат с двумя центрами, в качестве которых используются геометрич. центры молекул. Путем разложения обратных межатомных расстояний (соответственно в 6и 12-й степени) в ряд по сферич. функциям удается в выражении для энергии взаимодействия симметричных молекул выделить центральные члены, зависящие только от расстояния между центрами молекул, и нецентральные, зависящие также от их взаимной ориентации. Лишь последние существенным образом зависят от структуры молекул, хотя и центральные члены содержат ряд параметров, зависящих от нее. Полученное общее выражение применяется к двухатомным (из одинаковых атомов) молекулам, а также к молекулам, имеющим форму правильных тетраэдра и октаэдра. Нецентральное взаимодействие мало по сравнению с центральным уже в случае двухатомных молекул. Оно становится еще меньше с увеличением симметрии молекул. Центральные члены изменяются по сравнению с законом «6—12». Усиливается отталкивание между молекулами, уменьшается глубина потенциального минимума. Сравнение вторых вириальных коэфф. B(T) газа, состоящего из тетраздрич. молекул, и газа, в котором те же атомы образуют точечные молекулы, показывает, что в первом случае В больше (алгебраически), а зависимость его от т-ры несколько иная. Представляется возможным на основе измерений B(T) приближенно вычислять оба параметра закона «6-12». Расчет, произведенный для СГ4, показал, что связанные атомы фтора взаимо-Ш. Коган действуют слабее, чем свободные.

0838. Ионный характер гидридов переходных металлов. Либовиц, Гибб (The ionic character of transition metal hydrides. Libowitz G. G., Gibb T. R. P., Jr), J. Phys. Chem., 1956, 60, № 4,

510—511 (англ.) При предположении ионной связи в гидридах Ті, Zt, La, Ce, Pr, Nd, Sm, Gd, Ac, Th, Pa, U, Pu радиус аниона Н-, вычисленный как разность между межатомными расстояниями и радиусами катионов, постояней и равен в среднем 1,29 ± 0,05 A. Н. Гамбаряя 10839. Исследование потенциалов появления. І. Определение избыточной кинетической энергии. ІІ. Нитеральной кинетической энергии. ІІ. Нитеральной кинетической энергии.

рометан. Кандел (Appearance potential studies. I. Determination of excess kinetic energy. II. Nitromethane. Kandel Richard J.), J. Chem. Phys., 1954, 22, № 9, 1496—1499; 1955, 23, № 1, 84—87 (англ.)

S4-OI (англ.)

1. Работа посвящена определению избыточной кинетич. энергии, которой обладают ионы, образующиеся в процессе измерения потенпиалов появления. Ион N⁴, образующийся из N₂, не обладает избыточной кинетич. энергией; ионы CH_3^+ из C_2H_6 , CH_3^+ из C_2H_8 , CN^+ из C_2N_1 и CH_3^+ из C_6H_8 образуются с избыточной кинетич. энергией. Получены следующие значения энергии двссопиалии связи и потенциалов ионизации: $D(CH_3-CH_3)=3,87$, $D(CH_3-CH_6)=3,87$, $D(CH_3-CH_6)=3,80$ и $D(C_6H_6-H)=4,64$ е.

11. Измерены относительные интенсивности и потенциалы появления ионов в масс-спектре CH₃NO₂. Методом задерживающего потенциала (см. выше) обваружена избыточная кинетич. энергия у ионов С⁺, СН₃ н С + вблизи потенциалов появления. Высказано предположение, что образование некоторых ионов сопровож-

0

p-

p-

це

3.

ne.

H3

Chi

MO

ТЬ

HE

10-

an

10-

Zr,

тус

108

On-

HT-

ies.

tro-

em.

1,

He-

я в N+,

N.

PHT.

пис-

3)= (5)= (4 6.

тен-

ето-

apy-

дпо-

дается перегруппировками. В согласии с термохим. данными найдено, что энергия диссоциации связи С—N $D(\mathrm{CH_3}-\mathrm{NO_2})=2,56$ зе. На основании этой вещины рассчитано значение потенциала нонизации $\mathrm{NO_2}$; $I(\mathrm{NO_2})=9.91$ зе, более низкое, чем ранее опубликованые. В масс-спектре $\mathrm{CH_3NO_2}$ обнаружен при m/e=31, соответствующий $\mathrm{CH_3O^+}$. Его относительная интенсивность (1,43%) исключает возможность происхождения этого пика за счет изотопных модификаций $\mathrm{N^{15}O^+}$ и $(\mathrm{NO^{17}})^+$.

Ионизация и диссоциация электронным уда-10840. pom. Puc, Дайблер (Ionization and dissocia-tion of nitrogen trifluoride by electron impact. Ree-se Robert M., Dibeler Vernon H.), J. Chem. Phys., 1956, 24, M 6, 1175—1177 (англ.) Измерены относительные доли и потенциалы появлеиня (ПП; положительных и отрицательных ионов из NF₃ (указаны возможные продукты распада): NF₃⁺ $(13,2\pm0,23eNF_3), NF_2^+(14,2\pm0,39e,NF_2^++F),NF^+(17,9\pm0,39e,$ NF^++2F), $N^+(22,2\pm0,2$ 26, N^++3F), $F^+(25\pm1$ 26, F^++2F+N). F-(~0 9ε), F-(~0 9ε, F-+ NF₂ H ~22 9ε, N+F++ +F-+F). Авторы используют теплоту образования молекулы NF₃ (27,2 ккал/моль), предполагая, что распределение теплоты атомизации молекулы NF₃ между эвергиями диссоциации различных связей аналогично таковому у молекулы $\mathrm{NH_3}$ (т. е. $D\left(\mathrm{NF_2}-\mathrm{F}\right)=3,2$ эе; $D\left(\mathrm{NF}-\mathrm{F}\right)=2,7$ эе и $D\left(\mathrm{N-F}\right)=2,7$ эе), по ПП ионов NF+ и NF+ вычислены потенциалы ионизации радикалов NF₂ и NF (11,0 и 12,0 ж, соответственно). Начальные кинетич. энергии возле ПП, если они имеются, не превышают 0,3 эв. Е. Франкевич

10841. Ионизация и диссоциация при электронном ударе. I. Трифторметил алогениды. Марриотт, Краге (lonization and dissociation by electron impact. I: Trifluoromethyl halides. Marriott J., Craggs J. D.), J. Electronics, 1956, 1, № 4, 405—420 (англ.)

Получены масс-спектры CF_3Br (I) и $CF_3J(II)$ и сопоставлены с исследованными ранее (Craggs J. D. и др., Trans. Faraday Soc., 1952, 48, 1093) масс-спектрами CF_4 и CF_3Cl . Найдены потенциалы появления (ПП) положительных и отрицательных ионов и вертикальные потенциалы ионизации молекул CF_3Cl 12,8, CF_3Br 11,82 и CF_3J 10,64 \mathfrak{se} . Найболее важным процессом при электронном ударе является разрыв связи CF_3 —X. При переходе $F \to J$ усиливается прямая ионизация молекулы. Среди процессов, приводящих к образованию отрицательных ионов, наиболее распространен захват электронов малой энергии: $CF_3X+e=CF_3+X^-$. При изучении энергетич. соотношений между различными процессами найдены следующие величины: $D(CF_3 - J) = 1,9$ \mathfrak{se} ; $D(CF_2 - F) \leqslant 4,0$ \mathfrak{se} ; $I(CF_3) \approx 0.000$

ными процессами найдены следующие величины: $D(\mathrm{CF_8}-\mathrm{J})=1,9$ эе; $D(\mathrm{CF_2}-\mathrm{F})\leqslant 4,0$ эе; $I(\mathrm{CF_8})\leqslant 9.35$ эе $(I-\mathrm{потенциал}$ ионизации). Л. Горохов 10842. Масс-спектры некоторых алкильных соединений свинца. Куини, Дайблер, Молер (Mass spectra of some lead alkyls. Quinn E dith I., Dibeler Vernon H., Mohler Fred L.), J. Res. Nat. Bur. Standards, 1956, 57, № 1, 41—43 (англ.)

Получены масс-спектры 10 алкильных соединений Pb: тетраметил-(I), триметилэтил-, диметилдиэтил-, метилтриэтил-, тетраэтил-(II), теграпропил-, триметил- истратил- и паз них по ранее предложенному методу (Dibeler V. H. и др., J. Res. Nat. Bur. Standards, 1951, 47, 337; 1952, 49, 235), рассчитаны моноизотопным масс-спектры. Приведены относительные высоты пиков различных ионов. Относительные доли ионов СН для алкильных соединений Pb с разным числом групп СН3

уменьшаются с увеличением числа связей $Pb - CH_3$. В метилбутильных соединениях кол-во CH_3^+ мало при *п*-бутильном радикале и велико при *трет*-бутильном. Образование $C_2H_5^+$ при диссоциациии связи $Pb - C_2H_5$ менее вероятно, чем образование CH_3^+ из I. Во всех спектрах, кроме II, наблюдаются значительные кол-ва нона $PbCH_3^+$. Обсуждаются появление и наблюдаемые доли других ионов $PbC_2H_5^+$, $PbC_2H_8^+$, $PbC_3H_9^+$.

Е. Шусторович 10843. Обнаружение продуктов термической диссопиации паров многоатомных молекул по спектру флуоресценции. Не у й м и и Г. Г., Оптика и спектроскопия, 1956, 1, № 4, 463—468 Для изучения вопроса о присутствии в парах солей

Для изучения вопроса о присутствии в парах солей продуктов термич. распада использованы спектры их люминесценции. По сравнению с известной методикой обнаружения свободных радикалов по спектрам поглощения этот способ оказывается гораздо более чувствительным: наличие радикала BiCl в парах над BiCl₃ обнаруживается уже при 500°. Спектр флуоресценции состоит из полос в области 4300—5700 А. Принадлежность наблюдаемогс спектра BiCl установлена сравнением с известным спектром поглощения, а также со спектром испускания BiCl в пламени угольной дуги. Из сопоставления теплоты образования BiCl₃ (90,6) и теплот сублимации S_{B1} (48), S_{BICl,} (14) и D_{BICl,} (75) даны следующие оценки энергии разрыва связей: D_{BI+Cl+Cl+Cl} = 210; D_{BI+Cl+Cl,} = 153; D_{BICl+Cl+Cl} = 135 и D_{BICl+Cl+Cl,} = 78 ккал/моль.

10844. Исследование излучения нонизованной молекулы азота и нейтрального атома азота в спектре ночного неба. Д ю ф е (Etude de l'émission de la molécule d'azote ionisée et de l'atome neutre d'azote au crépuscule. D u f a y M a u r i c e), Ann. phys., 1953, 8, ser. 12.813—862 (франц.)

10845. К существованию радикала НО₂. Тагиров Р. Б., Ж. физ. химии, 1956, 30, № 4, 949—950 С целью обнаружения гипотетич. радикала НО₂

С целью оонаружения гипотетич, радикала пополучен ИК-спектр диффузионного пламени водорода в обогащенном кислородом воздухе. В области 7,7 µ обнаружена группа из трех полос с максимумом (Qветвь) у 1305 см⁻¹, частота которого совпадает с основной полосой поглощения вал. кол. О—О в НО₂ это дает автору основание считать доказанным существование в пламенах при высокой т-ре радикала НО₂ и подтверждает применение цепного механизма к процессам диффузионного горения. Ю. Егоров

10846. Зависимость вероятностей оптических переходов от частоты перехода и запаса колебательной энергии сложной молекулы. С т е п а и о в, С а м с о и (Залежнасць магчымасцей аптычных пераходаў ад частаты пераходу і запасу хістальнай энергіі складанай малекулы. С ц я п а и а ў Б. І., С а м с о и А. М.), Весці АН БССР. Сер. фіз.-техн. и., Изв. АН БССР. Сер. физ.-техн. и., 1956, № 1, 5—14 (бело-

русс.; рез. русс.)
Исходя из модели одномерного классич. гармонич. осциллятора для сложной молекулы 1 группы, получено выражение для вероятностей переходов с различных колебательных уровней нижнего электронного состояния на различные колебательные уровни верхнего электронного состояния. При выводе учтено изменение координаты и импульса в процессе электронно-колебательного перехода. Исследование полученной ф-лы в случае неизменности импульса проведено путем численного интегрирования. Показано, что вероятности переходов зависят как от частоты перехода, так и от запаса колебательной энергии исходного уровия.

T

Выяснены причины слабой зависимости контура полосы поглошения от т-ры. Ф-лы для вероятностей оптич. переходов, полученные для поглощения, спра-Резюме авторов ведливы и для люминесценции.

Вероятности электронно-колебательных переходов и законы затухания флуоресценции сложных молекул. С тепанов Б. И. (Магчымасці электронна-хі стальных пераходаў і законы затухання флуарэсцэнцыі складных малекул. С ця панаў Б. І.), Весці АН БССР, 1954, № 5, 60—69 (белорусс.); Изв. АН БССР, 1954, № 5, 65—74

Особенности испускания и поглощения света сложными молекулами связаны с существованием перераспределения колебательной энергии между отдельными степенями свободы. На оптич. свойства молекул большое влияние оказывает обмен энергией с окружающей средой. В работе исследуются свойства вероятностей переходов с излучением света в сложных молекулах. Показано, что вследствие обмена энергией с окружающей средой вероятности всех оптич. переходов усредняются по всем колебательным уровням исходного электронного состояния. Этим объясияется строго экспоненциальный закон затухания флуоресценции р-ров сложных молекул. Этот закон для всех частот в пределах полосы флуоресценции оказывается одинаковым. Для объяснения особенностей люминесценции паров сложных молекул (независимость от у (возб.) одинаковая форма полосы флуоресценции по сравнению с р-рами) предлагается гипотеза о существовании в молекуле группы «А» (небольшого числа связей), поглошающей энергию возбуждения и излучающей. Остальная часть молекулы играет при этом роль среды, которой передается избыток колебательной энергии при изменении величины у (возб.) Е. Ануфриева

Анализ спектров поглощения наров N-окиси пиридина в ближнем ультрафиолете. И то, Мид-зусима (Analysis of the near ultraviolet absorption spectrum of pyridine N-oxide vapor. I to Mitsuo, Mizushima Wataru), J. Chem. Phys., 1956, 24, № 3, 495—500 (англ.)

Получены спектры поглощения паров N-окиси пиридина (I) при т-рах от 40 до 150°. В интервале частот 28 000—33 000 см-1 наблюдено ~250 полос, большей частью очень резких. Приведена таблица их частот, приблизительная оценка интенсивностей и расшифровка. Рассматриваемая система полос отвечает электронному $n \to \pi^*$ переходу $A_1 - B_2$, соответствующему возбуждению 2р-электрона неподеленной пары атома О на свободную π -орбиту B_2 . При анализе спектра за переход 0,0 выбрана полоса с ν 29229 $c m^{-1}$. Выделены прогрессии, построенные на полносимметрич. колебаниях. Син, построенные на полносимметрич. колесаниях. Определены частоты ряда колебаний в основном (251, 276, 334, 410, 486, 539, 840, 1013, 1173 см-1) и возбужденном (510, 817, 976, 1039, 1128, 1296, 1479 см-1) состояниях. По методу МО с кулоновскими интегралами $\alpha + \delta_k \beta$, $\delta_k = 0$ для C, 1,07 для N и 1,80 для О и всеми одинаковыми интегралами β рассчитаны одноэлектронные уровни π -электронов I. В расчете учитывался также индуктивной эффект атомов О путем введения дополнительных членов в α : $\Delta \alpha_n = (0,4)^n \beta \text{ иN}(1/8)^{n'} (\alpha_N -$ — а). Вычисленные обменные энергии уровней равны (в 3): +3.095 (b_2), +1.834 (b_2), +1.217 (a_2), +1.094 (b_2), -0.557 (b_2), -0.797 (a_2), -1.751 (b_2) .O. Пахомова Электронные и колебательные состояния азу-10849.

лена. Сидман, Мак-Клур (Electronic and vibrational states of azulene. Sidman Jerome W., McClure Donald S.), J. Chem. Phys., 1956, 24, № 4, 757—763 (англ.)
По методу, описанному ранее (РЖХим, 1955, 13381),

исследовались спектры поглощения и люминесценции

твердых р-ров азулена (I) в нафталине (II). Первый электронный переход в спектре поглощения I, начинающийся с $v=14652\ cm^{-1}$, почти нацело поляризован вдоль оси в кристалла, и только очень слабые линии видны при поляризации падающего света вдоль оси с. (исследована плоскость bc^* кристалла II). Сделан вывод, что этот электронный переход имеет симметрию ${}^{\prime}A_1 \rightarrow {}^{\prime}B_1$ и поляризован вдоль короткой оси молекулы. С полосы $v=28\,050~cm^{-1}$, поляризованной почти полностью вдоль оси c* кристалла, начинается второй электронный переход. Большинство сильных полос поглощения этого перехода также поляризованы по оси с*, однако имеется ряд линий сильных в компоненте b и значительно более слабых по направлению с*. Исходя из этого, электронному переходу приписывается симметрия $'A_1 \to 'A_1$ и поляризация вдоль длинной оси молекулы. Колебания, приводящие к преимущественному поглощению вдоль оси в кристалла, интерпретируются как колебания симметрии B_1 . Особенностью люминесценции I в II является то, что высвечивание происходит не с нижайшего возбужденного уровня, а со второго (28050 см-1). Несмотря на почти полную поляризацию первой полосы второго электронного перехода вдоль оси с* в спектре поглощения, люминесценция практически деполяризована и интенсивность ее лишь слегка разнится по компонентам. Подобная аномальная поляризация люминесценции была наблюдена и в спектрах других твердых p-ров (II в дуроле, стильбен в дибензиле). Так же, как и для молекулы II, в спектре I отсутствуют длинные прогрессии какихлибо частот. В работе приводится сравнение колебательных частот молекулы ${f I}$ в трех состояниях: A_1 (невозбужденное), B_1 (возбужденное) и A_1 (возбужден-В. Броуде

0850. Электронные и колебательные уровни диантила и гексадейтероднацетила. I. Электронные уровни. II. Колебательные состояния. С и д м а и, м а к - К л у р (Electronic and vibrational states of biacetyl and biacetyl-d₀. I. Electronic states. II. Vibrational states, S i d m a n J e r o m e W., Mc C l u re D o n a l d S.), J. Amer Chem. Soc., 1955, 77, № 24, 6461—6470. 6474. (2007) 10850. 6461-6470, 6471-6474 (англ.)

1. Исследованы спектры поглошения и флуоресценции в области 15 000—40 000 см-1 кристаллов диацетила (1) и гексадейтеродиацетила (11) и их p-ров в бутаноне 2 при т-рах 20 и 4° К. В спектрах поглощения кристаллов наблюдаются две интенсивные системы полос в синей и ближней УФ-областях спектра и система слабых полос в зеленой области спектра. В спектрах флуоресценции наблюдаются две системы полос в зеленой области спектра, одна из которых интенсивная, другая слабая, и слабая система полос в синей области спектра. Спектры р-ров в целом повторяют спектры кристаллов, отличаясь от последних большей диффузностью полос. Полосы поглощения УФ-системы становится все более диффузными по направлению к коротким волнам, что объясняется предиссоциацией в верхнем электронном состоянии. Даны результаты анализа колебательной структуры наблюдаемых переходов как для спектров поглощения, так и для спектров флуоресценции, а также отнесение наблюдаемых систем иолос к теор. возможным электронным переходам (приводятся данные для переходов 0—0): 3B_u между 19 700 и 20 355 для I; 19 700 и 20 376 для II; ³А_и 20 421 (I); 20 438 (II); 1 1 2 2 2 3 59 (I); 22 485 (II); 1 1 4 4 4 22 873 (I); 22 896 (II); 1 1 4 4 4 4 5 (I); 31 479 (II). 11. Исследованы ИК-спектры поглощения I и II в об-

ласти 140-4000 см-1. Дано отнесение части основных частот молекулы I, согласующееся с теоретическия (РЖХим, 1955, 33829). Отмечается высокое значение VC-C

центральной связи I (1280-1300 см-1), свидетельствую-

7 r.

рвый

тина-

ORAR

инии

CH c*

вы-

OWOT

улы.

пол-

горой

С ПО-

O OCH

ненте

. Ис-

вается

ой оси

ствен-

грети-

ОСТЬЮ

вание

вня, а олную

го пе-

минес-

вность

обная

наблюуроле,

екулы

каких-

олеба-

x: A

-неджу

Броуде

и ди-

онные

ман,

states

II. Vi-

Nº 24,

ресцен-

диаце-

в бута-

ощения системы

система пектрах

с в зесивная, области

пектры диф-

системы

влению

циацией

ультаты

их пере-

пектров

х систем реходам

между

II; ³A_u 485 (II); 479 (II).

II B 06-

сновных

Ческим

ние С-С

льствую-

щее о частично двойном характере этой связи, что согласуется с уменьшенным значением r С—С = 1,46—1,47 А. Сделано сопоставление значений частот полносимметричных колебаний в трех верхних электронных состояниях, найденных в сообщении I с типом электронного возбуждения, связанного с данным переходом. Показано, что в обычном методе МО не удается объяснить эксперим. наблюдающиеся изменения частот колебаний при переходе в верхние электронные состояния. В. Алексанян 10851. Спектры поглощения гомологов бензола. 2.

Поглощение света моноалкилбензолами. В ро у д е В. Л., Оптика испектроскопия 1956, 1, № 3, 387—392 При —190° получены спектры поглощения кристаллов двух модификаций толуола, этилбензола и и-гъскилбензола в поляризованном свете, а также спектры поглощения аморфных образцов и-пропилбензола, кумола и и-бутилбензола. Различие в алкильных группах мало влияет на спектр. Выделяются два взаимно-перпендикулярных перехода в молекуле. Один из них — разрешенный чистоэлектронный переход, второй — электронноколебательный 0—1 переход, обязанный сочетанию чистоэлектронного перехода с колебанием симметрии В₁. Определены частоты таких колебаний в молекулах толуола, этилбензола, и-гексилбензола. Частота полносимметрич, колебания бензольного кольца практически одинакова во всех соединениях и равна 945 ± 15 см-1. Сообщение 1 см. Ж. эксперим. и теор. физики, 1952, 22, 600.

10852. Спектры поглощения паров п-дихлорбензола в ближней ультрафиолетовой области. Д ж о ш и (The near ultraviolet absorption spectrum of p-dichlorobenzene vapour. J o s h i B. D.), J. Scient. Res. Banaras Hindu Univ., 1955—1956, 6, № 1, 133—151

Получены спектры поглощения n-дихлорбензола при комнатной т-ре. Дискретное поглошение обнаружено в области 2850-2400А. Приведена таблица частот полос поглошения, приблизительная оценка интенсивностей в распифровка. Рассматриваемое поглошение относится к переходу $A_{1g}-B_{3u}$, разрешенному в молекулах симметрин D_{2h} с поляризацией вдоль оси X (ось X перпецикулярна оси C_2 , лежащей в плоскости молекулы). К переходу 0,0 отнесена полоса 35755 с m^{-1} , прогрессии к комбинации построены на частотах 720, 1044 и 1058 с m^{-1} . Определен ряд колебательных частот в основном и возбужденном состояниях молекулы, проведено сравнение их с данными по спектрам комб. рассеяния. О. Пахомова 10853. Анализ спектров постояниям паров 1.2.4.5

10853. Анализ спектров поглощения паров 1,2,4,5тетрахлорбензола в ближней ультрафиолетовой области. Мацубара, Анно (Analysis of the near ultraviolet absorption spectrum of 1,2,4,5-tetrachlorobenzene vapor. Маt u b a ra I k u o, A nn o T o s i n o b u), J. Chem. Phys., 1956, 24, № 3, 595—601 (англ.)

Получены спектры поглощения паров 1, 2, 4, 5-тетралоробанола в интервале т-р 50—100° в области 3040—2650А, где измерено \sim 150 полос и обнаружено также сплошное поглощение в области <2500А. Приведена таблица частот полос поглощения, приблизительная оценка интенсивностей и отнесение. К перехору (A_g-B_{3u}) 0,0 отнесена полоса 34149 см⁻¹. Частота польносимметрич. колебания равна 1173 см⁻¹, в основном (I) и 1134 см⁻¹ в возбужденном (II) состояниях (1160 см⁻¹ в спектре комб. расс.). Неполносимметрич. колебание 1686 см⁻¹ в II, 684 см⁻¹ спектр. комб. расс.) разрешает запрещенный по симметрии переход с поляризацией по оси, проходящей в плоскости кольца через атомы Н. Определен ряд колебательных частот в основном состоянии. Совпадение одной из них с частотой спектра комб. расс., отвечающей неплоскому ко-

лебанию, допускост возможность выведения атомов хлора из плоскости кольца при возбуждении.

О. Пахомова 10854. Ультрафиолетовые спектры поглощения орто- и пара-толунитрилов в парах, в жидком и твердом состояниях. С е и (Ultraviolet absorption spectra of ortho- and para tolunitrile in vapour, liquid and solid states, S e n S. K.), Indian J. Phys., 1955, 29, № 12, 561—568 (англ.)

Исследованы спектры поглощения тонких пленок толщиной несколько μ o-и n-толунитрилов в жидком и твердом состояниях при —180°, а также паров этих соединений. Установлены следующие частоты чисто электронных переходов во всех агрегатных состояниях (пар, жидкость, кристалл): орто-35780, 35055, 34841 c m-1; пара—36208, 35771, 35752 c m-1. Большой сдвиг полос при сжижении автор приписывает образованию ассоциаций молекул в жидком состоянии. Сильное смещение электронного перехода в спектре o-толунитрила после затвердевания объясняется большим дипольным моментом молекулы орто-изомера. В. Броуде 10855. Спектры поглощения гетероциклов. IV. Спект-

0835. Спектры поглощения гетероциклов. IV. Спектры поглощения селенофена в ультрафиолетовой области. Милаццо, Паолони (Spettri di assorbimento di composti eterociclici, VI. Lo. spettro di assorbimento ultravioletto del selenofene. Milazzo G., Paoloni L.), Rend. Ist. super. sanitá, 1954, 17, № 9, 796—805 (итал.; рез. франц., англ., нем.)

В области 2700—1900 А сфотографирован спектр поглощения паров селенофена в газообразном состоянии. Отмечены 3 зоны поглощения. Первая зона (2700—2200А) характеризуется наличием нескольких очень узких полос шириной не более 10 см-1. Во второй имеется слабая полоса поглощения с максимумом при 2150 А. Третья простирается от 2100 до 1900 А и вмеет структуру спектра, аналогичную структуре спектра ранее изученных гетероциклов. Полосы поглощения в этой зоне сравнительно узкие. Полосы второй и третьей систем относятся к двум различным возбужденным электронным уровням селенофена, из которых первый менее стабильный. Аналогичные полосы, относящиеся к двум различным возбужденным уровням, имеются в ранее исследованном спектре тнофена. Из этого следует, что в селенофене, как и в тиофене, реализустся электронная конфигурация, аналогичная электроной конфигурация ароматич. кольца: электронный секстет образуется за счет четырех электронов атомов С и двух электронов Se. Сообщение III. Gazz. chim. ital., 1948, 78, 835

10856. Цвет в системах олефин-серная кислота. Гонсалес - Видаль, Кон, Матсен (Color in olefin sulfuric acid systems. Gonzalez-Vidal J., Kohn E., Matsen F. A.), J. Chem. Phys., 1956, 25, № 1, 181 (англ.)

Исследованы причины появления полосы поглощения ~3000A (г ~3000) в разб. р-рах олефинов в H₂SO₄. Найдено, что появление этой полосы связано с оквелением олефина в H₂SO₄, сопровождающимся выделением из р-ра сернистого- газа, а не с образованием карбониевых ионов.

В. Алексанян

10857. Спектры поглощения и испускания ароматических кетонов. Шейбе, Дёрр, Детцер (Absorptions- und Emissionsspektren aromatischer Ketone. Scheibe Günter, Dörr Fritz, Detzer Hans), Sitzungsber. Math.-naturwiss. Kl. Bayerischen Akad. Wiss., München, 1954 (1955), 73—80 (нем.)

Сняты спектры поглощения и флоуресценции замороженных р-ров бензофенона (I) в различных р-рителях. Длинноволновая полоса поглощения кетогруппы > С = О обусловлена воз-

PKX 1085

10 (A

an

H

peay

HOH

фен с

иров вило ко б

пого

обон

боль

поло

CHILE

гвая

1086

DE B Sk

m

H

лян

ных на и (VI

При поло щен При

лос; лек меж

ной

род

КГ

RMH

CTB

360

ЗЫВ

zak

OTM

лан

HAU

THE

HMH

npo Re

B T

108

буждением электронов π-связи, В циклопентаноне максимум поглощения расположен у $\nu = 33460$ см⁻¹ ($\lg \varepsilon = 1,2$). Этот максимум при т-ре жидкого воздуха разрешается на колебательные полосы с $v = 1200 \, cm^{-1}$ разрешаеты на положения при сопряжении связи C=0 с другими π -электронами (напр., в I, бензальдегиде, адетофеноне) эта полоса смещается к $\nu = 29\,000\,$ см⁻¹. В спектре люминесценции имеется аналогичная полоса. но с колебательными частотами $\nu = 1650 \ cm^{-1}$, что соответствует основному электронному состоянию. Экстраполируя эксперим. данные для I в спирте, получают теплоту диссоциации $D\approx 44\,000\,$ см $^{-1}$ для основного состояния и D'≈ 18 000 см-1 для возбужденного. Разность $D-D'=26\,000\,$ см $^{-1}$ хорошо согласуется с ожидаемой частолой перехода 0-0 $\mathbf{v_{00}}=25\,650\,$ см $^{-1}$. Уменьшение колебательной частоты в возбужденном состоянии объясняется увеличением расстояния С - О на ~0.11А по сравнению с невозбужденным состоянием. При растворении I в полярных р-рителях (или содержащих группы-ОН) колебательная структура исчезает, а в спектре испускания появляются колебания с $\nu=800~c.m^{-1}$. Найденное экспериментально время жизни молекулы в возбужденном состоянии т, равное 10-2- -10^{-8} сек., значительно больше вычисленного $au \approx 10^{-5}$ — - 10-6 сек., что объясняется сильным изменением конфигурации молекулы в возбужденном состоянии. Подробно обсуждается механизм возбуждения кетогруппы. Высказывается предположение, что электронное воз-буждение связано с разрывом π-связи и образованием бирадикала, что объясняет устойчивость возбужденного состояния (переход синглет - триплет оптически запрещен). Е. Покровский 10858.

858. Связь между конфигурацией и сопряжением в производных дифенила. III. Ультрафиолетовые спектры поглощения некоторых 2,2-мостиковых соединений с заместителии, Тернер, Берд Бевен, Холл, Лесли, Тернер, Берд IV. Дипольные моменты 2,2'-дигалогено- и 2,2'- и 2.2'-линитоодифенилов. Литлджон, Смит соединений с заместителями в мета-положении. (The relation between configuration and conjugation in diphenyl derivatives. Part 111. The ultra-violet absorption spectra of some 2: 2'-bridged compounds with ption spectra of some 2: 2'-bridged compounds with meta-substituents. Be a ven G. H., Hall Muriel D., Lesslie Mary S., Turner E. E., Bird G wendoline R.) IV. The dipole moments of the 2: 2'-dihalogeno-and 2: 2'-and 3: 3'-dinitro-diphenyls. Little john A. C., Smith J. W.), J. Chem. Soc., 1954, Jan., 131—137, July, 2552—2556 (англ.) 111. Исследованы УФ-спектры поглощения спирт. р-ров 2,7-дигидро-3',2"-диметокси-(3,4; 5,6)-дибен-зокзепина (1), 2,7-дигидро-3',2",-диметокси-(3,4; 5,6)-дибензазепина -1-спиро-4""-пиперидинбромида (11), 9,10-2". дигидро-3,6-диметоксифенантрена(III),2,7-дигидро-3',2"-бисгидроксиметил-(3,4; 5,6)-дибензокзепина (IV), 2,2' дитолила (V) и 5,5'-диметокси-2,2'-дитолила (VI). Спектр I, содержащий СН₃О-группы, в мета-положении, сходен со спектром ранее исследованного орто-соединения (J. Chem. Soc., 1952, 854). Наблюдается понижение интенсивности полосы в области 2600 A, по-видимому, вследствие сопряжения. Тот же эффект имеет место в спектре II, но в несколько большей степени. Понижение интенсивности полосы сопряжения объясияется мезомерным взаимодействием СН₃О-группы с бензольным кольцом, что уменьшает сопряжение по связи 1,1'. Наличие сопряжения, несмотря на неплоское строение молекулы, подтверждает ранее полученные данные по ортопроизводным. Спектр III обнаруживает сходство со спектром 9,10-дигидро-4,5-диметоксифенантрена. Это согласуется с предположением, что фенильные кольца находятся в одной плоскости, а СН₃О-группы в орто-соединении выведены из плоскости кольца. Смещение коротковолновой полосы алкил-

бензолов при ~2300 А в сторону длинных воли в спектрах V, VI объясняется резонансным взаимодействием фенильных колец по связи 1,1'. Хлоргидрат 3-метоксио-толуидина (VII) превращают диазометодом в 2-йод-4-метокситолуол (VIII), выход 64%, т. кип. 107— 108/3 мм. Йодированием 4-метокситолуола хлорйодом в СН₃СООН получают 3-йод-4-метокситолуола жирнодом 80%, т. пл. 30—31 (из сп.) и незначительное кол-во VIII. Последний нагревают с порошком Си; полученный VI, выход 64%, окисляют кипящим р-ром КМпО В 5,5'-диметоксидифеновую к-ту, выход 55%, т ил. 228°, диметиловый эфир (IX), т.пл. 165—166° (из СН₃ОН); IX кипятят 1 час с LiAlH₄ в эфирном р-ре, продукт разлагают 2 н. H₂SO₄ и выделяют 2,2'-димесиметил-5,5'-диметоксидифенил (X), выход 92%, т. пл. 107— 108° (из бэл.), который расплавляют в кипящей воде, добавляют равный объем 50%-ной H₂SO₄ и получают 1. т. пл. 159-160° (из сп.).9 г X добавляют при охлаждении к 54 гРВг_з, нагревают при 30° и получают 2,2'-дибромметил-5,5'-диметоксидифенил (XI), выход 92%, т. пл. 113—114° (из петр. эф.). 20 г XI в 0,4 л эфира приливают к теплому эфирному р-ру C_6H_5Li (на 1 ε Li и 10 ε $C_6H_5Br)$ и получают III, выход 38%, т. пл. 80—81° (на петр. эф.), окисляющийся в спирт. р-ре на солнечном свету в 3,6'-диметоксифенантренхинон, т. пл. 235—236°. К 1 молю XI в С₆Н₆ прилнвают 2,2 моля 235—236°. К 1 молю XI в сепе приливают 2,2 молю бензольного р-ра пиперидина, затем воду, добавляют КЈ и отделяют йодид 2,7-дигидро-3',2''-диметокск-3,4; 5,6-дибензазениний-1-спиро-1'''-пиперидиния (XII), выход 94,5%, т. пл. 274—275° (из воды); водв. р-р XII встряхивают с AgBr и получают II,т. пл. 270— 271(из сп.). Попытка разделения II на оптич. изомеры фракционной кристаллизацией (+)-камфорсульфоната или (+)-а-бромкамфор-п-сульфоната азепиния увенчалась успехом. З-йод-n-толуиловую к-ту окисляют (Abbes, Ber., 1893, 26, 2951) в йодтерефталевую к-ту, диметиловый эфир которой нагревают с Си-пок-ту, диметиловый эфир которой нагревают с Си-по-рошком и извлекают о-хлорбензолом 2,2', 5,5'-тетра-метоксикарбонилдифенил, т. пл. 145—146°, вторичвая т. пл. 160—161°, который восстанавливают LiAlH₄ в эфире в 2,2', 5,5-тетраоксиметилдифенил (XIII), выход 76%, т. пл. 202—203° (из сп.) нагреванием XIII (1 час, 100°) с избытком 2 н. H₂SO₄ получают IV, выход почти колич., т. пл. 192° (разл., из сп.), кислый дифталат, т. пл. 179—179,5 (из CH₂COOH). Сообщ. II см.РЖХим, 1954, 26710. Д. Витковский, В. Алексанян

IV. Измерены дипольные моменты 2. 2'-дифтор-(XIV),лу. измерены дипольные моменты 2. 2-дифтор-(XIV), дихлор-(XV), -дибром- (XVI),-дийод-(XVII) и-дивитро-(XVIII)дифенилов и 3-3'-динитродифенила(XIX) в бензоле при25° в (D): XIV—1,88,XV—1,97, XVI—1,90, XVII—1,71, XVIII—5,10,XIX—4,17. Эти данные применены для вычисления угла между плоскостями колец.В расчете принимается, что первичные моменты замешающих групп и моменты, индуцированные в кольцах, которым они принадлежат, те же, что и в монозамещ. бензоле, имеется индуктивное влияние каждого из липолей на другое кольцо, каждый из диполей индуцирует момент в другом диполе. Первичные и наведенные моменты вычислены по ф-ле $\mu = \{V \overline{3} \mu_{C_4H_4X} + (\mu_y - V \overline{3} \mu_x)\cos^2\Phi/2\},$ $\mu_{C_{\bullet}H_{\bullet}X}$ — момент соответствующего бензола, μ_x п μ_y — моменты, производного цируемые в центре каждого кольца соответственно параллельно и перпендикулярно диполю в другом кольце при копланарном расположении колец, Ф - угол между плоскостями колец. При учете указанных индук-тивных влияний найдены значения Ф для XIV74°, XV 75°, XVI 77°, XVII 69°, XVIII76°, XIX 105° и 3,3'-дихлордифенила 97°. Из полученных данных следует, что полярные группы в 2, 2'-дизамещенных соединениях имеют небольшую тенденцию к цис-конфигурации, а в 3, 3'-дитек-

ием

KCH-

йод-07—

модо похі

I-BO

чен-

nO.

nn.

OH):

IVET

THE

07-

оле.

aior

жде-

ром-

пл.

10 8

сол-

ноля

ПЯІОТ ОКСИ-

XII).

водн.

70-

меры

ната

He

евую и-поетрагчная

AlH.

(III)

XIII IV,

слы

общ.

анян

IV),-

итро-

нзоле

-1.71.

я вы-

е при-

групп

HO P

друент в

ы вы-

Φ/2}, моно-

инду-

арал-

ольц•

меж-

ндук-V 75°.

дифеярные

от не-3'-диамещенных—к транс-конфигурации. Сообщение II см. РКХим, 1954, 26710. А. Зелотаревский 10859. Сопоставление электронных спектров некоторых нитро- и карбоннлфенолов. А и дерсе и (A comparison of the electronic spectra of some nitro and carbonyl phenols. Andersen Lars), Suomen kem., 1956, 29, № 3, 94—96 (англ.)

На основании сопоставления полученных авторами разультатов и литературных данных найдено, что сходствосвойств электроноакцепторных нитро- и карбоксильшой группы проявляется в сходстве спектров поглошения соответствующих соединений, в частности нитрофенолов и ароматич. оксиальдегидов, как в недиссоцированной, так и в диссоцинрованной форме. Как правило, \(\lambda\) (макс.) оксиальдегидов расположены принесколью более коротких волнах, чем нитрофенолов аналогичного строения. При диссоциации \(\lambda\) (макс.) смещаются в обоих случаях батохромно, длинноволновые \(\lambda\) (макс.) (облыше, чем коротковолновые. \(\lambda\) (макс.) (моротковолновой спльно возрастают. Получены спектры производных гванкола: 2- и 4-иитро- 4,6-динитро- и 4-окси-5-метоксивофталевого альдегида в кислом и щел. p-рах.

Н. Спасокукоцкий 10860. Спектральное исследование N- и О-2,4-данитрофенильных соединений в ультрафиолетовой области. Использование спектральных даниых дли различия ДНФ-аминокислот и ДНФ-иминокислот в пентидах. Хёрман, Эндрес (UV-spektroskopische Untersuchungen an N- und О-2,4-Dinitrophenyl-Verbindungen. Ein Weg zur spektralanalytischen Unterscheidung von DNP-Aminosäuren und DNP-Iminosäuren in Peptiden. Hörmann Helmut, Endres Horst), Z. Naturforsch., 1955,

10b, № 3, 150-156 (нем.) Последованы спектры поглощения 2,4-динитроанилива (1), N-метил- и N-диметил-2,4-динитроанилива (1), 11), 2,4-динитрофенола (1V), 2,4-динитроанизола (V), м-динитробензола (VI) и динитрофенилироизводных: пролина (VII), аланина, пролилглицилфенилаланива и глицилфенилаланилглутаминовой к-ты в CH₃COOH (VIII), уксусном эфире (IX) и в p-ре NaHCO3 (X). Приведены кривые поглощения. Данные по положению полос поглощения и с табулированы. Кривая поглощения I в VIII, IX и X имеет максимум при 257-259 мµ. При введении одной СН₃-группы в аминогруппу I наблюдалось появление сильной полосы при 345 мм (в X при 362 мд.), при введении второй СН₃-группы оба максимума были видны лишь в VIII, в 2 других р-рителях максимум при 250 ми исчезал. Полосу поглошения в области 250 мц авторы относят к молекулам либо с внутримолекулярной водородной связью между NH2 и NO2, либо с межмолекулярной водородной связью (напр., в VIII). Внутримолекулярная водородная связь обеспечивает плоское строение и приводит в гипсохромному сдвигу. При невозможности образова-вяя водородной связи (III в IX и X) вследствие простран-ственных затруднений появляется полоса при 340— 360 мµ. Наличие обоих максимумов в спектре II указывает на смесь двух конфигураций. Аналогичные закономерности, хотя и менее четко выраженные, отмечаются в спектрах IV и V. Отмечается интерес данного исследования для химии белка, так как принципиально возможно по спектрам динитрофенилиеппдов различать концевые динитрофениламино- и вынокислоты. Для всех исследованных динитрофенилпропиловых соединений найдено отношение в при 265ми ке при 355 мµ или при 380—390 мµ, равное 0,25—0,26, в то время как для других динитрофениламинокислот пентидов оно равно 0,53—0,63. О. Гайсинская 10861. УФ-спектры поглощения N-n-нитрофенилпирролов, производных 1,4-дикетонов. Фетизон,

Фритель, Левизалль, Баранже (Speectre ultraviolet des N. p-nitrophénylpyrroles dérivés des dicétones 1.4. Fétizon Marcel, Fritel Hubert, Levisalles Jacques, Вагапдег Ріегге), С. r. Acad. sci., 1956, 242, № 16. 2014—2015 (франд.)

№ 16, 2014—2015 (франц.)

Измерение УФ-спектров поглощения п-нитрофенилирролов (1), получающихся при взаимодействии п-нитроанилина с 1,4-дикетонами (II) (РЖХим, 1955, 23607), может служить способом приблизительного определения строения исходных II, так как спектры I изменяются с введением заместителей так же, как УФ-спектры самих II. Получены спектры следующих I (в скобках указаны исходные II): 2,5-диметил (гександнон-2,5); 2-метил-5-этил (гептанднон-2,5); 2,5-диэтил (октандион 3,6); 2-метил-5-пропил, 309 (октадион-2,5); 2,3,5-триметил (3-метилгександнон-2,5); 2,5-диметил-3-этил (3-этилгександнон-2,5); 2,5-диметил-3-наопропил (3-изопропилгександион-2,5); 2-метил-4,5-пентаметилен (2-ацетонилциклогексанон); 2-метил-4,5-пентаметилен (2-ацетонилциклогептанон); 2,5-диметил-2,4-тетраметилен (1,2-диацетил-иликлогексана); I из 1,2-диацетил-Ф-циклогексена; I из 1,2-диацетил-Ф-циклогексена; I из 1,2-диацетил-Ф-циклогексена. Н. Спасокукопкий

10862. К изучению некоторых серусодержащих органических соединений. Сообщение IV. Поглощение в УФобласти некоторых амино, амино-нитро-, окси- и метоксинитродифенилсульфидов. Сообщение V. Поглощение в ультрафиолетовой области некоторых днарилсульфонов. Леандри, Манджини, Пассерини (Contributo alla conoscenza dei composti solforati organici. Nota IV. Assorbimento u v. di alcuni amino- e amino-nitro-, ossi-e metossi-nitrodifenil-solfuri. Nota V. Assorbimento u. v. e proprieta cromoforiche di alcuni diaril-solfoni. Leandri Giuseppe, Mangini Angelo, Passerini Riccardo, Gazz. chim. ital., 1954, 84, № 1, 47—72, 73—432 (мязя.)

73—132 (итал.)

IV. Изучены УФ-спектры ряда производных дифенилсульфида (I) с заместителями ОН, ОСН3. NX2, NX2 и

СН3, NX2 и ОСН3 NX2 и Вг, NX2 и NO2, ОН и NO2, ОСН3

в NO2. Спектры характеризуются наличием максимумов
поглощения в трех областях: 210—250, 251—300 и более 300 мµ.Приведены кривые поглощения в кислой и
щелочной средах. При заместителе NX2 в параположении к S наблюдается широкая полоса при 256 мµ
объединенной хромофорной системы I и анилина (II).

При NН2 в орто- или мета-спектр представляет собой
наложение спектров I и II. То же имеет место в случае
ацетиламинопроизводных. Обсуждается сопряжение колец и атома S с другими заместителями. А. Мицкевич

V. Получены УФ-спектры С₆Н₈SO₂C₆H₄X с X = H;
ο-CH₃; м-CH₃; n-CH₃, ο-Cl, м-Cl; n-Cl; м-NH₂;
n-NHCOCH₃; n-N(CH₃)₂; n-Br; n-OH; XC₆H₄SO₂C₆H₄X с

X = o, o'-CH₃; м, м'. CH₃; n, n'-CH₃; o, o'-Cl; м, м'-Cl;
n, n'-Cl; м, м'-J; n, n'-J; м, м'-NH₂; м, м'-NHCOCH₃;
n, n'-NH₂; n, n'-NHCOCH₃; n, n'-OH; o, n'-OH; o-O₂NC₆H₄SO₂C₆H₄X с X = H; o-CH₃; м-CH₃; n-CH₃; o-Cl; м-Cl;
n-Cl; м-Br; n-Br; м-J; n-J; n-NO₂; n-NH₂; o, n-O₂NC₆H₄SO₂C₆H₄X с X = n-CH₃, n-CH₃; n-CH₃; o-Cl; м-Cl;
n-Cl; м-Br; n-Br; м-J; n-J; n-NO₂; n-NH₂; o, n-O₂N₂, n-Cl;
n-Cl; м-Cl; м-Cl;
n-Cl; м-Вг; n-Br; м-J; n-J; n-NO₂; n-NH₂; o, n-O₂N₂, n-Cl;
n-Cl; м-Cl; м-Cl;
n-Cl; м-Вг; n-Br; м-J; n-J; n-NO₂; n-NH₂; o, n-O₂N₂, n-Cl;
n-Cl; м-Cl; м-Cl;
n-Cl; м-Cl;
n-Cl; м-Cl; м-Cl;
n-Cl; n-Cl; м-Cl;
n-Cl;
n-Cl; м-Cl;
n-Cl;

No

DE

pen

rek

pea

POB

195 195

pec тел

10

1)

EBT

пер

YME pa

p-p

(дл

бол

pac

TTO

реп

кри

TOH шет

108

T

n

pec

MOR

v =

VIV

118

цен 543

рии

N

фос

CTO (111 ВИЛ (VI

HOH

BOIL

paa:

дае

ultravioletto e nell'infrarosso della 2-acetilamino-1,3, 4-tiodiazolo-5-solfonamide. Pala G.), Farmaco Ed. scient., 1956, 11, № 4, 395—403 (итал.; рез. англ.) Получены УФ- и ИК-спектры поглощения 2-ацетиламино-1, 3, 4-тиодиазоло-5-сульфонамида (1). В Уф-спектре 1 в водн. p-ре наблюдается максимум при 265,5 мµ, а в цел. p-ре— при 241 мµ и 292 мµ. ИК-спектры I были получены в нуйоле для двух кристаллич. модификаний: игл (а) и плоских кристаллов (б). В модификации a к характеристич. частотам группы SO_2 отнесены полосы 1175 и 1366 cm^{-1} , а к колебаниям группы NH_2 — полосы 3162 и 3279 cm^{-1} , а в модификации 6 соответственно полосы 1167 и 1346 см-1 и 3215 и 3313 см-1. Основность и ультрафиолетовые спектры

поглощения 2- и 3-моногалоидопиридинов. Браун, Мак-Даниэл (The base strengths and ultraviolet Absorption spectra of the 2-and 3-monohalopy-ridines. Brown Herbert C., McDaniel Darl H.), J. Amer. Chem. Soc., 1955, 77, № 14,

3752-3755 (англ.)

Исследованы УФ-спектры поглощения (в области 220-300 мµ) моногалоидпиридинов: 2-фтор-(I), 2хлор-(II), 2-бром-(III), 2-йод-(IV), 3-фтор-(V), 3-хлор-(VI), 3-бром-(VII), 3-йод-(VIII) в кислом и щел. водн. р-рах. Спектральные данные использованы для определения конц-ии свободных и протонизированных пиридиновых оснований в р-рах в зависимости от рН. Из этих данных вычислены следующие величины pK_a при 25° по видоизмененному методу, описанному ранее (Hughes E. B. и др. J. Phys. Colloid Chem., 1949, 53, (Hughes E. B. и др. 3. Риуз. Солон Спеш., 1943, 36, 410): пиридин $5,17\pm0,02;$ $1-0,44\pm0,08;$ $11\,0,72\pm0,05;$ $11\,0,90\pm0,05;$ $1V\,1,82\pm0,02;$ $V\,2,97\pm0,05;$ $V\,1\,2,84\pm0,03;$ $V\,11\,2,84\pm0,03;$ $V\,11\,3,25\pm0,05.$ Уменьшение р K_a на 5,6 ед. по сравнению с пиридином для 1 связывается с большой величиной индуктивного эффекта атома F, расположенного близко от атома N. Более слабое уменьшение рКа на 1,9-2,3 в 3-галоидпиридинах объясняется ослаблением индуктивного эффекта в связи с удалением галоида от атома N. Увеличение основности при переходе от I к II, III и 1V интерпретируется как уменьшение индуктивного эффекта галоида с увеличением его атомного веса. Сопоставление спектральных данных для 3-галоидопиридинов (свободных и протонизированных форм) с литературными данными для 3-галоидонитробензолов при 250-300 мµ показывает одинаковое изменение поглощения в ряду F > Cl > Br > J. В 2-галоидпиридинах интенсивность спектральных полос падает в ряду J > Br > Cl > F подобно 4-галондинтробензолам, в то времи как дли 2-галондинтробензолов наблюдается обратная зависимость. Данные для 2-галоидпиридинов рассматриваются как подтверждение того. что спектральное поведение 2-галондни робензолов обусловлено стерич. препятствиями резонансному взаимодействию нитрогруппы с ядром. Приведены УФ-спектры всех соединений. Е. Переслени УФ-спектры всех соединений.

Пространственные влияния и мезомерия. XIV. Основность дибензохинуклидина и ее отношение к основности и мезомерной энергии ароматических аминов. Крогт, Вепстер (Steric effects on mesomerism. XIV. The basic strength of dibenzoquimesomerism. AIV. The basic strength of diberzoquinuclidine and its bearing on the basic strength and the mesomeric energy of aromatic amines. K r o g t S. M. H. v a n d e r, W e p s t e r B. M.), Recueil trav. chim., 1955, 74, № 3, 161—167 (англ.) Найдено, что основность дибензхинуклидина (I)

на ~ 3 единицы р K_a ниже основности бензхинуклидина (II). Так как у I и II мезомерное взаимодействие между группой NH2 и ароматич. ядром незначительно (ось симметрии орбиты неподеленной пары электронов

азота лежит для II точно, а для I— почти в илоскости бензольного кольца), то наблюденное различие приписывается только индуктивному влиянию фенильной группы в ароматич. аминах (111). Тем самым подтвержден сделанный ранее вывод (Recueil trav. chim., 1952. 71, 1159, 1171) о том, что индуктивный эффект фенильной группы снижает основность III. Сняты УФ-спектры поглощения 1 в изооктане, спирте и соляной к-те. Приведены кривые поглощения. Отмечено отсутствие полос, характерных для 111. Спектральная характеристика I свидетельствует о незначительности мезомерного эффекта. Сообщение XIII см. РЖХим, 1956, 46806. О. Гайсинская

Синтез и физико-химические свойства новых ароматических амидинов. Куна, Копак (The synthesis and physical-chemical properties of new aromatic amidines. Kuna Martin, Kopac M. J.), Ann. N. Y. Acad. Sci., 1954, 58, Art. 3, 261—292 (англ.)

Получены амидиновые произродные халконов и ф-ла ванонов (в скобках т-ры плавления в °С): 4-циано-2'оксихалкона (1) (143—145); хлоргидрата 4-иминоэфир-2'-оксихалкона (210—213); хлоргидрата (245—255); пикрата и изотионата 4-гуанил-2'-оксихалкона (ф-ла ванона) (II); 4-цианобензилиденфлуорена (148—149°); хлоргидрата 4-гуанилбензилиденфлуорена (III) (190); 4-цианобензилиден-2'-нитрофлуорена (230); 4-туанил-бензилиден-2'-нитрофлуорена(1V)(170); 4-циано-4'-бромхалкона (152—157); хлоргидрата 4-иминоэфир-4'-бром-халкона (240—243°); хлоргидрата (270—280) и пикрата (175—180); 4-гуанил-4'-бромхалкона (V); дихлоргидрата (173—180), 4-гуанил-4 - горомхалкона (V); дихлоргидрата γ-кето-α-гуанил-α-(п-бензамидино)-γ (0-оксифенил)-пропана (VI) (250—255); дихлоргидрата (310—315), дилактата (200—205) и диизотионата (175—180°) 4,4'-дигуанилхалкона (VII); 4-циано-4'-аминохалкона (VII) (152—454), пластираний (1805—2000) 4,4-дигуаниллалкона (т.), 4-циано-4 -аминолалкона (VIII) (153—154°); хлоргидрата (325—330°) и диизетноната 4-гуанил-4'-аминохалкона (IX); хлоргидрата 4-гуанил-2', 6'-диоксихалкона (флаванона) (X) (220, разл.); хлоргидрата 4-гуанилбензилиден-3'-метокси-4'-оксифенилацетона (XI) (250). Измерены УФ-спектры поглощения *о*-оксиацетофенона (XII), *n*-бромаце-тофенона (XIII), *n*-аминоацетофенона(XIV), резацетотофенона (XIII), *п*-аминоацетофенона(XIV), резацето-фенона, дезоксибензоина (XV). бензальацетофенона (халкона) (XVI), кверцетина (XVII), рутина (XVIII), стильбамидина (XIX), ацетамидина, фенамидина, пропамидина, пентамидина, изетионата и дихлор-гидрата II, дихлоргидрата и лактата XI, дихлор-фонамидбензамидина. Показано, что увеличение числа сопряженных двойных связей приводит к смещению поглощения в сторону длинных волн и к усилению интенсивности поглощения. Увеличение сопряжения в молекуле повышает ее устойчивость к восстановлению. Полярограммы снимались в 0,05 н. р-ре гидроокися тетраэтиламмония в 50%-ном изопропиловом спирте. С. Майрановский

867. Окраска и химическое строение. М и п э (色と構造: 三根隆雄), 有機合成化學協會誌, Юки го-сэй кагаку кёкайси, J. Soc. Organ. Synth. Chem., Japan, 1956, 14, № 4, 23—27 (япон.) 10867.

Обзор. Библ. 13 назв.

Влияние растворителя на спектр люминесценции ароматических углеводородов при низких температурах. Ш польский Э. В., Климова Л. А., Изв. АН СССР. Сер. физ., 1956, 20, № 4 471 - 475

OCTH:

ной

рж-952.

ной

стры

к-те. твие

рис-

OTOR

806.

ская

(The

new

pac t. 3,

ф-ла 10-2'-

фир-255);

(ф-ла (49°);

(190); ан**и**л-

бром-

бром-

крата

драта

нил)-

-315),

180°)

лкона

зетиодрата (220.

гокси-

спект-

мацеацетоенона

VIII),

лина.

ихлор-

ихлоридрата нзаль-

енона,

идина,

X, n-

ерного

п-суль-

числа

щению

лению

іжения

лению.

OOKNEN

спирте.

овский

Минэ

ки го-

Chem.,

оминес-

низких

мова 0, № 4

Исследованы спектры флуоресценции и фосфоресценпви ароматич., полицинклич. углеводородов ряда пи-рева при т-ре жидкого воздуха в заморсженнах р-рах и-парафинах: 3.4, 6, 7-дибензпирена в и-гептане, 3.4-бензпирена в и-гептане и и-октане, коронена в ипексаве, и-гептане, и-октане, и-новане, и-центадекане пи-гексадекане. Спектры флуоресценции состоят из резких линий, как в атомных спектрах. Спектры ко-ровена содержат, кроме ярких и резких полос, полосы, тоже резкие, во слабые, принадлежан не (РЖХим, 1975, 15746) 1,12-бензперилену. Линии спектров флуо-респенции р-ров коронена образуют дублеты, относительные интенсивности компонент и Ду явно зависят от р-рители, причем заметны следующие особенности:

1) при переходе от гексана к гептану соотношение питенсивностей компонент меняется на обратное; 2) при переходе от легких к более тяжелым р-рителям Δv уменьшается от 84 до 38 cm^{-1} ; в гексадекане структура исчезает и линии превращаются в диффузионные полосы. За исключением 3,4-бензпирена, замороженные рры исследовавшихся в-в обладают фосфоресценцией для коронева Ат 9 сек), спектр которой сдвинут от-шосительно флуоресценции на 6000 см⁻¹ в сторону больших длин волн. В р-рах в м-парафинах полосы расщеплевы; характер расшепления (число комповент, штевсивность) зависят от р-рителя. Авторы считают, что ароматич. углеводород, внедренвый в кристаллич. решетку р-ригеля, распределяется молекулярно-дисперсно, а не в виде микрокристаллов, так как спектр кристалла диффузен и не обладает тонкой структујой. Отмечая, что наблюдаемые расщепления частичьо могут быть объяснены молекулярным штарк-эффектом в поле кристалла, авторы считают возможной причиной тонкой структуры спектров наложение колебавий реветки р-рителя. В. Еременко

10869. Спектры фосфоресценции некоторых ароматических кислот при температуре жидкого воздуха. Пятницкий Б. А., Докл. АН СССР, 1956, 109, № 3, 503—506

Получены при т-ре жидкого воздуха спектры фосферецевции в видимой области спирт. р-ров бензойной (I), фталевой (II) и галловой (III) к-т. Приведены шкрофотограммы спектров и таблица частот максимумов фосфоресценции. Частоты укладываются в ф-лу $v = v_0 - n_1 v' - n_2 v'' - n_3 v''' - n_4 v^{IV}$ (I), где n_1 n_2 , $n_3 - n_4$ гостояные для каждого максимума, а v_0 , v', v'', v''' и v^{IV} имеют значения (в $c m^{-1}$) для I 24685, 313, 608, 1187, 826; для II 24739, 313, 608, 1182, 992; для III 23283, 313, 608, 1187. Из ф-лы (1) образуются для каждого спектра сериальные ф-лы. Спектр фосфоресевенции I в видимой области простирается от 4047 до 531А и состоит из 5 полос; III от 4276 до 6293А и состоит из 5 полос. Для I и III имектся одинакоеые серии вида $v = v_1 - n_1 v'$, $v = v_1 - n_2 v''$. В. Еременко

0870. Влияние концентрации и растворителя на фосфоресценцию ароматических соединений при низкой температуре. Тепляков П. А., Пятиицкий Б. А., Изв. АН СССР, сер. физ., 1956, 20, № 5, 520—523

При т-ре жидкого кислорода исследовалось затухание фосфоресценции и длительность метастабильного сотояния к-т: бензойной (1), галловой (11), коричной (II), салициловой (IV), антрашловой (VI), гидрокоричной (VII), бромбензойной (VIII), фталевой (1X), сульфобензойной (X), гидрохивона (XI) и резорцина (XII) в спирте, ацетоне, эфире, воде и ССІ4 в зависимости от конц-ии (от 5·40-1 до 5·40-4 M). Для I—VI, XI и XII во всех р-рителях при различных конц-иях и в кристаллич, состойнии наблюдается экспоненциальный закон затухания фосфорес-

ценции. Для р-ров некоторых к-т установлены отклонения от экспоненциального закона. Для VII в спирте и VIII в спирте, ацетоне, воде и эфире закон затухания может быть представлен в виде двух экспонент. В случае р-ров III, IV и VII в спирте имеет место зависимость длительности метастабильного состояния от конц-ии, Длительность свечения остальных в-в во всех р-рителях остается постоянной во всем исследованном интервале конц-ий, т. е. отсутствует концентрационное тушение на метастабильном уровне.

В. Клочков

1871. Электроиные свойства ароматических углеводородов. І. Электропроводность. ІІ. Перенос флуоресценции в твердых растворах. Н о р т р о п, С и мп с о и (Electronic properties of aromatic hydrocarbons. I. Electrical conductivity. II. Fluorescence transfer in solid solutions. N o r t h r o p D. C., S i m p s o n O.), Proc. Roy. Soc., 1956, A234, № 1196, 124—135, 136—149 (англ.)

1. Исследовава электропроводность ряда чистых кристаллич. ароматич. углегодородов антрацева (I), наф-тацена (II), пентапена (III), герилена (IV), пирена (V), хризена (VI) и антантрена (VII). Температурная зависимость электропроводности совпадает с характерной для полупроводников зависимостью: $\sigma = \sigma_0 \exp{(-E/2kT)}$. (Найдена σ (ом-1 см-1) при 30° (первая пифра); значее не σ_0 (гторая пифра), эвергия возбуждения восителей тока E, (se) (третья цифра), эвергия возбуждения триплетного состоявия в изолированной молекуле 3E_1 из давных фосфореспенции (четверт я цифра) и по расчету (пятая прфра)): І 1-10-18; 2-10-2; 1,93; 1.82; 1,88; I1 8-10-15; 5-10-1; 1,70; 1,26; 1,34; III 3-10-16; 1-10-1; 1,50;—1,00; IV 1-10-16; 1; 1,95;—; 1,57; V 1-10-18; 1. 2,02; 2,08, 2,02; VI 2-10-19; 4-10-1; 2,20; 2,45; 2,38; VII 3-10-18; 1·10⁻⁴; 1,£0;—; 1,32. Имеется явная корреляния между 1-10 -; 1,0;—; 1,02. Inместся явнай коррелиция между E и 3E_1 : при этом $E > ^3E_1$. Исследованы также р-ры малых кол-в II, III, IV и VII в I, V и VI. Электропроводность твердого р-ра больше, чем у чистого р-рителя. Кривая σ (1/T) имеет точку излома: в сторогу нысоких т-р от нее идет прямая, характерная для р-рителя, в сторону низких т-р - прямая, характерьая для растворевного в-ва. Положение точки излома занисит, а ваклон визкотем ературной грямой не зависит от конц-ии растворенного в-ва. Последнее обстоятельство позволяет определить эгергию возбуждевия примеси с в кристалле твердого р-ра. Значения в близки к в E1 (см. выше) и не зависят от природы р-рителя (в пределах погрещ-ностей эксі ергмента). Найдены "следующие эвергии то-кового возбуждения в І, в V и VI (в se): II 1,23; 1,25; 1,26; III 0,95 1.03; 1,02; IV 1,58; 1.61; 1,57; VII 1,12; 1,16; 1,16. На основании рассмотрения первых возбужденных электронных состояний в кристаллах ароматич. углеводогодов и предложен соответствующий механизм электропроводности.

11. Исследовалась флуореспенция твердых р-ров II. III, IV, VII, коронена (VIII), динафтонирена (IX), виолантрева (X), наовнолантрева (XI) и овалена (XII) в I и в V, при конц-нях 10-5 — 10-1. Ивление переноса веергии возбуждения от р-рителя к раствореные переноса зеергии возбуждения от р-рителя к раствореньюму в-ву научалось путем сравнения спектров флуореспеции чистого р-рителя и р-ра. Концевтрационная зависимость тушения флуореспеции (подробно исследованьяя для р-ра VII в I) хорошо укладывается в простую теорию миграции экситона. Зависимость вероятности перекоса возбуждения Т от растворенього в-ва не определяется просто перекрывавнем спектра излучения р-рителя со спектром поглощения растворенного в-ва, но зависит также от свойств симметрии возбужденых состояний р-рителя и растворенного в-ва. Измереные значения коэфф. тушения Q и вероятности перекоса энергии возбуждения Т для различных растворенных в-в (соследовательно: растворенное в-во; Q в I; Q в V; Т в I; Т в V. Первая цифра относится к конц-ии 10-4 M,

8 % (34.

38

6

WTO

pen

a I

мол

стр

108

y

20

m

II

жег

про

THE

HHIS

1, 1

reke

про

HOCT

600

ROJI

чен

мен

пери

при

rpy

влен

пер

BOSE

вак

POL

mpa

водр Для

не з

H y

Taci

98C1

108

B

n

H

G

re

2 1

вторая — и конц-ии 10⁻³ M): II 4,0 и 54; 0,0 и 0,0; 0,52 и 0,96; — и —. III 7,3 и 41; 0,0 и 0.0; 0 04 и 0.07; —и —. IV 2.3 и 19; 1,6 и 12; 0,44 и 0,63; 0,55 и 0,62. VII 1,2 и 12; 3,6 и 17; 0,81 и 1.00; 0.16 и 0,24. VIII — и 1,0; 0,42 и 3,5; —и 0,15; 0,60 и 0,56. IX 4,5 и 37; 2,2 и 8.7; 0,40 и 0,33; 0,07 и 0,05. X 4,2 и 34; 1,2 и 12; 0,29 и 0,16; 0.22 и 0,11. XI 11,0 и 31; 1,9 и 11; 0.12 и 0.09; 0,12 и 0,45. XII 2,8 и 34; 0,72 и 5,7; 0,91 и 0,43: 0.44 и 0.33. Т. Ребане

10872. Люминесценция и поглощение растворов солей олова. Белый М.У., Гудыменко К.Ф., Изв. АН СССР, сер. физ., 1956, 20, № 5, 579—582

Иссленованы люминеспенция и поглощение р-ров солей одова в зависимости от конц-ии Sn2+ и к-ты (HCl, Н₂SO₄). Спектр люминесценции р-ров солей олова в HCl различной конц-ии состоит из двух полос с λ (макс.)=470 и 495 мµ, в H₂SO₄ с λ (макс.)=550 и 615 мµ. Р-ры SnSO₄ в конц. H₂SO₄ обладают яркой люминесценцией, сохраняя ее на воздухе и при длительном облучении. Р-ры же в разб. H₂SO₄ сохраняют способность к свечению только в закрытой кювете, окисляясь на воздухе до Sn(SO₄)₂ тем быстрее, чем меньше конц-ия H₂SO₄. Быстро окисляются на воздухе и р-ры солей двухвалентного олова в HCl до четырехвалентного. Если p-p в HCl поместить в герметич. кювету, то люминесценция сохраняется долго. Авторы считают, что люминесценцию солей олова обусловливает двухвалентный катион олова, возбужденное состояние которого триплетное (3Р). Предполагается, что люминесценция р-ров солей двухвалентного олова связана с наличием двух внешних s-электронов. В. Клочков

10873. Силовые постоянные нормальных колебаний и распределение потенциальной энергии в формальдегиде и его дейтеропроизводных. Миядзава (ホルムアルデヒドとその重水素化合物の力の定數, 援動型, およびボテンシアルエネルギー分布. 宮澤辰雄), 日本化學雜誌, Нихон кагаку дзасси, J. Chem. Soc. Japan. Pure Chem. Sec., 1955, 76, № 10, 1132—1135 (япон.)

Из нормальных колебаний НСНО и DCDO в плоскости молекулы с полем Юри — Бредли найден наиболее вероятный ряд из 6 силовых постоянных и вычислены частоты 15 нормальных плоских колебаний НСНО, DCDO и НСDO. Результаты согласуются с опытом. Для каждой частоты НСНО и DCDO вычислены формы колебаний и распределение потенциальной снергии между различными внутренними координатами. Снерги между различными внутренними координатами. См. Аbstrs, 1956, 50, № 8, 5405.

10874. Инфракрасные спектры ароматических соединений. I. Неплоские деформационные колебания СН в области 625—900 см⁻¹. Марго шес, Фассел (The infrared spectra of aromatic compounds. I. The out-of-plane C—H bending vibrations in the region 625—900 cm⁻¹. Магдоshеs М., Fassel V. A.), Spectrochim. acta, 1955, 7, № 1, 14—24 (англ.)

Изучается влияние природы заместителей у бензольного кольца на положение характеристич. частоты в области $625-900\ cm^{-1}$, относимой авторами к неплоским колебаниям СН. Сняты ИК-спектры C_0H_5X с X=D, Li, F, Na, Cl, Br, J, CH₃, CH₂OH, C_2H_5 , CHO, CN, C (CH₃)₃, CH₂Cl, CONH₂, COCl, CCl₃, COOH, COCC₂H₅, COONa, COCH₃, NH $_3^+$, N (CH₃)₂, NH₂, NO₂, COOCH₃, OH, OCH₃, SO $_3^-$, SO₂Cl; $(C_0H_5)_2$ Y c Y = Be, O, S Se, Hg; $(C_0H_5)_3$ Z, c Z = N, P, As, Sb, Bi, CH; $C_0H_5)_4$ R c R = C, Si, Ge, Sn, Pb; $(C_0H_5)_2$ NN($C_0H_5)_2$ NC(C_0H_5)₂ NN(C_0H_5)₂ NN(C_0H_5)₂ NN(C_0H_5)₂ NN(C_0H_5)₃ X, (X—замещающий атом, n—его валентность) характеристич.

частота, расположенная в области 725-775 см-1, линейно понижается с увеличением приведенной массы двухатомной группы X-C до предельного значения $\sim 725~cm^{-1}$ для самых тяжелых X. У других монозамешенных частота в этой области существенно зависит мещенных частога в этом объястя существенно зависия от природы заместителя, что иллюстрируется таблица-ми. Для n-дизамещенных соответствующие частоты расположены в области 800-860 см-1 и их значения приблизительно линейно зависят от суммы величин смещений. вызываемых каждым заместителем отдельно в монозамещенном кольце. Аналогичная зависимость наблюдается и для м-дизамещенных (частоты 750-810. 850—900 см-1). Для о-дизамещенных (частоты 730— 770 см-1) наблюдается значительно больший разброс точек, вызванный, вероятно, стерич. препятствиями. Для некоторых *п*-дизамещенных обнаружены дополиительные полосы в области 13 и. IO. ELODOR Инфракрасные спектры формамида и лейтерированного формамида. Миядзава (жльт

ミドおよびその重水素化物の赤外線吸收. 宮澤辰雄), H 本化學雜誌 Нихон кагаку дзасси, J. Chem. Soc. Јарап Риге Chem. Sec., 1955, 76, №7, 821—824 (япон.) Измерены ИК-спектры жидкого и кристалич, формамида. Исследовано также изменение спектра при замещении Н на D. Наблюдаемые частоты отнесения к нормальным колебаниям. Правильность отнесения подтверждается правилом произведений. Зависимость частоты ИК-поглощения от состояния агрегации обънсивиется изменением в условиях образования водородной связи и изменением долей участия полярных резонансных структур. Chem. Abstr, 1956, 50, № 8, 5407 М. Киво

Chem. Abstr, 1956, 50, № 8, 5407 M. Киво 10876. Электронная структура дитнокарбаматов и ксантатов. Чатт, Данкансон, Венанци (Electronic structures of dithiocarbamates and xanthates. Chatt J., Duncanson L. A., Venanzi L. M.), Nature, 1956, 177, № 4518, 1042 — 1043 (англ.)

Различные производные N, N-диалкилдитиокарбаминовых к-т (I), в частности Na(CH₃)₂NCS₂, Co [(C₂H₃)₂NCS₂]₃, (CH₃)₂NCS₂CH₃ и [(CH₃)₂NCS₂]₈, имеют сильную полосу поглощения в области 1500 см⁻¹, которую авторы пришсывают двойной связи N = C.

$$M = \frac{1}{2} C = \frac{1}{NR_s}$$
 6. $M = \frac{1}{2} C - NR_s$ 6. $M = \frac{1}{2} C - NR_s$ 9. В соответствии с этим предположением несимметричные

производные I и сходные с ними по электронной структуре несимметричные N-алкилдитиокарбаматы имеют высокие дипольные моменты (µ). Так, значения µ As (R₂NCS₂)₃ и R₂NCS₂R равны соответственно 4,4—5,0 и 3,0 D. Значения v — и с соответствуют, по мнению авторов, наложению структур a, b, e примерно в одинаковой степени. Показав на примере ряда N,N-диалкилдитиокарбаматов меди, что частота связи С — N почти не зависит от алкильных групп, авторы отвергают ранее высказанное предположение об уменьшении относительного веса структуры а по мере усложнения R (РЖХим, 1956, 13493). Значения µ несимметричных ксантатов (II) (As(ROCS₂)₃ и ROCS₂R) меньше 2 D. Спектр поглощения Ni (C₂H₆OCS₂)₂ имеет полосу поглощения не в области, характерной для двойной связи, а при 1265 см⁻¹. На этом основании авторы при-

писывают структуре — S_2 —C= $\overline{O}R$ небольшой относительный вес. Это отличие Π от Π авторы объясняют тем, что тенденция группы —OR— к мезомерной отдаче электронов выражена слабее, чем у групп — NR_2 . Той же причиной авторы объясняют большую прочность комплексов Π , чем Π . Полянский

7 r.

, ли-

ассы ения

ноза.

мсит

типа.

pac-

прино в

-810.

730-

зброс

HMRI

олни-

оров

ейте-

LAT

),日

Soc.

пон.)

фор-

сены

ения

мость

водорных

Киво

OB H

нци хапп z i 1043

арба-

CS₂]₂,

ичние

струк-

имеют

ня µ 4,4 о мне-

мерно

N,N-

СВЯЗИ

вторы

умень-

слож-

етрич-

еньше полосу

войной

и при-

итель-

т тем, отдаче —NR₂.

проч-

10877. Спектры комбинационного рассеяния замороженных растворов сероуглерода в алифатических растворителях. К а с т х а (Raman spectra of frozen solutions of carbon disulphide in aliphatic solvents. К a s t h a G. S.), Indian J. Phys., 1955, 29, № 10, 474—478 (англ.)

47—410 (англ.)
Получены при — 180° спектры комб. расс. замороженных р-ров СS₂ в алифатич. р-рителях (в скобках СS₂ в%): в метилдиклогексане (1) (62,3;52,4 и 45,2), метаноле (34,6 и 24,1) в ССІ4 (20,8). Для всех р-ров при —180°, а всключением р-ра в І с 45,2% СS₂, наблюдались 2 вовые линии с частотами 70 и 81 см⁻¹; при конц-ии ≤ 45,2% СS₂ в І эти линии исчезали. Было установлено, то эти линии не связаны с колебаниями кристаллич. решетки СS₂, хотя и наблюдаются в спектре комб. расс. чистого СS₂. Молекулы СS₂ при конц-ии > 45,2% 1 находятся в виде димеров или небольшого количества колекул с большей степенью полимеризации. Такая же стоуктура предполагается и для жидкого СS₂.

Е. Покровский Алициклические соединения с четвертичным углеродом. II. «Пульсационная» частота в спектрах укасродом. 1. «Пулнационал» застота в систрах комбинационного рассеяния метилиронзводных цик-логексана. Шюрдоглу, Духард, Маке-еть о (Composés alicycliques à carbone quaternaire. II. Fréquence Raman de «pulsation» chez les dérivés méthylés du cyclohexane. Chiurdoglu G., Domethyles du cyclonexane. Сптита од и с., ро-ehaerd Т., Maquestiau А.), Bull. Soc. chim. belges, 1954, 63, № 11—12, 470—485 (франц.) Получены спектры комб. расс. и исследовано поло-жение полносимметричной (пульсационной) частоты производных циклогексана: 1,1-диметил-, 1, 1, 2-тримепривоводных диклогексана: 1,1-диметил-, 1, 1, 2-триметил-, 1, 1, 3-триметил-, 1, 1, 4-триметил-, тетраметил-щиклогексан-цис-1, 1, 3, 5-, mpanc-1, 1, 3, 5-, 1, 1, 3, 4-, 1, 1, 3, 3-, 1, 1, 4, 4-, 1, 1, 3, 3, 5-пентаметил-, 1, 1, 2, 4, 4, 6-гексаметил-, 1, 1, 3-триметил-3-этил, 1, 1, 3-триметил-3пропил-, 1-1, 3-триметил-3-изопропилциклогексанов. Сопоставление положения интенсивных линий в области 600—800 см-1, относимых авторами к «пульсационным» колебаниям, позволило установить, что решающее значение в изменении положения частоты играет не из-менение (увеличение) массы заместителей, а изменение первоначальной симметрии циклогексанового кольца, при этом понижение симметрии или присоединение группы СН3 в положении, препятствующем осуществлению нормального пульсационного колебания, при-водит к понижению рассматриваемой частоты. Напр., переход от пиклогексана к метилциклогексану сопровождается понижением частоты с 802 до 769,5 см-1, одвако у 1,4-диметилпроизводных симметричная частота почти не паменена (760 см⁻¹), у цис-1,3-771 см⁻¹, у транс-1,3-752 см⁻¹, но у мало симметричных 1,2-произ-водных она значительно ниже транс-749, цис-730 см⁻¹. Для гем-1,1-производных характерно положение 705 см-1, не зависящее от других заместителей в пара-положении, удлинения боковой пепочки. Включение группы СН_а в мета-положение несколько повышает симметрию и частоту (726 с.м⁻¹), а в орто-положении — повижает частоту (678 с.м⁻¹). Сообщение I см. РЖХим, 1957, 837) Ю. Егоров.

10879. Спектральные исследования в области длин воли около 1 мм. И. Вращательный спектр НСN и Н₂S. Генцель, Экхардт. III. Измерение дисперени LiF. Генцель, Клир. IV. Вакуумный спектрометр. Вращательные спектры Н₂S и NH₃. Генцель (Spektraluntersuchungen im Gebiet um 1 mm Wellenlänge. II. Die Rotationsspektren von HCN und H₂S. Genzel Ludwig, Eckhardt Wilfried. III. Dispersionsmessungen am LiF. Genzel Ludwig, Klier Manfred. IV. Vakuumspektrometer. H₂S- und NH₃-Rotationsspektren. Genzel Ludwig), Z. Phys., 1954, 139,

№ 5, 592—598, 1956, 144, № 1—3, 25—30, № 4, 311—322 (нем.)

311—322 (нем.)
II. На ренее описанной установке с диффракционной решеткой (сообщение 1, РЖХим, 1957, 8642) исследован вращательный спектр поглощения HCN в области 250—700 µ и H₂S в области 300—1300 µ.

111. Методом намерения пропускания (Cartwright C. H., Czerny M., Z. Phys., 1933, 85, 269; 1934, 90, 457) определены показатель преломления n и коэфф. поглощения k тонких (145 μ — 4,1 мм) пластинок LiF в спектральной области 70—1200 μ , т. е. при длинах воли, значительно превышающих область собственных колебаний решетки LiF; n имеет постоянное значение 3,07 \pm 0,03 равное его статич. величине. На кривой $k=f(\lambda)$ наблюдаются два новых побочных максимума при \sim 110 κ \sim 900 κ .

IV. Описан вакуумный ИК-спектрометр, где псключено влияние поглощения парами воды, что достигается уустановлением вакуума порядка 0,1—0,01 торр. с дополнительным высушиванием остаточного воздуха при помощи P_2O_5 . Показано, что в области до $1000~\mu$ Нg-лампа высокого давления имеет непрерывный спектр испускания. На описанной установке исследованы вращательные спектры H_5 S и NH_3 . Получены следующие значения вращательных констант (в c_M -1): H_2 S 10,340 (A), 9,034 (B), 4,725 (C); NH_3 9,940 (B). Найдено, что величина расщепления Δ ν(инв.) инверсионного дублета в спектре NH_3 зависит от давления по ур-нию Δ ν(инв.) = 1,38 (1—0,2 p^2), где p— давление в am_M . В. Алексанян

10880. Связь спина электрона в многоатомных молекулах. Гендерсон (Electron spin coupling in polyatomic molecules. Henderson R. S.), Phys. Rev., 1955, 100, № 2, 723—729 (англ.)

Разработана теория тонкой структуры (ТС) вращательных уровней многоатомной молекулы с $S \neq 0$. ТС возникает вследствие взаимодействия магнитного поля. вознака и волюдствие вышением, орбитальным моментом и спином электронов. Принято, что спин ядер I=0. Магнитное поле, связанное с вращением ядер, выражается как линейная комбивация компонент вращаеты могнитного магнитного момента $\mathbf{R}=\mathbf{N}-\mathbf{L}$. Гамильтониан имеет вид $H=(N_x-L_x)^2/2\,A+(N_y-L_y)^2/2\,B+(N_z-L_z)^2/2\,C$ +A' (LS) $+(a'N_x+b'N_y+c'N_z)$ S $=H_0+H_0'+H_1+H_2+H_3$, где H_0 — обычный гамильтониан асимметричного волчка, содержащий члены типа $N_x^2/2\,A$; H_0' содержит члены типа $L_x^2/2A$; H_1 учитывает вращательное возмущение электронного движения — члены типа ($N_x L_x +$ $+L_xN_x$) / 2 A; H_2 и H_3 содержат взаимодействие LS и NS соответственно. Так как в многоатомной молекуле элементы L диагональные по n (совокупность электронных и колебательных квантовых чисел), можно считать равными нулю, поправку 1-го порядка к невозмущенному гамильтониану H_0 дает лишь H_3 . Для определения поправок 2-го приближения применено преобразование Ван-Флека, в результате которого $H = H_0 +$ $H_3+C_1+C_2+\dots$, где C_1 —«дипольная», а C_2 — «псевдоквадрупольная» поправки. При вычислении «дипольдокъвдрумомавал поправок автор переходит от представления (nNKMS) к представлению (nNKJS) и применяет преобразование Ванга (Wang S. C., Phys. Rev., 1929, 34, 243) для перехода к представлению асимметрич-1929, 34, 243) для перехода к представлению асимметричного волчка. «Дипольный» член пропорционален h^2 [J (J++1) — N (N+1) — S (S+1)]/4 N (N+1), «псевдоквадрупольный» пропорционален (2A'h)² [3 /₈ C (C+1)— 1 /₂ N (N++1) S (S+1)] / N (N+1) (2N-1) (2N+3), где C = [J (J+1) — N (N+1) — S (S+1)]. Оба члена содержат W (K) и T (K', K) (T — матрица преобразования Ванга). Полученные ф-лы сравниваются с экспериментально наблюдаемой тонкой структурой спектра C103

No

BOC

KH

Mai

IN:

Kal

OTI

OII

BII

в диапазоне 4000—4700 A (Coon J. B., J. Chem. Phys., 1946, 14, 665). В этом случае $S={}^1/{}_2$ и «псевдоквадрупольная» поправка исчезает. Дипольный член с учетом переходов $\Delta J=0$ дает дублет с расшеплением ΔV , пропорциональным K^2/N , что при больших K и N и малом N-K совпадает с эмпирич. Φ -лой $\Delta V\sim (2K-N)$.

10881. Димеризация в твердых галогенидах элементов подгруппы IIIB. І. Спектр ядерного квадрупольного резонанса AlBr₃. Барис, Сигел (Dimerization of solid group IIIB trihalides. I. Bromine nuclear quadrupole resonance spectrum of AlBr₃. Ваге в R. G., Segel S. L.), J. Chem. Phys., 1956, 25, № 1, 180 (англ.)

Изучен спектр квадрупольного резонанса ядер Вт в безводном AlBr₃. При т-ре жидкого азота наблюдены 6 линий, обусловленных Вг⁸¹ и В⁷⁹. Две близкие по частоте линии каждого изотопа обусловлены внешними атомами Вг димерной молекулы, связанными с одним атомом Al; третья линия— внутренним мостиковым атомом Вг. Благодаря связи с двумя атомами Al уменьшается градиент электрич. поля электронов на ядре Вг, поэтому частота третьей линии ниже. Авторы предлагают следующие резонансные структуры Al₂Br₆

$$\overline{X}$$
 \overline{X} \overline{X}

В этих структурах ионный характер внешних связей A1-Br составляет соответственно $^{5}/_{0}$, $^{8}/_{7}$, $^{1}/_{2}$. Так что истинный ионный характер равен $\beta=5$ а / 9 + 5 b / 7 + c / 2, а отношение градиентов поля у мостиковых и немостиковых связей 11 а / 36 + 3 b / 14 + 5 c / 4; при $\beta=65\%$ (из электроотрицательностей) найдены относительные веса структур: $a\approx26\%$, $b\approx71\%$, $c\approx3\%$. К. Валиев

10882. Смещение магнитного резонансного поля ядер Si²⁹ в различных материалах. Холзман, Лаутербер, Андерсон, Кот (Nuclear magnetic resonance field shifts of Si²⁹ in various materials. Holzman G. R., Lauterbur P. C., Anderson John H., Koth W.), J. Chem. Phys., 1956, 25, № 1, 172—173 (англ.)

При комнатной т-ре и на частоте 8 *Мец* определена величина смещения резонансного поля ядер Si²⁹ кремнезема, кристобалита, синтетич. кварда, натурального кварда, [(CH₃)₃ SiO]₄ Si, различных многокомпонентных стекол, силиконовой смолы, р-ра силиката Na, (C₂H₅O)₄Si, SiC (черный), C₆H₅SiH₃, (C₂H₅O)₃ SiCH₃, C₆H₅Si (CH₃) H₂, (CH₃SiHO)₄, (C₆H₅Si SiH₂, [C₆H₆Si (CH₃) O]₄, [(CH₃)₂ SiO]₄- *D*C200, SiC (зеленый), [(CH₃)₂ SiO]₄, C₆H₅Si (CH₃)₃ SiCH₂NH₂, (CH₃)₄ Si, [(CH₃)₃ Si]₂ CH₂, (CH₃)₆ SiCH₂CH₂CH₂CH₂CH₃, (CH₃)₄ SiCH₂CL, [(CH₃)₃ Si]₂ O, [(CH₃)₃ SiG]₂ NH, [(CH₃)₃ SiO]₂ F, [(CH₃)₃ SiG]₄Si, (CH₃)₃SiJ, [(CH₃)₃ SiO]₃ PO, (CH₃)₃ SiF, CMeщение σ = (H₃ − H_R)·10⁸ / H₈ (H₃, H_R − резонансные значения поля для изучаемого и эталонного в-ва) изменяется от 92 (для кремнезема) до −48 (для (CH₃)₃·SiF). В качестве эталона был выбран [(CH₃)₂ SiO]₂ с вязкостью 100 спуав. Смещение е удалось измерить в в-вах, где енон 'Si непосредственно связан с атомами N, Cl, Br, J, так как линии очень широкие и слабые. К. Валиев

10883. Свободная магнитная видукция в ядерию квадрунольном резонансе. Блом, Хан, Херцог (Free magnetic induction in nuclear quadrupole resonance. В loom M., Hahn E. L., Herzog B.), Phys. Rev., 1955, 97, № 6, 1699—1709 (англ.)

Метод спиновых эхо (свободная магнитная индукция) в опытах по ядерному магнятному резонансу (ЯМР) является наиболее чувствительным. Поэтому желательно использовать этот метод в ядерном квадрупольном резонансе (ЯКР). Однако возможность применения метода в ЯКР не очевидна. В опытах по ЯМР сигнал индукции возникает в катушке, перпендикулярной к оси квантования спина (внешнее магнитное поле). Он обязан прецессии магнитного момента, возникающего под действием радиочастотного импульса: импульс поворачивает результирующий момент от оси квантования. Но в случае ЯКР без магнитного поля равные по величине, но различные по знаку проекции спина имеют одинаковую энергию, и поэтому намагничение кристалла равно нулю. Авторы показали, что под действием радиочастотного импульса и в ЯКР появляется результирующий магнитный момент. Он прецессирует в плоскости, перпендикулярной к оси тензора квадрупольного взаимодействия кристалла. Величина момента зависит от напряженности и длительности импульса. Прецессирующий момент индупирует сигнал в приемной катушке. Следовательно, метод свободной магнитной индукции применим и в ЯКР. Этот результат получен квантовомеханич. решением задачи для ядерного спина 3/2. Путем усреднения показано, что средний момент в плоскости приемной катушки отличен от нуля и в порошках. Эта же задача решена для случая, когда имеется слабое магнитное поле. Ожидаемая из теории форма сигналов сравнивается с сигналами, полученными на ядрах Cl в кристалле NaClO₃. 10884. Определение времени поперечной релаксации

ооо 4. Определение времени поперечном релаксация ядерных магнитных моментов. Гвоздовер С.Д., Померанцев Н. М., Полякова А. Л., Ж. эксперим. и теор. физики, 1955, 28, № 5, 584—

Теоретически устанавливается зависимость между величиной $\alpha=(2/aT_2^2)^{1/3}$, содержащей время поперечной релаксации ядер T_2 , и отношением Z амплитуд первого и второго экстремумов сигнала дисперсии, возникавщих при неадиабатич. прохождении магнитного поля через резонанс; здесь a— величина, пропорциональная скорости модулянии магнитного поля. Зависимость a от Z дана в виде таблицы и графика. Изложенным методом определено время T_2 для спинов ядер F^0 в соединении $BF_3 \cdot 2H_2O : T_2 = 0.9 \cdot 10^{-3}$ сек. К. Валичения $T_2 \cdot T_3 \cdot$

10885. Парамагнитный резонанс в угле. Поверхностные эффекты. И берсфельд, Эрб (Résonance paramagnétique dans les charbons. Effets de surface. U e bersfeld J., Erb E.), J. phys. et radium, 1956, 17, № 5, 452—453 (франц.)

Методом парамагнитного резонанся изучена конц-ия γ свободных радикалов в угле (число радикалов в 1 г в-ва) в зависимости от радиуса частиц угля r. Уголь получен обжигом сахарозы при 600° в атмосфере азоть. Измерения проведены ввоздухе и в вакууме (1 мм рт. ст.). В обоих случаях конц-ия убывает с ростом r. Авторы объясняют этот результат с помощью следующей модели. В частице сферич. формы радиуса r выделяется «сердцевина» радиуса r - h, не подверженная влиянию атмосферы (кислорода); здесь конц-ия радикалов в конц-ия радикалов с увеличением давления кислорода в атмосфере. Тогла средняя конц-ия равна: $n = \gamma + (c - \gamma)(1 - h/r)^3 \approx c + (\gamma - c) 3h/r$, если $h \ll r$; эта ф-ла объясняет результаты данных опытов. Из эксперим. криеых видно, что

57 r.

ерном

ole re-

g B.),

KHHA)

HMP

гельно Льном

Meto-

ал инк оси н обя-

ющего шульс

ванто-

Спина

чение

д дей-

пяется

сирует

иетрик

талла

и пли-

ндуци-

метоп

ЯКР.

пением

пока-

тушки

етева

поле.

вается

сталле Валиен

ксации

С. Д.,

584-

кду веречной ервого

никаю-

поля

альная ость с

енным

Валиев

XHOCT-

onance

urface.

adium,

онп-ня

уголь Уголь

азота.

т. ст.).

вторы

ей мо-

ляется

иянию

пов с.

шается

Тогда

≈ c+ eaym-

0, 910

 $\gamma-c>0$, т. е. конц-ия радикалов больше в поверхвостном слое, чем в сердцевине. Для с получена величина порядка 10^{19} радикалов/гр.; оценивается порядок величины h: $h\geqslant 0,05$ μ . К. Валиев

10886. Влияние температуры на электронный парамагнитный резонанс углей. И берсфельд, Эрб (Effets de température dans la résonance paramagnétique électronique des charbons. U e bersfeld Jean, Erb Edmond), C. r. Acad. sci., 1956, 242, № 26, 3050—3051 (франц.)

Ранее было обнаружено, что увеличение давления кислорода (или воздуха), в атмосфере которого находится уголь, уменьшало интенсивность сигнала парамагнитного резонанса, обусловленного свободными ра-двкалами, присутствующими в угле. Авторы изучали ход этого процесса во времени. Колич. характеристи-ками служили времена t и t' (t—время, за которое амилитуда сигнала в угле, находившемся в воздухе при 760 мм рт. ст., после понижения давления до 0,5 мм рт. ст., увеличится до половины значения, со-ответствующего стационарному состоянию при 0,5 мм рт. ст.; t' — время, за которое амплитуда примет вышеупомянутое значение при обратном процессе). Опыты производились при трех т-рах; результаты измерений: $300^\circ \text{K} \ t = 2 \text{ мин.}, \ t' < 1 \text{ сек.}; \ 200^\circ \text{K} \ t = 1 \text{ час, } \ t' = 2 \text{ мин.}; \ 78^\circ \text{K} \ t \ u \ t'$ велики. При уменьшении размеров угольных зерен t и t' уменьшались. Результаты опытов говорят в пользу предположения о том, что изменение интенсивности сигнала вызвано р-цией между свободными радикалами и кислородом, которая ве вполне обратима; предположение о том, что кислород влияет лишь на релаксационные процессы, мало прав-Л. Шекун лополобно.

10887. Магнетохимическое исследование диантрахинона и его термохромия в твердом состоянии. Мацунага (Magnetochemical study of dianthraquinone and its thermochromism in the solid state. Маtsunaga Yoshio), Bull. Chem. Soc. Japan, 1956, 29, № 5, 582—586 (англ.)

Измерены молярные восприимчивости (МВ) (×10°) антрацена 130, двантрила (I) 250 (254), антрона (II) 118, двантрона (III) 229 (230), антрахинона 114, двантрахинона (IV) 220 (226), двантрахинона (V) 262 (266) и V + 2C₅H₅N 361 (363). В скобках приведены значиния приведенны значиния значини значини чения, вычисленные по аддитивной схеме Паскаля без учета сопряжения. Наблюдаемые пониженные опытвые значения МВ для I и V указывают, что наруше-ние сопряжения из-за стерич. препятствий— не полное. В IV кольца соединены двойной связью, и вычисленная для IV MB, как у двантрахинодиметана, должна быть нижним пределом (Berthier Cr., и др., J. phys. et radium, 1951, 12, 717). Но это противоречит опыту, что приводит к другой модели, в которой т-электроны делятся на 3 части: изолированная центральная этиленовая связь и 2 идентичные сопряженные системы. Если последние ваменят сопряженную систему ІІ, то для такой модели МВ равны 219. Если далее предположить, что группа С=О также полностью локализована, то МВ равны 212. Поэтому автор заключает, что отклонения на несколько градусов от плоской конфигурации вряд ли влияют на делокализацию π-электронов. Исследована термохромия IV в твердом состоянии. Переход от желтого цвета к зеленому при нагревании сопровождался уменьшением МВ и изменением рент-генограммы. Эти изменения происходят попроисходят степенно при повышении т-ры. Автор приходит к выводу, что специфич. изменение, имеющее место при так называемой термохромии, есть необратимая хим. р-ция, а значительное уменьшение диамагнетизма предполагает наличие парамагнитного состояния. Е. Шусторович 10888. Исследование гетероциклических N-окисей. Дипольные моменты и химические особенности N-окисей некоторых гетероциклических соединений. Пушкарева 3. В., Варюхипа Л. В., Кокошко 3. Ю., Докл. АН СССР, 1956, 108, № 6, 1098—1101

Гетеродинным методом в C_6H_6 при 25° измерены дипольные моменты (D): N-окиси пиридина (I) 4,23, N-окиси хинолина (II) 4,00, N-окиси акридина (III), 4,08, N-окиси хиноксалина (IV) 2,53, N-окиси фена-4,08, N-окиси хиноксалина (IV) 2,35, N-окиси фоналина (V) 1,76, NN-диокиси хиноксалина (VI) 2,27, NN-диокиси феназина (VII) (с т. пл. 189—191°) 2,20, VII (ст. пл. 202—203°) 1,40, N-окиси 9-хлоракридина (VIII) 2,62, N-окиси 2-метокси-9-хлоракридина (IX) 3,38, N-окиси 3-нитро-9-хлоракридина (X) 6,08, N-окиси 2-метокси-6,8-дихлоракридина (XI) 5,51. Дипольные моменты (µ) гетероциклич. N-окисей во псех случаях больше и неокисленных оснований. всех случаях больше и неокисленных оснований. Значение µ III показывает, что направление связи N—О составляет некоторый угол с линией, проходящей через Co и N, что может быть обусловлено взаимодействием кислородного атома с фениленовыми кольцами акридиновой молекулы. Моменты V и VIII характеризуют полярность связи N—О в феназиновом и акридиновом рядах соответственно, так как соответствующие неокисленные соединения имеют моменты, равные нулю. Значения μ для различно плавящихся VII дают возможность предполагать существование двух изомеров VII. Из µ I,II,IV вычислены µ N—О, равных 3,01; 2,80 и 1,86 соответственно. Сопоставлением изменения полярности связи N-O с значениями потенциалов полуволны, характеризующими способность к восстановлению этих связей, показано, что с уменьшением μ связи N=О облегчается ее электрохим. восстановление, по-видимому, потому, что наибольшая адсорбция будет при меньшем μ в силу геометрии молекул.

Синтеварованы хлор-(1), бром-(II) и йод-2-(а-оксип-галобензил)-диклогексановы (III), бром (IV) и йода-диклогексил-п-галобензило-диклогексаноны (VII) и хлор(VI) и бром-2-(п-галобензил)-диклогексаноны (VII) и хлор(VII), бром-(IX) и йод-2-(п-галобензилиден)диклогексаноны (X). Измерены ИК-спектры этих соединений и УФ-спектры и дипольные моменты (µ в D):
1 3,64; II 3,88; III 3,73. Для II и III были получены двефракции, из которых имеющие высшую т-ру плавления
содержат оксибензильные группы в экваториальном
положении и внутримолекулярную водородную связь,
обнаруживаемую в разб. р-рах в ССІ4 и в суспензии
в нуйоле. Водородная связь через групцу ОН в этих
соединениях обусловливает появление узкой полосы
с высоким максимумом при 2,78 µ в разб. р-ре. 17,3 г
NаОН в 500 мл Н₂О добавляется к смеси 43,5 г п-хлорбензальдегида и 121 г циклогексанона в 3,5 л Н₂О и
перемешиваются 10 час. Выход I 88%, т. пл. 86—87*
(из этилацетата, изопропилового спирта и 95%-ного
р-ра С₂Н₃ОН). 73 г циклогексанона прибавляется
к 10 г NаОН в 2,5 л Н₂О, по каплям (4,5 часа) приливается 20 г п-бромбензальдегида в 25 г циклогексанона;
выход II 69%. Перекристаллизацией из различных
р-рителей получены две фракции: т. пл. 129,5—130,5*
и т. пл. 98—113°. 26 г циклогексанона добавляют
к 8,6 г NаОН в 2 л Н₂О, приливают (1 час) 20 г п-йод-

= 1

C30.

=0

=0

Haŭ

HOE

HIJM

tpa1

108

R 7

MOJ

ден

THE

m 1

H 1

DCH

H C

ren

1,5

/S

Hee S-

Ha:

Ста

061

108

CHA

KH(

DH

еди

HOO

леж нас

1.6

HO

KY:

K I

Pe

бензальдегида, перемешивают 10 час.; выход III 84%. Получены две фракции: т. пл. 147-148° и т. пл. 115-121°. Р-р 3 г 1 в 6 мл 95%-ного С_вн ₅ОН подкисляют 3 каплями конц. HCl, кипятят 5 мин; выход VIII 90%, т. пл. 57—57,5°. Нагревают II в 95%-ном С₂Н₅ОН с несколькими каплями конп. HCl (10 мин.); выход IX почти количественный, т. пл. 79—80°. Нагревают III в 95%-ном С₂Н₅ОН с несколькими каплями конц. HCl (~10мин.); выход X почти колич., т. пл.86,5—87,5°. ~1 г скелетно-никелевого катализатора добавляют к 4,3 г VIII в смеси 75 мл бензола (не содержащего тиофена) и 15 мл абс. С2Н5ОН. Гидрирование проводится при комнатной т-ре при давл. 10амм (30 мин.). Семикарбазон VI, т. пл. 194,5—195,5°. Семикарбазон гидролизуют в 15%-ном водн. p-ре фосфорной к-ты, экстрагируют эфиром; т. пл. VI 42,5—43,5°. К 2 г IX в 100 мл бензола (не содержащего тиофена) добавляют ~0,6 г скелетноникелевого катализ., гидрирование при комнатной т-ре при давл. 12 *атм* (30 мин.). Из полученного продукта приготовлен семикарбазон, т. пл. 194-195,5° после гидролиза которого и обработки (как выше) получен VII, т. пл. 54—55°. 10 г п-бромбензальдегида в 50 мл безводи. эфира охлаждается до 10°, добавляется 30 мл охлажденного 1,8 М эфирного р-ра циклогексилмагнийбромида, поддерживая т-ру ниже 20°. После, обработки, как описано выше, получен IV, выход 76%, т. пл. 71,5—72,5°. 16,2 г n-йодбензальдегида в 100 мл безводи. эфира охлаждают до 10°, добавляют 39 мл охлажденного 1,8 М эфирного р-ра циклогексилмагнийбромида, поддерживая т-ру ниже 20°; выход V 67%, т. пл. 77—78°. А. Золотаревский

10890. Дипольные моменты и строение молекул. Хигаси (双極チモーメントと分子構造. 東健). 化 學と工業. Кагаку то когё, Chem. and Chem. Ind., 1956, 9, №7, 290—294 (япон.)

Обзор: Библ. 36 назв. М. Д. 10891. Зависимость диалектрической постоянной от температуры. Сривастава, Варшни (Variation of dielectric constant with temperature. Srivastava G. P., Varshni Y. P.), Physica, 1956, 22, № 7, 584—586 (англ.)

На основании рассмотрения литературных данных по зависимости диэлектрич. постоянной (ε) от т-ры авторы, дринимая, что плотность остается постоянной, приходят к следующим ур-ниям для жидкостей и твердых в-в: $2\varepsilon = \{[-(4 \, X_P / M) - 2] \, T - (4 \, Y_P / M)\} / \{[(X_P / M) - -1] \, T + (Y_P / M)\}$, где $X = {}^3/_4 \, \pi N \alpha_0$, $Y = 4\pi N \mu^2 / 9kT$; и для газов: $2\varepsilon = \{[-(4 \, X_P / RT) - 2] \, T - (4 \, Y_P / RT)\} / \{[(X_P / RT) - 1] \, T + (Y_P / RT)\}$, где RT / P = V = M/P или P / RT = P / M. Отклонение рассчитанных по этим ф-лам значений ε от эксперим. составляет $\pm 1,15\%$. М. Полтева

10892. Атомная поляризуемость. А тодзи (Atomic polarizability. A toji Masao), J. Chem. Phys., 1956, 25, № 1, 174 (англ.) Показано, что для атомов С, P, Cl, Br, Hg, J, S, Ge,

Si и Sn атомная поляризуемость α_A пропорциональна r_e кубу радиуса атома в ординарной связи r_c^3 с коэф. пропорциональности, близким 2,3. Вычисляя по аддитивной схеме атомную поляризуемость Hg в HgCl₂, HgBr₂ и HgJ₂, автор получает для $\alpha_{\rm Hg}^4$,46, 4,85 и 5,64 ${\bf A}^3$ соответственно, в то время как значения кованентного радиуса Hg убывают в этом ряду (1,35; 1,30 и 1,28 ${\bf A}$ соответственно). Автор объясняет этот факт возрастанием плотности π электронов у атома Hg с ростом числа электронов атома галогена. Э. Бютнер

10893. О парахоре как критерии строения и состояния молекул. Л у ц к и й А. Е., Ж. физ. химии, 1956, 30, № 7, 1547—1552

Используя значения плотности и поверхностного натяжения у (РЖХим, 1956, 12292) для ряда замещенных фенола и анизола, вычислены парахоры Р при 131 и 184°. На основании литературных данных для большого числа нормальных и ассоциированных жилкостей автор утверждает, что Р не может служить однозначным критерием строения и состояния молекул. В. Казакова

10894. Рассеяние нейтронов в пара- и ортоводороде. Дроздов С. И., Атом. энергия, 1956, № 3, 50—55 Вычислены дифференциальные в полные сечения упругих и неупругих процессов рассеяния нейтронов на молекулах пара- и ортоводорода. Кроме вращательных степеней свободы молекулы, в гармонич. приближения учитываются также и колебания ядер. Определена средняя потеря энергии нейтрона на возбуждение уровней молекулы.

Резюме автора

0895. Исследование строения молекулы 1,1,1-трифторэтана методом диффракции электронов. Брандт, Ливингстон (An electron diffraction investigation of the molecular structure of 1,1,1-trifluoroethane. Brandt James L., Livingston R. L.), J. Amer. Chem. Soc., 1956, 78, № 15, 3573—3576 (англ.)

Секторным методом произведено электронографич. исследование строения молекулы 1,1,1-трифторэтана. Границы возможных значений параметров найдены путем сопоставления теоретич. кривых интенсивноста с визуальными. На кривой радмального распределения обнаружены пики 1,34, 2,17 и 2,36 А, отнесенные к связям С — F, F ... F и С... F соответственно. Окончательно приняты следующие параметры (в А): С — F 1,33 ± 0,02; С—С 1,52 ± 0 04; С ... F 2,36 ± 0,03; F ... F 2,14 ± 0,02; F ... H (повернутый изомер) 2,63 ± 0,05; F ... H (мранс-изомер) 3,27 ± 0,05; ∠ СБ 111,5° ± 1,5°. Рассчитанный на основании полученных данных момент инерции I_B = 163,00·10⁻⁴⁰ εсм² находится в хорошем согласии с найденным ранее с помощью микроволновой спектроскопии (Edgell W. F., Roberts A., J. Chem. Phys., 1948, 16, 1002). М. Полтева 10896. Исследование методом диффракции электронов строения молекулы трифгорэтанола. Л и в и и г с т о и, В о и (Аn electron diffraction investigation of the molecular structure of trifluoroethanol. Livingston R. L., V a u g h a n G.), J. Amer. Chem. Soc., 1956, 78, № 12, 2711—2714 (англ.)

Методом диффракции электронов исследовано строение молекулы трифторэтанола. На кривой радиального распределения обнаружены пики, отнесенные соответственно к следующим связям в А: 1,37 С — F, С—С и С—О; 2,19—2,34 F ... F, С ... О, С ... F, С ... И, и О ... H; 2,83 О ... F; 3,53 H ... F. При расчетах принято, что группа CF₃ обладает съметрией С₃₀. Варьировались параметры ∠ ССО 107,° 110° и 113°, С—С от 1,46/1,33 до 1,58/1,33 и С—О от 1,32/1,33 до 1,48/1,33; во всех случаях ∠ FCF принят равным 108,5°. Окончательно приняты параметры С—F1,34 ± 0,02, С—С 1,52 ± 0,05, С—О1,41 ± 0,05A, ∠ FCF 108, 5°±1,5° и ∠ССО 110°±4°. М. Полтева 10897. Строение молекулы циклобутена С₄И₅. Гол

диш, Хедберг, Шумейкер (The molecular structure of cyclobutene, C₄H₆. Goldish Elihu, Hedberg Kenneth, Schomaker Verner), J. Amer. Chem. Soc., 1956, 78, № 12, 2714—2716 (англ.)

Методом диффракции электронов исследовано строение молекулы циклобутена. При расчете теоретич. кривых интенсивности варьировались параметры $0.837 \leqslant C = C / C - C \leqslant 0.889, 0.673 \leqslant (C - H)_{cp} / (C - C)_{cp} \leqslant 0.752$ и $-0.08 \leqslant C_1 - C_4 - C_1 - C_2 \leqslant +0.08$ A, $< C = C - H = 1251/4 + ^{1}/_{2}$ ($125^{-1}/_{4} - < C_2 = C - C$), < H - C - H = 1250

oro

ен-

131

ДЛЯ сидодул.

ова

оде. -55

гру-

на ных

HHH

ена

ние

ropa

гри-

дт,

ave-

oroon 73—

Бич. ана. ены ОСТИ ния ные кон-- F

мер) CCF ных

на-

с по-

тева

TPO-H Iation anol. mer.

1.)

rpoeного TBeT-

_ F,

.. F.

сим-107,° O or

при-

етры

,05A, тева

ол-

lecu-

Eli-

ker 2 12,

оение ивых

0,752

- H =

- H =

= 109 $^1/_2$; принято, что молекула обладает симметрией \mathcal{C}_{gv} . Окончательно выбраны параметры $\mathcal{C}=\mathcal{C}/\!(\mathcal{C}-\!\mathcal{C})_{\mathcal{C}p}\!=\!$ C_{gp} . Окончательно выораны параметры $C = C/C = O_{Cp} = 0.862 + 0.018 - 0.024$, $|C_3 - C_3 - C_4| \le 0.08$ А, $(C - C)_{Cp} = 1.537 \pm 0.010$, $C = C = 1.325 \pm 0.046$, $\angle C = C - C = 94.0^{\circ} \pm 0.8^{\circ}$, $|C_2 - C_3 - C_3 - C_4| < 0.06$ А. Найденное значене для C - C в циклобутене, отличвое от значений С - С в других соединениях с 4-членными кольцами, и большее значение $\angle C - C = C$ по равнению с $\angle C - C - C$ объясияется наличием в циклобутене двойных связей.

10898. Исследование молекулы $S_2F_{10}O_2$ методом диффракции электронов. Харви, Бауэр (An electron diffraction study of disulfur decafluorodioxide. Harvey R. B., Bauer S. H.), Amer. Chem. Soc., 1954, 76, № 3, 859—864 (англ.)

Электронографическим методом исследовано строение молекулы $S_2F_{10}O_2$ (I). Кривая радиального распределения приводит к структуре перекисного типа F_0S — О 0—SF₅. Все теоретич. кривые интенсивности рассчитывались для такой модели с S—F 1,56 A; SO—1,62 и 1,65; О—О1,43 и 1,46A; ∠SOO 105° и 110°; ∠S—S 105° и 110°; S'—S" 3,50—3,62 и F'—F" 2,45—2,67A. На и 110°; S'—S° 3,50—3,62 и F'—F° 2,45—2,67А. На основе анализа кривых радиального распределения \mathbf{E} сопоставления теоретич. и визуальных кривых иневсивности окончательно приняты параметры \mathbf{S} — \mathbf{F} 1,56±0,02,S—0, 1,66±0,05, 0—0 1,47±0,03A; /S—0—0 105±3°, угол между плоскостями SOO и OS 107 ±5°. Группы 0—SF₅ октаэдрические Несколько повышенное значение углов S—OO и S—OO—S (104° и 107°) по сравнению с углами \mathbf{H} —O—O и \mathbf{H} — \mathbf{E} Не \mathbf{H} \mathbf{E} 106°) можно объяствить на инимен \mathbf{E} 3° 100° можно объяствить на инимен \mathbf{E} 3° 10° можно объяствить \mathbf{E} вить наличием тяжелых групп SF₅ вместо атомов H. Напменьшее расстояние между атомами F в каждой вз групп SF₅O равно 2,4—2,5 A в хорошем согласии с аналогичными данными для F—S в S₂F₁₀ и C₂F₆. Стабильность I по отношению к к-там и основаниям объясняется большим, чем в H₂O₂, переходом заряда на атом кислорода. М. Полтева

10899. О строении диоксодисилоксана. Бехерер, Дюринг (Zur Struktur des Dioxodisiloxans. Becherer Gerhard, Düring Otto-mar), Naturwissenschaften, 1956, 43, № 13, 300

Проведено рентгенографич. исследование (путем святия порошкограмм) строения полимерного кремнийкислородного соединения, диоксодисилоксана с эмпирич. ϕ -лой ($H_2\mathrm{Si}_2\mathrm{O}_3$) $_x$. Найдено, что структурными единицами соединения являются 8-членные кольца, построенные из Si — О; кольца вспучены, атомы Si лежат в одной плоскости, а атомы О в другой; расстоя-ше между плоскостями составляет 0,54 A; расстояше Si — О (для 3 ближайших соседей) составляет 1,65; Si — Si и О — О (в направлении полимерной це-почки) 2,65; О — О 4,65 (в направлении, перпендикулярном полимерной цепочке); /О — Si — О 111°, /Si — О — Si (вдоль полимерной цепочки) 111° и /Si — О — Si (перпендикулярно полимерной цепочке) 159°.

9900. К вопросу о структуре гексаметилентетрамин-моногидрохлорида. Стеглик, Гаттермайр (K štruktúre hexametyléntetramínmonohydrochloridu. Stehlik B., Gattermayer M.), Chem. zvesti, 1954, 8, № 4, 173—177 (словац.; рез. русс.,

Осмометрические исследования смеси р-ров гекса-метилентетрамина (I) (0,25 M) и HCl (0,5 M) привели к кривой, имеющей два излома, так что они свидетельствуют об образовании двух хлогидратов I — нормального (CH_2)6 N_4 .4HCl и аномального (CH_2)6 N_4 .HCl (II) (только один атом N связан c H из HCl). Результаты исследования осмометрии спиртовой (ме-

тиловый и бутиловый сп.) сольватации показывают, что для хлоргидратов сольватация сильнее, чем для аминов. Этот факт связывается авторами с влиянием координированного атома H, деформирующим N — H, связи. Авторы полагают, что 3 атома N в II находятся в поло

деформирующего действия атома Н, что вызывает усиление полярности остальных атомов N. приводит к появлению у них приводит к появлению у нам сольватирующей способности и препятствует их связыванию с HCl. В I углы между связями С—N, соседними с внутренним



атомом Н, значительно деформированы и это облегчает их разрыв при нитровании І, приводящем к В. Свиридов образованию гексогена.

10901. Термодинамические свойства и конфигурация несимметричного диметилгидразина. А с т о и, В у д, Золки (The thermodynamic properties and configuration of unsymmetrical dimethylhydrazine. A ston J. G., Wood J. L., Zolki T. P.), J. Amer. Chem. Soc., 1953, 75, № 24, 6202—6204 (англ.) Амег. Chem. Soc., 1953, 75, № 24, 6202—6204 (англ.) Для несимметричного диметилтидразина (I) измерены теплоемкость C_p в интервале 13—298,16°; тройная точка 215,951 \pm 0,005° K; скрытая теплота плавления $\mathbb F$ при 215,951° K, 2407,4 \pm 1,5 кал/моль; скрытая теплота испарения при 298,16° K, 8366 \pm 16 кал/моль, давление пара в интервале 238—293° K, представленное ур-инем $\mathbb F$ р = — 2717,132/T — 6,745741 $\mathbb F$ д \pm 28,000194. По этим данным при 298,16° K вычислена энтропия $\mathbb F$ в идеальном газовом состоянии 72,82 \pm 0,2 кал/градмоль. Для определения конфигурации молекулы и барьеров внутреннего вращения групп СН, и NH, при 298,16° K проопределения конфигурации молекулы и барьеров внутреннего вращения групп СН₃ и NH₂ при 298,16° К проведено вычисление энтропни транс-формы (I) и смеси двух повернутых форм (II). При вычислениях применены расстояния (в A): N—N 1,45; С—N 1,47; С—Н 1,09; N—H 1,04; ∠С—N—С = ∠С—N—N = 110° (остальные углы тетраэдрические). Для частот приняты значения: колебательного остова 418, 445 (2), 803, 904, 961; деф. кол. 961, 1139, 1046 (2), 1090 (2); деф. кол. СН 1301 (4), 1405, 1457, 1593; вал. кол. СН 2950 (3), 2988, 3141 (2), 3330 (2). Барьер вращения метильной группы по аналогии с другими соединениями принят равным 3700 кал/моль. При 298,16° К вычислены энтропии(кал/град моль): І—при V₀ (NH₂) = 3000 кал/моль—71,37, при V₀ (NH₂) = 3700—71,15; для этих барьеров энтропии II соответственно равна 72,99 и 72,77. Из этих данных сделано заключение, аналогичное для этих данных сделано заключение, аналогичное для изученных случаев гидразина, метилгидразина и симметричного диметилгидразина, что *транс*-форма имеет более высокую энергию и существует при комнатной т-ре в незначительном кол-ве. Для барьера V_0 (NH₂) получается значение 3000 ± 1000 кал/моль. Отмечено, что при таком значении барьера возможно получить совпадение эксперим. и вычисленной энтропий, если допустить малоправдоподобный случай существования смеси из 75% I и 25% повернутых l- и d-форм. И. Годвев Спектры комбинационного рассеяния растворов метанола в жидком аммиаке. Накамура, Кобат a (Methanol-liquid-ammania Ø Raman spectrum. 中村弘陸, 小幡一郎), 物性論研究, Буссэйрон кэнкю, 1955, № 85, 49—54 (япон).

Жидкий NH₃ в присутствии CH₃OH поглощает при 3218 (2v₄), 3304 (v₁) и 3396 см⁻¹ (v₃). Все полосы смещаются в коротковолновую сторону по сравнению со значениями для чистого жидкого аммиака. Полосы поглощения р-рителя СН оН сдвигаются в противоположное направление по сравнению с води. р-ром. Наибольшее изменение претерпевают колебания СН₃. Это показывает, что молекулярный NH₃ связан не

109

ale

с радикалом ОН, а с группой СН₃ молекулы СН₃ОН, так что 3 связи N ... Н (или СН₃) располагаются вокруг атома N тетраздра.

круг атома N тетраэдра.
Сhem. Abstrs, 1956, № 8, 5406е.
Н. Сhihara
10903. Водородная связь и физические свойства нитроанилинов. Луцкий А. Е., Ж. общ. химии, 1956, 26, № 8, 2295—2299

Определены плотности d (первая цифра), поверхностные натяжения γ (вторая цифра) и вязкости η -10% (третья цифра) расплавов при 172° : o-нитроанилина (1,161,36,6; 919), нитродиметвланилинов: орто: 1,039; 27,7; 673, мета 1,047; 27,9; 691 и пара 1,101; 34,7; 1015 и η для м-нитроанилина 936 и n-нитроанилина 1436. Для некоторых в-в были определены эти свойства и при 131° и для всех определены d и η при 50° в р-рах в бензоле и этаноле. Сопоставление найденных значений показало, что м- и n-нитроанилины являются межмолекулярно ассоциированными, а нитродиметиланилины — нормальными жидкостими. o-Нитроанилин автор относит к смешанно-ассоциированной жидкости, молекулы которой ассоциированы одновременно и меж- и внутримолекулярно.

В. Казакова 10904. Об ассоциации у аминов и миннов. Л у ц к и й

А. Е., Ж. общ. химии, 1956, 26, № 8, 2299-2304 Автор утверждает, что однозначными критериями состояния молекул в жидкости могут быть лишь завысимости между значениями свойств макротел и составляющих эти тела микрочастиц, напр.: изменение плотности, скрытой теплоты испарении, коэфф. вязкости η , T_k/R_D^{-1} : $(T_K$ — т-ра кипения, R_D —молекулярная рефракция), RD и др. с изменением дипольного момента молекул. Рассматривая литературные данные по физ. свойствам жирных и ароматич, аминов и иминов, автор приходит к выводу, что жирные амины и имины являются нормальными, а ароматич. амины и имины — ассоции рованными жидкостями. Различие в поведении жирных и ароматич. аминов и иминов, по-видимому, объясняется большей подвижностью атомов водорода амино-и иминогруппы v вторых вследствие сопряжения этих групп с двойными связями бензольного кольца. В. Казакова Исследование водородной связи между раз-

ными производными и некоторыми акцепторами протонов с помощью инфракрасных спектров поглощения. Сато, Нагакура (赤外線吸收による種々のフェノール誘導體とプロトン受容體間の 水素結合の研究. 佐藤好穀、長倉三郎), 日本化學雜志. Нихон кагаку дзасси, J. Chem. Soc. Japan. Pure Chem. Sec., 1955, 76, № 9, 1007—1010 (япон.)

Доноры протона (фенол 1- и 2-нафтолы, о, м- и п-крезолы, м- и п-хлорфенолы) и акцепторы протонов (диоксан, ацетон, метилацетат, нитрометан и ацетон притонитрил) растворялись в ССІ4 и в ближней ИК-области измерялись сдвиги частот первого обертона вал. кол. ОН донора вследствие образования водородной связи. В длинноволновой стороне полосы поглощения, обусловленной свободным ОН, наблюдались два пика поглощения. Образование водородной связи между донорами и акцепторами подтверждено зависимостью интенсивности от т-ры и конц-пи. Эксперим. данные можно объяснить при предположении для протона потенняла с пройным минимумом.

потенциала с двойным минмумом.

Chem. Abstr, 1956, 50, № 8, 5406. М. Киво 10906. Изучение водородной связи. Часть III. Реакционная способность аминов, амидов и азосоединений в водных и неводных растворах. Аршид, Джайле, Джайн, Хассан (Studies in hydrogen-bond formation. Part III. The reactivity of amines, amides, and azo-compounds in aqueous and non-agueous solutions. Arshid F. M., Giles C. H., Jain S. K., Hassan A. S. A.), J. Chem. Soc., 1956, Jan., 72—75 (англ.)

Исследовались бинарные системы: азотсолержание соединения с рядом вторых компонентов в води. и неводи. р-рах. Об образовании комплексов судили с помощью измерения показателя преломления и пиэлектрич, постоянной. На основании полученных эксперим. результатов авторы делают выводы; а) незамещ. и N-монозамещ. амиды в неводи. р-рителях в основном существуют в енольной форме, а в водных в кето-форме; б) реакционная способность (РС) карбонильной группы в кето-форме подобна ее РС в альпегиде: в) РС азота в первичных, вторичных и третичных амидах подобна РС азота в соответствующих аминах; г) атом азота в сульфированных азосоединениях не образует комплексов со спиртовой группой в водн. р-рах. Сообщение II, РЖХим, В. Казакова 1956, 46075)

10907. Молекулярная ассоциация днарилформамидинов. II. Влияние о- и п-метильных групп. Робертс (The molecular association of diarylformamidines. II. Effects of O-and P-methyl groups. Roberts Royston M.), J. Amer. Chem. Soc., 1956, 78, № 11, 2606—2608 (англ.)

Криоскопич. методом определены при различных конц-иях в С₆Н₆ мол. веса N,N'-ди-о-толилформамидина (I), N,N'-ди-п-толилформамидина, N-фенил-N'-о-толилформамидина и N-фенил-N'-мезитилформамидина. Все в-ва, кроме I, ассоциированы и степень ассоциации в растет с конц-ией р-ра. Из полученых данных вычислен фактор ассоциации и рассмотрено стерят, и электронное влияние заместителей в ароматич. кольцах вышеупомянутых в-в и исследованных ранее. (Сообщение 1, J. Amer. Chem. Soc., 1950, 72, 3608) на ассоциацию. Замена двух Н в пара-положении на метяльные группы вызывает значительное увеличение степени ассоциации, а замена Н в орто-положении на СI или СН₃ снижает ассоциацию, так как подродной связи.

В. Казакова 10908. Молекулярные комплексы хлорпстого нитрозила. Генкина Е. В., Финкельштей А. И., А ртемьев А. А., Докл. АН СССР, 1956, 109, № 3, 528—531

Исследованы спектры поглощения p-ров NOCl (I) в ряде органич. р-рителей, которые по влиянию их на спектр поглощения I авторы делят на 3 группы. 1. Бездипольные р-рители (циклогексан, циклооктан, и-гептан, CCl₄); в них кривые поглощения I в видимой области спектря совпадают с кривыми поглощения газообразного I. 2. Р-рители, обладающие легко поляризующимся бензольным ядром (СвНв, С2H5 СвНь, СН2Cl-С6H5). Кривые поглощения I в этих р-рителях отличаются смещением максимума в сине-зеленой области в более коротковолновую часть спектра и полной деформацией кривой в области 600-610 ми с образованием вместо максимума только незначительного перегиба с последующим подъемом. Это может быть объяснено образованием молекулярных соединений за счет взаимодействия неподеленных электронов I с π-электронами бензольного кольца и возникновением при этом неустойчивого комплекса, подобного описанному ранее (Ж. общ. химии, 1948 18, 190). З. Полярные р-рители (C2H₅ Br, дихлорэтан, н-бутилбромид, н-гептилбромид). Кривые поглощения І в видимой области в р-рителях этой группы характеризуются смещением максимума в коротковолновую часть спектра, что, по-видимому, связано с деформацией электронного облака молекул I под влиянием дипольных молекул р-рителя. В УФчасти спектра максимум поглощения при х 335 ми для газообразного I наблюдается лишь в р-рителях 1-й группы, в других случаях наблюдается перегиб в резкое возрастание коэфф. поглощения. Установлено отсутствие тонкой структуры в области 500-600 мр,

7 г.

шие

H. H

THE THE

линых Heелях

x -

кар-

гьле-

THU-

XNIII кси-

ОВОЙ

XHM.

кова

ами-

рте

ines. rts 6 11.

THUE

ами-

л-N'

ODM-

ь ас-THE

ерич.

атич.

ении

вели-OSK6-

с по-BOкова

итроейп CCP,

(I) (I)

ю их

ишы.

ктан, имой

цения

поля-

H2Cl-

OTJUI-

ласти

олной

разо-

о пе-

бъяс-

а счет

элект-

MOTE I

ранее

ители

омид).

телях

имума

MOMY,

кул I УФ-

35 ми

телях

егиб и

влено

, ци. ОС

1954, 10178.

Резюме авторов

• может быть объяснено изменением агрегатного состояния I при растворении. В. Казакова

Валентность и строение молекул. К а р тмелл, Фанантность и строение молекул. Карт-мелл, Фаулс (Valency and molecular structure. Cartmeil Edward, Fowles Gerald Wilfred Albert. London, Butterworth's Scient. Publs, 1956, xi, 256 pp., ill., 82 sh. 6 d.)

(апгл.)

910 К. Приложения спектроскопии в химии.
Уэст (Chemical applications of spectroscopy.
Ed. West W. New York-London, Interscience,
1956, xxiv, 787 pp., ill., 6) (англ.)

9911 К. Тайна цветности. Изд. 3-е. Болль,
Дурньон (La socret des couleurs. 3 éd. Во 1
Магсеl, Dourgnon Jean. Paris, Presses
univ. France, 1956, 128 p., ill., 153 fr.) (франд.)

912 Д. О термической диссоциании сложных молекул. Мухтаров Ч. К. Автореф. дисс. канд. физ.-матем. н., Моск. инж.-физ. ин-т, М.,

10913 Д. Исследование метафосфатов и соединений, содержащих серу, азот и кислород, с помощью спектров комбинационного рассеяния. Гофман (Ramanspektroskopische Untersuchung an Meta-(Ramanspektroskopische Untersuchung an Meda-phosphaten und Schwefel-Stickstoff-Sauerstoff-Ver-bindungen. Hofmann Hans Joachim. Diss., Naturwiss. Fak., Nürnberg, 1955), Dtsch. Nationalbibliogr., 1956, B, № 17, 1407 (нем.)

914 Д. Спин-решеточное взаимодействие в солях редкоземельных элементов. Шекун Л.Я. Автореф. дисс. канд. физ.-матем. н., Казанск. ун-т, Казань, 1956

См. также: Структура молекул неорганич. 11455, 11460, 11462, 11469; органич. 11570, 11591; по рентен. данным 10917, 10927, 10930, 10947, 10949, 10951, 10952, 10956, 10964—10968, 10972, 10974, 10980. Эвергия связей 11215. Спектры 11311, 11312, 11443, 11453, 11471, 11572. Магнятные св-ва 11045, 11050. Межмол. взаимодействие и водородная связь 11063. Др. вопр. 10986, 11126

КРИСТАЛЛЫ

Реданторы Э. А. Гилинская, А. Б. Нейдинг, А. С. Хейнман

915. Структурная минералогия глин. Бриндли (Structural mineralogy of clays. Brindley George W.), Bull. Div. Mines. Dept Natur Resour-George W.), Бин. Бул. акака. ces. State Calif., 1955, № 169, 33—43 (англ.) бзор. Библ. 64 назв. В. Франк-Каменецкий

Обзор. Библ. 64 назв. 10916. Постоянство и кратность пропорций как основные положения кристаллографии и химик. Капустинский А. Ф., Кристаллография, 1956, 1, № 1, 90—94

Отмечается, что эмпирически установленные основные положения кристаллографии о постоянстве углов между гранями и о целочисленности отношений параметров граней эквивалентны основным положениям химии о постоянстве состава и кратности весовых отношений, также являясь следствием атомного строения материи. Показано, что в атомных (понных) размерах тоже проявляются постоянство и кратность пропорций, обусловленные корпускулярным (электронным) строением атомов и ионов, образующих решетки кристаллов. Для радиуса r ионов типа инертных газов предложена ϕ -ла r=0,8+0,2 $(m-\eta)$, где mглавное квантовое число и у — заряд иона.

Л. Школьникова

10917. Распределение электронной плотности в молекулярных кристаллах при учете тепловых колебаний. II. Средний квадрат амплитуды теплового движения. Хиге (Vibrational modifications of the eleand the state of the state of the square amplitudes of thermal motion. Higgs P. W.), Acta crystallogr., 1955, 8, № 2, 99—104 (англ.) Вычислен средний квадрат амплитуды теплового колебания атома $\overline{(u^2)}$ в молекулярном кристалле. Показано, что при некоторых упрощающих предположениях, касающихся формы силового поля, имеется линейное соотношение между $\overline{u^2}$ и квадратом расстояния атома от центра тяжести молекулы. Найденное соотношение приблизительно выполняется в антрацене и нафталине. Рассмотрены пределы и возможности применения этого соотношения. Часть І см. РЖХим.

Об отсутствии определенной связи между гомологией внешней формы кристаллов и гомологией их оптических индикатрис. Ш у б и и к о в А. В., Кристаллография, 1956, 1, № 2, 246—247 Дискуссионная статья. См. также РЖХим, 1956,

Система перфорированных карт для табулирования кристаллографических данных. Мак-Крон (Punched-card system for tabulation of crystallographic data. McCrone W. C.), Analyt. Chem., 1956, 28, № 6, 972—975 (англ.)

Кратко описана система карт, содержащая все данные кристаллографич. характера, опубликованные в Analyt. Chem. (морфологич., рентгеновские, оптич. и свойства расплавов). Карты содержат достаточно данных, чтобы искомая величина могла быть взята непосредственно или вычислена из других источников. А. Бабад-Захряпин

920. К определению параметров решетки методом Дебая-Шерера. Д ю р о в и ч (Prispevok k určovaniu mriežkových konštánt metódou debyeovou a scherrervou. Ďurovič Slavomil), Mat.-fyz. ča-sop., 1956, 6, № 1, 15—20 (словац.); Чехосл. физ. ж., 1956, 6, № 3, 293—298 (русс.; рез. англ.)

Описан графич. метод определения констант кристаллич. решетки по порошкограммам. Метод применим для всех сингоний, включая триклинную и моноклинную, и проиллюстрирован на ромбич. кристалле то-паза, снятом в камере днам. 64 мм в излучении Со- K_{α_i} . При помощи графика размером 40×2.5 см проиндицированы 11 линий, по которым найден период 8,74 А. Однако ни одна из этих линий не соответствует ранее найденной ф. гр. *Pbnm* (Alston. N. A., West J., Z. Kristallogr., 1928, 69, 149). Г. Гольдер 10921. Простая модель двумерной кристаллической решетки. Регель В. Р., Тр. Ин-та кристаллогр. АН СССР, 1956, вып. 12, 195—199

Дано описание модели из стальных шариков и указаны возможные ее применения. См. также РЖХим, В. Глазков 1955, 48361.

10922. Текстура слоев селена, полученных электро-лизом. Шугам Е. А., Ж. физ. химии, 1956, 30, № 8, 1732—1734

Рентгенографически исследована текстура слоев Se, полученных электролизом. Найдено, что слои Se, выделенные в кислой среде, обладают текстурой с плоскостью 1012. Текстура не изменяется при последующей термообработке и не зависит от плотности тока в пределах от 1 до 20 $a/\partial M^2$. Слои Se, полученные электролизом в щел. среде, не обладают ярко выраженной текстурой. Резюме автора

10923. Структура тонких слоев железа, напыленных в вакууме. Брож, Сыпечек, Гавель

Рен

1093 Te of

> to 193

> Пр

вени

MEHT

няем

p(per

лись

чени

прое

STOM

z = 1

C I = в др 1093

be

n

Pe

λCu

ρ(BE 2.63)

1093

PS A

Pe

napa 8,96

физи

Oft

Repr Acta RILE

npe:

Ian

109

C

aı

g 19 P

λCı

LiD

пре. 1,98

BATE

(Brož Jaromir, Syneček Vladímir, Havel Vladímir), Чехосл. физ. ж., 1955, 5, № 4, 547-548

См. РЖХим, 1956, 38777

924. Графит и карбид кремния, их структурные свойства и применение. Брейтуэйт (Graphite and silicon carbide, their structure, properties and uses. Braithwaite E.R.), Trans. Instn. Engrand Shiphylidor. Scotlend 4055 58 00 and Shipbuilders Scotland, 1955—56, 99, № 6, 442—459. Discuss., 459—460 (англ.)
Обзор. Библ. 36 назв. Э. Гилинская

Рентгенографическое исследование анодных шламов и катодных осадков, полученных при электролизе сплавов серебра с теллуром. М е д в е дева З. С., Хлапова А. Н., Изв. Сектора физ.-хим. анализа ИОНХ АН СССР, 1956, 27, 141—149

Проведен рентгенографич. фазовый анализ 3 образ-дов анодных шламов и 3 образдов катодных осадков, полученных при электролизе в азотнокислом р-ре с анодом из Ag, содержащего Те. Условия съемки: метод порошка, нефильтрованное Fe- K-излучение, экспозиция 20—25 час., камера днам. 57,3 мм, толщина образца 0,3—0,7 мм. Для сравнения получены рентге-нограммы от чистых Ag, Te и теллурида Ag, предварительно отожженных в вакуумных ампулах. Исследования показали, что анодные шламы представляют собой механич. смеси Ag с Ag₂Te и, возможно, с Te, а катодные осадки— механич. смесь твердого p-ра Ag—Te (до 0,5 am % Te) и Te в аморфном состоянии. Термич. анализ катодных осадков, проведенный на пирометре Н. С. Курнакова, подтвердил присутствие в них Те и частичную растворимость Те в Ag, осаждающемся Г. Сидоренко на катоде при электролизе.

0926. Упорядоченная фаза в системе Ni—Cr. Бер (Über eine Ordnungsphase in System Ni— Cr. Baer G.), Naturwissenschaften, 1956, 43, № 13,

В сплавах Ni-Cr с содержанием > 30 ат. % Cr рентгенографич. методом и методом измерения сопротивления обнаружена сверхструктура состава Ni₂Cr (а не NiCr или Ni₃Cr). Положение диффракционных линий этой фазы совпадает с положением линий фазы MoPt₂ в системе Mo — Pt, что подтверждает состав сверхструктуры. Ni₂Cr имеет куб. решетку и обладает утроенной элементарной ячейкой по сравнению со сплавами Ni-Cr других составов. Линии сверхструктуры удалось обнаружить путем прецизионной съемки в цилиндрич. камере диам. 57,3 мм. Кристаллом-монохроматором служил изогнутый кристалл кварца. Исследуемые образцы стравливались электролитически в конц. фосфорной к-те на толщину 0.02—0.03 мм. В. Самсонов

10927. Кристаллические структуры некоторых соединений тория. Меррей (The crystal structures of some thorium compounds. Murray J. R., of some thorium compounds. Murray J. R., Miss), J. Inst. Metals, 1955, 84, № 4, 91—96 (англ.) Рентгенографич. методом определены кристаллич. структуры 4 соединений в системе Th — Al, одного в системе Th — Ag и одного соединения в системе Th — Au. Сплавы получены в дуговой печи в атмосфере Ar из Th (99,5% чистоты) и металлов чистоты не менее 99,99%. Съемка порошковых рентгенограмм производилась в цилиндрич. камере диам. 11,4 см фокусирующего типа с кварцевым монохроматором на излучении $\mathrm{Cu}\text{-}K_\alpha$ и $\mathrm{Co}\text{-}K_\alpha$ (экспозиция 16 час.). Для съемки монокристаллов использовалась камера типа Лауе и другие спец. камеры. ThAl $_{\rm s}$ имеет гексагональную структуру Ni $_{\rm s}$ Sn, a 6,500, c 4,626 A; ThAl— гексагональную структуру AlB $_{\rm s}$, a 4,388, c 4,162 A; Th $_{\rm s}$ Al $_{\rm s}$ имеет тетрагональную структуру, изоморфную U₃Si₂, ф. гр.

P4 / mbm, а 8,125, с 4,217 A. Th₂Al имеет тетрагональную структуру $CuAl_2$, а 7,614, с 5,857 A, изоморфиуо С Th_2Ag , а 7,56, с 5,84 A и Th_2Au , а 7,42, с 5,95 A. **Пается** предположительное объяснение наблюдаемых межатомных расстояний и соотношений осей для соеди-нений Th — X на основании окружения атомов, разли-чия их атомных и понных радиусов и увеличения взаимодействия Th - X с увеличением электроотрипа-М. Бородкина тельности Х. 10928. Некоторые результаты исследования струк-

луры металлических фаз. Шуберт, Бурк-хардт, Эслингер, Гюнцель, Мейс-нер, Шютт, Вегст, Вилькенс (Einige strukturelle Ergebnisse an metallischen Phasen. Schubert K., Burkhardt W., Esslinger P., Günzel E., Meissner H. G., Schütt W., Wegst J., Wilkens M.), Naturwissenschaften, 1956, 43, № 11, 248—249 (нем.)

Предварительное сообщение о результатах рентгенографич. исследования. MoPt2 имеет ромбич. структуру графич. Исследования. Могъз имеет ромова. Структуру с параметрами решетки $a_0=a/V_2$, $b_0=3\,a/V_2$, $c_0=c_r$, где a 3,903 kX, c/a=1.007 (РЖХим, 1955, 12378). Положение атомов: 2 Мо в 600, $^1/_21/_21/_2$; 4 Рt в $^1/_2$, \pm $(^1/_6-y)$, $^1/_2$; 0, \pm $(^1/_3+y)$, 0, где y 0,020 \pm 0,005. Возможно, что истинная элементарная ячейка больше указанной и отвечает сверхструктуре. $CuAuZn_2$ при $200-400^\circ$ обладает структурой типа BiF_3 или Cu_2MnAl с a 6,10 kX. Высокотемпературные модификации Ni₈Sn (950°) и Ni₈Sb относятся к типу BiF₃ (а 5,97 ± 0,01 kX и 5,95 kX). относятся к типу Dir_3 (a 5,37 \pm 0,01 kA в 3,35 kA). Низкотемпературная модификация $\operatorname{Ni}_3\operatorname{Sb}$ (при комнатной т-ре) и $\operatorname{Cu}_3\operatorname{Sb}$ (х—фаза, закаленная от 425°) имеют структуру типа TiCu_3 с a 2,67, b 4,52, c 4,29 kX и a 5,49 $_3$, b 4,75 $_8$, c 4,34 $_4$ kX соответственно. δ -Фаза $\operatorname{Cu}_{4,5}\operatorname{Sb}$ обладает сверхструктурой к типу Mg (A3) с $a' = a\sqrt{3}$ и c'=c. Фаза CuAu₂Zn (30 ат. % Cu, 50 ат. % Au. и c = c. Фаза СиАц-2П (30 ат. % Си, 30 ат. % Ай, 20 ат. % Zn) при 300° имеет структуру тина AuCd-CdMg (B 19); ф. гр. Рета (Pbam), а 8,980, b 2,886, c 4,539 кХ. Положение атомов: Аи в 4 (h) с x 0,136, x 3 /₁₆; Си или Zn в 4 (g) с x 0,114, x 12 /₁₈. К типу FeSi (B 20) относятся фазы Со₄Ga₃Ge (a 4,63 кХ), Ni₂AlSi (4,55), Ni₂Ga₆Ge (a 4,63 кХ), Ni₂AlSi (4,55), Ni₂Ga₆Ge (4,46), Pd4Al3Si (4,82), PtAl (4,86). П. Крипякевич

10929. Структура сверхпроводников. IX. Рентгенографическое определение структуры α-Ві₄Rh. ГлаголеваВ. II., Жданов Г. С., Ж. эксперим. и теор. физики, 1956, 30, № 2, 248—251

С целью определения атомного мотива проведено рентгенографич. исследование структуры низкотемпературной модификации Bi₄Rh (часть VIII, РЖХим, 1956, 3217). Съемки проведены методом колебаний на излучении Си. Общее число независимых отражений Положение атомов Ві и Rh определено из сечения F2-ряда с дальнейшим применением геометрич. анализа и метода проб. Проверка выбранного варианта и уточнение координат атомов Ві произведены двукратным построением поясной проекции электронной плотности между x=0 и $x=\frac{1}{2}$, атомов Rh — расчетом сечения ряда электронной плотности по прямой $(x,\frac{1}{4},\frac{1}{8})$. Положения атомов: Ві в 96 (h) с x 0,024, y 0,436, z 0,153; Rh в 24 (c). Координационными полиэдрами атомов Rh являются восьмивершинники: скрученные правые и левые кубы, аналогичные полиздрам в структурах PtSn₄, PdPh₄, AuSn₄, CuAl₂, CoGe₂. Атомы Ві вмеют координационное число 11 (9 атомов Ві и 2 атома Rh). Межатомное расстояние Ві—Rh равно 2,80 A и меньше суммы атомных радиусов на 3%. Расстояния Ві—Ві от 2,80 до 3,50 А; три из них близки к кратчайшему расстоявию, шесть — к наибольшему в чистом Ві. Об-суждается вопрос об аналогии структуры α - Ві₄Rh и граната Ca₂Al₂Si₃O₁₂. Л. Школьникова граната Ca2Al2Si3O12. 10930. Структурная кристаллография InBi. Бини (The structural crystallography of indium bismuthide, r.

ль-

Typo

A.

KHI

еди-JIW.

RHH

па-

ина Dyk-K-

ii c-

nige

h uer

ЭНО-

ypy =c,По--y),

что и бла-

kX. i₃Sb (X).

ar-

еют

Sb V 3

Au,

kX.

или

THO-

Ge ВИЧ

eno-

na-

MM.

ено

ane-HM,

Ba ний

ния BEH! -POT

вым

CTH HUS По-

153;

Rh

.

pax Rh).

ьше

- Bi

ему

06-

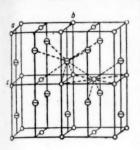
h m

ова H W

ide,

Binnie W. P.), Acta crystallogr., 1956, 9, № 8, 686-687 (англ.)

исследован Реитгенографически InBi. Парамет-



O Be ola

ры тетрагональной ре-шетки: a 5,000, c 4,773 A, $Z = 2, \phi$. гр. P 4 / nmm. Координаты атомов определены из проекций (100) Паттерсона и Фурье: In 000, Ві 0, $\frac{1}{2}$, z с z = $\frac{1}{2}$ 0,393; R = 0,17. Межатомные расстояния (в A): In — Ві 3,13 (сумма атомных радиусов 3,07), Ві— Ві 3,68, Іп— Іп 51— В1 3,00, пп— п. 3,54; валентные углы: тетраэдрич. 106° (2) и 111° (4), пирамидальные 106° (2) и 69° (4). В. Глазков

B. Глазков В. Глазков Ст₅Si₃. Добен, Темплтон, Майерс (The crystal structure of Cr₅Si₃. Dauben Carol H., Templeton D. H., Myers C. E.), J. Phys. Chem., 1956, 60, № 4, 443—445 (англ.)
Проведено ревтгеноструктурное исследование соедивия Cr₅Si₈. полученного натреванием по 4500° аго

вения Cr₅Si₃, полученного нагреванием до 1500° элементов в индукционной печи и последующим охлаждешем. Параметры тетрагон. решетки: a 9,170, c 4,636 A, ρ (рент.) 5,9, Z=4, ф. гр. I 4/mcm. Съемки проводились методами порошка и рентгенгониометра на излучениях ${\rm Fe}{}^-K_{\alpha}$, ${\rm Mo}{}^-K_{\alpha}$, ${\rm Cu}{}^-K_{\alpha}$ и ${\rm Cr}{}^-K_{\alpha}$. Рассчитывалась мення ге- K_{ac} , мо- K_{ac} , со- K_{ac} и ст- K_{ac} . Гассчинавалась проекция электронной плотности ρ (001). Координаты этомов: 4 Si в (a) 0.0, 1 /₄, 8 Si в (h) x, 1 /₂ + x, 0 с x = 0,165, 4 Cr в (b) 0, 1 /₂, 1 /₄, 16 Cr в (k) x, y, 0 с x = 0,075, y = 0,224. Структура типа Мо₅Si₃ (Brewer L. в др., J. Amer. Ceram. Soc., 1950, 33, 291).

Л. Школьникова 932. Карбид бериллия Ве₂С. Старицкий (Di-beryllium carbide, Ве₂С. Staritzky Euge-ne), Analyt. Chem., 1956, 28, № 5, 915 (англ.) Рентгенографически (прецизионный метод порошка, à Cu-K_a) определен параметр куб. решетки Ве₂С: а 4,342A: ho(выч.) 2,437, Z=4. Показатель преломления (6640 A) 2,635. Приводятся значения d и I порошкограммы. У. Андрес

0933. Фторид трехвалентного урана UF₃. Ста-рицкий, Дугласс (Uranium trifluoride, UF₃. Staritzky Eugene, Douglass R. M.), Analyt. Chem., 1956, 28, № 6, 1056—1057 (англ.) Апагут. Спет., 1950, 25, № 6, 1050—1057 (англ.). Рептгенографически (методом колебаний) определены параметры решетки UF₃: а 7,179, с 7,345 A, р (выч.) 8,965, Z = 6, ф. гр. P 6₈ / тст. Подтвержден изоморфизм UF₃ с фторидами редкоземельных элементов (Oftedal I., Z. phys. Chem., 1929, B5, 272—291) и опровергаются данные Сахариазена (Zachariasen W. H, Acta crystallogr., 1949, 2, 388—390), предложившего ПВ UF. приукой выбора предпожившего иля UF₃ другой выбор элементарной ячейки Показатели преломления (5893 A): n_m 1,732; n_g 1,738. Приводятся данные спектра поглощения. У. Андрес 1934. Гвдрид лития LiH и дейтерид лития LiD.
Старицкий, Уокер (Lithium hydride, LiH, and lithium deuteride, LiD. Staritzky Eugene, Walker Donald I.), Analyt. Chem., 1956, 28, № 6, 1055 (англ.)

Рентгенографически (прецизионный метод порошка, ^λСи-К_а) определены параметры решетки LiH (I) и LiD (II). Для I а 4,0834 A, р(выч.) 0,775; показатели преломления (λ 4358 A) 2,0694; (5461) 2,0002; (5892) 1,9847; (∞) 1,900. Для II а 4,0684, р(выч.) 0,883; показатели преломления (для тех же длин волн): 2,0659; 2,0010; 1,9856; 1,90. Приводятся значения d и I порош-

кограмм. 10935. Кристаллографическое доказательство существования тригидрата фтористого алюминия. Ф р вман (Crystallographic evidence for the trihydrate of aluminum fluoride. Freeman Robert D.), J. Phys. Chem., 1956, 60, № 8, 1152 (англ.) В дополнение к мим. доказательствам (Ehret W. F., Frere F. J., J. Amer. Chem. Soc., 1945, 67, 64) правильности ф-лы AlF₃·3H₂O (а не AlF₃·3,5 H₂O) для стабильного гидрата AlF₃ (I) получены соответствующие кристаллографич. доказательства. Ревтгенографич. исследование продажного образца I (метод порошка, фильтрованое Ni излучение $\mathrm{Cu}\text{-}K_\alpha$, диффрактометр Норелко) показало, что значения с и / находятся в хорошем показало, что значения a и I находится в хорошем согласии с приведенными ранее (см. ссылку выше) для β -AlF₃·3H₂O. Параметры тетрагон. решетки: a 7,734, c 7,330 A, ρ (рент.) 2,03, ρ (рент.) 2,09 (для AlF₃·3H₂O), ρ (рент.) 2,23 (для AlF₃·3,5H₂O), z = 4, ϕ . гр. P 4/ncc. Сопоставление ρ (эксп.) и ρ (рент.), а также наличие кратностей 4 и 8 для позиций атомов в ϕ . гр. P 4/ncc. подтверждают правильность ϕ -лы AlF₃·3 H₂O.

0936. Фторид трехвалентного кобальта CoF₃. Старицкий, Дугласс (Cobalt trifluoride, CoF₃. Staritzky Eugene, Douglass R. M.), Analyt. Chem., 1956, 28, № 5, 914—915

(англ.) Рентгенографически определены параметры решетки CoF_3 (а 3,645 Å, а 87,2°, р 3,99; Z=1), отличающиеся от литературных данных (Wyckoff R. W. G., Crystalstructures. New York, Interscience, 1951, 1, chap. 5, pp. 12). Показатели преломления (5893 A): n_m 1,703, n_g 1,726. Приводятся величины d и I порошкограммы.

У. Авдрес 9937. Сульфид бериллия BeS. Старицкий (Be-ryllium sulfide, BeS. Staritzky Eugene), Analyt. Chem., 1956, 28, № 5, 915 (англ.) 10937.

Гониометрически и рентгенографически (à Cu-Ka; прецизионный метод порошка) исследовались бесцветные куб. (гекстетраздрич. класс симметрии) кристаллы BeS: тного урана UCl₄. tetrachloride, UCl₄. 10938. Хлорид четырехвалентного

Старицкий (Uranium tetrachloride, UCl₄. Staritzky Eugene), Analyt. Chem., 1956, 28, № 6, 1056 (англ.) Рентгенографически (λ Сu- K_{α}) определены параметры

тетрагональной решетки и СL: a 8,298, c 7,486 A, c 4,894, Z=4, ϕ . гр. I 4/amd. Показатели преломления (5893 A): n_m 2,03; n_p 1,92. Приводятся значения d и I порошкограммы и данные спектра поглощения. 10939. Хлорид трехвалентного урана UCl₂. С та-рицкий (Uranium trichloride, UCl₃. S taritz-ky Eugene), Analyt. Chem., 1956, 28, № 6, 1055— 1056 (англ.)

Рентгенографически (\(\lambda \text{Cu-}K_a \) определены параметры гексагональной решетки UCls: а 7,441, с 4,322 А, р 5,520, Z=2, ф. гр. P 63 / m. Показатели преломлении (5893 А): n_m 1,965; n_g 2,08. Приводятся значения d и Iпорошкограммы и данные спектра поглощения.

У. Андрес 0940. Кристаллическая структура окиси цезия. Кхи Рузи Тсай, Гаррис, Лассетр (The crystal structure of cesium monoxide. Khi-Ruey Tsai, Harris P. M., Lassettre E.N.), J. Phys. Chem., 1956, 60, № 3, 338—344(англ.) Проведено рентгеноструктурное исследование кристаллич. структуры Cs₂O, принадлежащей к типу

Nº 4

Ponen R = (

Р(рент обнар

кол-Е

EN O

aBTOP E am и для 0.066 n 00

18566

CIP

HOTO мета.

1094

и у-

реше иая 13.0

B HO

Al -

OKT

няю

меж

пля COOT

y-Fe

109 H P B

2 P

(a 1

MAR

щи 70-

109

pea

пен

ВЛ

S(5

HO

NO

HR

BO

Sel str

споистой структуры *анти*-CdCl₂. Монокристаллы Cs₂O получены из Cs₇O₂ путем перегонки с разложением в пирексовом капилляре. Съемки проводились методом вращения на излучении Си-Ка и Мо-Ка. положения атома Сs найден построением одномерного сечения Фурье параметр $u=0.256\,$ вместо $u=^{1}/_{4}$ (Helms A., Klemm W., Z. anorgan.und allgem. Chem., 1939, 242, 33). Это же значение параметра получено также по данным порошкограммы методом проб. Межатомные расстояния: Cs — O 2,86 ± 0,01, Cs—Cs 4,19 ± 0,02 А. Слишком большое расстояние Cs—Cs между слоями и слишком короткое расстояние Сs—O указывает на сильную поляризацию иона Св в слоистой структуре. Л. Школьникова

10941. О полиморфизме фтористого бериллия. Киркина Д. Ф., Новоселова А. В., Симанов Ю. П., Докл. АН СССР, 1956, 107, бериллия.

№ 6, 837—838 Образующийся при термич. разложении фторо-бериллата аммония тетрагон. BeF₂ (I), имеющий структуру низкотемпературного кристобалита, при 130° эндотермически превращается в кубич. форму (гранецентрированная решетка, а 6,78, кX), аналогичную высокотемпературной форме кристобалита. В ряде случаев при нагревании I наблюдается эндотермич. эффект при 400°, но рентгенографически превращения в новую форму не обнаружено. І начинает плавиться при 545°, но основная масса І плавится при 740°; ступенчатость плавления I указывает на медленность превращения его модификаций. І должен рассматриваться как псевдооднокомпонентная си-И. Рысс

10942. Йодат двухвалентного свинца Рb(JO₃)₂. С т арицкий, Уокер (Lead diodate, Pb(JO₃)₂. Staritzky Eugene, Walker Donald I.), Analyt. Chem., 1956, 28, № 5, 914 (англ.)

Получены кристаллографич. данные для Pb(JO₃)₂. Кристаллы ромбические; простые формы: {001}, {010} (310), (120). Параметры решетки: а 5,60, b 16,70, e 6,09 A, ρ 6,50; Z=4, ф. гр. Показатели преломления (5893 A): n_X 2,15; n_Y 2,15; n_Z 2,18 (X=c; Y=b; Z=a); 2 $V_Z=24^\circ$; r< v. Приводятся значения

d и / порошкограммы. У. Андрес 943. Монохлортрифторид урана UClF₃. Стари цкий, Дугласс (Uranium monochlorotrifluoride, UClF₃. Staritzky Eugene, Douglass R. M.), Analyt. Chem., 1956, 28, № 7, 4240—4244 (оправности

и g 1 a s s к. м.), кнапут. Спеш., 1950, 20, 32 г, 1210—1211 (англ.)
Кристаллы UClF₃ получены четырымя методами: 1) взашмодействием UF₂ с Cl при 350°; 2) взаимодействием
UO₂F₂ с CCl₄ при 450°; 3) нагреванием UF₄ с UCl₄
в нейтральной атмосфере; 4) нагреванием UF₄ с CCl₄
в нейтральной атмосфере. Ни одним из этих методов в неитральной атмисфере.
не удалось получить гомогенный продукт. Хим. анализ образца, полученного по методу 2, дает (в вес. %):
70,6 U, 10,7 Cl и 20,3 F, что соответствует атомному отношению U: Cl: F = 1:1,01:3,60. Кристаллы пластинчатые $\{001\}$ или дипирамидальные $\{111\}$ с простыми формами $\{001\}$ и $\{100\}$. Рентгенографич. данные: a 8,673, b 8,690, c 8,663 A, $\rho_{\rm pent}$ 6,72, Z = 8, ϕ . гр. Abam или Ава2. Оптич. данные: n_p 1,727, n_m 1,745, n_p 1,757; $2V_{p} = 80 \pm 5^{\circ}$. Г. Гольдер

10944. Карбонат уранила UO₂CO₃. Старицкий, Кромер (Uranyl carbonate, UO₂CO₃. Staritz-ky Eugene, Cromer Don T.), Analyt. Chem., 1956, 28, № 7, 1211 (англ.)

Карбонат UO_2CO_3 получен в результате взаимодействия UO_3 с H_2O и CO_2 в течение одной недели при т-ре 300°. Кристаллы в виде прямоугольных пластинок, параллельных {010} и вытянутых вдоль [001], принад-

лежат к ромбич. сингонии, к дипирамидальному виду симметрии. Плоскость спайности (010). Рентгенографи. чески найдено: a 4,85, b 9,22, c 4,30 A, ρ 5,70, Z=2, ф. гр. Рттп. Приведены данные порошкограммы. Показатели преломления: n_p 1,70, n_m 1,716, n_g 1,795; $2 V_g = 46^{\circ}$. 10945. II Г. Гольдер

Пирофосфат четырехвалентного урана, UP₂O₇, ромбическая форма. Дугласе, Старицкий (Uranium (IV) pyrophosphate, UP₂O₇, orthorhombic form. Douglass R. M., Staritzky Eugene), Analyt. Chem., 1956, 28, № 7, 1211—1212

Хорошо образованные, устойчивые на воздухе кристаллы ромбич. модификации UP₂O₇ получены вз 87%-ного р-ра H₃PO₄ при 400°. Хим. состав образцов (в вес. %): 54,5 U, 14,9 P, что соответствует атомному отношению P: U=2,10. Рептгенографич. данные: a 11,526, 14,9 R, от 15,00°. b 12,810, с 7,045 A, ρ (нзм.) 5,22, ρ (рент.) 5,26, Z = 8;
 ф. гр. Рпат или Рпа2₁. Кристаллы имеют форму пластинок параллельных {010} с менее развитыми гранями {110} и {001}; плоскости спайности {010}, менее вырастительной править (править править править (править править жены {001} и {110}. Показатели преломления: n_p 1,734, n_m 1,791, n_g 1,796; $2\,V_p=33\,{}^1\!/{}_2{}^\circ$. Приведены значения d и I порошкограммы. 10946. Йодат четырехвалентного церия

Старицкий, Кромер (Cerium tetraiodate, Ce(IO₃)₄. Staritzky Eugene, Cromer Don T.), Analyt. Chem., 1956, 28, № 5, 913 (англ.) Кристаллы Се (10_3), тетрагон. простые формы: $\{001\}$, $\{100\}$; a 9,90, c 5,32 A, ρ 5,35, Z=2, ϕ . гр. P_{4_2}/n . Показатели преломления (λ 5893 A): n_m 2,06; n_g 2,19. Приведены значения d и I порошкограммы, У. Андре 10947. Кристаллическая структура октагидрата хлорида цирконила и октагидрата бромида циркохлорида циркопила и октагидрата орозида цирко-нила. К ли р ф ил д , В о и (The crystal structure of zirconyl chloride octahydrate and zirconyl bro-mide octahydrate. Clear field Abraham, Vaughan Philip A.), Acta crystallogr., 1956, 9, № 7, 555—558 (англ.) Рентгенографич. исследование показало, что соеди-нения ZrOCl₂·8H₂O (I) и ZrOBr₂·8H₂O (II) изоморфия.

Параметры решетки: I a 17,08, c 7,69 A; II 17,65, 7,95 A; $Z=8,\; \varphi.\;$ гр. P 42 $_1c.\;$ Структура I определена с помощью анализа проекций Паттерсона и Фурье на (001) и (010) с привлечением данных (hke) для II и применения метода условных (обобщенных) проекций Пат-терсона и Фурье. Для структуры характерно наличие комплексной циркониловой группы [Zr4 (ОН) в. 16Н о 18+, в которой атомы Zr располагаются по углам слегка искаженного квадрата и связаны вдоль каждой стороны квадрата двумя группами ОН — одна выше, а другая ниже плоскости Zr. Дополнительно с каждым атомом Zr связаны 4 молекулы H₂O таким образом, что 8 атомов О располагаются в виде искаженной квадратной антипризмы. Остальные молекулы Н.О и ионы галогена не связаны с Zr и удерживают цирко-ниловые группы вместе. В связи с определенной структурой обсуждается природа р-ров соединений

Кристаллическая структура NbO₂F и TaO₂F. Фревель, Ринн (The crystal structure of NbO₂F and TaO₂F. Frevel L. K., Rinn H. W.), Acta crystallogr., 1956, 9, № 8, 626—627

Рентгенографически (метод порошка, излучение $\mathrm{Cu} ext{-}K_{\alpha}$, цилиндрич. G. Е.-камера радиуса 71,8 мм, диффрактометр Норелко) исследованы ТаО₂F (1) н NbO₂F (II), полученные выпариванием p-pa Та и Nb в HF и последующим нагреванием при 250° в течение 1 часа. Параметры решетки: I а 3,896 A, р_(рейт) 6,51,

виду

афи-= 2, По-

,795; ьдер Р₂О₇,

m bic

E u-

1212

крииз

зцов

ному

526, = 8;

пла-

имп

,734, ения

ьдер

O₃)₄.

mer нгл.)

001}, $\frac{1}{2}$ /n. $\frac{2}{2}$, $\frac{1}{2}$.

ідре

рата

cture

bro-

a m,

ogr.,

оеди-

95 A:

гомо-

(001) лене-

Пат-

пчие

0]8+,

егка

сто-

кдым

MOSE

нной Н₂О

прко-

ений

влов

O.F.

e of

i n n -627

чение

MM,

(I) H

и Nb чение 6,51, 288—297 (англ.)

 $ho_{(\rm BRCH)}$ 5,99 \pm 0,43, Z=1, ф. гр. Pm3m B=2,0 A^2 , R=0,143; II a 3,902 A, R=0,095. Разница между $ho_{(\rm PRCH)}$ и $ho_{(\rm ARCH)}$ для I объяснена присутствием H_2O , общаруженной спектроскопически. При уменьшения кол-ва H_2O в образце от 5,7 до 1,9% параметр решеты остается постоянным с точностью 0,0002 A. Отсюда шторы заключают, что I состоит из кристаллич. Та O_2F и аморфной фазы $TaO_3F_3 \cdot y H_2O$ y=2,7 (зависит от т-ры и длительности высушивания); доля аморфной фазы 0,066. Координаты атомов: Ta(Nb) в 000, Ta(Nb) в Ta(Nb

10949. Кристаллическая структура γ-AlOOH и γ-ScOOH. Миллиган, Мак-Эйти (Crystal structure of γ-AlOOH and γ-ScOOH. Milligan W. O., McAtee J. L.), J. Phys. Chem., 1956, 60, № 3, 273—277 (англ.)

Проведено рентгеноструктурное исследование у-AlOOH и у-ScOOH (J. Phys. Chem., 1951, 55, 497). Кристаллы изоморфны и относятся к ромбич. сингонии. Параметры решетки: AlOOH а 3,69, b 12,24, c 2,86, Z = 4, вероятыя ф. гр. Атат, $\rho_{(pent)}$ 3,09, $\rho_{(HSM)}$ 2,99; ScOOH 4,01, 13,01, 3,24 A, 4, Amam, 3,07, 3,02. Все атомы находятся в положениях 4 (c)0 u $^{1}/_{4}$. Параметры атомов (u): AlOOH Al -0,322, O 0,291, OH 0,080; ScOOH Sc -0,318, O 0,282, OH 0,071. Структура состоит из кислородных октаздров с атомом металла в центре. Октаздры соединяются общими ребрами в двойные слои, связанные между собой водородными связями. Расстояние О — О для водородной связи 2,70 и 2,72 A в AlOOH и ScOOH соответственно. Структура изоморфна структуре у-FeOOH.

10950. Дигидрат йодида калия и свинца KPbJ₃· 2H₂O. Нарделли, Кавалька, Брай банти (Sul piombo-ioduro di potassio biidrato KPbJ₃·2H₂O. Nardelli Mario, Cavalca Luigi, Braibanti Antonio), Ricerca scient., 1956, 26, № 6, 1886—1887 (итал.)

Рентгенографически установлены нараметры решетки (а 10,10, b 22,41, c 4,56 A, ρ_4^{13} 4,21, Z=4, ф. гр. D_{2h}^{16} нли C_{2V}^9) желтых кристаллов KPbJ₃·2H₂O, выделяю-

щихся при медленном охлаждении смеси нагретых до 70—80° 10 г PbJ₂, 30 г KJ и 30 г H₂O. Б. Каплан 10951. Кристаллическая структура триклинного дигидрата пентатионата бария. Фосс, X ьомелан и (The crystal structure of triclinic barium pentathionate dihydrate. Foss Olav, Tjomsland Olav), Acta chem. scand., 1956, 10, № 2,

Более подробное изложение ранее описанных результатов (РЖХим, 1956, 28274). Структура иона пентатионата такая же, как и в ромбич. модяфикации данного соединения: цепочка из атомов S не разветвлена и имеет μuc -строение. Диэдрич. углы $S_{(1)}S_{(2)}S_{(3)}$ — $S_{(2)}S_{(3)}S_{(4)}$ и $S_{(2)}S_{(3)}S_{(4)}$ — $S_{(3)}S_{(4)}S_{(5)}$ равны соответственно 108° и 107° . Длина связи S—О в среднем 1.46 А. Каждый пов Ва окружен девятью атомами О: 6 атомов SO_3 —группы и 3 атома от молекул H_2O . Расстояние Ва — О в среднем 2.78 А. Одна молекула H_2O окружена двуми понами Ва на расстояниях 2.89 и 2.66 А и образует две водородные связи с атомами О групп SO_3 (расстояния О — О 3.04 и 3.45 А, угол между направлением водородных связей 108°). Для структуры характерно слоистое строение 1 оси c. Атомы S разных слоев связем

ваны между собой ван-дер-ваальсовыми силами с наи-

меньшими расстояниями S — S 3,51, 3,57, 3,73, 3,74 А. Подробно сравнивается строение триклинной модификации со строением ромбич. модификации. В. Пахомов 10952. Кристаллическая структура дифенилтносуль-

0952. Кристаллическая структура дифенилтносульфоната теллура. Эйум, Фосс (The crystal structure of tellurium dibenzenethiosulphonate. φ y-um Paul, Foss Olav), Acta chem. scand., 1956, 10, № 2, 279—287 (англ.)

Рентгенографически исследовалась структура $Te(\S_2O_2 \cdot C_6H_6)_2$. Параметры решетки: а 14,46, b 11,18, с $\overline{10},48$ A, $\rho_{(BBM)}$ 1,88, $\rho_{(DEHT)}$ 1,86, Z=4, ф. гр. Pbcn. Изучение проводилось методом Вейссенберга на излучения Си- K_α . Координаты атомов определялись с помощью проекций Паттерсова и Фурье. Для строения молекулы характерно присутствие цепочки S-S-Te-S-S в mpauc-конфигурации со следующими значениями длин связей и валентных углов: $S_{(1)}-S_{(2)}$ 2,08, $S_{(2)}-Te$ 2,41 A, $\angle S_{(1)}S_{(2)}Te$ 104° , $\angle S_{(2)}TeS_{(2)}'$ 97° , диэдрич. угол $S_{(1)}S_{(2)}Te-S_{(2)}TeS_{(2)}$ 79. Фенилсульфоновая группа имеет следующие длины связей и валентных углы: $S_{(1)}-O_{(1)}$ 1,44, $S_{(1)}-O_{(2)}$ 1,43, $S_{(1)}-C_{(1)}$ 1,77 A, $\angle S_{(2)}S_{(1)}O_{(1)}$ 100° $\angle S_{(2)}S_{(1)}O_{(2)}$ 110° , $\angle S_{(2)}S_{(1)}C_{(1)}$ 104° , $\angle S_{(2)}S_{(1)}O_{(2)}$ 120° , $\angle S_{(2)}S_{(1)}O_{(2)}$ 110° , $\angle S_{(2)}S_{(1)}C_{(1)}$ 104° , $\angle S_{(2)}S_{(1)}O_{(2)}$ 120° , $\angle S_{(2)}S_{(1)}C_{(1)}$ 106° , $\angle S_{(2)}S_{(1)}C_{(1)}$ 111° .

10953. Элементариая ячейка и пространственная группа двойных оксалатов меди и аммония и меди и калия. В и с в а м и т р а, С у и д а р а - Р а о (Unicell and space group of cupric ammonium and potassium oxalates. V i s w a m i t r a M. A., S u n d a-r a R a o R. V. G.), Current Sci., 1956, 25, № 4, 115 (англ.)

Рентгенографически (метод Вейссенберга, λ Си- K_{α}) исследованы Си(NH₄)₂(C₂O₄)₂·2H₂O (I) и СиК₂(C₂O₄)₂·2H₂O (II). Для I а 8,91, b 10,65, c 6,95 A, α 122° 35′, β 83° 52′, γ 109° 7′ ρ 1,94, Z=2; ϕ . гр. P 1. Для II а 8,66, b 10,19, c 6,86 A, α 120° 41′, β 83° 52′, γ 110° 18′. У. Андрес

10954. Гексагидрат двойного сульфата гуанидина и алюминия. Кристаллографические данные. В у д (Guanidinium aluminum sulfate hexabydrate: crystallographic data. Wood Elizabeth A.), Acta crystallogr., 1956, 9, № 7, 618—619 (англ.) Гониометрически и рентгенографически исследованы кристаллы C(NH₂)₃Al(SO₄)₂·6H₂O. Простые формы:

Гониометрически и рентгенографически исследованы кристаллы $C(NH_2)_3Al(SO_4)_2 \cdot 6H_2O$. Простые формы: $\{11\bar{2}0\},\ \{11\bar{2}1\}\ \{2\bar{1}\bar{1}0\},\ \{0001\},\ \{2\bar{1}\bar{1}\bar{1}\},\ \{11\bar{2}\bar{1}\}\ \pi\ \{2\bar{1}\bar{1}\bar{1}\}$. Показатели преломления: $n_m=1,5423,\ n_p$ 1,4540. Параметры решетки: a 11,77; c 8,98 A, ф. гр. P 31 m. У. Андрес

10955. Рентгенографическое исследование октагидрата двойного сульфата церня и аммония. Вланден, Рера (Étude radiocristallographique du sulfate double octohydrate de cérium et d'ammonium (SO₄)₃Ce₂, SO₄(NH₄)₂. Blandin Jean, Rérat Berthe), C. r. Acad. sci., 1956, 242, № 13, 1740—1742 (франи.)

1740—1742 (франц.) Соединение Се₂(SO₄)₃·(NH₄)₂SO₄·8H₂O (I) получено при медленном испарении в течение многих дней смеск р-ров соответствующих сульфатов. Рентгенографически измерены параметры решетки: а 8,82, b 19,01, с 6,71 A, β 97° 30′, р_(изм) 2,54, Z = 2, ф. гр. Р 2₁/а. При кристаллизации в магнитном поле обнаружено явление двойной ориентировки кристаллов І. Приведены значения d и I порошкограммы.

Г. Гольдер 10956. Строение дигалогенидов-диаминов

10956. Строение дигалогенидов-диаминов кобальта. Бокий Г. Б., Малиновский Т. И., Аблов А. В., Кристаллография, 1956, 1, № 1, 49—52

Nº 4

Изло

графич

10962.

лони Bal

mon dle He

258-

При

исслед

состоя

MOHTMO как пр

мапии следов

выявл

~29 / ватель

После

риллог

MAIOTC

товые

как у

перпен

случае

MOH'

ный т объясь XHM.

TiO2 Na₂O

\$ 0.00

указы

К-мон

10963 B'-

Си

n-pe Act

CM.

нол

W 89-

Пр

рично

свойс

(Mea)

1951. нок (

натно

B 104

KH T

Ного

прим

stallo

мект

стемо

плост пара: вен

образ

Ra.

10964

ется

Рассматривается вопрос о строении продуктов присоединения двух аминов к галогенидам 2-валентного кобальта. Проведено рентгенографич. определение кристаллич. структуры $\operatorname{CoCl}_2 \cdot 2n$ -H₂NC₆H₄CH₃. Кристаллооптич. данные: кристаллы 2-осные, $2V \approx 90^\circ$; показатели преломления $n_g = 1,701$, $n_m = 1,652$, $n_p = 1,610$. Параметры решетки: a 12,3, b 4,59, c 26,1, β 93°45′, ρ (рент) 1,55, ρ (пам) 1,483, ϕ . гр. I2 / a. Съемки проводиться и котогоми котогоми и пределения и пределе лись методами колебания и рентгенгониометра на излучении Мо- K_{α} . Координаты атомов определены построением проекций и сечений Паттерсона. Межатомные расстояния: Co-Cl 2,24, Co-N 1,92, $N-C_{(1)}$ 1,38, Cl—'Cl 3,70, Cl—N 3,40, N—N 3,15 A. Валентные углы: Cl—Co—N 109°, Cl—Co—Cl 111°, N—Co—N 111°, Co—N—C $_{(1)}$ 102°. Структура является молекулярной. Атом Со находится в центре почти правильного тетраэдра, две вершины которого заняты атомами Cl и две — атомами N. Связи Co — Cl и Co — N предпочтительно ковалентные. Тетраздрич. строение следует, по мнению авторов, приписать и другим продуктам типа CoX₂A₂ синего цвета. Авторы утверждают, что α- и β-модификации комплексных соединений Co (2+) (синие и фиолетовые) не являются цис- и транс-изомерами. Фиолетовым модификациям, вероятно, надо приписать цепочечную структуру с координационным чи-Л. Школьникова

957. Наблюдения над гидрогетеролитом. Мак-Андрю (Observations on hydrohetaerolite. Мс Апdrew John), Amer. Mineralogist, 1956, 41, 10957.

№ 3-4, 268—275 (англ). Гидрогетеролит из Лидвилл (Колорадо, США) в виде радвально-лучистых агрегатов из тонкоигольчатых кристаллов подвергнут рентгеновскому, микроскопич. (в отраженном свете) и термич. исследованию. Получены рентгенограммы вращения и вейссенбергограммы (нулевая и первая слоевые линии) при вращении вдоль оси волокна, лауограммы и порошкограмма. Рентгенографически установлена тетрагональная симметрия, ф. гр. 14/amd, a 5,73 $_{\rm s}$, c 9,00 $_{\rm s}$ A; Z=4 (HZnMn $_{\rm 2-x}$ O₄) при $x \approx 0.4$. Структура дефектна в отношении катионов. При нагревании происходит разложение на окислы с последующим образованием из них при более высоких т-рах гетеролита ZnMn2O4. Это указывает на то, что гидрогетеролит является самостоятельным минер. видом. Описывается метод уточнения уд. веса волок-нистых минералов, который для гидрогетеролита дает 4,3 ± 0,3. В. Франк-Каменецкий

Кристаллическая структура амезита. С т е й нфинк, Брантон (The crystal structure of amesite. S'teinfink Hugo, Brunton Geor-ge), Acta crystallogr., 1956, 9, № 6, 487—492

Структурный анализ амезита выполнен на материале из различных областей. Оптич. свойства: n_x 1,597, n_y 1,600, n_z 1,615, 2V 10°—14° (двуосность гексаговальных кристаллов объяснена внутренними напряжениями). Кристаллы сдвойникованы: шесть сегментов объединены по {1010}. С несдвойникованного кристалла размером 0,1 × 0,1 × 0,2 мм получены вейссенбергограммы и прецессионные рентгенограммы с использованием излучения Си- K_{α} и Мо- K_{α} . Параметры решетки: a 5,31, c 14,04 A, Z=2, ϕ . гр. $P6_{8}$; идеальная ϕ -ла минерала (Mg₂Al) (SiAl)O₅(OH)₄. Получены проекции ρ (0kil) м р (hki0), из которых найдены координаты атомов. Межатомные расстояния (в A) и валентные углы: $Si_{(1)} - O_{(1)}$ 1,71, $Si_{(1)} - O_{(3)}$ 1,67, Mg - OH 2,04, $O \dots O$ 2,72 (в тетраэдре), $O_3 \dots H \dots O$ 2,97, $O_{(1)} - Si - O_{(3)}$ 110°, O₍₃₎ — Si — O₍₃₎ 109°, Si — O₍₃₎ — Si 133°. Амезит

является гидросиликатом Mg и Al, возможно, с некоторым замещением Мg в октаэдрич. позициях на Fe. Последовательность атомных слоев в направлении с-оси в сложном слое структуры амезита такая же, как у каолинитов; слои удерживаются водородным свя-зями длиной 2,97 А. Тетраэдрич. позиции заполнены Si и Al в равных кол-вах, октаэдрич. положения все заняты. Два соседних слоя в амезите повернуты друг относительно друга на 60° вокруг оси 6, проходящей через два эквивалентных атома Si. Опровергается возможность развития из амезита при 700° оливиновой фазы (Brindley G. W. и др., Acta crystallogr., 1951, 4, 552). Нагревание минерала вызывает лишь разунорядочение слоев, что на порошкограмме выражается в расширении линии, соответствующей межплоскостному расстоянию 2,8 A (принята ранее за линию фаялита). Г. Сидоренко

10959. Расположение атомов в кристаллах волластонитовой группы метасиликатов. Бургер (The arrangement of atoms in crystals of the wollastonite group of metasilicates. Buerger M. J.), Proc. Nat. Acad. Sci. U. S. A., 1956, 42, Na 3,

113—116 (англ.)

Предварительное сообщение о повторном исследовании структур минералов группы волластонита с целью уточнения координат атомов. Новые данные получены по прецессионным и де Йонг Боумана-рентгенограммам. Параметры решетки определены для пектолита $NaHCa_2Si_3O_9$ (I), волластонита, $CaSiO_3$ (II) и бустамита $CaMn(SiO_3)_2$ (III). Для III выбрана ячейка, аналогичная I в II, но с удвоенными значениями а в с. Поэтому структура III рассматривается как сверхструктура II и как двойная соль CaSiO₃·MnSiO₃. Структуры I и II определены методом прямой расшифровки проекций Паттерсона. Структура волластонитового типа содержит (SiO₃)-цепочки, паралелльные b-осям кристалла. Форма цепочек отлична от пироксеновой. Они состоят из групп Sl₂O₇, имеющих плоскость симметрии между Si — О-тетраэдрами и связанными с ними единичными тетраэдрами. Атомы Ca в структуре II трех сортов: Ca(1) и Ca(2) имеют правильное октаздрич. окружение, три ребра октаздра параллельны {001}. Ca₍₃₎ имеет трех ближайших соседей на расстоянии, равном Са — О в правильных октаэдрах, три других атома О находятся от Ca₍₃₎ на расстоянии, превышающем сумму ионных радиусов. В I положения Ca₍₃₎ заняты Na. Координационный полиэдр Ca₍₃₎ — тригональная пирамида, имеющая общие ребра с октаэдрами $\operatorname{Ca}_{(1)}$ и $\operatorname{Ca}_{(2)}$. Длины осей a и c I и II очень близки, оси в значительно короче у І, что является следствием сближения $O_{(3)}$ и $O_{(4)}$ соседних Si-O-тетраэдров и возникновения между ними водородной связи.

Элементарная ячейка и пространственная труппа барилита. Смит (Unit cell and space group of barylite. Smith J. C.), Amer. Mineralogist, 1956, 41, № 5—6, 512—513 (англ.)
Рентгенографически (метод Вейссенберга, λ Сu-K_a)

определены параметры решетки кристаллов барилита (Be₂BaSi₂O₇) из Франклина: а 9,80, b 11,65, c 4,71 A, ϕ . гр. Pnma. Приводятся величины d и \dot{I} порошкограммы. Результаты сравниваются с данными для барилита из Ленгбан, Швеция (Ygberg E. R., Geol. För. Förh., Stockholm, 1941, 134, 394). У. Андрес Идентификация глинистых минералов при помощи рентгенографического анализа. Бриндли (Identification of clay minerals by X-ray diffraction analysis. Brindley George W.), Bull. Div. Mines. Dept Natur Resources. State Calif., 1955, № 169, 119—129 (англ.) Г.

KO-

Fe.

OCM

как Вя-

Bce

руг цей

803-

вой 4, до-

pac-

ому

та).

нко

илаер vol-

J.),

едо-

a c

no-

для

(II)

іка,

и *а* ерхіО₃.

шн-

HH-

ные ксе-

ость

LIME

туре таэ-

ьны

тоятри

пре-Са₍₃₎ иго-

аэд-

SKH,

ров

нко

ная

roup gist,

 $-K_{\alpha}$

лита

1 A,

пко-

För.

дрес при пли

tion

Div.

955,

Изложены основные принципы и методы рентгенографич. идентификации глинистых минералов.

В. Франк-Каменецкий (19962. Закономерно пересланвающийся монтмориллонит-хлорит. Эрли, Бриндли, Мак-Вей, Ванден-Хёвел (А regularly interstratified montmorillonite-chlorite. Earley J. W., Brindley G. W., McVeagh W. J., Vanden Heuvel R. C.), Amer. Mineralogist, 1956, 41, № 3-4, 258—267 (англ.)

Приводятся данные рентгеновского, термич. и хим. иследования смешанно-слойного глинистого минерала, состоящего из закономерно переслаивающихся слоев интмориллонита и хлорита, который был обнаружен как преобладающий глинистый минерал Иетской формации (округ Вард, Техас, США). Рентгеновское иследование природного материала на диффрактометре внявляет наибольшее межплоскостное расстояние ~29 А и достаточно хорошо проявляемую последовательность базальных межплоскостных расстояний. После обработки глицерином и нагревания монтмориллонитовые слои соответственно расширяются и сжимаются, как у типичного монтмориллонита, а хлоритовые слои дают изменение интенсивности рефлексов, как у хлоритов. Распределение электронной плотности, перпендикулярное (001), указывает на наличие в данном случае закономерного переслаивания слоев хлорита имонтмориллонита. Обезвоживание и дифференциальвый термич. анализ дают кривые, которые могут быть объяснены наличием смеси монтмориллонита и хлорита. объяснены наличием смеси монтмориллонита и хлорита. Xmm. анализ (в %): SiO₂ 43,1, Al₂O₃ 16,6, Fe₂O₃6,32, TiO₂ 0,73, MnO 0,03, P₂O₅ 0,26, CaO 0,94, MgO 17,65, Na₂O 0,52, K₂O 2,72, CO₂ 0,81, H₂O 7,40, C 3,40, S 0,00, сумма 100,48. Повышенное содержание MgO указывает на присутствие хлорита, а щелочи — на Кыонтмориллонит и слюдистый материал. Обсужда-ется вопрос о номенклатуре такого образования. В. Франк-Каменецкий

10963. Исправление. О структуре кристаллической В'-формы и-пентадекановой кислоты и о структуре кристаллической В-формы стеариновой кислоты. Сидов (On the structure of the crystal form B' of n-pentadecanoic acid: correction. Sydow Erik), Acta crystallogr., 1955, 8, № 12, 846 (англ.)

л-pentadecanoic acid: correction. S y d o w E r i k), Acta crystallogr., 1955, 8, № 12, 846 (англ.) См. РЖХям, 1955, 39562; 1956, 35104 10964. Кристаллическая структура 14-гентакозанола. У э л ш (The crystal structure of 14-heptacosanol. W elsh H. K.), Acta crystallogr., 1956, 9, № 1, 89, 90 (агух.)

89—90 (англ.) Проведено рентгеноструктурное исследование вторичного спирта C_{27} Н₅₆О, интересного своими диэлектричсюйствами, зависящими от способа приготовления. (Меакіпя R. J., Sack R. A., Austral. J. Scient. Res., 1951, A4, 213). Кристаллы (т. пл. 82°) в виде пластнок (001) получены испарением р-ра ксилола при комматной т-ре. Параметры решетки: а 8,14, b 4,95, c 73,2 A, β 104°, Z=4, ф. гр. $P2_1/c$, ρ (рент) 0,91, ρ (нэм) 0,90. Съемни проводились методом вращения и эквинаклонного рентгенгониометра на излучении Си с Niфильтром. Знаки структурных амплитуд определялись применением теории субячейки (Vand V., Acta сгузівают, 1951, 4, 104, 465). Рассчитывалась проекция алектронной плотности (010). Молекулы связавы системой водородных связей длиной 2,75 A, образующих плоский знгзаг с углом О — О — О 130°. Связь С — О параллельна плоскости проекции, угло С — О — О рашен приблизительно 105°, так что вокруг атома О образуется искаженная тетраэдрич, упаковка. Углеводородные зигзаги наклонены к плоскости проекции на 55—60°. Л. Школьникова 10965. Кристаллическая структура гидрофумаратов калия и рубидия. Г у п та (The crystal structures of

potassium and rubidium hydrogen fumarates. G u pt a M. P.), Acta crystallogr., 1956, 9, № 3, 263—265 (англ.)

205 (англ.)
Рентгенографическое изучение гидрофумаратов К
(1) и Rb (II) показало, что они пе изоморфиы. Параметры решетки: I а 8,64, b 7,48, c 6,96 A, a 78,1°, β 112,9°, γ 107,9°, φ. rp. PI; II a 7,55, b 8,15, c 7,41 A, a 75,0°, β 106,8°, γ 101,5°, ф. гр. Pī. Структура II определена благодаря наличию тяжелого атома, а затем уточнена методом разностного синтеза Фурье. Структура определена с помощью предположения, что ноны К занимают положения, аналогичные положениям Rb в II. Координаты легких атомов не приведены. В результате исследования найдено, что оба соединения содержат кристаллизационную фумаровую к-ту. В элементарной ячейке содержатся два иона металла и $(C_4H_2O_4^{2-} +$ $+2C_4H_4O_4$) или ($2C_4H_3O_4^-+C_4H_4O_4$). Молекула фумаровой к-ты и фумарат-пон имеют плоское строение и транс-конфигурацию. В обенх структурах ион металла окружен 7 атомами О: Rb—O 2,88—3,09 A, K—O 2,65-2,89 А. Молекулы связаны короткими водородными связями в пересекающиеся депи, между которыми существуют лишь ван-дер-ваальсовы силы. Расположение цепей в пространстве различно для I и II. В. Пахомов

9966. Кристаллическая структура моноклинной формы и-гексатриаконтапа. III и р е р, В а и д (The crystal structure of the monoclinic form of n-hexatriacontane. Shearer H. M. M., Vand V.), Acta crystallogr., 1956, 9, № 4, 379—384 (ант.)

Проведено рентгеноструктурное исследование кристаллич. структуры моноклинной формы $C_{86}H_{74}$. Параметры решетки: a 5,57, b 7,42, c 48,35 A, β 119°6′, Z=2, ϕ . гр. $P2_1/a$. Съемки проводились методами вращения, колебания и рентгенгоннометра на излучении $Cu-K_{\alpha}$ с Ni-фильтром. Знаки структурных амплитуд определялись путем применения теории субячейки. Параметры решетки субячейки: a 4,945, b 7,42, c 2,546 A, ϕ . гр. Pbnm. Углеводородная цень правильно периодична в пределах ошибки опыта, со средним межатомным расстоянием C-C 1,534 \pm 0,006 A и углом связи 112°1′ \pm 21′. Эти результаты получены из проекций электронной плотности.

10967. Структура 4,5-двиетинфталевого тиоангидрида. Элес (The structure of 4-5 dimethyl phthalic thio-anhydride. Eeles W. T.), Acta crystallogr., 1956, 9, № 4, 365—367 (антл.)

130, 9, № 4, 303—307 (англ.) Исследовалась структура 4,5-диметилфталевого тисангидрида, принадлежащего к моноклинной сингония

с параметрами решетки: a 4,08, b 13,6, c 16,7, β 92°, $\rho_{(HSM)}$ 1,348. $\rho_{(DeHT)}$ 1,365, Z=4, Φ . гр. $P2_1/c$. Изучение проведено методом Вейссенберга на налучении Си- K_a . Модель структуры определена с помощью проекций функций Паттерсона и уточнена построением Фурье-и разностных Фурье-синтезов. Строение молекулы показано на рисунке. Межмолекулирные расстояния соответствуют вандер-ваальсовым радиусам.

дер-ваальсовым раднусам.

В. Пахомов 10968. Кристаллографическое научение бромида арсония $(C_{21}H_{10}As_2)Br$. Ш а ф ф е р (Crystallographic study of an arsonium bromide, $(C_{21}H_{10}As_2)Br$. S c h a f f e r W.), Acta crystallogr., 1956, 9, N24, 401—404 (англ.)

(ап. 3.) Проведено рентгеноструктурное исследование $C_{21}H_{10}$ - As_2Br с целью определения структурной ϕ -лы молекулы

Ac

Пр

MHOM

(Coch

Pacci

в ве

един

вени

осей

прои

поря,

тени

набли

MO381

(Will

1951,

ное с

спира

ковы

Анал

малы

туры

а для

нипы

B03M0 ковы: небол Da3OE BUTKO

струн

клина

10977

TPO

тен

(Za

fii

A u

068

10978

гал

Кр

Me

элект

MOB I

решет

Триклинные кристаллы C₂₁H₁₉As₂Br подучены кристаллизацией из смеси этилового и метилового спиртов с водой и содержат (C₂H₅OH + H₂O) или 2CH₃OH на 1 молекулу С21H19As2Br. Параметры решетки: а 12,4, b 7,8, с 12,0 А; а 107°, β 96°, γ 92°, Z=2, ϕ . гр. $P\bar{1}$. Положение тя-

желых атомов найдено из проекций Фурье (100) и (010); знаки соответствующих рефлексов определены прямым методом. Атомы Вг и Аз удалось различить по межатомным расстояниям,

ожидаемым по стереохимии молекул. Атомы С выявились на разностной проекции Фурье (010). Полученные данные показывают, что молекула С21H19As2Br имеет строение типа 6. Молекулы спирта располагаются в Е. Шугам пустотах структуры. ж-Аминофенол (3-аминофенол). Кри, Хинч inophenol (3-aminophenol). Кгс John, 10969.

(m-Aminophenol (3-aminophenol). Krc John, Jr, Hinch Ralph, Jr), Analyt. Chem., 1956, 28, № 1, 137 (англ.) Получены кристаллография. данные для м-С₆Н₄.

Получены кристаллография. Данные дли м-С₆П₄· (OH)(NH₂). Кристаллы ромбические; простые формы: $\{010\}, \{001\}, \{011\}, \{120\}.$ Параметры решетки: a 8,31, b 11,23, c 6,12 A, ρ 1,275, Z = 4. Показатели преломлении (5893 A; 25°): n_p 1,583; n_m 1,666; n_g 1,775; $2H = 97^\circ$; $2V = 87^\circ$; r > v. Т-ра плавления кристаллов 122°. У. Андрес

Рентгенографическое исследование производных 1,4-дитиана. Эберхард (Röntgenographische Untersuchungen an 1,4-Dithianderivaten. Eberhard E.), Anz. Österr. Akad. Wiss. Math.-natur-wiss. Kl., 1955, 92, № 1—15, 157—158 (нем.)

Рентгенографически определены параметры решетки и ф. гр. двух модификаций диапетата 2,5-диокси-1,4-дитиана: низкотемпературной (I) и высокотемпературвой (II). Для I: a 14,97, b 6,69, c 5,36 A, β 98°, ρ 1,45, Z=2, ϕ . гр. $P2_1$ или $P2_1/m$. Для II: a 14,67, b 6,68, c 5,38 A, β 92°, ρ 1,48, Z=2, ϕ . гр. $P2_1/n$. У. Андрес 10971. Изостернзм и фурье-трансформации моления и представление учиностой странской странско

кулы. Определение кристаллической структуры 2,4диоксибензойной кислоты с помощью структуры 2-окси-4-аминобензойной кислоты. Джакомелло, Ликуори, Рипамонти (Isosterism and molecular Fourier transform: crystal structure determination of 2-4-dihydroxybenzoic acid as related to that of 2-hydroxy-4-aminobenzoic acid. G i a c o m e llo G., Liquori A. M., Ripamonti A.), Nature, 1956, 177, № 4516, 944—945 (англ.)

Предложен метод определения кристаллич. структуры органич. соединения с помощью Фурье-трансформации (РЖХим, 1956, 35081), если известна структура изостерного ему соединения. Метод проиллюстрирован на примере определения кристаллич. структуры 2,4-диоксибензойной к-ты по Фурье-преобразованию молекулы 2-окси-4-аминобензойной к-ты (РЖХим, 1955,

Уточнение кристаллической структуры амида ой кислоты. Дейвис, Пастернак 10972. янтарной кислоты. Дейвис, (A refinement of the crystal structure of succinamide. Davies David R., Pasternak R. A.), Acta crystallogr., 1956, 9, № 4, 334—340 (англ.) Уточнялась структура амида С₄Н₈№2О₂, который об-

разует моноклинные кристаллы с параметрами: a 6,932, b 7,994, c 9,878 A, β 102°28′, Z=4, ϕ . гр. C2/c. Исследование проводилось методом вращения и Вейссенберга на излучении Мо- K_{α} и Си- K_{α} . Модель структуры принята на основе литературных данных (РЖХим, 1954, 32069). Уточнение проводилось построением трехмер-

ных синтезов Фурье и методом наименьших квадратов. ных синтеаль туры и межатомными расстояниями (в А): $C_{(1)} - C_{(1)}$ 1,501, $C_{(1)} - C_{(2)}$ 1,512, $C_{(2)} - N$ 1,333, $C_{(2)} - O$ 1,238 и валентными углами: $C_{(1)} - C_{(1)} - C_{(2)}$ $113^{\circ}54'$, $C_{(1)} - C_{(2)} - N$ $115^{\circ}36'$, $C_{(1)} - C_{(2)} - O$ $122^{\circ}23'$, $N - C_{(2)} - O$ $122^{\circ}2'$. Связи N - H, вероятно, лежат в одной плоскости с тяжелыми атомами молекулы и имеют валентные углы со связью С - N ~ 120°. Молекулы образуют слои, почти параллельные (400) при $x={}^1/_4$ и ${}^3/_4$. В слоях моленулы связаны водородными связями NH... О. Каждая NH2-группа образует с двумя соседними молекулами две одинаковые водородные связи под углом 120° к связи С — N и с расстоянием N... О 2,942 и 2,939 А. Расстояние между слоями молекул 3,385 А. Упаковка молекул в этой структуре весьма неплотная. 10973. Параметры решетки и пространственные груп-

пы L-цистина, хлоргидрата L-цистина и бромгидрата L-цистина. Стей и рауф, Дженсен (Unit-Дженсен cell parameters and space groups for L-cystine, L-cystine hydrochloride and L-cystine hydrobromide. Steinrauf L. K., Jensen L. crystallogr., 1956, 9, № 6, 539 (англ.) H.),

Рентгенографически (метод Вейссенберга, на излучении Cu-K_n) определено: L-цистин (I): a 5,42, c 56, 08 A, γ 120°, ρ 1,677, Z =6, ф. гр. P6,122 или P6,22; хлоргидрат I: a 18,61, b 5,25, c 7,23 A, β 103,6°, ρ 1,520, Z =2; ф. гр. C2; бромгидрат I: a 17,85; b 5,35, c 7,48 A, ρ 1,870, Z =2, ф. гр. P 2,122, У. Андрес 974. Рентгеноструктурное исследование метиле-нового голубого красителя. Ж данов Г. С., Звонкова 3. В., Воронцова лография, 1956, 1, № 1, 61—65 Л. Г., Кристал-

Проведено исследование кристаллич. метиленового голубого красителя [(C16H18N3S)+Cl-. ·nH₂O, который кристаллизуется в виде длинных иголок темно-синего цвета с металлич. отливом. Уточвялись параметры решетки: a 9,68 $_{\rm 0}$, b 31,86 $_{\rm 0}$, c 7,07 $_{\rm 4}$ A, β 97°11′. По данным F^2 -рядов и с помощью изоморфного замещения атома Cl на атом Вг построена проекция электронной плотности на плоскость (001). В результате ее получена принципиальная модель структуры в проекции (001), подтвержденная геометрич. авализом. Ближайшее расстояние S - Cl, равное в проекции 2,8 А, значительно превышает длину ковалентной связи, что является подтверждением ионной модели структуры. Установлено, что ближайшим атомом комплексного нона к галонду является атом S, а не метильные группы, как указывалось ранее (Taylor W. H., Z. Kristallogr., 1935, A91, 450—460). Это объяснено сосредоточиванием положительного заряда на атоме S. Предположение Тейлора об изоструктурности йодида и хлорида метиленового голубого красителя не подтвердилось.

Л. Школьникова Ариции. Роз, Ван-Кеми (Aricine. Rose 10975. Harry A., Van Camp Ann), Analyt Chem., 1956, 28, № 6, 1054 (англ.)

Получены кристаллографич. данные для алкалонда арицина. Кристаллы ромбические; простые формы {111} и {110}. Параметры решетки: а 14,16, b 14,70, c 9,27 A, ρ 1,301, Z=4. Показатели преломления (5893 A; 25°): n_p 1,52; n_m 1,694; n_g 1,710; 2V=(-) 30,5°; 2E=(-) 53°; r>v. Т-ра плавления кристаллов 185—188°. Приводятся значения d и I норошкограммы. 10976. Расщепление слоевых линий на рентгенограммах волокон со спиральной структурой. Структура вируса табачной мозаики. Франклин, Клаг (The splitting of layer lines in X-ray fibre diagrams of helical structures: application to tobacco mosaic

virus. Franklin Rosalind E., Klug A.),

— 30 **—**

Ši, F На пр ВЫЯВЈ NH4 в кан напра атомо ПИКОВ запик

10979 diff Phy Дис 45353 10980

Rap ron-CO 1956 Ней Na₂CC

следов через logr., в моле r.

OB.

A): 33,

C(2) 23',

кат I и

ле-

три при

RM

ше

Tem

MO-

уре мов

yn-

nit-

L-ide.

icta

уче-В А,

10p-

3 A,

рес

пле-

O H-

тал-

уры Cl-.

лок

ись 11'.

OTO

пия

уль-

уры

30м. Цин язи,

уры. ного

ппы.

ogr.,

ение

ети-

кова

050

em.,

оида

(111) 27 A,

25°):

= (-)

При-

дрес

rpan-

тура лаг

rams

osaie

A.),

Acta crystallogr., 1955, 8, № 12, 777-780 (англ.) Проанализировано выражение для структурного множителя спиральной молекулы, полученное ранее (Cochran W. и др., Acta crystallogr., 1952, 5, 581). Рассмотрен случай отсутствия простой кратности в величине витка спирали и проекции структурной единицы на ось спирали. Показано, что в случае усреднения положения молекул относительно направления осей спиралей интенсивность должна определяться произведением бесселевых функций одного и того же порядка. Все это должно привести к небольшому смещению некоторых максимумов со слоевых линий, т. е. к расщеплению слоевых линий. Такие эффекты наблюдаются на рентгенограммах вируса табачной мозанки (I). Согласно данным, полученным ранее (Williams R. C., Steere R. L., J. Amer. Chem. Soc., 1951, 73, 2057), молекула I имеет длину 3000 А, поперечное сечение 150 А и представляет собой гигантскую спираль. По спиральной линии расположены белковые субструктурные единицы, образующие молекулу. Авализ полученных данных показывает, что для нормального штамма характерно наличие 31,05 ± 0,01 структурных единицы в одном периоде (три оборота спирали), а для слабого штамма 31,02 \pm 0,01 структурных едивиды в периоде. Наблюдаемая разница указывает на возможность небольших сдвигов структурных белковых единиц друг относительно друга. Наличие таких небольших сдвигов можно объяснить тенденцией к образованию слабых связей между единицами соседних витков спиралей. Согласно рентгенографич. данным, структурные белковые единицы могут иметь форму клина высотой ~ 23 А. Н. Андреева 10977. Применение гармонического анализа в элек-

тронографии для исследования распределения потенциала в кристаллической решетке. А у л е й т н е р (Zastosowanie analizy harmonicznej w elektronografii do badań rozkładu potencjału w sieci krystalicznej. A u l e y t n e r J u l i a n), Postępy fiz., 1956, 7. М 2, 183—192 (польск.)

Обзор. Библ. 10 назв. Г. Гольдер 10978. Электронографическое исследование крипто-галита. В а й н ш т е й н Б. К., С т а с о в а М. М., Кристаллография, 1956, 1, № 3, 311—320 Методом построения рядов Фурье-потенциала по электронография, данным исследовано положение ато-

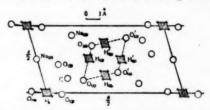
Методом построения рядов Фурье-потенциала по электронографич. данным исследовано положение атомов Н в структуре криптогалита (NH₄)₂SiF₄. Период решетки а 8,35 кХ. Определение положений атомов Si, F, N подтвердило прежние рентгеновские данные. На проекциях и трехмерном сечении Фурье-потенциала выявлено положение атомов Н. Тетраэдрич. группы NH₄ распределены статистически в шести положениях, в каждом из которых вершины тетраэдра — атомы Н ваправлены к четырем из 12 окружающих группу NH₄ атомов F. Ф. гр. Fm3m. Анализ формы и высоты пиков потенциала Si и F указывает на положит. ионизацию Si и отрицательную F. Резюме авторов 10979. Электронограммы от CuO. К а ул и (Electron diffraction patterns of CuO. С о w 1 e y J. M.), J. Appl. Phys., 1956, 27, № 4, 422 (англ.)

Дискуссионная статья. См. также РЖХим, 1955, 45353; 1956, 42409.

3. Гилинская 19980. Нейтронографическое изучение полуторного карбоната натрия. Бейкон, Керри (A neutron-diffraction study of sodium sesquicarbonate. В асо п G. Е., Сиггу N. А.), Acta crystallogr., 1956, 9, № 1, 82—85 (англ.)

Нейтронографически изучен природный минерал $Na_3CO_3 \cdot NaHCO_3 \cdot 2H_2O$ (I) с целью более подробного исследования короткой водородной связи, проходящей через центр симметрии (Brown C. J. и др., Acta crystallogr., 1949, 2, 167), и нахождения конфигурации атомов молекуле H_2O . Размер кристалла (3 × 4 × 11) мм³,

 λ нейтронов 0,81 A; на двух различных спектрографах (Васоп G. Е. и др., J. Scient. Instrum., 1950, 27, 330; РЖХим, 1956, 39975) получено 225 рефлексов типа $\hbar 0l$. Вводилась поправка на вторичную экстинкцию. Кристаллы I относятся к моноклинной сингония, ф. гр. C2/m, a 20,41, a 3,49, a 10,31, a 106,3°. Положение



атомов Н определено по проекции плотности нейтронного рассеяния вдоль [010] и с помощью дифференциального синтеза: $H_{(0)}$ (0,0,0,0), $H_{(1)}$ (0,192, 0,259) и $H_{(2)}$ (0,240, 0,137). Положение остальных атомов практически совпало с определенными рентгенографически (см. первую ссылку). При этом R=11,0%. Межатомные расстояния: $O_{(1)}-O_{(4)}$ 2,78, $O_{(2)}-O_{(2)}$ 2,50, $O_{(4)}-H_{(1)}$ (внутри молекулы) 1,03, $O_{(4)}'-H_{(2)}$ 0,99 A; отмеч ется совпадение этих величин с найденными в структуре льда. Угол H-O-H приблизителью тетравдричен. Контуры электронной плотности атома Н вытянуты вдоль связи O-O. 10981. Нейтронографическое изучение систем гаф-

1981. Нейтронографическое изучение систем гафний — водород и титан — водород. Сидху, Хитон, Зауберис (Neutron diffraction studies of hafnium — hydrogen and titanium — hydrogen systems. Sidhu S. S., Heaton Le Roy, Zauberis D. D.), Acta crystallogr., 1956, 9, № 7, 607—614 (англ.)

Нейтронографич. исслед. системы Hf — H и Ti — H с целью кристаллохим, изучения промежуточных фаз получения данных для определения состояния Н в фазах. Для уменьшения фона некогерентного рас-сеяния вместо Н применялся D. Образцы дейтеридов готовились нагреванием при 1000° в кварцевой трубке обезгаженных тонких кусочков металла с определенным кол-вом D₂. Описан метод получения нейтронограмм. Система Hf— H изучена ранее рентгенографически (Sidhu S. S., McGuire J. S., J. Appl. Phys., 1952, 23, 1257). Нейтронографически определена фачески (Stund 5., м.т. от 1952, 23, 1257). Нейтронографически определена структура 2 фаз: $\mathrm{HtD}_{1.028}$ (I) — кубич. гранецентрированная ячейка типа CaF_2 , a 4,681 A; наименьшие расстояния Hf — Hf 3,309A (на 3,5% больше, чем в металле), Hf — D 2,026 A; структура типично де-HfD_{1,983} (II) — тетрагон. гранецентр., а 4,887, с 4,345. Переход от I к II связан с уменьшением расстояния Hf - Hf до 3,270A; при этом предполагается, что сила связи растет, на что указывает увеличение характеристич. т-ры 6 и частоты колебания атомов v. Отмечается сходство систем Hf — H и Zr— H. В системе Ті-Н определена структура фазы ТіD, 971, оказавшейся аналогичной І, а 4,440А. Предполагается, что большая стабильность кубич. фазы в системе Ti — H (установленная по сравнению физ. констант θ и ν с I) является причиной отсутствия тетрагон. фазы в этой системе. Показано, что в структуре гидря-дов размер «пустот» таков, что водород может помещаться в них в виде ионов. Р. Озеров

10982. Антиферромагнитная структура α-марганца н изучение магнитной структуры β-марганца. К а с пер, Роберт с (Antiferromagnetic structure

MeTe

110

1099

M

aı

lu

C

бр Т

fr

le T

C

C

л

in

C

де

te

(H

È

CTBC

ной

резу

заря

води

3aps

xapa

Опи

ATH

ero

1099

ris

49

И:

крис

D or

и ад

резу а та

чени

X (-

X (-

RЛИS

1099

ш

(N

of

u

88

И

pace

MOHO

0.04

296°

т-ру

RHR

B03D таки

ронь

Pace

част

3 X

1099

1099

1099

of a-manganese and a magnetic structure study of

В-manganese. K as per J. S., Roberts B. W.), Phys. Rev., 1956, 101, № 2, 537—544 (англ.) Нейтронографич. изучена магнитная структура α-Mn (I) и β-Mn (II). Подтверждены определенные делий (1). Поднаерждены определеные трентгенографически структуры I (Bradley A. J., Thewlis J., Proc. Roy. Soc., 1927, A115, 456) и II (Preston G. D., Phil. Mag., 1928, 5, 1198). Предполагается следующая ориентация моментов в структуре I (сначала указана для положений $(000)^+$, а затем для $(1/2 \ ^1/2)^+$): I 1 $(a)\downarrow$, 1 $(a)\uparrow$; II 4 $(c)\downarrow$, 4 $(c)\uparrow$; III 12 $(g)\downarrow$, 12 $(g)\uparrow$; IV хаотически. В отношении величин магнитных моментов различных атомов Мп найдены 2 возможности: I и II -1,54 или 2,50; III - 3,08 или 1,70 µв. Анализ нейтронограмм при различных т-рах (комнатной и 4,2°К) не позволил установить упорядочения в расположении магнитных моментов: ни одна из рассмотренных моделей не дала совпадения с экспериментом. Предполагается отсутствие подобного упорядочения в II. Отмечается важность двух факторов в отношении магнитной структуры: 1) влияние межатомного расстояния на обменное взаимодействие и отсюда на ориентацию моментов и 2) геометрия атомной структуры. В соответствии с этим авторы нашли, что при расстоянии Mn — Mn ≤ 2,37 A нет тенденции к упорядочению ориентации моментов атома, при расстояниях Мп-Мп от 2,49 до 2,82 А характерна антипараллельная ориен-Р. Озеров тация и при $\geqslant 2,96$ — параллельная.

10983. Вращение нонов CN- в кристалаах КСN. Матье (Rotation des ions CN- dans les cristaux de КСN. Мathieu Jean-Paul), Bull. Soc. franç. minéral. et cristallogr., 1956, 79, № 1-3, 96-101 (франц.)

Исследованием поляризации линий комб. расс., вызванной ионами CN-в куб. кристаллах КСN, найдено прогрессирующее разупорядочение ориентации ионов CN- при повышении т-ры от —100° до комнатной т-ры. Резюме автора

Квантовая теория сцепления в твердых те-10984. лах. Лёвдин (Quantum theory of cohesive properties of solids. Löwdin Per-Olov), Advances in physics, 1956, 5, № 17, 1—3 (англ.)

Обзор квантовомеханич. методов расчета энергетич. спектра и энергии сцепления различных твердых тел. Библ. 230 назв. Ш. Коган

Вариационный принцип для волновой функции электронов в кристаллах. Дженкинс, Иничерл (A variation principle for electronic wave functions in crystals. Jenkins D. P., Pincherle L.), Philos. Mag., 1954, 45, Nº 360, 93-99 (англ.) См. РЖФиз, 1956, 1170.

986. О состоянии твердого водорода. Томита (On the state of solid hydrogen. Tomita Kaẓu-hisa), Proc. Phys. Soc., 1955, A68, № 3, 214—228

На основе полуклассич. теории описывается связанное вращение молекул Н2 в твердой фазе. При наиболее низких т-рах порядок величины барьера вращения молекулы из различных экспериментов оценен равным ~4°K, причем результаты оценки удовлетворительно согласуются друг с другом. Потенциальная энергия и анизотропия для случая чистого ортоводорода вычислена, исходя из различных типов межмолекулярных сил, определенных квантовомехани-Н. Черноплеков чески.

10987. Причина колебаний состава гексагонального сульфида никеля. Лаффитт (Origine des variations de composition du sulfure de nickel hexagonal. Laffitte Marc), C. r. Acad. sci., 1956, 243, № 1, 58-61 (франц.)

Исследован тип дефектов решетки, обусловливающий отклонения от стехнометрич. состава в сторону избытка S у гексагонального NiS (РЖХим, 1956, 60852), полученного двухмесячной прокалкой смеси Ni с S при 600° и давл. < 10⁻⁴ мм рт. ст. Проведено сравнение измеренных и рассчитанных плотностей. Плотности измерены микропикнометрич. методом, плотности найдены из определений параметров решеток для составов от Ni_{1,000}S до Ni_{0,943}S. На основании сравнения полученных результатов автор считает, что в решетке NiS имеются вакантные Ni-узлы. А. Хейнман

988. Растворимость в упорядочивающихся сплавах. П. Кривоглаз М. А., Физ. металлов и металловедение, 1955, 1, № 3, 393—403

В рамках обычной статистич. модели сплава рассмотрена растворимость замещения атомов 3-го элемента, вводимого в бинарный сплав. Вычисления проведены в квазихим, приближении для случая сплавов с объемноцентрированной куб, решеткой. Растворимость в сплаве зависит от обратной т-ры не экспоненциально, как в случае чистых металлов, а более сложным образом. При определенных условиях на графике температурной зависимости растворимости должен наблюдаться минимум. В точке перехода сплава с решеткой типа 3латуни в упорядоченное состояние на кривых температурной или концентрационной зависимости растворимости должен наблюдаться излом. При упорядочении возможно резкое перераспределение атомов примеси на узлах 1-го и 2-го сорта. Это явление может быть использовано для эксперим. рентгенографич. обнаружения сверхструктуры в бинарных сплавах с близкими атомными факторами рассеяния. Часть I см. РЖМет, М. Кривоглаз 1956, 667.

О некоторых исследованиях степени беспорядка в решетке йодида серебра. Сообщение І. Термическое расширение йодида серебра. Л и з е р (Über einige Untersuchungen am Silberjodid im Hinblick auf die Fehlordnung. I. Mitt.: Die thermische Ausdehnung des Silberjodids. Lieser K. H.), Z. Phys. Chem. (Frankfurt), 1955, 5, № 3-4, 125-153 (нем.)

Для выяснения степени беспорядка кристаллов AgJ (1) при различных т-рах изучено термич. расширение различных модификаций I дилатометрич, и рентгенографич. методами. Дилатометр допускал измерение среднего куб. коэфф. расширения (а) при разности т-р от 100 до 500° с точностью 0,1—1%. Для измерения а образец измельчался (после плавления) и прессовался под давл. 3000 кГ/см2. Для β-AgJ а имеет отрицательный знак во всей области т-р от -187° до точки превращения (~150°), принимая все более отри-цательные значения по мере повышения т-ры. При т-ре жидкого воздуха $\alpha = -0.7 \cdot 10^{-6}$, при комнатной т-ре $\alpha \approx -4.5 \cdot 10^{-6}$ и вблизи т-ры превращения $\alpha \approx -$ — 20·10⁻⁶. Экстраполяция кривой а для β-AgJ до —273° дает а = 0, что согласуется с выводами теории. Для а-AgJ а имеет положительный знак и равномерно увеличивается с возрастанием т-ры: $\bar{a}_{150}^{t} = (7,835 + 5,431)$ $\cdot 10^{-3} t + 2.119 \cdot 10^{-6} t^2$) 10^{-5} . Изменение объема в точке превращения (относительно β-AgJ) составляет ~-5,43%. Для определения пормального термич. расширения, обусловленного только повышением амилитуды колебаний атомов решетки и не связанного с дефектами по Шоттки, измерено смещение линий a-AgJ на дебаеграммах при повышении т-ры и вычислено изменение копстант решетки и а. Зависимость последнего от т-ры дается ур-нием: $\bar{\alpha}_{g \ 150}^t$ =(7,810+0,546·10⁻²t)·10⁻⁵. Из разности а, определенных дилатометрич. и рентгенографич. r.

ně

ка

10-

ри

MO

TH

OR

ии ITO

ан

na-

H

OT-

Ta. ны

аве

ak OM.

HOE

HHβпе-

BO-

-9P

Me-

ыть

же-

IME

ſет,

лаз

ЭДТ-

que-

ber

lick

deh-

hvs.

ено-

ение

OCTH

epe-

pec-

от-° до

три-

При

тной

-273°

Для

уве-

431.

очке

43%.

ения,

пеба-

и по грам-

KOH-

т-ры

з раз-

афич.

≈ -

(.) AgJ методами, оценено, что конц-ия дефектов (по-видимому, но Шотки) при 500° равна 0,2%. Ю. Третьяков Вакансии и междуузлия в германии и кремнии. Me й бер r (Vacancies and interstitials in germanium and silicon. May burg Sumner), Acta Metallurgica, 1956, 4, № 1, 52—57 (англ.; рез. франц., нем.) См. РЖФиз, 1956, 35048.

СМ. РАСФИЗ, 1930, 53040.

1991. Изучение действия некоторых нонов на бромид серебра методом диффракции электронов. Трийа, Терао, Терсияи (Étude par diffraction électronique de l'action de certains ions sur le bromure d'argent. Trillat Jean-Jacques, Terao Nobuzo, Tertian Léa, m-me), C. r. Acad. sci., 1956, 74210.

10. 1294—1297 (франд.) См. РЖХим, 1956, 74210.

992. Анизотропия диффузионных длин в теории диффузии. Спинрад (Anisotropic diffusion lengths in diffusion theory. Spinrad Bernard I.), J. Appl. Phys., 1955, 26. № 5, 548—550 (англ.) См. РЖФиз, 1956, 22172.

О диффузии электрически дефектов, имеющих различные подвижности. Иль пиер (Über die Diffusion elektrisch geladener Gitterfehlstellen verschiedener Beweglichkeit. Ilschner B.), Z. Elektrochem., 1955, 59, N 6, 542—544

В системах, сходных с окисленным слоем, пространственные заряды могут возникать вследствие различной электронной активности в соседних фазах и как результат диффузионного перемещения электрич. заряженных дефектов. Последнее обстоятельство приводит к образованию поверхностного слоя объемного заряда, расположенного на межфазных границах и характеризующегося пониженной конц-ией дефектов. Описанное явление должно оказывать существенное влияние на кинетику роста окисного слоя и другие его характеристики при толщинах порядка 1000 А. Б. Любов

994. Сравнение методов определения коэффициентов самодиффузии цинка. Жомо, Смит (Comparison of techniques in a study of zinc self-diffusion. Jaum ot F. E., Jr, Smith R. L.), J. Metals, 1956, 8, № 2, sec. 2, 137—142 (англ.)

Измерен коэфф. самодиффузии $D_{Z\mathrm{n}}$ в моно- и поликристаллич, образцах Zn в интервале т-р 200-415°. D определяли методом последовательного сиятия слоев и адсорбционным методом. Оба метода дали близкие результаты. Способ нанесения радиоактивного изотопа, а также кол-во изотопа не влияют на полученные значения D. Для монокристального Zn: $D_1=0,08~{\rm exp} \times \times (-22~000~/~RT)$ $c.m^2/ce\kappa$ и $D_{\perp}=0,39~{\rm exp} \times$ × (-24 900/RT) см²/сек. При 200° величина зерна не влияет на величину D. Ю. Козманов

Рассеяние нейтронов ванадием и распределение частот его нормальных колебаний. Брокхаус (Neutron scattering and the frequency distribution of the normal modes of vanadium metal. Brockhouse B. N.), Canad. J. Phys., 1955, 33, № 12, 889-891 (англ.)

Исследован энергетич, спектр нейтронов некогерентно рассеянных кристаллом V под углом 123°. Падающие монохроматич, нейтроны имели среднюю энергию 0.049 и 0.062 эв. Измерения производились при 84°, 296° и 493° К, что позволило определить характеристич. т-ру $\theta = 366 \pm 25^{\circ}$. Интенсивность неупругого рассеяния нейтронов, связанного с тепловыми колебаниями, возрастала с повышением т-ры. Значения в определены также по положению краев энергетич, спектра со стороны больших и малых энергий $\theta=320\pm30^\circ$ и $350\pm20^\circ$. Рассчитанный с помощью дебаевского распределения частот колебаний (при $\theta=348^\circ$) однофонный спектр энергий рассеянных нейтронов удовлетворительно согласуется с эксперим, распределением по энергиям при низких т-рах и хуже - при высоких. М. Кривоглаз

Вычисление средней температуры Дебая кубического кристалла из постоянных упругости. П. Carron (Computation of mean Debye temperature of cubic crystals from elastic constants. II. S u t t o n P a u l M.), Phys. Rev., 1955, 99, № 6, 1826—1830

Дальнейшее развитие предложенного ранее (сооб-щение I, РЖХим, 1955, 45447) метода вычисления средней дебаевской т-ры θ_D куб. кристаллов по их константам упругости. В первом приближении получено выражение для изотропного случая, а во втором выражение Борна-Кармана. Выясняется, что последнее является обычно весьма грубым приближением, поскольку ряд, из которого это выражение получается, сходится медленно. Развитый метод позволяет быстро вычислить θ_D с погрешностью $\sim 0.1\%$. Ш. Коган

Молекулярное рассеяние света и α ⊋β-превращение кварца. Яковлев И.А., Михеева Л.Ф., Величкина Т. С., Кристаллография, 1956, 1,

№ 1. 123—131

Измерена интенсивность молекулярного рассеяния света (для группы Нд-линий 4360, 4078 и 4047А и для линин 5460А) в кварце в интервале т-р 15 — 600°. До 400° интенсивность рассеянного света линейно растет с т-рой, в интервале 400-573° круто поднимается и затем резко падает. Из существования максирассеяния вблизи точки фазового перехода α[→]β (573°) сделан вывод об усилении флюктуаций диэлектрич. проницаемости кварца при приближении к этой точке. Обнаружено и количественно исследовано явление обратимой молекулярной опалесценции вблизи точки полиморфного превращения. Обсужден возможный молекулярный механизм образования в кристалле резких оптич. неоднородностей при т-ре превращения. С. Бапанов

Исследование оптических покрытий с помощью 10998. рентгеновских лучей. Пол (X-ray studies of opti-cal coatings. Paul Fred W.), J. Opt. Soc. America, 1955, 45, № 9, 773—774 (англ.)

Для изучения тонких слоев оптич, покрытий металлов и диэлектриков применены методы диффракции рентгеновских лучей и флуоресцентной спектроскопии. Обсуждается эффективность этих методов в сравнении с обычно применяемым электронномикроскопич. методом. Э. Гилинская

9999. Времена затухания некоторых органических сцинтилляторов. Суонк, Бак (Decay times of some organic scintillators. Swank R. K., Buck W. L.), Rev. Scient. Instrum., 1955, 26, № 1, 15—16 (англ.)

Измерены времена затухания люменесценции ряда органич. кристаллов, жидкостей и пластич. сцинтилляторов. Сцинтилляторы возбуждали импульсами рентгеновских лучей с энергией 7,5 кэв. Даны размеры образдов, хотя влияние размера на время затухания Резюме авторов не исслеповано.

000. Фотопроводимость и люминесценция поли-кристалического CdS(Cu). Толетой Н. А., Коломиец Б. Т., Голикова О. И., Центер М. Я., Ж. эксперим. и теор. физики, 1956, 30, № 3, 575—576

Для поликристаллич. образцов CdS-Cu(10-6-5·10-4e/e) исследованы: зависимость стационарных фотопроводимости и яркости свечения от интенсивности возбуждающего света Е (Нд-линии 365, 546 и 578 мµ), а также отношение площадей подкривыми нарастания и спадания фотопроводимости и под кривыми разгорания и затухания свечения. Сделан вывод, что результаты противоре-

No

HH

HEL

yro

HIL!

Typ

ROE

ma.

лов

бес

HOB

фаз

(10

кри

пло

OKO

110

K

N

0

ром

слоя

BMX

pa30

поло

HOH

Bepx

толь

отри

на т

Этот

карб

грев

1100

ли

flu

un K. 14

И

крис

THE

=1a

В03Д личи

точн щаю

СТИЖ

рону смеш

друг

скол

930 а

ся в

Цент

20%

ракте

CH : пона

веден

чат любой рекомбинационной схеме свечения и согласуются с теорией 2-ступенчатого механизма возбуждения (Лошкарев В. Е., Федорус Г. А., Изв. АН СССР, Сер. физ., 1952, 16, 81; РЖХим, 1956, 64335). А. Хейнман 11001. Изменение цвета электролюминесценции сульфида цинка под действием поля. У эймут, Битrep (Field-induced color shift in electroluminescent zinc sulfide. Waymouth John F., Bitter Francis), Phys. Rev., 1956, 102, № 3, 686-689 (англ.)

В продолжение работы (РЖХим, 1953, 9153) исследовано изменение цвета электролюминесценции при сиятии поля. Изменение тем значительнее, чем больше длительность поддержания центров в возбужденном состоянии под действием поля. Для ZnS-фосфоров с зеленым и синим свечением при быстром снятии поля после возбуждения наблюдаются те жезеленые и синие полосы, как и при возбуждении переменным полем 60 гц. Если же поле накладывается на несколько секунд, а затем снимается, то эти полосы подавляются и появляется люминесценция «желтой полосы»; скорость появления ее определяется температурно-зависимой постоянной порядка секунды при 20°. На основе модели Шёна-Класенса для ZnS-фосфоров это изменение цвета объяснено миграцией дырок с центров активатора на центры, которые при комнатной т-ре дают желтую люминесценцию, а при повышенной т-ре являются центрами тушения. Вычислено, что расстояние между валентной зоной и уровнями активатора равно 0,21 и 0,29 эе для синей и зеленой полос соответственно. Аналогичное объяснение наблюдаемого эффекта можно получить, исходя из модели Ламба-Клика (РЖХим, 1956, 21805).Б. Гугель Эффекты электрофотолюминесценции. Ньюделман (Electrophotolumines-

cence effects. Matossi Frank, Nudelman Sol), J. Electrochem. Soc., 1956, 103, № 2, 122—127

При наложении переменного электрич. поля на фосфор, возбуждаемый УФ-лучами, наблюдается вспышка люминесценции с последующим гашением. При снятии поля наблюдается вторая вспышка. Во время действия поля наблюдается периодич. флуктуация люминесценции, которая в некоторых случаях может переходить в волны яркости. Исследована зависимость этих явлений от напряженности поля и его частоты для электролюминесцирующих и неэлектролюминесцирующих фосфо́ров. Первая вспышка связана с освобождением электронов с локальных уровней. Гашение происходит за счет вызываемых полем безызлучательных переходов или за счет локализации дырок вблизи локализованных электронов, а не на уровнях активатора. Во время действия поля в полосе проводимости скопляются избыточные заряды, которые и ответственны за вспышку при снятии поля. Б. Гугель Электролюминесценция ZnS-фосфора. К и м авторую вспышку при снятии поля.

та, Номура (On the electroluminescence in ZnS phosphor. Kimata Morihiko. Nomura T sut om u), J. Phys. Soc. Japan, 1956, 11, N. 4, 466-467 (англ.)

При возбуждении ZnS-фосфора переменным полем низкого напряжения наблюдаются 2 световые волны на каждый полупериод: одна — почти в фазе (Р), а вторая — при максимуме производной поля по времени (С). При высоких напряжениях появляется 3-я световая волна (I), приходящаяся на максимум внешнего поля. При наложении постоянного смещения (400 в/мм) на переменное поле (1800 *«/м.м.*) волна I усиливается при максимуме поля и уменьшается при минимуме; волна Р уменьшается при максимуме поля и несколько усиливается в минимуме; волна С остается без изменения. Волна I объясняется ударным механизмом возбужждения; волна Р, по-видимому, связана с поляризацией в фосфоре; С можно связать с влиянием изменения поля, нагр. с освобождением носителя с уровня локализации при резком изменении поля. При наложения постоянного смещения выход свечения уменьшается.

Анизотропия флуоресценции некоторых органических кристаллов. Гангули, Чаудхуры (Anisotropy of fluorescence of some organic crystals. Ganguly S. C., Chaudhury M. K.), Phys. Rev., 1954, 95, № 5, 1148—1152 (англ.)

Получено общее выражение для величины $r = I_a/I_b$, где I_a и I_b — интенсивности поляризованной люминесценции кристаллов (поляризация во взаимно перпендикулярных направлениях а и в, совпадающих с направлением кристаллографич. осей). Рассмотрены кристаллы моноклинной системы. Учтено, что поглощающий и излучающий осцилляторы различным образом расположены по отношению к кристаллографич. осям. Для частного случая плоских молекул ароматич. углеводородов с учетом того, что 1) плоскость молекулы перпендикулярна плоскости (001) кристалла и 2) излучатели рассматриваемых молекул являются линей-ными осцилляторами, $r={
m ctg^2}\,\theta$, где $\theta-{
m yron}$, составляемый проекцией плоскости молекулы на плоскость (001) с осью b. Сопоставлены значения θ, полученные из экспериментально определенных величин г и из рентгенографических данных для кристаллов антрацена, фенантрена, пирена и хризена. Небольшие расхож-дения приписаны некоторым отклонениям от 90° угла, образуемого плоскостью молекулы с плоскостью (001), Е. Ануфриева

Инфракрасные спектры поглощения глинистых минералов в области 600—350 см-1. Идальго, Серратоса (Espectros de absorcion infrarroja de minerales de la arcilla en la region de 600 a 350.K. Hidalgo Antonio, Serratosa J. M), An. Real soc. esp. fís. y quím, 1956, B52, № 2, 101—104

(исп.; рез. англ.) Исследованы ИК-спектры каолинитов, галоизита, монтмориллонитов, кордиеритов, тальков и пирофиллита. На основании полученных результатов вычислены силовые постоянные и частоты колебаний, неактивные в ИК-области. А. Хейнман Инфракрасные спектры ферритов. Уолдро и (Infrared spectra of ferrites. W ald ron R. D.), Phys. Rev., 1955, 99, № 6, 1727—1735 (англ.) В интервале $280-4000~cm^{-1}$ измерены ИК-спектры поглошения семи ферритов с общей ф-лой МFе₂0₄ (М = Co, Fe, Mg, Mn, Ni, Zn или Ni_{0.3} Zn_{0.7}). В некоторых случаях измерения производились и в видимой

области. Электронное поглошение наблюдается как в близкой ИК-, так и в видимой области. Для каждого простого феррита измерена ИК-граница этого поглощения, а по ней — энергия активации ΔE , необходимая для возбуждения электронов. ΔE в ∞ равны (в скоб-ках указаны соответствующие M): 0,11 (Co), 0,15 (Fe), 0.13 (Mg), 0,12 (Mn), 0.33 (Ni), 0,29 (Zn). В интервале 300-700 см-1 обнаружены две полосы, связанные с колебаниями металлич. ионов, находящихся в октаэдрич. (o) и тетраэдрич. (t) пустотах, и нонов O^{2-} друг относительного друга. На основе измеренных характеристич. частот вычислены квазнупругие коэфф. связей $\delta - O^2$ и $t - O^2$, а по ним-фогтовские коэфф. упругости фер ритов. Совпадение с эксперим. значениями удовлетворительное. Интенсивности ИК-полос указывают на то, что связи $o-O^{2-}$ и $t-O^{2-}$ в основном нонные. Ш. Коган Плотности треугольников и поглощение алмаза в ультрафиолете. Гальперин (Densities of trigons and ultra-violet absorption of diamonds. Halperin A.), Acta crystallogr., 1956, 9, № 3, 265—268 (англ.)

ения

ока-

ении

ется.

гель

opra-

y p m

K.),

1/I b.

инес-

енди-

прав-

III810-

азом

осям.

угле-

кулы

пз-

иней-

став-

кость

нные

и из раце-

хожугла.

(001).

риева

инись г о, arroja

50 K. M), -104

зита,

офилслены авные

інман

олдгоп

англ.) ектры [Fe₂O₄

некоцимой

как

аждо-

югло-

димая

скоб-(Fe),

рвале с ко-

эдрич.

отноистич.

— О²-

летво

Ha TO

Koras ie an-

nsities nonds.

No. 3,

Исследована связь плотности расположения треугольпиков на гранях алмазов со структурно-чувствительным свойством алмаза — положением края полосы поглощения в УФ-области. Предполагается, что треугольники, выросшие при низких т-рах на несовершенных ступенях, создают своеобразную «доменную» структуру алмаза, богатую поверхностями «ошибок упаковки», дислокациями в другими дефектами, вляяюшими на структурно-чувствительные свойства кристалдов. Измерения проводились на 37 маленьких 1 мм) бесцветных октаэдрич. алмазах. Микроскопич. исследование граней проводилесь в отраженном свете на фазовом микроскопе; установлены две группы граней на алмазах: с большой плотностью тјечтольников (10°-10°см-2) и с малой плотностью (<10°см-2). Семь кристаллов с краем полосы поглощения <2800 А отпосятся к кристаллам типа II. Кристаллы с большой плотностью треугольников имеют край поглощения около 3100 А.

11008. О десорбции положительных и отрицательных понов под влиянием сильных электрических полей. Кирхиер, Риттер (Über die Desorption von positiven und negativen lonen durch starke elektrische Felder. Kirchner F., Ritter H. A.), Z. Naturforsch, 4956, 44 m. 34 35—37 (нем.)

Felder. Kirchner F., Ritter H. A.), Z. Naturforsch., 1956, 11a, № 1, 35—37 (нем.) Опытами с электронно-понным микроскопом-проектором показано, что при испарении на W-острие монослоя КС1 происходит снижение эффективной работы выхода электронов ф вследствие превращения ионов СГ в атомы, адсорбированные на поверхности W и образования поверх них слоя ионов К+. При воздействии воложительного поля 2,1·10° е/см. происходит отрыв понов К+ и повышение ф за счет оставшихся на поверхности ионов СГ. Отрыв понов СГ происходит только с полимолекулярных пленок КС1 при величие отрицательного поля 6,4·10° е/см. Остающнеея при этом на поверхности пленки КС1 ионы К+ сильно снижают ф. Этот механиям снижения ф предложен для окисных и карбидных слоев на W, на которых под влиянием нагревания могут образоваться участки, покрытые W. И. Третьяков

11009. Влияние температуры и давления на кристаллическое поле и электронные термы в двойном нитрате Еи и Zn. X ель веге, Щрёк-Фитор (Einfluß von Temperatur und Druck auf Kristallfeld und Elektronenterme in EuZn-Nitrat. Hell wege К. H., Schröck-Vietor W.), Z. Phys., 1955, 143, № 4, 451—464 (нем.)

143, № 4, 451—464 (нем.) Исследовано влияние на спектр поглощения монокристаллов Eu₂Zn₃ (NO₃)₁₂ · xH₂O всестороннего сжатия и охлаждения. Влияние т-ры исследовано при p=1 ат, а влияние давления при $T=82^\circ$ К. При комнатлюй т-ре ширина линий значительно превосходит их сдвиг из-за всестороннего сжатия. При т-ре жидкого воздуха даже при p 900 ат сдвиг линий по порядку величны равен их ширине. Сдвиг полосы измерялся с точностью $\pm 3 \cdot 10^{-2}$ см⁻¹. Все линии при охлаждении смещаются в красную сторону, однако некоторые при достижении 70°К начинают смещаться в фиолетовую сторону. Центры тяжести трех групп линий ${}^7F_0 \rightarrow {}^5D_{0,1,2}$ смещаются с т-рой монотонно и почти параллельно друг другу; коротковолновая группа смещается несколько сильнее длинноволновой. Сдвиг из-за всестороннего сжатия измерен при 82° К в области давл. 25—330 ат. В пределах точности измерений линии смещаются в красную сторону прямо пропорционально p. Центр тяжести голубой группы смещается почти на 20% больше зеленой и желтой групп. Величной, характеризующей электростатич, поле кристалла, является энергия взаимодействия между 4/-электронами вона Еu с полем кристалла. Используя расчеты, проведенные в своей предыдущей работе (РЖХим, 1956,

49994), авторы строят зависимость энергий от т-ры и р Анализируя связь между температурным сдвигом и сденгом из-за всестороннего сжатия, авторы показывают, что высказанное ранее (Paetzold H K., Z. Phys., 1951, 129, 123) предположение о независимости расстояний между компонентами терма и его центром тяжести от амплитуды тепловых колебаний и, напротив, о зависимости положения центров тяжести терма как от параметрог репеты, так и от тепловых колебаний не соблюдается для исследованного кристалла.

В. Еременко
11010. Амфотерное действие примеси в германии.
Данлап (Amphoteric impurity action in germanium. Dunlap W. Crawford, Jr), Phys. Rev , 1955, 100, № 6, 1629—1633 (англ.)

Примесь Au в Ge создает не только два ранее изученных акцепторных уровня (на 0,45 и 0,55 ж выше потолка валентной зоны), но еще один доворный уровень, расположенный на 0,05 ж выше этой зоны. Вследствие большой глубины донорного уровня его существование проявляется лишь косвенно. Чистый Ge, легированный Au, является дырочным полупроводником. Донорные состояния Au в Ge играют роль ловушек для дырок. Двоякое действие примеси (как акцептора и как донора) названо амфотерным.

11011. Захват электронов кулоновскими примесными центрами. П е р л и и Ю. Е., Уч. зап. Кишиневск. ун-та, 1955, 17, 91—102 См. РЖФиз., 1956, 13718.

11012. Электропроводность, эффект Холла и изменение сопротивления в магнитном поле для л-Ge и их зависимость от давления. Бенедек, Пол, Брукс (Conductivity, Hall effect, and magnetoresistance iu n-type germanium, and their dependence on pressure, Benedek George B., Paul William, Brooks Harvey), Phys. Rev., 1955, 100, № 4, 1129—1139 (англ.) См. РЖФиз, 1956, 35043.

11013. Поверхностные состояния в кремнии и германии. Штац, де-Марс, Дейвис, Адамс (Surface states on silicon and germanium surfaces. Statz H., de Mars G. A., Davis L., Jr, Adams A., Jr), Phys. Rev., 1956, 101, № 4, 1272—1281 (авгд.)

1272—1281 (англ.)
11014. Термоэлектродвижущая сила разбавленных металлических сплавов. Бхатия, МакДоналд (On the thermoelectric power of dilute metallic alloys. Bhatia A. B., MacDonald D. K. C), Canad. J. Phys., 1956, 34, № 4, 419—422 (англ.)

Рассмотрена термо-э. д. с., связанная с остаточным сопротивлением, обусловленным наличием примесей в металле.

Г. Талуц

11015. Некоторые магнитные, электрические и оптические свойства пленок, полученных электролизом и термическим испарением. Бозорт (Quelques propriétés magnétiques, électriques et optiques des films obtenus par électrolyse et par évaporation thermique. Воzоrth R. M.), J. phys. et radium, 1956, 17, № 3, 256—262 (франц.; рез. англ.)

mique. B o z o r t h R. м.), J. рыуз. ст. 17, № 3, 256—262 (франц.; рез. англ.)
Приведены результаты последних исследований, проведенных в лабораториях Белл-телефон (США).

Ю. Ирхин

11016. Влияние давления на электропроводность InSb. К и з (Effect of pressure on the electrical conductivity of InSb. Keyes Robert W.), Phys. Rev., 1955, 99, № 2, 490—495 (англ.)

Измерена электропроводность σ InSb n- и p-типов в зависимости от давл. P до $12\,000~\kappa P/c$ м² в интервалетрот -78° до $+300^\circ$. Резкий спад σ при возрастании P в области собственной проводимости приписан увеличению ширины запрещенной зоны W с коэфф.

 $dW/dP=15,5\cdot 10^{-6}$ зв / (к $\Gamma/cм^2$). Путем исследования зависимости σ от P в области истощения примесей определена зависимость подвижностей электронов и дырок (u_n и u_p) от P; показано, что u_p не зависит от P, а u_n убывает приблизительно как W^{-1} . Из отсутствия зависимости u_p от P сделан вывод, что максимуму энергии в валентной зоне отвечает $\mathbf{k}\neq 0$. Зависимость $\sigma(P)$ в высокотемпературной области, соответствующей вырождению электронного газа в зоне проводимости (в интервале $200-300^\circ$), показывает, что дно зоны проводимости трижды вырождено. Сопоставление dW/dP со спектрально определенным значением температурного коэфф. ширины запрещенной зоны (РЖХим, 1956, 24975) показывает, что значительная часть последнего обусловлена электрон-фононными взаимодействиями.

11017. Термоэлектродвижущая свла антимонида индия. Фредерикс, Милчарек (Thermoelectric power of indium antimonide. Frederikse H. P. R., Mielczarek Eugenie V.), Phys. Rev., 1955, 99, № 6, 1889—1890 (англ.). Измерена термо-э.д.с. Q, а также коэфф. Холла и электропроводность двух монокристаллич образцов

Измерена термо-э.д.с. Q, а также коэфф. Холла и электропроводность двух монокристаллич образцов InSb n- и p-тинов в интервале $60-400^\circ$ К. При 80° К подвижность дырок равна $3300~cm^2/s~ce\kappa$, а электронов $10^5~cm^2/s~ce\kappa$. Измеренная температурная зависимость Q согласуется с теоретич. как в области примесной, так и в области собственной проводимости. Из их сопоставления получены следующие значения эффективных масс электронов и дырок соответственно: $0,014~m_g$ и $0,13~m_e$. Ш. Коган

11018. Наменение термо-э. д. с. пары алюминий— серебро в результате изменения нагретого спая при химической реакции или при включении в пару проводника или полупроводника. А р о и (Variation du pouvoir thermoélectrique du couple aluminium-argent par modification de la soudure chaude sous l'effet d'une réaction chimique ou par interposition de conducteurs ou de semi-conducteurs. A r o n A n d r é), J. phys. et radium, 1956, 17, № 3, 287—289; Collog, internat. Centre nat. resh. Scient., 1956, 61, 119—121 (франц.; рез. англ.)

Измерено, что термо-э. д. с. α пары Ag — Al, взятых в виде сравнительно толстых слоев, равна 5,45 μs/град в интервале 150—380°. Величина α возрастает в результате эрозин горячего спая парами J₂ или при введении тонкого слоя Sb между Al и Ag. Эрозия парами Вг₂ или введение проводников или полупроводников вызывает переменное возрастание α, пропорциональное увеличению т-ры. А. Хейнман 11019. Биполярная термодиффузия электронов и ды-

1019. Биполярная термодиффузия электронов и дырок в полупроводниках. Прайс (Ambipolar thermodiffusion of electrons and holes in semiconductors. Price P.) J. Philos. Mag., 1955, 46, № 382, 1252—1260 (англ.)

Выведено ур-ние, связывающее тепло- и электропроводность полупроводников с биполярной проводимостью. При выводе учитывается преимущественная генерация электронно-дырочных пар на горячем конце и рекомбинация на холодном. Ф-ла применима к полупроводникам типа Ge и Si со сложной структурой валентной зоны и зоны проводимости. Теория качественно объясняет возникновение минимума на кривой температурной зависимости теплопроводности. Однако в случае InSb она не может объяснить вытекающего из эксперим. данных большого значения коэфф. в законе Видемана-Франца (~50). Поэтому сделан вывод, что эффект Буша и Шнайдера не может быть объяснен биполярной термо-Э. Рашба диффузией. 11020. М (020. Медь в германии. Центры рекомбинации и центры захвата. Шулман, Вилуда (Сор-

per in germanium. Recombination center and trapping center. Shulman R. G., Wyluda B. J), Phys. Rev., 1956, 102, № 6, 1455—1457 (англ.) Зависимость плоскостного выпрямления от кристаллографического направления. Коссель, Менцель, Науман (Flächengleichrichtung als Funktion der kristallographischen Orientierung. ats runktion der kristatiographischen Grientelung. Kossel W., Menzel E., Naumann G., Z. Naturforsch., 1955, 10a, № 7, 590—592 (нем.) Ориентированные монокристаллич. слои Сu₂О выращивались на плоскостях (111) и (110) монокристаллов Си. При напряжениях 3 и 20в сравнивались прямые и обратные плотности токов для обеих плоскостей. Плотности прямых токов и коэфф. выпрямления для плоскости (111) всегда больше, чем для плоскости (110). Обратные токи для плоскости (111) всегда меньше. Лучшие выпрямляющие свойства плоскости (111) обусловлены анизотропией уд. сопротивления Сио и тем, что для Си работа выхода плоскости (111) меньше, чем (110). 11022. Электронографическое исследование полупро-

1022. Электронографическое исследование полупроводящих слоев РЬТе. Фельтыновский А., Гласс И., Грелевич Л., Бюл. Польской АН, Отд. 3, 1955, 3, № 11, 595—597

Электронографическим методом исследованы фоточувствительные слои РБТе, сублимированные в вакууме. По рентгенографич. данным исходный РБТе имеет решетку типа NaCl с параметром 6,36 А. Электронограммы сублимированных слоев дают систему колец, соответствующих простой решетке с параметром 3,33 А. Это объяснено тем, что тонкий слой представляет модификацию РБТе, в которой атомы РЬ и Те хаотически распределены по узлам кристаллич. решетки. При помощи электронного микроскопа наблюдалось образование отдельных кристалликов в слоях РЬТе под влиянием облучения пучком электронов. Н. Неронова 11023. Об эффекте вырождения в InAs. Талли, Стери (On the degeneracy effect in InAs. Та1-1 e у R., Stern F.), J. Electronics, 1955, 1, № 2, 186—189 (англ.)

На основе водородоподобной модели атома примеси и в приближении изотропной эффективной массы электрона в кристалле получен энергетич. спектр системы упорядоченно расположенных примесных атомов. Малые расстояния между этими атомами приводят к появлению примесной зоны, ширина которой возрастает с увеличением конц-ии примеси. Наличие примесной зоны объясияет необычные оптич. переходы, наблюдаемые в InSb и InAs при высокой конц-ии донорной примеси.

М. Аверьянова 11024. К теории дипольных кристаллов во внешием

электрическом поле. Глауберман А. Е., Докл. АН СССР, 1956, 108, № 1, 49—52
Рассмотрен простой вариант теории для динольного кристалла куб. структуры, в узлах решетки которого расположены молекулы с постоянными дипольными моментами. На основании статистич. теории Н. Н. Ботолюбова получены ф-лы, позволяющие определить электрич. свойства системы. Отмечается, что развитая теория может быть также использована для полуклассич. рассмотрения ферромагнитных и антиферромагнитных свойств кристаллов. Б. Мацопашвил 11025. Зависимость диалектрической проницаемости кварца от частоты и температуры. Стюарт

(Dielectric constant of quartz as a function of frequency and temperature. Stuart Malcolm R.), J. Appl. Phys., 1955, 26, № 12, 1399—1404 (англ.) Измерены диэлектрич. проницаемость (с) и потеры кристаллов кварца при частотах 1—90 кги и т-рат 20—400°. При 1 кги с вдоль оптич. оси почти постояния в интервале 20—175° и затем резко возрастает. Резкое увеличение с начинается при тем больших т-рах, чем учение с начинается при тем больших т-рах учение с начинается при тем от начинается при

- 36 -

плот зави альн на по В на ные 11020 ген la

de

Un

spe Pa

BAID

TAX F

me,

Ha OC

B «T

элект ной стоты г' = __ вплот Расст 2) но

B 1-M

HOCTE

ствие

Микр тельн клон При лярно релат 11027

Ma

ахі Ј о 133 См. 11028 бат л е н о № Изг

и пир высон коэфф и Са имею турой ся се

тит О в tita S e z u) Мон получ Т-ра микре емост

конц-

rap-

пл.)

от ль,

tung

ung.

IEM.)

вы-

ЛЛОВ

Імые

тей. для 110).

ьше. (111) Си₂О

ьше,

зель

про-

ской

рото-

ваку-РЬТе

ктро-

олец,

33 A.

-ипом

чески

При

обра-

под

онова

та I.

№ 2,

имеси

элек-

стемы

OMOB.

дят к

астает

есной

людаі при-

янова

ешнем

вного

roporo

ьнымп

1. Бо-

целить

витая

укласромаг-

WBHJI

аемос-

оарт

quency (.), J. (англ.)

потеры

T-par

винкот

Резкое

х, чем

выше частота. Диэлектрич. потери при данных частотах имеют температурные максимумы, которые тем выше, чем выше частота. Опытные данные объясняются
ва основе предположения о существовании легких ионов
в «туннелях», параллельных оптич. оси. Вычислены
влотности и подвижности этих ионов, определена
зависимость плотности ионов от т-ры. Введенные специально в кристалл ионы Li+ дают эффект, указывающий
ва первоначальное присутствие этих ионов в кристалле.
Внаправлении, перпендикулярном оптич. оси, описанвые эффекты не наблюдаются. С. Бацанов

11026. Некоторые вычисления релаксации гетерогенных смесей. Лор (Quelques calculations sur la relaxation des mélanges hétérogènes. Loor G. P. de), Colloq. A. M. P. E. R. E., mars 1956. Inst. Phys. Univ. Geneve, 1956, 48—50; Arch. Sci., 1956. 9, fasc. spécial, 41—43 (франц.)

Рассмотрена система из гранулированного в-ва с диэлектрич. проницаемостью гі, распределенного в сплошной среде с диэлектрич. проницаемостью є . Для простоты расчетов предполагается, что кривые $\varepsilon_i' = f(\varepsilon_i')$ и $= f(\epsilon ''_0)$ — полуокружности. Расчеты произведены вілоть до объема частиц, равного 0,3 объема смеси. Рассмотрены два случая: 1) частицы полярны и $\varepsilon_i/\varepsilon_0 > 1$; 2) полярна сплошная среда и $\varepsilon_i/\varepsilon_0 < 1$. Показано, что в 1-м случае кривая смеси $\varepsilon_m' = f(\varepsilon_m'')$ — полуокружвость для ур-ний, в которых пренебрегается взаимодействием частиц. В противном случае кривая сплющена. Микроскопич. время релаксации смеси au_m часто значительно смещено. Всегда $\tau_m/\tau_i < 1$. Во 2-м случае откловение полуокружности и смещение τ_m очень малы. При этом $au_m > au_i$. Малые кол-ва неполярного в-ва в полярной жидкости не влияют ни на кривую, ни на время релаксании.

11027. Теория диэлектрической релаксации одноосного ротатора в кристаллическом поле. II. Гофман (Theory of dielectric relaxation for a singleaxis rotator in a crystalline field. II. H off man John D.), J. Chem. Phys., 1955, 23, № 7, 1331— 1339 (англ.)

См. РЖФв3, 1956, 10658. Часть I РЖХим, 1956, 31815. 11028. Высокая диэлектрическая проницаемость ниобатов и танталатов двухвалентных металлов. Смоленский Г. А., Исупов В. А., Аграновская А. И., Докл. АН СССР, 1956, 108, № 2, 232—235

мг. 2, 252—253 Измерены диэлектрич. проинцаемость ε, ее зависимость от т-ры и tg8 пиобатов, пирониобатов, танталатов и ппротанталатов Са., Ва., Sr., Сd и Pb. Все они имеют высокую ε (20—500) и отрицательный температурный коофф. ε. Исключение представляют Са№206, Са₂№20, Са₂№20, СаТа₂О6. Пиросоединения со структурой пирохлора вмеют более высокую ε, чем соединения с другой структурой. Pb№206, Pb№206, Сф.№207 и Sr₂Та₂О7 являются сегиетоэлектриками.

А. Хеинман 1029. Влияние Fe₂O₃ на свойства монокристаллов титаната бария. Ниснока, Секикава, Оваки (Effect of Fe₂O₃ on the properties of barium titanate single crystals. Nishioka Atsuo, Sekikawa Kyozo, Owaki Masakazu), J. Phys. Soc. Japan, 1956, 11, № 2, 180-181 (англ.) Монокристаллы ВаТіО₃, содержашие 0—5 ат % Fe, получены описанным ранее методом (Р/КХим, 1956, 6265). Т-ра Кюри, определенная с помощью поляризационного микроскопа и путем намерения диэлектрич. проницаемости на частоте 1 кец., ливейно уменьшается с ростом конц-ии Fe. Т-ра Кюри, равная 25°, достигается при

4,5 ат. % Fc. Параметр решетки C уменьшается, а a увеличивается с конц-ией Fe, и при 5 ат. % Fe решетка становится кубической при 20° . Энергия активации ΔE электропроводности, вычисляемая по формуле $G=G_0\times \exp{(-\Delta E/2kT)}$, увеличивается от 0,68 эв при 0,96 ат% Fe и уменьшается до 0,50 эв при 4,95 ат. % Fe. Указано, что значение ΔE для чистого BaTiO₃ равно разности энергии донорного уровия Ti^{3+} и зоны приводимости, а при наличии Fe — разности энергий акцепторного уровия Fe^{3+} и валентной зоны. А. Хейнман

11030. Спонтанная поляризация гексагидрата двойного сульфата гуанидина и алюминия при низких температурах. Чайновет (Spontaneous polarization of guanidine aluminum sulfate hexahydrate at low temperatures. Chynoweth A. G.), Phys. Rev., 1956, 102, № 4, 1021—1023 (англ.)

11031. Резонансное поглощение сегнетовой соли в области сверхвысоких частот. О гава (On the resonance absorption of Rochelle salt in very high frequency region. O gawa Shizuko, 治系の水女子大學、自然科學告,Отяномидзу дзёси дайгаку сидзэн кагаку хококу, Natur. Sci. Rept, Ochanomizu Univ., 1955, 5, № 2, 228—238 (англ.)

Качественно исследовано резонансное поглощение сегнетовой соли в диапазоне от нескольких Мец до нескольких сотен Мец. Спектр линий поглощения порошка сегнетовой соли беспорядочен, в спектре же монокристалла наблюдается ряд равноотстоящих серий линий. Показано, что эти линии обусловлены пьезоэлектричколебаниями в малых объемах монокристалла. Линии поглощения можно разделить на две группы по их ширине (1 кгц п ~ 10 кгц). Обе группы линий присутствуют в каждой серии, но различно зависят от т-ры, давления и электрич. колебаний, определяющих поглощение, в малых объемах кристалла связана с границами доменовли дислокациями в монокристалле. К. Александров

11032. Исправления к статье: К и н а с э «О взаимодействии ионов в кристалле Ва ТіОз и о доменных границах в этом кристалле при 180°» («チョン酸バリウム結晶のイオン間力と180°» 型分域境界、。についての正誤表、不名潮直)、物性論研究、Буссэйрон кэнкю, 1954、№ 77、86 (япон.)

К РЖХим, 1956, 46149.

11033. Исследование новых пьезоэлектрических кристаллов, Копцик В. А., Изв. АН СССР, сер. физ., 1956, 20, № 2, 219—225.

Обнаружены пьезоэлектрич. свойства у 52 новых соединений и оценены их коэфф, электромеханич. связи, Проведен кристаллохим, анализ пьезоэлектрич. кристаллов и подтверждена справедливость сформулированного ранее критерия существования пьезоэлектрич. эффекта: пьезоэлектричество связано с существованием постоянных дипольных моментов и с их ацентричной локализацией в структуре кристалла. На этом основании предложен более жесткий критерий существования пьезоэлектричества в кристаллах: отсутствие не только центра симметрии, но большей частью также и зеркальных плоскостей и осей симметрии любого порядка. Р. Озеров

11034. Поглощение ультразвука в сверхироводищем и нормально проводящем олове при низких температурах. Бём мель (Ultrasonic attenuation in superconducting and normal-conducting tin at low temperatures. В ö m me 1 H. E.), Phys. Rev., 1955, 100, № 2, 758—759 (англ.)

Измерено поглощение ультразвука (10,3 Мгц) при низких т-рах (1,6—19°К) в монокристаллах Sn высокой чистоты (99,98 и 99,998%) и совершенства. По сравнению с менее чистым Sn (РЖХим, 1956, 18628) максим поглощение на той же частоте в ~100 раз больше. Погло-

Nº 4

магн

na o

воспр

38KO

равна

1104

ри; (М

lu

m

Ja

Ис

a Mi

OT T

резк

MAKC

T-poi

пров

этой

зань

при

зыва Обра

Mar

прет

MOC

ког

ром

cMe

Кю

пат

убы

зан

Day

700

Me

TV

щение зависит от магнитного поля, иногда даже немонотонно, хотя в менее чистых образцах зависимость от поля отсутствует. Для объяснения эффекта нужно, по-видимому, учесть рассеяние электронов на границах блоков, которое может играть значительную роль при Ш. Коган столь низких т-рах. Влияние примесей на свойства антимонида алюминия. III м и роус (Vliv příměsí na vlast-

nosti antimonidu hliníku. Šmirous Karel), Českosl. časop. fys., 1956, 6, № 2, 223—224 (чеш.); Чехосл. физ. ж., 1956, 6, № 3, 299—300

Изучено влияние примесей элементов подгрупп II и VI групп на полупроводниковые свойства AlSb. p-AlSb получали сплавлением в атмосфере Ar чистых Al (99,99% лолучали сплавлением в атмосфере 4 чистых д (35,55%) Ад, 10-3 % Мg, следы Cu) и Sb (99,999% Sb, следы Cu) и очищали зонной плавкой. n-AlSb получали из p-AlSb путем введения следов Те. Примеси Cu, Ag и Au (10¹⁹ атомов на 1 см3), не изменяют тип проводимости. Примеси Zn и Cd в той же конц-ии вызывают превращение $n \to p$. Se, подобно Te, приводит к превращению $p \to n$. Все примеси сильно снижают сопротивление AlSb.

В. Свиридов

Электропроводность и структура напыленных окиси индия. Телен, Кёниг (Elektrische Leitfähigkeit und Struktur aufgestäubter Indiumoxydschichten. Thelen A., König H.), Naturwissenschaften, 1956, 43, № 13, 297—298 (нем.)

Слои окиси In получали описанным ранее для CdO методом (Helwig G., Z. Phys., 1952, 132, 621). Катодное распыление In (чистота 99,95%) в воздухе при давл. ~0,1 мм рт. ст. на стекло дает прозрачный непроводящий слой окиси In. После прогрева в вакууме при 380° проводимость 8 возрастает более чем на 2 порядка и сохраняется после охлаждения слоя в вакууме и извлечения его на воздух. Полученные таким способом слои очень прочно связаны с подложкой и при толщинах < 1500 А не поглощают в видимой части спектра. Уд. проводимость таких слоев равна 6 \cdot 10³ -3,5 \cdot 10⁴ \circ ω^{-1} ω^{-1} . Электронограммы показывают, что слои состоят из IngO3. Хейнман

037. Упирение примесных уровней в кремнии. Лакс, Берстейн (Broadening of impurity levels in silicon. Lax Melvin, Burstein Elias), Phys. Rev., 1955, 100, № 2,592—602 (англ.) 11037.

Рассчитана ширина примесных уровней (водород-ного типа) в гомеополярном полупроводнике, обусловленная взаимодействием электронов (или дырок), находящихся на этих уровнях, с колебаниями решетки. Результаты качественно согласуются с эксперим. данными по ширине оптич. абсорбционных линий в n-

Электрические свойства сплавов германийкремний. Левитас (Electrical properties of germanium-silicon alloys. Levitas Alfred), Phys. Rev., 1955, 99, № 6, 1810—1814 (англ.) В интервале 300—800°К измерена электропровод-

ность с сплавов Ge-Si в зависимости от состава. Получена зависимость ширины запрещенной зоны от конц-ии Si. Измерены коэфф. Холла и о ряда дырочных сплавов Ge-Si в интервале 77—300°К. III. Коган Темновая проводимость кристаллов бромисто-

го серебра. Гладковский В. В., Мейкляр П. В., Ж. эксперим. и теор. физики, 1956, 30, № 5,

833-839(рез. англ.)

Проверена выполнимость закона Фарадея и показано, что при малой разности потенциалов (<46) проводимость кристаллов AgBr толщиной в несколько десятых мм имеет электронный характер, а в больших поляхпонный. Появление понной проводимости сопровож-дается прорастанием Ад-нитей (дендритов) по дефектным местам и поверхности кристалла (при 100-200°).

Рост нитей начинается у катода и происходит за счет обеднения ионами Ag+ участков, примыкающих к Agнитям. При изменении направления поля длина нитей у анода уменьшается, а у катода (графит или Pt) по-являются новые дендриты. При 100° в поле 50 е/см скорость роста Ад-нитей равна 10⁻³—10⁻² мм/сек. Разность потенциалов, при которой проводимость приобретает ионный характер, выше для образцов с меньшим числом дефектов. Авторы заключают, что электрич. поле снижает энергию активации для движения нонов по дефектным местам кристалла. Разрушение фотолитич. Ад вблизи анода при нагревании приписано эмиссии электронов Ад-частицами, которые далее распадаются на ионы Ад+, мигрирующие к катоду. Результат засветки кристаллов AgBr зависит от среды. Фотолитич. Ад наиболее интенсивно выделяется в атмосфере H₉S и в вакууме. Засветка кристаллов в Н2 и О2 дает такие же результаты, что и на воздухе. А. Хейнман 11040. Магнитная восприимчивость металлической А. Хейнман меди при низких температурах. Бау эрс (Magnetic susceptibility of copper metal at low temperatures. Bowers Raymond), Phys. Rev., 1956, 102, № 6, 1486—1488 (англ.)

Измерена уд. магнитная восприимчивость χ металлич, Cu в интервале т-р 1,45—30°К, χ =(-0,083+0,023/T)× ×10-6, т. е. складывается из постоянного диамагнитного и зависящего от т-ры парамагнитного члена. Приблизительно 1/5 последнего обусловлена магнитным моментом ядер Си, остальная часть, по-видимому, парамагнит-

ными примесями. Сделан вывод, что х чистой Си не зависит от т-ры в исследованном интервале т-р.Ш. Коган 11041. Сверхобмен и магнитные свойства палладия между 80° и 1600° К. В ю ш е (Superéchange et propriétés magnétiques du palladium entre 80 et 1600° К. W u c h e r J u l e s), C. r. Acad. sci.,

1956, 242, № 9, 1143—1145 (франц.)

Измерена магнитная восприимчивость х Pd в интервале 757-1649° К. Уточнена также температурная зависимость χ в интерволе $80-300^{\circ}$ К. Между 700 и 1600° К χ следует закону Кюри—Вейсса: $(\chi+20)$ (T+90)==0,250. При 80° К х проходит через максимум, который теоретически интерпретируется, исходя из следующих допущений. На основе данных по р-рам водорода в Pd принимается, что среднее число дырок в 4 d-оболочке Pd равно 0,65. Предположено также, что 65% всех атомов находится в состоянии $4d^9$ с отличным от нуля результирующим магнитным моментом, а 35% в состоянии $4d^{10}$ с магнитным моментом, равным нулю. Принимается, что моменты двух ближайших атомов 44 ориентируются антипараллельно благодаря косвенному обменному взаимодействию через посредство атома 4d¹⁰. Полученное для $\chi(T)$ выражение зависит только от одного параметра — обменного интеграла J. При надлежащем выборе ero ($J/k=128^\circ$) вычисленные значения хорошо согласуются с измеренными во всем исследованном интервале т-р, включая и 80° К. III. Когая

 Ванном интервэле т-р, вилючая и 80° К.
 11042. Магнитные свойства β-UH₃. Линь, к ауф-ман (Magnetic properties of beta-uranium hydride. Lin S. T., K au f man n A. R.), Phys. Rev., 1956, 102, № 3, 640—646 (англ.)
 Исследованы магнитные свойства β-UH₃ (РЖХим, 1955, 13767), от т-ры жидкого азота до 572° К, т. е. в ферромагнитной (т-ра Кюри T_c = 181° К) и в парамагнитной областях. Кривая зависимости отношения на-

магниченности насыщения $\sigma_{\infty,T}$ при т-ре T к намагниченности насыщения $\sigma_{\infty,0}$ при 0° K от T/T_c совпадает с аналогичными кривыми для Fe, Co и Ni, а также с теоретич. кривой для j=1/2. Последнее свидетельствует о том, что ферромагнетизм β-UH₃ обусловлен отдельными (неспаренными) электронными спинами. Вычисленное из о∞,0 число спинов, приходящееся на мо-

- 38 -

TOP

Ag-

no-

/cm

cer

PH-

НЬ-

HT.

HOR

Hq.

СИИ

тся

aa-

HY.

I₂S

tan Kok

etic

02,

HT.

)× oro

ен-

He He

HB'

et

et

i.,

ep-

a-

H

ro-

10-

да

50-

OT

10.

My

OT

10-

MA

10-

ан

le.

v.,

M,

11

ıa-

M-

eT

Re

T-

декулу, равно 0,898. Оно отличается (как и в ферромагнитных металлах) от числа спинов, вычисленного па основе температурной зависимости парамагнитной восприничивости. Последняя приблизительно следует закону Кюри—Вейсса, причем парамагнитная т-ра Кюри равна 173° К.

III. Коган 11043. Магнитные и электрические свойства теллурнда марганца. Утида, Кондо, Фукуока (Мадпеtic and electrical properties of manganese teluride. Uchida Enji, Kondoh Hisamoto, Fukuoka Nobuo), J. Phys. Soc. Japan, 1956, 11, № 1, 27—32 (англ.)

Псследовалось антиферромагнитное (АФ) превращение в МпТе. Измерена магнитная восприимчивость х МпТе от т-ры жидкого азота до 720°. При 37° наблюдается резкий излом кривой х (Т), а при 55° х проходит через максимум. Электросопротивление р до ~50° растет с т-рой (как у металла), а затем убывает (как у полупроводника). Термо-э.д.с. Е проходит через максимум при ~50°, а кривая постоянной холла R(Т) имеет при этой же т-ре точку перегиба. Аномалии р, Е и R связаны скорее с максимумом у при 55°, чем с изломом при 37°. Гистерезис р (Т) выше АФ точки Кюри указывает на наличие структурного превращения при ~130°. Образцы с брутто-формулой МпТе_{1+х} представляют собой смесь МпТе и МпТе₂. Вторая фаза тоже АФ (парамагнитная т-ра Кюри отрицательна), однако точку АФ превращения обнаружить не удалось. Ш. Коган 11044. Магнитные свойства теллурида никеля. У ти-

1044. Магнитные свойства теллурида никеля. У т и-да, Кондо (Magnetic properties of nickel telluri-de. Uchida Enji, Kondoh Hisamoto), J. Phys. Soc. Japan, 1956, 11, № 1, 21—27 (англ.) Исследованы магнитные свойства NiTe_x (I) в зависимости от состава $(0.10\leqslant x\leqslant 2.00)$ и т-ры (от т-ры жид-кого азота до 1150°). В интервале $0\leqslant x\leqslant 0.65$ I ферромагнитен. До x=0.33 образцы представляют собой смесь двух фаз, одна из которых — чистый Ni, а выше x = 0.33 — однородную ферромагнитную фазу с т-рой Кюри, заметно возрастающей с увеличением х. Эта фаобладает структурой NiAs. По-видимому, при x=0,33 имеет место фазовый переход. При $x\geqslant 0,7$ I парамагнитен (решетка NiAs). Его воспринмчивость х убывает с x, а температурная зависимость х не следует закону Кюри—Вейсса, особенно при высоких т-рах. Парамагнитная т-ра Кюри I отрицательна, что указывает ва антиферромагнитный характер І. Точку антиферромагнитного превращения обнаружить, однако, не уда-лось. При 300° К зависимость 1/х I от т-ры заметно меняется. Возможно, это связано с некоторым магнитным или структурным превращением. Высокотемпературные магнитные свойства I при x≥1,20 напоминают магнитные свойства сплавов Си - Ni (богатых Си), что подтверждает высказывавшееся ранее мнение, что теллуриды обладают более металлич. свойствами, чем сульфиды и селениды тех же металлов.

1045. Магнитные свойства некоторых безводных хлоридов влементов группы железа. І. Магнитный резонанс. II. Интерпретация криомагнитных аномалий в CoCl₂, FeCl₂, NiCl₂ и CrCl₃. Лич, Маиьно эл (Magnetic properties of some anhydrous chlorides of the iron group. I. Magnetic resonance. II. Interpretation of the cryomagnetic anomalies in CoCl₂ FeCl₂, NiCl₂ and CrCl₃. Leech J. W., Manuel A. J.), Proc. Phys. Soc., 1956, B69, № 2, 210-230 (англ.) I. Исследован парамагнитный резонанс в CrCl₃, NiCl₂, CoCl₃ и FeCl₂. Установлено наличие поглощения в CrCl₃ и NiCl₃ в интервале 13,15—293° К. В CoCl₂ выше т-ры максимума уд. теплоемкости T_{λ} обнаружено слабое уменьшение поглощения при возрастании напряженности внешнего магнитного поля H. В FeCl₂ резонанс не обнаружен. При понижении т-ры через T_{λ} в случаях

 ${\rm CrCl_2}$ и NiCl_2 ширина линии возрастает, а высота кривой уменьшается. Обнаружено большое поглощение при H=0,если в-во до опыта имело т-ру $< T_{\lambda},$ и получена кривая зависимости поглощения от т-ры (максимум около $T_{\lambda},$ крутое поинжение в сторону больших т-р). При изменении H положение максим. поглощения для NiCl_2 от т-ры не зависит. Все изученные в-ва имеют аналогичные кристаллич. структуры и обладают максим. восприимчивостью в T_{λ} (кроме CrCl_3).

11. Данные, приведенные выше, объяснены на основе ферромагнетизма исследованных соединений при т-ре $< T_{\lambda}$. Для CoCl₂ при 290—410° К θ линейно убывает с возрастанием магнитного разбавления. Характер изменения в обусловлен убыванием ферромагнитных взаимодействий между ионами, отрицательный звак при сильном разбавлении— преобладанием электрич. расщеплений над ферромагнитными взаимодействиями. Большие расстояния между соседними ионами металла и отсутствие хим. связи между ближайшими слоями Cl-(Pauling L., The nature of the chemical bond, 1948, 188) исключают антиферромагнитные взаимодействия прямым обменом, двойным обменом и сверхобменом. Большая магнитная жесткость объясняется 2-мерностью структуры ансамбля однодоменных ферромагнитных частиц. Спонтанное намагничивание тончайших ферромагнитных слоев подтверждает эту гипотезу. Прилегание таких слоев друг к другу в рассматриваемых телах обуслов-ливает их сходство с антиферрома нитными в-вами. Форма кривых для CoCl₂, FeCl₂ и NiCl₂ объяснима, если пренебречь анизотропией формы частиц по отношению к кристаллич. анизотропии. Зависимость поглощения от т-ры для NiCl2 и CrCl3 согласуется с большой анизотропией этих в-в. Асимметрия кривой резонанса CrCl $_{\mathfrak{s}}$ указывает на существование антирезонансной точки ниже T_{λ} . Поглощение при $H{=}0$ объясияется резонансом во внутренних полях, которые образованы метастабильно ориентированными нонами. Форма резонансной кривой указывает на существование сильных обменных взаимодействий. У. Копвиллем 046. Магнитные свойства металлического эрбия. Эллнотт, Легволд, Спеддинг (Magnetic properties of erbium metal. Elliott J. F.,

Эллнотт, Легволд, Спеддинг (Magnetic properties of erbium metal. Elliott J. F., Legvold S., Spedding F. H.), Phys. Rev., 1955, 100, № 6, 1595—1596 (англ.)
Приведены данные о намагинченности металлич.

ЕТ В ИНТЕРВАЛЕ Т-Р 20—90°К. Начальная проницаемость обнаруживает максимум при 78°К, металл, по-видимому, становится ферромагнитным вблизи 20°К. Отмечается аналогия между свойствами Ег и Dy. Ожидаемый атомный магнитный момент насыщения для состояния ⁴T_{в/з} составляет 9 μ_B; если бы в насыщении участвовали только спины электронов, то момент составлял бы 3 μ_B. Экстраполяция эксперим. данных приводит к моменту 8 μ_B. Я. Дорфман 11047. Интерпретация магнитных свойств диспрозия и эрбия. Не эль (Interprétation des propriétés magnétiques du dysprosium et de l'erbium. Né e l L o u i s), С. г. Acad. sci., 1956, 242, № 15, 1824—1828 (франц.)

Показано, что специфич. магнитные свойства Dy и Er (в частности, наличие температурного интервала, в котором намагниченность быстро растет с полем выше некоторого порогового поля) связаны, по-видимому, с переходом из ферромагнитного в антиферромагнитное состояние под влиянием изменения с т-рой константы магнитной анизотропии. Объяснены существование порогового поля и его температурная зависимость в согласии с опытом.

11048. Отчетливый ферромагнетизм, наведенный в окиси никеля добавлением ионов литии. П ер а окиси никеля добавлением ионов литии.

No 4

Подсч

давлен

При д

of THE

выкал ления

11056.

H LE

(Re

lino

Gaz

Час

11057

8 O

Кi

№ Изу

дина м шени н

11058

сия

HHO

неа

лов

Co

тем

B

B.

83

CM.

11182

11507

11135

10914

крист

10873

лах

12232

дорог

лени

RHI

ники

1106

CT

car

30

CT

np tio

Co

lat

pre

Ph

B He

11060

11059

кис, Серр, Парравано, Вюше (Ferromagnétisme induit, nettement caractérisé, par addition d'ions lithium dans l'oxyde de nickel. Perakis Nicolas, Serres Alice, Parravano Giuseppe, Wucher Jules), C. r. Acad. sci., 1956, 242, № 10, 1275—1277 (франц.) Измерена магнитная воспринмчивость х твердого р-ра

Измерена магнитная восприимчивость χ твердого р-ра NiO·MgO (1 мол. %) (I), а также твердых р-ров Li₂O в NiO с конц-иями Li⁺ на 1 см³ NiO, равными соответственно 1,07·10²0 (II), 5,6·10²0 (III) и 1,02·10²¹ (IV). В интервале т-р 84—1526° К І парамагнитен с χ, не зависящей от поля. χ І практически постоянна от 84 до ~150°К, проходит через максимум (12, 53·10⁻⁰) вблизи 604°К и затем убывает, следуя выше 1000°К закону Кюри — Вейсса. χ II ниже 780°К растет с полем (ферромагнетизм), а выше этой т-ры убывает с полем. Ферромагнитная фаза обнаружена также у III и IV с точками Кюри соответственно 565 и 265° К. Особенно сильный ферромагнетизм обнаружен у IV, содержащего наибольшее кол-во понов Li⁺. Поскольку чистая NiO—парамагнитна, авторы делают вывод, что ферромагентизм «наведен» ионами Li⁺.

III. Коган 11049. Влияние ионов щелочных и щелочно-земель-

ных металлов на начальную проницаемость марганеццинковых ферритов. Гийо, Зега, Виллер (Influence des ions alcalins et alcalinoterreux sur la perméabilité initiale des ferrites de manganèse-zinc. Guillaud Charles, Zega Bogdan, Villers Gérard), C. r. Acad. sci., 1956, 242,

№ 19, 2312—2315 (франц.)

Исследована зависимость начальной проницаемости μ марганец-цинкового феррита (52,5 мол. % Fe_2O_3 , 28,5 мол. % МпО, 19 мол. % ZnO) от конц-ни c примси цел. и цел.-зем. металлов. С увеличением c отношение μ_0 : μ (μ_0 — начальная проницаемость в отсутствие примеси) сначала быстро растет пропорционально c, а выше некоторой конц-ии практически не меняется. Это связано, по-видимому, c тем, что сначала ионы примеси растворяются в решетке внутри кристаллитов, а выше предела растворимости — лишь по их границам. Полученные кривые могут быть использованы для определения истинного предела растворимости S ионов каждого металла в решетке феррита. Величина S зависит от радиуса иона примеси по закопу S=a ехр (—br), где S в мол. %, r в A, a и b— константы. Для щел. металлов a=1,8, b=0,8; для щел.-зем. металлов a=1,8, b=0,7.

11050. О косвенном обменном взаимодействин. В о н с о в с к и й С. В., С е й и д о в Ю. М., Докл. АН СССР, 1956, 107, № 1, 37—40

Произведен расчет косвенного обменного взаимодействия в ионных кристаллах в рамках многоэлектронной полярной модели. Рассмотрена ионная решетка типа МпО, одна часть узлов которой занята магнитными, а другая - немагнитными ионами. Принимается, что в основном состоянии каждый магнитный ион имеет по одному в-электрону в незаполненной оболочке, а немагнитный ион — по два р - электрона с противоположными спинами. Косвенное обменное взаимодействие возникает в результате переходов электронов между магнитными и немагнитными узлами. В результате разложения многоэлектронного гамильтониана в ряд по степеням малого интеграла неортогональности атомных волновых функций показано, что интеграл косвенного обменного взаимодействия отличен от нуля лишь в четвертом приближении, а не в третьем, как принималось до сих пор. Ш. Коган 11051. К теории атомных магнитных моментов в

ферромагнетиках. А к у л о в Н. С., Докл. АН СССР, 1955, 105, № 5, 935—938

Автор делает попытку определить магнитные моменты ферромагнитных сплавов, развивая теорию распреде-

ления электронов в 3*d*- и 4*s*-оболочках ферромагнитных атомов (Акулов Н. С., Какушадзе Т. И., Докл.
АН СССР, 1951, 77, № 4) на область низких т-р. Взаимодействие электронов этих оболочек приводит к перераспределению их плотностей и спинов, в результате
чего понижается магнитный момент атома. Определив
из опыта постоянную, связанную с взаимодействием,
автор получает линейные зависимости магнитных моментов от плотности 3*d* и 4*s*-электронов: для атомов с
устойчивой группой электронов с параллельными спинами µ=µв (11,59−1,0984*n*), для атомов с устойчивой
группой электронов с антипараллельными спинами
µ=µв (*n* − 5,776). По этим ф-лам можно определить магнитные моменты сплавов с удовлетворительной точностью.

А. Звими
11052. О медленном химическом разрушении плос-

1052. О медленном химическом разрушении плоскостей спайности кальцита. Радер (Über den langsamen chemischen Abbau von Kalzit-Spaltflächen. Rader Ernst), Anz. Österr. Acad. Wiss. Math.naturwiss. Kl., 1955, 92, № 1-15, 229—231 (нем.) Изучалось изменение отражательной способности R плоскостей спайности кальцита после травления их

плоскостей спайности кальцита после травления их слабыми р-рами уксусной к-ты. Опыты проводились на трех спайных выколках кристаллов из различных месторождений. Результаты представлены в виде кривых, которые имеют квазипериодич. ход, причем максимумы составляют 87%, а минимумы 63% от способности отражения непротравленной плоскости спайности. Такой характер изменения R автор объясняет периодич. сменой в структуре слоев различного строения, параллельных трем направлениям спайности. Подобное же явление наблюдалось и при изучении микрохрупкости кристаллов кальцита. Г. Попов 11053. Двупреломление и двойникование в кремнии.

Кайзер, Кон (Birefringence and twinning in silicon. Kaiser W., Kohn J. A.), Acta Metallurgica, 1956, 4, № 2, 220—221 (англ.) При наблюдении отполированных кристаллов Si

При наблюдении отполированных кристаллов Si в скрещенных николях с использованием ИК-отражательной трубки видны параллельные двупреломляющие полосы. Последине по своему характеру аналогичны слоям оптически одноосных кристаллов. Обсуждены возможные причины этого явления. С. Бацанов 11054. Распределение минералов по видам симметрим.

1054. Распределение минералов по видам симметрии. Балашова М. Н., Шафраповский И. И. В сб.: Кристаллография, Вып. 5. М., Металлография

лургиздат, 1956, 203-212 Приведена сводка распределения кристаллов минералов по видам симметрии. Э. Гилинская Фигуры давления на гранях алмаза. І. Грань октаэдра. Хаус, Толанский октаждра. А в у с, 1 о л а н с к н п (rissala crack-figures on diamond faces. I. The octahedral face. H o w e s V. R., T o l a n s k y S.), Proc. Roy. Soc., 1955, A230, № 1182, 287—293 (англ.) При надавливании на грани {111} алмаза полусферич. алмазным индентором развиваются фигуры давления в виде шестиугольника, очерченного трещинами. Интерферометрич, исследование показало, что материал возле трещины приподнят, обрываясь круго с внутренней стороны шестиугольника и опускаясь полого с наружной его стороны. При микроскопич, наблюдении помощью фазово-контрастного метода трещины выглядят светлыми линиями на темном фоне. Внешняя по отношению к шестиугольнику темная область имеет треугольное очертание. Потемнение в области фигуры давления объясняется объемностью развития трещин, которые распространяются го плоскостям октаэдра под углом 70,5° к наблюдаемой плоскости (111). Помимо трещин в теле кристалла возникают также

другие искажения структуры. На основании подъема

материала возле трещин высказывается предположение о том, что при этом имеет место микропластич, течение.

T-

JI.

a-

Te

IB

0-

C

ой си а-

0-

TH

en n.

.-

R

IX И-Кбйет

e-

M-OB M.

ng

ta

Si

a-

we

ы

ы

OB T-

JI-

e-

HE HE

re

al

c.

ч.

ИН Н-

ал

H-

a-

ии

ы

RE

ть ти

ия

HM TH

Ke Ma

ie.

Подсчитано, что первые трещины, образующие фигуру двления, возникают при напряжении $1,4\cdot 10^{11}$ $\partial n/c_M^2$. При дальнейшем возрастании напряжения увеличивается число трещин и в конце концов может произойти выкалывание части кристалла в области фигуры давления.

А. Урусовская 1056. Связь между поверхностным напряжением

µ габитусом кристалла. VI. Милоне, Четини (Relazioni tra tensione superficiale e habitus cristalino. VI. Milone Mario, Cetini Giuseppe), Gazz. chim. ital., 1954, 84, № 1, 133—142 (итал.) Часть V см. Ann. Chimica, 1951, 41, 323.

11057. Пересечения двойниковых полос (301) и (101) в олове. Маруямо, Кихо (Intersections of (301), (101) twin bands in tin. Maruyama Saiyu, Kiho Hiroshi), J. Phys. Soc. Japan, 1956, 11, № 5, 516—521 (англ.)

Изучены явления вторичного двойникования при днамич. разрушении монокристаллов В = Sn, выращенных методом Чохральского. Э. Гилинская

11058 Д. Переходные процессы и вторичная эмиссия при бомбардировке положительными нонами инородных пленок на чистых металлах. А ю х а н о в А. Х. Автореф. дисс. канд. физ.-матем. п., Среднеаз. ун-т, Ташкент, 1956
11059 Д. Исследование мозаичной структуры кристал-

11059 Д. Исследование мозанчной структуры кристаллов алюминия в связи с условиями кристаллизации. Сое и и на Е. И. Автореф. дисс. канд. физ.-матем. н. Ин-т металлофиз. АН УССР, Киев, 1956 11060 Д. Исследование процессов диффузии металла в металл методом меченых атомов (применительно к технологии оксидного катода). В а с и л ь е в В. П. Автореф. дисс. канд. физ.-матем. и., Среднеаз. ун-т, Ташкент, 1956

См. также: Рентгеногр. исслед. 10899, 11144, 11179, 11182, 11262, 11266, 11442, 11455, 11459, 11498, 11499, 11507, 11894, 11912, 12192, 12508, 12510. Электрогогр. исслед. 11263, 11914. Магнитный резонанс 10881—10883. Термодинамика кристаллов 11123, 11127, 11135, 11139. Магнитные св-ва кристаллов 10887, 11139. Магнитные св-ва кристаллов 10887, 10914, 11460, 12588. Спектры и др. оптич. св-ва кристаллов 10849—10851, 10854, 10857, 10863, 10868, 10875, 10877, 11512. Рост кристаллов 11160—11162, 11202, 12239, 12519. Природа хим. связи в кристалах 10836, 12509. Приборы и оборудование 12228—12232, 12237, 12238, 12306, 14190. Персоналии: Е. С. Федоров 10759—10763. Симпознум: релаксационные ивления 10807. Электропроводность и флуоресценшия ароматических углеводородов 10871. Полупроводники и катализ 11274—11277

ЖИЛКОСТИ И АМОРФНЫЕ ТЕЛА, ГАЗЫ.

Редактор А. В. Алмагов

1061. Релаксация неравновесного распределения частиц с колебательными степеними свободы. І. Релаксация системы гармонических осцилляторов, обусловленная столкновениями. ІІ. Влияние вероятностей переходов, обусловленных столкновениями, на процесс релаксации. Рубия, III улер (Relaxation of vibrational nonequilibrium distributions. I. Collisional relaxation of a system of harmonic oscillators. II. The effect of the collisional transition probabilities on the relaxation behavior. Rubin Robert J., Shuler Kurt E.), J. Chem. Phys, 1956, 25, № 1, 59—67; 68—74 (англ.).

1. Для исследования динамики процесса релаксации в веравновесной системе гармонич. осцилляторов рассматривается 2-х-атомный газ Х2 (или ХҮ), содержащийся в небольшой конп-ии в другом инертном газе А. Неравновесное состояние в такой системе может быть получено путем интенсивного освещения смеси; при этом молекулы Х2 (по не А), возбуждаясь, поглощают свет. После выключения источника газ Х2 возвращается в равновесное состояние, распределяя в газе А путем столкновений полученную энергию. Исходным является $dx_{i}(t)/dt = -Z[\sum_{j,j<i}^{t} P_{ij}N^{-}x_{i}(t) + \sum_{j,j>i}^{t} \sum_{j}^{t} P_{ij}N^{-}x_{i}(t)]$ > $P_{ij}N_{ij}^+x_i^-(t)]+Z$ [$\Sigma_{j,\ j< i}$ $P_{ij}N_{ij}^+x^-(t)+\Sigma_{j,\ j>i}$ $P_{ij} imes imes N^-x_i^-(t)],\ i=0,1,2...,\infty,\ где\ i$ нумерует колебательные уровни X_2 , $x_i(t)$ — число молекул в единице объема в состоянии i, P_{ij} и P_{ji} — вероятности переходов между соответствующими уровнями при столкновениях, Z — число столкновений молекулы X_2 в единицу времени при плотности в одну молекулу на единицу объема, N_{ii}^+ и N_{ii}^+ — конц-ии молекул A с энергиями, достаточными для возбуждения при столкновениях молекул X_2 соответственно с i на j (j > i) и с j на i (i > j). N^- конц-ия молекул A, получающих энергию молекул X_2 при переходе $k \to l \ (k > l)$; оно равно полному числу N молекул A, поскольку столкновениями $X_2 - \tilde{X}_2$ пренебрегают. Используя предположение $N_{i-1,j}^+ = N_{i,i+1}^+ =$ $=N\exp\left(-\theta
ight),\; \theta=h_{N}/kT$ и результат другой работы $P_{n,n+1} = (n+1) P_{10}$ (1) (Landau L., Teller E., Phys. Z. $_{n,n+1}^{n,n+1}$ Sowjetunion, 1936, 10, 34), авторы получают дифференциально-разностное ур-ние $(1/k_{10})\,dx_n/dt=(n+1)\, imes$ $imes e^{-(n+1)\theta} \, [e^{(n+1)\theta} x_{n+1} - e^{n\theta} x_n] - n e^{-n\theta} [e^{n\theta} x_n - e^{(n-1)\theta} imes imes x_{n-1}],$ где $k_{10} = ZNP_{10}$ — вероятность перехода в единицу времени. Введением функции распределения u(y,t)такой, что при y целом $u(n,t)=x_n(t)$, оно сводится к ур-вию $(1/k_{10})(\partial u(y,t)/dt) = \partial/\partial y \{ye^{-\theta y} \partial/\partial y [e^{\theta y}u(y,t)](2),$ которое решено при граничном условии $k_{10} y e^{-\theta y} \partial/\partial y \times$ $\times [e^{0y}u(y,t)] = 0$ при y = 0 и $y = \infty$ (3) и начального условия u(y,0) = f(y) и $\int_0^\infty f(y) \, dy = N'$, где N' конц-ия молекул X_2 . Рассмотрены случан $f(y) = N' \delta(y - y_0)$ и $f\left(y\right)=N'\left(\theta\left(c\right)e^{-\theta\left|y\right|^{c}}\right)$ где c — постоянная. Показано, что больцмановское начальное распределение c «т-рой» То приближается к конечному больцмановскому распределению с т-рой T в случае $T_0 > T$ через последовательность больцмановских распределений c т-рой T'(t), зависящей от времени $T_0 \geqslant T'(t) \geqslant T$. Начальное б-распределение переходит в равновесное больцмановское через последовательность неравновесных распределений. Процесс релаксации средней энергии определяется исключительно средней энергией начального распределения и не зависит от вида начального распределения. Время релаксации средней энергии $\sim 1/k_{10}$ θ . Пренебрежение радиационными переходами ограничивает применимость результатов областью сравнительно высоких давлений.

II. Ф-ла для вероятностей Ландау-Теллера (1) (см.реф. I части) заменена соотношением $P_{n+1,n} = P_{n,n+1} = pe^{(n+1)a}$, где a — постоянная и p — пропорционально P_{10} . Соответственно изменнотся дифференциально-развостное ур-ние, ур-ние в частных производных (2) и граничные условия (3). Сравнение решений для b-образного и больцмановского начальных распределений с результатами сообщения I показывает, что процесс релаксации существенно зависит от соотношения между вероятностью перехода и номером уровия. В. Цукерман

11062. О коэффициенте теплопроводности и вязкости жидкостей и сжатых газов. Предводителев А. С., Сб. посвящ. памяти акад. П. П. Лазарева. М., АН СССР, 1956, 84—112

HOR

по м

поли

Вси

удов

вяно

1106

ко

РД

B Ж

Ilpe,

× (-

- e:

OTHO

диф

ROPO

CTOR

опре

HHH

13 H

этил

дени

1107

co

80

M

и по тать

рост

CKOL

HRH)

вые

влен

при

вую

≤1,

0

(25)

прои 5,0 соот дова

0,4

c po peay

ции

ВИЛІ

при

B OI

на т

лако по в и тр с по

c on

Считая тепловые движения континуальной системы беспорядочно распространяющимися волновыми процессами и пользуясь понятием местной во времени и пространстве т-ры (так что термодинамич. т-ра есть средняя от местной; ср. Власов А. А. Теория многих частиц. нии от местной, ср. Бласов А. А. Геория многих частно, Гостехнадат, 1950), автор получает соотношение $(1+\beta)\times \times W/2=G$, в котором $W^2/2$ — средняя кинетич. энергия единицы массы, G— средняя фазовая скорость импульса температурных флуктуации, β — отношение средней потенциальной энергии к средней кинетической. Это соотношение, идеи Дебая о тепловом движении как совокупности акустич. колебаний и результаты Эккерта (Eckert, Phys. Rev., 1948, 73, 68) использованы для вывода известной ф-лы автора для теплопроводности жидкости. Рассматриваются адиабатич. инварианты для средних тепловых скоростей молекул и для упругих тепловых волн. С использованием этих инвариантов выводятся, самые общие, по мнению автора, соотношения для теплопроводности $k = k_0 + B \rho^{1/6}$ и вязкости $\eta = \eta_0 + C/v^{1/2} (v-b)$. В этих ф-лах первые слагаемые представляют собой части, подсчитываемые по обычным представляют сосон насты, подставляются через адиа-батич. внварианты, β и другие величины, характери-зующие жидкость, v — уд. объем, b — постоянная, ρ плотность. В результате сопоставления полученных ф-л с литературными и эксперим. данными показано, что эти ф-лы в общем удовлетворительно согласуются с измерениями. В. Цукерман 11063.

11063. Параметры отклонения для полей межмолекулярных сил молекул углеводородов. М а к- К а у бр и (Deviation parameters in the intermolecular force fields of hydrocarbon molecules. М с С о и br e у J. С.), Fuel, 1956, 35, № 3, 343—346 (англ.) По данным о давлении пара, эптропии испарения и сжимаемости рассчитаны для углеводородов и некоторых длугих молекул и табулированы параметры от-

торых других молекул и табулированы параметры отклонения см. введенные ранее в связи с обобщением теоремы соответственных состояний (РЖХим, 1956, 28393) и применяемые при расчете отклонений свойств газов от леннард-джонсовских состояний. Величины параметров отклонения, полученные из расчетов на основе различных данных, несколько отличаются одна от другой, поэтому при расчете некоторогосвойства следует пользоваться лишь соответствующими см. Небольшие молекулы имеют небольшие см. Величины см для изопарафинов всегда меньше соответствующих величин для и-парафинов. Рост см с ростом длины цепи у и-парафинов связан с увеличением анизотропии межмолекулярных сил. Предварительное исследование связи се овторым вириальным коэфф, и приведенной вязкостью наров углеводородов не дало возможности удовлетворительно и просто согласовать понятие см с наблюдениями.

В. Цукерман

11064. Самодиффузия в низших йодистых и бромистых алкилах. Стейн, Карман (Self-diffusion of the lower alkyl iodides and bromides. Stein L. H., Carman P. C.), J. S. Afric. Chem. Inst., 1956,

9, № 1, 55—65 (англ.; рез. африк.)
Методом кациллярной трубки (Anderson, Saddington, J. Chem. Soc., 1949, 381; Wang, J. Amer. Chem. Soc., 1951, 73, 510) измерен коэфф. самодиффузии: в йодистом метиле 2,43±0,10; 1,58 и в йодистых и бромистых этиле 1,98±0,10; 1,52; 2,28±14; 1,90, н-пропиле 1,99±0,12; 2,20, 1,71±0,7; 1,99, изопропиле 2,08±0,10; 1,96; 1,88±0,9; 1,84, н-бутиле 2,01±0,09; 1,95; 1,93±0,7; 1,83, изобутиле 2,34±0,8; 1,95; 2,20±0,14; 1,98 и етор-бутиле 2,09±0,10; 2,13; 1,99±0,14; 1,85. Числя, следующие за каждым в-вом, указывают его энергии активации Е₁ (первое и третье число) и Е₂ (второе и четвертое число), входящие в ф-лы $D=D_0$ ехр($-E_1/RT$) и $\eta=\eta_0$ ехр(E_2/RT) (D-коэфф. вязкости);

первая пара чисел относится к йодидам, вторая — к бромидам. Расчеты проводились по трем наблюденням при 7,35; 19,35 и 30,00°. Энергии активации самодиф фузии согласуются с энергиями активации вязкого течения в соответствии с требованиями теорий Френкеля и Эйринга. Величина $D\eta/T$ постоянна, но значения параметров, полученные из ур-ний Эйринга, Фрекеля и Стокса — Эйнштейна, плохо согласуются с наблюдениями. При измерениях использовались изотопы I^{13} и Br^{32} . В. Цукерман

1065. Вязкости жидкостей при новышенных температурах и давлениях: вязкость бензола от 90° до критической температуры. Хейкс, Орбан (Liquid viscosities at elevated temperatures and pressures: viscosity of benzene from 90° to its critical temperature. Heiks John R., Orban Edward), J. Phys. Chem., 1956, 60, № 8, 1025—1027 (англ.)

(англ.)
Предложен новый вариант вискозиметра с падающим шариком: в шарике содержится радиоактивное в-во, излучение которого регистрируется счетчиками, работающими по схеме совпадения; это позволяет отмечать уровень, на котором находится шарик, и тем самым время падения. Измерена (в спуазах) вязкость С_вН_в (в скобках указаны т-ры в°С): 0,286 (90); 0,261 (100); 0,210 (125); 0,171 (150); 0,144 (175); 0,121 (200); 0,100 (225); 0,082 (250); 0,065 (275); 0,062 (280); 0,059 (285); 0,056 (288,5).

А. Алмазов 11066. Рассеяние света водой. Краут, Дан

11066. Рассеяние света водой. Краут, Дандпайкер (Light scattering by water. Kraut J., Dand liker W. B), J. Chem. Phys., 1955, 23, № 8, 1544—1545 (англ.)

Исследовалась зависимость рассеяния воды от угла рассеяния на аппаратуре, описанной ранее (Zimm B. H., J. Chem. Phys., 1948, 16, 1099). Результаты представлены графически и сравнены с кривой, вычисленной по ф-ле Штокмейера, которая справедлива для аназотропных частиц, возбужденных неполяризованным светом (измерения производылись с неполяризованным светом Нд-дуги). Автор делает вывод, что рассеяние воды мало отличается от релеевского, а отклонения связаны с ее молекулярной анизотропией. Значения релеевского при 90°для 3650 A 6,80·10⁻⁶ см⁻¹, для 4047 A 4,05·10⁻⁶ см⁻¹, для 4358 A 2,89·10⁻⁶ см⁻¹, для 5461 A 1,05·10⁻⁶ см⁻¹.

О. Юрьева 11067. Расширение ртути и расплавленной двужием кремния между 0 и 300°. К ук (The expansion of mercury and fused silica between 0 and 300 C. C o o k A. H.), Brit. J. Appl, Phys., 1956, 7, № 8, 285—293 (англ.)

Обзор методов определения коэфф. термич. расширения жидких Hg и SiO₂. Автор приходит к выводу, что метод гидростатич. уравновешивания холодного и натрестого столбиков Hg является наиболее удовлетворытельным. Одна из предложенных ранее (Beattie J. А. и др., Proc. Amer. Acad. Arts Sci., 1941, 74, 371—388) ф-л наиболее точно описывает расширение SiO₂.

11068. Полиморфные превращения в жидкой мовохлоруксусной кислоте. Катаева Л. М., Ж. физ. химии, 1956, 30, № 3, 645—650

Измерялись плотность и вязкость (на вискозиметре Оствальда закрытого типа) монохлоруксусной к-пы в жидком и переохлажденно-жидком состоянии (46—70° с интервалами 1—2°). Установлено, что вязкость монотонно, а плотность линейно падает с ростом т-ры. Обработка результатов по известному способу (Славянский В. Т., Докл. АН СССР, 1947, 58 1077; РЖХвм, 1954, 28539; Yrany E. P., J. Amer Chem. Soc., 1938, 60, 2106; 1939, 61, 1734) позволила обнаружить 2 полиморфных превращения в жидкой монохлоруксусной к-те, соответствующих превращению модификация

r.

- K

ιφ̈-

OTO

eH-

40-

eH-110-

131

ан

a n

res-

ical d-

027

иип

-BO,

отаать

иым

.Н. 00);

.100 85): 30B в д-

угла

imm гредленaHHным

ным волы заны

кого CM-1

CM⁻¹.

ьева

KHCE

nsion 00 C.

₩ 8,

, **410**

и навори-J. A. -388)

SiO.

мазов

моно-физ.

метре

K-TN (46-

TP MO-

т-ры. (Сла-КХим,

1938,

2 110-

усной

каци

у→β и β→α. При построении графиков с функциональной шкалой для одного и того же полиморфного в-ва по многим стандартам найдено, что в некоторых случаях подиморфные превращения не отражаются на графике. В связи с этим указывается на необходимость формупровки дополнительных критериев, которым должно удовлетворять стандартное в-во в методе В. Т. Славинского.

Е. Бабенков

1069. Определение коэффициента диффузии в жид-кости методом насыщения из газовой фазы. Б а гров Н. Н., Веркин Б. И., Долгополов Д. Г., Ж. физ. химии, 1956, 30, № 2, 476—478 Излагается метод определения коэфф. диффузии

в жидкости путем ее насыщения парами другого в-ва. Предложены ф-лы: $\Delta Q/Q = C_0 (m/M) [1-8/\pi^2 \exp imes 1]$ $\times (-\pi^2 Dt / l^2)$ (1), $\Delta Q/Q = 4C_0 (m/M) \{1/\pi (\sqrt[4]{\pi}Dt/l)\}^{1/2}$ $-\exp(-l^2/Dt)] + [1 - \Phi(l/VDt)]$ (2), где $\Delta Q/Q$ относительное увеличение веса жидкости в результате диффузии, D — коэфф. диффузии, c_0 — конц-ия насыщ. р-ра паров в жидкости, l — глубина слоя жидкости, M и m — массы атомов р-рителя и растворенного в-ва, t — время. Ф-ла (1) относится к случаю $\pi \hat{D}t > l^2$ (большая продолжительность опыта или малая глубина жидшай продолжительность опыта или малай глуочна жид-кого слоя), ф-ла (2) — для случая $\pi Dt < t^2$. Метод со-стоит в построении эксперим. кривой $\Delta Q/Q = f(1/t)$, определении тангенса угла наклона (1/t < 1) и длины отрезка, отсекаемого на оси ординат (1/t > 1), вычислении отношения этих двух величин, равного $2\sqrt{Dt/\pi}$, из которого затем вычисляется величина D. Предложенный метод был проверен авторами на системе пары этилового спирта - октойль и показал хорошее совпадение эксперим. и вычисленных величин.

1070. Скорость и поглощение ультразвуковых воли в некоторых неассоциированных жидкостях под высоким давлением. Мифсуд, Нолл (Velocity and absorption of ultrasonic waves in several nonassociated liquids under high pressure. Mifs ud J. F., Nolle A. W.), J. Acoust. Soc. America, 1956, 28, № 3, 469—477 (англ.)

Методом отраженных импульсов измерены скорость и поглощение ультразвука в CCl₄, C₆H₆ и CS₂. Результаты представлены графически; величина v/v_0 (v — скорость звука при определенной т-ре и давлении, v_0 скорость звука при той же т-ре и атмосферном давлении) монотонно, почти линейно (во всех случаях кривив) монотонно, почти линейно (во всех случаях кривые обращены слабой выпуклостью вверх) растет с давлением p для CCl_4 1 $\ll v/v_0 \ll 1,45$ (50) и $1 \ll v/v_0 \ll 1,45$ (25) при $0 \ll p \ll 1360$ амм (в скобках указаны соответствующие т-ры), для C_6H_6 1 $\ll v/v_0 \ll 1,50$ (70), $1 \ll v/v_0 \ll 1,43$ (50) при $0 \ll p \ll 1360$ амм и $1 \ll v/v_0 \ll 1,21$ (25) при $0 \ll p \ll 1360$ амм и $1 \ll v/v_0 \ll 1,21$ (25) при $0 \ll p \ll 1360$ амм. Измерения проводились для CCl_4 на 4,85 и 10,0 Мец, для C_6H_6 на 5,0 Мец и пля CS_6 на 2.0 Мец. Ведицина α/α_o (α 5,0 Mец и для CS_2 на 2,0 Mец. Величина α/α_0 (α — соответствующие коэфф. поглощения) для всех исследованных в-в убывают от единицы приблизительно до 0,4 при 0 ≤ р ≤ 1360 атм, незначительно уменьшаясь с ростом т-ры при заданном давлении. Сопоставление результатов для CCl4 с теорией структурной релаксадии показывает, что эта теория приблизительно правильно предсказывает влияние давления на поглощение при постоянной т-ре, но расходится с наблюдениями в оценке величины поглощения и влияния давления на температурный коэфф. поглощения и на время ре-лаксации. Теория термич. релаксации, пуждающаяся, по мнению автора, в более корректной формулировке и требующая большего кол-ва данных по сравнению с полученными в данной работе, удовлетворительно согласует тем не менее наблюдения по поглощению с оценками влияния давления на время релаксации и на долю теплоемкости, обусловленную релаксацией;

кроме того, эта теория, по-видимому, в состояние объяснить избыточное поглощение в неассоциированных жидкостях. Показано, что ур-ние состояния Тонкса дает приблизительно правильную величину барич. коэфф. скорости звука в CS₂. В. Цукерман

 Соотношение между вязкостью и температу-рой кипения жидких гомологов. Палит (Interrelationship between viscosity and boiling point of homologous liquids. Palit Santi R.), J. Chem. Soc., 1956, Aug., 2740—2743 (англ.) Комбинируя ф-лу Этвёша и ур-ние Гульдберга Т (кр.) = 3T (кип.)/2 с другой ф-лой (Palit Indian J. Phys. 1952,

26, 627), автор получает следующее соотношение для ряда гомологов: $\ln{(\eta M)} = m_1 \ T$ (кип.) $+ m_2$. Здесь η — вязкость, M — мол. вес, m_1 и m_2 — постоянные. Сравнение этого соотношения с литературными данными для рядов углеводородов C_6-C_{17} и $C_{17}-C_{35}$ дало хорошее согласие. Получены следующие ϕ -лы, связывающие вязкость η , число атомов углерода n и M (в скобках указан литературный источник, из которого взята ϕ ункция ηM для вывода соответствующей ϕ -лы: $\ln \eta M =$ $=AM^{1/2}+C$ (Walker, J. Chem. Soc. 1894, 65, 193, 795); $\ln \eta M = A (20500n)^{1/9} + C$ (Aten J. Chem. Phys. 1937, In $\eta M = A(2000n)^{1} + C$ (Aceir J. Chem. 1 hys. 1007, 5, 260, ур-ние для монопроизводных парафинов) и $\ln \eta M = A \ln (n + 4,4) + C$ (Egloff, Sherman, Dull, J. Phys. Chem. 1940, 44, 730, ур-ние для углеводородов). Эти ф-лы также согласуются с литературными эксперим. А. Алмазов данными.

11072. Показатель преломления жидкого гелия. Эдуарде (The index of refraction of liquid helium. Edwards M. H.), Canad. J. Phys., 1956, 34, № 8, 898—900 (англ.)

В результате измерения показателя преломления в жидкого Не в области 1,5—4,0° (220 эксперим. точек) установлено, что прастет от~1,0296 при 1,6° до 1,0298 и далее убывает до 1,0257 при 4,2°. А. Алмазов 11073. Течение жидкого гелия через пористое стекло. Aткинс, Секи, Кондон (Flow of liquid helium through porous Vycor glass. Atkins K. R., Seki H., Condon E.U.), Phys. Rev., 1956, 102, № 2, 582—583 (англ.)

Исследовалось протекание жидкого Не через трубки диам. 0,7 и длиной 30 см из стекла Vycor (Nordberg M. E., J. Amer Ceram. Soc. Bull., 1944, 27,299). Пористое стекло заполняло 17 см длины трубок. Трубки по-гружались в жидкий Не и наблюдалась скорость выравнивания уровней в ванне и трубке после поднятия или опускания последней. Установлено, что заметное протекание Не II через поры появляется лишь при понижении τ -ры до значений, меньших крит. $T(\kappa p.)$. Величины Т(кр.) для разных значений среднего диаметра (d) пор (определенных из адсорбционных измерений) составили: 1,68 и 1,78°К при $d=57\,\mathrm{A}$,1,64°К при $50\,\mathrm{u}$ 1,36°К при 42А. Это находится в качеств. согласии с данными по сверхтекучести ненасыщ. Не-пленок, однако толщины пленок, соответствующие различным наблюден-ным Т_(ир.)(РЖХим,1956, 12546), в несколько раз меньше d. Различие может быть связано с наличием неподвижного пристенного слоя и с геометрич. неправильностью О теплопроводности газов и паров. Сэлча-

ну, Божен (Sue la conductibilité thermique des gaz et des vapeurs. Sálceanu Constantin, Bojin Stelian), C. r. Acad. sci., 1956, 243, № 3, 237—239 (франц.)

Описан метод измерения коэфф. теплопроводности газов и паров, отличающийся от обычных методов нагретой нити возможностью измерять одновременно сопротивление нагретой нити R и силу нагревающего тока. Нагретая нить образует с тремя другими сопротивлениями R_0 , R_1 , R_2 мост Уитстона. R_0 представляет собой

N

ак

ME

л

Be

3:

CE

B

H

ЗЬ

M

63

T

H

HE

магазин сопротивлений на 1000R: $R_1 \cong R$ и $R_2 = 1000R_1$. Мост питается от батареи, соединенной последовательно с потенциометром и реостатом. Точность измерения 0.03%. Исследуемый газ вводится в металлич. трубку, которая термостатируется при 30° и соединяется с Нд манометром и вакуум-насосом. Измеряется сила тока при вакууме в трубке Іо при заполнении трубки водородом (I_1) и исследуемым газом (I). Теплопроводность λ вычисляется по ф-ле: $\lambda = \lambda_1 (I^2 - I_0^2) / (I_1^2 - I_0^2)$, где λ_1 теплопроводность H₂. Потерями тепла за счет конвекции можно пренебречь. Применялись няти из Cu, Ag, Ni, Fe днам. 0,05-0,2 мм $\lambda \cdot 10^7$ H₂: 4,360; CO₂: 381: воздух: :612. Зависимость х от І2 при различных т-рах выражается прямыми, пересекающимися в одной точке. Отрезок от начала координат до этой точки соответствует потере тепла нитью и подводящими соединениями; величина этого отрезка зависит от предварительной Б. Анваер обработки нити.

11075. Температура инверсии дли термодиффузионного фактора газов. Кайл, Ро (The inversion temperature of gaseous thermal diffusion factors. Kyle E., Raw C. J. G.), J. S. Afric. Chem. Inst., 1956, 9, № 1, 1-4 (англ.; рез. африк.) Термодиффузионный фактор α , определяемый соотношением $\alpha=k_T/x_1x_2$ (x_1 и x_2 —молирные конц-ии двух

газов, k_T — термодиффузионное отношение теории Чапмена—Энскога), связан с абс. т-рой T ф-лой $\alpha = \alpha_0(1 - A/T)$. в которой со - предельное значение с при высоких т-рах и A — постоянная (Brown, Phys. Rev., 1940, 58, 661). Т-ра T_0 , при которой α меняет знак (точка инверсии), удовлетворяет равенству $1 - A/T_0 = 0$, так что Aвыражается через T_0 . Из этих соотношений получается $T_0 = T(\alpha_0 - \alpha)/\alpha_0$. Как известно (Stier, Phys. Rev., 1942, 62, 548; РЖХим, 1955, 33994), $R_T = \alpha$ (exp) / α (∞) $(\alpha (\exp))$ — эксперим. величина, $\alpha (\infty)$ — величина, рассчитанная для модели жестких сфер) связана с постоянными a и b соотношением $R_T \stackrel{\wedge}{=} a \ln{(T/b)}$. При т-ре инверсии $\ln (T_0/b) = 0$, так что T связана с b. Показано, кроме того, что в точке инверсии $(\partial \ln D/\partial \ln T)_p = 0.8$, где D-коэфф. диффузии, определяемый в известной теории (Hirschfelder и др. Molecular theory of gases and liquids. Wiley, 1954). Приведенные равенства позволяют оценивать T_0 по различным независимым данным.

A. Алмазов 11076. Интегральный эффект Джоуля-Томсона для водорода при низких температурах и давлениях до 120 amu. K ë п п е (Der integrale Thomson-Joule-Effekt von Wasserstoff bei tiefen Temperaturen und Drücken bis zu 120 atü. K о е р р е W.), Kältetechnik, 1956, 8, № 9, 275—279 (нем.)

на аппаратуре, сходной с описанной ранее (Zelmanov J. L., J. Phys. USSR, 1940, 3, 43), наблюдался эффект Джоуля-Томсона для водорода при 44,8 ≪ T ≪ 80,8° К и давл. до 120 ати. Результаты представлены энтальпийной диаграммой. При 64—80° измерения хорошо согласуются с данными других авторов (Johnston H. L. и др. J. Amer. Chem. Soc., 1946, 68, 2367). Энтропийная диаграмма, полученная ранее (Woolley H. W. и др., Виг. Stand. Journ. Res., 1948, 41, 379), должна быть несколько исправлена. См. также РЖХим, 4956 60983

1956, 60983. A. Алмазов 11077. Структовная теория стекол и растворов. Хаггинс (The structon theory of glasses and solutions. Huggins M. L.), Bull. Chem. Soc. Japan, 1955, 28, № 8, 606—613 (англ.)

В случае натровосиликатных стекол и многих жидких р-ров кривые, представляющие зависимость свойств от состава, обнаруживают определенные изломы. Для их объяснения вводится понятие структона, определяемого как «атом (молекула или группа атомов дан-

ного рода) в определенном окружении». Под последним понимаются только непосредственно соприкасающиеся атомы. Структура чистого кремнезема рассматривается состоящей из двух типов структонов: атома Si, окруженного четырьмя атомами О Si(4,0) и атома О между двумя атомами Si O(2Si). При добавлении Na₂О появляются структоны новых типов. Допустив присутствие в стекле определенных типов структонов, можно, исходя из принципа электронейтральности, вывести ур-ния, определяющие относительные кол-ва каждого типа структонов и границы составов, в которых присутствие этих типов возможно. Для объяснения зависимости уд. объема натровосиликатных стекол от состава автор подбирает комбинации типов структонов таким образом, чтобы области, в которых наблюдается линейная зависимость между указанными величинами, соответствовали определенной комбинации. а изломам кривой соответствовали переходы от одной комбинации к другой. Автор считает, что возможность подобного подбора свидетельствует о реальности допускаемых им типов структонов. Перегибы на диаграммах состояния состав — свойство жидких р-ров органич, соединений также истолковываются путем предположения об образовании различных типов структонов, состоящих в этом случае из органич, молекул. Предлагается правило, определяющее миним. число типов структонов в данной системе (см. РЖХим, 1956, 55194). Ю. Шмидт 11078. Радиоактивность некоторых стекол XIX сто-

летия. Мандевилл (The radioactivity of Victorian glass. Ман deville C. E.), J. Franklin 1956, Inst., 261, № 6, 666 (англ.) В прошлом столетии соединения урана, в частности диуранат натрия, часто применялись в качестве добавок к хрустальному и натрово-кальциевым стеклам для получения желто-зеленых оттенков. Присутствие соединений урана в трех образцах стекол обнаружено автором с помощью γ-счетчика. У этих стекол наблю-

действием УФ-лучей, характерная для группы $U0_2^2$. Ю. Шмилт

См. также: Термодинамика 10901, 11112, 11114, 11116, 11120, 11125. Межмол. взаимодействие 10836. Строение и физ. характеристики 11126, 11129—11138, 11151, 11164, 11165, 11185, 11204, 11209

далась также сильная зеленая флуоресценция под

изотопы

Редакторы В. И. Левин, В. В. Лосев, Г. А. Соколик

11079. Новые наотопы: Er¹⁷² и Tu¹⁷². Нетавей, Мичел, Нервик (New isotopes: Er¹⁷² and Tm¹⁷². Nethaway D. R., Michel M. C., Nervik W. E.), Phys. Rev., 1956, 103, № 1, 147—148 (1912)

Маучались изотопы Ти и Ег. Препарат ${\rm Er_2O_3}$ (18 мг) облучался нейтронами из реактора в течение 3 дней. Отделение Ти от Ег производилось в понообменной колонке, наполненной смолой дауэкс-50 (элюнрование—1 мин. молочной к-той). Найдена новая активность ${\rm Tu}^{1/2}$, равная 15 000 распадов в минуту с $T_{1|_2}$ 63,6 \pm 0,3 часа. Найдена также новая активность ${\rm Er}^{1/2}$ с $T_{1|_2}$ 49,8 \pm 1 часа. $T_{1|_2}$ были получены в результате исследования графика зависимости значения активности с учетом поправки на неодинаковое время роста различных образдов от времени. Исправленные активности A для Ти задаются Φ -лой: $A = \{A'[\exp{(-\lambda_1 t_s)} - \exp{(-\lambda_2 t_s)}]/[\exp{(-\lambda_1 t)} - \exp{(-\lambda_2 t_s)}]\}[(Tu)_{\rm BMX}(Er)_{\rm BMX}]^{-1}$, где A'—наблюдаемая

Я

ri,

a

ki-

)-

Ħ

T

0-

оии,

rb-

y-M-

a-

Д-

Л.

ПО

M,

ПТ

0-

oin

тн

เล-

ам

не но 10-

LO

TIL

14.

36.

38.

ĸ

ñ,

172 P F-

148

мг) ей.

ко-

172

aca.

aca.

ика вки

то в

)-

мая

активность для Tu, t — время роста, а t_s — стандартное время отсчета. γ -Спектр Tu¹⁷² исследовался с помощью 50-канального анализатора импульсов и спектрометром с NaJ(Tl). Были получены γ -линви с E 1,79; 1,44; 1,09 и 0,076 M эв. Подтверждены полученые ранее значения $T^{\rm H}$ 5 для ${\rm Er}^{165}$ и ${\rm Er}^{171}$, равные 10 и 7,5 час. соответствение. 11080. Нейтронно-дефицитные изотоны Pb и Tl. II. Массовые числа 204, 202, 201 и 200. Бергквист, Бергстрём, X ерландер, X ульт

II. Массовые числа 204, 202, 201 и 200. Бергквист, Бергстрём, Херландер, Хультберг, Слетис, Соколовский, Вапстра, Видлинг (Neutron deficient isotopes of
Pb and Tl— II. Mass numbers 204, 202, 201, and 200.
Bergkvist K. E., Bergström I., Herrlander C. J., Hultberg S., Slätis H.,
Sokolowski E., Wapstra A. H., Wiedling T.), Philos. Mag., 1955, 46, № 372, 65—69
(англ.)

Йз ТІ, облученного дейтронами с Е (макс.) 25 Мэє протонами с Е (макс.) 190 Мэє, пзвлекалась почти свободная от носителей активность Рв. Найдены Е_γ-пзлучения изомера Рь^{204т}, равные 913, 374 и 899,3 кэє. Показано, что слабые конверсионные линии с Е_γ 460, 383 и 401 кэє, отпесенные ранее к γ-лучам Ръ²⁰², принадлежат γ-переходам в ТІ. Предполагается, что примерно в 10% случаев Ръ^{202т} распадается К-захватом в изомерное состояние ТІ^{202т} с малым Т_{1|2}. При распада Ръ²⁰¹ обнаружено свыше 15 γ-линий. При этом не получено указаний на существование в Ръ²⁰¹ долгоживущего изомерного состояния. Т_{1|2} изомерных состояний Ръ²⁰⁰ не превышает часа. Найдены конверсионные линии. ТІ²⁰⁰ с Т_{1|2} 27 час. (Сообщение I см. РЖХим, 1956, 77266.)

П. III.

11081. Свойства Вк²⁴⁵. Магнуссоп, Фридман, Энгелкемейр, Филдс, Уагнер
(Properties of Вк²⁴⁶. Magnusson L. B.,
Friedman A. M., Engelkemeir D.,
Fields P. R., Wagner F., Jr), Phys. Rev.,
1956, 102, № 4, 1097—1103 (англ.)

Налучения Bk^{245} с T_{n_2} 5 дней намерены электронным спектрометром, люминесцентным спектрометром и анализатором α -импульсов. Наблюдались электроны конверсии, соответствующие переходам с $250 \leqslant E \leqslant 390$ кае. Электромагнитный спектр содержит L и K-рентгеновское излучение, а также γ -лучи с E 250 и 380 кае. Bk^{245} распадается через захват электрона (L/K=0,33) на уровень Cm^{245} с E 250 кае. Коэфф конверсии указывают на принадлежность 250-кае перехода к типу M 1. 60% разветвленного распада идет на уровень с 630 кае. Время жизни возбужденных состояний меньше $2\cdot10^{-9}$ сек. T_{1_2} α -распада равен 13 лет. Найдены 3 α -группы с E 5,89; 6,17 и 6,37 M ае. Приведена схема распада. Пернод полураспада Ag^{110} . Бреслав В. И. Latv. PSR zinātņu Akad. vēstis, Изв. АН ЛатвССР,

Исследовался распад γ -активного Ag^{110} , полученного по р-циям (d, p) и (n). $T_{1|2}Ag^{110}$ измерен методом дифференциальных ионизационных камер. В качестве эталона использован Co^{60} . $T_{1|2}$ вычислялся по ф-ле $T_{1|2}=\ln 2 \cdot t / \ln [l_0/l_0-\Delta t]$, где t— время измерения, l_0 — понизационный ток в момент t=0, а Δl — разность токов в данный момент времени. Ag^{110} был приготовлен в виде металлич. фольги. Измерение велось 3 месяца. $T_{1|2}$ найден равным $288,7\pm2,0$ дня. Полученый результат расходится с данными по измерению $T_{1|2}$ Ag^{110} с помощью Γ -. М.-счетчиков. Г. Соколик

11083. Распад Са⁴⁹ и Sc⁴⁹. Мартин, Корк, Берсои (Decay of Ca⁴⁹ and Sc⁴⁹. Martin D. W., Cork J. M., Burson S. B.), Phys. Rev., 1956, 102, № 2, 457—458 (англ.)

С помощью 256-канального анализатора импульсов и люминесцентного спектрометра с NaJ (Tl) изучен распад $\mathrm{Ca^{49}}$ (измеренный $T_{1|2}$ 8,9 \pm 0,2 мин.) и его дочериего ядра $\mathrm{Sc^{49}}$. Найдены 2 β -компоненты с E 2,12 \pm 0,10 и 1 M_{26} , находящиеся в совпадении с γ -квантами 3,07 \pm 0,05 и 4,04 \pm 0,06 M_{26} соответственно. Подтверждено существование слабой γ -линии с E 4,7 M_{26} . Дочерний $\mathrm{Sc^{49}}$ испускает β -частицы с E 2,05 M_{26} . Предложена схема распада $\mathrm{Ca^{49}}$ и $\mathrm{Sc^{49}}$. $\mathrm{T_{1|2}}$ $\mathrm{Sc^{49}}$ найден равным 57.2 мин.

11084. Распад Th²³⁰. Бут, Маданский, Разетти (Decay of ionium Th²³⁰. Вооth Е., Маdansky L., Rasetti F.), Phys. Rev., 1956, 102, № 3, 800—801 (англ.)

Распад Тh²⁹⁰ изучэлся методом 3, γ -совпадений. Полный коэф. конверсии γ -излучения 68 κ эв окзаался равным $\alpha=46\pm5$. Измерения велись с помощью люминесцентного спектрометра с NaJ (Tl). Показано, что γ -лучи с E 255 не находятся в совпадении с γ -лучение с E 442 и 68 κ эв, что позволяет связать излучение с E 255 κ эв с переходом в основное состояние. Состояния ядра с E 68 и 210 κ зв описаны с помощью учета вращательных уровней. Исправленное $T_{1/2}$ для 68 κ зв-состояния Ra^{226} , соответствующее внутреннему квадруспольному моменту 7,7 барв, равно 4,7·10-8 сек. Среднее время жизни 68 κ зв-состояния $Ra^{226} \leqslant 10^{-9}$ сек.

Г. Соколик 11085. Распад Sb¹²⁵. Лазар (Decay of Sb¹²⁵. Lаzar N. H.), Phys. Rev., 1956, 102, № 4, 1058—1062 (ангд.)

Методами люминесцентной спектрометрии изучен γ -спектр $\mathrm{Sb^{125}}$ ($T_{1/2}$ 2 ,0 \pm 0,2 года). Обнаружены следующие γ -линии (E в M_{26}): 0,637; 0,595; 0,463; 0,427; 0,377; 0,320; 0,214; 0,205; 0,175; 0,175; 0,113. Полученые дзиные согласуются с наличием следующих уровей T_6^{125} (E в M_{26}). 0,035; 0,175; 0,320; 0,463; 0,525; 0,637; 0,677. Приведена схема распада $\mathrm{Sb^{125}}$. А. М.

11086. Некоторые данные о радноактивном превращении Tb¹⁶¹ (7 дней)—Dy¹⁶¹. Баллини, Барлуто (Quelques renseignements sur la transformation radioactive ¹⁶¹Tb (7 jours)¹⁶¹ Dy. Ballini René, Barlo utaud Roland), J. phys. et radium, 1956, 17, № 6, 498—499 (франц.)

На основании новых опытных данных авторы отказываются от предложенной ими ранее (РЖХим, 1956, 42232) схемы распада Тъ¹⁶¹. В. Левин

11087. Радиохимия деления (деление на низких энергиях). Глендении, Стейнберг (Fission radiochemistry (low-energy fission). Giendenien L. E., Steinberg E. P.), Annual Rev. Nuclear Sci., Vol. 4, Stanford, Calif., 1954, 69—80 (англ.)
Обзор. Библ. 62 назв. В. Л.

11088. Радиохимические исследования в Корнелле. Брейден (Radiochemical research at Cornell. Braden Robert T.), Cornell Engr, 1956, 21, № 8, 16—18, 48 (англ.)

Краткий обзор.

В. Левин 11089. Упрощенный метод расчета накопления продуктов радиоактивного распада. Керби, Креме р (Simplified Procedure for Computing the Growth of Radioactive Decay Products. Кіг b у Н. W., Кгемег D. А.), Analyt. Chem., 1955, 27, № 2, 298—299 (англ.)

Предложено видоизменение ур-ния Бейтмана, которое в сочетании с составленными авторами таблицами

11

по

ду

ча

ак

па

0.0

AF

пр

11

OT

19

ne:

ни

BO

c Z

BH

no c l

9e(

11

na:

HH

11

дает возможность быстро находить числовые коэфф. ур-ния накопления данного продукта радиоактивного распада.
В. Левин

11090. Использование энергии отдачи для отделения продуктов деления. Волфганг (Nuclear recoil as a means of fission product separation. Wolfgang Richard), J. Inorg. and Nuclear Chem., 1956, 2, № 3, 180—183 (англ.)

При проведении процесса деления в гетерог. системе с частицами делящегося материала меньшими, чем миним. пробег продуктов деления (ПД) (~8 µ в U₂O₈), последние можно отделять от исходного в-ва и от продуктов-актинидов. Взвесь U₃O₈ (с размерами частиц <1µ) в 3%-ном р-ре желатины облучалась нейтронами. После отделения облученной U₃O₈ от р-ра в ней обнаружена активность только U²³⁸, Nр²³⁹ и продуктов радиоактивного распада U²³⁸, но не активность ПД. Этим методом ПД были отделены на 99%, а U²³⁹WNр²³⁹ остапись в частицах U₃O₈. Метод пригоден для получения радиохимически чистых актинидов и конц. смеси ПД; его применение для ядерного реактора позволит устранить сложные процессы переработки облученного горючего и получать ПЛ в конц. виле. В. Левии

и получать ПД в конп. виде. В. Левин 11091. Получение Co⁵⁸ без носителя облучением никеля в реакторе. Мелли ш, Пейн (Production of carrier-free cobalt-58 by pile irradiation of nickel. Mellish C. E., Payne J. A.), Nature, 1956, 178, № 4527, 275—276 (англ.)

Металлич. Ni подвергали облучению в реакторе тепловыми и быстрыми нейтронами. Со отделялся от Ni хроматографически из р-ров в 9 н. HCl с помощью анионита. Сечение р-цин Ni⁵⁸ (n, p) Со⁵⁸ равно 44—47 м бари (при расчете на Ni⁵⁸). В полученном Со⁵⁸ содержалось ~0,06% Со⁶⁰, половина которого образовалась по р-ции (n, γ) из примеси Со к Ni, а остальное кол-во по р-ции (n, p) Со⁶⁸. Других радиохимич. загрязнений не обнаружено.

В. Левин

11092. Применение газовой хроматографии для разделения смесей радиоактивных веществ без носителей. Продукты химических реакций, возбужденных ядерными процессами. Эванс, Уиллард (Use of gas phase chromatography for the separation of mixtures of carrier free radioactive substances: products of chemical reactions activated by nuclear processes. Evans James B., Willard John E.), J. Amer. Chem. Soc., 1956, 78, № 12, 2908—2909 (англ.)

Газо-жидкостная распределительная хроматография применена для разделения микроколичеств содержащих радиоактивный В[®] органич. продуктов р-ций, протекающих при облучении и-C₃H₇Br (I) нейтронами и при растворении в I брома, содержащего Вг^{80m} (4,4 час.) (изомерный переход Вг^{80m} (4,4 часа) → Вг⁸⁰ (18 мин.)). Хроматограммы в обоих случаях имеют аналогичный вид и содержат ~ 20 пиков, соответствующих различным органич. радиоактивным бромпроизводным. Первый пик соответствует ~ 10⁻¹³ г СН₃Вг⁸² или 10⁻¹⁵ г СН₃Вг⁸⁰ (18 мин.). В. Левин

11093. Исследование изотопного состава лития. О р джоники дзе К., Шютце В., Ж. эксперим. и теор. физики, 1955, 29, № 4, 479—485

Исследованы эффекты разделения изотопов Li при испарении ионов Li⁺ с поверхности W-порошка и при ионизации молекулярных пучков соединений Li электронным лучом. В первом случае в интервале т-р 800—1200° при испарении ионов Li⁺ отношение Li⁷: Li⁶ увеличивается со временем, начиная от значения 11,42. При более высоких т-рах Li⁷: Li⁶=12,48±0,02, что практически совпадает с истинным значением (12,47±0,02), полученным интегральным методом. Описанным способом измерен изотопный состав Li в четырех мине-

ралах. Во втором случае обнаружены небольшие эффекты разделения.
Л. Горохов 11094. Исследование изотопного состава бора.
Ш ю т ц е В., Ж. эксперим. и теор. физики, 1955, 29, № 4, 486—489

Для измерения изотопного состава В использовался ряд препаратов различного происхождения. Обнаружено значительное разделение при фракционированном разложении КВГ4, причем вначале разлагается больше КВ¹¹ F4, чем КВ¹⁰ F4. Обнаружено также, что при испарении В2О3 и Nа₂В4О7 в газообразную фазу переходит больше молекул, содержащих В¹¹, чем В¹⁰, Приведены результаты измерений отношения В¹¹: В¹⁰ для различных образнов соединений В. Л. Горохов 11095. Влияние скорости потока на разделение в колоннах Клузиуса—Диккеля. Давид (Einfluss eines Durchsatzes auf den Trenneffekt bei Clusius—Dickel-Trennrohren. David Erwin), Z. Phys., 1954, 137, № 3, 274—279 (нем.)

Теоретический анализ вопроса о влиянии потока газа в осевом направлении на эффективность разделения изотопов в колоние Клузиуса—Диккеля. Показано, что в идеальной колоние такое влияние отсутствует. Наблюдавшееся на опыте (РЖХим, 1955, 9164) падение эффективности разделения с ростом скорости потока объясняется нарушениями циркуляции, имеющими место в реальной разделеньой колоние из-за наличия тройников для центрирования проволоки. В. Левии 11096. Разделение некоторых изотопов конвективной диффузией. Хейман, Кистемакер (Separation of some isotopes by convection diffusion. Heyman n D., Kistemaker.) Семе. Phys., 1956, 24, № 1, 165—166 (англ.)

Проведены опыты по разделению изотопов Ne, Ar, H, O, N с помощью описанного ранее (Korsching H., Z. Naturforsch., 1951, 6a, 213; Cichelli и др., Chem. Engng Progr., 1951, 47, 63, 120) принципа, основанного на использовании конвективной диффузии сквозь пары жилкостей. Жилкость (метанол или вода) помещалась под давлением в несколько метров собственного столба в фарфоровую трубку (диам. 2 см., длина 90 см), в которой заключена нагревательная спираль. Жилкость проникала сквозь поры трубки, испарялась с ее внешней поверхности и конденсировалась на стенках стеклянной трубки, окружающей фарфоровую трубку с зазором 0,7 см, в котором находился разделяемый газ. Эксперим, определенная высота, эквивалентная теоретич. тарелке, для системы Ne (20/22) — вода равна 2-3 см; для системы Аг (36/40) — метанол 6—7 см. Найденные коэфф. разделения для некоторых опытов сопоставлены рассчитанными. 11097. Получение концентратов N15 на каскадной

11097. Получение концентратов № на каскадной установке методом химического обмена. О т т е с е в Б. В., А э р о в М. Э., Ж. физ. химин, 1956, 30, № 6, 1356—1366

Описана установка для получения 0,5 г азота в виде NH₃ в сутки с конц-ией N¹⁵ 40 ат. %. Обогащение N¹⁵ упроисходит по р-ции: (N¹⁴H₄)⁺_p + (N¹⁵H₃)_{газ} ⇒ (N¹⁵H₄)⁺_p + (N¹⁴H₃)_{газ}. Каскад состоит из 3 стеклявных колони (К1, К2, К3) с насадкой высотой по 9,4 м. Диаметр в мм: К1 62, К2 25; К3 10. Насадка из цилиндрич. спиралей (диам. и высота 2—4 мм), свитых из стальной проволоки (марки ЭЯ1-Т) диам. 0,2 мм. 40%-ный р-р NH₄NO₃ (4,2 м/час) подается диафрагменно-плунжерным насосом в К1, по выходе из которой 0,5 м/час р-ра поступает в К2, а 3,7 м/час в реакционную камеру, соединенную с отпарной колонной с насадкой, где действием щелочи из NH₄NO₃ выделяется NH₃, поступающий далее в К1. 10% р-ра прошедшего К2, идет в К3, а из остального кол-ва аналогичным путем выделяется NH₃, поступающий

7 r.

-**∯**€

OXOB

ался

Уже-

HOM

ьше

ис-

exo-IDH-

пла

OXOR

eines

ckel-

954

газа

изо-

ITO B

блю-

объ-

лесто нчия евин

вной

Sepa-

sion.

hem.

e,Ar,

I., Z.

hem.

ван-

CROSL

етта-

ного

(cm), Жид-

ось с нкат

убку

i ras.

етич.

3 cm;

нные

пены

PRIN

цной

cen

виде

цение

ras ~

КЛЯН-

9,4 м.

сви-

диам. ается

де из

час —

олон-

H₄NO₃ p-pa,

сол-ва йишо К2. На выходе из К3 отбирается конечный продукт. Из остального p-ра выделяется NH₈, поступающий в КЗ.

1098. Использование фотораспада дейтерия для его аналитического определения. Удеблад (Photo-disintegration of the deuteron for deuterium analysis. Odeblad E.), Clin. chim. acta, 1956, 1, No 1,

67-74 (англ.; рез. нем., франц., русс.) Ядерная р-ция $d(\gamma, n) p(1)$ использована для анализа различных в-в на содержание дейтерия. Источником за различных в в не содержание дентерии: неготываем, у-излучения служит образец Na²⁴Cl (~100 мкюри), помещенный в AL-патрон вблизи (или внутри) исследуемого образца. Испускаемые по р-ции (1) нейтроны замедляются до тепловых энергий в слое парафина и частично поглошаются Іп-фольгой (0,5 г/см2), окру-После 40-минутного облучения жающей образец. активность образовавшегося в фольге ln 116m измеряется на спинтилляционном счетчике. Предел обнаружения D 0,03 ат. % D в H₂O. При 0,3% D ошибка ~3%. Активность In возрастает линейно с кони-ней D в пробе. Метод применялся для анализа биологич. пре-В. Левин паратов, живых животных и т. п.

Определение содержания трития в воде, меченной тритием. Дженки пе (Estimating the tritium content of tritiated water. Jenkins Wilmor A.), Analyt. Chem., 1953, 25, № 10, 1477—1480 (англ.)

В воде, содержащей Т, растворяют NH4Cl, причем происходит обмен, затем воду испаряют и активность NH₄Cl определяют Г.-М.-счетчиком с проточным газом в условиях бесконечной толщины образца. Активность воды рассчитывают с помощью заранее определенного отношения активности определенной навески NH₄Cl к уд. активности воды; это отношение не зависит от конц-ии NH₄Cl при обмене, если последняя <2 г/10 мл H₂O, и падает при больших конц-иях NH₄Cl. Ошибка определения Т составляет 15%. См. также РЖХим, 1956, 46291,

1100. Эталон воды, меченной тритием. Рик, Май-ерс, Палмер (A tritiated water standard. Rieck H. G., Myers I. T., Palmer R. F.), Radiation Res., 1956, 4, № 6, 451—466 (англ.) 5 образцов воды, меченной Т, были приготовлены 11100.

окислением Т2, чистота которого предварительно определена масс-спектрографически. Один из этих образцов был использован для абс. определения активности Т в эта доне двумя методами: Г.-М.-счетчиком с внутренним заполнением и в ионизационной камере (ИК). Проба воды восстанавливалась металлич. Zn. Образовавшиеся Н. и Т. вводились внутрь счетчика и смешивались с Аг и спиртом. В ИК проба воды вводилась в жидком виде: измерялась ионизация, вызванная насыщ. водяным паром. Абс. уд. активность эталона (в мкюри/ма): по данным измерений: с Г.—М.-счетчиком 0,196±0,008; с ИК 0,206+0,008; по данным, рассчитанным теоретически, исходя из масс-спектрографич. данных, 0,206+ $\pm 0,004.$ В. Левин

101. Изучение метода совпадений для абсолютной градуировки источников Na²⁴, Co⁸⁰ и Sc⁴⁶. В у ч ч н-11101. но (Étude de la méthode des coincidences appliquée à l'étalonnage absolu du ²⁴ Na, ⁶⁰ Co et ⁴⁶Sc. V u c c i n o S., m-m e), J. phys. et radium, 1955, **16**, № 6, 462—468 (франц.)

Подробно рассматриваются различные поправки при абс. градуировке источников методом ву-, и уу-совпадений и приводятся результаты контрольных измерений эталонных препаратов.

1102. Ra-эквивалент источников Na²⁴ и поперечное сечение фотораспада дейтерия. Мак-Меррей, Колли (The radium equivalent of ²⁴Na sources and the photodisintegration cross section of deute-

rium, McMurray W. R., Collie C. H.), Proc. Phys. Soc., 1955, A68, N 3, 181-188 (aura)

Для определения абс. активности источников Na²⁴ по дел определения асс. активности источников ка- по методу совпадений сконструирован стабильно ра- ботающий пропорциональный счетчик β-частиц (заполнение смесью СН₄ и Аг (25%)), γ-Излучение измерялось Г.-М.-счетчиком и сцинтилляционным счетчиком. Образцы облученного Na₂CO₃ сравнивались с Ra-эталоном в понизационной камере. Этим методом определен Ra-эквивалент Na²⁴, равный 0,333±1,5% мкюри/мг.

Определение радиоцезия в смеси продуктов детоз. Спределение радиоцезии в смеси продуктов де-ления. X a·н, Баккер (Determination of radio-cesium in fission-product mixtures. Hahn Ri-chard B., Backer Roy O.), Nucleonics, 1956, 14, № 5, 90, 92—95 (англ.) Содержание радиоцезия в продуктах деления опре-

делялось осаждением дипикриламином с носителем стабильным Сs или K при различных кол-вах носителей. Дипикриламинат K количественно захватывает Св (оптимальное кол-во носителя 5 ме). Исследовано отделение Сs от Zr^{95} — Nb^{95} , Sr^{90} — Y^{90} , Ru^{106} — Rb^{106} и Ce^{144} — Pr^{144} . Для очистки Cs от радиоактивных примесей достаточно трехкратного осаждения SrCO3 и Fe (OH)₃. При попытке использовать осаждение CsAl (SO₄)₂ и CsJO₄ для определения радиоцезия получены плохие результаты. В. Левин

Определение удельной активности счетчиком бета-частиц и фотонов ультрафиолетового излучения, Прайс, Хадсон (Specific-activity determina-tion with beta- and UV-photon counter. Price T. D., Hudson P. B.), Nucleonics, 1955, 13,

№ 3, 54, 56, 58 (англ.)

Для оценки радиохим. и хим. чистоты препаратов, меченных радиоактивными индикаторами, применена хроматография на бумаге. Полученная хроматограмма (X) располагается горизонтально на ящике, в котором находится ртутная лампа и монохроматор УФ-лучей. Над Х располагается торцевой В-фотонный счетчик с катодом, чувствительным к УФ-лучам (Си,А1). Чтобы выделить определенный участок X, на нее накладывается Рb-маска с прямоугольной щелью для β-частиц и УФлучей, проходящих от лампы через Х. Перед счетчиком лучен, продукция от манин через и перед статили помещают или кварцевый фильтр (непроницаемый для β-частиц) или желатиновую пленку (непроницаемую для УФ-лучей). Раздельно снимают и сравнивают кривые оптич. плотности и радиоактивности и по отношению этих величин определяют уд. активность каждогоучастка Х. Описанным способом удается количественно оценить наличие: 1) радиоактивной непоглощающей примеси, располагающейся на Х впереди изучаемого радиоактивного в-ва; 2) радиоактивной непоглощающей примеси, накладывающейся на это в-во, но не совпадающей с ним; 3) радиоактивной поглощающей примеси с уд. активностью, отличной от уд. активности основного в-ва; 4) нерадиоактивной поглощающей примеси.

Л. Мартищенко Специфические ошибки и нижний предел 11105.

обнаружения активности при определении C14 в газовом пропорциональном счетчике. Кристман, Вулф (Inherent errors and lower limit of activity detection in gas-phase proportional counting of car-bon-14. Christman David R., Wolf Al-fred P.), Analyt. Chem., 1955, 27, № 12, 1939—1941

Установлена точность определения С14 в газовых пропорциональных счетчиках по описанному ранее методу (РЖХим, 1956, 78510). Инструментальные ошибки складываются из ошибок: в калибровке манометра на линии заполнения счетчиков СО2 (величина ошибки ±0,73%), в приведении давлений к стандартной т-ре

(npe

enca

KOTO

объе

мен

мы.

 d^2x_2

 L_{12}

при

1111

CT

фı

Стат

дина

лина

He 1

при

B (F

Mari

nap.

CHCT

3H E

ках

физи терм

1111

71 He

деле

Z. P

лож

3Ы Е

BOSM

1111

Б

B

По

энтр

 λn_1

 $E_{S,}$

1111

Ho (A

HO

ДI No

Y

идеа

СВЯЗ

явля

полн

инде ному $dS_2 =$ $= \partial$

1111

JO

(V

Ph 4 x

(<0,2%), в отсчетах по манометру $(\pm0,2\%)$, в определении чувствительного объема счетчика (±0,5%), в определении эффективности счета (±1,93%). Кроме того, учтены статистич. ошибки счета радиоактивности. Приведена таблица величин суммарной ошибки в зависимости от измеряемой скорости счета и величины инструментальных ошибок (2;3 и 4%). Для скорости счета ~300 отсчетов в 1 мин. можно добиться точности +2% путем проведения ряда повторных анализов. Для определения нижней границы обнаружения активности проведен ряд измерений с бензойной к-той известной активности, которая разбавлялась неактивной бензойной к-той. Установлено, что активность, соответствующую 2 отсчетам в 1 минг, можно определить со стандартной ошибкой +20%, что и принято за нижний предел обнаружения активности. В. Левин Применение стабилизирующих агентов при измерении активности радиоактивных коллоидов в жидком состоянии. Прейсс, Вани (Stabilisation agents in well counting for reproducible assay of radioactive colloids. Preuss L.E., Vann A.), Atomics, 1956, 7, № 7, 260-261 (англ.)

Суспенани биологич. происхождении, содержащие Au^{199} , предложено стабилизировать добавками коллоидов для предотвращения оседания более крупных частиц при измерениях радиоактивности в сцинтилляционном счетчике для жидкостей. Наилучшие результаты дает индийская камедь, можно применять также агар-агар, гуммиарабик.

В. Левин 1107. Процесс Сцилларда-Чалмерса для осмия из

процесс Сцилларда-Чалмерса для осмия на миниеней гексахлороосмеата. М и т ч е л л, М а р т и н (Szilard-Chalmers process for osmium from hexachloroosmate (IV) tragets. M i t c h e I l R u s s e l l F., M a r t i n D o n S., J r), J. Inorg. and Nuclear Chem., 1956, 2, № 5—6, 286—289 (англ.) Радиоактивный Оs, образовавшийся по р-ции Оs¹⁰²

Радиоактивный Оs, образовавшийся по р-ции Оs¹⁹² (у, n) Оs¹⁹¹, ¹⁹¹m в мишени из (NH₄)₂OsCl₆, концентри ровался отгонкой ОsO₄ из азотнокислого р-ра мишени. В первых порциях отгона (~6% всего Оs) собирается по 62% активности. ОsO₄ не присутствует в облученной мишени, а образуется при окислении азотной к-той. Обогащение зависит от относительной скорости окисления OsCl₆² и тех форм, в виде которых присутствует радноосмий. Большая часть последних окисляется быстрее, небольшая часть медленнее, чем OsCl₆². С мишенью CsCl₆. В. Левин 11108. Исследование производственных процессов.

Гини (Following large-scale processes. Guinn. P.), Nucleonics, 1956, 14, № 5, 68—69 (англ.) Перечислено применение ряда изотопов (Zr⁹⁵, Ba¹⁴⁰, Sb¹²⁴, Co⁸⁰, J¹³¹, H³, Kr⁸⁵) для исследования и контроля промышленных процессов в нефтяной пром-сти, металургии и других областях.

В. Левин 1109. Радиоизотопы — удобное орудие исследова-

1109. Радионзотопы — удобное орудие исследования. Калкинс (Radioisotopes — versatile research tools. Calkins G. D.), Nucleonics, 1956, 14, № 5, 42—43 (англ.) Приведен ряд примеров применения радиоизотопов

в технич. исследованиях.

В. Левин 11110. Измерение плотности с помощью излучения.

О март (Radiation measures density. O h mart Philip E.), Nucleonics, 1956, 14, № 5, 62—63

Перечислены преимущества радиационных приборов (с использованием Cs^{137} и Co^{60}) для измерения плотности жидкостей, суспензий, контроля уровня и т. п.

11111. Изотопы разрешают проблемы смешивания. Халл, Фрис, Тьюксбери, Кирис (Isotopes solve mixing problems. Hull D. E., Fries B. A., Tewksbury J. G., Keirns G. H.), Nucleonics, 1956, 14, № 5, 50 (англ.), Перечислено несколько примеров применения радиомотопов для исследования процессов смешивания материалов в промышленности.

В. Левин

См. также: Изотопные эффекты 10823. Изотопный обмен 11224, 11232, 11235, 11282, 11283, 11298, 11570, 11574. Измерение активности 11316, 11318, 12253, 12256, 12260—12262, 12286, 14278. Применение: в исслед. кинетики и механизма р-ций 11394, 11573, 11581—11584, 11603, 14098; в физ. процессах 10994, 11060, 11064, 11354; в биохимии 3385Бх, 3469Бх, 3498Бх, 3501Бх, 3502Бх, 3525Бх, 3574Бх, 3580Бх, 3602Бх, 3609Бх, 3612Бх, 3626—3628Бх, 3633Бх, 3655Бх, 3668Бх, 3712Бх, 3719Бх, 3729Бх, 3837Бх, 3839Бх, 3851Бх, 3863Бх, 3893Бх, 3905Бх, 3906Бх, 3912Бх, 3995Бх, 3995Бх, 3995Бх, 3995Бх, 3995Бх, 4046Бх, 4028Бх, 4040Бх, 4045Бх, 4051—4053Бх, 4061Бх, 4072Бх, 4075Бх, 4077Бх, 4094Бх—4096Бх, 4115Бх, 4116Бх, 4196Бх, 4206Бх, 426Бх, 426Бх, 4229Бх, 4232Бх, 4234Бх, 4240Бх, 426Бх, 4366Бх; в пром-сти 12241; в аналит. химни 11965, 12053, 12059. Хим. технол. вопросы ядерной техники 12317, 12320, 12321, 12324. Изотопы в геохимии 11488, 11494—11497, 11502, 11503, 11509, 11548, 11550, 11566. Др. вопр. 10817–10819, 11158, 11345, 11397, 11427, 12028, 12060, 12079, 12093, 12258, 12259

ТЕРМОДИНАМИКА. ТЕРМОХИМИЯ. РАВНОВЕСИЯ. ФИЗИКО-ХИМИЧЕСКИЙ АНАЛИЗ. ФАЗОВЫЕ ПЕРЕХОДЫ

Редактор В. А. Соколов

11112. О связи принципа минимума Штеенбека с термодинамическим принципом минимального прироста энтропии. И е т е р с (Über den Zusammenhang des Steenbeckschen Minimumprinzips mit dem thermodynamischen Prinzip der minimalen Entrepieerzeugung. P e t e r s T h.), Z. Phys., 1956, 144, № 5. 612—631 (нем.)

Известно, что радиус (или т-ра) электрич. дуги для установившегося разряда таков, что при постоявном токе напряжение на дуге минимальное (принцип Штеенбека). Рассматривается связь этого принципа с принципом миним. прироста энтропии термодинамики необратимых процессов. Законы сохранения (в частности массы и энергии) суть ур-ния Эйлера экстремальной проблемы, соответствующей принципу миним. прироста энтропии; в общем виде это показано ранее (Mazur P., Bull. Acad. Roy Belg. Cl. Sci., V. Ser., 1952, 38, 182; Wergeland H. Kgl. norske videnskab. selskabs forhandl.. 1950, 23, 110). На основе этого принципа сформулирован в пренебрежении неэлектрич, силами общий вариационный принцип, из котрого принцип Штеенбека вытекает как частный случай. Рассмотрены некоторые вопросы каналовой модели столба дуги. Указано на ограниченность феноменологич. теории необратимых процессов, в частности в применении к ударным Е. Бабенков волнам.

1113. К термодинамике необратимых процессов. Попов (Sur la thermodynamique des processus irréversibles. Popotf Kyrille), Z. angew. Math. und Phys., 1955, 6, № 5, 378—386 (франц.:

рез. нем.) Рассматривается система с постоянной т-рой и при постоянном давлении, обменивающаяся теплом с окружением. Показано, что в соответствии с другими работами автора (РЖХим, 1956, 3363—3365, 3367, 71100, 71101) феноменологические соотношения $x_i' = \Sigma_k \, L_{ik} X_k$

e iгл.;

UNO.

HHA

BWH

ный 570, 256,

KH-

584. 064.

1Ex.

2Бх,

9Бх, 5Бх,

5Бх,

6Бх,

3Бх,

6Бх.

9Бх.

A-CTH

тех-

1502,

317-

2079,

лаз.

ка е

при-

men-

dem

intro-

144,

дуги тоян-

HHH

нципа

пина-

нения

йлера

нципу

азано

Ser.,

lskabs

орму-

ий ва-

нбека екото-

сазано

рати-

арным

енков

eccos.

ocessus

angew.

ранц.;

и при

окру-рабо-71100,

 $L_{ik}X_k$

(причем $L_{ik} = L_{ki}$) являются первыми интегралами системы дифференциальных ур-ний $d^2x_i/dt^2=X_i$, в которых $X=\hat{\partial}\left(-\Delta\Phi\right)/\partial x_i$, $\Phi=S-\left(U+pV\right)/T$, S- энтропия, U- внутренняя энергия, V- полный объем, p — давление и T — абс. т-ра. Результаты прикрнены к расчету соотношений для двухфазной систеим. Показано, что для системы ур-ний $d^2x_1/dt^2=X_1$, $d^3x_2/dt^2=\lambda X_2$ при $\lambda>0$ первые интегралы приводят ${\bf g}$ феноменологическим соотношениям симметрии ${\bf L}_{12}={\bf L}_{21}.$ Рассмотрены также необратимые процессы при наличии потенциального барьера. В. Цукерман

О некоторых термодинамических неравенетвах. Сплин В. П., Ж. эксперим. и теор. физики, 1956, **30**, № 1, 197—199

Известным методом (Ландау Л. Д., Лифшиц Е. М., Статистическая физика. ГИТТЛ, 1951) найдены термошнамич. неравенства для магнетика в электромагнитпом поле. Показано, в частности, что в состоянии термодинамич. равновесия кривая намагничения магнетика не может иметь ни максимумов, ни минимумов, что при Н→О магнитная индукция стремится к значению B(H=0) как первая степень H и что для изотропного **уаг**нетика магнитное поле и индукция должны быть параллельны. В качестве примера более сложной системы, для феноменологич, описания которой нельзя ввести В и Н, рассмотрен сверхпроводник. В раммах теории Ландау и Гинзбурга (Ж. эксперим. и теор. физики, 1950, 20, 1064) для него также получены термодинамич. неравенства. В. Цукерман

11115. Эргодическая теорема в квантовой механике. Фирц (Der Ergodensatz in der Quantenmechanik. Fierz M.), Helv. phys. acta, 1955, 28, № 7, 705— 715 (нем.)

Пок зано, что предположение о «равномерном распределении» макроскопич. наблюдателей (J. von Neumann, Z. Phys., 1929, 57, 30) неудовлетворительно, и предложено заменять его при обсуждении эргодич. гипотезы в квантовой механике распределением микроскопич. В. Цукерман

Условие однородности в термодинамике. Bent (Homogeneity condition in thermodynamics. Bent Henry A.), J. Chem. Phys., 1955, 23, № 11, 2199 (англ.)

Пок зано, что однородность энергии E как функции энтропни S, объема V и массовых чисел $n_i: E(\lambda S, \lambda V,$ λn_1 , $\lambda n_2 \dots \lambda n_c) = \lambda E\left(S,\,V,\,\,n_1\dots n_c\right)$ есть следствие S, E, V и условия равновесия Е. Бабенков аддитивности $E_{S, V, n_i} \geqslant 0.$

11117. Аналогия между законами излучения абсолютно черного тела и газовыми законами. Николич (Аналогија измећу закона зрачења апсолутно цр-

(Аналогија измећу закона зрачења апсолутно цр-нога тела и гасних закона. Н и к о л и ћ Д.), Весн. Друштва матем. и физ. Нар. Реп. Србије, 1955, 7, N 1—2, 85—98 (серб.; рез. франц.) Ур-ния состояния фотонного и молекулярного идеального газа можно получить из ур-ния $dS = [(\varepsilon+1)/T] pdV + (\varepsilon/T) Vdp$, где ε — коэфф., связывающий p и внутреннюю энергию, $\lambda = 1/T$ является интегрирующим множителем Из свойств полных дифференциалов вытекает $S_2 = \mu \left(S_1 \right)$, где нолных дифференциалов вытекает $3_2=\kappa (\lambda_1)^2$ диверенкает величины, относящиеся к фотонному и молекулярному газу. Поэтому требование $dS_2=0$ идентично требованию $\partial^2 S_1 / \partial x \partial y = \partial \left(\lambda_1 p \right) / \partial y = \partial \left(\lambda_1 Q \right) / \partial x$. В. Урбах

Изменение поверхностного натяжения и теплоты парообразования с температурой. Бауден (Variation of surface tension and heat of vaporization with temperature. Bowden S. T.), J. Chem. Phys., 1955, 23, № 12, 2454—2455 (англ.)

Автор использует полученные им ранее соотношения $T_c=3PT/4V_b$, где T_c —крит. т-ра, P—парахор ж V_b — мол. объем жидкости при т-ре кипения (РЖХим, 1955, 45424), и $\Lambda \approx V_b \lambda^{4/4}$, где Λ — истинный лиопарахор, х — внутренняя теплота парообразования (Bowden S. T., Jones W. J., Philos. Mag., 1948, 39, 155), для развития известных в литературе полуэмпирич. Φ -л $\gamma = \gamma_b \tau_1^{*l_s}$, $\lambda = \lambda_b \tau_1^{*l_s}$, $l = l_b \tau_1^{*l_s}$, где γ — поверхностное натяжение, l — полная теплота парообразования, $au_1 = (T_c - T)/(T_c - T_b)$ (индекс b относится к au-ре кипения). Получается: $\gamma = (P/V_b)^4 \pi_1^{\bullet_1} (1), \ \lambda = (\Lambda/V_b)^{\bullet_1} \pi_1^{\bullet_1}$ (2), $\Delta H = \Delta S_b T_b \pi_1^{*|_b}$ (3), где $\pi_1 = (3PT_b - 4V_bT)/(3PT_b - 4V_bT_b)$, $\Delta H -$ мол. теплота парообразования, ΔS_b энтропия парообразования при т-ре кипения. Справедливость (1) подтверждена сравнением с эксперим. данными (при разных т-рах) для бензола, (2)—для n-пентана, (3)—сравнением расчетных в эксперим. значений ΔS_b для 10 неассоциированных органич. жидкостей. Показано, что для ΔH пригодна также (с точностью до 1%) более простая ф-ла $\Delta H = \Delta S_b T_b^{s_b} (3T_b - 2T)^{s_b}$, полученная с помощью правила Гульфорга $T_c = 3T_b/2$. В. Урбах

11119. Замечания об аддитивности адиабатической сжимаемости в бинарных жидких смесях. Ротхардт (Bemerkungen über die additive Zusammensetzung der adiabatischen Kompressibilität in binären Flüssigkeitsgemischen. Rothhardt L.), Z. phys. Chem. (DDR), 1956, 205, № 4, 244—245 (нем.)

Показано, что для идеальных атермич. смесей ($\Delta H = 0$, $\Delta V=0)$ правило аддитивности аднабатич. сжимае-мости β (РЖХим, 1956, 9211) эквивалентно правилу аддитивности молекулярной сжимаемости. Анализ показывает, что аддитивность В в бинарной жидкой смеси может нарушаться не только за счет ассоциации, но и при отсутствии последней, за счет различия в форме и размерах молекул компонентов, напр., в смесях углеводородов (РЖХим, 1956, 9442). В. Урбах 11120. К вопросу об определении термодинамичес-

ких констант металлов и сплавов. И ванов Л. И., Матвеева М. П., Куликов И. С. В кп.; Исследования по жаропрочным сплавам. М., Изд-во AH CCCP, 1956, 11-16

Описаны 3 метода определения термодинамич. констант металлов и сплавов, использующие радиоактивные изотопы и применяемые в Ин-те металлургии АН СССР, 1. Измерение скорости испарения по кол-ву в-ва, испарившегося с открытой поверхности и сконденсированного на кассетах, охлаждаемых жидким азотом. 2. Измерение скорости истечения насыщ. пара в высокий вакуум из замкнутого пространства через калиброванное отверстие. В обоих методах кол-во конденсата определялось радиохимически. При-бор для метода 2, ввиду необходимости применения высоких активностей, снабжен дистанционным управлением. Оба эти метода не обеспечивают точного определения парц. величин вследствие изменения конц-ии на поверхности исследуемого образца. 3. Измерение скорости изотопного обмена через паровую фазу между активным и неактивным образцами одинакового состава. Последний метод дает возможность определить теплоту сублимации, коэфф. диффузии и энергию активации при диффузии в металлах и сплавах. Для описанных методов приведены схемы приборов.

А. Грановская Техническая термодинамика реакций. Луц (Technische Reaktionsthermodynamik. Lutz Otto) Z. Flugwiss., 1955, 3, № 6, 151—159 (нем; рез. англ., франц.)

No

T-PI

ори 1953

3378

пере 1112

10

л

(a Д.

(mai

- (1

R_C-

OTP

Знач 226

т-рь

ВИМ

гие

1112

e tu

cł

T

N

T

59 Å 1954

8307

про

ной

дера сие

чені связ

пове обра

лия

T-PE

ссы.

59 . (T/

тогд

ABT

CTB

с у

Hoe

дву:

HOC'

вер

COB

HOC

пов

111:

0

R

Принято, что при термодинамич. вычислениях, связанных с р-циями в газовых смесях, происходящих в девгателях, даже для быстрых процессов правильнее брать за основу расчета равновесное состояние, а не «замороженное». По литературным данным составлены таблицы энтальпии и энтропии для H_2 , H_3 , H_4 , H_4 , H_5 , H_6 , H_7 , H_8 , H_8 , H_8 , H_9 ,

теплоемкость. Тарасова Л. М., Тарасов В. В., Докл. АН СССР, 1956, 107, № 5, 719—722 На основавии дифференциальных «комбинированных» аконов распределения собственых частот (Тарасов В. В., Докл. АН СССР, 1945, 46, № 1, 22: 1947, 58, № 4, 577; Ж. физ. химви, 1950, 24, № 1, 111) получены выражения для вулевых энергий колебаний решеток: $\psi_1 = {}^{3}_4 R \left[(\theta_1^2 - \theta_3^2)/\theta_1 \right] + {}^{9}_/8 R \theta_3 \left(\theta_3 / \theta_2 \right)^2$ (слоистая структура) (θ_1 вли $\theta_2 = h \nu$ (макс.) / k и $\theta_3 = h \nu_1 / k$). При $T \leqslant {}^{1}_/7 \theta_1$ (цени) или $T \leqslant 0.1\theta_2$ (слои) наблюдается переход к предельному T^1 - или T^2 -закону теплоемкости при условии, что θ_1 или $\theta_2 \gg \theta_3$. Если θ_1 тили $\theta_2 \approx \theta_3$, то сбласть T^1 или T^2 мсжет отсутствовать, т. е. будет набли даться постепененый переход к T^3 -закону при $T \leqslant 0.1\theta_3$. Это и наблюдается в случае слоистой структуры MoS2 (реф. доклада на заседании Амер. физ об-ва в Беркли: Westrum E. F., Мс Вгіde J. J., Phys. Rev., 1955, 98, 270). Определен процент отклонения Δ для предельного T^2 -закона от функция теплоемкости Тарасова для слорстого кристалла. $\Delta = 1,203\%$ при $\theta_2/T = 9,5$ и $\Delta = 0,83\%$ при $\theta_2/T = 10$. T^2 -закон в случае CdJ2 может еыпслияться только при геличевых т-рах. Поэтому в работе (1 ЖХим, 1956, 3378) область применимости T^2 -закона не могла быть обнаружена.

11123. О термодинамике кристаллических решеток. Солтер (On the thermodynamic of crystalline lattices. Salter L.), Proc. Roy. Soc., 1955, A233, № 1194, 418—427 (англ.)

Представляя динамич. матрицу D кристалла, удовлетворяющего пиклич. услогиям Борва, в енде $D=\lambda+R(q)$, (где $\lambda-$ диаговальная матрица с элементами, не заевисяшмин от комповент волнового ректора q) автор получает разложения усредневных следов матриц u, веобходимых для опенки внутревней эвергии и уд. теплоемкости при постоянном объеме, в ряды по убывающим степеням λ и по возрастающим степеням λ и по возрастающим степеням λ и по возрастающим степеням λ и по новорастающим λ (где λ — 1913, 14, 867). Ф-лы принимают особенно простой вид в случае кристаллов с куб. симметрией. Сбітая теория применена к случаю одноатомной гранецентрированной кубрешетки с учетом взаимодействия перьых и вторых ближайших соседей и использована для расчета пяти силовых постоянных, содержащихся в динамич. матрие алюминия. Результаты сопоставлены с эксперим данными.

11124. Сверхпроводимость и электронная теплоемкость. Льюис (Superconductivity and electronic specific heat. Lewis H. W.), Phys. Rev., 1956, 101, № 3, 939 (англ.)

Найдена эмпирич. зависимость между крит. полем H_0 (при T=0) и крит. т-рой T (кр.) (при H=0): в осях $\lg T$ (кр.) — $\lg H_0$ точки для всех сверхпроводящих элементов и интерметаллич. соединений (кроме элементов с незаполненными d- и f-оболочками) ложатся

на одну прямую линию с наклоном 1,37, так что $H_0 \sim T$ (кр.) 1,37 . Поскольку, как известно из термодинамики сверхпроводимости, $H_0^2/4\pi = \gamma T^2$ (кр.), где γ электронная теплоемкость, то T (кр.) $\sim \gamma^{1,35}$ и $H_0 \sim \gamma^{1,85}$. Экстраполяция полученной прямой к малым H_0 показывает, что значению $H_0=1$ гс соответствует T (кр.) $\approx 0.05^\circ$ К; это озвачает, что обнаружению сверхпроводников со столь низкими T (кр.) может мещать магнитное поле Земли, а также остаточные поля при размагничивании употребляемых для охлаждения парамагнитых солей.

11125. Сверхироводимость заряженного идеального бозе-газа. III афрот (Superconductivity of a charged ideal Bose gas. Schafroth M. R.), Phys. Rev., 1955, 100, № 2, 463—475 (англ.)

Дается детализированное развитие предложенной ранее автором (РЖФиз, 1955, 13708) модели, согласно-которой идеальный газ заряженных бозовов имеет некоторые суп ественные черты сверхпроводников. Конденсация $ext{ Бозе} — ext{ Эйнштейна сопоставляется с т-рой превращения } T_c. Однако при таком переходе нет не$ только скрытой теплоты, но и скачка теплоемкости; при наличии магнитвого поля $\Delta C \neq 0$, но скрытой теплоты вет. Показано, что ниже $T_{
m c}$ ковечная часть $n_{
m c}$ общей плотности и конденсирована (находится в основном состоянии), а остальная часть $n_n = n - n_a$ образует нормальный бозе-газ с хим. потенциалом $\mu = 0$; при этом $n_n = n \left(T / T_c\right)^{4/3}$, $n_s = n \left[1 - \left(T / T_c\right)^{4/2}\right]$. Свойства сверхпроводника обнаруживаются при расчете магнитвой восприимчивости; оказывается, что χ → ∞. В данвой модели ниже T_c имеет место эффект Мейсснера— Охсенфельда, описываемый с очень хорошим приближением ур-нием Лондона — λc rot i = H, где c — скорость света, і - плотвость индуцированного (неоднородностью магвитного поля Н) тока; для х дается выражение $\lambda^{-1} = (e^2 / m) n_3$, где e и m — заряд и масса бозона. Подробно рассмотрен вопрос о влиянии граничных условий; показаво что, хотя в принципе опи влияют на n_s (и тем самым на λ), электростатич. отталкивавие между бозонами компенсирует этот эффект и ведет к тому, что à не зависит от граничвых условий. Имеется крит. поле $H_c = H_c (T)$; найдена связь его с толи иной провикновения d = d(T) в виде $H_c=\hbar c/2ed^2$. Температурная зависимость индукции В получается другая, чем для действительных сверхпроводвиков; соответствующие отличия имеются и э термодивамич. соотвошениях. Показаво, что если сверхпроводимость в металлах обязава бозсвам, то число и ниже T_c должво сильво зависеть от т-ры (возрастать в $\sim 10^5$ раз при переходе от $T = T_c$ к T = 0).

B. Урбат В. Урбат Маделунга крвсталлов типа NaCl. Бе и с о в (A simple formula for evaluating the Madelung constant of a NaCl- type crystal. Ве n s o n G. C.), Canad. J. Phys., 1956, 34, № 8, 888—890 (англ.)

11127. Теплоемкость слоистых решеток при низких температурах. И ц к е в и ч Е. С., С т р е л к о в И. Г., Докл. АН СССР, 1956, 106, № 5, 805—806 Измерена температурная зависимость теплоемкоств C_p солей $\mathrm{CdJ}_2(\mathbf{I})$, $\mathrm{CdBr}_2(\mathbf{II})$ и $\mathrm{CdCl}_2(\mathbf{III})$ от 10 до 60°К. Участок линейной зависимости при сравнительно высоких т-рах сильно расширяется от йодида к хлориду. Переход в квадратичную зависимость происходит у I при 17—18°, у II при 15—16°, у III при 13—14°. С дальнейшим понижением т-ры зависимость C_p от

0-

27

0-

ТЪ

a-

X

ro

8.

MO

0-

10-

H-

oŭ

He

H;

ož

n,)B-

er

pn.

Ba HT-

H-

TH-

KO-

HO-

Hcca

H4-OHE

TOT

HY-

ена

иде

н В

ipo-

. px-

Tark бах

THE

OB

lung

C.),

-890

3KHI

OB

-806

KOC-

0°K.

BM-HIV. одит

-14°.

p OT

 τ -ры становится αT^3 . Результаты не противоречат теории (Лифшиц И. М., Ж. эксперим. и теор. физики, 1952, 22, 475). Обнаруженную ранее (FЖХим, 1956, 3378) аномалию авторы относят к ложным фазовым В. Цукерман переходам.

128. Термодинамические функции циана и константа равновесия для реакции $^{1/2}$ С $_2$ N $_2$ $\stackrel{\frown}{=}$ CN между 1000 и 4500° К. Ратиер, Мак-Лейн, Шел-лер (Thermodynamic functions of cyanogen and the equilibrium constant for the reaction 1/2 C₂N₂→CN between 1000° and 4500° K. Rutner Emile, Mc-Lain William H., Jr, Scheller Karl), J. Chem. Phys., 1956, 24, № 1, 173

Для р-ции 1/2 C₂N₂ ⇒ CN в области 1000—4500° К (шаг 100°) вычислены значения C_p^0 , $(H^0 - H_0^0) / T$, $-(F^0-E_0^0)$ / $T,\ K_{_{\rm D}}.$ Расстояния между атомами, согласво литературным данным, приняты раввыми: $R_{\rm C-C}=1.36$ A, $R_{\rm C\equiv N}=1.157$ A (РЖХим, 1954, 28455), что дало величину момента инерпии $I=175\cdot 10^{-40}\,\varepsilon\,c\,m^2$. Значения частот колебаний 2322, 848, 2149, 506, 226 см-1 заимствованы из монографии Герцберга. Для т-ры 1000° К проводились сравнения с ранее подсчитанными значениями термодинамич. функций Расхожде-ние объясияется тем, что в данной работе взяты другие значения молекулярных параметров. Л. Васильев 11129. Влияние размера частиц на теплоемкость хло-

ристого натрия при низких температурах. П а т т е рсон, Моррисон, Томпсон (A low tempera-ture particle size effect on the heat capacity of sodium chloride. Patterson D., Morrison J. A., Thompson F. W.), Canad. J. Chem. 1955, 33, № 2, 240—244 (англ.)
Три образца NaCl с уд. поверхностью 38, 39 и

59 м2/г приготовлевы описанным методом (РЖХим, 1954, 50291); уд. поверхность определена по адсорбции азота при т-ре его кипения. Измерения теплоемкости произведены в интервале 9—21° К с помонью описанной анпаратуры (РЖХим, 1956, 72147); калориметр содержал 10-6 моля гелия. Ниже 9° К теплоесе раввоеесие устанавливалось очень медленно, даже при угеличеньом до 10-4 моля кол-ве гелия, что, по-видимому, связано со значительной адсорбцией гелия на больпой поверхности образца. При измерении теплоемкости образца NaCl с малой уд. поверхностью 10-6 моля гелия обеспечивали достаточно быстрое выравнивание т-ры в калогиметре в интервале 2,5—20° К (см. пред. ссылку). Для образцов с уд. поверхностью 38 и 59 м²/г вычисленные значения B в ур-нии $C_v=464,5$ $(T/\theta_D)^3 + B(T/\theta_D)^2$ составляют 1,28 и 2,60 кал/молг град, тогда как теория дает 0,42 и 0,64 кол / моль град (Montroll E. W., J. Chem. Phys., 1950, 18, 183). Авторы объясняют расхождение с теорией несовершенством говерхности исследованных образцов. Для образца с уд. поверхностью 39 м2/г, приготовленного в измевенных условиях, обнаружено значительно более сильное влияние размера частиц на теплоемкость, чем для двух других образцов. Для образцов с уд. поверх-востью 59 и 38 м²/г отношения коэфф. В и уд. поверхностей составляют 2,03 и 1,55; развица объясняется совокупностью эксперим. ошибок. Недостаточная точность измерений не позволяет установить, является ли поверхностная теплоемкость экстенсивным свойством поверхности. В. Колесов 11130. Теплоемкость эрбия 15-320° К. Скочдо-

пол, Гриффел, Спеддинг (Heat capacity of erbium from 15 to 320° K. Skochdopole R. E., Griffel Maurice, Spedding F. H.), J. Chem. Phys., 1955, 23, № 12, 2258—2263

(англ.)

Для Ег при 15—320° К измерена теплоемкость $C_{\rm m}$ (17 серий измерений в развых интервалах т-р) и вычислены звачения S^0 , $(H^0 - H_0^0) / T$ и $-(F^0 - H_0^0) / T$; So (298,16° K) = 17,48 + 0,15 Ran / MOAR epad. B xone C. имеется три максимума при 19,9, 53,5 и 84° К. Первые два обваруживают гистерезис; для максимума при 53,5° К получались воспроизводимые результаты при предварительном охлаждении образца до 23,5° К. Пик при 84° К соответствует примерью той т-ре, при которой рядом авторов были найдены изменение температурного когфф. сопротивления и максимум парамагентвой восприимчивости, а также (метолом диффракции нейтровов) магнитное преврапление. Обсуждается происхождение остальных двух максимумов C_p , а также вклад других процессов, в результате которых энтро-пия Ег при комнатной т-ре имеет наблюдаемое значение. В связи с результатами работы обсуждаются авалогичные свойства других редкоземельных металлов. В. Урбах

11131. Результаты исследований при низких температурах. XIV. Атомная и электронная теплоемко-сти родия и иридия между 10 и 273° К. К л у з и у с, Л о з а (Ergebnisse der Tieftemperaturforschung. XIV. Die Atom- und Elektronenwärme des Rhodiums

ATV. Die Atom- und Elektronenwarme des knodiums und Iridiums zwischen 10° und 273° K. Clusius Klaus, Losa Gutierrez Celso), Z. Naturforsch., 1955, 10a, M: 7, 545—551 (нем.) Измерена атомвая теплоемкость C_p родиевого и вриднегого пиливдров между 10° К и 0° С. Вычислена внуровия при 25° С: $S_{\rm Rh}=7.56$; $S_{\rm Ir}=8.50$. Ниже 14° К атомвую теплоемкость можно представить как сумму теплоемкости реп.етки C (реп.), которая подчиняется закову T^3 , и электронвой теплоемкости C_e , для родия $C_p = C_v = C$ (реш.) $+ C_e = (T/450)^3 + 10,0\cdot10^{-4}$ T, для вридия $C_p = C_v = C$ (реш.) $+ C_e = (T/430)^3 + 7,6\cdot10^{-4}$ T. Электровная теплоемкость имеет завыпенное значене, что характерно для переходных элементов. Поэтому атсмную теплоемкость выше 20° K вельзя представить как функцию определенной величивы т-ры Дебая θ_D . Однако, если вычесть C_e из C_v (приняв для иридия, в отличие от указанного выше, $C_e=8,4\cdot 10^{-4}\ T$), то, вачиная с 0° K, можно представлять атомвую теплоемкость (C_v-C_e) как функцию постоявьой величивы $\theta_D = 346$ для родия и $\theta_D = 289$ для иридия. Предыдущие сообщения см. РЖХим, 1956, 21916, 60985. Э. Чудинов

11132. Низкотемпературные теплоемкости тория, га-

11132. Нивкотемпературные теплоемкости тория, гадолимия и арбия. Скочдопом (Low temperature heat capacities of thorium, gadolinium, and erbium. Skochdopole Richard E.), Iowa State Coll. J. Sci., 1955, 29, № 3, 499—501 (англ.) Измерева теплоемкость С_р Ть в вытервале 15—300°К, Сd (15—355°К) и Ег (15—320°К). Енчислевы звачения термодинамич. функций Тh (0°—300°К), Gd (0°—355°К) и Ег (0°—320°К). Для расчета С_р выже 15°К использованы звачения 6: Th 141.6; Gd 152; Er 89. Для Ть Сородорования образования образования образования звачения 6: Th 141.6; Gd 152; Er 89. Для Ть Сородорования образования образ $S_{219,16}^0=12,760$ энтр. ед.; Gd $S_{298,16}^0=15,744;$ ${
m Er}\,S^0_{298,16}=17,593.$ У Gd обнаружена повышенная C_{20} (максимум при 18,6° C), обусловленная ферромагнитвыми свойствами; рассмотревы значения составляющих $C_{\mathbf{p}}$ и S в указано, что для Gd статистич. теория ферромагнетизма неприложима. Для Ег обнаружено три максимума C_p (при $19.9\pm0.3;$ 53.3 ± 0.3 и 84 + 0,5° K); два первых зависят от термич. предыстории образца; эти зависимости исследовавы; последний максимум совпадает с т-рой аномальных сопротивле-

No 4

1114

po he

ch

Ch

Иа

(ras)

- 33

→ XJ

сан

клор

знач

прос

этил

C2Cl pact

(ME)

ченн его

же в

р-цг

+ H

1114

U

X8

Из

хлог

HUX

мевт

изуч

в бе

B an

При

таль

1114

CE

д

ch

W

№ B

изме

02 (1

(RP)

- 67

(Δ*H*

MOA

(F0 -

∆F°

(mar

1114

Co T K X

ний, магнитной проницаемости и диффракции нейтронов. Вычислены и табулированы значения $S_{300}^{m 0}$ для других редкоземельных элементов (кроме Eu и Yb).

11133. Теплоемкость калня, рубидия и цезня при темнературах ниже 330°К. Дофини, Мартин, И рестон Томас (The specific heats of potassium, rubidium and caesium at temperatures below 330°К. Dauphinee T. M., Martin Douglas L., Preston-Thomas H.), Proc. Roy. Soc., 1955, A223, № 1193, 214—222 (англ.)

Пользуясь полуавтоматич. аппаратурой, описанной ранее (РЖХим, 1954, 37430), методом непрерывного аднабатич. нагревания, автор измерил теплоемкость (C_p) К, Rb и Cs в интервале т-р от $\sim 20^\circ$ до 330° К. Точность измерений $\pm 0,1\%$. У всех металлов, как и у ранее иследованного Na, обнаружено наличие аномалий C_p , которые, как показано в опытах с Rb, по-видимому, связаны с незначительными примесями посторонних металлов. В области аномалий Rb, Cs и Na наблюдается термич. гистерезис C_p . Все щел. металлы обнаруживают заметное увеличение C_p в области предплавления. Кривая C_p осложняется появлением острого максимума, отвечающего эвтектике системы Сs — кислород. Величина этого максимума позволяет оценить кол-во O_2 в цезии: 0,3%.

Ю. Третьяков 11134. Теплоемкость и энтропия жидкого He³. А гарвал (Specific heat and entropy of liquid He³. A garwal Bipin Kumar), Current Sci., 1955, 24, № 12, 405—406 (англ.)

Ранее полученные данные относительно ${\rm He^3}$ (РЖХим, 1955, 207 — данные по теплоемкостям; РЖХим, 1954, 26780 — данные по энтропии) предлежено описывать подобранными ур-ниями: для теплоемкости(0,54°—1,7° K), $C=A+BT+DT^3$ кал/град·моль, где A=0,670, B=0,288, C=0,078, и для энтропии $(T\geqslant 0,5^\circ$ K) $S=A\ln T+BT+C/3T^3$, где константы вмеют то же значение.

11135. Теплоемкости при низких температурах и энтропии пяти шпинелей. К и и г (Heat capacities at low temperatures and entropies of five spinel minerals. K i n g E. G.), J. Phys. Chem., 1956, 60, № 3, 410—412 (англ.)

Описанным равее методом (Kelley K. К. и др, U. S. Виг. Міпез Тесh. Рарег, 1946, 686) определены теплоемкости FeAl $_2$ O4 (1), ZnFe $_2$ O4 (II), FeCo $_2$ O4 (III), CoFe $_2$ O4 (IV) и NiFe $_2$ O4 (V) в интервале т-р 51—298° К. Результаты выражены следующими суммами функций Дебая и Эйнштейна: I D (198/T) + 3E (482/T) + 3E (874/T) (51—298° K; \pm 0,9%); II D (166/T) + 3E (371/T) + 3E (391/T) + 3E (782/T) (51—125° K; \pm 0,7%); IV D (231/T) + 3E (364/T) + 3E (392/T) + 3E (362/T) + 3E (392/T) + 3E (392/T) + 3E (392/T) + 3E (392/T) + 3E (364/T) + 3E (392/T) + 3E (392

11136. Термодинамические свойства ксенона как функция плотности до 520 единиц амага и как функция давления до 2800 атмосфер при температурах между 0° и 150°. Михелс, Вассенар, Волкерс, Досон (Thermodynamic properties of xenon as a function of density up to 520 amagat

and as a function of pressure up to 2800 atmospheres, at temperatures between 0° C and 150°C. Michels A., Wassenaar T., Wolkers G. J., Dawson J.), Physica, 1956, 22, № 1, 17—28 (англ.)

По ранее опубликованным данным (РЖХим, 1955, 1789) в интервале 0—520 ед. амага и 0—2800 ат табулированы значения внутр. энергии, энтальнии, свободной энтальнии, внутренней кинетич. энергии, теплоемкостей C_v и C_p , коэфф. Джоуля—Томсона µ. Расчетом охвачен интервал т-р от 0 до 150°.

Л. Васильев

11137. Теплоемкость и теплоты превращения и плавления нитрата калии. Сок олов В. А., Шмидт Н. Е., Изв. Сектора фил.-хим. анализа ИОНХ АН СССР, 1956, 27, 217—222

Методом периодического нагрева (РЖХим, 1956, 6358) в интервале 32—394°С измерена теплоемкость Ср. КNO₃ (130 точек). Определены т-ра превращения (127,9±0,1°С), теплота превращения (1218±5 кал/моль), т-ра плавления (334,3±0,1°С) и теплота плавления (2300±5 кал/моль). В интервале 25—670°К вычислены и табулированы значения энтальпии, энтропии и изобарного потенциала; $S_{208,16} = 31,72$ энтр. ед.

М. Карапетьянц 11138. Термодинамические свойства РБГСІ, РБСІ, и РБГ, при высоких температурах. Банашек Е. И., И ацукова Н. Н., Рассонская И. С., Изв. Сектора физ.-хим. анализа ИОНХ АН СССР, 1956, 27, 223—232

В ранее описанном калориметре (РЖХим, 1955, 23243) методом смешения измерены энтальнии PbFCl (I), PbCl2 (II) и PbF2 (III) при различных т-рах. На основании эксперим. данных найдены эмпирич. ур-ния: для (I) $\Delta H_{293.16}^{T}(\kappa a \Lambda / MOAD) = 19,26 T + 2,29 \cdot 10^{-3} T^{2} \cdot 6,18 + 10^{5} T^{-1}$ - 7940 и C_p (кал/моль град) = 19,26 \pm 4,58 \cdot 10 $^{-3}$ T - 6,18 \cdot \cdot 105 T^{-2} (тв. фаза, 600—879° К); $\Delta H_{293,16}^{T} = 27,97 - 4350 п$ $C_p = 27,97$ (жидк. фаза, $879 - 950^{\circ}$ K); L (пл.) (кал/моль) = =8780 (T (пл.) =879° K). Для II в жидк. фазе $\Delta H_{293,16}^T=$ =28,37 T-7186, $C_p=28,37$, L пл. =5200. Для III $\Delta H_{293,16}^T = 25,26 T + 4,07 \cdot 10 T^2 + 73,56 \cdot 10^4 T^{-1} - 10050$ и $C_p = 25,26 T + 8,14 \cdot 10^{-4} T - 73,56 \cdot 10^4 T^{-2}$ (тв. фаза, 725—1099° K); $\Delta H_{293.16}^{T}$ =26,97 T—8060, C_{p} =26,97 (жидк. фаза, 1099—1160° K); L (пл.) = 3000 (T (пл.) = 1099° K). На основании измерения теплот растворения смеси I и II (3526 ± 30) и III (7227 ± 32) в 1 н. HNO₃ найдена теплота образования I из II и III: $\Delta H_{298,16} = -3700 \pm$ ± 60. При 450° С у III обнаружено обратимое полиморфное превращение. М. Карапетьянц морфное превращение. М. Карапетьяни 11139. О теплотах образования в бинарных неор ганических системах. Голутвин Ж. физ. химии, 1956, 30, № 1, 232—234.

Найдено, что для бинарных кристаллич. соединений $\Delta H_{298}^0/\Sigma W \approx a - b \lg W_k$ (1), где $\Delta H_{298}^0/\Sigma W \approx a - b \lg W_k$ (1), где $\Delta H_{298}^0/\Sigma W - c$ стандартная теплота образования соединения из одноатомных газообразных элементов, отнесенная к грами- оквиваленту, W_k — валентность катиона, a и b — постоянные для ряда соединений данного элемента различной валентности. Ф-ла (1) иллюстрируется табличным и графич. матерналом для различных окислов, хлоридов, бромидов Au, а также для газообразных окислов азота. Несмотря на широкое варьирование типа хим. связи, рассмотренные соединения являются стехиюметрич., и катионам можно приписать определенную валентность; при переходе к соединения с неопределенной валентностью (например, к карбидам, нитридам и др.) ф-ла (1) становится неприменимой. Л. Васильев

0

47

B

),

RI C-

m п.

ш

п.,

P.

(8)

Cla 10-

(I)

18-

M C

=

=

Ш

050

за,

ДК.

K).

И

ена

1 ЛИ-

янц

180-

7 _

од-

MM-

b -

ента

таб-

лов,

ных

ание

отся

оеде-

MRH

дам,

мой. льев 11140. Теплоты хлорирования некоторых углеводородов и их хлоропроизводных. Керкбрайд (The heats of chlorination of some hydrocarbons and their chloro-derivatives. K irk bride F. W.), J. Appl. Chem., 1956, 6, № 1, 11—21 (англ.)

Измеревы теплоты р-ций замещения RH (жидк.)+Cl2 (газ) — RCl (жидк.) — HCl (газ). ΔH в ккал/моль при 25°: $C_6H_6 \rightarrow C_6H_5Cl \rightarrow 32,0$; $C_6H_5Cl \rightarrow C_6H_4Cl_2$ (смесь изомеров) — 28,7; $C_6H_5CH_3 \rightarrow$ хлортолуол (смесь o- и n-) - 33,2; С₆H₅CH₃ → бензилхлорид — 32,8; циклогексан → → хлордиклогексан — 34,2; n-гексан → монохлор-и-гексан (смесь изомеров) — 33,4; симм-С₂Н₄Сl₂→ 1,1,2-три-лорэтан — 27,8; СНСl₃ → ССl₄ — 22,3. Отсюда новые звачения теплот образования жидких ссединений из простых в-в: 1,1,2-трихлорэтан —44,8; хлорциклогексан —49,5; бевзилхлорид — 7,8. Теглоты р-ций присосан — 49,5; оевзилхлорид — 7,6. Геглоты р-цив присо-единения Cl_2 (газ) к жидким соединениям: $\operatorname{uuc-дихлор-}$ этилен — 1,1,2,2- $\operatorname{C}_2\operatorname{H}_2\operatorname{Cl}_4$ — 40,4; $\operatorname{C}_2\operatorname{HCl}_3$ — $\operatorname{C}_2\operatorname{HCl}_5$ — 36; $\operatorname{C}_2\operatorname{Cl}_4$ — $\operatorname{C}_2\operatorname{Cl}_6$ (в р-ре) — 32; откуда, оценивая теплоту растворения $\operatorname{C}_2\operatorname{Cl}_6$ в $\operatorname{C}_2\operatorname{Cl}_4$ ($\Delta H = 4$,7), для р-цив $\operatorname{C}_2\operatorname{Cl}_4$ (жидк.) + Cl_2 (газ) — $\operatorname{C}_2\operatorname{Cl}_6$ (тв.) $\Delta H = -37$. Из полу-

11141. Термохимические исследования изомеров гексахлорциклогексана. Швабе (Thermochemische Untersuchungen an den isomeren Hexachlorcyclohexanen. Schwabe K.), Z. Elektrochem., 1956, 60,

№ 2, 151—157 (нем.)

Измеревы теплоты горения а, В, у и 8 изомеров гексахлогивклогексава (I), соответственно гавные — 659,01; -657,25; - 662,32 и — 659,24 ккал/молг. Из полученвых данеых вычислены энтальнии образования из элементов и стебедьые энтальнии образования для всех взученных изомеров I Определены интегральные теплоты растворения изомеров I (~1 г в-га в 100 г р-рителя) в бензоле: а 4,210, β 6,000, γ 4,751, δ 2,974 ккаа/молт; в ацетове; а 3,702, β 3,309, γ 3,866, δ 2,053 ккаа/моль. Приведены схема и огисание применявшегося калориметра. Найдены активности изомеров I и рассчитаны энтальнии и энтропии растворения последних.

Ю. Заверняев 11142. Тиофен; теплота сгорания и термодинамические свойства. Хаббард, Скотт, Фроу, Уоддингтон (Thiophene: heat of combustion and chemical thermodynamic properties. Hubbard W. N., Scott D. W., Frow F. R., Waddington G.), J. Amer. Chem. Soc., 1955, 77, № 22, 5855—5857 (англ.)

В ранее описавном калориметре (ГЖХим, 1955, 5275) измерена теплота сгорания тиофена C₄H₄S (жидк) +13/2 O_2 (газ) + 49 H_2 O (жидк.) \rightarrow 4 CO_2 (газ) + H_2 SO₄·50 H_2 O (жидк.), из которой найдена величина (ΔH_{298}^0) (сгор.) = $-675,55 \pm 0,216$ ккал/моль и рассчитаны значения $(\Delta H_{298}^{0})_{OGD}^{\text{жидн}} = 19,20 \pm 0,239$ ккал/моль (сопоставлена с литературными данными) и $(\Delta H_{298}^0)_{06p}^{ras} = 27,49 \pm 0,239 \kappa \kappa a \pi / 1000$ моль. Вычислены и табулированы значения $(F^0 - H_0^0)/T$, $(H^0 - H_0^0)/T$, $H^0 - H_0^0$, S^0 , C_p^0 , ΔH_{06p}^0 ∆F⁰_{обр} и lg K_{обр} при 0°; 273,16; 298,16 и 300—1000° К М. Караі етьянц 11143. Термическая диссоциация галидов платины.

Сообщение 1. Бромиды платины. Шукарев С. А., Толмачева Т. А., Оранская М. А., Командорская Л. В. Сообщение 2. Хлориды платины. Щукарев С. А., Оранская М. А., Шемякина Т. С., Ж. неорган. химии, 1956, 1, № 1, 8—16; 17—23

1. Статическим методом Эфраима (Ephraim F., Ber., 1917, 50, 1069) исследовалась температурная зависи-мость термич. диссоциации PtBr₄ (I), PtBr₃ (II), PtBr₂ (III) и PtBr (IV). Описана схема установки. Полученные данные представлены графиками $\lg P = 1/T$. Из наклонов прямых вайдены ур-ния зависимости давления диссоциации от т-ры для I $\lg P = 7,809 - (4549/T)$, II $\lg P = 7,195 - (4808/T)$, III $\lg P = 6,064 - (5123/T)$ и $V \lg P = 4,755 - (4679/T)$. Вычисленные отсюда через каждые 10° значения P_{Br_2} для I (в интервале 200—280°), II (280—390°), III (420—500°) и IV (460—510°) сведены в таблицах. С использованием этих данных рассчитаны значения изменения энтальпии и энтропии (ΔH и ΔS) р-ций последовательной диссоциации бромидов в предположении независимости этих величин от т-ры в исследуемом интервале. Найдены значения энтальнии образования ΔH (образ.) (в ккал/моль) из металла и газообразного брома для I, II, III и IV, соответственно равеме — 44,0; — 33,6; — 22,6; — 10,75, что хорошо совпадает с литературными давными. Реальность существования каждого бромида подтверждева хим. анализом и снятием дебаеграмм. Показано, что ниже 340° К IV должен экзотермически диспропорционировать. Заметный разброс эксперим. данных заставляет авторов предположить способность бромидов платины, взаимодействуя между собой, давать твердые Ю. Заверняев

2. Исследогава температурная зависимость давления диссоциации PtCl₄ (V) (298—358°), PtCl₃ (VI) (332—394°), PtCl₂ (VII) (490—530°) и PtCl (VIII) (568—762°). На освовании полученных данных вычислены энтальнии образования ($\kappa \kappa a n/mon$): V -62.7; VI -48.1; VII -33.4; VIII — 11,7; эти значения находятся в удовлетворительном согласии с литературными данными. Дебаеграммы хлоридов плативы показали действительность суп ествования каждого в-ва. Эксперим. данные для р-ций $2\text{PtCl}_n = 2\text{PtCl}_{n-1} + \text{Cl}_2$ выражены ур-циями $18 \, p_{\text{Cl}_1} = A - (B/T)$, где A и B равны: для n = 4 9,04; 6267,5; n=3 8,42; 6303,1; n=2 10,59; 9131,1 n=14,36; 5114,9. На основании полученных и литературных данных рассмотрена зависимость изобарного потенциала обгазования хлоридов, бромидов и йододов и обсуждена стойкость соединений различной валентности. Показано, что при низких т-рах (< 600°) VIII должна экзотермически диспропог ционировать.

11144. О термвческом разложении трехокиси молиб-дена в вакууме. Кильборг, Магнели (On the thermal decomposition of molybdenum trioxide in vacuo. Kihlborg Lars, Magneli Arne), Acta chem. scand., 1955, 9, № 3, 471—474 (англ.)

MoO₃ при нагревании в откачанных запаянных кварцевых трубках при 550-800° частично разлагался с образованием низших окислов молибдена. Образцы после нагревания в электрической печи закалялись охлаждением водой и исследовались под микроскопом и рентгенографически. В продуктах термич. обработки MoO₃ обнаружены 2 новых окисла, полученных в количестве, недостаточном для определения их хим. состава (7- и ξ-окислы). Приведена их рентгенографич. характеристика. 11145. Термодинамика ассоциации вона. Часть І. Хлорид, бромид и нитрат свинца. Наиколлае Алорид, оромид и нитрат свинца. На и к о л л а с chloride, bromide, and nitrate. Nancollas G. H.), J. Chem. Soc., 1955, May, 1458—1462 (англ.) Измерены электропроводности PbCl₂, Pb (NO₂)₂ при 25° и PbBr₂ при 25 и 35°. По ур-нию $\lg K = -\lg(1-\alpha)/\alpha M(1+\alpha) + 2I^{1/\alpha}/(1+I^{1/\alpha}) - 0.2I$, где α — сте-

No

1113

ca

n-

воч

THE

111

Pe

Д рич TC(

= 1 для CH 111

n d

 $P\Delta$ сис

OXJ

дав

1 a

леж

(P

OTH даг

лен

ф-1 Бр 11

T-I

lg

-10

)Te

KE

NO.

JIM

По 22

пень диссоциации, M — молярная конц-ия и I — нонная сила, вычислены для р-ции ${\rm Pb^{2+}}+X^- \rightrightarrows {\rm PbX^+}$ термодинамич. константы диссоциации: $K_{\rm PbCl^+}=39,2;$ $K_{
m PbBr^+} = 29.7; \; K_{
m PbNO_3^+} = 15.1 \; \; (при \;\; 25^{\circ}) \;\;$ и $K_{
m PbBr^+} =$ =34.8 (при 35°), а также ΔZ , ΔH и ΔS . Величины ΔS сравниваются с вычисленными из энтропийного пикла. М. Карапетьянц Термодинамика смесей углеводородов. Часть I.

Теплоты смениения в бинарных и тройной системах, образуемых бензолом, циклогексаном и и-гентаном. Браун, Матисон, Тинн (Thermodynamics of hydrocarbon mixtures. Part I. The heats of mixing of the binary and ternary systems formed by benzene, cyclohexane, and n-neptane. Brown C. P., Mathieson A. R., Thynne J. C. J.), J. Chem. Soc., 1955, Dec., 4141—4146 (англ.)
Измерены при 20° теплоты смешения в системе бен-

измерены при 20 теплоты смешения в системе оенаром (I) — циклогексан (II) — и-гептан (III) и в бинарных системах $\mathbf{1} - \mathbf{II}$, $\mathbf{I} - \mathbf{III}$ и $\mathbf{II} - \mathbf{III}$ Максим. опибка определения оценивается в $\pm 0,6\%$. Для бинарных смесей ΔH (в $\partial \mathbf{w}/\mathbf{mon}$) выражены ур-ниями ($\mathbf{x} - \mathbf{mon}$ ярные доли компонентов): $\Delta H_{\mathbf{I} - \mathbf{II}} = \mathbf{x_I} \mathbf{x_{II}}$ [3350 \pm $+590(x_{1}-x_{11})-912(x_{1}-x_{11})^{2}]; \Delta H_{1-111} = x_{1}x_{111} [3841 + 1046(x_{1}-x_{111})]; \Delta H_{11-111} = x_{11}x_{111} [1121 + 268(x_{11}-x_{111})]$ $-x_{\rm HI}$) — $335\,(x_{\rm H}-x_{\rm HI})^2$]. Из теплот смещения вычислены параметры растворимости $\Delta\delta$ для бинарных систем: 1—II 2,85; 1—III 2,84; II—III 1,46. Эти цифры значительно превыпают величины $\Delta \delta$, вычисленные Гильдебрандом и Скоттом (Hildebrand, Scott. The solubility of nonelectrolytes. Reinhold. New York, 1950) на давления пара. Для тройной системы измерены тепло-ты смешения при добавлении к бинарным смесям третьего компонента. Данные для тройных систем хорошо передаются ранее опубликованными ур-ниями (Scatchard и др., J. Am. Chem. Soc., 1952, 74, 3724; Redlich, Kister, Ind. Eng. Chem. 1948, 40, 341), связывающими теплоту смешения в тройных и двойных

147. Определение данных о равновесни системы пар—жидкость. Риджуэй (The determination of vapour-liquid equilibrium data. RidgwayK.), Industr. Chemist, 1956, 32, № 373, 59—67 (англ.)

Метод измерения упругости пара и диффузионных констант. И ванов Л. И., Куликов И. С., Матвеева М. П., Изв. АН СССР, Отд. техн. н., 1955, № 8, 145—147

Разработан метод определения давления пара компонентов и констант диффузии в металлич. сплавах. В камере один над другим помещлются два образца одинакового хим, состава, один из которых содержит радиоактивный изотоп. Образцы помещены в кера-мич. кассеты, которые заложены в Мо-чашки. В системе создается вакуум (10-6-10-7 мм рт. ст.) и производится нагревание с помощью индукционной печи. При нагревании прибор отключается от насосов и в нем устанавливается соответствующее т-ре опыта давление пара компонентов сплава. Между образцами протекает р-ция изотопного обмена, за которой можно прогокает р-ции изогопного оомена, за которои можно следить по наращиванию радиоактивности на неактивном образце. Т-ра измеряется Pt—PtRh-термопарой и регулируется с точностью $\pm 3^\circ$. Для уменьшения обратного потока радиоактивных атомов площадь неактивного образца берется в 20—30 раз больше площади активного. Абс. кол-во испарившегося компонента определяется после охлаждения в вакууме путем сравнения с радноактивностью эталонного образда. Кинетика изотопного обмена в описанных условиях определяется скоростью испарения меченого компонента с радиоактивного образца и скоростью

диффузионного потока меченого компонента из внутренних слоев к поверхности радиоактивного образца. По углу наклона линейной части кривой Q = f(t)(Q — кол-во в-ва, испарившегося с активного образца) определяется скорость испарения. Выведена ф-ла для нахождения коэфф. диффузии. Метод проверен на технич. железе в интервале т-р 1120—1255°. Получено хорошее совпадение с литературными данными. Если скорость испарения велика и линейного участка на кривой не получается, то между образцами может быть поставлена двафрагма с малым отверстием. Л. Васильев

Применение коэффициентов диффузии при измерении давления пара. Крайдер (The use of diffusion coefficients in the measurement of vapor pressure. Crider Walter L.), J. Amer. Chem, Soc., 1956, 78, № 5, 924—925 (англ.)

Из измерения скорости испарения воды в N₂, H₂ и СО₂ определены взанивые коэфф. диффузии водянсто пара и этих газов D ($c M^2/c c E$): H_2 (34°) 0,915, (5:,5°) 0,961; CO_2 ($34,1^\circ$) 0,257, ($55,5^\circ$) 0,198; N_2 ($55,8^\circ$) 0,313, ($76,0^\circ$) 0,354. Из величин, полученных для системы N_2-H_2 О, и измеренных скоростей испарения воды из p-ров сахарозы (1—60%) и NaCl (1—25%) в азоте вычислено давление пара этих p-ров при 56 и 76° по ур-нию $D=WhP_S/APd_S\ln{[P/(P-P_S)]}$, где W- потеря в весе воды, $e/ce\kappa$; h — расстояние от уровня воды до выхода пара, $c \kappa$; P — общее давление в диффузионной камере, мм; $P_{\rm S}$ — давление насыщ. пара, мм; A поперечное сечение трубки для истечения пара, см2; d_S — плотность пара при давлении насыщения, г/см³. Отмечается хорошее согласие полученных значений давления пара с литературными данными и несложность эксперимента.

Равновесие жидкость — пар. VI. Системы ацетонитрил — бензол при 45° и ацетонитрил — нитрометан при 60°. Браун, Смит (Liquid-vapour equilibria. VI. The systems acetonitrile+benzene at 45°C and acetonitrile + nitromethane at 60°C. Brown I., Smith F.), Austral. J. Chem., 1955, 8, № 1, 62-67 (англ.)

Получены концентрационные зависимости ряда величин, относящихся к равновесию жидкость - пар в системах ацетонитрил — бензол (при 45°) и ацетонитрил — нитрометан (при 60°). Описываются методы очистки и анализа компонент, приводятся их точки кипения, показатели преломления, плотности и давления пара при указанных т-рах, а также давление пара нитрометана при разных т-рах (от 49,88° до 101,36°). Измерена зависимость от относительной конц-ии показателя преломления (система ацетонитрил - бензол) и плотности (система ацетонитрил — нитрометан), приведенные к 25°. Основные таблицы содержат данные: молярные доли ацетонитрила в жидкости (x_1) и пара (y_1) ; общее давление пара P, относительную летучесть $=y_1x_2/y_2x_1$, избыточные хим. потенциалы μ_1 и μ_2 избыточную свободную энергию смешения G_x ; последние три величины вычислены по методу авторов (РЖХим, 1956, 67838; там же описана методика измерений). Из приведенных данных видно, что образующаяся в системе ацетонитрил—бензол при 45° азеотропная смесь содержит 0,457 мол. доли ацетонитрила при общем давлении пара 278,1 мм рт. ст.; а убывает с увеличением x_1 . В системе ацетонитрил — нитрометан (при 60°) P монотонно растет с увеличением x_1 , а $\alpha =$ =2,006; значения G_x не выходят за пределы эксперим. ощибок во всем интервале конц-ий. Вычислены также значения молярных объемов компонент (в жидкой фазе) и вторых вариальных коэффициентов. Сообщение V см. РЖХим, 1956, 67838. В. Урбах r.

(t)

(a)

ля На

yn.

Ka

er

M.

eB

ри

or m,

H

ro 5°)

13.

MH

из

IIO

-00

ДЫ

H-HC

1-

м²; м³.

австь аер

МЫ

id-

en-

at

55,

ATTR

пар

TO-

ОДЫ

TKE

леара 6°). по-

(по

ри-

не:

apa

сть

 $G_{x}^{\mu_{2}}$

ров

ме-

ую-

100II-

при

T C

Tan =

ены

кой

Со-

11151. Точка кипения и критическая температура μ -парафинов. Гупта (Boiling point and critical temperature of n-paraffins. Gupta V. S.), J. Chem. Phys., 1956, 24, № 1, 164—165 (англ.) Для μ -парафинов предложены эмпирич. Φ -лы T(кр) = =701 $n^{0\cdot205}$ —504 (1) и T(кип.) = 282,5 $n^{0\cdot35}$ —185,3 (2), где в—число атомов углерода; среднее отклонение от справочых значений для 19 в-в, \sim 1,18° (1) и (если исключить СН₄ и С2Н₆) \sim 1,0° (2). В. Цукерман 11152. Соотношение между критической температурой и точкой кинения для алифатических углеводородов. Чакраварт и (Critical temperature-boiling point relation in aliphatic hydrocarbons. С hakra varty D hirendra Nath), Current Sci., 1955, 24, № 11, 372—373 (англ.)

Для углеводородов ряда $C_n H_{2n+2}$ предлагается эмпирич. ф-ла $c \ln T$ (кип.) = $\ln T$ (кр.) + $g \ln n - a$ (т. е. T^c (кип.)/T (кр.) = bn^g), где c = 0,60922, g = 0,07143, a = 1,106. Показано, что она дает хорошне результаты для n от 5 до 19, несколько хуже — для n = 2,3,4; для CH_4 расхождение велико.

11153. Вычисление равновесного давления в системе лед — вода. Хельстрём (Über die Berechnung des Gleichgewichtsdruckes von Eis — Wasser. Hällström M.), Suomen kem., 1956, 29, № 3, 85—87

Применительно к системе лед — переохлажденная вода в области т-р, близких к 0°, рассмотрено ур-ние $P\Delta v=RT\ln{(p_2/p_1)}$, где P — давление, оказываемое на систему, Δv — разность молярных объемов льда и переохлажденной воды при равновесном давлении, p_2 и p_1 — давление паров переохлажденной воды и льда при 1 алы и т-ре T. В более общем случае для области, лежащей близ определенной T, предложено ур-ние $(P_2-P_1)\Delta r=RT_2\ln{(p_2'p_1')}$ — $RT_1\ln{(p_2/p_1)}$, где Δv относится қ более высокому давлению P_2 , P_2 и P_1 — давление паров переохлажденной воды и льда при давлении P_2 и т-ре T_2 . Показано, что вычисленные по этим ф-лам величины равновесного давления для т-р от —1° до —15° хорошо совпадают с эксперим. данными Бриджмэня и Тамманна. С. Бык 11154. Давление пара и критические константы D_2O .

11154. Давление пара и критические константы D₂O.

Оливер, Грисард (Vapor pressure and critical constants of D₂O. Oliver George D,
Grisard J. W.), J. Amer. Chem. Soc., 1956, 78,
№ 3, 561—563 (англ.)

В эбуллиометре высокого давления определено давление пара H_2 О и D_2 О (99,87%) > 200°. Для области T-р 208—300° I_2 ($P_{D_2O}/P_{H_2O}/P_{H_2O}/P_{H_2O}/P_{H_2O}/P_{H_2O}/P_{H_2O}/P_{H_2O}/P_{H_2O}/P_{H_2O}/P_{H_2O}/P_{H_2O}/P_{H_2O}/P_{H_2O}/P_{H_2O}/P_{H_2O}/P_{H_2O}/P_{H_2O}/P_{H_2O}/P_{H_2O}/P_{H_2O}/P_{H_2O}/P_{H_2O}/P_{H_2O}/P_{H_2O}/P_{H_2O}/P_{H_2O}/P_{H_2O}/P_{H_2O}/P_{H_2O}/P_{H_2O}/P_{H_2O}/P_{H_2O}/P_{H_2O}/P_{H_2O}/P_{H_2O}/P_{H_2O}/P_{H_2O}/P_{H_2O}/P_{H_2O}/P_{H_2O}/P_{H_2O}/P_{H_2O}/P_{H_2O}/P_{H_2O}/P_{H_2O}/P_{H_2O}/P_{H_2O}/P_{H_2O}/P_{H_2O}/P_{H_2O}/P_{H_2O}/P_{H_2O}/P_{H_2O}/P_{H_2O}/P_{H_2O}/P_{H_2O}/P_{H_2O}/P_{H_2O}/P_{H_2O}/P_{H_2O}/P_{H_2O}/P_{H_2O}/P_{H_2O}/P_{H_2O}/P_{H_2O}/P_{H_2O}/P_{H_2O}/P_{H_2O}/P_{H_2O}/P_{H_2O}/P_{H_2O}/P_{H_2O}/P_{H_2O}/P_{H_2O}/P_{H_2O}/P_{H_2O}/P_{H_2O}/P_{H_2O}/P_{H_2O}/P_{H_2O}/P_{H_2O}/P_{H_2O}/P_{H_2O}/P_{H_2O}/P_{H_2O}/P_{H_2O}/P_{H_2O}/P_{H_2O}/P_{H_2O}/P_{H_2O}/P_{H_2O}/P_{H_2O}/P_{H_2O}/P_{H_2O}/P_{H_2O}/P_{H_2O}/P_{H_2O}/P_{H_2O}/P_{H_2O}/P_{H_2O}/P_{H_2O}/P_{H_2O}/P_{H_2O}/P_{H_2O}/P_{H_2O}/P_{H_2O}/P_{H_2O}/P_{H_2O}/P_{H_2O}/P_{H_2O}/P_{H_2O}/P_{H_2O}/P_{H_2O}/P_{H_2O}/P_{H_2O}/P_{H_2O}/P_{H_2O}/P_{H_2O}/P_{H_2O}/P_{H_2O}/P_{H_2O}/P_{H_2O}/P_{H_2O}/P_{H_2O}/P_{H_2O}/P_{H_2O}/P_{H_2O}/P_{H_2O}/P_{H_2O}/P_{H_2O}/P_{H_2O}/P_{H_2O}/P_{H_2O}/P_{H_2O}/P_{H_2O}/P_{H_2O}/P_{H_2O}/P_{H_2O}/P_{H_2O}/P_{H_2O}/P_{H_2O}/P_{H_2O}/P_{H_2O}/P_{H_2O}/P_{H_2O}/P_{H_2O}/P_{H_2O}/P_{H_2O}/P_{H_2O}/P_{H_2O}/P_{H_2O}/P_{H_2O}/P_{H_2O}/P_{H_2O}/P_{H_2O}/P_{H_2O}/P_{H_2O}/P_{H_2O}/P_{H_2O}/P_{H_2O}/P_{H_2O}/P_{H_2O}/P_{H_2O}/P_{H_2O}/P_{H_2O}/P_{H_2O}/P_{H_2O}/P_{H_2O}/P_{H_2O}/P_{H_2O}/P_{H_2O}/P_{H_2O}/P_{H_2O}/P_{H_2O}/P_{H_2O}/P_{H_2O}/P_{H_2O}/P_{H_2O}/P_{H_2O}/P_{H_2O}/P_{H_2O}/P_{H_2O}/P_{H_2O}/P_{H_2O}/P_{H_2O}/P_{H_2O}/P_{H_2O}/P_{H_2O}/P_{H_2O}/P_{H_2O}/P_{H_2O}/P_{H_2O}/P_{H_2O}/P_{H_2O}/P_{H_2O}/P_{H_2O}/P_{H_2O}/P_{H_2O}/P_{H_2O}/P_{H_2O}/P_{H_2O}/P_{H_2O}/P_{H_2O}/P_{H_2O}/P_{H_2O}/P_{H_2O}/P_{H_2O}/P_{H_2O}/P_{H_2O}/P_{H_2O}/P_{H_2O}/P_{H_2O}/P$

1155. Давление нара фтористого циркония. Сенс, Снайдер, Филберт (The vapor pressure of zirconium fluoride. Sense Karl A., Snyder M. J., Filbert R. B., Jr), J. Phys. Chem., 1954, 58, № 11, 995—996 (англ.)
Измерено давление нара ZrF₄ в интервале т-р

Измерено давление пара ZrF_4 в интервале т-р $616-881^\circ$ при помощи метода и аппаратуры, аналогичных описанным ранее (РЖХим, 1955, 11281). Эксперим. данные подчиняются кривой $\lg P$ мм = A+B/T, где $A=13,3995\pm0,0078$, $B=-12376,0\pm8,1^\circ$. Вычислено

значение теплоты сублимации $56,63\pm0.04$ ккал/моль. Экстраполяцией к p=760 мм определена т-ра сублимации 903° . Л. Резинцкий

11156. Некоторые физические свойства шестифтористого вольфрама Барбер, Кейди (Some physical properties of tungsten hexafluoride. Ваг bег Е u gene John, Саdy George H.), J. Phys. Chem., 1956, 60, № 4, 505—506 (англ.) Исследованы нагревание (от —175 до 8°) и давление насыщ. пара (от 11,83 до 51,38°) шестифтористого вольформа.

Исследованы нагревание (от — 175 до 8°) и давление насыщ. нара (от 11,83 до 51,38°) инестифтористого вольфрама. На кривой нагревания обнаружено два излома, соответствующие т-ре плавления $(2,0\pm0.3^\circ)$ и т-ре превращения $(-8.2\pm0.1^\circ)$, и найдены приблизительные значения теплоты превращения $(1600\pm300~\kappa aa/моль)$ и теплоты плавления $(500\pm100~\kappa as/моль)$. Давление пара описано ур-инем $\lg P(mM) = 6,88699 - (928,580/T) = -(67942,9/T^2)$; вычислены т. кип. $47.06\pm0.05^\circ$, теплоты испарения $6150~\kappa aa/моль$ (при 25°), 5930 (при 40°) и 6245 (т-ра кипения), а также значение «параметра растворимости» $(\Delta E(\text{пар})/V)^{1/2} = (7,96~\kappa aa/мол^{-1})^{1/3}$ (при 25°). Полученные значения свойств сравнены с теми из них, которые известны из латературы. С. Бык 11157. Исследование равновесия жидкости и пара

1157. Исследование равновесия жидкости и пара в системе О₂—Кг. Фастовский В. Г., Петровский Ю. В., Ж. физ. химин, 1956, 30, № 3, 589—592 (рез. англ.)

С помощью описанной ранее (РЖХим, 1956, 42596) эксперим. установки и методики работы получены данные о равновесных составах жидкости и пара при разных т-рах для пяти различных смесей O_2 —Кг. В координатах $\ln \pi (\pi$ —абс. давление в мм рт. ст.), 1/T опыт. точки для каждой смеси ложатся на прямые, располагающиеся между линнями чистых компонентов. По этим графикам построены кривые $T = \varphi (x)$, где x (сбответственно y)—мол. % O_2 в жидкости (в паре), для абс. давлений 2128, 2230, 3700 и 5170 мм рт. ст. (0.5; 2.0; 4.0 и 6.0 $\kappa e/c m^2$ избыточных). На основаням вычисленных равновесных составов пара построены кривые $T = \psi(y)$ для тех же давлений. Удовлетворительное совпадение расчетных и опытных значений показывает, что изученная система в охваченном интервале давлений не сильно отличается от идеальной. Это позволяет применнть ур-ние ван-Лаара (с коэфф., значения которых приведены для четырех исследованных давлений) для построения диаграмм x-y, необходимых при расчете ректификационной аппаратуры. В Урбах 11158. Испарение плутония из урана, подвергиу-

15. Уроах
158. Испарение плутония из урана, подвергнутого нейтронному облучению. Мак-Кензж
(The volatilization of plutonium from neutron-irradiated uranium. Мс Кепзіе D. Е.), Canad.

J. Chem., 1956, 34, № 4, 515—522 (англ.)

Скорость испарения плутония из урана после нейтронного облучения измерена методом испарения с открытой поверхности с последующей конденсацией на алундовом конденсере. Опыты производились в тиглях из окиси бериллия в вакууме 5·10-6 мм рт. ст. при т-рах 1540, 1650 и 1769°. Обработка эксперим. данных производилась по ур-нию Ленгмюра в предположении, что система является идеальным или регулярным р-ром. Показано, что коэфф. активности плутония, растворенного в уране, отличается при каждой т-ре от единицы на величину, меньшую, чем эксперим. погрешность (±25%).

1159. Давление пара трехсеринстой сурьмы над расплавом Sb₂S₃—PbS. Пономарев В. Д., Исакова Р. А., Изв. АН КазахССР, сер. гори. дела, стройматериалов и металлургии, 1956, вып. 6, 48—52 (рез. казах.)

Методом «струи» определено давление пара (P) Sb₂S₈ в сплаве с PbS в интервале 750—925° при содержании

Nº 4

вмеет

0.0040 механ

указь KHX T

of MC H YM

11166 TOP

(Iso

and

B ками

I SF яние ся. Д

срави

в пло

болы

KPHT

песко

имее:

альн

облас

при

пулк

терва 1116

Ce

KH 46

CT

19

Д

1116 Ce че

et M

11 Д

1116 Mis

0 Р

FILM9

глиг

(обр

BP131 Час

лада

для

щих 111

11.

И

CKO

Sb₂S₃ в исследуемых образцах 14,5 —79,9 вес. %. Результаты опытов табулированы и представлены графически. Найдено, что с ростом т-ры P Sb₂S₃ над расплавом повышается. Температурная зависимость P Sb₂S₃ в координатах $\lg P - 1/T$ выражается прямыми линиями, имеющими почти один и тот же наклон для сплавов различного состава. Определена теплота испарения ${\rm Sb_2S_3}$ из расплава, равная в изученном диапазоне т-р 25 200 кал/моль. С уменьшением содержания Sb₂S₃ в сплаве Р ее закономерно понижается (случай с отрицательным отклонением от закона Ра-vля). Ю. Заверняев уля). 11160.

1160. Исследование роста кристаллов растворимых солей металлов. Часть І. Влияние «защитных агентов» на поверхностную реакцию. Пактер (Studies on the crystal growth of soluble metal salts: Part I. The effect of «protecting agents» on the interface reaction. Packter A.), J. Phys. Chem., 1955, 59, № 11, 1140—1144 (англ.)

Изучено влияние органич. к-т, полиэлектролитов и поверхностноактивных в-в с длинной цепью (РЖХим. 1956, 6565) на рост кристаллов (К) растворимых солей Ag, Cu, Pb и Al. Окончательный вес К эксповенциально зависит от конц-ии «защитного агента» (ЗА). Показано, что скорость образования ядер и рост К сильно замедляются в случае адсорбции молекул ЗА расту-О. Калашников шими К.

11161. Основы теории кристаллизации. Б у m a (Základné vztahy teórie kryštalizácie. Buša Juraj), Strojnoelektrotechn. časop., 1955, 6, № 2, 71-78 (словац.) Популярная статья.

Два новых применения явления Пельтье. И о ф ф е, А. Ф., Ж. техн. физики, 1956, 26, № 2,

Указано, что выделяющаяся при кристаллизации теплота может отводиться потоком электронов, т. е. током Пельтье. Поскольку линейная скорость кристаллизации $\Delta L / \Delta t$ пропорциональна поглошаемой мощности $W=\alpha IT_0-I^2\left(\rho_1L_1+\rho_2L_2\right)/2$, то $(\Delta L/\Delta t)_{({\rm MARC})}$ отвечает плотности тока $I'=\alpha T_0/\left(\rho_1L_1+\rho_2L_2\right)$, удовлетвориющей условию $d\left(\Delta L/\Delta t\right)/dI=0$, так что $(\Delta L / \Delta t)$ (макс) = $\alpha T_0^2 / 2Qd (\rho_1 L_1 + \rho_2 L_2)$; здесь α — разность термо-э.д.с. твердой и жидкой фаз по отношению к любому металлу, T_0 — т-ра плавления, Q — уд. теплота плавления, d — плотность твердой фазы, ho_i и L_i уд. сопротивление и толщина слоя твердой фазы (i=1) и жидкости (i=2). Если $I \ll I'$, то $\Delta L/\Delta t \approx (\alpha T_0/Qd) \cdot I$, т. е. пропорционально I. Приводятся орнентировочные величны I' в a/cm^2 дя Zn, Bi, Cs и Ge, соответственно равные 280; 110; 150; 15; $\Delta L/\Delta t$ при I=100 a/cm^2 равны 2,3; 9; 23; 1,5 cm/час. Указано, что пропускание тока может заменить движушуюся печь для зонной плавки, применяемой при тшательной очистке в-ва от примесей. Это явление позволяет также создать особо благоприятные условия для роста монокристалла. Показано далее, что если пропускать через зажатую между двумя электродами пластинку полупроводника переменный ток, то образующийся вследствие чередующегося выделения и поглощения на гранях тепла Пельтье периодически изменяющийся градиент т-р приведет пластинку в колебания, которые можно использовать для генерирования звуковых волн.

163. О скорости замедленного превращения крем-незема. Кинетика полиморфных переходов SiO₂. Токуда (On the rate of the sluggish inversion of silica stone. Kinetics of the polymorphous transition of silica. To ku da Taneki), Bull Chem. Soc. Japan, 1955, 28, № 6, 435—442 (англ.)

Исследовалась кинетика превращения а-кварца в а-кристобалит. Различные образцы природных кварца

и шерта нагревались до 1200—1650° в течение нескольких часов. Полнота превращения определялась по изменению плотности (вносилась поправка на ненаменению плотности (вносилась поправка на необратимое термич, расширение). Найдено, что исследуемая реция первого порядка, в согласии с данными ряда авторов (Mellor J. W., Campbell A. J., Trans. Engl. Ceram. Soc., 1915, 15, 77; Nakai T., Fukami Y., J. Soc. Chem. Ind. Japan, 1935, 38, Supple binding, 340; Segawa K., Techn. Rep. Yawata Iron Works, 1951 26, 1) и в противоположность выводам Августиника и Курдеванидае (Ж.прикл. химии, 1946, 14, 14, Можавано, ито коместан реши коме. 19, 1189). Показано, что константа скорости р-ции увеличивается, если окислительную атмосферу (воздух) заменить восстановительной $(20\%\,\mathrm{CO},~80\%\,\mathrm{N_2})$ или водяными парами, причем это различие исчезает амера зерен на скорость превращения, при этом найдено,что ур-ние Яндера к ∞1/8² (Jander W., Z. anogran und allgem. Chem., 1927, 163, 1) неприменимо к случаю превращения поликристаллич. агрегатов двуокиси кремния (8 — диам. зерна). О. Калашников 11164. Мезоморфизм и химическое строение. Часть

IV. Влияние замещения на мезоморфизм 6-и-алкокси-2-нафтойных кислот. Грей, Джонс (Mesomorphism and chemical constitution. Part IV. The effect of substitution on the mesomorphism of the 6-n-alkoxy-2-naphthoic. acids. Gray G. W., Jones Brynmor), J. Chem. Soc., 1955, Jan.

236-244 (англ.)

Синтезирован ряд 6-и-алкокси-5-галоид- и 6-и-алкокси-5-нитро-2-нафтойных к-т и исследованы их мезоморфные свойства. Сравнивается влияние введения заместителей на мезоморфизм бензойных (часть III, РЖХим, 1956, 28455) и нафтойных к-т. Галоилозамещ. нафтойным к-там свойственна некоторая область устойчивости мезоморфного состояния, тогда как среди галондозамещ. бензойных к-т мезоморфизм наблюдался лишь у F-и Cl-замещенных и отсутствовал у Вг-замещенных. В исследованных рядах точки переходов, нак было отмечено и для других рядов, располагаются на плавных линиях (см. ссылку выше). У нитро-замещ, нафтойных к-т смектич. фазы всегда метастабильны и появляются у нонилового и высших эфиров. Додециловый, гексадециловый и октадециловый эфиры вмеют по две смектич. фазы и являются р-вами полимезоморфными (Vorländer, Trans. Faraday Soc., 1933, 29, 913; Bernal, Crowfoot, Trans. Faraday Soc., 1933, 29, 1032). Отсутствие смектич. свойств у этих соединениях может быть связано с большим дипольным моментом нитрогруппы (4,24 µ), так как наличие дипольного момента, направленного под углом 60°—70° к длинной оси молекулы, по-видимому, характерно для типичных смектич. соединений. Изменения области проявления мезоморфного состояния при введении различных заместителей связывается, как и в предыдущих работах (РЖХим, 1956, 28455), с изменением размеров молекул. И. Котляревский 11165. Свойства индия и таллия при низких темпера-

турах. Суэнсон (Properties of indium and thallium at low temperatures. S we n s o n C. A.), Phys. Rev., 1955, 100, №6, 1607—1614 (англ.) На описанной равее установке (РЖХим, 1956, 38801)

образцы ивдия и таллия подвергались давлению $10\,000~amм$. В интервале τ -р T от 4.2~D 300° К измерены величины $(V_0-V_{10~000})/V_0$, где V_0 и $V_{10~000}$ — объемы соответственно при 0 и $10\,000~amм$, и коэфф. линейного распирения. Обе величины монотонно растут с т-рой; последняя для таллия растет менее круто, чем для индия. Результаты гредставлены таблицами и гра-финами. От 4,2 до 272,2° измерено также электрич. сопротивление R индия, при ~210° обнаружена особая точка, по обе стороны от которой величина $(1/R_{273}) dR/dT$

OD

ie-

4R

on 6,

(X ЛИ

ет

ие MO

an

aio

CM

OB

ТЪ

H-

30-

he

he

٧.,

m.

IK-

MX

ИЯ

11,

m.

oŭ-

гаіся

ен-

как

Ha

em.

ны

ne-

ры

30-33,

33,

Be-

мо-

ль)° R

оно

06-

Be-

и в

He-

кий

pa-

ys. (108

ию

ме-МЫ

ей-

T C чем

rpa-PNC.

бая

/dT

имеет различные значения: 0,00443 при больших Т и 0.00400 — при меньших. Анализ кривых, описывающих механич. и термомеханич. свойства индия и таллия, указывает на отсутствие фазовых переходов при низких т-рах. Результаты косвенно свидетельствуют также об исчезновения эффекта упрочнения при низких т-рах и умеренных давлениях. Е. Бабенков

Изотермы двуокиси углерода и тестифтористой серы в критической области. Уэнторф ([sotherms in the critical regions of carbon dioxide, and sulfur hexafluoride. Wentorf R. H., Jr), J. Chem. Phys., 1956, 24, № 3, 607—615 (англ.) В стальном сосуде емк. 65 мл, снабженном окошками для визуального наблюдения и фотографирования, производилось измерение изотерм p-v. Для $CO_2(I)$ и SF_4 (II) в крит, области. Вводилась поправка на влияние силы тяжести по ф-ле, вывод которой приводится. Для I получены изотермы через 0,01—0,02° от 31,02 до 31,10°, а для II от 45,52 до 45,77°. Проведено также сравнение с результатами других авторов. Различие в плотности жидкой и паровой фаз остается довольно большим (—20%) до т-ры, которая всего на 0,01° ниже критической, и затем быстро исчезает в интервале вескольких сотых градуса, т. е. ортобарная кривая вмеет плоский максимум. Вид изотерм, а также визуальные наблюдения показывают, что аномальная крит. область между т-рой исчезновения мениска и т-рой, при которой одновременно $(\partial p/\partial V)_T$ и $(\partial^2 p/\partial V^2)_T$ равны вулю, не существует вовсе, либо простирается на ин-тервал т-р не больше 0,02 (I) и 0,04° (II). А. Лихтер

Ответ на статью В. П. Скрипова и В. К. Семенченко «Фазовые переходы II рода и критические явления. V. О максимуме теплоемкости в критической области расслаивания двойных жидких ситем». Криче вский И. Р., Ж. физ. химии, 1955, 29, № 12, 2256—2260 Дискуссионная статья. К РЖХим, 1956, 18737. В. Цукерман

11168. По поводу статьи В. П. Скрипова и В. К. Семенченко «Фазовые переходы II рода и критические явления. V. О максимуме теплоемкости в критической области расслаивания двойных жидких си-стем». Амирханов Х. И., Гурвич И. Г., Матизеи Э. В., Жфиз. химии, 1956, 30, № 5, 1158—1161

Дискуссионная статья. См. РЖХим, 1956, 18737. 11169. Обнаружение псевдоизоморфных частиц льда. Монмори (La détection des particules pseudo-isomorphes de la glace. Montmory R.), Bull. Observ. Puy de Dome, 1955, № 1, 9—15 (франц.;

рез англ.)

Для обнаружения псевдоизоморфных ледяных частиц в атмосфере предложено применять р-р, получаемый смешением p-pa AgJ с NaCl в ацетоне с триэтиленгликолем. Капля р-ра наносилась на предметное стекло (образовывалась пленка). По мере испарения ацетона р-р становился пересыщенным. Некоторые в-ва с те-ми же кристаллографич. характеристиками, как AgJ, вызывают кристаллизацию в пленке как зародыши. Частицы типа NaCl, атмосферная пыль и т. д. не обладают этими свойствами. Опыты с пленкой во влажном воздухе заставляют считать, что р-ры пригодны для обнаружения в атмосфере ледяных частиц, имеющих структуру, аналогичную структуре Agl. Л. Радушкевич

1170. Термодинамические свойства растворов расплавленных солей. Марков Б. Ф., Укр. хим. ж., 1955, 21, № 6, 703—709

Изложение доклада, прочитанного на 1-м Украинском республиканском совещании по физ. химии 17 сентября 1954 г. Рассматриваются литературные

данные о р-рах расплавленных солей, полученные методом э.д.с., а также результаты собственных исследований двойных систем, образованных хлоридами магния и свинца с хлоридами щел. металлов. Из э.д.с. хим. ценей при различном соотношении компонентов в расплаве рассчитывается парц. мол. изобарный потенциал Z₁ компонента электрохим. р-ции, а по зависимости э.д.с. от т-ры — парц. мол. энтропия $\overline{S_1}$; вычисляются избыточные (по сравнению с идеальным p-poм) \overline{Z}_{i}^{E} и \bar{S}_1^E . Из сопоставления диаграмм состояния со значениями \overline{Z}_1^E найдено, что $\overline{Z}_1^E > 0$ только для систем, образующих твердые p-ры, $\overline{Z}_{1}^{E}=0$ — в эвтектич. системах (идеальные р-ры, отвечающие ур-нию Шредера — Ле Шателье), $\overline{Z}_1^E < 0$ — для систем с хим. взаимодействием; чем более четко выявляются хим. соединения на диаграммах, тем большее отрицательное значение имеет \overline{Z}_1^E . Более полная характеристика солевого расплава достигается при совместном рассмотрении $\bar{\mathbf{Z}}_{\mathbf{i}}^E$ и \overline{S}_1^E . По величине и знаку \overline{Z}_1^E и \overline{S}_1^E бинар ые р-ры расплавленных солей в первом приближении можно разделить на 4 группы: $\overline{Z}_1^E \approx \overline{S}_1^E \approx 0$ — ростейшие (идеальные) р-ры; $\overline{S_1^E} \approx 0$, $\overline{Z_1^E} + 0 =$ регулярные р-ры; $\overline{S}_1^E > 0$, $\overline{Z}_1^E \geqslant 0$ — р-ры из ассоциированных компонентов без хим. взаимодействия; $\overline{S}_1^E > 0$, $\overline{Z}_1^E \ll 0 - p$ -ры из ассоциированных компонентов с хим, взаимодействием. 11171.

Отрицательные изотермы показателей преломления в системах с химическим взаимодействием компонентов. Ноффе Б. В., Ж. физ. химин, 1955, 29, № 5, 877—882.

Для подтверждения положений, высказанных в предыдущих работах (РЖХим, 1956, 46334, 71150), изучены показатели преломления в системах из диметиланилина (I) с м-крезолом (II), изовалериановой (III) и муравьиной (IV) к-тами. Подтверждено существование изотерм «показатели преломления-состав» (объемный) с отрицательным отклонением от аддитивности $(\Delta n(V) < 0)$, несмотря на хим. взанмодействие компонентов. В системе I—IV изотермы показателей преломления имеют различную форму и звак (от +до-) в зависимости от длины волны света, что автор объ ясняет тем, что иногда происходящее при взаимодействии компонентов изменение объема и изменение по-лос поглощения, действуют антибатно, и поэтому $\Delta n(V)$ может оказаться небольшим положительным или даже отрицательным. Таким образом, в системах $|\Delta n(V)| < 0.007$ —0.008 знак $\Delta n(V)$ не может дать указания на поведение компонентов $\Delta n(V) > 0,008$ свидетельствует о хим. взаимодействии компонентов. И. Верещетина О зависимости показателей преломления от

концентрации и о рефрактометрическом анализе двойных жидких систем (по поводу статьи И. В. Красовского и Р. Н. Дикой). И о ф ф е Б. В., Укр. хим. ж., 1955, 21, № 6, 816—821. Дискуссионная статья. См. РЖХим, 1956, 46333.

1173. Определение молекулярного веса по точке замерзания концентрированных растворов. Ха ине вейк (Bepaling van molekuulgewichten uit de vriespuntsdaling van niet-verdunde oplossingen. На n n e w i j k J.), Chem. weekbl., 1955, 51, № 38, 650, 666, (году. расумен виги. виги на пределения верейки предустания верейки верейки предустания верейки предустания верейки предустания верейки предустания верейки предустания верейки
659-666 (голл.; резюме англ.)

Указано на применимость ранее опубликованного метода (Prahl W., Angew. Chem., 1939, 52, 481) для расчета мол.-веса в-в по понежению точки замерзания конц. вдеальных р-ров.

K, 2

MOC

ZnS

cre

TIC

при

Kar

IV

rpy

rep

MHI

F

кав

диа лен

100

HAR Tac ROC

~1

₹-p

про

MOC

<1

pac

при

РЖ

явл

мет

Bill

при

диа

MHT

HOE

111

Ł

1

N

пау

при

KOT

HO

P-p

TOT,

быс

лен

-8

11174. Номограмма для перехода от весовых к атомным процентам для двухкомпонентных систем. Бартфай (Nomogram ketalkotós rendszerek súlyės atom- (mól-) százalèk összefüggésére Bártfai Ferenc), Kohász. lapok, 1956, 11, № 4, 173 (венг.)

11175. Растворимость твердых веществ в газах. Часть 3. Растворимость твердого кеенона и твердой двуокиси углерода. Ю а л д (The solubility of solids in gases. Part 3. The solubility of solid xenon and solid carbon dioxide. E wald A. H.), Trans. Faraday Soc., 1955, 51, № 3, 347—356 (англ.)

Для проверки теории растворимости твердых тел в газах, построенной на учете взаимодействия в газе по Ван-дер-Ваальсу, измерена растворимость твердого ксенона в сжатом азоте, водороде и гелии. При иснользовании литературных значений параметров взаимодействия для чистых компонентов получено, что рассчитанные значения растворимости хорощо согласуются с экспериментальными, за исключением системы с гелием, в которой, как предполагается, может образовывать ся твердый р-р. Измерена также растворимость твердой двуокией углерода в водороде и гелии. Найдено, что растворимость в водороде больше рассчитанной, что указывает на наличие взаимодействия более сильного, чем при обычных силах Ван-дер-Ваальса. Часть 2 см. РЖХим, 1955, 25856.

А. Шэвченко 11176. Обзор двойных систем титана и предложений по их классификации. Са м с о н о в Г. В., Н е ип п о р В. С., Л а н г е Л. В., Металловедение и обработка металлов, 1956, № 1, 51—59

Обзор Библ. 32 назв. О. Г. 11177. Некоторые физико-химические свойства соединений переходных тугоплавких металлов с бором, углеродом и азотом и особенности их двойных сплавов. С а м с о и о в Г. В., Изв. сектора физ.-хим. анализа ИОНХ АН СССР, 1956, 27, 97—125 Обзор работ по взаимодействию тугоплавких переходных металлов IV, V и VI групп периодической системы с бором, углеродом и азотом. Сделана попытка объ-

с оором, углеродом и азотом. Сделана полытка ооъяснения некоторых свойств образующихся соединений на основе современных представлений теории строения и хим. связи. Библ. 47 назв. Н. Лужная 11178. Зависимость между давлением, составом и температурой в системе излладий — водород. М у н

(Pressure—composition—temperature relations in the palladium—hydrogen system. Мооп Кеппеth A.), J. Phys. Chem., 1956, 60, № 4, 502—504 (англ.) Произведена математич. обработка литературных данных по растворимости водорода в палладии. Найдено, что $\lg K$ (константы равновесия р-ции взаимодействия Pd с H_2) близок к линейной функции обратной т-ры (в °K); силавы α Pd— H_2 являются истинными гомог. р-рами.

11179. Система гадолиний — водород. Стерди, Малфорд (The gadolinium—hydrogen system. Sturdy Gladys E., Mulford Robert N. R.) J. Amer. Chem. Soc., 1956, 78, № 6, 1083—1087 (англ.)

Исследованы равновесия в системе гадолиний — водород, построена (частично) диаграмма состояния P-T-C системы. Аппаратура и методика описаны ранее (РЖХим, 1956, 25106). Установлено образование гидридов GgH₂ и GgH₃, оба хрупкие, серого цвета. Рентгенографич. исследования показали, что GgH₂ обладает куб. решеткой: a 5,303 \pm 0,001 A, рассчитанная плотность 7,08. GgH₃ имеет гексагональную структуру: a 3,73 \pm 0,01, c 6,71 \pm 0,02A, плотность 6,57. Н. Лужная 1180. p-T-x-фазовая диаграмма системы свинец —

11180. p-T-x-фазовая диаграмма системы свинец — сера. Блум, Крегер (The p-T-x-phase diagram of the lead-sulphur system. В loem J., Kröger

F. A.), Z. phys. Chem. (BRD), 1956, 7, № 1—2, 1—14 (англ.; рез. нем.)

Изучена фазовая диаграмма давление—т-ра—состав системы Pb—S в области, примыкающей к соединению PbS. Найдено, что максим. точка плавления ваходится при 1127° и соответствует твердой фазе PbS, содержащей избыток свинца в кол-ве 6·10¹⁸ атомов на 1 см³, т. е. 3·10⁻⁴ атомов на 1 моль. Аномальный ход кривых равновесия жидких и твердых фаз указывает на наличие ближнего порядка в жидкости состава PbS. Ю. Третьяков 11181. Распределение меди между германием и трой-

ными расплавами, насыщенными германием. Термон д., Логан (The distribution of copper between germanium and ternary melts saturated with germanium. Thu r mond C. D., Logan R. A.), J. Phys. Chem., 1956, 60, № 5, 591—595 (англ.) Измерена методом электросопротивления растворимость Си в твердом Ge в зависимости от конп-ии Си в тройных расплавах Ge—Си—Рь, Ge—Си—Іп, Се—Си—Sn и Ge—Си—Аи, насыщенный Ge при 700°. Определены коэфф. распределеныя Си между твердыми Ge и жидкими тройными расплавами в зависимости от конц-ии Си в расплавах (в основном в случае системы Ge—Си—Рь). В случае расплавов Ge—Си—Рь коэфф. распределения Си возрастает при уменьшении содержания Си в расплаве и при конц-ии Си <0,2% остается постоянным. Как указывают авторы, это является следствием плохой смешиваемости Рь и Си. Исходя из экспериментально определения Си, авторы оценивают энергию связи Си в разб. твердом р-ре Си в Ge при 700° в 47 ккал/г-атом. Обсуждается поведение коэфф.

Д. Белащенко 11182. Взаниная растворимость никельарсенидных соединений NiSb и Ni₃Sn₂. Глады шевский Е.И., Черкашин Е.Е., Наук. зап. Львівськ. ун-ту, 1955, 34, 51—55

активности Си в твердом р-ре и в расплаве.

Унту, 1933, 34, 31—33
Применяя микроструктурный метод, фазовый рентеноструктурный анализ и прецезионное измерение периодов идентичности, авторы исследовали систему NiSb—Ni₃Sn₃, характеризующуюся, в отличие от ранее исследованных у-соединений, различным содержанием переходного металла и отсутствием непрерывных твердых р-ров между замещающимися металлами (Sb и Sn) в двойной системе. Сплавы получали из Ni,Sb и Sn и затем отжигали 40 час. при 600° с последующей закалкой в холодной воде. Установлено образование непрерывного ряда твердых р-ров с замещением всех атомов Sb атомами Sn и добавочным внедрением атомов Ni в структуру NiSb.

А. Хейнмав 11183. Обменное разложение, комплексообразование

1183. Обменное разложение, комплексообразование и полиморфизм в адиагональной взаимной системе из хлоридов и сульфатов калия и кадмия. Бергман А. Г., Бакумс кая Е. Л., Ж. общ.

ман А. Г., Бакумская Е. Л., Ж. общ. химин, 1956, 26, № 3, 629—638. Изучена взаимная система К, Сd||Cl, SO₄ (I). В псследованных двойных системах К•Сl₂—К•SO₄ и К•SO₄—СdSO₄ обнаружено дополнительное превращение К•SO₄ при 856°, природа которого не выяснена. В системе К•Сl₂—CdCl₂ установлено превращение комплекса 4КСl-CdCl₂ при 392°. Диаграмма плавкости взаимной системы I состоит из восьми основных полей кристализации, сходящихся в щести нонвариантных точках. В полях К•SO₄ и К•SO₄ • 2CdSO₄ различаются участки α-, β-, γ- и α-, β-модификаций. Комплексообразование в системе I подавляет р-цию обмена с небольшим условным выводами (Домбровская О. С., Изв. сентора физъим. анализа ИОНХ АН СССР, 1941, 14, 106) взаимная система I отнесена к адиагональным полуобра-

-14 CTAB инена-PbS.

MOR ход Baer тава HKOR pone pbet-

with A.), игл.) opu-Cu -In,

700° IMME TO M темы эфф. одер-

Taerнется RIOX рной цени-B Ge

оэфф. пенко дных Е.И., BCLR.

рентрение стему т раержа-

ІВНЫХ плами Ni,Sb ющей вание BCCI TOMOB

йнман RAHIBE стеме eproom.

В ис-SO4-K2SO4 истемв плекса имной исталочках.

частки ования условделанфиз.-

) B38уобратимым системам поясного типа. В отличие от системы к,Zn||Cl,SO₄ (РЖХим, 1954, 33878) в системе I не образуются внутренние гетеросоединения. Ю. Счесленок 184. Взаимодействие сульфата цинка с галогени-дами таллия и цезня в расплавах. Луж и ая Н. П., Верещетина И. П., Изв. Сектора физ.-хим. анализа ИОНХ АН СССР, 1956, 27, 285—295.

Методами плавкости, электропроводности и плот-ности исследованы системы Tl₂Cl₂—ZnSO₄ (I), Tl₂Br₂— ZnSO₄ (II) Tl₂J₂—ZnSO₄ (III) и Cs₂Br₂—ZnSO₄ (IV), являющиеся диагональными сечениями взаимных сиявляющиеся диагональными сечениями взаимных си-стем. Найдены соединения типа каннита, состава 1:1 (РЖХим, 1954, 30312). В системе I соединение TlCl-ZnSO₄ илавится конгруэнтно при 440°, эвтектика при 280° и 39,52% ZnSO₄. В системах II и III найдены авиниты TlBr-ZnSO₄ и TlJ-ZnSO₄, плавящиеся с раз-ложением соответственно при 438 и 480°. В системе IV найдено соединение CsBr-ZnSO₄, плавящееся кон-груитно при 502°, эвтектика при 420° и 50% ZnSO₄. Рассчитаны мол. объемы и атомные конц-ии. На изотермах свойств вблизи состава каинитов обнаружены минимумы и изломы кривых, несколько смещенные от ординаты состава соединения. И. Верещетина 11185. Структура костяного фарфора. II. Реакции в костяном фарфоре. Сен-Пьер (Constitution of bone china. II. Reactions in bone china bodies. St.

Pierre P. D. S.), J. Amer. Ceram. Soc., 1955, 38. № 6, 217—222 (англ.)

Рентгенографически исследовались р-ции, проте-жающие при обжиге костяного фарфора. Дифференциальным термич. анализом обнаружено лишь выде-ление воды из каолина (580°) и экзотермич. изменения дегидратированного каолина при 980°. Вплоть до 1000° р-ции подобны протекающим при обжиге гли-ияных изделий. В присутствии остальных составных частей керамич, массы английского костяного фарфора костяная зола (гидроксил-апатит) диссоциирует при ~1000°, образуя 3-Са₃(PO₄)₂, H₂O и СаО; выше этой т-ры идут р-ции, характерные для костяного фарфора (образовани 3- Са₃(PO₄)₂ и анортита). При 1000—1370° происходит быстрое растворение кварца, который при достаточно долгом обжиге не обнаруживается уже при <1370°. Анортит вскоре после образования начинает растворяться в жидкой фазе, растворяясь полностью при 1322°. Рентгенографич, исследование подтверждает результаты изучения фазовых равновесий (часть I, РЖХим, 1956, 53894), указывая, что 3 - Ca₃(PO₄)₂ является первичной фазой, а анортит—вторичной. Заметные изменения, происходящие в смеси исходных в-в выше 1000° в течение 20 мин., указывают, что р-ции при обжиге идут достаточно быстро и что, следовательно, диаграмма фазовых равновесий может служить для витерпретации поведения костяного фарфора при повышенных т-рах. В. Соколов

11186. О гексагидрате хлористоводородной кислоты. B io ii a p (Sur l'hexahydrate de l'acide chlorhydrique, Vuillard Guy), C. r. Acad. sci., 1955, 241, № 19, 1308—1311 (франд.)

Методом термич. анализа (РЖХим, 1956, 384) тзучена система H₂O—HCl (I) в интервале 0—36 вес. % I. Установлено существование 2 эвтектик: —74,7±0.2° при 23 0 вес. % I и-73,0±0,2° при 26,5 вес. % I, между которыми находится ветвь кристаллизации конгруэнтно плавящегося гексагидрата I (т.пл. $-70.0\pm0.2^\circ$). Р-ры с конц-ией, близкой к 25% I, сохраняются в течение нескольких дней при -80° , не кристаллизуясь, тогда как при —95° кристаллизация происходит очень быстро и сопровождается выделением тепла. Определена метастабильная эвтектика лед—тригидрат І:
—87.5° при 24,8 вес. % І. Ю. Третьяков
1187. Исправление к статье: «Изучение условий
образования двойных сульфатов лантана и аммония нз растворов». Уразов Г. Г., Тулинова В. Б., Плющев В. Е., Чуйкина Н. И., Докл. АН СССР, 1955, 105, № 5, 884.

К РЖХим, 1956, 50191.

11188. Растворимость бромата серебра в водных растворах сахарозы. Кондзуми, Миямото (蔗糖水溶液における臭薬酸銀の溶解度. 小泉英, 宮本弘), 日本化學雜誌, Нихон кагаку дзасси, J. Chem. Soc. Japan. Pure Chem. Sec., 1956, 77, № 1, 193—196 (япон.)

См. также РЖХим, 1956, 64462,

Эмпирические уравнения для расчета плотностей системы этиловый спирт — вода при различ-ных температурах. Левина И. И., Панченков Г. М., Ж. прикл. химии, 1956, 29, № 1, 132-133 Для расчета плотностей (d) води. р-ров этилового спирта в интервале т-р $10-40^\circ$ предложено ур-ние $d_t=a-bt-ct^2$. Константы $a,\ b,\ c$ вычислены и табулированы для смесей состава 10-90 вес. % спирта (через 10%). Отклонение вычисленных значений d от эксперимента ≤ ± 0,005%. Ю. Заверняев 11190. Прохождение ультравную перез двойные жидкие смеси. Кришнамуртхи (Transmission of ultrasonics through binary liquid mixtures. Krishnamurthi M.), Proc. Indian Acad. Sci., 1956, A43, № 2, 106—112 (англ.)

Импульсным методом измерены коэфф. поглощения (ошибка ±5%) и скорости ультразвука (±1 м/сек) в смесях бензол-дихлорэтилен (I), этиловый спиртолеиновая к-та (II), диоксан-этилметилкетон (III), бензиловый спирт этиловый спирт (IV), бензиловый спирт-язопропиловый спирт (V) различного процентного состава. Качественно объясняется быстрое уменьшение коэфф. поглощения а в I при добавке небольших кол-в дихлорэтилена, незначительное влияние небольших добавок этилового спирта в II на боль-шую величину с, характерную для олеиновой к-ты, возникновение острого максимума на кривой с-состав в III, а также возникновение острых минимумов на аналогичных кривых в IV и V. Б. Кудрявцев 1191. Состояние равновесия фаз системы вода — этиловый спирт. О ш м я и Г. Л., Тр. Всес. и.-и. ин-т спирт. пром-сти, 1955, вып. 5, 91—105

Описан прибор для определения состава жидкой и паровой фаз в состоянии равновесия, свободный от ряда источников возможных погрешностей (образование флегмы, унос капелек жидкой фазы паром, перегрев свободных от жидкости стенок колбы, неправильный отбор проб и т. д.). Получены данные о составе фаз системы вода — этиловый спирт при т-рах кипения р-ров под атмосферным давлением, отличающиеся от данных Бергиптрема только на отрезке кривой от 20 вес. % спирта и ниже. В этом интервале конц-ий полученные данные близки к вычисленным по ур-ниям Дюгема — Маргулеса $p_a = P_a \alpha$ exp { α (1 — x)⁸/3}, $p_b = P_b$ (1 — x) exp { αx^2 (3 — 2x)/6}, где p_a и p_b —пари. давления паров спирта и воды, P_a, P_b — давления паров чистых компонентов при тех же τ -рах, $\alpha = 4.74$. В интервале 0,0-1,0% они располагаются между данными расчета и Бергштрема, причем зависимость между содержанием (вес. %) спирта в жидкой фазе (x) и в паре (y) имеет вид: для интервала 0,00-0,15% y=13x, для интервала 0,15-1,00% y=13,45 x-2,70 x^2 . Дан расчет кривой равновесия по ур-ниям Дюгема—Маргу-леса и показано, что он дает весьма близкие к эксперим. данным значения для всех точек кривой по всей ее длине.

11192. Растворимость 1-бутена в воде. Брукс, Мак-Кетта (The solubility of 1-butene in water. Вгоокs W. В., МсКеtta John J.), Petrol. Refiner, 1955, 34, № 2, 143—144 (англ.)

287

CME

B.

лож

IIo.

min

III

pec

пзб

nec

сис

111

112

112

112

112 3

TC

120

te

L

112

I

D

S. L.

112

tı

d

a D

112

Дe V

(I

Растворимость 1-бутена (I) (>99,0 мол. %) в воде при давл. 0,7 — 70 am и т-рах от 38° до критической t I (144°) исследована методом, описанным ранее (Culberson O. L. и др., Trans. AIME, Petr. Div., 1950, 189,1). Растворимость I в воде в ~4 раза выше раствори-мости н-бутана (II). Высказано предположение о возможности использования разницы в растворимостях в воде для разделения смесей I-II.

Вязкость, электропроводность, показатель преломления и плотность двойных жидких систем серной и фосфорной кислот со сложными эфирами и с лактонами. Панта, Тутунджич, Лилер, Косанович (Вискозитет, електрична проводњивост, индекс преламанња и густина бинарних система сумпорне и фосфорне киселине са естрима и лактонима. Панта С., Тутунцић, Лилер Милица, Косановић ѣура), Гласник Хем. друштва, 1955, 20, № 8, 481—495 (серб.; рез. англ.)

Исследованы вязкость, электропроводность, ватель преломления и плотность систем H₂SO₄ (I) с этилацетатом (II), этилбензоатом (III) и кумарином (IV) и Н₃РО₄ (V) с II при 24 и 40°. На основании максимумов вязкости, контракций объема и положительных отклонений показателя преломления от аддитивности сделан вывод о наличии в этих смесях равновесных молекулярных соединений типа 1:1. Электропроводности систем с I имеют наибольшее значение при~90 мол. % I (значения электропроводности исправлены на изменение вязкости у умножением на $\eta^{1/3}$). Все свойства жидких фаз указывают, что соединения в системах I—II и I—IV более устойчивы, чем в системе I—III. Соединение в системе V—II менее устойчиво, чем в системе I — II, вследствие меньшей кислотности V. Сравнение с результатами прежних исследований (РЖХим, 1955, 9204, 28486, 1956, 465, 50199) смесей уксусной и бензойной к-т с I и V показывает, что сложные эфиры являются более слабыми основаниями, чем соответствующие кислоты, вероятно, вследствие пространственного влияния спиртового остатка. В. Урбах Диффузия в идеальных двойных жидких сме-

сях. Колдуэлл, Бабб (Diffusion in ideal bi-nary liquid mixtures. Cald well C. S., Babb A. L.), J. Phys. Chem., 1956, 60, № 1, 51—56

Определена концентрационная зависимость коэфф. взаимной диффузии D в системах $C_6H_6-CCl_4$, $C_6H_5Cl-C_6H_6Br$ и $C_6H_6CH_3-C_6H_5Cl$ гри 10, ~ 27 и 40°. Эта зависимость почти линейна; отклонения, выстугающие при более низкой т-ре, надо отнести за счет неидеальности систем, в частности, за счет образования комплексов (для системы C_6H_6 — CCl_4 существование их было установлено ранее непосредственно при наблюдении зависимости т-ры плавления от состава). Найдено также. что $D\eta$ / T зависит линейно от молярной доли в-ва (у - коэфф. вязкости). На основании полученных данных вычислевы энергии активации для диффузии E_D входящих в изученные системы в-в; они несколько больше, чем энергии активации для вязкости E_n (для всех в-в E_D : $E_\eta \approx 1,36$), в то время как теория Эйринга (Eyring H., J. Chem. Phys., 1936, 4, 283) исходит из $E_D=E_\eta$. Сравнение эксперим. данных с теорией Эйринга дает лишь качеств. согласие. Существующие полуэмгирич. ф-лы, выражающие D через 7, описывают полученные данные с точностью до 10%. Если нет данных о η , можно пользоваться эмпирич. φ -лой $D_x =$ $=D_{x-0}+x(D_{x-1}-D_{x-0})$, где x—мол. доля. В. Урбах 11195. Кривая точек замерзания для двойных си-стем с-капролактама с карбоновыми кислотами. Велден (Freezing-point curves for binary systems

of s-caprolactam with carboxylic acids. Velden P. F. van), Recueil trav. chim., 1956, 75, № 1, 58-62 (ahrл.)

Получены кривые точек замерзания двойных смесей є-капролактама с пальмитиновой, бензойной адипиновой и пимелиновой к-тами в интервале 20-90° и определено положение особых точек на этих кривых. Найдены точки конгрузитного плавления пля смесей с бензойной и пимелиновой к-тами и инконгруэнтного плавления для смеси с пальмитиновой к-той (для адипиновой к-ты определенного вывода сделать нельзя); это указывает на образование молекулярных кристаллич, соедин ний, что связано со специфич. взаимодействием между одной капролактамамидной группой и одной карбоксильной группой.

Спектрофотометрическое исследование комплексного соединения железа (Fe³⁺) с диэтиловым β, γ-диоксибутан-α, δ-дикарбоновой оты (т. н. кетипиновым эфиром). Прыщевская (Spektrofotometryczne badanie związku zespolonego zelaza (Fe³+) z dwuetylowym estrem kwasu β, γ-dwuoksobutano-α, δ-dwukarboksylowego (tzw. estrem ketypinowym). Pryszczewska Maria), Roczn. chem., 1955, 29, № 4, 975—984 (польск.;

рез. англ., русс.)
Проведено оптич. исследование системы FeCl₃ — (COCH₂COOC₂H₅)₂ — разб. С₂H₅OH. Применен метод непрерывного изменения Джоба (Job P., Ann. Chim., 1928, 9, 113) и метод спектрофотометрич. титрования. Установлено, что образующееся в этой системе комплексное соединение красного цвета имеет ф-лу Fe[KET], и обладает свойствами внутрикомплексного соединения. Система исследована в пределах конц-ий 0.001-0,010 моль/л. Оптич. плотность системы измерялась при длинах волн λ 440, 460, 480, 500, 540 и 560мр. Установлено, что увеличение конц-ии не вызывает изменения координационного числа. Проведено критич. рассмотрение метода непрерывного изменения Джоба. Показано, что применяемая в этом методе система расшифровки эксперим. материала может привести к ошибочным заключениям, дан более правильный способ истолкования результатов. 11197. Криоскопия систем: хлористый алюминий -

ацетамид— нитробензол и хлористый алюминий—мо-чевина—интробензол. Рабинович Б. Я., По-номаренко А. Г., Изв. Кневского политехи. ин-та, 1956, 17, 191—196

Определена температурная депрессия (Δt) 0,1 и 0,2 Ma p-ров AlCl₃ в C₆H₅NO₂, содержащих CH₃CONH₂ или CO(NH₂)₂ в интервале конц-ий 0—1,2 моля амидов на 1 моль AlCl₃. Показано, что при увеличении конц-ий СН₃СОNН₂ или СО(NН₂)₂ в нитробензольном p-pe AlCl₈ от 0 до 0.8-0.9 моля на 1 моль AlCl₃ Δt остается практически постоянной (~0,5°). Дальнейшее увеличение конц-ии снижает Δt . На основании анализа кривой Δt — состав сделан вывод о существовании комплексных соединений AlCl₃ с CO(NH₂)₂ и CH₃CONH₂ в молярном соотношении 1:1. Уменьшение Δt в области больших конц-ий амида связано с ассоциацией мономерных молекул комплекса. Степень ассоциации для 0.1-0,2 Ma р-ров комплексов равна ~1,2—1.3. С. Бык 11198. Взаимная растворимость в тройных жидких системах. II. Система вода-изопропиловый спиртхлороформ и вода—изопропиловый спирт—четырех-хлористый углерод. И з м а й л о в Н. А., Ф р а н-к е А. К., Ж. физ. химии, 1955, 29, № 2, 263—271 Определение растворимости тройных жидких систем вода (I) — изопропиловый спирт (II)—хлороформ (III) и I—II—четыреххлористый углерод (IV) производилось методом изотермич. титрования при 25°. Состав сопряженных фаз определялся по их пона7 r.

en

ê 1,

CMPйон

вале

XUTG пля

гру--той

вода

оле-

co

Tam-HON.

рбах

ком-

вым кисe B -

wasn

(tzw. M a-

ьск.;

13 -

потэм nim ...

ния. тлек-

ET]

дине-

001илась O.MIL. вает

итич.

коба. рас-

спо-

Бык

nŭ —

— мо-II о-

Texu.

0,1 #

ONH,

индов

нц-ии

AlCla

актичение йонис

лексоляр-

больомер-0.1-Бык идких ирт-

ырехран-—271 -271

идких

лоро-(IV)

при

пока-

зателю преломления. Для определения крит, точки смешиваемости применялся несколько измененный метод В. Ф. Алексеева. Подробно методика исследования изв. Ф. Алексеева. Подробно методика исследования из-ложена авторами в сообщении I (РЖХим, 1956, 46364). Получены бинодальные кривые с крит. точкой сме-щиваемости при 47.8 вес. % I, 39.8 вес. % II и 12,4 вес. % III для системы I—II—III и при 39,6 вес. % I, 43,2 вес. % II и 17,2 вес. % IV для системы I—II—IV. Обе системы солютропны, в них происходит обращение пабирательности фаз по отношению к спирту при 14,5 вес. % II в системе I—II—III и при 29,5 вес. % II в системе I—II—IV.

11199 Д. Изучение термодинамики некоторых реакпий соединений тория при высоких температурах. И в а н о в с к и й Л. Е. Автореф. дисс. канд. хим. н., Уральский политехн. ин-т, Свердловск, 1956 11200 Д. К вопросу о малых взаимодействиях в системе уксусная кислота — этиловый спирт. Дру т-ман З. С. Автореф. дисс. канд. хим. н., Черно-впик. ун-т, Черновцы, 1956

11201 Д. Изучение электропроводности и вязкости систем, образованных нитратами аммония и лития е водой и ацетамидом. Губская Г. Ф. Автореф. дисс. канд. хим. н., Ин-т общ. и неорган. хим. АН СССР, М., 1956

1202 Д. Диффузия. Рост кристалла и испарение. Левин ((Diffusion: crystal growth and evaporation. Levine Melvin Mordecai. Doct. diss., Univ. Virginia, 1955), Dissert. Abstrs, 1955.

15, № 10, 1874 (англ.) 11203 Д. Термодинамические изменения при образовании внутренних комплексов между некоторыми двухвалентными металлическими понами и нитрилодвухвалентными металлическими понами и нитрило-триуксусной кислотой. X ь ю а (The thermodynamic changes in the chelation of some divalent metal ions by nitrilotriacetic acid. H u g h e s V i n c e nt L e o. Doct. diss., Clark Univ., 1955), Dissert. Abstrs, 1955, 15, № 11, 2029—2030 (англ.) 1204 Д. Теплоемкость при низких температурах и близкие свойства калия и Na₂K. К р и р (Low temperature heat capacity and related properties

temperature heat capacity and related properties of potassium and Na₂K. Krier Corol Alnoth.

Doct. diss., Univ. Pittsburgh, 1955), Dissert. Abstrs, 1955, 15, № 5, 721 (англ.)
11205 Д. Изучение термодинамики пентаэритрита и его галондопроизводных при низких температурах. II е й н (Low temperature thermodynamic studies ne a на (Low temperature thermodynamic studies on pentaerythritol and its halide derivatives. P y a ne D o n a l d H u g h e l. Doct. diss., Univ. Michigan, 1954), Dissert. Abstrs, 1955, 15, № 5, 723 (англ.) 1206 Д. Равновесие жидкость — пар системы ВгF₅—ВгF₈. Лонг (Liquid-vapor equilibria of the system bromine pentafluoride-bromine trifluoride. Long Ray Derward. Doct. diss., Univ. Michigan, 1955), Dissert. Abstrs, 1955, 15, № 9, 1581

изомерных гексахлорциклогексанов. Фойгт (Beiträge zur thermodynamischen träge zur thermodynamischen Charakterisierung

träge zur thermodynamischen Charakterisierung der isomeren Hexachlorcyclohexane. V oʻig t Joac h i m. Diss. T. H., F. f. Math. u. Naturwiss. Dresden, 1954, Maschinenschr.), Dtsch. Nationalbibliogr., 1955, B, № 21, 1543 (пем.)
11208 Д. О системах V—Si, Nb—Si, Та—Si и о псевдобинарных системах NbSi₂—VSi₂, MoSi₂—VSi₂, V₅Si₃(C)—Nb₅Si₃(C) и V₅Si₃(C)—Zr₅Si₃(C). Ш м и д (Beiträge zu den Systemen Vanadium—Silizium, Niob — Silizium, Tantal—Silizium, und den pseudobinären Systemen NbSi₂—VSi₂, MoSi₂—VSi₂, V₅Si₃ (C)—Nb₅Si₅ (C) und V₅Si₃(C)—Zr₅Si₃(C). S c h m i d H a n s. Diss. Techn. Hochsch. Graz., 1955, Maschi-

nenschr.), Oesterr. Bibliogr., 1956, № 1, 8 (нем.) 209 Д. Полная термодинамическая работа из р-г t-данных, в частности применительно к третичному бутиловому епирту. **Крон** (The development of a thermodynamic network from *p-v—t* data with specific application to teritiary butyl alcohol. Krone Lester Herman, Jr. Doct. diss., Univ. Washington, 1955), Dissert. Abstrs, 1955, 15, № 9, 133 (англ.)

См. также: Фазовые переходы 10928, 10941, 10989, 10997, 11029, 11043, 11044, 11068, 11432. Термохимия 10843. Термодинамика: консталлов 10917, 10984, 10986, 10996; газов 11076. Равновесия 11223, 11394, 11444, 11467. Физ-хим. анализ систем: металлич. 10926, 10927, 14095; неорганич. 10981, 11038, 11336, 11360; органич. 10856, 11333, 11445, 11447. Приборы и методы 12263—12266. Др. вопр. 10839—10841, 10907, 10988, 11334, 11393, 11428, 11446, 11896, 11899, 11900, 11962, 11963, 14097, 14132, 14171, 14182, 14187, 14188, 14205

КИНЕТИКА. ГОРЕНИЕ. ВЗРЫВЫ, ТОПОХИМИЯ. КАТАЛИЗ

Редакторы Х. С. Багдасарьян, А. С. Соколик, A. E. Illexmep

Броуновское движение в спловом поле и диффузионная теория химических реакций. Бринкман (Brownian motion in a field of force and the diffusion theory of chemical reactions. Brinkman H. C.), Physica, 1956, 22, № 1, 29—34 (англ.)

Исследуется решение стохастического ур-ния Кра-мерса (Kramers H. A., Physica, 1940, 7, 284) с фазовой плотностью, описывающее движение частицы массы в поле, подверженной беспорядочным толчкам.

211. Метод изучения реакций диспропорциони-рования типа nA = mB + (n-m)C в газовой фазе. Cepeu (A method for studying gaseous disproportionation reactions of the type nA=mB+(n-m)C. Searcy Alan W.) J. Chem. Phys., 1953, 21, N: 12, 2244 (англ.)

Обычный метод изучения газофазных р-ций диспропорционирования, состоящий в измерении плотности пара при известном общем давлении, непримении к р-циям типа nA = mB + (n-m)C, так как в этом случае плотность пара не зависит от степени диспропорционирования. Данные по кнудсеновскому истечению или по потере в весе при испарении с поверхности образца в сочетании с независимым измерением общего давления позволяют рассчитывать степень диспропорционирования в р-циях указанного типа. Приводятся ф-лы для расчета парц. давлений компонент

водится ф-лы для расчета парц. давлений компонент A, B и C.

В. Веденеев 11212. О кинетике химических р-ций. А бе лы (Notiz zur chemischen Reaktionskinetik (Kurze Mitteillung). А b е 1 Е.), Monatsh. Chem., 1956, 87, № 5, 669 (нем.)
См. РЖХим, 1955, 42594, 11213. Иниципрующая стадия в термической реакции водорода с кислородом. Патрик, Робб (The initiation step in the thermal hydrogen + охуден reaction. Рат i с k C. R., R о b b J. C), Trans. Faraday Soc., 1955, 51, № 12, 1697—1703 (англ.) Проведено сравнительное изучение термич. и фото-Проведено сравнительное изучение термич. и фото-сенсибилизированной Hg р-ции 51% H₂ + 49% О₂ при 500—600° в сосудах с поверхностью, обработанной KCl. Скорость фотосенсибилизированной р-ции, измеренная по падению давления в системе, постоянна в отличие от скорости термич. р-ции, при которой наблюдается заметное самоторможение р-ции, уменьшающее-

Hai

иле

пиз

·HO

про

112

B

mm)

ной

врев

тол

аце

пол бавт

30B8

трез

112

Д

0

PH:

DTC

мене

смес

top

B 31

пери

дост ных

-1

метр

лени дает

верх

пред

отпа

OKHO

пост

+ 1

1122

зу

R

φı

вых

400

ся р

BHBI

ся с повышением т-ры. Авторы считают, что инициирующей стадией р-ции является распад на радикалы молекул H₂O₂, образующихся на поверхности сосуда и что самоторможение р-ции обусловлено образованием воды, адсорбирующейся на поверхности. Сокращение активных центров поверхности приводит к уменьшению кол-ва образующихся молекул H₂O₂. 3. Майзус 11214. К вопросу о влиянии метана и паров воды на реакцию водорода с кислородом. Леви (Note on the interaction of methane and water vapor in the hydrogen-oxygen reaction. Levy Arthur, J. Chem. Phys., 1953, 21, № 12, 2132—2133 (англ.)

(англ.)
Второй предел цепного самовоспламенения смеси H_2 -O₂ снижается при добавках CH_4 и H_2 O, причем оба в-ва действуют одинаково при увеличении конц-ии в смеси до некоторой величины, при которой в случае CH_4 наблюдается резкое снижение предела до нуля, а в случае H_2 O предел продолжает плавно уменьшаться при дальнейшем увеличении конц-ии H_2 O. Добавки CH_4 (аналогично добавкам H_2 O) ускоряют медленную р-цию смеси H_2 -O₂ при 560° и давл. 420 мм рт. ст. Одинаковое действие CH_4 и H_2 O во взрывной и медленной р-циях указывает, по мнению авторов, на одинаковый механизм воздействия этих в-в на р-цию H_2 +O₂. Э. Блюмберг 11215. Пиролиз диметилртути. Часть 1. Энергия диссоциации связи ртуть—углерод. Л о р и, Л о и г (The pyrolysis of mercury dimethyl. Part 1. The dissociation energies of the mercury-carbon bonds. L a u-

гіе Саthегіпе М., Long L. Н.), Trans. Faraday Soc., 1955, 51, № 5, 665—672 (англ.) Термический распад Нg(СН₃)₂ исследовался в запанных сосудах при 294—333° и давл. 70—80 мм рт. ст. Процент разложения определялся по давлению оставшейся Нg (СН₃)₂. Продуктами р-ции являются СН₄, небольшие кол-ва С₂Н₄ и С₂Н₆, Нg и метиленовый полимер. Изменение отношения поверхности реакционного сосуда к объему в 5 раз меняет скорость распада на 10%. Р-ция следует 1-му порядку. Авторы считают, что полученная величина энергии активации (51,3 ккал/моль) соответствует энергии диссоциации 1-й связи Hg—С в Hg(СН₃)₂. Исходя из теплоты р-ции Hg(СН₃)₂ — Hg + 2СН₃, рассчитана энергия 2-й связи Hg—С, равная 5,5±3 ккал.

А. Шилов. 11216. Кинетика и механизм распада углеводородов.

1210. Кинетика и механизм распада углеводородов.
ПП. Кинетика и механизм термического распада дивнила при низких температурах. А. Д. С те п у х ович и г. И. Ка ц. IV. Кинетика и механизм распада изобутана в присутствии изобутилена и пропилена как замедлителей. А. Д. С те п у х ов и ч и г. П. В ор объева. V. Кинетика термического распада газообразных парафинов в присутствии добавок дивинила. А. Д. С те п у х ов и ч и Л. В. Дереве с к и х. VI. Кинетика термического распада газообразных парафинов в присутствии адетилена. С те п у х ов и ч А. Д., С та л ы м а х ов а Л. С., Ерем и в В. В. VII. Кинетика и механизм распада газообразных адканов в присутствии адлена. С те п у х ов и ч А. Д., Дереве и с к и х. Л. В., Журнал физ. химии, 1954, 28. № 7, 1174—1185; № 8, 1361—1370; № 10, 1720—1724; № 11, 1878—1881; 1955, 29, № 12, 2129—2132.
П. Рассчитанная по ур-нию р-пий первого порядка

111. Рассчитанная по ур-нию р-ций первого порядка константа скорости распада дивинила при $570-620^{\circ}$ и давл. 2-30 мм рт. ст. изменяется линейно в зависимости от $^{1}/p_{0}(p_{0}-$ начальное давление). Вычислены средняя предолжительность жизни молекулы дивинила в активированном состоянии $5\cdot10^{-8}$ сек., число кинетически активных степеней свободы 20 и энергия диссоциации дивинила $E=79.4\pm1.9$ ккал/моль. Распад дивинила подчиняется ур-нию Динцесса—Фроста

и толкуется как цепная р-ция, самотормозящаяся продуктами распада. Добавки дивинила ускоряют распад C₂H₆ при 620°. В ускоряющем действии дивинила наступает предел при 12%.

А. Степухович

. Методом тормозящих добавок (РЖХим, 1953. 8215) изучался термич. распад изобутана при давл. 10 мм рт. ст. и т-рах 548 и 573°. Добавка 0.5% резко замедляет распад, при увеличении добавки от 1 до 7% эффективность ее действия снижается, и при 7-10% наблюдается насыщение (константа скорости первого порядка становится постоянной). При одинаковых условиях торможение изобутиленом более эффективно. чем пропиленом. Опытные данные по тормозящему действию добавок описываются ур-нвем: $1/W-W_0=A+BC$ (1). где W—скорость р-ции, W_0 — остаточная скорость, A и B—постоянные, C (доб)—конц-ия добавки, что доказывает цепной характер распада. Первичным актом является распад молекулы изобутана по С-С связи. Тормозящее действие олефинов объясияется отрывом атома Н активным радикалом от молекулы добавки с образованием неактивных непредельных радикалов. Из ур-ния (1) рассчитаны константы скорос-тей р-ции обрыва цепей на стенке и на молекулах замедлителя. Энергии активации р-ций торможения изобутиленом и пропиленом равны соответственно 5.6 и 8,5 ккал/моль, р-ции обрыва на стенке 14,7 ккал/моль

V. Изучена кинетика термич. распада пропана, бутана и изобутана в присутствии дивинила при начальном давлении распадающихся углеводородов∼10 мм рт. ст. и т-рах 510—593°. Добавки дивинила, который является продуктом крекинга углеводородов, не тормозят распада этих углеводородов. Отсутствие тормозящего действия дивинила связывается с большей прочностью связи С—Н в группах СН₂ при углероде, несущем двойную связь, по сравнению с прочностью связи С—Н в метильных группах пропилена или изобутилена. Г Сергев

V1. Изучена кинетика термич. распада пропана и бутанов в присутствии 1—20% С₂Н₂ при давлении распадающихся углеводородов ~ 10 мм и т-рах 500—600°. Добав ки С₂Н₂ не тормозят скорости распада. Повышение значения константы скорости распада пропана при давлениях, меньших 10 мм, в присутствии С₂Н₂ объясняется тем, что С₂Н₂ затрудняет диффузию активных центров к стенкам. Термич. расчеты показали возможность р-ции между атомарным водородом и С₂Н₂ образованием устойчивого в условиях крекинга и высокореакционноспособного радикала винила.

Н. Сурмели VII. Добавки аллена тормозят крекинг С₃Н₂ и изо-С₄Н₁₀, но не влияют на распад С₄Н₁₀. Механизм торможения сводится к р-ции присоединения атомов Н к молекуле аллена с образованием малоактивных аллильных радикалов. Отсутствие торможения в случае С₄Н₁₀ объясняется тем, что рост последнего происходит в основном с образованием радикала СН₂. Сообщение II см. РЖХнм, 1957, 393. А. Степухович 11217. Пиролиз формальдегида. К л е й н, Ш и р.

1217. Пиролна формальдегида. Клейн, Шир, Шейн (The pyrolysis of formaldehyde. Klein Ralph, Scheer Milton D., Schoen Louis J.), J. Amer. Chem. Soc., 1956, 78, № 1, 50—52 (англ.) Исследовалось разложение CH₂O и смесей CH₂O+

Исследовалось разложение $\mathrm{CH_2O}$ и смесей $\mathrm{CH_2O}+\mathrm{CD_2O}$ и $\mathrm{CH_2O}+\mathrm{D_2}$ при 547°. Кинетика р-дии не зависит от отношения поверхности реакционного сосудж к его объему, но чувствительна к обработке поверхности. Продуктами р-дии являются $\mathrm{H_2}$, CO , $\mathrm{CH_2OH}$. Принимается, что $P_{\mathrm{CH_2OH}}=P_{\mathrm{CO}}-P_{\mathrm{H_2}}$. Кинетика р-дии следует 2-му порядку. Увеличение давления ΔP несколько меньше, чем $P_{\mathrm{H_2}}$, что авторы связывают с на-

яся

ac-

AILN

вич

53,

вл. зко

0%

oro

ус-

ему

ная

ется

улы

pa-

poc-

- aa-

изо-

5,6

моль

аева ута-

ьном

. ст. яв-

TREO

щего стыо цвой-

пена.

ргеев бутаадаюобав цение

при

вных

иож-Н₂ •

рмел∎

ua0-

ормо-

TOMOR

ивных

слу-

гроис-

CHs.

XOBET

Пир,

lein

Nº 1,

H₂O + не за-

сосуда

оверх-СН₃ОН.

р-цив *P* не-

r c Ha-

инчем р-ции конденсации. При пиролизе смеси $\mathrm{CH_2O} + \mathrm{CD_2O}$ (1:1) образуется значительное кол-во HD. Найдено $P_{\mathrm{HD}}^2/P_{\mathrm{H_2}} \cdot P_{\mathrm{D_2}} = 3,6$. Разложение смеси $\mathrm{CH_2O} + \mathrm{D_2}$ щет с образованием HD. Предлагается пенной механиям разложения $\mathrm{CH_2O} \cdot \mathrm{CH_2O} + \mathrm{CH_2O} \to \mathrm{HCO} + \mathrm{H} \cdot + \mathrm{CO}$; $\mathrm{HCO} \to \mathrm{H} + \mathrm{CO}$; $\mathrm{HCO} \to \mathrm{H} + \mathrm{CO}$; $\mathrm{H} + \mathrm{H_2CO} \to \mathrm{H_2} + \cdot \mathrm{HCO}$ (1); $\mathrm{HCO} \to \mathrm{H} + \mathrm{CO}$; $\mathrm{HCO} \to \mathrm{H} + \mathrm{CO}$; $\mathrm{HCO} \to \mathrm{H} + \mathrm{CO}$; $\mathrm{HCO} \to \mathrm{H} + \mathrm{HCO}$ (1), $\mathrm{HCO} \to \mathrm{HCO} \to \mathrm{H} + \mathrm{HCO}$ (1), $\mathrm{HCO} \to \mathrm{HCO} \to \mathrm{HCO} \to \mathrm{HCO}$ (1), $\mathrm{HCO} \to \mathrm{HCO} \to \mathrm{HCO} \to \mathrm{HCO}$ (1), $\mathrm{HCO} \to \mathrm{HCO}

В развитие работ по распаду азотных эфиров низ
ших спиртов исследовался термич расгад нитритов;

трем-бутил-(I), изопропил-(II), и-пропил-(III) в стеклян
вой колбе, погруженной на определенный промежуток

времени в соляную баню, с определеннем состава продук
тов по инфракрасному спектру. Колич, анализ проведен

только с I, в продуктах распада которого обнаружены

адетон, цианистый водород и при добавке воздуха, до
полнительно, окись азота и трет-бутиловый спирт. До
бавка NO к I, резко замедляет распад и приводит к обра
зованию нитрометана вместо НСN. Для распада II и III

приведен качеств, состав продуктов. Кинетика распада

трех нитритов рассматривается на основе схемы, пред
полагающей образование радикалов, напр., для II;

трет-С4H, ONО

трет-С4H, ONO

(CH₃)₂CO+ CH₃; и их уничтожение в р-ции с NO:

СН₃ + NO → CH₃NO→CH₂ = NOH→HCN + H₂O.

А. Соколик 11219. Индуцированное окисление окиси углерода. Дубовицкий Ф. И., Кузьмина М. Ф., Ж. физ. химин, 1956, 30, № 4, 837—846.

Обнаружено, что в то время как 0,03 и 0.07% -ные р-ры PH 3 в смеси N2 + O2 не воспламеняются при т-рах ниже РИЗ в смеси № + О2 не воспламениются при т-рах виже 50°, те же кол-ва РН3 в смеси 2СО + О2 воспламеняются уже при 150—200°. Определены области воспламенения для обеих смесей. Выгорание СО при вспышке смеси СО-О2 - РН3 практически равно нулю, т. е. фактор индукции (1) при сопряженном окислении СО и РН3 в этом случае не превышает нескольких единиц. При т-рах выше 400° смесь спустя некоторое время после первой вспышки загорается слабым пламенем и при доступе PH₃ путем его диффузии из соседних холод-вых частей объема горение продолжается в течение ~1 часа, причем выгорает до 50—60% исходной стехиометрич. смеси, и I достигает величины - 1000. Это медленное горение, так же как и воспламенение, наблюдается внутри определенной области, ограниченной верхним и нижним пределами. Полученные данные авторы объясняют на основе цепной теории, причем редполагают, что промежуточный продукт окисления РН₃ — Н₃РО₂, обладает, аналогично NO₂, свойством отдавать атом О молекуле восстановителя, а затем вновь окисляться O_2 . Таким образом, H_3PO_2 в присутствия CO поставляет активные центры O, ведущие основную цепь окисления: $O+PH_3\rightarrow H_3PO$; $H_3PO+O_2=H_3PO_2+$ + 0, что свидетельствует об увеличении вероятности разветвления цепей окисления РН в присутствви СО. Г. Королев

11220. Окисление метана атомами кислорода, образующимися при термическом распаде озона. К лейменов Н. А., Антонова И. Н., Маркевич А. М., Налбандян А. Б., Ж. физ. химин, 1956, 30, № 4, 794—797

Образование перекиси при окислении СН₄ в струевых условиях (смесь СН₄: O₂ = 1:1, скорость струи 400 см³/мин) в присутствии 1.45% О₃ становится заметным при той же т-ре (100—110°), при которой начинается распад О₃. На основании этого авторы считают, что вищицирующее действие связано не с молекулой О₃,

а с атомами О, являющимися продуктом распада О₃. З. Майзус.

11221. Влияние давления на образование промежуточных продуктов окисления пропана. Бадрия и А. С., Фурман М. С., Докл. АН СССР, 1956, 108, № 5, 861—863

Окисление C₂H₈ воздухом при давл. 5, 10 и 15 атм. при давл. 5, 350 и 375°. Повышение давления сверх атмсоферного благоприятствует образованию спиртов, причем кол-во образующегося СН₂ОН превышает кол-во С₂H₆ОН.С ростом давления выход спиртов увеличивается. На основе схемы окисления, предложенной ранее (Семенов Н.Н., О некоторых проблемах химической кинетики и реакционной способности, Изд. А. Н. СССР, М., 1954), авторы полагают, что при высоком давлении преобладают бимолекулярные р-ции радикалов С₂H₆O и СН₈О с С₂H₈, приводящие к образованню спиртов.

3. Майзус

3. Майаус 1222. Механизм реакции медленного окисления углеводородов при помощи тихого электрического разряда Часть 2. Кинетика окисления циклогексана (2). Влияние на скорость реакции отношения поверхности стенки к объему реакционной трубки, общего давления, напряжения и силы тока разряда, концентрации циклогексана и кислорода. Часть 4. Исследование окисления циклогексана статическим методом (3). Влияние инертвых примесей газов №, СО₂, СО, Ат. Часть 5. Кинетика окисления циклогексана в статических условиях. Действие активаторов и температуры. Часть 6. Вывод уравнения для скорости окисления циклогексана и определение средней дляны цепи. И н о у э (無離放電による炭化水素の低温、緩酸化反應機構について、第2報、修止法によるシクレヘキサン酸化の速度論的解析、その2. 器線、S/Vol 比、壓力、電壓, 電流, シクレヘキサン及び酵素濃度の影響。第4報、修止法によるシクレヘキサン酸化の速度論的解析。その3. 不活性混在ガス№, СО₂, СО, А 等の影響。第5報、修在上去シクレヘキサン酸化の速度論的解析。その4. 所謂 《数性 矮皮脚》に對する促進劑添加及び反應溫度の影響。第6報。シクレヘキサンの酸化反應における速度公の選出と平均連鎖長の決定。井上一英),電氣化學、Дэнки катаку. J. Elektrochem. Soc. Jарап, 1955, 23, № 1, 18—24; № 2, 76—81; № 8, 403—409; № 9, 452—456; № 11, 574—578 (япон.; резантл.)

2. Поскольку упругость паров продуктов медленного окисления С₆Н₁₂ при низких т-рах посредством тихого электрич. разряда очень мала, скорость р-ции можно непосредственно определить, измеряя изменение общего давления в замкнутой реакционной системе. Получены следующие результаты. Первой ступенью р-ции является диссоциация молекул на атомы и радикалы. Затем начинается основная р-ция, при которой происходит быстрое падение давления, приблизительно пропорциональное времени. При малом содержании С₆Н₁₂ образуется О₃, который абсорбируется жидкими продуктами, находящимися на стенках сосуда. В конце р-ции происходит повышение общего давления, вызванное повышением т-ры реакционной системы и разложением продуктов на стенке.

ной системы и разложением продуктов на стенке. Chem. Abstrs, 1955, 49, № 14, 9367, I. Nakagawa 3. Жидкие продукты медленного окисления C_0H_{12} посредством тихого электрич. разряда, покрывающие поверхность стенки разрядной трубки, не влияют на скорость р-ции. Скорость р-ции не зависит от отношения поверхности к объему. Изменение общего давления реакционной системы от 570 до 720 мм рт. ст. мало изменяет скорость р-ции, которая подчинается ур-нию—(dp/dt) макс= $K(V-V_0) = K'I$ [O2] = K'' [e1] [O2] (V_0 —

DR.

HOE

poJ

1,3

pac

HOI

8-0

Ka

пен

113

пр

19

H

бі

0

начальное напряжение разряда, I — сила тока разряда, [e] — объемная конц-ия электронов в трубке). Хотя \mathbf{N}_2 при конц-иях выше 7 об. % в реакционном газе непосредственно не влияет на скорость р-ции, при конции ниже этого предела р-ция сопровождается взрывом.

Сhem. Abstrs, 1955, 49, № 14, 9367. М. Науаshi. 4. Статистическим методом исследовано окисление пиклогексана в тихом электрич. разряде в присутствии N₂, CO₂, CO, Ar и смесей N₂ с указавными газами, а также определены электрич. характеристики р-ции. N₂, CO₂, CO в кол-ве > 7 об. % оказывают замедляющее действие при переходе от медленного окисления к взрыву. Аг не влияет на скорость р-ции в указанной области, хотя снижает начально разрядное напряжение. При постоянном напряжении сила разрядного тока растет пропорционально конц-ии Ar. Скорость окисления зависит только от силы разрядного тока и конц-ии О₂. Авторы считают, что р-цию инициируют, главным образом, атомы 0.

образом, атомы 0. P. Милютивская 5. Обнаружено, что добавление 1—2 об. % НСНО, СН₃ОН, С₂Н₅СН, СН₃СОСН₃. NO₂, NH₂, H₂O, H₂, HCl и НВг, которые обычно применяются в качестве активаторов при термич. окисления углеводородов. не оказывает заметного влияния на окисление циклогексана в тихом электроразряде в статич. условиях. По мнению автора, это указывает на отсутствие р-ции разрыва углеводородной цени при окислении. Скорость окисления остается постоянной в таком интерв ле т-р (15—80°), в котором термически устойчива циклогексилгидроперекись. Этот результат согласуется с предположением, что диссоцпация О₂ и О + О при столкновении О₂ с электроном в разряде является лимитирующей стадией р-рии окисления.

6. Обсуждено отличие окисления циклогексана (I) в тихом разряде от р-ции термич. окисления. Для скорости окисления I в тихом разряде выведено ур-ние (11)/dt = 4nK' [O_2] [e] = 4nK'' I $[O_2] = KI$ [O_2] (1), где [e] — кон-ция глектронов, n — средняя длина цепи, I — сила тока в разряде, K', K'' и K — коэффициенты пропорциональности. Ур-ние (1) согласуется с ранее опубликованными экспериментальными данными, причем $n \approx 4,8$. Часть I см. РЖХим, 1956, 64491. Г. Королев 11223. Надсерная и надмуравьиная кислоты. Равно-

весие и скорость образования. Монгер, Редлих (Peroxysulfuric acid and peroxyformic acid. Equilibrium and formation rate. Monger J. M., Redlich Otto), J. Phys. Chem., 1956, 60, № 6. 797—799 (англ.)

Д. Кнорре III. Влияние ионов нептуния в растворе. III. Влияние ионов хлора и нитрата на скорость обмена Np(5+)—Np(4+) Коэн, Салливан, Хайндман. IV. Влияние изменения диэлектрической постоянной на скорость обмена Np(5+)—Np(4+). Коэн, Салливан, Эймис, Хайндман (Isotopic exchange reactions of neptunium ions in solution. III. The effect of chloride and nitrate ions on the rate of the Np(V)—Np(VI) exchange.

Cohen Donald, Sullivan J. C., Hindman J. C. IV. The effect of variation of dielectric constant on the rate of the Np(V)—Np(VI) exchange, Cohen Donald, Sullivan J. C., Amis E. S., Hindman J. C.), J. Amer. Chem. Soc., 1955, 77, No. 19, 4964—4968; 1956, 78, No. 8, 1543—1545 (AHCL.)

111. На кинстику изотопного обмена Np(5+)—Np(4+) в р-рах (РЖХим, 1955, 31247) не влияют интраты (0—2,7 M), интенсивность радиоактивности (0,001—2, ренижен) и непроводящие поверхности сосудов (стекло, тефлон.) Р-ция ускоряется металлическими золотом и платиной, хлоридами, ионами водорода и при повышении ионной силы р-ра. При высоких конц-иях нитратов р-ция несколько замедляется. Рассчитаны при 0° энергии (ккал/моль), энтропии (энтр. ед.) и свободные энергии (ккал/моль) активация р-ция обмена по схемам: NpO+2 —NpO2+2 (соответственно: 10,6,—12,6, 13,48), NpO+2 —NpO2Cl+ (15,4,6,7,13,02) и NpO2+ —NpO2Cl2 (15,3,5,13,52), а также теплоты и энтропии образования NpO2Cl+ из NpO2+2 (—6,9,—21) и NpO2-2 из NpO2Cl+ (+3,5,+16) В присутствии хлоридов обмен Np(5+)— Np(6+) протекает путем атомного переноса Сl- от хлоркомплексов нептунила к NpO2+

IV. Скорость изотопного обмена Np(5+)—Np(4+) в 0,1 M перхлоратных водно-гликолевых и водно-сахарозных р-рах при т-рах ~0° не зависит от диалектрич. постоянной р-ров в пределах 67.7—88.3. Результаты указывают на возможное протекание р-ции путем атомного перехода и не согласуются с ур-нием механизма туннельного перехода электрона (РЖХим, 1955, 31248). Часть II см. РЖХим, 1955, 51491. В. Каплан

11225. Механизм реакций замещения в комплексных ионах. VIII. Гидролиз цис- и траис-хлорогидрокео-бис-(этилендиамин)-кобальти-комплексов. П и р с о и, М и к е р, Б а с о л о. IX. Влияние индуктивных эффектов на скорости кислого и основного гидролиза комплексов кобальта (3+). Б а с о л о, Б е р г-м а и, М и к е р, И и р с о и (Mechanism of substitution reactions of complex ions. VIII. Hydrolysis of cis- and trans-chlorohydroxo-bis-(ethylenediamine)-cobalt (III) complexes. P e a r s o n R a l p h G, M e e k e r R o b e r t E., B a s o l o F r e d. IX. Contribution of inductive effects to the rates of acid and base hydrolysis of cobalt (III) complexes. B a s o l o F r e d, B e r g m a n n J o h n G., M e e k e r R o b e r t E., P e a r s o n R a l p h G.), J. Amer. Chem. Soc., 1956, 78, № 12, 2673—2676; 2676—2678 (англ.)

VIII. Кинетика гидролиза комплексных ионов

VIII. Кинетика гидролиза комплексных ионов [Соеп₂ClOH]+ (I) и [Со (пропилендиамин)₂ ClOH]+ (II) изучалась при 25° путем потенциометрич. определения [Сl⁻] по ходу р-ции. Исходным в-вом служили соответствующие ионы [СоХ₂Cl₂]+, на р-ры которых действовали 1 жв NаОН, в результате чего в р-ре образовывалась смесь [СоХ₂(OH)₂]+, не роревгироваешего [СоХ₂Сl₂]+ и цис- и транс-[СоХ₂СlOH]+. Константы скорости гидролиза к последних трех ионов находились из кинетич. данных по ф-лам кинетики параллельных р-ций. Величины к 10³ сек.⁻¹ равны для цис- и транс-паомеров I 8, и 1,45, для транс-изомера II 1,3. Эти величины в 20−50 раз больше, чем для соответствующих [СоХ₂Сl₂]+. Гидролиз цис-I параллельно изучен в системе, полученной действием 1 жв NаОН на р-р цис-[Соеп₂СlH₂О], где примесь транс-I незначительна. В этих опытах получено к 10³ = 10.

IX. Определены скорости гидролиза некоторых комплексов Co(3+), содержащих пиридии и его производные. Скорость кислотного гидролиза комплексов [Coen₂C₅H₄NXCl]²⁺ (III) при 50° в 0,0025 M $HClO_4$ и гидролиза комплексов mpanc-[Co(C₅H₄NX)₄Cl₂]⁺ (IV)

7 r.

n d-

ctric nge.

nis Soc.

1545

(4+)

 $(0-\frac{1}{2},$

кло,

OTOM

овы-

тра-

on Oc

дные

вмам:

,48),

O2Cl2

ания

O₂Cl+

+)-l- or

(4+)

одно-

лект-

зуль-

утем

аниз-1955. план

сеных

оксо-

COH, вных

олиза pr-sub-

olysis

nine)-

G., IX.

a s o-

I e e -G.).

G.),

-2676;

HOHOB + (II)

ления

дей-

бразо-

ЕШЕГО

Ковс-

трех

ф-лам

o pas

идро-

енной

, где

полу-

KOMизвод-

пексов

104 H (IV)

ы и 1,45, при 25° и рН 1—2 и 9 находились путем потенциометрич. определения [Cl-] по ходу р-ции. Скорость освовного гидролиза III измерялась струевым методом новного гидролиза 111 измерилась струевым мегодом для изучения быстрых р-ций. Константы скорости к 10^{-3} для основного гидролиза III равны: для X - H 1,1 и 1,6; β - CH_3 1,3 и 1,3; γ - CH_3 1,4 и 1,3; γ - OCH_3 1,5 и 1,2. Константы растут в случае кислотного и падают в случае основвого гидролиза с ростом основности. Для гидролиза комплексов IV κ 10 8 сек $^{-1}$ равны для X — H 2,2, β -CH $_3$ 25, γ -CH $_3$ 15. В случае гидролиза III, по мнению авторов, изменения к связаны с изменением видуктивного эффекта, в случае гидролиза IV, как показывает рассмотрение пространственных моделей молекул, влияют также пространственные затруднения, что приводит к меньшей скорости гидролиза для у-CH₂, чем для β-CH₃-пиридина. Часть VII см. РЖХим, у-СН₃, чем 1957, 7528.

Реакция 2,4-диметилфенола е формальдегидом. И. Об отношении констант скорости реакции дом. 11. Об отношении констант скорости реакции при основном катализе. Манака (2,4-ジメチル-フェノールとホルムアルテヒドとの反應、第2報. 鹽基性胸媒における速度定数比について. 間中和夫), 日本化學雑誌, Нихон кагаку дзасси, J. Chem. Soc. Japan. Pure Chem. Sec., 1955, 76, № 8, 907—910 (япон.)

при 35-75°, в присутствии NaOH. Отношение констант скорости метилирования и метилолирования равно 2, энергия активации метилолирования равна 17 ккал/ /моль. Часть I см. РЖХим, 1956, 35353. Chem. Abstrs, 1956, 50, № 13, 9327. T. K.

11227. Окислительное действие 5-валентного ванадия па некоторые кислородсодержащие производные жирного ряда. Моретт, Годфруа (L'action oxydante du vanadium pentavalent sur quelques fonctions oxygénées de la série acyclique. Могеtte André, Gaudefroy Chislain), Bull. Soc. chim. France, 1954, № 7—8, 956—964 (франц.) См. РЖХим, 1954, 48008.

11228. Изучение кинетики и химизма окисления углеводородов в жидкой фазе (Совещание в Москве). Обухова Л. К., Вестн. АН СССР, 1956, № 9, 103-105

11229. Кинетические особенности окисления и-декана после прохождения начальной макроскопической стадии превращения катализатора. В артанян Л. С., Кнорре Д. Г., Майзус З. К., Эмануэль Н. М., Ж. физ. химии, 1956, 30, № 3, 665—675 (1962) англ

665-675 (рез. англ.)

Стеарат Со и лаурат Мп, катализирующие окисление и-декана при 140°, претерпевают в ходе р-ции цикл валентных превращений, заканчивающийся выпадением катализатора в осадок (РЖХим, 1955, 36911; 1956, 35357). Удаление осадка катализатора (ОК) не сказывается на кинетике накопления спиртов, карбонильных соединений, к-т и эфиров. Конц-ия перекиси после удаления ОК возрастает до величины, характерной для некатализированного окисления. Расчетным путем показано, что полученные результаты не могут быть объяснены в рамках общепринятой цепной схемы окисления углеводородов, так как в предположении этой схемы скорость накопления конечных продуктов окисления после удаления ОК должна уменьшаться, а кинетич. кривые сблизиться с кривыми некатализированного окисления. Авторы считают, что в ходе начальной макроскопич. стадии превращения катализатора образуются несодержащие металл промежуточные соединения, обеспечивающие протекание процесса со скоростью, характерной для катализированного окисления и после удаления ОК. З. Майзус

11230. О последовательности образования продуктов окисления и-декана. Вартанян Л. С., Май-зус З. К., Эмануэль Н. М., Ж. физ. химии, 1956, 30, № 4, 862—870

С целью установления последовательности образования продуктов окисления *и-*декана применен кинетич. прием удаления из реагирующей смеси (в некоторый момент р-ции) промежуточного продукта окисле-ния — гидроперекиси (I). Изучение последующей кинетики накопления конечных продуктов р-ции показывает, что удаление перекисей больше всего сказывается на кинетике образования спиртов, в меньшей степенина кинетике карбонильных соединений и практически не сказывается на кинетике накопления к-т. Продуктами распада I, образующейся при окисления и-декана, являются спирты и карбонильные соединения. К-ты непосредственно при распаде I не образуются. Полученные результаты свидетельствуют о следующей последовательности в образовании продуктов спирты

І

Кетоны→ к-ты. Математич, анализ формы кинетич. кривых накопления продуктов окисления после удаления перекисей при наличии такой последовательности приводит к результатам, совпадающим с эксперим.

231. Кинетическая характеристика гидропереки-сей как промежуточных продуктов реакции окисле-ния и-декана. Вартанян Л. С., Майзус З. К., Эмануэль Н. М., Ж. физ. химин, 1956, 30, № 4, 856—861

Распад гидроперекиси, образующейся при окислении и-декана (I) при 120-140° изучался в среде I, окисленного до разной глубины. Р-ция следует 1-му порядку, причем значения константы скорости уменьшаются с увеличением глубины окисления I. Энергия активации распада гидроперекиси при постоянной глубине окисления равна 24 ккал/моль. Сопоставлением суммарной кинетич, кривой скорости образования конечных продуктов р-ции (спиртов, карбонильных соединений, кислот и эфиров) с кинетич, кривой скорости распада гидроперекиси показано, что основная часть конечных продуктов окисления (~80%) образуется в результате распада промежуточной гидроперекиси.

11232. Влияние атома галонда на реакционную способность другого атома галонда в той же молекуле. Tю йе, Додель (Influence d'un atome d'halogène sur la réactivité d'un autre halogène de la même molécule. Thuillier Germaine, m-me, Dau-del Pascaline m-me), C. r. Acad. sci.,

1956, 243, № 2, 147—148 (франц.)

Предэкспоненциальные множители А и энергии активации Е изотопного обмена J в СаН-J и J(СНа)аJ с NaJ в ацетонитриле, найденные путем определения изменения активности минер. и органич. Ј по ходу р-ции при $20-50^\circ$, равны $\lg A=11.22$ и 12.02, E==18,7 и 19 ккал/моль, т. е. на реакционную способность атома галоида не оказывает существенного влияния введение в у-положение второго атома галонда.

Д. Кнорре Кинетика и механизм катализированного кислотами гидролиза замещенных окисей этилена. Притчард, Лонг (Kinetics and mechanism of the acid-catalyzed hydrolysis of substituted ethylene oxides. Pritchard J. G., Long F. A.), J. Amer. Chem. Soc., 1956, 78, № 12, 2667—2670

Измерены скорости гидролиза ряда эпоксидов в води. р-рах HClO₄. Р-ция во всех случаях 1-го порядка и $\lg \kappa$ (κ — мономолекулярная константа скорости) линейно зависит от функции кислотности H_0 (но не

N

11

CU

тре р-п

aM

Me

pa

383

CT

HH

P-J

701

KO.

ки

Na Bbi

би

me

381

po K

Ha

113

уда

11:

Mei

см неі

T-I

pa

Me

car

пл

Hei

col

np

OT.

11

CM NO.

конц-ии H+). Значение 10^5 к сек $^{-1}$ при $H_0=0$ и углового коэфф. наклона прямой \lg к как функции H_0 равны: для эпибромгидрина 3,8, 0,86; для эпихлоргидрина 4,8, 0,87; для β-метилэпихлоргидрина 11,5, 0,89; для эпигидринового спирта 26,6, 0,89; для β-метилэпихгидринового спирта 75, 0,89; для окиеи этилена 63, 1,06; для окиеи проинлена 350, 1,06; для mpane-2,3-апоксибутана 770, 1,01; для $\mu e^{-2},3$ -апоксибутана 1480, 0,95; для окиеи изобутилена 33 000, 0,98. Значение ρ-функции Тафта (Taft R. W., J. Amer. Chem. Soc., 1952, 74, 3120; РЖХим, 1956, 412) — 1,95 указывает, что p-ции благоприятствуют заместители, оттягивающие электроны. По мнению авторов, процесс идет путем быстрого обратимого присоединения H+ к эпоксидному атому O с последующим медленным разрывом одной связи CO с образованием иона карбония типа R_1R_2C + — CH_2OH .

11234. Гибридизация и реакционная способность. 1. Введение в серию статей. Щелочной гидролиз метилакрилата и метилиропиолата. Ф и р е и с, Ж а м ине, К р ё й с. II. Водный гидролиз бромидов и-пропила, аллила и пропартила. Ф и р е и с, К р ё й с (Hybridation et réactivité, I. Introduction à une série d'articles. Hydrolyse alcaline de l'acrylafe et du propiolate de méthyle. F i e r e n s P. J. C., J a m in e t J., K r u y s P. II. Hydrolyse, par l'eau des bromures de propyle normal, d'allyle et propargyle. F i e r e n s P. J. C., K r u y s P.), Bull. Soc. chim. belges, 1955, 64, № 9-10, 535—541; 542—549 (франц.; рез. англ.)

7. Щелочный гидролиз метилакрилата (I) и метилпропиолата (II) в среде води, ацетона (30% $\rm H_2O$) изучался с целью выяснения различия влияния двойной и тройной связи на скорость гидролиза. Изменение кон-ции щелочи в ходе р-ции определялось ацидиметрически. Очень большая скорость гидролиза II уже при -12° не позволила измерить кинетику этой р-ции. Гидролиз I изучался в интервале от -96° до $+1535^\circ$. Для параметров ур-ния Аррениуса бимолекулярной константы скорости гидролиза I получены значения: $E = -12.9~\kappa$ каа/моль; $\log PZ = 8.27$.

П. Гидролиз бромистого и-пропила (III), бромистого аллила (IV), бромистого пропартила (V) взучался в среде воды и води. диоксана (59,1% H₂O). Кинетика р-ции измерялась по увеличению конц. НВг, определяемому кондуктометрически. Получены следующие значения Е (ккал/моль, первая цифра) в ІдРZ (РZ в сек⁻¹, вторая пифра): в случае води. р-ров для III 24.4; 11.4; для IV 22,61; 11.8; для V 25.0; 11.54; в случае водиодиоксановых р-ров для III 21.48; 8.75; для IV 19.35; 8.76; для V 20.7; 8.24.

11235. Изотопный обмен и структура Ca₃(PO₄)₂. Говартс (Cambios isotopicos y estructura del fosfato tricalcico. Govaerts J.) An. Real soc española fís. y quím, 1954, В 50, № 3, 259—274 (исп.;

рез. франц.)
С помощью Ca⁴⁵ и P³² исследован изотопный обмен в гетерог, системах (жидкая фаза—твердая): Ca₃(PO₄)₂——CaCl₂ и Ca(PO₄)₂ — Na₂H(PO₄). В обсуждении результатов изотопный обмен в этих системах рассматривается как сложный процесс, включающий растворение, рекристаллизацию, диффузию и обмен атомами на поверхности микрокристаллов.

Из резюме автора.

1236. Катализ бромистым йодом реакции бромирования мезитилена. Влейк, Кифер (The iodine bromide catalyzed reaction of bromine with mesitylene in carbon tetrachloride solution. В lake John H., Keefer R. M.), J. Amer. Chem. Soc., 1955, 77, № 14, 3707—3709 (англ.)

Изучалась р-ция между Br₂ и C₆H₃(CH₃)₃ (I) в CCl₄, катализированная ЈВг при 14—36°. Конц-ия Br₂ определялась йодометрически и спектрофотометрически.

Найдено, что бромируется бензольное кольцо (I). Замечен автокаталитич. эффект при [JBг]<0,5⋅10⁻³M. Р-ция следует 1-му порядку по Вг₂ и 2-му по ЈВг. При конц-ии I от 0,02 до 0,7 М наблюдается 1-й порядок по I, при более высоких кон-циях I порядок р-ции по I падает. Общая энергия активации близка к 0. Авторы предполагают, что имеют место следующие стадии: АН+Вг₂→АН·Вг₂+мЈВг→АВг + HВг + мЈВг, где АН = I. Расчет по этой схеме с учетом кинетич. данных указывает, что р-цию катализирует как свободный, так и связанный ЈВг.

Ф. Дьячковский 11237. Разложение малоновой кислоты в глицериие и диметилсульфоксиде. Кларк (The decomposition of malonic acid in glycerol and in dimethyl sulfoxide. Clark Louis Watts), J. Phys. Chem. 1956, 60, № 6, 825—826 (англ.)

Измерена скорость образования СО₂ при распаде малоновой к-ты (I) в глицерине и диметилсульфоксиде (II). Константа скорости распада I в глицерине (сек⁻¹) растет от 0,00364 при 152,2° до 0,0066 при 161°; в II от 0,00416 при 129,8° до 0,00845 при 138,8°. Энергия активации (ккал/моли) распада I в глицерине равна 25,50 в II 23,35. Распад I в глицерине и в II протекает соответственно в 5 и 37 раз быстрее, чем в отсутствие р-рителя.

3. Майзус 11238. Производные ароматических сульфинавых сульфин

1238. Производные ароматических сульфиновых кислот. II. Реакции хлористого тионила с эфирами сульфиновых кислот. Хербрандсон, Диккерсон, Уэйнстейн (Derivatives of aromatic sulfinic acids. II. The reaction of thional chloride with sulfinic esters. Herbrandson Harry F., Dickerson Richard T., Jr, Weinstein Julius), J. Amer. Chem. Soc., 1956, 78, № 11, 2576—2578 (англ.) Метилбензолсульфинат и метилтолуолсульфинат ре-

Метилбенаолсульфинат и метилтолуолсульфинат реагируют на холоду в темноте с SOCl₂, давая соответствующие сульфинилхлориды и метилхлорсульфинатат. Кинетика р-ции І-ментил-І-л-толуолсульфината (I) с SOCl₂ в р-ре в нитробензоле в присутствии [N(C₂H₅)₄]-Cl (II), в качестве катализатора изучена поляриметрически при 25°. Р-ции 1-го порядка по I, мономолекулярная константа скорости растет пропорционально [II], до [II] = 0,005 М. При [II] = 0,0463 М константа скорости равна 2,12·10⁻³ сек⁻¹. Р-ция чувствительна к следам примесей в SOCl₂. Часть I см. РЖХим, 1956, 67894.

11239. Пиролиз'ди-(2-этилгексил)-себацината. Соммерс, Кроуэлл (The rate of pyrolysis of di-(2-ethylhexyl) sebacate. Sommers Earl E., Growell Thomas I.), J. Amer. Chem. Soc., 1955, 77, № 20, 5443—5444 (англ.)

Разложение ди-(2-этилгексил)-себацината при 261— 304° идет с образованием 2-этилгексена-1, 2-этилгексилсебацината и себациновой к-ты. Кинетика разложения следует нулевому порядку, р-ция гомогенна и не имеет индукционного периода. Найдены энергия активации 47,1 ккал/моль и энтропия активации $\Delta S^{\neq} \simeq -3$,1 клл. Авторы считают, что такое значение ΔS^{\neq} согласуется с образованием циклий. переходного комплекса. Ф. Дъячковский

11240. Кинетика пиролиза солей. Рид, Торили (The kinetic course of salt pyrolysis. Reed R. I., Thornley M. B., Miss), Chemistry and Industry, 1955, № 39, 1217 (англ.)

Весовым методом исследована кинетика пиролиза (430—460°) Nа-солей уксусной, адипиновой и β-метиладипиновой к-т с целью изучения механизма образования кетона. В первых двух случаях образующийся в качестве промежуточного продукта углерод действует автокаталитически.

И. Колесников

Γ.

I).

Br.

OR

по

in:

r-

йот

HIO

Br.

не

iti-

xi-

m.

аде

иде

(-1)

IÍ

гия

вна

ает

вие

ізус

вых

ами

и к-

of

onal

o n

T.,

em.

pe-

OOT-

ьфи-

a (I)

4]-CI

три-

еку-

льно

анта льна

1956,

oppe o mf di-E.,

Soc.,

261-

лгек-

и не и ак-

S==

≠ co-

плек-

вский

нли

. I.,

олиза

етил-

азова-

в ка-

ствует

ников

11241. Кинетика абсорбции углекислоты водноаммиачными растворами. Сообщение 3. Саруханян Т. А., Белопольский А. П., Ж. прикл. химии, 1954, 27, № 8, 822—830

Построены кривые зависимости скорости абсорбции СО₂ от абсорбционного потенциала при постоянных степенях кароонизации (К). Отклонение от линейности, требуемой ур-нием абсорбции (сопровождаемой хим. р-цией) объясняется тем, что в карбонизуемом водно-аммиачном p-ре в каждый момент существует равновесие между CO₂ и NH₃, но нет равновесия между CO₂ и гидратированными формами $\mathrm{CO_2}$. Скорость К при больших значениях парц. давления $\mathrm{CO_2}(P_{\mathrm{CO_2}})$ и при равных степенях К исходного р-ра выше для частично карбовизованных, приведенных в равновесное состояние р-ров. В случае К р-ров с низкой конц-ией NH3 и при малых $P_{\mathrm{CO_3}}$, когда процесс К не доходит до стадии выпадения бикарбоната, прибавление к p-ру различных кол-в (0,25-1 $\frac{\partial Ke}{\partial x})$ NaCl не изменяет плавного хода кинетич. кривых K, в то время как в случае K р-ров ϵ высокой конц-ией $\mathrm{NH_3}$ и при больших $P_{\mathrm{CO_2}}$ добавки NaCl приводят к появлению «пиков» на кинетич, кривых, причем их появлению предшествует выпадение бикарбоната. Появление «пиков» объясняется пересыщением p-ров по NaHCO₃, обусловленным кристаллизационными явлениями при выпадении осадка. Скорость К водно-аммиачных р-ров превышает скорость К водно-солевых р-ров и лишь в конечных стадиях К, начиная с области появления «пиков», скорость К обоих р-ров почти одинакова. Сообщение 2 см. РЖХим, 1955, Г. Королев 11242.

11242. Быстро идущие химические реакции. Дейвидеои (Microsecond chemistry. Davidson Norman R.), Engng and Sci., 1955, 18, № 5, 28, 30, 32, 36

Популярное изложение методов адпабатич. сжатия, ударной трубы и др. для изучения быстрых хим. р-ций при высоких т-рах. Ю. Петровский

11243. Действие сажи на холодные пламена и воспламенение в области двухстадийного воспламенения смесей нормального пентана с кислородом. Люккен, Лаффитт (Sur l'influence du carbone sur les flammes froides et l'Inflammation en deux stades des mélanges de pentane normal et d'oxygène. Lucquin Michel, Laffitte Paul), C. r. Acad. sci., 1956, 242, № 25, 2944—2947 (франц.)

Изучено влияние сажи на границы холодного пламени и воспламенения в 2-х стадийной области для смеси n-C₅H₁₂ + 2O₂. Сажа распределялась на внутреней поверхности реакционного сосуда (пирекс) в кол-ве 2—3 ме/см². Предел воспламенения повышается при т-ре <300°, мало меняется при 300—380° и сильно растет при т-ре > 380°. Нижний предел холодных пламен при 330—350° в отсутствие сажи равен ~50 мм рт. ст., в присутствии сажи ~80 мм рт. ст. Покрытие сажей приводит к исчезновению периодич. холодных пламен; за мало измененным первым холодным пламенем следует р-ция окисления (возможно гетерог.), сопровождаемая быстрым подъемом давления. Авторы предполагают, что альдегиды, образовавшиеся в первом холодном пламени в присутствии сажи сторают путем отличным от р-ции в сосудах, необработанных сажей.

С. Поляк 11244. Гидромеханический аспект стабилизации пламени. Лиз (Fluid-mechanical aspects of flame stabilization. Lees Lester), Jet Propuls, 1954, 24. № 4, 234—236 (авгл.)

Стабилизация пламени в турбулентном потоке гомог. смеси на плохо обтекаемых телах описывается как подогрев свежего газа от горячих продуктов сгорания в зоне за стабилизатором до т-ры воспламенения.

Условие срыва определяется превышением скорости турбулентного переноса свежего газа над скоростью подвода тепла. Скорость на пределе срыва пропорциональна турбулентной нормальной скорости горения, ширине стабилизатора и обратно пропорциональна коэфф. турбулентного переноса в-ва. Отмечается совпадение полученного результата с выводом из рециркуляционной теории стабилизации, несмотря на различие обеих физ. моделей.

А. Соколик

11245. Стабилизация пламени в пограничном слое. Гросс (Boundary layer flame stabilization. Gross Robert A.), Jet Propuls., 1955, 25, № 6, 288—290. 293 (англ.)

Стабилизация пламени в гомог. ламинарном потоке пропано-воздушной смеси исследовалась на плоских тонких пластинах (П' толщиной ~0,5 мм, накоторых стабилизация осуществляется в пограничном слое при равенстве скоростей потока и пламени, и на обтекаемых пластинах с профилем крыла (К), со стабилизацией в вихрях, срывающихся с задней кромки крыла, как это регистрируется шлирен-фотографиями. Предел срыва по скорости потока возрастает с увеличением длины П и уменьшением длины К. При обогащении смеси и понижении скорости потока при т-ре П выше 315° наблюдаются вибрации пламени счастотой 25 сек. 1, исчезающие при водяном охлаждении пластин.

А. Соколик 11246. Стабилизация пламени при высокоскоростных газовых потоках и эффект потери тепла при низких давлениях. С п о л д и и г, Т о л л (Flame stabilisation in high velocity gas streams and the effect of heat losses at low pressures. S p a l d i n g D. B., T a l l B. S.), Aeronaut. Quart, 1954, 5, № 3, 195—217 (амгл.)

11247. Различные типы пламен смесей воздуха с парами этилового эфира. Грациотти, Лаффит (Sur les différents types de flammes des mélanges d'air et de vapeurs d'éther diéthylique. Graziotti Raoul, Laffitte Paul), C. r. Acad. sci., 1954, 239, № 23, 1640—1642 (франи.)

11248. Колебания диффузионных пламен, возникающих при ламинарном режиме истечения горючего. Маклаков А. И., Ж. физ. химин, 1956, 30, № 3, 708

Методом шлирен-кинематографии наблюдались колебания длины диффузионных пламен углеводородных горючих, спирта и эфира, возникающие в горелке при достаточно высокой скорости истечения, зависящей от диаметра и материала горелки, природы горючего, но не зависящей от длины горелки и подводящих трубок. В пределах скоростей 5—200 см/сек для пламен СО частота колебаний ≈10—15 гц. В качестве источник колебаний авторы предполагают периодич. наменение условий смесеобразования.

А. Соколик

7. Союлик 1249. Влияние температуры и состава смеси на колебания пламени СО—воздух в открытой трубке. А б р у к о в С. А., Уч. зап. Казанского ун-та, 1956, 116, № 1, 93—94

Колебания пламени в воздушных смесях СО наблюдаются методом непрерывной фотографич. развертки в трубках, открытых у конца зажигания и закрытых пробками с отверстиями различного диаметра в противоположном конце. Для данного отверстия амплитуда и частота колебания пламени максимальна в смесях с 45—55% СО. Колебания пламени полностью исчезают вне определенных концентрационных границ, которые сужаются при добавке инертных примесей и флегматизаторов (СО₂, J₂, ССІ₄) и расширяются при добавке H₂ и H₂O. С повышением т-ры стенок >20—30° (до 250°) и при т-рах <20° интенсивность колебания пламени ослабляется, а концентрационные пределы сужаются.

N

Si

нз

BE

CT

пр

co

16

Al

+

H(об

ме

11

co

по

сл

(11

пр

ле

p-i Fe

pe

Me

Cn ma

пр

He не

йо

46 ле

ce

Газоаналитическое исследование возмущенных бензоло-воздушных пламен. И о с т, К р и ш е р

Gasanalytische Untersuchungen gestörter Benzol-Luft-Flammen. Jost W., Krischer B.), Z. phys. Chem. (Frankfurt), 1955, 5, № 5-6, 398—401 (нем.) В связи с объяснением искривления поверхности диффузионных пламен местным обогащением в результате диффузии H₂ и O₂ (РЖХим, 1956, 6429 докл. 70, 71) исследован состав продуктов р-ции (H₂O, H₂, CO, CO₂) в возмущенном пламени богатых бензоло-воздушных смесей (в местах поверхности непосредственно за вершиной и за долиной). В долинах по сравнению с вершиной СО2 больше на 17, а H₂O на 2% и СО меньше на 13, а H₂ на 8%. Авторы объясняют это усиленным выгоранием в долине и диффузией в нее О₂, которая под-держивает повышенную скорость горения. Однако, вопреки предложенному объяснению, т-ра пламени, рассчитанная по константе равновесия водяного газа. оказалась выше в вершине, чем в долине (2400 и 2000° K, 1850 и 1750° K соответственно). А. Соколик

2251. Пламена в турбулентных потоках. Берл, Райс, Розен (Flames in turbulent streams. Вегl W. G., Rice J. L., Rosen P.), Jet Propuls.,

1955, 25, № 7, 341-346 (англ.)

Рассматриваются различные модели турбулентных пламен, основанные либо на прогрессирующем раздроблении поверхности горения, либо на замене ламинарного распространения пламени гомог. р-цией в результате перемешивания продуктов сгорания с несгоревшим газом. Сравнение различных турбулентных пламен производится на основе эквивалентных пламен, воображаемого плавного контура, расположенного с таким наклоном в потоке, чтобы получалось одинаковое с турбулентным пламенем выгорание смеси с расстоянием. Одинаковые эквивалентные пламена могут иметь различную теплонапряженность. Воздействие турбулентности потока на пламя трактуется как результат усиления собственной нестабильности пламени с возникновением ячеистой структуры. А. Соколик инповением этенстон структуры. А. Соколик 1252. Воспламенение горючих газов в сходящихся ударных волнах. Фей, Лекава (Ignition of combustible gases by converging shock waves. Fay James A., Lekawa Edward), J. Appl. Phys., 1956, 27, № 3, 261—266 (англ.)

Воспламенение смесей Н2 с О2 и воздухом наблюдалось в сходящихся, кумулированных ударных волнах лось в сходищихся, кумуларованных ударных волнах (УВ), образующихся при отражении в конечном отрез-ке цилиндрич. ударной трубы, снабженной грушевид-ной вставкой (R. W. Perry, A. Kontrowitz, J. Appl. Phys., 1951, 22, № 9, 878). Определяя миним. скорость набегающей УВ (выраженную числом М), необходимую для воспламенения смеси данного состава, авторы вычисляют относительное повышение энтальпии. При начальном давл. 1 am_{M_1} воспламенение смесей H_2 - O_2 , содержащих 30—90% H_2 , происходит при M 1.065—1,145; для смесей Н2-воздух, содержащих 7 -64% Н2- при М 1,115 — 1,306. Относительное повышение энтальпии в воспламеняющей УВ, вычисленное для объема, соответствующего тушащему промежутку при искровом зажигании, приблизительно равно миним. энергии искры.

А. Соколик 11253.

А. Соколик 1253. Механизм детонации. Кук, Физ, Филлер (Mechanism of detonation. Соок М. А., Кеуеs R. Т., Filler A. S.), Trans. Faraday Soc., 1956, 52, № 3, 369—384 (англ.)

Для проверки модели стационарной детонационной волны, предложенной Зельдовичем-Нейманом, проведено аналитич. исследование распределения давления p/p_1 ит-ры T/T_1 (отнесенных к их значениям в плоскости Чепмэн-Жуге) в зоне р-ции при детонации в смеся 2Н2 + О2. Результаты вычислений показывают, что тепло р-ции выделяется на очень малой (~0,1)

части реакционной зоны так, что почти на всем ее протяжении Р постоянно. Непосредственно у плоскости Чапмэн-Жуге наблюдается максимум $T \approx 1.01 - 1.02$. вблизи которого Р понижается почти на 30%. По мнению авторов, это указывает на физ. неправдоподобность модели Зельдовича-Неймана. Авторы предлагают новую модель, согласно которой в детонационной волне происходит резкое сжатие в ударной волне, равной скорости до р1, с пополнением дефицита энтальпии теплопроводностью за счет тепла, сообщенного системе при иниципровании детонации. Привелены эксперим. наблюдения при детонации конденсированных взрывчатых в-в. Предварительное сообщение см. РЖХим, 1956, 31999. А. Соколик

Явление вблизи места возникновения детонации в газе. Щелкин К. И., Ж. эксперим. и теор. физики, 1955, 29, № 2, 221—226 В дополнение к развиваемой автором концепции,

объясняющей прогрессирующее нарастание скорости горения перед возникновением детонации в газах, усиливающейся турбулизацией газа, рассматриваются отдельные детали детонационного воспламенения: причины возникновения детонации на некотором расстоянии впереди фронта пламени; возможность образования 2-й, более сильной ударной волны при распространении пламени в газе, сжатом в 1-й ударной волне; ускорение пламени непосредственно перед возникновением детонации в результате воздействия на пламя волны разрежения, созданной при образовании в газе разрыва состояния.

Пламена эфиров азотной кислоты. Ш т е й ибергер (Nitrate ester flames. Steinberger Rudolph), Industr. an 1956, 48, № 4, 766—768 (англ.) and Engng Chem.,

Обзор работ по горению жидких эфиров азотной к-ты: скорости горения, структуре пламен, опубликованных в 1953—1955 гг. Библ. 20 назв. А. Соколик

Измеренная температура пламени твердого перхлората аммония. Сатерленд, Махаффи, Саммерфилд (Experimental flame temperatures of an ammonium perchlorate solid propellant. Sutherland George S., Mahaffy Dwight A., Summerfield Martin), Jet Propuls., 1955, 25, № 10, 537—539 (англ.)

Т-ра горения твердого перхлората аммония, диспергированного в полимерной матрице, с примесью 0,1% NaCl определялась по яркости D-линии Na с помощью умножителя. монохроматора и фотоэлектронного Т-ра горения повышается с увеличением давлення и уменьшением размеров частиц и в пределах давл. 0,3—30 ата составляет 2300—2590° К, что ниже теоретич. т-р 2410—2810° К для тех же условий. условий. А. Соколик

11257. Инфракрасные спектры ракетных пламен. Диксон, Крофорд, Ротенберг (Infrared spectra of propellant flames. Dickson Arthur D., Crawford Bryce L., Jr, Rotenberg David L.), Industr. and Engag Chem., 1956, 48, № 4, 759—761 (англ.)

Состав газообразных продуктов над слоем горящего порошкообразного двухкомпонентного топлива типа нитроглицерин-нитроцеллюлоза исследовался в струе N₂ под давя. до 10 атм со скоростью 1 м/сек с помощью инфракрасного спектрометра с быстрой разверткой, дающего до 20 спектров в 1 сек. На расстоянии 2 см от горящего слоя обнаружены полосы СО, СО2, слабые полосы NO, а также ряд неидентифицированных полос от 4000 до 6000 с.м-1. А. Соколик

О кинетике кремневосстановительного процесса. Е с и и О. А., III и х о в В. Н., Изв. АН СССР. Отд. техн. н., 1956, № 6, 113—118

po-

СТИ

02,

не-

об-

ланой не.

ль-

010

ан-

eTO-

MM.

(пи.

CTH

вах,

ия: рас-

a30-

apo-

лне:

кно-

тамя газе Элик

йнger

em.,

(-ты:

ных

олик

дого

фи, ratu-

S u tt A., 5, 25,

спер-0,1% ощью теля.

пения

цавл.

ниже

овий.

СОЛИК

амен.

rared

r D., e r g 5, 48,

mero

тица

струе

ощью

ткой,

CM OT

лабые

инных

про-СССР. Изучена кинетика восстановления кремния жидким железом из шлаков МО — Al₂O₂ — SiO₂, насыщ. SiO₂. Скорость процесса определялась по кол-ву радиоизотопа Fe⁵9, перешедшего из Fe в шлак в виде Fe²+. Высота шлакового слоя не влияет на скорость р-ции, т. е. диффузионные осложнения, по-видимому, отсутствуют. Скорость восстановления сильно уменьшается при замене в шлаке MgO на CaO или ВаО. Определены кажущиеся энергии активации для шлаков разных составов: при 64,4% SiO₂ + 32,1% MgO (при 1560—1660°) 51 ккал; при 61,2% SiO₂ + 19,4% CaO + 17,4% Al₂O₃ (при 1580—1620°) 66,5 ккал; при 59,1% SiO₂ + 37,3% ВаО (при 1580—1680°) 148 ккал. Предположено, что влияние катионов на скорость процесса обусловлено различной спепенью ослабления связей между атомами Si и О в шлаке. О. Крылов 11259. Изучение реакции сероводорода с окислами железа. Часть 4. Реакционная способность твердых

железа. Часть 4. Реакционная способность твердых растворов и соединений на основе окиси железа. М и ш е л ь (Étude de la réaction de l'hydrogène sulfuré sur les oxydes de fer. 4 partie: Réactivité des solutions solides et combinaisons à base d'oxyde de fer. M i c h e l A.), Bull. Soc. chim. France, 1956, № 5, 788—790 (франц.)

Изучена кинетика р-ции H_2S с Fe_2O_3 , входящей в состав следующих твердых р-ров: α - $(Fe_2^{3+}Al_x^{3+})O_3$ (I), полученного соосаждением гидроокисей Al и Fe и последующим прокаливанием при 500° ; $(Fe_2^{3+}Al_x^{3+}Fe^2+)-O_4$ (II), полученного восстановлением I водородом при 400° ; γ - $(Fe_2^{3+}Al_x^{3+})O_3$ (III), полученного окислением II воздухом при 300° (0 < x < 0, 2). Изученного ненем II воздухом при 300° (0 < x < 0, 2). Изученного окислением II воздухом при 300° (0 < x < 0, 2). Изученного имелением II воздухом при 300° (0 < x < 0, 2). Изучения Fe_2O_3 мдо, полученного соосаждением гидроокисей Fe и Mg и прокаливанием при 700° . Во всех случаях реакционная способность частой Fe_2O_3 выше, чем Fe_2O_3 , входящей в соединение или в твердый р-р. Часть 3 см. РЖХим, 1957, 7567.

11260. Изучение коррозии серебра в парах йода оптическим методом с непрерывной регистрацией. Коланж, Дюбризе (Étude optique par engeristrement continu de la corrosion de l'argent par la vapeur d'iode. Colange Georges, Dubrisay René), C. r. Acad. sci., 1956, 242, № 3, 363—365 (франц.)

С помощью усовершенствованного, по сравнению с ранее описанным (РЖХим, 1956, 21374), оптич. метода с непрерывной фоторегистрацией изучена поверхностная коррозия Ад-дисков при 30—70° в парах йода. Спец. приспособление позволило подвергать действию паров йода всю поверхность Ад. Образование первого слоя йодида (с толщиной, равной ∼λ/2 зеленой линии Нду происходит очень быстро, второго — медленнее, дальнейшие слои образуются с постоянной скоростью, средней между скоростью образования 1-го и 2-го слоев. С повышением т-ры скорость образования пленки йодида растет линейно: от 30 до 44° — быстрее, выше 44° — медленнее.

11261. Химическое доказательство существования окисла серебра на поверхности серебра при температурах выше 300°. Ш н обл, Вечер жа (Chemical evidence for the existence of silver oxide on the surface of silver at temperatures over 300° C. Š n o b l D., V e č e ř a M.), Chemistry and Industry, 1956, Apr., R23—R24 (англ.)

После нагревания серебряных стружек 1 час в O₂ при 400—700° и последующего промывания их в горячей дистилл. воде, в последней обнаружены эквимолекулярные кол-ва Ag- и ОН-понов, что доказывает образование при т-рах > 300° поверхностного окисла серебра. Температурная зависимость кол-ва окисла Ag,

образованного на поверхности Ад-пластинки в струе О₂ при 200—600°, имеет максимум при ~360°. Поверхностные окислы Ад, по мнению авторов, обусловливают связывание серебром SO₂ и SO₃ в струе О₂ при аналитич. определении S в органич. соединениях (РЖХим, 1955, 2305), а также взаимодействие твердого Ад с силикатами в атмосфере О₂ при т-рах >400°.

О. Крылов обладающей высокой проводимостью, до Cu₂O. Баур, Бриджес, Фасселл (Oxidation of oxygenfree high conductivity copper to Cu₂O. Baur J. P., Bridges D. W., Fassell W. M., Jr), J. Electrochem. Soc., 1956, 103, № 5, 273—281 (англ.)

Окисление чистой, хорошо проводящей Си до Си₂О: 2Си + $^{1}/_{2}$ О $_{2}$ = Си $_{2}$ О изучалось в статич. свстеме при 900—1000°, при давлениях кислорода ($P_{O_{2}}$) 5—95 мм рт. ст., исключающих возможность образования CuO. Результаты описываются ур-нием $(\Delta m/k_1) + (\Delta m^2/k_2) = t$, где Δm — увеличение веса образца на единицу его поверхности, t — время, k_1 — постоянная, мало зависящая от т-ры и $P_{\mathrm{O}_2},\ k_p$ — величина, пропорциональкая $(P_{O_n})^{1/n}$ (п для 950° равно 2,0, для 1000° 3,4). Теоретически рассмотрены соотношения между k_p и $P_{\mathbf{O}_p}$ в предположении, что скорость процесса определяется диффузвей O_2 от поверхности в объем меди, с образованием в решетке C_1 электронных деффектов, и что теплота адсорбции линейно изменяется со степенью заполнения поверхности; получена зависимость $k_p \approx K_0'$ {lg (1 + $+ K_a^0$ $[O_2)$ $^{1/8}$, где $[O_2]$ — конц-ия O_2 на поверхности, K_a^0 — константа адсорбционного равновесия, K_0' — постоянная, зависящая от т-ры, с которой также согласуются эксперим. данные. Величины Ка для 950 и 1000° равны, соответственно, 83 900 и 79 390. Рентгеновское и микрофотографич. исследования показали наличие в продуктах окисления несольших кол-в CuO, образующейся при охлаждении образцов в присутствик 11263.

1263. Высокотемпературное окисление и восстановление монокристаллов меди. Госвами, Трехам (The thermal oxidation and reduction of a copper (110) face. Goswami A., Trehan Y. N.), Trans. Faraday Soc., 1956, 52, № 3, 358—362

MI

ra

y

HO

Bi

44

щ

ед

щ

13

да Рі

BE

л

B

Bi

B

H

K

H

11264. Об анизотропии скорости роста пленки при окислении железа в воздухе в интервале температур 400—700°С. Пайдасси (Sur l'anisotropie de la vitesse de croissance de la pellicule d'oxydation du fer dans l'air dans l'intervalle 400°—700°C. Paídas-si J.). Bol. Soc. chilena quim., 1955, 7, № 1-2,

14—16 (франц.), 17—19 (исп.) Полированные пластинки Fe Армко и Fe марки «Пурон» окислялись при нагревании на воздухе до $400-700^{\circ}$. Тонкие окисные пленки изучались путем анализа цветов побежалости, а толстые — с помощью микрофотографии поверхностей или срезов пленок. Показано, что при 400-550° зерна железа, ориентированные различным образом, окисляются с различной скоростью. При 550—700° поверхность Fe разрыхляетси и наблюдается повышенная скорость окисления у границ зерен. Обнаружено, что анизотропия окисления Ге сильно зависит от предистории образца (способа полировки, преварительного нагревания). О. Крылов

11265. Окисление алюминия в интервале температур 400-600°. Смелцер (Oxidation of aluminum in the temperature range 400°-600° C. Smeltzer W. W.), J. Electrochem. Soc., 1956, 103, No 4,

209-214 (англ.)

С помощью вакуумных микровесов изучена кинетика окисления полированного Al при 400-600° и давлении O_2 (p_{O_2}) 76 мм рт. ст. Скорость окисления растет с т-рой, зависит от предварительной обработки и от степени чистоты Al и не зависит от $p_{\mathrm{O_2}}$. При всех т-рах за начальным периодом с большой скоростью окисления следует период, характеризующийся более низкой постоянной скоростью окисления; далее скорость р-ции падает до ничтожно малой величины. Прокаливание Al в вакууме при 500-600° приводит к образованию тонкой окисной пленки, затрудняющей дальнейшее окисление. Применение к полученным данным параболич. ур-ния $x^2 = kt + c$, где x - толшина пленки, t — время, k и c — постоянные, показало наличие на кинетич. кривой двух участков: 1-го с меньшим и 2-го с большим значением k. На Al, обезгаживавшемся в вакууме 30 мин. при 500°, для 1-го участка («тонкая пленка») получены значения энергии активации $E_1 = 37.9$ ккал/моль и энтронии ΔS_1 от -8.4 до - 6,7 кал/град моль, для 2-го участка («толстая плен-(а») $E_2 = 40.5$ ккал/моль и ΔS_2 от -1.5 до -3.2 кал/град моль. На AI, обезгаженном в вакууме 1 час при 600° , для 1-го участка E_1 =41,0 ккал/моль и ΔS_1 от—2,7 до —5,0 кал/град моль для 2-го участка E_2 =50,7ккал/моль и ΔS_2 равно 8,9 — 9,3 кал/град моль. Описанное автором возрастание Е при окислении Al противоречит теории Мотта и Кабреры (Cabrera N., Mott N. F., Repts. Progr. Phys., 1949, 12, 163). Сопоставление полученных данных с другими работами по газофазному (Gulbransen F. A., Wysong W. S., J. Phys. Colloid Chem., 1947, 51, 1087) и анодному (РЖХим, 1954, 42785) окислению Al привело автора к выводу, что в 1-ой стадии скорость р-ции определяется диффузией иона Λl через границу металл—окисел с E=37,2 ккал/моль.

11266. Исследование механизма внутреннего окисления бинарных сплавов железо-хром, никель-хром, никель-алюминий. Моро, Бенар (Étude du mé-canisme de l'oxydation interne des alliages binaires fer-chrome, nickel-chrome, nickel-alluminium. Morea u J., Bénard J.), Colloq. nat. Centre nat. rech. scient., 1955, № 10, 83-97, discuss. 98-100 (франц.) Микрофотографическое и рентгенографич. исследование окисных пленок, образующихся при окислении на воздухе при 800-1300° на поверхности сплавов Fe + 2,62%Cr, Fe + 7,75%Cr, Ni + 4.6% Cr,

Ni + 11,3%Cr, Ni + 1,8%Al H Ni + 2,4%Al, a TAKHE определение скоростей роста этих пленок при постоянных т-рах показало, что во всех случаях и на всех стадиях окисления имеется верхний сплошной слой (А), состоящий из окислов обоих металлов - компонентов сплава; под ним находится слой (В), представляющий собой тесную смесь металла и окисла одного из компонентов, еще ниже — слой (С) — неизмененный сплав. Для сплавов Fe — Cr слой A состоит из прослойки 2-Fe₂O₃, шпинели состава Fe₃O₄ и, наконец, 2-фазной прослойки FeO + FeCr₂O₄; для сплавов на основе Ni слой (A) состоит из NiO, слой 2- из 2-фазной смеси NiO и шпинели состава Ni (Cr или Al)2O4. Толщина слоя NiO со временем возрастает. Преимущественное образование Cr2O3 (или Al2O3) во внутреннем слое (В), по мнению авторов, может быть объяснено относительно меньшей упругостью диссоциации этих окислов и общим недостатком кислорода во внутреннем слое. Общий ход процесса авторы объясняют, исходя из предположения о наличии заметной диффузии О2 В. Вассерберг вглубь металла.

Кинетика окисления абиетата кальция кислородом. Павлюченко М. М., Акулович В. М. (Кінетыка акіслення абістата кальцыя кіслародам. Паўлючэнка М. М., Акуловіч В. М.), Весці АН БССР. Сер. фіз.-тэхн. н., Изв. АН БССР. Сер. физ.-техн. н., 1956, № 1, 77—86 (белорус., рез.

русс.) Изучено окисление абиетата кальция кислородом при 70-110° и давл. О2 150-800 мм рт. ст. При т-рах 80° р-ция протекает в кинетич, области, а при более высоких т-рах — в диффузионной. Скорость р-ции не зависит от давления О2; по мнению авторов, изученная р-ция протекает с участием адсорбированного кислорода. Ввиду уменьшения числа двойных связей после окисления авторы считают, что одним из возможных путей окисления является присоединение кислорода А. Шехтер к пвойной связи.

11268. Окисление парафинов окисью меди. Брансом, Ханлон, Смайт (The oxidation of paraffins by copper oxide. Bransom S., Han-

То п. L., S m y t h e. В.), Trans. Faraday Soc., 1956, 52, № 5, 672—680 (англ.)

Изучено окисление метана (I), этана (II), пропана (III), пентана (IV), гексана (V) и изомерных гептанов (VI) при взаимодействии с окисью меди (полупроводником р-типа) при 330-650° и начальном давлении парафинов 100-200 мм рт. ст. Продуктами р-ции являются CO2 и H2O. Р-ция протекает в 2 стадии. Первая, более быстрая, стадия заканчивается за 5-30 сек.; кинетика ее подчиняется ур-нию $dx/dt = k' \exp(-\alpha x)$, где x — давление парафина, t — время, k' и с — константы; зависимость начальной скорости р-ции от начальной конц-ии парафина (a): $(dx/dt)_0 = k_0 a^n$, где k_0 и n— константы, n < 1. Кинетич. ур-ние второй, более медленной стадии р-ции dx/dt = kb (a-x)/[(1-b(a-x)], где k и b— константы. Для I и II ниже 650° , для III ниже 500° , для IV ниже 450° энергия активации (E)первой стадии окисления 20 ккал. Выше этих т-р рост скорости р-ции прекращается. Для V и VI E постепенно падает от 33 $\kappa \kappa a \lambda$ при 350° до 0 при 430° . E второй стадии для I и II равна 27, для III, IV и V 36 ккал. В присутствии кислорода скорость р-ции падает. После р-ции в образце СиО рентгенографически была обнаружена примесь Cu₂O. Авторы считают, что в первой стадии протекает р-ция CuO с парафином до образования тонкой поверхностной пленки СиоО и что вторая стадия контролируется диффузией ионов Cu+ на границу Cu_2O/CuO ; предположен механизм р-ции $Cu_2O \rightarrow O^{2-} + 2Cu^+; Cu^+ + CuO \rightarrow Cu_2O +$ положительная дырка. О. Крылов г.

же

H-

ex

10ñ 110-118-

OTO

из

eц.

Ra

HOF

ОЛ-

CT-

Iem

CHY

нем

ВДС

02

epr

HC-

M.

am.

M.), CP.

De3.

MOL

pax

лее

не

ная

Л0-

сле

ных

ода

тер

a H-

a n-

oc.,

пана пнов

вол-

нии

яв-

Tep-

ек.:

ax).

онс-

на-

ko H

олее

-x)

III

(E) poet

осте-

BTO-

иV

па-

ески

что в

1 до

OTP

Cu+

-ции тель-

ылов

11269. Влияние газовой диффузии в графитизированных угольных стержнях на скорость газификации последних с помощью углекислого газа. У о к е р, Р а т с (Effect of gas diffusion in graphitized carbon rods on their gasification rate with carbon dioxide. W a l k e r P. L., J r, R a a t s E m i l e), J. Phys. Chem., 1956, 60, № 3, 370—372 (англ.) В интервале 970—1130° температурная зависимость

В интервале $970-1130^\circ$ температурнай зависимость скорости газификации между CO_2 и графитизированными угольными стержнями (ГС) w=k [CO₂] [С] при обтаре a=11% выражается в коордиватах (w,1/T) прямой, отвечающей энергии активации E=66 $\kappa\kappa a a/moab$. Условно конц-ия углерода [С] принята пропорциональной весу ГС, при данном a постоянному при всех т-рах. Выше 1130° E непрерывно убывает, достигая 44 $\kappa\kappa a a/moab$ при 1392° , что объясняется увеличивающимся влиянием диффузии на р-цию. При отнесении w к единице поверхности (S) ГС (причем [С] в этом случае принимается пропорциональной S) прямолинейный участок кривой (w, 1/T) расширяется до $970-1200^\circ$ и E=58 $\kappa\kappa a a/moab$. Выше 1200° E падает, достигая при 1372° E=51 $\kappa\kappa a a/moab$. Колич. исправление наблюдаемых w по методу Вейса и Пратера (Weisz P. B., Prater C. D., Advances in Catalysis, 1954, 6, 144), развитому для каталитич. p-ций, приводит κ хорошей прямой κ (κ , κ) во всем интервале κ 0 3. Высоцкий κ 11270. Получение активных твердых тел термическим

1270. Получение активных твердых тел термическим разложением. Часть VIII. Прокаливание гидроокиси кальция. Глассон (The production of active solids by thermal decomposition. Part VIII. Calcination of calcium hydroxide. Glasson D. R.), J. Chem. Soc., 1956, June, 1506—1510 (англ.)

Изучена кинетика дегидратации Ca(OH)₂ при прокаливании ее в течение 32 час. в вакууме при 200—500° и на воздухе при 450—1000°. 100%-ное разложение в вакууме достигается при 350° за 20 час., при более высоких т-рах — быстрее. Дегидратация Ca(OH)₂ сопровождается возрастанием уд. поверхности S от начального значения 3 м²/г до 80—100 м²/г после 100%-ного разложения. По мнению авторов, это происходит вследствие образования мелких кристалликов CaO после рекристаллизации псевдо-решетки Ca(OH)₂ в более устойчивую решетку. Дальнейшее прокаливании после достижения полного разложения вызывает спекание CaO и снижение величины S. При прокаливании на воздухе 100%-ное разложение достигается при более высоких т-рах и более длинных временах прокаливания учем в вакууме, и наблюдаются более низкие значения S. Спекание CaO инже 500° на воздухе, по-видимому, замедляется вследствие хемосорбции CO₂ и паров 11271. Восстановление хлорной ртути щавелевой кислотой в темноте в присутствии индуктора —

кислотой в темноте в присутствии индуктора перманганата калия. Прасад, Бхаттачария (Reduction of mercuric chloride by oxalic acid in the dark in presence of potassium permanganate as inductor. Prasad C., BhattacharyaAbani K.), J. Indian Chem. Soc., 1956, 33, № 3, 205—208

1 является гетероген, каталич, процессом, протекающим на поверхности коллондальной МпО₂, образованной в результате р-ции между II и III. В дальнейшем может протекать и гомог, каталич, процесс с участием Mn²⁺-нона.

О. Крылов

11272. К теории приготовления катализаторов синтеза углеводородов из окнеи углерода и водорода. Полякии 10. Л., Тр. Грозненск. нефт. ин-та, 1955. № 17. 58—81

Излагаются литературные и собственные эксперим. данные автора по исследованию различных стадий приготовления Ni-, Co — Cu-, Fe — Cu-, Ni — MnO — — Al₂O₃-, Ni — MnO -, Fe₂O₃ — MgO-, Fe— Co- и других атализаторов синтеза. В. Вассерберт 11273. Физические и математические основы теорин активных центров. К обозев Н. И., Успехи химпи,

1956, 25, № 5, 545—631 Обзор по вопросам природы активных центров, их генезиса, функции носителей, механизма отравления катализаторов, влияния дисперсности на каталитичактивность с точки зрения теории ансамблей. Библ. 11 назв. М. Сахаров

11274. О каталитических и электрических свойствах полупроводников. П. Исследование полупроводников. Декрю (Études sur les propriétés catalytiques et électriques des semi-conducteurs. П. Contribution à l'étude des semi-conducteurs. De cru e Jean), Helv. chim. acta, 1956, 39, № 3, 812—827 (франц.)

Для измерения электропроводности полупроводников использован видоизмевенный метод Фелькла—Гиллери (A. Völkl. Ann. phys, 1932, 14, 193; Р. Guillery, Ann. Phys, 1932, 14, 193; Р. Guillery, Ann. Phys, 1932, 14, 216), основанний на измерении емкости инлиндрич. конденсатора, между обкладками которого помещен исследуемый порошкообразный полупроводник в однородной смеси с диэлектриком—квардем. Описано устройство, позволяющее измерять в в вакууме, в различных газах и при нагревании. Максим. ошибка в определении $\pm 4,5\%$. Для ZnO—полупроводника n-типа— σ растет в H_2 и падает в O_2 ; для CuO—полупроводника ρ -типа σ растет в O_2 и падает в O_2 , для O_2 о гадает и в O_3 для O_3 о гадает и в O_3 для O_4 обрастет в O_4 и падает в O_4 для O_4 обрастет в O_4 обрасте в

О. Крылов 11275. Ионная адсорбция газов на полупроводниках и каталитическая активность последних. Часть II. Закон виртуальной атмосферы и его применение. Така и с и (The ionic adsorption of gases on semi-conductors and their catalytic activities. Part II. The law of the virtual atmosphere and its applications. Takaishi Tetsuo), Z. Naturforsch., 1956, 11a, № 4, 297—306 (англ.)

На базе представлений об ионной адсорбции газов, развитых в части I (РЖХим, 1957, 3843), предложена теория каталитич. активности полупроводников (ПП). Введено понятие «виртуальной атмосферы», т. е давления газа, который находился бы в состоянии равновесия с адсорбированным в-вом. В качестве критерия подбора катализаторов сформулирован «закон виртуальной атмосферы» (ЗВА): ПП п-типа являются активными катализаторами только в восстановительной, а ПП р-типа в окислительной атмосфере. Разобраны литературные данные по окислению СО на ПП. В соответствии с ЗВА получено, что ПП р-типа более каталитически активны для окисления СО, чем ПП п-типа, и что «механизм Райдила»: О(адс.) + СО(газ) → →СО₂ никогда не имеет места на ПП п-типа, даже при

пей р-ц

пле poc

опь

HOL

CWM

Mar DTH

вре

ров

00 1

дей

Mer

Fe LHI

По

Rh

por 19:

d-c

HH

ще

HH

06

высоких т-рах. По мнению автора, ЗВА объясняет изменения активности катализаторов после предварительной обработки, а также в процессе р-ции и качественно подтверждается данными по разложению N2O и синтеза СН 3ОН на ПП р- и п-типа. Разобрана возможность распространения этих представлений на металлич. катализаторы. О. Крылов

276. Окисление двуокиси серы на полупроводниковых катализаторах и-типа. Кавагути (n型牛導 體隔蝶による亜硫酸ガスの酸化について. 河口武夫), 日本化學雜誌, Haxon Karaky дзасси, J. Chem. Soc. Japan. Pure Chem. Sec., 1955, 76, № 10, 1112—

Найдено, что большинство катализаторов, активных по отношению к окислению SO2 при высоких т-рах, являются полупроводниками n-типа; таковы SnO2, WO3, Fe₂O₃, TiO₂, Al₂O₃, V₂O₅. Рассматривается кинетика каталитич. окисления SO₂ при допущении, что р-ция идет между атомами О, адсорбированными на катализаторе, и SO2 из газовой фазы.

Chem. Abstrs, 1955, 50, № 9, 6164. T. Katsurai

1277. Хемосорбция водорода на окиси цинка с заданной полупроводимостью. Чимино, Чиполиин, Молинари (Wasserstoff-Chemisorption an definiert halbleitendem Zinkoxyd. Сішіпо А., Сіроllіпі Е., Моlіпагі Е.), Naturwissenschaften, 1956, 43, № 3, 58—59 (нем.)

В связи с возможностью путем добавления малых кол-в соответствующих примесей изменять электронные свойства полупроводников изучены адсорбционные характеристики чистой ZnO, полученной разложением оксалата Zn при 450° (I), а также I + 0,35 мол. % ${\rm Ga_2O_5}$ (II) и I + 0,5 мол. % ${\rm Li_2O}$ (III), полученных пропиткой I р-рами соответствующих нитратов с последующим прокаливанием при 900°. Показано, что введение примесей в ZnO изменяет не только ее каталитич., но также и ее адсорбционные свойства. На I, а также но также и ее адсороционные своиства. На 1, а также иа I, прокаленной при 900° , наблюдается 2 типа активированной адсорбции H_2 , которым отвечают 2 максимума (300-350 и $450-500^\circ$ K) на изобарах (P=715 мм рт. ст.). Добавка Ga^{3+} , увеличивающего каталитич. активность I по отношению к р-ции обмена H_2-D_2 (РЖХим, 1954, 49523; 1956, 35412), снижает адсорбцию Н2 и приводит к исчезновению первого максимума. Добавка Li+, уменьшающего скорость ката-литич. обмена H₂ — D₂, снижает 1-й и повышает 2-й максимум. 3. Высопкий

Влияние хемосорбированных газов на намаг-11278. ниченность каталитически активного никеля. М у р, Селвуд (The influence of chemisorbed gases on the magnetization of catalytically active nickel.

Moore Louise E., Selwood P. W.),

J. Amer. Chem. Soc., 1956, 78, Na 4, 697-701

В интервале т-р 77—700°К проведены термомагнит-ные измерения (РЖХим, 1956, 42698) высокодисперсных Ni-катализаторов, нанесенных на силикагель. Спекание увеличивает уд. намагниченность о образцов. Ниже 350°К присутствие Н2 уменьшает о, адсорбция H₂ в токе Не вызывает возрастание σ В образце Ni — SiO₂, содержащем 42,4% Ni, хемосорбированные газы вызывают изменения о при комнатной т-ре: H_2 на—13%, N_2 О на 13%, CО на 5,1%, H_2 О на —24%; в образце, содержащем 26,2% N_1 , хемосорбция кислорода увеличивает о на 13%. Результаты объяснены электронным взаимодействием молекул с d-зоной Ni, Малое изменение σ в случае адсорбции H_2 на 26,2%-ных образцах $Ni-SiO_2$ при очень низких т-рах объяснено изменением характера взаимодействия H_2 с Ni (H_2 становится акцептором), когда Ni находится в состоянии, близком и атомарному. Направление изменений с соответ-

ствует направлению изменения электропроводности при хемосорбции газов на Ni. О. Крылов

Замечания по поводу последнего сообщения Селвуда, Адлера и Филлипса о термомагнитном анализе нанесенных никелевых катализаторов. М и mель (A propos d'une récente Communication de Selwood, Adler et Phillips sur l'analyse thermomagnétique de catalyseurs au nickel sur support. Michel André), C. r. Acad. sci., 1956, 243, № 4, 373—374 (франц.)

Указано, что идея о связи термомагнитных кривых ферромагнетиков с распределением кристаллич. зерен по размерам, примененная Селвудом, Адлером и Филлипсом для колич. расчетов дисперсности Ni-катализаторов (РЖХим, 1956, 28548), была высказана ранее автором данной заметки (С. г. Acad. sci., 1935, 200, 2171). Вместо выражения Селвуда $T/T_c = Z'/Z$ (где T_c — точка Кюри макрокристалла, а T — микрокристалла, Z— число соседних атомов в макрокристалле, Z'— число их в микрокристаллич. частице) автор дает ф-лу $T/T_c = V\overline{Z'/Z}$. Данные по изменению степени намагниченности Ni при контакте с H₁, N₂ и СО при разных т-рах, полученные Селвудом и др., подтверждают результаты Бернье и Мишеля (Bernier, Michel, Bull. Soc. chim. France, 1949, 16, 199, 365), и могут быть объяснены не только изменением свойств поверхности Ni, но и образованием твердых р-ров с внедрением в Ni, CO, N₂ или H₂, вызывающим появление плотной гексагональной структуры Ni.

Стадийная реакция, протекающая через промежуточные продукты на разных активных центрах. Be i e (Stepwise reaction via intermediates on separate catalytis centers. We is z P. B.), Science, 1956, 123, № 3203, 887—888 (англ.)

Рассмотрена каталитич. р-ция типа А→В→С→...→Д, протекающая стадийно на разных активных центрах через устойчивые промежуточные продукты В, С и т. д., которые после десорбции существуют в конечных конц-иях. По мнению автора, для того, чтобы р-цияне лимитировалась диффузией, достаточно, чтобы, каждая стадия удовлетворяла критерию: $1/3 (dN_n/dt)$. $\cdot R_0^2/(C_i \cdot D$ (э $\Phi\Phi$.)) $\ll 1$, где dN_v/dt — наблюдаемая скорость р-ции на единицу объема частицы, R_0 — диам. частицы, C_i — конц-ии в-в A, B, C, . . . , D (эфф.) — эффективный коэфф. внутренней диффузии. Применяя указанный критерий к случаю р-ций углеводородов на типичных окисных катализаторах с уд. поверхностью ~ 150 м²/г, автор получает верхний предел допустимого размера частиц катализатора ~ 50 μ. О. Крылов 11281. Новый случай поверхностно-объемного меха-

низма в гетерогенном катализе. В ладов, Славев (Ein neuer Fall von Oberflächen-Volumen-Mechanismus bei der heterogenen Katalyse. Wladow D., Slawew A.), Z. anorgan. und allgem. Chem., 1956, 284,

№ 4-6, 305—311 (нем). При 540° и скорости подачи жидкого этилового спирта 1,3 см3/мин разложение паров СН3ОН на гранулированном окисном железо-алюминиевом катализаторе конверсии СО сопровождается изменением т-ры газовой смеси не только за катализатором, но и перед ним (РЖХим, 1956, 9387). Сделан вывод, что р-ция в изученных условиях является гомогенно-гетерог., распространяющейся от катализатора во всех направлениях. Изменение т-ры перед катализатором, по мнению авторов, указывает на цепной характер изученной р-ции и на распространение цепей от поверхности катализатора в объем. 11282. Пейте С. Киперман Дейтерирование и обмен этилена на конден-

сированных металлических катализаторах при низ-

OCTE ПЛОВ

ения ана-

AH-

tion

mag-

hel

₩ 4.

вых

ерен **Дил-**

гиза-

анее

200, 2'12

крокригице)

лене-

H,,

удом

шеля

, 16, нвем рдых

Миш

про-

sepaence.

. →Д,

т. Д., **ЧНЫХ**

ия не

ждая o/dt).

ско-

циам. — эф-

кеняя

ов на

остыю

тимонлов

меха-

вев

ismus

Sla-

284.

спир-

лироаторе

30B0

HUM учен-

спро-

ниях. o ab-

р-ции

лизаерман нден-

низ-

i. ылов ких температурах. Кембалл (The deuteration and exchange of ethylene on evaporated metal catalysts at low temperatures. Kemball Charles), J. Chem. Soc., 1956, March, 735—743 (англ.)

Масс-спектрометрическим методом определены кол-ва дейтероэтиленов и дейтероэтанов, образующиеся при р-ции между этиленом и дейтерием на конденсированных пленках W, Ni, Rh и Fe при — 100°. Суммарная скорость дейтерирования этилена постоянна в процессе опыта, суммарная кинетика обмена этилена с дейтерием подчиняется ур-нию 1-го порядка. Со временем содержение дейтерированных этиленов проходит через мак-симум и снижается до нуля. На Ni, Rh и Fe высота максимума снижается от монодейтеро- к тетрадейтероэтилену, а сам максимум сдвигается в сторону больших времен. На W обмен невелик (1—2%), и удается обна-ружить лишь монодейтероэтилен. Содержание всех дейтероэтанов монотонно нарастает в пропессе дейтери-рования, однако распределение их (в %) изменяется со временем. На Ni, Rh и Fe преобладает образование моно- и дидейтероэтанов и легкого этана, остальные дейтероэтаны образуются в заметных, но значительно меньших кол-вах; на W образуется до 70% дидейтероэтаменьших кол-вах; на w ооразуется до 70% дидеитероэтапа. Отношение скоростей обмена и дейтерирования на
Fе равно 2,34, на Ni 2,28, на Rh 1,02, на W 0,08. Энерпи активации обенх р-ций между — 120 и — 100°
на W 5—6 ккал/моль, на Fe, Ni и Rh 7 ккал/моль.
Порядок скоростей дейтерирования при — 100°:
Rh>Ni>Fe→W; он близок к порядку скоростей гидрирования по Бику при 0° (Вееск, Disc. Faraday Soc.,
1950 8 118), что почволит автора к мысли о толи 1950, 8, 118), что приводит автора к мысли о роли d-связи в каталитич. активности металлов. На основании представления о вероятностях различных превращений адсорбированных в-в дана теория распределения продуктов дейтерирования и обмена, связывающая оба процесса и хорошо согласующаяся с опытными О. Крылов данными.

данными.

О. Крылов
11283. Элементарные стадии каталитической реакции
обмена. Адам, Кукелбергс, Френне,
Гослен (Elementary steps in catalytic exchange
reactions. Adam J., Coekelbergs R.,
Frennet A., Gosselain P. A.), J. Chem.
Phys., 1956, 24, № 6, 1267—1268 (англ.)

Phys., 1956, 24, № 6, 1267—1268 (англ.) При 250° изучена кинетика обмена между атомами радиоизотопа Cl³⁶, хемосорбированного на пленке W при р-ции HCl³⁶ с W, и газообразными нерадиоактив-ными HCl или CH₃Cl при давл. 50 мм рт. ст. Начальная скорость обмена для HCl в ~10 раз больше, чем для скорость обмена для ист в 200 раз облыше, чем для сН₃Cl. Результаты опытов указывают, по мнению авто-ров, на неоднородность поверхности W и на полное покрытие W атомами Cl и подтверждают механизм обмена HCl с CH₃Cl на W, предложенный ранее автора-ми (РЖХим, 1956, 46443). О. Крылов

Изучение зависимости каталитической активности бинарных соединений металлов второй группы с неметаллами от положения элементов в периодической системе Менделеева. Сообщение 1. Каталитическое разложение изопропилового спирта на щелочно-ское разложение изопропилового спирта на щелочно-ский С. З., Фокина Е. А., Изв. АН СССР. Отд. хим. н., 1956, № 6, 668—675 В струевой установке при 314—460° изучено разло-

жение изопроинлового спирта в присутствии катализаторов CaO (I), SrO (II), BaO (III), CaCO₃ (IV), BaCO₃ (V) или Ca(OH)₂ (VI). В ряду І—III каталитич. активность окислов возрастает. На всех окислах дегидрирование спирта преобладает над дегидратацией. Энергии актиспирта преооладает над дегидратацией. Энергии активации Е дегидрирования на (в кал/моль) I 12 000—16 000, на II 11 000, на III 6000. Значения Е дегидратации выше (в кал/моль): на I 22 000—26 000, на II 25 000, на III 12 000. В то же время значения Е дегидратации на карбонатах (на IV 24 000, на V 17 000) меньше Е дегидри-

рования (на IV 39 000, на V 26 000) и близки к Е дегидратации на окислах. На основании этих данных сделано предположение о наличии в окислах примесей карбонатов, ответственных за дегидратацию: Е дегидрирования на VI, равная 16 000 кал/моль, близка к Е дегидрирования на 1. литературные дамирот на широтич. свойствах твердых щелочей указывают на широдегидрирования на I. Литературные данные о катали-11285. Окнолы переходных металлов как катализаторы окисления углеводородов. Марголис Л. Я., Рогинский С. З., Грачева Т. А., Ж. общ. химии, 1956, 26, № 5, 1368—1371

В динамических условиях изучено каталитич. окисление пропилена в смесях C₃H₆ с O₂ состава 1:1, разб. азотом при 200—400°. Изученные катализаторы разо. азогом при 200—400. Наученные катальзаторы (К) классифицированы следующим образом: 1) К глубокого окисления: МпО₂, NiO, MgCr₂O₄ и CuCr₂O₄, дающие ~100-%, выход CO₂ и H₂O; 2) К деструктивного окисления: V₂O₅— x, MoO₃—x, WO₃—x, UO₃—x, на которых, наряду с CO₂ и H₂O, образуются формальдегид, ацеталь дегид, муравьиная и уксусная к-ты; 3) К избирательного окисления в акролеин — Cu₂O, давший при 400° 60%-ный выход акроленна. Предположено, что активными К глубокого окисления являются окислы с незаполненными д-оболочками, а активными К мягкого полненными *а*-оболочками, а активиами окисления могут быть К типа Ag и Cu₂O, в которых пробелы в *d*-оболочке возникают при модифицировании этих К кислоролом.

О. Крылов

Изучение каталитической активности некоторых окислов металлов в синтезе из окиси углерода и водорода. Башкиров А. Н., Локтев С. М., Сабирова Г. В., Тр. Ин-та нефти АН СССР, 1956, 8, 168—175

Изучена каталитич. активность окислов Pb, Sn, Cd, Mo, W, Cr, Si, Mn, Ti, V, Al, Mg, Sr, Th (с добавлением 0.5-5% K_2CO_3) в р-ции синтеза углеводородов из смеси $CO: H_2=1:1$ в проточной системе при $300-500^\circ$, давл. 30 атм (а в случае ThO_2 и Al_2O_3 250 атм) и объемных скоростях 100-150 час⁻¹. Окислы Pb, Sn и Cd в указанных условиях восстановливаются дометаллов и активность их очень невысока. Катализаторы на основе окислов Мо, W, Si, Mn, V, Mg обладают высокой активностью, но приводят к преимущественному образованию газообразных углеводородов. Катализаторы на основе окислов Ті и Sr оказались неактивными. Наиболее высокой активностью обладает $SiO_2+2\% K_2CO_3$, выход жидких продуктов р-ции на нем $30-60\ \epsilon/M^3$. Гранулированный K_2CO_3 , а также К₂СО₃, нанесенный на активный уголь, неактивны. Отмечено, что все катализаторы синтезов на основе СО и Н2 должны обладать способностью активиро-Изучение кинетики каталитической конверсии

окием углерода на окисно-железных катализаторах. К и р и л л о в И. П., Тр. Ивановск. хим.-технол. ин-та, 1956, вып. 5, 46—58

Изучена кинетика р-ции $CO + H_2O = CO_2 + H_2$ на технич. низкотемпературном промотированном окисножелезном катализаторе, а также на непромотированной окиси железа, в проточной системе при 300-380°, объемных скоростях 600-6000 час-1, при различных особраннях СО, СО2 и H_2 в исходном газе и отношениях водяной пар / газ в исходной смеси, равных 1,5—2,5. Выведено ур-ине для скорости р-ини— $dP_{\rm CO}/dt$ = $=k_1P_{\mathrm{H_4O}}(P_{\mathrm{CO}}/P_{\mathrm{CO_3}})^{0.5}-k_2P_{\mathrm{H_4}}(P_{\mathrm{CO_3}}/P_{\mathrm{CO}})^{0.5}...$ (1),где k_1 и k_2 — константы скоростей прямой и соответственно обратной р-ций, P_{CO} , $P_{\mathrm{CO_3}}$, $P_{\mathrm{H_3}}$, $P_{\mathrm{H_3O}}$ — пари, давления компонентов. Энергия активации равна 17,5 ккал / моль при 300—380° и увеличивается до 37,6 ккал/моль при понижении т-ры от 300 до 280°. Эксперим. результаты подтверждают кинетич. ур-ния, предложенного

No 4

19

(ав

¢ 02

HOM

6 am

(gra.

шал

(29,9

1.7.1

1129

KH

хл

H

M

1129

113

He

de

V

H

E

B

CI A

1129

1130

113

H

C:

113

113

113

TH

11:

H

Н. В. Кульковой и М. И. Темкиным (Ж. физ. химии, 1949, 23, 695) для т-р > 450°. Автор считает, что р-ция протекает в чисто кинетич. области ниже 300° и с некоторым влиянием внутренней диффузии при 300—380°. С. Киперман

11288. Ингибирование каталитического разложения окиси углерода на железе. Чаттерджи, Дас (Inhibition of iron-catalysed decomposition of carbon monoxide. Chatterjee B., Das P. P.), J. Scient. and Industr. Res., 1956, (В—С) 15, № 7, В412—В413 (англ.)

Обнаружено ингибирующее действие $HgCl_2$, K_4Fe (CN)6, FeS и S на p-цию $2CO = CO_2 + C$, катализируемую железом. Указанные в-ва смешивались в определенных соотношениях с Fe_2O_3 , и над смесью в течение 2 час. при 550° пропускалась СО. Скорость p-ции определялась по весу отложившегося С. Замедление p-ции зависит от природы и кол-ва ингибитора. Взятые в-ва по их отравляющему действию можно расположить следующим образом: $S>FeS>HgCl_2>K_4Fe(CN)_6$. Наиболее сильный ингибитор Sполностью отравляет катализатор уже в кол-ве 0,25% отего веса. По мнению авторов, возможно использовать твердые ингибиторы каталитич. разложения СО на железе для предохранения футеровки доменных печей от разрушения при отложении С.

В. Фролов 11289. Каталитическая гидрогенизация окиси и двуокиси углерода на стали. С м и т, У а й т (Catalytic hydrogenation of carbon monoxide and dioxide over steel. S m i t h B u f o r d D., W h i t e R o b e r t R.), A. I. Ch. E. Journal, 1956, 2, № 1,

46-54 (англ.) Р-ции $\dot{CO} + 3\dot{H}_2 = \dot{CH}_4 + \dot{H}_2O$ и $\dot{CO}_2 + 4\dot{H}_2 = \dot{CH}_4 + 2\dot{H}_2O$ проводились в присутствии стальных катализаторов в форме шариков диам. 3,2 мм, в проточной системе при 454-673° и давл. (Р) 5-30 атм. С повышением т-ры наблюдалось увеличение скорости р-ции v (особенно резкое между 496 и 552°). v увеличивается с повышением Р с резким подъемом при 10 атм. Отложение углерода на катализаторе, интенсивное при P < 10 amm, уменьшается при повышении Р. С увеличением содерумения CO в смеси от 15 до 38% выход CH_4 растет, достигая 31%. При добавлении CH_4 или CO_2 v снижлется. Степень превращения СО в СН4 падает с увеличением содержания СО в смеси > 30%, а также с возрасланием объемной скорости. В изученных условиях параллельно протекает и р-ция 2CO=CO₂ + C. Предварительная обработка катализатора путем полировки его поверхности, карбонизации азотирования или декарбонизации не дала ощутимых эффектов. С. Киперман

11290. Окисление бензидина на металлической платине. К р а у з е, Г е р м а н (Die Benzidinreaktion des Platinmetalls. К г а и s е A l f о n s, Н е г m а n n A n a s t a z j a), Bull. Soc. amis sci. et lettres Poznań, 1954—1955 (1956), B13, 147—154 (нем.; рез. русс.) Окисление бензидина 0,6%-ным р-ром Н₂О₂ на Рt протекает лишь при добавлении р-ра СН₂СООН (I), конц-ия которого ≥0,005 н. Интенсивность окраски образующегося бензидинового голубого увеличивается с ростом конц-ии Н⁺. В слабокислой среде (0,005 н. I) содержание в 0,1 мл 6,75 γHgCl₂, 3,25 γКСN, 13 γNa₂S, 17γAs₂O₃ или 8,4 мг Na F отравляют р-цию окисления бензидина на Рt. Предполагается, что р-ция протекает с участием НО₂-и НО-радикалов или же в результате деформации Н₂О₂-молекул, обусловленной сродством Рt к Н-атомам. М. Сахаров 11291. Окисно-алюминиевый катализатор. I. Катали-

тическая активность при полимеризации этилена. Сиба, Этигоя. П. Адеорбция аммиака, воды и пиридина на окисно-алюминиевом катализаторе при высокой температуре. Этигоя (アルミナ鵤 蝶に闕する研究. 第1載. エチレンの重合接觸能について.

斯波忠夫、越後谷悦郎、第²報、アソモニア、水およびビリジンの高温吸着について、 越後谷妃郎)、日本化學雑誌、 HKKOH KATAKY JASCCH、J. Chem. Soc. Japan. Pure Chem. Soc., 1955, 76, № 9, 1046—1049; 1049—1053 (ЯПОН.)

I. Изучена полимеризация C_2H_4 , в присутствии Al_2O_3 катализатора при 260° и начальном давл. 290-300 мм рт. ст. Катализатор, нагревавшийся в процессе приготовления выше 470° в вакууме, показал заметную каталитич. активность. Определена кажущаяся энергия активации полимеризации C_2H_4 , равная $19 \ \kappa \kappa an/moab$.

11. Изучена дегидратация Al₂O₃ при нагревание в вакууме в температурном интервале 25—860°. Большая часть воды удаляется при нагревания до т-р ≤460°. Изучена адсорбция NH₃, H₂O и пиридина при 260° на катализаторе, предварительно прокаливавшемся в вакууме при различных т-рах. Адсорбция увеличивается с повышением т-ры предварительной прокалки. Наблюдается почти полный параллелизм между каталитич. активностью катализатора по отношению к полимеризации этилена и кол-вом адсорбированного пиридина.

Chem. Abstrs, 1955, 50, № 5, 3049
11292. О роли меди в реакции между хлористым этилом и кремнием. А и дрианов К. А., Голубцов С. А., Трофимова И. В., Денисова А. С., Турецкая Р. А., Докл. АН СССР, 1956, 108, № 3, 465—468

Изучено влияние содержания Си в кремне-медных сплавах на их взаимодействие с C₂H₅Cl (I); среди продуктов р-ции обнаружены $C_2H_5SiHCl_2$, $C_2H_5SiCl_3$, $(C_2H_5)_2SiHCl$, $(C_2H_5)_2SiHCl$, $(C_2H_5)_2SiCl_2$ (II) и ряд жидких и газообразных продуктов. Каталитич, активность сплавов оценивалась по содержанию в продуктах р-ции II, образование которого протекает по наиболее выгодной р-ции: $2C_2H_5Cl + Si → (C_2H_5)_2SiCl_2$, не связанной с потерей органич. радикалов. С уменьшением содержания Сп в сплаве с 70 до 5% содержание II в продуктах р-ции возрастает от 20 до 45—50%. Показано, что падение каталитич. активности сплавов при большом содержании Си вызвано не термич. распадом продуктов (который в условиях синтеза незначителен), а каталитич. разложением I в присутствии Си по р-ции С2H5Cl→ $-C_2H_4 + HCl$ и последующими р-циями: $C_2H_5Cl +$ $+ 2HCl + Si^{Cu}_{\rightarrow}C_2H_5SiCl_3 + H_2$ $\pi 2C_2H_5Cl + 4HCl +$ + Si -2C2H5SiHCl2 + H2. 11293. О каталитическом гидрировании пиридина. Шуйкин Н. И., Тулупов В. А., Вестн. Моск. ун-та, 1956, № 3, 73—79

Изучено гидрирование пиридина в струевых условиях при объемной скорости 0.1 час. $^{-1}$ на скелетном Ni-катализаторе (полученном из сплава 73% Al +27% Ni), обладающем избытком H_2 . Показано, что наряду с пиеридином образуются 1-аминопентан, пиррол, α -, β - пу-пиколины и α -аминопиридин. Предложен механизм образования побочных продуктов р-ции через группы: CH₂, CH₃+, NH₂+, C₅H₄N+ и атомы H. О. Крылов

11294 К. Цепные реакции окисления углеводородов в газовой фазе, [Сб. статей. Отв. ред. Налбавдян А. Б., Эмануэль Н. М.]. М., АН СССР, 1955, 210 стр., илл., 12 р. 40 к.

11295 К. Оптические методы измерения температуры пламен. Соболев Н. Н. Тр., Физ. ин-та АН СССР, 1956, 7, 159—229

11296 Д. Кинетическое исследование термического разложения озона. Сатфен (Kinetic study of the thermal decomposition of ozone. Sutphen William Theodore. Doct. diss. Stanford Univ.,

57 г.

KE 9

雜誌, Pure -1053

ствии

290-

цессе

паяся

авная

вании

Боль-

\$460°. 260°

пемся

Личи-

алки.

ката-

К по-

нного

surai.

етым

луб-

CCCP,

едных

про-

SiCl₃, oбраз-

пени-

азова-

о-ции:

терей

ия Си

р-ции

пение

ержа-

(кото-

итич.

I₅Cl→

5Cl+

ICI +

рылов

идина.

Вести.

овиях

Ni-ка-

% Ni),

с пи-

, β- и

анизм

уппы:

рылов

ородов бан-СССР,

ерату-

ин-та

еского

of the Wil-

Univ.,

1955), Dissert. Abstrs, 1955, 15, № 11, 2033—2034 (англ.)

Изучалась кинетика термич. разложения O_3 в смеси c O_2 и CO_2 в сосуде из пврекса при $25-415^\circ$ и начальном давлении: O_3 10-125 мм рт. ст.; O_2 20 мм рт. ст. — 6 amм; CO_2 0.25-6 amм. Найдены энергии активации (квал/моль, первая цифра в скобках) и предэкспоненциальные множители (см³моль-¹сск⁻¹, вторая цифра) соответствующих стадий р-ции: O_3 + M O_2 + O_3 + O_4 +

11298 Д. Раднохимические исследования реакций изотопного обмена различных серных кислот и соединений серы с применением изотопов легких элементов. В и зе н д а н гер (Radiochemische Untersuchungen isotopicsher Austauschreaktionen verschiedener "Schwefelsäuren und — Verbindungen unter Verwendung eines Leitisotops. Wiesendanger unter Hans Ulrich David. Diss. techn. Wiss. ETH Zürich, 1955, 58 S., ill.), Schweiz. Buch, 1955, B 55, № 5, 228 (нем.)

11299 Д. Некоторые вопросы горения двухфазной системы жидкость + пар. Селиванов Е. Д. Автореф. дисс. канд. физ.-матем. н., Одесск. ун-т, Херсон, 1956

11300 Д. Кинетика дегидратации некоторых кристаллогидратов. Сакович Г. В. Автореф. дисс. канд. хим. н., Томский ун-т, Томск, 1956

11301 Д. Исследования в области кинетики и мехапизма каталитических процессов на двуокиси марганца. Брунс Б. П., Автореф. дисс. докт. хим. н., Н.-и. физ.-хим. ин-т, М., 1956

11302 Д. Адсорбция водорода на конденсированных слоях металлов. Кавтарадзе Н. Н. Автореф. дисс. канд. хим. н., Ин-т физ. химни АН СССР, М., 1956

11303 Д. Каталитический синтез перекиси водорода из элементов на палладии. П о с п е л о в а Т. А. Автореф. дисс. канд. хим. н., МГУ, М., 1956

11304 Д. Исследование вопросов кинетики и реакционной способности при алкилировании ароматических соединений в присутствии хлористого алюминия. Лебедев Н. Н. Автореф. дисс. докт. хим. и., Ленингр. технол. ин-т им. Ленсовета. Л, 1956

11305 Д. Кинетика превращений индивидуальных углеводородов в присутствии алюмосыликатного катализатора. Казанская А. С. Автореф. дисс. канд. техн. н., Моск. нефт. пн-т, М., 1956

См. также: раздел Производство катализаторов и сорбентов и рефераты: Реакционная способность и строение 10832, 10833, 10905 — 10907, 11570, 11576, 11577, 11579, 11580, 11590, 11596, 11639, 11731. Кинетика и механизмы р-пай 10845, 10856, 11163, 11306, 11574, 11578, 11581—11583, 11595, 11597, 11598, 11601, 11603, 11619, 11936, 11939, 11940, 11942, 11943. Гетерогенный катализ, органич. 11602, 11613—11615, 11623, 11677, 11689, 11753. Др. вопр. 11774

фотохимия. Радиационная химия. Теория фотографического процесса

Редактор Х. С. Багдасарыян

11306. Фотосенсибилизированная ртутью реакция диклооктатетраена. Ямадзаки, Сида (Mercury photosensitized reaction of cyclo-octatetraene.

Yamazaki Hideo, Shida Shoji), J. Chem. Phys., 1956, 24, № 6, 1278—1279; Erratum, J. Chem. Phys., 1956, 25, № 4, 800 (англ.)

При фотосенсибилизированной ртутью р-ции (1) циклооктатетраена C_8H_8 (1) и при прямой фотохим. р-ции (2), протекающих под действием резонансной линии Hg, образуются ацетилен, бензол, полимер, жидкость оранжевого цвета (нзомер I) и следы стирола. Зависимость скорости разложения от начального давления I проходит через максимум в случае (1) и постепенно возрастает в случае (2). Квантовый выход разложения Ф при возрастании дзвления уменьшается в случае (1) и проходит через максимум в случае (2). Предложен механизм р-ции: Hg $(^3P_1) + C_8H_8 \rightarrow C_8H_8$ (триплет) $+ Hg (^1S_0)$, $C_8H_8^*$ (триплет) $\rightarrow C_2H_2 + C_0H_6$, C_8H_8 (триплет) $+ C_8H_8 \rightarrow$ $\rightarrow 2C_8H_8$ (или изомер I). Для исследованного питервала давлений I (до 5 мм рт. ст.) справедливо кинетич. ур-ине для Ф, выведенное методом стационарных конц-ий. В случае (2) давление, соответствующее максимальному Ф, найдено путем дифференцирования кинетич. ур-ния. Поперечное сечение для тушения возбужденного атома ртути молекулой I равно \sim 62 A^2 .

И. Верещинский 11307. Сравнение сенсибилизированной ртутью реакции циклооктатетраена с прямой фотохимической реакцией. Я м а д з а к и, С и д а (シクロオクタテトラエンの水銀 光增感反應 直接光化學反應との比較. 山崎秀郎,志田正二), 日本化學雜誌, Нихон кагаку дзасси, J. Chem. Soc. Japan. Pure Chem. Sec., 1956, 77, № 3, 500—504 (япон.)

См. пред. реф.
11308. Первичный процесс реакции окисления бензальдегида, сенсибилизированной метиленовой синей
и антрахиноном. Гришкун Е. В., Бородин Э. С., Mokslo darbai. Vilniaus valst. univ. Mat.,
fiz. ir chem. mokslų ser.; Уч. зап. Вильносск. ун-та.

Сер. матем., физ. и хим. н., 1956, 5, 79—89 При сенсибилизированной метиленовой синей (I) фотохим. (а 590-760 мµ) р-ции окисления бензальдегида (II) молекулярным кислородом образуется лейкооснование красителя. І пигибирует темновое окисление II. Высказано предположение, что первичный процесс сенсибилизации заключается в дегидрировании молекулы II возбужденной молекулой I, в результате чего образуются радикалы $C_0H_5\dot{C}$, инициирующие цепи при окислении II. Ингибирующее действие I, по-видимому, обусловлено взаимодействием I с реакционноспособными промежуточными продуктами окисления II. Антрахинон тоже сенсибилизирует окисление II при облучении светом, проходящим через p-p KMnO₄, причем антрахинон не обнаруживает ингибиторных свойств. В результате первичного процесса сенсибилизации образуется антрагидрохинон. Авторы считают, что ксантеновые красители (эозин, акридиновый желтый и т. д.) не сенсибилизируют окисление II вследствие неспособности их к р-ции дегидрирования в первичном акте сенсибилизации. Долгоживущие состояния в фотохимических

реакциях. I. Фотовосстановление зозина. Остер, Эйделман (Long-lived states in photochemical reactions. I. Photoreduction of eosin. Oster Gerald, Adelman Albert H), J. Amer. Chem. Soc. 1956, 78. № 5. 913—916 (ангд.)

Soc., 1956, 78, № 5, 913—916 (англ.)
Изучался механнзм фотовосстановления Nа-соли зозина Y (I) аллилтиомочевиной (II). Р-р в фосфатном буфере (рН 7,0), освещался через интерференционный светофильтр с \(\lambda\) (макс.) = 518 мµ. Присутствие О2 сильно тормозит р-цию, поэтому через р-р пропускался N2. Измерения фотовыцветания и флуоресцепции производились фотоэлектрически. Скорость выцветания (R) пропорциональна интенсивности поглощенного света.

лено

cra B

зуя

KBaE

= 0

ране

1131

0

80

0

g 38

C

HOCT

B-B KOH

Йа

кул

1.3.

сил

THO

нпе

зуя реф.

дли

флу

113

II

a

1

чин

TTO

вре кри Пр

HL

coo

TTO

Men

жов 2

113

Обратная величина квантового выхода фотореакции 1/Ф линейно зависит от обратной величины конц-ии II. Ф (макс.) = 0,092. Исследование тушения флуоресценции красителя I аллилтиомочевиной показало, что флуоресцентное состояние молекулы I не может быть ответственным за фотореакцию. Высказано предположение, что долгоживущее триплетное (фосфоресцентное) состояние I вступает в р-цию с молекулой II. Выход фотореакции уменьшается с ростом конц-ии I, а также в присутствии солянокислого п-фенилендиамина и КЈ, что объясняется дезактивацией возбужденных молекул I в триплетном состоянии. Определенное из кинетич. данных время жизни фосфоресцентного состояния I равно ~10-4 сек.

В. Ермолаев

11310. Фотохимические исследования с твердыми углеводородными растворителями при низких температурах. Соуден, Дейвидсон (Photochemical studies with rigid hydrocarbon solvents at low temperatures. Sow den Ronald G., Davidson Norman), J. Amer. Chem. Soc., 1956, 78, № 7, 1291—1294 (англ.)

Разбавленные <10-3 М р-ры в-в в смеси изопентан — 3-метилпентан (5:1) охлаждались до 77°К и в виде твердых прозрачных стекол облучались УФ-излучением Нд-дуги высокого давления. Ацетофенон и дифенилртуть не разлагаются в этих условиях, но разлагаются при облучении при комнатной т-ре. Тетраметилтетразен (CH $_3$) $_2$ N — N = N — N(CH $_3$) $_2$ полностью разлагается при облучении, полоса поглощения при 273 мµ исчезает и частично регенерируется при плавлении p-ра. Облучение S2Cl2 приводит к полной диссоциации, исчезновению полосы поглощения при 264 ми и появлению новой полосы поглощения при 237 мµ, возможно, SCl. Отмечено, что спектр поглощения, ранее приписываемый SCl₂, в действительности принадлежит присутствующему S₂Cl₂. Описаны изменения спектров поглощения, происходящие при облучении бромаля, бромпикрина и брома. Облучение 10-4 М р-ра йода не сопровождается исчезновением желтой окраски в противоположность прежним наблюдениям (РЖХим, 1957, 7516). И. Верещинский Обратимое образование и исчезновение окрасок

путем облучения при низких температурах. Фотохимическая модель памяти. Х и р ш б е р г (Reversible formation and eradication of colors by irradiation at low temperatures. A photochemical memory model. H irsh b e r g Y e h u d a), J. Amer. Chem. Soc., 1956, 78, № 10, 2304—2312 (англ.)

Действие УО-излучения λ 365 мµ на разб. 10⁻⁵—10⁻⁴ M р-ры индолинспиропирана (I), 5-метоксинидолинспиропирана (II) (в I R = H, в II R = CH₃O), Ŋ-метилакридинспиропирана (III) и 4,4'-диметилбиантрона (IV) приводит к появлению интенсивной окраски в видимой

области спектра. Облучение проводилось при $163-203^{\circ}$ К в p-рителях разной полярности (смеси $C_2H_5OH+CH_3OH$, $C_2H_5OH+CH_3C_6H_5$, метилциклогексан-петр. эф. и др.). Последующее облучение видимым светом (λ 405-571 м μ) вызывает исчезновение окраски. Циклы появления и исчезновения окраски могут повторяться многократно. На появление окраски и скорость ее исчезновения вслучае соединений I, II, и III заметно влияют добавки к-ты и щелочи. Соединение II имеет менее, а III более основной характер, чем I. Поэтому полярность среды влияет на поведение ионной

окрашенной формы, возникающей при разрыве связи С—О спиропирана. В случае р-ра IV в смеси С₂Н₅ОН + + СН₃С₆Н₅ присутствие к-ты не влияет на образование окраски, и хим. механизм появления и исчезновения окраски, возможно, связан с образованием пространственных изомеров биполярного характера. Обсуждается возможность использования обратимых изменений окраски для сохранения очень коротких сигналов в счетных устройствах.

И. Верещинский 11312. Метастабильные состояния фотовозбужден-

ного янчного альбумина и его составных частей. Гроссуэй нер (Metastable states of photoexcited ovalbumin and constituents. Grossweiner L. I.), J. Chem. Phys., 1956, 24, № 6, 1255—1256 (англ.)

Действию коротких (30 µсек) световых вснышек, даваемых импульсной ксеноновой лампой (37,5 µ \$\mathcal{G}\$, 10 \$\mathcal{K}\$e}), подвергались насыщ. Не водн. p-ры япчного альбумива (I) (0,15% p-p) аминокислот: 0,001% L-пистин, 0,2% L-гистидин, 0,2% DL-фенилаланин, 0,005% L-тирозии (II) и 0,004% DL-триптофан (III), пентидов (0,03% глицил-глирозии, 0,01% глицил-L-тирозии, 0,01% глицил-L-тирозии, 0,01% глицил-глицил глицин), а также индола (0,008% p-p) и фенола (0,012% p-p). В спектрах поглощения I, II, III, индола и фенола обнаружены полосы поглощения в видимой и ближней УФ-областях спектра, время жизни которых ~100 µ сек. Спектр поглощения промежуточных продуктов, образующихся при облучении насыщ. воздухом p-ров I, II, и III, идентичен спектрам, возникающим в насыщ. гелием p-рах этих же в-в. Предположено, что пирокая полоса в зеленой области спектра и резкая полоса при 410 мµ вызваны возбуждением соответственно индольной и фенольной групп.

И. Верещинский 11313. Светочувствительность хромированных коллондов. Джоргенсен, Бруно (The sensitivity of bichromated colloids. Jorgensen George, Bruno Michael), Lithogr. J., 1956, 40, № 12, 12—15 (англ.)

Обзор.

11314. Выход ферросульфатного радиационного дозиметра. Улучшенное катоднолучевое определение. Шулер, Аллен (Yield of the ferrous sulfate radiation dosimeter: an improved cathode-ray determination. Schuler Robert H., Allen Augustine O.), J. Chem. Phys., 1956, 24, № 1, 56—59 (англ.)

Определен выход окисления Fe^{2+} в 0,8 н. H_2SO_4 (G) катодными лучами с энергией 2 Mse (генератор Ван-де-Граафа). При вычислении поглощенной энергии введены точные поправки на обратное рассеяние и перенос заряда. Поглощение энергии в окнах ячейки определено экспериментально. Кол-во Fe^{3+} определялось спектрофотометрически. G равен 15.45 \pm 0.11 молекул на 100 se и не зависит ни от конц-ии Fe^{2+} в пределах 1—10 se и не зависит ни от конц-ии Fe^{2+} в пределах 0,1—2 · 10e рентеген/сек.

11315. Реакции горячих радикалов при фотолизе паров йодистого метила. Сауффи, Вильяме, Хамилл (Hot radical reactions in the photolysis of methyl iodide vapor. Souffie Robert D., Williams Russell R., Hamill William H.), J. Amer. Chem. Soc., 1956, 78, № 5, 917—920 (англ.)

Изучался фотолиз СН₃J, инициируемый радиацией 2537A при 0°—50° и давл. 50—200 мм рт. ст. Наблюдаемое постоянство скорости образования СН₄ во времени, ее независимость от т-ры и уменьшение при добавлении нереагирующих газов подтверждают точку зрения, что СН₄ в этих условиях является продуктом только р-пли горячих радикалов СН₃. Аналогичные эксперименты показали, что образование С₂Н₆ лишь частично обусловности по предуктом только решинати показали, что образование С₂Н₆ лишь частично обусловности по предуктом только решинати показали, что образование С₂Н₆ лишь частично обусловности по предуктом только решинати показали, что образование С₂Н₆ лишь частично обусловности по предуктом только пр

7 г.

СВЯЗЕ

H +

вание

вения тран-

дает**тений** налов

ІСКИЙ кден-

стей. exci-

vei-€ 6, лшек,

10 Ke),

ина

0,2%

(II) an ицил-

ициленола вгопн имой

горых

про-

цухом

ЮШИМ

жено,

n pea-COOT-

нский

оллоtivity rge, № 12,

нман

о до-

тение.

ulfate

deter-

llen № 1,

O4 (G)

ратор

ергии

пере-

onpe-

плось

лекул пелах

ивпелах

Рыбин

полнае

яме, olysis

rt D.,

mill

3, 78,

подаеемени, лении

97. HTO

р-ции менты

услов-

дено р-цией горячих радикалов, скорость которой составляет 7,5% от скорости образования СН4. Испольставляет 7,5% от скорости образования СН4. Использун НЈ в качестве актинометра, авторы определили квантовые выхода $\Phi_{\mathrm{CH_4}} = 0,0048 \pm 0,0005$ и $\Phi_{\mathrm{J_2}} = \Phi_{\mathrm{C_2H_4}} = 3,6\cdot 10^{-4}$. Подтверждено наблюдавшееся ранее (РЖХим, 1955, 45534) инициирование р-ции $\Phi_{\mathrm{J_2}} + \Phi_{\mathrm{CH_4}} = 10,0000$ д. Постников 11316. Жидкие сцинтилляторы. Сравнение величины импульсов первичных растворенных веществ. Х е й с, Отт, Керр, Роджерс (Pulse height comparison of primary solutes. Hayes F. Newton, Ott Donald G., Kerr Vernon N., Rogers Betty S.), Nucleonics, 1955, 13, № 12, 38—41 (англ.)

С помощью фотоумножителя сравнивается интенсив-вость люминесценции (Л) p-ров 102 различных органич. вого под действием электронов внутренней конверсии CS¹³⁷ с энергией 624 к.эс. Конц-ии р-ров (1—10 г/л) соответствуют максим. интенсивности Л. Из сопоставления Л изученных в-в следует, что молекулы, содержащие 3—4 ароматич. кольца. напр. кольца бензола, нафталина, фурана, пиррола, оксазола, 1,3,4-оксадиазола, пиридина, индола, бензоксазола, октано фиуоресивруют Молакулы согольности. сильно флуоресцируют. Молекулы, содержащие кольца тиофена, тиазола, 1,3,4-тиадназола, пиразина, пиридазина и бензотназола, флуоресцируют очень слабо. Введе-ние в кольцо Br,Cl, NO₂ и ОН-групп снижает Л. Используя для собирания света Л на катоде фотоумножителя рефлекторы из Al и TiO₂ (Al отражает свет почти всех длин волн, TiO₂ отражает свет с $\lambda > 4000$ A), авторы определяют, в какой области спектра преимущественно флуоресцирует каждое в-во. В. Кронгауз

317. Замечания по поводу критического периода и коэффициента Шваршшльда в фотографическом процессе. С т о к (Remarks on the critical time period and the Schwarzschild exponent in photographic processes. S t o c k J u r g e n), J. Opt. Soc. America, 1956, 46, № 1, 17—21 (англ.)

Теоретически рассмотрен процесс образования устойчивого субцентра скрытого изображения при условии, что для этого необходимы два световых кванта и что время между поглощением этих квантов эмульсионным кристаллом не превышает некоторого крит. значения. Процесс описывается с помощью схемы с тремя энергетич. уровнями — основным, промежуточным нестабильним и более высоким стабильным. При двухступенных переходах через промежуточный уровень до зерен, соответствующих высшему уровню, равна 1-exp $(-f'I^2t)$, что согласуется с эффектом Шварцшильда. Таким же методом рассмотрено образование субцентров при прерывистом освещении и получены кривые, поддающиеся эксперим. проверке. Дана схема расчета для случая, когда в течение крит. периода поглощается более 2 квантов. Расчет образования проявляемого центра из субцентра доведен до получения кривой невзаимозаместимости (изоопаки).

естимости (нзоопаки). А. Картужанский 1318. Зависимость почернения фотографической эмульсии от энергии β-излучения. Розко ш, Петр-жилка (Závislost černání fotografické emulse na energii záření β. Rozkoš Mirosľav, Petržílka Václav), Českosl. časop. fys., 1956, 6, № 3, 287—295 (чеш.); Чехосл. физ. ж., 1956, 6, № 3, 237—245 (рез. англ.)

319. Новейшие успехи научной фотографии. Глафкидес (Les récents progrès de la science photographique. Glafkidès Pierre), Photographe, 1956, 46, № 872, 401—405; Photo—cinema. 1956, пох., 243—244 (франц.)

1320. Адсорбция как фактор, влияющий на скорость фотографического проявления. Джеймс, Вансело у Adsorvition as a factor in the rate of photogra-11319.

ceлоу (Adsorption as a factor in the rate of photogra-

phic development. James T. H., Van selow W.), Photogr. Engng, 1955, 6, № 3, 183—189 (англ.) Обзор. Библ. 19 назв. А. Хейнман

См. также: Фотохимия 11602, 11945

РАСТВОРЫ, ТЕОРИЯ КИСЛОТ И ОСНОВАНИЙ

Редактор М. Д. Сурова

Термодиффузия в конденсированной фазе. Новое экспериментальное устройство для измерения коэффициента Соро. То м а с (Thermodiffusion en phase condensée. Nouveau disposittif expérimental, pour la mesure du coefficient de Soret. T h o m a e s G.)

J. chim. phys. et phys.-chim. biol., 1956, 53, № 4, 407—444 (дреди.) 407-411 (франц.)

Предложена эксперим. установка для измерения коэфф. Сорэ (\mathbf{S}_T) (т. е. отношения коэфф. термодиффузин D' к коэфф. диффузии D), применимая и для весьма малых D, вплоть до 10^{-8} см²/сек. Исследуемый p-р ламинарно протекает между двумя параллельными пластинами с зазором 10^{-2} см., образующими «кювету»; в зазоре создается градиент т-ры. При помощи специального разделителя р-ры из нижней и верхней половин попадают в 2 приемных сосуда, после чего определяют коэфф. обогащения, являющийся мерой S_T . Малая толщина зазора обеспечивает возможность работы при малых D и исключает всякие конвекционные искажения. Выведены основные ур-ния термодиффузии в жидкости, текущей между пластинами; рассчитано время установления равновесия и приведен расчет основных параметров прибора. Приведены предварительные результаты исследования эффекта Сорэ и смеси нитробензола С. Френкель

Термоэлектрический эффект в растворах элект-322. Термоэлектрический эффект в растворах электролитов. И. Расчет абсолютных энтропий переноса. И е м а и, Л е и у т р (Effet thermoélectrique on solutions électrolytiques. И.— Calcul des entropies absolues de transport. L e m a n G é r a r d, L e p o utre G é r a r d), J. chim. phys. et phys.-chim. biol., 1955, 52, № 10, 765—770 (франц.)

На основании ранее опубликованных (сообщ. І РЖХим, 1956, 57609) результатов методом Темкина и Хорошина (Ж. физ. химин, 1952, 26, 500) для расчета абс. энтропии S_e^* переноса электронов в металле показано, каким образом можно рассчитать S_i^* переноса ионов в води. р-ре по термо-э. д. с. термобатарей. Отмечено, что вычисленые значения обычных энтропий понов в р-ре в случае H⁺, Na⁺, Cl⁻, K⁺, Br⁻ всегда превосходят эксперим. в среднем на 15—20 кал/град. Расхождение объясняется сольватацией ионов, поскольку энтропия молекулы воды как раз того же порядка (16,75 кал/град). Вычисленные значения S_i^* примерно вдвое ниже эксперим., что, по-видимому, связано с дегидратацией соль-ватированного иона в момент начала миграции.

С. Френкель Исследование эффекта Сорэ в нонных растворах.
 Оптический метод и результаты для КСІ. Ш а н ю, Лепобль (Étude de l'effet Soret dans les solutions ioniques. I. Méthode optique et résultats pour CIK. Chanu Jacques, Lenoble Jacquelline), J. chim. phys. et. phys.-chim. biol., 1956, 53, № 4, 309—315 (франц.)

Приведена принципиальная схема измерения распределения кон-ции в бинарных р-рах, возникшего в резуль-тате эффекта Сорэ. Схема основана на применении метода интерференционных полос Юнга для непосредственного измерения градиента показателя преломления в направ-

1133

ве

col

Ac

19

Kr

HOCT

6445

пяла

0.32-

CHHT:

TO P

свой

n c

p-po

ляет т-ры

пара

нипа

меж

VHHT

1133

(H

0

пент

взаи

ных

оба :

тает

тате

титр

Диф

108

0

N

П

HOCT (III

лоа

выр

выр

гле

HOC

Сто

=l

пол

I'm

лении градиента т-ры. Подробно изложена теория метода и приведены результаты измерений для КС1 при 8 конц-иях 1—3,5 н. Показано,что в этом интервале выполняется закон экспоненциального изменения конции со временем и рассчитаны коэфф. термодиффузии коэфф. Сорэ (\mathbf{S}_T); последние оказываются того же порядка, что у Таннера (РЖХим, 1954. 42768), но с более выраженной концентрационной зависимостью. Отмечено, что \mathbf{S}_T существенно зависит от т-ры.

С. Френкель 11324. Физико-химическое исследование водно-диоксановых растворов. IX. Водно-диоксановые растворы серной кислоты. Меженный Я.Ф., Ж. общ. химии, 1956, 26, № 8, 2149—2150

Измерена уд. электропроводность × и эквивалентная электропроводность λ 0,1 и 0,01 н. р-ров H₂SO₄ в водно-диоксановых смесях с диэлектрич. постоянной (ДП) 12 и 37 в интервале 15—45°. Электропроводность р-ров тем больше, чем больше воды содержит р-ритель. При 25° и ДП = 12 для 0,1 и 0,01 н. р-ров λ равна 6,328 и 9,156; с увеличением ДП до 37 λ возрастает соответственно до 51,84 и 48,75. С ростом т-ры при ДП = 12 × растет линейно, а при ДП = 37-нарастание × более интенсивно, но не так равномерно. Сообщение VПП см. РЖХим, 1957, 383. И Слоним 1325. Ионные реакции в абсолютном диэтиловом эфире в качестве растворителя. П. Кондуктометри-

афире в качестве растворителя. П. Кондуктометрическое титрование литий-алюмогидридом некоторых органических и неорганических соединений в абсолютном эфире. Я и д е р, К р а ф ч и к (lonenreaktionen in absolutem Diäthyläther als Lösungsmittel. II. Konduktometrische Titrationen von einigen organischen und anorganischen Verbindungstypen mit Lithiumaluminiumanhydrid in absolutem Diäthyläther. J a n d e r G e r h a r t, K r a f f c z y k K a r l), Z. anorgan. und allgem. Chem., 1956, 253, № 1-6, 217—229 (нем.)

№ 1-6, 217—229 (нем.)
Ранее описанным методом (сообщ. I РЖХим, 1956, 74486) в атмосфере азота без доступа кислорода и влаги изучено кондуктометрич. титрование р-ров (СН₃)₂CO, СН₃COOC₂H₅, СН₃CN, СН₃CONH₂, С₆H₅NO₂, AgClO₄, GaBr₈ в диэтиловом эфире при помощи LiAlH₄ и р-ра LiAlH₄ в диэтиловом эфире при помощи ZnJ₂. На кривых кондуктометрич. титрования (ККТ) наблюдаются четко выраженные точки излома, соответствующие определенным ионным р-циям, когорые сопровождаются во многих случаях образованием труднорастворимых соединений. На основе анализа ККТ предложены ур-ния, описывающие взаимодействие LiAlH₄ с вышенеречисленными в-вами. Авторы считают метод кондуктометрич. титрования более эффективным по сравнению с химич. методами для детального изучения механизма р-ций восстановления в р-рах диэтилового эфира пом опих LiAlH₄. И. Хомутов

1326. Изучение влияния нейтральных солей на кислотный гидролиз этилацетата. Гофман, Кочарди (Sóhatás vizsgálata etilacetát savas hidrolízisénél. Hoffmann Pál, Kocsárdi Sándor), Magyar kém. folyóirat, 1955, 61, № 10, 289—295 (венг.; 1952).

Влияние нейтр. солей на кислотный гидролиз этилацетатов исследовано с учетом коэфф. активности солей и характеристич. термодинамич. функций. На основании ранее предложенного механизма гидролиза (Roberts J., Urey H. C., J. Amer. Chem. Soc., 1939. 61, 2584) приведено ур-ние скорости р-ции, преобразованием которого получено новое ур-ние, объясияющее солевой эффект. Измереннем э. д. с. определены средние значения коэфф. активности NaClO₄ и Na₂SO₄, а также значения $k/f_{({\rm соли})}$, которые при одинаковой т-ре примерно равны. Отмечено, что ΔG^* не зависит

от т-ры и конц-ии, а присутствие нейтр. солей влияет на величины ΔH^* и ΔS^* . Ф. Маршак 11327. Электропроводность, вязкость и плотность паров для некоторых солей в броме при 25°. Мерсьер, краус (Conductance, viscosity and vapor density for several salts in bromine at 25°. Мегсіег Р h i l i p L., Kraus Charles A.), Proc. Nat. Acad. Sci. U. S. A., 1956, 42, N_2 8, 487—498 (англ.)

Измерены эквивалентная электропроводность А и вязкость у при 25° р-ров в броме комплексов, образуемых бромом и алкилзамещ. четвертичными аммониевыми солями: (u_{20} - C_{5} H $_{11}$) $_{3}$ NHCl $_{1}$ Br $_{2}$ (I) и (CH $_{3}$) $_{3}$ NHBr $_{1}$ Br $_{2}$ (II), а также упругость пара над бромными р-рами I, II, (C₄H₉₎₄NBr·Br₂ (III) и (CH₃)₃NHCl·Br₂ (IV). Для I и II в Br₂ А проходит через максимум - соответственно 4.26 и 37.0 при молярных долях x = 0.075 и 0.11. Для расплавленных I и II при x=1 Λ равна, соответственно 0,075 и 7,45. η расплавов I и II (x=1) в 620 и 27 раз выше, чем η Br_2 $(9,435\cdot 10^{-3}\ nyaə)$; высокая вязкость I связана с присутствием большого тринаоамиламмонневого иона. В 1,0~M р-ре относительные вязкости I — IV равны, соответственно 3,4; 1,7; 3,9; 1.6. Максимум А объясняется быстрым ростом 7 с конц-ней, Анализ Ау показывает, что в расплавленном состоянии изученные соли полностью диссоциированы. Электропроводность Br. Br₂ в Br₂ в 4 раза выше, чем иона СІ-Вг2, что связано с возможностью передачи заряда у BrBr₂ благодэря такому же механизму, как у ОНв воде. При разбавлении р-ра II A уменьшается. Степень ионизации уменьшается при уменьшении конц-ии и, по-видимому, проходит через минимум при малых конц-иях. Упругость пара над р-рами I - IV значительно ниже, чем соответствует закону Рауля, что свидетельствует об образовании высших комплексов солей c Bra.

1328. Пзмерение поверхностной электропроводности. Ван-Рюттен (Mesure de la conductivité superficielle. Van Rutten Fernand), С. r. Acad. sci., 1955, 240, № 19, 1887—1889 (франц.)

Измерена электропроводность води. р-ров с HCl и КСl в тонких камерах (миним. толщина 7,6 μ), состоящих из двух оптич. стеклянных или кварцевых пластин, разделенных пропарафинированной полоской слюды с прорезанным каналом. Сопротивление камер определялось мостом переменного тока, соединенного с камерой двумя электродами, которые погружались в находящийся в канале электролит. Установлено, что величина поверхностной электропроводности не зависит от наложенного переменного напряжения (1—12 ε), размера камер и конц-ий р-ров (от 10 5 до 10-3 M), а зависит только от материала камеры и природы электролить. Е. Зорина

1329. Диффузия смесей сахаров в водном растворе. Санни, Броветто (Diffusione di miscele di zuccheri in soluzione acquosa. Saini Guido, Brovetto Piero), Atti Accad. sci. Torino. Cl. sci. fis., mat. e natur., 1952—1953, 87, № 1, 302—309 (изал.)

Коэффициенты диффузии (Д) измерены в водн. р-рах при 20° в приборе Антвейлера со спец. кюветой. Найденные значения Д для сахарозы, фруктозы, глюкозы и рафинозы при кон-цип5; 9,8; 7,7 и 9,1 М равны соответственно 0,390; 0,502; 0,485; 0,310 см³/сутки. Также изучена диффузия двойных смесей: глюкозы и сахарозы, рафинозы и фруктозы и сахарозы и фруктозы в води. р-рах. Отмечно, что при диффузии двойных смесей можно на основании значения Д отдельных компонентов смеси рассчитать изменение конц-ии. Для тройных смесей (глюкоза, сахароза, рафиноза) такой расчет дветнеудовлетворительные результаты.

В. Михайлов

топп

шак

па-

e p,

ier

roc.

-498

Л и

бра-

·Br2

иI,

IH

енно

Для

вен-

20 н

ВЯ3-

мил-

вяз-

1,6.

ней.

янии

стро-

иона ряда

OH-

Сте-

Щ-ИН

алых

ачи-

виле-

олей

оним

олно-

ivité . r.

HCl

стоя-

стин.

люды

реде-

каменаховели-

висит

12 6),

зави-

лита. орина гворе.

ele di

Brol. sci.

-309

р-рах айден-

юкозы ответ-Гакже арозы,

водн.

нентов

х смет дает

кайлов

11330. Молекулярные взаимодействия органических веществ в водном растворе. Ацетамид и ацетонитрия. И и делли, Панкальди (Interazioni molecolari di sostanze organiche in soluzione acquosa. Acetammide e acetonitrile. I n delli Antonio, Pancal di Gabriella), Ann. chimica, 1956, 46, № 5-6, 387—395 (ктал.)

Крисскопическим методом определены коэфф. активпости ацетамида и ацетонитрила в воде (РЖХим, 1956, 64658). Конц-ия исследованных р-ров ацетамида измеиялась в интервале 0,11 — 0,67 Мл, ацетонитрила
0,32—0,55 Мл. На основании полученных данных рассчитана работа межмолекулярных сил и установлено,
что она является величиной отрицательной. Отмечено,
что р-ры ацетамида обладают свойствами, аналогичными
свойствам ранее исследованных р-ров тиомочевины,
и сравнительно мало отличаются от идеальных
р-ров. Для системы вода —ацетонитрил наблюдаются
звачительные отклонения от закона Рауля, что проявляется в образовании азеотропной смеси с минимумом
т-ры кипения. Результаты обсуждены с точки зрения
параллелизма между отклонениями от идеальности
п величинами дипольного момента и диэлектрич. пропидаемости растворенных в-в. Отмечено, что, помимо
межмолекулярных сил дипольного характера, следует
учитывать также дисперсионное взаимодействие.

В. Михайлов 11331. Гидролиз пентаборана. III а п и р о, У а й с с (Hydrolysis of Pentaborane. S h a p i r о I., W e i s s H. G.). J. Amer. Chem. Soc., 1954, 76, № 23, 6020—6021 (англ.)

Отмечено, что незначительная скорость гидролиза пентаборана при комнатной т-ре объясняется плохой взаимной растворимостью пентаборана и воды. В инертных органич. р-рителях (диоксане), растворяющих оба компонента, скорость гидролиза значительновозрастает. Исследована кинетика р-ции гидролиза путем измерений давления водорода, выделяющегося в результате р-ции ВъН₂ + 15 H₂O→5B(OH)₃ + 12H₂, а также титрованием борной к-ты.

В. Косяков

См также: Растворимость 11175, 11192, 11198, 11334. Диффузия 11069, 11194, 11410. Структура и св-ва р-ров 10872, 10902, 11333, 11338, 11409. Расплавы 11181, 11336, 11363. Др. вопр. 11224

ЭЛЕКТРОХИМИЯ

Редакторы О. А. Есин, В. В. Лосев

11332. Электропроводность некоторых солей с ноном *трис*-триэтилентетраминникелоата. Дейвис, 0 уэн (The conductivity of some salts of the *tris*-triethylenetetrammine-nickel ion. Davies C. W., 0 wen B. D. R.), Trans. Faraday Soc., 1956, 52, № 7, 998—1003 (англ.)

не 1, 598—1005 (англ.) при 25° определена эквивалентная электропроводность Λ хлорида (I), сульфата (II) и тетраметафосфата (III) комплексного иона mpuc-триэтилентетраминникелоата [Ni $_2$ (trien)] $_3^{4+}$ (IV). Для соли I+IV зависимость (Λ , Vc) даже при низких c (3,3·10-4 — 10-3 $e/s\kappa s$ л) выражается вогнутой линней. Эксперим. денные выражаются ур-нием $\Lambda=128,8-225,9$ $V\bar{I}$ / (1 + 5,7 $V\bar{I}$), где I—ионная сила p-ра. Из значений Λ_0 и подвижности $l_{\rm Cl}$ — найдена $l_{\rm IV}=52,5$, откуда, согласно закону Стокса, радиус IV r=7,0 А. Для соли II+IV $\Lambda_0==l_{\rm II}+l_{\rm IV}=132,5$, причем эту соль можно считать не полностью диссоциированной. По Оствальду, с поправжами, вытекающимя из ур-ний Овзагера для l и Дебая — Гюккеля — для активности, вычислена термодинамич.

константа диссоциации $K=4,3\cdot 10^{-5}$ для $e<10^{-3}$ н. соли III+IV, ведущей себя как слабодиссоциированная соль. Совпадающее значение K получается при экстраполяции значений кажущейся константы диссоциации в зависимости от $V\bar{I}/(1+5,7V\bar{I})$. А. Городецкая

11333. Эквивалентная электропроводность электролитов в смещанных растворителях. II. Тетраэтиламмонийникрат в системе вода — метанол. III. Тетраэтиламмонийникрат в системе вода — метанол. Фостер, Эймис. IV. Тетраэтиламмонийникрат в системе метанол — этанол. Уэртон, Эймис (The equivalent conductance of electrolytes in mixed solvents. II. Tetraethylammonium bromide in the water-methanol system. III. Tetraethylammonium picrate in the water-methanol system. Foster Norman G., Amis Edward S.), IV. Tetraethylammonium picrate in the methanolethanol system. Whorton Rayburn, Amis Edward S.), Z. phys. Chem. 1956 (BRD), 1956, 7, № 5-6, 360—382; 8, № 1-2, 9—12 (англ.)

II и III. В продолжение равее опубликованной работы (сообщ. I, РЖХим, 1956, 42807) при 25, 35 и 45°

11 и 111. В продолжение равее опубликованной работы (сообщ. I, РЖХим, 1956, 42807) при 25, 35 и 45° измерена Λ тетраэтиламмонийоромида (I) и тетраэтиламмонийонкрата (II) в интервале конц-ий C $2\cdot 10^{-2}$ — 4·10-5 и. в воде, метаволе (III) и их смесях. Для I и II при 25° наклон кривых (Λ , $V\overline{C}$) различен, при 35 и 45° — одинаков, причем для I наклон сильнее отличается от теоретич., вычасленного по ур-нию Оваагера, чем для II. Для I кривая заенсимости Λ_0 от мол. % III проходит через минимум при 33% III, не совпадая с максимумом вязкости η смеси вода-III. Для II этот минимум соответствует 27% III и совпадает с максимумом η смеси р-рителей. Кривые (Λ_0 , η) имеют одинаковую форму для I и II. Для I кривые [Λ_0 , (1/T)] пересекаются, тогда как для II они параллельны, что указывает на различие в размерах и сольватации анионов обеих солей. Кривые [Λ_0 , (1/D)] (D — диэлектрич. постоянная) проходят через минимум и сходны для I и II. Постоянство $\Lambda_0\eta$ лучше соблюдается для II, чем для I. Величина $\Delta\Lambda_0 = \Lambda_0^1 - \Lambda_0^{11} = \Lambda_0$ вграмента уменьшается при переходе от воды к III, что указывает на более сильную сольватацию Рі- водой, чем III. Температурный коафф. Λ_0 и его паменение в зависимости от состава смеси р-рителей для I больше, чем для II, что указывает на более высокую сольватацию Вг , чем Рі- Значения ($\Delta\Lambda_0/\Delta D$) η , τ уменьшаются в ряду NaCl, I, II, что указывает на влияние D на Δ 0 в случае малых ионов.

на Λ_0 в случае малых ионов. IV. При 25, 35, 45° в интервале конц-ий C 1·10⁻² — -9·10⁻⁵ и. определена Λ II в III, этаноле (IV) и их смесях. Наклон прямых (Λ , $V\overline{C}$) сильно отличается от вычисленного по ур-иню Онзагера, что объясняется низкой диэлектрич. постоянную величину. Зависимости Λ_0 от $1/\eta$, 1/D и 1/T прямолинейны. Полученные результаты объясняются тем, что смеси III и IV, как подчиняющиеся закону Рауля, могут считаться идеальными р-рителями. Λ_0 Городецкая

11334. Растворимость сульфата серебра в сернокислотной среде при высоких температурах. Явления, происходящие на электроне Ag/Ag₂SO₄. Лицке, Стаутон (The solubility of silver sulfate in sulfuric acid media at high temperatures. Effects on the silver, silver sulfate electrode. Lietzke M. H., Stoughton R. W.), J. Amer. Chem. Soc., 1956, 78, № 13, 3023—3025 (англ.)

С пелью дальнейшего изучения вопроса о работе электрода сравнения Ag/Ag₂SO₄ при высоких т-рах (РЖХим, 1954, 46162) растворимость Ag₂SO₄ (I) в воде

Ipo

TO

але

(PP

B P

«пр

2,3

был

(µ)

30Л

113

H

Ana

Topi

стал

выз

иΗ

1134 д al

b

S

P

ший

TPO

B B-

TOOL

нин

OT I

дані

X ()

VP-E

с эн

элен

депо

1134

ф

Д д

i(np

пред

неан

6 3

и в 0,1; 0,5 и 1,0 Мл H₂SO₄ при 25—250° определялась экспериментально и рассчитывалась с использованием данных по растворимости І в воде и зависимости константы диссоциации HSO-4 от т-ры. Растворимость растет с повышением т-ры и увеличением конц-ии H₂SO₄. Приводятся 2 ряда вычисленных величин растворимости: с поправкой на изменение ионной силы и без поправки. За исключением точки для 0,1 Mл H₂SO₄ и 200°, первые больше опытных величин, И. Киселева вторые - меньше. Применение гидрата окиси кальция в качестве стандарта рН в сильнощелочной области. Бейтс, Бауэр, Смит (Calcium hydroxide as a highly alkaline pH standard. Bates Roger G., Bower Vincent E., Smith Edgar R.), J. Res. Nat. Bur. Standards, 1956, 56, No. 6, 305-312

При т-рах 0°—60° с интервалом в 5° намерена э. д. с. E цепи: Pt, $H_2 \mid \text{Ca}(\text{OH})_2(m_1)$, $\text{KCl}(m_2) \mid \text{AgCl}$, Ag при m_1 0,015—0,0203 M_A , m_2 0,015, 0,01 и 0,005 M_A . При 25° ковц-ия насыщ. p-ра Ca (OH)₂ 0,0203 M_A и pH 12,45. Этот р-р обладает высокой буферной емкостью и темпе-

этот рер обладает высокой оуферион сыкостью и гомпературным коэфф. 0,033 ед. рН на градус. А. Городецкая 11336. Активность Si и С в расплавах Fe — Si — C. Отани (熔融 Fe — Si — С 柔の Si および С の活量について、大行正康), 日本金屬學會誌, Нихон киндоку гаккайси, J. Japan Inst. Metals., 1956, 20,

№ 2, 96—100 (япон.; рез. англ.) Измерялись э. д. с. концентрационной цепи Fe, Si, C | силикатный шлак | Si с переменным содержанием Si и С. Опыты проводились в ячейке из MgO, при измерениях учитывалась поправка на термо-э. д. с Металлы загружались в 2 отделения ячейки, над которыми на-ходился общий шлак, содержащий 36,6—43,4% SiO₂; 31,5—50,9% CaO; 5,7—20,1% Al₂O₃ и 12,35—12,7% MgO. Изменяя конц-ию Si в одном из отделений от 0 до 25% и измеряя э. д. с., определяли коэфф. активности YSI. Для т-ры 1540° и $N_{\rm S1}$ до 0,25 эксперим. данные выражаются след. соотношениями: для расплавов Fe | Si: $\log \gamma_{\rm Si}^{\epsilon} = -2.5 \, (1-N_{\rm Si})^2 + 0.13 \, (1-N_{\rm Si})^{-3}$, для расплавов Fe — Si — C: $\log \gamma_{\rm Si} = -2.5 \, (1-N_{\rm Si}-N_{\rm C})^3 + 0.13 \cdot (1-N_{\rm Si}-N_{\rm C})^3$. Построены линии изоактивности Si и C в изученных сплавах. Г. Лепинских

Связь между гальваностатической и потенциостатической кривыми заряжения и частотным спектром импеданса двойного слоя на электродах. Лоренц (Zusammenhang zwischen galvanostatischer und potentiostatischer Ladekurve und Frequenzspektrum der Doppelschichtimpedanz an Elektroden. Lorenz Wolfgang), Z. phys. Chem. (DDR), 1956, 205, № 5, 311—316 (нем.)

В последнее время стал известен ряд случаев, когда на идеально поляризуемых электродах наблюдается зависимость импеданса (R) от частоты с переменного тока, нелинейность гальваностатич. кривых заряжения (ГКЗ) и замедленный заряд двойного слоя при потенпостатич. включении (Мелик-Гайказян В. И., Ж. физ. химии, 1952, 26, 560; РЖХим, 1956, 68011; неопубликованные данные Геришера и автора для Ag и Cd в р-ах NaClO₄ и K_2 SO₄ и др.). На основании общих ур-инй, связывающих ГКЗ U=U (t) при токе $I=I_0=0$ const и потенцностатич. кривую I=I (t) при t=00, сопът с частотной зависимостью импеданса R = R(p), где $p = i\omega$ (i = V - 1), а именно: $R(p) / p = \int_0^\infty e^{-pt} (U(t) / I_0) dt$ (1) в $1 / p \cdot R(p) = \int_0^\infty e^{-pt} \times I_0(t) dt$ \times (I (t) / U₀) dt (2), показано, что все три явления представляют собой различные выражения одного и того же. Так как ф-лы (1) и (2) являются точными выражениями преобразования Лапласа для функций $U\left(t\right)/I_{0}$ и $I\left(t\right)/U_{0}$

соответственно, то с помощью таблиц, аппроксимируя опытную кривую U(t) или I(t) какой-либо функцией. легко найти остальные 2 искомые функции. Таким образом, по любому из трех методов можно оценивать частотную зависимость емкости двойного слоя.

И. Зайденман Изучение диалектрических свойств разбавленных водных растворов сильных электролитов. II. Явления на электродах. Мандель (Etude des propriétés diélectriques de solutions aqueuses diluées d'électrolytes forts. II. Les phénomènes d'électrode. M a n d e 1 M.), Bull. Soc. chim. belges, 1956, 65, № 3-4, 308—342 (франц.; рез. англ.) В продолжение работы (часть I, РЖХим, 1956, 42776)

исследовалось влияние электродных процессов на импеданс (Z) электролитич. ячеек с гладкими Pt-электродами в водн. p-рах KCl, NaCl, KJ и BaCl₂ (10^{-4} — $5 \cdot 10^{-3} M_A$) в интервале частот (v) от 10 до 400 кгц. При этих у мож-но пренебречь процессами разряда, ионизации и адсорбции ионов, и Z электродов сводится к процессам перезарядки двойного слоя. Показано, что емкость ичеек не зависит от расстояния между электродами. Опытные значения времени релаксации двойного слоя оказались больше рассчитанных из известных коэфф. диффузии ионов, что автор объясняет явлением уменьшения подвижности ионов в двойном слое. Частично это расхождение может быть отнесено и за счет медленных необратимых процессов изменения состояния поверхности электродов, которые в той или иной степени наблюдались во всех опытах. И. Зайденман Определение электрокинетических потенциалов металлов путем измерения тока течения. II,

Золото, платина и серебро в разбавленных водых растворах электролитов. Херд, Хаккерман (Electrokinetic potentials on bulk metals by streaming current measurements. II. Gold, platinum, and silver in dilute aqueous electrolytes. Hurd Ray M., Hackerman Norman), J. Electrochem. Soc.,

1956, 103, № 6, 316—319 (англ.)

Описанным ранее методом (предыдущее сообщение РЖХим, 1956, 32105) измерены потенциалы, возникающие на концах металлич. капилляров при продавливании через них жидкости, и вычислены соответствующие (ζ, lgc) наблюдается максимум (M), который менее резко выражен для Pt и отсутствует в случае Au. Для р-ров КОН (10⁻³ — 10⁻⁶ и.) эти кривые также имеют M; высота М почти одинакова для Au п Pt; для Ag M меньше и сдвинут в сторону меньших конц-ий КОН. Отмечена зависимость между высотой М и растворимостью

соответствующих хлоридов и гидратов окисей. А. Городецкая. 11340. Поверхностное электричество. Часть 9. 06 "U-эффекте I° и его связи с дипольным моментом жидкости. Уэда, Цудзи, Ватанабэ (界 面電氣の研究.第9報.И.効果Iを應用した水中聴音について. 附: II 勃果 I と液體變極子能率。上田靜男, 辻編嘉, 液邊昌), 電氣化學, Дэнки кагаку, J, Electrochem. Soc. Japan, 1956, 24, № 2, 74—78 (япон.; рез. англ.) Авторы называют «U-эффектом I» (I) возникновение

переменной разности потенциалов при наложении механич. тангенциальных колебаний звуковой или ультразвуковой частоты на границу раздела твердое тело-жидкость (ср. с «U-эффектом II», РЖХим, 1955, 48569) Колебаниям может подвергаться как жидкость, так и твердая фаза. В качестве вибрирующего элемент применялись стекл. фильтры (Ф) № 2, 3, 4 и 5, заполнев-ные водой, СН_вОН, С₂Н₅ОН, ацетоном, пиридином и уксусным ангидридом. По обеим сторонам Ф в той ж жидкости помещались электроды, э.д.с. между которым

руя

ким

вать

ман

II. des uées

ode.

776) MII0-

ода-

Ma)

n n ccam

ами.

слоя

эфф. тень-

онри

іленовер-

пени

нман

ациаа. II.

дных

m a n ming silver M.,

Soc.,

цение икаюлива-

ющие 1 Au, ±1 и

ривых

менее. Для

ют М:

мень-

Отме-

ецкая.

9. 06

иотны

(界

ついて

是昌)。

Japan,

овение

и меха-

льтра-

ело.

48569)

ь, так емента

олнев-

идином

той же

горыми

регистрировалась с помощью катодного осциллографа. Проверка в десятиметровом бассейне с водой показала, что чувствительность полученного подобным образом эдемента по отношению к ультразвуковым колебаниям женьше чувствительности солевого элемента Рочелла (ЭР). То же дали испытания в естественном водоеме, в реке, где максим. расстояние, на котором возможен «прием» сигналов от источника звука частотой 13500 ги мощностью 10 гт, для I составляет 0,8 к.м., а для ЭР 2,3 к.м. В результате опытов с различными жидкостими было установлено, что I зависит от дипольного момента (µ) жидкости, увеличиваясь с ростом µ. Так, для бенгарая и ССІ₁, у которых µ = 0, I вообще не наблюдается. Часть 8 см РЖХим, 1955, 54723. И. Зайденман 11341. Влияние компонентов покрытий сварочных электродов на их поверхностное натяжение. Х е й з л е т т, П а р к е р (Effect of individual coating ingredients on surface tension of iron electrodes. Н а z I е t t T h o m a s H., P a r k е r E a r I R.), Weld. J., 1956, 35, № 3, S 113—S 114 (англ.)

Путем измерения поверхностного натижения (ПН) описанным ранее методом (Davis G. K., Bartell F. E., Analyt. Chem., 1948, 20, 1182) изучено влияние некоторых компонентов (SiO₂, TiO₂, Na₂CO₃, MgO, Fe₂O₃, Al₂O₃) покрытий электродов из низкоуглеродистой стали на ПН материала электрода в атмосфере N₂,Ar, Не и на воздухе. Изменение газовой атмосферы может вызвать изменение ПН до 50%. Отмечается, что Ar и Не вызывают различные изменения ПН. Любое покрытие, как правило, вызывает снижение ПН. Наиболее значительное снижение ПН вызывает покрытие Al₂O₃. В. Левинсон

11342. Диффузионные токи на сферические электроды. Франкентал, Шейн (Diffusion currents at spherical electrodes. Frankenthal Robert P., Shain Irving), J. Amer. Chem. Soc., 1956, 78, № 13, 2969—2973 (англ.)

Разработана теория диффузионных токов на покоящийся сферич. электрод (учитывающая кривизну электрода) для случая обратимого восстаювления в-ва О в в-во R, которое растворимо в р-ре или электроде; потенциал φ электрода изменяется во времени t ливейно. Получено ур-ине i=881 n^0 | 2 2 D_0^0 | 2 2 0 2 D_0^0 2 C_0^0 2 C_0^0 2 C_0^0 2 C_0^0 1, где n— число электронов, A— поверхность электрода, D_0 — коэфф. диффузии О, v— скорость изменения φ , C_0^0 конц-ия О в объеме р-ра и r— расстояние от центра электрода. Приведены табличные и графич. Занные для $\partial [C_0(r,t)/C_0^0]$ в зависимости от $(1/r_0) \times (D_0/nv)^{1/2}$ (r_0 — раднус электрода). Вычисленные по ур-ино (1) кривые (i, φ) для Pb^2+ и Tl^+ согласуются с эксперим. данными для восстановления Pb^2+ и Tl^+ ва фоне 0,1 M КСІ на сферич. покоящемся Hg-микроэлектроде. Ток в максимуме пропорционален конц-ии деполяризатора.

11343. Статистический вывод кинетических и диффузионно ограниченных кинетических токов. Будевский (Статистически извод на кинетични и дифузионно ограничени кинетични токове. Будевски Евгени), Изв. Българ. АН Отд. физ.-матем. п техн. н. Сер. физ., 1955, 5, 89—106 (болг.; рез. русс., нем.)

русс., нем.) Статистическим путем вычисляется предельный ток i(up) для электродных процессов A+ne o A', которым

предшествует быстрая хим. p-ция: $B_1 + B_2 \stackrel{k_B}{\rightleftharpoons} A;$

 $K=C_{B_1}^0C_{B_2}^0/C_A^0$, причем B_1 и B_2 электрохимически веактивны. Предполагается, что: 1) равновесная конц-ия A настолько мала, что можно превебречь его диффу-

зней из объема р-ра; 2) распад А - р-ция первого порядка; 3) $V \Delta^2 \ll \delta$, где Δ — среднее перемещение молекул А за время средней продолжительности жизни т, а 8 — эффективная толщина диффузионного слоя. Сравнение полученного выражения $i_k = nFSC_{B_1}^0C_{B_2}^0 \times$ $imes \sqrt{D_{
m A} k_B/K}$ (i_k — кинетич. ток, S — поверхнесть электрода) с ур-нием, выведенным ранее (Brdička R., Wiesner K., Coll. Czech. Chem. Comm., 1947, 12, 39, 138), показывает, что толщина реакционного слоя $\mu = V D \tau$. Если кинетический i (пр.) зависи τ от условий диффузии B_1 и B_2 , то он называется диффузионно ограниченным кинетич. током (i). Если (np.) ограничен только скоростью диффузии B_1 , то при $i_k/i_{B_1} < 0.3$ $1/i=1/i_{B_1}+1/i_k$. При $i_k/i_{B_1}>0.3$ верно ур-ние $1/i=1/i_{B_1}+1/(1.07\,i_k)$ (1). Эти ур-ния приближенно верны \overline{i}_{k} для капельного Нg-электрода, для которого $\overline{i}_{k}=0.51~nFm^{a_{[a}}i_{1}^{a_{[b]}}C_{B_{1}}^{0}C_{B_{1}}^{0}V\frac{k_{B}D_{A}/K}{k_{B}D_{A}/K}$ и $\overline{i}_{B_{1}}$ =0.627× $\times nFm^{1|_2} t_1^{1,6} C_{B_1}^0 D_{B_1}^{1|_3}$. Отмечается, что более точные выражения получаются при учете условий диффузии B_1 к капельному электроду (Мейман Н., Ж. физ. химии, 1948, 22, 1454; РЖХим, 1955, 3497). Ур-ние (1) позволяет легко определять i_k и i_{B_1} путем варьирования параметров, от которых i_k и i_{B_1} зависят по-разному, и последующей экстраполяции. С. Жданов

11344. Дискуссия по статье: Эпельбуэп «Применение переменного тока для изучения электролитических явлений».— (Discussion de la communication de M. I. È pel boin «L'emploi du courant alternatif comme moyen d'étude des phénomènes électrolytiques».—), Bull. Soc. franç. électriciens, 1956, 6, № 66, 369—371 (франц.)
См. РЖХим, 1956, 67995. В. Штерн

11345. Кинетика электролиза радиоактивных веществ. И м р е, Ф е й е ш (Rádioaktív anyagok elektrolizise. I m r e L a j o s, F e j e s G a b r i e l l a), Acta Univ. debrecen., 1955, 2, 176—188 (венг.; рез. нем.) Исследовано электролитич. выделение на РІ-электродах радиоактивных в-в (ThB, UX1) в индикаторных конц-иях с применением большого катода и анода очень малых размеров при высоких напряжениях. На основания аналогии с процессом ионного обмена на поверхности кристалла, выведено кинетич. ур-ине $[1/t(1+K)] \times \ln [1-(1+K)x] = (-DFq_0/\Delta lV)$ ехр (у $F\Delta E_{(9\Phi\Phi_0)}/RT$) (1), где t — продолжительность электролиза, K — коэфф. распределения в-ва между р-ром и электродом, x — доля осажденного в-ва, D — коэфф. диффузионного слоя, у — заряд иона, $\Delta E_{(9\Phi\Phi_0)} = i\Delta l / \kappa F$ (t — сила тока, κ — ул. электропроводность р-ра); постоянная q_0 приблизительно равна активной доле поверхности электрода, найденной из изотерм. адсорбции Ур-ние (1) хорошо согласуется с опытом.

11346. Вопросы распределення тока и металла на электродах. К а д а и е р Л. И., Науч. зап. Харьковск. ин-та сов. торговли, 1956, вып. 5 (7), 165—180 Дано аналитич. решение задачи о распределении тока на поверхности электродов. Для комбинаций: 1) катод — круговой цилиндр, анод — бесконечная пластина, параллельная оси катода, и 2) катод — круговой цилиндр, аноды — две параллельные пластины (аноды и электролит ограничены изолирующими стенками) применен метод зеркальных изображений, принятый для решения аналогичных задач в электростатике. Для комбинации катод и анод — параллельные пластины —использован метод конформных отображений, применяемый для расчета поля плоского конденсатора.

6 химия. № 4

ЛЯ

по

ал

06

11

Иа

HO

BCI

пр

ум

ри

H O

Tpo

лоп

TOL

Предложен способ учета влияния поляризации на распределение тока при указанных конфигурациях электродов на основе описанного ранее графич. метода (Суходский В. А., Коррозия и борьба с ней, 1936, 1,№ 2, 103). Выводы доведены до расчетных ф-л. Кратко рассмотрена задача о максим. производительности гальванич. ванны, т. е. о предельном кол-ве загружаемых в ванну деталей (катодов), допускающем еще получение покрытий удовлетворительного качества, что определяется максим. и миним. плотностью тока на разных участках катода, а последнее, в свою очередь, зависит от взаимного расположения катодов (См. также РЖХим, 1956, 64596, 71287).

В. Машовец

11347. Катодная поляризация серебра в растворе нитрата серебра. Часть 1. Влияние органических и неорганических добавок. Н и л, Ш р е й р (The cathode polarization potential of silver in silver nitrate. Part 1. The effect of organic and inorganic additives. N e a l E. G., S h r e i r L. L.), Trans. Faraday Soc., 1956, 52, № 5, 703—712 (англ.)

Изучена катодная поляризация (7) при осаждении Ag из p-ров AgNO₃ в зависимости от времени, конц-ии, переменивания, плотности тока і и присутствия в р-ре добавок неорганич. солей, не образующих комплексов с Ag^+ , амино- и оксикислот и сернистых соединений, образующих комплексы с Ag^+ , а также анионных, катионных и нейтр. поверхностноактивных в-в, адсорбирующихся на поверхности катода. Показано, что в 0,25 М ламов $\eta = 0.5$ а / дм² для достижения устойчивого значения $\eta = 4.7 \pm 0.1$ мв требуется проведение предварительного электролиза различной продолжительности; растворенный O_2 не является причиной неустойчивости η во времени. В p-рах AgNO3, приготовленных на воде, очищ, методом исиного обмена, продолжительность предварительного электролиза для получения устойчивого значения у сильно уменьшается. Старения p-ров AgNO₃ при хранении не происходит. Показано, что активационная поляризация (да), которая определялась при перемешивании p-pa, составляет 3.0 ± 0.1 мв и не зависит от кажущейся i в широком интервале в прозависит от кажущенся і в широком интервале в про-тивоположность общему значению η . При введении в p-p AgNO₃ добавок HNO₃ и нитратов Li, Na, K, Cu, « Ca, Ba, Al и Th η возрастает, но осадки Ag—грубо-кристаллические, как в p-pe без добавок. Органич. в-ва значительно увеличивают у и некоторые из них (лимонная, винная, аминоуксусная к-ты) способствует образованию гладких осадков Ад. В случае грубокристаллич. осадков Ag η_a не зависит от кажущейся i, а для гладких η_a возрастает с увеличением i. Измерением э. п. с. гальванич. цепей показано, что в р-рах 0,25 М AgNO₃ с добавками лимонной, винной и аминоуксусной к-т ионы Ад+ связаны в комплекс на 13, 29 и 3% соответственно. Механизм действия изученных добавок на η и характер осадка Ад обсуждается с точки зрения адсорбционной теории. 3. Соловьева

11348. Выделение цинка и водорода из кислых электролитов на катодах из никеля и кобальта. З о с им о в и ч Д. П., Не чаева Н. Е., Докл. АН СССР, 1956, 109, № 3, 569—572

Изучено совместное выделение H_2 и Zn из p-ров 1,85 и. ZnSO₄ + H_2 SO₄ (0, 1 — 2 и.) на катодах из Ni и Co. Показано, что кривые (*i*, *E*) имеют сложный характер, причем излом и максимум на кривых соответствуют изменению происходящего на катоде процесса. Для Ni-катода при всех конц-иях H_2 SO₄ максимум лежит при — 0,67 ϵ . Основным фактором, определяющим катодный процесс при изменении E, является постепенное изменение состояния поверхности катода вследствие осаждения Zn. Свойства образующихся поверхностных сплавов и величина перенапряжения H_2 на

определяют величину максимума на них 3. Соловьева 11349. Катодное восстановление нецианидных комилексов никеля. Санчес-Роблес (Reduccion catodica de complejos no cianurados de niquel. Sánchez-Robles A.), An. Real soc. española fís y quím., 1956, B52, № 6, 401—406 (исп.; рез. англ.) Изучалось катодное восстановление нецианидных комплексов (К) Ni (2+) на струйчатом Нg-электроде при 1—70°. При восстановлении $Ni(H_2O)_6^{2+}$, $[Ni(NH_3)]^{2+}$ и пиридинового К Ni(2+) выделяется металлич. Ni. При восстановлении этилендиаминового и роданидного К р-р приобретает способность восстанавливать Ј2, однако р-р приобретает спосооность восстанавливать 1_2 , однако образование К Ni (1+) не доказано. Восстановление К Ni (2+) во всех случаях, кроме аммонийных сред, сопровождается выделением H_2 . Установлена необратимость этих процессов. При восстановлении $[Ni(NH_3)]^{2+}$ на фоне 1 M NH₄Cl + 1 M NH₃ зависимость (2, 12) является линейной, коэфф. наклона равен 52, 56, 64 и 85 ме при т-рах 70, 50, 21 и 1°. Кажущаяся энергия активации 13,1 ккал/моль. С. Жданов

11350. О влиянии анионов на величину рН гидратообразования и электроосаждение порошкообразного металла на растворов сернокислого железа. Л е в и и А. И., П у ш к а р е в а С. А., Ж. прикл. химии, 1956, 29, № 8, 1223—1229

Электрометрическим титрованием со стеклянным электродом изучен рН начала гидратообразования в р-рах FeSO₄ в зависимости от конц-ни FeSO₄, природы и валентности посторонних анионов (A) (Cl-, NO₃-, SO₄²-, PO₄³-) и органич. в-в (желатина, трилон Б., экстракт хлорвиниловой ткани). С ростом конц-ни FeSO₄ рН начала гидратообразования снижается. Влияние посторонних А на снижение рН гидратообразования тем больше, чем выше заряд А. Органич. в-ва влияют на рН гидратообразования лишь в том случае, если они диссоциируют в р-ре с образованием поверхностноактивных А. Показано, что для получения высокодисперсного порошкообразного Fe нанболее устойчивым является электролит 1,5 M FeSO₄ + 40 e/n NaCl. З. Соловьева

11351. К изучению электролитического осаждения металлических порошков. Сообщение 5. О содержании закиси меди в электролитических порошках меди. И бль, К и ллер, Трюми плер (Zur Kenntnis der elektrolytischen Abscheidung von Metallpulvern. 5. Mitteilung. Über den Kupferoxydulgehalt von elektrolytisch hergestellten Kupferpulvern. I b l N., K i l l e r K., T r ü m p l e r G.), Helv. chim. acta, 1956, 39, № 2, 491—498 (нем.; рез. англ.) Исследовано влияние состава ванны, плотности тока й,

продолжительности электролиза *t* и характера последующей обработки порошка на содержание Cu₂O (*q*) в Cu-порошке. При увеличении конц-ии CuSO₄ от 0,605 до 0,1 *M q* уменьшается с 27,7 до 1%; с ростом і и также происходит уменьшение *q*. Увеличение *q* сопровождается возрастанием степени дисперсности порошка и изменением структуры его кристаллич. решетки. Предыдущее сообщение РЖХим, 1955, 48573. И. Зайденмая 11352. Изучение образования «усов» при электросаждении меди. М ё л е н, Л и н д с т р о м (A study of whisker formation in the electrodeposition of copper. М е u l е п Р. А. van der, L i n d s t r о m H. V.), J. Electrochem. Soc., 1956, 103, № 7, 390—395 (англ.) Изучены условия образования длинных интей (сусов) при электроосаждении Сu из кислых р-ров СuSO₄ Показано, что при низких плотностях тока і (0,05 — 0,20 *а/дм*²) присутствие нонов Cl⁻ (HCl, CaClеили NaCl) в кол-ве 5 — 15 ме/л вызывает образования

«усов», причем этому сильно способствует наличие

в электролите мелких взвешенных частиц, а также

вых

ьева

OMB-

cion

quel.

nola

нгл.) ком-

при

2+ N

При

ro K

нако

ие К

сред,

рати-Н₃)|2+

, lg i)

64 u

ергия

данов гратозного

BHH

имини

вания , при-(A)

а, три-

ии-ди

сается.

ообра-

ч. в-ва

лучае,

оверхвысо-

устой-NaCl.

овьева

кдения

ржании

enntnis vern. 5.

elekt-

n. acta,

тока і после-

 $Cu_2O(q)$

от 0,005

OM i MI д сопро-

юрошка ки. Пре-

йденмав

электро-

(A study f copper. H. V.),

5 (англ.)

CuSO₄.

тока

Cl. CaCl

азовани

наличие

отсутствие О2. Катионные поверхностноактивные в-ва (ПАВ) (цетилтриметил- и цетилдиметилэтиламмоний, цетилпиридиний и др.) в кол-ве 20-100 ме/л в аналогичных условиях также вызывают образование нитей. ПАВ, вызывающие образование «усов», сильно повышают катодную поляризацию Сu, а не образующие шитей— не влияют на величину поляризации. Возникновение «усов» при электроосаждении Си авторы связывают с образованием пленки на катоде (из молекул ПАВ или из CuCl в присутствии нонов Cl-). На участках, не покрытых пленкой, вследствие высокой истинной і начинается очень быстрое осаждение Си с образованием нитей. Исследована возможность предупреждения образования «усов» введением различных добавок в электролит. 3. Соловьева добавок в электролит. Влияние различных газов на электрохимичес-

кие эффекты, сопровождающие действие ультразвука. Одюбер, Гиттон, Прюдомм (Influence de diférents gaz dans les effets électrochimiques accompagnant l'action des ultrasons. Au dubert René, Giutton Jacques, Prudhomme Ro-bert-Olivier), C. r. Acad. sci., 1956, 242, № 26, 3079-3081 (франц.)

В продолжение работ (Prudhomme R. O., Grabar P., J. Chem. Phys., 1949, 46, 323; РЖХим, 1956, 64599) исследовано влияние СО2, Н2 и воздуха на электрохим. эффекты, сопровождающие действие ультразвука (УЗ) (частота 960 кец, мощность 3 ст/см²), на анодную и катодную поляризацию Си в 0,1 н. CuSO₄+2 н. H₂SO₄ и Cu₃(PO₄)₂+3 н. H₃PO₄ при 80 ма/см². На основании эксперим. данных сделан вывод, что образование на электроде полос связано с кавитационными процессами в электролите, тогда как изменение перенапряжения под влиянием УЗ есть результат механич. воздействий, не зависящих от кавитации. В присутствии СО2 полосы на электроде отсутствуют; на изменение перенапряжения, обусловленное УЗ, СО₂ не влияет. И. Зайденман

Экспериментальное научение диффузии ионов через электролитические осадки под влиянием электрического поля. Руайон (Étude expérimentale de la diffusion des ions à travers les dépôts électrolytiques sous l'influence d'un champ électrique. R o y o n J e a n), C. r. Acad. sci., 1956, 242, № 26, 3077—3078

(франц.) В продолжение работ автора (РЖХим, 1954, 19653) изучено влияние электрич. поля на диффузию ионов Си через электролитич. осадки Ni, которые наносились на Си-подкладку, содержащую радиоактивный изотоп Cu⁶⁴. Измерялось нарастание активности в p-ре CuSO₄, куда погружались исследуемый образец и неполяризующийся вспомогательный электрод. Показано, что время проникновения понов Си (перехода сквозь покрытие) уменьшается по мере увеличения положительной поля-ризации образца. При отрицательной поляризации проникновение понов Си сквозь осадок Ni обнаружить 3. Соловьева не удается.

не удается. 11355. Изучение явлений на аноде при электролити-ческом паствовении металлов. Э п е л ь б у э н ческом растворении металлов. Эпельбуэн (Contribution á l'étude des phénomènes anodiques au cours de la dissolution électrolytique des métaux. E pelboin I.), Z. Elektrochem., 1955, 59, № 7-8, 689—692, дискусс. 692 (франц.)
Доклад на собрании Бунзеновского физ.-хим. об-ва.

Для изучения процесса анодного растворения металла п определения числа электронов п, участвующих в электродном процессе, использован закон Фарадея. Состав

электролита выбирался таким образом, чтобы исключить газовыделение на аноде. Одновременно исследовалось изменение состава p-ра. n не зависит от плотности тока и pH (РЖХим, 1955, 7229, 36966). Показано, что

для неокисляющихся металлов п всегда равно наиболее

низкой обычной валентности металла; n=1 для Au, низкой обычной валентности металла; n=1 для Au, n=2 для Ni, Pt, Pd и Ge (анодная полировка в рассилаве 50% NaCl + 50% KCl при 750°). В р-ре Mg(ClO₄)₂ в C₂H₃OH n=1 для Hg, Ag, In, Cu и Ga; n=2 для Pb, Sn, Ni, Co, Cd и Fe; n=3 для Bi. В р-ре CH₃COOH + HClO₄ получены аналогичные результаты. После полировки в р-рах отсутствовали ионы Cl⁻, и, и, и, и получены массила полировки в р-рах отсутствовали ионы Cl⁻, и, и, и получены массила полировки в р-рах отсутствовали ионы Cl⁻, и, и получены массила полировки в р-рах отсутствовали ионы Сl⁻, и, и получены массила полировки в р-рах отсутствовали ионы Сl⁻, и, и получены массила полировки в р-рах отсутствовали ионы Сl⁻, и, и получены массила полировки в получены массила полировки в получены массила полировки в получены получены получены полировки в получены получен следовательно, образовавшиеся поны металла не претерпевали дальнейшего окисления в р-ре. Для некоторых окисляющихся металлов и также равно наиболее низкой обычной валентности (n = 2 для Zr, Mn и V, n = 3 для Mo), но в p-pe у анода обнаруживаются ноны Cl-, что свидетельствует, по мнению автора, об окислении образовавшихся ионов металлов ионами ClO₄. Для Zn, U, Al, Be, Тi, Mg наблюдаемые в присутствии нонов ClO₄ значения и меньше, чем наиболее низкая обычная валентность; за исключением Be(n=1) эти металлы дают дробные значения п. При электрополировке Аl в р-ре СН₃СООН + HClO₄, а также в р-ре Mg(ClO₄)₂ + C₂H₅ОН n=1,3, что соответствует образованию 85% Al+ и 15% Al³⁺. Из зависимости импеданса Al-анода от частоты следует, что анодная р-ция протекает в этом случае медленнее, чем в случае Ве. Предположено, что причиной появления ионов Al+ является очень сильное электрич. поле, возникающее при адсорбции анионов на поверхности металла, когда содержание воды в p-ре невелико. Тройные диаграммы зависимо-сти n Al от содержания компонентов в этих p-рах подсти n Al от содержания компонентов в этих p-рах подтверждают это предположение; получено значение n=1,10 в p-ре $\mathrm{Mg(ClO_4)_2}+\mathrm{C_2H_5OH}$, когда $\mathrm{Mg(ClO_4)_2}+\mathrm{C_2H_5OH}$, когда $\mathrm{Mg(ClO_4)_2}+\mathrm{C_2H_5OH}$ n=1,2; для Zn в p-рах Mg ($\mathrm{ClO_4)_2}+\mathrm{C_2H_5OH}$ n=1,2; для Zn в p-рах Mg ($\mathrm{ClO_4)_2}+\mathrm{C_2H_5OH}$ n=1,2; для Zn в p-рах Mg ($\mathrm{ClO_4)_2}+\mathrm{C_2H_5OH}$ и $\mathrm{Cl}_3\mathrm{COOH}+\mathrm{HClO_4}$ n=1,4. Для Ti (n=1,5) и V (n=2) кол-во образующегося Cl^- соответствует окислению в p-ре до M^{4+} . В p-рах, где содержание воды больше, напр. в p-ре $\mathrm{H_3PO_4}$ (уд. в. 1,71), для Cu , In , Zn n=2, тогда как в присутствии ClO₄ соответственно 1; 1; 1,4; для Al и Ga n=3 (в присутствии ClO_4^- соответственно 1,3 и 1); для V n=4 (в присутствии ClO_4^- n=2); для Сг, Мо, U n = 6 (в присутствии ClO_4^- соответственно 3; 3 и 1,4). В дискуссии участвовал Бокрис (Bockris О'М.). Д. Кокоулина 1356. Стадия, определяющая скорость процесса анодного растворения металла. Хиклинг, Хиг-гинс (The rate — determining stage in the anodic I. O'M.).

dissolution of metals. Hickling A., Higgins J. K.), Trans. Inst. Metal Finish., 1952—1953, 29, 274—291, дискусс. 292—301 (англ.)

Исследован процесс анодного растворения металлов в р-рах, применяемых для электрополировки. Изучено влияние конц-ии, т-ры, перемешивания, вязкости р-ра и других факторов на величину предельной плотно-сти тока *D*(пред.) при растворении Си в р-рах H₃PO₄ и КСМ. Поляризационные кривые снимались при поддержании постоянного потенциала электрода. Показано, что D(пред.) уменьшается с увеличением вязкости р-ра (при введении глицерина) и введении в р-р продуктов, получающихся при анодном растворении, и увеличивается при перемешивании электролита и повышении т-ры. Процесс электрополировки происходит лишь при достижении D (пред). При помощи специально изготовленного электрода показано, что D(пред.) на выступах поверхности гораздо больше, чем во впадинах. Высказывается мнение, что диффузия продуктов растворения от поверхности анода является стадией, определяющей скорость всего анодного процесса. На основании эксперим. данных вычисляется толщина диффузионного слоя у поверхности анода, которая в 2 М Н₃РО₄ составляет 0,006—0,008 см. Рассматривается механизм

of

на

кр ан

BO

кр

W. Me

сл

38

пр P-1

ры

p-

HM

(or K(

электрополировки металлов и высказываются практич. соображения о методах снижения D(пред.), необходимой для полировки металлич. поверхности.

Соловьева Исследование импеданса электролитической ичейки с сильно поляризуемым анодом при 300 Мгц. Фроман (Étude à 300 MHz de l'impédance d'une cellule d'électrolyse dont l'anode est fortement pola-risée. Froment Michel), C. r. Acad. sci., 1956, 242, № 2, 251—254 (франц.)

С пелью выяснения влияния анодной поляризации на значения составляющих кажущейся диэлектрич. постоянной (є' и є") р-ров, применяемых при электро-полировке (р-ры HClO₄ в 20—98%-ном ацетангидриде и Mg(ClO₄)₂ в водно-спирт. смесях), с помощью адмиттансметра (А) спец. конструкции измерялась зависимость импеданса Z ячейки с коаксиальными цилиндрич. анодом (из Ni, Al или Fe, диам. 6 мм) и катодом (диам. 26 мм) от плотности постоянного поляризуюшего тока I при частоте 300 Mгц. Применение A позволяет непосредственно измерять составляющие Z ячейки, подключаемой последовательно с конденсатором к концу коаксиального провода длиной 1 м (т. е. равной длине волны при 300 Мец). При увеличении / величины последовательных сопротивления R и обратной емкости 1/С проходят через максимум, что аналогично поведению Z при низкочастотных измерениях. Автор допускает применимость к полученным результатам ранее высказанной гинотезы (РЖХим, 1956, 67995) о том, что максимумы R и 1/С соответствуют уменьшению - электролит истинной поверхности на границе металл в момент достижения оптимальных условий для электрополировки. И. Зайденман 11358. Потенциографическое исследование анодного И. Зайденман

окисления меди в растворах NaOH. Файзул-лин Ф. Ф., Музурова Н. Н., Уч. зап. Казан-ского ун-та, 1956, 116, № 1, 154—157 При помощи потенциографа (РЖХим, 1957, 12280)

снимались кривые потенциал - время при анодной поляризации Сu-электродов при 0,8 и 1,6*a/дм*² в 3, 4 и 6 н. NaOH при 50, 60 и 70°. На кривых потенциал—время наблюдаются три задержки потенциала; по мнению авторов, 1-я задержка отвечает образованию Na₂CuO₂ с последующим осаждением на анодеСиО, 2-я, короткаяадсорбции электрохим. активного кислорода оксидным слоем, 3-я — выделению O_2 . Φ . Файзуллин 11359. Анодное растворение меди в соляной кисло-

те. Купер (Anodic transients of copper in hydrochloric acid. Соорег Ralph S.), J. Electrochem. Soc., 1956, 103, № 6, 307—315 (англ.)

В продолжение работы (РЖХим, 1956, 3519) изучалось анодное растворение Си в HCl (0,5—6 н.) с применением горизонтальных анодов, экранированных для предотврашения влияния конвекции. Полученные результаты количественно согласуются с теорией пассивности Мюллера за исключением того, что после первой площадки на кривой (i, t), соответствующей р-ции Cu + + Cl $^ \rightarrow$ CuCl $^+$ e, наблюдается вторая площадка, соответствующая р-ции $2Cu + 2OH^{-} \rightarrow Cu_{2}O + H_{2}O + 2e$. Толщина в слоя СиС1 выражается зависимостью в = $=Di_{1}^{-m}$, где m не зависит, а D зависит от конц-ии к-ты. Сравнение полученных результатов с данными для вертикальных неэкранированных анодов показывает, что для коротких промежутков времени (< 3 сек.) теория Мюллера применима к анодам обоих типов.

В. Левинсон Исследование анодной поляризации сульфидов меди, никеля и некоторых сплавов этих сульфидов. Чижико в Д. И., Устинский Б. З., Ж. прикл. химин, 1956, 29, № 7, 1129—1131

В продолжение работы авторов (Ж. прикл. химии, 1949, 22, 12) исследовалась зависимость потенциала ф сульфидных анодов составов: Cu₂S; 75% Cu₂S + 25% сульфидных анодов составов: Со₂С, 7576 Со₂С + 25% Ni₃S₂; 50% Со₂С + 50% Ni₃S₂; 25% Со₂С + 75% Ni₃S₃, Ni₃S₂ в р-рах 100 г/л H₂SO₄; 70 г/л H₂SO₄ + 30 г/л Ni²+, 10 г/л H₂SO₄ + 60 г/л Ni²+ от плотности тока і и продолжительности электролиза. Аноды из сплавов Cu2S+Ni3S9 растворяются при менее положительном ф, чем аноды из Cu₂S и Ni₃S₂, взятые в отдельности. Си из Cu₂S переходит в р-р при более положительном ϕ , чем Ni изNi₈S₂. Делается вывод, что из сплава $Cu_2S + Ni_3S_2$ при небольшой і в первую очередь будут растворяться структур-ные составляющие (Ni₃S₂, кристаллы эвтектики из 0,9 Ni₃S₂ + 0,1 Cu₂S), имеющие менее положительные ф. И. Киселева

11361. Перенапряжение водорода на алюминии. Хансен, Уэтмор (Hydrogen overpotential on aluminum. Hansen D. J., Wetmore F. E. W.), Canad. J. Chem., 1956, 34, № 5, 659—664 (англ.)

W•), Сапаd. J. Сhem., 1906, 34, № 2, 559—664 (англ.) исследовано перенапряжение водорода η на Al-катодах в 0,1 н. Н₂SO₄ при 25° в интервале і 10⁻⁵—3·10⁻³ a/cм². Применялись прокатанный Al (I), литой Al (II), моно́кристалл Al (III) (I, II, III с содержанием Al 99,995%) и слиток (IV) с содержанием Al 99,5%. В исследованном интервале і на образдах I, II, III η III образдах I, II, III η III образдах I, II, III η III образдах II, III II образдах II н. III образдах II н. II н. II образдах II н. III образдах II н. II н. II образдах II н. II н. II образдах II н. I изменялось от 0,7 до 1,1 ϵ , на образце IV от 0,4 до 0,68 ϵ . Если при построении кривой (η , $\lg i$) откладывать не внешний ток, а полный катодный ток (с учетом поправки на скорость саморастворения Al, которая определялась по убыли веса электрода), то для низких і получается прямолинейная зависимость между и и lg i. За исключением образца IV наблюдается уменьшение наклона кривой (η, lg i) при высоких i, которое авторы связывают с влиянием примесей в Al. Стационарный потенциал образцов I, II, III и IV равен соответственно — 0,675, — 0,650, — 0,625 и — 0,368 г. В отличие от благородных металлов кривые нарастания у во времени при включении тока и спада 7 после выключения тока не имеют линейного участка. Начальный наклон кривых находился путем экстраполяции на t=0 секущей, проходящей от стационарного потенциала ϕ_c на первые эксперим. значения 7, полученные после включения тока. Из значений начального наклона кривых спада т и нарастания у найдены значения емкости электрода. равные соответственно 17-28 и 16-32 µФ/см2 (значения C возрастают с уменьшением i). Д. Кокоулина К вопросу об электролитическом восстановле-

нии ниобия из его сернокислотных растворов. К ры-лов Е. И., Колеватова В. С., Ж. прикл. химии, 1956, 29, № 8, 1292—1295

Изучалось влияние плотности тока і, т-ры и состава электролита на выход по току (ВТ) при электролизе сернокислотных p-ров Nb (5 +) на перемешиваемом Hg- и вращающемся Рb-катодах с целью получения Nb (3 +) (РЖХим. 1955, 25890). ВТ значительно выше на Pb, чем на Hg. При увеличении i, при снижении т-ры и конц-ии Nb(5+) ВТ снижается. При увеличении содержания H₂SO₄ BT возрастает лишь незначительно. Полученные результаты объяснены влиянием изученных факторов на скорость диффузии Nb (5 +) к катоду.

Перенапряжение и пассивность в расплавленных электролитах. Пьонтелли, Стернхейм, Франчини (Overvoltages and passivity in melted electrolytes. Piontelli R., Sternheim C., Francini M.), J. Chem. Phys., 1956, 24, No. 5, 1113-1114 (англ.)

В дополнение к прежним работам (РЖХим, 1956 42831, 61163, 71305) показано, что в системах; Ni (10 — 20 вес. % NiCl₂ + 90 — 80% KCl) и Cu/(10% CuCl₂ + 90% KCl) при 740°, а также в системах Mg/MgCl₂ + KCl при 550° и Al/AlCl₃ + NaCl при 200° наблюдается только омич. перенапряжение, т. е. «перенапряжение обмена» практически отсутствует. Авторы 25% i₃S₂; Ni²⁺;

ДОЛ-ViaSa

PI ИЗ

iepe-

isSa.

оль-

стур

з 0,9 ф. элева

нии.

нгл.)

като-

0-5-

иотиг

анием

9,5%. III η

),4 до

лады-

торая

KHX i

n lg i.

шение

вторы

арный

гвешно

не от

емени

тока

кри-

ущей,

ервые

риноро

пада η строда, (значе-

ВИИПУО

новле-

бры-

прикл.

ролизе

ваемом

учения

О ВЫШе

ии т-ры

г содер-

тельно.

изученкатоду.

Жданов

лавлен

хейм

melted

m G., 4, № 5,

1, 1956,

ax; Ni u/ (10%

нстемах

при 200°

е. «пере-

Авторы

считают это явление обычным для достаточно высоких т-р. В качестве одной из причин анодной пассивации, которая наблюдается в расплавах, дополнительно названа возможность пересыщения многокомпонентного расплава относительно одной из солей. Указывается, что пассивация Мд-электродов исчезает при повышении т-ры до точки плавления Мд.

И. Зайденман 11364. Поляризация огнеупорных окислов, погруженных в расплавленное стекло. Л е-К л е р, П е ш е с (Polarisation des oxydes réfractaires plongés dans le verbe fondu. L e C l e r c P., P e y c h è s 1.), Colloq. nat. Сепtre nat. rech. scient., 1955, № 10, 183—192, discuss. 192 (франц.)
См. РЖХим, 1955, 2541.

1365. Структурные и кинетические явления, наблюдаемые при анодной поляризации металлов. Терск, Уинн-Джоне (Structural and kinetic phenomena observed during the anodic polarization of metals. Thirsk H. R., Wynne-Jones W. F. K.), Trans. Inst. Metal Finish., 1952—1953, 29, 260—273, 292—301 (англ.)

На примере изучения анодной поляризации металлов показана целесообразность комбинированного изучения происходящих на электроде р-ций: структурными методами — микроскопич., алектронномикроскопич., двффракционным и т. д. — и потенциометрич. или осциллографич. методами со стабилизацией силы тока или потенциала. Перечисленными методами изучено анодное пассивирование Рb-электрода в 2 и. Н₂SO₄, 0,5 н. КСІ, КВг и КЈ и показано влияние структуры образующейся на аноде пленки из Рb-соли на скорость пассивирования Рb-электрода. Осциллографич. методом изучено также изменение анодного потенциала Ni после выключения тока в 75%-ном р-ре Н₂SO₄ и 2 М Н₂PO₄ и результаты сопоставлены с данными по электрополировке Ni в этих условиях.

3. Соловьева 11366. Образование окислов и перенаприжение кисло-

рода на свинцовом и серебряном анодах в щелочном p-pe. Джонс, Терск, Уинн-Джонс (Oxide formation and overvoltage of oxygen on lead and silver anodes in alkaline solution. Jones P., Thirsk H. R., Wynne-Jones W. F. K.), Trans. Faraday Soc., 1956, 52, № 7, 1003—1011 (англ.) В продолжение работ (РЖХим, 1955, 20859, 39821) изучалось анодное поведение Рb и Ag в 1 и. КОН при 25°. Определялась природа окисных слоев и их влияние на перенаприжение η кислорода. Для Pb получены кривые изменения потенциала (ϕ) во времени (i) при анодной поляризации (23.9 и 45 ма/см²) и при катодном восстановлении окисленных электродов. На анодных кривых (φ,t) имеются три ступени, соответствующие процессам: 1) $Pb \rightarrow PbO$, 2) $PbO \rightarrow PbO_2 +$ выделение преимущественное выделение О₂ на поверхности РьО2. При саморазряде окисленного электрода его φ быстро падает до значения φ системы PbO₂/PbO, затем до ф системы Pb/PbO. Подтверждается предположение, что р-ция саморазряда протекает на границе металл—р-р и образующаяся PbO изолирует от металла слой PbO₂, которая затем медленно переходит в Pb₂O₃ и РьзО4 (обнаружено электронографически). Для Ад задержки на анодных и катодных кривых (φ,t) , снятых при i=5 ма/см², свидетельствуют о протекании при i=5 ма/см², свидетельствуют о протекании р-ций: ${\rm Ag}{\to}{\rm Ag}_2{\rm O}$ и ${\rm Ag}_2{\rm O}{\to}{\rm Ag}{\rm O}$ + выделение ${\rm O}_2$. Острый максимум перед задержкой, отвечающей последней р-ции, связан с трудностью образования частиц AgO в первичном пассивирующем слое Ag₂O. На кривых (ф,t), снятых после выключения анодной поляризации имеется размытая задержка между + 0,77 и + 0,56 σ (относительно электрода сравнения $Hg \mid HgO$, 1 н. КОН), связанная, по мнению авторов, с тем, что в конце анодной поляризации на электроде образуется пеустойчивый высший окисел Ag_2O_3 . Рентгеновским ана-

лизом на Ag-аноде обнаружены Ag, Ag₂O и AgO. Предполагается, что фазовые изменения на Ag-аноде происходят за счет присоединения или потери кислорода структурно нензменной, по сжимающейся или расширяющейся решеткой иона Ag. Для выделения O₂ кривые (η , lg i) на Pb и Ag, которые измерялись при неизменной поверхности электрода, отвечают ур-иню $\eta = (2,303 \ RT/\alpha \ F) \ lgi + a;$ для Ag α 0,34, для Pg $\alpha = 0.5$. И. Киселева 11367. Определение толщины оксидной пленки на

олове. Солт, Томас (Determination of the oxide film thickness on tin. Salt F. W., Thomas J. G. H.), Nature, 1956, 178, № 4530, 434—435 (англ.) Благодара большому перенапражению водорода на Sn толщина оксидной пленки на Sn может быть измерена методом электрометрич, восстановления (Allen J. A., Trans. Faraday Soc., 1952, 48, 273). Считая, что оксидная пленка состоит из SnO и имеет плотность 6,3, авторы определили толщину пленки по кривым зависимости потенциала от времени восстановления при катодной поляризации (i = 6 µа/см²) в 0,01 и. КСІ в атмосфере №. При окисления Sn ва воздухе в течение 1 часа образуется пленка толщиной 14—15 A, через 19 час. она достигает 18—20 А. При электрополировке Sn в р-ре СН₃СООН + НСІО₄ образуется пленка неизвестного состава толщиной 1000 А, трудно растворимая и клагу.

11368. О разности потенциалов внутри пассивирующего слоя на железе. Феттер (Zur Potentialdifferenz innerhalb der Passivschicht des Eisens. Vetter Klaus J.), Z. phys. Chem. (Frankfurt), 1955, 4, № 3/4, 165—174 (нем.)

В продолжение работ (РЖХим, 1955, 20866, 20867), в которых разность потенциалов (Δε) между реальным (ε_h) и равновесным (ε_0) окисно-железными электродами объяснена падением потенциала (Фф) в пассивирующем слое (необходимым для поддержания диффузии нонов Fe от границы Fe/окись Fe(I)к границе I /электролит). показана правильность допущения, введенного в этих работах, о постоянстве скачка потенциала (є' 2.8) на границе І/электролит. Хотя отклонение $\varepsilon'_{2,3}$ от значения, соответствующего насыщ. железом FeO, и может иметь место, но в области ε_h от 1,0 до 1,65 ε (н. в. э.) это отклонение должно иметь практически постоянную величину. Автор приходит к выводу, что перенапряжение на границе І/электролит практически отсутствует. Отмечается, что в отсутствие поляризации, даже при наличии коррозии, внутри пассивирующего слоя не может возникать разность потенциалов (РЖХим, 1955, 20866). После выключения анодной поляризации потенциал пассивного электрода меняется медленно из-за низкой ионной проводимости нассивирующего слоя при малых напряженностях поля. Обсужден вопрос о природе и положении «фладе-потенциала». И. Зайденман

11369. Научение коррозни. І. Полярографическое исследование коррозни металлов. Секерка, Ворличек (Korrosionsstudium. І. Ein Beitrag zur polarographischen Verfolgung der Metallkorrosion. Sekerka I., Vorliček J.), Сб. чехосл. хим. работ. 1954, 19, № 6, 1335—1338 (нем.) См. РЖХим, 1956, 50381.

11370. Исследование пористости поверхности алюминия осциллографическим методом Maxy, Канри и Гуссейна. Геллинге (The porosity of the aluminum surface investigated by the repetitive oscillographic method by W. Machu, E. M. Khairy, M. K. Hussein. Gellings P. J.), Corrosion, 1956, 12, № 6, 61—62 (англ.)

Критические замечания Геллингса по поводу работы Маху и др. (РЖХим, 1957, 3951) и ответные замечания этих авторов. В. Штери

No

Ba

зуе

113

Ко

141 120

338

120

эле

KO

де

KĮ

ME

aT.

11371. Водородный гальванический элемент. В а с илеску-Карпен (Pila electrica cu hidrogen. Vasilecu-Karpen N.), Comun. Acad. RPR, 1956, 6, № 1, 29—33 (рум.; рез. русс., франц.)

Описан концентрационный водородный элемент, в котором отрицательным электродом является платинированная Pt, а положительным — Au. Электролитом служит 0,36%-ный р-р H₂SO₄, содержащий водород (0,001 *атм*). Э. д. с. элемента 0,16 *в*. При нагрузке элемент быстро поляризуется, причем э. д. с. н-сила тока становятся незначительными. После размыкания цепи э. д. с. постепенно возвращается к первоначальному значению А. Хопин

11372. Неорганические соединения азота с точки зрения общей и аналитической полярографии. М аmer (Anorganické sloučeniny dusíku shlediska obecne a analytické polarografie. Mašek Jiří), Chem. zvesti, 1956, 10, № 5, 330—339 (чеш.)

Обзор, посвященный полярографич. поведению NO-3, NO-2, HNO2, окислов азота, неорганич. соединений азота, содержащих комплексно связанные группы NO или NO2, NH2OH и N2H4. Библ. 65 назв. С. Жданов

Полярографические коэффициенты диффузии кислорода, определенные из градиентов активности в вызыки средах. Джордан, Аккерман, Берджер (Polarographic diffusion coefficients of oxygen defined by activity gradients in viscous media. Jordan Joseph, Ackerman Eugene, Berger Robert L.), J. Amer. Chem. Soc., 1956, 78, № 13, 2979—2983 (англ.) По ур-нию $i_d=607~nm^2!,\,t^1!,\,CD^1!,\,(1+Km^{-1}!,\,t^1!,\,\times)$

imes $D^{3/2}$) из величин i_d вычислены коэфф. диффузии (D) O_2 в водн. p-рах сахарозы (I) и в водно-глицериновых смесях (ВГС). Кривая зависимости D от $1/\eta$, ВГС $(\eta$ — вязкость) имеет отчетливый максимум при содержании глицерина 12%. Кривая $(D, 1/\eta)$ для I имеет неглубокие минимум и максимум при содержании са-харозы соответственно 15 и 30%. Приняв за движущую силу диффузии градиент активности, а не конц-ии, авторы дают новое определение коэфф. (D_a) , пригодное для сравнения величин i_d в средах с различной η , и приводят соответствующее ур-ние $i_d = 607 \, nm^{3|_2} \, t^{1|_4} \, aD_a^{1|_2} \times$ $\times (1 + Km^{-1})_a t^{1/a} f D_a^{1/2})$, где a-активность и f-коэфф. активности деполяризатора, причем $D=f^2\,D_a$. Вычисленные с помощью этого уравнения D_a О2 удовлетворяют уравнению Стокса — Эйнштейна при 1,5 — 125 спуаз для I и при 1,2—106 спуаз для ВГС. С. Жланов

О смещении подъема тока тетраалкиламмониевого фона, вызываемом предписствующим разрядом деполяризатора. Мёйрер, Ханс (Zur Verschie-bung des Endanstieges von Tetraalkylammonium-Leitsalzlösungen durch eine vorhergehende Depolarisatorabscheidung. Meurer E., Hans W.), Leybold. polarogr. Ber., 1956, 4, N 1-2, 79—80 (heb.)

Подъемы токов фона в р-рах 0,05 н.(CH₉)₄NB без добавок и с добавками HCl совпадают. В присутствии HCl несколько смещается только начало подъема. Повидимому, новы ОН⁻, возникающие по р-циям NR₄⁺ + $+e \rightarrow NR_4$, $NR_4 + H_2O \rightarrow NR_4^+ + \frac{1}{2}H_2 + OH^-$, нейтрализуются ионами H^+ ; поэтому ток остается равным i_d ионов H^+ , пока ток фона не превысит i_d . Аналогичное действие оказывают добавки Zn2+; в этом случае ноны ОН связываются при образовании гидроокиси.

11375. Форма полярографической кривой при постоянной активности деполяризатора или продукта реакции. Хаук, Штаккельберг (Die Gestalt der polarographischen Kurven bei festliegender Aktivität des Ausgangsstoffes oder Endproduktes. Hauck G., Stackelberg M. von), Leybold polarogr. Ber., 1956, 4, № 1-2, 81—83 (нем.)

Если деполяризатор (Д) или продукт р-ции (ПР)— твердое в-во, то на поляризационной кривой имеется резкий излом. Излом приходится на нулевую линию гальванометра (НЛГ), если твердое в-во — ПР, и на предельный ток (i_d) , если твердое в-во — Д. Наклоп волны в изломе к НЛГ или к площадке i_d определяется ур-нием $di/dE = -(nF/RT)i_d$. Для случая, когда твердое в-во — ПР, ур-ние волны имеет вид $E=E_0\pm (RT/nF)\ln [1-(i/i_d)]\pm (RT/nF)\ln C$ (для анодного процесса знак -). В p-ре S в метаноле (ацетатный буферный p-p) Hg покрывается слоем HgS, восстановление которого протекает по ур-нию ${\rm HgS}+2e++2{\rm H}^+={\rm Hg}+{\rm H}_2{\rm S}.$ Ур-ние обратимой волны имеет вид $E=E_0-(RT/nF)\ln(i/i_d)-(RT/nF)\ln C_{\rm S}$ (где $C_{\rm S}$ конц-ия S). Это ур-ние хорошо согласуется с опытными данными. Если в р-ре имеются как Н2S, так и S, получаются анодно-катодные волны с изломом, приходящимся на катодный i_d . Увеличение $C_{\rm S}$ не влияет на анодную часть кривой, тогда как увеличение $C_{\rm H_s S}$ влияет на катодную часть согласно ур-нию $E=E_0$ -— $(RT/2F) \ln [C_{\rm H_2S} + (i/i_d) C_{\rm S}]$, где i и i_d — катодные

11376. О влиянии специфической адсорбции на потенциал полуволны при восстановлении комплексных соединений. Максимюк Е. А., Гинзбург Г. С., Ж. общ. химни, 1956, 26, № 6, 1572—1579

Более подробное изложение опубликованной ранее работы (РЖХим, 1956, 35517).

О природе полярографических максимумов при анодном растворении ртути в щелочной среде. Г е йровский, Трифонов (Über die Natur der polarographischen anodischen Maxima in alkalischer Lösung. Heyrovsky J., Trifonow A.), Докл. Болгар. АН, 1956, 9, № 1,7—9 (нем., рез. русс.) См. РЖХим, 1956, 15728.

Полярография некоторых пуриновых производных. Лути, Лам (Polarography of some purine derivatives. Luthy Nydia G., Lamb Bertha), J. Pharmacy and Pharmacol., 1956, 8, № 6, 410—416 (англ.)

В води. р-ре 0,1 М НСЮ аденин(I) дает одну полярографич. волну, а ацетиладенин (II) — две. Высоты волн II невоспроизводимы; это вызывается гидролизом ацетогруппы, поскольку при стоянии p-pa II УФ-спектр поглощения изменяется и становится тождественным УФ-спектру p-pa I. Одновременно исчезает первая волна II; следовательно, первая волна II связана с молекуле II. Воспроизводимые данные получены ва фоне 10^{-9} M HClO₄ в 50%-ном этаноле. В 10^{-9} M HClO₄ в 50%-ном этаноле. В 10^{-9} M HClO₄ $E_{1/2} = -1{,}03$ и $-1{,}26$ e (насыщ. к. э.), а в $0{,}1$ M HClO₄ $E_{1|_{\bullet}} = -0.85$ и -1.0 в. i_d Первой волны II в 10^{-3} М HClO4 пропорционален конц-ии II. Свежеприготовленный р-р нуклеиновой к-ты (III) в 0,2 М КСl дает диффузионную волну с $E_{1|_2}=-1,28$ в, i_d которой пропорционален конц-ии III. Эта волна отвечает адениновой части молекулы III. Полярографич. активность I и его производных приписывается аминогруппе в положении 6. С. Жданов 11379. Влияние понизированной газовой среды на

твердые поверхности. П. Влияние тлеющего разряда в кислороде на цинковые катоды. Гермей, Шмелленмейер (Die Beeinflussung von festen Oberflächen durch eine ionisierte Gasatmosphäre. II. BeeinGesnder ktes. Ley-.) P) ется нию

7 г.

т на клон едечая. E =(для

(аце-BOC-2e + вид Csыми

, по--пдол т на $C_{\mathbf{H_9S}}$ E_0 дные

анов отенсных . C., анее

терн при polascher A.),

ycc.) роизe pumb 6, 8,

огралн II цето**тектр** нным ервая ана с ти в

ны на ICIO, ICIO,) 3 M влендиф

опорновой и его пожеданов

зряда мелerflä-Beein-

ы на

flussung von Zinkkathoden in einer Sauerstoffglimmentladung. Germey K., SchmellenmeierH.), Exptl. Techn. Phys., 1955, 3, № 3, 109—116 (нем.) При длительном воздействии тлеющего разряда в атмосфере кислорода на цинковый катод на нем образуется оксидный слой, толщина которого увеличивается є ростом катодного падения потенциала и составляет 0,6-0,7 µ при 600-700 є. Сообщение І см. РЖМет, 1956, 12526. П. Фрейберг

Измерения экранированным зондом в отрипательном свечении гелия. Прингл, Фарвис (Screened probe measurements in the helium negative glow. Pringle D. H., Farvis W. E. J.), Proc. Phys. Soc., 1955, B68, № 11, 836—848 (англ.) См. РЖФиз, 1956, 29195.

См. также: Электроосаждение металлов 12474, 12482. Коррозия 14087, 14089, 14090-14092, 14102, 14119, Коррозия 14087, 14089, 14090—14092, 14102, 14119, 14128, 14129. Полярография 11448, 12003, 12064, 12086, 12088, 12114, 12122, 12146, 12168, 12203; 3376Бх. З389Бх. Хим. источники тока 11301, 12468. Электропроводность 10871, 11193, 11201, 11324, 11327, 11328, 11422, 11432, 12287. Методика электрохим. измерений 12004, 12007, 12276, 12277, 12279—12281. Газовая электрохимия 11222, 12010, 12716. Др. вопр. 10925, 11008, 11078, 11170, 11322,11476, 11911, 11969, 12041, 12121, 12473, 12485 12121, 12473, 12485

поверхностные явления. Адсорьция. хроматография. ионный обмен

Редактор Н. А. Фукс

Температурные изменения поверхностного натяжения и свободный объем. Митра, Чакраварти (Temperature variation of surface tension as a free volume problem. Mitra Shashan-ka Shekhar, Chakravarty Dhirendra Nath), Naturwissenschaften, 1956, 43, № 12, 273

В неопубликованной работе Митры были выведены ур-ния, связывающие поверхностное натяжение S жидкости с ее свободным объемом V_f и т-рой $T\colon S=$ $= C/V_f^{n|3}$ (1) $\pi \lg S = a + b/T - c \lg T$ (2) (C, n, a, b) и c — константы). Из мих и ур-ния Эйринга $V_f =$ $=(cRT/\Delta E)^3 V(3)$ (V — модярный объем, ΔE — энергия испарения, с — постоянный фактор упаковки) выведено ур-ние $S=C\left[(T\left(\mathrm{Kp.}\right)-T\right]^{n}\left(4\right)$, где $T\left(\mathrm{Kp.}\right)-$ крит. т-ра, C н n — константы. Проверка справедливости ур-ния (4) показывает, что зависимость между S и T, представленная в координатах ($\lg S$, $\lg \lfloor (T (кр.) -$ Т) / Т]), выражается, как и следовало ожидать, прямыми как для неассоциированных (бензол и сероуглерод), так и для ассоциированных жидкостей (вода, этиловый спирт). Полученные по этим графикам значения S для бензола при разных т-рах находятся в очень хорошем согласии с литературными данными.

Прямые измерения молекулярного притяжения твердых тел. І. Постановка вопроса и методика измерения сил с применением негативной обратной вазарення связи. Дерягин Б. В., Абрикосова И. И. И. Метод измерения зазора. Результаты опытов. Абрикосова И. И., Дерягин Б. В., Ж. эксперим. и теор. физики, 1956, 30, № 6, 993—1006, 31, No 1, 3-13

Более подробное изложение цели, методики и результатов ранее опубликованной (РЖХим, 1955, 25926; 1956, 6521) работы авторов. Н. Фукс

Температурная зависимость поверхностной энергии и когезия. Шрекке и бах (Temperaturabhängigkeit der Oberflächenenergie und Kohäsion. Schreckenbach M.), Technik, 1956, 11, № 7, 525-536 (нем.)

1384. О законе адгезионного износа. Бхатта-чария (On the law of adhesive wear. В hatta-charyya H. P.), J. Appl. Phys., 1956, 27, № 6, 11384. 661—662 (англ.)

Рассмотрено выражение для фрикционного износа стальных поверхностей, подтвержденное экспериментально для области малых напряжений Бервелем и Стрэнгом (Burwell J. T., Strang C. D., J. Appl. Phys., 1952, 23, 18), V = KAL (1), где V — объем изношенного материала, L — путь трения, A — истинная площадь материала, L — путь трения, A — истиная площадь контакта. Так как в области больших напряжений (P)ур-ние (1) неприменимо, автор предлагает ур-ние, пригодное при всех значениях $P\colon V=B$ (1 $+\exp CP)AL$ (2) (B и C — константы). Таким образом, при малых P износ не зависит от P, а при высоких P возрастает по экспоненциальному закону, что указывает на увеличение истинной величины А вследствие пластич. дефор-

гласии с вышеупомянутыми эксперим. данными. А. Таубман 1385. О пригодности поверхности жидкости в качестве нормы плоскостности. Б ю и и а г е л ь (Untersuchungen über die Eignung eines Flüssigkeitsspiegels als Ebenheitsnormal. BünnagelR.), Z. angew. Phys., 1956, 8, № 7, 342—350 (нем.)

маций. В соответствии с теорией пластич. течения при

этом истинное значение $A=A_0\exp CP$, где $A_0=$ пло-щадь при $P\to 0$. Ур-ние (2) находится в хорошем со-

Теоретически и экспериментально исследована возможность применения поверхности жидкости в качестве нормы плоскостности. Из ур-ний капиллярности выведено выражение для кривизны К поверхности жидкости, находящейся в смачиваемом ею цилиндрич. сосуде, на разных расстояниях h от стенки. Показано, что при h 3-4 см поверхность жидкости практически плоска. В опытах применено двойное зеркало, состоящее из слоя ртути, налитой в плоский сосуд, и находящегося на нем слоя масла (парафиновое или касторовое) толщиной 1—1,5 мм. Отклонения от плоскостности качественно оценивались интерферометрич. путем в монохроматич. свете. Термостатирование прибора позволяло поддерживать разность т-р между краями зеркала (по дваметру) $\Delta < 0.01^\circ$. Установлено, что искривление плоской поверхности вызывается наличием градиента т-р и статич. зарядами в масле, возникающими при наливании его в сосуд (особенно при большой его вязкости), образовании капель и т. п. и сохранявшимися иногда в течение десятков часов. Чтобы устранить влияние зарядов необходимо применять масла с уд. электропроводностью ≥10⁻¹¹ ом⁻¹см⁻¹. При диаметре зеркала 11 см влияние разности т-р не сказывалось при ∆<0,01°. А. Таубман

Реология поверхностных пленок. V. Механические свойства и структура 6-найлона на поверх-ности раздела вода — воздух. И но к у т и (Rheo-logy of surface films. V. Mechanical behaviours and structures of 6-nylon at air water interface. I n o k u-c h i K i y o s h i), Bull. Chem. Soc. Japan, 1956, 29, № 4, 490—497 (англ.)

В дополнение к ранее проведенному исследованию механич. свойств монослоев 6-найлона на поверхности воды (часть IV, РЖХим, 1956, 32142) проведено электронномикроскопич. изучение структуры этих слоев при разной степени сжатия, а также сияты кривые зависимости поверхностного давления π и потенциала V от площади A на мономерный остаток. Показано, что при $A\sim 37 {\rm A}^2$ на кривых возникают перегибы, указывающие на изменение структуры слоя. При этом форма

Ti

CC

кривой (п, А) у образцов 6-найлона разного мол. веса от 2800 до 17300 практически не изменяется. При попеременном сжатии и расширении слоя обнаруживается гистерезис в установлении равновесных значений т., что вызывается связностью пленки. Кроме того, при сжатии слоя поверхностное давление приобретает анизотропный характер. Электронномикроскопич. наблюдение показывает, что при А 80 А2 одновременно с возникновением упругости в слое в нем образуется мицеллярная сетка, которая при А 37 А2 превращается в плотноупакованную структуру из плоско ориентированных молекул. Дальнейшее сжатие приводит к разрушению слоя и образованию трехмерных микрофибрилл, покрывающих при $A\sim 20\,{\rm A}^2$ всю площадь; при A 18 ${\rm A}^2$ слой состоит из островков толщиной $\sim 40\,{\rm A}$. В этой области ниже $A\sim 37~{\rm A}^2$ слой характеризуется вязко-упругими свойствами. Рассчитанные по кривой $(\pi,~A)$ значения поверхностного модуля сдвига показывают, что ж в этой области определяется не осмотич. свойствами молекул слоя, а свойствами структурной сетки. **А.** Таубман

11387. К вопросу о процессе самоадсорбции. 1. Поверхностное натяжение растворов солей. То в б и и М. В., В о е в у д с к а я З. Л., Укр. хим. ж., 1956, 22, № 2, 173—179

Высказано предположение о существовании явления самоадсорбции, заключающегося в скоплении молекул индивидуального в-ва или р-рителя на поверхности раздела жидкой фазы с воздухом. На основании этого предположения и термодинамич. соображений установлена связь между поверхностным натяжением (б) и упругостью паров (р) р-ров нелетучих поверхностноактивных в-в. В частности, в результате растворения в воде электролитов самоадсорбция водяных паров на поверхности р-ра приводит к уменьшению р над р-ром и к повышению с p-ра по сравнению с p и с чистой воды. При т-ре 25, 35 и 45° измерено с води. p-ров NaCl, KCl, MgCl₂, BaCl₂, KJ, Na₂SO₄ и показано, что для чистой воды и для всех р-ров указанных солей, независимо от природы растворенных поверхностнонеактивных в-в, о однозначно зависит от р. Эта зависимость линейна и по ней рассчитана величина самоадсорбции воды, равная (в 10⁻¹⁰ моль/см²): 14,58 при 25°, 16,32 при 35°, 19,26 при 45°. При растворении поверхностноактивных в-в эффект самоадсорбции подавляется адсорбцией растворенного в-ва, приводящей к уменьшению с. А. Кошевник

11388. Адсорбция углекислого газа при —79° на высококремнеземистых песках. Сегров (Adsorption of carbon dioxide at —79°С. on high-silica sands. Segrove H.D.), Nature, 1956, 177, № 4517, 987—988 (англ.)

По измеренным при т-ре испарения СО2 при атмосферном давлении S-образным изотермам адсорбции СО2 на 4 высококремнеземистых песках (ВП) методом БЭТ вычислены уд. поверхности s ВП. Обработка ВП конц. НСІ, как правило, уменьшает s. Отношение s: s' (s' — внешняя поверхность зерен, вычисленная по воздухопроницаемости образцов) в случае ВП изменяется при такой обработке от ~5 до ~80 и превышает s: s' для кварца или размолотых ВП и стекла. Это подтверждает сделанный ранее (РЖХим, 1956, 57682) вывод о наличии на поверхности зерен ВП слоя пористого кремнезема, частично удаляемого при обработке конц. НСІ. 3. Высоцкий

11389. Диэлектрическое поглощение газов, адсорбированных на силикагеле и окиси титана в интервале километровых воли. У олдман (Étude de l'absorption, en ondes kilométriques, des gaz adsorbés sur gel de silice ou oxyde de titane. Waldman M. H.), J. phys. et radium, 1956, 17, № 5, 426—429 (франц.)

В интервалах 0,1-1000 кең и 100-293° К измерено дебаевское поглощение (є) С₂H₅Cl, NH₃, H₂O и н-С₄H₁₀, адсорбированных на тонкопористом (~ 800 м²/г) силикагеле (I) и непористой двуокиси титана (II). Чистый I проявляет слабое поглощение (возможно, благодаря следам воды) с энергией активации $U \approx 0.34$ эв (РЖХим, 1955, 28625). В случае адсорбции С₂Н₅СІ на I с ростом степени заполнения (0) U достигает максимума ~ 0.51 ж и затем снижается до уровня 0,39 $_{\theta\theta}$, сохраняющегося и при $\theta>1$. Кривые (ε (макс.), θ) и (T_c , θ) (T_c — τ -pa, соответствующая максимуму ε) имеют резкий излом при $\theta=1$, что подтверждает прежние результаты для H₂O, полученные в интервале километровых и сантиметровых воли (Rolland M. T., Bernard R., C. r. Acad. sci., 1951, 232, 1098; РЖХим, 1956, 6532). Неполирный и-С₄Н₁₀ в отличие от С₂Н₂Сl, NH₃ и Н₂О не проявляет дебаевского поглощения. В противоположность пористому I на непористой II не наблюдается изменения г при адсорбции С₂H₅Cl и H₂O. 3. Высоцкий

1390. Углерод-кислородные и углерод-водородные поверхностные комплексы. Смит, Даффилд, Пьеротти, Муи (Carbon-oxygen and carbon-hydrogen surface complexes. Smith R. Nelson, Duffield Jack, Pierotti Robert A., Мооі John), J. Phys. Chem., 1956, 60, № 4, 495—497 (англ.)

С помощью разработанного авторами микроаналитич. метода определения кол-ва поверхностных углерод-кислородных комплексов (УКК) изучено восстановление графона (I) (уд. поверхность S 80 м²/г; зольность 0,02%) и активных углей из сахарозы (II) (1000 м²/г; <0,005%) и из скорлупы кокосовых орехов (III) (1050 м²/г; 0,2%) водородом при 1000°. При этом УКК полностью удаляются, не замещаясь углерод-водородными комплексами (УВК); после обработки Н₂ I—III быстро поглощают О₂ из воздуха, причем I — исходное кол-во О₂, а II и III лишь доли его. Откачка при 110° удаляет главную часть О₂ с поверхности I, но не разрушает УКК II и III. Обработка Н₂ всегда уменьшает кол-во УВК, что авторы объясияют действием высокой т-ры (1000°), а не присутствием Н₂. Н₂ распределен по всей массе I-III, причем в I конц-ия Н₂ внутри зерев выше, чем в поверхностном слое. Измерено кол-во УКК после обработки I-III воздухом, №20, NO и Н₂О. З. Высоцкий

11391. Рост слоев льда на поверхностях анатаза н йодида серебра. Караш, Чампион, Халси (The growth of ice layers on the surfaces of anatase and silver iodide. Кагаs z F. E., Champion W. M., Halsey G. D., Jr), J. Phys. Chem., 1956, 60, № 3, 376—378 (англ.)

На применявшихся ранее (РЖХим, 1955, 23389; 1956, 46578) для исследования адсорбции (А) Хе образдах анатаза (I) и йодида серебра (II) измерены изотермы А: 1) Аг (—196°) на чистом I и образдах I, на которых предварительно адсорбировано 1, 2, 3, 4, 8 и 12 монослоев Н₂О; 2) №2(—196°) на I и на I с 1, 2, 4 и 8 слоям Н₂О и 3) Аг (80°К) на II и на I с адсорбированой Н₂О. Пары Н₂О, получавшиеся разложением отмеренного кол-ва ВаСl₂·2H₂О, осторожно наслаивались на I при медленном охлаждении адсорбировного сосуда от 20 до —70° в течение >12 час. и на II при охлаждении от —40 до —75° за 48 час. Показано, что изотермы Аг и №2 на I различимы до 3 слоев Н₂О, а далее — сливаются. Изотермы Аг на чистом II и после А Н₂О на нем совпадают, причем установлено, что при —45, 2° А Н₂О на II столь мала, что ее нельзя было измерить. Сделан вывод, что на II не происходит наслаивания льда при равновесных условиях из-за энергетич. несоответствия поверхностей II и решетки льда. З. Высоцкий 11392. Исследование методов определения адсорбционной способности активного угля. III. Определение

Г.

рено

4H₁₀,

или-

ый I даря

Хим,

CTOM

51 26

гося

т-ра,

злом

ДЛЯ

НТИ-

lcad.

ОНЫЙ

тэвця

юри-

B RM

ПКИЙ

дные

пд,

rbon-

son,

Nº 4,

нали-

угле-

анов-

ность M2/e;

(III)

УКК

ород-

I—III

одное

1 110°

азру-

ьшает

сокой

ен по

зерен

ол-во

H20.

опкий

атаза

лен

se and

V. M.,

, № 3,

23389; образ-

термы торых

MOHO-

MEROL

H20.

нного I при

ца от

дении мы Аг

TRA IOT-

M COB-

A H₂O

ерить. я льда

ответ

оцкий опнонэление

обесцвечивающей способности с номощью сесквисульфата титана. Акадзава, Иноуэ, Яги, Миядзима (活性炭の吸着力試驗法.第 3 報.硫酸 第一チタンによる配色力試験法。赤澤彌三郎,井上正徹, 八木千鶴子,宮嶋県),薬學雑誌, Якугаку дзасси, J. Pharmac. Soc. Japan, 1956, 76,N 1, 33—36 (япон.; рез. англ.)

Разработан простой, применимый в пром-сти метод определения обесцвечивающей способности (ОС) активного угля, основанный на определении конц-ии неадсорбированного остатка метиленового голубого в р-ре с помощью Ti₂ (SO₄)₃ при 60° во избежание окисления Ti³⁺; набыток Ti₂(SO₄)₃ обратно титруется р-ром железо-аммиячных квасцов. Метод дает результаты, хорошо согласующиеся с непосредственным определением ОС колориметром Дюбоска. Р-ры Ті3+ готовились из губчатого Ті высокой степени чистоты растворением в разб. того 11 высодения НС1 в токе CO₂. Часть II см. J. Pharmac.-Sec Japan, 1949. 69, 330. Soc. Japan, 1949, 69, 330. Теплоты смачивания силикагелей различной

степени гидратации некоторыми органическими жид-костими. Александрова Г. И., Кисе-аев В. Ф., Красильников К. Г., Мури-на В. В., Сысоев Е. А., Докл. АН СССР, 1956, 108, № 2, 283—286

Определены теплоты смачивания единицы поверхности дегидратированных при 300—900° силикагелей (СГ) различной пористой структуры абс. метанолом (Q₁), и-пропанолом (Q_2) и неполярным и-гептаном (Q_3) . Q_1 не зависит от характера пористости СГ; Q_2 и Q_3 для крупнопористых СГ выше, чем для мелкопористого, что объясняется влиянием пор, возрастающим при переходе к более крупным молекулам С3H7OH и С7H14. Q₁ и Q₂ линейно возрастают со степенью гидратации $(\theta_{H_{*}O})$ поверхности СГ, что подтверждает (см. ссылку) предположение о неоднородности поверхности СГ. Q3 почти не зависит от $\theta_{\rm H_2O}$. Сделан вывод, что большинство прежних данных по теплотам смачивания СГ не сопоставимы между собой, так как не учитывалась зависимость Q от $\theta_{\mathrm{H_2O}}$ и характера пористости СГ (см. РЖХим, 1956, 77773). 3. Высоцкий

Равновесие и кинетика адсорбции детергентов. Обобщенная теория равновесия. Фава, Айтов. Обобщенная теория развильских.
ринг (Equilibrium and kinetics of detergent adsor-ption—a generalized equilibration theory. Fava Antonino. Evring Henry), J. Phys. Antonino, Eyring Henry), Chem., 1956, 60, № 7, 890—898 (англ.)

Радиохимически исследована адсорбция (A) додецил-бензолсульфоната Na (I), меченного S³⁵, на хлопчатобумажной ткани (Т) и на поверхностях Ni и Рb. Величина адсорбции определялась с точностью до $10^{-8}\ z_*$. Показано, что изотермы A на T имеют резко выраженный максимум, причем с уменьшением рН А сильно возрастает, а в щел. области заметно снижается по сравнению с нейтр. средой. Положение максимума соответствует примерно области крит. конц-ии мицелло-образования C (кр.) I, равной 2,5—3,0·10⁻³ M. Теплота адсорбции I ~ 0.8 ксал. Аналогичный вид имеют изотермы на Ni и Pb. Установлено, что кинетика A и десорбции I на T может быть представлена одним и тем же приведенным ур-нием — $d\phi/d\tau = 2k\phi \sin h (b\phi)$ (1), в котором $\phi = (a_{\tau} - a_{j})/(a_{0} - a_{j})$ $(a_{0}, a_{\tau}$ и a_{j} — величины адсорбции в моменты 0, τ и ∞ , k — константа скорости процесса, значения которой различны для адсорбции и десорбции, b — константа, одинаковая для обоих процессов). Предполагая, что мицеллы I нанменьшего размера, образующиеся при конц-иях, близких к С (кр.), адсорбируются сильнее, чем более крупные агрегаты, авторы объясняют причину возникновения максимума на изотермах А и на основе общей теории скорости р-ций дают обоснование ур-нию (1).

Из сопоставления полученных результатов с закономерностями моющего действия делается вывол, что процесс отмывания загрязнений может быть описан ур-нием, аналогичным (1): $-dS/d\tau=2Sk_S\sin h~(b_SS+$ $+b_D D$), где S и D — адсорбированные кол-ва загрязнения и детергента. А. Таубман

Адсорбция сахаров монтмориллонитом. I. Рентгенографическое изучение. II. Химическое изучение. Гринленд (The adsorption of sugars by montmorillonite. I. X-ray studies. II. Chemical studies. Greenland D. J.), J. Soil Sci., 1956, 7, № 2, 319—328; 329—334 (англ.)

 Изучено изменение рентгенограммы монтморилло-нита (I) при адсорбции (A) ряда сахаров. При испарении р-ров сахаров, начиная с конц-ии 1% и выше, образуются агрегаты, порошкограммы которых дают большее значение для межплоскостного расстояния d (001), чем у чистого I. При A сахаров могут образоваться комплексы с одним или двумя характерными значениями прироста межплоскостного расстояния Δ. Для комплексов, образованных с одним рядом молекул в каждой межплоскостной области I, величина **\Delta** весьма близка к толщине молекулы сахара, рассчитанной автором по моделям молекул. Для α - и β -форм получаются два значения Δ . Напр., для α -глюкопиранозы и β -глюкопиранозы найдены Δ соответственно 5,3-5,4и 4,8 А, а соответствующие толщины молекул 5,3 и 4,7 А. Для β-глюксзы, 2,4,6-триметилглюкозы и целло-биозы значения Δ близки: 4,7; 5,1; 4,9 А, что доказывает плоскую конфигурацию адсорбированных молекул между кислородными атомами алюмосиликатных слоев. Второе значение Δ, соответствующее А двух слоев молекул сахара, для рамнозы и 4,6-диметилглюкозы вдвое выше, чем первое. Для остальных сахаров при А второго слоя Δ растет меньше чем в два раза; очевидно, благодаря образованию водородных связей происходит частичное взаимопроникновение молекул сахара. А сахаров на I растет с увеличением конц-ии исходного р-ра до 4%-ной. Катион I влияет на энергию A; A для одного и того же сахара и разных форм I растет в ряду K < Ca < Mg < H < Na. Большая A на Na — I, по-видимому, связана с более полным диспергированием его в води. суспензиях. Метилированные глюкозы адсорбируются значительно сильнее, чем незамещенные сахара, а карбоксил- или аминозамещенные - слабее; А дисахаридов сильнее, чем моносахаридов.

II. Изучение А сахаров на I хим. методом, по уменьшению конц-ии р-ра сахара после взбалтывания с суспензией I, подтверждает результаты рентгенографич. исследования. Значительное усиление А при метилировании может быть объяснено образованием водородных связей между отрицательно заряженными атомами О на межламелларных поверхностях I и электроположи-тельными этомами С метоксильных групп, а также склонностью метилированных сахаров к полимеризации. Амино- и карбоксильные группы несколько уменьшают А. Для аминосахаров и к-т А максимальна при рН 4—5; по-видимому, катионные формы аминосахаров адсорбируются на отрицательно заряженных местах частиц I, а анионы сахарных к-т—на положительных зарядах, имеющихся на ребрах решетки I в кислом p-ре. А к-т растет при рН > 7, по-видимому, благодаря осаждению нерастворимых солей. Полисахарид, выделенный из почвы, сильно адсорбируется на 1 - до 13,9 е на 100 г I из 1%-ного р-ра; А глюкозы и метилированной глюкозы в этих же условиях — 2,1 и 4,2 г на И. Слоним

11396. Электролитическое взаимодействие найлона с водными растворами соляной кислоты. У о л л , Б е р е с н е в и ч (Electrolytic interaction of nylon with aqueous solutions of hydrochloric acid. W a 11 F.T.,

п

Д

H

H

K

91

A

Ж

K-

B(

H

п H

n

H

П

Д

H

K

Д

Beresniewicz A.), J. Phys. Chem., 1956, 60,

№ 5, 692-698 (англ.)

В интервале 1 < рН < 8 теоретически и экспериментально исследованы 3 стадии абсорбции (А) НСІ найлоновым волокном (НВ) из води. р-ра при нескольких т-рах: 1) первичная А НСІ на концевых NH₂-группах НВ (когда их больше, чем концевых групп СООН); 2) присоединение НС1 к биполярным ионам НВ и 3) связывание HCl амидными группами НВ из конц. p-ров HCl. Эксперим. результаты удовлетворительно согласуются с теорией (РЖХим, 1954, 19695). По температурной зависимости А вычислены теплоты А всех стадий, равные соответственно 13,5; 6,4 и ~ 2-3 ккал/моль. Дано сравнение A HCl на НВ и на шерсти; в последнем случае A в интервале 25-50° практически не зависит от т-ры, а концевые группы СООН кератина шерсти обладают более сильными кислотными свойствами. 3. Высоцкий

Успехи хроматографии. Хроматография радиоэлементов на бумаге. Краткое резюме доклада. Ледерер (Progrès récents de la chromatographie. Chromatographie sur papier des radioéléments. Bref résumé de l'exposé. Le derer Michael), Probl. et techn., 1956, № 29, 35—37, 39, 41, 43—45

(франц.) Краткий очерк техники хроматографии неорганич. в-в на бумаге, с применением водно-органич. смешанных р-рителей с различной полярностью (этанол с 20% 2 н. уксусной к-ты, бутанол, насыщ. 1 н. НСІ, коллидин, насыщ. 0,4 н. НКО3 и т. п.). Формулируется ряд практич. выводов о связях, существующих между значениями R, и природой р-рителей, объясняемых наличием или отсутствием комплексообразования или влиянием ионного обмена и молекулярной адсорбции на бумаге: Отмечается различие значений R_t для макро- и микроколичеств хроматографируемых в-в, наблюдаемое главным образом при разделении смесей природных радиоактивных элементов и некоторых искусств. радиоэлементов один от другого (Na³², Rh¹⁰⁶, Pd¹⁰³, Zn⁶⁵, U²³³, Pa²³⁸, Fe⁵⁵) и при выделении радиоэлементов (Со⁶⁰) из смеси с сопутствующими элементами и носителями.

В. Л. Анохин

11398. О новедении комплексных нонов при хроматографировании на бумаге. III. «Удерживающая» хроматография е комплексообразователем в подвижной фазе. Эрдем, Прейс. IV. Хроматограммы, образованные труднорастворимыми солями. Эрдем, 3 ейлер (Über das Verhalten von komplexen Ionen bei der Papierchromatographie. III. Retentionschromatographie mit Komplexbildner in der mobilen Phase. Erdem B., Prijs B. IV. Retentionschromatogram-me durch Bildung schwerlöslicher Salze. Erdem B., Seiler H.), Helv. chim. acta, 1956, 39, № 5, 1218—1220; 1232—1233 (нем.; рез. англ.)

III. Описаны опыты хроматографирования на бумаге катионов $C\dot{u}^{2+}$, Co^{2+} , $N\dot{i}^{2+}$, Pb^{2+} и UO_2^{2+} с использованием в качестве р-рителя смеси тетрагидрофурана с водой (отношение 90:10), диоксана с водой (70:30), тетрагидрофурана с изопропиловым спиртом и водой (10: 70: 20) или, в случае Ni²⁺ и Co²⁺, смеси спирта с 5 и. HCl (90: 10) с добавкой к каждому р-рителю по 0,1% лейцина, служащего комплексообразователем. Если на лист бумаги нанести пятна солей перечисленных катионов и производить хроматографирование указанными р-рителями в восходящем потоке, то после высушивания и опрыскивания нингидрином появляется широкая полоса, окрашенная в фиолетовый цвет за счет лейцина. Внешняя граница полосы изрезана углублениями на местах, отвечающих движению пятен катионов, сосредоточенных в глубине впадии, в чем можно убедиться, окрасив их рубеано-водородной к-той.

IV. Для дальнейшего исследования метода «удерживающей хроматографии» Виланда (Wieland Th., Feld U., Angew. Chemie, 1951, 63, 258) сравнено действие комплексообразующих реагентов и реагентов, образующих нерастворимые осадки. На бумагу наносились пятна стеариновой, лауриновой, капроновой, бензойной к-т (осаждающие реагенты) и для сравнения, пятна нескольких оксикислот (комплексообразователи). Р-рителем служила смесь диоксана с водой (70:30) с добавкой 0,1% ацетата Cu²⁺, подкисленного уксусной к-той. После 75-минутного проявления хроматограммы производилось опрыскивание рубеановодородной к-той, В этом случае глубокие впадины появились на местах. отвечающих пятнам стеариновой к-ты и СН 3(СН 2)15-СНОН · СООН, на остальных местах столь же явно выраженных впадин не обнаружено. Такэя же картина наблюдается при замене Cu²⁺ на Pb²⁺ и окрашивании серинстым аммонием. Замена р-рителя на смесь спирта с 0,01 н. уксусной к-той (80:20) или на смесь 0,01 н. уксусной к-ты или тетрагидрофурана, слегка подкисленного уксусной к-той, с водой (90:10) вызывает появление впадин на местах других к-т. Авторы делают вывод, что «удержание» р-рителя (т. е. образование впадин) в большей мере зависит от образования нерастворимых в данном р-рителе осадков, нежели от наличия комплексообразования. Сообщение II см. РЖХим, 1955, 49108.

Кратные пятна при радиальной хроматографии неорганических веществ на бумаге. Васудева-M уртхи, Нараян (Multiple spot phenomenon in inorganic circular paper chromatography. Vasudeva Murthy A. R., Narayan V. A.), Current Sci.,

1956, 25, № 5, 145—146 (англ.)

Приблизительно в 10% опытов по радиальной хроматографии неорганич. в-в на бумаге (РЖХим, 43468)при соблюдении одинаковых условий наблюдается образование бахромчатых краев хроматографич. зон, что, по-видимому, следует приписать наличию поверхностноактивных в-в, природа которых еще не установлена. При применении бутанола, насыщ. 4 н. уксусной к-той в качестве p-рителя, Cu2+ и Cd2+ образуют при наличии нескольких анионов (сульфатов, хлоридов, нитратов и ацетатов) несколько зон, соответственно числу при-сутствующих анионов. Это явление следует приписать существованию равновесия образования ионных пар с различными анионами. Несколько зон наблюдается и при применении в составе р-рителя в-в, образующих комплексы с изучаемым катионом, напр. при хрома-тографировании Cd²⁺ содержащими NH₃ р-рителями, - ацетоуксусным эфиром и Cu2+ — бензилацето-Co2+ В. Анохин 11400. Теория и применение элюционного анализа в рас-

пределительной хроматографии инсулина на колонке с системой растворителей 2-бутанол— смесь дихлоруксусной и соляной кислот, Карпентер, Хесс The theory and use of elution analysis in the partition column chromatography of insulin between 2-butanol and dichloroacetic acid, hydrochloric acid solvent systems. Carpenter Frederick H., Hess George P.), J. Amer. Chem. Soc., 1956, 78, Nº 14, 2554

3351-3359 (англ.)

Излагается теория распределительной хроматографии с использованием представления о теоретич. тарелках (РЖХим, 1956, 546, 46594), отвечающих последовательным состояниям равновесия при продвижении в-ва в колонке при его распределении между двумя жидкими фазами, применительно к хроматографии инсулина. Неподвижной фазой служит слой гифлосуперцела, пропитанный нижней водн. фракцией системы из 2-бутанола, дихлоруксусной и соляной к-т; подвижной фазой служит верхняя фракция. Определение инсулина в пробах производилось спектрофотометрически по a-

M-

их

Ha

К-Т ІЬ-

ой

ой.

из-

ой.

AT.

15-

зно

ии

рта

H.

ен-

ле-

(HI

иых

08.

хин

гра-

ва-

n in

Sci.,

DM8-

956.

ется зон.

хно-

ена.

-TON

ичии

атов

при-

сать

пар

ется

ома-

ями,

пето

OXMH

pac-

онке хлор-

ecc

ition

tanol

ess

№ 14,

арел-

ледокен**ии**

IBVMA

рафии

упер-

мы из

жной

улина

и по

полосе 275 мр. В предварительных опытах при 0,5% лихлоруксусной к-ты в смеси наблюдалось разделение инсулина на три фракции, что, однако, следует считать артефактом, обусловленным наложением дополнительного эффекта изменения относительного состава жидких фаз под влиннием самого инсулина, а следователь-но, и коэфф. его распределения. Путем варьирования конц-ии HCl в смеси и введения инсулина не в его изоэлектрич. форме, а в форме хлоргидрата, авторам удапось устранить указанную аномалию и при составе жидкой системы из 2-бутанола с 0,5% дихлоруксусной к-ты и 0,1 н. HCl реально разделить инсулин по меньшей мере на две фракции, которые разделяются еще полнее при повторном хроматографировании. В. Анохин 11401. Хроматография на бумаге. Вводный доклад на конференции по хроматографии, состоявшейся 15—16 марта 1955 г. в Милане. Паризи (Introduzione alla cromatografia su carta. Convegno di studi su problemi di cromatografia. Milano - 15-16 marzo 1955. Parisi Federico), Chimica e industria, 1956, 38, № 4 304—310 (мтал.)

11402. Применения понного обмена при изучении комплексов. Самон (Some applications of ion exchange in the study of complexes. Salmon J. E.), Revs Pure and Appl. Chem., 1956, 6, № 1, 24—39 (англ.)

Обзор. Библ. 58 назв. Н. Ф. 11403. Ионные равновесня меди и цинка на катионитах. 6-е сообщение об ионитах. Ионные равновесия на бифункциональных катионитах. 7-е сообщение об ионитах. К о р и а ц, Д ё й е л ь (lonengleichgewichte an Kationenaustauschern mit Kupfer und Zink.

6 Mitteilung über Ionenaustauscher. Ionengleichgewichte an einem bifunktionellen Kationenaustauscher. 7. Mitteilung über Ionenaustauscher. Согпаz J.-Р., Deuel H.), Helv. chim. acta, 1956, 39, № 5, 1220—1226; 1227—1231 (нем.; рез. англ.)

6. Исследование равновесных соотношений при обмене катионов переходных элементов на катионитах сильно осложняется наличием побочных р-ций как в р-ре (гидролиз, сопровождающийся полимеризацией его продуктов и образованием коллондов, комплексообразование с анионом и т. п.), так и в катионите (комплексообразование с функциональными группами, окислительновосстановительные процессы и т. п.). Эти явления вызывают часто наблюдаемую необратимость ионообменного процесса. Во избежание таких осложнений и для получения колич. данных, авторы при исследованиях ионообменного равновесия Cu^{2+} и Zn^{2+} применяют их перхлораты (в некоторых опытах сульфаты), т. е. соли с анионом, наименее склонным к комплексообразова-нию, при низких конц-иях (10⁻³ н.). Катиониты применяются в H+форме. Приближение к равновесию контролируется анализом последовательно отбираемых проб p-pa со введением в расчеты соответствующей поправки. На образцах сильнокислотного катионита дауэкс-50 изотермы поглощения Cu^{2+} и Zn^{2+} в начальной стадии резко возрастают и при степени обмена X=0,2 достигают свыше 90% насыщения полной емкости. На слабокислотном амберлите IRC-50 и на пермутите Н-70 со слабой поперечной связанностью наблюдается обратная картина: чрезвычайно малая степень поглощения при значениях Х до 0,9 и аномальное расположение катионов Na $^+$ и H $^+$ в ряду относительной избирательности адсорбции: Na $^+$ < Ca $^{2+}$ < Cu $^{2+}$ < Cu $^{2+}$ « H+. На амберлите IRC-50 в NH₄+форме Cu2+ более избирательно сорбируется, нежели комплексный катион [Cu(NH₃)₄]²⁺, благодаря тому, что координационно-ненасыщ. простой катион легче вступает в комплексообразование с функциональными группами катионита. 7. Если относительное расположение обменивающихся

катионов по величине их сорбционной избирательности на сильнокислотном и на слабокислотном катионитах противоположно (см. сообщение 6), то в случае бифункционального катионита, содержащего группы SO₃H и СООН, следует ожидать появления S-образных изотерм ионообменной адсорбции. Опыты по обмену катнонов Cu²⁺, Ca²⁺, Na⁺, Zn²⁺, K⁺ и Li⁺ на H-формах бифункционального катионита леватит H-236 или смеси сильнокислотного дауэкса-50 и слабокислотного амберлита IRC-50 полностью подтверждают это предположение: все изотермы имеют ясно выраженные точки перегиба, а в случае Zn2+ и Cu2+ на смеси катнонитов наблюдается длинный (в пределах Х 0,2-0,85) горизонтальный участок. Последнее характерно, по-видимому, для случая, когда нет непосредственного взаимодействия сильных и слабых кислотных групп, в то время как при совместном присутствии групп обоих типов в единой структуре полимера (леватит Н-236) S-образные кривые располагаются более полого и с большим различием в величинах избирательности для разных катионов, чем в смеси катионитов. Сообщение 5 см. РЖХим, 1957, 605.

11404. Кинетика нонного обмена в неводных системах. В ильсои, Лапидуе (Kinetics of nonaqueous ion exchange systems. Wilson Stafford, Lapidus Leon), Industr. and Engag Chem., 1956, 48, № 6, 992—998 (англ.)

Исследована скорость поглощения *п*-бутиламина из водно-спиртовых р-ров в статич. условиях на навесках моносульфатных катионитов дауэкс-50 и пермутит Q в Н-форме в зависимости от состава р-рителя, при строгом контроле степени влажности катионита, от размеров его зерна, от степени поперечной связанности (8 и 16% ДВБ у образцов дауэкс-50 и 3 и 15% ДВБ у пермутита Q), от конц-ви амина и от скорости перемешивания. Анализ результатов на основе теории кинетики ионного обмена (РЖХим, 1953, 8317; 1955, 1909) приводит авторов к выводу, что стадией, определяющей скорость, является не диффузия через пограничный слой жидкости, а диффузия внутри зерна со значениями коэфф. диффузия 4,48—1,74·10—6 на смоле с 3% ДВБ и 3,99·10—6 — 3,10·10—7 на смоле с 15% ДВБ, при изменении содержания спирта в р-рителе от 78 до 92%. В. Анохин

11405. Гели полиэлектролитов и нонообменные реакции. Райс, Гаррис (Polyelectrolyte gels and ion exchange reactions. Rice Stuart A., Harris Frank E.), Z. phys. Chem., 1956, 8, № 3-4, 207—239 (англ.)

Теоретический анализ модели полиэлектролитов Качальского дополнен авторами с учетом электростатич взаимодействия между зарядами, фиксированными в сетке полимера, и противоионами. Дап вывод выражения для свободной энергии этого взаимодействия при наличин сил упругости набухшего геля и на этой основе выведена ф-ла для константы равновесия обмена в функции чисел обменых мест n_{σ} и n_{σ}' , занятых образованными с ионами σ и σ' нонными парами, и числа незанятых мест n_{σ} : $K_{\sigma'}^{\sigma} = (c_{\sigma'} / c_{\sigma}) [n_{\sigma} + (n_{\sigma} c_{\sigma} / \Sigma_{\sigma \neq 0} c_{\sigma})] \cdot [n_{\sigma'} + (n_{\sigma} c_{\sigma'} / \Sigma_{\sigma \neq 0} c_{\sigma})]^{-1}$, где c_{σ} и $c_{\sigma'}$ — конц-ии соответствующих ионов во внешнем р-ре. Приведены численые расчеты параметров выведенных ур-ний для нескольких гипотетич. смол (с 5, 15 и 25% поперечной связанности) и показано, что теоретич. значения $K_{\kappa}^{N_{\sigma}}$ очень хорошо согласуются с полученными экспериментально.

11406 Д. Исследование динамики адсорбции смеси уксусной и масляной кислот из водных растворов на зернах активного угля. Лотменцева Е. М.

YH POR (III R BO)

6

M O'

a py

C'

M

6

M

Автореф. дисс. канд. хим. н., Краснодарск. пед. ин-т, Краснодар, 1956

См.также: Адсорбиня 14183—14186. Поверхи. натижение 12283; 3451Бх. Исслед. поверхностей 12232, 12285. Хроматография 11995—11997, 12036, 12196, 12260, 12284; 3391Бх, 3395Бх, 3401Бх, 3404Бх. Ионный обмен 11992, 11994, 11999, 12045, 14184. Электрофорез 11998; 3376Бх, 3405Бх, 3406Бх, 3408Бх, 3461Бх. Тонкие пленки, монослои 12305, 14094, 14128.

химия коллоидов. дисперсные системы

Редактор Н. А. Фукс

11407. О природе пластичности и структурообразования в дисперсных системах. Ребиндер П. А., Сб. посвящ. памяти акад. П. П. Лазарева, М., АН СССР, 1956, 113—131

Обзор работ, выполненных под руководством автора. Библ. 24 назв. Н. Фукс

11408. Об измерении и описании структурной влакости. Шурц (Einige Bemerkungen zur Messung und Darstellung der Strukturviskosität. Schurz Josef), Kolloid-Z., 1956, 148, № 1-2, 76—82 (нем.)

Описываются изменения, сделанные в капиллярном вискозиметре высокого давления Умпітеттера и облегчающие измерения, особенно при высоких напряжениях. При измерении вязкости γ р-ров вискозы получены результаты, согласующиеся с ур-нием Мескатта $\eta = \eta_0 \exp{(-\Delta \eta \tau)}$ (1), где τ напряжение сдвига, η_0 — вязкость при τ = 0, полученняя по методу падения шарика, $\Delta \eta$ — угловой коэфф. прямой в координатах (1g η , τ), принимаемый за меру структурной вязкости. Полагая, что при достаточно медленных изменениях градиента скорссти (D) изменения структуры происходят изотермически и термодинамически равновесно, что изменение свободной энергии $\Delta F = bD$ (b — коэфф. пропорциональности) и что вероятность наличия определенной вязкости равна η / η_0 , автор теоретически получает соотношение $\eta = \eta_0 \exp{(-bD/kT)}$ (2). Если приближенно принять $\tau = \eta' D$, где η' — эффективная вязкость, то из сопоставления ур-ний (1) и (2) следует, что $\Delta \eta$ пропорционально 1 / T. Эксперим. данные автора подтверждают этот вывод.

11409. Степень гидратации частиц коллоидной кремнекислоты в водном растворе. Айлер, Долтон (Degree of hydration of particles of colloidal silica in aqueous solution. Iler R. K., Dalton R. L.),

Средее от пустатол от рагистея от colloidal sinca in aqueous solution. II е г R. К., D a I t о п R. L.), J. Phys. Chem., 1956, 60, № 7, 955—957 (англ.) Исследована вязкость η золей SiO₂, содержащих неагрегированные частицы размером 3,5—7 $\mu_{\rm I}$ и обладающих уд. поверхностью A 400—800 $\mu_{\rm I}^2$ /г. η измерялась вискозиметрич. пипеткой Оствальда при 25°. При этом во избежание электровязкостного эффекта рН золей снижался до 2. С помощью ур-ния Муни (Моонеу М., J. Colloid Sci., 1951, 6, 162) $\ln \eta = 2.5C/(1-1.43C)$ рассчитана объемная доля C дисперсиой фазы, в состав которой входят негидратированные частицы SiO₂ и вода, иммобилизованная на их поверхности. Степень гидратации S в процентах от веса SiO₂, рассчитанная по Φ -ле S=P/[0.00566P+C(1-0.00566P)], где P— весовая конц-ия золя, составила для золей, различающихся по конц-ии и величине A, 79—89%. При этом η золей не зависит от рН и присутствия солей, а S— от P. Рассчитано число молекулярных слоев воды на поверхности частиц в предположении, что поверхность покрыта группами SiOH и что на каждую такую группу приходится по 2 молекулы иммобилизованной воды. Показано, что образуется мономоле-

кулярный слой воды, связанный водородной связью с поверхностью частиц.

Л. Эдельман

1410. К теории диффузии и седиментации в бинарных растворах неэлектролитов. Хазе (Zur Theorieder Diffusion und Sedimentation in bināren Nichtelektrolytlösungen. Назе R.), Kolloid-Z., 1956, 147, № 3, 141—146 (нем.)

Развивается формальная теория седиментации и диффузии в бинарных р-рах и выводятся общие ур-ния для седиментационного равновесия и взаимосвязи коэфф, седиментации и диффузии при любых конц-иях компонентов. Общепринятые сравнительно простые ф-лы для расчета мол. веса полимеров получаются как частные случаи этих общих ур-ний применительно к разб. р-рам.

11411. Возможность определения молекулярного веса коллондных частиц путем ультрацентрифугирования в электрическом поле. III е л у д к о (A possibility for the determination of molecular weights of colloidal particles by ultracentrifugation in an electric field. S c h e l u d k o A.), J. Colloid. Sci., 1956,

11, № 2, 167-170 (англ.) Произведен теоретич. расчет седиментационного равновесия, возникающего при конкуренции центросеж-ного и электрич. полей, приложенных к макромолекулярному р-ру в непроводящем р-рителе. На каждую частицу с электрофоретич. подвижностью и действует сила $vB = uB\phi - m\omega^2 x$, где v — скорость движения этой частицы в радиальном направлении, B — ее коэфф. трения, ф — напряженность электрич. поля, ю — угловая скорость ротора, т — разность масс частицы и равного объема среды, х - расстояние частицы от оси вращения. На расстоянии $x_0=uB\phi/m\omega^2$ сила, действующая на частицы, равна нулю. При m<0 (а соответствующий р-ритель всегда можно подобрать) по истечении некоторого времени в x_0 возникает максимум конц-ии. При наличии дискретного распределения по $uB \mid m = us$ (s — седиментационный коэфф.) возникает несколько таких максимумов. Локализуя на седиментационных диаграммах $(x_i)_0$ или измеряя распределение конц-ии около этих точек, можно обычным путем определить мол. вес. Далее обсуждается проблема разрешающей силы (миним. различие т, необходимое для разделения максимумов) и оценивается время, необходимое для установления равновесия. С. Френкель Определение парциальных удельных объемов

методом дифференциальной седиментации. Мартин, Кук, Уинклер (The determination of partial specific volumes by differential sedimentation. Martin W. G., Cook W. H., Winkler C. A.), Canad. J. Chem., 1956, 34, № 6, 809—814 (англ.)

На основе теоретич. анализа скорости седиментации макромолекул в обычной и тяжелой воде получено следующее ур-ние, связывающее парц. уд. объем соответствующего полимера с седиментационными коэфф. S(i=1 для H_2O и 2 для D_2O): $\overline{V}=(\eta_2/\eta_1-ks_1/s_2)^{\times}\times(\rho_1\eta_2/\eta_1-\rho_2s_1/s_2)^{-1}$. Здесь η_i и ρ_i —вязкость и плотность среды, в которой пронсходит седиментация, а k—множитель ~ 1 , равный отношению мол. весов полимера в D_2O и H_2O . Это различие носит отнюдь нефиктивный характер и обусловлено возможным обменом лабильных водородных атомов макромолекулы с дейтерием, благодаря чему она «утяжеляется». Приведенная ф-ла проверялась на р-рах бычьего сывороточного альбумина, альгината натрия и поливинилового спирта, для которых при 25° получено соответственно $\overline{V}=0.74\pm0.01$, 0.54 ± 0.06 и 0.79 ± 0.01 см $^3/z$ в удовлетворительном согласни с данными пикнометрич. или флотационных определений (Dayhoff M. D. и др., J. Amer. Chem. Soc., 1952, 74, 2515). Седиментационный

3PIO-

ман

ap-

orie

ele-

56,

иф-

для фф. по-

ДЛЯ

ные am.

ель

eca ния lity lloitric

956,

рав-

еж-

еку-

дую вует

пия

глорав-

вра-

вую-BeTтсте-

мум

OI B

кает

мен-

ение.

пре-

азре-

для теоб-

кель

емов

ap-

n of enta-

n k-

апии

чено

COOT-

эфф.

82) X плот-

ия, а в подь не

обме-

лы с

риве-

-РОТО

ового

венно

овле-

иння

или

метод определения \overline{V} может быть с успехом применен для мало доступных в-в, при неопределенных конц-иях С. Френкель и т. п. 11413.

 Эффекты концентрационной зависимости се-диментационного коэффициента в скоростном ультрацентрифугировании. Фудзита (Effects of a concentration dependence of the sedimentation coefficient in velocity ultracentrifugation. Fujita Hiroshi), J. Chem. Phys., 1956, 24, № 5, 1084—1090

Лано в замкнутой форме решение дифференциального ур-ния Ламма для седиментации гомог. в-ва в ультра-центрифуге. В отличие от известного факсеновского решения, принимались во внимание секториальное разрешення, принимались во выплание секториальное разбавление и зависимость седиментационного коэфф. s от конц-ии C; при этом было положено $s=s_0$ (1 — kC) (индекс «0» соответствует бесконечному разбавлению). Показано, что с увеличением k или C_0 (исходной конц-ии) кривая градиента конц-ии dC/dx, воспроизволимая на седиментационных диаграммах, существенно обостряется и, в целом, смещается в сторону р-рителя («запаздывает»), однако симметрия при этом сохраняется, за вычетом самых краев. Выведено простое приближенное ур-ние, предсказывающее положение \boldsymbol{x}_m максимума кривой dC/dx в функции времени. При этом сделан следующий важный для практики вывод: при достаточно малых временах ультрацентрифугирования (t) имеет место соотношение $\ln\left(x_m/x_0\right)/\omega^2\,t \approx$ $pprox s_0 (1-kC_0)+s_0 (1-kC_0) (s_0 \omega^2 t) (\omega-$ угловая скорость, x_0- положение мениска). Так как в большинстве реальных опытов $C_0 < 0.01$ и $\omega^2 s_0 t \approx 0.1$, обычно можно удовлетвориться первым членом этого ур-ния, т. е. считать $\ln{(x_m/x_0)}$ линейной функцией t. Иными словами, благодаря запаздыванию \boldsymbol{x}_m общепринятое графич. построение ($\lg x_m$, t) дает значение $s = s_0 (1 - kC_0)$, соответствующее исходной, а не средней за время опыта конц-ии, как обычно принималось. Выведено также ур-ние, предсказывающее максим. высоту кривой dC/dxи позволяющее получать по седиментационной диаграмме надежные значения коэфф. диффузии. С. Френкель

414. Седиментация дезоксирибонукленновой кисло-ты при низких концентрациях. Ш у тер, Батлер (Sedimentation of deoxyribonucleic acid at low concentrations. Shooter K. V., Butler J. A. V.), Trans. Faraday Soc., 1956, 52, № 5, 734—742 (англ.)

Исследована седиментации в ультрацентрифуге разб. (конц-ии 0,01—0,001 вес. %) р-ров дезоксирибо-иуклеиновой к-ты (I). Наблюдение за ходом седиментации велось методом поглощения в УФ-свете. Показана стабильность седиментирующей границы при малых конц-иях и произведена колич. оценка полидисперсности пяти препаратов І. Кривые распределения по седиментационным коэфф. в, экстраполированные к бесконечвентационным козиру», экстрановированные косковоч вому разбавлению, сильно различаются, но во всех случаях захватывают область от 12 до 40—50 ед. Свед-берга. Показано, что на эти распределения не влияет существенным образом время выдерживания р-ров или добавление гистона или ионов Ca²⁺; таким образом, полидисперсность не обусловлена агрегацией. Большая ширина распределений позволяет заключить, что молекулы I не могут иметь форму жестких палочек постоянного диаметра, так как в этом случае даже большая полидисперсность по мол. весам М (по чисто гидродинамич. причинам) не могла бы вызвать заметной полидисперсности по в. Полученные результаты нельзя привести в согласие и с моделью статистич. клубка. Очевидно, макромолекулы I имеют форму клубков с большой степенью жесткости, и наблюдающаяся полидисперсность обусловлена различиями не только С. Френкель М, но и формы отдельных частиц.

Электрофорез полиэлектролитов с частичной протекаемостью. О в е р б е к, С т и г т е р (Electrophoresis of polyelectrolytes with partial drainage. O v е г b е е k J. Th. G., S t i g t е г D.), Recueil trav. chim., 1956, 75, № 5, 543—554 (англ.) Произведен теоретич. расчет электрофоретич. скорости v однородно заряженной пористой сферы (поли-

мерная модель, «гибкое ожерелье» по Дебаю) в солевом р-ре. v состоит из трех слагающих. 1. Движение, обусловленное той частью заряда, которая полностью компенсирована противононами внутри сферы. Эта скорость равна отношению полной силы, оказываемой электрич. полем на фиксированный заряд сферы, к сумме гидродинамич. сопротивлений / отдельных «бусин», составляющих сферы. По отношению к этой «бусин», составляющих сферы. По отношению к этом части движения сфера ведет себя как полностью проницаемая для р-рителя. 2. Движение, обусловленное
эффективным зарядом сферы в целом. Соответствующая
слагающая у является функцией экранирующего отношения (по Дебаю) с. 3. Движение, обусловленное
противононами снаружи сферы. Соответствующая
скорость является функцией обратной толщины ж
дебай-хюккелевской ионной атмосферы. Релаксационные эффекты во внимание не принимаются. В итоге удается выразить \mathbf{v} в функции фундаментальных параметров $Z,R,\sigma,\varkappa,$ и N/, где Z- полный заряд и R- радиус сферы, а N-кол-во бусин в ней (степень полимеризации). Эта функция анализируется для ряда конкретных соотношений между указанными пара-метрами. Показано, что наличие противононов приводит к относительно высокой степени пронипаемости. При больших ионных силах модель пористой сферы не дает адекватного описания электрофореза, и авторы пользуются моделью статистич. клубка. Показано, что такие клубки полностью проницаемы; обсуждается применимость к ним теории Генри (Henry D. C., Proc. Soc., 1931, A133, 106) для электрофореза цилиндрич. стержней. С. Френкель

11416. Диэлектрическая постоянная смесей. Хаф, Рей полдс (La constante diélectrique des mélanges. Hough J. M., Reynolds J. A.), Colloq. A. M. P. E. R. E., mars 1956, Inst. Phys. Univ. Genève, 1956, 125—127; Arch. sci., 1956, 9, fasc. special, 36—36 (франц.)

Сравнивались эксперим. и теоретич. значения дизлектрич. проницаемости с суспензий стекла в воздухе, ССІ4 и С_вН₅NO₂. Размеры частиц были порядка 100 µ, а форма варьировалась (шарики, палочки, пластинки, бесформенный порошок), и при расчетах ε соответствующий фактор формы определялся микроскопически или по де-Луру. Результаты измерений показывают, что относительно правильные значения с могут быть вычислены по ф-лам типа Бётхера или Брюггемана (Böttcher C. J. F., Recueil trav. chim., 1945, 64, 47; Bruggeman D. A. G., Ann. phys., 1935, 24, 636). С. Френкель 11417. Показатель предомления коллондных золей.

Чжоу, Керкер (The refractive index of colloidal sols. Chou Adam, Kerker Milton), J. Phys. Chem., 1956, 60, № 5, 562—564 (англ.) Теория Цимма — Дандлайкера (РЖХим, 1955, 13728), связывающая коэфф. рассеяния и показатель преломления колл. золей, проверялась на гидрозолях серы, приготовленных Ла-Меру. Характеристич. показатель преломления [n]=(n'-n)/nc (n и n' — показатель преломления среды и золя, с - конц-ия золя, г/мл) был определен в трех диапазонах $\alpha=2\pi r/\lambda$ (обозначения имеют стандартный смысл); согласно теорин, при $\alpha<2$ [n] почти не зависит от α , а при $\alpha > 4$ [n] = 0, также независимо от α . Зависимость [n] от размеров частиц и полидисперсности имеет место лишь вблизи а = 3. Результаты измерений вполне согласуются с предсказа-ниями теории. С. Френкель

12.22

ла

THE +

3,

pa oc K

lg qe

Определение диаметров мицелл коллоидной суспензии селена путем спектрофотометрии. В а т и йон, Ван-Грюндербек (Estimation du diamètre des micelles d'une suspension colloïdale de sélénium par spectrophotométrie. W a tillon A., V an Grunderbeeck F.), Bull. Soc. chim. belges. 1956, 65, № 7-8, 657—663 (франц.; рез. англ.) Измерены спектры поглощения моно- и полидисперсных гидрозолей Se, приготовленных путем восстановления SeO2 гидразин-гидратом в присутствии микропримесей золота. В согласии с теорией светорассенния Ми, положение λ(макс.) — максимума спектра поглощения монодиспереной суспензии — однозначно определяется диаметром d частиц: $d=K\lambda$ (макс.) (1), где К- подлежащая определению константа. Спектры полидисперсных суспензий характеризуются несколькими максимумами, соответствующими различным преимущественным d. Значения d монодисперсных золей Se были определены ранее методом счета частиц в ультрамикроскопе и путем электронномикроскопич. измерений (РЖХим, 1956, 571). Подстановка этих значений в (1) дает K=0,325. Таким образом, после предварительной калибровки спектрофотометрирование может быть применено в качестве точного метода определения размеров частиц и оценки моно- или полидисперсности суспензий С. Френкель

Коэффициент рассеяния Ми для капель воды в воздухе. Пендорф (Mie scattering coefficient for water droplets in air. Penndorf Rudolf), J. Meteorol., 1956, 13, № 2, 219—220 (англ.)

Рассчитаны значения полного коэфф. рассеяния Ми (K) для аэрозолей воды в диапазоне $\alpha = 2\pi r/\lambda \ 0,1-45,0.$ Приведен график К (а) в интервале а 10-20 (область 1-го минимума и второго максимума K), на котором хорошо видна «тонкая структура» K, т. е. вторичные колебания. Для практич. целей приведены «сглаженные» значения \overline{K} с точностью до 3-го знака. С. Френкель

420. Пропускание света как мера поверхности раздела в эмульсиях. Трайс, Роджер (Light transmittance as a measure of interfacial area in liquidliquid dispersions. Trice Virgil G., Jr, Rodger Walton A.), A. I. Ch. E. Journal, 1956, 2, № 2, 205—210 (англ.)

Вкратце излагается теория рассеяния света непоглощающими («водно-прозрачными») полидисперсными эмульсиями и описываются эксперим. устройство и процедура для фотографич. определения площади А поверхности раздела по пропусканию. Точность опреповерхности раздела по пропусканию. Точность определения A превышает 10%, воспроизводимость результатов лежит в пределах 3—5%. Пропускание удается выразить в виде корреляционной функции $\ln{(I_0/I)} =$ выразить в виде коррельционном функции $\ln (\epsilon_0/\epsilon) - f(\alpha A L^{0,80})$, где α — коэфф. рассеяния, являющийся функцией уд. относительной рефракции, и L — длина оптич. пути. Вид функции f был определен при одновременном измерении I_0/I и A в эмульсиях бромбензола, монохлорбензола, бензола, ксилола, керосина, циклогексана и метилэтилкетона в воде, 60%-ного води. глицерина в метил-изобутил-кетоне и циклогексана в 60%-ном глицерине. А непосредственно определялось путем фотографирования и счета капель в единице объема. Корреляционная функция ƒ приведена в виде графика дляа АZ0,80 от 0,0 до 18,0 и может быть использована для прямых измерений А по про-С. Френкель пусканию.

421. Светорассеяние и обесцвечивающая способность белых пигментов. Еникке (Lichtstreuung und Aufhellungsvermögen weißer Pigmente. Jaen i-cke Walter), Z. Elektrochem., 1956, 60, № 2, 163—174 (нем.)

Рассматриваются факторы, определяющие свойства пигмента; относительный коэфф. предомления *т* системы

нигмент — среда, величина d и форма частиц, адсорбционная способность пигмента, его конц-ия, а также методы, служащие для исследования влияния этих факторов. Исследована обесцвечивающая способность F белых пигментов. С помощью феноменологич. теории светорассеяния получены выражения для F и специфич. постоянной отражения R пигмента, содержащие т и d. Оптимальные значения т, соответствующие максимуму функции R, а также соответствующие максим. значения F рассчитаны для различных пигментов и сравнены с опытными данными. На примере сульфида цинка показано, что при учете диффузного прохождения света через в-во расчет дает не только хорошо совнадающие с опытом значения оптимума F, но и весь ход зависимости этой величины от d. Э. Казбеков

Критическая концентрация мицеллообразования а-сульфированных жирных кислот и их эфиров. Уэйл, Стертон (Critical micelle concentrations of α-sulfonated fatty acids and their esters. Weil J. K., Stirton A. J.), J. Phys. Chem., 1956, 60, № 7, 899—901 (англ.)

Определены различными методами (измерение поверхностного натяжения о и электропроводности, титрование с красителем) крит. конц-ии мицеллообразования $c_{
m RD}$ и растворимость L α -сульфокарбоновых к-т RCH (SO₃Na)-СООН (С₁₄, С₁₆ и С₁₈), их Na-солей, а также эфиров RCH (SO₃Na) СООК, где R'—алкил (С₁, С₂, С₃) или С₂H₄SO₃Na, при 25—28°. Все препараты тщательно очищались перекристаллизацией до исчезновения минимума на кривых (о, с). Показано, что удлинение R вызывает снижение $c_{
m hp}$ в соответствии с обычной для других гомологич, рядов логарифмич, зависимостью: тот же результат имеет место и при увеличении R', но без соблюдения этой зависимости. Для сульфомиристиновой, -пальмитиновой и -стеариновой к-т $c_{
m kp}$ равна соответственно 0,07, 0,02 и 0,005%, что отвечает по порядку величин $c_{_{
m RD}}$ в других рядах для гомологов с той же длиной цепей. При введении в молекулу второй полярной группы $c_{\rm RP}$ и L сильно возрастают, однако не до значений, соответствующих (чего следооднаю и ожидать) молекулам с вдвое более короткой ценью и одной полярной группой. Так, напр., $c_{\rm KP}$ и L ди-Na-α-сульфостеарата и ди-Na-2-сульфоэтил-α-сульфостеарата имеют величину, промежуточную между значениями для додецил- и тетрадецилсульфата Na. Аналогичное соответствие имеет место и по моющему действию. Простые соли моно- и ди-Nа-солей а-сульфированных к-т при обычной т-ре не образуют в р-рах мицелл, так как их $c_{
m kp}$ превышают конц-ии, отвечающие предельной растворимости.

423. Влияние оленновой кислоты и едкого натра на солюбилизацию бутанола-1 и 3-метилбутанола-1 в водных растворах олеата натрия. Б о с, М е х р о тp a (Effect of oleic acid and sodium hydroxide on the solubilization of butanol-1 and 3-methyl butanol-1 in aqueous solution of sodium oleate. Bose A. N., Mehrotra K. N.), J. Colloid. Sci., 1956, 11, M. 3,

250-253 (англ.)

Определена солюбилизационная емкость водн. р-ров кислого и нейтр. олеата Nа для бутанола-1 (I) и 3-метилбутанола-1 (II) и измерены вязкости полученных р-ров при 35°. Солюбилизация I в олеиновой к-те, нейтрализованной на 75 и 100%, одинакова. Для II нейтр. мыло является лучшим солюбилизатором, чем кислое; очевидно, солюбилизация свободной к-ты и спирта осуществляется на одних и тех же местах. Изучение вязкости систем показывает, что в них образуется два типа мицелл.При конц-пи I<60% в р-ре имеются гидрофильные олеомицеллы (Shulmann J. H., Rile D. D., J. Colloid Sci., 1948, 3, 383), при конц-ии I>60%-

г.

рб-

СЖе

THX b F

рии

i d.

уму

ены

нка

вета

иси-

KOR

aan-

фи-

ent-

ters.

em.,

epx-

ание

CRP

Na)

пров или

льно

ини-

ae R

для тью; п R',

OMH-

авна

т по

TOTOR

кулу

гают,

ледо-

ткой

CHP H

суль-

ежду

Na.

щему пьфи-

р-рах ечаю-

бман

натра

ола-1

POT-

n the

nol-1

. N.,

Nº 3,

р-ров 3-ме-

енных

, ней-

нейтр.

ислое:

пирта

чение

ся два

гидро-Riley

60%-

лнофильные гидромицеллы. Вязкость достигает максимума при 60% I, а затем падает из-за уменьшения размеров мицелл. И. Слоним

1424. Можно ли рассматривать мицеллы как идеальную смесь нонов и нейтральных молекул? Сейм, Силлен, Ульфварсон (Can micelles be treated as ideal mixtures of ions and neutral molecules? Seim Jüri, Sillen Lars Gunnar, Ulfvarson Ulf), Acta chem. scand., 1956, 10, № 4, 683—686 (англ.)

С помощью потенциометрич. титрования исследованы условия равновесия в р-рах между ионами и мицеллами лауриновой к-ты (HL) и додециламина (D). При титровании общая конц-ия B = [HL] + [L-] или $[D] + [DH^+]$ поддерживалась постоянной и изучалась зависимость $(Z, (\lg h)_B)$ или $(Z, \lg [OH^-]_B)$ при B = const.Здесь $h = [H^+]$, и Z -среднее число элементарных зарядов на частицах. Показано, что для КL в 1 М KNO_3 при 25° и Z = 1,0-0,95 имеет место обратимое равновесие; при более низких значениях Z возникает осадок, медленно растворяющийся при добавлении КОН. Из хода кривых (Z, lg [OH-]) в области значений lg [OH-] 3—5 для $B=70,\ 90$ и 150 ммолг/л, практически совпадающих одно с другим, и условий равновесия между L- в p-ре и твердой фазой HL, авторы заключают, что мицеллы следует рассматривать, как изолированную фазу, представляющую смесь L- и HL. К аналогичным выводам приводит исследование системы А. Таубман $DH^+ + Cl^- B 0.5 M NaCl.$ 11425. Флотация и ксантаты. Теске (La flot-

tation et les xanthates en flottation. Te e q u e t G.), Ind. chim., 1956, 43, № 468, 213—214 (франц.) 11426. Явление Лизеганга. III. Строение геля. II а ктер (The Liesegang phenomenon. III. The structure of the gel medium. Packter A.), J. Colloid Sci., 1956, 41, № 2, 450—457 (смуг.)

1956, 11, № 2, 150—157 (англ.) Небольшие конц-ии H+, Cl-, альдегидов и детергентов мало меняют устойчивость золей хромата серебра, стабилизированных желатиной (I), по сильно влияют на ритмич. осаждение AgCrO4 в геле I. Прибавление небольших конц-ий (порядка 0,002 н.) уксусной к-ты, формальдегида и, в несколько меньшей степени, высших альдегидов увеличивает расстояние между коль-цами Лизеганга. Прибавление понов Cl- и анионных детергентов, напр. додецилсульфата натрия, уменьшает расстояние между кольцами; уменьшение коэфф. А в выражении для коэфф. размещения. К (РЖХим, 1955, подчиняется ур-нию Фрейндлиха — $\Delta A =$ = а $[C_{\rm Cl}/C_{\rm S}]^n$, где $C_{\rm S}$ — конц-ия золя. Устойчивость золей AgCrO4 в водн. p-рах I непрерывно растет с конц-ней I $C_{(\mathfrak{R},.)}$; ритмичность осадков $\mathsf{AgCrO_4}$ в геле не меняется при увеличении $C_{(\mathfrak{M}.)}$ сверх 2—3%. Полученные результаты показывают, что при $C_{(m,)} > 3\%$ образуется большое число поперечных связей между молекулами I в геле и не остается свободных карбоксильных или аминных групп для защиты частиц золя. Ионы Cl- и анионные детергенты разряжают группы NH₃⁺ в полипентидной цени и уменьшают защитное действие; тот же эффект производят катионные детергенты при pH > 7. Прибавление ионов H^+ и форм-

меньше и влияние изученных реактивов на устойчивость золей AgCrO₄ выражено соответственно слабее. Часть II, см. РЖХим. 1957, 4055. И. Слоним 11427. Естественный фон при измерении радиоактивности аэрозолей. Ех (Přirozené pozadí při měření

альдегида увеличивает кол-во свободных карбоксиль-

ных групп, и защитное действие усиливается. В води, р-рах I связывание полипентидных цепей значительно radioaktivnich aerosolů. Jech Čest mír), Českosl. časop. fys., 1956, 6, № 2, 192—200 (чеш.)

Путем измерения активности бумажного фильтра после просасывания через него воздуха в течение 4—8 час. (РЖХим, 1954, 25064) и методом ядерных фотоэмульсий (Рһуѕ. Rev., 1949, 76, 1731) определена радиоактивность естественного атмосферного аэрозоля, вызванная продуктами распада Rn и Tn. Оба метода дали приблизительно сходные результаты. Кривая активность — время состоит из двух отрезков с большим и малым наклоном, соответствующих распаду короткоживущих (КИ) и долгоживущих (ДИ) изотопов. Показано, что доля активности, вызванная КИ, приблизительно равна отношению наклонов кривых активности исследуемого образца при t = 0 и активности КИ без примеси ДИ. Для уточнения величины этой доли измерение активности следует производить через 2 дня после приготовления образца, чтобы за это время полностью распались продукты распада Tn. Естественная радиоактивность воздуха весьма непостоянна, причем максим. активность в 35 раз больше минимальной. В отдельные дни наблюдалось заметное возрастание содержания ДИ, что связывается автором с проводившминся в то время в Неваде испытаниями атомного оружия.

В. Свиридов

таниями атомного оружия.

В. Свиридов 11428, Термодинамика распыления жидкости аэрозольными баллонами. Йорк (Thermodynamics of spray formation. York J. Louis), J. Soc. Cosmetic Chemists, 1956, 7, № 2, 204—214 (англ.)

При истечении жидкости из аэрозольного баллона под давлением ее паров происходит: 1) первичное рас-пыление, обусловленное в основном быстрым вары-вообразным испарением части жидкости вследствие понижения ее давления до атмосферного, 2) вторичное распыление образовавшихся крупных капель, 3) испарение капель и 4) увлечение окружающего воздуха движущимися каплями и образование струи аэрозоля. У обычных фреоновых баллонов быстро испаряется 14-17% фресна, после чего достигается равновесная т-ра и дальнейшее испарение происходит путем тепло-обмена с окружающей средой. Т-ра испаряющихся капель понижается и после испарения фреона снова повышается. Энергия расходуется на увеличение поверхности жидкости и главным образом на образование струи аэрозоля, необходимой для инерционного осаждения капель на обрабатываемых поверхностях; при учете энергии струи к. п. д. процесса относительно высок. Для очень тонкого распыления возможно применение двухфазного распылителя, в котором рабочая жидкость распыляется струей пара летучей жидкости. Возникающие при этом трудности связаны с охлаждением баллона при испарении. В. Дунский 11429. Разделение дисперсных материалов по размерам частиц. Роз, Лангмейд (Separation of particulate materials into size-ranges. Rose H. E., Langmaid R. N.), Nature, 1956, 178, No 4531,

485 (англ.)
Если стеклянные или стальные шарики разного размера падают с некоторой высоты в небольшой стаканчик, то более мелкие отскакивают от слоя материала на дне и подпрыгивают выше, чем более крупные. При небольшой высоте отаканчика мелкие частицы значительно чаще выскакивают и собираются во внешнем сосуде. Таким образом, можно выделить фракцию близких по размерам частиц.

И. Слоним

См. также раздел Химия высокомолекул, соед. и рефераты: Структурно-механич. св-ва 12250, 12251. Седиментация 14211. Детергенты 14130. Полиэлектролиты 12287. Суспензии и эмульсии 14215. Гели 14082; 3375Бх. Аэрозоли 14280, 14281.

114

B

195 (HI

раф

pyz

MHO

coct

N K

CTH

при

вр

HER

фан

да в мон

в с газо НЙ

114

A M pear

yp-I

STON

не 1

PT.

кли кри

шие

I 3E

СКОІ

HOCT

1143

K

ha

k

B

19

спи

Пля

·8H

oca

p-p

BBOI

M OC

чени

доба

orca

(IV)

KOI

При

соли

ПОЛ

7 3

неорганическая химия. комплексные соединения

Редактор А. В. Нейдинг

11430. Получение некоторых металлов, ранее считавшихся редкими. Пауэлл (The procurement of some hitherto rare metals. Powell A. R.), Chemistry and Industry, 1956, № 31, 809—812 (англ.)

Обзор. Д. Трифонов

11431. Получение тетрагидрата двойного оксалата бария и титанила для превращения в весьма чистый титанат бария. Клейбо, Суиггард, Гилкрист (Preparation of barium titanyl oxalate tetrahydrate for conversion to barium titanate of high purity. Clabaugh W. Stanley, Swiggard Edward M., Gilchrist Raleigh), J. Res. Nat. Bur. Standards, 1956, 56, № 5, 289—291 (англ.)

(англ.) Для получения чистого $BaTiO(C_2O_4)_2 \cdot 4H_2O$ (I) к p-py 165 г $BaCl_2 \cdot 2H_2O$ в 1600 мл H_2O прибавляют при τ -pe $\leqslant 30^\circ$ водн. p-p $TiCl_4$ в кол-ве, соответствующем 32 г Ti. Полученный p-p медленно прибавляют к нагретому до 80° p-py 185 г $H_2C_2O_4 \cdot 2H_2O$ в 1 $_4H_2O$; через 2—3 часа выпадает тяжелый кристаллич. осадок I. При прокаливании I образуется титанат Ba с ат. отношением Ti: Ba = 0.999 - 1.002. U. Рысс

11432. О полиморфизме двуокиси германия. II флугмахер, Келлерман (Über die polymorphie des Germani umdioxyds. Pflugmacher Annelore, Kellermann Inge), Angew. Chemie, 1956, 68, № 11, 374 (нем.)

При измерениях чисел переноса в води. p-рах GeO₂ обнаружено, что в результате выпаривания католита и прокаливания осадка образуется нерастворимая серная модификация GeO₂ типа рутила. При такой же обработке анолита образуется обычная растворимая форма GeO₂. Авторы объясняют это явление повышением щелочности католита; результаты, полученные при добавлении к p-ру КОН вли NаОН, подтверждают предложенное объяснение.

В. Самсонов

11433. Получение безводного гидразина путем дегидратации гидратов гидразина с уносом водородом при нормальном давлении и в условиях полной безопасности. И а и и е ть е, Артулари (Préparation d'hydrazine anhydre par déshydratation d'hydrazines hydratèes et entraînement par l'hydrogène, à la pression ordinaire et dans des conditions totales de sècurité. Pannetier Guy, Hartoulari Rodolphe de, Bull. Soc. chim. France, 1956, № 6, 911—914 (франц.)
Метод основан на уносе безводн. N₂H₄ (I) током Н₂

метод основан на уносе безводн. N_2H_4 (I) током H_2 в условиях, исключающих возможность самопроизвольного разложения I. Р-цию между свежеприготовленной негашеной известью и гидратом I проводят в атмосфере H_2 при охлаждении реакционного сосуда водой и перемешивании в течение 2 час.; продолжительность перемешивания оказывает большюе влияние на выход I. Через реакционную смесь при 85—90° пропускают ток H_2 , и улавливают I в охлаждаемой льдом ловушке.

11434. Моноокиеь серы как промежуточный продукт окисления некоторых сульфидов. Диев Н. П., Окунев А. И., Падучев В. В., Топорова В. В., Мокроносов В. С.,Докл. АН СССР, 1956, 107, № 2, 273—275

С целью качеств, характеристики обжиговых газов и определения наличия в них промежуточно образующейся SO исследован спектр поглощения газа, содержащего продукты окисления CuS, FeS и ZnS при

 $700-1000^\circ$ кислородом (применялась смесь O_2+N_2 с содержанием до 3% O_2), а также проведены опыты по получению из продуктов окисления красно-оранжевого осадка на стенках ловушек, охлаждаемых жидким азотом (Schenk P. W., Platz H., Z. anorgan. und allgem. Chem., 1933, 211, 150). При скорости потока обжиговых газов, равной 3-4 мл/сев, обнаруживаются полосы SO с максимумами поглощения 3041, 3077, 3115, 3153, 3194 и 3234А. При скорости газов <2 мл/сев полосы поглощения SO отсутствуют, что авторы объясняют быстрым разложением SO при высокой т-ре. Определение SO по методу Шенка также дало положительные результаты.

В. Пикаева 11435. Перхлорилфторид, ClO_3F . Получение и неко-

торые физические и химические свойства. Э и гелбрект, Ацвангер (Perchloryl fluoride, ClO₃F. Preparation and some physical and chemical properties. Engelbrecht Alfred, AtzwangerH.), J. Inorg. and Nuclear Chem., 1956, 2, № 5-6, 348—357 (англ.)

Перхлорилфторид (I) образуется в смеси с OF2, O2 и Cl₂ при электролизе насыщ. p-ра NaClO₄ в безводи. H F на Ni-аноде при 4—7 в или в смеси с ClO₂F, Cl₂, O₂, ПР на граноде при 4 —ге запавава с с 6 Се 2 г, стау, в обоих методах достигается пропусканием газа через р-р, содержащий 10% NaOH и 5% Na₂S₂O₃, и конден-сацией I в охлаждаемой жидким О₂ ловушке. Газообразный I мономерен, т. кип. — $47,5\pm0.5$, т. пл.— $146\pm2^\circ$; плотность жидкого I от —110 до — 40° ; d=2,455— -0.00329~T, давление насыщ. пара от -112 до -44° : lg P (мм) = 7,683 — 1083,8/T, ΔH испарения 4,960 ккал/моль, ΔS испарения 21,97, крит. т-ра 95,9°, крит. плотность 0,637 ϵ/cm^3 ; измерены ортобарич. плотности I от — 79 до $+92,9^\circ$. I — бесцветный газ с характерным сладковатым запахом, умеренно токсичен, не взрывает, поддерживает горение и бурно реагирует со щел. металлами при 300°, но почти не гидролизуется при нагревании с водой в запаянной трубке при 250—300°. Конц. p-р NaOH в тех же условиях количественно разлагает I до NaClO₄ и NaF. I хим. инертен — при комнатной т-ре только 2 р-ции могут быть проведены количественно в течение нескольких часов: проведены количественно в течение нескольких часов: p-ция с p-ром К J в кислой среде ($I+8J^-+6H^+=CI^-+F^-+4J_2+3H_2O$) и с безводн. NH_3 ($I+3NH_3=NH_4F^++CIO_3NH\cdot NH_4$ (II)). При добавлении p-ра, содержащего Ag^+ , к II осаждается чрезвычайно взрывчатый в сухом состоянии $CIO_3NH\cdot Ag(III)$; растворимость III в воде равна $1 \ 2/cm^3$, в κ -тах μ p-ре NH_3 III легко растворим. Введением Ba^2+ в p-р III в води. NH_3 получен сегиси, взрывчатой и посуменской μ дополнение. осадок взрывчатой и чрезвычайно малорастворимой Ва-соли. Анион ClO₃NH не разлагается р-рами щелочей, но разлагается конц. и горячими к-тами с возможным промежуточным образованием NH₂OH и HClO₈. Приведены кривые ИК-спектров газообразного I И. Рысс при трех давлениях. 11436. О гипотрийодитной кислоте. Павлов В. Л., Фналков Ю. Я., Ж. общ. химии, 1956, **26**, № 6, 1534—1540

№ 6, 1534—1540 Период полуобмена 0,0012 М НЈО3 и 0,0006 М р-райода в 5 н. Н₂SO₄ равен 460 час. при 18°; процесс не катализируется ионами Мп²⁺. В тех же условиях обмен между йодом и электроположительным йодом р-рагинотрийодитной к-ты Ј₃OH (I) (Scrabal A., Buchta F., Chem. Ztg, 1907, 33, 1193) заканчивается за 4—5 мпв. Этим подтверждается, что исследуемый р-р содержит

- 96 **-**

Na

поп

ого

ким

em.

вых

OCM 153.

юсы TOIR

еле-

ные

аева iero-

ел-О_зF.

ties. H.), 5-6,

2, О₂ води.

2, O₂, 1) Ha

ожитка I через

нден-

браз-

±2°; 55 −

- 44°:

рения

95.9°. anus.

c xa-

сичен,

ирует зуется при

коли-

инер-

г быть часов: Cl⁻+ H₄F+

тержа-

вчатый

сть III

o pacолучен римой

щелоозмож-

HClO₈.

. Рысс В. Л.,

56, 26,

M p-pa цесс не

х обмен m p-pa

-5 мин.

держит

ого

11437. Исследование йодидного метода рафинирова-ния циркония. Сообщение 2. Низшие йодиды циркопия и влияние давления тетрайодида на скорость отложения металла. Емельянов В. С., Быстров П. Д., Евстюхии А. И., Атом. энергия, 1956, № 3, 122—131

В развитие предыдущей работы (часть I, РЖХим, 1956, 68069) исследовалось влияние низших йодидов (НЙ) и давления паров ZrJ₄ на скорость процесса рафинирования циркония йодидным методом. После рафинирования на поверхности сырого металла обнаруживаются НИ в виде черного, черно-коричиевого, ипогда синевато-черного налета. Осадок близок по составу к ZrJ₈ при т-ре реакционной колбы 300—500° в к ZrJ₂ при 620°. Связывание ZrJ₄ в НЙ на поверхности, по мнению авторов, приводит в конечном итоге при длительном йодировании к исчезновению избытка Zij₄ и, следовательно, к уменьшению его давления в реакционной колбе, а это, в свою очередь, к изменевпо скорости. Авторы считают, что другими важными ыно скорость. Авторы с-итал, что другими важнами факторами, влияющими на скорость процесса при навлениях ZrJ₄ >0,2 — 0,3 мм рт. ст., являются торможение диффузионного процесса переноса металла
в связи с уменьшением коэфф. диффузии компонентов
газовой фазы при увеличении давления и образование НИ у поверхности раскаленного Zr-стержня.

А. Соловкин

А. Соловкин 1438. Нитрилфториды фосфора. Зель, Лангер (Über Phosphornitrilfluoride. Seel F., Langer J.), Angew. Chem., 1956, 68, № 14, 461 (нем.) Измельченные тример или тетрамер PNCl₂ гладко реагируют с фторсульфинатом К при 120—125° по ур-нию PNCl₂ + 2KSO₂F→PNF₂ + 2KCl + 2SO₂; при этом степень полимеризации нитрилгалогенида фосфора пе изменяется. Тройные точки (PNF₂)₄ (I) и (PNF₂)₄ (II) лежат при 27,1° и 293 мм рт. ст., 30,4° и 67,7 мм рт. ст., т. кип. I и II равны 51,8 и 89,7°. I образует моноклинно-призматич., II — триклинно-пинакоидальные кристаллы. І и ІІ устойчивы при 300°, при 350° І в тече-ше 15 час. полимеризуется в резинообразное в-во. I значительно устойчивее к гидролизу, чем II; из продуктов гидролиза II легко выделяется [PN(OH)2]4 · $2H_2O$. Молекулярные ф-лы I и II подтверждены криоскопически (в C_0H_0) и результатами измерения плотности пара при $50-150^\circ$. И. Рысс

Поведение днамидофосфата натрия при нагревании, получение конденсированных имидофосфатов.

вании, получение конденсированных имидофосфатов. Клемент, Биберахер (Das thermische Verhalten von Natriumdiamidophosphat, Darstellung von kondensierten Imidophosphaten. Klement R., Вівегас hег G.), Z. anorgan. und allgem. Chem., 1956, 285, № 1—2.74—85 (нем.) Для получения NaPO₂(NH₂)₂·6H₂O (I) фениловый фир диамидофосфорной к-ты (II) кипятят с води. р-ром NaOH, охлаждают до 0° и осаждают І холодным спертом. І можно получить и из AgPO₂(NH₂)₂ (III). Для получения III кипятят 1 ч. II с 2 ч. Ва(ОН)₂· 8H₀O и 10 ч. Н₀O. р-р продувают СО₂, отделяют $^{8}\rm{H}_{2}\rm{O}$ и 10 ч. $^{1}\rm{H}_{2}\rm{O}$, р-р продувают $^{1}\rm{CO}_{2}$, отделяют осадок $^{1}\rm{BaCO}_{3}$, осаждают $^{1}\rm{O}_{3}^{9}$ -ным р-ром $^{1}\rm{AgNO}_{3}$, р-р декантируют, остаток взбалтывают с водой, вводят NH₃ и затем HNO₃ до рН~7, отфильтровывают посаждают III добавлением HNO3 по каплям. Для получения I смешивают III с р-ром NaBr, отфильтровывают, добавляют спирт, охлаждают до—30°, нагревают до 0° и отсасывают осадок I. Обезвоживание I до NaPO2 (NH2)2 (IV) происходит в вакууме сперва над $CaCl_2$, затем над P_2O_5 при 70° . $KPO_2(NH_2)_2$ получен нейтр-цией к-ты 1 н. КОН и испарением р-ра в вакууме при комнатной т-ре. При нагревании IV в вакууме при 155—163° происхолят сопровождающееся резким увеличением объема соли отщепление NH₂ и образуется смесь линейных полимеров диамидоимидоолигофосфатов Na_nP_nO₂n-

(NH)_{n-1}(NH₂)₂ (V), разделяемых хроматографией на бумаге. Наличие соединения с n-2 доказано образова-нием Na₄P₂O₆NH (РЖХим, 1956, 68076) при действии HNO2; прочие гомологи превращаются в имидоолигофосфаты $Na_{n+2}P_nO_{2n+2}(NH)_{n-1}$ (где n=3,..6), разделяемые хроматографированием на бумаге. Соединения типа V не изменяются в холодном водн. p-pe; при кипячении они разлагаются. При термич. разложении IV при они разлагаются. При термич. разложении IV при 200 или 250° образуются растворимые в воде полимеры со средним числом атомов Р, равным 6 или соответственно 18; последний полимер очень медленно растворяется в воде, образуя вязкий р-р. И. Рысс 11440. Исследование антимонатов. Рикка, Д'Аморе (Ricerche sugli antimoniati. Ricca Bruno, D'Amore Giovanni), Ann. chimica, 1956, 46, № 7—8, 483—490 (итал.)

На основании результатов криоскопич. исследования авторы подтверждают приписанную ранее антимо-нату калия ф-лу KSb(OH)₆ (Pauling L., J. Amer. Chem. Soc., 1933, 55, 1895). Этот вывод косвенно подтверждается и методом хроматографии на бумаге, которым установлено, что целым рядом р-рителей фосфаты и арсенаты извлекаются легко, а антимонаты не элюируются. Б. Каплан

Исследование кислых антимонатов. ка, Д'A море, Белломо (Ricerche sugli anti-moniati acidi. Ricca Bruno, D'Amore Giovanni, Bellomo Athos), Ann. chi-mica, 1956, 46, № 7-8, 491—507 (итал.)

Методами высокочастотного и потенциометрич. тит-рования и спектрофотометрич. определения оптич. плотности исследована р-ция между Sb (OH) и H₃O+. Установлено последовательное протекание р-ций: НаО++ $+2 \text{ Sb } (OH)_{6}^{-} \stackrel{\rightarrow}{=} HSb_{2}O_{6}^{-} + 7H_{2}O \text{ H } 3HSb_{2}O_{6}^{-} \stackrel{\rightarrow}{=} HSb_{6}O_{17}^{3-} +$ + H₂O. При стоянии подкисленных р-ров антимонатов наблюдается постепенное увеличение оптич. плотности и повышение рН, связанные с превращением полиани повышение раз, съяздальной пистем и дальней шим их выпа-тением в виле гелей. Б. Каплан

дением в виде гелен.

11442. О некоторых оксосоединеннях и двойных окнелах четырехвалентного ванадия. Рюдорф, Вальтер, Беккер (Über einige Oxoverbindungen und Doppeloxyde des vierwertigen Vanadins. Rüdorff W., Walter G., Becker H.), Z. anorgan. und allgem. Chem., 1956, 285, № 3—6, 297, 206 (дм.) 287-296 (нем.)

При нагревании смесей ${\rm Li_2O}$ и ${\rm VO_2}$ при 700° образуется смесь соединенией ${\rm V(3+)}$ и ${\rm V}$ (5 +). Р-ция ${\rm NaVO_3}+{\rm NaN_3}{\rightarrow}{\rm Na_2VO_3}$ (I) + 1, 5 ${\rm N_2}$ протекает в, высоком вакууме при постепенном нагревании до 450° и последующем длительном выдерживании при 600°. I кристаллизуется в тетрагональной сингонии, а 7.66. c 5,31 kX, n=4, $\rho_{({
m pehr})}$ 3,06 ρ 2,92. Коричневочерный $\mathrm{Na_2V_2O_5}$ получен р-циями $\mathrm{Na_4V_2O_7} + \mathrm{V_2O_3} = 2\mathrm{Na_2V_2O_5}$ (500°, 200 час.) или $2\mathrm{NaN_3} + \mathrm{V_2O_5} = \mathrm{Na_2V_2O_5} + 3\mathrm{N_2}$ (медленное нагревание до 450°, 200 час.). Нагреванием смеси CaO и VO₂ без доступа воздуха при 750—800° получен сипе-черный CaVO₃, кристаллизующийся в типе перовскита, а 3.75 ± 0.01 kX, $\rho_{(\text{рент.})}4.35$. Шпинель CoV_2O_4 (II), a 8.39 kX, легко по- C_0 (11), C_0 (12), C_0 (13), C_0 (14), C_0 (15), C_0 (16), C_0 (17), C_0 (18), C_0 (18), C_0 (19), C_0 ными, но в CoTiO $_3$ до 50% Ті замещаются на V (4 +) без изменения структуры ильменита. В смесях 2MgO+ + 1VO₂ также образуются неоднородные продукты; M₂VO₄(М — Со,Zn, Mg, Mn) не способны к существованию вследствие легкого диспропорционирования.

Химия. № 4

BH

pa3

ayer

(I) ·

пол

DTC

5 C

Hac

BB

чув

кри

дил

обр

ряд

THE

rae

апе

485

515

ZrI

Snl

Col

В системе Ni-V-О фазы шпинели не образу-И. Рысс Комплексы, содержащие двухвалентную медь с координационным числом шесть. Кершнер (Six-coördinate copper (II). Kirschner Stan-Кершнер ley), J. Amer. 2372—2375 (англ.) Chem. Soc., 1956, 78, № 11,

Неорганическая химия.

Для доказательства существования комплексов Cu(2+) с координационным числом 6 синтезированы комплексы Си (2+) с этилендиаминтетрауксусной (Н₄Е) и с аспарагиновой (H_2 Аsp) к-тами состава [Cu H_2 E]· H_2 O (I), т. пл. 242° (разл.), d, l- K_2 [CuE]· $4H_2$ O (I1), т. пл. 109°, [Cu (HAsp) $_2$]·0,5 H_2 O (I11), d, l- K_2 [Cu (Asp) $_2$]· H_2 O (I1V), т. пл. 66°, и изучены их свойства. В ИК-спектре I обнаружены ники, соответствующие как координированным (1615 c_M^{-1}), так и некоординированным (1718 c_M^{-1}) группам СООН; в спектре Н₄Е найден пик 1700 см⁻¹, в спектре II найден только резкий пик 1615 см⁻¹, т. е. в II координированы все 4 группы СООН, координирование атомов N подтверждается наличием пиков 1112 см-1 в I и II. Аналогично в ИК-спектре III найдены, кроме пиков координированных атомов N, также и пики 1705 и 1630 см⁻¹, а в спектре IV — только 1620 см-1. На этом основании сделан вывод, что координационное число Сu (2+) в I и III равно 4, а в II и IV 6. Оптич. активность II, согласующаяся с приписанной II октаэдрич. конфигурацией, доказана изменением дисперсии врашения плоскости поляризации света водн. р-ром гидробромида *l*-хинина при введении II.

И. Рысс Устойчивость внутрикомплексных соелинений меди с пирокатехином. Нясянен, Маркканен (The stability of copper chelates of pyro-Näsänen R., Markkanen R.), kem., 1956, 29, № 5—6, B119—B122

(англ.)

Метолом потенциометрич. титрования установлено, что Сu (2+) образует с пирокатехином (H₂A) комплексы СиА и СиА2-. Зависимость первой константы диссоциапии Н₂А при 25° от ионной силы µ выражается ур-**HNEM** $pK = 9{,}449 + 0{,}029 \quad \mu = 0{,}509 V \overline{\mu}/(1 + 0{,}919 V \overline{\mu}).$ Для констант образования комплексов $K_1 = [CuA] [H^+]^2 /$ $[Cu^{2+}]$ [H₂A] и $K_2 = [CuA_2^{2-}]$ [H+]²/[CuA] [H₂A] при 25° найдены значения $pK_1=8,091-0,074~\mu+2,036~V\overline{\mu/}(1+2,29~V\overline{\mu})$ и $pK_2=11,73+0,007~\mu-2,036~V\overline{\mu/}(1+2,29~V\overline{\mu})$ $+1,64 V \mu).$

Стабилизация шиффова основания салици-11445. лового альдегида и гликоколя образованием комплексов с металлами. Эйххорн, Марчанд (The stabilization of the salicylaldehyde-glycine Schiff base through metal complex formation. Eichhorn Gunther L., Marchand N. Douglas), J. Amer. Chem. Soc., 1956, 78, № 12, 2688—2691 (англ.)

Спектрофотометрически, методом непрерывных изменений в водно-диоксановой смеси (50:50) исследованы двойные и тройные системы, содержащие Cu(2 +) (I) салициловый альдегид (II) и гликоколь (III) при рН 3 и 5. При рН 3 I не образует комплекса с II и образует комплекс 1: 1 с III; при рН 5 образуется комплекс I и II (1:1) и 2 комплекса I и III (1:1 и 1:2). В тройной системе при рН 3 образуется комплекс 1:1:1, а при рН 5 — и комплекс 1:2:2. Физико-химическое изучение роданидных комплексов серебра. Голуб А. М., Ж. общ. химии, 1956, 26, № 7, 1837—1848

Потенциометрически и методом растворимости в води. и неводи. р-рителях установлено преимущественное образование в области средних и высоких конц-ий CNS- комплекса (AgCNS)3- с константами диссоциа-

дин 2,86·10-11 при 20°, 3,56·10-10 при 40° и 5,36·10при 60° и с теплотой образования ~25,5 ккал при 20—60°. Рассчитаны константа равновесия р-ции AgCNS (тв.) + $nCNS^- = Ag$ (CNS) $_{n+1}^{n}$ в водн. и апетоновом p-рах (среднее значение 0,145) и произведение растворимости AgCNS для водн. p-ров (4,14·10-12). Показано, что в ацетоновом р-ре в отличие от води. образуется Ag (CNS). Выделено молекулярное соединение KCNS-AgCNS-3 (СН₃)₂СО. Сделан вывод, что комплексообразование оказывает большее влияние ва величину равновесного электродного потенциала, чем природа р-рителя. Продукты присоединения трихлорида галлия

Часть I. Сравнение бинарных систем, образуемых ацилхлоридами с трихлоридами бора и галлия. Гр н в-в у д, У э й д (Addition compounds of gallium trichloride. Part I. A comparison of the binary systems which acyl chlorides form with boron and gallium trichlorides. Greenwood N. N., Wade K.), J. Chem. Soc., 1956, June, 1527—1536 (англ.)

В результате исследования диаграмм плавкости до-казано существование CH₃COCl BCl₃ (I), т. пл. — 54°, но не обнаружено образование соединений С. Н. СОСІ (II) с ВСІз (III); введение III в II почти не изменяет электропроводности. Диаграммы давления пара систем СН₃СОСІ (IV) — III и II — III при 0°, а также зависимость давления эквимолярной смеси IV и III от т-ры указывают на положительные отклонения от закона Рауля; І устойчив только в твердой фазе, в жидкой фазе отсутствуют ассоциация или образование соединений, эквимолярные смеси II и III или IV и III не ацилируют бензола. В системах GaCl₃ (V)-IV и V-11 обнаружены соединения CH₃COCl·GaCl₃, т. пл. 86°, и C₆H₅COCl·GaCl₃ (VI), т. пл. 46,5°, являющиеся энергичными ацилирующими реагентами. Уд. электропроводность VI при т. пл. равна 1,08·10-3 ом-1 см⁻¹ и указывает на значительную ионизацию; обсужден см $^{\circ}$ н указывает на значительную ионизацию, оосужден возможный состав ионов. Для тщательно очищенных образнов измерены: т. пл. V 77,8°; давление насыщ пара III между — 78 и 0°, $\lg p$ (мм) = 7,700—1372/T; отсюда т. кип. 11,5°, ΔH испарения 6,28 ккал/моль при 0°; для IV между —40 и —20° $\lg p$ (мм.) 8,094—1684/T, т. кип. 49,9°, ΔH испарения 7,68 ккал/моль при 0°. И. Рысс

Комбинированное потенциометрическое и полярографическое изучение комплексов свинца с йодом в водных растворах. Кивало, Экман (А сопbined potentiometric and polarographic study of the iodo complexes of lead in aqueous solution. l o P., Ekman A.), Suomen kem., 1956, 29, № 7-8, В139—142 (англ.)

Потенциометрически и полярографически определены полные константы образования комплексов РЫ+, РЫ, PbJ_{2}^{-} и Pbj_{4}^{2-} в води. p-рах при 25° и $\mu = 1$. Найдевы значения соответственно: 18, 620, 2600 и 8300. Поляры графич. восстановление ионов свинца в 1 М р-ре 1 необратимо, $E_{1_2} = -55 \ e$ относительно насыщ. к. э.

Изучение окситносоединений сурьмы. Синте моноокситиоантимонита натрия. Фридмаи Я. Д. Мустаев А. К., Тр. ин-та химии. АН КиргССР.

1956, вып. 7, 23-28

При сплавлении ${\rm Sb_2S_3}$ с ${\rm Na_2CO_3}$ протекают р-ши ${\rm 3Na_2CO_3}+{\rm Sb_2S_3}={\rm Na_3SbO_3}+{\rm Na_3SbS_3}+{\rm 3CO_2}$ (при избытке ${\rm Na_2CO_3}$) и ${\rm Sb_2S_3}+{\rm Na_2CO_3}={\rm NaSbSO}+$ + NaSbS₂ + CO₂ (при недостатке Na₂CO₃). При спланении Sb₂S₃ с Na₂SO₄ р-ция идет согласно ур-ни Na₂SO₄ + Sb₂S₃ = NaSbSO + NaSbS₂ + SO₃. Соемнение NaSbSO, т. пл. \sim 625°, образует мелкие блестящи кристаллы клиновидной формы, d=4,17-4,18. 57 r.

6 · 10-э

р-ции

апето-

едение 10⁻¹²). води.

соеди-

, TTO

не на

Штерн

алиня

уемых

punallium

ystems

allium

K.),

сти до-

I sCOCI

меняет

систем е зави-

закона

жилкой

соедии III не

V n V-

Т. ПЛ.

являюин. Уд. 0-3 ом-1

бсужден щенных

насыш.

2/T; or-

оль при 1684/T, при 0°. 1. Рысс

е и по-

с йодом

(A com-

y of the Kiva-J, № 7-8,

еделены

J+, PbJ.

Найдени

Поляре-

р-ре г к. э. В. Штера

. Синте

н Я.Д. иргССР,

т р-циг

O₂ (upi aSbSO +

и сплав

ур-ш

лестящи 7 — 4,18 заметно летуче при 900—950°, плохо растворимо в H₂O, хорошо в p-ре Na₂S (с образованием Na₃ShS₃), разлагается HCl и H₂SO₄, металлич. Fе плохо восстававливается. Д. Трифонов 1450. Моногидроксотрихлоростибнат. Панда, нанда, Пани (Monohydroxo-trichloro-antimonite complex. Pan da S., Nan da Ch. B., Pan i S.), J. Indian Chem. Soc., 1956, 33, № 7, 532—534 (англ.)

Авторы считают, что в насыш, водн. p-ре SbCl₃ образуется комплекс [SbCl₃OH]. Смешением диоксана (Д) васыш, водн. p-ром SbCl₃ получен Д.SbCl₃·H₂O (I). белое кристаллич. в-во, т. пл. 123, гидролизующеем водой, незначительно растворимое в эфире и полностью в конц. H₂SO₄. Диоксан и H₂O не выделяются из I в вакууме над H₂SO₄. Прочность связи в I вворы объясняют сродством диоксана к протону молекулы H₂O из [SbCl₃OH₂)] и приписывают I строение [ДН]* [SbCl₃OH].

В. Штерн

[ДН]+ [SbCl₃OH]-. В. Штерн 11451. О комплексном соединении трихлорида сурьмы с пиридином. Дас, Пани (A note on trichloro-monopyridino-antimony complex. Das R., Pani S.), J. Indian Chem. Soc., 1956, 33, № 7, 538 (англ.)

Соединение SbCl₃·C₅H₅N, полученное при смешении васыщ. водн. p-ра SbCl₃ с C₅H₅N, не гидролизуется в воде, растворимо в конц. HCl, разлагается при натревании с выделением C₅H₅N.

В. Штерн 1452. Соединение 2,2'-дипиридильного комплекса V (1—) с тетрагидрофураном. X е р ц о г, T а у б е (Lithium-tris-2,2'-Dipyridyl-Vanadid (—1)· 4-Tetrahydrofuran. H е г z о g S., T a u b е R.), Naturwissenschaften, 1956, 43, № 15, 349 (нем.) Содержащие V (1—) блестящие черные, чрезвычайно

Содержащие V (1—) блестящие черные, чрезвычайно чувствительные к действию воздуха, днамагнитные кристаллы Li[V(Dipy)s]·4Thf, где Dipy — 2,2'-дипиридил, а Thf — тетрагидрофуран, получены восстановлением р-ров [V(Dipy)s] (РЖХим, 1956, 57782) или [V(Dipy)s]J₂ в Thf действием LiAlH₄. И. Рысс 11453. Координационные соединения дифенилвиолуровой кислоты с металлами. С и и г х (Co-ordination compounds of diphenyl violuric acid with metals. S i n g h R. P.), J. Scient. and Industr. Res., 1956,

ровон кнелоты с металлами. С и н г х (Со-отипатоп сомроиндя of diphenyl violuric acid with metals. S i n g h R. P.), J. Scient. and Industr. Res., 1956, (В—С) 15, № 5, B245—B247 (англ.)
Дифенилвиолуровая к-та (I), т. пл. 228°, получена действием NaNO₂ в кислой среде на 1,3-дифенилбар-битуровую к-ту. І легко растворяется в води. NH₃, образуя фиолетовый р-р NH₄-соли. Смешением конц. р-ров NH₄-соли I и солей металлов осаждены окрашение в разные цвета внутрикомплексные соединения ряда металлов. Все комплексы I кристалличны и устойшвы при обычной т-ре, но большая часть их разлатестся при нагревании. Соли очень хорошо растворимы в ацетоне, что указывает на то, что они являются внутрикомплексными соединениями, менее растворимы в спирте и эфире, интенсивно окрашены. Ф-лы комплексов (D— аннон I), т. разл. и максимумы поглощения ацетоновых р-ров (в А) приведены ниже: CuD₂-Cu(OH)₂ 240, 6520; CuD₂ 175, 4730; AgD 160, 5600; AuD₃ 153, 4850; CaD₂ 159, 5200; BaD₂ > 290, 5400; HgD 180, 5150; AlD₃ 115, 5500; CeD₃ > 290, 4500; TiD₄ 95, 4200; ZrD₄-Zr(OH)₄ > 290, 4500; ThD₄-Th(OH)₄ > 290, 4750; SnD₂ 140, 5200; PbD₂ 190, 5150; 2 CrD₃-Cr(OH)₃ 153, 6450; UO₂D₂ 220, 4200; FeD₂ 220, 6300; FeD₃ 172, 6550; CoD₂ 202, 4850; PtD₄ 214, 5100; NiD₂ > 290, 4980; 2 CuD₂-Cu(OH)₂—, 6500; BiD₃ > 290, 5250. И. Рысс 1653. Нети к ай не и (A potentiometric study of the complex formation of telluric acid with glycerol. A n t i k ai n e n P. J.), Suomen kem., 1956, 29, № 5-6, B135—B137 (англ.)

На основании результатов потенциометрич. определения значений константы диссоциации теллуровой к-ты (I) при различных конц-иях I и глицерина (II) автор заключает, что комплексная глицеринтеллуровая к-та (III) образуется при вавимодействии 1 моля I с 1 молем II. При 25° комплексообразование значительно меньше, чем при 0°. Величина рК образования III при 25° в ~0,1 н. КСІ составляет 5,625. Для константы ионизации III найдено значение ~10-6. Н. Полянский 11455. Об ионах [М₂СІ₀]³-. Колтон, Джоне (On the ions (М₂СІ₀)³-). С о I t o n E r v i n, J о-n e s Ma r k M.), Z. Naturforsch., 1956, 11b, № 8,

491—492 (нем.) Комплексные ионы [W₂Cl₉]³-, [Tl₂Cl₉]³- и [As₂Cl₉]³-, несмотря на сходство эмпирич. ф-л, обладают различными хим. свойствами, и строение этих понов неодинаково. В [W₂Cl₉]³- два октаэдра WCl₆ имеют общую грань, расстояние W — W равно 2,46 A, поны могут существовать в водн. р-ре. Расчет по ур-иню Паулинга (Pauling L., J. Amer. Chem. Soc., 1947, 69, 542) показывает наличие металлич. связи в комплексе. В [Тl₂Cl₉]³-, по расчетам авторов, расстояние Tl — Tl равно 3,34 A, т. е. слишком велико для непосредственной связи атомов; существование дискретных ионов [Тl₂Cl₉]³- в р-рах Cs₃Tl₂Cl₉ не было обнаружено. Для расстояния 3,69 A, принимая, что атом Аз находится в центре двух тетраэдров, имеющих общее ребро. Связи Аз — Аз в кристалла Сs₃As₂Cl₉ нет, кристаллы, как подтверждают результаты рентгенографич. исследования, содержат лишь молекулы AsCl₃, окруженные ионами Cs⁺ и Cl⁻.

11456. Механизм взаимодействия хромата с дифенил-карбазидом и природа окрашенного продукта реакции. Д а с - С а р м а, Н а т (Reaction mechanism of chromate-diphenylcarbazide and the nature of chromate-diphenylcarbazide and s S a rm a B a-s u d e b, N a t h R a y J a t i n d r a), Sci. and Culture, 1956, 21, № 8, 477—478 (англ.)

По мнению автора, окрашенный продукт, образуюпийся при взаимодействии CrO_4^2 с дифенилкарбази-дом (I), является комплексом Cr(3+), а не Cr(2+)(РЖХим, 1955, 23540). Это мненне подтверждается следующими наблюдениями. 1. При взаимодействии Cr(2+) с дифенилкарбазоном (II) окраска медленно развивается, но разрушается в присутствии избытка Cr (2+) вследствие возможного восстановления II в I. Аналогичная р-ция происходит с дифенилкарбадиазоном. Под действием воздуха обесцвеченный р-р снова окрашивается. 2. Безводн. и гидратированные соли Cr (3+) образуют с II окрашенные соединения. При взаимо-действии Cr (6+) с I, Cr (3+) с II и Cr (2+) с II образуются продукты с общей ϕ -лой $[Cr^{(3+)}(Dz^-)_n A_{x^-}]$ $({\rm H_2O})_{6-2n-x}$ $]^{3-n-x}$, где ${\rm Dz-II}$, ${\rm A-OH^-}$, ${\rm Cl}^-$, CH_3COO^- , 1/2 SO_4^{2-} и др. подобные поны. При n=3, x=0 комплексы нерастворимы в воде, но хорошо растворимы в C_6H_6 или $CHCl_3$. При $n=1,\ x=0-4$ комплексы лучше растворимы в воде, чем в органич. р-рителях. Растворимость комплексов зависит от природы А в составе внутренней координационной сферы. В водн. р-рах при действии Сг (+6) на I или II в присутствии к-т образуется только $[Cr^{(3+)}(Dz^-)(A)_x(H_3O)_{4-x}].$ В результате взаимодействия Cr (6+) с избытком I хлороформном р-ре образуется неэлектролит $[Cr^{(3+)}(Dz^{-})_{3}].$ Н. Полянский

1457. Механизм образования роданидных комплексов трехвалентного хрома. Предварительное сообщение. Бек, Тот (A krómrodanid komplexek képzödésének machanizmusáról. Előzetes közlemény.

(X); C₁₂H (XII

твор

4-KO

HORT

плен

Mart

KOMI

VII

учас

THEFT

(нап

а пр

плос

след

обра

1146

co

co

ar

E

38

Cı

выс

(H25

фото

p-pa

МЫЙ

нера

≥11

поли [М(S

1,7-

L

A

ti

ti

m

h

ние

бим

щен Хкул

Beck Mihály, Tóth Kálmán), Magyr kém. folyoirat, 1956, 62, № 6, 211—212 (венг.; рез. англ.) Исследовано образование комплексов Cr(3+) с

Йсследовано образование комплексов Cr(3+) с SCN-. Расхождение полученных и литературных данных авторы объясняют процессами полимеризации.
В. Штерн

11458. Реакция уранил-нона с ксантогенатами и диэтилдитнокарбаматом. З и и г а р о (The reaction of uranyl ion with xanthates and diethyldithiocarbamate. Z i n g a r o R a l p h A.), J. Amer. Chem. Soc., 1956, 78, № 15, 3568—3570 (англ.)

Смешением води. р-ров сульфата уранила и ксантогенатов или дватилдитиокарбамата получены красные осадки KUO2[S2COC2H5)3 (I), KUO2[S2COCH(CH3)2]3 (II) и KUO2[S2COC(C2H5)3]3 (I), КUO2[S2COCH(CH3)2]3 (II) и KUO2[S2COC(C2H5)3]3 (II). Все 3 комплекса легко растворимы в спиртах, эфирах и кетонах, мало растворимы в воде, нерастворимы в С6H6; I и II нерастворимы в СHCl3, а III очень хорошо растворим в нем. Комплексы заметно разлагаются при хранении в течение недели или при нагревании до 35°. Исходя из свойств III и результатов спектрофотометрич. исследования, автор приписывает III строение двойной соли UO2X2- К2UO2X4, где X — радикал днэтилдитиокарбамата; константа равновесия $K = [UO2^{2+}][X^{-1}/[UO2X4^{2-}]]$ при 25° изменяется в пределах 1,5-10⁻¹⁸—6,9-10⁻¹⁸. При полытке получения аналогичных I и II соединений и-пропытил-и-бутил-, наобутил-и-амил-и изоамилксантогенатов образовались быстро разлагающиеся загрязненные продукты; не удалось также получить аналогичные I и II соли других металлов, кроме калневых. И. Рысс 11459. Фтороренеаты. II и к о к (The quadrivalent

11459. Фтороренеаты. II и кок (The quadrivalent fluororhenates. Peacock R. D.), J. Chem. Soc.,

1956, June, 1291—1293 (англ.) Для получения M₂ReF₆, гле M = K (I) (РЖХим, 1956, 46641), Rb (II) или Cs (III) смеси (NH₄)₂ReJ₆ м МН F2 постепенно нагревались до 250°; после исчезновения окраски ReJe- смесь нагревалась до полного удаления NH₄+ и, после охлаждения, выщелачивалась холодной водой для удаления КЈ и КГ; соли перекристаллизовывались из воды. Смешением горячего р-ра I с р-рами соответствующих катионов и прибавлением равного объема абс. спирта получены BaReF₆ (IV), равного объема абс. спирта получены ВаRe F₆ (IV), [Ni(NH₃)₆]Re F₆ (IV) и [Со(NH₃)₆]₂[Re F₆]₃ (VI). Бесцветный р-р H₂Re F₆ (VII) получен пропусканием разб.
р-ра I через катионит Зеокарб-225; рН 0,01 н. р-ра
VII равен 2,6, р-р титруется как сильная к-та; при выпаривании досуха р-р VII разлагается. Нейтр-цам р-ра VII и испарением получены Na₂Re F₆ (VIII) и
(NH₄)₂Re F₆ (IX). Попытки выделения солей Ад и Са
не привели к успеху. V окрашен в пурпурный, VI —
в красно-коричневый цвет, прочие соли бесцветны. VIII и IX очень хорошо растворимы в холодной и горячей воде; І очень хорошо растворим в горячей воде, растворим в холодной; II и III растворимы в горячей, плохо растворимы в холодной воде; свежеосажденный IV растворим в горячей воде, но состаренный осадок нерастворим; V и VI мало растворимы. Ион ReFs²⁻ устойчив в р-ре по отношению к гидролизу, медленно разлагается р-рами щелочей или Н2О2, устойчив к действию конц. горячей HCl; кислые р-ры легко восстанавливаются электролитически до металла. Кристаллографически фтороренеаты сходны с фторокомплексами Mn(4+) и платиновых металлов, за исключением VIII, кристаллизующегося в тетрагональной системе (а 10,02,

10,14 A). Соли щел. металлов и NH₄ тригональны и имеют следующие параметры а и с (в A): I 5,86 и 4,60; II 6,01 и 4,77; III 6,32 и 4,99; IX 6,06 и 4,77. IV имеет ромбоэдрич. ячейку, а 4,92, а 97,25°, изоморфен ВаІгF₆, ВаОsF₆ и V. Эффективные магнитные моменты I и IV (при 20°) равны 3,3₂ и 3,4₁ магнетонам Бора.

11460. О некоторых оксокомплексах переходных алементов. Валь, Клемм, Вермейер (Über einige Oxokomplexe von Übergangselementen. Wahl Kurt, Klem Wilhelm, Wehrmeyer Günther), Z. anorgan. und allgem. Chem., 1956, 285, № 3-6, 322—336 (нем.)

Проявлению высших валентностей центрального атома комплекса способствует высокая электроотрицательность адденда. Так как по стереохим. условиям переходные элементы IV периода не могут координаходные элементы ту периода не могут коордана-ровать > 6 атомов F, то валентность в комплексных фторидах не может быть > 5. Более высокие степеви окисления достигаются в оксокомплексах, чему способствует и возможность образования π-связей; играют роль также и свойства катиона, состав исходной смеся окислов, т-ра и давление O_2 . При нагревании смесей KO_x , где $x\approx 0.7$ (I), и Fe_2O_3 в атмосфере O_2 (p 800 мм рт. ст.) при отношении (α) К : Fe = 1 и 450° С получен зеленый КFeO₂; при α = 2 и 150° С образуется К₂FeO₄; при α = 3 и 450—500° С образуется черный рентгеное аморфный K₃FeO₄ (II). Соединение II восстанавливается до Fe (3 +) и выделяет О₂ при действии разб. H₂SO₄ или HNO₃; из HCl (к-ты) выделяет О₂ и Cl₂. Р-ция II с холодной водой протекает по ур-нию 6 $11+8\,{\rm H}_2{\rm O}\to 4\,{\rm K}_2{\rm FeO}_4+2{\rm Fe\,(OH)}_3+10$ КОН. Найденный из измерений восприим чивости магнитный момент II (μ , в магнетонах Бора) при 90—294° К равен 3,6—3,7, что близко к «только спиновому» значению μ = 3,87 для Fe (5+). В смесях I и NiO в атмосфере О₂ при К Ni= 1, 2 и 3 и 500—550° С образуется черный кристаллич. K₂NiO₃, бурно выделяющий О₂ при действии воды вли к-т; при 90-295°К $\mu \approx 2.1$, что неожиданно для соединения с четным числом электронов. В смесях I в Co_3O_4 с отношением К: Co = 1 в атмосфере O_2 при $250-300^{\circ}$ С и при $p_{\mathrm{O_3}}$ до 50 атм и 450° С, а также в смесях CsO₉ и Co₃O₄ в атмосфере О₉ и 325—355° С образуются в-ва, приближающиеся по валовому составу к $MCoO_3$ (M = \hat{K} , Cs), но являющиеся смесями MO_3 в MCo(3+) Co(4+) O_4 ; в смеся с Cs: Co = 0.5 при 310-350°C образуется сине-черный CsCo₂O₄ (III), медленно разлагающийся водой, устойчивый к действию щелочей в окисляющий кислый р-р КЈ. При 90, 195, 295° К, рассчитанные на 1 атом Со значения µ III, равны соответственно 0,68, 0,94 и 1,14. 11461. Комплексное соединение попа никеля с нопок

хлора. Киселева Е. В., Ходеева С. М., Тр. Моск. хим.-технол. ин-та, 1956, вып. 22, 89—96 В результате изучения спектров поглощения р-ра NiCl₂ при паменении конц-ий Ni²⁺ и Cl⁻ и т-ры, а также на основании результатов калориметрич. исследования (определения зависимости теплоты комплексобразования от отношения конц-ий Cl⁻ и Ni²⁺) установлено существование в р-рах NiCl₂ комплексного иона (NiCl₄)²⁻ (I). Устойчивость I повышается с т-рой и в присутствии пона NO₃ п резко уменьшается в присутствии Cd²⁺. Теплота образования I равна 2500—2600 кал/моль. Константа нестойкости I при избытке Cl⁻ составляет ~0,3.

11462. Некоторые внутрикомплексные соединения вт

келя и кобальта. Ливингстон (Complexes of nickel and cobalt with certain chelate compounds. Livingstone S. E.), J. Chem. Soc., 1956, Apr., 1042—1044 (англ.)

о-Метилтиобензойная к-та и (CH₃)₂ As C₆H₄COOH и образуют комплексов с Ni и Co. Синтезированы комплексы с 1,2-ди-(o- карбокенфенилтио)-этаном: C₁₆H₁₂O₄S₂Ni-2H₂O (I) и C₁₆H₁₂O₄S₂Co (II). с 3-диметиларсинопропан-1-тиолом: C₁₀H₂₄S₂As₂Ni (III); и комплекс Co (2+) (IV); с 3-этилтиопропан-1-тиолом: C₁₀H₂₂S₄O (V) и комплекс Ni (2+) (VI), с o-аминофенолом: C₁₂H₁₃O₂N₂Ni-2H₃O (VII) и C₁₂H₁₂O₂N₂Co·H₂O (VIII);

(Über Vahl е уег 1956, атома ательперердиниэксных тепени су спо-

57 r.

х эле-

у спопграют смесей 800 мм олучен 2FeO4; итгенов нается H₂SO₄

цня II H₂O → В наме-(µ, в 7, что 87 для : Ni= аллич. ды вли ия сое-

ях I и О₂ при акже в С обрасоставу МО₂ и —350°C

разлаочей и К, расоответі. Рысс ионом С. М., 89—96

я р-ра г-ры, а исслеплексос т-рой

в при-2500 збытке оифонов ния ниexes of

POUNDS, 1956, OOH RELIEN KOM-PTAHON:

иметилмилекс H₂₂S₄Co енолом: (VIII); с автраниловой к-той: $C_{14}H_{12}O_4N_2Ni$ (IX) и $C_{14}H_{12}O_4N_2Co$ (X); с o-аминобензолтиолом: $C_{12}H_{12}N_2S_2Ni$ (XI) и $C_{13}H_{12}N_2S_2Co$ (XII); с o-металтиобензолтиолом: $C_{14}H_{14}S_4Ni$ (XIII). Аморфный коричневый III перекристаллизовывается из спирта в зеленых призмах и очень хорошо растворяется в CHCl₃, CH_3COCH_3 , спирте и $C_6H_5NO_2$, образуя бурые р-ры; цвет III необычен для днамагнитных 4-ковалентных комплексов Ni (2+), мономерность его подтверждена криоскопически. IV и VI выделены в виде хорошо растворимых в CHCl₃ коричневого и красно-причневого масел, первое загрязнено тнолом. Комплексов III, VI, XI и XIII днамагнитны; эффективные магнитные моменты μ (в магнетонах Бора) других комплексов Ni: 1 3,22, VII 3,22, IX 3,20; комплексов Co: II 5,09, V 2,44, VIII 4,3, X 5,05, XII 2,6. Комплексов VII устойчив при 120°, но обезвоживается при 145°, ве изменяя μ . Величины μ указывают на некоторое участие орбитальных моментов и на то, что при координировании сильно электроотрицательных атомов (вапр., О) металлом, образуются тетраэдрич. комплексы, а при координировании S и N или S и As образуются илоские квадратные комплексы; возможно, что в последнем случае играет роль способность аддендов к образованию двойных связей (РЖХим, 1956, 60724).

И. Рысс

11463. Соединения кобальта, никеля и меди с салицилальдоксимом при высоких рН; их поведение, состав и строение. Бобтельский, Юнгрейс (Cobalt, nickel, and copper salicylaldoxime compounds at high pH's: behaviour, composition, and structure. Воbtelsky М., Jungreis E.), J. Inorg. and Nuclear Chem., 1956, 3, № 1, 38-48 (англ.)

Спектрофотометрически изучены образующиеся при высоких рН р-ры комплексов салицилальдоксима (H₂Sao) с Со, Ni и Сu, а также проведены опыты по фотометрич. титрованию р-ров и взвесей комплексов р-рами НNO₃ и NaOH. В смесях Со(NO₃)₂ и Sao при рН 6—8 происходит окисление и образуется растворимый [Со₂(Sao)₃]⁰. Соли Ni(2+) и Сu(2+) образуют верастворимые [М(НSao)₂]⁰, где М — Ni (I) или Си (II), при рН 6—12 или соответственно 3—10. Осадки I и II количественно растворяются при рН ≥ 12 (I) и ≥11 (II), образуя растворяются при рН ≥ 12 (I) и ≥11 (II), образуя растворямые комплексы [М(Sao)₂]²-] толные константы нестойкости K = [М²⁺] ([Sao²⁻]²/[М(Sao)₂²] для М = Ni и Сu соответственно равны 1,7·10-4 и 6,4·10-5. И. Рысс 11464. Механизм, кинетика и стереохимия замещений

нозанизм, кинетика и стереохимии замещении в октаюдрах. Часть IV. Бимолекулярный основной гидролиз и акватация некоторых галогеноизороданидо-бис-(этиленднамин)-кобальти-ионов. И н голд, Н юхольм, Тоб. Часть V. Бимолекулярный основной гидролиз и акватация некоторых галогено- и нитратоаммин-бис-(этиленднамин)-кобальти-ионов. Н юхольм, Тоб (Mechanism, kinetics, and stereochemistry of octahedral substitutions. Part IV. Bimolecular basic hydrolysis and aquation of some halogenoisothiocyanatobis (ethylenediamine) cobalt (III) ions. I ng old C. K., Nyholm R. S., Tobe M. L. Part V. Bimolecular basic hydrolysis and aquation of some halogeno- and nitrato-amminobis (ethylenediamine)cobalt (III) ions. Nyholm R. S., Tobe M. L.), J. Chem. Soc., 1956, June, 1691—1707, 1707—1718 (англ.)

IV. Методом потенциометрич. титрования с измерением рН и спектрофотометрически изучена кинетика бимолекулярных темновых р-ций нуклеофильных замещений в октаэдрич. темпование и цис-[CoEn₂ (NCS) X]+, где X—Cl (I), Вг (II), галогена X на OH−. Р-ции бимолекулярны и по отношению к образованию каждого из стереоизомерных продуктов. Константа скорости k₂

р-ции mpanc-I + OH⁻ \rightarrow uuc- и mpanc-[CoEn₃ (NCS)-OH]⁺ (III) + Cl⁻ при 0° cнижается при введении CH₃OH; в води. р-ре при 0° $k_2 \approx 0.339$ сек⁻¹ моль⁻¹ л, при 0°—20° энергия активации $E \approx 23.2$ ккал/моль и предокспоненциальный фоктор $B \approx 6.6 \cdot 10^{13}$ сек⁻¹ моль⁻¹л; в разб. р-рах р-ции различных солей I одинаково протекают как с КОН, так и с NH₄OH. При 0° для аналогичной р-ции mpanc-II $k_2 \approx 1.95$ и для р-ции uuc-I + OH⁻ \rightarrow uuc- и mpanc-III + Cl⁻ $k_2 \approx 1.40$ сек⁻¹ моль⁻¹л; в продуктах превращения mpanc-I, mpanc-II и uuc-I соответственно содержатся 76, 81 и 82% uuc- III и 24, 19 и 18% mpanc-III; таким образом стереоизменения при бимолекулярных нуклеофильных замещениях при атоме Со с октаэдрич. координацией отличаются по характеру от замещений при атоме С с тетраэдрич. координацией. Р-ции H_2 O + mpanc-I \rightarrow uuc- и mpanc-CoEn₂ (NCS) OH₂|2+ (IV) + Cl⁻ и аналогичная р-ций 1-го порядка; для первой р-ции E = 30.4 ккал/моль, $B_1 = 8.5 \cdot 10^{14}$ сек.⁻¹, для второй E = 30.1, $B_1 = 2.1 \cdot 10^{15}$; вследствие быстрой изомеризации uuc- и mpanc-IV соотношение их в первой р-ции не установлено, во второй, более быстрой, р-ции при 63—90° образуется 43—46% uuc-IV. Изомеризация uuc-IV mpanc-IV является обратимой uuc-IV по порядка; сумма констант скоростей прямой uuc-IV по порядка; сумма констант скоростей прямой uuc-IV и обратной uuc-IV uu

V. Р-ции OH−+ [CoEn₂NH₃X]²⁺ → [CoEn₂NH₃OH]²⁺ (V) + X¬, где X — Cl (VI), Br (VII) или NO₃ (VIII), бимолекулярым в разб. воды. р-рах как в отношении валового процесса, так и в отношении каждого из одновременно образующихся стереоизомеров; последние не испытывают в условиях опытов изомерных превращений или последующих замещений. ОН¬ и транс-VI образуют смесь чис- и транс-V; при 0°; 10,5 и 25,0° в смеси содержится 76, 79 и 83% чис- формы; при росте ионной силы µ от 0,0051 до 0,0605 и 0° k_2 падает от 1,43 до 0,73 сек¬1 моль¬1 л. ОН¬ и d-чис-VI образуют смесь d-чис-, l-чис и транс-V в почти постоянном соотношении (59% : 24,5% : 16% при 0°); при 0° $k_2 \approx 0,5$ сек¬1 моль¬1 л. При 0° ОН¬ и d- или l-чис-VII) образуют смесь d-чис-, l-чис- и транс-V в соотношении 59%: 26%: 15% (вз d-чис-VIII) или 27: 58: 15 (вз l-цис-VII); $k_2 \approx 3,26$ —3,38. Р-ция VIII и ОН¬ при 0° слишком быстра, и k_2 пе определена; отношение чис- и транс-V в продукте равно 86: 14. Характер р-ций замещения X в аммин- и изороданокомплексах близок и направляющее влияние этих аддендов или пренебрежимо мало, или одинаково. Процессы акватации комплексов в кислой среде являются обратимыми р-циями 1-го порядка. Определенные при ряде т-р и разных солевых конц-яях величины равновесных степеней акватации и приближенные значения констант скоростей указывают на то, что для развых X в ряду NO₃ > Вг > Cl стремление к акватации падает как в термодивамич., так и в кинетич. смысле. Часть III см. РЖХим, 1956, 640.

11465. Неорганическая химия. Комплексные соединения платины. Цутида, Ямада (無機化學. 自金譜化合物。隨田龍太郎, 山田祥一郎), 化學, Кагаку, Chemistry (Japan), 1956, 11, № 7, 2—5 (япон.) Обаор за 1955 г. Библ. 10 назв. В. Штерн 11466. Некоторые внутрикомплексные соединения пал-

11466. Некоторые внутрикомплексные соединения палладия и платины. Ливингетои (Complexes of palladium and platinum with certain chelate compounds Livingstone S. E.), J. Chem. Soc., 1956, Febr., 437—440 (англ.)

Исследовалась способность Pd (2+) и Pt (2+) к образованию комплексов с органич. соединениями, содержащими кислотную группу (CO₂H, SH или OH) и

группу, способную координироваться (NH2, SR или As (СН₃)₂). При взаимодействии щел. р-ров антраниловой к-ты (I), 3-эмино-2-нафтойной к-ты (II), о-метилтиобензойной к-ты (III), o-и-бутилтиобензойной к-ты (IV). o-бензилтиобензойной к-ты (V), o-октадецилтиобензойной к-ты (VI), 1,2-ди-(о-карбоксифенилтио)-этана (VII), о-карбоксифенилдиметиларсина (VIII), о-аминофенола (IX), о-аминофенаолтиола (X), о-метил-тиобензолтиола (XI), 3-диметиларсинопропан-1-тиола (XII) и 3-этилтиопропан-1-тиола (XIII) с p-ром К2PdCl4 во всех случаях получены внутрикомплексные соли типа диглициниалладия (желтого или бурого цвета, большей частью нерастворимые в органич. р-рителях). Pt (2+) образует комплексы только с I, II VII, X, XI, XII и XIII (желтого цвета). Для всех перечисленных соединений получено только по одному изомеру. Предположено, что они имеют транс-конфигурацию. Описано получение IV, о-н-пропилтио-, о-пентиллио, о-н-октилтио-, о-н XII и XIII. о-н-октадецилтиобензойной к-ты, VII, XI, А. Аблов Сравнительная способность простых моноами-11467.

нов к образованию координационных соединений. Константы устойчивости некоторых комплексов двухвалентной платины с аминами. Чатт, Гамлен (The relative tendencies of simple monoamines to form co-ordination compounds: the stability constants of some amine-platinous complexes. C h a t t J., G a m l e n G. A.), J. Chem. Soc., 1956, July, 2371-2378 (англ.)

В дополнение к ранее опубликованной работе (РЖХим, 1956, 22217) потенциометрически определены константы равновесия р-ций $[C_2H_4PtCl_3]$ —+am]— \nearrow mpanc- $[C_2H_4\cdot$ am \cdot $PtCl_2+Cl^-(K_1)$ и mpanc- $[C_2H_4\cdot H_2OPtCl_2]$ +am \nearrow mpanc- $[C_2H_4\cdot am \cdot PtCl_2] + H_2O(K_2)$, где am — амин, при 23° и понной силе 0,2. Для am= NH_3 , CH_3NH_2 , $(CH_3)_2NH$, $(CH_3)_3N$, пиперидина, 1-метилиперидина (1) $\lg K_1$ равны соответственно 5.3; 6.1; 5.5; \sim 3.0; 5.7 и 4.3, а 1g K_2 равны 7.8; 8.6; 8.0; \sim 5.5; 8.2; 6.8. Обсуждены возможные причины резкого уменьшения сродства Pt(2+) к $(CH_9)_3N$. T ранс- $[C_2H_4\cdot N\ (CH_9)_3PtCl_2]$ выделен при титровании взвеси K $[C_2H_4PtCl_3]$ (II) в 3 н. HCl действием 1 н. $(CH_3)_3N$ до pH 7 в виде светложелтого осадка, T. разл. $105-111^\circ$. Авалогично получены комулексы I: выделяющийся при pH3 $-8mpanc\cdot[C_2H_4\cdot C_5H_{10}NCH_3PtCl_2]$ (III), т. пл. 87—90°, и выделяющаяся из более конц. p-ра II при введении I до pH 1 соль $[C_5H_{10}NHCH_3]$ · $[C_2H_4PtC!_3]$, т. пл. 82—82,5°, превращающаяся при повышении рН в III. К вопросу о количественной характеристике

транс-влияния в комплексных соединениях четырехвалентной платины. Звягинцев О. Е., Ка-рандашева Е. Ф., Докл. АН СССР, 1956, 108, № 3, 477—480

Изучалась кинетика замещения галогенов C₅H₅N в соединениях Pt(4+). В качестве объектов исследования были взяты триамины [(NH₃)₃PtCl₂X [Cl, [EnPt-NH₃NO₂ClX [Cl и соли типа Бломстранда [(NH₃NO₂)₃-PtClX], где X — Cl, Br, NO2. Во всех случаях р-цин проходят только по координате Cl — Pt — Cl (Br) или Cl — Pt — NO₂. Все р-ции являются бимолекулярными. Полученные данные показывают, что замена СІ на Вг вызывает увеличение константы скорости к для [(NH₃)₃PtClBrCl|Cl и [(NH₃NO₂)₂PtBrCl] почти в 3 раза, а для [EnPtNH₃NO₂BrCl] в 2,3 раза. Р-ции замещения на координатах NO₂— Pt — СІ идут крайне медленно. Значения к для соединений с этой координатой в 3 раза меньше значений к для соответствующих соединений с реакционноспособными координатами Cl - Pt - Cl. При применении в качестве р-рителя не воды, а ацетона значения к почти не изменяются. На основании сопоставления значений к для соединений Pt(4+) и Pt(2+) сделан вывод, что один и тот же заместитель NO2 в рядах Pt(2+) и Pt(4+) ведет себя Ионообменное исследование возможности гибридизации 5f-электронов в актинидах. Даймонд. Стрит, Сиборг (An ion-exchange study possible hybridized 5f bonding in the actinides. D

mond R. M., Street K., Jr, Seaborg G. T.), J. Amer. Chem. Soc., 1954, 76, № 6, 1461—1469 (англ.)

Для подтверждения аналогии между лантанидами и актинидами и получения дополнительных доказательств существования хлоридных комплексов актительств существования хлорадных комплексов акти-нидов исследовалось вымывание Cm (3+), Am (3+), Pu (3+), Ac (3+), Pu (4+), Np (4+), U (4+), Th (4+), Np (5+), Pu (6+), U (6+), La (3+), Ce (3+), Eu (3+), Yb (3+), Y (3+), a также Sr, Ba, Ra и Cs из колонки с катионитом дауэкс-50 3, 6, 9 и 12 М р-рами HCl. Установлено, что при высоких конц-иях HCl актиниды образуют комплексные ионы с Cl- в большей степени, чем лантаниды. На этом основании авторы приходят к выводу о частично ковалентном характере связей в хлоридных комплексах актинидов с участием в гибридизации 5f-орбит. М. Сенявин

470. Разделение и синтез оптически активного фторокомплекса. Матоуш, Басоло (Resolution and synthesis of an optically active fluoro complex. Matoush William R., Basolo Fred), il trav. chim., 1956, 75, No. 6, 580—584

Расширенное изложение более ранней работы. См. Расширенное изложение оолее раннеи расоты. См. В. Штеря 11471. Образование боратных комплексов гидроксамовых кислот. Грин (The formation of borate complexes by hydroxamic acids. Green A. L.), J. Chem. Soc., 1956, July, 2566—2567 (англ.) УФ-спектр изоникотнигидроксамовой к-ты (I) в 0,05 M р-ре Na₃BO₃ существенно отличается от спектров

р-ров ее в воде, щелочи или р-ре фосфата и сходен с УФ-спектром 4-оксииминопиридина в щелочи; это объяснено образованием комплекса $C_5H_4NC = N - 0$ -

-B(O-) - O (II). Образование II подтверждено и результатами потенциометрич. титрования смеси р-ров I и НаВОз (III) щелочью. Для I, III и эквимолярной смесн $0,005\,M$ p-ров I и III величины р K_a соответствено равны 7,9, 9,2 и 7,4. И. Рысс 11472. Комплексы в водных растворах. Ш в а р

ценбах (Komplexe in wässerier Lösung. Schwarzenbach G.), Recueil trav. chim., 1956, 75, № 6, 699—704 (нем.)

Gordon Saul), J. Amer. Chem. Soc., 1956, 78, № 9, 1813—1815 (англ.)

 N_c^2 9, 1813—1815 (англ.) Р-ция между Hg и NO₂ изучалась при комнатной т-ре в присутствии NO и O₂. Установлено, что в зависимости от отношения [NO]: [O₂] = r р-ция протекает по различным схемам. При r > 2 справедливу ур-ние: $4\text{Hg} + 6\text{NO}_2 = \text{Hg}_2(\text{NO}_3)_2 + \text{Hg}_2(\text{NO}_2)_2 + 2\text{NO}$ (1), при $r \leqslant 1,33:4 \text{Hg} + 4\text{NO}_2 + O_2 = \text{Hg}_2(\text{NO}_3)_2 + \text{Hg}_2(\text{NO}_2)_2$ (2) или $2\text{Hg} + 2\text{NO}_2 + O_2 = \text{Hg}_2(\text{NO}_3)_2$, при r = 2-1,33 одновременно протекают р-ции (1) и (2), причем в зависимости от величины r преобладает $r \approx 1$ в Пидерев $r \approx 1$ в $r \approx 1$ в Пидерев $r \approx 1$ в $r \approx$ или иная р-ция. В. Пикаева

11474. Взаимодействие иона NO₃— с ионом Cl-Киселева Е. В. Тр. Моск. хим.-технол. ин-та, 1956, вып. 22, 97—99

Для объяснения повышения устойчивости (CuCl₄) Cu при добавлении пона NO3 изучался характер взаимо

957 r.

т себя

Аблов

ти гионд, у об

Diaborg

Nº 6,

идами

оказа-

акти-(3+), 1 (4+), 1 (3+),

ОЛОНКИ

n HCl.

акти-

ей сте

ы при-

актере

астием

енявин

HBHOTO

Resolufluoro

solo

30 - 584

ы. См.

Штерн

прокса-

te com-

(I) B

ектров

соден с объяс-— О —

и ре-

р-ров

лярной тствен-

. Рысс

Івар

ösung.

сhіт.,

a3073. en mer-E l i s, 56, 78,

ой т-ре

з завин прозедливо (O₂)₂ + NO₃)₂+

з)₂, при и (2),

дает п

Інкаева

M CI-.

. ин-та,

aCl₄) Cu

взаимо

действия NO_3^- и Cl^- . На основании результатов измерения теплоты взаимодействия указанных ионов автор приходит к выводу, что при взаимодействии происходит отрыв 1 молекулы H_2O из гидратной оболочки Cl^- ($\Delta H_1 = 8000 \ \kappa a \Lambda/Mo \Lambda \Lambda^-$) и присоединение 1 молекулы H_2O к гидратной оболочке NO_3^- ($\Delta H_2 = -9900 \ \kappa a \Lambda/Mo \Lambda \Lambda^+$); суммарный тепловой эффект процесса $Cl_1^- + NO_{31}^- \to Cl_{11}^- + NO_{311}^-$ (индексом « l_3 обозначается состояние NO_3^- и Cl_3^- до смешения содержащих их р-ров, индексом « l_3^- оставляет $\Delta H = \Delta H_1 + \Delta H_2 = -1900 \ \kappa a \Lambda/Mo \Lambda \Lambda^-$. Уменьшение «сродства» Cl_3^- к H_2O в присутствии NO_3^- , по мнению автора, объясняет повышение устойчивости ($CuCl_4$) Cu в р-рах, содержащих NO_3^- . Д. Трифонов 1475. Действие смесей плавиковой кислоты и перекиси водорода на металлы ниобий и тантал. Б а

ранников Г. И., Ж. прикл. химии, 1956, 29, № 8, 1283—1287
Изучено действие смесей 40%-ной НГ, 30%-ной НNОз и 30%-ной Н2О2 на Nb и Та при ~20°. Растворение пдет наиболее эффективно в смесях НГ и Н2О2; содержащих ≤ 10% (для Nb) или 15% Н2О2 (для Та). Растворение Nb и Та в таких смесях протекает более энергично, чем в смесях НГ и НNО3. Автор отмечает, что смеси НГ и Н2О2 действуют также на W, Re, Os, Pt, Au, Pd, Mo, V и Ті с различной эффективностью.

11476. Восстановление шестивалентного урана двухвалентным железом в фосфорновислом растворе. Бес (The reduction of uranium (VI) by iron (II) in phosphoric acid solution. Ваев С. F., Jr), J. Phys. Chem., 1956, 60, № 6, 805—806 (англ.)

Рауз. Спепа., 1936, 60, 34° 0, 803—306 (аптл.) Потенциометрическим и спектрофотометрич. методами изучено восстановление U (6+) 2-валентным Fe в p-рах, содержащих $H_3\text{PO}_4$ и F⁻. При отношении [Fe (2+)]: [Fe (3+)] = 0,14-1,7 и конц-ин $H_3\text{PO}_4$ (c) равной 3,68 M восстановление идет по p-ции 2Fe (2+) + U (6+) = 2Fe (3+) + U (4+) с эмпирич. константой равновесия при 25° K = 13 ± 2. При 25° и исходных конц-вях Fe (2+) и Fe (3+) 0,05 M K растет примерно пропорционально 8-й степени c. В присутствии фторидов K сильно возрастает; при c=3,7 M и [F⁻] = 0,8 M K ≈ 300 000. Величина формального электродного потенциала $E_{\text{Fe}}(2+)$]Fe (3+) растет от -0,6746 e при e=0 до -0,4322 e при e=7,4 M; величина $E_{\text{U}}(4+)$]U (6+) Уменьшается с увеличением e, что указывает на большее комплексообразование $H_3\text{PO}_4$ с U^{4+} и Fe³⁺, чем с $U^{0,2}$ и Fe²⁺.

11477. Пиролиз CF_3SF_5 и р-ция CF_3SF_5 с перфтор-пропиленом. Дрезднер (The pyrolysis of trifluoromethyl sulfur pentafluoride and its reaction with perfluoropropylene. Dresdner Richard, J. Amer. Chem. Soc., 1955, 77, № 24, 6633—6634 (англ.) Пиролиз CF_3SF_5 (1) и смесей I с C_3F_6 проводился в Ni-реакторе при $425-518^\circ$ и атмосферном давлении Продуктами пиролиза I являются C_2F_6 и SF_4 ; при пиролизе смесей I с C_3F_6 образуются также C_4F_{10} , C_5F_{12} , C_6F_{14} и C_7F_{16} . 3. Майзус

11478 К. Новое руководство по неорганической химии. Ред. Паскаль, Том Х. Азот. Фосфор. Дюбризе, Паскаль (Nouveau traité de chimie minérale. Tome X. Azote. Phosphore. Dubrisay R., Pascal P. Paris, Masson et Cie, 1956, 963 рр., ill.) (франц.) См. РЖХим, 1956, № 17, стр. 496.

11479 К. Элементарное введение в химию. Том 2. Систематика неорганической химии на основе периодической системы элементов. Изд. 2-е. Туст, Шиммельс (Einführung in die Chemie auf einfachster Grundlage. Т. 2 Systematik d. anorganischen Chemie auf. d. Grundlage d. Periodensystems d. Grundstoffe. 2. Aufl. Tust Paul, Schimmels Michael. Wiesbaden, Steiner, 1956, XII, 273 S., ill., 10. —DM) (нем.)

11480 К. Восстановление комплексными гидридами металлов. Гейлорд (Reduction with complex metal hydrides. Gaylord Norman G. New York—London, Interscience, 1956, XVI, 1046 pp., ill., 6 L.) (англ.)

11481 Д. Взаимодействие фторидов металлов второй группы периодической системы с перегретым водяным паром. Михайлов М. А. Автореф. дисс. канд. хим. п., Томский ун-т, Томск, 1956

11482 Д. Изучение реакции образования ферроцианида серебра и смешпанных его солей с ферроцианидами щелочных металлов. К а ч у х а ш в и л и С. И. Автореф. дисс. канд. хим и., Тбилисск. ун-т, Тбилиси, 1956

11483 Д. Изомерия ацидокомплексных соединений четырехвалентной платины. У m а к о в а Н. И. Автореф. дисс. канд. хим. н. Ин-т общ. и неорган. химии АН СССР, М., 1956

См. также: Элементы и простые в-ва 10986, 11079. Строение и св-ва молекул и кристаллов 10838, 10845, 10841, 10899, 10913, 10924, 10927—10929, 10931—10953, 10955, 11144, 1156, 11372. Кинетика и механизмы неорг. р-ций 11223, 11224. Комплексные соед. 10876, 10908, 10956, 11196, 11225, 11349, 11402. Солевые светемы 11183, 11197. Синтез неорг. соед. 11303

космохимия. геохимия. гидрохимия.

Редакторы Г. Г. Воробеев, М. С. Яншина

11484. О пористости каменных метеоритов. Ю дин Н. А., Шур А. С. Тр. Свердл. горн. ин-та, 1956, вып. 26, 137—143

Приведены результаты исследования ультра- и микропористости 6 серых и черных каменных метеоритов, упавших в разное время на территории СССР. В обеих разностих преобладают ультраноры с эффективным раднусом 10·10-7 см. Общее содержание пор в серых метеоритах больше, чем в черных, где выявляется тенденция в сторону увеличения размеров пор. Черные метеориты образовались в результате термального метаморфизма отдельными локализованными участками и прожилками. Черный цвет, по-видимому, обусловлен наличием тонкораспыленных минералов никелистого железа, троилита и поцита.

Р. Хмельницкий

11485. Определение щелочных металлов в метеоритах методом возгонки. Эдуардс, Юри (Determination of alkali metals in meteorites by a distillation process. Edwards George, Urey Ha-

No

сте

raa

114

TP

KO.

pa

Ф

де

пр

« Сь

rold C.), Geochim. et cosmochim. acta, 1955, 7, № 3/4, 154-168 (англ.)

Предложен метод анализа, основанный на летучести хлоридов Na и K из силикатов при т-ре 1300—1450°. Хлориды, конденсированные на стеклянной вате и стенках сосуда, собираются, упариваются, и содержание Na и K определяется на пламенном спектрофотометре. Анализировался 21 образец хондрита (I), 4 ахондрита (II) и 8 углистых хондритов (III). Содержание Na и K (в %) соответственно лежит в пределах: для I 0,47—0,74, среднее 0,67; 0,058—0,102, среднее 0,085; II 0,003—1,00; 0,0008—0,083; III 0,16—0,56; 0,032— 0,060. Содержание Rb (в %) в 8 хондритах составляет 0,00040-0,00060, среднее 0,00052.

Р. Хмельницкий Удельное электрическое сопротивление метео-

А. Чемоданов

ритов. Эвериден, Верхоген (Electrical resistivity of meteorites. Evernden J. F., Verhoogen J.), Nature, 1956, 178, № 4524, 106-107 (англ.)

Измерено уд. сопротивление некоторых каменных метеоритов (101—108 ом/см для образцов с различным содержанием металлов). Показано, что изменение электрич. проводимости слоев Земли на глубине 600-900 км связано со структурными изменениями. На глубине >900 км уд. сопротивление приближается к сопротив-

лению силикатов (10° ом/см). Содержание Na и K в метеоритах. Эдуардс (Sodium and potassium in meteorites. Edwards George), Geochim. et cosmochim. acta, 1955, 8, № 5-6, 285—294 (англ.)

Определено содержание На и К в 19 хондритах, 16 ахондритах, 2 углеродистых хондритах и в оливичах из 4 палласитов. Полученные результаты совпали с предыдущими. Содержание Na в хондритах варьи-руется в пределах 0,60—0,76% и К от 0,072 до 0,096%. Их содержание в оливинах изменяется для Na от 0,04 до 0,05% и К от 0,009 до 0,011%. В ахондритах их содержание варьируется в более широких пределах даже для образцов, взятых из разных мест одного и того же метеорита. Отсутствие достаточного эксперим. материала не позволяет сделать окончательного вывода о распределении этих элементов по метеоритным подгруппам. И. Задорожный

O распространенности дейтерия в метеори-Боато (Meaning of deuterium abundance neteorites. Boato Giovanni), Nature, Tax. in meteorites.

п meteorites. В 6 а t 6 ч 6 г 6 ч а п п 1), Nature, 1956, 177, № 4505, 424—425 (англ.)
Ответ на критич. замечания Эдуардса (РЖХим, 1956, 12662) по поводу предыдущих работ автора (РЖХим, 1955, 48744; 1956, 25426). И. Задорожный 1489. Химический состав атмосферных осадков северо-восточной части Украины. Денисов П. В., Бугаев А. Л., Докл. АН СССР, 1956, 108,

№ 5, 879-881 Исследованы осадки в районе Харькова с 1 апреля 1954 г. по 1 апреля 1955 г. Собрано и проанализировано 37 образцов дождя и 18 образцов снега. Результаты всего комплекса гидрохим. исследований в сопоставлении с некоторыми метеорологич. данными приведены в виде графиков. Данные хим. авализов на Na+, Mg²⁺, Ca²⁺, K+, HCO₃-, SO₄²⁻, Cl⁻ по сезонам сведены в таблицу. Общая минерализация осадков колебалась от 13,14 до 72,52 мг/л. Отмечена зависимость хим. состава осадков от метеорологич. условий. Напр., в грозовых водах резко повышается содержание NO. Минерализация дождевой воды несколько выше снеговой. Общее кол-во солей, выпадающих за год на 1 га, составляет ~ 257 кг; из них (в кг): $SO_4^{2-} \sim 80$, $HCO_3^- \sim 68$, Cl- 28.7, Ca 36.3, Mg 12.6, Na 14.1, В. Потапов

11490. Пути развития геохимии. В и ноградов А. П. (Căile de dezvoltare a geochimiei. V i n ograd o v A. P.), An. Rom.-Sov. Ser. chim., 1956, 10, № 1, 97—113 (рум.) Перевод. См. РЖХим, 1956, 57821 В. Ш.

11491. Распространенность элементов в земной коре и гипотезы о происхождении Земли. Лебедев В. И., Минералог. сб. Львовск. геол. о-во при ун-те, 1955, № 9, 38—49

Отмечается ряд закономерностей в распространении элементов в земной коре: 1) распространенность элементов, за исключением Li, Be, B, уменьшается от начала к концу Менделеевской таблицы (МТ); 2) элементы 2-ой половины четвертого и всего пятого периода, за исключением Pb, Sr, Zn, Sn, распространены очень незначительно; 3) четные элементы, кроме Ве, Se и благородных газов, распространены в 5-10 и более раз, чем соседние с ними нечетные (аналогично ведут себя изотопы этих атомов); 4) энергия связи на нуклов с увеличением атомного номера или массового числа атома вначале быстро возрастает, у Ст и Мп достигает максимума, а затем начинает медленно снижаться; 5) для первой части МТ атомы, наиболее распространенные или с четным массовым числом, обладают отненные или с четным массовым положений высокой энергией связи E и наоборот. Для 2-й половины М Γ , начиная ϵ Γ е и N^{\dagger} , это закономерность нарушается, что объясняется условиями образования атомов. Наиболее распространены эле-менты с Е 8 мее на нуклон (кроме Н и Fe), эквива-лентной т-ре 87—98,7 млрд. на 1 град.; 6) высокая распространенность легких и тяжелых элементов с Е 7,6-8,5 мэв, малая распространенность Li, Be, B и элементов между Fe и Ва объясняется различными группировками элементарных частиц и условиями образования атомов; 7) малая распространенность благородных газов объясняется их появлением после образования Земли или земной коры, что согласуется с гипотезой О. Ю. Шмидта. Л. Флерова

11492. Математическая модель круговорота углерода в природе. Эрикссон, Веландер (On a mathematical model of the carbon cycle in nature. Eriksson E., Welander P.), Tellus, 1956, 8, № 2, 155—175 (англ.)
Рассмотрен круговорот С в системе атмосфера—

биосфера — море при характеристич. времени 10-1000 лет. За счет задержки С в биосфере (порядка нескольких десятков лет) возможны значительные периодич. колебания его кол-ва в биосфере и атмосфере, усиливающиеся при наличии больших запасов карбонатов в море. На электронной машине BESK проведены соответствующие численные расчеты. Авторы считают, что экспериментально установленный рост конц-ии СО2 в атмосфере объясняется, по-видимому, таким колебанием, а не сжиганием запасов ископаемого угля, что привело бы лишь к накоплению углерода в биосфере. А. Чемоданов

Осмотические равновесия расплав фаза в системе вода — породообразующий силикат и их возможное петрологическое значение. Н и к олаев В. А., Изв. АН СССР. Сер. геол., 1956,

Рассмотрены термодинамич. условия осмотич. равновесия в системе расплав — газовая фаза, на примере системы силикат — вода, при условий неравного давления на фазы. Ур-ния, рекомендуемые автором, достаточно точны для практич. применения. Сделан вывод о самопроизвольном растворении газовой фазы в расплаве, пока p^G не станет равным p^L (p^G — давление газовой фазы, p^L — давление на расплав). Пред-ложена диаграмма осмотич. равновесий в двойной сыOB

r a-

10,

Ш. Rope

дев

H-TO.

нии

эле-

г на-

енты

ода. чень

одто

едут

клон исла

raer

гься; стра-

r or-

por.

-оно

HMRE

эле-RRA-

pac-

Bu

руп-

вова-

ТНЫХ

ания

reaoñ

рова

рода

n a ture.

1956,

10а не-

рбо-

дены ают, п-ив

коле-

тля,

bepe.

анов

овал

HIGH

K 0-

1956,

равмере

дав-

, до-вы-

фазы вле-

Гред-

i cu-

a .

стеме 3-го типа. Проведен подробный разбор диаграммы и сделаны выводы о значении осмотич. растворения газовой фазы. В. Потапов

пазовой фазы.

В. Потапов 11494. Измерение возраста К-Аг-методом. Фолинсби, Липсон, Рейнольде (Potassiumargon dating. Folinsbee R. E., Lipson J., Reynolds J. H.), Geochim. et cosmochim. acta, 1956, 10, № 1-2, 60—68 (англ.)

Благодаря применению ультравысокой вакуумной системы и специально сконструированного масс-спектрометра возможно точное измерение возраста малых кол-в образцов «молодых» минер. образований. Возраст 7 гранитов субпровинции Йеллоунайф Канадского щита (млн. лет): 1410—2650; 4 гранитов из батолита Сьерра-Невады (Калифорния) 67—108; хондрита из Форест Сити (Айова) 4240—4640; калийной соли из девона Западной Канады 285—347. Аг в слюде удерживается прочнее, чем в полевом шпате; в ортоклазе прочнее, чем в триклинном полевом ппате; биотиты удерживают Ar количественно. Р. Хмельницкий 11495. Измерение возраста осадочных пород К-Агметодом. Липсон (K-A dating of sediments. Lipson Ioseph I.), Geochim. et cosmochim. acta, 1956, 10, № 1—2, 149—151 (англ.)
Определен возраст 10 образдов глауконитов Новой

Зеландии (I) и полевого шпата (II), глауконита (III) в сильвина (IV) из Канады. Полученные данные соответственно равны (в млн. лет.): I 16,3—49,2; II 94,9±4,7; III 142±10; IV 285±14.

11 142±10; 1V 205±14. P. Амельникан 1496. Расхождения в ураново-свинцовом методе опре-деления возраста I. Vэтерилл (Discordant urani-um-lead ages, I. Wetherill George W.), Trans. Amer. Geophys. Union, 1956, 37, № 3,

320-326 (англ.)

Предложен метод графич. расчета расхождения в опеделении возраста минералов из отношения конц-ий Pb²⁰⁶/U²³⁸ и Pb²⁰⁷/U²³⁵ для случая, когда U и Pb подвергались неоднократному фракционированию. Исследовано также влияние исходных кол-в радиогенного Рb, постоянных потерь промежуточных продуктов распада и неравномерного фракционирования Pb²⁰⁶ А. Чемоданов Фьорентини и Pb207. 11497.

1497. Урановые минералы. Фьореитини (I minerali uraniferi. Fiorentini M. C.), Energia nucleare, 1956, 3, № 2, 84—92 (итал.) Обзор 111. Библ. 31 назв.

11498. Новый урансодержащий редкоземельный минерал. Сринивасан (A new uraniferous rare earth mineral. Srinivasan N. R.), Chem. Age,

1956, **74**, № 1920, 947—948 (англ.) Описан минерал, обваруженный в радиоактивной руде в Квинсленде (Австралия), названный стиллвеллитом. Ассоциирующие минералы; гранаг, ортит и апатит. В тонких слоях стиллвеллит бесцветен с двойным лучепреломлением 0,119 ± 0,002, в толстых слоях и зернах—бледно-коричневый. Твердость 5,5, уд. в. 4.57 ± 0.10 , показатель преломления n колеблется от 1.760 ± 0.002 до 1.784 ± 0.002 , снайность параллельно (0,110). По данным рентгеноструктурного анализа, сингония гексагональная, C 3m или C3n2; a 6,85, c 6,74 A, с: а = 0,969. Хим. состав концентрата, содержащего $7.9 \pm 0.4\%$ стиливеллита, высущенного при 110° , (в %): SiO₂ 20,1, B₂O₃ 11,5, TR 58,4 (Ce₂O₃ 51% or суммы TR), P₂O₅ 2.58, U₃O₈ 0.61, Fe₂O₃ 0,23, Al₂O₃ 1,68, CaO 3,96, СО2 0,18. F 0,16, потеря при прокаливании 0,90, сумма 100,3. Элементарная ячейка содержит 3 (LaO_{0.93} CaO_{0.14}) Предварительное описание коффицита — нового уранового минерала. Стифф, Стерн, Шервуд (Preliminary description of coffinite|a new uranium mineral. Stieff L. R., Stern T. W., Sherwood A. M.), Science, 1955, 121, № 3147, 608—609 (англ.)

В неокисленных рудах плато Колорадо обнаружен минерал, названный коффинитом. Вмещающие породы: триасовые и юрские осадочные образования. Коффинит ассоциирует с углеродистыми в-вами, уранинитом, черными ванадиевыми минералами, пиритом, кварцем и глиной. Цвет черный, блеск алмазный. Уд. вес концентрата, относительно свободного от органич. примесей, 5,1. По данным рентгеноструктурного анализа: сингония тетрагональная; а₀ 6,94, с₀ 6,31 А. Отмечены сильные линии: 4,66; 3,48; 2,65; 2,64 и 1,80 А. Основной хим. состав: 61% U и переменные кол-ва Si, As и V. В ИК-спектре поглощения видны 2 сильные полосы между 2,8 и 3,1 µ. Предполагаемая ф-ла: U(SiO.) $U(SiO_4)_{1-x} (OH)_{4x}$ Р. Хмельницкий

11500. Изучение урановых минералов. XIX. Резерфордин, дидерихит и кларкент. Фрондел, Мейровиц (Studies of uranium minerals (XIX): rutherfordine, diderichite, and clarkeite. Frondel Clifford, Meyrowitz Robert), Amer. Mineralogist, 1956, 41, № 1-2, 127—133 (англ.)

Резерфордин, дидерихит и синтетич, карбонат урана, полученный при нагревании осажденного UO3 пН2О при 300° под давл. 1050 кГ/см2, CO2, дают тождественные рентгенограммы, а по составу близки к ф-ле (UO2)-(CO₃). Исследован резерфордин из месторождений Берилловая гора, Нью-Гемпшир и Ньюри, Майн, где он встречается как продукт выветривания уранинита в пегматитах. Описан кларкент из месторождения Аймер (Райпутана, Индия), являющийся продуктом изменения уранинита. Кларкент отвечает ф-ле (Na, Ca, Pb, Th, U, H₂O)₂U₂(O, H₂O)₇, изоструктурен с Na₂U₂O₇ и CaU₂O₇. Уд. в. 6,29. Даны хим. анализы резерфордина, дидерихита и кларкента. Приводится методика определения U4+, U4+, Pb и других элементов. Часть XVII см. РЖХим, 1957, 4147. Л. Рудовская

15011. Присутствие урана в окисленных основных металлических рудах района Гудсирингс, Кларк Коми, итат Невада. В артон (Fixation of uranium in the oxidized base metal ores of the Goodsprings district, Clark Co., Nevada. Barton Paul B Jr.), Econ. Geol., 1956, 51, № 2, 178—18

(англ.)

В 46 из 85 рудников района Гудспрингс обнаружена аномально высокая радиоактивность, обусловленная присутствием U и продуктов его распада. При этом не было найдено месторождений первичных урановых минералов, вторичные минералы встречаются здесь крайне редко. Результаты исследования показали, что в большинстве случаев радиоактивность локализована в лимонитах, гидроцинкитах, железистых слан-цах и хризоколлах. Причина близкой связи U с этими минералами представляет интерес особенно в связи с открытием радиоактивных лимонитов в других рай-онах. Предполагается, что U адсорбировался из p-ров на колл. в-ве в процессе окисления первичных сульфидов или рудных тел, содержащих урановую смолку. Дабораторные исследования показали, что уранил-карбонат, уранилгидроксил и уранил-ионы хорошо адсорбируются на лимоните и гидроцинките. После кристаллизации адсорбента U возвращается в p-p или образует дискретные зерна урановых минералов И. Задорожный внутри адсорбента.

11502. Радиоактивные месторождения Невады. Данные по геологии урана. Лаврииг (Radioaktive deposits of Nevada. A contribution to the geology of uranium. Lovering T. G. Geol. Survey Bull., № 1009—C, IV, 106 pp.) (англ.)

Изучены 25 месторождений из имеющихся 35 в штате Невада. Известные месторождения могут быть разбиты на 3 главные группы: ассоциирующие с осадочными породами, находящиеся в изверженных породах и в зонах контактового метаморфоза. Единственным первичным урановым минералом является уранинит, обнаруженный в двух районах. Вторичные урановые минералы: карнотит, тюямунит, отунит, торбернит, гуммит, уранофан, казолит. Монацит является единственным экономически значимым ториевым минералом. С экономич. точки зрения важны 4 рудника с содержанием U (в %, в предположении, что радиоактивность есть результат распада U) от 0,11 до 9. Подробно описано 7 округов, приведены геологич. карты и разрезы. Р. Хмельницкий

К геохимии рассеянного тория и урана в глинах и карбонатных породах Русской платформы. Баранов В. И., Ронов А. Б., Кунатова К. Г., Геохимия, 1956, № 3, 3—8

При осадочных процессах U мигрирует в значительной мере в виде растворимых соединений, в то время как Th — в кластич. и колл. форме. Величина отношения Th: U в глинах в 2 раза выше, чем в карбонатных породах, причем в последних Тh содержится в нерастворимой части. В глинах Русской платформы со-держится в среднем $1,1\cdot10^{-3}\%$ Th и $4,1\cdot10^{-4}\%$ U, в карбонатных породах $2,4\cdot10^4\%$ Th и $2\cdot1,10^{-4}\%$ U. Максим, содержание Тh отмечено в породах, образовавшихся в периоды наиболее интенсивного размыва кристаллич. пород или коры выветривания. Содержание U в породах различного состава и геологич. возраста колеблется значительно меньше, чем содержание Th. Некоторое обогащение U наблюдается в породах с повышенным содержанием органич. в-в.

В. Александров Материалы к геохимии ванадия. Бадалов С. Т., Тр. Ин-та геол. АН УЗССР, 1956, вып. 12, 65—73

Проведены спектральные анализы свыше 34 образдов минералов изверженных и осадочно-метаморфич. пород одного из районов Средней Азии. Район сложен метаморфич. песчано-сланцевой толщей верхнего силура, прорванной гранитоидными породами варисского возраста. Коэфф. конц-ии V (содержание V в гранодиоритах раста. Коэфф. конц-ии V (содержание V в гранодиоритах принято за единицу) лежит в пределах: для контактово-метаморфич. пород 10—500; гранитов, кварцевых диоритов, лампрофиров и др. <1—10; биотитов <1—250; мусковитов 1—10, гранатов, турмалинов и других минералов <1—3000. Основным источником V являются черные кварцево-графитовые роговики, возникшие в результате контактового метасоматоза из осадочно-битуминозных ванадийсодержащих пород. Накопление V происходило в восстановительной среде при отложении органич. в-ва, которое в последующих процессах метаморфизма превратилось в кварцевографитовый роговик. Почти весь ассимилированный интрузией V концентрируется главным образом в биотите и частично в мусковите и, как правило, не концентрируется во всех последующих фазах, за исключением мелких гидротермальных жил, которые в местах прохождения через роговики дают редкие минералы прохождения через роговили до др. с V: роскоэлит, турмалин, гранат и др. Р. Хмельницкий

Р. Хмельницкий 11505. К геохимин кадмия. В ин н и че и к о Н. Т., Тр. Среднеаз. ун-та, 1956, вып. 82, 29—32 Обзор. Библ. 16 назв. Г. Воробьев 11506. Фтор в породах. К о к у б у (Fluorine in rocks. К о к и b и N о b и h i d e), 九州大學理學部起要, Кюсю дайгаку ригакубу киё, Мет. Fac. Sci. Куизhи Univ., 1956, 62, № 3, рр. 96—149 (англ.) Колориметрическим методом (Gericke, S., Kurmi'es, В., Z. analyt. Chem., 1951, 132, 335) определено содержание F в породообразующих минералах и породах Японии. Показано, что F содержится не только в гидро-

Японии. Показано, что F содержится не только в гидро-

ксилсодержащих минералах, но и в таких, как магнетит, плагиоклазы, оливин и др. Излившиеся поролы содержат (в %) 0,005-0,090 F (в среднем 0,027, обычно содержат (в %) 1,003—0,090 г (в среднем 0,027, обычно 0,015—0,020 г), вулканич. жилы 0,016—0,0290 г, изверженные породы 0,01—0,24 (обычно 0,01—0,03 г), метаморфич. 0—0,16 г (обычно 0,01—0,03 г), осадочные 0—0,11 (обычно 0,01—0,03 г). Содержание не связано с типом и хим, составом излившихся пород и определенными вулканич, зонами. В лавах одного и того же вулкана лавы средних стадий дифференциа-ции наиболее богаты F. Крупнозернистые вулканич, пеплы содержат больше F, чем мелкозернистые. Низкие содержания F в жидких включениях в базальте (8 мг/л) объясняется летучестью F и преимущественной фиксацией его в твердой фазе. Кислые интрузивные породы богаче F, чем основные. Содержание F повышается в гибридных метаморфич. породах и снижается в регионально-метаморфических. Пелитовые осадочные породы богаче F, чем псаммитовые, а биогенные богаче обломочных.В отложениях углекислых горячих источников F концентрируется больше, чем Cl. Содержание F не связано с геологич, возрастом пород и зависит. в основном, от локальных условий их формирования. Приведена таблица средних содержаний F в породах различных типов и минералах. Библ. 77 назв. В. Александров

Виноградовит — новый минерал. Семе-11507. нов Е. И., Бонштедт-Куплетская Э. М., Молева В. А., Слудская Н. Н., Докл. АН СССР, 1956, 109, № 3, 617—620 В 12 пегматитовых телах Ловозерского и Хибинского

щел. массивов (Кольский полуостров) обнаружен новый минерал — виноградовит, названный так в честь академика А. П. Виноградова. Минерал присутствует в виде тонкоигольчатых и тонковолокиистых выделений размером до 5 см: в приконтактовой части — в виде оторочек и псевдоморфоз по рамзаиту и лампрофиллиту; в центральной части — в пустотах друз натролита и анальцима; другие ассоциирующие минералы пегматита: эгирин, нефелин, микроклин, эвдиалит, апатит, полилитионит, нептунит и др. Происхождение виноградовита гидротермальное. Сингония моноклинная. Окраска вита гидротермальное. Сингония моноклинная. Окраска агрегатов белая, кристаллы бесцветные. Хрупкий, излом неровный, спайность совершенная по (010). Твердость ~ 4 , уд. в. 2,878, т. пл. $\sim 800^\circ$. Оптически двуосный (—), $2V=-41^\circ$; $N_g=1,775$, $N_m=1,770$, $N_p=1,745\pm0,004$, $N_g-N_p=0,030$; удлинение положительное, $cN_g=7^\circ$. Плоскость оптич. осей перпендикулярна (010). Слабый плеохронзм, $N_g>N_p$. Дисперсия оптич. осей r>v. Двойникование по (010). Ориентировочное положение осей a:b:c=1,18:1:0,76; β 91°58′. вочное положение осеи a:b:c=1,18:1:0,76; p:91:58. Получены кривая обезвоживания и дебаеграммы. Результаты хим. анализа (в %): SiO₂ 40,70, TiO₂ 33,60, Al₂O₃ 6,20, MgO 0.36, CaO 1.00, Na₂O 12.00, K₂O 1,78, H₂O+ (110°) 4,14, H₂O- 0.66, сумма 100,44. Ориентировочная ϕ -ла: Na₅Ti₄AlSi₅O₂₄·3H₅O. Результаты частных анализов (в %): хим. путем 3,52% Nb₂O₅, спектральным путем 0,08 и 0,2% Ве (в двух образцах). Спектральным путем 1,000 двух праводы двух образцах (в %) г. Стех 7, г. Стех путем 0,08 и 0,2% ве в двух образцах. Спектральных анализ дополнительно обнаружил Fe, Mn, Sr, Ga и Zr. Кристаллохим. положение отдельных элементов ве совсем ясно. На поверхности виноградовит подвергается лейкоксенизации.

11508. К вопросу замещения минералов. И ваницкий Т. В., Минералог.сб. Львовск. геол. о-во при ун-те, 1955, № 9, 286—289

Приведены 8 микрофотографий 3 типов замещений, наблюдаемых в полиметаллич. жилах, приуроченных к порфиритовой свите байоса: замещение в структурно и химически однотипных соединениях с общим анноном, протекающее с ионной диффузией сквозь кристаллич. решетку, с катионным обменом и частичной переTHe-

роды

опры

0.03

F),

ного

ппа-

нич.

Низ-

Льте

нной

овы-

ется

чные

огаче

HC-

ржа-

исит.

ния.

олах

пров

me-

кая Н.,

ского

йняо

кале-

виле

рочек

цен-

наль-

тита:

поли-

радораска икий,

(010).

чески 1,770, полопенди-

ерсия

тиро-1°58'.

аммы. 33,60,

1,78,

нтиро-

СТНЫХ ЛЬНЫМ

льный

и Zr.

ов не одверробьев И в а-

геол.

пений,

енных стурно

анио-

истал-

пере-

вные .

стройкой кристаллич. решетки (халькопирит → сфалерит; халькопирит → блеклая руда); 2) замещение в структурно различных соединениях с общим анионом, протекающее с разложением кристаллич. решетки и полной ее перестройкой (сфалерит → пирит; галенит → → сфалерит); 3) замещение в структурно и химически различных соединениях, протекающее с полным растворением, выносом и компенсирующим привносом (кварц → пирит; кальцит → сфалерит). Рассмотренные случая подчиняются закону равных объемов и замещение протекает «ион за ноном». Р. Хмельницкий 11509. Возраст и геохимические особенности свинновнумумующовавлений украины. Ту с а ла и н о в А. И

повых рудопроявлений Украины. Т у г ар и и о в А. И, Зы к о в С. И., Геохимия, 1956, 3, 42—49 Обсуждается метод определения абс. возраста по отношениям изотопов обыкновенного Рb в галенитах. Приведены теоретич. кривые: распространенность изотопов Рb — время и возраст галенитов. Сравниваются средний изотопный состав свинца отдельных рудных провинций варисского возраста. На основании эксперим. и теоретич. данных показано изменение AcD/RaG и ThD/RaG свинца земной коры и галенитов Украины со временем. Возраст определенных по отношениям рьзов/Рьзов. Рьзов/ Рьзов/Рьзов. 2380±200; 1820±100; 970±200? Полученные данные оказалить весьма близкими к данным А. И. Виноградова для основных вулканич. циклов Украинского докембрия. Р. Хмельницкий 11510. Предварительное сообщение об исследова-

ниях ниобатов, танталатов и некоторых других связанных с ними минералов. Хатчинсон (Preliminary report on investigations of minerals of columbium and tantalum and of certain associated minerals. H utchinson Richard W.), Amer. Mineralogist, 1955, 40, № 5-6, 432—452 (англ.)

Исследованы оптич. свойства 29 образцов колумбита, танталита, иттротанталита, висмутотанталита, стибнотанталита, таниолита, дъменорутила и др. Кажущийси угол вращения лежит в пределах: для изоморфного ряда колумбитов-танталитов 1,2—1,5°, для тапиолитов 1,7—2,9°. Дисперсия для всех образцов варьврует от 0,2 до 0,7°. Исследовано влияние состава и строения минералов на оптич. свойства. Хим. состав 9 минералов, определенный флуоресцентным методом (в %): Nb₂O₅ 1—73, Ta₂O₅ 10—73, Nb: Ta от 1:56 до 7,30:1, FeO 5—14, MnO 0,7—16, Fe: Mn от 1:1,60 до 20,0:1, SnO₂ до 3,5, WO₃< 2, ZrO₂ следы, Y₂O₃ до 12, TR до 5—10, TiO₂<6. Р. Хмельницкий 11511. К минералогии зоны окисления Благодатного

месторождения на Среднем Урале. Я ро и Н. А., Тр. Горно-геол. ин-та. Уральск. Фил. АН СССР, 1955, вып. 26, 50—67 На IV Благодатном руднике произведено морфологич.

1955, вып. 26, 50—67

На IV Влагодатном руднике произведено морфологич.
кристаллооптич. и качеств. спектральное изучение
12 минералов; для 4 из них дополнительно выполнены
хим. анализы. П и р о м о р ф и т (5 образцов различной окраски): Sb, Mg, Si, Fe, Bi, Al, Mo, V, Cu, Ag, Zn, Cr; данные хим. анализа (в %): PbO 77,3 СаО
2,80, P2O₅ 15,14, As₂O₅ 1,40, сумма 96,64; зеленая окраска вызвана присутствием Fe, а голубая присутствием
Сш. М и м е т е з и т: Pb, As, V, Si, Fe, Mo, Cu, Ag, Mg, P, Al, Zn и Са. К а р м и н и т: Pb, As, Fe, Cu, Mg, Si, Sb, Ca, Zn, Bi, Al и Мп. О л и в е и и т: Аs, Cu, Si, Mg, Pb, Ca, Sb, Mn, Sn, Si, Al, Mg, Bi, Ti; данные
хим. анализа (в %): Fe₂O₃ 33,22, CuO 0,87, As₂O₅
47,84, P₂O₅ 0,69, перастворимый остаток 0,60, сумма
83,22 (H₂O 16,78). В у л ь ф е и и т: As, Sn, Mg, Si, Fe, Al, V, Cu, Zn и Ca; хим. анализ (в %): PbO 60,99, моО₃ 38,82, сумма 99,81. Ф е р р и м о л и б д и т: Мо, Fe, Sb, Si, E и н д г е й м и т (с примесями): Sb, Pb, Si, Cu, Mn, Mg, Fe и As (плотное в-во);

хим. состав охристого в-ва (в %): Fe₂O₃ 12,8, As₂O₅ 18,2, P₂O₅ 0,55, PbO 27,16, Sb₂O₅ 14,86, CuO 5,73, SiO₂ 11,85, потеря при прокалявании 7,20, сумма 98,45. Церруссит: Mg, Fe, Mo, Cu, Ca, Al, Co, As, V и Ті. Азурит: Si, Fe, Pb, Al, Ag, Mg, Mo, As, Ca, Sb, Mn, V и Со. Хризо ко колла (3 образца различной окраски): As, Sb, Pb, Mn, Zn, Mg, Fe, Bi, Al, Ag, Na и Са. Бисбинт: Cu, Si, As, Sb, Pb, Mg, Fe, Al и Са. Для халькантита даны только оптич. константы. Сохранение большинства элементов в зоне окисления месторождения автор объясняет: 1) первичным составом руд (Си — Sb — As — Pb) и 2) нейтральной (или слабокислой) окислительной средой благодаря наличию богатых карбонатами вмещающих пород. Г. Воробьев

11512. Куплетскит-новый минерал группы астрофиллита. Семенов Е. И., Докл. АН СССР, 1956, 108, № 5, 933—936

В пегматитах и нефелиновых сиенитах Ловозерского миссива (Кольский полуостров) в 1949 г. открыт марганцевый аналог астрофиллита — крайний член непрерывного изоморфного ряда К₂Fe₄Ti [Si₄O₁₄] (OH)₂ — К₂Мп₄Ti [Si₄O₁₄] (OH)₂ — Происхождение: магматич, пегматитовое и метосоматич. Ассоцинующие минералы: нефелин, микроклии, этврин, эвдиалит, рамзаит, лампрофиллит, нагролит, шизолит, нептунит. Форма выделений: пластинки до 5×3×1 см, чешуйки и иголки. Сингония триклинная или моноклинная. Оптически двуосный (—), 2V = —79°, сильная дисперсия оптич. осей (r > v); N₂ —1,731, N₂ —1,699, N₂ —1,656. Плеохроизм от коричневого до оранжево-желтого. Удлинение положительное. Окраска темнокоричневая до черной. Блеск стеклянный. Твердость ~3. Результаты двух хим. маализов (в %): SiO₂ 32.60; 33,54; TiO₂ 12,04; 10,64; ZrO₂ 1,19; Nb₂O₅ 0,66; 2,48; Al₂O₃ 1,68; 1.00; Fe₂O₄ 5,44; 13,15; MnO 27,65; 23,60; MgO 2,98; 1,63; CaO 3,60; 1,45; ВаО не опр.; 0,32; K₂O 4,38; 5,63; Na₂O 2,14; 2,14; H₂O⁺ (110°) 3,84; 3,90, H₂O —1,08; 0,80; F 1,22; не определянся; сумма 100,49; 100,18. Дополнительно определены: рентгеноспектральным методом слабые линии Ве, Zn, Ga и Та. Кристаллохим. ф-лы по двум анализам: (K₀₄Nа₀₄)₁.12 (Mn ,69Fe₀₄7) (14) (110°) (110°) (110°) (110°) (110°) (110°) (110°) (110°) (110°) (110°) (110°) (110°) (110°) (110°) (110°) (110°) (110°) (110°) (110°) (110°) (110°) (110°) (110°) (110°) (110°) (110°) (110°) (110°) (110°) (110°) (110°) (110°) (110°) (110°) (110°) (110°) (110°) (110°) (110°) (110°) (110°) (110°) (110°) (110°) (110°) (110°) (110°) (110°) (110°) (110°) (110°) (110°) (110°) (110°) (110°) (110°) (110°) (110°) (110°) (110°) (110°) (110°) (110°) (110°) (110°) (110°) (110°) (110°) (110°) (110°) (110°) (110°) (110°) (110°) (110°) (110°) (110°) (110°) (110°) (110°) (110°) (110°) (110°) (110°) (110°) (110°) (110°) (110°) (110°) (110°) (110°) (110°) (110°) (110°) (110°) (110°) (110°) (110°) (110°) (110°) (110°) (110°) (110°) (110°) (110°) (110°) (110°) (110°) (110°) (110°) (110°) (110°) (110°) (110°) (110°) (110°) (110°) (110°) (11

(1955), № 2, 42—47 (словац.; рез. русс., нем.) При изучении пиритных руд в Пезинско-Пернецком массиве обнаружен сидерит гепергенного происхождения— в виде тонкозернистых и землистых масс зеленоватого цвета с 86,38% FeCO₃. Из примесей присутствуют (в %): FeS₂ 1,93, Fe₇S₈ следы, Мп 1,49, SiO₂ 3,17, Al₂O₃ 1,33, TiO₂ следы. Спектральный анализ дополнительно открыл: Мg, Cu, Zn, Ni, Ca, Mn, Ba, Ti и Co. Обсуждаются два варианта образования сидерита: путем воздействия р-ров FeSO₄ на вторичные карбонаты или в результате р-ции растворенных в воде карбонатов и FeSO₄ (подобно образованию монгеймита). Г. Воробьев 11514. Краткая характеристика и парагенетические отношения в рудной жиле Терезия, Банская Штиваница. К о д е р а (Stručná characteristika paragenetických pomerov a chemizmu Terézia žily v Banskej Štiavnici. К о d ě r a M i r o s l a v), Geol. sbor.,

1956, 7, № 1-2, 19—32 (словац.; рез. русс., нем.) Краткое сообщение о результатах морфологич. и спектрального изучения минералов, слагающих жилу: пирита, марказита, галенита, халькопирита, сфалерита, барита, родонита и др. Парагенетич. ассоциация элементов: Zn, Ag, Al, As, Ba, Ca, Cd, Cu, Fe, Ge, Hg, Mg, Mn, Pb, Si, Sn, Te, Sb, Tl, Ni, Co, Bi. Выделено 6-7 этапов минералообразования, и построена приближенная схема геохим, развития жилы.

Г. Воробьев Биотит-альбитовый нефелинолит — разновидность миаскитов из Вишневогородского щелочного массива. Свяжин Н. В., Исаков М. Г., Тр. Свердл. горн. ин-та, 1956, вып. 26, 119-122

Тр. Свердл. горн. ин-та, 1950, вып. 26, 119—122 Петрографическое описание новой разновидности миаскита с \leqslant 80 об. % нефелина, 16 об. % полевых ипатов и 3,8 об. % биотита. Хим. состав двух образлов (в %): SiO₂ 48,32; 52,72, TiO₂ 0,11; 0,30; Al₂O₃ 30,32; 29,9; Fe₂O₃ 0,64; 0,84; FeO 1,86; 0,85; MnO 0,05; 0,042; MgO 0,07; 0,43; CaO 0,38; 1,51; Na₂O 12,95; 9,02; K₂O 4,33; 3,44; H₂O —; 0,24; P₂O₃ 0,1; —; сумма 100 28, 90,25 100, 28; 99,25. Порода включает жилы чистого нефелина 0,6 м мощности. Г. Воробьев

11516. О природе окраски миметезита. Говоров И. Н., Сообщ вып. 8, 31—37 Сообщ. Дальневост. фил. АН СССР, 1955,

Исследованы разноокрашенные кристаллы миметезита из воны окисления кварцевых жил, секущих верхние палеозойские граниты в Чаткальских горах. Гипогенные минералы жил: мусковит, ортоклаз, флюорит, топаз, триплит, манганосидерит, апатит, сфалерит, халькопирит, пирит, галенит, арсенопирит. Зона окисления мощностью 85-95 м делится на переходную подзону, подзону окисления и поверхностный слой. Миметезит встречен в подзоне окисления вместе с англезитом, малахитом, церусситом и каламином, по отно-шению к которым он является более поздним. Хим. мению к которым он является облее поздним. Авм. состав светло-фисташково-зеленой и оранжевой разностей миметевита (в ⁰/₀): РьО 73,46; 71,58; СаО 0,0; 0,59; Fe₂O₃ 0,22; 0,18; As₂O₅ 23,18; 23,04; P₂O₅, 0,2; 1,11; CrO₃ 0,09; 0,39; Мо 0,03; не опр.; Cl 2,17; 1,73; сумма 99,99; 99,21; уд. в. 7,213, 6,920. Спектральный анализ 10 различных по окраске образцов открыл дополнительно Be, Sb, Sn, Cu, Ag, Zn, Bi, In, W, V, Al, Mg, Mn, Si и Y. По данным колич. спектрального анализа, с изменением окраски от желтовато-зеленой до буровато-оранжевой через желтую содержание ${\rm CrO_3}$ повышается от 0,06 до 0,41%. Таким образом, желтый хромофор (CrO₄)-2 в сочетании с сильно поляризованным ноном свинца (красного цвета) обусловливает отмеченную выше гамму цветов. Г. Воробьев 11517. К изучению южной части Спишско-Гемерских

рудных гор. Варчек (Přispevok k poznaniu me-talogenetických pomerov v južnej časti Spišsko-gemerзке́ho rudohoria. V a r č e k C y r i l), Geol. sbor., 1956, 7, № 1—2, 58—65 (словац.; рез. русс., нем.) В районе города Рожнявы развиты осадочно-метаморфич. породы кембро-силурийского и карбонового возраста с телами вулканич. пород. Рудные жилы, встречающиеся здесь в большом кол-ве, разделяются по минералогич. составу на 4 группы: 1) кварцевые с сульфидами и золотом, 2) антимонитовые, 3) сидеритовые (кварцевые, сульфидные, альбитовые, магнетитовые и баритовые) и 4) баритовые. Отмечено, что в пор-

фироидах жилы становятся альбитовыми вследствие обогащения рудоносных р-ров натрием из вмещающих Г. Воробьев 518. Изучение адуляра района реки Альберче (Навас-дель-Рей, Мадрид). Сан-Мигель-де-

ля-Камара, Гарсия-де-Фигерола (Estudio de la adularia del Rio Alberche (Navas del Rey, Madrid). San Miguel de la Cámara

M., Garcia de Figuerola C.), Estudios geol., 1955, 25, 7—17 (исп.; рез. франц., англ., нем.) Описано месторождение адуляра в гнейсах и мигматитах долины Альберче. Кристаллы адуляра изучены оптич., рентгенографич. и хим. методами. Результаты хим. анализа (в %): SiO₂ 65,68; Al₂O₃ 17,77, Na₂O 1,05, K₂O 14,75; H₂O⁻ 0,91; H₂O⁺ 0,07; сумма 100,23. Приведены литературные данные по адулярам.

Р. Хмельницкий 1519. Архейский монацит в прибрежных песках геологической провинции Исллоунайф, Северо-Западные территории, Канада. Фолинс би (Archean monazite in beach concentrates, Yellowknife geologic province, Northwest Territories, Canada. Folinsbee R. E.), Trans. Roy. Soc. Canada, 1955, 4, № 49, 7—24 (англ.)

Приведены геологич. условия конц-ии монацитовых песков гнейсового происхождения. Наряду с главными сопровождающими монацит минералами (альманди-ном) — магнетитом, ильменитом и гранатом — уста-новлено присутствие андалузита, анатита, бнотита, брукита, эпидота, кианита, оливина, пироксена, рутила, шеелита, силлиманита, шпинели, ставролита, турмалина, циркона и других тяжелых минералов. По данным спектрального анализа монацит содержит (в %): Th 1,5, Pb 0,4, P много, Si 1, Fe < 0,1, Al < 0,1, Zr < 0,1, Mg < 0,1, Ca < 0,1. Микроэлементы, оцененные по интенсивности линий без применения стандарта, присутствуют: в больших кол-вах Nd, La, в средних Се, Pr, Sm, Y, в малых Dy, низких, средних или следовых кол-вах Yb, Er, не открыты Eu, Gd, Ho, Lu, Tb, Tm. Возраст 8 образдов гранитных включений определен аргоно-калиевым методом. Возраст монацитов, оцененный по возрасту гранитных интрузий, равен 2200-2400 млн. лет. О реакционной способности и термических

превращениях сфалерита. Зайдман Т. Н., Кочнев М. И., Плеханов А. Ф., Изв.. АН СССР. Отд. техн. н., 1956, № 6, 168—171

Исследована зависимость скорости нагревания образца сфалерита от т-ры при постоянном тепловом потоке. Хим. состав образца (в %): Zn 64,15, S 32,25, Pb 0,42, Fe 0,78. Зависимость скорости нагревания т град/мин. от т-ры представлена графиком, имеющим скачкообразный характер, с постепенным убыванием при возрастании т-ры до 650°. На кривой наблюдаются 2 резко выраженных максимума (при 650 и 950°) и два минимума (при 850 и 1020°), после чего кривая уходит вверх. Аномальный ход графика объясняется наличием ряда термич. превращений, связанных с изменением состояния кристаллич. решетки. Установлена связь между интервалами термич. превращений ZnS и т-рой крит. точек образующих элементов. В. Потапов 11521. О происхождении карбонатно-антофиллитоактинолитовых пород мыса Карташ Северной Карелии,

В. И., Лебедев Уq. зап. № 188, 23-58

Приведены результаты исследования редких для Беломорья карбонатно-антофиллито-актинолитовых пород с обсуждением особенностей хим. состава. Исследуемые породы образуют пластово-линзообразные тела в полосе амфиболовых и гранато-амфиболовых гнейсов и сланцев, в различной степени мигматизированных, которые подстилают биотитовые и гранато-биотитовые гнейсы, мигматизированные много сильнее. По минералогич. составу преобладают карбонатно-антофиллито-актинолитовые породы с повышенным кол-вом карбоната и колеблющимся соотношением антофиллита и актонолита. Карбонат представлен брейнеритом, анкеритом и доломитом. Встречаются хромпикотит и ромбич. пироксен. Второстепенные минералы: флогопит, хлорит сульфиды (главным образом пирротин) и др. ИсΓ.

08

1.)

fa-

LIB

TH

HÉ

ax

Ba-

ife

da. da,

ых

МИ

IH-

Ta-

тa,

py-

Ta.

ОВ.

гы, гия

La,

IRX

3d,

110-

acr

py-

нц

Н.,

B. .

a3-

ке.

42, ин.

KO-

HOL

тся

два

дит пем ием язь

рой

пов **то**-

155.

для

по-

сле-

ела ісов

ых,

вые

ине-

іли-

ара и

OM-

ит, Исследуемые породы произошли за счет глубокого метаморфизма ультраосновных пород в результате процессов амфиболизации, они близки к перидотитам и оливиновым габбро-норитам и далеки от карбонатных пород первично осадочного происхождения. Накопление карбонатов произошло в результате циркуляции гидротермальных р-ров, содержащих СО2, в условиях, препятствующих выносу во вмещающие породы избыточного магния. Приведены хим. анализы пород, карбоната, антофиллита, актинолита и спектральные анализы актинолита, антофиллита и шпинели.

P. Хмельницкий 11522. Спектроскоп и его применение для исследования драгоценных камней. Апдерсон, Пейн (The spectroscope and its applications to gemmology. Anderson B. W., Payne C. J.), Gemmologist, 1956, 25, № 297, 61—66 (англ.)

Озор работ по спектрам поглощения цирконов. Употребляемые в ювелирном деле цирконы обнаруживают характерный спектр, позволяющий идентифицировать их с помощью спектрографа. Приведены спектры поглощения цирконов различных месторождений, а также перечень линий и полос в области 7560—4200 А.

Е. Шрейдер

11523. Применение фазового газоволюметрического анализа для изучения процессов обезвоживания гидратированных минералов. Фридман Н. Г., Круглякова П. П., Тр. Казанск. фил. АН СССР. Сер. хим. н., 1956, № 3, 83—87

Приведены эксперим. данные по обезвоживанию гипса, гидроборацита, карналлита, каинита, шенита и полигалита. Метод в применении к детальному изучению кинетики процесса дегидратации позволяет быстро и точно получать данные по обезвоживанию минералов в небольших навесках.

Р. Хмельницкий

11524. Термографический анализ глинистых минералов, насыщенных ионами алюминия и трехвалентного железа. Алешин С. Н., Иванов А. Н., Изв. Тимирязевской с.-х. акад., 1956, № 1, 217—226

Получены дифференциальные кривые нагревания каолина и асканита, насыщенных ионами Fe³⁺ и Al⁵⁺ Установлено, что на глинистых минералах Al и Fe не могут адсорбироваться из р-ров в виде ионов, а поглощаются только в виде гидроокисей. Термограммы образдов желтозема и краснозема из Западной Грузии указывают на наличие в них гидратов окиси Fe и Al. Чемоданов

11525. Геохимическое распределение некоторых элементов в карбоне Рура. Бринкман, Дегенс (Die geochemische Verteilung einiger Elemente im Ruhrkarbon. Brinkmann R., Degens E.), Naturwissenschaften, 1956, 43, № 3, 56 (нем.) Проведен спектральный (Мо, V, В) и хим. (К, Р, Мп, Fe) анализы 7 проб, взятых из пластов различной мощности и степени засоленности. Для Мо, V и В установ-

лена зависимость от фациального состава пород.

Р. Хмельницкий 11526. Накопление некоторых химических элементов в некопаемых костих позвоночных. Лавров В. В., Докл. АН СССР, 1956, 108, № 6, 1113—1116 Исследован костный материал из разновозрастных толщ (от неогеновых до пермских) некоторых районов Евразии. По данным спектрального анализа 7300 образцов, установлено, что в подавляющем большинстве случаев происходит заметное накопление Y, Се, Ве, Lа и РЬ, которые отсутствуют в свежих озоленных костах крупного рогатого скота и свиней. Максим. содержание этих элементов (в %): Y ~0,600, Се ~1,390, Ве ~0,0125, Lа до ~1, РЬ до 0,010. Такое обогащение носит вторичный характер и связывается с интенсивными ионообменными р-циями на губчатой поверхно-

сти костей с большой уд. поверхностью. Предложено

название «остеохимия» для нового направления в научении ископаемых костей.

Р. Хмельницкий 11527. Термохимическое научение равновесных отношений при метаморфизме силикатно-карбонатных нород. У и к с (A thermochemical study of equilibrium relations during metamorphism of siliceous carbonate rocks. W e e k s W i I f o r d F.) J. Ceol., 1956, 64, № 3, 245—270 (англ.)

Из термохимич. данных рассчитаны равновесные Р-, Т-кривые для 12 р-ций метаморфич. образования кремнийсодержащих доломитов, магнезитов и кальцитов. Рассчитанные величины согласуются с литературными данными. Последовательность р-ций при прогрессивном метаморфизме пород в равновесных условиях отличается от предложенной Боузном (Bowen N. Z., J. Geol., 1940, 48, 225—274) и Тилли (Tilley С. Е. Geol. Mag. 1951а, 88, 175—178), ибо диопсид становится устойчивым прежде, чем форстерит, и волластонит — прежде, чем периклаз. Вычислены предельные давления СО2, необходимые для стабильности слемы кальцит — кварц в амфиболитовых и гранулитовых фациях.

11528. Спектрографическое изучение зол антрацитов Португалии. Бриту (Estudo espectrográfico de cinzas de antracites portuguesas. Brito Alberto Carlos de), Estud., notas a trab. serv. fomento mineiro, 1955, 10, № 3-4, 236—250 (порт.; рез.

описана методика и приведены результаты полуколич. спектрального анализа 101 образца антрацитов из 8 месторождений Португалии, озоленных при т-ре 550°. Из 40 определяемых элементов обнаружены 26, в том числе Si, Al, K, As, B, Ba, Be, Ca, Cr, Cu, Ga, Mg, Mn, Na, Ti и Ті присутствуют во всех образцах. Частота нахождения остальных элементов уменьшается в следующем порядке (от 99 до 4,9%) Co = V > Sr > Li > Zr > Mo > Pb > Ag ≫ Sn > La; Si, Al и к определены качественно. Г. Воробьев 11529. Спектрографическое изучение озоленных лигнитов из Португалии. Бриту (Estudo espectrográfico de cinzas de lignites portuguesas. В rit o Alberto Carlos de), Estud., notas e trab. serv. fomento mineiro, [1955], 10, № 3-4, 251—262

На кварцевом спектрографе (Литтров) получены эмиссионные спектры 64 образдов озоленных лигнитов из 10 месторождений Португалии. Озоление производилось при 550°. Из 40 определяемых хим. элементов обнаружено 26, в том числе 22 полуколичественно: As, B, Ba, Be, Co, Cr, Cu, Ga, Ge, Li, Mg, Mn, Mo, Na, Ni, Pb, Sn, Sr, Ti, V, W и Zr. Относительная частота нахождения: $Zr \ll Sn < W < Ge < Mo \ll Sr < Co < Ga < As < Pb; остальные элементы обнаружены во всех образдах. Содержание Ge составляет: 0,1—0,01% в 6 образдах и 0,01—0,001% в 18 образдах. Г. Воробьев$

(порт.: рез. англ.)

11530. Международный коллоквнум по петрографии. Власов К. А., Семененко Н. П., Изв. АН СССР, сер. геол., 1956, № 6, 110—115

11531. Вопросы генезиса фосфоритов. Турнау — Моровская (Zagadnienia związane z genezą fosforytów. Тигпаи - Могаwska Maria), Przegl. geol., 1956, № 4, 151—153 (польск.)

Указывается, что генезис фосфоритов связан с источниками Р и способами его конц-ии, а также с физ.хим. и географич. условиями образования фосфорных месторождений. Основным первоисточником Р для осадочных месторождений является аппатит и второстепенным — монацит и ксенотим. Отмечается большая
роль организмов, абсорбирующих Р и отдающих его
после отмирания в виде фосфата аммония; последний
реагирует с карбонатом Са и вызывает выпадение

л

五月 五日 31 2 日 31 日

из р-ра фосфорнокислого Са. Важнейшие месторождения фосфоритов образовались в морской воде.

11532. К вопросу о железистых хлоритах из осадочных железорудных толщ Сибири. Бевзен ко П. Е., Тр. Дальневост. политехн. ин-та, 1954, вып. 43, 81—91

Проведена работа по диагностике минералов группы лептохлорита из осадочных железных руд докембрийского (?) возраста. На основании полевых наблюдений, микроскопич., хим. и термич. анализов установлено, что исследуемые хлориты отличаются высоким содержанием FeO (21,27—33,38%) в ущерб Мg, Мп и Са. При этом выделяются 2 характерные разности: 1) тюрингитовая с приближенной ф-лой 3SiO₂ 2(Al, Fe)₂O₃·4FeO·3H₂O; N = 1,65—1,68; окраска густовеленая и 2) шамозитовая с ф-лой 2SiO₂·Al₂O₃·4FeO·3H₂O; N = 1,60—1,64; окраска бледно-зеленая. Воспроизводится геохим. обстановка образования лептохлоритов.

1533. Сообщение о 4-ой Национальной конференции по глинам, состоявшейся 10—13 октября 1955 года в университете итата Пенсильвания. Хаузер (Report on the Fourth National Clay Conference, October 10—13, 1955, at Pennsylvania State University Hauser Ernst A.), Kolloid-Z., 1956, 145, № 1, 46—48 (англ.)

11534. Происхождение углеводородов земной коры. (Химизм и важнейшие геологические особенности залегания нефти и газа.) Кропотки и П. Н. Материалы Дискуссии по проблеме происхождения и миграции нефти, Киев, АН УССР, 1956, 94—125 См. РЖХим, 1956, 50581.

11535. Некоторые вопросы химизма нефтеобразования. Гринберг И.В. Материалы Дискуссии по проблеме происхождения и миграции нефти. Киев, АН УССР, 1956, 206—221 См. РЖХим, 1956, 22256.

См. Р/КАнм, 1950, 22250.

11536. О некоторых геохимических особенностях нефтей месторождений Прибалханского района. Старобинец И. С., Изв. АН ТуркмССР, 1956, № 1, 35—41

Нефтематеринское в-во, условия бассейна седиментации, литология пород не оказали или оказали незна чительное влияние на формирование различных типов пефтей месторождений Прибалханского района. Такое разделение связано, главным образом, с вторичными изменениями. Изучение различий в свойствах флюидов различных тектонич. единиц одного месторождения допускает возможность протекания окислительных процессов в подземных условиях, в результате чего более цикличные смолистые и окисленые нефти образуются из более метановых. Нахождение озокерита в районах залегания практически беспарафиновых нефтей в Западной Туркмении в виде пластовых залежей также дает основание предполагать, что парафиновые нефти, из которых выделился озокерит, в результате метаморфизма превратились в нафтеновые.

Р. Хмельницкий 11537. О первичном типе нефти в период формирования нефтиной залежи. Радченко О. А., Шешина Л. С., Докл. АН СССР, 1956, 109, № 3, 614—616

Изучен характер порфиринов в рассеянном органич. в-ве осадочных пород, в которых найдены металлпорфириновые комплексы (V и Ñ·i), аналогичные нефтям и битумам. Установлены приуроченность ванадиевых порфиринов к осерненным объектам и независимость наличия никелевых комплексов от степени осерненности носителя порфиринов. Детально изучен образец ламинаритовой глины из докембрийских отложений, содержащий только никелевые порфирины. Содержание

порфиринов по фракциям хлороформного экстракта (в %): 1,33 в маслах, 0,20 в бензольных и 0,38 в спиртобензольных смолах, 0,97 в асфальтенах. Отсутствие порфиринов в асфальтово-смолистой части нефтей и твердых битумов, при наличии во фракциях битумогенов, показывает, что в процессе аккумуляции нефтириринымали участие только порфирины масляной части. Асфальтово-смолистые компоненты битумогенов не выносились из нефтематеринской породы при формировании нефтиной залежи или не добирались до залежи, что подкрепляет представление об относительно легком первичном типе нефти.

Р. Хмельницкий

1538. Битумообразование и формирование нефтяных залежей Апшерона в свете биохимических, геохимических, геофизических, литологических и других закономерностей. И о та и о в И.И., Материалы Дискуссии по проблеме происхождения и миграции нефти. Киев, АН УССР, 1956, 139—163 См. РЖХим, 1956, 28799.

11539. Условия образования нефтяных залежей Венского бассейна. Доленко Г. Н., Материалы Дискуссии по проблеме происхождения и миграции нефти. Киев, АН УССР, 1956, 245—253 См. РЖХим, 1956, 50576.

11540. О групновом составе некоторых нефтей Северо-Восточного Кавказа и новом типе нефти. Богомолов А. М., Андреев П. Ф., Ж. прикл. химии, 1956, 29, № 6, 957—958 Дискуссионная статья. См. РЖХим, 1955, 37099. Р. Хмельницкий

11541. Нефтеобразование и формирование нефтяных залежей в свете существования в продуктивной толще Апперона «висячих» залежей. П о т а п о в И. И. Материалы Дискуссии по проблеме происхождения и миграции нефти. Киев, АН УССР, 1956, 126—138

См. РЖХим, 1956, 35707.

11542. Происхождение нефти и ее залежей. С и а рск и й А. Н. Материалы Дискуссии по проблеме происхождения и миграции нефти. Киев, АН УССР, 1956, 164—176

См. РЖХим, 1956, 22257. 11543. Современное состояние проблемы происхождения нефти. К у д р я в ц е в Н. А., Материалы Дискуссии по проблеме происхождения и миграции нефти. Киев, АН УССР, 1956, 38—93 См. РЖХим, 1956, 22259.

11544. Содержание и стратиграфия микроэлементов в почвах Чехословацкой республики. Пелипек (Gehalt und Stratigraphie der Spurenelemente in den Böden der Tschechoslowakischen Republik. Ре 1 1- § e k J.), За соц. с.-х. науку, 1956, А5, № 3, 270—273 (пем. рез. русс. франц.)

§ е к J.), За соц. с.-х. науку, 1956, А5, № 3, 270—273 (нем.; рез. русс., франц.) Освещены особенности распределения в почвах Сг, Хп, Ni, Co, Li, Rb, Cs, Ga, Sn, Ва и Sг всеязи с составом материнских пород, растительностью и почвообразовательными процессами. Отмечено накопление всех перечисленных микроэлементов в железистом горизонте В подзолистых почв. В черноземных степных, перегнойно-карбонатных, бурых лесных и серых лесных почвах распределение микроэлементов более или менее равномерное. Обогащение в некоторых случаях микроэлементами верхнего гумусового слоя объясняется действием биологич. аккумуляции.

Г. Воробьев 11545. Почвенный профиль с ненормально высоким содержанием фосфорной кислоты. Намбьяр (A soil profile containing abnormally high phosphoric acid. Nambiar M. Damodaran), Madras' Agric. J., 1955, 42, № 9, 384—387 (англ.)

Приведены результаты исследования участка ~81 га в Индии, содержащего до глубины 60 см ~50% фосфора

Г.

Ta

rone

И

10-

TH

ГН. БЫ-ОО-КИ,

ий

-R7

EX

лы

ии

en-

лы

ии

po-

кл.

ни

ых

йон

O B

56.

a p-

еме

CP.

хоалы

ции

TOB

ек

den

lì-

BOM a30-

ри-

ых.

пес-

или

аях

ьяс-

бьев

КИМ

яр

oric

1 20

opa

MUX

в свободной форме. Отсутствие минералов, содержащих Р, приводит к выводу, что аномальная конц-ия Р является результатом деятельности человека, использовавшего этот участок для похорон и кремаций в древние времена.

Р. Хмельницкий

11546. Газовый обмен в озерных грязях и грязях рисовых полей. Кояма (Gaseous metabolism in lake muds and paddy soils. Koyama Tadashiro), J. Earth Sci. Nagoya Univ., 1955, 3, № 2, 65—76 (англ.)

Работа по выяснению газового обмена в грязях велась по двум направлениям: 1) исследованием воздушно-сухих образцов грязи, которые смешивали с во-дой и выдерживали при 35° и нормальном давлении, затем фиксировалось изменение их газовых компонентов; эксперименты проводились под давл. ~ 450 am. Проделаны хим. анализы образцов и описаны методы экспериментов и аппаратура. В результате исследования получены данные изменения газовых компонентов грязи в зависимости от времени выдержки до 31 дня: содержание О₂ быстро падает;
 содержание N₂ колеблется около некоторой средней величины;
 колеблется около некоторой средней величины; во СН4, Н2 растет. Содержание СО2 достигает предельной величины в первые пять дней, затем несколько падает. Предложена, схема, объясняющая изменение газового состава. Схема подтверждена рядом графиков. Исследовано изменение в составе кислотнорастворимого железа, которое со временем переходит в Fe²⁺. Для грязи озера Кизаки-Ко картина получается аналогичная. Найдено, что СН4 образуется при 1-50 ат, содернаи. Наидено, что спа соризуется други жание CO₂ растет с давлением, на H₂ и N₂ давление вействуют неопределенно.

В. Потапов Б547. Водород в болотных и других газах. Бор исов Н. В., Суббота М. И., Морозова С. Н., Ковтуненко М. В., Тр. Всес. н.-н. геол.-развед. нефт. ин-та, 1955, 6, 165—175

Предложен прибор для определения H₂ (точность 0,02%), описано подробно его применение для анализа природных газов. Приводятся данные анализа 11 проб болотного газа, где был обпаружен H₂ описанным прибором. Конц-ия H₂ достигала только 0,3% при содержании тижелых углеводородов ≤ 0,03—0,01%. В газах грязевых вулканов H₂ содержалось ≤0,06%. М. Яншина

11548. Изотопный состав кислорода природных сульфатов. Тейс Р. В., Геохимия, 1956, № 3, 28—32

Изучен изотопный обмен кислорода в води. р-рах сульфатов в нейтр., кислой и щел. средах при различной т-ре. Величина обмена определялась по изменению конц-ии О18 в обогащенной воде до и после опыта, по возрастанию конц-ии О18 в сульфате после обмена с обогащенной водой и после обмена обогащенного сульфата с обыкновенной водой. Величина ΔO^{18} (в для осадочных сульфатов (5 образцов) 1,9—3,3; сульфатов вулканич. происхождения (3 образца) 1,3—4,4; гидротермального барита 2,3. Определены полупериоды обмена, приведены изостеры обмена Na₂SO₄ с водой и Na₂SO₄ + CO₂ и изотерма обмена сульфатов Са и Na с газообразной CO₂ при 775°. Автор считает, что по изотопному составу кислорода выпадающих из морской воды сульфатов нельзя судить об изотопном составе морской воды в момент выделения минерала. Изотопный состав кислорода природных сульфатов приходит в равновесие с кислородом морской воды в течение 4-5 столетий. Гетерог. обмен сульфатов с сухой газообразной углекислотой идет значительно медленнее, чем в р-рах. Р. Хмельницкий

11549. О содержании никеля, кобальта и меди в глубоководных морских осадочных образованиях. Х а тчинсон, Бенойт, Коттер, Вангерский (On the nickel, cobalt, and copper contents of deep-sea sediments. Hutchinson G. E., Benoit R. J., Cotter W. B., Wangersky P. J.), Proc. Nat. Acad. sci. U. S. A., 1955, 41, № 3, 160—162 (англ.)

41, № 3, 160—162 (англ.) Определено содержание Си, Ni и Со в двух кернах со дна Атлантического (I, II) и в одном керне Тихого океанов (II) (в мг/кг): І Си 0—610, среднее 109; Ni 25—122, среднее 63; Со от <10 до 60, среднее 25; II 17—63, среднее 41; Ni 57—142, среднее 92; Со 14—26, среднее 19; III Си 218—447, среднее 320; Ni 114—535, среднее 364; Со 93—310, среднее 194; III Си 218—447, Ni 214—535, Со 94—310. В III отмечено увеличение кол-ва Ni вниз по разрезу и менее заметное увеличение кол-ва Со и Си.

1550. Распространенность изотонов хлора из различных источников. О у э и, III е ф ф е р (The isotope abundances of chlorine from various sources. О w е п Н. R., S с h a e f f e r О. A.), J. Амег. Сhem. Soc., 1955, 77, № 4, 898—899 (англ.) Анализировалось 10 образцов минералов и горных пород с содержанием Сl от 0,01 (обсидиан) до 60,6%

Анализировалось 10 образцов минералов и горных пород с содержанием Cl от 0,01 (обсиднан) до 60,6% (хлористый натрий). Величины изотопного соотношения Cl35:Cl37, определеные на масс-спектрометре, лежат в пределах ошибки измерения (3,101—3,150). Р. Хмельницкий

11551. Некоторые данные о содержании йода, фтора и меди в природных водах Полесской низменности. Остапеня П. В., Кагаи Ц. А., Гельфер Е. А., Здравоохр. Белоруссии, 1956, № 7, 40—43

В водах четвертичных горизонтов на территории Полесья J меньше, чем в водах тех же горизонтов зего пределами; в более древних горизонтах содержание J и Вг увеличивается. В минерализованных водах типа рассолов кол-во J достигает 8,0 мг/л. В районе Гомеля в водах меловой толщи содержание J 24,15 µг/л, Вг 250/4 µг/л. По данным анализов 19 проб воды, взятых в августе 1955 г. из р. Припяти и ее притоков в мг/л: F до 0,13, Си 1,0—8,0. Относительно низкая конц-ия F доспускает возможность массового проявления кариеса зубов у людей и животных. Р. Хмельницкий 11552. О растворимости рудообразующих сульфидов в водных растворах. Ольшанский Л. И., Рафальекий Р. II., Докл. АН СССР, 1956, 108, № 5, 882—884

На основании двух опытов выкристаллизовывания ковеллина и галенита из води. р-ров при 300° можно сделать заключение, что растворимость сульфидов в води. р-рах при повышенных т-рах значительно превышает величины, используемые в настоящее время в геологич. литературе.

Р. Хмельницкий 11553. Гидрохимический режим Цимлянского водохранилища 1952—1953 гг. Баранов И. В.,

хранилища 1952—1953 гг. Баранов И. В., Изв. Всес. и.-и. ин-та оз. и реч. рыб. х-ва, 1954, 34, 9—60

Проводился годовой цикл исследований Цимлянского водохранилища в 1952—1953 гг. Определяли т-ру, рН, O₂, HCO₃, CO₃, CO₂, SO₄, P, SiO₂, NO₃, NO₂, Ca, Mg, органич. в-ва и прозрачность. Термич. стратификация устанавливается лишь в штилевой период (разница между поверхностными и придонными слоями ~8°). Прозрачность низкая. Содержание О₂ колебалось от 1-26 мг/л. Высокая динамичность летнего кислородного режима вызвана сменой суховеев и штилей. Дефицит был лишь эпизодически в некоторых плессах в марте. Окисляемость 4.0-10.0 ме/л, органич. в-ва представлены преимущественно автохтонным материалом. Соотношения между рН и компонентами карбонатной системы имеют резкие колебания в связи с изменением интенсивности развития фитопланктона; в период наибольшего развития из p-ра выпадал CaCO₃. Биогенные в-ва содержатся в повышенном

Пр

сче

rpy doc

nn:

щи

фор

rpy

пр

СТІ

113

н

10

19

T-]

KO

ще

ся

BH

ем

Ħ

HO

op

91

qu

Ж

Ha

88 ТГ Де

pi

R: B(

П

MUX

(в мг/л): Р 0,05—0,5, нитратный N 0,2—2,5, SiO₂ 3,0—12,0. М. Яншина 11554. Промышленное использование холодных глубинных озерных вод. Ольшевский (Wykor-

бинных озерных вод. Ольшевский (Wykorzystanie przemysłowe zimnych wòd z glebin jeziornych. Olszewski Przemysław), Arch. hydrotechn., 1956, 3, № 1,67—72 (польск.; рез. русс., англ.) Отмечается, что у большинства озер летом верхние слои являются более теплыми (20—27°); осенью полная

Отмечается, что у большинства овер летом верхние слои являются более теплыми (20—27°); осенью полная циркуляция воды в озерах выравнивает т-ру, которая понижается до +4°; весной наблюдаем то же явление, как и осенью; зимой подо льдом <+4°. Верхние воды богаты планктоном, более мягкие и слабощелочные; воды глубинные, бедные планктоном, более месткие и нейтральные. По-видимому, воды нижних слоев более пригодны для использования в холодильной пром-сти почти в течение полугода. Н. Лобанов

1555. Распределение различных форм серы в илах озер, рек и моря. Сугавара, Кояма, Кодавава (Distribution of various forms of sulphur in lake-, river- and sea-muds. Sugawara Ken, Коуата Таdashiro, Козаwа Акіуа), J. Earth. sci Nagoya Univ., 1953, 1, № 1, 17—23 (англ.)

Для изучения метаболизма серы исследовано 67 образдов илов, взятых со дна (на различной глубине) 3 озер и одного пруда с пресной водой, одного озера и 2 рек с солончаковой водой и со дна Токийской бухты (Япония). Хим. путем определены общая S (I), сульфаты (II), сульфаты (III) и свободная S (IV). Сульфиты и тносульфаты не обнаружены. Кол-во I (на сухое в-во) равно: для ила из пресной воды 0,1—0,2%; для ила из моря 0,2—1,3%, для ила из солончаковой воды 0,5—2,5%. Средние относительные кол-ва (на сухое в-во в %): II 0,04; III 0,83; IV 0,22%; неидентифицированная S (V) 0,73. Пределы колебаний уменьшаются в ряду: II > III > V > IV. Возрастание III связано с уменьшением II и увеличением IV, что подтверждает наличие взаимных превращений этих форм серы в иле. Р. Хмельницкий

11556. Об основных химических компонентах, растворенных в водах, примыкающих к Алеутским островам в северной части Тихого океана. Фукаи, Сиокава (On the main chemical components dissolved in the adjacent waters to the Aleutian Islands in the North Pacific. Fukai Rinnosuke Shiokawa Fumiko), Bull. Chem. Soc. Japan, 1955, 28, № 9, 636—640 (англ.)

Приведены данные по содержанию Cl-, SO₄-, Na+, Mg2+, Ca2+, K+ в водах района Алеутских островов (в Беринговом море и в северной части Тихого океана) и для сравнения в водах района Куросио. В водной толше были выделены слои: поверхностный (10—25 м), слой температурного минимума (75-100 м) и глубинный (~ 1000 м). Пробы воды для анализов приготовлялись смещением равных объемов вод, взятых на нескольких станциях в каждом исследуемом районе. Определения всех компонентов, кроме Cl-, проводились весовыми методами. Сумма Na+ и K+ определялась в виде хлоридов, а затем К+ определялся перхлоратным методом. Осредненные результаты анализов выражены в виде отношений главных компонентов к хлору. Отмечено относительное понижение отношений SO4: Cl и Na: Cl в пробах слоя температурного минимума как в Беринговом море (SO₄: Cl = 0,13853; Na : Cl = 0,5544), так и в северной части Тихого океана (соответственно 0,13918 и 0.5512), что по-видимому, связано с явлением замерзания морской воды. Имеется тенденция к повышению конц-ии SO₄ в поверхностных слоях; в Беринговом море SO₄: Cl = 0,14054, в северной части Тихого океана— соответственно 0,14048. Средние данные, полученные авторами для Алеутского р-на в северной части Тихого океана (SO₄: CI = 0,1397; Na: CI=0,5553; K: CI=0,0210, Mg: CI = 0,06632; Ca: CI = 0,02154), совпадают со средними данными для р-на Куросно (соответственно 0,1399; 0,5561; 0,0213; 0,06627; 0,02128); они также совпадают с данными других исследователей этого района. кроме высокого содержания К. Водн. массы Алеутского района в целом являются частью водн. масс Тихого океана. Незначительные у отдельных компонентов отклонения от нормального содержания отмечены только в некоторых характерных слоях.

О. Шишкина

11557. Возникновение зон помутнения в низовьях рек на примере нижней Эльбы. И остма, Калле (Die Entstehung von Trübungszonen im Unterlauf der Flüsse, speziell im Hinblick auf die Verhältnisse in der Unterelbe. Postma H., Kalle K.), Dtsch. hydrogr. Z., 1955, 8, № 4, 137—144 (нем.)

В нижнем течении рек, подвергающихся приливноотливному воздействию морей, часто находятся зоны с высокой мутностью воды. Это явление имеет максим. развитие там, где при смешении речной воды с морской происходит повышение минерализации воды. На этом основании до сих пор предполагали, что появление зоны помутнения вызывается прежде всего доказанной лабор. опытами коагуляцией растворенных коллондов ионами, содержащимися в морской воде; при этом динамич. процессам, происходящим в самом устье, отводилась второстепенная роль. Проведенные исследования мно-гих проб воды (определялась хлорность—Cl %0, мутность - по коэфф. ослабления света), взятых из различных мест в нижнем течении Эльбы, показали, что движения воды в низовьях рек, особенно в проливной зоне эстуарий, образуют род «ловушки суспендированных в-в». Они «захватывают» эти в-ва из речных вод в зоне 'смешения, «втягивают» их в постоянную вертикальную циркулицию, в то время как сама вода беспрепятственно стекает в море. Хим. процесс коагуляции играет только подчиненную роль в образовании зон помутнения. Д. Коднер Гидрохимический режим Азовского моря в

1951—1953 г. В и ноградова Е. Г., Тр. Всес. н.-и.ин-та мор. рыб. х-ва и океаногр., 1955, 31, № 1, 62—79

Наиболее резко выраженная температурная стратификация наблюдалась в июле-августе 1951 г. В июле 1952 и 1953 гг. распределение т-ры по вертикали было более равномерным. Соленость в 1952—1953 гг. увеличилась по сравнению с 1951 г.—в зависимости от стока Дона. По кислороду весной наблюдалось пересыщение во всей толще воды до 130%; летом пересыщены верхние слои, у дна — резкое снижение, в августе 1951 г. в придонных слоях О₂ исчез. Окисляемость в нейтр. среде 2—3 мг/л О₂·Si весной во время цветения диатомовых 360—600 мг/м³, летом увеличивается до 1000 мг/м³. Р/РО₄ в апреле 1951 г. отсутствовал, кроме восточной части моря (0—2 мг/м³) и в Таганрогском зал. (11 мг/м³); весной 1952 и 53 гг.—9—12 мг/м³, летом фосфаты отмечены по всему морю. Рорганич. в среднем весной 30 мг/м³, летом 45 мг/м³. N/NH₄ в среднем весной 95 мг/м³, летом 300 мг/м³. Нитритов и нитратов весной 1951 и 53 гг немогого, в 1952 г. их не было; летом их не было. N органич. в среднем весной 1951 и 53 гг евранем весной 1951 и 53 гг связано, по-видимому, с зарегулированием р. Дона. В. Коншин 11559. Гидрохимические условия в Азовском море при заморных явлениях. Ла и к о В. Г.. Гепро-

при заморных явлениях. Дацко В. Г., Гидрохим. материалы, 1955, 25, 28—40
Описан суточный ход О2 на различных глубинах и в различные сезоны до зарегулирования стока р. Дона. При длительном отсутствии интенсивного ветрового перемешивания води. масс в летний период в придонных водах возникает дефицит О2, порождающий заморы.

oro

10,

ед-

99:

TOL

Me

она на.

RME

TO-

ина

ARA

ле

auf

isse

(.),

M.)

HO-

MM.

кой

TOM HIM

op.

MH.

ич.

ась но-

VT-

083-

OTP

ной

po-

вод

вер-

бес-

ля-

нии

нер

A B

cec.

1,

TH-

юле ыло

ели-

ока

ение

epx-

йтр.

OMO-

/M3. ной

(11

ной

ной

ной

х не

етом

ано.

шин

иоре дро-

XH

она.

вого

доноры. При этом здесь наблюдается накопление фосфатов за счет разложения органич, в-ва и поступления их из грунта, в то время как в поверхностных слоях кол-во фосфатов уменьшается за счет их потребления фитопланктоном. При заморах в нижних слоях воды, имеюших рН < 8, переход SiO2 в истинно растворенную форму замедляется, и кремний в остатках фитопланктона накапливается в нижних слоях и на поверхности грунта. При заморах в анаэробных условиях образуются также восстановленные и среди них ядовитые продукты распада (напр. H2S), которые при последующем сильном ветровом перемешивании быстро распространяются в воде и могут гибельно действовать на рыбу. Можно предполагать, что после зарегулирования стока Дона процессы замора в Азовском море ослабнут. В. Коншин

Первичная продукция пролива Тревор и залива Олберни по химическим показателям. В а л д н-ч у к (Basic productivity of Trevor Channel and Alberni Inlet from chemical measurements. Waldichuk Michael), J. Fish. Res. Board Canada, 1956, 13, № 1, 7—20 (англ.)

Пробы воды на ряде станций вдоль пролива Тревор и залива Олберни в Британской Колумбии брались но вертикалям от 0 до 91 м в течение 7-11 сентября 1954; в них производились определения солености, т-ры, плотности, О₂, фосфатов и рН, распределение которых представлено в виде разрезов. Исходя из допущений: что глубинная вода пролива и залива обновляется один раз в год; что наблюдаемые в сентябре условия представляют состояние воды перед ее обновлением; что наблюдаемые в глубинных слоях дефицит О2 и увеличение конц-ии фосфатов происходит вследствие разложения организмов, опускающихся из поверхностного слоя после отмирания, и что планктоноядные организмы потребляют ~1/2 всего кол-ва планктона,вычислена величина первичной продукции пролива и залива, равная по O_2 56 ε/M^2 , по фосфатам 62 ε/M^2 . Эти цифры, вероятно, сильно занижены, так как в вычислении не приняты во внимание возможность разложения организмов в поверхностном слое и некоторая смена глубинных вод в течение круглого года.

В. Коншин 1561. Бугурусланские минеральные воды. Л ю б у-ш и и А. А., Вести. Чкаловск, отд. Всес. хим. о-ва им. Д. И. Менделеева, 1956, вып. 6, 61—66

В Бугурусланском районе глубокими буровыми скважинами выведены из недр земли на поверхность ценные минеральные воды. Изучение и данные хим. анализа показали, что эти минер. воды могут быть разделены на 2 группы: 1) воды сравнительно слабой минерализации (0,5—2,0 г/л), гидрокарбонатно-хлоридно-наэацин (6,2,2,6,4,7,7), падроварования с большим со-держанием H₂S (200—600 мг/л), 2) воды с минерали-зацией 112—245 г/л, относящиеся к нефтяным, хлоридно-натриево-кальциевого типа, с значительным содержанием Br до 1,5 г/л, а в некоторых случаях и небольшого кол-ва Ј. Д. Коднер

11562. Некоторые данные о химическом составе воды высокогорных рек Северной Киргизии. Кадыров В., Абдулханров Р., Тр. Ин-та вод. х-ва и энерг. АН КиргССР, 1956, вып. 3 (6), 113—117 Приведены результаты исследования хим. состава воды некоторых высокогорных рек Северной Кирги-зви, проведенные в 1954 г. Реки слабо минерализованы (сумма ионов 75,6—260,7 мг/л) и принадлежат к гидрокарбонатно-кальциевому типу. Минерализация воды возрастает вниз по течению, на равнинных участках, за счет сильного испарения, наличия засоленных почв в влияния грунтовых вод: в р. Нарын от верховий на протяжении 874 км минерализация увеличивается почти в 4 раза (на 450 мг/л). А. Фихман

Заметка по поводу явлений, сопутствующих обмену катионов вводоносном горизонте, заключенном в угленосном известняке в Кобриё (север). В а т е рno (Remarque sur les phénomènes accompagnant les changes de bases dans le réseau aquifère captif du calcaire carbonière à Cobrieux (Nord). Waterlot Gérard), Ann. Soc. géol. Nord., 1955, 75, № 3, 173—181 (франц.)

Состав воды в водоносном горизонте, заключенном в угленосных известняках в районе Лилль-Рубе-Туркоен, постепенно изменяется от области питания горизонта по пути следования воды, где известняки покрываются толщей водоупорных глин. В области питания (1-я зона) воды являются гидрокарбонатно-кальциевыми с общей минерализацией в среднем 0,5 г/л; состав воды в ме-эке / a: $\mathrm{CO_3^{2-}}$ 5,40; $\mathrm{SO_4^{2-}}$ 1,76; $\mathrm{Cl^{-}}$ 0,69; $\mathrm{Ca^{2+}}$ 6,44; $\mathrm{Mg^{2+}}$ 0,63; $\mathrm{Na^{+}}$ 0,78. Там, где известняки уходят под слой водоупорных глин (2-я зона протяженностью от 0 до 15 км, считая от начала толщи глин), при той же минерализации начинает изменяться катионный состав воды за счет уменьшения Ca^{2+} и увеличения Na^{+} и Mg^{2+} . 3-я зона (от 15 до 25 км) характеризуется уменьшением шелочных земель и увеличением щелочей вследствие интенсивного обмена катионов. Общая минерализация воды возрастает (0,5-1 г/л), отмечается увеличение содержания SO₄ и Cl⁻. Состав воды гидрокарбонатно-сульфатно-натриевый. В 4-й, наиболее удаленной от области питания зоне, эволюция состава воды продолжается: сильно снижаются щелочные земли, возрастает кол-во SO_4^{2-} , Cl^- и Na^+ . Общая минерализация от 0,75 и >1 e/s и вода становится мягкой. Состав воды в ме-эке/ л: CO_3^2 - 6,00; SO_4^2 - 4,06; Cl^- 1,91; Ca^{2+} 0,42; Mg^{2+} 0,34; Na^+ 11,21. На этом общем фоне состав воды, вскрытой в Кобрие, на границе между 2-й и 3-й зонами является аномальным, так как характеризуется высоким содержанием SO₄²⁻. Увеличение SO₄ в водах, по-видимому, объясияется разложением пиритов, содержащихся в угленосных известия-

пиритом).
В. Красинцева
11564. Определение электрического сопротивления
растворов, извлеченных из почв. Метод геохимической разведки. Итихара-Окадзаки (Determination of the electric resistivity on solutions leached from soils. One method of the geochemical prospecting. I tihara-Okazaki Yuuko), J. Inst. Polytechn. Osaka City Univ., 1954, G2, Dec., 25—33

ках (в районе Кобрие известняки вероятно обогащены

(англ.)

Исследовано >600 образцов почв, взятых в районе рудника, где вскрыты отложения пирита, с содержа-нием Сu. Подстилающими породами исследованных почв служили наносы обломочного материала, частично оруденелого (содержащего сульфиды); образцы взяты с глубины ~1 м. Навески по 40 г смешанного образца (смешивалось по 10 г почвы из 4 соседних пунктов) встряхивали с 300 мл дистилл. воды дважды в день в течение 3 дней, после чего вытяжки оставляли на ночь, а затем фильтровали. Электрич. сопротивление определяли в фильтрате при помощи мостика Кольрауша и платиновых электродов. Найденные величины сопротивления разделены на 3 группы: <7000, 7000— 15 000 ом см и >15 000 ом см. В тех же вытяжках определяли рН и содержание НСО3, а из отдельных навесок содержание SO₄ и Си дитизоновым методом. Полученные результаты показывают, что величины сопротивления особенно низки в тех местах, где существуют оруденелые породы, продукты выветривания которых характеризуются кислой р-цией и повышенным содер-Л. Листова жанием нонов Сu и SO4.

XEMBS. Nº 4

HE

MI

H

BO

ma

F

11565. Окраска отложений CaCO₃ у горячих источников. Ц у б о т а, К и т а и о (温泉に産出する炭酸カルシウム沈積物の色につい・坪田博行・北野康)) 日本化學業誌) Няхон кагаку дзасси, J. Chem. Soc. Japan. Pure Chem. Sec., 1956, 77, № 6, 901—905 (япон.) Значительные отложения CaCO₃ у горячего источни-

Значительные отложения CaCO₃ у горячего источника Футамата были систематизированы (30 проб) по системе цветов Харди. Установлено, что, несмотря на разнообразне цветов при рассмотрении простым глазом, отложения CaCO₃ имеют почти одинаковую основную длину волны и между цветами существует тесная связь. Цвет отложений CaCO₃, не содержащих Fe²⁺, определяется формой кристаллов и кол-вом окиси или гидроокиси Fe или Mn. Л. Левин 11566. Изучение радноактивных источников Японии.

2. Новый метод определения актиния X в воде горячих источников. Вкояма 3. Изотоны радия в воде горячих источников. Вкояма (放射能泉の研究。第2報. 温泉水中のアクチェウム X の新定量法。横山站之)) 日本化學雜誌) Нихон кагаку дзасси, J. Chem. Soc. Japan. Pure Chem. Sec., 1955, 76, №5,555—558; 558—562 (япон.)

2. Предложен новый метод колич. определения актиния X, основанный на различной скорости образования AcB, AcC, ThB и ThC. Метод позволяет определять небольшие кол-ва Ac, находящегося вместе с большим кол-вом других радиоизотопов. Из 10 л воды соосаждают изотопы радия с сернокислым барием. Осадок растворяют в углекислом натрии и, экстрагируя водой, удаляют ион SO_4^2 . После этого остаток обрабатывают разведенной HNO₃ и получают, таким образом, исходный p-p A. Из p-ра удаляют изотопы B, C и затем определяют скорость их вторичного появления. Первыми образуются AcB и AcC. Радиоактивность I_t через время t после отделения B-C-элементов от азотнокислого свинца выражается ϕ -лой:

$$\begin{split} I_t = K \, (k \, \text{AcC} \, f \, \text{AcC} \, C_{\text{AcX}} + k \, \text{RaC} \, f \, \text{RaC} \, C_{\text{Ra}} + \\ + k \, \text{ThC} \, f \, \text{ThC} \, C_{\text{ThX}}), \end{split}$$

где K — чувствительность RaC по отношению к аппаратуре (электрометру), $C_{\rm Acx}$, $C_{\rm Ra}$ и $C_{\rm Thx}$ — содержание AcX, Ra и ThX в исходном р-ре A; k AcC, k RaC, k ThC — относительная чувствительность элементов по отношению к аппаратуре; f AcC, f RaC, f ThC — изменения радиоактивности элементов во времени. С помощью данного метода успешно проведено определение Ac и AcX в смоляной обманке. $(C_{\rm Ac} = 5,7\cdot 10^{-10} \cdot \kappa opu$, $C_{\rm Acx} = 5,4\cdot 10^{-10} \cdot \kappa opu$, $C_{\rm Acx} = 5,4\cdot 10^{-10} \cdot \kappa opu$, $C_{\rm Acx} = 5,4\cdot 10^{-10} \cdot \kappa opu$, $C_{\rm Acx} = 5,4\cdot 10^{-10} \cdot \kappa opu$, $C_{\rm Acx} = 5,4\cdot 10^{-10} \cdot \kappa opu$, $C_{\rm Acx} = 5,4\cdot 10^{-10} \cdot \kappa opu$, $C_{\rm Acx} = 5,4\cdot 10^{-10} \cdot \kappa opu$, $C_{\rm Acx} = 5,4\cdot 10^{-10} \cdot \kappa opu$, $C_{\rm Acx} = 5,4\cdot 10^{-10} \cdot \kappa opu$, $C_{\rm Acx} = 5,4\cdot 10^{-10} \cdot \kappa opu$, $C_{\rm Acx} = 5,4\cdot 10^{-10} \cdot \kappa opu$, $C_{\rm Acx} = 5,4\cdot 10^{-10} \cdot \kappa opu$, $C_{\rm Acx} = 5,4\cdot 10^{-10} \cdot \kappa opu$, $C_{\rm Acx} = 5,4\cdot 10^{-10} \cdot \kappa opu$, $C_{\rm Acx} = 5,4\cdot 10^{-10} \cdot \kappa opu$, $C_{\rm Acx} = 5,4\cdot 10^{-10} \cdot \kappa opu$, $C_{\rm Acx} = 5,4\cdot 10^{-10} \cdot \kappa opu$, $C_{\rm Acx} = 5,4\cdot 10^{-10} \cdot \kappa opu$, $C_{\rm Acx} = 5,4\cdot 10^{-10} \cdot \kappa opu$, $C_{\rm Acx} = 5,4\cdot 10^{-10} \cdot \kappa opu$, $C_{\rm Acx} = 5,4\cdot 10^{-10} \cdot \kappa opu$, $C_{\rm Acx} = 5,4\cdot 10^{-10} \cdot \kappa opu$, $C_{\rm Acx} = 5,4\cdot 10^{-10} \cdot \kappa opu$, $C_{\rm Acx} = 5,4\cdot 10^{-10} \cdot \kappa opu$, $C_{\rm Acx} = 5,4\cdot 10^{-10} \cdot \kappa opu$, $C_{\rm Acx} = 5,4\cdot 10^{-10} \cdot \kappa opu$, $C_{\rm Acx} = 5,4\cdot 10^{-10} \cdot \kappa opu$, $C_{\rm Acx} = 5,4\cdot 10^{-10} \cdot \kappa opu$, $C_{\rm Acx} = 5,4\cdot 10^{-10} \cdot \kappa opu$, $C_{\rm Acx} = 5,4\cdot 10^{-10} \cdot \kappa opu$, $C_{\rm Acx} = 5,4\cdot 10^{-10} \cdot \kappa opu$, $C_{\rm Acx} = 5,4\cdot 10^{-10} \cdot \kappa opu$, $C_{\rm Acx} = 5,4\cdot 10^{-10} \cdot \kappa opu$, $C_{\rm Acx} = 5,4\cdot 10^{-10} \cdot \kappa opu$, $C_{\rm Acx} = 5,4\cdot 10^{-10} \cdot \kappa opu$, $C_{\rm Acx} = 5,4\cdot 10^{-10} \cdot \kappa opu$, $C_{\rm Acx} = 5,4\cdot 10^{-10} \cdot \kappa opu$, $C_{\rm Acx} = 5,4\cdot 10^{-10} \cdot \kappa opu$, $C_{\rm Acx} = 5,4\cdot 10^{-10} \cdot \kappa opu$, $C_{\rm Acx} = 5,4\cdot 10^{-10} \cdot \kappa opu$, $C_{\rm Acx} = 5,4\cdot 10^{-10} \cdot \kappa opu$, $C_{\rm Acx} = 5,4\cdot 10^{-10} \cdot \kappa opu$, $C_{\rm Acx} = 5,4\cdot 10^{-10} \cdot \kappa opu$, $C_$

АсХ в горячем источнике Арима (0,10-10-10 кюри / л).

3. С помощью описанных методов определено содержание изотопов радия в 5 горячих и 1 холодном
всточниках Японии с наибольшей радиоактивностью
в кюри/л: Масутоми с наибольшим кол-вом Rn 27000-

 $\cdot 10^{-10}$, Икэда (холодный источник) $8500 \cdot 10^{-10}$, Мисаса (т-ра 61°), $900 \cdot 10^{-10}$, Арима $170 \pm 7 \cdot 10^{-12}$ г/л. Установлены постоянные отношения: ThX : Ra = 4, MsTb1 : : Ra=3. В японских радиоактивных источниках эле-менты системы тория превосходят по своей радиоактивности элементы системы радии. У источников Ма-сутоми и Икэда величина ThX: Ra и MsThI: Ra увеличивается при увеличении содержания ThX или MsTh по ф-ле: ThX (или MsThI): Ra = 0,2 ThX²/₄ (MsThI²/₄) Отношение ThX: MsTh во всех источниках постоянное. что указывает на тесную связь между этими двумя элементами. Между т-рой источника и содержанием в нем радиоактивных элементов особой связи не отме-чено. Только в соседних источниках, принадлежащих к одной и той же группе, величины ThX: Ra, MsThI: : Ва увеличиваются с повышением т-ры источника. В источнике Арима существует зависимость между содержанием Cl- и радия с его изотопами. В реке, вытекающей из источника Тамагава, Ra и другие элементы осаждаются в виде радиоактивного минерала хокутолита (разновидность барита с Рb и Ra). При этом отношение AcX: Ra в 4-х источниках (0,05—0,08) больше, чем в минерале (0,045). Часть I см. РЖХим, 1957, 4204.

11567. Геохимические изыскания в районе горы Норикура (II). Химический состав воды альпийских и субальпийских озер. Торин, Ямагата, Сима (乗鞍岳を中心とする地球化學的研究. 第2報. 高山湖の水質について. 鳥居鉄也,山縣登,鳥誠),陸水學雜誌, Рикусуйгаку дзасси, Јарап. Ј. Limnol., 1955, 17, № 1, 18—22 (япон.; рез. англ.)

Вода горных озер, расположенных в скалистом, не покрытом растительностью районе горы Норикура (~2700—2800 м над уровнем моря), имеет хим. состав, подобный составу атмосферных осадков и воды водоемов, расположенных на Озегарской местности, покрытой вереском. Сухой остаток этой воды составляет ~10 мг/л, содержание кремния в растворенном состоянии <0,3 мг/л. Влияние выветривания на состав воды не выяснено. Анализы воды озера Оннуке, расположенного в лесном районе на высоте 2400 м над уровнем моря, показывает, что влияние выветривания значительно. Содержание растворимого кремния возрастает до 3,9 мг/л, а сухой остаток и SO² 4 увеличивается в 3—4 раза; отношение К: Nа уменьшилось, в то время как отношение Са: Мд возросло. По своему составу эта вода близка к составу воды реки исследованного района. А. Фихман

См. также: Изотопы 11099, 11100. Структура, состав и св-ва глинистых минералов 10915, 11005. Состав и св-ва руд, глин, и воды 12323, 12504, 12618, 12718—12720. Распр. элементов в природи. объектах 12345, 12733. Др. вопр. 12333, 12349, 12519, 11079

ОРГАНИЧЕСКАЯ ХИМИЯ

ТЕОРЕТИЧЕСКИЕ И ОБЩИЕ ВОПРОСЫ ОРГАНИЧЕСКОЙ ХИМИИ

Редактор М. Е. Вольпин

11568. Конформация и реакционная способность структур. Бартон (Conformation et réactivité des structures. Вагtо п D. H. R.), Bull. Soc. chim. France, 1956, № 7, 973—979 (франд.)
Доклад на международном конгрессе в Париже. Обзор за 1950—1956 гг. Библ. 22 назв.

М. Бурмистрова

11569. Трифенилфосфонийциклопентадиенилид. Рэмирес, Леви (Triphenylphosphonium cyclopentadienylide. Ramirez Fausto, Levy. Stephen), J. Organ. Chem., 1956, 21, № 4, 488—489 (англ.)

Действием 2 молярных эквивалентов трифенилфосфина на дибромциклопентадиен синтезирован циклопентадиенилид трифенилфосфония (I) с ароматич. системой циклопентадиенилия, в которой отрицательный заряд распределен на всех атомах иятичленного цикла. I имеет т. пл. 229—231° (из толуола), образует пикрат с т. пл. 142—144° (из бзл.), легко растворнется в разб.

caca Hob-

эле-

оак-

Ma-

yBe-IsTh

12/a)

HOe.

вумя

нием

тмеицих ГЫ :

В ис-

ржаощей оса-

лита

тение

чем 4204.

евин

Ho-

и хиз

има

是山湖

雜誌,

м, не

икура

остав,

емов.

рытой ме/л,

<0,3 выясиного

моря,

т до

3-4

я как

а вода

айона. ихман

состав

став и

2718-

12345,

ід. Раclopen-

e v y.

илфосциклоич. си-

ельный

цикла.

пикрат

в разб.

минер. к-тах, из которых высаживается щелочами. р-р I в разб. НВг поглощает 2 мольэквивалента Н (Рt-катализатор), образуя бромистый трифенилциклопентил фосфоний (II), т. ил. 261—263° (из воды). Сияты УФспектры I и II. 3. Париес

11570. О реакции водородного обмена циклопентадиена. Курсанов Д. Н., Парнес З. И., Докл. АН СССР, 1956, 109, № 2, 315—318

Все 6 атомов Н циклопентадиена (I) в мигких условиях (20 час., 20°, р-ритель — дноксан), в присутствии N, N'-диметил-а-пиридонимина вступают в р-цию водородного обмена (РВО) с D₂О. В этих условиях сильван и циклогентатриен не вступают в РВО. Пиррол обме-

нивает лишь атом H, связанный с N. Легкость PBO в случае I объясняется стабильностью аниона циклопентадиенила, имеющего ароматич, характер, и делокализацией отрицательного заряда в анионе. Примногократном установлении кислотно-основного равновесия делокализация отрицательного заряда приводит к полному обмену атомов H (см. схему). В нейтр.
и кислой среде PBO I не имеет места. Ферроцен не вступает в PBO с D₂O, это показывает, что связь между
Fe и циклопентадиенильным остатком следует рассматривать как ковалентную.

1571. Озонирование и озонолиз ароматических и гетероциклических соединений в определении тонкого строения их молекул. Часть I. Сопряженные углеводороды. Часть II. Озонолиз гетероциклических систем. В и б о (L'ozonation et l'ozonolyse des composés aromatiques et hétérocycliques dans la détermination de la structure fine des molécules. 1re partie. Hydrocarbures conjugués. 2e partie. L'ozonolyse de systémes hétérocycliques. W i b a u t J. P.), J. Chim. phys. et phys.-chim. biol., 1956, 53, № 1, 111—118; 54, № 2, 143—153 (франц.)

Часть I. Сводная статьй, содержащая результаты изучения автором с сотрудниками р-ции озонирования ряда ароматич. соединений и циклооктатетраена. Библ. 29 назв.
 М. Гамбарян

Часть II. Изучен озонолиз некоторых гетероциклов и их замещ. Озонирование проведено в p-рах СНС1з и С5H12 при т-рах от —20 до —60°. Озонидов выделить не удалось, но найдены следующие продукты их гидролиза (перечисляются названия в-ва, образовавшего озонид, продуктов гидролиза): из пиридина — глиоксаль (I), НСОNН2, NН3, НСООН; из 3,4-диметилпиридина — I, метилглиоксаль (II), диметилглиоксаль (III), НСОNН2 (2,3-диметил- и 2,3,4-триметилпиридин дают аналогичные результаты); из хинолина — I, пиридинамыдегид (IV); из 6,7-диметилхинолина — II, IV; из 5,8-диметилхинолина — I, диваетилииридин; из 2,6-диметил-инолина — диальдегид мезоксалевой к-ты, глиоксалевая к-та, II, СН3СООН (в опытах с γ-пироном, с3,6-триметил- и тетраметилиироном результаты аналогичны); из пиррола — I, НСООН, NН3; из N-фенил-пиррола — I, анстанилид; из 2,4—диметилпиррола — II, ПСН3СООН, NН3; из 2,5-диметилпиррола — I, II, СН3СООН, NН3; из 2,5-диметилиррола — I, II, ИСООН, СН3СООН; из 2,3-диметилфурана — I, II, III; из фурана — I, II, III, НСООН, СН3СООН; из 2,3-диметилфурана — I, II, III, НСООН, СН3СООН, На основании эксперим. материалов и анализа литературных данных обсуждаются структуры реагировавших в-в с позиций теории резонанса.

А. Курсанова

11572. α -Замещенные β -дикетоны. Стереоизомерные енолы α -фенацилдибензоилметана. Реакция присосращиения-енолизации ненасыщенных трикетонов. Лу ц, Дянь Цзи-ган (α -Substituted β -diketones: Stereoisomeric enols of α -phenacyldibenzoylmethane. Addition-enolization of unsaturated triketones. LutzRobert E., Dien Chi-Kang, J. Organ. Chem., 1956, 21, № 5, 551—560 (англ.)

По изменению УФ-спектра р-ра 1,1,2-трибензонлэтана (I) в абс. спирте при подщелачивании и обратном подкислении было установлено существование енола фенацилдибензоилметана, который затем был получен в двух стереоизомерных формах: uuc-(Иа) и mpauc-енол (Иб). Па получен енолизацией I p-ром КОН в СН_вОН, переводом в Си-соль (IIIa), имеющую строение внутримолекулярного комплекса, и выделением из IIIа при подкислении. В спирт. р-ре при нагревании или подкислении IIа переходит в I. II6 получен сопряженным восстановлением трибензоилэтилена (IV) и выделен в виде Си-соли (III6), имеющей строение комплекса с 4 молекулами енола. Попытка получить Пб-в кристаллич. виде была безуспешна; осторожный гидролиз III6 разб. HCl дал нестойкое масло. Эфирный р-р, содержащий **Пб**, при стоянии медленно изме-няется, переходя в смесь **Па** и **1**. Большая легкость образования фуранового цикла при р-ции Вг-производного Пб объясияется благоприятным пространственным расположением фенацилгруппы. Исследование УФ-спектров ряда производных I показало, что IV способен легко и обратимо присоединять пои С₂Н₅О-с образованием иона m ранс-енола $C_6H_5COCH(OC_2H_5)C(COC_6H_5)=$ -C(C6H5)O-. Свободный енол, получаемый при подкислении, нестоек, медленно отщепляет спирт и переходитв трибензоилэтилен и этокситрибензоилэтилен. Анапогично имеет место обратимое присоединение спирта к тране-дибензоилэтилену (V), катализируемое основаниями. На получен растворением 0,18 г IIIа в смеси 30 мл эфира и 20 мл 5%-ного води. НСl, выход 37%, бледно-желтые кристаллы, т. пл. 85—87° (из эф.-лигр.), При бромировании **Па** $(0.45\ e$ в $150\ \text{м.а.}\ \text{CH}_3\text{OH})$ р-ром Br_2 в CH_3OH расходуется $1\ \text{эке}\ \text{Br}_2$, выход 1-6poм-1,1,2-7pu6eнзоилэтана 80%. Для синтеза **IIIa** $0.25\ e$ KOH в 10 мл СН вОН добавляют к р-ру 0,25 г І в 30 мл СН вОН. Реакционную смесь выливают в ледяную воду, подкисляют 3 мл CH₃COOH и немедленно экстрагируют эфиром. При встряхивании эфирного слоя с 10 мл насыщ. води. p-pa (CH₂COO)₂Cu выпадает темно-зеленая IIIа, выход 70%, т. пл. 205—206° (из хлф.-эф., 1:2). III6 получена следующим путем: 2 г Zn-пыли медленно добавляют при 0° к p-py 0,8 г IV в смеси 30 мл CH₂COOH, 30 мл эфира и 3 мл воды. Через 10 мин. реакционную смесь фильтруют, разбавляют водой и экстрагируют эфиром. Эфирный слой промывают и встряхивают с насыш, води. p-ром (CH₈COO)₂Cu. Выход **1116** 39%, т. пл. 189-190° (из хлф.-эф.). Попытки выделить енол в кристаллич, виде дали смесь IIa и I. Из реакционной смеси 0,2 г III6, 20 мл CHCl3 п 0,34 г 20% HBr в CH3COOH после 6 час, стояния выделен І с выходом 82%. 2-метокси-1,1,2-трибензоилэтилен был получен из 2-хлораналога (1,1 ε) обработкой эквивалентным кол-вом CH₃ONa в абс. CH₃OH при \sim 20° (2 часа), выход 67%, т. пл. 106-107° (из СН_вОН). Енол фенилдибензоилт. пл. 100—107 (из СпзОт). Енол фенилдиоензоил-метана синтезирован по ранее описанному методу (Наизег С. R. и др., J. Amer. Chem. Soc., 1947, 69, 2649) кипяченнем (2 часа) смеси фенолбензоата, дез-оксибензоина и NaNH₂ (молярные отношения 1:1:2), выход 9%, т. пл. 156—158° (из эф.); Си-соль, т. пл. 282—284°. Соответствующая кетоформа получена кинячением (3 часа) подкисленного р-ра енола в спирте, т. пл. 148,5—149°. Для синтеза метокси-1,2-дибензоил-этана (VI) p-p 1,5 г V в 500 мл СН₃ОН и 20 мл 0,2%

КОН в СН₃ОН после стояния при ~20° 16 час. разбавляют водой и экстрагируют С₆Н₆, выход VI 82%, т. пл. 48—49° (пз СН₃ОН). Г. Балуева 11573. Реакции 1-амино-3-фенилиропана-1-С¹⁴ и 1-амино-3-(л-метоксифенил)-пропана-1-С¹⁴ с азотистой кислотой. Форт, Робертс (The reactions of 3-phenyl-1-propylamine-1-¹⁴C and 3-(p-methoxyphenyl)-1-propylamine-1-¹⁴C with nitrous acid. Fort Arthur W., Roberts John D.), J. Amer. Chem. Soc., 1956, 78, № 3, 584—590 (англ.)

Тенденция 3-арил-1-пропилкатнонов ArCH₂CH₂CH₂(I) образовывать мостиковые карбониевые ионы (II) и (III) изучена в связи с исследованиями, направленными к выяснению факторов, определяющих степень перегруппировки в р-циях, протекающих с участием ионов карбония (см., например, РЖХим, 1955, 42864). Для

наблюдения за перегруппировками углеродного скелета был применен метод меченых атомов (С¹⁴), а для получения карбониевых ионов использована р-ция первичных аминов с HNO2. При взаимодействии с HNO2 проных аминов с піхо₂. при взавмодевствий с піхо₂ про-дуктами р-ции были: для 1-амино-3-фенилпропана-1-С¹⁴ (IV) (в скобках указан выход)— гидрокоричный спирт (30%), бензилметилкарбинол (19%), аллилбензол (12%), для 1-амино-3-(n-метоксифенил)-пропана-1-С14 (V) — nметоксигидрокоричный спирт (27%), п-метоксибензилметилкарбинол (18%), *п*-метоксиаллилбенаол (13%), а также в обоих случаях были обнаружены небольшие кол-ва органич. нитритов и нитросоединений и большие кол-ва высококипящих соединений, вероятно, нитро-зопроизводных вторичных аминов и непрореагировавпие исходные амины (9% и 7,5% соответственно). Отсутствие изомерных фенилпропанолов и фенилпропенов доказано по ИК-спектрам. Спирты и пропены для определения в них местоположения С¹⁴ были подвергвуты окислительному расщеплению по схемам a, δ и θ для IV (Ar = C₆H₅) и для V (Ar = n-CH₃OC₆H₄). Оказалось, что при взаимодействии IV и V с HNO₂ перегруппировок углеродного скелета практически не наблюдается, т. е. вся активность остается у $C_{(1)}$. Эти данные показывают, что II и III не образуются в ходе рассматриваемых р-ций. Несимметричные мостиковые ионы (VI) и (VII) также не являются важными промежуточными соединениями, так как, хотя они и дают первичные спирты без перегруппировки С14 в скелете, по они должны были бы обнаруживаться по повышенным скоростям в р-циях сольволиза 3-арил-1-пропилпроизводных (Winstein S. и др., J. Amer. Chem. Soc., 1951, 73, 2700), что в действительности не наблюдается. Если бы промеэкуточным соединением являлся катиои ArCH2CHCH3

(VIII), то существенное значение должен был бы иметь несимметричный ион (IX), так как известно, что IX оказывается важным промежуточным соединением при сольволизе 1-арил-2-прошелпроизводных. Образование IX возможно не только из VIII, но и из этиленпротониевого иона (X), однако полученные в этом случае вторичные карбинолы претериели бы изотопную перегруппировку. Другая возможная интерпретация полученых результатов состоит в том, что диазонневый катион АгСН₂СН₂СН₂N₂ (XI), теряя N₂, дает I, который или

 ${
m ArCH_2CH_2CH_2}$ (XI), теряя ${
m N_2}$, дает I, который или теряет протон, образуя олефин, или реагирует с р-рителем, давая неперегруппированный продукт, или пере-

ходит в X. Благодаря своей асимметрии X с H₂O будет давать только вторичные спирты, но он может и терять мостиновый протон, образуя олефин, и переходить в несимметричный ион IX. Либо I и X, либо I и IX в отдельности могут объяснить все наблюдаемые продукты и отсутствие 1-арилпронанолов-1 и 1-арилпропенов. Образование первичных спиртов взаимодействием XI с водой по S_N 2 механизму маловероятно, так как спирты получаются и из мостиковых первичных аминов с HNO₂, для которых механизм S_N 2 невозможен. Р-ция IV и V с HNO₂ проводилась при 55° прибавлением NaNO₂ к р-ру амина в 1 М води. HClO₄. IV полученный β-фенилиропионитрил-1-С¹⁴, т. кип. 129—130,5°/16,5 мм, был восстановлен LiAlH₄ до амина, выход 91%, т. кип. 100,5—101,5°/13,5 мм. V приготовлен взаимодействием 2-(п-метоксифенил)-этил-п-толуол-сульфоната с NaC¹⁴N; полученный β-(п-метоксифенил)-пропионитрил, т. кип. 129—133°/2,8 мм, восстановили LiAlH₄ до амина, т. кип. 110—111°/2,5 мм. Синтезированы также неактивные и активные конечные в-васпирты и пропены. Неактивные конечные продукты добавляли при диазотировании как носители. В. Титов 11574. О реакциях водородного обмена 1-метилцикартександа-1 с фосфоной кистогой Се т.к.н. и

1574. О реакциях водородного обмена 1-метилциклогексанола-1 с фосфорной кислотой. Сетки н а В. Н., Курсанов Д. Н., Докл. АН СССР, 1956, 109, № 3, 552—554

Изучена р-ция водородного обмена (PBO) 1-метил-цвклогексанола-1 (I) с D₃PO₄ I вступает в PBO при —5—0°. Содержание D в I после опыта определялось не избыточной плотности воды сожжения как I, так и метилциклогексенов, полученных дегидратацией I йодом. При РВО 1-метилциклогексена-1 (П) в тех же условиях II не гидратируется в I и обмен II значительно ниже обмена I, следовательно, РВО I не идет через промежуточное образование циклоолефина. На основании этих данных, а также данных криоскопич. и спектральных исследований р-ров третичных спиртов в ${\rm H_2SO_4}$ сделан вывод, что I с ${\rm D_3PO_4}$ образует ион карбония, который вступает в РВО. Механизм замещения при насыщенном углеродном атоме. Часть XLIX. Анализ пространственных и полярных влияний и алкильных групп в реакциях бимолекулярного нуклеофильного замещения, со специальным рассмотрением реакций обмена галондов. Мар, Фауден, Хьюз, Инголд, Макки (Mechanism of substitution at a saturated carbon atom. Part XLIX. Analysis of steric and polar effects of alkyl groups in bimolecular nucleophilic substitution,

with special reference to halogen exchanges. Mare P. B. D. de la, Fowden L., Hughes E. D.,

7 r.

иметь O IX

при

не IX

оние-

BTOгруп-

учен-

ноитя

или і

р-рипере-

будет

ерять

укты енов.

XI c

спир-

нов с

Р-ция

мение

тучен

полу-129-

мина.

отов-

луол-

нил)-

нови-

зиро-

в-ва:

укты Гитов иклонна

етил-

при нлось

так и

I йоe yc-

ельно

через

осноич. и иртов

кар-

арнес угле-

нных

кциях о спе-

идов. atom.

ts of

ution,

are. D.,

Ingold C. K., Mackie J. D. H.), J. Chem. Soc., 1955, Sept., 3200—3236 (англ.)

На основании накопленных за последние годы эксперим, данных по кинетике р-ций бимолекулярного по кинетике р-ции оимолекулирного амещения критически пересмотрены выводы, сделанные ранее (Dostrovsky и др. J. Chem. Soc., 1946, 173), о величине пространственных и полярных эффектов. Указав на ряд принятых ранее упро**денных** допущений, явившихся источником ошибок, авторы дают новую модель переходного состояния и существенно видоизменяют метод вычисления энергии и энтропии р-ции $X^-+RX \to XR+X^-(X=Br)$, распространив его также на случай X=Cl, J. Рассматривается влияние алкильных групп как на энергию активации (энергетич.эффект), так и на величину предэкспонента (энтропийный эффект). Пространственный энергетич. эффект алкилгрупи всегда действует в сторону замедления р-ций бимолекулярного электрофильного замещения, но, вопреки ранее высказанным утверждениям, он лишь в слабой степени зависит от размеров атома галоида; в основном он определяется структурой алкильных групп. Полярные энергетич. эффекты также действуют замедляюще, но проявляются они почти исключительно только при а-замещении. Зависящие от структуры эптропийные эффекты могут быть трех типов: эффект массы, пространственный и полярный; эти эффекты связаны соответственно с характером и распределением массы, группировок и заряда. Эффект массы, который появляется при наличии массивных, но занимающих мало места неполярных частиц (напр., прибавление нейтрона при изотопном замещении), в общем действует замедляюще, но накопление новых частиц вблизи реакционного центра будет ослаблять этот эффект и может даже обратить его. Пространственный энтропийный эффект может действовать либо ускоряющим, либо, замедляющим образом; полярным энтропийным эффектом алкилгрупп можно пренебречь. Вычисленные на основании выведенных теоретич. предпосылок энергии активации и значения предэкспонента вполне удовлетворительно согласуются с эксперим. значениями за исключением соединений с эксперим. значениями за исключением соединении с неопентильными группами. Предложенный метод расчета может быть применен и к ряду других р-ций бимолекулярного нуклеофильного замещения. Часть XLVIII см. РЖХим, 1956, 68213. Г. Балуева 11576. Пространственные влияния в реакциях отщепления. VI. Влияние объема алкильной группы на

направление бимолекулярного отщепления. Браун, Моритани, Накагава. VII. Влияние объема алкоксильных групп оснований на направление бимолекулярного отщепления. Браун, Мори-тани, Окамото. VIII. Влияние объема пиридиновых оснований на направление реакции отщеп-жения. Браун, Накагава. IX. Влияние объена отщепляющейся группы на направление бимолежулярного отщепления в производных 2-иентила. Браун, Уилер. Х. Пространственное напряжение, как фактор, контролирующий направление бимолекулярного отщепления. Правило Гофмана, как проявление пространственного напряжения. Б р аун, Моритани (Steric effect in elimination reactions. VI. The effect of the steric requirements of the alkyl group on the direction of bimolecular elimination. Brown Herbert C., Moritani Ichiro, Nakagawa M. VII. The effect of the steric requirements of alkoxide bases on the direction of bimolecular elimination. Brown Herbert C., Moritani Ichiro, Okamoto Y. VIII. The effect of the steric requirements of pyridine bases on the direction of the elimination reaction. Brown Herbert C., Nakagawa M. IX. The effect of the steric requirements of the leaving

group on the direction of bimolecular elimination in 2-pentyl direvatives. Brown Herbert C., Wheeler Owen H. X. Steric strains as a factor in controlling the direction of bimolecular eliminations. The Hofman rule as a manifestation of steric strain. Brown Herbert C., Moritani J.), J. Amer. Chem. Soc., 1956, 78, Ne 10, 2190—2193; 2193—2197; 2197—2199; 2199—2202; 2203—2210 2203-2210 (англ.)

Сообщение VI. Изучено влияние пространственного фактора на направление отщепления в бимолекулярных р-циях. При отщеплении ${\rm HBr}$ от ряда третичных бромидов ${\rm RCH_2CBr}({\rm CH_3})_2$ (I ${\rm R}={\rm CH_3};$ II ${\rm R}={\rm C_2H_5},$ III ${\rm R}=u_{20}\cdot{\rm C_3H_7};$ IV ${\rm R}=mpem\cdot{\rm C_2H_5}),$ идущем под действием пиридина (V) или ${\rm C_2H_5OK},$ с увеличением разветвленности группы R соотношение кол-в 1-алкена 2-алкена, образующихся из I-IV под действием у или Съндок, равномерно увеличивается и при р-цив с V, для I, II, III и IV соответственно равно 0.33; 0.47; 0,81; 2,3, а при р-ции с C₂H₅OK соответственно равно 0,43; 1,00; 1,17; 6,14. Авторы объясняют это, исходя из того, что переход-

ный комплекс в бимокенов (схемы А и В, соответственно, В - основание), дол-

ный комплекс в опах, лекулярных р-циях, приводящих к образованию 1- или 2-ал-

жен иметь плоское строение. Увеличение объема группы R должно препятствовать протеканию р-ции по схемо В и, следовательно, способствовать протеканию р-цив по схеме А, что приводит к увеличению соотношения кол-ва 1- и 2-алкенов. Увеличение объема группы X или объема атакующего основания должно, по мнению авторов, привести к аналогичным результатам. Анализ. полученной смеси 1- и 2-алкенов проводился рефрактометрически. Сходимость с результатами анализа по-

ИК-спектрам ±3%. Сообщение VII. Изучено влияние объема алкоксильных групп оснований на направление бимолекулярного отщепления HBr от некоторых вторичных и третичных бромидов (при 70±10°). Показано, напр., что С₂Н₃С-(СН₃)₂Вг при обработке С₂Н₅ОК, (СН₃)₃СОК, С₂Н₅С(СН₃)₂ОК и (С₂Н₅)₃СОК в р-ре соответствующих спиртов образует 1- и 2-алкены в соотношении, равном 30, 72, 78 и 89 соответственно. Аналогичное повышение выхода 1-алкена с увеличением объема алкоксильной группы основания наблюдалось также для 2-бромбутана, 2-бромпентана, 2,3-диметил-2-бромбутана (VI) и 2,4,4-триметил-2-бромпентана (VII). Определение константы скорости бимолекулярной р-ции (СН₃)₃СОК с различными алкилбромидами показало, что увеличение выхода 1-алкена обусловлено в основном уменьшением скорости удаления водорода из пространствен-но затрудненного положения 3. Это обеспечивает возможность перехода от зайдевского типа отщепления к гофманскому при увеличении объема атакующего

Сообщение VIII. Изучено влиние объема атакующего пиридинового основания [V, 2-пиколин (VIII), 2,6-лутидин (IX)] на направление отщепления НВг от некоторых третичных алкилбромидов (при 70—130°). При действии V, VIII или IX на C₂H₅C(CH₅)₂Br получается 1-алкен с выходом 25, 30 и 45% соответственно. Аналогично увеличивается соотношение кол-в 1- в 2-алкенов при действии V, VIII или IX на VI, 2-метил-2-бромпентан, 2,4-диметил-2-бромпентан и VII. Таким образом, переход от зайцевского типа отщепления к гоф-манскому достигается при увеличении объема как алкоксильных, так и пиридиновых оснований. Сообщение IX. Изучено влияние объема отщепляю-

11577.

No

HN

46

co

yn Ci

T

38

СТ ЧС Р. Ф СТ ВС Ф

Bi

щейся группы на направление бимолекулярного отменления HX, вдущее под действием C_2H_5OK , у про-маводных $CH_3CHXCH_2CH_2CH_3$ (X-XV), где XX=Br; XIX=J, $XIIX=OSO_2C_0H_4CH_3$, $XIIIX=S^+(CH_3)_2$; $XIVX=SO_2CH_3$. $XVX=N^+(CH_3)_3$). При переходе от X к XV выход пентена-1 (XVI) оказывается равным 31, 30, 48, 87, 89 и 98% соответственно. Авторы считают, что увеличение выхода XVI объясняется не полярными свойствами отщепляющейся группы Х, а ее объемом и что свойство ониевых соединений подвергаться расщеплению гофманского типа, т. е. с образованием наименее разветвленного олефина, связано не с положительным зарядом ониевой группы, а с объемом этой

Сообщение Х. Как показано в предыдущих статьях (см. выше) направление бимолекулярного отщепления зависит, с одной стороны, от стабилизации образующегося олефина в результате гиперконьюгации и, с другой стороны, от пространственного напряжения в переходном состоянии. Это напряжение в переходном состоянии может быть увеличено или 1) при увеличении объема алкильных групп, находящихся по соседству с возникающей двойной свизью; 2) при увеличении объема атакующего основания или 3) при увеличении объема отщепляющейся группы. Так как это напряжение играет большую роль в переходном состоянии, приводящем к наиболее разветвленному из двух возможных олефинов (правило Зайцева), чем в переходном состоянии, приводящем к наименее разветвленному олефину (правило Гофмана), то, влияя на пространственное на-пряжение любым из трех перечисленных способов (или любой комбинацией этих способов), можно изменить направление отщепления от зайцевского к гофманскому типу. На большом кол-ве примеров показана общность этой концепции. Изучено отщепление НХ, идущее под действием различных оснований от следующих соединений: трет-амилтриметиламмониййодид, (2,4,4-триметил-2-пентил)-триметиламмоний йо-дид, трет-амилхлорид, 2.4.4-триметил-2-хлорпентан, 2-бутилтозилат, 2-бутилтозилат, 2-пентилтозилат, *трет*-амилтозилат, 2,3-диметил-2-бутилтозилат, 2,4,4-триметил-4-бутрет-амилтозитилтозилат. Последние три соединения не были взяты в чистом виде, а получались в качестве промежуточных продуктов в р-ции. Результаты опытов подтверждают представление о том, что правило Гофмана есть проявление пространственного влияния в переходном состоянии. По мнению авторов, нет необходимости приписывать формальному заряду онневой группы скольконибудь значительное влияние на отщепление гофманского типа. Сообщение V см. РЖХим, 1956, 61385. Р. Кудрявцев

на выпиние полярных водородных атомов и за-местителей в циклогексане. Капон, Клодон, Кориюбер, Лемуан (L'effet des atomes «d'hydrogène cyclohexaniques axiaux ainsi que des substitutions axiales. Сароп Daniel, Clau-don Marie-Madeleine, Cornubert Raymond, Lemoine Hubert), C. r. Acad. sci., 1956, 242, № 22, 2609—2612 (франц.) Проведено исследование скоростей омыления кислых фталатов (КФ) циклогексанолов с СН3-группами в 3-и 5-положениях. Цель работы — подтвердить на примере более объемистых заместителей (для СН₃-группы радиус Ван-дер-Ваальса 2,04 А) влияние групп, стоящих в ІІ-3и *II*-5-положениях на скорость омыления. Ранее (см. РЖХим, 1956; 39421) это влияние исследовалось для Натомов (радиус Ван-дер-Вальса 1,25A). Так, для КФ 3 (θ), 3 (H), 5 (θ)-триметилциклогексанола-1 (θ) (КФ \mathbf{I}_{θ}) k_{70} ° найдена равной 6,28, а для КФ \mathbf{I}_{H} — 0,97; отношение констант (ОК) 6,5. КФ 3-метилциклогексанола-1 (Э) (КФ $\Pi_{\mathcal{J}}$) имеет k_{70} , 8,0, а КФ $\Pi_{H}=3,25$; ОК 2,45. КФ 3(Э), 5(Э)-диметилциклогексанола-1 (Э)

Влияние полярных водородных атомов и за-

 $(\mathbf{K}\Phi \mathbf{III}_{\partial}) = k_{70}$, 7,12, a $\mathbf{K}\Phi \mathbf{III}_{II} = k_{70}$, 1,64; OK 4,3. Из этих данных следует, что падение величины k_{20° от КФ II к КФ I зависит не только от 3 (II)-СН₃-группы, но и от двух Э-СН₃-групп (данные для КФ III). Однако данные предыдущего сообщения (см. ссылку выше) показывают, что одна 3 (Э)-СН3-группа не влияет на скорость омыления. Из очень низкого значения k_{70} ° для $\mathbf{K} \Phi \mathbf{I}_H$ и самого высокого ОК авторы делают вывод. о значительном влиянии группы, находящейся в 3(П)положении. Все циклогексанолы с Э-ОН синтезированы восстановлением соответствующих циклогексанонов натрием, а спирты с П-ОН - восстановлением с помощью Pt. Используя вышеприведенные результаты, приписываем левые структуры четырем и-ментолам (IVa-r) писываем левые структуры четырем н-ментолам (IVа—г) синтезированным ранее восстановлением μuc - и m рансментонов (μuc -V, m ране-V): из m ране-V восстановлением натрием получен IVa (КФ IVa k_{70} ° 0,84), а восстановлением Pt — IV6 (КФ IV6 k_{70} ° 0,13); из μuc -V восстановлением Pt получен IVB (КФ IVB k_{70} ° 1,51), а восстановлением Pt получен IVB (КФ IVB k_{70} ° 1,51), а восстановлением Pt получен IVB (КФ IVB k_{70} ° 1,51), а восстановлением Pt получен IVB (КФ IVB k_{70} ° 1,51), а восстановлением Pt получен IVB (КФ IVB k_{70} ° 1,51), а восстановлением Pt получен IVB (КФ IVB k_{70} ° 1,51), а восстановлением Pt получен IVB (КФ IVB k_{70} ° 1,51), а восстановлением Pt получен IVB (КФ IVB k_{70} ° 1,51), а восстановлением Pt получен IVB (КФ IVB k_{70} ° 1,51), а восстановлением Pt получен IVB (КФ IVB k_{70} ° 1,51), а восстановлением Pt получен IVB (КФ IVB k_{70} ° 1,51), а восстановлением Pt получен IVB (КФ IVB k_{70} ° 1,51), а восстановлением Pt получен IVB (КФ IVB k_{70} ° 1,51), а восстановлением Pt получен IVB (КФ IVB k_{70} ° 1,51), а восстановлением Pt получен IVB (КФ IVB k_{70} ° 1,51), а восстановлением Pt получен IVB (КФ IVB k_{70} ° 1,51), а восстановлением Pt получен IVB (КФ IVB k_{70} ° 1,51), а восстановлением Pt получен IVB (КФ IVB k_{70} ° 1,51), а восстановлением Pt получен IVB (КФ IVB k_{70} ° 1,51), а восстановлением Pt получен IVB (КФ IVB k_{70} ° 1,51), а восстановлением Pt получен IVB (КФ IVB k_{70} ° 1,51), а восстановлением Pt получен IVB (КФ IVB k_{70} ° 1,51), а восстановлением Pt получен IVB (КФ IVB k_{70} ° 1,51), а восстановлением Pt получен IVB (КФ IVB k_{70} ° 1,51), а восстановлением Pt получен IVB (КФ IVB k_{70} ° 1,51), а восстановлением Pt получен IVB (КФ IVB k_{70} ° 1,51), а восстановлением Pt получен IVB (КФ IVB k_{70} ° 1,51), а восстановлением Pt получен IVB (КФ IVB k_{70} ° 1,51), а восстановлением Pt получен IVB (КФ IVB k_{70} ° 1,51), а восстановлением Pt получен IVB (КФ IVB k_{70} ° 1,51), а восстановлением Pt получ лением Al-изопропилатом — IV г (КФ IV г k_{20} ° 0,89). IVa и IV6 приписаны структуры с двумя Э-алкильными группами и Э- и П-ОН-группами соответственно. из группами и 3-и Π -Оп-группами соответственно. IV г, исходя из сходства k_{70° его КФ с k_{70° для КФ IV а, приписана структура с Π -СН $_3$, ∂ -С $_3$ Н $_7$ и ∂ -ОН. Сделан вывод, что IV в существует в виде равновесной смесн (Π -СН $_3$, ∂ -С $_3$ Н $_7$, Π -ОН) \Longrightarrow (∂ -СН $_3$, Π -С $_3$ Н $_7$, ∂ -ОН), причем форма с ∂ -ОН более реакционноспособна и в процессе р-ции все время происходит превращение формы с *II*-ОН в форму с *Э*-ОН. Наконец, сравнивая k_{70} ° КФ 2,2-, 3,3- и 4,4-диметилциклогексанолов (КФ VI, КФ VII, КФ VIII), приведенные в предыдущем сообщении (КФ VI 0,75, КФ VII 6,22 и КФ VIII 6,58), и k_{70° КФ циклогексанола (КФ IX), равное 7,11, авторы приходят к выводу, что, если считать известные 4-метилциклогексанолы-1 (II) и (Э) «чистыми» формами, а не смесями инвертированных форм, то следует принять, что исследованный IX содержал $\sim 20\%$ инвертпрованной формы с \emph{II} -OH, VIII — $\sim 38\%$, а VII — меньшее, точно не определимое кол-во. Инвертированная форма КФ содержит эфирную группу, на которую сильно влияет Π -С Π -группа. В случае КФ VI не только стерич. факторы оказывают влияние на скорость Н. Волькевау омыления.

Механизм реакций ароматического аралкилирования. Бетеля, Голд (The mechanism of aromatic aralkylation reactions. Bethell D., Gold V.), Chemistry and Industry, 1956, № 28, 741-742 (англ.)

Исследована кинетика алкилирования дифенилметанолом (н 4,4'-дихлордифенилметанолом) анизола (I), 1,3,5-триметилбензола в СН «СООН, содержащей различные кол-ва H₂SO₄, а также кинетика алкилирования I аналогичными диарилметилхлоридами или ацетатами в среде CH3COOH, содержащей ZnCl2 и различные колва HCl. Скорость р-ции во всех изученных случаях про-порциональна конц-иям RX и ArH в первой степени и пропорциональна способности среды к образованию карбониевых ионов R+ из RX. Скорость р-ций образования одного и того же триарилметана из ROH в присутствии H₂SO₄ или RX в присутствии ZnCl₂ одинакова при условии равенства ионизирующей способности соответствующих сред (по показаниям индикаторов R'OH и R'X), это свидетельствует о том, что катализатор не выполняет никаких дополнительных функций кроме ионизации RX. Влияние заместителей в ArH при этих р-циях такое же, как при других р-циях электрофильного ароматич. замещения. Заместители в RX изменяют скорость р-ции почти исключительно за счет влияния на степень ионизации RX. Предложен 4.3.

o or

ппы.

нако

) по-

ско-

для

вол.

(II)-

ваны

ОНОВ

TIO-

приa-r)

ранс-

нием

овле.

SHOR-

AHOR-

0,89). тыны-

енно

т КФ

9-OH. есной

-OH), A H B фор-

ΦVI.

обще-

3), n

вторы 4-мемами.

при-

ертимень-

анная

орую

тольрость

кенау кили-

m of

€ 28,

илмеa (I),

раз-

вания

атами

колс проепени

анию

разопри-

акова HOCTH

торов

тали-

кций.

ArH

хвип-

ители

ельно

нэжог

механизм, в котором лимитирующей стадией является р-двя: ArH + R⁺ → ArR + H⁺. Скорость алкилирования пара-дейтерированного I (замещение в случае I происходит в пара-положение) такая же, как с легким что свидетельствует о том, что удаление протона не имеет энергетич. значения в образовании переходного состояния. И. Моисеев 1579. Нитрование фенолов, замещенных углерод-содержащими группами. Андерсен (Nitration of phenols substituted with carbon-containing groups. Andersen Lars), Comment. phys.-math., 1956, 19, № 1, 51 рр. (англ.)

Изучена р-ция нитрования 27 моно-, ди- и тризамещ. фенолов, при которой нитрогруппа вступает на место заместителя. Нитрующим агентом служил большой избыток HNO2 в смеси эфира и ацетона. Р-ция в целом идет по механизму электрофильного замещения, причем первоначально образуется нитрозопроизводное, которое практически мгновенно окисляется до нитросоединения. Стабильность исследованных заместителей уменьшается в порядке: СН₃≫ СНО > СООН>СН₂ОН. Скорость р-ции так же как и при обычном нитровании зависит от присутствия и характера второго заместителя в молекуле фенола. По степени активирующего влияния эти заместители располагаются в ряд: ${\rm OCH_3} > {\rm CH_2} > {\rm CH_2} > {\rm CHO} > {\rm COOH} > {\rm NO_2};$ последние члены ряда являются дезактиваторами. Заместители в пара-положении более реакционноспособны, чем в орто-положении, однако о-СН₃-группа реаги-рует столь энергично, что разрушается вся молекула фенола. Введение второго, дезактивирующего заме-стителя стабилизирует метоксигруппу. Р-ция была проведена при 0°; продукты р-ции разделяли хроматографией на бумаге и определяли колориметрически. Мерой скорости р-ции являлось время образования 50% общего выхода продуктов р-ции. Для получения нитрогваякола к 62 ε гваякола и 0.5 ε $NaNO_2$ в 500 мл эфира медленно добавляли 35 мл конц. HNO₃. После промывания водой и отгонки эфира оставшееся масло перегоняли с водяным паром 12—20 час. со скоростью ~10 мл/мин. Из отгона получено 21 г 6-нитрогваякола (I), из остатка — 13 г 4-нитрогваякола. Для синтеза сиреневого спирта (II) смесь 1,54 г 2,6-диметокси-фенола, 1 мл 40% НСНО и 10 мл 1 н. NaOH оставляют на 2—3 дня, временами встряхивая, затем добавляют 0,7 мл СН₃СООН и экстрагируют эфиром. При насыщении эфирного слоя NaCl постепенно выделяется II, выход 1,13°г, т. пл. 135° (из бзл.). 2,6-диметокси-4-нитрофенол (III) синтезировали действием води. NaNO₂ (1 г) на сиреневую к-ту (2 г). При подкислении реакционной смеси 1 мл CH₃COOH образуется оранжевый осадок III, выход 1,45 г, т. пл. 205° (разл.; из воды). Смесь 1 г I, 3 мл 40% НСНО и конц. НСІ (5 мл) кипятят 4 часа. После удаления непрореагировавших в-в отгонкой с паром остаток экстрагируют эфиром, выход 5-нитрованилинового спирта 100—150 ме, т. пл. 5-интрованы плавого спирта 100 см., 110° (из бал.). Для получения 5-интро-о-ванилинового спирта (IV) к взвеси 1,84 г 4,6-диметилолгванкола (V) к 100 мл NaNO2 в 20 мл эфира постепенно добавляли p-p конц. HNO₃ (0,8 мл) в 20 мл эфира. После растворения избыток к-ты удаляли NaHCO₃ (200—300 мг) и добавляли 4 мл конц. NH₄OH. Выпадает аммонийная соль IV (выход 600 мг), которая при обра-ботке води. СН₃СООН дает IV, т. пл.148—149° (из воды). 4-окси-5-метоксиизофталевый альдегид получен окислением V Na-солью нитробензолсульфокислоты в щел. среде с выходом 40%. 3,5-диметил-4-оксибензойная к-та (VI) синтезирована следующим путем: 3,5-диметил-4-оксибензиловый спирт, полученный по ранее известному методу (Arkiv Kemi, 1942, 15 A, 7, 12) из НСНО н 2,6-ксилола, метилируется диметилсульфатом в 3,5-диметил-4-метоксибензиловый спирт, который окис-

ляют КМпО₄ в соответствующую к-ту (VII), т. пл. 187° (из 50% водн. сп.). VII при кипячении (3 часа) с 48% НВг дает VI, т. пл. 219° (из воды). Из 6,1 г 2,6-ксилола н Вг дает VI, т. пл. 219 (на воды). на 0,1 г 2,0-ксялола получено 400 мг VI, выход на последней стадии 40%. Окисление вавеси 5-нитрованилина (1,97 г) в р-ре NaOH (40 мл 2 н.) води. р-ром AgNO₃ (1,7 г) при 75° дает 5-нитрованилиновую к-ту, выход 2,0 г (неочиц.), т. пл. 210—211° (из воды). При окислении КМпО₄ выход очень мал. Аналогично, при 90° получена 5-нвтро-о-ванилиновая к-та с выходом 1,2 г (неочиц.), т. пл. 227° (из воды). Для синтеза 4-окси-5-метокси-изофталевой к-ты (VIII) 1,5 г изогемициновой к-ты, полученной из эвгенола по Aulin — Erdtman (Svensk Kem. Tidsk., 1943, 55, 120), нагревали 6 час. при 60° с 15 мл конц. Н₂SO₄, выход VIII 1,2 г (неочищ.), т. пл. 275-276°

Механизм аминирования галондбензолов. Р о-11580. бертс, Семенова, Симмонс, Карлс-мит (The mechanism of aminations of halobenzenes. Roberts John D., Semenow Dorothy A., Simmons Howar Ed. Jr, Carlsmith L. A.), J. Amer. Chem. Soc., 1956, 78, Ne 3, 601-611 (англ.)

С целью изучения механизма р-ции аминирования проведено аминирование хлорбензола-1-С¹⁴ (1), йодбензола-1-С¹⁴ (II) и бромистого фенил-1-С¹⁴-триметилам-мония (III) KNH₂ в жидком NH₃ Во всех случаях вымония (III) к Nri₂ в жидком Nri₃ во всех случаях кажделенный анвлин состоят из смеси изомеров анилина-1-C¹⁴ (IV) и анилина-2-C¹⁴ (V). Анилин-3-C¹⁴ при этом не образуется. Из I получается $43.1 \pm 1\%$ IV и $53.8 \pm 1\%$ V, из II получается $46.4 \pm 1\%$ IV и $53.0 \pm 0.2\%$ V, а из III — 95.8 ± 0.1 IV и $4.3 \pm 0.4\%$ V. Приблизительно одинаковые кол-ва IV и V, образующиеся при

аминировании I и II (с учетом изотопного эффекта), свидетельствуют о том, что р-ция, очевидно, протекает через образование симметричной промежуточной частицы. Исходя из того, что такой промежуточной частипей, по-видимому, является дегидробевзол («бензин») (VIa) (ср. РЖХим, 1954, 44572), образующийся при отщеплении элементов галондоводорода от ароматич. галоидопроизводных (типа VII) под действием сильных нуклеофильных агентов (KNH2 в жидком NH3 или LiN- $(C_2H_6)_2$ в эфире), авторы провели аминирование фторбензола-2,4,6-D₃ (VIII), 4-фтортолуола-3,5-D₂ (IX), фторбензола-2-D (X), хлорбензола-2-D (XI) и бромбензола-2-D (XII). Если р-ция протекает по схеме A, с одновременным отпеплением X и водорода в стадии, определяющей скорость р-ции, то должен наблюдаться значительный изотопный эффект и отношение скоростей р-ций k_{H} / k_{D} должно быть равно приблизительно 6—7. Если же р-ция протекает по схеме В, с предваритель-ным образованием карбаниона (XIII и XIV), то захват карбанионом XIII протона из р-рителя (при достаточно большом к") приведет к исходному галоидопроизводному, не содержащему дейтерия, т. е. будет наблю-даться изотопный обмен водорода. Отщепление пона галоида от XIII или XIV приведет к образованию VIa V16 соответственно, которое, взаимодействуя

yc

19

11

с р-рителем, дают амин. Захват оротона карбанионом XIII или XIV должен происходить достаточно быстро, ябо в противном случае невозможно будет различить схемы А и В. Величина наблюдаемого изотопного эффекта при р-ции по счеме В должна быть меньше, чем при р-ции по схеме А и должна зависеть от отношения k_2/k^p . Чем меньше k_2/k^p , тем меньше должен быть изотопный эффект ($k_{\rm H}/k_{\rm D}$). Оказалось, что VIII, IX **ж** X в условиях р-ции быстро обменивают D в ортоположении, даже если не происходит аминирование. Следовательно, в этих случаях k_{D}' очень велика, а k_{2} очень мала. Аминирование XI идет по схеме В, так как изотопный эффект $(k_{\rm H}^{'}/k_{\rm D}^{'})$ при этом оказался равным 2,7 и для k''/k_2 получено значение 1,5. Однако XII реагирует с KNH $_2$ в жидком NH $_3$ по схеме A, так как в этом случае $k_{\rm H}/k_{\rm D}=5,5$, что близко к предеказанной величине. С $LiN(C_2H_5)_2$ в эфире как XI, так и XII реагируют по схеме A. Изотопный эффект соответственно равен 5,7 и 5,6. Эти данные указывают на то, что отрыв атома Н действительно происходит при аминировании исследованных соединений, причем отрыв Н происходит либо в стадии, определяющей **ек**орость р-ции (схема A), либо до нее (схема B). В любом случае это подтверждает промежуточное образование VIa (или VI6) в процессе р-ции аминирования, хотя и не доказывает окончательно. Анализируя далее некосорые другие возможности протекания р-ции аминирования, авторы приходят к выводу, что дегидробензол VIa (соответственно VI6) является наиболее вероятным промежуточным продуктом в р-ции аминирования. Определение местоположения \mathbb{C}^{1d} в анилине, полученном из I, II или III, проводилось последовательной деструкцией анилина по схеме: $C_6H_5NH_2 \xrightarrow{HNO_2} C_6H_5OH \rightarrow H_2SO_4 \xrightarrow{NaN_3} C_6H_5OH \rightarrow H_2SO_5 C_5 C_5 C_5 C_$ $C_0H_{11}OH \xrightarrow{K_2C_{12}O_7}$ цяклогексанон $\xrightarrow{H_2C_1}$ нсі, H_2O 4.5-диаминопентан +6-амино → 1,5-диаминопентан + CO₂ (XV)

тлутаровая к-та (XVI) Нъо 1,3-диаминопропан + 2CO₂ (XVII). Определение радиоактивности XV и, Ф другой стороны, XVI или XVII позволило определить относительные кол-ва соответственно IV и V в анилине, полученном из I, II или III. Анализ D в продуктах р-ции проводился с помощью ИК-спектров.

P. Кудрявцев 11581. Ориентация при аминировании замещенных галондбензолов. Робертс, Воп, Карлс мит, Семенова (Orientation in aminations of substituted halobenzenes. Roberts John D., Vaughan C. Wheaton, Carlsmith L. A., Semenow Dorothy A.), J. Amer. Chem. Soc., 1956, 78, № 3, 611—614 (англ.)

Изучено направляющее влияние заместителей при аминировании различных замеш. галоидбензолов RC₆H₄X (1— XII) КNH₂ в жидком NH₃. Ниже перечисляются еходное в-во R, X, выход RC₆H₄NH₂ в %, кол-во σ-, м- и n-изомеров в %: I, σ-ОСН₃, Br, 33, —, 100, —; II, м-ОСН₃, Br, 59. —, 100, —; III, n-ОСН₃, Br, 31, — 49 ± 1, 51 ± 1; IV, σ-CF₃, Cl, 28, —, 100, —; V, м-CF₃, Cl, 16, —, 100, —; VI, n-CF₃, Cl, 25, —, 50 ± 5, 50 ± 5; VII, n-F, Br, 30, —, 20 ± 1, 80 ± 1; VIII, σ-CH₃, Cl, 66, 45 ± 4, 55 ± 4, —; IX, σ-CH₃, Br, 64, 48,5 ± 2, 51,5 ± 2, — X, м-CH₃, Br, 61, 22 ± 4, 56 ± 4, 22 ± 4; XI, м-CH₃, Cl, 66, 40 ± 4, 52 ± 4, 8 ± 4; XII, n-CH₃, Cl, 35, —, 62 ± 4, 38 ± 4. Приведенные цифровые данные по распределению изомеров в продуктах р-ции приблизительны, так как соотношение изомеров меняется в зависимости от времени р-ции из-за вторичных процессов. По мнению

авторов, р-ция протекает через промежуточное образование 3-или 4-замещ. дегидробензсла («бензина») (XIII и XIV соответственно) (см. предыдущий реф.). При этом

$$\bigvee_{XV}^{R} - \bigvee_{XIII}^{R} - \bigvee_{XVIII}^{R} - \bigvee_{XIX}^{R} - \bigvee_{XIX}^{R} - \bigvee_{XIV}^{R} - \bigvee_{XVI}^{R}$$

орто-замещ, галондбевзолы (XV) могут дать лишь XIII, а пара-замещ, (XVI) — лишь XIV. Мета-замещ, галонд-бензолы (XVII) могут дать и XIII и XIV в зависимости от степени кислотности Н в орто- и пара-положении, а также в зависимости от легкости отщепления X от анионов (XVIII) и (XIX). Эти оба фактора зависят от направляющего влияния R и от характера X. Аминирование XIII или XIV, по-видимому, происходит в две стадии. Первая стадия (определяющая скорость р-ции) состоит в присоединении NH. Образующийся при этом карбаннон (XX) затем быстро захватывает H^+ из p-рителя, давая (XXI), или превращается в (XXII) при внутримолекулярном сдвиге H^+ . Направление присоединения NH_2^- к XIII или XIV зависит от влияния R на стабильность карбаниона XX в том или ином положении. Если R обладает электроноакценторным индуктивным эффектом, то из XIII будет получен преимуще-ственно мета-замещ. анилин, а из XIV будет получен преимущественно пара-замещ. анилин. Если R обладает слабым электронодонорным индуктивным эффектом, то из XIII и XIV будут получены преимущественно орто-и мета-замещ, анилины соответственно. Однако в этом случае кол-во орто-изомера из XIII несколько уменьшено из-за пространственных затруднений. Состав полученных после р-ции аминирования смесей анализировался с помощью ИК-спектров. Р. Кудрявцев

Молекулярные перегруппировки. IV. Опыты 11582. с мечеными атомами в трех положениях при изотопной изомеризации 1,2,2-грифенилотилацетата. Бо н нер, Коллинс (Molecular rearrangements. IV. Triple-labeling experiments on the isotope position isomerisation of 1,2,2-triphenylethyl acetate. Bon-ner William A., Collins Clair J.), J. Amer. Chem. Soc., 1955, 77, № 1, 99—103 (англ.) Исследована кинетика радиохим, изомеризации 1,2,2-трифенилэтил- $(1-C^{14})$ -ацетата (I) (константа скорости $k_{\rm I}$), 1-фенил- (C^{14}) -2,2-трифенилэтилацетата (II; kii) и измерена скорость обмена (кiii) CH₈COO-группы 1,2,2-трифенилэтилацетатом-(2-С¹⁴)-(III) СН $_3$ СООН в среде СН $_3$ ССОН, содержащей 0,125 M n-толуолсульфокислоту при 54,6°. Все три р-цип подчиняются ур-нию первого порядка, значения констант скорости установления равновесия в изомеризации I и II и обмена III в пределах эксперим. ошибки равны $k_1 = k_{II} = k_{III} \approx$ $\approx 2.22 \, \text{час}^{-1}$, что свидетельствует о том, что каждый раз при отделении СН₃СОО-группы от молекулы ацетата устанавливается статистич, равновесле в распре-делении соответствующей метки. На основании полученных данных авторы отвергают механизмы, включаювнутримолекулярную перегруппировку, симметричный или несимметричный «фенониевые» ноны, а также механизм, в котором обмен СН₃СОО-группы происходит одновременно с миграцией С6Н5-группы. Предполагается, что р-ция протекает через образование 7 г.

разо-

STOR

XIII.

лоидиости ении.

Хот

TO TR

в две -ции) этом

+ из) при рисо-

ия R

поло-

ндук-

луще-

тучен

адает

M, TO

рто-н

этом

мень-

В ПО-

зиро-

явцев

пыты

опной о н . IV. sition

on-

англ.)

запии

ско-

) (II:

руппы

n-TO-

няют-

POCTE

бмена ПП ≈

ждый

л апе-

аспре-

полу-

ючаю-

CHM-

ионы.

руппы

уппы.

вание

карбониевого иона, длительность жизни которого в кислой среде и в отсутствие СН₂СОО--ионов позволяет установиться равновесию обеих меток до р-ции этого пона с немеченой СН₃СООН. Сообщение III см. РЖХим, 1956, 64813. И. Моисеев

11583. Молекулярные перегруппировки. V. Отношение способности к миграции фенила и водорода в пинаколиновой перегруппировке трифенилэтиленгликоля. Коллине (Molecular rearrangements. V. The relative phenyl/hydrogen migration abilities in the pinacol rearrangement of triphenylethylene glycol. Collins Clair J.), J. Amer. Chem. Soc., 1955, 77, № 21, 5517—5523 (англ.)

Изучена пинаколиновая перегруппировка 1,1,2-трифенилэтиленгликоля- $(2\text{-}C^{14})$ (Ia) и 1,1,2-трифенилэтиленгликоля, содержащего \mathbb{C}^{14} в фениле при $\mathbb{C}_{(1)}$ (15), под влиянием различных к-т. Продуктами р-ции являются бензгидрилфенилкетон (II) и трифенилацетальнегид (III). Предполагается, что р-ция может протекать по следующим 4 направлениям: 1) Iб \longrightarrow \mathbb{C}^*_{6} (\mathbb{C}^*_{6})) (\mathbb{C}^*_{6} (\mathbb{C}^*_{6})) (\mathbb{C}^*_{6} (\mathbb{C}^*_{6})) (\mathbb{C}^*_{6}) (\mathbb{C}^*_{6}) (\mathbb{C}^*_{6}) (\mathbb{C}^*_{6})) (\mathbb{C}^*_{6}) ($\mathbb{C}^$

4) $B \rightleftharpoons (C_6^*H_5)_2 C^+CH$ (ОН) $C_6^*H_5 \stackrel{\longrightarrow}{\longrightarrow} (C_6^*H_5)_2 CHCOC_6^*H_5$. По кол-ву образовавшихся II и III и определению местоположения C^{14} в II вычислялась доля участия каждого направления р-цви. Найдено, что процении голодной конц. H_2SO_4 равен 2,5; щавелевой к-ты при

кипячении 3,9; НСООН при кипячении 4,7; разб. Н₂SO₄ при кипячении 3,9. Процент миграции С¹⁴ при перегруппировке 16 под действием тех же агентов (в том же поряд-

ке) равны 29,8; 19,6; 21,1; 7,0; под действием диоксан- H_2 O-HC1 при кипичении равен 0. Доля участия (в %) 1,2,3 и 4 направлений соответственно при действии конц. H_2 SO₄: 2,5; 11,7; 0; 85,8; щавелевой к-ты 2,7; 29,9; 29,9; 37,5; HCOOH: 4,7; 39,0; 0; 56,3; разб. H_2 SO₄: 3,2; 67,4; 16,5; 12,9; диоксан- H_2 O-HC1: 0; 96,1; 3,9; 0. Из этих денных вычислялись отношения миграции C_6 H₅/H (M), которые соответствовали для конц. H_2 SO₄ 7,33; для щавелевой к-ты 2,25; HCOOH 1,44; разб. H_2 SO₄ 0,435; диоксан- H_2 O-HC1 0,0406. Авторы считают, что перегруппировка может проходить или с образованием промежуточных неклассич. ионов Γ или Π (отщепление OH-группы и миграция C_6 H₅ или Π идут синхронно), или с образованием катиона Π . Авторы делают вывод, что с уменьшением ионизирующей силы к-ты уменьшается возможность образования Π . В случае действия разб. Π_2 SO₄ процесс идет, по мнению авторов, через неклассич. ноны Γ и Π , причем Π (или Γ/Π) составляет 0,435, т. е. предпочтительно мигрирует Π . При действии конц. Π_2 SO₄ перегруппировка осуществляется через катион Π , причем пренмущественно мигрирует Γ 0,5 (М = 7,33). Меньшее значение Π 1 для Γ 1 Π 2 объясняется авторами пространственными преимуществами больших по объему 2 феняльных групп у С(1), в то время как для Π 5, имеющего плоскее строение, эти препятствия отсутствуют. Процент миграпани определяли окислением Π 1 КМпО₄ до бензофенона. Бензофеноны переводили в 2,4-динитрофенилгидразоны и определяли радиоактивность (a).

трифенилкетол с последующей обработной последнего LiAlH4, выход Ia 88%, т. пл. 167—169° (из води. сп.), $a=2,198\pm0,001$ мкюри / моль. 16, т. пл. 165—167°, $a=1,979\pm0,014$ мкюри / моль, получен или действием C_6H_5MgBr (a=0,991 мкюри / моль) на метиловый эфир миндальной к-ты, или на бензоин; $I-(C^{14}$ при $C_{(1)})$, т. пл. 167—169°, $a=2,032\pm0,007$ мкюри / моль, получен из метилового эфира миндальной к-ты, содержащего C^{14} в карбоксильной группе.

1584. Молекулярные перегруппировки. VI. Дегидра гация цис и тране-фенилциклогексанола-2. Шеффер, Коллине (Molecular rearrangements. VI. The dehydration of cis- and of trans-2-phenylcyclohexanol. Schaeffer Howard J., Collins-Clair J.), J. Amer. Chem. Soc., 1956, 78, № 1, 424—133 (англ.)

Для определения состава и выхода продуктов дегидратации чис- и транс-фенилциклогексанолов-2 (1 и использована техника разбавления меченых С¹⁴ соединений (Mayor, Collins, J. Amer. Chem. Soc., 1951. 73, 471). Дегидратация I, меченого С14 у 1-го атома С (Ia) кипичением с 85%-ной H₃PO₄ (4 часа) дала 88% фенилликлогексен..-1 (III) и 2% фенилциклогексена-2 (IV) в качественном согласии с результатами Прайса и Карабиноса (J. Amer. Chem. Soc., 1940, 62, 1159). При дегидратации 1-С¹⁴-II (IIa) в тех же условиях получается 21% III и только 9% IV, в противоречии с результатами Прайса и Карабиноса, которые по коэфф. преломления смеси, полученной для дегидратании, вычислили выход IV в 59—68%. Найдено, что при дегидратации II, кроме III и IV, получаются изомерные про-дукты: 5,8% фенилциклогексена-3 (V), 32% бензилциклопентена-1 (VI), 20% бензальциклопентана (VII); последние два углеводорода образуются за счет изомеризации циклогексанового кольца в циклопентановое. Выходы продуктов дегидратации На определены разбавлением аликвотных частей смеси синтезированными нерадиоактивными III, IV, V, VI и VII, предварительным выделением добавленного продукта перегонкой или хроматографией на Al₂O₃, затем переводом в кристаллич. производные и измерением радиоактивности (а) последних. Для III использовано: а) окисление в 8-бензоилвалериановую к-ту (VIII); б) приготовление твердого нитрозохлорида (IX); в) перевод IX в фенилциклогексеп-6-он-2 (X) и окисление его в бензойную к-ту (XI). IV переведен в твердый 2,3-метоксихлормеркурфенилциклогексан (XII), далее окисленный до XI. V превращен в твердую β-фениладипиновую к-ту (XIII). VI переведен в твердый нитрозохлорид (XIV). V:I озонированием и затем с динитрофенилгидразином (ДНФГ) переведен в ДНФГ бензальдегида. Стабильность III в условиях дегидратации определена кипячением смеси равных частей III с H₂PO₄, затем разбав-лением определенным кол-вом 1-С¹⁴-III (IIIa) и окислением смеси в VIII, а также обработкой III Н₂РО₄. разбавлением III перед приготовлением производного. В каждом из этих опытов потеря III вычислялась для условий дегидратации. Для испытания стабильности IV в этих условиях радиоактивный IV нагрет с НаРО4, с помощью техники разбавления определено присут-ствие и выход III, IV, V, VI и VII: при этом получена смесь тех же пяти изомерных олефинов, что и при дегидратации IIa. Опытами показано, что III и VII не изомеризуется в IV. При дегидратации Ia не наблюдается миграции фенила, так как XI, полученная окислением IIIa, имела а лишь на 2,6% ниже а Ia. Такое же уменьшение а наблюдалось при окислении дискретно меченых Ia и IIIa и объяснено изотопным эффектом. Дегидратацией На получев (ППб), который при окислении дает XI, имеющую на 24,4% меньшую а, чем Па, что свидетельствует о миграции фенила при образова-нии III из IIa. Из факта, что Ia и IIa дают продукты III—VII в весьма различных кол-вах, следует, что при дегидратации не образуется промежуточного классич. ионкарбония. Если бы мостиковый пон А являлся единственным промежуточным продуктом при образовании III из IIа, тогда а должна распределиться поровну между 1 и 2 атомами С. Наблюдаемая миграция фенила на 24% объяснена двумя путями образования III из IIа. V и VI имеют предшественников — IV и VII. Авторы дают схему дегидратации. Легкость процесса сужения кольца в сравнении с перемещением фенила объяснена тем, что ЭЭ-конформация II предпочтительнее конформации ЛП. В конформации ЭЭ ОН-группа и

1,2,3 атомы С находятся в одной плоскости, что облегчает атаку $C_{(1)}$ углеродом $C_{(3)}$ с сужением кольца. Лишь в конформации ПП возможно перемещение фенила, так как С6Н5, ОН и 1 и 2 атомы С находятся в одной плоскости. Тот факт, что сужение кольца предпочтителььее в 5 раз перемещения фенила, объяснен снижением энергии активации первого процесса вследствие «экваторнального эффекта» и увеличением энергии активации второго процесса за счет «аксиального эффекта» (РЖХим, 1955, 1991; 1956, 39437). Дегидратация Іа главным образом в III без миграции фенила объ яснена тем, что в обенх конформациях I (ПЭ и ЭП) С6Н 5-группа не имеет доступа ко второму атому С с противоположной к ОН стороны. Изомеризация IV в III без миграции фенила объяснена согласованным присоединением протона и отщеплением его от соседних 3 или 6 атомов С в IV. 1-С¹³-циклогексанов-1 (XV) превращен в 1-С¹⁴-фенилциклогексанол-1, который дегидрирован в IIIа, т. кип. 132—134°/20 мм. IIIа через оксид превращен с выходом в 63% в 1-С¹⁴-фенилциклогексанон-2 (XVI), т. кип. 155—161/15 мм, т. пл. 63—64,5° (после 4 кристаллизаций из петр. эф.), Гидрированием XVI над скелетным Ni-катализатором под атмосферным давлением в спирте получен Іа, т. пл. $42-44^\circ$; фенилуретан, т. пл. $127-128^\circ$. Гидрированием XVI над ${\rm PtO_2}$ получен с выходом 70,5% Иа, т. пл. 56-57°. XV гидрирован в 1-С14-циклогексанол-1, который при дегидратации превращен в С14-циклогексен; торым при дегидратации превращен в С³²-диклогексен; бромированием последнего с N-бромсукцинимидом полу-чен 3-бромциклогексен-С¹⁴, т. кип. ⁶0—63°/12 мм. К С₆Н₅МgBr (0,146 моля в 100 мл эфира) прибавлено 0,133 моля XVI. Смесь кипятили 0,5 часа, выход С¹⁴ фенилциклогексена-2 32%, т. кип. 76 — 79°/2 мм. ле D 1,5448. V получен конденсацией бутадиена-1,3 со стиролом (0,64 моля) + 40 мг фенилнафтиламина (120 час., при 100°); выход V 24%, т. кип. 115—116,6°//15 мм, ле D 1,5412. Бензилциклопентанол-1 получен из 0,57 моля C₆H₅CH₂MgBr и 0,48 моля циклопентанона, выход 98%, т. пл. 58-60° (из гексана). Дегидратацией с 20%-ным води. р-ром щавелевой к-ты получен VI, выход 66%, т. кип. 103-107°/11 мм, п20 D 1,5367. VI с НВг превращен в 1-бромфенилциклопентан, кото-

рый при дегидробромировании переведен в VII, т. кип. 108—118°/8,5 мм, n²°D 1,5518. Окисление III (3,16 ммоля) в VIII проведено КМпО₄ в ацетоне; выделено 31% VIII. 5,77 ммоля III растворены в 2 мл лед. СН₃-СООН, добавлено 0,6 мл НСІ и при охлаждении 2,5 г изоамилнитрита в 2 мл лед. СН₃СООН. Через 15 мин. при 0° добавлено 5 мл ацетона; т. пл. нитрозохлорида (629 мг) 134—135°. К р-ру 1,9 ммоля IV в 5 мл абс. СН₃ОН добавили 1,9 ммоля ацетата ртути; через 46 час. профильтрованная смесь разбавлена 70 мл 10% р-ра NаСІ; выход XII 93%, т. пл. 154—155° (из сп.). К 3,16 ммоля V в 10 мл лед. СН₃СООН и при охлаждении льдом добавили р-р 850 мг СтО₃ в 0,5 мл Н₂SО₄, затем через 10 мин. З мл воды и 5 мл лед. СН₃СООН; выход XII 33%. 3,16 ммоля VI в 1 мл лед. СН₃СООН; выход XII 33%. 3,16 ммоля VI в 1 мл лед. СН₃СООН смещали с 1 г изоамилнитрита и добавили р-р 1 мл конц. НСІ; через 15 мин. добавили 20 мл СН₃ОН, получили XIV, выход 14%, т. пл. 109,5—110,5° (разл.). Окислением VIII КМпО₄ получили 88% XI. Окисление IX СтО₃ в р-ре Н₂SО₄+ СН₃СООН получили XIC выходом 93%. Аналогично проведено окисление XI в XI. С. Бурмистров 11585. Мста-аминирование как процесс 1,3-присоеди-

нения. Мортон (Meta amination as a 1,3-addition process. Morton Avery A.), J. Organ. Chem., 1956, 21, № 5, 593—594 (англ.) Автор считает, что аминирование галоидоароматич. соединений амидом натрия, при котором группа NH₂ частично входит в орто-положение к отходящему атому

$$\left[\begin{matrix}\begin{matrix}\begin{matrix} & & & & \\ & & & \\ & & & \\ & & & \\ & & & \\ & & & \\ & & & \\ & & & \\ & & & \\ & & & \\ & & & \\ & & & \\ & & & \\ & & \\ & & \\ & & \\ & & \\ & & \\ & & \\ & & \\ & & \\ & & \\ & & \\ & & \\ & & \\ & & \\ & & \\ & & \\ & & \\ & & \\ & & \\ & & \\ & & \\ & & \\ & & \\ & & \\ & & \\ & & \\ & & \\ & & \\ & & \\ & & \\ & \\ & \\ & \\ & \\ & \\ & \\ & \\ & \\ & \\ & \\ & \\ & \\ & \\ & \\ & \\ & \\ & \\ & \\ & \\ & \\ & \\ & \\ & \\ & \\ & \\ & \\ & \\ & \\ & \\ & \\ & \\ & \\ & \\ & \\ & \\ & \\ & \\ & \\ & \\ & \\ & \\ & \\ & \\ & \\ & \\ & \\ & \\ & \\ & \\ & \\ & \\ & \\ & \\ & \\ & \\ & \\ & \\ & \\ & \\ & \\ & \\ & \\ & \\ & \\ & \\ & \\ & \\ & \\ & \\ & \\ & \\ & \\ & \\ & \\ & \\ & \\ & \\ & \\ & \\ & \\ & \\ & \\ & \\ & \\ & \\ & \\ & \\ & \\ & \\ & \\ & \\ & \\ & \\ & \\ & \\ & \\ & \\ & \\ & \\ & \\ & \\ & \\ & \\ & \\ & \\ & \\ & \\ & \\ & \\ & \\ & \\ & \\ & \\ & \\ & \\ & \\ & \\ & \\ & \\ & \\ & \\ & \\ & \\ & \\ & \\ & \\ & \\ & \\ & \\ & \\ & \\ & \\ & \\ & \\ & \\ & \\ & \\ & \\ & \\ & \\ & \\ & \\ & \\ & \\ & \\ & \\ & \\ & \\ & \\ & \\ & \\ & \\ & \\ & \\ & \\ & \\ & \\ & \\ & \\ & \\ & \\ & \\ & \\ & \\ & \\ & \\ & \\ & \\ & \\ & \\ & \\ & \\ & \\ & \\ & \\ & \\ & \\ & \\ & \\ & \\ & \\ & \\ & \\ & \\ & \\ & \\ & \\ & \\ & \\ & \\ & \\ & \\ & \\ & \\ & \\ & \\ & \\ & \\ & \\ & \\ & \\ & \\ & \\ & \\ & \\ & \\ & \\ & \\ & \\ & \\ & \\ & \\ & \\ & \\ & \\ & \\ & \\ & \\ & \\ & \\ & \\ & \\ & \\ & \\ & \\ & \\ & \\ & \\ & \\ & \\ & \\ & \\ & \\ & \\ & \\ & \\ & \\ & \\ & \\ & \\ & \\ & \\ & \\ & \\ & \\ & \\ & \\ & \\ & \\ & \\ & \\ & \\ & \\ & \\ & \\ & \\ & \\ & \\ & \\ & \\ & \\ & \\ & \\ & \\ & \\ & \\ & \\ & \\ & \\ & \\ & \\ & \\ & \\ & \\ & \\ & \\ & \\ & \\ & \\ & \\ & \\ & \\ & \\ & \\ & \\ & \\ & \\ & \\ & \\ & \\ & \\ & \\ & \\ & \\ & \\ & \\ & \\ & \\ & \\ & \\ & \\ & \\ & \\ & \\ & \\ & \\ & \\ & \\ & \\ & \\ & \\ & \\ & \\ & \\ & \\ & \\ & \\ & \\ & \\ & \\ & \\ & \\ & \\ & \\ & \\ & \\ & \\ & \\ & \\ & \\ & \\ & \\ & \\ & \\ & \\ & \\ & \\ & \\ & \\ & \\ & \\ & \\ & \\ & \\ & \\ & \\ & \\ & \\ & \\ & \\ & \\ & \\ & \\ & \\ & \\ & \\ & \\ & \\ & \\ & \\ & \\ & \\ & \\ & \\ & \\ & \\ & \\ & \\ & \\ & \\ & \\ & \\ & \\ & \\ & \\ & \\ & \\ & \\ & \\ & \\ & \\ & \\ & \\ & \\ & \\ & \\ & \\ & \\ & \\ & \\ & \\ & \\ & \\ & \\ & \\ & \\ & \\ & \\ & \\ & \\ & \\ & \\ & \\ & \\ & \\ & \\ & \\ & \\ & \\ & \\ & \\ & \\ & \\ & \\ & \\ & \\ & \\ & \\ & \\ & \\ & \\ & \\ & \\ & \\ & \\ & \\ & \\ & \\ & \\ & \\ & \\ & \\ & \\ & \\ & \\ & \\ & \\ & \\ & \\ &$$

галонда, может быть объяснено не через промежуточное образование дегидробензола (ср. РЖХим, 1957, 11580), а как бимолекулярная р-ция ионной пары $N_{\rm a}^{\rm T}N_{\rm H_2}$ со связью С — галоид, в которой отделение галонда и присоединение NH2 происходит одновременно. NH2-группа присоединяется либо к С-атому, от которого отделяется галонд, либо в орто-положение (1,3-присоединение) с одновременной передачей Н-атом из орто-положения к теривощему галоид углероду кольца (схема А). Образование равных кол-в продуктов орто-замещения и непосредственного замещения может быть объяснено обменом галоида на NH2-группу и 1,3-присоединением по схеме Б. Аналогичная схема предложена для объяснения образования алленовых производных при р-ции LiAlH4 с хлорметилацетиленом (РЖХим, 1956, 12780).

И. Моисеев 11586. Новый механизм бекмановской перегруппы-

ровки кетоксимов. Стивен, Стаскуй (A new mechanism for the Beckmann rearrangement of ketoximes. Stephen Henry, Staskun Benjamin), J. Chem. Soc., 1956, Apr., 980—985 (англ.) Установлено, что SOCl₂, PCl₅, POCl₃, C₆H₅SO₂Cl превращают кетоксимы (при молярном соотношений реагентов 1: 2) в замещ. амиды не только при обработке водой, но и при полном отсутствия воды, причем в последнем случае наряду с амидами образуются в примерно эквимолекулярном кол-ве имидонлхлориды RCCl = NR (I). І идентифицированы в виде амидинов (обработка NH₃-газом) и 2,3-дизамещ. хиназолонов-4 (конденсация с метяловым эфиром антраниловой к-ты (II)). Положение З в образовавшихся хиназолонах занимает тот радикал кетоксима, который мигрировали при перегруппировке. При применении PCl₅ в большем соотношении избыток реактива реагирует с амидом, превращая его в I, чем п объясняется, почему при дей-

7 r.

кип.

(3,16 елено

CHa-

2,5 €

мин.

орида

абс.

ез 46

10%

сп.).

охла-₂SO₄, ООН;

HOO

1 MA 30H,

азл.).

исле

IX NI

e XII

стров

addirgan.

атич.

NH₂

уточ-1957,

пары

тение емену, от

кение Г-атоероду

MO-

уппу схема

овых

тиле-

исеев

VIIIIM-

new ketn j a-

нгл.) SO₂Cl

ении

абот-

ричем

пририды инов

нов-4

к-ты х завали

ьшем

идом, действин PCl₅ на оксим бензофенона (III) в эквимолекулярных соотношениях единственным продуктом является N-фенилбензимидоилхлорид (IV). В свою очередь следы IV в присутствии избытка HCl (газа) способны вызвать перегруппировку III в бензанилид (V). В то же время кипячение хлоргидратов кетоксимов (в среде СНСІз) не сопровождается перегруппировкой. Кол-во HCl, образующегося при взаимодействии кетоксимов с SOCl2 и другими реагентами, недостаточно для превращения всего кетоксима в амид. Авторы считают, что первая стадия перегруппировки Бекмана состоит что перван стадии перегруппировки Бекмана состоит в дегидратации кетоксима до ангидрида кетоксима $(R_2C=N)_2O$, присоединяющего HCl с образованием соли $(R_2C=NH^+ON=CR_2)Cl^{-1}$, которая самопроизвольно перегруппировывается в имидат кетоксима $RN=CRON=CR_2$ (VI). Перегруппировка VI приводит к имидоилангидриду $(RN=CR)_2O$. который в присутствии HCl разлагается с образованием I и амида. Возникновение желтой окраски при перегруппировке кетоксимов объясняется образованием VI, а возникновение красной окраски при перегруппировке алкиларылкетоксимов — образованием смолы при действин избытка на амиды типа RNHCOCH₃. К p-ру 2,7 г оксима ацетофенона (VII) в 40 мл безводи. СНСl₃ добавляют 1,5 мл SOCl₂ в 5 мл CHCl₃, смесь нагревают до 35° и пропускают HCl (газ) до появления желтой окраски (1-2 часа), охлаждают 1-2 часа льдом и отфильтровывают смесь (VIII) СН₃CONHC₆H₅·HCl и (CH₃CONHC₆H₅)₂·HCl (1:1), выход 38%, т. пл. 120— 125° (разл.). Фильтрат упаривают в вакууме, остаток экстрагируют н. NaOH (для удаления непрореагировавшего VII (0,45 г)) и затем н. HCl. Из кислого экстракта при подщелачивании NH₃ выпадает дифенилацетамидин, выход 0,2 г, т. пл. 131—132° (из СН₃ОН). 2,7 г VII подвергают перегруппировке как указано выше, отфильтровывают VIII, к фильтрату добавляют 12 мл II, выдерживают смесь 12 час. при 20°, подщелачивают водн. NH₃, перегоняют с паром, остаток представляет собой 2-метил-3-фенилхиназолон-4 (IX), выход 31%, т. пл. 144—146° (из СН_эОН). К р-ру 2,7 г ход 51%, т. пл. 144—146 (из Сп301). К р-ру 2,7 г VII в CHCl₃ добавляют 2,08 г РСl₅, смесь встряхнвают 5 мин., выдерживают 3—4 часа при 20° (выделения CH₃CONHC₆H₅· HCl не наблюдается) и добавляют 20 мл II. Через 12 час. (20°) обрабатывают, как описано выше, и получают IX, выход 71%. 3,7 г оксима 2-ацетилнаф-талина (X) обрабатывают SOCl₂ (1,7 г) (как VII), отфильтровывают хлоргидрат β-ацетонафталида, выход 39,2%, свободное основание (XI), т. пл. 131—132°, из фильтрата выделяют 0,5 г X и XI, выход 40%. 1,32 г X и 0,7 мл PCl₅ в 30 мл CHCl₃ выдерживают 12 час., насыщают HCl и выделяют хлоргидрат XI, выход 0.56 г. 3,7 г X обрабатывают SOCl2, как указано выше, отфильтровывают хлоргидрат XI, выход 39%, фильтрат отфильтровывают хлоргидрат XI, выход 39%, фильтрат выдерживают 12 час. с 12 мл II и получают 2-метил-33-нафтилхиназолон-4 (XII), выход 32%, т. пл. 174—175°. При проведении перегруппировки X (1,85 г) действием PCl₅ (2,08 г), (20°, 20 час.) синтезируют XII с выходом 77%. К p-ру 1,97 г III в 40 мл CHCl₃ добавляют 0,8 мл SOCl₂ в 10 мл CHCl₃, смесь выдерживают 12 час. насыщается NH₄ (разом) сответственности. 12 час., насыщают NH₃ (газом), оставляют на 1 час, отфильтровывают NH₄Cl, фильтрат (XIII) упаривают в вакууме, остаток (1,9 г) нагревают с н. НСІ и фильтруют. Остаток представляет собой V, выход 48%, па фильтрата при подщелачивании (NH₃) выпадает фенилбензамидин (XIV), выход 45%, т. пл. 111—113°. При действии на XIII (из 1,97 г III) 10 мл II (20°, 12 час.) иолучают V, выход 45%, и 2,3-дифенилхиназолон-4 (XV), выход 40%, т. пл. 158—159° (из СН₃ОН). При проведении перегруппировки III (1,97 г) с PCl₃ (2,08 г) нолучают XV, выход 80%, и лишь следы V (0,2 г). К охлажд. р-ру оксима 4-метилацетофенона (XVI) в 50 мл СНСІ₃ добавляют быстро 2,08 г РСІ₅, смесь ох-

лаждают льдом, добавляют 15 мл II, выдерживают 12 час., добавляют води. NH₃, перегоняют с паром, остаток обрабатывают конц. HCl, фильтруют, фильтрат подщелачивают и выделяют 2-метил-3-л-толилхинаао-лон-4, выход 69%, т. пл. 148—150° (из СН₃ОН). При обработке 2,7 г VII 0,8 мл SOCl₂ в вышеуказанных условиях получают VIII, выход 74%, следы дифенилацет-амидина и 0,4 г неизмененного VII. Перегруппировка 1,85 г X с 1,04 г PCl₃ приводит к XI, выход 40%, и его хлоргидрату, выход 40% (наряду с 0,45 г неизмененно-го X). 1,97 г III и 1,04 г РСІ₃ в СНСІ₃ дают V, выход 45%, и XIV, выход 45%. При кипячении 1 моля кетоксима или его хлоргидрата с 0,06 моля SOCl2 в 40 мл CHCl₃ (30 мин.) получены следующие результаты (указаны кетоксим, выход амида при перегруппировке оксима в % (в скобках выход амида при перегруппировке хлоргидрата)): III, 97 (97); оксим 4,4-дихлороензофенона, 29 (35); оксим-ди-л-толилкетона (XVII), оснающенина, 29 (33), оксим-дн-и-польгистовы (XVII), —,(96); оксим п-хлорфенилбензовла, 56 (90) (смесь амидов); оксим дибензилкетона (XVIII), — (следы); VII, 7 (13); X, —,(6). При обработке р-ра кетоксима (1 моль) в 40 мл СНСІв, насыщ. НСІ, 0,06—0,11 моля СССІ. (202) амидин получини составительного получини получиния получини получини получиния получини SOCl₂ (20°) амиды получены со следующими выходами (указаны кетоксим, кол-во SOCl₂ в молях, время в час., выход амида в %): III, 0,06, 0,25, 75; III, 0,06, 3,97; VII, 0,06, 24, 59; VII, 0,09, 48, 90; XVIII, 0,11, 96, 32; X, 0,11, 72, 82; XVI, 0,09, 24, 83; XVII, 0,06, 1, 97. При перегруппировке хлоргидрата III (2,34 г) в 40 мл СНСІ₃, под влиянием 0,06 моля различных реагентов систа, под влинием одо моли различных реагентов (кипичение 30 мин.) получены следующие данные (указаны реагент, выход У в %, выход непрореагировавшего ИІ в %): SOCl₂, 95, 0; PCl₃, 97, 0; POCl₃, 91,0; C₆H₅SO₂Cl, 67, 27,5; CH₃COCl, 0, 91; (CH₉CO)₂O, 0, 87; CCl₃CHO, 0, 89; (C₆H₅)₈CCl, 0, 86; P₂O₅, 4, 89; H₂SO₄, 97, AlCl, 0, 75 H₂SO₄. 0, 87; AlCl₃, 0, 78. Перегруппировка хлоргидрата VII (2 г) в 60 мл СНСl₃, насыш. НСl, под влиянием различных реагентов (0,06 моля) (20°, 48 час.) дала следуюник реагентов (0,00 моли) (20, 48 час.) дала следующие результаты (указаны реагент, выход VIII в %, выход СН₃CCl = NC₆H₅ в %, выход непрореатировавшего VII в г): SOCl₂, 80, 8, 0, 75; PCl₃, 75, 10, 0,5; C₆H₅SOCl₂, 65, 13, 0, 5. P-р 1,85 г X и 0,06 моля SOCl₂ в 40 мл CHCl₃ насыщают HCl (газом), выдерживают 48 час., отфильтровывают хлоргидрат XI, выход 80%. На фильтрата выделяют XI, выход 5%, и немного X. P-р, полученный при перегруппировке 2,34 г хлоргид-рата III в CHCl₃ действием SOCl₂ (3 капли), насыщают NH₃, выдерживают 12 час. и выделяют 0,1 г XV и 1,8 г V. 2 м.з р-ра, полученного перегруппировкой III с SOCl₂, добавляют к p-py 2,34 г хлоргидрата III в CHCl₃, смесь насыщают HCl (газом), кипятят 1 час и получают 0,41 г V и 1,62 г III. Л. 11587. Реакции органических азидов. Л. Бергельсон Часть V. Реакция Шмидта с флуоренонами. Структура про-

Реакция Шмидта с флуоренонами. Структура промежуточного соединения в кетонной реакции Шмидта. Аркус, Кумс, Эванс (Reactions of organic azides. Part V. The Schmidt reaction with fluorenones. The structure of the intermediate in the ketonic Schmidt reaction. Arcus C. L., Coombs M. M., Evans J. V.), J. Chem. Soc., 1956, June, 1498— 1506 (англ.)

Исследована р-ция Шмидта 2-метокси-(I), 2-нитро-(II) и 3-нитро-(III)-флуоренонов. При добавлении I к р-ру азотоводородной к-ты (IV) в $\mathrm{CCl_4}$ в присутствии $\mathrm{H_2SO_4}$ образуется с выходом 36% смесь 2- и 7-метоксифенан-

образуется с выходом 50% смесь 2- и 7-метоксифенантридонов с соотношением изомеров 1:1. При добавлении азида натрия к p-py II в H₂SO₄ получены 2-(V) и 7-(VI) нитрофенантридоны в отношении 19:1, в тех же условиях из III образуются 3- и 6-нитрофенантридоны в отношении 69:31. Полученые соотношении изомеров значительно отличаются от соотношений за-

изомеров значительно отличаются от соотношении замещ. фенантридинов, полученных при р-ции Шмидта соответствующих флуорен-9-олов (см. часть III РЖХим,

T

Po

1956, 78162). Между миграционной способностью арильной группы и константой диссоциации соответствующей замещ. бензойной к-ты, как мерой электронолонорной способности мигрирующей группы, в случае I, II и III отсутствует простая зависимость, имеющая место в случае флуоренолов. При разбавлении сухим метанолом смеси, содержащей продукты р-ции II, так же как при разбавлении водой получены лишь V и VI. В случае незамещ. флуоренона смешение реакционной

смеси с сухим СНаОН также не приводит к образованию 9-метоксифенантридина (VII), единственным продуктом р-ции является фенантридон. Показано также, что VII, полученный р-цией 9-хлорфенантридина с NaOCHs, не гидролизуется эквимолярным кол-вом воды в метанольном p-ре H₂SO₄. По мнению авторов, полученные данные опровергают механизм, включающий образование промежуточного иона R — N = =C+ R' с последующим превращением его в амид к-ты при присоединении воды (Smith и сотр., J. Amer. Chem. Soc., 1948, 70, 320; 1950, 72, 2503, 3718). Предполагается, что р-ция протекает через промежуточное соединение (VIII), образующееся при р-ции IV с протонированной молекулой кетона. При отщеплении N_2 группа, находящаяся в *транс*-положении к N_2 , мигрирует от С к N. Расположение групп R и R' по отношению к > N - \dot{N}_2 зависит как от стерич., так и от электронной характеристики групп R и R'. Для синтеза 2,7-динитрофенантридина (IX) 2,7-динитрофлуорен окисляли в 2,7-динитрофлуоренон, который по р-ции Шмидта превращали в 2,7-динитрофенантри-дон (X). X превращали в 3-хлор-2,7-динитрофенантридин, из которого с помощью толуол-n-сульфонгидразида получен IX. Часть IV см. РЖХим, 1956, 78163.

И. Моисеев Молекулярные перегруппировки, І. Катализируемая основаниями кондепсация бензила с мочевиной. Даннавант, Джеймс (Molecular rearrangements. I. The base-catalyzed condensation of benzil with urea. Dunnavant W. R., James Floyd L.), J. Amer. Chem. Soc., 1956, 78, № 12, 2740—2743 (англ.)

Исследовано влияние соотношения реагентов на выход (В) 5,5-дифенилгидантоина (I) и За, ба-дифенил-гликолурила (II) при конденсации бензила (III) с мочевиной (IV) в спирт. p-pe КОН, а также влияние заместителей в пара-положении III на В соответствующих гидантоннов и гликолурилов. При повышении соотношения III: IV от 1:1,05 до 1:2,81 В I не изменяется, а В II возрастает. В отсутствие КОН р-ция не имеет места, при повышении избытка КОН В II падает, а В I возрастает, не изменяясь после достижения отношения I: KOH = 1:1,87. Предварительное смещение III с КОН оказывает отрицательное влияние на образование I и II, удлинение промежутка времени между смешением III с КОН и добавлением IV влечет за собой снижение В I и II, что объясняется перегруппировкой III в бензиловую к-ту, неспособную к конден-сации с IV. Опытами с 4,4'-замещ. производными I установлено, что в соответствии с уменьшением В І заместители располагаются в следующий ряд: $H>n\text{-}Cl>n\text{-}CH_3>n\text{-}CH_3O>n\text{-}uso\text{-}C_3H_7>n\text{-}C_2H_5$. В II в той же последовательности возрастает. В случае 4,4'-диацетамидо- и 4,4'-бис-(диметил)-аминозамещ. III образуется лишь II. Эти результаты свидетельствуют о том, что влияние заместителей на перегруппировку (П) в этой р-ции почти противоположно влиянию на пинаколиновую П. В спирт. p-ре H₂SO₄ р-ция не идет. В нейтр. p-ре П 4,5-дифенил-4,5-окси-2-имидазола (V) в I не имеет места, что исключает предположение о том,

что П V протекает без участия ОН-, Предполагается, что первой стадией р-ции является конденсация III и IV под действием ОН- с образованием С₆Н₆СОС(—О-). (C6H5)NHCONH2 (VI), который после миграции фенильной группы отщепляет ОН- и превращается в 1, либо отщепляет H+ с образованием дианиона V (VII), перегруппировывающегося под действием ОН-в I. Образование II объясняется при-

соединением VI или VII молекулы IV с последующим

отщеплением ОН-. Нагреванием 0,095 моля различных замещ. III с 0,016 моля IV и 0.017 моля КОН в 40 мл спирта в течение 2 час. получены (в скобках т-ра плавления в °C): 3a, 2 час. получены (в скобках т-ра плавления в *C): 3а, 6а-ди-(4-этоксифенил)-гликолурил (147—149), 5,5-ди-(4-этокси)-гидантоин (195—198), 3а,6а-ди-(4-фенил)-гликолурил (199—201), 3а,6а-ди-(4-ацетамидофенил)-гликолурил (237—239), 3а, 6а-ди-(4-феноксифенил)-гликолурил (215—219), 5,5-ди-(4-фенил)-гидантоин (182—185), 5,5-ди-(4-хлорфенил)-гидантоин (226—230), 3а,6а-ди -(4-хлорфенил)-гликолурил (285—287). И. Моисеев

Окисление органическими надкислотами эфиров некоторых енолов, включающее перегруппировку. Гарднер (Organic peracid oxidation of some end esters involving rearragement. Gardner Pete D.), J. Amer. Chem. Soc., 1956, 78, № 14, 3421—3424 (англ.)

Окислением 5-ацетоксибензосуберена-5 (I) надуксусной к-той (II) в СН₃СООН, содержащей воду и перекись водорода (III), получены бензосуберон (IV), у-(2-карбоксифенил)-масляная к-та (V) и 6-ацетоксибензосуберон-5 (VI). Образование IV объясинется гидролизом Г. Для объяснения образования V предложена схема, в которой II или III присоединяются по двойной связи к I, образующееся при этом перекисное соеди-нение отщепляет ОН- или СН₂СОО- с одновременным расширением цикла за счет перекисного кислорода и образованием иона (VII), превращающегося при гидролизе и дальнейшем окислении в V. IV и VI в указанных условиях не образуют V, что свидетельствует о том, что V образуется непосредственно из I. При окислении I пербензойной к-той (VIII) получены лишь IV и VI, на основании чего предполагается, что образование V в случае II

обязано присутствию III. Единственными продуктами окисления 3,4-дигидро-1-нафтилацетата и 4 - метокси - α - ацетоксистильбена (IX) под дей-



ствием VIII являются 1-кето-2-ацетокси-1,2,3,4-тетрагидронафталин и 4-метоксибензоинацетат. Предполагается, что эфиры кетолов образуются в результате внутримолекулярной перегруппировки промежуточного эпоксида по схеме А (на примере I). Предполагается также возможным механизм, включающий присоединение иона НО+ к IV. Отсутствие в продуктах р-ции промежуточных эпоксисоединений объясияется быстрой перегруппировкой, движущей силой которой является энергия стабилизации, связанная с бензоильной группировкой. Окисление лактона 4-OKCH-4-(п-метоксифенил)-бутен-3-овой к-ты вием II или VIII проходит с большей скоростью с образованием смеси к-т. VI приготовлен окислением IV тетраацетатом свинца путем добавления красной окист разцетатом свища путем доозвления красного онаственца (0,35 моля) к смеси, содержащей 0,275 моля IV в 500 мл СН₃COOH и 100 мл (СН₃CO)₂O при 77° (5 час.), выход 45,3%, т. пл. 79—80°. Для приготовления IX синтезирован 4-метоксидезоксибензони конденсацией фенилуксусной к-ты (0,103 моля) с анизолом (0,103 моля)

в присутствии полифосфорной к-ты (300 г) при 100° (45 мин.) выход 76,5%. И. Монсеев 11590. Изомеризация α-окисей. III. Первеев Ф. Я., Вести. Леннигр. ун-та, 1956, № 10, 103—115 На основании литературных данных и работ автора (Ж. оощ. химии, 1948, № 18, 479, 686; 1949, № 19, 1303; РЖХим, 1955, 13883) изучено влияние заместителей у *а*-окисей на характер перегруппировки при раскрытии окисного цикла. В алкилаамещ. *а*-окисях окисный цикл раскрывается преимущественно со стороны наименее гидрогенизированного атома С, причем наиболее реакционноспособны дизамещ, окиси несимметрич. строения RR'CCH₂O, которые изомеризуются

исключительно в альдегиды; однозамещ. RCHCH₂O дают преимущественно альдегиды; дизамещ.

симметричные окиси RCHCH(R')О и тризамещ. пере-

группировываются в кетоны. У окисей со смешанными радикалами (алифатич. и ароматич.) С-О-связь разрывается у более понизированного атома С с образоварывается у облес нопавированного и сами с сорызова-нием смеси альдегидов и кетонов. По ионизирующей способности заместители образуют ряд: винил > фе-нил > бензил > алкил > Н. Строение продуктов изомеризации окисей ацетиленового и винилацетиленового рядов определяется природой как заместителей у тройной связи, так и радикалов, стоящих непосредственно у окисного цикла. Третичные и в меньшей степени вторичные заместители при тройной связи способствуют алленовой перегруппировке; заместитель С6Н5 способствует енолизации образующихся карбонильных соединений. Разрыв окисного цикла совершается у С, находящегося в а-положении к тройной связи. В результате изомеризации с помощью 20-30%-ной H2SO4 наряду с непредельными кетонами получают таутомерные смеси тетрагидро-β-кетофуранов и их енольных форм. Предложен следующий механизм изомеризации окисей: одна С-О-связь окисного цикла ионизируется и электронная пара идет на образование двойной связи карбонильной группы. Радикал заместителя вместе со своей электронной парой переходит к атому С, у которого произошел разрыв цикла. Каталитич. роль к-т, BF₃ и других электрофильных агентов изомеризации сводится к промежуточному образованию с их помощью активных оксониевых комплексов окисного О, которые в зависимости от условий опыта либо перегруппировываются в карбонильные соединения, либо присоединяют те или иные реагенты (напр., воду с образованием гли-В. Райгородская колей). 11591.

Б. Рангородская Б. Рангородская 1591. Сохранение конфигурации при раскрытии окисей уис-и транс-дипнона. У а с с е рман, Обри (Retention of configuration in the opening of cisand trans-dypnone oxides. Wasserman Harry H., Aubrey Norman E.), J. Amer. Chem. Soc., 1956, 78, № 8, 1726—1728 (англ.) Исследована стереохимия р-ций окисей уис-(I) и

транс-(II) дипнона С_вН₅СОСНС(С₆Н₅)(СН₈)О с НСІ в этаноле и CH₃COOH. При взаимодействии I и II с HCl образуются соответственно β-(III) и α-(IV)-формы двастереоизомеров 3-хлор-1,3-дифенил-2-гидроксибутанона-1. Другие изомеры при р-ции HCl с I и II не образуются, стереоспецифичность р-ций не изменяется при замене р-рителя СН₃СООН на С₂Н₅ОН. III под действием метилата Na в этаноле превращается с выходом 90% в II, из IV в этих условиях образуется лишь I (выход 50%) и желтое маслообразное в-во, которому на основании ИК-спектра приписана ф-ла 1,3-дифенилбутандиона-1,2 (V). Авторы считают, что раскрытие окисного цикла протекает с сохранением конфигура-ции через четырехчленный переходный комплекс, а образование окиси из хлоргидрина под действием

ОСН3- включает вальденовское обращение. Способность I и II реагировать с сохранением конфигурации обязана тому, что С-атом рвущейся С-О-связи соединен с C₆H₅-группой. Отмечено, что сохранение кон-фигурации при образовании III и IV может быть также объяснено механизмом, в котором протониро-ванная молекула эпоксида изомеризуется с инвер-сией в промежуточный ион (VI), который присоединяет

СІ-, превращаясь с вторичной инверсией в III или IV. Сравнительно большой выход хлоргидрина при р-ции III с ОСН-3 объясняется благоприятствующей этой р-ции *транс*-ориентации групп C₆H₅ и C₆H₅CO в переходном состоянии (VIIa). В случае IV *цис*-рас-положение этих групп (VII6) препятствует этой р-ции и делает более легким элиминирование HCl с обрааоганием V по схеме (VIII). III образуется вз I с выходом 70%, т. пл. 97—98°. IV получен из II с выходом 84%, т. пл. 100—101°.

И. Моисеев Стереоспецифичное уис-эпоксидирование циклических аллильных спиртов. Хенбест, Вильсон (Stereospecific cis-epoxidation of cyclic allylic alcohols. Henbest H.B., Wilson R.A.L.), Chemistry and Industry, 1956, № 26, 659 (англ.) Исследовано окисление надкислотами циклогексен-1-ола-3 (I) и четырех аллильных циклогексенолов стероидного строения. Установлено, что в каждом случае окисления спиртов главным продуктом окисления является цис-эпоксид. Окисление других аллильных производных циклогексена (II) (ацетокси, метокси, хлор) приводит главным образом к транс-эпоксидам, при окислении ацетата I образуется лишь 19% *цис-*изомера. Относительные скорости р-ции окисления (при принятом для II значении 100) составляют: I 55, метиловый и этиловый эфир I 7. Стереоспецифичность р-ции объясняется преимущественным приближением молекулы надкислоты к двойной связи с транс-стороны к аллильному заместителю (исключая спирты). В случае спиртов, благодаря образованию водородной связи между водородом ОН-группы I и О к-ты, облегчается приближение перкислоты в чис-положение и возрастает по сравнению с алкоксипроизводным скорость р-ции. Общее снижение скорости р-ции при введении в II ОН- и RO-групп объясняется электронно-притягивающим влиянием этих групп. Предполагается, что р-ция протекает через активированный комплекс, предложенный ранее (РЖХим, 1956, 50616) для окисления олефинов надкислотами. Изомеризация моноолефиновых углеводородов 11593. при действии амида кальция. Гостунская И.В., Тюнькина Н.И., Казанский Б.А., Докл. АН СССР, 1956, 108, № 3, 473—476 Изучена изомеризация 2- и 3-метилбутена-1 (I и II) гексена-1 (III), 2,3-диметилбутена-1 (IV), 2,3-диметил-бутена-2,2,5-диметилгексена-2 при 70° и 2,5-диметил-гексена-3 при 120° под действием Са(NH₂)₂. Изучение продуктов изомеризации показало, что двойная связь перемещается как от края цепи к центру, так и от центра к краю, причем в смеси изомеров преобладает изомер с наибольшей степенью замещения при двойной связи. III изомеризуется быстрее, чем IV. С уменьшением

степени замещения аллильного углерода увеличивается

скорость изомеризации (I изомеризуется в 2-метилбу-

0,016 нение): 3a, 5-дидимеи-(4-

etca,

III -0-)-

ильлибо

ереpaao-

CO 8

ци-(4фенонил)иколисеев эфиовку.

enol

ete -3424 адукду **ж** (IV), ORCHгиджена йонйо

нным орода и гииука-TBVer При лишь обра-

соеди-

4-тетредпопьтате куточпола-

приуктах янется торой бензо--оксидейстобра-V тет-

OKHCM ля IV час.), ия IX ацией моля)

MUX

теп-2 быстрее, чем II). Авторы предполагают, что р-ция идет через промежуточное образование карбаниона по схеме (где M — металл): $RCH_2CH = CH_2 + MNH_2 \rightarrow$

 \rightarrow [RC- HCH = CH₂]MN+H₃ \rightarrow [RCH = CHCH]MN+H₃ \rightarrow $RCH = CHCH_3 + MNH_2$. 3. Париес

594. Электронная интерпретация механизмов органических реакций. XIV. Реакционная способность 11594. производных и-толуолсульфонамида. М у р а к а м н, Насима. XV. Изменение удельной электропроводности в ходе органической реакции. М у р а к а м и, Сасаки. XVI. Термическое разложение серебря-ных солей карбоновых кислот. Мураками, Фукумото (Electronic interpretation on the organic reaction mechanisms. XIV. The reactivity of derivatives of p-toluenesulfonamide. Murakami Masuo, Nashima Takeo. XV. The variation of electric conductivity during the organic reaction. Murakami Masuo, Sasaki Yasuo. XVI. Thermal decomposition of the silver salts of carboxylic acids. Murakami Masuo, Fu-kumoto Tsugo), Mem. Inst. Sci. Ins. Research Osaka Univ., 1953, 10, 175—180, 181—185, 186— 189 (япон.)

Сообщение XIV. Сравнение реакционной способности $n\text{-}\mathrm{CH}_3\mathrm{C}_6\mathrm{H}_4\mathrm{SO}_2\mathrm{NRCl}$ (I $R=\mathrm{CH}_3$, OCH_3 , Cl) и кислотности $n\text{-}\mathrm{CH}_3\mathrm{C}_6\mathrm{H}_4\mathrm{SO}_2\mathrm{NRH}$ (II $R=\mathrm{H}$, CH_3 , N(CH₃)₂, ОСН₃) указывает, что неподеленная электрон-и хлорной извести. Реция $I + C_6H_5NH_2 \rightarrow I + n$ -ClC₆H₄NH₂ изучена в р-ре $C_2H_5OH + CH_3COOH$ (1:1) в присутствии CH_3COON_6 как буфера. Для I получены следующие результаты (перечисляются R, время в минутах для протекания реции на 1 ₃, константа скорости в мин $^{-1}$): СН $_{3}$, 8,5, 0,047; ОСН $_{3}$, 120, 0,19; СІ, 0,6, быстро. Порядок активности II в 0,04 M р-ре определялся потенциометрически (указаны R и потенциал): H, 0,186 ε ; $CH_3, 0,205$ ε ; $N(CH_3)_2, 0,156$ ε ; $OCH_3, 0,124$ ε . Полученные данные указывают на то, что порядок изменения силы к-т согласуется с величиной индуктивного эффекта. Противоречие между кинетич. данными и величиной кислотности объясняется тем, что р-ция I с C₆H₅NH₂ является двухстадийным про-

цессом: $I + H^{+} \stackrel{k_{1}}{\underset{k_{2}}{\longleftarrow}} n\text{-CH}_{3}C_{6}H_{4} - N^{+}RCl$ (IV); IV +

 k_2 $+ C_6H_5NH_2 \stackrel{k_3}{\longrightarrow} H_+ n$ -ClC $_6H_4NH_2$. В случае $I(R = OCH_3) \stackrel{k_3}{\longrightarrow} k_3 + n$ скорость $\cong (kk_3 [H^+]/k_2) \cdot [I]$ $\cdot ([C_6H_5NH_2])$. Приниман, что k_2 и k_3 достаточно велики для $I(R = OCH_3)$ и несмотря на то, что $k_3[I(R = OCH_3)] > k_3[I(R = CH_3)]$, все же большая величина k_2 [$I(R = OCH_3)$] вызывает замедление скорости р-ции в случае $I(R = OCH_3)$. Сообщение XV. Измерено изменение электропровод-

ности в ходе р-ции спиртов и PCl₅ в С₆H₆. Полученные данные указывают на образование в ходе р-ции ионов

[ROPCl3]+Cl-

Сообщение XVI. 3 г СН₃СООАд (V) и 20 мл С₆Н₅СН₃ нагревают в запаянной трубке 14 час. при 230°. Образуется зеркало и происходит газообразование. (CH₃CO)₂О при этом не образуется. СН₃COOН выделен в виде Na-соли. В сходных условиях 3 г C₆H₅CH₂COOAg (VI) дает 0,2-0,3 г C₆H₅CHO и 0,3-0,5 г C₆H₅CH₂COOH.

В отсутствие p-рителя $47\ \epsilon$ VI нагревали 5 час. при 230° , образовалось $0.7\ \epsilon$ С₆H₅CHO, $1.2\ \epsilon$ С₆H₅COOH и два неидентифицированных в-ва, т. пл. 102—103° (из бал.) и 169—170° (из хлф.). При нагревании смеси 1 г тетралина и 3 г V 5 час. при 230° в запаянной трубке не происходило выделения газа: образуется 1 г нафталина и CH₃COOH (выделена в виде 0,7 г CH₃COON₃). 5 г С₆H₅COOAg и 2,05 г С₆H₅OH дают 0,1 г С₆H₅COOC₆H₅, т. ил. 67°. Авторы постулируют свободнорадикальные механизмы р-ций.

Chem. Abstrs, 1955, 49, No 10, 6864-6865. L. Zeldin Электронная интерпретация механизмов органических реакций.X VII. Реакционная способность хдоралкилфосфатов. Мураками, Насима XVIII, Разложение N-интрозоацетамида. Мураками, Разложение N-нитрозоацетамида. Мураками, Акаги. XIX. Реакционная способность и строение эфедрина. Мураками, Фукумото (有機反應機構の電子設的研究. 第17報. タロルアルキルホスフェートの反應性について. 村上竹雄、菜嶋健夫. 第18報. N-ニトロソアセトアミドの分解反應について. 村上竹雄, 赤木甲彦. 第19報. エフェドリンの空間配列と反應性につ ボホ中宮、第15 報、エンエドリング公司電影のと及職性について、村上増雄、編元次夫)、日本化學雑誌、Huxmet Kara-ку дзасси, J. Chem. Soc. Japan, Pure Chem. Sec., 1954, 75, № 4, 443—447; № 5, 532—535; 76, № 3, 270—274 (япон.)

Сообщение XVII. Скорость р-ции между Cl (CH2),-OPO₃Ba (I) и Hg (NO₃)₂ по ехеме: 2 I + Hg (NO₃)₂ + + 2H₂O → 2HO(CH₂)_nOPO₃Ba + HgCl₂ + 2HNO₃ повышается в порядке I (n=2), I (n=3), I (n=4) $(K\cdot 10^{-4}$ $^{-4}$ $^{-4}$ $^{-4}$ $^{-4}$ $^{-4}$ $^{-4}$ $^{-4}$ $^{-4}$ $^{-4}$ $^{-4}$ $^{-4}$ $^{-4}$ $^{-4}$ $^{-4}$ $^{-4}$ $^{-4}$ $^{-4}$ $^{-4}$ $^{-4}$ $^{-4}$ $^{-4}$ $^{-4}$ $^{-4}$ $^{-4}$ $^{-4}$ $^{-4}$ $^{-4}$ $^{-4}$ $^{-4}$ $^{-4}$ $^{-4}$ $^{-4}$ $^{-4}$ $^{-4}$ $^{-4}$ $^{-4}$ $^{-4}$ $^{-4}$ $^{-4}$ $^{-4}$ $^{-4}$ $^{-4}$ $^{-4}$ $^{-4}$ $^{-4}$ $^{-4}$ $^{-4}$ $^{-4}$ $^{-4}$ $^{-4}$ $^{-4}$ $^{-4}$ $^{-4}$ $^{-4}$ $^{-4}$ $^{-4}$ $^{-4}$ $^{-4}$ $^{-4}$ $^{-4}$ $^{-4}$ $^{-4}$ $^{-4}$ $^{-4}$ $^{-4}$ $^{-4}$ $^{-4}$ $^{-4}$ $^{-4}$ $^{-4}$ $^{-4}$ $^{-4}$ $^{-4}$ $^{-4}$ $^{-4}$ $^{-4}$ $^{-4}$ $^{-4}$ $^{-4}$ $^{-4}$ $^{-4}$ $^{-4}$ $^{-4}$ $^{-4}$ $^{-4}$ $^{-4}$ $^{-4}$ $^{-4}$ $^{-4}$ $^{-4}$ $^{-4}$ $^{-4}$ $^{-4}$ $^{-4}$ $^{-4}$ $^{-4}$ $^{-4}$ $^{-4}$ $^{-4}$ $^{-4}$ $^{-4}$ $^{-4}$ $^{-4}$ $^{-4}$ $^{-4}$ $^{-4}$ $^{-4}$ $^{-4}$ $^{-4}$ $^{-4}$ $^{-4}$ $^{-4}$ $^{-4}$ $^{-4}$ $^{-4}$ $^{-4}$ $^{-4}$ $^{-4}$ $^{-4}$ $^{-4}$ $^{-4}$ $^{-4}$ $^{-4}$ $^{-4}$ $^{-4}$ $^{-4}$ $^{-4}$ $^{-4}$ $^{-4}$ $^{-4}$ $^{-4}$ $^{-4}$ $^{-4}$ $^{-4}$ $^{-4}$ $^{-4}$ $^{-4}$ $^{-4}$ $^{-4}$ $^{-4}$ $^{-4}$ $^{-4}$ $^{-4}$ $^{-4}$ $^{-4}$ $^{-4}$ $^{-4}$ $^{-4}$ $^{-4}$ $^{-4}$ $^{-4}$ $^{-4}$ $^{-4}$ $^{-4}$ $^{-4}$ $^{-4}$ $^{-4}$ $^{-4}$ $^{-4}$ $^{-4}$ $^{-4}$ $^{-4}$ $^{-4}$ $^{-4}$ $^{-4}$ $^{-4}$ $^{-4}$ $^{-4}$ $^{-4}$ $^{-4}$ $^{-4}$ $^{-4}$ $^{-4}$ $^{-4}$ $^{-4}$ $^{-4}$ $^{-4}$ $^{-4}$ $^{-4}$ $^{-4}$ $^{-4}$ $^{-4}$ $^{-4}$ $^{-4}$ $^{-4}$ $^{-4}$ $^{-4}$ $^{-4}$ $^{-4}$ $^{-4}$ $^{-4}$ $^{-4}$ $^{-4}$ $^{-4}$ $^{-4}$ $^{-4}$ $^{-4}$ $^{-4}$ $^{-4}$ $^{-4}$ $^{-4}$ $^{-4}$ $^{-4}$ $^{-4}$ $^{-4}$ $^{-4}$ $^{-4}$ $^{-4}$ $^{-4}$ $^{-4}$ $^{-4}$ $^{-4}$ $^{-4}$ $^{-4}$ $^{-4}$ $^{-4}$ $^{-4}$ $^{-4}$ $^{-4}$ $^{-4}$ $^{-4}$ $^{-4}$ $^{-4}$ $^{-4}$ $^{-4}$ $^{-4}$ $^{-4}$ $^{-4}$ $^{-4}$ $^{-4}$ $^{-4}$ $^{-4}$ $^{-4}$ $^{-4}$ $^{-4}$ $^{-4}$ $^{-4}$ $^{-4}$ $^{-4}$ $^{-4}$ $^{-4}$ $^{-4}$ $^{-4}$ $^{-4}$ $^{-4}$ $^{-4}$ $^{-4}$ ветственно 7,25; 152 и 1300). Аналогичное повышение отмечается по литературным данным также для ${\rm Br}\,({\rm CH}_2)_n{\rm OC}_2{\rm H}_5$ и ${\rm Cl}\,({\rm CH}_2)_n{\rm OH}$, однако в этих случаях увеличение скорости при переходе от n=3 к n=4 значительно ниже чем в случае I. Это объясияется возможностью установления для I (n=3) шестичленной структуры (A), а для I (n=4)— пятичленной

$$\begin{array}{c} c_{1} \\ c_{H_{1}} \\ c_{H_{2}-O} \\ \end{array} \xrightarrow{\rho} \begin{array}{c} 0^{-} \\ 0^{-} \end{array} \xrightarrow{\begin{array}{c} (H_{1}-CH_{2}) \\ (H_{1}-CH_{3}) \\ \end{array}} \begin{array}{c} C_{1} \\ O-PO_{1}^{1-} \end{array} \xrightarrow{\delta}$$

(В). К 3,1 г РОСІ_з при охлаждении по каплям добавляют 1,6 г этиленхлоргидрина, перемешивают 1 час, нагревают при 100-110° 0,5 часа, выливают на лед, удаляют $\mathrm{Cl}^-(\mathrm{Ag}_2\mathrm{CO}_3)$, к фильтрату добавляют баритовой воды (до окраски по фенолфталенну), удаляют избыток Ва током CO₂, фильтрат упаривают, получают I (n=2), выход 60%. Аналогично из 2,6 ε этиленбром-гидрина получено 1,2 ε Br (CH_2) $_2\mathrm{OPO}_3\mathrm{Ba}$. К 14 ε пропиленбромидрина в 5 мм. $\mathrm{CH}_3\mathrm{OH}$ добавляют по каплям р-р 12 г СН₃СООК в 80 мл СН₃ОН, кинятят 6 час., разгонкой выделяют ацетат (П), выход 52%, т. кип. 90-98° / 15 мм. К 5,9 г II добавляют по каплям 7 г SOCl₂ (охлаждение льдом), переменивают 2 часа при обычной т-ре 1,5 часа при 70°, разгонкой выделяют у-хлорпропанацетат (III), выход 47%, т. кип. 61—70°//15 м.м. 3,2 г III, 1,5 г 0,8 н. метанольного HCl нагревают 20 мин. на водяной бане, разгонкой выделяют пропиленхлоргидрин, выход 58.5%, т. кип. $60-62^{\circ}/15$ мм. 6.2 г пропиленбромгидрина, 3.5 г K_2CO_3 п 60 мл воды кипятят 5,5 часа, упаривают в вакууме до 10 мл, фильтруют, растворяют в спирте, разгонкой выделяют триметиленгликоль, выход 59%, т. кип. 95—103°, из него получают триметиленхлоргидрии. Аналогично I (n=2)получают I (n=3), выход 40%, и I (n=4), выход 40%.

Сообщение XVIII. С целью выяснения механизма разложения N-нитрозоацетамида определена скорость разложения C₆H₅ (CH₂)_nN (NO) COCH₃ (IV) при нагревании в C_6H_6 (даны n, т-ра разложения, $k\cdot 10^3$ мин-1): n=0,25, 10,3; 35,5. 37,6; 45, 110; 1,60, 0,52; 70, 1,76; 78, 4,69; 230° два бал.) етрапролина 5 e C₆H₅,

ьные

7 r.

eldin opraхлор-VIII, м и, трое-(有ルホス 18報. 骨雄,生につ

Sec., № 3, (H₂)_n- $()_3)_2 +$ вышаn=4)COOTшение

кага-

для слу-=3 Kсняетпестиенной

добав-1 gac, а лед, аритототика учают нбромв промикпи

6 час., . кип. ям 7 г са при тонкцор -70° / нагретогисы 15 MM. и воды

фильот трииз него (n = 2)д 40%. ма раз-

ть разеванин = 0.25, 4.69;

n=2,60,0,761;70,2,58;78,5,90;n=3,60,0,757;70,1,90;78,5,23; CH₃CH₂CH₂N (NO) COCH₃ (V), 70, 2,19; 90, 23,1; C₆H₅CH₂CH (CH₃) N (NO) COCH₃ (VI), 50, 15,2; 25,1; С₆П₅СП₃СП (СП₃) N (NO) СОСП₃ (VI), 30, 15,25; 60, 42,5, 70; 105. Энергин активации р-ции разложения составляет (кал. моль⁻¹) для IV при n=0 22,26; n=1, 28,0; n=2, 26,5; n=3, 28,6, для V 29,1, для VI 21,2. Продуктом разложения IV (n=0) является дифенил; в случае VI после разложения (C₆H₈, 70°) выделен метиловый эфир 1-метил-1-фенилметилуксусной к-ты; в случае IV (n=2) получен $C_6H_5CH_2CH_2OCOCH_3$. На основании этих результатов авторы считают правильным механизм разложения по схеме RN (NO) СОСН₃ → \rightarrow [RN⁺ = NOC (CH₃) O⁻] → R·+ N₂ + OCOCH₃. Для

IV (n = 1 и 2) обсуждены возможные резонансные структуры. Через р-р 5 г ацетанилида в 15 мл лед. СН₃СООН пропускают ток N2O3, выливают в воду, получают 6 г IV (n=0), т. пл. 51° . Аналогично получены (даны в-во, выход в г (из г неходного), т. ил. в °C): IV (n = 1) CCl₄, 1,8 (нз 2), —; IV (n = 2), 2,4 (нз 2), 40—40,5 (нз нетр. эф.); IV (n = 3), 2 (нз 2), —; V, 1,6 (нз 2)—; (—)-N-нитрозо-(1-метил-2-фенилатил)-ацетамид, 2,1 (нз 2), —.

Сообщение XIX. Скорость р-ции (—)-1-хлор-1-фенил-2-метиламинопропанола (VII) и рг.-ф-1-хлор-1-фенил-2-метиламинопропанола (VIII) с водн. р-ром AgNO₃ при 30° одинакова, что указывает на отсутствие превращения VII в VIII или обратно в этих условиях. Со спирт р-ром KOH VII реягирует уже при — 10.8° ($k_2 \cdot L$ р-ром КОН VII резгирует уже при — 10,8° ($\kappa_2 \cdot L$ 0,92 моль—1 мин—1), VIII вступает в р-цию только при 25° ($\kappa_2 L$ 0,44 моль—1 мин—1) и дает при этом замещенный этиленимин, выделенный и идентифицированный в виде пикрата. В случае VII при ведении р-ции при 30° (1,5 часа) образуется полимер, одновременно удается констатировать образованием непредельного соединения. Такое поведение VII и VIII подтверждает принятые для них конфигурации. На основании ИК-спектра дли них конфигурации. на основании ин-спектра 2-миино-3,4-диметил-5-фенилоксазолидину (IX), полу-ченному из эфедрина (X) (Fodor G., Koszka K., J. Chem. Soc., 1952, 850), придана структура *цис*, IX, получен-ному из ф-эфедрина (XI) *тране*, что согласуется с кон-фигурациями, принятыми для X и XI. Наконец, струк-тура X и XI подтверждается тем, что превращение ф-N-ацетилэфедрина в ф-О-ацетилэфедрии под влия-нием 0.04 и. ИСI в ацегоне проходит в 10 раз быстрее. нием 0,04 н. HCl в ацетоне проходит в 10 раз быстрее, чем превращение N-ацетилэфедрина в О-ацетилэфед-Л. Яновская DHH. 11596. Гомолитическое ароматическое замещение.

Часть XI. Фенилирование толуола, этилбензола и изопропилбензола. Хей, Пенджилли, Вильяме (Homolytic aromatic substitution. Part XI. The phehylation of toluene, ethylbenzene, and isopropylbenzene. Hey D. H., Pengilly B. W., Williams Gareth H.), J. Chem. Soc., 1956, June, 1463—1475 (англ.)

В продолжение работ по определению влияния алкилгруппы на реакционную способность алкилбензолов (РЖХим, 1956, 39056) исследована р-ция фенили-рования толуола (I) (см. также РЖХим, 1956, 50610), этилбензола (II) и изопропилбензола (III) перекисью бензоила в отсутствие р-рителя при 80° и в присутствии интробензола и пиридина. Относительные кол-ва продуктов, образовавшихся в результате атаки радикала $C_6H_5\cdot$ на боковую цепь и на ядро алкилбензола (определено ИК-спектроскопией), составляет (в % по весу): I, 13, 87; II, 55, 45; III, 60,5, 39,5; трем-бутилбензол (IV), 0, 100. Реакционная способность 3-атома Н в боковой цепи очень мала, а реакционная способность а-атома Н возрастает по мере увеличения степени метилирования в а-положении. По ИК-спектрам было определено также соотношение изомеров при фенилировании ядра. Относительные скорости этой р-ции, сравнительно с бензолом, равны (перечислены

в-во, скорости р-ции в орто-, мета- и пара-положении): I, 3,5 1,0, 1,4; II, 1,97, 1,04, 1,41; III, 0,81, 1,1, 1,41; IV, 0,63, 1,28, 1,41. Полученные данные указывают на наличие пространственных затруднений, замедляющих замещение в орто-положении к изо-СаН 7-группе, и на то, что при отсутствии пространственных факторов (пара-положение) скорость р-ции не зависит от природы алкилгруппы. Это может быть объяснено либо крайне незначительным влиянием β-СН₃-групп вследствие их удаленности от ядра и отсутствия сопряжения между ними и ядром, либо тем, что удаление а-Н-атомов компенсирует слабое активирующее действие β-СН3-группы. Авторы считают более вероятным второе предпо-ложение. Сообщение X см. РЖХим, 1957, 11735. Г. Балуева

 Металлоорганические соединения щелочных металлов. Часть VI. Доказательства образования свободных алкильных радикалов при некоторых реакциях Вюрца. Гомолитические реакции между алкиллитийсоединениями и галондными алкилами. Брайс-CMUT (Organometallic compounds of the alkali metals. Part VI. Evidence for the formation of free alkyl radicals during certain Wurtz reactions. Homolytic reactions between alkyl-lithium compounds and alkyl halides. Bryce-Smith D.), J. Chem. Soc., 1956, June, 1603—1610 (англ.)

В продолжение предыдущих работ по образованию свободных алкильных радикалов в р-циях органич. соединений щел. металлов (см. часть V, РЖХим, 1956, 12943) изучена р-ция и-С₄H₉X (X=Cl, Br, J) с Li, Na, K и н-C₄H₉Li (I) в среде изопропилбензола, дающего при наличии свободных радикалов С₄Н° 2,3-диметил-2,3-дифенилбутан (II). При р-ции н-С₄H₀J с щел. металлом (M) при 130° тенденция к образованию С₄Н° уменьшается в порядке Li > Na > K В р-дин I с n-C₄H₉X при 95° выход II почти не зависит от природы X. Появление свободных алкильных радикалов в большей степени имеет место в р-цпях типа $RM+RX\to 2R'+MX$, чем в р-циях типа $RX+M\to R'+MX$. Состав продуктов р-ции (определяли II, октан, бутан, бутилен) указывает на незначительность роли свободных алкильных радикалов в образовании обычных для р-ции Вюрца продуктов соединения и диспропорционирования. При р-ции I с J₂ свободные радикалы возникают в результате взаимодействия образующегося C_4H_9I с избытком I. При проведении р-ции n- C_4H_9Br с I в C_6H_6 ИК-спектроскопией показано наличие в продуктах р-иии бутилбензола и отсутствие дифенила. Г. Балуева

11598. Механизм фторирования. І. Окисление трихлор- и тетрахлорэтилена, промотированное фтором. Миллер, Дитман (The mechanism of fluorination I. Fluorine sensitized oxidation of trichloroand tetrachloroethylene. Miller William T., Jr, Dittman Albert L.), J. Amer. Chem. Soc., 1956, 78, № 12, 2793—2797 (англ.)

С целью подтверждения радикального характера р-ции элементарного фтора с олефинами исследовано р-цип элементариого фтора с олефинами исследовано влияние добавки O_2 на фторирование трихлор-(I) и тетрахлорэтилена (II) при 0° . Состав продуктов р-ции показывает, что фтор промотирует окисление I и II до галоидоангидридов к-т. Процесс окисления носит цепной характер; основные р-ции могут быть изображены следующей схемой (для II). II $\stackrel{\text{CO}}{\rightarrow}$ CCl₃COCl; $\mathbf{H} \xrightarrow{\mathbf{F}} \mathbf{CCl_2FCCl_2} \xrightarrow{\mathbf{C}CCl_2FCOCl} + \mathbf{ClO}$. Подобный тип p-ций с $\mathbf{F_2}$, в котором связь —C=C—действует как воср-дип с г₂, в котором связь — С.—С.—денствует как вос-становитель, несущий один электрон, предлагается использовать как новый метод получения радикалов в р-циях между стабильными молекулами. Г. Балуева 11599. Органические перекиси. Часть VI. Стереохимическое исследование синтеза и реакций 1-фенилатил-

O₂

HI

37

01

CT

л

K aI

AI

П

R

H

И

B V H R

гидроперекиси. Дейвис, Фелд (Organic peroxides. Part VI. A stereochemical investigation of the preparation and reactions of 1-phenylethyl hydroperoxide. Da vies Alwyn G., Feld R.), J. Chem. Soc., 1956, March, 665—670 (англ.)

Авторы продолжают изучение р-ции окисления оптически активных спиртов до перекисей и восстановления последних до спиртов (см. часть V, РЖХим, 1956, 39442). В результате окисления (+)-1-фенилэтанола (I) 90%-ной H₂O₂ в присутствии H₂SO₄ была получена (—)-1-фенилэтилгидроперекись (II), причем отношение углов вращения а II/а I колебалось в пределах -0,069 -- 0,146 в зависимости от условий окисления. II в условиях р-ции рацемизуется медленно. II была восставовлена до (—)-спирта (III) различными восстановителями, причем аIII/аII было постоянным в пределах ошибки опыта, в то время как aIII/aI колебалось в пределах -0,019--0,036. Алкилированием II трифенилметанолом (IV) по--0,036. Алкилированием и трифенилистиперекись (V), которая жучена 1-фенилэтилтрифенилметилперекись (V), которая состанавливается в III Zn в CH₃COOH. Приведена таблица методов восстановления II и V. Указаны искодная перекись, восстановитель, а III/а II. Na₂SO₃, +0.29 и +0.31; II, LiAlH₄, +0.25; II, Zn-CH₃COOH, +0.28; II SnCl₂, +0.32; II, C₇H₇SO₂Na, +0.33; II, H₂/Pt, +0.28; V, Zn-CH₃COOH, +0.28. Постоянство а III/а II свидетельствует, по мнению авторов, о 100%-ном сожранении конфигурации 1-фенилэтильного радикала во время восстановления. Таким образом, алкилкислородная связь не нарушается. Это было подтверждено восстановлением II $Na_2SO_3^{18}$ в H_2O^{18} , при котором был получен III с нормальным О16. Авторы утверждают, что II и III имеют аналогичное строение, причем максимум вращения αD l-III $44,2^{\circ}$, а αD l-II $\sim 140^{\circ}$. При восстановлении II в кислой среде (рН 0 и 1) получен только ацетофенон (VI) или (при рН 5) смесь III и VI. Так как во время восстановления конфигурация II сохраняется, авторы утверждают, что рацемизация происходит во время окисления I в момент образования (VII): CH₃CH(C₆H₅)OH +H+ промежуточного иона \rightarrow CH₃CH(C₆H₅)O+H₂ VII \rightleftharpoons H₂O + CH₃C+H(C₆H₅) \rightarrow Ch₃Ch(C₆h₅) OOH + H⁺. αD были определены в неразб. образцах при 18 и 22° в 1 θ м трубках. Из 3 г I, 12 мл 90%-ной H₂O₂ и 0,1 г конц. H₂SO₄ (1 час при 0° и 5 час. при 20°) получена II (продукт взрывоонасен), выход 2,76 г, т. кип. 66°/0,5 мм. Приведена таблица продуктов окисления I. Указаны исходные кол-ва янца продуктов окисления I. Указаны исходные кол-ва I в ε , αD I, выход II в ε , αD II, α II/ α I в 9/6: 2, $+43.3^\circ$, 1.4, -4.8° , -0.111, -3.5; 2, -43.3° , 1.4, -4.8° , -0.111, -3.5; 2, -44.3° , -0.105, $+5.2^\circ$, -0.12, -3.8; 3.5, -44.8° , 3.2, $+4.4^\circ$, -0.105, -3.3; 2, -41.8° , 1.69, $+4.16^\circ$, -0.101, -3.1; 1, -41.8° , 0.79, $+4.14^\circ$, -0.099, -3.1; 5, $+14.2^\circ$, 4.1, -1.53° , -0.108, -3.4; 4, $+14.2^\circ$, 3.64, -1.87° , -0.132, -4.2; 2.5, $+14.2^\circ$, 2.1, -2.05° , -0.144, -4.6; 2.5, $+14.2^\circ$, 2.1, -2.05° , -0.144, -4.6; 2.5, $+14.2^\circ$, 2.1, -1.58° , -0.111, -3.5: 8, $+14.2^\circ$, 6.4, -1.39° , -0.098, -3.1; 2, $+14.2^\circ$, 1.4, -0.98° , -0.069, -2.2. If 1.9 IV, 10 ма CH_3COOH , 0.1 ε конц. H_2SO_4 , 0.83 ε II ($\alpha^{18}D - 1.45^\circ$) в 10 ма CH_3COOH получено V, τ . пл. $76-78^\circ$, $\alpha^{22}D - 0.64^\circ$ (ϵ 6.5; ϵ CHCl $_3$); V, τ . пл. $60-63^\circ$, $\alpha^{22}D - 2.63^\circ$ (ϵ 4.6; ϵ CHCl $_3$), τ рацемич. соединение ϵ τ . пл. 85° . Восстановлением II (2 ε , $\alpha^{18}D - 1.45^\circ$) Na $_2SO_3$ (9 ε , 70 ма H_2O) получен III, выход 1.3 ε , τ . Кип. $(9\ \varepsilon,\ 70\ ма\ H_2O)$ получен III, выход 1,3 ε , т. кип. 134—137°/120 мм, $\alpha^{17}D$ —0,42°, $n^{20}D$ 1,5265. Восстановлением V (4,93 ε $\alpha^{14}D$ —1,21°, ε 4,9 в CHCl₃) цинковой леннем **v** (1,50 г 2 — 1,21 , 6 4,5 в СпС₁₃) пинково пылью (5 г) в 40 мл СП₂СООН и 5 мл Н₂О (30 мин., 80°) получен III, выход 0,92 г, т. кип. 90—92°/15 мм, $a^{18}D - 0.52^{\circ}$. В. Райгородская

Циклические диацилперекиси. II. Реакция перекиси фталоила с *que*- и *mpane*-стильбенами. Грин (Cyclic diacyl peroxides. II. Reaction of phthaloyl peroxide with *cis*- and *trans*- stilbene. Green e Frederick D.), J. Amer. Chem. Soc., 1956, 78. № 10. 2250—2254 (англ.)

Изучено стереоспецифичное взаимодействие перекиси фталоила(I) с цис- и транс-стильбенами (II и III) при кипячении I с II или III в p-ре ССІ4. При р-ции I с III получена смесь пзомерных соединений А (т. пл. 206—207°) и Б (т. пл. 125—126°). Отношение кол-в А и Б равно 1: 3. При р-ции I с II также получена смесь изомерных соединений В (т. пл. 198—199°) и Г (т. пл. 192—193°). Отношение кол-в В и Г равно 3: 2. Строение А, Б, В и Г выведено на основании изучения ИКи УФ-спектров, определения мол. веса и изучения продуктов щел. гидролиза. Все полученные соединения

$$\begin{array}{c}
COO \longrightarrow \\
COO \longrightarrow \\
VI \longrightarrow \\
COO \longrightarrow \\
VI \longrightarrow \\
COO \longrightarrow \\
R \longrightarrow \longrightarrow$$
R \longrightarrow \longrightarrow \\
R \longrightarrow \longrightarrow \\
R \longrightarrow \longrightarrow
R \longrightarrow \longrightarrow \\
R \longrightarrow \longrightarrow \\
R \longrightarrow \longrightarrow
R \longrightarrow \longrightarrow \\
R \longrightarrow \longrightarrow \\
R \longrightarrow \longrightarrow
R \longrightarrow \longrightarrow \\
R \longrightarrow \longrightarrow
R \longrightarrow \longrightarrow
R \longrightarrow \longrightarrow \longrightarrow
R \longrightarrow \longrightarrow
R \longrightarrow \longrightarrow
R \longrightarrow \longrightarrow
R \longrightarrow \longrightarrow

устойчивы в условиях р-ции. Р-ция I с II и III в ССІ4 при 80° есть р-ция 1-го порядка как по отношению I, так и по отношению II или III. Общий второй порядок р-ции собюдается для всех изученных конц-ий от 0 до 90%, следовательно, оба циклич. фталата (А и Г) и оба лактона (Б и В) образуются по бимолекулярной р-ции II или III с I или с бирадикалом (IV), который, возможно, обратимо образуется из І. Фталаты А и Д получаются при фронтальной атаке двойной связи олефина на перекисный мостик I. Образование Б и В может происходить при боковой атаке молекулы I олефином (схема (а)). Отсутствие иис-лактона (В) при взаимодействии I с III и отсутствие транс-лактона (Б) при взаимодействии I с II приводит к выводу, что либо, если р-ция происходит ступенчато, то замыкание цикла успевает произойти прежде, чем осуществится поворот вокруг С-С связи, либо образование лактонов Б и В происходит при синхронном перемещении электронов, минуя бирадикал типа V. По мнению автора, возможен и другой путь образования фталатов (А и Г) и лактонов (Б и В) при взаимодействии бирадикалов соответственно IV или VI (возможно, образующегося из IV) с II или III. Сообщение I см. РЖХим, Р. Кудрявцев 1957, 7905. 11601. Алифатические гидроксиламины, II. Авто-

окисление. Джонсон, Роджерс, Трапп (Aliphatic hydroxylamines. Part II. Autoxidation. Johnson David H., Rogers M. A. Thorold, Trappe G.), J. Chem. Soc., 1956, May, 1093—1103 (спр.)

1093-1103 (анг.)

Изучено автоокисление n-C₃H₇NHOH, (C₂H₅)₂NOH (I), (n-C₃H₇)₂NOH (II) и (n-C₄H₉)₂NOH (III) в воднощел. р-ре или в суспензиях при 20 и 37°. Скорость р-ции определялась по скорости поглощения О2. При проведении автоокисления диалкилгидроксиламинов (IV) в аппарате Варбурга при 37° найдено, что скорость по-глощения O₂ зависит от рН, будучи незначительной при рН 7 и заметно ускоряясь в присутствии NaOH. Обычно поглощаются 1,5 атома О на 1 молекулу V и, если исходить из этих стехнометрич. кол-в, то р-ция подчиняется ур-нию первого порядка в отношении IV. И окисляется скорее, чем I и III, что, возможно, объясняется наличием каталитич. примесей. Индукционный период не отмечается. При проведении автоокисления при 20° и измерения кол-ва поглощенного Оз с помощью

78,

MCM

KM-06-

иБ

изо-

пл

poe-

ИК-

про-

ения

CCI.

mo I.

ядок

от 0

и Г)

рной

рый,

связи

виВ

лы I

) при

та (Б)

, TTO мыка-

щест-

вание меше-

нению латов

гради-

aavio-

XHM,

явцев

Авто-

апп

ation. Tho-May,

NOH

водно-

р-ции

прове-

(IV)

ть попьной

NaOH.

улу V

р-ция

объяс-

онный

мощью

бюретки найдено, что на 1 молекулу IV поглощаются 2 атома О, причем р-ция также протекает по ур-нию первого порядка в отношении IV. Скорость поглощения 02 значительно ускоряется в присутствии каталитич кол-в Си пли Мn и приостанавливается при добавлении агентов, связывающих эти металлы. Во всех случаях реакционная смесь содержала смесь Н₂О₂ и орга-нич. перекисей (не выделены). Как при 20°, так и при 37° результаты не всегда воспроизводимы; они зависят от чистоты О2 и не зависят от освещения, добавления стеклянной ваты и замены стеклянной посуды на политеновую. CO и SO₃ не оказывают положительного каталитич, действия, наличие 3-нафтола и барита заметно ускоряет р-цию. Предполагается, что механизм автоокисления IV в значительной мере соответствует ныне принятому механизму автоокисления олефинов. продуктом реции является ион $RCH_2N(O^-)CH_2R$ (V), реагирующий затем с H^+ и O_2 с образованием радикалов $RCH_2N(O^-)CH_2R$ (VI) и HOO^- . V и VI могут взаимодействовать, образуя IV и радикал-ион $RCH_2N(O^-)C^-HR(VII)$, дальнейшие превращения которого зависят от его устойчивости и от условий р-ции. Неустойчивые VII отдают катализатору условии р-ции. Неустоичивые VII отдают катальзатору неспаренный электрон, превращаясь в нитрон RCH₂N(→O)=CHR (VIII). Устойчивые VII могут либо реагировать с HOO', образуя гидроперекись RCH₂N(O')CH(OOH)R (IX), либо присоединять О₂, превращаясь в радикал-мон RCH₂N(O')CH(OO')R, взамодействие которого с V приводит к IX и VII. При присоединении радикала ОН (образующегося при взаминенный радикала ОН (обра имодействии металлич. катализаторов с H₂O₂) к VII может образоваться гидратная форма VIII. Относи-тельную устойчивость VII авторы объясняют с помощью теории резонанса. Сообщение I см. РЖХим, 1956, 15978. Л. Бергельсон 1602. Исследование каталитических реакций. XI. Роль процессов самоокисления при образовании пле-нок высыхающих масел. Чуреш, Хайош, Де-11602. нок высыхающих масел. Чуре ш, хайош, деак. XII. Влияние понообменных смол на реакцию этерификации. Чуре ш, Фодор, хайош (Katalizátoros vizsgálatok. XI. Autoxidácios folyamatok szerepe szárado olaj filmek kialakulásában. С sűros Zoltán, Hajos Zoltán, Deák Gyula. XII. Ioncserélok hatása észterezésre. Сsűrös Zoltan, Fódor József, Hajos Zoltán, Maryor tudomán, akad. kám tudomán, esztálvána akad. kám tudomán esztálvána akad. kám tudomán esztálvána kad. Magyar tudomán. akad. kém. tudomán. osztályának közlemenyei 1953, 3, № 4, 469—485; 501—513 (венг.) Сообщение XI. Установлено, что при самоокислении С₆Н₅СНО в среде СНСІ₃ скорость поглощения О₂ увеличивается в случае добавления сиккативов, нафтенатов Co (I) и Mn (II). В случае больших кол-в I или II кол-во поглощенного О2 больше. После поглощения определенного кол-ва О2 система приходит в равновесие и дальнейшее поглощение О₂ не наблюдается. При самоокислении льняного масла (ЛМ) в присутствии I или II перекисное число (ПЧ) сначала возрастает, затем уменьшается. В присутствии I максимум ПЧ наступает раньше, чем в присутствии II. Наибольшее значение максимума связано с применением определенного оптимального кол-ва сиккатива; в присутствии меньшего или большего кол-в сиккатива значение максимума ПЧ уменьшается. Исследовалось изменение ПЧ для ЛМ при его освещении рассеянным светом, УФ-лучами и при нагревании до 140°. В первом случае наблюдается медленный линейный рост ПЧ. Под действием УФ-лучей ПЧ возрастает быстрее и достигает определенного максим. значения. В случае нагреии IV. вания аналогичный максимум достигается еще быстрее, после чего ПЧ быстро падает; в этом случае значение

максимума меньше, чем в случае облучения УФ-лучами.

У вареной олифы, приготовленной с применением II при облучении рассеянным светом, рост ПЧ начинается

лишь после продолжительного индукционного периода, после чего ПЧ резко возрастает до достижения мак-симума, а затем падает. Под действием УФ-лучей ПЧ олифы резко возрастает до достижения максимума, значение которого больше, чем в предыдущем случае; после максимума ПЧ весьма быстро падает. В этом случае максимум достигается быстрее, чем в случае ЛМ, и процесс разложения перекисей также происхолит быстрее, чем у ЛМ. При нагревании до 140° наблю-дается весьма быстрое разложение перекисей, со-держащихся в исследуемой олифе. У вареной олифы максимум ПЧ достигается значительно раньше, чем в случае олифы, приготовленной на холоду с применением того же сиккатива, однако в случае вареной олифы значение максимума ПЧ намного меньше. В начальный высыхания ЛМ ценной процесс самоокисления играет значительную роль. По мере прогрессирования высыхания самоокисление отодвигается на второй план и наступает разложение перекисей, что, вероятно, свя-зано с установлением связей между активированными молекулами масла. Это подтверждает ранее предложенным механизм высыхания (Powers P. O. и др. Ind. Eng. Chem., 1951, 33, 1257). В отношении механизма действия сиккативов установлено, что они способны катализировать р-цию образования и разложения перекисей.

Сообщение XII. На примере р-ции фталевого ангидрида с бутанолом исследовалось влияние на р-цию этерификации фракций различной степени дисперсности и катионообменной смолы фенолсульфокислотного типа марки Вофатит КС. Активность катализатора (кол-во титруемых КОН кислотных групп) возрастает по мере увеличения степени дисперсности до определенного предела, после которого дальнейшее увеличение степени дисперсности не оназывает заметного влияния на активность. Скорость р-ции возрастает по мере увеличения кол-ва применяемого катализатора до определенного оптимального кол-ва; при применении больщих кол-в катализатора скорость р-ции падает. При увеличении степени дисперсности катализатора его каталитич. действие (конечная степень превращения) уменьшается, за исключением тех случаев, когда катализа-тор высокой степени дисперсности подвергается активации после измельчения. При помощи ионообменных смол можно достигнуть той же степени превращения, как и при помощи эквимолекулярного кол-ва H_2SO_4 , но медленнее, чем в случае H_2SO_4 . Для активации катализатор обрабатывают разб. H_2SO_4 при перемешивании (~20°). Высушивание катализатора (60°) до постоянного веса отрицательно сказывается на его каталитич. свойствах, поэтому его применяют в воздуш-носухом состоянии. Сообщение X см. РЖХим, 1955, 28809. Г. Влэдуц

11603. Механизм расщепления фенил-трет-бутилкар-бинола хромовой вислотой. Хамитон, Лео, Уэстхеймер (The mechanism of the cleavage of phenyl-t-butylcarbinol by chromic acid. Ham p-ton John, "Leo Albert, Westheimer F. H.), J. Amer. Chem., Soc., 1956, 78, № 2, 306— 312 (англ.)

Показано, что хромовая к-та действует на 1-фенил-2,2-диметилиропанол-1 (I) согласно ур-ниям (I) и (2): $3C_6H_5COC (CH_3)_3 (II) + 2Cr^{3+} + {}_{1}8H_2O \stackrel{1}{\leftarrow} {}_{1}2C_6H_5CH(OH) - C(CH_3)_3 + 2HCrO_1^- + 8H^+ }^2 \xrightarrow{3} 3C_6H_5CHO (III) + 3C(CH_3)_3 - 3C_6H_5CHO (III) + 3C_6H$

ОН (IV) + 2Cr³+ + 5H₂O. Исследована° кинетика суммарного процесса в 86,5%-ной СН₃СООН и определены выходы продуктов р-ции в зависимости: 1) от конц-ии выходы продуктов разывание в зависимств. 1) от конц-ии исходных реагентов, 2) кислотности среды (в присутствии $HClO_4$ при 0° и 25°), 3) присутствия ионов Mn^{2+} и Ce^{3+} , а также 4) влияния замещения H на D у σ -атома углерода I. Найдено, что преобладание р-ции 1 или 2

зависит от условий проведения процесса. Высокие выходы II (до 95%) получены в присутствии Mn²⁺ и Ce³⁺ или в конц. p-рах H₂CrO₄ (0,5—1,0 молл). Для увелиили в конц. p-рах н₂-гго₄ (0,5—1,0 молл). Для увели-чения выходов III и IV p-цию надо вести в отсутствие Мп²+ или Се³+ и в разведенных p-рах H₂CrO₄ (0,005 молл/л). Максим. выходы III и IV 67%. 1-дейте-ро-1-финил-2,2диметилпропанол-1(Iа)дает несколько бо-лее высокие выходы III и IV, чем I. Для скорости восстановления H2CrO4 (по спектрофотометрич. данным и с помощью титрования) получено следующее кинетич. ур-ние: $d [CrO_3]/dt = k_3 [I] [HCrO_4^-] [H^+]$. Отношение скоростей р-ции окисления и расщепления I и Ia $k_{\rm H} \, / \, k_{\rm D} = 12$ при 0° и 9 при 25°, т. е. стадией, определяющей скорость окислительно-восстановительного процесса, является окисление I или Ia в II по С-Н и С — D связям. Исходя из приведенных выше данных авторы приходят к выводу о том, что механизм р-ции I аналогичен механизму окисления (CH₃)₂CHOH хромовой к-той (Westheimer F.H. с сотр., J. Amer. Chem. Soc., 1952, 73, 4383, 4387). Р-ция (2) не может идти за счет прямой атаки НСгО₄ на I, но происходит, по мнению авторов, благодаря действию возникших в ходе р-ции неустойчивых соединений Cr^{4+} или Cr^{5+} и предлагают следующую схему этого процесса: $HCrO_4^- + ROH +$ $+H_3O^+ \stackrel{\kappa}{\rightleftharpoons} ROCrO_3H + 2H_2O, ROCrO_3H + H_2O \stackrel{\kappa_1}{\rightarrow} HCrO_3^- +$ $+ II + H_3O^+, \quad HCrO_3^- + HCrO_4^- + H_2O \xrightarrow{\kappa_2} 2H_2CrO_4^-,$ $\text{H}_2\text{CrO}_4^- + \text{ROH} \xrightarrow{\kappa_4} \text{Cr}^{3+} + \text{III} + \text{IV}, \text{ HCrO}_4^- + \text{H}_2\text{CrO}_4^- +$ + ROH $\stackrel{\kappa_4}{\to}$ HCrO $_4^-+$ Cr $^{9+}+$ II, где ROH = I. Влияние ионов Mn²⁺ и Ce³⁺ объясняется их восстанавливающим монов мп-1 и Се³⁺ ообыснается их восстанавливающим действием на Cr^{4+} или Cr^{5+} , в отсутствие которых р-ция (2) не идет. В присутствии Ce^{3+} и CH_3COONa на 1 моль восстановленной H_2CrO_4 образуется 1 ε -атом Ce^{4+} : $HCrO^- + Ce^{3+} \to Cr^{3+} + Ce^{4+}$. $C_6H_8CD(OH)C(CH_3)_3$ синтезирован восстановлением C₆H₅COC(CH₂)₃ LiAlD₄, выход 75%. Содержание D 6,1—6,3 ат. %. А. Рекашева Реакция алифатических аминов с безводным

11604. Реакция алифатических аминов с безводным FeCl₃. Добенек, Ленерер (Reaktion aliphatischer Amine mit wasserfreiem FeGl₃. Dobene ck H. V., Lehnerer W.), Angew. Chem., 1956, 68, № 16, 519—520 (нем.)
Подобно Ar₂NH и Ar₃N (Schneider W. и др., Ber.,

1921, 54, 2285) вторичные и третичные алифатич. амины, кроме (CH₃)₂NH и (CH₃)₃N, образуют при окислении FeCl₃ амминиевые соли. Р-ция легко протекает с аминами, не имеющими других функциональных групп. При действии $FeCl_3$ в абс. эфире на $(\mu-C_3H_7)_2NH$ (I) в эфире (<0°) смесь окрашивается в темно-фиолетовый цвет, который при прибавлении воды исчезает. В p-pe обнаружен Fe²⁺. В более полярных p-рителях р-ция не идет. Авторы полагают, что на первой стадии р-ции происходит дегидрирование амина при С-атомах. соседних с N: из I образуется 1-пропиламинопропен-1 (II), который отдает 1 электрон и переходит в радикал-катион. II с водой дает 2-(1-пропиламинопропен-1-ил)-2-(пропиламино)-пропиловый эфир. Аналогичной р-цией с производными индола получены соответствующие кристаллич. эфиры, которые в кислой среде разлагаются с образованием оксиндола. Р-ция предложена как качеств. проба на R2NH и R3N в смеси с RNH₂ (R = алкил). В. Райгородская 11605. В порядке дискуссии. Замечания к публика-В. Райгородская

11605. В порядке дискуссии. Замечания к публикациям А. И. Титова и Ф. Л. Макляева. Ш и л о в Е. А., Ж. общ. химии, 1956, 26, № 8, 2365—2367 Автор указывает ито предпоменная Титовым А. И

Автор указывает, что предложенная Титовым А. И. ж Макляевым Ф. Л. (см. РЖХим, 1955, 16232; 1956, 25523, 25524, 28881) теория «сопряженных р-ций при-

соединения галоидов» соответствует ранее известной тримолекулярной донорно-акцепторной схеме смещанных присоединений.

М. В.

11606 К. Теоретические основы органической химин. Том 1. Изд. 8-е, перераб. Х ю к к е л ь (Theoretische Grundlagen der organischen Chemie. Bd 1 (8. stark umgearb. Aufl. H ü c k e l W a l t e r. Leipzig. Akad. Verl. Ges., 1956, XVI, 851 S., ill., 24.—ДМ) (нем.)

11607 К. Энциклопедия органической химин. Серия 3. Конденсированные карбоциклические соединения. Ред. Р а д т. Том. 12 В. Нафталин. А. Соединения. Сотеждине отно, нафтальновие ито.

1607 К. Энциклопедия органической химии. Серия 3. Конденсированные карбоциклические соединения. Ред. Р а д т. Том. 12 В. Нафталии. А. Соединения. Ред. Р а д т. Том. 12 В. Нафталии. А. Соединения, содержащие одно нафталиновое ядро. Сульфокислоты, SO₃H-группа в боковой цепи, одна SO₃H-группа в ядре. Том 14, дополнение. Стероиды; замещенные моноокси- и полноксисоединения. Ред. Г е о р г (Encyclopedia of organic chemistry. Series 3: Carboisocyclic condensed compounds. Ed. R a d t F. New York, Elsevier; London, Cleaver-Hume Press. Vol. 12 B Naphthalene: A: Compounds containing one naphthalene nucleus. Sulphonic acids, SO₃H in side chain, one SO₃H in the nucleus. 1955, [1956] xlvi, 4841—5686, 64 pp., ill., 21 L. 10 sh. Vol. 14. Supplement. Steroids: substituted monohydroxyl compounds, polyhydroxyl compounds. Ed. Geor g A. 1956, xl, 1869 s—2214 s, 37 pp., ill., 12 L. 10 sh.) (англ.)

11608 К. Химия соединений углерода. Современное расширенное руководство. Том 3. Часть Б. Ароматические соединения. Ред. Родд (Chemistry of carbon compounds. A modern comprehensive treatise. Vol. 3. Part B. Aromatic compounds. R o d d E. H. Amsterdam — London — New York — Princeton, Elsevier Publ. Co., 1956, хх, pp. 687—1669) (англ.) 11609 К. Краткий курс органической химии. Новое

Amsterdam — London — New York — Princeton, Elsevier Publ. Co., 1956, xx, pp. 687—1669) (англ.) 11609 К. Краткий курс органической химии. Новое изд., испр. Нь юбери (A concise organic chemistry. New. ed rev. Ne w bury Norm an Frederick. London, Harrap, 1956, 190 pp., ill., 6 sh.) (англ.) 11610 К. Введение в органическую химию с некоторыми главами по биохимии. Изд. 3-е. Уэртхейм. Лжески (Introductory огдаліс chemistry.

x ейм, Джески (Introductory organic chemistry, with certain chapters of biochemistry. 3rd ed. Wertheim Edgar, Jeskey Harold. New York—London, McGraw-Hill, 1956, iii, 476, pp., ill., 41 sh. 6 d.) (англ.)

(Chimie chimie organi-

11611 К. Химня. Органическая химия. Горючес. Пастурьо, Линьон (Chimie, chimie organique, combustibles. Dastouriaux L., Lignon J. Paris, Delagrave, 1955, 256 р., ill.) (франц.) 11612 К. Органическая химия в вопросах и отве-

тах. Изд. 5-е, перераб. Брандт (Organische Chemie in Frage und Antwort. 5. durchges. Aufl. Brandt Else. Leipzig, Barth, 1956, 115 S., 4. 25 DM) (нем.)

См. также: Строение органич. соед. 10833, 10858, 10888, 10889, 10901, Реакционная способность 11232, 11234. Механизмы и кинетика р-ций 10827, 10857, 11215—11218, 11220—11223, 11225, 11226, 11228—11231, 11233, 11234, 11236—11240, 11294, 11304—11306, 11308, 11309, 11311, 11444, 11456, 11464, 11467, 12946. Др. вопр. 10794

СИНТЕТИЧЕСКАЯ ОРГАНИЧЕСКАЯ ХИМИЯ

Редакторы М. А. Атабекова, Н. С. Вульфсон, В. М. Дубинин, В. А. Загоревский, Я. Ф. Комиссаров, Г. Я. Кондратьева, И. Ф. Луценко

11613. Оксосинтез. Лемке (La synthèse Охо. Lemke H.), Rev. franç. corps gras, 1956, 3, № 7, 517—524 (франц.) Популярный обзор. М. А. 57 r.

стной

ещан-

4. B. XH-

heore-

3d 1

ter. 1 S.

Ce-

соеди-

Соеди-Суль-

одна оиды; Ред. . Se-. Ed.

eaverounds

acids.

1955. 10 sh.

nydro-1. G e-

12 L.

енное

рома-

ry of eatise.

E. H. ceton,

англ.)

Новое chemi-

e de-

англ.)

неко-

арт-

aistry.

Vert-

, ill.,

рючее. rgani-Lig-

ранц.)

отве-

nische Aufl. Auf 1.

10858.

11232, 10857. 1228-

1304-11467.

RI

DH, cca poe.

Oxo. , Nº 7, M. A.

Каталитическое действие смеси ионообмен-11614. ников. Мастальи (Action catalytique des échangeurs mélangés l'un à l'autre. Mastagli Pierre), C. r. Acad. sci., 1956, 242, Ne 8, 1031— 1034 (франц.)

Показано, что применение смеси катноно- и анионообменников катализирует, независимо друг от друга, соответствующие р-ции. Так, из 40 г паральдегида (I) и 50 г СН₃СООС₂Н₅ (II) в присутствии 15 г катионообменника (сульфокислота полистирола) (III) и 15 г анионообменных смол (четвертичные аммониевые основания) (IV) получено после 12 час. нагревания и перегонки немного СН₃СНО (V), ацетона, С₂Н₅ОН и 25 готилового эфира 1,3-диметилциклогексен-3-он-5-карбоновой-2 к-ты (VI), т. кип. 144—145°/12 мм, п¹⁷D 1,482. В этом случае III сперва катализирует деполимеризацию I в V, затем IV катализирует конденсацию V и II, а смесь III и IV —пиклизацию полученного в-ва в пиэтиловый эфир 2,4-диметилдиклогексанол-4-он-6-ди-карбоновой-1,3 к-ты и затем после отщепления воды и CO₂ — образование VI. В тех же условиях из I 11. Сородования VI. В тех же условиях из и (200 г) и смеси II и III (по 60 г) получено 50ε CH₃CH= = CHCHO (VII), 30ε ацетальдоля и 44ε V; из I (44ε) и С₆H₅CHO (106ε) (нагревание 5 час.) выделено 18ε С₆H₅CH=CHO и следы VII; аналогично из 44ε I и 96ε фурфурола (нагрев 7 час.) получено 10 г α-фурфурили-денацетальдегида, т. пл. 49—50°. При проведении апалогичных опытов с раздельным применением II и III, в первом случае р-ция не идет, во втором образуется А. Кизилова

Введение в изучение каталитического действия ионообменников в конденсации альдегидов. Дюрр (Contribution á l'étude de l'action catalytique des échangeurs d'ions dans la condensation des aldé-hy des. Durr Georges), Ann. chimie, 1956, 1, jan.- fevr., 84—114 (франц.)

Под влиянием ионообменных смол — основных амберлит IR-4B (I) и IRA-400 (II) и кислого IR-120 (сульфированный полистирол) (III), алифатические альдегиды (IV) претерпевают конденсацию по кротоновому типу при (IV) претерпевают конденсацию по кротоновому типу при высокой т-ре и по альдольному и кротоновому типу при ~20°. Бензальдегид (V) с IV дает замещ. коричные альдегиды, а фурфурол (VI) с IV образует α-фурфурилидензамещ. альдегиды. Наиболее активными при повышенной т-ре являются I и III, а при комнатной—II. Оптимальная т-ра для III = 145°, для I = 125—130°; увеличейие кол-ва ионообменника ускоряет р-цию, но не изменяет ее направления; при нагревании р-ция дакаминается — 32 4 мас. увеличение пропольжительногом. заканчивается ~ за 1 час, увеличение продолжитель-ности р-ции ведет лишь к небольшому повышению выхода. Катализатор регенерируется промыванием органич. р-рителями. 100 г энантола (VII) с 5 г I (1 час, 120—130°) дают 37 г с энантолиденэнантола (VIII), т. кип. 278—279°, 125—126°/2 мм, п20D 1,460, d45 0,8494; с III (10 г) из 200 г VII при 145° получают 105 г VIII. чают 27 г X и 30 г бутиральдоля, т. кип. 87-88°/3 мм, $n^{20}D$ 1,442, и некоторое кол-во тримера IX, т. кип. $\sim 230^\circ$. При нагревании (130 $^\circ$) 200 г CH₃CHO (XI) и ~ 230°. При нагревании (130°) 200 г СН₃СНО (XI) и 10 г I получают 20 г СН₃СН=СНСНО (XII), т. кип. 44—47°/10 мм, n²0D 1,437, и 32 г ацетальдоля (XIII), т. кип. 70°/15 мм, n²0D 1,457, при 70°—12 г XII и 45 г XIII. Из 100 г гексаналя (XIV) и 5 г I (130°, 4 часа) получают 46 г 2-бутилоктен-2-аля (XV), т. кип. 117—119°/5 мм, n²0D 1,455—1,457, при 20° из 100 г XIV при пропускании через колонку с II получают 14 г XV. Из 50 г октаналя (XVI) с I (120—130°) полу-

чают 22 г 2-гексилдецен-2-аля, т. кип. 166—169°/9 мм, $n^{20}D$ 1,4615, из 50 г и-деканаля (XVII) и 3 г I (120—130°) получают 18 г 2-октилдодецен-2-аля, т. кип. 215°/22 мм, $n^{20}D$ 1,456. К 100 г V и 10 г I при 110° добавляют по каплям 100 г IX, повышают т-ру до 125°, получают 46 г X и 8 г с-этилкоричного альдегида (XVIII), т. кип. 125—127°/5 мм, n°0 D 1,578°. Из 100 г V, 100 г IX и 10 г III (130—140°) получают 30 г X и V, 100 г IX и 10 г III (130—140°) получают 30 г X и 125 г XVIII. При пропускании через колонку с II из 100 г V и 80 г IX получают 40 г X и 45 г XVIII. При нагревании из 100 г V, 100 г VII и 10 г III получают 25 г VIII и 26 г α-амилкоричного альдегида, т. кип. 138—140°/4 мм, п³0D 1,539. Из 100 г V, 50 г XI и 10 г I (2 часа, 110—115°) получают 10 г XII и 45 г комумеров закления тими 88—01°/3 мм. XII и 15 г коричного альдегида, т. кип. 88—91°/3 мм, n20D 1,618. Из 80 г XI, 130 г VI (110°, 12 час.) и 10 г 11 получают 8 г фурфурилиденуксусного альдегида, т. пл. $49-50^\circ$ (из воды), т. кип. $36-37^\circ/10$ мм. Из 32 г VI, 30 г IX и 12 г II при 135° получают 22 г а-фурфурилиденбутаналя, т. кип. $228-229.5^\circ$, $94-96.5^\circ/2$ мм, $n^{20}D$ 1,596. Из 120 г VI, 110 г XIV и 30 г II (135° , 4 часа) получают 36 г а-фурфурвлиденгенсаналя, т. кип. 258—259°, $n^{16}D$ 1,569, $n^{17.5}D$ 1,568, d_4^{14} 1,019. Так же из 61 г VII, 100 г VI и 22 г II получают 37 г а-фурфу-рилиденгентаналя, т. кин. 274—275°, 151,5°/17 мм, n²⁰D 1,5575, d¹⁵ 1,003; из 15 г XVI, 23 г VI и 5 г II получают а-фурфурилиденоктаналь, т. кип. 160- $161^{\circ}/13$ мм, $n^{18}D$ 1,5465, d_4^{14} 0,9849, а из 15 г XVII, 20 г VI и 5 г II — α-фурфурилидендеканаль, т. кип. 187—188°/13 мм, n¹⁶D 1,5365. И. Котляревский

11616. Новый сильный восстановитель - борогидрид натрия в присутствии хлористого алюминия и других галогенидов поливалентных металлов. Браун, Субба-Рао (A new powerful reducing agent—sodium borohydride in the presence of aluminum chloride and other polyvalent metal halides. Brown Herbert C., Subba Rao B. C.), J. Amer. Chem. Soc., 1956, 78, № 11, 2582—2588 (англ.)

NaBH4 (I) в присутствии AlCl3 в (CH3OCH2CH2)2O II) является восстановителем, по силе стоящим между I и LiAlH4, и может быть предложен для избирательного восстановления ряда полифункциональных соединений. К восстанавливаемому в-ву (ВВ) и избытку І (5 ммолей 1 M р-ра в II) добавляют 1,7 ммоля возо-гнанного AlCl₃ (2 M р-р в II) с такой скоростью, чтобы т-ра была 25 или 75° (в некоторых случаях к ВВ и AlCl₃ прибавляют I), охлаждают и разлагают 2 н. HCl; степень восстановления определяют по кол-ву непрореагировавшего I (газометрич.). В этих условиях непрореагировавшего I (газометрич.). В этих условиях C_6H_5CHO , кетоны (бензофенон, окись мезитила), к-ты (бензойная, 4-хлорбензойная (III), уксусная, изомасляная), сложные эфиры $[C_6H_6COOC_2H_5,$ (IV), $C_6H_3COOC_2H_5,$ тильстварат (VI), $C_6H_4COOC_4H_5$, (VII), $C_6H_5CH=CHCOOC_2H_5$ (VIII), этилолеат (IX)], хлорангидриды (C_6H_6COCI , 4- CIC_6H_4COCI , хлористый лауроил), ангилриды (фталевый, янтарный, маленновый), бутиролактон, окиси мененован, читарный, маленнован), оупролактой, окас (мезитила, стирола, пропилена) восстанавливаются в соответствующие спирты или гликоли; нитрилы: $[C_6H_5CN, n\text{-}CH_3C_6H_4CN (X), CH_3CN, C_5H_{11}CN (XI)]$ и $C_6H_5CON(C_2H_5)_2$ — в амины; N - окись пиридина в пиридин; пиридин (р-ция идет медленно при 75°)—в дигидропиридин; $C_6H_5SSC_6H_5$ и $C_6H_5CH_2CI$ (при 75°) — в $C_6H_5CH_3$; азобензол (при 25°) — в гидразобензол, C=C - связь в гексезол (при 25°)— в гидразооенаол. С=С -свизь в гексе-не-1, циклогексене, а также в VIII и IX восстанавли-вается с образованием борорганич. соединений. n-СН₃С₀Н₄SO₂OС₀Н₁1 реагирует при 25°, NO₂-группа [С₀Н₅NO₂, СН₃СНNО₂СН₃, n-NO₂C₀Н₄СООС₂Н₃ (XII, XIII — к-та)], Nа-соли карбоновых к-т (за исключением Na-соли XIII, в которой частично восстанавливается СООNa-группа), нафталин и n-BrC₆H₄SO₂CH₃ не восстанавливаются. В o-C₂H₅OCOC₆H₄COONa восстанавливается СООС₂H₅-группа. Адипиновая и янтарная к-ты из-за плохой растворимости количественно не восстанавливаются. В случае III, V—VII, X—XIII выделены продукты восстановления. К 0,25 моля I в 250 мл II прибавляют 0,4 моля VI, затем 0,084 моля AlCl₃ (2 M р-р в II), поддерживая т-ру <50°, перемешивают еще 1 час при ~20° и нагревают 0,5—1 час при ~100°, выход октадеканола-1 91%, т. пл. 58—59° (из води. сп.). Аналогично восстановлены (указаны в-во, продукт р-ции, выход в %, константы): III (0,2 моля III, 0,18 моля I, 0,06 моля AlCl₃, 4-ClC₆H₄CH₂OH (XIV), 64, т. пл. 74—75°; V, XIV, 84; VII (0,2 моля VII, 0,35 моля I, 0,12 моля AlCl₃, 50°, 4—6 час.), С₆H₄(CH₂OH)₂-n, 70, т. пл. 113—115° (из воды); X (0,2 моля X, 0,125 моля I, 0,42 моля AlCl₃), n-CH₃C₆H₄CH₂OH (XV), 77, т. пл. 233—234°; XI (0,2 моля XI, 25%-ный избыток I), C₆H₁₃NH₂·HCl, 65,5, т. пл. 218—219°; XII (сначала <50°, затем <75°), к-N0₂C₆H₄CH₂OH (XV), 77, т. пл. 92—93° (из воды); XIII, XV, 82.

В Загоревский 11617. Применение тнонилгалогенидов в синтезе. Части I и II, ма ке и л (Applications of the thionyl halides in synthesis (1,2). Ма с h e 11 G.), Сhem, Prod., 1956, 19, № 8, 307—309; № 9, 356—358 (англ.) Обзор. Библ. 46 назв.

 11618. Акрилонитрил
 в органических синтезах.

 Часть II. Условия
 для моноцианоэтилирования.

 Кемпбелл, Стивенс (Acrylonitrile in organic syntheses. Part II. Conditions for monocyano-ethylation. Campbell A.D., Stevens I. D. R.),

вапс зуменевее. 7 at 1 п. сонистов 10 полосуановеть район 2 г. д. 1. Спет. 10 списано пианоэтилирование дезоксибензонна (I), фенил-(II), 1-нафтил-(III) и 3,4-метилендноксифенилацетона (IV), фенилацетонитрила (V), ацетофенона (VI), циклогексанона (VII), и показано, что моноцианоэтилированные производные могут быть получены примым цианоэтилированием или р-цией диспропорционирования из ди-или -трицианоэтилированных производных 2-(2'-цианоэтил-)-циклогексанон (VIII), 8-кето-ү, 6-дифениливанеронитрил (IX) и 5-кето-4-фенилиексанонитрил (X) при нагревании со спирт. КОН изомеризуются соответственно в 1,2,3,4,5,6,7,8-октагидро-2-оксихинолии (XI), 1, 2, 3, 4-тетрагидро-6-метил-5-фенилиридон-2 (XIII) и 1,2,3,4-тетрагидро-6-метил-5-фенилиридон-2 (XIII) и 1,2,3,4-тетрагидро-1-метона в 10 г мремения в процессе пианоэтилирования кетонов (в присутствии КОН, в серде мрем-СаН₉ОН) спедует избегать кипичения (XIII) и 1,2,3,4-тетрагидро-1-мето-у, вылили в разб. НСІ, получили 26 г IX, т. пл. 86,7—87° (из сп.), который гирролизовали в 8-кето-у, 8-дифенилвалериановую к-ту, т. пл. 134—135° (из сп.); 2,4-динитрофенилгидразон, т. пл. 122—123° (из сп.); 2,4-динитрофенилгидразон, т. пл. 122—123° (из сп.); 2,4-динитрофенилгидразон, т. пл. 168—168,5° (из сп.); 2

81-82° (из води. сп.). IV (36 г) с 10,6 г XIV дает 4-(3,4-метилендиоксифенил)-5-кетогексанонитрил (10,6 г), (3,4-мениендиоканфения) - кето съставлята (32,5 мм, т. кип. 220—225°/20 мм; к-та т. кип. 240—245°/12 мм, моногидрат к-ты, т. пл. 62—62,5° (из водн. сп.). Смесь 10,6 г XIV и 23,4 г V прибавили за 25 мин. к кипищему СеН 5NO2, содержащему 1 мл 50%-ного водн. NaCN. С6Н 5. 10.2, содержащему 1 мл 30%-ного води. Nac.N, кипятили еще 35 мин., выделили 12,8 г а-фенилглута-ронитрила, т. кип. 197—199°/14 мм; последний (6,25 г) получен также нагреванием 50 г V с 5 г ү-циано-ү-фенилпимелонитрила и 0,2 г NaCN в 0,3 мл воды при 225° (3 часа). 8,1 г XIV добавили за 5 мин. к кипящему VI (60 г), содержащему 0,5 г NaCN и 0,25 г воды, кипятили 30 мин., получили 3,2 г 8-кето-8-фенилвалеронитрила (XVI), т. кип. 178—182°/8 мм, т. пл. 38—39° (из сп.), и 3 г у-бензоилпимелонитрила (XVII), т. кип. 203—205°/0,4 мм; у-бензоилпимелиновая к-та, т. пл. 110— 111° (из воды). 10 г ү-бензоил-ү- 2-цианоэтилпимело-нитрила кипятили 3 часа с 50 г VI, 0,25 г NaCN и 0,3 г воды и выделили 5,4 г XVI и 4,5 г XVII. Смесь 0,6 г XIV и 48 г VII прибавили за 30 мин. при кипя-чении к 50 г VII и 1 мл 50%-ного NaCN, кипятили 15 мин., получили 10,5 г VIII, т. кип. 145—148°/11 мм, и 3 г 2,2-ди-2' -цианоэтилциклогексанона, т. кип. 243—250°/11 мм, т. пл. 67—68°. 11,5 г VIII и 3 мм 30%-ного р-ра КОН в СН₃ОН кипятили 4 часа в 20 мл трет-С₄Н₃ОН, выделили 3,25 г XI, т.пл. 143—144° (из сп.). Дегидрированием XI при 360° над 30%-ным Рd/С получили 2-оксихинолин, т. пл. 193—194°. Ана-логично из 10 г IX образуется 1,25 г XII, т. пл. 214— 214,5° (из сп.). XII при дегидрировании дает 5,6-дифенилпиридон-2, т. пл. 262,5—263° (из сп.). Из 10 г X получили 3 г XIII (6 час., при кипячении), т. пл. 169—170° (из сп.) и 0,5 г изомерного неидентифицированного соединения, т. пл. 248° (разл., из сп.). Дегидрирование XIII приводит к 6-метил-5-фенилипридопу-2, т. пл. 214—215° (из сп.). Часть I см. РЖХим, 1955, 51904. А. Файнзильберг 11619. Автоокисление олефинов. Хокинс, Куин (Autoxidation of olefins. Hawkins E. G. E., Quin D. C.), J. Appl. Chem., 1956, 6, № 1,

1-11 (англ.) Олефины: децен-1 (I), децен-3 (II), 2-метилнонен-1 (III), 3,5,5-триметилгексен-1 (IV), 3,4,4-триметиллентен-2 (V), 2,4-диметилгексен-2 (VIa), 2,4-диметилгексен-3 (VI6), 2,3-диметилоктен-2 (VII), стильбен (VIII) 4-метилциклогексен-1 (IX) и 4-метилциклогексен-1 1-метилциклогексен-1 (IX) и 4-метилциклогексен-1 (X) окисляют О₂ при 85—125° в присутствии нафтената кобальта (НК); состав продуктов окисления указывает, что первичное присоединение O₂ происходит у различных атомов углерода молекулы олефина. 2,2,5,5-Тетраметилгексен-3 (XI) не реагирует с O₂ (VIII, хотя не имеет аллильного H, однако реагирует c O2.) 175 e I (n20D 1,4210), 15 e MgO, 0,0125 e HK, 2 мл трет-бутилгидроперекиси (XII) поглощают за 21 час при 100° 23,7 л О2; в ловушках СН2=СНСНО и СН₃СНО. Из нейтр. части продукта окисления вы-делены: 0,5 г н-октаналя (2,4-динитрофенилгидразон (ДНФГ),т.пл. 90—91°), 1,2-эпоксидекан (XIII), который при кипячении с 2 н. Н₂SO₄ (медленно) и с НСООН (быстро) гидратируется в 1,2-декандиол (XIV), т. пл. 47—48°. XIV также непосредственно выделен из продуктов окисления (фенилуретан, т. пл. 55-57°); расдуктов окисления (фенилурстан, т. пл. 55—57), раз-щепление XIV тетраацетатом свинца (ТАС) дает и-нонаналь; ДНФГ, т. пл. 103—104°, семикарбазон (СК), т. пл. 99—100°. При 300° XIV каталитически превращается в и-деканаль; ДНФГ, т. пл. 103,5—105 т. пл. 96—97,5°. Кроме того, выделены децен-2-ол-1 (3,5-динитробензоат, т. пл. 60—62°) и (предположительно) децен-1-ол-3. Из фракции с т. кип. 165-225°/ 14 мм (3,7 г) выделено немного твердого в-ва, т. пл. 91—93°; предположительно декантриол-1,2,3. Фракционированием кислотной части продуктов выделена и-октановая r.

T 4-

(s 8),

MM,

месь

CN.

ута-25 е)

7-фе-225° y VI

ТИЛИ

рила сп.), 203—

10-

ело-

месь

ипятили 1 мм, кип. 3 ма

20 мл

-144° -ным Ана-

214— 5,6-

г. пл.

циро-

Деги-

Хим, њберг

унн Е., № 1,

онен-1

ілпен-

илгек-

(VIII) KCeH-1

тената

указы-

ходит

ефина.

c O2

гирует

г НК, за 21

HCHO

ия выпразон оторый

COOH

т. пл.

з про-); рас-

ает и-

(CK),

ревра-

-2-ол-1 ситель-14 мм 1—93°; прова-

к-та (XV), n-толуидид, т. пл. 73°. Анализ амидов к-т соответствует среднему значению смеси амидов XV и и-нонановой к-т. При окислении в тех же условиях, но без MgO, с периодич. промывкой реакционной смеси 2 н. NaOH поглотилось 11,7 д O2, образовалось 8,6 г XIII, следы XIV и XV. 107 г I в 50 г СН₃СООН окис-ляют при 100° в присутствии 0,01 г НК. За 9,75 часа ляют при 100° в присутствии 0,01 г н к. за 9,73 часа поглотилось 13,3 л О₂, среди других продуктов выделена (фракция с т. кип. 203—215°, 4,1 г) ненасыш. кетон (красный ДНФГ, т. пл. 121,5—122,5°). 90 г II (смесь иис- и транс-II, т. кип. 167,5—169,5°/730—745 мм), 4 г МдО и 0,01 НК при 100° поглощают за 2,4 часа 11,0 л О₂. Выделены м-С₂Н гСНО (ДНФГ, т. пл. 118—121°), кротоновый альдегид (ДНФГ, т. пл. 179—180°), с извигимини провенное карбонияльное соединение. Т. не идентифицированное карбонильное соединение, т. кип. 138—150°; ДНФГ, т. пл. 81,5—82°. Из фракций, кип. 136—130°; ДНФГ, т. пл. 81,5—82°. Из фракции, содержащих эпокиси, гидратацией 2 н. Н₂SO₄ получен декан-диол-3,4, т. пл. 88—89°, окисляющийся ТАС в и-гептаналь (XVI); ДНФГ, т. пл. 102—104°; СК, т. пл. 107—108°, а также не идентифицированные ненасыщ. кетоны, спирты и сложные эфиры. 140 г III (из п.-C₆H₁₃MgBr и CH₂=C(CH₃)CH₂CI, т. кип. 157,5—158°, n²O 1,4384),10г MgO и 0,01 г HK при 100° за 94 неза поглощают 16 5 г Ог. В продуктах содержата п 157,5—158°, n²0D 1,4384),10г мgO и 0,01 г НК при 100° за 9,1 часа поглощают 16,5 л О2. В продуктах содержатся метилакролени. (~ 1 г), СНзОСНО, ДФНГ, т. пл. 288—290° (разл.), следы XVI, нонавов-2 (XVII) (выделен р-ром Жирара Т); СК, т. пл. 120—121°, и 1,2-зпокси-2-метилнонан, который при действии конц. Н₂SО4 и 2,4-(NO2)гС6Н4NНNН2 дает ДНФГ 2-метилноналя (?), т. пл. 84—85°. Нагреванием 15 г неочищ. эпокиси (2 дня) с вод. спиртом получена смесь гликоля (81%) и XVII (ДНФГ, т. пл. 55—56°; СК, т. пл. 119—120°). Разгонкой выделен С₁0-гликоль (85%) (XVIII), т. кип. 109—114°/2 мм, n²oD 1,4508. XVIII дает с ТАС XVII. ИЗ мg-солей выделена и-гептановая к-та (1.3 г): XVII. Из Мg-солей выделена и-гентановая к-та (1,3 г); амид, т. пл. 90°. В продуктах окисления IV (189 г IV (n²°D 1,4105), 15 г мgO, 0,015 г НК, 1 г XII) содер-IV (n²nD 1,4103), 15 г мдо, 0,015 г нк, 1 г х 11) содержатся 1,2-эпокси-3,5,5-триметилгексан, который гид-ратируется в 3,5,5-триметилгександиол (т. кип. 136— 138°/16 мм, n²оD 1,4498), окисляющийся ТАС в 2,4,4-триметилпентаналь (ДНФГ, т. пл. 145— 146°; СК, т. пл. 115—116°). Кроме того обнаружен (СН 3)вССНО, трет-бутанол (фенилуретан, т. пл. 136— 138°), СН₉СНО и метилнеопентилкетон (ДНФГ, т. пл. 98—99°). 165 г V (т. кип. 111,7°/755 мм, n²0D 1,4236), 15 г MgO, 0,015 г НК, 0,5 г XII при 85° за 9,6 часа поглощает 20,3 л O_2 . Выделены СН $_2$ СНО, mpem-бутанол, пинаколин с т. пл. ДНФГ 123—124°, эпокись (т. кип. 134°, 92 ммолл), ненасыщ. С $_8$ -спирт (т. пл. нафтилуретана 90—92°), 2,2,3-триметилиентан-диол-3,4, т. пл. 93,5°, расщепляющийся ТАС с образованием пинаколина, а также продукты не установленного строения. 52 г смеси VIa и VIô, 2,5 г MgO, 0,005 г HK за 20,3 часа поглощают 10,3 л О2. В продуктах окисления установлена соответствующая эпокись, которая превращается в гликоль, дающий с ТАС изо-С₃Н гСНО (ДНФГ, т. пл. 180—182°) и 2-метилбутаналь (ДНФГ, т. пл. (ДНФГ, т. пл. 72-76°), эпокись (80,1 ммоля), гидратирующаяся в 2,3-диметилоктан-диол-2,3 (дает с ТАС ацетон и гептанон-2) и кетоны. Эпокись и гликоль при ацетон и гептанон-2) и кетоны. Эпокись и гликоль при нагревании с Н₂SO₄ превращаются в 3,3-диметилоктанон-2 (ДНФГ, т. пл. 94—95,5°; СК, т. пл. 103—104°). 17,7 г XI (т. кип. 124,9—126,4°, n²D 1,4113), 1 г мдО и следы НК не поглощают О₂ (100°, 30 час.); добавка 0,1 мл XII не вызывает р-дии (100°, 20 час.). 6,46 г XI нагревают в запалнной трубке в вакууме 73 часа при 137° с 3,435 г XII; получают только продукты разложения XII и неизмененный XI. XIII не поглощает

О2 при 125° в присутствии МgO и НК. Добавка 0,1 мм XII вызвала некоторое поглощение О2, после чего р-ция прекратилась. Твердый продукт окисления растирают с C_6H_6 , отфильтровывают Mg-соли, разгоняют и получают 2,5 г C_6H_6 CHO, непрореагировавший VIII и эпокись С₁₄Н₁₂О (по данным анализа), т. пл. 59—61°. Гидролиз остатка дал 1,2-диокси-1,2 -дифенилэтан, т. пл. 117—119°. 60,1 г IX (т. кип. 108—109°/743 мм, n²0D 1,4500), 2,5 г MgO, 0,01 г HK за 3,3 часа ноглощают 9,2 л О2. Продукт (содержит 28,6% гидроперекиси в пересчете на С7) разгоняют и получают гидропервенся в пересчете на с-7 разгочиют и получают 4 г 1,2-эпокси-1-метилциклогексана (XIX), т. кип. 136—137°, к 9,6 г перекиси (содержится во фракциях с т. кип. 73°/10 мм—72°/0,6 мм). Гидролиз XIX водным спиртом дает транс-1-метилциклогександиол-1,2, т. пл. 83—84,5°. Нагревание XIX (2 двя) с 1%-ной H₂SO₄ дает жидкость с т. кип. 150-160° из которой выделен 1-метилциклогексан-он-2 (ДНФГ, из которои выделен 1-метилдиклогексан-он-2 (ДНФГ, т. пл. 135—137°). Фракции, содержащие перекиси, гидрируют в спирте над Pt (из PtO₂) до поглощения 5,5 ж Н₂. Из продукта гидрирования (18,6 е) получают дистиллят (17,5 е), содержащий 67% метилдиклогексанолов и 33% кетонов, главным образом 1-метилдиклогексанон-3 (ДНФГ, т. пл. 160—161°), ИК-спектр смеси метилциклогексанолов (после удаления кетонов) указывает на содержание 1-метилциклогексанола-1 (35%), 1-метилциклогексанола-2 или 1-метилциклогексанола-4 (15—20%) и 1-метилциклогексан ола-3 (45%). 56,8 в X (т. кип. 103°, n²0D 1,4426), 5 в МдО, 0,01 в НК поглощают за 4,3 часа при 85° 8,4 л О2. Разгонкой продукта окисления (27% гидроперекиси) установлено присутствие 1,2-эпокси-4-метилциклогексана (64%); последний гидролизуется 1 н. H₂SO₄ (2 суток) в 4-метилцикло-гексан-диол-1,2, т. пл. 61—63°. Из фракций с т. кип. 48—80°/1 м.н (21,1 г), содержащих 39% гидроперекиси, 15 г прогидрировано над Pt (из PtO₂) в CH₃COOH до поглощения 4,3 л Н2. В продуктах восстановления обнаружены 1-метилциклогексан-он-3 (ДНФГ, т. пл. 160—161°; СК, т. пл. 185—186°). Спирты, оставшиеся после отделения СК, содержат по ИК-анализу 1-метилциклогексанол-3 (40—50%) и 1-метилциклогексанол-2 (~20%). 11620. Класси Б. Мерков 620. Классификация арил и алкилталогенидов. Берри (Classification of aryl and alkyl halides. Веггу Веtte), Proc. Louisiana Acad. Sci., 1956,

18, 92—94 (англ.)
Описано определение алкилбромидов и -йодидов действием спирт. AgNO₃, определение алкилбромидов, первичных и вторичных алкилхлоридов — лействием 15%-ного р-ра NaJ в ацетоне, арвлгалогенидов — действем 36%-ного НСНО и конц. H₂SO₄. Г. Крупина 11621. О галоидированных диметилсульфидах. Сообщение. U. Бромсодержащие диметилсульфиды. Боберг, Винтер, Шульце (Über halogenierte Dimethylsulfide. I. Mitteilung: Bromhaltige Dime-

ооцение. С. Бромсодержащие диметилсульфиды. Боберг, Винтер, Шульце (Über halogenierte Dimethylsulfide. I. Mitteilung: Bromhaltige Dimethylsulfide. Boberg Friedrich, Winter Gerhard, Schultze Georg Richard), Chem. Ber., 1956, 89, № 5, 1160—1169 (нем.)

Описаны синтезы бромзамещ. диметилсульфидов. При взаимодействии $(CH_3)_2S$ (1) и Br_2 образуется $[CH_3S(Br)-CH_3]^+Br^-$ (11), при разложении которого образуются $(H_3SCH_2Br)^+Br_1$, $(H_3F)^+Br_2$, $(H_3F)^+Br_3$, $(H_3F)^+Br_4$, $(H_3F)^+Br_4$, $(H_3F)^+Br_4$, $(H_3F)^+Br_4$, $(H_3F)^+Br_4$, $(H_3F)^+Br_4$, $(H_3F)^+Br_3$, $(H_3F)^+Br_4$,

ванием сульфониевых соединений. Из III и HCl можно ванием сульфониевых соединении. Из 111 и HCI можно получить IV, из XX и $Br_2 - XXI$. XII, XV, XVIII, XIX и XX более термически устойчивы (перегоняются в вакууме без разложения), нежели VIII и IX. Приведены ИК-спектры VII—X. IV, XI, XII, XIV, XV, XVII—XX и меют характерную полосу поглощения 1234 см⁻¹; II, XIII, XIII, XVI, XXI — при 1190 см⁻¹. K_{63} 2. L_{7} 250 из CUCl. пробессия L_{65} L_{7} 250 из L_{7} 265 L_{7} 270 из L_{7} 271 L_{7} 272 L_{7} 272 L_{7} 273 L_{7} 273 L_{7} 274 L_{7} 275 L_{7} 275 L_{7} 276 L_{7} 277 К 63 г I в 250 мл СНСІ₃ прибавляют 165 г Вг₂ (охлаждение льдом), выпадает II, полученную суспензию II нагревают 30 час. при 110°, отгоняют р-ритель, остаток череа ~ 12 час. фильтруют, фильтрат перегоняют, выделяют III, выход 16%. В 117 г IV пропускают 10 мин. HBr, перегоняют (колонна в 20 TT), выход III 94%, т. кип. $37^{\circ}/19$ мм, т. пл. $-62^{\circ}, n^{20}D$ 1,5504. d_4^{20} 1,6479. Аналогично из 137 г V получают VI, выход 91%, т. кип. 67°/10 мм, $n^{20}D$ 1,6079, d_{4}^{20} 2,1743, т. ил. — 18°. В 149 ε VII пропускают НВг (30 мнн.), перегоняют, выделяют VIII, выход 1%, т. кип. 58°/12 мм, n²0D 1,5685, IX, выход 1%, т. кип. 80°/12 мм, т. пл. 39°, и X, выход 85%, т. кин. 101°/12 мм, т. пл. 65, возврат VII 4 г. При пропускании НВг 15 мин. получают (выход от теоретич.) 22% VIII, 15% IX и 32% X, возврат VII 26%. 141 г XI насыщают НВг, пагревают при 80—90° и пропускают HBr ~3 час., перегоняют (колонна 10 TT), выделяют XII, выход 3% (повышается с уменьшением времени р-ции), т. кип. $32^{\circ}/0,3$ мм, $n^{20}D$ 1,5725, d_{\star}^{20} 1,7328, и XIII, выход 90%, т. кип. 48°/0,3 мм, 81°/10 мм, $n^{20}D$ 1,6191, d_4^{20} 2,2064. Аналогично, из 153 ε XIV получают (после перегонки) XV, выход 2%, т. кип. $56^{\circ}/0,5$ мм, $n^{20}D$ 1,6140, d_4^{20} 2,2384, и XVI, выход 95%, т. кип. 71°/0,5 мм, 117°/12 мм, n20D 1,6480, d20 2,5344. 163 г XVII насыщают НВг при ~ 20°, р-р нагревают, пропуская НВг, и в зависимости от условий р-ции по-лучают XVII—XXI (перечислены т-ра р-ции в °С, время р-ции в час., соединение, выход в %, константы про-дуктов р-ции): 65, 4, XVII, 15, XVIII, 48, т. кип. $40^{\circ}/0,1$ мм, $n^{20}D$ 1,5812, d_4^{20} 1,9286, XIX, 29, т. кии. $58^{\circ}/0,2$ мм, $n^{20}D$ 1,6178, a_4^{20} 2,2446; 70, 4, XVII, 5, XVIII, 70, XIX, 13, XX, 3. т. кип. $84^{\circ}/0,3$ мм, $n^{20}D$ 1,6540, d₄²⁰ 2,5521, т. пл. —9°; 80, 30, XIX, 22, XX, 66, XXI, 4, т. кип. $95^{\circ}/0,3$ мм, $n^{20}D$ 1,6839, d_4^{20} 2,8098, 120, 6, XIX, 6, XX, 70, XXI, 3; 150, 7, XX, 49, XXI, 7, 255 г XX и 40 мл Вг₂ нагревают 50 час. при 130°, фракционированной перегонкой выделяют XXI, выход 44%. Из смеси Cl₂CHSCHCl₂ и XVII при действии НВг при 80° образуется Вг₂CHSCHBг₂, т. кип. 90°/0,3 мм, n20D 1,6665, d20 2,7228. В 165 г III при 20° пропускают 72 час. HCl, перегонкой выделяют IV, выход 67%, E. Караулова

11622. Изомеризация третичных α-этиленовых спиртов в первичные α-этиленовые спирты. Дре (Isomérisation des alcools tertiaires α-éthylèniques en alcools primaires α-éthyléniques. Dreux Jacques), Bull. Soc. Chim. France, 1955, № 6, 886—888 (франц.)

С целью выяснить влияние метильной группы у С₂ на аллильную перегруппировку изучалось превращение 2,3-диметиллентен-1-ола-3 (I) и 2,3-диметиллентен-1-ола-3 (II) в соответствующие первичные α-этиленовые спирты. 2,3-диметиллентен-2-ол-1 (III), полученный при изомеризации I, и спирт (IV), полученный дегидратацией 2,3-диметиллентандиола-1,3 (V), не идентичны, однако гидрирование обоих приводит к 2,3-диметиллентанолу-1 (VI). Изомеризация I проводилась HCl (к-той), (СН₃СО)₂О, СН₃СООН + (СН₃СО)₂О, ССІ₃СООН и PBг₃; удовлетворитель-

ные результаты получены только с ${\rm CH_3COOH}+$ + $({\rm CH_3CO})_2{\rm O}$ и лучше с ${\rm PBr_3}.$ По-видимому, выход спиртов путем изомеризации α-этиленовых RR'COHC(CH3)=СН2 не превышает выходов, получающихся при изомеризации RR'COHCH=CH2. Кипятят 45 г I, 35 г СН3СООН и 60 г (СН3СО)2О 7 час., разбавляют водой (1 л), нейтрализуют р-ром Na₂CO₃, экстратируют эфиром; остаток после отгонки эфира кипятят 2 часа с р-ром 35 г КОН в 150 мл СН₃ОН; выход III 11%, т. кип. 79—81°/23 мм, 168°/750 мм, $n^{18}D$ 1,4593, d_A^{18} 0,877. К 25 г РВ r_3 в 100 мл петр. эфира прибавляют при 0° 25 г I и 5 г пиридина в 50 мл того же р-рителя (1,5 часа), оставляют на ночь, промывают 2 н. NаОН, 2н. HCl, насыщ. р-ром NаHCO₃; неочищ. бромид (39 г), 25 г безводн. СН₃СООК перемешивают 45 час. в 200 мл сухого ацетона; выход ацетата III 24 г. Ацетат кипятят 3 часа с 150 мл 10%-ного р-ра КОН в CH₈OH, добавляют насыщ. p-p NaCl, извлекают эфиром, выход III 33%; фенилуретан, т. пл. 54° (из водн. сп.). Гидрируют III над скелетным Ni, получают VI, т. кип. 162—164°/748 мм, n20D 1,4315, d20 0,840; фталат, т. пл. 45-46°(из петр. эф.). Из II и СН «СООН + + (СН 2СО)2О получают первичный спирт, выход 11%, т. кип. 110°/26 мм, для которого не удалось получить кристаллизующихся производных. Из 39 г 2-метилбутанол-1-она-3 и С2H 5Mg Вг получают V, выход 34%, т.кип. 125,5°/22 мм, $n^{23}D$ 1,452, d_2^{23} 0,957. Дегидратацией V йодом, получают IV, т. кип. 162-163°, n²²D. 1,452, d21 0,957; фенилуретан, т. кип. 172-174°/5 мм. О. Охлобыстин

11623. Каталитическое превращение этилового спирта под давлением. Болотов Б. А., Смирнова Л. К., Ж. общ. химии, 1955, 25, № 10, 1987—1992

Изучалось превращение этилового спирта (I) над Сикатализатором при 275—400° и от атмосферного давления до 156 ат в проточной системе. Состав конденсата, полученного при 275—300° и 10 ат, сходен с составом конденсата, полученного без давления. При 300° и давлении до 5 ат образуется конденсат, содержащий главлении образом кетоны: ацетона 18,0%, метилиропилкетона 27,1%, метилизобутилкетона 4,4% и дипропилкетона 7,0%. При повышении давления до 40—120 ат в конденсате появляются парафины (10—12%), а выход кетонов резко снижается. Конденсат, полученный при 350° и давл. 10 ат, состоит в основном из парафинов: и-пентана (II) 14,5%, гексанов 13,9%, и-гентана 24,2%, октанов 8,6% и и-понана 11,3%. При той же т-ре повышении давления до 156 ат возрастает образование II (73,2%) и падает выход высших парафинов. І подавали со скоростью 80—85 г/час в реактор, содержащий 120—130 мл катализатора. К. Пузицкий 11624. Изучение безазотистых снотворных. 1. Син-

тез и снотворное действие насыщенных спиртов. К итагава, Иваки, Сакураи, Ониси (塗業不含催眠性物質の研究.第 1報.不飽和カルビノール誘導 憶の合成及び催眠作用に就いて.北川臍維.岩城利一郎,櫻井圭介,大西岳雄),薬學雜誌, Якугаку дзаси, J. Pharmac. Soc. Japan, 1956, 76, № 2, 181—185 (япон.; рез. англ.)

По р-ции ацетиленового синтеза из соответствующих кетонов и СН \equiv СН в абс. эфире получены диалкилэтинилкарбинолы: RR'C (ОН)С \equiv СН (даны R, R', выход в $\frac{9}{6}$, т. кип. °C): СН₃; СН₃; —: СН₃; n-С₂H₂; 22; 137; СН₃, n-С₄H₉, 25,7; 175; СН₈, u-u-C₄H₉, 14,3; 148—149; С₂H₅, С₂H₅, 11,9; 135—137; С₂H₅, n-C₃H₇, 17,1; 174—176; n-С₃H₇; n-С₃H₇, 20,3; 69—72/2 мм; n-С₃H₇, n-С₄H₉, 13,4; 172. I (R = C₂H₅; R'= n-С₄H₉) получен из СН₃MgJ и этил-и-бутилкетона, выход 10,2%, т. кип. 160—165°; аналогично получен I (R = R'= n-С₄H₉), выход 11,9%, т. кип. 176—180°. Для I, 1,3-метилиенте

7 r.

+H

цохы ации

юлу-Ки-

CO₃,

фира

OH; ALM,

фира TOTO вают ', шир

вают III

p-pa

кают (из чают

,840;

H +

11%,

ЧИТЬ

лбу-

34%,

цией

 $n^{22}D$, MM.

стин

нрта

. K.,

д Cu-

авле-

сата, авом дав-

глав-

кето-

етона

конп ке-

при

инов:

,2%,

ре и вание

пода-

иншя

пкий

Син-

К п-

(等

誘導

,櫻井

пон.:

ощих

кил-R', C₃H₇:

14,3;

17,1; C₃H₇,

н из

кип. , вы-

енте-

нола-3 и 3-метилпентанола-3 определены миним. снотворная доза и летальная доза в мг/г на мышах. Все испытанные соединения обладают снотворным действием и не вызывают побочных явлений. Сильным снотворным действием обладает 1, где сумма С в R+R'=3-6 и слабым с R+R'=2.7 или 8; наиболее сильным действнем обладает I ($R = R' = C_2H_5$). Л. Яновская 11625. Сильноразветвленные молекулы. III. Получение три-трет-бутилкарбинола с помощью трет-бутиллития. Бартлетт, Леффертс (Highly bran-ched molecules. III. The preparation of tri-t-butylcar-

спец molecules. II. The preparation of tri-f-butyficar-binol by means of t-butyllithium. B a rtlett Paul D., Lefferts Edwin B.), J. Amer. Chem. Soc., 1955, 77, № 10, 2804—2805 (англ.) Реакцией трет-бутиллития (I) с гексаметилацето-ном (II) при т-ре от 60 до 70° получен три-трет-бу-тилкарбинол (III), а также его n-нитробензоат (IV). Показано, что сольволиз IV в води ацетоне или СН₃ОН является р-цией первого порядка; скорость увеличивается при добавлении к-т, но не катализируется основа-ниями. Расплавленный Li суспендируют в сухом минер. масле в присутствии нескольких капель олеиновой к-ты; mpem-C4H9Cl в эфире (1:1) добавляют при сильном перемешивании к промытому эфиром порошку Li при т-ре не выше — 30° (1 моль за 2—3 часа) в атмопри т-ре не выше — 30° (1 моль за 2—3 часа) в атмо-сфере N_2 ; выход I 75% (определяется титрованием). 80 ε II в эфире прибавляют за 2 часа к p-py I (из $11.7\ \varepsilon$ Li и $80\ \varepsilon$ mpem-C₄H₉Cl) при — $60\ u$ — 70° , перемешивают еще 1 час, выделяют III, выход 81%, т. пл. 117.5° . Криоскопич. конставта III — 74° . Li-соль III, получен-Криоскопич. конставта III — 74° . L1-соль III, полученную р-цвей I (из 0,15 моля Li) с II, добавляют к 0,2 моля n-NO₂C₆H₄COCl в эфире при 0°, упаривают в вакууме, остаток растворяют в ацетоне и осаждают IV водой, выход 50%, т. ил. 105—106° (из води. ацетона). Не удалось получить n-толуолсульфоват III; кетен и фенилизоцианат не реагируют с III. Проведено сравнение некаталитич. сольволиза IV. $n\text{-NO}_2C_6H_4\text{COOC}_2H_5$ (V) и $n\text{-NO}_2\text{C}_6\text{H}_4\text{COOC}(\text{CH}_8)_8$ (VI). В противоположность V и VI для IV вполне удается определить константу скорости: $K_{25^\circ}=4,8\cdot 10^{-5}~{\rm cek}^{-1}~{\rm b}~75\%$ -ном CH₃OH и $1,50\cdot 10^{-5}$ сек $^{-1}$ в 60%-ном ацетоне. V, VI и IV различаются также по их поведению при каталитич. гидролизе: в присутствии оснований константы скорости бимолекулярной р-ции гидролиза V, VI и IV в 60%-ном ацетоне составляют соответственно 260, 1,7 и 1,1 л/моль сек, а в 75%-ном ацетоне константа скорости гидролиза IV столь мала, что ее не удается надежно определить (для V и VI она составляет соответственно 30 и 0,9). Напротив, в присутствии к-ты скорость гидролиза IV в 75%-ном этаноле возрастает: $K = 4,9 \cdot 10^{-3}$ л/моль сек (в случае же V и VI она составляет лишь 2·10-6 и соответственно 10-7). Сообщение II см. РЖХим, 1957, А. Файнзильберг

11626. Получение пентазамещенных глицеринов. Анри-Баш, Фреон (Préparation des glycérols pentasubstitués. Henry-Basch Erica, m-me, Fréon Pierre), C. r. Acad. sci., 1956, 242, № 26, 3086—3087 (франц.)

Пентазамещенные глицерины (СН₃)₂C(ОН)CR(ОН)-С(ОН)(СН 3)2 (I) синтезированы нагреванием в течение 1 часа 1 моля (CH₃)₂C(OH)COC(OH)(CH₃)₂ с 4 молями RMgX в эфире. После гидролиза разб. СН «СООН I извлекают эфиром, тщательно сущат, вымораживают пявлекают эфиром, тщательно сущат, вымораживают при —50° и перекристаллизовывают из петр. эфира. Получены I (перечислены R, т. пл. °С, выход в %): СН₃, 116—117, 55; С₂Н₅, 79—80, 50; п-С₃Н₇, 61, 40; изо-С₃Н₇, 108, 30; С₄Н₉, 51, 40; изо-С₅Н₁₁, 49, 35; С₆Н₅, 95, 20; п-СН₃С₆Н₄, 70, 20. Е. Караулова 11627. Химия органических перекисей. У но (有機過 酸化物の化學、緒言), 化學と工業, Karaky ro korê, Chem. and. Chem. Ind., 1956, 9, № 7, 316—321 (япон.)

Обзор. Библ. 45 назв.

11628. Приготовление ацетиленовых кетонов с помощью растворимых ацетильновых кетонов с помо-щейбер (The preparation of acetylenic ketones using soluble silver acetylides. Davis R. B., Schei-ber D. H.), J. Amer. Chem. Soc., 1956, 78, № 8, 1675—1678 (англ.)

Бутилацетилид серебра (I) и гексилацетилид серебра (II) растворяются в CCl₄, CHCl₃ и C₆H₆. При р-ции I с CH₅COBr (III), C₂H₅COCl (IV), C₆H₅COCl (V), ClCH₂COCl с СН₅COBr (III), С₂Н₅СОСІ (IV), С₅П₅СОСІ (V), СіСП₂СОСІ (VI), BrCH₂СОВг (VIII) синтезированы соответственнос октин-3-он-2 (VIII), понин-4-он-3 (IX), фенил-1-гексинилкетон (X), 1-хлороктин-3-он-2 (XI). 1-бромоктин-3-он-2 (XII). При р-ции II с СН₃СОСІ (XIII) и VI получены децин-3-он-2 (XIV) и -хлордецин-3-он-2 (XV). В ИК-спектрах I и II (в ССІ₄) характерен пик концевой делекторах кетонов цики тройной связи при 4,9 µ, а в ИК-спектрах кетонов пики при 4,5 и 6.0 µ. К р-ру 1,06 моля AgNO₃ в 350 мл воды и 200 мл СН₃ОН прибавляют конц. NH₄OH до растворения осадка и добавляют (2 часа, 18°) гексин-1 или октин-1 (0,5 моля) в 50 мл СН₃ОН, I (или II) извлекают 200 мл ССІ₄, промывают 200 мл воды и сушат над СаСІ₂. Смесь 0,25 моля I и 0,28 моля II в 350 мл ССІ₄ перемешивают 45 мин. при 18°. После добавления 50 мл CCl₄ кипятят 15 мин., разлагают льдом, промывают HCl (к-той), поташом и водой и выделяют VIII, выход 60%, т. кип. 75-76°/16 мм, n20D 1,4462; 2,4-динитрофенилгидразон (ДНФ), т. пл. 88°; семикарбазон, т. пл. 109,5-110°. При кипячении 4,5 часа 0,21 моля I и 0,26 моля IV в 200 мл ССІ₄ получают ІХ, выход 53%, т. квп. 60°/2,75 мм, n²°D 1,4485; ДНФ, т. пл. 51—52°. Р-р 0,5 моля ІІ п 0,55 моля ХІІІ в 250 мл ССІ₄ кипятят 5 час., получают XIV, выход 61%, т. кип. $61-62^{\circ}/0,5$ мм, $n^{20.1}D$ 1,4507, d₄^{20,1} 0,8563; ДНФ, т. пл. 52—53°. Смесь 0,25 моля AlCl₃ и 0,26 моля V в 275 мл CCl₄, полученную при 45°, обрабатывают 245 мл р-ра I (0,24 моля) в CCl₄ при 0°. При перегонке выделяют X, выход 72,5%, т. кип. 110—114°/0,7 мм; ДНФ, т. пл. 156—156,5° (из смеси воды, сп. и этилацетата). При кипячении 2 часа р-ра 0,25 моля I и 0,3 моля VI в 250 мл ССІ₄ получают XI, выход 57%, т. квп. 50,5—52,0°/0,1 мм, n^{20,1}D 1,4765, d20.1 1,0360; ДНФ, т. пл. 68-69°. 0,19 моля II и 0,25 моля VI кипятят 5,5 часа в ССІ4, получают XV, выход 41%, т. кип. $67^{\circ}/0.06$ мм, $n^{20}D$ 1,4744, d_{4}^{20} 1,0059: ДНФ, т. пл. 54—55°. При кипичении 7 час. 0,22 моля I и 0,23 моля VII в ССІ₄ получают XII, выход 36%, т. кип. 48— $49^{\circ}/0.05$ мм, $n^{20}D$ 1,4973, d_4^{20} 1,2879; ДНФ, т. пл. 80— 82°. В ССІ₄ растворимы также Ад-производные следующих ацетиленов: октина-1, 2-этинил-2-метилциклогексанона, 4-этинил-4-метилоктанон-5; слабо растворимы пронова, 4-этипп-1-мегилоктанон-3, сласо растворима про-изводные пентина-1 и 3-метил-3-этилгексина-1-она-4. Нерастворимы производные ацетилена, пропина-1, фе-нилацетилена, 1-этинилциклогексена, 3,3-диметилпен-тин-1-она-4, 3-метилпентин-1-ола-3, 1-этинилциклогек-санола и 2,3-диэтинилбутандиола-2,3. А. Занина Получение безводного этиленимина. Исправление. У и страк, Шефер (Preparation of anhydrous ethylenimine: A correction. Wystrach V. P., Schaefer F. C.), J. Amer. Chem. Soc., 1956, 78, № 6, 1263 (англ.)

Исправлена опубликованная ранее (РЖХим, 1956, 64970) ошибочная методика приготовления безводи. этиленимина (I). 6 молей Cl(CH₂)₂NH₂·HCl в 1,4 л воды прибавляют при перемешивании к 15 молям NaOH в 900 мл воды при т-ре <50°; смесь нагревают 2 часа при 50°, отгоняют в вакууме, к дистиллату (680 мл) прибавляют 350 г NaOH, перегонкой на колонке, орошаемой 50%-ной NaOH (т-ра в кубе не >70°), выделяют I, выход 73%, т. кип. 56—57°. Б. Цветков 11630. Химия маленновой кислоты. Ямада, Мононобу (マレイン酸の牝學. 山田正庭、物廷

No

81

III

u

一男), 化學, Кагаку, Chemstry (Japan), 1956, 11, № 7, 20—27 (япон.) Обзор. Библ. 53. назв. Г. К.

11631. Определение линоленовой кислоты по гексабромидному числу. II атхак, Аггарвал (Determination of linolenic acid from hexabromide value. Pathak K. D. Aggarwal J. S.), J. Scient. and Industr. Res., 1956, (B—C)15, № 5,

В247-250 (англ.)

Содержание линоленовой кислоты (1) в льняном масле (II) и в его смесях с другими растительными маслами вычисляют по ф-ле % I = $(100 \cdot \Gamma 4)/69$, где $\Gamma 4$ — гексабромидное число пробы $(69 - \Gamma 4)$ концентрата I, приготовленного из жирных к-т II путем фракционного отделения комплекса с мочевиной (III) и рассчитанное на 100%-ную I). Параллельно содержание I определялось спектроскопич. методом. Оба метода давали совпадающие результаты. II омыляют 10%-ным набытком 0,5 н. КОН в спирте за 30 мин. в атмосфере N2. К 20 г полученных жирных к-т прибавляют 10 г насыщ, р-ра III в абс. СН 3ОН. Смесь кипятят 30 мин. в атмосфере N₂ и оставляют на 12 час. при 15°. Комплексные соединения III отфильтровывают, фильтрат, после удаления СН 3ОН в вакууме, аналогично обрабатывают три раза СН₃ОН, содержащим 10,9 и 5г III соответственно. Остаток обрабатывают 1%-ным HCl. Получен концентрат I, йодное число 246 и 255. 1,5 г жирных к-т II или 1 г концентрата I растворяют в 30 мл насыщ. р-ра гексабромида I в эфире (растворимость гексабромида при 0° 0,0284, при 26° 0,0398%) и охлаждают до 0-5°. Прибавляют по каплям Br2 до получения устойчивой красно-оранжевой окраски. После 4 час. стояния при 0—5° центрифугируют и оставляют стоять при 0—5° еще 3—5 мин., осадок бромида несколько раз промывают 30 мл насыщ. р-ра гексабромида I, центрифугируют и высушивают при 60°. Кол-во . гексабромида І не должно превышать 0,5-К. Пузицкий 11632. К получению адипиновой кислоты окислением

циклогексанола азотной кислотой. Зильберман Е. Н., Суворова С. Н., Смолян З. С., Ж. прикл. химии, 1956, 29, № 4, 621—627 Изучалось влиние на р-цию окисления действием Н NO₃ на циклогексанол (I) до адипиновой к-ты (II) катализаторов (КТ), продолжительности р-ции, конц-ии НNO₃ и присутствия в ней органич. к-т. Максим. выход II 81—83%; миним. выход побочных продуктов: глутаровой (III) (5,6%), янтарной (IV) (3,9%) и щавелевой (V) (4,2%) к-т получается при конц-ии HNO₃ 40—50%. С уменьшением конц-ии HNO₃ падает выход II и увеличивается выход III и IV; с 5-10%-ной II и увеличивается выход III и IV; с 5—10%-нои HNO3 III — основной продукт р-ции. В присутствия КТ (NH₄VO₃, CuCO₃, Bi(NO₃)₃·6H₂O и NH₄VO₃ + + CuCO₃ (1:3) повышается выход II и падает выход IV. NH₄VO₃ подавляет образование V. В присутствии CuCO₃ уменьшается образование III. В присутствии наиболее активного медно-ванадиевого КТ выходы II 85,7%, III 6,8% IV 2,4% и V 0,3%. Без КТ увеличением продолжительности окисления от 50-80 мин. до 300-600 мин., а также в случае присутствия в исходной Н NO $_2$ II, III, IV или V выход II понижается. В присутствии NH₄VO₃ продолжительность р-ции не влияет на выход II. К 390 г 62%-ной HNO₃ и 0,1—0,8 г КТ при 60-65° прибавлялили 92 г I. После окончания окисления смесь нагревали до 80° и продували струю воз-духа. В полученной смеси к-т II, III и IV определяли методом распределительной хроматографии, а V титрованием КМпО₄. Приведена кривая зависимости выхода II, III и IV от конц-ии HNO₈. К. Пузицкий Синтез разветвленных поликислот гидрогенолизом тиофеновых соединений. Бы у

Сыёнг (Sur la synthèse de polyacides ramifiés par

hydrogénolyse de composés thiophéniques. В и и-H о ї N. P., S у М і с h е l, X и о п д N. D.), Recueil trav. chim., 1956, 75, № 5, 463—466 (франц.) 5, 5, 10, 10-Тетраметил-и-тетрадекандикарбоновая-1,14 к-та (I) получена гидрогенолизом 2,5-бис-β-[β-(5'-карбокси-2'-тиенил)-пропил]-тиофена (II) в присутствии скелетного Nі. Этим же методом из 3,4-дифенилтиофендикарбоновой-2,5 к-ты (III) получена β,β-дифениладипиновая к-та (IV), а из тиофентетракарбоновой-2,3,4,5 к-ты (V) — β,β-дикарбокснадвинновая к-та (VI). 19,5 г ацетона прибавляют к 42 г тиофена и 63 г 72%-ной Н₂SO₄, нагревают 4 часа при 68—70°, выливают в ледя-

$$\mathsf{HOOC} - \left[- \left[- \left[\mathsf{CCH}_{\mathcal{Y}_2} - \left[- \mathsf{CCH}_{\mathcal{Y}_2} - \left[- \mathsf{CCH}_{\mathcal{Y}_2} - \mathsf{CCH}_{\mathcal{Y}_2} \right] - \mathsf{CCH}_{\mathcal{Y}_2} \right] \right] - \mathsf{CCH}_{\mathcal{Y}_2} \mathsf{COOH} \\ \rightarrow \mathsf{HOOC} - \left[- \mathsf{CCH}_{\mathcal{Y}_2} - \mathsf{CCH}_{\mathcal{Y}_2} - \left[- \mathsf{CCH}_{\mathcal{Y}_2} - \mathsf{CCH}_{\mathcal{Y}_2} \right] \right] - \mathsf{CCH}_{\mathcal{Y}_2} \mathsf{COOH} \\ \rightarrow \mathsf{HOOC} - \left[- \mathsf{CCH}_{\mathcal{Y}_2} - \mathsf{CCH}_{\mathcal{Y}_2} - \left[- \mathsf{CCH}_{\mathcal{Y}_2} - \mathsf{CCH}_{\mathcal{Y}_2} \right] \right] + \mathsf{CCH}_{\mathcal{Y}_2} \mathsf{COOH} \\ \rightarrow \mathsf{HOOC} - \left[- \mathsf{CCH}_{\mathcal{Y}_2} - \mathsf{CCH}_{\mathcal{Y}_2} - \mathsf{CCH}_{\mathcal{Y}_2} \right] + \mathsf{CCH}_{\mathcal{Y}_2} \mathsf{COOH} \right]$$

ную воду, экстрагируют хлороформом, перегонкой выделяют 2,2-ди-(2'-тиенил)-пропан, выход 45—50%, т. кип. 157—158°/17 мм. $n^{27}D$ 1,5812, п 2,5-бис-β-[-(2'-тиенил-пропил]-тиофен (VII), выход 15%, т. кип. 237—240°/17 мм $n^{27}D$ 1,6008. 32 г AlCl3 прибавляют при охлаждении ледяюй водой к 33 г VII и 18 г CH3COCl в 200 мл CS2, оставляют на 3 часа при обычной т-ре, обрабатывают холодной разб. HCl, выделяют перегонкой 2,5-бис-β-[β-С5' ацетил-2'-тиенил)-пропил]-тиофен (VIII), выход 61%, т. кип. 272—278°/0,8 мм; дисемикарбазон, т. пл. 228° (разл., вз CH3COOH). 20 г VIII в 10 мл диоксава перемешивают 3 часа (периодически охлаждая водой) с р-ром гипобромита Nа, полученным из 16 г Вг2 и 32 г соды в 200 мл воды, разбавляют водой для растворения образовавшейся Nа-соли II, обрабатывают хлороформом, из воды. слоя подкислением HCl-к-той выделяют II, выход 60%, т. пл. 275° (разл.; из воды. сп.). 11 г II в избытке воды. р-ра соды нагревают до 100°, прибавляют 4-кратное кол-во скелетного Ni, нагревают еще 4 часа, фильтрат подкисляют HCl-к-той, получают 7 г I, т. пл. 76° (из бан-петр. эф.). Аналогично проводят гидрогенолиз III, т. пл. 341° (разл.) (синтезирована конденсацией дибензовла с диэтиловым эфиром тиодигликолевой к-ты, т. кип. 164°/14 мм), получают мезо-IV, выход 78%, т. пл. 276° (из водн. сп.). V при гидрогенолизе дает VI, т. пл. 188—189°. А. Файнзильберг 11634. Синтез метилового эфира цис. октадиен-10,

1634. Синтез метилового эфира *цис, цис-*октадиен-10, 12-овой кислоты. Аллен (The synthesis of methyl cis-10, cis-12-octadecadienoate. Allen Robert R.), J. Organ. Chem. 1956, 21, № 1, 143 (англ.) Окислением гептина-1 и 10-ундециновой к-ты полу-

чена октадекадийн-10,12-овая к-та. т. пл. 43°, а из нее — метиловый эфир, т. пл. 14°, $n^{25}D$ 1,4827; этот эфир гидрируют до поглошения 2 молей H_2 в присутствин катализатора, приготовленного по методу опи-санному ранее (Lindlar H., Helv. chim. acta, 1952, 35, 446) в этилацетате, с добавлением хинолина. Продукт р-ции кристаллизуют из ацетона (20 мл/г); фракция, кристаллизующаяся между —35 и —50°, представляет собой метиловый эфир uu^c , uu^c -октадекадиен-10.12-овой к-ты (I), т. пл. 1°, $n^{25}D$ 1,4690. Строение I доказаво озонированием, а также изучением ИК- и УФ-спектра. При озонировании образуется 92% себациновой к-ты и двуосновные к-ты с 9,11 и 12 атомами С. В ИК-спектре имеется линия 1605 см-1, возникающая в результате взаимодействия двух олефиновых связей, и нет линий в области 900-1000 см-1, что указывает на отсутствие транс- группировки. I в p-реСS₂ в присутствии J₂ превращается в цис, транс-изомер (линии 982 и 948 см-1) и затем, частично, в *транс, транс, на* обести (сильная линия 988 см $^{-1}$). ВУФ-спектре I вмеется $\lambda_{\rm манс}$ 235 м μ , ϵ 24 100, что подтверждает цис, цис-структуру. Изомеризация I в присутствии J_2 приводит к сдвигу $\lambda_{\text{макс}}$ до 231,5 ми и увеличению є. А. Файнзильберг 7 r.

u u-

D.),

-1.14

ске-

ади-3,4,5

9,5 €

-ной тедя-

HOO

і вы-

KHU.

нил-

7 MA

ении О мл

баты-5-бис-

нохы

. пл.

ксана

одой)

и 32 г

воре-

ляют

11 2

при-

вают

учают гично гинтефиром учают V при

en-10, nethyl b e r t

полу-

а из этот рисуту опи-

52, **35**, одукт кция,

авляет 2-овой

казано

ектра.

к-т**ы и** пектре льтате

иний в

тствие J₂ пре-

CM-1) H

линия мµ, є комериманс до

льберг

MUX

11635. Об эфире метиленбисщавелевоуксусной кислоты. Го, Элкнк (Sur l'ester méthyléne-bisoxalacétique. Gault Henry, Elkik Elias), C. r. Acad. sci., 1956, 242, № 25, 2958—2961 (франц.) Исследованы взаимные превращения следующих в-В (R=C₂H₅COO): RC(OH)OC(R)(OH) CH(R)CH₂CHR

(I), т. пл. 116°; RC(OH)=C(R)CH₂HC(R) = C(OH)R (II), жидкость; RC(OH)OC(R) = C(R)C₂CHR (III), т. пл.

81—83°. І при нагревании до 100° дает II, а при дегидратации в вакууме при 98—100° в присутствии P_2O_5 —
III. ІІ и ІІІ при перекристаллизации из разб. СН «СООН превращаются в І. ІІ медленно на холоду превращается в ІІІ, а ІІІ при нагревании — в ІІ. Ранее (Blaise, Gault, C. r. Acad. sci., 1904, 139, 139) продукту дегидратации с т. пл. 81° приписывалось строение ІІ.

Е. Караулова

11636. Идентификация жирных кислот в виде я-(4-нитрофенилазо)-фенациловых эфиров и их хроматографическое разделение. Амин, Хеккер (Charakterisierung von Fettsäuren durch ihre p-(4-Nitro-phenyl-azo)-phenacylester und deren chromatographische Trennung. Amin El Sayed, Hecker Erich), Chem. Ber., 1956, 89, № 6, 1496—

1502 (нем.)

Предложено для идентификации жирных к-т преврапать их в n-(4-нитрофенилазо)-фенациловые эфиры (НФЭ), обладающие высокой т-рой плавления, хорошо кристаллизующиеся и интенсивно окрашенные (с характерной экстинкцией УФ-спектров). Для получения НФЭ на Na-соль к-ты в диоксане с тетрагидрофураном (I) или в спирте действуют n-(4-нитрофенилазо)-фенацилбромидом (II). Образующийся красный НФЭ перекристаллизовывают из C_0H_0 , спирта или ацетона. Смесь НФЭ различных карбоновых к-т. отличающихся на 2 или ацетофенона (111) или деиствием НВТ на 4°-нитро-4-диа-зоацетилазобензол (IV). Нагревали 3 часа (60°) 15,2 г 4-NO₂C₆H₄NO (РЖХим, 1956, 78070) и 13.5 г п-амино-ацетофенона с 10-кратным кол-вом СН₃СООН, выделен III, выход 89%, т. пл. 175° (из сп.). Действием 3,3 г Вг₂ (3 часа, 60°) на 5,6 г III в 4 л СН₃СООН после разбавленвя 10 л воды и очистки фильтрованием бенразовления 10 л воды и очистки фильтрованием оензольного p-ра через Al_2O_3 получен II, выход 90%, τ . пл. 182° (из сп.). К p-ру CH_2N_2 (из 7 г нитрозометилмочевины) в смеси 80 мл диклогексана и 30 мл CH_2Cl_2 при 0° добавляли 2 г хлорангидрида 4'-нитрозобензол-4-карбоновой к-ты (см. ссылку выше) в 50 мл азолензол-4-карооновой к-ты (см. ссылку выше) в 50 мл $\mathrm{CH_2Cl_2}$. Через 12 час. получали IV, выход 85-94%, т. ил. 184° (разл.; после очистки $\mathrm{C_6H_6}$ -р-ра $\mathrm{Al_2O_3}$ и кристаллизации из $\mathrm{CH_2Cl_2}$ с бзл.). К 60 мл 4 н. НВг добавляли 2 ε неочищ. IV в 84 мл I, нагревали до кинения на водяной бане и получали II, выход 81%, λ_{make} 332 м μ , ε 31 900. К 3 ммолям каприловой к-ты, манс об 2 мр., е от осо. И о масилы каприлосов к-ты, 5 мл двоксана и 5 мл I добавляют 2 мл 1 н. NаОН, затем 2 ммоля II и кипятят 2 часа (иначе, кипятят к-ту и II 3 часа в 300 мл 80% сп.). По охлаждении добавляют СНСІ₃, промывают р-ром NаНСО₃ и водой, р-р в С₆Н₆ фильтруют через АІ₂О₃ и получают НФЭ с выходом 82%. Гептеновая и сорбиновая к-ты дают низвыходы НФЭ. Константы полученных НФЭ Кис выходы п.Ф. Константы полученых п.Ф. (RCOOR') приведены ниже (последовательно даны R, т. ил. °С, ε в спирт. p-pe): СН₃, 182, 31 700; С₂Н₅, 158, 31 150; С₃H₇, 154, 32 200; изо-С₃H₇, 164—166, 33 200; С₄H₉, 158, 31 400; изо-С₄H₉, 158—160, 33 000; С₅H₁₁, 135, 33 000; С₆H₁₃, 134, 32 800; С₇H₁₅, 134, 32 400; С₈H₁₇, 134, 32 200; С₉H₁₉, 134, 32 600; С₁₁H₂₃, 133, 32 900; С₁₈H₂₇,

132, 30 900; $C_{15}H_{31}$, 132, 32 400; $C_{17}H_{35}$, 132, 31 200; $(CH_9)_2CHCH_2CH=CH$, 164, 31 600; $CH_9CH=CHCH=CH$, 220, —; α -метилизовалерил, 138, 30 600; α , α -диметилизобутирил, 140, 32 400.

изобутирия, 140, 32 400.

11637. Синтезы и очистка жирных кислот инролизом их эфиров. Бейли, Турек (Synthesis and purification of fatty acids by the pyrolysis of esters. В а i-ley William J., Turek William N.), J. Amer. Oil Chemists' Soc., 1956, 33, № 7, 317—319 (англ.)

При пиролизе сложных эфиров при 520—560° образуются с выходом 86—90% свободные к-ты и эта р-ции может заменять гидролиз при очистке и получении последних, особенно в случаях легко растворнмых в воде или пространственно затрудненных к-т. Этиловый эфир капроновой к-ты пропускают со скоростью 1 г/мин при 560°, в токе N₂, через трубку, наполненную стеклянными спиралями; приемник и ловушки охлаждают сухим льдом, выход к-ты на прореагировавший эфир 90%. Аналогично получена 2,4,6-триметилбензойная к-та (выход 88%) — на ее этилового эфира, синтезированного взаимодействием Мg-броммезитилена и этилхлорформиата (выход 50%). Получены также к-ты: каприловая, выход 89%; муравьнная, 87%; миристиновая, 86%; стеариновая, 86%; глутаровая, 94%, β-этоксипропионовая 62% (при 500°).

А. Курсанова

1638. Действие оксалилхлорида на алкил- и β-галондоэтилкарбаматы. Наже, Мабий (Action de chlorure d'oxalyle sur les carbamates d'alcoyle et β-halogénoéthyle. Najer Henry, Mabille Philippe), C. r. Acad. sci., 1956, 242, № 23, 2727—2729 (франц.)

При вазимодействии (COCl)₂ (I) с H₂NCOOR (II) (R = CH₃, C₂H₅, CH₂CH₂Cl и CH₂CH₂J) бензол (III) играет роль декарбонилирующего агента. В отсутствие III образуется только (СОNHCOOR)₂ (IV), в присутствии небольших кол-в III — смесь IV и CO(NHCOOR)₂ (V); при проведении р-ции в большом объеме III выделяют только V. Перечислены R, II (в молях), II (в молях), II (в молях), III (в молях (в

11639. Алкилирование альфа-хлорофиров этиленовыми углеводородами. И и и и а м а з а д е Б. Ф.,
Труды Ин-та химии (АН АзССР), 1954, 13, 49—90

(рез. азерб.)
Описан синтез ряда γ-хлорэфиров обшей ф-лы ROCH₂CH₂CHCIR′ путем алкилирования хлорметилалкиловых эфиров (ХЭ) этиленовыми углеводородами в присутствии безводи. ZnCl₂. Проводилось окисление непредельных эфиров, образующихся при отшеплении HCl от алкил-γ-хлорбутиловых эфиров, причем получалась смесь соответствующих алкоксиуксусных к-т и CH₃COOH. Показаво, что присоединение ХЭ к олефинам ядет по правилу Марковникова, в результате чего радикал ROCH₂ становится к наиболее гидрогенизированному C-атому. По реакционноспособности в р-ции с олефинами исследованные ХЭ располагаются в ряд: CH₃R > C₈H₁₇R > C₂H₃R>C₄H₉R > uso-C₅H₁₁R (где R—OCH₂Cl). Реакционноспособность этиленовых углеводородов находится в следующей последовательности: C₂H₄ < н-C₆H₁₆ < C₂H₈ < н-C₄H₉ < uso-C₄H₈ < н-C₅H₁₀ < uso-C₅H₁₀. В противоположность литературным указаняям.

присоединение ХЭ к олефинам происходит с большим

выделением тепла и сопровождается образованием по-

бочных продуктов и значительным осмолением. Наилучшие выходы достигаются при применении ZnCl₂ в кол-ве 3-5%. Причиной образования побочных продуктов при синтезе у-хлорэфиров является действие ZnCl₂ на исходные XЭ. Смесь C₂H₅OCH₂Cl (I) и ZnCl₂ нагревалась 36 час. при 54—80°, причем происходило сильное осмоление и интенсивное выделение газа неизвестного строения, который горел зеленым пламенем, растворялся в воде, не изменяясь, и обеспвечивал бромную воду; при этом получены две фракции с т. кип. $36-42^{\circ}$ (эф.) и с т. кип. $220-235^{\circ}$ ($n^{20}D$ 1,4607, d_{20}^{20} 1.20469), которые далее не изучались. Образование хлористых алкилов при синтезе у-хлорэфиров по мнению авторов, происходит вследствие разложения исходных XЭ ZnCl₂ с образованием HCl, который затем реагирует с продуктами присоединения ZnCl₂ к олефинам. Через смесь 30 г I хлорметилметилового эфира (II) (т. кип. 59—62°, d_{20}^{20} 1,0613) и 1 г ZnCl₂ за 18 час. пропускают 20 л С2Н4 и получают метил-ү-хлорпропиловый эфир (III), выход 11,13%, т. кип. 109—112°, n20D 1,4102, d20 1,0020. Получены ү-хлорэфиры (приведено исходное в-во, кол-во в г, кол-во ZnCl₂ в г, углеводород, кол-во в л, время пропускания в час., полученное в-во, выход в %, т. кип. в °C, $n^{20}D$, d_{20}^{20}): I (т. кип. 79—84°, d_{20}^{20} 8 %, 7. Кип. В С, $n \sim D$, a_{20} . 1 (1. Кип. 13 - 24, a_{20} 1,0197), 35, 1,5, C_2H_4 , 18, 20, $C_2H_5OCH_2CH_2CH_2CH_2CI$, 8,81, 129—132, 1,4123, 0,9627; II 85, 2,5, C_3H_6 , —, 20 при 20—25° (выдержка 24 часа), $CH_3OCH_2CH_2CHCICH_3$, 20—30, 124° и 33—34°/12 мм, 1,4156, 0,9572; I, 80, 3, C_3H_6 , —, 4 (выдержка 12 час.), $C_2H_5OCH_2CH_2CHCICH_3$, 25, 96, 144° и 43—44°/15 мм, 1,4162, 0,9357, и $C_3H_5O(CH_2)$, C_3H_6 , —, 4,40,80,90,96°45, и 4,4162, 0,9357, и $C_3H_5O(CH_2)$, C_3H_6 , —, 4,60,90,96°45, и 4,42°2, 0,9237, C_3CH_6 , C_3H_6 CHClC₂H₅, 4e, 89-94°/15 mm., 1,4282, 0.9227; ClCH₂OC₄H₉ (т. кип. 129—132°, d_{20}^{20} 0,9478), 75, 3,5, C_3H_6 , —, —, $C_4H_9OCH_2CH_2CHClCH_3$, 40, 71, 179—181° п 66—70°/15 мм, 1,4241, 0,9146; ClCH₂OC₅H₁₁ (т. кип. 146—150°, d₂₀ риджа, Кремса «Реакции хлорангидридов жирных кислот. I. Синтез ангидридов жирных кислот» (Erratum .--), J. Amer. Oil Chemists Soc., 1954, 31, № 10, 403 (англ) К РЖХим, 1956, 25577.

11641. Реакции акрилонитрила с алифатическими галоидопроизводными. Де-Мальде, Миниши, Паллини, Вольтерра, Куплико (Rea-

zioni tra nitrile acrilico e alogenoderivati alifatici. De Maldé M., Minisci F., Pallini U., Volterra E., Quilico A.), Chimica e industria, 1956, 38, № 5, 371—382 (πταπ.)

Исследована р-ция присоединения СНСІ3 (I) и ССІ4 (II) к акрилонитрилу (III). В случае I и III получен, помимо β-хлорпропионитрила (IV), образующегося в реаультате побочной р-ции присоединения HCl к III, α, γ, γ -трихлорбутиронитрил(V). Строение V подтверждено кислотным гидролизом до а,ү,ү-трихлормасляной к-ты (VI). Строение VI доказано каталитич. гидрогенолизом Va-солн VI (водн. р-р, скелетный Ni, давл. H₂ 100 ат, нагревание от 30° до 110° в течение 2 дней) с образованием *н*-масляной к-ты (VII), а также превращением VI в полуальдегид маленновой к-ты (VIII) кипячением с лед. СН₃СООН и СН₃СООНа в течение 5 час. VIII характеризован n-нитрофенилгидразоном, т. ил. 221° (из C₆H₅NO₂) и превращением в литарную к-ту обра-боткой КСN. VI не изменяется при нагревании с конц. H₂SO₄, что указывает на отсутствие группы -CCl₃. Из продуктов р-ции III с II выделены а,ү,ү,ү-тетрахлорбутиронитрил (IX) и два возможных рацемата динитрила 1,5,5,5-тетрахлорпентандикарбоновой-1,3 к-ты (Х, т. пл. 73°, и Ха, т. пл. 83°). Строение IX подтверждено: 1. омылением до α , γ , γ , γ -теграхлормасляной к-ты (XI). Строение XI доказано гидрогенолизом Nа-соли XI (водн. р-р, скелетный Ni, давл. H₂ 100 am, 30°, 12 час., 100°, 20 час.) до VII. 2. Расшенлением IX конц. H₂SO₄ (нагревание 3—4 часа) до фумаровой к-ты. Строение Х и Ха подтверждено кислотным омылением с образованием стереоизомерных лактонов 5,5,5-трихлор-1-оксипентандикарбоновой-1,3 к-ты (XII, т. пл. 158° (вз воды), и XIII, т. пл. гидрата 70°). Строение XII и XIII доказано рядом превращений; 1. Щел. расщепление XII и XIII дало изомерные 5,5,5-грихлор-1-оксипентанды-карбоновые-1,3 к-ты (XIV, т. пл.66°, и XV, т. пл.122°). 2. Восстановление XII и XIII (НЈ и красный Р) привело к одной и той же 5.5,5-трихлорпентандикарбоновой к-те (XVI). 3. Гидрогенолиз Na-соли XVI (водн. р-р, скелетный Ni, давл. H₂ 100 am, нагревание до 70° 2 дня, нагревание до 100° 1 день) дало «-этилглутаровую к-ту (XVII), т. пл. 64° (пз бзл.-лигр.), S-бензилтиурониевая соль. т. пл. 64° (из бэл.-лигр.), S-бенвилтиурониеван соль, т. пл. 132° . 4. Расщепление XVI конп. $H_2\mathrm{SO}_4$ (100° , 3 часа) привело к бутантрикарбоновой к-те (XVIII), 3 часа) привело к сутантрикарооновой к-те (XVIII), т. пл. 123° (из этилацетата): S-бензилтиурониевая соль, т. пл. 161°. 5. Гидрогенолиз XII (Nа-соль, водн. р-р, скелетный Ni, давл. H_2 110 am, нагревание до 80° 2 дня, до 100° —1 день) дал лактон 1-оксинентандикарбоновой-1,3 к-ты (XIX), т. пл. 115° (из бзл.), восстановление XIX (HJ+P) дало XVII. 6. Гидрогенолиз XIII с последующим восстановлением полученного продукта НЈ и красным Р дал так же XVII. 7. Омыление XII конц. H₂SO₄ привело к лактону 1-оксибутантри-карбоновой к-ты (XX): восстановление XX (ИЈ. Р) дало XVIII. 8. Окисление XIV щел. КМпО₄ привело к 1-кето-5,5,5-трихлорпентандикарбоновой-1,3 к-те (XXI), дальнейшее окисление которой посредством Н2О2 дало 4,4,4-трихлорбутандикарбоновую-1,2 к-ту (XXII). Гидрогенолиз XXII (Nа-соль, водн. p-p, скелетный Ni, давл. H_2 100 am, 12 час. $60-70^\circ+100^\circ$, 18 час.) привел к этилянтарной к-те. Для p-цин I и II с III предложен свободно-радикальный механизм с участием радикалов ·CCl₃ и ·CHCl₂, образующихся при термич. распаде II и I. Эти р-ции по механизму аналогичны р-циям теломеризации олефинов с галоидопроизводными в присутствии перекисей. Возможно каталитич. влияние хлоридов железа, так как р-ции проводились в стальном автоклаве. Смесь 1400 г I и 140 г III и небольшого кол-ва гидрохинона нагревали до 190° 3 часа и эту т-ру поддерживали еще 6 час. Отделили полимеры фильтрова-нием и избыток I отогнали разгонкой, на колонке получено 72 г IV, 27 г V (т. кип. 90,5°/20 мм, n²⁹D 7 r.

atici.

indul₄ (II)

н, по-

в ре-III, кдено к-ты

пизом 0 ат,

разоением

ением

VIII

221°

обраконц. l₃. Из хлор-

дини-

ы (X, ржде-

к-ты а-соли 30°,

м IX к-ты.

ением

хлор-

XIII

e XII

-илна

2°). 2.

вело к к-те

етный вание

кVII),

(100°, VIII),

соль.

. p-p,

ганди-

BOC-

нолиз проление

нтри-

дало

-кето-

даль-

дало идро-

давл. вел к

южен

калов аде II

тело-

оисут-

лори-

льном сол-ва

под-

грова-

лонке

 $n^{20}D$

 $1.4850, d_{20}^{20}$ 1,3602) и \sim 1 г хлорироизводного с т. кип. 480°/15 мм. 10 г V кипятили 2 часа с 30 мл смеси ковц. HCl с лед. CH₃COOH (1:1), получили VI, т. пл. 26°, т. кип. 103°/3 мм, NH₄-соль, т. пл. 131°; S-бензилтиут. кип. 103 / 3 мм, ми₄-соль, т. пл. 131; S-оензилтну-ронневая соль, т. пл. 134°. Из 10 г V (насыщение р-ра в 40 см СН₃ОН НСІ-газом) получено 9,2 г метилового эфпра, т. кип. 98°/17 мм, из него, действием NH₄ОН получен амид V, т. пл. 78° (из воды), амид V получен также действием NH₃ на хлорангидрид V. Смесь 1500 г памие син и $0.5 \ \epsilon$ гидрохинона нагревали при $158-160^\circ$. Получено 4 ϵ IV; $105 \ \epsilon$ IX (т. кнп. $94^\circ/15$ мм, $n^{20}D$ $1,4954,\ d_{20}^{20}$ 1,499) и 34 г смеси X и Xa. Для разделения 25 г смеси растворили при нагревании в 30 мл спирта, обесцветили р-р углем и после охлаждения отделили обеспветили р-р углем и после охлаждения отделили 8 г Ха, из маточного р-ра выделили 1 г Х. Кипичением (2 часа) 20 г IX с 60 мл смеси СН₂СООН с конц. НСІ (1:1) получена XI, т. кип. 146°/15 мм, n²0D 1,4945; NH₄-соль, т. пл. 150°; S-бензилтиурониевая соль, т. пл. 167° (из сп.), метиловый эфир (XI метанол, НСІ (газ), пл. 160°) (пр. 15 г. 5 час., 30°), выход 4,8 г из 5 г IX, т. кип. 102°/17 мм; амид XI, т. пл. 118° (получен насыщением p-pa 5 г IX в 20 мл лед. СН₃СООН с 2 мл воды HCl-газом при охлаждении, с последующим разбавлением водой). Нагреванием 5 г Ха со смесью 6 г лед. СНаСООН и 10 мл HCl (~2 час.) получен гидрат XIII, высушиванием его над Р₂О₅ получен безводн. XIII, т. пл. 131° (из бзл.). Аналогично XIII омылением 3 г X получено 2,5 г XII. Аналогично Атт Сама СН $_3$ ОН и 1,2 мл конц. $\rm H_2SO_4$, 6 час. получают 2,5 г метилового эфира X, т. пл. 115° (из СН_зОЙ). Аналогично из Xa получен метиловый (пз спзоп). Авалитино по на получен в плания дан.). Нагреванием 2,6 г XII с 0,8 г NaOH в 10 мл воды получено 2,5 г XIV; аналогично из XIII получен XV. Кипячением 10 г гидрата XIII в 140 мл С $\rm H_2COOH$ с 3 мл воды со смесью 3 г $\rm J_2$ и 8,3 г красного $\rm P$ (5 час.) получена смесью 3 г J₂ и 8,3 г красного Р (5 час.) получена XVI, т. пл. 418° (из воды). Окислением 5 г XII в 50 мл NVI, т. пл. 118 (из воды). Окислением 3 г XII в 30 мл. воды + 2 г КОН и 3 г Nа₂CO₃ при 10—15° посредством 2 г КМпО₄ в 60 мл. воды получено 1,8 г XXI, моногидрат, т. пл. 85° (из бзл.), *п*-нитрофенилгидразон, т. пл. 207°. XXI получена также при окислении XV т. пл. 207 . Ахт получена также при окноления χ или гидрата XIII посредством КМпО₄. К p-py 2 г XXI в 15 мл воды добавили 1,2 г 36% χ H₂O₂, нагрели несколько минут, получили XXII, выход 1,8 г т. пл. 162° (из воды). (из воды). 11642. Разложение солей карбоновых кислот дейст-

11642. Разложение солей карбоновых кислот действием галоженов. Джонсон, Ингем (The degradation of carboxylic acid salts by means of halogen. The Hunsdiecker reaction. Johnson Robert G., Ingham Robert K.), Chem. Revs, 1956, 56, № 2, 219—269 (англ.)

Обзор. Библ. 202 назв.

11643. Промежуточные продукты для синтеза оптически активных метилзамещенных кислот с длинными ценями. Часть І. Бретл, Полгар (Intermediates for the synthesis of optically active methyl-substituted long-chain acids. Part I. Brettle R., Polgar N.), J. Chem. Soc., 1956, June, 1620—1622 (англ.)

В качестве возможных промежуточных продуктов для синтеза миколипеновой и микоцерановой к-т получены D(+)-6-метокси-3-метилгексановая (I) и (+)-у-метокси-с-метилмасляная (II) к-ты. Анодная конденсация L-(+)-монометилового эфира β-метилглутаровой к-ты (III) с β-метоксипропионовой к-той (IV) (из СН₃ОН и акрилонитурила (V)) дает метиловый эфир I (VI), гидролизующийся в I. Однако ввиду сложности получения III и низких выходов этот метод не является достаточно перспективным. DL-II, полученная малоновым синтезом из 2-метоксиэтилбромида и этилового эфира метилмалоновой к-ты, расщепляется на антиподы с помощью оксиметилата цинхонидина (VII). Не удается расщепить

DL-α-метил-ү-феноксимасляную к-ту (VII) через соли обращином, стрихнином или цинхонидином и кислый фталат (IX) 2-метил-4-феноксибутанола-1 (X) (из VIII) через соль с бруцином. 22,2 г этилового эфира VIII (из VIII) (Вепцеу и др., J. Chem. Soc., 1896, 69, 171) и тирг. Н₂SO₄) восстанавливают 12 г Na н 200 мл С₄H₂OH, получают X, выход 9,7 г, т. кип. 160°/18 мм; α-нафтилуретан, т. пл. 81° (из петр. эф.); IX, т. пл. 55—57°. Встряхивают V и CH₃OH (по 1 молю) с 2%-ным NaOH 20 мин., получают нитрил IV, выход 60%, т. кип. 164°, кипячением которого с конц. HCl получают IV, т. кип. 113-114°/17 мм. 8 г III (Linstead, Lunt, Weedon, J. Chem. Soc., 1950, 3333) и 10,4 г IV добавляют к p-py 0,5 г Na в 250 мл СН₃ОН и полученную смесь электро-лизуют (катод 2 Рt-пластины 2×3 см на расстоянии 1 см между ними, Pt — анод; 2,3 г) при 0° до щел. р-ции (4,5 часа), нейтрализуют лед. СН₃СООН и упаривают. К остатку добавляют 50 мм 5%-ного Na₂CO₃ и извле-кают эфиром VI, выход 16%, т. кип. 99—101°/14 мм. Кипятят 7,2 г VI с р-ром 4 г КОН в 20 мм воды и 20 мл спирта 3 часа, упаривают, промывают эфиром, тодкисляют и извлекают эфиром I, т. кип. 149—151°/12 мм, n¹8D 1,4382, [а]¹8D +6,14° (с 5,1; эф.); S-бензилтиурониевая соль, т. пл. 136,5° (нз сп.). 23,6 г СН₉J, 49 г цинхонидина п 50 мл С₂Н₅ОН оставляют на 12 час.; полученный йодметилат перекрист. из воды 12 час.; полученный йодметилат перекрист. из воды $(55,8\ \varepsilon)$ встряхивают с Ag_2O (из $70\ \varepsilon$ $AgNO_3$) в $150\ мл$ воды $15\ мин$. при 0° и 3 часа при $\sim 20^\circ$; фильтруют и центрифугируют, получают p-p VII. P-p VII получают также другим путем: $30\ \varepsilon$ йодметилата встряхивают 2 часа с AgCl (из $10\ \varepsilon$ $AgNO_3$) и $175\ мл$ воды, нагревают и фильтруют, высаливают (NaCl) хлорметилат цинхонидина, который переосаждают из спирта водой. нандонидива, которым переосаждают из спирта водом, а затем встряхивают с Ag_2O (из 12 г $AgNO_3$). 6,45 г D_L -II (Prelog, Zalan, Helv. Chim. Acta, 1944, 27, 531) добавляют к 153 мл 0,32 н. p-ра VII, фильтруют и упаривают, соль сущат в вакууме (P_2O_3) и кристаллизуют из диоксана, выход 3,5 ϵ , [α] $^{16.5}D-100^{\circ}$ (ϵ 3,06; сп.). Обрабатывают соль 2 н. HCl и извлекают эфиром (+)-II, выход 0,8 ε , [α]^{16.5}D + 12,2 $^{\circ}$ (ε 15,28; аф.). (—)-II (разлагают соль из маточного p-pa), выход 0,9 ε $[\alpha]^{16.5}D = 6.9^{\circ}$ (с 17.3; эф.). DL-II частично расщепляется на антиподы в виде соли с хинином или с оксиметил-О. Охлобыстин атом хинина.

11644. Некоторые производные 4-кетопимелиновой кислоты и их противотуберкулезная активность. Камерино, Пателли (Alcuni derivati dell'acido 4-cheto pimelico e loro attivita antitubercolare. Camerino B., Pattelli B.), Farmaco. Ed. scient., 1956, 11, № 5, 446—450 (итал.; рез. англ.)

Обычными способами получены (приведены в-во и т. пл. в °С): семикарбазон 4-кетопимелиновой к-ты, 199—200 (разл., из сп.); тносемикарбазон 4-кетопимелиновой к-ты, 180—181 (из воды); 4-бензовлгидразоно-пимелиновой к-ты, 180—181 (из воды); 4-бензовлгидразоно-пимелиновая к-та (1,27 г 4-кетопимелиновой к-ты (I), 1 г бензгидразида, 10 мл сп., квиячение 1 час, выход 1,7 г), 179—180 (из сп.); 4-(п-аминосалицилгидразоно)-пимелиновая к-та, 85—86 (из сп.), 2 г I в 10 мл спирта кипятят 1 час с 0,58 мл 98%-ного NH₂NH₂·H₂O, получают 1,7 г (3-пиридазинон-6)-3-пропионовой к-ты (II), т. пл. 188—189°, этиловый эфир II (III) (получен авалогично II из диэтиловый эфир II (III) (получен авалогично II из диэтиловый эфир II), т. пл. 48—50° (из эф.), амид II (IV) из III и конц. NH₄OH, ~20°, 16 час., т. пл. 192—193° (из воды); гидразид II (V) (III, спирт, NH₂NH₂·H₂O, кипячение 2 часа), т. пл. 117—119° (из сп.). 1 г V кипятят 15 мин. с ацетоном, получают 1-изопропилиден-2-(3-пиридазинон-6-пропионил)-гидразин (VI), т. пл. 155—156°. Все полученые соединения испытаны ва противотуберкулезиую активность; семикарбазид, тносемикарбазид и гидразоны

I подавляют рост бацилл туберкулеза in vitro; II—VI неактивны.

Л. Яновская

11645. Новый метод синтеза алифатических нитросоединений. Корнблум, Ларсон, Блэквуд, Муберри, Оливето, Грехэм (A new method for the synthesis of aliphatic nitro compounds. Kornblum Nathan, Larson Harold O., Blackwood Robert K., Mooberry David D., Oliveto Eugene P., Graham Galen E.), J. Amer. Chem. Soc., 1956, 78, № 7, 1497—1501 (англ.)

В растворе НСОN (СН₃)₂ (I) первичные алкилбромиды (II) и йодиды (III) реагируют с NaNO2, образуя первичные нитропарафины в качестве главного и алкилнитриты в качестве побочного продукта. В присутствии мочевины (IV), увеличивающей растворимость NaNO2, так же реагируют вторичные бромиды и йодиды. Время р-ции для 11—6, а для 111—2,5 часа, т-ра 20°. 0,3 моля 1-бромоктана, 600 мл I и 0,52 моля NaNO₂ 0,3 моли 1-оромоктана, осо мя 1 и 0,32 моли какое перемешивают 6 час., выливают в 1,5 л воды (0°) и извлекают петр. эфиром 1-октилнитрит, выход 29%, т. кип. $37^\circ/2$ мм, $n^{20}D$ 1,4127 и 1-витрооктан (V), выход 60%, т. кип. $60^\circ/1$ мм, $n^{20}D$ 1,4324. Также полуход 60%, т. кип. 60 /1 мм, к р. 1,4324. Также полу-чены нитросоединения (даны выход в %, т. кип. ⁹С/мм, к р. 2D, выход нитрита): 1-нитрогентан, 61, 68/2, 1,4284, 31%, 1-нитродекан, 57, 107/2, 1,4391, 25%, 1-нитро-3-фенилиропан (исходный 1-йод-3-фенилиропан синтези-3-фенилиропан (исходный 1-иод-3-фенилиропан синтезирован с выходом 73%, т. кип. 98°/3 мм, $n^{20}D$ 1,5850), 58, 123/4, 1,5222, 26% и фенилиитрометан (600 мл I, 40 г, IV, 0,3 моли $C_eH_5CH_2Br$ и 0,52 моля NaNO₂, —20°, 5 час.), 55%, 76/2, 1,5316, бензилиитрит, выход 33%, т. кип. $44^\circ/5$ мм, $n^{20}D$ 1,5010—1,5024. В случае вторичных бромидов и циклич. йодидов к реакционной смеси для связывания алкилнитритов добавляют фло-роглюции (VI). Так же, как V (добавлено 40 г IV), пороглюции (VI). Так же, как V (добавлено 40 г IV), получают 4-нитрогентан, из 4-йодгентана (VII), выход 60%, т. кип. $59^\circ/8$ мм, $n^{20}D$ 1,4219, побочно получается 4-гентилнитрит, выход 25%, т. кип. $44^\circ/18$ мм, $n^{20}D$ 1,4032. При перемешивании (45 час., 20°), 0,3 моля 2-бромоктана, 0,52 моля NaNO₂, 0,3 моля VI и 40 г IV получают 2-нитрооктан, выход 56%, т. кип. $67^\circ/3$ мм, $n^{20}D$ 1,4280, и октанол-2, выход 38%, т. кип. $45^\circ/1$ мм, $n^{20}D$ 1,4262, полуфталат, т. пл. 55° . Так же из бромциклопентана и бромциклогептана (42 и 54 часа) получены нитроциклопентан и нитроциклогептан, соответственно выход 57 и 55%, т. кип. 58°/10 мм и 70°/1,5 мм, $n^{20}D$ 1,4540 и 1,4723. n—Децилинтрит, т. кип. 95°/4 мм, $n^{20}D$ 1,4247; γ -фенил-и-процилнитрит, т. кип. 56°/1 мм, $n^{20}D$ 1,4979. Вместо II можно использоват эфиры n-толуолсульфокислоты или метансульфокислоты. При взаимо-действии йодциклогексана, как в случае VII, с NaNO₂ получается циклогенсен, так же реагирует бромциклогенсан. Из $mpem\text{-}C_4H_9\mathrm{Br}$ и $C_4H_9\mathrm{Cl}$ получется изобутилен. И. Котляревский

11646. Новая реакция α -нитроэфиров. К о р и б л у м, ∂ й к е р (A new reaction of α -nitroesters. K o r n b l u m N a t h a n, E i c h e r J o h n H.), J. Amer. Chem. Soc., 1956, 78, № 7, 1494—1497 (англ.) ∂ фиры α -нитрокарбоновых к-т реагируют с р-ром NaNO₂, давая с выходом 70-78% α -оксиминоэфиры. Предлагаемый механизм р-ции подтвержден с помощью изотопного метода: RCH (NO₂) COOC₂H₅ + NO $_2$ \Rightarrow RC (NO₂) COOC₂H₅(A) + HNO₂; 2HNO₂ \Rightarrow N₂O₃ + H₂O; A+ N₂O₃ \Rightarrow RC (NO₂) (NO) COOC₂H₅ (B)+ NO $_2$; B+ основание \Rightarrow [RC (NO) COOC₂H₅ \Rightarrow RC (NO) COOC₂H₅ + NO₂ \Rightarrow основание. В р-цию вступают только нитроэфиры, имеющие в положении α атом H; этиловый эфир α -нитропимелиновой (I) к-т не реагируют с NaNO₂. При р-ции

NO2CH2COOC2H5 (II) с NaNO2 образуются только CO2, N₂O и N₂. При синтезе II по Родионову (см. Ж. общ. химии, 1948, 18, 917) применен 100%-ный избыток. химии, 1940, 16, 917) применен 10070-ини изомток Na₂Cr₂O₇; II промыт р-ром мочевины (III), выход 53%, т. кип. 64—66°/3 мм, n²0D 1,4244—1,4252. 186,8 мл HNO₃ (d 1.5) прибавляют за 2 часа к 174 г СН₃СН-(COOC₂H₅)₂ и 1,4 г 97%-ного NaNO₂, перемешнавот 2 часа, выливают на 300 г льда, извлекают эфиром, дата, выливают на зоо в льда, извлекают эфиром, промывают 10%-ным р-ром III и декарбоксилируют (Ulpiani C., Cazz. Chim. ital., 1905, 35, I, 273). Этиловый эфир а-нитропропионовой к-ты (IV) извлекают 10%-ным р-ром Na₂CO₃, выход 15—22%, т. кин. 72—73°/6 мм, n²0 1,4205—1,4210. Аналогично из C₂H₅CH-(COOC₂H₅)₂ получен этиловый эфир α-нитромасляной к-ты (V), выход 18%, т. квп. $60^{\circ}/0.08$ мм (т-ра бани), $n^{20}D$ 1,4238. Диэтиловый эфир α -нитроглутаровой к-ты $n^{-0}D$ 1,4206. Дизтиловын эфир a-ингроглугаровов k-ты (VI) получен при р-ции 0,1 моля II с 0,1 моля этилакрилата (VII) и 0,5 мл 40%-ной $C_6H_5CH_2N$ (CH_9) 0H (VIII), выход 66%, т. кип. $70^\circ/0,01$ мл (т-ра бани), $n^{20}D$ 1,4417—1,4420. I получен при р-ции 0,1 моля II и 0,2 моля VII в присутствии 3 мл 40%-ного р-ра VIII, и 0,2 моля VII в присутствии 3 мл 40%-ного выход 89%, т. кип. 120°/0,08 мм (т-ра бани), n²°D-1,4530—1,4535. Смесь р-ров 0,05 моля IV в 25,9 г абс, спирта и 0,125 моля NaNO₂ в 25,9 г Н₂О оставляют на 2 дня, разбавляют водой и эфиром извлекают этиловый эфир а-оксиминопропионовой к-ты, выход 78%. т. пл. 95° (на петр. эф.). Так же за 10 дней получен этиловый эфир с-оксиминомасляной к-ты, выход 70%: т. пл. 59—60°. Р-р 0,03 моля VI в 32 г абс. спирта обработан р-ром 0,075 моля NaNO₂ в 16 г воды; через 10 дней при 18° получен диэтиловый эфир а-оксиминоглутаровой к-ты, выход 75%, т. пл. 60-61° (из пентана-бэл.). 0,4 моля этилового эфира гликолевой к-ты обработаны 0.6 моля NOC1 в присутствии 0,85 моля безводн. N (СН₃)₈ в эфире при 0°, смесь перемешивалась 1 час, получен этиловый эфир интритоуксусной к-ты (IX), выход 39%, т. кип 32—33°/7 мм, 118°/760 мм, $n^{20}D$ 1,4050, d_A^{20} 1,1148, d_A^{30} 1,0947. IX легко гидролизуется при ~ 20°. Т. Ермолова

11647. Получение l- и d-3-аминобутина-1. Марми ак-Флёри (Sur l'obtention des l et d amino-3 butyne-1. Маг s z a k- F l e u r y A n d r é e), C. r. Acad. sci., 1956, 242, № 8, 1046—1047 (франц.) 3-аминобутин-1 (I), полученный аминолизом n-толуолсульфоната бутин-1-ола-3 по методу, описанному равее (см. пат. США 2340701), т. кип. 82°, $n^{20}D$ 1,4355; d^{20}_{20} 0,822, расщеплен на оптич. изомеры с помощью водн. р-ра бромкамфорсульфонислоты; l-HCl, т. пл. 177; бензоильное производное l, т. пл. 122°. Исчерпывающим восстановлением l над скелетным Ni получен 2-аминобутан. Водн. 5—10%-ный р-р l, $[\alpha]^{20}D$ —22 до—25°, беаводн. l, $[\alpha]D$ —52,2°.

11648. N-формилирование аминов фтористым формилом. Ола, Кун (Notiz über die N-Formylierung von Aminen mit Formylfluorid. Оláh Georg, Kuhn Stefan), Chem. Ber., 1956, 89, № 9, 2211—2212 (нем.)

Первичные и вторичные амины формилируются FCHO по схеме: $2RR'NH+FCHO \rightarrow RR'NCHO$ (I) +RR'NH+HF. К эфир. р-ру 0,2 моля амина прибавляют 0,12 моля FCHO при τ -ре $<0^{\circ}$; фильтруют при 20° , из р-ра эфиром извлекают I. Приведены I (RR'N, выход в %, т. кип. °C): C_2H_5NH , 89, 196—198; $(C_2H_5)_2N$, 84, 176—178; C_6H_5NH , 81, т. ил. $46-47^{\circ}$; $C_6H_5NC_2H_5$ 92 120/10 мм; $(C_6H_5)_2N$, 94, т. пл. 71—72°; $C_5H_{10}N$, 90, 220—222.

Г. Крупина 11649. Синтез 1,4-днаминобутанона-2. Коробицына И. К., Юрьев Ю. К., Шведова С. Н., Ж. общ. химин, 1956, 26, № 6, 1660—1662 51 г 1,4-дихлорбутина-2 перемешивают 8 час. с 2 л 57 r.

CO2,

общ.

53%, ,8 ма Н₃СН-

иром, пруют тилоекают 72— Н₅СН-

ляной бани), к-ты

этил-3)₃ ОН бани),

оля II VIII, n²⁰D

г абс. вляют т эти-78%, олучен 70%: спирта через

мино-

пента-

й к-ты моля шивасусной 60 мм,

изует-

м а р mino-3 , С. г. ранц.) олуолранее 1,4355;

мощью

л. 177;

тываю-

олучен

о—25°, зилова

форми-

lierung

eorg, № 9,

FCHO

VH · HF. 2 моля

ра эфи-

1 в %, 6—178; 10 мм;

рупина роби-С. Н.,

. c 2 A

2.

конц. NH₄OH, подкисляют конц. HCl, упаривают, 70 час. извлекают эфиром; выход 1,4-диаминобутина-2 (I) 37%, т. кип. 82—84°/6 мм, т. ил. 41—43°. 5,4 г I в 360 мм 10%-ного р-ра КОН встряхиванием в течение 3 час. с 18,4 г С₆Н₅СОСІ превращают в N,N'-днбензоил-1,4-днаминобутин-2 (II), выход 90,3%, т. пл. 210° из сп.); 15 г II, 900 мм 90%-ной СН₅СООН и 6 г НgSO₄ оставляют на 12 час., нагревают 20 час. при 70—80°, фильтруют, отгоняют р-ритель, добавляют 300 мм воды; выход N, N'-дибензоил-1,4-диаминобутанона-2 (III) 72%; 3 г III квиятят 30 час. с 75 мм 98%-ной СН₅СООН + 75 мм конц. HCl (4 раза добавляют по 10 мм HCl). Р-р обесцвечивают углем, упаривают в вакуме фильтрат и экстрагируют эфиром. К почти сухому остатку добавляют 35 мм спирта; при 0° выпадает дихлоргидрат 1,4-диаминобутанона-2, выход 65%, т. пл. 215—216° (разл.).

1650. Новый метод получения вторичных аминов. Сообщение II. Синтезы алифатических N-моноалкил-

Goodhehue II. Синтезы алифатических N-моноалкиламинокислот. Абэ, Цукамото, Исимура. Сообщение III. Синтезы алкилбензиламинов и алкилфенетиламинов. Абэ, Ямамото (Preparation of secondary amines. II. Synthesis of aliphatic N-monoalkylamino acids. Аbе Куи ji, Tsukamoto Yoshiji, Ishimura Akira. III. Synthesis of alkylbenzylamines and alkylphenethylamines. Abe Kyuiji, Yamamoto Seiichiro, Abe Kyuiji, Yamamoto Seiichiro, Abe Kyuiji, Yamamoto Seiichiro, Aba Kyuiji, Yamamoto Seiichiro, Aba Kyuiji, Yamamoto Seiichiro, Aba Kellylamines and alkylphenethylamines. Aba Kyuiji, Yamamoto Seiichiro, Aba Kellylamines and alkylphenethylamines.

1933, 73, 1319—1322, 1322—1325 (япон.)
Сообщение II. Смесь 18,3 е сахарина, 8,3 е К₂СО₃ и 18,4 е СІСН₂СООС₂Н₅ нагревают 5,5 часа при 130—140°, охлаждают, выливают в воду, обрабатывают спирт. СН₃СОООNа, фильтруют, получают 1,84 е N-(карботоксиметил)-сахарина (I), т. пл. 104—105° (из СН₃ОН). 22,1 е I в 65 е 10%-ного NаОН нагревают 1 час при 100°, охлаждают, выливают в р-р HCl при 0°, получают 18,4 е о-НООСс6Н₄SO₂NHCH₂COOH(II), т. пл. 159—660° 4 е II и 1 е NаНСО₃ в 25 е 10%-ного NаОН встряживают 30 мин. с 12,9 е (СН₃)₂SO₄, нагревают 30 мин. при 70—80°, продукт извлекают эфиром, экстракт промывают 10%-ной NаОН и водой, получают о-ROOCC₆H₄SO₂NRCH₂COOR (III) (R = СН₃, IV). IV в 4 е воды, 1,9 е КОН и 13 е спирта нагревают 1 час при 100°, спирт упаривают, остаток выливают в р-р HCl при 0°, получают 3,2 е о-НООСС₆H₄SO₂NRCH₂COOH(V)(R = CH₃, VI). 1,6 е VI в 10 мл 20%-ной HCl нагревают 3 часа при 100°, нагревают 1 час с 10 мл спирта, насыщают Сl₂, спирт удаляют, остаток обрабатывают небольшим кол-вом воды и К₂СО₃, продукт извлекают эфиром, через экстракт пропускают сухой HCl (газ), получают 0,8 е, СН₃NHCH₂COOH +HCl (VII), т. пл. 167—168°. 2,4 е VI в 15 мл 20%-ной HCl нагревают 3 часа при 130—140°, фяльтруют с углем, фильтрат упаривают, остаток обрабатывают 10 мл абс. спирт удаляют, статок обрабатывают 10 мл абс. спирт удаляют, к остатку прибавляют небольшое кол-во воды и К₂СО₃, извлекают эфиром, через экстракт пропускают сухой HCl (газ), получают 0,8 е СН₃NHCH₂COOC₂H₅. HCl, т. пл. 123—124°; пикрат, т. пл. 146—147°. 18,5 е К-соли II, 34 е n-CH₃C₆H₄SO₃C₂H₅ и 100 мл ксилола килятт 7 час. при 160—170°, охлаждают, добавляют в HCl при 0°, смесь экстрагируют эфиром, получено 6,4 е (V, R = C₂H₅, VIII), 7,5 е VIII в 25 мл конц. HCl книятят 3 часа при 130—140°, обрабатывают аналогично СН₃NHCH₂COOC₂H₅. HC

0,8 г N₇(карбоксиметил)-сахарина, т. пл. 211—212°, из маточного р-ра получено 0,7 г глиции-HCl, т. пл. 173—175°, С₂H₅ООССН₂NH₂·HCl, т. пл. 142—144°; инкрат, т. пл. 153—155°. 22,6 г Nа-соли сахарина и 22,1 г Вг(СН₂)₂СООС₂Н₅ нагревают 5 час. при 170—180°, обрабатывают аналогично I, получают 25,5 г N-(2-карбэтоксиэтил)-сахарина (X), т. пл. 96—97° (из СН₂ОН), 3,5 г сахарина возвращено. 24,3 г X В 120 г 10%-ного NаОН нагревают 30 мин. при 100°, выливают в HCl при 0°, получают 21,2 г о-HООСС₆Н₄-SO₂NHCH₂CH₂COOH (XI), т. пл. 170—171°.10 г XI и 3 г NаHCO₃ в 44 г 10%-ного NаОН обрабатывают 24 г (СН₃)₂SO₄, аналогично III, получают о-ROOCC₆H₄SO₂NRCH₂CH₂COOR (XII) (R = CH₃, XIII), масло. XIII кипятят с 5,4 г NаОН, 17 г воды и 34 г о-HООСС₆H₄SO₂NCH₃CH₂CH₂COOH (XIV); масло. 4,9 г XIV в 30 мл 20%-ной HCl нагревают 3 часа при 130—134°, получают 4,5 г о-HООСС₆H₄SO₃H·CH₃NHCH₂-СH₂COOH (XIV); масло. 4,9 г XIV в 30 мл 20%-ной HCl нагревают 3 часа при 130—134°, получают 4,5 г о-HООСС₆H₄SO₃H·CH₃NHCH₂-СH₂COOH (XIV); масло. 4,9 г XIV в 30 мл 20%-ной HCl нагревают 3 часа при 130—134°, получают 4,5 г о-HООСС₆H₄SO₃H·CH₃NHCH₂-СH₂COOH (XIV); масло. 4,9 г XIV в 30 мл 20%-ной HCl нагревают 3 часа при 130—134°, получают 4,5 г о-HООСС₆H₄SO₃H·CH₃NHCH₂-СH₂COOH (XIV); масло. 4,9 г XIV в 30 мл 20%-ной HCl нагревают 3 часа при 130—134°, получают 4,5 г о-HООСС₆H₄SO₃H·CH₃NHCH₂-СH₂COOH (XIV); масло. 4,9 г XIV в 30 мл 20% ной HCl нагревают 3 часа при 130—134°, получают 4,5 г о-HООСС₆H₄SO₃H·CH₃NHCH₂-СH₂COOH (XIV); масло. 4,9 г XIV в 30 мл 20% ной HCl нагревают 3 часа при 130—134°, получают 4,5 г о-HООСС₆H₄SO₃H·CH₃NHCH₂-СH₄COOH (XIV); масло.

о-нООСС6H4SO2NCH3CH2CH2COOH (AIV); масло. 4,9 г лу в 30 мл 20%-ной HCl нагревают 3 часа при 130—134°, получают 4,5 г о-нООСС6H4SO3H·CH3NHCH2-СH2COOH, т. пл. 172—174° (из сп.). Сообщение III. Смесь 1 моля N-бензилсахарина и 2 молей КОН упаривают, получена ди-К-соль о-нООСС6H4SO2NHCH2C6H5, которую нагревают 7 час. при 150—160° с ксилольным р-ром л-СH3C6H4SO2NGCH2C6H5)R (XV). 1 г XV и 30 мл конц. HCl нагревают 2—5 час. при 130—140°, получают в-нООСС6H4SO2NGCH2C6H5)R (XV). 1 г XV и 30 мл конц. HCl нагревают 2—5 час. при 130—140°, получают RNHCH2C6H5·HCl (XVI). Приведены (R, выход в %, т. пл. в °C): С2H5, 75,—; С4H5, 74,—; изо-С4H6, 19,2, 175—176; С2H5, 75,—; 15, 177—180. Смесь 18,3 г сахарина, 7,6 г К2CO2 и 22 г С6H5CH2CH2Br нагревают 7 час. при 220°, продукт промывают разб. Nа2CO3, выделяют 23,5 г N-фенетилсахарина (XVII), т. пл. 134—135° (из СН2OH). 8,6 г XVII в 26,4 г 10%-ного NаOH нагревают 10 мин. при 100°, охлаждают, выливают в HCl при 0°, получают 8,7 г о-нООСС6H4SO2NHCH2CH2CH2CH5 (XVIII), т. пл. 110° (из эф.-петр. эф.), 5,7 г XVIII в 17,6 г 10%-ного NаOH нагревают с 6 г (СН3)2SO4 10 мин. при 30—40°, 3 часа при 50—70°, обрабатывают спирт. КОН, спирт удаляют, остаток нагревают 2 часа при 130—140° с 50 мл 20%-ной HCl, получают СН3NHCH2CH2Ch4F, HCl, т. пл. 161° (из сп.). Аналогично получен С2H5NHCH2CH2CH3CH5·HCl, т. пл. 161° (из сп.). Аналогично получен С2H5NHCH2CH2CH3CH5·HCl, т. пл. 161° (из сп.). Аналогично получен С2H5NHCH2CH3CH5·HCl, т. пл. 161° (из ст.). Аналогично получен С2H5NHCH2CH3CH5·HCl, т. пл. 161° (из сп.). Аналогично получен С2H5NHCH2CH3CH5·HCl, т. пл. 161° (из ст.). Аналогично получен С2H5NHCH2CH3CH5·HCl, т. пл. 161° (из ст.). Аналогично получен С2H5NHCH2CH3CH5·HCl, т. пл. 161° (из ст.). Ан

Chem. Abstrs, 1955, 49, № 1, 177.

K. Kitsuta 11651. Новый метод получения вторичных аминов. IV. Синтез этилендиамина, этаноламина, триметилендиамина и производных пропаноламина. V. Синтез алифатических вторичных аминов. VI. Синтез алифатических вторичных аминов. VI. Синтез в-метиламино-α-фенилиропана и у-метиламино-α-фенилбутана. VII. Механизм сахаринового метода. А б э (第 2級 アミンの新合成法.第 4 報.エチレンジアミンシュメノールーアミン、トリメチレンジアミン及びプロパノールアミン誘導體の合成.第5 報.脂肪族第 2 級アミンの合成.第 6 報.в-メチルアミノ-α-フェニルプロパン及び ソーメナルアミノ-α-フェニルプロパン及び ソーメナルアミノ-α-フェニルプロパン及び ソーメナルアミノ-α-フェニルプロパン及び ソーメナルアミノ-α-フェニルプロパン及び ソーメナルアミノ-α-フェニルプロパン及び ソーメール 7.59: 159—164: 164—167; 168—171 (япон.; рез. англ.) Сообщение IV. 33 г К-соли сахарина (I — основание, Ia — соль) и 56 г ВгСН₂СН₂Вг (II) нагревают 12 час. при 220—230°, непрореагировавший II отгоняют, остаток выливают в воду, извлекают горячим спиртом 22 г N-(3-бромэтил)-сахарина (III), т. пл. 95—96° (из сп.), в остатке 14,5 г а,β-дисахариноэтана (IV), т. пл. 246—247° (из СН-3СООН). Аналогично 11 г Ia, 19 г II и 40 мл. НСОN (СН-3)2 нагревают 1 час на водяной бане и 1 час при 130—140°, выход III 13 г. 22 г Ia, 4,7 г II и 60 мл. НСОN (СН-3)2 дают 7,3 г IV. 14,5 г III, 7,4 г о-Се,44 (СО)2 NН и 3,5 г К-2СО3 нагревают 1,5 часа при 150—160°, выливают в воду, выход α-сахарино-β-фтал-

нмидоэтана 13 г. т. пл. 185—186° (из разб. СН₃СООН). 29 г III, 18 г СН₃СООК и 25 г лед. СН₃СООН на-гревают 7 час. при 180—190°, отгоняют половину гревают 7 час. при 100—190 , отгоняют половину СН₃СООН, остаток нагревают 4 часа, охлаждают и после добавления воды получают 22,6 г N-(3-ацетоксиэтил)сахарина (V), т. пл. 85—86° (из СН₃ОН). 11 г Ia и 12 г СІСН₂СН₂ОН нагревают 5 час. при 160—170°, продукт обрабатывают как указано выше, получают N-(β-оксиэтил)-сахарина (VI), т. пл. 104—105° (из СН₃ОН). 2,7 г V и 20 мл 10%-ной НС1 нагревают 1 час при 100°, выход VI ~ 100%. 11 г Ia, 14 г n-CHaCaHa-SO₃CH₂CH₂Cl и 8 г ксилола нагревают 3 часа при 150-160°, р-ритель удаляют, остаток нагревают 3 часа, добавляют воду, экстрагируют CHCl₃, перегонкой вытяжки получают 9 г N-(β-хлорэтил)-сахарина, т. кип. 180—185°/3 мм, т. пл. 80—81° (из CH₃OH). 12,1 г Ia и 10 г BrCH₂CH₂OC₆H₅ нагревают 1 час при 230—240°. н 10 г БгСп₂Сп₂ОС₆п₅ нагревают 1 час при 230—240°. выход N-(β-феноксиэтил)-сахарина 12,5 г, т. пл. 81—82° нз сп.). 2 г IV, обработанные по ранее описанному способу (Sugasawa, Abe, J. Pharmac. Soc. Јарап, 1952, 72, 270), дают 0,55 г (СП₂NHCH₃)₂·2HCl, т. пл. 235—237°. 7,8 г IV обрабатывают по методике, описанной ранее для получения С₂Н₅NHCH₂Cl₂C₆H₅ (см. пред. реф.), получают 1,9 г (СП₂NHC₂H₅)₂·2HCl, т. пл. 255—259°. получают 1,9 г (сН₂NHC₂H₃)₂·2HCl, т. пл. 255—259°. Авалогично получены следующие соединения: CH₂NH; CH₂CH₂NH₂·2HCl, т. пл. 130—131°; C₂H₅NHCH₂CH₂NH₂·2HCl, т. пл. 165—167°; CH₃NHCH₂CH₂OH, масло, пикрат, т. пл. 147—149°; C₂H₅NHCH₂CH₂OH, масло, пикрат, т. пл. 125—126°; CH₃NHCH₂CH₂OC₆H₅·HCl, т. пл. 174—175°; C₂H₅NHCH₂CH₂OC₆H₅·HCl, т. пл. 174—172°. 13 г CH₃NHCH₂CH₂Cl·HCl, 20 мл воды и 25%-ный воды. p-р амина HNR'R" нагревают в бомбе 10 час. при 100°, охлаждают, подщелачивают твердым NaOH, верхний слой амина и эфирную вытяжку нижнего слоя соелиняют, после перегонки получают CH₃NHCH₂CH₂NR'R" приведены R', R", выкод в %, т. кип. в °С, т. пл. в °С солей): Н, С₂Н₅, 68,6, 130—133, дипикрат · H₂O, 175—177; СН₈, СН₃, 53, 135—140, дипикрат, 206—207; С₂H₅, С₂H₅, 40, 150—155; дипикрат · H₂O, 145—147; Н, 50, 133—110; 2HCl-соль, 235—237; Н, Н, 50, 105—110; 2HCl-соль, 130—131. 12 г СН₂ = CHCH₂Br, 26, г Ia и 100 мл HCON (СН₉)₂ нагревают 2 часа на подняют бане подпукт обрабовленот тех объявательного подпукт обрабовленого подпукт водяной бане, продукт обрабатывают как обычно, поводиней смене, продукт обрасатывают как обычно, по-лучают 19,6 г 2-аллялсакарина (VII), т. пл. 88—89° (из сп.). 7,5 г VII дают 2,1 г СН₃NHCH₂CH = СН₂, т. кип. 61—66°; пикролонат, т. пл. 227—230° (разл.; из воды), 27,5 г Іа, 10 г Вг (СН₂)₃ Вг и 80 мл НСОN(СН₃)₂, обработанные как в случае IV, дают 16,4 г случаска-ринопропана, т. пл. 197° (из СН₃СООН). Из 22 г Іа, 50,5 г Вг(СН₂)₃Вг и 80 мл НСОN (СН₃)₂ синтевируют 25,5 г 2-(у-броми водина Сумания (VIII) 25,5 г 2-(ү-бромпропил)-сахарина (VIII), масло. 30,4 г VIII обрабатывают как в случае V, выход 2-(ү-ацетоксипропил)-сахарина (IX) 25,5 г, т. пл. 128—129° (из проинл)-сахарина (1A) 25,5 г, т. нл. 120—125 (но CH₃OH). 14 г IX и 30 мл 10%-ной HCl при нагревании (1 час., 100°) дают 11,4 г 2-(у-оксипропил)-сахарина, масло. Взаимодействием 16,6 г Ia, 13,4 г о-С₆H₄ (СО)₂-N(CH₂)₂Br и 60 мл HCON (CH₃)₂ при нагревании $(4 \text{ часа, } 100^\circ \text{ и } 1 \text{ час, } 130-140^\circ) \text{ получают } 15 \text{ в } \alpha\text{-сахари-}$ но $(4 \text{ часа, } 100^\circ \text{ и } 1 \text{ час, } 130-140^\circ) \text{ получают } 15 \text{ в } \alpha\text{-сахари-}$ но $(4 \text{ часа, } 100^\circ \text{ и } 1 \text{ сас.} 100^\circ \text{ н } 1 \text{ сас.} 100^\circ \text{ cac.} 100^\circ \text{ cac$ HCON (CH₃)₂ синтезируют 2-(γ-феноксипропил)-сахарин, выход 80%, т. пл. 87—88° (из CH₃OH).

Сообщение V. 0,03 моля Ia, 0,02 моля RX и 30 мл

Сообщение V. 0,03 моля Ia, 0,02 моля RX и 30 мл HCON (CH₃)₂ нагревают 3—4 часа при 100°, выливают в разб. Na₂CO₃, экстрагируют CHCl₃, после удаления р-рителя получают 2-алкилсахарин (XI). XI обрабатывают обычным способом, получают вторичный амин (XII) (приведены RX, выход XI в %, т. пл. XI и XII в °C, выход XII в %, т. пл. XI и XII в 29—130, (CH₃)₂NH, 78,8, 169—170; C₂H₅J, 95, 93—94, C₂H₅NHCH₉, 72, 126—128; C₃H₇Br, 90, 66—68, C₃H₇NHCH₃,

R=uso- C_3H_7 , т, пл. 138° (из CH_9OH). Аналогично получены легко растворимый N-(emop-6утил)-сахарин (XV), т. пл. 80—83° (из CH_9OH), и труднорастворимый XIV (R=emop-6утил) (XVI), т. пл. 62—64° (из CH_3OH) (25,8 и 31,9% соответственно). XIII дает 65% CH_8 NHCH- $(CH_8)_2$. пикрат, т. пл. 133—135° (из воды). Из XV получено 75% CH_3NHCH (CH_9) C_2H_5 . P-дией Ia, uso- C_4H_9 Br и HCON(CH_9)2 синтезировано 84,9% 2-изобутил-сахарина (XVII) (масло), который дает 69% CH_8NHCH_2 - $CH(CH_9)_2$ (HCl-cons, т. пл. 178—179° (из сп.). Привесдены ИК-спектры поглощения XIII — XVII.

Сообщение VI. К 16,3 г С₆H₅CH₂CH (CH₃) OH (XVIII) прибавляют по каплям (0°) в течение 1,5 часа 13,5 г РВг₃, смесь оставляют стоять ~ 12 час. при ~ 20°, выпивают в ледяную воду, промывают 5%-ным NаОН и водой, встряхивают с 1 мл конп. H₂SO₄ и переговяют, получают 12,6 г С₆H₅CH₂CH (CH₃) Вг (XIX), т квп. 88—89°/4 мм. К 13,6 г XVIII в 60 мл С₅H₅N прибавляют при < 10° 23,7 г л-CH₃C₆H₄SO₂CI, перемешивают 5 час. при 10—15°, выливают в ледяную воду, полученное в-во промывают бензином, получают 27,5 г С₆H₅CH₂CH (CH₃) ОSO₂C₆H₄CH₃-n, т. пл. 91—93°. 10 г XIX, 13,2 г Iа и 50 мл НСОN (CH₃)₂ нагревают 5 час. при 100° и 2 часа при 130—140°, НСОN (CH₃)₂ удаляют в вакууме, из осадка извлекают эфиром 10,7 г нейтр. масла (A), состоящего из смеси N-(3-фенливопропил)-сахарина и XIV (R = C₆H₅CH₂CHCH₃), масло. 6 г А нагревают 2 часа при 100° с 2 г NаОН, 2 мл воды и 20 мл СН₃ОН, избыток СН₃ОН удаляют в вакууме, остаток выливают при 0° в НСI, получают 5,3 г быстро отделяющегося о-НООСС₆H₄SO₂NHCH(CH₃)CH₂C₆H₅(XX), масло, и 0,4 г медленно кристаллизующегося о-НООСС₆H₄SO₂NH₂, т. пл. 154—156° (из СН₃ОН). К 5,3 г XX в 20 мл 10%-ного NаОН добавляют 1 г NаНСО₃ и 6 г (СН₃)₂ SO₄, выдерживают 30 мин. при 0°, 1 час при 50—60° и 30 мин. при 70—80°, выделившееся в-во промывают разб. NаОН, кипятят 2 часа с 1,6 г NаОН, 2 мл воды и 10 мл спирта, р-р подкисляют HCl, спиртудаляют в вакууме, остаток (4 г) кипятят 10 час. при 130—140° со 100 мл конц. HCl, подщелачивают и продукт перегоняют с паром в разб. HCl, получают 1,2 г (30% считая на XIX) СН₃NHCH (СH₃) СН₂С₆H₅. HCl, т. пл. 131—133° (из сп. + эф.); пикрат, т. пл. 122° (из СН₃ОН). Аналогично С₆H₅CH₂CH₂CH₂CH₂CH₃ CH₃ DR двет 28.5% СН₃NHCH (СH₃) СН₂СН₂СН₅СН₅ СНС, т. пл. 97—98° (из сп. + эф.); пикролонат, т. пл. 164—166°.

Сообщение VII. Характерной особенностью сахаринового метода является исключительная легкость кислого гидролнза на последней стадии. Присутствие НООС группы в орто-положении чрезвычайно облегчает этот процесс по сравнению с гидролизом арилсульфовамидов. Причина, по-видимому, заключается в том, что электронная плотность атома S понижена благодаря действию + Е-эффекта и орто-эффекта положительной НООС-группы, что облегчает атаку атома S молекулой воды. Кроме того, растворимость в-ва в воде повышова за счет присутствия НО-группы.

Chem. Abstrs, 1956, 50, № 3, 1778. K. Kitsuta

57 г.

, 170-

)—181;)—180;

-180;

-176

-178.

после 1 20,2 € ревра-

(XIII),

также

(XIV),

но по-

H (XV),

CH₂OH)

NHCH-Na XV бутил-NHCH2-

Приве-

XVIII) 13,5 € 20°, вы-

NaOH TOIRHO'

г кип.

трибав-

пивают

полу-27,5 2

10 2

5 час.

даляют

нейтр.

ропил)-

6 & A

волы и

кууме,

быстро

Is (XX), -HOOC-

3 e XX 3 и 6 г

ас при

во про-NаОН,

ас. при

и про-H5 · HCl,

122° (из от 28,5%

ахариноноос-

ает этот фонами-OTP , MO

пагодаря

тельної

лекулой овышена

. Kitsuta

98°

11652. О взаимодействии окиси дивинила с аминами. Петров А. А., Альбицкая В. М., Ж. общ. химин, 1956, 26, № 7, 1907—1909

Реакция окиси дивинила с первичными и вторичными аминами проходит по правилу Марковникова с обра-зованием алкиламинобутенолов СН2=СНСНОНСН2-30ванием алкиламиносутенслов Сп2—СпОтготта NRR¹(I). Присоединению способствует щелочность среды. К набытку води. 35—40%-ного р-ра амина добавляют по каплим при размешивании окись дивинила. Через 8—10 час. обрабатывают К₂СО₃ в выделяют I перегонкой. Получены I (приведены R, пвыделяют I перегонкой. Получены I (приведены R, R', выход в %, т. кип. в °C/20 м.м, $n^{20}D$, d_4^{20} , т. пл. пнеролоната в °C): Н, СН $_3$, 65, 80,5—81, 1,4608, 0,9282, 192—193; Н, С $_2$ Н $_5$, 72, 86—87, 1,4570, 0,9114, 211—212 (разл.); Н, С $_3$ Н $_7$, 83, 95—96, 1,4580, 0,8991, 179—180; Н, С $_3$ Н $_7$ - u_{20} , 80, 89—94/21 м.м, 1,4508 (25°),—,—; Н, С $_4$ Н $_9$, 82, 108—109, 1,4588, 0,8906, 181—182. Получены I (R = R¹): СН $_3$, 78, 57,5—58,5, 1,4508, 0,8939, 95—96; С $_2$ Н $_5$, 84, 76,5 и 71—72°/19 м.м, 1,4470, 0,8705, 109; С $_3$ Н $_7$, 66, 101, 1,4480, 0,8598, 81—82; С $_4$ Н $_9$, 86, 127, 1,4508, 0,8560, 98—99. Г. Крупина 11653. N-винимпроизводные. I. Синтез винили изопропенилизоцианатов. Харт (Dérivés N-vinyliques. I. Synthèse des isocyanates de vinyle et d'isopropényle. Н а r t R.), Bull. Soc. chim. belges, 1956, 65, № 3-4, 291—296 (франц.; рез. англ.) Взаямодействием СН $_2$ =С(R)СОСІ (I) (здесь и далее R = H (Ia) и R = СН $_3$ (Iб) с NaN $_3$ получены соответ

R=H (Ia) и $R=CH_3$ (I6) с NaN $_3$ получены соответственно $CH_2=C(R)NCO$ (IIa, 6) с почти колич. выходами. Промежуточно образовавшиеся СH2=C(R)CON3 (Ша, б), разлагают в присутствии ингибитора полимеризации. Гидролиз На, 6 (к-той или щелочью) дает с колвач. выходом соответствующий $CH_3C(R)O(IVa,6)$ через стадии $II \to CH_2=C(R)NH_2 \to CH_3C(R)=NH \to IV$. К 1,4 моля NaN₃ в 250 мл воды постепенно добавляют (0-10°) 1,2 моля Іа в 300 мл толуола; толуольный слой промывают 10%-ным №2СО3, водой и сущат~2 часа (~10°). В 20 мл полученного p-ра IIIa добавляют 6,5 г динитробензола (ингибитор) и нагревают до динитробензола (ингибитор) 80—85°; после окончания выделения N₂ добавляют по 50—55; после окончания выделения N₂ дочавляют по каплям остальное кол-во p-ра IIIa (80—90°) и кипятят 1 час; получают 78—86% IIa, т. кип. 38—39°/760 мм, n²5D 1,4162. Аналогично из I6 и NaN₃ получают II6, выход 79—84%, т. кип. 62—63°/760 мм, n²5D 1,4170. К 10 мл 12 и. HCl и 50 мл ацетона (V) постепенно при охлаждении добавляют p-p 7,5 г Па (или соответственно Пб) в 50 мл V, выделяют IVa (или IVб) и NH₄Cl (90%); гидролиз также может быть проведен в присутствии следов ${\rm H_3PO_4}$. Па, б легко полимеризуются (${\sim}20^\circ$) и сополимеризуются с другими винильными мономерами. Ha, б раздражают дыхательные пути и являются сильными лакриматорами. А. Кизилова

11654. Реакции высших алифатических аминов. VI. Получение производных тиомочевины. Эриксон (Reactions of long-chain amines. VI. Preparation of

(Reactions of long-chain amines. VI. Preparation of thioureas. E r i c k s o n J o h n G.), J. Organ. Chem., 1956, 21, № 4, 483—484 (англ.) N, N'-диалкиламенп. производные тиомочевины ф-лы RNHCSNHR' (I) получены тремя способами. М етод А. 1 моль RNH2 и 2 моля (NH2)2CS нагревают при перемешивании 10-15 мин. при $170-180^\circ$, после кристаллизации из C_6H_6 , технич. гептана или (CH3)2CHOH получают I ($R' \Rightarrow H$). М етод Б. 1,1 моля R'NCS прибавляют при 25° к р-ру RNH2 в C_6H_6 или толуоле, I отделяют и кристаллизуют из C_6H_6 . М етод В. 1 моль CS_2 нагревают (100° , ~ 12 час.) с 2 молями RNH2 в толуоле. Получены I (приведены R, R', метод получения, выход I в %, т. пл. в °C): $C_{12}H_{25}$, H, A, получения, выход I в %, т. пл. в $^{\circ}$ C): $C_{12}H_{25}$, H, A, 45, 103—103,8; $C_{12}H_{25}$, C_{H_3} , C_{H_3} , $C_{12}H_{25}$, C

114,5-115,5; $C_{19}H_{37},$ $CH_2=CHCH_2,$ $E_{19}H_{37},$ $C_{19}H_{37},$ $C_{19}H_{37},$

11655. Реакции производных метилциклопропилкарбинола. Пирсон, Ланджер (Reactions of methylcyclopropylcarbinyl derivatives. Pearson Ralph G., Langer Stanley H.), J. Amer. Chem. Soc., 1953, 75, № 5, 1065—1068 (англ.)

Известно, что метиловый эфир изохолестерина (I), которому предположительно приписана структура, содержащая циклопропановое кольцо, в кислом метанольном р-ре легко перегруппировывается в метиловый эфир холестерина (II), а в кислом спирт. p-ре дает этиловый эфир изохолестерина. Рассматривая метилциклопропилкарбинол (III) как аналог изохолестерина, авторы изучили поведение III в кислом метанольном авторы изучили поведение III в кислом метанольном р-ре и показали, что при этом гладко образуется метиловый эфир III (IV), а не ожидаемый метиловый эфир пентен-3-ола-1 (V). В кислом спирт. р-ре IV дает этиловый эфир III (VI), но реагировал, примерно, в 100 раз медленнее, чем I. С небольшим выходом V был получен лишь при продолжительном кипячении IV в кислом метанольном р-ре, причем скорость этой р-пин была, примерно, в 10⁵ раз меньше, чем подобной р-пин I. Рассмотрение ИК-спектров и других физич. данных показало, что V имеет, вероятно, *транс*-структуру. Из ИК-спектров также следует, что при полученни V в продуктах р-ции остается непрореагировав-ший IV. Таким образом, IV более склонен к р-циям обмена, не сопровождающимся перегруппировками, чем І. Это явление объяснено авторами на основе концепции резонанса. К p-ру 0,10 моля III в 40 мл ксилола прибавляют 0,10 моля натрий, оставляют на 1 час при ~20°, затем нагревают 2,5 часа при 100°, прибавляют 0,15 моля СН₃J, оставляют на 12 час. при ~20° и после перегонки получают IV, выход 0,02 моля, т. кип. 93,8- $94,0^{\circ}/753$ мм, $n^{20}D$ 1,4040, $n^{25}D$ 1,4020, d_4^{20} 0,819, d250,814. Смесь 0,10 моля III, 0,005 моля моногидрата п-толуолсульфокислоты (VII) и 37 мл СНзОН кипятят 2 часа, нейтрализуют p-ром NaOH, прибавляют 45 мл воды, верхний слой промывают водой и объединенные води. р-ры перегоняют. Первые 20 мл дистилата разбавляют 20 мл воды, верхний слой промывают водой и водн. р-ры вновь перегоняют. Повторение перегонок и про-мывания водой дало IV с выходом 60%. Смесь 0,07 моля IV, 0,003 моля VII и 13 мл абс. спирта кипятят 2 часа, затем обрабатывают, как описано выше, при приготовлении IV из III и получают VI, выход 29%, т. кип. 110,5—110,8°, $n^{20}D$ 1,4072, $n^{25}D$ 1,4052, d_4^{20} 0,812. Т раис-пентен-3-овую к-ту восстанавливают LiAlH₄ и получают *пранс*-пентен-3-ол-1 (VIII), т. квп. 136—137°, *n*²⁵*D* 1,4322—1,4324; 1-нафтилуретан, т. пл. 92—92,5°; 3,5-динитробензоат, т. пл. 53,5—54° (из водн. сп.). При охлаждении твердой CO₂ в ацетоне 0,054 моля VIII по каплям прибавляют к 0,058 моля NaH, оставляют к 0,058 моля медленно нагреваться до ~20° (5 час.), прибавляют 0,064 моля СН_зЈ, оставляют на ~12 час. при ~20° и после перегонки получают V, выход 54%. Смесь 0,056 моля IV, 0,10 моля III, 0,013 моля VII и 40 ма СН₃ОН кипятят 8 дней, обрабатывают, как описано выше при приготовлении IV из III, и получают V, вы-ход 20%. При озонировании V получен СН₃СНО, выделенный в виде 2,4-динитрофенилгидразона. В. Андреев

11656. Новые соединения с малыми циклами. Ро-6 e p τ c (New small-ring compounds. R o b e r t s J o h n D.), Rec. Chem. Progr., 1956, 17, № 2, 95— 107 (англ.)

Обзор методов получения и р-ций производных циклобутана и циклобутена. Библ. 29 назв. В. Антонов.

Прису

не ока ворит Переч

ta B 135° E

C/MM

86, a,

цикло 4-мети

1,5555

CH2=

(V), 9 (T. II

159/0.

(т. пл

a-II

лицин

Опред т-рах пии,

24 и 1 с I ность невы метал 11659 хло 1-m Е г

21, 1-M

пирог р-р 0 в 700

прод

Прод

прев

11660 Тој (Со аlс Е (ил Из тано (IV), бенз

200 .

вани

лени

гекс нист колс ко КОН колляю тано Н₂Sэкви в те-Из о

зали

CHO

При луч

HOH

TOJ

c 14

10

11657. Тетраарилциклопентадиены. Мер, Беккер, Шпёри (Tetraarylcyclopentadienes. Меhг Louis, Becker Ernest I., Spoerri Paul E.), J. Amer. Chem. Soc., 1955, 77, № 4, 984—989 (антл.)

Симм- и асимм-тетраарилциклопентадиены (I), показавине удовлетворительные результаты как полупроводники в ксерографич. процессе, синтезированы по

водники в ксерографич. процессе, синтезированы по схеме: 1,2,4,5-тетраариллентандионы-1,5 (II) \rightarrow 1,2,3,5-тетраарилдиклопентандиолы -1,2 (III) \rightarrow 1. Исходные симм-II

симм-II $(R^1 = R^4, R^2 = R^3)$ получены конденсацией α -арилацетофеновов n- $R^1C_6H_4COCH_2C_6H_4R^2$ -n (IV) с CH_2O в присутствии KOH (ср. Ziegler K., Schnell B , Liebigs Ann. Chem., 1925, 445, 266); acu_M -H синтезированы конденсацией IV с α -фенилакрилфеноном $C_6H_5COC(C_6H_5) =$ = CH₂ (V). Строение I доказано переводом их в соответствующие циклоны (VI) путем взаимодействия I с п-нитрозодиметиланилином (VII) и последующим гидро-лизом образующегося анила (VIII). К p-ру или суспенлизом образующегося анила (VIII). К р-ру или суспензии IV в СН₃ОН при 45° добавляют формалии и р-р КОН в 5 мл воды, через 1 час смесь встряхивают (24 часа, ~ 20°), выпадает симм-II (приведены R', R², кол-ва IV, СН₂О и КОН в г, кол-во СН₃ОН в мл, выход симм-II в %, т. пл. в °С (из СН₃СООН)): СІ, Н, 30,0, 1,96, 7,5, 500, 94, 175,5—178; СН₃, Н, 30,0, 2,11, 7,6, 400, 86, 132—133; Н, ОСН₃, 30,0, 1,96, 7,0, 500, 82, 148,5—149,5; Н, СІ, 15,0, 0,96, 3,65, 300, 90, 170,5—171,5; Н, СН₃, 5,0, 0,96, 3,65, 75, 74, 160—161; Н, ОСН₃, 8,0, 0,53, 1,99, 200, 92, 148—149; Н, N (СН₃)₂, 15,0, 0,96, 3,48, 400, 32, 210—211 (из этилацетата). К р-ру 0,50 модя бенанда в 1250 мл афира придивают K p-py 0,50 моля бенанла в 1250 мл эфира приливают в атмосфере N_2 эфирный p-p CH_3MgJ (из 0,50 моля CH_3J и 0,55 *г-атома* Mg) в течение 3 час., нагревают смесь 15 мин., добавляют по каплям p-p 30 г NH₄Cl в 100 мл воды, эфирный р-р декантируют, шламм промывают эфиром, из эфирного p-ра получают метилбен-зоин (IX), выход 74%, т. пл. 67—68° (из 170 мл ССІ₄— СН₃ОН и р-р КОН в СН₃ОН, встряхивают смесь до растворения, через несколько часов $(25-28^\circ)$ смесь охлаждают, выпадает II $(R^1 \neq R^\circ, R^3 = R^4 = H)$ (приведены: R^1 , R^2 , IV в е, V в е, KОН в е, CH₃OН в мм, время р-ции в час., выход II в %, т. пл. в °С (на СН₃COOH): Cl, H, 5.0, 4.5, 0.65, 120, 72, 88, 152,5—154; CH₈, H, 5.0, 4.9, 0.72, 175, 72, 85, 115—116.5; ОСН₃, H, 5.0, 4.6, 0.67, 100, 36, 74, 146,5—147,5; 5.0, H, Cl, 4.5, 0.65, 120, 48, 77, 117—118; H, CH₃, 5.0, 49, 0.72, 120, 48, 77, 118,5—120° (из ацетонитрила); H, H, 0.47, 0.5, 0.09, 10, 3.5, 80, 148—149; H, N (CH₃)₂, 5.0, 4.3, 1.14, 120, 72, 86, 187,5—188,5 (из ацетонитрила). К р-ру 0.105 моля 4-ме юксихалкона и 0.102 е V в 200 мм СН₂ОН добавляют р-р 2.95 е КОН в 6 мм СН₃ОН, встряхивают 10 мин., выход II ($R^1 = R^2 = R^4 = H$, $R^3 = OCH_3$) 42%, т. пл. 149—151° (из СН₃COOH). К р-ру 0.0091 моля II ($R^1 = R^3 = R^4 = H$, $R^2 = Cl$) в 100 мм теплой лед. СН₃COOH прибавляют 20 е Zп-пыли, китеплой лед. СН₂СООН прибавляют 20 г Zn-пыли, ки-пятят 5 час., добавляют еще 20 г Zn-пыли и снова кипятит 5 час.; досивания пере 20 г. Паным и вавлекают 30 мл горячей СН₃СООН, уксуснокислый р-р выливают в 400 мл воды, выпадает III (R²=Cl, R¹=R²=R⁴=H), выход 52%, т. пл. 220-221° (из бал.-сп.). Сходным

образом из соответствующих II получают III (на 1 а II 25—30 мл лед. СН₃СООН и 1 г Zn-пыли) (приведены R¹, R², R³, R⁴, продолжительность кипячения в час., выход в %, т. пл. в °С (из бзл.-сп. или сп.)): R2-3 = Cl. $R^{1.4}$ = H, 6, 29, 213—213,5; R^2 = R^3 = CH₃, R^1 = R^4 = H, 6, 24, 244—245; R^2 = R^3 = OCH₃, R^1 = R^4 = H, 6, 18, 201,5—202,5; R^1 = R^2 = R^3 = H, R^2 = Cl, 6, 26, 201,5—202,5; R^2 = CH₃, R^1 = R^3 = R^4 = H, 6, 11, 216—216,5; R^2 = OCH₃, R^1 = R^3 = R^4 = H, 1 ϵ Zn-пыли (в один прием), 3 часа, 64, 148—149. К 5 г 3-(n-метоксифенил)-1,2,5-трифенил-пентандиона-1,5 (X) в 125 мл СН₃СООН добавляют 25 г Zn-пыли (в один прием), кипятят 3 часа, после аналогичной обработки получают 4-(n-метоксифенил)-1,2,3-трифенилциклопентандиол-1,2 (XI), выход 64%, т. пл. 153,5-154,5°. Неочищ. III дегидратируют подобно описанному (см. ссылку), І очищают хроматографированием из C_6H_6 на Al_2O_3 (полосы со светло-голубой флуоресценцией при $Y\Phi$ -облучении). Получают I (приведены сценцией при УФ-облучении). Получают I (приведены \mathbb{R}^1 , \mathbb{R}^2 , \mathbb{R}^3 , \mathbb{R}^4 , выход в %, т. пл. в $^{\circ}\mathbb{C}$): $\mathbb{R}^1=\mathbb{R}^4=\mathbb{C}\mathbb{I}$, $\mathbb{R}^2=\mathbb{R}^3=\mathbb{H}$, 17, 180,5—181,5; $\mathbb{R}^1=\mathbb{R}^4=\mathbb{C}\mathbb{I}_3$, $\mathbb{R}^2=\mathbb{R}^8=\mathbb{H}$, 8, 165,5—166,5; $\mathbb{R}^1=\mathbb{R}^4=\mathbb{H}$, $\mathbb{R}^2=\mathbb{R}^3=\mathbb{C}\mathbb{H}_3$, 0,5, 146,5—147,5; $\mathbb{R}^1=\mathbb{C}\mathbb{I}$, $\mathbb{R}^2=\mathbb{R}^3=\mathbb{R}^4=\mathbb{H}$, 9, 141—142; $\mathbb{R}^2=\mathbb{C}\mathbb{H}_3$, $\mathbb{R}^1=\mathbb{R}^3=\mathbb{R}^4=\mathbb{H}$, 6, 162—163; $\mathbb{R}^2=\mathbb{C}\mathbb{H}_3$, $\mathbb{R}^1=\mathbb{R}^3=\mathbb{R}^4=\mathbb{H}$, 53, 130—131; $\mathbb{R}^1=\mathbb{R}^3=\mathbb{R}^4=\mathbb{H}$, $\mathbb{R}^2=\mathbb{C}\mathbb{H}_3$, 34, 161—162. Heovnill. III ($\mathbb{R}^2=\mathbb{C}\mathbb{I}$, $\mathbb{R}^1=\mathbb{R}^3=\mathbb{R}^4=\mathbb{H}$) (вз. 2.95 г. II, $\mathbb{R}^1=\mathbb{R}^3=\mathbb{R}^4=\mathbb{H}$, $\mathbb{R}^2=\mathbb{C}\mathbb{I}$) растворяют в 60 мл изо- $\mathbb{C}_4\mathbb{H}_9$ ОН насыщают p-p HCl (газом) (1 час) до 80—85°, выпавний III ($\mathbb{R}^2=\mathbb{C}\mathbb{I}$, $\mathbb{R}^1=\mathbb{R}^3=\mathbb{R}^4=\mathbb{H}$) отфильтровывают, маточный p-p упаривают почти посуха, лобавляют 20 мл $\mathbb{C}\mathbb{H}_9$ ОН, выпаривают почти досуха, добавляют 20 мл СН₃ОН, выпадает I (R² = Cl, R¹ = R³ = R⁴ = H), выход 17%, т. пл. $148,5-149^\circ$ (из этилацетата-сп.). Аналогично получают из III ($R^2=R^3=Cl,\,R^1=R^4=H$) I ($R^2=R^3=Cl,\,R^1=R^4=H$), выход $3\%,\,\,$ т. пл. $190,5-191,5^\circ$ (очищен хроматографированием, расгиранием с петр. эф. и кристаллизацией из этилацетата-сп.). К р-ру XI (неочищ., из 1.00 г X) в 10 мл СН₃СООН, нагретому до начала кипения, добавляют 4 мл смеси конц. H₂SO₄-CH₃COOH (1:1), по охлаждении выливают в воду, извлекают (1:1), по охлаждении выливают в воду, извлекают C_6H_6 , вытяжки промывают водой, упаривают до 4 мм, прибавляют 4 мм C_2H_5OH , при 4° выпадает I ($R^1=R^3=R^4=H$, $R^2=OCH_2$) (XII), выход 53%, т. пл. 130—131° (очищен хроматографпрованием в C_6H_6 на Al_2O_3); VIII, приготовленный из XII, т. пл. 187—188°. Аналогично получают I ($R^1=R^4=OCH_3$, $R^2=R^3=H$) (XIII), выход 45%, т. пл. 221—222° (из бал.-сп.); VIII из XIII, т. пл. 223—224,5° (из петр. эф.). К р-ру I в 4—5 мм смесп C_6H_6 - CH_3OH (3:1 или 4:1) добавляют 3 моля VII, к кипящей смеси приливают 3—5 капель 10%-ного р-ра CH_0ON в CH_2OH , через 5—10 мин. пель 10%-ного р-ра СНаОNа в СНаОН, через 5-10 мин., смесь охлаждают. прибавляют 5—10 мл конц. НСІ (к.ты), кипятят 10—15 мин., охлаждают, извлекают (к-ты), кипятят 10—15 мин., охлаждают, извлекают VIII 10 мл C_6H_6 , вытяжку промывают водой, отгонка р-рителя дает VI, которые очищают хроматографированием в C_6H_6 на Al_2O_3 , получают VI (приведены R', R², R³, R⁴, выход в %, т. пл. в °С (в запаянном капилляре, на бал.)): Сl, H. H. Cl, 56, 252—253; СН₃, H. H. Cl, 39, 222,5—223,0; ОСН₃, H. H. OCH₃, 62, 225—226; H. Cl, Cl, H. 54, 238—239; H. OCH₃, OCH₃, H. 54, 192—193; Cl, H. H. H. 42, 210,5—211,5; CH₃, H. H. H. 60, 224,5—225.0; ОСН₃, H. H. H. 57, 217—218; H. Cl, H. H. 52, 188—189; H. Cl₃, H. H. 56, 190,0—191,5; H. ОСН₃, H. H. 59, 189—190 (неочищ.). А. Хорлин 11658. Реакции моноолефиновых соединений с гольнений с Реакции моноолефиновых соединений с гек-

11658. Реакции моноолефиновых соединений с гексахлоринклопентадненом. Филдс (Reactions of Monoöletins and Hexachlorocyclopentadiene. Fields Ellis K.), J. Amer. Chem. Soc., 1954, 76, № 10, 2709—2710 (англ.)

Генсахлорциклопентадиен (I) реагирует с моноолефиновыми соединениями по схеме диенового синтеза (нагревание эквимолекулярной смеси комионентов). Г.

II

H,

a,

io-,3-

ил. Нем

e-

н

CI,

H,

,5, 42;

I₃, H,

Cl, nana-

іл.

ЮТ

CI,

цен

-MC

п.,

ла ОН

ют

ua.

пл.

на 8°. Н)

III v I

авкан.,

ICI

TOL

ка

po-R',

ка-Н_з,

54, H,

CI,

H-

ин

ек-

of ds

10,

ле-

e3a

)B).

Присутствие органич. перекисей или антиоксидантов не оказывает существенного влияния на р-цию, что говорит против свободнорадикального ее механизма Перечисляются: олефиновое соединение,выход продукта в %, условия р-ции (а — медленное нагревание до 35° и выдержка 1 час, б — 145—150°, 1 час), т. кип. С/мм, n²0Д: тексен-1, 65, а, 149—151/3, 1,5309; октен-1, 86, а, 152—153/3, 1, 5235; 1-октадецен (II), 97, б, —, ; щклогексен (III), 88, а, 154/0,8, 1,5647 (т. пл. 76,7°); 4-метилциклогексен-1 (IV), 97, а, 146—147/0,7, 1,5555; СН₂=СНСН₂СІ, 43, а, 142—144/3,7, 1,5600; СН₂=СНСН₂Вг, 87, а, —, — (т. пл. 77°); СН ≡ ССН₂Вг (V), 95, а, 137/1,6, 1, 5860; СН₂=СНСН₂ОН, 98, а, —, — (т. пл. 165°); С₃Н¬СООСНСН=СН₂, 80, б, 158—159/0,5, 1,5273; моноокись бутадиена, 97, а, 137/1,3, — (т. пл. 101—104°). І реагирует также (145—150°, 1 час) с а-пиненом, d, l-лимоненом, хлористым металлилом, дициклопентениловым спиртом и ундециленовой к-той. Определена скорость р-ции I с II и IV при различных трах (по кол-ву поглощаемого Вг₂). Энергия активаци, найденная на основании этих данных, составляет 24 и 20 ккал/моль соответственно. Продукты р-ции I с II и IV обладают высокой инсектицидной активностью. Продукт р-ции I с V дает четвертичные аммоневые соли с пиридином (разл. при 270—280°) и дичетплбензиламином (т. пл. 171°). В. Дашунин 1659. Перегрупинровка 1-метиликлопентилгипо-клорита. К э р и с, Э и г л у и д (Rearrangement of

1 метиличклопентилгипоклорита. Кэрнс, Энглунд (Rearrangement of 1-methylcyclopentyl hypochlorite. Cairns T. L., Englund Bruce E.), J. Organ. Chem., 1956, 21, № 1, 140 (англ.)

1-метилциклопентилгипохлорит (I) легко перегруппировывается в 6-хлоргексан-он-2 (II). Для получения I р-р 0,39 моля 1-метилциклопентанола и 0,75 моля NаОН в 700 мм воды насыщают Сl₂ (2 часа, при охлаждении), продукт извлекают СH₂Cl₂. Выход сырого I 76%. Продукт нестоек. При попытке перегнать I (т-ра ~40°) превращается в II, т. кип. 85,5—86,5°/16 мм. II лает типичные для хлоркетонов реакции. В. Антонов 11660. Конденсация гексилциклопентанона с некоторыми альдегидами. Мачони, Маронджу (Condensazione dell'esil-ciclopentanone con alcune aldeidi. Массіопі Antonio, Матоп giu Enrica), Ann. chimica, 1956, 46, № 4, 252—255 (итал.)

Изучены продукты конденсации о-гексилциклопентанона (I) с С₆Н₅СНО (II), фурфуролом (III), анисовым (IV), коричным (V), куминовым (VI) и 3,4-диметоксивензойным (VII) альдегидами. К смеси 8,6 г I и 200 мл 4%-ного КОН прибавляют при слабом нагревании 10 г II, через 6 час. отгоняют в вакууме до появления в холодальнике белых кристаллов 2-бензаль-5-гексилциклопентанона (VIII); кристаллизацией маслянистого остатка из спирта получают дополнительное кол-во VIII, т. пл. 60—61°. Р-р VIII в СНСІз дает с конц. Н₂SО4 желтую окраску. К р-ру I в 4%-ном КОН на холоду добавляют по каплям эквимолярное кол-во III, перемешивают 6 час., на другой день выделяют разгонкой 10 г 2-фурфураль-5-гексилциклопентанона, т. пл. 49—50° (из сп.); р-р в СНСІз дает с конд. Н₂SO4 краснооранжевое окрашивание. Конденсация IV с эквимолярным кол-вом I проводилась при нагревании в течение 2 дней в десятикратном объеме 4%-пого КОН. Из остатка после отгонки летучих частей выделен 2-анизаль-5-гексилциклопентанон, т. пл. 73° (из сп.); р-р в СНСІз дает с конц. Н₂SO4 желто-оранжевую окраску. При конденсация 9,5 г I с 7,5 г V при нагревании получено два в-ва: 2-пиннамаль-5-гексилциклопентанон (IX), т. пл. 80—81°, и VIII. На холоду получен голько IX, р-р которого в СНСІз с конц. Н₂SO4 дает конценую окраску. 13,7 г VI конденсируют с 14 г I в 200 мл 4%-ного КОН при нагревании в течение

2 дней, перегоняют, получают 2-куминаль-5-генсилциклопентанона, т. пл. 50°; р-р в СНСІ₃ дает с конц. Н₂SO₄ оранжевую окраску. При конденсации VII с I при нагревании в течение 2 дней в присутствии 4%ного КОН получают 2-3,4-диметоксибензаль-5-гексилциклопентанон, т. пл. 64—65° (вз сп.); р-р в СНСІ₃ дает с конц. Н₂SO₄ красно-оранжевую окраску.

3. Будовский 11661. О препаративном получении на циклопентадиена изомерных циклопентенонов и некоторых производных циклопентена. Альдер, Флок (Über die präparative Darstellung der isomeren Cyclopentenone und einiger vom Cyclopenten abgeleiteter Verbindungen aus Cyclopentadien. Alder Kurt, Flock Franz Heinz), Chem. Ber., 1956, 89, № 7, 1732—1737 (нем.)

Разработаны 2 препаративных синтеза циклопентен-1-она-3 (I) из циклопентадиена (II) в отличие от преж-

них методов, исходивших из циклопентанона (III). При этом получен с хорошими выходами ряд до сих пор малодоступных производных циклопентена. В 560 мм II пропускают сухой HCl (т-ра <0°) до приращения объ-

(г-ра <0°) до приращения ооъ-ема 90—95 м.л. Выход 3-хлорциклопентена-1 (IV) 80—90%, т. кип. \sim 30°/20 м.м. Медленно прибавляют 510 г IV к 600 г Nа₂Cr₂O₇-2H₂O в 2 л воды (г-ра <0°), осторожно приливают 1 л 50%-ной H₂SO₄ (охлаждение), насы-щают реакционную смесь NaCl, экстрагируют эфиром (трижды по 500 м.л) и, спустя 5—8 час., экстрагируют ксчерпывающе, выход I 60—68%, т. кип. $42^\circ/11$ м.м., n^{20} D 1,4814, d_4^{20} 1,009. Трициклич. спирт (V) (см. РЖХим, 1956, 6735) при пиролизе при 450-480° (в вакууме, над асбестом) расщепляется до II и I (выход почти колич.). При пиролизе V над Pd/C/асбест кроме II и I (главный продукт) образуется циклопентен-1-он-4 (VI), выход $\sim 20\%$, т. кип. 41°/40 м.м. $n^{20}D$ 1,4536, $d_{\bf A}^{20}$ 0,991. VI, очевидно, образуется в момент ретродиенового распада V,так как I в этих условиях (также в смеси с II) не изомеризуется в VI. При гидрировании нап е II) не изомеризуется в VI. При гладирования над рет I и VI дают III, охарактеризованный через семи-карбазон (СК) и дибензилиденовое производное (ДП). В СН₃СООН/Н₂SO₄ VI дает ДП, выход ~30%, т. пл. 150°. При р-ции VI с С₆H₅CHO в щел. среде происходит осмоление. В отличие от I, из VI получен СК, т. пл. 182°. осмоление. В отличне от 1, из VI получен СК, т. пл. 182. Данные и КК-спектров (v в см⁻¹): I, 1608 (С = С), 1755 (С = О); VI, 1586 (С = С), 1702 (С = О). Прибавляют (1—2 часа) 510 г IV к 450 г NаНСО₃ в 2 л ледяной воды, разменивают 1 час, насыщают воды, слой NаСl и экстрагируют эфиром циклопентен-1-ол-3 (VII), выход 88%, т. квп. $52^{\circ}/12$ мм, $n^{20}D$ 1,4717, d_{4}^{20} 0,9815. При гидролизе води. NaHCO3 неочищ. IV главным продуктом является $\Delta^{2,2'}$ -дициклопентениловый (VIII), который получают также смещением 10 мл конц. HCl с 420 мл VII с разгонкой продукта р-цин в вакууме над NаHCO3 спустя несколько часов, выход почти колич., т. кип. 85°/12 мм, $n^{20}D$ 1,4898, d_4^{20} 0,972. Для доказательства строения VIII переводят гидрированием с PtO2 в этилацетате в дициклопентиловый эфир (IX), который при кипячении с HBr (к-та) + +CH₂COOH переходит в бромистый циклопентил с выходом ~60%. При пиролизе над асбестом (500— 520°/11 мм) VIII (300 г) распадается по типу аллиловых эфиров до циклопентена + II (100 г) и I (125 г); побочно образуется эфир (X) (вероятное строение) изомерный VIII, т. кип. 84°/11 мм (фракционированием от VIII полностью не отделяется), $n^{20}D$ 1,4976, d_4^{20} 1,011. Гидрирование X в этилацетате (Pt) ведет к IX и васыщ.

7. II

(113

m pa

ход XVI

CKO.

mpa

m3BJ

RIJX

лог

BLIX

HOR

пик

CHa

BII бена

2-M6

79% гид 2— 2'-M

96-

c 40

пер

(113

(na

146

CE

p-pe

тил (H3

> R H

> KS

0

ряд

non

m a

30H

196

776 Tax

Tar

116

(II) 820

p-p

K-T

mp(

HOE

1

соединению С₁₀Н₁₆О, т. кип. 90°/13 мм, n20D 1,4904, d²⁰ 1,014, устойчивому к КМпО₄, в ацетоне. Прибавлиют (1 час) 5 молей II к 800 мл охлажд. (лед+NaCl) 20—30%-ной HCl, размешивают 5—7 час. и HCl нейтрализуют Na₂CO₃, а затем — NaHCO₃ в CH₂OH, выход эфира, изомерного VIII, 60—70%, т. кип. 97°/13 мм. $n^{20}D$ 1,4884, d_4^{20} 0,959, устойчив к RMgX, поглощает 2 моля Н₂ (над Pt), давая насыш. эфир, т. кип. 101°/13 мм, $n^{20}D$ 1,4654, d_A^{20} 0,923, устойчив к КМпО₄ в ацетоне. Из IV размешиванием (~0°, 3 часа) с безводн. СН₃СООNа лед. СН₃СООН получен ацетат VII, выход ~ 80%, т. кип. $48^{\circ}/11$ мм, $n^{20}D$ 1,4488, d_4^{20} 1,007. Приведены данные УФ-спектров I и VI. А. Точилкин 11662. Об изомерных дитносемикарбазонах метил-циклопентенолонов. Гуммерус, Энквист (Über isomere Dithiosemicarbazone von Methylcyclopentenolonen. Gummerus G. R., Enkvist Terje), Acta chem. scand., 1956, 10, № 3, 459— Показано, что 1-метилциклопентен-3-ол-3-он-2 (I)

■ 1-метилциклопентен-2-ол-3-он-4 (II) образуют по два ■зомерных дитносемикарбазона (ДТС), различающихся по т-ре плавления, положению максимума поглощения в УФ-спектре, растворимости и физиологич. активности. ДТС I образует изомеры с т. пл. 225—227° (разл.) (IIIа) и с т. пл. 242—244° (разл.; из сп.) (III6), а ДТС II

шолучен в виде изомеров с т. пл. 222—223° (разл.; та СН_вОН) (IVa) и с т. пл. 231—232° (разл.) (IV6). Разделение изомеров основано на растворимости в воде III6 и IV6 и нерастворимости в ней IIIa и IVa. Облучение УФ-светом не вызывает превращения изомеров друг в друга. Авторы считают, что изомерия ДТС представляет собой один из случаев геометрич. изомерии типа диоксима бензила, предполагающей существование син-, анти - н амфи-форм. Однако из рассмотре-ния атомных моделей следует, что образование синформы в случае ДТС I и II невозможно из-за пространственных факторов. При прибавлении метанольного р-ра (CH₃COO)₂Pb к p-ру IVa и IV6 в CH₃OH-диоксане осаждается одно и то же кристаллич. Рь-соединение (V), т. пл. $245-246^\circ$ (разл.) (растворимо в воде п СН $_3$ ОН, нерастворимо в С $_6$ Н $_6$), причем **IV6** образует **V** моментально, а IVa лишь спустя некоторое время. При действии H₂S на V, которое, по мнению авторов, является комплексной Рb-солью антиформы ДТС II, образуется IV6 и, следовательно, IVa может быть таким путем переведен в IV6. ДТС I может существовать в виде двух амфи-форм. IV6 обладает сильным туберкулостатич. действием в отношении некоторых штаммов Mycobacterium tuberculosis, его токсичность не меньше, чем у контебена, n-CH₅CONHC₆H₄CH= =NHCSNH₂. Приведены УФ-спектры Ша, Шб, 1Va, Л. Хейфиц IVO R V. 11663. Синтез некоторых кислот ряда циклопентана.

Xepη (The synthesis of certain acids derived from cyclopentane. Herz Werner), J. Organ. Chem.,

1955, 20, № 8, 1062—1068 (англ.) Описаны синтезы 2-циклопентилиропионовой (I), 3-циклопентилмасляной (II), 4-циклопентилкалериановой (III), цис-(IV) и транс-(2'-метилциклопентил)-уксусных (V), транс-2-(2'-метилциклопентил)-прописвовой (VI) и *транс-3-(2'-метилпиклопентил)-масляной* (VII) к-т. I получают, исходя из бромциклопентана и ватрийметилмалонового эфира, с последующим гидро-

лизом и декарбоксилированием образующегося метилциклопентилмалонового эфира, амид I (Чичибабия, Корягин, Bull. acad. sci. math. nat., 1933, 273), т. ид. 140,5—141°. Смесь 9,5 г 3-(2'-оксоциклопентил)-масляной к-ты (см. Bhattacharya, J. Indian Chem. Soc., 1945, 22, 215), 45 мл трнэтиленгликоля, 7 г КОН и 8 мл NH₂NH₂·H₂O магревают 1 час при 100°, 2 часа при 200°, NH₂·H₂O нагревают 1 час при 100°, 2 часа при 200°, охлаждают, разбавляют водой, II извлекают эфиром выход 64%, т. кип. 115—118°/З мм, n²2D 1,4604; амид II (VIII), т. пл. 120,5—121° (из бэл.-лигр.); n-бромфенациловый эфир II, т. пл. 77,5—78° (из воды. сп.). Р-р 10 г хлорангидрида I (т. кип. 74—78°/11 мм) в сухом эфире прибавляют к р-ру CH₂N₂ (из 15 г нитромменименения). зометилмочевины), р-ритель испаряют, в остаткедиазокетон, 6 г которого растворяют в 25 мл диоксана и приливают к диоксановому р-ру при нагревании смесь 35 мл водн. NH₃ и 7 мл 10%-ного AgNO₃, нагревают 1 час, охлаждают, разбавляют водой, выпалает VIII, выход 4,1 е; гидролиз VIII дает II, выход 75%. 68 е I восстанавливают 23 г LiAlH₄ в сухом эфире, выход 2-циклопентилиропанола-1 (IX) 91%, т. кип. 65—67°/2,5 мм, n²⁴ D 1,4607. Р-р 54 е IX в 54 е пиридина прибавляют к p-py 83 г n-толуолсульфохлорида в 150 мл C_cH₆, через 1 сутки при 0° и несколько суток при ~20° хлоргидрат инридина отфильтровывают, промывают С₀H₆, маточный р-р промывают разб. к-той и водой, сушат и концентрируют в вакууме, выход тозилата IX (X) 86%. К натриймалоновому эфиру (8,7 г Na, 60 г малонового эф. в 150 мл абс. сп.) после отгонки спирта в вакууме приливают p-p 94 г X в 150 мл C_6H_6 , смесь кипятят 12 час., охлаждают и прибавляют воду, выход днэтилового эфира (2-циклопентил)-пропилмалоновой к-ты (XI) 60%, т. квн. 128—131°/1,8 мм, n²³ D 1,4495. Смесь 54 г XI, 30 г КОН, 30 г воды и 100 мл спирта кипятят 22 часа, снирт отгоняют, остаток разбавляют водой, извлекают эфиром, подкисляют и извлекают эфиром XI (к-ту), т. пл. $114-115^\circ$ (из бал.-лигр.); декарбоксилирование XI (к-ты) при нагревании дает III, выход 16,5 г, т. кип. $123-126^\circ$ /2 мм, n^{22} D1,4600. 1-метил-2-ацетилциклопентаи (XII) (Nenitzescu, Ionescu, Liebigs Ann. Chem., 1931, 491, 207) (выход улучшен благодаря энергичному перемешиванию в течение 20 час.) окисляют NaOBr (РЖХим, 1955, 37383), выход транс-(2'-метилциклопентил)-карбоновой к-ты КХІІІ 66%. ХІІІ восстанавливают LiAlH₄ (ср. Nenitzescu, Vantu, Bull. soc. chim., 1935, [5], 2, 2209) до транс1-метил-2-оксиметилинклопентана (XIV), выход 90%. К р-ру 29 г XIV-в 16 г ниридина, охлажд. до —10°, прибавляют по каплям SOCl₂ (0°), смесь пагревают несколько часов на водяной бапе, охлаждают, разбав-ляют водой, извлекают эфиром, вытяжку промывают водой, разб. щелочью, водой и сушат, выход транс-1-метил-2-хлорметилциклопентана (XV) 52%, т. кип. 70—72²/45 м.ж. n²²D 1,4530. Р-р транс-2-метиликло-пентилметилмагнийхлорида (из 16,5 г XV и 3,1 г Mg. кипячение 40 час.) карбонизуют смесью эфир-твердый Кипичение чо час.) карооннуют смесью эфир-пердын СО₂, выход V 6,6 г, т. кип. 98—100°/2 мм, n²²D 1,4502; амид V, т. пл. 140,5—141,5° (из бэл.-лигр. с т. кип. 60—110°); n-бромфенациловый эфир V, т. пл. 65—66° (из водн. сп.). Смесь 25,2 г XII, 17 г морфолина и 6,4 г S нагревают 6 час., охлаждают, приливают 100 ма 25%-ного водн. NaOH, кипятят 15 час., извлекают эфиром V, выход 1, 5 г; ИК-сиектр не обнаруживает примеси IV. Из 152 г тозилата XIV, полученного аналогично X, 103 г малонового эфира и 13 г Na, подобно XI, синтезпруют этиловый эфир (2'-метили-клопентил)-метилмалоновой к-ты (XVI), выход 35%, т. кип. 118—123°/2 мм, n²³D 1,4441. Гидролиз 46 г XVI, 30 г КОН, 30 мл воды и 100 мл спирта подобво XI двет XVI (к-ту), т. пл. 100,5—101,5° (из бал.-лигр.), декарбоксилирование которой приводит к VI, выход 21 е, т. кип. 111—114°/2,5 мм, n²⁴ D 1,4540; амид VI, HJI-

MH.

na.

22, MA 00°,

ом. мид фе-

п.). t) в

ана

нии грецает

5%. ире,

CHII.

ириоида

ІЬКО

AIOT.

-TON

иход риру

сп.) 94 г

N TO

кло-

кин. 30 г

aca,

кают

. пл.

к-ты) 126°/

(XII)

207)

7383).

K-Th

nitze-

ранс-90%. -10°,

евают збав-

BAIOT

анс-1-

кип. иклог Мд,

рдый ,4502;

кви. —66°

шна ш

00 мл

екают сивает

нного

e Na.

плин-

35%,

3 46 г одобно

шгр.),

выход д VI, т. пл. 93—93,5; п-бромфенациловый эфир, т. пл. 68° (вз водн. сп.). 15 г VI восстанавливают LiAlH₄ до пране-3-(2'-метилциклопентил)-пропанола-1 (XVII), вытод 80%, т. кип. 92—96°/7 мм, n²² D 1,4561. К 10,5 г XVII прибавляют по каплям PBъз (—10°), через несколько часов при ~20° нагревают на паровой бане, пране-1-бром-3-(2'-метилциклопентил)-пропан (XVIII) взыкают эфиром, вытяжки промывают водой и сушат, выход 82%, т. кип. 95—100°/14 мм, n²² D 1,4773. Аналогично V из 11,5 г XVIII и 1,4 г Мд получают VII, выход 72%, т. кип. 117—120°/14 мм, n²² D 1,4564; амид VII, т. пл. 72,5—73° (из бал.-петр. эф.); п-бромфенациловый эфир VII, т. пл. 70—71° (на сп.).Смесь 63 г 2-метилдиклопентанона, 74 г циануксусного эфира, 30 г СН₃СООН, 10 г СН₃СООНЫ и 500 мл С₆Н₆ кинятит в приборе Дина — Старка до полного отделения воды, бензольный р-р промывают водой и сушат, выход 2-метилциклопентилиденциянуксусного эфира (XIX) 79%, т. кип. 103—106°/1,6 мм, n² D 1,4880. 67 г XIX гидрируют в 150 мл абс. спирта над 5%-ным Рд/С при 2—3 ат до прекращения поглощения Н₂, получают 2'-метилциклопентилиденцинуксусный эфир (XX), т. кип. 96—98°/1,8 мм, n²² D 1,4560; амид 1V, т. пл. 149—149,5° (из бал.-лигр.); метиловый эфир, т. кип. 60,5—61,5° (из бал.-лигр.); метиловый эфир, т. кип. 64—68°/2 мм, n²² D 1,4423; п-бромфенациловый эфир, т. пл. 60,5—61,5° (из водн. сп.), п XX (к-ту) (XXI), выход 12%, т. квп. 146—148°/1,3 мм, n²² D 1,4702, НК-спектр обпаруживает С≡ №-группировку. XXI кинятят 12 час. со спирт. р-ром КОН, подкисляют смесь, цис-2'-метилциклопентилмалоновую к-ту извлекают эфиром, т. пл. 85—86° (из лигр.), при декарбоксилировани она дает IV. А. Хорлин

11664. Скитез векоторых органических соединений в электрическом разряде. VII. Мягкое окисление циклогексана в слабом электрическом разряде. (2). И но у в (有機化合物の放電合成、第7報、シタロマキャンの放電酸化、その2. 井上英一), 日本化學雜誌, Нихон кагаку дзасси, J. Chem. Soc. Japan Pure Chem. Sec., 1954, 75, № 6, 617—619 (япов.)

Окисление циклогексана (I) в тихом электрич. разряде может быть использовано для промышленного получения циклогексанола (II), циклогексанона (III), адипиновой к-ты (IV). Смесь паров I с воздухом пропускают через трубку длиной 200 см, средним двам. 31 см, расстояние между электродами 0,45 см, объем воны р-ции 890 см³, активная площадь электродов 1960 см². Исследовано влияние напряжения, силы тока в скорости пропускания паров I при 20—50°, 762—776 мм за 3—12 час. Окисляется до 54,3% I, в продуктах р-ции до 75% смесн II и III и до 24% IV. Результать опытов сведены в 4 таблицы. Предыдущее сообщение см. РЖХим, 1956, 32362. Н. Швецов 11665. Изучение окисления циклогексанола в адипинорую кислоту с помощью азотной кислоты. Г о д т, К у и и и (A study of the nitric acid охіdation of сусюнехапоІ to adipic acid. G o d t H. C., Jr, Q u i n п I. F.), J. Amer. Chem. Soc., 1956, 78, № 7, 1461—

1464 (англ.) Окисление циклогексанола (1) 67%-ной НNО3 при 55—60° в присутствии NH4VO3 дало адипиновую к-ту (II) с выходом 90%, а в отсутствие NH4VO3 с выходом 82%. При хроматографич. исследовании в маточных р-рах и промывных водах были найдены глутаровал к-та (III), янтарная к-та (IV), (СООН)2 и II. В случае вроведения этой р-ции при 20° была выделена 6-нитро-6-оксиминогексановая к-та (V). Строение ее доказано гидрированием над Pt/С в 6-амино-6-оксиминогексанововую к-ту (VI), давшую с НNО2 адипаминовую к-ту (VI), а также превращением в II при гидролизе 5%-

ной HCl или стоянии на воздухе в течение 3-4 недель. Нагревание V с 45%-ной HNO₃ при 60° дало 93% II, 1,8% III, а также смесь неидентифицированных в-в, содержащих, по-видимому, 6,6-динитрогексановую к-ту и цианкарбоновые к-ты. Образование III при этом про-исходит за счет прямого окисления V, а не возникающей в процессе р-ции II, так как II не ваменяется при нагревании в течение 24 час. с 20%-ной HNO₃ при 65° или кипячении с 50%-ной HNO₃. При окислении 1 67%-ной HNO₃ при 10—15°, кроме V, было выделеноогуд-нои и но- полугидрата циклогександиона-1,2. (VIII) — октагидро-5аН, 10аН-4а, 9а-эпоксидибенз-п-диоксиндиола-5а, 10а (IX), который с выходом 40% получается окислением I 50%-ной HNO₃. Строенве IX вытекает из определения мол. веса, ИК-спектра, взаимодействия с фенилгидразином (X), приведшего к известному фенилозазону VIII(XI), р-ции с C₆H₅COCl, давшей 6-кетоциклогексен-1-иловый эфир бензойной к-ты (XII), приготовленный также независимым спо-собом из VIII, и из образования VIII в результате гидролиза разб. к-тами и щелочами. Окисление ІХ 35%ной HNO₃ дало смесь IV, III и II в отношении 10:3:1 соответственно. Образование IV при этом происходит за счет прямого окисления IX или VIII, а не получающейся одновременно III, так как III возвращается неизмененной при нагревании с 50%-ной HNO_в при 85° в течение 24 час. Из результатов кислого гидролиза V и окисления ее 45%-ной HNO₈ можно предположить, что V является промежуточным соединением в окислении I в II, а на основании окисления IX 35%-ной HNO_в и его гидролиза таким промежуточным в-вом можно считать IX. Однако как V, так и IX не были найдены в продуктах окисления при т-рах выше 35°, при которых эта р-ция обычно проводилась. При окис-

лении I 67%-ной HNO₃ при 95⁶ из отходящих газов было выделено небольмое кол-ео циклогексилнитрита. К 1,5 моля 67%-ной HNO₃, содержащей 0,14 г NH₄VO₃, при 55—60° за 1 час прибав-

ляют 0,5 моля I, затем нагревают смесь до 95°, охлаждают до 0° и получают II, выход 87,9%. Хроматографич. анализом (Bulen W. A. и др., Anal. Chem., 1952, 24, 187) в маточном р-ре найдено 0,2 г (СООН)2, 0,5 г IV, 4,7 г III в 1,4 г II. Анализ отходящих газов показал, что они содержат N₂O, NO, NO₂, N₂ и CO₂ в объемном отношении 11: 5: 2: 1: 1. К 3,0 моля 67%-ной НNO₃ при 20° за 30—45 мин. прибавляют 0,5 моля I, охлаждают до 0°, прибавляют за 10 мин. 150 мл ледяной воды и получают V, выход 53—63%, т. разл. 77—78° (для очистки растворяют в $\mathrm{CH_3OH}$, прибавляют 3 объема воды и упаривают до 1/4 общего объема). Р-р 0,045 моля V в 65 мл лед. СН «СООН встряхивают в атмосфере H₂ при 25° с 2,4 г 5%-пого Pd/C п получают VI, выход 83%, т. разл. 156—157°. К р-ру 0,005 моля VI в смесн 0,6 мл конд. НСl и 10 мл воды при 10° прибавляют р-р 0,006 моля NaNO₂ в 5 мл воды и получают VII, выход 50%, т. пл. 161—162° (из метилэтилкетона). Смесь 0,0063 моля V и 20 мл 5%-ной НС1 перемешивают 2 часа при 60° и получают II, выход 98%. к 20,5 г 45%-ной HNO₃ при 60° за 0,5 часа прибавляют 0,041 моля V и получают 92,7% II и 1,8% III. К 4,5 моля 50%-ной HNO₃ при 10—15° за 2,5 часа прибавляют 1,5 моля I и получают IX, выход 40%, т. разл. 144°. К суспеняни 1 г ІХ в смеси 3 г лед. СН «СООН и 20 мл воды осторожно прибавляют 5,0 г Х, нагревают 10 мин. при 100° и получают XI, выход 92%, т. разл. 151—152°. Аналогичная обработка VIII также дает XI. К суспензии 2,0 г IX в 12 мл C_5H_5N прибавляют 3,0 мл C_6H_5COCl , нагревают 5 мин. при 100° и получают XII, выход 70%, т. пл. 89—90° (из изо-СэН тОН). Аналогичная обработка VIII также дает XII. Смесь 1,0 г IX и 15 мм 10%-ной HCl нагревают 3 часа при 60°, охлаждают, насыщают

4,6-

рап

neri

DAT

Mete

T. II.

лял

и до охл чал

1167

B

P

到1

I

1-91

THE

2-дл

зам

бен

pe i

DEF

T. I

o-C

2-да 153

n 9

XJIC

156

1, 3

бро 143

Brz

HEL

142 1-ф

апе

фев

T. 1

PHT

HHA

апе

ции

1,3

пип

1,5

1,7

пип

Из 1 9

M-T

вы:

CH

5,2

ци

197

SO 2-7

Из

чан

ген см. 116

NaCl, экстрагируют и получают VIII, выход 53%. К 15 мл 35%-пой HNO3, пагретой до 80°, при перемешивании осторожно прибавляют 2,0 г IX, причем т-ра повышается до 100°. Нагревают смесь еще 15 мин. при 100° и получают 0,81 г IV, 0,25 г III и 0,08 г II. В. Андреев

11666. Гидратация и дегидратация β-метилгентенона, сопровождающиеся циклизацией. Мейнуолд, Гросман (Cyclizations accompanying the hydration and the dehydration of β-methylheptenone. Meinwald J., Grossman R. F.), J. Amer. Chem. Soc., 1956, 78, № 5, 992—995 (англ.)

При гидратации 3-метилгентенона (I) и последующей перегонке продукта р-ции было получено в-во (II) (т. пл. 90—91°), которому была приписана структура 6-метил-6-оксигентанон-2 (см. Verley A., Bull Soc. chim. Paris, 1897, 17(3), 175). Авторы на основании изучения ИК-спектра II считают, что II является 1,3-циметилциклогексан-1,3-диолом. Это подтверждается тем, что II не реагирует с 2,4-динитрофенилгидразином. а также изучением р-ции дегидратации II. При действии на II 75%-ной Н₂SO₄ был получен 1,3-даметилциклогексадиен-1,3 (III). Ранее (см. ссылку) при дегидрата-ции I так же был получен III, названный «дигидро-мксилолом». Высказывалось утверждение (см. Wallach O., Liebigs Ann. Chem, 1913, 396, 264), что продукт дегидратации I (с последующим окислением КМпО₄) является смесью м-ксилола (IV) и 1,5-диметилциклогексена (V). Авторы показали, что при дегидратации I образуется III и V. Строение III доказано изучением ИК-спектра, изучением продуктов р-ции III с О₃, а также встречным синтезом. При восстановлении продуктов озонирования III Zn-пылью был получен левулиновый альдегид, а при окислении Н2О2 - левулиновая к-та. Образования СН2О не наблюдалось. Строение У доказано окислением продуктов озонирования V NaOJ, причем были получены 3-метиладипиновая к-та и СНЈ3. По интенсивности дмакс ИК-спектра смеси III и V установлено, что продукт дегидратации I содержит 70% III. Образование IV в опытах Валлаха авторы объясняют окислением III под действием КМпО4, что подтверждено получением IV при окислении синтетич. образца III. При дегидратации смеси I и IV H₂SO₄ продукт р-ции не содержал ароматич, соединений вследствие их нерастворимости в условиях опыта. При замене H₂SO₄ на ZnCl₂ установлено, что из I образуется III, IV и V. ZnCl₂ превращает синтетич. III в смесь IV и V. Этим подтверждается, что IV и V являются продуктами диспропорционирования III, образующегося при дегидратации I. Гидратация I осуществлялась 35%-ной H_9SO_4 . Получен II с т. пл. $90-91^\circ$ (из гептана). $100 \ \varepsilon \ 75\%$ -ной (по весу) H_2SO_4 медленно прибавляли к 66 г І. Смесь встряхивали 15 мин., нейтрализовали 10%-ной водн. NaOH и перегоняли с паром. Получена смесь углеводородов, выход 70%, т. кип. 128—140°. Смесь фракционировали на колонке на 5 фракций. Фракция с т. кип 135-138°, n20D 1,4858, идентифицирована как III, выход 4,4 г, а фракция с т. кип. 127—129°, n²0D 1,4518, как V, выход 2,5 г. Промежуточные фракции являются смесью III и V. Синтез III см. Haworth W. N., J. Chem. Soc., 1913, В. Антонов 103, 1242.

11667. О применении сложного муконового эфира для диеноприсоединений. Ахматович О., Врубель Г., Бюл. Польской АН, 1955, Отд. 3, 3, № 10, 553—560 (русс.), Bull. Acad. polon, sci., 1955, Cl. 3, 3, № 10, 557—564 (англ.)

Исследована диеновая конденсация диэтилового эфира муконовой к-ты (I) с рядом диенофилов. Р-ция проводилась при 150—160° в р-ре ксилола в запалнной трубке. Установлено, что взаимодействие I с винилиманиюм приводит к получению диэтилового эфира

выход 64%, т. кип. 135—137°/0,01 мм, n^{20} D 1,4739, d_{20}^{20} 1.1200. Строение II подтверждено превращением его в смесь цис- и транс-циклогексантрикарбоновых-1,3,4 к-т (III), т. пл. 212°. При действии на I акрољенна обра-(111), т. пл. 212 . При деяствии на 1 акролента образуется диэтиловый эфир 3-формил- $\Delta^{5,6}$ - циклогександикарбоновой-1,4 к-ты (IV), выход 52%, т. кип. 98—100°/0,01 мм, n^{20} D 1,4814, d_4^{20} 1,1436, 2,4-динитрофенилгидразон; (2,4-ДНФГ) IV, т. пл. 104—105°. IV гидрированием и окислением (AgNO₃, KOH) превращали в III. I и стирол дают, по-видимому, диэтиловый эфир 3-фенил- $\Delta^{5,6}$ -циклогександикарбоновой-1,4 ($\hat{\mathbf{V}}$), выход 53%, т. кип. 94—98°/0,01 мм, n^{20} D 1.5161. d20 1,1260. V омылением и ароматлзацией (S, 230°) превращали, по-видимому, в бифенилдикарбоновую-3,6 к-ту. Из I и диэтилового эфира ацетилендикарбоновой к-ты (VI) получены: а) тетраэтиловый эфир циклогексадиен 2,5-тетракарбоновой-1,2,3,4 к-ты (VII), выход 25%, т. кип. 150-155°/0,01 мм, n20 D 1,4815, d²⁰ 1,1430; б)триэтиловый эфир 2,3;5,6-циклогексадиен-2,5трикарбоновой-1,3,4, к-ты (VIII), выход 10%, т. кип. 130—135°/0,01 мм, n²⁰ D 1,4794. Строение VII и VIII доказано превращением их (гидрирование над Pt и омыление) соответственно в циклогексантетракарбоновую-1,2,3,4 к-ту и в III. При проведении р-ции между I и VI при 230—240° образуется циклогексадиенмоно-карбоновая к-та (IX), выход 20%, т. кип. 83°/0,001 мм, $n^{20}\,D$ 1,5680, $d_4^{20}\,$ 1,0631. Положение карбоксильной групны в IX установить не удалось. I и дназоуксусный эфир дает триэтиловый эфир циклопентен 1-трикарбоновой-3,4,5 к-ты (X), выход 31%, т. кип. 92—94°/0,01 мм, $n^{20}\ D$ 1,4740, d_{4}^{20} 1,1110. Строение X подтверждено превращением в известную циклопентантрика рбоновую-1,2,3 к-ту (т. пл. 152—154°). При взаимодействии I с аллиловым спиртом наблюдалось аномальное течение р-ции. Получены два изомерных лактона 2-оксиметил-4-карбэтоксициклогексен-5-карбоновой к-ты (XI): жид-кий (XIa), выход 33%, т. кип. 115—119°/0,01 мм, n^{20} D 1,4860, d_4^{20} 1,1717, и кристаллич. (XI б), т. пл. 68-70°. Положение двойных связей в XI не установлено. XIa и XI6 при гидрировании дают один и тот же лактон 2-оксиметил-4-карбоэтоксициклогексанкарбоновой к-ты (т. ил. 78-80°). Попытки прямого доказательства лактонной структуры XI оказались безуспешными. 1 и 3-нитростирол реагируют с выделением NO₂ и дают 2-фенил-3,6-дикарбэтоксициклогексен-4-он-1 (XII), выход 23%, т. кип. 135°/0,01 мм, n^{20} D 1,5085, d_4^{20} 1,1353. Действием NH₂OH и КОН в

3-циано- $\Delta^{5,6}$ -циклогександикарбоновой-1,4 к-ты (II).

1668. Синтезы в группе эстрогенных гормонов. VI. Производные пиклогексанолдикарбоновых-2,3-кислот. Экенер, II ротива (Synthesis in the estrogenic hormone. VI. Derivatives of cyclohexanol-2,3-dicarboxylic acids. ExnerO., Protiva M.), Cб. чехосл. хим. работ, 1955, 20, № 4, 757—764 (англ.; рез. русс.) См. РЖХим, 1955, 55017.

С2H5OH на XII получен оксим XII, т. пл. 174-175°,

а действием NaOH (25%-ного) на XII получена 2-фенилтерефталевая к-та. I и нитроэтилен дают диэти-

ловый эфир терефталевой к-ты, выход 12%. В. Антонов

1669. 5-(1',2',3'-триметоксифенил) - 4,6 - дикарбэтокенциклогександион-1,3. И ападакис, Матисен (5-(1',2',3'-trimethoxyphenyl)-4,6-dicarbethoxycyclohexanedione-1,3. Papadakis Philippos E., Mathiesen Robert), J. Organ. Chem., 1956, 21, № 5, 593 (англ.) Г.

(I),

 d_4^{20}

OB

K-T

pa-

-NE

III

po-

IV ЛИ ый

-ты 61. (°0

VIO-60рир 315. 2,5ип

III t m -0H

ty I

-0HO мм, уп-

ный

рбо-

MM,

преy10-

Ic ение

тилкид-

MM,

пл.

нов-TOT

кар-

окапись еле-

сен-

MM, Н в

75

чена тэти-

онов

HOB. выхs in

iexa-

M.), -764

бато-

M a carb-

h i-

Or-

Осуществлен синтез 5-(1',2',3'-триметоксифенил)-4,6-дикарбэтоксициклогександиона-1,3 (I), промежу-точного продукта для получения некоторых химиотерапевтич. в-в. Смесь 6,2 г 3,4,5-триметоксибензаль-дегида, 5,1 г СН₂(СООС₂Н₅)₂ и 0,3 мл пиперидина кп-пятили 5 час. при 150°. Получали этиловый эфир триметоксибензилиденмалоновой к-ты (II), выход 5,6 г, т. пл. 71—71,5°. К р-ру 0,4 г Na в абс. С₂Н₅ОН прибавдяли 2,2 г ацетоуксусного эфира, смесь кипятили 1 час. и добавляли 5,6 г II. После кипячения (5 час., 110—115°), охлаждения до 0° и добавления разб. СН₂СООН получали I, выход 3, 6 г, т. пл. 191—192° (из сп.).В.Антонов 11670. Синтез анальгетиков. Сообщение VII. Произ-

Синтетическая органическая химия

1670. Синтез анальгетиков. Сообщение VII. Производные аминоциклогексава (4). Такахаси, Хорв, Цуруха (除痛劑の合成、第7報、アミノチクロへキサン誘導能について、その4高橋西蔽、堀幹夫、龍羽原)、薬・華誌, Нкугаку дзасси, J. Pharmac. Soc. Јарап, 1955, 75, № 11, 1380—1382 (япон.; рез. англ.) Получены бензоаты и некоторые замещ. бензоаты готипиклогексанолов. Синтез последних проводят из 2-диметиламинометилциклогексанона (I) и дигалондамещ. бензолов по Гриньяру. Из 23 г 1-хлор-4-йодензола, 2,35 г Мд и 10 г 1 после 7 час. кипичения в эфире получают 6.8 г 1-к-хлорфеныл-2-диметиламинометилоевана, 2,33 г мд и 10 г и ного г мас. кили-тенля в эт ре получают 6,8 г. т. т. т. т. 151°/0,04 мм; хлоргидрат, т. пл. 260° (разл.; из CH₃OH). Из 13 г I, 2,4 г Мд и 24 г o-ClC₆H₄J аналогично получают 3,6 г 1-о-хлорфенил-2-диметилами нометилциклогенсанола (II), т. кип. 153°/0,04 мм; хлоргидрат, т. пл. 195°. Из 5 г I, 1 г Mg и 9,5 г п-СН₃-м-СІ₆С₆Н₃Ј получают 2,2 г 1-п-метил-мхлорфенил-2-диметиламинометилциклогексанола, т.квп. $156^\circ/0.04$ мм; хлоргидрат, т. пл. 206°. Из 20 г. I, 3 г. Mg и 30 г.м- $\mathrm{Br}_2\mathrm{C}_6\mathrm{H}_4$ так же получают 12,8 г.1-мбромфенил-2-диметиламинометилциклогексанола, т. кип. 143 °, 0,5 мм. Из 11 г 1,2,3 г Mg и 23,5 г n Вг $_{2}$ С $_{6}$ Н $_{4}$ аналогично получают 2 г 1- n -бромфенил-2-диметиламинометилциклогексанола, т. кип. 142°/0,04 мм; хлоргидрат, т. ил. 253° (разл.). К 25 г. 1-фенил-2-диметиламинометиламинометиламинометиламинометиламинометиламинометиламинометиламинометиламинометиламинометиламинометиламинометиламинометиламинометиламинометиламинометиламинометиламинометиламинометиламинометиламинометиламинометиламинометиламинометиламинометиламинометиламинометиламинометиламинометиламинометиламинометиламинометиламинометиламинометиламинометиламинометиламинометиламинометиламинометиламинометиламинометиламинометиламинометиламинометиламинометиламинометиламинометиламинометиламинометиламинометиламинометиламинометиламинометиламинометиламинометиламинометиламинометиламинометиламинометиламинометиламинометиламинометиламинометиламинометиламинометиламинометиламинометиламинометиламинометиламинометиламинометиламинометиламинометиламинометиламинометиламинометиламинометиламинометиламинометиламинометиламинометиламинометиламинометиламинометиламинометиламинометиламинометиламинометиламинометиламинометиламинометиламинометиламинометиламинометиламинометиламинометиламинометиламинометиламинометиламинометиламинометиламинометиламинометиламинометиламинометиламинометиламинометиламинометиламинометиламинометиламинометиламинометиламинометиламинометиламинометиламинометиламинометиламинометиламинометиламинометиламинометиламинометиламинометиламинометиламинометиламинометиламинометиламинометиламинометиламинометиламинометиламинометиламинометиламинометиламинометиламинометиламинометиламинометиламинометиламинометиламинометиламинометиламинометиламинометиламинометиламинометиламинометиламинометиламинометиламинометиламинометиламинометиламинометиламинометиламинометиламинометиламинометиламинометиламинометиламинометиламинометиламинометиламинометиламинометиламинометиламинометиламинометиламинометиламинометиламинометиламинометиламинометиламинометиламинометиламинометиламинометиламинометиламинометиламинометиламинометиламинометиламинометиламинометиламинометиламинометиламинометиламинометиламинометиламинометиламинометиламинометиламинометиламином 1-фенил-2-диметиламинометилциклогексанола (III) в 30 мл ацетона добавляют р-р 3,3 г С_вН₂COCl в 10 мл ацетона и кипятят 6 час., получают 1-бензоилокси-1фенил-2-диметиламинометилциклогексан, выход 2,6 г, т. пл. 115,5° (из эф.). Из 2 г П и 1, 2г С₆Н₅COCl аналогично получают 2 г 1-бензоилокси-1-л-хлорфенил-2диметиламинометилциклогексана, т. пл. 203° (из этилацетата). Нагревают p-p1 г 1-этил-2-диметиламинометилциклогексанола (IV) в 3 мл С₆Н₆ и 1,3 г n-ClC₆H₄COCl в 15 мл С₆Н₆ 6 час. при 100—110°, получают 1,3 г 1-этил-1-п-хлорбензоилокси-2-диметиламинометилциклогенсана, т. пл. 201° (из этилацетата). Из 1 г III и 1,56 г м-BrC₆H₄COCl после 1 часа нагревания получают 1,7 г 1-этил-1-м-бромбензонлокси-2-диметиламинометил-1,7 г - 3 гит - 3 горомоензоплоки - 2-диметилами пометил-пиклогексана, т. пл. 184° (из этилацетата, СН₃ОН). Из 3 г IV и 3,4 г м-NO₂C₆H₄COCl в 30 мл С₆H₆ после 1 часа нагревания при 100—110° получают 1-этил-1м-нитробензоилокси-2-диметиламинометилциклогексан, выход 5,7 г. пл. 213,5° (разл.; из этилацетата, СН₈ОН). Гидрируют 3 г хлоргидрата последнего в 30 мл СН₃ОН над 1 г 5%-ного Pd/C, получают 5,2г1-этил-1-м-аминобензоилокси-2-диметиламинометилциклогексана, этоксикарбонат которого имеет т. пл. 197° (из этилацетата, СН₃ОН). Из 11,5 г IV и 14,7 г SOCl₂ в СНСl₃ при 0° получают 3,5 г 1-хлор-1-этил-2-диметиламинометилциклогексана, т. кип 74°/7 мм. Из 10 г III и 11 г SOCl2 через 3 часа аналогично получают 5,5 г 1-хлор-1-фенил-2-диметиламинометилциклогексана, т. кип. 118°/0,4 мм. Предыдущее сообщение Н. Швецов см. РЖХим, 1956, 61625. 11671. Приготовление и стереохимия dl-2-аминоциклогексантиолов. Тагути, Кодзима (Preparation and stereochemistry of dl-2-aminocyclohexane thiols. Taguchi Tanezo, Kojima Masa-haru), J. Amer. Chem. Soc., 1956, 78, Na 7, 1464— 1467 (англ.)

Описаны синтез и некоторые пространственные пре-врещения 2-аминоциклогексантиолов. Обработка тозилатов dl-m ранс-(I) и dl-цис-2-бензоиламиноциклогексанола (II) тномочевиной (III) в абс. свирте привела к тозилату dl-транс-2-беваоиламиноциклогексилизотиурония C_6H_8 CONHCH (CH₂)₄ CH —SC (=NH) NH₂·HO₃SC₆H₄CH₅-n

С₆н₅CONHCH (CH₂)₄ CH —SC (=NH) NH₂·HO₃SC₆H₄CH₃-n (IV), который при щел. гидролизе дает dl-транс-2-беваоиламивопинклогексавтиол (V). По мвению авторов, р-ция I с III, вследствие влияния соседнего с ОН-группой ацильного остатка, происходит черев промежуточный dl-цис-2-фенил-4,5-циклогексанооксазолин (VI), а взаимодействие II с III, благодаря отсутствию такого влияния, является простой S_N 2-р-цией, ствию такого влияния, является простои S_N 2-р-цией, идущей с виверсией конфигурации. Образование VI в качестве промежуточного продукта подтверждеео тем, что при нагревании с III он дает IV, а тране-конфигурация V— его полученеем при обработке мего-числиклогексенвинна (VII) тиобензойной к-той. V был приготовлен также из dl-quc-2-фенил-4,5-циклогексанооксазолина (VIII); сплавление VIII с P₂S₅ привело к dl-транс-2-фенил-4,5-циклогексанотназолнну (IX), который затем действием НСІ был превращен в клор-прарат бензоата dl-тране-2-аминоциклогексантиола (X), образующий V при обработке NаCH. Так как возможобразующий V при обработке NaOH. Так как возможобразующий у при обрасотке гласть. Так как возможнение и при в превращении VI → IX, то IX придава транс-конфигурация. При кипячении с 10%-вой HCl X дал хлоргидрат dl-транс-2-аминоциклогексантиола (XI). Обработка dl-транс-2-аминоциклогексанола (XII) бензальдегидом и S или метиловым эфиром дитиобензойной к-ты (XIII) привела к dl-mpane-2-тиобензоиламиноциклогексанолу (XIV). При сплавлении с P_2O_5 XIV дал dl-quc-2-фенил-4,5-пиклогексанотиазолии (XV), который, в противополож-ность IX, очень устойчив по отношению к HCl и расщепляется с образованием хлоргидрата dl-quc-2амивоциклогексантвола (XVI) и бевзойной к-ты лишь при нагревании с HCl до 180°. При сплавлении dl-mpanc-2-бевзоил аминоциклогексавола с P₂S₃ получена смесь IX (9%) и XV (52%), разделенная кристаллизацией пикратов или же кипячением с 5%-ной HCl, при котором IX превращается в X, а XV не изменяется. Аналогичная обработка dl-quc-2-бензоиламиноциклоге-Аналогичная обработка dl-цис-2-бензоиламиноциклоге-ксанола (XVII) привела к смеси продуктов, из которой были выделены 10% 1X и 4,5% XV. Смесь 2,4 г I (т. пл. 125°), 4 г III и 16 мл. абс. спирта кипятят 10 час., фильтрат упаривают и получают IV, выход 2,5 г, т. разл. 138° (из СН₃ОН). Смесь 1 г II (т. пл. 174—175°), 1 г III и 20 мл. абс. спирта кипятят 23 часа и получают IV, выход 0,55 г. Смесь 1 г VI (т. пл. 159—160°), 1,2 г III и 14 мл. абс. спирта кипятят 5 час. и получают IV, выход 0,66 г. Из маточного р-ра выделяют 0,22 г XVII, т. пл. 184—185°. Смесь 1 г IV и 10 мл 10%-ного водн. р-ра NaOH кипятят 5 мин.,

Nº 4

14 D

ДВОЙН

ик-ст

для л над Р

T. KE спирт омыл MVKO дианы доказ

над 1

тарно p-pos

CHICH,

помо

при

110.10

H

(дву:

наря $C_{11}H$

у-Ла

1, 4 прии

обра (T. I

T. K

гид

upei

(XI) отли

Отм или пер

CH₂

шае

H II

aye:

Sci.

лен обр

TOM

И30

OKE

(T.

эфв KOT DOE art И3 лаг

BOZ

лог

дия

(

3 часа и после охлаждения получают в осадке C_6H_9COOH , а в фильтрате — XI, выход 0,5 ϵ , т. пл. 225° (нз CH_9OH). Смесь 1 ϵ P_2S_5 п 0.85 ϵ XIV силавляют при 150°, затем нагревают при ~100° с 7 м. а 10%-ного р-ра NaOH, из выделившегося масла экстра-10%-ного р-ра NаОн, из выделивиегося масла эксгра-гируют эфиром XV, выход 0,64 г. т. кин. 155—157°/З мм; никрат, т. ил. 131—132° (из СН₃ОН). 1 г XV и 4 мл 20%-ной НСІ (160—180°, 3 часа) дают 0,45 г XVI, т. разл. 245—247°. Смесь 1,5 г XII, 0,92 г С₆Н₅СНО и 0,4 г S нагревают 3 часа при 100°, растворяют в 5 мл спирта и после фильтрования и разбавления 6 мл ССІ₄ получают XIV, выход 1,63 г, т. пл. 120—121° (из ССІ₄). Из 0,5 г XII и 0,7 г XIII (100°, до прекращения выделения CH₃SH) получают XIV. В. Андреев

Диеновый синтез с 1-диэтиламинобутадиеном и термический распад аддуктов. Х ю н и г, К а х анек (Diensynthesen mit 1-Diäthylaminobutadien und thermische Spiltung der Addukte. Hünig Siegeried Kahanek Herbert), Chem. Ber., 1957,

90, № 2, 238-245 (нем.)

Синтезированы аддукты 1-диэтиламинобутадиена (I) с этиловым эфиром акриловой к-ты (II), акрилнитрилом (III), метилвинилкетоном (IV), акроленном (V). I (т. кип. 64—66°/10 мм) с II в С₆Н₆ (6 дней при 20°) дает этиловый эфир чис-2-диэтиламино-Дэ-тетрагидробензойной к-ты (VI), выход 94%, т. кип. 80-83°/0,2 мм, Строение VI доказано: a) превращением в $\Delta^{1.3}$ -дигидробензойную к-ту при кипячении с 20%-ной НС1; б) образованием этилового эфира цис-2-диэтиламиногексагидробензойной к-ты (выход 76%, т. кип. 124—125°/11 мм; йодметилат, т. ил. 157,5°) при гидрировании VI над Pt (из PtO2); в) получением цис-2диэтиламино- Δ^3 -тетрагидробензилового спирта (VII) (выход 95,5%, т. кип. 125—127°/11 мм; пикрат, т. пл. 102°) при восстановлении VI LiAlH4. I с III в C_6H_6 (2 дня) дает нитрил N, N-диэтил- Δ^3 -тетрагидроантраниловой к-ты (VIII) (выход 93%, т. кип. $425-426^\circ/11$ мм), который гидрированием изд Pt 125—126°/11 мм), который гидрированием над Pt (из PtO₂) превращают в натрил N, N-диэтилгексагидроантраниловой к-ты, выход 81%, т. кип. 130-132°/12 мм; пикрат, т. пл. 119—120°. Последний кипячением с 20%-ной HCl (3 дня) переводят в *тране*-2-диэтиламиногексагидробензойную к-ту, выход 58%, т. кни. $129-136^\circ/0,8$ мм, т. пл. $90-92^\circ$. I с IV в р-ре C_6H_6 (1 день при 0°) дает 2-диэтиламино- Δ^3 -тетрагидроацетофеноп (IX) (выход 42%, т. кип. 86—87°/0,2 мм; семи-карбазон, т. пл. 160—163°) и продукты его разложения — $(C_2H_5)_2NH$ и $\Delta^{1.3}$ -дигидроацетофенон (X), т. кип. 79-81°/12 мм. Гидрирование IX приводит к 2-диэтиламиногексагидроацетофенону (выход 27%), (С₂H₅)₂NH и гексагидроацетофенону (XI). Образование из X $C_6H_5COCH_9$ при дегидрировании с H_9SO_4 аддукта с малеиновым ангидридом (выход 77%, т. ил. 121° (из этилацетата)) и красителя при сочетании с азобензолгидразинсульфокислотой, идентичного полученному из $\Delta^{1,3}$ -дигидро-о-толуилового альдегида, свидетельствует о сопряженности циклогексадиенового кольца и СО-группы в X. I с V в эфире (5 час., 0°) дает СО-группы в X. I с V в эфире (5 час., U) дает μuc -2-диэтиламино- Δ^3 -тетрагидробензальдегид (XI), выход 84%, т. кнп. 77—78°/0,6 мм; оксим, т. пл. 85—86°. Восстановление XI LiAlH₄ приводит к VII, выход 92%. По мнению авторов, VIII и IX аналогично VI и XI имеют μuc -конфигурацию. Отщепление (C_2H_5)₂NH от VI, VIII, IX и XI (в C_6H_5 CH₂OH при 154°) протекает мономолекулярно, причем скорость отщепления увеличивается в ряду XI < IX < VI < VIII. С. Кустова 11673. Тропилиден, тропов и трополон. Части I, II и III. Шантавый (Tropilidene, Tropone und Tropolone. I, II und III Teile. § antav y František), Chem. Technik, 1956, 8, № 6, 316—323; № 8, 445—455; № 9, 512—520 (нем.)

Обзор. Библ. 730 назв. См. также РЖХим. 1954. 37626 Действие перекиси водорода на трополоны. 1. Хинокитиол. Нодзов, Сато, Ито, Мацуи, Аннокитнол. Нодзоз, Сато, Пто, Мацуи, Одзоки (Action of hydrogen peroxide on tropolones. I. Hinokitiol. Nozoe Tetsuo, Satô Masatsune, Itô Shô, Matsui Kazuo, Ozeki Pakao), 東北大學, 理科報告 Тохоку дайгаку рика хококу, Sci. Repts. Tōhoku Univ., 1954, Ser. I, 38, № 3, 190—208; краткое сообщение см. Ргос. Јарап. Acad., 1954, 30, № 7, 599—603 (англ.)

Окисление хинокитиола (I) 10%-ным H₂O₂ при 30—35° сопровождается выделением СО₂ п приводит к смеси твердых и жидких карбоновых к-т. Из твердой части (ТЧ) после перекристаллизации из смеси петр. эфир-этилацетат выделена а-изопропилмуконовая к-та (II), т. пл. 141—143° (после продолжиконовая к-та (II), т. пл. 141—143° (после продолжительного стояния на воздухе т. пл. 120—125°, что обусловлено, по-видимому, легкой лактонизацией II); моно-Nа-соль II, т. пл. 107° и т. пл. 135° (из воды); фенациловый эфир, т. пл. 113—114°, а из жидкой части ($\frac{1}{1}$ KЧ) после обработки $\frac{1}{1}$ CH₂N₂ и перегонки выдечасти (ж4) после обраютки с Γ_2 и переговки выделены: а) метиловый эфир β -изопропиллевулиновой к-ты (III), т. кип. $70-95^\circ$ (6 мм, n^{25} D 1,4365; 2,4-динитрофенилгидразон (ДНФГ), т. пл. $105-106^\circ$ (из $\text{СН}_3\text{ОН}$), который при омылении спирт. p-ром КОН дает β -изопропиллевулиновую к-ту (IV), т. пл. $73-74^\circ$ (из петр. эф.); ДНФГ, т. пл. $176-177^\circ$; семикарбазон, т. пл. 196° (V), т. кип. 127—131°/4 мм, n²⁵ D 1,4690, который при омылении спирт. p-ром КОН превращается с 50%-ным выходом в И. Восстановление V над Pt (из PtO₂) приводит к поглощению 1 моля H₂ и образованию соответствующего насыщ. эфира у-лактонокислоты (VI), т. кип. 130—132°/4 мм, n^{25} D 1,4548, кипячение которого со спирт. р-ром КОН приводит к 5-изопропил-а-гидро*цис*-муконовой к-те (VII), т. пл. 152—153° (из петр. эфира); дианилид, т. пл. 210° (из СН₃ОН). При восстановлении ЖЧ над Pt (из PtO2) и последующей обработке $\mathrm{CH_2N_2}$ в качестве основного продукта также образуется VI, т. кнп. 134—137°/5 мм, n^{21} D 1,4571. Строение II доказано наличием в спектре комб. расс. сильного поглощения при $1634\ cm^{-1}$, характерного для группировки C = C - C = C -, а также поглощением 2 молей Н₂ при гидрировании над Pt с превращением **И** в **2-из**опропиладициновую к-ту (VIII) (т. пл. 65—67° (из эф.-петр. эф.); дианилид, т. пл. 186—187° (из водн. сп.)), которая при сухой перегонке над Ba(OH)₂ дает 2-изопропытциклопентамон; семикарбазон, т. пл. 188—189° (из СН₃ОН); ДНФГ, т. пл. 152—153° (из СН₃ОН). На основании ИК-спектра II, в котором имеются полосы поглощения при 6, 16, 12, 40 и 14, 19 µ, характерные

C = C, а также из рассмотредля группировки ния этомных моделей принято, что II имеет чис-чисконфигурацию (А), которая является наиболее устойчивой. α , β -Ненасыщ. характер V подтверждается нереакционноспособностью V по отношению к анилину, что характерно для а, в-ненасыщ. лактонов, а также сдвигом в ИК-спектре V полосы поглощения, характерной для лактонной группировки, в сторону более длинных волн (5,72 µ) по сравнению с VI (5,63 µ). γ-Лактонный характер V подтверждается наличием в ИК-спектре несовпадающих максимумов поглощения, характерных для лактонной (5,72 µ) и сложноэфирной (5,79 д) группировок (в 8-лактоне эти максимумы совпадали бы). При этерификации ЖЧ 8 час. кипячением со спиртом и H_2SO_4 нариду с этиловым эфиром IV (т. кип. $60-80^\circ/5$ мм, n^{14} D 1,4353; ДНФГ, т. пл. 79-80° (из СН₃ОН) образуется в качестве основного продукта этиловый эфир ненасыщ. у-лактонокислоты (IX) строения (B) или (B), т. кип. 141—143°/5 мм, Г.

26

I.

lo-

t ô

0,

ra-

I,

OM

R

·T.

из

ry-

RH-ITO I);

ы);

HO

де-

TH

ро-Н),

aer

тр. 96°

ты

ри

ым О₂)

/I),

ого

po-Tp.

Ta-TKE TCH II

070

пипей

I B

(H3

1.)),

89°

Ha

осы

ные rpe-

чи-

ak-

что

сжа

ак-

лев

μ). M B

ия,

ной умы че-

poм пл.

ого

оты

M.M.

п¹⁸ D 1,4710, в котором СО-группа не сопряжена с двойной связью, что доказывается отсутствием в ИК-спектре сдвига полосы поглощения, характерной для лактонной группы (5,68 µ) при восстановлении ІХ над Рt (из РtО₂) в соответствующий насыщ. эфир (X), т. кпп. 133—436°/4 мм, n²в D 1,4526. Омыление ІХ спирт. р-ром КОН приводит к II, выход 40%, а при омылении X образуется 5-язопропил-α-гидро-транс муконовая к-та (XI), т. пл. 106—107° (из петр. эф.), дианилид, т. пл. 192° (из СН₃ОН). Строение VII и XI доказано их превращением в VIII при восстановлении над Рt (из РtО₂), а также образованием изопропилянтарной и щавелевой к-т при окислении VII и XI щел. р-ром КМпО₄. Конфигурация VII и XI установленае с

помощью ИК-спектра (VII имеет полосу поглощения H

при 13,8 μ , что характерно для C = C, а XI — полосу поглощения при 10,21 μ , характерную для H

С = С). При другом способе этерификации ЖЧ

(двухнедельное стояние со спиртом и H_2SO_4 при $\sim 20^\circ$) наряду с этиловым эфиром IV образуется соединение варяду с этиловым эфиром IV образуется соединение $C_{11}H_{16}O_4$ (по-видимому, этиловый эфир невасыщ, -лактонокислоты), т. кви. $148-154^\circ/14$ мм, $n^{19}D$ 1, 4710; восстановление последнего над Pt (из PtO₂) приводит к насыш, соединению $C_{11}H_{18}O_4$, т. кви. $137-139^\circ/6$ мм, $n^{20}D$ 1,4608, при гидролизе которого образуется VII. Фракционирование ЖЧ приводит к IV (т. кип. $140-143^\circ/3$ мм, n^{10} D 1,4315) и жидкой к-те, т. кнп. $187-190^\circ/4$ мм, n^{10} D 1,4869, которая при гидрировании над Pt (из PtO₂) поглощает 1 моль H_2 . превращаясь в жидкую монокарбоновую к-ту СрН14О4 (XII), являющуюся, по-видимому, лактонокислотой, отличной от VII и XI; анилид, т. пл. 154° (из сп.). Отмечено, что при перекристаллизации ТЧ из воды или смеси петр. эфир-этилацетат II иногда полностью переходит в жидкую менокарбоновую к-ту (XIII), метиловый эфир которой (XIV) (получен действием CH₂N₂ на XIII) при стоянии с CH₈ONa снова превращается в II. При восстановлении XIV над Pt (из PtO2) и последующем кипячении со спирт. р-ром КОН обраи последующем кипичении со спирт. Р-ром колт образуется XII, строение которой окончательно не установлено. Вопреки ранее сделанному наблюдению (Sebe E., Sci. Repts. Tôhoku Univ., 1952, Ser 1, 36, 114) установлено, что IV не образуется из II (или XIII) при обработке H₂SO₄, K₂CO₃ или КОН. Облучение УФ-светом не приводит к превращению II в транс-трансизомер. Из реакционной смеси, образующейся при окислении I, после обработки (CH₃)₂SO₄ выделены III (т. кип. $53-68^{\circ}/3$ мм, $n^{27}D$ 1,4380) и диметиловый эфир II, т. кип. $92-95^{\circ}/4$ мм, $n^{25}D$ 1,4970, строение которого подтверждено превращением его после гидрирования и омыления в VIII. Основываясь на этом, авторы считают, что II и IV образуются непосредственно из I, а ненасыщ. у-лактонокислота является продуктом лактонизации II, протекающей при стоянии II на воздухе. Приведены УФ-спектры II, VII, XI и димети-лового эфира II, ИК-спектры II, V—VII, IX—XI и диметилового эфира II и спектр. комб. расс. II. Л. Хейфид

11675. Действие перекиси водорода на тропононды. II. Трополон, β-метилтрополон и α- и γ-туйяплицины. Нодзор, Ито, Мацуи, Одзеки (Action of hydrogen peroxide on troponoids. II. Tropolone, β-methyltropolone, and α- and γ-thujaplicins. No zoe Tetsuo, Itô Shô, Matsui Kazuo, Ôzeki Takao),

Ргос. Јарап Асаd., 1954, 30, № 7, 604—608 (англ.) Показано, что при окислении щел. H_2O_2 (30—35°, 15 час.) α-туйяплицина (I) образуется α-нзопропилму-коновая к-та, выход 60%, т. пл. 141—143°. Аналогично окисление γ-туйяплицина (II) приводит к транс-β-пзопропилмуконовой к-те (III), выход 25%, т. пл. 124—126°, и смеси к-т (IV); п-бромфенациловый эфир III, т. пл. 140,5—142°. Строение III подтверждено УФ-спектром, а также гидрированием над Рt в β-изопропиладипиновую к-ту (V). Фракционированием продукта метилирования IV (с помощью СН₂№) выделяют метиловый эфир β-изопропиллевулиновой и-ты, выход 15%, и в-во (VI), т. кип. 144—154°/8 мм (т-ра бани), n^{16} D 1,4799—1,4807.

Гидрирование VI над Рt с последующим щел. гидролизом приводит к 4-изопропил-а-гидромуконовой к-те
(VII), т. пл. 105—107°. Гидрированием анилида VII,
т. пл. 212—214°, над Рt синтезируют анилид V, т. пл.
164°. Строение VII подтверждено окислением щел.
р-ром КМпО4 в изопропилиятариую и щавелевую к-ты.
Таким образом, показано, что в IV присутствует
лактокислота (как и при окислении хинокитиола (VIII),
см. пред. реф.). Окисление трополона (IX) щел. Н2О2
(30—35°, 48 час.) приводит к смеси, которую обрабатывают петр. эфиром. Из р-ра выделяют непзмененный
IX, выход 30%, и 3-окситрополон (X), выход 10%, т. пл.
137°. Из осадка выделяют цис-чис-муконовую к-ту (XI),
т. пл. 179—184°; метиловый эфир, т. пл. 71—73°.
Изучением УФ-спектра XI показано, что препарат содержит примесь цис-траис-изомера. Дальнейшее окисление X 10%-по Н2О2 приводит к XI, выход 60%.
Окислением 4-метилтрополона получают с-метилмуконовую к-ту (XII), выход 50%, т. пл. 174—175°.
Строение XII подтверждено УФ-спектром и гидрированием в с-метиладипиновую к-ту, т. пл. 62—64°.
Г. Сегаль

11676. Исправления к статье Нодзоэ, Китахара «Анионоидное замещение в 3-бромтрополоне». — (Erratum.), Proc. Japan Acad., 1954, 30, № 7, 608 (англ.) К РЖХим, 1955, 55024.

1677. Изомеризация циклооктана хлористым алюминием. Мацуда, Акиёси (シクロオクタンの 鹽化アルミニウムによる異性化反應: 松田島, 秋吉三郎), 工業化學雑誌 > Korē кагаку дзасси, J. Chem. Soc. Japan Industr. Chem. Sec., 1955, 58, № 12, 1004— 1006 (япон.)

Изучена изомеризация циклооктана (I) под влиянием AlCl₂ до алкилциклогексанов (AЦГ). Полученная смесь изомерных АЦГ подвергалась дегидрогенизации и исследовалась зависимость состава образующихся алкилбензолов (АБ) от т-ры и кол-ва AlCl₃ при изомеризации. І получен гидрированием циклооктатетраена, т. кип. 84—85°/100 мм, т. пл. 11—13°. Нагревают 50 г І и 10 г AlCl₃ при 80—90° 30 мин. и разлагают 200 мл ледяной воды. Получают 41,9 г АЦГ, 28 г которой дегидрогенизуют при 325° Pt/C, получают 24 г АБ, содержащей 0,2% этилбензола (II), 14,6% о-ксилола (III), 52% м-ксилола (IV), 30,8% n-ксилола (V), 2,4% СН₃С₆Н₅. Аналогично из 30 г І с 1 г AlCl₃ при 75—80° через 50 мин. получают АЦГ и из нее смесь АБ, содержащую 58,6% II, 14,0% III, 17,6% IV, 9,8% V, а при проведении р-ции изомеризации при 120° — 41,1%

ar G J.

R 3.

T. II опи 11.1

AIC

пре

B 2,

T. II Ni

TOJ

сп.)

пол

по

DOB

TOJI Boc

вен

(VI

2-a!

вы

(CH

фор 759

коз 659

т-р

ны

(CI

(IX

KO

3,5

(H3

2-0

51, 165

T-I

ДО

на.

об.

би

ам

(2

m)

аб

по

бу

ПИ

II, 14.1% III, 28,6% IV, 15,9% V, 0,3% CHaC6Ha. Приведены ИК-спектры АЦГ и АБ после изомеризации в жестких и мягких условиях и таблица энергий AHT. Н. Швепов

11678. Синтез цис-8-метилгидринданона-1. Бхаттачария, Чаттерджи (Synthesis of cis-8-methylhydrindanone-1. В hattachary ya Ві-dyut Kamal, Chatterjee Ramesh Chandra), Sci. and Culture, 1956, 21, № 9, 543—

Осуществлен синтез цис-8-метилгидринданона-1 (I). Конденсацией 2-метил-2-карбэтоксициклогексилиден-1-циануксусной к-ты с BrCH₂COOC₂H₃ получали диэтиловый эфир α-циано -α-(2-метил-2-карбэтоксициклогекс- $\Delta^{1,6}$ -енил)-янтарной к-ты (II), т. кип. 195—200°/1,2 мм.

мановской конденсацией триметилового эфира III (т. кип. 155—158°/0,8 мм) получали β-кето-эфир кип. 155—158°/0,8 мм) (VI), т. кип. 135°/0,8 мм. При декарбоксилировании VI образуется 3-карбокси-8-метилгидрин- $\Delta^{4,9}$ -енон-1 (VII), т. ил. 160°; семикарбазон (СК) VII, т. ил. 258—259°; 2,4-динитрофенилгидразон (ДНФГ) VII, т. ил. 114—115°; метиловый эфир VII (VIII), т. возг. 120°/1 мм; СК VIII, т. ил. 220°. Гидрированием VII (над РtO₂) получали насыщ. к-ту (IX), т. пл. 153—154°; ДНФГ IX, т. пл. 160°; метиловый эфир IX (X), т. возт. 120°/0,8—0,9; мм: СК X, т. пл. 190—191°. IX при окислении дает чис-1-метил-1,2-циклогександикарбоновую к-ту (т. пл. 160°). При обработке VII Си-бронзой в хинолине с последующим гидрированием получается I, выделенный в виде СК I, т. пл. 220—221°. Метиловый эфир IV с CH₃ONa и CH₃J дает триметиловый эфир III, который был превращен в VII. Метиловый эфир V с CH₃ONa и CH₂J образует оксидиэфир, который с с KHSO₄ и последующими гидрированием и омылением дает а-(2-метилциклогексил)-янтарную к-ту т. пл. 156°. Строение XI подтверждено сравнением с аутентичным образцом, полученным по методу Штоббе -Джонсона. В ходе работы синтезированы также лактон 1 2-метил-2-карбоксициклогексилиденпропионовой к-ты (т. пл. 147°) из 2-метил-2-карбэтоксициклогекса-нона и Br(CH₂)₂COOC₂H₅ и лактон α-(2-метилциклогексилиден)-янтарной к-ты (т. пл. 107°) вз 2-метилциклогексанона и диметилового эфира янтарной кислоты. В. Антонов

11679. Синтез производных 0:3:4-бициклононана. Бхаттачария, Банерджи of 0:3:4 bicyclononane derivatives. Bhattacharyya Bidyut Kamal, Banerjee Amale n d u), Sci. and Culture, 1956, 21. № 9, 549 (англ.) Осуществлен синтез 5-метилгидриндандиона-2,4 (I) и 1,5-диметилгидриндандиона-2,4(II). Метиловый эфир 5-метил-5-карбометокси-6-кетоциклогексенил - 1 - уксусной к-ты омыляли в 5-метил-6-кетоциклогексен-1-илуксусную к-ту (III), т. пл. 95°.Метиловый эфир III (т.кип.126—137°/Змм)конденсировали с CH₂(COOC₂H₅)₂ и продукт конденсации (IV), т. кип. 190-196°/1,5 мм, омыляли в 5-метилциклогексанон-6-диуксусную-1,2 к-ту (V), т. пл. 146—147°. V также была получена из III и CNCH2COOC2H5 через метиловый эфир 2-(этилцианоацетат)-5-метил-6-кетоциклогексилуксуспую к-ту (VI), т. кип. 180—185°/1,5 мм. Метиловый эфир V (т. кип. 150—155°/1 мм) циклизовали в кетоэфир (VII), т. кип. 140—145°/1,5 мм. Омылением VII получали I, т. возг. 75—80°/1,5 мм; бис-2,4-динитрофенилгидра-зон (БДНФГ) I, т. ил. 164—165° (разл.). При метили-

ровании IV получен метиловый эфир 2-(1',1'-дикарбэтоксиэтил-1')-5-метил-6-кетоциклогексилуксусной к-ты (т. кип.189—193°/1 мм), гидролиз и этерификация которого дали метиловый эфир 2-(«метилацетат)-5-метил-6-пето-циклогексилуксусной к-ты (VIII), т.кип. 155—160°/2мм. VIII также был получен из VI. Диметиловый эфир VIII циклизовали в В-кетоэфир (т. кип. 140—145°/1 мм), гидролиз которого дал II, т. возг. 75—80°/1,5 мм. II дает два БДНФГ с т. пл. 194°(разл.) и 218—220° (разл.). В. Антонов Азосоединения. XVII. Синтез несимметричных спироангидридов. Овербергер, Билетч, X уан Бао-дун, Блаттер (Azo compounds. XVII. Synthesis of unsymmetrical spiroanhydrides. Overberger C. G., Biletch Harry, Huang Pao-Tung, Blatter H. M.), J. Organ. Chem., 1955, 20, № 12, 1717—1720 (англ.) Описан новый путь синтеза несимметричных спироангидридов. Гидролиз 1.1'-дициандициклогексида (1) и 1,1'-дициандициклопентила (II) привел к 1,1'-дикар-

1.1'-дикарбоксидицибоксидициклогексилу (III) и клопентилу (IV), из которых получены соответствующие диспироангидриды. Восстановлением LiAlH. из III приготовлен 1,1'-диоксиметилдициклогексил (V). при обработке H₂SO₄ давший диспиро-(3,4-бисциклогек-сан)-тетрагидрофуран (VI). К 50 мл 50% H₂SO₄ прибавляют 0,0092 моля I (Overberger, O'Shaughnessy, Shalit, J. Amer. Chem. Soc., 1949, 71, 2661), осторожно кипятят 3 часа, выливают в ледяную воду, осадок кипятят с 10% NaOH и в фильтрате после подкисления получают III, выход 35%, т. пл. 227,4—228,4° (из эф.). К 20 мл (СНаСО), О прибавляют 0,002 моля ІІІ, кипятят 2 часа, отгоняют р-ритель и получают диспиро-(а,а'-бис-циклогексан)-янтарный ангидрид (VII), выход 84%, т. пл. 145-146° (из сп.); также из IV получают диспиро-(a, a'-бисциклопентан)-янтарный ангидрид, вы-ход 41,6%, т. пл. 63,2—64,0° (из эф.). К 0,0095 моля NaOH в 15 мл воды прибавляют 0,00127 моля VII, кипятят 4 часа и получают III, выход 93%. В колбу аппарата Сокслета помещают 250 мл абс. эфира и 0,16 моля LiAlH₄, а в экстрактор — 0,04 моля III, кипятят 42 часа, обрабатывают как обычно, для очистки кипятят с 10% NaOH и в осадке получают V, выход 26%, т. пл. 155,0—155,5° (из аф.), а в фильтрате после подкисления — 3,24 г III. К 10 мл 30% H_2SO_4 прибавляют 0,00044 моля V, кипятят 1 час, выливают в ледяную воду, экстрагируют эфиром и после отгонки р-рителя и сублимации в вакууме получают VI, выход 62%, т. пл. 52—53°, Смесь 0.0077 моля аво-бис-(1-цианциклопентана) и 50 мл толуола кипятят 24 часа и после отгонки р-рителя получают II, выход 72,4%, т. пл. 95— 96° (из эф.-петр. эф.). К 50 мл 78% Н₂SO₄ прибавляют 0,0068 моля II, кипятят 12 мин., выливают в ледяную воду, осадок для очистки дважды переосаждают из 10%-ного р-ра NaOH и получают IV, выход 66,9%, т. кин. 157,7—158,5° (из эф.). Сообщение XVI см. РЖХии 1957, 11939. В. Андреев Использование толуола как исходного сырья

в органическом синтезе. И окота, Тэрасак в トルエンの利用有機合成の原料として 横田普 寺崎孝一), 有機合成化學協會誌, Юки госэй кагаку кёкайси, J. Soc. Organ. Synth. Chem. Japan, 1956, 14, № 5, 315— 324 (япон.)

о возможном использовании толуола как исходного сырья в органич. синтезе. Библ. 53 назв. Л. Яновская

Получение и доказательство строения 3,5-дитрет-бутилтолуола. Гёзе, Рейнард, СутерГ.

T0-

(T.

oro TO-III м), П

20° нов

њх ч,

ds.

les. y,

л.)

po-(I) ap-

III-

ter-

IH. V),

SO.

ssy,

кно

KH-

ния ф.).

ma-

ipo-

вы-

ают

выоля VII.

лбу 0,16

TRTE

IDS-6%,

кис-

TOIR HVIO

геля

2%,

кло-

OT-

95-

TOIR ную из

mus.

CHM,

реев

прыя

KF

(-), J.

15уола

азв.

ская **5-ди-**

e p-

брук, Веркаде, Вепстер (Preparation and proof of the constitution of 3,5-di-tert-buty/Itoluene. and proof of the constitution of 3,5-di-tert-butyltoluene. Geuze J., Ruinard C., Soeterbroek J., Verkade P. E., Wepster B. М.), Recueil trav. chim., 1956, 75, № 4, 301—310 (англ.) 3,5-ди-терет-бутелтолуол (I), т. кип. 98°5,7 мм, т. пл. 31—32°, получен с выходом 52% по ранее описанному методу (Capeller, Helv. Chim. Acta, 1928, 11,168) р-цией С645CH₃ с (CH₃)₃CCl в присутствив AlCl₃. Для доказательства положения (CH₃)₃C-групп I превращен (HNO₃, d 1,52 и конд. H₂SO₄, 2 часа, <0°) в 2,6-динитро-3,5-ди-трет-бутилтолуол (II), выход 68%, т. пл. 176—177° (из сп.). II был восстановлен скелетным Ni (в эф., ~20°) в 2-иитро-6-амино-3,5-ди-тем-бутил-толуол (III), выход 80%, т. пл. 97,5—98,5° (из разб. сп.). Формилированием III (кипячение 6 час. с НСООН) получен 2-нитро-6-формиламино-3,5-ди-трет-бутилтолуполучен 2-ингрг-о-фянламино-3,3-ди-трет-сутилголу-ол (IV), выход 81%, т. пл. 174—175° (на сп.), а ацетили-рованием III—2-ингро-6-ацетиламино-3,5-ди-трет бутил-толуол (V), выход 84%, т. пл. 223—224° (на разб. сп.). Восстановление IV и V скелетным Ni дало соответственно 2-амино-6-формиламино-3,5-ди-трет-бутилтолуол VI), выход 90%, т. пл. 206—207° (из разб. сп.), и (11), выход 50%, т. пл. 200—207 (на разо. сп.), и выход 98%, т. пл. 208,5—209,5° (на разо. сп.). VI с (CH₃CO)₂O + CH₃COOH образует 2-ацетиламино-6формиламино-3,5-ди-трет-бутилтолуол (VIII), выход 75%, т. пл. 286,5—287,5 (разл.; из петр. эф.+ абс. сп.), который получен также формилированием VII, выход 65%. Из идентичности обоих образцов (доказано по т-рам плавления, т-ре плавления их смеси и по ИК-спектрам) следует, что II и I обладают симметричным строением. Нитрованием I (HNO₃, d 1,52, в (CH₃CO)₂O) получен 2-нитро-3,5-ди-mpem-бутилтолуол (IX), выход 88%, т. пл. 65—66° (из сп.), восстановление которого скелетным Ni (абс. сп., 60°) привело к 2-амино-3,5-ди-трет-бутилтолуол (X), выход 87%, т. пл. 31—32° (из водн. сп.). X через диазониевую сэль превращен в 2-окси-3,5-ди-трет-бутилтолуол (XI), выход 15%, т. пл. 51,5—52,5° (из петр. эф.); фенилуретан, т. пл. 164,5—165,5° (из петр. эф. и водн. сп.). По т-ре плавления, т-ре плавления смеси и по т-ре плавления их уретанов XI идентичен препарату, полученному алкилированием о-крезола бутиленом в присутствии H₂SO₄ в C₆H₆. Это доказывает орто-положение питрогруппы в IX и валичие свободного орто-положения, а следовательно, и положение ($\mathrm{CH_8})_3\mathrm{C}$ -групп в I, если учесть, что он обладает симметричным строением. Строение VIII (как бис-ацилиронаводного) подтверждено тем, что VIII не реагирует с HNO₂ и тем, что ИК-спектры и УФ-спектры VIII отличаются от спектров первичных ароматич. аминов. Нитрование X (HNO₃, d 1,52, конп. H₂SO₄) дало III, выход 74%. Из 2,64 г III и 10 г (CH₃CO)₂O (2 часа, 140°) получен 2-нитро-6-диадетиламино-3,5-ди-2 часа, 140) получен 2-нитро-о-диацетиламию-о, 3-ди-трет-бугилтолуол (XII), выход 74%, т. пл. 153,5— 154,5 (из сп.). XII при обработке 0,1 н. СН₃ОNа в абс. СН₃ОН превращается в V, выход 97%. Из 1 г VI, 2 г (СН₃СО)₃О, 15 г лед. СН₃СООН (кипятят 3 часа) получен 2-диацетиламино-6-формиламино-3,5-ди-трет-бугилтолуол, выход 78%, т. пл. 179—180° (из петр. эф.). II восстановлен скелетным Ni в 2,6-диамино-3,5ди-трет-бутилтолуол, выход 82%, т. пл. 109,5-110,5° B. CMHT (из водн. сп.). Синтез 1,3,5-трн-трет-бутилбензола. Хар-

тингсвелдт, Веркаде, Венстер (Synthesis of 1,3,5-tri-tert. butylbenzene. Hartingsveldt W. van, Verkade P. E., Wepster B. M.), Recueil trav. chim., 1956, 75, № 4,

349-354 (англ.)

Получен 1,3,5-три-трет-бутилбензол (I), исходя из 3,5-ди-трет-бутилтолуола (II). II окислен КМпО₄ в 3,5-ди-трет-бутилбензойную к-ту (III), метиловый

эфир которой (IV) по р-ции Гриньяра превращен в эфир которов (IV) по р-ции Гриньяра превращен в диметил-3,5-ди-терет-бутилфенилкарбинол (V), соответствующий хлорид которого (VI) с СН₃МgJ дал I. Строение I подтверждено ИК-спектром. К 35 г II, 120 г пиридина, 60 г воды, 15 г КОН прибавляют при 95° за 3 часа 67 г КМпО₄, перемешивают еще 1,5 часа при 95°; обычной обработкой получено 19,5 г III, при 95°; обычной сорасоткой получево 19,5 г 111, выход 63% (на использованный II), т. пл. 171,5—172,5° (из води. С H_3 СООН) и 161—162° (из 80%-вого сп.; неустойчивая форма). При использовании CrO_3 в CH_3 СООН выход III 17%, а $Na_2Cr_2O_7$ в води. $H_2SO_4+CH_3COOH=23\%$. 20 г III кипятят 1 час с 32 г $SOCl_2$, набыток SOCl2 отгоняют в вакууме, прибавляют 20 мл абс. CH₉OH, кипятят 2 часа, выделяют IV, выход 85%, т. пл. 51—52° (из абс. CH₉OH). Р-пией 14 г IV с CH₉MgJ (на 3 г Mg, 12 г CH₂J в 50 мл эф.) получен V, превра-щенный в VI насыщением HCl (газом). VI при кипячении 4 дня с CH₃MgJ (из 2,0 с Mg, 12 с CH₃J в 35 мл эф.) дал I, выход 35%, т. пл. 73—73,5° (из сп.), т. кип. 128—129°/17 мм. В. Смит 11684. Алкилирование анизола β-амиленом в присутствии катализаторов этилэфирата фтористого бора

и соединения фтористого бора с ортофосфорной кислотой. Завгородний С. В., Вахтин В. Г., Тр. Воронежск. ун-та, 1956, 42, № 2, 37 - 39

При алкилировании анизола (I) β-амиленом (II) в присутствии BF₃-H₂PO₄ получены 4-стор-амиленизол (III) — главный продукт р-ции, 2-етор-амиланизол (IV) и диамиланизолы (V). Алкилирование в присутствии эфирата BF₃ дает худшие выходы. К 9,5 г H₃PO₄, насыщ. 5,2 г ВF₃, прибавляют 27 г I и при ~20° за 1,5 часа прибавляют 35 г II, через 14—16 час. промывают водой, 5%-ным Na₂CO₃, сушат (до 170° отгоняют **I и II**), выход алкилата 62%; содержит 80% **III**, т. кип. 104—106°/5 мм, n^{20} D 1,5164, d_4^{20} 0,9584; 16% неочиц, IV, T. RHII. 95-98°/5 MM, n^{20} D 1,5012, d_A^{20} 0,9330, $\pi \sim 4\%$

V. При окислении III 5%-ной HNO₃ получена 4-CH₃OC₆H₄COOH, а при окислении IV— к-та с т. пл. 105—107°.

В. Беликов 11685. О строении димеров, производных пропенил-бенаола. II. Фунакубо, Ватанабэ (Über die Konstitutionsfrage der dimeren Verbindungen der Propenylbewelderigaten. II. Билаки и Беле

Propenylbenzol-derivaten. II. Funakubo Eii-chi, Watanabe Ai), Technol. Repts Osaka

с h i, W a t a n a b e A i), Technol. Repts Osaka Univ., 1955, 5, № 163—187, 469—478 (нем.) При этилировании изохавибетола, 1, 3, 4-С_вН_з-(CH=CHCH₂)(OH)(OCH₂) (I) С₂Н₅Вг или бромировании этилового эфира I (II) бромом, наряду нормальными продуктами р-ций иногда образуется в незначительном кол-ве диэтиловый эфир (III) диизохавибетола (IIIa). III получен с удовлетворительным выходом нагреванием II с НВг или СН₃СООН, содержащей H₂SO₄. Смолистое в-во (СВ), получающееся при этилировании I С₂Н₅Вг, состоит частично из моноэти-лового эфира IIIa (IV) и несодержащей ОН-группы фракций. IV, выделенный в виде апетата (IVa), образует с н-C₃H ₇Br этил-н-пропиловый эфир IIIa, т. пл. 104,5-106,5°, полученный также этилированием ипропилового эфира IIIa (ацетат, т. пл. 107,5—108,5°). Предположено, что IV имеет строение 1-(3-этокси-4-метоксифенил) -2-(3-окси-4-этоксифенил) - 1,2-диэтилэтилена или 1-(3-этокси-4-метоксибензил)-2-(3-окси-4этоксибензил)-1,2-диметилэтилена. В охлаждаемый р-р 10 г II в 60 мл спирта пропускают 5 г НВг, нагревают 3,5 часа при 100°, отгоняют спирт и извлекают эфиром III, выход 4,2 г, т. пл. 123—124,7° (из сп.). 10 г II в смеси 25 мл СН₃СООН и 1 мл конц. Н₂SO₄ нагревают 1 час при 100°, приливают 10 мл спирта и отделяют III, выход 6,8 г. 50 г II в 0,3 л эфира бромируют 43 г Вг₂ в 1 л эфира, оставляют на 30 мин. при 20°,

No 4

JVKT

п-ме

(XII) nony VIII

0.3

0.3

р-ри

or 0

(vKa

50. 8

1 4a

мыва

(0603

рофу 203-

отде.

логи

HCl 0,1

Mocd

TOK

гидр

нзвл

и Х.

щел: т. п испр

1169

KH

3 :

A

3/

65

Д

NH₂ N"H

алкі ами;

BHCE

тилб

димо осно Гид

K II

VI

этил

дим К 40

доба

пол

Кк

CH

12

рива

дейс

спи

C₆H

CH:

ваю

pasi

дук

0-3

O-H

0-и

концентрируют до 1/3 объема, отделяют дибромид II, т. ил. 120—120,5°, и получают III, выход 2 г. К р-ру 2 молей I в 350 мл спирта приливают р-р 2,3 моля КОН в 0,4 л спирта, затем 2 моля С₂Н₅Вг, нагревают 1,5 часа при 45—70°, оставляют на ночь, добавляют еще 0,25 моля С₂Н₅Вг, нагревают 1 час при 60—85°, и 6,5 часа при 85—89°; на следующий день добавляют еще 0,25 моля С₂Н₅Вг, нагревают 1 час при 120°, отгоняют спирт и С₂Н₅Вг, приливают воду, извлекают эфиром выделяют II, выход 151,7 г. т. ил. 50°, III, выход 35,9 г. и (СВ), выход 94,3 г. СВ нагревают с (СН₃СО)₂О и СН₃СООNа, разбавляют водой и извлекают эфиром IVa, т. ил. 144—145,7° (из сп.).

Д. Витковский 11686. Синтез 3,4,5-триметоксифенилацетальдегида. Да ф ф, II е п п е р (The synthesis of 3,4,5-trimethesis об 3,4,5-trime

Дафф, Пеппер (The synthesis of 3,4,5-trimethoxyphenylacetaldehyde. Duif J. G., Реррег J. М.), Canad. J. Chem., 1956, 34, № 6, 842—844 (англ.)

В связи с изучением механизма действия мецкалина синтезирован 3,4,5-триметоксифенилацетальдегид (I), исходя из 3,4,5-триметоксифенилацетальдегид (II), а также из 3,4,5-триметоксифенилацетальдегид (III). 20,8 г II в 100 мл воды и 200 мл спирта гидроксилируют добавлением 5,5 г КМпО4 в 1,1 л воды при <15°; фильтрат упаривают до 400 мл, экстрагируют С6Н6, концентрированием экстракта выделяют 3-(3', 4', 5'-триметоксифенил)-пропандиол-1,2 (IV), выход 52,6%, т. пл. 83—84° (из петр. эф. + бзл.). 6,4 г IV в 300 мл воды окислиют 3,7 г НЈО4 в 200 мл воды, добавляют 10%-ный р-р Рb(NO3); фильтрат экстрагируют эфиром (5×50 мл), затем С6Н6 (50 мл). Из соединенных экстрактов отгоняют р-рители и перегоняют I, выход 31,1%, т. кип. 160—190° (т-ра бани) /0,05 мм, т. пл. 39—40°; семикарбазон, т. пл. 186—187°, 5 г IV в 55 мл сухого С6Н6 окисляют 9,3 г Рb(ООСН3)4 при кипячении, выход 150,9%. Из 14,8 г III и 9 г СІСН2СООС2Н6 (в присутствии С2Н5ОNа), по методу Дарзана, получают соответствующий глицидный эфир, разлагают его разб. НС1, экстрагируют С6Н6, перегонкой в вакууме выделяют I, выход 3,7%.

1687. Реакция Шмидта. IV. Реакция с α-метил-αэтилбутирофеноном. Колбренер, Шюрх (The Schmidt reaction. IV. Reaction with α-methyl-αethylbutyrophenone. Kohlbrenner Philip J., Schuerch Conrad), J Amer. Chem. Soc., 1955, 77, № 22, 6066—6067 (англ.)

Изучена р-ция Шмидта для α-метил-α-этилбутиро-фенона (I). Р-ция протекает аномально при отщеплении мона карбония, причем образуется: СН₃СОС₂Н₅ (II), (С₂Н₅)₂СО (III), СН₃NН₂, С₂Н₅NН₂ и С₆Н₅СООН (IV). Кроме того, обнаружен С₆Н₅NH₂ (V), присутствие которого может быть объяснено р-цией IV с НN₃. В продуктах р-ции отсутствуют N-замещ, амиды и трет-алкиламины, образования которых следует ожидать при нормальном протекании р-ции Шмидта. І не подвернормальном протекании р-ции шмидта. 1 не подвергается перегруппировке по механизму, предложенному ранее (см. РЖХим, 1956, 12785), так как не были найдены 3-этпл-3-фенилпентанон-3 или 4-метил-4-фенилгенсанон-3. Р-р 268 г С₆Н₅СОС₂Н₅ в 250 мл С₆Н₆ кипятят 5 час. с NH₂Na (из 46 г Na и 1 л жидкого NH₃), прибавляют 220 г С₂Н₅Вг и перемешивают 12 час.; выход втор-бутилфенилкетона (VI) 240 г. т. кип. 105—110°/10 мм. Алкилирование VI в тех же условиях дает 139 г I, т. кип. 128.5—129°/11 мм, n²¹D 1,5123. 0,1 моля I растворяют в конц. H₂SO₄, прибавляют при 30-40° за 3 часа 0,27 моля NaN₈ и выливают на лед, перегонкой полученного масла выделяют 1,6 г ІІ, 0,6 г III, 1,9 г к-ты (вероятно, а-метил-а-этилмасляной), т. кип. 69-75°/10 мм, и ~2,5 г І. Из водн. р-ра извлекают 4,6 г IV и затем отгоняют амины; получают 1,6 г C2H5NH2·HCl, 0,7 & CH3NH2·HCl, 8,3 & NH4Cl H 2 & V. П. Аронович

11688. Смешанные бензонны из салицилового альдегида. Пхадке (Mixed benzoins of salicylal-dehyde. Phadke R. J.), J. Scient. and Industr. Res., 1956, (В—С)15, № 4, В208—В210 (англ.)

В противоположность С. Н. СНО (Іа), одинаково способного отдавать и принимать водород в процессе образования бензоина, 4-CH₃OC₆H₄CHO(Iб) и 3-CH₃O-4-НОС6Н3СНО (Ів) ведут себя при аналогичной конденсации избирательно, что позволяет синтезировать смешанные бензоины. При кипячении 4 часа 2-HOC, H4CHO (II) с Ia-в (по 0,1 моля) в 100 мл спирта с 10 г КСN MA воды получают соответствующие Archohcoc_eH₄OH-2 (ПІа—в) (даны т. пл. в °С (дасп.+ + СН₃COOH)): ПІа, 87—89; ПІб, 105—107; ПІв, 151— 152. Строение IIIа подтверждено отсутствием сходства с 2-HOC₆H₄CHOHCOC₆H₅, а IIIб и IIIв — расщеплением КJO₄ до **Iб** и **Iв**. Склонность II отдавать Н объяснена наличием орто-эффекта, а изменение окраски IIIа-в от светло-желтой до шоколадной при кристаллизации из разных смесей спирта и СН3СООН и цветные р-ции IIIа—в с H₂SO₄ — их внутрикомплексным строением и способностью претерпевать таутомерную перегруппировку с образованием ортохиноидных соединений. К. М. Хайкина

689. Минмая активность перхлората серебра как катализатора образования фталидов из о-бензовлебензойной кислоты. Бертон, Манди (The alleged activity of silver perchlorate as a catalyst for the formation of phthalides from o-benzoylbenzoic acid. Вurton Н., Миnday D. А.), Chemisty and Industry, 1956, № 16, 316 (англ.)

Сопоставляя выходы фталидов из о-бензоилбензойной к-ты и соответствующих нуклеофильных реагентов (напр., м-ксилола) в присутствии RGClO₄, не содержащего HClO₄, и в присутствии HClO₄, авторы подтверждают сделанный ими ранее вывод (РЖХим, 1954, 19759), что катализатором является не AgClO₄, а HClO₄, присутствующая в последнем в виде следов. Л. Обухова

11690. Расщенление серебряной соли, сопровождаемое перегруппировкой. С м и т, С е л л а с (A silver salt degradation involving rearrangement. S m i t h W a l t e r T., Jr, S e l l a s J a m e s T.), Trans. Kentucky Acad. Sci., 1955, 16, № 3, 72—75 (англ.) С₆H₅C(CH₃)₂CH₂COOAg при кипячении с Вг₂ в ССІ₄ дает смесь 48% С₆H₅C(CH₃)₂CH₂Br, 28% С₆H₅CH₂C(CH₃)BrCH₃ (I) и 24% С₆H₅CH=C(CH₃)CH₂, являющегося продуктом дегидробромирования І. Образование І свидетельствует об участии в р-ции свободного радикала С₆H₅C(CH₃)₂CH'₂, который частично перегруппировывается в С₆H₅CH₂(CH₃)₂C'. К. Хайкива 11691. Действие натрия на фенилиминоюфиры. П.

1691. Действие натрия на фенилиминоофиры. П. Конденсация некоторых производных фениловых эфиров орто- и пара-замещенных фенилиминобензойных кислот. Жонен, Семо (Action du sodium sur les phénylimino-éthers. П. Condensation de quelques dérivés o- et p-substitués du phénylimino-benzoate de phényle. Jaunin Roland, Séchaud Gabriel), Helv. chim. acta, 1956, 39, № 5, 1257—1262 (франц.; рез. англ.)

Фениловые эфиры o-(I) и n-(II) фенилиминотолуиловых и фенилимино-о-метоксибензойной (III) к-т легко реагируют в эфирном p-ре с Na, причем получаются соответствующие o-толил-(IV), n-толил-(V) и 2,2'-диметоксибензил-(VI)-дианилы, строение которых доказано гидролизом их 60%-ным p-ром H₂SO₄ в o- и n-толилы и 2,2'-диметоксибензил; во втором случае кроме того образуются с незначительным выходом n-толуидид (VII). Фениловый эфир фенилимино-n-метоксибензойной к-ты (VIII) почти не реагируют в аналогичных условиях, но при книячении в n-бутиловом эфире (IX), после частичного гидролиза образующейся смеси про-

18

ec-

T-

0-

Ha ak

OF

ic

ty

ün

OB

a-

p-

8

B. Ba

oe

alt

h

ns.

n.)

Cl4 %

H3,

)бод-

НО

II.

ых

DH-

um

el-

u d

710-

ко

тся

ли-

ано ли-

эме

уи-

eH-

ых X),

po-

луктов 20%-ной НСІ, получены 4,4′-диметоксибензил (X), п-метоксибензанилид (XI), N-(п-метоксибензил)-анилии (XII) и N, N'-дифенил-п-метоксибензамидии (XIII). XII получается, по-видимому, в результате восстановления VIII, а XIII — в результате конденсации 2 молей VIII последующего отщепления n-CH₃O—C₆H₄—COOH. 0,3 моля Соответствующего анилида в 180 мл толуола и р-ритель, продукт растворяют в 140 мл CHCl₃, добавляют 0,36 моля C₆H₅ONa, оставляют на 12 час. и получают суказаны в-во, выход в % и т. пл. в °C): I, 62, 89—90; II, 50, 86—87; III, 53, 71—72; VIII, 38, 83—85. Взвесь 1,5 г Na в р-ре 0,03 моля I, II или III в 0,1 л эфира кипитит 1 час в атмосфере N₂, р-р нейтрализуют СН₃СООН, вызывают р-ром NaOH фенол, концентрируют и получают (обозначения те же): IV, 69, 183—184 (пз. ст. тетратидрофурана); V, 48, 150—150.5 (из сп. диоксана); VI, 31, 203—204 (из сп. диоксана); из маточного р-да после отделения V, выделяют VII, выход 6%. Продукт аналогичной р-цип 0,03 моля VIII гидролизуют 20%-ной НСІ и получают X, выход 0,7%. К взвеси 15 г Na в 0,1 л IX добавляют 9,1 г VIII, кипитит 13 час. в атмосфере N₂, извлекают фенол, отгоняют р-ритель, остаток кипитит 30 мин. с 20%-ной НСІ, отделяют хлоргидрат XIII, выход 0,29 г, т. пл. 250—257°, из которого выделяют XIII, т. пл. 133,5—134° (из сп.), и X. выход 3,7%, т. пл. 130—132° (из сп.); р-р подщелачивают и извлекают эфиром XII, выход 0,326 г. т. пл. 68° (из сп.); р-р подщелачивают и извлекают эфиром XII, выход 0,326 г. т. пл. 130—131 (из ст.), и X. выход 0,37%. Т. пл. 130—132° (из ст.); р-р подщелачивают и нзвлекают эфиром XII, выход 0,326 г. т. пл. 68° (из ст.), и X. выход 0,364° (из см.).

Д. Внтковский П. Ал-килирование 3,4-диметилбензамидоксима. І. Ал-килирование 3,4-диметилбензамидоксима. Канадава, Овада, Йосида, Сато (アミドキシム誘導體の研究. 第 1 報. 3,4-ジメチルペンズアミドキシムのアルキル化について. 金澤定一, 大和田悅郎,吉田眞, 佐藤徹唯), 日本化學雜誌, Нихон кагаку дзасси, J. Chem. Soc. Japan Pure Chem. Sec., 1955, 76, № 6, 654—657 (япон.)

Двумя путями из 3,4-диметилбензамидина (I) действнем NH_2OH и из 3,4-диметилбензонитрила (II) и NH_2OH синтезирован 3,4- $(CH_3)_2C_6H_3C(=N'OH)-N''H_2$ III). С C_2H_5ONa III дает Na-соль (IV), которая алкилируется посредством RJ до О-алкил-3,4-бензамидоксимов. При действии (СН₈)₂SO₄ (V) на III в зависимости от рН среды образуется О-метил-3,4-диметилбензамидоксим (VI) и небольшое кол-во N'-метил-3,4диметилбензамидоксима (VII) (pH>7) или в качестве основного продукта — VII и лишь немного VI (pH<7). Гидролиз III (5%-ный NaOH, кипячение 1 час) приводит к II; последний образуется также при щел. гидролизе VI и других О-алкилпроизводных. Щел. гидролиз N'этил-3,4-диметилбензамидоксима (VIII) привел к 3,4диметилбензамиду и 3,4-диметилбензальдегиду (IX). К 46,1 г I и 16,9 г NH₂OH - HCl в 300 мл воды за 2 часа добавляют 11 г NaOH в 300 мл воды, на другой день получают III, выход 96%, т. пл. 150—151° (из сп.). К кипящей смеси 131 г II, 87,5 г NH₂OH · HCl в 250 мл СН₃OH за 5 час. добавляют 69 г Na₂CO₃, оставляют на 12 час. при 40—50°, кипятят 6 час., фильтруют, упа-ривают до 1/4, получают III, выход 86%. IV получают действием на спирт. р-р Ш 1 моля С₂Н₅ONa, удалением спирта, добавлением С₆Н₆, киплачением, удалением С₆Н₆, высушиванием при 100°. К 0,02 моля IV в 30 мл СН₃СОС2Н₅ при 75° добавляют 0,024 моля RJ, нагревают, удаляют р-ритель, извлекают C_6H_6 , фильтрат разбавляют петр. эфиром, получают (даны конечный про-Лукт, время нагревания в мин., т. пл. в °С): VI, 20, 88; О-этил-3,4-диметилбензамидоксим (X), 56, 48—48.5; О-и-пропил-3,4-диметилбензамидоксим, 114, 56—57; О-изопропил-3,4-диметилбензамидоксим, 480, 95—96.

При ведении р-ции в С₆Н₆ или толуоле время р-ции вначительно увеличивается. При р-ции IV с С₂Н₅Ј в СН₃СОС₂Н₅ в присутствии СаСО₃ (кипичение 1 час) основной продукт — 3,4-диметилфенилмочевина, выход X невелик. К 5 г III в 20 ма СН₃ОН добавляют 20 ма 20%-ного NаОН и затем при 35° 7,7 г V, перемешивают 5 мин., добавляют NН₄ОН, удаляют р-ритель в вакууме, извлекают эфиром, получают VI, выход 76%; води. слой подпелачивают, извлекают С₆Н₆, получают VII, выход 9,2%. В 5 г III, 1 г Н₃ВО₃, 20 ма СН₃ОН и 10 ма воды при 25—35° вводят 7,7 г V, поддерживая рН 5,6—5,8, добавляют по каплям 30%-ный NаОН, перемещивают 50 мин., как описано выше, выделяют VII, выход 79%, и VI, выход 11,1%; л-нитробензолсульфонильное производное VII, т. пл. 173°. Аналогично VII в щел. р-ре получают VIII, выход 0,6%, т. кип. 142—145°, наряду с VIII образуется 17,5% IX и 55% X.

II. Яновская 11693. Динитрование п-ди-трем-бутилбензола. Б с л л, В а к. (Тhe dipitration of policiest -but Vlergere

11,3% IA и 55% A.
11693. Динитрование *n*-ди-*mpem*-бутилбензола. Белл, Бак (The dinitration of *p*-Di-*tert*-butylbenzene. Bell F., Buck K. R.), J. Chem. Soc., 1956, June, 1890—1891 (англ.)
При нитровании 1,4-ди-*mpem*-бутилбензола (I) полу-

При нитровании 1,4-ди-трет-бутилбензола (I) получены 2,5-(II) и 2,6-(III)-динитро-1,4-ди-трет-бутилбензолы. Строение II доказано отсутствием дипольного момента и окислением дитозилата 2,5-днамино-1, 4-дитрет-бутилбензола (IV), полученного из II, в дитозилата 2,5-ди-трет-бутил-1,4-хинонимина (V). Дипольный момент III 2,3 D, что соответствует мета-положению нитрогрупп. III не реагирует с кинящим пиперидином в отличие от 2.3-динитро-1,4-ди-трет-бутилбензола (Le Fèvre, Le Fèvre, J. Chem. Soc., 1935, 964). 20 г 1 сначала нитруют до мононитропроизводного (Сагрепет и др., J. Organ. Chem., 1951, 16, 586) и после этого далее по описанному методу (Воейскет, Bull. Soc. chim. France, 1906, 35, 835). Кристаллизацией из СН₃СООН выделяют II, выход 6 г, т. пл. 191°; III, выход 1 г, т. пл. 141°, и в-во с т. пл. 74—90°, выход 1,6 г. Восстановление II Fе-порошком в спирте в присутствии HCl (к-ты) дало диамин, выделенный в виде IV-n-C₆H₄Cl₂ (пз продажного о-C₆H₄Cl₂, содержащего n-C₆H₄Cl₂), теряет р-ритель при 170°. IV при обработне N-бромсукцинимидом в пиридине дает V, т. пл. 258—260° (из о-C₆H₄Cl₂).

11694. Исправления к статье Муда, Дейка, Нивинда «Синтез производных β-фенилэтиламина. III. Вещества бронхорасширяющего действия» —(Еггаtum), Recueil trav. chim., 1955, 74, № 11, 1573 (франд.) К РЖХим, 1956, 16015. В статье и реферате (8-я строка от конца) вместо «Смеси 0,65 моля конд. водн. р-ра NH₃, 0,375 моля уолжно быть: «Смеси 0,200 моля п-толуилового альдегида, 0,200 моля».

11695. Некоторые 1,3-дифенилиропиламины. Крыстиансен, Браун, Хей, Никкон, Сапдин (Some 1,3-diphenylpropylamines. Christiansen Robert G., Brown Raymond R., Hay Allan S., Nickon Alex, Sandin Reuben B.), J. Amer. Chem. Soc., 1955, 77, № 4, 948—951 (англ.)

Для исиытания действия против саркомы 37 получей ряд алкоксизамещ. 1,3-дифенилиропиламинов (I) восстановлением дигидрохалконов (II) или их оксимов (ОК). И синтезированы гидрированием халконов. Из эквимолекулярных кол-в 3,4,5-(СН₃О)₃С₆Н₂СНО и 3-оксиацетофенона в присутствии СН₂ОNа получен 3'-окси-3,4,5-триметоксихалкон, выход 87%, т. пл. 173—174° (из сп.); аналогично из 3,5-диметокси-3,4-метилендиоксихалкон, выход 87%, т. пл. 123° (из сп.). Гидрированием халконов над РК (из РКО₂) в этилацетате при 3,5 ат получены II (указаны заместители, выход в %, т. пл. в °С (из сп.)):

No

CH:

и 1

пол

T. 1

ROC

Nа (нз р-р

SHE

BOC

H O

лоі

Bee

0.6

бал 30

фа

ря 70

лу n-1 кр 0.5

11

(P my 4-1,

ВО

3,

OF Ж

ДЕ

3-

P

N C II

Bnn

4′,3,4,5-тетраметокси, 77, 94—95; 3′-окси-3,4,5-триметокси, 90, 140—140,5; 3′,3,4,5-тетраметокси, 80, 69—70;3′,5′ диметокси-3,4-метилендиокси, 85, 76—77. Обработка II и NH₂OH·HCl в пиридине + спирт привела к ОК II (указаны заместители, выход в %, т. пл. в °C): 4′,3,4,5-тетраметокси, 81, 101—102; 3′-окси-3,4,5-триметокси, 90, 131—132; 3′,4′,5′-триметокси-3,4-метилендиокси (III), 77, 108—109; 2′, 3′,4′-триметокси-3,4-метилендиокси (III), 77, 108—109; 2′, 3′,4′-триметокси-3,4-метилендиокси, 61, 110—111. ОК II восстановлены в I Nа в кипящем свирте (метод А) или на скелетном Ni (85°, 1 час, 70 ам) (метод Б) либо Na/Hg в спирте; ряд 1 был также получен из II р-цией Лейкарта (метод В) (перечислены заместители, метод получения и выходы в %, т. пл. производных в °C): 4′,2,3-триметокси, A, 59, В, 37, хлоргидрат (ХГ), 202—203, пикрат (IIK), 157—158; 4′,4-диметокси, A, 69, В, 81, ХГ, 185—186, IIK, 168—169; 3,4-диметокси, A, 57, В, 88, IIK, 127—129; 4′,3,4,5-тетраметокси, B, 75, ХГ, 192—193, N-ацетил, 85—86; 3′,4′,5′-триметокси-3,4-метилендиокси, B, 57, ХГ, 201—202, IIK, 150—151; 3,4-метилендиокси, B, 57, ХГ, 201—202, IIK, 150—151; 3,4-метилендиокси, B, 60, ХГ, 173—174, IIK, 218—219; 3′,3,4,5-тетраметокси, B, 56, ХГ, 195—196, N-ацетил, 92—93; 3′-окси-3,4,5-триметокси-3,4-метилендиокси, B, 38, IIK, 188—159; 3′,5′-диметокси-3,4-метилендиокси, B, 38, IIK, 185—187. Получить IV по методу В не удалось. 7 из полученных I оказались активными против саркомы, но в дозе, близкой к летальной. В. Смит

11696. Сингезы некоторых β-арил-β-метоксиэтилами-нов. Мерц, Финк (Synthese einiger β-Aryl-β-methoxyäthylamine. Мегг К. W., Fink J.), Arch. Pharmazie, 1956, 289/61, № 7, 347—358 (нем.) Синтезированы интересные в фармакологич, отношении β -арил- β -метоксиэтиламины (I, арил-3.4-CH₃O-C₆H₃·OCH₂C₆H₅ (a), 3.4-C₆H₅CH₂·OC₆H₃·OCH₃ (6), 2.3-(CH₃O)₂C₆H₃ (B), 2.3-C₆H₅CH₂O-C₆H₃·OCH₃ (r), 2.3-(C₆H₅CH₂O)₂C₆H₃ (д)), для чего соответствующие арилальдегиды (Иа-д) конденсацией с СН₃NO₂ превращены в 1-нитро-2-арилэтилены (IIIа-д), из которых после присоединения СН3ОН в присутствии СН3О Na получены β-арил-β-метокси-α-нитроэтаны (IVa—д), восстановленные Zn и CH₃COOH или LiAlH₄ в I. IIa, т. пл. 64,5° (на петр. эф.); Пб. т. пл. 63,5° (на петр. эф.); Пб. т. пл. 63,5° (на петр. эф.); Пб. т. пл. 45°, получены с выходами >90% бензилированием или метилированием соответствующих оксиметоксибензальдегидов, синтезированный впервые IIд—бензилированием 2,3-диоксибензальдегида (V); строение IIд—доказано окислением КМпО₄ в водн. ацетоне в 2,3-дибензилоксибензойную к-ту, т. пл. 120° (из сп.-петр. эф.), и восстановлением и разбавлением СН₃СООН в 2,3-дибензилоксибензиловый спирт, т. пл. 100° (вз эф.-петр. эф.). Смесь 10 г 3-окси-4-метоксибензальдегида в 250 мл С₆Н NO₂ и 80 г AlBra в 250 маС₆Н 5 NO2 оставляют на 24 часа при 20°, приливают 250 мл воды и из води, слоя извлекают эфиром 3,4-диоксибензальдегид, выход 91—93%, т. пл. 155°. 250 г 2-окси-3-метоксибензальдегида в 1 л 135°. 250° г 2-окси-3-метокспосизованадетида в г 2 СН₃СООН кипятят с 0,3 л р-ра НВг (d 1,49), перегоняют в вакууме и получают V, выход 45%, т. пл. 105° (из бзл.). Из 69 г V, 86,4 г К₂СО₃, 152 г С₆Н₅СН₂СІ п 0,6 л спирта получают Пд, выход 84,9%, т. пл. 91° (из сп.); CH₃NO₂ в спирте в присутствии конц. водн. или метанольного p-ров 18 г КОН, добавляют СН₃СООН, смешивают с разб. минер. к-тами и получают (указаны в-во, выход

в %, т. пл. в °C): IIIa, 93, 121—122; III6, 86, 129—130; IIIв, 85, 87; IIIг 82, 71—72; IIIд, 85,5, 107. К охлаждае мому p-ру Па-д и СН₃NO₂ в миним, кол-ве спирта побавляют рассчитанное кол-во 40%-ного р-ра NaOH и отделяют Na-соли IVa—д, выход 67—93%. К 15 г IIIa в 0,3 л СН₃ОН постепенно приливают при 0° 0.1 4 5,3%-ного метанольного р-ра СН₃ONa, встряживают, нейтрализуют СН₃COOH, отгоняют р-ритель, приливают воду и получают IVa, выход 95,8%, т. пл. 80°; аналогично получают (указаны в-во, выход в %, т. пл. в °C): IV6 96,5, 99; IVB, 97, 77,5; IV г, 100, 56; IVд. 97, 54 (все IV кристаллизованы из СН_вОН). К охлаждаемому льдом p-ру 8 г IVa, в или г в 150 мл 85%-ной НСООН постепенно добавляют 20 г Zn-пыли, нагревают несколько часов при 50-60°, отгоняют в вакууме р-ритель, подщелачивают и извлекают эфиром (обозначения те же): Ia, 29,5, 182 (на ацетона-петр. эф.); Iв, 77,5, 218—220 (на ацетона-сп.), I г, 68, 212—213 (из ацетона-сп.); к 5 г Іа, б или д постепенно добавляют эфирный p-p 2,5—3 г LiAlH₄, кипятят несколько часов и получают (обозначения те же): Іа, 50; Іб, 42, 81 (из ацетона-петр. эф.), или I д, 71, 198 (из ацетона-Д. Витковский петр. эф.). 11697. Синтез некоторых физиологически активных

эфиров диалкиламиноуксусных кислот. Рем и з ов А. Л., Хромов-Борисов Н. В., Ж. общ. химии, 1956, 26, № 5, 1471—1482

Для взучения взменения физиологич, действия сложных эфиров ароматич. к-т и аминоспиртов общей ф-лы RCOOCH₂CH₂NR₂′ (I) при переходе к сложным эфирам ароматич. спиртов и диалкиламиноуксусных к-т общей ф-лы RCH₂OCOCH₂NR₂′ (II) получены следующие II: C₆H₅CH₂OCOCH₂N(C₂H₅)₂ (IIa), C₆H₅CH₂OCOCH₂NC₆H₁₀ (II6), C₆H₅CH₂OCOCH₂NC₆H₅O (IIB), C₆H₅CH₂OCOCH₂N(C₂H₅)₂ (III), (C₆H₅)₂CHCH₂OCOCH₂N(C₂H₅)₂ (IIд), (C₆H₅)₂CHCH₂OCOCH₂NC₆H₁₀ (IIE), (C₂H₅)₂CHCH₂OCOCH₂NC₆H₁₀ (III), 7.5 г (NC₅H₁₀ (III), (C₂H₅)₂CHCH₂OCOCH₂NC₆H₁₀ (III), 7.5 г
Г.

30:

ae-Д0-

HC

5 8

OT,

пи-00;

nn.

Vд,

-)KI

HOH

TOL

уме

на-

In. 213

TOIL ча-

накий

н O B

биг.

OЖ--лы pan об-

щие

H2-

IB).

H2-

H2-

гле

TH-5 2

epea

epe-

eйп. 7/3, ги-

йод-%).

плат

атем II H

AJ.

35на);

1. + TO-

28/2 гро--72

a +

09-

III. или -178час.,

пл. аце-ОН).

IV), мин. ыход MM. CH2CH2OH и IV получают С6H5CH2CH2OCOCH2Cl, выход CH_2OH и IV получают $C_6H_5CH_2OCOCH_2CI$, выход 85—90%, т. кип. 135°/7 мм; из 2,97 г (C_6H_5)2CHCH2OH, и 1,7 г IV в 5 мл C_6H_6 (1,5—2 часа на водяной бане) получают (C_6H_5)2CHCH2OCOCH2CI, выход 87—92%, т. ил. 44,5—45,5° (из сп.). (C_6H_5)2CHCH2OH получен восстановлением 9,6 г (C_6H_5)2CHCH2OCOCH3 5,5 г Na в 80 мл R- C_4H_9 OH, выход 50—57%, т. ил. 53—54° (из петр. эф. при быстрой кристаллизации очень конц. p-ров) и $61-62^{\circ}$. Все полученные II обладают местноанестетич, действием, по силе в некоторых случаях превосходищим действие соответствующих I; ганглиолитич. и общетоксич. действие II значительно слабее, чем у I. Авторы оспаривают представление о действии I не целой молекулой, а продуктами гидролиза в организме. Все т-ры плавления и кипения исправлены.

В Скородумов 698. Пикрат бутезина (пикрат n-бутилового эфира n-аминобензойной кислоты). Поровская, Бём

n-аминовензовной кислоты). Поровека и, вем (Pikrynian butezyny (pikrynian p-aminobenzoesanu n-butylu). Рогоwska N., Воеh т J.), Przem. chem., 1953, 9, № 12, 624—625 (польск.) спитезирован пикрат n-NH₂C₆H₄COOC₄H₉ (I, II—эфпр)—лечебного средства «бутезина». 0,1 моля n-NH₂C₆H₄COOH этерифицируют кипячением (6 час.) с 0,66 моля n-C₄H₉OH и 0,115 моля 92%-ной H₂SO₄, добавляют 100 мм воды, перегоняют с паром, регенерируя $30\ \varepsilon\ C_4H_0OH$, остаток охлаждают до 0° , получая суль-30 г С₄П₉ОП, остаток охлаждают до 0°, получай сульфат II, т. пл. 184—189°; последний растворнот в горячей воде и добавляют ~15 мл конц. NH₄OH, выход II 70—72%, т. кип. 173—174°/8 мл. т. пл. 58—59°. II получают также восстановлением (Fe + HCl, 90°) л-NO₂C₆H₄COOC₄H₉, выход 70—72%. Р-р 0.025 моля пивриновой к-ты и 0,05 моля II в 100 мл спирта кипитят 0,5 часа, охлаждают, выливают по каплям в 700 мл воды, получают I, выход 95%, т. пл. 110-111,5°. Т. Амбруш получают I, выход 95%, т. пл. 110—111,5°. Т. Амбрун 11699. Синтез и свойства продуктов хлорирования метилового эфира 4-амино-2-оксибензойной кислоты. І. Стелт, Сюрмонд, Наута (Synthesis and properties of the clorination products of methyl 4-amino-2-hydroxy-benzoate. I. Stelt C. van der, Suurmond B. G., Nauta W. Th), Recueil. trav. chim., 1956, 75, № 5, 504—512 (англ.) Ввиду того, что при хлорировании 4-амино-2-оксибензойной клам. наблюдарсь. перавоски мурование

бензойной к-ты наблюдалось декарбоксилирование (РЖХим, 1955, 31593), СООН-группа была защищена путем этерификации и в результате хлорирования 4-NH₂-2-HOC₆H₃COOCH₃ (I) получен метиловый эфир 1,3,3,5,5,6-гексахлорциклогександион - 2,4-карбоновой-1 к-ты (II). В аналогичных условиях II может вой-1 к-ты (II). В аналогичных условиях II может быть получен также из метиловых эфиров бензойных к-т: 2,4-днокси-(III), 2-ампно-4-окси-(IV), 2,4-днамино, 3,5-дихлор-2,4-днокси-(V) и 4-амино-3,5-дихлор-2-окси-(VI). Установлено, что V и VI являются промежуточными продуктами хлорирования I; II не дает динитрофенилгидразонов. При восстановлении II с помощью SnCl₂ образуется V. Действие на II HClO в лед. СН₃СООН приводит к 1,1,2,3,5,5,5-гептахлор-3-калбометоксицентанон-4-калбоновой-4. к-те. (VII). 3-карбометоксипентанон-4-карбоновой-1 к-те Разрыв кольца происходит также при действии на **II** NaHCO₃, при этом образуются CHCl₂COOH и CH₃OCOCH=CClCCl₂COOH (VIII). Р-ция VII в NaHCO₃ приводит к VIII и CCl₃COOH. Восстановление VII с помощью Na/Hg дает глутаконовую к-ту (IX), а SnCl₂ — 5-карбометокси-6-трихлорметиливрон-2 (X). 50 г I, 200 мл лед. CH₈COOH и 50 мл конц. HCl пропускают Cl2 до прекращения выделения HCl (газа), продувают воздух, отфильтровывают II, выход 63%, т. пл. 88—90° (из эф. или лигр.). Аналогично проводит хлорирование 2,4 г IV в 10 мл лед. СН₃СООН и 2 мл конц. HCl, выход II 42% (выделяют упариванием в вакууме). К 15 г SnCl₂ в лед. СН₃СООН при пропускачии сухого HCl постепенно прибавляют 3 г II, на дру-

гой день разбавляют водой и получают V, выход 75%, т. пл. $162-164^\circ$ (из водн. CH_9OH). В p-p 7,5 $_{\rm F}$ III в 75 мл CCl_4 пропускают Cl_2 , как описано выше, и получают V, выход 81%, т. пл. 163--165° (из лигр.). 4 г II 6 г NaHCO3 и 60 мл воды встряхивают до растворено в канссов и об мя воды встрихывают до растворе-ння, извлекают эфиром водн. р-р, подкисляют, эфиром экстрагируют сНСl₂COOH, выход 80%, и VIII, выход 69%, т. кип. 134—136°/0,1 мм. VIII с 2 н. NаОН дает (СООН)₂. В 15 г II, 75 мл СН₃COOH и 450 г льда 4 часа пропускают Cl₂, получают VII, выход 88%, т. пл. 181—183° (вз бэл. + лигр.). Р-р 12 с NaHCO₂ н 12 г VII в 120 мл воды подкисляют, эфиром экстраги-руют ССІ₃СООН, выход 77%, и VIII, выход 79%. К 10 г VII в 250 мл воды прибавляют при 1° 350 г 4%-ной Na/Hg, поддерживая кислую р-цию среды с помощью 4 н. H₂SO₄, через 2 часа прибавляют еще 350 г амальгамы, не добавляя H₂SO₄, еще через 2 часа подкисляют, эфиром извлекают IX, выход 69%, т. пл. 132—134° (из бзл. + CH₃OH или хлф. + + CH₃OH). В 80 мл лед. CH₃COOH и 40 г SnCl₂ при пропускании сухого HCl вносят 10 г VII, оставляют на ~12 час. при ~20°, отгоняют в вакууме СН₃СООН, прибавляют воду и получают X, выход 40%, т. ил. 99—100° (из водн. СН₃ОН). Ю. Волькенштейн 11700. Исследования в ряду гидратроповой кислоты. Сообщение V. Оптически активные мета- и пара-за-

мещенные гомогидратроповые кислоты. Нердель, Mon (Untersuchungen in der Reihe der Hydratropasäure, V. Mitteilung: Optisch aktive m-und p-substituierte Homohydratropasäuren. Ner del Friedrich, John Ute), Chem. Ber., 1956, 89, № 8, 1945-1950 (нем.)

Конденсацией Na-производного эфира а-цианопропионовой к-ты с n- или м-нитробензилхлоридами, гидролизом образующихся нитрилов и декарбоксилированием дикарбоновых к-т синтезированы рацемич. n-нитро-(I) и м-нитро-(II) гомогидратроповые к-ты, превращенные п м-пиро-(II) гомогидатроповые к-ты, превращениме обычными способами в n-амино-(III) и м-амино-(IV), n-ацетиламино-(V) и м-ацетиламино-(VI), n-окси-(VII) и м-окси-(VIII) гомогидратроповые к-ты; кристаллизацией (+)-борниламиновых солей перечисленных к-т выделены их левовращающие формы (a); I, II, Ia и IIa этерифицированы CH₂N₂ в метиловые эфиры (MЭ), превращенные действием NH₃ в амиды (A). Восстановлением м-нитро-а-метилкоричной к-ты, т. пл. 203°, получена м-амино-а-метилкоричная к-та, т. пл. 137° (из воды). IIIа и IVа превращены диазометодом в (—)-гомогидратроповую к-ту, $\lceil \alpha \rceil^{20} D - 26,7^\circ$, откуда вытекает их конфигурация. (+)-Гомогидратроповая к-та, d_{\perp}^{20} 1,062, [а] $^{20}D+22,9^{\circ}$, полученная из ее хининовой солж, т. ил. 122 $^{\circ}$, [а] $^{20}D+116,2^{\circ}$, также превращена в МЭ, т. кип. $230^{\circ}/22$ мм, d_4^{22} 1,017, $[\alpha]^{20}D+30,1^{\circ}$, ж A, т. пл. 115° (из воды). Эфирные р-ры I и небольшого избытка $\mathrm{CH_2N_2}$ оставляют на 12 час., перегоняют и поизбытка CH_2N_2 оставляют на 12 час., перегоняют и получают $M\ni I$, выход 93%, т. кип. $90^\circ/0,002$ мм, т. пл. 57° (из петр. $\ni \Phi$.). $0,5^\circ$ е $M\ni I$ и 35 мм конц. p-pa NH_2 встряхивают 8 час. при 20° , p-p упаривают досуха и получают AI, т. пл. 116° (из воды). 60° е IB $0,1^\circ$ я дизопропилового $\ni \Phi$ ира (IX) смещивают с 40° е $(13^\circ$ дизопропилового $\ni \Phi$ ира (IX) смещивают с 40° е $(13^\circ$ барира (13° смещивают 13° смещивают 13° смещивают 13° (13° барира (13° смещивают 13° смещивают 13° (13° воды); на борниламиновой соли 13° г. пл. 13° (13° воды); на борниламиновой соли 13° г. пл. 13° (13° смеще 13° смещ

No

NH

(yka 117 d n 2 E тур 3 г

про

C T

тел

HES

II:

HOL

ГИД

HOR

BP

каз

an

rea

J₂(

coc

K,

об

пе

пр

(P

CII

WIT 14

ло

TO,

CI

TO,

H П

T.

B

пј К

ЭН p-

38

14

M

3

2.

M.

C

вз. разб. HCl); III, т. пл. 126° (из хлф.); IIIа, т. пл. $106-107^\circ$ (из хлф.), $[\alpha]^{20}$ $D-23,4^\circ$ ХГ, т. пл. 191° (разл.), $[\alpha]^{20}$ $D-46^\circ$ (в воде). Ацетилированием III 106—107° (на хлф.), $[\alpha]^{20}$ $D-23,4^\circ$ $X\Gamma$, т. пл. 191° (разл.), $[\alpha]^{20}$ $D-46^\circ$ (в воде). Ацетилированием III нолучают V, т. пл. 148° (из воды); Vа, т. пл. 129° (из воды), $[\alpha]^{20}$ $D-22,4^\circ$. Аналогично получают IV, т. пл. 99° (из хл.-петр. эф.); IVа, т. пл. 94 (из хлф.-шетр. эф.), $[\alpha]^{20}$ D-14,3; $X\Gamma$, т. пл. 136°, $[\alpha]^{20}$ $D-42.8^\circ$; VI. т. пл. 137° (из воды); VIа, т. пл. 123° (из воды), $[\alpha]^{20}$ $D-21^\circ$. Диазотируют III или IV, р-р разбавляют вдвое, нагревают при 50° и получают VII, т. пл. 102° (из хлф.-петр. эф.), или VIII, VIIа, т. пл. 99° $[\alpha]^{20}$ $D-18,5^\circ$; VIIIа, т. пл. 98° (из хлф.-петр. эф.), $[\alpha]^{20}$ $D-15,2^\circ$. $[\alpha]$ D (кроме $[\alpha]$ D $X\Gamma$) определены впирте. Приведены значения молекуляного въвшения спирте. Приведены значения молекулярного вращения в различных р-рителях для спектральных линий С, D, Hg, F и Hg_2 . Сообщение IV см. РЖХим, 1955, 45853. Д. Витковский

Действие первичных и вторичных аминов на бромпроизводные эфиров а, в-этиленовых кислот. IV.Производные этилениминкарбоновой-3 кислоты ■ эфиров α-амино-а, β-этиленовых кислот. М у р ё, Шовен, Пти (Action des amines primaires et secondaires sur les dérivés bromés des esters α,β-éthyléniques. IV. Dérivés de l'acide éthyléne imine carboxylique-3 et esters α-aminés α,β-éthyléniques, M o u r e u H e n r i, C h o v in Pa u l, Pet it L o u i s), Bull. Soc. chim. France, 1955, № 11—12, 1573—1583 (франц.)

Изучалась р-ция первичных и вторичных аминов с**эти**ловым эфиром α-бромкоричной к-ты (1). При обра-ботке I пиперидином (II), морфолином (III), (CH₃)₂ NH (IV), (CH₃)(C₆H₅CH₂)NH (V) и (C₂H₅)₂ NH (VI) образуются диаминопроизводные типа С₆H₅CH(NRR′)CH-(NRR') СООС $_{2}$ Н $_{5}$ (VII). С этилбензиламином и метил-анилином р-цию провести не удалось. При действии та I C_{2} Н $_{5}$ NH $_{2}$ (VIII), C_{6} Н $_{5}$ СН $_{2}$ NH $_{2}$ (IX), циклогексиламина (X) образуются NRCH (C₆H₅) CHCOOC₂H₅ (XIa)

■ C₆H₅CH CHCONHR (X16). Для доказательства цик-

энч. структуры XIa и XIб их обрабатывали сухим HCl, •ри этом цикл разрывается с образованием СаН₅СН-Сорудованием $C_6H_5CH_6$ (XIIa) и C_6H_5CH (Cl) CH (NHR·HCl) CONHR (XII6). При действии C_8H_5CH (XIIa получается $C_6H_5CH = C$ (NHC₂H₅) COCC₂H₅ (XIII), легко гидролизующийся на холоду, давая C₆H₅CH₂COCOOC₂H₅, который может образоваться лишь при паличии в XII и XIII аминогруппы в α-положевии. Анилин (XIV) реагирует по схеме вторичных амивов. Механизм р-ции включает образование промежуэтиленаммония, который иона распадается с образованием VII или XI в зависимости • от основности амина. К 1 молю I по каплям приба-вляют р-р 3 молей вторичнего амина в 20 мл абс. спирта при 20—30°. Смесь выдерживают при р-ции с II 12—15 час. (20°), с III 24 часа (60°), с IV 8 дней (15—20°), с V 48 час. (75°), с VI 8 дней (15—20°). Выход этилового эфира а, β-дипиперидино-β-фенилпро**пи**оновой к-ты 98%; *чис*-изомер, т. пл. 86° (из сп.), ■ транс-изомер, т. пл. 102°. Выход этилового эфира **. Выход VII (R = CH₂, R' = C₂H₅) 40%, т. пл. 37—38°. Выход VII (R = R' = C₂H₅) 40%, т. пл. 37—38°. Выход VII (R = R' = C₂H₅) 40%, т. пл. 37—38°. Выход VII (R = R' = C₂H₅) т. кнп. 120—125°, n^{20,6} D 1,4960. К 20 г I прибавляют **21**,8 г XIV, смесь нагревают 4 часа при $180-190^\circ$. Выход VII (R = H, R' = C_6H_5) 12%, т. пл. 152° . К 1 молю I прибавляют 2 или соответственно 3 моля вервичеого амина для получения XIa или XI6. В случае VIII берут 30%-ный р-р его в абс. спирте, IX и X эряменяют без р-рителя. Смесь оставляют на 24 часа

при р-ции с IX, 1 месяп при р-ции с VIII и X. Выход XIа ($R=C_2H_5$) 62%, n^{13} D 1,5140; выход XIа ($R=C_2H_5$) 98%, т. кип. 135—145°/0,001 мм. Выход XIа ($R=C_6H_5CH_2$) 98%, т. пл. 62—63° (из води, сп.); выход XI6 ($R=C_6H_5CH_2$) 1,94 г. т. пл. 108° (из бал.). Выход XIа ($R=\mu_{\rm LM}$ м. Серий р. 1,99%. В р-р XIа в абс. афире при 0° пропускают ток сухого HCl. Выход XIIa ($R=C_2H_5$) 89%; выделено 2 диастереонзомера с т. пл. 142—143° (из тетрагидрофурана (XV)). Выход XIIa ($R=C_6H_5CH_2$) 96%; выделено 2 изомера с т. пл. 160—161° и с т. пл. 142—158° (из XV). Выход XIIa ($R=\mu_{\rm LM}$ м. 160—161° и 157—158° (из XV). Выход XIIa ($R=\mu_{\rm LM}$ м. 160—161° и 157—158° (из XV). Выход XIIa ($R=\mu_{\rm LM}$ м. 160—161° и 157—158° (из XV). Въход XIIa ($R=\mu_{\rm LM}$ м. 160—161° и 157—158° (из XV). Въход XIIa ($R=\mu_{\rm LM}$ м. 160—161° и 157—158° (из XV). Въход XIIa ($R=\mu_{\rm LM}$ м. 160—161° и 157—158° (из XV). Въход XIIa ($R=\mu_{\rm LM}$ м. 160—161° и 157—158° (из XV). Въход XIIa ($R=\mu_{\rm LM}$ м. 160—161° и 157—158° (из ХУ). Въход XIIa ($R=\mu_{\rm LM}$ м. 160—161° и 157—158° (из ХУ). Въход XIIa ($R=\mu_{\rm LM}$ м. 160—161° и 157—158° (из ХУ). Въход XIIa ($R=\mu_{\rm LM}$ м. 160—161° и 157—158° (из ХУ). Въход XIIa ($R=\mu_{\rm LM}$ м. 160—161° и 157—158° (из ХУ). Въход XIIa ($R=\mu_{\rm LM}$ м. 160—161° и 157—158° (из ХУ). Въход XIIa ($R=\mu_{\rm LM}$ м. 160—161° и 157—158° (из Вх). Въход XIIa ($R=\mu_{\rm LM}$ м. 160—161° и 157—158° (из Вх). Въход XIIa ($R=\mu_{\rm LM}$ м. 160—161° и 157—158° (из Вх). Въход XIIa ($R=\mu_{\rm LM}$ м. 160—161° и 157—160° (из Вх). Въход XIIa ($R=\mu_{\rm LM}$ м. 160—161° и 157—160° (из Вх). Въход XIIa ($R=\mu_{\rm LM}$ м. 160—161° и 157—160° (из Вх). Въход XIIa ($R=\mu_{\rm LM}$ м. 160—161° и 157—160° (из Вх). Въход XIIa ($R=\mu_{\rm LM}$ м. 160—161° и 157—160° (из Вх). Въход XIIa ($R=\mu_{\rm LM}$ м. 160° (из Вх). Въход XIIa ($R=\mu_{\rm LM}$ м. 160° (из Вх). Въход XIIa ($R=\mu_{\rm LM}$ м. 160° (из Вх). Въход XIIa ($R=\mu_{\rm LM}$ м. 160° (из Вх). Въход XIIa ($R=\mu_{\rm LM}$ м. 160° (из Вх). Въход XIIa ($R=\mu_{\rm LM}$ м. 160° (из Вх). Въход XIIa ($R=\mu_{\rm LM}$ петр. эф.). В. Райгородская 11702.

Конденсации с йодметилатом диметиламинометилацетаминомалонового эфира. Изучение химпама реакций конденсации четвертичных солей аммония. Хельман, Фольц (Kondensationen mit Dimethylaminomethyl-acetamino - malonester-jod-methylat. Ein Beitrag zum Chemismus der Kondensamann Heinrich., Folz Edith), Chem. Ber., 1956, 89, № 8, 2000—2007 (нем.)

вого эфира (I) реагирует в водн. или спирт. среде в при-

Йолметилат

диметиламинометилапетаминомалоно-

сутствии щел. конденсирующих средств с фталимидом-К (II), бензилмеркаптаном (III), п-толуолсульфоновой к-той (IV) или дибензоилметаном (V), причем образуются соответственно этиловые эфиры В-фталимидо-(VI), ү-бензилмеркапто-(VII) и ү-(n-толуолсульфонил)-(VIII)-а-ацетаминопропионовых и ү-бензоил-а-ацетаминомасляной (IX) к-т. Предположено, что при всех этих р-циях в результате присоединения к I ионов ОН-, декарбэтоксилирования и отщепления N(СН 3) в промежуточно образуется этиловый эфир ацетаминоакриловой к-ты, превращающийся после присоединения II-V в VI—IX. VII гидролизован 2 н. р-ром NаОН при 100° в N-ацетил-S-бенаилцистеин, выход 87,2%, т. пл. 156-157°. Описаны синтезы метидовых эфиров пиперидинометил-(а), диэтиламинометил-(б) и диметиламинометил-(в) ацетамино-(X) и формамино-(XI) мало-новых к-т. 0.01 моля I и 0.01 моля II в 30 ме абс. новых к-т. 0.01 моля I и 0.01 моля II в 30 м.г. асс. спирта кипятят 3 часа в токе N_2 , отгоняют р-ритель, остаток извлекают C_6H_6 , р-ритель отгоняют, продукт растворяют в 50 мл CH_3OH , хроматографируют на Al_2O_3 и получают VI, выход 52,2%, т. пл. 162° . 0,01 моля I и 0,01 моля III в р-ре C_2H_5ONa (из 0,23 г Na и 30 мл сп.) кипятят 2,5 часа в токе N_2 , отгоняют р-ритель, остаток растворяют в 20 мл воды и извлекают бенаолом VII, выход 74%, т. пл. 75° (из петр. эф.); аналогично из 0,01 моля I п 2,24 г V получают IX, выход 50%, т. пл. 112° (из воды); если VII получают в СН 3ОН в результате переэтерификации, получается эфир β-бензилмеркапто-α-ацетаминопрометиловый пионовой к-ты, выход 76%, т. пл. 81°. 0,01 моля I и 0,01 моля IV в смеси 27 мл спирта и 3 мл воды в присутствии 0,01 моля NaOH кипятят 2 часа, отгоняют р-ритель, приливают 15 мл воды, оставляют в холодельнике и отделяют VIII, выход 10%, т. пл. 152°. К 5 молям диметилового эфира ацетаминомалоновой к-ты (XII) добавляют 5 молей пиперидина и 0,5 мл 40%-ного формалина (XIII) и получают Xa, выход 90%, т. пл. 96—97° (из сп.). Аналогично из 0.01 меля XII, 0,01 меля NH(C₂H₂)₅ и 1 мл XIII получают X6, выход

58%, т. пл. 79° (из бал.-петр. эф.). Смесь 0,01 моля XII. 0,01 моля NH(CH₃)₂·HCl и 1 мл XIII оставляют

на 2 часа при 20°, подщелачивают при -10° 20%-ным

р-ром NaOH и извлекают эфиром XB, выход 50%, т. пл.

(из петр. эф.); из 0,01 моля диметилового эфира формаминомалоновой к-ты, 0,01 моля виперидина, Г.

Вы-К16 К1а Вып.).

бс. Па

ил, ана

Ha

p-p ICl.

вы-

зл.кая

HO-

momit ne-

nsa-1 lem.

)HO-

ри-

-мој вой

pa-

идоил)-

цет-

Н-, омеило-И—

при

ери-

ano-

абс. ель, цукт

уют 62°. 23 г іяют

ф.); IX.

нают ется про-

сут-

ильмок-ты

ного

00%

XII, цохи поля тынгт

. пл. фира

пна,

NH(C₂H₅)₂ или NH(CH₃)₂·HCl и 1 мл XIII получают (указаны в-во, выход в %, т. пл. в °C): XIa, 88,2, 133—134 (из сп.); XI6, 69,3, 109—110 (из гексана); XIa, 47,4, 127—128 (из бэл.-гексана). Д. Витковский 1703. 3-Йод-3,3'-дийод- и 3,3'-дийод-5-бромтировин. Геммилл, Андерсон, Бургер (3-iodo-3,3'-diiodo-and 3,3'-diiodo-5-bromothyronine. Gemmill Chalmers L., Anderson James J., Burger Alfred), J. Amer. Chem. Soc., 1956, 78, № 11, 2434—2436 (англ.)

Ввиду того что производные С6Н5ОС6Н5 (I), структурно похожие на тиронин (II), замещ. Ј в положениях 3 и 5, обладают тироксиноподобной активностью, а производные II, имеющие галоген только в положениях производные 11, имеющае галоген только в положениях 3' и 5', совершенно лишены таковой, а также в связи с тем, что переход к (—)-3,3',5-трийодтиронину значительно повышает метаболич. активность, для выявления значения J в положении 5, синтезированы замещ. П: D,L-3-йод-(IIa), DL-3,3'-днйод-(IIб) и D,L-3,3'-дн-йод-5-бром-(IIв). При восстановлении и одновременном гидролизе α-бензамидо-3-йод-4-(3'-йод-4'-метоксифенародной стой в различных условиях (красный Р с НЈ (к-той) или с НЈ + НВг-к-тами) образуется в результате дейодирования Па, а не Пб, как ожидалось. 116 получен йодированием IIa. Строение IIa доказано независимым синтезом, исходя из 3,4-J2C6H3NO2 (III) и 4-СН₃ОС₆Н₄ОН (IV); исходными в-вами для синтеза 3-йод-5-бромтировина (**IIr**) служили 3-Вг-4,5- **J**₂C₆H₂NO₂ (**V**)в **IV**, для **II6** и **IIв**—**III** и 3-**J**-4-CH $_3$ ОС $_6$ Н $_3$ -ОН (**VI**). 0,1 моля $_n$ -йоднитропроизводного, 0,2 моля соответствующего фенола и 0,21 моля безводн. К₂CO₃ в ~250 мл CH₃COC₂H₅ кипятят 18 час. После обработки 6%-ным NaOH, отгонки с водяным паром и перекристаллизации получают галогеннитрометоксипроизводные I (Ia) (перечисляются заместители, выход в %, т. пл. в °С, р-ритель для перекристаллизации (PP)): 2-J-4-NO₂-4'-CH₃O, 90, 70—71, CH₃COOH или сп.; 2,3'-J₂-4-NO₂-4'-CH₃O, 80, 139—140, (CH₃COOH или CH₃COC₃H₅; 2-J-4-NO₂-6-Br-4'-CH₃O, 84, вли CH₃COC₂H₅; 2-J-4-NO₂-6-Br-4'-CH₃O, 84, 141,5-142, CH₃COC₂H₅. Ia восстанавливают до 4-галогенаминометоксипрозводных I (16) по общему методу: 0.01 моля Ia, 50 мл C_2H_bOH , 45 мл воды, 5 мл CH₃COOH, 4 г порошка Fe и 4 г Fe-опилок кипятят 3,5—6 час. и обрабатывают по ранее описанному методу (Block P., Powell G., J. Amer. Chem. Soc., 1942, 64, 1070); хлоргидрат (ХГ) осаждают из С_еН_е действием 64, 1070); хлоргидрат (ХГ) осаждают из С₆Н₆ действием HCl, свободный амин выделяют добавленным NaOH. Получены XГ Iб (перечисляются те же показатели): 2-J-4-NH₂-4-CH₃O, 80, 202—210 (разл., водн. сп. + + HCl); 2,3-J₂-4-NH₂-4'-CH₃O, 90, 233—236 (разл. сп.); 2-J-4-NH₂-6-Br-4-CH₃O, 90, 186—192 сп. (основание т. пл. 113,5—114°, из сп.). Взвесь 0,06 моля XГ Iб в 300 мл 90% -пой СН₃СООН двазотируют 10 млС₄Н₉ОNО при 15—18°. Через 30 мвн. прибавляют СиСN (из 170 в КСN и 150 в СиSO₄) при <10°, размешивают при 25° 1 час, нагревают до 80°, сставляют на ~12 час., осадок экстрагируют С₆Н₆, хроматографируют на Al₂O₃, р-р выпаривают в вакууме, добавляют эфир до 30 мл, р-р выпаривают в вакууме, добавляют эфир до 30 мл, охлаждают до —17° и получают галогенцианметоксивамещ. I (Iв) (перечисляются те же показатели): 2-J-4-CN-4'-CH₃O, 36, 115—116, эф.; 2,3-J₂-4-CN-4'-CH₃O, 60, 161—162, CH₃COC₂H₅; 2-J-4-CN-6-Br-4'-CH₃O, 51, 142-143, СН₈СОС₂Н₅. Полученные Ів восстанавливают по Стефену до соответствующих галогенальдегидопо Стефену до соответствующих галогенальдегидо-метоксипроизводных I (Ir) (перечисляются те же пока-затели): 2-J-4-CHO-4'-CH₂O, 68, 81—83, води. сп.; 2,3-J₂-4-CHO-4'-CH₃O, 70, 147—149, води. CH₃COOH; 2-J-4-CHO-6-Вг-4'-CH₃O, 70, 98—100, сп., CH₃COOH или петр. эф. Действием 5,3 моля гиппуровой к-ты на 5,2 моля Ir в 11 мл (CH₃CO)₂O в присутствии CH₃COONa (95°, 1 час), после гидролиза 200 мл ледямой воды получены соответствующие азлактоны (VII)

(перечисляются в-во, выход в %, т. пл. в °С, РР): 4-13-йод-4-(4'- метоксифенокси) -бензаль]-2-фенил-5-оксазолон, 100, 157—159, СН₈СООН; 4-[3-йод-4-(3'-йод-4'-метоксифенокси)-бензаль]-2-фенил-5-оксазолон, 70, 203—203,5, СН₈СООН; 4-[3-бром-5-йод-4-(4'-метоксифенокси)-бензаль]-2-фенил-5-оксазолон, 99, 199—200, СН₈СООН, Кипячением 6 мин. VII с 50 объ емами 2%-ного NaOH в 50%-ном водн. спирте, после фильтрования и подкисления 17%-ной HCl выделяют α-бензамидогалогенметоксифеноксикоричные замещ. «-бензамидогалогенметоксифеноксикоричивек-к-ты (VIII) (перечисляются заместители в идре, выход в %, т. ил. в °С. РР): 3-J-4-(4'-CH₃OC₆H₄O) (VIIIa), 65, 216—218, СН₃COOH; 3-J-4-(3'-J-4'-CH₃OC₆H₃O) (VIII6), 90, 223—224, СН₃COOH или СН₃COC₂H₅; 3-Вг-5-J-4-(4'-CH₃OC₆H₄O) (VIIIa), 98, 246—248, СН₃COOH или СН₃COC₂H₅-1,5 ε VIIIa, 1,5 ε красного Р, 22,5 мл. CH₂COOH и 0,6 мл НЈ (к-ты) кипятят 1,5 часа, прибавляют 3,75 мл 48%-ной НВг и кипятят еще 3,5 часа. Остаток после выпаривания в вакууме растворяют в 40 мл воды, добавлением СН₃COONa до рН 5-6 осаждают **Па**, выход 45%, т. пл. — 234—238° (из води. ацетона). На получен аналогично из VIII6 с выходом 64%. Аналогично из VIIIв получен IIг, выход 83%, т. пл. 248—250° (переосажден NH₄OH из р-ра в разб. к-те). Иб получен йодированием Па по ранее описанному методу (РЖХим, 1955, 21341), но с 1,2 моля 1_2 , выход 84%, т. пл. $198-199^\circ$ (разл.; высушен над P_2O_5 при $115^\circ/O,2$ мм, 8 час.). 154,2 ме I_2 в 25 мл C_2H_5OH постепенно прибавляют к 240 ме Пг в 250 мл C_2H_5OH постепенно прибавляют к 240 мг II в 250 мл 28%-ного NH_2 , через 2 часа упаривают в вакууме, получают IIв (переосаждают NH_4OH из кислого p-ра), выход 0,2 г, т. пл. 213—215° (яз води. CH_3OH). У получен диазотированием 20 г $2\text{-Br-4-NO}_2\text{-6-J-}C_6H_2NH_2$ в 75 мл конц. H_2SO_4 , 22,5 г $NaNO_2$ и последующей p-цией с 104 г KJ в 75 мл воды, выход 90%, т. пл. 144—146° (из хлф.). УІ получен из 2-йод-4-аминоанивова диазотированием (лед. CH_3COOH , конц. H_2SO_4 , C_4H_0ONO) и разложением диазосоединения HCl (к-той), выход 45—50%, т. пл. 106—107° (из води. сп.). Наиболее активным оказался IIв как в отношении возрастания потребления кислорода крысами. с. упаленной пиле ния потребления кислорода крысами с удаленной щи-товидной железой (ВПК), так и в отношении сокращения размера щитовидной железы при зобе. Пб почти лишен размера шитовидной железы при зоое. По почти лишей активности ВПК и имеет слабую активность при зобе. Все т-ры плавления исправлены. В. Скородумов 11704. Противотуберкулезные вещества. XIV. Хлорирование 2-интродифениламина. Барри, Беато и (Antitubercular substances. XIV. The chlorination of 2-nitrodiphenylamine. Ваггу Vin сепt С., Веlton J. G.), Proc. Roy. Irish Acad., 1955, B57, № 10, 141—146 (англ.)

Хлорирование 2-нитродифениламина (I) избытком SO₂Cl₂ или Cl₂ в CH₃COOH (РЖХим, 1955, 34515) приводит к 2',4',4-трихлор-3-нитродифениламину (II), полученному также при хлорировании 4'-хлор-2-нитродифениламина (III) и 2',4'-дихлор-2-нитродифениламина (IV). Строение II подтверждено сравнением его с 2', 4', 6-трихлор-2-нитродифениламином (V), синтезированным конденсацией 2,3-дихлоритробензола (VI) с 2,4-дихлоранилином (VII) или (с лучшим выходом) конденсацией VI с C₆H₅NH₂ и последующей обработкой SO₂Cl₂,нолучающегося 6-хлор-2-нитродифениламина (VIII). При нагревании в присутствии Fe или конд. H₂SO₄ II дает 1,3,7-трихлорфеназин (IX). Восстановлением II получают 2-амино-2', ',4'-трихлор-дифениламина (X), образующий при действии HNO₂1-(2,4-дихлорфенил)-5-хлорбензотриззол (XI), а при окислении FeCl₃—феназин (XII или XII6). При хлорировании 2,4-динитродифениламина набытком SO₂Cl₂ образуется 2',4'-дихлор-2,4-динитродифениламина. Килият 15 мин. при ~100° 7,5 г I и 24 мл SO₂Cl₂ и отделяют II, т. пл. 186—187° (из диоксана). Аналогичие

Nº 4

11709

IV

ли

бe

ket

bro

77

Из

гидр

силм

Mg-o

нафт

сени

реаг

мого 3-окс

200).

(VI) R.

Смес

J. А 4,3 м чему

охла

пент

(из с

ема

дейс

рую

гонк

ход т. п. к 12

и по

CS₂.

зате!

80% 137,6 Вг₂ лон-

товл

R. Ј эфир П (и

сано

Soc.

Baio

масл

MO

H 2,

H2Se

экст

чают

77,5

P-p

циям вать

III.

11 x

нолучают II с колич. выходом из III, IV или 4-хлор-2 нитродифеннламина. II синтезируют также пропусканием избытка Cl_2 в $\operatorname{p-p}$ 2 e I в 25 мм лед. $\operatorname{CH}_3\operatorname{COOH}$, выход колич. 5,5 e VII, 5,4, e $\operatorname{e-хлоринтробензола}$, 4 e безводи. $\operatorname{CH}_3\operatorname{COONa}$, 0,1 e Си-порошка и 25 мм $\operatorname{C}_4\operatorname{H}_5\operatorname{NO}_2$ кипитят 24 часа, перегоняют с водяным паром, остаток кипитят с углем и выделяют IV, выход 0,5 e , r , ил. 142—144°. 1 e II нагревают с 10 e Fe-опилок

и получают IX, т. пл. 234°, образующайся также при нагревании (180°) несколько мин. И с конц. Н₂SO₄. Конденсация VI с С₆H₅NH₂ приводит к VIII, т. пл. 67—68° (из сп.). Кипитит 10 час. смесь 9,6 г VI, 8,1 г VII, 7 г. безводи. СН₃COONа и 40 мл С₆H₅NO₂, перегониют с водяным паром и из остатка выделяют V, выход 0,5 г, т. пл. 129—130° (из сп.). При нагревании с Геопилками в присутствии СН₃COOH II дает X, т. пл. 82—83° (из води. СН₃OH). Суспензию 8,8 г сульфата X в СН₃COOH добавляют при 15° к р-ру 2,3 г NаNO₂ в 16 мл конц. Н₂SO₄, при охлаждении добавляют 150 мл спирта, нагревают до 80° и отфильтровывают XI, т. пл. 150° (из сп.). К 6,5 г хлоргидрата X в 300 мл воды и 50 мл спирта добавляют 100 мл 10%-ного р-ра FeCl₈, осадок отфильтровывают, сушат и кинитят 10 мин КОН в спирте, осадок хроматографируют на Al₂O₃ в C₆H₆; С₆H₆ вымывают (XIIIа или 5)·1/4 С₆H₆, т. пл. 235—237°, Сообщение XIII см. РЖХим, 1957, 8165.

Л. Бергельсон 11705. Реакция натриевого производного нитрома-

лонового альдегида е вторичными ароматическими аминами. Фриман, Паркер (The reaction of sodium nitromalonaldehyde with secondary aromatic amins. Freeman Jeremiah P., Parker Charles O.), J. Organ. Chem., 1956, 21, № 5, 579—580 (англ.)

NaO₂N=C(CHO)₂ (I) с $C_6H_5NHR\cdot HCI$ образует $C_6H_5NRCH=CHNO_2$ (II) наряду с C_6H_5NRCHO . Строение II подтверждено пеустойчивостью к щелоча (образуется $C_6H_5NHCH_3$) и сравнением ИК-и УФ-спектров II (R = CH₃) и 1-морфолил-2-интроэтилена. 0,05 моля $C_6H_5NHCH_3$ в 17 мл 3 и. НСІ прибавляют к р-ру 0,053 моля I в 50 мл воды, нагревают при $\approx 100^\circ$ 30—60 мин., по охлаждении экстраитуруют C_6H_6 , экстраит (уголь) упаривают до 20 мл, прибавляют петр. эфир, охлаждают (0°), получают II (R = CH₃), выход 48%, т. пл. 93,5—94,5° (из петр. эф. + бзл.). Аналогично из $C_6H_5NHC_2H_5$ и I (по 0,04 моля) получен II (R = C_2H_5), выход 30%, т. пл. 63—65° (из эф.). Из $C_6H_5NHC_3H_7$ и $C_6H_5NHC_4H_9$ получены некрветаллизующиеся продукты. Обсуждены особенности ИКспектра II (отсутствие полосы поглощения, характерной для NO_2 -группы). С. Сосин 11706. Восстановление нитробензола в азоксибснаюл

борогидридом натрия. Уэйлл, Пансон (The reduction of nitrobenzene to azoxybenzene by sodium borohydride. WeillC. Edwin, Panson Gilbert S.), J. Organ. Chem., 1956, 21,№ 7, 803 (англ.)

R 12 ε $C_6H_5NO_2$ в 20 мм ($CH_3OCH_2CH_2$) $_2O$ в атмосфере N_2 прибавляют 2 ε $NaBH_4$, нагревают 6 час. при 90—100°, разбавляют водой, подкисляют, из остатка после перегонки с паром гексаном извлекают азоксибензол, выход 55%, т. пл. 35°. В. Загоревский 11707. Реакции карбамидной группы. VI. Нитрози-

1707. Реакции кароамидной группы. VI. Нитрозирование замещенных тиоамидов. X е й н с, Б е б е нб ур г (Notiz über die Nitrosierung substituierter Thioamide (Über Reaktionen an der Carbonamidgruppe

VI). Heyns Kurt, Bebenburg Walter von), Chem. Ber., 1956, 89, № 5, 1303—1306 (нем.) Изучены р-ции N-замещ. тиоамидов — тиобензанилида (I), тиоацетанилида (II) и N-н-бутилтиоацетамида (III) с NOCl, N₂O₃ и алкилнитритами. При нитрозировании I-III реагируют в имидтиольной форме с промежуточным образованием SNO-производных, из которых отщепляется S, NO, N₂ и получаются имидхлориды, амиды и имидсульфиды. К p-ру 5 г I в 40 ма абс. эфира в N₂ добавлено при 0° 25 ма 0,91 М эфир. p-pa NOCl, через 4 часа добавлено 200 мл петр. эфира. получен бензанилид (IV) и 2,2 г бензанилидимидхлорида, т. кип. 190°/12 мм, 182—184°/10 мм, т. пл. 35°, с анилином (V) получен N,N'-дифенилбензамидин, т. пл. хлоргидрата 266°. При р-ции выделяется NO (70—80% от введенного NOCI). К р-ру 0,038 моля I в 200 мл эфпра добавлено 0,05 моля пиридина, затем при охлаждении 40 мл 1 M эфир. p-pa NOCl; через \sim 12 час. выделено немного IV и 5,5—6 s бис- α -фенилиминобензилсульфида (VI), т. пл. 213—214°. Из охлажд. р-ра 3,1 г I в избытке амилнитрита (~0°) через 2 дня получено 1,6 г IV и 0,7 г VI. Аналогично реагирует I с избытком этилин-трита. К 0,028 моля II в 50 мл эфира добавлено при охлаждении в токе N2 0,028 моля NOCl, через 6 час. полученные 2 слоя отдельно вылиты в избыток V. после добавления разб. HCl, экстрагирования эфиром, добавления NaOH и экстрагирования эфиром получен N, N'-дифенилацетамидин, т. пл. 130—131° (из водн. сп.). Аналогично из III получен N-фенил N'-и-бутилацетамидин, т. кип. 181—184°/25 мм; хлоргидрат; т. пл. 95—97° (разл.). В охлажд. р-р 5 г III в 50 мм эфира пропущено 3—4 экс N₂O₃, выделялся NO. Через несколько часов получено 4 г N-нитрозо-N-и-бутилацетамида. Сообщение V см. РЖХим, 1957, 7920. С. Иванова

11708. Ненасыщенные сульфокислоты. VI. Фотобромирование 2-фенилотиленсульфохлорида-1. Ровдестведт, Гримсли, Вер-Нуй (Unsaturated sulfonic acids. VI. Photobromination of 2-phenylethene-1-sulfonyl chloride. Rondestvedt Christian S., Jr., Grimsley Robert L., Ver Nooy Charles D.), J. Organ. Chem., 1956, 21, № 2, 206—211 (англ.) В развитие работы (РЖХим, 1955, 23701) изучены

В развитие работы (РЖХим, 1955, 23701) научены продукты, образующиеся при фотобромировании (ФБ) мране-С₆Н₅CH=CHSO₂Cl (1) в различных условиях в темноте I очень медленно реагирует с Вг₂ в ССІ₄. При облучении флуоресцирующим светом (ОФС) образуется С₆Н₅CHBrCHBrSO₂Cl (II) (превращенный р-цией с (С₂Н₅)₃N в С₆Н₅CH = CBrSO₂Cl (III) или действием NH₃ в С₆Н₅CH = CBrSO₂Cl (III) или действием NH₃ в С₆Н₅CH = CBrSO₂NH₂), а также продукты десульфирования — С₆Н₅CHBrCHBrCl (IV) и С₆Н₅CHBrCHBr₂ (V). II образуется лишь в присутствии небольших кол-в О₂. Интенсивное облучение и повышение т-ры способствуют образованию IV и V. СІ₂ не присоединяется к I на рассеянном свету, при УФ-облучении образуется С₆Н₅CHClCHCl₂ (VI). Скорость ФБ I ограниченными кол-вами Вг₂ выражается ур-нием—d[Вг₂]/dt = k[Вг₂]^NI₂. При ФБ I в CH₃COOH образуется смесь II, IV и V, соотношение которых мало зависит от условий р-ции. Р-р 0,05 моля I и 0,051 моля Вг₂ в 200 мл ССІ₄ при доступе воздуха при ОФС обесцвечивается за 7—10 час., после удаления р-рителя и обработки остатка (С₂Н₅)₃N выделено перегонкой 40—50% смеси IV и V (в расчете на IV) и 18—30% III; при привеса в 3,6 г. при УФ-облучении смесь вскипает, по обеспвечивании р-ра оттоннот р-ритель, выход VI 86%, т. кип. 84—85°/1,4 мм. Сообщение V см. РЖхим, 1957, 14751.

r

D-

00-

0-0

-01

MA ID.

)а, 10-5°, ил.

% pa

ии

HO

гда гке

N -NF

ри

ac.

V,

OM,

чен

дн.

илат:

мл Че-

бу-

20.

ова

TO-D H-

atu-

d t

L.,

ФБ)

Cl4.

обный

или

кже

V) н

овы-

Cl₂ γΦ-

OCTL

пием

ется

исит

Br₂

бра-

50%

при-

при-

oбec-

86%,

Хим,

11709. Эндоциклические α, β-ненасыщенные кетоны. IV. Реакция 4,4-диметил-1-кето-1,4-дигидронафталина с бромистым циклогексилмагинем. К е м п-белл, К ром уэлл (Endocyclic α,β-unsaturated ketones. IV. Reaction of 4,4-dimethyl-1-keto-1,4-dihydronaphthalene with cyclohexylmagnesium bromide. С а m р b e l l R i c h a r d D., С г о m-w e l l N о r m a n H.), J. Amer. Chem. Soc., 1955, 77, № 19, 5169—5171 (англ.) Изучено взаимодействие 4,4-диметил-1-кето-1,4-ди-

Изучено взаимодействие 4,4-диметил-1-кето-1,4-дигадронафталина (I) с избытком бромистого циклогексимагния (II), которое в отличие от р-ций I с другими Мg-органич. соединениями (Cromwell N. H. и др., J. Amer. Chem. Soc., 1951, 73, 1224),

(CH₂)₂C NHOH

J. Amer. Chem. Soc., 1951, 73, 1224), привело не к соответствующему каронолу, а к продукту его дегидратации и последующей перегруппировки — 1,2-диметил-4-циклогексил-

нафталину (III). Строение III доказано превращенем его в известный 1,2-диметил-4-(1'-циклогек-сенил)-нафталин (IV) и УФ-спектрами. Аномально реагирует I и с NH₂OH, образуя вместо ожидаемого оксима продукт 1,4-присоединения — 4,4-диметил-3-оксиамино-1-оксимино-1,2,3,4-тетрагидронафталин (V) (cp. Harries C., Liebigs Ann. Chem., 1904, 330, 200). Описан новый синтез 4,4-диметилтетралона-1 (VI) и улучшено приготовление из него I (ср. Arnold R. Т. и др., J. Amer. Chem. Soc., 1947, 69, 2322). Смесь 2,7 моля 4-метил-4-фенилиентанона-2 (Hoffman A., J. Amer. Chem. Soc., 1929, 51, 2542), 4,1 моля S и 4,3 моля тиоморфолина кипятят 20 час., затем к горячему еще р-ру прибавляют 540 мл спирта и после охлаждения получают тиоморфолид 4-метил-4-фенилпентановой к-ты (VII), выход 62%, т. пл. $101.5-102^\circ$ (из сп.). Смесь $464.8\ \varepsilon$ VII с $1390\ мл\ 65\%$ -ной $H_2\mathrm{SO}_4$ кипятят 36 час., охлаждают, разбавляют водой до объема 1,8 л и 48 час. экстрагируют С6Н6 в непрерывно действующем экстракторе. Органич. слой экстрагидеиствующей экстранторе. Срудана. Слои экстранаруют 25%-ным р-ром NaOH, щел. жидкость подкисляют, вновь 45 час. экстрагируют С₆Н₆ и после перетовки получают 4-метил-4-фенилпентановую к-ту, вы-ход 67%, т. кип. 185—190°/17 мм, n²⁵D 1,518; анилид, т. пл. 116,5—117,5°. 151 г III за 25 мин. прибавляют к 125 г кипящего SOCl₂, смесь кипятят еще 30 мин. и полученный хлорангидрид III растворяют в 450 мл CS₂. К перемешиваемому p-py за 2,5 часа прибавляют 210 г AlCl₂, смесь кипятят 1 час, оставляют на 12 час., затем обрабатывают, как обычно, и получают VI, выход 80%, т. кип. 145—152°/12 мм. К перемешиваемому р-ру 137.6 г VIв900 мл ССІ₄за 1 час прибавляют р-р 127,4 г Вг2 в 300 мл ССІ4 и получают 2-бром-4-диметилтетралон-1 (выход 85%, т. пл. 87—88°), из которого приготовляют I по описанному методу (см. ссылку Arnold R. J. и др.), т. пл. 65°. К p-ру 18 г I в 150 мл безводн. эфира по каплям при перемешивании приоавляют р-р II (из 12 г Mg и 80 г С₆Н₁₁Вг), приготовленный как описано ранее (Gilman H., Zoellner E. A., J. Amer. Chem Soc., 1931, 53, 1945), оставляют на 1 час, затем выливают в p-p NH₄Cl, эфир отгоняют и получают 24,4 г маслообразного остатка (МО). При перегонке 7,2 г МО выделяют 1,7 г (15%) бициклогексенила (VIII) п 2,6 г неочищ. III (т. кпп. 150—164°/1 мм). К р-ру 4 г МО в лед. CH₃COOH прибавляют 1 каплю конц. H₂SO₄, оставляют на 4 часа при~ 20°, выливают в воду, экстрагируют петр. эфиром и после перегонки получают III, выход 0,45 г. т. кип. 190°/0,12 мм, т. пл. 77,5—78° (из СН₃ОН); пикрат, т. пл. 137,5—138,5°. Р-р МО в петр. эфире встряхивают с несколькими порциями конц. H₂SO₄, пока к-та не перестанет окрашиваться, разбавляют органич. слой СН₃ОН и получают III. Р-р в С₆Н₆ кол-ва МО, эквивалентного 6,67 г I, хроматографируют в колонке, содержащей 400 г

А 12 О 3 , проявляют 1,2 л С 6 Н 6 и вымывают 1 л 4%-ного р-ра спирта в С 6 Н 6 , собиран фракции по 50 мл, и получают VIII (выход 15%), III (выход 35%) и I (выход 30%). К р-ру 3,3 г III в 40 мл ССІ 4 прибавляют 2,6 г N-бромсукцинимида и немного (С 6 Н 5 СОО) 2 , смесь килятят 1 час, фильтруют и р-ритель отгоняют. Остаток растворяют в 12 мл лед. СН 3 СООН, содержащей 13 г СН 3 СООК, кицитит 30 мин., выливают в воду и после перегонки получают 1,5 г неочищ. IV, из которого получают пикрат IV, т. нл. 112—113°. Смесь 1 г I, мл С 5 Н 5 N, 1 г NH 2 ОН + 2 SО 4 и 10 мл сицита кипитит 2 часа, разбавляют водой и получают V, выход 0,6 г, т. пл. 168,5—170° (из сп.); ИК-спектр (в нуйоле) 3240, 3310 см $^{-1}$. Предыдущее сообщение см. J. Amer. Сhem. Soc., 1951, 73, 1224. В. Андреев 11710. Конденсация пентанона-3 с фураном. Б и л с,

Браун (The condensation of 3-pentanone with furan. Beals Ronald E., Brown William H.). J. Organ. Chem., 1956, 21, № 4, 447—448 (англ.) При нагревании смеси фурана (I) и пентанопа-3 (II) в присутствии НСІ (к-ты) (см. также РЖХим, 1956, 54437) получены: 3,3-дифурил-(2')-пентан (III), 2,5-бис- (с, с-диэтилфурфурил)-фуран (IV) и

3,3-бис-[2'-(α,α-днэтилфурфурил)-фурил-(2')]-пент эн(V). При дальнейшей конденсации III или V с II синте-

анрован циклич. ангидротетрамер 3-фурил-(2')-пентанола-3(VI), 2,2,7,7, 12, 12, 17, 17-октаэтил-21, 22,23,24-тетраокс внатерен (VII), вдентичный с продуктом дегидратеции VI (см. Hale, McNally, Pater, J. Amer. Chem. Soc., 1906, 35, 72), которому было равее опибочно приписано строение 3-фурил-(2')-пентена-2. К смеси 3,32 моля I, 140 мл 37%-вой НС1 и 125 мл спирта прибавляют при размешивания 3,32 моля II, размешив ют 113 час., отделяют органич. слой, промывают 10%-ным р-ром N НСО3 до нейтр. р-ции и высушивают над MgSO4. При размоней получлют: III, выход 17%, т. кип. 76—77°/2 мм, т. пл. от —9 до —8°, n²0 D 1,4978, d²0 1,023, IV, выход 28%, т. кип. 162—163°/1—2 мм, n²0 D 1,5089, d²0 1,028; V, выход 3,5%, т. кип. 212—215°/1—2 мм, n²0 D 1,5199, d²0 1,034. Строение III доказано его превращением в дизтилмалоновую к-ту при окислении КМпО4. Р-р 0,0075 моля III и 0,012 моля II в 10 мл абс. спирта насыщают 15 мин. сухим газообразным НСІ, фильтруют и осадок промывают абс. спиртом (10 мл × 2); получают VI, выход 20%, т. пл. 249° (из апетома II, выход 29%.

11711. 5-нитрофуронлгидразин и некоторые его производные. Сообщение П. Амороза, Липпарини (La 5-nitrofuroilidrazina e alcuni suoi derivati. Nota II. Amorosa - Michele, Lipparini Luigi), Ann. chimica, 1956, 46, № 5—6, 343—347 (нтал.)

Изучены некоторые производные 5-витрофуровлгидразина (I). При действии HNO₂ I дает 5-нитрофуроилазид (II), который при р-ции с избытком I превращается в N N'-бис-(5-нитрофуроил)-гидразин (III). При кипячении со спиртом II переходит в этиловый эфир 5-нитрофуроилкарбаминовой к-ты (IV). Попытки превратить IV в 5-нитро-2-аминофуран (V) кипячением (6 час.) в спирте с HCl (d 1,15) привели к в-ву (VI), хлоргидрат и пикрат (т. пл. 175° (разл.)) которого по анализу отличались от хлоргидрата и пикрата V. Кипячение II в С₆Н₆ с целью получения V также при-

11 Химия, № 4

No

6ei

ли

me.

pa

MO

HC:

Ce

T. 0,

0,0 VI 24

T.

ча фе т.

ти

m)

rr

n

де

В

H.

27

38

I

H

вело к VI. К 5,6 г I, 62 мл 2 н. НСІ и 112 мл воды при 0° прибавляют р-р 2,42 г NaNO2 в 12 мл воды и получают II, выход 92%, т. пл. 66,5—67,5° (из эф.—петр. эф.). К 1 г I в 20 мл воды при 5° добавляют 0,42 г NaNO2, подкисляют 5 мл 2 н. СН3СООН и через 6—7 час. получают III, т. пл. 234—236°. 4 г II кипятят 6 час. с 40 мл абс. спирта и получают IV, выход 70%, т. пл. 151—154° (разл., из сп.). Предыдущее сообщение см. РЖХим, 1956, 35885.

1712. Производные бензофурана, родственные 2,4-дихлорфеноксиуксусной кислоте. С те ф а и и, Гова р д (Вепгобита derivatives related to 2,4-di-chlorophenoxyacetic acid. S t e f a n y e D a v i d, H o w a r d W i l l i a m h.), J. Organ Chem., 1955,

20, № 7, 813—818 (англ.) В связи с изучением метаболизма 2,4-дихлорфеноксиуксусной к-ты в растениях получены некоторые продукты ее превращения. Перегруппировкой по Фрису в дукты ее превращения. Перегруппировкой по Фрису в отсутствие р-рителя из 2,4-дихлорфенилхлорацетала (I) получен о-3,5-трихлор-2-оксиацетофенон (II), который в присутствии СН₈СООNа в отсутствие воздуха превращен в 5,7-дихлор-3-(2H)-бензофуранон (III), а при доступе воздуха в 3-окси-5, 5',7,7'-тетрахлор-2,3'-бисбензофуран (IV). III может быть получен также с небольшим выходом из II в присутствии AlCl₃. Струкством (УСС) и поседена ото МК-спектом (УСС). тура IV доказана его ИК-спектром (YOH 2,9 мµ), образованием моноацетата и легким присоединением 2 молей H₂. Попытка выделить кето-форму IV не удалась. При окислении IV H₂O₂ получен 5,5',7,7'тетрахлор- $\Delta^{2.3'}$ -бис-бензофуран-3(2H), 2'(3'H)-дион (V), структура которого доказана ИК-спектром ($\gamma_{\rm CO}$ 5,85 н 6,05 мд.). 1,05 моля хлорацетилхлорида и 1 моль 2,4-дихлорфенола нагревают 67 час. при 140—150°. К полученному теплому I прибавляют 1 моль AlCl₃ и нагревают 8 час. при 135—145°, охлуждают, прибавляют медленно 300 мл. 20%-ной HCl, отфильтровывают, извлекают лигронном, получают II, выход 56%, т. пл. 136—136,8° (из бал. + лигр.). 12 г II в 75 мл спирта програмот 40 мин в токе № прибарлимот 2 с СН-СОО№ нагревают 10 мин. в токе №, прибавляют 7 г СН₃СОО№ ·3H₂O, нагревают 7 мин., добавляют лед, затем 2 л воды, отфильтровывают, промывлют водой, растворяют в бензоле, фильтруют, упаривают, получают III, вы-ход 53%, т. пл. 133—135°; оксим, т. пл. 193—194° (из водн. ацетона). К 22 г II в 200 г СS₂ прибавляют при охлаждении 20 г AlCl₈, оставляют на 4 часа при охлаждении, выливают в смесь 200 мл конц. НСI и 500 г льда, извлекают бензолом, вытяжки промывают 10%-ной NaHCO₃, водой, перегоняют с водяным паром. Из дистиллята извлекают бензолом 1 г III. К 50 г II в 500 мл спирта прибавляют 100 г CH₃COONa·3H₂O, нагревчот 30 мин., охлаждают, выливают в воду, по-лучают IV, выход 90%. т. пл. 192—194° (разл. из сп.). 1 г IV в 25 мл (CH₃CO)₂O и 1 г плавленого CH₃COONa нагревают 2,5 часа, охлаждают, получают 3-ацетокси 5,5',7,7'-тетрахлор-2,3-бис-бензофуран, т. пл. 236—238° (разл., из бзл.). К 4,5 г IV в 200 мл СН₃СООН приблеляют 25 мл воды и через 15 мин. 30%-ную Н₂О₂, нагревают 15 мин. на водяной бане, охлаждают, фильтруют, получают V, выход 2г, т.пл. 337—340°(разл.). В. Евдеков 11713. Диароилгидрохиноны. Сообщение 1V. 0 2,3-дибензоилгидрохиноне и 2,5-дифенил-3,4-хинофуране. II уммерер, Марондель (Über 2,3 dupenn. 3,4-хинофуранье. II уммерер, Марондель (Über 2,3 und 2,5-Diphenyl-3.4-chinofuran. IV Mitteilung. Über Diaroylhydrochinone. Pummerer R., Marondel Günther), Chem. Ber., 1956, 89, № 6, 1454—1464 (нем.)

Конденсацией гидрохинона (I) с бензоином (II) и последующим окислением образующейся при этом смеси бензотетрафенилдифуранов при помощи СтО₃ получена смесь 2,3-(III) и 2,5-(IV) дибензоилгидрохинонов в форме диэфиров бензойной к-ты (см. Dieschendorfer,

Monatsch. Chem., 1935, 66, 201). Действием H₂SO₄ на смесь дибензоатов синтезирован 2,5-дифенил-3,4хинофуран (V) и изучено его превращение в дианильные производные III. Применение борного ангидрида (вместо H₂SO₄) в р-ции конденсации I и II, а также попытка предварительного разделения III и IV с помощью НСООН не дали положительного результата. В 120 г охлажд. до -15° конц. Н₂SO₄ вносят постепенно 12.7 г смеси дибензоатов III и IV, размешивают 1 час, выливают в 1 л воды со льдом, фильтруют и осадок обра-батывают 2 н. р-ром NaOH; получают V, выход 3,4% (на II). При р-циях V с SnCl₄ и с 2,4-динитрофенилгидразином получены соответственно аддукт С20 Н12О2. развиом получены соответственно аддукт $C_{20}H_{12}O_{2}$ · SnCl₄, выход 67%, и в-во неустановленного строенря, выход 55%, т. пл. 262° (из бзл. и толуола). К р-ру 0,1 ε V в 30 M (CH₃CO) $_{2}$ O прибавляют каплями при 10—12° 0,5 M конц. H_{2} SO₄, оставляют на 30—48 час. при \sim 20°, размешивают с 200 M ледяной воды и фильтруют; осадок промывают р-ром NaHCO3 и водой и высушивают при 70°; получают диацетат III, выход 60%; при последовательной кристаллизации из разб. ацетона, при последовательной кристаллизации из разолацегона, спирта и петр. эфира образуется диморфная смесь кристаллов с т. пл. 143° и 165°. В 5 г расплавленного (С₆H₅CO)₂О вносят 0,1 г V, нагревают на водяной бане до растворения, каплями прибавляют 0,2 г конц. H₂SO₄, нагревают еще 15 мин., по охлаждении измель-112504, нагревают еще 10 мил., по одлаждении измедь-чают в порошок и обрабатывают 80—100 мл 2 н. р-ра NаОН; получают дибензоат III, выход 54%, т. пл. 176° (из лед. СН₃СООН и СН₃ОН). К р-ру 0,1 г III в 8 мл 0,5%-ного р-ра NаОН прибавляют постепенно при 0.5%- дого p-ра NaOH приоавляют постепенно при $60-65^\circ$ и при размешивании $0.15-0.17\ \varepsilon$ (CH $_3)_2$ SO $_4$, нагревают еще 30 мин. при $60-65^\circ$; получают диметиловый эфир III (VI), т. пл. $191-192^\circ$ (все p-ции проводят в атмосфере N_2). P-p VI в конц. H_2 SO $_4$ обладает интенсивно-синей окраской и спектром поглощения, очень близкими к окраске и спектру p-pa V в H₂SO₄. Это явление не связано с каким-либо превращением IV при растворении в H₂SO₄, так как при разбавлении водой VI выпадает из р-ра в неизменном виде. Сооб-щение III см. Chem. Ber., 1947, 84, 583. А. Травив 11714. О синтезе иминопиронов. Годмар (Sur une synthèse des iminopyrones. Gaudemar

ние Syndrese des Immoрутопе». Са и и е в мат F г а n с о i s e, m-me), С. г. Acad. sci., 1956, 242, № 20, 2471—2473 (франд.)
Окислением С₆Н₅СН(ОН)СН₂С≡ССН(ОН)С₆Н₅ действием ССО₃ и СН₃СООН при 0° в ацетоне получают С₆Н₅СН(ОН)СН₂С≡ССОС₆Н₅, выход 80%, т. пл. 54° (ИК-спектр 2219 см⁻¹, 2245 см⁻¹), который окисляется затем смесью СгО₃ и Н₂SО₄ в ацетоне в С₆Н₅СОСН=С=СНСОС₆Н₅ (I), выход 50%, т. пл. 86°, ИК-спектр 1942 см⁻¹. При взаимодействии I (на холоду, в спирг. р-ре) с С₆Н₅NН₂ вли СН₃—С₆Н₄NН₂ получены соответственно С₆Н₅СОСН₂С(=NС₆Н₄NH₂ получень соответственно С₆Н₅СОСН₂С(=NС₆Н₄СН₃)СН₂СОС₆Н₅ (II), т. пл. 125° и С₆Н₅СОСН₂С(=NС₆Н₄СН₃)СН₂СОС₆Н₅ (III), т. пл. 146°., выход 80—90%. Циклизацией II и III (при нагревании свыше 150°) получены с выходом ~ 50% фенилиминодифенилирон, т. пл. 165°, и толилиминодифенилирон, т. пл. 173°. При кипячени I в течение 1 часа с 30%-ной Н₂SО₄ выделен дифенилирон, выход 40%; последний получен также при продолжительом кипячении II и III с 30%-ной Н₂SО₄. Л. Иванова 11715. Дейсгвие алюмогидрида лигия и металлоорга-

нических реагентов на 4-оксикумарин. Фримав, Xотори (The action of lithium aluminum hydride and organometallic reagents on 4-hydroxycoumarin. Freeman Jeremiah P., Hawthorne M. Frederick), J. Amer. Chem. Soc., 1956, 78, № 14, 3366—3369 (англ.)

Исследовано взаимодействие 4-оксикумарина (I) с различными металлоорганич. соединениями и с LiAlH₄ (II). Р-цией I с C₆H₅MgBr (III) получен 2,2,4 трифенилбензопиран (IV), с C₆H₅Li (V) — *o*-окси-

r.

SO.

3,4

иль-

оппа

попоата.

час, бра-

,4%

ГИД-208.

ния.

р-ру при час. пьтвы-30%;

гона, месь ного бане

онд.

тельр-ра 176°

8 мл

SO4,

мети-

ровот иночень

Это м IV пении Сооб-

авин

(Sur

m a r 242,

дей-

чают . 54°

яется

=C=

пектр

пирт.

COOT-

миночение

, вы-

тельанова

орга-

ман,

hyd-

oumah o r-1956,

(I)

и с

2,2,4-

окси-

(II), (III), I (при 50%

бензофенон (VI) и ацетофенон (VII), с II — о-оксипропиофенон (VIII) и о-оксикоричный спирт (IX). Раз-личие в протекании р-ций авторы объясняют более месткими условиями по сравнению с применяемыми ранее (Kohler, Erickson, 1931, 53, 2301) и различием свойств — ОМЗХ и —ОLi. С целью нахождения возможных промежуточных продуктов р-цин I с III вы-яснено действие III на о-оксидибензоилметан и флавон, в обоих случаях получен IV. К 38 мл 3 М эфир. p-pa ПІ В 250 мл С₆Н₆ прибавляют p-p 0,031 моля I в 200 мл С₆Н₆, нагревают 5 час. и получают IV, выход 22%, т. пл. 131—132° (из сп.). К p-py V из 0,4 е-атом Li, 0,2 моля С₆Н₅Вг и 200 мл С₆Н₆ прибавлют p-p 0,031 моля I в 200 мл С₆Н₆, книятят 5 час. и получают VII, выход 32%; 2,4-динитрофенилгидразон, т. пл. 243—245°, и VI,выход 28%; 2,4-динитрофенилгидразон, т. пл. 250—252°. Книятят 6 час. смесь p-pов 0,5 моля II в 200 мл эфира и 0,1 моля I в 200 мл С₆Н₆. Через 24 часа при 20° получают VIII, выход 38%; 2,4-динитрофенилгидразон, т. пл. 189—190°, и IX, выход 35%, т. пл. 106—109° (хроматографией на Al₂O₃); дибензойный эфир. т. пл. 91—93°.

14716 Синтез произволных 4-окси-6-хлор-8-метил-III в 250 мл С. Н. прибавляют p-р 0,031 моля I в 200 мл Синтез производных 4-окси-6-хлор-8-метилкумарина. Клоза (Synthese von Derivaten des 4-Oxy-6-chlor-7-methyl-cumarins. Klosa Josef), Arch. Pharmazie, 1956, 289/61, № 5, 240-247 (нем.) Пиклизацией метилового эфира 2-ацетокси-4-метилтили поробнающий к-ты (1) получен 4-окси-6-хлор-7-метилкумарии (11); конденсацией II с альдегидами и карбеновыми к-тами (в присутствии POCl3) синтезированы соответственно 2 ряда производных, ответающих об-щим ф-лам R—СН(R')—R (III) и R—СОR' (IV), где R = 4-окси-6-хлор-7-метилкумаринил-3. В на-гретую до 200° суспензию 30 г I в 200 мл парафинового масла вносят при 200—250° 5—7 г Na, нагревают 2 часа при 230°, оставляют на 12 час. при ~20°, осадок отделяют, промывают петр. эфиром, растворяют его в воде, обесцвечивают углем, подкисляют до рН 2-3 и получают II, выход 1,5 г, т. пл. 225° (из сп. и лед. СНаСООН). Р-р 0,2 моля І и 0,1 моля альдегида в воде СН₃СООН). Р-р 0,2 моля I и 0,1 моля альдегида в воде или спирте (в зависимости от растворимости альдегида в нолучают III (указаны R', т. пл. в °С): Н, 330—332; СН₂, 236; С₂Н₅, 236—238; С₃Н₇, 219—221; С₆Н₅, 214—216; n-HOC₆H₄, 159—160; n-CH₃OC₆H₄, 250—252; пиридил-3, 248—250; пиридил-2, 275—277; 6-метилиниридил-2, 263—265; хинолил-2, 273—275. Смесь З ч. 1, 8 ч. карбоновой к-ты и 1,5—2 ч. РОСІ₃ кинятит 15—20 мин. и получают IV (указаны R', т. пл. в °С): СН₃, 210—212; С₂Н₅, 171—173; п-C₃H₇, 176—178; пос-С₃H₇, 173—175; n-C₄H₉, 170—172; пиридил-3, 178—180; пиридил-4, 173—175; пиридил-2, 143—145. А. Травин 11717. Синтезы дигирофлавонолов и флавонолов Часть I. Образование лигидрофлавонолов из дибром-Часть I. Образование дигидрофлавонолов из дибромо-окси- или о-ацетоксихалконов. Маратхи (Synthesis of dihydroflavonols and flavonols. Part I. Formation of dihydroflavonols from o-hydroxy or o-acet oxy-chalkone dibromides. M a r a t h e y M.G.), J.Univ. Poona. Sci. and Technol., 1953, № 4, 73—82 (англ.) Продолжено изучение р-ции образования дигидрофлавонолов (Іа-е) действием водно-ацетонового р-ра Na2CO3 на а, В-дибром-2'-окси-(II) и а, 3-дибром-2'-ацетоксн-(III) халконы (Sience and Culture, 1952, 17, 344). Предполагается, что сначала под действием воды Вг в 3-положении III замещается на ОН-группу, а затем происходит циклизация в I и замена второго атома Вг на ОН-группу. При циклизации II имеет место непосредственная нуклеофильная атака β-С-атома анионом кислорода с одновременной заменой атома Вг в а-повожении на ОН-группу. Iа—г получены также дейст-лием щел. p-ра $\rm H_2O_2$ на соответствующие 2'-оксихалконы

(IV). Действием спирт. p-pa щелочи I превращены в

соответствующие флавонолы (Va—e), полученные также непосредственно действием $\rm H_2O_2$ и щелочи в спирт. p-pe на соответствующие IV. 1 г 4'-метил-3-метокец-4-бензилокси-III (т. пл. 119°) нагревают 3 мин. в смеси 16 мл ацетона и 4 мл воды, p-p обрабатывают 20 мл 10%-ного p-pa $\rm Na_2CO_3$ и получают

Ід выход 0,2 г, т. пл. 173—174° (из сп.). Аналогично получают Іа, т. пл. 170° (из сп.); Іб, т. пл. 160° (из сп.) (побочно образуется 4′-метокси-3-бром-6-бензошлфлавоной, т. пл. 185° и 5′-бензоил-4-метокси-1V, т.пл. 132°). 1,25 г 4-метокси-IV суспендируют в 2,5 мл 6%-ной Н₂0₂, добавляют 1,25 мл 2 н. р-ра NаОН, охлаждают 4 часа и через 24 часа отделяют Іа, выход 0,7 г. Аналогично получают Іб, Ів и Іг (побочно образуется Vг, т. пл. 175°). 1,8 г 5′-метил-3-метокси-4-бензилокси-IV (т. пл. 140°) растворяют в 60 мл кипящего спирта и 12,5 мл 6%-ной Н₂О₂, добавляют 5 мл 2 н. р-ра NаОН и получают Vг, выход 0,8 г, т. пл. 175° (из СН₃СООН-сп). Аналогично получают Vб, т. пл. 192° (из СН₃СООН); Vв т. пл. 220°; Vд, т. пл. 162° (из СН₃СООН-сп.), и Vе, т. пл. 187° (из СН₃СООН-сп.). Vа (т. пл. 230°) — IVе получены также действием спирт. р-ра щелочи на 14. Левя

11718. Синтезы дигидрофлавонолов и флавонолов. Часть II. Влияние замещения на образование дигидрофлавонолов. Маратхи (Synthesis of dihydroflavonols and flavonols. Part II. Effect of substitutions on the formation of dihydroflavonols. Marathey M. G.), J. Univ. Poona. Sci. and Technol., 1953, № 4, 83—89 (англ.)

Изучалось влияние положения заместителей на способность образования дигидрофлавонолов (I) из а, в-дибром-2-ацетоксихалконов (II) (см. предыдущее сообщение). 7-метил-I (Iа) и 8-метил-4-метокси-I (Iб) получены из 4'-метил-II(IIа) и 3'-метил-4-метокси-II (II6); Іа и Іб в щел. среде превращаются в флавонолы (IVa и IV6), свитезированные также из дибром-6-метил- (Va) и дибром-7-метил-2-анизилиденкумаранова (V6) соответственно, а также из 4'-метил-(VIа) и 3'-метил-2'-окси-4-метоксихалкона (VI6). Установлено, что 6,4'-диметокси-II (IIа) в условиях синтеза дает 4-метокси-2-анизилиденкумаранон (VII). Строение VII доказано встречным синтезом, предложен механизм образования VII из IIв. Высказано предположение, что образование VII вместо I объясниется влиянием 6'-ОСН₃-группы. 1 г IIа (т. пл. 125') нагревают с 8 мм ацетона и 12 мм воды, добавляют 10 мм 10%-ного р-ра №асОз и получают 0,3 г Iа, т. пл. 150°. К 0,1 г Iа в 5 мм спирта добавляют 0,5 мм 10 н. № NaOH, отделяют образованийся осадок, обрабатывают разб. HCI (1:1) и получают IVa, т. пл. 180° (нз лед. СН₃СООН); ацетат, т. пл. 178°. К 0,25 г 6-метил-2-анизилиденкумаранона (т. пл. 118—120°) в 4 мм лед. СН₃СООН и отделяют Va, выход 0,2 г, т. пл. 175—176°. К 0,2 г Va в 20 мм спирта добавляют 25 мм 0,1 в. № NaOH, кипитят 1 час, подкисляют разб. HCI и отделяют IVa, к р-ру 1,35 г VIa (т. пл. 112°) в 60 мм горячего спирта добавляют 12,5 мм р-ра Н₂Оз и 5 мм 2 в. NaOH, через 1 час отделяют осадок, обрабатывают его разб. HCI и получают IVa, выход 0,5 г. 16 получен из 1 г II6 (т. пл. 168°), выход 0,25 г 7-метил-2-анизилиденкумаранона (т. пл. 118—120°) нолучен V6, выход 0,15 г. т. пл. 165°, пре-

вращенный в IV6; IV6 получен также из VI6, как описано для IVa. И. Леви

11719. Ядерное метилирование флавонов и родственных соединений. Д ж а й и, С е ш а д р и (Nuclear methylation of flavones and related compounds. Ј а і п А. С., S е s h a d г і Т. R.), Quart. Revs London, Chem. Soc., 1956, 10, №2, 169—184 (англ.) Обзор рабог по выяснению строения природных соединений ряда хромона и флавона, имеющих С-метильную группу, и эксперим. методов введения метяльной группы в ядро. Рассмотрены также возможные пути биосинтеза этих соединений. Библ. 75 назв. И. Леви 11720. О 7-метокси-5,8-диоксифлаваноне. Ш о п е и (Sur la méthoxy-7 dihydroxy-5,8 flavanone. C h o p i n J e a n), C. r. Acad. sci., 1956, 243, № 6, 588-590

(франц.)
В-во, т. пл. 248° (I), образующееся при деметилировании НВг 2-окси-4,5,6-триметокси-(II) или 2-окси-3,4,6-триметоксихалконов и описанное как 7-метокси-5,6-диоксифлаванон, метилируется в 5,7,8-триметокси-флаванон, что подтверждено встречным синтезом последнего. Поскольку I получается также при восстановлении гидросульфитом 7-метокси-5,8-хинофлаванона, он может иметь строение только 7-метокси-5,8-диоксифлаванона и его образование при деметилировании II является результатом необычной изомеризации, что связано, вероятно, с большей стабильностью образующейся формы; это подтверждается устойчивостью ј к к-там и щелочам.

Д. Витковский

11721. Получение тетрагидротнофена. Пиппарелли, Бальдуччи, Флорис (La preparazione del tetraidrotiofene. Pipparelli Enzo, Balducci Agostino, Floris Tele-Balducci Agostino, Floris Tele-maco), Ann. Chimica, 1956, 46, №1-3, 112-121 (итал.) Изучена р-ция Юрьева на примере превращения тетрагидрофурана (I) в тетрагидротнофен (II) (Юрьев Ю. К. и сотр., Ж. общ. химии, 1937, 7, 1868; 1939, 9, 1710) при использовании в качестве катализатора геля Al₂O₃ в виде гранул 3-8 мм (A) и в пылевидном состоянии (50-100 меш) (Б). Оптимальные условия превращения I в II при использовании катализатора А в проточной системе: т-ра 400°, скорость испарения 10,345 моль в 1 час, скорость введения H_2S 21 n/vac, соотношение H_2S/I 2,54, время контакта 19 сек., выход II 85%. Методика использована для получения II в полузаводском масштабе. Оптимальные условия превращения I в II при использовании катализатора Б в парах компонентов р-ции (флюидироцесс): т-ра 400°, средняя скорость испарения I 1,294 моля в 1 час, скорость/объем 1.17, скорость введения H_2S 41 A члс, соотношение H_2S /I 1.38, время контакта 1.9 сек., вы-Л. Яновская 11722. Исследование конденсированных серусодержа-

щих гетероциклов. X. Синтез новых 5'-алкилтиофено-2',3'-1,2-циклогентанов.К а н ь я н, К а н ь я н (Contribution á l'étude des hétérocycles soufrés condensés (X). Synthèse de nouveaux alcoyl-5' thioféno-2',3'-1,2 cycloheptanes. C a g n i a n t M. P a u l, C a g-n i a n t D e n i s e, m-me), Bull. Soc. chim. France, 1956, № 8—9, 1152—1163 (франц.)
Описанный рчнее (см. РЖХим, 1954, 35837) способ инклизации хлораниция (Д. —) 8 (5-алимичина 2)

Описанный рэнее (см. РЖхим, 1954, 35837) способ циклизации хлорангилридов (Iа—е) 8-(5-алкилтиенил-2)-валериановой к-ты (Иа—е), состоящий во взаимодействии I с SnCl₄ в среде СS₂, применен к голучению 5'-алкилтиофено-2',3'-1,2-циклогентанонов-3 (ИI; а алкилтиофено-2',3'-1,2-циклогентанонов-3 (иI; а алкил-СH₂; б и-С₃Н₇; в т мрет-С₄Н₃; г и-С₇Н₂₁; д и-С₁₀Н₂₁; е и-С₁₁Н₂₉), восстановленных по Кижнеру в соответствующие 5'-алкилтиофено-2',3'-1,2-циклогентаны (IVа—е); аналогично из хлорангидрида (Va) ε-(5-этилтиефено-2'-3'-1,2-циклогентано (V) синтезирован 5'-этилтиофено-2'-3'-1,2-циклогентаноно-3 (VI) с выходом ~8%. С целью сопоставления циклизацией хлорангидрида

(VIIa) 8-(4-трет-бутилфенил-1)-валериановой к-ты (VII) в присутствии AlCl₃ (в присутствии SnCl₄ р-ция не идет) получен также 8-трет-бутилбензоциклогентанон-1 (VIII), восстановленный в 8-трет-бутилбензоциклогептан (IX). Исходные I получен конденсацией соответствующих 2-алкилтиофенов с хлорангидридом моноэтилового эфира глутаровой к-ты (см. РЖХим, 1953, 351) в этиловые эфиры у-(5-алкилтеноил-2)-масляных 8-т. ((указаны алкил, выход в %, т. кип. в °С / мм, т. ил. 2,4-динитрофенилгидразонов (ДНФ) (из сп.): СН₃, 80, 205/14, n²³ D 1,5281, —; n-C₃H₇, 78, 217/16, n^{17,6} D 1,5219, d^{19,7} 1,091, 106; mpem-C₄H₉, 77, 227-228/15, n^{19,8} D 1,5185, d₄^{21,2} 1,081, 173; n-C₇H₁₅, 78, 251/18, т, пл. $102,5^\circ$ (из бэл.-петр. эф.), 96,5; $\mu\text{-}\mathrm{C}_{10}\mathrm{H}_{21},$ 72, 231-232/4, т. пл. $24-25^\circ,$ 82-83; $\mu\text{-}\mathrm{C}_{11}\mathrm{H}_{29},$ 70, 238/3, т. пл. 59° (из петр. эф.), 79 гидролизованные 250, 9, т. пл. 59 (на петр. эф.), 79 гидролизованные в соответствующие к-ты ((указан алкил, т. пл. (на бзл.-петр. эф.) и т. пл. семикарбазонов (С) (из сп.) в °С): СН₃, 116,5—117, 234 (разл.); n-C₃H₇, 85, 205; m pem-C₄H₉, 77, 192 (разл.); n-C₇H₁₅, 102, —; n-C₁₀H₂₁, 104,5, —; n-C₁₁H₂₃, 106, —), восстановленные по Вольфу-Квж-—; ж-с₁₁12₃₃, 106, —), восстановленные по вольфу-кыж-неру в II ((указано в-во, выход в %, т. кип. в °С / мм и т. пл. в °С (вз пегр. эф.)): Иа, 95, 200/17, 57,5; Пб, 90, 203/12,5, 42; Ив, 87, 208—209/14, 62,5; Иг, —, —, 48—49; Ид, 90, 227/4, 50—50,5; Ие, 60, 230/2,5, 51,5; превращенные в I (указано в-во, т. кип. в °С/мм п т. пл. в °С ссответствующих амидов (из бзл.-петр. эф.)): Ia, 152/12, $n^{19,2}D$ 1,5261, 110; I6, 159/11, $n^{15,6}D$ 1,5190, 85; Ів. 142,5/3, n²⁰ D 1,5140, 88,5; Іг, д и е разлагаются при перегонке и не получены в аналитич, чистом виде. Аналогично синтезированы Va и VIIa: 2-этилтиофен и трет-бутилбензол конденсированы соответственно в этиловые эфиры 8-(5-этилтеноил-2)-валериа-новой к-ты (выход 70%, т. кип. 217—218°/13 мм, n^{23} D 1,5200, d_4^{24} 1,087) и γ -(4-m pem-бутилбензоил-1)масляной к-ты (выход 60%, т. кнп. $212^\circ/13$ мм, $n^{23,4}\,D$ 1,5117, d_4^{24} 1,033; ДНФ, т. пл, 137 $^\circ$ (из сп.,) гидролизованные в соответствующие к-ты, т. пл. 92,5-93,5° (из бал.-петр. эф.); С, т. пл. 220 и 96° (из бал.-петр. эф.), восстановленные в V, выход 84%, т. кип. 212— $213^{\circ}/14$ м.м., $n^{23,4}$ D 1,5142, $d_4^{22,8}$ 1,072, π VII, выход 70%, т. кип, 212°/16 мм, т. пл. 67—68° (из бэл. петр. эф.), превращенные в Va, выход 84%, т. кип. 150°/3 мм, $n^{10,3}$ D 1,5161, $n^{21,5}$ D 1,5155; амид, т. пл. 99° (из бал.-петр. эф.), и VIIa, т. кип. 150°/4 мм, $n^{20,6}$ D 1,5159; амид, т. пл. 109° (из бал.-петр. эф.). При циклизации хлорангидрида 8-(5-т рет-бутил-4-метокси-2-метил-1-фенил)-масляной к-ты в C_0H_0 в присутствии AlCl $_3$ в результате отщепления mpem- C_4H_0 -группы образуется не 8-*трет*-бутил-7-метокси-5-метилтетралон-1 (см. Вии-Ної, Gagniant, С. г. Acad. sci, 1942, 214, 117), а 7-метокси-5-метилтетралон-1, т. пл. 53°, что подътверждено аналитич. даными. К MgBr-2-тиенилу (из 163 ε 2-бромтнофена, 24 ε Mg и 0,5 s эф.) постепенно добавляют при 0° 140 ε mpem-C₄H₀Br, оставляют на 4 часа, кипятят 8 час. и получают 2-трет-бутил-тиофен (X), выход 45%, т. кип. $165^{\circ}/748$ мм, n^{23} D 1,4971, $d_A^{24,5}$ 0,949; 5-хлормеркури-2-mpem-бутилтиофен, т. ил. 197° (из сп.). Смесь Іа — е или Va с SuCl₄ в CS₂ или VIIa с AlCl₃ в CS₂ оставляют на 2 часа при 20° и получают (указано в-во, выход в %, т. кип. в $^{\circ}$ С / мм и т. нл. С и ДНФ (из бал.-сп.) в $^{\circ}$ С): IIIa, 90, 157/7, $n^{20,8}$ D 1,5749, $d_4^{22,5}$ 1,157, 198 (из сн.), 245; III6, 88, 175/13,5, $n^{17,6}$ D 1,5590, d_4^{17} 1,101, 167—168 (из бэл.-сп.), 173; IIIв, —, 182/15, т. пл. 60,5° (из петр. эф.); оксим, т. нл. 102—103° (из петр. эф.), 170—171 (из водн. сп.), 187; IIIr, 80, 217-218/145, n^{17,4} D 1,5358, 118-118,55 Г.

11)

erl

н-1 еп-

ет-

HO-153, IЫХ

п.): 16,

7_

78,

I₂₁,

70,

ные

зл.-°C):

em-

4.5.

-жи

MM

Пб,

1,5;

м **н** (b.)):

190.

нотстом гил-

BeT-

риа-

71-1)-

MM.

сп.,) 2.5—

бал.-

кип.

вы-

бал.-

кип.

. 99°

эф.).

-мет-

исут-

груп-

етра-

1942, 53°.

нилу

остеляют утил-,4971,

. пл.

2 или

и по-

157/7,

5, 88,

.-cn.),

ксим, сп.), 118,55 (пз сп.), 107; IIIд, 70, 198/5, n^{17,7} D 1,5304, d₄¹⁹ 1.011, 114 (из сп.), 107 (из сп.); Пе, 68, 223-225/5, n^{17,3} D 1,5259, 118 (из сп.), 102 (из сп.); VI, 8, 190/17, 205 (из бал. сп.); VIII, 60, 187—189/16, n17,8 D 1,5490, 220 (из водн. сп.), —, 188 (из сп.). IIIa — е и VIII восстанавливают 60%-ным $N_2H_4\cdot H_2O$ и получают (указано в-во, выход в % и т. кип. в $^{\circ}$ С / м.м): IVa, 110/12, $n^{20,2}$ D 1,5458, $d_A^{19,8}$ 1,039; 4'-HgCl₂-производное, т. пл. 139,5° (из сп.); IV6, 92, 139/14, n^{17,7} D 1,5342, d_{A}^{17} 1,005; IVB, 90, 137/13,5, $n_{A}^{10,5}$ D 1,5308, d_{A}^{20} 0,996; IVr, 75, 189—190/14, n^{26} D 1,5180, $d_4^{20,2}$ 0,961; IVg, 60, 182/3, n²¹ D 1,5193; IVe, 30, 192—195/3; кетазин, т. пл. 63° (из сп.); IX, 80, 115/4, n18 D 1,5352, d48 0,964. Приведены кривые УФ- и ИК-спектров IIIа — в, IVб — г, 2-метил-4-кето-4,5,6,7-тетрагидротиофена и X. Сообщение IX см. РЖХим, 1956, 58049. Д. Витковский Новые полупродукты и красители. Часть IV. тионафтендикарбоновой-Конленсация ангидрида 2,3 кислоты с углеводородами и фенолами. П иrepc, Yokep (New intermediates and dyes. Part IV. Condensation of thionapthen-2: 3-dicarboxylic anhydride with hydrocarbons and phenols. Peters Arnold T., Walker Derek), J. Chem. Soc., 1956, June, 1429—1436 (англ.)

Для выяснения природы полупродуктов и красителей, получаемых из ангидрида тионафтендикарбоновой-2,3 к-ты (1) конденсацией I с аценафтеном (II), 3-(3-аценафтенилкарбонил)-тионафтенкарбоновая-2 к-та (III). Аналогично из ангидрида 6-хлор-4-метилтионафтендикарбоновой-2,3 к-ты (т. пл. 188— 189)° и II получена 3-(3-аценафтенилкарбонил)-6-хлор-4-метилтионафтенкарбонован-2 к-та (IV). I с фенолом дает аналог фенолфталенна (V), а с гидрохиноном (VI) дает аналог феволицаленна (v), а с індросиновом и п-ClC₆H₄OH (VIa) и 7-(10)-хлор-10-(7)-окси- (VIIб) 6,11-дигидро-6,11-диоксо-бевзо-(б)-тиофантрен. Обработкой VIIa CH₃NH₂ (VIII) п н-C₄H₉NH₂ (IX) получены соответствующие амины (VIIв-т). Для сравнения аналогично из хинизарина (X) и IX получен 1,4-ди-и-бутиламиноантрахинон (XI). Показано, что введение тиофенового кольца в молекулу красителя ослабляет красящую силу последнего. При красители осласляет красицую силу последнего. При конденсации I с резорцином (XII) получено в-во, по-видимому, являющееся 3-(2,4-диоксибензоил)-тионаф-тенкарбоновой-2 к-той (XIIIa) и аналог флуоресцеина (XIV). Бромирование XIIIa и XIV приводит к образованию дибромида (XIII6) и аналога эозина (XV). Дегидратацией XIIIa и XIIIб получены соответствующие лактоны (XVIa-д). При раскрытии лактонового кольца XVI выделены соответствующие к-ты (XIIIв-е). Размешивают — 48 час. при — 20° р-р 1 моля I (т. пл. 171°), 1 моля II и 2,2 моля AlCl₃ в 50 мл С₆Н₅NO₂, разлагают льдом и HCl, отгоняют C6H5NO2 с паром, остаток экстрагируют кипящим 7%-ным p-ром Na₂CO₃ выпавшую по охлаждения Na-соль (т. пл. 320° (разл.)), кипятят с CH₂COOH и получают III, выход 82,3%, т. пл. 274— 275° (разл.; из СН₃СООН); метиловый эфир, т. пл. 157° (вз. CH₃OH). Аналогично получают IV, выход 77%, т. пл. 289—290° (из сп.). Нагревают 2 часа при 120° смесь 1 моля I, 4 молей фенола и 4 молей ZnCl2, через 3 часа (160°) экстрагируют спиртом, экстракт обрабатывают водой, отгоняют фенол с водяным паром и из остатка получают V, т. пл. 228—231°. Прибавляют смесь 10 г I с 10 г VI при 160° к расплаву 50 г AlCl₃ + + 10 г NaCl, через 6 час. (190°) разлагают то в каст, через о час. (180) разлагают разлагают разлагают (CH₃CO)₂O (450 м.а) и конц. Н₂SO₄; ацетат VIIa (т. пл. 241—242°) нагревают с конц. Н₂SO₄ при ~100° до образования светло-синего р-ра, выливают на воду

и получают VIIa, выход 55,8%, т. пл. 257—258° (из C_bH_5N). Аналс**ги**чно из I и 10 г VIa получают VII6, выход 31%, т. пл. 260—261°; ацетат, т. пл. 249—250° (из (СН $_3CO_2O$). Нагревают 8 час. 2 г VIIa и 2 г Na $_2S_2O_6$ в 12 мл 33%-ного спирт. р-ра VIII в трубке при 140—145°, продукт экстрагируют толуолом, хроматографируют на Al_2O_3 и получают VIIв, выход 66,2%, т. пл. 260° (на толуола).

VIIA R'-R"-OH; 6R—CI(OH), R" = OH(CI); в R' = R" = NHCH3; г R"-R'-n-CH3,NH. XII а R-R'-R = H; 6R-R" = H. R. H. R"-R'-R-H; 6R-R" = H. R. R-GH3CO, R'-BT, R = CH3CO, R - BT, R" = H. R"-CH3; 7R = CH3CO, R'-BT, R = CH3CO, R'-BT, R = CH3CO, R = BT, R" = H. XVIA R=CH3CO, R'-H; 6 R=R'-H; 8 R=CH4CO, R'-H; г R=-CH3CO, R'-BT; R = H. XVIA R=CH3CO, R'-H; 6 R=R'-H; 8 R=CxH4CO, R'-H; 7R = CH3CO, R'-BT; 7R = H. XVIA R=CH3CO, R'-BT; 7R = H. XVIIA R=H3CA, R'-BT; 7R = H. XVIIA R=H3CA, R'-BT; 7R

В отличие от 2,5-лиметилиациклопентан-1,1-диоксвда, quc-(I) кли mpauc-(II), форма которого при нагревании с 10%-ной спирт. шелочью превращается в равновесную смесь I (44%) и II (56%), quc-2-тиабицикло-[3,3,0]-октан-1,1-диоксид (III) не претерпевает в тех же условиях никаких изменений. Столь же устойчив III по отношению к HCl (к-те) (180°, 6 час.) и к этилмагнийбромиду. Синтезирован mpauc-2-тиабицикло-[3,3,0]-октан (т. кип. 87°/20 мм, n^{20} D 1,5288), который при окислении H_2O_2 превращен в mpauc-изомер III (IV), т. пл. 62,5—63° (испр.). При нагревании со спирт. прелочью (80°, 1 час) IV почти целиком (больше чем ва 98%) превращается в III.

No.

бав:

C.H.

T. K

116-1,55 1,56

11 1

II 1

166,

135,

140,

17

Xu.

вых

(из

дом Na(т. 1 П, 142 и п

ход

148

n25

Сме ван т.

гре и п n²⁵

ИМ

цел

р-п с в

Ta,

ХГ

T.

Rai

Bar

599

TOI

пи

VI

79

108

CH

IOT Bal

до

p-j

ко

ам

лу

11725. Рацем-1,2-дитноландикарбоновая-3,5 кислота и некоторые родственные соединения. III о т т с (Racem-1,2-dithiolane-3,5-dicarboxylic acid and some related compounds. S c h o t t e L e n n a r t), Arkiv kemi, 1956, 9, № 5, 429—440 (англ.)
Получена рацем. - 1,2 - дитноландикарбоновая - 3,5

к-та (I) и разделена на оптич. антиподы. мезо-Формы I получить не удалось. 0,05 моля CH₂(CHBrCOOH)₂ с т. ил. 472° в 150 мл воды быстро нейтрализуют 0,1 моля NaHCO3, при охлаждении добавляют 0,12 моля Na_2S_3 , доводят до 375 мл, выдерживают 10 час. при 0° и 14 час. при \sim 20°, подкисляют разб. H_2SO_4 , фильтруют, извлекают эфиром I, выход 22%, т. пл. 194—195° (из воды). І получают также при окислении рацем-СН₂(СНЅНСООН)₂ (11) в р-ре NаНСО₃ при помощи О₂ в присутствии FeCl₃ (индикатор), выход 77%. При обработке І бруцином в смеси воды и спирта полупри обраютке г оруднном в смеси воды и сипрта получают кислую и нейтр. бруднновые соли 1; из первой выделяют (+)-I, т. пл. 185—187° (из воды, не нагревая выше 80°), [а] 25D + 725° (с 0,2933; 2 н. НСІ), +701° (с 0,2411; вода), +757° (с 0,3046; лед. СН₂СООН), +562 (с 0,4588; абс. сп.), +564° (с 0,2307; этилацетат), +577° (с 0,3061; ацетон); из второй получают (—)-I, т. пл. 185—187°, [а] 25D—560° (с 0,3311; абс. сп.); больно в правиления в правиления в сп. 185 — 187°, [а] 250—560° (с 0,3311; абс. сп.); больно в правиления в правиления в сп. 185 — 187°, [а] 250—560° (с 0,3311; абс. сп.); больно в правиления в правиления в сп. 187°, [а] 250—560° (с 0,3311; абс. сп.); больно в правиления шое уд. вращение, очевидно, вызвано наличием S-Sгруппировки рядом с центрами асимметрии (ср. Fredga А., Acta chem. scand., 1950, 4, 1307) и влиянием напряженного 5-членного цикла. (+)-и (—)-1 частично рацемизуются при кипячении с водой и спиртом (4—5 мин.) и при фотолизе: при нагревании кристаллич 5 мин.) и при фотолизе; при нагревании кристаллич. (+)-I (!25°. 30 мин.) рацемизация не наблюдается. При восстваювлении рацем.-I, (+)-I или (--)-I Zn-пылью в 4 н. NH₄OH получают II, (+)-II или (--)-II (выход В 4 В. NH₄OH получают II, (+)-II вли (--)-II (выход В %, т. пл. в °С (из этилацетата) соответственно): 50, 135—136; 90, 84—86, [α]²⁵D + 72° (с 0,5462; абс. сп.); 89, 84—86, [α]²⁵D—31° (с 0,6206; вода, обе СООНгруппы нейтрализованы), —59 (с 0,4184; лед. СН₃СООН), —73° (с 0,4565; абс. сп.), —75° (с 0,5480; хлф.), —83° (с 0,4789; этилацетат). К СН₂(СНВгСООСП.) (ПП) (из 0.082 мода изги с в пл. 472° или 436°). СН_{в)2} (III) (из 0,062 моля к-ты с т. пл. 172° или 136°) в 100 мл абс. СН₃ОН добавляют 0,14 моля СН₃COSK в 100 мл абс. СН вОН, через сутки упаривают в вакууме в атмосфере N_2 , выливают в воду, извлекают эфиром, вытяжку упаривают, остаток в 40 мл эбс. СН $_3$ ОН гидролизуют нагреванием со 100 мл водн. р-ра 0,2 моля гидролизуют нагреванием со 100 мл водн. р-ра 0,2 моли КОН (4 часа, 40°, №), получают смесь днастереоизомеров II, выход соответственно 82 и 79%. Из радем-II действием С₆Н₅СН₂С! получают рацем.-СН₂[СН(SСН₂С₆Н₅)СООН]₂ (IV), выход 96%, т. пл. 149,5—151° (из НСООН). Смешивают р-р 0,016 моля III (из к-ты с т. пл. 172° или 136°) в 50 мл абс. СН₃ОН с р-ром 0,048 моля С₆Н₅СН₂SNa в 30 мл СН₃ОН, через сутки упаривают, гидролизуют (5 г КОН в 50 мл сп. и 3 мл воды, 60—70°, 3 часа), получают смесь диастереоизо-меров IV, в которой содержание рацем.-формы повышается при перекристаллизации. Иис- и транс-циклопентано-2,3-пирролиди-

ны. Бут. Кинг. Паррик-паклопентано-2,-парролидины. Бут. Кинг. Паррик, Уайтхед (Cis-and trans-cyclopentano-2:3-pyrrolidines. Воо th Н., Кіпд F. Е., Раггіс k Л., White he ad R. L. St. D.), Chemistry and Industry, 1956, № 21, 466 (англ.) (Синтевированы цис-(I) и транс-(II)-изомеры циклопентано-2,3-пирролидина. П получен описанным в литературе методом (см. Prelog, Szpilfogel, Helv. chim. асtа, 1945, 28, 178). Исходным в-вом для синтева I служит 2-оксоциклопентилуксусная к-та (III). При восстановлении оксима III со скелетным № при 20° и 70 ат получено три соединения: этиловый эфир транс-2-аминоциклопентилуксусной к-ты (IV, к-та), цисциклопентано-2,3-пирролидон-5 (V), т. пл. 51—53°, и неидентифицированное в-во с высокой т-рой кипения. Восстановлением V при помощи LiAlH 4 получен 2, т. кип. 161°/764 мм; пикрат, т. пл. 111°; пикролонат, т. пл. 204—205°; соль 3,5-динитробензойной к-ты, т. пл. 201—203°. Строение I доказано тем, что полученная при гидролизе V 2-аминоциклопентилуксусная к-та отлична от IV, транс-конфигурация которой подтверждается ее неспособностью к образованию V путем циклизации.

Реакции дибромалканов и с-(бромалкил)-абромтолуолов с о-замещенными анилинами. Снитез 1-арилпирролидинов и родственных соединений. Соммерс (The ractions of dibromoalkanes and o-(bromoalkyl)-a-bromotoluenes with o-substituted anilines. The synthesis of 1-arylpyrrolidines and related compounds. Sommers Armiger H.), J. Amer. Chem. Soc., 1956, 78, № 11, 2439—2445 (англ.) Исследованы р-ции дибромалканов (1), 4, 4 - дибром-о-ксилола (II), 2-(3-бромэтил)-а-бромтолуола (III), фтаксилола (11), 2-(3-оромэтил)-2-оромтолуола (11), фта-левого (IV) и гомофталевого (V) ангидридов с о- и о,о'-замещ, ароматич. аминами. 1,3 дибромпропан (Ia) и 1,6-дибромгексан (Iб) образуют с о-толуидином (VI) или анилином днамины: N,N'-ди-(о-толил)-(VIIa) и N,N'-дифенил-(VIIб)-1,3-пропандиамины и N,N'-ди-(о-толил)-(VIIIa) и N,N'-дифенил-(VIIIб)-1,6-гександиамины. При аналогичных р-циях 1,4-дибромбутана (Ів), 1,4-дибромпентана (Іг) или 2,5-дибромгенсана (Ід) по-1,4-дибромиентана (Ir) или 2,5-дибромгенсана (Iд) получаются 1-арилпирролидины (IXа — 6) и (Xа — м) и лишь при взаимодействии Ir и VI, кроме Xа, образуется с выходом 1-2% 1,4-ди-(N,N'-(σ -толил)-амино)-пентан, т. кип $160-162^\circ$ /0,1 мм, n^{*5} D 1,5829; дихлор-гидрат, т. пл. $207-208^\circ$ (из сп.-эф.). II с анилином дает 2-фенилизомидолии (XIa), а с VI, σ -анизидином или 2,6-диметиланилином (XII) — соответственно 2-(σ -толил)-(XI6), 2-(2-метоксифенил)-(XIв) или 2-(2,6-диметиленти)-(XI) изонилолины и с меньщим выходом тилфення)-(XII) изоиндолины и, с меньшим выходом, N.N'-ди-(о-толил)-(XIIIa), N,N'-ди-(2-метэксифенил)-N,N'-ди-(ο-толил)-(XIIIa), N,N'-ди-(2-метоксифенил)-(XIII6) или N,N'-ди-(2,6-диметилфенил)-(XIIIв) α,α'-диамино-о-ксилолы; XI6 гидролизован нагреванием с диамино-о-кололы, Ato Гидролизован нагреванием с 48%-ным р-ром НВг в 2-(оксифения)-изоиндолин, т. пл. 118—119° (из скеллосольва); бромгидрат, т. пл. 226— 229°; пикрат (П), т. пл. 154—155°; подметилат (ИМ), 180—181° (из ацетона); III с VI пли XII замыкается в 2-(о-толил)-(XIVa) или 2-(2,6-диметилфенил)-(XIVб)-1,2,3,4--тетрагидроизохинолины. При р-ции IV с XII в СН_аСООН получается 2,6-диметилфенилфталаминовая к-тэ (XV), а без р-рителя — 2-(2,6-диметилфенил)-фталимид (XVI), восст новленный LiAlH₄ в 2-(2,6-диметилфенил)-изоиндолин (XVII), причем образуется также N-(2,6-диметилфенил)-2-оксиметилбензамид строение которого доказано его образованием при восстановлении XV и превращением при действии LiAlH4 в N-(2,6-диметилфенил)-2-оксиметилбензиламян (XIX). При взаимодействии V с XII или VI получены соответственно N-(2,6-диметилфенил)-(XX) и N-(о-толил)-(XXI)-2-карбоксифенилацетамиды; во втором случае образуется также 2-(о-толил)-1,2,3,4-тетрагидроизохинообразуется также 2-(-10лил)-1,2,3,4-теграгидроважино-линдион-1,3 (XXII). При восстановлении XX LiAlH₄ образуется смесь N-(2,6-диметилфенил)-2-оксиметилфениламина (XXIII) и N-(2,6-диметилфенил)-2-оксиметилфенилацетамида (XXIV); последний восстановлен в спирте над Pd/C в N-(2,6-диметилфенил)-о-толилацегамид (XXV), синтезированный также из о-толилацетилхлорида (XXVI). 1 моль Ia или б и 5 молей VI или анилина нагревают 1 час при 100°, смешивают с нли анилина нагревают 1 час при 100° , смешивают с эфиром, отделяют осадок, перегоняют и получают VIIа, выход 63%, т. кип. $151-152^\circ/0,1$ мм, т. пл. $40-44^\circ$, $n^{25}D$ 1,6009; хлоргидрат (ХГ), т. пл. $214-216^\circ$ (из абс. сп.); VII6, выход 65%, $n^{25}D$ 1,6184; VIIIa, выход 54%, т. кип. $183-185^\circ/0,1$ мм, т. пл. $45-47^\circ$, или VIII6, выход 52%, т. кип. $189^\circ/0,1$ мм, т. пл. $73-75^\circ$. Смесь 1 моля $1\mathbf{B}-\mathbf{д}$ с 3-5 молями амица нагревают 1-2 часа при 160° и, если образуется осадок бромгидрата I, поступают, как описано выше: в противном слугае до поступают, как описано выше; в противном случае до1.

II-

a

96 1.

H 1-33

i. 0d

.) 1и

I)

Ħ

1-

И 1-

f,

C

ī.

), Я

ជ [--

١.

-

н

c

бавляют избыток води. р-ра NaOH, продукт извлекают С_сН₆, переговяют и получают (приведены выход в %, т. кип. в °С / мм, n²⁵ D и т. пл. в °С П и ХГ): IXa, 75, 174/20, 1,5767, П 156—157, ХГ, 158—160, и Ха, 28, 75, 174/20, 1,5767, II 156—157, XΓ, 158—160, II Xa, 28, 116—117/16, 1,5376, II 149—120, —; XG, 35, 114/11, 1,5593, II 140—142, XΓ 132—134; XB, 44, 139/10, 1,5694, II 153—154, XΓ 129—130; XΓ, 31, 110/9, 1,5328, II 154—155, XΓ 148—151; XД, 33, 137—138/15, 1,5542, II 167, —; Xe 28, 119—121/20, 1,5169—1,5209, II 164—166, XГ 157—173; XЗК, 30, 136—138/20, 1,5340, II 133—135, XΓ 156—158; X3, 12, 127—128/17, 1,5290, II 139—140, —, 1,8 2 XB II 25 MA 48%-пого р-ра НВГ КИПЯТЯТ 17 час., р-р упаривают досуха и получают бромгидрат Хи. т. пл. 170—171° (из сп.), из которого выделяют Хи. выход 95%, т. пл. 108—109°; ИМ, т. пл. 131—132° (из ацетона); Хи нагревают с диметилкарбамилхлоридом в пиридине, отгоняют пиридин, приливают р-р МаОН, пролукт перегоняют и получают Xк, выход 57, т. кип. 131°/0,1 мм, n²³ D 1,5637; XГ, т. пл. 150—152°; П. т. пл. 113—114° в 146—147° (из сп.-эф.); ИМ, т. пл. 142—143°. ІХа и Хд и ж гидролизуют аналогично Хв 142—143°. 1Ай и ХД и ж гидролизуют авалогично Ав и получают IX6, выход 92%, т. пл. 133—134°; ИМ, т. пл. 142° (из ацетона); ХГ, т. пл. 137—138°; Хл, выход 79%, т. кип. 67—68°/0.1 мм, $n^{25}D$ 1,5418; П, т. пл. 148—151°, и Хм, выход 40%, т. кип. 57°/0.1 мм, $n^{25}D$ 1,5271; П, т. пл. 158—163°; ХГ, т. пл. 235—247°. Смешивают 0,1 моля анилина и 0,029 моля II. нагре-Смешивают 0,1 моля анилина и 0,029 моля II, нагревают с 70 мл С₆Н₆ и из р-ра получают XIa, выход 62%, т. пл. 172—173°. Смесь 1 моля II и 3,5 моля VI нагревают 0,5 часа при 100°, обрабатывают р-ром NaOH и получают XI6, выход 43%, т. кип. 117—120°/0,1 мм, n²5 D 1,6200; ХГ, т. пл. 151—152°; II, т. пл. 145—146°; ИМ, т. пл. 176—178°; из остатка от перегонки XI6 высод 32 мине 2 деляют XIIIa, выход 5%, т. пл. 145°; при проведении р-ции в CHCl₃ получают XI6 с выходом 77% и XIIIa с выходом 6%, 0,1 моля *о*-авизадина и 0,025 моля II в 0,1 л спирта кипятят 0,5 часа, отгоняют 50 мл спирта, сменивают с 0,2 л воды и извлекают эфиром ХІв, та, смешивают с 0,2 л воды и навлекают эфиром XIв, выход 54%, т. кип. 134—137°/0,1 мм, n²⁵ D 1,6247; XГ. т. пл. 180—183° (из эф.); П, т. пл. 131°; ИМ, т. пл. 150—152° (из ацетона), и XIII6, выход 23%, т. пл. 105—106°, 0,2 моля XII и 0,05 моля II нагревают 1 час при 100°, приливают 125 мл С₆Н₆, нагревают 0.5 часа и получают XIг, выход 33%, т. пл. 58—59°; ХГ, т. пл. 168—174°; ИМ, т. пл. 211—212° (из ацетона), и XIIIв, n²⁸ D 1,6022, 2HBr·0,5 Н₂О-соль, т. пл. 172—172° (ИСІ,0 5 Н₂О-соль, т. пл. 172—172° (ИСІ,0 5 Н₂О-соль, т. пл. 180—172°). Пр. 180° (ИЗ 26°) и пр. 180° (това), и XIII в. n^{25} D 1.6022, 2HBr·0.5 H₂O-соль. т. пл. 172—173°; HCl·0.5 H₂O-соль, т. пл. 189° (из эф.); диникрат, т. пл. 175° (нз сп.). Аналогично из 0,15 моля VI или XII и 0,03 моля III получают XIVа, выход 79%, т. кип. 133—135°/0.25 мм, n^{25} D 1,6016; П, т. пл. 108° (из сп.), или XIV6, выход 52%, т. кип. 120—125°/0.1 мм, n^{25} D 1,5915. К 0,15 моля IV и 190 мм СН₃СООН добавляют при 25° 0,1 моля XII и получают XV выход 89%. т. пл. 488—189° (из сп.). Нагреот XV, выход 89%, т. пл. 188—189° (из сп.). Нагревают 2 часа при 180° IV и XII и получают XVI, т. пл. 204°. К р-ру 0,08 моля LiAlH₄ в 0,5 л эфира добавляют в атмосфере N₂ 0,04 моля XVI, через 4 часа при 180° (кр. 180). са приливают 12 мл воды и 3 мл 15%-ного р-ра КОН, р-р упаривают досуха, остаток растирают с пентаном и отделяют XVIII, выход 23%, т. пл. 145° (из бал.), который нагревают с фенилизопианатом и получают N-(2,6-диметвифенил)-2-(фенилизорамилокеиметил)-бензамид, т. пл. $196-198^\circ$ (из сп.), р-р переговяют и получают XVII, выход 50%, т. кип. $104-110^\circ$ (0,1 мм, т. пл. $56-58^\circ$. ІХ $R=R^1-R^2=R^2-H$; а $R=R^2-CH_0$, $R'=R^2-H$; а $R=R^3-CH_0$, $R'=R^3-H$; а $R=R^3-CH_0$, $R'=R^3-H$; а $R=R^3-CH_0$, $R'=R^3-H$; а $R=CH_0$ 0, $R'=R^3-H$; $R=R^3-H$; $R=R^3-CH_0$; $R=R^3-H$ р-р упаривают досуха, остаток растирают с пентаном

Аналогично восстанавливают 0,04 моля XV и получают XVIII, выход 75%, и XIX, выход 12%, т. пл. 101— 102° (из 70%-вого сп.); ХГ, т. пл. 209—210°; П, т. пл. 102—161° (на воды). 0,01 моля XVIII восстанавливают 1,5 часа 0,02 моля LiAlH₄ в 0,3 л эфира и получают XIX, выход 13%. 0,05 моля V и 0,05 моля VI нагревают 0,5 часа при 183°, продукт растирают с скелло-сольвом, из р-ра выделяют XXII, выход 1 г, т. пл. 103—106°, а перастворимый остаток сменивают с 75 мл 103—106°, а перастворимый остаток сменинвают с 75 мл горичего СеН₆ и получают XXI, выход 0,3 г, т. пл. 183—184°. Аналогично при 150° получают XX, выход 57%, т. пл. 235—237°. 0,02 моля XX восстанавливают 0,04 моля LiAlH₄ в 0,5 л эфира и получают XXIV, выход 37%, т. пл. 150—151° (из сп.), остаток от эфиринго р-ра растворяют в разб. HCl, подщелачивают р-ром NаOH и навлекают С₆H₆ XXIII, выход 16%, т. кип. 150—153°/0,1 мм, n²⁵ D 1,5870; XГ, т. пл. 185—186°. 1,3 г XII, 1,1 г N (С₂H₅)₃, 40 мл С₆H₆ и 1,7 г XXVI нагревают 0,5 часа при 100° и получают XXV, выход 2 г. т. пл. 192° (из сп.). 2 г. т. пл. 192° (из сп.). Д. Витковский 11728. О синтезе производных Δ' -пирролина. Часть II.

Txom, Πatra (On the synthesis of Δ'-pyrroline derivatives. Part II. Ghosh T. N., Dutta Saktipada), J. Indian Chem. Soc., 1956, 33, № 4, 296—298 (англ.)

Описанный ранее метод синтеза производных Δ'-пирролина, основанный на взаимодействии 2-ацетамидокетонов с этиловым эфиром циануксусной к-ты (I) или ее амидом в присутствии NH3 (см. часть І, РЖХим, 1956, 58050,), применен для получения новых соединений того же ряда. Смесь 10 г D_L-метионина, 42 мл (CH₃CO)₂O (II) и 20 мл пиридина (III) нагревают 6 час. на водяной бане, отгоняют летучие в-ва с водяным паром, извлекают эфиром, вытяжку промывают 5%-ным р-ром NaHCO₃ и водой и высушивают; после отгонки эфира получают (ү-метилмерканто-а-ацетамидо)-пропилметилкетон (IV) в виде неперегоняющейся жидкости, выход 6,5 г; 2,4-динитрофенилгидразон, т. пл. 189,9° (из сп.). Аналогично (экстракция этилацетатом) из 12 г рь-три-птофана и 45 мл II в присутствии 30 мл III получено 11,5 г [с-ацетамидо-β-индолил-(3)]-этилметилкетона (V); 2,4-динитрофенилгидразон, т. пл. 265-266° (разл., из сп.). К 50 мл абс. спирта, насыщ. при 0° сухим NH₃, прибавляют 10 г (с-ацетамидо-3-о-хлорфения)-этилметилкетона и 10 г I, оставляют в хорошо закрытом сосуде на 96 час. в рефрижераторе, отгоняют спирт, остаток растворяют в разб. HCl и осаждают разб. р-ром NaOH;получают 2,4-диметил-3-циан-3-карбаминоил-4-амино-5-о-хлорбензил-Δ'-пирролин (VI), выход 6 s, т, пл. 209—210° (из сп.); пикрат, т. пл. 198—200° (разл., из сп.); 4-N-ацетил-VI, т, тл. 271—272° (из смеси сп.-лед. СН₃СООН); 4-N-аллилтнокарбаминоил-VI, т. пл. 183-184° (из сп.). Аналогично из IV и I получен 2,4-диметил-3-ца-на-4-карбаминоил-4-амино 5-(3-метилмерканто)-этил-Х-пирролин (VII), т. пл. 162° (из сп.); пикрат, т. пл. 167—168° (из сп.); 4-N-ацетил-VII, т. пл. 220° (из смеси сп.-СН₃СООН). При конденсации I с V получено неидентифицированное жидкое в-во, не дающее пикрата или ацетильного производного. А. Травин 11729.

Способ раскрытия азотсодержащего цикла 2-алкилиндолов действием надкислот проверен на примерах 2-mpem-бутил-(I) и 2-(1,1-диметилпропил)-(II)-индолов и применен к исследованию эхинулина (III). I и II, кип. 120-125°/0,1 мм; пикрат, т. пл. 97°, в хлороформных р-рах при 0°, в присутствии избытка над-бензойной к-ты (IV), поглощают в течение 15 мин. 2,6 e-amoм O; нейтр. продукт окисления I после гидролиза 50%-ным р-ром H₂SO₄ перегоняют с паром и полу-

No

KH)

мет

(pa

син

THE

80° лет

66

117

co

щ

Ka

на

(I)

ж

ME

ге

СЕ (2 И

28 (T (E a) (2 (T V

3 (1 P (1 (1 (1

п Э д (12 к 7 в

ченную с 34%-ным выходом триметилуксусную к-ту охарактеризовывают в виде n-фенилфенацилового эфира, т. пл. 112°. В аналогичных условиях из гексагидроэхинулина, полученного гидрированием III в спирте над скелетным N1, и набытка надфталевой к-ты, после поглощения 2ε-атом О, получена 2,2-диметилмасляная к-та, выход 20%, n-фенилфенациловый эфир, т. пл. 86,5°; в части полученного р-ра, после восстановления над скелетным N1, гидролиза продукта р-ром НВг хроматографирования на бумаге, показано наличие аланина и в-ва, реагирующего с нингидрином. III в тех же условиях поглощает в течение 1 часа 3 г-атома О, что указывает на возможность образования эпоксидной группировки.

Д. Витковский 11730. Окисление 5,6-дноксининдолов и строение ме-

1730. Окисление 5,6-дноксинидолов и строение меланина. Брус (The oxidation of 5,6-dihydroxyindoles and the structure of melanin. В r u се J. М.), J. Appl. Chem., 1954, 4, № 9, 469—473 (англ.)

На основании литературного материала, связанного с попытками окисления 1-, 2-, 3-, 4-, 7-метил и 2,3-диметил-5,6-диоксииндолов в меланиноподобные полимеры предложен механизм превращения 5,6-диоксинидола (I) в меланин (II). Окислительная самоконденсация I за счет присоединения через положение 4 или

7 получающегося индол-5,6-хинона к положению 3 І приводит к смеси изомерных 5,6-диокси-(3,4'- и 3,7')-дииндолил-5',6'-хинонов, из которой при окислении хиноидного кольца образуется соответствующая смесь дикарбоновых к-т (ИІа и III6) либо смесь сетокислот (ІVа и IVб). Циклизация III или IV за счет положения 2 индола и декарбоксилирование приводит к смеси изомерных 2,3-диокси-6-оксо-8,9-(2',3'- и 3',2'-пироло)-циклогентиндолов, окисляющихся в ортохиноны (Va и Vб) с последующей сополимеризацией Va и Vб в полимер, показывающий свойства II. Р. Глушков 11731. Гидролиз сульфокислот карбазола. Бородки и В. Ф., Тр. Ивановск. хим.-технол. ин-та, 1956, вып. 5, 194—195

Изучена скорость гидролиза 1,6-ди-(I), 2,7-ди-(II), 3,6-ди-(III), 1,3,6-три-(IV) и 1,3,6,8-тетра-(V) сульфокислот карбазола. После нагревания III, IV и V с 5-и 10%-ной НСІ (в запаянной трубке) 4 часа при 120—160° по ранее описанной методике (Ж. прикл. химии, 1948, 21, 1032) и I, II, III с конц. НСІ при 100° в течение 100 час. в реакционной смеси определяли кол-во карбазола и свободной Н₂SO₄. Найдено, что гидролиз имеет ступенчатый характер и устойчивость сульфокислот возрастает с увеличением числа сульфогрупп (III</IV<V); изомерные дисульфокислоты по устойчивости к гидролизу располагаются в следующий ряд: I<III</II.

А. Кизилова 11732. Дальнейше оныты, относящиеся к конден-

сации замещенных индолов с гександионом-2,5. Коккерилл, Робинсон, Сакстои (Further experiments relating to the condensation of substituted indoles with hexane-2:5-dione. Соскегі II D. А., Robinson Robert, Saxton J. E.), J. Chem. Soc., 1955, Dec., 4369—4373(англ.) Конденсация 1,3-диметилиндола (I) с гександионом-2,5 (II) (см. РЖХим, 1955, 5615) приводит к соединению С₁₆Н₂₁О₂N, имеющему, вероятно, строение 1,2,3, 3а,4,86-гексагидро-1,4,86-триметил-1-окси-3-ацетил-циклопент-(3а,86-в)-индола, которое при действии конц. HCl при 100° превращается в соединение С₁₆Н₁₇N, имеющее, вероятно, строение (III), а не 1,4,4-дигидро-4,4,9-триметил-1-метиленкарбазола (IV) (при озонолизе его не выделено СН₂О). Образование III, возможно, про-

текает с промежуточным образованием хлорметилата 1,2 - диметил - 3 - (1' - метил - 4'-кетопентилиден)-индола (миграция ангулярной СН₃-группы). Попытки осуществить синтев III и IV по схемам, которые с несомненностью указывали бы на строение в-ва, не привели к желаемому результату. Конденсацией индола с ацетоном п СНСІ₃ в присутствии щелочи (см. РЖХим, 1956, 16072) получают α -(инполил-3)-изо-

16072) получают α-(индолил-3)-изомасляную к-ту (V). Этиловый эфир V метилируют (см. РЖХим, 1955, 26199), получают этиловый эфир α-(1-метилиндолил-3)-изомасляной к-ты (VI, VII, к-та). VI омыляют

CH₃

спиртовым NaOH, получают VII, т. пл. 181° (из сп.). 4,8 г VI восстанавливают LiAlH 4, получают 3,4 г 2-(1-метилиндолил-3)-2-метилиропанола-1(VIII), т. пл. 86— 87° (из бэн.); пикрат, т. пл. 106—108° (из бэн.). 2 г VIII, 4 г п-бензохинона, 5 г Al(O-трет-С. Н.) з н 50 мл С. С. кипятят 1 час, охлаждают, фильтруют, осадок промывают эфиром, соединенный p-p промывают разб. $\rm H_2SO_4$, p-pом NaOH, по удалении большей части хинона обрабатывают обычным образом, получают 1,3 г с. (1-метил-3-нндолил)-нзомасляного альдегида (IX), т. пл. 69—70° (из бзн.); семикарбазон, т. пл. 208—209° (из сп.), 3,7 г IX, 8 мл ВгСН₂СООС₂ Н₅ (X), 1,5 г Zn-пыли, 0,1 г HgCl₂ и 50 мл С₆Н₆, кипятят 5 час., охлаждают, добавляют воду и СН₃СООН, экстрагируют эфиром, промывают води. NH₃ и сущат. Остаток после отгонки растворяют в 25 мл НСООН, нагревают 5 час. при ~100°, р-р упаривают в вакууме, остаток растворяют в эфире, промывают р-ром NaHCO₃, сущат и упаривают. Беввольный р-р остатка очищают хроматографированием на Al₂O₃. Получают 1,5 г β-метил-ү-(1-метилиндолил-3)-γ-валеролактона (XI), т. пл. 147° (из бзл.). 1 г XI, 10 мл спирта и 5 мл 20%-ного NaOH кипятят 3 часа, 10 мл спирта и 5 мл 20%-ного NаОН кипятит 3 часа, получают Nа-соль γ-окси-β-метил-γ-(1-метилиндо-лил-3)-валериановой к-ты (XII, к-та). т. пл. 228—230° (из ацетона-бзл.; высушена при 100°; гемигидрат). Метиловый эфир XII (XIII), т. пл. 73—75° (из бзн.). XIII при кипячении в ксилоле, содержащем J₂, и (частично) при перегонке в вакууме превращается в XI. XII превращается в XI уже при перекристаллизации из ацетона-C₆H₆. В p-p 2,5 г П и 5 г 1,2-диметилиндола (XIV) в 20 мл спирта при 0° пропускают HCl-газ. По-(XIV) в 20 мл снирта при 0° пропускают HCl-газ. Получают 2,5-ли- (1,2-диметилиндолил-3)-гексадиен-2,4 (XV), выход 23%, т. пл. 242° (из пиридина). XV выделен также в другой форме, т. пл. 270° (возможно, геометрич. изомер). 7 г XV и 80 мл конц. HCl нагревают 1 час при ~100°, получают 3,9 г XIV, т. пл. 55°, пикрат, т. пл. 121° (из бал.). 6 г X V, 40 мл конц. HCl и 15 г Sn кинятят 3 часа; получают 4,2 г 2,3-дигидро-1,2-диметилиндола (XVI), т. кип. 101—102°/17 мл, 103—104°/18 мм; n²³D 1,5394; пикрат, т. пл. 131—133° (из сп.). 4 г XIV, 50 мл спирта, 50 мл конц. HCl и 15 г Sn кинятят 7 час.; получают 3,5 г XVI. 1,8 г XV в. 100 мл пиоксана гидрипуют 7 час. над скедет-XV в 100 мл диоксана гидрируют 7 час. над скелетным Ni при 130° и 100 ат; получают 1,5 е 2,5-ди-(1,2диметилиндолил-3)-гексана, т. пл. 157—160° (из сп.); дипикрат, т. пл. 191—192° (из сп.). Смесь 2 г XIV, 4 г 2,5-диметокситетрагидрофурана, 5 мл спирта и 0,5 мл воды обрабатывают НСІ-газом; получают 1,4ди-(1,2-диметилиндолил-3)-бутадиен-1,3 (XVII), вы-ход 21%, т. пл. 292—294° (из пиридина). 1,4 г XVII в 100 мл диоксана гидрируют 8 час. над скелетным Ni при 150° и 100 ат; получают 1,0 г 1,4-ди-(1,2-диметил-индолил-3)-бутана, т. пл. 174—176° (из бэл.). Р-р 2,7 г I в 10 мл спирта и 2 мл воды насыщают HCl, прибавляют 3 г окиси мезитила, через 2 часа прибавляют воду, р-р извлекают эфиром и после обычной обработки получают 2,5г 1,2,3,4,10,11-гексагидро-4,4,9,11-тетраметил-2-оксокарбазола, т. пл. 96—97° (из водн. сп.). Смесь 5 г XIV, 1,8 г янтарного ангидрида и 2,5 г ZnCl₂ Γ.

ата

ола це-

ен-

ке-

MOE

56.

H,

s 8,

ме-

6_

III, 6H6 мы-04,

pa-

пл-9-

п.). ,1 & бав-

мы-TRO-

00°. ире,

Бением 1-3)-XI.

aca, нло-230°

рат).

зн.). (ча-XI.

и из

дола

По-

1-2,4

выreo-Baior пи-HCl

дро-

MA, 31-HCl 1,8 2

елет-

(1,2сп.); XIV,

ra n 1,4-

XVII

M NI етил-

2,7 € TOIRE

воду, по-

етил-

месь

ZnCl₂

нагревают 2 часа при~ 100°, прибавляют 60 мл воды, напримент 5 мин., получают сукцинопл-бис-(1,2-ди-метилиндол) (XVIII), выход 31%, т. пл. 215 -224° (разл., из 2-метоксиэтанола). Строение XVIII не установлено. Приведены некоторые х_{макс}, УФ- и ИК-спектров синтезированных в-в. Уточнена т-ра плавления 3-аце-тил-1,2-диметилиндола 110° (из бзл., высушен при 80°/15 мм). Показано, что XV не взаимодействует с маленновым ангидридом (см. также Weizmann и др., J. Chem. Soc., 1939, 391; Dilthey и др., Ber., 1933, 66, 1627). А. Гуревич

11733. Карциногенные азотсодержащие соединения. Часть XVIII. Синтез некоторых полициклических карбазолов. Быу-Хой, Жаккиньон cinogenic nitrogen compounds. Part XVIII. The synthesis of some polycyclic carbazoles. B u u-H oi Ng. Ph., Jacquignon Pierre), J. Chem. Soc., 1956, June, 1515—1518 (англ.)

Циклизацией по Фишеру фенилгидразонов (ФГ) соответствующих многоядерных кетонов и последующим дегидрированием синтезированы потенциальнокарциногенные полициклич. карбазолы. Так, из 1,2, карданогенные полициклич. кароваолы. Так, из 1,2, 3,4,5,6,7,8-октатвдро-1-кетоантрадена (I), после дегидрирования образующегося 3,4,5',6',7',8'-гексагидровафто-(2',3'-1,2)-карбазола (II) избытком хлоранила (III) получен нафто-(2',3'-1,2)-карбазол (IV) (при применении для дегидрирования 1 моля III образуется 5', 6', 7', 8'-тетрагидропроизводное III (V)); из *п*-толилтидразона (*n*-TГ)1 — 3,4,5',6',7',8'-гексагидро-6-метилнафто-(2',3'-1,2)-карбазол. т. ил. 242° (из пиклолилгидразона (n-11)1 — 3,4,5,6,7,6 генска парк от метилнафто-(2',3'-1,2)-карбазол, т. пл. 242° (нз цикло-гексана (VI)), дегидрированный в 6-метилнафто-(2',3'-1,2)-карбазол, т. пл. > 340° (нз VI). Аналогично из ФГ и n-TГ 1,2,3,4-тетрагидро-1-кетодибевзотнофены в 6-метилновафтеносинтезированы тионафтено- и 6-метилтионафтено- (2',3'-1,2)-карбазолы, т. пл. $>340^\circ$ (из бзл.); из ФГ и N-метилфенилгидразона (N-метил-ФГ) 1,2,3,4-тетрагидро-1-кетофенантрена — 3,4-дигидронафто- (т. пл.) 281° (из бзл.-сп.)) и 3,4-дигидро-9-метилнафто-281° (из бэл.-сп.)) и 3,4-дигидро-9-метилнафто-(т. пл. 198° (из петр. эф.); пикрат, т. пл. 192—193° (из сп.), комплексное соединение с тетрахлорфталевым ангидридом (КС), т. пл. 183—184° (из СН₃СООН))-(2',1'-1,2)-карбазолы, дегидрированные в нафто-(т. пл.>340° (из сп.)) и 9-метилнафто-(т. пл. 268° (из VI))-(2',1'-1,2)-карбазолы; из N-метил-ФГ α-тетралона— У1); (2, 1-1,2)-кароваолы, из к-метил-О1 а-тегралона—3,4- дигидро-9-метил-1,2-бензокарбазол, т. пл. 134° (из сп.); КС, т. пл. 124—122° (из СП₃СООН), дегидрированный в 9-метил-1,2-бензокарбазол, т. пл. 169° (из VI); из ФГ 4-кето- и 7-метил-4-кето-1,2,3,4-тетрагидрофенантренов — 3,4-дигидронафто-(т. пл. 118° (из VI); из ФГ 4-кето- и 7-метил-6-кето-1,2,3,4-тетрагидрофенантренов — 3,4-дигидронафто-(т. пл. 118° (из VI); из ФГ 4-кето- и 7-метил-6-кето-1,2,3,4-тетрагидрофенантренов — 3,4-дигидронафто-(т. пл. 128° (из VI); из ФГ (из гидрофенантренов — 3,4-дигидро-нафто-(т. пл. 110° (из петр. эф.)) и 3,4-дигидро-6'-метилнафто- (т. пл. 133° (из петр. эф.))-(1',2'-1,2)-карбазолы, очнщ. через их пикраты, т. пл. 176° (из СН₃ОН) и 187° (из СН₃ОН). Этим же путем из ФГ и N-метил-ФГ насыщ. кетона фриделяна (см. РЖХим, 1956, 47074) получены индоло- (т. пл. 309—310° (из бал.-сп.)) и 1-метилиндоло- (т. пл. 348 (из см. 1)-(3' 2-20 34) Аригидены Кроме того 217 — 218 (из сп.))-(3',2'-20,21)-фриделены. Кроме того кипячением 12 час. 0,8 г изатина, 1 г 1,2,3,4-тетрагидро-7-метил-4-кетофенантрена, р-ра 0,8 г КОН в 1 мл воды 7-метил-4-кетофенантрена, р-ра 0,0 г кол в 1 мл водан и 10 мл спирта, разбавлением продукта водой и под-кислением води. слоя СН₃СООН синтезирована 3,4-дигидро-6'-метилнафто- (1',2'-1,2) -акридинкарбоно-вая-5 к-та, выход 1,1 г, т. пл. 323—324° (разл.; нз сп.). 2 г фенилгидразина и 2 г I нагревают при 120—130°, продукт нагревают несколько секунд с 20 мл р-ром HCl в CH₃COOH, приливают воду и извлекают С₆H₆ II, выход 2 е, т. пл. 215° (из VI). 5 г II, 0,1 л ксилола и 5 г III кипятят 12 час., охлаждают, фильтруют, отго-няют р-ритель и получают V, выход 3 г, т. пл. 273° (на VI). 5 г V в 0,1 л ксилола дегидрируют 15 г III и получают IV, выход 3,5 г, т. пл. 327° (из VI.) Часть XVII см. РЖ Хим, 1956, 12906. Д. Витковский

Присоединение насыщенных гетероциклических аминов к эфирам коричной кислоты. Пол-лард, Матсон (The addition of saturated heterocyclic amines to cinnamate esters. Pollard C. B., Mattson G. C.), J. Amer. Chem. Soc., 1956, 78, № 16, 4089—4090 (англ.)

С целью получения обезболивающих в-в присоединением вторичных гетероциклич. аминов (пирролидина, морфолина, пиперидина и 4-метилпиперидина) к эфи-рам коричной к-ты (I к-та) синтезированы эфиры β -(N-гетероцикло)- β -фенилиропионовой к-ты общей ф-лы C_6H_5CH (NRR) CH_2COOR' (II). Образованию II способствует избыток амина или присутствие (CH₃)₄NOH. При изменении условий и метода выделения образуется амид. Циниамилхлорид прибавляют порциями при ~0° амид. Циннамилхлорид приоавляют порцяями при \sim 0° к p-ру соответствующего спирта и пиридина (все по 0,2 моля) в 100 мл C_cH_6 , оставляют на 24 часа, промывают водой и перегонкой выделяют эфиры I (перечисляются эфир, выход в % и т. кип. в $^{\circ}$ C /мм): метиловый, 75, —; μ -проциловый, 79, —; μ -бутиловый, 73, —; 1-метилиропиловый, 79, 87—89/0,35; 2-метилиропиловый, 86, —; μ -амиловый, 74, 104—106/0,5; 1-метилобутиловый, 85, 102—104/0,5; μ -гексиловый, 64, 114—15/0,45, Этиловый эфир I и инвериция (по 0.4 молю) 115/0,45. Этиловый эфир I и пиперидин (по 0,1 молю) в 30 мл гентана кипятят 8 час., промывают водой, экстрагируют 3 н. HCl, к вытяжке прибавляют твердый K₂CO₃ до pH 8, экстрагируют эфиром и пропуска-нием сухого HCl (конго) получают хлоргидрат этилового эфира β -(1-пиперидил)- β -фенилпрогионовой к-ты, кристаллы (из изо- $C_3H_7\mathrm{OH}$), выход 20,1%. При провекристаллы (из изо- C_3H_7OH), выход 20,1%. При проведении р-ции в толуоле в присутствии 1 мл 10%-ного (С H_3)₄NOH выход 45%; при применении 0,2 моля пиперидина выход 75%. Аналогично получены следующие хлоргидраты II (перечисляются NRR, R', выход в %): пирролидил-1, C_2H_5 , 18; морфолинил-4, C_2H_5 , 20; -метиливперидил-1, C_2H_5 , 17. Также получены хлоргидраты II, где NRR = пиперидил-1 (перечисляются R' и выход в %): C_3H_3 , 19; μ - C_3H_7 , 22; μ - C_4H_4 , 16; μ - C_5H_{11} , 12; μ - C_6H_{13} , 8; (C_3H_3) C_3H_7 , 22; μ - C_4H_6 , 16; μ - C_5H_1 , 12; μ - C_6H_1 , 02, 4. Смесь этилового эфира I и пиперидина (по 0.3 моля) кинятят 70 час. и оттовнот по ридина (по 0,3 моля) кипятят 70 час. и отгоняют до 80°/0,5 мм, остаток кристаллизуют из спирта. выход иллиперидина 71%. Б. Дубинин Гомолитическое ароматическое замещение. N-циннамилпиперидина 71%.

Часть Х. Фенилирование пиридина. Хей, Стерлинг, Вильяме (Homolytic aromatic substitu-tion. Part X. The phenylation of pyridine. He y D. H., Stirling C. J. M., Williams Gareth H.), J. Chem Soc., 1955, Nov., 3963—3969

(англ.) С помощью УФ-спектров определено соотношение изомерных фенилпиридннов (I), образующихся при разложении перекиси бензоила (II), тетрабензоата Pb (III), фенилиодозобензоата (IV), нитрозоацетанилида (V) и фенилазотрифенилметана (VI) в пиридине. Во всех случаях конц-ви фенилирующего аг-вта была 1 моль на 55 молей пиридина, т-ра —105°±0,1°, продолжительность 20 час. (только в случае IV 60 час.); к нагретому до 105° пиридину прибавляли: II, III и IV (т. пл. 159,5—160,5°)— сразу, V— в охлажд. до —20° пиридине по каплям, VI— в пиридине при ~20° по каплям. Получены следующие данные (укааны фенилирующий агент, % 2-, 3-, 4-фенилипридина в смеси изомеров): II, 54, 32, 14; III, 52, 32,5, 15,5; IV, 58, 28, 14; V, 46, 43,11; VI, 29,3—30,6, 46, 4—47, 23—23,7. В случае VI наряду с I выделено в-во Сво Нага (выход 28%) с т. пл. 215°, отличное от n-(пиридил-2)-фенилтрифенилметана (VIII). В случае , вероятно, в результате дальнейших превращений I, образуется много смолистых в-в неустановленного строения. Первично образующееся соотношение I и в случаях V и VI, вероятно, близко к таковому у II,

No.

давл

мож

Ilpo

нз :

2,6-

личе держ и 20

с па

бавл той

Na₂(

т. п

NaC VI

p-pa 73% 130°

льда

эфи в б

HCl

POC

выл

поли осад фил

т. П. в пр

ваю

рив: 1173

ро

le S

P

HOBO

2-Me more (III) Crpe

1690

при

И В

HOBO

B C

4-Me

кото

(IIIa

BCT

II H

III 1 I m (40-

и п

57% эф.)

DIRE

при

130

(paa

28 a IIIa

бена

VO.

117

m

116

III и IV. Полученные значения согласуются с имеющимися эксперим, и расчетными данными по радикальному замещению (см. Angood, Hey, Williams, J. Chem. Soc., 1952, 2094; Ivan, C. r. Acad. sci., 1949, 229, 622; РЖХим, 1956, 28867). Приведены константы для чистых изомеров: 2-фенилпиридин (iX), т. кип. 127°/8 мм, $n^{20}D$ 1,6227, пикрат, т. пл. 176°; 3-фенилпиридин (X), т. кип. 141°/12 мм, $n^{20}D$ 1,6143, пикрат, т. пл. 160°; 4-фенилпиридин (XI), т. пл. 73° (из воды), пикрат, т. пл. 497°. Р-р 60 г п-бром-N-нитрозоацетанилида (см. Неу я др., J. Chem. Soc., 1952, 4657) в 550 мл пиридина на-гревают при ~100° до ослабления выделения N₂, кипятят 3 часа, отгоняют пиридин, остаток растворяют в 150 мл CaHa, извлекают 7 н. HCl и после обычной обработки получают смесь изомерных n-бромфенил-пиридинов. Дробной кристаллизацией пикратов из пиридинов. дрооной кристаллизацией пикратов из ацетона выделяют 4 г пикрата 2-(n-бромфенил)-пиридина (XII), т. пл. 164°. Ацетоновый р-р XII хроматографируют на Al₂O₃, получают 1,25 г 2-(n-бромфенил)-пиридина (XIII), т. пл. 61—62° (из бзн.). XIII не реагирует с Mg. 25 г n-аминофенилтрифенилметана и 150 мл лед. СН₃СООН нагревают до кипения, охлаждают, прибавляют 12 мл 48%-ной НВг и затем — по каплям 18 мл амилнитрита, через 2 часа фильтруют. к фильтрату прибавляют 1 л эфира, осалок отделяют, сущат в вакууме и постепенно присыпают к кипинему р-ру 17 г Сu₂Br₂ в 200 мл 48%-ной НВг. Смесь разбавляют 1 л воды, получают 17 г п-бромфенилтрифенилметана (XIV), т. пл. 245° (p-р в бал., очищен хроматографированием на Al_2O_3). 4 ε XIV в 50 мл эфира прибавляют к p-py n-C₄H₉Li (из 0,8 г Li, 6,8 г n-C₄H₉Br и 30 мл эфира), кипятят 2 часа. К р-ру прибавляют 15 мл пиридина в 60 мл толуола, отгоняют часть р-рителя и выдерживают 8 час. при 110°. После обычной обработки получают 2,9 г VIII, т. пл. 215° (из бал.-бан.). Приведены ИК-спектры VII, VIII, тетрафенилметана, IX, X, XI, XIII. Часть IX см. РЖХим, 1956, 61380. А. Гуревич

11736. Молекулярные перегруппировки. VII. Аллильная перегруппировка α-оксибензгидрилтетрагидропиридинов. Лайл, Перловский. Лайл (Molecular rearrangements. VII. The allylic rearrangement of α-bydroxybenzhydryltetrahydropyridines. Lyle Gloria G., Perlowski Edward, F., Lyle Rovert E.), J. Organ. Chem., 1956, 21, № 4, 423 (англ.)

Показано, что при действии НСІ (к-ты) в ацетоне на (1-метил-1,2,5,6-тетрагидропиридил-3)-(I) и на (1-метилдифенилкарбинол, 1.2.3.6-тетрагидропиридил-4)-(II) наряду с перемещением эндоциклич. двойной связи, происходит дегидратация, сопровождаемая образованием бутадиеновой системы. К p-py 0,2 моля C₆H₅Li в эфире каплями прибавляют эфир. р-р 0,032 моля ареколина, кипитит при размешивании 30 мин. и обрабатывают водой; получают I, выход 74%, т. пл. 187,5—188,5° (из сп.). Смесь 70 мм 2 н. HCl в 80%-ном водн. ацетоне и 2 е I кипятят 4 часа, упаривают досуха в вакууме на наровой бане, к остатку прибавляют воду в подщелачивают NaOH; получают 3-бензгидрилидем-1-метил-1,2,3,6-тетрагидропиридин (III), выход колич., т. пл. 113-115° (из водн. сп.); хлоргидрат, т. пл. 254-256° (разл., из смеси си.-ацетон). Для подтверждения строения III p-р 1,8 г III в эт мл СН вОН гидрируют при 2-3 am над 0,2 г Pt (из PtO2); получают 3-бензгидрил-1метилиперидин, выход 48%, т. кип. 145—146°/0,5 мм; хлоргидрат, т. пл. 233—236°. Смесь 175 мл 2 н. HCl в 80%-ном води. ацетоне и 0,018 моля II кипятят 2,5 часа, упаривают в вакууме, остаток растворяют в воде, подщелачивают 6 н. р-ром NaOH и экстрагируют эфиром (50 мл × 4); остаток после отгонки эфира извлекают горячим СНвОН; получают 4-бензгидрилиден-

1-метил-1,2,3,4-тетрагидропиридин (IV), выход 32%, т. ил. 121—123°; хлоргидрат — некристаллизующееси масло. При гидрировании IV над Pt (из PtO₂) получен 4-бензгидрил-1-метилинперидин (V), выход 66%, т. кип. 186—190°/6 мм, т. пл. 87,5—88,5°; хлоргидрат, т. пл. 287—288° (из ацетона). V получен также каталитич. восстановлением (1-метилипиеридил-4)-дифенил-карбинола со скелетным Ni, выход 96%. Сообщения VI см. РЖХим, 1956, 61494. А. Травин 11737. Аминометилирование олефинов. V. Новый син-

тез 4-фенилиридина и родственных ему соединений. Шмидл, Мансфилд (The aminomethylation of olefins. V. A new synthesis of 4-phenylpyridine and related compounds. Schmidle Claude J., Mansfield Richard C.), J. Amer. Chem. Soc., 1956, 78, № 8, 1702—1705 (англ.)

Образующийся при конденсации а-метилстирола (I), СН₂О и NH₄Cl 6-метил-6-фенилтетрагидро-1,3-оксазин (11) при обработке избытком к-ты подвергается, вероятно, интрамолекулярному аминометилированию (см. сообщение IV, РЖХим, 1956, 71720) с образованием 4-фенил-1,2,3,6-тетрагидропиридина (III), который может быть превращен в 4-фенилпиридин (IV). 2 моля I 8-25 моля 37%-ного формалина и 4,04 моля NH₄Cl выдерживают при 55—60° до прекращения экзотермич. р-ции, охлаждают за 1 час до 40°, прибавляют 14 молей CH₃OH, выдерживают ~14 час. при ~20°, отгоняют CH₃OH, подщелачивают 50%-ным NaOH и навлекают толуолом II, выход 67%, т. кип. 92—93°/0,8 мм, $n^{25}\ddot{D}$ 1,5382; хлоргидрат, т. ил. 147—149° (из ацетона ++ 5% изо-СэН₇ОН). 1 моль конп. НС1 и 0,35 моля II нагревают 4 часа при $\sim 100^\circ$, охлаждают, выливают на 500 мл воды, подщелачивают 50%-ным NaOH и извлекают толуолом III, выход 52%, т. кип. 100-105°/1,5 мм, n²⁵D 1,5882; хлоргидрат, т. пл. 200—202° (из ацетона + 5% изо-Са₃H₇OH). В опыте без промежуточного выделения II выход III 50% (считая на I). 0,71 моля II и 0,76 моля 18,5%-ной HCl (к-ты) нагревают 2 часа при ~100°, через ~12 час. аналогично III выделяют 4-фенилпинеридинол-4 (V), выход 10%, III выделяют 4-фенилингеридинол-ч (т), выдод 10/10, т. пл. 158—160° (из толуола); хлоргидрат, т. пл. 215—216° (из ацетона-изо-С₃Н_ТОН). В опыте без промежуточного выделения II выход V 12% (считая на I). Р-р 0,063 моля III в 200 мл лед. СН₃СООН насыщают Р-р 0,005 моли III в 200 мл лед. Спасоон насыщают НВг 2 часа при 10—20°, через ~12 час. отгоняют СП₃СООН в вакууме при т-ре <45°, остаток растворяют в 300 мл воды, выдерживают 15 мин. при ~20° и 2 часа при ~100°, охлаждают, подщелачивают 50%ным NaOH и извлекают эфиром V, выход 45%. 0,28 моля V и 1,0 моля конц. HCl нагревают 2,5 часа при охлаждают и аналогично III выделяют II, выход 89%. II в спирте гидрируют над 5%-ным Pd/Al₂O₃ ход 59%. It в спирте гадрируют над 0.70-пам 1.07-пам 1.07и после обычной обработки получают IV, выход 81%, т. кип. 99—101°/1,0 мм, 104—107°/2,2 мм, т. пл. 77—78° (из С₇Н₁₆); цикрат, т. пл. 195—197°. При аналогичной обработке в отсутствие C₆H₅NO₂ (135—200°) выход IV 52%. 1-метил-4-фенил-1,2,3,6-тетраги-дропиридин в подобной р-ции (2 часа при 130—135° в C₆H₅NO₂) образует IV с выходом 70%. А. Гуревич 738. Получение изоникотиновой кислоты. Руб-цов М. В., Михлина Е. Е., Фурштатова В. Я., Ж. прикл. химии, 1956, 29, № 6, 946 - 948

Разработан метод получения изоникотиновой к-ты (I) окислением разб. HNO₃ смеси γ-метилолпиколинов (II), образующихся при нагревании смеси β- и γ-пиколинов (III, IV) с формалином (V) при атмосферном

6,

H

en T,

a-

We

ME

H-

ďi.

on

nd

J.,

I), HH

00-

CM. ем -ON

A I 4Cl

HH.

тей

TOIL

TOL

LM,

HA

ле-

1.5 02°

HV-I). ре-

)%,

5-

жу-

I). ают

TOIR TBO-

-20°

0%-

MO-

при

1203

(из

TOLGE

. нз-

зают

1%.

пл. ана-35-aru-

135

евич у б-

ова

6.

K-TH

инов

у-ПИрном давлении. Показано, что вместо HNO₃ для окисления может быть с успехом применена смесь H2SO4 и HNO3. может от те успечения применена смесь и 1504 и и и 1703.

Проведено эксперим. изучение метода получения I из лимонной к-ты (VI); уточнены условия получения и повышены выходы 2,6-дноксинзоникотиновой (VII) и 2,6-дихлоризоникотиновой (VIII) к-т; значительно уве-дичен выход І. 117,6 г технич. смеси ІІІ и IV (смесь содержит 15% воды и 40% IV, считая на сухую смесь) и 200 г V кипятят 15 час.; III и избыток V отгоняют с паром, водн. p-р II упаривают до 160-180 мл и прибавляют за 20 мин. к 350 мл 57,5%-ной HNO3, нагретой до 98°, нагревают 4 часа, нейтрализуют 65—75 г Na₉CO₂, получают I, выход 77,5-85% (считая на IV). ладоч, получают дваход 17,5—50 (сынган на 17), г. пл. 314°. Из дистиллага, добавляя 32 г КОН и 48 г NaCl, выделяют 48—56 г ИІ. 73 г триметилового эфира VI встряхивают 15—20 мпн. с 730 мл 25%-ного водн. р-ра $\rm NH_{3}$, упаривают в вакууме, приливают 365 в 73%-ной $\rm H_{2}SO_{4}$, медленно нагревают до 125° и при 125— 75%-ной 12504, медленно нагревают до 125 и при 125—130° греют 15 мин., охлажд. р-р выливают на 500 г льда, получают VII, выход 39,8%. 50 г триметилового эфира VI и 150 мл 25%-ного водн. р-ра NH в нагревают в бомбе при 144—145° 4 часа, нейтрализуют конц. HCl, получают VII, выход 62%. 34,6 г VII и 104 г РОСІв нагревают в бомбе при 185—190° 4 часа, р-р выливают в 500 мл ледяной воды и отгоняют с паром выпвают в 300 мл лединов воды в отобилот с парож полихлорированные продукты, водн. р-р охлаждают, осадок отделяют, сушат, растворяют в 150 мл эфира, фильтруют и упаривают, получают VIII, выход 72,3%, т. пл. 208—209°. Р-р 3 гVIII в 126 мл 0,37 н. р-ра NаОН в присутствии 1 г скелетного катализатора восстанавливают при $\sim\!20^\circ$ (15 am 4 часа), р-р нейтрализуют, упаривают до 15 $_{MA}$, получают I, выход 78%. Л. Иванова 739. Реакция между акроленном и этиловым эфи-ром β-аминокротоновой кислоты. Цуда, Сатч, Икекава, Мисима (Reaction between acrolein and ethyl β-aminocrotonate. Tsuda K., Sat: h Y., Ikekawa N., Mishima H.), J. Organ. Chem., 1956, 21, № 7, 800—801 (англ.) Реакция акроленна с этиловым эфиром 3-аминокротоновой к-ты (I) приводит к образованию этилового эфира 2-метил-1, 4-дигидроникотиновой к-ты (II) и небольшого кол-ва этилового эфира 2-метилникотиновой к-ты (III), вероятно, образовавшегося из II при перегонке. Строение II подтверждено ИК-спектром (3500 (= NH). 1690 (=CO) и 1614 (C=C) cm^{-1}), превращением в III при окислении (HNO₂, HNO₃ или воздух) или перегонке и в этпловый эфир 2-метил-1,4,5,6-тетрагидроникотиновой к-ты (IV) при гидрировании над Pd/CaCO3 новой не-ты (17) при надримента и да только 4-метил-II (IIa) (ИК-спектр 3500, 1683 и 1605 см⁻¹), который при окислении НNO₃ переходит в 4-метил-III (IIIa) и при гидрировании в 4-метил-IV (IVa). При встряхивании с Рd/СаСО в СН 3ОН в атмосфере № II и II а диспропорционируются с образованием смесей III и IV или IIIа и IVa соответственно. К p-ру 0,5 моля I и 2 г пиперидина в 250 мл абс, спирта прибавляют 1 и 2 г пиперидина в 250 мл аос. спирта приоавляют (40—50°, 2 часа) 0,55 моля акроленна, киппятят 3 часа и перегонкой выделяют III, выход 15%: II, выход 57%, т. кип. 125—127°/5 мм, т. пл. 71—72° (из петр. эф.), и фракцию (13,6 г), т. кип. 130—140°/5 мм, являющуюся смесью II и IV (УФ-спектр). Пикрат II при кристаллизации из эфира переходит в пикрат III. и I получен IIa, выход 75%, т. кип. 115 130°/2 мм, т. пл. 66° (петр. эфира); пикрат, т. пл. 160° (разл.; из эф.). При окислении 48 г неочищ. На смесью 28 г конц. H₂SO₄, 30 г конц. HNO₃ и 90 г воды получают IIIа, выход 65%; инкрат, т. пл. 175°. 3,5-динитробрязоат IVa, т. пл. 102—103°. Приведены значения УФ-спектров II—IV и IIа—IVa.

В. Дубинин стров II—IV и IIа—IVа. Б. Дубинин Фармакологически интересные производные пиридина. XII. Бумажная хроматография некоторых периферических сосудорасширяющих препаратов.

Мацек, Пелцова, Вейделек (Farmakologicky zajímavé pyridinové deriváty. XII. Papírová logicky Zajimave pyriantove detrion; Art. Гартанскіство сагом vasodilatancií. Macek Karel, Pelcová Vendulka, Vejdělek Zdeněk J.), Ceskosl. farmac., 1956, 5, № 2, 73—75 (чеш.; рез. русс., англ., нем.)

Для идентификации и определения степени чистоты этиацина (2-оксиэтилового эфира никотиновой к-ты), трафурила (2-тетрагидрофурилэтилового эфира нико-тиновой к-ты), роникола (3-пиридилкарбинола) и никодана (натриевой соли никотиновой к-ты) применена бумажная хроматография. Лучшими р-рителями являются: смесь (1:1) n-бутанола с 1 н. р-ром NH₃ и CHCl₃ (или смесь C₈H₆ и CHCl₃, 8:2) на бумаге, пропитанной 50%-ным p-ром формамида. Даны R_F указанных препаратов в р-рителях. После проявления производные никотиновой к-ты окращиваются в оран-вжеми (до красного) цвет. Сообщение XI, см. РЖХим, 1955, 28949. И. Котляревский

11741. Потенциально-амебоцидные вещества. Ос-нования Манниха из 8-оксихинолина. С е п, К у лкарни (Possible antiamoebic agents. Mannich bases from 8-hydroxyquinolines. Sen A. B., Kul-karni Yashwant D.), J. Indian Chem. Soc., 1956, 33, № 5, 326—328 (англ.)

В поисках амебоцидных в-в синтезированы основания Манниха (Іа-з) из 8-оксихинолин-5-сульфокислоты (II). При применении Na-соли (IIa) только Na-соль la получена в аналитически чистом виде; при р-ции свободной II с низшими аминами образуются свободные основания, с высшими аминами получаются соли соответствующих оснований. 0,01 моля Па, 0,01 моля (CH₂O)₃, 0,1 моля вторичного амина и 150 мл спирта кинятят 6 час., р-р упаривают и получают Nа-соли (указаны в-во, выход в % и с. пл. в °С): Іа, 75, 281 (из эф.-и-С₄H₂OH); Іб, 80, 284 (из эф.-и-С₄H₂OH), или Ів, 85, 285 (из эф.-и-С₄H₂OH). 0,01 моля ІІ, 0,01 моля (CH₂O)₈, 0,1 моля пиперидина или морфолина или 0,05 моля ди-и-бутиламина или ди-изо-бутиламина в 30-50 мл спирта кипитит 6 час. и получают пипериди-новую соль Ia, 80, 194—195°; морфолиновую соль I6, 85, 184—185; ди-и-бутиламиновую соль Ir, 50,

182—183, или динзобутиловую соль Ід, 60, 151—152 (все кристаллизованы из ацетона-си. (1:1)), из спирт. р-ра которых выделяют Іа, 80, 211; Іб, 85, 213—214; Іг, 75, 206—208, и Ід, 70, 199—200; аналогично получают Ів, 66, 223—224; Іе, 71, 198—200; Іж, 65, 166—167, и Із, 60, 177—178. Д. Витковский Синтезы амидинов хинолинового ряда. Де-11742. лаби, Цацас, Лузинки, Жандро (Syn-théses d'amidines en série quinoléique. De laby Raymond, Tsatsas Georges, Lusinchi Xavier, Jendrot Marie-Cécile, Bull. Soc. chim. France, 1956, № 8—9, 1294—1297 (франд.) Для выяснения влияния заместителей на местноанестезирующую активность у-хинолиламидинов син-тезированы 2-метил (Ia—в) и 2-фенил-(IIa—е)-4-амидино-хинолины. Исходные 2-метил-(III) и 2-фенил- (IV) цинхониновые к-ты получены по Фитцингеру нагреванием изатина с ацетоном в первом случае и с ацетофеноном — во втором, и превращены через соответствующие хлорангидриды в амиды (IIIa) и (IVa), дегидратированные сухой перегонкой в присутствии P₂O₅ или нагреванием с POCl₃ в пиридине в 2-метил- (Va)

No.

пол

така

(Che

B He

20%

бена

ами 1174

TE

er

H

2 H

гиде

нал

KOL

сим

пог

THE

эфи MeT

бена

сим

тел

лио

TBO рат

0,3

чак мет

лат

TDO

Met

апе

ЛИЕ

0.1

лот

(1-.

мет

Co 117

ам

6-1 19

си CH

Clo 30

пз

ап

11

(c)

и 2-фенил-(Vб)-4-цианохинолины; Va, б нагреванием в течение 1 часа при 225—230° с эквимолярным колвом бензолсульфоната ароматич. амина или лучше взаимодействием с ароматич. аминами в присутствии AlCla превращены в Іа—в или Па—г. Пд, е синтезированы продолжительным нагреванием анилида IV (VI) (по-лученного из анилина (VII) и хлорангидрида IV) с VII или *n*-толундином (VIII) в присутствии РОСІ₃. Смесь 100 г изатина в 410 г 30%-ного р-ра КОН и 40 г ацетона кипятят 14 час., разбавляют водой, подкисляют CH₃COOH и отделяют 111, выход 80%, т. пл. 245° (из сп.). Смесь III с пабытком SOCl₂ нагревают 1 час при 100°, отгоняют SOCl₂, остаток небольшими порциями вносят в p-р NH₃ и получают 1116, выход 82%, т. пл. 240° (из сп.); или 73,5 г изатина, 30 г ацетона и 250 г 20%-ного р-ра NH₃ кипятят 3 часа и получают III6, выход 80%. К 0,02 моля IIIа в 10 мл пиридина добавляют по каплям 0,02 моля POCla, что сопровождается повышением т-ры до 90° , дают остыть, приливают при 20° воду и отделяют Va, выход 95%, т. пл. 104° (из сп.). Аналогично из $36\ e$ ацетофенона, $46.2\ e$ изатина и 200 г 30%-ного р-ра КОН (кипячение 8 час.) получают IV, выход 96%, т. пл. 210° (нз сп.); IVa, выход 90%, т. пл. 199° (нз сп.); Vб, выход 98%, т. пл. 138—140° (из сп.). 30 г IV, 10 г С₆Н₆, 15 г ппридина и 18 г SOCl₂ нагревают 30 мин. при 100°, полученный р-р приливают по каплям к эфирному p-ру 22,4 г VII, размешивают 30 мпн., отгоняют p-ритель и получают VI, выход 90%, т. пл. 198° (из сп.). К 5 г Vб и 3,04 г VII добавляют при 150—160° небольшими порциями 3,49 г AlCl₃ (к концу добавления т-ра 185°), продукт растирают с конц. HCl, вливают в избыток воды, извлекают эфиром V6, подщела. чивают и отделяют II а, выход 89%, т. пл. 167-168° (из

-NP³P³

 $\begin{array}{c} \mathbf{I} \ \mathbf{R} = \mathbf{C}\mathbf{H}_1, \ \mathbf{a} \ \mathbf{R}^1 = \mathbf{R}^3 = \mathbf{H}, \ \mathbf{R}^9 = \mathbf{C}_2\mathbf{H}_4; \\ \mathbf{6} \ \mathbf{R}^1 = \mathbf{R}^9 = \mathbf{H}, \ \mathbf{R}^9 = \mathbf{n}^2\mathbf{C}_4\mathbf{H}_4; \ \mathbf{B} \ \mathbf{R}^1 = \mathbf{H}, \\ \mathbf{R}^2 = \mathbf{C}\mathbf{H}_2, \ \mathbf{R}^9 = \mathbf{C}_4\mathbf{H}_4; \ \mathbf{H} \ \mathbf{R} = \mathbf{C}_4\mathbf{H}_4; \\ \mathbf{a} \ \mathbf{R}^1 = \mathbf{R}^9 = \mathbf{H}, \ \mathbf{R}^9 = \mathbf{C}_4\mathbf{H}_5, \ \mathbf{G} \ \mathbf{R}^1 = \mathbf{R}^9 = \mathbf{H}, \\ \mathbf{R}^8 = \mathbf{n}^2\mathbf{C}_4\mathbf{H}_4; \ \mathbf{B} \ \mathbf{R}^1 = \mathbf{H}, \ \mathbf{R}^3 = \mathbf{C}\mathbf{H}_3, \ \mathbf{R}^3 = \mathbf{C}_4\mathbf{H}_5, \\ \mathbf{R}^8 = \mathbf{H}, \ \mathbf{R}^9 = \mathbf{C}_4\mathbf{H}_5, \ \mathbf{R}^8 = \mathbf{C}_4\mathbf{H}_5, \\ \mathbf{R}^9 = \mathbf{H}, \ \mathbf{e} \ \mathbf{R}^1 = \mathbf{C}_4\mathbf{H}_3, \ \mathbf{R}^2 = \mathbf{H}, \ \mathbf{R}^8 = \mathbf{n}^2\mathbf{C}_4\mathbf{H}_5, \\ \mathbf{R}^9 = \mathbf{H}, \ \mathbf{e} \ \mathbf{R}^1 = \mathbf{C}_4\mathbf{H}_3, \ \mathbf{R}^3 = \mathbf{H}, \ \mathbf{R}^9 = \mathbf{n}^2\mathbf{C}_4\mathbf{H}_5, \\ \mathbf{R}^9 = \mathbf{H}, \ \mathbf{e} \ \mathbf{R}^1 = \mathbf{C}_4\mathbf{H}_3, \ \mathbf{R}^3 = \mathbf{H}, \ \mathbf{R}^8 = \mathbf{n}^2\mathbf{C}_4\mathbf{H}_5, \\ \mathbf{R}^9 = \mathbf{H}, \ \mathbf{e} \ \mathbf{R}^1 = \mathbf{C}_4\mathbf{H}_3, \ \mathbf{R}^3 = \mathbf{H}, \ \mathbf{R}^9 = \mathbf{R}^3\mathbf{H}_3, \\ \mathbf{R}^9 = \mathbf{H}, \ \mathbf{e} \ \mathbf{R}^1 = \mathbf{C}_4\mathbf{H}_3, \ \mathbf{R}^3 = \mathbf{R}^3\mathbf{H}_3, \\ \mathbf{R}^9 = \mathbf{H}, \ \mathbf{R}^9 = \mathbf{R}^3\mathbf{H}_3, \ \mathbf{R}^3 = \mathbf{R}^3\mathbf{H}_3, \\ \mathbf{R}^9 = \mathbf{R}^3\mathbf{H}_3, \ \mathbf{$

бзл.). Аналогично получают (указаны в-во, выход в % и т. пл. в °C): Пб, 87, 208—209; Пв, 79, 130—131 (из бзл.-петр. эф.); Піг, 61, 189—190; Па, 87, 153—154; Гб, 96, 185—186; Пв, 69, 185—186. Смесь 0,02 моля VI, 0,04 моля VII (или VIII) и 8 мл РОСІз в 75 мл ксилола кипятят 20 (40) час., отгоняют в вакууме р-ритель и избыток реагентов, продукт извлекают разб. НСІ, подщелачивают и отделяют ІІд, выход 30%, т. пл. 260° (из сп.), или ІІе, выход 19%, т. пл. 248—249° (из бэл.). Все т-ры плавления исправлены. Д. Витковский 11743. О 2-фенилхинолиндикарбоновой-4,6 кислоте.

Ди-Фонцо, Сарачини (Sull'acido 2-fenil-chinolin-4-6-dicarbonico. Di Fonzo M., Sara-cini C.), Farmaco Ed. scient., 1956, 11, № 3,

221—227 (итал.; рез. англ.) Описано получение 2-фенилхинолиндикарбоновой-4,6 к-ты (1) двумя способами: а) взаимодействием *п*-бензальаминобензойной к-ты (II) с пировиноградной к-той (III) при нагревании в лед. СН₃СООН и б) взаимодействием смеси n-аминобензойной к-ты (IV) и бензальдегида (V) с III. В первом случае побочно образуется N-бензил-n-аминобензойная к-та (VI); во втором случае, помимо I и VI получается а-фенил-а'-кето-N-(4-карбэтоксифенил)-3'-(4-карбэтоксианил)-пирролидин которая возникает, по-видимому, за счет превращения неизмененной IV. Выходы I равны соответственно 25 и 17%, считая на IV. Полученные результаты подтверждают гипотезу о механизме этой р-ции, выдвинутую ранее (РЖХим, 1956, 19278). 0,01 моля IV,0,01 моля V и 2 мл лед. СН₃СООН нагревают до образования гомог. p-pa, добавляют 60 мл воды, получают 1,5 г II. К 0,1 моля IV в 20 мл лед. CH₃COOH при нагрева-

нии прибавляют 0,1 моля V и затем 0,1 моля III, охлаждают, обрабатывают 0,5 н. NaOH, р-р подкисляют до рН 1 посредством 5 н. HCl, осадок промывают HCl и водой, растворение осадка в NaOH и высаживание посредством НС1 повторяют до тех пор, пока из фильтрата не перестанет выпадать осадок при рН 3,8; из объединенных фильтратов и промывных вод подщелачиванием до рН 3,8 выделяют 4 г VI, т. пл. 167° (из води, сп.). Из нерастворенного остатка после сушки на пористой тарелке и экстракции получают 5 г I, т. пл. 340° (разл.), нерастворимый в эфире остаток (6,6 г) представляет собой VII. К нагретой смеси 0,4 моля II и 30 мл лед. СН₃СООН добавляют по каплям 0,4 моля III, аналогично вышеописанному выделяют 6 г VI и 7,5 г I. I получается также при омылении (кипячение с н. HCl 3 часа) 2-фенил-5-карбамидохинолинкарбоновой-4 к-ты. 2 г I. 40 мл абс. спирта и 6 мл конц. Н₂SO₄ при кипячении (4-5 час.) дают 1,9 г диэтилового эфира I, т. пл. 90° (из води. сп.). При ацетилировании VI посредством (CH₃CO)₂O (кипячение 15 мин.) образуется N-ацетильное производное VI, т. пл. 167° (из воды). Нитрозирование VI (10%-ный водн. p-р NaNO₂, конц. HCl, охлаждение льдом) приводит к N-нитрозопроизводному, пл. 204—205° (разл.) Л. Яновская 11744.

744. Поведение 3,4'-диаминобифенила в реакции Скрауна. Синтез 6,7'-бихинолина. Кейс, Бак (The behavior of 3,4'-diaminobiphenyl in the skraup reaction. Synthesis of 6,7'-biquinoline. Case Francis H., Buck Carl J.), J. Organ. Chem., 1956, 21, № 6, 697—698 (англ.)

Из 3,4'-диаминобифенила (I) р-дией Скраупа по-лучен 6,7'-бихинолии (II), строение которого доказано встречным синтезом. Восстановление 30 г 3,4'-динитробифенила над Pt (из PtO2) приводит к I, выход 20,7 г, т. пл. 85-86°. Смесь 10 г I, 16 г НзАsO4, 32 г конц. H₂SO₄ и 32 г глицерина кипятят 3 часа, выливают на лед и подщелачивают, выход II 40%, т. пл. 132—133° (из бэл.). К нагретой до 105° смеси 24,6 г 3-ацетамидо-(мэ изл.), напретов до 14-ма 14-ма 1504 г. 37,8 г. конц. Н₂SO₄ прибавляют 31,8 г. глицерина так, чтобы т-ра была <135°, выдерживают 2 часа при 130—135° и выделяют 7-(п-нитрофенил)-хинолин (ІІІ), выход 28%, т. пл. 183—184°, который при каталитич. восстановлении дает 122-123° 7-(n-аминофенил)-хинолин (IV), т. пл. (из лигр.). Из IV р-цией Скрауна по методу, описанному ранее (Vale, Bernstein, J. Amer. Chem. Soc., 1948, 70, 254), получают II, выход 37%. Аналогично III из 22 г 3-ацетамидобифейила, 14,4 г НзАSO₄, 22 мм конц. Н₂SO₄, 7 мм воды и 34 г глицерина (100° и 140°) выделяют в виде пикрата 7-фенилхинолин, выход 5,9 г, т. пл. 210-211° (из ацетона), идентичный полученному при дезаминировании IV; основание, т. пл. 59-60° Дубинин Матес, (из петр. эф.). 11745. 5,6 - бензохинолин - 2 - альдегид. Зауэрмильх (Notiz über 5, 6-Benzochinolin-aldehyd-(2). Mathes Wilhelm, Sauer-milch Walter), Chem. Ber., 1956, 89, № 5,

1183—1184 (нем.) Окислением 5,6-бензохинальдина (I) получен 5,6бензохинолин-2-альдегид (II), строение которого доказано окислением до 5,6-бензохинальдиновой к-ты. К смеси 640 мл 10 н. HCl, 80 г С₆Н₅NO₂ п 252 г β-нафтиламина (саморазогревание) постепенно при 95° добавляют 106 г кротонового альдегида (~102°), обрабатывают по охлаждении CHCl₃, подщелачивают р-ром Na₂CO₃ и извлекают изопропиловым эфиром; выход I 64%, т. пл. 83°. К инпящему р-ру 0,2 моля I в 400 ма толуола постепенно (30 мин.) добавляют 0,204 моля SeO₂, нагревают 30 мин., фильтруют, вабалтывают p-p ~12 час. со 150 мм конц. p-pa NaHSO₃, отделяют осадок бисульфитного соединения, обрабатывают 250 мл 30-%-ного формалина и экстрагируют СНСІз, Γ.

аж-

до ICI

ние пьтобъ-

ДН.

по-

340° гавмл III,

e I.

-ТЫ. ЯЧе-

90°

BOM

AILE-

про-

HCl,

кая ции а к

raup

em.,

позано тро-

онп.

т на

133° идо-

2SO₄ была пяют

пл.

дает

-123°

ному , 70, 22 г

онц.

выде-

,9 2,

ному

 -60°

BHHH

rec,

olinu e r-

№ 5,

5,6докак-ты.

ртилобавбаты-

p-pom

код 1

ам. ОС моля

T P-P

ero HCl₃, получают 48,3% II, т. пл. 135° (на бан.). І может быть также окислен воздухом в присутствии катализатора (Сhem. Ber., 1951, 84, 455). К нагретому р-ру 2 г II в нескольких мл пиридина добавляют 3 капли водн. 20%-ного р-ра КСN, получают с колич. выходом 5,6-бензохинальдоин-2, т. пл. 194—196° (из диметилформамида).

А. Кизилова

11746. Исследования в области цианиновых красителей. VI. N-.м-нитрофенилхинальдинийперхлорат и его превращения. Пилюгин Г. Т., Крайнер З. Я., Ж. общ. химии, 1955, 25, № 12, 2271— 2274

При конденсации м-нитродифениламина с паральде-гидом синтезирован перхлорат N-(м-нитрофенил)-хинальдиния (1). Доказательством строения і служит положение максимума поглощения, полученного из него симметричного карбоцианина, близкого к максимуму поглощения аналогичного красителя с фенильным раликалом при атоме N. Конденсацией I с ортомуравьиным эфиром, йодметилатом 2-3-ацетанилидовинил-3,3-диметилиндоленина, йодэтилатом 2-β-ацетанилидовинил-бензотиазола или йодэтилатом хинолина получены симметричные и несимметричные цианиновые красители. Нагревают в запаянной трубке 4 г м-нитродифе-ниламина, 4 мл паральдегида, 2 мл конц. НС1 и 6 мл дноксана 25 мин. при 100°; после обработки эфиром растворяют в спирте и добавлением водн. р-ра К-перхлотворяют в спарте и досавлением вода. Ред Клероло рата выделяют I, т. пл. 230° (из воды. сп.). 0,3° г I, 0,3 мл этилортоформиата и 3 мл пиридина кипитят 50 мин., обработкой эфиром и безводн. спиртом получают перхлорат бис-(1-м-нитрофенилхинолин-2)-три-метинцианина, выход 42%, т. пл. > 300° (из сп.), λ_{макс} 613 мµ. Кипячением 55 мин. смеси 0,23 г йодмети-2-3-ацетанилиновинил-3,3-диметилиндоленина, 0.21 г І и 4 мл пиридина получен перхлорат (1-м-нитрофенил-хинолин-2)-(1,3,3-триметилиндоленип-2)-триметинцианина, выход 41%, т.пл. 170—220° (разл. из си.). Нагреванием 35 мин. 0,23 г йодотилата 2-8-ацетанилиновинилбензотиазола, 0,21 г I и 3 мл пири-дина получен перхлорат (1-м-нитрофенилхинолин-2) (3-этилбензотиазол-2)-триметинцианина, выход 57%, т. пл. 228—229° (разл.). Нагревают в течение 50 мин. 0,18 г І, 0,14 г йодэтилата хинолина и 4 мл спирт. щелочи, оставляют на 16 час. и выделяют перхлорат (1-м-нитрофенилхинолин-2) - (1 - этилхинолин-4) - моно - метинцианина, выход 42%, т. пл. 218—220° (разл.). Сообщение V, см. РЖХим, 1956, 68353. Н. Сандлер

11747. 2-метокен-6-хлор-9- α-галоидоаниламиноакридины. Н и м а и (2-Chloro-5-α-halogenoacylamino-7-methoxyacridines. N e e m a n M.), J. Chem. Soc., 1956, Apr., 1079 (англ.) α-Галоидный атом в (2-метокен-6-хлоракридил-9)-

а-Галондный атом в (2-метокси-6-хлоракридил-9)-амидах с-галондокислот (I), в отличие от аналогичных 6-метокси-8-галонданетамидохинолинов (J. Chem. Soc., 1955, 2525), не реагируют с кипящим (С₂Н_δ)₂NH. К смеси 0.01 моля 2-метокси-6-хлор-9-аминоакридина, 20 мл CHCl₃ и 1 мл пиридина прибавляют при —5° 0.01 моля СICH₂COCl в 10 мл CHCl₃ и выдерживают 15 час. при 30°; получают I (ацил = CICH₂CO), т. пл. 315° (разл., лз 60%-ной НСООН). Аналогично получают I (ацил = ВгСН₂CO), т. пл. 330° (разл., из 60%-ной НСООН). И I (ацил = CH₃CHBrCO), т. разл.>360° (из смеси сп.ацетон).

11748. Синтез бензакридинмезокарбоновых кислот. Мартине (Synthèse d'acides benzacridine-mésocarboniques, Martinet André), C. r. Acad. sci., 1956, 243, № 3, 278—280 (франд.)

Реакция получения акридинкарбоновых-5 к-т нагреванием N-арилизатинов с р-рами щелочей (см. Stolle R., J. pract. Chem., 1922, 105, 137) применена к превращению 1-арилбензо-4,5-изатинов (арил = n-,

м- нли о-толил, 2,4- или 2,5-ксилил) кипячением их с 10%-ным р-ром NaOH в алкилбензо-3,4-акридинкар-боновой-5 к-ты (указаны алкил, продолжительность кипячения в час., выход в %, т. пл. в °C1: 7-метил-, 1,5, 90, >355; 6(8)-метил-, 3, 65, >355; 9-метил-, 1,5, 90, 330—335 (разл.); 7,9-диметил-, 3,80, 315—320 (разл.); 6,9-диметил-, 14, 30, 210—215 (разл.), превращенные термич, декарбоксилированием (особенно легко в присутствии натронной извести) с выходами свыше 80% в алкилбензо-3,4-акридины (указаны алкил, т. пл. в °С (из сп.)): 7-метил-, 158; 6(8)-метил-, 156 (из сп.-петр. эф.); 7,9-диметил-, 156 (из сп.-петр. эф.); 6,9-диметил-151. Строение I точно не установления 6-метил-(146°), чем к т-ре плавления 6-ме

Д. Витковский 1749. β-Кетоацетали. І. Синтеам пиразолов и пиримидинов и пространственное подавление резонанса в 5-алкил-1-я-нитрофенилпиразолах. П. Синтеа 3-метил- и 3-фенилфурана. Бернесе (β-keto acetals. I. Synthesis of pyrazoles and pyrimidines and the steric inhibition of resonance in 5-alkyl-1 p-nitrophenylpyrazoles. П. Synthesis of 3-metyl-and 3-phenylfurans. В и г n е s s D, М.), J. Organ Chem., 1956, 21, № 1, 97—101, 102—104 (англ.) Сообщение І. β-Кетоацетали (КА) — CH₃COCH₂CH-(ОСН₃)₂ (I) и его высшне гомологи легко реагируют с замещ. гидразинами (ГД), семикарбазидами и тиосеми-карбазидами с образованием производных пиразола RNN=CR'CH=CR" (II), а с гуапидином (III), мочеви-

ной (IV) и (NH₂)₂CS (V) — производных пиримидина (VI). Из р-ции I с ГД получают только один изомер II; в отсутствие к-т или оснований из этой р-ции удается СН(ОСН₃)₂ (XI) — только один изомер X. Строение X установлено с помощью исследования их УФ-спектров. Наличие алкила в положении 5 у X влечет за собой заметный гипсохромный сдвиг х_{макс} (что, по мнению автора, свидетельствует о пространственном подавлении резонанса), тогда как алкил в положении 4 вызывает слабый батохромный эффект. И синтезированы следуюшими методами: А) нагревают води, p-p 1 моля КА с 1 молем соли ГД (для арилгидразинов 50%-ный сп.) для II (R = CONH₂, R'= CH₃, R''= H) т-ра не выше 45°), продукт р-ции выделяют фильтрованием или извлечением эфиром; Б) р-р КА и ГД (по 1 молю) в СН₃ОН кипятят 2 часа с СН₃ОNа, П осаждают С₆Н₆; В) нагревают КА и ГД в спирте, выделяют гидразон, нагревают его в N2 до прекращения выделения СН вОН; Гр гидразон нагревают в спирте с несколькими каплями HCl (к-ты). Перечислены R, R', R'', метод синтеза, выход в %, т. пл. в °C или т. кип. в °C/мм, n²5D: С_вН₅, CH₃, H, A, 70, 250—253/760; смесь С_вН₅, CH₅, H (т. пл. 35— 36°) и C_6H_5 , H, CH_8 , E, 52, 120-122/9, 1, 5875; C_6H_5 , CH_3 , H, B, 47, 35,5-36.5, 1,5873 (τ -ра плавления промежуточного гидразона $67-68^\circ$); $n\text{-NO}_2C_6H_4$, СН₃. Н, А и Г, 68 и 78, 165.5 (т.-ра плавлення промежуточного гидразона 133—134°); n-NH₂C₆H₄, CH₃, на праводни просоединения скелетным Ni),
 94, 98; CONH₂, CH₃, H, A и Γ (промежуточный семикарбазон, т. пл. 131—133°), 85 и 37, 122,5—124,5 (частично плавится при 94—96°); CSNH₂, CH₃, H, A и Г (промежуточный тиосемикарбазон, т. пл. 122—123°), 53,5 и 23, 132,5—133,5; H, CH₂, H, A, 86, 200—202/760,

No

OMB

фок

про

няе 1,2, НС

жле

рам

взя

мет

T. II

ния

пяч

вые ной ван

обр

пол —С

84,

рид

про

(C2

вы 74°

car J.

вы: n²⁵

(C2

qai

R I

Ba

B 3

(иа

по

41

K

пе

И3

no CF

(H:

по

53

2

К

np

BP BP

K

H3

1,4955; смесь СН₃, СН₃, Н и СН₃, Н, СН₃, А, 68, 141—150/760, 1,4713—1,4745, т-ра плавления смеси пикратов 125—146°, т-ра плавления пикратов 1,5-диметил. II 132° (из сп.), 1,3-диметилпиразола (XII) 171° (из сп.); СН₃СН₃. Н, Г, 61, 143—145°, 1,4734. Продукт Клайзеновской конденсации СН₃СОСН₂СН₃ с НСООС₂Н₅ обрабатывают р-ром СН₃ОNа в СН₃ОН, при перегопке собирают XI с т. кип. 59—61°/9 мм, $n^{25}D$ 1,4167, и VII с т. кип. 69°/11 мм, $n^{25}D$ 1,4184. Из р-ции VII и XI с IX· HCl, как в методе А, получают n-NO₂C₆H₄NN=

=C(R)C(R')=C(R"), которые очищают дробной кристал-

лизацией из спирта. Перечислены исходный КА, R, R', R", т. пл. в °C: I, СН₃, H, H, 165.5; VII, C₂H₅, H, H, 121; VII, H, H, C₂H₅, H12; XI. СН₃, CH₃, H, 160; VIII, C₂H₅, CH₃, H, 138; VIII, H, CH₃, C₂H₅, 77—78.5; пентан-2,4-днон, СН₃, H, CH₃, 101—102.5°; т. пл. 1-(2,6-дихлор-4-нитрофенил)-3-метилиразола 145—146°. Для получения чистого XII вносят З е СН₃NHNH₂ на холоду в 8,6 е I, нагревают при 40°, затем 10 мин. при ~100°, нагревают 5,5 е полученного гидразона с 5 мл воды и 5,3 е 6 н. HCl (~100°, 20 мин..), обрабатывают р-р 2,4 е 50%-ного р-ра NаОН, выход XII 61%, т. пл. пвкрата 170—171°. Из 26,4 е сульфата амино-III, 13,2 е I и 3,5 мл 6 н. H₂SO₄ в 40 мл воды (~100°, 1 час.) получают сульфат бис-(гуанилгидразон)-бутандиона-1,3 выход 70%, т. пл. 197,5° (разл.; пз воды); его не удалось превратить в II. 2-амино-4-метил-VI получают: а) кипичением смеси 13,2 е I, 9 е III · H₂CO₃ и 50 мл ксилола (2—3 часа с отделением воды + CH₃OH), выход 96%, т. пл. 156,5—157,5°; б) кипичением I с III · HCl и СН₃ONа в СН₃OH (10 мин.), выход 61%; в) нагреванием I и III · HCl, выход неочищ. в-ва 36%. К р-ру 18 е IVв 200 мл спирта прибавляют 40 е I и затем 60 мл конп. HCl. Через 20 час. отделяют 2-окси-4-метил-VI, выход 79%, т. пл. 240°. Аналогично из I и V получают 2-меркапто-4-метил-VI, выход 91%, т. пл. 259° (осаждают конц. HCl из водн. р-ра). Нагреванием I с анилином получают СН₃СОСН = СНNНС₆Н₅, выход 34%, т. пл. 91,5—92,5° (из разб. сп.).

Е. Головчинская Слобщение 11. Описан удобный способ получения 3-алкил- и 3-арилфуранов исходя из КА. Конденсацией 4,4-диметоксибутанона-2 (XIII) с СІСН-2СООСН-3 (XIV) в присутствии СН-9ОNа получен метиловый эфир 5.5-диметокси-3-метил-2,3-эпоксивалериановой к-ты (XV), который циклизован в метиловый эфир 3-метилфуранкарбоновой-2 к-ты (XVI). Гидролизом XVI получена 3-метилфуранкарбонован-2 к-та (XVII), которая при дикарбоксилировании дает 3-метилфуран (XVIII). Аналогично из β, 3-диметоксипропиофенона (XIX) получены метиловый эфир 5.5-диметокси-3-фенил-2,3-эпоксивалериановой к-ты (XX) и метиловый эфир 3-фенилфуранкарбоновой-2 к-ты (XXI). Предполагается, что XV в процессе образования XVI изомеризуется в αкетоэфир (СН-3О)-2СНСН-2СН(СН-3)-СОСОСН-3, энолизующийся в (СН-3О)-2СНСН-2СН(СН-3)-СОСОСН-3, энолизующийся в (СН-3О)-2СНСН-2СН(СН-3)-СОООСН-3, энолизующийся в (СН-3О)-2СНСН-2СН(СН-3)-СОООСН-3, отольживают до 0°, добавляют пре 10° добавляют в течение 2 час. 86 г СН-3ОNа (т-ра <-5°), размешивают 2 часа, оставляют на ~16 час. при ~20°, охлаждают до 0°, добавляют р-р 10 мм СН-3СООН в 150 мм воды, декантируют эфирный слой и на него выделяют XV, выход 80%, т. квп. 113—122°/8 мм, 66,5—69,5°/0,25 мм, 93°/0,7 мм, 89°/1 мм, лезьр 1,4405—1,4419. Нагревают 47.6 г XV при 160°, отгоняют СН-3ОН (13 г) и перегонкой получают XVI, выход 84%, т. квп. 72—76°/8 мм, т. ил. 36,5—37° (на сп.). Кипитит 2 часа 26 г XVI с 60 мм 20%-ной NаОН, охлаждают, добавляют 35 мм конц. НС1 и получают XVII, выход 93%, т. пл. 132—132,5°. Нагревают 12 час.

смесь 430 г XVII, 860 г хинолина и 80 г Си и отгоняют XVIII, выход 88%, т. кип. 65.5°, $n^{25}D$ 1,4315; аддукт с маленновым ангидридом, выход 89%, т. пл. 78—79°. Анологично XV из 48.5 г XIX, 43.4 г XIV и 21.6 г СН $_3$ ОNа получают XX, выход 85,4%, т. кип. 119—423°/0,5 мм. $n^{25}D$ 1,5020. Нагревают 5 г XX с \sim 0,05 г. n-CH $_3$ CH $_4$ SO $_3$ H при 250° до прекращения отгонки СН $_3$ OH, остаток перегоняют и получают XXI, выход 58%, т. кип. 147—172°/10 мм, т. пл. 63.5—64,5° (на гептана). При кислотном гидролиае XV, по-видимому, образуется метиловый эфир у-формил-а-окси-3-метокен-довалериановой к-ты, т. кип. 130—133°/22 мм. $n^{25}D$ 1,4520. Р. Журин 11750. О некоторых галоидопроизводных 1,2-дифе-

1750. О некоторых галондопроизводных 1,2-дифенил-4-бутилипразолидиндиена-3,5. Франки (Sopra alcuni derivati alogenati del 1,2-difenil-4-butil-3,5-pirazolidindione. Franchi G.), Farmaco. Ed. scient., 1955, 10, № 9, 628—631 (итал.;

рез. англ.)
1.2-Дифенил-4-бутилпиразолидинднон-3,5 (бутазолидин) (I) легко хлорируется и бромируется соответственно до 4-хлор-(II) и 4-бром-1.2-дифенил-4-бутилпиразолидинднона-3,5 (III). Строение II и III подтверждается нерастворимостью их в щелочи. Р-дия с Вгеможет быть использована для обнаружения I в присутствии пирамидона. Через р-р 1 г I в 20 мм ССІ4 несколькоминут пропускают СІ2, упаривают, остаток обрабатывают разб. NаОН, получают II, т. пл. 106° (из петр. эф.). К 1 г I в 50 мм спирта прибавляют насыш, бромную воду до устойчивой желтой окраски, через несколько минут получают III, выход 90%, т. пл. 116° (из сп.).

П. Яновская 11751. Ненасыщенные сульфокислоты. V. Присоединение диазомстана и фенилазида к производным этиленсульфокислоты и ее гомологам. Ро и дестведт, Чжан (Unsaturated sulfonic acids. V. Addition of diazomethane and phenyl azide to derivatives of ethylenesulfonic acid and its homologs. Rondest ved t Christian S., Jr, Chang Pauline K.), J. Amer. Chem. Soc., 1955, 77. № 24, 6532—6540 (англ.)

 N_2 24, 6532—6540 (англ.)
Производные этиленсульфокислоты общей ф-лы, RCH=CHSO₂X (I), где R = H, X = N(C₂H₅). (Ia); R = H, X = OC₄H₉- μ (I5); R = H, X = Cf. (Ib); R = CH₃, X = N(C₂H₅) (Ir); R = CH₃, X = OC₄H₉- μ (Iд); присоединяют CH₂N₂, образуя с колич, выходом производные пиразолин-3-сульфокислоты (Иа—д) соответственно. Реакционная способность I по отношению С H_2N_2 уменьшается в порядке: $I_B>I_0>I_1$ Из-за малой устойчивости I_0 охарактеризованы в виде соответствующих пиразолов. На и Пг при действии Вг₂ дают пиразол-3-диэтилсульфамид (III), 4-метил-III (IV) и бромгидрат 3-пиразолидона (V) и следы бромгидрата 4-метил-V(VI) соответственно. Бромирование 116 и IIд приводит соответственно к пиразол-3-сульфокислоте (VII), 4-метил-VII (VIII) (в виде внутренних солей) и к следам пиразола и 4-метилпиразола, Ив из-за большей неустойчивости сразу теряет SO2, превращаясь в 3-хлорпиразолин, который при омылении изомеризуется в хлоргидрат V, или, присоединяя вторую молекулу Ів, образует 2-(3-хлор-1-прото- Δ^2 -пиразолинил-1)-этансульфокислоту (IX). Гидролиз последней дает 2-(1-прото-пиразолидон-3-ил-1)-этан-сульфокислоту (X), ИК-спектр которой идентичен со спектром 2-(4-метил-1-прото-пиразолидон-3-ил-1)-этансульфокислоты (XI), полученной присоединением 16 к VI. Присоединение C₆H₅N₃ к Ia в отличие от Iг приводит к 1-фенил-1,2,3-триазолин-4-диэтилсульфамиду водит к 1-фенил-1,2,3-гриазолин-4-дизтилсульфамиду (XII), при окислении которого Br_2 получается бромгидрат 1-фенил-1,2,3-гриазолина (XIII). Ів даже с избытком $C_6H_5N_3$ дает при $\sim\!20^\circ$ 2-(1-фенил-1-прото-1,2,3-гриазол-3-ил)-1-этансульфохлорид (XIV), который при Γ.

OT KT

LO

na iy,

5D

HH

be-

ou-

ar-

л.;

TH-

ст-

Brz

ET-

ты-

ф.). оду

MH-

n.).

кая псо-

CT-

Ad-

ati-

8 17.

(la); (lB);

І₉-не дом —д)

ше-

>Ir.

виде

BUR

I-III

гид-

них ола, SO₂, ылеиняя о- Δ^2 -

тан-

н со

при-

инду

гил-

быт-

,2,3-

омылении превращается в соответствующую этансульфокислоту (XV). Аналогично реагирует пропен-2-суль-фохлорид (XVI) с образованием сразу 2-(1-фенил-1прото - 4-метил - 1,2,3-триазолил-3) - этансульфокислоты прого - 4-метил - 1,2,3-гриазолил-э) - этансульфокислоты (XVII). α -Бромэтиленсульфоклорид (XVIII) присоединент 1 экв C₆H₅N₃ с образованием 1-фенил-4-бром-1,2,3-триазола (XIX) с одновременным отщеплением HCl и SO₂. Строение XII—XV, XVII и XIX подтверждено сопоставлением ИК-и УФ-спектров со спект рами модельных соединений. В качестве последних взяты: бромгидрат 1-фенил-1,2,3-триазола (XX), т. пл. 76-77° (из СН₃ОН-этилацетата) (XXI — смесь), йодметилат, т. пл. 134,5—135,5° (из ацетона-этилацетата), п метансульфонат 1-фенил-3-метил-1,2,3-триазолия, т. пл. 148—149,5° (из XXI) и др. Подтверждением строения является также образование XV из XX и Ia при кипячении в С. Н. Эти р-ции интерпретируются как новые формы конъюгированного присоединения диполярной формы триазолина или триазола. При сульфироной формы триазолина или триазола. При сульфировании пиразола 20%-ным олеумом (~100°, 5 час.) образуется пиразол-4-сульфокиелота, выход 73%, т. пл. 345° (разл.; нз воды). Для сопоставления V получен с выходом 3—4% при нагревании СН₂—СН——СО NHNH₂-HBr (HCl). VI получен по ранее описанному методу (Lieser T., Kemmner K., Ber., 1951, 84, 10), выход 72%, т. кип. 114—117°/0,2 мм; бромгидрат, т. пл. 168—169° (из сп.). Пропен-1-сульфохловия (XXII) получен при вействии (С.Н.). № на 2-хловия (К.Н.). № на 2-хловия (С.Н.). № на 2-хловия (С.Н.). № на 2-хловия (С.Н.). № на 2-хловия (К.Н.). № на 2-хло рид (XXII) получен при действии (C2H5)3N на 2-хлоррид (XXII) получен при действии (C_2H_5)₈N на 2-хлорпропан-1-сульфохлорид при 25°, выход 80%, т. кни. 32—34°0.3 мм, $n^{24,5}D$ 1.4775. Из XXII, (C_2H_5)₈N и (C_2H_5)₂ NH (по 0.057 моля) в 75 мл эфира (т-ра не выше — 50°) получают Іг, выход 46%, т. кип. 72—74°/0,2 мм, $n^{25}D$ 1.4661. Ід получают по ранее описанному способу (Whitmore W. F., Landau E. F., J. Amer. Chem. Soc., 1946, 68, 1797) в p-pe абс. эфира, выход 58%, т. кнп. 85—87°/0,5 мм, 95—99°/1,0 мм, $n^{25}D$ 1.4461. Из 1-хлорпропан-2-сульфохлорида и (С.Н.)» N в эфире (прибавление пр. —25°—20°) получения (С.Н.)» N в эфире (прибавление пр. —25°—20°) получения (С.Н.)» N в эфире (прибавление пр. —25°—20°) получения (Пр. 14461). $(C_2H_5)_3N$ в эфире (прибавление при $-25-20^\circ$) получают XVI, выход 50%, т. кип. $40-45^\circ/1.5$ мм, $n^{22}D$ 1,4729. Эквивалентное кол-во (ЭК) СН₂N₂ прибавляют к Ia в эфире, оставляют на 24 часа при ~20°, упаривают, получают IIa, выход 92%. К 0,147 моля IIa в 35 мл СНСІ₃ прибавляют по каплям 0,0168 моля Вг₂ в 10 мл CHCl3, перемешивают 6 час., оставляют на 12 час., получают V, выход 32%, т. пл. 206—207° (из сп.). Фильтрат от V промывают водой, упаривают, получают III, выход 57%, т. пл. 112—113° (из бзл.-петр. эф.). ЭК СН₂N₂ прибавляют к Ir, оставляют на 4 дня при ~20°, упаривают, получают IIr. выход 99%. К Иг в СНСІз прибавляют по каплям ЭК Вг2 в СНСІз, перемешивают 6 час., оставляют на 12 час. и выделяют IV, выход 57%, т. пл. 127° (возгонка 110°/0,1 мм; из СН₃сN-воды). Из ЭК СН₂N₂ и 16 в абс. эфире через 2 часа получают II6, выход 13,3 г. Аналогично из II6 получают VII, выход 72%, т. пл. 257° (разл.; из СН₃СН-сN-СН-сN). получают VII, выход 72%, т. пл. 257° (разл.; на СН₃CH). Пиридиновая соль, т. пл. 169—170° (на СН₃CN). Из ЭК СН₂N₂ и Ід в абс. эфире получают ІІд, выход 95%, п на него — VIII, выход 53%, т. пл. 275° (разл., на СН₃OH-хлф.). Из Ів и 2 ЭК СН₂N₂ в эфире через несколько месяцев выделяют хлоргидрат V, выход 22%, т. пл. 199—200° (возгонка). К 0,0179 моля Ів в эфире прибавляют по каплям (1 час) при ~20° 0.009 моля СН₂N₂, р-р упаривают в вакууме, получают ІХ, выход 0,94 е. т. пл. 168—169° (разл.: при ~20 0.009 моли Сп_вN₂, p-р упаривают в вакууме, получают IX, выход 0,94 е, т. пл. 168—169° (разл.; вз XXI). P-р 0,74 е IX в 5 мл воды упаривают досуха, выход X 0,38 е, т. пл. 258—259° (разл.; из разб. СН₃ОН). VI и I6 (по 0,01 моля) в 20 мл абс. спирта кипятят 2 часа, выход XI 29%, т. пл. 275° (разл.; вз СН₃СN-воды). 0,0266 моля Ia и 0,0292 моля С₆Н_БN₃ в 25 мл С. Н. кипятят 16 час. и упаривают, выход XII 31%, т. пл. 92,5-93,5° (из диоксана-воды). Из ЭК XII и Вг₂ в СНСІ₃ получают XIII, выход 12%,

т. пл. 278° (разл.; на XXI). 0,05 моли Ів прибавляют порциями к 0,025 моля С₆Н₈N₃ в 10 мл С₆Н₆, оставляют на 5 час., выход XIV 98%, т. пл. 129—130° (па XXI). Р-р XIV в воде упаривают досуха, получают XV (ввутренняя соль), выход 91%, т. пл. 215—216° (на XXI). 0,0085 моля XVI прибавляют порциями к 0,042 моля С₆Н₅N₃ в 15 мл СНСІ₃, книятят 6 час., выход XVII (внутренняя соль) 45%, т. пл. 268° (разл.; на сп.). Иа ЭК XVIII и С₆Н₅N₃ в СНСІ₃, книяченне 1 час) получают XIX, выход 45%, т. пл. 121,5—122,5° (на разб. СН₂ОН). Сообщение IV см. РЖХим, 1955, 23701. М. Линькова 11752. Восстановление некоторых гидантонноп, барбитуратов и тноурацилов с номощью алюмогидрида лития. Мар шал (Lithium aluminum hydride reduction of some hydantoins, barbiturates and thiouracils. Маг s h a l 1 F r e d e г i с k J.), J. Amer. Сhem. Soc., 1956, 78, № 15, 3696—3697 (англ.) Найдено, что даже избыток LiAlH₄ восстанавливает 5,5-дизамещ, гидантоным только до имидазолидинонов-2 RR'ССН₂— NHCONH (I), барбитуровые к-ты до гекса-

гидропиримидинонов-2 RR'CCH2NHCON HCH2 (II) и

2-тиоурацилы до 1,2,3,4-тетрагидропиримидинтионов-2 (III). Аналогично 5,5-дифенил-2-тиогидантови дает 4,4-дифенилимидазолидинтион-2 (выход 53%, т. пл. 257—258° (из сп.)), а 5-этил-5-фенил-2-тиобарбитуровая к-та—5-этил-5-фенилгексагидропиримидинтион-2 (выход 47%, т. пл. 135—137° (на бал.)). Не удалось провести р-цию с 5-этил-6-фенил- и 6-фенилурацилами, видимо, вследствие нерастворимости их в эфире. Все полученные соединения не показали заметной гипнотич. активности при испытании на крысах, К 0,3 моля LiAlH₄ в 600 мл абс. эфира порциями прибавляют 0,1 моля 5-и-пропил-5-фенилгидантоина, кипятят 30 час., прибавляют (~0°) 44 мл воды и 11 мл 15%-ного NaOH, осадок экстрагируют кинящим спиртом, из которого выделяют I ($R=C_0H_6$, $R'=n-C_0H_7$), выход 48%, т. пл. 207—209° (из сп.-петр. эф.). Аналогично (диалкилпроизводные экстрагируют C_6H_6) получены следующие I (перечисляются R,R', выход в 9_6 , т. пл. в ${}^{\circ}$ C (па бэл.-петр. эф.)): $n\text{-}\mathrm{ClC}_6H_4$, CH_3 , 57, 217-219 (па сп.); C_6H_5 , C_6H_5 , 38, 250-252 (па сп.); C_8H_9 , 9-101; C_{13} , 3-0-утенил (гидантоин получен с выходом 67_6 , т. пл. $119.5\text{-}120.5^{\circ}$), 69 (т. кип. $165\text{-}473^{\circ}/0.4$ мм), 74-77; C_{13} $n\text{-}C_6H_{11}$, 73 (т. кип. $164\text{-}165^{\circ}/0.45$ мм), 51-53; C_{13} , $n\text{-}C_9H_{19}$, 92-91-92; C_2H_5 , C_2H_5 , 59, 159-160; C_2H_5 , $n\text{-}C_4H_9$, 192-91-92; 192-92; 192-92; 192-92; 192-92; 192-92; 192-92; 192-92; 192-92; 192-92; 192-92; 192-92; 192-92; 192-92; 192-92; 192-92; 192-92; 192-92; 192-92; 192-92; 192-92; 192-92; 192-92; 192-92; 192-92; 192-92; 192-92; 192-92; 192-92; 192-92; 192-92; 192-92; 192-92; 192-92; 192-92; 192-92; 192-92; 192-92; 192-92; 192-92; 192-92; 192-92; 192-92; 192-92; 192-92; 192-92; 192-92; 192-92; 192-92; 192-92; 192-92; 192-92; 192-92; 192-92; 192-92; 192-92; 192-92; 192-92; 192-92; 192-92; 192-92; 192-92; 192-92; 192-92; 192-92; 192-92; 192-92; 192-92; 192-92; 192-92; 192-92; 192-92; 192-92; 192-92; 192-92; 192-92; 192-92; 192-92; 192-92; 192-92; 192-92; 192-92; 192-92; 192-92; 192-92; 192-92; 192-92; 192-92; 192-92; 192-92; 192-92; 192-92; 192-92; 192-92; 192-92; 192-92; 192-92; 192-92; 192-92; 192-92; 192-92; 192-92; 192-92; 192-92; 192-92; 192-92; 192-92; 192-92; 192-92; гично (диалкилироизводные экстрагируют С. Н. полуфенилбарбитуровой к-ты (кипячение 44 часа) получают II (R = C_2H_b , R' = C_6H_b), выход 44%, т. пл. 195—196,5° II (R = C_2H_5 , R' = C_6H_5), выход 44%, т. пл. 195—196,5° (из хлф.-петр. эф.). Аналогично получены следующие II (перечисление прежнее): C_2H_5 , $uao\cdot C_5H_{11}$, 63, 144—146; C_2H_5 , $2\cdot C_5H_{11}$, 8, 124—126; C_2H_5 = C_2H_5 — C_2H_5 209—211 (из абс. сп.). Аналогично получен 6-фенил-III, выход 11%, т. ил. 200,5—201° (содержит 1 моль C₂H₅OH; из сп.); спирт удаляется при 150° в вакууме, т. пл. 204—204,5°. Из 0,3 моля LiAlH₄ и 0,2 моля 6-метил-4,5-дигидро-3 (2Н)-пиридазин на получают (кипение 30 час.) 3-метил-1,4,5,6-тетрагидропиридазии, выход 17%, т. кип. 100—101°/76 мм, n²⁵D 1,4862.

40

3a

AI

CE

сп

т. (радо

ВЫ

MO

TH

по

XX

на

на

111

CH

Co

117

ци,

CTE

ГИ,

on 255

обі

20-

(ne

21 CH II

3-N

173

Η,

Cal

ли:

176

CH

117

11753. Каталитическое гидрирование имидазолов с ароматическими заместителями. І. Циклогексили циклогексилфенилимидазолы. III уберт (Zur katalytischen Hydrierung aromatisch substituierter Imidazole. I. Cyclohexyl- and Cyclohexyl-phenyl-imidazole. Schubert Hermann), J. prakt. Chem., 1956, 3, № 3-4, 146-152 (нем.)

Для целей идентификации частично или полностью гидрированных моно-, ди- и трифенилимидазолов синтевированы 4(5)-диклогексил-(I), 4,5-дициклогексил-(II), 2,4(5)-дициклогексил-(III) и 2,4,5-трициклогексил-(IV)-имидазолы, а также 2-фенил-4(5)-диклогексил-(V), 2-диклогексил-4(5)-фенил-5(4)-диклогексил-(VII), 2-диклогексил-(VIII), 2-диклогексил-(VIII), 2фенил-4,5-дициклогексил-(IX), 2,4(5)-дифенил-5(4)-циклогексил-(X) и 2.4(5)-дициклогексил-5(4)-фенил-(XI)-имидазолы. К смеси 66,5 г ClCH₂COCl, 55 г циклоимидазолы. К смеси 66,5 г ClCH₂COCl, 55 г цикло-гексена и 300 мл циклогексана добавляют при —20° 140 г AlCl₃, медленно повышают т-ру до 60°, через 4 ча-са разлагают разб. HCl и эфиром извлекают ω-хлоргексагидроацетофенон (XII), выход 41%, т. кип. 54—58°/2 мм. 0,1 моля XII (или ω-бромгексагидроацетофенона (ХІІІ)) кипятят с 15 г СН СООК в 150 мл СН ОН 2 часа, отфильтровывают КСl (или КВг) и фильтрат обрабатывают далее по ранее описанному методу (Weidenhagen R., Herrmann R., Ber., 1935, 69, 1953), выход I 33%, т. пл. 98—99° (из петр. эф.); выход I при кипичении (2 часа) 8 г XII с 50 мл. формамида (XIV) по описанному методу (РЖХим, 1954, 10539) 53%; пикрат I, т. пл. 157—158° (пз разб. сп.). К 23 г раздробленного Na в 150 мл абс. эфира добавляют 71 г метилового эфира циклогексанкарбоновой к-ты в 250 мл абс. эфира так, чтобы поддерживать слабое кипение, и затем перемешивают 4 часа при -20°, смесь вносят в 1 л воды, содержимое эфирного слоя (после отгонки эфира) нагревают в вакууме (120—140°, 20 мин.), выход додекагидробензонна (XV) 58%, т. ил. 44—45°. 0,1 моля XV обрабатывают (см. вторую ссылку) 100 мл XIV, формиат растворнот в 300 мл кипящей воды и до-бавляют NH₄OH, выход II 80%, т. пл. 254—255° (из хлорбензола). Из нитрила циклогексанкарбоновой к-ты получают хлоргидрат гексагидробензамидина (XVI), Выход 60%, т. пл. 184—185°; пикрат, т. пл. 236—238° (из разб. сп.). 0,05 моля XIII кипятят 2 часа с 8 г СН₃СООК в 80 мл СН₃ОН, фильтрат обрабатывают (см. первую ссылку) 6 г гексагидробензальдегида (XVII), добавляя во время нагревания 1,5 г NaOH в 10 мм воды, выход Сu-соли III 43%. 10,3 г XIII обрабатывают 22 г XVI по методу Кункеля (Вег., 1901, 34, 634), выход III в виде пикрата 78%, т. пл. 167—168° (из сп.). 0,05 моля XV обрабатывают 6 г SOCl₂, хлорид извлекают 50 мл эфира и после сушки и удаления эфира вводят в р-цию 22 г XVI и из визкой смолы 30 мл диоксана извлекают IV, выход 28%, т. пл. 215—216° (из диоксана+возгонка в вакууме); пикрат, т. пл. 162—164° (из сп.). 0,2 моля XIII кипятят 2 часа с 32 г СН₃СООК в 150 ма CH₃OH, фильтрат обрабатывают 25 г С_вН₅CHO (см. первую ссылку), выход Си-соли V 53%, с помощью H₂S выделяют V, т. пл. 181° (из бзл. или дноксана); выход V из XIII и хлоргидрата бензамидина (X VIII) (по Кункелю) 60%, из XII и XVIII — 40%; пикрат V, т. пл. 194—195° (из сп.). К кипящему р-ру 0,05 моля бензоилкарбинола в 500 мл СН₃ОН добавляют 6 г бензонлкароинола в 500 мл сизулп доовынил в XVII и р-р 16 г (СН₃СОО)₂ Си в 120 мл конц. NH₄OH и затем в течение 1 часа—1,5 г NaOH в 10 мл воды, выход Си-соли VI 48%; гидрат VI, т. пл. 86—92° (нерезко, из диоксана). При обработке 10 г о-бромацетофенона 22 г XVI (по Кункелю) выделяют инкрат VI. выход 83%, т. пл. 190-192° (из сп.); сульфат, т. пл. 226—228° (из воды); гидрат хлоргидрата, т. пл. 109— 110° (из воды); гидрат нитрата, т. пл. 83—86° (из воды). 6,6 г генсагидробензопна (XIX) обрабатывают 50 мл XIV, выход VII 62%, т. пл. 214—215° (из бал. или диокеана); пикрат, т. пл. 186—187° (из сп.); гидрат хлоргидрата, т. пл. 113—116° (из воды);хлоргидрат, т. пл. 181—183°. Из 8,5 е бензонна с 6 е X VII иолучают Сисоль VIII, выход 34%, т. пл. VIII 244° (из сп.); обрабатывая 11,5 е хлордезоксибензоина 22 е X VI, из СНСІвр-ра выделяют VIII с выходом 30%; пикрат, т. пл. 236—238° (из сп.), 11,3 е X V обрабатывают 6 е SOСІв и неочищ. хлорид вводят в р-цию с 24 е X VIII, выход IX 16%, т. пл. 237—238° (из сп.); пикрат, т. пл. 282° (разл.; из сп.). 4,4 е X IX обрабатывают 3 е С₆н 5сНо и получают Си-соль X, выход 39%, т. пл. X 250—251° (из сп.); пикрат, т. пл. 227—229° (из сп.). Из 4,4 е XIX и 3 е X VII получают, добавляя 0,5 е NаОН в 3 ма воды, Си-соль XI, выход 32%, т. пл. XI 202—204° (из сп.); пикрат, т. пл. 171—173° (из сп.). С. Гурвич 11754. 2-меркантоглиоксалины. Часть X. Ацилирование 2-меркантоглиоксалины. Часть X. Ацилирование 2-меркантоглиоксалины. Ло с о н, м о р л и (2-Мегсарtодјуохаlines. Рагt X. The acylation of 2-mercaptoglyoxalines. La w s o n A l e x a n d e г, м о г l e y H. V.), J. Chem. Soc., 1956, May, 1103—

2-Меркапто-4(5)-метил-(I) и 2-меркапто-1-метилгивоксалин (II) с $CICOOC_2H_5$ (III) в нейтр. p-ре дают S-ацильные производные 2-этоксикарбонил-I (IV) и 2-этоксикарбонил-II (V). В присутствии основания I, II и 2-меркаптоглиоксалин (VI) ацилируются III к атому N образованием І-этоксикарбонилпроизводных (VII— ІХ) соответственно, вероятно, в результате перегруппировки первоначально образующегося S-ацильного про-изводного. Так, напр., IV и V в водн. р-ре в присутствии пиридина образуют соответственно VII и VIII. Аналогично из II с C₀H₅COOCl получают хлоргидрат 2-бензоилтво-II (X) и 3(1)-бензопл-1(3)-метил-2-тиоглиокса-лон, т. пл. 102° (из сп.) Строение VII и IX подтверждено окислением соответственно в дисульфид (XI, XII), а для VII также метилированием в 1-этоксикарбонил-2метилмеркапто-4(5)-метилглиоксалин (XIII), который при гидролизе этоксикарбонильной группы дает S-метилпроизводное (XIV), идентичное полученному прямым метилированием І. Нагревание VII при 140° в токе N2 приводит к ранее известному 2-этилмеркапто-4(5)-метилглиоксалину (XV). Строение XV, как S-алкильного производного, подтверждено образованием 5(4)-бром-(XVI) и 5(4)-йод-2-этилмеркацто-4(5)-метил-глиоксалина (XVII). С СН₂О II и VI дают соответственно 1(3)-оксиметил-3(1)-метил-2-меркантоглиокса-лон (XVIII) и 1,3-дн-(оксиметил)-2-меркантоглиокса-лон (XIX). При алкилировании II ClCH₂COOC₂H₅ и СІСН₂СООН получают хлоргидраты 2-этоксикарбонилметилтно-(XX) и 2-карбоксиметилтно-1-метилглиокса-лина (XXI). С 6 н. NaOH XI окисляется в ди-(4(5)-метилглиоксалинил-2)-дисульфоксид (XXII). Приготов-лен ряд N-ацильных производных II для испытания в качестве возможных антицитовидных в-в. Показания УФ-спектров недостаточны для подтверждения N- и S-ацилирования 2-меркантоглиоксалинов: так. XIV 2 манс 2500 A; I, XVIII и XIX 2600—2670 A; VII 3090 A и VIII 3040 A. В случае VIII возможной причиной смещения максимума от 2600 до 3040 А является введение этоксикарбонильной группы, а для VII — образование внутримолекулярной водородной связи, что подтверждает показание ИК-спектра (5.65 и 5.74 µ). 0.05 моля I в 20 мл пиридина охлаждают льдом, прибавляют по каплям (10 мнн.) 0.055 моля III, мерез 20 мин. прибавляют 4.2 г NaHCO₃ в 30 мл воды, выход VII 7,2 г, т. пл. 121° (из воды). Аналогично получают IX, выход 75%, т. пл. 119—120° (из этилацетата). К 5,7 г I в 100 мл спирта прибавляют 6,0 г III, оставляют на 12 час., упаривают при $\sim 20^\circ$, получают IV, выход пикрата 14,5%, т. пл. 89—92 $^\circ$ (из воды). К 0,018 моля 0

40

H-

Г,

N-

16.

и-

N

H-

10-

ии

10-

Hca-

M-

I),

ый

Mena-

40°

TOалем

ил-

CTca-

ca-

5 H

ил-

ca-

Me-

OB-

пия

RNE

- W пп A:

ной

gr-

для ной

5 и aior

III,

ды,

лута).

TOIR ХОД

оля

40 мл CH3COOH при 0° прибавляют 2 мл конц. HNO3 за 30 мин., затем 30 мл воды и Na₂CO₃ до рН 7, выход XI 3а 30 мин., затем 30 мл воды и годосод до ргг г, выход ха чают XII, т. пл. 153° (из разб. сп.). Аналогично получают XII, т. пл. 153° (из разб. сп.). 1,1 г XI прибавляют к 12 мл 6 н. NаОН, оставляют на 12 час., нейтрализуют 6 н. НСІ, выход XXII 0,8 г, т. пл. 250—254°. Р-р І и СН₂J (по 0.05 моля) в спирте через 2 часа упари Р-р I и СН₃ J (по 0.05 моля) в спирте через 2 часа унаривают в вакууме, прибавляют р-р К₂О₃ до рН 10, охлаждают до 0°, выход XI V 3,3 г. т.п. 82—83° (из воды). Аналогично из VII (12 час., рН 7) получают XIII, выход 2,5 г. т. пл. 46° (из разб. сп.). 2,8 г XV в 10 мл СНСІ₃ обрабатывают 5 г J₂ (~20°, 0,5 часа) и выделяют X VII, выход 19%, т. пл. 166—167° (разл., из разб. сп.); X VI, т. пл. 181—182° (разл.); VIII, выход 95%, т. пл. 121—122° (из сп.); пикрат V, т. пл. 94—96° (разл.); 1(3)-метоксикарбопил-3(1)-метил-2-тиоглиокса дон, выход 90%, т. пл. 135° (из сп.). СІСООСН.С. Н. лон, выход 90%, т. пл. 135° (нз сп.). ClCOOCH₂C₆H₅ прибавляют к р-ру II в 4 н. NаОН при 0°, получают приовыног к р-ру и в 4 и. (3)-бензоилоксикарбонил-3(1) - метил-2-тиоглиоксалон, выход 40%, т. пл. 91—92° (из бал.-петр. эф.). К 0,01 моля II в 10 мл 2-пиколина прибавляют 0,01 моля 2-фенилоксалзолона-5, через 24 часа выливают на лед, отфильтровывают 1(3)-гиппуроил-3(1)-метил-2на лед, отменятельность на произвольность тиоглионскалон, т. ил. 175° (из этилацетата). II и C_6H_8 COCl (по 0,01 моля) в C_6H_8 нагревают при 100°, получают X, т. ил. 183° (из сп.). ClCH $_2$ COOC $_2H_5$ и II в синрте (100°, 30 мин.) дают XX, т. ил. 99° (из сп.-эф.); XXI, т. ил. 162° (из сп.). 1 ε II и 6 мл 50%-ного CH_2 O нагревают (~100°, 1 час), прибавляют 20 мл спирта, нагревают еще 1 час, выход XVIII 0,6 г, т. пл. 115— 118° (изсп.). Аналогично получают 4(5)-этоксикарбонил-1-оксиметил-2-меркаптоглиоксалин, выход 73%, т. пл. 138—139° (из воды). 0,5 г VI и 5 мл 40%-ной СН₂О (~ 100°, 0,5 часа) дают XIX, т. пл. 129° (из сп.). Сообщение IX см. РЖХим, 1957, 1077. М. Линькова Синтез некоторых новых соединений гидантонна. Лампсон, Сингер (The synthesis of some new hydantoin compounds. Lampson Ge-

orge P., Singher Heron O.), J. Organ. Chem., 1956, 21, № 6, 684—685 (англ.)

С целью, получения в-в, обладающих высокой фунгицидальной активностью и назкой токсичностью, действием Cl₂CSCl в p-ре NaOH на гидантонны или 1-ацил-гидантонны RR'CCONHCONCOR" (I), согласно ранее

описанному методу (Kittleson, Yowell, пат. США 2553771), синтезированы 3-трихлорметилтиогидантоины общей ф-лы RR'CCON(SCCl₃)CON—R" (II). К охлажд.

р-ру 0,02 моля гидантоина в 10 мл пиридина медленно прибавляют 0,02 моля хлорангидрида к-ты, кипятят 20-30 мин. и выливают на лед. Получены следующие I 20—30 мин. и выливают на лед. Получены следующие I (перечисляются R, R, R', R', т. пл. в °C): С₆H₅, С₆H₅, СН₅, СН₃, 217; С₆H₅, С₆H₅, н-С₃H₇, 163; С₆H₅, С₆H₅, С₆H₅, С41; СН₃, С₂H₅OOCCH₂, CH₃, 75—77. Получены следующие II (перечисление прежнее): СН₃, (СН₃)₃C, H, 213; СН₃, 3-метилбутен-2-пл, H, 158—159; СН₃, С₂H₅OOCCH₂, H, 173; СН₃, HOOCCH₂, H, 189—190; СН₃, HOOCCH₂CH₂, H, 153; (СH₃)₃C, HOOCCH₂, H, 234; С₅H₁₁, С₂H₅OOCCH₂, H, 124—125; С₂H₅, *uso*-C₃H₇, H, 182; 2,6-диметилгентен-6-нл, H, H, 99—100; С₆H₅, С₆H₅, H, 176; С₆H₅, С₆H₅, СH₃CO, 145—147; С₆H₅; С₆H₅, CH₃CH₂CO, 114; CH₃, C₂H₅OOCCH₂, CH₃CO, 63—66. Б. Дубинин Б. Дубинин

1756. О получении производных фенилтногидантонна из глутамина, S-карбоксиметилцистенна и цистенновой кислоты. Эдман, Лаубер (Note on the preparation of phenyl thiohydantoins from glutamine, S-carboxymethyl cysteine and cysteic acid. Edman Pehr, Lauber Konrad), Acta chem. scand., Pehr, Lauber Konrad), до 1956, 10, № 3, 466—467 (англ.)

Описан синтез 5-замещ. производных 3-фенил-2-тно-

гидантоина из α-аминокислот по схеме: RCH(NH2)-COOH → RCH (NHCSNHC, H, COOH → RCHNHCSN-

(C₆H₅)СО (I). Суспензию 1,46 е L-глутамина в 30 мл смеси пиридина и воды (3:2) подщелачивают 1 н. NaOH до рН 8,6, вносят при размешивании 5 мл. С₆H₅NCS (II) (непрерывно добавляя NaOH для подсептемского (п') (пеперавно доовалия Nаон для под-держания значения рН на указанном уровне), через 2 часа обрабатывают 3 раза равными объемами СеНе, водн. р-р подкисляют 4 и. НСІ до рН 1 и оставляют на ~12 час. при ~ 20°, получают I (R=CH₂CH₂CONH₂), выход 1,9 ε, т. пл. 201—211° (разл., из лед. СН₃СООН). При аналогичной р-ции L-цистенновой к-ты (1.7 г) и II (4 мл), в которой вместо NaOH применяют КОН. подкисленный р-р, после стояния ~12 час. при ~20°, подщелачивают 1 п. КОН до рН 4,2, упаривают в вакууме досуха, высушивают над P₂O₅, извлекают водн. кууме досуха, высушивают над F_2O_5 , извлекают води, ацетоном, вытяжку упаривают в вакууме, прибавляют ацетон, осадок (2,2 ε) растворяют в небольшом кол-ве воды, добавляют КОН до рН 5 и осаждают спиртом; получают I (R = CH₂SO₃K), т. пл. 193—197° (разл., из води. сп.; высушено в вакууме над P_2O_5 при 110°). При р-ции S-карбоксиметилцистенна (1,79 ε) и II (4 ε , ε), различить и указанным выс осуществляемой в условиях, близких к указанным выme, после 3-кратной обработки C₆H₆, подкисляют до рН 2,7, извлеклют 90 мл этилацетата, вытяжку упарири 2,7, изылеклют зо мл этилацетата, вытижку упари-вают в вакууме (при т-ре не > 30°), прибавляют 20 мл воды и 1 и. NaOH до рН 8, фильтруют, фильтрат обра-батывают 30 мл этилацетата, води. р-р подкисляют 4 и. HCl до рН 2 и оставляют на 24 часа; получают 1 (R = CH₂SCH₂COOH), выход 1,8 г, пл. 164° (из смеси сп.-петр. эф.). А. Травин смеси сп.-петр. эф.).

757. Некоторые 2,6-диамино- и 2-амино-6-оксипро-изводные 5-арил-4,5-дигидропиримидинов. Новый синтез 4-алкил-5-арилпиримидинов. X и т ч и и г с, Расселл, У и т такер (Some 2:6-diamino-and 2-amino-6-hydroxy-derivatives of 5-aryl-4:5 dihydropyrimidines. A new synthesis of 3-aryl-4:5 di-pyrimidines. Hitchings George H., Rus-sel Peter B., Whittaker Norman, J. Chem. Soc., 1956, Apr., 1019—1028 (англ.) Синтезированы производные 2,4-диамино-5-арил-5,6-дигидропиримидина N = C (NH₂) N = CR — CH (R'— CR'

 $({f Ia};\ R=NH_2)$ и $({f IIa};\ R=NH_2)$ путем взаимодействия $R'CH_2CN$ $({f III})$ с различными кетонами и конденсации полученных при этом $R'C(CN) = CR_0''(IV)$ и R'C(CN) = $= C - CH_2 (CH_2)_n CH_2 (V)$ с гуанидином (VI). Результа-

ты р-ции VI с V, в которых $R' = n\text{-ClC}_6H_4$ и n = 2-5зависят от величины алканового цикла: максим. выход Иа получают при n=3. Рассмотрен вероятный механизм этой зависимости. С IV, содержа-

CHON, II

щими n-ClC₆H₄ в а-положении, VI совсем не реагирует в том случае, если $R'' = C_6 H_5$, не легко образует Ia, если R'' = aлкил.

Ia и IIa легко гидролизуются минер. к-тами с образованием 4-оксипроизводных (16 и 116; R = OH). 16, кроме того, получают при конденсации VI с $C_2H_6CH=C\ (C_6H_4Cl-n)\ CN\ (IVa)$, $CH_2=C(C_6H_4Cl-n)\ CN\ (IV6)$ п $C_6H_5CH=C\ (C_6H_5)CN\ (IVB)$, так как в этих случаях р-ция сопровождается выделением NH_3 , а также при конденсации VI с смесями соответствующих III и альдегидов. При нагревании некоторых 16 с S происходит дегидрирование и образование N = C(NH₂)N=

= C (OH) CR' = CR" (VII), которые могут быть превращены (через 4-хлор- или 4-меркантопроизводные)

12 XHMHR, 36 4

5

II H H

1, 2

a

T.

B 2, 2; 2-

CITE KH DE 15 T. HE

30

B

He 2,

CI CT 9(

6-

B

2-C

Д

в диамины $N = C (NH_2) N = C (NH_2) CR' = CR''$ (VIII),

напр., из VII ($R' = C_6 H_4 Cl-n$; $R'' = C_2 H_5$) (VIIa) получают параприм (VII, $R' = C_6H_4Cl-n$; $R'' = C_2H_5$) (VIIIa). Сообщается, что На не обладают антималярийной активностью. Іа ($R' = C_0H_3Cl_2$ -3,4; $R'' = CH_3$) активен против Entamoeba histolytica в дозе 125 мг/кг (на крыcax). Смесь III и кетона (по 1 молю) кипятят 30 мнн. с р-ром 1 моля С₂Н₅ОNа в 6—7 молях абс. спирта разбавляют водой и извлекают эфиром при рН 5—6 (H₂SO₄). Полученные IV или V могут быть очищены (пвоч), притадиванией (метод A), а также переговной в вакууме и пропусканием р-ра в петр. эфире через колонку с ${\rm Al_2O_3}$, с последующей кристаллизацией (метод Б) или вторичной перегонкой (метод В). Пере-(метод Б) или вторичной перегонкой (метод В). Перечислены R' и R" (для IV) или R' и л (для V), метод очистки, выход в %, т. пл. пли т. кни. в °С. С₆H₄Cl-л, CH₃, B, 42, 162—164/12 мм; С₆H₄Cl-л, С₂H₅, B, 33, 162—169/8 мм; 3.4-С₆H₃Cl₂, CH₃, A, 78, 106—107 (из сп.); 3,4-С₆H₃Cl₂, С₂H₅, B, 21, 47—49 (из СН₉ОН); С₆H₄Cl-л, С₆H₅, A, 15, 143—144 (из сп.); С₆H₄Cl-л, 2, A, 31, 75—76 (из сп.); С₆H₄Cl-л, 3, B, 37, 43—44 (из СН₉ОН); С₆H₄Cl-л, 4, A, 53, 117—118 (из сп.); С₆H₄Cl-л, 5, B, 21, 63—64 (из СН₃ОН); 3.4-С₆H₃Cl₂, 2, A, 55, 81—82 (из сп.); 3,4-С₆H₃Cl₂, 3, E, 45, 64—65 (из СН₉ОН); л-СН₂ОС₆H₄, 3, B, 15, 128/0,05 мм. Синтезирован также из л-СІС₆H₄— СН₂СС 1-(п-хлор-фенилиианметилен)-3-метилпиклогексан (метод В), выфенилцианметилен)-3-метилциклогексан (метод В), выход 50%, т. кип. 133—134°/0,17 мм (вероятно смесь цис- и транс-изомеров). Исследованы УФ-спектры приведенных IV и V. Кипятят 1 моль V с 1,1 моля VI (0,8 н. р-р в спирте) 18 час., разбавляют 3 объемами воды, добавляют петр. эфир или C_6H_6 , через 3 часа отделяют IIa и кристаллизуют из CH_3OH (n=3,4,5); в случае n=2 осаждают IIa в виде нафталин- α -сульфоната (в разб. спирте) или хлоргиднафталин-а-сульфоната (в разб. спирте) или хлоргидрата (в ацетоне). На получают также кипичением III, VI и кетона (по 1 молю) 3 часа. Перечислены R', n, выход в %, т. пл. в °С (разл.): СеН₅, 3, —, 135; СеН₄СІ-л, 2, 88, 153, т. пл. соли с 2-С₁₀Н-SО₃Н, 246—247°; СеН₄СІ-л, 3, 94, 157—159 (из СН₉ОН); СеН₄СІ-л, 4, 75, 179—181; СеН₄СІ-л, 5, 39, 181—182°; 3,4-СеН₃СІ₂, 2, —, хлоргидрат, т. пл. 186—188° (из воды); 3,4-СеН₃СІ₂, 3, 52, 166—167 (из СН₃ОН); 2,4,5-СеН₃СІ₃, 3, 45, 218—219 (из СН₉ОН); n-СН₃ОСеП₄, 3, —, 164—165; синтезированы также 2,6-диамино-5-лхлорфенил-4.5-дигилопонновицин-4-спиро- (3-метилци-3, —, 164—105; синтезированы также 2,0-диамино-3-и-хлорфенил-4,5-дигидроппримидин-4-спиро-(3-метилди-клогексан), т. пл. 161—163° (из СН₃ОН) и 4-метилди-клогексановое производное, т. пл. 166—168° (из СН₂ОН). Аналогично из IV и VI (кипячение 24 часа) получают Ia. Их выделяют из р-ра после отгонки спирта при 40° в виде смол, которые растворяют в спирта при 40° в виде смол, которые растворяют в сухом ацетоне и конц. HCl осаждают хлоргидраты Ia $(0^\circ, pH 5-6)$, выход 80-85%. Перечислены R' и R'', т. пл. (разл.): C_6H_4Cl-n , C_4H_5 , $244-245^\circ$; C_6H_4Cl-n , C_2H_5 , $246-245^\circ$; C_6H_4Cl-n , C_2H_5 , $246-245^\circ$; C_6H_4Cl-n , C_6H_6Cl-n , $C_6H_$ обработкой щелочью получены с высокими выходами следующие 16 и 116 (перечисляются R' и R" (для 16), следующие 16 и 116 (перечисляются R' и R" (для 16), или R', n (для 116), т. пл. в °С (разл.): Сев-4с1-n, СН₃, 245—247 (из воды); Сев-4с1-n, Сев-5, 246—248 (из воды); Сев-5, 3, 307 (из воды); Сев-4с1-n, 2, 286° (из водн. СН₃ОН); Сев-4с1-n, 3, 307° (из СН₃ОН); Сев-4с1-n, 4, 301—302° (из СН₃ОН); 3,4-Сев-3с1-2, 2, 225—227 (хлоргидрат из разб. HCl); 3,4-Сев-3с1-2, 3, 316—317° (из СН₃ОН). Из СН₃СН₂СНО (1X) и n-ClCев-4сР-2сN получен (см. Миггау, Сloke, J. Amer. Сhem. Soc., 1936, 58, 2014) IVa, при обработке спиртом отделяют полимер с т. пл. 145° (из эф. и петр. эф.);

из спирт. фильтрата получают неочищ. мономер, Методом, описанным ранее (Wolker, пат. США 2478990), получают IV6, т. кип. 97°/0,25 мм (содержит примесь димера). 2-амино-5-n-хлорфенил-4-этил-4,5-дигирро-6-оксипиримидии (X) получен кипячением (10 час.) р-ра 5,9 ϵ VI в 100 мл спирте с 10 ϵ IVa, выход 7 ϵ , т. пл. 275° (из сп.), или из 15 ϵ III ($R' = C_0H_4Cl-n$) и 5,8 ϵ IX с р-ром 5,9 ϵ VI в 150 мл спирта (1 час при 0°, 2 часа при 30°, 3 часа при кипении), выход 10 ϵ . Из X нагреванием с 2 ч. S 4 часа (180—190°) в экстрагирования S с помощью CS2 получен VIIa, выход 70%, т. пл. 270°; 2-ацетильное производное имеет т-ру плавления 263 — 264°; VIIa образуется также при нагревании 5 час. 12 ϵ VIIIa с 100 мл конц. HCl и 10 мл воды, выход 2,7 ϵ . Из 10 ϵ IVb и 2,9 ϵ VI в 50 мл спирта (кипячение 12 час.) получают 6,7 ϵ 2-амино-4,5-дигидро-6-окси-4,5-дифенил-пиримидина, т. пл. 285—286° (из сп.). Из 30° ϵ III ($R' = C_0H_4Cl-м$), 11,6 ϵ IX, 11,8 ϵ VI в 200 мл спирта (\sim 20°, 2 часа и кипячение 12 час.) получают 17 ϵ 2-амино-5-м-хлорфенил-4-этил-4,5-дигидро-6-оксипири-2-амино-5-п-хлорфенил-4-этил-4,5-дигидро-6-2-амино-5-м-хлорфенил-4-этил-4,5-дигидро-6-оксипири-мидина, т. пл. 229—230°. Аналогично получают 5-(3,4-дихлорфенол)-производное (кипячение 5 час.), 5-(3,4-диллорфенол)-прововодное (кипление 5 час.), т. пл. 242°. Аналогично VII а получены 2-амино-4-окси-5,6-дифенилпиримидин, т. пл. 319°; VII (R' = C₆H₄Cl-n; R" = H), т. пл. 320° (разл.; из сп.) и 2-амино-5-(3,4-ди-хлорфенил)-4-этил-6-оксипиримидин (N-ацетильное пром = п.), т. л. л. дос (разл.; на сп.) и 2-амино->-(3,4-дм-клорфенил)-4-этил-6-оксипиримидин (N-ацетильное производное. выход 42%, т. пл. 261°). Нагревают 10 г X с 25 г Р₂S₅ в 70 мл тетралина (2 часа, 170—175°), выделяют 5,1 г 2-амино-5-п-хлорфенил-4-этил-6-меркантопиримидина (XI), т. пл. 231° (на бал.), который получнот в тех же условиях из VIIа. При 190° эти р-ции приводят к 5-п-хлорфенил-4-этил-2,6-димеркантопиримидину (XII), выход 2,7 г, т. пл. 317° (на бал.), и малому кол-ву XI. При нагревании 2,5 г XI с 50 мл насыш. р-ра NH₃ в спирте (16 час., 180°) получают 1 г VIIIа с т. пл. 235° (на сп.) и 1,1 г нсходного XI. Из 1 г XII и 20 мл конц. р-ра NH₄ОН (8—10 час., 155°) образуется 4-амино-5-п-хлорфенил-6-этил-2-меркантопиримидин (XIII), выход 0,8 г, т. пл. 326° (разл., из с₂Н₅ОСН₂ОН₂ОН). При подкислении щел. фильтрата выпадает 0,2 г XI, т. пл. 215°. Р-р 1,3 г XI в 20 мл СН₃ОН с 5 мл 2 н. NаОН метилируют 1 мл СН₃Ј (8—10 час., 20—25°), выделяют S-метилироизводное (выход 1,2 г, т. пл. 196° (на СН₃ОН)), которое (0,45 г) № 10 мл спирта кипитят с 2 г скелетного Ni и 0,3 г Nа₂СО₃ 4 часа, получают 2-амино-5-хлорфенил-6-этил- $\rm Na_2CO_3$ 4 часа, получают 2-амино-5-хлорфенил-6-этил-пиримидин, т. пл. 168° (из $\rm \circ ph$, $\rm + nerp$). $\rm \circ ph$), т. пл. пикрата 192—193° (из $\rm cn$.). Аналогично из XIII получают S-метилпроизводное, т. пл. 156° (из бзл. + петр. эф.), а из него 4-амино-5-хлорфенил-6-этилпиримидии, т. пл. 145° (из эф. + петр. эф.). Е. Головчинская 11758. Синтез некоторых метаболитных аналогов пиримидина. Улбрихт, Прайс (The synthesis of some pyrimidine metabolite analogs. Ulbricht T. L. V., Price Charles C.), J. Organ. Chem., 1956, 21, № 5, 567—571 (англ.)

Для микробиологич. исследования в качестве метаболитных антагонистов (пурин, витамин В₁₂, тимин)
синтезированы некоторые три- и тетразамещ, пиримидины. 4-амино-5-оксиметил-2-метилтиопиримидин (I)
обладает интересной биологич. активностью. Улучшен
синтез 5-оксиметилцитозина (II). К р-ру С₂Н₅ONa (9,2 г
Na в 250 мл абс. спирта) прибавляют 33.4 г тиомочевины (III) и 67,5 г этилового эфира этоксиметилен
циануксусной к-ты, кипитят 6 час., прибавляют 750 мл
воды, подкисляют СН₃СООН, нагревают до кипения,
получают 4-амино-5-карбэтокси-2-меркантопиримидин
(IV), выход 78%, т. пл. 260—262° (из 50%-ной
СН₃СООН); из охлажд. фильтрата выделяют 5-циан-4окси-2-меркантопиримидин, выход 4,4%, т. пл. 265°
(разл.; из 10%-ной СН₃СООН). 10,8 г 86%-ного КОН в

p.

6-

oa 5°

H

Д-

ac

C.)

П

Ta

иют

.), :H--n;

IN-

po-

°),

HH

эти

TO-

л.),

na 1 e

55°) 1TO-

ата

MA H₃J

ное

5 e)

,3 &

пл.

олу-

етр. цин, ская

nunesis

cht

em., цетаин) ими-

9,2 г 10че-

лен-

лм. О ния,

идин

-ной ан-4-

265°

OH B

450 мл воды и 30 г IV нагревают, прибавляют 20 г (CH₃₎₂SO₄ (~60°), подщелачивают, выделяют 4-амино-5-карбэтокси-2-метилтиопиримидин (V), выход 79%, т. 5-карбэтокси-2-метилтиопиримидин (V), выход 79%, т. пл. 130—131° (на разб. СН₃СООН); фильтрат подкисляют СН₃СООН, выделяют 4-амино-2-метилтиопиримидин-карбоновую-5 к-ту, выход 12%, т. пл. 220—230° (на води. СН₃СООН), которую также получают из V. Из 10 г V и 2,8 г LiAlH₄ в 600 мл абс. эфира (кипитит з часл) выделяют I, выход 85%, т. пл. 126—127°. 35 мл лед. СН₃СООН, насыщ. НВг, и 2,4 г I в 130 мл СН₃СООН нагревают (~100°, 2 часа), выделяют бром-кипат. 4-амино-5-бромметил-2-метилтиопиримидина (выход 97%), растворяют в абс. спирте, прибавляют С₂H₅ONa (из 300 мг Na в спирте), отфильтровывают NaBr, кипятят с 1,16 г III 2 часа, отгоняют спирт, остаток кипитат 30 мин. с 20 мл воды и 1,2 г NаОН, ней-трализуют СН₃СООН, экстрагируют эфиром 1,1 г 4-амино-5-этоксиметил-2-метилтиопиримидина, т. пл. 101-105° (из петр. эф.). 1 г I и 20 мл HCl (10:1) кипятят 4 часа, подпелачивают NaOH, упаривают, получают II, выход 69%. 4 г IV, 2 г ClCH2COOH в 30 мл воды и 10 мл CH3COOH кипятят, упаривают досуха, получают 6 г 4-амино-5-карбэтоксипиримидинтиогликолевой-2 к-ты, т. пл. 185—191° (разл.). 4 г I, 2 г СІСН₂СООН в 25 мл воды и 5 мл СН₃СООН кипятят, прибавляют 30 мл конц. HCl, кипятят 10 мин., выделяют 1,78 г 4-амино-5-карбэтокси-2-оксипиримидина, т. пл. 278-282° (из воды), и 1,67 г 4-амино-2-оксипиримидинкарбоновой-5 к-ты, т. ил. 250° (разл.; осаждают СН₃СООН из аммиачного р-ра). К р-ру 4,3 г 2,4-ди-амино-6-оксипиримидина (VI) (получен по методу, описанному ранее Traube W., герм. пат. 134,984, выход 90%, т. пл. 286° (разл.; из воды)) в 75мл лед. CH₃COOH и 12,2 г CH₃COONa · 3H₂O прибавляют р-р 4.8 г Вг₂ в 30 мл лед. CH₃COOH, нагревают 1 час и выделяют 2,4-диамино-5-бром-6-оксипиримидин, выход 88%, т. пл. 255° (разл.; из воды). Аналогично из 4-амино-6-метокси-2-метилтиопиримидина (выход 90%, т. пл. 144° (из СН₃ОН)) получают 4-амино-5-бром-6-метокси-2-метилтиопиримидин, выход 77%, т. пл. 135—136° (из СН_вОН). К p-py 2 г VI в 40 мл (СН_зСО)_гО прибавляют 0.98 мл HNO₃ в 10 мл (CH₃CO)₂O, нагревают до кипения, вы-деляют 1,4 г 2,4-диацетиламино-6-оксипиримидина. 15,8 г 2,4-днамино-6-этоксипиримидина (выход 63%, т. пл. 165—168° (из сп.)) в 110 мл воды и 3,2 мл СН «СООН нагревают до 80°, прибавляют (15 мин.) 6 г NaNO2 в в 20 мл воды, выделяют 2,4-диамино-6-этокси-5-нитро-зопиримидин, выход 80%, т. пл. 225° (разл.; из абс. сп.) 17 г 2,4-диамино-5-нитрозо-6-оксипиримидина в 175 мл воды и 17 г NаОН прибавляют к р-ру 66 г Nа₂S₂O₄ в 200 мл воды при 80—95°, выделяют 11,3 г 6-окси-2, 4, 5-триаминопиримидина (VII); сульфат, выход 20,4 г. 2 г VII и 20 г СІСН₂СООН нагревают (125°, 40 мин.), нейтрализуют NH₄OH, получают 5-хлорацетамидо-2,4-диамино-6-оксипиримидин, выход 80%. Получены 2,4-двамино-6-оксипиримидин, выход 80%. Получены следующие замещ. пиримидины (перечисляются заместители, выход в %, т. ил. в °С): 2-NHCN, 4-NH₂, 6-OH, 90,—;2-NHCN, 4-NH₂, 5-NO, 6-OH, 81,—; 2-SH, 4-NH₂, 6-OH, 98,—; 2-SCH₃, 4-NH₂, 6-OH, 83, 267 (разл., из воды); 2-SCH₃, 4-NH₂, 6-Cl, 69, 132 (из СН₃ОН); 2-SCH₃, 4-NH₂, 6-OH, 90, (255 разл., из лед. СН₃СООН); 2-NH₂, 4-OH, 6-OH, 85,—; 2-NH₂, 4-Cl, 6-Cl, 32, 220 (из бэл.); 2-NH₂, 4-NH₂, 6-Cl, 73, 195—197 (из воды). 1759. Синтезы пиримидин-5-илсульфидов и дисульфидов. Часть II. Баркер, Лути (The synthesis of pyrimidin-5-yl sulphides and disulphides. Part II. Barker G. R., Luthy Nydia G.), J. Chem. Soc., 1956, Apr., 917—921 (англ.) Для биологич. испытания из 6-амино-5-бромурацила

Для биологич. испытания из 6-амино-5-бромурацила (I) и 1-метил-1-(II)с Na₂S₂ синтезированы ди-(6-амино-2.4-диоксипиримидин-5-ил)-дисульфид (III) и ди-(гекса-

гидро-6-имино-1-метил-2,4-диоксопиримидин-5-ил) - дисульфид (IV) соответственно. Попытка приготовить несимметричные сульфиды при взаимодействии 6-меркантопурина (V) с I и II привела соответственно к III и IV и лишь в первом случае в небольших кол-вах был выделен 6-амино-2,4-диоксипиримидин-5-илпурин-6-илсульфид (VI). Образование III и IV при этом, вероитно, происходит в результате разрыва в VI S-связи, в котором С(6)-атом пуринового остатка является частью тноамидной системы. II получаютпри бромировании 6-амино-1-метилурацила (VII); при этом образуется также 5,5-дибромгексагидро-6-имино-1-метил-2,4-диоксопвримидин (VIII), который с СS (NH₂)₂ дает 5-амидинотиогексагидро-6-имино-1 -метил - 2,4-диоксипиримидин (IX). Приведены данные УФ-спектров II, III, IV и VI. P-р Na₂S₂ (пз 2,32 г Na₂S-9H₂O и 0,28 г S) в 150 мл горячего спирта прибавляют к 1,65 г I в 4,8 л кипинего спирта, кипитят 8 час., оставляют на 12 час. при ≈ 20°, осадок растворяют в 15 мл 0,1 и. NаОН, фильтрат подкисляют 1 и. HCl до рН 2, получают III, выход 1,84 г, не плавится <350°. 2 г Вг₂ прибавляют по каплям к 5,6 г VII в 75 мл воды, перемешивают 12 час. при ≈ 20°, осадок растворяют со спиртом, получают 2 г II,т.пл.278—280° (из воды). Из маточного р-ра при упаривании в вакууме досуха получают 2,8 г VIII (из 30%-ного сп.), сублимируется при 100—101°. 0,44 г II в 200 мл спирта, как описано для III, получают 0,51 г IV, не плавится <350°. 0,065 г CS(NH₂)₂ в 15 мл спирта постепенно прибавляют к 0,34 г VIII в 15 мл спирта, кипятят 1 час, оставляют на 12 час. при ≈ 20°, получают IX, возгоняется ~ 180°, не плавится <350° (на 50%-ного сп.). 0,155 г V в 100 мл теплого спирта прибавляют к кпиящему р-ру 0,2 г I в 500 мл спирта прибавляют к кпиящему р-ру 0,2 г I в 500 мл спирта прибавляют к кпиящему р-ру 0,2 г I в 500 мл спирта прибавляют к кпиящему р-ру 0,2 г I в 500 мл спирта прибавляют к плавится <350° (переосаждением з 1 и. р-ра NаОН). Предыдущее сообщение см. РКХим, 1955, 37326.

На 1 н. Рум. 1955, 37326.
РЖХим, 1955, 37326.
1760. Об алкиламинокетонах. Хиндерлинг, Прейс, Эрленмейер (Über α-Alkylamino-ketone. Hinderling R., Prijs B., Erlenmeyer H.), Helv. chim. acta, 1955, 38, № 6, 1415—1420 (нем.)

139—141° (разл., из сп. + эф.). Смесь 3 л 33%-ного СНа NН2 и 493 г с-бромизовалериановой к-ты оставляют спаннов и четы от автем упаривают в вакууме до 1,2 л, отфильтровывают V и фильтрат упаривают до 400 мл. Выход чистого V 40% (сублимируют при 300°). К смеси 352 г метилизобутилиетона, 240 г H₂O и 55,2 г КСЮ₃ добавляют 320 г Вг2 (6 час.) и нагревают до 40-60° через 12 час. отделяют масло, обрабатывают суспенаней MgO, выход VI 27%, т. кип. 78°/38 мм, n²°D 1,4603. 17,9 г VI добавляют по каплям к 80 г конп. HNO. нагревают 1 час, выливают на лед и экстрагируют эфиром; т. кип. а-бромизовалериановой к-ты 80-85°/0,4 мм, т. пл. 43°. Аналогично VIII из 30 е V, 100 мл абс. С_вН₅N и (СН₃СО)₂О получают 14,8 е D, L-3-ацетилметиламино-4-метилпентанона-2, т. кип. 105—108°/0,07 мм, n²⁰D 1,4684. Гидролизом последнего 105—108°/0,07 мм, $n^{20}D$ 1,4684. Гидролизом последнего 10%-ной HCl (4 часа, 100°) получают II, выход 54%, т. кип. 159—161°, $n^{20}D$ 1,4363 хлоргидрат, т. пл. 152—153° (сп. + эф.), гидроскопичен; кислый оксалат, т. пл. 152—153° (разл. из $CH_3OH +$ эф.), 12,3 ε CH_3NH_2 растворяют при —30° в 50 мл эфира, добавляют 35,4 ε VI и выдерживают 5 дней при ~20°, фильгруют, маточный р-р подкисляют спирт. HCl, упаривают досуха, извлекают СНСІ3, подщелачивают, извлекают эфиром и перегоняют; выход II 12%, очищают через кислый оксалат. К 52,5 г бензила в 150 мл эфира при —10° добавляют 9 г СН_вNH₂ в 60 мл эфира, 50 г 2%-ного Pd/C, гидрируют до поглощения 5,6 л H₂, упаривают, экстрагируют в аппарате Сокслета и спирт. упаривают, экстрагируют в аппарате Сокслета и спирт. НСІ осаждают хлоргидрат III, выход 32%, т. пл. 220—222°; основание, т. кип. 156°/0,2 мм, n²0D 1,5823, кислый оксалат, т. пл. 210° (разл.); 52,5 г бензила в 150 мл диоксана смешивают с 20 мл 75%-ного этиламина и гидрируют (50 г 2%-ного Рd/С, 35°, 5 час.), упаривают в вакууме при 90°, перегоняют, фракцию 130°/0,5 мм осаждают из бутилового эфира спирт. НСІ. Выход хлоргидрата IV 9%, т. пл. 210—212° (разл.; пр. сп. 4 м). Э. Будовский из сп. + эф.).

11761. Исследования в ряду хиноксалина. VIII. Декагидрохиноксалин. Кристи, Род, Шулц (Quinoxaline studies. VIII. Decahydroquinoxaline. Christie Warner, Rohde Wilmer, Schultz Harry P.), J. Organ. Chem., 1956, 21, № 2, 243—245 (англ.)

Хиноксалин (I) последовательно восстановлен в тетрагидро-(II) и декагидрохиноксалин (III); описаны оптимальные условия для этих р-ций. Одним из побочных продуктов р-ции гидрирования II в III является N-циклогексилэтилендиамин (IV). Высказано предположение, что полученный III имеет цис-конфигурацию, тогда как ранее описанный III (Mousseron, Combes, Bull. Soc. chim. France, 1947, 82) представляет собой транс-форму. 35 г I в 125 мл спирта, содержащего 2 г КОН, гидрируют над 3 г скелетного Ni (5,6 ат., 30°, 4 часа), смесь нагреваю до растворения органич. в-в, фильтруют, половину р-рителя отгоняют и выделяют II, выход 86%, т. пл. 99—99,5° (из петр. эф.). 9,2 г II в 75 мл 3 н. НСI в абс. спирте гидрируют над 0,4 г PtO₂ (3,5—5,6 ат., 60°, 4 часа), добавляют воду до растворения соли, фильтрат упаривают досуха, неочищ. III-2HCI (выход 99%) обрабатывают 9 г NаOH в 40 мл воды и III извлекают С_вН_в, выход 12,5%, т. кип. 228—228,5°/761,5 мм, т. пл. 355,—390° (разл.; темнеет при 296°, из воды); N, N-динитрозопроизводное, т. пл. 110—111 (из 50%-ного сп.) 20 г II в 120 мл спирта + 35 мл конц. HCI гидрируют над 0,7 г PtO₂ (3,5—5,6 ат., 50°, 5 час.), фильтрат приливают к р-ру 80 г пикриновой к-ты в 600 мл спирта и оставляют на 12 час. при 10°, выход неочищ. дипикрата и оставляют на 12 час. при 10°, выход неочищ. дипикрата III 62%; фильтрат разбавляют двимкрат IV, высоды и через 12 час. (10°) выделяют дипикрат IV, вы-

ход 27%, т. пл. 192—194° (из воды); 12 ε последнего в 100 мл спирта + 10мл конц. НСІ нагревают до кипения, охлаждают до 60° и приливают 300 мл ацетопа, через 12 час. (10°) отделяют 3,5 ε дихлоргидрата IV; из 10 ε соли, аналогично выделению III, получают 4,7 ε IV, т. кип. 188—189°/761,5 мл, 103°/10 мл, 93°/5 мл, $n^{25}D$ 1,4800, d^{25} 0,9190; дихлоргидрат, т. пл. 211—213° (из абс. сп.). Сообщение VI, см. РЖХим, 1956, 68516. С. Гурвич

11762. Хиноксалин-2-тиолы. Моррисон, Ферст (Quinoxaline-2-thiols. Morrison Donald C., Furst Arthur), J. Organ. Chem., 1956, 21, № 4, 470—471 (англ.)

2-хлор-3-метвл-(I), 2-хлор-3-изопропил-(II) и 2,3-ди-хлорхиноксалин (III) с тиомочевиной дают 3-метил-(IV), 3-изопропилхиноксалин-2-тиол (V) и хиноксалин-2,3дитиол (VI) соответственно. Последний приготовлен также при кипячении в пиридине 2,3-диоксихиноксалина с P₂S₅. IV-VI для характеристики превращены в меркаптоэфиры. VI является весьма чувствительным реагентом на Ni (темно-красный р-р), а с конц. р-ром NiSO₄ в NH₄OH образует комплексный кристаллич. осадок, который при действии горячей воды превращается в лак с высоким содержанием Ni. 0,02 моля III. 0,105 моля SC(NH₂)₂ в 100 мл абс. спирта кипятят 2 часа, упаривают до небольшого объема, разбавляют 250 мл воды, прибавляют 25 г NaOH, кипятат 0,5 часа, под-кисляют СН₃СООН, выход VI 96,4%, т. разл. 290— 295° (переосаждение из щел. p-pa). 0,018 моля I, 0,079 моля $SC(NH_2)_2$ в 50 мл абс. спирта кипятят 2 часа, упаривают до 15 мл, получают IV, выход 93,6%, т. пл. 240— 245° (разл.; из ацетона). II получают по ранее описанному методу (L'Italien, Banks J. Amer. Chem. Soc., 1951, 73, 3246), выход 85%, т. пл. 61°. V получают, как описано для IV, выход 95%, т. разл. 215—225°. 0,8 г. IV или V, 5 мл СН₃Ј в 50 мл абс. спирта оставляют при ≃20° на 2,5 недели, упаривают досуха, экстрагируют петр. эфиром, получают 2-метилтно-3-метилхиноксалин, выход 78,5%, т. пл. 51,5—53° (из разб. ацетона); 2-метилвыход 16,0 %, т. нл. 61,0—00 на раска 42,0 м, т. пл. 66—67°. К спирт. p-ру 0,068 моля С₂Н₅SH прибавляют 0,026 моля Na и затем 0,0085 моля III, кипятят 5 час., разбавляют водой, упаривают и экстрагируют эфиром 2,3-ди-(этилтио)-хиноксалин, выход 80,5%, т. пл. 50— 51° (из разб. ацетона), который получен также из 1 e VI, 3 e NaOH, 5 мл C_2 Н $_5$ Ј в 50 мл спирта (кипячение 1,5 часа), выход 84,6%. М. Линькова

11763. Оксанил. Бакли, Хенбест (Oxanil. Вискlеу D., Henbest H. B.), J. Chem. Soc., 1956, June, 1888—1889 (англ.) При кипячении (15 час.) 5 г оксаниловой к-ты с 25 ма

SOCl₂ образуется не оксанил C₆H₅N—CO—CO (Warren W. H., Briggs R. A., Ber., 1931, 64, 26), а навестный 2, 3, 5,6-тетраоксо-1,4-дифениливперазин (I), выход 12%, т. возг. 335—340° (из CH₃NO₂). В ИК-спектре I (в нуйоле) имеется линия 1709 см⁻¹ (СО); λ_{манс} (в диоксане) 2250 А. I гидролизуется води. щелочью в анилии. Строение I подтверждено полной идентичностью его с в-вом, полученным окислением (СгО₃) 2,5-дноксо-1,4-дифенилиперазина (II). Экстрагируют в сокслете 4 часа продукт р-ции выделяют обработкой эфиром, р-р продукта в C₆H₆ фильтруют через 10 г Al₂O₃, получая 0,17 г 1,4-дифенилиперазина, т. пл. 169—170° (из эф.-петр. эф.), который синтезирован также из II. А. Точилкии

11764. О различных методах синтеза веществ типа N-бензгидрил-N'-бензилиперазина. М о р р е н, С т р ю б б (Sur les différents modes de synthèse des substances du type N. benzhydryl N' benzyl pipérazine.

г.

o

0-

a, V:

2

3° 6. ич

T

1,

v), ,3-

en ca-

ым

MOM

III,

мл од-

079

па-

0 ос., как ,8 г

при

VIOT

лин,

тил-66—

час.,

100m 50—

1 2

ение

кова

anil.

Soc.,

5 мл

War-

тный ыход

тре І

ди-

оксо-

слете пустя

иром, 3, по-—170°

из II.

илкин

типа е и, se des

razine.

Morren H., Strubbe H.), J. pharmac. Belgique, 1955, 10, № 7-8, 239—245 (франц. рез. флам.) Для синтеза некоторых замещ. N-бензгидрил-N'-Для синтеза некоторых замещ, гл-оензгидрил-гл-бензилпиперазинов использовано 3 новых метода син-теза: а) конденсация N, N-6ис-(2-хлорэтил)-бензилами-нов с бензгидриламинами при действии NaNH₂; б) замена CN-группы в замещ. N-бензил-N'-(α-цианбен-зил)-пиперазинах действием C₆H₅MgBr (I); в) замена трет-бутокситруппы в N-бензил-N'-(α-трет-бутоксимерен-сутока руппа в местаний (чтрен-сутока в бензил)-пиперазинах на арил действием I, которая идет при низкой т-ре. N-(м-метилбензил)-пиперазин (II) получен действием м-метилбензилхлорида на пиперазин или карбэтоксипиперазин с последующим декарбоксилированием. Аналогично получен N-(n-m pemбутилбенвил)-пиперазии (III) с выходом 65%, т. кип. 128—130°/0,1 мм, N, N-бис-(2-хлорэтил)-бензиламин (IV) Bios, Finan получен известным методом (см. Bios, Final Report, 766; стр. 60) с выходом 90%. Нитрилы $n\text{-CIC}_6H_4\text{CH}$ (CN) $Y\text{CH}_2\text{CH}_2\text{C}_6H_4\text{X}$ (X = n-C (CH₃)₃(V) и X = $s\text{-CH}_3\text{Y} = N$, N-пиперазивил получены известным методом (См. 2008). $X = M - CH_3$ $1 = N_1$ (1-inhelpashlar holy yeels habet ham we rongon (Goodson L. H., J. Amer. Chem. Soc., 1950, 72, 359) с выходами 81% и 85% соответственно, т. пл. V 90—91° (из гексана). Эфиры $n - \text{ClC}_6 H_4$ CH (OC $_4 H_9$) - YCH $_2 C_6 H_4$ X (X = n - C (CH $_3$) $_3$ и X = $M - \text{CH}_3$) получены по описанному методу (РЖХим, 1956, 25631, метод В); после отфильтровывания СаSO₄ р-р упаривают при 100°, остаток пускают без очистки в р-цию с І. К 34,8 г IV в 100 мм ксилола добавляют 27,5 г бензгидриламина и 12 г NaNH₂. перемешивают 24 часа оеватидриламина в 12 г магид. переменивают 24 часа при 120° и фильтруют, получают 26% N-бенагидрилN-бенаилинперазина, т. кип. 200—210°/1 мм. К 0,5 моля III добавляют 0,5 моля HCl, 0,5 моля л-хлорбензальдегида (VI) и 0,55 моля водн. р-ра КСN, нагревают 2 часа, охлаждают и извлекают толуолом. К толуольному р-ру при кипении добавляют I (из 1,1 моля Мр и 1 моля C₆H₅Br), затем кипятят еще 1 час, охлаждают и выливают на лед + NH₄Cl. Выход 1-n-хлорбензгиди выливают на лед — гидол. Быход 1-и-лиросновид-рил-4-п-трет-бутилиперазина (VII) 75%, т. кип. 230— 240°/0,001 мм. дихлоргидрат т. кл. 265—266° (из сп.). Ана логично из II получают 1-п-хлорбензгидрил-4-м-метилбензилпиперазин (VIII) с выходом 73%, т. кип. 230°/2 мм; дихлоргидрат, т. пл. 215°. Смесь 0,2 моля VI, 0,22 моля II, 0,01 моля HgCl₂, 1 моля н-бутанола и 100 г CaSO₄ безводи. перемешивают 48 час., подщелачивают СН_вОNа, упаривают, остаток растворяют в эфире и при 5° добавляют к I (из 0,27 моля Mg и 0,25 моля С₆Н₅ Вг), кипятят 2 часа и выливают на лед 4 NH₄Cl; выход VIII 71%. Аналогично из III получают VII, выход 75%. Э. Будовский

1765. 7-азанндол. II. Превращение в 7-метил-7Нпирроло-(2,3-b)-пиридин и родственные соединения.
III. Синтез 7-азааналогов некоторых биологически
важных производных индола. Робисои, Робисон (7-azaindole. II. Conversion to 7-methyl-7H-pyrrolo-(2,3-b) pyridine and related compounds. III. Syntheses of 7-aza analogs of some biologically significant
indole derivatives. Robison Michael M.,
Robison Bonnie L.), J. Amer. Chem. Soc.,
1955, 77, № 24, 6554—6559; 1956, 78, № 6, 1247—1251

Сообщение II. 7-азаиндол (I) действием метилового эфира n-толуолсульфокислоты (II) переведен в n-толуолсульфонат 7-метил-1Н-пирроло-(2,3-b)-пиридин (IV). Гидрирование IV ведет к 1-метил-3-(2-аминоэтил)-пиперидину (V), строение которого до-казано встречным синтезом. При метилировании I СН₃Ј в присутствии NаNН₂ получен 1-метил-7-азаиндол (VI). 2-амино-3-пиколин (VII) переведен в 2-метиламино-3-пиколин (VIII). При формилировании VIII выделен N-метил-N-(2-(3-метил)-пиридил)-формамид (IX). По-пытки циклизации IX в VI оказались безуспешными.

IV и VI с СН₃Ј образуют одно в-во — йодистый 1,7-диметил-1 Н-пирроло-(2,3-b)-пиридиний (X). I получают по описанному методу (см. сообщение I. РЖХим 1955, 40161) применяя вместо анвлида Na и НСООК NаНиболее сильное нагревание, выходы 42,6—44,6%. P-р 5,9 г I и 11,1 г II в 75 мл С₆Н₆ кинятят 50 мин., через ~12 час. выделяют III, выход 92,6%, т. пл. 134—134,5° (из хлф.-этилацетата). P-р 7,6 г III в 15 мл воды при 0° насыщают К₂СО₃, выделившееся масло извлекают эфиром (10×60 мл), остаток после удаления эфира (1:1), обрабатывают С, р-рители удаляют, кристаллы отделяют и возгоняют при

отделяют и возгоняют при 80—90°,/0,2 мм, выход IV 70%, т. пл. 48,5—50,5° (в занаянюм капилляре); пикрат, т. пл. 209,5—210,5° (из сп. и воды). При оставлении I с

B R***, X*a=CH₃C₃H₄SO₃ X R*CH₃, X=J X1 R*H, X=J

4 эке СН₃Ј на 3 дня получают с колич. выходом йодид (XI), который аналогично III превращают в IV, выход 88%. I и IV не изменяются при обработке 20%-ной щелочью. 692,5 мг IV в 50 мл спирта гидрируют 20%-ной щелочью. 692,0 же 1 V в 30 мл спирта гадрируют над \sim 340 мл Pt (из PtO₂) (25,5 часа, 4,94 моля H_2), выделиют 506 мг V (выход 67,8%, т. кип. \sim 94—96°/19 мм), который с фенилизоцианатом в C_6H_6 образует 1-фенил-3-(2-(3-(1-метил)-пиперидил)-этил)-мочевину (XII), выход 82%, т. пл. 100,5—102° [запаянный капилляр; из водн. сп. и циклогексана (XIII)]. 5,88 г 3-пиридинацетонитрила в 80 мл спирта + 20 мл конц. NH4OH гидрируют над 2-3 г скелетного Ni (2 am. NH₄OH гидрируют над 2—3 г скелетного гл (2 ам., 83% H₂), из фильтрата удаляют сипрт, остаток насыщают К₂CO₂ и CHCl₂ извлекают 3-(2-аминоэтил)-пиридин, выход 69,3% т. кип. 114—119⁵/5 мм, дипикрат, т. ил. 213,5—214° (разл., из воды). Из 1,22 г амина и 1,19 г С₆H₆NCO в 10 мм С₆H₆ получают 1-фенил-3-(2-(3-пиридил)-этил)-мочевниу, выход 96,7%, т. пл. 114,5—115,5° (на 10%-ного си. и бэл.), которая (1,61 г) и 9,5 г СН₈Ј через 26 час. (~20°, N₂) дает йодистый 1-метил-3-(2-(1-(3-фенил)-урендо)-этил)-пиридиний, т. пл. 71,5—74,5° (запаниный капиллир, на абс. сп.). 1,485 г последнего в 60 мл спирта гидрируют над ~340 ме Pt (из PtO₂) (8 час., 2,86 моля H₂) и вы-деляют XII, выход 84,4%. К суспензии 1,95 г NaNH₂ в 100 мл ксилола добавляют (10 мин.) 5, 9 г I в 50 мл ксилола, смесь кипятят 8 час., охлаждают, добавляют (30 мин.) 7,1 г СН 3 В 50 ме ксилола, кипятят 2 часа, оставляют на ~12 час., приливают 75 мл воды +20 мл конп. HCl и из води, слоя после прибавления К2CO3 выделяют масло, из которого перегонкой с паром выделяют VI, выход 19,4%, т. кип. 112—116°/21 мм, $n^{26}D$ 1,5959, d22 1,107; в том же масле находят небольшие кол-ва 7-азаскатола. К p-py 21,6 e VII в 100 мл абс. эфира при 0° добавляют 7,8 e NaNH₂, кипятит 2 часа, охлаж-дают, приливают (35 мин.) 28,4 e CH₃J в 50 мл абс. эфира, выделяют 1 час, добавляют 40 мл воды и избыток $K_2\text{CO}_3$, выделяют 20,75 ε неочищ. VIII, т. кип. 105—115°/22 мм. 65,94 ε неочищ. VIII обрабатывают в 200 мл пиридина (12 мин., 0°) 170,2 ε C₆H₆COCl, нагревают (ε 00 0 5 неоч). $(\sim 100^{\circ},~0,5$ часа) и после охлаждения выливают в охлажд. до 0° смесь 790 мл воды +~250 мл конц. HCl (т-ра $< 10^{\circ}$); С_вН_вСООН и дибензоильное производное VII отфильтровывают, фильтрат подправления дет, эфиром выделяют 85,36 г N-метил-N-(2-(3-метил)-пиридил)-бензамид, т. кип. 210°/22 мм—220°/ 20 мм, т. пл. 92— 93,5° (из 50%-ного водн. сп. и и-гексана), который кипятят 1 час с конц. HCl, CeH 5COOH отфильтровывают, фильтрат подпелачивают K₂CO₃ и эфиром выделяют VIII, выход 82,6%, т. кип. 113°/21 мм, т. пл. ~21°. При формилировании VIII (Clemo, Swan, J. Chem. Soc., 1945, 603) выделяют IX, выход 65% г. кип. 155°/19 мм. Из смеси 0,52 г IV и 5 мл CH₂J через 28 час. (~20°, No) получают X, выход 1.37 г (содержит СНаJ); аналогично из VI и СН₃J (60 час.) получают X, выход 44,2%,

т. пл. 250,5° (разл.; из абс. сп.). Приведены кривые УФ-спектров I, IV, XI и 7-азаскатола. С. Гурвич Сообщение III. Продолжено (см. сообщение 1, РЖХим, 1955, 40161) изучение превращений I для получения биологически активных в-в и исследования кольцевой системы, близкой к индолу, но сходной в некоторых отношениях с 2-аминопиридином. Синтезированы: 7-азаиндолуксусная-3 к-та (XIV), аналог индолуксусной-3 к-ты (ростового гормона); 7-азатриптамин (XV) (возможно активен в регуляции кровяного давления и печении некоторых психозов); В-(7-аза-3-индолил)-пропионовая к-та (XVI) — эффективный инцибитор роста на нормальной и поврежденной ткани кроны Parthenocissus; этиловый эфир а-нитро-а-карбэтокси-β-(7-аза-3-индолил)-пропионовой к-ты (XVII); 7-азаиндол-(1-аза-3-индолил)-проиновови к-ны (X VII), 7-азаиндол-карбоновая-3 к-та (X VIII), тремя путями, для подтвер-ждения строения к-ты, полученной Крубером (Kruber O. Ber., 1943, 76, 128). І гладко бромируется, образуя 3-бромо-7-азаиндол (XIX), который с хлористым бензолдиазонием (ХХ) дает продукт замещения в положении 3 (XXI) при условии наличия незамещ. N-пирола. 3-замещ. І, имеющий С-атом в положении 3, связанный с О и N, обладает слабокислотными свойствами. К смеси 5,25 г 7-азаграмина (XXII), 7,38 г ŊаСN и 750 мл воды прибавляют 12,5 мл конц. HCl, кппятят 64 часа, охлаждают, добавляют 25 г К₂CO₃; выход 7-азаиндолацетонитрила-3 (XXII) 48,8%, т. пл. 441—142° (из бал.-циклогексана (1:1) и из води. сп.; (1:9)). 10млконц. НСІ и 785 ме XXIII кипятят 6 час., выпаривают до-суха, растворяют в малом кол-ве воды и добавляют суха, растворяют в малом кол-ве воды и добавляют в избытке NaHCO $_3$, фильтрат подкисляют СН $_3$ СООН; выход XIV 89,2%, т. ил. 214,5—215° (из разб. сп.). XIV при 240—250° (~35° мин.) образует 7-азаскатол, т. ил. 126—129° (из XIII). Р-р 785 мл XXIII в 25 мл епирта и 1,5 мл конц. HCl с \sim 0,3 $_{\ell}$ Pt (из PtO $_2$) восстанавливают до поглощения 99% $_2$; отделяют катализатор, выпаривают в вакууме, получают дихлоргидрат XV, выход 53,9%, разлагается при 275—300° (из $\mathrm{CH_3OH} + \mathrm{CH_3CN}$). При восстановлении XXIII в присутствии скелетного Ni и NH $_3$ (спирта) получают в-во с т. пл. 141—144,5° (разл., из ацетона и бзл.). 0,87 г XXII и 2,4 г малонового эфира (XXIV) нагревают до 120° в атмосфере N₂, прибавляют маленький кусочек Na и продолжают нагревание при 120° 6 час.; охлаждают, добавляют 8 мл 5%-ной HCl, набыточный XXIV извлекают эфиром, води. слой подщелачивают NaHCO3 и экстрагируют эфиром этиловый эфир α-карбэтокси-β-7-аза-3-индолил)-пропионовой к-ты (XXV), выход 51%, т. пл. 114—115,5° (из ССІ₄-н-гексана; 1:1 и воды). 0,36 г XXV и 5 мл конц. НСІ кипятят 6,5 часа, выпаривают в вакууме, растворяют остаток в небольшом кол-ве воды, нейтрализуют 5%-ным NaHCO₃, выпадает XVI; выход 76%, т. пл. 205—206,5° (из воды). 5,25 г XXII, 6,15 г нитромалонового эфира и 50 мл сухого толуола кипятят в атмосфере N₂ 6 час., охлажд. p-p экстраги-руют 150 мл 5%-ной HCl, экстракт промывают эфиром и осаждают XVII сухим $NaHCO_3$; p-р XVII в C_6H_6 для отделения полимера пропускают через Al_2O_3 съвта мин отделения полимера пропускают через Al₂O₃ и вымывают C₆H₆ с 5% абс. спирта, выход 40,7%, т. ил. 136—137° (из бэл.-XIII). К р-ру 1,47 г 7-азаиндол-3-карбоксальдегида (XXVI) в 150 мл горячей воды прибавляют 1,02 г H₂NOH·HCl и 1,5 г NaHCO₃ и нагревают (~100°, 1 час); выпадает оксим XXVI (XXVII), выход 20 6 № п. и 234 5 232 5° (правта на 120 6 № п. и 234 5 232 5° (правта на 120 6 № п. и 234 5 232 5° (правта на 120 6 № п. и 234 5 232 5° (правта на 120 6 № п. и 234 5 232 5° (правта на 120 6 № п. и 234 5 232 5° (правта на 120 6 № п. и 234 5 232 5° (правта на 120 6 № п. и 234 5 232 5° (правта на 120 6 № п. и 234 5 232 5° (правта на 120 6 № п. и 234 5 232 5° (правта на 120 6 № п. и 234 5 232 5° (правта на 120 6 № п. и 234 5 232 5° (правта на 120 6 № п. и 234 5 232 5° (правта на 120 6 № п. и 234 5 232 5° (правта на 120 6 № п. и 234 5 232 5° (правта на 120 6 № п. и 234 5 232 5° (правта на 120 6 № п. и 234 5 232 5° (правта на 120 6 № п. и 234 5 232 5° (правта на 120 6 № п. и 234 5 232 5° (правта на 120 6 № п. и 234 5 232 5° (правта на 120 6 № п. и 234 5 232 5° (правта на 120 6 № п. и 234 5 232 5° (правта на 120 6 № п. и 234 5 232 5° (правта на 120 6 № п. и 234 5 232 5° (правта на 120 6 № п. и 234 5 232 5° (правта на 120 6 № п. и 234 5 232 5° (правта на 120 6 № п. и 234 5 232 5° (правта на 120 6 № п. и 234 5 232 5° (правта на 120 6 № п. и 234 5 232 5° (правта на 120 6 № п. и 234 5 232 5° (правта на 120 6 № п. и 234 5 232 5° (правта на 120 6 № п. и 234 5 232 5° (правта на 120 6 № п. и 234 5 232 5° (правта на 120 6 № п. и 234 5 232 5° (правта на 120 6 № п. и 234 5 232 5° (правта на 120 6 № п. и 234 5 232 5° (правта на 120 6 № п. и 234 5 232 5° (правта на 120 6 № п. и 234 5 232 5° (правта на 120 6 № п. и 234 5 232 5° (правта на 120 6 № п. и 234 5 232 5° (правта на 120 6 № п. и 234 5 232 5° (правта на 120 6 № п. и 234 5 232 5° (правта на 120 6 № п. и 234 5 232 5° (правта на 120 6 № п. и 234 5 232 5° (правта на 120 6 № п. и 234 5 232 5° (правта на 120 6 № п. и 234 5 232 5° (правта на 120 6 № п. и 234 5 92,6%, т. пл. 221,5—223,5° (разл., из води. сп.; 1 : 2) 0,8 г XXVII и 4 мл (СИ_вCO)₂О кипятят 50 мин. добавляют 30 мл воды, выделяется предположительно, 1-ацетил-3-циано-7-азаиндол XXVIII, т. пл. 128-145°, кристаллизацией XXVIII из воды получают 3-циан-7-азанидол (XXIX), т. пл. 262—265° (из води. сп.). 0,7 г XXVIII в 10 мл конц. НСІ кипятят 10 час., р-р выпа-

ривают досуха, прибавляют 5 мл воды и избыток NaHCO. фильтруют, фильтрат подкисляют СН3СООН, получают XVIII, выход 37%, т. пл. ~254° (полугидрат, разл., из водн. сп.; 1:1). Суспензию 0,55 г XXVIII в 10 мл спирта насыщ. НСІ, кипятят 4 часа и оставляют на ночь, выделяют 3-карбэтокси-7-азаиндол (ХХХ), выход 65%, Быделий - жарозпока - - азапидол (ж.х.), выход 65%, т. пл. 163—164° (из водн. си.; 1 · 3, и избэл. - х.И.; 1 · 1). Смесь 0,56 г ххх и 6 мл 20%-ного NаОН кипятят 1,5 часа, подкисляют СН₂СООН, выпадает хуии, выход 75%. При окислении 146 мл XXVI КМпО4 полуход 1576. При окислении 140 мм катт калюч получают 59 мг XVIII. Величина R_f всех образдов XVIII одинакова. При нагревании XVIII выше т-ры плавления образуется І. К охлажд. р-ру 1,18 г І в 15 мл СНСІ₃ прибавляют р-р 1,6 г Вг₂ в 19 мл ССІ₄; суспенаню экстрагируют разб. НСІ, водн. слой подщелачивают NаОН, осаждается XIX, выход 81,2%, т. пл. 188—188,5° (из бэл. иССІ₄). Строение XIX подтверждается УФ-спектром. Р-р 0,59 г І в 8 мг СН ОН прибавляют к холодному p-py XX (из 0,46 г анилина, 1,5 г конп. HCl, 0,34 г NaNO2 и 10 мл воды) и оставляют на льду на ночь; осадок растирают с 5%-ной HCl; получают XXI, т. пл. 214,5-215° (из бал.-XIII).

Новый синтез бициклических дисукцингидразидов. Фьюэр, Уайман (A new synthesis of bicyclic disuccinhydrazides. Feuer Henry, Wyman John E.), Chemistry and Industry, 1956, № 25, 577—578 (англ.)

Янтарная к-та (I) и гидразингидрат (II) в отношении 2:1 при термич. дегидратации (ТД) или при нагревании (~100°) с полифосфорной к-той через гидразониевую соль I и дисукцингидразид образуют пергидро-1, 4, 6, 9-тетракетопиридазо-[1, 2,-α-]-пиридазин (бициклич. дисукцингидразид) (III), выход соответственно 73 и 95%. Из замещ. І получены соответствующие замещ. III (перечисляются заместители I и III, т. пл. в °С): метил, диметил, 144-145 и 147-149 (смесь изомеров); фенил, дифенил, 228—229; мезо-лиметил, тетраметил, 238—240 и 242—243. ТД проводится следующим образом: I растворяют в воде, прибавляют II, p-р выпаривают при 250—300°, остаток перекристаллизовывают из лед. СН₃СООН или воды. ТД не применима к диацетилвинной, аспарагиновой и дибромянтарной к-там. При дегидратации полифосфорная к-та берется в 10-кратном кол-ве по отношению к весу остатка после Ю. Розанова выпаривания р-ра в вакууме.

О семичленных гетероциклах. Сообщение II. Синтез и фармакологическое действие 2,3-бензо-5-7диоксо-4,5,6,7- тетрагидро-1-4-диазепинов. Б ю х и, диксо-4,3,5,7- тетрагидро-1-4-динаепинов. Б ю х и, Д и т р и х, Э й х е и б е р г е р (Synthese und phar-makologische Wirkung von 2,3-Benzo-5,7- dioxo-4,5,6 7-tetrahydro-1,4, diazepinen. 2. Mitteilung über hetero-cyclische Siebenringe. B ü c h i J., Dietrich H., E i c h e n b e r g e r E.), Helv. chim. acta, 1956, 39, № 3, 957—965 (нем.)

Синтезированы 6-алкилироизводные 2.3-бензо-5.7диоксо-4,5 6,7-тетрагидро-1,4-диазепина (I, $R^2 = R^3 = H$). Фармакологич, испытания показали, что некоторые из них, при меньшей токсичности обладают анальгетич. действием, равным действию пирамидона, но не обла-дают седативным действием. I получают конденсацией o-фенилендиамина (II) с замещ, малонового эфира в присутствии ${\rm NaOC_2H_5}$ в атмосфере ${\rm N_2}$. Образование I из моноалкил- и незамещ малонового эфира проходит хорошими выходами также в присутствии СН₃ОСН₂СН₂ОNа. І очищают кристаллизацией из пиридина или спирта или переосаждением к-той из спирт. p-ра, содержащего С₂Н₃ОNа. Получены следующие I (перечисляются R, R', выход в %, т. пл. в °С): $H, H (Ia) \sim 66, 350$ (возгонка), получен ранее описанным методом (Shriner R. L., Boersman P. G., J. Amer. Chem. Soc., 1944, 66, 1810); CH₃, H, 44, 326 (разл.); r.

CO₃

зл.,

MA

удь,

1).

TAT

вы-

JIV-

III

вле-

мл пенают 8,5° пек-

34 a oca-

ПЛ,

праs of V v-

956.

оше-

на-

гид-

нися

вет-

III.

месь

сле-

r II,

лли-

има рной

ется осле нова

II. -5-7-

х и,

har-

4,5,6

tero-H., 1956,

-5,7-=H).

ие из

етич.

обла-

цией

гра в ние I

одит

твии

i M3

й из

едую-°С):

исанlmer.

азл.);

 C_2H_5 , H; 66.6, 300 (разл.); C_3H_7 -n, H, 54, 285; C_3H_5 , H, 49, 282; C_4H_9 -n, H (16), 47, 312—315; $C(H_9$, CH_9 , 54, 313—315; C_2H_5 , C_2H_5 , 43, 262—264 BS C_1H_7 -BS, C_3H_7 -BS, C_3H_7 -BS, C_3H_7 -BS, C_3H_7 -BS, C_3H_9 -BS, C_3H_9 - $C_3H_$

я пт. пл. в °С; н-С₃Н₂, н. н-С₄Н₂, н. н-С₄Н₂, н. (Ir), 131—133 (па сп.); н-С₄Н₂, н. н-С₃Н₂, с₂Н₅, с₂Н₅, с₂Н₃, сн. н-С₃Н₂, н-С₃Н₂, н-С₃Н₂, н-С₃Н₂, н-С₃Н₂, н-С₄Н₂, н-С₃Н₂, сн. н-С₃Н₂, сн. н-С₃Н₂, н-С₃Н₂, н-С₃Н₂, н-С₃Н₂, сн. н-С₃Н₂, н-С₃Н

11768. Об имидазопиридине и родственных циклических системах. К и к х ё ф е и (Über Imidazopyridin und verwandte Ringsysteme. K i с k h ö f e n В.), Arch. Pharmazie, 1955, 288,60, № 10, 473—488 (нем.) Рассмотрены методы синтеза, хим. свойства и фармакологич. действие имидазо-(1,2а)-пиридинов, имидазо-(2,1b)-тиазолов, имидазо-(1,2a)-инолинов и их производных. Библ. 83 назв. В. Яшунский

11769. Цветные соли, полученные из некоторых антраценов. Стю арт (Coloured salts derived from certain anthracenes. Stewart F. H. C.), Chemistry and Industry, 1956, № 25, 579 (англ.) По методу, описанному ранее (Albano J. D., An. Asoc. quim. argentino, 1946, 34, 18), из 9-формилжулолидина

По методу, описанному ранее (Albano J. D., An. Asoc. quim. argentino, 1946, 34, 18), из 9-формилжулолидина получают антраценовое производное (I) с выходом 70—75%. При окислении I H₂O₂ в разб. HCl образуется темнокрасный р-р (λ_{макс} 516 мμ), из которого выделяют синий хлорид (II) в виде гидрата. Получены пикрат, хлор-платинат и перхлорат II. При аналогичном окислении 2,6

and and

-бис- ди метиламиноа нтрацена получается менее окрашенный красный р-р, который при нагревании становится бес-

цветным, в то время как кислый води. p-р хлорида II медленно обесцвечивается при 100° в течение 40 мин., что объясняется различным пространственным строением молекул.

11770. Пиперазино-1′, 2′-1,2-бензимидазолы. III му ц, К ю и ц л е (Piperazino-1′, 2′: 1, 2-benzimidazole. S с h m u t z J. K й п z l е F.), Helv. chim. acta, 1956, 39, № 4, 1144—1156 (нем.)

N(4′)-производные пиперазино-1′,2′—1,2-бензимидазола

N_(4')-производные пиперазино-1',2'—1,2-бензимидазола (I) синтезированы двумя путями: замыканием пиперазинового кольца в 2-хлорметил-3-(3-хлорэтил)-бензимидазоле (II) при действии вторичных аминов, а также в

2-(N-метил-N-бензиламинометил)-3-(β -оксиэтил)-бензимидазоле (111) при р-ции с PBr_{9} или образованием бензимидазольного кольца в 1-(α -аминофенил)-4-ацетил-инперазине (1V) по описавному ранее методу (РЖХим, 1956, 64963). Обсуждается строение продуктов воздействия СН $_{9}$ ОNа на четвертич. соли (ЧС)N $_{(47)}$ производных I. Смесь 0,1 моля N-(β -оксиэтил)-о-фенилендиамина (V), 0,15 моля гликолевой к-ты и 100 мл 4 н. НСІ кинятят 2 часа, слабо подшела-

2 часа, слаоо подпелачивают конц. NH₄OH, сильно охлаждают и отделяют 18 г 2-оксиметил-3-(3-оксиэтил)-бензиA . R-CH4: 8 R-COCH4:

тил-3-(β-оксиэтил)-оензи-мидазола (VI), т. пл. $156-157^{\circ}$ (из воды). Анало-гично из V и СІСН $_2$ СООН получают 13 ε 2-хлорметил-3-(β-оксиэтил)-бензимидазола (VII), т. пл. $131-132^{\circ}$ (из ацетона-эф.; смесь (АЭ)). 15 ε VI в 80 мл SOCl $_2$ кипятят 2.5 часа, отгоняют набыток SOCl $_2$ остаток растирают ε АЭ, получают 19 ε хлоргидрата II, т. пл. растирают с АЗ, получают в с хлоргидрата II, т. пл. $152-156^\circ$ (разл.); II (действием $\mathrm{NH}_4\mathrm{OH}$), выход 16.6 г, т. пл. $98-100^\circ$ (из ацетона-петр. 5Φ .). 0.04 моля VII и 0.08 моля $\mathrm{C}_6\mathrm{H}_5\mathrm{CH}_2\mathrm{NHCH}_3$ в 70 мл абс. ацетона кипятят 30 мин., фильтрат упаривают и добавляют немного воды, получают 9.9 г III, т. пл. $138-139^\circ$ (из ацетона). Аналогично из II и ($\mathrm{CH}_8\mathrm{O}_2\mathrm{NH}$ (кипятят 10 мин., продукт извлекают СНСІ_з, упаривают при 40°, остаток в 250 мл абс. изо-С₃Н₇ОН кипятят 4 часа, упаривают и добавляют эфир) получают 5,2 г гигро-скопичного хлорметилата Ia, т. пл. 233—235° (разл.; (разл.; из абс. сп. эф.), который получают также из III и SOCl₂ с последующим замыканием кольца. 8 г III и 12 мл РВга в 20 мл СНСІз нагревают 2 часа при 80-85°, выделенный продукт кипятят в изо-C₃H₇OH и получают 6,3 г бромбензилата Ia, т. пл. 187—189° (на сп.-эф.). Из 10,6 г II и 11 г дигидроизонидола в 90 мл абс. ацетона аналогично хлорметилату Ia по-лучают хлористый 4'-(о-ксилилен)-пиперазиний-1',2'—1, 2-бенавмидааол (VIII). выход 8,3 г. т. пл. 247—250° (разл.; нз абс. изо-С₃Н₇ОН-эф.). 7,2 г бромбенаилата Iа в 100 мм СН₃ОН гидрируют над 1 г 5%-ного Pd/C, при упаривании фильтрата и добавлении абс. эфира получают 3,5 г дибромгидрата Ia, т. пл. 243—255 (разл.); Ia, т. пл. 146—147° (из АЭ). Аналогично получают Ia из хлорбенавлата Ia. Действием 4 моля CH₉J на Ia получают йодметилат, т. пл. 212—215° (разл.), который с AgCl дает хлорметилат Ia, идентичный полученному из II и (CH₃)₂NH. УФ-спектры ЧС Iа практически идентичны. 18,9 г хлорбензидата Iа в 120 мл абс. идентичны. 18,9 г хлорбензилата Ia в 120 мм абс. $\mathrm{CH_3OH}$ обрабатывают р-ром $\mathrm{CH_3ONa}$ (из 3 г Na и 60 мм абс. $\mathrm{CH_3OH}$), через 40 мнн. упаривают в вакууме, прибавляют воду и эфиром извлекают 3'-бензил-Ia(?), выход 53,9%, т. ил. 116—117° (из АЭ); УФ-спектр сходен со спектром Ia. Из 15,6 г VIII, $\mathrm{CH_3ONa}$ (из 1,6 г Na) в 130 мм абс. спирта через 20 мнн. (извлечение $\mathrm{CHcI_3}$) выделяют основание $\mathrm{C_{18}H_{17}N_3}$, выход 87,6%, т. ил. 114—115° (из АЭ), УФ-спектр которого (приведена комвая) сильно отлинается ст которого (приведена кривая) сильно отличается от спектра бензимидазолов. При гидрировании 2,5 г в-ва в спирте над скелетным Ni при 50 am получают 2,2 г дигидропроизводного, призмы, г. ил. 94—95° (из ацетона-петр. эф.); иглы, т. ил. 76—78° (из ацетона-петр. эф.); иглы, т. ил. 76—78° (из ацетона), переходящие в призмы. К книящему р-ру 250 г гексагидрата пиперазина в 300 мл н-С₄Н_ОН причас) р-р 114 г о-нитрохлорбензола в 80 мл н-С4Н9ОН, кипятят 1,5 часа и выделяют 97 г 1-(о-нитрофения)-пиперазина (IX), т. кви. 120—126°//о,1 мм; хлоргидрат, т. пл. 159—162° (пз абс. сп.-эф.). К 50 г IX в 200 мл СНСІ₃ прибавляют по каплям 75 мл (СН₃СО)₂О (разогревание) и выделяют 49,6 г

No 4

1177

(sb-19

зин (

гамо

диги лити

ется

5-тр (РЖ

блаз обра

даю

5820 Meto

B M rch C

раз

c N

P-p

наг

NH oct upi ncx

в°(70, СН

900 87,

зев ри. 17

a-I

ац 39.

Б, 76

CE Ka 30.

9T

Д

(B)

4-ацетил-IX, т. ил. 69—70° (из АЭ), который при гидрировании аналогично С₁₈Н₁₇N₃ дает 41,3 г IV, т. ил. 130—131° (из АЭ). 83,2 г IV в 500 мл воды и 90 мл конц. НСІ диазотируют при 0° NаNO₂ и р-р выливают в 800 мл охлажд. 20%-ного р-ра СН₃СООNа, содержащего 25 г NaN₃, через 10 мин. извлекают азид 400 мл нитробензола и экстракт по канлям прибавляют при 180—183° к 400 мл нитробензола, нагревают еще 10 мин. и перегонкой получают 16, выход 23,8%, т. кип. 203—214°/0,1 мм, т. ил. 140—140,5° (из АЭ). Маточный р-р перегоняют, получают 30 г 3-(β-ацетиламиноэтил)-бензимидазола, т. кип. 202—206°/0,07 мм; хлоргидрат (X) (из изо-СН₇ОН-эф. + HC1 (газ)), выход 23,8 г, т. ил. 175—184°. 5 г 16 в 50 мл 4 н. HC1 кипятят 10 час., к-ту отгоняют в вакууме, получают 5,7 г дихлоргидрата 1в, т. ил. 237—242° (разл.; из СКОО в 20 мл воды при нейтр-ции СН₃СООН получают 1,6 г Iг, т. ил. 263—266° (разл.; из воды). Метилированием 1в (СН₃Ј в ацетоне) получают 1а. Из 23,5 г X и 120 мл 4 н. HC1 (кипячение 8 час.) получают 13.2 г 3-(β-аминоэтил)-бензимидазола 'XI), т. кип. 129—132°//0,1 мм; дихлоргидрат, иглы (из СН₃ОН), превращающиеся при 225—244° в призмы, т. ил. 252—255°. Из XI и 98%-вой НСООН (кипячение 5 час.) получают β-N-формил-XI, т. ил. 147—148° (из АЭ), который получают авалогично из 7,3 г N-(β-аминоэтил)-о-фенилендиамина, выход 6,3 г. 5 г последнего в 20 мл 85%-ной НСООН + 40 мл 4 н. HC1 кипятят 2 часа, упаривают в вакууме досуха, растворяют в СН₃ОН и эфиром осаждают 4,5 г дихлоргидрата XI, который получают также при омылении β-N-формил-XI 4 н. HC1.

Б. Дубинив 1171. 4-окси - 6 - аминопиразоло-[3, 4-d] -пириинини, 1171.

1771. 4-оксн - 6 - аминопира золо-[3, 4-и] - пиримидин, потенциальный антагонист гуанина. Робин с (4-hydroxy - 6 - aminopyrazolo [3,4 - d] - pyrimidine, a potential guanine antagonist. Robins Roland K.), J. Organ. Chem., 1956, 21, № 4, 489—490 (англ.)

Описан синтез 4-окси-6-аминопиразоло-[3,4-d]-пиримидина (I). 6-окси-4-меркаптопиразоло -[3,4-d]-пиримидин метилируют, затем действием РОСІ₃ в диметиланиялине замещают оксигруппу наСІ и потом на N Н₂. Полученный 6-амино-4-метилиеркаптопиразоло-[3,4-d]-пиримидин с Н₂О₂ в кислом р-ре дает I, который выделяют при осторожной нейтр-ции горичего р-ра NH₄OH до рН 8. Приведены данные УФ-спентра I. Предварительные биологич. испытания показали, что I активен против лимфоцитарных опухолей (L—1210, L—5178 и L—4946; на мышах). М. Линькова 11772. Потешивальные антагописты пуринов. II.

1772. Потенциальные антагонисты пуринов. II. Синтез некоторых 7-и 5,7-замещенных пиразол-[4,3-d]пиримидинов. Робинс, Феркт, Грауэр,
Джонс (Potential purine antagonists. II. Synthesis
of some 7-and 5,7-substituted pyrazolo [4,3-d]- pyrimidines. Robins Roland K., Furcht Frederick W., Grauer Alan D., Jones Jesse W.), J. Amer. Chem. Soc., 1956, 78, № 11, 2418—
2422 (англ.)

Для биологич, испытания из 4-аминопиразолкарбоновой-3 к-ты (I) синтезированы замещ, и дизамещ, пиразол-[4,3-d]-пиримидины (II), являющиеся изомерными структурными аналогами важнейших пуринов. Приводится сравнение значений УФ-спектров II и соответствующих пуринов. 204 г 3-метил-4-интропиразолкарбоновой-5 к-ты декарбоксилируют (130°, 5 час.), получают 138 г 4-нитро-3-метилипразола, т. пл. 134° (из воды), который при окнелении дает 4-интропиразолкарбоновую-3 к-ту (III). К кинящему р-ру 5 г III в 50 мл воды прибавляют 17,5 г Na₂S₂O₄, кинятят 5 мин, получают 3 г I, т. разл.—205° (из воды). 14 г III, 23 мл абс. спирта, 37 мл абс. С₆H₆ и 15,5 мл конц.

H₂SO₄ нагревают 24 часа, выливают на 200 гльпа и на 2004 нагревают 24 часа, вызывают на 200 г пъда и воды, экстрагируют эфиром, выделяют 10,2 г этилового эфира III (IIIa), т. пл. 124—126° (из бзл.-лигр.), 100 мл конц. NH₄OH и 5 г IIIa нагревают 2 часа, упаривают до 15 мл, получают 4 г амида III (III6), т. пл. 2004 (2008) (тл. пл. 2004), 10 г и и мл. 425 г и и мл. 425 г и мл. 291—293° (из воды). 9,5 г ППб в 125 мл абс. СН₂ОН гидрируют в присутствии 0,3 г 10%-ного Pd/C, выделяют 7 г амида I (Ia), т. пл. 181—182° (нз абс. сп.). 9 г I в 50 мл НСО NH₂ кипятят 1 час, прибавляют 50 мл воды, получают 4,1 г 7-окси-II (IIa), т. пл.>300° (нз воды). Па получают также нз Ia. 11 г IIa и 55 г Р₂S₄ прибавляют к 275 мл безводи, пиридина, кипятят 3 часа. приовынит к 210 мл оезводи, пиридина, кипитит з часа, отгоняют пиридин в вакууме, прибвляют 220 мл воды, оставляют 2часа при ~20°, нагревают 3 часа, подкисляют СН₃СООН, получают 10 г 7-мерканто-II (Пб), т. пл. >300° (из воды). Из 20 г Пб в 280 мл 1 н. КОН и 19,2 г СН₃Ј выделяют подкислением лед. СН₃СООН 14,7 г 7-метилмерканто-II (IIв), т. пл. 209—210° (из воды). 7-метилмерканто-II (IIв), т. пл. 209—210° (из воды). 3,8 г IIв и 150 мл абс. спирта, насыщ. NH₈ при 0°, нагревают при 200° 20 час., р-р выпаривают досуха, получают 1,8 г 7-амино-II, т. пл. >300° (из воды). 2 г Iа и 4 г мочевины нагревают при 200—210° 20 мин., осадок растворяют в 50 мл 2 н. NаОН, кипящий р-р подкисляют лед. СН₃СООН, получают 1,6 г 5,7-дискен-II (IIг), т. пл. >300° (переосаждение из щел. р-ра). Аналогично из 3 г Iа и 6 г тиомочевины получают 2 г 5-меркапто-7-окси-II (IIд), т. пл. >300° (осаждают из щел. р-ра лед. СН₃СООН). Аналогично IIв из 3,7 г II д и 3,2 г СН₃ I получают 1,4 г 5-метилмеркапто-7-окси-II, т. пл. >300° (из лед. СН₃СООН). 70 г 6-метилурацила растворяют в 260 мл конц. Н₂SO₄, при 15° прибавляют 52,2 мл НNO₃ (d 1,49—1,50), выливают па 1500 г кыторого при восстановлении Na₂S₂O₄ получают 33,6 г триметилпиразол-[4,3-d]-пиримидиндиона-5,7, т. пл. 182—183° (из разб. сп.), который можно получить также бромированием IV. Аналогично IV (из 3 г Пе получают 2г 3-хлор-IV, т. пл. 175—177° (из разб. сп.), который также образуется при хлорировании IV. Сообщение I см. РЖХим, 1957, 921. Ю. Розанова

общение I см. РЖХим, 1957, 921. Ю. Розанова 11773. Конденсация хлористого цванура с пиридином и его гомологами. Менон, Натх, Аггарвал (Condensation of cyanuric chloride with pyridine and its homologues. Мепоп М. С., Nath В hola, Aggarwal J. S.), Chemistry and Industry, 1956, № 27, 717—718 (англ.) Конденсацией пиридина и хлористого цванура (I) в адетове получают в-во (II) (R = 2- или 4-пиридил, R'=1-пиридил. R"= ОН), превращающееся при килячении с водой в в-во (III) (R = 2- или 4-пиридил). α-(III) и γ-Пиколины (IV)

с I образуют красители II, где $R = N \cdot \alpha$ -пиколил, $R' = \alpha$ -пиколинил, R'' = OH и соответственно $R = N \cdot \gamma$ -пиколил,

R' = γ-пиколинил, R" = = ОН. β-Пиколин с I образует два пурпурно-красных красителя, один аналогичен получаемым из III или IV, и другой, не содержащий СІ-. Li-производные III и 2-фенил-γ-пиколил -Zn дают с I пурпурно-красные красители II, где, по-видимому, R, R', R' = α-пиколинил и соответственно R, R', R', R' = γ-(2-фенилпиколинил). А. Евдокимов-Скопинский Γ.

M

m-

.).

Ia-

H

Ie-

.).

MA

из

S

ы, ют

III.

(E).

ra,

н.,

a).

ЮŦ

Iд II.

ла ют

2 6

OTO

101

TH-

107 (e),

,6-

OA.

ить Пе

I.), Co-

DBA FOM P-

t h

ил, киил).

KILE

MILE

HII III

ли-

іл). Кий 11774. Производные симм.-триазина как яды для катализаторов. Бранденбергер, Швицер (s-Triazin-derivate als katalysatorgifte. Brandenberger H., Schwyzer R.), Helv. chim. acta, 1955, 38, № 6, 1396—1398 (нем.)
2.4-лиокси-(1) и 2.4-лиокси-б-карбокси-1,3,5-триа-

авн (II) с хорошими выходами восстанавливаются амальгамой Na в 2,4-днокси- (III) в 2,4-днокси-6-карбокси-5,6-дигидро-1,3,5-триазин (IV) соответственно, однако каташтич гидрирование (КГ) вх над Рt быстро останавливается. Показано, что III—IV, а также 2,4,6-триокси-1,3,5-триазин (V), подобно незамещ. 1,3,5-триазину (РКХим, 1956, 43193), являются сильными ядами для благородных металлов. Так как вначале при КГ I и II образуются следы III и IV, то нельзя пока решить, являются ли ядами I и II. Эти свойства I и II подтверждают принятое для них недавно строение (РЖХим, 1956, 88208). Добавление 1 мг II—V к смеси 10 мг 3,4,5-триметоксикоричной к-ты (VI) и 1 мг РtO2 в спирте совершенно прекращает КГ VI. В. Дубинин 11775. О 1,2,4-триазинах. Сообщение III. 1,2,4-триазины с гетероциклическими и иными остатками в положении 3. М е т ц е (Über 1.2.4-Triazine, III. Mitteilung 1.2.4-Triazine mit substituierten und heterocyclischen Resten in 3-Stellung. М е t z е R е i п- h о I d), Chem. Вет., 1956, 89, № 9, 2056—2060 (нем.) Смешением насыщ. водн. нли метанольных р-ров гидразидов к-т и 1,2-дикетонов получены моноацилизиразоны СН 9(СОR) = NNHCOR' (I), которые при нагревании с NH впревращаются в 1,2,4-триазины СН 9С=NNCR'N=

=CR (II) (ср. сообщение II, РЖХим, 1956, 32528).

¬Р-р или суспензию I в 8-кратном кол-ве абс. спирта нагревают (запаянная трубка, 150°, 10 час.) с 2 молями NH₃ и отфильтровывают II (метод A) или упаривают, остаток кипитит несколько раз с бензином, из которого при охлаждении получают II (метод В). Перечислиются

при охлаждении получают Й (метод Б). Перечисляются исходные гидразид к-ты и дикетон, р-ритель, R, R', выход I в %, т. пл. в °С, метод, выход II в %, т. пл. в °С, метод, выход II в %, т. пл. в °С, гликолевой, двацетил (III), вода, СН₃, СН₂ОН, 70, 145, Б, 56, 98; антраниловой, ацетилбензонл, СН₃ОН, С₆Н₅, С₆Н₄NH₂-0, 94, 178, A, 53, 144; n-нитрофенилуксусной, III, СН₃ОН, СН₃, СН₂С₆Н₄NO₂-n, 87, 208, добавление воды в спирт. р-р, 57, 91; пирослизевой, III, вода, СН₃, афурил, 71, 185, Б, 43, 101; кумариловой, III, вода, СН₃, кумаронил-2, 79, 196, A, 52, 177; а-пирролкарбоновой, III, горячая вода, СН₃, а-пиррил, 82, 198, A, 47, 216 (из хлф.); пиколиновой, ацетилиропнонил, СН₃ОН, СН₃, а-пиридил, 73, 132, Б, 39, 82; никотиновой, III, вода, СН₃, β-пиридил, 71, 140, Б, 44, 99; изоникотиновой, III, вода, СН₃, β-пиридил, 76, 142, Б, 58, 123; хинальдиновой, III, горячая вода, 76, 142, Б, 58, 123; хинальдиновой, III, горячая вода,

39, 82; никотиновой, ПІ, вода, СП $_3$, р-ниридил, 71, 140, Б. 44, 99; наоникотиновой, ПІ, вода, СН $_3$, γ -ниридил, 76, 142, Б, 58, 123; хинальдиновой, ПІ, горячая вода, СН $_3$, α -хинолил, 80, 205, А, 41, 185; 2,4-диметилтназолкарбоновой-5 (IV), ПІ, СН $_3$ ОН, СН $_3$, 2,4-диметил-тназолил-5, 76, 208, Б (встрихивают с разб. НСІ, кислый р-р подщелачивают при 0°), 54, 116 (из воды). 9,3 г этилового эфира IV и 5 г N $_2$ Н $_4$ ·Н $_2$ О в 50 мл абс. спирта кипятят 10 час., упаривают и получают гидразид IV, выход 83,5%, т. пл. 138° (из бал.) Б. Дубинин 11776. Образование замещенных 1,2,4-триазациклооктатстраена. Бейер, Пиль (Bilding sub-

11776. Образование замещенных 1,2,4-триазациклооктатетраена. Бейер, Пиль (Bilding substituierter 1,2,4-Triaza-cyclooctatetraene. Веуег Н., Руl Тh.), Angew. Chemie, 1956, 68, № 11, 374—375 (нем.)

 ω -Бромацетофенон и аминогуанидин (I) в спирт. p-ре HBr образуют бромгидрат ω -бромацетофенонгуанилгидразона (т. пл. 198°), из которого в абс. CH $_3$ OH и избытка безводн. CH $_3$ COONa или NH $_3$ получают (вероятно через промежуточное образование дибензоилэтилендигуанилгидразона, т. пл. 225°) 1, 2, 4-триаза-3-амино-5,8-дифенилциклооктатетраен

 $C_6H_5C=NN=C(NH_2)N=C(C_6H_5)CH=CH$ (II), выход

~ 50%, т. пл. 207° (разл.). П с С₆Н₅NCS образуют N-фенил-N'-(1,2,4-триаза - 5,8-дифенилциклооктатетраенил)-тиомочевину, т. пл. 186°. При окислении II Н₂О₂ в щел. р-ре иолучают 3,3'-аво-(1,2-4-триаза-5, 8-дифенилциклооктатетраен), т. пл. 226°. II с изоамилнитритом образуют нитрозопроизводное II, т. пл. 144°. Аналогично II из 4-хлор-со-бромацетофенона, 4-съ-дибромацетофенона и I получают соответственно 1,2,4-триаза-3-амино - 5, 8-ди-(n-клорфенилдиклооктатетраен, т. пл. 233°, и 1,2,4-триаза-3-амино-5,8-ди-(n-бромфенил)-циклооктатетраен, т. пл. 240°. Ю. Розанова

233°, и 1,2,4-гриаза-3-амино-5,8-ди-(n-оромфенил)-дикдистраен, т. пл. 240°. Ю. Розанова 11777. Удобный синтез тринтаминов и тетрагидро-βкарболинов. Абрамович, Шапиро (A convenient synthesis of tryptamines and tetrahydro-βcarbolines. Abramovit tch R. A., Shapiro D.), Chemistry and Industry, 1955, № 40, 1255 (англ.) Пиперидон-2-карбоновая-(3) к-та с хлористым фенил-

Пиперидон-2-карбоновая-(3) к-та с хлористым фенилдиазонием образует 3-феналгидразон пиперидиндиона-2,3, т. пл. 244—245° (разл.), который обработкой полифосфорной к-той при 100° превращают в 1-кето-1,2,3,4-тетрагвдро-β-карболин (I), т. пл. 183—185°; пикрат, т. пл. 195—197°. Из І щел. гидролизом по описанной методике (Кейматѕи и др., Ј. Pharmac, Soc. Јарап, 1928, 48, 762) получают триптаминкарбоновую-2 к-ту, т. пл. 241—242°, из которой действием НСІ (к-той) получают триптамин, т. пл. 115°; пикрат т. пл. 245—246° (разл.). Аналогично из 3-n-метоксифенилгидразона пиперидиндиона-2,3 (т. пл. 176—177°) при действии 70%-ной муравьной к-ты получают б-метоксы-1-кето-1,2,3,4-тетрагидро-β-карболин, т. пл. 275—277°, и затем 5-метокситриптаминкарбоновую-2 к-ту (т. пл. 246—247°), и 5-метокситринтамин (II), т. пл. 120—121°; пикрат, т. пл. 219°. ІІ может быть превращен в серотонин. Из 3-n-бензилоксифенилгидразона пиперидиндиона-2,3 (т. пл. 185—186°) через 6-бензилокси-1-кето-1,2,3,4-тетрагидро-3-карболин (т. пл. 199—201°) получают 5-бензилокситриптамин-2-карбоновую к-ту (III), т. пл. 243—244°. Попытка получить из III 5-бензилокситриптамин не удалась; восстановлением I Nа в пропиловом или бутиловом спирте получают 1,2,3,4-тетрагидро-β-карболин.

В. Евдаков

11778. Научение стереохимии. III. Алканоламины (3). Действие метилирующих агентов на dl-ψ-2,4-диметил-5-фенилоксазолии. Тагути, Кодзима (立體化學の研究. 第3報. アルカノールアミン. その3. dl-ф-2,4-Dimethyl-5-phenyloxazoline に對するメチル化劑の作用. 田口胤三,小島正治)、薬學雜誌、Якугаку дзасси, J. Pharmac. Soc. Japan, 1954, 74, № 12, 1293—1295

(япон.; рез. англ.)
Для обобшения нового метода N-моноалкилирования В-аминоспиртов проведен ряд р-дий. При восстановлении С₆Н₆CH (OH) CH (NO₂)CH₃ при помощи Zn и H₂SO₄ и обработке продукта (CH₃CO)₂О получают смесь (A) dl-C₆H₆CH (OH) CH (NHCOCH₃) CH₃ (I) и его ф-изомера. К 9,4 в смеси A добавляют по каплям конц. Н₆SO₄, р-р выливают на лед, нейтрализуют К₂CO₃, маслянистый слой извлекают эфиром, перегоняют, получают 5,5 в dl-\psi_2,4-диметил-5-фенил-2-оксазолина (II), т. кип. 88—90°/4. мм; пикрат, т. пл. 144—145°. 0,7 в II кипятят 2 часа с 5 в лед. СН₃СООН и 0,2 мл (CH₃CO)₂О, добавляют 100 мл воды, нейтрализуют NaHCO₃, извлекают эфиром, упаривают, остаток нагревают 1 час при 100° с 6 мл 5%-ного NaOH, получают 1, выход 0,5 в, т. пл. 133—135° (из эф-апфетона); 0,7 в II сплавляют при 180° с 0,8 в л-СН₃Се₆H₄SO₂OCH₃, добавляют разб. спирт и пикрат Na, получают пикрат dl-\psi-C₆H₅CH (OCOCH₃)CH-(NHCH₃)CH₃ (III), т. пл. 116—117°. 1 в II в 5 мл С₆H₆ обрабатывают 1 в (CH₃)₂SO₄, С₆H₆-слой упаривают, из остатка при действии пикрата Na получают 0,7 в

No

упа 187 T. I IIB. 90% 155

117

(I)

CH

иx

HO

HO

MC

ам

OT.

70

CH

10

ля

2

III. 1 г II, 1 г (CH₃)₂SO₄ и 5 мл С₆Н₆ обрабатывают, III. 1 г II, 1 г (СН₃)₂SO₄ и 5 мм С₆Н₆ обрабатывают, как выше, С₆Н₆-слой удаляют, нижний слой кипятят 3 часа с 5 мм СН₃CООН, О,2 мм (СН₃CО)₂О и 1 г СН₃CООNа, добавляют 100 мм воды, нейтрализуют NаНСО₃, извлекают эфиром, экстракт (0,9 г) кипятят 1,5 часа с 3 мм 10%-ного NаОН, получают 0,6 г dl-эфедрина, т. кип. 105—115°/4 мм, т. пл. 68—74°; НСІ-соль, т. пл. 185—187°. Предыдущее сообщение см. РЖХим, 1956, 68464.

Chem. Abstrs, 1955, 49, № 22, 15862, Образование, состав и свойства некоторых производных 2,4-двузамещенных 5-аминооксазолов. 2-арил (алкил)-4-фенил-5-арилиденаминооксазолы. Лихтенберг, Флёрн (Formation, constitution et propriétés de quelques dérivés d'amino-5 oxazoles-2,4 disubstitués. 2-e mémoire: aryl (alcoyl)-2 phényl-4 arylidène amino-5 oxazoles. Lichtenberger Jean, Feeury Jean-Pierre), Bull. Soc. chim. France, 1956, № 8-9, 1814—1192 (франц.)

В продолжение ранее начатых исследований (см. сообщение I, РЖХим, 1956, 64972) р-цией а-фенил-а-ацил-аминоацетонитрилов CNCH(C₆H₅)NHCOR (I) с аро-матич. или алифатич. альдегидами R¹CHO синтезированы 2-арил-(алкил)-4-фенил-5-арилиденаминооксазолы (II—XI, a-e); при проведении этой р-ции с I, $R = C_6 H_5$. (Іа) в отсутствие альдегида выделен хлорид а-фенил-абензоиламиноацетонитрилия C₆H₅CONHCH(C₆H₅)C = — № , СІ- (XII), который при быстром разбавлении водой его метанольного р-ра превращается в 2,4-дифенил-5-аминооксазол (XIII), т. пл. 139—139,5° (из СН₃ОН); ацетильное производное, т. пл. 175—175,5°, а при медленном разбавлении — гидролизуется в исходный Іа; как Ia, так и XII при р-ции с С₆Н₅СНО превращаются в На и, следовательно, являются промежуточными в-вами в его синтезе; образование из XII, в зависимости от условий, Ia или XIII заставляет предположить существование в р-ре равновесной смеси Іа с таутомерной циклич. формой. Строение XIII. помимо аналитич. данных, подтверждено образованием ацетильного производного и гидролизом в а-фенилгиппуровую к-ту (XIV). При аналогичной р-ции I с глиоксалем образуются 1,1' бис-(5-метиламино-2-арил-4-фенилоксазолы) (XVa образуются д). II—XI не растворяются в воде и поэтому устойчивы к води. р-рам щелочей и к-т, но гидролизуются 80%-ной к води. p-рам пелочен и к-1, по гыдролизуются ослужность СН₃СООН или 10%-ным метанольным p-ром NаОН, не-устойчивы к УФ-облучению в p-ре CHCl₃, образуют синие флуоресцирующие p-ры в органич. p-рителях и являются нестойкими к свету красителями для нейлона и ацетилцеллюлозы. Нв восстановлен над скелетным Ni и строение полученного амина (XVI) доказано встречным синтезом его ацетата из Іа и п-ацетиламинобензальдегида (X VII). Аналогично VIa восстановлен в 2-n-аминофенил-4-фенил-5-бензальаминооксазол(X VIII). т. пл. 188—189°; ацетат, т. пл. 245°. Исследованы УФ-и ИК-спектры поглощения II—XI и XV. К 106 г C_6H_5CHO приливают при — 15° каплю спирт. p-ра NH_3 , постепенно добавляют 27 ε HCN, затем 50 мл спирта, в p-р пропускают 17 ε NH_3 , оставляют на 48 час. в охлаждающей смеси и отделяют а-фенил-а-аминоацетонитрил (XIX), выход 40%. К 0,35 моля XIX в 50 мл эфира и 0,1 л пиридина добавляют при —5° 0,5 моля C_6H_5COCI в 50 мл эфира, нагревают до 20° и отделяют Ia, выход 92,5%, т. пл. 156,5°. Аналогично получены I (указаны R, выход в % и т. ил. в °С (из сп.)): СН₃, 100, 111—112; n-CH₃C₆H₄, 83, 154; n-NO₂C₆H₄, 83, 160,5—461; C₆H₅CH=CH, 78, 164,5—165,5; м-CF₃C₆H₄, 76, 174,5. 5 ммоля I, 0,02 моля R'CHO и 0,5 г ZnCl₂ нагревают 1 час при 140—150°, приливают 50 мл СН₃ОН, или в р-р 0,02 моля R'CHO и 0,01 моля **I** в 50 мл СН₃ОН или CHCl₃ пропускают при 20° HCl (газ.) и получают с почти колич. выходами (указаны в-во, т. пл. в °С): **Па**, 157,5—158,5 (из сп.); **Пб**, 192—193 (из СН₂СООН

(XX)); IIB, 211—212 (па XX); IIг, 162—163 (па XX); IIд 146—147 (па сп.); IIе 97—98 (па сп.-воды); IIIа, 187,5 (па XX); IIIд, 206; IIIB, 199—200 (па XX); IIIг, 165 (па XX); IIIд 194—195; IVа, 168,5 (па XX); IV6, 174 (па XX); IVB, 219,5 (па XX); IVг, 143 (па XX); IVд, 152,5 (па XX); Vа, 194—195,5 (па XX пли С₆Н₅NO₂ (XXI)); Vб, 221 (па XX); Vв, 266—267 (па XXI); Vг, 195 (па XX); Vд, 148,5 (па СН₈OH); Ve, 155—156 (па сп.); Vlа 237,5 (па XX пли XXI); VI6, 215 (па XX); VIв, 277,5 (па XXI); VIг, 227 (па XX); VIд, 191 (па XXI); VIе, 179,5; VIIа, 199,5 (па XXI); VIIб, 170, VIII (па XXI); VIE, 179,5; VIIа, 199,5 (па XXI); VIII, 189—190; VIII (па XXI); VIII, 178 (па Сп.); VIII (па Сп.); VIII (па XXI); IX (па XX); IX (па XX); IX (па Сп.); IX (па XX);
II $R' = C_4H_4$; III R' = n-CH₂C₄H₄; IVR' = n-ON₂C₄H₄; IVR' = n-NO₂C₄H₄; VR' = n-NO₂C₄H₄; VR' = n-NO₂C₄H₄; VI R' = n-NO₂C₄H₄; VI R' = n-NO₂C₄H₄; VII R' = n-CH₂CH₄; VII R' = n-CH₂CH₄; VII R' = n-CH₂CH₄; R = n-NO₂C₄H₄; R = n-NO₂C₄H₄; R = n-NO₂C₄H₄; R = n-NO₂C₄H₄; R = n-CH₂CH₄: R = n-NO₂C₄H₄; R = n-CH₂CH₄: R = n-CH₂CH₄; R = n-CH₂CH₄; R = n-CH₂C₄H₄; R = n-NO₂C₄H₄; R = n-NO₂C₄H₄; R = n-CH₂C₄H₄; R = n-NO₂C₄H₄; R = n-N

-лигр.) XIв 208 (из толуола-дигр.). Аналогично получают XV, крист. из XXI; XVa, 292—293; XV6, 264—265; XVв, 328 (разл.) XVr; 272—273; XVд, 269, 5.В р-р 26г Іаво, 5л СНСІз пропускают НСІ (газ) и получают XII, выход 25г, т. пл. 110—130° (разл.). К 1г XII в 30 мл СН 3ОН добавляют 1г С₆Н₅СНО, смесь оставляют на 24 часа на холоду и от-пеляют **Па**. К 2 г **Іа** в 30 мл СН₃СООН добавляют 30 мл конп. HCl, оставляют на 30 мин. на холоду, выливают на лед и получают амид XIV, т. пл. 193,5—194°. 5 а Ив в 0,2 л спирта гидрируют над 10 г скелетного Ni, р-р охлаждают до -10° и получают XVI, выход 80%, т. пл. 208°; ацетильное производное, т. пл. 268°. К 0,5 г XVII и 0,5 г la добавляют 50 мл спирта, содержащего 3 мл конц. HCl, и получают XVI. 1,1 г XVI или XVIII в 30 мл СН 3СООН и 2 мл конц. НСІ диазотируют при 0° 0,23 г NaNO2, полученный р-р соли диазония сочетают с 3-нафтолом и получают соответствующие диазосоединения, выход 80%, т. пл. 186—188° и 194°. Д. Витковский

Циклизация 1-(оксиалкил)-гуанидинов и нитрогуанидинов в циклопсевдомочевины. Ф и ш б е й и, Галлаган (The cyclization of 1-(hydroxyalkyl) guanidines and nitroguanidines to cyclicpseudoureas. Fishbein Lawrence, Gallaghan John A.), J. Organ. Chem., 1956, 21, № 4, 434—435 (англ.)

1-(3-оксиэтил)-, 1-(3-оксипропил)-и 1-(у-оксипропил)гуанидины (Іа-в) и нитрогуанидины при нагревании циклизуются в циклопсевдомочевины (IIa-в) соответственно: первые с отщеплением NH3, а последние -N₂O и воды. II охарактеризованы их пикратами, нитратами и салицилатами, которые были идентичны полученным по методу Габриеля. Нитраты приготовлены вз соответствующих пикратов с 20%-ной HNO₃, а сали-цилаты — ранее описанным методом (Basterfield, Po-well, Can. J. Research, 1929, 1, 261). 1-(ω-оксибутил)-3-нитрогуанидин в этих условиях семичленной циклопсевдомочевины не образует. Іа нагревают при 80° 6 час., получают Па (OCH₂CH₂N=CNH₂), выход 85%;

пикрат, т. пл. 190—191° (из сп.); нитрат, т. пл. 125—126° (нз сп.-воды, 1: 1); салицилат, т. пл. 139—141°. 3,3 г 3-нитро-16 в 75 мл н-С₄Н₉ОН кипятят 16 час. в 57 r.

(); Пд 187,5 65 (нз 74 (нз

152,5 XXI));

3 XX); 237,5 XXI); VIIa,

; VIIr, XXI); r, 178 5, 157; 183 (n3

9; Хд, луола-

=CH-

IOC, H₄; XIR = C, H₄; H₄;

гучают Vв, 328

CHCI,

, т. пл.

яют 1 г у и отг 30 ма

ивают 4°. 5 г

ro Ni, 80%,

€ 0.5 8

кащего

XVIII от при и соче-

диазо-4°.

овский и нитейн,

yalkyl)

oureas. g h a n 4—435

опил)-

евании оответ-

ние и, ни-

и полу-

ены из

сали-

d, Po-

утил)й цик-

ри 80°

; 85%; —126° —141°. час. и унаривают в вакууме, выход 116 56%; пикрат, т. пл. 187—189° (из сп.); нитрат, т. пл. 153—156°, салицилат, т. пл. 140—141°. Аналогично из 3-нитро-Ів получают ІІв, выход 70%, которая получена также из Ів, выход 90%; пикрат, т. пл. 199—200° (из сп.); питрат, т. пл. 155—157°; салицилат, т. пл. 139—140. М. Линькова 11781. О производных 5-нитротетрагидро-1,3-оксанна, замещенных в положения 2. Пи от тровская, Урбанекий (On the formation of derivatives of 5-nitrotetrahydro-1,3-охагіпе substituted in position 2. Pi o tr o w s k a H., Ur b a n s k i T.), Виіі. Асаd. polon. sci., 1955, Cl. 3,3, № 7, 389—390 (англ.)

(англ.) См. РЖХим, 1956, 39594. 1782. Новые эфиры карбаминовой кислоты, обла-дающие местно-анестезирующим действием. IV. Производные β-морфолиноэтилового эфира и β-морфолиноэтиламида п-аминобензойной кислоты. Ш а б р и е, Нажер, Джудичелли, Вуазине (Nouveaux carbamates doués d'activité anesthésique locale. e4 mémoire. Dérivés du n-aminobenzoate de β-morpholinoéthyle et du β-morpholinoéthyle n-aminobenzamide. Roethyle et du p-morphormoethyle n-aminoblearanide. Chabrier Pierre, Najer Henry, Giu-dicelli René, Voisinet Éva), Bull. Soc. chim. France, 1956, № 8—9, 1134—1137 (франц.) Взаимодействием эфиров хлоругольной к-ты CICOOR (I) с хлоргидратами β-морфилиноэтилового эфира (II)
 п β-морфолинэтиламида (III) п-аминобензойной к-ты синтезированы соответствующие эфиры карбаминовых к-т (IVa-к) и (Va-д). Местно-анестезирующая активвость этих соединений значительно уступает активности их аналогов, в которых остаток морфолина замещен группой $N(C_2H_5)_2$. И и III получены р-цией хлорангидрида (VIa) n-нитробензойной к-ты (VI) с β -морфолиноэтанолом (VIII) или β -морфолиноэтнламином (VIII) и каталитич. восстановлением образующихся хлоргидратов β -морфолиноэтилового эфира (IX) или β -морфолиноэтиламида (X) VI. К охлаждаемому р-ру 0,55 моля VIа в 0,5 л эфира постепенно приливают 0,5 моля VII в 0,5 л эфира, смесь оставляют на 24 часа при 20° и отделяют IX, выход 49%, т. пл. 196° (из СН₃оН). Аналогично из 0,11 моля VIа в 0,2 л эфира и 0,1 моля VII в 0,2 л эфира (20 час., 0°, 16 час., 20°) получают X, выход 83%, т. пл. 210° (из СН₃оН). 0,1 моля IX в 250 мл. СН₂оН напримуют и из 80 ст. из 10 с. 5% мога В 24/с СН₂ОН гидрируют при 80 ам над 10 г 5%-ного Рd/С п получают II, выход 80%, т. пл. 232° (пз СН₂ОН). 0,06 моля X в 0,2 л СН₃ОН гидрируют при 70 ам над 10 г 5%-ного Рd/С н получают III, выход 78%, т. пл. 217° (пз СН₂ОН). К 0,02 моля II в 20 мл воды добавляют при 50° 0,02 моля I, размешивают 5 час, оставляют на ~ 16 час. при 0° и отделяют IV (указаны выход в %,

т. пл. в °C): IVa, 58, 255; IV6, 85, 204; IVB, 60, 214; IVг, 26, 206; IVд, 57, 219; IVe, 50, 185; IVж, 31, 180; IVa, 20, 193; IVn, 48, 195; IVr, 52, 197 (IVa кристаллязован из водн. сп.) (1:1) IVд—из сп.-СН₂СОС₂Н₅ (1:1); остальные IV—из сп.). К 0,01 моля III в 20 мл воды добавляют при 50—60° 0,01 моля I, размешивают 8 час., оставляют на ~ 16 час. при 20°, отгоняют в вакууме воду и извлекают спиртом V (указан выход в %, т. пл. в °С): Va, 98, 223; Vб, 65, 162; Vв, 36, 160; Vr, 59, 172; Vд, 54, 152 (все V кристаллизованы из сп.). Сообщение III см. РЖХим, 1956, 71743. Д. Витковский 11783. Письмо в редакцию. М у ш к а л о Л. К., Ж. общ. химии, 1956, 26, № 6, 1809

Заметка по поводу приоритета в получении 4-метил-2β-(диметиламинометил)-метилтиваола р-цией Манниха
(см. РЖХим, 1956, 71745). М. А.
11784. Некоторые производные роданина и тиваолинона. Л а п ь е р (Quelques dérivés de la rhodanine
et de la thiazolinone. L a p i è r e C h a r l e s), J.
pharmac. Belgique, 1956, 11, № 1—2, 3—8 (франц.)
Взаимодействием роданина (I) с ароматич. и гетероциклич. альдегидами (II) в присутствин NH₃ и NH₄CI
(см. Girard, Ann. Chim., 1941, 16, 326) получен ряд
5-аралкилидентиваолидон-4-тионов-2 (III). В присутствии морфолина (IV) или пиперидина (V) происходит
одновременно замена SH-группы в таутомерной форме I
на остаток IV или V, сопровождаемая выделением H₂S
и образованием 2-замещ. производных 5-аралкилидентиваолинона-4 (VI). К р-ру 10 ммолей I в 10 мм спирта
прибавляют 10 ммолей II, 1 мм конц. NH₄OH и р-р 0,65 г
NH₄CI в 1,3 мм воды, книятят 2 часа и разбавляют водой
(указаны циклич. радикал аралкилиденовой группы III,
т. пл. в °C): С₆H₅, 202—202,5 (нз сп.); 2'-HOC₆H₄, 215—
216 (нз 20%-вого сп.); 4'-(CH₃)₂NC₆H₄, 273—274 (разл.,
из сп.); фурил-2', 224—226 (из толуола); пиридил-4'; 279
(разл., из С₆H₅NO₂); хлоргидрат, т. пл. 295 (разл., из
разб. HCl); пиридил-3', 300 (разл., из Сн₃СООН); хлоргидрат, т. пл. 302—303 (разл., из разб. HCl); пиридил-2',
247—250 (разл., из сп.). Выход III при р-ции с ароматич.
II составляет 80—90%. К р-ру 10 ммолей I в 15 мм спирта
прибавляют 10 ммолей II в 20 ммолей I в 15 мм спирта
прибавляют 10 ммолей II в 20 ммолей IV (или V), кипятят до прекращения выделения Н₂S (~ 2 часа) и разбавляют водой. Получены следующие VI (указаны циклич. радикал аралкилиденовой группы, заместитель в
положении 2, т. пл. в °C): С₆H₅, N-морфолил, 248—
250 (последоватально из сп. и толуола); 4-(CH₃)₂NC₆H₄,
N-морфолил, 244—125 (из сп.); пиридил-3', N-морфолил, 248—
250 (последоватально из сп. и толуола); 4-(СН₃)₂NC₆H₄,
N-морфолил, 243—244 (из сп.); фурил-2', N-морфолил, 238—240 (из
сп.); 2'-HOC₆H₄, N-пиперидил, 2

А. Гуревич 11785. О строении дисульфамидов тназола. Постовский П. Я., Кушкин Б. В., Ж. общ. химии, 1956, 26, № 7, 2052—2058

Попеременным введением двух различных сульфа-рильных остатков в 2-аминотиазол (I) получены изомерные дисульфамиды: так р-цией I с n-хлорбензолсульфо-хлоридом (II) и взаимодействием полученного 2-(n-хлорбензолсульфамидо)-тиазола (III) с ацетилсульфанил-хлоридом (IV) синтезирован 2-(n-хлорбензолсульфамидо) 3-(ацетилсульфанилил)-тиваюлин-4 (V); а из 2-ацетилсульфанилиламинотиазола (VI) и II получен 2-ацетилсульфанилилимидо-3-(n-хлорбензолсульфонил)-тиазолин-4 (VII); аналогично из 2-бензолсульфониламидотназола и IV синтезирован 2-(бензолсульфонилимидо-3-(ацетилсульфанилил)-тиазолин-4 (VIII); а из VI и бен-золсульфохлорида — 2-(ацетилсульфанилилимидо)-3-(бензолсульфанил)-тиазолин-4 (IX), Строение V, VII, VIII и IX доказано их аммонолизом 15%-ным р-ром NH₃ (4 часа, 70°), причем получены соответственно: VI и n-хлорбензолсульфамид; III и ацетилсульфониламид (X); III и X; VI и бензолсульфамид; строение V, VII, VIII и IX подтверждено также данными УФ-спектров. К 6 є І в 18 мл пиридина добавляют при 25° 12,6 є ІІ, нагревают 3 часа при 60—70°, затем 2 часа при 90—95°, приливают 50 мл воды, отделяют Na-соль III и выделяют III, выход 48,7%, т. ил. 198—199° (из сп.). 5,5 с III, 15 мл пиридина и 4,7 с IV оставляют на 8 час. и получают V, выход 74,2%, т. ил. 164—166° (из сп.). Аналогично получают VII, выход 74%, т. ил. 162—164° (из сп.), и IX, выход 58%, т. ил. 155—157° (из сп.). Д. Витковский

No 4

cn.),

огово

Boper

n-TOJ

30ла

0,1, 0C₂I

TH83

пант

XIII

дани п-СЕ п-Се этил сп., бал.

R =

(KP

aTH.

610

лу

ден

39,

Б:

85

ЛЗ ИЗ 1(

11786. Реакции взаимодействия ацилсульфанилилклорида с 2-аминотиазолом. І. Изучение взаимодействия ди-(карбометоксисульфанилил)-аминотиазола с 2-аминотиазолом. Ясницкий Б. Г., Дольберг Е. Б., Ж. общ. химии, 1956, 26, № 7, 2046— 2049

Изучена кинетика взаимодействия дп-(карбометоксисульфанилил)-аминотиазола (I) с 2-аминотиазолом (II) в С_вН₅Cl. Установлено, что выход монокарбометоксисульфанилиламинотиазола (III) значительно ниже теоретич. вследствие образования побочных продуктов. Приведены кинетич. кривые зависимости выхода III от продолжительности и т-ры р-пци. Найдены средние значения констант скорости образования III из 1 при 100 и 135°, равные (1,32±25%)·10⁻3 моль⁻¹ мин⁻¹ п (4,41±21%)·10⁻3 моль⁻¹ мин⁻¹ соответственно. Вычислена энергия активации процесса, равная 12000 кал. Из карбометоксисульфанилилхлорида и хлоргидрата II получают I, т. пл. 196−197° (из сп.). В 100 мл. С_вН₅Cl вносят при 120° 3 г II и 15,78 г I, смесь нагревают 1 час при 130°, охлаждают, фильтруют, получают в фильтрате II, из 14,5 г осадка выделяют I и III, выход 19,3%, т. пл. 236,5°. Т. Краспова 11787. Нуклеофильная реакционная способность алкылиденовых производных циклических кетометилено-

килиденовых производных циклических кетометиленовых соединений. Нотт (The Nucleophilic reactivity of alkylidene derivatives of cyclic ketomethylene Compounds. Knott Edward B.), J. Chem. Soc., 1954, Мау, 1490—1501 (англ.)
Конденсацией солей циклич. четвертичных аммоний-

ных оснований с 5-алкилиденроданинами R¹C(R²) =

= CSC(S)N(R)CO (Ia — л), а также с 1'-алкокси или 1'-алкилтиоэтилевденироизводными циклич. кетометиленовых соединений (см. РЖХим, 1955, 23765) получены мероцианиовые красители (КР) общей ф-лы (II). Р-ция протекает между электрофильными группировками оснований (напр., SC₂H₅) и нуклеофильными СН₅-группами I и аналогичных соединений. Обработкой II n-CH₃C₆H₄SO₂OCH₃ (III) получают n-толуолсульфонаты 2-метилтио-4-оксотиазолидиния, дающие с I трехъядерные КР ф-л (IV—VII). КР типа IV и VI (А = R¹R²NCR³ = , m = 0) получают также из I и солей четвертичных оксаминов (см. ссылку). Они окрашены вначительно выше, чем соответствующие мероцианиновые КР. IV с R^1 = OR или SR (m = n = 1) значительно лучие растворимы в органич. р-рителях, чем КР с другими R¹. Из некоторых IV (m = n = 1, R^3 = OC₂H₅ или SC₂H₅) р-цией с I и аналогичными соединениями методом, примененным для получения IV—VII, синтезированы сложные четырехъядерные КР общей ф-лы (VIII), где Z = CH₂COOC₂H₅). Для всех полученых КР измерены $\lambda_{\text{макс}}$. Введение в данные КР группы OC₂H₅ вместо H производит гипсохромный, введение SC₂H₅ — значительный батохромный эффект. Для VIII с m = 1 характерно

$$\begin{array}{c} \operatorname{RN} - \operatorname{A} - \operatorname{X} - \operatorname{C} (-\operatorname{CHCH} -)_m \operatorname{CH} (\operatorname{CH} - \operatorname{CH})_n \operatorname{CR}^1 - \operatorname{B} & \operatorname{II} \\ \\ \operatorname{SC} [(-\operatorname{CR}^1\operatorname{CR} -)_m \operatorname{A}] \operatorname{CONR}^1\operatorname{C} (-\operatorname{CHCR}^3 -)_n \operatorname{CSSNR}^4\operatorname{CO} & \operatorname{IV} \\ \\ \operatorname{CH}_{\bullet}\operatorname{NC} (-\operatorname{CHCH} - \operatorname{A}) \operatorname{COSC} - \operatorname{CHCR} - \operatorname{CCOSC} (\operatorname{SC}_2\operatorname{H}_3) - \operatorname{N} & \operatorname{V} \\ \\ \operatorname{C} [(-\operatorname{CRCH} -)_m \operatorname{A}] \operatorname{CONR}^1\operatorname{C} - \operatorname{CHCR}^3 - \operatorname{CCOSC} (\operatorname{SC}_2\operatorname{H}_3) - \operatorname{N} & \operatorname{VI} \\ \\ \\ \operatorname{RNG} [(-\operatorname{CHCH} -)_m \operatorname{A}] \operatorname{COSC} (-\operatorname{CHCR}^3 -)_n \operatorname{CSSNR}^3\operatorname{CO} & \operatorname{VII} \\ \\ \\ \operatorname{CH}_{\bullet}\operatorname{NC} (-\operatorname{CHCH} - \operatorname{A}) \operatorname{COSC} - \operatorname{CHCR} - \operatorname{CCONZC} (-\operatorname{CHCR}^3 -)_m \operatorname{B} & \operatorname{VIII} \\ \\ \\ \end{array}$$

 $C_0H_4NC_0H_4-X-C=CHCOC=C(OH)NRCSS$ IX

поглощение почти исключительно в ИК-области, что. по-видимому, уникально для неионных КР; эти КР растворимы в С₆Н₆ и ацетоне и имеют более низкие т-ры плавления, чем трехъядерные KP. II с m=n=0 ${
m R}^2={
m OC}_2{
m H}_5$, легко гидролизуются волно-спирт. щелочами в кетоны (IX), растворимые в щелочах. Сильные десенсибилизирующие свойства I увеличиваются в КР. полученных из них. Для одного из II (см. ниже) фракполученных из них. Для одного из II (см. инже) фракционной кристаллизацией из спирта выделены 3 кристаллич. формы с различными т-рами плавления, по с одинаковыми спектральными и фотосенсибилизационными характеристиками. Кипитит 1 час 2.2 г 3-этоксимарбонилметилроданина (X) с 1 мм СН₃СНО, 10 мм (СН₃СО)₂О и 1,2 г безводи. СН₃СООNа, добавляя каждые 15 мин. по 1 мм СН₃СНО. Прибавляют 5 мм СН₃СООН и выливают в воду. Выход Ia (R = CH₂COOC₂H₅, R¹ = CH₂, R² = H) 100%, т. пл. 69°. Нагревают в автоклаве (~100°, 1 час) 8,65 г 3-алдилроданина (XI) с 6,0 г СН₃СООNа, 50 мм (СН₃СО)₂О и 10 мм СН₃СНО. Выход I6 (R = CH₂CH = CH₂ в дальнейшем «С₃H₅», R¹ = CH₃, R² = H) 65%, т. кип. 119—123°/3 мм, т. пл. 37°. Кипитит 10 мин. 11,0 г х, 9,0 мм СН₃СН = СНСНО, 75 мм (СН₃СО)₂О и 6,0 г СН₃СООNа. Выход Iв (R = CH₂COOC₂H₅; R¹ = CH₃CH = CH, R² = H) 44,5%, т. пл. 104°. Аналогично получают Ir (R = C₃H₅, R¹ = CH₃CH = CH, R² = H) в Ід (R = C₂H₅, R¹ = CH₃CH = CH, R² = H) в Ід (R = C₂H₅, R¹ = CH₃CH = CH, R² = H) с выходом соответствению 51,5 и 63%, т. пл. 92° и 87—88°. Из 22,0 г х с 30 г безводи. ZnCl₂ и 250 мм сухого ацетона (автоклав, 4 часа, ~100°) получают (разбавление 1 м воды) Ie (R = CH₂COOC₂H₅, R¹ = R² = CH₃) с выходом 64%, т. пл. 75°. Выход Іж (R = CH₂COOH, R¹ = R² = CH₉), полученного аналогично из 3-карбоксиметилроданина (XI) 26% т. пл. 168~468° (из води сп.) Из 17.3 г ционной кристаллизацией из спирта выделены 3 криполученного аналогично из 3-карбоксиметилроданина (XII), 26%, т. пл. 162—168° (из води. сп.). Из 17,3 г (XII), 26%, т. пл. 162—168° (на водн. сп.). Из 17,3 г XI, 27 г ZnCl₂ и 250 мл ацетона (автоклав, 8 час., ~100°) получают Із (R = C₃H₅, R¹ = R² = CH₃), высод 87%, т. пл. 53°. Нагревают 5 час. (~100°) 4,4 г X с 1,8 г диацетила и 5,4 г ZnCl₂ в 10 мл диоксана. Выход Іи (R = CH₂COOC₂H₅, R¹ = CH₃, R² = COCH₃) 31,5%, т. пл. 111° (из сп.). Из 7,65 г XII, 3,6 мл диацетила и 10,8 г ZnCl₂ в 20 мл диоксана получают (5 час. при ~100°) Ік (R = CH₂COOH, R¹ = CH₃, R² = COCH₃), выход 77,5%, т. пл. 207° (из CH₃OH). Р-цией в среде н-С₄H₃OH (20 час.) получен н-бутеловый эфир Ік (7,7 г), т. пл. 58—59° (из CH₃OH). Кплят 17 час. 9,5 г XII, 5 мл СН₃COCOOH и 13,5 г ZnCl₂ в 35 мл CH₃OH и обрабатывают водой. Выход Іа в 35 мл СН₃ОН и обрабатывают водой. Выход Ia (R = CH₂COOCH₃, R¹ = CH₃, R² = COOCH₃) 59%, т. пл. 87—88°. В спирте или μ -C₄H₉OH получают сос т. пл. 68°) и ди-и-бутпловый, выход 52%, т. пл. 52° (нз СН₃ОН). Из двух возможных геометрич. форм I и — л выделена только одна, по-видимому, имеющая чис-расположение СН₃-группы и кетогруппы кольца. Все I, кроме оговоренных, кристаллизуют из изо-С₃H₂OH. Нагревают (30 мин. $\sim 100^{\circ}$) 2 г n-толуолсуль-Сублусти. Та ревыго (30 ыны. — 100 у 2 с 1 1 2 2 2 2 2 2 2 2 2 2 2 2 2 2 2 2 2 2 2 2 2 2 2 2 2 2 2 2 2 2 2 2 2 2 2 2 2 2 2 2 2 2 2 2 2 2 2 2 2 2 2 2 2 2 2 2 2 2 2 2 2 2 2 2 2 2 2 2 2 2 2 2 2 2 2 2 2 2 2 2 2 2 2 2 2 2 2 2 2 2 2 2 2 2 2 2 2 2 2 2 2 2 2 2 2 2 2 2 2 2 2 2 2 2 2 2 2 2 2 2 2 2 2 2 2 2 2 2 2 2 2 2 2 2 2 2 2 2 2 2 2 2 2 2 2 2 2 2 2 2 2 2 2 2 2 2 2 2 2 2 2 2 2 2 2 2 2 2 2 2 2 2 2 2 2 2 2 2 2 2 2 2 2 2 2 2 2 2 2 2 2 2 2 2 2 2 2 2 2 2 2 2 2 2 2 2 2 2 2 2 2 2 2 2 2 2 2 2 2 2 2 2 2 2 2 2 2 2 2 2 2 2 2 2 2 2 2 2 2 2 2 2 2 2 2 2 2 2 2 2 2 2 2 2 2 2 2 2 2 2 2 2 2 2 2 2 2 2 2 2 2 2 2 2 2 2 2 2 2 2 2 2 2 2

n=1, $R^1=H$, $B=CSCSN(C_3H_5)CO)$ 57%, т. пл. 220° (на бал.), $\lambda_{\rm MARC}$ (в $CH_3OH)$ 605 мµ. Кипитит 5 мин. 2 г XIII с 1,4 г Ін н 0,8 мл (C_2H_5)3N в в 10 мл спирта. Выход II ($A=C_cH_4$, X=S, $R=C_2H_5$, m=n=0,

 $R^1 = \text{COCH}_3$, $B = \text{CSCSN}(\text{CH}_2\text{COOC}_2\text{H}_3)\text{CO}$ 62,5%, т. пл. 195° (нз бэл.), $\lambda_{\text{манс}}$ (в $\text{CH}_3\text{OH})$ 520 мµ. Аналогично получают прочие Π (нзгревание в пиридине при $\sim 100^\circ$ 5—30 мпн.), кипичение в спирте 2—30 мпн.). Перечислены B (в начале каждой подгруппы), m, n, X, R^1 , исходные в-ва, р-ритель (пиридин — Π , спирт —

57 r.

TTO

ги КР изкие

n = 0, щелольные

в КР. фраккри-

ия, во

TIMOR.

10 ма каж-

. 69°.

ллил-СО)₉0

даль-119—) в X, 6,0 в = СН, нот Ir С₂Н₃,

с 30 а клав,

цы) Ie 64%, CH_s),

анина

17,3 a час., Вы-4,4 a

ксана. ОСН_в)

учают : СН₅, І₃ОН). тило-Кипя-

ZnCla

59%, от со-49%, п. 52° форм нощая эльпа.

изоісульіг и 20 мл г = 0,

220° мин. ирта.

n = 0, г. пл. гично при мин.). m, n, сп.), выход в %, т. пл. в °С, $\lambda_{\text{манс}}$ в СН₃ОН (кроме оговоренной) в м μ , $A=C_0H_4$ п $R=C_2H_5$ (кроме ого-

воренных): В = CSCSN(CH₂COOC₂H₃)CO, 0, 1 S, COCH₃, а-толуолсульфоэтилат 2, 2'-ацетанилидовинилбенатиадола (XIV — основание), Ів., сп., 42, 156 (на сп.), 653;
0, 0, S, OC₂H₅, 52, 127 (на бал.-петр. эф.), 516 (IIa);
0,1, S, OC₂H₅, 88, 171 (на бал.-петр. эф.), 610; 1, 1, S,
OC₂H₅, йодэтилат 2,4'-ацетанилидобута-2,4-дненилбенатвазола, 3-этоксикарбонилметил-5,1'-этоксиятилиденроданин, сп., 44,187 (на бал.-сп.), 620; 0, 0, S, SC₂H₅,
XIII, 3-этоксикарбонилметил-5,1'-этилиоэтилиденроданин (XV), сп., 58, 157 (на сп.), 561: 0, 0, S,
n-CH₃C₆H₄S, 34,237—239, (на бал.-сп.), 566; 0, 0, S,
n-C₆H₁₇S, 41, 103 (на сп.), 570; 0, 1, 0, SC₂H₅, йодэтилат 2,2'-ацетанилидовинилбенаоксазола (XVI), XV,
сп., 44,172 (на сп.), 608; 0, 1, S, SC₂H₅, 69, 174 (на
бал.-петр. эф.), 643; А = 1,2-C₁₀H₆, 0, 1, S, OCH₅,
43, 184 (на бал.-сп.), 642 (в пиридине);

 $\mathbf{B} = \mathbf{CSC(S)N(CH_2COOCH_3)CO}, \quad \mathbf{A} = (\mathbf{CH_2})_2, \quad \mathbf{0}, \quad \mathbf{0}, \quad \mathbf{S}, \quad \mathbf{R} = \mathbf{CH_3}, \quad \mathbf{COOCH_3} \quad \mathbf{n}$ -толуолсульфометилат 2-метилтиотизолина (XVII), Іл, сп., 51,5, 178 (из бал.-сп.), 462, $\mathbf{A} = (\mathbf{CH_2})_2, \quad \mathbf{0}, \quad \mathbf{0}, \quad \mathbf{S} \quad (\mathbf{R} = \mathbf{CH_3}), \quad \mathbf{SC_2H_5}, \quad \mathbf{XVII}, \quad \mathbf{XV}, \quad \mathbf{II}; 64,5, \quad 139-143 \quad (фиолетовые иглы из сп.), \quad 152-154 \quad (красные чешуйки из разб. сп.), \quad 131 \quad (красные иглы$

ва сп.), 515; $\mathbf{E} = \overset{\mathsf{C}}{\mathsf{SC}}(\mathsf{S})\mathsf{N} \, (\mathsf{C_3H_5})\overset{\mathsf{I}}{\mathsf{O}}, \ 1, \ 1, \ \mathsf{S}, \ \mathsf{H}, \ \mathsf{йод-зтилат} \ \mathbf{XIV}, \ \mathsf{Ir}, \ \Pi, \ 49.5, \ 212 \, (\mathsf{из} \ \mathsf{бал.}), \ 630; \ \mathbf{A} = 1,2-\mathsf{C}_{10}\mathsf{H_6}, \ 0, \ 1, \ \mathsf{S}, \ \mathsf{CH_3}, \ \mathsf{йод-зтилат} \ 2,2'-ацетанилидовинил-вафт <math>(1', \ 2'-4.5)$ -тназола, $\mathsf{Is}, \ \Pi, \ 62.0, \ 245 \, (\mathsf{нз} \ \Pi-\mathsf{cn.}),$

610; $\mathbf{E}=\mathbf{CCOSC}$ ($\mathbf{C_2H_6}$)= N, 0, 0, $\mathbf{CH}=\mathbf{CH}$, $\mathbf{OC_2H_6}$, *n*-то-пуолсульфоэтилат 2-этилтиохинолина, 4—1'-этоксиэтилиден-2-этилтиотиазолон-5, \mathbf{II} , 54,5, 176 (из $\mathbf{CH_3OH}$), 545, 0, 0, S, $\mathbf{SC_2H_5}$, XIII, 2-этилтио-4, 1'-этилтиэтилидентиазолин-5, сп., 54, 113 (из сп.), 557; 0, 1, S, $\mathbf{SC_2H_6}$,

39, 162 (на бал.-сп.), 638; $\mathbf{E} = \mathbf{CC}(\mathbf{O})\mathbf{SC}(\mathbf{SCH_2C_0H_5}) = \mathbf{N},$ 0, $\mathbf{OC_2H_5}$, 35, 122 (на сп.), 570;

 $\overline{B} = \overline{CN} = \overline{C(C_6H_5)OCO}$, 0, 0, S, $\overline{OC_2H_5}$, XIII, 4,1'-это-кснэтилиден-2-фенилоксазолон-5 (XVIII), n- C_3H_7OH , 50, 198 (нз сп.), 480; 0, 1, O, $\overline{OC_2H_5}$, XVI, XVIII, сп.,

85, 191 (из бал.-сп.), 545; $E = CC(O)ON = CC_6H_5$, 0, 0,

S, OC₂H₅, 47, 185 (нз сп.), 448; B=CC(O)N(C₆H₅)N=CCH₃, 0, 0, S, OC₂H₅, 74, 172 (нз сп.), 548; C₆H₄(CO)₂C =, 0, 0, S, OC₂H₅, 74, 195 –196 (пз сп.), 470. Для получения IV—VIII сплавляют 0,01 моля II с 0,01—0,015 моля III при 120—140° (30—120 мин.), вносят 0,01 моля II (вли аналогичного соединения), 20 мл пиридина пли спирта [0,011 моля (C₂H₅)₃N, нагревают (~100°, 10 мин.)) и для кристаллизации КР добавляют 50 мл спирта. Очищают кристаллизации КР добавляют 50 мл спирта. Очищают кристаллизаций КР добавляют 50 мл мерены в пиридине (кроме оговоренных). Синтезировалы IV (перечислены m, n, R², R³, R⁴, выход в %, г. пл. в °С, \(\lambda_{\text{макс}} \) в мµ: А приведены в начале каждой подтрушны: R и R¹ = H, кроме оговоренных): 3-этилбензоксазолин, 1,2, C₂H₅, H, C₃H₅, 19,282, 643; 1,1, C₂H₅, CH₃, C₃H₅, 43, 264, 611; 1,1, C₂H₅, OCH₃, CH₂COOC₂H₅, 16,5, 275, 610; 1,1, C₂H₅, OCH₃, CH₂COOC₂H₅, 41, 223, 600; 1,1, C₂H₅, CC₃H₅, CH₂COOC₂H₅, 65, 224, 635; 1,1, C₂H₅, COCH₃, CH₂COOC₂H₅, 65, 224, 635; 1,1, C₂H₅, COCH₃, CH₂COOC₂H₅, 50, 237, 622; 1,2, C₂H₅, H, Ch₂COOC₂H₅, 66, 270, 636; 3-этилбензтназолин, 0,1, C₃H₅, HC₃COOC₂H₅, 96, 250, 595; 1,1, C₃H₅, H, C₃H₅, 7, 236, 616; 1,1, C₃H₅, CH₃, C₃H₅, CH₃, CH₃, CH₃, CH₃, CH₃, C₃H₅, 33, 266, 630; 1,1,

 C_3H_5 , OC_2H_5 , C_9H_5 , 39, 227, 620; 1,1, $R^1=CH_3$, C_2H_5 , CH_5 , C_9H_5 , 19, 276 (из II-сп.), 648; 1,1. $R^1=C_2H_5$, C_9H_5 , C_9H_5 , C_9H_5 , 45, 209 (из II-сп.), 654; 1,1, $R^1=OC_2H_5$, C_9H_5 , C_9H_5 , 12, 200 (из бал.-сп.), 645; 1,2, C_9H_5 , C_9H_5 , C_9H_5 , 12, 200 (из бал.-сп.), 645; 1,2, C_9H_5 , C_9H_5 , C_9H_5 , 33, 239, 658; 3-этилнафто (1', 2'-4,5)-тиазолини, 1,1, C_9H_5 , OC_2H_5 , C_9H_5 , OC_2H_5 , OC_2H 625; 1, 3, 3-триметилиндолин, 1,1, C_2H_5 , OC_2H_6 , $CH_2COOC_2H_5$, 33, 212, 600; 1,3-диэтилбензимидазолин, 1, 1, $CH_2COOC_2H_5$, OC_2H_5 , $CH_2COOC_2H_5$, 28, 212, 650; 1-этил-1,2-дитидропиридин, 1, 1, $CH_2COOC_2H_5$, OC_2H_6 , $CH_2COOC_2H_3$, 62, 179, 665; 1-этил-1,4-дигидропиридин-4, 1, 1, $CH_2COOC_2H_5$, OC_2H_5 , OC_2H ОС₂Н₅, СН₂СООС₂Н₆, 30, 194—195 (из бзл.-сп.), 605 3-этил-4,5-дифенилоксазолии, 1, 1, СН₂СООС₂Н₅, ОС₂Н₅, СН₂СООС₂Н₆, 38, 151, 635; 3-этил-4,5-дифенил тивазолии, 1, 1, СН₂СООС₂Н₆, ОС₂Н₆, СН₃СООС₂Н₆, 37. 192, 645; инперидил-1-метилен, 0,1, СН₂СООС₂Н₆, 37. 192, 645; инперидил-1-метилен, 0,1, СН₂СООС₂Н₆, 31, 200, 529; 0,1, СН₂СООС₂Н₅, CH₂СООС₂Н₅, 31, 200, 529; 0,1, СН₂СООС₂Н₆, СОС₃Н₆, ССН₃СООС₂Н₆, 36, 129, 528; 0,1, СН₂СООС₂Н₅, ССН₃СОС₂Н₆, 24, 168, 561; *n*-C₈H₁₇NHCH=, 0,1, C₈H₅, CH₂CООС₂H₅, 24, 168, 561; *n*-C₈H₁₇NHCH=, 0,1, C₈H₅, CH₃CH₃, C₂H₅, 29 138—140, 522. Синтезированы следующие V (перечислены А, R, выход в %, т. пл. в °С, \(\lambda_{MARC} (B II) В мµ) : 3-этилбензонсазолии. ОС-Н₈, 35, 229, 640; S C₂H₅, 34, лены А, R, выход в %, т. пл. в С, лманс (в п) в мер; 3-этилбензоксазолин, ОС₂Н₅, 35, 229, 640; S С₂Н₅, 34, 203, 680, 3-этилбензтназолин, ОС₂Н₅. 19, 251, 660, SС₂Н₅, 33, 203, 714. Синтевированы следующие VI (перечислены А, m, R¹, R²; R = H (кроме оговоренных), выход в %, т. пл. в °С, лманс (в П) в мир: (перечислены A, m, R¹, R²; R = H (кроме оговоренных), выход в %, т. пл. в °C, \(\lambda_{Malo} \) (в П) в мµ);

3-этилбензоксазолин, 1, C₂H₅, OC₂H₅, 23, 209, 588; 1, C₂H₅, SC₂H₅, 53, 194, 635; 3-этилбензтназолин, 1, C₂H₅, OC₂H₅, 33,227, 610; 1, C₂H₅, SC₂H₈, 48, 198, 650; 1, R = C₂H₅, C₃H₅, SC₂H₅, 50, 147 (из бал.-сп.), 684; 1, R = SC₂H₅, CH₂COOC₂H₅, SC₂H₅, 29, 186 (из бал.-сп.), 684; 3-этил-4,5-дифенилтназолин, 1, CH₂COOC₂H₅, OC₂H₅, 18, 240, 630; 1, CH₂COOC₂H₅, SC₂H₅, 34, 205, 675; морфолинил-3-метилен, 0, C₃H₅, OC₂H₅, 34, 176, 518; 0, C₃H₅, SC₂H₅, 19, 146, 576. Синтезированы следующие VII (перечислены A, R¹, R²,: m = n = 1 и R = CH₃ (кроме оговоренных), выход в %, т. пл. в °C, \(\lambda_{Malc} \) (в П) в мµ: 3-этилбензоксазолин, H, CH₂COOC₂H₅, 32, 303, 644; CH₃, CH₂COOC₂H₅, 37, 264, 665; OCH₃, CH₂COOC₂H₅, 18, 235, 643; OC₂H₅. CH₂COOC₂H₅, 32, 231, 650; SC₂H₅, CH₂COOC₂H₅, 37, 264, 665; OCH₃, CH₂COOC₂H₅, 14; 275, 725; 3-этилбензтназолин, OCH₃, CH₂COOC₂H₅, 34, 241, 650; R = C₂H₅, SC₂H₅, CH₂COOC₂H₅, 34, 241, 676; SC₂H₅, CH₂COOC₂H₅, 35, 239, 718; SCH₂C₆H₅, 45, 233, 720; m = 1, n = 2, H, CH₂COOC₂H₅, 45, 233, 720; m = 1, n = 2, H, CH₂COOC₂H₅, 45, 233, 720; m = 1, n = 2, H, CH₂COOC₂H₅, 45, 233, 720; m = 1, n = 2, H, CH₂COOC₂H₅, 45, 233, 720; m = 1, n = 2, H, CH₂COOC₂H₅, 45, 233, 720; m = 1, n = 2, H, CH₂COOC₂H₅, 45, 233, 720; m = 1, n = 2, H, CH₂COOC₂H₅, 45, 233, 720; m = 1, n = 2, H, CH₂COOC₂H₅, 45, 233, 720; m = 1, n = 2, H, CH₂COOC₂H₅, 45, 233, 720; m = 1, n = 2, H, CH₂COOC₂H₅, 45, 233, 720; m = 1, n = 2, H, CH₂COOC₂H₅, 45, 233, 720; m = 1, n = 2, H, CH₂COOC₂H₅, 45, 233, 720; m = 1, n = 2, H, CH₂COOC₂H₅, 45, 233, 720; m = 1, n = 2, H, CH₂COOC₂H₅, 45, 233, 720; m = 1, n = 2, H, CH₂COOC₂H₅, 45, 233, 720; m = 1, n = 2, H, CH₂COOC₂H₅, 45, 233 51, 227, 676; 3-этил-4,5-лифенилоксазолин, H, C₂H₅, 20, 237, 660; CH₃, C₃H₅, 38, 275, 671; ОС₃H₅, C₃H₆, 29, 255°, 660; $m=1,\ n=2,\ H, \text{CH}_2\text{COOC}_2\text{H}_6$, 11,5, 305, 755; 3-этил-4,5-дифенилтиазолин, H, C₃H₅, 40, 279, 682; CH₃. C₃H₆, 54, 277, 730; ОС₂H₅, C₃H₅, 40, 252, 710; SC₂H₅, CH₂COOC₂H₅, 72, 264, 752; $m=1,\ n=2,\ H,\ \text{CH}_2\text{COOC}_2\text{H}_5,\ 27,\ 298,\ 780.$

ленно

Зчаса

гирук

медле ром, (

245° (XV,

мли

лой р >230

11790

HOT

ARA

ва

coy

et q u A r

Пр

этилвания с СО

не по

прод-н

нарб СОО

(VII)

3-бен

CH aC

4-бен

сила

N-ме

[(T. 1

Гало

10-M

CH3

тона или МЭ,

MƏ,

МЭ, тона

VIII

ацет 183°

880

RHIT.

ORCE

1179

M

H

19

с В

р-ца

ROCT

4890

Синтезированы следующие VIII (перечислены A, R, R, R1; m=1 и $B=\overset{\downarrow}{\rm CCOSC}({\rm SC}_2{\rm H}_5)=\overset{\downarrow}{\rm N}$ кроме оговоренных) выход в ${}^0\!\!\!/\!\!\!/$, т. пл. в ${}^\circ{\rm C}$, $\lambda_{\rm Marc}$ в ${}^{M}\!\!\!/\!\!\!/\!\!\!/\!\!\!/}$

 $\overset{1}{\text{CSC}}(\text{C}_6\text{H}_5) = \text{C} (\text{C}_6\text{H}_5)\overset{1}{\text{N}}\text{C}_2\text{H}_5, \quad \text{OC}_2\text{H}_5, \quad \text{OC}_2\text{H}_5, \quad 55,5, \quad 247}$ (из бэл.-сп.), 772; $\text{SC}_2\text{H}_5, \quad \text{SC}_2\text{H}_5, \quad 71.5, \quad 258 \quad (из бэл.),}$

865; $CS(CH_2)_2NC_2H_5$, SC_2H_5 , OC_2H_5 , 87,5, 228 (π_3 63 π .), 744; SC_2H_5 , SC_2H_5 , 62, 243 (π_3 Π -c π .), 782;

744; SC_2H_5 , SC_2H_5 , 62, 243 (H3 H-cII.), 782; $CSeC_6H_4NC_2H_5$, m = 0, $R = SC_2H_5$, $B = CSCSN(CH_2 - CSCSN)$

СООС₂H₅)СО, 75, 288 (из П), 765; SC₂H₅, SC₂H₅, 62,

220 (из бал.), 822; SC_2H_5 , SC_2H_5 , $E = CSCSN(CH_2 -$

СООС $_2$ Н $_5$)СО $_1$ 73, 260 (из П-сп.), 832. Кипятят 75 мин. 0,9 ε Иа с 0,45 ε КОН в 10 мм воды + 20 мм спирта и подкисляют. Выход IX (X = S, R = CH $_2$ СООН) 76%, т. пл. 222°, (из сп.), $\lambda_{\text{манс}}$ (в СН $_3$ ОН) 440 м μ . Аналогично получены IX (с X = CH = CH, R = CH $_2$ СООН), выход 51%, т. пл. 237°, $\lambda_{\text{манс}}$ (в СН $_3$ ОН + (С $_2$ Н $_5$) $\lambda_{\text{манс}}$ (в СН $_3$ ОН + (С $_2$ Н $_5$) $\lambda_{\text{манс}}$ (в СН $_3$ ОН + (С $_2$ Н $_5$) $\lambda_{\text{манс}}$ (в СН $_3$ ОН + (С $_2$ Н $_5$) $\lambda_{\text{манс}}$ (в СН $_3$ ОН + (С $_2$ Н $_5$) $\lambda_{\text{манс}}$ (в СН $_3$ ОН + С $_3$ Н $_5$), выход 64%, т. пл. 199° (из сп.), $\lambda_{\text{манс}}$ В спирт. (С $_2$ Н $_5$) $\lambda_{\text{манс}}$ А. Точилкии

1788. О некоторых применениях реакции Вилльгеродта-Киндлера. Шмитт, Сюке (Sur quelques applications de la réaction de Willgerodt et Kindler. Schmitt J., Suquet M.), Bull. Soc. chim. France, 1956, № 5, 755—757 (франц.)

Вавимодействием анетола (I), $\alpha - \mu$ 3-пиколина (II, III) хинальдина (IV) и 6-этокси-IV (V) с серой и морфолином (VI) при 150—180° синтезированы тиоморфолиды (ТМ) соответствующих карбоновых к-т. Смесь 45 г I, 45 г VI и 23 г серы нагревают при 160° до прекращения выделения H₂S (3 часа) и прибавляют 100 мл спирта; осадок отделяют (55 г), очищают перегонкой при 210—220°/1 мм (т-ра бани); получают ТМ анизил-3-пропионовой к-ты (VII, к-та VIII), выход ~55 г, т. пл. 92° (из сп.). В сходных условиях получены ТМ следующих к-т: пиколиновой (IX, к-та IXa), выход 47 г (из 46,5 г II), т. пл. 104° (из сп.); изоникотиновой, т. пл. 153°; хинальдиновой (X, к-та XI), выход 38 г (из 42 г IV), т. пл. 172—174° (из С₆H₆ или

т. пл. 172—174° (из С₆Н₆ или этилацетата) и 6-этоксихинальдиновой, выход 34 г (из 37,6 г V), т. пл. 192° (из этилацетата).

Аналогичным образом синтезированы тиопиперидид XI, выход 1,4 г (из 21,5 г IV), т. пл. 128—130° (последовательно из C_6H_6 и этилапетата), и тиоанилид XI, выход 9 ε (из 20 ε IV), т. пл. 113—114° (из сп.). При р-ции IV с серой и n-фенетидином получено соединение C₁₈ H₁₄ON₂S₂, выход 10 г (из 20 г IV), т. пл. 110—111° (нз сп.), которому авторы приписывают строение А. При р-ции VI и серы с лепидином соответствующий ТМ выделить не удалось. На этом основании, в-ьу, полученному при р-ции 2,4-диметилхи-нолина (XII) с VI и серой, авторы приписывают строение ТМ 4-метилхинальдиновой к-ты, выход 23,2 г (из 23,5 г XII), т. пл. 165—166° (из этилацетата). Смесь 6 г VII, 2 г NaOH и 20 мл спирта нагревают на водяной бане при медленной отгонке спирта; через 3 часа разбавляют водой, отгоняют остатки спирта и подкисляют HCl (к-той); выделившееся масло перегоняют при 130°/1мм (т-ра бани); получают VIII, выход 3,7 г. пл. 104° (из сп.). Аналогично получают XI, выход 5 г (из 15 г X), т. пл. 158—159° (из С₆Н₆). Смесь 8,4 г IX и 100 мл ацетона размешивают при ~20° с вычисленным колвом КМnO₄, добавляют по окончании р-ции СН₂ОН и фильтруют; из фильтрата получают морфолид IXa (XIII), выход 7,3 г, т. кип. 140—145° 1/мм, т. пл. 80° (из эф.). XIII получен также (с выходом 90%) при окислении IX двуокисью селена. А. Травии 11789. О некоторых тиазоло-[5,4-d]-пиримидии I,

1/89. О некоторых тназоло-15,4-ч1-пиримидии 1. Хан, Ирейс, Эрленмейер II. Хан, Эрленмейер III. Кан, Эрленмейер (Über einige Thiazolo [5,4-d] pyrimidine. I. Наhn H. v., Prijs B., Erlenmeyer H. II. Наhn H. v. Erlenmeyer H.), Helv. Chim. acta, 1956, 39, № 2, 341—347; № 4,

1160—1162 (нем.; рез. англ.)
Сообщение I. В развитии описанной ранее работы (РЖХим,1956, 12940) осуществлены синтезы 7-меркаптотиазоло-[5,4-d]-пиримидина (I), 5,7-димеркапто-тиазоло-[5,4-d]-пиримидина (II) и 5-амино-7-меркаптотиазоло-[5,4-d]-пиримидина (III) как возможных антиметаболитов природных производных пурина. 2-тиобарбитуровая к-та (IV) и 2-имидбарбитуровая к-та (V) при нитрозировании образуют 2-тиовиолуровую к-ту (VI) и 5-нитрозо-V (VII). Восстановлением VI и VII гидросульфитом натрия (VIII) получают 2- тноурамил (IX) и 2,5-диамино-4,6-диоксипиримидин (X). При восстановлении VI скелетным Ni-катализатором образуется 4,6-диокси-5-аминопиримидин (XI), который с учети 4,6-диокси-5-формамидопиримидии (XII). IX, X и XI с P₂S₅ в пиридине образуют соответственно 2,4,6-тритноурамил (XIII), 2,5-диамино-4,6-димер-каптопиримидин (XIV) и 4,6-димеркапто-5-аминопиримидин (XV), которые при нагревании с НСООН обрамидин (XV), которые при нагревании с НСООН образуют соответственно II, III и I. P-р 50 г IV в 104 м. 2 н. NаОН разбавляют 400 м. в воды, прибавляют 27 г NаNO₂, а затем при 5° 300 м. 2 н. Н₂SO₄, получают VI, выход 87%, т. пл. 210° (разл.; осаждают р-ром Н₂SO₄ из щел. р-ра при 60—70°). Р-р 20 г VI в 60 м. 2 н. NаОН разбавляют 1 л воды, прибавляют 80 г скелетного Ni, кипитят 1 час, фильтрат подкисляют 2 н. Н₂SO₄ до рН 5, выделяют XI, выход 50%, т. разл. 208 (из воды). Р-р 25 г VI в разб. NаОН разбавляют 500 м. в (из воды). Р-р 25 г VI в разб. NaOH разбавляют 500 мл воды, при ~ 100° обрабатывают VIII, NaOH и к-той, выделяют IX, выход 52%, возгоняется при ~265°. 5 г XI с 15 г Р₂S₅ в 250 мл сухого пиридина (XVI) кипятят 6 час., выливают в 1 л воды, фильтрат подкисляют H₂SO₄, выпаривают на половину в вакууме, при 0° получают XV, выход 75% т. разл.выше 180° (из воды). Аналогично из ІХ получают ХІІІ, выход 66%, до 300° не разлагается и из X получают XIV, выход 73%, 300° не разлагается и из X нолучают XIV, выход 73%, т. разл. выше 200° (из 2 н. р-ра $\rm H_2SO_4$). 1 г XI в 20 мм 98%-ной НСООН кипитит 2 часа, отгоняют в вакуми НСООН, получают XII, выход 98%, т. разл. $> 240^\circ$ (из воды). Из XII и $\rm P_2S_5$ в тетралине ($180-190^\circ$) получают XV, т. разл. $> 200^\circ$, Из XII и $\rm P_2S_5$ в XVI (кипичение 5 час.) получают 4,6-димеркапто-5-тиоформамидопиримидин, т. разл. $> 250^\circ$ (из воды). 4 г XV в 150 мл 98%-пой НСООН кипитит 2 часа, выход 194%, т. разл. $> 230^\circ$ (резигают из NH-OH т. ге В 100 мл 30%-ной пСООП кипитит 2 часа, выход 1 94%, т. разл. >230° (осаждают из NH₄OH р-ра H₂SO₄). Р-р 5 г XIII в 100 мл сухого XVI с 100 мл 98%-ной НСООН кипитит 4 часа, выделяют II, выход 71%, при 280° медленно меняют окраску. Аналогично І получают III из сульфата XIV и 98%-ной НСООН (4 часа), выход 76%, не разлагается при 300°

Сообщение II. Действием ангидридов алифатич. к-т или C₆H₅COCl на XV синтезированы 2-замещ. I (XVII а — г). Аналогично из 2-мерканто-XV и (CH₃CO)₂O получен 2-метил-5,7-димеркантотназоло-(5,4-d)-пиримидин (XVII). Для очистки от алифатич. к-т XVII и XVIII переосаждают из щел. р-ров к-той при рН 3—4 и многократно экстрагируют эфиром. 1 г XV в 30 мл (СН₃CO)₂O кипятят 4 часа, упаривают в вакууме до начала кристаллизации, при 0° отделяют XVIIa, выход 75%, т. разл. (Сн₃CH₂CO)₂O кипятят 4 часа, при 0° отделяют XVII6, выход 0,35 г, т. разл. 215°. Аналогично из 1 г XV и 20 мл (СН₃CH₂CO)₂O

800

кис-

BEE

H I.

3 p-

dine. n e · H.), No 4,

боты кап-

ПТО-

антиот (V)

K-T

VII

амил

вос-

ый с

XII).

енно

мер-

обра-

4 мл 27 г

TOLOF

-ром

s 08

г 2 н. 208°

00 мл -той, . 5 е) ки-

цкис-

при

6, до 73%,

гм. 05

ууме 240°

) по-XVI офор-XV

р-ра О ма

ыход

онги

)Н (4 анова

X VII

О попидин

VIII

ного-

0)20

крис-

разл.

TRTRI

разл. 20)₂0 (165—170°, 4 часа) получают 0,3 г XVIIв, т. пл. 160° (медлено), 185—187° (быстро). К 1 г XV в 40 мл сухого XVI прибавляют по каплям 8 мл С₆Н₅СОСІ, кипятят 3 часа, выливают в 100 мл воды, подшелачивают, экстра пруют эфиром, води. слой сильно подкисляют Н₂SO₄, нечедленно экстрагируют выделившуюся С₆Н₅СООН эфиром, охлаждают до 0° и получают XVIIг, т. пл. 238—

SH

$$\frac{1}{2}$$
 $\frac{1}{N}$ $R = CH_0$; $SR = C_0H_0$: $R = N - C_0H_0$: $PR = C_0H_0$

245° (медленно возгоняется >290°). Из 1 г 2-меркапто-XV, 30 мл XVI и 20 мл (СН₃CO)₂O (кипятят 4 часа, выпивают в 100 мг разб. Н₂SO₄, доводят Н₂SO₄ до кис-лой р-ции) получают XVIII, выход 0,05—0,1 г, т. разл. >230°. 11790. Реакции литиевых производных 10-алкилфевотназинов с угольным ангидридом и литиевыми сояями органических кислот. Кокий, Казадваль, Казадваль (Réactions de lithioal-coyl-10-phénothiazines avec l'anhydride carbonique et les sels de lithium d'acides organiques. quil Germaine, m-lle, Casadevall André, Casadevall Eliette m-me), C. r. Acad. sci., 1956, 243, № 6, 590—593 (франц.) При р-ции Li-производных 10-метил-(Ia) или 10ипл-(16)-фенотиазинов (образующихся при металлиро-шини 10-метил- или 10-этилфенотиазинов н-С₄Н₃Li) є CO2, CH3COOLі или С6H5COOLі получаются продукты, пе позволяющие установить строение I. При карбоксилировании Ia или 16 образуются в равноэквивалентных кол-вах 10-метил-(II) или 10-этил-(III)-фенотиваннкарбоновые-1 и 10-метил-(IV) или 10-этил-(V)-фенотиазин-карбоновые-4 к-ты; при р-ции Ia с СН₈СООСі или С_вН₅карооповые - 4 гм., при разначительное кол-во 3-ацетил (VII), или 4-бензоил- (VIII) и незначительное кол-во 3-бензоил-(IX)-10-метилфенотиазинов; а при р-ции 16 с CH₉COOLi или C₆H₅COOLi — только 4-ацетил-(X) или 4-бензоил-(XI)-10-этилфенотиазины. IV и V действием сплава Ni-Al в щел, среде превращены соответственно в N-метпл-[т. пл. 118° (из бал. -петр. эф.)] и N-этил-[т. пл. 141° (из сп.)]-N-фенил-м-аминобензойные к-ты. Галоформным окислением IV и VI получена 5,5—дикето-10-метилфенотиванинкарбоновая-4 к-та, т. пл. 300° (из CH_3OH), метиловый эфир (МЭ) т. пл. 242° (из сп.-ацетона). IX, X и XI синтезированы также р-цией C_0H_5Li для CH_3Li с Li-солями III или IV. II, т.пл. 160° (из бал. МЭ, т. пл. 92° (и сп.-ацетона); III, т. пл. 163° (из сп.); МЭ, т. кип. 205—210°/0,5 мм, т. пл. 90° (из сп.-ацетона); IV, т. пл. 250° (из сп.-ацетона), МЭ, т. кип. 230°/ ма, т. пл. 80° (на сп.ацетона); V, т. пл. 182° (на сп.) МЭ, т. кип. 205—210°/0,5 мм, т. пл. 113° (из сп.-ацетона); VI, т. пл. 107° (нз сп.-ацетона) или 120° (нз сп.), оксим, т. пл. 165° (из сп.); VII, оксим, т. пл.200°; VIII, т. пл. 150° (из хлф.), оксим, т. пл. 215° (из этил-ацетата); IX, т. пл. 170° (из сп.-ацетона), оксим, т. пл. ащетата); IX, т. ил. 170° (нз сп.-ацетона), оксим, т. ил. 88° (из бал.-петр. эф.); X, т. кип. 216°/0,5 мм, т. пл. 88° (из сп.-ацетона), оксим, т. пл. 181° (из сп.); XI, т. кип. 260—262°/.1 мм, т. пл. 121° (из сп.ацетона), оксим, т. пл. 160° (из сп.). Д. Витковский 11791. Дипропил- и дибутилборащетилен. X а ртман, Бир (Diproryl- und Dibutylboracetylen. H art m an n H., В i r к. H.), Angew. Chem., 1956, 68, №7, 247 (нем.) Изучено взаимолействие (СаН-)»ВЈ в (СаН-)»ВЈ Изучено взаимодействие (C₃H₇)₂ВЈ и (C₄H₉)₂ВЈ

Изучено взаимодействие (С₃Н¬)₂ВЈ и (С₄Н¬)₂ВЈ с ВгМgС=СМgВг. В результате перегонки продуктов р-ции в высоком вакууме получены прозрачные жидкости, содержащие ацетиленовые связи и очень легко окисляющиеся на воздухе. См. также РЖХим, 1955, 48966.

11792. Борорганические соединения. Сообщение 8. Синтез и свойства днарилборных кислот. М и х а йл о в Б. М., В а в е р В. А., Сообщение 9. О действии пятихлористого фосфора на эфиры дналкилборных и алкилборных кислот. Синтез дналкилборхлоридов и эфиров алкилхлорборных кислот. М и х а йл о в Б. М., Щеголева Т. А., Изв. АН СССР,

ных и алкылоорных кислот. Спитез диалколоорхлоридов и эфиров алкилхлоорборных кислот. М и х а йло в Б. М., Щ е г о л е в а Т. А., Изв. АН СССР, Отд. хим. н., 1956, № 4, 451—456; 508—509
Стообщение 8. Описан спитез (α-C₁₀H₇)₂BOH (I), (n-BrC₆H₄)₂BOH (II) и (n-ClC₆H₄)₂BOH). Н₂О (III) и изучены свойства к-т и их производных. (α-C₁₀H₇)₂BO-C₄H₉-изо (IV), (n-BrC₆H₄)₂BO-C₄H₉-изо (VI) были получены из (изо-C₄H₉0)₃B (VII) и соответствующих арвимагинйбромидов. IV, V и VI не гидролизуются водой и к-тами, а со щелочами образуют комплексы типа [Ar₂B(OC₄H₉-изо) (OH)] Ме (VIII). Соли VII превращаются при нагревании в води. р-рах в соли диарилборениевых к-т (Ar₂B(OH)₂)Ме (IX). Гидролиз IV, V и VI води. р-рами NH₄OH или Ва(ОН)₂ приводит не к солям диарилборных к-т, а к

 $Ba(OH)_2$ приводит не к солы A=1 Ba = 1 . К-ты I, II и III были получены при подкислении солей IX. В результате обработки I избытком SOCl₂ был выделен ((а-С₁₀Н₇)₂В)₂О (Х). Результаты исследования полен ((α-C₁₀H₇)₂B)₂U (X). Результаты исследования по-называют, что литературные данные огносительно II и III ошибочны. К ¹ M эфирнобензольному р-ру 0,5 моля α-C₁₀H₇MgBr при — 30° добавлено 0,225 моля VII в 50 мл эфира. После 7 час. размешивания при —75°, обработки продуктов р-ции 350 мл 5%-ной HCl эфирнобензольный р-р высушен Na₂SO₄. Остаток после удаления р-рителей разбавлен изопентаном, выход IV 63%, т. ил. 104—105° (из и-гексана). Из фильтата после этелификации остатка изо-СН-604 выперено рата после этерификации остатка изо-C₄H₉OH выделено 15% ($\alpha - C_{10}H_1$)BOC₄H₉-изо, т. кип. $166-168^\circ/6$ мм, d_4^{20} 0,9777. К взвеси 10 e IV в 20 мл CH₃OH добавлено 15 мл 30%-ного p-ра NH₄OH. Получено 97,5% [(α -C₁₀H₁)₂B(OH)₂]NH₄ (XI), т. пл. $107-108^\circ$ (из CH₃OH). Суспензия 4,94 г XI в 30 мм эфира подкислена 5 мм НСІ (1:1). Из эфирного слоя выделено 71,7% I, т. пл. 114,5—115° (из петр. эф.). Р-р 2 г I в 5 мм SOCl₂ кипятили 2 часа. После удаления избытка SOCl₂ получено 98% X, т. пл. 190—192° (нз бэл. + петр. эф.). Из 0,65 моля n-BrC₆H₄MgBr (1 M p-p) и 0,25 моля VII после 8 час. размешивания при —75°, обработки 450 мл 5%-ной HCl и этерификации получено 39% V, 430 мл 3%-нон п.С. и этерификации получено 33% V, т. кни. 161—163°/1 мм (в токе N₂) и 37% п-ВгС₆Н₄ В(ОС₄Н₉-изо)₂, т. кип. 109—110°/1 мм, d₄²⁰ 1,1583, 2,25 г V смешаны при встряхивании с 5 мл 30%-пого р-ра NН₄ОН. Выход (п-ВгС₆Н₄)₂В(ОН)₂]NН₄ (XII) 87,3%, т. пл. 134—135° (из бал.).От р-ра 1,23 г V в 3,65 мл 0,8 н. КОН при 60—70° в токе N₂ медленно отогнана вода. Остаток перекристаллизован из смеси С₆Н₆ + СН ОН. Виход (п. ВгС Н.).В(ОН). (XIII) 0 8 г + CH₃OH. Выход ((n-BrC₆H₄)₂B(OH)₂)К (XIII) 0,8 e. 1.65 г XII обработаны разб. II 86%, т. пл. 90—91% (из HCl. 11 86%, т. пл. 90—91% (на петр. эф.). II была получена также из XIII. После 8 час. размешивания при —75° 0,6 моля п-СlC₀H₄MgCl (1 M р-р) и 0,25 моля VII, обработки 450 мл 5%-ной HCl и этерификации продукты р-ции быстро перегнаны в токе N₂. В результате фракционирования выделено 40% VI с т. кип. 134—135°/1 мм, d_4^{20} 1,1414, и 25% n-ClC₆H₄B(OC₄H₉-иэо)₂, т. кип, 93--95°/1 мм, 1,0051. 1,73 г VI встряхивали с 15 мм насыщ. р-ра 1,003. 1,73 г VI встрихивали с 13 мл насыш. р-ра Ва(ОН)₂. Получено 89,5% [(n-ClC₆H₄)₂B(OH)₂]₂Ва (XIV) 2 г XIV обработаны 10 мл HCl (1:4). Кристаллы III промыты волой и высушены над CaCl₂. Выход 1,1 г, т. пл. 76—78° (переосаждено водой из сп.). 2,85 г VI растворены в 8,4 4л 1,09 п. NаОН. Вода медленно отогнана в вакууме при 60—70°. Остаток промыт

про

30T)

чен его выд При

р-ре

апи

бен

sye:

117

Дd

V

пол ства

ноп

30H

см. гир /754 117

IX

Ps

1

вод

HOC

тен 22,3 ры пол

раз ник и в чес: (48

ана тич выз при (20°

paa >3

T.II.

263 95% CTB

пол 115

(IX

4,2

pea GF

 C_6H_6 . Получено 2,2 г (($n\text{-}ClC_6H_4$) $_2B(OH)_2$)Na (XV). Из 0,3 г XV после подкисления выделено 0.25 г III.

Сообщение 9. Изучено взаимодействие PCl₅ с (н-C₄H₉)₂BOC₄H₉-н (XVI) и с (н-C₄H₉)(н-C₉H₇)BOC₄H₉-н (XVII). Р-ция между XVI или XVII протекает с образованием (н-C₄H₉)₂BCl (XVIII) или соответственно (н-C₄H₉) (н-C₃H₇)BCl (XIX), C₄H₉Cl и POCl₃. Найдено также, что (н-C₃H₇)B(OC₄H₉-и)₂ (XX) и (н-C₄H₉)-В(ОC₄H₉)₂ (XXI) гладко реагируют с 1 экв PCl₅, образуя (н-C₃H₇)B(OC₄H₉-и) Cl (XXII), соответственно (н-C₄H₉)B(OC₄H₉-и) Cl (XXIII), C₄H₉Cl и, POCl₃. К 16,8 г I добавлено порциями 17.6 г PCl₅. По окончании р-ция (н-C₄H₉)Cl и POCl₃ удалены в вакууме. Выход XVIII 89%, т. кип. 56—60°/12 мм. Из 13,3 г XVII и 15 г PCl₅ получено по предыдущему 50% XIX, т. кип. 60—61°/28 мм. d²₄O,8503. В р-цию взято 20,2 г XXI и 19,6 г PCl₅. Получено при 78 % XXIII, т. кип. 64—65°/10 мм. d²₄O 0,9025, 8,5 г C₄H₉Cl и 8,7 г POCl₃. К р-ру 160 г (CH₃O)₃В в 400 мл. эфира при —70° добавлен р-р н-С₃H₇MgCl (из 36 г Mg. 116 г н-С₃H₇Cl и 600 мл. эф.). После обработки продуктов р-ции 10%-ной HCl и этерификации 400 мл. н-С₄H₉OH получено 44% XX, т. кип. 82—83°/7 мм. d²₄O,8152. Из 20,7 г XX и 21,5 г PCl₅ получено 83% XXII, т. кип. 60,6—61°/22 мм. d²₄O,8999. Сообщение 7 см РЖХим, 1957, 8097.

11793. Исследования в ряду производных алкилфосфинистых и диалкилфосфиновых кислот. III. Об атомной рефракции фосфора в эфирах алкилфосфинистых кислот. Разумов А., Мухачева О., Ж. общ. химин, 1956, 26, № 5, 1436—1440

Выявлена закономерность в ваменении атомной рефракции фосфора при переходе алкильных эфиров с трехвалентным фосфором к фосфинам. Каждое замещение группы ОR на R вызывает увеличение атомной рефракции фосфора на 0,7. Приводятся значения $AR_{\rm p}$ для следующих типов соединений: (RO)₂PO 3,75, (RO)₂P(O)R 4.27, ROP(O)R₂ 4,79, (RO)₃P 7,04, (RO)₂PR' 7,74 (I), ROPR₂ 8,44, PR₃ 9,14. Синтезированы следующие I из R'PCl₂ и спиртов в присутствии пиридина (приводятся значения R', R, выход в %, т. кип. в °С/мм, n°0D, d²⁰₄): n-C₃H₇, C₂H₅, 64, 52—53/12, 1,4275. 0,9029, n-C₂H₇, n-C₃H₇, C₂H₅, 64, 52—53/12, 1,4275. при Субер 1, 1,428, 0,8963; n-C₄H₉, n-C₃H₇, 60, 99,5—101/14, 1,4355, 0,8961; n-C₄H₉, н-C₄H₉, 64, 116,5—118/10, 1,4410, 0,8883. С. Иоффе 11794. Синтез ацильных производных 0,0-дналкилтиофосфатов. З емлянский Н. И., Малиновский М. С., Ж. общ. химии, 1956, 26, № 6, 1677—

 $(C_2H_5O)_2P(S)OCOR$ (I) получены р-цией $(C_2H_5O)_2PSCl\cdot$ (II) с Na-солями карбоновых к-т в спирте (метод A) или со свободными к-тами в присутствии C_5H_5N . Для I перечисляются R, выход в %, т. ил. в °C, метод синтеза: CH_3 , 29, 2, 64, A; CH_2Cl , 12, 0, 200 (разл.), A; Cl_3 , 16, 0, 200 (разл.), A; NH_2CH_2 , 14, 6, 115, A; C_6H_5 , 55, 5, 111-112, добавление по каилям II к 3-кратному избытку C_6H_5COONa в C_6H_6 ; n-NO $_2C_6H_4$, 13, 1, 234-235, нагревание II с 50% избытком к-ты и C_5H_3N в C_6H_6 ; n-N12Ce13, 148-150, аналогично и 13Ce13Ce13Ce13Ce13Ce13Ce13Ce13Ce13Ce13Ce13Ce13Ce13Ce13Ce13Ce13Ce13Ce13Ce13Ce13Ce13Ce13Ce13Ce13Ce13Ce13Ce13Ce13Ce13Ce13Ce13Ce13Ce13Ce13Ce13Ce13Ce13Ce13Ce13Ce13Ce13Ce13Ce13Ce13Ce13Ce13Ce13Ce13Ce13Ce13Ce13Ce13Ce13Ce13Ce13Ce13Ce13Ce13Ce13Ce13Ce13Ce13Ce13Ce13Ce13Ce13Ce13Ce13Ce13Ce13Ce13Ce13Ce13Ce13Ce13Ce13Ce13Ce13Ce13Ce13Ce13Ce13Ce13Ce13Ce13Ce13Ce13Ce13Ce13Ce13Ce13Ce13Ce13Ce13Ce13Ce13Ce13Ce13Ce13Ce13Ce13Ce13Ce13Ce13Ce13Ce13Ce13Ce13Ce13Ce13Ce13Ce13Ce13Ce13Ce13Ce13Ce13Ce13Ce13Ce13Ce13Ce13Ce13Ce13Ce13Ce13Ce13Ce13Ce13Ce13Ce13Ce13Ce13Ce13Ce13Ce13Ce13Ce13Ce13Ce13Ce13Ce13Ce13Ce13Ce13Ce13Ce13Ce13Ce13Ce13Ce13Ce13Ce13Ce13Ce13Ce13Ce13Ce13Ce13Ce13Ce13Ce13Ce13Ce13Ce13Ce13Ce13Ce13Ce13Ce13Ce13Ce13Ce13Ce13Ce13Ce13Ce13Ce13Ce13Ce13Ce13Ce13Ce13Ce13Ce13Ce13Ce13Ce13Ce13Ce13Ce13Ce13Ce13Ce13Ce13Ce13Ce13Ce13Ce13Ce13Ce13Ce13Ce13Ce13Ce13Ce13Ce13Ce13Ce13Ce13Ce13Ce13Ce13Ce13Ce13Ce13Ce13Ce13Ce13Ce13Ce13Ce13Ce13Ce13Ce13Ce13Ce13Ce13Ce13Ce13Ce13Ce13Ce13Ce13Ce13Ce13Ce13Ce13Ce13Ce13

кислоты. Арбузов А. Е., Валитова Ф. Г., Изв. АН СССР, Отд. хим. н., 1956, № 6, 681—683 При р-ции пирокатехинхлорфосфита С₆Н₄О₂РСІ (I) или $C_6H_4O_2PBr$ и $(C_2H_6O)_2PONa$ (II) получают пирофосфиты $C_6H_4O_2POP(OC_2H_6)_2$ (III) и $(C_6H_4O_2P)_2O$ (IV). CuCl, CuBr и CuJ с III дает смолообразные, а с IV твердые продукты присоедивения, очистить которые не удалось. Из $(C_2H_5O)_2PSONa$ и I получают $C_6H_4O_2POPS(OC_2H_5)_2$ (V). К II (па 27 г $(C_2H_6O)_2POH$ и 4,1 г Na в 250 мл эф.) добавляют 32 г I и греют 1 час, выход III 13,79%, т. кип. 115—116°/1 мл, л³00 1,4800, d_4^{20} 1,1816. Выход IV 14,8%, т. кип. 170—172°/1 мл, л³0D 1,5502, d_4^{20} 1,3107. При омылении IV при 140° получают пирокатехии (VI). При нагревании 1 г III и 1,17 г $(C_6H_5)_2CBr$ (170—175°) и омылении HCl (к-той) получают ($C_6H_5)_3CPO(OH)_2$ и VI. Выход V (в бан.) 10,6%, т. кип. 145—147°/1 мм, л²0D 1,5229, d_4^{20} 1,2846.

11796. Синтез и исследование фторорганических соединений. XIII. Производные 2-фторотилуротапа. Ола, Павлат, Носко (Synthesis and investigation of organic fluorine compounds, XIII. Derivatives of 2-fluoro-ethyl urethane. Oláh Gy., Pavlath A., Noszkó L. H.), Actachim. Acad. sci. hung., 1955, 7, № 3—4, 443—449 (англ.) Получен ряд производных 2-фторотилуретана (I)

Получен ряд производных 2-фторэтилуретана (I) с целью испытания их действия на эксперим. раковые опухоли. Замещ. уретаны типа RNR′СООС₂Ч₄F легко образуются при алкилировании соответствующих аминов с помощью ClCOОС₂Ч₄F (II). Перечисляются R, R′, выход в %, т. пл. в °С: С₅Ч₅, H, 83,7, 54—5; о-СН₃С₃Ч₄, H, 68,6, т. кип. 171—174°/25 мм; п-СН₃С₅Ч₄, H, 82,7, 59—60; п-СlС₀Ч₄, H, 60,8, 64; п-ВгС₀Ч₄, H, 94,6, 94; п-JС₀Ч₄, H, 82,3, 111—112; С₅Ч₅, CłЧ₃, 92,4, т. кип. 125—127°/4 мм; СҫЧҕ, С₂Ч₄, 86,3, 118—120°/3 мм; о-NО₂С₀Ч₄, H, 86,7, 62; м-NО₂С₀Ч₄, H, 81,4, 51—2; п-NО₂С₀Ч₄, H, 88,7, 124—125 (р-цип проходят в эфир. или С₀Ч₀-р-ре на холоду, для связывания HCl берется двойное кол-во амина, р-цип с нитроанилинами требуют кипячения З часа в С₀Ч₀; п-FС₀Ч₄, H, 80,2, 139 (р-цип идут в води. среде, на холоду, в присутствии эквивалентного кол-ва шелочи). Конденсацией I с хлоралем получен FС₂Ч₄ООСNHCH-(ОН)ССІ₃ (выход 63,3%, т. ил. 92°), его дегидратация приводит к ССІ₃СН = NСООС₂Ч₃F (выход 85,1%, т. пл. 121°). Из 2 молей I и моля хлоральгидратапри действик конц. Н₂SО₄ образуется ССІ₃СН-(NHCOOC₂Ч₄F)₂ (выход 65,3%, т. ил. 159°). Действием II на Nа-производное I получен HN(СООС₂Ч₄F), получен (СІс₂Ч₄)₂NСООС₂Ч₄F (выход 87,8%, т. кип. 136—40°/5 мм). Аналогично этилендиамин с 2 молями II дал (FС₂Ч₄ООСNHCН₂)₂ (выход 94,2%, т. пл. 115°). Сообщение XII см. РЖХим, 1956, 74997. В. Фос 11797. Синтез и свойства нитрофенолов, содержащих трифторметильную групну. Я г у и о л ь с к и л. м., м о с п а и В. С., Укр. хим. ж., 1955, 21, №1, 81—85 С целью взучения влияния нитропологи на устой-

С целью изучения влияния нитрогрупп на устойчивость оксибенаотрифторидов по отношению к пел. гидролизу синтезированы 3-интро-4-оксибензотрифторид (I) и 3,5-динитро-4-оксибензотрифторид (II) и показано, что устойчивость эта возрастает в ряду: n-OHC₆H₄CF₈ < I<II. I синтезирован следующим путем: нитрованием n-ClC₆H₄CF₈ получев 3-интро-4-хлорбензотрифторид (III) (т. кип. 81—83°/4 мм, 94—95°/10мм). Нагреванием с 26%-ным води. NH₈ в запаянной трубке III превращен в 3-интро-4-аминобензотрифторид (IV) (т. пл. 109—110°). Разложением соли диазония из IV получен I, выход 70%, т. кип. 79°/5 мм, n²⁵ D 1,5024; n-нитробензонльное

7 r.

(IV).

c IV орые

чают POH n20D 170-H IV

зания тении код У ,5229,

пяров CCKRX тана. nveseriva-Acad.

1a (I) КОВЫ легко ами-R, R', 3C₆H₄, -174°/

60,8, —112; C₂H₅, ₂C₆H₄,

р-ции

я свяр-ции С₆Н₆; a-nu-Y-1111-

ia xoироп.

NHCH-

тация 35,1%, драта С1₈СН-

йстви-2H4F)3

H₄Cl)₂

кип.

импло

115°). Фосс

цержа-

кий 1955,

устой-

HO R

бензорторид гает в

сле-

лучеп 81 водн. тро-4-

Разло-

70%,

ильное

производное, т. пл. 98-99°. Нитрованием III в более производное, т. пл. 30—35. 1 и грованием пт в соответствительноем получен 3,5-динитро-4-хлорбензотрифторид (V), выход 85%, т. пл. 58°. При кипячении V с насыщ. водн. р-ром соды и при нагревании
его до 180° со смесью СН₃СООNа и СН₃СОNН₂ удалось его до 180° со смесью СН₃СООNа и СН₃СОNН₂ удалось выделить только 3,5-динитро-4-оксибензойнуюк-ту(IV). При нагревании V с насыщ. на холоду спирт. р-ром NН₃ образуется 3,5-динитро-4-аминобензотрифторид (выход 91%, т. пл. 143—144°). При действии на V СН₃ОNа получен 3,5-динитро-4-метоксибензотрифторид (выход 77%, т. пл. 59—60°). II, пл. 47—48°, был получен с выходом 64% нитрованием I. При кипичении I с 10%-ным р-ром NаОН образуется 3-нитро-4-оксибензойная к-та с т. пл. 182°, а из II в тех же условиях образуется VI с т. пл. 238°.

Т. Толстая

17. 10лстан 1798. 2-Трифторметилниридин. Джарви, Фиц-джеральд, Джанз (2-trifluoromethylpyri-dine. Jarvie John M. S., Fitzgerald Warren E., Janz George J.), J. Amer. Chem. Soc., 1956, 78, №5, 978—979 (англ.) Взаимодействием СF₃CN (I) с бутадиеном (II) получен 2-трифторметилниридин (III), изучены свой-тун И. Т. Стобые рассостоем И. Спосто. I. I. (ст. ства III и подробно рассмотрен ИК-спектр. I и II (от-

ны выполние I: II в молях 1.7) проводят через горячую вону (342 см³, N_2) при 475° 4.5 часа (об аппаратуре см. РЖХям, 1956, 12890, 12892). Отгоняют непрореатировавший I (13%), выход III 88%, т. кип. 143°//754.5 мм., n^{25} D 1,4155. 1799. Перфторалкансульфокислоты. Грамстад, Xасельдине (Perfluoroalkyl derivatives of sulphur. Part IV. Perfluoroalkanesulphonic acids. Gramphur. Part IV. Perfluoroalkanesulphonic acids. Gramphur. 11799. stad T., Haszeldine R. N.), J. Chem. Soc.,

1956, Jan, 173—180 (англ.) Электролизом CH₃SO₂F(I) и CH₃SO₂Cl (II) в безводн. Н F (15 час., сила тока от 6,4 до 2.8 a, 5 a, плотность тока 0,0014 a/см²) получен СF₈SO₂F (III), вызод 91%, т. кип. —21,7°, log. p (мм) = 7,736—1221/T, теплота испарения 5590 кал/моль, константа Трутона 22.2. Приводится описание электролизера и аппаратуры для очистки и конденсации продуктов р-ции. Пред-полагается, что проводимость I и II в НF обусловле-

на образованием CH₃S(O)OHF (или Cl) и F-ионов; разрядка последнего на аноде приводит к образова-нию фторидов никеля высшей валентности, которые и выполняют роль фторирующих агентов. III практии выполняют роль фторирующих агентов. III практически не гидролизуется водой даже при длительном (48 час.) нагревании до 100° в запаянной трубке. В аналогичных условиях СН₃SO₂F гидролизуется практически полностью с образованием СН₃SO₃H, выход 94%. Гидролиз III успешно протекает при обработке его в запаянной трубке води. р-ром NаOH (20°, 4 часа); при этом образуется СҒ₃SO₂ONa (IV), выход 92%, т. пл. 248° (из ацетона). Количественно III гидролизуется в течение 1 часа при обработке в запаянной трубке р-ром Ва(ОН)₂·SH₂O в воде с образованием (СҒ₃SO₂O)₂Ba(V), выход 100%, т. пл. ≥370°. Из V получены СҒ₃SO₃K (VI), выход 84%, т.пл. 230° (из ацетона). Т-ра плавления соответствующих т.пл. 230° (из ацетона). Т-ра плавления соответствующих Na-, K-, Ba- и Ag-солей CH₃SO₃H 345°, 360°, 360° и 263°. Аналогично получена CF₃SO₃Ag (VII), выход 95%, т. пл. 356° (из бзл. -CCl₄ и эф.-CCl₄). Вааимодействием 10.0 г VII и 8 г С₂Н₅Ј в 50 мл безводн. эфира с последующим кипячением смеси в течение 30 мнн. мин. от ставов с нест в течение зо мин. от течение зо мин. 115°. Из 12,1 г VII и 6,3 СН₃) получен СГ₈SO₂OCH₃ (IX), выход 69%, т. кип. 99°. Р-дия между 3 г III и 4,2 г (C₂H₅)₂ NH в запаянной трубке протекает быстро; реакционная масса выдерживается в течение 12 час., брабатывается 25 мл воды и экстрагируется, выход $CF_9SO_2N(C_2H_5)_2(X)$ 83%, т. кип. $55^{\circ}/7$ мм. Р-ция меж-

ду 3,1 г III и 0,88 г NH в протекает мгновенно; экстракдией с помощью ССІ₄ получен СГ₂SO₂NH₂ (XI), выход 78%, т. пл. 119° (сублимирован в вакууме). Приведены ИК-спектры в-в III—VI и VIII—XI, Приведены ИК-спектры в-в III—vI и vIII—хI, а также ИК-спектры ряда родственных соединений в группах галоидангидридов сульфо-, алкил-, арил- и пергалоидалкилсульфомислот, алкил-, арил- и пергалоидалкилсульфомислот, и перталоидалкилсульфомислот. Показано, что с увеличением индуктивного эффекта алкильной или замещающей ее группы атомого паблюдается стания увеличенных полос мов наблюдается сдвиг характеристичных полос рассматриваемых соединений в более коротковолновую часть спектра. Часть III см. РЖХим, 1956, 50822. 11800.

11800. Восстановление фторсодержащих карбонильных соединений с номощью гентафторирониллития. Мак-Би, Робертс, Кертис (The reduction of fluorine-containing carbonyl compounds with heptafluoropropyllithium. МсВее Е. Т., Roberts C. W., Curtis Sadie G.), J. Amer. Chem. Soc., 1955, 77, №23, 6387—6390(англ.) Описано восстановление СъF₁СООС₂Н₂ (I) до (СъF₁)₂-СО(II) и (С₃F₁)₂ СНОН (III) с помощью С₃F₁ Li (IV). К 1 молю С₃F₁ В 1280 мл. абс. эфира в течение 45 мин. при −70—60° одновременно добавляли р-р 1 моля СН₃-Li в 560 мл. абс. эфира и р-р 0,5 моля I в 560 мл. абс. эфира и р-р 0,5 моля I в 560 мл. абс. эфира. Реакционная масса перемешивалась в течение 36 час. при −50—35°, затем т-ра в течение 24 час. поднималась до 20° и смесь выдерживалась еще 24 часа. Летучие продукты отгонялись, остаток обраба-Восстановление фторсодержащих карбонильчаса. Летучие продукты отгонялись, остаток обрабатывался 10%-ным p-ром $H_2\mathrm{SO}_4$ (0,55 моля) и реакционная смесь экстрагировалась эфиром. Эфир отгонялся, остаток обрабатывался $P_2\mathrm{O}_5$ и перегонялся. Получены: II, выход 8,7%, т. кип. $75-76,5,5^\circ$, $n^2\mathrm{OD}\sim1,3000$; III, выход 42%, т. кип. $114,3-117.5^\circ$, $n^2\mathrm{OD}$ 1,293—1,296, d^{30} 1,668 (n-толуолсульфонат, т. пл. $41-42^\circ$ (из пентана); 3,5-динитробензоат, т. пл. $83,5-84^\circ$ (из эф.-пентана); фенилуретан, т. пл. $111,5-112^\circ$ (из CCl_4)) и (Ce_5 7) gC -(CH_8)ОН (V), выход 3.7%, т. кип. $132-133^\circ$, $n^2\mathrm{OD}$ 1,3031, d^{25} 1,763. Побочными продуктами p-ции восстановления являются $\mathrm{Ce}_3\mathrm{F}_6$ и $\mathrm{CH}_2=\mathrm{CHOC}_2\mathrm{H}_5$. Соотношение продуктов p-ции восстановления зависит от времени: с сокращением времени p-ции увеличивается часа. Летучие продукты отгонялись, остаток обрабаношение продуктов р-цан восстановления зависит от времени: с сокращением времени р-ции увеличивается выход II, с увеличением — III. II получен также и при обработке р-ра С₃ F₇ J р-ром С₆ H₅ MgBr, выход 61,5% Показано, что в описанных условиях II не реагирует с IV с образованием (С₃ F₇)₃COH; во время р-ции образуется С₃ F₆, а основная масса II возвращеется в неизмененном состоянии. При добавлении же CH₈Li к смеси II и С₃ F₇J, кроме С₃ F₆, получен V, выход 20%. Приведен механизм восстановления І.

Р. Стерлин 11801. Гетероциклические производные мышьнка; по-правка к статье. Манн (Heterocyclic derivatives of arsenic: some corrected statements. Мап п F. G.), J. Amer. Chem. Soc., 1955, 77, №24, 6674 (англ.) Установлено, что 5,10-ди-и-толил-5,10-дигидроарсантрен выделен в виде двух геометрич. наомеров (см. РЖХим, 1956, 179), а не в оптически активной форме (Chatt, Mann, J. Chem. Soc., 1940, 1184; Costain, Sutherland, J. Phys. Chem., 1952, 56, 321). Авторы синтезировали 9,10-дигидроарсантридины (РЖХим,

11802. О взаимодействии треххлористого мышьяка с пентаэритритом. Кузьмин К. И., Тр. Казанск. хим. технол. ин-та, 1955, вып. 19—20, 217—219 При р-ции AsCl₃ (I) с C(CH₂OH)₄ (II) получают бициклич. хлорангидрид спиранового типа CH₂OAs-

ClocH₂CCH₂OAsClocH₂ (III). Вследствие низкой рас-

13 XHMBH, Nº 4

— 193 —

1181

(D

an

In

Ва

валь

лови

T038

на, 2-ам

нир

Ilpe

118

ц

ra ta

45

П

рагі

ров

noc.

(noi

Экс

обр

B <

В <

p-D

фра

рук

вяз рам

мер

вер

Ran

118

BOI

под

жа

алі

наі

др

R_f

B

Y

NUN

творимости III в эфире и CHCl₂ получить эфиры из III ше удалось. При р-ции III с CH₂OH и C₅H₅N выделять эфир также не удалось. К 13.6 г II приливают 36.3 г АѕСl₂, нагревают 4 часа до кипения (выделение HCl), застывшую массу растворяют в ацетове и фильтрукт; из фильтрата выделякт 29.1 г III с т. пл. 154° (яз ацетова). С. Иоффе 11803. О конденсации ферроцена с альдегидами. Несмеянов А. Н., Крицкая И. И., Изв. АН СССР, Отд. хим. н., 1956, № 2, 253—254

АН СССР, Отд. хим. н., 1956, № 2, 253—254
Взанмодействием 0,04 моля ферроцена (I) в 0,04 моля
НСНО (в виде 40%-ного р-ра) в присутствии 50 мл
96%-ной Н₂SO₄ (—15°, 15 мин.; 15—20°, 30 мин.;
65—75°, 75 мин.) получают р-р катвона бис-ферропениленметана, который восстанавливают до бисферроцениленметана (II) СН₂(С₅Н₄ FeC₅H₄)₂СН₂, добавляя 30—40 мл конц. НСІ и SпСІ₂, выход II 65—75%,
т. пл. 191° (из двоксана). В тех же условиях из 0,08 моля І и 0,08 моля СєН₅СНО получен бис-ферропенвленфенилметан (III) СєН₅СН(С₅Н₄ FeC₅H₄)²СНСєН₅, выход 30—37,5%, т. пл. 218—220° (из диоксана), и пролукт неполной конденсации С₅Н₅ FeC₅H₄СН(СєН₅)С₅Н₄ FeC₅H₄СН(ОН)СєН₅, выход 30—37,5%, т. пл.
268—270° (исе т-ры плавления определялись в запаянных капенлярах). III вымывали из смеси кипяпшы
ных капенлярах). III вымывали из смеси кипяпшы
напетоном.

11804 К. Химия тропонов и трополонов. Посон П. 1 1 1 в. с англ. М., Изд-во ин. лит., 1956, 204 стр.,

9 р. 20 к.

11805 К. Методы синтеза в органической химин.

Общие сведения, задачи и ответы. Изд. 3-е. Билман, Клеленд (Methods of synthesis in organic chemistry; outlines, problems and answers. 3d ed. Billman John Henry, Cleland E. S. Ind. univ. bookstore, 954, 264 pp., 2.75 doll.) (англ.)

11806 К. Кетокислоты и оксикислоты мезодигидроантраценов. Фартуа (Ceto-acides et acides alcools mesodihydroanthracéniques. Thèse. Farthouat Jean - Marie. Chartres, impr. de Durand, 1955, 28 n.) (франц.)

28 р.) (франц.)
11807 К. Изучение некоторых производных трифторметилбензойной кислоты. В ейсс (Etude de certains dérivés des acides trifluorométhylbenzoïques. Thèse. Weiss Francis. Lyon, Faure, 130 р., ill.) (франц.)

11808 Д. Изучение реакции хлорирования пропана. Ильина Д. Е. Автореф. дисс. канд. техн. н., Ин-т пефти АН СССР, М., 1956

11809 Д. Исследование в области синтеза и превращений β-хлорэфиров, полученных из олефинов крекинга нефти. Максимова И. С. Автореф. дисс.

канд. техн. н., Грозненск. нефт. ин-т, Грозный, 1956 1810 Д. Часть I. Сингез некоторых новых всшеств местноанестезирующего действия. Часть II. Синтез некоторых новых галондозамещенных аминов, повышающих кровяное давление. Часть III. Торможение анаэробного гликолиза Na-соли N-лауронлеаркозина. К а р б о и (Part I. The synthesis of some new local anesthetics. Part II. The synthesis of some new halogen — substituted pressor amines. Part III. The inhibition of anaerobic glycolysis by sodium N-lauroylsarcosinate. C a r b o n J o h n A n t h o n y. Doct. diss. Univ. Northwestern, 1955), Dissert. Abstrs, 1955, 15, № 9, 1488—1489 (нем.)

Синтезированы в-ва $C_6H_5NHCOCH_2NR_2$, замещ. в положениях 2 и 6 двумя CH_3O -группами, 2 атомами CI или же CH_3 - п CH_3O -группами (R везде $= CH_3$, C_2H_5 , C_3H_7 , C_4H_9). Эти в-ва обладают раздражающими свойствами. Полученные 4-HO-2- CIC_6H_3 - $CHOHRNHCH_3$ -HCI ($R = CH_2$ и CH_2CH_2) по силе действия значивельно уступают синэфрину. $CH_3(CH_2)_{10}CON(CH_3)$ -

СН₂СООNа в конц-ии 1 ммоль сильно тормозит действие гексокиназы дрожжей, по-видимому, вследствие адсорбции гексокиназой. Я. Комиссаров 11811 Д. Изучение реакции сульфоокисления и суль-

ногі д. изучение реакции сульфоокислення и сульфохлорирования низших алифатических углеводородов. Грязнов Г. В. Автореф. дисс. канд. техв. н. Моск. нефт. ин-т, М., 1956

1812 Д. Алкилирование ксилснольной фракции фенолов изобутиленом с целью выделения из смеси 3,5-диметилфенола. Кельцева О. Б. Автореф. дисс. канд. хим. н., Моск. хим.-технол. ин-т, М., 1956 11813 Д. Зфиры сульфамидбисфосферной кислоти. Матвеенко Л. Л. Автореф. дисс. канд. хим. н., Днепропет. хим.-технол. ин-т, Днепропетровск, 1956

См. также: раздел П ромышленный органический синтев и рефераты: Соединения алифатич. 11458, 12395, 12957; алициклич. 10889, 12455; ароматич. 10858, 10866, 11164, 11463, 11466, 12073, 12163, 12188, 12445, 13191, 13192, 13196, 13201—13203, 13293—13297, 13300, 13309; гетеропиклич. 10858, 10888, 11293, 11451, 11452, 11471, 12452, 13301, 13303, 13304, 13308; элементорганич. 12395, 12454, 13186, 13299

ПРИРОДНЫЕ ВЕЩЕСТРА И ИХ СИНТЕТИЧЕСКИЕ АНАЛОГИ

Редактогы Л. Д. Бергенсон, М. М. Ботвиник, А. Д. Куговков, В. В. Некрасов, И. В. Торгов, Л. М. Уткин, В. В. Шпанов

11814. Зволизация лактогы в присутствии щелочи (Сообщевие 3-е). Нахманович М. И., Берман С.Л., Тр. Вологод. молочн. ин-та, 1955, вып. 13, 193—201

Для сопоставления способности различных сахаров к образованию енольных форм, что межет служить характеристикой их относительной устойчивости, прове-дены опыты нагревания лактозы (1) в присутствии ше-лочи при т-рах, близких к 100°, продолжительностью до 1 мин. Обнаружена высокая способность 1 к енолизации, которая, вероятно, связана с более легким переходом 1 в оксоформу, и следовательно большей реакционной способностью, а также с ее биологич. значением и превращением в лактулозу. К 10 ма 0,25 М р-ра 1 прибавляют сухую CaO до ~0,5 н. конц-ии и вавесь погружают в глинериновую баню (160°). За 30-40 сек. т-ра р-ра достигает 95-98,° нагрев прекрашают через нужный промежуток времени. При 60° происходит позеленение р-ра, который затем становится желлым и бурым. Содержание лактозы определяют по Бертрану до и после нагревания со шелочью, енолов — двумя методами (см. сообщение 2, РЖХим, 1956, 78209). Результаты в большинстве случаев довольно близки, но иногда расходятся вдвое. Из приведенной таблицы видно, что максимум сполизации соответствует меньшей продолжительности нагрева (поднятие т-ры до 95° за 41 сек. дает 30—35% ендиолов при 60% неразложившейся 1, нагрев 100 сек. до 98—99°—18% ендиолов). В опытах, проведенных при 50°, максимум енолов приходится на 0,5 часа нагревания (~16%). Уменьшение конц-ни СаО до 0,4 н. замедляет процесс енолиза-ции (за 1 час 12% енолов). При действии 0,4 н. NaOH на 0,4 н. I получают при нагревании до 50° за 30 мин.-1 час 46% енолов. Подтверждено ранее высказанное о глюкозе положение, что нейтр-ция щел. р-ров приводит к снижению кол-ва енолов. При нагревании I до 50° с NaOH в результате нейтр-ции % енолов снижается за 1 час с 41,2 до 11,7, за 2 часа с 28,4 до 5,9%. ▶■ В. Зеленкова 7 r.

дей-TBHE

apor сульводо-

rexn.

фе-

реф. 1956

OTN.

XHM. DECK.

cun-

2395.

858.

2445.

3297. 1293.

3308:

HUK, peoe,

лочи

e p-1. 13,

apos k xa-

ровестыю

оли-

и переак-

Havep-pa BRECL

cek. repes

одит marin

ртра-

вумя

209).

ISKH.

HILL

чень-0 95

азловлио-

олов

ьше-

пиза-

aOH

ан. нное DEBO-I до

ается

o . Ma

кова

815. Дезаминирование р-глюкозамина, р-глюко-заминовой кислоты и р-глюкозаминола. Фостер (Deamination of p-glucosamine, p-glucosaminic acid and p-glucosaminol. Foster A. B., Chemistry and Industry, 1955, N. 22, 627 (angl.)

Вальденовское обращение (ВО) при дезаминировании р-глюкозамина и р-галактозамина HNO₂ обусловлено валичнем пиранозного кольца аминосахара (Peat S., Advanc. Carbohyd. Chem., 1946, 2, 62). В тех же усдовиях дезаминирование р-гликозаминовой и р-галактозаминовой к-т, также как и дезаминирование аланива, протекает без ВО. В отличие от С2H6CH(NH2)CH3 2-амино-2-дезокси-р-сорбит («р-глюкозаминол») дезами-вируется НNO₂ без ВО. Таким образом, СООН- и СН₂ОН-группы участвуют в р-ции дезаминирования. Предложены электронные схемы реакции. Л. Май Исследование каррагинина: сравнение фрак-

ций, полученных посредством хлористого калия и последовательным экстрагированием при повышенпоследовательным экстрагированием при повышенных температурах. Горинг, Янг (Studies on carageenin: comparison of fractions, obtained with potassium chloride and by successive extraction at elevated temperatures. Goring D. A. I., Young E. Gordon), Canad. J. Chem., 1955, 33, № 3, 480—495 (архд.)

Полисахарид красной водоросли Chondrus crisrus каррагиния (1,3'-поли-р-галакто-4-сульфат) фракциони-ровали ступенчатым осаждением р-ром КСL, а также ровали ступенчатым осаждением р-ром КСI, а также последовательным экстрагированием р-ром СН₈СООNа (понная сила 0,02) при 30° (A), 60° (Б) и 100—120° (В). Экстракт (Б) обладает высокой способностью гелеобразования. Содержание фракций: А 35%, Б 50%, В 15%. [α]²³D (0,3%): А 45—50°, Б 45—60°, В < 30°. Содержание SO₄ (±0,7%): A 26%, Б 22—26%, B<20%. Фракции исследованы в виде Na-соли, полученной диализом против р-ра CH₂COONa, затем разб. р-ра NaOH и вакуумзамораживанием диализата. При фракционировании с помощью КСІ А и В концентрируются в жидкой фазе. Приведены данные определенной руются в жилкой фазе. Приведены данные определенной визкости электрофореграммы и седиментапионные диаграммы (ультрацентрифуга). Описан аппарат для измерения прочности геля. Различие свойств А и Б, вероятно, связано с различием структуры цепей. В, по-видимому, представляет собой продукт десульфирования в представляет собой продукт десульфирования. вания А или Б.

1817. К химин коры Coutarea latiflora Д. С. Кай-зер, Гейер (Zur Chemie der Rinde von Coutarea latiflora D.C. Kaiser Hans, Geyer Heinz), Arch. Pharmazie, 1955, 288/60, № 11—12, 535—

В порошке коры найдено (в %): влажность 7.61, зола 5.92. клетчатка 20,7, белок 9.58, тавенды (катехи-новые) 1.83 (в пересчете на танени); смоло- и резивоподобные в-га — 12, воск. сапонны, крахмал, лигиин. Жиры, жирополобные в-ва и эфирвые масла не найдены, Кислые и нейтр. веди. и спирт. экстракты содержат вебольшие кол-ва хинина, хинидина и побочных алкалондов хинной коры. В годи. и спирт. экстрактах вайдены: глискоза (I), арабиноза (II), рамвоза (III), флавоновый агликон $C_{16}H_{12}O_6$ (IV). т. пл. $>350^\circ$, R_f 0,75, гликозид (V), т. пл. 263, R_f 0,48, и следы другого гликозида (VI), R_t 0.32. При гидролизе V дает IV и I, а VI распадается на IV, I, II и III. Все R, найдены при хроматографировании на бумаге в восходян ем токе, р-ритель бутавол-этилацетат-года (4:1:5) или бутанол-лед. CH_3COOH -вода (4:1:5). $V\Phi$ -спектры: λ_{MARC} (мµ) IV 217—310; V—210, 324. (Приведены кривые). 11818. Структура камеди мангозы. Муккерджи, Сривастава (The structure of neem gum. M u k-

h е г ј е е S., S г і v а s t а v а H. С.), J. Амег. Сhет. Soc., 1955, 77, № 2, 422—423 (англ.) Камедь (К) Mclia azadirachta (золы 5,4%) после подкисления ее р-ра HCl (к-той) и осаждения спиртом дает свободную к-ту, золы 0,92%, эквивалент 1080, $[a]^{21}D - 70^{\circ}$ (с 0,3; вода). При гидролизе К (0,05 н. $[a]^{21}D - 70^{\circ}$ (с 0,3; вода). При гидролизе К (0,05 н. $[a]^{21}D - 70^{\circ}$ (с 0,3; вода). При гидролизе К (0,05 н. $[a]^{21}D - 100^{\circ}$, 22 часа) свачала отщепляются $[a]^{21}D - 100^{\circ}$, 22 часа) свачала отщепляются $[a]^{21}D + 67^{\circ}$ (с 0,5, вода), 6,4% Ва. Гидролиз IV (в. $[a]^{25}D - 8^{\circ}$ (с 0,5, вода), 6,4% ва. Гидролиз IV (в. $[a]^{25}D - 8^{\circ}$ (с 0,6, вода), 6,4% нерастворима в $[a]^{25}D + 67^{\circ}$ (с 0,1, вода). Из 30 г К гидролизом (в. $[a]^{25}D + 67^{\circ}$ (с 0,1, вода). Из 30 г К гидролизом (в. $[a]^{25}D + 67^{\circ}$ (с 0,1, вода). Из 30 г К гидролизом (в. $[a]^{25}D + 67^{\circ}$ (с 0,1, вода). Из 30 г К гидролизом (в. $[a]^{25}D + 67^{\circ}$ (с 0,1, вода). Из 30 г К гидролизом (в. $[a]^{25}D + 67^{\circ}$ (с 0,2, вода). (2 н. H₂SO₄, нагревание в запаянной трубке, 24 часа) (2 н. 12504), выгревание в запанным труоке, 24 часа) хроматографией на бумаге обнаружены III и I (в соотвошении 3:2), II, р-глюкуроновая к-та и следы р-ксилозы. У является 4-(р-глюкопиравозвлурововая к-та)-р-галактопиравозой. Метилированием Ва-соли (СН₂)₂SO₄, затем реактивом Пюрди получен 4-(2.3.4триметил-р-глюков иранозилуронов ометилоный эфир)метвл-2.3,6- триметил-р-галактопит авозим (VI), т. кип. 195—225°/0,5—1 мм (т-ра бави). При гидролизе VI кипячевием с н. H_2 SO₄ (16 час.) с последующим окислевием Вг-годой образуются 1.4-лактон 2,3,6-триметил-р-галактовогой к-ты и 6-метиловый эфир трищения-р-налактовогов к-ты и соложности до пригинале глокарогой) к-ты. При окислевии К (NaJO₄, 33°, 6—7 леей) образуктся 2 моля НСОСН на 1 жд К, но часть остатков П1 сохравлется; очевидно К содержит сильно разгетеленную цень. А. Литенберг Строение «гли казидона» Маурера. Влияние ароматического ядра на дегидратацию ценей много-атомных спиртов. V. Гомес-Санчес, Иру-вла-Антиньоло, Гарсия-Гонсалес (La estructura de la «glucazidona» de Maurer. Influen-

cia del nucleo aromatico en la deshidratacion de cadenas polialcoholicas V. Gómez-Sánchez A., Yruela Antiñolo M., García González F.), An Real soc. española fis. y quim., Ser. B, 1954, 50, № 4, 431—440 (исп.) Установлено, что «глюказидон», полученный деги-

дратацией 2-D-арабо-тетраоксибутилхиноксалина (1) с выделением 3 молей воды и рассматривавшийся Маурером (Вег., 1934, 67, 1980; 1935, 68, 1717; 1937, 70, 1857) как 1,2-(1',2'-пиридон-4-1,2-дигидрохиноксалин, представляет собой 2-(2'-фурил)-хиноксалин (II). Строение 11 подтверждено встречным синтевом из метил-2-фурилкетона через 2-фурилглиоксаль (111), который при нагревании с о-фенилендвамином (IV) пре-вратился в II. Синтезом из фурил-2-глиоксиловой к-ты (V) показано, что соединение, рассматриваешееся Маурером как 10-оксиглюказвдон, является 2-(2'-фурвл)-3-оксихиноксалином (VI). Аналогично показано, что в-во, полученное Маурером при дегидрировании продукта конденсации фенилмагний бромвда (VII) с II, является 2-фурвл-3-фенилхиноксалином (VIII). 15 г I нагревали 2 часа при 100° с 50 мл конп. Н₂SO₄; после выливания на лед и экстракции эфиром выделен II, выход 4,5 г, т. пл. 102—104° (из сп. или води. сп.). 2 г 111 в 20 мл абс. спврта нагревали 2 часа с 2 г IV, через 12 час. получено 2,2 г 11. 5 г 2-р-аработеграокси-бутил-3-оксихиноксалина нагревали 2 часа с 20 мл бутил-3-оксихноскалина нагревали 2 часа с 20 мм конп. Н₂SO₄, после выливания в ледяную воду в фильтрования получен VI, т пл. 264° (из води. ацетона). VI выделен также при взаимодействии 1 г V с 1 г IV в спирте (24 часа при ~20°). При р-дии VII (из 4 г СеН₅Вг и 0,6 г Мд) с 3 г II получено 3,5 г 2-фурил-3-фенил-3,4-дигилрохиноксалина (IX), т. пл. 149° (из бал.). 0,15 г IX нагревали несколько минут с 0,29 г FeCl₃, выделили VIII, который образовался также при

Nº 4

X H Vz

pra

s t 195

раб Те: ботке межд

эфир

фрак

уксу

narpe NaOl

в пр

лида

CH₃C

PtO2

вани

2,7-и

1,4,6тезир 1,4-д смест

II, T. 50 Mi NaO

с во Al₂O (из 2 2.2

эфир

и из етор т. ки (180° (0,3,5 VIII

хром выхо зуле рата

вают

руют азуле IX, 3

гонк ром УФ-

гидр

1182

ла

R

m

49

19

Де

при

кото гвая: вани

II up

(V),

ROCT

пяче

кисл

быстрой перегонке IX в вакууме. 0,5 г бензофурила кипятили 2 часа с 0,27 г IV в 1 мл спирта, получили 0,65 г VIII. Л. Песин 11820. Кристаллические брушиновые соли одигога-

1820. Кристаллические бруциновые соли олигогалактуронидов. Мак-Криди, Мак-Ком, Блэк (Crystalline brucine salts of oligogalacturonides. МсСгеа dy Rolland М., МсСом b Elizabeth A., Black Dale R.), J. Amer. Chem. Soc., 1954, 76, № 11, 3035—3036 (англ.)

Т. При гидролизе полигалактуроновой к-ты посредством полигалактуроназы образуются олигогалактуроновые к-ты, бруциновые соли которых были выделены в кристаллич. форме после хроматографич. разделения на бумаге. Получены моногидрат бруциновой соли галактуроновой к-ты (I), моногидрат дибруциновой соли дигалактуроновой (II) и гидрат (15% H₂O) трибруциновой соли тригалактуроновой к-т (III). Для I, II и III [α] 125 D —7,5, +25, +35° соответственно. Приведены дебайеграммы полученных в-в, а также межплоскостные расстояния и относительные интенсивности. Б. Поглазов

1821. Изомеризация α-пипена в паровой фазе. Окада, Фусисаки (α-ビネンの氣相異性化に ついて、岡田幸雄、伏崎彌三郎), 工業化學雑誌, Korë кагаку даасси, J. Chem. Soc. Japan Industr. Chem. Soc., 1956, 59, № 6, 719—722 (япон.)

Soc., 1930, 59, № 6, 719—722 (мпон.)
Пропускают пары α -пинена со скоростью 2 A/4ac над нагретым до 300° катализатором из кремнезема (I), SiO₂, Al₂O₃, MgO, TiO₂, а также смеслин I с MgO or 1: 1,5 до 1: 6, с Al₂O₃ от 7: 1 до 1: 3, TiO₂ 4: 5 и 2: 3, смесью Al₂O₃ и MgO 5: 4, SiO₂ и MgO 3: 1, MgO и MgSO₄; 1, MgO и MgSO₄. Изомеризации идет на 13—100%, из продуктов р-ции выделяют камфен (до 24,8%), изоборнеол и дипентень.

11822. Ο терпенах. LXVI. Строение β-элемена. С икора, Героут, Шорм (О terpenech. LXVI. Konstituce β-elemenu. S y kora V., Herout V., Šorm F.), Chem. listy, 1955, 49, № 6, 942—943 (чеш.); Сб. чехослов. хим. работ, 1956, 21, № 1, 267—268 (англ.; рез. русс.)

Для установления расположения двойных связей β -элемента(I), (РЖХим, 1955, 9563) проведено его озонирование, при котором получено 3,2 моля формальдегида, что свидетельствует о нахождении всех трех двойных связей I вне цикла. При пиролизе 15,6 г бензоата элемола перегонкой в токе CO_2 при 210—240°/100 мм и хроматографировании на Al_2O_3 фракции нейтр. в-в, кипящих при 125—129°/21 мм, получено 3 г, I, т. кип 128—129°/20 мм, n^{20} D 1,4949, d^{23} 0,8803, d D —11, 1°. Сообщение LXV см. РЖХим, 1955, 43104. И. К. 11823. О терпенах LXVII. Продукты гидрирования

сантонина и алантолактона. Ковач, Героут, Горак, Шорм (O terpenech. LXVII. Hydrogenačni produkty santoninu a alantolaktonu). Kovács Čdön, Herout Vlasti mil, Horák Milan, Šorm Frantisek), Chem. listy, 1955, 49, № 12, 1856—1869 (чет.); Сб. чехосл. хим. работ, 1956, 21, № 1, 225—239 (англ.)

При гидрировании сантонина (I) в разных условиях образуются три изомера 3-кетосантанолида-5,12 (II а, б и в), при их дальнейшем гидрировании получают соответствующие 3-оксисантанолиды-5,12 (III а, б, в). При восстановлении по Клемменсену II а и II в дают сантанолид-5,12 (IVa), а II б превращается в сантанолид-5,12 (IV6). При взаимодействии II а, б и в с этплендитиолом (V) получаются этилентиокетали, которые при обессеривании скелетным Ni образуют соответственно IVa, б и в. IIв легко изомеризуется в II а. LiAlH4 восстанавливает IVa в сантандкол-5, 12 (VI), а алантанолид-5,12 (VII) в алантандкол-5,12 (VIII).

Даны ИК-спектры IVa, бив, VII, IIa, бив, IIIв, VI, VIII, 5,12-оксидосантана (IX) и алантен-∆ (?)-ола-12 (X). При гидрировании 0,1 моля I в 200 ма сульфонислоты (AII) в 50 мм лед. СН₃СООН выдерживают 5 час., разбавляют водой и извлекают эфиром II6, выход 89%, т. пл. 103—105° (вз 70%-ного СН₃ОН), $[\alpha]^{21} D + 11,3° \pm 1°$ (с 3,88). Гидрированием II6 в лед. СН₃СОН с PtO₂ получают III6, т. пл. 213—215° (вз СН₃ОН), $[\alpha]^{20} D - 8,5° \pm 1°$ (с 4). 4 г. Гидрируют в СН₃ОН с PtO₂ (120 амм, 20°). получают IIIв, выход 44%, т. пл. 135° (вз 50%-ного СН₃ОН), $[\alpha]^{20} D + 42.7° \pm 1°$ (с 3,97). Смесь 0,66 моля СгО₃, 0,1 мм воды, 1 ммоля IIIв в 6 мм СН₃СООН оставляют на 20 час., разбавляют вогой (6 мм) с. нескольким калими разбавляют водой (6 м.4) с несколькими каплями спирта, упаривают и эфиром извлекают IIв, т. пл. $145-146^\circ$, [α] $^{20}D+77.5\pm2^\circ$ (c 5.12). 0,01 моля IIa нартина (др. 17.5±2 (с. 5,12). 0,01 моля На восстанавливают по Клеменсену (8 г. 21 мл НС!; 1: 2, книвчение 12 час.), эфиром извлекают IVa, выход 93%, т. пл. 154° (из 90%-ного сп.). [а]²⁰ D++26,8±1° (с. 4,45). Так же из Пб получают IV6, выход 70%, т. пл. 86—87° (из сп.), [а]²⁰ D — 27,9°±2° (с. 3,8). 100 мг Пв книвтят 12 час. с. 4 мл НС! (1:2), получают 65 мг Па. Смесь 0,01 моля Па, 50 мл лед. СН.СООН. 0.01 моля V и 0.96 г. XII. сетавляется СН₃СООН, 0,01 моля V и 0,96 г XII оставляют ва З часа при 20° и выливают на лед, получают этилентиокеталь IIа, выход 99%, т. пл. 195—196° (из этилацетата), $\lceil \alpha \rceil^{20} D + 44.7^{\circ} \pm 1$ (с 4.95), который (0.005 моля) при кипячении 8 час. в 120 мл диоксана с 15 мл скелетного Ni I дает IVa с выходом 98%. Аналогично нз **H6** получают этилентнокеталь, выход 81%, **т**. пл. 122—123° (из CH_0OH), $[\alpha]^{20}D-11,08^{\circ}\pm^{1}$ ° (c 6,32), а из него **IV6**, выход 95%. В тех же условиях **HB** через этилентиокеталь [выход 95%, т. пл. 166—167° (из этилацетата), $[\alpha]^{20}D+37,9^{\circ}\pm^{1}$ ° (c 3,95)] превращают в **IV8**, т. пл. 137—139° (после кристалладин из синота и диназоромного объекта объекта и диназоромного объекта объект превращают в IVB, т. пл. 137—133° (после кристаллизации из спирта и динзопропилового эфира и сублимации (12 мм. 110°)) [a]2° D +92,2±2° (c 3,73). Смесь 0,1 моля LiAlH₄, 0,05 моля IVa и 600 мм эфира перемешивают 2 часа, разлагают 6 мм воды и 200 мм 25%-ной H₂SO₄, эфиром извлекают VI, выход 98%, т. пл. 154—155° (из бэл.), [a]2° D—25,3°±1° (c 4,12 в хлф.-СH₃OH; 1:1). 2 ммоля VI растворяют при 0° в 5 мл SOCl₂, через 1,5 часа SOCl₂ отгоннют, после хроматографирования на Al-O, (патр. эф.) получием жроматографирования на Al₂O₃ (петр. эф.) получают 180 мг циклич. сульфита VI, т. пл. 75—76° (из сп.), [а]²⁰ D—253°±2° (с 2,84), который при омылении в водно-спирт. NаОН вновь дает VI. Кипячение 30 мив. 2,5 ммоля VI с 0,1 г XII в 12 мл С₀Н₆ приводит к IX. выход 84%, т. кип. 132—133°/8 мм, n²⁰D 1,4972, d_A^{20} 0,9788, $[\alpha]^{20}D-39,54^{\circ}$. При перегонке с водяным паром 3 кг корня Inula Helenium, кристаллизации отгона из 70%-ного спирте и гидрировании продукта при 45° с РtO₂ в этилацетате получают 16,3 г VII, т. пл. 147—147,5° (на сп.), $[\alpha]^{18}D+14,6\pm1°$ 1,92). При восстановлении VII LiAlH₄ получают VIII, выход 93%, т. пл. 111—112° (на бэл.-нетр. эф.; 1:3), $[\alpha]^{20}D-6,2\pm1°$ (с 4,55). VIII переводят в циклич. $[a]^{*}D - 5,2\pm 1^{*}$ (с 4,55). VIII переводит в циклич-сульфит (как VI), выход 47%, т. пл. 114—116° (из сп.), $[a]^{20}D - 52,4^{\circ}\pm 2^{\circ}$ (с 3,62). Дегидратацией в усло-виях получения IX из VIII получают X, выход 88%, т. кнп. 133—135°/8 мм, $n^{20}D$ 1,5078, d_4^{20} 0,9879, $[\alpha]^{20}D$ $-32,7^{\circ}\pm 2^{\circ}$. Iaromír Plešek 11824. О терпенах. LXVIII. Образование двух тетраалкилазуленов при обработке полыни горькой. С уГ.

IB,

Πa-

MA.

пл.

ны

OK OM OA

O D

-10

KH-

OM

H),

ед. (нз

код

BO-

IMN

IJЛ.

Ha

Cl:

вы-

V6, +2° (2),

ед.

Ba

илмомл чно 1%, ±1°

хви

66-95)1

ли-

ли-

ере-

8%

4,12

и 0°

ают

нии инн. IX, 972,

ным

отукта VII, ,92).

вы-: 3).

лич.

(из

сло-88%,]²⁰D ešek

тра-С у-

хий, Героут, Шорм (O terpenech. LXVIII. Vznik dvou tetraalkylazulenů při zpracování pelyřku углік dvou etraankylazdienu pri гргасочані регугки pravého. S y c h ý M i l o š, H e r o u t V l a s t i m i l, Š o r m F r a n t i š e k), Chem. listy, 1955, 49, № 12, 1870—1878 (чеш.); Сб. чехосл. хим. работ, 1956, 21, № 2, 477—486 (англ.; рез. русс.) Техническая смесь азуленов, полученная при обработке полыни щелочью, противоточным распределением между петр. эфиром и 52,5%-ной H₂PO₄ разделена на между петр. Эфиром и 32,0%-пои путо фраселена на два новых азулена: $C_{1c}H_{20}$ (I), выделенный из петр. Эфира, и $C_{15}H_{18}$ (II), выделенный из фосфорнокислых фракций. При окислении I и II КМпО и получены уксусная и пропионовая кислота. Показано, что пагревание (24 часа) экстрактов полыни с 10%-ным NaOH приводит к хамазулену, а при нагревании их в присутствии стеблей полыни получаются I и II. II и І образуются при щел. алкилировании оксигваядиенодида (111) и абсинтина (1V) соответственно НСНО и СН₃СНО. При гидрировании 1 и 11 в СН₃СООН над PtO2 получают декагидропроизводные. На этом основании авторы приписывают I структуру 1,4-диметил-2,7-или 6,7-диэтилазулена, а II структуру 1,2,4-либо 1,4,6-триметил-7-этилазулена. С целью сравнения синтезированы 1,4-диметил-7-етор-бутилазулен (V) и тезированы 1,4-диметил-7-емор-бутилазулен (V) и 1,4-диметил-3,7-диэтилазулен (VI). Из 0,7 г технич. смеси I и II выделено 0,254 г I, т. кип. 173°/9 мм; тринитробензолат (ТНБ), т. пл. 133° (из сп.), и 0,16 г II, т. кип. 160°/11 мм; ТНБ, т. пл. 150° (из сп.). Смесь 50 мг III с 20 мг 30%-ного НСНО и 100 мл 10%-ного NaOH нагревают 20 час. при 100°, после подкисления NaOH нагревают 20 час. при 100°, после подкисления с водяным паром отгоняют азулен, из которого на Al₂O₃ петр. эфиром выделяют II. Смесь етор-C₄H₃Li (из 27 е етор - C₄H₃Cl, 2,2 е Li и 50 мл петр. эф.) и р-ра 2,2 е 2,8-диметил-(0,3,5)-бициклодеканона-5 в 30 мл эфира кипиятя 6 час., разлагают водой и разб. H₂SO₄ и из эфирного экстракта выделяют 2,8-диметил-5-етор-бутил-(0,3,5)-бициклодеканол-5 (VII), выход 39%, т. кип. 157°9 мм. При нагревании 1 е VII с 1,5 е КНSO₄ (180°, 20 мин.) получают 2.8-пимотил-5-етор-бутил-(180°, 20 мин.) получают 2,8-диметил-5-епор-бутил-(0,3,5)-бициклодецен (VIII), d²⁰4 0,8813. Смесь 0,6 г VIII и 0,35 г S нагревают 15 мин. при 180°, продукт хроматографируют на Al_2O_3 и петр. эфиром вымывают V, выход 11%; ТНБ, т. пл. 126° (из сп.). Смесь 0,4 г хамазулена, 50 мл CH_2Cl_2 , 8,2 мл ($CH_3CO)_2O$ и 1,5 мл эфирата BF_3 оставляют на 48 час.; CH_2Cl_2 -экстракт промывают водой и после отгонки р-рителя хроматографируют на Al₂O₃; бензолом вымывают 0,25 г 3-ацетилхамазулена (IX); ТНБ, т. пл. 123° (пз сп.). Смесь 0,22 г IX, 30 мл эфира и 0,15 г LiAlH, после стояния 24 часа IX, 30 мм эфира и 0,15 г LIAII 4 после стоянии 24 часа разлагают 100 мм воды и эфирный экстракт после оттенки эфира хроматографируют на Al₂O₃, петр. эфиром вымывают VI; ТНБ, т. пл. 148° (из сп). Приведены УФ-спектры I, II, V и VI, ИК-спектры I, II и их декатидропроизводных и V, а также видимые спектры I, II и их декатидропроизводных и V, а также видимые спектры I, II и их декатиденте. Пропроизводных и v, а также выдымые сполум. J I и V.

11825. О терпенах. LXIX. Строение дегидрокостуслактона. Романюк, Героут, Шорм (О
terpenech LXIX. Konstituce dehudrokostuslaktonu.
Romaňuk Miroslav, Herout Vlastimil, Šorm František), Chem. listy, 1955,
49, № 12, 1879—1885 (чеш.); Сб. чехосл. хим. работ,
1956, 21, № 4, 894—901 (англ.; рез. русс.)
Попиломости пактон (П) (на Заизвигая дарра Clarke)

Дегидрокостуслактов (I) (из Saussurea lappa Clarke) при гидрировании дает лексагидропроизводное (II), которое на основе ИК-спектра идентифицировано как гваянолид (см. РЖХим, 1954, 27127). При дегидрировании I получен хамазулен (III), а дегидрирование II приводит к смеси S-гвайазулена (IV), Se-гвайазулена (V), III и 2,4-диметил-7-этилазулена (VI). Эфир р-р костусового масла промыт бикарбонатом, омылен ки-лячением с NaOH, р-р солей промыт эфиром и подкислением вновь переведен в лактон, который отмыт

от фенолов холодной щелочью; получен I, т. кип. 140—143°/0,5 мм, т. пл. 61°, $[\alpha]^{20}D-12,9$ °. При гидрировани I с PtO₂ в лед. CH₃COOH получен II, т. кип. 135—137°/0,4 мм, $n^{20}D$ 1,5076, d_4^{20} 1,0545, $[\alpha]^{20}D+46,3$ °.

11,4 г II и 11,6 г Sе негреты до 320—335° и из продуктов хроматографией на Al_2O_3 и извлечением 79%-ной H_3PO_4 выделена смесь азуленов, которая хроматографированием на бумаге (импрегнирована парафиновым маслом промыта 48%-ной H_2PO_4) была раз-

рафиновыя наслож вразделена на IV, V, III, тринитробензолат, т. п. 130°, и VI, тринитробензолат, т. пл. 112°. Дыны ИК-спектры I, II, VI, видимые и УФ-спектры VI. Јап Коуа́т 1826. Нзучение летучих растительных веществ СХХХVIII (1). Истинный изо-α-ирон [транс-(2,6)щис-(2,12)-6-метил-а-нонон]. На в (Études sur les matières végétales volatiles CXXXVIII (1). Sur l'iso-airone vraie [trans (2,6); cis (2, 2, 2)-méthyl-6, a-ionone]. Na ves Y ves René), Bull. Soc. chim. France, 1956, № 2, 253—257 (франц.)

Изо-а-прон (I), строевие которого ранее (Helv. chim. acta. 1949, 32, 2552) опибочно приписывалось в-ву, оказави: ему: в нео-изо-а-и ровом (II), выделен разгонкой смеси иронов. Строение установлено на основании изучения ИК-спектра. II в отличие от I обладает запахом фиалки. Промежуточную фракцию между нео-а- и нео-β-иронами разговист мвогократно на колонке при 0,10—0,15 мм в атмосфере N_2 ; отбирают фракцию с $n^2 \circ D < 1,4980$. Последующей разгонкой на колонке с вращающейся левтой получают I, т. квп. 52—54°/0,10—0,12 мм, d_4^{20} 0,9306; n_C^{20} 1,49105; $n^2 \circ D$ 1,49502, n_E^{20} 1,50460; 4-фенилсемикарбазои, т. пл. 158,5—159,5° (сп.); 2,4-двинтрофенилгидразои, т. пл. 151—152° (СВ $_2$ ОН). Гидрироване I над скелетным № привело к дигидровзо-а-прову, идентифицированому в виде семикарбазопа. Приведены кривые ИК-спектров I и II. Сообщение СХХХVII см. РЖХим, 1956, 78221. В. Дашунии

11827. Синтезы в ряду каротиновидов. XXXIV. Синтез альдегидов С₁₄ и С₁₅. И и х о ф ф е и, Э р д м а и (Synthesen in der Carotinoid-Reihe. XXXIV. Aufbau von С₁₄- und С₁₅-Aldehyden. In hoffen H ans H erloff, Erd m ann Dietrich), Liebigs Ann. Chem., 1956, 598, № 1, 51—64 (нем.)

Описан сивтез альдегидов: uao-C₁₄ (I) и C₁₅ (II), иеходя из 1,1,5,-триметилциклогексанона-6 (III). Полученный I не идентичен с альдегидом uao-C₁₄, синтезированным ранее (РЖХим, 1955, 37419). Получить соответствующий II триеналь ве удалось. Из 9 г III и 4,5 г МgВг-этоксиацетилена (получен действием С₂Н₅МgВг из 1,65 г Мg) в эфире (18 час.) после разложения р-ром NH₄CI получают этоксиэтинилкарбинола (IV), выход 63%, т. кип. 110—111° / 4 мм. При гидрировании 8,5 г IV в этилацетате с 160 мг 8%-пого Рd/ВаSO₄ (35 мнн.) образуется енолэфир (V) (выход 8,5 г, не очишался), который при встряхивании в диоксане с 10%-ной H₂SO₄ (90 мнн.) дает триметилциклогексилиденацетальдегид (VI), выход 78%, т. кип. 52—55°,5-10-3 мм; семикар-базов (СК) (VII), т. ил. 204,5—206,5° (из CH₃OH). Из 5,2 г VI и 6,75 мл СН₃СС₂Н₅В₃ +115 мг NH₄NO₃ в 2,2 мл абс. спирта (3 дня, ~20°) получен ацеталь (VIII), выход 63%, т. кип. 65°,10-2 мм. Прв конденсании, 13 г VIII с л мл СН₃СН=СНОС₂Н₅ + 150 мг ZпСl₂ (60°, 1 час) образуется эфироапеталь (IX), выход 90% (не очищался). Смесь 5,1 г IX, 25 мл диоксана, 2,5 мл воды и 1 г Н₈РО₄ (d 1,7) + следы гидрохинона нагревают (115—120°, 6 час.) с постепенным введением смеси

No

BWI

пол

бис

ван 257

118

d

G

2

Ben

дела

ную

Кет

фри

При

пела

стве Хуа

(VII

стан

g-Ke

11-H

восс

восс 3-мс

при у-он с Сі Кле

x, y

при

мели пери

pact

три:

B 10

R X

+ C

дино граф + С

Ba /

cn.-6

248базо

₹. II

CEME 13,8 MOHO III E R am Zn, Bahe

деля

[a] I 241-

4,5

B 32 XIV TPOM

диоксан + вода (10:1) и отгонкой летучих в-в; остаток выливают в 250 мл воды (0°), извлекают I петр. эфиром, очищают перегонкой и хроматографированием на ${\bf Al_2O_3}$ из петр. эфироа с вымыванием петр. эфиром +30% C_6H_6 , выход I 60 %, т. кип. $84-86^\circ/5\cdot10^{-3}$ мм; фенилсемикарбазон (X), т. ил. $157-158^\circ$ (из ${\bf CH_3OH})$.

I R = CHCH = $C(CH_0)$ CHO; II R = C \equiv $CC(CH_0)$ = CHCHO
IV R = C \equiv COC_2H_4 ; V R = CH = CHOC₂H₄; VI R = CHCHO;
VIII R = CHCH(OC_2H_4)₃; IX R=CHCH(OC_2H_4)CH(CH_4)CH(OC_2H_4)₄
XI R = C \equiv $CC(CH_0)$ = CHCH₂OH; XIV R = CH = CHC(CH_1) = $CHCH_2$ OH; XIX R = C \equiv $CC(CH_0)$ = CHCH₂OH

при окислении 1 - XII ветрианализи с 10 г мис-ва ацетоне (2 часа) образуется 0,95 г альдегида С₁₅Н₂₂О₂ (XIIa), т. кип. 105°/10-2 мм; СК (XIIIa), т. пл. 137° (с 1 Н₂О, из 50%-ного СН₃ОН). Аналогично из XIб получен альдегид (XIIб), т. кип. 115°/0,1 мм; СК (XIIIб), т. пл. 181—183° (из 75%-ного СН₃ОН). При вос-(XIII6), т. пл. 181—183° (на 75%-ного СН₃ОН). При восстановлении LiAlH₄ в тетрагидрофуране (кипячение 2 часа) 10 г XIа дали 6,5 г диенднола (XIVa), т. кип. 130—140°/10¬3 мм, а 6,8 г XIб—5,4 г (XIVб), т. кип. 130—140°/10¬3 мм. Окислением (MnO₂ в ацетоне) получены альдегиды С₁₅Н₂₄O₂ (XV): на 6,5 г XIVа—4,5 г (XVa), т. пл. 72—74° (из петр. эф.), т. кип. 110—130°/10¬3 мм; СК (XVIa), т. пл. 158—160° (из водн. СН₃ОН); из 2,3 г XIVб—0,9 г XVб, т. пл. 103,5—104,5°, СК (XVIб), т. пл. 110° (из 50%-ного СН₃ОН). Из 11 г смеси изомеров XI действием (СН₃СО)₂О в пирилине (20 час.) получено 9 г смеси ацетатов в пиридине (20 час.) получено 9 г смеси ацетатов (XVII), т. кип. 128—130°/0,02 мм, которая после обработки РОСІ₃ в пирадине (130°, 6 час.) образует работки РОСІ_з в пирадине (130°, 6 час.) образует ацетат 7,8-дегидро-β-нонилиденэтанола (XVIII), выход 52%, т. кин. 125—127° /0,6 мм. Омылением 3,8 г XVIII (1 г КОН, 40 мм. сп. +5 мм. воды, 20 час., ~20°) получено 2,76 г (в оригинале 276 г) 7,8-дегидро-β-нонелиденэтанола (XIX), т. кип. 130—140°/1, мм. При окислении 2,6 г XIX (МпО₂ в петр. эф.) образуется II (7,8-детидро-Вымуниценнога 1, при окислиденыя дегидро-Вымуниценнога 1, при окислидена 1, при окисл гидро-β-ионилиденацетальдегид) выход гидро-р-повилиденацетальдегид) Выход 1,1 г, т. кип. 110—115°/0,2 мм; динитрофенилгидразон (XX), т. пл. 144—145° (из сп.); СК (XXI), т. пл. 197—197,5° (из СН₃ОН). Из 5,4 г XIV6 (аналогично XVII) получен ацетат (XXII), выход 4,1 г. пл. 104-104,5° (из петр. эф.). При дегидратировании 3,9 г XXII (POCl₃ в пири-3Ф.). При дегидратирования 3,9 г ллп (госта в пиридине) образуется 903 мг ацетать триенола (XXIII), т. кип. 120—130°/0,5 мм. Из 880 мг XXIII омыдением (180 мг NаОН в 10 мл CH₃OH +1 мл воды, 16 час., ~20°, атмосфера №) получено 390 мг триенола (XXIV), т. кип. 115—125°/0,5 мм, не окисляется МпО₂. Конденсацией 1,25 г I с димагнийбромацетиленом получено 1,3 г аморфного С30-индиола (XXV), превращенного дегидратированием с аллильной перегруппировкой (кипячение в толуоле + п-толуолсульфокислота, с отгонкой воды) в С₃₀-ин-углеводород, полученный ранее (Inhoffen, Pommer, Bohrmann, Liebigs Ann. Chem., 1948, 561, 26). Приведены данные УФ-спектров I, II. VI, VII и X—XXV. Предыдущее сообщение см., РЖХим, 1955, 55237. В. Некрасов 11828. Об эфирном масле дикой мари железистой III. Структура аригазона (1). Такэмото, Накадзима (野生アリタソウの精油成分に就いて、第3編、Aritasone の構造に就いて、その 1. 竹本常松、中島正)、薬学雑誌、 Якугаку дзасси, J. Pharmac. Soc. Japan, 1955, 75, № 9, 1036—1039 (япон.)

Найдено, что ранее описанный (J. Pharmac. Soc. Japan., 1952, 72, 975. Сообщение II см. РЖХимБх, 1956, 504) аритазон, т. пл. 105—106°, выделенный из эфирного масла Chenopodium ambrosioides L., в действительности являет-

sioides L., в действительности является димером *l*-пинокарвона (I) и имеет строение II. При перегонке II деполимеризуется в I. При гадрировании с PtO₂ образует дигид-

прировании с РtO₂ образует дигидроаритазон (III), т. пл. 113°. Под действием 1%-ной НСІ в спирте II гидратируется с образованием двух продуктов состава С₂0Н₃0О₃ с т. пл. 83—88° (IV) и с т. пл. 134—136°. Как IV, как и II дают монодинитрофенилгидразон с т. пл. 236° (разл.). Приведены кривые ИК-спектров I—IV. С. Кожии 11829. Синтез сквалена. Тр и п е т т (The synthesis of squalene. Т г i р р e t t S.), Chemistry and Industry, 1956, № 3, 80 (англ.)

Сообщается о синтезе сквалена (I) по схеме: $(C_6H_5)_9P(Br)CH_2CH_2-|_2 \longrightarrow [(C_6H_5)_9P=CHCH_2-|_2 \rightarrow$

теранила петон → I, выход 35%, т. кип. 220° (т-ра бани) / 0,2 мм, n²1D 1,4956. ИК-спектры полученного I (1а) и природного I (1б) с n²1D 1,4959 практически идентичны, но Ia, возможно, отличается от I6 цистранс-изомерией в положениях 10, 11 и 14, 15. Пря обработке Ia при —10° сухим НСІ в ацетоне образуются два изомерных гексагидрохлорида (т. пл. 110—113° и 145° с разл.), идентичные полученным из I6.

В. Коптюг

1830. Обсуждение связи между изомерией и запахом. Никколини (Considerazioni sui rapporti. fra isomeria e odore. Niccolini Pietro), Riv. ital. essenze profumi, piante offic., olii veget., saponi 1956, 38, № 3, 128—132; № 4, 157—161 (итал.) На основании литературных данных обсуждена

На основании литературных данных обсуждена связь между изомерией и запахом органич. в-в. Различный запах имеют структурные (положение цепей, колец и т. п.), пространственные и оптич. изомеры. Вопрос не разрешен для таутомеров, поскольку они не могут быть выделены в чистом состоянии. Библ. 68 назв.

Л. Яновскай 11831. Фриделии и церин. Бр а у п.л. С. п.р. и и.г.

11831. Фриделин и церин. Браупли, Сприиг, Стивенсои, Строн (Friedelin and cerin. Brownlie George, Spring F. S., Stevenson Robert, Strachan W. S.), Chemistry and Industry, 1955, № 37, 1156—1158 (англ.) На основании новых данных авторы предлагают из-

менить ранее предложенную ф-лу фриделина (1). Во-

преки прежним данным I не может содержать группу $\mathrm{CH_2CH_2COCHCH}$, так как I был превращен в $\Delta^{18}(18)$ -

олеанен. Тетрациклич. кетон C₂₅H₄₂O, полученный из I, имеет строение (II), откуда следует, что «норфриделиндиону» (III) соответствует ф-ла (IIIа). Поэтому карбонильная группа I не может находиться в положе-

r.

II.

A-

E),

an,

Oc. Бx. W2

ной

нем 88°

aior

л.).

KNH

esis du-

eme:

т-ра ого

CKI uuc-

При брапл. и из TOIT

апаorti. Riv.

poni

дена Paa-

пей.

еры.

они

ская н г,

erin.

Ste-Che-

нгл.) т нз-

Bo-

ynny 3(18)-

ий из

ридеэтому ложе-

вии 1, как предполагалось ранее, а должна занимать положение 2 или 3. 111 следует правильно называть биснорфриделиндионом. Авторы считают пеобоснованным миение Кори и Уршпрунга (РЖХим, 1956, 25766), согласно которым III обладает строением (III6). Л. Бергельсон

13. Бергельсон 14. Бергельсон 15. Кетоны. Кортни, Гаской и (Triterpens of the friedelane series. Part I. Ketones. Courtney J. L., Gascoigne R. M.), J. Chem. Soc., 1956, July, 2115—2119 (англ.)

Установлено, что кора дерева Siphonodon australe Benth. содержит более десяти тритериенов ряда фриделана (I), которые могут быть разделены на кетонную, оксикетонную и полигидроксильную фракции. Кетонная фракция состоит из фриделина (II) ($\sim 0.2\%$), двух дикетонов (\sim 15% и 1%), названных авторами фриделандионом-3, x (III) и фриделандионом-3, y (IV), я трикетона, фриделантриона-3, x, y (V) (~10%). При восстановлении по Клемменсену III дает I и фриделанон-х (VI), образующийся также в качестве единделаного продукта р-ции при восстановлении III по Хуан-Минлону. Восстановление III с NaBH, приводит к двум эпимерным оксикетонам, 32-оксифриделанону-х (VII) и 33-оксифриделанону-х (VIII), который при вос-(VII) и 33-оксифриделанону-ж (VIII), которыи при востановления по Квжнеру дает фриделанол-33 (IX).
ж-Кетогруппа в III и VI затруднена: аналогично
11-кетогруппе в ряду стеровдов она не реагирует с
семикарбазидом и 2,4-динитрофенилгидразидом, не
восстанавливается NаВН, и по Хуан — Минлону, но
восстанавливается по Клемменсену. V образует только
3-моносемикарбазон. Восстановление 3-моноэтиленкеталя V (X) по Кижнеру и последующий гидролиз приводят к II, наряду с небольшими кол-вами I и у-оксифриделанона-3 (XI), дающего при окислении с CrO₃ в пиридине IV. При восстановлении V по Клемменсену образуются новый дикетон фриделандионж, у (XII) и фриделанон-у (XIII), полученный также при восстановлении IV по Хуан—Минлону. Строение полученных кетонов подтверждено сравнением разностей молекулярных вращений. 55 кг высушенной из-мельченной коры S. australe Benth. экстрагируют перколированием с CHCl3, экстракт упаривают, остаток растворяют в 12 Λ спирта, через несколько двей фильтруют, из остатка горячим C_6H_6 извлекают 72 ε смеси тритерпенов. Фильтрат упаривают, остаток растворяют в 10 л C_6H_6 , бензольный р-р экстрагируют 2 н. NaOH хроматографируют на Al_2O_3 ; C_6H_6 и смесью C_6H_6+ + CHCl $_3$ вымывают 39 ε смеси тритерпенов. P-р объединенной смеси тритерпенов (140 г) в C_6H_0 хроматографируют на Al_2O_3 в вымывают смесями $CHCl_3+$ + C₆H₆, постепенно увеличивая конц-ию СНСІ₃. Получают II, выход 0,28 г (очищают хроматографированием чают II, выход $0.28 \ \epsilon$ (очищают хроматографированием ва Al_2O_3 в петр. 2Φ - C_6H_6 ; 4:1), τ . пл. $261-264^\circ$ (из сп.- 63π .), $[\alpha]D-21^\circ$ (ϵ 2.5); III, выход $22.5 \ \epsilon$, τ . пл. $248-250^\circ$ (из сп.), $[\alpha]D+115^\circ$ (ϵ 2.6), моносемикарбазон, τ . пл. 247° (разл., из сп.); IV, выход $1.6 \ \epsilon$, τ . пл. $305-309^\circ$ (из сп.- 63π .), $[\alpha]D-62^\circ$ (ϵ 2.3), моносемикарбазон, τ . пл. 331° (разл., из сп.), τ V, выход $13.8 \ \epsilon$, τ . пл. $300-303^\circ$ (из сп.), $[\alpha]D+72^\circ$ (ϵ 2.4), моносемикарбазон, τ . пл. 320° (разл., из сп.). P-р $2 \ \epsilon$ III в 500 мл диоксана и 290 мл $10 \ в$. НСІ добавляют ит в 500 мл диоксана и 290 мл 10 н. ИСТ дооавляют к амальгамированному Zn, приготовленному из 80 г Zn, смесь вагревают 5 час. при 100°, хроматографированием продукта (в петр. эф.-бэл.; 3:1) на Al_2O_3 выделяют I, выход 0,2 г, т. пл. 243—245° (из сп.-бэл.), [а] D+22° (с 0,7; 20 см), в VI, выход 1,1 г т. пл. 241—243° (из сп.), [а] D+152° (с 2,1). Р-р 5 г, III, 4,5 г КОН и 7 мл 85% ного гидразингидрата (XIV) в 32 мл диэтиленгликоля кипятят 1,5 часа, отгоняют XIV и выдерживают смесь 5 час. при 200°, продукт кроматографируют в петр. эфире на Al₂O₃ и смесью

петр. эфир.- C_0H_0 (1:1) вымывают VI, выход 1,3 г. P-р 2 г III в 100 мл пиридина добавляют к р-ру 0,55 г Nа BH_4 в 50 мл CH $_3$ OH, содержащему 0,25 мл 0,55 г NаВН₄ в 50 мл СН₃ОН, содержащему 0,25 мл Н. NаОН, смесь выдерживают 24 часа в продукт хроматографируют (в бзл.) на Al_2O_3 . C_0H_6 вымывают VIII, выход $\sim 0,25$ г, т. пл. $288-291^\circ$ (вз сп.), [α] D + 159° (c 1,0), ацетат, т. пл. $271-273^\circ$ (вз сп.), [α] D + 158° (c 0,5; 20 см), в VII, выход 0,25 г, т. пл. $307-311^\circ$ (вз сп.), [α] D + 145° (c 1,0), ацетат, т. пл. $305-307^\circ$, [α] D + 114° (c 0,7; 20 см) При повторенив опыта в большем масштабе выход VIII составляет 2360 Смеси 4 см. VIII 65 мл безовув NIII NII NII и пред опыта в большем масштабе выход VIII составляет 53%. Смесь 1 ε VIII, 6,5 мл безводи. NH2NH2 и p-ра 2,5 ε Na в 30 мл СН3ОН нагревлют 15 час. при 200° и p-р продукта р-ции в петр. эфире- C_0H_0 (3:1) фильтруют через Al_2O_3 . Фильтрат содержит I, выход 0,2 ε . Тем же p-рителем вымывают IX, выход 0,35 ε , т. пл. 281—283° (вз сп.), $|\alpha|D+21^\circ$ (ε 1,1); ацетат, т. пл. 290—293° (из сп.-бэл.), $|\alpha|D+33^\circ$ (ε 1,1). P-р 2,95 ε V в 60 мл 2-этил-2-метил-1,3-диоксолана, содержащего V в 00 мл 2-этил-2-метил-1, о-дионеслана, содержаваче 45 мг л-СН₃С₀Н₄SО₃Н, кипятят 7 час, при охлаждения выпадает X, т. пл. 342—345°, [α] D + 76° (ε 1,2). Смесь 1,3 ε X, 8,5 мл безводн. NH₂NH₂ и р-ра 3,2 є Nа в 50 мл СН₃ОН вагревают 16 час. при 200°, продукт р-ции растворяют в 400 мм ацегона, содержащего 75 мг n-CH₃C₆H₄SO₃H, кипятят 14 час., выливают в воду, продукт растворяют в смеси петр. эфир-С. Н., фильвыход 80 мг; смесью СНС $_{13}$ + С $_{6}$ Н $_{6}$ (1:5) вымывают XI, выход 80 мг; смесью СНС $_{13}$ + С $_{6}$ Н $_{6}$ (1:5) вымывают XI, выход 450 мг; т. пл. 301—305° (из сп.), [α] D — 20° (с 0,7; 20 см); ацетат, т. пл. 175—176° (из водн. сп.), [α] D — 25° (с 1,2). 2 г V восстанавливают по Клеммен- $[\alpha]D-25^\circ$ (с 1,2). 2 ε V восстанавливают по Клемменсену (как III) и продукт хроматографируют на Al_2O_3 . Смесью петр, эфир- C_6H_3 (3:1) вымывают XIII, выход 0,2 ε , т. пл. 237—290° (из сп.- C_6H_3), $[\alpha]D-34^\circ$ (с 1,6), а вымыванием смесью петр. эф.- C_6H_8 (2:1) выделяют XII, т. пл. 302—305° (из сп.- C_6H_3), $[\alpha]D+103^\circ$ (с 1,6), 1,64 ε V восстанавливают по Кижнеру (как VIII), продукт растворяют в смеси петр. эф.- C_6H_6 (2:1) и фильтруют через Al_2O_3 . Фильтрат содержит I, выход 0,61 ε ; смесью петр. эф.- C_6H_6 (1:1) вымывают фриделанол-g, выход 0,67 ε т. пл. 223—226° (из сп.). $[\alpha]D+20^\circ$ (с 1,8) (ацетат. т. пл. 143—145° (из водн. сп.), $[\alpha]D+13^\circ$ (с 1,0)), оквеление которого с CrO_3 в пиридине приводит к XIII, т. пл. 290—292°. $[\alpha]D$ определены в СНС I_3 (10 c.м). Л. Бергельсон 11833. Тритериены ряда фриделана. Часть II. Окси-11833. Тритерпены ряда фриделана. Часть II. Окси-кетоны и спирты. Корти и, Гаской и, Шу-мер (Triterpenes of the friedelane series. Part II.

Hydroxy-ketones and alcohols. Courtney J. L., Gascoigne R. M., Szumer A. Z.), J. Chem. Soc., 1956, July, 2119—2124 (англ.)

Из смеси тритерпенов, извлеченной из коры дерева Siphonodon australe Benth (см. пред. реф.) выделены оксикетоны $x(\mathcal{I})$ -оксифриделанон-3 (I), $x(\mathcal{A})$ оксифриделанон-3 (II), у-оксифриделанон-3 (III) и оксидикетоны x(9)-оксифриделандион-3,y (IV) и y-оксифриделандион-3, x(IVa). Таким образом, все производные фриделана (V), выделенные из S. australe, вмеют 3-кето-группу. С целью установления

группу. С целью установления строения выделенных оксикетонов строения выделенных оксикетонов и оксидикетонов фриделанон-х (VI) и фриделанон-у (VII) были восстановлены Na в С₅Н₁₁ОН до фриделанола-х(Э) (VIII) и фриделанола-у (IX). При восстановления LiAlH₄ VI дает аксиальный эпимер VIII (X), в то время как VII образует

IX, в котором ориентация ОН-группы остается неизвестной. Окисление I и II приводит к фриделандиону-3, ж (XI), а восстановление II по Хуан — Минлону — к X, чем и доказывается их конфигурация.

деля VIII К р-

Heor

прод

тый

(c 4

L-V)

ацет

2 н.

при

из 1

75дер D-X

[α]² (с 1 изб в 5

жи

кил рив 3,13

419

VII

2 в вы,

KY!

yna u a upi

xο, [α]

IX

пе

ва ча та

ſα

(C

up

cM ac

5, K

де

При окислении IV и V образуется фриделантрион-3, х (XII). Экваториальное положение х-ОН-группы в IV доказано его восстановлением по Кижнеру до VIII. Сравнением разностей молекулярных вращений показано, что конфигурация V соответствует энантиоморфной форме природных 5а-стероидов. Этим, в частности, объясняется, что производные 3-кетофриделана при восставовлении посредством NaBH₄ образуют аксиальвые 33-оксисфриделаны, в то время как А/В-транс-3кетостероиды и соответствующие им тритерпены в этих условиях всегда дают экваториальные 3β-оксистероиды. Хроматографич. методом, описанным в предыдушем сообщении, из смеси тритерпенов выделены последовательно: II, выход 2,3 ε , т. пл. 272—275° (из бал.), [α] $D-15^\circ$ (c 2,2), ацетат, т. пл. 265—270° (из сп.), [α] $D-12^\circ$ (c 2,9), семикарбазон, т. пл. 322—327° (разл.) $\begin{bmatrix} \alpha \mid D-12^\circ \ (c\ 2,9),$ семикарбазон, т. пл. $322-327^\circ \ ($ разл., нз сп.-бэл.); I, выход 3,8 ε , т. пл. $264-268^\circ \ ($ пз сп.), $[\alpha \mid D-32^\circ \ (c\ 2,6),$ ацетат, т. пл. $236-238^\circ \ ($ из сп.), $[\alpha \mid D-32^\circ \ (c\ 2,6),$ ацетат, т. пл. $236-238^\circ \ ($ из сп.), $[\alpha \mid D-40^\circ \ (c\ 2,2),$ семикарбазон, т. пл. $259-262^\circ \ ($ разл., из водн. сп.); IV, выход 7 ε , т. пл. $289-292^\circ \ ($ из бл.), $[\alpha \mid D-72^\circ \ (c\ 2,0),$ ацетат, т. пл., $276-278^\circ \ ($ nз сп.), $[\alpha \mid D-69^\circ \ (c\ 1,2),$ моносемикарбазон, т. пл. $282^\circ \ ($ разл., из сп.). При экстракции тритерпенов (см. часть I) петр. эфиром и вторичной хроматографии фракции с $[\alpha \mid D+94^\circ \ bulker$ выделен IVa. т. пл. $304-310^\circ \ ($ разл., из сп.), $[\alpha \mid D+109^\circ \ (c\ 2,4),$ ацетат, т. пл. $205-207^\circ \ ($ ва СН $_3$ ОН), семикарбазон, т. пл. $270^\circ \ ($ разл., из водн. спирта). Из другой порции смеси тритерпенов получено небольшое кол-во III (вымывается при хроматографировании на Al_2O_3 после I), вается при хроматографировании на Al₂O₃ после I), т. пл. 305—308°, [а] D—20° (с 0,5, 20 см.), идентичен о препаратом, полученым восстановлением XII (см. часть 1). Окислением CrO₃ в пиридине из I и II получены XI, т. пл. 250—252°, [а] D + 116° (с 2,5), а IV и IVа дают в тех же условиях XII, т. пл. 300—303°, [а]D + 70° (с 1,2). К кипишему р-ру 0,5 г VI в 25 мл C₅H₁₁OH добавляют 2 г Na, по окончании в 25 мл $C_5H_{11}OH$ добавляют 2 г Nа, по окончании р-цин спирт отговног с паром и продукт хроматографируют (в петр. \mathfrak{sp}_{\bullet} - C_6H_6 ; 3:1) на Al_2O_3 . Бензолом вымывают VIII, выход 0,4 г, т. пл. 261-264° (из диклогексана), $[\mathfrak{a}]D+12$ ° $(\mathfrak{c}=0.8, 20$ см), ацетат, т. пл. 239-242° (из сп.-хлф.), $[\mathfrak{a}]D+5$ ° $(\mathfrak{c}=1,1)$. В тех же условнях 1 г VII дает IX, выход 0,75 г, т. пл. 224-226°, $[\mathfrak{a}]D+23$ ° $(\mathfrak{c}=1,4)$. 0,7 г VI восстанавливают LiAH $_4$ в эфире- C_6H_6 (кипячение 8 час.) до X, т. пл. 276-279° (из сп.-бэл.), $[\mathfrak{a}]D+26$ ° $(\mathfrak{c}=1,4)$, ацетат, т. пл. 258-261° (из сп.-бэл.), $[\mathfrak{a}]D+26$ ° $(\mathfrak{c}=1,4)$, ацетат, т. пл. 258-261° (из сп.-бэл.), $[\mathfrak{a}]D+26$ ° $(\mathfrak{c}=1,4)$, ацетат, Т. пл. 258-261° (из сп.-бэл.), $[\mathfrak{a}]D+26$ ° $(\mathfrak{c}=1,4)$, ацетат, Т. пл. 258-261° (из сп.-бэл.), $[\mathfrak{a}]D+26$ ° $(\mathfrak{c}=1,4)$, ацетат, Т. пл. 258-261° (из сп.-бэл.), $[\mathfrak{a}]D+26$ ° $(\mathfrak{c}=1,4)$, ацетат, Т. пл. 258-261° (из сп.-бэл.), $[\mathfrak{a}]D+26$ ° $(\mathfrak{c}=1,4)$, ацетат, Т. пл. 258-261° (из сп.-бэл.), $[\mathfrak{a}]D+26$ ° $(\mathfrak{c}=1,4)$, ацетат, Т. пл. 258-261° (из сп.-бэл.), $[\mathfrak{a}]D+26$ ° $(\mathfrak{c}=1,4)$, ацетат, Т. пл. 258-261° (из сп.-бэл.), $[\mathfrak{a}]D+26$ ° $(\mathfrak{c}=1,4)$, ацетат, Т. пл. 258-261° (из сп.-бэл.), $[\mathfrak{a}]D+26$ ° $(\mathfrak{c}=1,4)$, ацетат, Т. пл. 258-261° (из сп.-бэл.), $[\mathfrak{a}]D+26$ ° $(\mathfrak{c}=1,4)$, ацетат, Т. пл. 258-261° (из сп.-бэл.), $[\mathfrak{a}]D+26$ ° $(\mathfrak{a}=1,4)$, ацетат, Т. пл. 288-261° (из сп.-бэл.), $[\mathfrak{a}]D+26$ ° $(\mathfrak{a}=1,4)$, ацетат, Т. пл. 288-261° (из сп.-бэл.), $[\mathfrak{a}]D+26$ ° $(\mathfrak{a}=1,4)$ 0 налогично VII превращают в IX. P-р 2,15 г II, 1,4 г КОН и 4 мл 100%-вого гидразингидрата в 20 мл дизтиленгликоля кипятят 1,5 часа, гидразингидрат удаляют в вакууме, смесь нагревают 4 часа при 200° и продукт р-ции хроматографируют (в петр. эф.-СеНе; 3:1) на Al₂O₈. Вымыванием той же смесью р-рителей выделяют X, выход 1,7 г. Смесь 2 г IV, 13 мл безводи. NH₂NH₂ и р-ра 4,9 г Nа в 70 мл СН₃ОН нагревают 16 час. при 200°, продукт р-ции хроматографируют (в петр. эф.-СеНе; 3:1) на Al₂O₃ и бензолом вымывают VIII, выход 1,7 г. P-р 7 г фриделина (XIII) в 250 мл пиридина добавляют к р-ру 2.1 г NaBH, в 150 мл пиридина добавляют к p-py 2,1 г NaBH₄ в 150 мл СН₃ОН, содержащего 1 мл 1 н. NaOH. Смесь выдерживают 2 дия при 20° и продукт р-ции хроматогражавают 2 для при 20 и продукт р-ции хроматографируют (в бал.) на Al_2O_3 . Бензолом вымывают неизмененный XIII, выход 3,15 ε , эпифриделинол, выход 2,64 ε , т. пл. 280—282° (из бал.), [α] D+21° (c 0,7; \cdot 20 ϵ ω), ацетат D, т. пл. 290—293° (из сп.), [α] D+36° (c 1,1), и фриделинол, выход 0,94 ε , идентичный с пре-

(c 1,1), а XII превращается в 3 β -оксифриделандион-х, у, т. пл. 314—318° (из сп.), [α] D+107° (c 1,1), ацетат, т. пл. 321—325° (из сп.), [α] D+113° (c 1,1).

Л. Бергельсоп 11834. Проблемы циклизации и нарацивания циклов в синтезе стероидов. Матье (Problèmes de cyclisation et d'annellation en synthèse stréroide Mathieu Jean), Bull. Soc. chim. France, 1956, № 7, 1062—1075 (франц.)

Обзор работ по синтезу стероидов с использованием р-ций циклизации и наращивания циклов. Библ. 85 назв. М. Бурмистрова

11835. Стеронды. Сообщение 9. Синтез L-(—)-9-метокснадининовой кислоты из L-(—)-яблочной кислоты, Бренней зеи, Тамм, Рейхштейи (Synthese der L-(—)-β-Methoxyadipinsäure aus L-(—)-Äpfelsäure. Steroide 9. Mitteilung. Brenneisen K., Тамм Сh., Reichstein T.), Helv. chim. acta, 1956, 39, № 5, 1233—1241 (нем.).

С целью подтверждения абс. конфигурации стероидов осуществлен синтез L-(—)-в-метокспадиппновой к-ты (L-I) из L-(—)-яблочной к-ты (L-II). Для выяснения условий получения I проведен синтез соответствующих рацематов из метоксиянтарной к-ты (III). Восстановление метилового эфира III посредством LiAlH4 приводит к 2-метоксибутавдиолу-1,4 (IV), дитозилат кото-рого (V) через 2-метокси-1,4-дийодбутан (VI) переводят в смесь нитрила 5-йод-4-метоксивалериановой к-ты (VII) (преобладает) и нитрила 3-метоксиадипиновой (VII) (преооладает) и нитрила 3-метоксиодипиновов к-ты (VIII). При кипячении с шелочью VIII отшеляет СН₃ОН, однако при обработке Н₂О₂ и Na₂CO₃ в водн. ацетопе VIII удается превратить в диамиц DL-I (IX), полученный также из DL-I через бис-хлорангидрид. VII дает при обработке Н₂О₂ и Na₂CO₃ в водн. ацетове амид 5-йод-4-метоксивалериановов к-ты (X), который легко отделяется от IX, экстранией получения пред Повторание услугации у пред цией водно-п.ел. р-ра. Повторение указанных р-ций с L-II приводит к D-X, который при обработке N₂O₄ в лед. CH₃COOH дает оптически чистую L-I, идентичную с препаратом, полученным ранее деградацией метилового эфира кальциферола (Bergström S. и др., Helv. chim. acta, 1949. 32, 1617). Идентичность указанных препаратов подтверждает правильность приви-тых в настоящее время конфигураций стероидов и опровергает прежнее предположение (Lardon A., Reichstein T., Helv. chim. acta, 1949, 32, 2003) о том, что истинны конфигурация являются веркальными отображениями принятых. При обработке VI избытком Nз-или Мумаловового эфира с целью получения у-метоксипроковой к-ты образуется диэтиловый эфир 3-метоксицикомылении и декарбоновой к-ты (XI), который при омылении и декарбоксилировании дает 3-метоксицикло-пентанкарбоновую к-ту (XII) (вероятно, смесь стереонентанкарооновую к-ту (XII) (вероятно, смесь стерео-наомеров). 78 г диметилового эфира III восстанавля-вают LiAlH₄ и апетилированием продукта р-ции полу-чают диацетат IV, т. кип. 63—78°/0,02 мм, омыление которого приводит к IV, т. кип. 76—86°/0,2 мм. Ана-логично из 39,3 г L-II синтезируют 27,7 г ацетата L-IV, T. KHII. $71-84^{\circ}/0.02$ MM, $[\alpha]^{26}D-17.1\pm0.8^{\circ}$ (c 2,99), образующего при омылении L-IV, выход $\overline{14,6}\ \epsilon$, т. кип. $90-95^\circ/0.04$ мм, $[a]^{25}D-23,5\pm0,5^\circ$ (с 3,35). Тозплирование 22,4 г IV приводит к V, выход 47 г. т. пл. $74-76^\circ$ (из эф.-пентана). В тех же условиях 14,6 г L-IV превращают в L-V, выход 40,4 г, т. пл. $38-41^\circ$, [α] 25 $D-15.4\pm0.8^\circ$ (с 2,23). 46,3 г V и 71,5 г Naj в 450 мм ацетовр кипятят 6 час., фильтруют, из фильтрата выделяют 36,6 г неочиш. VI в виде масла, (d 2,125). Аналогично 21 г L-V дают L-VI, выход 16,47 г (неочиш.), т. кип. 30—40°/0,1 мм, $[\alpha]^{26}D-26.9\pm0.6^{\circ}$ (c 3,7). 7 г VI обрабатывают 2,42 г NaCN в 4,8 мм воды и 13 мл спирта, разгонкой продукта р-ции выΓ.

y,

ar,

HOS

cli-

7,

нем

бл.

OBa

er-

ты. yniel-

K.,

cta, дов

HHA

HOB-

ABO-

OT0-

ebo-

BOE

цен-

CO3

МИД

лор-2CO₃ овой ракий • N₂O₄

THY-

пией

укаиняпроп Т., нные

Mg-

1po6-

цик-

при

кло-

epeo-

авли-

полу-

Анаетата - 0,8°

4,6 e, 3,35).

47 г. Виях

. пл. 71,5 г

Т, ИЗ

асла.

6,47 :

€ 0,6° ,8 мл

H BLI-

деляют неочнии. VII, выход $0.8 \ \epsilon \ (d \ 1.63)$, и неочищ. VIII, выход $0.41 \ \epsilon \ (\text{содержит} \ \text{еще} \ \text{пемного} \ \text{VII}) \ (d \ 1.452)$. К p-py $12 \ \epsilon \ \text{NaCN}$ в $400 \ \text{мл}$ СН $_3$ ОН добавляют $31.9 \ \epsilon \ \text{пеочиш}$. L-VI, смесь кипятят 7 час. Разгонкой части продукта, растворнмой в СНСІ $_3$, получают почти чистый D-VII, выход $12.64 \ \epsilon \ (d \ 1.642)$, $[\alpha]^{24} \ D - 30.7 \pm 0.5^{\circ}$ (с 4.4), и фракцию, содержащую главным образом L-VIII, выход 1,76 г (d 1,162), [α]²⁴ D — 47,0 \pm 0,6° (c 3,4). К p-ру 201 мг неочищ. VII (d 1,63) в 2 мл ацетона добаеляют смесь 0,5 мл 30%-ной H_2O_2 , 0,6 мл 2 н. р-ра соды и 2 мл воды, выдерживают 15 час. 2 п. р-ра соды и 2 мл воды, выдерживнот 13 час. при 0°, удаляют ацетон в вакууме при 20° и СНСІв из воды. фазы извлекают X, выход 104 мг, т. пл. 75—76° (из ацетона-эф.-петр. эф.). Аналогично (выдерживают 18 час. при 0°) 0,5 г D-VII переводят в D-X, выход 375 мг, т. пл. 101—103° (из эф.-петр. эф.), $|\alpha|^{24}D-16,2\pm0,6^\circ$ (с 3,5 в СН₃ОН), $|\alpha|^{24}D-17,3\pm1^\circ$ (с 1,84). 5 г DL-I и 10 мл SOCI, кипятят 45 мин. (с 1,84). 5 г ос. 1 и 10 мм SOCl₂ кипятят 45 мин., пабыток SOCl₂ удаляют в вакууме, остаток раствориют в 50 мм абс. эфира и добавляют при — 80° к р-ру 3 г жидкого NH₃ в 50 мм абс. эфира, упаривают, остаток кипятят с ацетовом (2 × 300 мм) фильтруют, при упаривании фильтрата до 50 мм выпадает IX, выход 3,13 г (очищен фильтрованием через Al₂O₉), т. пл. 119—122° (из CH₃OH-ацетона-эф.). К р-ру 0,8 г неочищ. VIII (d. 1,162) в 10 мм ацетона добавляют смесь 2,4 мм 2 и гола солы 2 мм 3004-люй НьО_в и 11 3 мм воды 2 н. р-ра соды, 2 мл 30%-ной H₂O₂ и 11,3 мл воды, выдерживают 20 час. при 0°, удаляют ацетон в вакууме, водн. фазу экстрагируют CHCl₃, при упаривании экстракта кристаллизуется D-X, выход 172 мг (веочищ.). Водно-шел. p-р нейтрализуют разб. H_2SO_4 , упаривают в вакууме до 10 мл, насыщают Na_2SO_4 и экстрагируют смесью $CHCl_2$ -спирт (3:2) $(8\times25$ мл), и экстрагируют смесью CHCl3-спирт (3:2) (8 \times 25 мл), при упаривании экстракта получают диамид L-I, выход 150 мг, т. пл. 129—133° (из СН3ОН-ацетона-эф.), $[\alpha]^{24}D-1,43\pm0,7^{\circ}$ (с 2,862; в воде). Аналогично, 172 мг неочищ. VIII переводят в X, выход 81 мг и IX, выход 24 мг. К р-ру 200 мг IX в 3 мл лед. СН3СООН добавляют при -10° 2 мл N_2O_4 , смесь высреживают 16 час. при -10° и 1 час при 20° , нагревают до 70° и упаривают в вакууме при 70° . Получают DL-I, выход 135 мг, т. пл. 85—87° (из эф.-пентана). Аналогично 98 мг диамида L-I превращают в L-I, выход 51 мг, т. пл. 74—76° (из эф.-пентана). $[\alpha]^{25}D-15,9\pm1^{\circ}$ (с 2,07; в хлф), $[\alpha]^{25}D-10,3\pm1^{\circ}$ (с 2,05; в СН $_5$ ОН). К спирт. р-ру Nа-малонового эфира из 1,08 г Na и 86 г СН $_2$ (СОСС $_2$ H $_3$) (XIII) добавляют при 80° р-р 8 г неочищ. VI в 16 г XIII и нагревают смесь 24 часа при 100°, добавляют р-р 0,1 г Na в 5 мл смесь 24 часа при 100°, добавляют p-p 0,1 г Na в 5 мл абс, спирта, нагревают еще 2 дня, удаляют спирт в вакууме и после обработки получают XI, выход 5.04~e, т. кип. $78-80^\circ/0,05~$ мм. 5.04~e XI и p-р 8.4~e КОН в 168~ мл. $\mathrm{CH_3OH}~$ кипятят 4~часа, продукт p-ции нагревают медленно при 90-150° до прекращения выделения CO₂. Перегонкой выделяют XII, выход 2,14 г, т. кип. 140—142°/13 мм; анелид, т. пл. 94—104° (из ацетона-эф.). [а] D определены в ацетоне, исключения оговорены. Сообщение 8 см. РЖХим, 1955, 55201.

Л. Бергельсон 1836. К вопросу о номенклатуре оптических антиподов в ряду стероидов. Оро, Жак, Матьё, Пти (A proposde la nomenclature des antipodes optiques dans les composés stéroides. Ногеаи Аlain, Jacques Jean, Mathieu Jean-Paul, Petit André), Bull. Soc. chim. France, 1955, № 10, 1304—1306 (фравц.)

Предложено избрать в качестве «ориентира» при обозначении простран твенного расположения заместителей ориентацию 10-СН₃-группы в колестерине. Все заместители, ориентация которых совпадает с ориентацией этой СН₃-группы, получают обозначение «\$», остальные заместители — обозначение «с». Так, напр., луми-

стерин получает название 33-окси-10α-холестадиен-5,7. За соединениями, коифигурацию которых удается связать с (+)-холестаном, сохраняются принятые в настоящее время названия; в-ва, связанные с (−)-холестаном, получают приставку «знантию». Так, напр., d-язожвилении является производным 14β-эстрана или 13α-эстрана или 14β-эпантио-эстрана. а 1-изоэквилении — производным 13α-эстрана или 14β-эпантио-эстрана. Рацемич. стеронды нолучают приставку «рац».

Л. Бергельсов 11837. Стеронды. Часть VII. Некоторые наблюдения над конденсацией этилцианоацетата с эгиловым эфиром 2-(1-метилциклопентанон-2)-пропионовой кислоты по Копу-Кнёвенагелю и стереохимия продуктов восстановления. Чаудхури, Мукхарджи (Steroid compounds. Part VII. Some observations on the Cope — Knoevenagel condensation of ethyl cyanoacetate with ethyl 2-methyl-2 β-carbethoxyethylcyclopentanone and the stereochemistry of the reduction product. C haudhuri N. K., Mukharji P. C., J. Indian Chem. Soc., 1956, 33, № 3, 155—159 (англ.)

Пис-конфигурации полученного ранее (см. часть I, J. Indian Chem. Soc., 1947, 24, 91) диятилового эфира 3-метил-2,3-триметилен - 1 - цианопентан - 1,5 - дикарбоновой к-ты (I) доказана теперь омылением в 3-метил-2,3-триметилениентан-1,5-дикарбоновую к-ту (II) и циклизацией диятилового эфира II (III) в цис-гидринданон (IV). Таким образом, I не имеет ценности в синтезе стерондов. Для побочного продукта, образующегося при конденсации этилцианоацетата (V) с этиловым эфиром 2-(1-метилциклопентанон-2)-пропионовой к-ты (VI), доказано строение 4-аза-5-кето-8-метил-2³⁽⁹⁾ гидриндена (VII). Кипячение 29,7 г VI и 34 г V с СН₂-СООН и СН₃СООNН₄ в С₅Н₅ (12 час.) привело к 23 г диэтилового эфира 3-метил-2,3-триметилен-1-цианопентен-1,5-дикарбоновой к-ты (VIII), т. кип. 165—167° при 1 мм и 2,5 г VII, т. пл. 121—122° (из петр. эф.), т. кип. 130—150° при 1 мм. Восстановление VIII в I амальгамой АІ проводилось по известному способу (см. ссылку выше). 7,5 г I омылялись НСІ-к-той (45 час., 100°) в 4,5 г II, т. пл. 152—153° (из води. СН₃СООН). Этерификация II, кипячение 4 г III (т. кип. 133—136° при 1 мм) с Nа в безводи. С₅Н₅ (N₂) и омыление НСІ-к-той (15 час., 100°) привели к 1,2 г IV, т. кип. 100° при 6 мм; семинарбазон, т. пл. 190—191° (из сп.); 2,4-динитрофенилгидразон, т. пл. 125—126° (из сп.). Нагреванием 7,5 г VI с СН₃СООН и СН₃СООН и Сн. (30 час.) было получено 1 г VII, т. пл. 121—122° (из петр. эф. С₅Нь). Обработка 10 г 2-метил-2-пианоциклопентанона 80%-ной H₂SO₄ (45°, 20°, 17—18 час.) также привела к VII, т. кип 135—140° при 1 мм, т. пл. 121—122°. Наконец, из 5 г VII при омылении НСІ-к-той (10 час.) и последующей этерификации был получен VI, семикарбазон, т. пл. 80—81°. Строение VII подтверждается спектрами. Часть VI см., РЖХим, 1957, 8182.

А. Камерниций ИІВЗА.

Катероизыми ми-

РЖХим, 1957, 8182. А. Камерницкий 1838. Стероиды. Часть VIII. О стереохимии михаалевского присоединения к этиловому эфиру 1-метил - Δ^2 - циклогексенон - 3 - карбоновой - 1 - кислоты. Мукхарджи (Steroid compounds. Part VIII. On the stereochemistry of Michael addition to 4-methyl-4-carbethoxy- Δ^2 -cyclohexenone. Mukharji P. C.), J. Indian Chem. Soc., 1956, 33, N3, 167—170 (англ.)

Стереохимия присоединения по активированной двойной связи была изучена на примере взаимодействия этилового эфира 1-метил- Δ^2 -диклогексенон-4-карбоновой-1 к-ты (I) с диэтиловым эфиром малоновой к-ты (II). Полученный эфир кетотрикарбоновой к-ты после декарбоксилирования и восстановления кетогруппы дал μu -1-метил-1,2-тетраметиленглутаровую к-ту (III). Этиловый эфир 1-метилциклогексанон-4-карбоновой-1

moe

лян

лин

обр

106

HI.

р-р 5 м

OCT RHI

бум Tam

110

pac

на

1.

Tal

ли

100 1,2 HOL

дун Р-1

B 7

-сф

лен

Na

ČM(

Ma

XI

per

ДВ

B 8

COL

19

118

Me

K-

HO

·C

уг 3-

ne C1

10 M

(V R.

06

H

Ħ

(E

1

C 7

ж-ты (IV) был получен методом Рубина и Вышинского (Rubin, Wishinsky, J. Amer. Chem. Soc., 1946, 68, 338) и этерификацией С₂Н_вОН и Н₂SO₄ и имел т. кип. 8О при 0,5 мм. Бромированием 36,6 г IV в СНСІз (0°) было получено 32 г этилового эфира 1-метил-3бромоциклогексанов-4-карбоновой-1 к-ты (V), т. кии. орожимистексанов-4-карооновов-1 к-ты (V), т. кип.
113—115° при 0,5 мм (неочищ.). Прямое отщепление
НВг протекало негладко и 32 г V при обработке этиленгликолем (8,4 г) и n-CH₃C₀H₄SO₃H в абс. С₀Н₀
(80°, 5 час.) с удалением
воды дали 26 г 4-этилен-

кеталя V (VI), т. кип. 100—105° при 0,3 мм. Дегидробромирование

25 г VI проводилось кипячением с mpem- C_4H_9ONa в mpem- C_4H_9OH (40 час., N_2) и нагревания продукта в ацетоне с n- $CH_3C_6H_4SO_3H$ (3 часа). При этом было получено 10 г I, т. кип. 80—85° при 0,3 мм, 2,4-динигрофенилгидразон — масло. Конденсация 9,5 г I с $10 ext{ в 1 в присутствии C}_2\text{H}_5\text{ONa}$ (из $0.025 ext{ г Na}$) в абс. $\text{C}_2\text{H}_5\text{OH}$ (0°, 20° , 12° час.), омыление продукта 20%-ной HCl (20 час.) и этерификация CH_3OH и H_2SO_4 (10 час.) привели к диметиловому эфиру кетодикарбо-новой к-ты (VII), т. кип. 128—130° при 0,5 мм; 2,4динитрофенилгидразон, т. пл. 154° (из сп.). При обработке 1 г VII в триметиленгликоле NH₂NH₃. H₂O и КОН (2 часа, 205°, 4 часа) была получена III, т. пл. 163—164° (из водн. С H_3 СООН). А. Камерницкий 11839. Исследование β -ситостерина. Халецкий А. М., Ли Чжэнь-су, Ж. общ. химии, 1956,

А. М., Ли Чжэнь 26, № 4, 1201—1204 Показано, что выделенный ранее при щел. гидролизе сосновой древесины (РЖХим, 1955,15341) 3-ситостерин (I) очень лабилен и изменяется при нагревании (снижается т-ра плавления) и при УФ-облучении. І образует дигитонид (II); при ацетилировании I получен 3-ацетат I (III), а при бромировании III пиридинтетра-бромилом (IV) в дихлорэтане - 3-ацетат 5,6-дибром-β-ситостерина (V). При ацетилировании дигидро-β-ситостерина (VI), содержащегося в качестве примеси к I, выделен 3-ацетат VI. При облучении ультрафиолетом I обнаруживает фиолетово-синюю или синюю флуоресценцию. Приведены данные снижения т-р плавления I, предварительно облученного кварцевой лампой. К р-ру 0,04 г І в 6 мл спирта приливают р-р 0,15 г дигитонина в 15 мл 90%-ного спирта, осадок отфильтровывают, высущивают до постоянного веса при 110° и получают П. К смеси 14 г I с т. пл. 138—139°, 250 мл СНСІ_в и 62,5 г (СН_вСО)₂О добавляют при охлаждении 62,5 мл H2SO4 конц. и затем 10 мл воды. Через 2 часа отделяют СНСІ₃ слой и вновь обрабатывют его (СН₃СО)₂О и конц. Н₂SО₄. Промывают водой, эмульсию встряхивают с NaCl, отгоняют СНСІ₃, фильтрат смешивают с 20 мл 10%-ного спирт. КОН, спирт отсмешпвают с 20 мм 10%-ного спирт. КОП, спирт отоняют, добавляют воду, экстрагируют эфяром в выделяют VI, выход 0,6 г т. пл. 139,5—140,5° (из 75 мм спирта, в присутствии угля), αD + 23° (с 1,0; хлф). Смэсь 10 г 1, 5 г (СП₃СО)₂О и 5 г дихлорэтаны (VII) нагревают 5 час. при 95—98° и получают III, выход 65,5%, т. пл. 120,5—122° (из сп.). Смесь 107,3 г 1,54 г (СП₃СО)₂О и 50 мм VII нагревают 5 час. при 95—98° и получают СПъстова СПъсто 98°, приливают 200 мл VII и при охлаждении от —14 до —15° прибавляют IV из 46 г брома и 10,4 г пиридина. VII отгоняют при 45° и 30 мм, остаток извлекают 450 мл СН₃ОН и получают 144 г в-ва с т. пл. 117—124°, когорое вторично обрабатывают VII и крисгаллизуют из спирта, получают V, т. пл. 119-128°. М. Бурмистрова

прия, получают v, т. пл. 119—128. М. Бурмистрова 1840. О корбистерине. Тамура, Кокума, Мацумото (コルピステリソついて・田村利武, 國馬一芳, 松本太郎). 日本化學維誌), Нихон кагаку дзасси, J. Chem. Soc., Japan, Pure Chem. Sec., 1956, 77, № 6, 987—990 (япон.)

Из Corbicula leane Prime и Corbicula japonica Prime выделен ацетат корбистерина, иначе 7-дегидростигмастерина, т. пл. 172-173° (из ацетона, после хроматографирования на Al_2O_3 , вымывания эфиром-CH₃OH; 10:1), $[\alpha]D-84^\circ$; сам корбистерии имеет т. ид. 153—154 $^\circ$ (из ацетона). $[\alpha]D-114^\circ$: бензоат т. ид. 173 -175°. Н. Швенов 11841. Исследования в области стеринов. VI. По-

лучение дигидротахистерина. Вестерхоф, Бейсман (Investigations on sterols. VI. The preparation of dihydrotachysterol. Westerhof P., Buisman J. A. Keverling), Recueil trav. chim., 1956, 75, № 5, 453—462 (англ.)

С целью использования чистого дигидротахистерина (I) в качестве стандарта для сравнения биологич. активности клинических препаратов, содержащих продукты восстановления гахистерина (II) или кальциферода (витамина D₂) (III), изучены методы получения I восстановлением II и III, а также восстановлением смеси в-в (смесь А), получаемой облучением эргостерина (IV). Установлено, что при использовании *mpem*-С₆Н₁₁ОН (V) вместо С₂Н₅ОН при восстановлении Na содержание I в продуктах восстановления II и III повышается соответственно с 16% до 27% и с 7% до 20%. Наибольший выход I (~40%) получен при восстановлении II щел. металлами в жидком NH₃ или во вторичных аминах. Улучшена методика получения II (выход 45-55%) УФ-облучением IV. Приведены УФ-спектры II и смеси А и рассмотрена возможность оценки содержания

I в получаемых продуктах по коэфф. поглощения при 251 мµ. Р-р 8 г IV в 4 л спирта облучают непрерывно в течение 18,5 часа при 15-20°, упаривают в вакууме до объема 75 мл, оставляют на ~12

1 A5(0); 7(m

час. при —5°, отфильтровывают IV, выход 1,7 г, фильтрат разбавляют до объема 250 мл спирта, нагревают, добавляют горичий р-р 6 г дигитонина в 165 мл 85%-ного спирта, отфильтровывают выпавший при охлаждении дигитонид IV, выход 4 г., фильтрат разбавляют водой и извле-кают эфиром; эфир. p-р упаривают в вакууме; остаток (5,3 г) обрабатывают 6 г 3,5-динитро-4-метилбензоилхлорида (VI) в 130 мл С₆Н₆ и 20 мл С₅Н₅N; полученную смесь эфиров кристаллизуют из 25 мл ацетона при -5 и получают 3,5-динитро-4-метилбензоат (ДНМБ) II (VII), выход 45%,-т. пл. 155—156°. При отделении IV от II в виде слаборастворимого ДНМБ без предварительного осаждения IV дигитонином выход II составляет 55%. Облучение IV и все операции разделения про-53%. Оолучение IV и все операции разделения про-водит в атмосфере №. При облучении IV (18 час.) при 45° отмечено образование супрастерина-2 (VIII), вы-деленного в виде ДНМБ, т. пл. 470—472°; VIII, т. пл. 112—114°. К р-ру 6 г VII в 100 мл С₆Н₆ прибавляют 4,5 г КОН в 100 мл СН₃ОН, нагревают в атмосфере № 10 мин. при 45° и получают II, выход 100%. II очень чувствителен к действию света и O₂. II (из 6,5 г VII) в 100 мл ксилола прибавляют к нагретой до 150° в атмосфере N₂ суспензии 10 г Na в 100 мл ксилола, при интенсивном размешивании добавляют за 15 мин. смесь 60 мл Vи 40 мл ксилола, затем за 15 мин. еще 120 мл V. перемешивают 75 мин., охлаждают, разрушают избыток Na 90%-ным спиртом и ксилол отгоняют с паром; выделенное из остагка извлечением эфиром в-во обрабатывают избытком VI в смеси C6H6 и C5H5N и обычным путем выделяют ДНМБ дигидровитамина D2-I (IX), выход 1,9 г; фильтрат упаривают в вакууме, остаток гидролизуют действием КОН в смеси С₆Н₆ и СН₃ОН, полученный смолистый продукт (выход 2,7 г) растворяют в петр. эфире, хроматографируют на 35 г Al₂O₂ (активность III) и вымывают 2 л петр. эфира; полученme

Ma-

ОН; пл. пл. цов Поф,

re-

P.,

av.

на

THE

ола юсеси

OH

пие тся

ль-П

%)

Me-

RHE

до

ря-

Ta,

ле-

TOK

илую -5° II

IV

ри-

нет ро-

ри

выпл.

ре

II)

50

ла, ин. V,

ом; раым

X), or H,

0.

вое в-во (выход 1,3 ε) растворяют в 8 мл С₅Н₅N, добавляют 2,7 мл (СН₃СО) $_2$ О, смесь на следующий день выливают в насыщ. p-р NаНСО₃ (40°) и после обычной мивают в насыщ. p-р NaHCO₃ (40°) и после обычной обработки и кристаллизации из 1 мл нетр. эфира при из 6—108° (из СН₃ОН). К p-ру 0,5 г Li в смеси 250 мл жидкого NH₃ и 100 мл абс. эфира, при —50° добавляют p-р II (из 6 г VII) в 100 мл абс эфира, при —30° добавляют 5 мин., избыток Li удаляют добавляют с 2 г NII СП мин., избыток Li удаляют добавлением 1-2 г NH₄Cl, осторожно разбавляют водой и извлечением эфиром выделяют 4,0 г бесцветной смолы. Хроматографией на бумаге показано отсутствие в продукте ІХ и дигидровитамина D2-11 (XI). Содержание I в продукте составляет по ИК-спектру 39% и по УФ-спектру 38%. 7 г смолы растворяют в 100 мл петр. эфира, хроматографируют на 91 г Al₂O₃ п петр. эфирм (1 л) вымывают 1,92 г ава 1 с 1429 и полу-полу-чают X, выход 18%, т. пл. 109—110°. X (1,55 г) гидро-лизуют действием 2 г КОН в смеси 100 мл эфира и 100 мл СН₃ОН (~20°, 12 час.) и получают I, выход 4,24 г, т. пл. 131—133° (из разб. СН₃ОН). При восстановлении III и смеси А в жидком NH₃ получают продукты, содержащие соответственно 20—25% и 31% I. P-р 700 мг II и 970 мг свежеперегнанного С₆H₅NHCH₃ в 7 мл абс. эфира прибавляют к суспензии 300 мг Na в 15 мл эфира, перемешивают 4 часа при ~20° в атмосфере N2, избыток Na удаляют декантацией и разбавлением спиртом, эфир. p-р промывают 2 н. H₂SO₄, NaHCO₃ и водой, упаривают и получают беспретную смолу, содержащую согласно ИК-спектру 37% I. Хроматографически показано отсутствие в продукте IX и XI. 0,25 г Na прибавляют к p-py 1 г II в 25 мл свежеперегнанного (C₂H₅)₂NH и 25 мл абс. эфира, добавляют две капли C₆H₅Cl и перемешивают 48 час. при ~20° в атмосфере N₂; полученный продукт содержит I и не содержит IX и XI. Сообщение V, см. Recueil trav. chim., 1952, 71, 925. 11842. Исследование желчных кислот. Сообщение III.

1842. Исследование желчных вислот. Сообщение III. Реакции оксигрупп гиодезоксихолевой вислоты. К о ребелли и и, Натанзои, Гурджан (Ricerche sugli acidi biliari. Nota III. Le reazioni dei gruppi ossidrilici dell'acido yodesossicolico. Corbellini Arnaldo, Nathansohn Giangiacomo, Gurdjian Vahan), Gazz. chim. ital., 1956, 86, № 1—3, 35—45 (итал.) При действии СН₃СООК в СН₃СООН на метпловый

86, № 1—3, 35—45 (нтал.)
При действин СН₃СООК в СН₃СООН на метиловый эфир 3α, 6α,-диметансульфоксихолевой к-ты (I) или метиловый эфир 3α, 6а,-ди-п-толуолсульфоксихолевой к-ты (II) проходят ацетолиз, отщепление метансульфоновой и соответственно п-толуолсульфоновой к-ты собразованием двойной связи Δ⁵ и инверсия у атома углерода 3, в результате получаются метиловый эфир 3-3-ацетокси-Δ⁵-холеновой к-ты (III) и в случае I пемного метилового эфира холадиеновой к-ты (IV). Строение III подтверждено гидролизом до 33-окси-Δ⁻-холеновой к-ты (V) и каталитич. гидрированием до метилового эфира 33-ацетоксиаллохолановой к-ты (VI), гидролиз которого приводит к 33-оксиаллохолановой к-ты (VII). 1 моль метилового эфира гиздезоксихолановой к-ты сущат отгонкой с толуолом в вакууме, остаток обрабатывают пиридином и 6 молями СН₃SO₂CI при —5° и 0°, через 12 час. (0°) выливают на лед и конц НСІ декантируют, остаток перемещивают с 0,1 и. НСІ и эфиром извлекают II, выход 60%, т. пл. 121,5° (из СН₃ОН), [а]¹в D + 5,8° (хлф.). Аналогично действием п-СН₃C₄H₄SO₂CI получают III, выход 82%, т. пл. 164—465° (из петр. эф.-бзи.), [а]²в D + 7,7° (хлф.). 1 в I кинятят 5 час. с р-ром 4 в СН₃СООК в 40 мм лед. СН₃СООН, удаляют р-ритель в вакууме, добавляют 70 мм воды, пзвлекают эфиром, выделяют 0,2 в III, т. пл. 155—156° (из 50%-вого сп.), [а]¹в D —41° (хлф.). Аналогично из II получают III с выходом 63%. При

хроматографировании неочищ. продукта р-ции I с $\mathrm{CH_3COOK}$ на $\mathrm{Al_2O_3}$ (p-ритель $\mathrm{C_6H_6}$ -петр. эф.; 1:3) выделяют IV, т. пл. $94-95^\circ$ (па $\mathrm{CH_3OH}$). 1 г III в 25 мл 80%-ного $\mathrm{CH_3OH}$ книятят 1.5 часа с 2,6 г $\mathrm{K_2CO_3}$ удаляют р-ритель, подкисляют разб. $\mathrm{H_2SO_4}$, выделяют V, выход 57%, т. пл. $235-237,5^\circ$ (из $\mathrm{CH_3OH}$), $|\alpha|^{20}$ D $-39,6^\circ$ (диоксан). 0,3 г III гидряруют в 40 мл $\mathrm{CH_3COOH}$ над 75 мг $\mathrm{PtO_2}$, получают 0,22 г VI, т. пл. 151° (из $\mathrm{CH_3OH}$). При гидролязе VI, аналогично III. образуется VII. Сообщение II см. РЖХим. 1956, 61633.

11843. Исследование желчи жаб. VIII. О продуктах восстановления различных желчных кислот и стерожелчных кислот посредством этилата натрия. Малумото (Untersuchung der Krötengalle. VIII. Über die reduktionsprodukte von verschiedenen Gallensäuren und Sterogallensäuren mittelst Natriumäthylat. Маt u m o t o K e n z i), J. Biochem., 1955, 42, № 2, 207-215 (нем.)

Выделенные ранее из желчи жаб триоксибуфостерохоленовая (1) и триоксиизостерохоленовая (11) к-ты (Shimizu Т. и др., Z. physiol. Chem., 1934, 227, 74; 1936, 239, 67), строение которых еще не установлено, восстановлены в виде их эфиров Na в спирте соответственно в буфостентетраол (III) и изобуфостентетраол (IV), дающие при гидрировании буфостантетраол (V) и и изобуфостантетраол (VI). При окислении CrO₃ V, VI и норбуфостантетраол (VII), выделенный также из желчи жаб, превращаются в соответствующие трикетокислоты (VIII), (IX) и (X). Аналогичным образом воссталоты (VIII), (IX) и (X). Аналогичным образом восста-новлены холевая (XI), дезоксихолевая (XII), гиоде-зоксихолевая (XIII), урсодезоксихолевая (XIV), хено-дезоксихолевая (XV) и литохолевая (XVI) к-ты соот-ветственно в холантетраол-3, 7, 12, 24 (XVII), холан-триол-3, 12, 24 (XVIII), холантриол-3,6,24 (XIX), хол-антриол-3х, 73, 24 (XX), холантриол-3х, 7х, 24 (XXI) и холандиол-3,24 (XXIa). Автором предложена простая номенклатура стерожелчных к-т и родственных им соединений, согласно которой эти в-ва рассматряваются как производные стерохолана $C_{28}H_{50}$. Ацетилирование метилового эфира I (XXII), т. ил. 172°, [α]D —31,33° (сп.), привело к триацетату (XXIII), т. ил. 82—85° (из водн. СН₃ОН). Гидрированием XXII нал Рt в лед. (из водн. СН₃ОН). Гядрированием XXII нал РГ в лед, СН₃СООН синтезирован метиловый эфир триоксибуфостерохолановой к-ты (XXIV), т. пл. $169-170^\circ$ (из водн. СН₃ОН), [α]D +26,69 $^\circ$ (СН₃ОН). Аналогично XXIII дал тривцегат XXIV, т. пл. 132 $^\circ$ (из водн. СН₃ОН). Этиловый эфир I (XXV), т. пл. 153 $^\circ$ (из СН₃ОН). Метиловый эфир II (XXVI), т. пл. 220 $^\circ$, [α]D +55,47 $^\circ$ (сп.). Тривцегат XXVI т. пл. 104° (из водн. СН₃ОН). Этиловый эфир II (XXVII) т. пл. 173° (из водн. СН₃ОН). Этиловый эфир II (XXVII) т. пл. 173° (из водн. СН₃ОН). Этиловын эфир II (XXVII) т. ил. 173° (из води. СН $_2$ ОН). Гидрирование XXVI привело к метиловому эфиру три-оксиизостерохолановой к-ты (XXVIII), т. ил. 162° (из води. СН $_2$ ОІІ), [α [D +33,78° (СН $_3$ ОН). Триацетат XXVIII, т. ил. 102° (из води. СН $_3$ ОН). Восстановлением XXV Na в спирте получен III, т. ил. 216° (из этилацетата). Таким же образом XXVII превращен в IV, т. ил. 220° (из води. СН $_3$ ОК). 220° (из этилацетата); этиловый эфир XI в XVII, т. пл. 225° (из водн. сп.); этиловый эфир XII в XVIII, т. пл. 225 (из водн. сп.), этиловый эфир XII в XVIII, т. ил. 185° (из абс. сп.), из маточного р-ра выделен дигидрат XVII с т. ил. 105° (из водн. сп.); этиловый эфир XIII в XIX, т. ил. 168—169° (из этилацетата); этиловый эфир XIV в XX, т. ил. 113°; этиловый эфир XV в маслоэфир XIV в АА, т. пл. 113 , этиловый эфир XVI, т. пл. 97°, в XXа, т. пл. 177° (из этиловый эфир XVI, т. пл. 97°, в XXа, т. пл. 177° (из этилоцетата). Гидрирование III над Pt в лед. СН₃СООН привело к V, т. пл. 216° (из води. сн.). Аналогично IV дал VI, т. пл. 215° (из води. сп.). Осторожным окислением СгО₃ из III синтезирован VIII, т. пл. 269°; IV превращен в IX, т. пл. 241°; из VII получен X, т. пл. 221—222°. Г. Сегаль 11844. N,N'-диэтил-n,n-диметоксигидразобензол азотистый аналог гексэстрола. Номура (N,N'-9)

No

270

85

16.

po

300

RO' CH

По

HO

HC

[O]

[a

n-(

0°,

TO

24

np N₂

c 20

Пу

TH

MH

(H2

ли

14

10

Or

14

11

пр

(V

да (V

21 BE

OM

не

17

ал

HI 17

це

Б

co

C

TI Co No

MI

14

3.

20

П

20

[a

01

M8

エチル-p,p'-ジメトキシヒドラゾベンゼン窒素を含むヘキ セストロール類似體、野村耐天貞), 日本化革雑誌, Нихон кагаку дзасси, J. Chem. Soc. Japan. Pure Chem. Sec., 1956,77, № 6, 997—998 (япон.) Из n-CH₈OC₆H₄NHCHO методом Кинга и Тонкина

(J. Chem. Soc., 1946, 1063) получают n-CH₃OC₆H₄NH-C₂H₅, т. кип. 97°/0,3 мм. Окислиют 10 г последнего 3,5 г КМпО₄ в 100 г ацетона, получают 4 г N,N'-диэтилп,п-диметоксигидразобензола, т. кип. 109-110°/0,2 мм.

Изучение половых гормонов. І. Об андрогенной активности 17 а-метиландростандиол-5,17-она-3. 11. Получение *транс*-дегидроандростерона из холе**стерина.** Фукуда (性*ルモンに関する研究. 第 1 報. 17 α-Methyl-3-Keto-5,17-dioxy-androstan の 設情効力. Cholesterin から trans-Dehydro-androsteron の製法. 福 田俊治). 日本農藝化學會誌, Нихон ногой кагаку кайси, J. Agric chem. Soc. Japan., 1954, 28, № 2, 141—143; № 4, 317—320 (япон.; рез. нем.) Сообщение І. При испытаниях 17 α-метиландростан-диол-5,17-она-3 (1) на цыплятах показано, что он при

пероральном применении обладает очень сильной андрогенной активностью, превышающей метилтестос-

терон.

Сообщение 11. В связис исследованием хим. и биологич. свойств I получен *транс*-5,6-дегидроандростерон (II). Показано, что наилучшие выходы получаются, если во время окисления ацетата дибромхолестерина, после обработки CrO3, вводить H2SO4 в реакционную среду по каплям и применять CCl4 для экстракции продукта. Из реакционной смеси II выделяют в виде семикарбазона ацетата с последующим разложением разб. H₂SO₄.

Ананченко Гидролиз стероидных семикарбазонов посредством концентрированной соляной кислоты. Па нкрацио, Корси (Idrolisi di semicarbazoni stero-idi con acido cloridrico concentrato. Рапстаді о G., Corsi G.), Farmaco Ed. scient., 1956, 11, № 3,

191—196 (итал.; рез англ.) Конц. HCl (d 1,19) гладко гидролизует до соответствующих кетонов семикарбазоны (СК) следующих насыш, кетостеровдов (даны кетостероид, соотношение HCl : CK; т-ра гидролиза °C; время в мин.): 5α-андротанол-33-он-17, 1:35; 70; 30; 5α-авдростанол-17,-он-3; 1:16; 50; 10; 5α-авдростандион-3,17 (3-моно-СК, т. разл. 264°); 1:26; 90; 60. Однако СК ацетата 5α-андростанол-33-она-17 дает при гидролизе (\sim 20°) измененный продукт с т. пл. > 180°. СК Δ^4 -ненасыщ, кетостероидов при гидролизе конц. НСІ образуют соответствующие кетоны также с высокими выходами (даны кетоющие кетоны также с высокими выходами (даны кетостероид, соотношение HCl: CK; т-ра гидролиза; °С, время в мин.): тестостерон: 1:8; \sim 20, 30; пропионат тестостерона (СК т. разл. 214°); 1:35; 50; 50, (омыление пропионильной группы); Δ^4 -андростендион-3,17(3-моно-СК); 1:8:50; 30; Δ^4 -андростендион-3,17(6ис-СК); 4:0:50; 35; изоростендион-3,17(6ис-СК); 4:0:50; 35: моно-СК); 1:0; 50; 50; 15-анаростендион-5, 17 (оле СК); 1:9; 50; 35; прогестерон(20-моно-СК); 1:15; ~ 20; 30; прогестерон (3,20-бис-СК); 1:13; ~ 20; 30. СК 17а-метил-тестостерона. т. разл. 212°, при гидролизе НСІ дает измененные продукты. Гидролиз СК 26-ненасыщ кетостероидов (дегидроэпиандростерон, ∆5-прегненол-33-он-20 и ацетаты) посредством насыщ. НСІ приводит к образованию хлорсодержащих продуктов, из смеси которых не удается выделить определенных в-в. СК пропионата 5а-андростанол-17β-она-3, т. разл. 242°, и СК бензоата тестостерона, т. разл. 119°, не растворяются в конц. НСІ. Л. Яновская

Дегидрирование **△**⁴-3-кетостероидов в 1,4-диен-11847. 3-кетоны бактериями группы Subtilis. Линднер, Юнк, Кель, Неземан, Шмидт-Томе (Dehydrierung von A*-3-Ketosteroiden zu 1,4-Dien-3-ketonen durch Bakterien der Subtilis-Gruppe. Lindner F., Junk R., Kehl H., Nesemann G., Schmidt-Thomé J.), Naturwissenschaften, 1956, 43, № 2, 39 (нем.)

Пегидрирование ^{△4}-3-кетостероидов в ^{△1,4}-3-кетостероиды может быть произведено при помощи смеся культур Rhizopus nigricans и B, subtitis с выходом до 80%. Таким образом были получены Δ^1 -дегидропроизводные соединения S. Рейхштейна, кортизона к гидрокортизона. Дегидрирование производилось путем добавления к штамму R. nigricans (рН 7) культуры B. subtilis и 1 г кортизона в ацетоне. После многодневной выдержки при 35° были выделены Δ^1 -дегидро-кортизон, т. пл. 232—233° (из CH_2Cl_2), $[\alpha\, i^{20}\, D + 166^{\circ}$ (диоксан), и продукт неизвестного строения с т. пл. А. Камернипкий

11848. Стеронды. LXXIII. Прямое окисление формнатов стероидов по методу Оппенауэра. Новый синтез 17 а-оксипрогестерона. Рингольд, Лёкен, Розен кранц, Зонд хеймер. LXXIV. Синтез Δ^4 -прегнендиол-17 α , 21-диона-3,20 (вещества S Рейхштейна) и Δ^{1,4}-прегнадиендиол-17α, 21-диона-3,20. Рингольд, Розенкранц, Зондхеймер. LXXV. Дегидрирование тестостерона в $\Delta^{1,4}$ андростадиенол-173-он-3 с помощью двуокиси селена. Рингольд, Розенкранц, Зондхеймер. LXXVI. Синтез эфиров 17а-оксипрогестерона и карбоновых кислот с длинной цепью. Батрес, Гомес, Розенкранц, Зондхеймер (Steroids, LXXIII. The direct Oppenauer oxidation of steroidal formate esters. A new synthesis of 17a-hydroxyprogesterone. Ringold H. J., Löken Bjarte, Rosenkranz G., Sondheimer Franz. LXXIV. Synthesis of Δ⁴-pregnene-17α, 21-diol-3,20 dione (Reichstein's substance S) and of Δ 1.4-pregnadiene-17 α , 21-diol-3,20-dione. Ringold H. J., Rosenkranz G., Sondheimer Franz. LXXV. Dehydrogenation of testosterone to Δ1.4-androstadien-17-3-ol-3-one with selenium dioxide. Ringold H. J., Rosenkranz G., Sondheimer Franz. LXXVII. Synthesis of long chain carboxylic Rosario (Miss), Rosenkranz G., Sondheimer Franz), J. Amer. Chem. Soc. 1956, 78, \mathbb{N} 4, 816 — 819; 820 — 825; J. Organ. Chem., 1956, 21, \mathbb{N} 2, 239 — 240; 240 — 241 (англ.)

Сообщение LXXIII. Защита 3-оксигруппы стероидов с помощью формилирования позволяет проводить целый ряд р-ций и в то же время допускает возможность прямого окисления в 3-кетосоединения по методу Оппенауэра. Так. 3-формиат-17-ацетат Д⁵-прегнендиол-3β, 17аона-20 (I), полученный из 16α , 17α -окисн Δ^3 -прегненол-33-она-20 (II) при подобном окислении дал, после омыления, 17 а - оксипрогестерон (III). Получение I из II возможно двумя путями. По первому II подвергается ацетилированию по С(а), обработке НВг для получения бромгидрина. дебромированию и омылению, давая Д5прегнендиол-33, 17а-он-20 (Іа) с общим выходом 83%. Ia затем формилируется и ацетилируется в І. Другой путь состоит в обработке II НВг и CH₃COOH для получения бромгидрина, удалении Вг при сохранении ∆6-двойной связи, омылении и формилировании. Общий выход 3-формиата Іа (Іб) составляет 76%. После ацетилирования 16 по С(17), полученный I окислялся в 17ацетат III (IIIa), омыленный в III. Другим примером изученной р-ции является получение ацетата и прошнонаучение адетата и проимене адетата и проимене ната тестостерона (IV. IVa) из Δ^5 -авдростевол-3 β -она-17 (V) через 3-формиат V (Va). Обработка 107 ε ацетата II HBr в лед. $\mathrm{CH_3COOH}$ (25 мнн., 18°) и гидрирование неочищ. бромгидрина на $\mathrm{Pd/CaCO_3}$ (25°) привели к 91,5 ε 3-ацетата Ia (Iв), т. пл. 232 — 234° (из этилацетата), [α] D — 40° (диоксан). Книячением (1 час) с $\mathrm{K_2CO_2}$ в водн. $\mathrm{CH_3OH}$ 50 ε Ів были омылены в 43,5 ε Ia, т. пл. ŕ.

en,

Teecm до

из-

po-

доры

го-

66*

пл. пй ор-

l ë-

IV. rba Ha-

ij-1,4-

ле-

e p.

ec,

i n-G., Δ⁴-

nce ne.

to

ide.

er

ylie i e z

e i-

21,

ДОВ

гря-

me-

17а-10л-

сле

из

этся

HES

 $\frac{\Delta^{5}}{3\%}$.

той для нии

ети-17-

ром

a-17 a II

ание

и к

 CO_3

. пл.

270—272°, [а] D—36° (диоксав). Обработка 90 г Іа 85%-ной НСООН (2 часа, 70°) позволила получить 81 г Іб, т. пл. 207—209° (из ацетона), [а] D—86°. По второму методу 265 г ІІ обрабатывались НВг в СН₈СООН и СН₂СІ₂ (25 мин., 10—20°), причем было получено 300 г бромгидрина с т. пл. 190—195°, [а] D—25°, 250 г которого гидрировались на Рd/СаСО₈ в СН₈ОН с СН₃СООН4 (25°, 90 мин.) и кипитились с К₂СО₃ (1 час). После отгонки р-рителей экстракцией горячим пиридином был выделен Іа, который формилировался 85%-ной НСООН (60°, 2 часа) и 16 выделялся экстракцией горячим ацетоном. Получено 182,5 г Іб, т. пл. 203—206°, [а] D—86°. Ацетилированием 100 г Іб с помощью л-СН₈С₈Н₄SO₃H и (СН₃СО)₂О (80°, 30 мин.; 20°, 2 часа; 0°, 12 час.) получено 99,5 г І, т. пл. 198—200° (из ацетона), [а] D—75°. Обработка 51 г І циклогексавоном и АІ (С₃Н₇О)₃ в ксилоле (кипячение с отгонкой 50 мин.) и экстракция ацетоном привела к 40,7 г ІІІа, т. пл. 245—247°, [а] D+73°, +54° (дноксан), который (100 г) при кипячении с водно-метанольным р-ром КОН (2 часа, N₂) дал 81 г ІІІ, т. пл. 220—222° (из ацетона-С₆Н₁₄), [а] D+95°, +105° (ацетон). Формилирование 20 г V с помощью 85%-ной НСООН (60°, 1 час) привело к 20,5 г Vа, т. пл. 144—146° (из ацетона-С₆Н₁₂), [а] D—8°. Путем восстановления 1 г Vа NаВН₄ в воде и тетрагидрофуране (3 часа, 20°) было получено 0,72 г з-формиата Аб-андростендиола-33, 17α (VI), т. пл. 170—172° (из ацетона-С₆Н₁₄). [а] D—55°, 300 мг которого ацетилировались п-СН₃С₆Н₄SO₃H и (СН₃СО)₂О (14 час., 20°) в 260 мг 17-ацетата VI (VIа), т. пл. 146—148° (из С₆Н₁₄), 149—151° (по Кофлеру), [а] D—70°. Аналогично с (СН₃СН₂СО)₂О получен 17-пропионат VI (VІб), т. пл. 140—142°, а из 0,5 г VІб получено 0,21 г ІVа, т. пл. 140—142°, а из 0,5 г VІб получено 0,21 г ІVа, т. пл. 140—142°, а из 0,5 г VІб получено 0,21 г ІVа, т. пл. 140—142°, а из 0,5 г VІб получено 0,21 г ІVа, т. пл. 140—142°, а из 0,5 г VІб получено 0,21 г ІVа, т. пл. 140—142°, а из 0,5 г VІб получено 0,21 г ІVа, т. пл. 140—142

Сообщение LXXIV. Δ4-Прегнендиол-17α, 21-дион-3,20 (VII) был получен из I6. С этой целью I6 бромировался, дав 3-формиат 5,6,21-трибромпрегнандиол-33, 17 α -она-20 (VIII), который при обработке NaJ, затем CH₃COOK и ацетилировании по С(17) превратился в 3-формиат-17, 21-диацетат Δ⁵-прегнентриол-33, 47α, 21-она-20 (IX). Выход IX в расчете на **16** составляет 70%. Окисление IX по методу Оппевауэра с или без предварительного омыления 3-формильной группы привело к диацетату VII (VIIa). С лругой стороны, 17,21-диацетат Δ^5 -прегнентриол-33, 17a, 21-она-20 (IXa), полученный из IX, гидрировался, дав 17,21-диацетат аллопрегнантриол-33, 17а, 21-она-20 (X), который был окислен в диацетат аллопрегнандиол-17а, 21-диона-3,20 (XI). Бромированием XI получен диацетат 2,4-дибромаллопрегнандиол-17α, 21-диона-3,20 (XII), дегидробромированный в диа-цетат Δ1.4-прегна диенднол-17α, 21-диона-3,20 (XIII). Были также предприняты попытки получить VII через овдин также предприняты попытки получить VII через соединения со свободной гидроксильной группой при $C_{(3)}$. Бромирование $200 \ \epsilon$ 16 в CH_2Cl_2 (20° , 30 мин.) привело к VIII, т. пл. $154 - 156^\circ$ (разл.; из эф.- C_5H_{12}), [α] D— 37° , который (без очистки) обрабатывался NaJ в безводи. ацетоне (20° , 47 час.), дав $271 \ \epsilon$ 3-формината 21-йодо- Δ^5 -прегнендиол- 3β , 47α -она-20 (XIV), т. пл. 45— 447° (12 CH OH) 145—147° (из ${\rm CH_3OH})$. Путем кипячения 271 г XIV в ацетоне с ${\rm CH_3COOK}$ (20 час.) было получено 209 г 3 -формията- 2 1-ацетата 5 -прегнентриол- 3 3, 4 7 2 0, 2 1-она- 2 20 (IX6), т. пл. 2 207— 2 209° (из ацетона), 2 1 [а] 2 1 — 4 6°. При обработке n -СН 3 С 2 64 4 8О 3 Н и (СН 3 СО) 2 0 (2 0°, 4 8 час.) 2 209 г IX6 дали 177,8 г IX, т. пл. 2 20— 2 22° (из ацетона), [а]D—65°, который был также получен при нагревании 100 г IX6 с n-CH₃C₆H₄SO₃H н (CH₃CO)₂O (80—85°, 45 мин.). Омылением 50 г IX водно-диоксановой HCl (к-той) (25°, 7 час.) получено 45,9 ε IXa, т. пл. 199—201° (из ацето-ша- C_0H_{14}), [α] D — 59°. Окисление 200 ε IX по Оппенауэру, аналогично I, привело к 141 ε VIIa, т. пл. 220—222° (на CH₃OH), [α] D + 66°, + 52° (диоксан). Аналогично, IX а дал VIIa, 74%. Путем омыления 100 ε VIIa метанольным р-ром КОН (0—5°, 80 мин., N₂) было получено 74,1 ε VII, т. пл. 210—212° (из этилацетата), [α] D + 126°, + 122° (диоксан). Гидрирование 32 ε IXa на Pd/C(45°) и окисление полученных 31,6 ε X, т. пл. 184—187°, CrO₃ в води. CH₃COOH (25°, 1 час) позволили получить 28,8 ε XI, т. пл. 238—240° (из ацетона-C₆H₁₄), [α] D + 12°. Бромирование 20 ε XI в лед. СH₃COOH (20°, 12 час.) превратило его в 15,5 ε XII, т. пл. 195—196° (разл.), а из маточного р-ра при обработке Zn и CH₃COOH и хроматографировании было выделено 10—20% XI. Кипичением с γ -коллицином и 2,4-лутидином (1 час) 15,5 ε XII дегидробромированись в 7 ε XIII, т. пл. 193—194° (из ацетона-C₆H₁₄), [α] D + 29°, 12 ε которого были омылены с помощью метанольного КОН в 6,2 ε Δ 1.4-прегнадиендиол-17 α , 21-диона-3,20 (XV), т. пл. 245—246° (из ацетона), [α] D + 74°. Ацетилирование XV (CH₃CO)₂O и пиридином (20°, 12 час.) привело

I R - OCH, R' - COCH₃; a R - R' - H; 6 R - OCH, R' - H; B R - COCH₃, R' - H; r R - R' - COCH₃; π R - H, R'-COCH₄; VII R - R' - H; a R' - R' - COCH₃; 6 R - H, R'-C₄H₅; 1X R - OCH, R' - COCH₃, R" - OCOCH₃; 6 R - H, R' - COCH₃; R" - OCOCH₃; 6 R - OCH, R' - OCOCH₃; 7 R - COCH₃; 8 R - R' - COCH₃; 8 R - R' - COCH₃; 8 R - R' - COCH₃; 8 R - H, R'' - OC₄H₃; 8 R - H, R'' - COCH₃; 8 R - H, R'' - COCH₃; 8 R'' - CCCH₃; 8 R - H, R'' - COCH₃; 8 R'' - CCCH₃; 8 R'' - COCH₃; 8 R''

к 21-ацетату XV, г. пл. $225-226^\circ$, [α] $D+91^\circ$. $50\ s$ Is бромировались в CHCl $_3$ (20°, 1 час), полученное 5,6,21-трибромсоединение (т. пл. $162-167^\circ$ (разл.)) обрабатывалось NaJ (20°, 18 час.) и, ваконец, 21-йодсоединение кипятилось с безводи. СН $_3$ СООК в ацетоне (17 час.), давая $43,5\ s$ 3,21-диацетата Δ^5 -прегнентриол-3 β , 17α , 21-она-20 (IXB), т. пл. $195-197^\circ$ (из CH $_3$ CO) $_4$ () и n-CH $_3$ C $_4$ H $_4$ SO $_3$ H (20°, 17 час.) в $4.85\ s$ триацетата Δ^5 -прегнентриол-3 β , 17α , 21-она-20 (IXB), 17α , 17α

2

(8

C

B(

3

K

C

eI

H

H

70

CE

30

H

P-II

19

ЭТ

Ка Ди

OM

OK C(

-3

TO

не

98

np [a

BO

BO 21

11

IV

бы

CH IIP

[a]

HO

тографировании маточного p-ра на Al_2O_3 было выделено $0.36\ \epsilon$ IXи и $2.25\ \epsilon$ 21-фенилового эфира-17-ацетата IX α (IX α), т. пл. $166-168^\circ$ (ва ацетона- C_6H_{14}), $[\alpha]D$ — 50° . Окислением $2.2\ \epsilon$ IX α по Оппевауару было получено $1.78\ \epsilon$ 21-фенилового эфира-17-ацетата VII (VII6), т. пл. $149-151^\circ$ (из ацетона- C_6H_{12}), $[\alpha]D+49^\circ$. Попытки омылить VII6 приводили к деструкции. Все $[\alpha]D$, ку оме отмеченых, опу еделены в CHCl $_3$ при 20° . Приведены даввые УФ-спектра для VII—VII6, XIII α XV.

Сообщение LXXV. С целью нахождения метода введения Δ' -двойной связи в Δ^4 -3-кетостеронды были испытаны различные дегидрирующие агенты. Для тестостерона (XVI) лучшие результаты дал SeO₂. Р-р 1 г XVI в C₆H₆ кипятят с влажным SeO₂ 64 часа, после хроматографирования на $\Lambda l_2 O_3$. Получают 0,35 г Δl_4 -андростадиенол-17 β -она-3, т. пл. 168—170°, [α]²⁰ D+23°

хлор.).

Сообщение LXXVI. Исходя из 16 (см. сообщение LXXIII) был проведен синтез ряда 17-эфиров III. могущих обладать прогестиональной актив тью. Обработка 5 г 16, капроновым ангидридом 1. μ -CH₃C₆H₄SO₃H в C₆H₆ (80° до растворения, затем 20°, 16 час.) привела к 4,90 г 17-капроата 16 (XVII). т. пл. 95—96° (из эф.-С₆H₁₄), $|\alpha|$ D-65°. При кипичении 3 г XVII, AI (С₃H₇O)₅ и С₆H₁₀O в ксилоле (45 мин.) и хроматографированием на Al_2O_3 было получено 1.82 г 17-капроата III (XVIII), т. пл. $122-123^\circ$ (из эф.- C_6H_{14}). [α] $D+57^\circ$. С другой стоговы, 3 г III при выгревании с капроновым ангидридом и n-CH₂C₆H₄SO₂H (80°, 15 мин., 20°, 48 час.) и хроматографиговании дали 2.22 г XVIII. т.пл. 118—120° (из эф.-С₆Н₁₄), [α]D+ 58°. Аналогиченым образом 16 был преврацен с 74%-ным выходом в 17-знантовт 16 (XVIIa), т. пл. 90—91°, [α]D — 63°, который при окислевии по методу Оппенауэра дал с 62%-ным выходом 17-знантоат III, т. пл 113—114°, [а] D + 53°, полученный также при этерификации III с выходом 56%, т. пл. 110—113°, [а] $D+52^\circ$. Подобной же серией преврашений получен 17-циклопентили опионат 111, преврашении получен 17-диклопектыли опилат 17. пл. 129—130° (из эф. C_6H_{14}), [α] D+47°. и 17-фенил-пропионат III, т. пл. 151—152° (из ацетона-эф.), [α] D+64°. Все [α] D определены в СНСІ $_3$. Сообшение LXXII см. РЖХим. 1956, 54551. А. Камеринцкий Новый синтез вещества F Кендалла. Ол и-11849. вето, Джеролд, Хершберг (A new synthesis of Kendall's compound F. Oliveto Eugene P., Gerold Corinne, Hershberg E. B.), Arch. Biochem., and Biophys., 1954, 49, № 1, 244-

Из прегнантриол- 3α , 113, 17α -она-20 (I) обработкой 98—100%-ной НСООН и НСІО₄ (или n-толуолсульфоновой к-той) получают триформиат I, т. пл. 174— 177° , $[\alpha] D + 57,0^\circ$ (хлф.), который кипичением с водно-метанольным p-ром NаНСО₃ гидролизуют до 113-моноформиата I, т. пл. 160— 166° , $[\alpha] D + 38,0^\circ$ (хлф.). Бромнование последнего с последующей обработкой СН-СООК дает 11-формиат, 21-ацетат прегнантетрол- 3α , 113, 17α , 21-она-20, т. пл. 182— 185° , $[\alpha] D + 86,0^\circ$ (хлф.), который окислиют N-6-гомацетамидом в 11-формиат, 21 ацетат прегнантриол-113, 17α , 21-диона-3,20 (II), т. пл. 222— 225° , $[\alpha] D + 99,0^\circ$ (хлф.). Бромирование и деги-дробромирование II приводит к 11-формиат, 21-ацетату Δ^4 -прегнентриол-2113, 21-диону-21-диону-21-дистату 21-диону-21-дистату 21-диону-21-дистату 21-диону-21-дистату 21-диону-21-дистату 21-диону-21-дистату 21-диону-21-дистату 21-дистату 21-диону-21-дистату 21-диону-21-дистату 21-дистату 21-диону-21-дистату 21-дистату 21-диону-21-дистату 21-дистату 21-диону-21-дистату 21-дистату 21-диону-21-дистату 21-дистату 21-диону-21-дистату 21-диону-21-дистату 21-дистату 21-дистату 21-дистату 21-диону-21-дистату 21-дистату 21-дистату 21-дистату 21-диону-21-дистату 21-дистату
11850. Стеронды, окисление в положении 11. XI. Синтез 21-ацетата 17α-оксикортикостерона (соединений F) из прегнандиол-11β, 17α-диона-3,20. О д м-

Вето, Смит, Герольд, Вебер, Раусер, Хершберг (11-Oxygenated steroids. XI. The synthesis of 17α-hydroxycorticosterone (compound F) 21-acetate from pregnane 11β, 17α-diol-3, 20-dions. Oliveto Eugene P., Smith Herbert Q., Gerold Corinne, Weber Lois, Rauser Rochard, Hersh Lerg E. B.), J. Amer. Chem. Soc., 1955, 77, № 8, 2224—2227 (авгл.) Описаны синтезы 21-ацетата 17α-оксикортикостеро-

на (1) из прегнандиол-113, 17a-диона-3,20 (11). Селективной кетализацией II переводят в 3,3-диметоксипре-гнандиол-11β, 174-он-20 (III), который при бромировании, последующем ацетоксилировании при С(21) и дегалоидировании посредством Zn и CH₃COOH дает 21-ацетат прегнантриол-113, 17a, 21-диона-3,20 (IV). Превращение IV в I осуществлено ранее описанными методами (Wendler N. L. и др., J. Amer. Chem. Soc., 1952, 74, 3630). 111 веустойчив и при стоянии переходит II. При обработке этиленгликолем в присутствии SeO₂ II дает 3-этвленкеталь II (V), строение которогодоказано. восстановлением с NaBH₄ в известный прегнантриол-113, 17a, 203-он-3 (VI). Бромирование V, последующая обработка семикарбазидом и омыление пировиноградной к-той приводят с небольшим выходом к 1. Бромированием 11 получают 4-бромпрегнандиол-118, 17а-дион-3, 20 (VII), который при селективной кетализации в присутствии SeO₂ и n-CH₃C₆H₄SO₃H дает 3-этиленкеталь VII (VIII), образующийся также при осторожном омылении 3,20-бис-этиленкеталя VII (IX). Бромированием и последующим ацетоксилированием переводят VIII в 3-этиленкеталь 21-ацетата 4-бромпрегнантриол-11³, 17^α, 21-диона-3,20 (X), который при последовательной обработке семикарбазидом и пировиноградной к-той дает 1. P-р 13,96 г 111 в 280 мл СНСІ_в обрабатывают при 10—15° р-ром 17,1 г Вг в 280 мл СНСІ_в, через 15 мин. добавляют 28 г безводн. СН_з-СООК, р-ритель отгоняют в вакууме, остаток растворяют в 700 мл ацетона, добавляют еще 28 г СН₃СООК и смесь кипятят 5 час. Ацетон отгоняют в вакууме, остаток экстрагируют СН₂Cl₂, извлеченный продукт растворяют в 200 мл лед. СН₃COOH и обрабатывают 28 г Zn-пыли (50—60°, 15 мин.), добавляют 28 мл воды, выдерживают смесь 20 мин. при 50—60°, фильтруют ды, выдерживают смесь 20 ммн. при 30—60°, фильтруют и экстракцией СН₂СІ₂ извлекают IV, выход 38, 5% (очинают хроматографированием на флоризиле, вымывают С₆Н₆-эфиром; 1: 1), т. пл. 219° (из этилацетатагексана). Смесь 10 г II, 10 г SeO₂, 150 мл этиленгликоля и 150 мл СНСІ₃ перемешивают 24 часа при 28°, выливают в р-р 20 г К2СОв в 1,5 л воды и экстракцией СН₂СІ₂ извлекают V, выход 79,2%, т. пл. 232,4—233,8° (из ацетона-гексана), [а]D +28,2° (хлф.). Смесь 0,5 г V, 1 г NаВН₄, 40 мл СН₃ОН и 10 мл волы кипятят 12 час., добавляют воду, фильтруют, осадок растворяют в 20 мл 50%-ной СН₃СООН, нагревают 30 мин. при 60°, выливают воду, нейтрализуют и СН₂СІ₂ извлекают VI, т. пл. 164,8—166,2° (из ацетона-гексана), 20-ацетат VI, т. пл. 262—264°. Продукт, полученный при обработке 10 г V бромом и СН₃СООН (в условиях синтеза IV), растворяют в лед. СН₈СООН (135 мл), добавляют 4,33 г семикарбазида, 13,5 мл воды и 10,8 мл 10%-ного р-ра НВг в лед. СН₈СООН. Смесь нагревают 1 час при 70° в атмосфере CO2, выливают в воду, полученный семикарбааон (4 г) кипятят 5 мин. сс смесью 30 мл лед. СН₃СООН, 2,56 г 90%-ной пировиноградной к-ты, 7,2 г безводн. СН₃СООNа и 20 мл воды и продукт р-ции хроматографируют на флоризиле, 1%-ным р-ром CH₃OH в CH₂Cl₂ вымывают 1, выход 200 мг, т. пл. 211,6— 216,0° (разл., из ацетона-гексана). От р-ра 8,26 г VII н 41,5 мл этиленгликоля в С. Н. отгоняют 83 мл дистиллата, добавляют 0,83 г n-CH₃C₆H₄SO₃H, KHRATAT 4 часа с одновременным отгоном р-рителя (350 мл). После нейтр-ции выделяют ІХ, выход 47,6%, т. пл.

XI.

and

ne. Q.,

u s-

еро-

1pe-1po-C(21)

(aer

ыми oc.,

Вин

pore

V, енно одом 11β,

али-

г 3сто-

1X). пре-

при

HCla CH₃-CTBO-OOK

уме,

дукт вают в во-

руют

5% BЫ-

гатаколя ыли-

цией

2,4-

месь ятят

ряют 60°, т VI, петат

обра-

нтеза

TOIRE

10%-1 час

нный

O MA

к-ты,

р-пии НаОН

1,6-VII

стил-

пятят

мл). пл. 240—241,4° (из этилацетата-гексана), т. пл. +46,9° (ацетои). К р-ру 2,58 г IX в 65 мл ацетона добавляют р-р, приготовленный из 2,5 мл конц. НСІ и 13 мл воды, и смесь выдерживают 2 часа при 23°. При разбавлении водой (300 мл) выпадает VIII, выход 93,2%, т. пл. 182,5—183° (разл., из этилацетата-гексана). Сместа в VII, 1 в SeO₂, 0,1 в л-СН₃СвН₃SO₃Н-Н₂О, 10 мл этиленгликоля и 25 мл СНСІ₃ перемешивают 4 дня при 25°. Экстракцией СН₃СІ₂ выделяют VIII, выход 54,3%. К р-ру 4 в VIII в 240 мл СНСІ₃ добавляют 1,44 в Вг в 80 мл СНСІ₃ (25°, 1,5 часа) и затем 8 в безводн. СН₃СООК. Р-ритель отгоняют в вакууме, добавляют еще 8 в СН₃СООК 60 мв КЈ, 252 мл ацетона и 2,6 мл ед. СН₃СООК 60 мв КЈ, 252 мл ацетона и 2,6 мл ед. СН₃СООН и кипятят смесь 16 час. Р-ритель отгоняют с водяным паром и выделяют X, выход 71,3%, т. пл. 216—217° (разл., из ацетона-гексана), [а] D +98,1° (ацетон). Смесь 1,97 в X, 20 мл лед. СН₃СООН, 6 мл воды и 0,2 мл конц. Н₃SO₄ нагревают 1,5 часа при 70°, добавляют 0,31 в СН₃СООNа и затем р-р 0,57 в семикарбавида в 2 мл воды. Смесь перемешивают 30 мин при 25° в атмосфере N₂, добавляют 2 мл пировиноградной к-ты, перемешивают 30 мин. при 50°, продукт р-ции ацетилируют (передин, (СН₃СО)₂О, 25°, 1 час) и выделяют 1, выход 41,2%. [а] D определены в 1%-ном р-ре; 1 = 10 см. Сообщение X см. РЖХим, 1956, 47088.

11851. Стероиды, окисленные в положении 11. XII. Приготовление 21-ацетата 17α-оксикортикостерона Ганетата соединения F Кендалля) через 11β-ферма-ты. Оливето, Джеролд, Россер, Херш-берг (11-oxygenated steroids. XII. The preparation of 17α-hydroxycorticosterone 21-acetate (Kendall's on 17α-nydroxycorucosterone 21-acetate (Rendali's compound Facetate) via 11 β-formates. O li v e t o E u g e n e P., G e r o l d C o r i n n e, R a u s-ser R i c h a r d, H e r s h b e r g E. В.), J. Amer. Chem. Soc., 1955, 77, № 13, 3564—3567 (англ.) Разјаботанвый метод получения 11β-ацетатов (РЖХим, 1955, 21308) пригодит к неомыляемым продуктам. Поэтому для запиты 113-гидроксильной группы было этому для запиты прегидроксильсов группы сыло применее формилирование в присутствии кислых катализаторов. Таким путем вз прегвандиол.113, 17а-диона-3,20 (I) был голучен диформиат I (II), а из прегвант вол-3а, 11\$, 17а-ова-20 (III) триформиат III (IV), омыленьый в 11,17-диформиат III (V), который был окислен во II.11-формиат III (VI), потле бромир оввеня по С(21) и ацетоксили о обавия, дал 11-ф ој миат-21-ацетат прегвантет јол-3α. 11β, 17α, 21-ова-20 (VII), преврапјевный в 11-ф ормиат-21-ацетат прегвант вол-11β, 17α, 21-двона -3,20 (VIII). Введевие Δ4-дгойной связи по обычвому ме--3,20 (VIII). Еведевие Δ^* -деоном связи по обычному методу новеолило получить 11-формиат-21-апетат Δ^4 -прегвентриол-11 β , 17 α , 21-диона-3.20 (IX). Обработка 1г I 98—16.0%-вой НСОСН и n-CH₅C, H₄SO₅H (25°, 12 час.) привела к 0,80 г II, т. пл. 256—264° (из ацетона-C₆H₁₄), [а] D + 47,4° (диоксав). Омылевием 1 г II водно-метавольным р-гом NаОН (25°, 19 час.) регеверијовано 0.64 г I, г. пл. 214—222° (из апетова-C₆H₁₄). Авалогичпо, 1 г II при обработке K2CO3 дал 0,55 г I, т. пл. 10 , 12 11 11 11 11 12 11 11 12 12 12 12 12 12 12 12 12 12 12 12 12 12 12 12 12 12 12 12 12 12 12 12 12 12 12 12 12 12 12 12 12 12 12 12 12 12 12 12 12 12 12 12 12 12 12 12 12 12 12 12 12 12 12 12 12 12 12 12 12 12 12 12 12 12 12 12 12 12 12 12 12 12 12 12 12 12 12 12 12 12 12 12 12 12 12 12 12 12 12 12 12 12 12 12 12 12 12 12 12 12 12 12 12 12 12 12 12 12 12 12 12 12 12 12 12 12 12 12 12 12 12 12 12 12 12 12 12 12 12 12 12 12 12 12 12 12 12 12 12 12 12 12 12 12 12 12 12 12 12 12 12 12 12 12 12 12 12 12 12 12 12 12 12 12 12 12 12 12 12 12 12 12 12 12 12 12 12 12 12 12 12 12 12 12 12 12 12 12 12 12 12 12 12 12 12 12 12 12 12 12 12 12 12 12 12 12 12 12 12 12 12 12 12 12 12 12 12 12 12 12 12 12 12 12 12 12 12 12 12 12 12 12 12 12 12 12 12 12 12 12 12 12 12 12 $^{$ 1 г III обрабатывался только НСООН (25°, 12 час.), то было получево 0,80 г 3 фотмиата 111, т. пл. 187—190° (на ацетова- C_6H_{14}), [α] $_D+43,9$ ° Омыление 5 г IV n- ${
m CH_2C_6H_4SO_5H}$ в абс. спирте (37—38°, 2 часа; 5°, 16 час.) привело к 3,04 ϵ V, т. пл. 194—196° (из ацетова- ${
m C_6H_{14}}$), [a]_D + 47,5°, который (0,5 г) при окислевии N-бромацетамидом в CH₂Cl₂ и *трет*-C₄H₂OH (5°, 5 час.) дал 0,42 г II, т. пл. 263—266° (из адетова-C₆H₁₄). Дальнейшим 11, т. ил. 263—200 (на ацелова сель) по мансов (80°, 2,5 часа) и хроматографировавием на флорвзиле получен аморфный \mathbf{V} , $[\mathfrak{a}]_D+38,0°$, очистить который

далее не удалось. Только один раз из 1 г IV было получено 0,25 г V, т. пл. 160—166°. Омыление 0,5 г IV с помощью CH_2ONa в тетрагидрофуране и CH_3OH (5 мин., атмосфера Ar) позволило получить 0,14 г V, т. пл. 158—162° (из эф. C_6H_{14}). Путем полного омыления 0,5 г IV водно-метавольеным р-ром NaOH (30°, 12 час.) было получено 0,11 г III, т. пл. 205—209°. Обработка V (из 1 г IV) Вг2 в $CHCl_3$ в затем CH_3COOK в вцетоне (55°, 3 часа) привела к 0,4 г VII, т. пл. 185—190° (из водн. CH_3OH), $[\alpha]_D$ + 86,0°. При окислении с помощью N-бромацетамида в CH_2Cl_2 и $mpem-C_4H_1OH$ (5°, 4 часа) 1,43 г VII дали 0,8 г VIII, т. пл. 222—225° (из ацетона- C_6H_{14}), $[\alpha]_D$ + 99,0°. Исходя из 5 г IV без выделения промежуточных соединений было получено 2.58 г VIII, т. пл. 209—212° (из ацетона- C_6H_{14}). После омыления 0,5 г VIII водно-метавольеным р-том КОН (27°, 18 час., Ar), ацетилирования ($CH_3CO)_2O$ в пирицыне и хроматографирования ин флоризиле было выделесо 30 мг 21-ацетата прегнаеттриол-11В, 17α, 21-диона-3,20 (X), т. пл. 189—195°. Бромироваемсм 3 г VIII в CH_2Cl_2 и $mpem-C_4H_1OH$ (4 часа) было получено 1,75 г 11-форминта-21-ацетата 4-бромпрегнает пол-11В, 17α, 21-диона-3,20 (XI), т. пл. 185—187° (рагл.; из водн. ацетова), $[\alpha]_D$ + 86,3° (ацетов). Из маточеых р-тов путем дебромироваеми возврашево 1,07 г VIII, т. пл. 213—221°. Дегид обромироваеме 0,5 г XI обработкой семикарбаемом m $mpem-C_4H_1OH$ и $CHCl_3$ (2 часа) и затем $CH_3COCOOH$ CH_3COOH и води. р-ром CH_2COONa (киничены 5 мин.) дало 1,91 г IX, т. пл. 199—201° (из ащетова- C_6H_{14}), $[\alpha]_D$ + 176,1°, ε макс 15 100 при 239 мрл. Омылением 0,5 г IX водно-метанольеным р-ром CH_2COONa (киниченые 5 мин.) дало 1,91 г IX, т. пл. 199—201° (из ащетова- C_6H_{24}), $[\alpha]_D$ + 176,1°, ε макс 15 100 при 239 мрл. Омылением (CH_3COCOH и води. $CHCl_3$ ($CHCl_3$) и ацетова- C_6H_{24}), $CHCl_3$ ($CHCl_3$) и ацетова- C_6H_{24}), $CHCl_3$ ($CHCl_3$) и при 238 мрл. а омылением (CH_3COCOH) и при 238 мрл. а омылением $CHCl_3COCOH$ 0 и при 2

Синтез и доказательство структуры Δ1.4-прегвадиендиол-17α,21-триона-3,11,20 и Δ1.4-прегвадиентриол-113,17α,21-двона-3,20. Херпог, Бейн, Евник, Гулд, Шапиро, Оливето, Хершберг (11-oxygenated steroids. XIII. Synthesis and proof of structure of Δ1.4-pregnadien-17α, 21-diol-3,11.20-trione and Δ1.4-pregnadien-11β, 17α, 21-triol-3,20-dione. Herzog Hershel L., Payne Constance C., Jevnik Margaret A., Could David, Shapiro, Elliot L., Oliveto Eugene. P., Hershberg E. B.), J. Amer. Chem. Soc., 1955, 77, № 18, 4781—4784 (авгл.)

Исходя вз 21-апетата прегванднол- 17α , 21-триона-3,11.20 (I) в 21-апетата аллопрегванднол- 17α , 21-триона-3,11,20 (II) был осуществлен синтез $\Delta^{1,4}$ -прегвадиенднол- 17α , 21-триона-3.20 (IV), представляющих большой интерес в связи с их антивоспалительными стойствами, С этой целью I в II дибромировались по $C_{(2)}$ и $C_{(3)}$ и дегидробромвробались, дав 21-ацетат III (IIIа), омылененый в III. Обработка III семикарбазидом и восставовление полученного 3,20-бис-семикарбазова III (III6) с помощью КВН₄ привели к 3,20-бис-семикарбазову IV (IVа). Омылением IVа получен IV. Строевие III в IV было доказано окислением III с помощью NaBiO₃ в взвестные $\Delta^{1,4}$ -авдростадиентрион-3,11,17 (V) и $\Delta^{1,4}$ -авдростадиентрион-3,11,17 (V) с другой стороны, этнохолантрион-3,11,17 (VII) дибромировался и затем

1185

an

33

co

ac

3

E

C

3-

дебр

пре

ДНО

при

сод

разу 1 н или апе

OKE

TPO

Beo

вае али

BCT REI

ана ссі

Жа 40

ДИ

ге

сп

Ye FE

дегидробромировался, дав V. Бромированием 20 г I в лед. СН₃СООН (4,5 часа, 20°) получают 28 г сырого дибромида, кипячение которого с коллидином (30 мин.) и хроматографирование на SiO₂ привело к IIIа, выход 2,4 г, т. пл. 226—232° (разл.; из ацетона-С₈Н₁₄), [а] ²⁵D + 186°. Аналогично из 1 г 21-ацетата 2,4-дибромоаллопрегнандиол-17а, 21-триона-3,11,20 получают IIIа, выход 90 мг, т. пл. 218—220° (из водн. ацетона), [а] ²⁵D + 191°. Кипячение 120 мг IIIа с водно-метанольным р-ром КНСО₃ (3 мин.) приводит к III, выход 50 мг, т. пл. 233—235° (разл.; на ацетона-С₆Н₁₄), [а] ²⁵D+172°. Смесь 3,60 г III, р-ра 7,9 г NН₂NHCONH₂ · HCl в 40 мл воды, 450 мл СН₃ОН и 6,05 г пиридина кипятят 12 час., р-ритель отгоняют и разбавляют водой, выделяют 3,82 г III6, т. пл. 270—280° (разл.). Кипячение 5,90 г III6 с КВН₄ в тетрагидрофуране (12 час.) привело к 5,08 г IVа, т. пл. > 350°, 1 г которого обрабатывают HCl (к-той) (23°, 15 мвн., N₂), затем NaNO₂ (23°, 30 ммн.) п, наконец, СО (NН₂)₂ (23 мин.). Хроматографированием на SiO₂ выделяют IV, выход 4,6%, т. пл. 240—241° (разл.; из ацетона-С₆Н₁₄), [а] ²⁵D + 116°. При обработке 0,72 г III HCl (к-той) в ацетоне с CH₃OH (25—20°, 24 часа) он изомеризуется в диметилацеталь Δ^{1,4}-прегнандиеналь-21-триона-3,11,20, выход 0,4 г, т. пл. 157—159°, [а] ²⁵D + 200°. При окислении 0,50 г IV6 с помощью СгО₃ в пиридине (0—5°, 20°, 12 час.) после хроматографирования было получено 290 мг IIIа, т. пл. 225—230° (из ацетоне-С₆Н₁₄). При окислении же 1,0 г IV с помощью NaBiO₃ в водн. СН₃СООН (20°, 12 час.) после кроматографирования на SiO₂ было выделено 0,5 г VI, т. пл. 181—182° (из СН₂С₁₂-С₆Н₁₄), [а] ²⁵D + 138° (в ацетоне), который при дальнейшем окислении СгО₃ в водн. СН₃СООН (20°, 12 час.) Наконен, Серанны при окислении III с помощью NaBiO₃ в водн. СН₃СООН (20°, 12 час.) наконения стод», водне на при наньнейшем 111 с помощью NaBiO₃ в водн. СН₃СООН (20°, 12 час.) наконенны также дали V (а) димерены в даньые ИК- и УФ-спектров для II

A. Камерницкий 11853. Стероидные циклические кетали. XVIII. Приготовление 9 α-оксигидрокортизона. Литтелл, Беристейн (Steroidal cyclic ketals. XVIII. The preparation of 9α-hydroxyhydrocortisone. Littell Ruddy, Bernstein Seymour), J. Amer. Chem. Soc., 1956, 78, № 5, 984—989

(англ.)

Синтез 9-а-оксигидрокортизона (I), предпринятый с целью испытания его физиологич. активности, был осуществлен исходя из 3,20-бис-этиленкеталя Δ^4 -прегнентриол-113,17а,21-диона-3,20 (II), который превращался в 5α ,6а-окись II (III), а затем восстанавливался в 3,20-бис-этиленкеталь прегнантетрол-5а, 113,17а,21-диона-3,20 (IV). Дегидратация 21-ацетата IV (IVа) превратила его в 21-ацетат 3,20-бис-этиленкеталь $\Delta^{9(11)}$ -прегнентриол-5а, 17а, 21-диона-3,20 (V). Гидроксилирование тем или иным способом $\Delta^{9(11)}$ -двойной связи позволило получить 3,20-бис-этиленкеталь прегнанцентол-5а,9а,11а,17а,21-диона-3,20 (VI). Путем окисления 11-гидроксильной группы и восстановления 11-кетогруппы VI был превращен в 3,20-бис-этиленкеталь прегнанцентол-5а,9а,113,17а,21-диона-3,20 (VII), который при обработке H₂SO₄ дал I. Строение I подтверждается его синтезом из 21-ацетата 93, 113-окиси соединения Рейхнитейна (VIII). Внологич. испытания показали определенную активность I.

 $\begin{array}{c} \text{I R - H; Ia R - COCH_s; VI R - H,} \\ \text{R' - } \stackrel{\text{OH}}{\underset{\text{H}}{\cdot}} \text{ VIa R - COCH_s, R' - } \stackrel{\text{OH}}{\underset{\text{H}}{\cdot}} \text{ ; VI6 R - COCH_s,} \\ \text{R' - } \stackrel{\text{OCOCH_s}}{\underset{\text{H}}{\cdot}} \text{ ; IX R - H, R' - 0; IXa R - COCH_s,} \end{array}$

VII R - H; R' - СН Обработка 4 г II C₆H₅COOOH в СНСІ₈ 229 — 231°. Дегидратация 0,12 г IVа при помощи РОСІ₈ в пиридине (20°, 46 час.) превратила его в 86 мг V, т. пл. 221 — 221.5° (из ацетона-петр. эф.), [а] $D - 24^{\circ}$ (с 1,091), который (250 мг) при омылении спирт. р-ром КОН (80°, 0,5 часа) дал 155 мг 3,20-бис-этиленкеталя КОН (80°, 0,5 часа) дал 155 мг 0,20 окт. пл. $\Delta^{s(11)}$ -прегнентриол-5 α ,17 α ,21-диона-3,20 (Va), т. пл. 222 — 223,5° (из ацетона-петр. эф.), [α] D — 15° (c 1,501). $222-223,5^\circ$ (из ацетона-петр. эф.), [а] $D-15^\circ$ (с 1,501). Последовательным гидроксилированием 1.1 г V ОsО₄ в С₆H₆ и пиридине (37°, 25 дней; 63°, 17 дней), обработной водой, СH₃OH, Na₂SO₃ и КHCO₃ (5 час.) и затем спирт. КОН (80°, 1 час) было получено 400 мг VI, т. пл. 258 — 260° (из ацетона-петр. эф.), [а] $D+0^\circ$ (с 1,045). Аналогичная р-цвя с 2.1 г V (63°, 18 дней), обработка Na₂SO₃ и КHCO₃ в води. СH₃OH (6 час.) и хроматографирование на SiO₂ привели к 1.05 г V и 380 мг 21-ацетата VI (VIa), т. пл. 208 — 209° (из ацетона-петр. эф.), [а] $D+8^\circ$ (с 1,715), 55 мг которого ацетилировались (СH₃CO)₂O и пиридином (20°, 12 час.) в 40 мг 11,21-диацетата VI (VIб), т. пл. 247 — 248° (из ацетона-петр. эф.). Омыление 0.19 г VI6 спирт р-ром КОН (80°, 1 час.) регенерировало 115 мг VI. Р-р 0,58 г VI в пиридине был окислен СгО₃ (18 час., 25 — 30°) в 205 мг 3,20-6ис-этиленкеталя прегнантетрол-5а, 9а, 17а, 21дине был окислен CrO₃ (18 час., $25-30^\circ$) в 205 мг 3,20-бис-этиленкеталя прегнантетрол- 5α , 9α , 17α , 21-триона-3,11,20 (IX), т. пл. $291-293^\circ$ (из эцетона-петр. эф.), [α] $D+21^\circ$ (c 0,518; в пиридине). Аналогично 80 мг VIа дали (26° , 19 час.) 60 мг 21-ацетата IX (IXa), т. пл. $239-241^\circ$ (из ацетона-петр. эф.). Непосредствено из 0,47 ε Va путем обработки 0sO₄ и пиридином в C_6H_6 (37, 14 дней), затем CrO_3 (24-31 час.) 6 и неконец. ($CH_3CO)_2O$ и пиридином (20° , 12 час.) было получено 33 мг IXa, т. пл. $238-240^\circ$. Кипичением (3 час.) 6 с. LiAlH. в тетремуроформе 448 мг IX 6 или росствения 6 и из 6 или 6 и лучено 35 мг 1А3, т. пл. 256—240°. Кипячением (3 часа) с LiAlH₄ в тетрагидрофуране 148 мг IX были восстановлены в 100 мг VII, т. пл. 284,5—286,5° (из ацетона), [α] D+4° (c 1,006). Обработка 175 мг VII H₂SO₄ в C₂H₃OH (80°, 45 мин.) и хроматографирование привели к 10 мг I, т. пл. 223,5—225° (из ацетона-петр. эф.), $[a]D+148^\circ$ (с 0,460; в пиридине), а из маточных р-ров после ацетилирования $(CH_8CO)_2O$ и пиридином выделено 7 мг 21-ацетата I (Ia), т. пл. 216,5—217,5° (из ацетона-петр. эф.). Путем обработки 82 мг VIII воды. тона-петр. эф.). Путем обраютки 82 мг VIII воды. HClO₄ в тетрагидрофуране (20°, 5 час.), ацетилирования ($(\mathrm{CH_3CO})_2\mathrm{O}$ и пиридином (20°, 12 час.) и хроматографирования было получено 15 мг соединения с т. пл. 237 — 244° (разл.) в 25 мг Іа, т. пл. 218 — 219° (из ацетона-петр. эф.), [α] D+171° (c 0,662; в пиридине). Все [α] D определены в СНСІ $_3$ при 24 — 25°, исключения оговорены. В статье даются спектральные характеристики полученных соединений. Сообщение XVII, см. РЖХим, 1956, 61645. А. Камерницкий

7 г.

- 0;

HCla

III,

,881;

III. дро-IV.

0)20

. пл. OCl_a

V,

-pom таля . пл.

501).

0804

бот-

атем

+00

, 06-

xpo-

80 ME гетр.

оваsm 0 она-(80°,

ири-5 ме , 21-

етр. онри Xa),

BeH-HOM на-

raca)

сста-2SO4 вели эф.),

-pos еле-

аце-

оди. ова-

гра-

пл.

аце-Bce

ения

ери-

CM.

ткий

11854. Стероидные сапогенины. XXII. Превращение ацетата гекогенина через днацегат аллопрегнантриол-33, 17α, 21-диона-12,20 в производное геколактона є боковой ценью кортикостерондов. Ротман, У олл (Steroidal sapogenins, XXII. Conversion of hecogenine acetate to a hecolactone derivative with the adrenal cortical hormone side chain via allopregnane-33, 17α, 21-triol-12, 20-dione diacetate. R ot h m a n E d w a r d S., W a l l Monroe E.), J. Amer. Chem. Soc., 1955, 77, № 8, 2229—2233 (англ.)
3-апетат 16-бромаллопрегнанднол-33,17α-днона-3,20

 (РЖХим, 1955, 3853) при гидрогенолизе с Pd/CaCO₃ дебромируется, образуя продукт, который, вероятно, представляет собой 3-ацетат аллопрегнандиол-33, 17аднова-12,20 (II). При дебромировании со скелетным Ni, приготовленным по Адкинсу, I дает наряду с II смесь в-в, содержащих ацетаты аллопрегнанол-33-диона-12,20 (III) и 16α, 17α-оксидоаллопрегнанол-3β-диона-3,20 (IV), об-разующиеся также при восстановлении I Zn и CH₃COOH. I не дебромируется под влиянием скелетного NiW-7 яли 5%-ного Pd/C. Бромирование II и последующий яли 5%-иого га/с. Бромирование 11 и последующим апетолиз приводят к 3,21-диацетату аллопрегнантриол33, 17 α , 21-диона-12,20 (V), превращающемуся при окислении посредством С₆Н₅СОООН в 3,21-диацетат 12,13-дактона 12-карбокси-12,13-секо-аллопрегнантетрол-33, 13 а, 17 а, 21-она-20 (VI). Авторы считают, что необычная устойчивость боковой цепи V в условиях окисления обусловлена экранированием 20-СО-группы 21-ацетоксигруппой. Рассмотрение модели VI показывает, что С-О-связь лактонного кольца занимает аксиальное α -положение. Судя по ИК-спектру (слабая по-доса при 1693 cm^{-1}) 7-членное лактонное кольцо в VI вмеет кресловидную, а не ваннообразную конформацию. 390 мг I (т. пл. 173—176°) в 70 мл С H_3 ОН и 7мл воды встряхивают 5 час. с 10%-ным Pd/CaCO $_3$. Выделяют II, выход 96% (неочиш.), т. пл. 130—131° (из петр. эф.), [а] 18 D+43°, отличающийся по своим константам от [а] 16 $D+43^\circ$, отличающийся по своим константам от аналогичного препарата, синтезированного ранее (см. ссылку выше). 2,07 г I в 75 мл спирта кипятят с 12 г скелетного Ni (по Адкинсу). Перекристаллизацией продукта р-ции из эфира и $\mathrm{CH_3OH}$ получают III, т. пл. 183—185°. Судя по ИК-спектру маточные р-ры содержат II. К р-ру 1 г II в 25 мл $\mathrm{CCl_4}$ добавляют р-р 409 мг Вг в $\mathrm{CCl_4}$, р-ритель отгоняют в вакууме при 35° и выделяют 3-ацетат 21-бромаллопрегнандиол-3 $^\circ$, 17 $^\circ$ днона-12,20(VII), выход 68%, т. пл. 176—178° (на циклогексана), [а] $^\circ$ D+52, 4°. P-р 3,51 г VII в 1700 мл спирта обрабатывают при 26—28° 1700 мл 0,1п. NаОН. Через 10 мин. побавляют 1700 мл 0,1 н. HCI и экстра-Через 10 мин. добавляют 1700 мл 0,1 н.HCl и экстратеруют смесь эфиром. Ацетилированием продукта р-ции (20°, 12 час.) получают V, выход 59%, т. пл. 164—165° (вз эф.), $[\alpha]^{25}D+40.9°$. Смесь 3,3 ε VII, 210 мл ацетона, 48 м ε KJ, 13,4 ε CH₃COOK и 2,1 мл CH₃COOH кипятят 16 час., фильтруют, из фильтрата после упакипитит 16 час., фильтруют, из фильтрата после упа-ривания в вакууме и добавления воды выпадает V, вы-ход 93% (содержит следы Вг). К р-ру 2,91 г V (в ста-тье ошибочно VII. *Ирим. реф.*) в 20 мл СНСІ₃ до-бавляют при охлаждении 42 мл хлороформенного р-ра С₄h₅CO₃H (1 мл=7,7 мл 0,1 п. Nа₂S₂O₃) и 1,33 мл 10%-пого р-ра H₂SO₄ в СН₃СООН, смесь выдерживают 92 часа при 25° промывают води. NаОН, упаривают в вакууме и остаток хроматографируют на силикагеле. Смесью ${
m CH_2Cl_2\text{-}cпврт}$ (98:2) вымывают VI, выход 36%, т. пл. 203 — 205° и 209 — 220° (из эф.), [а] $^{25}D+13^\circ$. Видо-203 и 209 — 220 (из эф.), [а] ³D + 13 . Бидо-взменением ранее описанного метода (см. ссылку выше) (фильтрат нейтрализуют разб. НСІ, экстрагируют эфи-ром и реацетилируют) синтезируют IV с выходом 87% (вместо 50%), т. пл. 229 — 231° (из эф.). Приведены кривые ИК-спектров I, II, V, VI и VII. [а] D опреде-лены в СН₃ОН. Сообщение XXI см. РЖХим, 1956, 78220 Л. Бергельсон Одорозид Н как составная часть веществ ли-11855.

стьев наперстянки. Хак, Кайзер, Шпинг-дер (Odorosid Hals Bestandteil der Inhaltsstoffe von

лер (Odorosid H als Bestandtell der Inbaltsstofle von Folia Digitalis purpurea. H a a c k E., K a i s e r E., S p i n g l e r H.), Naturwissenschaften, 1955, 42, № 15, 442 (нем.) Из листьев Digitalis purpurea хроматографированием на Al₂O₃ (вымыванием CHCl₃) выделен одогозид Н (ср. РЖХим, 1955, 52033), т. ил. 234 — 236° (из ацетона-петр. эф.), [α] ²⁰ D + 7° (СН₃ОН), R₁ 0,29 (хроматография на бумаге, проявитель ксилол-метилэтилкетон; 1:1). Обнаружено, что дигитоксину, цитоксину и гиталоксину сопутствуют небольшие кол-ва других форм этих же гликозидов, более растворимых, но хуже кристаллизирующихся и имеющих несколько большие значения R_{\star} .

Б. Рейнгач

11856. Химия алкалондов. Сакан (アルカロイド化學、目武雄), 化學の領域、Кагаку-но рёнки, J. Japan. Chem., 1956, 10, № 4, 51—58 (япон.) Обзор. Библ. 98 назв. В. Ш. 11857. Новые синтетические аналоги эрготамина.

Комин (Nuevos agentes ergotamínicos sintéticos. Com in Jorge), Cienc. e invest., 1953, 9, № 5, 221-224 (исп.) Краткий обзор. Библ. 2 назв.

11858. Химия алкалондов Rauwolfia canescens Linn. 858. Химия алкалондов Rauwotjta canescens Emil.
Чатгерджи (Chemistry of the alkaloids of Rauwotja canescens Linn. C hatter jee A sima),
Indian J. Pharmacy, 1956, 18, № 6, 232—239 (англ.)
Обаор. Библ. 53 назв.
В. Ш.

859. Проблема синтеза морфина. Гинзбург (The problem of morphine synthesis. Ginsburg David), Bull. Narcotics, 1956, 8, № 1, 15—17 (англ.)

Краткий обзор. Библ. 10 назв. Синтез каротинондов. XIX. Синтез 6,7,6',7'теграгидроликопина и его связь с нейроспорином. Эйгстер, Линиер, Тривели, Каррер (Carotinoidsynthesen. XIX. Synthese eines 6,7,6',7'-Tetrahydro-lycopins und dessen Beziehung zum Neu-rosporin. Eugster C. H., Linner E., Tri-vedi A. H., Karrer P.), Helv. chim. acta, 1956, 39, № 3, 690—698 (нем.)

Конденсацией цитронеллаля (I) с ацетоном (II) син-зируют (4,8-диметилнонадиен-1,7-ил-1)-метилкетон (III). Р-ция III с пропаргилбромидом (IV) приводит (ПІ). Р-ции пії є пропаргилоромидом (1 у) приводит к 4,8,12-триметилтридекадиен-5,11-ин-1-олу-4 (V), де-гидратацией которого получают 4,8,12-триметилтри-декатриен-3,5,11-ин-1 (VI). Конденсацией І.і-замеш. VI с ∆⁴-октендионом-2,7 (VII) приготовляют диол (VIII), который частичным гидрированием над Рd с последующей дегидратацией переводят в 6,7,6',7'-тетрагидроли-копин (IX). Последний обладает одинаковым УФ-спеккопин (IX). Последний обладает одинаковым у Ф-спектром с природным нейроспорином (X) (Нахо F., Arch. Biochemistry, 1949, 20, 400) и, вероятно, является изомером. ІХ очень быстро изменяется на свету. Ранее показано (РЖХимБх, 1955, 3195), что ζ-каротин (XI) при дегидрировании с N-бромсукцинимидом переходит в X. На основании близких отношений IX и X авторы приписывают XI ф-лу [CH₃C(CH₃)=CHCH₂-CH ₂CH (CH₃) CH₂CH₂ CH₂C (CH₃) = CHCH = CHC ·(CH₅) = CHCH=]₃. С очень плохим выходом IX синтезируют другим путем: р-ция Мд-производного V с VII приводит к тетраолу (XII), который после частичного гидрирования и дегидратации дает IX. 120 г I н 180 г II встряхивают (50 час., 20°) в 900 мл 1%-ного р-ра КОН. Эфиром извлекают 143 г смеси (1:1) III с (2-окси-4,8-диметилнонен-7-ил-1)-метилкетоном, которую кипятят 3 часа с 120 мл (CH₃CO)₂O. Выделяют 65 г III, т. кип. 85—88°/0,06 мм. Р-ция 20 г III и 12,1 г IV в эфире в присутствии 6,7 г Zn приводит к V, выход 66%, т. кип. 82—84°/0,05 мм. V дегидратируют кипя-

14 химия, № 4

K-1

Bal

BE

Cn

Ni

po 0,6

[a]

He

пи

T.

VI

u cer

CH

(K

I

XJI (pa

BC

BE T.

тр бр С₂

че

ЭТ

03

11

HB

He

CH

(H:

ne

of

ИЗ

STO

пр

311.

эф

чением с n-CH₃C₆H₄SO₃H в C₆H₆ и продукт хроматографируют на Al₂O₃. Петр. эфиром вымывают VI, выход 30%, т. кип. 70—75°/0,03 мм. 14 г VI обрабатывают (—10°) в эфиро н-C₄H₉Li, а затем прибавляют р-р 4 г VII в толуоле, кипятит 2 часа и продукт р-ции хроматографируют на Al₂O₃. Смесью C₆H₆-эфир вымывают 4,296 г VIII, который при гидрировании в C₆H₆ над катализатором Линдлара переходит в этиленовый диол. Последний дегидратируют n-CH₃C₆H₄SO₃H в C₆II₆, а затем хроматографируют на Al₂O₃. Выделяют 37 мг IX, т. пл. 104—107⁸ (из бзл.-CH₃OH и CS₂-изо-C₃H₇OH). 15 г V обрабатывают в эфире C₂H₃MgBr, а затем прибавляют р-р 3,15 г VII в смеси эфира с толуолом. После кипячения (3 часа) выделяют 18,6 г технич. XII, который очищают хроматографированием на Al₂O₃ и норите. Частичное гидрирование XII (1,8 г) над 5%-ным Pd/CaCO₃ или Pd BaSO₄ с последующей дегидратацией (п-CH₃C₆H₄SO₃H, кипячение в толуоле и хроматографированием на Al₂O₃ приводит к IX (9 мг). Приведены VФ-спектры III, VI, VIII, IX и X и 5,6-дигидро-с-каротина. Сообщение XVIII см. РКХим, 1957, 4552.

Синтез производных группы витамина В6 и жирных кислот с длинными цепями. Сакураги, Куммеров (The synthesis of long chain fatty acid derivatives of the vitamin Bogroup. Sakuragi Taketami, Kummerow Fred A.), J. Amer. Chem. Soc., 1956, 78, № 4, 839—842 (англ.) Действием RCOCI на хлоргидрат витамина в CHC!3+ + C₆H₅N (4-48 час.) получены из пирилоксина (I) три-пальмитат, выход 71,4%, т. пл.72-74° (из изо-C₃H₇OH); трилинолеат, выход 65,2%, жидкость; триоктаноат, жидкость; тридеканоат, т. пл. 47,5—48,5° (из СН_вОН); из пиридоксаля (II) — дипальмитат (III), выход 77,7%, т. пл. 74° (из сп.); из пиридоксамина — трипальмитат (IV), выход 53,1%, т. пл. 102—103° (пз сп.); из 4-дезоксипирпдоксина — дипальмитат, выход 95,9%, т. пл. 59,5—61° (из сп.). 200 мг 111 кипятилось с 2 г Zпинли в 100 мл спирта (2 чася), выход 3,5-дипальмитата 124,9%, т. пл. 58—61° (на сп.). Р-р 5 мл изо-С₅Н₁₁ONO и 150 мг IV в 10 мл лед. СН₃СООН кипятился 30 мнн., выход дипальмитата I 35 мг, т. пл. 56,5-60° (из 70%ного сп.), содержит монопальмитат І. Моноэтилацеталь 3-монопальмитата II синтезирован из 230 мг хлоргидрата моновацеталя II и 500 мг C₁₈H₃₁COCI (V), выход 46,1%, т. пл. 56—57° (из 60%-ного сп.). Кипячением 100 мг последнего в 7 мл спирта + 3 мл 40%-ной НВг (к-ты) (10 мин.) получен бромгидрат 3-монопальмитата II, выход 66,9%, т. пл. 132°. Продукт р-ции из 300 мг хлоргидрата изопропилиден-I и 500 мг V растворен в ацетоне, содержащем сухой HCl (газ); после добавления петр. эфира выход хлоргидрата 5-монопальмитата наопропилиденниридоксина (Vi) 30,9%, т. пл. 132,5—133,5°. 1 е VI кипятили в 20 мл спирта + 10 мл воды + 2 мл 4%-ной НВг (к-ты) (10 мин.), выход 5 -монопальмитата I 91,5%, т. пл. 72—76° (из ацетона + вода). При гидролизе VI кипячением в 65%-ном спирте, содержащем 4,5% НСІ (20 мин.), образуется хлоргидрат І, кипячением 800 мг которого в 20 мл 48%-ной НВг (10 мин.) получено 800 мг бромгидрата 2-метил-3-окси-4,5-ди-(бромметил)-пиридина, т. пл. 225-226° (разл.). Из 700 ме последнего с 20 мл СНСІ $_3$, 570 ме V и 3 мл С $_5$ Н $_6$ N (12 час., \sim 20°) образуется 2,4,5-триметил-3пальмитоксипиридин-4 α , 5 α ,-6ue-(пиридинийбромид), выход 94,2%, т. ил. 146 $^\circ$ (из CH₂OH и смеси CH₃OH-5a.-бис-(пиридинийбромид). ацетон-петр. эф.). УФ-спектры полученных в-в (в эф.) почти идентичны (приведены данные). Изучение саркомицина. Реакция с диазометаном. Унтли, Холдридж, Уолш (Studies on sarkomycin. Reaction with diasomethane. Whe a t-

lev William B., Holdrege Charles T.,

Walsh Lois), J. Organ. Chem., 1956, 21, № 4, 485—486 (англ.)

Установлено, что 2-метилен-3-оксоциклопентанкарбоновая к-та (1), являющаяся активным началом антибистика саркомицина (РЖХим, 1956, 50907), с СН₂N₂ образует эфир пиразолина (11), который при нагревания

теряет N_2 и превращается в $CH_3CH = C - CO - CH_2$ - $CH_2CHCOOCH_3$ (III). При озонировании III образуется CH_3CHO (I дает CH_2O). Аналогично к-те I присоединяет CH_2N_2 к -C = C-связи и к-та $CH_2=C(COOH) - CH_2COOH$ (IV), которая дает при этом $CH_2CH=$

= NNHC(COOCH₃) — CH₂COOCH₃ (V). 14 л метилизо-

бутилкетонового концентрата (см. ссылку), содержащего 60 г саркомицина, экстрагируют водой (2 раза по 3,5 д; рН 6,0). Экстракты слегка выпаривают для удаления р-рителя, затем подкисляют Н₃РО₄ до рН 3,0. Води. фазу экстрагируют эфиром (всего 6 л), вытяжку сущат, делят на 2 части и каждую подовику добевляют при 0°

каждую половину добавляют при 0° по каплям к СН₂N₂ (из 0,5 моля N-нитрозометилмочевины (VI)), оставляют на 12 час., получают 60 г неочиц. II. В p-р 2 г II в эфире пропускают избыток НСІ (газа). Выделяется хлоргидрат II, выход 0,19 г, т. пл. 126—127° (разл.; нз СН₃ОН-эф.). Нагреваннем ПІ до 110° получают III, выход 60%, т. кип. 73—78°/1,5 мм; 2,4-динитрофенилгидразон, т. пл. 139—141° (из СН₃ОН). 8,2 г IV медленно добавляют к эфирному p-ру СН₂N₂ (из 31 г VI). Отгоняют диметиловый эфир IV до 145°/15 мм. Остаток от перегонки (4,4 г) в 50 мм эфира обрабатывают НСІ (газом) и получают 3 г хлоргидрата V, т. пл. 145° (разл.; из изо-С₃Н₇ОН).

Г. Пчелнанова
11863. Гризеовиридин. Часть І. Эймс, Боуман,
Кавалла, Эванс. Часть ІІ. Эймс, Боуман,
(Griscoviridin. Part І. Аме в D. Е., Вомман
R. Е., Саvalla J. F., Evans D. D. Part II.
Ames D., Bowman R. E.), J. Chem. Soc., 1955,
Dec. 4260—4283. 4264—4270, (1917).

Dec., 4260—4263; 4264—4270 (англ.)
Часть І. Исследован антибнотик гризеовиридии С22H29O7N3S (1), выделенный из культур Streptomyces griscus, т. пл. 228-230° (из пиридина, высушен при 120° (0,1 мм)); на CH₈OH кристаллизуется с 0,5 моля CH₈OH, т. пл. 160 (разл.), $[a]^{27}D - 237^{\circ}$ (с 0,5; CH₃OH), при т-ре ниже 30° выделяется другая кристаллич. форма с более высоким содержанием р-рителя. Ф-лы подтверждены рентгенографически и методом изотермич. перегонки. І содержит одну С — $\mathrm{CH_3}$ -группу, не содержит SH-, $\mathrm{OCH_3}$ - и $\mathrm{CH_3}$ N-групп, активного Н по Церевитнову найдено1,07%; с $\mathrm{(CH_3CO)_2O}$ в пиридине (16 час., \sim 20°) I образует диацетат (II), т. пл. $137-140^\circ$ (разл.; из CH_3OH -эф.-петр. эф.), $|\alpha|^{27}D-230^\circ$ (с 0.44; CH_3OH). Перхлорат II, $C_{26}H_{33}O_5N_3S\cdot HClO_4$ (III), т. разл. $>170^\circ$, $|\alpha|D-188^\circ$ (с 0.19%; диметилформамид), р K_0 (в 50%-ном CH_3OH). СН₃ОН) 6,25, расходуется 2 же шелочи. Гидрированием II в этилацетате с 5%-ным $Pd / SrCO_3$ получен диацетат гекса идрогризеовиридина, $C_{26}H_{39}O_9N_3S$ (IV), т. пл. $213-214^\circ$ (из CH_3OH -эф. и CH_3OH). При окислении II расходуется 2 моля надбензойной к-ты и образуется аморфное в-во, по-видимому, окисляется дненовая си-стема. Метилированием 650 мг I (СН₂N₂ в СН₈ОН, 3 часа) получено в-во C₂₈H₃₁O₇N₃S (V), выход 100 ме, т. пл. 262—264° (разл. из CH₃OH), содержит 2 С — CH₃-грунны. При шел. гидролизе I, IV и продукта окисления I образуются 1 моль NH_2 , $^{1}/_3$ моля $\mathrm{H}_2\mathrm{S}$ (при подкислении), а также СН₃СООН. Приведены данные УФ-спектров I, II, III, V; ИК-спектров I, II, III, IV, V. Часть II. Проведены опыты обессеривания, гидролиза

ē 4,

рбо-

б**ио**бра

CH₂-eren

еди-I) — CH=

11130-

mero ,5 a;

г но-

ыток 19 г, нием -78°/ -141° ному эфир

клоранова и а н, м а н

man

t II. 1955.

тусев 120° Н₃ОН, , при форма

твер-

пере-

ржит

вити-

~20°)

п.; из I₃OH). 170°,

6-HOM

анием

цетат

пл.

ии II уется

я си-

часа)

т. пл.

уппы. ния I ении),

ктров

олиза

к-той и озонирования I и его производных. При обессеривании молекула I не расщепляется. Предложены структу-

ры частей молекулы I: — CONHC (CO) SCH₂CH (NH) CO— (вероятно, в виде цикла) и CH₃CH(O—) CH₂CH = C<. (вероятно, в виде цикла) и $CH_3CH(D-)CH_2CH = C<$. Спирт. p-р 3,75 г I гидрирован в присутствии скелетеого N_1 (\sim 20°, затем кипячение, 3 часа), получен октагидродетиогризоовиридин $C_{22}H_{39}O_7N_3$ (VI), выход (веочиш.) 0.68 г, т. пл. $190-192^\circ$ (из CH_3OH -этилметилкетона), $[a]^{20}D-32^\circ$ (с 0.5; CH_3OH). Аналогично из 7 г II (предварительно гидрированного 5%-ным Pd / SrCO3 или вегидрированного) и скелетного Ni в этилацетате получен двацетат VI $C_{26}H_{48}O_{5}N_{3}$ (VII), выход (неочип.) 5,1 ε , т. пл. 213—215° (на этилацетата-петр эф. + немного ($CH_{3}CO)_{2}O$), $|\alpha|^{27}D-34^{\circ}$ (ε 0,15; $CH_{3}OH$). После гидролиза VII (6 н. НСІ, кипячение, 15 час.) выделены СН₈СНО и р-α-лании (VIII). Из I при гидролиза образуются серин (IX), цистин (X) и в-во, даюн ее динитрофевилтидразон С₁₄Н₁₄О₇N₄ (XI), т. пл. 220—222° (разл.; из СН₃ОН), а из эпоксиащетата I (XII) глиоксаль и кро-СН₃ОН), а из эпокснацетата I (XII) глиоксаль и кротоновый альдегид (XIII). Восстановлением I P + HJ (к-та) (книячение 5 час.) получены VIII и X. P-р 3 г I в 30 мл ковц. НСІ упарев в вакууме, выделено 2,1 г хлоргидрата I С₂₂Н₂₉О₇N₃S-1,09 НСІ (XIV), т. пл. 180° (разл., из эф.-СН₃ОН). При гидрировании 1 г XIV в спирте 10%-вым Рd / С (4 часа) поглощается 3 моля Н₂, клугостор 0.45 в гр. (XV) С. Н. О. N. S. или С. Н.-О. N. всинрте 10%-вым Pd / C (4 часа) поглощается 3 моля H_2 , выделено 0,15 ε в-ва(XV) C_2 1 H_{33} 0 ε N $_3$ S или C_2 3 H_{50} 0 τ N $_3$ S, т. ил. $247-248^\circ$ (на CH_2 0H). При р-ции 0,5 ε XIV нейтрализован 2 мл 1 н. NаOH ε 0,3 ε n-фенилфенацилбромида в спирте (кипячение 30 мин.), выделено в-во $C_{25}H_{37}$ 0 $_4$ N $_3$ S (XVI), т. ил. $288-289^\circ$ (из хлф.-сп.). Изучено озонирование I, его ацетата, IV, XII и XIV; при этом XIII сбразуется лишь после кипячения продуктов этом XIII соразуется лишь после кипячении продуктов озонирования с водой. При окислении I Ва $(MnO_4)_2 + NaOH$ образуются ЕСНО, CH_3CHO и XIII. Приведены давные ИК-спектров I, его апетата, IV, VI, VII, XI, XII, XIV, XV, XVI, продукта из $I + CH_2N_2$ и перхлората III; $V\Phi$ -спектров VII, XI и XV. А. Лютевберг Синтез замещенных пенициллинов и простых структурных аналогов. 1X. Производные 4-карбокси-5,5-диметилтиазолидип-α-фталимидоуксусной-2 кис-лоты. X. Циклизация 4-карбометокси-5,5-диметилтиазолидин-(α-фталимидо)-уксусной-2-кислоты в мети-ловый эфир 6-фталимидопенициллановой кислоты. XI. Метиловый эфир-6-бензилсульфамидопеницилла-новой кислоты. Шихан, Крукшанк (The synthesis of substituted penicillins and simpler structural analogs. IX. 4-carboxy-5,5-dimethyl-α-phthalimido-2-thiazolidineacetic acid derivatives. X. The cyclization of 4-carbomethoxy-5,5-dimethyl-α-phthalimido-2-thiazolidineacetic acid to methyl 6-phthalimido-2-thiazolidineacetic acid to methyl dopenicillanate. X1. Methyl 6-benzylsulfonamidopenicillanate. Sheehan John C., Cruickshank Philip A.), J. Amer. Chem. Soc., 1956, 78, № 15, 3677—3680; 3680—3683; 3683—3686 (англ.) Сообщение IX. Конденсацией хлоргидгата рц-пени-

Сообщение IX. Конденсацией хлоргидгата D_L -пеницилламина (I) с эфиром α -оксиметиленф талимидоуксусьой к-ты $C_rH_4(CO)_2NC(=CHOH)$ СО $C(CH_2)_3$ (II) пслучена тиваслидинкарбоновая к-та (III), которая с CH_2N_2 дает метиловый эфир (IV), выделенвый в виде 2 (вз 4 возмежных) стереоизомеров; γ -IV (главеый продукт) и α -IV, соответствующий по конфигурации эфиру обенцилленновой к-ты из пенициллива $G(The chemistry of penicillin, 1949, 535). <math>\gamma$ -IV при вагревании в $(C_2H_5)_3N$ изомернауется в α -IV. При обработке α - и γ -IV сухим BCI в CH_3N_2 при 0° отнегляется $C(CH_3)_3$ -группа; при этом образуются соответствующие к-ты (V), которые при потышении т-ры до 30—90° изомернауются в β -V. Показано, что ИК-спектр диметилового эфира D_4 -бензилненициллоиновой к-ты, в то время α - α -бензилненициллоиновой к-ты, в то время

как спектр ү-IV, полученного вз ү-V, значительно отличается в области $7\!-\!11~\mu$.

$$\begin{array}{c} \text{III } R = H, \ R' = C \ (CH_a)_b, \\ R'' = C_b H_a \ (CO)_b \ N -; \\ R'' = CH_b, \ R' = C \ (CH_a)_b, \\ R'' = CH_b, \ (CO)_b \ N -; \\ R' = H, \ R'' = C_a H_a \ (CO)_b \ N -; \\ VI \ R = R' \ CH_a, \\ R'' = NHCOCH_C H_i; \\ X \ R = R' = CH_a, \ R''' = NH_3 \cdot HCI \end{array}$$

К p-ру 0,156 моля II в 300 мл теплого спирта прибавляют p-р 0,156 моля I и 0,235 моля CH₈COONa · 3H₂O в 300 мл воды и через 24 часа получают 36,5 с III, т. пл. 185—186° (ра²л., из разб. ацетона). В маточный т. пл. $185-186^\circ$ (ра $^\circ$ л., нз разб. ацетона). В маточный р-р порциями в течение 3 дней добавляют 400 мл воды и получают 15 е 111, т. пл. 180° (раал.). Из 36,5 е 111 в 450 мл диоксана и набытка эфир. р-ра CH_2N_2 получают 27,7 е γ -IV, т. пл. $119-122^\circ$ (из сп.). Авалогично вз 2-ой порции (15 е) получают 8,2 е α -IV, т. пл. $176-176,5^\circ$ (из сп.). Из объединенных маточных р-ров выделяют еще 10,4 е γ -IV. 40 е γ -IV в 400 мл $(C_2H_3)_8N$ (кипячение в атмосфере N_2 13 час.) дают 14 е кристаллич. α -IV. Р-р 13 е IV и 1,88 е N_2H_4 - H_2O (VII) в 200 мл диоксана оставляют на 20 час., избыток VII удаляют испарением в вакууме при -70° (лиофилизация), остаток встряхивают с 190 мл 0,2 и. НСІ 2 часа, выдерживают при 0° 1 час, отфильтровывают фталгиравия (выход при 0° 1 час, отфильтровывают фталгидравид (выход 100%) и фильтрат лиофилизуют, получают хлоргидрат третичного бутилового эфира 4-карбметокси-5,5-диметилтиваолидин-(α -амино)-уксусной-2 к-ты (V111), выход α -V111 [из α -IV, 91%, т. пл. 174,5° (разл., из CH_3OH -эф.). выход γ -V111 (из γ -IV) 72,4%, т. пл. 166—169° (разл.) В р-р 5 г α -IV в 50 мл CH_3NO_2 при 0° пропускают 10—12 мин. сухого HCI, выдерживают 2 часа и прибавляют 100 мл абс. эфира, выход хлоргидрата α -V 96%, т. пл. 122—124° (разл.); выход хлоргидрата α -V, (из γ -IV, 5 мин.) 93%, т. пл. 165—168° (погружают в баню при 130°). При проведении р-цви при 73—76° (5 мин.) из γ -IV получают хлоргидрат β -V, выход 90%, т. пл. 158,5° (разл., погружают в баню при 130°). Из α -IV (80°, 6 мин.) выход 60%. Поғышение т-ры до 85° приводит к образованию хлоргидрата 2-фталимидометил-4-карбметокси-5,5-диметилтизолидина, т. пл. основапри 0° 1 час, отфильтровывают фталгидразид (выход 4-карбметокси-5,5-диметилтиазолидина, т. пл. основа-4-карометокси-э,5-диметилтиваюлидива, т. пл. основающи 166—167° (на сп.). Из хлоргирратов α -, β - п γ -V и эфир. p-ра CH₂N₂ получают метиловые эфиры-V (IX), выход α -IX 70%, т. пл. 161—162° (на CH₅OH); выход β -IX 84%, т. пл. 137—138° (на CH₃OH); выход γ -IX 71%, т. пл. 151,5—152° (на CH₅OH) идентичен с полученым равее (см. ссылку) из C_6H_4 (CO)₂ NC-(=CHOH) СОССН₃ и основанием I. Фталоильные группы и α -г и X учленые составления I. Фталоильные группы в α- и γ-IX удалевы с помошью VII (разложение 0,01 н. HCl), получевы хлоргидраты (X); выход а-X 79%, т. пл. 154—155° (из CH₈OH-эф.); выход ү-X 65%, т. пл. 128—130° (из CH₈OH-эф.). К смеси 0,31 а-X, 0,201 г (С₂H₈)₈ N и 20 мл $\rm CH_2Cl_2$ при охлаждении (свет — соль) прибавляют 0,155 г $\rm C_6H_5CH_2COCl$ в 10 мл $\rm CH_2Cl_2$ и получают α -VI, выход 86%, т. пл. 140—141° (из ацетона-гексава); аналогично получают у-VI, выход 63%, т. пл. 132-133,5°.

Тобимение X. Показаво, что β-наомер хлоргидрата 4-кагбметокси -5,5-диметилтиваолидин-(α-фталимида)-уксусной-2 к-ты (β-1) (см. ф-лу V в сообшении IX) при обработке SOCl₂ или POCl₃ в определенных условнях циклизуется с выходом ~ 30% в метиловый эфир 6-фталимидоленициплановой к-ты (11а), содержащий ковденсированную тназолидин-β-лактамную группировку эфира бензилиенициплина (116). Изомерные α- и γ-1, видимо, вследствие стерич. препятствий, пе образуют IIа. При кипячении α-, β- или γ-1 с POCl₃ в C₀H₀ получается одно и то же производное тетрагидротивающив-1,4 CONHCH (СООСН₃) С (СН₃)₂SCH = CN (СО)₂С₀Н₄ (III). По-

пытки удалить фталоильную группу из IIa, сохранив 3-лактамное кольцо, не увенчались успехом; после дей-

pe Ta

II] Bi

ac (I

H

K

py

бо

B

Ba

pa

m

pa Ha

(n

CII

92 B

83

ло

1-1

(H:

HE.

d.

0,0

пр

LM.

ствия гидразивгидрата удается выделить только гидразид SC (CH₃) $_2$ CH (COOCH $_3$) NH — CHCH (Nd $_2$ ·HCl) CONHNH $_2$

(IV). Смесь 0,6 ммоля 3-1, 5 мл SOCl₂ в р-рителе кипятят до растворения осадка, упаривают в вакууме, прибавляют 10 мл лед. СН₃СООН и 0,375 г КМпО₄ и через 30 мин. 30%-ную Н₂О₂ и затем воду, получают сульфон IIа, выход в С₆Н₆ 26%, в СНСl₃ или СН₂Сl₂ 36%, т. ил. 200—201° (разл.; из разб. ацетона). 8 г 3-1 в 120 мл чистого SOCl₂ и 400 мл СН₂Сl₂ кипятят 4 часа, упаривают в вакууме и р-р остатка в СН₂Сl₂

R = NtCOO₂C₂H₄
Hi 6 R = NtCOCH₂C₃H₄

вакууме и р-р остатка в CH₂Cl₂ быстро промывают 5%-ным NaHCO₃.3 н. HCl и водой, получают Па, выход 28,8%, т. пл. 173—173,5° (из ацетона-эф.-гексана). 8,2 г β-1 прибавляют к смеси 100 мл РОСl₃ и 460 мл С₆Н₆, кипятят 40 мин., упаривают в вакууме,

остаток растирают с толуолом, растворяют в СН₂СІ₂, промывают р-р, упаривают и кристаллизуют из ацетона (0°, 16 час.), выход 3,98 г смеси кристаллов; растворимых в С₆Н₆ И1а, выход 17%, и нерастворимых ИИ, выход 33,6%, т. пл. 237—237,5° (разл.; из ацетона-эф.). Выход из α-I 42%, из γ-I 60%. К 0,18 г Иа в 10 м. 4 диоксана прибавляют 2 экв гидразина в диоксане, оставляют на 16 час. при ~ 20°, лиофилизуют, разлагают 5,4 м. 4 0,1 н. НСІ и фильтрат лиофилизуют, получают IV, выход 74%, т. пл. 151—152° (разл.; из СН₃ОН-эф.). Приведены кривые ИК-спектров Иа, сульфона Па и ИІ. а также коивам УФ-спектра III.

н III, а также кривая УФ-спектра III.

Сообщение XI. Стереоизомеры замещ. тиазолидинуксусной к-ты SC(CH₃)₂CH(COOCH₃)NH(HCl)CHCH (COOH)

·NHSO₂CH₂C₆H₅ (α-I, β-I) при обработке SOCl₂ в CH₂Cl₂ циклизуются в метиловые эфиры 6-бензилсульфамидо-пенициллановой к-ты $(\alpha$ -II, β -II) (см. предыдущий реф. ф-ла IIR = NHSO₂CH₂C₆H₅), при этом наряду с α -II образуется 2,2-диметил-3-карбометокси-5-кето-6-бензилсульфамидо-2,3,4,5-тетрагидротиазепин-1,4 (III). Один из изомеров II является по конфигурации сульфонильным аналогом бензилпенициллина, следовательно, наличие сульфонильной блокирующей группы препятствует сульфональной олокирующей группы препиствует авлактонизации I, обычной для пенициллонновых к-т. Строение II, их сульфонов и III подтверждено ИК-спектрами (приведены кривые). К p-ру 0,0146 моля хлоргидрата а-или у-изомера третичного бутилового эфира 4-карбметокси-5,5-лиметилтиазолидин-(а-амино)-уксусной-2 к-ты и 0,03 моля (C_2H_5)₃ N в 75 мл CH_2Cl_2 при 0° прибавляют p-p 0,0154 моля $C_6H_5CH_2SO_2Cl$ в 25 мл CH_2Cl_2 , через 12 час. промывают водой, сушат и упа-С H_2 С H_2 С H_2 С H_2 С H_2 С H_3 С H_3 С H_4 С H_4 С H_5 С $H_$ (0°, 5-6 мин.) сухой HCl, выдерживают 10 час., прибавляют 50 мл эфира и отфильтровывают a-1, выход 87%, т. пл. 141,5—142,5° (разл.). γ -1V в этих условиях изомеризуется с образованием β -1, выход 83,5%, т. пл. изоморноуется с образованием р-1, выход 65,5%, т. пл. $153-154^{\circ}$ (разл.); β -1 получается из α -IV только при $73-75^{\circ}$ (выход 53%). Суспензию 1,67 ϵ α -I в смеси 25 мл очищ. SOCl₂ и 75 мл CH₂Cl₂ кипятят 105 мин., унаривают при 40° в вакууме под конец с C_6H_6 , промывают р-ром NaHCO $_3$, растворяют в 10 мл С $_6$ П $_6$, через 1 час ($\sim 20^\circ$) получают 1II, выход 23%, т. пл. 214— 215° (разл.); приведена кривая УФ-спектра. Маточный р-р пропускают через 6 ϵ Al_2O_3 и вымывают C_0H_6 , получают α -II, выход 43%, т. пл. 130—131,5 $^\circ$ (из ацетона-петр. эф.); активность против D. pneumoniae (на мышах) 7 ед/ме. Окисление неочищ. α-II КМпО₄ в 80%-ной СН₃СООН приводит к сульфону, выход 51%, т. пл. $214-215^\circ$ (разл.; из разб. ацетона). Из β -1 получают β -11 при охлаждении C_6H_6 -р-ра (без хроматографии),

выход 46%, т. пл. 128,5—130° (из ацетона-эф.-петр. эф.); изомерный III при этом не образуется. Сульфом β-II, выход 59%, т. пл. 159,5—160° (из разб. ацетона). Сообщение VIII см. РЖХим, 1955, 14099. Б. Дубинии 11865. Синтезы α-аминокислот. VII. Синтез аннлидом α-амино-β-оксимасляной кислоты. Эрхарт, Хенниг (Synthesen von α-Amino-β-hydroxy-butter-säure-aniliden. Ehrhart Gustav, Hennig Ingeborg), Chem. Ber., 1956, 89, № 6, 1568—1573 (нем.)

Каталитическое гидрирование анилидов а-оксииминоацетоуксусной к-ты до анилидов а-амино-3-оксимасляной к-ты протекает с лучшими результатами при наличии заместителей у амидного азота. В случае сво-бодной СО — NH-группировки выходы значительно синжаются. Оксиаминосоединения обладают различной окраской, что объясняется различной электронной конфигурацией амидной группы. Авторы считают, что в тех случаях, когда при образовании двойной связи в амидной группе за счет сдвига электронов (RC (О-) = N+HR) образуется конъюгированная система, окраска соединения глубже. Наличие заместителя, затрудняющего конъюгацию, является причиной отгутствия окраски. Для изучения причин окраски синтезирован ряд анилидов производных пиррола и дигидропиразина. Р-р 191 г N-метиланилида ацетоуксусной к-ты (полученного из 1,2 моля дикетена и 1 моля метиланилина в C_6H_6) в 380 мл лед. С H_3 СООН нитрозируют р-ром 76 г NaNO₂ в воде при 20°, получают 180 г N-метиланилида «-оксиминоацетоуксусной к-ты (I), т. пл. 181—182° (для очистки растворяют в разб. NaOH и высаживают H₂SO₄). Аналогично получены анилиды α-оксиминоацетоуксусной к-ты: N-этиланилид (II), т. пл. 193-194°; n-хлоранилид, т. пл. 170-171°; n-фенетидид (III), т. пл. 119—120°; N-метил-п-фенетидид (IV), т. пл. 151—152°. 41,5 г анилида а-оксиминоацетоуксусной к-ты растворяют в 500 мл 85%-ного СН₃ОН и гидрируют над Ni-катализатором на кизельгуре или над скелетным Ni при 100 am и 90-95°. Фильтруют, упаривают в вакууме досуха, остаток растирают с 2 п. HCl, фильтруют, подщелачивают NaOH. Выход анилида α-амино-3-оксимасляной к-ты 21%, т. пл. 104 (из C₆H₆ + петр. эф.). Аналогично получают следующие анилиды а-амино-3-оксимасляной к-ты(в скобках даны выход в %и т.пл. в °C): из I N-метиланилид (96, 128), из II N-этиланилид (92, 121—122), из III *п*-фенетидид (50, 116—117); хлор-гыдрат, т. ил. 161—162°; из IV N-метил-п-фенетидид (97, 155°). Для получения производных пиррола эквимолекулярные кол-ва анилида ацетоуксусной к-ты и анилида α -оксиминоацетоуксусной к-ты растворяют в 98%-ной СН₃СООН, добавляют порциями 3—4-кратное (от теории) кол-во цинковой пыли, кипятят 10 мив., выливают в ледяную воду, экстрагируют СH2Cl2, промывают 2 н. HCl и упаривают в вакууме. Остаток растирают со спиртом. Получены следующие дианилилы 3,5-диметил-пиррол-2,4-дикарбоновой к-ты: ди-N-метил-анилид, т. пл. 200° (из диметилформамида); ди N-этиланиляд с т. пл. 124—126° (из сп.); ди-л-фенетидид, т. пл. 228—230° (из диметилформамида); ди-N-метил*п*-фенетидид, т. пл. 170° (из сп.), ди-*п*-хлоравилид, т. пл. 288—290° (из диметилформамида + вода). Для получения производных пиразина к p-ру анилида с оксыминоацетоуксусной к-ты в лед. CH₃COOH добавляют избыток Zn-пыли, кипятят 15 мин., выливают в ледяную воду и обрабатывают как и производные пиррола. Получены следующие дианилиды 2,5-диметил-1,4-дигидропиразин-3,6-дикарбоновой к-ты: ди-N-метила нилид, т. пл. 184° (нз сп.); ди-N-этиланилид, т. пл. 164° (нз сп.); ди-n-фенетидид, т. пл. 211—213° (из диметилформамида), ди-N-метил-л-фенетидил, т. пл. 187—188° сп.); ди-л-хлоранилид разлагается около ~ 300°

r.

þ.); -II.

Co-

нин

ДОВ

H -

ng: illi-

g e-573

ми-IMaпри

CBO-

сниной

ной что

3H B

-)= аска

-OIRE

TBUS

ован ина.

олу-

лина

-ром тани--182°

вают

ино-194°: . пл. 152°. ство-

над

TRIAM HOT B

филь-

минопетр. -ами-

т.пл. дилид

хлор-

тидид экви-

-ты и

S TOIR ратное мин.,

, про-статок

илиды метил-

-этил-

тидид,

метил-

нилид,

-окси-

ВЛЯЮТ

дяную ia. IIoдигил-

нилид, 64° (из илфор-88° (из 0° (из HCON (CH₃)₂). Сообщение VI см. РЖХим, 1956, 47110. Е. Чаман

Об активированных эфирах. VI. Тетрагидропиранилироизводные аминокислот и их превращения. излен, Швицер (Über aktivierte Ester. VI. Tetrahydro-pyranyl-Derivate von Aminosäuren und ihre Umsetzungen. I selin B., Schwyzer R.), Helv. chim. acta, 1956, 39, № 1, 57—64 (нем.; рез. англ.) Эфиры, активированные тетрагидропираниловым остатком, реагируют с бензиламином менее энергично, чем эфиры, активированные СN-группой (см сообщение V, РЖХим, 1956, 54604 и 25820). Тетрагидропираниловые остатки удобно веодить в молекулу для зашиты ОН-группы, напр., при синтезе пептидов из серина или тирозина. Эфиры тетрагидропиран-2-олов обладают устойчивостью к шелочам и легко разрушаются к-тами. Суспензию 0,03 моля кагбобевзоксиглицина в 0,06 моля 2,3-дигидропирана смешивают с 0,3 мл 2 н. р-ра НСІ в этилаце-тате. Через 24 часа приливают 20 мл эфира, осадок промывают эфиром, растворяют в этилацетате, промывают р-ром соды и угагивают. Выход тетгагидропиранилового эфира N-карбобензоксиглицина (I) 89%, т. пл. 96—98° (из ацетона + эф.). К р-ру 0,0025 моля I в 5 ма абс. этилацетата прибавляют 0,005 моля бензиламина (II). Через 5-24 часа фильтруют и кристаллизуют бензиламид карбобензоксиглицина (III) из эфира. Выход III 87%. 0,09 моля мелко растертого этилового эфира карбобензокси-*I*-тирозина еносят в смесь 0,18 моля дигидропирана и 0,9 мл 2 п. р-ра HCl в этилацетате при 35°. Через 3 часа разбавляют эфиром и экстрагируют 2 н. NaOH со льдом, промывают водой, сушат и упаривают в вакууме. Выход этилового эфира N-карн унарывают в вануме. Выход этипового эфира IV-наробобензокси-о-тет; агидропираныл-l-тигозина (IV) 38,1 ϵ , т. кип. 215—217°/0,03 мм, $[\alpha]^{2}D+40\pm1^{\circ}$ (ϵ 4,11; в CHCl₃). В p-p 0,09 моля IV в 150 мм СН₃ОН приливают 100 мм н. NаОН (22—24°), упаривают (30°), остаток растворяют в этилацетате, подкисляют 2 н. HCl, встряживают трижды с 2 н. р-ром соды (70 мл). Из води. р-ра в вакууме удаляют остатки этимацетата и при 0° приливают 100 мл 2 н. СН₃СООН. N-кагбобенаокси-о-тетприливают 100 мм 2 н. СН $_8$ СООН. N-кар бобенаюксв-о-тетрагидропиранил-l-тировин (V) (выход 75%) разделяют ва 2 стереоизомера (Va) и (Vб). Т. пл. Va 135—137° (из этилацетата), $[\alpha]^{22}D-47\pm1^\circ$ (с 3,89; в сп.), $-54\pm2^\circ$ (с 1,87; в лед. СН $_3$ СООН); Vб, т. пл. \sim 80° (из этилацетата), $[\alpha]^{23}D+46\pm1^\circ$ (с 4,91; в сп.). 0,03 моля Va, 0,04 моля триэтиламина (VI) и 0,06 моля хлорацетонитрила (VII) смешивают при 0°. Через 4 и 8 час. \sim 20°) добавляют по 0,01 моля VI. Через 24 часа раздандила татилицетатом фильтарат обърбатывают об бавляют этилацетатом, фильтрат обрабатывают обычным способом. Выход цианметилового эфира N-карбобензокси-о-теграгидропиранил-l-тирозина (VIII) 80%, т. пл. $92-94^{\circ}$ (из ацетона + эф.), $[\alpha]^{22}D-65\pm1^{\circ}$ (с 3,80; в CHCl₂). Из VIII и II в этилацетате получают бензиламид N-карбобензокси-о-тетрагидропиранил-l-тирозина, выход 95%, т. пл. 146—147°, $[\alpha]^{22}D$ — 52 ± 1 ° (с 4,29; в лед. CH₃COOH). Из 0,02 моля VIII, 0,02 моля этплового эфира l-изолейцина и 0,001 моля CH₈COOH в 15 мл абс. этилацетата через 4 дня (~ 20°) получают этиловый эфир N-карбобензокси-о-тетрагидропиранил-Інтировил-І-изолейцина (IX), выход 81%, г. пл. $101-102^\circ$ (из эф.), $[\alpha]^{21}D-35\pm1^\circ$ (с 4,75; в CHCl₃). Гидрированием IX над 10% Pd на угле в CH₃OH получают этиловый эфир о-тетрагидропиранил-1-тирозил-1-изолейпина в виде масла. Метиловый эфир карбобензокси-d,1-серина (X) получают из кар бобензокси-d,1-серина п СН₂N₂. Т. кип. X 167—169°/0,01 мм. Смешивают 0,05 моля X и 0,1 моля дигидропирана с 0,5 мл 2 н. промывают и сут моги дипаропирана с сут моги диром, промывают р-гом соды и водой, угаринают в выкууме и получают метиловый эфир N-кагбобензокси-о-тетратидропиранил-d, l-серина (XI) в виде масла. 19 г XI растворяют в 50 мл СН₃ОН и омыляют 15 мин. 55 мл

1 н. NaOH. Сгущают (30°), экстрагируют этилацетатом, подкисляют (0^6) , промывают водой, трижды 2 н. p-ром соды. Из води. p-ра при подкислении 2 н. HCl при 0° выделяют масло, экстрагируют этилацетатом. После промывки, сушки и растирания с эфиром получают 2 изомера N-карбобензокси-о-тетрагидропиравил-d,l-се-рина (XII а и XII6). XIIа, т. пл. 125—126° (из эф.), и XII6—масло. Из 0,02 моля XIIа (или XII6), 0,02 моля VI, 0,04 моля VII получают, как описано выше, 2 изомера цианметилового эфира N-карбобензокси-о-тетрагидропиранил-d, l-серина (XIIIa и XIII6). Из гидропиравил-а, 1-се рива (XIIIа и XIIIо). Из XIIIа и II получают бензиламид N-карбобензокси-о-тет-рагидропиравил-d,1-серина (XIVa), выход 55%, т. пл. 117—119° (из ацетона + эф.). Из XIIIб и II получают бензиламид (XIV6) с т. пл. 117—119°, но депрессирующий с XIVa. При нагревании XIVa и XIV6 в смеси спирта 2 н. HCl (5 мин.) получают один и тот же бензиламид N-карбобензокси-d, l-серина, выход 96%, т. пл. 139—140° (из ацетона + эф.).

Лактам N-пирувоил-DL-фенилаланил-DL-про-В667. Лактам N-пирувопл-рі_фенилаланил-рі_пролина. О продукте термического разложения эрготамина. Гроб, Мейер (N-Pyruvoyl-pl_phenyl-alanyl-pl_prolin — lactam. Über das thermische Abbauprodukt von Ergotamin. Grob C. A., Меіег W.), Helv. chim. acta, 1956, 38, № 3, 776—783 (нем.; рез. англ.)

Синтезигован рацемич. лактам N-пирувоилфениланилпролина (1), который по бруттоформуле и ИК-спектру пролина (I), который по бруттоформуле и ИК-спектру вдентичен продукту термич разложения эрготамина (II). Основываясь на этом, авторы подвергают сомнению правильность структурной ф-лы, предложенной для II (Stoll А. и др., Helv. chim. acta, 1951, 34, 1544). Использовать I для синтеза пентидной части молекулы эрготамина авторам не удалось. К р-ру 17 г карбобензоксифенилалавина в 180 мл абс. СНСІ₃ порпиями добавляют 14 г РСІ₅, через 35 мин. (—5—0°) дважды встряхнвают с 120 мл ледяной воды и вносят в смесь 200 мл р-ра КНСО₃ и р-ра 8,5 г метилового эфира пролина в 50 мм абс. СНСІ₃, через 2 часа (0°) отделяют слой СНСІ₃, промывают разб. р-гом соды, НСІ и водой и упаривают. Остаток сушат в высоком вакууме, растворяют в 130 мл СН₃ОН, добавляют 10 мл воды, 8 мл лед. СН₃СООН, гидрируют над 6,5 г 5%-ного Pd / BaSO₄. Через 14 час. фильтрат кипятят 2 часа, упаривают в вакууме, остаток растворяют в этилацетате и экстрагируют р-ром КНСО_в. Из сгущенного этилацетатного р-га после добавления эфига получают лактам фенилаланиялиролина с. т. пл. 148—150°. Для получения N-пирувоилфенилаланина (III) 77 г а,а-диацетиламинопропионилфенилаланина нагревают с 520 мм 1 в. НСІ 30 мин. при 110° (в бане) и 70 мин. при 110—115°, экстратируют эфиром (4 × 100), промывают водой, сушат и оставляют стоять, фильтрат упаривают и остаток (масло) перегоняют при 80-90°/ упаривают и остаток (масло) переговяют при 80—90°//11 мм. Масло растворяют в эфире и выкристаллизовывают III петр. эфиром. Выход III 62%, т. пл. 93,5—94°. Р-р 14 г III в 300 мл абс. СНСІ_в смешивают с 14 г РСІ_в при (—10°, 15 мин.). Через 15 мин. быстро встряхивают с 400 мл ледяной воды и смешивают при охлаждении с 75 г КНСО_в, 300 мл Н₂О, 40 мл СНСІ_в и 11 г хлоргидрата метилового эфира пролина, оставляют на 2 часа при 0° и 1 час при ~ 20°, хлороформный р-р отделяют, промывают НСІ и насыш. р-ром NaCl упари-вают и остаток смешивают с эфиром. Выход мегилового эфира N-пирувоилфенилаланиппролина (IV) 40,4%, т. пл. 162—163° (из СН₈ОН), $\lambda_{\text{макс}}$ 347 мµ, lg ϵ 1,25, перегиб при 245 мµ, lg ϵ 3,2; оксим IV, т. пл. 115—116° (из этилапетата + петр. эф.). Аналогично из III получают п-толуидид с выходом 47%, т. пл. 192—193° (из изо-пропилового сп.). Р-р 7,6 г IV в 40 мл диоксана и 150 мл 1 н. HCl нагревают 1 час гри 120°, нейтрализуют 10 г КНСОз, кристаллы отфильтровывают, растворяют в р-ре

N.

β-a (γ-1) N-1

HO

дн

Me'

HO:

CH

30

вы

CIL:

pa

19

3-8

R

вы

NI

Ma

00

HO

H

p-

M

ж в 6

17

П

CI

КНСО $_3$, р-р подкисляют H_2SO_4 и экстрагируют СНСІ $_3$. Выход N-пирувоилфенилаланилпролина (V) 52%, т. пл. 204—205° (из изопропилового сп.), $\lambda_{\rm макс}$ — 347 м μ , Ig ϵ — 1,24, перегиб 245 м μ , Ig ϵ — 3,2. V при стоянии в щел. р-ре (20°, 20 мин.) изомеризуется в к-ту с т. пл. 179—180° (из С H_3 ОН + этилацетат). 2 ϵ V, 0, 6 ϵ безводи. С H_3 СООNа и 16 м ϵ (С H_3 СО) $_2$ О нагревают 1 час на водяной бане, р-р упаривают в вакууме, остаток растворяют в СНСІ $_3$, промывают ледяным р-ром КНСО $_3$, водой и упаривают. Выход моногидрата I 70%, т. пл. 122—123° (из этилацетата). После возгонки при 100—110°/0,01 м ϵ т. пл. I 157—158°. При кипячении I с водой (1 час) отщепляется пировиноградная к-та (VI). Нагреванием I с р-ром 0,1 н. NаОН (5 мин.) получают VI и лактам фенилаланилпролина (VII) с выходом 52%, т. пл. 148—150°. При кипячении I с С H_3 ОН получают WI и лактам ферру VI и VII. При пропускании N H_3 в p-р I в С H_2 С H_3 С H_4 С H_4 С H_5 С H_5 С H_6

фану, и о 4-цианиндолил-(3)-ацетонитриле. Хардеггер, Корроди (Notiz über einige dem Tryptophan nahestehende Verhindungen und über das 4-Cyan-indolyl-(3)-acetonitril. Hardegger E., Corrodi H.), Helv. chim. acta, 1956, 39, № 3, 984—986 (нем.)

Этиловый эфир d,l-абрина (I) получен р-цией абрина II (N_x-метилтриптофана) с POCl₃ (III) в спирте; р-цией α , α -дикарбэтокси-N-ацетилтриптамина (IV) с III получен 1-метил-3,3-дикарбэтокси-3,4-дигидрогарман (V); из 4-цианирамина (VI)(через четвертичную соль) получен 4-цианиндолил-(3)-ацетонитрил (VII). К вавеси 5 г II в 200 мл спирта при охлаждении прибавляют 10 г III, кипитит 20 мин., сгущают в вакууме, остаток смешивают с льдом и р-ром K₂CO₃ и экстрагируют эфиром. Эфирный р-р упаривают в вакууме, остаток смешивают с льдом и р-ром K₂CO₃ и экстрагируют эфиром. Эфирный р-р упаривают в вакууме, остаток растворяют в 50 мл спирта и смешивают с конц. р-ром 2,5 г щавелевой к-ты, получают оксалат I, т. пл. 167° (из сп. + этилацетат). І выделяют, пропуская NH₃ во взвесь оксалата I в эфире, т. пл. 86—87° (из сп.). Пикрат I, т. пл. 159—160° (из СН₃ОН). І-НВг, т. пл. 145—146° (из СН₃ОН) = 1 г N кпитит 1,5 часа с 8 мл III, отгоняют III в вакууме, остаток смешивают с водой и подщелачивают NH₃. Выделяют V, т. пл. 147—149° (из СН₃ОН). 1 г метилйодида VI добавляют к р-ру КСN, нагревают 1 час при 100°; получают VII, т. пл. 164—165° (из СН₃ОН). Е. Чаман 11869. Дальнейшие синтезы α , γ -поли L-глутаминовой кислоты. Б ру к н е р, Се к е р к е, К ова q (Weitere Synthesen der α , γ -Poly-L-glutaminsäu-

re. Bruckner V., Szekerke M., Kovács J.), Naturwissenschaften, 1956, 43, № 5, 107 (нем.) Двумя новыми методами синтезирован метиловый полиэфир а, у-ноли-L-глутаминовой к-ты H(NHCH-·(COOCH₃)CH₂CH₂CONHCH(CH₂CH₂COOCH₃))_nOH (I). По первому методу а, у-диметиловый эфир у-ц-глутамил-L-глутаминовой к-ты HNHCH(COOCH3)СН2СН2-СОНСН(СН2СН2СООСН)СООН (II) превращают в карбобензоксипроизводное (т. пл. 118°), затем в смещанный ангидрид С₆H₅CH₂OCONHCH/COOCH₃)CH₂CH₂CONH· -CH(CH₂CH₂COOCH₃)COOCOOC₂H₅, который действием C₆H₅SH превращают в тноэфяр C₆H₅CH₂OCONHCH (COOCH₃) CH₂CH₂CONHCH (CH₂CH₂COOCH₃) COSC₆H₅ (т.пл. 112°), бромгидрат которого при действии (C2H5)3N вступает в поликонденсацию с образованием 1. По второму методу к p-py II в диметилформамиде прибавляют дициклогексилкарбодиимид, нагревают на водяной бане, фильтрат упаривают в вакууме, осаждают метанолом дициклогексилмочевину, а затем эфиром I. Синтез I не сопровождается рацемизацией. Последний

метод применен также для поликондесации других

ди- и трипептидов со свободными амино- и карбоксильными группами. С. Аваева

1870. Новый синтез глутатиона. Амьяр, Эмес, Веллюз (Nouvelle synthèse du glutathion. Аміаг d Gaston, Heymés René, Velluz Léon), Bull. Soc. chim. France, 1956, № 4, 698—700 (франд.)

Описан синтез глутатиона, в котором применена трифенилметильная (тритильная) защита. Конденсацией S, N-дитритил-L-пистенна (I) с этиловым эфиром глицина в присутствии дициклогексилкарбодиимида (II) получают этиловый эфир S, N-дитритил-L-цистеннилглицина (III). Один тритил отщенляют действием НСІ в води, ацетоне (~20°) и получают этиловый эфир S-тритил-L-цистеинилглицина(IV). Конденсацией N-три-тил-L-глутаминовой к-ты (V) и IV получают этиловый эфир N-тритил-ү-L-глутамил-S-тритил-L-цистеннилглицина (VI). Его омыляют и получают S, N-дитритилглу-татион (VII). Детритилированием у S и N получают глутатион (VIII). Особенность метода заключается в глутатион (VIII). Осооенность метода заключается в избирательном удалении тритила с N в S. Тритил удаляется с N при нагревании с CH₃COOH или р-ром HCl в водн. ацетоне, а с S — р-ром HCl в CHCl₃ (0°) без значительной рацемизации. К 25 г хлоргидрата L-цистения в 480 мл воды прибавляют (0°, N₂) 480 мл эфира и 80 мл NH (C₂H₅₎₂, вводят 120 г ClC (C₆H₅₎₃ (— 5°) и 3 изса размещивают. Осадок эместаетически -5°) и 3 часа размешивают. Осадок экстрагируют СНСІ3, промывают водой, растворяют в спирте, прибавляют 1 м. м. NH (C_2H_5) $_2$ и добавлением эфира выделяют соль диэгиламина-1 (IX), выход 70%, $|a|^{20}D+71\pm1^{\circ}$ (c 2; хлф.). Обрабатывают соль разб. HCl и выделяют I. При упаривании маточного р-ра от IX, при нагревании остатка в эфирн. р-ре с 50%-ной СН₂СООН получают S-тритил-1,-цистенн, т. пл. $202-205^\circ$ (из сп.), $[a]^{20}$ D $+19^\circ\pm1^\circ$ (c 2; 0,1 н. NaOH). 13,6 ε IX растворяют в 40 мл CH₂Cl₂, добавляют 3 г хлоргидрата этилового эфира глицина и 5 г II (0°). Через 12 час. (~20°) фильтрат промывают разб. НСІ и упаривают досуха. Выход неозищ. III 16 г. Его обрабатывают 40 мл ацетона и 10 мл 5 н. НСІ. Через 15 мин. ацетон удаляют в вакууме (40°) и добавляют 120 мл эфира. Выход хлоргидрата IV 85%, т. пл. ~ 100°(из эфира). Из хлоргидрата IV при нагревании на водяной бане с 10 объемами тил-L-цистеннилглицина, т. пл. \sim 120° (из водн. сп., обезвоживание), $|\alpha|^{29}D+17.5^{\circ}\pm1^{\circ}$ (с 2; 0,1 п. NаОН в 90%-ном СН₃ОН). V получают: а) гидрогенолизом р-ра 57 г дибензилового эфира N-тритил-L-глутаминовой R-ты в 500 мл этилацетага и 27 мл N (C₂H₃)₃ над 15 г Pd-черни. Выход соли V 90%,т. пл. ~100°, [α]²⁰ D — 32° ± 2° (с 2; хлф.). Соль растворяют в CHCl₃, обрабатывают рассчитанным кол-вом HCl (к-ты) и получают V, $[\alpha]^{20}D - 27,5^{\circ} \pm 2^{\circ}$ (c 2; CH₃OH); б) при обычном омылении у-монометилового эфира N-тритил-L-глутаминовой к-ты р-ром NaOH; V выделяют при подкислении новой к-ты р-ром каоп, у выделяют при подкленены н экстракции CHCl_3 ; в) тритилированием L-глутаминовой к-ты в присутствии $\mathrm{HN}\left(\mathrm{C_2H_5}\right)_2$ в эфире. Удаляют эфир, подкисляют HCl_1 экстрагируют этилацетатом, добавляют триэтиламии и получают кислую соль N-тритилглутаминовой к-ты и триэтиламина. Обрабатывают 1 н. NH_4OH (незначительный избыток) p-p 18 г хлоргидрата IV в 50 мм CH_2Cl_2 . Прибавляют 9,5 г II и 19,6 г кислой соли V, через 12 час. ($\sim 20^\circ$) удаляют избыток II СН₃СООН и выделяют дициклогексилмочевину. Фильтрат обрабатывают обычным образом и получают VI. Затем обрабатывают VI спиртом, омыляют 80 мл 1 н. NaOH в спирте, подкисляют HCl и экстратируют CHCl₃, выход VII, 75%. HCl-соль VIII получают при пропускании HCl (газа) в p-р CHCl3. 2 г HCl-соли VII растворяют в 10 мм воды, встряхнвают с амберлитом IR-4B до рН 2,5, фильтруют, упаривают (40°) до сиропа и добавлением 70%-ного спирта выделяют VIII, выход r.

ль-

ева

e c,

rd

n).

нц.)

ена

ней

(II)

HCI фир

гри-

Вый

гли-

глу-

laiot ЯВ LHI

(0°) рата

H5)3 VIOT бав-

TOIRI

±1°

нина

чают o D

тог вого 20°)

yxa. аце-TOIRT похи огил-

мами

-три-

сп., NaOH.

изом

овой 15 €

]20 D обрачают

чном гамиении

нием рире.

этил-

слую Обра-9,5 e

TOIRL -өром и по-TOIRLI

сстраучают -соли питом иропа

выход

15%, т. пл. 190% (разл., из води сп.), [а] D — 20° ± 2° С. Гордиенко

Исследование пантотеновой кислоты. XVI. Синтез и биологическая активность аналогов пантетенна. Стюарт, Челделин, Кинг (Synthesis and biological activities of pantetheine analogues. XVI. Pantothenic acid studies. Stewart Charles J., Cheldelin Vernon H., King Tsoo E.), J. Biol. Chem., 1955, 215, № 1, 319—335

Синтезпрованы новые аналоги пантетенна (I) и β-алетенна (II): пантотенилтаурин-Na (III), бис [N--оксибутирил)-3-аланил-2-аминоэтил]-дисульфид (IV), -пантотенилэтаноламин («оксипантетени) (V), N-пантоилглицил-2-аминоэтантиол (VI), N-пантоилаланил-2-амипоэтантиол (VII), бис-[N-(пантоилнорвалил)-2-аминоэтил]дисульфид (VIII). I и II получены описанным ранее методом (РЖХим, 1954, 12798); N-пантоилэтаноламин методом (РЖхим, 1954, 12798); N-пантоилотаноламин (IX) получен сплавлением пантолактона (X) и 2-аминоэтантиола (XI). Р-р 1,95 г неочищ. I в 4 мл 1,118 н. СН₃ОNа вливают в смесь 18 мл 90%-ной НСООН + 2 мл 30%-ной Н₂О₂, осаждают НСООNа ацетоном + эфир, выход III 100 мг, размягчеется при 102°, т. разл. выше 104°. Смесь 500 мг II и 350 мг у-бутиролактона сплавляют (100°, 10 мин., затем 70—80°, 1 час), плав растворяют в 1 мл СН₃ОН, оставляют стоять (окисление О₂ воздуха, 12 час.), выход IV 100 мг, т. пл. 196,5—198° (последовательно из абс. сп., изо-С₃Н₇ОН и абс. сп.). Для синтеза V 0,045 моля карбобензокси-3-аланива превращают в хлорангилови (XII): эфир. 3-аланина превращают в клорангидрид (XII); эфир. p-р XII вводят (0°—5°) в p-р 0,06 моля NaHCO₃ и 0,046 моля этаноламина в 40 мл воды (перемешивание), в осалке N-(карбобензокси-β-алания)-этаполамин (XIII), выход 4 г, т. пл. 126—126,5° (из CHCl₃, затем из этилацетата). К 100 мл жилкого NH₃ прибавляют 0,025 моля XIII и 0,056 Na, затем 0,06 моля NH₄Cl, испаряют NH₃, основание навлекают 300 мл спирта, полученное маслю растворяют в 30 мл абс. спирта, полученное маслю растворяют в 30 мл абс. спирта, прибавляют р-р 3 ε (COOH₂)·2H₂O в 30 мл изо-C₂H₇OH, нагревают, осаждают эфиром (—4°), выход оксалата (N-β-аланилэтаноламина (XIV) 3,1 ε ; после высущивания (P₂O₅/1 мм Hg), т. пл 122—123° (из абс. сп.). 4 ммоля XIV растворяют в 15 мл абс. СН₃ОН, прибавляют 7.38 мл 1,0813 н. p-ра CH₃ONa, отделяют оксалат Na центрифугированием, р-р выпаривают (1 мм Hg), остаток нагревают в запаян-вой трубке (65—70°, 4 часа) с 4,6 ммоля X; очистка методом противоточного извлечения (С₄H₉OH-CH₃COOHвода; 4:1:5) приводит к гигроскопич. сиропу, содержащему 85% V. Для синтеза VI 3,4 г XI растворяют жащему 85% V. Для синтеза VI 3,4 г XI растворяют в 40 мл воды, окисляют H_2O_2 (0°), смесь подшелачивают 6 н. NаОН прибавляют (0—5°) эфир. р-р карбобенаю-ксиглицилхлорида (на 10 г к-ты), выход бис-[N-(карбобензоксиглицил)-2-аминоэтил]-дисульфида (XV) 3 г, т. пл. 175—178° (на сп.). На 3,8 г XV (как XIV на XIII) получен оксалат N-глицил-2-аминоэтантиола (XVI), выход 1 г, т. разл. 165—167°. Из 448 мг XVI и 300 мг X получен порошок, содержащий 80% VI и примесь X. Пля синтеза VII 10 г, и запачные сиглящиет (46.7) с Для синтеза VII 10 г рд-аланина сплавляют с 16,7 г фталевого ангидрида (170—180°, 30 мин.), получают фталилаланин (выход 22,7 г. т. пл. 162,5—164°, из водн. сп.), 10 г которого превращают (SOCl₂, 40°) в хлорансп.), 10 г которого превращают (SOCl₂, 40°) в хлоран-гидрид и действуют его эфири. р-ром на 3,5 г XI, окисленного H₂O₂, получают бис-[N-(фталилалания)-2-ами-ноэтил]-двсульфид (XVII), т. пл. 217—221° (из С₅Н₅N-сп.). К взвеси 0,02 моля XVII в 120 мл абс. СН₃ОН при-бавляют 40 мл 1 М спирт. р-ра N₂H₄·H₂O и кипятят 1,5 часа, продукт нагревают с 30 мл 2 н. НСІ (53°, 5 мин.), отделяют фталилгидразид и остаток обрабаты-вают Nа в жидком NH₃ (как XIII), выход оксалата N-алани¹-2-аминоэтантиола (XVIII) 2 г, т. пл. 141—143° (из сп.-эф.). Из 1,08 г XVIII и 650 мг X (сплавление при 85—90° и очистка, как X) получен продукт, сопержанияй

85-90° и очистка, как X) получен продукт, содержащий

80% VII, из води. р-ров обработкой HgO выделен продукт, содержащий 88,5% меркурппроизводного VII. P-р 4,7 г XI в 75 мл воды окисляют H₂O₂; прибавив 10 г NaHCO, приливают эфир. р-р хлорангидряда, приготовленного из 15 г фталилнорвалина, выход бис-[N-(фталилнорвалил)-2-аминоэтил]-дисульфида (XIX) 7 а, т. пл. 173—175° (на сп.). Из 0,01 моля XIX в N₂H₄·H₂O (обработка, как описано для XVIII) получен дихлоргид-(обрасовка, как описано для хүтг) получен долгор ид-рат бис-[N-(норвалил)-2-минноэтил]-дисульфида (ХХ), вы-ход 2 г. т. разл. 160°. Из 1,06 г ХХ и 700 мг Х (см. полу-чение VII) получен продукт, содержащий 93% VIII Микробиологич. испытания показали, что II, IX и VIII микроонологич. испытания показали, что II, IX и VIII не стимулируют рост Lactobacitlus helveticus; VI VII и IV, подобно I, стимулируют (в конц-ии от 100 до 1000 ү в 10 мл питательной среды) рост этого микроорганизма. III стимулирует рост. L. fermenti и L. helveticus в конц-ии от 5 до 60 ү в 10 мл. V является конкулирующим виробителем I и мл. и является конкулирующим виробителем. конкурирующим ингибитором I в культуре L. helveticus. Для поддержания роста L. fermenti требуется не менее 10 ч V и 10 мм питательной среды. Р. Топштейн 11872. Определение строения изомеров у-амино-3оксимасляной кислоты путем исчернывающего мети-лирования. Мусаси, Томита (Konstitution-sermittlung der Isomeren der γ-Amino-β-hydroxybutshi Akihiko, Tomita Kenichi), Hoppe-Seyler's. Z. physiol. Chem., 1956, 304, No 2-4, 65-68 (Hem.)

Пользуясь р-цией исчерпывающего метилирования, днаграммами Дебая и бнуретовой р-цией показаво, что у-амино-3-оксимасляная к-та способна суп ествовать в виде двух изомеров: открытого (1) и бетаньового (11). I при метилировании дает N-диметилирсизводное (биуретовая р-ция положительна). II образует N-триметилпроизводное (биуретовая р-ция отрицательна). Приведены константы для изомерных γ-амино-β-оксимасляных к-т и их N-бензоилзамеш. со структурой I и II (в скобках указаны т. пл. в °С, [a]²⁰ D. данные дваграммы Дебая γ-бензоиламино-3-оксимасляные к-ты: l-I (172, −7,5 (0,5 в. NаОН), 12,4 A); d-I (178, +4,1 (n/₂ NаОН), 12,4 A); l-II безводы. (114, −11,8° (вода), 8,7 A); l-II, моногидрат (81, −22,0° (n/₂ NаОН), −); d-II, безводы. (114, +10,1° (H₂O), 8,7 A), d-II моногидрат (80, +22,0° (n/₂ NаОН), −); γ-амино-β-оксимасляные к-ты: l-I (213, −3,40 (H₂O), 7,3 A); d-I (214, +3,21° (H₂O), 7,3 A); l-II (212, −21,06° (H₂O), 3,2 A); d-II (214, +18,30° (H₂O), 3,2 A). Для пролуктов метилирования приведены удельное врашение, т. пл. в °С золотых (биуретовая р-ция положительна). II образует N-три-(214), т 16,00 (120), 5,2 А). Для продуктов метилирова-ния приведены удельное вращение, т. пл. в °С золотых солей: l-I (-7,25, 151); d-I (+8,40, 151,); рацемат I (0, 182); l-II (-20,98, 155), d-II (+20,20, 155); рацемат II (0, 128). К 1,2 г у-амино-β-оксимасляной к-ты: в 10 мл н. КОН приливают 5,7 г диметилсульфата и 2, 5 г КОН, нагревают, нейтрализуют 2 н. $\rm H_2SO_4$, упаривают в вакууме, экстрагируют спиртом, спирт отгоняют, остаток растворяют в воде, нагревают с 5 мл н. HCl, смешивают с BaCl₂, фильтруют, упаривают и бетани экстрагируют спиртом. Тот же бетани получают при

вагревании 1.2 г у-амино-β-оксимасляной к-ты с 3 моля-ми конц. p-ра КОН, 3 молями СН₃Ј и большим кол-вом СН₃ОН в трубках 5 час. при 110°. Е. Чаман 11873. Пептиды. Методы их синтеза и исследования концевых групп. Спрингалл, Ло (Peptides: methods of synthesis and terminal-residue studies. Springall H. D., Law H. D.), Quart. Revs London Chem. Soc., 1956, 10, № 2, 230—257 (англ.) Обзор. Библ. 180 назв.

1874. Трансаннулярные реакции пептидов. Пептидный азот в 10-членном цикле. Коэн, Унткоп (Transannular reactions of peptides. The peptide nitrogen in a 10-membered ring. Cohen Louis A., Witkop Bernhard), J. Amer. Chem. Soc., 1955, 77, № 24, 6595—6600 (англ.)

16 16

T. (175 4 a (1 H 6 11 (1

При перегруппировке 10-гидроперокси-1(s)Δ-октагидрохинолина (I) образуется 10-членный лактам

NH(CH₂)₃CO(CH₂)₄CO, который в результате пространственной близости карбонила и атома N легко (в CH2Cl2 за 18 час., в воде или води. диоксане тотчас в ходе перегруппировки) превращается с замыканием мостиковой связи в 7-окси-2-кето-1-азабицикло-[5,3,0]декан (II). Строение II доказано восстановлением LiAlH₄ до 1-азабицикло-[5,3,0]-декана (III) и каталитич. восстановлением до 2-кето-1-азабицикло-[5,3,0]декана (IV). Исходный I синтезирован по схеме: 1декана (IV). Исходный I синтевирован по схеме: 1- (1-циклогексенил)-пирролидин (V) \rightarrow 1[2-(2-цианоэтил)-1-циклогексенил]-пирролидин (VI) \rightarrow 1-(2-(3-аминопронил)-1-циклогексенил]-пирролидин (VII) \rightarrow Δ 1(9)-октагидрохинолин (VIII) \rightarrow 1; или V \rightarrow 2-(2-цианоэтил)-циклогексанон (IX) \rightarrow этиленкеталь IX (X) \rightarrow этиленкеталь 2-(3-аминопропил)-циклогексанона \rightarrow VIII \rightarrow →1. 3 моля циклогексанона и 4 моля пирролидина кипятят в 150 мл С6 Нв 4,5 часа, с отделением образующейся воды. После отгонки р-рителя неочищ. У в 200 мл диоксана кипитит 1,5 часа с 3,3 моля акрилонитрила, вы-жод VI 87%, т. кип. 170—172°/10 мм. 0,2 моля VI восстанавливают LiAlH₄ в эфире; образовавшийся VII нагревают с 15 мл воды и 1 мл 2 н. NaOH 1 час в токе N₂. В результате отщепления пирролидиновой группы и одновременной циклизации образуется VIII, выход 50%, т. кип. 77-79°/10 мм; пикрат, т. пл. 136,5-137° (и водн. СН₃ОН); йодметилат, т. пл. 118—122°; хлоргидрат, т. пл. 245—247° (из СН₂СІ₂ + этилацетат). Для получения ІХ к р-ру, образовавшемуся при получении 1 моля V, прибовляют 50 мл воды и нагревают 3 часа при 100°, выход 1X 61%, т. кип. 141—145°/ /10 мм. 0,35 моля IX в 200 мл С₆Н₆, 25 г этиленгликоля и 0,5 г п-толуолсульфокислоты (3 порции по 0,5 г через каждые 12 час.) кипятят, отделяя воду, ~ 2 дней, выход X 80%, т. кип. 157—159°. 0,28 моля X восстанавливают 0,28 моля LiAlH₄ в эфире, продукт р-ции растворяют в 100 мл конц. HCl и 300 мл воды и кипятят 1 час, сгущают в вакууме, обрабатывают 50 мл 6 н. КОН и навление закуме, образовання образования образования в высод VIII 31%, т. кип. 35—40°/0,2 мм. Восстановление над Pd в кислой среде не прошло. VIII очень легко окисляется и должен храниться под N_2 при 0°.0,02 моля VIII в 20 мл этилацетата ниться под X₂ при 0°-0,02 моли VIII в 20 мл этилацетата перемещивают 3,5 часа в атмосфере O₂; выпадает I, выход 87%, т. пл. 99—100°. З г I в 50 мл води. диоксана (1 : 1) встряхивают 12 час. при 25°, р-ритель отгоняют и получают II, т. пл. 109—109,5° (после очистки на Al₂O₃); хлоргидрат, т. субл. 70°, т. пл. 79—80°. При действии на II CH₃ONa образуются 2 в-ва с т. пл. 179—40° - 47. 147. 180° и 147—149°, возможно, 7-окси-2-оксо-3-азабицикло-[5,3,0]-декан и 2-оксо-3-азабицикло-[5,3,0] -децен-1(7). При гидрировании II на PtO2 в СН3ОН в присутствии СН₃СООН получен IV, т. субл. 95°, т. пл. 103—105°. Восстановление II LiAlH₄ в диоксане (48 час. кипячения) приводит к III, т. пл. 215—216°. III получен также восстановлением IV LiAlH₄. Показано также, что I восстанавливается H₂ на 10%-ном Pd/C с образованием сначала 10-окси- Δ 1(9)-октагидрохинолина (т. пл. 115—115,5°, из лигр.), а затем 10-оксидекагидрохинолина (XI), т. пл. 150—151°;пикрат, т. пл. 195—195,5°(из этилацетата); хлоргидрат, т. пл. 227,5° (из $\mathrm{CH}_2\mathrm{Cl}_2$ -петр. эф.); N-ацетильное производное, т. пл. 99° (из банетр. эф.). Действием на XI $\mathrm{CH}_2\mathrm{O}$ и HCOOH получен N-метил-10-оксидекагидрохинолин, т. пл. хлоргидрата 187-193°; пикрат, т. пл. 153-154°; йодметилат, т. пл. 236-237° (разл. из $\mathrm{CH}_2\mathrm{OH}$ -эф.). С. Аваева сначала 10-окси-Δ1(9)-октагидрохинолина (т. пл. 115-

875. Полнамино-поликарбоновые кислоты. II. О полипентидах днаминодикарбоновых кислот. Сообщение IV. Синтетические полипентиды. III л ё г л ь, Ф а б и ч о в и ч (Polyamino-polycarbonsäuren. II. Über Polypeptide von Diamino-dicarbonsäuren. IV. Mit-

teilung über synthetische Polypeptide. Schlögl K., Fabitschowitz H.), Monatsh. Chem., 1955, 86, № 2, 233—250 (нем.)

Амфолитические полипентиды (I) с правильным чередованием СООН- и NH₂-групп можно получить конденсацией ди-N-карбобензоксизамещ. и диэфиров диаминодикарбоновых к-т, применяя обычные методы синтеза пептидов. Описано получение I из а, а '-диаминосебациновой к-ты (II), β, 3'-(n-фенилен)-диаланина (III) и В, В'-(n,n'-дифенилен)-диаланина (IV). Вычислены молекулярные веса и степень полимеризации (п) полученных І. Мол. в. І из II 7000, n=10; мол. в. І из III 35000, n=44; мол. в. I из IV 14000, n=15. Отмечено, что наряду с высокомолекулярными полипептидами всегла получаются различные тримеры. Приведены УФ-спектры III, IV и І. Для синтеза III натрийформиламиномалоновый эфир (V) (1,45 г Na, 12,8 г формиламиномалоната (VI), 80 мл этанола) кипятят 4 часа с р-ром 8,3 г п-бромметилбензилбромида в 120 мл этанола, охлаждают льдом, осадок промывают водой. Выход (в-ксилилен)-дефермиламиномалонового эфира (VII) 74%, т. пл. 192—193° (из сп.). 9 г VII кипятят 5 час. с 150 ма 192—193 (на сп.). Зе ты кними конц. НСІ и получают трудео растворимый в воде хлоргидрат III с выходом 96%. Основание выделяют аммиаком (до рН 8), выход 90%. III при 340° темнеет, R, 0,05 в бутанол-этанол-NH₃-вода. Для получения IV 6,3 г п, ч'-дибромметилдифенила кипятят 3 часа с 9 г калийформиламиномалонового эфира в 200 мл спирта Калинформиламиномалонового эфира в 200 мм спирта (V применять не рекомендуют). Выход л. п'-(дитолилен)-диформиламиномалонового эфира (VIII) 83%, т. пл. 224—229° (из ацетона-вода). Гидролиз VIII и выделение IV проводят аналогично III. Выход IV 64%, R_f 0,08. Встряхивают p-p 0,1 г III в 5 мл 0,2 н. NaOH с 0,2 г фенилизоцианата. При подкислении фильтрата получают а, а-дифенилуреидо-3, β'-(n-фенилен)-дипропионовую к-ту (IX), выход 72%, т. разл. 208—212° (из води. си.). IX (0,42 г) превращают в 3,3'-дифенил-5,5'-(n-фенилен)-дипрантови (т. пл. 250—254° (из СН₂СООН)), выход 89%, нагреванием 0,5 часа со смесью 10 мл СН₃СООН и 10 мл конц. HCl. Из IV аналогично получают а, а'-дифенилуреидо-3, β'- (n-дифенилен)-дипропиновую к-ту (выход 90%, т. разл. 170—180°) и 3,3'-дифенил-2,5,5'-(n-дифенилен)-дигидантови (выход 71%, т. пл. 275—295° (разл.)). Для получения β- (дифенили)-алавина (X) (т. разл. 247—251°, R₁0,60) 1,3 г п-бромметилифенила конденсируют с V (из 0,13 г Nа, 1,2 г VI и 20 мл этанола), упаривают, промывают остаток водой и гидролизуют прлученный дифенилилформиламиномалоновый эфяр (т. пл. 142—144°) 10-кратным кол-вом конц. HCl. Выделение X проводят аналогично III. Ди-N-карбобензоксизамеш. II (XI), III (XII) и IV (XIII) получают обычным способом с карбобензоксихлоридом фенилизоцианата. При подкислении фильтрата получают получают обычным способом с карбобензоксихлоридом в р-ре NaOH, а диэфиры (соответственно XIV, XV, XVI) нагреванием аминокислоты со спирт. p-pom HCl (в скоб-ках указаны выход в % и т. пл. в °С ди-N-карбобензоках указаны выход в % и т. пл. в °С ди-и-кароооенаю-ксипроизводных. выход в % и т. кип. в °С диэфиров): XI (70, 160—164); XIV, 75, 120—130 (0,02); XII (84, 213—215); XV (60, 160—170/0,05); XIII (70, 150—165); XVI (50, 220—230/0,02). Т. пл. пикрата диэфира из IV 213—215° (разл.; из водн. сп.). При нагревания диэтилового эфира III в вакууме 24 часа при 180° получают полидикетопиперазин. 0,26 г XII в 7 мм абс. тетрагидрофурана смешивают с $0.5\ e$ три-и-пропиламина и приливают $0.11\ e$ C_2H_5OCOCI (-8°). Через 10 мин. приливают p-p $0.15\ e$ этилового эфира глицина в $2.5\ мл$ тетрагидрофурана и через ~1 час (~20°) упаривают. Остаток промывают водой разб. HCl и р-ром соды. Выход диэтилового эфира ди-N-карбобензокси-((п-фенилано диаланилдиглицина) (XVII) 79%, т. пл. 185—192° (из этилацетата). 0,15 г XVII суспензируют в 3 мл спирта и встряхивают 2 часа с 0,66 мл 1н. NаОН и 1 мл воды, упаривают в вакууме, растворяют в воде и ögl

hem.,

ьным

учить риров

ноты мино-(III)

слены

полу ill si

OTP ,C всегда ектры мало-

оната 8,3 € кдают илен)-

• пл. O MA

воде топил инеет. IN IN c 9 2 пирта

илен)-

г. пл.

ление 0.08.

0.2 2 учают HOBVIO

сп.). илен)-

BLIXOR

COOH учают новую

енил-. пл.

лани-

етил-

водой

нома-

л-вом XIII. ридом XVI скоб-

бензо-

пров): I (84, -165);

из IV

вании

180°

л абс.

амина

мин.

2,5 мл вают. солы.

фени-

_192°

3 мл

ОН и

вопе и

подкисляют Дикарбобензокси-(n-фенилен)-диаланилди-глицин) расплывается при 120—130°, разлагается при 160—170°. Полидиэтиловый эфир (N-карбобензоксидиа-миносебациновой к-ты) (XVIII) получают из 1,2 г XI, 0,695 г три-и-пропиламина, 0,52 г С₂H₅OCOCl и 0,69 г XIV в р-ре 10 мл диметилформамида. Выход XVIII 83%, т. пл 60—90° (из води. ацетона). 1 г XVIII встряхивают с 3.9 мл 1 н. NаОН 2 часа. Выход поли-(N-карбобензоксидиаминосебациновой к-ты) (XIX) 86%, т. пл. 107—127° (из водн. СН₃СООН). Карбобензоксигруппы XIX отщепляют насыщ. p-ром HBr в CH₃COOH (0°). Выход поли-(а,а'-диаминосебациновой к-ты (XX) 75%. XX встряхивают с 0,1 н. NаОН и избытком фенилизоцианата 15 мин. Выход поли-(фенилурендо-а, а'-диаминосебациновой) к-ты 60%, т пл. 180—200° (разл.) (переосаждена из ацетона + воды). Аналогично (разл.) (переосаждена на ацетона — воды). Аналогично из XII и XV получают поли-(днэтиловый эфир N-карбобензокси-(n-фенилен)-диаланина), выход 85%, т. пл. 120—150°, затем встряхиванием с 1 н. NаОН-поли-(N-карбобензокси)-n-фенилендналанин) (выход 86%, расплывается при $160-180^\circ$), из которого обработкой HBr в $\mathrm{CH_8COOH\text{-}nonu\text{-}}\beta,\beta'\cdot(n\text{-}\phi\text{енилен})$ -диаланин (XXI) (выход 95%). Фенилурендо производное XXI, выход 60%, т. пл. 210—225° (разл.). Также из XIII и XVI получают поли-(диэтиловый эфир N-карбобензокси-(л-дифенилен)-диаланина) (выход 80%, т. размягч. 150—200°), который обработкой НВг в CH₃COOH превращают в поли-(диэтиловый эфир-(п-дифенилен)-диаланина) с выходом 95%. Предыдущие сообщения см. РЖХим, 1956, 1027, 47124.

ЖХим, 1956, 1027, 47124. E. Чаман 1876. О синтезах пентидов. Сообщение IV. Пептиды глутаминовой кислоты. Гольдшмит, Ю ц (Über Peptid-Synthesen. IV. Mitteilung: Glutaminsäure Peptide. G o l d s c h m i d t S t e f a n, J u t z C h r i s t i a n), Chem. Ber., 1956, 89, № 2, 518—526

(Hem.)

Описан синтез ряда с- и у-пептидов L-глутаминовой к-ты «фосфоразометодом». К бромгидрату (хлоргидрату) эфиров аминокислот или пептидов (0,02 моля) в пиридине (50 мл. 0°) медленно прибавляют PCl₃(0,01 моля) в 10 мл пиридина (0°). Через 15 мин. вносят 0,02 моля карбобензокси-(Кбз)-аминокислоты или Кбз-пептида и нагревают 3 часа на водяной бане. Сгущают в вакууме и извлекают этилацетатом эфир Кбз-пептида. Получены следующие эфиры Кбз-пептидов. В скобках приведены выход в %, т. пл. в °С, р-ритель и угол вращения. Триэтиловый эфир-Кбз-а-глутамилглутаминовой к-ты (I) (85, 104—105, этилацетат-петр. эф. или CCl₄ (103—104), (I) (85, 104—105, этилацетат-петр. эф. или ССІ₄ (103—104), [а]¹⁶ D—35° (с 1.47; сп.); тетраэтиловый эфир N-Кбз-алиловый эфир N-Кбз-алиловый эфир Кбз-ц-глутамилглутаминовой к-ты (88; 114—116°, этилацетат-петр. эф.); диэтиловый эфир Кбз-ұ-г-лутаминилутаминовой к-ты (II) (54; 177—178, сп.-этилацетат-петр. эф.); триэтиловый эфир Кбз-ұ-г-лутамилглутаминовой к-ты (III) (70—85; 92—93, этилацетат-петр. эф. пли эф. [а]¹⁵ D — 22,7° (с 1,154; сп.); тетраэтиловый эфир Кбз-ұ-г-диглутамилглутаминовой к-ты (IV) (92; 113—114, СНСІ₃-эф.; пентаэтиловый-эфир (N-Кбз-ұ-г-глут-тилацетат или сп.-эф.); диэтиловый эфир Кбз-а-г-глут-тилацетат или сп.-эф.); диэтиловый эфир Кбз-а-г-глуттриглутамилглутаминовой к-ты (95; 108—109,5°, сп. этилацетат или сп. эф.); диэтиловый эфир Кбз- α -L-глутамилглицина (V) (70—90; 94—94,5, этилацетат-петр. эф., $[\alpha]^{22}D$ —11.4° (c 4.4; в лед. СН $_3$ СООН); диэтиловый эфир Кбз- α -L-глутамилглицинглицина (VI) (76; 112—114°, этилацетат-петр. эф.); диэтиловый эфир (N-Кбз-глицил)- α -L-глутамилглицилглицина (65; 172— (М-коз-глиция)-а-1,-тутамизи-пиция (об., 112—173, этвлацетат, петр. эф.); триэтиловый эфир (М-Кба-а-L-диглутамил)глицина (55; 143—144, этилацетат-петр. эф.); этиловый эфир Кбз-1,-глутаминилглицина (VII) (30—60; 151—152, си.-этилацетат-петр. эф. или вода); Кбз.-у-1,-глутамилглицин (VIII) (55; 159—161, этилацетат-петр. эф.); диэтиловый эфир Кбз-у-1,-глутамилглиция-глицина (IX) (68; 104—105°, этилацетат-петр. эф.); писто-пицина (IX) (68; 104—105°, этилацетат-петр. эф.); писто-пицина (IX) (68; 104—105°, этилацетат-петр. эф.); писто-пицина (IX) (68; 104—105°, этилацетат-петр. эф.); диэтиловый эфир (N-Кбз-ү-L-глутамил)-S-бензил-L-цисте-

нилглицина (90; 105--107°); диэтиловый эфир (N-Кбаа-L-глутамил)-S-бензил-L-цистеннилглицина (79; 125-127°, этилацетат-петр. эф. или диоксан-вода); с-метиловый-у-этиловый эфир Кбз-а-1-глутамил-S-бензил-1- пистенна (X) (70; 130, этилацетат-петр. эф.). Эфиры Кба-пептидов омыляли 2 н. NaOH в диоксане и удаляли Кбз-группу гидрированием над Рd. Описаны пептиды и пептилов омыляли 2 н. NaOH в диоксане и удаляли кбз-группу гидрированием нац Pd. Описаны пептиды и новые соединения: в скобках приведены выход в %, т. пл. в °С, р-ритель, угол врашения: пептиды-І(—, —; 184, вода-сп.); II (78; 199—201, вода, [а]16 D 13,46 (с 1,49; н. HCl); III (—; 188—190, разл., ацетонвода, [а]2 D + 3,6° (с 1,6; н. HCl); V (50; 176—178°, разл.; вода сп., [а]6 D +12° (с 2.0; в воде); [а]16 D + 27° (с 1,6; 1 н. HCl); VI (55; 185—188, разл.; вода-сп.); VII (91; 170—172; разл.; вода-сп., [а]16 D + 76.3° (с 2,6; в воде); VIII (90; 192—195; разл.; сп.-вода); IX (75; 176—179; разл.; вода-сп.); X (55, 163; разл.; вода с-1-глутамил-глутаминовая к-та (88; 176—178, разл.; этилацетат, вода); 3,6-бис-(этиловый эфир β-пропионовой к-ты)-2.5-дикетопниеразин (60—65; 163—164 этилацетат); Кбз-пептид-II (90, 184—185, вода); хлоргидрат тетраэтилового эфира пептида IV (90; 146—147, хлф.-петр. эф.); Кбз пептид-V (78; 141—145, сп.-этилацетат-петр. эф.); Кбз пептид-V (78; 141—145, сп.-этилацетат-петр. эф.); бромгидрат диэтилового эфира пептида VI (94; 144—146, разл.; сп.-эф.); Кбз-пептид-VII (93; 180—181, разл.; вода); N-Кбз-Бензил-1-изо-плутатион (47; 187—188; разл.); Кбз-пептид-X (95; 183, сп.-этилацетат-петр. эф., [а]16 D—40° (с 0,97; в сп.). Сообщение III см. РЖХим, 1954, 32475. С. Гордиенко 11877. О синтезе пептидов. Сообщение 10. «- и уфеннитиозфивы N-апилатутаминовой кислоты. В н-877. О синтезе пентидов. Сообщение 10. α- и γ-фенилтноэфиры N-ацилглутаминовой кислоты. В иланд, Вейденмюлаер (Über peptidsynthe-sen. 10 Mitteilung α-undγ-Phenylthioester von N-acyl-glutaminsäuren. Wieland Theodor, Weiden-

m üller Hans-Ludwig), Liebigs Ann. Chem., 1955, 597, № 2, 111—122 (нем.)
Изучено направление раскрытия цикла ангидридов N-карбобензокси-L-глутаминовой к-ты (I—к-та) и N-фталил-L-глутаминовой к-ты (II—к-та) при действии на них тиофенола (III). Образующиеся фениловые тиоэфиры использованы для дальнейших синтезов. Р-ция III с ангидридом I в неполярных р-рителях обратима и не доходит до конца. Равновесие полностью сдвигается вправо в присутствии третичных аминов. В зависимости от природы р-рителя и амина аминов. В зависимости от природы р-рители и амина образуются различные соотношения продуктов р-дии — с- или ү-фениловых тиоэфиров I (IVa и IV6). Ниже приведены р-ритель, амин, отношение IVa: IV6: тетрагидрофуран (V), пиридин, 2,0; V, диметиланилин, 1,08; V, триэтиламин (VI), 0,22; диметилформамид; VI, 0,16; CH₃CN, VI, 0,14; CH₃NO₂, VI, 0,11; формамид, VI, 0,04 (с рацемизацией). На соотношение IVa: IV6 оказывает влияние несколько различных факторов. Благодаря электростатич. эффекту аминогруппы электронная плотность на α-CO меньше, чем на γ-CO; поэтому в неполярных р-рителях (напр., в V) происходит преимущественное образование а-производного. Энергетич. эффект благоприятствует образованию у-производного со свободным а-карбоксилом, так как а-карбоксил имеет большую константу диссоциации, чем ү-карбоксил. Этот эффект сильнее проявляется в полярных р-рителях или в присутствии сильных оснований. Пространственпое экранирование «-CO группы делает ее легко доступной лишь атаке нуклеофильными агентами малого объема и также в большинстве случаев (кроме С₅Н₅N) благоприятствует образованию у-производного. При взаимодействии ангидрида II с III в присутствии V и VI образуется 76% у-фенилового тиоэфира II (VII). Взаимодействием полученных таким образом фениловых

тиоэфиров I и II с L-цистеином (VIII) и L-цистеинил-

глицином (IX) получены а-L-глутамил-L-цистени (X).

285

ли

пев

1 8

NH

gal

р-р (иа N I

200

c 2

сп.

api

25

op (C

ба

yII

ап

ot,

эк

(R

311

R

TO

aT.

Bb

2)

K

00

Л

(F

Ba

ro

ЦІ

ү-рц-глутамил-ц-пистеин (XI), N-карбобензоксиизоглутатион (XII), N-фталил-(XIII) и N-карбобензоксиглутатионы (XIV); р-ция протекает через промежуточные S-пентиды цистеина. При р-ции смещанного этилуголь-ного ангидрида VII с III получен бис-фениловый тиоэфир II, а при р-ции с глицином у-тиофениловый эфир N-фталил а-рL-глутамилглицина (XV). Смесь 2,64 г эфир N-фталил α -DL-глутамилглицина (XV). Смесь 2,04 г ангидрида I в 20 мл V, 1 мл III и 1,6 мл пиридина выдерживают 2 дня (\sim 20°), подкисляют р-ром (COOH)₂ в V и фильтрат унаривают. Остаток растворяют в эфире и осаждают петр. эфиром L-IVa, выход 48%, т. пл. 111—113°, $|\alpha|^{19}D-25\pm1.5^\circ$ (с 2; диоксан). При проведении р-ции в р-ре V и VI авалогично выделен L-IV6, выход 13.5%, т. пл. 129—131°, [а]¹⁹ D + 3,5±0,6° (с 8.5; диоксан). В р-ре формамида и VI образуется DL-IV6, выход 43%, т. пл. 129—130°. Аналогично проводят р-цию 2.6 г ангидрида II, 1 мл III, 1,4 мл VI в 40 мл V (24 часа, ~20°). Остаток растворяют в спирте и осаждают водой, выход L-VII 76%, т. пл. 190—192°, $[a]^{19} D - 18 \pm 1^{\circ}$ (с 4; диоксан). Аналогично получен DL-VII, выход 84%, т. ил. 184 $^{\circ}$. Строение IVa, IV6 и VII доказано переводом их действием NH₃ в производные глутамина и соответственно изоглутамина и идентификацией последних хроматографией на бумаге. 1,4 г VII в 10 мл пиридина и IX (получен из 1.6 г S-бензил-N-карбобензокси-IX р-цией с Nавжидком NH₈) в 18 мл воды выдерживают 30 мин. под N2, упаривают при 30°/2 мм. Остаток растворяют в воде, подкисляют 2 н. HCl и экстрагируют этилацетатом. Из экстракта упариванием в вакууме выделяют XIII, т. пл. 85—90° (разл.). Аналогично из IVa и IX получен XII, выход 83%, т. пл. 118—120° (из этилацетата); из IV6 и 83%, т. пл. 118—120° (пз этилацетата); из IV6 и IX—XIV, выход 93%, т. пл. 92—96° (из этилацетататахлф.). Из IVа и VIII (с последующим гидрированием Nа в жидком NH₃)—X, выход 56%, т. пл. 143—145° (разл., из сп.), [α]¹⁸ D +3.2±1° (c 2; вода); из IV6 и VIII (аналогично предыдущему)—XI, выход 56%, т. пл. 80—85°. К p-ру 0.37 e VII в 5 мл V и 0.14 мл VI прибавляют при —12° 0.09 мл C₂H₃OCOCl и через 10 мин. 0,1 мл III. Через 2 часа при —20° фильтруют, p-р упаривают (130°), остаток растворяют в 2 мл спирта и осаждают водой бис-фениловый тиоэфир II, выход 73%, т. пл. 109—110°. Аналогично р-цией с 0.075 г глицина (вместо III) в 5 мл 0.2 н. NаОН после упаривания и подкисления НС1 получают ХУ, выход 86%, т. пл. 60-64° (из этилацетата-циклогексана). S-бензил-Nкарбобензокси-IX получен из 6,88 г S-бензил-N-карбобензокси-L-цистеина в 40 мл V 1.9 мл С₂H₅OCOCl и 1,5 г глицина в 40 мл 0.5 н. NaOH, выход 25%, т. пл. 94-96% (из диоксана + петр. эф.), [а] ¹⁸ $D-35\pm3^\circ$ (с 2; абс. сп.). Сообщение 9 см. РЖХим, 1955, 49066. С. Аваева.

11878. Полипентиды. 111. Синтез поли-у-бенгиловых эфиров L-глутаминовой кислоты с большим молекулярным весом. В ла у т, К а р л с о и (Polypeptiiles. 111. The synthesis of high molecular weight poly-y-benzyl-L-glutamates. В 1 о и t Е. R., К а г 1 s о п В. Н.), J. Amer. Chem. Soc., 1956, 78, № 5, 941—946 (англ.) Путем полимеризании ангилрида N-карбоксп-у-бензилового эфира L-глутаминовой к-ты (1) в присутствив щел. инициаторов получены высокомолекулярные образцы поли-у-бензилового эфира L-глутаминовой к-ты (11) и получен при пропускании фостена (2 часа, 60—65°) через суспензию бензилового эфира L-глутаминовой к-ты (11) в диоксане; после упаривания дноксана при 50° масло растворялось в CHCl₃ и I выкристаллизовывался п-гексаном при —30°; I перекристаллизовани этилацетата и п-гексана (1:1) (—30°) и высушен при 27°/1 мм Ид, т. пл. I (93—94°, [α]²⁵D — 17,6°, —18,2° (с 3,78; в этилапетате). III полу неп при нагревании 600 мл 48%-ной НВг, 330 г L -глутаминовой к-ты и 2200 мл бензилового спирта (1,5 часа, 100°). Реак-

ционная смесь при 30-40° выливалась в р-р 660 мл пиридина в 4400 мл спирта; т. пл. 111 174° (из сп. при рН 7) [a]25D +19,5° (c 7,16; в СН3СООН). Р-ция полимеризации проводилась в р-ре дноксана в присутствии инициаторов до тех пор, пока не было израсходовано 95% 1. который оттитровывался по методу Качальского (РЖХим, 1954, 48591). Мол. вес определялся путем измерения вязкости в дихлоруксусной к-те с градуировкой по измерениям мол. веса методом рассеяния света. При изменении отношения I к инициаторам (I/И) от 50 до 200 мол. вес при инициировании первичными аминами (и-гексиламином и др.) медлевно возрастает, во не превышает 100 000. В аналогичных условиях при инициировании спирт. p-ром NaOH (1,6%) мол. вес достигает величины, большей 200 000. При инициироровании в тех же условиях метилатом Na мол. всс возрастает до 600 000. При инициировании диэтиламином и триэтиламином образуются 11 с мол. в. 500 000 и 800 000 соответственно. Однако при использовании в качестве инициаторов вторичных и третичных аминов мол. вес не зависит от І/И (в пределах от 50 до 200) и от конц-ин 1 до 5%; при больших конц-иях 1 мол. вес убывает. При повышении т-ры полимеризации выше 30° мол. вес убывает. Проведено сравнительное измерение величины мол. веса (МВ) в зависимости от р-рителя, в котором растворен 1. При 1/И = 200 и иниципровании CH₉ONa получены III в следующих р-рителях: диоксан (MB=365 000), анизол (345 000), С₆Н₆ (340 000), диоксан + 0,01% н-гексальдегида (310 000), (290 000), хлорбензол (170 000), диоксан + 0,01% и-гексальдегида (135 000), этилацетат (134 000), нитробензол (124 000), ацетонитрил (115 000), диметилформамид (83 000), нитрометан (59 000), CH₃OH (12 000); в диоксане + 1% гексальдегида полимеризация не происходит. Получены III при полимеризации в диоксане (1/И = 5) в присутствии: и-гексиламина (МВ = = 15 000), диэтиламина (83 000), триэтиламина (280 000), NaOH (31 000), CH₃ONa (29 500), NaBH₄ (32 500). Полученные результаты рассматриваются с точки зрения объяснения предполагаемого механизма р-ции полимеризации I в присутствии основных инициаторов, инициирование которыми является медленным, в то время как распространение р-ции происходит с большой скоростью, что, возможно, объясняет малую скорость обрыва цепи и отсутствие значительного кол-ва других продуктов р-ции, кроме линейных 11, со сравнительно большим мол. весом. Сообщение II см. РЖХим, 1956, 9990. У. Хургив 11879. Исследование пептидов и белков с помощью

11879. Исследование пептидов и белков с помощью расщепления. Часть 111. Синтез некоторых 2-тиогидантоинов, как веществ для сравнения. Элмор, Огл, Тосле и д (Degradative studies on peptides and proteins. Part III. Synthesis of some 2-thiohydantoins as reference compounds. E 1 m or e D. T., Og 1 e J. R., Toseland P. A.), J. Chem. Soc., 1956, Jan., 192—196 (англ.)

Для сравнения с соединениями, образующимися при ступенчатом расщеплении полипентидов действием N-анилдитиокарбаматов (см. часть II, РЖХим, 1956, 68502), синтезирован ряд 2-тиогидантоинов общей ф-лм (I). I (R'= COCH₃, R'= CH₂CH₂COCH₃) получен нагреванием 2,4 г ү-метилового эфира глутаминовой к-тис 1,5 г NH₃SCN в 45 мл (CH₃CO)₂O и 5 мл СH₃COOH 10 мнн. при 100°, выход 2,2 г, т. пл. 102° (из хлф.-нетр. эф.); при действив водн. вли спирт. NH₃ дает смесь продуктов. Действием 60 мл насыш, спирт. NH₃ на 3 г 5'-оксопирролидино-(1', 2'-1,5)-2-тиогидантоина (II, X = O) (5 мин.) получен I (R = H, R'= CH₂CH₂CONH₂), выход 2,8 г, т. пл. 193° (из сп.-петр. эф.). Гидролизом 0,5 г 1-ацетил-5-(1-ацетил-4-глиоксалинилметил)-2-тиогидантоина (2 часа кипичения в спирте + 10 н. HCl, 1: 1), получен хлоргидат 5-(4'-глиокса

MA

npe

JIH-

вии

ано

Tem

уи-

(И)

ыми

при

Bec

BO3-

и 00

и в нов 200)

мол.

ыше

зме-

-pu-

иролях:

100),

HCla

n-

тро-

ODM-

He

дио-

B =

000),

500).

-ции

ров,

B TO

оль-

CK0-

л-ва

BHH-

X HM,

ргин

-ТИО-

dangle Jan.,

при

M N-

1956,

ф-лы н на-

К-ТЫ

HOO

петр.

Iз на

тоина ₂CH₂эф.).

инил-

оте +

линилметил)-2-тногидантонна, выход 0,26 г, т. пл. 285—288° (разл.; из водн. сп.). Для получения пирролидино-(1',2'-1,5)-2-тногидантоина (II, X = H₂) суспензию хлоргидрата этилового эфира L-пролина (из 1г L-пролина) в 15 мл сухого ацетона и 1,2 мл (С₂H₅)₃N нрибавляют к р-ру бензоилизотноцианата (из 0,7 г NH₅SCN и 0,7 мл С₆H₅COCl в 15 мл ацетона), встряхивают 5 мин., затем кипятят 15 мин., выливают в воду, экстратируют этилацетатом, ученают сустатом, на

NH B упаривают, остаток на-гревают 3 часа со спиртом н 3 н. HCl (1:1). Образовавшийся р-р упаривают, остаток растворяют в эфире ваниим регрумаривания в отничения в промывают рером NaHCO₃; упариванием эфирного рера получают 380 мг II (X = H₂), т. пл. 161—163° (из сп.-петр. эф.) Кристаллич. I (R = H, R' = (CH₂)₃-КHC (= NH)NH₂ (получен кипячением 1,5 часа рера 200 мг а-N-ацетилтнокарбамоил-L-аргинина (III) с 2 п. НСl, выход 150 мг, т. пл. 208—209° (разл.; из сп.). III получен р-цией 1,05 г монохлоргидрата L-аргинина с 1,49 г метил-N-ацетилдитнокарбамата (IV) в водн. спирте при рН 8,8, выход III 511 ме, т. пл. 252° (разл.; из воды). К p-ру 4 г монобромгидрата рцоринтина в 40 мл 50%-ного водн. пиридина прибавляют ((2H₅)₃N до рН 9 и 9,2 г IV, р-р кипятят 3 часа, прибавляя 6 порций по 2 мл (C₂H₅)₃N. Через 2 дня фильтрат упаривают в вакууме, остаток растворяют в воде, извлекают С6Н6, водн. р-р подкисляют и экстрагируют этилкают съпъ, вода. р-р подавствот и экстратируют стил-ацетатом. Экстракт упаривают, обработкой спиртом отделяют от (С₂Н₆)з\n HCl, осаждают эфиром α-N-ацетилтиокарбамоил-DL-орнитии и без дальнейшей очистки кипятит 3 часа с 5 н. HCl. Упариванием и экстракцией спиртом получают хлоргидрат I (R = H, $R'' = (CH_2)_3NH_2$). При получении тем же методом I (R = H, R'= (CH₂)₄NH₂) из L-лизина образуется смесь в-в. Аналогично из 3,5 г г-N-бензоксикароонил L-лизина через промежуточи е образование I (R = CH₃CO, $R' = C_6 H_5 C H_2 O C O N H (C H_2)_4$) получен I (R = H, R' == (CH₂)₄NH₂), выделенный хроматографией на порощ-ке целлюлозы, выход 13 мг, т. пл. 217—219°. I (R = = CH₃, R' = H) получен с небольшим выходом 3 методами: 1) нагреванием (2 часа) 300 мг этилового эфира N-бензоплтиокарбамоилсаркозина (из хлоргидрата этилового эфира саркозина (V) и бензоилизотиоцианата, выход 47%, т. пл. 132°, из сп.) со спиртом + 10 н. HCl (1:1), выход 42 мг, г. пл. 224—226° (из водн. сп.); 2) р-цией этилового эфира саркозина (из 1 г V) с 1 г IV в спирте + эфир (1: 1) 7 дней при 37° и нагреванием продукта р-ции 2 часа с 2 н. HCl, выход I (R = CH₃, R'= H) 15 мг; 3) кипячением спирт. p-pa 1,5 г V и 1,5 г КSCN 6 час.; упарпванием фильтрата и кипячением остатка 2 часа с 3 н. HCl; экстракцией эфиром выделено 17 мг I (R = CH₃, R'= H). Для получения I (R = H, R'= CH₂SO₃H) 3,4 ε цистеиновой к-ты нагревают при 40° и рН 8,5 24 часа с 4,5 г IV в 40 мл 50%-ного спирта; образовавшуюся N-ацетилтиокарбамоилцистенновую к-ту очищают обработкой нонитом Дауэкс 50, нагревают 1 час с 2 н. HCl, выход I (R = H, R'= = CH₂SO₃H) 3 г. 4 г рц-метионинсульфона и 3,4 г NH₄SCN кинятят 30 мин. в 20 мл смеси (СН₃СО)₂О + - CH₃COOH (9:1) и выливают в воду, выход I (R = получен I (R = H, $R' = CH_2SCH_3$), выход 56 ме, т. пл. 169—170° (из воды). С. Аваева Нукленновые кислоты. Тодд (Nucleic acids. T o d d Alexander), Makromolek. Chem., 1956, 20, № 2, 87—100 (англ.)

11881. Строение пукленновых кислот. Филипович (Budowa kwasów nulkeinowych. Filipowicz Bronisław), Postępy biochem., 1956, 2, № 1, 15—60 (польск.)

Обаор. Библ. 282 назв.

1882. Пространственное строение нукленновых кислот. Лейко, Филипович (Przestrzenna budowa kwasów nukleinowych. Leyko Wanda, Filipowicz Bronisław), Postępy biochem., 1956, 2, № 1, 61—75 (польск.)

Обаор. Библ. 45 назв

В. Ш. 1883. Фосфатиды и их производные. VI. Фосфатид-

Обаор. Библ. 45 назв

11883. Фосфатиды и их производные. VI. Фосфатиды ные производные батилового спирта. Стегерхук, Веркаде (Phosphatidic acids and derivatives. VI. Phosphatidic acids derived from batyl alcohol. Stegerhoek L. J., «Verkade P. E.), Recueil trav. chim. 1956, 75, № 5, 467—474 (англ.)

Описан синтез ряда производных батилового спирта (глицерин- α -октадецилового эф.). Исходя из α - и β -мовональмитоилбатилового спирта (I) или α - и β -моностеароилбатилового спирта (II) и хлорангидрида дифенилфосфорной к-ты (III) получены дифениловые эфиры: β -пальмитоилбатил- α -фосфорной к-ты CH_2 ($OC_{1b}H_{27}$) CH- ($OCOC_{1b}H_{21}$) CH_2OPO (OC_6H_5) $_2$ (IV). батил- α -фосфорной к-ты (V) и а-пальмитоил(а-стеароил)-батил-а-фосфорных к-т (соответственно VI и VII). При гидрогенолизе дифениловых эфиров получены β-пальмитоил-(3-стеароил)-батил-а-фосфорные к-ты (VIII и IX) и а-пальмитоил-(3-стеароил) митоил-(а-стеароил)-батил-β-фосфорные к-ты (X и XI). Из VIII или IX при переэтерификации по Земплену образуется батил-а-фосфорная к-та (XII), а из X или XI— батил-3-фосфорная к-та (XIII). Утвеј ждение Кленка и Дебуха (РЖХимБх, 1955, 7920) о получении ими XII, по-видимому, онвибочно. Фосфорные к-ты произгодные а-или 3-тритилбатилового спирта неустойчивы. Из 0.62 е β-1 и 0.43 е 111 в 5 мл пиридина + 10 мл ССІ₄ (2 дня, 45°) получен IV, выход 84%, т. пл. 46—46,5°. Аналогично синтелированы: V, выход 87%, т. пл. 48—49°; VI, выход 91%, т. пл. 42.5—43°; VII, выход 89%, т. пл. 45.5—46° (все из петр. эфира). P-р 0,60 г IV в 25 мл диоксана гидрировали (2 часа., ~20°) в присутствии Pt/C (из 0,25 г H₂PtCl₆·6H₂O и 1 г норита), выход VIII 88%, т. пл. 65—66°; аналогично получены IX, выход 90%, т. пл. 70—70,5° (оба гично получены 1X, выход 90%, т. пл. 70—70.5° (оба из петр. эф.); X, выход 82%, т. пл. 57,5—58°; XI, выход 83%, т. пл. 62—62,5° (обе из ацетона). Р-р 0,370 г VIII в 50 мл СН₃ОН + 12,5 мл О,1 п. р-ра СН₃ОNа в СН₃ОН кипятили 1 час, р-ритель удален в вакууме, к остатку добавлено 20 мл горячего петр. эфира, выпавшая ди-Na-соль XII растворена в 25 мм горячего Павиан ди-на-соль XII раствојена в 23 ма горичето СН₃ОН и разложена добавлением 6 мл 1%-ного р-ра НСІ в абс. СН₃ОН, выход XII 74%, т. пл. 78,5—79,5°. Выход XII из IX 71%. Аналогично получена XIII из X (или XI), выход 78% (74%), т. пл. 59—60° (XII и XIII — из ацетона). XII и XIII неустойчивы и выделяют Н₃РО₄ даже при хранении над Р₂О₅. Сообщение V см РЖХим, 1955, 26253 А. Лютенберг

11884. Установление строения кориномиколеновой кислоты синтезом. Пюдль, Ледерер (Essais synthétiques sur la constitution de l'acide coryno-my-colénique. Pudles Jubio, Lederer Edgar), Bull. Soc. chim. France, 1954, № 7-8, 919—923 (франц.)

Синтезированы производные пальмитиполейновой к-ты: метиловый эфир рацемич. којиномиколеновой к-ты $\mathrm{CH_3-(CH_2)_5-CH=CH-(CH_2)_7-CHOH-CH(C_{14}H_{20})-}$ — $\mathrm{COOCH_3}$ (I) и $\mathrm{uuc-\Delta^7-пальмитенов}$ $\mathrm{CH_3-(CH_2)_5-CH=}$ $\mathrm{CH-(CH_2)_7-CO-CH_2-C_{14}H_{20}}$ (II), выделенные ранее из липидов дифтерийной палочки (РЖХим, 1956, 68507). Исходным в-вом служит β -кетоэфир $\mathrm{CH_3-(CH_2)_5-CH=CH-(CH_2)_7-CO-CH(C_{14}H_{20})-}$

В. Ш.

Обзор. Библ. 26 назв.

No

MeT

OKC

мом ран

HOE

Her

K-T

пил ке (Fe

Ar

Kle

Ma

II

KO

ма ки

(c

об

по

не

ne

11

T

Ma

пр ба

KC 15

nº

C

 — COOC₂H₅ (III), получаемый конденсацией йодистого тетрадецила (IV) и диэтилового эфира малоновой к-ты (V) с последующим омылением двэтилового эфира тетрадецилмалоновой к-ты (VI) КОН (1 экс) и конденсацией ее моноэтилового эфира (VII) с дигидропираном (C_5H_8O) ; этиловый тетрагидропираниловый эфир тетра-децилмалоновой к-ты (VIII) конденсируют с хлоран-гидридом пальмитиноленновой к-ты (IX) в после отщепления C_5H_8O в CO_2 получают III. При восстановлении III NaBH, образуется оксиэфир: полученная его омылением оксикислота дает при действии CH2N2 I. При омылении спирт. р-ром КОН III дает II. Синтезирован также метиловый эфир 7'-тетрадепен-2-ил-3-окси-11-октадеценовой (миколевой) $CH_3(CH_2)_5CH = CH(CH_2)_7CHOHCH(COOCH_3)(CH_2)_6CH =$ = CH (CH₂)₅CH₃ (X), не найденной в липидах дифтерийной палочки и являющейся продуктом конденсации двух молекул пальмитинолеиновой к-ты (XI). К p-py двух молекул пальмитиноленновой к-ты (XI). К р-ру 1,4 ε Na в 20 мл спирта прибавляют 12,5 ε V, затем 8,5 ε IV, кипятят (5 час.), выход VI 70%, т. кип. 140—150°/0.05 мм, $n^{19}D$ 1,4460. 4,5 ε VI омыляют р-ром 0.675 ε КОН в 60 мл спирта (48 час., \sim 20°), выход VII 3.4 ε ; т. пл. 40—42° (из петр. эф.). 2,7 ε VII растворяют в 5 мл С₆Н₆, прибавляют 10 мл С₅Н₈О VII растворяют в 5 мл C_6H_6 , прибавляют 10 мл C_5H_8U и 4 капли 10%-ного р-ра толуолсульфокиелоты в CH_3OH (12 час., $\sim 20^\circ$), упаривают в вакууме (т-ра $<40^\circ$), дважды прибавляют C_6H_6 ; к остатку VIII в 10 мл абс. C_6H_6 прибавляют 0,2 г Nа (до полного растворения), затем р-р IX (из 2,5 г XI) в C_6H_6 (стояние 16 час.), кипятят с 1 мл CH_3COOH (5 час.), промывают р-ром NaHCO3 и водой, остаток (4,3 г) содержит 26% III; 3,6 г неочищ. III растворяют в 10 мл 2000 г 200 г 20держит 26% III; 3,6 г неочищ. III растворяют в 10 мл диоксана + 40 мл СН₃ОН, прибавляют 0,6 г NаВН₄ (стояние 12 час.), омыляют 3%-ным р-ром КОН в СН₂ОН (кипячение 2 часа), разлагают К-соль разб. Н₂SO₄, извлекают эфиром, остаток (3 г) хроматографируют на Al₂O₃, вымывают (эф.-СН₃COOH, 19:1) 1,5 г оксинислоты. Продукт этерификации ее действием $\mathrm{CH}_2\mathrm{N}_2$ растворяют в петр. эфире, хроматографируют на $\mathrm{Al}_2\mathrm{O}_3$ и вымывают ($\mathrm{C}_6\mathrm{H}_6$ -эф., 1:1) І, т. кип. 230—250°/0,1 мм, n^{21} D 1,4678, λ_{Marc} 230 мµ, жаяс 2879 (в гексане). Каталитич. гидрирование I с PtO_2 дает эфир $C_{38}H_{66}O_2$, т. пл. 60—65°. 1,5 г неочип. III растворяют в 15 мл CH_3OH , содержащих 0,7 г KOH, кипятят 4 часа, получают II, т. пл. 40—42°, т. кип. 200—220°/0,1 мм, дмакс 230 мµ, ε 147 (в гексане), при восстановлении LiAlH₄ дает 7-гентриаконтен-16-ол, т. пл. 54° (из CH₉OH). 1.2 г NaH, 5 мл ксилола, 7. Пал. 34 метилового эфира XI и несколько капель абс. СН₃ОН нагревают (3 часа, 145°), получают метиловый эфир а-пальмитинолеилпальмитинолеиновой к-ты (XII), выход 70%, т. кип. $230-260^{\circ}/0.1$ мм, n^{26} D 1.4700, d_{A}^{20} 0,8904. 370 мг перегнанного XII омыляют 8 мл 3%-ного p-ра КОН в СН₃ОН (кипячение 2 часа); перегоняют при 220—240°/0,1 мм, получают дипальмитинолеилкетон (7,24-гентриаконтадиен-16-он), т. пл. 14-15°, n^{21} D 1.4690. Из XII (4,5 s+20 мл диоксана +40 мл R^{1} 1 4090. Из AII (4,5 θ + 20 мл диоксана + 40 мл CH_3 ОН + 0,9 θ NаВ H_4 , омыление 2%-ным КОН, разложение К-соли HCl (к-той), получена свободная окси-кислота, очищ. ва Al_2O_3 с вымыванием эфиром 3% CH_3 СООН (выход 1,7 θ); при действии CH_2N_2 дает X, т. кип. $230-250^{\circ}/0.1$ мм, n^{26} D 1,4700, d_4^{20} 0,900. Высказано предположение, что І и Х, вероятно, являются смесями двух стереоизомеров; две двойные связи X, по-видимому, имеют *цис*-конфигурацию. ИК-спектры синтетич. I и II идентичны спектрам соответствующих природных в-в (приведены кривые). Р. Топштейн

1885. Аллетрин. Синтез 4 изомеров *цис*-аллетрина. Ла-Фордж, Грин, III ехтер (Allethrin. Synthesis of four isomers of cis-allethrin. La Forge F. B., Green Nathan, Schechter M. S.), J. Organ. Chem., 1956, 21, № 4, 455—456 (англ.) В дополнение к полученным ранее (РЖХим, 1955, 23856) 4 транс-нзомерам аллетрина синтезированы 4 чис-нзомера с целью изучения связи между нзомерией и дезинфицирующими свойствами в-в. dl-Цисхризантеммонокарбоновая к-та разделена на антиноды по Кемпбеллу (Campbell, Harper, J. Sci. Food Agr., 1952, 4, 189); α-чис-кислота, т. кип. 100—104°/0,4 мм, т. пл. 50—51°, [а]³3 D + 60.3°, [а]²5 D +59,5° (переохлаждение, без р-рителя), [а]²4 D +83,0° (с 1,75; хаф.); l-чис-кислота, т. кип. 95°/0,12 мм, т. пл. 50—51°, [а]²6 D —86,3° (с 1,97; хаф.), К-ты действием SOCl₂ в петр. эфире (20°, 12 час.) превращены в хлорангидриды (ХА), т. кип. 76—78°/0,03 мм (при перегонке ХА в вакууме водоструйного насоса эфиры получаются с неверным [а]) d-и l-Аллетролоны (1) ацилировали ХА (без избытка) в бензоле + пиридин, выходы эфиров 80—85%, свойства (приведены изомеры компонентов: I и чис-кислоты, т. кип. в °С/мм, n²5 D, [а]²5 D в керосине (с 16) и без р-рителя): d + d, 142—148/0.25, 1,5080, +5,6, +13,5; l+l, 135—140/0.05, 1,5070, —5,5, —14,8; d+l, 144—146/0,1, 1,5074, —19,7, —19,4; l+d, 147—148/0,1, 1,5076, +19,1, +19,0. Г. Челинова 11886. Исследование строения нейраминовой кислоты. К л е и к, Ф а й а р, В е й г а н д, Ш ё не (Untersuchungen über die Konstitution der Neuraminsäure. К 1 е и к Е., F а i 11 a r d H., W e y g a n d

saure. K I e n k E., F a i I I a r d H., W e y g a n d F., S c h ö n e H. H.), Hoppe-Seyler's Z. physiol. Chem., 1956, 304, № 1, 35—52 (нем.; рез. англ.) На основании прежных и новых иследований пронаводных нейраминовой к-ты C₁₀H₁₉O₉N (I) — ее метилгикозида (II) и N-ацетилнейраминовой к-ты (III), для них предложены структурные ф-лы. По-видимому, III идентична с гинаминовой к-той и с сналиновой к-той из муцина овцы. Опытами с С¹⁴Н₃ОН доказано, что II не содержится в природном мукопротевде, а образуется из I или III при обработке СН₃ОН + HCl. Описана очистка II посредством распределительной хроматографии на целлюлозе; из 100 г муцина подчелюстных желез получено 5,2 г II. Из 150 мг II и 2 мл (СF₃CO)₂О (охладительная смесь) получен N-трифторацетил-II, С₁₃Н₂₀О₁₀N F₃, выход 187 мг, т. пл. 154—158° (разл.). Из 1 г II и 10 мл 66%-ной НВг (5 двей, 0°) получено 420 мг не редуцирующего «в-ва с R₁ 0,02» (IV), изомерного I, т. разл. 200—220° (кристаллизация из воды), [α]²оD + 58,3°

HOCH, CHOH, CHOH, COOH

HOCH, (CHOH), CH20 II.

(с 0,58; вода). Описаны опыты окисления III по Виллыштеттеру — Шудлю, окисления II и IV периодатом, дезаминирования и гидролиза II, подтверждающие предполагаемое строение их. Приведены кривые и данные ИК-спектров II и IV (см. РЖХимБх, 1956, 12171).

В. Некрасов 11887. Выделение окиси пиперитона из Mentha syl-

OCH (CH2OH) CHOHCH3OH IV

11887. Выделение окиси пиперитона из Mentha sylvestris. Рейтсема, Варнис (The isolation of piperitone oxide from Mentha sylvestris. Reitse ma Robert H., Varnis Verners J.), J. Amer. Chem. Soc., 1956, 78, № 15, 3792—3794 (англ.) Из мяты Mentha sylvestris выделена окись l-пиперитона $C_{10}H_{16}O_2$ (I). При перегонке с паром I или его семикарбазон дают диосфенол (II). При кинячении с

Г.

B.,

955.

аны

M30-

Luc-

ОПЫ

gr.,

MM,

ιφ.); 51°

.97:

ac.)

KMII.

одо-[α]).

тка) вой-

сло-

16) 5,6,

14,8;

+ d,

E H e mina n d

нгл.)

простилдля сому, к-той

TO II

уется

сана огражеос)₂0

(зл.).

чено изооды),

илль-

атом,

дан-

171).

pacob sylon of

e m a

Amer. гл.) пери-

и его

нии с

метанольным р-ром КОН I перегруппировывается в оксикислоту (III), представляющую собой, по-види-мому, чис-изомер оксикислоты (IV), выделенной ранее (Trebs W., Ber., 1931, 64B, 2545) при авалогичной перегруппировке синтетич. окиси 1-пиперитова (V). Дегидратация III или IV приводит к пиперитоленовой к-те (VI), причем препарат, полученный из IV, частично рацемизован. Окис-

HO CICOOH) CHICH 3 III лением метилового эфира VI посредством КМпО4 получают а-карбокси-а-изопропилглутаровую к-ту (VII). Авторы предполагают, что кетон, выделенный ранее из масла *Lippia turbinata* (Fester J. A. и др., Recueil fac. ing. quim. Santa Fè, Argentina, 1951, 20, 43), идентичен с I. Возможно лакже, что лактон, выделенный ранее (Power E. B., Kleber C., Pharm. Rund., 1894, 12, 157) из мятного масла, представляет собой лактон III. По-видимому, I не является биогенетич. предшественником основных компонентов мятного масла. Свежие растения $M.\ syl$ vestris подвергают перегонке с паром и полученное масло разгоняют в вакууме на колонке. Из фракции, кипящей при 91°/3 м.м., кристаллизуется I, т. пл. 14,5— —15.5° (из гексана), n_D^{20} — 1,4624, d_{25}^{25} 1,008, [α] ^{22}D —177° $^{\circ}$ (с 0.96; сп.), $^{\circ}$ $^{\circ}$ $^{\circ}$ $^{\circ}$ $^{\circ}$ $^{\circ}$ (с 0.96; сп.), $^{\circ}$ $^{\circ}$ $^{\circ}$ $^{\circ}$ $^{\circ}$ $^{\circ}$ (с 0.96; сп.); $^{\circ}$ $^{\circ}$ $^{\circ}$ $^{\circ}$ $^{\circ}$ (п 3 СН₃ОН), $[\alpha]^{25}$ $^{\circ}$ $^{\circ}$ $^{\circ}$ $^{\circ}$ $^{\circ}$ $^{\circ}$ (с 0.29; сп.); $^{\circ}$ 2,4-динитрофенилгидразон, т. пл. (с. 0,29; сп.); 2,4-динитрофенилгидразон, т. пл. 115—117° (разл.). І не дает кристаллич. оксима и не образует фенилуретана. При перегоние семикарбазона І с. 5%-ной (СООН)2 или с. 5—10%-ной Н2SQ получают ІІ, выход 25%, т. пл. 83—84° (из воды и возгонка); фенилуретан, т. пл. 109—110,5°. Из неперегоняющейся части экстракцией эфиром выделяют немного 1,2-диоксиментона (?) (VIII), т. пл. 113—114°. 2 г фракции из масла M. sylvestris с. т. кип. 99°/8 мм, n²o D 1,4632, превращают по методу Трейбса (см. ссылку выше) в ІІІ, выход 42% (неочип.). Трейбса (см. ссылку выше) в III, выход 42% (неочиц.), т. ил. 86—87° (на бал.-метилциклогексана, [а]²⁵ D —33,3° (с 1,8; сп.). Аналогично из перазоглатите масла M. sylvestris получают III с выходом 22%, а V превращают в IV, выход 47,5%, т. пл. 112—113° (из 6зл.), αD $0\pm1^\circ$. P-р 15 ε III в 60 мл CH₃OH и 6 мл конц. H_2 SO₄ выдерживают 15 час. при 20° и кипятят 15 час, разгонкой продукта р-ции выделяют метиловый эфир VI, выход 7,49 г (неочищ.), т. кип. 100-101°/22 мм, $n^{20}D$ 1,4579, α^{23} D 49,12°, d_{20}^{20} 0,9662. В тех же условиях IV дает препарат с α^{24} D —1,5°. 5 e метилового эфира VI окисляют 8 e KMnO₄ в воде и продукт р-ции омыляют 40%-ным води. КОН (кипячение 1 мин.). Из полученного масла при стоянии на пористой глине кристаллизуется VII, т. пл. 162—163° (из эф.-петр. эф.). Приведены данные об УФ-спектрах I, семпкарбазона I, II и VIII.

Л. Бергельсон 11888. Сантонии и родственные соединения. VII.

Дикетокиелоты из тетрагидросантонинов. Тахара (Santonin and related compounds. VII. Diketo acids from tetrahydrosantonins. Таһага Акіга), Јогдап. Chem., 1956, 21, № 4, 442—446 (англ.) Уточиялась предложенная ранее (Сообщение VI, см. РЖхим, 1956, 75076) конфигурация а-и ү-тетрагидросантонинов (I). При нагревании с 3%-ным р-ром NаОН из а-І образуется а-тетрагидросантониновая к-та (а-ІІ), выход 90%, т. пл. 95—97° (из води. сп.); из ү-І также получена ү-ІІ, выход 80%, т. пл. 196—197° (из води. сп.). При действии к-т или нагревании выше т-ры плавления а-ІІ и ү-ІІ вновь лактонизируются. Окислением а-І и ү-І (через а-ІІ и ү-ІІ) СГОз в пиридине до дикетокислот (ІІІ), получены: α-ІІІ, т. пл. 147—148° (из аф.-петр. эф.), [а]¹³ D —59,9° (с 1,7); моногидрат, т. пл. 77—79° (из води. сп.); моносемикарбазон, т. пл. 227—229° (из сп.), и ү-ІІІ, выход 45%, т. пл. 186—187°

(из водн. сп.), $[\alpha]^{25}D$ —138,5° (c 2,1); моносемикарбазон, т. пл. 241—243° (из сп.). Окисление α -1 N-бромсукцинимидом или N-бромацетамидом не имеет преимуществ перед окислением CrO_3 (выходы α -III 15-13%). Нагреванием в диоксане с 3%-ным р-ром с последующей лактонизацией к-той и окислением образующегося спирта (IV) CrO₃ в пиридине приводит к а-І, выход 23%. Принимается, что в а-І и β-І как гидроксил лактонного кольца при $C_{(5)}$, так и остаток пропионовой к-ты при С₍₆₎ находятся в э-положении. При восстановлении (Na в сп.) небольших кол-в α-III и В-III (менее 0,5 г), последующей лактонизации и окислении наряду с с-I образуется два новых изомера окислении паряду с $^{-1}$ соразуется два новых изомера тетрагидросантонина: Ia, выход 5%, т. пл. $162-163^\circ$ (из эф.-петр. эф.), [α]⁸¹ D —120 $^\circ$ (с 1,13) и I6, т. пл. 96—98 $^\circ$ (из эф.-петр. эф.). Гидролиз Ia и I6 и последующее окисление приводят соответственно к α -III и β-III; сделан вывод, что гидроксил при $C_{(5)}$ в Іа и Іб расположен аксиально и образует уис-лактонное кольцо. Каталитич. гидрирование α -III и β -III в р-ре лед. С H_3 СООН над Рt (из РtO₂) приводит к соответствующим монокетокислотам (V) $C_{15}H_{24}O_4$: α -V, выход 70%, т. пл. 151—152° (из водн. сп.), $|\alpha|^{28}D$ —40° (с 0,9), и γ -V (V6), выход 80%, т. пл. 182—183° (из водн. сп.), $|\alpha|^{27}D$ —64,6° (с 0,86). При восстановлении α -III и β -III $NaBH_4$ (\sim 20°, 1 час) выходы V 90%. По-видимому, СО-группа в V находится при $C_{(5)}$ и состановиления β-III; сделан вывод, что гидроксил при С₍₅₎ в Ia и I6 седние группы создают пространственные затруднения. Седине группы создают пространственные затрудневия. При действии NaBH₄ в кипящем спирте (1—2 часа) из 50 мг α-И получено 40 мг α-V и 10 мг в-ва, т. пл. 77—79° (вероятно IV), при окислении дающего Ia; в этих же условиях из β-III образуются β-V и масло, выход 17%, при окислении не дает кристаллич. продуктов. При восстановлении LiAlH₄ (в эф., кипячение 6 идс.) из α-III образуется масло (вероятно, смесь изо-6 час.) из а-ІІІ образуется масло (вероятно, смесь изомерных триолов), при окислении дающее с хорошим выходом Iа, а из 3-III кристаллич. триол $C_{15}H_0O_3$. выход 80%, т. пл. 212—215° (из водн. сп.), при окислении которого не удалось получить кристаллич. в-в. Все [а] определялись в спирте. Л. Хейфиц

1889. Синтез оксианина-В. Гоэл, Джайн, Сешадри (Synthesis of oxyayanin-B. Goel R. N., Jain A. C., Seshadri T. R.), J. Chem. Soc., 1956, June, 1369—1371 (англ.)

Оксиаянин-В (I) (см. РЖХим, 1956, 19407) синтезирован двумя методами. Смесь 4 г 2,5-диокси-о,4-димето-кснацетофенона, 32 г ангидрида О-бензилизованилиновой к-ты (II) и 8 г Nа-соли О-бензилизованилиновой к-ты (III) нагревалась (180—184°, 4 часа в вакууме); продукт р-дии извлечен кипячением с 80 мл 8% спирт. р-ра КОН. Осаждением СО₂ в водн. р-ре выделен 3′-бензилокси-6-окси-3,7,4′-триметоксифлавон (IV), выход 3,5 г, т. пл. 190—191° (из сп.). Смесь 3 г IV, 150 мл СН₃СООН и 12 г гексамина нагревалась 7 час. (100°), затем с 70 мл кинящей разб. (1:1) НСІ (к-той) еще 30 мин., 5-формил-6,3′-днокси-3,7,4′-триметоксифлавон (V) экстрагировали СНСІз, выход 0,8 г, т. пл. 209—211° (из бал.); 2,4-динитрофенилидразон, т. пл. 266° (разл.; из СН₃СООН). Р-р 0,5 г V в 3,5 мл 6%-ного води. р-ра NаОН и 5 мл пиридина окислен 1,5 мл 5%-ной Н₂О₂ (0°, 15 мин.), получен І, т. пл. 207—208° (из этилацетата-петр. эф.); трнацетат (VI), т. пл. 214—216° (из этилацетата). Из 3 г 2,5-днокси-о,4,6-триметоксивцетофенона, 25 г II и 6 г III (175—180°, 4 часа, в вакууме) аналогично IV получен 3′-бензилокси-б-окси-3,5,7,4′-тетраметоксифлавон (VII), выход 3,5 г, т. пл. 168—169° (из сп.). Проведена р-ция 1 г VII с 30 мл СН₂СООН

No

обр

Op

Пр

Ma.

ДО H31

Ha(

y 1

14: ME THE ME ME

3-1

От

Lei

Ha:

ци

ere

14

11

фи В-1

пр

HE

ЮТ

CTI

n I

ПО

пе

ле

Ka

HC

пр

Ha

12

пе

ри 14

пр Пр

11

по

м 15 мл конц. НСІ (1 час, 100°), выход 6,3'-диокси3,5,7,4'-тетраметоксифлавона (VIII) 0,4 г, т. пл. 236—
238° (из этилацетата); при более длительном кипиченин образуется І. 0,25 г VIII и 1 г безводи. АІСІз в 20 мл
абс. эфира грели 6 час. (35°), эфир удален, комплекс
разложен разб. НСІ, ацетилированием осадка (0,15 г)
получен VI и из него І. А. Лютенберт
1890. О растении семейства мареновых, содержащем
производные гитрацена—Morinda persicaefolia. Строение мориндина (мориндозида). ІІ а р и, Н г у з и Б а
Т у о к (Sur une rubiacée à dérivès anthracéniques,
le Morinda persicaefolia. Constitution de la morindine
(morindoside). Р а г і з R., N g u у е п В а Т и о с),
Апп. Pharmac. Ігапс., 1954, 12, № 12, 794—799 (франц.)
Из корней и стеблей М. регвісаеfоlіа выделены: мориндин (мориндозид) (І), мориндон (ІІ), метиловый
эфир триоксиметилантрахинова и небольшие кол-ва
двух новых антрахиновов, т. пл. 270° и т. пл. 220°.
При кислотном гидролизе І образует ІІ, глюкозу и
ксилозу, а при действии рамнодиастаза — ІІ и применерозу (ІІІ). По-видимому, в І молекула ІІІ связана с
ОН-групной при С (6) молекулы ІІ. О. Славина
11891. Новый оптически активный флаванон из

11891. Новый оптически активный флаванон из листьев Rhododendron farrerae Tate. A р т ур (A new optically active flavanone from the leaves of Rhododendron farrerae, Tate. A r t h u r H. R.), J. Chem. Soc., 1955. Nov. 3740—3742 (анги)

1955, Nov., 3740—3742 (англ.)
Из листьев Rh. farrerae экстракцией эфиром (см. РЖХимБх, 1956, 1405) выделен 5,7,4'-триокси-6,8-диметилфлаванон — фаррерол» (1), выход 0,85%, смесь (—)-и (±)-форм, т. пл. 207—218° (из воды+диоксан), [а] D—16°. Триацетат (±)-І, из смеси (±) и (—)-І, ииридина и СН₃СОСІ, 0°, т. пл. 192° (из СН₃ОН затем из сп.), [а] D 0,02° (с 0,81). Рацемич (±)-І получен: а) из триацетата (±)-І и разб. спиртов. Н₂SO₄; б) из смеси (±)- и (—)-1 фракционированной перекрист. из СН₃ОН; в) рацемизацией смеси (±)- и (—)-1 0.2 и. КОН (сп.+вод; 2 дня); г) деметилированнем маттеуцинола (НЈ-к-та, в уксусном ангидриде или AlCl₃ в бензоле), т. пл. 223—224° (из воды+диоксан). Действием на (+)-І СН₂N₂ получен метиловый эфир маттеуцинола. Оксим (±)-І, т. пл. 253—255° (СН₃ОН + вода). 2',4',6',4-тегра-ацетатокси-3', 5'-диметилхалкон (из триацетата (+)-І и уксусного ангидрида кипиченйем 9 час.), т. пл. 158—159° (из СН₃ОН). В Rh. championae, Rh. westlandii и Rh. simiarum флавопоидные соединения не найдены. Все т-ры плавления исправлены. Л. Май

11892. Синтез ацетата дегидроподофиллотоксина. Уокер (Synthesis of dehydropodophyllotoxin acetate. Walker Gordon N.), J. Amer. Chem. Soc., 1956, 78, № 10, 2316—2318 (англ.)

Из смешанного метилэтилового эфира 2,3-дикарбокси - 4- (3',4',5' - триметоксифенил)-6,7 - метилендиокситетралона-1 (1) омылением и действием НСНО получен продукт (II), состоящий главным образом из дегидроподофиллотоксина; ацетилирование II привело к ацетату дегидроподофиллотоксина (III). Гидрированием

роннофиллолида и дигидрокалофилловой кислоты. Полонекал (Formules développées du calophyllolide et de l'acide calophyllolide et de l'acide calophyllolide et de l'acide dihydro-calophyllolide et de l'acide dihydro-calophyllique. Роlоп s k y J u d i t h), С. г. Асаd. sci., 1956, 242, № 25, 2961—2964 (франд.) Установлены структурные ф-лы калофиллолида (I), калофилловой к-ты (II) и ее лактона — инофиллолида (III); они подтверждены синтезом дигидроинофиллолида (IV) и дигидрокалофилловой к-ты (V). При действии на I НЈ + Р. кроме описанных ранее в-в. выделен 2,3-диметил-5,7-диоксихроманон (VI), т. пл. 135—140°, УІсинтезирован из флороглюцива и тиглиновой к-ты (VII), получены диацетат и монометиловый эфир VI. При действия на I AlCl₃ в C₀H₅NO₂ образуется II. Частичным гидрированием III получен IV, т. пл. 212—215°. При омылении IV образуется V, т. пл. 217—220°. Из 4-фенил - 5,6′-(2′,2′ - диметилхромано) - 7 - оксикумарина и хлорангидрида VII получен эфир C₂₅H₂₄O₅ (VIII),

филлолида и калофилловой кислоты; синтез дигид-

т. пл. 153—155°, который при действии AlCl₃ по Фрису изомеризуется в IV. Идентичность природных и синтетич. IV и V установлена сравнением их т-р плавления, УФ- и ИК-спектров. Приведены данные УФ-спектров IV и VI.

См. также: Углеводы и родств. соед. 3877Бх, 3878Бх. Стеронды 13310, 13311, 13315—13318; 3376Бх, 3662Бх, 3663Бх, 389.Бх. Алкалонды 12200—12204; 3887—3889. Витамины 13306. Антибиотики 13319 — 13321; 3711Бх, 3750Бх, 3754—3761Бх, 3771Бх. Аминокислоты и белки 10860; 3394Бх, 3432Бх, 3460Бх, 3481Бх. Др. природн. в-ва 3731Бх.

ХИМИЯ ВЫСОКОМОЛЕКУЛЯРНЫХ ВЕЩЕСТВ

Редакторы Х. С. Багдасареян, Г. С. Колесников, Ю. С. Липатов

11894. Инфракрасные исследования полипентидов, родственных шежку. Эллиотт, Малком (Infrared studies of polypeptides related to silk. Elliott A., Malcolm B. R.), Trans. Faraday Soc., 1956, 52, № 4, 528—536 (англ.)

Исследованы поляризационные ИК-спектры поглошения и рентгенограммы растворимых в воде шелковой пряжи и волокна Anaphe moloneyi (АМ), полученых различными способами. голиглицина и шелковых волокон Bombyz mori (ВМ). Пленки растворимой в воде спиральной с-формы шелка были получены путем отливки на поверхности ртуги р-ра шелка в трифторуксусной к-те и последующей сушки на воздухе. а также осаждением водой. При прокатке полученых пленок

и-4-7,8-

еден

есто

0%.

(30

IH.),

MAT

OH-MA 35—

HO

aca,

ф.); (H3

берг

HHO-

гил-

OTH.

que;

C. r.

нц.)

пида

ллофилдей-

елен 140°;

VII),

дей-

ным

П ри 4-фе-

а и

III),

ts.

XCH,

рису

син-

ения,

тров ıберг

8Bx.

2Бх,

3889.

1 Ex,

елки родн.

нных

E0воле OTорук-

акже тенок

MUX

образуется вытянутая, нерастворимая в воде, β-форма. Ориентированные пленки β-полиглицина были получены таким же способом из р-ра в дихлоруксусной к-те. При осаждении полиглицина из р-ра получается а-форма, имеющая спектр поглощения, отличающийся от спектра β-формы. При нагревании образцов в вакууме до 170° (1 час) или давления до 3200 кг/см² в спектрах до 170° (1 час) или давленни до 3200 кг/см² в спектрах ваменений не наблюдается. В спектре полиглицина наблюдаются частоты: β-форма NH у 3300 см⁻¹, С = О у 1632 см⁻¹ и серия частот NH деф. у 1521 см⁻¹ и СН у 1434 см⁻¹; а-форма NH у 3290 и 3095 см⁻¹, С = О у 1648 см⁻¹, NH деф. у 1558 см⁻¹ и СН 1418 см⁻¹. Полосы поглошения 1015 см⁻¹ β-формы и 1026 см⁻¹ а-формы служат для определения чистоты полученной а- или β-формы. На ревтгенограмме а-полиглицина отсутствует кольцо, соответствующее межплоскостному расстоянию 1,16A, характерное для в полиглицина, и а-форма не может быть вытянутой. Отвосительно закрученности спирали «формы одно-звачные давные не получены. Из ИК-спектров и рентгенограмм следует, что водородная связь в шелке возможна как внутримолекулярная, так и межмолекулярная. Так как АМ и ВМ состоят из частей молекул глидина и алавина, то в их спектрах поглощения наблюдается ряд общих частот, из которых 924 и 966см-1 отнесевы к скелетным колебаниям, 1166—1168, 1446—1447 и 1452—1454 *см*⁻¹ отвесены к колебаниям СН₃-групп и 1452—1454 *см* — отнессны к колебаниям амидных групп. 1220—1235 *см*⁻¹ к колебаниям амидных групп. Е. Покровский

1895. Инфракрасные спектры и структура протен-нов шелковичных желез. Ленорман (Infra-red spectra and structure of the proteins of the silk glands. Lenormant H.), Trans. Faraday Soc., 1956, 52, № 4, 549—553 (англ.)

Получены ИК-спектры поглошения растворимого в воде фиброина и протеннов шелковичных желез. В обоих в-вах наблюдались характеристич. полосы поглощения протеинов у $1650-1535~cm^{-1}$; слабые полосы поглощения в протеинах у $1200-950~cm^{-1}$ приписаны фосфорным примесям, содержащимся в железах. При выдавливании и вытягивании протеинов в ИК-спектре появлятотя полосы поглошения у 1625 и 1515 см $^{-1}$, соответствующие β -структуре. В дейтерированных протеннах в p-ре в D_2O наблюдается при высущиваеми смещение полосы поглощения у 1465 см $^{-1}$ к 1450 см $^{-1}$. Исследованные протеины очень чувствительны к механич. воздействиям, подобно осажденным ацетоном фиброинам, и легко превращаются из с-формы в 3-форму, в то время как при вагревании до 100° в течение 3 мин. не про-исходит никаких заметвых изменений. Исследованные протеины и фиброин отличаются от других протеинов валичием полосы поглощения средней интенсивности у 1235—1240 см⁻¹, исчезновением полос поглошения 1580 и 1550 см⁻¹ в р-ре в D₂O и небольшим смещением пептидной полосы поглошения при растворении дейтерврованных образцов от 1450 см⁻¹ (сухой образец) к 1465 см⁻¹ (раствор в D₂O). Нерастворимость протеннов прямо связана с преврашевием α-формы в β-форму. При наматывании шелковой вити - шелковичным червем происходит не только кристаллизация из пересыщ. р-ра, но и заметные изменения конфигурации пентид-ных цепей. Е. Покровский 11896.

Элементы термодинамической теории макромолекул-полиэлектролитов. І. Скалярная теория ма-кромолекул в разбавленном растворе. Мармас с (Éléments de la théorie thermodynamique des macromolécules-polyélectrolytes. I. Théorie scalaire des macromolècules en solution diluée. Mar mass e C l a u d e), J. chim. phys. et phys.-chim. biol., 1956, 53, № 6, 501—505 (франц.)

Развивается скалярная теория термодинамики р-ров полиэлектролитов с жесткими макромолекулами. В

предположении, что распределение зарядов в поли-ионе подчинено законам больцмановской статистики, рассчитываются энергии взаимодействия между отдельными зарядами. Предположение о жесткости макромолекул имеет бесспорный физ. смысл, по крайней мередля обширного класса полимеров типа кератина. В принципе теория может быть распространена и на другиетипы макромолекул. На основе анализа процесса ионизации рассмотрены «элементарные процессы» и рассчитаны основные термодинамич. функции. Геометрия макромолекул при этом явным образом вводится в выражения, связывающие для каждой степени ионизации среднюю стандартную свободную энергию и среднюю константу равновесия. Далее рассчитываются энтропии для различных распределений зарядов при различных степенях ионизации, и на основе подобного описания единичных макромолекул строится термодинамич. модель р-ра в целом, отражающая как геометрич., так и электрич. свойства составляющих его полинонов. С помощью этой модели рассчитывается в первом при-ближении потенциал в любой точке p-pa. С. Френкель 11897. Влияние сшивания на свойства карбоксиль

ных полимеров. І. Кажущаяся константа диссоциации ных полимеров. I. Кажущаяся константа диссоциации полимеров акриловой и метакриловой кислот. Ф и ш е р, К у и и и (Effect of cross-linking on the properties of carboxylic polymers. I. Apparent dissociation constants of acrylic and methacrylic acid polymers. F is her Sallie, Kunin Robert), J. Phys. Chem., 1956, 60, № 8, 1030—1032 (англ.)

Определены кажушиеся константы диссоциации для сшитых полиакриловой и полиметакриловой к-т в води. p-pe 1M KCl в присутствии КОН. р K_a определялась по ур-нию Гендерсона—Хассельбаха: pH = p $K_a - n \lg \lfloor (1 -$ —∘)/а], где n-константа и α-доля нейтрализованного полимера в предположении, что вся добавленная шелочь взаимодействует с карбоксильными группами полимера. Изменение рН среды со степенью иситр-ции показывает, что с ростом молярной доли сшивающего агента-дивинилбензола степень диссопнации к-т уменьшается. Определевы звачения р K_a и n и найдена зависимость р K_a от молярной доли акрилата m в полимере вида: р $K_a =$ $= p K_a (m=1) [2-m]$. Значения $p K_{a(m=1)}$ при m=1совпадают со значениями для неспитых полимеров. Исследовано также сшивание другими агентами. Зависимость р K_a от молярной доли к-ты одинакова для различеых спивающих агентов; авторы считают, что при-рода мономерной к-ты и ее конечная конц-ия в полимере определяют степень диссоциации поликислоты. Не было найдено прямой связи между п и составом полимера; п зависит от природы и конц-ни сшивающего агента. Ю. Липатов Физико-химическое исследование белков из

opexob Sterculia foetida. Жубер (A physico-chemical study of the proteins from the Sterculia foetida nut. Joubert F. J.), J. Appl. Chem., 1956, 6, № 6, 252-256 (англ.)

Описано седиментационное поведение белков орехов Sterculia foetida. полученных путем экстракции из обезжиренной муки 10%-вым NaCl. При седиментации этого экстракта в ультрацентрифуге в фосфатном буфере рН 7 и понной силы и 0,31 выявляются 3 максимума основной, с седиментационным коэфф. s=11.0 ед. Сведберга и 2 побочемх с s=17.2 и 2.1. Приведена Сведоерга и 2 посочемх с s=17,2 и 2.1. Приведена схема меогократеого фракционирования сульфатом аммония (ср. РЖХимБх, 1956, 5293), благодаря которому основной комповент удается выделить в чистом виде. Его константа седиментации $s_0=12.7$, а коэфф. диффуани $D=3,27\cdot10^{-7}$, что в предположения пара. уд. объема 0,74 дает по ф-ле Сведберга мол. вес 362 000 м. фрикционное отношение (по Сведбергу) $f/f_0=1.38$.

ос ср де гр М

ma co

HE

g.

p-Ha

110

CT

Средневесовой и «А-средний» коэфф. диффузии практически совпадают, что свидетельствует о высокой степени гомогенности белка. Наблюдавшиеся для других растительных белков процессы обратимой димеризации при изменении рН или µ (см. ссылку выше) в данном случае не имеют места. С. Френкель случае не имеют места.

Система полимер-смешанный растворитель. V. Некоторые выводы из предыдущей работы. Каваи (Note on polymer-mixed solvent system. V. Certain consequences of the previous treatment. Kawai Tōru), Bull. Chem. Soc. Japan, 1955, 28, № 6, 396—403 (англ.)

Литературные эксперим. данные по осмотич. давлению и набуханию полимера в смещанном р-рителе сравниваются как с теоретич. значениями второго вириального коэфф. а2, термодинамич. параметром взаимодействия между полемером и смешанным р-рителем и, характеристич. вязкостью [η], вычисленными автором с учетом селективной адсорбции, так и со значениями аз, μ и [η], вычисленными в предположении, что смешанный р-ритель ведет себя по отношению к полимеру как гомог. жидкость. На отдельных примерах показано, что имеется совпадение между эксперим. и вычисленными с учетом селективной адсорбции значениями a_2 ; вклад селективной адсорбции в a_2 тем больше, чем больше р-рители отличаются друг от друга. Эксперим. кривые зависимости $[\eta]$ от объемной доли p-рителя θ асимметричны по отношению к прямой $\theta = \theta_c$, что соответствует теоретич. кривой с учетом селективной адсорбции (0 - объемная доля р-рителя, при которой растворяющая способность смешанного р-рителя максимальна). Степень асимметрии кривой зависимости [η] от θ тем больше, чем больше теплота смешения р-рителей и чем меньше θ_c . Подсчитано численное значение асимметрии кривой [η] от θ для р-ра поливинилацетата в системе ацетон-вода и метанол-вода. Показано, что вклад селективной адсорбции в и*, найденную из измерений равновесного набухания для системы полистирол-дивинилбензол в смеси толуол-п-пропанол с добавлением осадителя, вначале возрастает, а затем уменьшается и дает огрицательные значения при 80%-ном составе пронанола. Сообщение IV см. РЖХим, 1957, 8264.

С. Котляр Поведение полимеров в растворе. V. Система из двух полимеров и одного растворителя. Каваи, Накамура (高分子溶液の溶解狀態に關する 研究 第5報. 混合高分子-溶媒系の診透壓について、河合徹,中村 好雄),工業化學雜誌, Когё кагаку дзасси, J. Chem. Soc. Japan, Industr. Chem. Sec., 1954, 57, № 1, 4—6

Измерено осмотич. давление систем, полученных попарным растворением нитрата целлюлозы, ацетата целлюлозы и поливинилацетата в ацетоне (20°), и вычислены параметры взаимодействия для каждой системы. Результаты согласуются с термодинамич. теорией (Scott R. L., J. Chem. Phys., 1949, 17, 268—279). Сообщение VI см. J. Chem. Soc. Japan, Industr. Chem. Sec., 1952, 55, 736 (Chem. Abstr., 1954, 48, 7394).

Chem. Abstrs, 1955, 49, No 3, 1407. Katsuya Inouye 11901. Взаимодействие между пластификаторами и полимерами. I. Совместимость ацетата целлюлозы и алкилфталатов. Каваи, Фурукава (高分子-可塑劑相互作用に關する研究. 第 1 報. 酢酸糠糠素, に對するアルキルフタレートの混和性. 河合傲, 古川孝志), 工業化學雜誌), Когё кагаку дзасси, J. Chem. Soc. Japan. Indusr. Chem. Sec., 1954, 57, № 6, 436—439

С целью получения параметров, выражающих сродство полимера к пластификатору, измерено осмотич. давление р-ров фракционированного ацетата целлю-лозы в (CH₃)₂CO, смешанных с диметил- (I), диэтил-(II)

и либутилфталатом (III) (отношение (CH₂)₂CO к фталату варьировалось от 1:1 до 1:6, т-ра 20°). Полученные данные рассмотрены с применением теории, предложенной ранее (Bull. Chem. Soc. Japan, 1952, 25, 336— 341, Chem. Abstrs, 1953, 47, № 20, 10332). Совместимость пластификатора с p-ром полимера убывает в следующем порядке I > II > III. Измерена также характервстич. вязкость этих систем при 30°

Chem. Abstrs, 1955, 49, № 6, 4323. Katsuya Inouve 1902. Форма частиц, полученных при кислотном расщеплении целлюлозы. В удс (The shape of particles obtained by acid degradation of cellulose. Woods H. J.), Biochim. et biophys. acta, 1954 14.

№ 2, 283 (англ.)

Ответ на возражения (РЖХим, 1955, 42747) по работе Мукхерджи и Вудса (РЖХим, 1954, 28840).

С. Пронин 11903. К калориметрии высокополимеров. І. Определение интегральных теплот разбавления в широком интервале концентраций. Горке, Енкель (Zur Kalorimetrie der Hochpolymeren. I. Bestimmung von integralen Verdünnungswärmen über den gesamten Konzentrationsbereich. Gorke K., Jenckel E.), Z. Electrochem., 1956, 60, № 6, 563—579

Описан адиабатич. дифференциальный калориметр для определения теплоты разбавления р-ров высоко-полимеров, выделяющейся в течение ~ 2 минут. Калориметр позволяет вести определения с точностью $\sim 0,02$ кал. Объем р-рителя в калориметре 800 мл. Возникающая вследствие разности температур (10-5-10-6 град.) термо-э. д. с. (~10-8 е) термопар усиливается при помощи компенсатора с фотоэлементом, компенсируется и записывается через каждые 10 сек. Подробно описана методика работы с калориметром. Ю. Липатов

Молекулярно-весовое распределение некоторых полиэтиленов, полученных при низком давлении. Веслау (Die Molekulargewichtsverteilung einiger Niederdruckpolyäthylene. Weßlau Hermann, Makromolek. Chem., 1956, 20, № 2, 111—142 (нем.;

рез. англ.)

Исследовано распределение по степеням полимеризации Р в нескольких образцах полиэтиленов, полученных металлоргания. катализом по Циглеру. Образцы были разбиты на относительно узкие фракции методами осаждения и изменения р-рителей. Все операции проводились при т-рах 110—135°. Характеристич. вяз-кости [7] фракций измерялись в декалине при 135°; пересчет на средневесовые мол. веса производился по ϕ -ле $\lg [\eta] = 0.63 \lg \overline{M}_w - 3.01;$ далее методом 'Шульца (сглаживание ступенчатой кривой) строились интегральные кривые распределения по P, I(P). I(P) всех образдов имеют одинаковую форму и различаются по ширине. Образцы с одинаковыми $[\eta]$ обладают идентичными I(P), независимо от метода их приготовления. Кривые необычно широки: большая часть их доходит до $P \approx 5 \cdot 10^4$; [η] фракций покрывают весь интервал значений от 0,1 до 15 (100 $c M^3/\varepsilon$), однако во всех образцах существенно преобладают низкомолекулярные фракции. Максимумы дифференциальных кривых распределения расположены в области очень малых P (< 1000); благодаря этому отношение \overline{M}_w к среднечисленному мол. весу достигает иногда нескольких десятков. С известным приближением весовые дифференциальные функции распределения могут быть выражены эмпирич. соотношением $m_p = (\beta \sqrt{\pi})^{-1} \stackrel{-1}{-1} \times$ imes ехр (— $eta^{-2} \ln^2 P/P_0$), где m_p — дифференциальная весовая доля, а параметры β и P_0 являются функциями средних значений [7] исходной смеси фракций; в интервале ату

HLIE

(ЛО-

6-

ую-

ери-

uye

pa-

14,

pa-

нин

еле-

ROW

(Zur

von

nten

kel

-579

Meto

ORO

ало-

MA.)-6_

или-

TOM.

сек.

rpom.

атов

кото-

ении.

niger

n n),

нем.:

риза-

учен-

азпы

тола-

рации

вяз-135°:

CH NO

ульца

гральех об-

ся по

нтич-

тения.

THEOX

гервал

х об-

ярные х расмалых

редне-

льких циффе-

выра-

я весо-

и сред-

ервале

1 ≤ [η] ≤ 5,5 $\lg P_0 = 1,57 \lg [\eta] + 2,87$ и $\beta = 1,40 \lg [\eta] + 2,31$. P_0 существенно выше P_n (среднечисленной P), по меньше средневискозиметрич. P. С. Френкель 11905. Рассмотрение длинных разветвлений и молекулирных весов полнэтилена. М у с с а (Considerations on the long branching and the molecular weights of polythene. M u s s a C a r l o), J. Polymer sci., 1956, 20, № 94, 223—224 (англ.)
Методом последовательных приближений получена

Методом последовательных приближений получена основная кривая, карактеризующая зависимость логарифма карактеристич. вязкости р-ров полиэтилена от среднего мол. веса (М) для четырех идеально монодисперсных фракций полиэтилена. Полученные интегральные и дифференциальные кривые распределения М совпадают с вычисленными Бисли (РЖХим, 1956, 990). Вычислены параметры разветвления в соответствии с определенями Бисли. Н. Плата

11906. Эбулноскопический метод определения молекулярного веса полнэтилена. Смит (Measurement of the molecular weight of polythene by ebulliometry. Smith H.), Trans. Faraday Soc., 1956, 52, № 3, 402—409 (англ.)

Предложен збулиоскопич. метод определения мол. весов (М) полиэтилена (ПЭ) при помощи прибора, описанного ранее (Ray, Trans. Faraday Soc., 1952, 48, 809) и несколько усовершенствованного для повышения чувствительности метода. Точность отсчета изменения т-ры с помощью зеркального гальванометра составляет 1,5·10-5 град. (в области М ~30 000), навеска ПЭ 0,03 г в 15 мл р-рителя — толуола, СС14 или и-октана, причем последний является наилучшим р-рителем, а наихудший — СС14. Показано, что при навеске >0,1 г зависимость подъема т-ры от навески во всех р-рителях линейная, а при меньших конц-иях наблюдается изгиб в случае толуола и и-октана, и кривая имеет минимум, что связано с адсорбцией ПЭ на поверхности достаточно разб. кипищих р-ров. Верхний предел определения М составляет 30 000 и ограничивается вспениванием р-ра, которое увеличивается с ростом М и препятствует точному измерению, но наиболее точные данные, совпадающие с данными определения М осмометрич. методом, лежат в области М ~ 15 000. Н. Плата

11907. О зависимости между числом вязкости и молекулярным весом у полистиролов от гемиколлондной до макромолекулярной области. Марцольф, Шульц (Über die Beziehung zwischen Viskositätszahl und Molekulargewicht bei Polystyrolen im hemikolloiden bis makromolekularen Bereich. Магzоlрh H., Schulz G. V.), Makromolek. Chem., 1954, 13, № 2-3, 120—129 (нем.)

Полимеризацией стирола в присутствии перекиси бензоила, SnCl $_4$ и $\rm H_2SO_4$ получен ряд препаратов полистирола с мол. в. до $4\cdot 10^4$. Образцы фракционировали 2- и 3-кратным осаждением метанолом из p-ра в метилэтилкетоне, а самые низкомолекулярные — осаждением водой из ацетонового p-ра. Полученные фракции очищали многократным переосаждением и освобождали от растворителя плавлением в вакууме. Для всех фракции полистирола определены вязкостное число Z_n в толуоле и средний численный мол. вес (M_n) криосконией в бензоле по описанному ранее методу (РЖХим, 1956, 16280). Построенная автором кривая зависимости Z_n от M_n в области малых M_n (до 25 000) идет более полого, чем в области больших M_n . Такую зависимость авторы объясняют тем, что в области $M_n {\gg} 10^5$ вязкость определяется статистически свернутыми макромолекулами, а в области $M_n {<} 3$ 000 действует гидродинамика жестких шарообразных и эллипсоидальных

частиц. Механизм полимеризации не влияет на Z_η в гемиколловдной области.

11908. Вязкость высокомолекулярных растворов. Исихара (高分子溶液の粘性. 石原明), 科學, Кагаку, 1954, 24, № 5, 230—235 (япон.)

11909. Диффузия и капиллярное течение индифферентных газов в стеклообразном полистироле. Шульц, Герренс (Diffusion und Kapillarströmmung indifferenter Gaze im glasartigen Polystyrol. Schulz G. V., Gerrens H.), Z. phys. Chem. (BRD), 1956, 7, № 3-4, 182—206 (нем.) Для характеристики различия в тонкой внутренней

структуре стекол и расплавов полистирола (I) при т-рах ниже «точки замерзания» (Т) применен метод диффузии инертных газов. Изучалась кинетика проникания этих газов в образцы блочного I (мол. в. Мп 128000, Т 98°) и гемиполистирола (II) (мол. в. Мп 2650, Т 71°). Анализ полученных данных, основанный на расчете констант диффузни (D) (по ур-нию Дюнвальда и Вагнера), показал, что процесс поглощения газа проходит в две стадии. Первая, завершающаяся в несколько минут, характеризуется относительно высоким значением \dot{D} (порядка 10-5 см²сек-1) и представляет собой проникновение газа в систему узких капилляров, являющихся характерным структурным элементом органич. стекол, отличающим их от переохлажденных расплавов. Вторая стадия — подлинная диффузия газа из капилляров в области, заполненные в-вом I, протекает в течение ряда дней с меньшей скоростью (*D* порядка 10⁻⁷). Различие в значениях *D* для разных инертных газов (He, Ar, H2, N2) и для двух изученных образцов I относительно невелико. Найдено, что средний радиус капилляров равен ~10 А. Данные о скорости диффузии во второй стадии позволили вычислить диффузионный путь, характеризующий расстояние между капилля-рами: 1,03·10⁻⁸ см для блочного I и 1,62·10⁻⁸ см для II. Возникновение капиллярной системы при охлаждении I ниже T авторы объясняют некоторой степенью упорядочения молекул, располагающихся параллельно в небольших областях. Это приводит к различию в коэфф. расширения по разным направлениям, к анизотропии контракции и напряжений. Ниже Т, при прекращении микроброуновского движения, выравнивание напряжений возможно только путем смещения областей относительной упорядоченности, сопровождащегося разрывом непрерывности структуры, т. е. обра-зованием капилляров. С. Гликман

1910. Микроскопическое исследование диффузии водных растворов кислот и щелочей в поликапралактам. Долежел (Mikroskopické sledování difuse vodných roztoků kyselin a zásad polykaprolaktamem. Předběžné sdělení. Doležel Břetislav), Chem. průmysl, 1956, 6, № 7, 281—283 (чеш.; рез. русс., англ.)

Разработана методика микроскопич. исследования диффузии водн. р-ров к-т и щелочей в поликапролактам, позволяющая установить оптимальную толщину полвамидных защитных пленок. Из полученных результатов вычислен коэфф. диффузии (D) 0,1 н. p-ра H_2SO_4 в поликапролактам и энергия активации этого процесса. D=12,7 exp (-13450/RT) $c.m^2/ce\kappa$. Резюме автора

11911. Электрохимия дисперсий высокополимеров. I. Влияние днализа на свойства синтетических латексов. Папич Р. М., Воюцкий С. С., Коллонд. ж., 1956, 18, № 3, 326—331 (рез. англ.)

Изучено влияние днализа на свойства латексов сополимера винилиденклорида и дивинила (70:30) (I) и одного из полярных производных дивинила. В качестве води. фазы для латексов использованы олеат и нафтенат аммония. Показано, что рН латексов после диализа снижается до значения 4,6-5,3 и все мыло переходит в соответствующую жирную к-ту. Агрегативная устойчивость глобул уменьшается, хотя и со-храняется в течение некоторого времени вследствие присутствия той же к-ты или других стабилизаторов на поверхности глобул. Диализ сопровождается уходом из латекса значительного кол-ва мыла. Методом кондуктометрич. титрования латексов р-ром олеата Na определены крит, кон-ции мицеллообразования мыла в р-ре, отвечающие образованию вокруг глобул сплошного мономолекулярного слоя стабилизатора, и показано, что в результате диализа степень покрытия глобул в случае I падает от 68,2 до 20—35%, а размер частиц возрастает благодаря агрегации и уходу из системы стабилизатора. Устойчивость латексов к электролитной коагуляции при не слишком длительном диализе повышается. Подтверждено значение термодинамич., а не структурно-механич. фактора в устойчивости достаточно концентрированных диализованных латексов с малым содержанием мыла. Н. Платэ 11912. Рентгенографическое исследование механизма

кручения волокна. 1. О рентгенограмме крученой нити кручения волокна. 1. О рентгенограмме крученой нити моноволокна поликапроамида. О утино, Араи, Такаги (然りの構造に関する X 線的研究. 第 1 報 ボリカブロアミド機維の振りについて. 淵野柱六, 新井克育, 高木宗一), 機維學會誌, Сэнън гаккайси, J. Soc. Text. and Cellulose. Ind., Jарап, 1954, 10, № 9, 394—398, I—II (япон.; рез. англ.)

1913. Тонкая структура монозамещенных полигли-колевых эфиров. Реш (Feinstrukturprobleme an monosubstituierten polyglykoläthern. Rösch M.), Kolloid.-Z., 1956, 147, № 1-2, 79—81 (нем.)

В согласии с литературными данными, исследования автора показывают, что прирост длины полиэтиленооксидной цепи на одну этиленоксидную группу равен —2 А. Расчет для зигзагообразной цепи по известным величинам атомных расстояний и валентных углов дает для инкремента 3,4 А. Сокращение длины цепи на 43% связано с образованием извитой спиральной структуры. Построены модели структуры додецилового спирта, этерифицированного десятью этиленоксидными группами, показывающие сокращение длины цепи благодари образованию извитой структуры. И. Слоним К исследованию клеев электронной диффрак-

пией. Ямагути (Zur Untersuchung von Kleb-mittel durch Elektronenbeugung. Yamaguchi Shigeto), Kolloid-Z., 1956, 148, № 3, 174 (нем.) Отмечается, что при покрытии поверхности стекла слоем пластмассы на основе акриловой к-ты (I) электронограммы выявляют существование ясной текстуры. Текстура не появляется при покрытии I металлич. поверхностей, а также Na-К-стекла. Автор считает, что наличие текстуры может служить критерием пригодности макромолекулярного в-ва в качестве клея. С. Френкель

915. Коэффициент преломления и размер частиц как факторы в инфракрасной спектрофотометрии поливинилхлорида. Харви, Стюарт, Ачхам-Mep (Index of refraction and particle size as factors in the infrared spectrophotometry of polyvinyl chloride. Harvey Mary Reiney, Stewart James E., Achhammer Bernard G.), J. Res. Nat. Bur. Standards, 1956, 56, № 4, 225-235 (англ.)

Для получения ИК-спектров в-в, которые нельзя измельчить до размеров частиц, сравнимых с длиной волны падающего света, использовалось вание их с в-вами, имеющими такой же коэфф. преломления, но прозрачных в ИК-области спектра. Для поливинил х лорида, имеющего коэфф. преломления $n^{27}D =$ =1,548, наиболее подходящим для прессования материалом является KBr с $n^{20}D = 1,56$. При прессовании

поливинилхлорида с КВг можно использовать частины размером до 110 µ. Получение спектров от неизмельченных частиц позволяет избежать деструкции исследуемых в-в в процессе размола или нагревания. При использовании жидкостей с соответствующим п для получения суспензии практически невозможно полобрать р-ритель без полос поглошения в широкой области спектра. Приведены спектры поглещения для частиц с размерами от 1 до 110 µ. Разработанная методика применена для получения спектров поглошения волокон найлона и бумаги при диаметре волокон до 30 µ. Е. Покровский 11916.

1916. Двойное лучепреломление кератиновых во-локон. Окадзима (Birefringence of keratin fibre. Okajima Saburo), Mem. Fac. Technol. Tokyo Metropol. Univ., 1955, № 5, 55—64 (англ.)

Измерялось характеристич. двойное лучепреломление Г кератиновых волокон овечьей шерсти и шерсти ангорской козы, при различных режимах растяжения, а также при действии ряда физ. и хим. агентов (влага, пар, нагревание, обработка Na₂S₂O₄, Na₂S, Na₄HSO₈ и т. д.). Наблюдавшиеся изменения Г интерпретируются как результат изменения внутренней структуры кератина, сопряженного с возможным α → β-переходом полипентидных ценей и во всяком случае с изменением первоначальной степени упорядоченности, характерной для α -кератина. Прямые указания на $\alpha \to \beta$ переход, наблюдаемый рентгенографич. или ИК-методами, при данном методе исследования отсутствуют. Значительное понижение Г сопровождает обрыв дисульфидных мостиков, поддерживающих структуру а-кератина. Этот обрыв осуществляется под действием восстановителей или нагревания; сам по себе он еще не изменяет упаковку полипептидных цепей в волокне, по последующее микроброуновское движение их отдельных освободившихся участков приводит к потере упорядоченности и падению Г. При 60%-ном растяжении наблюдается резкий скачок Г, возможно, связанный с кристаллизацией цепей β-кератинового типа.

С. Френкель Плавление полиакрилонитрила. Судзуки (ボリアクリロニトリルの溶解 鈴木昭三), 科學, Кагаку, 1953, 23, № 10, 535—536 (япон.) 11918. О химически активных группах в целлюлозе

и ее свойствах. Жарковский Д. В., Уч. зап.

Белорус. ин-та нар. х-ва, 1956, вып. 2, 93—98 Автор наблюдал в гидролизатах целлюлозы, разб. водой, образование с течением времени волокнистых осадков регенерированной целлюлозы. Предполагается, что они образуются за счет агрегации молекулярных ценей, не подвергшихся полностью гидролизу; агрегация объясняется проявлением межмолекулярных взаимодействий по неполярным группам цепей. На возможность такого взаимодействия указывают данные определения теплот смачивания целлюлозы бензолом, которые по порядку величины близки к теплоте смачивания водой. Ю. Липатов

 Исследование структуры синтетических поли-амидных волокон. 7. Дифференциальная теплота растворения капронового волокна в муравыной кислоте. Михайлов Н. В., Файнберг Э. З., Коллонд. ж., 1956, 18, № 2, 208—214 Измерены дифференциальные теплоты (ДТ) раство-

рения ориентированного и неориентированного капроновых волокон в муравьиной к-те, которые аналогично ДТ сорбщии воды (см. сообщение 6, РЖХим, 1957, 8274) имеют два постоянных значения. Как в случае сорбции, так и в случае растворения нулевому тепловому эффекту соответствует одна и та же молярная доля воды и муравьиной и-ты на 1 моль капролактама. Различия в значениях ДТ ориентированных и неориентированных волокон объяснены на основе представлений Г.

шы

ЛЬле-I pu

RILI

IIO-05пля

ме-

RMI

ло кий

BO-

bre.

kyo

IJIP-

CTR

ия.

ага,

SO.

ру-

уры

дом

ием

repepe-

MM,

ачи-

бил-

epa-

ста-

зме-

HO

ельупо-

нии

ный

кель KH

斗學,

J1030

зап.

разб.

стых

ется.

ини

pera-

вза-

BO3нные

лом.

сма-

STOR

OJIH-

pac-

юте.

3.,

CTBOпро-

ичне

1957, учае

еплорная

гама. риен-

ений

о существовании в поликапролактаме по крайней мере двух типов водородных связей, один из которых от-носится к внутримолекулярным связям, переходящим в процессе холодной вытяжки волокна в межмолекулярные. Исходя из того, что при вытяжке кол-во связей, соответствующих большему значению ДТ растворения, уменьшается почти в 5 раз (с 8,82% сорбированной к-ты до 1,74%), авторы заключили, что в пропессе вытяжки образуются более прочные связи. Более слабыми связями должны являться внутримолекулярные: поэтому авторы делают вывод, что процесс холод-ной вытяжки волокон протекает через раскрытие внутримолекулярных циклов, образованных этими связями, и через образование более прочных межмолекулярных связей, определяющих кристаллич. структуру поликапролактама. Авторы считают, что поскольку при вытяжке не происходит изменений в фазовом состоянии волокна, то физ.-мех. свойства волокна определяются лишь соотношением между различными ти-Ю. Липатов пами связей.

11920. Механическая обработка высокополимеров. Гросман, Кингстон (Mechanical conditioning of high polymers. Grossman P. U. A., Kingston R. S. T.), Austral. J. Appl. Sci., 1955, 6, № 4, 442—452 (англ.)

Предложена теория «механич. обработки» полимеров, т. е. изменения их свойств после приложения напряжения. Во многих случаях материал, испытавший после 1-го приложения напряжения необратимую деформацию, не испытывает ее при последующих приложе-ниях напряжений, если они не превосходят 1-го папряжения. В этих случаях принцип суперпозиции не выполняется. Деформация полимера с учетом нелиней-

ного процесса механич. обработки может быть описана ур-нием $\gamma(t) = (1/G) \{\sigma(t) + \int_0^t \sigma(\tau) [\varphi_d(t-\tau) + g(\gamma_p/\sigma)] \times$ $\times d\tau$ }, где G — упругий модуль, σ^0 — напряжение, Фи функция ползучести для запаздывающей высокоэластич. деформации (для нее принцип сунерпозиции выполняется) и g — пекоторая функция от γ_p/σ (γ_p необратимая деформация). Рассмотрены (в пренебрежении запаздывающей высокоэластич. деформацией) соотношения между ползучестью и релаксицией напряжения для различных видов функции д, и получены соответствующие этим функциям g функции ползучести φ_p для необратимой деформации. Показано, что сравнение ползучести и релаксации напряжения не позволяет судить о наличии или отсутствии механич. обра-О. Птицын ботки.

Корреляция механического, диэлектрического и ядерного парамагнитного поглощения для некоторых полимеров. Il a у л с (La corrélation de l'absorption mécanique, diélectrique et paramagnétique nucléaire pour certains polymères. P o w l e s J. G.), Colloq. A. M. P. E. R. E., mars 1956. Inst. Phys. Univ. Genève, 1956, 107—114; Arch. sci., 1956, 9, fasc. spécial, 182-189 (франц.)

Обсуждаются преимущества параллельного исследования трех указанных в заглавии видов поглощения в твердых телах и, в частности, полимерах. Наряду с общей корреляцией соответствующих характеристич. частот (для резонансного поглощения) должны выявляться некоторые различия деталей, позволяющие глубже проникнуть в свойства твердых тел. Эти общие соображения иллюстрируются на примере полинзо-бутилена, полиметилметакрилата и полиметил-α-хлоракрилата, на основе ранее опубликованных литературных данных, включая данные автора. С. Френкель 11922. Частотная и температурная дисперсии в высокополимерах. О и о г и, У и (Frequency and temperature dispersions of high polymers. O и о g i Shigeharu, Ui Kyuzaburo), J. Colloid Sci., 1956, 11, № 3, 214—225 (англ.) Определены температурная и частотная зависимости

компонент комплексного динамич, модуля для волокон из сополимера винилиденхлорида и винилхлорида из сополимера винилиденхлорида и винилхлорида в интервале т-р от —20 до +80° и частот 0,2—10⁸ гн. Полученные данные обработаны на основании теории Ферри (РЖХим, 1956, 32678). Показано, что данные, полученные при разных частотах и при одной т-ре, могут быть приведены к данным, полученным при разных т-рах и постоянной частоте в хорошем согласии с экспериментом. риментом. Ю. Липатов Химическая релаксация напряжений в поли-

уретановых эластомерах. О ф ф е и б а х, Т о б о л ь-с к и й (Chemical relaxation of stress in polyurethane elastomers. Offen hach J. A., Tobolsky A. V.), J. Colloid Sci., 1956, 11, № 1, 39—47 (англ.) При 90—130° изучалась релаксация напряжений при растяжении на 20% четырех образцов эластомеров: вулколланов, изготовленных из полиэфира (продукта конденсации адипиновой к-ты и смеси этиленпропиленгликолей) и дифенилметандиизоцианата нафталин-1,5-диизоцианата или толуол-2,4-диизоцианата и сшивающих агентов (вода, бутандиол-1,4 и ароматич. диамины), а также адипрена В. Энергин активации релаксации равны 30—35 к кал/моль. Скорости падения напряжений в образцах отличались незначительно; исходя из этого и известной термич. неустойчивости уретановых группировон, предпола-гается, что наиболее вероятным местом разрыва полимерной сетки являются поперечные мостики 3-замещ. мочевины. 11924. Изучение вибрационных характеристик пла-

11924. Изучение выбрационных характеристик пластинки из поливинилацетата. Аран, Судзукв (甕化ビニル板の振動料性、荒井潔吉、鈴木惠)、高分子化學、Кобунси катаку, Chem. High. Polymers, 1953, 10. № 102, 412—417 (япон.)
11925. Релаксационные диалектрические потери в полиметакрилате. Михайлов Г. П., Борисова Т. И., Дмитроченко Д. А., Ж. техн. физики, 1956, 26, № 9, 1924—1928
В интервале частот 12—80 гц и т-р 17—120° исследованы лиалектрии, потеры пластифицированного и местания пладектрии, потеры пластифицированного и местаны пладектрии, потеры пластифицированного и местания пладектрии, потеры пластифицированного и местания править п

ваны диэлектрич. потери пластифицированного и непластифицированного полиметилметакрилата. Измерения проводились на мосте Шеринга, приспособленном для измерений в указанной области частот. Полученные результаты показывают, что изменение частоты в указанных пределах сказывается лишь на положении области максимума tg в стеклообразном состоянии; смещения области максимума tg 8 в высокоэластич, состоянии не наблюдается. Добавление пластификатора влияет лишь на ориентационные процессы высокотемпературной релаксации. Авторы считают, что потери при высоких т-рах являются дипольно-эластическими, а при низких т-рах — дипольно-радикальными. Абс. значения потерь в стеклообразном состоянии существенно выше. Авторы считают, что дипольные потери обеих областей обусловлены ориентацией диполя группы $O = C - OCH_3$; в эластич. состоянии движение углеродной цепи тормозит свободное движение этих групп; при переходе в стеклообразное состояние. когда главные цепи стали неподвижными, а плотность упаковки не изменилась, полярные группы могут следовать полю с большей легкостью. Таким образом, подвижность полярных групп остается высокой при переходе в стекло, поэтому tg 8 имеет здесь большее значение в противоположность тому, что наблюдается в случае механич. потерь, где главную роль играет сегментальное движение цепи. Высокая подвижность полярных групп объясняет, по мнению авторов, высокие качества полиметилметакрилата как органия. стекла с малой хрупкостью. Ю. Липатов 1926. Диэлектрические эффекты, вызванные отвердеванием некоторых органических соединений в электрическом или магнитном поле. Мак-Махон (Dielectric effects produced by solidifying certain organic compounds in electric or magnetic fields. МсМаhon W.), J. Amer. Chem. Soc., 1956, 78, № 14, 3290—3294 (англ.)

Измерялись диэлектрич. характеристики смеси 5-интро-3,4-дихлорортоксилола с его 3-интро-4,5-изомером («питровоск» 1), смеси хлорированных нафталинов (II) и 3,4,5-трихлорортоксилола (III) после их затвердевания в электрич, или магнитном полях. При затвердевании в постоянном или переменном электрич. поле диэлектрич. проницаемость г'этих в-в становится выше нормального значения (в случае I — на 70%). Это увеличение изотропно, т. е. одинаково во всех направлениях и не зависит от направления поля при отвердевании. В магнитном поле происходит анизотропное изменение є': выше нормы в направлении поля и ниже нормы в поперечном направлении. В жидком состоянии никакого влияния поля на є' не наблю-дается. В равной мере приложение поля после затвердевания также не отражается на є'. Таким образом, влияние полей сказывается только в самом процессе перехода из жидкого в твердое состояние. В то же время указанные изменения є' никак не отражаются на микро-структуре или плотности І, ІІ и ІІІ. Кроме того, І претерпевает фазовый переход в твердом состоянии; приложение поля при затвердевании не влияет на этот переход. Поскольку изменения є' не связаны с существенными морфологич, изменениями, следует предположить, что в случае магнитного поля имеет место диамагнитное спаривание молекул, но действие электрич. поля нельзя объяснить аналогичным механизмом (для диполей). Возможно, что при отвердевании молекулы агрегируют в беспорядочно распределенные зародыши (домены) твердой структуры, и поле способствует не-которой преимущественной ориентации в пределах доменов, так что поляризуемость последних оказывается больше суммы поляризуемостей образующих их моле-С. Френкель кул.

1927. Пьезоэлектрические свойства древесны и целлюлозных материалов. Баженов В. А., Изв. АН СССР, Сер. физ., 1956, 20, № 2, эзе эзе.

Обнаружены значительные пьезоэлектрич. эффекты у всех сортов древесины, причем более твердые породы дерева обладают пониженным значением пьезоэлектрич. модуля. Такими же пьезоэлектрич, свойствами обладают пластинки из ориентированной волокнистой древесной целлюлозы, а у неориентированных пластинок пьезоэлектрич. эффект отсутствует. Незначительные, но четкие пьезоэлектрич. свойства обнаружелы в неволокнистых гидратцеллюлозных и нитроцеллюлозных пленках. Единство симметрии пьезоэлектрич. текстуры с: 2 во всех исследованных образцах явилось базой для теоретич. обобщения результатов опытов: у всех исследованных образцов ответственными за появление пьезоэлектрич, свойств являются молекулы целлюлозы. «Зернами» ПЭ текстуры целлюлозы являются линейные цепные полимерные молекулы, состоящие. из β -d-глюкозы. Наличие в образдах текстуры ∞ : 2 связано с условиями ориентации молекул из р-ра. Эта текстура не имеет решетчатой ориентации и пред-ставляет собой пористую структуру, способную запол-няться молекулами других в-в. Причина пористости усматривается в том, что между молекулами целлю-дозы образуются беспорядочные водородные связи, что мешает построению плотной кристаллич. упаковки. В. Кушнер

11928. Разрыв при растяжении твердых пластмасс. Грантфест (The tensile rupture of hard plastics.

Gruntfest I. J.), J. Polymer Sci., 1956, 20, № 96, 491—494 (англ.; рез. франц., нем.)

Разработан метод расчета прочности на разрыв для твердых пластмасс по известным значениям модуля М при разных т-рах. Принимается, что в точке разрыва наклон кривой в координатах сила F — относительная длина образца L равен нулю и что процесс разрыва происходит адиабатически. Рассчитывается адиабатич. кривая растяжения F - L, последовательно определяя деформации, требуемые для определенного увеличения т-ры ΔT по теплоемкости материала и средним значениям M в интервале $T-(T+\Delta T)$. Полученные значения прочности на разрыв для двух образцов полиметилметакрилата с разным содержанием пластификатора удовлетворительно совпадают с эксперим. величиной. При уменьшении сечения образца процесс разрыва уже не является аднабатическим, так как выделяющееся тепло успевает рассеяться, и прочность на разрыв возрастает. Большая прочность найлона связана с характером температурной зависимости М: с ростом т-ры М найлона сначала падает, а затем принимает И. Слоним постоянное значение. 11929. О способах снятия и истолкования термомеханических кривых. Регирер Е. И., Калан-тарова М. С., Коллонд. ж., 1955, 17, № 6, 439-451

Снятие термомеханич. кривых (ТМК) для полимеров с двумя граничными точками проводилось по методиже, описанной ранее (Каргин В. А., Соголова Т. И., Ж. физ. химии, 1949, 23, 530). Для снятия ТМК могут быть использованы любые приборы, пригодные для измерения деформаций образца в широком диапазоне т-р. Указана связь ТМК с другими характеристиками деформаций полимера. ТМК можно рассматривать как сечение по оси времени «поверхности механич. свойств полимеров» построенной для данной нагрузки в трехмерной диаграмме: деформация, время и т-ра. Отмечено, что для некоторых полимеров смещаются граничные точки после нагрева. Наблюдаемая на ТМК S-образность вызывается суперпозицией размороженной упругости и испытательной нагрузки. Описан прибор термомеханограф, предназначенный для автоматич. снятия ТМК.

11930. О термомеханических измерениях. М а л и нс к и й Ю М., К а р г и н В. А., Коллоид. ж. 1956, 18, № 3, 372

Замечания к предыдущей работе (см. пред. реф.). Ю. Л. Приготовление и свойства волокон из смеси полимеров. III. Волокна из смеси полиакрилонитрила с ипелком. К е й т с, У а й т (Preparation and proe meanom. Relife, yant (Preparation and properties of fibers containing mixed pofymers. III. Polyacrylonitrile-silk fibers. Cates David M., White Howard J., Jr), J. Polymer Sci., 1956, 21, № 97, 125—138 (англ.; рез. франц., нем.) Волокна, содержащие полиакрилонитрил и шелк, были получены путем прядения с применением водн. p-pa ZnCl₂ (56% ZnCl₂ по весу) в качестве p-рителя. Содержание полимеров в волокие менялось от 100 до 20% полиакрилонитрила. Смещанные полимеры обладают хорошей совместимостью: p-ры конц-ии~3% в 56%-ном водном p-ре ZnCl₂ не рассланваются в течение длительного времени. Исследованы различные свойства волокон (адсорбция воды и красителей, электрич. сопротивление, механич. свойства) и проведено рентгенографич. исследование их. Полученные данные позволяют сделать вывод о наличии в волокнах небольших дискретных областей, образованных каждым полимером в отдельности; эти области не характеризуются ни сильной кристалличностью, ни сильной ориентацией. Сообщение II см. РЖХим, 1956, 75147 Ю. Липатов Г.

20,

ЛЯ

M

IBA

ная Гва

ич.

RRI

ия ченые ни-

Ka-

чи-

JBa

-OIR

083-

a c

MOT

ает

мин

мен -6,

ров

оди-

И.,

TYT

ДЛЯ

зоне

ами

вать

нич. Узки

-pa.

отся ГМК

opo-

исан

вто-Бела

и н-

. ж.

еф.).

). Ji.

месн

рила

pro-

M.,

Sci.,

пелк,

водн.

теля. 100

меры

~3% в те-

элек-

едено

анные

еболь-

ждым

стери-

льной

75147

патов

11932. Двухслойные эластомерные пленки. Дефрис, Шнейдер, Фрам, Леонард (Dilaminar elastomeric films. Defries Myron G., Schneider Louis, Fram Paul, Leonard Fred), J. Polymer Sci., 1956, 20, № 95, 267—286 (англ.; рез. франц., нем.)

Исследование ряда бутилакрилатакрилонитрильных сополимеров показало, что лучшими поверхностными свойствами обладает сополимер, содержащий 27% акрилонитрила, в то время как сополимер, содержащий 9,5% акрилонитрила и усиленный 30 частями полнэтилметакрилата и 6,5 частями окиси кремини, имеет наилучшие объемные свойства. Полученные двухслойные пленки обладали свойствами, промежуточными между составляющими компонентами. Предложены ур-ния для определения характеристик пленки по известным характеристикам их компонент. Результаты вычислений хорошо согласуются с экспериментом. Ю. Панов

11933. Иснытания различных веществ, которые могут служить в качестве склеивающих материалов в оптике. Бесс, Демарк (Essais sur divers produits susceptibles de servir de colles en optique. Весь у у о п п е, темерати предоставления материалов в оптике, т. е. обладающих следующим качествами: бесцветностью (показатель предомления между 1,51 и 1,58), отсутствием разъедающего действия на стеклянные поверхности, хорошей адгерией к стеклу и ее температурной, временной и межания устойчивостью, стойкостью к УФ-лучам, неядовитостью и т. п. (всего 12 требований). Показано, что лучше всех удовлетворяют этим требованиям два промышленных образда, известных под марками «паминак 4128» (поднафир) и «аралдит».

1934. Изменения двойного лучепреломления во время сокращения ориентированных моноволокон полистирола. І. Изменения среднего двойного лучепреломления. А и дрюс, Радд (Birefringence changes during retraction of oriented polystyrene monofilaments. I. Changes of average birefringence. A и drews R. D., R u d d J. F.), J. Appl. Phys., 1956, 27, № 9,990—995 (англ.)

Исследовано изменение величины среднего двулучепреломления (ДП) 4 различных образцов моноволокон полистирола при сокращении их при 85°. Показано, что связь между уменьшением ДП во времени и сокращением длины не является линейной; ДП уменьшается значительно быстрее. В условиях, когда волокно поддерживается при постоянной длине, падение ДП в ~1000 раз меньше, чем при свободном сокращении. В первом случае падение ДП и уменьшение длины связывается с уменьшением степени молекулярной ориентации; во втором случае — с релаксацией внутренних напряжений. Для одного из волокон обнаружено, что при приближении к равновесному состоянию при сокращении ДП проходит через вуль и меняет знак. Это объясняется неучетом в опытах распределения ДП в образцах. Форма кривой зависимости ДП от длины не изменяется при изменении т-ры сокращения. Данные по падению ДП для различных образцов не могут быть приведены к общей кривой зависимости ДП от изменения длины или отношения растяжения. Это показывает, что ДП не является простой функцией длины или вытяжки. Авторы предположили, что падение ДП связано с распределением времени запаздывания в полимере. Предполагается, что для каждого времени запаздывания падения ДП и длины связаны постоянным коэфф. Была построена зависимость отношения накло-

нов кривых ДП и отношения растяжения от времени (эквивалентного времени запаздывания) в функции логарифма времени, т. е. производной ДП по отношению растяжения в зависимости от времени. Однако и при таком построении кривые для различных образцов не совпадают. Это показывает, по мнению анторов, что фактором, который необходимо учитывать при рассмотрении ДП, являются внутренние напряжения.

11935. Реологическое исследование вызко-эластических монослоев. III. Ока, Сато (電分子粘彈性膜のレオロジー. III. 岡小天, 佐藤良泰), 小林理學研究所報告, Кобаяси ригаку кэнкюсё хококу, Bull. ko-bayasi Inst. Phys. Res., 1955, 5, № 2, 96—107 (япон.; рез. англ.)

Дано математич. рассмотрение результатов работ (РЖХим, 1954, 16099; 1955, 5377; 1956, 7247) по исследованию влако-эластических свойств монослоев различных белков и полипентидов кназистационарным методом. Сообщение 11 см. РЖХим, 1957, 3988. Резомеавторов 11936. Полимеризация этилена и других олефинов.

ом. Сосощение и см. Рихим, 1957, 3988. Резюме авторов 1936. Полимеризация этилена и других олефинов. Циглер, Хольцками, Брейль, Мартин (Polymerisation von Äthylen und anderen Olefinen. Ziegler Karl, Holzkamp E., Breil H., Martin H.), Angew. Chemie, 1955, 67, № 16, 426 (нем.)

Новый способ полимеризации этилена (I) при атмоферном давлении основан на применении катализатора (II), состоящего из триэтилалюминия (III) с малыми добавками Ni. Добавление Ni способствует протеканию р-ции вытеснения III из образовавшихся при полимеризации высших алюминийалкилов. Найдены добавки, заменяющие Ni, и приготовлены еще более активные катализаторы полимеризации I. Получены образцы политилена (IV) с мол. в. 20000—300000, имеющие высокую степень кристалличности и линейное строение (ЙК-спектр указывает на отсутствие СН₃-группы). Образцы IV с мол. в. 100000—3000000 дают инти, сходные с полнамидным волокном. Предполагается, что полимеризация I при низком давлении протекает по авионному механизму, аналогично ступенчатой р-ции образования металлоорганич. соединений. Применение II позволило получить сополимеры I и а-олефинов (V). Найден способ получения полимеров V при низких давлениях, которые несколько раньше были получены Натта. С. Каменская 11937. О взаимодействии перекисей диацилов с третичными аминами. Хорнер (Zur Umsetzung von Diacylperoxyden mit tertiären Aminen. Horner

L.), J. Polymer Sci., 1955, 18, № 89, 438—439 (нем.) Приведена предложенная ранее автором схема взаимодействия перекисей диацилов с третичными аминами и сделаны замечания к статье японских химиков (РЖХим, 1956, 75164), неправильно цитировавших эту схему.
С. Виноградова 11938. Полимолекулярность и форма молекул полимеров метилиетакрилата и их зависимость от условий полимеризации. Эр и к с с о н (Polymolecularity and molecular shape of methyl methacrylate polymers and their dependence on the conditions of polymerization. E r i k s s o n A. F r e d r i k V.), Svensk kem. tidskr., 1956, 68, № 5, 301—322 (англ.) Изложение работ автора (Acta chem. scand., 1949, 3, 1; РЖХим, 1954, 19697, 28642; 1956, 78288; 1957, 1114).

A. Праведников 11939. Азосоединения. XVI. Реакция обрыва в случае модельных полистирольных радикалов. О вербергер, Файнстон (Azo compounds. XVI. The termination reaction for a model polystyrene radical. Overberger C. G., Finestone A. B.), J. Amer. Chem. Soc., 1956, 78, № 8, 1638—1640 (англ.)

No

COL

H

ри

CB

46

KO

ше

np

0

ЛЯ

pa pa

да

po

пе

38

TO

до

ar

ле

38

HE

из

30

TE

Ш

Ca

Щ

И

pi

С помощью ИК-спектроскопии и данных элементарного анализа определено строение продуктов, образующихся при распаде 1,1'-аю-ди-(1,3-дифенилпентана) (I) в р-ре бромбензола при 89,7 и 144,25° (модельные соединения при ИК-спектроскопии 1,3-дифенил-1-пентен и 1,3-дифенилпентан). Показано, что >90% продуктов р-ции образуется в результате рекомбинации 1,3-дифенилпентильных радикалов. Определена константа скорости распада I при 89,7° в бромбензоле (1,5-10-5 сек.-1) и при 118,8° в ксилоле (5,6-10-4 сек.-1). Сообщение XV см. РЖХим, 1956, 64791. А. Праведников

1940. Полимеризация акриловых эфиров в растворе. II. Влияние условий полимеризации. III. Распад перекиси бензоила. Судзуки, Татэмити (アクリル酸エステルの溶液重合に関する研究. 第2報. 宣合に及ぼす諸因 子の影響(級).第3報 過酸化ベンゾイル(В.Р.О.) の分解について. 鈴木重成,立道秀麿),工業化學雜誌、Kore кагаку дзасси, J. Chem. Soc. Japan. Industr. Chem. Sec., 1953, 56, № 11, 884—875; № 12, 929—930 (япон.)

II. На основании рассмотрения результатов предыдущей работы (см. сообщение I, РЖХим, 1955, 7318) сделан вывод, что р-ция полимеризации метилакрилата в р-ре имеет 2-й порядок. Обсуждено также изменение вязкости в ходе полимеризации (максим. вязкость наблюдается при промежуточной степени полимеризации).

III. Установлено, что р-ция распада перекиси бензоила (0,5—5 вес. %) в р-ре 20 мл С₆Н₆→ 5 мл метилакрилата при 60—80° имеет 1-й порядок. Энергия активации равна 34—35 к кал/моль (йодометрич. определение перекиси в атмосфере СО₂ после предварительного осаждения полимера из р-ра при помощи СН₃ОН). Рассмотрена кинетика р-ции на основе механизма, предложенного ранее (см. J. Amer. Chem. Soc., 1946, 68, 1686.

Сhem. Abstrs, 1954, 48, № 22, 14288. К. J. 11941. Реакции передачи цепи. Мацумото (連鎖移動反應. 松本昌一), 化學, Кагаку, Chemistry (Japan), 1956, 11, № 3, 62—69(япон.)

реакциях. Часть 1. Кинетический анализ. Часть 2. Скорости полимеризации в бензольном растворе. В е р и е т т, Л о и (Solvent participation in radical chain reactions. Part 1. Kinetic analysis. Part 2. Rates of polymerization in benzene solution. Part 3. φ-Factors in solution polymerization. В и г n e t t G. M., L o a n L. D.), Trans. Faraday Soc., 1955, 51, № 2, 214—218.; 219—225; 229—230 (англ.)

1. Исходя из предположения, что радикал, образованный при взаимодействии носителя цепи с р-рителем, может реагировать не только с исходным в-вом. давая новую цепь, но и с подобным самому себе радикалом и с носителем цепи, обрывая цепь, авторы предлагают кинетич. схемы для р-ций полимеризации, сополимеризации и окисления в р-ре. Кинетич. ур-ния выведены для случая длинных кинетич, цепей. Выведены также ур-ния изменения состава реагирующих в-в при сополимеризации в р-ре. Для скорости полимеризации R получено ур-ние $R = k_{\rm p} A^2 R_{\rm HI}^{\rm H_2} [k_{aa} A^2 + 2k_{ar} C_1 AS + k_{rr} C_1^2 S^2]^{-\rm H_2}$ (1), где $R_{\rm HI}$ — скорость иниципрования, A и S — конц-ии мономера и р-рителя, $k_{\rm p}$, k_{aa} , k_{ar} и k_{rr} — константы скоростей р-ции роста цепи, р-ции обрыва при взаимодействии полимерных радикалом между собой, полимерного радикала с радикалом. образованным из р-рителя, и радикалов, образованных из р-рителя между собой, C_1 — отношение константы скорости р-ций передачи цепи через р-ритель к константе скорости р-ций передачи цепи через р-ритель к константе скорости р-ций радикала из р-рителя с мономером.

2. Начальная скорость полимеризации метилметакри-

лата (I), метилакрилата (II), и винилацетата (III), инициированной 2,2-азо-изобутиронитрилом, измерена с по-изоменения конц-ии мономера в бензоле. При конц-ии I > 20% скорость полимеризации 1-го порядка по конц-ии мономера, < 20% порядок повышается до 2-го. Добавки небольших кол-в бензола к II резко снижают скорость полимеризации. При конц-ии II, равной ~ 50%, кажущийся порядок р-ции проходит через минимум (1,7). При малых конц-иях II порядок р-ции \simeq 2. Для III порядок сильно повышается при увеличении конц-ии бензола. Показано, что полученные формы кривых зависимости скорости р-ции от конц-ии мономера согласуются с ур-нием (1).

3. Из опытных данных, полученных в части, 2, по ур-нию (1) вычислены величины $\varphi=k_{ar}\left(k_{aa}k_{rr}\right)^{-1}$. Для I, II и III φ равно соответственно 1,9, 3,5 и 13,2. А. Чайкки

11943. Влияние вязкости полимеризационной системы на кинетику полимеризации. Праведников А. Н., Докл. АН СССР, 1956, 108, № 2, 495—498 См. также РЖХим, 1956, 22623.

11944 Молекулярные веса полиметилметакрилата, подвергиегося термической деструкции. Харт (Molecular weights of thermally degraded polymethyl methacrylate. Наг t Victor E.), J. Res. Nat. Bur. Standards, 1956, 56, № 2, 67—71 (англ.)

Определены скорость образования летучих продуктов и изменение мол. веса полимера при термич. деструкции полиметилметакрилата с мол. в. 146 000, полученного полимеризацией в присутствии перекиси бензоила (образец І), и с мол. в. 5 030 000, полученного полимеризацией в массе без инипиатора при -25 и —35° (образец II). За время нагревания до 320° I разлагается на 48%, в то время как ІІ только на 8%; в дальнейшем, после достижения постоянной т-ры логарифм отношения веса полимера в данный момент времени к весу исходного полимера является линейной функцией от величины, обратной мол. весу полимера. однако наклон прямой в случае I меньше, чем в случае II (при 320°). Высказано предположение, что уменьшение мол. веса полимера происходит главным образом в результате распада радикалов, образовавшихся при передаче цепи через полимерные молекулы; обрыв цепи происходит при переходе радикала в газовую фазу после того, как его размеры уменьщатся вследствие отщепления молекул мономера до достаточно малой величины. Из собственных и литературных данных вычислена энергия активации р-ции передачи цепи через полимер (29 ккал/моль). | | А. Праведников

1. Эффект суммировання теплового воздействия на термическую устойчивость. Я м а д а. П. Выяснение влияния УФ-света и кислорода. Я м а д а, К о я м а (魔化ビニルコンパウンドの安定性に陽する研究.第1報. 熱安定性におよぼす熱腹腫の累積効果について。山田昌男,第2報、紫外線と酸素7.影響の検出について、山田昌男,小山浩)、電氣試液所彙報、Дэнки сикэнсё ихо, Виll. Electrotechn. Lab., 1955, 19, № 9, 666—672; № 11, 832—836; Нихон гому кёкайси, J. Soc. Rubber Ind., 1956, 29, № 6, 463—470 (японск., рез. англ.) І. При нескольких различных т-рах с помощью бумаги, смоченной красным конго, определен инлукционный период дегидрохлорирования двух образцов поливинилхлоридов, характеризующий термич. устойчивость этих соединений. Показано, что при ваменении т-ры или при прерывистом нагревании эффект теплового воздействия суммируется. Г. Бабкин

Установлено заметное сокращение индукционного периода процесса дегидрохлорирования поливинилхлорида при УФ-облучении и несколько меньшее

Г.

H-

10-

ле

I

01

0.

OT

III

ии

a.

ıa-

по

1.

ин н

98

a,

T

yl

at.

K-

ie-

10-

CH

H-25 ° I %;

10-

HT

Ой

pa,

II ие

pe-

пе-

нп

сле en-

пи-

исpea

KOB

OB.

на

He-

ιa,

トる

יוכ

7.

xo,

72;

ber

сл.)

бу-

OH-

по-OH-

ене-

геп-

кин

он-

ви-

шее

сокращение при старении в атмосфере О2 (выделение HCl устанавливалось по бумажке, пропитанной красным конго и увлажненной глицерином). Замечено защитное действие (от деградации) сажи и других материалов и предложен метод исследования влияния тепла, света и других факторов на деградацию поливинилхлорида. Резюме авторов 11946.

роряда. Денатурация бычьего сывороточного альбумина. Леви, Уорнер (Denaturation of bovine plasma albumin. Levy Milton, Warner Robert C.), J. Phys. Chem., 1954, 58, № 2, 106—

109 (англ.)

Исследована кинетика тепловой денатурации бычьего сывороточного альбумина (БСА) в интервале т-р 46,2—75,0° и в широком диапазоне кислых рН. За колич. меру денатурации принималась доля выпадающего в осадок белка. Эксперим. метод предусматривал применение «стоп-буфера», добавление которого к ис-следуемому (нагретому) р-ру ведет к немедленному осаждению денатурированного белка, при сохранении в р-ре нативного. Показано, что в интервале рН 0,8-4 денатурация БСА является р-цией 1-го порядка. Очевидно, определяющей ступенью денатурации является изомеризация или изменение структуры (напр., развертывание) глобул, за которыми следует полимеризация 2-го или высшего порядка. «Стоп-буфер» осаждает именно полимерную фракцию. Зависимость скорости денатурации от рН выражается ур-нием, выведенным в предположении, что стабильность БСА в указанной области рН существенно зависит от четырех протонно-донорных групп, вероятно, прототропных во-дородных связей. По температурной зависимости ур-ний скорости р-ции были рассчитаны термодинамич. аналоги (т. е. кинетич. константы были преобразованы в равновесные константы активации) для процессов активации этих четырех групп. Последующее обсуждение результатов приводит к заключению, что указанные группы не являются «обычными» прототропными группами белков (карбоксилы, аминогруппы и т. д.), если только они не претерпели существенных изменений в результате водородного связывания вли другой внутримолекулярной р-ции. С. Френкель 11947. Полимеры и взаимодействие группировок.

 Реакция Фриделя—Крафтса для поливинилхлорида; путь к образованию поли-1,3-метилениндана. Тесье, Смете (Polymers and group tions. II. Friedel-Crafts reactions on polyvinyl chlorions. Te y sride, a route to poly-1, 3-methyleneindans. Teyssié Ph., Smets G.), J. Polymer Sci., 1956, 20, № 95, 351—369 (англ.; рез. нем., франц.) Проведена конденсация поливинилхлорида с бен-

золом, толуолом, ксилолом, псевдокумолом (I) и мезитиленом (II) в присутствии AlCl₃ в p-ре тетрагидрофурана, нитробензола, диметилформамида, циклогексанона и ацетона, а также в отсутствие р-рителя. Показано, что скорость р-ции определяется главным образом конц-ией катализатора (степень замещения рассчитывалась из данных анализа на Cl). Строение полученных при р-ции продуктов определено с помощью ИКспектров (модельные в-ва — производные стирола и индана). Высказано предположение, что р-ция конденсации протекает в 2 стадии: 1) алкилирование ароматич. ядра, причем заместители входят в ядро преимущественно в соответствии с правилами ориентации (за исключением I и II и 2) внутримолекулярная цикли-зация с образованием 1,3-метилениндановой группировки; промежуточные продукты р-ции циклизации могут также, по мнению авторов, распадаться с разрывом полимерных молекул, что и приводит к умень-шению мол. веса полимера. Сообщение I см. РЖХим, 1956, 7012. А. Праведников 11948. Реакции полимеризации в условиях получения полимеров с низким молекулярным весом. II. Состав жидкого полимера хлористого винила. Акиёси, Асо(低重合反應に關する研究. 第2報. 鹽化ビニル液狀重 合體の組成。秋吉三郎,蘇生忠二),工業化學雜誌, Korē кагаку дзасси, J. Chem. Soc. Japan. Industr. Chem. Sec., 1954, 57, № 1, 60—61 (япон.)

Из ранее полученного жидкого полимера (см. сооб-щение I, РЖХим, 1956, 71871) изолированы следующие в-ва: карбоновая к-та, содержащая Cl, т. пл. 194° предположительно ω-трихлор-n-толиловая к-та, Cl₃C-(CH₂CHCl)₄₋₅Cl, желтовато-коричневая вязкая жидкость, выделенная из CH₃OH, с мол. весом 433, Cl₃CCH₂CHCl₂ т. кип. 40—41° (4,7 мм), Cl₃C-(CH₂CHCl)₂Cl, т. кип. 89,3—89,7° (3,7 мм), Cl₃CCH₂CH-(OH)CH₂CHO-желтая жидкость, т. кип. 58—61 (2,5 мм) Chem. Abstrs, 1955, 49, № 2, 1363. К. Inouye K. Inouye

11949. Внутренняя полимеризация винильных соединений в волокие. 1. Внутренняя полимеризация винилацетата из газовой фазы в прелковом волокие. Нагиен, Аран (ビニル化合物の纖維内部重合に 関する研究・第1報 絹織維内部に於ける酢酸ビニルの氣相 確合について、根岸道治・新井幸三), 工業化學雑誌, Korë кагаку дзасси, J. Chem. Soc. Japan. Industr. Chem. Sec., 1953, 56, № 10, 763—765 (япон.)

Шелковую ткань погружали в води. р-р (NH₄)₂S₂O₈ I) конц-ии 0,01—1% на 0,5—1 час, затем отжимали и подвешивали в сосуд, откачанный и заполненный паром винилацетата. Винилацетат полимеризовали в ткани при 1—70° в течение 2—11 час. Добавки гексадецилового эфира (0,1%), NaHSO3, триэтаноламина, гли-цина, L-гистидина и т. д. к p-ру I ускоряют полимеризацию. При 30° продолжительность р-ции полимери-зации 8 час. Энергия активации полимеризации

~ 8,5 ккал/моль.

Chem. Abstrs, 1954, 48, № 21, 13225. Katsuya Inouye Фенолформальдегидные смолы. XVI. Исследование реакции теплового отверждения по умень-шению растворимости в C_2H_5OH . XVII. Исследование реакции теплового отверждения по уменьшению растворимости в С₂Н₅ОН и (СН₃)₂СО. Цурута, Сакура и. (フェノールンホルムアルデヒド樹脂の研究. 第16 報、 スタノールトネルムテルテヒト側頭の研究、 第10 報、エタノールによる熱硬化反應の観察, 鶴17巻,アセトン とエタノールによる熱硬化反應の観察, 鶴田四郎、 櫻井清)、工業化學雜誌, Korē кагаку дзасси, J. Chem. Soc. Japan. Industr. Chem. Sec., 1953, 56, № 6, 462— 463; № 7, 509—510 (япон.) XVI. Бакелит A (I), полученый из фенола и НСНО

(в молярных отношениях 1:1,0; 1:1,2) в присутствии NH₃, подвергли отверждению при 80, 90, 100° в гечение различных промежутков времени (до 30 час.) и измсряли растворимость полученных образцов в C₂H₅OH при комнатной т-ре. Р-ция отверждения І имеет 2-й поря-

док и энергию активации ~ 34 ккал/моль.

XVII Определялась растворимость в C_2H_8OH и $CH_3)_2CO$ образцов смол, полученных из фенола и HCHO в молярном отношении 1:1,2) в присутствии NH₃, при в течение различных промежутков времени (до 5 час.). При обсуждении результатов принято, что р-ция получения бакелита «В» из I путем теплового отверждения проходит 3 стадии: 1) образование состояния Λ с эпергией активации E=24 ккал/моль, 2) образование смолы. нерастворимой в $C_2H_5\mathrm{OH}$ (E=34 ккал/моль), 3) образование смолы, нерастворимой в (CH₃)₂CO ($E=24~\kappa \kappa a \pi/mo n_b$). Предыдущее сообщение см. Когё кагаку дзасси, J. Chem. Soc. Japan. Industr. Chem. Sec., 1943, 46, 106.

Chem. Abstrs, 1954, 48, № 18, 11107; № 19, 11837. K. Inouve

Фенолуротропиновые смолы. VI. Распад 1, 3, 5-триметилтриазоциклогексана под действием кислоты. VII. Влияние органических веществ на рас-

(H3

Me1 HOJ

1.0

бен

из

Met AH

N-4

XI

KOI

пол

119

по

Ber

2,4

TH.

R3

rör

обр

(Ha

OTI

(2-

(II

ни

фe

ди 2,

т 3,5 Дл

Te (I

ДИ

бе

(из

ме

(2-

(H: HO

MP

де

TH

HP

ПО

Me CI

cn no He.

II

ла

BO H

пад уротропина под действием кислоты. VIII. Распад 1,5-динитрозо-3, 7-ендометилен-тетразоциклооктана под действием к-ты. IX. Распад 3,7-диацетил-1,3,5,7-тетразобицикло-[3,3,1]-нонана поп BHEM KHCJOTM. Ta дa (ヘキサ三ン.フェノール樹脂の研究.第 6 報.トリメチル-1,3,5-トリアゾシクロヘキサンの酸による分解反應.第7 報. ヘキサミンの酸による分解反應に及ぼす有機物添加の影響.第8報.1,5-ジニトロソ-3,7-エン ドメチレンニテトラ ゾシクロオクタ ンの酸による分解反 腫.第9報1,5-ジアセチル-3,7-エンドメチレン-テトラゾシ 励・弱 5報 1,039 / モデル 3,7エラ アナファックファイクタンの酸による分解反應。多田彦二,工業化學 雑誌, Korë кагаку дзасси, J. Chem. Soc. Japan Industr. Chem. Sec., 1953, 56, № 2, 88—90; № 6,445; № 7, 506—508; № 8, 603—605 (япон.)

VI. 1,3,5-триметилтриазоциклогексан (В), при прибавлении к нему к-ты, тотчас переходит в катион ВН+. Р-ция распада В под действием к-ты имеет первый порядок относительно конц-ии ВН+. Энергия активации

этой р-ции равна 19 ккал/моль. VII. Установлено, что СН₃ОН, (СН₃)₂СО, глицерин в кол-вах до 0,8 М, существенно не влияют на скорость распада уротропина (0,0385 M) в присутствии НСІ (0,091 M) при 30°. В тех же условиях формалин за-

метно снижает скорость распада.

VIII. Установлено, что распад 1,5-динитрозо-3,7-эн-дометилентетраазоциклооктана (I) под действием СН₃СООН (в буферной смеси СН₃СООН + СН₃СООNа) является р-цией первого порядка. Константа скорости линейно растет с увеличением рН. Распад I под действием HCl при 25° является р-цией второго порядка относительно конц-ии I и к-ты. В последнем случае установлена линейная зависимость константы скорости р-ции от коэфф. активности. Энергия активации распада I под действием HCl равна 20,2 ккал/моль. При добавлении NaCl р-ция распада I в HCl ускоряется, причем константа скорости пропорциональна ионной силе.

IX. Исследован распад 3, 7-диацетил-1, 3, 5,7-тетра-73. Исследован распад 5, г-диацетил-1, 3, 7-гегра-азобицикло-[3,3,1[-нонана (II) в буферном р-ре СН₈СООН + СН₈СООNа, в р-ре HCl и р-ре HCl + +NaCl при 30°. Скорость распада II в буферном р-ре пропорциональна конц-ии ионов H+, в р-рах HCl конц-ии II и нонов H⁺. Энергия активации в случае распада в HCl равна 23 ккал/моль. При добавлении NaCl константа скорости р-ции линейно растет с ионной силой. Часть V см. Chem. Abstrs, 1954, 48, № 2, 1052. Chem. Abstrs. 1954, 48, № 14, 8583; № 18, 1108;

№ 19, 11837. Katsuya Inouye Апилино-формальдегидные смолы. IX. Изменение вязкости при образовании анилино-формальдегидных смол. Нода (アニリン樹脂に関する研究. 第9報.アニリン樹脂生成時に於ける粘度變化について. 野 田美芳),工業化導雜誌,Korē кагаку дзасси, J. Chem. Soc. Japan. Industr. Chem. Sec., 1953, 56, № 7.

554-556 (япон.)

Исследовалась вязкость (вискозиметр Оствальда, 30°) смолообразных жидкостей, полученных при различных соотношениях анилина, HCl и формалина и различной глубине превращения. Повыщение конц-ии формалина в реакционной системе приводит к образованию эмульсии и затем к желатинизации. Установлено, что поверхность стенок сосуда при 10-15° существенно не влияет на эту р-цию. Энергия активации смолообразования, вычисленная из измерений вязкости при нескольких т-рах <20°, равна 9,2 ккал/моль. Сообщение VIII см. РЖХим, 1956, 30655. Chem. Abstrs, 1954, 48. № 19, 11836. К. І.

О строении синтетических смол. Сообщение 2. О действии ароматических аминов на диметиленаминные, триметиленаминные и диметиленоэфирные мостики. Цигейнер, Вейксель (Über die Struktur der kunstlichen Harze. 2. Mitteilung: Über die Einwirkung von aromatischen Aminen auf Dimethylenamin- und Trimethylenamin- sowie Dimethylenäther-brücken. Zigeuner G., Weichsel H.), Monatsh. Chem., 1955, 86, № 1, 154—164 (нем.)

Установлено, что при действии анилина или п-толуидина (I) на 2,2'-днокси-3,5,3',5'-тетраметил-(II), 2,2'-днокси-3,3'-диметил-(III), 2,2'-диокси-3,6,3',6'-тетраметил-(IV) и 2,2'-днокси-4,6,4',6'-тетраметилдибензиламин (V), на 2, 2',2"-триокси-3,3',3"5,5',5"-гексаметил-(VI) и 2,2',2"-триокси-5,5',5'-три-трет-бутилтрибензиламин (VII), на 2,2'-диокси-3,5,3',5'-тетраметилдибензиловый эфир (VIII) происходит разложение этих соединений с образованием

соответствующих анилидов или п-толуидинов. Аналогично действует I на высокомолекулярные аморфные продукты, (IX и X соответственно), полученные конденсацией п-трет-бутилфенола с гексаметилентетрамином или конденса-1-окси-2,6-метилол-п-т рет-

CICH-N IXR=NH, XR=O

бутилбензола. Разложение продуктов конденсации полобного типа при действии I предложено использовать как метод установления строения таких в-в. п-Оксибензиловые спирты и п-диоксидибензиловые эфиры, в отличие от соответствующих орто-соединений, не превращаются пря действии І в кристаллич. в-ва. Различное поведение ои n-оксибензиловых спиртов по отношению к I может быть использовано в качестве метола илентификации оксибензиловых спиртов, поскольку о-бензиловые спирты и о,о'-диоксиметилфенолы образуют кристаллич. о-оксибензилтолуидиды, тогда как п-оксибензиловые спирты и о' п-диметилолфенолы превращаются в смолообразные продукты. Действием антраниловой к-ты (XI) или ее метилового эфира (XII) на 4-окси-3,5-диметил- (XIII), 4-окси-2,5-диметил- (XIV) и 2-окси-3,5-диметилбеввило-вый спирт (XV) и на VIII получены анилиды, в которых стабильность связей $\mathrm{CH_2} - \mathrm{N} - \mathrm{oбусловлена}$ в первом случае влиянием карбоксильной группы, а во втовом случае влиянием кароксильной группы, а во вто-ром — простравственными влияниями. Аналогично I действует на II, VI и VIII мочевина (XVI). Из 0,5 г II и 1,0 г XVI или VI (3 часа, 160°) получают N-2-окса-3,5-диметилбензилмочевину (XVII), выход 95 и 55% соответственно, т. пл. 192°. Р-дией 1,0 г авилина с 0,5 г II (2 часа. 160°) получают 2-окси-3,5-диметилбензилфениламин, выход 67%, т. пл. 87° (из петр. эф.). Из 0,5 г II и 1,0 г I или VI (2 часа, 160°) получают 2-окси-3,5диметилбензил-4'-метилфениламин (XVIII). выход 63 и 55% соответственно, т. пл. 98° (из петр. эф.). При тех же условиях из 1.0 г I и 0,5 г III получают 2-окси-3-метилбензил-4'-метилфениламин, выход 60%, т. пл. 76° (из гексана); из 1,0 г 1 и 0,5 г IV — 2-окси-3,6-диметил-(на тексана), на 1,0 с 1 и 0,5 г 1 с 1,0 с 1,1 (из петр. эф.). Взаимодействием 1,0 г I с 0,5 г V (2 часа, 120°) получают 2-окси-4,6-диметилбензил-4'-метилфениламин, выход 61%, т. пл. 125° (из циклогексана). Из 0,5 г IX и 3,0 г I (1,5 часа, 160°) получают 2,6-дв-(п-толундинометял)-4-трет-бутилфенол (XIX), выход 37%, т. пл. 108,5° (из петр. эф.), и 2-окси-5-трет-бутилбензил-4'-метилфениламин, т. пл. 85°. Р-цией 0,7 г V с 2,5 г 2,4-диметилфенола (3 часа, 150°) получают 2,4,6-трис-(2-окси-3,5-диметилбензил)-3,5-диметилфенол, т. пл. 209° (из ксилола). Из 1,5 г XVI и 0,5 гVIII (2 часа, 160°) получают XVII, выход 74%. Взаимодействием 4,0 г I с 0,5 г VIII (1,5 часа, 160°) или с 0,5 г 2-окси-3,5-диметилбензилового спирта (2 часа, 160°) синтезируют XVIII, выход 73 и 55% соответствеено, т. пл. 98°. Из 3,5 г I и 0,5 г X или 1,5 г I и 0,5 г 2,6-диметилол-4-третбутилфенола (2 часа, 160°) получают XIX, выход 43 и 55% соответственно, т. пл. 108,5°; из 0,5 г 2,6-димети-лол-4-метилфенола и 1,5 г I (2 часа, 160°) — 2,6-ди-(*n*-толуидинометил)-4-метилфенол, выход 40%, т. пл. 118°

nä-

H.),

уи-

OR-IV) a 2,

ри-,2'-

po-

ием

106-

как вые

07

при

e o-

жет ции

рты

си-

рты

ные

ee e

II),

ло-

ото-

тервто-I e

сен-

5%),5 e

3,5-3 н Tex кси-76°

ил-(из

85°

48фе-Ha). -111-

ход -бу-

,7 2 ают юл.

aca, ,0 e 3,5-

VIOT 98°.

em-

3 и

eTH-

ди-

18*

(из CH₂OH), и из 3,0 г I и 1,0 г 2,6-диметилол-3,5-диметилфенола — 2,6-ди-(л-толуидинометил)-3,5-диметилфенол, выход 50%, т. пл. 134° (из циклогексана). Р-цией 1,0 г XIII с 2,0 г XI получают N-4-окси-3,5-диметилбензилантраниловую к-ту (XX), выход 80%, т. пл. 173° из C₆H₆); из 0,5 г XIII и 1,0 г XII (2 часа, 160°) получают метиловый эфир XX, выход 52%, т. пл. 115° (из водн. сп.). Аналогичным образом из 0,5 г XIV и 1,0 г XI получают м-4-окси-2,5-диметилбензилантраниловую к-ту, выход 45%, т. пл. 186° (из водн. сп.), а из 0,5 г XV и 1,0 г XI — N-2-окси-3,5-диметилбензилантраниловую к-ту, выход 56%, т. пл. 165° (из С₆Н₆-петр. эф.); эту же к-ту получают из 2,0 г XI и 0,5 г VIII, выход 30%. Сооб-И. Шадская шениз I см. РЖХим, 1955, 16502. О строении синтетических смол. Сообщение 3. Расщепление диоксидибензиловых эфиров. Ц и г е йтасприятили диоксидиосизнающьх эфиров. Ц и ге и-нер, Вейксель (Über die Struktur der künstlichen Harze. 3. Mitteilung. Zum Abbau von Dioxydibenzyläthern. Zigeuner G., Weichsel H.), Monatsch. Chem., 1955, 86, № 4, 585—598 (нем.) Резолы и резитолы, имеющие активные орто- и параположения в фенольном ядре, легко переходят в соответствующие метиленовые соединения под действием 2,4-ксиленола (I) и POCl₃. 2,2'-Диокси-3,5,3',5'-тетраметилдибензиловый эфир превращается в 2,2'-диокси-3,5,3',5'-тетраметилдифенилметан, выход 88%, т.п.л. 148°; тва циклич. эфира (см. Euler H., Adler E., Bergström B. Arkiv kemi (Mineral Geol), 1941, 14B, № 30) 2,2'-диокси-3,3'-бис-(2-окси-3,5-диметилбенобразуется зил)-5,5'-диметилдифенилметан, выход 79%, т. пл. 204° (из сп.). 2,4-Диметилол-6-метилфенол и продукт его отверждения при действии I и POCl₃ переходят в 2,4-бис-(2-окси-3,5-диметилбензил)-6-метилфенол, выход т. пл. 158°. Полученный из n-mpem-бутилфенола и CH₂O (II) резол и резитол из него расшепляются с образованием 2,6-бис-(2-оксв-3,5-диметилбензил)-4-трет-бутилфенола. При действии РОСІ₃ и I на 2,2'-диокси-3,3'-диметилол-5,5'-ди-трет-бутилдифенилметан образуется 2,2'-диокси-3,3'-бис-(2-окси-3,5-диметилбензил)-5-5'-дитрет-бутилдифенилметан, выход 70%, т. пл. 186° (из бзн.). Строение резолов и резитолов, полученных из 3,5-ксиленола (III) и II изучалось аналогичным путем. 3,5-ксиленола (III) и II научалось аналогичным путем. Для идентификации продуктов расщепления были синтеанрованы 2,2'-диокси-4,6,3',5'-тетраметилдифенилметан (IV), выход 60%, т. пл. 147° (из циклогексана), 2,4'-диокси-3,5,2',6'-тетраметилдифенилметан, выход 65%, т. пл. 142° (из водн. сп.), 2,4-бис-(2-окси-3,5-диметилбенаил)-3,5-диметилфенол (V), выход 72%, т. пл. 171° (из водн. сп.); 2,6-бис-(2-окси-3.5-диметилбенаил)-3,5-диметилбенаил)-3,5-диметилфенол, т. пл. 209° (из водн. сп.), и 2,4,6-три-(2-окси-3,5-диметилфенол, т. пл. 209° (из кемпера) из 26-диметилфенол, т. пл. 209° (из кемпера) из 26-диметилфенол (из кемпера) из 26-диметилфенол (из кемпера) из 26-диметилфенол (из кемпера) из 26-диметилфенол (из кемпера) из 26-диметилфено (из ксилола). Из 2,6-диметилол-3,5-диметил-4-хлорфе-вола получен 2,6-бис-(2-окси-3,5-диметилбензил)-3,5-диметил-4-хлорфенол (VII), т. ил. 193° (из бзл.-петр. эф.), дегалоидированием которого получен VI. Р-цией 4-бен-золазо-3,5-диметилфенола с II синтезирован 2,6-диме-

тилол 3,5-диметил-4-бензолазофенол (VIII), выход 65%.

т. пл. 154° (на води, сп.), получаемый также сочета-нием 2,6-диметилол-3,5-диметилфенола с хлористым фе-

нилдиазонием, выход 88%. Строение диацетата VIII доказано омылением спирт. щелочью в 2,6-бис-этокси-

метил-3,5-диметил-4-бензолазофенол, т. пл. 88° (из водн.

сН₃ОН), который образуется также при обработке VIII спиртом и HCl. Резол A (из 1 моля III и 1 моля II) и получаемый из него при 100° резитол A₁ расшепляются лействием I и POCl₃ с образованием IV, резол В (1 моль III, 2 моля II) — IV, а резитол В₁ — VI, образующегося действием в ресогд С (4 моль III, 3 моля II) — IV, а резитол В₁ — VI, образующегося

также из резола С (1 моль III, 3 моля II) или резито-

ла С1. Следовательно, при получении резолов в произ-

водственных условиях реагируют только орто-положе-

ния фенолов, а резитолы образуются в результате свя-

зывания метилольных групп в диметиленовые эфиры.

Влияние пространственной конфигурации наблюдается у V и VI; uuc-VI, т. пл. 170° (из водн. сп.), mpanc-VI, т. пл. 186° (из циклогексана). Uuc-VI переходит т. пл. 180° (из циклогексана). Ц ис-уг переходит в транс-VI и при нагревании выше т-ры плавления. Обе формы дают ацетат с т. пл. 177°. V из р-рителей выделяется только в цис-форме, т. пл. 171°, которая при повторном пагревании переходит в транс-форму, т. пл. 188°, превращаемую кристаллизацией снова в цис-V. Обе формы образуют один ацетат, т. пл. 180°, омылением которого получают иис-V. Триацетаты VII и 2,6-бис-(2-окси-3,5-диметилбензил)-3,5-диметил-4 - бензол-азофенола (IX) (IX — фенол, т. пл. 160° (из водн. сп., затем гексана)), имеющие более высокие т-ры плавления, чем исходные соединения, являются *транс*-формами. Трвацетат IX, т. пл. 176° (из водн. СН₃ОН); IX удерживает 1 моль воды, что не наблюдается в случае 2,6-бис-(2-окси-3,5-диметилбензил)-4-бензолазофенола.

О макромолекулярных соединениях. Сообщение 392. О продуктах конденсации этилентиомочевины с формальдегидом. Штаудингер, Ниссен (Über die Kondensationsprodukte von Äthylenthio-harnstoff mit Formaldehyd. 392. Mitteilung über makromolekulare Verbindungen. Staudinger Her-mann, Niessen Günter, Makromolek. Chem., 1953, 11, № 1, 81—82 (нем.)

Конденсация формальдегида с этилентиомочевиной протекает проще, чем с мочевниой. В кислой среде сравнительно легко получают продукт (I, R = H), т. разл. 284° нерастворимый в отличие от продуктов конденсации тиомочевины ин в одной из р-рителей и конденсации тиомочевины анализа, 3 тиомочевинных группы. R — A — CH₂—A—CH₂—A—R I, где A — NCH₂CH₂N — При действии на I (R= H) n-ClC₆H₄COCl в пиридине получают растворимый продукт I (R = ClC₆H₄CO). Предыдущее сообщение см. РЖХнм, 1956, 4057.

956. Полимеры, содержащие свободные функцио-нальные группы. П. Адсорбционная емкость перастворимых синтетических смол, содержащих свободтворимых синтетических смол, содержащих своющные амино- и сульфамидные групны, по отношению к альдегидам. На кам ура, Сайто (官能基を有する高分子體の研究.第2報.アミノ基政はスルホアミド基を有する不溶性物脂のアルデヒド吸着能について. 中村儀態・齋藤賞) ユ工業化學雑誌 - Когё кагаку дзасси, J. Chem. Soc. Japan. Industr. Chem. Sec., 1954, 57, № 4, 284—286 (япон.)

Адсорбционная емкость синтезированных авторами пяти типов смол (алифатич. полиамины; смолы, со-держащие группы NH₂ и SO₂NH₂) по отношению к НСНО (из 1%-ного р-ра) при 27° при насыщении равна 3—5 ммоль на 1 г смолы. Регенерация производится легко с помощью минер. к-т или щелочей. Сообщение I см. Когё кагаку дзасси, 1952, 55, 603; Chem. Abstrs., 1954, 48, 6049. Chem. Abstrs, 1955, 49, № 6, 4326. Katsuya Jnouye

957. Тетра-О-метил -D- глюкопираноза из О-метил-пеллюлозы. Пачу, Ребенфельд (Tetra-O-methyl-d-glucopyranose from O-methylcellulose. Расви Е., Rebenfeld L.), Text. Res. J., 1955, 25, № 6, 568—569 (англ.)

При хроматографич. исследовании большого числа образцов гидролизатов О-метилцеллюлозы (МЦ) со степенью полимеризации от 52 до ~ 900 не обнаружена тетра-О-метил-D-глюкоза (I). Высказано предположение, что I, обнаруженная ранее в гидролизатах МЦ, является продуктом расщепления не МЦ, а метили-рованных олигосахаридных примесей к целлюлозе, так как последняя не подвергалась очистке 2%-ным И. Лишанский р-ром шелочи.

No

чт

H2

ин

пл

10

11

qp

TH

щ

по

не

ле

пе

пр

LH

B-1

НЬ

ву

B

co

HO

cn

Th HC ЛЕ H8 Ra

эл HO 38

TO

He

H

11958 К. Синтез высокомолекулярных соединений. Хосино (高分子合成論:星野敏雄:小峰工業:212頁,460 個. Коминэ-когё, 1954, 212 стр., 460 иен) (япон.)

Изучение скорости разложения некоторых инициаторов радикальной полимеризации в условиях, аналогичных с условиями блочной и эмульсионной полимеризации. Калал Ярослав. Автореф. дисс. канд. хим. н., Ленингр. технол. ин-т им. Ленсовета, Л., 1956

11960 Д. 0 механизме совместной полимеризации с участием бифункциональных мономеров. Соколов Л. Б. Автореф. дисс. канд. хим. н., Н.-и. физ.

хим. ин-т, М., 1956 11961 Д. Синтез пространственных полимеров на основе поливинилацетата и поливинилового спирта и характеристика их свойств. Санто И. Автореф. дисс. канд. хим. н., Ленингр. технол. ин-т им. Лен-

совета, Л., 1956 1962 Д. Термодинамические свойства высокополи-11962 Д. Термодинамические свойства высокополи-меров. Поликапроамид и политетрафторэтилен. Маркс (Thermodynamic properties of high polymers. Polycaproamide and polytetrafluoroethylene. Marx Paul Christian. Doct. diss., Northwestern. Univ., 1955), Dissert. Abstrs, 1955, 15, Na 11, 2031 (англ.)

В адиабатическом калориметре измерены теплоемкости и вычислены энтальпии найлона 6 в форме гранул, отожженных образцов, вытянутых и невытянутых волокон. Полученные данные указывают на наличие перехода 2-го рода вблизи комнатной т-ры. Неотожженное волокно при нагревании в интервале 80—160° показывает 3 резких максимума и минимума, приписанных дальнейшей кристаллизации. Теплоты плавления найлона 6 меньще соответствующих значений найлона 66 примерно на 5 кал/г. Вычислена степень кристалличности как функция т-ры; максим. степенью кристалличности при комнатной т-ре обладает отожженный образец; для других образцов максимум кристалличности наблюдался при 180°. В интервале т-р от —20 до +120° определена теплоемкость политетрафторэтилена. Вблизи комнатной т-ры найдено два перехода в рода. Значения теплоемкостей, полученных в

ласти т-р перехода, весьма чувствительны к скорости измерений. Термодинамические свойства лимеров. Полиэтилентерефталат. Смит (Thermodynamic properties of high polymers. Polyethylene dysamic properties of high polymers. Polyethylene terephthalate. S m i th C a r l W i l l i a m. Doct. diss., Northwestern. Univ., 1955), Dissert. Abstrs. 1955, 15, № 11, 2033 (англ.)

Исследована температурная зависимость теплоемкости и вычислены энтальнии для различных форм полиэтилентерефталата; в виде хлопьев, нерастянутого и растянутого волокна, растянутого и отожженного при 210° волокна, некристаллич. растянутого волокна и расплавленного отожженного полимера. Хлопья и нерастянутые формы кристаллизуются в области т-р 95—120°. Кристаллизация растянутых образцов про-исходит в интервале 50—100°. Хлопья и нерастянутые формы показывают наличие стеклообразного перехода при 69°: однако для растянутых форм не был обнаружен переход, связанный в началом кристаллизации. Определения теплоемкости растянутых, нагретых до 210 в отожженных образцов, которые при такой обработке не потеряли ориентации, показывает наличие слабого перехода примерно при 92°. Таким образом ориентация приводит к исчезновению стеклообразного перехода. Область перехода для неориентированных образцов изменяется обратно пропорционально содержанию кристаллич. фазы. Из данных по энтальпии вычислена температурная зависимость степени кристалличности изученных объектов. Все образцы достигают максимума кристалличности при 230°. Наибольшей кристалличностью обладает расплавленный отожженный полимер (51%). По порядку понижения степени кристалличности при 25° образны располагаются в ряд: отожженное волокно, растянутое волокно, полимер в виде хлопьев, некристаллич. растянутое волокно и нерастянутое во-. Ю. Липатов

См. также разделы:Каучук натуральный и синтетический. Резина и Синтетические полимеры. Пластмассы и рефераты: Физ. св-ва высокополимеров 11195. Кинетика и механизм полимеризации 11730. Синтезы высокомол. в-в 13711, 13728, 14081. Природи. высоко-мол. в-ва 13676, 13677; 3807Бх, 3898Бх

АНАЛИТИЧЕСКАЯ ХИМИЯ

овшие вопросы

Редакторы А. И. Бусев, Ф. П. Судаков

11964. Методы количественного микрохимического разделения. Венгер, Монье (Méthodes de séparations microchimiques quantitatives. Wenger Separations increasing design of the separations increasing design of the separation of the separati

денного с гидроокисью трехвалентного железа. І. Соосаждение кобальта из солянокислого раствора. II. Влияние хлорида меди и серной кислоты. М а с и м а (水酸化鉄沈澱に對するコバルト共沈量の測定.第1報.鹽 酸々性溶液からの共光量の測定。第2報、硫酸および鹽化銅の影響について.眞島美智雄))分析化學) Бунсэки ка-гаку, Japan Analyst, 1956, № 6, 319—322; 322—324 (япон. рез. англ.)

I. Р-ры, содержащие различные кол-ва FeCl₃ и CoCl₂ (с радиоактивным индикатором Со⁶⁰), подкис-

ляли HCl и обрабатывали суспензией ZnO в воде до достижения рН, требуемого для осаждения Fe(OH)з. Осадок растворяли в HCl, подщелачивали NaOH, фильтровали, промывали водой, сушили, взвещивали в виде Fe₂O₃ и Co₃O₄ и измеряли активность. Кол-во соосажденного Со определяли путем сравнения со стандартными образцами Со. В некоторых случаях Со определяли также фотометрически с помощью нитрозо-Rсоли и получали совпадающие результаты. Найдено, что кол-во соосажденного Со в общем увеличивается с увеличением введенного Со, однако, чем меньше кол-во введенного Со, тем больше отношение кол-ва соосажденного Со к кол-ву введенного Со; потеря Со >1% при содержании Со < 3% и < 1% при содержании Co > 3%.

11. Солянокислые p-ры, содержащие различные кол-ва FeCl_3 , CuCl_2 и CoCl_2 (с радиоактивным индикатором Co^{60}), и сернокислые p-ры, содержащие различные кол-ва $\mathrm{Fe}_2(\mathrm{SO}_4)_3$ и CoSO_4 (с радиоактивным индикатором Co^{60}), обрабатывали ZnO . Кол-во соосаж-

г.

CTR TOB

HOmo-

lene

oct

stra

оем-

орм

HIVотон

Кна пья

т-р

npo-

утые хода жен

пре-

отке

бого

нта-

кода.

зцов анию

лена

OCTH

мума

глич-

имер плич-

енное

пьев.

e RO-

патов

nemu-

ласт-

1195.

нтезы

соко-

де до

OH)3.

филь-

в виде

осаж-

нларт-

преде-

030-Rйдено. вается

кол-во

осаж->1% жании

111 ЧНЫ В

е раз-

ым иноосажденного Со определяли радиометрически. Найдено, что соосаждение Со из р-ров, содержащих CuCl₂ и H₂SO₄, значительно больще, чем соосаждение из HCl-Р. Моторкина р-ров.

Определение конечной точки титрования на вкуе и запах при кислотно-основном титровании. Ранке-Мадсен, Крог (On the use of the senses of taste and smell in determining the end point of an acid-base titration. Rancke-Madsen E., Krogh J. A.), Acta chem. scand., 1956, 10, № 4, 495-499 (англ.)

Появление запаха при титровании сильной к-ты сильным основанием (и наоборот) в присутствии индикаторов бутирата Na, Na2S, хинолина, пиридина или NH 4 Cl использовано для определения конечной

967. Определение свободной кислоты в присутствии различных солей. Сенявии М. М., Сорочан A. М., Тр. Комис. по аналит. химии. АН СССР, 1956, 7(10), 246—271

На основании критического рассмотрения различ-шых методов определения рН показано, что эта величина не характеризует содержание свободной к-ты в солевых р-рах вследствие зависимости коэфф. активности от природы и конц-ии присутствующих в р-ре солей. Предложенный и экспериментально проверенный способ определения содержания свободной к-ты по результатам одновременного измерения рН и электропроводности (для оценки величины коэфф. активности) анализируемого р-ра оказался весьма трудоемким и недостаточно надежным. Показано, что способ определения содержания свободной к-ты, основанный на переводе к-ты в другую фазу (отгонка, экстракция) в присутствии тяжелых металлов, непригоден вследствие гидролиза солей или изменения коэфф. распределения в-в при изменении состава р-ра. В отличие от описан-ных в литературе ионообменных методов, связанных с необходимостью независимого определения присутствующих в р-ре катионов, предложен способ, состоящий в переводе всех катионов (в том числе и иона H+) в фазу сорбента с последующим определением содержания мона H+ в катионите обработкой его щелочью. При этом способе получаются несколько завыщенные результаты, вероятно, вследствие гидратации сорбированных ионов тяжелых металлов. На основании анализа опубликованных данных по произведениям растворимости напболее распространенных элементов и рН образования их гидроокисей или основных солей выделены элементы, мешающие определению свободной к-ты методом титрования. Сформулированы теоретич. основы методов определения свободной к-ты в р-рах, связанных с осаждением мещающих элементов или переводом их в комплексное соединение. Наиболее целесообразно определять свободную к-ту в присутствии всех мещающих элементов при добавлении к анализируемому р-ру смесей оксалатов с роданидами или хлоридами (путем потенциометрич. титрования) или фторидов (колориметрич. методом в присутствии индикаторов). Эти способы могут быть применены для определения свободной к-ты в самых различных р-рах — от первичного разложения минер. сырья до последней стадии технологич. процесса получения чистых в-в.

В. Сазанова 968. Определение кислотности растворов титана. Дамодаран (Estimation of the acidities of titanium solutions. D a m o d a r a n V.), J. Scient. and Industr. Res., 1956, (B—C)15, № 5, B253—B257

Описаны простые объемные способы определения содержания активных к-т и общего содержания к-т в р-рах, содержащих сульфаты Ті, Fe и Al, и косвен-ный способ определения Al в этих р-рах. Для опреде-

ления активных к-т 5 мл испытуемого р-ра добавляют к 200-300 мл кипящей воды, кипятят 15-20 мин., охлаждают до 40° , вводят 25-40 мл нейтр. 1M р-ра $K_2C_2O_4$ (в зависимости от конц-ии Fe и Al) и титруют в присутствии 0,5—1 мл 0,1%-ного р-ра бромтимоло-вого голубого 0,5 или 1 и. р-ром щелочи до перехода окраски в чисто зеленую. Для определения общего содержания к-т к 5 мл испытуемого р-ра добавляют 10 мл 0,5 н. H₂SO₄ и по каплям нейтр. 3%-ный р-р H₂O₂ до неисчезающей оранжевой окраски надтитановой к-ты. Добавляющей оранжевом окраски надигановой к-ты. Добавляют 25—40 мл 1 M р-ра тартрата К, разбавляют до 250 мл и титруют 0,5 или 1 н. р-ром щелочи в присутствии 0,5 мл 0,1%-ного спирт. р-ра тимолфталенна до неисчезающей в течение 2 мин. светло-зеленой окраски. После титрования добавляют 20—40 мл р-ра К F (0,4 г/мл, дающий слабо-голубую окраску с тимолфталенном при разбавлении 1 : 10) и титруют при 30° 0,5 п. р-ром H₂SO₄. Кол-во Al₂O₃ (в ме) вычисляют по ϕ -ле x=8,5 n, где n — кол-во 0,5 н. H_2SO_4 (в мл). Описанный метод достаточно точен и может заменить трудоемкий весовой метод, применяем для контроля Т. Леви произ-ва пигмента ТіО2.

11969. Щелочные растворы для регулирования рН. Бейтс, Бауэр (Alkaline solutions for pH control. Ваtеs Roger G., Воwer Vincent E.), Analyt. Chem. 1956, 28, № 8, 1322—1324 (англ.) рН в пределах 7—13 регулировалось применением стандартных буферных р-ров, содержащих фосфаты, бораты, карбонаты, барбитураты и аммонийные соли: трис-(гидроксиметил)-аминометан-HCl (рН 7—9), бура-HCl (рН 8—9,1), бура-NаОН (рН 9,2—10,8), NаНСО₃-NаОН (9,6—11,0), NаНРО₄-NаОН (10,9—12,0) КСl-NаОН (12,0—13,0). Определение рН всех буферных р-ров производили в стеклянном сосудике буферных р-ров производили в стеклянном сосудике при 25° измерением э. д. с. цепи: Pt; H₂ (газ. 1 атм), p-pX(pH_x); насыщ.КСІ станд. p-p (pH₃), H₂ (газ, 1 атм); Pt. Стеклянный сосудик соединяли со стандартным к. э. с помощью солевого мостика. Предварительно проверяли разность потенциалов двух водородных электродов измерением каждого электрода в отдельности ротносительно насыщ, к.э. Приведены значения dрН/dtдля каждого буферного p-pa. Погрешность измерения рН \pm 0,02 ед. рН.

1970. Приготовление буферных растворов с постоянной понной силой. Элвинг, Марковиц, Розентал (Preparation of buffer systems of constant ionic strength. Elving Philip J., Markowitz Joseph M., Rosenthal Isadora Arabus Chem. d o r e), Analyt. Chem., 1956, 28, № 7, 1179-1180 (англ.)

Приведена таблица для составления буферных р-ров Мак-Илвейна с рН 2,2—8,0 с постоянной ионной си-лой в 1,0 и 0,5 M; для приготовления этих р-ров к р-рам Na₂HPO₄ и H₈C₆H₅O₇ добавляют определенное кол-во KCl.

1971. Поведение кислотно-основных мидикаторов в уксусновислых системах. Хигути, Фелдман, Pem (Behavior of acid-base indicators in acetic acid system. Higuchi Takeru, Feldman Joseph A., Rehm Carl R.), Analyt. Chem., 1956, 28, № 7, 1120—1130 (англ.)

Спектрофотометрически и потенциометрически изучены следующие индикаторы: этиловый красный, пинацианол, 4-диметиламино-4'-нитростильбен, 2-нитро-9-4-диметиламино- 4'сульфамилазобензол, хинальдиновый красный, 4-диметиламинобензальроданин, м-нитро-N, N'-диметил-анилин, бриллианткрезиловый синий, 1-нафтолбензеин, нильский голубой А, судан III и судан IV. Установлено, что в отличие от водных буферных р-ров кислотность уксуснокислых р-ров заметно зависит от конц-ии. Од-

HOL

ни

Te

СТІ

co

cy

ду

нако разбавление буферных p-ров в CH₃COOH не оказывает влияния на их p-ции с индикаторами. При титровании p-ров в CH₃COOH изменение окраски индикаторов зависит от относительной конц-ии и степени диссоциации соли, образующейся при титровании. Четкость изменения окраски в конце титрования сильной к-ты или щелочи зачастую не зависит от их абс. конц-ии. Поэтому для титрования небольших образдов без существенной потери точности можно использовать разб. р-ры.

Н. Полянский

11972. Пирокатехиновый фиолетовый как индикатор при комплексометрических титрованиях. С у к, М ал ат (Pyrocatechol violet: Indicator for chelatometric titrations. S u k V., M a l a t M.), Chemist-Analyst, 1956, 45, № 2, 30—37 (англ.)
Обзор. Библ. 37 назв.

А. Зозуля

11973. Экстракционно-аналитическое применение несульфированного эриохрома черного Т. Флайка (Extraktionsanalytische Verwendung des nicht sulfonierten Eriochromschwarz Т. Flaschka H.), Mikrochim. acta, 1956, № 4-6, 784—789 (нем.; рез.

англ., франц.)
Эрио ОЅ может найти применение как комплексонометрич. экстракционный индикатор. При встряхивании р-ра эрио ОЅ в бутаноле с р-ром Са, Mg, Zn, Cd, Co, Ni, Cu, Hg (2+), In, Ga при рН 10 образуются окрашеные комплексы, переходящие в органич. фазу. Окраска бутанолового слоя изменяется от синей к красной. Чувстинтельность цветных р-ций велика. Не реагируют щел. металлы, Sr, Ba, Fe³+, Ti, As, Sb, Sn, Ag, Tl, Be, Cr, Bi, Ce, Zr, Nb, Ta, U, Mo, W, V, Mn (в присутствии аскорбиновой к-ты). Ион Fe²+ разрушает индикатор. Аl реагирует очень медленно. Специфичность р-ций повышается в присутствии маскирующих в-в. Экстрагированные комплексы металлов можно очень точно определить фотометрически в органич. фазе. В. Сазанова

11974. Окисление перманганатом в щелочной среде с использованием одновалентного таллия для обратного титрования. III. Определение трехвалентного мышьяка. И с с а, Эль-Шер иф IV. Определение перекиси водорода. И с с а, Фаталла, И с с а. V. Определение тидразина. И с с а. И с с а VI. Определение трехвалентной сурьмы. И с с а, Эль-Шер иф (Оxidations with alkaline permanganate using monovalent thallium for the back—titration. III. Estimation of trivalent arsenic. I s s a G. M., E I S h e r i f J. M. IV. Estimation of hydrogen peroxide. I s s a I. M., F a t h a l l a A. H., I s s a R. M. V. Estimation of hydrazine. I s s a I. M. I s s a R. M. VI. Estimation of trivalent antimony. I s s a I. M., E I S h e r i f I. M.), Analyt. chim. acta, 1956, 14, № 4, 300—305; № 6, 573—577; 578—582, 15, № 1, 4—11 (англ.; рез. нем., франц.)

111. В сильно щел. среде при восстановлении МпО₄ при помощи АѕО₃³ образуется только МпО₂; редокснотенциал системы АѕО₄³ — АѕО₃³ достигает — 0,67 в, в то время, как редокс-потенциал системы МпО₄ — МпО₂ составляет 0,588 в. На кривой титрования (КТ) наблюдается резкий перегиб на участке образования МпО₂ при теоретич. конц-и NаОН 2—3 н. При более низкой конц-ии щелочи конечная точка наблюдается позже (частичное образование Мп₂О₃) при более высокой конц-ии происходит авторазложение КМпО₄. Наилучшие результаты получены в присутствии Н₂ТеО₄, которая связывает МпО₂ в комплекс и предотвращает тем самым каталитич. влияние МпО₂ на разложение КМпО₄. Как в присутствии, так и в отсутствие Н₂ТеО₄ в среде 2-3 и NаОН перегиба, характеризующего процесс обра-

зования МпО₄²⁻, не наблюдается. Добавление Ва²⁴ в кол-ве, эквивалентном ${\rm AsO_4^{3-}}$ и ${\rm MnO_4^{2-}}$, образующимся в среде 1 н. NaOH, не устраняет возможность перегибов на КТ, соответствующих образованию МвО. При увеличении конц-ии Ba²⁺ в 3-5 раз и снижении конц-ии AsO_3^{3-} до 0,0255 н. и MnO_4^- до 0,05 н. достигается почти количеств. восстановление последнего. Сделав вывод, что в указанных условиях AsO₃ непригоден для оттитровывания МпО в щел. среде. Разработан следующий метод определения As. P-р AsO₃ смешивают с p-ром КМпО₄. AsO₃— прибавляют по каплям в присутствии Ba²⁺ в кол-ве, эквивалентном 3-кратному кол-ву AsO_3^{3-} и MnO_4^- , в среде 1 н. NaOH или, в отсутствие Ва²⁺ в среде 1-2 н. NaOH и избыток MnO₄ оттитровывают р-ром Tl+. В присутствии Ва²⁺ MnO₄ восстанавливается до MnO_4^{2-} , в отсутствии Ba^{2+} до Mn(4+). В последнем случае получают более точные результаты.

IV. Большие положительные ощибки при титровании щел. р-ров КМпО₄ р-рами H₂O₂ можно отнести за счет каталитич. восстановления части H₂O₂ в присутствии осадка МпО₂. В присутствии теллуровой к-ты, предотвращающей выделение МпО₂, конечная точка потенциометрич. титрования при конц-иях H₂O₂ 0,00811—0,08236 н. и щелочи 0,5—3 н. почти совпадает с эквивалентной точкой (ЭТ). Однако первая точка перегиба на КТ, отвечающая восстановлению КМпО₄ до МпО₄², появляется значительно позже соответствующей ЭТ. При титровании 0,0563—0,1074 н. р-ров H₂O₂ в 0,1 н. NаОН 0,1136 н. р-ром КМпО₄ наблюдаются большие отрицательные ошибки, достигающие 70% в отсутствие теллуровой к-ти 45% в ее присутствии. Эти ошибки связаны с каталитич. разложением H₂O₂ в мел. р-рах. Для колич. определения H₂O₂ с хорошими результатами применяют ее окисление избытком КМпО₄ в присутствии 1 н. NаОН с обратным оттитровыванием непрореагировавшего окислителя одновалентным ТІ. К 0,02168—0,1084 н. р-ру КМпО₄ при помешивании добавляют 0,01882—0,0941 н. р-р H₂O₂ и сейчас же оттитровывается только до Мп (4 +). Метод дает точные результаты при определении до 0,3 мг Н₂О₂.

V. Прямое потенциометрич. титрование р-ров гидразина (I) р-ром КМпО₄ нельзя использовать для колич. определения I, который в щел. средах окисляется кислородом воздуха. Вследствие окисления I кислородом, скачок потенциала на КТ р-ров I появляется за несколько десятков % до наступления эквивалентной точки. На КТ 0,004548 н. р-ра I 0,01084 н. р-ром КМпО₄ наблюдается 1 скачок. 0,04848 н. р-ры I окисляются 0,1084 н. р-ром КМпО₄ в 2 стадии, механиам которых не выяснен. Для колич. определения I пользуются титрованием КМпО₄ р-рами I. В присутствии избытка КМпО₄, I окисляется до № 1 н. Роров Сильтерий избытка КМпО₄, в отсутствие Ва²+ восстанавливается до МпО₂. Если титруемый р-р содержит 1—2 экв. ионов Ва²+ на 1 экв. КМпО₄, то последний восстанавливается только до МпО₂². В отсутствие Ва²+ эта стадия восстановления выражена на КТ р-ров КМпО₄ в 1—2 н. №0 ночень нечетко. Зато второй стадии восстановления (до МпО₂) отвечает резкий скачок потенциала. Хорошие результаты дает определение I путем его добавления к перемешиваемому р-ру КМпО₄ в 1 н. №0Н, содержащему добавки теллуровой к-ты, к оттитровывания непрореагировавшего КМпО₄ р-ром Tl+. Теллуровую к-ту

Ba24

имся

реги-

При

Щ-ии ается

целан

н для

сле-

Baior

HCVT-

ол-ву

CTRRE

итро-

тана-

4+).

таты.

Леви вании

счет

ствии оедот-

236 н. нтной

Т, от-

пется

трова-

136 н.

льные й к-ты

ката-

голич.

топпи

NаОН окис-

. р-ру 941 н.

MnO4.

ько до

преде-

гидра-

колич.

я кис-

родом,

скольточки. О₄ на-

потся

оторых гся тизбытка

авший

MnO₂. Ва²⁺ на

только

новле-

NaOH

ия (до рошие

вления

сопер-

ния не-

TO K-TV

вводят для предотвращения образования низших окислов Мп. Этот метод пригоден для определения до 0.182 мг І. Если титрование выполняют в присутствии нонов Ва²⁺, то КМпО₄ восстанавливается до манганата и потому введение теллуровой к-ты в анализируемый р-р не обязательно. VI. Титрование Sb(3+) перманганатом дает хорошие результаты в присутствии $H_2 {
m TeO}_4$, если конц-ия щелочи ниже 0,5 н. При более высокой конц-ии конечная точка наступает рано, исключая случай, когда присутствует винная к-та. В отсутствие теллуровой к-ты MnO₄ восстанавливается при более высокой конц-ии шелочи, чем 0,5 н. NaOH, до Mn₂O₃. При титровании MnO₄ p-ром Sb (3+) образуется MnO₂. Колич. результаты получаются в присутствии NaOH и в присутствии теллурой к-ты. Добавлением ионов Ва²⁺ задержать восстановление MnO_4^- на стадии MnO_4^{2-} не удается. Метод, состоящий в окислении Sb(3+) избытком MnO₄ в присутствии H₂TeO₄ и при конц-ии 1—2 н. NaOH с последующим оттитровыванием избытка окислителя р-ром соли $\Pi(1+)$, дает точные результаты. Таким путем можно определить >0,67 мг Sb. Сообщение Π см. РЖХим, 1956, 65187. В. Сазанова

11975. Титриметрическое исследование окислительновосстановительных реакций. IX. Восстановление двойным сульфатом этилендиамина и двухвалентного железа и титрование метаванадатом натрия. С и и г х, С и и г х (Volumetric studies in oxidation-reduction reactions. IX. Reduction with ferrous ethylenediamine sulphate sodium metavanadate method. S i n g h B a I-w a n t, S i n g h S a r w a n), Analyt. Chim. acta, 1956, 15, № 3, 277—278 (англ.; рез. нем. франц.) Осуществлено косвенное определение ряда в-в (КВгОз, КЗСгО-7, КМпО4, К2S2О8, Н2О2, К4[Fe(CN)6], NаVO3, КЈО4, Се(SO4)2), используя в качестве восстановителя двойной сульфат этилендиамина и Fe(2 +) (I) и оттитровывая избыток восстановителя р-ром NaVO3 с дифенилбензидином (II). К анализируемому р-ру прибавляют 20 мл Н2О, 20 мл фосфорнокислой смеси (75 мл Н2SO4 уд. в. 1,84 смешивают с 75 мл Н3PO4 уд. в. 1,75 и разбавляют до 500 мл водой) и 20 мл титрованного 0,05 н. р-ра I, избыток I оттитровывают 0,05 н. р-ром NaVO3 с II в качестве индикатора; вводят видикаторную поправку. При определении К4[Fe(CN)6] к анализируемому р-ру прибавляют 5 мл свежеприготовленного р-ра FeCl3 (1 г в 100 мл р-ра), 20 мл 1 н. HCl, 30 мл Н2О и 20 мл 0,05 н. р-ра I; осадок Fe₃[Fe(CN)6]2 отфильтровывают и тщательно промывают водой, фильтрат подкисляют фосфорнокислой смесью далее продолжают как описано выше. Указанным методом определяют 0,348—0,952 мэкв в-ва. Сообщение VIII см. Ражхим, 1957, 8358. Р. Моторкина 11976. Реакции сопраженного окнеления в цериметрин. Часть I. Г о п а л а-Ра 0, С а с т р и (Induced reactions in cerimetry. Part I. G о р а 1 а R а о G., S а s t г i Т. Р.), Z. analyt. Chem., 1956, 152, № 5,

351—355 (англ.) При изучении р-ций сопряженного окисления в периметрии найдено, что $H_2C_2O_4$ вследствие сопряженого окисления сульфатом Ce^{+4} мещает цериметрич. определению гидрохинона; коэфф. индукции возрастает с увеличением конц-ии $H_2C_2O_4$ и имеет одинаковую величину при применении в качестве индикатора как дифенилбенаидина, так и фенилантраниловой к-ты. Мешающее влияние $H_2C_2O_4$ почти полностью устраняется при добавлении к р-ру H_3PO_4 и полностью устравяется при добавлении Na F. Лимонная, винная, маенновая, молочная к-ты, глюкоза и глицерин титрованию гипрохинова не мешают.

Л. Горин

11977. Моногидрат тносульфата стронция как стандарт в нодометрик. Л у д е к е и с, С и л ь в а (Strontium thiosulphate monohydrate: a useful standard in iodometry. L u d e k e n s W. L. W., S i l v a N. R. d e), Research, 1956, 9, № 8, S31—S32 (англ.) Устойчивость во влажной атмосфере (при 80—90% относительной влажности не происходит изменения веса 1—2 г в-ва), большой эквивалентный вес (217,78), заметная растворимость (0,048 мол/л при 25°) и легкость приготовления в чистом виде (99,90%) делают SгS₂O₃· H₂O прекрасным в-вом для установления титра р-ров J₂. Способ приготовления SгS₂O₃· H₂O: к насыщ. р-ру SгСl₂ прибавляют при 60° теоретич. кол-во Nа₂S₂O₃, р-р медленно выпаривают в эксикаторе с конц. H₂SO₄ при той же т-ре, образующиеся кристаллы отфильтровывают, промывают небольшим кол-вом воды и сушат в эксикаторе с СаСl₂.

1976 Р. Капельный анализ. В а н К у й (經濟於) теж) > 48%—590(кит).

11979. Окраска и ее значение в аналитической химии І. И нам ура (色名法について.I.分析化學のために轉村耕雄) > 分析化學Бунсэки кагаку, Japan Analyst, 1956, 5, № 5, 298—299 (япон.)

5, № 5, 298 — 299 (нпон.)

11980. Применение органических реактивов в неорганическом анализе. К р е ш к о в А. П., В и л ьбо р г С. С., Д р о з д о в В. А., Тр. Моск. хим.технол. ин-та, 1956, № 22, 123—130

При сливании р-ров Сu(C₂H₃O₂)₂ и парахлоранилина образуются комплексные соли [Cu(ClC₆H₄NH₂)₂](C₂H₃O₂)₂

(1) и [Cu(ClC₆H₄NH₂)₄·(C₂H₃O₂)₂, являющиеся реактивом на

При сливании р-ров Cu(C₂H₃O₂)₂ и парахлоранилина образуются комплексные соли [Cu(ClC₆H₄NH₂)₂](C₂H₃O₂)₂, являющиеся реактивом на периодаты (II), персульфаты (III), роданиды, перхлораты хлораты, нодаты, броматы и другие анионы. При добавлении к 1 мл р-ра II 5 капель I уже на холоду выпадает зеленоватый осадок, окраска которого быстро переходит в темнобурую. Состав соли [Cu(ClC₆H₄NH₂)₂](JO₄)₂. Она нерастворима в конц, к-тах. Чувствительность р-ции 0,04 ме/мл ЈО₄. Комплексная соль с III нерастворима в NH₄OH и разб. к-тах, несколько растворима в конц, к-тах. Чувствительность р-ции 0,12 ме/мл S₂O₂². Роданиды с I дают коричневый осадок, чувствительность р-ции 0,589 мг/мл SCN-. Во всех случаях проведению р-ции не мешают состановители, реагнрующие с II, а также большие кол-ва некоторых анионов, дающих в этом случае осадки с I (AsO₄³>15 мг/мл, CrO₄²>30 мг/мл, PO₄³> 10 мг/мл, Cr₂O₇²> 45 мг/мл, S²-). М. Пасманик

11981. Применение растворов тномочевины в объемном анализе (тнокарбамидометрия). Я ц и м и р ск и й К. Б., А с т а ш е в а А. А., Ж. аналит. химии, 1956, 11, № 4, 442—446 К 10—25 мл 0.025—0,2 М р-ра тиомочевины (I) добавляют индикатор (15—20 капель насыц. спирт. р-ра

К 10—25 мл 0.025—0,2 М р-ра тиомочевины (I) добавляют индикатор (15—20 капель насыщ, спирт. р-ра дифеникарбавда (II) или 10 капель такого же р-ра β-интрозо-α-нафтола (III)), разбавляют до 100—150 мл и титруют р-ром Hg(NO₃)₂. При добавлении II р-р в точке эквивалентности окрашивается в сине-фиолетовый цвет, при добавлении III изменяет окраску с желтозеленой в желто-оранжевую. Среднеквадратичное отклонение при II 0,2—0,3%, при III 0,1—0,2%. Возможно и обратное титрование, однако целесообразно при определении Hg добавлять заведомый избыток I, а затем оттитровывать его р-ром Hg(NO₃)₂. Оптимальное значение рН 2. Ag⁺, Cd²⁺, Pb²⁺, Zn²⁺, Ni²⁺, Mn²⁺, Mg⁺, NH₄⁺, CH₃COO[−], SO₄^{2−}, NO₃[−] и PO₄^{3−} пе мешают. I используют и для определения Cd. К 20 мл исследуемой соли Cd (0,01—0,05 M) добавляют 20 мл 0,25 M р-ра I, 30—40 мл насыщ. р-ра пикриновой к-ты и доводят до

No

HO

VII 0,0

310

HH

Zr

HH

cal

TO

Th

HO

He

BO.

Ma

OC'

MH

HIN

100 мл. Через 15-20 мин. фильтруют через сухой фильтр иаликвотную часть (20 мл) титруют 0,025-0,05М р-ром Не-(NO₃₎₂, индикатор — II. Среднеквадратичное отклонение 0,23%. Нижний предел определения 5.10-4 М. Определению мешают Hg, Bi, Ag, Cu, Tl и большие кол-ва Pb. 1000кратный избыток Zu не снижает точности, но значи-тельно замелляет выпадение осадка. М. Пасманик тельно замедляет выпадение осадка. Применение основных красителей диаминотри-

фенилметанового ряда для открытия минимальных количеств сурьмы, золота и таллия. Лапин Л. Н., Гейн В. О., Тр. Комис. по аналит. химии. АН СССР, 1956, 7(10), 217—222

Для понижения влияния избытка HCl и NaNO2 на чувствительность открытия Sb в виде SbCl6 с красителями ди- и трифенилметанового ряда рекомендуется образовавшееся соединение растворять в органич. р-рителях. Соединение кристаллвиолета с ионом SbClлегко переходит в бензол и его гомологи, окрашивая их в сине-фиолетовый цвет. При использовании производных диаминотрифенилметана (малахитовая или бриллиантовая зеленая) получаются более надежные результаты. К 1 мл исследуемого р-ра, содержащего Sb в виде Sb³⁺, прибавляют 3 мл 5 н. HCl, 2 капли 5%ного p-pa NaNO₂ и 0,2 мл 0,5%-ного p-pa бриллиантовой зеленой в спирте (разведенном водой в отношении 1:3). К образовавшемуся оранжево-желтому р-ру добавляют 1 мл толуола. В присутствии Sb толуол окрашивается в зеленый цвет, интенсивность которого возрастает с конц-ией Sb. Открываемый минимум 0,05ү Sb. Аналогичную р-цию с бриллиантовой зеленой дают AuCl₃ и TlCl₃, которые взаимодействуют в форме AuCl4 и TlCl4. Открываемый минимум 0,5 ч Au и 2 чТl-Описан метод открытия Au в присутствии T1. Аурамин позволяетоткрывать Sb в присутствии Au и Tl, но р-ция недостаточно чувствительна (открываемый ный минимум В. **Са**занова 5 γ Sb). 11983.

Новая реакция роданидов с ионами ртути, висмута и цинка. Богуславский, Цыганский (Nowa reakcja rodanków z jonami rtęciowymi bizmutawymi icynkowymi. Bogusła wski Lech Cygański Andrzej), Zesz. nauk. Politechn. łódzkiej, 1956, № 12, 35—40 (польск.; рез. русс.,

англ.)

Прибавление Zn2+ к p-ру, содержащему Bi3+, Hg2+ я SCN- приводит к образованию кирпично-красного осадка, представляющего смесь Zn₃[Bi(SCN)₆]₂ и Zn[Hg(SCN)₄]. Реактив, содержащий 5 мл 0,5 М Bi(NO₃)₃, 4 мл 2 М NH₄SCN и 1 мл 0,2 М Hg(NO₃)₂, дает еще ясную р-цию с р-рами, содержащими 0,0075 г Zn. В сазанова

Использование N, N, N', N'-тетракис-(304. Использование N, N, N, N-тегракие (2-оксипропил)-этилендиамина при определении суммы $\mathbf{R_2O_3}$ в известняке. Додсон, Блэк (The use of N, N, N', N' tetrakis (2-hydroxypropyl) ethylene-diamine in the determination of the $\mathbf{R_2O_3}$ group in limestone. Dodson Vance H., Black Arthur H.), Ohio J. Sci., 1956, 56, \mathbb{N} 3, 147—150 (англ.)

N, N, N', N'-тетракис-(2-оксипропил)-этилендиамин [(HO — CH(CH₃) — CH₂)₂N — (CH₂)₂ — N(CH₂ — CH (CH₃)OH)₂] (I) количественно осаждает Fe и Al при рН 6,0—0,5 и может быть использован для отделения элементов группы R₂O₃ от щел.-зем. и щел. металлов при 1-кратном осаждении (соосаждение Са и Мд незначительно). Навеску высушенного при 110° известняка или доломита прокаливают 1 час при 1000°, SiO₂ уда-ляют 2-кратным обезвоживанием с HCl, фильтрат после SiO₂ разбавляют до ~ 200 мл и обрабатывают 3%ным р-ром Н2О2, избыток последней удаляют нагреванием до кипения, р-р охлаждают до комнатной т-ры,

прибавляют NH4OH до рН 2-3 и затем приливают 0.1 м р-р I до рН 6,5; нагревают до кипения, оставляют на паровой бане 15 мин., осадок гидроокисей отфильтровывают, промывают теплым 1%-ным р-ром № Н4NO3. осторожно озоляют и прокаливают при 1000° до постоянного веса; в фильтрате определяют Са и Mg. Ре-зультаты определений R₂O₃, Са и Mg при 1-кратном осаждении R₂O₃ с I не уступают по точности результатам, полученным при 2-кратном осаждении с NH₄.

11985. Аналитическое применение некоторых азокрасителей, производных хромотроповой кислоты. Часть I. Применение красителей SNADNS для открытия и титриметрического определения тория, Часть II. Титриметрическое определение тория комплексоном III с применением красителей SNADNS. Часть III. Применение красителей SNADNS при титриметрическом определении фтора. Часть IV. Спектрофотометрическое определение тория при помощи 2,7-ди-(4-сульфонафтилазо) -1,8-диоксинафта-лин-3,6-дисульфокислоты (ди-SNADNS). Датта (Analytical aspects of some azo dyes from chromo-tropic acid. Part I. S n a d n s dyes in the detection and volumetric determination of thorium. Part II. Titrimetric determination of thorium with versene using the SNADNS Dyes. Part III. Use of SNADNS dyes in the volumetric determination of fluorine. Part IV. Spectrophotometric determination of thorium with 2-7-di-(4-Sulphonaphthylazo)- 1,8-dihydroxy naphthalene-3,6-disulphonic acid (di-SNADNS). Data Sachindra Kumar), Z. analyt. Chem., 1956, 149, № 4, 270—277, № 5, 328—333; 333—339; 150, № 5, 347—355 (англ.)

Часть I. При сочетании хромотроповой к-ты (I) в щел. среде с 2 молями диазотированной нафтионовой к-ты образуется 2.7-ди-(4-сульфонафтилазо)-1,8-диоксинафталин-3,6-дисульфокислота (ди-SNADNS) при сочетании I с 1 молем II в среде лед. СИ₃СООН образуется моно-азо-краситель, 2-(4-сульфонафтилазо)-1,8-диоксинафталин-3,6-дисульфокислота (SNADNS) (IV); из нитрозо-I и II в среде HCl получают нитрозо-SNADNS (V). IV устойчив к действию к-т, окраска III в присутствии к-т переходит в ярко-розовую, окраска V — в желтую. При изучении аналитич. применимости красителей к 2 мл р-ра металла добавляли 0,5 мл 0,05%-ного р-ра красителя. Установлено, что III, IV п V образуют окрашенные комплексы с Th и Zr; IV и V реагируют с Ni и Co в p-ре в NH₄OH с образованием окрашенных комплексов, при взаимодействии с Се³⁴ образуется растворимый в воде комплекс. Красителя применимы в качестве внутренних индинаторов при титровании Th p-ром H₂C₂O₄ или p-ром комплексова III, VI и при объемном определении F- — при помощи p-pa Th (NO₃)₄. Для открытия Th 1 каплю анализируемого р-ра с рН 3 помещают в микропробирку и обрабатывают 1 каплей 0,05%-ного р-ра Na-соли красителя (pH 5). Открываемый минимум при употреблении III, IV и V соответствует 3, 5, 2, 5 и 2 ү Th. Капло 0,05%-ного р-ра красителя помещают на фильтровальную бумагу, подсушивают на воздухе и в центре пятна помещают каплю p-pa Th; открываемый минимум при употреблении III, IV и V соответствует 4, 5, 3 и 2₇Th. Для определения Th, pH p-pa Th(NO₃)₄ устанавливали добавлением 0.05 н. HCl на уровне 2.4; 25 мл p-pa нагревали до 50° и добавляли 0,5 мл 0,05%-ного р-ра красителя. При употреблении III, IV и V окраска р-ров была соответственно розовой, голубовато-фиолетовой красновато-красной. Р-ры титровали $0.4~M~H_2C_2O_4$; образовывался осадок оксалата, в конечной точке окраска р-ров изменялась соответственно в розовую, красную и желтую. При увеличении кол-ва осадка часть красителя абсорбируется им. Конечная точка является

57 r.

0.1M

OT Ha

ьтро-

4NO3

g. Pe-

атном зуль-NH₂.

озуля

слоты.

я отгория,

I KOM

ADNS.

S при ь IV.

ри по-

нафтаатта hromo-

tection

art II.

versene

e. Part

horium

ydroxy Datta , 1956, 39; 150,

в шел.

й к-ты

8-диок-

OH of-

илазо)-

ADNS)

итрозо-

аска III

окраска

имости 0,5 мл II, IV и IV и V

ованием

с Се³⁺ асители

оов пря

лексона

помощи

нализи-

ку и об-

краси-

еблении

Каплю

гроваль-

ое пятна

мум при

и 2yTh.

вливали

en p-pa

ого р-ра ка р-ров олетовой

H2C2O4;

очке ок-

розовую,

ка часть

является

наиболее отчетливой при употреблении V (наименее эффективен IV). При употреблении III, IV и V оптимальное значение рН составляет 2,2; 2,8 и 3. Т. Левы Часть II. К р-ру Тh (NO₃)₄ добавляют 1 мл 0,05%-ного р-ра индикатора (рН 5), доводят рН до 2,4 (при употреблении IV и V) и до 2 (при III) при помощи 0,05 н. NаОН, разбавляют до 30 мл и при перемешивании титруют 0,022 М р-ром VI. При применении IV и III конечная точка недостаточно отчетлива, потому добавляют избыток VI и оттитровывают 0,0256 М р-ром Тh(NO₃)₄. Применение V обратного титрования пе требует. Погрешность определения при употребления IV от 0,3 до 1,4 мг, III от 0,1 до 0,5 мг, V от -0,2 до +0,2 мг; Pb, Zn, Hg, Co, Ni не мещают; от Fc, Cu, Au и щел. зем. металлов Тh отделяют осаждением фталанилиновой к-той, полученной из о-анизидна, и после разложения соли к-той определяют описанным методом. Результаты точнее, если конечную гочку определяют спектрофотометрически.

Часть III. К p-ру NaF добавляют 5 мл буферного р-ра (СН₃СООNa-HCl), 5 мл 5%-ного р-ра крахмала, 1 мл p-ра красителя (0,02 г в 100 мл воды), разбавляют до ~ 50 мл и быстро титруют 0,0128 М р-ром Тh(NO₃)₄ (крахмал предотвращает осаждение ThF₄). Переход окраски в конечной точке достаточно отчетляв. Одновременно проводят контрольный опыт. Опнимальное значение pH при употреблении IV равно 2,2, III—2, V—2,4. В пределах эксперим. погрешности определяют до 45 мг F. При определении микроколичеств применяют 2 мл p-ра красителя. При употреблении IV определяемый минимум F 25 F, III 20, V16γ в 50 мл. При определении F в минералах и соединения пигель с содержащие 10—70 мг F, сплавляют в Ni-тигле с 0,5 г ZnO и 1,5 г Na₂CO₃. После охлаждения тигель с содержимым помещают в стакан с 30 мл воды, нагревают на паровой бане, переносит миткую массу в стакан, книятят 15 мин. и после отстанвания остатка фильтрату при охлаждении добавляют 20 мл HClO₄ и 2мл H₃PO₄. Смесь вносят в дистилляционную колбу и при 135° начинают подачу пара, причем т-ру повышают до 140°. Оттоняют ~150 мл дистиллата (4 мл/мин). При определении Са F₂ перегонку ведут без предварительного сплавления, добавляя несколько кусочков иягкого стекла при т-ре 135—155°. 40 мл аликвотную порцию титруют, как было указано выше. Лучшим методом очистки Na F и Ca F₂ от примесей Al, Fe, Ca, Mg и т. д. является перегонка с HClO₄.

Fe, Ca, Mg и т. д. является перегонка с HClO₄. Часть IV. К аликвотной пробе р-ра добавляют 0,1%-вый р-р III (из расчета 0,3 мл на 0,058 мг Th), смесь разбавляют до ~25 мл, доводят рН при помощи 0,01 н. HCl до 3 и разбавляют до 25 мл. Контрольную пробу готовят разбавляют до 25 мл. Контрольную пробу готовят разбавленем такого же кол-ва III водой (рН 3, объем 25 мл). Тh образует с III водорастворимый синефиолетовый комплекс (соотношение Th: III= 1:2), поглощение которого измеряют при 640 мµ на кварчевом спектрофотометре Бекмана, модель DU, с 1-см поветой корекс. Окраска устойчива 24 часа. Пцел.-зем. металлы при конц-иях, втрое превышающих конц-ию Th, спижают интенсивность окраски. Метают Zr, Fe, Au, PO³ и F−, в меньшей степени Cu, Co и Ni. Метод чувствителен, результаты хорошо воспроизводимы.

М. Пасманик анализа газов. Туркельта уб Н. М., Жуховицки и на й А. А. Завод. лаборатория, 1956, 22, № 9, 1032—1039 Обзор. Библ. 51 назв.

11987. Комплексометрическое титрование (хелатометрия). XI. 1,2-диаминоциклогексан-N, N, N', N' тетрауксусная кислота в качестве титриметрического реактива. Последовательное определение железа и марганца (магния, кальция); определение меди в присутствии железа, никеля кобальта и марганца. II р или и б и л (Komplexometrické titrace (chelatometrie). XI. Kyselina 1, 2-diaminocyklohexan-N,N, N', N'-tetraoctovà jako odměrné činidlo. Postupné stanovení železa a manganu (hořčíku, vàpniku); Stanovení mědí vedle železa, niklu, kobaltu a manganu. Při b i I R u d o If), Chem. listy, 1955, 49, № 2, 179—185 (чеш.); Сб. чехосл. хим. работ, 1955, 20, № 1, 162—169 (нем.; рез. русс). Сообщение X см. РЖХим, 1955, 40358

11988. Хроматографический полумикроанализ газов. IV—V. Разделение и анализ газообразных углеводородов. Я н а к (Chromatographische Halbmikroanalyse von Gasen. IV—V. Die Trennung und Analyse Gasförmiger Kohlenwasserstoffe. J a n a k J.), Сб. чехосл. хим. работ, 1954, 19, № 4, 700—711 (нем.; рез. русс.)
См. РЖХим, 1954, 46786, 46787.

CM. РЖХим, 1954, 46786, 46787.
1989. Применение ионообменных смол в аналитической химин. Кальдерон-Мартинес (Las resinas cambiadoras de ion en quimica analitica. Calderon Martinez J.), Rev. plást., 1956, 7, № 40, 178—184 (исп.)

Обзор. Библ. 13 назв.

Т. Леви 11990. О нонообменивающих материалах — новых вспомогательных средствах в аналитической химин. У н г е т ю м (Über die Ionenaustauscher, ein neures Hilfsmittel in der analytischen Chemie. Ung et h üm H o r s t), Z. angew. Geol., 1956, 2, N 5-6, 264—267 (нем.)

Описано выделение Pb и Zn (≤ 100 мг каждого металла) на колонке сильноосновного анионита вофатит L 150. Рекомендуется применять колонку диам. 10 мм с высотой слоя анионита 200 мм; размер зерен анионита 0,4—0,3 мм. Колонку промывают 0,1 M HCl до отрицательной р-ции на Fe в вытекающем р-ре, обрабатывают смолу 80 мл 2,5 M HCl; для вымывания Fe и Си употребляют 300 мл 2,5 M HCl; Pb и Zn вымывают 0,03 M HCl. Метод применен для определения Си, Pb и Zn в Си-сланцах.

Т. Леви 11991. Выделение катионов методом повного обмена.

Безуглый Д. В., Боров щук М. П., Тр. Харьковск. политехи. ин-та, 1956, 8, 169—175
Равновесное распределение ионов Си²⁺ и Мп²⁺ между сульфоуглем и р-ром может быть выражено ур-нием Ротмунда-Корнфельда, что указывает на гетерогенность этого ионообменника; в состоянии равновесия сульфоуголь обогащается Си, а р-р — Мп. Динамич. обменная емкость сульфоугля не зависит от конп-ии р-ра. Установлено, что методом ионообменной адсорбции на сульфоугле можно достигнуть концентрирования и обогащения ионообменной Си и частичного выделения Мп.

В. Сазанова 11992. Применение трилона «Б» в ионообменной

1992. Применение трилона «Б» в нонообменной хроматографии. Сообщение І. Головатый Р. Н., Доповіді та повідомлення Львівськ. ун-т, 1955, вып. 6 ч. 2, 131—134

избыток I (из расчета на Ni), нейтрализуют NH₄OH по метиловому красному и фильтруют через NH₄-катионит. Ni поступает в фильтрат. Для отделения Си от Ад к р-ру добавляют NH₄OH, а затем насыщ. р-р I до исчезновения синей окраски; при фильтровании через слой NH₄-катионита Си поступает в фильтрат, Ад задерживается катионитом.

Т. Леви 11993. Применение хроматографии на бумате для обнаружения загрязняющих катионов в неорганических препаратах. И в а и о в а М. С. Тр. Комис. по аналит. химии. АН СССР, 1956, 7, (10), 77—83

Хроматографирование на бумаге неорганич. катионов хорошо осуществляется на отечественной фильтровальной бумаге «синяя лента». Описаны методы очистки бумаги, аппаратура и методика получения хроматограмм на полосах и круглых фильтрах. Определены величины R_f для 12 наиболее распространенных катионов (Al³+, Ni²+, Mn²+, Co²+, Cu²+, Bi³+, Sn²+, Zn²+, Sb³+, Cd²+. Hg²+, Fe³+) «Пятна» катионов обнаруживают по флуоресценции их оксихинолинатов.

11994. Осадочная хроматография катионов на бумаге с применением 8-оксихинолина. І. ІІ. Нагаи(オキシンによる無機湯イオンの沈殿ペーパークロマトグラフ、第2報. 決井英夫) , 日本化學雑誌 , Нихон кагаку дзасси, J. Chem. Soc. Japan. Pure Chem Sec., 1955, 76, № 11, 1246—1248; 1956, 77, № 8, 1267—1270 (япон.)

11995. Количественная хроматография на бумаге. II. Определение анионов. III. Механизм образования хроматограмм анионов. IV. Определение ферроцианид монов путем измерения площади хроматограмм. V. Микроопределение ферроцианид-нонов путем измерения светоогражения хроматограмм. М у р а т а. (試験紙による定量クロマトグラフ法の研究。第2報、除イオンの定量に関うる基礎的實險。第3報、除イオンのクロマトグラム生成機構について、第4報・クロマトグラムの面積によるフェロシアンイオンの定量・第5報・クロマトグラムの分光反射率 測 定による漫畫フェロシアンイオンの定量・対しの分光反射率 測 定による機力 フェロシアンイオンの定量 対田旭)・日本化學雑誌・ Няхон кагаку дзасси, J. Chem. Soc. Japan. Pure Chem Sec., 1955, 76, № 5, 517—520; № 9, 1040—1045; 1956, 77, № 4, 631—636; № 5, 781—786 (япон.) Сообщение I см. РЖХим, 1957, 4670.

11996. Хроматография на бумаге с непрерывным изменением состава растворителя. Часть І. Разделение жирных кислот. Часть ІІ. Разделение поверхностноактивных веществ. Франкс (Paper chromatography with continuous change in solvent composition. Part I. Separation of fatty acids. Part II. Separation of Surface-active Agents. Franks F.), Analyst, 1956, 81, № 964, 384—390, 391—393 (англ.)

1. Описаны метод и аппаратура, позволяющие проводить хроматографирование на бумаге с р-рителем, состав которого непрерывно изменяется; метод позволяет разделять весьма сходные соединения-гомологи на узких полосках бумаги. Метод применен для разделения смеси жирных к-т с длинной цепью, получаемых из ацетоновых экстрактов детергентов (каприновая, лауриновая, пальмитиновая, стеариновая, олентовая, миристиновая, линолевая к-ты).

11. Метод и аппаратура, описанные в части I, использованы для разделения смесей поверхностноактивных в-в и детергентов; не удалось идентифицировать разделенные компоненты технич. детергентов из-за отсутствия соответствующих чистых соединений, необходимых для сравнения.

А. Зозуля

11997. Поглощение фильтровальной бумагой нонов металлов из очень разбавленных растворов. Тро и ц-к и й К. В., Тр. Комис. по аналит. химии. АН СССР, 1956, 7 (10), 96—103
При фильтровании через бумажные фильтры весьма

разб. нейтр. р-ров, содержащих Ni, Co и Au в порах фильтров, происходит 2—9 -кратное концентрирование этих элементов. Относительно более полное поглощение металловбумажными фильтрами наблюдается при фильтровании их очень разб. р-ров (0,5—1,0 ү/мл). Предложен способ концентрирования и обнаружения ничтожных следов различных элементов в разнообразных объектах, основанный на прохождении р-ра через большое число слоев фильтровальной бумаги. В. Сазанова

1998. Электрохроматография. XI. Количественное определение малых количеств Ва²+ и АӀ³+ по длине зоны на фильтровальной бумаге. XII. Влияние концентрации пробы и буферного раствора на длину зоны комплексного иона. XIII. Соотношение между валентностью кобальт-амминовых комплексных понов и их подвижностью на фильтровальной бумаге. XIV. Разделение гидратных изомеров хлорида и сульфата трехвалентного хрома. XV. Разделение комплексных роданидов железа. XVI—XVII. Соотношение между адсорбцией ионов на фильтровальной бумаге и и подвижностью на бумаге. Мак поновние между адсорбцией ионов на фильтровальной бумаге и и подвижностью на бумаге. Мак поновние между адсорбцией ионов на фильтровальной бумаге. Мак подвательной б

XI. При нанесении на полоску фильтровальной бумаги, смоченной буферным р-ром (БР), капли р-ра Ва²⁺ или Al³⁺ и создании разности потенциалов происходит миграпия Ва²⁺ или Al³⁺. Длина зоны, в которой концентрируются мигрирующие ионы пропорциональна их конц-ии, что делает возможным определение малых кол-в Ва²⁺ или Al³⁺. 150—1500γ Ва²⁺ на бумаге, насыщ. БР CH₃COOH=CH₃COONa, или 25—500γ Al³⁺ на бумаге, насыщ. БР HCl=CH₃COONa, определяют с погрешностью +10%. При одинаковых кол-вах нанесенного на бумагу Al³⁺ длина зоны, в которой распределяются мигрирующие ионы Al³⁺, слегка увеличивается с возрастанием конц-ии Al.

XII. Линейная зависимость между конц-ией иона и обратная зависимость между ионной силой БР и длиной зовы в которой концентрируются мигрирующие ионы РЖХим, 1956, 68608; см. пред. реф.) обнаружена и для комплексных ионов [Co(NH₃)₆]³⁻, [Fe(CN)₆]⁴⁻ хотя [Fe(CN)₆]⁸ обладает свойствами аниона.

Б. Застенкер

XIII. Установлено, что комплексы, обладающие одинаковыми валентностями, имеют и одинаковую электрофоретич. подвижность, независимо от различия истроения. Подвижность возрастает с увеличением валентности. Эти факты могут быть использованы для разработки метода определения валентности комплексных понов, их разделения и идентификации.

XIV. Р-ция гидратации, происходящая в соответствии с общим ур-нием $[MY_1X_m]^{(k-m)}+n\,H_2O\to [MY_1X_{m-n}\cdot (H_2O)_n]^{(k-m+n)+}$, где $M\to (m+1)^2+n\,H_2O\to [MY_1X_{m-n}\cdot (H_2O)_n]^{(k-m+n)+}$ изделения гидратированных продуктов в порядке их электрич. зарядов. Осуществлено разделение трех измеров $Cr(1_3\cdot 6H_2O)$, а именпо: $[Cr(H_2O)_n]Cl_3\cdot [Cr(H_2O)_nCl]$. $Cl_2\cdot H_2O$ и $[Cr(H_2O)_nCl_2]Cl_1\cdot 2H_2O$, и разделение сульфата Cr(3+) на пурпурный и зеленый изомер в последовательности, соответствующей изменению их электрич.

Topar

вание

цение

ИЛЬТ-

едло-

-жотр

бъекпьшов

анова енное длине BOH-

Длину между

vmare.

орида

эление

Coor-

оваль-

far m

長さよ

合にお

係. 第上の移

の水化

寫16報.

紙への化學

413--549;

англ).

умаги,

т миг-

сонцен-

на их

малых

насыщ.

бумаге,

ностыо бумагу рирую-

танием

на и обой зоны

ЖХим,

иплекс-

CN)614-

стенкер

дающие о элект-IN RNP

ием ва-

ны для

мплекс-

Анохин

етствии

 $\binom{n}{m-n}$

металла

электожность и виды

ех изо-(2O)5Cl].

ульфата следоваюктрич.

зарядов. Основным компонентом окрашенного в зеленый двет сульфата Сг(3+), получаемого кинячением окрашенного в пурпурный двет сульфата Cr(3+) с водой, является [Cr(SO₄)]+; сульфат и хлорид Cr(3+) при кипячении с водой подвергаются не только гидратации, но и гидролизу; выделен ряд продуктов гидролиза. Т. Леви XV. Наблюдалась электромиграция пятен Fe(3+), на-

несенных на полоски фильтровальной бумаги, пропипанные р-рами KSCN различной конц-ии. При не очень высоких конц-иях KSCN существуют, по-видимому, комплексные катионы $[Fe(SCN)]^{2+}$ и $[Fe(SCN)]^{+}$, а при конц-иях > 1 M — полосы движутся к аноду, что указывает на образование отрицательно заряженных комплексных ионов.

XVI. Путем определения 1) степени эквивалентности обмена катнона Ni²⁺ на H⁺ или Na⁺, предварительно сорбированные на фильтровальной бумаге, и 2) отно-сительной легкости отмывки сорбированного Ni²⁺ установлено, что главную роль в адсорбции катионов бумагой играет ионообменный механизм; капиллярно адсорбированные ионы легко отмываются водой. Эквивалентность обмена не зависит ин от времени контакта бу-

маги с р-ром, ни от изменений конц-ий р-ра.

XVII. Подвижность ионов (u) на фильтровальной бумаге определяется ур-нием: $u = U (1 + a_s c_s / a_L c_L)^{-1} = U a$, где U — подвижность ионов в свободном води. p-pe, a_{*} — объем неподвижной фазы, c_{L} — конц-ия в ней адсорбируемого катнона, a_L — объем p-pa в 1 ε бумагн c_L — конц-ия катиона в p-pe. На примере Ni²+ и Mg²+ в статич. условиях определены значения с и величина обменной сорбции при различных рН и, при наложении электрич. поля, — отношения u/U и показана тенденция к снижению u/U с ростом рН. Делается вывод, что механизм разделения ионов при электрофорезе в основном определяется ионообменной сорбцией на фильтровальной бумаге. Сообщение X см. РЖХим, 1957, 1197. В. Анохин

Применение катионитов в микрокристаллоскопическом анализе. Коблянский А.Г., Тр. Комис. по аналит. химии. АН СССР, 1956, 7 (10),

Зерна катионита, адсорбировавшие подлежащие открытию ионы, помещают в каплю реактива и наблюдают образование кристаллов. Способ позволяет обнаружить ноны, адсорбированные катионитом из р-ров, конц-ия которых в 10—40 раз ниже предельной конц-ии для соответствующей микрокристаллоскопич. р-ции. Описано открытие K^{\pm} в виде $\mathrm{Bi}_2(\mathrm{SO}_4)_3 \cdot 3K_2\mathrm{SO}_4$ или $K_2\mathrm{PbCu}(\mathrm{NO}_2)_3$, $_{\rm Na^+B}$ виде $_{\rm Big(SO_4)_3}$ $_{\rm Na_2SO_4}$ $_{\rm Mg^{2+}B}$ виде $_{\rm NH_4Mg}$ $_{\rm PO_4}$ $_{\rm hH_2O}$; $_{\rm Ca^{2+}B}$ виде $_{\rm CaSO_4}$ $_{\rm 2H_2O}$; $_{\rm Ba^{2+}B}$ виде $_{\rm Buqe}$ $_{\rm Buqe}$ $_{\rm Rec}$ $_{\rm NH_4Mg}$ $_{\rm PO_4}$ $_{\rm hH_2O}$; $_{\rm Co^{2+}B}$ виде $_{\rm Co[Hg(SCN)_4]N^{12+}B}$ виде $_{\rm Rec}$ $_{$

Объемный анализ с помощью сульфата двухвалентного хрома. XIII. Потенциометрическое титрование персульфата при помощи сульфата двухвалентного хрома. XIV. О потенциометрическом титровании селениетой кислоты при помощи сульфата двухва-лентного хрома. XV. О потенциометрическом титро-вании феррицианида и ванадата. М у р а к и (第一 クロム鹽による容量分析法の研究.第 13 報. 硫酸第一クロ クロム鹽による容量分析法の研究。第 13 報. 硫酸第-クロムによる過硫酸鹽の電位差滴定:第 14 報. 硫酸第-クロムによる正セレン酸の電位差滴定について. 第 15 報.硫酸第-クロムによるエセレン酸の電位差滴定について. 第 15 報.硫酸第-クロムによるアエリシアン酸鹽ならびにバナジン酸鹽の電位差滴定・村木勇夫), 日本化學雜誌, Нихон кагаку дзасси, J.Chem.Soc. Japan Pure Chem. Sec., 1955, 76, № 2, 196—198; 198—201; 201—203 (япон.) XIII. K₂S₂O₈ в 1,8 п. р-ре Н₂SO₄ титруют потенциометрически 0,1 н. р-ром CrSO₄ при комнатной т-ре. XIV. Р-р селенита в 6 н. НС1 титруют потенциометрически 0,1 н. CrSO₄ при комнатной т-ре. Прибавление

значительных кол-в NaCl благоприятствует определению. Смесь Fe3+ и SeO3- проанализировать не уда-

XV. Окончание восстановления VO₃ до VO²⁺ можно установить потенциометрич. методом. Прибавление 0,005~M JCl к p-ру поаволяет осуществить потенциометрич. титрование иона VO2+ до V3+. Найдено, что прямое потенциометрич. титрование феррицианида примов потенциометрыч. питрование феррицианаль р-ром CrSO₄ связано с затруднениями, так как Zn²⁺, содержащийся в p-ре CrSO₄, нарушает процесс вос-становления. Zn²⁺ попадает в p-р CrSO₄ при его получении путем восстановления жидкой амальгамой. Поэтому к феррицианиду прибавляют избыток CrSO₄, который титруют р-ром метиленовой сини. Сообщение XII РЖХим, 1956, 75290
Chem. Abstrs., 1955, 49, № 21, 14567. К. Yamasaki

Применение потенциометрического вания. П. Определение однородности стекольных и эмалевых шихт. Варка (Použitì potenciometri-ckých titrací. II. Stanoveni homogenity sklářských a smaltařskych kmenů. Várka Josef), Sklář a keramik, 1956, 6, № 6, 144—145 (чеш.)

Для определения однородности шихт берут из двух разных мест пробы по 20-30 г и отвешивают навески по 10 г, которые смывают мерные колбы емк. 250 мл. Смесь доводят водой до метки, перемешивают и через 3—5 мин. отбирают пипеткой 50 мм р-ра, разбавляют 50 мм воды и титруют 0,1 н. HCl (I) потенциометрич. способом, применяя два Sb-электрода, буферный р-р (рН 7,94 по Сёренсену) и гальванометр с чувствитель-ностью 10⁻⁶ а. Продолжительность определения 15— 20 мин. При достаточно однородных шихтах разница между титрованиями проб из двух разных мест составляет < 0,3 мл I. Сообщение I см. РЖХим, 1956, Н. Туркевич 51081.

2002. Аналитическая химия. Полярографический анализ неорганических веществ. И с и х а с и, Н аган (分析化學・無機ポーラログラフ分析.I石橋雅永義, 井外伐土),化學・ Кагаку, Chemistry (Japan), 1956, 11, № 6, 2—6 (япон.)

Обзор за 1955 г. Библ. 21 назв. 2003. Применение маскировки понов для совместного полярографического определения элементов с совпадающими потенциалами восстановления. Баев Ф. К., Коваленко П. Р., Тр. Комис. по аналит. химии АН СССР, 1956, 7(10), 119—135 Рассмотрен вопрос о возможности совместного полярографич. определения элементов с совпалающими

потенциалами восстановления с точки зрения повышения специфичности путем маскировки одного из восстанавливаемых понов. Применена маскировка пона Sn(4+) для целей прямого полярографич. определения последнего и Рb при их совместном присутствии в p-рах, содержащих большие кол-ва Zn. Содержание Рь определяют после подавления диффузионного тока Sn, а содержание последнего — по разности высот полярографич. воли, полученных до и после маскировки Sn(4 +). В присутствии больших кол-в Zn (50—200 г/л) и при содержании от 0,005 до 1 г/л Sn диффузионный ток последнего полностью подавляется при 0,05-1%-ном содержании цитрат-иона и при рН 1,5-3,5. В этих условиях Zn не восстанавливается, и высота полярографич. волны Рь прямо пропорциональна его конц-ии. В солянокислом р-ре общая высота диф-фузионных воли Sn(4 +) и Pb равна сумме высот воли этих металлов, взятых отдельно. Между конц-ней и высотой волны как Sn, так и Pb существует прямо про-порциональная зависимость. В. Сазанова

12004. Исследования в области полярографического анализа. XVIII. Концентрациометр с прямым отсчетом. Применение дифференциальной техники

в полярографическом анализе. Ф у д з и и а г а (Studies on the polarographic analysis (XVIII). Direct reading concentration-meter. The use of differential technique in the polarographic analysis. F u j i n a g a T a i t i r o), Bull. Inst. Chem. Res. Kyoto Univ., 1955, 33, № 3, 107—113 (англ.)

При присоединении дифференциатора (двухполюсного поворотного переключателя) к обычной полярографич. аппаратуре вольтамперная кривая дифференцируется по потенциалу. Для определения Zn в латуни навеску растворяют в царской водке, p-р выпаривают до сиропообразной консистенции, периодически до-бавляя конц. HCl, и разбавляют до определенного объема. К аликвотной порции р-ра прибавляют рав-ный объем 2 н. р-ра NH₄OH и NH₄Cl, содержащего 0,02% желатины. Р-р помещают в одно колено H-образной электролитич. ячейки (в другом колене помещают насыщ. Hg2Cl2 электрод), переключатель ставят в такое положение, чтобы разность $E-\Delta E/2$ совит в такое положение, чтоом разность $E = \Delta E/2$ составляла —1,3 b, и полярографируют. 10-кратный избыток Cu^{2+} или Cd^{2+} не мешает; большие кол-ва Ni мешают. Сообщение XVII см. РЖХим, 1955, 4009. Ф. Линкова 12005. Амперометрическое титрование. VI. Приме-

нение оксидного электрода с высоким положительным потенциалом при определении хромата и ванадата с помощью двухвалентного железа. И с и б а с и の удзинага, Синодзука (流滴定法.その 6. 第一鉄イオンによるクロムノバナジウムの定量・高電位酸化物電極の短絡へ滴定の應用・石橋雅義、藤永太一郎 篠塚富士子)ノ日本化學雜誌ノ Нихон кагаку дзасси, J. Chem. Soc. Japan. Pure Chem. Sec., 1956, 77, № 2, 265—266 (япон.) Часть V см. Bull. Chem. Soc. Japan, 1952, 25, 142.

12006. Влияние температуры на скорость электро-анализа. Карницкий В. А., Ж. аналит. хи-мип, 1956, 11, № 4, 447—452

Опыты по электролизу солей проводились с применением Рt-пластинки в качестве катода и Рt-спирального анода при постоянном напряжении на электродах или, чаще, при постоянной поляризации катода; электролитом служили чистые р-ры солей и р-ры тех жосолей с различными добавками, поддерживающими опре-деленную величину рН. Скорость электроосаждения зависит от т-ры. Приводятся ур-ния, выражающие зависимость скорости электроосаждения от т-ры при условии протекания одного и того же электродного процесса. Оптимальной т-рой для ускорения процесса электроосаждения металлов следует считать т-ру кипения электролита. Характер процесса осаждения зависит от состава электролита. Появление максимумов на кривых, полученных при осаждении Cu из p-ра CuSO4 без подкисления (Горбачев С. В., Старостенко Е. П., Ж. физ. хим., 1950, 24, 881), зависит от недостаточности кислотности р-ра и не представляет собой общего явления, а объясняется влиянием гидролиза, усиливающегося при повышении т-ры и приводящего к изменению электродного процесса — осаждению Си вместо Cu₂S на катоде. Полученные данные должны иметь практич. значение в ускоренном электроанализе.

И. Кузьмина 12007. Электролиз при контролируемом потенциале. V. Новый автоматически регулируемый аппарат. VI. Конструкция чувствительного автоматического прибора. Исибаси, Фудзинага (Controlled potential electrolysis. V. A new automatically controlled apparatus. VI. Construction of a sensitive automatic instrument. Ishibashi Masayoshi, Fujinaga Taichiro), Bull. Inst. Chem. res. Kyoto Univ., 1953, 31, 254—259 (апгл.); 分析化學, Бунсэки кагаку, Japan Analyst, 1954, 3, 96—98 (япон.)

V. Описан новый чувствительный потенциостят с переключателем гальванометра и реверсивным мотором, работающий на переменном токе напряжением 110 в, за исключением сухой батарен на 1,5 в для создания катодного потенциала. Чувствительность к из-менениям на электроде ± 7 мв. Пользунсь этим ап-паратом, определяли Си в присутствии Ві, Рb и др., Ni в присутствии Zn и получали удовлетворительные результаты. Электролиз проверяли, применяя меченые атомы ThC и ThB. Обнаружено небольшое кол-во примесей в осадке Си. Пульсацию катодного потенциала, вызванную выпрямлением тока, наблюдали с помощью катодно-лучевого осциллографа, но максим, пульсания была < 4 мв. Chem. Abstrs, 1955, 49, № 12, 8004.

Shozaburo Kitaoka VI. Описана конструкция чувствительного потенциостата. Аппарат состоит из переключателя ванометра, выпрямителя переменного тока, реверсивного мотора и работает на переменном токе 110 в, за исключением дополнительной сухой батареи на 1.5 с для катодного потенциала. Рабочая емкость электролиза 30 в при 3 а, а чувствительность к изменениям электролиза ± 7 мв. Дана схема проводки.

Сhem. Abstrs, 1954, 48, № 16, 9113. Keihei Ueno

Электрометрическое титрование с двумя поляризованными электродами второго порядка. Самcon (Electrometric titrations with two polarized second — order electrodes. Sam son S.), Analyt. Chim. Acta, 1955, 13, № 5, 473—486 (англ.; рез. нем., франц.)

Доказана возможность электрометрич, титрования или постоянном сопротивлении и употреблении двух поля ризованных электродов (Э) второго порядка (РЖХиміх, 1955, 5057). При разности потенциалов V между двумя одинаковыми Э, Е каждого Э меняется в соответствии с выражением (dE) катода /dV < 0 и (dE) авода/ dV > 0 и потенциал поляризации между \ni равный $\Delta_i E = (_i E)$ анода — $({}_{i}E)$ катода, вызывается током поляризации $i=(V-\Delta_i E)/(R+r)$ (где R и r — соответственно внешнее сопротивление прибора и внутреннее сопротивление ячейки). Если $i=f({}_iE,[{\rm Ag^+}]),$ то при электролизе справедливо ур-ние $i = F(\Delta_i E, [Ag^+])$. При постоянном i: $(\Delta_i E)_i = F'([Ag^+])$, при постоянном $\Delta_i E$: $(i) = F''([Ag^+])$. Процесс титрования контролируют по $\Delta_i E$ или i. Электрич, сопротивление прибора и ячейки должно быть низким; к р-ру прибавляют индифферентный электролит (на 30 мл р-ра пробы 5 мл насыш. р-ра Мg(NO₃)₂). Подготовка поверхности Ад и слоя AgCl имеет большое значение (слой AgCl должен быть тонким и пористым для постоянной подвижности ионов). Ад наносят на Pt-проволку, предварительно обработанную конц. НОО3 и промытую водой. Р-р для нанесения слоя Ад готовят растворением в горячем профильтрованном 20%-ном р-ре КСN твердого AgCN; избыток AgCN отфильтровывают; при охлаждении выкристаллизовывается КAg(CN)2; из 1%-ного р-ра этой соли удаляют CN- (добавлением разб. p-ра AgNO₃). Катодное пространство отделяют от анодного; применяют соляной мостик с NH₄NO₃. Э с Ag-покрытием анодно поляризуют 10 сек. в 2%-ном р-ре КСІ с 0,1% КОО3 при плотности тока 2 ма/см2 (катод Рt-проволока); затем Э с Ag-покрытием включают на 5 сек. в качестве катода; описанную операцию повторяют 10 раз и затем хлорируют Ag=3 (10 мин. при 2,25 ма/см²). Изучена кривая поляризации при титровании Cl- p-ром AgNO₃ и подтверждены приведенные выше теоретич. выводы; титрованный р-р следует вводить быстро и равнемерно. При конц-ии р-ров $\geqslant 0,005$ н. *i* быстро уменьшается вблизи конечной точки; оптимальное значение V 10—80 мс. Титрование OCTAT к из-

м апп др., тьные ченые принала. ощью сания

7 r.

MOTO-

ением

H CO3-

taoka ІОТЕНгальерсив-6. 39 1,5 € ектроениям

Ueno поля-Camarized nalyt. нем... alu B

поля

имБх, двумя TCTFUM dV>0= (iE)изации ешнее вление е спра-

ном і: $[Ag^+]$). или і. олжно нтный

гь тонионов). аботанесения ільтрозбыток

таллии уда-**Э**ОНДОТ йонило ризуют ТНОСТИ Ag-110описан-

я полятвержванный ии-пно нечной

рируют

ование

Вr- и J- выполнимо при использовании Э Ag/AgJ и Ag/AgBr. Даже при употреблении 0,001 н. p-ра AgNO3 титрование может быть осуществлено без графич. опрепеления конечной точки. Т. Леви

2009. Химический анализ методом рентгеноспект-роскопии. Энгстрём (Kemisk analys medelyst röntgenspektroskopi. Engström Arne), Tek-nika (Sver.), 1956, № 3, 9—12 (швед.) Популярная статья.

11010. Процессы в газовом разряде при спектрохи-мическом определении неметаллов с ультракорот-коволновым возбуждением по Гаттереру и Фродлю. Бецольд (Vorgänge in der gasentladung beim spektrochemischen Nachweis von Nichtmetallen durch Anregung mit Ultrakurzwellen nach Gatterer und Frodl. Bezold Dieter von), Z. Angew. Phys., 1956,

8. № 6, 269—281 (нем.) Для возбуждения спектров неметаллов в кварцевую разрядную трубку диам. 20 мм помещают ~ 10 мг в-ва. Трубка окружена катушкой (10 витков), питаемой от ВЧ-генератора (3·10° гц, мощность на выходе 300 га). Через один из концов трубки производят спектрохим. наблюдения, другой присоединяется к вакуумной системе (Gatterer A., Frodl V., Ricerche Spettroscopiche, 1946, 1, 201; РЖХим, 1955, 49124). Для изучения процессов в безэлектродном ВЧ-разряде использована аппаратура, включающая вакуумную установку, ВЧ-генератор, спектрограф или двойной монохроматор с фотоумножителем, электронный переключатель, позволяющий использовать катодный осциллограф одновременно для записи анодного тока генератора и тока от фотоумножителя, показывающего интенсивность спек-тральной линии. Для зажигания разряда при анализе в-в с малой упругостью пара трубка наполнялась газами. Возбуждение свечения газов импульсами высозами. Бозоундение свечени тазов выпульскам высов кой частоты (~ 1 мсек. 35 Мгч, 6 кга) показало соот-ветствие между регистрируемой осциллографом зави-симостью интенсивности линии от времени и функцией возбуждения данной линии. Сделано заключение, что свободные электроны движутся в трубке не в такт с частотой генератора, а обладают температурным распределением. Приведены измерения интенсивности линий для твердых в-в, находящихся в разряде, эффекты поглощения газов, результаты электрич. исследований неустойчивых условий разряда. Описаны теоретич. данные о кинетике и распределении энергии в разряде, о процессах испарения и возбуждения трубке.

Е. Гринзайд 12011. Количественное спектральное следов элементов. Шаррер, определение элементов. Шаррер, юдель (Zur quantitativen Bestimmung von Spurenelementen auf spektrochemischem Wege. Scharrer K., Ju-

del G. K.), Z. Pflanzenernähr., Düng, Boden-kunde, 1956, № 73, 2, 107—115 (нем.) 40 г воздушно-сухой почвы обжигают в течение нескольких часов при 450°, экстрагируют 10%-ным р-ром НСІ и фильтруют. В фильтрате колориметрически с а, а'-диниридилом определяют Fe. От фильтрата отбирают объем p-pa, соответствующий содержа-нию 40 мз Fe, и доводят pH до 4,8. Щел. и щел.-зем. металлы, Al и Ті связываются сульфосалициловой к-той в комплекс, тяжелые металлы количественно осаждаются пирролидиндитиокарбаматом натрия и экстрагируются хлороформом. В качестве эталонов экстрагируются хлороформом. В качестве эталонов используют синтетические р-ры, соответствующие составу почв. Аналитич. пары линий: Со 3455,50—Fe 3459,99;Zn 3345,02—Fe 3339,19;Cu 3273,96—Fe 3271,00; Мо 3170,34—Fe 3171,35; V 3183,40—Fe 3180,75; Mn 3044,56—Fe 3068,17; Ni 3012,00 Fe 3014,17; Sn 2839,98—Fe 2838, 45;Pb 2833,06—Fe 2828,89 A. Osoленный экстракт смешивают с NaCl и угольным порошком в отношении 1: 1: 3, истирают в ступке и помещают

в отверстие угольного анода с наружным диам. 3 мм. внутренним 2 мм при глубине 12 мм. Спектр возбуждают в дуге постоянного тока при дуговом промежутке 10 мм и силе тока 10 а. Применен спектрограф большой дисперсии с 3-линзовой системой освещения при ширине щели 20 μ. Перед щелью ставят 3-ступенчатый сектор со 100, 50 и 10% пропускания. При построении градуировочного графика учитывают фон и остаточные конц-ии. Средняя ошибка анализа (в %): Со± 1,8; Си ± 3,2; Мп ±7,1; Мо ± 5,4; Ni ± 1,6; Zn ± 5,0. Высокая воспроизводимость анализа объясняется автором правильно проводимым обогащением, в результате которого проба состоит на 95% из Fe₂O₃. Е. Гринзайд 12012. Определение следов элементов в свинцовом

определение следов элементов в свинцовом блеске. Спектрографический метод количественного определения следов элементов в свинцовом блеске. Хегеман, Зибель (Bestimmung der Spurenelemente im Bleiglanz. Ein spektrographisches Analysenverfahren zur quantitativen Bestimmung der Spurenelemente im Bleiglanz. Hegemann Fr., Sybel C. von), Metall, 1955, 9, № 3/4, 91—96 (**Hem.**)

Пробу смешивают с угольным порошком и набивают в угольный электрод, сточенный на конце до 3 мм в дваметр, с отверствем глубиной 4 мм и двам. 2 мм. Спектры фотографируют на спектрографе 0—24. Ана-лиз проводят по методу Аддинка путем визуального сравнения плотностей линий со шкалой почернений на фотобумаге (Addink N. W. H., Spectrochim. acta, 1950, 4, 36). Для определения средне- и высококипящих элементов Pb, Cu, Ag, Mn, Fe, Ni пробу смешивают с уголь-ным порошком в отношении 1:2 и набивают в уголь, служащий анодом. В смесь добавляют 0,1% Ga2O3 в качестве внутреннего стандарта. Продолжительность экспозиции 50 сек. Для определения летучих As, Zn пробу смешивают с угольным порошком (1:1) и добавляют 0,1% СdO, включая уголь катодом. Продолжи-тельность экспозиции 30 сек. Для определения Tl, с целью подавления полос CN, пробу смешивают с уг-лем и KCl в отношении 2:1:1 и испаряют в-во из катода. Сила тока дуги при всех вариантах анализа катода. Сила тока дуги при всех вариантах анализа a, дуговой промежуток 4 m, ширина щели 8 μ . Чувствительность обнаружения n %: Ag, Cu $4\cdot10^{-5}$, Mn $3\cdot10^{-5}$, Bi, Fe, Tl $1\cdot10^{-4}$, Ni, Au $5\cdot10^{-4}$, As, Co, Sb $1\cdot10^{-3}$, Zn $5\cdot10^{-3}$. Средняя ошибка анализа в пределах 4-8%. Приведены кривые временного хода испарения элементов. Е. Шрейдер

2013. Спектрохимическое определение примесей п поваренной соли, рассоле и каустической соде. Ясуи, Судзуки (カヒイソーダン食鹽ブラインならびに原料食鹽中に含まれる微量不純分の分光化學的定量について、安井永三・鈴木汎), 工業化學雑誌, Коге кагаку дзасси, J. Chem. Soc. Japan. Industr. Chem. Sec., 1955, 58, № 3, 170—174 (япон.) 12013.

Спектроаналитическое исследование исходных материалов для полупроводящих А^{III} В^V-соединений, Голлинг (Spektralanalytische Untersuchungen der Ausgangssubstanzen für halbleitende A^{III}B^V-Ver-bindungen. Golling E.), Z. Naturforsch., 1956, 11a, № 6, 459—463 (нем.)

Описано определение следов элементов по методу Гарвея (Harvey C. E. Spectrochemical Procedures, California, 1949). Навеску пробы смешивают с углем в отношении 1:1 и сжигают в угольном электроде дуги по-стоянного тока при силе ток 9,5—11,5a и дуговом простоянного тока при свле ток 9,5—11,2а и дуговом про-межутке 9 мм. Экспозиция определяется полным выго-ранием пробы. На щель проектируют средний участок дуги. Применен кварцевый спектрограф. Градуировку средней дисперсии при шириме щели 30 µ производят по синтетич. этанолам, в некоторых случаях по хим, анализированным пробам. Для колич. анализа приме-

пе

щ

Э

Л

няется миним. конц-ия, при которой отношение интенсивности линии (I_1) к интенсивности фона (I_2) равно не менее 0,5. Градуировочные графики в координатах $\lg (I_1/I_2)$ имеют наклон 45°. Отклонение в воспроизводимости величины $I_1:I_2$ для однородных проб равно Точность анализа характеризуют фактором, равным 2+1. При сравнении с хим. анализом лишь в 25% случаев результаты спектрального анализа вышли за область от $^{1}/_{2}C_{x}$ до $2C_{x}$. Высокая ошибка анализа при сравнительно хорошей воспроизводимости обусловлена систематич. погрешностями при градуировке по синтетич. эталонам. При определении следов примесей указанные погрешности анализа допустимы. Дана таблица чувствительности применительно к определению большого числа элементов примесей в В. Al. Ga. In. Аз и Sb. Для визуальной оценки спектральных линий I_1/I_2 может быть равно 0,15. Поэтому чувствительность I_1/I_2 может обы равно v_i вы настоя учетненно выше. Кроме того, отношение I_1/I_2 может быть повышено в 2 раза уменьшением щели до 15 μ . Е. Гринзайд в 2 раза уменьшением щели до 15 µ. Аппаратура и принципы пламенной спектрофотометрии. Влияние посторонних ионов при одновременном определении пяти элементов. Маргоmec, Валли (Instumentation and principles of flame spectrometry. Effect of extraneous ions in simultaneous determination of five elements. Margoshes Marvin, Vallee Bert L.), Analyt. Chem., 1956, **28**, № 2, 180—184 (англ.)

Изучение влияния посторонних ионов при одновременном пламеннофотометрич. определении 5 элементов с помощью многоканального пламенного спектрофотометра показало, что влияние катионов заключается в создании ими гетерохроматич. фона, который, однако, не мещает измерению (над фоном) интенсивности монохроматич. линии определяемого элемента. Введение поправки на фон производится автоматически, но степень ее точности зависит от соотношения интенсивностей фона и измеряемой линии или края полосы. При небольшой величине этого отношения погрешность $\ll 1-2\%$, при большей величине $\gg 10\%$ и быстро возрастает по мере увеличения этого отношения. Влияние некоторых анионов (SO_4^{2-} , PO_4^{3-} и др.) заключается в понижении интенсивности излучения щел.-зем. металлов (ЩЗМ). Эти анионы образуют с ЩЗМ соединения с высокими т-рой плавления и т-рой кипения, которые не успевают полностью испариться за время пребывания их в пламени и, следовательно, не дают возможности всем анионам ЩЗМ возбудиться досвечения. Ион С2О4 также мешает, понижая интенсивность излучения Са в результате образования последним с продуктами разложения пона C₂O₄ тугоплавкой CaO. На излучение Sr пон $C_2O_4^{2-}$, однако, влияния не

оказывает. Мешающее влияние упомянутых анионов может быть уменьшено за счет увеличения т-ры пламени, однако эффективным является лишь их предварительное хим. отделение.

А. Горюнов 12016. Исследование в области пламенного спектрохимического анализа. І. Микроопределение натрия в металлическом алюминии. II. Микроопределение

химического анализа. І. Микроопределение натрия в металлическом алюминии. ІІ. Микроопределение кальция и магния. И кэда (焰光分光分析法の研究.第 1 報.アルミニウム地企中の Na の定量・第 2 報. 微量のカルシウムおよびマクネシウムの定量. 池田重良). 日本化學雑誌 > Нихон кагаку дзасси, J. Chem. Soc. Japan. Pure Chem. Sec., 1955, 76, № 4, 354—357; № 7, 783—787 (япон.)

12017. Роль фосфорной кислоты в пламеннофотометрическом анализе. І. Цутихаси, Сэкидо (炎光分光分析におけるリン酸の妨害作用.第 1 報. 土橋正二, 關戸榮一)) 日本化學雑誌) Нихон кагаку дзасси,

J. Chem. Soc. Japan. Pure Chem. Sec., 1956, 77, № 5, 708—712 (япон.) 12018. Метод внесения поправки на поглошение пт

месями при спектрофотометрическом анализе в Уфобласти. Аштон, Тутилл (Amethod of correcting for irrelevant absorption in ultra-violet spectrophotometric analysis. A s h t o n G. C., T o o t i l l J. P. R.), Analyst, 1956, 81, № 961, 232—238 (ангд.) Метод внесения поправки на поглощение примесями при спектрофотометрич. анализе в УФ-области, описанный ранее (РЖХим, 1956, 78535) и основанный на вычислении ряда коэффициентов, зависящих от формы кривой светопоглощения в области х макс., применен при анализе синтетич. смесей гризеофульвина с различными в-вами, поглощающими в УФ-области. В качестве добавок были выбраны п-нитрофенилуксусная к-та (почти линейный спектр поглощения), 6-метилхинолин (спектр поглощения приближается к простой кривой), 2-аминохинолин (спектр с минимумом при 292-293 ми) и антрон (более сложный спектр с пебольшим максимумом при ~ 296 мµ). Спектрофотометрич. измерения при семи длинах волн (от 288 до 300 ми с интервалом 2 ми) для содержаний примесей 0.15, 25, 50, 75 и 100% производили на кварцевом спектрофотометре Уникам SP 500 с 1-см кюветами. Установлено, что описанный ранее метод дает хорошие результаты при форме кривой светопоглощения, приближающейся к форме кривой ур-ния второй степени (n-нитрофенилуксусная к-та и 6-метилхинолин), даже в том случае, если кол-во примеси превышает кол-во исследуемого в-ва в 2—3 раза. Описанный метод внесе-ния поправки применим и при более сложных спектрах поглощения примесей (но все же при более низком их порядке, чем у исследуемого в-ва), а также при известном спектре поглощения примеси (или нескольких примесей) и возможности вычисления коэффициентов,

Т. Левн 12019. Количественный анализ по инфракрасным спектрам III. Количественный анализ по инфракрасным спектрам III. Количественный анализ фаз, диспертированных в жидком парафине. Камада, Танака, Хаясибара. V. Определения примесей в сырье для органического синтеза. Камада, Танака, Хаясибара. V. Определение изомеров нафталинмоносульфокислоты и изомеров В-нафтолмоносульфокислоты. Танака (赤外線吸收スペクトルによる定量分析.第3報. 流動パラフィン中の分散系の定量方法.線田仁,田中誠之.第4報. 有機合成原料中の微量不純物の檢知限度の研究.線田仁,田中誠之, 林原傑二.第5報. アルミニウムステアレイト法によるナフタレンモノスルホン酸異性體およびβナフトールモノスルホン酸異性體の分析. 田中誠之) ナラ析化學, Бунсэки кагаку, Јарап Апаlyst, 1955, 4, № 2, 71—73; № 9, 545—546; 1956, 5, № 4, 216—219 (ямон.; рез. англ.)

III. Исследован колич. анализ твердых проб, пе

статистически независимых при употребляемых длинах

волн от спектра поглощения примесей. Приведены при-

меры вычисления поправок на поглощение 2-амино-

хинолина и антрона в смеси в гризеофульвином.

ИІІ. Исследован колнч. анализ твердых проб, пе растворимых вли трудно растворимых в р-рителях, обычно применяемых при ИК-анализе, и диспергированных в жидком парафине. Смесь 1,5-динитро- и 1,8-динитронафталинов, полученную после удаления мононитронафталина экстракцией СS₂ из нитрованного нафталина, анализировали по поглощению при 11,24 и 11,96 μ. Отношение между высотами воли этих двух полос в ИК-спектре поглощения и отношение этих двух в-в применено для составления рабочих функций; при этом различие в толщине слоя пробы не влияет на полученные результаты. Кривая, получаемая нанесением отношений 1,5 изомер (1,8 — изомер по ординате и В) (В — А) (где А — высота волны при 11,24 μ, а В — высота волны при 11,96 μ), по абс-

77,

при-

cor-

pect-

нгл.)

CHMR

опи-

ий на

ормы

раз-В ка-

УСНая

етил-

ОСТОЙ

при

фото-

88 до

месей

спек-

Уста-

ие ре-

при-

епени

даже

ол-во

внесе-

ктрах

KOM HX

изве-

ЛЬКИХ

ентов,

линах

PAGII 19

амино-

м. . Леви

асным

(испер-, Тарье для

ака.

нафталмоно-

シトル

大系の定

の役員

· 異性體 , Japan 5—546;

об, пе

ителях, ергиро-

итро- и

аления

трован-

ио при

ли этих

ие этих

рабочих

робы не

олучае-

изомер

волны

по абс-

MUX

циссе, линейна. Выполнены анализы продажных продуктов; среднеквадратичная погрешность для 1,5- изомера при содержании 30-50% составляет $\sim 2\%$. В. Коробкин

1V. Для оценки качества сырья, используемого в органич. синтезе, при помощи спектров поглощения в ИК-области изучена оптимальная интенсивность компенсирующего света при компенсационном методе. При опытах с ИК-спектрофотометром Бэрда установлено, что при конц-ни компенсационной жидкости или толщине кюветы, допускающих прохождение 30—40% компенсирующего света, может быть достигнуто нанболее эффективное определение самых ничтожных примесей. На основании этих результатов установлен определяемый минимум для примесей 20 типов в сырых материалах; найдено, что описанный метод превосходит другие опубликованные методы.

Т. Леви

V. Для определения изомеров нафталинмоносульфокислоты (I) и изомеров β-нафтолмоносульфокислоты (II) при помощи спектроскопии в ИК-области применен метод гомог диспергирования образцов в СНС1 в присутствии стеарата алюминия в качестве диспергирующего в-ва. Результаты показывают, что образцы стандартной смеси двух изомеров І могут быть определены со среднеквадратичной погрешностью 1%, а три изомера II — со среднеквадратичной погрешностью ~ 2%. Проведены сравнительные исследования по определению твердых образцов при помощи описанного метода. Несколько улучшен процесс подготовки образцов для анализа. Сообщение II см. РЖХим, 1957, 8573.
 Б. Шемякии

12020. Флуоресценция хинолина в кислых растворах. III ливич (Die Fluorescenz des Chinolins in sauren Lösungen. Slijiviè S.), Z. analyt. Chem., 1954, 143, № 2, 113—114 (нем.)

Показано, что хинолин проявляет сильную флуореспенцию в р-рах как органич., так и неорганич. к-т;
спектры лежат в области 4250—5650 А. НNО3 и Н₂SO4
смещают спектры в сторону длинных воли; НСІ, НВг
и НЈ ослабляют флуоресценцию и при высоких конц-иях
подавляют ее совсем; Н Г указанного эффекта не проявляет. Так как хинолин флуоресцирует в кислых
р-рах, но не флуоресцирует в щел. р-рах, его можно
применять в качестве флуоресцентного индикатора.

Ф. С.

12021. Масс-спектрометр в химическом анализе. Уолдрон (The mass spectrometer in chemical analysis. Waldron J. D.), Research, 1956, 9, 8, 306—316 (англ.)

апатуктя. W а 1 d г о п з., В., Кезейги, 1300, в, 8, 306—316 (англ.)
Обзор. Библ. 40 назв.

12022. Применение масс-спектрометра для анализа органических соединений. У о л д р о и (The application of the mass spectrometer to the analysis of organic compounds. W a 1 d r o n J. D.), Metropol-Vickers Gaz., 1956, 27, № 444, 220—228 (англ.)
Обзор. 24 назв.

3. Херодинашвили

Обзор. 24 назв. 3. Херодинашвили 12023. Анализ углеводородных систем по спектрам масс. Зимина К. И., Полякова А. А., Сосина Н. С., Ж. неорган. химии, 1956, 1, № 6, 1264—1270

Изложены результаты использования масс-спектрометра для разработки метода анализа смесей изомерных углеводородов. Масс-спектрометр МС-1 конструктивно усовершенствован: спабжен автоматич. разверткой масс-спектра, электронным потенциометром и системой впуска исследуемого образца в прибор. Приведена принципиальная схема масс-спектрометра и схема системы напуска. Изложен принцип работы прибора и методы расчета состава смесей по масс-спектрам. Сняты спектры индивидуальных углеводородов и их 2- и 4-компонентных смесей. На основании спектров углеводородов были вычислены коэфф. чувствитель-

ности и коэфф. относительной ионизуемости, необходимые для расчета состава смесей. Точность приготовления смесей составляла 1,5%. Расчет состава 2-компонентных смесей проводился по коэфф. чувствительности и относительным методом, а расчеты состава 4компонентных смесей — относительным методом. Воспроизводимость результатов 1%. Средняя относительная ошибка в определении компонентов равна 5,8%.

3. Херодинашвили 12024. Масс-спектрометрический анализ смесей газообразных углеводородов. З и м и и а К. И., П олякова А. А., Т и х о м и р о в М. В., С ос и и а Н. С., Химия и технол. топлива, 1956, № 10, 37—44

См. пред. реф.

12025. Определение ненасыщенных углеводородов методом низковольтажной масс-спектрометрии.

Филд, Хастинге (Determination of umsaturated hydrocarbons by low voltage mass spectrometry. Field F. H., Hastings S. H.), Analyt. Chem., 1956, 28, № 8, 1248—1255 (англ.)

Метод основан на различном потенциале ионизации (ПИ) углеводородов различных классов, напр. ПИ для парафиновых углеводородов меняется от 13,04 ж для метана до 10,19 ж для С₁₀Н₂₂, а ПИ для 1-олефиновых углеводородов с прямой цепью — от 10,62 ж для этилена до 9,51 ж для С₁₀Н₂₀. Разница в ПИ парафиновых углеводородов и нафтеновых невелика. Анализ выполнялся при напряжении 6,9 ж, при котором ионизируются только непредельные соединения, содержащиеся в исследуемом образце, представляющем собой смеси различных насыщ, и ненасыщ, углеводородов. Точность определения — 4,6%. Метод применен к анализу продуктов каталитич, крекинга нефти, фракций сырой нефти и продуктов гидроформинга, а также полимеров пропилена.

Д. Васкевич

12026. Метод быстрого анализа очень малых проб газа. Льюне, Липполд (A method for rapid analysis of very small gas samples. Le wis H. E., Lippold O. C. J.), J. Scient. Instrum., 1956, 33, № 7, 254—256 (англ.)

Описан прибор для анализа проб газа объемом 0,1—0,001 мл. Пузырек анализируемого газа вводят в подкисленную воду, находящуюся в камере, стенками которой являются две параллельные горизонтальные стеклянные пластинки (10×4 см) на расстоянии 1 мм друг от друга. При пробе газа ~0,01 мл пузырек принимает форму диска с закругленными краями, объем которого пропорционален площади поперечного сечения; последнюю измеряют с помощью онтич. проекционного устройства. В камеру вводят соответствующий поглотитель; вода вытесняется, объем пузырька уменьшается вследствие поглощения одного (или нескольких компонентов). Вторично измеряют площадь поперечного сечения диска и вычисляют кол-во поглощенного газа (в %) по разности. Камера находится в водяной бане из полиметилметакрилата. При анализе продуктов дыхательного газообмена СО₂ поглощают 10%-ным р-ром КОН, О₂ — свежеприготовленным р-ром ССС1₂; погрешность определения <0,3% (по объему).

12027. Усовершенствования в области определения газов в металлах методом вакуум-плавления. А тласов А. Г., Завод лаборатория, 1956, 22, № 7, 795—801

Обзор. Библ. 9 назв. В. Сазанова 12028. Экспрессный капельно-десорбционный метод выделения и идентификации короткоживущих радио-элементов. Троицкий К.В., Ж. аналит. химии, 1956, 11, № 4, 383—388 На фильтровальную бумагу помещают р-р, содер-

в качестве носителя небольшое кол-во растворимой соли элемента, радиоактивный изотоп которого определяется. После впитывания р-ра бумагой ее обрабатывают соответствующим специфич. реагентом; этом в порах образуется тонкодисперсный осадок (100-200 ү). Для удаления из пор посторонних радиоэлементов бумагу высушивают и опускают в р-р к-ты; при этом происходит десорбция и на поверхности бумаги удерживается только осадок носителя с определяемым радиоэлементом. Метод имеет ряд преимуществ: про-

жащий смесь различных радиоэлементов; прибавляют

ганич, реагентов дает возможность получения осадков без примеси посторонних радиоэлементов; тонкий равномерный слой осадка способствует более точному измерению активности; производительность труда химика увеличивается в 5-10 раз. Метод особенно эффективен при анализе радиоэлементов, период полураспада которых < 1 часа. 12029. Применение перфокарт для документации

цесс образования осадков и десорбции требует 10-

15 мин.; кол-во носителя 150-200 у; применение ор-

в аналитической химии. Накамура (パンチカードの分析化學への應用 ・ 中村重男) > 分析化學, Бунсэки кагаку, Japan Analyst, 1955, 4, № 9, 600— 604 (япон.)

12030 K. Справочник по аналитической Ред. Фрезеннус, Яндер. Часть 2. Методы качественного анализа. Том 9. Предварительное испытание и разделение катионов и анионов. Предварительное испытание, растворение и разложение; раз-деление. Ред. Евин ш., Штегеман, Штра-умание (Handbuch der analytischen Chemie. Hrsg. Fresenius W., Jander G. T. 2. Qua-Hrsg. Fresenius W., Jander G. T. 2. Qualitative Nachweisverfahren. Bd 9. Verproben und Tnennungen d. Kationen und Anionen. Analyse durch Vorproben, Lösen und Aufschliessen, Trennungsgänge. Bearb. Jevins A., Stegemann K., Straumanis M. E. Berlin-Göttingen-Heidelberg, Springer, 1956, XIV, 311 S., ill., 67 DM) (нем.)

12031 К. Основы аналитической химии. Мельцер (Základy analytickej chémie. Melcner Imrich. Bratislava, SPN, 1956, 203 s., il., 9. 30

Kčs) (словац.).

Качественный анализ. Майер lytická chémia kvalitativna. Majer Jaroslav. Bratislava, SPN, 1956, 296 s., il., 13 Kčs) (словац.)

12033 К. Введение в качественный химический анализ. Филипович (Uvod u kvalitativnu kemijsku analizu. Filipović Ivan. Zagreb, «Li-tografija», 1956, 202 str., il.) (сербо-хорв.) 2034 К. Электрохимические методы количествен-

ного анализа неорганических веществ. Потенциометрия, полярография, электролиз. Карбони (Metodi elettrochimici nell'analisi inorganica quan-(метоці ejettrochimici neiranansi inorganica quantitativa. Potenziomettia, polarografia, elettrodeposizioni. Carboni Paolo. Milano, Ed. Görlich, 1955, 63 р., 500 L.) (итал.)

12035 К. Методы количественного рентгеноспектрального анализа. Вайнштейн Э. Е. М., АН

СССР, 1956, 222 стр., илл., 12 р. 20 к.

12036 Д. Анализ смесей неорганических катионов методом осадочной хроматографии на бумаге. К улаев Ф. Н. Автореф. дисс. канд. хим. н., Моск. гос. пед. ин-т, М., 1956

См. также: Спектральный анализ 10910. Хроматография 11401; 3391Бх. Др. вопр. 10767, 11402, 13282.

АНАЛИЗ НЕОРГАНИЧЕСКИХ ВЕЩЕСТВ

Редакторы А. И. Бусев, Ф. П. Судаков

12037. Колориметрический метод определения натрия в известковонатриевом стекле без взятия навески. Колобова К. К., Герасимова В. А.. Завод. лаборатория, 1956, 22, № 7, 794—795 На очищ. поверхность стандартного и испытуемого

образцов стекла в специально сделанные парафиновые лунки помещают по 2 капли Н2 F2 и выдерживают 5 мин. при перемешивании стеклянной парафинированной палочкой. Чарез 5 мин. в лунки добавляют 2 капли волы и переносят полученные р-ры стеклянным капилляром в Рt-тигли. Поверхность лунок смывают 4-5 раз водой, нанося ее каждый раз по 1 капле, и присоединяют промывные воды к основному p-py. После этого к p-paм прибавляют по капле H₂SO₄ 1: 3, выпаривают на плитке до прекращения выделения белых паров, прибавляют по 8-10 капель воды и по одной капле Н. 80. 1:3 и кипятят до просветления жидкости. Совершенно прозрачные р-ры переносят в маленькие стаканчики емк. 50 мл и вновь выпаривают почти досуха. Остаток растворяют в возможно малом кол-ве воды, приливают —6 мл C₂H₅OH, 5—6 мл р-ра UO₂(C₂H₃O₂) и тщательно перемешивают, оставляют на 1 час и затем осадок отфильтровывают через фильтр «синяя лента», промывая декантацией 2-3 раза спиртом, а затем несколько раз смесью эфира со спиртом 2,5: 1 до исчезновения р-ци на U. Промытые осадки вместе с фильтрами и воронками помещают в сушильный шкаф при 60—70° на 10—15мин., затем переносят в небольшие стаканчики, растворяют в 2%-ной горячей СН₃СООН, фильтруют через фильтр «белая лента» и собирают в мерные колбы емк. 100 ма. Содержимое колб доводят водой до метки, перемешивают, отбирают по 1 мл и переносят их в мерные цилиндры емк. 10 мл. Прибавляют по 2 капли 80%-ной СН3СООН и по 2 капли 20%-ного водн. p-ра K4Fe(CN). Спустя 5 мин. появляется красно-бурая окраска, интенсивность которой легко сравнивается. Определению Na не мешают Ва, Са, Mg и Al. Продолжительность 3,5 часа. Относительная ошибка 0,2—1,5%. В. Сазанова К вопросу о фотометрическом определении

меди с бромистоводородной кислотой. Сообщение И. Нильш, Бёльц (Zur photometrischen Bestimmung des Kupfers mit Bromwassertoffsäure. II. Mitteilung. Nielsch Walter, Böltz Gerhard), Z. analyt. Chem., 1954, 142, № 6, 427—432 (нем.)

Предложено при фотометрич. определении Си в виде комплексного соединения CuBr₂ с HBr употреблять S-и І-фильтры прибора ЕLKOII, для которых сохраняется линейная зависимость между поглощением и длиной кюветы при постоянной конц-ии Сu и между поглощением и конц-ией при одной и той же кювете (напр. S53E и I 66). Метод применим в широкой области конц-ий Си (4—40 у/мл Си). Для устранения помех со стороны Fe (РЖХим. 1955, 23960) не рекомендуется употреблять Н₃РО₄, так как даже при необходимом кол-ве НзРО4 поглощение комплекса Си понижается; применение НГ практически запрещено, так как она разъедает стеклянные приборы. Си следует отделять с помощью органич. реактивов или путем цементации (РЖХим, 1956, 58428). Сообщение I см. РЖХим, 1956, Ю. Муромский 58429.

12039. 2039. Фототурбидиметрическое определение меди в алюминиевых сплавах при помощи рубеанов алюминиевых сплавах при помощи рубсановодородной кислоты. Та и а н а е в И.В., Л е в и т ман Х. Я., Тр. Компс. по аналит.химии АН СССР, 1956, 7(10), 21—26

Фототурбидиметрич. определение Си в р-ре алюминиевых сплавов, содержащих Fe и Mg, осуществляют титрованием при помощи стандартного р-ра рубеано57 r.

натвески. 3. A..

емого

новые

5 мин.

анной

и волы ляром

83 BO-TORHE р-рам от на

, при-H₂SO₄

шенно

нчики

статок

ивают

ельно

OK OT-

мывая

ко раз

р-ции

нками БМИН.,

оряют

ильтр 00 мл. меши-

ле пи-

%-ной (CN)6. а, ин-

лению ность ванова

лении me II.

estim-

. Mit-G e r--432

в виде ть S-и пется

линой

лощенапр.

ласти

tex co

уется

пимом ается:

к она

елять тации

1956, мский

меди

вит-

поми-

TOIRLE беано-

95

водородной к-ты в уксуснокислой среде. Точность 5-6% (относительных). В. Сазанова 12040. Комплексометрическое определение

в куоксаме. Шара (Komplexometrické stanovení mědi v kuoxamu. Šára Josef), Papíra celulosa, 1956, 11, № 6, 118—121 (чеш.; рез. русс., нем., англ.) Для комплексометрич. определения Си в куоксаме (р-ре Швейцера) разбавляют 25 мл пробы ~300 мл воды (при образовании мути прибавляют каплями 1 н. NH₄OH до ее исчезновения) и титруют при помощи (0,02 M комплексона III в присутствии мурексида (I) (0,2 г I смешивают с NaCl, 1:100) до сине-фиолетового окрашивания, или в присутствии пирокатехинового фиолетового (II) (0,2 г II смешивают с NaCl, 1:100, либо 4—5 капель 0,1%-ного води. р-ра) до красно-фиолетового окрашивания. С целью одновременного определения аммиака титруют сначала 25 мл пробы при помощи 1 н. HCl в присутствии 3 капель метилового оранжевого, а затем разбавляют ~300 мл воды, прибавляют 5—15 мл 1 н. NH₄OH в случае титрования в присутствии II 5—50 мл 1 н. NH₄OH и поступают дальше, как указано выше. Отклонения результатов метода составляют при применении I от +0,018 до -0,032 г Cu/л, а при II от +0,020 до -0,034 г Cu/л. Продолжительность определения от 10 (I) до 15 (II) мин., а при применении йодометрич. метода ~ 40 мин., весового метода ~ 2 час., электролитич. метода 75 мин. (вращающийся электрод) и $5^{1}/_{4}$ час. (стационарный электрод). Н. Туркевич электрод). 12041. Изучение электролиза при контролируемом

потенциале. IX. Электролитическое отделение меди аминтетрауксусной к-ты (I)получают гладкие блестящие осадки Сu с колич. выходом. Измерены потенциалы выделения Сu и Вi на вращающемся Pt-электроде и E₁₃ на капельном Hg-электроде из р-ров добавкой I при различных значениях рН. Определены оптимальное кол-во I, значение рН, катодный потенциал и анодное кол-во I, значение ргг, катодным потенциал в апод-ный деполяризатор, а также допустимое кол-во Ві при отделении Си от Ві. Хорошие результаты получены в следующих условиях. Пробу р-ра, содержащего Си в Ві, обрабатывают 2—3-кратным взбытком І (из расчета на общее содержание Си в Ві), к полученному р-ру добавляют 1 г NH₄NO₃ в 1,5 г NH₂OH·HCl, раз-бавляют до 140 мл в рН доводят до 3,1; электролиз ведут при 60-70° при катодном потенциале, равном -—0,41 с (насыш, к. э.). Выделение Си происходит с колич. выходом в присутствии < 1,2 г Ві.

М. Пасманик Бензимидазол-реактив на серебро. Датта (Benzimidazole as a reagent for silver. Dutta R. L.), J. Indian Chem. Soc., 1956, 33, № 6, 389—393 (англ.) Бензимидазол (I) количественно осаждает Ag в аммначной среде, образуя устойчивый к свету и нагреванию осадок. Состав высущенного при 120° осадка соответствует ф-ле AgC₇H₅N₂ (определено 48,3% Ag, теоветствует ф-ле AgC₇H₅N₂ (определено 48,5% Ag, теоретич. 47,97%). Для определения Ag50мм слабоваютию кислого p-ра AgNO₃, содержащего 10—100 мм Ag, нейтрализуют 5%-ным NH₄OH до pH 10, нагревают 10 мин. при 60—70°, прибавляют при помешивании избыток 1%-ного водн. p-ра I, после чего продолжают нагревание еще 10 мин. Осадок отфильтровывают чето рез тигель Гуча, промывают 100 мл горячей воды и высушивают при 120°. Метод дает хорошие результаты. Для осаждения 100 мг Ag достаточно 20 мл 1%-ного р-ра I. При определении Ag в присутствии Cu, Ni,

Со, Мл, Мд,Нд(2+), РЬ, Zл, Сd, Тl и др. для связывания последних прибавляют 2—3-кратный избыток (10мл) аммиачного р-ра комплексона Пl (7,5—11 г комплексона Пl растворяют в 100 мл NH₄OH, 1:5) и после нагревания до 60—70° осаждают Ад 1%-ным р-ром І.При наличик в р-ре Fe(3+) и Cr р-р комплексона (без NH₄OH) прибавляют к слабокислому анализируемому р-ру и после 10 мин. нагревания добавляют NH₄OH. После этого Ag осаждают Al, Be, Ti, UO2+, Th и др., связывают тартратом К-Na(5-10 г), который вводят в слабокислый р-р. Ад осаждают после прибавления 10 мл NH₄OH, 1:5. Ю. Мочалова 12043. Новый метод определения малого количества серебра в присутствии тяжелых металлов. Баг-банлы И. Л., Мамедкулиева М. М., Марузалар, АзербССР Элмлар Акад., Докл. АН АзербССР, 1956, 12, № 3, 173—176 (рез. азерб.) Ион Аg+ осаждают в виде Ag[Cr(SCN)₄(NH₃)₂] по-

редством соли Рейнеке в кислой среде при нагревании. Взвешивание полученного осадка позволяет определить 5 ме Ag в 100 мл p-ра. При титриметрическом определении Ag+ осадок разлагают разб. р-ром NaOH при умеренном нагревании, после отделения Ag₂O титруют ион SCN- йодатом в солянокислом р-ре. Ионы Cu²⁺ и Ві³⁺ маскируют перед осаждением иона Ag⁺ добавлением Na₄P₂O₇.
В. Сазанова нием Na₄P₂O₇.

12044. Потенциометрическое и амперометрическое определение серебра с меркаптофенилтиотнадиазолоном и меркаптобензотназолом. Малинек, Ржегак (The potentiometric and amperometric determination of silver with mercaptophenylthiothiadiazolone and mercaptobenzthiazole. Маlinek М., Rehák B.), Z. analyt. Chem., 1956, 150, № 5, 329—333 (анкт) (англ.)

Саждают Ag^+ меркаптофенилтнотнадиазолоном $H(C_2N_2S_3\cdot C_6H_5)$ (I) и меркаптобензотназолом $H(CNS_2\cdot C_6H_4)$ (II) в присутствии комплексона III (III). Потенциометрич. тятрованию в нейтр. или аммиачной среде в присутствии III не мешают Сu, Cd, Pb, Bi, As, Sb, Sn, Mo, U, Fe, Al, Cr, Ni, Co, Mn, Zn, Ca, Sr, B a, Mg и щел. металлы. Амперометрич. титрование выполняют с вращающимся Рt-электродом без наложения внешней с вращающимся Р1-электродом оез наложения внешнеи
э. д. с., применяя в качестве электрода сравнения Hg—
Hg12. К р-ру, содержащему 0,1—10 мг Ag, свободному от Cl-, добавляют III в кол-ве, достаточном для
маскировки мешающих ионов и 0,2 и. NаОН до рН
5—8 (индикатор бромкрезоловый пурпурный), разбавляют до 100 мл. добавляют 0,5 мл. 2%-ного р-ра
желатины и титруют 0,01—0,1 М р-ром I или II. Кривая титрования имеет L-образную форму. Мешают Hg,
Au и некоторые металлы группы Рt. Н. Чудинова
42045. Опредставие дважующиму металов с номещью 2045. Определение драгоценных металлов с помощью ионитов. Даванков А. Б., Лауфер В. М., Завод. лаборатория, 1956, 22, № 7, 788—789 Небольшие кол-ва Аи и Ад (доли ме на 1/4) из циа-

нидных р-ров выделяют на анионите. P-р с рН 3,5, со-держащий KAg(CN)₂ или HAuCl₄, пропускают через адсорбционную колонку, заполненную анионообмен-ной смолой НО в хлорядной форме. Для р-ров с конц-чей 0.5—20, мс/г. Ан. постигалият с досождением. 0,5—20 ме/л Au, поступающих в адсороднонную ко-лонку днам. 7—8 мм, при высоте слои смолы 250— 300 мм, скорость фильтрования не должна превышать 15 мл/мин. Для р-ров,содержащих большой избыток минеральных солей или органич. примесей, скорость фильтрования должна быть уменьшена. Кол-во р-ра, фильтру-емого через адсорбент, определяется исходной конц-пей ионов металла; для указанных выше конц-ий Au оно должно составлять 1—15 л. В колонку загружают 4— 5 г смолы (считая на сухую) с величиной зерна 0,5-0,8 мм. Перед употреблением анионообменную смолу при работе с p-poм Au обрабатывают избытком 5%-

ного p-pa HCl, а при извлечении анионов Ag — p-pом H₂SO₄. После извлечения Au из p-ра смолу извлекают из колонки, подсушивают и сжигают в тигле, зольный остаток завертывают в свинцовую фольгу и подвергают обычному купелированию. Полученный королек Au взвешивают. Присутствие Ag, Cu или других металлов в Au определяют дополнительной обработкой азотной к-той. Точность метода $\pm 0.5 - 1.5\%$ относительных. Аналогичные результаты получены при анализе солей Ag и других драгоценных металлов. В. Сазанова

Определение бериллия. II. Сравнение весовых определений бериллия в виде окиси бериллия. III. Определение бериллия с помощью гексаметилентетрамина. IV. Определение бериллия с помощью аммиака в присутствии буры. V. Определение бериллия с помо-щью гидроокиси щелочного металла. VI. Определение бериллия с помощью бикарбоната натрия. VII. Определение бериллия с помощью таннина. VIII. Опре-деление бериллия с помощью сульфида аммония. IX. Определение бериллия с помощью сероводорода. Х. Определение бериллия с помощью сероводорода м. определение офира. XI. Определение бериллия с помощью селенистой кислоты. XII. Определение бериллия в виде сульфата. XIII. Количественное определение с помощью эфира и соляной кислоты. Акияма (Determination of beryllium, II. Comparison of the gravimetric estimations of beryllium as beryllium oxide. III. Determination of beryllium by hexamethylenetetramine. IV. Determination of beryllium with ammonia in the presence of borax. V. Determination of beryllium with alkali hydroxide. VI. Determination of beryllium with sodium bicarborate. VI. Determination of beryllium with sodium bicarborate. nate. VII. Determination of beryllium by tannin. VIII. Determination of beryllium by ammonium sulfide. IX. Determination of beryllium with hydrogen fide. IX. Determination of beryllium with hydrogen sulfide. X. Determination of beryllium by hydrogen sulfide with the ether method. XI. Determination of beryllium by selenious acid. XII. Determination as sulfate. XIII. Quantitative analysis by ether and hydrochloric acid. A k i y m a T o m o y u k i), 分析代學, Буисэки кагаку, Јарап Analyst, 1953, 2, 13—17; 116—117; 354—355; 355—358; 358—359; 460—462; 462—463; 463—464; 1954, 3, 33—34; 35—37; 127—499—434 (пион) 129; 129-131 (япон.)

 Изучались условия осаждения, промывки и про-каливания Be(OH)₂. Рекомендуются следующие мето-тоды. Метод 1. К пробе, содержащей~0,09 г ВеО, добавляют 3 г NH₄Cl и разбавляют до 70 мл. Нагревают 10 мин. при 85°, охлаждают до 40°, добавляют 1,5 н. NH₄OH до щел. р-ции по бромтимоловому синему. Осадок промывают декантацией 10%-ным р-ром NH4NO3, нейтрализуют NH4OH, сушат 3 часа при 100° и прокаливают. Метод дает слегка заниженные результаты и в присутствии щел. металлов, Са, Mg, Zn и Си осаждение следует повторить. М е т о д 2. К пробе добавляют 2 н. NaOH для растворения гидроокисей и разбавляют водой до 80 мл. Нагревают 40 мин. на па-ровой бане для осаждения Ве(ОН)₂ и поступают, как описано выше. Избыток NaOH и педостаточная промывка дают завышенные результаты. Хорошне результаты получены с пробами, содержащими < 0,05 г ВеО в присутствии 0,03 г Al₂O₃. Метод 3. Р-р смеси Ве(NO₃)₂ и KAl(SO₄)₂ разбавляют до 70 мл и нагревают до 60°. Для осаждения Be(OH)₂ добавляют 5%-ный p-р 8-оксихинолина в 2 н. CH₃COOH и поступают, как описано выше. Метод 4. P-р разбавляют до 70 мл и нейтрализуют 1,5 н. NaOH, не добавляя его, однако, в кол-ве, достаточном для осаждения $\mathrm{Be}(\mathrm{OH})_2$. При комнатной т-ре и перемешивании добавляют KJ, KJO₃ и несколько мл 1 M $\mathrm{Na}_2\mathrm{S}_2\mathrm{O}_3$. Затем нагревают 25 мин. на паровой бане, собирают выпав-

ший осадок Be(OH)2 и поступают, как описано выше

ини осадок Бе(ОТ)2 и поступают, как описано выше Определению мещают Al, Fe и Си.

111. К 25 мл пробы, содержащей ~ 0.04 г ВеО, добавляют 15 мл 1 M (CH₂) $_{6}$ N₄ (рН 7,95 при 20°) и 2 г NH₄NO₃. Разбавляют до 70—100 мл и нагревают 40 мин. на водяной бане, Фильтруют, несколько раз промывают осадок смесью 0.5%-ного p-ра NH_4NO_3 и 0.5%-ного p-ра $(CH_2)_6N_4$, сушат при $107-110^\circ$ 2,5 часа, прокаливают и взвешивают в виде ВеО. В присутствии А1 р-р с осадком перед нагреванием на водяной бане оставляют на ¹/₃ часа при комнатной т-ре для оса-ждения Al(OH)₃. После отделения Al в фильтрате опре-

деляют Ве. IV. К 15 мл р-ра, содержащего 0,1 г ВеО, добавляют водн. р-р 5 г NH₄OH и 0,85 г Na₂B₄O₇. Полученный белый осадок растворяют 5 каплями 5 н. HNO₃, добавляют 25 капель 5 н. HCl и разбавляют до 100 мл. Нагревают 10 мин. на водяной бане, добавляют 2 капли р-ра метилового красного и 1,5 н. NH₄OH при 40-50° при непрерывном перемешивании до тех пор, пока окраска не перейдет в желтую и снова почувствуется запах NH₃. Нагревают 20 мин. на водяной бане до исчезновения запаха NH3, затем дают охладиться (жидкость над осадком все еще должна быть желтой). Осадок промывают декантацией, фильтруют, прокаливают и взвешивают. Определению мешает присутствие Са.

V. Смесь Ве и Al можно анализировать по следующему методу: p-p, содержащий по ~ 0,056 г Ве и Аl, разбавляют до 80 мл, добавляют 2 н. КОН (или NаОН) и Н₂О так, чтобы полученный p-p объемом 120—170 мл имел рН ~ 9,4. Для осаждения Ве(ОН)2 р-р нагревают на кинящей водяной бане, фильтруют, промывают теп-лым, нейтрализованным 1%-ным р-ром NH₄NO₅, за-тем сущат, прокаливают и взвешивают. Фильтрат ней-трализуют 3 н. CH₃COOH, упаривают до 50—60 мм, добавляют 2,5 г Na₂S₂O₃ и нагревают 10 мин. Охлаждают 30 мин., отфильтровывают Al(OH)3, промывают, прокаливают и взвешивают. Если проба содержит Fe, его следует предварительно отделить экстрагированием смесью (C_2H_5)O-HCl. Са и Mg должны быть удалены описанным ранее методом (Сообщение I, Japan Analyst, 1952, 1, 133—136).

VI. В связи с тем, что по методу Парсона (Parsons, Barner, J. Amer. Chem. Soc., 1906, 28, 1589) добиться полного отделения Ве от Fe и Al с помощью NaHCO₃ не удается, предложен следующий метод: к р-ру, содержащему по ~ 50 мг ВеО, Al₂O₃ и Fe₂O₃, приливают жащему по — 30 мг Бео. Аго и 1203 и 1203, приламент 1,5 н. NH₄OH до нейтр. р-ции по метиловому оранжевому и разбавляют до 180 мл. Добавляют 10 г NaHCO₂ и нагревают 20 мин. при 80° в закрытом сосуде. Удаляют выпавшие Al(OH)₃ и Fe(OH)₃ и промывают нейтрализованным 1%-ным р-ром NH₄NO₈. Фильтрат нагревают с 4 н. HCl для удаления CO₂ и разбавляют до 100 мл. Нейтрализуют 4 н. NaOH, добавляют 35 мл 6 н. СН₃ СООNН₄ и доводят рН р-ра 1,5 и. NH₄OH до 6,8. Добавляют 25 мл 3%-ного р-ра 8-оксихинолина в 2 н. СН₃СООН и нагревают 15 мин. при 60°. Добавляют 6 н. CH₃COOH (¹/₈ от объема р-ра) и нагревают еще 15 мин. при 90°. Фильтруют, промывают и выпаривают фильтрат досуха. К остатку добавляют H₂SO₄ и HNO₈, выпаривают, растворяют водой и осаждают Ве в виде

Ве(ОН)₂.

VII. Пробу в 15 мл (~ 0.56% в пересчете на ВеО) разбавляют до 250 мл, добавляют 20 г NH₄NO₃ и нагревают 20 мин, при 85°. Затем добавляют 10 мл р-ра таннина (5% в насыщ. СН₃COONH₄) и нагревают еще 5 мин. Добавляют 1,5 н. NH₄OH, отфильтровывают выпавший осадок, промывают горячей водой и сущат 1,5 часа при 120°. Прокаливают, предварительно добария намуюсь НNO₂ и времения выто выпавший осадок. А в дерешивают выпавший осадок. бавив немного HNO₃, и взвешивают в виде ВеО. Аl можно отделить осаждением таннином из слабо кислых p-ров. Fe³⁺ отделяют осаждением H₂S при

выше

BeO.

(°0)

евают

о раз Юз и часа,

СТВИИ

бане

oca-

опре-

цобав-

Полу-

0 ма.

капли

ка ок-

СЯ За-

o ne-

(жид-

Oca-

ивают

e Ca.

едую-

w Al,

70 MA

евают

т теп-

3, 38-

т ней-

0 мл, хлаж-

вают.

IT Fe.

грова-

уда-Japan

rsons,

иться

Оз не

содер-

ивают

анже-НСО₃

Уда-

нейт-

нагре-

ют до

и 6 н.

to 6,8.

з 2 н.

т 6 н.

MUH,

бильт-

з, вывиде

BeO) narpep-pa

от еще

ывают

сушат

10 до-

слабо

5 при

pH 5; Mo, V, Ті также осаждают таннином из слабокислых p-ров в присутствии CH₃COONH₄, NH₄NO₃ и CH₃COOH.

VIII. Для отделения Fe³+, Ni и Co от Ве к исследуемому р-ру добавляют несколько капель 2 и. HCl, 25 мл 20%-ного р-ра к-ты и 35 мл 1,5 и. NH₄OH. 15 мин. пропускают Н₂S. К р-ру добавляют 20 мл (NH₄)₂S и нагревают 10 мин. при 50°. Выпавшие FeS, CoS, NiS отфильтровывают. Н₂S удаляют из фильтрата нагреванием с Вт₂. Ве осаждают из этого р-ра (NH₄)₂HPO₄ или таннином. Для отделения от Ве Al, Fe³+, Mn, Ni и Co р-р нагревают и выпаривают досуха, добавляя 30 мл 5 и. HNO₃, 3 г КСlO₃ и 5 мл 30%-ной Н₂О₂. Отфильтровывают МпО₂, фильтрат нейтрализуют 5 и. NaOH и разбавляют до 80 мл. Добавляют 25 мл 20%-ной винной к-ты и 35 мл 1,5 и. NH₄OH и 15 мин. пропускают Н₂S. Затем добавляют 20 мл р-ра (NH₄)₂S и отфильтровывают выпавшие FeS, CoS и NiS. Удаляют Н₂S из фильтрата, как описано выше, и отделяют Al 8-оксихинолнюм. Ве осаждают NH₄OH в виде Ве(OH)₂. IX. Для отделения Fe³+, Ni и Co от Ве к пробе до-

1X. Для отделения Fe³+, Ni и Co от Ве к пробе добавляют 2 и. NаОН в кол-ве, достаточном для растворения пробы. Подкисляют несколькими каплями 2 и. НСІ и разбавляют до 80 мл. 20 мин. пропускают Н₂S, поддерживая рН 5,0 добавлением СН₃СООΝН₄ (осаждаются FeS, NiS и CoS). Удаляют избыток Н₂S добавлением к фильтрату Вг₂ и осаждают Ве 1,5 и. NН₄ОН при 40° после добавления 3 г NН₄NO₃. В присутствии АІ, Fe³+, Мп, Ni и Co отделяют Мп в виде МпО₂ окислением НNО₃, КСІО₃ и Н₂О₂; Fe, Ni и Co отделяют Н₂S, как описано выше, затем осаждают Ве в виде в виде

Be(OH)2.

X. Для отделения Ве от Fe³⁺ и Al p-p, содержащий 0,056 г ВеО, разбавляют до 60 мл и добавляют 2,5 г NH₄NO₃. После нагревания на паровой бане добавляют 1,5 н. NH₄OH при 40°. Образовавшиеся гидроокиси отфильтровывают и растворяют в 20 мл 0,6 и. НСІ. Выпаривают до вязкого состояния и экстрагируют FeCla. вабалтывая с смесью 100 мл 6 н. HCl и 150 мл (C2H5)2O. Для удаления эфира водн. слой выпаривают до половины объема. После нейтр-ции с помощью NaOH 20мин. пропускают H₂S, добавляют 35 мл 20%-ной винной к-ты и 40 мл 2 н. NH₄OH. Пропускают H₂S еще 15 мин., причем т-ра p-ра сохраняется 50° и он остается слегка щел. Отфильтровав FeS, из фильтрата удаляют H2S, добавляя 15 мл 6 н. HCl и упаривая до 60 мл. К р-ру до-бавляют 25 мл 6 н. CH₃COONH₄ и с помощью 1,5 н. NH₄OH pH p-ра доводят до 6,8. Al осаждают 8-оксихинолином, фильтруют, выпаривают фильтрат досуха и обрабатывают H₂SO₄ и HNO₃. Остаток растворяют в 60 мл воды с добавлением 3 г NH4NO3 и нагревают до 40°. Ве(ОН)₂ осаждают из p-ра, добавляя 1,5 п. NH₄OH до появления синей окраски. Индикатор бромтимоловый синий. Отделение Ве от Fe3+, Al, Mn, Co и Ni. P-р выпаривают досуха с добавлением 45 мл 5 н. Н Н Оз, 3 г KClO₃ и 5 мл 30%-ной H₂O₂. Осадок MnO₂ отфильтровывают. Фильтрат нейтрализуют NaOH и разбавляют до 80 мл. Пропускают Н₈S, как указано выше. Отфильтровывают FeS, CoS и NiS, к фильтрату добавляют 15 мл. 6 н. HCl и нагревают на паровой бане с Вг2. Р-р нейтрализуют 10%-ным Na2CO3, содержащим 5.5 г NH₄NO₃. Добавлением 1,5 и. NH₄OH при 40° из р-ра осаждают Аl(OH)₃, Be(OH)₂ и часть Fe(OH)₃. Фильтруют, осадок растворяют в 20 мл 6 и. HCl и встряхивают со смесью HCl-(C₂H₅)₂O дли экстрагирования Fe. Из р-ра осаждают Al в виде 8-оксихинолината, Ве в виде Ве(OH)₂.

XI. Ве осаждают с помощью SeO₂ в виде BeO·2Be-SeO₃·6H₂O, прокаливают и взвешивают в виде BeO. При доведении рН р-ра до 4.2—5,5 с помощью CH₃COOH и CH₃COONH₄ осаждаются следующие металлы: Hg,

Сu, Ag, Cd, Al, Mn, Ni, Co, Fe, Zn, Pb, Cr, Bi и Тi. Однако отделение Al и Ni неполно. После добавления NH₄NO₃ к p-ру приливают NH₄OH до слегка щел. р-ции по фенолфталениу, нагревают до кипения и добавляют 5%-ной H₂SeO₃. После 15-минутного кипячения фильтруют, осадок промывают горячей водой, сушат 1 час при 150° и прокаливают. Мg и Са следует упалить.

XII. Р-р, содержащий 0.06 г ВеО, разбавляют до 80 мл добавляют 3 г NH₄NO₈. Ве осаждают в виде Ве(ОН)₂, добавляя 1.5 н. NH₄OH, и осадок растворнют в 25 мл 3 н. HNO₃. После добавления 30—35 мл 80%-ной H₂SO₄ р-р выпаривают 30 мин. при 180°, затем при 280—300° досуха до удаления избытка H₂SO₄. К остатку добавляют немного H₂SO₄ и нагревают 50 мин. при 350°. После охлаждения Ве взвешивают в виде ВеSO₄. В присутствии Fe(3 +) и Al большую часть FeCl₂ удаляют эфирным методом Рота, а оставшуюся часть осаждают с помощью H₂S в присутствии винной к-ты; Al удаляют 8-оксихинолином. Если присутствуют Са и Mg, их удаляют по методу Мозера (нагреванием азотнокислого р-ра в присутствии NH₄NO₃ и CH₂OH осаждают Fe(OH)₂, Be(OH)₂ и Al(OH)₃) и далее

продолжают, как описано выше.

XIII. Ввиду неполного отделения AlCl₃ от BeCl₂ смесью (C₂H_s)₂O-HCl по методу Хевенса (Havens, Amer. J. Sci., 1897, 4, 111) был исследован комбинированный метод. 1. С 8-оксихинолином; смесь 0,08 г ВеО и 0,06 г ма 10. С. 3 - Спилинолинов, смесь одо в восо и 0,00 в Во осадок в 20 мл конц. HCl. Выпаривают досуха и обрабатывают остаток 25 мл конц. НСI и 30 мл ($C_2H_5)_2O$. P-р насыщают НСI (газ) до осаждения AlCl $_3$ -6 H_2O , фильтруют через тигель Гуча, промывают смесью конц. HCl-(C₂H₅)₂O (1:1), насыщают HCl (газ) и фильтрат с промывными водами выпаривают. Остаток растворяют в воде до получения 70 мл, добавляют 25 мл 6 н. СН₃СООNН₄ и 5 капель 0,05%-ного бромкреаолового пурпурного, 1,5 н. NH₄OH до фиолетовой окраски, 18 мл 3%-ного 8-оксихинолина в 2 н. СН₃СООН и нагревают 15 мин. до 60°. Добавляют 15 мл 6 н. CH₈COONH₄ и нагревают 15 мин. при 90°. Отфильтровывают оксихинолинат Al и промывают 1%-ный NH4NO3. Фильтрат и промывные воды выпаривают и остаток обрабатывают конц. HNO_8 и H_2SO_4 . Остаток выпаривают и растворяют в 50 мм H_2O , осаждают $Be(OH)_2$ 1,5 н. NH_4OH в присутствии NH_4NO_3 , прокаливают и взвешивают в виде ВеО. 2. С таннином. Фильтрат и промывные воды после отделения AlCl₃. ·6H₂O выпаривают, остаток растворяют в 60 мл H₂O, нейтрализуют NaOH, добавляют 5 капель 12 н. HCl и 15 мл 5%-ного танина в насыщ. p-ре CH₃COONH₄ и разбавляют 250 мл горячей H₂O, содержащей Зг NaCl. Кипятят 2 мин. на паровой бане и оставляют на 30 мин. Осадок фильтруют и промывают 5%-ным теплым CH3COONH4. Фильтрат и промывные воды выпаривают досуха и обрабатывают конц. НОО3 до обесцвечивания. Нейтрализуют 6 п. NaOH и осаждают Be(OH)₂ с помощью NH₄OH, как указано выше. В присутствии Аl, Fe (3+). Са и Mg первые три отделяют, осаждая в в виде Al(OH)₃, Fe(OH)₃ и Be(OH)₂ с помощью NH₄OH при 40° в присутствии NH₄Cl. Большие кол-ва Al отделяют методом (C2H5)2O-HCl; Fe осаждают с помощью H₂S в присутствии тартрата и остаток Al удаляют 8-оксихинолином.

Chem. Abstrs, 1953, 47, № 12, 5840; № 16, 7936; № 22, 12104; 1954, 48, № 11, 6311; 6312; № 12, 6904; № 18, 10479. K. Ueno 12047. Определение бериллия. XIV—XVII. Акияма (ベリリウムの分析化學的研究・第XIV—XVII報.

秋山知行) > 分析化學 > Бунсэки кагаку, Japan Analyst, 1954, 3, 410—412, 467—470; 1955, 4, № 7, 417—420; 1956, 5, № 4, 212—216 (япон.; рез англ.)

XV. Описаны косвенное определение Ве с помощью фосфата 8-оксихинолина (I) и отделение и определение Ве в присутствии Ті и Al. При косвенном определении с помощью фосфата к 10 мл р-ра, содержащего 5,8 мг Ве в виде ВеО, добавляют 20 мл 2%-ной НNO₃ и 30 мл 2,5%-ного NH₄OH, чтобы р-р стал щел. по метиловому красному. После добавления 10 мл 10%-ного (NH₄)₂HPO₄ p-р нагревают 2,5 часа на водяной бане. Образовавшийся осадок BeNH₄PO₄·4,5 H₂O отфильтровывают и промывают нейтр. 2%-ным NH₄NO₃, растворяют в 20 мл 2%-ной HNO₃, добавляют 5 капель 5 н. HNO₃ и 0,5 г NH₄NO₃, Смесь нагревают до 60° и добавляют 10%-ный (NH₄)₆Мо₇О₂₄. Осадок отфильтровывают, промывают 1%-ным KNO₃, растворяют в 60 ма 0,1 н. титрованного р-ра NaOH и избыток NaOH обратно оттитровывают 0,1 н. H₂SO₄. Содержание ВеО определяют по кол-ву NaOH, пошедшему на растворение осадка. При определении с помощью I к 10 мл пробы добавляют 30 мл 2%-ной HNO₃ и 20 мл 10%-ного провы доозваниют зо мл 2%-ной гіг NO_3 и 20 мл 10%-ного $(NH_4)_2$ НРО $_4$. Р-р подщелачивают 2.5%-ным р-ром NH_4 ОН по метиловому оранжевому. Образовавшийся осадок отфильтровывают, промывают 2%-ным NH_4 NO $_3$ и растворяют в $HCl-C_2H_5$ ОН (смесь 20 мл 12 и. HCl 40 мл C_2H_5 ОН и 40 мл H_2 О). К этому р-ру добавляют 16 мл 10%-ного $(NH_4)_6$ Мо $_7$ О $_2$ 4 и 30 мл $_7$ р-ра 1 (6 $<math>\epsilon$ I в 10 мл 10% ного $(NH_4)_6$ Мо $_7$ О $_2$ 4 и 30 мл 10% р-ра 10% 10% 10% 10% 10% 10% 10% 10% 10% 10% 10% 10% 10% 10% 10% 10% 10% 10% 10% 10% 10% 10% 10% 10% 10% 10% 10% 10% 10% 10% 10% 10% 10% 10% 10% 10% 10% 10% 10% 10% 10% 10% 10% 10% 10% 10% 10% 10% 10% 10% 10% 10% 10% 10% 10% 10% 10% 10% 10% 10% 10% 10% 10% 10% 10% 10% 10% 10% 10% 10% 10% 10% 10% 10% 10% 10% 10% 10% 10% 10% 10% 10% 10% 10% 10% 10% 10% 10% 10% 10% 10% 10% 10% 10% 10% 10% 10% 10% 10% 10% 10% 10% 10% 10% 10% 10% 10% 10% 10% 10% 10% 10% 10% 10% 10% 10% 10% 10% 10% 10% 10% 10% 10% 10% 10% 10% 10% 10% 10% 10% 10% 10% 10% 10% 10% 10% 10% 10% 10% 10% 10% 10% 10% 10% 10% 10% 10% 10% 10% 10% 10% 10% 10% 10% 10% 10% 10% 10% 10% 10% 10% 10% 10% 10% 10% 10% 10% 10% 10% 10% 10% 10% 10% 10% 10% 10% 10% 10% 10% 10% 10% 10% 10% 10% 10% 10% 10% 10% 10% 10% 10% 10% 10% 10% 10% 10% 10% 10% 10% 10% 10% 10% 10% 10% 10% 10% 10% 10% 10% 10% 10% 10% 10% 10% 10% 10% 10% 10% 10% 10% 10% 10% 10% 10% 10% 10% 10% 10% 10% 10% 10% 10% 10% 10% 10% 10% 10% 10% 10% 10% 10% 10% 10% 10% 10% 10% 10% 10% 10% 10% 10% 10% 10% 10% 10% 10% 10% 10% 10% 10%рез час фильтруют и осадок промывают, растворяют в в HCl-C₂H₅OH и I оттитровывают бромометрич. методом. SiO2 мешает. Отделение и определение Ті и Ве ведут по методу Мозера. Отделение и определение Al и Ве осуществляли с помощью Na₂S, но хороших результатов не получали.

Сhem. Abstrs, 1955, 49, № 22, 15611. К. Ueno XVI. Для определения Ве в р-рах его солей, содержащих Fe, Al и Mn, добавлением р-ра (NH₄)₂S осаждают FeS и MnS, затем р-ром (NH₄)₂CO₃ осаждают Be и в фильрате обычным способом осаждают Ве (ОН)₂ для определения Ве в виде ВеО. При совместном присутствии Ве, Fe и Al их осаждают в виде гидроскисей, которые переводят в основные ацетаты добавлением небольшого кол-ва лед. СН₃СООН. Осадок экстрагируют СНСІ₃, органич. фазу промывают водой, води, фазу с промывными водами упаривают досуха, остаток (Ве₄О (СН₃СООН)₆) растворяют в воде, удаляют Fe и определяют Ве в виде ВеО.

Б. Застенкер

XVII. При анализе р-ра Ве, содержащего ионы Си, Fe(3+), Zn, Ni, Mn и Тi, p-р слегка подкисляют смесью СН₃СООН и СН₃СООNН₄; примеси металлов отделяют от Ве осаждением в виде оксихинолинатов, а осажденный из фильтрата обычным методом Ве(ОН)₂ прокаливают и вавешивают в виде ВеО. Агрегат, сходный по составу с бериллом, содержащий 11,54% ВеО, сплавляют со смесью КОН, Na₂CO₃ и KNO₃. Плав обрабатывают 80%-ной H₂SO₄, удаляют осадок H₂SeO₃, р-р нейтрализуют NaOH, добавляют ацетатный буферный р-р, пропускают H₂S и удаляют осадки FeS и NiS.

Р-р обрабатывают NH₄NO₂ для получения Al(OH)₁ и Be(OH)₂ и отделения от Са и Mg, затем р-р обрабатывают смесью HCl с эфиром для удаления AlCl₃. 6H₂O. Остающиеся в фильтрате Al и Fе осаждают в форме оксихинолинатов, фильтрат обрабатывают NH₄OH для осаждения Be(OH)₂, который определяют в форме BeO обычным методом; так как получаемый BeO содержит SiO₂, его обрабатывают H₂SO₄ и HF дла удаления этой примеси и получают чистый BeO. В. Шемякии

12048. Дифференциальное спектрофотометрическое определение бериллия. Уайт, Мейер, Мавнинг (Differenital spectrophotometric determination of beryllium. White J. C., Jr, Meyer A. S., Jr, Manning D. L.), Analyt. Chem., 1956, 28, № 6, 956—959 (англ.)

При взаимодействии между Ве и *п*-нитробензолазо-орсином в щел. р-ре образуется красный лак. Порции стандартного р-ра Ве (0,1 мг/мл в 2 н. р-ре Н₂SO₄),
содержащие 1—1,6 мг Ве, помещают в стаканы, устанавливают рН р-ров на уровие 5—6 добавлением 2 н.
NаОН, добавляют по 10 мл буферного р-ра рН 12,7 ±
±0,1 (178 г дигидрата цитрата Na, 92 г Na₂B₄O₇·10H₂O, 143 г NaOH п 600 мл воды), 20 мл реактива
(0,125 г п-нитробензол-азо-орсина добавляют к смеси
300 мл воды с 25 мл 2 н. NaOH, перемещивают до
растворения и разбавляют до 500 мл) и разбавляют до
100 мл. Через 10 мин. намеряют оптич. плотность при
510 мµ (1-см кювета), пользуясь в качестве р-ра сравнения р-ром, содержащим 1 мг Ве. Закон Бера выполняется в указанном интервале конц-ий Ве. При соотнощении Ве: АІ (пли U)=1:5 погрешность < 2%.
Коэфф. вариаций для одного и того же р-ра < 1%.
А. Штейнберг

12049. Новый индикатор для титрования кальция комплексоном III. II аттон, Ридер (New indicator for titration of calcium with (ethylenedinitrilo) tetraacetate. Patton James, Reeder Wendell), Analyt. Chem., 1956, 28, № 6, 1026—1028 (англ.)

Метод примого титрования Са в присутствии Mg комплексоном III (I) основан на образовании I более прочных комплексов с Са, чем с Mg, и на колич. осаждении Mg в виде Mg(OH)₂ при рН 12—14. Новый ин-2-окси-1-(2-окси-4-сульфо-1-нафтол-азо)-3нафтойная к-та (II) при титровании Са меняет свою окраску от винно-красной до чисто синей. II готовят сочетанием диазотированной 1-амино-2-нафтол-4-сульфоновой к-ты (III) с 2-окси-3-нафтойной к-той. Вследствие светочувствительности III ее синтез выполняют в темноте. Индикатор для титрования Са готовят тщательным растиранием 0,5 г II с 50 г Na₂SO₄. В моноэтаноламиновый буферный p-p для повышения чет-кости перехода окраски II при титровании небольших кол-в солей Са вводят р-р комплексного соединения Mg с I. Сумму Са + Mg определяют титрованием р-ром I по эриохрому черному Т. Перед титрованием к ана-лизируемому р-ру добавляют КСN и NH₂OH · HCl и забуферивают его моноэтаноламиновой буферной смесью. Для определения Са в присутствии Mg аликвотную часть анализируемого р-ра разбавляют до 50 ма водой, добавляют для осаждения Mg(OH)₂ 4 ма 8 н. КОН, выдерживают при помещивании 3—5 мин., вводят по 30 мл КСN и NH2OH HCl, прибавляют II и титруют p-ром I, содержащим 3,9 г I в 1 л. Большая четкость изменения окраски в эквивалентной точке достигается при освещении колбы с титруемым р-ром светом вольфрамовой лампы. Прямому определению Са не мешает до 839 у/мл Mg в расчете на карбонат. Ва, Sr, Рb и Zn при высоких рH титруются вместе с Са. Ва маскируют добавлением иона SO4. Рb маскируют добав(OH) браба-AlCla. ждают ывают еляют аемый **F** дла

57 r.

МЯКИВ ческое Манmina-A. S., 6, 28,

ензол-

. Пор-2SO4), уста-2.7 ± B407. ктива смеси от до ют до ь при cpas-

ыпол-2%. 1%. нберг пьция w inenedider

026 n Mg более ocaй ин-30)-3свою товят

суль-Вследтогни тщамоночетьших нения

р-ром ана-ICI u ерной алиали-50 мл

л 8 н. вво-и титчетостиветом

а не a, Sr, а маобав-

введением индикатора. В присутствии КСN и NH₂OH. -НСl небольшие кол-ва Zn, Cu, Co, Ni и Mn не мещаютопределению Са. В присутствии достаточного кол-ва Mg небольшие кол-ва Fe³⁺ и PO₄³⁻ не мешают определению Са. что авторы объясняют соосаждением этих ионов Н. Полянский 12050. Исследование метода Франке для определедоло. исследование метода Франке для определе-ния свободного гидрата окиси кальция и свободной окиси кальция. Преслер, Брунауэр, Кантро (Investigation of the Franke method of determining free calcium hydroxide and free calcium oxide. Pressler E. E., Brunauer Ste-phen, Kantro D. L.), Analyt. Chem., 1956, 28, № 5, 896—902 (англ.) Установлено, что при повторной экстракции смесью ацетоуксусный эфир-изобутиловый спирт (I) (Franke

лением избытка диэтилдитиокарбамата натрия перед

В., Z. anorg. allgem. Chem., 1941, 247. 180) можно по-лучить правильные результаты при определении Ca(OH)₂ в присутствии гидрата силиката кальция (афвиллита (Ca₃Si₂O₇·3H₂O)), в котором Са связан достаточно прочно; в присутствии тоберморита, в котором Са связан менее прочно, часть его извлекается р-рителем Франке. Для определения СаО в портландцементах метод Франке модифицирован: пробу пемента просенвают и измельчают (Amer. Soc. Testing Materials, Standards on Cement, 1954, V, C114—53, Sec. 31, 32); к 70 мл смеси р-рителей (смесь этилацетоацетат-I 3:20) добавляют навеску цемента 1 г и нагревают с обратным холодильником 3 часа (к холодильнику присоединяют поглотительную трубку с натронной известью и аскаритом); охлаждают, фильтруют под вакуумом, промывают остаток 50 мл I, добавляют к фильтрату 10— 12 капель p-ра тимолового синего (0,1%-ный p-p в I) и титруют 0,2 н. p-ром HClO₄ (21,8 мл 60%-ной HClO₄ разбавляют I до 1 л) до отчетливо красноватого оттенка. Результаты, полученные методом Франке и методом Лерча и Бога (Lerch W., Bogue R. H., Ind. Engng, Chem. Analyt. Edit., 1930, 2, 296), практически совпадают, но метод Франке имеет преимущества вследствие его быстроты и большего удобства титрования.

Т. Леви 12051. Метод определения малых количеств кальция в рассоле. Гольдинов А. Л., Рогинская Б. С., Завод. лаборатория, 1956, 22, № 7, 801—802 Рассол (100 мл) пропускают через колонку с катио-нитом в Na-форме со скоростью 2,5 мл/мин. Промывают колонку 50-60 мл воды со скоростью 5 мл/мин, фильтрат и промывные воды выбрасывают. Для вымывания Са пропускают через колонку 30 мл НСІ (1:9) со скоростью 1,5—2 мл/мин, промывают 70 мл воды со скоростью 5 мл/мин. К-ту и промывные воды нейтрализуют по лакмусу едким натром, добавляют 2 мл 2 н. p-ра NaOH и титруют 0,01 н. p-ром комплексона III с мурексидом до перехода окраски жидкости из малиновой в фиолетовую. После каждого определения ка-тионит регенерируют, пропуская 50 мл HCl (1:4), промывая водой до нейтр. р-ции по метиловому оранжевому и пропуская 40 мл 5%-ного р-ра NaOH со скоростью 1 мл/мин. Р-р, выходящий при этом из колонки, должен иметь щел. р-цию. Катионит промывают водой до нейтр. р-ции. В. Сазанова

Быстрый метод определения магния и кальция в рассоле хлористого натрия для электролиза. мацуи, Уэда, Кацумата (食鹽電解用 鹽水中のカルシウム、マグネシウムの迅速定量法・松井進 作,上田忠雄,勝又茂), 工業仕學雑誌, Korë ка-гаку дзасси, J. Chem. Soc. Japan. Industr. Chem. Sec., 1956, 59, № 6, 588—591 (япон.)

Определение стронция в морской воде с использованием радиоактивных и стабильных изотонов. X аммел, Смейле (Determination of strontium in sea water by using both radioactive and stable isotopes. H u m mel R. W., S males A. A.), Analyst, 1956, 81, № 959, 110—113 (англ.)

Для проверки результатов определения Sr в морской воде (Smales A. A., Analyst, 1951, 76, 348; Odum H. T., Science, 1951, 114, 211) применен метод, основанный на разбавлении изотопами (Sr⁵⁹, Sr⁵⁴и Sr⁵⁸), и метод радиоактивационного анализа (при помощи Sr⁵⁹ и Sr⁵⁴). Полученные результаты колебались в интервале от 8,0 ± ±0,1 мг/л до 8,1±0,3 мг/л Sr. Некоторый разброс результатов объясняется значительным содержанием в морской воде Cl-. Т. Леви Т. Леви

1. Лени 12054. Амперометрическое определение кадмия. К о- стром и в А. И., А паршева М. И., Заводлаборатория, 1956, 22, № 5, 544—545 Для прямого амперометрич. титрования (капельный Hg-катод) ионов Cd²+ антраниловой к-той необходимо, чтобы в 40 мм титруемого р-ра содержалось 10—30 мг Сd, рН 5,5—6.5, конц-ия этилового спирта 20—25%. Титрование понов Cu²⁺ и Pb²⁺ антранилатом Na успеш-Питрование полов си $^{-1}$ н 1 г дана и последовательное титрование нонов Си $^{2+}$ и Сd $^{2+}$ антранилатом Na. При определении Pb $^{2+}$ и Сd $^{2+}$ сначала нон Pb $^{2+}$ отти-При определении Рът и Сп сначала пол тровывают р-ром Na₂SO₄, а затем Cd²⁺ — р-ром антра-В. Сазанова

12055. Новый способ открытия сульфида ртути. Гангев Н., Докл. Болгар. АН, 1956, 9, № 2, 19—21

(русс.; рез. нем.) Способ открытия HgS основан на получении HgCl₂ при нагревании HgS со смесью KClO₃ и KCl. Сухой нд помещают в пробирку, прибавляют избыток растертой смеси КСlO₈ и КСl и нагревают ту часть пробирки, где находится реакционная смесь. Образующийся при этом HgCl₂ возгоняется и осаждается в виде белого кольца на холодных частях пробирки. Наличие HgCl2 подтверждают нанесением на белый налет капли р-ра NaOH (желтый осадок HgO) или пропусканием в трубку H₂S (черный осадок HgS). Указанным способом можно открыть 0,00002 г HgS. Быстрота и надежность выполнения, а также высокая чувствительность и безвредность применяемых реактивов — преимущества нового способа над другими способами открытия HgS.

Р. Моторкина 12056. Разделение алюминия и циркония методом нонного обмена. Усатенко 10. И., Гуреева Л. И., Завод. лаборатория, 1956, 22, № 7, 781 - 783

Метод основан на том, что Zr поглощается катионитом на более кислых p-ров, чем Al. Наибольшей поглотительной способностью обладает катионит КУ-1 (максимальная кислотность 1,5 н.), за ним следует катио-нит СБСР (1,25 н.); хуже всех поглощает вофатит Р (0,75 н.). Наибольшая разность в кислотности для поглощения Zr и Al наблюдается для сульфоугля, катионита КУ-1 и МОФ-1. Ионы Al3+ не поглощаются сульфоуглем из 1 н. и катионитом КУ-1 из 1,5 н. р-ра к-ты. Лучшие результаты получаются при применении сульфоугля. Смесь p-ров Al и Zr пропускают через колонку с катионитом со скоростью 5 мл/мин. В фильтрате определяют Al. Из колонки выщелачивают Zr соляной к-той (1:4).
В. Сазанова
12057. Спектральное определение алюминия в изве-

стково-натриевых стеклах при помощи оптического электрометра. Хегеман, Кайман (Spektral-analytische Direktbestimmung von Aluminium in Kalk-Natron-Gläsern mit dem Lichtelektrometer. Hegemann Friedrich, Caimann Viktor), Glastechn. Ber., 1956, 29, № 6, 239—247 (нем.;

рез. англ., франц.) Растертую в порошок пробу смешивают с углем (1:4). 400 мг смеси прессуют в призматич, электроды

размером $2 \times 3 \times 20$ мм при давл. 2500 кг/см². Спектр возбуждают в конденсированной искре от генератора Фейсснера при самонндукции 0.8 мгн. емк. 3500 пф и искровом промежутке 2 мм. Предварительное обыскривание 3 мин. Спектры регистрируют на спектрографе Q 24, снабженном установкой с фотоумножителями для фотоэлектрич. регистрации спектра (РЖХим. 1956. 58339). Точность измерений интенсивности линий характеризуется средней ошибкой $\pm 0.03\%$. Ширина щели спектрографа 15 µ, ширина выходной щели 20 µ. Al₂O₃ определяют в пределах 0,1—1,0% методом добавок по линиям Al 3092,7, Al 3082,1 и Si 2516,1 A. Лучшим «элементом сравнения» является неразложенный свет, отражающийся от объектива камеры и регистрируемый фотоумножителем, помещенным вместо лампы, служащей для освещения шкалы спектрографа. Градуировочные графики строят в координатах $I_{(an)}/I_{(cp)}$ —C с учетом фона. К пробе добавляют известное кол-во Al₂O₃. Воспроизводимость анализа соответствует ошибке, равной 1,7%. Ошибка анализа, проводимого не по методу добавок, а по эталонам, равна 0,4—1,0%. Т. Гуревич

12058. Об определении следов алюминия в сталях. Розотт (Note sur le dosage de traces d'aluminium dans les aciers. Rosotte, m-1 le), Chim. analyt., 1956, 38, № 7, 250—252 (франц.)

Навеску стружки 1 г обрабатывают 40 мл 3 н. H₂SO4

Навеску стружки 1 г обрабатывают 40 мл 3 н. H₂SO₄ фильтруют, фильтр с осадком сжигают, остаток сплавляют с 1 г KHSO₄, плав растворяют в воде, объединяют р-р с фильтром и подвергают электролизу с Нд-катодом (удаление основной массы Fe). По окончании электролнаа р-р фильтруют, устанавливают его рН на уровне 0,3 (стеклянный электрод), добавляют 2 мл 0,5%-ного р-ра кунферона (1), через 5 мин. добавляют 40 мл смеси бензол-эфир (1 : 1) (смешивают с бидистиллатом и декантируют) для растворения осадка Fe. При интенсивной окраске органич. слоя обработку р-ром I и экстракцию повторяют. Водн. фазу промывают 20 мл указанной смеси р-ричелей, выпаривают до белых паров (для разложения избытка I). Аликвотную порцию р-ра ≤ 5 мл (при <0,010% Al добавляют р-р Al₂(SO₄)з с конц-ней Al 10 у/мл) смешивают с 7 мл 20%-ного р-ра CH₃COONH₄, разбавляют до ~ 80 мл и устанавливают при помощи H₂SO₄ или NH₄OH рН р-ра на уровне 3,9 (по внешнему индикатору бромфеноловому синему), добавляют 1 мл 5%-ного р-ра I, разбавляют до 100 мл, выдерживают 45 мин. при 23° и измеряют светопоглощение мутного р-ра при 450 мµ. Метод примении для определения ≥ 02 у/мл Al.

Т. Леви

2059. О решении некоторых аналитических проблем в области редких земель при помощи радиоактивационного анализа. Бор и Г. И., В айсе К. Ф., Кобаладзе М. Г., Тр. Комис. по аналит. химин АН СССР, 1956. 7(10), 104—118

Рассмотрена возможность определения некоторых редкоземельных элементов методом радиоактивационного анализа и показано, что простыми вспомогательными средствами можно с достаточной точностью проводить их колич. определение в ряде смесей. Для измерения активности облученных препаратов применялся радий-бериллиевый (500 мг Ra) источник нейтронов и установка типа Б с алюминиевой счетной трубкой Б-1. Приведена методика определения Е и в самарии, определение Dy в иттриевых землях, свободных от Gd и содержащих Gd, определение Sm в цериевых землях, бедных от Eu, определение Gd в иттриевых землях, бедных Eu.

В. Сазавова

12060. К вопросу о количественном выделении незначительных количеств редкоземельных элементов из продуктов расщепления урана. Хартингер, Холлек (Zur quantitativen Trennung geringer Mengen Seltener Erden aus Uran-Spaltprodukten. Hartinger L., Holleck L.), Angew Chem., 1956, 68, № 12, 412 (нем.)

Изучена пригодность интрилтриуксусной к-ты для отделения малых кол-в редкоземельных элементов (РЗЭ) из продуктов расшепления U. При рН 4,14—4,20 достигнуто колич. разделение Y, Sm, Nd и Pr в присутствии носителя (10 мг). При рН 5,1 разделения Nd и Pr не наблюдалось. Опыты вели с обменивающим материалом с относительно большим размером частиц (0,25—0,5 мм), что обеспечивало высокую скорость вымывания. Т. Леви

12061. К вопросу о потенциометрическом определении лантана, церия, празеодима, неодима и самария. П о л я к Л. Я., Ш е м я к н н Ф. М., Тр. Комис. по аналит. химии. АН СССР, 1956, 7 (10), 276—288

При изучении р-ций осаждения Се и La с K₄Fe(CN)₆ и Na₂C₂O₄ показано, что они являются гидролитич. р-циями осаждения, а поэтому при потенциометрич. титровании можно применять все виды электродов на н+ (хингидронный, сурьмяный, стеклянный). Показана возможность потенциометрич. определения Се, La, Nd, Pr, Sm титрованием р-ром NaOH. Выяснено влияние элементов III аналитич. группы и Mg на потенциометрич. титрование Се. В. Сазанова 12062. Определение церми с помощью прейслата ка-

2062. Определение церия с помощью перйодата каляя. Венугопалан, Джордж (Determination of cerium by potassium periodate. Ven u gopalan M., George K. J.), Naturwissenschaften, 1956, 43, № 15, 349 (англ.)

Состав осадка, образующегося по р-ции Ce^{4+} и JO_{4-}^{-} , отвечает ф-ле Ce (JO_{4})4. Метод, основанный на осаждении $Ce(JO_{4})$ 4 и последующем йодометрич. титровании, пригоден для определения малых кол-в Ce. Точность метода аналогична точности метода, в котором осадок перйодата Ce растворяют в конц. HCl и затем титруют р-ром хлористого йода.

Д. Кузнецов 12063. О влиянии железа на колориметрическое опре-

деление церия. К о р а б е л ь и и к Р. К., Ж. аналит химии, 1956, 11, № 4, 419 — 422 Для колориметрич. определения Се⁴⁺ использован

Для колориметрич. определения Ce^{4+} использовав ферроин, дающий при окисляющем действии Ce^{4+} с Fe^{3+} ксмплекс голубого цвета. В колбу емк. 100 мл вливают из бюретки определенный объем р-ра $Ce(SO_4)_2$, прибавляют избыток 0,0025 M ферроина (10 капель), р-р разбавляют до 100 мл и колориметрируют на фотометре или фотоколориметре, применяя желтый светофильтр. Определению Ce^{4+} мещают все окислители, нормальный потенциал которых выше +1,14e (MnO_4^- , $Cr_2O_7^{2-}$). Fe^{3+} , хотя и имеет потенциал +0,77~e, все же искажает результаты определения. Такое искажение, по мнению авторов, обусловлено образованием комплексов Ce^{4+} и Fe^{3+} при соотношении 3:4, существование которых подтверждено микрокристаллоскопич. и спектрофотометрич. опытами.

12064. Полярографическое и осциллополярографическое определения индия в присутствии кадмия. Т р е й и д л (Polarografické а oscilopolarografické stanovenie india vedl'a kadmia. Т r e i n d l L'u d о v í t), Chem. listy, 1956, 50, № 4, 534—538 (словац.) В р-рах йодидов Сфобразует растворимые комплексные соединения, $E_{1|2}$ которых с возрастанием конц-ии Ј-смещается в сторону более отрицательных потенциалов. Так как $E_{1|3}$ Іп при этом не изменяется, фон с более высокой конц-ией Ј- пригоден для определения обоих металлов. При близких конц-иях Іп и Сф можно пользоваться 0,5 M р-ром NаЈ, при определении следов Іп в металлич. Сф используют 3M NаЈ; в этих условиях можно определить \geqslant 0,01% In в металлич. Сф. Zn не мешает. Комплексон III образует с In гораздо более

1956, п для ентов. —4,20 приия Nd

57 r.

рость Леви еделеария. р. Ко-(10),

е(СN), питич. етрич. цов на Покаия Се, иснено потензанова

etermiu g ohaften,

т ЈО₄ , саждевании, очность осадок итруют знецов е опреналит.

пьзован с Fe³⁺ ливают прибаво-р разгометре фильтр. альный (). Fe³⁺,

резульо автои Fе³⁺ іх подотометоркина ографи-

кадмия. grafické L'u d оловац.) пексные ц-ии Jциалов.

с более п обоих по польпедов In словиях

едов In словиях . Zn не о более устойчивые комплексы, чем с Cd, вследствие чего этот комплексообразователь пригоден для амперометрич. и осциллографич. титрований In в присутствии избытка Cd. После прибавления р-ра комплексона III при рН 2—3 измеряют снижение волны In (или зубца на кривой dV/dt—V). При осциллографич. измерениях в качестве фона унотребляют р-р, 1 M по (NH₄)₂SO₄. P. Zuman 12065. Исследование в области спектрофотометрии. XII. Усовершенствование метода определения германия с помощью фенилфлуопона. О к а. К а и и о

2065. Исследование в области спектрофотометрии. XII. Усовершенствование метода определения германия с помощью фенилфлуорона. О к а, К а н н о (光電分光光度計による比色法の研究:第 12 報.フェニルフルオロンによるデルマニマンの定量法に對する一改良。 岡好良・菅野卓治), 日本化學雜誌, Нихон кагаку дзасси, J. Chem. Soc. Japan, Pure Chem. Sec., 1955, 76, № 8, 874—877 (япон.) Сообщение XI см. РЖХим, 1957, 8500.

12066. Быстрое определение олова в свинцово-оловянных сплавах. Эм п, Хаями (スズ, 鉛合金 中のスズの迅速定量法. 江見浩一,速水鷹),工業化學雑誌, Когё кагаку дзасси, J. Chem. Soc. Japan. Industr. Chem. Sec., 1955, 58, № 12, 960—961 (япон.)

12067. Определение содержания свинца в свинцовых сплавах. Божаи, Сабадош (Olmos automata-acélók ólom-tartalmának meghatározása. Воzsai Imre, Szabados Károlyné), Kohász. lapok, 1955, 10, № 9, 423—424 (венг.)

Проверены известные методы определения Рb в сплавах. Наиболее широко применяемый молибдатный метод дает значительное расхождение результатов; полное осаждение РbМоО4 происходит лишь при рН 8. Точность определения Рb зависит от условий осаждений РbS; при рН < 2 PbS не выпадает совсем, > 2.5 загрязниется железом. Оптимальное значение рН среды 2—2,5. На основе указанной проверки разработан точный метод определения Рb. Перед обработкой сероводородом кислотность р-ра понижают до рН 2,5 с помощью NH40H (1:3) в присутствии тимолового синего, а после растворения PbS в HNО3 до рН 8 в присутствии фенолфталенна. Точность определения ±0,01%. Найдено, что описанное в литературе непосредственное отделение Рb в виде PbSO4 для проняводственных анализов совершенно непригодно, так как вместе с PbSO4 осаждается большое кол-во FeSO4, отделить которое от PbSO4 растворением в р-ре СНзСООNН4 не удается.

СН₃СООNН₄ не удается.
12068. Фотометрическое ния в железе и сталях . Нарита (鉄鋼中殻量 ボルコニウムの定量法について . 成田貴一) , 日本化學 雑誌, Нихон кагаку дзасси, J. Chem. Soc. Jарап Pure Chem. Sec., 1955, 76, № 9, 1026—1030 (япон.)

12069. Косвенное фотометрическое определение тория. Нодзаки (トリウムの間接比色分析 法・野崎亨), 日本化學雜誌 > Нихон кагаку дзасси, J. Chem. Soc. Japan. Pure Chem. Sec., 1955, 76, № 9, 996—998 (япон.)

12070. Изучение условий образования роданида ниобия. Бейкон, Милиер (A study of the conditions for the formation of niobium thiocyanate. В асоп А., МіІпег С. W. С.), Analyt. chim. acta, 1956, 15, № 2, 129—140 (англ.; рез. нем., франц.) Подробно изучены условия образования роданида Nb п предложен более удобный метод фотометрич. определения Nb по сравнению с ранее описанным (Freund H., Levitt A. E., Analit. Chem., 1951, 23, 1813). 1 г анализируемой нержавеющей стали растворяют в 75 мл разб. Н₂SO4 (1:4), охлаждают, разбавляют до 100 мл Н₂О при охлаждении в проточной воде, прибавляют небольшое кол-во бумажной массы и затем при непрерывном размешивании приливают по каплям 5 мл 6%-ного р-ра кунферона; оставляют р-р на холоду на 30 мин., отфильтровывают осадок и бумажную массу, промывают 5%-ной Н₂SO4 (содержит 1 мл р-ра кунферона в 1 л)

и 5 раз холодной разб. NH4OH (5:95) для удаления W, Мо и т. п.; фильтр с осадком помещают в платиновый тигель, высупивают и прокаливают при 650°; охлаждают, прибавляют 2 мл разб. H₂SO₄ (1:4) +5мл 40%-ной НГ и выпаривают досуха; остаток сплавляют с 1 г KHSO4 при низкой т-ре, охлажденный плав обрабатывают 50 мл 0,5 М винной к-ты и разбавляют до 500 мл H₂O; к 5 мл полученного р-ра в колбе емк. 50 мл прибавляют 34 мл смеси HCl-ацетон (к 58,8 мл H₂O в колбе емк. 500 мл приливают 147 мл HCl уд. в. 1,18 и разбавляют до метки ацетоном), 0,5 мл 2 M p-pa SnCl₂ в конц. HCl и 9 мл 6 M KSCN (228 в в 500 мл), разбавляют до метки H₂O, оставляют на 5-10 мин. в термостате (23°), фотометрируют при 385 мµ и находят процент Nb по предварительно построенной калибровочной кривой; последнюю строят в пределах 0... 2 µг/мл Nb согласно описанному выше, используя стандартный p-p Nb (растворяют 20 мг металлич. Nb в HNO₃ с небольшой добавкой HF, выпаривают досуха, остаток сплавляют с 1 г КНSO₄, плав обрабатывают 50 мл 1 М винной к-ты и разбавляют до 1 л H₂O₂. Необходимо учитывать поправку на присутствие Ті (линейный график при конц-ии 0... 1 µг/мл Ті); мешают Мо, U, W, Fe. Результаты определения суммы Nb + Та по описанному методу хорошо согласуются с результатами весового определения. А. Зозуля

2071. Влияние валового состава пород на результаты количественного определения молибдена в гранитондах. В а й и ш т е й и Э. Е., И а в л е и к о Л. И., Ж. аналит. химии, 1956, 11, № 4, № 4, 410—418

Установлено, что градупровочные кривые для определения Мо в гранитоидах и диорите паралдельны, но закономерно смещены одна относительно другой. С помощью меченых атомов исследованы процессы испарения и возбуждения элементов в источнике и проведено раздельное их изучение. Установлено, что в рассмат-риваемых породах смещение градуировочного графика для определения Мо по сравнению с его положением для гранита в первом приближении пропорционально содержанию Са и Мд в породе. Для учета влияния валового состава проб на пластинке, на которой регистри-руются спектры Мо в породах, помимо спектров стандартов, изготовленных на основе гранита определенного хим. состава, фиксируется и спектр эталонного образца диоритового состава с известным отношением Са и Мд к Si. На всех спектрах измеряют почернения аналитич. линий: Mg, Ca и Si и, пользуясь зависимостью между смещением градуировочного графика по сравнению с гранитом и величиной относительного содержания Са и Мд в породе, уточняют положение градуировочного графика для определения содержания Мо в каждой из пород. В опытах были использованы линии элементов основы Са — 2997,31 A, Mg — 2776,69 A и Si -2438.78 А. Применение метода значительно снижает опибку анализа. М. Пасманик ошибку анализа. Определение молибдена в рудном концентрате. 12072.

Анкудимова Е. В., Петрашень В. И., Тр. Новочеркас. политехн. ин-та, 1955, 31, 73—77 Метод основан на восстановлении Мо(6 +) до Мо(5+) в висмутовом редукторе в солянокислом р-ре с последующим титрованием окислителем. При кислотном разложении концентрата на удалось получить удовлетворительных результатов. Разработаны условия разложения с КОН (но не с NаОН). Берут точную навеску (1 г) тонкоизмельченного и прокаленного в течение 2 час. при 300—310° молибденового концентрата. Около 6 г КОН помещают на дно железного тигля, всыпают сверху навеску концентрата и снова помещают 6 г КОН. Начинают сплавление с очень осторожного «обслизывания» степок тигля небольшим пламенем газовой горелки. При сильном вспучивании тигель на корот-

кое время убирают с огня, пока вспучивание не уменьшится. Сплавление продолжают ~10 мин. и оканчивают, когда плав становится прозрачным, на стенках не видно черной пленки неразложившегося конпентрата и при застывании плав имеет коричневый цвет без черного налета. По окончании сплавления тигель убирают с огня, застывающий плав вращательным движением размещают по стенкам тигля и ставят на холодную металлич. плиту. После остывания и растрескивания плава в тигель наливают воду до краев плава; плав очень скоро отстает от стенок. Содержание тигли переносят в мерную колбу емк, 250 мл После охлажления носит в мерпую колоу сак. 200 жм Посих одинация доводят р-р в колое до метки, перемешивают и по отстаивании осадка берут по $^{1}/_{10}$ части р-ра. В каждую колбу прибавляют по 10 капель 30%-ной $\rm H_{2}O_{2}$ для удаления восстановителей и кипитят 1 мин. Р-ры охлаждают, в первую колбу прибавляют 1—2 капли фенолфталенна и нейтрализуют НСІ. К кол-ву к-ты, затраченному на нейтр-цию щелочи, прибавляют кол-во к-ты, необходимое по расчету для создания кислотности от 1.25 до 1,5 н. (6,5—8,0 мл). Это суммарное кол-во к-ты сразу выливают во вторую колбу и быстро перемешивают. Р-р из первой колбы выбрасывают, а р-р из второй колбы употребляют для дальнейшего анализа. В качестве редуктора применяют бюретку с краном на 50 мл, заполненную на $^{1}/_{4}$ высоты металлич. висмутом с величиной зерен 0.25-0.50 мм. При хранении редуктор заполняют 1-1.25 н. HCl. Из редуктора опускают жидкость так, чтобы уровень последней возвышался над поверхностью висмута на 2—3 мм. Выливают подготовленный вышеописанным образом р-р в редуктор и пропускают его со скоростью 10—15 ма/мин. Затем колбу смывают 1—1,25 н. НСІ порциями по 10—15 мл и пропускают также через редуктор. Восстановленный р-р и промывные воды собирают в одну колбу, добавляют 12-15 мл H₂SO₄ (уд. в. 1,84), 3-5 капель фенилантраниловой к-ты и титруют ванадатом аммония до краснофиолетовой окраски р-ра. Точность метода почти не уступает весовому свинцово-молибдатному Сазанова

2073. Изучение новых ароматических аминов в качестве реактивов для определения вольфрама. II. 4, 4'-диамин-3, 3'-диметилтрифенилметап. Лусена-Конде, Сато, III. Практическое применение новых реактивов. Сато. Лусена-Конде (Estudio de nuevas aminas aromaticas como reactivos del wolframio. II. 4-4'-diamino-3-3'-dimetil-trifenilmetano. Lucena-Conde F., Zato J. III. Aplicaciones practicas de los nuevos reactivos propuestos. Zato J., Lucena-Conde F. An. Real soc. esp. fis. y quim., 1956, В 52, № 5, 353—358; 319—324 (исп.; рез. англ.)

II. В качестве реактива для весового определения W предложен 4,4′-днамин-3,3′-диметилтрифенилметан (I), синтезируемый из 1 моля o-толундина, 1 моля хлоргидрата o-толундина и 1 моля o-толундина, 1 моля хлоргидрата o-толундина и 1 моля бензальдегида. Полученный продукт растворяют в разб. HCl, осаждают Na₂CO₃, кристаллизуют из сп. или бзл. Реактив готовят растворением 30 e основания в 25 мл конц. HCl + 250 мл воды, p-p фильтруют и разбавляют до 1 л. P-р вольфрамата нейтрализуют 2 н. HCl до перехода окраски метилового оранжевого и осаждают W при помощи I. Оптимальная кислотность p-pa при осаждения соответствует ~ 1 н. по CH₃COOH; состав полученного осадка отвечает ф-ле: 4 WO₃-C₂1H₂₂N₂-xH₂O; ввиду непостоянства состава осадка рекомендуется прокаливать его до WO₃. Термогравиметрич. анализом осадка установлено, что прокаливание следует вести при > 600°. І применим и для объемного определения W: полученный осадок обрабатывают умеренным избытком p-pa NaOH и оттитровывают последний p-ром HCl. Погрешность составляет ~ 0,3%. Мо и V мешают.

III. Изучено влияние различных примесей на определение W при помощи 4,4′-диаминтрифенилметана (II), цинхонина (III) и бензидина и установлено, что при употреблении I и II SO₂ и сульфаты щел. металлов не мешают. Сравнением результатов анализа различных минералов установлено, что расхождения между даными, полученными при употреблении I и III, составляют < 0.1%, а расхождения между данными, полученными при употреблении II и III, составляют < 0.2%. Предложено употреблении II и III, составляют ~0.2%. В минералах и рудах. Сообщение I см. РЖХим, 1956, 39847.

Т. Леви

12074. Одновременное фотометрическое определение молибдена и вольфрама в силикатных породах. Джефри (The simultaneous photometric determination of molybdenum and tungsten in silicate rocks. Jeffery P. G.), Analyst, 1956, 81, № 959, 104—109 (англ.)

Сплавляют~25 г NaOH с 1 г NaNO3, по охлаждении вносят навеску силикатной породы 5 г, вновь нагревают до расплавления и выдерживают в расплавленном состоянии 1 час. Холодный плав выщелачивают горячей водой с добавкой С2Н5ОН, остаток промывают горячим 2%-ным p-poм Na₂CO₃. Фильтрат выпаривают до-суха с конц. HCl для осаждения и дегидратации SiO₂. Добавляют 20 мл конц. НСІ и ~ 200 мл воды, осадок SiO2 промывают водой, прокаливают и обрабатывают HF. Остаток сплавляют с вышеуказанным плавом, выщелачивают водой и p-p присоединяют к фильтрату от SiO2. Р-р разбавляют до 250 мл, добавляют 2 мл р-ра α-бензоилоксима в 100 мл C_2H_5OH , встряхивают, вводят 10 мл $CHCl_3$ и снова встряхивают 1 1 1 2 мин.; Мо и W пе реходят в органич. слой. Води. слой промывают СНСІз (3-5 мл). Органич. фазу объединяют, отгоняют СНСІ, на бане, добавляют 1 мл разб. H₂SO₄ (1:3) и выпаривают (разрушение органич. в-ва) с HNO₃ и HClO₄. После охлаждения добавляют 20 мл воды, 0,5 мл р-ра Fe в разб. ${
m H_2SO_4}$ (1 z/a) и 5 мл p-ра толуол-3,4-дитиола (I) (1 z реактива растворяют в 300 мл 1%-ного водн. p-ра NaOH и добавляют 5 мл тиогликолевой к-ты; хранят в холодильнике). После выдержки в водяной бане (1 час) добавляют 12 мл разб. H₂SO₄ (1:1) и 3 мл р-ра I. Через 1 час охлаждают, добавляют 10 мл иетр. эфира (II) и встряхивают (Мо и W переходят в органич. фазу). Отделяют органич. слой и измеряют оптич. плотность при 630 и 680 ми при ширине полосы 0,3 ми (при употреблении фотометра Увиспек Хильгера и Ваттса ширина щели 0,06-мм). Метод применим при соотношении Мо: W = 1: 12—12: 1. При ином соотпошении желательно разделение Мо и W; после разрушения органич. в-в выпариванием до паров SO₃ с HNO₃ и HClO₄ добавляют 10 мл разб. H_2SO_4 (1:1), 7 мл воды и 1 мл р-ра I. После 1-часовой выдержки при $18-20^\circ$ добавляют 10 мл II и экстрагируют комплекс 3-кратным встряхиванием по $1^{1/2}$ мин. Фотометрируют при 630 мµ. Водн. фазу ($\leqslant 40$ мг WO₃) выпаривают до ~ 0.05 мл, нейтрализуют 2 н. NH₄OH, удаляют избыток NH₃ кипячением, добавляют 1 мм разб. H₂SO₄ (1:3), 20 мм воды, 3 мл p-ра I нагревают 1 час на бане; охлаждают до 18-20°, добавляют 10 мл II, экстрагируют (3×11/2 мин.) и фотометрируют при 680 мµ. Параллельно ведут контрольный опыт. 12075. Титриметрическое определение урана. Часть III.

2075. Титриметрическое определение урана. Часть III. Титрование сульфатом четырехвалентного церия с применением дифенилбензидина и N-фенилантраниловой кислоты в качестве внутренних индикаторов. II а и д у р а и г а-Р а о, М у р т и, Г о и а л а-Р а о (Volumetric estimation of uranium-Part III, with ceric sulphate. Using diphenyldenzidine and N-phenylanthranilic acid as inside indicators. P a n d ur a n g a R a o V., M u r t y B. V. S. R., G o-

опре-

о при

пов не

у дан-

полу-

0,2%

W RNE

1956, Леви

оелеле-

родах.

etermi-

rocks.

клении

ревают

ом со-

горят горя-

ют до-

SiO2.

осадок

ыщелат SiO₂.

α-бен-

вводят

W ne-CHCl₃

оивают

После в разб.

(I) (1 г г. р-ра ранят в

бане ил р-ра . эфира фазу).

тность и упот-

са ши-

ошении

ии же-

н орга-

104 до-

и 1 ма добав-

встря-

30 ми.

,05 мл,

Нз ки-

20 мл

аждают

 $3 \times 1^{1/2}$

ьно ве-

сть III. ерия с итрани-

аторов.

a-Pao

ndu-

, with N-pheраla Rao G.), Z. analyt. Chem., 1956, 150, № 6 401—407 (англ.)

Подробно изучено применение дифениламина, дифенилбензидина, дифениламиносульфокислоты и Nофенилантраниловой к-ты в качестве внутренних индикаторов при титровании U (4 +) р-ром Ce(SO₄)₂ и найдены оптимальные условия использования названных индикаторов. Сообщение II, РЖХим 1956, 22720.

В. Сазанова 12076. Аналитическое применение фотохимического действия света. III. Новое титриметрическое определение шестивалентного урава с фотохимическим восстановлением молочной кислотой. Гопала-Рао, Пандуранга-Рао, Рама-Рао (Analytical applications of the chemical action of light. III. New volumetric determination of uranium (VI) through photochemical reduction by lactic acid. Gopala Rao G., Panduranga Rao V., Rama Rao M. V.), Analyt. chim. acta, 1956, 15, № 2, 97—101 (апд.: рез. нем., франц.)

(англ.; рез. нем., франц.)
Аликвотную часть р-ра U(6+), содержащую 0,01—
0,2 ммоля U, смешивают с избытком молочной к-ты в молярном отношении 1:4 (или выше), прибавляют 5,0 мл 5н. Н₂SO₄ и разбавляют водой до 25 мл. Р-р облучают солнечным или искусств. светом (ртутная лампа) в течение 1 часа и титруют восстановленный U(4+) 0,025 н. р-ром NaVO₃ в 6 н. Н₂SO₄ с 2 каплям 0,1%-ной N-фенилантраниловой к-ты. Фториды, фосфаты и арсенаты определению не мешают. Хлориды, бромиды, вольфраматы и молибдаты мешают. Существенная особенность новогометода состоит в том,что в данных условиях восстановления U(4+) в U(3+) не происходит. При длине волны 4300 А фотохим. восстановления не наблюдается. Сообщение 11, см. РЖХим, 1956, 43459.

12077. Изучение металлов-восстановителей, примение металлов-восстановителей, примения в аналитической химии. Влияние фоефорной кислоты на титриметрическое определение урана. Йосимура (ウランの還元定量におけるリン酸の影響について・分析化學における金風狀還元劑の研究・吉村長敵),日本化學雜誌, Нихоп кагаку дзасси, J. Chem. Soc. Japan. Pure Chem. Sec., 1956, 77, № 1, 1—4 (япон.)

12078. Автоматический оксидиметрический микрометод для определения урана. Аллен (Automatic oxidimetric micromethod for uranium. Allen Kenneth A.), Analyt. Chem., 1956, 28, № 7, 1144—1147 (англ.)

Разработан автоматич. микрометод определения 10—100 у U в восстановленной форме путем титрования 0,1 М р-ром Се(SO₄)2 в 0,5 М H₂SO₄. Объем титрованного р-ра регистрируется самописцем потенциометра. Потенциал р-ра Се(SO₄)2 по отношению к Pt-электродам является устойчивым. Микробюретка (РЖХим, 1956, 75482) приводится в действие мотором и работает синхронно с потенциометром (0—10 ме) и таймером. Титрованный р-р подается со скоростью ~1 µл/мии; сосуд для титрования (емк. ~1 мл) вращается со скоростью 300 об/мин. Один из Pt-электродов помещен внутри сосуда для титрования, второй — впаян в стенки сосуда. Внутреннее сопротивление ячейки 20—50 ком. В сосуд для титрования вносят 0,5 мл 10-4—10-3 М р-ра U0₂SO₄, пускают в ход мотор для перемешивания п добавляют 1 каплю р-ра СгSO₄ из редуктора Джонса (в последний вводят 0,1 М р-р Сг₂(SO₄)₃ в 0,1 М H₂SO₄); через 10 мин. (окисление U (3+) и Сг (2+) за счет О₂ воздуха) добавляют 1 каплю 0,1 М р-ра Fe₂(SO₄)₃ в 1 М H₂SO₄ и пускают в ход автомат. После регистрации точки превращения Fe²⁺—Fe³⁺ автомат включают; вертикальное расстояние на диаграмме между точкой вачала подачи р-ра Се(SO₄)₂ и серединой перегиба пропорционально содержанию U в пробе. При повторных

титрованиях 0,5 μ моля U среднеквадратичная погрешность составила $\pm 1,2\%$. Метод может быть использован для определения других элементов, допускающих применение оксидиметрич. способов, в частности, Fe и V.

Т. Леви

12079. Изучение экстракции комплексов металлов XXV. Образование комплексов Pu(4+) с ацетилацетоном. Рюдберг (Studies on the extraction of metal complexes. XXV. The complex formation of Pu(IV) with acetylacetone. Rydberg, Jan), Arkiv. kemi, 1956, 9, № 2, 109—119 (англ.) В 0,1 M p-pe NaClO4 Pu (4+) образует с ацетилацето-

В 0,1 *М* р-ре NaClO₄ Pu (4+) образует с ацетилацетоном (I) комплексы типа PuAaⁿ⁻⁴, где Аа-— ион ацетилацетоната. Из данных по распределению Pu (4+) между С₆Н₆ и водн. р-ром I, изученному методом двух параметров (РЖХим, 1956, 642), методом определения числа моординационных связей (Вјеггиш J. Diss. Сорепћадеп, 1941) и методом предельных значений (Leden I. Diss., Lund, 1943), определены константы устойчивости комплексов PuAa³⁺, PuAa²⁺, PuAa³⁺ и PuAa₄. Вычислены также константы распределения PuAa₄ между С₆Н₆, CHCl₃, метилизобутилкетоном и 0,1 *М* р-ром NaClO₄, при 25° соответственно равные 10^{2,5±0,2} 10^{2,6±0,3}, 10^{1,4±0,1}.

12080. Быстрое определение малых количеств марганца в специальных сталих. Като (特殊鋼の低マンガンの迅速分析について、加藤剛志), 分析化學, Бунсэки кагаку, Japan Analyst, 1955, 4, № 3, 174 (япон.)

(япон.)
12081. Быстрое определение марганца в ферромарганце. Вакаяма (フェロマンガン中のマンガン 迅速定量方法・若松茂雄),分析化學, Бунсэки кагаку, Japan Analyst, 1956, 5, № 3, 169—170 (япон.)

2082. Определение летучего железа в метаноле при производстве формальдегида. Градский (Stanovení těkavého železa v methanolu pro výrobu formaldehydu. Hradský Karel), Chem. průmysl., 1956, 6, № 7, 265—268 (чеш.; рез. русс., англ.) Для определения летучего железа, находящегося в СН₈ОН в виде Fe(CO)₅, пропускают 100 мл пробы в течение 60 мин. через кварцевую трубку (длина 40 см, днам. 22 мм), нагретую до 250° с помощью электрич. трубчатой печки (длиной 10 см). Одновременно пропускают воздух со скоростью 60—61 л/час. В трубке находятся 30 серебряных сеток, содержащих 64 отверстия на 1 см² при толщине проволоки 0,3 мм. Fe(CO)_в разлагается на первых трех сетках с образованием Fe и его окисей. Для переведения Fe и FeO в Fe₂O₃ сетки после р-ции помещают в аммиачный р-р Н2О2 (к 10 мл пергидроля, разб. 100 мл воды, прибавляют 1 мл 25%-ного аммнака) на 5 мпн. При кол-ве 1 ме Fe/л наблюдают на первой и второй сетках густой коричневый налет, при кол-ве 0,5 мг Fe/л ржавый налет, при кол-ве от 0,2 до 0,05 мг Fe/л сетки окращены в охровый цвет, а при еще более меньшем кол-ве Fe в более светлые цвета. При соответствующем навыке можно отличить разницу даже в 0,005 мг Fe/л. В работе приведено точное описание необходимой аппаратуры.

H. Туркевич 12083. Фотометрическое определение кобальта при помощи роданида шелочного металла и соли три-и-бутиламмония. Ц и г л е р, Г л е м з е р, П р е й-с л е р (Photometrische Bestimmung des Kobalts mit Alkalirhodanid und Tri-n-Butylammonium-Salz. Z i e g l e r M a x, G l e m s e r O., P r e i s l e r E.), Angew. Chem., 1956, 68, № 13, 436—437 (нем.; рез. англ., франц.)

рез. англ., франц.)
К кислому (рН ~ 2) испытуемому р-ру (10—20 мл) добавляют 10 мл ацетатного буферного р-ра (рН 3,7), 1 мл 3%-ного р-ра КГ, 3 мл 25%-ного р-ра КSCN в

0,5 мл р-ра ацетата три-н-бутиламмония (к чистому амину добавляют лед. СН₃СООН до рН 3—4) и встряхивают после введения каждой добавки. Вводят 8 мл $C_5H_{11}OH$, встряхивают $\sim \!\! 15$ раз, через 20 мин. отделяют водн. фазу, фильтруют органич. фазу и фотометрируют при 620 мµ, употребляя в качестве р-ра сравнения С₅Н₁₁ОН. Для определения Со в присутствии больших кол-в Fe³+ (≤300 мг) к слабокислому испытуемому р-ру добавляют (по порциям) 10 мл буферного р-ра и р-р КГ до исчезновения желтой окраски + небольшой избыток. Далее анализ ведут, как описано выше; после добавления С5Н11ОН жидкость в делительной воронке смешивают вращательным движением. При >300 мл Fe³⁺ употребляют 20%-ный р-р К. Корошие результаты получены при соотношении Со: Fe = =1:5000. При анализе азотнокислых р-ров 15-20 мл 10%-ного азотнокислого p-ра обрабатывают 4-5 с $\mathrm{CH_{9}COONa}$ и далее ведут анализ, как в присутствии $\leqslant 300$ ме $\mathrm{Fe^{3+}}$. В присутствии 1-3 ме Cu экстракт в C₅H₁₁ОН выдерживают ~18 час. и фильтруют зерез вату; присутствие относительно больших кол-в не мешает. Для определения Со в присутствии 1000кол-ва Си 30-50 мл слабокислого испытуемого р-ра смешивают с 10 мл буферного р-ра и 8-10 мл 20%-ного р-ра Na₂S₂O₃. Добавляют 3 мл 25%-ного р-ра KSCN, 1 мл р-ра ацетата три-н-бутиламмония, встряхивают с 8 мл С₅Н₁₁ОН; Ві³⁺, Ті⁴⁺, МоО₄²⁻ и WO₄²⁻ маскируют К Г. Описанный метод применим для анализа технич. Т. Леви и биологич. материалов. Метод фотометрического определения кобальта в сталях, основанный на появлении красновато-

та в сталях, основанным на появлении красноватооранжевой окраски при взанмодействии солей кобальта с β-нитрозо-α-нафтолом. Ю и г б л у т (Méthode
de dosage par photométrie du cobalt dans les aciers,
basée sur la coloration rouge-orangé des sels de cobalt
par le β-nitroso-α-naphtol. J u n g b l u t F é l i x),
Chim. ənalyt., 1956, 38, № 2, 49—54 (франц.)
Навеску стали 0,1 г обрабатывают 20 мл смеси Н₂SO₄HNO₃ (150 мл H₂SO₄ уд. в. 1,84 вливают в 700 мл воды,
охлаждают и добавляют 150 мл Н₃PO₄ уд. в. 1,70), по
ослаблении р-ции добавляют 1 мл HNO₃ (уд. в. 1,40),
кинятат 5 мин. охнаждают разбавляют по 100 мл.

ослаблении р-ции добавляют 1 мл Н NO3 (уд. в. 1,40), кипятят 5 мин., охлаждают, разбавляют до 100 мл. При анализе карбидов выпаривают до паров SO₃, затем разбавляют до 1000 мл. К 20 мл полученного р-ра при 25° добавляют при перемешивании 20 мл р-ра цитрата аммония (250 г гидрата в 1000 мл р-ра), затем 40 мл NH₄OH (1320 мл NH₄OH уд. в. 0,91 разбавляют до 5000 мл) и добавляют по каплям при перемещивании 2 мл р-ра β-нитрозо-α-нафтола (0,25 г препарата растворяют в 200 мл 96%-ного C_2H_5OH), разбавляют до 1000 мл, выдерживают 10 мин. при 25° , вносят в кювету $(20\times40\,$ мм) и спектрофотометрируют при $585\,$ мµ. Описанный метод применим для анализа сталей, содержащих 3-15% Со; при меньшем содержании Со р-р пробы разбавляют до 500 мл, при 12—21% Со употребляют 10 мл р-ра пробы. Определение продолжается <40 мин. При анализе карбидов можно употреблять сплавление пробы с 5 г KHSO4 и затем производить обработку смесью к-т. Метод дает хорошо воспроизводимые результаты; данные весового и фотометрич. методов практически совпадают. Т. Леви

2085. Фотометрический метод определения кобальта в никеле и его сплавах с помощью о-интрозорезорщии монометилового эфира. Тории (オルン・ニトロソレゾルシンモノメチルエーテルによるニッケル地金およびニッケル合金中のコバルトの定量法・鳥居鉄也),日本化學雑誌, Нихон катаку дзасси, J. Chem. Soc. Japan. Pure Chem. Sec., 1955, 76, № 6, 680—684 (япон.)

Fe³⁺ маскируют цитратом NH₄, а Cu — тиомочевиной. Другие металлы с реагентом не образуют окрашенных комплексов или не экстрагируются CCl₄. P-р комплекса

Со в ССІ₄ фотометрируют при 400 мµ (РЖХим, 1956,

Chém. Abstrs, 1956, 50, № 16, 11162. K. Yamasaki 12086. Полярографическое определение кобальта в стали. Вейндале, Вербек (Over de polarografísche bepaling van Co in staal. Wyndaele R., Verbeek F.), Bull. Soc. chim. belges, 1956, 65, № 7-8, 753-767 (флам.; рез. англ.)

Для определения Со в стали применено два полярографич. метода. 1-й метод основан на восстановлении Со²⁺ до Со²⁺ после окисления Со²⁺ с помощью РьО₂ в присутствии этилендиаминтетрауксусной к-ты. Метод основан на восстановлении Со²⁺ до Со после отделения Со²⁺ от мещающих элементов экстрагированием Со(SCN)₄²⁻ смесью гексилового спирта и эфира с последующим реэкстрагированием на спиртовой фазы NH₄OH и разрушением роданида книячением с конд. HNO₃; Fe и Сг отделяют заранее. Оба метода дают удовлетворительные результаты. Р. Моторкина 12087. Электролиз ири контролируемом потенциале,

VII. Электролитическое определение никеля в присусствии цинка. Исибаси, Фудзинага, Тацуми, Хиросэ (定電位電解法の研究・第7報. 聖鉛共存時のニッケルの電解重量分析・石橋雅義、藤永太一郎、辰已隆、廣瀾清),分析化學, Бунсэки кагаку, Јаран Analyst., 1955, 4, № 6, 365—367 (япон.; рез. англ.)

Указаны условия определения Ni в аммиачных р-рах осаждением его на покрытом Си или Ni Рt-электроде при автоматически контролируемом потенциале. Ni в 300 мл р-ра, 1 M по NH4OH, 0,1 M по (NH)2SO4 и 0,1 M по Na2SO3, при 80—90° и потенциале —0,95 в относительно насыщ. к. э. (сетчатый Си- или Ni-катод). Полярографически изучено влияние конц-ии NH4OH и солей NH4, т-ры, катодного потенциала и материала электродов. Сообщение VI, см. РЖХим, 1957, 12007. А. Зозуля

12088. Полярографическое определение ионов никеля и кобальта в абсолютном этиловом спирте. Турья и Я. И., Тепер Г. Э., Редченко Л. Ф., Тр. Комис. по аналит. химин АН СССР, 1956, 7(10), 162—169

В 0,1 М р-ре NH4NO3 в абс. С2Н5ОН не удалось наблюдать пормальных полярографич. волн. для Ni и Co. B 0,5 M p-pe $CaCl_2$ для Ni получены растянутые волны, не пригодные для колич. измерений. Волна Со более четкая. Отмечена прямая пропорциональность между диффузионным током и конц-ией Со. В 1 M p-ре NH₄SCN Со в отличие от Ni не дает полярографич. волны. Волна Ni очень четкая. Отмечена прямая пропорциональность между диффузионным током и концией Ni. Процесс электровосстановления роданидного комплекса Ni необратим. На пиридиновом фоне волны Ni и Со очень четкие. В обоих случаях имеется прямая пропорциональность между диффузионным током в конц-иями металлов. Процессы электровосстановления пиридиновых комплексов Ni и Co обратимы. Потенциал полуволны Со на 0,22 в меньше потенциала полуволны Ni, что позволяет наблюдать раздельные волны. Добавление пиридина к p-py CaCl₂ в C₂H₅OH приводит к превращению хлористых комплексов Ni и Co в пиридиновые комплексы. Во всех исследованных р-рах, за исключением 0,1 M NH₄NO₃, на полярограммах Ni и Со отсутствовали максимумы, хотя и не добавлялись в-ва, устраняющие максимумы. В. Сазанова 12089. Весовое полумикроопределение палладия с помощью виолуровой кислоты. Циглер, Глемзер (Die gravimetrische Halbmikro-Bestimmung des Pal-

ladiums mit Violursaure. Ziegler Max, Glem-

1956.

asaki

ra B

e l e 1956.

пяро-

тении РьО₂

Me-

метол

пения

нием

госле-

фазы

конц.

дают

ркина

циале, рисут-Та-•第7

агаку,

.; pea.

р-рах ктроде

e. Ni

150 мг

H)2SO4

-0,95 e катол).

Н4ОН ериала

12007

Зозуля

никеля

рьян ., Тр. 7(10),

ось на-

ля Ni

янутые

лна Со

тьность

B 1 M

графич. ая про-

и конц-

волны

прямая

оком и

овления

тенциал

а полу-

волны.

риводит

в пирир-рах, за имах Ni

влялись Сазанова (ия с пое м з е р des Pal-

Glem-

ser Oskar), Mikrochim. acta, 1956, № 10, 1515— 1517 (нем.; рез. англ., франц.)

Роб количественно осаждается виолуровой к-той в виде соединения постоянного состава (C4H2N3O4)2Pd. 20 мл анализируемого солянокислого р-ра (рН 1—5), содержащего 5—25 мг Рd, нагревают до 50°, и прибавляют при перемешивании 10—40 мл 0,25%-ного водн. р-ра виолуровой к-ты, через час осадок отфильтровывают из охлажд. р-ра через высушенный при 110° фильтрующий тигель, промывают три раза небольши кол-вом воды, осадок высушивают 1 час при 110° и вавешивают. Фактор пересчета на Рd 0,2547. Не мешают Рt (4+), Co, Ni, Fe (3+), Cu, Mn, Zn, щел.-зем. и щел. металлы. Если присутствует Рb, то Рd осаждают при несколько видоизмененных условиях. При определении 12 мг Рd получаются удовлетворительные результаты в присутствии еще 50-кратных кол-в Рb. В. Сазанова

12090. Изучение метода определения палладия титрованием йодидом калия. Рода, Аткинсон (Study of the iodide titration for determination of palladium. Rhoda Richard N., Atkinson Ralph H.), Analyt. Chem., 1956, 28, № 4, Part 1, 535—537 (англ.)

Подробно изучен метод определения палладия, основанный на титровании PdCl₂ с помощью KJ с использованием осадка PdJ2 в качестве индикатора (РЖ Хим. 1955, 11897). Предложена следующая методика. 10 мл H₂PdCl₄, 5 мл конц. HCl и 15 мл 20%-ного p-ра FeSO₄ смешивают в конич. колбе емк. 250 мл и титруют 0,01 н. р-ром К.Ј. Вблизи точки эквивалентности колбу закрывают и энергично встряхивают в течение 1 мин., после чего 5 мл р-ра переносят в центрифужную пробирку и центрифугируют при 8500 об/мин в течение 15 сек. К прозрачному р-ру добавляют одну каплю р-ра КЈ и интенсивность образующегося «облака» наблюдают в проходящем свете. Содержимое пробирки снова выливают в колбу и продолжают титрование до тех пор, пока при добавлении одной капли реактива возникает заметное «облако» в течение 1 мин. Для удаления остатков царской водки, применяемой для растворения пробы, используют FeSO₄, так как другие обычные реактивы или снижают титр p-ров KJ (NaAsO₂, NH₂OH·HCl) или растворяют осадок PdJ₂-(SnCl₂). Конц-ия FeSO₄ в смеси для титрования не должна превышать 100 г/а; Ві, Со, Си, Сг, Іг, Fe, Мп, Мо, Ni, Pt, Rh, Ru, Sn, W не мешают определению Pd при их содержании в пробе до 5%. Аи также не мешает определению, если титрование проводить в присутствии HCl (70 г/л). Ад мешает определению, но может быть легко удалено в виде AgCl при растворении пробы в царской водке. Метод «облака» можно применять в нарскои водке, метод «солака» можно примемля в качестве пробного испытания в маркировочных ана-лизах металлов для ювелирных работ. Точность ме-тода +0,25%.

12091. Прямое микрогетерометрическое определение наладия при помощи α-интрозо-β-нафтола в присутствии больших количеств посторонних металлов. Взучение реакции и рабочих условий. Б о б т е л ь с к и й, M а й е р (A direct microheterometric determination of palladium with α-nitroso-β-naphthol in excesses of foreign metals. A study of the reaction and the working conditions. В о b t e l s k y M., M a y-e r B.), Analyt. chim. acta, 1956, 15, № 2, 164—172 (англ., рез. нем., франц.)

(англ., рез. нем., франц.)
0,2—0,5 мг Рд в 20 мл кислого р-ра определяют гетерометрически при помощи α-нитрозо-β-нафтола. Не мешают Са, Ва, Мg, Zn, Mn, Ni, Co, Al, Cr, Fe, Pd, Cd и Hg. Ошибка, как правило, <2%. Точка эквивалент пости наступает при молярном отношении Рd: α-витрозо-β-нафтол-1: 3.

В. Сазанова

12092. Определение малых количеств водорода в инертных газах. Силверман, Брадшоу (Determination of small quantities of hydrogen in the inert gases. Silverman Louis, Bradshaw Wanda), Analyt. chim. acta, 1956, 15, № 1, 31—42 (англ.; рез. нем., франц.)

метод основан на действии H_2 на смещанный реактив голубого цвета, содержащий $PdCl_2$ и метиленовую синюю. $PdCl_2$ восстанавливается до Pd, последний катализирует переход метиленовой синей в бесцветное лейкосоединение. Содержание H_2 определяется по ослаблению окраски p-ра, через который пропускают 5—20 a исследуемого газа $(N_2, He$ или Ar), свободного от кислорода. Рассматриваемым методом открывается 0,1-10 ч. в 1 MA с ошибкой $\pm 0,1-0,2$ ч. на 1 MA. Приведены фотография и схемы применяемой аппаратуры. Д. Васкевич

12093. Определение дейтерия масс-спектрометрическим методом. Мак-Доналд, Рид (The determination of deuterium by the mass-spectrometric method. Мас Donald A., Reed R. I.), Analyst, 1956, 81, № 964, 401—403 (англ.)

Определено содержание дейтерия в некоторых органич. к-тах масс-спектрометрич. методом путем нахождения отношения дейтерия к водороду. Полученные данные сравнены с данными, полученными методом неоднородной трубки (расхождение $\sim 5\%$). Избыточное отношение массы 2 к массе 3 было определено по различным давлениям газов. В большинстве испытанных образцов кривая набыточного отношения массы 3 к массе 2 по форме представляла гиперболу. Постоянная равновесия $H_2+D_2 \rightleftharpoons 2HD$ ($\kappa=3,62$) заимствована у Урея и Риттенберга (Urey H. C., Rittenberg D. J. Chem. Phys. 1933, 1, 140). В качестве окислителя применен $K_2Cr_2O_7$, предварительно высушенный над P_2O_5 .

12094. Ускорение реакции между перекисью водорода и йодистоводородной кислотой вольфрамат-понами. Шукла, Раманджанею лу (Catalysis of hydrogen peroxide-hydriodic acid reaction by tungstate ions. Shukla B. K., Ramanjane yulu J. V. S.), Z. analyt. Chem., 1956, 151, № 11, 28—30; J. Scient. and Industr. Res., 1956, (B—C)15, № 1, B46—B47 (англ.)

Для ускорения р-ции между H_2O_2 и HJ, применяемой для йодометрич. определения H_2O_2 , добавляют 3 капли 20%-ного р-ра Na_2WO_4 . Присутствие стабилизаторов (салициловой к-ты, H_3BO_3 и глицерина) не влияет на результаты определений. Na_2WO_4 , Fe^{2+} и Fe^{3+} также оказывают заметное каталитич. влияние на эту р-цию. В. Сазанова

12095. Определение следов бора при помощи двух новых фотометрических реактивов. Гроб, Йо (Determination of trace quantities of boron with two new colorimetric reagents. Grob Robert L., Yoe John H.), Analyt. chim. acta, 1956, 14, № 3, 253—262 (англ.; рез. франц., нем.)

Описаны две новые высокочувствительные цветные р-ции на В с 5-бензамидо-1,1'-бис (антрахинон)-амином и 5-п-толуидин-1,1'-бис(антрахинон)-амином в кондентрированной Н₂SO₄. Образование комплексов В с этими реактивами зависит от продолжительности нагревания, т-ры, конц-ии Н₂SO₄ и присутствия различных ионов. Р-ры обоих комплексов подчиняются закону Бера в пределах от О до 0,5 у В при 635 мµ в случае первого реактива и от О до 0,4 у В при 720 мµ для второго реактива и от О до 0,4 у В при 720 мµ для второго реактива. Предельное разоавление соответственно 1:300 000 000 и 1:200 000 000. Описан метод минерализации листьев фруктовых деревьев и люцерны, основанный на разложении органич. в-в при помощи Н₂SO₄ и Н₂O₂ в дистилляционной колбе. В затем от-

17 Xamus. № 4

гоняют в форме триметилового эфира. Опибка 0,58%.

В. Сазанова 12096. Определение содержания углерода в стали и твердости закаленной пробы. Пятигорек и и и м. Г., Завод лаборатория, 1956, 22, № 7, 778—781 Разработан простой метод определения 0,1—0,52% С по ходу плавки углеродистой и легированной конструкционной стали; длительность определения 1,5—2 мин., точность приближается к точности экспресс-анализа.

В. Сазанова В. Сазанова 12097. Определение углекислоты карбонатов в сапро-

2097. Определение углекислоты кароонатов в сапропелях способом титрования. Со колов Д. Ф., Каден С. Б., Тр. Лабор. сапропел. отложений. Ин-т леса АН СССР, 1956, вып. 6, 65—68 Разработан метод определения СО₂ в сапропелях,

основанный на учете кол-ва HCl, расходуемой на раз-ложение карбонатов. Навеску 0,2—1,5 г мелкорастертого и пропущенного через сито (0,5 мм) исследуемого сапропеля помещают в мерную колбу емк. 100 мл, ирибавляют 25 мл 0,5 н. HCl, перемешивают до полного разложения карбонатов, p-p разбавляют водой до мет-ки, снова перемешивают и фильтруют через сухой фильтр средней плотности. Первые порции фильтрата отбрасывают, затем отбирают по 25 мл пробы, прибав-ляют по 3—4 капли метилового оранжевого и титруют 0,1 н. p-ром NaOH. Содержание CO2 (x) в абсолютно сухом сапропеле вычисляют по ф-ле: $x = (31,25 - m\kappa)$ 42,2·100·100/a (100 - w)·1000, где 31,25 - кол-во мл 0,1 н. HCl, соответствующее $^{1}/_{4}$ объема HCl, взятого для нейтр-цин карбонатов; т— кол-во мл 0,1 н. NаОН, пошедшее на титрование 25 мл исследуемого р-ра; к— поправочный коэфф. 0,1 н. NаОН; а— навеска воздушно-сухого сапропеля (ε); w — влажность сапропеля ($\frac{9}{6}$); 4 — переводный показатель (из 100 мл для титрования взято 25 мл р-ра), 2,2 — кол-во CO₂ (мг), соответствующее 1 мл 0,1 н. HCl. Сравнительное определение СО2 в сапропелях различного происхождения разными методами показало, что описанный метод вполне можно рекомендовать для определения Р. Моторкина СО2 в донных отложениях. Новые реактивы для обнаружения фосгена. 12098.

2038. Повые реактивы дли обнаружения фольсы. Хаяси, Окадзаки, Синохара (ホスゲ / 校知試験紙に関する研究・林茂助, 岡崎光雄,篠原 全一), 有機合成化學協會誌, Юки госэй кагаку кёкайси, J. Soc. Organ. Synth. Chem. Japan, 1954, 12, № 7, 273—280 (япон.)

Обзор. Библ. 23 назв. Ф. С. 12099. К колориметрическому определению кремния в железе и стали. Нарита (鉄鋼中ケイ素の比色定量法について・ 成田貴) , 日本化 舉 雜誌, Нихон кагаку дзасси, J. Chem. Soc. Japan. Pure Chem. Sec., 1956, 77, № 2, 270—274 (япон.)

12100. Открытие нитратов с фенарсазиновой кислотой. Пич (Nitratnachweis mit Phenarsazinsaure. Ріеtsch R.), Mikrochim. acta, 1956, № 10, 1490—1494 (нем.; рез. англ., франц.) Реция основана на нитровании фенарсазиновой к-ты

Р-ция основана на нитровании фенарсазиновой к-ты и образовании окрашенной в красно-фиолетовый цвет хиноидной формы Na-соли нитрофенарсазиновой к-ты. К ~ 1 мл исследуемого р-ра прибавляют 1 мл води. щел. 0.3%-ного р-ра фенарсазиновой к-ты, хорошо встряхивают и нагревают на голом огие для начала р-ции. Быстро охлаждают в проточной воде и прибавляют 30%-ный р-р NaOH до появления окрашенной хино-идной соли. Открываемый минимум 30 γNO₃ в ~ 15 мл. При прибавлении твердой едкой шелочи к 3 мл реакционной смеси открываемый минимум 3γ. Большие кол-ва нитратов дают желтое окрашивание после нагревания нитруемой смеси, что еще не доказывает наличия нитратов. Р-ции не мешают ионы Cl⁻, Br⁻, J⁻, F⁻, SO²₂⁻, CH₃COO⁻, JO₃⁻, ClO₄⁻, C₄H₄Oô²⁻, BO₃³⁻, C₂O²⁻

 SO_3^{2-} , WO_4^{2-} , MoO_4^{2-} , AsO_3^{3-} , AsO_3^{3-} , SO_3^{2-} . З мг нитрата открываются безупречно в присутствии равного кол-ва CIO_3^{-} , вдвое большего кол-ва CNS^{-} , CrO_4^{2-} , VO_4^{3-} , $S_2O_3^{3-}$, $S_2O_8^{2-}$ и примерно 10-кратного кол-ва H_2O_2 , не более чем равного кол-ва BrO_3^{-} , сульфид-нон должен совершенно отсутствовать. Нитрит-ион дает такую же р-цию, но меньшей чувствительности ($\sim 500\,\gamma$). Катионы как NH_4^+ , K^+ , Ni^{2+} , Cr^{3+} , Cu^{2+} , Fe^{3+} , Al^{3+} , Mn^{2+} , UO_2^{2+} , Ag^+ , редкие земли и др. не мешают, если дать отстояться осадку, случайно появляющемуся в шел. среде, или прибавить большой избыток NaOH. Fe (2+) мешает определению. Окислители разрушают фенарсазиновую к-ту с образованием коричневых промежуточных продуктов. Тиосульфат и роданид восстанавливают нитрат-ион, разрушають с выделением S.

Д. Васкевич 12101. Чувствительная реакция на аннон азотистой кислоты. Баталин А. Х., Вестн. Чкаловск. отд. Всес. хим. о-ва им. Д. И. Менделеева, 1956, вып. 6, 23—27

К исследуемой смеси прибавляют 1—2 капли 1%-ного р-ра риванола и 0.5-1 мл 1 н. HCl. H_2SO_4 или $H_2O_2O_4$. Появление красного окрашивания свидетельствует о наличии аниона NO_2^- . Не мешают NO_3^- , PO_4^{3-} , $C_2H_3O_2^-$, $Cr_2O_7^{2-}$, Br^- , F^- , Cl^- , $S_2O_3^{2-}$, SO_3^{2-} , SO_4^{2-} , CO_3^{2-} , Fe (CN) $_6^{3-}$, H_3BO_3 , тартраты, Fe, Cu, Mn, Ni, Co, Cd, Zn, Cr, Al, Sn, Sb. Bi, Pb, Hg, Ag и др. Интенсивность окраски находится в прямой пропорциональной зависимости от конц-ии NO_2^- в р-ре. При колич. определении NO_2^- получены такие же результаты, как методом Cr получены такие же результаты, как методом Cr получены в кислом р-ре.

12102. Открытие гидроксиламина с помощью солей молибденовой кислоты. Баталин А. Х., Вестн. Чкаловск. отд. Всес. хим. о-ва им. Д. И. Менделеева, 1956, вып. 6, 21—22

При добавлении к 0,01 M p-py (NH₄)₂MoO₄ 0,1 или 0,01 М р-ра сернокислого или солянокислого гидроксиламина образуется комплекс желтого цвета. При нагревании окраска усиливается и при кипячении становится оранжево-красной. Окраска сохраняется длительное время без изменений (начинает исчезать через 5 час.). Р-р мутнеет, а затем выпадает краспо-оранжевый осадок, который при нагревании до кипения растворяется. Интенсивность окраски зависит от конц-ии реагирующих в-в: при малых конц-иях получается слабая окраска, а избыток NH2OH совсем заглушает ее и образует синий p-p, содержащий низшие соединения Мо. Ионы Bi, Zn, Cd, Mn, Co, Ni, As, Al, Cu, Cr, Hg (2+), W, Pb, щел. и щел.-зем. металлов не мещают открытию Мо и, следовательно, гидроксиламина в кол-вах, не превышающих 50—80 ч. на 1 ч. Мо. Мешают ионы Ад, Hg (1+), Fe (2+), V, Fe (CN) $_6^{3-}$, Fe(CN) $_6^{4-}$, а также другие окислители и восстановители. Открытию $\rm NH_2OH$ не мешают $\rm SO_4^{2-}$, $\rm CO_3^{2-}$, $\rm SiO_3^{2-}$, $\rm NH_4^+$. Чувствительность открытия NH2OH в присутствии 1 мл 0,01 M p-ра (NH₄)₂MoO₄ равна 6,6 мг в 1 мл. В. Сазанова

12103. Изучение некоторых фосфатов с точки зрения аналитической химни. II. Влияние ионов металлов на кривую нейтрализации триполифосфорной кислоты (1). С и н а г а в а, К о б а и с и (Studies on several phosphates from the view-point of analytical chemistry. II. Effects of metal ions on the neutralization curve

HUT-

вного

ОЛ-Ва

Д-нон дает 600 y).

13+

шают, емуся

шают

про-

осста-

кевич

нстой

. отд.

ып. 6,

о-ного

2C₂O₄. O H8-

H₃O₂, CO_3^{2-} ,

d, Zn,

вность ависи-

влении

етолом

после

занова

солей

Вести.

леева.

,1 или

оксил-

нагре-

ОВИТСЯ

ельное

час.). ий осаояется.

гирую-

ая оки обра-

ия Мо.

(2+),

срытию

вах, не

ны Ад,

ке дру-

NH2OH

пьность

M p-pa

азанова

зрения

еталлов

сислоты several

emistry. curve of triphosphoric acid. (1). Shinagawa, Mutsuaki, Kobayashi Masamitsu), J. Sci. Hiroshima Univ., 1955, A19, № 1, 203-210

Изучена комплексообразующая способность триполимозфорной к-ты (I) по отношению к различным ионам металлов; при опытах использован описанный ранее способ исследования (Van Wazer J. R., Campanella D. A., J. Amer. Chem. Soc., 1950, 72, 655). Р-р (2 мл) 0,05 М № 5Р₃О₁₀·6Н₂О пропускали через анионит (амберлит IR-120 или IR-112); вытекающий р-р разбавляли до 100 мл, добавляли различные кол-ва стандартных р-ров различных солей и титровали электрометрич. способом со стеклянным электродом Кривые титрования I, полученные при употреблении обоих указанных нонитов, совпадают; константы диссоциации I соответствуют р $K_5=8,9$ и р $K_4=6.5$. Форма кривых потенциометрич титрования I р-ром гидрата окиси тетраметиламмония в большой степени зависит от присутствующих нейтр. солей; так, для Fe, Pb, Zn, Cu, Ni, Co, Cd, Mg, Ca, Sr, Ba, K, Na ΔpH соответственно 4,37; 2,80; 2,20; 2,15; 1,98; 1,95; 1,90; 1,35; 1,10; 1,10; 0,98; 0,01; 0,01. Сделан вывод, что порядок уменьшения устойчивости комплексов I с ионами металлов является следующим: Fe>Pb>Zn>Cu>Ni, Co, Cd>Mg>Ca, Sr>Ba> > K, Na. Если рассматривать I как слабую двуосновную к-ту H₂A, то основное равновесие при нейтр-ции выражается ур-нием $HP_3O_{10}^{4-} + M^{2+} \stackrel{\rightarrow}{=} MP_3O_{10}^{3-} + H^+$, если K_p — константа равновесия указанного ур-ния, а K_s — константа устойчивости МР $_3\mathrm{O}_{10}^{3-}$, то $K_p=K_5K_s$ и ΔpH является мерой устойчивости комплексов. Соотношение между ΔpH и K_s выражается ур-нием $\Delta pH=$ $pH_0 - pH_m = \frac{1}{2} \lg \{1 + K_s(M^{2+})\},$ где $(H^+)_0 = V \overline{K_4 K_5}$, а $(H^+)_m = V \overline{K_* K_5} \cdot V \overline{1 + K_5} (M^{2+});$ в отсутствие добавляемого металла $(H^+)_0 = V \overline{K_4 K_5}$. Сообщение I см. РЖХим, 12104. Идентификация и оценка содержания инозит-

фосфатов в почве. А и дерсои (The identification and estimation of soil inositol phosphates. A и derson G.), J. Sci. Food and Agric., 1956, 7, № 6, 437-444 (англ.)

Описана техника идентификации инозитфосфатов распределительной хроматографией на бумаге. Разделение проводится на специально обработанной бумаге ватман № 1. При пользовании смесью, состоящей из 70 объемн. ч. СН зОН и 30 объемн. ч. водн. р-ра аммиака, получены следующие значения R_f : инозиттекса-фосфат 0,06, инозиттетра- и трифосфат 0,17, инозит-дифосфат 0,32, инозитмонофосфат 0,48. Если примевяют кислый р-ритель (напр., 50 об. ацетона + 50 об. 30%-ной уксусной к-ты), то перечисленные соединения движутся вместе, $\mathbf{R}_f=0.44$. Для определения инозитфосфатов в почве производят их экстрагирование NaOH и после отделения органич. и неорганич. примесей осаждают бариевой солью, превращают в свободные к-ты или их Na-соли и разделяют хроматографически. В исследованных почвах инозитгексафосфат составляет ~ 1/3 органич. фосфатов почвы, тетра- и трифосфаты присутствуют в очень малых кол-вах, ди- и моноосфаты не были обнаружены. Д. Васкевич 2105. Титриметрическое определение мыпьяка в рудах. Маричова, Повондра (Titračni stanoveni arsenu v rudách. Магі čova D., Povon-dra P.), Rudy, 1956, 4, № 7, 217—218 (чеш.;

рез. русс., нем.) Определение As в рудах основано на экстрагировании As на солянокислого p-pa с номощью CCl₄ с последуюшим титрованием йодом. 1 г хорошо измельченной пробы обрабатывают смесью 40 мл H₂SO₄ (1:1) и 10 мл конц. HNO₃ и оставляют на ночь, после чего кипятят до растворения, прибавляя, если нужно, конц. HNO₈. Р-р выпаривают до появления белых паров SO₃, нагревают с 1 г серы в течение 10 мнн. (для восстановления Аs⁵⁺, в As³⁺) и разбавляют 30 мл воды. SO₂ удаляют кипячением, прибавляют 70 мл конц. HCl и AsCl₃ экстратируют з раза по 50 мл ССІ₄. P-р AsCI₃ в ССІ₄ взбалтывают с водой (4 раза по 25 мл) и води. вытижку титруют после прибавления избытка NaHCO₃, с помощью одої н. КІз в присутствии крахмала. Погрещность оп-ределения $\pm 2\%$, продолжительность 3 часа. Присут-ствие геля SiO₂ не мешает определению. Н. Туркевич 12106. Новый метод броматометрического определе-

ния сурьмы в свинцово-оловянных сплавах. Детмар, Велде (A new method for the bromatometric determination of antimony in lead- and tin base alloys. Detmar D. A., Velde W. van der), Analyt. chim. acta, 1956, 15, № 2, 173—180 (англ.;

рез. нем., франц.)

Броматометрический метод (потенциометрич. вариант) определения Sb применен к анализу свинцовооловянных сплавов (ноны, способные восстанавливаться броматом, предварительно окисляли с помощью V^{5+} ; для перевода Sb(5+) в Sb(3+) применяли Ti(3+)). 0,5-1 г анализируемого сплава растворяют при нагре-0,5—1 г анализируемого сплава растворяют при нагревании в закрытом стакане в 25 мл смеси Вг₂-НСІ (10 мл Вг₂ растворяют в 100 мл НСІ, уд. в. 1,19) и добавляют 1,5 мл р-ра CuCl₂ (8,5 г CuCl₂-2H₂O растворяют в 500 мл 2 н. НСІ). Избыток Вг₂ и НСІ удаляют кипячением р-ра до объема 20 мл. Р-р разбавляют 100 мл 2 н. НСІ, нагревают до кипения и прибавляют при перемешивании 0,1 M TiCl₃ (10 мл 15%-ного р-ра TiCl₃, разбавляют 90 мл 2 н. НСІ), пока потенциал РІ-электора но поститет 50 мг. Р-р отаживают по моганиченой трода не достигнет 50 ме. Р-р охлаждают до комнатной т-ры, прибавляют по каплям 0.1~M p-р V^{5+} (растворяют 4,6 г V₂O₅ в 40 мл 10%-ного NaOH, нейтрализуют 6 н. HCl по лакмусу, добавляют 300 мм 2 п. HCl, встряхивают, фильтруют и разбавляют до 500 мл 2 н. р-ром HCl) до тех пор, пока от одной капли скачок потен-циала не достигнет 50—100 ме. В случае сомнения добавляют еще 1 каплю. Если присутствует >1 ме Fe, добавляют p-p V(5+) до достижения потенциала Pt-электрода $500~{\rm Mg}$ (по отношению к насыщ. к. э.). Титруют 0,1 н. КВгОз до резкого повышения потенциала. Кол-во Sb рассчитывают по кол-ву пошедшего на титрование р-ра КВгОз, 1 мл которого соответствует ~6 мг Sb. Б. Товбин

мощью роданидов. Комада (チオシアン酸難によるビスマスの比色定量・小玉數信),分析化學,Бунсэки кагаку, Japan Analyst, 1955, 4, № 7, 447—448 (япоп.) 2108. Полумикровесовое определение серы в пирите центрифугированием. Эфрос С. М., Тр. Ленингр. технол. ин-та им. Ленсовета, 1956, вып. 35, 86—90 При весовом определении S в пирите весовым методом в виде BaSO₄ для окисления S до SO₄ применен жидкий бром в присутствии ССІ4 и HNO3, а для восстановления Fe3+ до Fe2+ аскорбиновая к-та. Навеску тонкоизмельченного пирита помещают в стакан емк. 100 мл, обрабатывают 5 мл смеси из жидкого брома (2 мл) и CCl4 (3 мл), оставляют под тягой на 10 мин., периодически перемешивают, прибавляют конц. HNO₃, через 10 мин. стакан переносят па водяную баню, греют до прекращения р-ции и удаления большей части Br2; содержимое стакана выпаривают досуха, остаток смешивают с 1 мл конц. НСІ, снова выпаривают досуха; остаток, после 10-минутного стояния на бане, смачивают 1 мл конц. HCl, через 15 мин. добавляют 5 мл горячей Н₂О, фильтруют в мерную колбу емк. 100 мл, стакан промывают водой и фильтрат раз-

бавляют до метки. Аликвотную порцию р-ра (5 мл) по-

12107. Фотометрическое определение висмута с по-

мещают во взвешенную центрифужную пробирку, нагревают до 60-70°, прибавляют по каплям 1%-ный р-р аскорбиновой к-ты до обесцвечивания р-ра и еще избыток 2—3 капли. Содержимое пробирки нагревают до 80— 90°, по каплям прибавляют 0,5 н. BaCl₂ (90-95°) до полного осаждения BaSO₄ и еще избыток 4-5 капель; пробирку с осадком оставляют на кипящей водяной бане на 30 мин., охлаждают, центрифугируют, жидкость сливают или отсасывают, осадок промывают 2-3 раза холодной H_2O (по 0.5-1 мл), центрифугируют, жидкость сливают или отсасывают, проверяют на полноту промывания осадка по отрицательной р-ции на СІ-, затем осадок промывают еще 2 раза С₂Н₅ОН (по 1—2 мл). Пробирку с осадком помещают в термостат и сушат в течение 10 мин. сперва при 80°, а затем при 130—140°, охлаждают в эксикаторе и взвешивают. Результаты анализа воспроизводимы; на выполнение второй части анализа (осаждение BaSO₄ и далее) требуется 2 часа. См. также РЖХим, 1954, 25755. Р. Моторкина

Абсорбционно-титровальный сосуд для определения серы в стали. Рот, Лейдер (Absorption-titration flask for determination of sulfur in steel. Roth Milton, Lader Seymour), Analyt. Chem., 1956, 28, № 8, 1359 (англ.) Описан стеклянный трехгорлый круглодонный со-

суд емк. 0,5 л. В среднее горло впаяна стеклянная трубка, через которую впускается газ после сгорания образца стали. В боковое горло проходит бюретка с титрованным р-ром КЈ; через второе боковое горло выпускается воздух после поглощения газа. В нижней части сосуда имеется отвод с двумя стеклянными кранами: для впуска титрованного p-ра HCl и выпуска его после использования. Работа с прибором идет быстро и про-Р. Новаковская

Быстрый метод определения сульфата в рассоле хлористого натрия для электролиза. Мацуи, Уэда, Кацумата (食鹽電解用鹽水中の硫酸根 の迅速定量法・松井進作・上田忠雄・勝又茂)・工業化學 雑誌・Korë кагаку дзасен, J. Chem. Soc. Japan. Industr. Chem. Sec., 1956, 59, № 6, 591—592

(япон.)

CM. **ГЖХим**, 1956, 12052.

2111. Новая цветная качественная реакция на аниои серинстоводородной кислоты. К р е ш к о в 12111. А. П., Сенецкая Л. П., Тр. Моск. хим.-тех-нол. ин-та, 1956, № 22, 108—112

Предложена новая цветная качеств. р-ция на S2с комплексной солью Hg2+ и дифенилкарбазида (I). При пействии на каплю суспензии І фиолетового цвета сернистым натрием осадок полностью растворяется с образованием красного р-ра. Миним. рН 9. Р-цию можно провести на фильтровальной бумаге, нанося каплю води. суспензии I и каплю 0,1 и. щелочи и действуя газообразным H₂S. Окраска пятна из синей переходит к красную. Чувствительность р-ции 2,5 у. Предельное разбавление 1:12 000. Р-ция специфична; не мещают $S_2O_3^{2-}$, SO_3^{2-} и другие поны. Р-ция может быть использована в колориметрич, анализе для опрелеления S2-. М. Пасманик

Определение сульфидной серы в минералах. Муртхи, Нараян, Рао (Determination osulphide sulphur in minerals. Murt hy A. R. Vasudeva, Narayan V. A., Rao M. R. A.), Analyst, 1956, 81, № 963, 373—375 (англ.) Метод основан на восстановлении сульфидов при

помощи НЈ до H2S; йодиды соответствующих металлов образуют комплексы с избытком НЈ и остаются в р-ре; выделяющийся H₂S уносится током H₂ или N₂, погло-щается суспенвией Cd(OH)₂ и определяется йодоме-трически. Навеску минерала 0,1—1 г помещают в кру-глодонную колбу (RaO B. S., RaO R. A., Proc. Xth

Int. Cong., 1938, 3, 462), присоединяют промывную склянку с суспензией $Cd(OH)_2$ (к $50\,$ мл 2%-ного p-pa $Cd(CH_3COO)_2$ прибавляют $10\,$ мл $1\,$ н. NaOH), вытесняют воздух из аппарата током Н2, добавляют через капельную воронку 5—10 мл реактива (50%-ный р-р КJ смешивают в отношении 1:1 с конц. HCl, добавляют несколько кристаллов NaH2PO2 для восстановления выделяющегося Ј2 и декантируют р-р), пропускают Н₂ еще ~1 час при периодич. встряхивания (при медленном растворении сульфидов подогревают), содержимое промывной склянки смешивают с 2 и. СН₃СООН, содержащей определенный избыток стандартного p-ра \hat{J}_2 , и титруют неизрасходованный J_1 p-ром $Na_2S_2O_3$. Избыток CH_3COOH перед титрованием р-ром Na₂S₂O₃ должен составлять 0,5 н. Для ускорения р-ции между CdS и J2 на каждые 100 мл титрованного р-ра добавляют 5 мл 2 н. HCl. Описанный метод применен для определения сульфидной S в галените; для кристаллич. галенита и осажденного PbS абс. погрешность определения S составляет 0,16-0,06%. 12113. Хроматографическое отделение, открытие в

определение селена. У этерли (Chromatographic separation, detection and determination of selenium. Weatherley E. G.), Analyst, 1956, 81, No 964,

404-408 (англ.)

Для приготовления эталонной хроматограммы в мерной колбе емк. 100 мл растворяют 0,2190 г чистого безводн. Na₂SeO₃ в 10 мл дистилл. воды, прибавляют 10 мл конц. HCl и доводит p-p до метки. На листы фильтровальной бумаги Ватман № 1 наносят аликвотные части р-ра с содержанием от 5 до 45 у Se и хроматографируют в атмосфере этилметилкетона, используя в качестве р-рителя смесь этилметилкетона + 40% ная (вес : объем) Н F (80 : 40). Высушенную хроматограмму опрыскивают р-ром тиомочевины и хранят ее между стеклянными пластинками в темноте. Хроматограмма сохраняется без обеспвечивания 3 месяна. При определении Se в силикатных материалах сплавляют 0,5 г пробы с 1 г безводн. Na₂CO₃ в закрытой Pt-посуде, размельченный плав выщелачивают 5 мл разб. НСІ (5:3) при нагревании на водяной бане в течение 30 мин. Несколько аликвотных порций р-ра по 0,05 ма наносят на бумагу и хроматографируют, как при получении эталонной хроматограммы. Определение Se производят сравнением с эталонной хроматограммой. В случае определения Se в электролитич. пленках нагревают образец (0,5 г) с 5 мл 28%-ного p-ра Na₂CO₃ в течение 30 мин. на водяной бане. На бумагу наносят несколько проб по 0,05 мл, взятых из осветленного р-ра, и дальше поступают, как описано выше. Аналогично можно определять Se в других объектах. Метод поаволяет определять до 5 ү Se. He мешают Al, Ag, As, Cd, Cu, Co, Cr, Ca, Fe, Hg, Mo, Mg, Na, Ni, Pb, Sb, Si, Te, V, Zn.

Косвенный полярографический метод определения микроколичеств селена. Хан, Клейи-ворт (Cher eine indirekte polarographische Methode zur Bestimmung von Mikromengen Selen. Hahn Harry, Kleinwort Walter), Z. analyt. Сћет., 1956, 151, № 2, 98—104 (нем.)

При восстановлении аммиачных р-ров селенита при помощи N2H4·H2SO4 в присутствии избытка TINO3 Se при соответствующих условиях количественно осаждается в виде TISe. Полярографич. определение неизрасходованного TI+ позволяет устанавливать кол-во Se. В. Сазанова

Растворимость тетрафенилстибониевых солей неорганических апионов. Экстрагирование фтор нона из водной среды. Моффетт, Симлер, Иотрац (Solubilities of tetraphenylstibonium salts of inorganic anions. Procedure for solvent extractions. tion of fluoride ion from aqueous medium. M o f f ett

ывную

o p-pa вытес-

через

ый р-р добав-

станов-

пропу-

ивании

евают),

2 н. стан-

ный Ја

ванием

орения

анного именен

я кри-

шность

. Леви

ытие и

graphic

enium.

№ 964,

в мерого без-

авляют

ы филь-

ЗВОТНЫЕ

атогра-

я в ка-

О% -ная грамму

между ограмма

и опре-

от 0,5 г

посуде,

вб. HCl

течение 0,05 ма

и полу-

ние Še

раммой.

пленках

Na₂CO₂

наносят

ленного

налогич-

етод по-

Ag, As, Pb, Sb,

очалова

опреде-

лейн-

Methode

Hahn

analyt.

ита при

TINO3 но осаж-

ие неиз-

кол-во

Сазанова

их солей

е фтор-

млер, tibonium

t extracoffett

Kenneth D., Simmler Joseph R., Potratz Herbert A.), Analyt. Chem., 1956, 28, № 8, 1356 (англ.)

Действием NH₄OH на насыщ. водн. p-p (С₆H₅)₄SbBr получали осадок гидроокиси тетрафенилстибония (C₆H₅)₄SbOH; последняя при действии к-т образует соли. Малорастворимые соли получали осаждением их из конц. p-pa [(C₆H₅)₄Sb]₂SO₄. Исследована возможность отделения F- от SO42- экстрагированием подходящими р-рителями. Насыщ. водн. p-р (C6H5)SbF встряхивали с ССІ₄ при 31° до достижения равновесня. Коэфф. распределения (C₆H₅)SbF между ССІ₄ и водн. фазами = 16,5. Большие кол-ва Fe(3+) и Al (3+) фазами = 10,5. Больших почти не экстрагиру-мещают. SO₄²⁻ в этих условиях почти не экстрагирумешают. 504 г. в на устанируются. Экстракт с 99,2% F-ется; Cl- и Вг- экстрагируются. Экстракт с 99,2% F-получали, предварительно осаждая Cl- в виде AlCl. Ф. Линкова

12116. Определение фтора методом амперометрического титрования с помощью трехвалентного железа. Муся, Хигасино (Fe (III)によるフツ素の電流 滴定法・武者宗一郎,東野利昌),日本化學雜誌,Няхон кагаку дзасси, J. Chem. Soc. Japan. Pure Chem. Sec., 1956, 77, № 1, 128—133 (япон.)

Дифференциальное спектрофотометрическое определение фтора. Лоте (Differential spectrophotometric determination of fluoride. Lothe Johan J.), Analyt. Chem., 1956, 28, № 6, 949—953 (англ.)

Разработан точный дифференциальный метод спектро-фотометрич. определения F по ослаблению окраски комплекса Th с ализариновым красным S (I) при рН 2,80. Поглощение света исследуемым р-ром сопоставляется с найденным для стандартов, содержащих 50, 100 и 200 үF в 50 мл. Ошибка метода < 1% при 50—100 үF и < 2% 25—50 ү F-. Исследованы воспроизводимость определений, влияние посторонних ионов (SO_4^{2-} , Al^{3+} ; слабо влияют Cl и ClO и устойчивость реактива I (р-р I можно использовать в течение месяца). И. Рысс 12118. Определение фтористоводородной кислоты 118. Определение фтористоводородной кислоты в смесях фтористоводородной и азотной кислот. Разработка метода для полевых условий. У э й м а н (Determination of hydrofluoric acid in niitric-hydro-

fluoric acid mixtures. Development of a field test.

Wayman Douglas H.), Analyt. Chem., 1956, 28, № 5, 865—867 (англ.)

Для определения HF в смеси с HNO₃ применен метод с Th(NO₃)4; мешающие катионы из смеси к-т удаляют методом ионного обмена на катионите амберлит IR-120 в Н-форме. 5 мл смеси к-т смешивали с 75 мл воды и пропускали через катионит со скоростью ~2 капель в 1 сек.; вытекающий р-р собирали в стакан с р-ром 5,5 г NaOH в 20 мл воды (конец трубки находился ниже поверхности р-ра), колонку промывали водой (3×40 мл). Вытекающий p-p разбавляли до 250 мл, 50 мл полученного р-ра вводили в цилиндр Несслера, добавляли 5—7 капель 0,05%-ного р-ра ализарина досавляли 5—7 капазърна и необходимое значение рН (Amer. Soc. Testing Materials, Standards 1952, part. VII, D1179—51Т), титровали 0,1 *М* р-ром Th(NO₃)₄ до характерной красно-пурпурной окраски лака, добавляли аналогичное кол-во p-ра Th(NO₃)4 к p-ру контрольного опыта и оттитровывали p-p контрольного опыта стандартным p-pom Na F (2 мг F- в 1 мл p-pa) до совпадения окрасок р-ров контрольного опыта и пробы. Определение продолжается <1 часа. Метод ионного обмена применим для удаления <10 мг ${\rm Fe^{3+}},~5$ мг ${\rm Al^{3+}},~6$ мг ${\rm Ni^{2+}}$ и ${\rm Cr^{2+}}.$ Максим. отклонение от истинного содержания F- соответствовало 1,25%. Т. Леви 12119. Неорганические комплексы в объемном ана-лизе. Часть III. Использование образования фторидного комплекса трехвалентного железа при определении йодида. Раманджанеюлу, Шукла

(Inorganic complexes in volumetric analysis, Part III. Use of ferric fluoride complex in the estimation of iodide. Raman janeyulu J. V. S., Shukla B. K.), Z. analyt. Chem., 1956, 151, No. 3, 184-187

Исследовано влияние конц-ий NaF и KJ и кислотности на р-цию FeCl₈ и КЈ. При конц-ии H₂SO₄<0,32 н. и конц-ии KJ ~0,01 н. в течение 0,5 часа не происходит выделения J_2 , если отношение NaF : $Fe^{3+} = 15-20$. При определении J- целесообразно связывать Fe(3+) фторидом, образующим более прочные комплексы с Fe(3+), фосфатом или оксалатом; точность этого варианта подтверждена определениями Ј- в 0,001-0,02 н. р-рах КЈ. Для определения Ј- в йодированной пищевой соли рекомендуется следующий способ: 5-10 г соли растворяют в 50 мл воды, прибавляют 5 мл 0,01 н. $\rm Cr_2O$ $_2^{2-}$, 10 мл $\rm CH_3COOH$ (1 : 4) и в качестве катализатора 1 мл 0,1 н. Nа₂C₂O₄; после выдерживания смеси 5-10 мин. в закрытой склянке прибавляют 6 мл 0,01 н. $(NH_4)_2$ Fe $(SO_4)_2$ и несколько м.а 0,1 н. КJ; выделивнийся J_2 титруют 0,002 н. $Na_2S_2O_3$. Часть II см. РЖХим, 1956, 78379.

2120. Аскорбинометрическое определение феррицианида. Эрдеи, Швегла (Ascorbinometrische Bestimmung von Hexacyanoferrat (III). Erdey L., Svehla G.), Z. analyt. Chem., 1956, 150, L., Svehla G.), Z № 6, 407—415 (нем.)

Разработан титриметрич. метод определения феррицианида при помощи р-ра аскорбиновой к-ты. Определение выполняется более быстро и точно, чем йодометрич. методом. Конечную точку устанавливают потен-циометрически или визуально без применения индикатора или же с применением 2,6-дихлорфенилиндо-фенола в качестве индикатора. Изучены точность мефенола в качество надактической конов, рН и разбавления. Метод рекомендован для установки титра р-ров аскорбиновой к-ты.
В. Сазанова

12121. Изучение радиоактивных источников. 4. Определение торона и радона косвенным методом. Й о к о-ЯМа(放射能泉の研究.第4報・間接法によるトロンおよ яма (放射能泉の研究、第4報・間 後 法によるトランおよびラドンの存在比の測定・横山航之), 日本化 學 雜誌, Нихон кагаку дзасси, J. Chem. Soc. Japan. Pure Chem. Sec., 1956, 77, № 2, 370—375 (япон.) Отношение Тп: Rn в 12 радиоактивных источниках

определено косвенным методом — путем осаждения продуктов распада Tn и Rn на отрицательно заряженной проволоке, установленной над выходом источника. Результаты косвенного метода сопоставлены с результатами, полученными прямым определением Тп и Rn путем забора шприцем воды или газа из источника и немедленного измерения ослабления радиоактивности Тп. Результаты определения прямым и косвенным методами в основном совпали. Обсуждены недостатки и достоинства обоих методов. Отношение Тп: Rn, определенное косвенным методом в атмосфере источника, составляет 1/2—1/3 этого отношения в воде источника, что вызвано, по-видимому, распадом Та за то время, в которое он достигает атмосферы у проволоки. Максим. величина отношения Тп : Rn в источниках Масутоми 3,3, миним. <0,01. Содержание Rn обратно пропорционально отношению Тп: Rn. Содержание Тл в воде источника, рассчитанное косвепным методом, колеблется в пределах от 1 до ~400·10-9 кюри/л. Сообщение 3 см. РЖХим, 1957, 11566.

12122. Полярографическое определение внемута и синца в рудах. Илашил, Пруша (Polaro-gafické stanovení vizmutu a olova v rudách. Plašil Zbynėk, Ргūšа Јаготі́г), Rudy, 1956, 4, № 7, 215—117 (чет.; рез. русс., нем.)

Для определения Ві и Рb в рудах их предварительно отделяют от Cu, Sb, Ti, Sn, Fe и As, экстрагируя хлоро-

формом из р-ра, содержащего КСN и диэтилдитнокар-бамат Na (I). 0,5—2,0 г пробы выпаривают с 20 мл парской водки, а затем с 15 мл конц. НNО3 досуха. Остаток растворяют в 20 мл конц. НNО3 и разбавляют водой до 100 мл. К 10—50 мл полученного р-ра прибавляют 10 мл 10%-ного р-ра сегнетовой соли, несколько капель 1%-ного спирт. (60%-ный спирт) р-ра фенолфталенна; после нейтр-ции 10%-ным р-ром NаОН добавляют 10 мл 10%-ного р-ра КСN, 5—10 мл 1%-ного р-ра I и экстратируют 3 раза по 10 мл ССІ4, взбалтывая каждый раз по 3—5 мин. Объединенную води. фазу выпаривают последовательно с 20 мл конц. НNО3, 5 мл 30%-ного р-ра Н2О2 и 10 мл конц. НСІ досуха. Остаток растворяют в 25 мл конц. НСІ, прибавляют 5 мл 0,1%-ного води. р-ра метиленового синего и разбавляют до 100 мл. Полярографируют на полярографе Гейровского, типа V-301 s с тальванометром типа 29а. Потенциал полуволны Е1, Ві — 0,14 г, Sп —3,46 г. Определению мещает ТІ (Е1, —0,48 г).

12123. Применение методов сожжения по Къслъдалю для жаростойких материалов. Фолл (Kjeldahl digestion techniques for high temperature materials. Fall William), Powder Metallurgy Bull., 1956, 7 № 2 6 89 89 (2017)

7, № 3—6, 88—89 (англ.)
Для сожжения карбадов Ті и Та, боридов Zг и Ті пробу (500 м. при ≤0,01% N и 100—250 м. при >0,01% N) обрабатывают 5 м. и 120 (уд. в. 1,84), 1 г КНЅО4 и 6 каплями 1%-ного р-ра SeOCl2 в Н2SO4; разложение пробы продолжается 2 дня. Необходимо параллельное проведение контрольного опыта. Для сожжения Сг-Тісплава употребляют описанный выше способ; в том случае, если N связан в форме нитрида Сг, пробу следует обрабатывать разб. НСІ (1:1) для удаления растворимого N, отделяемого фильтрацией; нерастворимый остаток обрабатывают, как описано выше. Параллельно ведут контрольный опыт. Для сожжения нитрида Сг употребляют разб. НСІ (1:1); остаток отфильтровывают и обрабатывают, как описано выше. Р-ры, содержащие нерастворимый и растворимый N, либо объедияют, либо подвергают дистилляции по отлельности. Для сожжения Сг-Со-сплава употребляют разб. НСІ (1:1). Метод вакуум-плавки для определения N в материалах на основе Ті неприменим.

Т. Леви

12124. Метод определения примесей в титане. Чернихов Ю. А., Добкина Б. М., Завод. лаборатория, 1956, 22, № 5, 519—525

Описаны методы определения примесей Мо, Fe, Zn, Cu, P, Ni, Co, W, Mn, Cl, V, Pb, S, C, N, H в титане. А. Бусев

12125. Определение микрокомпонентов безоловянистых бронз. Безуглый Д.В., Петрусевич И.А., Карлюка Т. Н., Тр. Харьковск. политехн. ин-та, 1956, 8, 165—168

Для определения Pb (<1 мг) в безоловянистых бронзах колориметрируют p-р J₂ в органич. p-рителе после выделения осажденной на аноде двуокисью свинца. Для определения Sn рекомендуется тематоксилиновый метод; разработаны условия отделения Sn от мешающих компонентов. При определении Sb ее выделяют соосаждением с MnO₂.

В. Сазанова

12126. Заметка о потенциометрическом определении хрома и ванадия в сталях. Сильвестр, Хурт (Note sur les dosages potentiométriques du chrome et du vanadium dans les aciers. Silvestre J., m-me, Hurth M. F.), Chim. analyt., 1956, 38, № 7, 253—257 (франц.)

В отсутствие в анализируемом материале W навеску (при $\leqslant 0.5\%$ V 2 ϵ , > 0.5% V 1 ϵ) обрабатывают 30 мл конц. HCl, окисляют 5 мл HNO3 и прибавляют 20 мл 65%-ной HClO4. Нагревают до белых паров + 10 мин.

(для полного окисления Сг и V), быстро охлаждают, добавляют 100 мл воды и 10 мл 85%-ной $\rm H_3PO_4$. Для определения Cr + V в р-р погружают Hg2Cl2 и Ptопределении Сг+ v в p-p погружают нg₂Cl₂ и P₂электроды и при перемешивании титруют 0,1 п. p-ром
соли Мора (1) в 0,5н +12SO₄. Развость между потенциалами электродов для стали с 4% Сг изменяется
от — 750 до — 450 мв. Расход p-ра I составляет (в ма) n Cr+v. Для определения V добавляют избыток p-ра $1 \sim 2$ мл, вновь окисляют избытком ~ 0.1 н. p-ра КМп 0_4 (E меньше — 1 ме, появление фиолетовой окраски), добавляют 20 мл 1%-ного p-ра NaN₃, оставляют на ~10 мин. (для восстановления МпО₄) и при разности потенциалов около — 850 мв (чисто зеленая окраска) титруют образовавшуюся ванадневую к-ту (II) р-ром I. В присутствии в стали 1% V разность потенциалов изменяется от — 850 до — 450 мв. Расход р-ра I составляет (в мл) $n_{\rm p}$. Титр р-ра I определяют добавлением (после оттитровывания II) 10 мл 0,1 н. р-ра K₂Cr₂O₇ и титрованием до скачка потенциала. Кол-во израсходованного р-ра I составляет (в мм) n₂. В при-сутствии W при обработке навески в первую очередь добавляют 10 мл Н_зРО₄. Для определении Cr + V p-p разбавляют 100 мл воды, восстанавливают MnO 5 мл p-ра NaN₃; через 5 мин. напряжение стабилизируется на уровне <900 ма; вводят электроды и ведут определение, как в отсутствие W. Для определения V извлекают электроды, кипитит p-p ~ 15 мин., охлаждают, добавляют воду и определяют V, как описано выше. Содержание V (в %) вычисляют по ф-ле $x=0.51 \cdot n_v \cdot t/p$; содержание Cr (в %) по ф-ле $y = 0.52 \ (n_{\rm Cr+V} - n_{\rm V}) \cdot t/3p$, где p — навеска (в г), t — фактор нормальности p-ра I. При содержании в стали 2—6% Cr и 0,75—2% V погрешность составляет + 2%. Для ускорения анализа пользуются меньшими навесками и меньшими кол-вами реактивов. 12127.

2127. Метод быстрого определения содержания фосфора и серы в стали. Касима, Итая, Сюдо (鉄鋼中煙はよび銃黄の迅速分析法・鹿島 文郎・板 谷慶子・主藤千枝子),分析化學,Бунсэки кагаку, Japan Analyst, 1955, 4, № 8, 522—523 (япон.)

12128. Комплексометрическое определение алюминия и железа в стекле. Крипиж (Komplexometrické stanovení hliníku a železa ve skle. Кříž M o j m i r), Sklář a keramik, 1956, 6, № 6, 140—141 (чеш.) К части кислого р-ра, полученного разложением стекла смесью "НГ и Н₂SO4, прибавляют несколько

К части кислого р-ра, полученного разложением стекла смесью "HF и H₂SO₄, прибавляют несколько кристаллов NH₂OH · HCl и небольшой избыток 0,05 M комплексона III (I) (1 мл на 2,6 мл Al₂O₃ или 4 мг Fe₂O₃). Смесь разбавляют водой до 100 мл, слабо нагревают и нейтрализуют аммиаком (1:9) по метиловому красному. После прибавления 0,1—1 г уротронина и ~10 капель 0,1%-ного води. р-ра пирокатехинового фиолетового титруют 0,05 M р-ром CuSO₄ до первого резкого перехода желтой окраски в зеленовато-синюю. Таким образом определяют сумму Al₂O₃ (1 мл I соответствует 2,595 мг вместо теоретич. 2,548 мг) и Fe₂O₃ (1 мл I соответствует 3,993 мг). Fe₂O₃ определяют колориметрически или комплексометрически (при >0,3 % Fe₂O₃). С этой целью пробу титруют р-ром I при 40—50° и рН 2—3 в присутствии салациловой к-ты, сульфосалициловой к-ты или NH₄SCN. Определению Al мешают Мп, Sn, Cu, Zn, Ni, Co, Cr⁶⁺ и большие кол-ва Ti и Zr. Добавление NH₂OH · HCl устраняет влияние Мп (<0,2 мг) и Cr⁶⁺. Наличие Se, As, а также борной и фосфорной к-т не мешает определению.

12129. Определение микроколичеств минеральных масел в органических растворителях и на металлических деталях. Луфт Б. Д., Шер Е. С., Завод. лаборатория, 1956, 22, № 7, 784—787

кдают,

. Для

p-pom

потен-

няется

(B MA)

K p-pa

acke),

ВЛЯЮТ

г разеленая ту (II)

потенц р-ра добавр-ра Кол-во

В причередь V p-p

5 мл

руется опре-V из-

кдают,

выше. г_v·t/p;

 $) \cdot t/3p$

о-ра I. V по-

нализа

п-вами

Леви

я фосю до 反 谷 廣

Japan

миния

etrické

mir),

сепием

солько

,05 M

бо на-

етило-

ротроатехи-

О4 до

елено-

Al₂O₃ 48 Me)

тогипе

(при

-ром I

иловой

преде-

боль-

раняет также ию.

ркевич

льных лличе-

Завод.

Полуколичественный экспрессный метод определения малых кол-в минер, масел в органич, р-рителях (посредством капельной колориметрии) основан на образовани масляной пленки на пористой бумаге, пропитанной диметилглиоксиматом Ni. Чувствительность определения 0,02 г/л. Разработана методика колич. определения микроколичеств минер, масел в трихлорэтилене, хлороформе, дихлорэтилене на спектрофотометре СФ-4. Чувствительность определения 0,01 г/л р-рителя, точность 2—3%, продолжительность 5—7 мин. В. Сазанова

12130 Д. Аналитическое применение реакции тория с фенилфосфиновой кислотой и ее производными. Дейвис (Analytical applications of the reaction of thorium with benzenephosphonic acid and its derivatives. Davis Rodney James. Abstr. doct. diss., Iowa State Coll., 1954), Iowa State Coll. J. Sci., 1956, 30, № 3, 345—346 (англ.) См. РЖХим, 1955, 46156.

См. также: Спектральный анализ 11528, 11529, 12618; 3428Бх, 3429Бх. Полярография 11448. Хроматография 11092, 11397—11399, Технич. анализы 12324, 12504, 12505, 12642, 12718, 12720, 13678, 13679, 13817. Др. вопр. 12356, 12875, 11096, 11099, 11485; 3387Бх, 3417Бх, 3435Бх, 3436Бх

АНАЛИЗ ОРГАНИЧЕСКИХ ВЕЩЕСТВ

Редакторы А. И. Бисев, Ф. П. Сидаков

Новое в применении микрометодов для идентификации органических соединений. Херонис (Recent advances in the application of micromethods to the identification of organic compounds. Cheronis Nicholas D.), Mikrochim. acta, 1956, № 4—6, 925—947 Обзор. Библ. 53 назв. Т. Леви 1132. Определение микроколичеств водорода. Метод сожжения с использованием манометра. Холт (Determination of micro quantities of hydrogen. Combustion-manometric method. Holt Ben D.), Analyt. Chem., 1956, 28, Na 7, 1153—1157 (англ.) Для определения микроколичеств Н (0,04-30 ү) в уране и в других материалах (гидрид Zr и ряд органич. соединений) предложен метод сожжения: пробу сжигают в токе О2, образовавшуюся воду селективно отделяют вымораживанием в капиллярной ловушке при —78° и измеряют ее кол-во в спец. манометре, одним из колен которого является указанная капиллярная ловушка. Перед манометром расположена трубка с безводн. Mg(ClO₄)₂. Выделенные цары воды нагревают перед измерением давления до 100°. Для одновременно-го определения Н и С (РЖХим, 1956, 47316) требуется ≪30 мин. Среднеквадратичная погрешность соответствует 0,02 ү Н, определяемый минимум <0,1үН. Метод применим для анализа материалов, легко сжигаемых в среде О₂ при ~1000°. При употреблении вертикально расположенных кварцевых трубок для сожжения чувствительность метода повышается. Т. Леви Сухое сожжение и волюмометрическое опре-

2133. Сухое сожжение и волюмометрическое определение изотопных углерода и водорода в органических соединениях. Удаление двуокиси азота и температурная поправка для газа. Кристман, Стьюбер, Ботиер-Бай (Dry combustion and volumetric determination of isotopic carbon and hydrogen in organic compounds. Remowal of nitrogen dioxide, and gas temperature correction factors. Christman David R., Stuber Joan E., Bothner-by Askel A.), Analyt. Chem., 1956, 28, № 8, 1345—1347 (англ.)

"Установлено, что при газоволюметрич. определении изотопных С и Н в азотсодержащих соединениях методом сухого сожжения вследствие избытка кислорода NO2 не поглощается в охлаждаемой сухим льдом радиаторной ловушке при низком давлении. Это делает возможным вымораживание воды перед поглощением NO2 внешним поглотителем (MnO2). Приводится таблица температурных поправок на измерлемое давление CO2, которое больше вычисленного в соответствии с газовыми законами вследствие расширения ртути и масла в манометре.

Д. Васкевич 12134. Модифицированный способ сожжения для

определения углерода и водорода в некоторых металло-органических соединениях. Хед, Холли (Modi-fied combustion procedure for determining carbon and hydrogen in certain organometallic compounds. анд пудгоден ін сегсын огдановиський с сомрониць. Не ad Earl L., Holley Charles E., Jr), Analyt. Chem., 1956, 28, № 7, 1172—1174 (англ.) Описан прибор и метод сожжения летучих пирофор-ных соединений, способных образовывать при пиролизе нелетучие остатки, в частности, диметилбериллия, гидридов магния, алюминия и бериллия. Прибор представляет собой модификацию аппарата Либиха и состоит из двух параллельно соединенных промывалок с бутилсебацинатом для подачи О2 и Не, кварцевой трубки (диам. 15 мм, длина 20 см) с СиО (т-ра 700°), U-образной трубки со слоями ангидрона, аскарита и ангидрона, кварцевой трубки для пробы (двам. 15 мм, длина 18 см), кварцевой трубки для сожжения днам. 23 мм, длина 34 см) с CuO (т-ра 900°), двух U-образных трубок с ангидроном, двух трубок с аскаритом и ангидроном и промывалки для регулирования скорости газа (2,5 л/час). Все краны смазывают апиезоном N. Пробу (~50 мг) взвешивают в Sn-ампулах (весом ~0,6 г), помещают в кварцевук лодочку (предварительно прокаленную >1 часа при 1000°), вводят в трубку для пробы; затем пускают струю Не и после в труску для просыв датем пускают струко № 1 после удаления наиболее летучих соединений (при ~600°) прекращают подачу Не и пускают струю О2. Т-ру печи повышают до ~1050° (разрушение устойчивых карбонатов, образовавшихся на начальной стадии нагрева). Сожжение заканчивают при исчезновении следов влаги на выходной стороне печи для сожжения. Кол-во С и Н вычисляют по привесу поглотительных трубок. Установлено, что при контрольном опыте (сожжение Sn-ампулы) кол-во H₂O составляет 0,22 ме ва 1 е Sn, а кол-во CO₂ 0,03 мг на 1 г Sn. При сожжении образа кол-во СО2 0,005 мг на 1 г 5П. при соммении обра-дов янтарной к-ты (навески 205 и 62 мг) отношение между найденным и вычисленным кол-вом Н состав-ляет 1,0039±0,0027 и 0,9961±0,0090, для С 0,9973± +0,0015 и 0,9821±0,0047.

+0,0015 и 0,9821+0,0047. Т. Леви 12135. Органический микроанализ. XI. Упрощенная поглотительная трубка для определения углерода и водорода, снабженная капиллярной трубкой с низким сопротивлением потоку. Ходзуми, Имарда (有機微量分析の研究.第11報,炭水素分析に於ける低通氣抵疣吸收管の設計に就いて.銀管各一即,今校一男),業學雜誌,升кугаку дзасси, J. Pharmac. Soc. Јарап, 1954,74,№ 6,574—576 (япон.; рез. англ.) Поглотительная трубка в простейшей форме состоит

Поглотительная трубка в простейшей форме состоит из камеры для загрузки и обычной капиллярной трубки, соединенных впритык. Указаны оптимальные размеры капиллярной трубки, характеризующейся небольшим сопротивлением потоку; длина и внутренний днаметр трубки увеличены. Упрощенная поглотительная трубка заменяет трубку Прегля. Трубку заполняют 1,2 г ангидрона и 1,1 г асбеста, пропитанного NaOH или гранулированного NaOH; абсорбционная способность заполненной трубки достаточна для проведения 40 анализов. Приведена скорость диффузии водяных паров для различных поглотительных трубок. Сообщение X см. РЖ Хим, 1957, 8556.

М. Гладышева

Nº 4

NaOH

0.01

зовой жения кол-в

чения

HCl B

HO COI

F B 1

ного

UTO II

c yB

12143 пре

MC

ceu Si

262

Ис

H2SC

TOURE

чолб

(40% ник

стек

угла

M3 C

Вк

мент

чива

мета

либа

пия

(10-

CTBV

тели

йол

121

Si

331

HN

гла

CTI

HO

чи

по

ВЫ

pa

НЬ

36

FH

J.B

CH

12136. Кислород в органических соединениях. Некоторые изменения метода Шютце — Унтерцаухера. Каналес, Паркс (Oxygen in organic substances some modifications to Schütze — Unterzaucher method. Canales A. M., Parks Thomas D.), Analyt. chim. acta, 1956, 15, № 1, 25—30 (англ.;

рез. нем., франц.) На колич. выделение йода при р-ции между СО и J₂O₅, примененной для прямого определения О₂ по методу Шютце — Унтерцаухера, влияет присутствие соединений H и S, образующихся во время пиролиза навески. Для устранения ошибок продукты пиролиза пропускают над медной сеткой длиной 230 мм при 900±10°, а затем над Рd при 350±5°. Кислород определикот по выделившемуся из 1_2O_5 йоду, который улавливают в тиосульфатно-йодидном р-ре. Избыток тиосульфата оттитровывают амперометрически. Приведены схемы установки и терморегулятора. Д. Васкевич 12137. Микроопределение кислорода. Часть 3. Ста-

билизатор температуры для большой печи. Часть 4. Предотвращение колебаний в результатах контрольного опыта. Часть 5. Новый метод определения кислорода при помощи пробки из серебряной сетки. Коно, Сато, Судзуки, Исобе (酸素の 微量分析・第 3 報. 固定炉の恒温装置・第 4 報. ブラン

942-946 (япон.; рез. англ.)

3. Сконструирован прибор для стабилизации т-ры высокотемпературной печи (ВТП). Приведена схема видоизмененной цепи Шёнигера (РЖХим, 1955, 16600). Низкотемпературная печь (HTII) с т-рой ~200° с биметаллич. переключателем присоединена параллельно ВТП. Ток попеременно подают к зажимам 0-100 в и 0-120 e. регулятора со скользящим контактом, для поддерживания т-ры ВТП на постоянном уровне; т-ра НТП контролируется биметаллич. переключателем. Описанный способ стабилизации т-ры достаточно эффективен. Отклонения от т-ры 1100° составляют примерно ±5°. Срок службы прибора больше, чем у при-бора Шёнигера.

4. Для уменьшения среднеквадратичной погрешности при микроопределении кислорода применен реометр и осуществлена подача № при постоянном давлении. N₂ очищали пропусканием через CuO (550—600°), восстановленную Cu (450—500° и 18—20°), силикатель, CaCl₂, аскарит и ангидрон. Т-ру более длинной трубчатой печи поддерживали на уровне 1100°. Содержание O₂ в 300 мл азота составило ~9 у.

Приведена схема установки и эскиз реометра. Т. Леви Выделяющийся из испытуемого образца О₂ при прохождении через древесный уголь, нагретый до 1100±5°, превращается в СО, которая затем окисляется при пропускании через заполненную НЈ3О8 трубчатую печь, нагретую до 105—115°. Кол-во выделившегося J₂, задержанного пробкой из Ад-сетки, вставленной в трубчатую печь, нагретую до $450-500^\circ$, определяют весовым путем. 1 мг J_2 эквивалентен 0,3152 мг О2. При наличии в образцах S газ до контакта с ${\rm HJ_3O_8}$ пропускают через воду, что способствует предотвращению р-ции между ${\rm HJ_3O_8}$ и ${\rm CS_2}$ или ${\rm COS}$. Для избежания перегрева ${\rm HJ_3O_8}$ печи располагают на расстоянии 1 см. НЈ3О8 получают путем растворения ${f J_2O_5}$ в небольшом кол-ве воды, p-р фильтруют горячим. К фильтрату при $18{-}20^\circ$ добавляют конц. НОО3 до конечной конц-ии 68% (по объему). При нагревании p-ра до 100° образуются кристаллы НЈ₃О₈. Погрешность составляет от —0,01 до +0,77%. Приведена схема установки. Сообщение 2 см. РЖХим, 1956. 68779.

12138. Модификация микрометода Дюма для определения азота. Чайлде, Мейерс, Джонстон, Митульский (Modified micro-Dumas procedure for determining nitrogen. Childs C. E., Meyers E. E., Johnston C. K., Mitulski J. D.), Analyt. Chem., 1956, 28, № 7, 1193—1194 (англ.)

Более полное сожжение и сокращение продолжительности сожжения достигается заменой горелки спеп. электропечью, работающей при т-ре 725

Д. Васкевич Улучиенный метод Кьельдаля-Несслера для определения малых количеств азота. Йоков, AKacH (微量ケールダールネスラー法の一改良法・積 井花子・明石修三)・分析化學・Бунськи кагаку, Japan Analyst, 1956, 5, № 5, 290—291 (япон.)

Определение общего содержания серы в угле. Международный стандартный метод. Джексон (Determination of total sulphur in coal. An international standard method. Jackson P. J.), 1956, 35, № 2, 212—229 (англ.)

Изучена пригодность метода Эшка для определения общего содержания S в твердом топливе и установлено, что указанный метод является наиболее простым и дает достаточно точные результаты. Кол-во смеси Эшка должно составлять 4 г. Для полного превращения S в сульфат прокаливание рекомендуется вести в муфельной печи 1 1/2 часа при 800±25° со скоростью вентиляции 4-5 объемов воздуха в 1 мин. Добавление окислителя необязательно. Для экстрагирования SO2 можно применять кипячение остатка с 17 мл кони. HCl и 50 мл воды или обработку ~130 мл воды, содержащей 1 мл H₂O₂ при 80° (30 мин.), для осаждения BaSO₄ рекомендуется пользоваться почти кипящим p-pom BaCl₂; фильтруют через 30—60 мин. через бумажный или асбестовый фильтр; для промывания употребляют 250 мл горячей воды. Влажный фильтр с осадком помещают в муфельную печь с т-рой $800\pm25^{\circ}$ и выдерживают в ней 15 мин. (или, при применении тигля Гуча, 1 час при $130\pm10^{\circ}$). Вместо весового метода можно применять титриметрический: избыток CrO2определяют йодометрически. Среднеквадратичная погрешность при кислотной экстракции сульфата соответствует 0,015% S.

144. Определение фтора в органических соединениях. [11]. Корисун М. О., Климова В. А., Чумаченко М. Н., Ж. аналит. химии, 1955,

10, № 6, 358—368

Описан полумикрометод определения F в органич. соединениях, основанный на нагревании в-ва с металлич. К в стальной микробомбе при 800-850° и титровании полученного F- p-ром Th(NO₃)₄. Присутствие N, S и галогенов не мешает титрованию. Показана возможность одновременного определения F и Cl, а также описана методика определения F в присутствии Р. Сообщение 10 см. РЖХим, 1957, 4823. В. Сазанова 142. Объемное определение фтора в тетрафторо-боратах. Максимычева 3. Т., Талипов III. Т., Когинова А. М., Завод. лаборатория, 1956, 22, № 7, 791—794

100 мл р-ра, содержащего не более 33 мг НВГ4. помещают в круглодонную колбу, в которую предварительно вводят от 1 до 9 мл 2%-ного p-pa HCl (в зависимости от ожидаемого кол-ва НВГ4). Колбу соединяют с обратным холодильником и ее содержимое нагревают при т-ре кипения на песчаной бане от 30 мин. до 2 час. После окончания гидролиза холодильник промывают небольшим кол-вом воды, р-р нейтрализуют 2 н. NaOH в присутствии ализаринсульфокислого натрия до щел. р-ции, затем подкисляют 2%-ной НСІ до исчезновения розовой окраски жидкости, добавляют (a

S

и-

R

IM

Д-

Ы-

пя

да

T-

BH

ie-

55.

іч. іл-00-

пе

03-

же

P.

Ra

00-

D B

IR.

Ba-

38-

пи-

на-

ин.

ик

TOL

на-

{Cl

TOIL

1 мл буферного р-ра, состоящего из CH2Cl-COOH и NaOH, и при интенсивном перемешивании титруют 0,01 н. р-ром Тg(NO₃)₄ до появления интенсивно розовой окраски. С увеличением конц-ни НВ F₄ для достижения полноты гидролиза необходимо увеличивать как полноты гидролиза необходимо увеличивать как полно прибавляемой HCl, так и длительность кипичения жидкости; при макс. кислотности (9 мл 2%-ной нСl в 100 мл р-ра) продолжительность нагревания можно сократить до 1 часа. Метод применен для определения F в тетрафторборате калия. SiO₂ не оказывает заметного влияния на процесс гидролиза. Установлено, что процесс гидролиза НВ F₄ в щел. среде увеличивается с увеличением длительности нагревания.

12143. Определение мыппъяка в фармацевтических препаратах в присутствии железа и фосфатов. С и мо и (Dosage de l'arsenic dans les spécialités pharmaceutiques notamment en présence de Fe et de PO₄. S i m o n S.), J. pharmac. Belgique, 1956, 38, № 5—6, 389 (Драгителент)

262—268 (франц.; рез. флам.) Исследуемый препарат разлагают в бомбе Парра, вейтрализуя образовавшуюся щелочь HCl или смесью неправизуют и подкисленный р-р нейтрализуют и подкисленот 7 мл конц. HCl; 30 мл р-ра переносят в конпч. колбу, добавляют 2 мл 15%-ного р-ра КЈ и 1 мл SnCl₂ (40% в конц. HCl) и оставляют на 15—30 мин. В приемник помещают 1 мл йодного p-pa (0,25% J₂+ 0,4% КJ) и 0,2 мл NаНСО₈. Колбу соединяют с приемником стеклянной трубкой, согнутой дважды под прямыми углами. Несколько выше пробки помещают тампон из стеклянной ваты, пропитанной p-ром Pb(CH₃COO)₂. В колбу вводят 2 г Zn, пропущенного через сито 20 меш, и включают аппарат. Через 1/2 часа J2 обесцвеявают 1 каплей 5%-ного свежеприготовленного p-pa метабисульфита и спектрофотометрируют As в виде молибдатного комплекса. Метод применим для определевия 30—80 у Ав. Опибка определения <2,7%. В отсутствие Р и Si можно спектрофотометрировать Ав (10-80 у) без предварительной отгонки. Если присутствуют Р или Si (2 мг), но отсутствуют минер. окислители, для определения As можно воспользоваться йодометрич. методом. М. Пасманик

2144. Кремнийорганические соединения. VI. Определение кремния в кремнийорганических соединениях. VII. Определение галогена, связанного с кремнием. Ш и р , К о м е р с (Organokřemičité sloucčniny. VI. Stanoveni křemíku v organokřemičitých sloučeninàch. VII. Stanoveni halogenu na kremiku. Š i r Z., K о m е r s R.), Chem. listy, 1956, 50, № 1, 88—93; 162—163 (чеш.); Сб. чехосл. хнм. работ, 1956, 21, № 4, 873—879; 1066—1068 (нем.; рез. русс.)

VI. Разрабътан простой метод колич. определения Si в кремний эрганич. соединениях (КОС). Минерализацию анализтруемого в-ва осуществляют мокрым путем при помощи смеси олеума или H₂SO₄ и дымящей HNO₃. У большинства КОС минерализация протекает гладко, только низшие члены алкилсиланов (в частности, тетраметилсилан) отличаются значительной прочпостью. Чтобы избежать потерь в случае более летучих галогенсиланов, авторы рекомендуют отвешивать последние в охлажд. пиридин. Само определение Si выполняют ацидиметрич. методом, основанным на образовании K2SiF6 в кислой среде. Применяют смешанный индикатор (метиловый красный и бромкрезоловый зеленый в соотношении 6:5). Чтобы не происходило гидролиза K₂SiF₆ при высоких значениях рН, необхолимо проводить титрование в небольшом объеме титруемой жидкости и в р-ре, насыщ. ионами К+. Указанным методом было определено содержание Si в нескольких сотиях КОС (мономерных и полимерных) с очень хорошими результатами.

VII. Авторами разработан надежный метол опреле-

ления галогена в КОС типа $R_n SiX_{4-n}$ (R — алкил, арил или водород, X — галоген). Определение выполняют следующим образом. В-во гидролизуют под толстым слоем бутплата натрия и полученный щел. галогенид титруют аргентометрич. методом. Эквивалентную точку устанавливают потенциометрически, или по Мору, или же при помощи адсорбционного индикатора (напр. дихлорфлуоресценна). Наиболее точные результаты дает потенциометрич. способ. Метод был применен для ряда КОС и результаты оказались весьма удовлетворительными. Сообщение V см. РЖХим, 1956, 71759 Karel Setinek

12145. Количественное определение органических перекисей. Часть II. Проверка метода с метиленовым голубым. Зорге, Иберрейтер (Zur quantitativen Bestimmung organischer Peroxyde. Teil II. Prüfung der Methylenbau-Methode. Sorge G., Uеberreiter K.), Angew. Chem., 1956, 68. № 15, 486—491 (нем.; рез. англ., франд.)

Предлагаемый метод основан на способности перекисей и гидроперекисей, за исключением третичного ди-бутилпероксида, давать с лейкометиленовым голубым продукты окисления, величина светопоглощения которых прямо пропорциональна конц-ии активного кислорода (О(акт.)). Величину светопоглощения, а следовательно, и конц-ию О(акт.) определяют спектрофотометрически, применяя в качестве нулевого р-ра бензол. Растворяют безводи. ССІ_зСООН в бензоле (конц-ия \sim 1,5-5 ε/a) и \sim 15 мл полученного p-ра смешивают с 1 мл р-ра ~ 0.3 г лейкометиленового голубого в бензоле, прибавляют ~2 мл 10-4 M р-ра перекиси в бен-золе, разбавляют до 20 мл р-ром к-ты и голубой р-р через 5 мин. спектрофотометрируют при 643 ми. Высокомолекулярные перекиси с метиленовым голубым реа-гируют медленно. Р-цию ускоряют нагреванием смеси до т-ры кипения бензола с последующим охлаждением. Сообщение 1 см. РЖХим, 1957, 8577. 12146. Анализ продуктов сожжения. IV. Полярогра-

фическое определение низкомолекулярных органических перекисей. Брюшвейлер, Минков (The analysis of combustion products. IV. The polarographic determination of the lower organic peroxides. Brüschweiler H., Minkoff G. J.), Analyt. chim. acta, 1955, 12, № 2, 186—200 (англ.; рез. франц., нем.)

Изучено полярографич. поведение Н2О2 метил-, этил-, трибутил-, и ацетилгидроперекисей и диэтил-перекиси в пределах конц-ий 10-5—3 10-3 М. В качестве электролита использован Li₂SO₄ (0,1 M). Показано, что диффузионный ток прямо пропорционален конц-ии перекисей. Аддитивность диффузионного тока в смеси перекисей делает возможным их колич. анализ. Предложены два метода для оценки кол-ва Н2О2 в припредложены два метода для оценка кол ва 1202 в при сутствии алкилперекисей. В щел. р-ре конц-ия Ч₂О₂ определяется непосредственно по анодной волне при 0,1 в (другие перекиси не дают анодной волны); общее кол-во перекисей определяется из предельного диффузионного тока 1,6 ϵ . Если конц-ия $\rm H_2O_2$ высока по сравнению с конц-ией алкилперекисей, то вся $\rm H_2O_2$ может быть осаждена в щел. р-ре ацетатом La, в этом случае в р-ре остаются только алкилперекиси, которые затем полярографируют. Используя указанные методы, можно оценить отдельно конц-ии H_2O_2 , CH_3OOH , трибутил— и ацилгидроперекисей и диэтилперекиси. Изучено влияние альдегидов на полярографич. определение перекисей. Н2О2 можно количественно определить в присутствии НСНО в нейтр. и кислой среде, а высшие гидроперекиси — в щел. среде. Определены потенциал полуволны и константы Ильковича для указанных перекисей; изучен механизм их электрохим. восстановления. Сообщение III см. РЖ Хим, 1955, 24019. В. Пикаева

пик

пен

сод

сод

121

И

T

듔

KS

H

о Д

121

X In 4

тод

спе

хло

дел

пол лев

B-B

ля 15

в 5 по

coe

фо

ляц

RH

вы

HOL

P-I

no:

0,1

KO.

III II HH

По

cy

ДИ

MH

ЦИ

121

12147. 2147. Магнийхлорметил как реактив для определе-ния активного водорода. Сти венс (Methylmag-nesium chloride as reagent for determination of reactive hydrogen. Stevens George D.), Analyt. Chem., 1956, 28, № 7, 1184—1186 (англ.)

Метод Церевитинова для определения активного Н усовершенствован за счет использования в качестве реактива Гриньяра р-ра магнийхлорметила (I) в диметиловом эфире тетраэтиленгликоля (II). Для приготовления I применяли реакционный сосуд, состоящий из стеклянной колонки (длиной 150 мм, диам. ~20 мм), припаянной снизу к круглодонной колбе емк. 250 мл. Колба закрыта резиновой пробкой, через которую проходят доходящая до дна колонки трубка (диам. 6 мм) для подачи хлористого метила (III) и короткая трубка с силикагелем для предотвращения попадания влаги. ~7 г металлич. Mg реагируют с избытком III в 200 мл к Мg-стружкам добавляют ~10 мл полученного ранее реактива Гриньяра, II до заполнения колонки (~30 мл) и медленно пропускают пары безводи. III через колонку, затем добавляют остальные 170 мл II. По окончании р-ции реактив декантируют через стеклянную вату, удаляют избыток III нагреванием и хранят реактив в герметизированной склянке. Для приготовления первой порции реактива Мд активируют по ранее описанному методу (Underwood H. W., Gale I. C., J. Amer. Chem. Soc., 1934, 56, 2117). Для определения активного Н пользуются описанным ранее прибором (Siggia S., Quantitative Organic Analysis via Functional Groups, Wiley N. J., 1948, p. 41-48). Для предотвращения попадания влаги реактив и испытуемую пробу вводят при помощи шприца, апална в атмосфере N₂. Описанный реактив характеризуется низкой упругостью паров и хорошо растворяет больмую пробу вводят при помощи шприца; анализ ведут

Определение активного водорода с помощью магниййодметила. Ш и Ш у - ц з я н ь (活 意 氫 及 CH₈MgJ 試劑加成的測定. 師樹簡), 北京大學學報(自然 科學), Бэйцзин дасюэ сюэбао (цзыжань кэсюэ), Аста scient. natur. Univ. pekinensis, 1956, № 2, 247-252

(кит.; рез. англ.)

На основе метода А. П. Терентьева (Изв. АН СССР, Отд. хим. н., 1951, 172) разработан видоизмененный метод определения активного водорода в различных органич. соединениях с помощью CH₃MgJ. По сравнению с методом Кохлера (Kohler E. P. и др., J. Amer. Chem. Soc., 1927, 40, 3181; 1930, 52, 3736) описанный метод более быстр, прост в выполнении и предполагает применение более простой аппаратуры, хотя и уступает ему в точности. 12149. Микроо Резюме автора

Микроопределение метильных групп при углеродном атоме. Ташинян, Бейкер, Кох (Microdetermination of methyl groups attached to carbon. Tashinian Vazken H., Baker Mary Jane, Coch Charles W.), Analyt. Chem., 1956, 28, № 8, 1304—1308 (англ.)

Метод основан на окислении соединения в условиях, когда группы СН₃ количественно образуют СН₃СООН, определяемую титрованием. Выяснены детали определения. В-во нагревают в запаянной трубке при 120° с окислительной смесью (H₂SO₄+ CrO₂) в спец. качающейся печи. Концевые группы CH₂-C-количественно образуют CH₈COOH, которую отгоняют в спец. аппарате в бензол или и-бутанол и оттитровывают 0,01 н. NaOH с бромтимоловым синим. Навеска должна быть такой, чтобы образовывалось 0,05—0,08 ммоля СН₃-СООН. Во всех случаях берут 4 мл 5 н. р-ра СгО₃. Конц-ия Н+ меняется и подбирается по результатам опытов. Приведены условия взятия навески и внесения ее в реакционную трубку из боросиликатного стекла. Группы строения (CH₃)₂C-образуют CH₃COOH на 75—80%. Низкомолекулярные алифатич. амины не

образуют количественно СН3СООН. Приведены схемы аппаратуры для разложения в-ва и чертежи дистилляпионного аппарата.

Изучение быстрых методов определения паров органических растворителей в воздухе. III. Быстрый метод определения паров бензола и толуола в низких концентрациях. IV. Быстрый метод опре-деления паров этилацетата. V. Быстрый метод определения пропана в низких концентрациях. К о б а я-CM (有機溶媒蒸氣の迅速定量法の研究, 第3報, 機量のベン ピン及びトルエン蒸氣の迅速定量法,第4報, 酢酸エチル薫 氣の迅速定量法, 第5報, 漏洩プロパンガスの迅速定量法,小 無0近逃走重法: 紫空報: 鴻溪之 | ハシガスの近逃走重法: 外 林蘂隆),有機合成化學協會誌, Юки госэй кагаку кекайся, J. Soc. Organ. Synth. Chem., Japan., 1954, 12, № 8, 319—322; № 9, 358—360, 360—363 (япон.) Сообщение II см. РЖХим, 1956, 78549.

2151. Спектрофотометрическое определение дифенила в обработанной дифенилом упаковочной бумате для фруктов. Отбор проб многослойных упаковочных материалов. Альмин (Spectrophotometric determination of biphenyl in treated fruit wrappers and a note on sempling of striped sheet materials. Almin Karl Erik), Svensk. papperstidn., 1956, 59,

№ 2, 44—50 (англ.; рез. швед., нем.) Предложено 2 метода: 1) спектрофотометрив в Уфобласти и 2) спектрофотометрии в ИК-области 1. Навеску бумаги суспендируют в определенном объеме циклогексана, экстрагируют встряхиванием, часть р-ра разбавляют так, чтобы оптич. плотность составляла 0,3—0,6 и спектрофотометрируют при 250 мµ. При содержании дифенила (I) в бумаге ~1% навеска составляет 100 мг, кол-во р-рителя 100 мл; 15 мл полученного р-ра разбавляют до 50 мл. Параллельно ведут опыт с р-ра разовыным I образцом бумаги. 2. Применяют метод Ноделя и Эльвина (Knodel L. R., Elvin E. J., Analyt. Chem., 1952, 24, 1824); рекомендуется пользоваться большими навесками; экстракцию ведут в аппарате Сокслета. Как правило, 10 г материала экстрагируют 100 мл ССІ4; при спектрофотометрировании употребляют кюветы 0,3 мм. Присутствующие в бумаге шлихта и масла не мешают измерениям при 14,34 д. Метод спектрофотометрии в УФ-области является более точным, но требует проведения опыта с непропитанной бумагой, что не всегда возможно. При исследовании бумаги, на которую I был нанесен слоями, для отбора проб следует пользоваться спец. математич. Анализ оцибок, наблюдаемых при количе-

ственном определении антрацена. І. Фунакубо, Мацумото, Танигути. ІІ. Фунакубо, Мацумото (ジェン法によるアントラセン定量値の 照差の解析・その1・船久保英一, 松本脳太郎, 谷口宏. その2.船保英一, 松本脳太郎, 谷口宏. その2.船保英一, 松船 本誠太郎), 工業化學雑誌, Korë ка-гаку дзасен, J. Chem. Soc. Japan. Industr. Chem. Sec., 1956, 59, № 4, 422—429; 429—436 (ЯПОН.)

Анализ концентратов димера циклопентадиена. Обзор существующих методов и описание масс-спектрометрического метода. Клебори, Дейвис, Риве (Analysis of cyclopentadiene dimer concentrates. Review of existing methods and description of mass spectrometer method. Claiborne E. B., Davis H. M., Rivet C. A., Jr), Analyt. Chem., 1956, 28, № 7, 1104—1106 (англ.)

Для выполнения масс-спектрометрич. анализа концентраты димера циклопентадиена деполимеризуют в специально сконструированной камере из боросиликатного стекла, соединенной с масс-спектрометром. Деполимеризация происходит при давлении 10-3 мм рт. ст. После выдержки в течение 2—5 мин. при 350—450° открывают затвор из расплавленного Ga (приводимой в действие магнитом) и образовавшиеся продукты поступают в масс-спектрометр. Для определения инLIM

ля-

PRE

па-

-146

ола

pe-

pe-H-(Y 本流小

CH, 8,

фе-

terda

59,

VΦ-

Ha-

eme

яла

co-

ran-

0101 IT C

тод

lyt.

ВЭД

рате

yior

ребаге

μ.

ется -ипс

едо-

для

тич. [еви

бо,

бо,

値の . 7

каem.

ена.

пек-

иc,

cenn of lyt.

кон-

YIOT

или-

pom. 50-

оли-

КТЫ

дивидуальных компонентов использованы следующие пики: циклопентадиен 65 и 66, изопрен 68; метилциклопентадиен 79 и 80: диметилпиклопенталиен 94: апиклич. содимер циклопентадиена 134; дипентен 136; ациклич. содимер метилциклопентадиена 148. Т. Леви 12154. Определение с-пинена и камфена методом инфракрасной спектроскопии. Такэсита, Киннфракрасной спектроскопии. Такэсита, Китадзима (赤外線吸收によるα-ビネン,カンフェンの定量. 竹下常一,北島正榮), 工業化學雜誌, Когё кагаку дзасси, J. Chem. Soc. Јарап. Industr. Chem. Soc., 1956, 59, № 6, 645—648 (япон.) 2155. Определение β-пипена и трициклена методом инфракрасной спектроскопии. Такэсита, Китадзима 赤外線吸收によるβ-ビネン,トリサイクレンの定量. 竹下常一北島正榮), 工業化學雜誌, Когё кагаку дзасси, J. Chem. Soc. Japan. Industr. Chem. Sec., 1956, 59, № 6, 648—649 (япон.) См. пред. реф.

См. пред. реф.

2156. Количественное определение изомеров ди-клорбензолов. Спрысков А. А., Ерыка-нов Ю. Г., Ж. аналит. химии, 1956, 11, № 4, 492-494

После определения n-дихлорбензола (I) термич. методом, а м-дихлорбензола (II) разработанным авторами специально для II бромид-броматным методом, о-дихлорбензол (III) в смеси трех изомеров может быть определен по разности. После установления содержания I по точке застывания испытуемой смеси последнюю подвергают нитрованию и восстановлению для определевия II бромированием. Навеску анализируемого в-ва (~1,5 г) смещивают с равным весом воды, прибавляют при охлаждении по каплям в течение 30 мин. 15 г HNO₃ (уд. в. 1,5), через 1/2 часа смесь выливают в 50 мл воды и продукт в делительной воронке отмывают до нейтр, р-ции промывной воды. Полученное нитросоединение смешивают в широкой пробирке с пришлифованной трубкой, служащей воздушным холодильником, с 6 г Zn-пыли, при охлаждении осторожно прибав-ляют 30—40 мл HCl (уд. в. 1,18) до полного растворения Zn-пыли и p-p кипятит на сетке 1 час. Горячий p-p выливают в 250—300 мм воды, фильтруют в мерную колбу емк. 500 мл, прибавляют 60 мл HCl (уд. в. 1,18), доводят до метки, отбирают 100 мл р-ра и титруют 0,1 н. р-ром NaNO2 с тропеолином 00 в качестве индикатора, (узнают общее кол-во аминов, полученных нитроваузнают общее кол-во аминов, полученых натрова-вием и восстановлением I—III) (S), отбирают еще 25 мл р-ра, прибавляют 0,1 н. КВг + КВгО₃ до отчетливого пожелтения р-ра, закрывают, оставляют на 30 мин., прибавляют 2 г КЈ и через 5 мин. оттитровывают J₂ 0,1 н. р-ром Na₂S₂O₃ в присутствии крахмала (узнают кол-во дихлоранилинов, образовавшихся из I и III) (S_2) . Кол-во дихлоранилинов, образовавшихся из II $S_1=S^{25}/_{100}-S_2$, отсюда содержание II в смеси в %: S₁ 100 /S · 100/25. Зная содержание I по точке застывания смеси, вычисляют по разности содержание III. Погрешность определения каждого изомера <1% от суммы изомеров. Описанный способ проверен на искусственно составленных смесях.

л. Горин 2157. Новый метод анализа изомеров диалкилбен-золов. И с ма и л з а де И. Г., Мамедалие в Ю. Г., Мирзоева Ш., Зейналова Т., Абдуллаева Х. М., АзербССР элмлэр Акад. хэбэрлари, Изв. АН АзССР, 1956, № 4, 25—31 (рез.

Существующие хим. методы разделения диалкил-замещенных бензола неточны. Новый метод анализа диалкилзамещенных бензола основан на сравнении интенсивностей характерных рентгеновских диффракционных линий изомеров фталевой к-ты. Метод дает вполне удовлетворительные результаты. В. Сазавова 12158. Полярографическое определение этилового спирта. Шмидт, Манц (Der polarographische

Nachweis von Äthylalkohol. Schmidt O., Manz R.), Klin. Wochenschr., 1955, 33, № 35—36, 857—863 (нем.)

Полярографич. определение С2Н5ОН основано на его окислении до ацетальдегида (I), отделении I и поляро-графировании в присутствии LiHSO₃ и LiOH. 0,5 мм графировании в присутствии LiHSO₃ и LiOH. 0,5 мл сыворотки или крови обрабатывают для разрушения белков 1 мл 3,3%-ной HClO₄ и центрифугируют. Во внешнюю камеру диффузионного прибора вводят 5 мл окислительной смеси (5 г K₂Cr₂O₇ + 0,5 г CrCl₃, дополняют 0,5 н. H₂SO₄ до 500 мл) и вносят 1 мл анализируемого р-ра, освобожденного от белка; во внутреннюю камеру помещают 2 мл 0,1 M LiHSO₃ (через p-р 9,234 г Li₂CO₃ в 500 мл воды пропускают на холоду SO₂, полученный из NaHSO₃ и разб. H₂SO₄, до насыщения). Прибор закрывают, содержимое внешней камеры перемешивают осторожным покачиванием; диф-фузия I продолжается 3 часа в термостате при 50±0,5°. фузыя і продолжается з часа в термостате при зодо, з . Затем крышку снимают и после выравнивания т-ры через 1 час полярографируют. Внутреннюю камеру заполняют Нg (массивный электрод), к p-ру LiHSO₃ добавляют 1 мл 1 н. NaOH; измерения ведут в интердоованног 1 мм 1 п. тасти, выпорывал воду в высота вале от 0 до 3 ϵ . Применяют гальванометр с чувствительностью 1:7—1:20. E_{i_1} I составляет примерно 2,0 ϵ . Высота волны зависит от величины pH, τ -ры и времени. Присутствие СН3ОН не мешает. В биологич. материалах, освобожденных от белков, высшие спирты, как правило, не присутствуют. При определения C_2H_5OH в водн. p-рах разброс результатов соответствует примерно $\pm 1\%$.

 Плотность, коэффициент рефракции и вра-щение смесей активного амилового и изоамилового пень саесы активого авторого в поставление с спиртов. Применение к анализу. И к в да, К е п-н е р, У в 6 б (Densities, refractive indices, and ro-tations of mixtures of active amyl and isoamyl alcohols. Application to analysis. I keda Robert M., Kepner Richard E., Webb A. Dinsmoor), Analyt. Chem., 1956, 28, Na 8, 1335—1336

Состав смеси двух спиртов определяется по калибровочным кривым, в которых по оси абсцисс отложен состав, а по оси ординат определяемое свойство. Вращение плоскости поляризации линейно зависит от содержания активного амилового спирта. Значение плотности и коэфф. рефракции смесей не укладываются в линейную зависимость, откуда сделан вывод об отклонении смесей от идеальных р-ров. Наибольшее отклонение наблюдается при содержании в смеси 70% Д. Васкевич активного амилового спирта.

2160. Дифференциация аминов. Лейси, Ше-муэлл, Хаккаби (Differentiation of amines. Lacy Walter, Shemwell Ronald, Huckaby Jackie), Proc. Louisiana Acad. Sci., 1956, 18, 94—95 (англ.)

Для выявления быстрого, чувствительного и не тре-бующего большого разнообразия реактивов метода унференциации первичных, вторичных и третичных аминов проверено два известных метода, основанных на использовании бензолсульфохлорида (реактива Гинзберга) (I). 1-й метод (Cheronis, Entrikin. Semi-micro Qualitative Organic Analysis Crowell, New York, 1947) дал хорошие результаты для всех 30 испытанных аминов, тогда как 2-й метод (Ritter, J. Chem. Educ., 1952, 29, 506) для некоторых аминов оказался непригодным. С использованием того же І разработан новый метод дифференциации аминов, дающий, однако, неудовле-творительные результаты для некоторых вторичных аминов. 4—5 капли амина растворяют в 1—2 мл пира-дина, прибавляют 0,5 мл 10%-ного р-ра NaOH, встря-хивают, прибавляют 1 каплю I и снова встряхивают. Первичные амины дают окраску от бледно-желтой до

No

XIII

XB

ли

xw

H

ля

op np 0,

12

por

ба

c K

III TO

ярко-жѐлтой, вторичные— от рыжевато-коричневой до темно-коричневой и третичные— от розовой до темнокрасной. Химизм возникновения окрасок не выяснен. Л. Горин

12161. Хроматография на бумаге некоторых производных гидразина. Хинман (The chromatography of some hydrazine derivatives on paper. Hinman Richard L.), Analyt. chim. acta, 1956, 15, № 2, 125—128 (англ.; рез. нем., франд.)

125—128 (англ.; рез. нем., франц.) Методом радиальной и восходящей хроматографии определены R, ряда алкил-, моно- и диацилгидразинов (1,2-диформил-, 1,2-диацетил-, 1,2-дипропионил-, 1,2-дибутил-, 1,2-дибензоил-, 1,2-диформил-1,2-диметил, 1,2-диацетил - 1,2 - диметил -, 1-формил - 2,2 - диметил-, 1-ацетил-2,2-диметилгидразин, дисолянокислый гидразин, метилгидразин, сульфат, солянокислый 1,1-диметилгидразин, дисолянокислый 1-1-диметилгидразин, солянокислый триметилгидразин, дисолянокислый 1,2диэтилгидразин); для ацилгидразинов лучшим р-рителем является верхний слой смеси изоамиловый спирт-CH₃COOH-H₂O (10:1,5:10 по объему), для алкилгидразинов — верхний слой смеси н-бутиловый спирт-СН₃СООН-Н₂О (4:1:5 по объему). Лучший проявитель для обнаружения производных гидразина на хроматограмме — р-р солянокислого р-диметиламинобенвальдегида; иногда пригодны аммиачный p-р AgNO₃ или нингидрин. Для сравнения определены R/NH₄Cl и солянокислых метил- и диметиламина. А. Зозуля Кулометрическое определение ароматических

аминов в ацетонитриле. Ханселман, Стрёйли (Coulometric determination of aromatic amines in acetonitrile. Hanselman R. B., Streuli C. A.), Analyt. Chem., 1956, 28, № 5, 916—917 (англ.) Метод кулометрич. титрования аминов (РЖХим, 1957, 8594) применим для определения ароматич. аминов (АА) при условии добавления к анализируемому р-ру антиокислителя — гидрохинона, предотвращаю-щего генерацию O₂, окисляющего AA до нетитруемых продуктов. Опыты вели с ранее описанным прибором; в качестве анода применяли спираль из Pt-проволоки. В качестве индикаторного электрода употребляли стеклянный электрод, в качестве электрода сравнения— систему Ag — AgCl. При опытах с пиридином (I) до выполнения титрования снимали кривую: зависимость время генерации - потенциал индикаторного электрода. Ионы H+ образовывались в р-ре после точки перегиба. Затем добавляли раствор I (в 2 мл р-рителя ацетонитрила, содержащего 8 г/л LiClO₄·3H₂O с добавкой 0,1 г гидрохинона); генерация Н+ продолжалась до прохождения кривой через точку перегиба. Второй участок кривой был использован для нахождения потенциала конечной точки (на 20 мв выше потенциала, соответствующего точке перегиба). При титровании анализируемого р-ра генерация Н+ продолжалась до выбранного потенциала конечной точки, затем стрелку прибора устанавливали на нуль, вводили анализируемый р-р и продолжали генерацию Н+ до того же значения потенциала. Метод дал достаточно точные результаты при определении 0,006-0,6 мг I и был проверен на ряде АА. Средняя погрешность в большинстве случаев <2% Т. Леви

2163. Сульфирование и сульфокислоты ацидофобных соединений. XXVI. Применение диоксансульфотриоксида для определения ароматических аминов и альдегидов. Терентьев А. П., Куплетская Н. Б., Андреева Э. В., Ж. общ. химии, 1956, 26, № 3, 881—884

Показана возможность использования p-pa SO₃ в диоксане для колич. определения аминных грунп в ароматич. аминых кели ароматич. амины имеют отрицательные заместители, то их определение невозможно. Разработан метод колич. определения арома-

тич. альдегидов с помощью диоксансульфотриоксида. Средняя точность метода от ± 3 до $\pm 5\%$. Сообщение XXV см. РЖХим, 1956, 78513.

12164. Применение метода определения влаги по Карлу Фиперу для нализа окислителей, восстановителей и аминов. Ю х а и с с о и (Application of Karl Fischer water method to oxidants, reductants and amines. J о h a n s s o n A x e l), Analyt. Chem., 1956, 28, № 7, 1166—1168 (англ.)

Модифицированный метод К. Фишера (Svensk Papperstidn., 1947, 50, 124), включающий употребление двух p-ров, содержащих пиридин, CH₃OH и SO₂ (p-p I) и J₂ и CH₃OH (p-р II), применен для анализа восстановителей (ВО), окислителей (ОК) и аминов (АМ). При анализе ВО пробу растворяют в ~10 мл смеси СН оНпиридин (1 : 1) и титруют p-poм II до перехода окраски в желтую. Затем добавляют определенное кол-во p-pa I в желтую. Затем дооавляют определенное мол. При рас-и титруют до перехода окраски в коричневую. При расчете учитывают содержание воды в p-pax I и II. Для стандартизации определенный объем p-pa II прибавляют к водн. p-ру КЈ и титруют p-ром Na₂S₂O₃. При стехиометрич. р-ции между Ј2 и реагирующим с Ј2 компонентом образца аликвотную часть пробы растворяют в смеси СН₃ОН-пиридин и титруют р-ром II. Содержание воды определяют отдельно и вносят поправку на кол-во Ј2, потребляемого образцом. В присутствии ОК для расчетов пользуются нормальностью р-ра II и вводят поправку на содержание воды в р-рителях и на J_2 , образовавшийся при взаимодействии между J^- и ОК. Для многих ОК, напр. H_2O_2 , требуется кислая среда: $H_2O_2+2H^++2J^-=J_2+H_2O$. В р-ре пиридина равновесие сдвигается влево, а основной р-цией является окисление SO_2 до SO_4^{2-} , и воду можно титровать без помех за счет ОК. В присутствии Cu2+ и Fe³⁺ необходимо вводить поправки. При достаточно большом соотношении между кол-вами р-ра I и АМ нейтр-ции АМ с большей основностью, чем у бензиламина ($\kappa=2,4\cdot 10^{-5}$) не требуется. При низком содержании воды рекомендуется добавить СН 3ООН (к 20 ма р-ра II добавляют 10 мл CH₃COOH, титруют до первой конечной точки, добавляют пробу и титруют снова до конечной точки). Попытки отыскать заменители для СН 3ОН и пиридина (анилин, этаноламин, гексаметилентетрамин, ряд спиртов и гликолей) сказались безуспешными, так как полученные результаты были менее точными.

12165. Капельная проба для различения хинолина и изохинолина. Оейгль, Жентил, Эспер (Spot test procedures for differentiation of quinoline and isoquinoline. Feigl Fritz, Gentil Vicente, Oesper Ralph E.), Analyt. Chem., 1956, 28, № 8, 1309—1310 (англ.)

Метод основан на образовании окрашенного осадка после окисления дигидрохинолина в кислой среде. К капле сильно подкисленного р-ра хинолина прибавляют 4-5 крупинок Zn, через 1-2 мин. отделяют вепрореагировавший Zn и прибавляют каплю 1%-ного p-ра $CuSO_4$ и 20 мг твердого $K_2S_2O_8$. Через 1-2 мин. после перемешивания появляется осадок краснокоричневого цвета до желтого, максимум интенсивности окраски наступает через 3-4 мин.; открываемый минимум 20 γ хинолина. Такие же кол-ва изохинолина не дают окрашенного осадка. Р-цией с $K_2S_2O_8$ можно открывать 50 γ хинолина в смесп с 2000 γ изохинолина. При окислении бромной водой восстановленный р-р переносят на фильтровальную бумагу, которую выдерживают 30 сек. над бромной водой. Появляется красное или розовое пятно, которое становится палевым при высушивании. Окраска восстанавливается при повторном выдерживании над бромной водой. Открываемый минимум 2,5 γ хинолина. От таких же кол-в изохино

Г.

ıa.

ие

Ba

по

10-

of

its 1.,

p-I)

10-

DII

Hки

I

ic-RE

B-

ри

J2

30

II.

10-

-H(ы

H-

ии

er-

Ой

но

12+

M

IJI-

p-

ой до

ЛЯ

-M

e3-

ree

BH

на

e ui-

n -

yt.

ка

ie.

B-

ie-

го

IH. 10-

TH

M-

на

но

ıa.

)-p epoe

ри

p-

ый

10-

лина образуется светло-желтое пятно. Аналогично лина образовати у применя и этиойодид хинолина. Хинолину реагируют метйодид и этиойодид хинолина. Хинальдин с $K_2S_2O_8$ реагирует слабее (открываемый минимум 50 у). Не дают р-ции акридин, 6-нитрохинолин, цинкофен, м-бромхинолиннитрат, 4-окси-7-хлор-хинолин, 4-окси-7-хлорхинолин-3-карбоновая к-та, Д. Васкевнч Д. Васкевнч fication of regitine. Laubie H.), Bull. Soc. pharmacie Bordeaux, 1953, 91, 109 (франц.) **β-нафтохинолин**.

метилимидазола прибавляют 0,05 мл 1 м NaÑO2и 0,05 мл HCl; после добавления изоамилового спирта появляется оранжево-желтая окраска. К 1 мл испытуемого прибавляют 0,05 мл 3%-ного p-ра CuSO₄ и 0,05 мл 3%-ного p-ра сuSO₄ и 0,05 мл оранжево-красная окраска. К 1 мл испытуемого p-ра прибавляют 0,3 мл 5%-ного р-ра нитропруссида Na, 0,5 мл 1н. NaOH, перемешивают, добавляют 1 г NaHCOs, тщательно встряхивают в течение нескольких мин. по выпадения фиолетового осадка; осадок растворяют в эфире, р-р встряхивают и фильтруют. Chem. Abstrs, 1954, 48, № 1, 329. S. W. Goldstein

12167. Изменение реактива на производные имин-азола. Лоби (Modification du réactif des dérivés iminazoliques. La u bie Henri), Bull. Soc. pharmacie Bordeaux, 1955, 93, № 2, 67—70 (франц.)

Вместо ранее описанного реактива (см. пред. реф.) для определения производных иминазола предлагается смесь 5 мл 5%-ного нитропруссида На и 5 мл Н2О2 и 1 г NaHCO₃. Этот реактив действует на производные иминазола значительно быстрее ранее описанного. При дозавлении 0,1—0,5 мл реактива к 1 мл анализируемого р-ра появляется сине-фиолетовая или фиолетовая окраска, становящаяся розово-фиолетовой после добавления равного объема спирта. Действующим началом в реактиве является соединение 2-валентного железа. Н. Полянский

Быстрое определение карбонилсодержащих соединений в акрилонитриле. Мот, Оуанс (Rapid determination of carbonyl content in acrylonitrile. Maute Robert L., Owens M. L., Jr), Analyt. Chem., 1956, 28, № 8, 1312—1314 (англ.) Метод основан на определении кол-ва НСІ, выделяющейся при взаимодействии солянокислого гидроксиламина (I) с карбонилсодержащими соединениями в среде CH₃OH. Титрование ведут 0,03 н. NaOH в CH₃OH с тимоловым синим до желтого окрашивания р-ра. Красное окрашивание, появляющееся сразу после прибавления I, указывает на присутствие ацетальдегида. Для его определения быстро ведут титрование точно через 1 мин. после прибавления реактива. Другие карбонилсодержащие соединения реагируют медленнее. Кол-во их находят по разности между общим содержанием этих соединений, найденным титрованием через 5 мин. после прибавления I, и содержанием ацетальдегида. Описанным методом определяется 0-0,2% карбонилсодержащих соединений. Точность метода для ацетальдегида $\pm 0,003\%$ при конц-иях 0-0,1%. Для кетонов с большим мол. весом или для смеси карбонилсодержащих соединений точность метода ±0,005%. Д. Васкевич

Определение свободного формальдегида в смеси дициандиамида и формальдегида. Мияока, Maцун (ジシアンジアミドとホルムアルデヒド反應液中の未反應ホルムアルデヒドの定量 について・宮岡宇一郎,松井武夫),工業化學雑誌,Korë кагаку дзасси, J. Chem. Soc. Japan. Industr. Chem. Sec., 1955, 58, № 8, 567—571 (япон.)

12170. Определение малых количеств ацетальдегида в водных растворах. Импи, Вердьер determination of small quantities of acetaldehyde in aqueous solutions. I m p e y N. R. M., V e r d i e r E. T.), J. S. Afric. Chem. Inst., 1956, 9, No. 1, 51-54

(англ.; рез. африк.)

Проверены методы определения ацетальдегида и усовершенствован йодометрич. метод, основанный на р-ции образования альдегидо-бисульфитного соединения. 2 мл p-pa, содержащего ацетальдегид, нейтра-лизуют 0,1 н. p-poм NaOH, прибавляют 20 мл 25%-ного р-ра NaHSO₃ и оставляют в закрытом виде на 1,5 часа при комнатной т-ре. После 20—30-минутного охлаж-дения льдом из р-ра удаляют избыток NaHSO₃ добавлением p-ра J2, содержащего в 1 л 20 г J2 и 37 г КJ, и незначительный избыток Ја оттитровывают 0,1 и. p-ром Na₂S₂O₃. Колбу с ее содержимым охлаждают льдом в течение 5 мин. и к р-ру добавляют 15 мл насыщ. р-ра NaHCO₃ для освобождения связанного NaHSO₃; последний немедленно оттитровывают 0,008 и. р-ром J₂. Для обеспечения полноты р-ции перед окончанием титрования добавляют 2 мл 10%-ного р-ра Na₂CO₃. Расхождение результатов анализа 1,5% при конц-ии ацетальдегида 0,2-0,5 г/л.

12171. Спектрофотометрическое определение ацетона салицилальдегидным методом. Беритссон (Spectrophotometric determination of acetone by the salicylaldebyde method. Berntsson Svante), Analyt. Chem., 1956, 28, № 8, 1337 (англ.) Метод заключается в определении интенсивности

окраски р-ра при взаимодействии с салициловым альдегидом в водно-щел. среде. К 2 мл 42,5%-ного р-ра NaOH прибавляют води. p-pa ацетона, разбавляют водой до 25 мл и прибавляют из микробюретки 0,6 мл салицилового альдегида. Р-р встряхивают, прибавляют 20 мл p-ра NaOH и доводят до 50 мл водой. Погашение света становится постоянным через 2 часа и не меняется в течение многих часов. Экстинцию определяют при 474 мр. Определение ведут в пределах конц-ий 0,00015-0,0028 ммоля. Ошибка определения 2%. Д. Васкевич

Оныт амперометрического титрования альдегида 2,4-динитрофенилидразином. Зобов Е. В., Ляликов Ю. С., Ж. аналит. химии, 1956, 11, № 4, 459—462

При исследовании полярографич. свойств 2,4-динитрофенилгидразина (I) установлено, что на фоне H₂SO₄ I дает 2 волны с $E^1_{1/2}$ — 0,244 є и $E^2_{1/2}$ — 0,510 є. На фоне NH₄Cl потенциалы полуволи соответственно равны — 0,546 и -0,808 е; на фоне $NH_4OH - 0,566$ и -0,828 е. Бензальдегид (II) дает волну при потенциале — 1,0 ϵ . Титрованием при — 0,7 ϵ получают спрямленный участок и резкий подъем тока после эквивалентной точки. Получающийся остаточный ток (7 µа) постоянен и не влияет на результаты титрования. При титровании при наложенном потенциале 1, 2-1,4 е по мере добавления I волна II уменьшается, а за эквивалентной точкой начинается подъем силы тока, соответствующий увеличению конц-ии I. Амперометрич. титрование проводят при — 0,7 в на фоне 0,05 н. 75%-ного спирт. р-ра H₂SO₄. К 5 мл фона добавляют спирт. р. П и титруют р-ром I. Определение продолжается 11 мнн. Средняя относительная ошибка 7,1% Предполагают, что метод применим и для других органич. соединений M. Пасманик с карбонильной группой.

Хроматография на бумаге ароматических альдегидов в виде их семикарбазонов. Прилл, Фишер (Paper chromatography of aromatic aldehydes as their semicarbazone. Prill Edward A., Fisher Dorothy), Contribs Boyce Thompson Inst., 1956, 18, № 7, 299—301 (англ.)

Семикарбазоны коричного и анисового альдегидов, пиперонала, ванилина и 3-этокси-4-оксибензальдегида разделялись на бумаге по известному способу (Way R. M., Gailey W. R., J Assoc. Offic. Agric. Che-

co

19

Pe

acta

OTK

TOBJ

поба

HHH.

окра

10%

кфи

водь

MYK

нан

чере

кол

ным

1218

cl

W

Д

K-Th

в 5 . 5 мл

apan

1 мл

деле

H 20

H Te

проз R H

AgN

опре

опре

Доб

RMS п5.

HHIO

na 1 H BE

CTBE

обег

проз

При

H3M6 H₂O

фил

KEM

MLIB

0,1

pace

mae'

1218

TP

B

10

И

р-ци

c an

(p-p

бири

p-pa

BX

23干

VCTE

mists, 1951, 34. 726) с помощью 3 р-рителей: а) н-бута-нола, насыщ. 2%-ным водн. р-ром NH₃; б) верхней фазы смеси *и*-бутанол : этанол : вода = 27 : 3 : 10; в) трет-бутиловый спирт: метанол: вода = =4:5:1. Приведены значения R_{j} . После высущивания хроматограммы обрабатывались насыщ. p-ром 2,4-динитрофенилгидразина в 2 н. HCl, образовались окрашенные 2,4-динитрофенилгидразоны соответствующих альдегидов. Смеси названных альдегидов можно разделить после обработки их эквимолекулярной смесью солянокислого семикарбазида и CH₃COONa в водноспирт. р-ре. Метод может быть применен для анализа не только ароматич. альдегидов и кетонов, но и других альдегидов и кетонов, Д. Васкевич 12174. Косвенное титриметрическое определение кар-

бонильной группы. Берка, Зыка odmérné stanovené karbohylove skupiny. (Nepřjmé Berka A., Zyka J.), Chem. listy, 1956, 50, № 5, 831-833 (чеш.)

Метод заключается в определении избытка осадителя 2,4-динитрофенилгидразина (I) титрованием 0,01 М р-ром хлорамина Т (II) в присутствии КВг. Исследуемый альдегид или кетон (2—10 мг) растворяют в 96%-ном спирте и осаждают 5—10 мл 0,01 М р-ра I. Через 12 час. осадок отфильтровывают (бумажный фильтр, «синяя лента») и промывают 20 мл 2 н. HCl. Фильтрат разбавляют вдвое, прибавляют 1-2 г KBr и непрореагировавший I титруют потенциометрич. способом титрованным р-ром II. Потенциал перегиба кривой титрования находится при 500 ме; изменение потенциала в конечной точке составляет ~250 мв для 0,05 мл II. Установлено, что 1 моль I взаимодействует с 2 молями II, однако механизм р-ции не изучен. При определении <1 мг используют 0,001 M р-ры обоих реактивов. Приведены примеры определений. Погрешность описанного метода не выходит за обычные аналитич. пределы, однако при навесках <1 мг ре-J. Horáček зультаты обычно завышены.

Количественное определение ацетат-ионов в

12175. Количественное определение ацетат-ионов в солях уксусной кислоты хроматографическим методом. Дарашкевич М. Л., Тр. Моск. хим.-технол. ин-та, 1956, вып. 22, 113—115
Для колич. определения CH₃COO в CH₃COONa, (CH₃COO)₂Mg, (CH₃COO)₂Ca, (CH₃COO)₂Mn, (CH₃COO)₂Cd, (CH₃COO)₂Cd хроматографич. метод. Растворяют в воде навеску соли, взятую с таким расчетом, чтобы после разбавления до 100 или 200 мл получить 0,1 н. р-р. В некоторых случаях (напр., при растворении (CH₃COO)₂Cu) для предупреждения гидролиза к p-py прибавляют 5—10 мл титрованного 0,1 н. HCl. Аликвотную часть p-pa (25 мл) пропускают через колонку с катионитом CDB-3, катионит промывают 100-150 мл дистилл. воды, свободной от СО2, и элюат с промывными водами титруют 0,1 н. р-ром щелочи в присутствии фенолфталеина. Катионит после проведения 5—6 анализов регенери-руют путем промывания 50 мл 10%-ного р-ра НСІ последующим промыванием водой до нейтр. р-ции. Приводятся сравнительные результаты определения СН₃СОО- методом элементарного микроанализа и хроопределение высших жирных кислот C_7 — C_{18} . матографич. методом.

3 pc (Estimation of the higher fatty acids C-Ayers Cora W.), Analyt. chim. acta, 1956, 15, № 1, 77-83 (англ.; рез. нем., франп.)

Метод основан на измерении оптической плотности метанольных р-ров медной или кобальтовой соли жирных к-т С7-С18 при рН 8-10. Определение возможно для конц-ии соли Со 0,2—0,04 М и соли Си 0,04— 0,008 М; в указанном интервале соблюдается закон Бера. Определение ведут при длине волны 675 мм для соли Си и 525 ми для соли Со. Возможно определение ненасыщ. к-т (напр. олеиновой) или смоляных к-т (напр. абистиновой). Метод был применен для анализа гидролизатов сложных эфиров, продуктов омыления смол, а также косметических и текстильных эмульсий. Д. Васкевич

Хроматографический метод определения одель новой и линолевой кислот в присутствии насыщенных жирных кислот с прямой цепью. К ромби, Комбер, Ботман (A chromatographic method for the estimation of oleic and linoleic acids in the presence of straight-chain saturated fatty acids. Crombie W. Mary L., Comber R., Boatman S. C.), Nature, 1954, 174, N. 4421, 181–182 (англ.)

Разделение олеиновой и линолевой к-т в присутствия насыщ. к-т от C_8 до C_{24} с прямой цепью производят описанным ранее методом (Howard G. A., Martin A. J. Р., Biochem. J., 1950, 46, 532), измененным для к-т C_{10} — C_{1s} (РЖХимБХ, 1956, 19306) и C_{16} — C_{24} (РЖХимБХ Бх, 1956, 15174). Для вымывания применяют смесь ацетона (I) с водой — от 45% (для к-т C_{10}) до 90% I (для к-т С24). Выделенные к-ты титруют 0,01 н. спирт. р-ром КОЙ по бромтимоловому голубому. Титрованием к-т до пропускания их через колонку установлено влияние конц-ии неводи. р-рителя. Кривые титрования показывают, что переход окраски р-ра в зеленую (рН 6,8—7,0 в водн. р-ре), обычно принимаемый за конечную точку, не обеспечивает полной нейтр-ции в случае к-т с длинной цепью. Рекомендуется вести титрование до перехода окраски р-ра в сине-зеленую (рН 7,4 в водн. среде). Этим способом выделяют (после введения поправки на контрольный опыт) от 99,2 (капроновая к-та в 35%-ном I) до 95,4% (стеариновая к-та в 75%ном I) к-т. Результаты, полученные после хроматографирования, подтверждают вышесказанное. Общее кол-во жирных к-т меняли в интервале от 2 до 50 мг. С помощью колонки размером 1,3×30 см линолевую и олеиновую к-ты можно разделить, но не отделить их от насыш. к-т. Описанным методом определяют смеси: миристиновая + линолевая и пальмитиновая + олеиновая к-ты. Для определения насыщ. к-т ненасыщ. к-ты разрушают окислением щел. p-ром (РЖХим, 1955, 2316). После окисления выделяют 95—98% пальмитиновой и 90-96% миристиновой к-т. Для окисления употребляют 15-100 ме жирных к-т, хроматографируют аликвотную порцию 8-25 мг. Применение ионных красителей в анализе,-12178.

(The use of ionic dyes in analysis.—), Chem. Prod., 1956, 19. № 7, 288—289 (англ.)

Р-ция между понными красителями и понными в-вами B p-pe (Auerbach, Ind. Engng Chem., Analyt., Ed., 1943, 15, 492) применена для анализа жирных к-т. Рекомендуется употреблять смеси пинацианола и бромбензола. Чувствительность р-ции зависит от рН; при рН 9 чуствительность соответствует 0,2 ү/мл; при более высоких значениях рН чувствительность снижается вследствие экстракции пинацианола в форме основания. В присутствии минер. к-т мыла жирных к-т почти не мешают, вследствие их почти полного гидролиза до к-ты. Алкилсульфаты и алкилсульфонаты определяют в присутствии 50-100-кратных кол-в мыл. В р-рах с рН 8,5 определяют сумму жирных к-т и алкилсульфатов; при титровании в кислом и щел. р-рах жирные к-ты определяют по разности. 179. Цветные реакции на пировиноградную кв-слоту. Ямада, Масаи (Ругичіс асіd(ビルビン酸) の早色反應について・山田正一・正井成之) , 日本醸造協 會雑誌 , Нихон дзёдзо кёкай дзасси, J. Soc. Bre-wing, Japan. 1956, 51, № 3, 54—51 (япон.)

Усовершенствованная капельная проба для обнаружения аскорбиновой кислоты в муке.

лe-

K-T

H3a

IRR AŬ.

BH9

en-

ых

M-

for

nce

ie

n

182

BHN

ДЯТ . J.

K-T

HM-

есь

% I

грт. Пем

ено

HHS (pH

неччае

ние

4 B ния

вая

5%-

фип-во

цью BVIO

ыш.

CTH-

рвая pas-

ОВОЙ

реб-

пик-

HUK

od.,

RAMW

943.

мен-

ола.

TV-

PICO-

леп-

ния.

MTPO

лиза

реде-

мыл.

кил-

-pax Певи

KH-

酸) 造協

Bre-

для e iiден (An improved spot test for the detection of as-

сотвіс acid in flour. H a y de n K. J.), Analyst, 1956, 81, № 963, 376—377 (англ.)
Реактив Таубера (Tauber H., Mikrochem. Mikrochim. acta, 1935, 17, 111) модифицирован и использован для открытия ≤10 ү/мл аскорбиновой к-ты (I). Для приго-товления реактива 1 г FeSO₄ растворяют в 50 мл воды, добавляют 10 мл 85%-ной Н₃РО₄, нагревают до кипе-шя, прибавляют 1%-ный р-р КМпО₄ до слабо-розовой окраски, охлаждают, прибавляют 20%-ный р-р NаОН по неисчезающего помутнения, осветляют добавлением 10%-ной H₂SO₄, разбавляют до 100 мл и фильтруют; к фильтрату прибавляют р-р 0,5 г K₃ [Fe(CN)₆] в 100 мл воды. Реактив можно хранить ≤3 месяцев. Пробу муки помещают на белый изразец, смачивают водой и ваносят модифицированный реактив; в присутствии I мерез 1—2 мин. появляются ярко-синие пятна. Для колич. оценки пользуются образцами муки с известным содержанием I.

2181. К определению циклобарбиталя и циклобар-биталькальция. Хор m (Zur Bestimmung von Cy-clobarbital und Cyclobarbital-Calcium. Ног s c h W.), Pharmazie, 1956, 11, № 7, 458-460 (нем.)

Для определения циклогексенилэтилбарбитуровой кты (I) навеску I в 0,3 г растворяют при нагревании в 5 мл С₂Н₅ОН и при перемешивании добавляют смесь 5мл 12%-ного р-ра Na₂CO₃ и 40 мл H₂O. Холодный про-зрачный р-р титруют 0,1 н. р-ром AgNO₃ до помутнения. 1 ма 0,1 н. AgNO3 соответствует 0,02361 г I. При определении Са-соли I (II) к $0.3 \ e^{}$ II добавляют $6 \ \text{м. A} \ \text{Na}_2 \text{CO}_3$ в $20 \ \text{м. A} \ \text{H}_2 \text{O}$. Нагревают на водяной бане до $50-60^\circ$ в теплым фильтруют через влажный фильтр, дважды промывают смесью по 10 мл из равных частей С₂И₅ОН и H_2O . Затем титруют, как указано выше. 1 мл 0,1 н. $AgNO_3$ соответствует 0,02553 ε И. Для броматометрич. определения II 0,35 г навески помещают в колбу для определения йодного числа, добавляют 5 мл разб. HCl и оставляют на ¹/₉ часа, периодически перемешивая. Добавляют 25 мл CHCl₃ и встряхивают до исчезновеия твердых частиц. Добавляют 50 мл 0,1 н. КВгОз и 5 мл 30%-ного р-ра КВг, колбу закрывают, наклоняют, чтобы Br перешел в органич. слой, и оставляют на 1/2 часа в темноте. Затем добавляют 10 мл p-ра KJ в выделившийся J₂ титруют р-ром Na₂S₂O₃ в присутствии крахмала (добавляется в конпе титрования) до обеспвечивания водн. и органич. фаз. Одновременно проводят контрольный опыт с 25 мл 0,1 н. КВгО₃. При анализе таблеток, содержащих **І** или **ІІ**, к 0,4 г имельченной пробы добавляют 8 мл Na₂CO₃ и 25 мл H₂O, нагревают на водяной бане до 50—60°, охлаждают, фильтруют и дважды промывают 10 мл воды с несколькими каплями p-ра Na₂CO₃. Фильтрат объединяют с промывными водами, добавляют 5 мл спирта и титруют 0,1 н. р-ром AgNO₃. Желтоватая или красноватая окраска от продуктов разложения II титрованию не мешает. М. Пасманик

12182. Цветная реакция гексуроновых кислот с антроном. Хелберт, Браун (Color reaction of hexuronic acids with anthrone. Helbert J. R., Brown K. D.), Analyt. Chem., 1956, 28, № 7, 1098—1100 (англ.)

Изучено влияние различных факторов на пветную рчию глюкуроновой (I) и галактуроновой (II) к-т с антроном (III) в среде 27,5 н. Н-SO₄. 4 мл р-ра III (р-р 0,16 г в 100 мл 27,5∓0,1 н. Н₂SO₄) вносили в пробирки из боросиликатного стекла, добавляли 2 мл. Рра уроновых к-т в 27,5 н. Н₂SO₄. Р-р нагревали на термостатированной водяной бане, охлаждали 3 мин. в холодной воде (4¹4°), выдерживали 20 час. при 23²72° и фотометрировали при 540−550 мµ (↑_{макс}). Установлено, что максим. интенсивность окраски достигается через ~44 часа. Рекомендуется выдерживать смесь испытуемого р-ра с реактивом при ~100°. Оптич. плотность смесей I с глюкозой и II с галактозой подчиняется закону Бера и правилу аддитивности при всех конц-иях вплоть до ~400 γ в 6 мл р-ра. Установлено, что продолжительность хранения р-ра III (вплоть до 24 час.) не оказывает существенного влияния на интенсивность окраски в случае I и II. Продолжительность хранения I (вплоть до 24 час.) не влияет на интенсивность окраски, в то время как интенсивность окраски в случае II повышается после продолжительного хранения. Оптич. плотность окрашенных р-ров зависит от условий выполнения анализа, последовательности смешения, нагрева и т. д. При использовании описанных выше условий выполнения анализа средне-10 мин. при 100°) составляет 0,004, II (нагрев 25 мин. при 70°) 0,002.

12183. 183. Применение азотометрии. IX. Определение 2,4-динитрофенилгидразина. X. Определение карбонильных соединений. XI. Определение транс-л-оксокамфоры. XII. Использование реактива Несслера в азотометрии. XIII. Определение рибофлавина. Ямагиси, Йокоо, Иноуэ (アジトメトリーの應用. 第9.報 2,4-Dinitrophen hylhydrazineの定量。第10 ・の應用、第9.報 2,4-Dinitrophen hylhydrazineの定量、第10報・カルボニル化合物の定量・第11報・Trans-π-オキソカンファーの定量・第12報・アゾトメトリーにおけるネスレル試薬の利用・第13報・Riboflavin の定量、川岸正治・横尾克・井上三郎)・薬卵雑誌・Якугаку дзасси, Ј. Pharmac. Soc. Japan, 1954, 74, № 11, 1283; 1955, 75, № 3, 351—353; № 11, 1383—1384; 1384—1386; 1386—1389 (япон.; рез. англ.)

IX. Метод основан на окислении 2,4-динитрофенил-

гидразина (I) при помощи J₂ и определении выделяюпаправина (1) при помоща в з и определении выделяют шегося при этом N_2 . 20-80 мг I растворяют в 100 мл 1 н. HCl или H_2SO_4 . К 1 мл р-ра прибавляют 0,5 мл реактива J_2 (р-р 5 г J_2 и 20 г КЈ в 20 мл воды, через который пропускают CO_2), перемешивают 1 мин. и оставляют на 30-40 мин. Кол-во выделившегося N_2 измеряют обычным путем. Воздух в измерительном аппарате вытесняют СО2. Установлено, что из каждой молекулы I выделяется 1 молекула N2. Исходя из мол. веса I, равного 198, содержание I в p-ре (x) определяют по ф-ле $(\mathbf{B} \ \mathbf{\gamma})$: $x=198 \ (\mathrm{N}_2-V_0)/22,4$. Л. Горецкий X.При взаимодействии I в p-ре в 1 и. HCl с определен-

ным кол-вом растворенного карбонильного соединения (II) образуется гидразон, и кол-во I до и после р-ции можно определить азотометрически. Разность между этими двумя величинами соответствует кол-ву II. Результаты, полученные по этому методу для нескольких II, хорошо совпадают с данными других методов.

XI. Определение транс-т-оксокамфоры (III) основано на отделении гидразона, образующегося при взаимодействии III с I, и измерении кол-ва III до и после р-ции азотометрич. методом.

XII. Метод определения альдегидов основан на азотометрич. опенке избытка реактива Несслера, не вступившего в реакцию с альдегидом. Описанный метод неприменим для определения ароматич, оксиальдеги-

XIII. Рибофлавин определяют путем гидролиза в 1—2%-ном р-ре NaOH (5—15 мин.) и оценки кол-ва образующейся Со(NH₂)₂ азотометрич. метолом с NaBrO. Сообщение VIII см. РЖХимБх, 1957, 2250. Т. Леви 12184. Фотометрический метод открытия и определения некоторых соединений типа галоидангилри-дов и ангилридов кислот. Марш, Нил (A colo-rimetric method for the detection and determination of certain acid halide and acid anhydride compounds. Marsh D. J., Neale E.), Chemistry and Industry, 1956, № 22, 494—495 (англ.)

No 4

обест

K-TO

лени

1218

co

of

F

R

13

COOT

выде

AMEL

BME

1 Ka

MOTO

THE

крас

Bue

нову + Н 1 ка

BaC

B 10

p-p 1

B Tel

CYXO

пли

THEP

MEK

нося

rope

0.5-

1219

ME O

n

業」

38

H

пяте мате

4,4'-

POL

C.H

диаз

фенс

Ima.

лоид

1219

OF

(I di

(H

(I) i

р-ри

CHRI

наб.

18 :

При взаимодействии соединений, содержащих лабильный галоид (связанный с металлоидом), с Н2О2 и ароматич. основанием типа бензидина в щел. среде развивается окраска. Метод применен для определения фторангидрида изопропилметилфосфиновой к-ты (сарин) (1), фторангидрида диизопропилфосфорной к-ты (II) и тетраэтилпирофосфата (III). Для определения I реактив готовят смешением р-ров A, В и С (см. ниже) в отношении 23:1:1. Р-р A готовят растворением 16 г КН2РО4 и 9 г КОН в воде; р-р разбавляют до 1 л и смешивают с 1 л ацетона, смесь хранят в темноте при 15—25° (ацетон очищают выдержкой над КМпО₄ в течение 2 недель); р-р В — 1%-ный р-р Н₂О₂; р-р С готовят растворением 1,3 г хлоргидрата о-дианизидина в 100 мл воды. К 20 мл реактива после выдержки 30 мин. добавляют 0,2 мл p-ра I, разбавляют до 25 мл реактивом и через 10 мин. фотометрируют на фотометре Спеккера с фильтром № 601 и 1 см кюветой (р-р сравнения — реактив). Для построения калибровочной кривой употребляют р-р I в изо-С₃Н 70 Н. Для определения II и III употребляют реактив, состоящий из смеси A, В и С в отношении 23: 3: 1; фотометрируют, в случае II — через 30 мин., III — через 20 мин.; погрешность ±1%. Описанная р-ция применима для определения соединений, образующих перкислоты, окисляющие основания типа бензидина до окрашенных в-в.

12185. Определение концентрации моноэтаноламина рефрактометром. Коган Ф., Холодильн. техника, 1956, № 1, 68—69

Метод основан на существовании линейной зависимости между конц-ней моноэтаноламина и показателем преломления. Преломление жидкости измеряют рефрактометром РЛ. Калибровочную кривую строят для со". При измерениях при другой т-ре вносят соответствующие поправки. Погрешность не превышает 0,1—0,2%.

В. Сазанова

12186. Определение 4-хлор-2-метилфенокснуксусной кислоты в смеси хлорметилфенокснуксусных кислот дифференциальным рефрактометрическим методом. X и л л (The determination of 4-chloro-2-methylphenoxyacetic acid in MCPA by a differential refractometric method. H i 1 l R.), Analyst, 1956, 81, № 963, 323—329 (англ.)

Для определения биологически активной 4-хлор2-метилфеноксиуксусной к-ты (1) в смеси хлорметилфеноксиуксусных к-т, присутствующей в кол-ве 80—
100%, предложен дифференциальный рефрактометрич.
метод, основанный на сравнении показателей преломления насыщ. р-ра чистой I и р-ра образда. Навеску
г растворяют в 100 мл эфира, эфирный слой экстрагируют наполовину насыш, р-ром NаНСОз (3×50 мл),
объединенные водн. экстракции подкисляют Н₂SO₄ и экстрагируют выделившиеся к-ты эфиром (3×50 мл),
Объединенные органич. экстракты сушат над безводи.
Nа₂SO₄ и выпаривают досуха при 80—100° (30 мин.).
Навеску высушенного остатка (1 г) растворяют в смеси
и-бутилацетан-изооктан (60: 40) и после выдержки
при определенной т-ре (15°) используют для измерения.
Разность в показателях преломления высушенного остатка и чистой I является мерой содержания примесей
в образде. При опытах с синтетич. смесями погрешность отдельного определения менее ±1%. Т. Леви
12187. Титрование ангидридов N-карбокси-с-аминокислот в неводном растворе. Баллард, Бам-

жислот в неводном растворе. Баллард, Бамфорд, Уэймут (The titration of N-carboxy-α amino-acid anhydrides in non-aqueous solution. В a llard D. G. H., Bamford C. H., Weymouth F. J.), Analyst, 1956, 81, № 962, 305—308 (англ.)

При титровании ангидридов N-карбокси-а-аминокислот (I) СН₃ОNа в неводн. р-ре (РЖХим, 1954, 48591) СН₃ONа может вести себя как катализатор полимеризации I, в частности, содержащих незамещ. группу-NH. При изучении характера происходящих р-ций измеряли скорость выделения CO₂ при взаимодействия между CH₃ONa с ангидридом N-карбокси-ү-бенаилглутаминовой к-ты (II) в смеси 20% N-метилформамила и 80% диоксана при 25° по ранее описанному методу (РЖХим, 1955, 28711). Образующуюся при низкой конц-ии CH₃ONa к-ту титровали потенциометрически в среде спирта с Sb- и Hg₂Cl₂-электродами. Титрование осуществляли 0,45 M p-ром CH₃ONa в среде С₆Н₁-СН₃ОН (1:1). Установлено, что р-ция между II и СН₃ОNа происходит очень быстро, даже при извюй конц-ии СН₃ONa; кол-во выделяющейся СО₂ больше эквивалентного кол-ву CH₃ONa. Основной р-цией является р-ция образования полипептида. Образуется значительное кол-во к-т, что может привести к быстрому прекращению р-ции после превращения относительно небольшого кол-ва I. При высокой конц-ии СН₂ON₀ конечная степень превращения $I \leqslant 100\%$, хотя часть СО2 остается в р-ре в форме метилкарбоната Na. Полученные результаты показывают, что предложенным ранее методом (РЖХим, 1954, 48591) определяют кол-во выделенного СО₂. Величина титра зависит от кол-ва CO₂, удерживаемого в р-ре, от характера р-рителя, скорости добавления CH₃ONa и скорости перемешивания. Оптим. условия титрования: низкая конц-ия I (<0,05 M, 0,2—0,5 ммоля), применение среды, в которой хорошо растворяется CO₂ (10 ма этилацетата, CHCl₃, ацетона или эфира), быстрое до-бавление CH₃ONa (0,1 *M* p-р в смеси CH₃OH-C₆H₆, 1:1), применение тимолового синего в качестве шдикатора, выполнение титрования в течение ≤1 мин., отсутствие встряхивания, применение охлаждения. Возможно использование метода обратного титрования (с р-ром бензойной к-ты в СН₃ОН). О применимости метода восстановления для

определения аминокислот с концевой карбоксильной группой в пептидах и белках. Грасман, Хёрман, Эндрес (Untersuchungen über die Anwendbarkeit der Reduktionsmethode zur Bestimmung carboxylendständiger Aminosäuren in Peptiden und Proteinen. Graβmann Wolfgang, Hörmann Helmut, Endres Horst), Chem. Ber., 1955, 88, № 1, 102—117 (нем.)

Описаны методы получения производных динитрофенила (ДНФ) следующих аминоспиртов (I): ДНФ-1-глутаминдиол; α, ε-дн-ДНФ-1-лизинол; ДНФ-dl-серинол; ДНФ-dl-2-амино-1-бутанол; N-ДНФ-β-ο-ДНФлиеноламиносукциндиальдегил (ди-ДНФ-еноласпарагиндиал). Для микро- и макроопределений аминокислоконцевой карбоксильной группы этерифицированные пентиды восстанавливают при помощи LiBH₄, гидро-лизуют 2 н. HCl и получают желтые ДНФ I после р-ции с динитрофторбензолом (II). Избыток II удаляют добавлением аминокислоты (аланин) и отделяют ДНФ І экстрагированием эфиром в щел. среде. Для разделения смеси ДНФ I, II и ДНФ аминокислот применена колопка с силикагель-целитом (4:1) с использованием различных р-рителей. ДНФ-лейцин перемещается совместно с ДНФ-лейцинолом, в II вместе с ДНФ-валинолом. Для разделения этих пар применен электрофорез на бумаге в вероналовом буферном p-pe (pH 8,6) с по-следующим хроматографированием в колонке кизельгура; р-ритель — этилацетат, насыщ. Na₂HPO₄. Ионизированные примеси задерживаются на колонке; вытекающий р-р содержит ДНФ I. Для определения фракции ДНФ I фотометрируют на фотоколориметре Эппендорфа при 366 мµ. При хроматографирования на бумаге применяют смесь декалин-10%-ная СН 3СООНизоамиловый спирт (9:6:6) и 2 ч. гликольмонохлоргидрина. На хроматограмме II идентифицируют по

tepu-

ппу-

-ций

TBRE ил-lмида тоду 3Kon ески ание H₆-

ЗКОЙ льше Пией **Уется** CTDOтель-

ONa

часть

Іолу-

нным TORRE

висит

ктера

и пеизкая

нение

0 ма

e 110-C6H6,

MHмин.. ения.

RANKS

Леви

н для

льной

ëp-

wendg carann Ber.,

итро-

НФ-1-

-dl-ce

ДНФпара-

анные

идрор-ции от до-[НФ I ления -нопонм раз-

совмелинофорез С ПОизель-

Иони-

е; вы-

ления метре вания

HOO:

охлор-OT HO

обесцвечиванию пятна после его смачивания разб. к-той. Приведены значения R_f для ДНФ I при проявктой. Приведены значения R_t для ДНФ I при проявления хроматограммы различными смесями р-рителей.

Д. Сафронова 12189. Капельная проба для открытия N-нитрозосоединений (интрозаминов), Фейгль, Коста-Нету, Эспер (Spot tests for detection of N-nitroso compounds (nitrosamines). Feigl Fritz, Costa Neto Claudio, Oesper Ralph E.), Analyt. Chem., 1956, 28, № 8, 1311—1312 (англ.)

Метод основан на гидролизе N-нитрозосоединений до метод основан на гъдровизе N-нитрозосоединений до соответствующих NH-соединений и идентификации выделяющейся HNO₂ реактивом Грисса или сульф-аминовой к-той (>N—NO+H₂O ;> NH + HNO₂). В микропробирку помещают 1 каплю реактива Грисса, 1 каплю HCl (1:1) и прибавляют 1 каплю испытуемого р-ра. После нагревання в водяной бане при наличи нитрозамина через несколько минут появляется красно-фиолетовое окрашивание разной интенсивности. Вместо реактива Грисса можно применить сульфами-новую к-ту и соль Ва(HNO₂+ NH₂SO₃H → H₂SO₄+ + H₂O + N₂). Для этого в микропробирку помещают нали исследуемого р-ра и 1 каплю реактива (5 г ВаСl₂·2H₂О и 5 г сульфаминовой к-ты растворяют в 100 мл смеси из равных объемов воды и диоксана; р-р готовят перед применением) и осторожно нагревают ре готовит перед применением) и осторожно нагревают в теплой воде. Выпадающие осадок или муть указывают в присутствие N-нитрозаминов. Для выполнения сухой пробы смешивают в микропробирке 1 каплю пля крупинку исследуемого в-ва с несколькими сантиграммами MgSO₄·7H₂O или ZnSO₄·6H₂O, накрывают микропробирку куссчком фильтровальной бумаги, навосят каплю реактива Грисса и нагревают на микрогорелке; красно-фиолетовое пятно указывает на присутствие N-нитрозосоединений. Открываемый минимум 5—15 ү в-ва. Д. Васкевич 2190. Хроматография на бумаге 4,4'-диоксидифенил-

2190. Ароматография на сумате 4,4 - диоксидифенил-метана и его метилольных производных. Сото, Одзаки, Хориути (4,4,・ジヒドロキシジフエニ ルメタンおよびそのメチロール化合物のペーパークロマト ドラフィーについて、瀬戸正二、尾崎公一、畑内光)、工 業化學雑誌, Когё кагаку дзасси, J. Chem. Soc. Japan. Industr. Chem. Sec., 1955, 538, № 5, 382—

Непосредственным сравнением положения и окраски пятен установлено, что 6 пятен, наблюдаемых при хроматографии на бумаге в-ва, полученного обработкой 4,4'-диоксидифенилметана НСНО в присутствии щелочи, при употреблении в качестве проявителя смеси C₄H₆-CH₃COOH-H₂O и опрыскивании *n*-нитроанилинсъп₈-СизСоОН-Н₂О и опрыскивании л-нитроанилин-мазонием соответствуют 4-(4'-нитрофенилазо)-фенолу (т. пл. 213°), 4-(4'-нитрофенилазо)-2-метилолфенолу (т. пл. 161,5°), 4-(4'-нитрофенилазо)-2,6-диметилол-фенолу (т. пл. 147°), 4,4'-диоксидифенилметан-3,3'-диальдегиду (т. пл. 143—144°) и 4,4'-диокси-3,3'-димети-лондифенилметану (т. пл. 173°), Сhem. Abstrs, 1955, 49, № 21, 14584. Katsya Inouje. 12191. Спектрофотометрическое определение 2,4-ди-окос-3,3'-диалитетрациялина. И в и б. и д. д. д.

оксо-3,3-днотилтетрагидропиридина. И р и б и л л а (Die spektrophotometrische Bestimmung des 2,4-dioxo-3,3-diaethyl-tetrahydropyridins. P r i b i l l a 0.), Aizneimitbel-Forsch., 1956, 6, № 9, 138—142

(нем.; рез. англ.)

2,4-Диоксо-3,3-диэтилтетрагидропиридин (перзедон) (I) в p-ре в CHCl_в имеет максимум светопоглощения при 296 мµ. Изучение светопоглощения I в различных р-рителях показало значительное влияние рН на положение максимума. В водн.-щел. среде максимум сдвигается в сторону больших длин волн. При рН 8,4 наблюдается 2 максимума (при 305 и 360 мч.), при рН 12 инк при 305 ми исчезает. Аналогично изменяется свето-

поглощение I в спирт. среде; в среде фосфатного и боратного буферных р-ров описанное изменение макси-мума (объясняемое кето-энольной таутомерией, своймума (объясняемое кето-энольной таутомерией, своиственной хим. структуре молекулы I) не имеет места. Для определения I рН р-ра в СНСІз доводят фосфатным буфером до 6, фильтруют органич. слой, в случае необходимости разбавляют его СНСІз и спектрофотометрируют при 296 мµ. Закон Бера выполняется в широком интервале конц-ий. Описанный метод применен для определения I в таблетках, крови, моче и различных органах.

Т. Леви 12192. Идентификация солей S-бензилтноурония на

12192. Идентификация солей S-бензилтноурония на основе данных порошкового рентгеноструктурного анализа. Морита, Майле (Identification of S-benzylthiuronium salts from X-ray powder diffraction patterns. Могіта Нігокаги, Міles Nогмал Морита Нігокаги, Міles Norman М.), Analyt. Chem., 1956, 28, № 7, 1081—1083 (англ.)
Производные тиурония получали в основном по ранее описанному методу (Vogel J. A., Textbook of Practical Organic Chemistry N. Y., 1951, Longmans, Green, р. 359), но в некоторых случаях к-ты растворяли до нейтр-ции 1 н. NаОН в 15—20 мл С₂Н₅ОН. Кристаллич. пролукты перекристаллизовывали вз С-НьОН. лич. продукты перекристаллизовывали из С. Н. ОН, диоксана, этилацетата или метилцеплосольва. Р-ры смесей готовили растворением навесок к-т в соответ-ствующих р-рителях, нейтр-цией щелочью и смешением с охлажд. водн. р-рами, содержащими эквив. кол-во хлорида S-бензилтиоурония (I). Диффракционные картины получали при помощи диффрактометра Норелко. Наилучшая рассеивающая способность была достигнавлучная рассемвающая спосоность омла достыт-нута при использовании излучения Со (Fе-фильтр), Ка 1,7889А при 45 ксм и 10 ма. Приведены межплос-костные расстояния и соотношения интенсивностей для S-бензилтиоуронатог ряда алифатич. к-т (муравыной, уксусной, пропионовой, и-масляной, изо-масляной, и-масляной, изо-масляной, и-масляной, изо-масляной, и-масляной, и-масляной, и-масляной, и-масляной, и-масляной, и-масляной, капроновой, и-масляной, капроновой, и-масляновой, капроновой, и-масляновой и бегеновой) и полифункциональных солей S-бензилтиоурония (соли щавелевой, адипиновой, глутаровой, бензойной, сали-циловой, м- и п-оксибензойных к-т, 2,4-динитрофениль-ного производного α- и β-аланина, бензолсульфокисло-ты, фениларсиновой и фенилфосфиновой к-т) и произ-водных смесей к-т. Полученные данные подтверждают применимость порошкового рентгеноструктурного анализа для идентификации ряда органич. соединений; возможно отличить структурные изомеры. Для качеств. анализа смесей некоторых к-т (в p-pe) метод неприменим, межплоскостные расстояния для двухкомпонентных смесей к-т (миристиновая-лауриновая и валериа-новая-капроновая) значительно отличаются от таковых для чистых компонентов.

для чистых компонентов. Т. Леви 12193. Определение дименгидрината путем титрования в неводной среде. М ё л е и х о ф ф, С о и с б е к (De bepaling van dimenhydrinate door titratie in watervrig milieu. М е u l е и h o f f J., S o и s - b е е к J. J. М. v а и), Pharmac. weekbl., 1956, 91, № 13, 453—461 (голл.; рез. англ.)
Навеску дименгидрината (I) 0,75 г растворяют при нагревании в 40 мл СН₃СООН (или на холоду в 40 мл СНСl₃), добавляют З капли 0,5%-ного р-ра α-нафтолбензенна и титруют 0,1 и. р-ром НСlО₄-1 мл 0,1 и. НСlО₄ эквивалентен 25,54 мг дифенгидралина или 47,00 мг I. Для определения 8-хлортеофиллина навеску I 0,75 г растворяют на холоду в 30 мл пиридина (или 6,75 г растворяют на холоду в 30 мл пиридина (или 40 мл CHCl₃), добавляют 4 капли 0,1%-ного р-ра тимолового синего и титруют 0,1 и. р-ром CH₃ONa. 1мл 0,1 и. СН₃ONa 2квивалентен 21,46 мг 8-хлортеофиллина или 47,00 мг I. При анализе таблеток последние измельчают, встряхивают с СНСl₃ (на 1,5 г I 100 г СНСl₃), фильтруют и далее ведут анализ, как описано выше. Т. Леви

18 химия, №

na k

28 1

пы nce

пиз 121

кат пос

нап

да;

BATI

про фот При 122

зна дел

p-p mer ше пие

BT THE руп

BITTO

боди

H O

Так сма (255 B-Ba

1220

RO

mi by de w

vo

11 3pro

мети

PHHO пита

CHC

B Y

на п мато BHHE

12194. Спектрофотометрическое определение и идентификация моносахаридов. Фромхаген (Spectrophotometric assay and identification of monosac-

спорносометра зазу ани пенентального и монозас-charides. Frommhagen Laurence H.), Ana-lyt. Chem., 1956, 28, № 7, 1202—1204 (англ.) Метод определения моносахаридов (I) основан на спектрофотометрич. оценке скорости окисления I периодатом. 1 мл испытуемого р-ра (≤ 20 ү I) вносят в 5 мл $10^{-6}\,M$ р-ра Nа JO_4 . При построении калибровочной кривой или при анализе р-ров, содержащих только один I, оптич. плотность (ОП) контрольного р-ра принимают за соответствующую нулевому времени; в присутствии других органич. в-в ОП измеряют немедленно после добавления пробы к реактиву. ОП памеряют при 227 мµ, и ширине цели 0,8—1,2 мм, мэмериот при 221 мр. в ширию через 3 часа. Построены калибровочные кривые для 10 моносахаридов (*d*-глюкоза, *d*-галактоза, *d*-манноза, *d*-рибоза, *d*-2-дезоксирибоза, *l*-фукоза, *l*-сорбаза, *d*-сорбит, ф-фруктоза, ф-глюкозамин), характеризующие зависимость между ОП и конц-ней I, которые для 3-часового периода времени линейны в интервале 1—10 у для одних I (рибоза) или 1—20 у для других I (глюкоза). Отклонения значений ОП от среднего составляют ± 0,004. Для идентификации I измеряют ОП через 3 часа и через 25 час.; из 10 указанных I даже те I, которые характеризуются одинаковыми кривыми периодатного окисления для 3-часового интервала, дают отличающиеся кривые для 25-часового интервала. Фукоза и манноза дают сходные значения ОП. Описанный метод применим для идентификации компонентов вытекающих р-ров при хроматографич. анализе

Анализ смесей d-глюкозы и d-маннозы путем 12195. электрофореза на бумаге. Бригс, Гарнер, Монтгомери, Смит (Analysis of mixtures of D-glucose and D-mannose by paper electrophoresis. Briggs D. R., Garner E. F., Montgomery Rex, Smith Fred), Analyt. Chem., 1956, 28, № 8, 1333—1335 (англ.)

Для разделения смесей с большим преобладанием

d-глюкозы применен метод электрофореза на бумаге при напряжении до 1500 е и силе тока до 300 ма. Разделение продолжается 3,5 часа, после чего бумагу высупивают, хроматограмму проявляют при 120—130° трихлорацетатом *n*-анизидина до желто-коричневой окраски пятен. Из окращенных зон соответствующий сахар экстрагируется водой и определяется колориметрически с фенолсульфокислотой. Электрофорез на бумаге сокращает продолжительность разделения до 10 раз по сравнению с обычной хроматографией на бумаге. Приведены фотография и схемы аппаратуры. Д. Васкевич

2196. Количественная хроматография на бумаге метилированных альдоз. Улучшенный фотометрический метод с применением анилин-о-бифталата. Шефер, Ван-Клив (Quantitative paper chromatography of methylated aldose sugars. Improved colorimetric method using aniline hydrogen phtalate. Schaefer W.C., Van Cleve J.W.), Analyt. Chem., 1956, 28, № 8, 1290—1293 (англ.) Каплю (~1 µл) пробы разделяют на бумаге ватман

№ 1 азеотропной смесью метилэтилкетона и воды, содержащей 1 об. % води. конц. р-ра NH₄OH, до достижения фронтом длины ~35 см. Бумагу разрезают на куски, содержащие различные компоненты, и элюи-руют их СН₃ОН, к которому добавлено 0,9% димети-лового эфира тетраэтиленгликоля (2,5,8,11,14-пентаоксипентадекан). Элюат или его аликвотную часть смеоксипентадекан). Элюат или его аликвотную часть сы инвают с 1 мл реактива (2,410% ±0,006%-ный р-р кристаллич. анилин-о-бифталата в СН₃ОН) и СН₃ОН испаряют в вакууме при 30°. Оставшуюся жидкость нагревают 35 мин. при 95° для метиловых эфиров аль-

догексоз и до 90° для метиловых эфиров альдопентоз. Быстро охлаждают до комнатной т-ры. Маленькую красно-коричневую каплю продукта р-ции растворяют в 10 мл 95%-ного спирта и определяют экстинкцию на спектрофотометре при 415 мµ для метилированной альдогексозы и при 460 мµ для метилированной альдопентозы через 30 мин. после прибавления реактивов. Наибольшая точность определения наблюдается при содержании 90-200 у метилированной глюкозы.

Д. Васкевич

Определение активности полифенолоксидазы при помощи вращающегося платинового электрода, Hurpam (Determination of polyphenol oxidase activity by rotating platinum electrode. In graham Lloyd L.), Analyt. Chem., 1956, 28, M7,

1177-1179 (англ.)

Для определения активности полифенолоксипазы при различных конц-иях аскорбиновой к-ты (1) пред-ложено пользоваться вращающимся Рt-электродом, с помощью которого можно измерить кол-во О₂, по-требляемого для окисления І. Ячейку (емк. 5 мл) заполняют р-ром, 0,02 *M* по лимонной к-те, 0,04 *M* по Na₂HPO₄ и 2—3 *M* по І. Р-р насыщен воздухом, рН р-ра составляет 5,5. І добавляют для предотвращения образования о-хинона. Энзим (обычно ~0,2 мл) вводят в ячейку шприцем и регистрируют зависимость между кол-вом потребляемого О2 и временем. Затем вводят субстрат (пирокатехин) и регистрируют кол-во потребляемого О2 для системы, катализируемой полифенолоксидазой.

198. Определение пентозанов, Часть І. Применение метода спектрофотометрин в УФ-области для определения фурфурола и 5-оксиметилфурфурола в ди-стиллатах от отгонки по Толленсу. Бетге (De-termination of pentosans. Part I. UV-Spectrophoto-metric method for determination of furfural and 5-hydroxymethylfurfural in distrillates after Tollens distrillation. Bethge Per Olof), Svensk papperstidn., 1956, 59, № 10, 372—376 (англ.; рез.

швед., нем.)

Фурфурол (I) и 5-оксиметилфурфурол (II) не поглощают в видимой области спектра, но имеют характер-ные максимумы в УФ-области. Основной максимум ные максимумы в УФ-осласти. Основной максимум для I наблюдается при 2775, а для II при 2845—2855 А. При 2775 молярный коэфф. экстинкции для I и II соответственно равны (1,29±0,01)·10⁴ и (1,50±0,01)·10⁴ (при 25±1°, в 1-см кварцевой кювете). Для разделения I и II применен метод Крэга (Hecker E., Verteilungsverfahren in Laboratorium, Weinheim, 1955). В ка честве подвижного р-рителя употребляли 13,15%-ную HCl, в качестве неподвижного р-рителя CHCl₃. В каждой пробирке находилось по 25 мл каждой фазы; разделение заканчивали, когда подвижная фаза поступала в последнюю пробирку. Обе фазы из каждой пробирки разбавляли C₂H₅OH до 100 мл и измеряли уд. поглощение р-ров, пользуясь в качестве р-ра сравнения смесью HCl = CHCl₃= C₂H₅OH. Для опытов употребляли дистиллаты, полученные по способу CCA₄ (Svensk Papperstidn., 1941, 44, 267). Строили кривые зависи-мости: номер пробирки — уд. поглощение при 2775 А. Первый максимум отвечал I, второй II. Поглощение р-ров в пробирках 0—7 вызывается I, в пробирках 15—23 II. Установлено, что коэфф. распределения K_I и К правны соответственно 16,04±0,46 и 0,243±0,012 и не зависят от конц-ии I и II. Можно также пользоваться методом, основанным на обычной экстракции: пробы перед экстракцией разбавляют 13,15%-ной НСІ. Часть полученного р-ра перед измерением уд. поглощения разбавляют, другую порцию р-ра встряхивают с CHCl₃, не содержащим C₂H₅OH. Органич. фазу отбрасывают и измеряют уд. поглощение водн. фазы. Г.

03.

ac-

1107

Ha

ЛЬ-

OB.

при

BET

вам

да. lase

a -

азы

ред-

MOD,

по-

мл) f по

pH

ния

TREO

жи

TREO

гребенол-Певи

ение

onpe-

(De-

hoto-

llens

vensk

pes.

оглоктеримум 55 А. и II 0,01)-

разде-

ertei-

В ка-6-ную каж-

; разупала бирки погло-

нения отреб-

Svensk

ависи-

775 А. тение

ирках

ия K_I -0,012

ользоакции: й HCl.

поглокивают

азу от-

фазы.

and

Полученные обоими методами результаты показывают, что конц-ия II не зависит от содержания пентозанов в образце и, примерно, равна для образцов пульпы и древесины. Описанные методы применимы для исследовательских работ, но не для серийных ана-Т. Леви 199. Удаление силикатов из растворов сахара (изомальтоза и изомальтотриоза). Джонс, Димaep, Yaii a (Removal of silicates from solutions a e s of sugars such as isomaltose and isomaltoriose. Jo-nes R. W., Dimler R. J., Wise C. S.), Analyt. Chem., 1956, 28, № 8, 1352—1353 (англ.) Отделение изомальтозы и изомальтотриозы из силинатов и других ионизирующих в-в производится последовательно на 2 колонках (длина 49, диам. $4.5\ c_M$), наполненных специально подготовленными смолами (двузкс-50 (400 мл) и дуолит А-4 (300 мл)). Через ко-донки пропускают 50 мл исследуемого р-ра; элюнрование производят водой; полноту извлечения проверяют пробой с антроном. Силикаты извлекают промыванием избытком 1%-ного p-ра H F. Содержание их определяют фотометрически в виде кремнемолибдатного комплекса. Приводится режим регенерации адсорбента. Д. Васкевич 12200. Идентификация алкалоидов и других лекарств с основными свойствами методом распределительной хроматографии на бумаге. Гольдбаум, Казяк (Identification of alkaloids and other basic зяк (Identification of alkaloids and other basic drugs by paper partition chromatography. Goldbaum Leo R., Kazyak Leo), Analyt. Chem., 1956, 28, № 8, 1289—1290 (англ.)
Метод основан на определении значения Rf при 4

значениях рН (3,0; 5,0; 6,5; 7,5). Одновременно определяется отношение движения р-ра кодеина в том же р-рителе к движению определяемого в-ва. Это отношение вопрсизводится лучше, чем значение Rf, и меньше зависит от т-ры, влажности и р-рителя. Разделе-ше ведут на бумаге ватман № 2 с *н*-бутиловым спиртом в течение 15 час. Хроматограмму проявляют йодплатиновой к-той, вырезают соответствующие места и разтиновои к-тои, вырезают соответствующие места и разрушают комплекс, встряхивая бумагу с р-ром Na₂SO₄ в полунасыщ, р-ре Na₃BO₃ при рН 9,5. Извлекают свободное основание подходящим р-рителем, разделяют в определяют в-во любым уже известным способом. Таким методом можно открыть 50—100 γ в-ва. При просматривании бумаги после разделения в УФ-лучах (255 мµ) по флуоресценции можно определить 1—10 γ в-ва. Привраены значения В / пла // г-р. И Воссория ъва. Приведены значения Rf для 44 с-в. Д. Васкевич 12201. Алкалоиды спорыньи. III. Качественное и количественное определение водорастворимых алка-лондов методом хроматографии на бумаге. Ма-цек, Семонский, Ванечек, Зикан, Черный. IV. Определение алкалондов в отдельных образованиях методом хроматографии на бумаге. Мацек, Ванечек (Mutterkornalkaloi-de. III. Qualitative und quantitative Bewertung von wasserlöslichen Alkaloiden mittels Papierchromatographie. Macek K., Semonsky M., Vaněček S., Zikán V., Černy A. IV. Bewertung von Alkaloiden in einzelnen Sklerotien mittels Papierchromatographie. Macek K., Vaněček S.), Pharmazie, 1954, 9, № 9, 752—754; 1955, 10, № 7. 422-429 (нем.)

III. Водорастворимые алкалонды спорыны (АС) эргобазин (I), эргобазинин (II), метилэргобазини (IV), лизергиновая (V) и изолизертиновая (VI) к-ты хроматографируют на бумаге, проштанной формальдегидом, применяя проявитель СНС13, и идентифицируют по голубой флуоресценции в VO-свете. V, VI, I и III разделяют хроматографией протекание (~15 час.). Для колич. определения хроматограммы АС разрезают и обрабатывают смесью 1,5 мл винной к-ты и 3 мл реактива л-диметиламинобензаль-

дегида (VII) (0,2 г VII растворяют в 35 мл воды и 65 мл конц. Н₂SO₄ и добавляют 2 капли 5%-ного р-ра FeCl₃). Элюат фильтруют и фотометрируют. Окраска подчиняется закону Бера при конц-иях АС 20—100 у. Точность ±5%. И. Чудинова IV. Определение АС, принадлежащих к группам эрготамина и эрготоксина в целых образованиях или их

П. Чудинова IV. Определение АС, принадлежащих к группам эрготамина и эрготоксина в целых образованиях или их частях заключает 4 сперации: обезжиривание образца, экстракцию АС, хроматографию на бумаге экстракта и собственно определение. Образец обезжиривают петр. эфиром (т. кип. <50°) 4—8 час. в микроэксикаторе после истирания с 5-кратным кол-вом кварцевого песка, затем экстракта АС диэтиловым эфиром путем настаивания или перколяции. Экстракт хроматографируют на полосах фильтровальной бумаги, пропытанной формамидом, длиной 55—60 см. Проявитель при первом проявлении (6 - 7 час.) — смесь С₆Н₆-бензин (6 : 4), проявитель при втором проявлении (15 час.) — СНСІз. При первом проявлении разделяются водорастворимые АС, а водоперастворимые АС остаются неподвижными. При втором проявлении водорастворимые I вымываются, а водоперастворимые АС разделяются. Качеств, и полуколич, определение разделенных АС производят, изучая хроматограмму в УФ-свете, путем сравнения с контрольной (1, 5, 10 и 20 γ) эргскорнина, эргокристина, эргокристина, эрготамина, эрготамина, эрготамина, эрготамина, эрготамина, эрготамина, определение производят колориметрич, методом с помощью VII. В большинстве случаев обе группы АС сопутствуют друг другу. Обнаружен новый АС, принадлежащий к группе водорастворимых АС. Оп даст на хроматограмме пятно, флуоресцирующее в УФ-свете синим светом. Сообщение II см. РЖХим, 1957, 8612.

1202. Определение мнкроколичеств алкаловидов амперометрическим методом. І. Титрование стрихнина в водном растворе кремневольфрамовой кислотой. ІІ. Титрование азотнокислого стрихнина в солянокислом растворе кремневольфрамовой кислотой. ІІІ. Титрование сернокислого хинина, этилкарбоната хинина и солянокислого хинина в солянокислом растворе кремневольфрамовой кислотой. ІV. Титрование атропина, бруцина, антипирина, папаверина, вератрина и кокаина в солянокислом растворе кремневольфрамовой кислотой. О г а в а (電流滴定法による機量アルカレイドの定量・第1報、水溶液中における研酸ストリキニーネのケイタングステン酸による機量で、第3報、鹽酸酸性溶液中における機量が酸ストリキニーネのケイタングステン酸による電流滴定法、第3報、鹽酸酸性溶液中における機量で、第3報、鹽酸酸性溶液中における機量で、第3報、鹽酸酸性溶液中における機量アトロピソン、ブルシン、アンチピリン、パパペリン、ペラトリンおよびコカイン、アンチピリン、パパペリン、ペラトリンおよびコカイン、アンチピリン、パパペリン、ペラトリンおよびコカイン、アイタングステン酸による電流滴定法、小川忠彦)、日本化準雑誌、Нихон кагаку дзасен、J. Chem. Soc. Japan. Pure Chem. Sec., 1955, 76, № 7, 739—744; 1956, 77, № 4, 535—542 (япон.)
1203. Фармацевтический анализ с непользованием полярографии. XII. XIII. Определение синоменива и диоксикоденнона. XIV. Алкалонды группы опия бензилизохиноливового типа. XV. Анализ стимуляторов нервной системы (пропамин и метилпропамин).

12203. 7、3 を 4、505-042 (плон.)
12203. Фармацевтический анализ с использованием полярографии. XII. XIII. Определение синоменина и диокенкоденнона. XIV. Ажалонды группы опия бензилизохиноливового типа. XV. Анализ стимуляторов нервной системы (пропамин и метилиропамин). Мацумото (ボーラッグラフィーによる薬品分析の研究. 第12, 13 報. シノメニン及びジヒドロオキシコデイノンの定量法、第14報、ベンチルイソヒノリン型阿片間マルカロイドについて、第15報、畳むい刺(プロパミン、メチルブロパミン)の定量法、格本和夫)、薬學雑誌、Якугаку дзасси, J. Pharmac. Soc., Јарап, 1955, 75、№ 8, 1003—1006; 1006—1009; 949—953 (япон.; рез.

англ.) XIII. Продукты окисления морфина, в которых в положении 9 имеется карбонильная группа, напр.

HC

бав

вал

но о

I ME

сле

HHE

XJI(

про

руг лот

без

фи

HOO

HIC

фег

ди

Ter

am

да

HO

Ka

He

по

MH

на

морфинон, коденнон и тебаинон, могут быть легко восстановлены на капельном Нд-электроде. Изучено колич. определение синоменина (оптич. изомер 7-метрокситебаинона) и дноксикоденнона, выпускаемых на рынок. В интервале конц-ий 5 10-3—10-4 М, для указанных соединений, в буферном р-ре Мак-Илвейна с рН 5, содержащем 0,1 и. КСl, установлена линейная зависимость между величиной диффузионного тока и конц-ией. Описанный метод применен для колич. анализа различных препаратов.

Т. Леви

XIV. Алкалоиды группы морфина бензилизохинолинового типа могут быть разделены на 2 группы в зависимости от полярографически активных групп; обе группы имеют сопряженную двойную связь у карбонильной группы. Первая группа имеет альдегидную группу в положении 1 (котарнин), вторая— карбо-нильную группу в положении 9 (нарцеин, папаверальдин). Первая группа может быть разделена на три класса: альдегидный, карбинольный и аммонийный (берберин, гидрастинин). Показано, что все 3 класса как в форме солей, так и свободных оснований ведут себя как альдегиды в р-ре электролита и восстанав-ливаются во всех интервалах рН. Во второй группе во всех интервалах рН восстанавливается карбонильная группа, находящаяся в положении 9. Котарнин, нарцеин и папаверальдин восстанавливаются; наркотин, гноскопин, гидрокотарнин, кодамин, криптопин, лауданидин, лауданин, лауданозин и папаверин не восстанавливаются.

XV. Металпропамин (I) и пропамин легко и количественно нитруются KNO₃ и конц. Н₂SO₄. Изучены условия нитрования, экстракции и определения нитрованных соединений методом полирографии. К 0,1—3 мг I добавляют 1 мл нитрующего агента (p-p 1 г KNO₃ в 10 мл конц. Н₂SO₄), нагревают 5 мин. на водяной бане, охлаждают, приливают 10 мл воды и 10 мл кстрагируют 3 порциями СНСІ₃ по 20 мл. Органич. слой фильтруют через сухой фильтр, промывают СНСІ₃ и выпаривают фильтрат. Остаток растворяют в 2 мл ацетона, добавляют 0,5 мл 1 н. КСІ и 2,5 мл буферного р-ра Мак-Илвейна с рН 5 и полярографируют р-р обычным методом от 0 до —1,2 в.

12204. Титрование лекарственных препаратов и хи-микатов в неводных растворах. V. Определение метиловых производных ксантина и их приготовление в безводной уксусной кислоте. Касима. Определение морфина, его производных и их кислых солей в безводной уксусной кислоте. Касима, Асахина, Сиути. VII. Определение антиги-стаминовых препаратов (производных диметиламиноэтана) и их основности в безводной уксусной кислоте. Касима. VIII. Определение алкалондов тропана в безводной уксусной кислоте. Касима, Асахина, Сиутп. IX. Определение производных 1-фенил-2-аминопропана в безводной уксусной кислоте. К а с и м а. X. Влияние кислотных радикалов солей органических оснований и неорганических или органических кислот на титрование в среде безнли органических кислот на титрование и среде сез-водной уксусной кислоты. Касима, Кано(非水 溶液定滴定による醫藥品の定量. 第5報 泳酢酸を溶媒とす るメチルキサンチン類及びそれらを含む醫藥品の定量. 鹿 島哲、第6報. 冰酢酸を溶媒とするモルヒネ類の滴定, 鹿 島哲、朝比奈晴世、志均賢彦. 第7報. 冰酢酸を溶媒とす る抗ヒスタミン劑(ジメチルアミノエタン誘導體)の滴定 る机ビスタミッ州(シメアル)ミノエタン 誘導能力の高定とその鹽基性について、鹿島哲、第8報、冰酢酸を溶媒とするトロパンアルカロイドの高定・鹿島哲、朝比奈清世、志内賢彦、第9報、冰酢酸を溶媒とするエフエドリン類(1-フエニル-2-アミノアロパン誘導體)の高定・鹿島哲、第10報、水酢酸を溶媒とする有機鹽基無機及び有機酸との 鹽の滴定に及ぼす酸の影響について、鹿島香,加熱宏一・郎), 奏學雜誌, Якугаку дзасси, К. Pharmmac. Soc. Japan, 1954, 74, № 10, 1078—1080; 1955, 75, № 3, 329—332; 332—335; № 5, 586—588; № 9, 1112—1114; 1956, 76, № 1, 50—53 (япон.; рез. англ.)

V. Теофиллин (I), теобромин (II) и кофеин (III) (в

V. Теофиллин (I), теобромин (II) и кофеин (III) (в 1-молярных эквивалентах) можно потенциометрически титровать НСІО₄ в р-ре безводн. СН₃СООН при использовании стеклянных и Нд₂Сl₂-электродов. Погрешность определения 0,4%. І и ІІ титруются как к-ты в безводи. щел. р-ре; ІІІ не титруется. Судя по кривой титрования, основности І и ІІ сходны; основность ІІ меньше. Метилироизводные ксантина титруются как основания вследствие основности № в положения 9 в пуриновом ядре. При титровании смеси ІІІ и бензоата № али салицилата № а наблюдаются две точки нейтр-цин. По первой точке определяют основность солей № в безводи. СН₃СООН, смесь ІІІ и солей № а не может быть оттитрована более точно, чем смесь ІІІ и солей № а безводи. СН₃СООН, смесь ІІІ и солей № а непосредственно при использовании в качестве индикаторов кристаллич. фиолетового, малахитового зеленого или метилового фиолетового, но их можно определить обратным титрованием основными титрующими агентами, такими, как № асоо, & сСо₃, кислый фталат К или пириции в безводи. СН₃СООН. М. Гладышева

VI. Морфин (IV), его производные и их кислые соли титруют HClO₄ с кристаллич. фиолетовым в качестве индикатора или потенциометрически со стеклиники и Hg₂Cl₂-электродами в лед. СН₃СООН. IV и его производные определяют по основности метиламиновой группы, а их гидрохлориды титруются так же точно в присутствии (СН₃СОО)₂Нg в кол-ве, превышающем эквивалентное образцу; избыток (СН₃СОО)₂Hg почти не мещает титрованию. Кислотность Н₃РО₄ и H₃SO₄ частично, увеличивает кислотность лед. СН₃СООН, в связи с чем определение фосфатов и сульфатов не очень точно. Так как в лед. СН₃СООН первая ступень диссоциации H₂SO₄ велика, а вторая очень мала, 1 моль сульфата кодеина титруется как 1 эке. Из рассмотрения кривых титрования следует, что в лед. СН₃СООН основность IV, этилморфина, кодеина, гидрокодеина и 3,6-двацетилморфина одинакова, а основность тебаина выше, чем у указанных соединеями.

VII. Антигистамины — производные диметиламиноэтана — титруются в соответствии с основностью диметиламино- или других основных групп p-ром HClO₄ в лед. CH₂COOH с индикатором кристаллич. фиолетовым или потенциометрически сприменением стеклянного и Hg₂Cl₂-электродов в лед. СН₃СООН. При добавлении (CH₃COO)₂Hg в кол-ве, превышающем эквивалентное образцу, точно определены гидрохлориды дифенгидрамина, трипеленнамина и тонзиламина; хлоргидрат анергена иногда определить не удается. Сукцинат доксиламина и маленнаты пириламина и хлорпрофенпиридамина титруют непосредственно. 1 моль дифен-гидрамина и анергена соответствует 1 экз., а у других соединений 2 экв. Из описанных и предварительных опытов известно, что многие органич. к-ты не мешают титрованию органич. оснований и почти не показывают кислотных свойств в лед. СН3СООН. Кривые титрования показывают, что доксиламин с метилбензилпиридином является менее сильным основанием, чем дифенгидрамин. Пириламин с п-метоксигруппой слабее, чем трипеленнамин; хлорпрофенциридамин с п-хлоробензильной группой является наиболее слабым, а две основные группы трипеленнамина в среде лед. СН₃СООН ведут себя одинакове.

Л. Херсонская

VIII. Хлоргидраты коканна с тропакоканна, бромгидраты гоматропина и скополамина потенциометрически титруют в среде бензводи. СН₃СООН р-ром pan, 332; 76,

) (B

иче-

при Пок-ты

ивой

ь П

как

m 9

оата

ции,

оди.

ОСТЬ

ŭ Na

ония

, III

BAHN

ндп-

зеле-

опре-

цими

галат

шева

соли

естве

ным

про-

товой

онго

юшем

BTPOL

12SO4

в не

упень

мала.

s pac-

лед.

ценна,

ва, а пений. мино-

ю ди-

HClO,

олето-

отоння

лении ентное

нгидр-

гидрат

ат до-

рофен-

ругих

льных

ешают

ывают

титро-

зилии-

ем дислабее,

хлоро-

COOH

онская бром-

ометри-

p-pow

HClO₄ со стеклянным и Hg₂Cl₂-электродами после прибавления избытка HgCl₂ (из расчета на молярный эквивалент пробы). Атропии определяют аналогично, по определение его сульфата дает неточные результаты. Присутствие глюкозы или C₂H₅OH не мешает. Указаные алкалоиды тропана можно титровать в присутствии кристаллич. фиолетового в качестве индикатора: имль алкалоида принимают за его эквивалент. Кривые титрования показывают, что в среде лед. СН₃СООН ванбольшую основность проявляет *1*-кокаин, за ним следует *1*-скополамин, далее — тропакокаин, гоматрошин и атронии, основность которых почти одинакова. В. Коробкии

IX. Используя стеклянный и Hg₂Cl₂-электроды, клоргидраты производных 1-фенил-2-аминопропана можно оттитровать HClO₄ в безводн. СН₃СООН при добавлении HgCl₂ в кол-ве, превышающем эквивалентное пробе. Сульфаты и фосфаты этих производных титруются с меньшей точностью вследствие того, что кислотность H₂SO₄ и H₃PO₄ мало проявляется в средебезводн. СН₃СООН. Определение этих производных, за исключением сульфатов, может быть осуществлено при использовании в качестве индикатора кристаллич, фиолетового. По кривым титрования видно, что основность dl-1-фенил-2-метиламинопропан дг-ферил и dl-1-фенил-2-метиламинопропан, l-эфедрин и dl-1-фенил-2-шетиламинопропан кислотность отмечена для dl-метилэфедрина.

В. Плахов

X. При помощи кривых титрования, построенных при потенциометрич. титрования солей дифенгидрамина и различных к-т со стеклянным и Hg₂Cl₂-электродами, взучено влияние связанной к-ты на прямое титрование солей органич. оснований и неорганич. или органич. к-т при помощи НСlО₄ в среде лед. СН₃СООН. Установлено, что сила к-т в среде лед. СН₃СООН вочти е отличается от их силы в води. р-ре. Сделан вывод, что слабые к-ты с константами диссоциации <10-3 почти не влияют на процесс титрования, в то время как более сильные к-ты должны вызывать снижение воспроизводимости результатов. Сообщение IV см. РЖХим, 1957, 8583.

Т. Леви

12205. Фотометрический стандарт на каротин. Рейбори, Шалл (Colorimetric standard for carotene. Rabourn W. J., Schall E. D.), Analyt. Chem., 1956, 28, № 7, 1197—1198

(англ.) В качестве эталонов для фотометрич. определений каротина предложены р-ры β-каротина (I) в очищ. минер. масле, обладающие достаточно устойчивым уд. поглощением при 436 мµ при хранении в обычных лабор, условиях в течение ≥9 месяцев. Р-ры I готовили растворением 3 мл I в 3 мл С₆H₆ и разбавлением до 1 л минер. маслом. Оптич. плотность указанных р-ров при хманс (487 и 459 мµ) несколько снижается во времени сдвигается в сторону УФ-области, что указывает на самопроизвольную транс-чис-изомеризацию I. Минер. масло следует предварительно очищать и обезлаживать на колонке Al₂O₃ (75×250 мм) при пониженном давлении. Т. Леви

12206. Хроматография на бумаге пиретринов и их производных. К у э й л (Paper chromatography of pyrethrins and their derivatives. Q u a y 1 e J. R.), Nature, 1956, 178, № 4529, 375—376 (англ.)

При применении восходящей хроматографии, пользуясь в качестве р-рителя петролейным эфиром (т-ракинения 80—100°), насыщенным метанолом, и сохраняя вакуум на Ватмане № 1, добиваются хорошего разделения пиретринов и их производных. Бумагу оставляют на некоторое время подвешенной в аппарате (пробы наносят на расстоянии 6 см от края) в атмосфе-

ре р-рителя, а затем впускают его сверху по бумаге. В условиях вакуума R, возрастают и можно применять УФ-фотографию (абсорбция при 230 мµ). Метод менее чувствителен, чем описанный ранее (РЖХимБх, 1956, 15651); нижний предел 50%. М. Пасманик 12207. Исследование микрохимических и микрофили-

12207. Исследование микрохимических и микрофизических методов обнаружения применяемых в мединине производных пиридина. Люди-Тенгер (Versuche über mikrochemische und mikrophysikalische Prüfungsmöglichkeiten an medizinisch wichtigen Pyridin-Derivaten. Lüdy-Tenger F.), Mikrochim. acta. 1956, № 1—3, 104—117 (нем.; рез. англ., франц.)

Применяемые в медицине производные пиридина (никотиламид, никотиновая к-та, изоникотиновая к-та, гидразид изоникотиновой к-ты, гидразид никотиновой к-ты) идентифицируют с помощью модифицированного реактива Драгендорфа, состоящего из 0,5 г (ВіО)₂СОз, 1,5 мл конц. НСІ, 4 г КЈ и воды (до 10 мл). Для идентификации пользуются характеристиками микросублиматов, полученных в кольцевой печи. Ввиду того что р-ция с гидразидом изоникотиновой к-ты является недостаточно отчетливой, изучены продукты взаимодействия ряда альдегидов и кетонов с концевой групной NH2 гидразида. Наилучшие результаты получены при употреблении бензальдегида и ванилина (соответственно белый осадок, состоящий из игл и призм; при 90° частично образуется расплав, из которого выкристаллизовываются призмы и желтоватый осадок; из спирта кристаллизуются таблички и ромбы, из разб. спирта — пучки игл). Для определения диэтиламида никотиновой к-ты (корамина) предложено пользоваться кривой зависимости между его конц-ней в р-ре и показателем преломления (приведена соответствующая калибровочная кривая).

2208. Определение концентрации раствора шеллака. Золтан (Sellakkoldat koncentrációk meghatározása. Zoltán Örs Tamás), Faipar, 1956, 6,

№ 5. 132-135 (венг.) Разработан быстрый рефрактометрич. метод определения шеллака (I), пригодный для заводского контроля и исследовательских целей. Описаны физ. основы рефрактометрии, оптич. закономерности перехода световых лучей из одной среды в другую. Для построения калибровочной кривой приготовляли 5 серий р-ров из I разного качества с различным содержанием I (от 5 до 20 г на 100 мл р-ра). Качество I характеризуется влажностью, зольностью, т-рой плавления, содержавием воска и в-в, не растворяющихся в спирте. Показатели преломления определяли для каждого р-ра при 20° (приводится таблица) на рефрактометре Аббе. С помощью калиброванной кривой конц-ии I определяют за 3—4 мин. в 2—3 мл исследуемого р-ра. Приведено ур-ние зависимости показателя преломления от конц-ии I (на основании графика): $c = (n_{20} -$ —1,3635)/0,0015, где n_{20° — показатель преломления исследуемого p-ра при 20° , c — конц-ия I (ε на 100 мл р-ра). Максим. ошибка анализа 1%. На точность анализа влияет содержание воска, на что в работе не обращено внимания. Определение малых количеств кислот и воды

в полнорганосилоксановых соединениях. С я в ц и лло С. В., Березовская Б. Е., Гринкевич Н. И., Клопцова О. В., Ж. аналит. химии, 1956, 11, № 4, 463—465

Для определения HCl и H₂SO₄ в полнорганосилоксановых соединениях разработан метод, основанный на измерении рН води. вытяжек (ВВ) из анализируемых соединений, а для определения H₂O использован метод определения влаги в нефтепродуктах, основанный на измерении объема H₂, выделяющегося при р-ции H₂O

12

кр

KO

10

C

HE

12

CT GE II a

с СаН₂. Пробу материала ~20 г, предварительно разбавленную для снижения вязкости и-гептаном в отношении 1:1 (по объему), экстрагируют в делительной воронке дополнительно перегнанной дистилл. H₂O (рН 6.5—7) 3 раза по 10 мл, 1 раз по 20 мл; ВВ собирают вместе и определяют рН всего р-ра на потенциометре П-4. Для определения НСІ из 50 мл ВВ отбирают 15 мл в нефелометрич. цилиндр, прибавляют 2 мл 10%-ного p-ра HNO₃ и 2 мл 0,005 н. AgNO₃, перемешивают и через 10 мин. на черном фоне сравнивают интенсивность образовавшейся мути со шкалой стандартных р-ров, приготовленных из p-ра KCl, с содержанием от 0,01 до 0,001 мг Cl⁻ с добавлением такого же кол-ва 10%-ного р-ра HNO₃ и 0,005 н. AgNO₃, какое добавлялось в BB из пробы анализируемых соединений. Погрешность определения 11 отн. %, чувствительность $9.0 \cdot 10^{-5}$ % при 20 г пробы. Для определения $\mathbf{H_2SO_4}$ пз 50 мл ВВ отбирают 10 мл в нефелометрич. цилиндр, прибавляют 0,5 мл 0,1 н. HCl, содержащей 14 г NaCl на 100 мл р-ра, 1 мл 10%-ного р-ра BaCl₂ и 8,5 мл H₂O, перемешивают и через 10 мин. сравнивают образовавшуюся муть с мутью стандартных р-ров, содержащих от 0.02 до 0.1 мг SO_4^2 . Из найденного кол-ва SO₄ вычитают значение холостой пробы с 10 мл ВВ и добавкой всех реактивов, кроме $BaCl_2$. Погрещность определения 14 отн. %, чувствительность 4,0·10-4% при 20 г пробы. Для определения H_2O 100 г пробы вносят в реакционную колбу с отводом для СаН2 (~1 г), соединенную со счетчиком пузырьков, наполненным H₂SO₄ и, в свою очередь, соединенным с газовой бюреткой. После проверки прибора на герметичность поворотом крана пересыпают СаН₂ в реакционную колбу с навеской, замеряют по окончании выделения Н2 его объем и по ф-ле вычисляют содержание воды. Погрешность определения 10 отн. %, чувствительность 1,0·10-3% при 100 г пробы. Надежность методики подтверждена анализами искусственно приготовленных проб. 12210. Интерпретация полосы поглощения у сма-Л. Горин

2210. Интерпретация полосы поглощения у смазочных масел в ИК-области при 10,3 μ. Франсис, (Interpretation of 10.3-micron infrared absorption band in lubrication oils. Francis S. A.), Analyt. Chem., 1956, 28, № 7, 1171—1172 (англ.) Способность смазочных масел к поглощению при

Способность смазочных масел к поглощению при 10.3 μ обусловлена структурными группами двух различных типов. *Транс*-олефиновые группы дают полосу поглощения с максимумом при 10,35 μ ; эта полоса исчезает при гидрировании масел и не становится более интенсивной для отдельных фракций выделенных термич. диффузией масел. Другие группы, по-видимому, полициклич. нафтены, дают полосу поглощения с максимумом при 10,27 μ ; эта полоса не исчезает при гидрировании; путем термич. диффузии выделена фракция

(80—90%, отобрана у основания колонки) с более интенсивной полосой поглощения с максимумом при 10,27µ и дополнительным небольшим максимумом при 10,35 µ. На основе спектров поглощения в ИК-области можно идентифицировать присутствующие в смазочных маслах группы транс-олефинов и полициклич, нафтенов.

Т. Леви Т. 2211. Определение содержания смолы в слачетых

2211. Определение содержания смолы в слоистых материалах на основе стеклянного волокна и нолиэфирных смол, содержащих карбонат кальция в качестве нанолиителя. То и е р (Determination of resin content of glass fiber-polyester laminates containing calcium carbonate filler. То и е г S. D.), Analyt. Chem. 1956, 28, № 7, 1109—1112 (англ.)

Образец слоистого материала прокаливают до постоянного веса (~ 1,5 часа) в муфельной печи при 538-593°, охлаждают в эксикаторе при 18—20° и вавешивают. Потеря в весе соответствует содержанию смолы, улету. чивавшемуся или разложившемуся материалу, применявшемуся для обработки стеклянного волокна и СО. удалившемуся при разложении СаСО3. в тигле обрабатывают конц. p-ром (NH₄)₂CO₃, выпаривают досуха при 80° для удаления избытка аммониевой соли и нагревают при 110° до постоянного веса. Привес соответствует кол-ву CO_2 , поглощенного прокалевным наполнителем. Содержание смолы (%) вычисляют по ф-ле $x=[W_1-W_2-(W_4-W_3)\cdot 100]/W_1$ или $x=(W_1-W_2-W_4)\cdot 100/W_1$, где W_1 — вес образца слонстого материала до отверждения, W_2 — вес отделки волокна, W_3 — вес госле прокаливания, W_4 — вес после обработки р-ром $(NH_4)_2CO_3$. Для определения содержания стеклянного волокна и $CaCO_3$ образец прокаливают при 538-590° до удаления С-содержащего материала, образующегося при пиролизе смолообразных материалов затем т-ру муфельной печи повышают до 1000° для превращения всего CaCO₃ и CaO, Привес остатка госле обработки (NH₄)₂CO₃ соответствует содержанию СО₂ в СаСО3 и дает возможность вычислить исходное содержание СаСО3. Кол-во стеклянного волокна определяют по разности между весом исходного образца и суммой весов СаСО3 и смолы.

См. также: Элементарный органич. анализ 3430 Бх. Полярография 11378, 13358; 3388 Бх. Хроматография 11400, 13271, 13287; 3390 Бх, 3393—3397 Бх, 3399—3402 Бх. Технич. анализ 12324, 12452, 12720, 12855, 13285, 13284, 13286, 13291, 13357, 13755, 13768, 13771, 13780, 13816, 13917, 13834, 13908, 13915, 13916, 13921, 13972, 13998; 3403 Бх, 3420 Бх. Др. вопр. 12430, 12874, 13272, 13281, 12721, 13287—13289, 11098, 11196; 3389 Бх, 3406 Бх, 3407 Бх, 3411 Бх—3413 Бх, 3415 Бх, 3417—3419 Бх, 3421—3423 Бх, 3425—3428 Бх, 3431 Бх, 3435 Бх, 3436 Бх, 3444 Бх, 3448 Бх, 3449 Бх, 3458 Бх

ОБОРУДОВАНИЕ ЛАБОРАТОРИЙ. ПРИБОРЫ, ИХ ТЕОРИЯ, КОНСТРУКЦИЯ, ПРИМЕНЕНИЕ

Редактор А. И. Сарахов

12212. Практические соображения об источниках ошибок в аппаратуре с непосредственным отсчетом. Раффаэле (Considerazioni pratiche sulle fonti di errore in una apparecchiatura a lettura diretta. Raffaele Italo). Metallurgia ital., 1956, 48, Suppl. № 1, 50—53, discus. 53 (итал.; рез. англ., нем., франц.)

Описаны различные аналитич. системы с непосредственным отсчетом, элементы аппаратуры и их значение, влияние окружающей среды, различные типы электродов и их подготовка, образцы для калибровки и, в заключение — общие условия работы.

Резюме автора 12213. Термометры в лаборатории. Гибелер (Thermometer im Laboratorium. Giebeler E.), Chem. Labor und Betrieb, 1956, 7, № 6, 247—251 (нем.) Обзор. В. Мунтерс

е ин- $0,27\mu$ при ласти a304-

57 r.

клич. Леви етых поли-B Raresin

ining Chem. TORR. -593°.

Baiot. летуриме-СО₂ таток париневой При-

аленляют x =слопелки после

ержаивают нала. иалов для после CO.

одер-TOIRLE ммой Леви 30 Бх.

рафия 399— 12855, 13771, 13921, 12874, 89Бх,

417-35Бх,

ктро-KH H.

втора лер Е.), —251

нтерс

214. Определение молекулярных весов органиче-ских веществ с помощью криометра С. S. E. Т о м а (Détermination des poids moléculaires des substances organiques par le cryomètre C. S. E. Thomas Maurice), Chim. analyt., 1956, 38, № 2, 55—61 (франц.) Описана установка для определения мол. весов

криоскопич. методом. Для охлаждения служит ванна c эфиром, через которую продувается регулируемое кол-во воздуха. Точность определения мол. весов от 100 до 300 составляет ±1. Изложена методика работы с криометром и, в частности, графич. метод определения конечной т-ры плавления р-ра исследуемого соединения в бензоле. А. Лихтер

Обоснование возможности использования 12215. «метода стоячих воль» для исследования резонанс-ного парамагнитного поглощения. Романов И. М., Уч. зап. Казан. гос. ун-та, 1955, 115, № 2, 73 - 84

Дано теоретич. обоснование метода и установлены границы его применения для исследования резонанспого парамагнитного поглощения. Резюме автора Успехи в технике получения спектров комбинационного рассеяния. Межецкий (Postepy techniki ramanowskiej. Mierzecki Roman), Postępy fiz., 1956, 7, № 3, 217—229 (польск.)

Популярная статья. А. Сарахов Новые достижения в электронных системах для непосредственного отсчета. Джавино (Recenti progressi nei sistemi elettronici per la lettura diretta. Giavino Alessandro), Metallurgia ital., 1956, 48, Suppl. № 1, 54-65 (итал.; рез. англ., нем.,

франц.) Предложена классификация аппаратуры с непосредственным отсчетом, распределяемой на следующие большие группы: 1) приборы, в которых неподвижны как вторичные щели, так и спектр; 2) приборы, в которых спектр неподвижен, в то время как осуществляется регистрация движущихся вторичных щелей; 3) приборы, в которых неподвижны вторичные щели, а спектр оптически скользит по ним. Для каждой группы рассмотрены критически наиболее подходящие измерительные и индикаторные цепи. Резюме автора 12218.

zela. Новая спектрографическая аппаратура. Райтери (Una nuova attrezzatura spettrografica. Raiteri Elio), Metallurgia ital., 1956, 48, Suppl. № 1, 35—36 (итал.; рез. англ., пем., франц.) Краткое описание спектрографа с диффракционной решеткой и дугового-искрового генератора Лаборатории исследования и контроля ФИАТ. Резюме автора 12219. Спектрография в области 6000—9000 А. Гацци (Spettrografia nella regione 600—900 мм. Gazzi Vittorio), Metallurgia ital., 1956, 48, Suppl. № 1, 3-7, discus. 7 (итал.; рез. англ., нем.,

франц.) Обсуждается аналитич. пригодность спектральной области наибольших фотографически регистрируемых длин воли. Отмечается, что дуга является наиболее подходящим источником возбуждения для этой обла-Резюме автора сти спектра.

2220. Двухканальный парный спектрометр с про-дольным однородным полем. Юнгерман (Two channel homogeneous field axial focusing pair spectrometer. Jungerman J. A.), Rev. Scient. Instrum. 1956, 27, № 5, 322 (англ.)

Рассматривается возможность увеличения эффективности парных спектрометров с продольным однородным магнитным полем. Предлагается воспользоваться тем обстоятельством, что частицы с одинаковым моментом, вылетающие в различных интервалах начальных углов, дают кольцевые изображения разных диаметров, сдвинутые вдоль оси спектрометра. Системой диафрагм можно вырезать не один, как обычно, а два или больше каналов от источника на детектор и исполь-зовать соответственно два или больше детекторов, включенных в схему совпадений. Увеличение эффективности приблизительно пропорционально квадрату числа каналов. Обсуждается наиболее выгодный выбор начальных углов вылета частиц. В. Рудаков

2221. Повышение чувствительности спектрорадио-метра, выпускаемого промышленностью. Харди, Киркпатрик (Increasing the sensitivity of a commercial spectroradiometer. Hardy A. E., Kirk-patrick G. P.), Rev. Scient. Instrum., 1956, 27, № 6, 417—418 (англ.)

Чувствительность спектрорадиометра фирмы «Дже-нерал электрик» повышена в 200 раз путем введения мостовой схемы с катодным повторителем между фотоумножителем и усилителем самописца.

А. Бабад-Захряпин 2222. Новый высокодиснерсный спектрометр с не-посредственным отечетом. Полли (Un nuovo spettrometro a grandissima dispersione per letture diretta. Polli Bruno), Metallurgia ital., 1956, 48, Suppl. № 1, 37—39, discus. 39 (итал.; рез. англ., 12222. нем., франц.)

Описан спектрометр высокой разрешающей способности типа «В4-Оптика» с вогнутой 4-м диффракционной решеткой (7400 штрихов на 1 см). Прибор пригоден для работ с фотографич. регистрацией и непосредственным отсчетом. Резюме автора

12233. К определению константы преобразования х. X а ф т к а (Zur Bestimmung der Transformationszahl х. H a f t k a F. J.), Spectrohim. acta, 1955. 7, № 4, 242-245 (нем.)

Рассмотрено в первом приближении обобщенное преобразование Зайделя для области почернений от 0.2 до 1.2. Указывая на значительную неточность определения ж (Keiser H., Spectrohim. acta, 1948, 3, 159), автор преобразовывает расчетную ф-лу и оценивает ошибки определения к на основании гауссова ур-ния ошибок в зависимости от точности измерения почернений. В случае графич. представления показано, какие величины почернений и ступени ослабителя следует выбирать, чтобы ошибка была наименьшей.

Г. Скорняков Метод предварительной обработки бромистого калия при его использовании в ИК-спектроскопии. Дитрих (Eine zweckmäß ige Methode zur Vor-behandlung des Kaliumbromids als Einbettungsmittel in der IR-Spektroskopie. Die trich Hans yon), Z. Naturforsch., 1956, 11 b, No. 3, 175—176 (Hem.)

Расплавленный КВг для быстрого затвердевания с образованием стеклообразной корки выливают в большой, неглубокий, охлажденный снаружи сосуд. Затем в-во размалывают до гранул размером ≥2 мм и быстро (~0,5 сек.) прессуют под вакуумным прессом при давл. ~6500 кг/см2. Прозрачность таблеток толщиной 1 мм составляет в области 1-15 и 90-95%. Гранулированный КВг допускает длительное хранение при комнатной т-ре в течение нескольких месяцев без заметного увеличения содержания воды. Длительный контакт расплавленного КВг с кварцем приводит к ухудшению пропускания в области 4-5 µ. Р. Васильев пропускания в области 4-5 µ. Источник для спектрографической низковольтной искры, прерывистой дуги и дуги постоянного тока с управлением электроникой. Бардоц (Electroincally controlled spectrographic low-voltage spark, interrupted arc and d. c. arc source. B a r d ó c z Å.), Spectrochim. acta, 1955, 7, № 4, 238—241 (англ.)

Основными частями описанного источника являются искро-дуговая цепь, блок зажигания и генератор импульсов. Искро-дуговая цепь, питающаяся от сети пере-

MILI

пол

H 6

кро

H3E

ид

Ras

HOC

OT

Men

122

25

CTI

Be

пу

ны

3110

CTI

эле

кр

тробр

HX

per

HW

HW

по

MS.

TO

ЛИ

ran

ЛЯ

My

Л. Уваров

менного тока через повышающий трансформатор, содержит 2 электронные лампы, которые могут выполнять функции выпрямления и управлять разрядом. Высокочастотный ток высокого напряжения для зажигания разряда получается от блока, состоящего из электронной схемы удвоения напряжения и искрового колебательного контура. Генератор импульсов позволяет получить сигналы с максим, частотой 100 ец. В зависимости от положений переключателей могут быть получены искра постоянной и переменной полярности и прерывистая дуга, искра и дуга на выпрямленном токе. Приведены блок-схема генератора импульсов и подробная электрич, схема остальной части описанного Л. Абрамович устройства. Применение температурной лампы для целей 12226.

гетерохромной фотометрии. Поминов И. С., Петухова И. М., Уч. зап. Казанского ун-та, 1956, 116, № 1, 114—117

Описан способ применения температурной лампы ТЛІ-1 с W-пластинкой в качестве стандартного источника света для целей гетерохромной фотометрии. Приведены графики зависимости излучательной способности W от т-ры для триплета Zn (λ_1 = 4810,53, λ_2 = 4722,16 и λ_3 = 4680,14 A) и триплета Hg (λ_1 = =5460,74, λ_2 = 4358,35 и λ_3 = 4046,56 A). Полученное с их помощью отношение интенсивностей линий триплета Zn составляет I_1 : I_2 : I_3 = 100: 78,7: 35,4, что находится в хорошем соответствии с литературными данными. Отношение интенсивностей триплета Hg I_1 : I_2 : I_3 = 73,6: 100: 48,8. B. Лыгин 12227. Съемка видимого спектра на цветную пленку.

Ходж (Recording the visible spectrum on color film. Hodge Edwin S.), J. Opt. Soc. America, 1955, 45, № 1, 64 (англ.)
Рекомендуется использовать цветную пленку для фотографирования спектров Li, Na, Ca, Sr, Ba и Cu.

Рекомендуется использовать цветную пленку для фотографирования спектров Li, Na, Ca, Sr, Ba и Cu. Во избежание наложения линий во втором порядке решетки следует применять фильтры. О. Юрьева 12228. Рентгеновская камера КРОН. Франк-Каменецкий В. А., Румии М. А., Вестн. высш. школы, 1956, № 7, 44—45 Особенностью камеры КРОН (камера рентгеновская

для структурного исследования ограненных и неограненных кристаллов) является конструкция гоннометрич. головки поворотного типа, позволяющая производить поворот кристалла вокруг одной из горизонтальных осей на любой угол и вокруг другой горизон-тальной оси на угол от —30° до + 120°. Такой поворот осуществляется расчленением требуемого поворота на перестановку кристаллоносца по дугообразному держателю на угол, кратный 45°, и на скольжение по дугам в пределах ±30°, вследствие чего достигается совмещение любого направления кристалла с направлением пучка лучей и осью вращения. Для исследования ограненных кристаллов камера снабжена обычным ползуном верхней дуги и микроскопом типа МИР-3 Л. Жулебин для центровки и юстировки. Конструкция и юстировка высокотемператур-

ной камеры для прецизионных рентгенограмм. Диаман (Construction et mise au point d'une chambre de précision pour diagrammes de rayons X à haute température. Diament René), Métaux (Corros.-inds), 1956, 31, № 368, 167—187 (франц.)

Описаны устройство и юстировка камеры для рентгенографич, исследований небольших образдов (диск диам. 20, толщиной 1,8 мм) при т-рах до 1100°. А. Сарахов

12230. Пропорциональная счетная трубка для рептгенодиффракционного анализа. Скертчли (A proportional counter tube for X-ray diffraction analysis. Skert chly A. R. B.), J. Scient. Instrum., 1956, 27, № 5, 324, 326; 33, № 6, 209—210 (англ.)

Сконструирована пропорциональная счетная трубка (ПСТ) диам. 2 см, наполненная 97,5% Аг и 2,5% этилового спирта до атмосферного давления. Входное и выпускное окна из стекла толщиной 0,2 мм расположены на боковой поверхности трубки. Анод — W-проволока диам. 0,1 мм. Покрытие внутр. поверхности ПСТ коллоидальным графитом служит катодом. Показано, что имеется незначительное искажение в кривой распределения импульсов благодаря неполному рассеянию энергии фотоэлектронов. Требование малой емкоста (10⁻¹¹ Ф) для получения большого отношения величины сигнала к фону сохраняется. Квантовая эффективность ПСТ составляет 67%. При соединении ПСТ содноканальным анализатором амплитуд импульсов (ширина полосы 3,6 в при 30 в) эффективность составляет 46%. Приведена кривая распределения импульсов для Си-А. Бабад-Захрящи излучения с Ni-фильтром. Пластмассовые капиллярные трубочки для

рентгеновских порошковых образцов. Томас, Александер (Plastic capillary tubes for X-ray powder samples. Thomas Lynn R., Alexander Leroy E.), Rev. Scient. Instrum., 1956, 27, № 3, 174—175 (англ.)

Описан способ приготовления капилляров для порошковых образов путем погружения особым образов отожженной медной проволоки в р-р полимера и высушивания покрытия. Отжиг проводился в пирексовой трубке, помещенной в муфельную печь. После пропускания через трубку струи азота в течение 5 мпв, со скоростью 5—6 л/мин т-ра печи постепенно поднималась в течение 90 мпн. до 700°, после чего трубка вынималась из печи и остывала при комнатной т-ре. Отожженная проволока окуналась в 18%-ный р-р парлодиона (очищ, пироксилина) в изоамилацетате сушилась в течение ночи в вертикальном положении. Легкое снятие капилляров объясняется наличием на поверхности проволоки пленки окиси меди, образующейся при отжиге под действием водяных паров, загрязняющих азот. Следы окиси на внутренней поверх-

12232. Определение толщины тонких пленок с помощью рентгеновских лучей. Бар шаускае, Тримонис (Plonu padengianciu sluoksniu storio nustatymo rentgeno spinduliais klausimu. Вагѕаї изкаѕ К., Тгі топіѕ Ј.), Качпо politechnikos inst. Darbai, Тр. Каунасск. политехн. ин-та, 1955, 4. 199—205 (пит.: рез. пусс.)

ности капилляров удалялись погружением их в 6 и.

4, 199—205 (лит.; рез. русс.)
Изучен рентгенографич. способ определения толщины тонких пленок (ТТП) по изменению интенсивности диффрагированного луча. Предложен упрощенный метод определения ТТП. Установлена связь между оптич. плотностью почернения и ТТП Zn. Найдево, что максимальная измеряемая ТТП Zn равна 13—14 µ. Выведены эмпирич. ф-лы для вычисления ТТП Zn, определены константы, входящие в данные ф-лы, и пределы применимости ф-л.

А. Лошманов 12233. Электронная аппаратура для получения изо-

бражения оптической диффракции на образцах. Хавсон, Менарри (Apparatus for the electronic presentation of optical diffraction patterns. Hanson A. W., Menarry A.), J. Scient. Instrum., 1956, 33, № 1, 24—27 (англ.)

Описана аппаратура для быстрого получения изображения диффракционной картины телевизионными методами. Основное отличительное свойство описываемой аппаратуры — большая постоянная времени (порядка 10 сек. против 1/25 сек. в обычной телевизионной аппаратуре). Это позволяет в 250 раз повысить отношение сигнала к шуму и, таким, образом получить удовлетворительное изображение диффракционной картины малой интенсивиости. Телевизионные передат-

HCL.

бка

LII0-

RIJ.

ены ORa кол-TIO

npe-HHIO

OCTR

MEP

OCTL

окаина

6%.

Cu-

ши

a c,

a n-

27.

TO-

MOSE

BH-

овой OHV-

MHH.

пол-

убка

r-pe. p-p

Te B HHH.

и на

3y10-, за-ерх-

6 н.

аров

П0-

ac.

torio

i u s-

nikos

1955,

тол-

BHO-

пный

ежду

тено.

14 μ. Zn,

ы, и

анов изоа н-

ronic

an-

nım..

изо-

ными

ывае-

(110зион-

сить

чить

кар-

едат-

чик и приемник с накоплением построены на базе сеийных телевизионных трубок. Н. Васильченко 2234. Эмиссионный электронный микроскоп-проектор с пульсирующим электростатическим полем и на-каливаемым катодом. Дайк, Барбор (Pulsed T—F emission electron projection microscopy. Dy ke W. P., Barbour J. P.), J. Appl. Phys., 1956, 27, № 4, 356—360 (англ.)

Для устранения недостатков обычных эмиссионных микроскопов-проекторов с постоянным электростатич. полем, обладающих электрич, нестабильностью катода и большими электрич. полями, нарушающими изучаемые на катоде процессы, применен эмиссионный микроскоп-проектор с переменным электрич. полем. Описываемая конструкция микроскопа позволяет производить кинематографич, съемку быстро переменных процессов, происходящих на катоде при высокой т-ре и давлении окружающего газа >10⁻³ мм рт. ст., а также на катодах с небольшой прочностью материала, таких как Ni и Fe. Приведен ряд снимков выбросов и поверхпостной миграции включений в W-катоде, а также снимки процесса внутренней диффузии Ва, напыленного на W-катод, при постепенном возрастании т-ры до 750°K. Отмечена возможность применения описываемого метода к изучению динамики процессов катализа, хемисорбции и десорбции. В. Лыгин 12235. Сканирующий электронный микроскоп и области его применения. Смит, Отли (The scanning electron microscope and its fields of application. Smith K. C. A., Oatley C. W.), Brit. J. Appl. Phys., 1955, 6, № 11, 391—399 (англ.)

В описываемом микроскопе пучок электронов, сфокусированный в очень маленькое пятно, приводится в движение таким образом, что проходит последовательно через все точки поверхности образца. Поверхвость исследуемого образда располагается под углом 25° к электронному пучку. Отраженные от поверхности и вторично эмитированные электроны собираются Ве-Си-анодом умножителя. Изменение угла между пучком электронов и поверхностью образца в различных точках объекта определяет яркость луча телевизионной трубки, на которой создается топографич. структура поверхности объекта. Из-за большой скорости электронного луча объект подвергается меньшей электронной бомбардировке, чем в электронных микроскопах другого типа. Применение описанного электронного микроскопа целесообразно для исследования образцов, которые не могут исследоваться ни на просвет, ни методом реплик в силу хрупкости или малости их размеров. Приводимые микрофотографии имеют разрешение 200 А и хорошо передают пространственную

решение 200 А и хорошо передают пространственную структуру научаемых объектов. В. Лыгин 12236. Техника приготовления реплик с поверхности сравнительно малых объектов. Фын И-мин (Technique for making surface replicas from comparatively small objects. Fe ng I-Ming), J. Appl. Phys., 1956, 27, № 5, 472—473 (англ.) Первой ступенью описываемого метода приготовле-

ния реплик с поверхности (П) мелких зерен и тонких нитей является укрепление исследуемых препаратов в пластификаторе. Для этого исследуемые препараты погружаются в пластификатор таким образом, что верхняя часть их поверхности образует одну плоскость с П пластификатора. С получаемой таким образом П изучаемого образца и пластификатора снимается методом сдирания коллодиевая или формваровая реплика. Приведена микрофотография коллодиевой негативной реплики, полученной таким образом с П стеклянной нити диам. 8µ, укрепленной в полиэтилене. Микрофотография двухступенчатой коллодиево-формваровой реплики с зерна ${
m Al_2O_3}$, укрепленного в поли-этилене, хорошо передает шероховатость Π зерна.

Метод применен для изучения локальных нарушений отдельных граней кристалла алмаза,

2237. Радиоаппаратура для измерения магнитых проницаемостей. Жуссо-Дюбьен, Лемансо, Пако (Appareil électronique de mesure des susceptibilités magnétiques. Joussot-Dubien Jacques, Lemanceau Bernard, Pa-cault Adolphe), J. chim. phys. et phys.-chim. biol., 1956, 54, № 2, 198—205 (франц.)

Описана установка для измерения диамагнитной восприимчивости жидких и твердых тел с точностью ~1%. Установка состоит из двух генераторов. Частота одного из генераторов (5 *Мгц*) фиксирована и стабилизирована кварцем, а частота другого может несколько изменяться за счет изменения самоиндукции катушки контура, при внесении в нее образца. Сигналы от обоих генераторов поступают в электронный смеситель. Полученная частота биений, пропорциональная величине восприимчивости образца, измерялась с помощью катодного осциллографа методом модуляции по яркости. При конструировании установки авторы учли и исключили все возможные источники нестабильности частоты генераторов. Измеряемый образец имел размер 2—4 см3, что значительно меньше объема контурной катушки, в которую он помещался при измерениях. Вследствие этого коэфф. заполнения пикогда не был точно известен, так что данные измерений являлись относительными. Результаты измерений восприимчивости некоторых в-в по отношению к бензину хорошо согласуются с результатами измерений в постоянных Л. Соболев магнитных полях.

12238. Оборудование для лабораторного получения кристаллов германия. Троусил (Trousil Zdeněk), Чехосл. физ. ж., 1956, 6, № 1, 91—94

Для очистки Се применена зонная плавка. Печь для зонной плавки состоит из кварцевой трубки диам. 60 и длиной 360 мм с крышками, одна из которых имеет отверстие для откачки. Се помещают в графитовую лодочку внутрь печи, нагревают бомбардировкой электронами, испускаемыми раскаленным катодом, который передвигается вдоль лодочки часовым механизмом со скоростью 5 см/час. Мощность печи 300—500 ст при ускоряющем напряжении 5—7 кс. Для получения 120 г Ge с уд. сопротивлением 30—50 смсм из сырья торгового качества с уд. сопротивлением 0,02 омсм достаточно 6—8 плавок (2 рабочих дня). Для вытягн-вания кристаллов методом Чохральского кварцевый тигель с Ge помещают в куб. графитовый блок с ребром 70 мм. Плавка Ge осуществляется четырьмя W-спиралями, протянутыми в каналах, высверленных в кубе. Блок окружают Мо-футляром, заполненным грубо-измельченным кварцевым стеклом, и помещают в откачанный резервуар, охлаждаемый водой. Часовой механизм обеспечивает вертикальное перемещение зародышевого кристалла со скоростью 5 см/час и непрерывное его вращение вокруг оси со скоростью 100—400 об/мин. Потребляемая мощность 800 ст. Л. Абрамович

Выращивание ориентированных цинковых монокристаллов квадратного сечения. Гилман, Де-Kapno (Growth of oriented square zinc monocrystals. Gilman John J., De Carlo V. J.), Rev. Scient. Instrum., 1955, 26, N. 11, 1079—1080 (англ.)

Метод состоит в получении цилиндрич. стержней с желаемой ориентацией и в придании им затем квад-ратной формы при помощи пирексовой трубки с квадратным сечением, в которой производится перекристаллизация. Л. Абрамович

12240. Некоторые замечания по поводу нонных насосов. В аради (Some remarks on ion pumps. Varadi P. F.), Vacuum, 1954 (1956), 4, № 1, 66—67 (англ.)

улн

угл

из

же

дел

TaT

122

MO BH

тр

12

ре ни

KO

Д

вр

TP

CT

кр

mi

Ka

Pa

D.

де

0

Сопоставлены свойства ионопереносящих (ИПН) и ионо-геттерных (ИГН) насосов. Получено выражение для скорости откачки ИГН: $S=-F/P_1-pN_d/c$, где F — эффективная поверхность катода, P_i — среднее число активированных молекул, N_d — среднее число песорбированных молекул, р — давление, с — константа. Указано, что эффективность ИПН возрастает при повышении плотности ионного тока, а эффективность ИГН — при увеличении *F*. Для работы ИГН необходимо иметь малое расстояние катод — анод и большое (1000—10 000 с) ускоряющее напряжение, а для ИПН — малое (100—1000 с) ускоряющее напряжение и большое расстояние катод — анод. Отмечено, что на S влияет природа откачиваемого газа. А. Бабад-Захрявии природа откачиваемого газа. 12241. Измерение вакуума радиоактивным методом. Бродский В. Б., Приборостроение, 1956, № 7,

Рассмотрены основные теоретич, и конструктивные принципы радиоактивного метода измерения вакуума в интервале абс. давл. 10^{-2} —10 мм рт. ст. Метод основан на определении величины ионного тока, протекаюшего между электродами ионизационной камеры, газ внутри которой облучается радиоактивным источником а-частиц; при этом используется возможность получения линейной зависимости ионного тока от давления. Испытания показали, что погрешность радиоактивного вакуумметра ≤2%. 12242. Водородны Водородный теченскатель Пирани с угольной

12242. Водородный теченскатель Пирани с угольной ловушкой. К е и т (A hydrogen Pirani leak detector using a charcoal trap. K e n t T. B.), J. Scient. In-strum., 1955, 32, № 4, 132—134 (англ.) Теченскатель состоит из манометра Пирани, при-соединенного к системе через охлаждаемую ловушку с древесным углем. Манометр фиксирует изменение павления в системе лишь при попадании в нее водорода. Быстрота обнаружения течи (при скоростях натекания $\ge 10^{-3} \ _{\rm A}\mu/ce\kappa$) и простота обслуживания позволяют использовать данный теченскатель в заводских усло-В. Филипповский виях.

Микроманометр высокой чувствительности. 12243. Линн, Коркоран, Сейдж (Micromanometer of high sensitivity. Lynn Scott, Corcoran W. H., Sage B. H.), Rev. Scient. Instrum. 1956, 27, № 6, 368—369 (англ.)

Сконструирован простой микроманометр, предназначенный для сравнения уд. весов газов, с чувствительностью $5\cdot 10^{-4} - 5\cdot 10^{-5}$ мм СН $_3$ ОН, выбранного в качестве манометрич. жидкости. Два закрытых стеклянных цилиндра, частично заполненных СН₈ОН, присоединены к двум газовым колонкам и соединены внизу горизонтальной трубкой. Разность в уд. весах сравниваемых газов определяется с помощью оптич. устройства по линейному перемещению пузырька воздуха, находящегося в горизонтальной трубке. Для уменьшения влияния т-ры на показания прибора пилиндры помещены в водяной термостат. Микроманометр тарирован чистыми эталонными газами. Разности уд. весов № и О2, № и СН4, вычисленные по показаниям прибора и определенные с помощью эталонных газов при одних и тех же условиях, расходятся на Л. Жулебин 12244. Силиконовое масло в качестве манометриче-

ской жидкости. Кемпф, Кольшюттер (Siliconöl als Manometriflüssigkeit. Kämpf G., Kohlschütter H. W.), Angew. Chem., 1956,

68, № 10, 355 (нем.)

Исследована возможность применения силиконового масла (плотность $\rho_{20}^\circ=0.955_6\ \epsilon/c.м^3)$ в качестве манометрич. жидкости при получении изотерм водяного пара. При работе с манометрич. трубкой, имеющей внутренний диам. 12 мм, мениски в обоих коленах были

слабо вогнуты. Перед каждым измерением масло следует обезгаживать, нагревая его в высоком вакууме. Определен ряд физ. констант масла, которые могут служить критерием при выборе силиконовых масел А. Лошманов для вышеуказанных манометров. 12245. Применение хемилюминесцентного метода для исследования смешения и течения жидкостей. Пономаренко А. А., Литвиненко С. II., Соловьева Т. Е., Чучупак В. Д., Завод. лаборатория, 1956, 22, № 7, 832—833

При добавлении р-ра люминола в р-р, состоящий из H_2O_2 и $K_3[Fe(CN)_6]$ (1:2), возникает сильное свечение, фотографирование которого позволяет судить о скорости смешения и направлении струй. При пленке чувствительностью 130 ед. ГОСТ выдержка ~1 мин. Л. Жулебин

12246. 246. Разработка импульсной методики двойного фиксированного расстояния. Соболев В. Д. В сб.: Применение ультраакустики к исследованию вещества. Вып. 3. М., МОПИ, 1956, 117—123 Описан метод измерения коэфф. поглощения ультра-

звука в жидкостях. В середине сосуда, наполненного исследуемой жидкостью, между серебряными коль-цами закрепляется кварцевая пластинка, излучающая в обе стороны. На экране осциллографа наблюдаются одновременно сигналы, отраженные от двух отражателей, расположенных на разных расстояниях от кварцевой пластинки. Выравнивая с помощью аттенюатора величину сигнала, подаваемого на усилитель, так чтобы величина выброса на экране осциллографа оставалась неизменной, и зная разность расстояний от кварца до первого и второго отражателей, можно вычислить коэфф. поглощения звука (α). Средняя относительная ошибка в определении α составляет $\sim 3\%$. Результаты проверочных измерений а в и-бутиловом спирте (0°-90°) и толуоле (20-270°) хорошо согласуются с литературными данными. Описанным методом измерено поглощение звука в этилацетате в интервале от комнатной т-ры до крит, точки. Результаты измерений зависимости а от частоты в этилацетате в интервале 20-30° хорошо согласуются с результатами, полученными другими методами. Б. Кудрявцев

Фотоэлектрическая установка для исследовання поглощения ультразвуковых волн в жидкостях оптическим методом. Бормосов Ю. Н. В сб.: Применение ультраакустики к исслед. вещества. Вып. 3. М., МОПИ, 1956, 125—138

Описана установка для определения поглощения ультразвука диффракционным методом. Переменное напряжение для возбуждения колебаний кварцевого вибратора получалось от генератора стандартных сигналов (ГСС-6), на выходе которого был включен резонансный усилитель. Интенсивность диффракционных спектров определялась с помощью фотоэлемента с усилителем постоянного тока. Рабочая камера была термостатирована с точностью ±0,05°. Контрольные измерения коэфф. поглощения звука (а) в толуоле в интервале т-р от -50 до +50° показали, что максим. отклонения измеренных величин от средних ≤7-8%. Измерен коэфф. поглощения ультразвука в метилацетате при частотах (v) 14.54 и 9.96 Mey в интервале 7 от -40 до $+30^\circ$. Максим, расхождение полученных значений величины $a \cdot v^{-2}$ со значениями той же величины, определенными импульсным методом, составляет ≤8—10%, а при низких т-рах 4—7%. Обсуждаются преимущества фотоэлектрич, метода определения интенсивности диффракционных спектров. Б. Кудрявцев Электроонтический метод определения ско-

рости распространения ультразвука в жидкостих. Муциоли (Methodo electro-optico para la medida de la velocidad de propagacion de los ultra-sonidos en los liquidos. Muzzioli L.), Bol. Soc.

сле-

уме.

Ory

асел

анов

топа

стей.

авод.

ER HE

вече-

ИДИТЬ

ICHRC MUH

тебин йного

. Д. анию

ьтра-

ного

коль-

Ошая

ются ажа-

квар-

юато-

, так остаій от о выотно-3%.

повом

огла-

тодом

рвале мере-

рвале

учен-

явцев сдова-

в сб.:

BCTRS.

пенвя

енное

teroro

резорезо-

с уси-

гермо-

изме-

откло-

илаце-

ле т-р

енных

вели-

авляет

аются

я ин-

оявцев

i cro-

остях.

la mea-soni-

. Soc.

chilena guim., 1955, 7, № 1-2, 5—8 (исп.; рез. англ., франц.)

Описан электрооптич. метод определения скорости ультразвука в жидкостях, основанный на измерении угла преломления ультразвукового луча при переходе из металлич. призмы в исследуемую жидкость. Изложена теория метода и определены абсолютная (~1 м/сек) и относительная (~0,67%) ошибки в определении скорости звука предлагаемым методом. Результаты эксперим. проверки метода вполне удовлетворительны.

Б. Кудрявцев

12249. Метод точного измерения проницаемости веществ с очень малыми потерями при 0,1 и 1 Мец. Либарт (Sur une méthode de mesure précise de la permittivite de substances à très faibles pertes, à 0,1 MHz et MHz. Liebaert R.), Colloq. A. M. P. E. R. E., mars, 1956. Inst. Phys. Univ. Genève, 1956, 128—132 (франц.)

Описана установка для определения: 1) электрич. момента полярных молекул пара и сильноразб. р-ра в неполярном р-рителе, 2) точного значения абс. диэлектрич. проницаемости жидкого диэлектрика при малых потерях, 3) идентичности различных образцов из одного и того же диэлектрика и 4) парамагнитной воспримчивости.

У. Копвиллем

12250. Абсолютные измерения визкости на ротационном вискозиметре Куэтта-Гатчека. Энгельхардт, Люббен (Absolute viskositätsmessungen mit einem Rotationsviskosimeter nach Couette Hatschek. Engelhardt W. V., Lübben H.), Kolloid-Z., 1956, 147, № 1—2, 1—6 (нем.) В приборе центрирование внутреннего цилиндра (Ц) осуществляется двумя конич. магнитами, укреп-

ленными вертикально вершинами друг к другу на внутреннем Ц и на центрировочной оси прибора. Исключение краевого эффекта достигается двумя охранными кольцами. Наружный Ц окружен кожухом для термостатирующей жидкости, соединяемым с термостатом. Для вращения служит асинхронный мотор; скорость вращения Ц 600 об/мин; отсчет производится тахометром. Внутренний Ц подвешивается на проволоке из стали или сплава золота «Дегуфлекс». Отсчет угла за-кручивания производится оптически, по круговой шкале. Прибор изготовлен из стали; части его, сопри-касающиеся с исследуемой жидкостью, хромированы. Расчет вязкости ведется графически по текущим величинам напряжения сдвига au_i и градиента скорости D_i для внутреннего цилиндра: $\eta = \tau_i/D_i$. Испытание прибора дало среднее отклонение результатов $\pm 0.5\%$. При весьма малых скоростях вращения сказывается действие краевого эффекта. Приводятся результаты изучения на данном приборе бентонитовых суспензий. Отмечается, что для исследования глинистых суспензий, совершенно свободных от солей, металлич. виско-А. Кислинский зиметры непригодны,

12251. Датчик для записи крутильно-колебательных движений маятника вискозиметра. Чистяков Ю. Д., Голубцов И. В., Приселков Ю. А., Завод. лаборатория, 1956, 22, № 7, 876—877

Сконструирован датчик для записи крутильно-колебательных движений маятника вискозиметра, преобразующий механич. колебания в электрические. Статор датчика имеет обмотку, на которую подается иапражение звуковой частоты. На роторе, ось которого жестко укреплена на оси маятника вискозиметра, помещена вторая обмотка; при движении маятника в ней индуцируется напряжение, пропорциональное углу поворота. Заводящий механизм электромагнитного типа соединен с маятником упругой нитью из Ве-бронзы. Герметичность датчика позволяет производить измерения

в вакууме или инертном газе. Применение датчика значительно упрощает процесс записи и повышает точность эксперимента. Л. Жулебин

2252. Измерение показателей преломления газов на приборе Теплера. Иодковырии И. А., Уч. зап. Казанского ун-та, 1956, 116, № 1, 109—111 Предложен метод измерения показателя преломления газов и газовых смесей, основанный на использовании интерференционных явлений в приборе Теплера без дополнения прибора оптич. компенсаторами. Исследуемый газ помещается в одну половину газовой камеры, которая имеет форму трехгранной призмы, разделенной перегородкой, периендикулярной преломляющему ребру. Другая половина камеры заполняется газом сравнения с известным показателем преломления П'. Камера располагается в рабочем поле так, чтобы при вертикальном расположении щели и нити перегородка камеры была также вертикальной. Щель освещается Нд-лампой через светофильтр. Число интерференционных полос N, располагающихся на отрезке высоты h изображения, связано с показателем преломления исследуемого в-ва ф-лой $n_{\lambda} - n'_{\lambda} = V N \lambda / h [tg \varphi + tg (\theta - \varphi)],$ где θ — преломляющий угол камеры, ф - угол падения лучей на боковую грань, V — линейное увеличение прибора. Погрешность результатов 10 измерений описанным методом на приборе Теплера ИАБ-451 для разности показателей преломления CO₂ и воздуха составляет 3·10⁻⁷. В. Лыгин

2253. Использование твердых сцинтилляторов в β-спектрометрии. Бизи, Джерманьоли, Цаппа (Solid scintillators for beta ray spectrometry. Віві А., Germagnoli Е., Zарра L.), Nuovo cimento, 1956, 3, № 5, 1007—1016 (англ.; рез. итал.)

Описано использование кристалла антрацена в βсиектрометре и β-γ-сцинтилляционном спектрометре на совпадениях. Приведены результаты некоторых измерений простых и сложных распадов. В частности, повторено исследование распада Ти¹то. Резюме автора 12254. Масс-спектрометр. Смит (The mass spectrometer. Smith Graig G.), Princeton Engr., 1956, 16, № 7, 24—25, 45 (англ.)

Популярная статья. А. Бабад-Захряпин 12255. Применение масс-спектрометра. Араки, Цутия (質量分析計の利用、荒木峻、土屋利一)、化 樫の領域、Кагаку-но рёнки, E. Japan. Chem., 1956, 10、№ 5, 49—55 (япон.)

Обзор. Библ. 58 назв.

12256. Предварительное сообщение о большом масссиектрографе, недавно построенном в Осакском университете. О г а т а, Мацуда (Preliminary report on a large mass spectrograph newly constructed at Osaka University. O g a t a K., Matsuda H.), Z. Naturforsch., 1955, 10a, № 11, 843—850

Описаны конструкция, настройка и метод калибровки шкалы масс-спектрографа, в котором применены однородное 60° секторное магнитное поле и $84^\circ50'$ пилиндрич. электрич. поле. Раднус центрального ионного луча в магнитном поле 1200 мм, а в электрич. поле 1093 мм. Максим. разрешающая способность 500 000, коэфф. дисперсии ~ 9 см на 1% разности масс. Для дублета N_2^{11} — $C_1^{12}O_1^{16}$ получено значение 112, $441\pm0,019\cdot10^{-4}$ ат. ед. массы.

12257. Нонный источник Амстердамского изотонного сепаратора. Кистемакер, Рол, Схюттен-Врис (The ion source of the Amsterdam isotope sepa, rator. Kistemaker J., Pol P. K., Schutten J., Vries C. de), Z. Naturforsch., 1955, 10a, № 11, 850—856 (англ.)

26

0

C II в са

горя

B03N

и п

При

My 7

H C

даче

вант

ним

тепл

TOPO

рен

деля

рам

H X

122

кли

нах

110,1

Про

меп

BHE por

опу

Bar

пам

т-р

122

обр

ша

OK

CI

др

ye

на

пе

фе

ВЫ

HE

MO

др

Te

H T

Описание дугового ионного источника электромагнитного сепаратора изотопов. 11. Абрамович 12258. Оборудование радиохимических лабораторий. Надь, Тарьян (Rádióaktív izotóplaboratóriumok tervezése és építése. Nagy János, Tarján Imre), Magyar építőipar, 1956, 5, № 6, 274—280 (венг.)

Обзор. Библ. 5 назв.

Лаборатория дистанционного анализа радиоактивных образцов с большой активностью. Дайкс, Флетчер, Терк, Рейн, Шанк (Labora-tory for remote analysis of highly radioactive samples. Dykes F. W., Fletcher R. D., Turk E. H., Rein J. E., Shank R. C.), Analyt. Chem., 1956, 28, № 7, 1084—1091 (англ.)

Основой лаборатории являются 32 аналитич, бокса, расположенных в две линии, оборудованных новейшей системой манипуляторов, пневматич. и электронными приборами регулирования. В лаборатории имеется зона дезактивации, вспомогательная лаборатория не-радноактивных в-в и камера высокой активности. Л. Жулебин

Безокошечный газо-проточный счетчик для регистрации радиоактивности на бумажных полосах.

Лоуэнстейн, Коэн (A windowless flow counter for paper strips. Lowenstein John M., Cohen Philip P.), Nucleonics, 1956, 14, № 5, 98-100 (англ.)

Лентопротяжное устройство с приводом от самопишущего счетного прибора ведет исследуемую бумажную полосу мимо щели, к которой плотно прижато отверстие счетной трубки, без слюдяного окошка. В счетную трубку подается медленный ток Не, насыщенного при 0° этанолом, или смеси 99,05% Не с 0,95% изобутана; газ вытекает через узкие зазоры между отверстием счетчика и бумагой. Применение газо-проточной счетной трубки значительно повышает чувствительность при регистрации слабых активностей с мягким излучением. В. Анохин

Прибор для автоматической регистрации радиоактивного излучения. Афанасьев В. Н., Завод. лаборатория, 1956, 22, № 7, 862—866 Основными частями установки являются самопи-

сец и приборы-регистраторы импульсов. С помощью концевых выключателей каретки и несложной схемы реле осуществляется работа как в режиме непрерывной регистрации изменяющегося потока излучения одного источника, так и в режиме периодич. записи излучения каждого из сравниваемых образцов. Л. Жулебин

Высокоскоростная пересчетная схема с декадным электронным переключателем. Порат (Highspeed scaling with a decade-counter tube. Porat D. I.), Rev. Scient. Instrum., 1956, 27, № 3, 150— 152 (англ.)

В схеме используется вакуумный декадный электронный переключатель в сочетании с энергонакопительной счетной схемой. Межэлектродная и монтажная емкости анода декадного переключателя служат накопительным элементом. Апериодичность схемы достигается стабилизирующим действием характеристики используемого переключателя. Для сброса электронного переключателя в исходное состояние после каждого десятого входного импульса используется сильный импульс длительностью 0,15 µсек, даваемый лампой со вторичной электронной эмиссией типа EFP-60. Разрешающее время для двойных импульсов <1 µ сек; достигнутая непрерывная скорость счета равна 106 Резюме авторов Микрокалориметрия. Кальве (La micro-

calorimétrie. Calvet Edouard), Atomes, 1956, 11, № 119, 49—55 (франц.)

Популярная статья. А. Лихтер

12264. Золотой калориметр для работ по термохимии растворов с термометрической чувствительностью в 0,00005°. Исследование теплоемкости растворов йодистого цезия с точностью до 0,03%. Капу. стинский А. Ф., Липилина И. Н., Самойлов О. Я., Ж. физ. химии, 1956, 30,

Описан калориметр, предназначенный для измеренна тепловых эффектов в агрессивных средах. Калориметрич. стакан из золота помещается в герметически закрывающийся стальной сосуд, который во время ра-боты находится в водяном термостате. Т-ра калоры метра определяется Рt-термометром сопротивления. поддерживается постоянной с помощью контактного термометра и электронного реле с точностью +0,003°. При использовании зеркального гальванометра типа М 21/4 возможно достичь температурной чувствительности 5·10-5 град. Измерены теплоемкости водн. р-ров CsJ при 25° в интервале молальных конц-ий 1,06— СsJ при 25° в интервале молальных конк на 1, р-ра 0,22. Полученная теплоемкость бесконечно разб. р-ра И. Лыгина Установка для дифференциального термиче-

добрания. Брейди, Игер, Хамфрис (An apparatus for differential thermal analysis. Brady J. G., Fager R. L., Humphrys J. M.), Canad. J. Technol., 1956, 34, № 1, 1—9

Описана установка, которая была использована для качеств. и колич. определений минералогич. состава саскачеванских глин и вулканич. пепла методом дифференциального термич. анализа. Образец и инертный материал нагревались в горизонтальной муфельной электропечи. Разность т-р образца и инертного материала определялась хромель-алюмелевой дифференци-альной термопарой, показания которой, а также термопары, измеряющей т-ру печи, записывались 2-точечным самописцем. Наилучшие результаты были получены с цилиндрич. контейнерами из Pt-фольги толщиной 0,05 мм. Ошибки в колич. определениях колебались от 5 до 20%. Ошибки при измерении температуры и новые

виды термоэлементов для измерения температуры. X мурный (Chyby pri meranı teploty a nové druhy termočlánkov na meranie teploty. C h m ú r n y D a n i e l), Techn. práca, 1956, 8, № 3, 121—124 (словац.)

Обзор. Библ. 4 назв. В. Свирилов О точности измерения температуры полупроводниковыми термочувствительными сопротивлениями. Дульнев Г. Н., Савинов В. П. В сб.: Исследования в обл. тепловых измерений. М. — Л., Машгиз, 1956, 150-158

При измерениях т-ры с помощью полупроводниковых термочувствительных сопротивлений (ПТС) возникает погрешность за счет того, что т-ра ПТС вследствие перегрева измерительным током превышает т-ру измеряемого объекта. Абс. температурная погрешность $\sigma = P \cdot F$, где P — мощность рассеивания ПТС, а F коэфф., зависящий от конструкции ПТС, теплопроводности его материала и условий эксплуатации. Для ряда простейших конструкций ПТС коэфф. F может быть определен теоретич. путем, для более сложных с помощью приведенной в статье электряч. схемы. Пользуясь вышеприведенной ф-лой, можно определить для требуемой точности измерения т-ры максимально допустимую мощность рассенвания ПТС.

Измерение температуры поверхности с помощью термопары и относительная ошибка измерений. Рама (Misure di temperature superficiali con termocoppia ed errori relativi. Rama SilThi

ров

и., 30,

HRO

име-

38-

pa-OPH-

ANA.

ЭЧКВ

MOPA

03°

гипа

ель-

-ров 06—

р-ра гина

Hue.

рне

ysis. rys 1-9

пля

тава диф-

тный

ьной

ериа-

нпи-

тер-2-то-

по-

тол-

коле-

ОВИЧ

овые

уры. nové

r n y

илов упро-

3 сб.:

- JI.,

OBMX

икает ствие

ИЗность

овод-

ряда быть

x -

семы.

елить

маль-

PHEON

по-

iciali Silvio), Termotecnica, 1955, № 11, Ricerche № 5, 251-260 (итал.)

Определены ошибки измерений т-ры поверхности с помощью термопары. Поток тепла, возникающий в самой термопаре под действием градиента т-р между горячей и холодной точками термопары, вызывает возмущение температурного поля измеряемого тела и приводит к систематич, ошибке в определении т-ры. При этом предполагается, что тепло передается твердому телу от источника, расположенного в бесконечности. и стационарное состояние поддерживается теплопередачей во внешнюю среду чисто конвективно. На основания проведенных расчетов ошибка, выраженная средним падением т-р, зависит от разницы между кол-вом тепла, рассеянным в термопаре, и кол-вом тепла, которое передавалось бы поверхностью (при т-ре измерений) во внешнюю среду. Кроме того, ошибка определяется термич. постоянными и геометрич. размерами твердого тела и термопары, т-рами горячей рами твердого тела и термопары, грани и колодной точек, а также т-рой внешней среды. Л. Радич

12269. Дистанционное включение термопар. Берр, Нил (A thermocouple connection operated by remote control. Burr A. C., Neil D. J.), Canad. J. Technol., 1956, 34, № 2, 88—89 (англ.)

Для обеспечения возможности подключения и отключения термопары для измерения т-ры образца, ваходящегося внутри вакуумной системы, образец подвешивался на тонкой нихромовой проволоке, на другом конце которой находился стальной противовес. Противовес позволял производить вертикальное перемещение образца при помощи магнита. Спай хромель-алюмелевой термопары помещался в высверленное виязу образца отверстие. Концы термопары были ко-ротко обрезаны и согнуты так, чтобы создавать при опускании образца хороший контакт с впаянными в вакуумную систему хромелевым и алюмелевым вводами. Такая термопара позволяла контролировать т-ру вблизи 500° с точностью ±2°. Л. Абрамович 2270. Прямая калориметрия реакционных процес-cos. Крёгер, Янецко (Die Direktcalorimetrie reaktionsträger Prozesse. К röger Carl, Janet-

zko Wilhelm), Z. anorgan. und allgem. Chem., 1956, 284, № 1-3, 83—96 (нем.)
Предложена печь для предварительного нагревания

образцов при измерении тепловых эффектов высоко-температурных процессов. Навески в-в (до 1 г) помещаются в тонкостенный (0,05 мм) платиновый тигель, окруженный печью (тигель из марквардтовской массы с нагревателем). Печь отделена от калориметра цилиндрич. экраном, подвешенным на Рt-проволочке. Для ускорения теплопередачи от печи к калориметру после проведения нагревания экран удалиют, расплавляя Риподвеску током. Тепловая энергия, затраченная на пагревание печи, измерялась ваттметром с фотоэлектрич. пересчетом непосредственно в калории. Тепловой эффект р-ции вычислялся по ф-ле: $Q = x - W_W \Delta \ T$ кал, где x — энергия, затраченная на нагревание печи (кал), W_W — водяное число калориметра (кал/град), ΔT — повышение т-ры калориметра. Измерена теплота диссовышение т-ры калориметра. Померска толга образова-циации $\mathrm{BaO_2}$ (17,7 \pm 0,2 $\kappa\kappa$ ал/моль), теплота образова-ния бисиликата Na из соды и кварца (25,3 \pm 0,4 $\kappa\kappa$ ал/моль), моль) и из NaOH и кварца (18,5 \pm 0,4 κ кал/моль), а также теплоты остекловывания бисиликата и метасиликата Na. Результаты хорошо совпадают с данными других авторов. А. Лошманов

12271. Применение микроскопа для изучения высокотемпературных процессов. Аникин И. Н., Завод. лаборатория, 1956, 22, № 7, 805—806 Тигель с объектом наблюдений помещался в нагрева-

тельную печь, над которой установлен бинокулярный

микроскоп МБС-2. Один из тубусов микроскопа использовался для освещения; оптика защищалась вращающимся стеклянным диском и неподвижным стеклом. Был изучен процесс кристаллизации шеслита (CaWO₄) и некоторых других в-в, определена т-ра плавления «чкаловита» (Na₂BeSi₂O₆), равная ~990°.

Л. Жулебин

12272. К вопросу о количественной статмографии. Гаупман, Стрнад, Шкрамовский (К otázce kvantitativní stathmografie. На u p t m a n Z d e n ė k, S t r n a d V l a d i s l a v, Š k r am o v s k ý S t a n i s l a v), Pražská univ. Moskevské univ. Sb. vyročí 1755—1955, Praha, 1955, 299— 325 (чеш.; рез. русс.)

Описан усовершенствованный статмограф Шкрамовского (Škramovský St., Chem. listy, 1932, 20, 521), предназначенный для изучения термич. устойчивости твердых в-в и кинстики их термич. разложения, вос-становления, окисления и т. д. Прибор состоит из ана-литич. весов с масляным демифером, к одной из чашек которых подвешивается ампула с исследуемым в-вом, регистрирующего устройства, позволяющего получать на фотобумаге кривые изменения веса, и термостата, поддерживающего постоянную т-ру с точностью до ±0,3 при 200 и ±4 при 950° (максим. т-ра). Установлено, что условия приготовления препарата оказывают влияние на скорость процесса, а кривые, полученные с помощью статмографа, несколько искаженно передают кинетику процесса. Это обусловливает необходимость усовершенствования прибора. Приведены статмограммы дегидратации ${\rm CuSO_4\cdot 5H_2O}$ и ${\rm H_4J_2O_3}$.

В. Свиридов Поплавковые весы для изучения кинетики реакций с участнем твердых веществ. Болды рев В. В., Сакович Г. В., Ж. физ. химии, 1956, 30, № 6, 1416—1418

Сконструированы поплавковые весы (ПВ) для изучения кинетики процессов, связанных с изменением веса (гигроскопичность, коррозия и др.). ПВ основаны на законе Архимеда; погружение поплавка, соедина законе применения для исследуемого в-ва, фиксиру-ется фотореле, управляющим электромотором жидкост-ного реостата. Реостат изменяет ток соленонда, магнитное поле которого воздействует на металлич. стержень поплавка, удерживая его в исходном положении. Изменение силы тока в цепи соленоида пропорциональ-но изменению веса в-ва. ПВ регистрируют изменение веса до 10 мг.

12274. 3 Простой погружаемый насыщенный каломельный электрод для полярографии. К е й н (A simple dip-type saturated calomel electrode for polarograрhy. K a n e P. O.), Chemistry and Industry, 1956, № 16, 295—296 (англ.)

Описана простая конструкция сосуда с насыщенным каломельным электродом (Э) для полярографии. Э помещается в пробирке (Π_1) , которая, в свою очередь, помещена в другой пробирке (П2), имеющей снизу конич. шлиф с небольшим отверстием (О) на его боковой поверхности и надетой на шлиф конич. пришлифованной муфтой. Пробирки П1 и П2 заполнены насыщ. р-ром KCl и сообщаются между собой через отверстие в стенке П1; р-р в П2 сообщается с электролитом в полярографич. ячейке через О и промежуток между пришлифованными поверхностями шлифа и муфты. Верхние части стенок П₁ и П₂ покрыты парафиновым воском во избежание «выползания» р-ра КСІ. Анодная поляриза-ция Э при токе 20 µа и 50 оа равна 2 и 9 ме соответственно. Э надежен и прост в работе. Недостатии Э: большое внутреннее сопротивление (~3000 ом) и необходимость иметь полярографич. ячейку емкостью ≥5 ма. И. Зайденман

разј во (

кул

KOM

зан

Ha

При

HSM

122

Mar Ca4

зан

cyc

мен нил бен

два Гом

р-р

Hai

экс

MOI MEE DEE OTP

Bec

122

лес

HOE

Me

Ch

TO

BB

300

70

85

гр

12275. Лабораторный полярографический анализатор сернистого газа. Готфрид (Laboratorní polarografický analysátor kysličníku siričitého. Gottfrie d Jaroslav), Chem. prumysl, 1956, 6, № 4, 143—145 (чеш.; рез. русс., англ.)

Анализатор состоит из полярографа, объединенного с простым устройством для поглощения SO₂ непрерывным потоком электролита. Установлено, что ток изменяется линейно с конц-ией; ток уменьшается при увеличении скорости потока электролита; наличие SO₃ не искажает работу анализатора. Прибор был откалиброван для конц-ии SO₂ 0,02—0,1%; его работа была проверена йодометрич. методом; оба метода дали совпадающие результаты. А. Сарахов 12276. Электроинолучевые полярографические при-

2276. Электроннолучевые полирографические приборы. Цапив И. И., Науч. зап. Львовск. политехн. ин-та, 1956, вып. 22, 29—38

Обзор. Библ. 10 назв.

12277. Потенциометрическая инт. рирующая схема постоянного тока для измерения малых э. д. с. с большим сопротивлением. Карассо, Питман (A direct-current integrating potentiometric circuit for the measurement of small E. M. F. s developed across high resistances. Сагаssо J. I., Рістима п R. W.), J. Chem. Soc., 1956, Apr., 1084—1085 (англ.)

Описан метод измерения малых э. д. с. источников с внутренним сопротивлением до 10¹⁰ ом с точностью до 1 мв. В. Левинсон

12278. Двухкамерная стеклявная ячейка для электролиза при контролируемом потенциале. Кейн (A two-chamber glass cell for controlled potential electrolysis. Kane P. O.), Chemistry and Industry, 1956, № 16, 302 (англ.)

Описана усовершенствованная конструкция двухкамерной стеклянной ячейки, предназначенной для кулонометрич. измерений при контролируемом электродном потенциале. В качестве регулирующего устройства по-прежнему используется потенциостат Лингейна (Lingane J. J., Disc. Faraday Soc., 1947, № 1, 203). И. Зайленман

12279. Осциллографическая установка для снятия кривых заряжения. Файзуллии Ф. Ф., Нигматуллии Р. Ш., Уч. зап. Казанского ун-та, 1956, 116, № 1, 145—148

Описана установка, позволяющая получать хорошо воспролзводимые кривые заряжения как анодной, так и катодной поляризации за время, достаточное для установления состояния равновесия на электродах (до 6 сек.). Электролитич. ячейка, состоящая из рабочего электрода с относительно малой поверхностью, вспомогательного электрода и электрода сравнения, включена в цень генератора пилообразных напряжений. Напряжение, пропорциональное кол-ву электричества, протекшего через ячейку, подается на горизонтальные отклоняющие пластины электроннолучевой трубки, а разность потенциалов, синмаемая с электрода сравнения и исследуемого электрода, после соответствующего усиления подается на вертикальные пластины трубки.

Л. Абрамович 12280. Автоматическая установка для сиятия кои-

2280. Автоматическая установка для снятия кривых потенциал — время (потенциограф). Файзуллин Ф. Ф., Кочман Э. Д., Уч. зап. Казанского ун-та, 1956, 116, № 1, 149—153

Описана автоматич. установка для снятия кривых потенциал — время как при анодной, так и при катодной поляризации электродов микро- и миллиамперными токами. Непрерывное измерение э. д. с. гальванопары, образуемой каломельным и исследуемым электродами, осуществляется зеркальным гальванометром с высоким входным сопротивлением. Запись потенциала ведется лучом гальванометра на ленте фотобумаги,

перемещаемой синхронным электромотором. Предусмотрена возможность проверки показаний прибора с помощью спец. катодного вольтметра, обладающего очень высоким входным сопротивлением. Точность определения потенциала описанным методом достигает ±0,02 г.

12281. Усилители для осциллографировання в элект

рохимических измереннях. Кривцов А. К., Тр. Ивановск. хим.-технол. ин-та, 1956, вып. 5, 202—206

Описан усилитель, предназначенный для исследования в сочетании с осциллографом малых напряжений электрохим. процессов. Применена видоизмененная схема усилителя с катодной связью. Приведены анализ работы схемы, а также методика проверки и градуировки усилителя. Описанный усилитель обладает малыми искажениями, низким уровнем шумов и коэфф. усиления, достаточным для получения изображения, заполняющего весь экран осциллографа. Л. Абрамовни 12282. Микроволновая и оптическая техника для изучения газового разряда. Бьо и д и (Microwave and optical techniques for gas discharge studies, Biondi Manfred A.), Appl. Scient. Res.,

1955, В5, № 1-4, 157—166 (англ.)
Описаны микроволновые и оптич. методы, применяемые в лаборатории автора для изучения поведения электронов, понов и возбужденных атомов в газах при различных условиях. Приведены блок-схемы приборов и кривые, характеризующие их работу. Л. Абрамович 12283. Точные весы улучшенной конструкции для определения повроуметного. Ватажения повроуметного пределения повроуметного.

определения поверхностного натяжения пленок. И но кути (An improved accurate film balance. I no kuchi Kiyoshi), Bull. Chem. Soc. Japan, 1953, 26, № 8, 471—475 (англ.)

Описаны усовершенствованные весы (Marcelin A., Ann. phys., 1925, 4, 505), позволяющие с большой точностью измерять малые поверхностные натижения жидких пленок. Собственно крутильные весы, во избежание загрязнения жидкости при работе, смонтированы на штативе, вынесенном из зоны исследования. Коромысло весов так механически связано с поплавком (полоска парафинированной слюды), что последний может перемещаться по вертикали. Распространение пленки в зазоры между поплавком и краем ванны исключается тонкой парафинированной шелковой нитью. Особые металлич. прижимы надежно соединяют нить с краем ванны. Для точного отсчета угла поворота коромысла весов применена система зеркал и шкалы. Чувствительность весов с нитью из фосфористой бронзы диам. 0,273 мм равна 0,273 дн на 1 деление шкалы, а верхний предел измерений равен 40 дн/см; для нити диам. 0,101 мм, соответственно, 0,004 дн на 1 деление шкалы и 0,7 дн/см.

1 2284. Прибор для измерения флуоресценции на фильтровальной бумаге. Яги, Табата(沪紙上登光測定裝置. 八木國夫, 太幡利 -), 生化學. Сэйкагаку, J. Japan. Biochem. Soc., 1956, 27, № 12, 779—780 (люн.)

Описано устройство и приведена оптич. схема прибора для измерения флуоресценции хроматограми. Приведен график спектральной чувствительности прибора и его калибровки по рибофлавину. А. Сарахов 12285. Измерение удельной поверхности саж на приборе Дерягина. Деряги В. В., Захаваева Н. Н., Талаев М. В., Ж. прикл. химии, 1956, 29, № 1, 46—52

Измерение уд. поверхности на приборе Дерягина (Дерягин Б. В., Захаваева Н. Н., Талаев М. В.—Прибор для определения удельной поверхности порошковых и дисперсных тел по сопротивлению течению разреженного воздуха (Руководство), изд. 2, Москва, Изд. АН СССР, 1953) основывается на фильтрации

P.

-TO

110-

нень

еде-

PHE

K.,

ований

нан Сипа

ров-

ыми илепол-

ович

для

wave

dies.

Res.

ения

при

оров

ОВИЧ

для

ance. Ja-

A.,

TOT-

жил-

ежаваны

боро-1 (по-10жет 1енки

ается

собые

краем

ысла

ствилиам.

йинхо

диам.

калы

ВИТИЯ

и на

戸紙上

ікага-

779 -

при-

рамм.

рахов

при-

вае-

имии,

ягина

-При-

ошко-

о раз-

осква.

рации

разреженного воздуха через сажу. Разрежение должно быть таково, чтобы длина свободного пробега молекул была велика по сравнению с максим. поперечником пор. Для разрушения агрегатов, которые могут занаить результат, производится трамбовка сажи. На уд. поверхность трамбовка практически не влияет. Приводятся теоретич. обоснование метода и данные измерений, хорошо согласующиеся с другими методами.

1. Васильев 12286. Просчитывание суспензий в жидких сцинтиляторах. Хейс, Роджерс, Лангем (Социнторах) в суспензий в жидких сцинтиляторах. Хейс, Роджерс, Лангем (Социнторах) в суспензий в кидких сцинтиляторах. Хейс, Роджерс, Лангем (Социнторах) в суспензий в кидких сцинтиляторах. Хейс, Роджерс, Лангем (Социнторах) в суспензий в кидких сцинтиляторах. Хейс, Роджерс, Лангем (Социнторах) в суспензий в кидких сцинтиляторах. Хейс, Роджерс, Лангем (Социнторах) в суспензий в кидких сцинтильного в суспензий в суспензи в суспензий в суспен

Подробно рассматриваются методы и приемы счета материалов, меченных радноизотопами Н³, S³5, С¹4, Са⁴5. Для просчета из материалов, содержащих указаные изотопы, приготовляются в-ва, образующие суспенаии в толуоле. В качестве сцинтиллитора применяется толуольный р-р, содержащий 4 г/л 2,5-дифенялоксазола и 0,05 г/л 1,4 ди-2-(5-фенилоксазолил)-бензола. Для регистрации активности использовались два фотоумножителя, работающие по схеме совпадений. Гомог. внутренними стандартами служили толуольные р-ры: для С¹4— р-р бензойной к-ты, для Н³— 5,6-дипидрохолестерола (соответственно с С¹4 и тритием). Найдено, что при осаждении суспензии скорость счета экспоненциально уменьшается, приближаясь к счету при 50%-ной геометрии. Для уменьшения эффекта самопоглощения излучения С¹4 следует повышать напряжение на фотоумножителях. Счет молочно-белых суспензий не зависит от конц-ни в-ва, так как их частицы отражают фотоны света; окрашенные суспензии поглощают свет. Указанный метод дает возможность произвести счет органич. ткани, меченной С¹4, за 20 мин. В. Дедов

12287. Определение электропроводности поперечносвязанных полиэлектролитов, смол и гелей. Хиле, Якубович, Китченер (Determination of the electrical conductivity of crosslinked polyelectrolytes, resins, and gels. Hills G. J., Jakubovic A. O., Kitchener J. A.), J. Polymer Sci., 1956, 19, № 92, 382—384 (англ.)

Описан метод определения электропроводности гелеобразных в-в, автоматически учитывающий переходвебразных в-в, автоматически учитывающий переходшедловского для р-ров (Shedlovsky Т., J. Amer. Chem. Soc., 1930, 52, 1806). Измерение производится
ва переменном токе с помощью мостика Уитстона. Метод позволяет производить измерение уд. сопротивления нонообменных смол с ошибкой ≤ ±0,2%. Приведепа принципиальная электрич. схема измерительной
пепи.

Л. Абрамович

12288. Техника изготовления твердых узкополосных светофильтров для колориметрических работ в спектральной области 3100—3600 А. А и д р е е в С. Н., Халди и В. Г., Тр. Комис. по аналит. химии. АН СССР, 1956, 7(10), 201—204

Основой для разработанных светофильтров (С) служит Na₂B₄O₇ (I) (х. ч. вли ч. д. а.), высушенный при 300—400°; его плавят в Pt-чашке при 800—850°, выдерживают в печи 1 час и выливают в графитовую изложницу. Полученное и измельченное боратное стекло входит в состав шихты вместе с K₂CrO₄ (II) и Мп-* 850°, выдерживается 30—40 мин., выливается в разогретую до 500—600° графитовую изложницу. Слитки шлифуются и полируются до получения С толщиной 0,8—1 мм. Ниже даются соответственно составы шихт, положения максим. пропускания и величины пропускания с в максимуме: 1) 10 г (I) (х. ч.)+0,020 г (II),

310 мµ, 15—20%; 2) 10 г (I) (х. ч.) + 0,015 г (II) + +0,001 г (III), 315 мµ, 15—22%; 3) 10 г (I)+0,010 г (II) + +0,05 г (III), 320 мµ, 10—15%; 4) 10 г (I) + 0,007 г (II) + 0,10 г (III), 330 мµ, 10—16%; 5) 10 г (I) + 0,5 г (III), 360 мµ; 16—20%. С №№ 1-4 окленваются стеклом УФС-1 (5 мм) в кварцем (0,5 мм); С № 5 — стеклом УФС-3 (5 мм) в обычным силикатным стеклом (0,1—0,3 мм). Полуширина полос пропускания С составляет 180—300 А.

12289. Оборудование для оптических и спектросконических исследований при высоких давлениях. Ф и ш м а н, Д р и к к а м е р (Equipment for high pressure optical and spectroscopic studies. F i s h m а n E r w i n, D r i c k a m e r H. G.), Analyt. Chem., 1956, 28, № 5, 804—806 (англ.)

Аппаратура позволяет работать с жидкостями при давл. до 12000 атм в спектральном интервале 0,2—5,0 µ. Давление на жидкость передается двухпоршневым мультипликатором, имеющим диаметры поршней 75 и 12 мм. Поршень высокого давления выполнен из спец. стали, закаленной до твердости R_c 58—60. Из той же стали изготовлены ввинченные в камеру с жидкостью втулки с отверстиями, закрытыми окнами из синтетич. сапфира толщиной 12 мм. Прилегающие к окнам отшлифованные поверхности втулок имеют твердость R_c 55—36, тело втулок отпущено до R_c 50. Габариты прибора допускают установку его на однолучевом спектрофотометре Перкин—Эльмера. М. Буланин

12290. Простая газоаналитическая аппаратура для определения CO₂, CO, O₂ и N₂ в газовых смесях объемом в несколько см³. Росберг (Eine einfache Gasanalysen-Apparatur zur Bestimmung von CO₂, CO, O₂ und N₂ in Gasmischungen von wenigen cm³ NTP. Rossberg Manfred), Brennstoff-Chemie, 1956, 37, № 7-8, 121—122 (нем.)

ше, 1936, 37, № 7-8, 121—122 (нем.)
Аппарат состоит из стеклянного резервуара для газа, 2 насосов, 2 U-образных трубок для вымораживания СО₂ и 3 манометров. СО₂ вымораживается жидким воздухом, СО окисляется в СО₂ в грисутствии Ј₂О₅ при 220° и затем вымораживается. Образующийся Ј₂ поглошается в трубке, заряженьой серебряной ватой. После поглощения СО₂ и СО оставшийся газ, состоящий из О₂ и №2, пропускается через кварлевую трубочку, заряженную гранулированным углем или графитом (величина зерва 1—2 мм), помещенную в электропечь, нагретую до 1250°. Кислород количественно переходит в СО. Азот определяют по разности. Результаты анализа хорошо воспроизводимы. Средняя ошибка составляет ±0,4% от всей газовой смеси. Продолжительность анализа 25 мин.

3. Навяжская

12291. Прибор для быстрой очистки йода. Бутелье (Apparatus for the rapid purification of iodine. Boutelje E.), S. Afric. Industr. Chemist, 1956, 10, № 4, 88 (англ.)

Дана схема прибора, позволяющего посредством однократной возгонки очищать йод до чистоты, соответствующей требованиям английского стандарта.

12292. Опыт двухгодичной работы с пламенным фотометром, колориметром и спектрометром. Цёльнер (2 Jahre Betriebserfahrung mit Flammenphotometer, Kolorimeter und Spektrometer. Zoell-ner H.), Ber. Dtsch. keram. Ges., 1956, 33, № 2, 39—46 (нем.)

Описаны возможности, точность и области применения колориметра, пламенного фотометра и спектрометра. Дана сравнительная оценка ряда пламенных фотометров и спектрометров и характеристики основных типов приборов. Оценена точность отсчета прибора при колориметрич. определениях: TiO₂, Fe₂O₃, Al₂O₃, и SiO₂.

No

crei

вну KOT

газ

THE

при

123

0

пут

104

He I

CaH

ляк

coc CH

HO

OHE

Men

123

fe

C

пле

HWK

хло

чер

OKH

10

123

A

la

A 1230

te

0

оент CCI

900 счит

c m

12293. Определение температуры кипения незначительного количества вещества. Паржизек (Stanovení bodu varu s nepatrným množstvím látky. Pařízek R.), Chem. průmysl, 1956, 6, № 5, 215

Стеклянный капилляр с запаянным концом с наружным диам. 1,8-2,0 мм наполняют каплей исследуемой жидкости, затем в него вставляют открытым концом другой запаянный капилляр с наружным диам. 0,4— 0,6 мм. При достижении точки кипения вместо редкого пробулькивания пузырьков воздуха из более тонкого капилляра через жидкость возникает непрерывный поток пузырьков. Результаты определения этим способом т-р кипения ряда жидкостей совпадают с литературными данными с точностью до 1°. 12294 Управление вентилем с помощ В. Свирилов Управление вентилем с помощью контактного

12294 Управление вентилем с помощью контактного манометра. Грапил, Кённекке (Ventilasteuerung mit Hilfe des Kontaktmanometers. Hrapia Helmut, Könnecke Hans-Günther), Chem. Тесhnik, 1956, 8, № 6, 359 (нем.) Регулировочный вентиль (РВ) приводится в действие реверсивным электромотором, который управляется положения
ся двумя реле, связанными с контактным манометром. В качестве контактного манометра использован обычный манометр, у которого на оси укреплена вторая стрелка с контактами, а на циферблате укреплена чашечка с ртутью. При достижении стрелкой установленного давления контакты погружаются в ртуть и замыкаются. Вторая контактная система соединена с РВ и служит для исключения влияния свободного хода привода на процесс регулировки. Работа схемы проверялась при т-ре до 600° и давл. 50—100 ати на аппарате с производительностью 0,6—14 л/час по жидкому продукту и 0—100 л/час по газу. Давление поддерживалось постоянным с точностью $\pm 0,5$ ати.

А. Лошманов 12295. Регулятор давления для лабораторных установок высокого давления. Локтев С. М., Кон-стантинов А. А., Антощук И. А., стантинов А. А., Антощук И. Тр. Ин-та нефти АН СССР, 1956, 8, 185—190.

Чувствительным элементом регулятора давления является резиновая диафрагма (РД) ограниченной подвижности, расположенная между корпусом и сосудом с командным давлением. В сосуде находится сжатый газ (дучше инертный) под давлением, равным задан-ному рабочему давлению в установке. Контроль давления осуществляется пружинным манометром. РД посредством разгрузочной пружины и плунжера соединяется с иглой, которая регулирует давление рабочего газа, проходящего через корпус. Втулка седла игольчатого клапана выполнена из тефлона. Эта втулка и разгрузочная пружина обеспечивают длительную бесперебойную работу прибора. Испытания регулятора в течение нескольких месяцев при давл. 10-300 атм и скоростях газового потока 3-500 ил/час дали удовлетворительные результаты. Л. Абрамович 2296. Простая конструкция прецизионного термо-perулитора. Джейме (A simply constructed pre-cision type thermoregulator with novel features. James G. S.), S. Afric. Industr. Chemist, 1956, James G. S.), S 10, № 2, 36 (англ.)

Описан простой ртутно-толуоловый терморегулятор, контактное устройство которого выполнено в виде вставленной в капилляр нихромовой пружинки. Конец пружинии оттянут так, что соприкосновение со ртутью происходит в центре мениска. Такая конструкция делает терморегулятор виброустойчивым и обеспечивает хорошо воспроизводимый контакт.

Л. Абрамович 2297. Сварка тонких термопар коротким импульсом тока. Анвкин А. Г., Ж. физ. химии, 1956, 30, № 3, 685—687 (рез. англ.) 12297.

Способ позволяет получать спаи без увеличения диаметра. 12298. Приспособление к пленочному осциллографу фотобумате шириной 120 мм, Кочененко М. Д., Завод. лаборатория, 1956, 22, № 3, 363—365

Зеркальный барабан осциллографа стопорят в определенном положении, а заводской полукруглый экран заменяют плоским съемным матовым стеклом. После распределения записываемых величин по полю записи и выбора их отклонения на место матового стекла устанавливают спец. кассету, вмещающую 20 м фотобумаги шириной 120 мм. В основу конструкции кассеты положено устройство рулонной кассеты осциллографа типа «Симменс». Кассета приводится в движение передвигающим пленку мотором. Для этого валик, передарщий движение от редуктора к индукционной муфте зеркального барабана, удлиняют и крепят в дополнительном подшиннике, устанавливаемом на цилиндрву. кронштейне. На валик с внешней стороны осциллографа надевают звездочку, вращение которой через пепь передается второй звездочке, укрепленной на валу кассеты. Л. Абрамович 12299. Удобная ультрамикробюретка. Уинго,

Джонсон (Convenient ultramicroburet. Wingo William J., Johnson Walter H.), Analyt. Chem., 1956, 28, № 7, 1215—1216 (англ.) В описанной ультрамикробюретке, устройство которой аналогично шприцу, поршень передвигается с помощью дифференциального винта с шагом нарезки 1,27 и 0,91 мм. Диаметр капилляра бюретки 0,6 мм, положение мениска жидкости контролируется визуаль-Л. Жулебин но с точностью 0,06 ил. 300. Промывалка с клапаном. Адамец (Střička s pojistným ventilem. Adamec M.), Chem.

průmysl, 1956, 6, № 4, 165 (словац.)

Обычная промывалка для дистилл. воды снабжена резиновым или стеклянным клапаном, позволяющим сохранить давление внутри промывалки, а следовательно, и пользоваться ею после отрыва от губ работающего.

Вакуумный дистиллятор с вращающейся лептой. Нестер (Spinning band still for vacuum operation. Nester Ralph G.), Analyt. Chem., 1956, 28, № 2, 278—279 (англ.) ration.

Лента дистиллятора представляет собой полоску металлич. полотна 80—100 мет, свернутую в спираль с шагом 2—10 см. Лента находится внутри колонки дистиллятора и крепится в верхней части к вращающе-муся со скоростью 3300 об/мин стержию. Стержень выходит наружу через конич. уплотнение, втулка которого выполнена из тефлона или другого не требую-щего смазки материала. Коэфф. дефлегмации регулируется спец. клапаном с тефлоновой иглой. Приведена схема устройства. Л. Абрамович Изменение бруска магнитной мешалки для

круглодонных сосудов. Пинкус (Modification of magnetic stirring bar for use in round-bottom vessels. Pinkus A. G.), Chemist-Analyst, 1955, 44, No 4, 109 (англ.)

Предложено надевать на середину бруска резиновую, тефлоновую или полиэтиленовую шайбу со слегка закругленными краями. 12303. Сухая камера Л. Абрамович 303. Сухая камера с инертной атмосферой для химических работ. III е р ф и (Inert atmosphere dry box for chemical operations. Sherfey Joseph M.), Industr. and Engng. Chem., 1954, 46, № 3, 435— 440 (англ.)

Аппаратура состоит из предварительной камеры (ПК), сухой камеры (СК) и устройства для осушки в очистки инертного газа в системе от примесей О2 и СО2. СК представляет собой герметичный ящик из

Ra

19 x

HRR

POB

пре-

осле

Men

CTa-

tarn.

ПО-

рафа

цаюуфте

лиирич.

ерез

на

ОВИЧ

ro, ngo H.),

нгл.)

кото-

с по-

езки

мм, уаль-

eom Střič-

жена ощим

тель-

щего. ондов

лен-

ope-

hem.,

поску

ираль

тонки

ожень са коебую-

гули-

едена мович и для

on of

essels. № 4, ювую, ка за-

MOBIN MH XIIry box

амеры шки и

02 1

ик из

M.),

алюминия с тремя стеклянными стенками. В передней стенке вмонтированы резиновые перчатки для работы внутри СК. Исследуемый препарат помещается в ПК, которая эвакупруется и затем заполняется инертным газом до давления в СК. После этого препарат переводитея в СК. Циркуляция газа в системе осуществляется при помощи насоса с электромотором. Детально описана конструкция отдельных узлов. Н. Москвитин 12304. Метод обезгаживания жидкостей. Ньюто и (Method of degassing liquids. New ton Amos S.), Analyt. Chem., 1956, 28, № 7, 1214—1215 (англ.)

Описан простой прибор для обезгаживания жидкостей путем книячения с обратным холодильником при остаточном давлении ~1 µ и последующей перегонки; способ пе применим для жидкостей, имеющих высокую упругость наров при т-рах выше т-ры плавления (H₂O, C₀H₀, лед. СН₃СООН). Описан вариант прибора, позволяющий собирать газы, откачиваемые с помощью насоса Теплера. Содержащиеся в воде, C₀H₀ или лед. СН₃СООН растворенные газы удаляют и определяют путем смешения используемой жидкости с предварителью обезгаженной жидкостью с низкой т-рой плавления; описано определение растворенных в С₀H₀ газов. Метод пригоден дли исследования продуктов радиолиза.

12305. Прибор для локальных измерений толицины тонких пленок. Андерс, Мейнк (Beta gauge for localized measurements on thin films. Anders Oswald U., Meinke W. Wayne), Rev. Scient. Instrum., 1956, 27, № 6, 416—417 (англ.)

Сконструирован прибор для измерения толщины пленок по поглощению в них β -лучей. В качестве источника излучения применялся препарат Pm^{147} в виде хлорида, активностью 5 мкюри. Излучение, прошедшее через пленку, измерялось Γ .—М.-счетчиком с тонким окном. Прибор наиболее чувствителен при толщинах до 6 мг/см² и позволяет установить вариации толщины < 0.1 мг/см². А. Бабад-Захряпин

12306 Д. Научение рентгеновской трубки с управляющей сеткой; применение к исследованию фосфоресценции. И ф а и л ь (Étude d'un tube à rayons X avec grille de commande; applications à l'étude de la phosphorescence. These. P i a h n l A r n o l d), Ann. Univ. Paris, 1956, 26, № 2, 259—260 (франд.) 12307 Д. Определение вязкости паров фторпроизводных некоторых углеводородов посредством вискозиметра со скатывающимся шариком. У а лм а и (Viscosity determinations for several fluorinated hydrocarbon vapors with a rolling ball viscometer. W e l l m a n E d w a r d J o h n. Doct. diss., Purdue Univ., 1955), Dissert. Abstrs, 1955, 15, № 10, 1821 (англ.)

Описан вискозиметр и приведены результаты измерения на нем вязкости паров CCl₂F₂, CClF₃, CHCl₂F, CClF₂— ССlF₂. Исследование велось при т-рах 3—90° и давл. ~20 амм (для двух в-в). Прибор был рассчитан на т-ры > 200° и давл. > 35 ама. Наклон трубки шариком можно было менять от 0° до 90°. Для по-

вторения измерения не требовалось открывать трубку. Т-ра определялась Ni-термометром сопротивления с точностью $\pm 0.05^\circ$. Калибровочным в-вом служил воздух. Числа Рейнольдса лежали в пределах величин от <1 до 90. По-видимому, для Re<80 поток во всех случаях был ламинарным.

12308 II. Термостат. Рейнгрубер, Рейнгрубер (Thermostat. Reingruber Frank, Reingruber Joseph). Пат. США 2714526, 2.08 55

Предлагается в качестве чувствительного элемента терморегулятора термостата использовать устройство, состоящее из бруска, имеющего относительно высокий коэфф. расширения, и пружины, имеющей более низкий коэфф. расширения. Пружина изогнута посредине под некоторым углом и оканчивается с обеих сторон плоскими опорами, прикрепленными к концам бруска. При изменении т-ры пружина, увлекаемая бруском, разгибается, вследствие чего элемент, расположенный в вершине ее угла, испытывает гораздо большее по сравнению с удлинением бруска перемещение.

12309 П. Установка для хлорирования твердых вешеств парами. Полиссар (Apparatus for reacting chlorinating vapor with a solid. Polissar Milton J.) [The United States of America as represented by the United States Atomic Energy Commission]. Пат. США 2725284, 29.11.55

Пат. США 2725284, 29.14.55
Предложен прибор для получения чистого UCl4
путем хлорирования UO₂ парами CCl4. В. Мунтерс
12310. П. Водяная баня улучшенной конструкции.
Ш ней дер, Рихтер (Zulaufgerät für Wasserbäder. Schneyder Josef, Richter H.).
Австр. пат. 179539, 10.9.54 [Österr. Chem. Ztg., 1956, 57, № 1/2, 21 (нем.)]
Предложено соединият.

Предложено соединить уравнительный бачок (УБ) с паровым пространством бани. Верхняя часть УБ использована как обратный холодильник и заполнена медными стружками для улучшения теплообмена между конденсирующимся паром, поступающим из бани, и поступающей в бачок водой. Такая конструкция обеспечивает равномерное поступление воды из УБ и исключает проинкновение водяных паров в помещение.

А. Лопманов

См. также: Масс-спектрометр 12021. Модель двумерной кристаллич. решетки 10921. Анализатор проб газа 12026. Получение концентратов азота 11097. Опред. абс. активности источников Na²⁴ 11102. Опред. термодинамич. констант 11120. Калориметр для изомеров ГХЦГ 11141. Опред. жидкой и паровой фаз 11191. Измерение электропроводности проводников 11274. Измерение коэфф. Сорэ 11321. Хроматография 11993, 11996. Электрофорез 3406Бх. Потенциостат 12007. Анализы: неорганич. 12109; органич. 12134, 12135, 12137, 12149, 12195. Микротитрование 3444Бх. Измерение рН крови 3445Бх. Нанесение покрытий 12497. Изучение диэлектрич. свойств твердого тела 12582. Получение СО 12717. Установка для крекинга 12932

химическая технология. химические продукты и их применение

общие вопросы

Редакторы В. И. Елинек, В. Д. Матвеев, Н. А. Ширяева

12311. 25-летие Воскресенского химического комбината имени В. В. Куйбышева. Свешииков М. А., Андрейченко А. М.. Хим. пром-сть, 1956, № 5, 41—42

2312. Возможности развития химической промышленности в Австрии. Л е й т н е р (Entwicklungsmöglichkeiten für die chemische Industrie in Österreich. L e i t n e r G. L.), Prakt. Chem., 1956, 7, № 8, 245—246 (нем.)

19 химия, № 4

- 289 -

Ki Bl

та

CE

12

301 H2S

Haj

ука

COL

PH

сан

RI

123

CH

c

B

M

d tR

I y

12313. Исследовательские работы стабилизируют американскую химическую промышленность. Э р иe (Forschung stabilisiert die amerikanische Chemiewirtschaft. Aries Robert S.), Chem. Ind., 1956. 8. № 6, 286-288 (нем.)

Приведены некоторые данные о развитии американской хим. пром-сти на основе больших вложений на н.-и. работы, внедрение новых производственных методов, расширение ассортимента хим. продуктов. Перечисляется большая группа произ-в, которые будут работать на новом оборудовании и расширяться. Отмечено большое значение атомной энергии в будущем развитии хим. пром-сти в части более совершенного проведения хим. р-ций, применения высокотемпературных методов, борьбы с коррозией, приготовления радиоактивных в-в хим. способом, использования и удаления продуктов расщепления, изготовления устойчивых строительных материалов. Предполагается стабильное расширение американской хим. пром-сти приблизитель-В. Семенова но на 10% в год.

Промышленная неорганическая химия. Фос-5014. Промышленная неорганическая кимия. Фофорные киелоты. Исино, Минами (無機機工業化學, 傳教. 石野俊夫,南普一), 化學, Karaky, Chemistry (Japan), 1956, 11, № 7, 10—13 (япон.) Обаор за 1955 г. Библ. 21 назв. Н. Ширяева

Катализ в промышленности неорганических веществ. Колаковская (Kataliza w prze-myśle nieorganicznym. Kołakowska Hanna), Chem. szkole, 1955, 1, № 4, 9—27 (польск.) Обзор. Рассматриваются параметры каталитич. р-ций

и получение азотной и серной к-т. Библ. 6 назв. J. Chodkowski

Экстракционная металлургия. Олдем (Ехtraction metallurgy. Oldham Graham), Mining J., 1956, Annual Review, 141, 143—145, 147

(англ.) Обзор различных усовершенствованных методов, применнющихся в экстракционной металлургии для очистки и получения ряда металлов (Ti, V, Mg, Zr, Th, Hf, U, редких земель, Se, Pd, Pt, Ir, Cu, Al, As и Sb). Библ. 34 назв.

химико-технологические вопросы ЯДЕРНОЙ ТЕХНИКИ

Редакторы В. И. Елинек, В. Д. Матвеев, Н. А. Ширяева

Технические и хозяйственные проблемы атомной эпергии. Бошке (Technische und wirtschaftliche Probleme der Atomenergie. Boschke Friedrich L.), Chem. Labor und Betrieb., 1956, 7, № 4, 143--152 (нем.)

Разрешение проблемы экстракции. -- (Solvent extraction problems overcome.—), Chem. Engng, 1956, 63, № 5, 130, 132 (англ.)

Кратко описывается метод извлечения урана из фосфатных руд с содержанием 0,01—0,02% U₃O₈. В качефатных руд с содержанием стве р-рителя используется 5%-ный р-р децилового эфира пирофосфорной к-ты в керосине. При действии па экстракт НF и H₂SO₄ осаждается уран в виде UF₄. К. Сакодынский Приводится схема процесса.

319. Нонообменное извлечение урана непосредственно из пульпы. Холлис Р. Ф., Мак-Артур К. К. В кн.: Химия ядерного горючего (Докл. ин. ученых на Междунар. конференции по мирному использованию атом. энергии, Женева, 1955), М., Госхимиздат, 1956, 17—39

U адсорбируется сильноосновной понообменной смолой главным образом в виде [UO2(SO4)3]4-. Содержание U в единице объема смолы возрастает с увеличением

рН. Перед адсорбцией рН р-ра доводят до 1,0—1,5, конц-ия U в нем равна 0,5—1,0 г U $_3$ O $_8$ на 1 $_4$, а конц-и $_8$ SO_4^{2-} 10—20 ϵ/π . Элюнрование осуществляют пропусканием подкисленного р-ра хлорида или нитрата. Для осаждения U p-р нейтрализуют, осадок отфильтровывают, а фильтрат возвращают в цикл. В США готовится к пуску 5 з-дов, на которых U будет адсорбироваться непосредственно из пульпы, полученной после разложения руды серной кислогой. Доказано, что скорость адсорбции не снижается из-за присутствия твердых частиц. При погружении смолы в пульпу со-стояние равновесия достигается за 40 мин. (1/2 U вз р-ра адсорбируется за 10 мин.). U, ранее сорбирован-ный смолой, не влияет на скорость установления равновесия. Смола используется в максим, степени при большом числе ступеней адсорбции, большой скорости потока пульпы, высоком отношении кол-ва р-ра к кол-ву смолы. Смола в виде шариков размером 10— 20 меш загружается в проволочные корзины, которые медленно движутся вверх и вниз в ванне с пульной. Пульпа, поступающая на адсорбцию, содержит <10% твердого в-ва (размер частиц 325 меш.). Отношение объема пульпы к объему смолы в набухшем состояние ~6:1, миним. число вани 6 (при низкосортных пульщах и высоких скоростих пульпы 9); общее время адсорбционного цикла 100 мин., миним. число ванн для элю ирования 6. На опытной установке из 14 ванн, содержащих по 56,8 дм3 смолы с емкостью по U 47.9 г U.O. на 1 дм³, первая ванна отключается через 3 часа. Р-р, полученный после извлечения U, содержит 8 г/м U₃O₃ (извлекается 99% растворенного U). Если в руде присутствует V, перед адсорбцией он должен быть восстановлен. Л. Херсонская

Критерии выбора оборудования для процессов разделения. Николс (Criteria for selection of equipment for separation processes. Nicholls C. M.), Chem. Engng Progr., 1956, 52, № 2, 78-F

(англ.)

Классификация оборудования по переработке радиоактивных материалов в зависимости от общей актив-В. Шацкий Производство тяжелой воды. Сойка (Ууroba těžké vody. Sojk a Jaroslav), Chem. promysl, 1956, 6, № 4, 170—172 (чеш.) Прпведены сравнения физ-хим. констант Н₂О п

D₂O и обзор способов и схем получения D₂O: а) дистилляцией воды; б) обменной р-пией: H₂O + HD ∓ HDO + +H₂; HDO + D₂ ≠ D₂O + HD в присутствии Pt- или CrNi-катализатора, причем дейтерий из водорода концентрируется в воде, из которой затем извлекается электролитически; в) дистилляцией водорода. И. Лосева 12322.

2322. Производство окиси бериллия из берилля. Чакраварти (Production of beryllium oxide from beryl. Chakravarti P. B.), J. Scient. and Industr. Res., 1954, 13B, 783—787; Eastern Metals Rev., 1954, 7, № 43, 904—905; № 44, 922—924 (англ.) Приведены главнейшие месторождения берилла (1) в Индии и обсуждены процессы переработки его. Описаны результаты полузаводских опытов по фторидному процессу произ-ва ВеО из 1. Смесь равных кол-в 1 и Na₂Si F₆ прокаливалась при 700° и обрабатывалась водой. После отстаивания и отделения нерастворимых примесей [Fe(OH)₃,Al₂O₃, SiO₂] из прозрачного р-ра прибавлением NaOH до растворения выпадающего приовълением NaOH до растворения выпадающей вначале осадка и последующим приливанием равного объема первоначального р-ра получают $Be(OH)_2$ согласно р-циям: $Na_2BeF_4 + 2NaOH = Be(OH)_2 + 4NaF_1$; $Be(OH)_2 + 2NaOH = Na_2BeO_2 + 2H_2O_1$; $Na_2BeO_2 + Na_2BeF_4 + 2H_2O = 2Be(OH)_2 + 4NaF_1$. После растворения в 92%-ной H_2SO_4 (Pb annapartypa), повторного осажиемия газоблачием. NH_2 станавля в H_2SO_4 (Pb annapartypa), повторного осажиемия газоблачием. ного осаждения газообразным NH₃, отмывания и проMR пу-

Ta. БТ-

ro-

бисле OTP

BHR

co-

H3

Ban-pabпри

OCTR

10-

рые

пой.

10%

ение

REME

ьпах

орб-

элю-

одер-U₈O₈

P-p, Ua0a

при-CCTa-

ская ессов n of olls

78-F

адио-

KTHB-

цкий

(Vý-

20 H

стил-DO +

- или

кается

1 осева

рилла.

oxide

Metals

англ.)

ла (I)

. Опииному

ол-в І

валась римых o p-pa ющего

авного

1)2 co-4NaF; BeO2+

e pac-

повтор-

и про-

каливания при 900—1000° получают ВеО. Чистота и выход продукта (94—96% и 75—78% соответственно) сравнимы с результатами, получаемыми при других сравнимы с результатами, получений пропессах. Расчеты стоимости ВеО дают цифры выше, пропессах. Расчеты стоимости в В. Шацкий В. Шацкий м дена его в Спих. Внол. в назв. В. шапкии 2323 П. Метод извлечения урана из его руд. У айтах ау с (Process for the extraction of uranium from its ores. Whitehouse N. L. G.). Англ. пат. 730908, 1.06.55

Руду обрабатывают к-той и на кислотный экстракт действуют металлич. Fe; выпадает черный осадок U.

Н. Ширяева 2324 П. Разделение продуктов деления адсорбцией из органических растворителей. Шуберт (Separation of fission, products by adsorption from organic solvents. Schubert Jack) [The United States of America as represented by the United States Atomic Energy Commission]. Пат. США 2717696, 13.09.55 Органич. p-p, содержащий растворенный U и ред-кие земли, приводят в контакт с содержащим SiO₂ материалом, который адсорбирует редкоземельные металлы, а U остается в p-pe. Н. Ширяева

См. также: Применение изотопов в технич. исследовании 11108, 11109. Радиоактивность урана 11501

СЕРНАЯ КИСЛОТА, СЕРА И ЕЕ СОЕДИНЕНИЯ

Редакторы В. И. Елинек, В. Д. Матвеев, Н. А. Ширяева

2325. Мировой дефицит серы. Банчу (Lipsa mondială a sulfului. Вапсі и S. A.), Rev. chim., 1956, 7, № 5, 294—298 (рум.; рез. русс., нем.) Обзор истории развития мировой добычи S и исполь-

зования S-содержащих залежей. Большой рост произ-ва $\rm H_2SO_4$ привел $\,$ к использованию в качестве сырья $\rm FeS_2$ наряду $\rm c$ PbS, $\rm Cu_2S$, $\rm CuFeS_2$, $\rm Sb_2S_3$, $\rm H_2S$ (из природных газов) и CaSO₄. Для сокращения потребности в H₂SO₄ указывается на целесообразность изготовления азотсодержащих удобрений вместо суперфосфатных. Для РНР наиболее перспективным сырьем для произ-ва H₂SO₄ является гипс. Библ. 7 назв. Я. Матлис 326. Флюндизационные печи для обжига пирита. Хвалибуг (Fluidyzacyjne piece pirytowc. Chwalibog Henryk), Chemik, 1956, 9, № 4,

103-106 (польск.) Перечислены преимущества и особенности печей для обжига сульфидов в псевдоожиженном состоянии. Описаны типы флюидизационных печей, применяемых в ПНР. С. Яворовская в ПНР. 12327. Получение чистой двуокиси серы в псевдо-ожиженном слое. І. Окисление FeS с помощью Fe₂O₃. ожиженном слое. 1. Окисление Fe_2 С помощью Fe_2 О $_3$. Окисление Fe_3 О $_4$ воздухом. К о с τ а - H о в е π ь π , С о π е p - P у и с, P и б е с - P о м е p о, Θ с п и п о с а - Φ е й х о о. Π . Расчет реакторов для сжигания серы и обжига пиритов. III. Окисление FeS с помощью Fe_2 О $_3$ в атмосфере SO_2 как ожижающей среды. IV. Окисление пирита с помощью Fe_2 О $_3$ в атмосфере SO₂ как ожижающей среды. К о с т а-н о велья, Солер-Руис, Рибес-Ро-меро (Producción de anhidrido sulfuroso puro me-diante la tecnica de polvo fluidificado. I. Oxidación de FoS cor Fo.O. Oxidación de Fo. de FeS con Fe2O3. Oxidación de Fe3O4 con aire. Co sta Novella E., Soler Ruiz A., Ribes Romero V., Espinosa Feijoo I. M. II. Cálculo de reactores para la combustión de azufre y tostación de piritas. III. Oxidación de FeS con Fe₂O₃

en atmósfera de SO2 utilizado como medio fluidizante.

IV. Oxidación de pirita con Fe₂O₃ en atmósfera de SO₂ utilizado como medio fluidizante. Costa Novel-

la E., Soler Ruiz A., Ribes Rome-ro V.), An. Real soc. española fis. y quim., 1953, 49(B), № 11, 733—742, 743—750; 1955, B51, № 5, 351—362; 363—376 (исп.; рез. англ.) I. Разработан способ получения чистой SO₂ окисле-

нием пиритов с помощью Fe₂O₃ в псевдоожиженном слое. Пириты легко разлагаются на S и FeS, которые взаимодействуют с Fe_2O_3 по ур-ниям: $6Fe_3O_3$ + $+^{1}/_2S_2 - 4Fe_3O_4$ + SO_2 (1) и 10 Fe_2O_3 + $FeS - 7Fe_3O_4$ + SO_2 (2); полученная Fe_3O_4 окисляется воздухом в Fe_2O_3 . Проведены опыты по окислению FeS с помощью Fe₂O₃ (полученной из Fe(OH)₃-руды дегидратацией при Fe₂O₃ (полученной из Fe(Oп)₃-руды дегидратацией при 300—350°) в вертикальном реакторе из нержавеющей стали днам. 5,1 см., высотой 1,245 м. Размер частиц твердых материалов 60—140 мещ; загрузка в каждом цикле составляла 2 кг Fe₂O₃ (84,3%-ного) и 60 г FeS (78%-ного). Степень конверсии определяли при 750, 800, 850 и 900°. Сначала для псевдоожижения применяли N2, который после удаления SO2 и сушки возвращали в цикл. Лучшие результаты получены при 900°; конверсия составляла 80% в 1 час и 96% в 5 час. Небольшой индукционный период объясияется временем, необходимым для образования SO₂, действующего затем в качестве катализатора. При применении SO₂ для псевдоожижения эффективность окисления за 0.5 часа равнялась эффективности окисления при $N_{\rm s}$ о, о часы равилласы эффективности окислении при из за 2 часа. Скорость р-ции зависит главным образом от конц-ии остаточного FeS, так как всегда имеется из-быток Fe₂O₃ и немного SO₂. Во всех случаях оставалось непрореагировавшее FeS. В качестве окислителя при-меняли также Fe₂O₃, полученную регенерацией (окис-лением) Fe₃O₄, и обожженные пириты, оказавшиеся вполне пригодными. Fe₃O₄ регенерировали воздухом при 900° за 20 мин.; 7,5% Fe₃O₄ оставалось нерегенерированным. Скорость газа для псевдоожижения составляла при Fe(OH)₃-руде 0,08—0,14 м/сек, при обожженных пиритах 0,12—0,18 м/сек.

11. Приведены расчеты реактора для окисления S (р-ция 1) и регенератора окиси Fe, а также реактора для обжига пиритов (р-ции 1 и 2) и регенератора, соответствующие оптимальным условиям непрерывного про-песса. Г. Рабинович

111. Приводятся эксперим. данные относительно скорости р-ции окисления FeS с помощью Fe_2O_3 в атмосфере SO_2 , используемого в качестве ожижающего газа, который непрерывно пиркулирует в реакторе с псевдоожиженным слоем. Полученные данные корректируются с учетом разницы между эксперим. условиями и непрерывным режимом работы проектируемой производственной установки. Выведена ф-ла скорости

IV. Приводятся эксперим. данные относительно скорости р-ции окисления FeS2 с помощью Fe2O3 в атмосфере SO2, являющегося ожижающим газом, непрерывно циркулирующим в реакторе. Выведено ур-ние скорости р-ции.

Получение серной кислоты по методу мокрого катализа. Амелии А. Г., Баранова А. И., Васильев Б. Т. (濕式接觸法による研験の製造 . Amelin A. G., Baranova A. I. Vasilev B. T.), ソ連經濟. 電 工業レポ I ト, Сорэн кэйдзай. Дзюкогё рэпото, 1956, № 14-15, 163—178 (япон.) Перевод. См. РЖХим, 1956, 62063.

12329 II. Метод и установка для обжига серного кол-329 П. Метод и установка для солита сервого пол-чедана или других материалов, содержащих серу, (Verfahren und Vorrichtung zum Rösten von Schwefel-kies oder anderen schwefelhaltigen Materialien) [Ba-dische Anilin- und Soda-Fabrik A.-G.]. Пат. ФРГ dische Anilin- und Soda-Fabrik A.-G.]. Пат. 926606, 21.04.55

Метод отличается тем, что подлежащие обжигу частицы мелкозернистого материала располагаются на вращающемся вокруг горизонтального вала газопроницаемом поде, имеющем форму барабана, изготовленного из пористых материалов, в который снизу подается горячий газ для обжига. Благодаря равномерному вращению пористого барабана и потоку (вверх) горячего газа происходит постоянное, равномерное и интенсивное перемещение всей массы материала; при этом скорость потока горячих газов так регулируется, что совершенно незначительное кол-во материала может быть выброшено в находящееся над материалом газовое пространство. П. Фрейберг

Способ насыщения очистной массы с ма-12330 II. лым содержанием серы, применяемой в сухой очистке. Байерлейн (Verfahren zur Aufsättigung der in der Trockenreinigung anfallenden wenig schwefelhaltigen Reinigungsmasse. Bayerlein Carl) [Bamag-Meguin A.-G.]. Пат. ФРГ 877653, 26.05.53 [Chem. Zbl., 1955, 126, № 5, 1179—1180 (нем.)]

Для насыщения очистной массы, применяемой для конечной сухой очистки газов от органич. Ѕ и содержащей мало S (ввиду предварительной очистки газа от H₂S), H₂S, выделяющийся из сырого газа, пропускают через очистной ящик, соответственно выключенный Г. Рабинович из процесса очистки.

 C_{M_*} также: Улавливание отходящ, газов содерж. H_2SO_4 14282. Каталитич, окисление SO_2 11276. Получение H₂S 12889. Извлечение H₂S 13035

АЗОТНАЯ ПРОМЫШЛЕННОСТЬ

Редакторы В. И. Елинек, В. Д. Матвеев, Н.А. Ширяева

 Симпозиум по вопросам производства азотной кислоты, состоявшийся 12—13 мая 1955 года в Гелене. - (Symposium over de fabricage van salpeterzuur georganiseerd door de sectie voor chemische technologie en bedrijfschemie van de K. N. C. V. en de afdeling voor chemische techniek van het K. I. v. I. gehouden op 12 en 13 Mei 1955 te Geleen.—), Chem. weekbl., 1956, 52, № 5, 61 (голл.)

О работе центральных лабораторий предприятий азотной промышленности. Фотини И. Д., Хим. пром-сть, 1956, № 5, 39—40

12333 К. Химия азота. Градский (Chemie du-sîku. Hradský Karel. Praha, SNTL, 1955, 221, [2] str., il., 18, 40 Kčs) (чеш.)

- 12334 Л. Исследование процесса синтеза аммиака на базе использования газов с высоким содержанием инертных газов, Гавря Н. А. Автореф, дисс. канд. техн. н., Харьковск. политехн. ин-т, Харьков,
- Усовершенствование способов получения 12335 П. безводного гидразина (Perfts relatifs aux procédés de préparation de l'hidrazine anhydre.) [Matholin Corp.]. Франц. пат. 1095679, 6.06.55 [Chimie et industrie, 1956, 75, № 6, 1327 (франц.)]

(N₂H₄)₂· H₂SO₄ обрабатывают NH₃, поддерживая сульфат (по крайней мере частично) в жидком состоянии. Затем регенерируют безводи. N2H4 из реакционной

См. также: Улавливание NO2 14181. Получение NH3 12889. Получение безводи. гидразина 11433

содовая промышленность

Редакторы В. И. Елинек, В. Д. Матвеев, Н. А. Ширяева

12336. К теории процесса образования феррита натрия в производстве каустической соды. В и ш и е в с к и й А. Н., Тр. Всес. ин-та содовой пром-сти, 1955, 15-25

При произ-ве NaOH по ферритному способу феррит натрия образуется при наличии достаточного пари. давления CO_2 (P_{CO_2}) (большего, чем P_{CO_2} в атмосфере) по ур-нию $N_{a_2}CO_3+$ $F_{e_2}O_3$ $N_{a_2}F_{e_2}O_4+CO_2$ -38,83 $\kappa\kappa\sigma_a$ / ε -моль./ P_{CO_3} над смесью $N_{a_2}CO_3$ и $F_{e_2}O_3$ с повышением т-ры увеличивается и при 852° достигает атмосферного. Из лабор. опытов спекания Na₂CO₃ и Fe₂O₃ установлено, что увеличение скорости р-ции с повышением т-ры по крайней мере до 1000° происходит по параболич. кривой. При стехнометрич. соотношении компонентов скорость р-ции с увеличением времени нагревания постепенно падает; избыток или недостаток любого из компонентов связан с увеличением скорости р-ции в предельных случаях ~в 1,7 раза (4-кратный избыток в предельных случала с драгов при этом выход фер-рита уменьшается ~в 0,8—0,6 раза. Fe₂O₃, полученная разложением $Na_2Fe_2O_4$ водой, при спекании с содой значительно активнее Fe_2O_3 , не входящей ранее в состав феррита. Приведены данные по применению различных образцов Fe₂O₃. В. Борисова

минеральные соли. ОКИСЛЫ, КИСЛОТЫ, ОСНОВАНИЯ

Редакторы В. И. Елинек, В. Д. Матвеев, Н. А. Ширяева

12337. Новые способы получения перекиси водорода.

Ремон (Nouveaux procédés de fabrication de l'eau oxygénée. Remond J.), Rev. prod. chim., 1954, 57, № 1197, 9—11, 13, 14 (франц.) Обзор методов получения перекиси водорода: химического, амальгамного, электролитического и некоторых

разновидностей антрахинонового. дановидностей антрахинонового. — Л. Готштени 2338. Рапная гидроокись магния. Козин Я. Д., Данильченко П. Т., Понизовский А. М. (Hidroxidul de magaeziu din apele saline. Kozin I. D., Danilcenko P. T., Ponizovski A. М.), An. Rom.-Sov. Ser. chim., 1955, 9. № 3, 137—139 (рум.)

Перевод. См. РЖХим, 1956, 10278.

Карбонизация водной суспензии, содержащей окись магния. Х. Изучение твердой фазы водной суспензии, содержащей окись магния, во время карбонизации. XI. Об удельном весе растворов бикарбоната магния. Хоригути (Carbonation of aqueous suspension containing magnesia compound. (X). Studies on the solid phase of agueous suspension containing magnesium oxide during the carbonation. XI. On the specific gravity of magnesium bicarbonate solution. Horiguchi Yoshikazu), J. Scient. Res. Inst., 1953, 47, Dec. 319—340; 341—350 (англ.) Х. С помощью микроскопа и методами хим. и рентгеноструктурного анализов исследована твердая фаза при карбонизации води. суспензии MgO в условиях, когда образуется пересыщ. метастабильный p-p MgHCO₃. После достижения максим. конц-ии $MgHCO_3$ в качестве твердой фазы образуются при 10° $MgCO_3 \cdot 5 \, H_2O$ (моноклинная система) и при 25° $MgCO_3 \cdot 3 \, H_2O$ (ромбич. система). Образования основного карбоната Мд не об-

наружено. XI. Пикнометрически определены уд. веса (d) р-ров МдНСО₃ различной молярной конц-ии (С), полученных карбонизацией води. суспензии MgO, при 0, 5, 10, 15, 20, 25 и 30°. Найдено, что отношения между d, C и

Ю. Михайленко

and on H 20 per O

cc

12

ma

де

12

ду Аl

Al

He

CK

СЫ

еле

12

25

HT

(e)

A/ em

0.

10-

ры

AT.

OR

10-

из

MH

TOR

ep-

ен-

co-

нее

OIM

OBa

опа.

'eau 954.

рых

тейн

Д., М.

. M.),

рум.)

атпей

й су-

ната

s su-

udies

solu-

cient.

англ.)

рент-

виях,

каче

5 H20

омбич.

ie of-

енных 0, 15, С и

фаза

т-рой выражаются ур-ниями: $d=k+n\cdot C;\;d=a\cdot t^b;\;C=p\cdot t^q$ (где t- т-ра, k, n, a, b, p, q- константы). Из этих ур-ний методом наименьших квадратов выведены аввисимости между d, C и t: для т-ры $0-10^\circ$ Ig $d=\{0.7894+46.687C-(0.4906-0.1745C)$ Ig $t\}\cdot 10^{-3}$ и для т-ры $15-30^\circ$ Ig $d=\{6.4453+48.323C-(5.379+1.5036C)\cdot 1g t\}\cdot 10^{-3}$. Из существования перелома в прямых линиях зависимости Ig d от Ig t и Ig C от Ig t сделан вывод, что для твердой фазы, находящейся в равновесии c насыщ. CO_2 р-ром MgHCO3, т-ра превращения MgCO3·5 H2O в MgCO3·3 H2O лежит при 13.9°. Библ. 13 назв. Сообщение IX см. РЖХим, 1957, 5015.

12340. Разложение основных алюмо-аммониевых квасцов в псевдоожиженном слос. Изучение динамических свойств слоя и кинетики разложения. Лес и евич, Бретшиай дер (Rozkład zasadowego siarczanu glinowo-amonowego w złozu fluidalnym. Badanie dynamicznych własności złoża i kinetyki rozkładu. Leśniewicz L., Bretsznajder S.), Przem. chem., 1956, 12, № 7, 371—377 (польск.; рез. русс., англ.)

Исследованы кинетика разложения основных алюмоаммониевых квасцов (ОАК), полученых путем гидролиза алюмо-аммониевых квасцов, при обжиге в псевдоожиженном слое (ПС), а также свойства ПС. Вычислена и определена крит. скорость газа в ПС в интервале т-р 20—1200°, скорость свободного падения отдельных зерен ОАК в атмосфере продуктов сгорания при различвых т-рах. Найдены кривые скорости разложения ОАК в ПС в зависимости от т-р в пределах 175—1030°; разложение с выделением воды происходит при 460— 480°, отщепление окислов S— при т-ре ~1100°. При т-ре печи 1000° и 5,5-минутном обжиге получен продукт, содержащий 90% Al₂O₃, а при 12-минутном —95% Al₂O₃. Максим. конц-ия окислов S в ПС при обжиге составляла 14,5% при скорости газа в ПС 1,9 см/сек. С. Яворовская

12341. Обжиг основных алюмо-аммониевых квасцов в псевдоожиженном слое. Лесневич, Бретшнайдер, Лутце-Бирк, Пискорский (Prażenie zasadowego siarczanu glinowo-amonowego w złożu fluidalnym. Leśniewicz L., Bretsznajder S., Lutze-Birk S., Piskorski J.), Przem. chem., 1956, 12, № 7, 378—382 (польск.; рез. русс., англ.)

Исследован ход термич. разложения основных алюмоаммониевых квасцов при повышенных т-рах в псевдоожиженном слое. Опыты проводилсь в печах (диаметр
шахты 80 мм), снабженных питателем непрерывного
действия, циклоном и беспламенной диафрагмовой
горелкой. Обезвоживание сырья происходит при 480—
520° при скорости подачи ~1620 кг/м² час. При 1000—
1200° и скорости подачи 650 кг/м² час получается продукт с содержанием 93,6% Al₂O₃. Средние потери
Al₂O₃ по отношению к исходному кол-ву составляли
3,8%. Наибольшая конц-ия окислов S 6,2%. После
обжига получаются правильные и равномерные зерна
Al₂O₃. Предварительными опытами с многополочной
печью установлены следующие оптимальные условия:
скорость тока воздуха 1,9—3,1 см/сек, скорость подачи
сырья 3000—5000 кг/м² час, сопротивление кипящего
слоя и полки 70 мм вод. ст., высота неподвижного слоя
~10 см.
С. Яворовская

C. Яворовская 12342. Применение шлака алюмината кальция на глиноземных заводах. Мадяроши, Барток, Хея (Kalcium-aluminát-salakok timföldgyári felhasználása. Мадуагоs sy István, Bartok Dénes, Héjja András), Kohasz. lapok, 1954, 9, № 10, 467—474 (венг.) Исследован Са-Аl-шлак, полученный синтетич. пу-

тем. Кол-во извлеченного Al_2O_3 из растворимых алюминатов, находящихся в Ca-Al-шлаке, не зависит от конц-ии р-ра Na_2CO_3 , использованного при выщелачивании. При высокой конц-ии Na_2CO_3 в р-ре необходимо производить удаление SiO_2 (из-за его большого содержания). Использование р-ров Na_2CO_3 низкой конц-ии при большом их объеме создает нормальное содержание SiO_2 , позволяющее производить процесс по методу Байера.

Д. Пюшпеки 12343. Определение стабильности хлорной извести

термическим методом. Макаров С. 3., Сб. ста-тей Всес. заоч. политехн. ин-та, 1955, вып. 9,52—64 Исследуется устойчивость хлорной извести (I) в зависимости от содержания воды и т-ры хранения. Кинетика разложения I изучается по кислородному распаду. Для двух изученных образцов кол-во выделившегося О₂ (величина S) линейно зависит от lgт (т время хранения) при постоянной т-ре (t). Для оценки устойчивости I автор использует тангенс угла наклона прямых, построенных в координатах S=1 дт. в зависимости от t. В образце I, содержащем 10% H_2 О, после 5 лет хранения остаточное содержание активного хлора составляет ~26%. При этом указывается, что местное саморазогревание даже до 40° приводит к практически полному разложению I. Для образца I с содержанием Н2О 1,9% по (данным автора) потери для тех же условий не превышают 0,5% активного хлора. А. Розовский Спекание карбида бора под давлением. Б р ы-12344.

як, Миссоль, Боярский (Spiekanie węglika boru pod ciśnieniem. Вгујак Е d m u n d, Missol Witold, Војагsкі Z big niew), Hutnik (Polska), 1956, 23, № 3, 117—125 (польск.) Для увеличения механич. прочности карбида бора (КБ) наготовлены методом спекания под давлением сплавы В₄С-Fе, В₄С-Si и В₄С-FеSi. Применялись порошкообразные КБ с содержанием 19% С, ферросилиций с содержанием 42,7% и 74% Si и кремний состава 98,6% Si, 1,4% Fe и 0,02% С. Размер зерен≤0,10 мм. Смеси порошков, содержащих 75—90% КБ переменить вались в вибрационной мельнире в течение 24 час. прессовались при давл. 125 кГ/см² и спекались при 1300—1400°. Иногда производилось дополнительное спекание в течение 2 час. при 1480—1500°. Сплавы исследовались металлографически и радиографически определялись твердость и истираемость С. Плотность полученных сплавов мало отличается от плотность полученных сплавов мало отличается от плотность полученных сплавы состоят из двух фаз и являются очень твердыми, хрупкими и трудно истираемыми. С. Яворовская мало отличается объявания, хрупкими и трудно истираемыми.

12345. Ильменитовые и циркониевые наносы — новый источник сырыя для получения титана. Манеру, Суперча и у (Aluviunile cu ilmenit şi zircon, noi surse de materii prime pentru industria produselor de titan. Маiеru О., Superceanu С.), Rev. chim., 1956, 7, № 3, 145-147 (рум.; рез. русс., нем.)

Приведены хим. и минералогич. характеристики наносных песков, найденных в Южном Карпатском массиве, состоящих в основном из FeTiO₃, ZrSiO₄, Fe₃O₄,
TiO₂, гранатов, апатитов и др. Общее содержание
металлич. руд в найденных песках достигает~3%.
Лабор. опыты по обогащению песков с помощью К₂HgJ₄
(уд. в. 3,2) позволили исключить большинство компонентов с уд. весом ниже 3 (кварц, полевой шпат и др.)
и получить таким образом различные концентраты
с содержанием 17—27% Ті и 0,3—0,4% Zг. Для промышленных целей рекомендуется осуществлять обогащение песков с помощью гидроциклонов или плотных
сред.

1. Матлис
12346. Исследование процесса гидротермической пе-

12346. Исследование процесса гидротермической переработки апатита. В ольфкович С. И., Илларионов В. В., Ремен Р. Е. (Untersuchung

TH

8-

OT.

cp

12

HI

M

K

m

ДС 25 ра

M.

des hydrothermischen Aufschlusses von Apatit. Wolfkowitsch Semjon I., Illario Wladimir W., Remen Raissa Chem. Technik, 1956, 8, № 9, 532—538 (нем.) Перевод. См. РЖХим, 1955, 21634. Illarionow

Роль диссоциационного активирования в спекании окислов элементов с переменной валентностью. **Леонов А. И.,** Изв. АН СССР. Отд. хим. н., 1955, № 5, 805—808

Изучался механизм воздействия газовой среды на спекание окислов Си, Fe и Mn. Опыты показали, что величина линейной усадки зависит от давления O_2 в печи. Так, при 1000° и выдержке в 1 час при давлении воздуха в печи в 760 мм рт. ст. линейная усадка для Fe_2O_3 равна 20% и для Mn_2O_3 21,95%; при той же τ -ре и выдержке, но в вакууме 2 мм рт. ст., для Fe_2O_3 усадка возросла до 24% и для Mn_2O_3 до 24,8%. Аналогичные явления отмечены и для CuO. С. Туманов К вопросу восстановления окиси железа и железных руд твердым углеродом. І. Влияние количества углерода в исходной смеси на отношение СО/СО2 в газовой фазе. И. Влияние количества углерода в исходной смеси на внешний вид получаемого продукта. Курчатов М. С., Докл. Болгар. АН, 1956, 9, № 2, 39—42; 43—46 (рез. нем.)

349 K. Марганец. Салли (Manganese. Sully Arthur Henry. London, Butterworths Scient. Publ., 1955, xiv, 305 p.; ill., 40s.) (англ.) 12349 K. 350 К. Хлор и отбелнвающий состав. Нака-мура (鹽楽および鹽素栗白剛・中村隆壽・枝穀堂・215 頁・450圓,Гиходо, 1954, 215 стр., 450 иен) (япон.) 12350 K.

Исследование некоторых вопросов алюминотермического процесса получения кальция, строн-ция и бария. Жуковецкий В. В. Автореф. дисс. канд. техн. н., Моск. ин-т цвет. мет. и золота,

М., 1956 12352 Д. Добыча йода из буровых вод после извлечения брома. Булгакова К. И. Автореф. дисс. канд. техн. и., Гос. ин-т прикл. химии, Л., 1956

Схема расположения аппаратов для разделения жидкой смеси перекиси водорода, воды и неорганических примесей. Зельнер, Кноп (Anordnung zum Trennen flüssiger Gemische von Wasserstoffperoxyd, Wasser und gegebenenfalls anorganischen Begleitstoffen. Sellner Josef, Knop Lie-bfried) [Riedel-de Haën A.-G.]. Пат. ФРГ 940894,

Установка состоит из нескольких концентраторов (К) или дистилляторов, сепараторов (С) и ректификаторов (Р). К соединяют между собой последовательно или параллельно с помощью U-образных труб, а с соответствующими С и Р таким образом, чтобы пары из К поступали в соответствующий С и Р, а стекающая жидкость из Р и С в соответствующий К. Линия спуска конденсата из Р может подключаться к подводящей линии соответствующего К, либо к параллельно установленному К. Паровые линии параллельно установ-ленных К могут подключаться к основным Р. Конденсат из Р может выводиться из цикла. К могут подключаться к вакууму, общему для всех, либо группами, либо каждый отдельно. К более высокой степени конц-ии подключаются к более высокому вакууму. Паровые линии нескольких К могут быть присоединены к общей ректификационной установке, оборудованной нагреваемыми либо охлаждаемыми сетчатыми тарелками. Приложены 4 схемы. Р. Франкфурт 12354 II. Способ брикетирования солей, предвари-

тельно высущенных в форме зерен. Дрессель (Verfahren zum Brikettieren von in körniger form vorliegenden trockenen Salzen. Dressel Wern e r) [Deutsche Solvay-Werke G. m. b. H.]. Har. ФРГ 927989, 23.05.55

Высущенную зерненую соль (NaCl, Na2SO4, Na2CO3. СаСОз) прессуют на вальцах, причем к соли добавляют 0.2-0.5% (от веса соли) стружки из дерева, металла 3. Мильман или пластмассы.

12355 П. Способ получения цианидов щелочных металлов. Бретшней дер (Verfahren zur Herstellung von Alkalicyaniden. Bretschneider Otto) [Deutsche Gold- und Silberscheideanstalt vormals Roessler]. Πατ. ΦΡΓ 917725, 9.09.54 [Chem. Zbl., 1954, 126, № 17, 3938 (нем.)]

tation.

Цианиды щел. металлов получают путем выщелачивания их, наряду с карбонатами, водой из твердого продукта синтеза, содержащего в ва с высоким % С и тонкораздробленное Ге или его соединения. Образование ферроцианидов предотвращают тем, что т-ру при экстракции поддерживают <60°. Экстракционную смесь подогревают до т-ры >35° в течение 30 мин. (предпочтительно <15 мин.). Пенная флотация, Феррие (Froth flo-Ferris Lockwood W.) [Compania 12356 II.

Compania Salitrera Anglo-Lautaro]. Пат. США 2727626, 20.12.55 Разделение KNO₃, NaNO₃ и MgSO₄·7H₂O, находящихся в смеси в виде твердых в-в, состоит из перевода смеси в форму водн. р-ра, насыщ. по отношению к компонентам. Добавлением соли алкиламина переводит KNO₃ в пену, а смесь NaNO₃ и MgSO₄,7H₂O остается флотационном р-ре. Отделяющаяся пена насыщена в флотационном рус. Страна при под под к КNO₃. При добавлении в оставшийся водн. р-р натрий-лаурилсульфата в пене концентрируется NaNO₃, а И. Зимаков $MgSO_4 \cdot 7H_2O$ остается в пульпе.

357 П. Производство, препаратов, содержащих безводные стекловидные фосфаты в форме порошка, Лиделл, Марксон (Herstellung von anhydrische, glasige Phosphate in Pulverform enthaltenden Präparaten. Liddell Robert William, Markson Alfred Augustus) [Joh. A. Benckiser G. m. b. H., Chemische Fabrik]. Пат. ФРГ 938423, 2.02.56

Способ отличается тем, что порошок тонкоизмельченного безводи. фосфата (напр., фосфата щел. металла) в смеси с другими порошкообразными в-вами (способными в присутствии воды вместе с возникающими в процессе продуктами превращения выделять газы) подвергают увлажнению с последующим частичным удалением воды в виде взвеси в газообразной среде. См. также РЖХим, 1955, 37740. В. Шацкий 12358 П. Способ производства сернокислого аммония

из железного купороса. Цим мерхакль (Zpu-sob výroby síranu amonného ze zelené skalice. Z i mmerhakl František). Чехосл. пат. 84026, 1.02.55

Способ получения (NH₄)₂SO₄ (I) из FeSO₄ · 7H₂O (II) (отходов Fe в травильных цехах) отличается тем, что I получают непосредственно в твердом виде без но получают попоредственно в твердом виде обращают в выпаривания. Для этого из II получают безводи. Fe₂O(SO₄)₂ (III) путем выветривания или переменивания II в окислительной среде. После размола в дезинтеграторе III вносят в насыщ. р-р I и вводят в суспензию газообразный NH₃ в мол. отношении 1:1. Полученную смесь твердого I и Fe(OH)₅ (IV) подвергают горячему выщелачиванию маточным р-ром, поступающим из кристаллизатора. Горячие насыщ. р-ры вновь возвращают в кристаллизатор, из которого мелкие кристаллы подают непосредственно в центрифугу. Пример (в кг): 1000 железного купороса с содержанием ~98% II окисляют в 550 безводи. III и влувают 12) NH₃. Получают смесь∼790 I и IV. Для р-ции требуется 124 кг воды и отработанных щелоков. После горячего выщелачивания получают (в кг): I 446 и IV 340, из которого после сушки получается 280 ГезОз.

r.

aT.

08,

ЮТ

ша

ан

Me-

tel-

alt

m

qu-

ого

CR

ние

при

есь Іти-

flo-

nia

2.55

-RIC

вода

OM-

TRE

этся

ена

о**ий**-

KOB

щих ика,

hvd-

nden a m,

ФРГ

ельлла)

соб-

про-

Bep-

нием

кже

ТКИЙ

вино

Zpu-

1026,

7H.0

тем,

води.

ания

erpa-

нзию

чен-

горя-

возкриимер -98%

NH₃.

целаорого

осева

12359 П. Метод навлечения драгоценных металлов. Байлер, Данн (Process for the recovery of precious metal values. Byler Raymond E., Dunn Robert C.) [The Merrill Co.]. Канад. пат. 517626, 18.10.55

Извлечение драгоценных металлов из руд, обрабатываемых методом цианизации, происходит при помощи сорбции их полиаминоанионообменной смолой при рН 8—11. После чего смола с поглощенными металлами отделяется от цианизационного р-ра и из нее в щел среде при рН 13—14 десорбируют драгоценные металлы.

И. Зимаков

12360 П. Метод извлечения драгоценных металлов. Байлер, Дани (Process for the recovery of precious metal values. By ler Raymond E., Dunn Robert C.) [The Merrill Co.]. Канад. нат. 517625. 18.10.55

Для извлечения Ад и Аи из древесного угля, в котором они сорбированы, патентуются способы: 1) Ад и Аи десорбируют внесением угля в водно-аммиачный р-р, содержащий 28 вес. % NH₃. Полученные растворимые амины Ад и Аи отделяют от угля и осаждают извлеченные металлы: 2) десорбция хорошо происходит в закрытом сосуде в водно-аммиачном р-ре под давл. 5,6—84 кв/см² и при 4,5—32°. И. Зимаков 12361 П. Способ приготовления шенита. А у т е н-

12361 П. Способ приготовления шенита. Ауте ирит (Verfahren zur Herstellung von Schönit (Kalimagnesia). Autenrieth Hans) [Verkaufsgemeinschaft Deutscher Kaliwerke G. m. b. H.]. Пат. ФРГ 996368 42 04 56

ФРГ 926368, 12.01.56
Патентуется способ приготовления шенита (I) из КСІ и МgSO₄ в води. р-ре с получением (в маточном р-ре от разложения) максим. конц-ии MgCl₂. Разложение вначале проводят при 30—40° в метастабильной области, пересыщ. по леониту и каиниту, но ненасыщ. по MgSO₄; затем понижают т-ру до 25—30°, при которой КСІ сосуществует с I и MgSO₄, с дальнейшим отделенем I. КСІ, MgSO₄ и H₂O в кол-вах, наилучших для достижения равновесия, можно выдерживать при 25—30°, затем смесь нагревать до 30—40° до полного растворения MgSO₄ и, наконец, снова охлаждать до исходной т-ры. Для разложения можно употреблять ве H₂O, а р-ры I с пониженным содержанием MgCl₂ вли K₂SO₄. Маточники после отделения I охлаждают и отделяют MgSO₄ и КСІ; выделяющаяся смесь MgSO₄ и КСІ от р-ра отделяется и возвращается в первую фазу пропесса.

12362 П. Способ получения карбида и (или) цианамида кальция. К е с (Verfahren zur Herstellung von Calciumcarbid und/oder Kalkstickstoff. K a e s s F r a n z) [Süddeutsche Kalkstickstoff-Werke A.-G.]. Пат. ФРГ 934588, 27.10.55

Способ получения CaC₂ и (или) CaCN₂ с добавлением в-в, понижающих т-ру плавления, таких как CaF₂ (плавиковый шпат), отличается тем, что в-ва, понижающие т-ру плавления, в форме зерен всличиной 3÷15мм (лучше 5÷10мм) добавляют отдельно в каждую составную часть смеси (известь, уголь или антрацит) в кол-ве 1,5÷3,5 вес.% (предпочтительней 2,5), считая на исходную смесь. Полученный CaC₂ вместе с азотом превращают в CaC₂ без других добавок. В. Энглин 12362 и

12363 П. Способ регенерации трифторида бора и безводного фтористого водорода из водных растворов. Рольфс (Verfahren zur Rückgewinnung von Bortrifluorid und wasserfreier Flußsäure aus wässerigen Lösungen. Rohlfs Gerhard) [Harpener Bergbau-A.-G.]. Пат. ФРГ, 938964, 9.02.56

Для регенерации BF₃ и безводи. HF из води. p-ров из 1-й стадии получают прибавлением BaF₂ или SrF₂ бортетрафторид Ba или Sr. Затем отделяют жидкость, а остающуюся сухую соль разлагают при нагревании из BaF₂(SrF₂) и BF₃, причем последний поглощаежся,

напр., в анизоле, откуда он удаляется при нагревании. На 2-й стадии процесса добавляют к отогнанной жидкости (р-р НF) фторид щел. металла; образующийся
бифторид щел. металла отделяют от воды и при нагревании соли получают фторид щел. металла и безводи.
НF. Процесс проводится в присутствии вспомогательной жидкости с уд. весом значительно выше 1, не смешивающейся с водой и разб. НF и не растворяющей
тетрафторид и бифторид (напр., хлорбензол). При
отгонке жидкости на 1-й стадии вспомогательная жидкость возвращается в реакционный сосул. Процесс
может быть полностью или частично непрерывным,
причем фторид щел. металла и Ва F2(SrF2) можно использовать повторно.

В. Шацкий

12364 П. Способ приготовления высокодисперсных смесей, содержащих кремнекислоту. Подшус (Verfahren zur Herstellung von hochdispersen, Kieselsäure enthaltenden Gemischen. Podschus Ernst) [Farbenfabriken Bayer A.-G.]. Пат. ФРГ, 937414,

Р-ры силиката щел. металлов осаждают р-рами солей, основание которых относительно труднорастворимо в воде и имеет щел. р-цию. Образующийся осадок обрабатывают р-ром соли металла, у которой анион образует с катионом соли 1-го р-ра труднорастворимую соль. Далее осадок от 1-го разложения перерабатывают в свежем состоянии. Гидроокись металла 2-го р-ра соли должна быть менее растворима, чем гидроокись катиона 1-го р-ра. При этом 1-е разложение проводится полностью посредством применения стехнометрич, кол-ва или избытке осадка).

В. Шацкий 12365 П. Способ получения чистых германиевых или кремниевых галогенидов. Розе и бер гер (Ver-

fahren zur Herstellung reinen Germanium- bzw. Siliciumhalogenids. R o s e n b e r g e r G e o r g) [Siemens & Halske A.-G.]. Пат. ФРГ 922466, 17.01.55 Галогениды Ge и Si (промежуточные продукты при получении чистых Ge и Si (промежуточные продукты при получении чистых Ge и Si для использования их в качестве полупроводников) очищают от растворяющихся в них галогенидов других металлов (Fe, Cu и особенно As и Sb) путем превращения их в легко отлеляемые соединения восстановлением при помощи неблагородных металлы вводятся в смесь в виде стружки. На получают при взаимодействии к-ты (не реагирующей с очищаемым галогенидом — HCl, HBr), в которую помещается смесь с неблагородным металлом (Zn, Mg), или при электролизе электролита (не реагирующего с GeHal4-HCl). При действии Zn и Mg As³+ и Sb³+ переходят в элементарный As и Sb; Fe³+ — в Fe³+ (при нагревании до кипения); Zn и Mg галогениды переходят соответственно в ZnHal2 или Mg Hal2; при действии водорода AsHal3 и SbHal3 переходят в AsH3 и SbH3; FeHal2 и CuHal2 частично в FeHal2 и CuHal и остальное в Fe и Cu. Все эти продукты легко отделяются от Ge- и Si-галогенидов. Улетучивающийся GeHal4 или SiHal4 возвращается обратно посредством дефлегмаими.

2366 П. Получение двуокиси титана, обладающей природной кристаллической структурой. Меркер, Эспеншид (Lapidifical titanium dioxide and method of making same. Merker Leon, Espenschied Helmut) [National Lead Co.]. Канад. пат. 514603, 12.07.55

Способ получения TiO₂, имеющей размер частиц, не превышающих 0,5 μ п способной к образованию из расплава отдельных кристаллов рутила, состоит в про-каливании аммоний-титан-сульфата при т-ре 850—1100° в течение 1—2 час. до полного удаления составных групп (NH₄)+ и (SO₄)². Оставшаяся TiO₂ имеет рутильную кристаллич. структуру.

В. Борисова

CZ

11

CI

H()

12

12367 П. Очистка тетрахлорида титана. Леви (Purification of titanium tetrachloride. Levy Joseph Penno) Пат США 2725350 29 41 55

s e p h P e p p o). Пат. США 2725350, 29.11.55
Контактируют TiCl₄ с активной Си и отгоняют чистый TiCl₄. Каталитически активную Си получают обработкой ее одним из в-в — летучие спирты, альдегиды и кетоны, затем испаряют это летучее в-во в вакууме. Предохраняя до употребления Си от контакта с атмосферой, контактируют эту Си с TiCl₄. В. Шацкий 12368 П. Способ получения фосфора и глинозема. (Presédé de néporation de phespore et d'alumine et

2508 11. Chiedo individual posphore et d'alumine et les produits obtenus par ce procédé) [Knapsack-Griesheim A.-G.]. Франц. пат. 1084455, 19.01.55 [Chimie et industrie, 1956, 75, № 3, 546 (франц.)]

Получают фосфор и глинозем, исходя из руды, фосфатов и кокса. Плавка шлака и феррофосфора производится двумя раздельными операциями.

12369 П. Способ получения хлористого тионила. И о н а с , Л ю г (Verfahren zur Herstellung von Thionylchlorid. J o n a s H e i n z, L u e g P a u l) [Farbenfabriken Bayer A.-G.]. Пат. ФРГ 939571, 23 02 56

SOCI₂ получают р-цией обменного разложения SO₃, S₂CI₂ и CI₂ при умеренно повышенной т-ре, причем реагирук щие в-ва пропускают над активированным углем в таком соотношении, чтобы на 1 г-моль SO₃ приходилось ≥ 2 г-атомое S и 6 г-атомое CI. Пример. Через трубку объема 350 см³, наполненную гранулированным углем (активированным K₂S) пропускают при 180° пары (г/час): S₂CI₂ 135, SO₃ 80 и CI₂ (газ) 150. После охлаждения в холодильнике получают 325 г в час конденсата 86%-ного SOCI₂. Неразложившиеся исходные в-ва и промежуточный SO₂ возвращаются в процесс, так что выход составляет ~100%. И. Лосева 12370 П. Способ получения концентратов металли-

ческого железа и TiO₂ из руд, содержащих ильменит (Procédé de production de concentrés de fer metallique et des concentrés de TiO₂ à partir de minerais contenant de l'ilménite et produits conformes à ceux obtenus) [Titan Co A/S]. Франц. пат. 1092910, 28.04.55 [Chimie et industrie, 1956, 75, № 5, 960 (франц.)]

Ильменит восстанавливают в определенном температурном интервале с прибавлением небольших кол-в определенных шлакообразующих в-в. Затем восстановленную руду измельчают для отделения металлич. Fe от концентрата, содержащего большое кол-во TiO₂.

12371 П. Способ получения тетракарбонила железа. X ей и целер (Verfahren zur Herstellung von Eisentetracarbonyl. Heintzeler Manfred) [Badische Anilin und Soda-Fabrik A.-G.]. Пат. ФРГ 928044, 23.05.55

Комплексное соединение тетракарбонилгидрида Fe состава $H_2Fe_3(CO)_{11} \cdot NR_3$ (где не менее чем один R — органич. основание, остальные R — водород или органич. основания) обрабатывают при обычной или повышенной т-ре конц. к-той, предпочтительно муравьиной. Пример. $20\ z$ влажного N-метилпирролидинкарбонилгидрида железа, содержащего $13\ z$ сухого в-ва, растворяют в $100\ мл$ $CH_3(OH)$ и после добавления $50\ мл$ конц. HCl-к-ты получают $9\ z$ $Fe(CO)_4$. Γ . Антонов $12372\ \Pi$. Способ получения железного порошка для

приготовления постоянных магнитов. Неель (Verfahren zur Gewinnung von Eisenpulver zur Herstellung von permanenten Magneten. Neel Louis) [Soc. d'Electro-Chimie, d'Electro-Métallurgie et des Acieries electriques d'Ugine]. Пат. ФРГ 939085, 16.02.56

Приготовляют p-p, содержащий формиат, оксалат или ацетат Fe и кислородсодержащую соль (напр., формиат или оксалат) одного или нескольких металлов,

окислы которых имеют высокую теплоту образования (напр., Са, Мg, Al или Сd) в таком кол-ве, чтобы при кристаллизации выделялось с кристаллами 0,1—40% СаО или другого металла. Затем разлагают полученные кристаллы при т-ре <500° в нейтр. или восстановительной атмосфере до получения металлич. Fe. В. Шацкий 12373 И. Получение твердого хромового ангидрида (Manufacture of solid chromic anhydride) [Diamond Alkali Co.]. Англ. пат. 739760, 2.11.55

Обрабатывают р-р бихромата щел. металла кощ, H_2SO_4 . Полученный осадок отделяют и плавят с твердым (или насыщ, р-ром) бихроматом щел. металла; при этом образуется два разделяемые слоя; нижний слой состоит из чистого CrO_8 . В. Борисова 12374 П. Способ переработки карбонилов, содержащихся в газовой или жидкой среде, частично заме-

щинся в газовон или жидкой среде, частично замещенных карбонилов или карбонилгидридов никеля или кобальта. Хейнцелер, Кутепов (Verfahren zur Aufarbeitung von in Gasen oder flüssigen Medien enthaltenen Carbonylen, teilsubstituierten Carbonylen oder Carbonylwasserstoffen des Nickels oder Kobalts. Heintzeler Manfred, Kutepow Nikolaus von) [Badische Anilin-& Soda-Fabrik A.-G.]. Пат. ФРГ 933753, 6.10.55

Соединения карбонилов, содержащиеся в газообразной или жидкой среде, с помощью обработки легко восстанавливающимися солями тяжелых металлов при обычной или повышенной т-ре переводят в соли Ni или Со, в которых анион является анионом применяемой соли тяжелого металла. Пример: Ni(CO)₄ + 2HgCl₂→ → NiCl₂ + Hg₂Cl₂ + 4CO. Л. Херсонская 12375 П. Способ осветления мутных растворов пеор.

2375 П. Способ осветления мутных растворов неорганических солей путем декантации. Будан (Verfahren zum Klären von Trüben anorganischer Salzlösungen durch Dekantieren. В udan Gerhard) [Wintershall A.-G.]. Пат. ФРГ 931591, 11.08.55

Мутные р-ры, осветляемые декантацией, пропускают через твердые частицы способных адсорбировать поверхностноактивных в-в, таких как флотационные средства и (или) продукты полимеризации и конденсации (напр., полнакрилнитрил или производные винилуксусномаленновой к-ты). Одновременно мутные р-ры обрабатывают звуковыми волнами частотой ~1 кги с амплитудой колебаний соответственно плотности мути. В р-ры прибавляют также смачивающие в-ва, способные разорвать ионную или дипольную оболочку.

3. Мильман

См. также: Получение редких металлов 11430. Окислы с магнитной проницаемостью 12632. Каталитич. сивтез $\rm H_2O_2$ 11303. Синтез HCN 13071. Соли: извлечение соединений F, V, Ti, U 12379; люминесц. и поглощения p-ров солей 10872; исслед. метафосфатов Sn и др. 10913

ЛЮМИНЕСПЕНТНЫЕ МАТЕРИАЛЫ

Редакторы В. И. Елинек, В. Д. Матвеев, Н. А. Ширяева

12376 П. Люминесцентные экраны (Fluorescent screens) [Du Pont de Nemours & Co., Е. І.]. Англ. пат. 719600, 719603, 1.12.54 [Photogr. Abstrs, 1955, 35, № 2, 122 (англ.)]

Пат. 719600. Суспензию люминесцентного в-ва в связующем, состоящем из смеси нерастворимого в воде простого эфира целлюлозы (ЭЦ) и нитроцеллюлозы (I) в отношении 0,1—3: 1 и содержащем р-ритель с высокой т-рой кипения для сложных ЭЦ, распределяют поверх тонкого слоя из сложного ЭЦ, который нанесен на тонкую поверхность. Наносят подложку и, снимая с поверхности, получают люминесцентный экран, защищенный пленкой сложного ЭЦ. Между люминесцент-

7 r.

HHR

при

ные

ель

IKNÜ

рида

ond

онп.

вер-

при

слой

сова

рака-

келя Ver-

sigen Car-oder

I to

odaбраз-

BOC-

HDH

иди емой

Cl₂→

ская

неор-

(Ver-Salz-

rd)

кают . по-

нные енса-

анилр-ры

HOCTH

в-ва.

очку.

ІЬМан

ислы

CHHчение

пения

10913

scre-. пат. 5, **3**5,

в свяводе зы (І)

высо-

от по-

несен

нимая

н. 38-

спент-

ным слоем и подложкой можно наносить окрашенный

Пат. 719603. Возможно в качестве связующего применять смесь I и полимера сложного эфира акриловой к-ты (II) (полиметилметакрилат) в высококипящем р-рителе для ацетатцеллюлозного слоя. Соотношение 1: II от 0,4:1 до 8:1.

производство катализаторов и сорбентов

Редакторы: В. И. Елинек, В. Д. Матвеев,

Н. А. Ширяева

Катализатор для производства газообразного хлористого водорода. Мита, (璽綾ガス製造用陽蝶・末田秀夫、淺野泰養)|三菱化成工 業株式會社・Mitsubishi Kosei Kogyo Kabushiki Kaisha| Япон. пат. 5871, 14.09.54 [Chem. Abstrs, 1955, 49, № 22, 163 69 (англ.)]

ж 22, 100 б (ант.)]
Активированный уголь обрабатывали до поглощения пм 10 вес. % ZnCl₂, NiCl₂, FeCl₂ или CrCl₃. Катализатор сушили, нагревали до 350° и пропускали через него HCl (газ), содержащий 1% Cl₂ и 2% H₂, с объемной пот (наз), облежающий 1 до 12 и 24 и 12, облежной скоростью 250. Время, необходимое для появления Cl₂ в выходищем газе, составляло: при активированном угле без добавки 7—11 мин., при добавке ZnCl₂ или NiCl₂ 8—10 мин., FeCl₂ 55—60 мин., CuCl₂ или CrCl₃> 3 час. '. Рабинович

2378 II. Химическое никелирование (Chemical plating with nickel) [General American Transportation 12378 II. Согр.]. Австрал. пат. 166559, 2.02.56

Ванна для хим. никелирования каталитич. материала состоит в основном из водн. p-ра солей Ni, гипофосфита палифатич. аминокислоты и/или ее соли. В. Борисова

См. также: Нагревание слоя катализатора 14222. Катализаторы: синтез из СО и Н₂ 11286, 12938; синтез углеводородов 11272; синтез H₂O₂ из элементов 11303. Регенерация 13082, 13110

УДОБРЕНИЯ

Редактор И. Л. Гофман

Проблемы экономии в фосфатной промышлен-HOCTU. Yarraman, Pyaman (Conservation problems of the phosphate industry. Waggaman William H., Ruhlman E. Robert), Industr. and Engng Chem., 1956, 48, № 3, part 1, 380, 380, (1978) 360—369 (англ.)

Обзор достижений и путей усовершенствования методов добычи и обогащения природных фосфатов (ПФ), использования низкосортных ПФ, переработки ПФ без затраты Н2SO4 или с меньшим ее расходом; использования тепла, образующегося при сжигании элементар-ного Р; извлечения соединений F, V, Ti и U, использования гипса и побочных продуктов электровозгонки Р. Библ. 27 назв.

Е. Бруцкус 2380. Обогащение низкопроцентных фосфоритов с помощью гидроциклона. Сообщение І. III р ё д е р, Беднарский (Wzbogacanie niskoprocentowych Бедиарский (1222 должения) помента Бедиарский регу ромосу hydrocyklonu. Komunikat I. Schroeder J., Bednarski S.), Przem. chem., 1956, 12, № 2, 111 (польск.; рез. русс., англ.) Описан гидроциклон, при применении которого из местного фосфорита, содержащего 15,35% P₂O₅, был получен концентрат с содержанием 21,18% P₂O₅. Выход при обогащении составлял > 87,8%. Е. Бруцкус 12381. Технические и экономические факторы в производстве обычными методами удобрений с высоким содержанием водорастворимой P_2O_6 . X и г и е т т (Technical and economic factors involved in production of fertilizers of high water-soluble P₂O₅ content by conventional processes. Hignett T. P.), Commerc. Fertilizer, 1956, 92, № 5, 23—24, 26,67 (англ.)

Обсуждается вопрос об экономичности произ-ва смешанных удобрений (СУ) с высоким содержанием P_2O_5 в водорастворимой форме (ВР) в связи с тем, что ряд агрономич. опытов показал повышение урожая при применении таких СУ. Содержание ВР зависит от степени аммонизации и типа суперфосфата. При полной аммонизации высокопроцентные СУ, полученные на основе двойного суперфосфата, содержат больше ВР, чем низкопроцентные СУ, полученные на основе протого суперфосфата. Сравнение стоимости СУ 3-12-12, 5-20-20, 10-10-10 и 12-12-12 с различным содержанием ВР показывает, что для СУ определенного состава увеличение содержания ВР повышает стоимость произ-ва. Во многих случаях при увеличении содержания полезных в-в в СУ можно экономично увеличить содержание ВР. Е. Брупкус 382. Физико-химические исследования в области фосфатов магния. Белопольский А. П., Шпунт С. Я., Шульгина М. Н. В сб.:

Исследования по прикл. химии. М.-Л., Изд-во АН CCCP, 1955, 107-148

Изучены растворимости в системах, представляющих научены растворивости в системах, представлиющих интерес для произ-ва суперфосфата и других фосфорных удобрений из фосфоритов Кара-Тау, содержащих Мg: тройной MgO — P_2O_5 — H_2O при $10-130^\circ$ и четверной MgO — CaO — P_2O_5 — H_2O при $10-130^\circ$. $Oach Papyжены твердые фазы (<math>T\Phi$): MgHPO₄ · $3H_2O$ (I), Mg(H_2PO_4)2 · $2H_2O$ (II) и Mg(H_2PO_4)2 · $2H_2O$ (III) и Mg(H_2PO_4)2 (IV) · В тройной системе растворимость I возрастает с ростом конц-ии Р2О5 в р-ре и остается практически постоянной во всем интервале изученных т-р. Растворимосты II, III и IV падает при повышении конц-ии Растворимость II, III и IV падает при повышении конп-ии P_2O_5 в р-ре и возрастает при повышении т-ры. Верхний предел стабильности II 58°; III стабилен от 10 до 130°; IV стабилен до 130°. В интервале т-р 0—130° найдены 3 инвариантные точки состава (в %): 1) при 58° P_2O_5 38,5, MgO 9,5, TФ I, II и III; 2) при 10° P_2O_5 58,9, MgO 3,2, ТФ II, III и IV; 3) при 130° P_2O_5 54, MgO 12,7, ТФ I, III и IV. Построена политерма тройной системы в интервале т-р 0—130°. В четверной системы в интервале т-р 0—130°. В четверной системе фосфаеть Са мало изменяют растворимость фосфаетов фосфаты Са мало изменяют растворимость фосфатов Mg. Поля насыщения последних представлены на изотермах растворимости узкими полосками, примыкающими к соответствующим ветвям изотермы тройной системы. Фосфаты Мg оказывают значительное высаливающее действие на фосфаты Са. Во всем интервале т-р 0—130° стабильны I и Са (H₂PO₄)₂· H₂O (V), поля насыщения которых граничат друг с другом. Температурные пределы существования II, III и IV в тройной системе сохраняются и в четверной. В интервале т-р 0—130° найдены 3 инвариантные точки состава (в %):
1) при 10° Р₂О₅ 59,5, MgO 3,2, CaO 0,1, TФ V, II III и IV; 2) при 58° Р₂О₅ 38,5, MgO 8,9, CaO 0,6, ТФ V, I, III и III; 3) при 130° Р₂О₅ 52, MgO 12,3, CaO 0,6, ТФ V, I, III и IV. Диаграммы использованы для расчета жидкой фазы суперфосфатов из фосфорита Кара-Тау. Установлено, что при охлаждений этих суперфосфатов кристаллизуется только V, а соли Mg остаются в р-ре. Е. Бруцкус

2383. Влияние на урожай нитрофосфатов с высоким содержанием глинозема. Де-Мент, Спц (Стор) response to high-alumina nitric phosphate fertilizers. De Ment Jack D., Seatz Lloyd F.), J. Agric. and Food Chem., 1956, 4, № 5, 432—435

Вегетационные и полевые опыты показали, что для ряда с.-х. культур нитрофосфаты (1), приготовленные из флоридской фосфатной руды с высоким содержанием Al₂O₈, оказались несколько менее эффективными, чем двойной суперфосфат или нитрофосфаты (II), приготовленные из флоридского желвакового фосфорита, особенно при низком содержании водорастворимой формы

дени

пени

нагр

жела ДФ NНз

соды

риро

Наг мени к-ты и др

10 E

При

F и пул

ука: 1239

de

C

B 48

Raci

реан лаж обес

IЫ,

в к

пол

с д

вае

MAN

MINI

6) 6

сер.

в п

HOC

c C

под

бан про Спо

H₂

M

123

 P_2O_5 в I; при большем содержании водорастворимой формы P_2O_5 эффективность I увеличивается. При действии в течение 1 года I оказались одинаково эффективными с II и со смешанными удобрениями при одинаковом содержании водорастворимой формы P_2O_5 ; все эти удобрения менее эффективны, чем двойной суперфосфат. Е. Бруцкус

Относительная эффективность веществ для 12384. Относительная эффективность веществ для опудривания гранул. Кумаган, Хардести (Relative effectiveness of granule coating agents. Кима дай Rikio, Hardesty John O.), J. Agric.and Food Chem.,1956,4,№ 2,132—135(англ.) Исследовано влияние 17 различных опудривающих в-в на слеживаемость гранулированного удобрения N-P-K 12-12-12. Слеживаемость определяли по сопротивлению лепешки при раздавливании. За исключением вермикулита и перлита (вулканич. стекла), обладающих плохой адгезией к гранулам, наиболее эффективными оказались в-ва с малым насыпным весом (гидрат SiO2, синтетич. силикаты Mg и Ca, диатомит, которые при опудривании в кол-ве 2% снижали слеживаемость на 71-54%; менее эффективны, даже в кол-ве 3%, в-ва с большим насыпным весом (каолинитовые, монтмориллонитовые и пирофиллитовые глины, СаСОз и др.). Слеживаемость неопудренного удобрения снижается при увеличении срока вызревания от 1 до 8 суток и увеличении размера гранул. Слеживаемость опудренного удобрения не зависит от срока вызревания, незначительно увеличивается при уменьшении размера правильных гранул, значительно - при разбитых гранулах того же размера и уменьшается при увеличении кол-ва опудривающего в-ва от 1 до 3%.

Е. Бруцкус 12385. Улучшения удобрений. Саукелли (Fertilizer amendments. Sauchelli Vincent, Agric. Chemicals, 1956, 11, № 5, 42—43, 123 (англ.) При введении MnSO₄ в гранулы простого суперфосфата фиксация Мп в почвах уменьшается, так как ввиду мислотности почвы около гранул Мп остается в растворимом состоянии. Недостаток Мп не наблюдается при кислотности почвы <рн 6 и начинается при рН 6.4. Приведены результаты опытов по применению MnSO₄ совместно с NPK-удобрениями, полученными из суперфосфата и сульфатов NH₄ и К. Указываются премиущества, достигаемые при известковании почвы материалами необходимого качества. Е. Бруцкус 12386. Структурообразующие удобрения. В е р ш н-

42387 П. | Способ получения | известковоаммлачной селитры. Бантин, Мосбруггер, Шифферс (Verfahren zur Herstellung von Kalkammonsalpeter. Banthien Hans, Moosbrugger Franz, Schiffers Bernd) [Farbwerke Hoechst A.-G. vormals Meister Lucius & Brüning]. Пат. ФРГ 940403, 15.03.56

При взаимодействии CaCO₃ с NH₄NO₃ для предупреждения образования сильно гигроскопичного Ca(NO₃)₂ и (NH₄)₂CO₃, разлагающегося с выделением NH₃, при получении известковоаммиачной селитры (ИС) смешивают водн. р-р NH₄NO₃ с тонкоизмельченным известняком, добавляя при этом к одному или к обоим компонентам, предпочтительно в виде конд. р-ра и при т-ре до 150°, соль Mg или Са или их смесь, растворенную в р-ре NH₄NO₃ в кол-ве 0,05—1,5%, напр. 0,15% MgO, или 0,3—3,5% CaO(в расчете на ИС с содержанием 20% N),

напр. MgSO₄, доломит или соль Mg, содержащую аниои, вызывающий осаждение Са-ионов в водн. р-ре. Пример. 1800 вес. ч. 97%-ного водн. р-ра NH₄NO₃ при 140° смешивают с 57 ч. 87%-ного р-ра Са(NO₃)₂, а затем с 75 ч. MgSO₄·7H₂O. К смеси при 125° добавляют измельченный известняк, а затем гранулируют и сущат. Потери N составляют ~0,15%. Г. Рабинович 12388 П. Фосфорные удобрения и способ их получения (Phosphate fortilizers and a process for their

2388 П. Фосфорные удобрения и способ их получения (Phosphate fertilizers and a process for their preparation) [Thyssenhütte A.-G., A. Hüttenwerk Horde A.-G., Hüttenwerk Huckingen A.-G., Westfalenhütte Dortmund A.-G.]. Англ. пат. 721876, 12.01.55

Удобрения, состоящие в основном из фосфата Са. получают плавлением фосфата, быстрым охлаждением и гранулированием расилава так, чтобы продукт имед 95% частиц размерами 0,05—1 мм, «бо́льшую энергию, чем силикакарнотит» (термин объяснен в патенте) и стекловидную структуру. Более крупные частицы измельчают; 5% частиц размером <0,05 мм можно оставить в продукте. Чем больше соотношение P_2O_8 : (SiO $_2+$ + $B_2O_3+Al_2O_3$ и т. п.), тем меньше должны быть частицы. Охлаждение можно производить водой или паром, но при этом стекловидная структура получается только при наличии в фосфатах эквивалентного или больших кол-в метасиликатов, боратов, алюминатов и т. п. Независимо от кол-в этих в-в охлаждение можно производить воздухом или газом при отсутствии воды или пара, а также соприкосновением с металлич, поверхностью, охлаждаемой водой. Патентуются устройства для охлаждения воздухом. Поверхность расплавленного фосфата, напр. томасшлака, подвергаемого охлаждению, можно увеличить с помощью вспенивающих в-в, напр. смолы, распыленного масла, воздуха с коксовой пылью, подаваемого в конвертор для выдувания шлака или навстречу шлаку, вытекающему из конвертора. В большинстве случаев, за исключением томасшлака, фосфат плавят в окислительных условиях в шахтных печах, нагреваемых нефтяными или газовыми горелками. При применении кокса, дающего восстановительные условия, потерю Р уменьшают добав-лением Fe, Fe-руды или фосфата с большим содержанием Fe, или плавлением природного фосфата с доменным шлаком или другими стеклообразующими добавками, напр. Му-минералами или шлаками, алюминатами, боратами, силикатами, соединениями щел. металлов и фторидами. 12389 П. Спосо Е. Бруцкус

2389 П. Способ производства дикальцийфосфата для применения в качестве удобрения или кормовой добавки (Process for the manufacture of dicalcium phosphate for use as a fertilizer or an additive to animal feeding stuffs) [Oesterreichische Stickstoffwerke A.-G.]. Англ. пат. 719278, 1.12.54
Природный фосфат разлагают HNO₈, при желании

Природный фосфат разлагают HNO₃, при желания реакционную массу фильтруют или пентрифугируют вытяжку выпаривают досуха, нагревают при т-ре ≈250° для удаления HNO₃ до тех пор, пока осадок в основном не будет свободен от Ca(H₂PO₄)₂, и выщелачивают водой Ca(NO₃)₂, который затем извлекают из р-ра выпариванием. Оставшийся СаНРО₄ пригоден в качестве удобрения или кормовой добавки; в последнем случае массу, полученную азотнокислотным разложением, перед фильтрованием обрабатывают СаО для осаждения F в виде СаF₂.

12390 П. Способ получения цитратнорастворимого

удобрения, содержащего главным образом дикальцийфосфат (Process for the production of a citrate-soluble fertilizer containing mainly secondary calcium phosphate) [Oesterreichische Stickstoffwerke A.-G.]. Англ. пат. 735086, 10. 08. 55

Вытяжку, полученную разложением природного фосфата минер. к-той, напр. HNO₃ или HCl, нейтрализуют при 20—50° щел. в-вом в кол-ве, достаточном для осаж-

r.

OH,

ep.

TeM

из-

IAT.

вич

neir

rde

itte

Ca. нем

мел

HIO.

) n

H3-

нть

2 + MTb

или ется

или

HOB

жно

оды

по-

рой-

лав-

MOPO

ваю-

цуха ылуу из

нием

икив овы-

BOCобав-

ржамен-обав-

ина-

етал-

цкус

фата

เดยเด

cium aniverke

ании

руют,

т-ре

B OC-

лачиp-pa качеелнем

азло-

) для **УЦКУС**

имого

ъпий-

oluble

phos-Англ.

о фос-

изуют

ления F и других примесей, но недостаточном для осажпения значительного кол-ва дикальцийфосфата (ДФ), вагревают пульпу до т-ры ≥75° (95°), отделяют, при желании, осадок, охлаждают до 20—50° и осаждают ПФ добавлением остального кол-ва щол. в-ва, напр. NH3, NH3 в р-ре NH4NO3, известкового молока, р-ра соды. При применении p-ра NH4NO3 его можно регенерировать и использовать снова после отфильтрования ПФ и осаждения Са из Са(NO₃)₂ действием (NH₄)₂CO₃. Нагревание и охлаждение можно проводить в теплообменниках. Если при получении вытяжки кол-во минер. и-ты было достаточным для выделения всей HaPO4 и других к-т и для соединения со всеми основаниями, то в первой ступени применяют 35—50% щел. в-ва. Пример. Природный фосфат разлагают HNO₃, осаждают F и другие примеси при 40° р-ром NH₃ + NH₄NO₃, пульпу нагревают до 95°, охлаждают ее и осаждают ДФ указанным р-ром при 40° и рН 4. Е. Бруцкус 391 П. Аппаратура для производства удобрений. Констан (Apparatus for fertilizer manufacture. des Glaces et Produits Chimiques de Saint-Gobain, Chauny et Cirey]. Nat. CIIIA 2713534, 19.07.55

Разложение природного фосфата (ПФ) минер. к-той, в частности Н NO3 и получение удобрений согласно пат. СПА 2635955 проводят в следующих установленных васкадом и соединенных герметично аппаратах: 1) 1-й рактор — ванна с перегородкой, рубашкой для ох-лаждения и несколькими вертикальными мещалками, обеспечивающими циркуляцию и перемешивание пуль-щ, полученной при р-ции ПФ с HNO₃; 2-й реактор полуцилиндрич. с мещалкой (на горизонтальном валу), в котором к пульпе, содержащей Н₉РО₄ и Са(NO₈)₂ добавляется ПФ, причем образуется ·Ca(H₂PO₄)₂ и получается «фосфонитрат»; 3) гранулятор — корыто с двухвальной мешалкой, в котором материал смешивется с тонкоизмельченным конечным продуктом, служащим затравкой для кристаллизации, и с небольшим кол-вом тонкоизмельченного ПФ для покрытия гранул и нейтр-ции выделяющихся кислых газов или 3a) гранулятор — вращающийся барабан, охлаждае-мий изнутри; 4) бункер готового продукта; 5) элеватор; б) сита, с которых мелочь направляется в реактор 1-й; башня для поглощения окислов N и осущки воздуха серной к-той; 8) вентилятор для циркуляции воздуха врез аппаратуру. При применении вместо HNO3 смеси 01 или воздуха с окислами N, полученными, напр., при окислении NH₃, смесь газов вводят в абсорбер, в пульпу, отводимую из реактора 1-го и содержащую гавным образом Ca(H₂PO₄)₂; окислы N быстро и полпостью поглощаются пульпой, так как они реагируют Са(Н2РО4)2 с образованием Н3РО4. При применении H₂SO₄ и HNO₃ сначала разлагают ПФ H₂SO₄, а затем подают пульпу в реактор 1-й (одновременно можно до-бавлять ПФ); конц-ия к-т должна быть такой, чтобы продукт содержал менее 4 молей H₂O на 1 моль Ca(NO₃)₂. Способ позволяет получать различные продукты (N— Р 7,5—15 при разложении одной HNO3, 4—16 при H₂SO₄+HNO₃). Можно добавлять K, NH₄ и т. п. в раз-личных стадиях процесса.

Е. Бруцкус 12392 П. Способ производства фосфатных продуктов. Ле-Бароп (Process for producing phosphate materials. Le Baron Ira M.) [International Minerals and Chemical Corp.]. Пат. США 2722472,

Вызревший суперфосфат выщелачивают водой или рром Ca(H2PO4)2 и отделяют нерастворимый остаток. Кфильтрату I добавляют 6 вес. % известняка или соотнфильтрату I доолегиог о вес. % известима или соответствующее кол-во СаО и отфильтровывают осадок I, содержищий большую часть F. K фильтрату II, содержащему \sim 15% P_2O_5 и 0,04% F при соотнощении СаО: $P_4O_5=0$,9, добавляют 12 вес. % известняка и отделяют

осадок II, содержащий главным образом СаНРО4. который сущат и применяют в качестве кормовой добавки. Осадок I смещивают с р-ром, полученным выщебавки. Осадок I смешмвают с р-ром, получения в или и лачиванием свежего суперфосфата, сущат пульпу и получают удобрение, состоящее главным образом из Са(H₂PO₄)₂ и содержащее ~56% усвояемой P₂O₅.

Е. Бруцкус

12393 П. Материал для удобрения, компоста и теплообразующей набивки для парников в садоводстве и сельском хозяйстве. Кристенсе и (Dünge-, Kompostierungs- und wärmeerzeugendes Mittel für Frühbeetpackungen im Gartenbau und in der Landwirtschaft. Christensen William Georg Alfred). Πατ. ΦΡΓ 933989, 6.10.55

Отходы брожения (ОБ) в произ-ве пенициллина и других антибиотиков в свежем состоянии абсорбируют торфяным мхом (ТМ) и сбраживают вместе с ним при 20-60° до получения массы, стойкой при хранении. Соотношение ТМ (при 75% сухого в-ва): ОБ (при 24% сухого в-ва) можно изменять от 1:1 до 1:13. Добав ление ОБ к ТМ целесообразно проводить по частямчередуя с сушкой полученной смеси. Е. Бруцку,

См. также: Содержание микроэлементов в почвах 11544

ПЕСТИЦИДЫ

Редактор Ю. А. Баскаков

12394. Химические средства защиты растений и их применение. Мельников Н. Н., Хим. наука и пром-сть, 1956, 1, № 2, 160—173
Обзор. Библ. 200 назв. М. Галашина
12395. Инсектициды. Хейли (The insecticides. На 1 е у Т h o m as J.), Calif. Med., 1956, 84, Haley Thomas J.), Calif. Med., 1956, 84, № 4, 258—264 (англ.) Обзор. Химия, формы применения, фармакология и

токсикология хлорорганич. и фосфорорганич. инсекти-2396. Успехи в области синтеза и применения инсектиствения и применения интерементацидов и гербицидов. Хассалл (Progresos en la sintesis y aplicación de insecticidas y herbicidas. Наs sa 11 К. А.), Industria y quimica, 1955, 17, № 6, 344—346, 348 (исп.) цидов. Библ. 54 назв.

Обзор, содержащий сведения об инсектицидах груп-пы хлорированных углеводородов (ДДТ, ГХЦГ, альдрин, дильдрин, хлордан и токсафен), фосфорорганич. дрин, дагларин, эледан и токсафан, демефокс и мина-фокс), акарицидах (азобензол, *n*-хлорфениловый эфир бензолсульфокислоты и *n*-хлорбензил-*n*'-хлорфенилсульфид) и гербицидах (неорганич., нитроалкилфенолах, 2,4-Д и родственных ей соединений, группах фенилдиметилмочевины и фенилкарбаминовой к-ты). К. Бокарев Библ. 18 назв.

3397. Химикаты для борьбы с вредителями. Го п-кинс (Pest control chemicals. Норкі п в D. Р.), Manufact. Chemist, 1956, 27, № 5, 189—191 (англ.) Обзор достижений в области хим. борьбы с вредителями. Против грибковых заболеваний сеянцев Pinus radiata хороший эффект дали фенилмеркурацетат, метоксиэтилмеркурсиликат, фенилмеркурхлорид, этилмеркурхлорид, каптан и коранил. Комплекс поливинилпирролидона с йодом обладает инсектицидными, акарицидными и фунгицидными свойствами и проявляет антифитотоксич, эффект при смешении с сильными гербицидами избирательного действия. Указано также на значение синергистов, содержащих 3,4-метилендиоксифеноксигруппу. Инсектициды и фунгициды, апробированные 12398.

на 1956 г. государственным испытанием. — (Specialpraeparater anerkendte af Statens Forsøgsvirksomhed i

сте HH

KL

ле ОП

10

Plantekultur til bekaempelse af plantesygdomme og skadedyr. Gyldig for året 1956.—), Tidsskr. planteavl., 1956, 59, № 5, 811—843 (дат.)

Опубликован список инсектицидов и фунгицидов, выпускаемых датскими фирмами, прошедших государственную апробацию в Дании, действительную на 1956 г., анализ этих препаратов, их назначение и дозировка. К. Герцфельд

12399. Системные инсектициды. Растущее значение их в мировом сельском хозяйстве. Меткаф (The systemic insecticides. Growing importance in world agriculture. MetcalfRobertE.), Chem. Trade J. and Chem. Engr. 1956, 138, № 3603, 1497-1498 (англ.)

Сообщение о хим. составе, свойствах и применении системных инсектицидов. Шрадан (I) — смесь равных кол-в окта-метилтетрамида пиро- и декаметилпентамида трифосфорной к-ты - применяется в Англии против трифосформов Каза — приводения и Риогодоп humuli на хмеле при норме расхода 450—1200 л/га 0,0004%-ного води. р-ра порые раслода 450—1200 л/га 0,0004%-ного водн. р-ра (две обработки с промежутком в 5 недель). В США 0,16%-ный води. p-р I при норме расхода 0,560 кг/га применяют для защиты хлопчатника от T. bimaculatus, T. atlanticus и Aphis gossypii. Димефокс-бис-диметиламидфторфосфорной к-ты применяется в Англии для смачивания почвы под хмелем для борьбы с T. telasius и P. humuli. Систокс — смесь (65:35). 0,0-диэтил-0-2-этилмеркаптоэтил-и 0-0-диэтил-S-2 этилмеркаптоэтилтиофосфатов, а также метасистокс — смесь (7:3) 0,0-диметил-0-2-этилмеркаптоэтил-и 0 0-диметил-S-этилмеркаптоэтилтиофосфатов) применяются в США на яблонях и грушевых деревьях для борьбы с клещиками и тлями в конц-ии 0,0002%; расход 0,420 кг/га; на хлопчатнике против тлей и клещиков; на цитрусовых в Калифорнии - против красного цитрусового клещика. Огранииспользуются для экспериментов 0,0-диметил-О-карбметокси-1-метилфосфат, 0,0-диэтил-0-(3-метилпира-золил-5-фосфат, изопестокс — бис-моноизопропиламид фторфосфорной к-ты. Последний эффективен в конц-ии 0,05-0,15% для борьбы с тлей и клещиками на фруктовых деревьях, хмеле, овощах, сахарной свекле, табаке, декоративных растениях и цветах. Наиболее важное направление в использовании системных инсектипидов - протравливание семян для защиты ростков от насекомых. Тимет и его 2-изопропильный аналог в лабор. испытаниях при ворме расхода 40 кг/т семян хлопчатника убивает коробочного долгоносика и ли-стового червя на ростках спустя 2 недели. Препятствием к широкому применению системных инсектицидов на пищевых продуктах является токсичность остатков в плодах.

М. Галашина в плодах.

Условные названия пестицидов. О н о (# 乗の名禰・大野稔),防蟲科學, Ботю кагаку, Scient Insect Control., 1956, 21, 2, 54—62 (англ.; рез. Insect япон.)

Приведены торговые наименования 240 пестицидов и их действующие начала, указаны также синонимы. К. Швецова-Шиловская

Мыло как растекатель и инсектицид. С р ивастава, Сривастава (Soap as spreader and insecticide. Srivastava Uma Shankar, Srivastava Prem Dulare), J. Econ. Entomol., 1956, 49, № 2, 266—267 (англ.)

Мыло (I) широко применяют в различных инсектицидных препаратах как растекатель. Миним. кол-ва I в воде, требующиеся для смачивания листьев различных растений, равны 0,2—0,5%. Если 1 добавляют у инсектициду только в качестве растекателя, то следует прибавлять его ≤0,5%. 4%-ный р-р I действует как инсектицид против Sihpocoryne indebrassicae Das. К. Бокарев

Применение гексахлорана для борьбы с почвообитающими вредителями. Ботвина М. П., Уч. зап. Казанского ун-та, 1956, 116, № 1, 199—202 Обработка почвы 25%-ным дустом ГХЦГ на фосфо

ритной муке путем сплошного рассева в дозе 40 кг/га дает снижение численности проволочников Selatosomus latus F., S. aeneys L., Agriotes sputator L., A. obscurus L. и А. lineatus L. на 78,6%; 12%-ный дуст ГХЦГ ва тальке в дозе 80 ке/га вызывает 70%-ную смертност проволочников, а в дозе 40 ке/га—80—96%-ную личинок клубеньковых долгоносиков Sitona flavescens March. S. lineatus L. и S. hispidulus F. Отмечено стимулирующее действие ГХЦГ на развитие пшеницы. А. Гранов

2403. Полевые опыты с дустами ДДТ для борьбы с личинками Simulium в районе Золотого Берега. Ноэл-Бакстон (Field experiments with DDT in association with finely divided inorganic material for the destruction of the immature stages of the genus Simulium in the Gold Coast. Noel-Buxton M.B.). J. W. Afric. Sci. Assoc., 1956, 2, № 1, 36—40 (англ.) В результате полевых опытов с дустами ДДТ установлено, что ДДТ достаточно эффективен против Simulium arcticum Mall в дозе 0,03 мг/кг речной воды.

М. Галашина 404. Изучение в лабораторных условиях чувствительности Heliothis zea (Boddie) и H. virescens (F.) к ДДТ и эндрину. Мак-Ферсон, Ньюсам, Руссел (Response of Heliothis zea (Boddie) and H. virescens (F.) to DDT and endrin in laboratory toxicity studies. McPherson J. E., Nowsom L. D, Roussel J. S.), J. Econ. Entomol., 1956, 49, L. D, Roussel J. № 3,368—371 (англ.)

Лабораторное изучение токсичности 10%-ного дуста ДДТ (1) по отношению к 6 возрастам личинок Н. гел (Boddie) и H. virescens (F.) показало, что 1, 2 и 3-возрасты личинок обоих видов очень чувствительны к I. В 4-м возрасте многие личинки выживают. Лишь немногие личинки 5 и 6 возрастов гибнут при дозировке >16 кг/га І. Смесь ГХЦГ + ДДТ + S (3:5:40) дает аналогичные результаты. Местное нанесение на личинку ДЛТ и эндрина показало, что $H.\ zea$ более восприимчива к обоим инсектицидам, чем $H.\ virescens$, которые не проявляют возрастного различия в восприимчивости к ДДТ на ростках бобов сои и черной мохнатой вике. М. Галашина

12405. Опыт применения диазинона и хлорофоса в борьбе с мухами, устойчивыми к хлорированным углеводородам. Набоков В. А., Ларюхин М.А., Никифорова А. В., Мед. паразитол. и паразитар. болезии, 1956, 25, № 3, 256—258

Изучено действие диазинона (I) и хлорофоса (II) на мух, устойчивых к ДДТ. Эмульсия I в дозе 1 — 2e/м² дает 100%-ную смертность мух в течение 30—47 дней, ${\bf H}$ в дозе 2 e/m^2 — в течение 30 дней. ${\bf I}$ в указанных дозах обеспечивает гибель комаров и клопов.

Действие деметона и шрадана на Peregrinus maidis (Ashm.) и на его яйцееда Сиrtorhinus mundulus (Breddin). Bepma (Effects of demeton and schradan on Peregrinus maidis (Ashm.) and its egg-predator, Cyrtorhinus mundulus (Breddin). Verma Jit Singh). J. Econ. Entomol., 1956, 49, № 1, 58—63 (англ.)

Контактная токсичность шрадана (Ш) для кукурузной цикадки (КЦ) P. maidis в 3 раза выше, чем для яйцееда (Я) Cyrtorhinus mundulus (Breddin), действис деметона (Д) на оба вида почти одинаково и проявдеметона Д на оба вида почти одинаково и проведения быстрее, чем действие III. Д токсичнее III для КЦ в 13 раз, а для Я— в 48 раз. При замачивания семян кукурузы в р-ре Д (10 мг/мл) растения оставались токсичными к КЦ в течение 6 педель после посадки; П не эффективен. Опрыскивание растений III (13 мг/л) или Д (1 мг/л) приводит через 24 часа 57 r.

почво-H.,

фосфо-

080mus

scurus

ЦГ на

THOCT личи-

farch.

прую-

рапов орьбы

DDT

aterial genus M. B.).

(англ.)

VCTa-

Simu-

ашива

Tyber-

ocan,

e) and

oratory

wsom 56, 49,

дуста Н. zea 3-воз-

шь не-

ировке анало

су ДДТ

имчива

ые не

IMBOCTE.

вике. ташива рофоса занным 1 M. A.,

парази

ca (II) — 2e/м²

30-47

занных

Грапов regrinus undulus

adan on

or, Cyr-

ingh),

укуруз-

ем для

ействие HPORB-Пі для ивания

остава-

сле по-

ний Ш

4 часа

к 100%-ной гибели КЦ как на обработанных, так и на необработанных листьях кукурузы. Через корневую систему кукурузы оба инсектицида поглощаются в теченые 48 час., однако Д намного более токсичен для КЦ и Я, чем Ш. Д, в отличие от Ш, может также убивать ки путем фумигационного действия через листья. В полевом оныте Д (0,047 кг на 100 л) через неделю после опрыскивания снизил численность КЦ на 98%, а ДДТ 0,238 кг 50%-ного смачивающегося порошка на 100 л) только на 73%, но действие ДДТ более продолжи-тельно. Д поражал Я почти также сильно, как и ДДТ. При опрыскивании Д фитотоксичен. Е. Гранин 12407. Влияние различных температур и пиперонилбутоксида на действие малатиона на чувствительные и оутокида на деиствие малатиона на чувствительные и устойчивые и ДДТ разновидности комнатиых мух. Раи, Афифи, Фрайер, Рои (The effects of different temperatures and piperonyl butoxide on the action of malathion on susceptible and DDT-resistant strains of house flies. Rai Lallan, Afifi Saad E. D., Fryer H. C., Roan C. C.), J. Econ. Entomol., 1956, 49, № 3, 307—310

Установлены значительные различия: а) в действии малатнона (I) и I + пиперонилбутоксид (II) на Musca domestica; б) в ответных р-циях чувствительных и устой-чивых к ДДТ разновидностей; в) в действии различных т-р. II являются антагонистом I для обоих видов мух.

12408. К вопросу выделения концентрированного светлого инсектицидного препарата из пиретрума (Chrysanthemym cinerariaefolium). Гогуадзе В. П., Нхендзе Т. А., Энукидзе И. Я., Ян-вили Г. И., Сб. тр. Тбилисск. н.-и. хим.-фармацевт. пн-та, 1955, 7, 123—132

Описано извлечение олеорезина (I) из сухих цветов далмацкой ромашки сухим дихлорэтаном (II) при комнатной т-ре и при кипении II. Хлористый Ca (III), помещенный в ток кипящего I, снижает активность I, медный купорос (МК) и глина тиха-аскане (ТА) повышают ее. С ТА получается также инсектицидный дуст. Обработка изоамиловым спиртом или метанолом (IV) в присутствии МК привела к снижению активности І, а IV в присутствии III— к повышению ее. Спиртовые р-ры осветлиются основным ацетатом Рb. А. Грапов 2409. Xимическая оценка пиретринов. К о пе (Evaluation chimique des pyréthrines. Une revue des publications récentes. C o p e t A.), Bull. agric. Congo Belge, 1956, 47, № 2, 333—340 (франц.; рез. флам.) Обзор способов анализа пиретринов. Библ. 27 назв.

К. Бокарев Сравнительная характеристика мышьяксодержащих инсектицидов, применяемых для опрыскивания в Болгарии. Богданов (Сравнительна ха-рактеристика на употребяваните в България арсен съдържащи инсектициди за пръскане. Богда-нов Васил Т.), Науч. тр. М-во земед. Сер. ра-стениевъдство, 1956, 1, № 2, 41—48 (болг.; рез. русс.,

Охарактеризованы выпускаемые з-дом им. Вылева парижская зелень (I), арсенаты Рb (II) и Са (III). Приведены нормы контроля качества I, II, III и отмечена их недостаточность, а также предложены другие показатели. Даны сравнительные результаты авализов хим. состава и физ. свойств, а также биолотич. испытаний, импортировавшихся арсенатов и про-изводимых в Болгарии. Отмечается, что по всем свойствам производящиеся в Болгарии арсенаты не уступают импортным, а в некоторых отношениях превосходят их. М. Каплун

Опрыскивание плодовых деревьев после цветения. Ковачевский, Балевский (Следцъфтеж-

ни пръскания на овощните дървета. Ковачевски Ив., Балевски А.), Овощарство и градинарство, 1954, № 2, 9—12 (болг.)

Отмечено, что в результате поражения болезнями и вредителями плодовых деревьев в Болгарии гибнет до 50% урожая фруктов. Несмотря на это еще не предпринимается комплексная система хим., механич., агротехнич, и биологич, борьбы с болезнями и вредителями. Наибольшее значение, по мнению авторов, имеют хим. меры борьбы. Приведены методики опрыскивания яблонь, груш, слив, черешен, персиковых и абрикосовых деревьев (после цветения) для борьбы с вредителями и болезнями. Рекомендуются бордосская жидкость, известково-серный отвар, препараты Ва, ГХЦГ, арсенаты Рb и Са, ДДТ, парижская зелень, паратион и никотин-сульфат. Перечислены болезни и вредители, против которых эффективны указанные препараты. М. Каплун 7412. Меры борьбы е жуком Popillia japonica. Уиткомб (Controlling the Japanese beetle. Whit-12412. c o m b W. D.), Horticulture, 1956, 34, № 7, 390-393 (англ.)

Описаны признаки японского жука и его гусениц, способы их распространения, образ жизни, а также хим. и биологич. меры борьбы с ним. Против гусенип эффективны хлордан (I) (11,2 кг/га) и дильдрин (II) (3,36 кг/га) в виде 5%-ных дустов и гранулированных препаратов. I и II можно применять в виде препаратов для опрыскивания в конц-ии 0,001% по действующему началу (1000 г/га). Срок действия обработки до 5 лет. Против взрослых жуков опрыскивают суспензией ДДТ или опыливают 10%-ным дустом ДДТ. Применяют также метоксихлор (III) и малатион (IV). Смеси ДДТ + IV и ДДТ + IV + III более эффективны, чем каждый в отдельности. Малину и подобные растения обрабатывают ротеноном, пиретрумом или другими неядовитыми инсектицидами. 12413. Токсикологические непытания М. Галашина Токсикологические испытания новых препа-ратов против вредителей хлопчатника и трав. Ф л я-

гина А. В., Итоги работ Всес. н.-и. ин-та хлопко-водства, 1954 (1956), № 4, 72—75 Изучено действие на грызущих вредителей — гусе-ниц карадрины (К), хлопковой (ХС) и озимой совок (ОС), личинок и жуков фитономуса (Ф) — хлортена, хлорированного камфена (I), концентрата хлортена с ДДТ, хлориндана (II), метафоса (III), тиофоса и вофатокса. Против гусениц К, ХС и ОС лучшие результаты показал II, против Ф-I. Против сосущих вредителей — паутинного клещика, акациевой и бахчевой тли — использовались те же препараты, а также карбофос I и эфирсульфонаты I и II. Наиболее активен III и за ним другие фосфорорганич. препараты.

А. Грапов Разработка дустов на местных наполнителях для борьбы с вредителями хлопчатника и трав. С т епанов Ф. А., Зайнутдинов С. А., Итоги работ Всес. н.-и. ин-та хлошководства, 1954 (1956),

Маучение кувасайских глин (КГ) в качестве наполни-телей дустов ДДТ в ГХЦГ показало, что серая КГ обладает высокой гигроскопичностью и непригодна как наполнитель. Розовые КГ удовлетворительны по ги-гроскопичности;высокое содержание Fe₂O₃ (6,25, 8,95 и 11,5%) не оказывает отрицательного влияния на стабильность дустов. Эффективность 5,5%-ного дуста ДДТ на КГ против хлопковой совки такова же, как и на тальке. 12%-ный дуст ГХЦГ на КГ дал прибавку урожая люцерны на 21,4%, на тальке на 23,0%. 30%ный дуст ГХЦГ при норме расхода 2 и 4 кг/га высоко эффективен против саранчи. Оталькованные породы Канского месторождения (оталькованные, хризатиловые, сине-голубые антигоритовые и светло-зеленый серпентиниты) мало гигроскопичны и инертны. Дусты ДДТ и ГХЦГ на этих наполнителях обладают полной хим. и физ. стабильностью. Дуст ДДТ на них не уступает по действию на гусениц карадрины дусту на А. Грапов тальке. 12415. Применение инсектицидов на хлопчатнике.

Лейн (Applying insecticides to cotton. Layne Thomas B.), Southwest. Crop. and Stock, 1956, 10, № 6, 11, 65—66 (англ.)

Описаны способы механизированной обработки хлопчатника инсектицидами против розового коробочного червя и других вредителей. М. Галашина 12416. Борьба е насекомыми — переносчиками инфекции. Гупта (Insects of medical importance. Gupta P. N.), Antiseptic, 1956, 53, № 7, 507—519

(англ.)

Кратко описаны циклы развития насекомых и клещей — переносчиков инфекционных заболеваний и указаны основные способы и средства их уничтожения. Из хим. средств используются следующие: против варос-лых комаров — ДДТ, ГХЦГ, хлордан (I), пиретрум (II), аллетрин (III); личинок — ДДТ, ГХЦГ, минер. масла, аллетрин (111); личинок — ДДТ, ГХДТ, минер. масла, парижская зелень, ларвицидные газы; комнатных мух — лучшее средство 5%-ный р-р ДДТ в керосине, в местах выплода предпочтительны гаммексан (IV) и I; против мух, устойчивых к ДДТ, рекомендуют IV, I, дильдрин или II с синергистом — пиперонил бутоксидом; москитов (вид Phlebotomus) 2,5—5%-ный р-р ДДТ в керосине; блох (вид Xenopsylla) — опыливание скота деррисом; оприменения в количины опрысивание поверхностей и вдувание в крысиные норы ДДТ, IV и II; платяных вшей—10%-ный дуст ДДТ; головных вшей—5%-ный р-р ДДТ в тахинном масле, 5%-ный р-р летана в керосине, 1 ч. IV и 50 ч. масла какао, 25%-ный тноцианат, II с добавкой динитромасла какао, 25%-ный тиоцианат, 11 с дооавкой динитро-анизола и др.; клещей (вид Ornithodorus) — суспензии 10%-ного ДДТ (1,95 кг на 100 м²) и 1%-ного IV (1,077 г/м²); I и токсафен (2,24—3,36 кг/га) в дустах; вид Trombicula — дуст ГХЦГ 9 кг/га, эмульсии I и токсафена 2,24 кг/га токсиканта, 12%-ный р-р ГХЦГ в циклогексаноне 6,7—14,6 кг/га при применении с самолета; постельных клопов - фумигация, опрыскивание р-рами II или дерриса в керосине, газолине или бенредамі II ліп доружа в керсенне, тазоливе вип безоле, 5%-ная эмульсия ДДТ, метоксихлор (особенно токсичен); тараканов—5%-ный р-р ДДТ; против устойчивых к ДДТ рыжих тараканов лучше использовать II, ГХЦГ, приманки с NaF; фумигацию SO₂.

Борьба с южной садовой листоблошкой новым вредителем хлопчатника в Южной Калифорнии. Рейнолдс, Дил (Control of the southern garden leafhopper, a new pest of cotton in Southern California. Reynolds H. T., Deal A. S.), J. Econ. Entomol., 1956, 49, № 3, 356—358 (англ.) Описаны пов еждения, наносимые листоблошкой, хлончатнику и опыты защиты от Empoasca fabae и Empoasca solana с помощью инсектицидов. Испытаны ДДТ, пертан (I), токсафен (II), дильдрин (III), паратион (IV), деметон (V), диазинон (VI), малатион (VII) и хлортион (VIII). В 1952 г. лучший результат был получен от ДДТ, в 1953—1954 гг. ДДТ оказался менее эффективным. Предполагается устойчивость листоблошек к ДДТ. Из испытанных хлорированных углеводородов I дал лучший результат. Из фосфорсодержащих инсектицидов на хлопчатнике IV, V и VI дали хорошие результаты, а VII и VIII мало эффективны, но достаточно активны для борьбы с листоблошками на других культурах. М. Галашина

12418. Токсичность некоторых новых синтетических инсектицидов для долгоносика на батате. Сатпатхи (The toxicity of some new synthetic pesticides to sweet potato weevil. S at p at h y J. M.), Sci. and Culture, 1956, 21, № 11, 688 (англ.)

Предварительные испытания паратиона (I), дильдрива (II), хлордана и ДДТ против Cylas formicarius Fb. (Сиrculionidae), проведенные в течение 1955 г., показали, что I в виде 0,02%-ной и II 0,25%-ной эмульсий перспективны для борьбы с долгоносиком на батате.

М. Галапина авиаопрыскивание для Экспериментальное Дейвис, Уотере, Марш (Experimental борьбы е листоверткой. Айлер, Мартино, airplane spraying for spruce budworm control. Davis J. M., Waters W. E., Isler D. A., Martineau R., Marsh J. W.), J. Econ. Entomol., 1956, 49, № 3, 338—341 (англ.)

Авиаопрыскивание проводили 3 различными опрыскивателями: со средним диаметром трубки 300, 150 и 80 µ при дозах ДДТ 135, 290 и 500 г/га. Максим. смертность листовертки получена при опрыскивании ДДТ в период 4 и 5 возраста личинок при дозе 500 г/га. Лучшие результаты получены при среднем размере капель (диаметр трубки опрыскивателя 150 µ). При этом для достижения 95%-ной смертности личинок 4 и 5 возрастов достаточно 135 e/ea, при тонком и гру-М. Галашива бом распылении 270 и 290 г/га. Изучение системных инсектицидов для борьбы

с мозаичной болезнью сахарного тростника и ее пер восчиками. III арпантье (Systemic insecticide studies for control of vectors and sugarcane mosaic in Louisiana. Charpentier Leon J.), J. Econ. Entomol., 1956, 49, № 3, 413—414 (англ.)

Против переносчика болезни тли Hysteroneura setariae (Thos.) испытаны метацид (I), шрадан (II) и систокс (III) в норме 2,34 л технич. продукта в 187 л воды на га. На первый день после опрыскивания I и III дали 100%-ную гибель тли, II — 78%; на 15 день III дал полную гибель, I — 88% и II — 47%. Однако дальнейшие опыты показали, что уничтожение тля ве дает эффективной борьбы с болезнью. І. ІІ и ІІІ пе действуют на тростникового червеца Pseudococcus bonin-Е. Гранев sis Kuw.

Кумулятивное действие сублетальных доз инсектицидов на комнатных мух. Хадавей (Cumulative effect of sub-lethal doses of insecticides on

houseflies. На da way A. B.), Nature, 1956, 178, № 4525, 149—150 (англ.) Изучено действие γ-ГХЦГ, ДДТ, дильдрина (I) п диазинона (II) на женских особях комнатных мух, ранее не подвергавшихся действию инсектицидов. Обработку проводили, нанесением на мух с помощью микробюретки керосиновых р-ров, содержащих 0,25% ү-ГХЦГ, 1% ДДТ, 0,07% I или 0,25% II. Наименьшим кумуля-176 ДДТ, 0,07% Гили 0,25% П. Папаненыны кумультивным действием обладает ГХЦГ. М. Галашина 12422. Вредители цитрусовых. Пател, Талгери (Pests of citrus. Patel G. A., Talgeri G. M.), Farmer (India), 1956, 7, № 6, 85—90 (англ.)

Описано восемь видов вредителей цитрусовых культур, встречающихся в штате Бомбей, и указаны мероприятия по борьбе с ними. 12423. Новые инсектициль М. Галашина Новые инсектициды и митициды для борьбы с вредителями цитрусовых. Ликти (New insecticides, miticides in citrus pest control. Lichty Ralph), Calif. Farmer, 1956, 204, № 11, 591 (англ.) Указаны вредители цитрусовых, против которых нак-

более эффективны паратион, малатион, ДДТ, дильдрин, систокс, овотран и хлоробензилат. 12424. Химическая борьба с комарами в Калифорнии. Гейб (Chemical control of mosquitoes in California. Geib A. F.), Proc. and Papers 23 Annual Conf. Calif. Mosquito Control Assoc., 1955, Turlock, Calif. [1955], 82—86 (англ.)

Обсуждение способов и форм применения инсектици-дов (ДДТ, ГХЦГ, токсафен, ЭПН, хлордан и др.) для борьбы с комарами в Калифорнии. К. Бокарев

57 r.

Дриня

. (Cuазали.

перс-

ашина

для

epe,

nental

Da-

Econ.

прыс-

смерт-

ДДТ

змере Прв

чинок

и груашива

орьбы nepe-cticide

saic in

Econ.

seta-

и сис-187 a

пIп день

днако

ли не III не

boninранив. к дос і (Си-

des on

(I) H

х, ра-Обра-

кробю-ГХЦГ,

умуляашина

лге geri

(англ.)

куль-

ашина

борьбы

nsecti-

chty

(англ.) их напдиль-

Гранив

орнии. Califor-Annual

urlock,

ктицир.) для

окарев

12425. Химическая борьба с комарами в тропиках. Xecc (Chemical control of mosquitoes in the tro-Neec (Chemical Control of mosquitoes in the tro-pics. Hess Archie D.), Proc. and Papers 23 Annual Conf. Calif. Mosquito Control Assoc., 1955, Turlock, Calif. [1955], 76—80 (англ.)

Обзор мер, применяемых в тропич. странах борьбы с комарами. В качестве инсектицидов применяют ДДТ, ГХЦГ, их смесь, дильдрин, хлордан. инит дат, обсуждаются проблемы устойчивости комаров к ин-сметицилам. К. Бокарев сектицидам.

Результаты полевых испытаний инсектицидов для борьбы с комарами в Орегоне в 1953—1954 гг. Гофман (Results of 1953—54 field tests with insecticides for control of mosquitoes in Oregon. Hoffman Robert A.), Proc. and Papers 23 Annual Conf. Calif. Mosquito Control Assoc., 1955, Turlock, Calif. [1955], 80-82 (англ.)

Для борьбы с личинками и взрослыми комарами вида Aedes испытан хлордан (I), гентахлор (II), ЭПН, линдан (III), ГХЦГ, малатнон (IV) и хлортион (V). Действие II на личинок подобно действию ДДТ. I в дозе 0.11 кг/га уничтожает 99-100% личинок, развившихся од в воде, образовавшейся от танния снега, и в дозе 0,22 кг/га уничтожает 99—100% личинок, выросших в воде, применяемой для орошения. Эмульсии ЭПН действуют несколько слабее ДДТ. III и ГХЦГ по действию на взрослых комаров близки к ДДТ. Прибавление к I и ГХЦГ хлорированного скипидара не улучшает их действия. При конц-ии 1,1 ке/еа IV эффективнее V против взрослых *Aedes*. Однако оба менее эффективны, к. Бокарев чем хлорированные инсектициды.

ем хлорированные инсектициды.

К. Бокарев 2427. Эффективность некоторых фосфорорганических и других инсектицидов в виде аэрозолей против комаров. Гьюллин, Питерс (Effectiveness of some organic phosphorus and other insecticides as aerosols against mosquitoes. Gjullin C. M., Peters Richard F.), Proc. and Papers 23 Annual Conf. Calif. Mosquito Control Assoc., 1955, Turlock, Calif. [1955], 111—112 (англ.)

Аэроволи малатиона и хлортиона более эффективны против воседых комаров (Culer Insent): Con. M. Andes

против взрослых комаров (Culex tarsalis Coq. и Aedes nigromaculis (Lud.), устойчивых к хлорированным инсектицидам, чем ДДТ и ГХЦГ, содержащий 11% ү-наомера. 0,125%-ный пијетрум еще менее эффективен. Аэрозоль, приготовленный из р-ра хлортиона в дизельном масле, более эффективен, чем аэрозоль из води. эмульски кси-

тольного р-ра хлортиона.

К. Бокарев 12428. Оздоровление местности — первоочередная мера в борьбе с комарами. Дейвис (Sanitation comes first in mosquito control. Davies A. G.), Municip. Engng, 1956, № 3472, 714 (англ.)

Для борьбы против взрослых комаров рекомендуется опрыскивание местности препаратами ДДТ (между 6 час. 30 мин. и 9 час. утра). Для борьбы с личинками на поверхности водоемов создают пленку масла или нефти: При добавке в масло ДДТ пленка становится ядовитой и по отношению к взрослым комарам. Водоемы со стоячей водой рекомендуется обрабатывать не реже раза в 14 дней, с проточной — чаще (в зависимости от скорости течения). Хим. меры не заменяют осуще-М. Галашина ния болот и т. п.

м. галашина
2429. Новый метод биологического определения
остатков инсектицидов. Берчфилд, Харцелл
(A new bioassay method for evaluation of insecticide
residues. Burchfield H. P., Hartzell
Albert), Profess. Paper. Boyce Thompson Inst.
Plant Res., 1955, 2, № 13, p. 112—123 (англ.)
CM. РЖХим, 1956, 7384.

Определение следов октаметилтетраамида пирофосфорной к-ты (прадан) в растеннях. Х и т, К л у, Оттер, Парк (Determining traces of octamethyl-pyrophosphoramide (schradan) in crops. Heath Dennis F., Cleugh Joan, Otter Irmgard K. H., Park Peter O.), J. Agric. and Food Chem., 1956, 4, № 3, 230—233 (англ.)

Описан метод, позволяющий отделить шрадан (I) от экстрагирующихся вместе с ним растительных в-в. 50 г образца растирают с 50 мл воды, центрифугируют, осадок промывают водой, соединяют води. вытяжки, прибавляют 1 п. NaOH для того, чтобы изменить рН с 8 до 10, и дважды экстрагируют равным объемом хлф. Эмульсию разрушают центрифугированием. Хлф. экстракт фильтруют, упаривают до 25 мл, отгоняют хлф. в аппаратуре для микроперегонки, перегоняют I, переносят его в колбу Кьельдаля, прибавляют 5 мл 10 н. H₂SO₄ и 0,3 г персульфата аммония, упаривают до появления дыма, прибавляют небольшое кол-во воды, снова упаривают, разбавляют водой в делительной воронке до 7 мл, прибавляют 2,5 мл р-ра молибдата аммония и 8 мл изо-С₄Н₉ОН, встряхивают 30 сек., органич. слой промывают 2 × 5 мл 1 н. H₂SO₄, переносят, ганич. слои промывают 2 × 5 мл 1 н. Н₂SO₄, переносчат, смывая 2 мл изо-С₄Н₅OH, в другую делительную воровку, прибавляют 15 мл разб. р-ра SnCl₂, встрихивают 30 сек. органич. слой переносят в колбу и доводят до метки С₂H₅OH. Поглощение измеряют при λ=7350 А. Метод позволяет определить 66 — 93% внесенного в-ва в зависимости от образца и применим для анализа в-в с летучестью, равной или большей чем у I.

К. Швецова-Шиловская Остатки паратиона на яблоках, бобах и айве после опрыскивания. Барр, Кларк, Джэкс (Parathion spray residue on apples, beans, and quinces. Вагг Неlen E., Clark P. J., Jacks H.), N. Z. J. Sci. and Techn., 1956, B37, № 5, 623—625 (англ.)

Остатки паратнова (I) после опрыскивания определяют колориметрически: 500-800 е образца экстрагируют бензолом, восстанавливают, диазотируют и копулируют. Кол-во I на яблоках после девяти опрыскиваний в сезон (последнее опрыскивание за 4,5-6 недели до сбора урожая) составляет 0,18 ме/ке; на бобых через 7 двей после опрыскивания в среднем 0,10 ме/ке, через 16 дней 0,03 мг/кг; на айве, обработанной в сезон 7— 8 раз, через 10 дней после опрыскивания 0,38 мг/кг. С. Иванова

Влияние препаратов для борьбы с болезнями и вредителями масличной розы на качество розового масла. Сообщение 1. С т а й к о в (Влияние на пре-паратите за борба с болестите и неприятелите по маслодайната роза върху качеството на розовото масло. 1 съобщ. Стайков Васил М.), Науч. тр. М-во земед. Сер. растениевъдство, 1956, 1, № 2,

тр. М-во земед. Сер. растенневъдство, 1900, 1, 22—25—40 (болг.; рез. русс., англ.)
Исследовано влияние ДДТ (5%-ный дуст), бордосской жидкости (1%-ный р-р) (1). 1 с 3% смоляных мыл, тиофоса (0,05%-ный р-р) (II), никотинсульфата (0,2%-ный р-р) (III), парижской зелени (0,15-ный р-р) (IV), арсената Си (0,60%-ный р-р) (V), сольбара (1%-ный р-р) (VI) и ГХЦГ (12%-ный дуст) на качество розового маста (РМ) выполенного на лепестков R. damascena масла (РМ), выделенного из лепестков R. damascena Mill., обработавных указанными препаратами. Качество РМ устанавливалось по уд. весу, рефракции, поляривации, т-ре замерзания, кислотному числу, эфир-ному числу, числу омыления, ацетильному числу и содержанию алкоголей (свободных, связанных и суммы). Приведены таблицы, показывающие изменение этих величин при обработке лепестков инсектофунги-цидами. Установлено, что ДДТ и II не влияют на по-казатели РМ, I, IV, V, изменяют показатели РМ, но эти отклонения от государственных стандартов изменчивы; VI и ГХЦГ изменяют цвет и аромат РМ. При употреблении II в РМ найдены большие остатки. I представляет опасность для сборщиков лепестков и пчел, посещающих розовые плантации. Автор считает, что применение I для обработки розовых плантаций недопустимо и рекомендует только ДДТ. М. Каплун Изучение противогрибковых веществ. Сравнение противогрибковой активности некоторых синтетических соединений. Сибасаки, Тэруи (抗黴物質に闘する研究.第4報・既知合成物質の抗菌作用

の比較・芝崎勳,照井堯浩), 艦酵工學雜誌, Хакко когаку дзасси, J. Ferment. Technol., 1955, 33, № 5,

216—223 (япон.; рез. англ.)

Изучали противомикробное действие различных син-тетич. соединений. Наиболее активными оказались (по убыванию активности): п-фенилфенол, хинокитиол n-бензилфенол, кислая фракция масла Thuja, оксиметилизопропилбензол, бензойная к-та, верзен, сорбитовая к-та. Определены консервирующие свойства указанных в-в при добавлении в различные пищевые про-дукты. Сообщение III см. РЖХимБх, 1956, 17303. И. Чертков

Противогрибковые свойства И. Чертков 1,2,3,4-тетратидрофлуоренона-9. Квак, Родригес-Перейра (Antifungal properties of 1.2.3.4-tetrahydro-9-fluorenone. Quak Fred, Rodrigues Pereira A. S.), Antonie van Leeuwenhoek. J. Microbiol. and Serol., 1956, 22, № 2, 177—189 (англ.) На патогенных для человека и растений грибках изучены фунгистатич. и фунгицидные свойства 1,2,3,4-тетрагидрофлуоренона-9 (I). По активности в подавлении спор I равен CuSO₄, но значительно слабее тет-раметилтиурамдисульфида. I очень активен против патогенных для человека грибков (дерматофитов) и Candida albicans. I в большей степени обладает фунгицидными, чем фунгистатич. свойствами, тогда как 2диметиламино-6-3-диэтиламиноэтоксибензотиазол более фунгистатичен, чем фунгициден. К. Бокарев

12435. Новые фунгинды в борьбе против мильдью винограда. Левицкий Г. Д., Виноделие и виноградарство СССР, 1956, № 4, 39—40 Обработка виноградника 1%- и 2%-ным фуклазином (1), бордосской жидкостью, 1%- и 1,5%-ным динитророданбензолом с медью (II) снижает кол-во листьев, пораженных мильдью, с 11,9 до 0,9—1,3%; 0,5%; 2,6—3,8% соответственно. Ожогов листьев, соцветий и ягод при обработке I и II не наблюдается. И. Мильштейн

 Исследование медных фунгицидов, наполнителем которых является мел ВК, в борьбе с мильдью винограда. Фолтын (Výskum možnosti použitia mednatých fungicídov s plnidlom V-K kriedy proti peronospóre vínnej révy. Folty n Oskár), Pol' nohospodárstvo, 1956, 3, № 3, 289—298 (словац.;

рез. русс., нем.)

Описан новый фунгицид (I), изготовленный из мела ВК, пропитанного CuSO₄. I эффективен для борьбы с мильдью винограда и устойчив к смыванию дождем из-за малой величины частиц. 4-кратное опыливание I равно по эффективности 3-кратному опрыскиванию бордосской жидкостью (II). Рекомендуется дополнять опрыскивание II опыливанием I, особенно в период цветения винограда. Опыливание можно производить при росе и сразу после дождя, так как влажные листья повышают способность І к прилипанию. Препарат не фитотоксичен. И. Мильштейн

К вопросу о методах изучения эффективности летучих протравителей. Земанек (Příspěvek k metodám pro studium účinnosti mořidel se zvláštním zřetelem k mořidlům těkavým. Zemánek Jiř í.), Sbor. Českosl. akad. zeměd. věd. Rostl. výroba, 1955, 28, № 8, 653—668 (чеш.; рез. русс., нем.) Разработаны методы определения эффективности про-

травителей (П). Споры головни вонючей (Tilletia tritici), распыленные на увлажненной поверхности почвы в чашках Петри, подвергались действию паров П.

помещенных на стеклянный кружок, покрытый парафином и находящийся в углублении в почве. Опыты проводятся при т-ре 5 или 10°. Способность спор к пропроводитен при т-ре 3 или 10. Спосооность спор к про-растанию устанавливается макро- и микроскош-чески. Испытано 38 препаратов. Наилучшим ока-зались формалин (I), паноген (II), пентахлоринтробен-зол, тетрахлор-п-бензохинон, брассизан, дихлорнафтохинон, хлординитробензол, хинозол, агрозан ГН (ПП) дыма 3, мерфен, фенилмеркурхлоряд, церезан (IV), абавит. Установлено различие между фунгицидным и фунгистатич. действием. Наилучшим фунгицидным действием обладают 1, II, фузариол-ней, У-564, IV для мокрого протравливания, III; тритизан действует только фунгистатически. Разработаны также метолы установления прилипаемости П и определения содержания действующего начала. И. Мильштейн Твердая головня ипеницы. - (Bunt or stin-

king smut of wheat.—), Plant. Disease Leaflet. N. S. Wales Dept Agric., 1953, № 28, 1—5 (англ.)

Описан цикл развития возбудителя болезни и указаны меры борьбы с ним (наиболее эффективно протравливание семян углекислой Си, хлорокисью Си и ртутными фунгицидами). 12439. Токсичность гран Е. Гранин

2439. Токсичность гранозанового протравливания хлопковых семян. Кельберт Д. Л., Сосповский С. И., Любецкий Х. З., Сб. науч. исслед. работ. Ташкентск. текстильн. ин-та, 1955, вып. 2, 31—39

12440.

изучены условия труда рабочих при протравлива-нии посевных хлопковых семян гранозаном на трех хлопкоочистительных з-дах Узбекистана. Приведены рекомендации по оздоровлению условий труда.

2440. Составы для противогнилостной пропитки бумаги. Да-Коста, Уотсон, Хайндсон (Preservatives for rot-proofing paper. Da Costa E. W. B., Watson A. J., Hindson W. R.), Austral. J. Appl. Sci., 1956, 7, № 1, 113—118 (англ.) Изучено противогнилостное действие обработки бумаги следующими составами: 0,025—0,8%-ные води. р-ры фенилмеркурацетата (1), 1%-ный р-р пентахлорфенолята Na (II), 1%-ный р-р II + 4%-ный р-р бромистого цетилииридиния (III), пентахлорфенолят Си (IV). 1%-ный р-р пентахлорфенола (V) + 4%-ный р-р III, 4%-ный р-р V (в скипидаре (VI)), 4%-ный р-р нафтената Cu (VII) (9% Cu) в VI, р-р смеси 1,6% VII + 40% креозота (VIII) в VI, 40%-ный р-р VIII в VI, 4%-ный р-р хлорированного нафталина («галовакс») в VI, 1% салициланилида + 4% III, 2%-ный р-р пиридилмеркур-стеарата в VI, 2%-ный р-р фенилмеркурнафтената в VI, 8%-ный р-р арилсульфоната Zn в VI, 2%-ный води. р-р диметилдитнокарбамата Zn (IX) («цитокс»), 1%-ный води. p-р 8-оксихинолята Сu (X), 9%-ный p-р нафтената Hg (XI) (38% Hg) в VI, 2,1%-ный p-р фенилсалицилата Си в толуоле. Обработанные составами образцы поме-щают на 14 дней в компост при 30° и 95—100% относительной влажности или же образцы бумаги заражают сительной влажности или же образцы бумаги заражают суспензией смеси спор грибков: Aspergillus niger van Tieg. (SN 111), A. repens (Corda) de Bary (SN 81), A. flavus Link (SN 3), Penicillium luteum Zukal (SN 41), P. notatum Westling (SN 40), Memnoniella echinata (Riv.) Galloway (SN 2) и Rhizopus stolonifer (Ehrenb. ex. Fr.) Link (SN 32). Полное предохранение бумаги от гиили без потери прочности на разрыв достигнуто пропитыванием бумаги I, IV (последовательная обработка 1%-ным р-ром II и 5%-ным р-ром CuSO₄) и XI. Безрезультатной оказалась обработка бумаги VII, VIII, IX, X. Некоторые составы оказались активными при введении их в бумагу в процессе произ-ва. Ю. Баскаков 12441. Гербициды, апробированные государстренным

испытанием.—(Specialpraeparater anerkendte af Sta-tens Forsøgsvirksomhed i Plantekultur til bekaempelse

7 г.

lapa-

пыты

про-

-MIIO ORaобен-

афто-(III), (IV),

H MI

ДНЫМ

твует

тоды

ржа-

птейн

stin-N. S.

ука-

o Cu

анин вания HOB-

1955.

лива-

трех

едены

рапов

питки CON

sta R.),

англ.)

и буволи. хлорроми-(IV). нафте-- 40% %-ный

1, 1% ркур-в VI,

н. р-р

%-ный

тената

илата поме-

ажают van N 81),

SN 41).

(Riv.) (Fr.)

гнили итыва-

%-ным татной екото-

ии их

скаков

af Sta-

mpelse

af ukrudt. Gyldig for aret 1956)., Tidsskr. planteavl., 1956, 59, № 5, 844-851 (дат.)

Опубликован список гербицидов, выпущенных датскими фирмами и прошедших государственную апроскими фирмамы и проподация в том развровка. К. Герифельд

Краткая история химической борьбы с сорняками в Пуэрго-Рико. Янг (A short history of chemical weed control in Puerto Rico. What is a weed? Young P. D.), Sugar J., 1956, 18, № 12, 54—56 (англ.)

Дан краткий историч, обзор методов борьбы с сорняками, включая применение гербицидов селективного и сплошного действия. Указано на применение 2,4-Д, трихлорацетата-Na, пентахлорфенола (I) и N-n-хлорфенил-N', N'-диметил-мочевины. Отмечено, что I весьма трудно удержать в эмульсни, но на основе р-ра в ароматич. р-рителях изготовляется контактный гербицид «6, СА-4», который легко эмульгируется, дешев и не опасен в применении. Выпускают препарат на основе смеси 2,4-Д и ПХФ — «6, СА-2, 4-Д». Гербициды применяют для защиты от сорняков сахарного тростника, М. Галашина

ъре, табана. 443. Химическая борьба с сорняками. Воро-бьев Ф. К., Земледелие, 1956, № 7, 30—37 Сообщение о работах Лаборатории хим. защиты растений ТСХА по разработке способов применения гербицидов. К. Бокарев довидия. 2444. Химическая борьба с сорняками в США. Соколов Н. С., Земледелие, 1956, № 7, 96—101 2445. Синтез и гербицидное действие аммонийных 12444.

хидэ. Синтез и геропиндное деиствие аммонийных аммонийных солей арилдитнокарбаминовых кислот. Сабо, Гёрёг, Х'амран (Arilditiokarbaminsavas ammonium-és szubsztituált ammoniumsók előállítása és herbicid hatása. Szabó Károly, Görög Lászlóné, Hamrán Józsefné), Növénytermelés, 1956, 5, № 2, 185—

J oʻz s e f n é), Növénytermelés, 1956, 5, № 2, 185—192 (венг.; рез. русс., англ.)
Соли общей ф-лы n-XC₆H₄NHC(S)SY получены взаимодействием анилина пли n-хлоранилина с СS₂ и NH₄OH или аминами. Приведены константы полученых в-в (X, Y, т. пл.); H, NH₄, 107° (I); H, NH₂(CH₃)₂, 105—110°; H, NH(CH₃)₃, 145—150°; H, NH₂(C₂H₅)₂, 145—150° (II); H, NH₃C₃H₇-u₃o, 115—120°; H, NH₂C₄H₁₁, 205—210°; Cl, NH₄, 150—165° (III); Cl, NH₂(CH₃)₃, 140—145°; Cl, NHC(H₃)₃, 173—175°; Cl, NH₂(C₂H₅)₂, 140—143°; Cl, NHC₃H₇-u₃o, 130—145°; Cl, NH₂C₄H₁₁, 170—175° (IV); IC₆H₅NHC(S)SNH₃CH₂—1₂, т. пл. 100—105°; [n-ClC₆H₅NHC(S)SNH₃CH₂—1₂, т. пл. 100—105°; [n-ClC₆H₅NHC(S)SNH₃CH₂—1₂, т. пл. 100—105°; [n-ClC₆H₅NHC(S)SNH₃CH₂—1₂, т. пл. 100—150°; п-СlC₆H₅NHC(S)SNH₃CH₂—1₂, т. пл. 100—100°; п-СlC₆H₅NHC(S)SNH₃CH₂—1₃, т. пл. 100—100°; п-СlC₆H₅NHC(S)SNH₃CH₂—1₃, т. пл. 100—100°; п-СlC₆H₅NHC(S)SNH₃CH₃—1₃, т. пл. 100—100 180°. Гербицидное действие изучалось на пшенице и рапсе путем протравливания семян р-ром, содержащим 50 мг/л действующего начала, и путем опрыскивания одинаково развитых растений 1%-ным р-ром. Избираодинаково развитых растении 1%-ным р-ром. Изопра-гельность действии характеризуется индексом опрыски-вания (ИО), равным % гибели пшеницы: % гибели рапса. Лучшие результаты показали I, II, III и IV. Их ИО соответственно равны 0: 95; 2: 90; 0: 96 и 15: 96. ИО для 2,4-Д равен 30: 100. А. Грапов 12446. Действие α-нафтилуксусной к-ты на рост риса (предварительное сообщение). Касибути, Фу-ДЗНВара (水稻の生育に對する植物生長素 α-ナフタリン醋酸の効果につい、矛報、 櫃淵晴三郎, 藤原康郎),岩手大學農學部報告, Иватэ дайгаку ногакубу хококу, J. Fac. Agric. Iwate Univ., 1956, 2, № 4, 423—428 (япон.; рез. англ.)

Корни рассады риса замачивали в 0,01, 0,005, 0,0025 в 0,00125%-ных р-рах α-нафтилуксусной к-ты в течение 24 час. После пересадки рассады в грунт вначале наблюдали угнетение растении, впоследствии исчезав-шее. У обработанных растений в конце вегетационного периода в сравнении с контролем увеличились длина отдельных листовых пластин, длина соломины (за

счет верхних междоузлий), кол-во узлов на стебле, уменьшилось кол-во бесколосковых стеблей, выбрасывание метелок задержалось на 1—3 дня. Ввиду про-хладной погоды было много незрелых зерен. Е. Гранин 2447. Вклад в определение действия и эффективности гербицида 2,4-Д. Палфи, Бэрбат, Пуя (Contribuții la cunoașterea acțiunii și eficacițătii ierbicidului 2,4-D. Palfy Fr., Bărbat I., Pu i a I.), Probl. agric., 1956, 8, № 5, 60—66 (рум.;

Р ц 1 а 1.), гтом. од 1 рез. русс., франц.) доза 2,4-Д в 1 ке/га, являясь гербицидной для дву-семядольных сорняков и стимулирующей зерновые К. Бокарев семядольных сорняков и стимулирующей зеразовые культуры, повышает их урожайность. К. Бокарев 12448. Химические средства борьбы с прораставием белого картофеля. Перласка (Chemical control of sprouting in white potatoes. Perlasca Gerardo), Amer. Potato J., 1956, 33, № 4, 113-133 (англ.) Обзор. Библ. 85 назв. М. Галашина 449. Влияние опрыскивания разбавленными рас-

творами 2,4-Д на выращивание сахарного тростника. творами 2,4-д на выращивание сахарного тростинка. Лал (Effect of spraying dilute solutions of 2,4-D on growing cane. Lal Girdhari), Indian Sugar, 1956, 6, № 1, 77—78 (англ.) Опрыскивание сахарного тростника разб. р-рами (0,05%) 2,4-Д не улучшает качества сока. К. Бокарев

2450 Д. Инсектициды для предохранения семян важнейших злаковых Канзаса. Сривастава (Insecticides as seed protectants of the important cereals of Kansas. Srivastava Brij Kumar. Doct. diss. Kansas State College, 1955), Dissert. Abstrs,

1955, 15, № 8, 1288 (англ.)

Для защиты семян сорго от кафских муравьев Solenopsis molesta Say, кукурузы от проволочников Mela-notus cribulosus и пшеницы от ложнопроволочников Eleodes saturalis испытаны шесть химикатов (в скобках расход препаратов в кг/100 кг семян): 75%-ный смачи-вающийся порошок (СП) альдрина (1) (0.156, 0,281 и 0,344); паноген РА-2, p-p (II), содержащий 28.8% I и 0,344); паноген РА-2, р-р (II), содержащий 28.8% I и 0,4% метилмеркурдициандиамида (III) (0.375, 0,439 и 0,502 м); 25%-ный СП линдана (IV) 0,375, 0,502 и 0,625 для крупных семян и 0,188, 0,251 и 0,312 для мелких); паноген РІ-1, р-р (V), содержащий 36,8% IV и 0,9 III (0,125, 0,175 и 0,22 м); Seed Guard, препарат (VI), содержащий 16,5% СП IV, фунгицид и метилцеллюлозный прилипатель (0,167 кг); 50%-ный СП гентахлора (VII) (0,25, 0,313 и 0,375 кг). Все препараты, кроме VI (особения в высших дозах) вызавали ослабление кли (особенно в высших дозах), вызывали ослабление или задержку прорастания обработанных семян; менее чувствительны к угнетению семена разрывной и сахарной кукурузы; в меньшей мере проявляли фитотоксичность І и II, а в большей — IV и V. VI в основном стимулировал прорастание. Все препараты были эффективны против S. molesta; токсичность к M. cribulosus в лаборатории имела следующий порядок: I>VII>II> IV>V>V>VI; I, VII и IV вызывали соответственно 80, 60 и 58%-ную смертность E. suturalis, при этом повреждение зерна было одинаково для всех препара-Е. Гранин 12451 Д. Экологическое изучение насекомых, повреж-

дающих початки сахарной кукурузы, в отношении сроков химической борьбы. Гаррисон (Ecological studies of insects attacking the sweet corn ear in relation to timing chemical control. Harrison Floyd Perry. Doct. diss. Univ. Maryland, 1955), Dissert. Abstrs, 1955, 15, № 11, 1963—1964 (англ.) Изучена экология Heliothis armigera (Hbn.), Carpophi-

lus lugrubris Murr., Pyrausta nubilalis (Hbn.), Laphygma trugi perda (A., S.) для определения наиболее эффективных сроков применения эмульсии ДДТ. Е. Грании 12452 Д. Биологический анализ инсектицидов в переработанных овощах. Джернон (Biological assay

20 химин, № 4

- 305 -

См

138

BO!

MUX

of insecticides in processed vegetables. Gernon Gerald Deland, Jr. Doct. diss. Ohio State Univ., 1955), Dissert. Abstrs, 1955, 15, № 11, 2157

Описана методика биоопределения дильдрина и эндрина, прямая контактная токсичность которых достаточна для использования в качестве биоиндикатора плодовой мушки Droso phila melanogaster. Е. Гранин

12453 Д. Механизм действия фунгицидного оксината меди. Барне (Mechanism of action of the fungicide copper oxinate. Barnes David Edward. Doct. diss. Univ. Florida, 1955), Dissert. Abstrs, 1955, 15, № 11, 2008 (англ.)

Изучено поглощение, распределение и растворимость С¹⁴-8-оксихинолина (I) и его Си-комплексов в мицелии и спорах *А. niger*. I получен из 1,3-С¹⁴-глицерина (I с С¹⁴ в положениях 2,4) или из 1-С¹⁴-анилина (I-9-С¹⁴, активность меньше, чем предыдущего). Е. Гранин

2454 П. Способ получения эфира фосфорной кислоты (Verfahren zur Herstellung eines Phosphorsäuressters) [J. R. Geigy A.-G.]. Швейц. пат. 300754, 16.10.54 [Chem. Zbl., 1955, 126, № 15, 3470 (нем.)] (1-фенил-3-этил-1,2,4-триазолил-5) - диэтилтнофосфат, применяющийся в качестве пестицида, получают действием SP(ОС2H5)2Cl на 1-фенил-3-этил-1,2,4-триазолон-5. Слабоокрашенная жидкость перегоняется с раз-Я. Кантор

Метод получения циклопентенолоновых 12455 II. эфиров хризантемовой к-ты и составы на их основе. Kon (Process of producing chrysanthemic acid esters of cyclopentenyl ketonic alcohols and products. Cole Robert M.) [Chemical Elaborations, Inc.]. Пат. США 2717262, 6.09.55

Для получения инсектицида ацетонилацетон хлорируют, хлорацетонилацетон вводят в р-цию с монокарбоновой хризантемовой к-той или ее солью в безводи, среде, полученный эфир обрабатывают в присутствии щел. катализатора алкен- или алкадиенгалоиди-К. Швецова-Шиловская дом или альдегидом.

Диспергирование инсектицидов, фунгицидов, гербицидов и т. п. Бейтман, Флетчер (Dispersion or dissemination of insecticides, fungicides, weed-killers and the like. Bateman Edgar W., Fletcher Walter) [Wessex Aircraft Enginee-ring Co. Ltd]. Канад. пат. 519821, 20.12.55

Для испарения пестицидов сжигают в патроне (дан чертеж) смесь, состоящую из пестицида и 30-35% от веса состава смеси углеводов (лактоза, сахароза, глю-коза, маннитол, сорбитол и т. п.) с хлоратами или перхлоратами, причем последних должно быть столько, чтобы не происходило полного сгорания органич. в-в. 1 г состава дает при сгорании 280-320 кал.

К. Швецова-Шиловская 2457 П. Инсектицидная бумага. Мейфилд (Insecticidal paper. May field Paul) [Hercules Powder Co.]. Канад. пат. 51820, 15.11.55 [Hercules

Инсектицидную бумагу получают пропиткой фибрового материала полихлортерпенами, содержащими 40—75% Сl, напр. полихлоркамфеном. Е. Гранин 12458 П. Инсектицидный состав и способ его приготовления. Парр (Insecticide composition and method of preparation. Parr Thaddeus) [The

Pennsylvania Salt Manufacturing Co.]. Канад. пат. 518570, 15.11.55

51870, 15.11.35 Инсектицидный состав содержит (в ч.): ГХЦГ 10—40 (напр., 30), органич. р-рителя 57—87 (напр., 67), эмульгатора 3 и поливинилового спирта (ПС) 0,02, имеющего коэфф. омыления 80—245 и вязкость в 4%-ном водн. р-ре при 20° 10—60 слуда (напр., 20—25). Концентрат для эмульсии содержит (в ч.): ДЛТ 25—35, ксилола 25—40, ди-и триметилнафталина 20—40, ди-

мера алкилированного арил полиэфира 1—2 **п** ПС 0.01—0.04. 12459 II. Почвенные инсектициды. Хатчинсов

(Soil insecticides. Hutchinson E. W.) [Vitax,

Ltd]. Англ. пат. 729304, 4.05.55

Почвенный инсектицид представляет собой твердую смесь, содержащую органич. удобрение (древесная мука, отруби, желатина, костяная мука и высушенная кровь), инсектицид (ГХЦГ, ДДТ, ротенон, токсафен хлордан) и приманку из масла цитварного семени, горчичного масла, аллилтнокарбимида или комбинацию нескольких из этих приманок. Другие ингредиенты, входящие в состав (бентонит, суперфосфат, сульфат аммония, торф, трагакантовая камедь), который может быть в виде суспензии, касты или геля. Пасту и гель можно хранить в жестяной таре; коррозия предотвращается добавлением малых кол-в щелочи до рН выше 7. М. Галашина

12460 П. | Вещества для отпугивания насекомыт.
Утцингер (Insektenabwehrmittel. U t z inger Gustav Eduard). Австр. пат. 180763, 25.02.55 [Chem. Zbl., 1955, 126, № 27, 6373 (нем.)]

Для отпугивания насекомых применяют диэтизамиды α-(2-хлорбензил)- и α-(4-хлорбензил)-ацетоуксусные к-ты и 4,6,6-триметилциклогексен-3-он-2-карбоновой к-ты. 12461 П. Гермицидные составы (Germicidal compo-

sitions) [Monsanto Chemicals Ltd]. Австрал. пат. 166298. 5.01.56 sitions)

Гермицидные концентраты, предназначенные для разбавления, представляют собой водн. р-р (кислая среда), содержащий >1 вес. % одного или более гермицидных фенолов в присутствии анионных и неновных диспергирующих агентов. К. Швецова-Шиловская-12462 П. Гермицидные составы и метод обработки ими тканей. Кемпбелл, Осмонд, Хат-чинсон (Germicidal composition and method of treating fabrics therewith. Campbell Joseph L., Osmond Aubrey H., Hutchinson Gordon C.). Пат. США 2709665, 31.05.55

Ткань погружают в воду, в которую добавлен состав, содержащий 50—80% минер. масла, 1—25% эмульгатора для масла, 1—5% смачивающего агента, 2-6% катионного гермицида и 1-20% воды, содержащей 1-16% кислого фторида аммония, и перемешивают до образования прозрачной воды, что указывает на полное осаждение состава на изделие.

К. Швецова-Шиловская 12463 П. Полосы для распределения измеримого количества гермицида и метод их приготовления. Лернер (Measuring dispensing sheet for germicides and process of forming same. Lerner Louis L. [Phil Kalech, Jack I. Le Vant, and Nat Kalech]. Har. CIIIA 2702780, 22.02.55

Р-ры гермицидов заданных конц-ий для дезинфекции оборудования пищевых объектов получаются при погружении в воду полос однородного материала (волокна, соединенные регенерированной целлюлозой), предварительно пропитанных р-рами солей четвертичных аммониевых оснований. 12464 П. Гербицидные составы. Барон, Тинк

нелль (Unkrautvernichtungsmittel. Baron Marjorie Mary., Tincknell Raymond Charles) [Monsanto Chemicals Ltd]. Пат. ФРГ

940383, 15.03.56

Гербицидные составы содержат один или несколько алифатич. или циклоалифатич. аминов и одну или несколько хлорарилоксиалкилкарбоновых к-т (ХАК), причем последние берутся не менее, чем в 5%-ном избытке, по отношению к кол-ву аминов. В качестве ХАК можно брать 2,4-дихлорфенокси-(I), 4-хлорфенокси-, 2-метил-4-хлорфенокси-, 2,4,5-трихлорфенокси-, 2,4-дианин сов itax, рдую есная

7 r.

енная фен и горацию енты, пьфат может

гель отврание 7. анина омых. г і п-80763.

(нем.)] иэтилуксускарборанов сомронат.

е для кислая ее гернеионовскаяаботки X а тchod of

п в о п пен со-1—25% агента, одержаоемениазывает

seph

повская пого ковления. germiciu i s L.) Kalech].

нфекции при по-(волокі), предртичных Иванова Тинк-

mond mond at. OPF

или не-(ХАК), -ном изтве ХАК фенокси-, -, 2,4-ди-

клор-5-метилфенокспуксусную к-ту; в качестве амина моно-, ди-(II) или триметиламин, моно-,ди-(III) или триметиламин, моно-,ди-(III) или триланоламин (IV), этилен-диамин или циклогексиламин. Смешивают 50 г I и 44,7 мл воды, вагревают и добавляют 35,3 г 27,5%-ного воды. р-ра II. Аналогично иолучают препарат из 50 г I, 34,3 мл воды и 15,7 г III. Нагревают смесь 6 г 25%-пого воды. р-ра II, 6 г IV, 22 г I и 25 г воды до 70—80°. Аналогично получают составы с другими ХАК и аминами. Все составы представляют собой гомог. р-ры, которые сохраняют свою стабильность при многодневном стоянии при 0° и могут быть разбавлены водой. И мильптейн

И. Мильштейн их применение. Баумгартнер (Herbicidal compositions and application thereof. Ваимдагtпег Luther Le Roy) [В. F. Goodrich Co.]. Канад. пат. 519709, 20.12.55

Гербицидные составы содержат 0,01—15 вес. % изопропил-или аллилксантогената Na (в качестве действующего начала), 0,01—1 вес. % диспергатора или мульгатора и остальное воду или порошкообразный ввертный наполнитель. К. Швецова-Шиловская 12466 П. Средство, стимулирующее прорастание семян, и метод его применения. Маландри и о (Stimulationsmittel zur Förderung des Keimens von Samen und Verfahren zur Anwendung des Mittels. Маlandrino Enrico). Австр. пат. 180764, 10.01.55 [Chem. Zbl., 1955, 126, № 27, 6373 (вем.)] Семена обрабатывают р-ром, содержащим таннин, танназу, галловую или дигалловую к-ты в смеси с удобрениями и соли с олигодинамич. эффектом. А. Грапов 12467 П. Регуляторы роста растений и фитоциды. Смит, Гофман (Plant growth regulants and phytocides. S mith Allen E., Hoffman Otto L.) [Dominion Rubber Co., Ltd]. Канад. пат. 519684, 20.12.55

Состав, содержащий N-арилфталаминовую к-ту, ее соли, эфиры или имиды и поверхностноактивное в-во в конц-иях 1·10-5— 0,1% обладает свойствами регулятора роста, а в конц-иях >0,1% (водн. р-р) фитоцид-шым свойствами напр. 0,15%-ный водн. р-р смеси N-(а-нафтил)-фталимида.

См. также: Родентициды 4044Бх, 4458Бх. Инсектициды: авализ 12206; предохранение пищи 13993; токсиколо-пя 4312Бх. Бактерициды и фунгициды: новые в-ва 4475Бх; амебоциды 11741; краски 13589, 13615; предохранение древесины 13642—13644; пищи 13837, 13874, 13978, 13986, 14004, 14007, 14008, 14013, 14027; воды 12727, 12731. Регуляторы роста: анализ 12186; действие 3866Бх, 3919Бх; механизм действия 11712; 3836Бх, 3917Бх; токсикология 4506Бх

ЭЛЕКТРОХИМИЧЕСКИЕ ПРОИЗВОДСТВА. ЭЛЕКТРООСАЖДЕНИЕ. ХИМИЧЕСКИЕ ИСТОЧНИКИ ТОКА

Редактор М. М. Мемикова

2468. Исследование сопротивления различных катодов элемента Леклание. Гликсман, Морхар (Resistivity studies of various Leclanché cathode materials. Glicks man Richard, Могено и se C. К.), J. Electrochem. Soc., 1956, 103, № 3, 149—153 (англ.)
Исследовано сопротивление R 4 сортов MnO2, приевяемых для изготовления катодов гальванич. Эле

менемых для нзготовления катодов гальванич. элементов, при разных давлениях и при разной кажущейся шотности. Установлено, что при увеличении давления до 7,03.10° г/см² или плотности до 3,0—3,4 г/см³ R

разных образцов, которые при небольших давлениях отличаются друг от друга, стремятся к одинаковой во всех случаях величине 37—77 ом см. Можно считать, что в этих условиях контактное R между частицами мпО2 практически ликвидировано. Разница R разных сортов МпО2 не отражается на характеристиках гальванич. элемента, так как при смещении с обладающей низким R ацетиленовой сажей эта последняя определяет R системы. Отмеченное на практике влияние разных сортов МпО2 на характеристики гальванич. элементов следует приписать разности в размерах частиц и структуре.

В. Левинсон

и структуре.

В. Левинсон 12469. Гидрометаллургия итальянских цинковых руд. К ам б и (I trattamenti elettrolitici delle calamine italiane. C a m b i L i v i a), Ind. mineraria, 1954, 5, № 3, 121—127 (итал.)

2470. Извлечение алмазов из изношенных буровых коронок электролитическим путем. Бенфилд, Строн (Electrolytic recovery of diamonds from used drill crowns. Benfield D. A., Strachan K. G. A.), Industr. Diamond Rev., 1955, 15, № 178, 165—168 (англ.)
См. РЖХим, 1956, 1425.

СМ. РЖХИМ, 1950, 1425.
2471. Очистка с помощью ультразвука с применением магнитострикционного генератора. Гольмик, Тессер (Reinigung mit Ultraschall unter Verwendung magnetostriktiver Schwinger. Gollmick H. J., Tesser K.), Metalloberfläche, 1956, 10, № 8, 233—237 (нем.)

Для установок очистки изделий с помощью ультразвука показаны преимущества магнитострикционного генератора (МГ) в качестве источника ультразвуковых колебаний, конструктивно простого и надежного в эксплумтации, несувствительного к изменениям т-ры, работнющего при более низких частотах, устойчивого против воздействия органич. р-рителей. Такие генераторы могут помещаться непосредственно в ванну очистки. К числу экономич, и технологич, преимуществ МГ относится возможность возбуждения одновременно нескольких осцилляторов от одного ВЧ-генератора. Напряжение тока возбуждения ~100 в, для частоты 22 кең требуется интенсивность ~5 вт/см². Указывается на нецелесообразность принятого в практике применения высоких частот (до 500 кгц) для очистки мелких деталей и низких частот (до 30 кец) только для очистки бо-лее крупных деталей. В общем случае даже для крупных деталей в области низких частот амплитуда колебаний значительно больше и приводит к более сильной кавитации. Исследование влияния частоты ультразвука при удалении мельчайших частиц полировочной пасты для очковых стекол с металлич, пластинок показало, что при частоте 500 кги даже при двойной и трехкратной интенсивности звука (~6 и 9 вт/см2) не наблюдалось бурных выбросов жидкости из ванны, как это имеет место при частоте 22 кгу. Для достижения одинаковых результатов очистки пластинок, загрязненных полировочной пастой, в трихлорэтилене потребовалась двойная интенсивность звука (6 sm/cм2) и в 2-3 раза увеличенное время воздействия при т-ре 39° и 500 кги, чем в случае очистки в той же ванне при т-ре 32° и 22 кги. В настоящее время, кроме применения органич. р-рителей в ваннах очистки, широко применяются щел. жидкости, особенно в тех случаях, когда на детали сразу же после очистки наносятся покрытия. Это дает дополнительные экономич. преимущества, так как отпадает необходимость в отсасывающих, фильтрующих и дистилляционных устройствах, а сами жидкости очень дешевы. Установки для очистки и обезжиривания с применением МГ как с ручным, так и с автоматич. обслуживанием, дали хорошие результаты в длительной эксплучтации, некоторые из них окупили себя в несколько месяцев.

2472. Промыпленная очистка ультразвуком. Бюве (Nettoyage industriel par ultrasons. Buvet M. R), Metaux (Corros.-inds.), 1955, 30, № 361, 363—364 (франц.) 12472.

Химическое полирование латуни и нейзильбера. IV. К электрохимии процесса полирования. Шмид, Шпен (Über das chemische Glänzen von Messing und Neusilber. IV. Zur Elektrochemie des Glänzungsvorganges. Schmid Gerhard, Spähn Heinz), Z. Elektrochem., 1956, 60, № 4, 365—371 (нем.)

Для объяснения хим, и электрохим, процессов при хим. глянцевании латуни в смесях НОО3-Н3РО4-Н2О образцы латуни поляризовались катодно и анодно в полировочной ванне. Сняты катодные и анодные поляризационные кривые потенциал — плотность тока в смесях, состав которых отвечал как области качеств. полировки, так и области неравномерного травления. На катодных поляризационных кривых имелись горизонтальные участки во всех смесях, в которых наблюдается качеств. полировка. Полученные кривые могут быть объяснены на основе акцепторной теории Эдвардса, которая была им выдвинута ранее для объяснения электрополировки. Эта теория может быть распространена и на процесс хим. полирования. В качестве акцептора, связывающего перешедшие в p-р ионы Cu и Zn, в данном случае является HNO2, которая образуется из выделяющегося в процессе растворения металла NO и НЮО3, содержащейся в ванне. Согласно представлениям Абеля, HNO2 образуется автокаталитически на некотором удалении от поверхности металла и затем диффундирует оттуда к поверхности в качестве акцептора. Сообщение III см. РЖХим, 1956, 41961.

П. Шиголев 12474. Исследование способов обработки поверхметаллов. Чупр (Výzkumy v povrchové úpravě kovů. Ču p r V.), Spisy Vyd. přirodoved., fakult. Masarykovy univ., 1955, № 3, 141—183 (чеш.;

рез. русс., франц.) Сборник работ кафедры теоретич. и физ. химии ун-та им. Масарика в г. Брно, выполненных в 1948—1953 гг. На ряде изученных покрытий (сплавами Cu-Ni из цианистых и сернокислых вани, сплавами Cu-Sn и Cu-Zn) показано, что электролиз переменным током ведет при соответствующих условиях к улучшению качества покрытий. Показано также, что при катодном выделении Си с применением переменного тока Си-катод при низких плотностях тока в p-pe CuSO₄ ведет себя как инертный электрод. Приведена рецептура вани для осаждения W и его сплавов. Описан генератор ультразвуковых воли, применение которых в электролизе позволяет получить более тонкие Ni-покрытия. Рассматривая вопросы образования и проницаемости фосфатных пленок на металлах, автор рекомендует метод титрования для оценки качества ванн. Далее описан метод определения активного и пассивного состояния металлов, рассмотрен вопрос влияния замедлителей коррозии на работу местных элементов, а также приведены данные об анодных пленках на Ві, о металлич. покрытиях пластмасс и о коррозии новодура (полинивинил-В. Левинсон хлорида).

Определение катодного выхода по току. Ц и ц 12475. Определение катодного выхода по току. Ц и ц (Die Bestimmung der kathodischen Stromausbeute. Zietz A.), Metallwaren-Ind. und Galvanotechn., 1956, 47, № 8, 350—351 (нем.)

12476. Меднение металлических изделий. Джан-наттазио (Note sui bagni di ramatura. Gian-nattasio Emma), Elettrificazione, 1954, 5, № 8, 6-8 (итал)

Описана цианистая ванна меднения. М. Мельникова 477. Характеристика блескообразователей, при-меняемых при никелировании. Роз и (Gli splendogeni per nichelatura lucida e le loro caratteristiche. Rosi Dino), Galvanotecnica, 1954, 5, No 9, 201-

2478. Обработка поверхности и отделка легких метал-лов. Часть 10, 11. Уэрник, Ииннер (Surface treatment and finishing of light metals: Part 10, 11. Wernick S., Pinner R.), Sheet Metal Inds, 1955, 32, № 335, 189—195, 197; № 336, 273—283; № 337, 345—356, 372 (англ.) Обзор по вопросу твердого хромирования и никелирования Аl. Библ. 25 назв.

Обзор по вопросу нанесения гальванопокрытий ва Al. Рассматривается меднение в цианистых и пирофосфатных электролитах, кадмирование и серебрение Аl. Au и Pd осаждают поверх подслоя Cu и Ni, нанесенных на Zn. Приводятся составы и режимы работы электролитов для контактного лужения и серебрения Al и никелирования без тока. Описаны методы испытания покрытий. Библ. 57 назв.

Обзор по способам твердого анодирования Al и Al-сплавов. Библ. 17 назв. Предыдущее сообщение см. РЖХим, 1956, 33080. Е. Зарецкий Покрытие погружением. Холл (Immersion plating. Hall Nathaniel), Metal Finish. Guidebook-Directory, 1956. 24. Westwood, N. J. Finish. Publ. Inc., 1955, 410—413 (англ.)

Приведены составы р-ров для нанесения покрытий из As, Cd, Co, Cu, Au, Pb, Ni, Ag, Sn способом погружения на различные подкладки (Al, Cu, Zn, сталь).

3. Соловьева 2480. Гальванопластика. Часть II. Рубинстейн (Some tips on electroforming. Part II. Rubinstein Marv), Metal Finish., 1956, 54, № 3, 56-

Перечислены материалы для четырех типов форм (Ф), применяемых в гальванопластике: постоянные (сталь, Си, латунь, стекло, резина, пластмасса, дерево и др.), выплавляемые (воск, пластмасса, низкоплавкие металлы и др.), растворимые (Zn и его сплавы. Al и его сплавы, растворимые пластмассы и др.) и прочи (кожа, листья, дерево, бумага и т. д.). Приведены методы изготовления Ф и области применения каждого тип Ф. Описаны способы нанесения разделительных в проводящих слоев и способы полготовки Ф к металлизации. Из механич., хим. и плавких разделительны слоев лучшими считаются хим. (хроматы, окислы сульфиды и йодиды). Указаны типы подвесок и экранов для обеспечения равномерности осаждения металла и способы отделения наращенных изделий от Ф. Часть I см. РЖХим, 1956, 69074. 12481.

2481. Алюмин — первая стадия производства алминия. Рис (L'alumine, premier stade de la production de l'aluminium. Reese K. M.), Chimie et industrie, 1956, 75, № 4, 765—774 (франд.)

Электролитический метод прямого получены сплава магний-литий из хлористого лития. Смолинский, Ханнам, Лич (An electrolytic method for the direct production of magnesium lib hium alloys from lithium chloride. S m o I i n s k i J. H a n n a m J. C., L e a c h A. L.), J. Appl. Chem. 1956, 6, № 4, 187—196 (англ.)

Изучен электролитич, способ получения сплава Ма Li электролизом расплавленного LiCl на Mg-катор Показано, что из расплава состава (в %): LiCl 50+ +KCl 50 или LiCl 75+ BaCl₂ 25 при 560—630° Li осаж дается на катоде с выходом по току 80-96,5%. Сплав с низким содержанием Li (12%) меньше загрязнены № чем более конц. При тщательном выборе материал ванны загрязнение электролита можно уменьший до 0,1% Na, при этом силав Mg — 12% Li содержи ~0,005% Na. Такие сплавы сохраняют пластичног после термич. обработки при 200°. Расплав с ВаС

TR.

ны

381

ня

дос

cen

обы

H 9

HITS

ама

мал

HU

пол

Tac'

CTH

над

пол

124

iche. 201-

7 г.

rface), 11. Inds. -283:

келиий на ne Al. несен-

элект-MA Al танця Al и

сцкий nersion Finish. J. Fi-

тий из

ижения **повьева** тейн bins-

в форм эмнико: дерево плавкие ы, Аl в прочи иметоды

TO THE ьных в иеталлительны окислы и экра н метал

й от Ф. Жогин тва алю la pro , Chimie

олучения . C no ectrolytic sium lit nskil. l. Chem.

лава Ме icl 50 + Li ocar 6. Сплав знены Na. материал

меньши содержи стичност в с ВаС

Сплав Mg-Li несколько загрязнен Ва, но это не вызы-3. Соловьева вает хрупкости.

вместо KCl отличается большей плотностью, чем Mg.

483 К. Введение в современную гальванотехнику. Часть П. Гальванические аппараты, гальванические ванны. Де-Брёйн (Inleiding tot de moderne galvanotechniek. Deel II. Galvanische apparaten, galvanische baden. De Bruijn W., Deventer-Antwerpen-Djakarta, AE. E. Kluwer, 1955. VII, 83 blz., ill., 56 B. fr. (флам.)

12484 Д. Некоторые пути интенсификации процесса никелирования. Сайфуллии Р. С. Автореф. дисс. канд. хим. н., Казанск. хим.-технол. пи-т,

дасс. капд. хим. н., казанск. хим.-технол. ин-т, казань, 1956 12485 Д. Структура и свойства графитовых электро-дов. Ксенжек О. С. Автореф. дисс. канд. техн. н., Днепропетр. хим.-технол. ин-т, Днепро-петровск, 1956

2486 П. Способ и устройство для производства ще-лочи. Паолони, Пеннетти (Verfahren und Vorrichtung zur Gewinnung von Alkalihydroxyd. Paoloni. Carlo, Pennetti Pietro) [Rumianca S. p. A.]. Пат. ФРГ 940117, 8.03.56 Амальгама (А) из ртутнокатодного электролизера

поступает в вертикальный реактор с прямоточной подачей воды (для частичного разложения А). Принцип прямоточной работы позволяет получать свободный от загрязений 73—78%-ный р-р щелочи. Пройдя трубы теплообменника, присоединенного к нижней части реактора, почти полностью разложившаяся А поступает в заполненный графитовыми блоками горизонтальный реактор с противоточной подачей воды. Получающийся во втором реакторе 35-40%-ный р-р может возвращаться в вертикальный аппарат. Вертиможет возвращаться в вертинальный аппарат. Берги-кальный реактор состоит из ряда последовательных заполненных графитом секций, отделенных друг от друга металлич. сеткой, направляющей поток A по всему сечению. Секции сообщаются через отверстия, окруженные выступами и прикрытые перфорированными крышками — этим достигается наличие слоя А в каждой секции и облегчается отделение р-ра и паров. Через канал, выполненный в центральной части каждой секции, проходит восходящая питающая труба, заканчивающаяся насадкой для распределения А, нижняя ее часть связана с внутренним пространством теплообменника. Из камеры, расположенной под нижней секцией, отбирается p-p NaOH, ртуть стекает в теплообменник. Тепло газов, которые частично удаляются п через перфорированные стенки канала, используется для подогрева воды на тарелках в верхней части теплообменника.

2487 П. Разлагатель амальгамы. Де-Нора (Alkali metal amalgam decomposer. De Nora Vittorio) [Oronzio De Nora Impianti Elettrochimici]. Пат. США 2700650, 25.01.55

состоит из корпуса, в верхнюю часть которого вводится амальгама, большого числа дырчатых полок из неамальгамирующегося катодного материала, расположенных друг над другом. Пространство между полками заполнено неамальгамирующимся катодным материалом. Полки имеют небольшой уклон. Отверстия в нижней части полок имеют погруженную раззенковку, отверствя в верхней части полок имеют кольцевые выступы пад поверхностью полки. Отвод Нg из разлагателя и подача воды происходит снизу, а вывод каустика — Г. Волков

12488 П. Электрохимический способ получения производных фторангидридов фторкарбоновых кислот

(Electrochemical process of making fluorocarbon acid fluoride derivatives) [Minnesota Mining & Manufacturing Co.]. Англ. пат. 735730, 24.08.55

Фторангидриды фторкарбоновых к-т, получающиеся при электролизе галоидангидридов карбоновых к-т в безводи Н F, подвергаются гидролизу с целью получения соответствующих фторкарбоновых к-т либо обра-батываются NH₃ или спиртом для превращения их соответственно в амиды или эфиры. Электрофторированием с последующим гидролизом получены фторкарбоновые к-ты из следующих исходных галоидангидридов: хлорангидридов капроновой и каприловой к-т. хлор- или фторангидрида адипиновой к-ты, а также из фторангидридов уксусной, масляной, изомасляной, янтарной, себациновой, кротоновой и фталевой к-т. В последних двух случаях получены соответственно перфтормасляная к-та и смесь перфторциклогександи- и

монокарбоновой к-т. С. Кругликов 12489 П. Приспособление для очистки ржавой и грязной проволоки. Кайзер (Verlahren und vorrichtung zum Reinigen von verzunderten und verschmutzten Drähten. Kaiser Rudolf) [Langbein-Pjanhauser Werke A.-G.]. Πατ. ΦΡΓ 928081 23.05.55 Патентуется способ очистки заржавленной и загрязненной проволоки путем ее электролитич, обработки в кислых или щел. электролитах с последующей очист-кой, отличающийся тем, что проволока протягивается через ряд плоских ящиков, быстро двигающихся назад и вперед, в которых находится зернистое в-во (мелко-размельченное стекло, кокс, пемза и т. д.). Я. Матлис 12490 П. Травление анодов для электролитических конденсаторов. Нагата (Etching of anodes of electrolytic condensers. Nagata Isanari). Япон. пат. 1568, 26.03.54 [Chem. Abstrs, 1955, 49, № 2, 753 (англ.)]

Аноды для электролитич, конденсаторов травятся 5%-ным p-ром HCl, содержащим 0,1% поверхностноактивного в-ва неионного характера, напр. эфир высших спиртов и полиэтиленгликоля и поверхностноактивное в-во ионного характера, напр. сульфат высшего спирта, в течение 5 мин., при $D=150\ a/cm^3$. Я. Лапин спырта, в течение з мин., при D = 130 а/см. Н. Лапин 12491 П. Способ электролитического травления тактала. Рушетта, Джении (Verfahren zum elektrolytischen Ätzen von Tantal. Ruscetta Ralph Antonio, Jenny Alfred Leh) [General Electric Co.]. Пат. ФРГ 925330, 17.03.55; пат. ФРГ 931449, 8.08.55

Пат. 925330. Для увеличения поверхности при применении в конденсаторах Та анодно травится в р-ре, содержащем по меньшей мере 6,5 вес. % СН₃ОН, соль неорганич. к-ты, растворимую в СН₃ОН, и следы воды. Т-ра 20—65°. Кол-во Н₂О может колебаться от 0,3 до 5%, но обычно оно составляет 0,35—1,4%. В отсутствие следов воды в метанольном р-ре коэфф, увеличения поверхности Та мал и резко изменяется при введении очень небольшого кол-ва воды (вода, %: 0,2; 0.5; 0.8; 1.1; 1.4; 1.7 и соответственно k: 1.1; 1.68; 3.3; 2.4; 1.8; 1.49). Кол-во Н₂О меняется с толщиной Та-фольги, которая подвергается травлению, а именно: увеличивается с увеличением толщины Та. Действие $\rm H_2O$ зависит также от D. Удовлетворительные результаты получаются в интервале D от 5,4 до 53,8 $\rm \it ma/cm^2$, оптимальная область 10.8-21,5 $\it \it ma/cm^2$ при оптимальном содержании воды. Соль неоргания. к-ты в р-ре $\mathrm{CH_3OH}$ необходима для увеличения электропроводности p-pa. Хорошие результаты дает присутствие следующих фторидов: $\mathrm{NH_4F}$, $\mathrm{NH_4F}$ ·HF, NaF , $\mathrm{PbF_2}$, $\mathrm{C_2F_2}$, $\mathrm{CuF_2}$, $\mathrm{BeF_2}$, поверхность Та увеличивается > чем в 2 раза. Наилучшие результаты дают NH₄F и NH₄F. · HF или их комбинация. Конц-ия солей не имеет крит. значения, она может меняться от наименьшей, достаточной для обеспечения прохождения тока, до насыщения.

G

Вместо фторидов можно применять LiCl, NH_4CNS , $NiCl_2$, $Cu(NO_3)_2$, $CaCl_2$, NaJ, KCNS, KBr, причем поверхность Та увеличивается по меньшей мере в 1,5 ра-за. Р-ры КОН, КН₂РО₄, Mg-ацетат и CuSO₄ в CH₃OH непригодны. Вместо CH₃OH в качестве р-рителя можно применять смесь его с другими смешивающимися органич. в-вами, в частности с этиленгликолем и глиперином. В р-ре, содержащем 58 вес.% СН₃ОН, 39,8 вес.% этиленгликоля, 2,2 вес.% NН₄F·HF и ~4,2% H₂O, при 20—25° поверхность Та увеличивается после травления в 6,65 раза.

Пат. 931449. Способ отличается тем, что электролит в качестве неорганич. соли содержит NH₄Br и кол-во Н.О в нем может изменяться в более широких пределах науов нем может наментных волие инфокат пределать обез ухудшения степени травления. Благоприятно действует присутствие CaCl₂. Оптимальный состав электролита (в вес. %): NH₄Br 3.5, CaCl₂ 3.5 и CH₂OH — остальное. Содержание H₂O 5.9—135 мл/л р-ра. 3. Соловьева

12492 П. травления металлических изделий. Гронье (Preceded of the Preceded of the Prec Способ и устройство для электролитического травления металлических изделий. Деламбр, Гронье (Procédé et dispositif de décapage électrolytique des piéces métalliques. De la mbre J., Gronier G. L.). Франц. пат. 1060854, 7.04.54 [Chem. Zbl., 1955, 126, № 31, 7310 (нем.)]
Изделие, служащее анодом, обрабатывается катодно ключенным пущем в дестрологом.

включенным ручным электродом, обернутым неэлекттропроводным материалом, пропитанным электролитом.

Я. Лапин Метод обработки кека карбида вольфрама. Каваками (炭化タングステン焼結合金の電蝕加工 法・河上益夫) Япон. пат. 6408, 9.10.54

Панный метод заключается в том, что часть изделия из кека карбида вольфрама, состоящего примерно (в %): W 84,2, C 5,5, Co 6,2, Ті 3,2, подлежащая обработке, очищается, а вся остальная часть покрывается изолирующей пленкой. Вместо изолирующей пленки электролитич, путем можно нанести Ад-слой, который, в свою очередь, может быть покрыт изолирующей пленкой. Данный метод применим при произ-ве сверл из вольфрамовых сплавов. Обработка может производиться как постоянным, так и переменным током. I. Обработка постоянным током: обрабатываемое изделие делается анодом, катод — железо, графит и т. п. Основную часть электролита (Э) составляют галоиды щел. металлов и едкая щелочь. Наиболее эффективным щел. металлов и едкая щелочь. Наиоолее эффективным и экономически выгодным будет p-p NaCl + NaOH. При использовании водн. p-ра (5% NaCl + 5% NaOH), получаемого путем смешения водн. p-ров 10%-ного NaCl и 10%-ного NaOH, во время электролиза проходят следующие р-ции: выделяющийся на аноде Cl₂ реагирует с материалом анода и образует WCl₆ по ур-нию: W + 3Cl₂ = WCl₆... В результате гидролиза последний образует WO₃ или его к-ту: WCl₆ + 3H₂O = WO₃+ + 6HCl....WO₃ не растворим в нейтр. и кислой средах, но растворим в щел. среде с образованием вольфраматов. Если в околоанодном пространстве будет присутствовать свободная щелочь, то электрополировке можно подвергать не только W и его карбид, но также Ті, V, Сг и другие элементы IV, V и VI групп периодич. системы и на их карбиды. При отсутствии свободной щелочи вокруг анода поверхность последнего покроется нерастворимой пленкой, и анодное растворение будет затруднено. Электролиз проводится при нормальной т-ре. При $D_a=0.08~a/cm^2~$ к. п. д. тока достигает 84%. С увеличением D к. п. д. уменьшается, однако с увеличением конц-ии свободной щелочи или с повышением au-ры p-ра одновременное увеличение D не снижает к. п. д. Ионы WO₄ тяжелы по весу и имеют тенденцию давать осадок. В случае большого их скопления около анода они будут мешать хлору и снизят эффективность анодирования. Их влияние можно ослабить перемеши-

ванием Э или же его обновлением. II. Обработка переменным током: обрабатываемые изделия и графит являются электродами. В качестве Э используется води. р-р галондов щел. металлов. Если в качестве Э используется NaCl, то при анодном периоде тока р-ция идет по ур-ниям (1) и (2), а при катодном образуется NaOH При электролизе использовались два образца одинаковой формы. Э — 5%-ный води. p-p NaCl; т-ра нормальная; D = 0.1 а/см². Перемена полюсов проволялась через 2 сек., т. е. при периоде в 4 сек. был получен лучший к. п. д. тока, составивший 91%. С целью достижения наилучшего к. п. д. с повышением конц-ив ∂ и повышением т-ры D должна увеличиваться. Периоды могут быть сокращены. Н. Криниции 12494 П. Метод нанесения гальванического покрытия

на молибден. Нагаи, Мано, Судзув (モリブデンえの鍍金法・永井健三, 眞野國夫, 鈴江武彦) Япон. пат. 4609, 26.07.54

Перед покрытием поверхность Мо-изделия полируется электролитич, или механич, способом. В качестве электролита используется p-p состава (в г/л): AuCl₃ 2, Na₂ HPO₄ 25, Na₂CO₈ 3,5, NaCN 1,25, NaHSO₃ 6, H₂O 1, т-ра 60°. После покрытия изделие подвергается термообработке в обычной атмосфере или в атмосфере каменноугольного газа при 800°, а затем охлаждается в H₂O. Покрытая и обработанная таким образом поверхность имеет превосходный золотисто-желтый блеск без последующего полирования. Кроющая способность оказывается исключительно высокой. Для проверки последней были проведены опыты на истирание изогнутой латунной пластинкой под давл. 50 г, и были полу чены следующие результаты. 1. Покрытие на Мо, нанесенное обычными способами на поверхность, полированную механич. путем наждаком № 3 и № 0, отделилось от основы соответственно через 50 и 20 ппвлов латунной пластинки. Покрытие, нанесенное настоящим способом и прокаленное в печи в нормальной атмосфере и затем охлажд., от основы не отделилось и было стерто до основы соответственно через 6000 г 5000 циклов латунной пластинки. 2. Покрытие на Мо, нанесенное обычными способами на поверхность, полированную электролитич, путем, оказалось менее прочным, чем покрытие, нанесенное на поверхность, полированную механич. путем. Однако покрытие, нанесенное настоящим способом, от основы не отдели-лось и было стерто до основы через 15000 оборотов в случае прокаливания в атмосфере каменноугольного газа и через 10 000 оборотов в случае прокаливания в обычной атмосфере. Такая прочность покрытия объяс-няется тем, что Мо и Аu, нагретые до т-ры, предшествующей их плавлению, не сплавляются, но Аи диффундирует при этой т-ре в Мо, образуя промежуточный Аи-Мо-слой. Предполагается, что охлаждение в воде увеличивает прочность сцепления Аи с Мо. Данный способ может быть применим также и для покрытия W и др., а в качестве кроющих материалов могут быть использованы Pt, Ag и другие металлы. Н. Криниции

12495 П. Электроосаждение блестящего никеля.
Кардош, Менцель, Сунт (Bright nickel plating. Kardos Otto, Menzel Thomas J., Sweet James L.), [Hanson-Van Winkle-Munning Co.]. Пат. США 2712522, 5.07.55

Способ электроосаждения блестящих Ni-покрытий отличается составом р-ра, содержащим, кроме Ni-соля, 0,2-0,3 г/л ацетиленовых соединений из числа: 2-бутан-1,4 диол, 4-метокси-2-бутан-1-ол, 3-гексан-2,5-диол, 4-диэтиламино-2-бутан-1-ол, 4-(N-морфолинил) тан-1-ол, 3-рентин-1-ол, 2,4-гексадиен-1,6-диол. 4-(N-морфолинил)-2-бу-3. Соловьева

12496 П. Способ получения гальванических металлических покрытий. Штраусс, Киршталер, Вильмунд (Verfahren zur Herstellung galvani57 r.

пере-

ит явводи,

споль

н илет

HOB!

одина-

а нор-

оволи-

полу-

целью онц-ии

риопы

нипии

рытия

двуа

武產)

руется

элект-2, Na-

H.O 1.

термо-

камен-

B H,0.

хность

ea no-

ъ ока-

ки по-

вогну-

полу-

гь, по-№ 0,

20 цик-

ое на-

альной

лилось 6000 п

на Мо, ть, поменее

хность.

срытие, отдели-

боротов

ольного

ивания

объяс-

едшест-(иффун-

точный

в воде Данный крытия

ут быть

иниции никеля.

nickel

o m a s Winkle-

крытий

Vi-соли, a: 2-бу-

,5-диол,

іл)-2-бу-

ловьева

метал-

алер, galvanischer Metallüberzüge. Strauss Wennemar, Kirstahler Alfred, Willmund Wolf Die ter) [DEHYDAG Deutsche Hydrierwerke G. m.

b. Н.]. Пат. ФРГ 934508, 27.01.55 Способ электроосаждения блестящих металлич. покрытий отличается тем, что в электролитич. ванны передиливпроцессе электролиза наряду с блескообразуюшими добавками вводятся третичные аминосоединения, не содержащие карбоксильных групп, общей ф-лы: G-R-NR'R", где G - атом или группа атомов, способная к образованию анионов (напр., атомы галогенов, циан-, родан- или нитрогруппа), R— 2-валентный ациклич. или циклич. радикал углеводорода, который может нести дальнейшие замещенные как гидроксильные группы, атомы галогенов, циан-, родан- или нитрогруп-пы и т. д. и R', R''— радикал углеводорода алифатич. дикловлифатич. или ароматич. природы, который имеет 0. S или N-содержащие замещенные. Радикалы R' и R" могут образовывать с атомом N гетероциклич. систему (напр. 1-диэтиламиноэтилхлорид-2,1-диоксиэтиламиноэтилхлорид-2, 1-диэтиламино-3-хлорпропанол-2, N-(2-хлорэтил)-N-этиланилин и т. п.). Третичные амипосоединения без карбоксильных групп могут приме-пяться также в форме их солей или четвертичных амипосоединений. Эти добавки в ваннах блестящего электроосаждения дают блестящие осадки даже при наличии загрязнений в электролите и увеличивают пластичпость электролитич. осадков. Конц-ия добавок находится в пределах 0,01-20 г/л, преимущественно от 2 до 8 г/л. Электролиз ведется при т-ре 30-60° и D 0,5-15 а/дм2. Эти добавки могут применяться во всех гальванич, ванных с блескообразующими добавками, в которых блеск осадков ухудшается загрязнениями (вследствие применения технич, солей или жесткой воды при приготовлении электролита), напр., в Zn, Ni, Cr, Cu в других ваннах. 3. Соловьева 12497 П. Аппарат для нанесения покрытий. Холм с (Electroplating apparatus and contactor therefor. H o l m e s A. W. and others. [Indiana Stell & Wire Co.]. Англ. пат. 732585, 29.06.55 [Prod. Finish., 1955, 8, № 8, 100 (англ.)]

Патентуется аппарат для электролитич. нанесення металла на проволоку и детали сильно вытянутой формы. Изделие или проволока, являющееся одним взектродов, движется в электролите. Электрич. контакт осуществляется при помощи спец. скользящего приспособления из металла V или VI групп. В качестве мектролита применяется води. р-р цинк-аммивачной соли или Zn-соли тетрамина.

И. Ерусалимчик 12498 П. Способ лужения (Immersion tin plating) [Metal & Thermit Corp.]. Австрал. пат. 162794, 26.05.55

12498 П. Способ лужения (Immersion tin plating)
[Metal & Thermit Corp.]. Австрал. пат.162794, 26.05.55
Способ лужения медненных изделий состоит в погружении этих изделий в водн. р-р, содержащий цианид щел. металла, станнат щел. металла и гидроокись щел. М. Мельникова
М. Мельникова

См. также: Источники тока: водородный элемент 11371. Электроосаждение металлов: распределение тока и металла на электродах 11346; поляризация при осаждении металлов 11347, 11348, 11352; осаждение при осаждения металлов: Электрохимич. произ-ва без выделения металлов: электрополировка металлов 11355, 11356, 11365, 11366, 11367

КЕРАМИКА. СТЕКЛО. СТРОИТЕЛЬНЫЕ МАТЕРИАЛЫ

Общие вопросы

Редакторы С. И. Горелкина, А. С. Пантелеев

12499. Реакции в твердой фазе извести и углекислого кальция в керамических массах при температуре ниже 1000°. Менере (La reactivité a l'état solide de la chaux et du carbonate de chaux dans les pâtes céramiques cuisant a une temperature inferieure a 1000° С. Ме neret J.), Bull. Soc. franç. céram., 1955, № 29, 41—52 (франц.; рез. англ., вем.)

Изучение влияния тонкости помола песка и мела на ход кривых расширения — усадки фаянсовых масс обнаружило зависимость между дилатометрич, аномалиями и физ. и механич. свойствами. С уменьшением зерна мела до 10 μ внезапное расширение фаньсового черепка в интервале т-р 800—900° уменьшается, но полностью исчезает лишь при использовании осажденного мела; одновременно растет $\sigma_{\text{равр}}$ черепка, обожженного при 1000° , с 60 до $100~\kappa\Gamma/cm^2$. Это объясняется образованием хим. соединения в результате р-ции SiO2—CaO в твердой фазе. Изучение р-ции методом дифференциального термич. анализа было проведено на образцах смесей SiO2 герынч. апалная облю проведено на образдах смессен это д (кварц, кристобалит, стекло, гель SiO2) с CaCO3 или с CaO. При крупнозернистом кварце или кристобалите р-ции обаружено не было; кварц с зерном 10 μ с Ca(OH)2 или осажденным CaCO3 обнаруживает ясно выраженную р-цию при 890°; стекловидная SiO₂ или гель дают экзотермич. р-цию при 840°. С помощью рентгеноструктурного анализа продуктов р-ций эквимоле-кулярных смесей, обожженных при 920° в течение 5.96, 300 и 500 час., обнаружено наличие большого кол-ва β-волластонита в смеси с β-2CaO-SiO₂, некоторым кол-вом свободной SiO₂ и очень малое кол-во свободной СаО; таким образом, при достаточно мелком своодной сао, таким образом, при достаточно мелком измельчении свободные сао и SiO₂ взаимодействуют с образованием силикатов Са уже при низких т-рах (900—1000°). В фаянсовой массе, обожженной при 950°, было обнаружено значительное кол-во β-волластойчта, а также кальцит, кристобалит и слабые линии β-2CaO-SiO₂. Связывание зерен SiO₃ в фанисе достигается за счет их цементации β-волластонитом, а не известково-кремнеземистым стеклом, как считали прежде. В. Злочевский

12500. Реакции, имеющие место у разных форм SiO_2 в системах $CaO - SiO_2 - H_2O$ при пропарке. Петрович (Průběh reakci u různých forem SiO_2 v systému $CaO - SiO_2 - H_2O$ při pařeni. Petrovič J.), Stavivo, 1956, 34, № 9, 319—321 (чеш.; рез. рус., нем.)

Анализ р-ций, протекающих в автоклавах между CaO и SiO₂, с целью определения получающихся продуктов и влияний отдельных возникающих кристаллич, составляющих на свойства готовых продуктов.

И. Михайлова

12501. Изучение стабилизации окиси циркония. У и б э р, Г а р р е т, М а у э р, Ш в а р ц (Observations on the stabilization of zirconia. We ber B. C., G a r r e t t H. J., M a u e r F. A., S c h w a r t z M. A.), J. Amer. Ceram. Soc., 1956, 39, № 6, 197—207 (англ.)

Фазовый состав ZrO₂ стабилизованной MgO, CaO пли CeO₂ и обожженной при 1850° изучался путем рептегеновского анализа, произведенного или при высокой т-ре (1390°), или при компатной т-ре до и после (более или менее длительной) термообработки при 1180°. Только образцы, стабилизованные известью, сохранияли свою куб. структуру при нагревании до 1390° или при длительной термообработке при 1180°. С MgO куб. структура сохранялась только до 1000° и полностью разрушалась прит-ре>1200°. В присутствии СеО₂ главная фаза была тетрагональной при всех т-рах, но имелись также куб. и моноклинная фазы. Подтверждено существование ZrTiO₄, который стабилен при 1180° в воздухе, но не в вакууме. Установлено существование куб. твердых р-ров TiO—ZrO₂, подобных MgO — ZrO₂, не стабильных при 1180°. В системе Ti — ZrO₂ суще-

ствуют куб. и моноклинные фазы при нормальной т-ре. Куб. фазы формируются только в особых условиях обжига, причем полученные образцы не были однородными и показывали на шлифах металлич. включения. Существование твердого р-ра между металлом и окисью еще не установлено. Все составы Ti-ZrO₂ имели отличную термич. стойкость несмотри на наличие обратного превращения из моноклинной в тетрагональную форму. Существование ZrO не удалось установить.

А. Говоров 12502. Нзучение стабилизации окиси циркония. Я м аути, Сомия (ジルコニアの安定化に関する研究・ 山内俊吉,宗宮重行),繁業協會誌, Érë кекайси, J. Сегат. Assoc. Japan, 1956, 64, № 722, 73—82 (япон.; рез. англ.)

В ZrO₂ вводились добавки: CaO, MgO, BaO, SrO, CdO, ZnO, NiO, CeO₂, Co₃O₄, PbO, Ag₂O, SnO, Cu₂O, CuO, MnO₂, Al₂O₃, Cr₂O₃, CrO₃, TiO₂, (Nd, Pr)₂O₃, As₂O₃, Na₂O, K₂O, ThO₂, UO₂, SiO₂, Fe₂O₃, B₂O₃. Исследовано влияние этих добавок на поведение ZrO₂ в процессе нагревания при помощи дифференциальных кривых термич. расширения. Установлено 4 типа кривых, а пменно: 1) смеси ZrO₂ с CdO, ZnO, SnO₂, Ag₂O, Al₂O₃, As₂O₃, Na₂O, K₂O; 2) смеси с SrO, BaO, NiO, Co₃O₄, Cr₂O₃, CrO₃; 3) смеси с CaO, MgO; 4) смеси с CeO₂, ThO₂, MnO₂, UO₂, TiO₂, (Nd, Pr)₂O₃, Cu₂O, CuO. Наиболее эффективными минерализаторами при спекании ZrO₂ оказались TiO₂, MnO₂, CeO₂ и CaO. Образцы спек-тейся ZrO₂ с добавкой TiO₂ имели прочность на сжатие 3551 кг/см², с CeO₂ — 2653 и MnO₂ — 2570. MnO₂ наиболее эффективно способствует росту кристаллов ZrO2, а ТіО2 наименее эффективно. Для полной стабилизацин $Z^{7}C_{2}$ требуется небольшое кол-во СаО, именно: $\sim 3\%$ при обжиге до 1740° ; 2.5-5% до 1700° ; 5.0-7.5% до 1600° и 5.0-7.5% до 1500° . В случае же MgO 3-4% при 1740° , менее 5% примерно при $1700-1600^{\circ}$ и 5-10% при 1500° . $Z^{7}C_{2}$, стабилизированная СаО, показывает лучшие результаты по своим хим., физ. и механич. свойствам, чем ZrO₂, стабилизированная MgO. В смесь 5% CaO и 95% ZrO₂ вводилась добавка CaO в виде солей с различными анионами. Установлен следующий порядок их влияния на свойства обожженного продукта: по величине кристаллов — $CO_3^2 > SO_4^2 >$ > OH $^->$ F $^->$ Cl $^->$ PO $_4^{3-}$; по усадке при обжиге — $F^- > SO_4^{2-} > OH^- > PO_4^{3-} > CO_3^{2-}$ и по прочности при сжати**и** — F^- (4967 $\kappa \Gamma/c M^2$) $> SO_4^{2-}$ (3934 $\kappa \Gamma/c M^2$) $> OH^-$ (3340 к Γ /см²)> $\mathrm{CO_3^{2-}}(3106\ \kappa T/cм²)>\mathrm{PO_4^{3-}}$ (2160 к Γ /см²). Г. Масленникова

12503. Изучение сопротивлений из окиси циркония. І. Стабилизация окиси циркония и ее электропроводность. Уэн, Накадзава, Уэцуки (ジルコニアの安定化と電氣傳導性. ジルコニア抵抗發熱體に關する研究. 第1報. 上井鵬, 中澤泰朗, 植月徹), 窯業協會誌, Егё кёкайси, J. Сегат. Assoc., Japan, 1956, 64, № 724,139—143 (япон.; рез. англ.)

64. № 724,139—143 (япон.; рез. англ.)
Известно, что стабилизация окиси Zr может быть определена по кривой ее расширения. Установлено, что изменение электропроводности, энергии активации в зависимости от т-ры являются наиболее чувствительными свойствами для определения этого явления.

Г. Масленникова
12504. Заметки по силикатному анализу. Анализ
глин и фарфоровых масс без сплавления с содой и
бисульфатом калия. Турек (Příspěvek k silikátové
analyse. Analysa hlin a porcelánových hmot bez vytavování se sodou a kyselým síranem draselným. Тиrek M.), Stavivo, 1956, 34, № 9, 317—318 (чеш.;
рез. русс., нем.)

Новый метод анализа глин на базе обработки кременскислых соединений Н F, НСПО₄ к-тами с последующим преобразованием получающихся хлорнокислых соединений на сернокислые. Дальнейший ход анализа соеден с применяемыми методами. Время для анализа по новому методу сокращается на 1/3. И. Михайлова 12505. Применение бюретки Л. Г. Берга к исследованию керамических материалов. Б ут Т. С., фадеева В. С., Сироткина Н. Л., Тр. Казанск. фил. АН СССР, Сер. хим. н., 1956, № 3, 89—95

Метод Л. Г. Берга для колич. определения газовой фазы, выделяющейся при нагревании в-в, путем измерения ее объема был применен авторами для определения гидратной воды глин и каолинов, а также содержания воздуха в сырце. Определение воды этим метолом не зависит от присутствия карбонатных, железистых или органич. примесей глин и производится путем измерения объема водорода или ацетилена, образующихся результате взаимодействия выделяющегося пара с гидратом или карбидом Са. Полученные кривые обезвоживания аналогичны таковым, полученным весовым методом. Воспроизводимость результатов удовлетворительна. Наиболее точные результаты получались при ступенчатом нагреве проб. Воздух, в порах и капиллярах глин и адсорбированный на поверхности частиц, может быть определен путем его вытеснения водой и прямого измерения его объема в бюретке Берга. Приведенные результаты измерений значительно ближе к расчетным данным, чем результаты, полученные путем вытеснения воздуха керосином.

12506. Зависимость между минералогическим составом и технологическими свойствами глин. III тегм юллер (Beziehungen zwischen Mineralbestand und technologischen Eigenschaften der Lehme. Stegmüller L.), Ziegelindustrie, 1956, 9, № 8, 245—252 (нем.)

Описывается аппаратура и методика проведения дифференциального термич. анализа глин. Приводятся результаты термич. анализа чистых минералов, являющихся компонентами глинистого сырья. Е. Штейн 12507. Исследование под микроскопом структуры высокоглиноземистых материалов. Д и л л и и г е и (Apparent microscopic structure of high alumina materials. D i l l i n g h a m R. P.), Ceramic Ind., 1956, 66, № 4, 152—153, 176 (англ.)
Рекомендуетоя следующий способ приготовления

образцов шлифов из высокоглиноземистой керамики. Вырезается образец размером $\sim 6.4 \times 6.4 \times 12.7$ мм. Для облегчения его полировки он закрепляется с помощью бакелита в Бюлеровском прессе. Образец с поверхности обрезается сначала алмазным охлаждаемым водою диском. Первая полировка производится твердым кленовым диском с помощью алмазной пасты с величиной зерна в 40 µ. Полировка идет в 2 стадии: 1-й прв 400 об/мин. и 2-й при 1200 об/мин. Длительность каждой операции 1 мин. 2-я операция производится алмазной пастой в 6 µ на бронзовом покрытом шелком диске также в две стадии при тех же скоростях и длительности. 3-я полировка производится 3-и алмазной пастой и последняя 4-я, 1-р пастой. После указанной 4-стадийной полировки поверхность образцов становится зеркальной, в которой под микроскопом отчетливо видны очертания пор, трещин и других изъянов. С. Туманов

12508. Обжиг кальцита. II. Размер и скорость роста кристаллитов окиси кальция. Фишер (Calcination of calcite: II, size and growth rate of calcium oxide crystallites. Fischer H. C.), J. Amer. Ceram. Soc., 1955, 38, № 8, 284—288 (англ.) Изучалось влияние условий обжига кальцита на

YIOIIIM coem. a cxoиза по айлова педова-, Фа-р. Ка-№ 3,

957 r.

крем-

1230Bn# f намерецеледержаетодом зистых тем изощихся пара те обезесовым

етворись при нщийся ный на гем его объема **герений** резульосином. оворов соста-

bestand S t e g-, 245вепения волятся являю-Штейн уктуры нгем

Птег

na mac Ind., вления амики. 2,7 MM. я с поеп с попаемым вердым

величи-1-й прв гь кажалмазм диске лительной пазанной стано-

зъянов. уманов ь роста cination n oxide Ceram.

ита на

760.0; 815,5; 873.3; 928° и время выдержки от 30 мнн. до 4 час. через каждые 30 мин. Размеры кристаллитов до 4 час. через каждые 30 мин. Размеры кристаллитов кальцита и СаО определялись рентгеноспектрографически. Найдено, что кристаллиты СаО растут очень быстро при т-ре~900° (т-ра диссоциации СаСО₃). На скорость роста кристаллитов СаО больший эффект оказывает т-ра, чем длительность обжига. Энергия активации СаО, подсчитанная по ф-ле Аррениуса, равна от 40 000 до 64 000 кал/моль для кристаллитов размером от 450 до 550 ат. ед. Сообщение I см. РЖХим, 1956, И. Захаров К вопросу о прочности связей иснов в пиро-

скорость роста кристаллитов СаО: т-ры обжига 704.5;

филлите после прокаливания. А в густиник А.И., Козловский Л. В., Ж. прикл. химин., 1956, 29, № 7, 1035—1040

Исследовалась прочность связей ионов Al с ионами Si в пирофиллите мозырьовручского месторождения, прокаленном при различных т-рах, способом хим. воздей-ствия (р-ры щелочей и к-т). Установлено, что при действии 6%-ного p-ра HCl на прокаленные при разных трах образцы пирофиллита растворимость последне-го, обожженного при 800°, была наибольшей и составляет по отношению к прокаленному в-ву 3,60-3,83% (незначительное растворение Al₂O₃ обусловливает «закрытая» структура пакета пирофиллита). При обработке обожженных образцов пирофиллита 10%-ным р-ром КОН наибольшая растворимость кремнезема наблюдалась у образцов, обожженных при 1100°. Это обусловлено максим. ослаблением связей Si-O-Si кристаллич. решетки пирофиллита. Ослабление связей между нонами кристаллич. решетки пирофиллита создает условия для перестройки решетки пирофиллита в более устойчивые при высоких т-рах кристаллич. фазы

муллит, кристобаллит).
И. Михайлова
12510. Термическая диссоциация карбонатов марган-ца и железа. Киссингер, Мак-Мерди, Симпсон (Thermal decomposition of manganous and ferrous carbonates. Kissinger H. E., McMurdie H. F., Simpson B. S.), J. Amer. Ceram. Soc., 1956, 39, № 5, 168—172 (англ.) Проведено исследование механизма диссоциации

MnCO₃ и FeCO₃ при помощи рентгеноструктурного анамасО₃ и FeCO₃ при помощи рентгеноструктурного ана-лиза при высоких т-рах в среде воздуха, CO₂, инертной среде и посредством комплексного дифференциально-термич. и термогравиметрич. анализов. При разло-жении МасО₃ при 300° образуется МпО₂, при 550° — Мп₂О₃ и при 950° Мп₃О₄. Первая р-ция экзотермич., остальные — эндотермич. FeCO₃ при 459° диссоциирует на FeO + CO₂, поглощая 19,8 ккая; FeO немедленно окисляется до Fe₂O₃, выделяя при 500° 33 ккая тепла.

2511. Обогащение гидроциклоном кварцевых пес-ков, содержащих глинистые примеси. Халас (A sárisápi kaolinkötésű kvarchomokok hidrociklonos iszapolása. Halász András), Epitöanyag, 1954, 6, № 12, 429—439 (венг.)

Описана схема обогащения кварцевых песков при помощи гидроциклона без применения коагуляторов и

12512. Исследование влияния химических добавок НСІ, Н₂SO₄, NaOH и К₂CO₃ на кольматацию песков глиной. К ретинин С. А., Тр. Воронежск. ун-та, 1955, 35, 59—74

На двух пробах песков и одной пробе гидрослюдистой глины Западно-Казахстанской области изучены оптимальные условия кольматации (скорости приливания и мутности пульпы), а также исследовано изменение коэфф. фильтрации и толщины илистой пленки при введении в ту же пульпу добавок К₂CO₃, HCl, H₂SO₄, NaOH и метиленовой сини (в интервале 0,001 — 0,1 и.). Наиболее эффективны добавки метиленовой сини

(0,0003%), 0,01 н. и 0,001 н. К2СО3 и 0,005 н. Н2SO4. М. Карапетьяни 12513. Влияние поташа и серной кислоты на кольматацию песков Западно-Казахстанской области

глинами. Колпачева М. П., Тр. Воронежск.

ун-та, 1955, 35, 75—83

Исследовано влияние добавок К2СО3 (0,01 н.) и H₂SO₄(0,005 н.) на кольматацию песков глинами в зависимости от мутности пульпы, фракционного состава глин, времени подачи пульпы и градиентов напора воды. Для кольматации песков трех участков глинами, взятыми на тех же участках, установлено положительное влияние указанных добавок и даны условия их оптимального действия. М. Карапетьянц 12514. Пески для производства стекла в Румынии.

Боздог, Никулиу (Nisipuri indigene pentru fabricarea sticlei. Водоо Gr., Niculiu C-ta), Ind. uşoara, 1956, 3, № 6, 244—248 (рум.; рез. русс.,

нем.)
Описываются хим. состав и основные характеристики песков, применяемых в стеклянной пром-сти.

И. Михайлова 12515. Керамическое сырье Турции. Харкорт (Keramische Rohstoffe in der Türkei. Harkort Hermann), Keram. Z., 1956, 8, № 8, 382—383 (нем.)

12516 П. Способ очистки кремнезема. Бартлетт, Мак-Ферсон (Silica purification process. Bart-lett Arthur D., Mac Pherson Arthur R.). Канад. пат. 518640, 22.11.55

Кремнеземистые материалы могут быть очищены от примесей соединений АІ и Fe, а также от органич. примесей прокаливанием при т-ре между 475 и 850° и обра-боткой после охлаждения серной к-той. Т. Ряховская

См. также: Структурная минералогия глин 10915

Стекло

Редакторы О. К. Ботвинкин, С. И. Иофе

4-й международный конгресс по стеклу в Париже, 1956 г. Симмингшёльд (Från 4:e internationella glaskongressen i Paris 1956. Sim-mingsköld B.), Glastekn. tidskr., 1956, 11,

№ 4, 110—114 (швед.) 518. Сообщение о IV Международном конгрессе по стеклу, происходившем в Париже 2—7 июля 1956 г. Шольце (Bericht über den IV. Internationalen Glaskongreβ vom 2. bis 7. Juli 1956 in Peris. Schol-ze H.), Glas-Email-Keramo-Technik, 1956, 7, № 8. 291-296 (нем.)

12519. Искусственные Каанковминералы. ский (Sztuczne mineraly. Calikowski Roman), Horyzonty techn., 1956, **9**, № 7, 302— Bo-307 (польск.)

Сделан историч. обзор произ-ва искусств. твердых минералов: алмаза, корунда, благородной шпинели, топаза, берилла, турмалина, кварца, халцедона, не-фрита и кальцита: приведены данные о их твердости, коэфф. светопреломления и областях применения. Концерн General Electric Co. (США) в 1955 г. получил в промышленном масштабе искусств. алмазы размерами до 1,6 мм, ничем не отличающиеся от природных; для их получения из графитовой массы требуется действие т-ры 2500° в течение ~4 час. при давл.~100 тыс. атм. Необходимое давление получают при помощи гидравлич. пресса. В 1956 г. фирма ASEA (Швеция) объявила, что ею еще в 1942 г. разработан способ по-лучения искусств. алмазов. В настоящее время известен также способ окраски алмазов в зеленый и голубой

цвет посредством бомбардировки кристаллов продуктами атомного распада. Влияние циркония на кристаллизационную

способность и светопреломление некоторых силикатных стекол. Безбородов М. А., Зеленский **А. И**., Сб. научн. работ Белорус. политехн. ин-та, 1956, № 55, 46—53

ZrO₂ можно вводить в стекла до 20% вместо SiO₂, до 10% вместо СаО и до 5% вместо Na₂O. Такие циркониевые стекла (ЦС) не требуют повышенных т-р варки. Можно добавлять от 1—4% Al₂O₃ в стекла, содержащие от 0,5—5% ZrO₃. MgO или ZnO, введенные вместо CaO до 10%, не влияют на варку ЦС. Введение Li₂O вместо Na₂O до 15% дает легкоплавкие ЦС. Введение К₂О вместо Na_2O повышает тугоплавкость ЦС. Можно вводить K_2O вместо Na_2O 1—7% в стекла, содержащие 0,5-10% ZrO2. В исследованных составах ZrO2 глушения не вызывала. Непровар при повышенном содержании в стеклах ZrO2 (>15%) вызывается непрореагировавшими при процессах стеклообразования частицами циркова в расплаве. Режим варки стекол практически не изменяется при введении в них не циркона, а чистой ZrO2. Испытанные ЦС не требуют повышенной т-ры отжига. Введение ZrO2 значительно уменьшает кристаллизационную способность стекла. ZrO2 повышает показатель преломления от 1,517 (при отсутствии ZrO₂ в стекле) до 1,595 (при 20% ZrO₂ в стекле). Авторы считают, что ZrO₃ может заменить PbO в хрустале. Н. Павлушкин

Основные факторы, определяющие электросопротивляемость стекловидных свинцовых силикатов. Страусе, Мур, Гаррисон. Ричарде (Fundamental factors controlling electrical resistivity in vitreous ternary lead silicates. Strauss Simon W., Moore Dwight G., Harrison William N., Richards Lloyd E.), J. Res. Nat. Bur. Standards, 1956, 56, № 3, 135—142 (англ.) В пределах 200—500° изучались измеренные при E=500~e/cм сопротивления свинцевых силикетных стекол, содержащих ионы I, II, III и IV групп, а также ионы Cr, Mn, Fe, Co и Ni. В пределах тех же т-р измерялось сопротивление плавленого кварца и кристаллич. кварца с параллельным и перпендикулярным расположением оптич. оси к приложенному полю. Установлено, что сопротивление плавленого кварца меньше сопротивления кристаллич. кварца в направлении, перпендикулярном оптич. оси, и больше сопротивления в направлении, параллельном оптич. оси. Изменение сопротивления при частичной замене иона Рb различными ионами зависит от природы добавляемых ионов. Замена 0,4 моля Pb2+ щел. ионами Fe2+ и Co2+ снижает сопротивление, Mn2+ не оказывают влияния на величины увеличивают. сопротивления, остальные ионы ее

С. Туманов Зарождение и рост металлических частиц и кристаллов в светочувствительных стеклах. Ш у л е р (Nucleation and growth of metal particles and crystals in photosensitive glasses. J c h u l e r F. W.), Chem. Engng Progr., 1956, 52, № 5, 210—212 (англ.) Существует 2 типа светочувствительных стекол. 1-й, с колл. частицами, которые образуются после экспозиции и проявления и обусловливают окраску. 2-й, с колл. частицами, образующими центры кристаллизации и вызывающими появление другой фазы. Оба типа дают двухмерное изображение, проникающее в глубину стекла, и показывают различные свойства в отношении неэкспонированной области. Светочувствительные стекла являются силикатными стеклами, в которых содержатся щел., щел.-зем. окислы, Al₂O₃ и ZnO. Они содержат также сенсибилизатор и фотоактивный материал. Сенсибилизатором является Се⁺³, который поглощает УФ-излучение при длине волны 3130 A, а фо-

тоактивным агентом является Au, Ag или Cu. Фотоактивные агенты существуют не только в виде нонов, некоторые из этих нонов восстанавливаются и в атомарном состоянии образуют центры кристаллизации и последующего роста колл. частиц. После эксповиции появляется бесцветное скрытое изображение. Проявльние изображения проводится нагреванием до 600° и выдержкой в течение 2 час. Приводятся данные о зарождении и росте кристаллич. фазы, полученной методом травления экспонированной и неэкспонированной поверхности светочувствительного стекла.

Н. Павлушкий Дискуссия по статье: Кальзинг «Определение напряжений встеклянных изделиях в заводеких условиях». Рё п е р. Ответ автора (Die Span-nungsprüfung in der Praxis. R o е р е г Е. Erwiderung auf den Diskussionsbeitrag von Herrn Dipl.— Phys. E. Roeper Kalsing Harry), Sprechsaal Keramik — Glas — Email, 1954, 87, № 22, 546—

548; 548—551 (нем.)

Дискуссия касается вопросов измерения оптич. методом внутренних напряжений в стеклянных изделиях в зависимости от их размера, форм, толщины стенок и т. д. в заводских условиях. Автор считает, что колич. измерение напряжений и характер их распределения в стеклянных изделиях представляет интерес только для ограниченного круга спец. видов стекол; для стекол широкого потребления в этом нет необходимости. См. РЖХим, 1955, 16930. 12524. Подбор составов шлаковых стекол. Лунна 12524. Подбор составов шлаковых стекол. Лунна на Л. А., Макаревич Г. А., Сб. науч. работ Белорус. политехи. ин-та, 1956, № 55, 72—80

что лучшими добавками к шлакам для получения из них стекла являются Na₂O. Нахождение оптимального кол-ва Na₂O требует особого изучения. Н. Павлушки 12525. Несколько предложений из советской практики производства листового стекла. Хессе, Кёниг, Peймер, Шмидт (Einige Anregungen aus der Praxis der sowjetischen Tafelglasproduktion. Hesse Carl, König Leo, Reimer Heinrich, Schmidt Max), Silikattechnik, 1956, 7, № 9,

Изложена работа, в результате которой выяснено,

359—360 (нем.; рез. русс., англ.) 2526. Сравнительные исследования ванных печей для выработки оконного стекла и стеклянной тары при помощи индикаторов. Часть 1, 11. Бишол (Comparative tracer tests on container and window glass tanks. Part. I. II. B i s h o p F. L.), Glass Ind., 1956, 37, № 2, 71—76, 99; № 3, 142—145 (англ.) Описаны опыты по изучению потоков стекломассы

в ванных печах, применяемых в произ-ве тарного и оконного стекла. В качестве индикатора скорости потоков применена добавка вводимой в шихту СеО2. Пробы, отбираемые в различных участках и на разной глубине в ванных печах через определенные промежутки времени, позволили установить скорость перемещения стекломассы из зоны варки в зону выработки. Установлено, что время, необходимое для поступления индикатора от места засыпки шихты до места выработки, исчисляется для печей со стеклянной тарой тремя днями; на тот же процесс в больших ванных печах для оконного стекла требуется ≥ трех недель. Высказаны соображения о влиянии на скорость потоков стекломассы способа загрузки шихты, т-ры варки и разделения варочной от выработочной части печи. Н. Павлушкий 12527. Автоматическое регулирование печи для от-жига стекла. Л и н (Vollautomatische Reglung eines

Glas-Kühlofens. Liehn Walther), Silikattechnik, 1954, 5, № 4, 151—154 (нем.)

12528. Изменения расхода тепла ванных печей и их причины. Гюнтер, Калерт (Veränderungen des Wärmeverbrauchs von Wannen und ihre Ursachen.

OT0-HOB,

мар-

по-

HUHE

вле-

0° #

3a-

понн

UKWH

«On-

pan-

rung

hys

hsaal

46-

. Me-XRML

енок

лич.

RREIT

для

гекол OCTH.

Иофе

H H-

работ

нено,

EN BI

ного

ШКИН

THE

иг,

s der

888 ich,

Nº 9,

печей

тары

ndow

Ind.,

массы

II OTO

и по-

CeO2.

азной

роме-

пере-

пения

абот-

гремя

х для

азаны

омас-

пения

ШКИН

H OT-

eines

ttech-

H HX

ungen

G ünther Rudolf, Kahlert Wolfgang), Glastechn. Ber., 1956, 29, № 5, 174—183 (нем.; рез.

англ., франц.)

Приводятся точки зрения Фридмана и Муршеда и принятая в настоящее время комитетом по печам «Обмества стекольной технологии» расчетная ф-ла для определения расхода тепла: $p=(1/10^5k_F\cdot F)\left[(GH_u/k_T)-10^{-3}k_F\cdot F\right]$ $-(q_n/\eta_t)S$] [105 ккал/м² сутки]. Перечисляются недостатки этой ф-лы, выявленные в результате дискуссии по этому вопросу в Германии. Предлагается метод исчисления расхода тепла путем построевия Q/S-диаграмм. Прямая зависимости производительности варки S и растод тепла Q отвечают ур-нию Q=L+mS. Величина L соответствует отрезку ординаты, обозначающей расход тепла печи без нагрузки, и рассматривается подробно со ссылкой на справочные данные американской литературы. Фактор пропорциональности m разбирается очень подробно и иллюстрируется линией расхода для отдельных значений т, выведенных различными авторами и принятых в расчетной практике специалистами в США. Кроме того, рассматривается $m=q_n/\eta_j$, где q_n для обычных стекол составляет величину порядка $500~\kappa\kappa a A/\kappa c$. Пирометрич. к. п. д. η_f , принимаемый ранее равным 0.55, авторы считают недостаточным для современных печей и рекомендуют 0.60—0.65. Исходя ва этого и величина *m* вместо 800—900 *ккал/кг* становится равной 600—700 *ккал/кг* Расход тепла, рассматриваемый за весь период кампании печи, увеличивается по мере износа печи, что подтверждается практич. данными. Приводится примерный подсчет увеличения расхода тепла на 27% при кампании печи в 2 года. Теоретич. рассуждения авторов подтверждены примерами построения Q / S-линий по данным эксплуатации 18 печей. Анализируются причины колебаний, подтверждаемые таблицей изменений расхода в зависимости от характера и колич. величины отдельных неполадок. Точность величин, принятых для построения Q/S-линий, определяется в $\pm 2\%$. Фактич. расход тепла колеблется до $\pm 15\%$ от теоретич. Q/S-линии. В. Кречмар 12529. Капитальный ремонт стекловаренных печей.

Спейн (Major furnace repairs. Spain Ri-chard W.), Ceramic Ind., 1955, 65, № 5, 54—56,

Режим охлаждения стекловаренных печей при остановке их на капитальный ремонт зависит от того, подлежит ли замене целиком вся кладка печи или предполагается использовать часть припаса. В 1-м случае охлаждение ведут быстро и для ускорения его печь продувают воздухом. Во 2-м случае охлаждение ведут медленно, в течение 48—72 час., в зависимости от типа печи; в процессе охлаждения следует осторожно подвинчивать обвязку печи. Дан перечень операций, ко-торые следует выполнять при медленном охлаждении печи. После охлаждения, до разборки печи, производится тщательный осмотр физ. состояния огнеупоров всей внутренней кладки. Недавно разработанная аппаратура позволяет делать объемные цветные снимки внутренней части печи, которые лучше фиксируют состояние припаса, чем его описание. В процессе разборки печи ее обвязка подвергается вибрации и ударам, в связи с чем рекомендуется контролировать состояние обвязки дважды в сутки, в начале и в середине рабочего дня, а если работа ведется круглосуточно, то через каждые 8 час. Особое внимание должно быть уделено обвязке подвесных сводов, сводов регенераторов, глав-шых сводов печи, сводов влетов. Детально изложены правила, которые следует соблюдать при ремонте печи. В. Злочевский

Применение графитовых электродов в электрических стекловаренных печах. Ман в е лян М. Г., Мелик-Ахназарян А. Ф., Костанян К. А., Налчаджян С. О., Стекло и керамика, 1956, № 7, 1—7

Описывается история применения в СССР стальных пристенных электродов в стекловаренных печах и испытание графитовых электродов в полупромышленной электропечи. Излагаются теоретич. предпосылки поведения графитовых электродов в стекломассе и на основе результатов испытаний их при различной на-грузке и т-ре варки стекла делаются выводы о полной применимости для данной цели графитовых электродов М. Степаненко отечественного произ-ва.

. Степаненко 531. Газ в стекольной промышленности. Хемс (Gas in the glass industry. Нем в Н. R.), Ceramics, 1955, 7, № 77, 223—226 (англ.)

В статье имеются данные по газоснабжению отдельных центров стекольной пром-сти в США и отмечаются преимущества применения светильного газа.

В. Роговин 2532. Соображения о выгодности применения газа для плавки стекла. Моран (Nine reasons favoring gas for glass melting. Moran Stephen G.), Industr. Gas., 1956, 34, № 11, 12—15, 21 (англ.)

Указывается на преимущества применения газа при плавке стекла. Поддержание необходимой т-ры не требует особого наблюдения; светящееся пламя при горении газа неизменного состава обеспечивает максим. теплопередачу к стекломассе, форма факела сохраняется постоянной, условия плавки не изменяются, отпадает необходимость в сжатом воздухе для распыления топлива и охлаждения горелок; не происходит засорения горелок; отпадает необходимость в хранении топлива, легко поддерживается требующаяся атмосфера в печи, удлиняется срок службы огнеупоров.

Н. Павлушкин 2533. Наблюдение над разъеданием отнеупора в ванной печи. Ридель (Beobachtungen an Flüssen und Tropfen. Riedel Leopold), Glastechn. Вег., 1956, 29, № 2, 49—51 (нем.; рез. англ., франц.) Установлено, что камни в стекломассе образуются преимущественно из-за разъедания верхнего строения печи, в то время как продукты разъедания части брусьев, лежащих ниже уровня стекла, полностью пе-

реходят в стекломассу. Источником камней в основном является эвтектич. расплав, образующийся при натекании динасового материала на шамот. Такие эвтектич. расплавы наблюдались в виде капель при разъедании брусьев «Корхарт» в ванне для варки зеленого бутылочного стекла. Анализ показал, что в этих расплавах увеличивается в основном, по сравнению с составом динаса, содержание CaO, щелочей, Fe₂O₂ и MgO, а кол-во Al₂O₃ почти не изменяется. Падающие сверху капли расплава сильно разъедают брусья «Корхарт». По своей структуре расплавы и стадактиты различаются между собой: в первых обнаружены тридимит и кристобалит, а в сталактитах — только крупные кристаллы тридимита. С. Иофе

С. Иофе

2534. Пистолет-распылитель для смазки форм при
выработке стеклянной тары. К у р д ю м о в К. П.,
Стекло и керамика, 1956, № 9, 29

2535. Полировка стекла. Часть П. Техническая полировка листового стекла. Б р ю х е, П о п п а (Das

Polieren von Glas. Teil II: Technische Politur des Flachglases. Brüche Ernst, Рорра Неl-mut), Glastechn. Ber., 1956, 29, № 5, 183—192 (нем.;

рез. англ., франц.) Рассматриваются различия между оптич. (посредством ZrO2 и смолы) и технич. полировкой (при помощи крокуса и войлока); процессы полировки зеркального стекла значительно грубее и происходят поэтому гораздо быстрее, чем точные процессы оптич. полировки (~1:2). Показаны основные стадии полировки стекла, исследованные при помощи электронного микроско-

No

Бо

для 125

HX

Me

ли

эм

Щ

HC

па, а также зависимость времени полировки от состояния полируемой поверхности. Библ. 9 назв. Часть I см. РЖХим, 1956, 55231. С. Иофе

536. Улучшение производства листового стекла «мороз». Аренд (Developments in frosting plate glass. Arend A. G.), Glass., 1956, 33, № 7, 330—332 (англ.)

Описано пескоструйное устройство, с помощью которого в настоящее время производят стекло «мороз», а также получают рельефные изображения на листовом стекле. Н. Павлушкин 12537.

Опыт использования отходов пеностекла. Шустер Р. Л., Стекло и керамика, 1956, № 9,

12538. 538. Глушение стекол и эмалей. Даниэлсон (The opacifying of glazes and enamels. Daniels on R. R.), J. Canad. Ceram. Soc., 1954, 23, 40—42 (англ.) 12539. 2539. Дефекты глазурей. III рей нер (Glaze defects. Shreiner P.), Bull. Ceram. Res. Ass., 1954,

№ 6, 4-19 (иврит.; рез. англ.)

Содержание докладов на конференции Керамич. исследовательской ассоциации Израиля, состоявшихся 26 июня 1954 г. по вопросам об экспериментах с местными сырыми материалами и об исследовании дефектов глазурей. Приведены методы устранения дефектов И. Михайлова глазурей на произ-ве.

5540. Неоднородность в окраске глазурей. Бир-брауэр (Farbdifferenzen bei Glasuren. Bier-brauer Gebhard), Keram. Z., 1956, 8, № 6,

273-274 (нем.)

Разница в окраске вызывается колебаниями в составе исходного сырья, применяемого при изготовлении масс и глазурей, загрязнениями в процессе приготовления и колебаниями в режиме обжига как по отдельным зонам горна, так и в недостаточно соблюдаемой точности завески шихты для масс и глазурей. Указываются меры борьбы с возникающими дефектами. 541. Новое в эмалировании. — (What's new in porcelain enamel? —), Mater. and Methods, 1956, 43,

№ 1, 92—97 (англ.) За последние годы получены титановые эмали (Э), заглушенные и окрашенные в бледные цвета, полупрозрачные, окрашенные в более яркие цвета. Широко внедряется механизация: конвейерная транспортировка изделий, автоматич. и электростатич. пульверизация. Получены Э с повышенной устойчивостью к горячим. щел. р-рам. На титановых сталях, а также на обычных эмалировочных сталях после спец. обработки их получены прочные однослойные покрытия малой толщины. Применяются Э с т-рой обжига <730°, главным образом на фосфатной основе. Быстро растет произ-во эмалированного Al. Для строительных целей эмалируют нержавеющие стали.

М. Серебрякова Фарфоровидное эмалирование. Паттер-12542.

сон (Porcelain enameling. Patterson Jim), Minnesota Technolog, 1956, 36, № 5, 280—283, 314, 316, 318, 320 (англ.)

Описан процесс эмалирования стальных деталей холодильников на з-де Сигер-Уэрлпул. Детали подвергаются щел. обезжириванию, травлению в р-рах к-т и погружению в р-р соли Ni. Грунтовая эмаль (Э) на-носится окунанием, высушивается и нагревается до спекания, затем на нее пульверизацией наносится покровная Э. Окончательный обжиг грунта и покровной Э производится совместно. Мелкие детали обжигают в электрич. муфельных печах, крупные— в конвейерных печах непрерывного действия. Основной состав Э (в %): кварц 34,8, полевой шпат 27,78, бура 29,5, селитра натриевая 2,64, сурик 5,28. Т-ра сушки~100°, т-ра обжига 816°. М. Серебрякова 12543. Применение архитектурной фарфоровидной эмали. — (What has been happening in architectural

porcelain enamel.—), Ceramic Ind., 1956, **66**, № 5, 58—61 (англ.)

Отмечается увеличение применения стальных и алюминиевых эмалированных деталей в строительстве. Широко применяются эмалированные (ЭЛ) листы для облицовки зданий, эмалированные трубы для отопительных систем. Возросло строительство зданий из блоков, состоящих из эмалированного металла в соединении с различными изоляционными материалами. ЭЛ скрепляются в блоки при помощи пластмасс, каучука, поливинила и др. Блоки сочленяются или прокладками из резины. пластмассы и т. п. или спец. замазками.

Серебрякова Фарфоровидные эмали, не содержащие глины. Фридберг (Clay free porcelain enamels. Fried-

berg A. L.), Finish, 1956, 13, № 2, 44, 45, 86 (англ). При помоле титановой эмали (Э) в качестве суспендирующей добавки вместо глины вводили порошок кремнезема коллоидальной дисперсности ≤1 %. При этом снижалась т-ра обжига Э, увеличивался блеск, появлялась голубоватая окраска, возрастали хим. устойчивость к к-те, определявшаяся пробой пятном. При кипячении с лимонной к-той хим. устойчивость оказалась ниже. Растекаемость Э значительно повысилась. Применение кремнезема вместо глины позволит снизить кол-во пузырей в Э, избавиться от примесей, содержащихся в природных глинах, и снизить т-ру обжига, что имеет особо важное значение для низкотемпературных Э. М. Серебрякова 12545.

545. Определение пористости эмалей. Хален (Bestimmung der Porigkeit von Emails. Halen Vratislav), Silikattechnik, 1956, 7, № 4, 150—

152 (нем.; рез. русс., англ.)

Предлагается метод оценки пористости эмалевого покрытия.. На испытуемую поверхность накладывается лист меловой бумаги. При искровом разряде в бумаге прожигаются отверстия, величины которых пропорцио-нальны размерам отдельных пор. Приведен способ оценки возможной коррозии металла в зависимости от размера, группировки и распределения пор.

М. Серебрякова 12546. Электрические эмалировочные печи.— (Electric furnaces for vitreous enamelling. «Cleanliness of operation».—), Fuel Efficiency, 1955, 3, № 20, 264—

265 (англ.)

Электрические эмалировочные печи периодич. или непрерывного действия имеют несомненные преимущества перед пламенцыми печами в отношении производительности и качества получаемых изделий, продолжительности службы, простоты обслуживания и ремонта. Указывается, что периодич. печи конструкции фирмы G. W. B. Furnaces Ltd имеют две независимые зоны с автоматич. регулированием т-ры. В качестве нагревательных элементов служат нихромовые спирали (80% Ni и 20% Сг), устанавливаемые в открытых канавках в огнеупорной кладке. Диаметр проволок 4,8 мм, а спирали 28,6 мм. Продолжительность службы спирали достигает 10 лет. Загрузка изделий производится вручную. Для этого сконструирован спец. механизм, одна секция которого служит для загрузки, а другая одновременно для выгрузки изделий. Указывается, что расход электроэнергии при обжиге в периодич. печи эмалей на деталях для бытовой газовой плиты при 880° составляет ~1 кет-ч на 2,4 ке изделий. Эмалировочные печи непрерывного действия имеют U-образную форму, благодаря чему устраняются теплопотери, характерные для туннельных печей. Высоко-температурная зона печной установки разделена на четыре независимые секции с автоматич. регулированием тры. При производительности печи 450 кг/час расход электроэнергии составляет 1 кет-ч на 2,8 кг изделий, в другом случае он составил 1 кет-ч на 2,4 кг. Большое внимание уделено конструкции транспортеров Е. Глинданч 5547. Применение глины в эмалировочной промыш-ленности. Меркер (Die Verwendung von Ton in der Emailindustrie. Märker R.), Fertigungstech-nik, 1956, 6, № 7, 332 (нем.)

Кратко описано происхождение глин и применение их в качестве сырьевого материала для введения Al₂O₃ в состав эмалей. Глины и бентониты в основном применяются для суспендирования эмалевых шликеров. Приведены 3 состава глин и 3 состава бентонитов.

М. Серебрякова 548. Использование тепла, уходящего через стенки вращающихся эмалеплавильных печей. Нёйман (Die Nutzbarmachung des Wandverlustes beim Email-Neumann Trommelschmelzofen. Ne um ann Sprechsaal Keramik-Glas-Email, 1956, Johann), 89. No 10.

228-229 (нем.)

Описано устройство воздушной рубашки вокруг цилиндрич. части печи, из которой подогретый воздух подается к газовой или нефтяной горелке. Предыдущ. сообщение см. РЖХим., 1956, 69144. Эмалевые покрытия. Статс, Барановекий (Calibrated porcelain enamel coatings. Staats H. N., Baranowski S. J.), Amer. Ceram. Soc. Bull., 1956, 35, Nº 4, 143 — 146

0

a

H

n

'n

R

re

0-

6

W

a

of

III

6-

JI-P-

AH

ые

Be

a-

Xk

OK

ĮМ

30-

a-

a

Ы-

10-H-

гй.

ют

10-

-03 на

RA-

uac

K2 re.

Описан метод определения напряжений в деталях машин, конструкций и т. п. Под действием нагрузок эмалевые покрытия на металле растрескиваются. По появлению, направлению и взаимному расположению трещин можно судить о величине напряжений. Эмалируют испытуемую деталь и образец, который подвергают известным нагрузкам. Разрушения эмали на испытуемой детали сравнивают с разрушениями на образце. Приводится пример испытания газовой турбины при скорости вращения 50 000 об/мин. Испытания выявили преимущества эмалевых покрытий, заключающихся в их термич. и механич. прочности. М. Серебрякова 12550. Контроль окраски санитарных изделий. М е р-М. Серебрякова ри (Color control of sanitary ware. Меггу W. H.), Amer. Ceram. Soc. Bull., 1956, 35, № 6, 236—237 (англ.)

Описывается контроль окраски железных эмалированных изделий с помощью рефлектометра. Метод со-стоит в сравнении окраски испытуемой пластины со стандартной. Приводятся допустимые колебания от стандарта для различных цветов. Метод позволяет быстро определять разницу в окраске и ее корректировать. С. Туманов

Выбор печей в эмалировочном производстве. Вильке (Angebot und Abnahme von Öfen in der Emailindustrie. Wilke Heinz), Sprechsaal Keramik, Glas. Email, 1956, 89, № 13, 307—310 (нем.) Во избежание излишних затрат при проектировании и заказе печей необходимо учитывать их назначение, т-ру и длительность работы, кол-во, вес и габариты загружаемых изделий, наличие того или иного топлива, калорийность его и т. д. М. Серебрякова

Использование газа для эмалирования. К а п-12552. mep (The use of gas in vaitreous enamelling. C a pper H.), Industr. Gas (Engl.), 1956, 19, № 225, 287—288, 290—294, 296, 298—300, 302—306, 315 пер

Кратко описывается процесс эмалирования. Указываются возможности выгодного применения газа на эмалировочных з-дах. Описаны газовые печи для чернового обжига, котлы для получения пара для подогрева травильных вани и сушил травильного отделения, печь для сушки эмали с рекуператором, печи для об-М. Серебрякова жига эмалированных изделий.

Методы тонкой обработки 12553 K. химического стекла. (Испр. нзд.) Такаги (化學者のための硝子 細工法. (改訂版). 高木貞惠. 三共出版, 144 頁, 190個 Санкё сюппан, 1954, 144 стр., 190 мен) (янон.) 12554 К. Контроль производства в стекольной про-

мыпленности и производства в стеммини. Я ноуш ко в а, Кучера (Kontrola vyroby v průmyslu sklářském a jemné keramiky. I a n o u š-k o v á D., K u č e r a I. Praha, SNTL, 1956, 264,

(3) s., il., 14 Kčs) (чеш.)
12555 К. Плавленый базальт и его практическое применение. Коукал (Tavený čedič a jeho prakticke využití. Коика I František. Praha, SNTL, 1956, 177, (2) s., il., 7, 85 Kcš) (чеш.)

12556 Д. Влияние некоторых огнеупоров на пузыр ность многобариевых стекол. Галант Е. Автореф. дис.. канд. техн. н., Гос. оптич. ин-т. 1956.

12557 П. Получение стеклослюдяного материала (Micaceous sheets or like products) [Samica, Soc. des Applications du Mica]. Англ. пат. 732009,

Листы, ленты и прочие материалы для электрич. изоляции и других целей изготовляются из пульны, состоящей из вавешенных в воде пластинок слюды, стеклянных волокон длиной ~5 мм и соответствующего связующего. Пульна подается на бумагоделательную машину; стеклянные волокна ориентируются в направлении, обеспечивающем материалу требуемые механич. свойства.

Средства и метод наготовления непрерывных листов из измельченной слюды. Хейман (Means and method for producing a continuous sheet of integrated mica. Heyman M. D.). Англ. пат.

696992, 09.09.53

Сплошной лист, составленный из слюды, изготовляется путем восстановления кусков слюды до листочков толщиной ≥4 µ путем погружения их в испаряющуюся жидкую среду; затем сплошная струя жидкости и листочков слюды направляются в камеру, в которой листочки осаждаются, проходя через жидкость на верхнюю поверхность наклонной подвижной сетки, после чего остаточная жидкость выпаривается из осадка листочков до образования сплошного листа; наконец, указанный лист снимается с сетки. В качестве промежуточной жидкости могут использоваться вода, метиловый спирт, четыреххлористый углерод, толуол или ксилол. Приводятся схема оборудования и описание технологич. процесса. Г. Масленникова Способ производства тонкослойных фасон-

ных изделий путем формования смеси чешуек слюды и стеклянных частиц под давлением и нагревом. Альберс-Шенберг (Verfahren zur Herstellung von dünnstchichtigen Formstüchen durch Verformen einer aus Glimmerschüppchen und Glasteilchen bestehenden Mischung unter Druck und Hitze. Albers-Schönberg Ernst) [Steatit-Magnesia A.-G.]. Har. ФРГ 923013, 31.01.55 [Chem. Zbl., 1955, 126, № 30, 7053 (нем.)]

Смесь очень мелких слюдяных и стеклянных чешуек

подвергают горячему прессованию. Отношение обенх составляющих в смеси практически таково, что их общие поверхности приблизительно равны. И. Лосева Способ получения стеклянного волокна из расплавленной стекломассы (Verfahren zum Spinnen von Glas aus einer geschmolzenen Glasmasse) [Soc. per Azioni Vetreria Italiana Balzaretti Modigliani].

Пат. ФРГ 938745, 9.02.56

Способ получения стеклянного волокна из расплавленной стекломассы отличается тем, что она вытекает из фильеров не под действием собственного веса, а под

HOL

ся

CTC

бр

12

12

вр ля

пţ

MC

пр 16

PE BE ME K

HE

принудительным давлением, передаваемым на стекломассу в герметически закрытой камере. Это давление может осуществляться посредством сжатого газа или при помощи поршня из огнеупорного стеклоустойчивого материала. Такой способ подачи стекломассы через фильеры позволяет получать стекловолокно при пониженной т-ре или повышенной вязкости, а также точно регулировать кол-во вырабатываемого стекла. Давление на стекломассу передается в пределах 0,1; 0,2; 0,3 и более атм. С. Иофе

12561 П. Кремнийорганический замасливатель для стеклянного волокна (Treatment of glass fibres) [Owens-Corning Fiberglas Corp.]. Англ. пат. 729452, 4 05 55

Состав замасливателя для стеклянного волокна представляет собой водн. p-р ненасыщ. полисилоксанолата, выражающегося общей ф-лой: RSiZ₂ (OSiRZ)_n OM, где М — Na, K, Li или NH₄; R — ненасыщ. органичрадикал, содержащий < 6 атомов С в прямой цепи или >6 атомов С в цепи с циклич. группами; Z может представлять собой R или—(О—М). P-р приготовляется путем добавления одного или более силанов к сельно охлажд. p-ру гидрата окиси щелочи или NH₄, причем содержание силана составляет ~3 вес. % с рН 11—12. Перед применением p-ра в качестве замасливателя рН доводится до 5—8.

12562 П. Способ производства стеклопластиков (Method of processing glass fibre compositions) [Hawley Products Co.]. Англ. пат. 730054, 18.05.55

Нарезанные прядистекловолокна (СВ) перемешиваются в воде со смолой (С), которая добавляется к воде до или после внесения СВ в целях предохранения прядей от расщепления на элементарные волокна. С должна обладать адгезией к СВ и переходить в неплавкую стадию, находясь еще во влажном состоянии. К композиции могут быть добавлены более тонкие, пропитываемые водой различные целлюлозные волокна. Полученная композиция таблетируется и, после дополнительной пропитки С, формуется в изделия. Применяются следующие С: производные малеинового ангидрида. фталевого ангидрида, этилен - или полиэтиленгликоля в сочетании со стиролом; бутилированная меламиновая С в комбинации со С, полученной из фталевого ангидрида, глицерина и касторового масла; меламиноформальдегидная С и бутилированная меламиновая С в сочетании с поливинилацетатом. Другими мономерами, которые могут замещать стирол, являются: винилтолуол, нафталин, этилбензол, хлорбензол, ксилол, а-метилстирол, дивинилбензол, толуол, фенилвиниловый эфир и диаллилфталат. Катализаторами при отверждении С служат перекиси бензоила и ацетилбензоила, гидроперекись кумола и р-трет-бутилиербензоат; такие в-ва, как воздух, перекись водорода, перекись Na, персульфаты Na, K и аммония, перхлорат и перборат натрия. могут применяться для разрушения катализатора на поверхности покрытых С волокон, благодаря чему сохраняется их липкость и обеспечивается возможность добавки С. В состав композиции может быть добавлена некатализированная полиэфирная С. Высушивающими агентами, вводимыми одновременно с пропиткой С, являются свинцовые и кобальтовые соли 2-этилгексоновой, олеиновой или нафтеновой к-т. Пряди СВ могут подвергаться предварительной обработке, с целью повышения адгезии к С, поливинилацетатом, винилтрихлорсиланом, стеаратом хлорокиси хрома или квасцами. В С могут вводиться маслорастворимые красители, двуокись титана, мел, производные фталоцианина. Полученные стеклопластики могут применяться в бумажном произ-ве, для фильтрования масел, а также для произва формованных изделий (ящики, мебель, санки, игрушки). С. Иофе 12563 П. Процесс производства минеральной терсти. Сунт (Process for making mineral wool. S weet Everett Weldon) [Aquex Development and Sales Corp.]. Пат. США 2728949, 3.01.56

«Минеральная шерсть» (МШ), получаемая из расплавов силикатных шлаков, песка, горных пород или др. силикатных материалов путем их раздувания паром высокого давления, содержит тончайшую пыль, снижающую качество МШ, а также поглощает влагу, что ухудшает теплоизоляционные свойства МШ. Для получения устойчивой к воздействию воды гидрофобно MIII предлагается в струю пара, раздувающего сили-катный расплав, вводить гидрофобный замасливатель (ГЗ), содержащий термореактивную смолу, минер. масло и нерастворимое в воде воскообразное в-во. Этот ГЗ вводится в пар в две стадии: сначала подается диспергированная в воде смола, а затем смесь масла с воскообразным в-вом; ГЗ наносится на волокна МШ при повышенной т-ре вскоре после их формования из расплава. В качестве термореактивных смол могут применяться фенолформальдегидные, мочевиноформальдегидные, меламиноформальдегидные, алкилированные мочевиноальдегидные и меламиноальдегидные, тиоальдегидные смолы, глиоксаль и т. п. В целях ускорения отверждения смол к ним добавляется катализатор. Пля ГЗ применяются высоковязкие минер, масла с т. воспл. >205°, химически инертные в условиях их применения; наиболее подходящими для этой цели являются насыщ, углеводороды, получаемые на основе парафина; основное назначение масла сводится к осаждению пыли, образующейся при формовании МШ. В качеводостойкого компонента применяются CTRO растительный животный, любой L3: а также синтетич. воскообразные минер. воск, в-ва; вместо них предпочитают применять нерастворимые в воде мыла, образованные из жирных к-т и тяжелых металлов, напр. стеарат цинка. ГЗ представляет собой смесь, содержащую (в вес. %): колл. в-ва 1—10, поливинилацетата 1—10, воска 3—25 **п** воды, добавляемой до 100%. Описывается процесс взаимодействия МШ с ГЗ и его отдельными компонентами. Приведен перечень патентов, опубликованных по панному вопросу в 1933-1943 гг.

Данному вопросу в 1855—1845 нт. С. норе тил на поверхность стекла. Бош (Method of forming a coating of metal on glass. Во s c h C a r l) [Fox, Wells and Co.]. Пат. США 2717840, 13.09.55 Поверхность стекла предварительно очищается для удаления жира, углеводородов, и галоидсодержащих соединений; на очищ. поверхность стекла наносится ррс силиката щел. металла, а затем сплав из группы In и сплавов In с Sn, Pb, Cd, Ві, Zn. Сплав распределяется по всей поверхности стекла с образованием металлич. покрытия. И. Михайлова 12565 П. Пронаводство искусственных самоцветов. И и м о р и (裝飾石の合成製造法・飯盛里安). Япон. пат. 88, 17.01.55

Исходными материалами являются кварц, полевой шпат, глинозем, известняк, соединения Zn, карбонаты щел. металлов, Ва и Мg; минерализаторами служат борная к-та, бура, плавиковый шпат, фториды Mg, Al и щел. металлов, криолит, фторосиликаты, сульфиды щел. металлов, криолит, фторосиликаты, сульфиды щел. металлов, калийная селитра или поваренная соль. В качестве компонентов, повышающих светопреломляемость искусств. самоцветов, применяются окиси Ве, редкоземельных элементов, Zr, Th или Pb, фосфаты Mg, Са и щел. металлов. Шихта, составленная из нескольких компонентов, сплавляется при 1150—1450°. Твердость искусств. самоцветов 5,5—6,0 по шкале Мосса; уд. в. 2,72; показатель преломления 1,525. С. Иофе 12566 П. Ванная стекловаренная печь с промежуточной стенкой, служащей порогом. А рбейт,

Г.

ep-

e t and

ла-

др.

MOG HII-

OTP

по-

KOB

ли-

ель iep.

TOT

цис-

30Cпри

oac-

IMe-

ьпе-

ные ль-

HES

rop.

CT.

pu-

зля-

pa-

HMD

aye-

отся или

ные

pac-

ных

ред-

олл.

5 n

песс

ненх по

1офе

тог-

9.55

для

иих

p-p

In n ется лич.

лова.

TOB.

пат.

евой

наты

ужат

, Al

оль.

ляе-

Be,

Mg, ольверoca;

Иофе

ежу-

йт,

Ла-Бюрт (Vannugn för glasframställning med tröskelbildande mellanvägg. Arbeit P., LaBur-the P.) [Soc. An. des Manufactures des Glaces et Produits Chimiques de Saint-Gobain, Chauny & Cirey]. Швед. пат. 149771, 26.04.55

Ванная стекловаренная печь, состоящая из двух бассейнов, разделенных промежуточной стенкой, отличается тем, что часть стенки, образующая порог, со-стоят из угольных, преимущественно графитовых, брусьев. К. Герпфельд брусьев.

12567 II. Усовершенствование машин для прессования стеклянных изделий (Perfectionnements aux machines pour le moulage sous pression d'objets en verre) [Soc. Verreries Charbonneaux). Франц. пат. 1099104, 16.07.55 [Verres et refract, 1956, 10, № 1, 18—19

(франц.)]
Предлагается конструкция пресса для формования стеклянных изоляторов с внутренней винтовой нарез-

Вставки для форм в механизированном производстве полых стеклянных изделий (Körper zur Herstellung von Behälterglas auf vollautomatische Art) [Firma C. Conradty]. Пат. ГДР 10222, 19.08.55

В целях предохранения металлич. форм от преждевременного износа идля улучшения качества полых стеклянных изделий предлагается помещать внутри металлич. форм сменные вставки из угля, графита, электрографита или смеси этих в-в. Материал вставок должен обладать следующими свойствами: теплопроводность ~80 ккал/м·час·град, твердость по Бринеллю H_В≥30, прочность на растяжение ≥300 кг/см², устойчивость к окислению при т-ре ≥800°. Сменные вставки могут состоять из отдельных частей, изготовляемых из различных материалов. C. Hode

Способ удаления твердых налетов с металлических форм для выработки стекла. Б у р ж о (Sätt att avlägsna fasta beläggningar, som häfta vid metallformar för glasframställning. Bourgeaux M. M.E.) Soc. An. des Manufactures des Glaces et Produtts Chimiques de Saint-Gobain, Chauny & Cirey]. Швед. пат. 151581, 20.09.55

Способ удаления твердых налетов с металлич. форм при выработке стекла отличается тем, что налеты удаляют действием ультразвуковых колебаний частотой 16 000-50 000 кол/сек, передаваемых через жидкость, в которую погружена металлич. форма, причем энергия колебаний должна быть ≥ 2 ет/см² активной поверхности генератора колебаний. К. Герцфельд

2570 П. Метод и аппаратура для окончательной от-делки стеклянных колб. Хассид, Мальдер (Method of and apparatus for the finishing of glass and like bulbs. Hassid M. A., Malder K. [Dema Glass, Ltd]. Англ. пат. 732771, 29.06.55 K. H.)

С машины для обработки стеклянных колб (К) с внешним и внутренним покрытиями К поступают на конвейер, где они устанавливаются для промывки внутренней поверхности, заливки р-ром соли Ag и восстановителем. Вся последующая обработка K на конвейере механизирована. При помощи кулачкового механизма К встряхиваются перед удалением р-ра Ад. Жидкость вагнетается внутрь К при помощи насоса, обеспечиваю-щего вертикальное направление струи. М. Степанова 12571 П. Способ повышения кислотоустойчивости

стекловидного красителя. Андрюс, Меррей (Method of improving acid resistance of glass color. Andrews Ray, Murray Robert S.) [B. F. Drakenfield 8c Co.]. Пат. США 2724662,

Способ повышения кислотоустойчивости стекловидного содержащего свинец красителя заключается в том, что он наносится на керамич. изделие, с которым он может сплавиться. Изделие с нанесенным на него красителем нагревается до т-ры сплавления последнего, после чего краситель становится столь текучим, что он распространяется на всю покрытую поверхность издераспространител на выстранции и менее 5% водяного пара.
И. Михайлова

См. также: Опред. однородности стекольных и эмалевых шихт 12001. Опред. На в стекле 12037, Al 12057, Al n Fe 12128

Керамика

Редакторы П. П. Будников, С. В. Глебов, С. И. Горелкина, В. В. Клыкова

12572. Отчет о поездке в США для ознакомления с керамической промышленностью. Розентань (Report on a study trip to the U.S. A. in the field of ceramics. Rosenthal B.), Bull. Ceram. Res. Ass., 1955, № 7, 5 (иврит.; рез. англ.)

2573. Об организации фарфоровой фабрики. В у лька и (Zur Organisation der Porzellanfabrik Langenthal A.-G. Wulkan F.), Techn. Rundschau, 1956, 48, № 34, 5,7 (нем.)

Описываются процессы, оборудование и организация произ-ва на з-де фирмы Langenthal, выпускающем хо-зяйственный и технич. фарфор. Г. Масленникова Керамическая промышленность Израиля и ее развитие. Коэп (The ceramic industry in Israel and its development. Соhеn К.), Bull. Ceram. Res. Ass., 1954, № 6. 26—33 (нврит.; рез. англ.) 2575. Производство санитарной керамики в Ю.

- (Vaal Potteries .-), S. Afric. Ind. and Trade, 1956, lune, 29-31 (англ.)

Дается краткое описание произ-ва санитарной керамики на расширенном и реконструированном предприятии Vaal Potteries Ltd с применением литейного конвейера и туннельных печей для обжига изделий.

Контроль процесса изготовления качественной продукции.— (Process control for a quality product.—), Ceramic Age, 1956, 67, № 5, 16—18 (англ.) Дается краткое описание хранения и транспортировки сырых материалов, очистки жирных глин, смещения компонентов, приготовления литейного шликера и отливки санитарных изделий на современном з-де Абингдон (США). С. Туманов

Определение упругих свойств стекла и тонкой керамики ультразвуковым импульсным методом. Келер Э. К., Козловская Е. И., Носи-ков О. В., Стекло и керамика, 1956, № 5, 7—13

Проведены исследования упругих свойств стекла и тонкокерамич. материалов импульсным ультразвуковым методом, разработанным С. Я. Соколовым, основанным на периодич. посылке коротких ультразвуковых импульсов с последующим приемом их после прохождения заданного расстояния в образце. При измерениях регистрируется время t, необходимое для прохождения ультразвуком пути S, и определяется скорость распространения ультразвука. По соответствующим ф-лам определяются модуль сдвига G, модуль упругости Е и коэфф. Пуассона и. При проведении работы был использован дефектоскоп системы С. Я. Соколова УЗД-12. В качестве образдов служили бруски $30 \times 30 \times 200$ мм и $30 \times 30 \times 100$ мм и круглые стержни d = 20 - 30 мм и l-500 мм из стали У-10 (эталоны), стекла (оконного и оптич.) и керамики (технич. н изоляторного фарфора, радиокерамики). Установлено, что упругие константы исследованных материалов, определенные ультразвуковым импульсным методом, достаточно близки по своим значениям к известным из литературных источников. Расхождение значений модулей G и E для одного образца колеблется в пределах $1-2.5\,\%$ для G и до 4% для E. Различные образцы из одного и того же материала имеют разброс в значениях G 1,2-13,5 % и E 3,0-14,5. При изучении влияния т-ры на упругие свойства керамики и стекла не обнаружено их изменения вплоть до т-ры появления пластич. деформаций, Г. Масленникова

2578. Влияние аллотропических форм кремне-зема в составах каменных изделий. Часть І. Образование волосяных трещин. Рай, Дас (Effect of allotropic forms of silica on ceramic white ware. Part I. Grazing. Ray R. N., Das S. s.), Indian Ceram., 1956, 3, № 1, 29—42 (англ.)

Изучалось влияние замены кварца (уд. в. в составах массы и глазури каменных изделий на SiO₂ с уд. в. 2,45; 2,40; 2,32. Многочисленные образцы подвергались автоклавному опробованию, кольцевому испытанию, определению величины термич. расширения, пористости. Установлено, что параллельно снижению плотности SiO2 увеличиваются стойкость глазурного покрова к растрескиванию, так, образец с 35 вес. ч. SiO₂ уд. в. 2,34 выдержал большее кол-во циклов автоклавных испытаний. С. Туманов

2579. Электрокерамика с малыми диэлектрическими потерями. Часть I (Verlustarme Elektrokeramik. Forschrifte in Entwicklung und Herstellung. I. Teil.), Keram. Z., 1955, 7, M 6, 276—280 (нем.)

Обзор. Исследовательские работы по изучению кера-мич. материалов с низким tg 8: кордиеритовых, стеатитовых, пирконовых и волластонитовых. Рассматриваются их составы, действие добавок на свойства готового продукта, влияние технологич. факторов (тонины помола и предварительного обжига), приводятся т-ры об-Г. Масленникова жига, электрич. и физ. свойства. Изучение микроструктуры керамики титаната

бария. Кулчар (A microstructure study of barium titanate ceramics. Kulcsar Frank), J. Amer. Ceram. Soc., 1956, 39, № 1, 13—17 (англ.)

Образны приготовлялись с помощью обычной керамич. технологии и имели состав: ВаТіО₃, ВаТіО₃ с избытком ВаО и ВаТіО₃ с избытком ВаО и ВаТіО₃ с добавкой СаТіО₃. Т-ра обжига составляла 1460—1555°, атмосфера при обжиге в некоторых случаст была окислительной, в некоторых случаях — восстановительной. Образцы полировались, фотографировались при увеличении до 2000, затем протравливались и опять фотографировались. Полирование производилось сначала с помощью наждачной бумаги и керосина, а затем с использованием алмазной пасты и керосина. Для тра-вления использовалась смесь p-poв HCl и HF (в большинстве случаев смесь имела состав: несколько капель 48%-ного p-ра Н F на 100 мл 5%-ного p-ра НС1). Фотографии образцов до травления позволяют наблюдать микропористость и наличие других фаз. На фотографиях протравленных образцов можно видеть доменную структуру, форму и размеры кристаллич. зерен, наличие других фаз. В результате более слабого действия травителя на ВаТізО, и ВаТіОз, имеющий гексагональную структуру, в некоторых образцах были об-наружены эти фазы. Н. Крайник наружены эти фазы. Усовершенствованный диэлектрик, разрабо-

танный Бюро стандартов США. — (Improved piezoelectrics developed by Bureau of Standards.—), Ceramic Age, 1955, 66, № 4, 30—31 (англ.)

Для замены титаната Ва, применение которого ограничено его низким температурным интервалом (20-100°), разработана новая керамика с высокими пьезоэлектрич. свойствами на основе титаната Pb (I) и цирконата Pb II. Оптимальная композиция имеет состав: 45% I и

55% II. Точка Кюри этого материала 340° и значитель но выше точки Кюри титаната Ва 120°. Высокая точка Кюри значительно расширяет температурную область использования этой керамики в качестве преобразователей для различных целей. I—II имеет коэфф. радиальней связи больше, чем 0,3 при 275°, и пьезоэлектричмодуль g₃₁ равен 11,7 × 10³ см/ньютон. Композиция состава 47,25% I, 22,75% II и 30 % окиси Sn — окиси ${
m Pb}$ имеет наиболее высокий пьезоэлектрич. модуль d_{31} 74×1012 к/ньютон. Высокое значение модуля позволяет использовать этот материал в качестве источника или генератора механич. колебаний. Г. Масденникова 582. Устройство для изучения диэлектрических свойств твердого тела. Гаррис, Василос, Бретвилл (Sample holder for the determination

of dielectric properties of solids. Harris E.D., Vasilos T., Bretteville A.P.de, Jr., Amer. Ceram. Soc. Bull. 1955, 34, No. 10, 332—333

(англ.)

Описывается устройство для одновременного определения диэлектрич. проницаемости є, тангенса угла диэлектрич. потерь tg8 и зависимости поляризации от напряженности переменного электрич. поля при наложении переменного и постоянного электрич, поля с напряжением между электродами до 1000 в в интервале т-р от —180 до 200°. Устройство особенно рекомендуется для изучения свойств сегнетоэлектриков и антисегнетоэлектриков, которые имеют фазовые переходы в этой области т-р. Образец помещается в латунную камеру, которая присоединяется к насосу, создающему предварительный вакуум, или наполняется предварительно просушенным инертным газом. Электродами служат медный посеребренный цилиндр и Си-стержень, оканчивающийся посеребренной полусферой, который прижимается пружиной к образцу. Нагревание образца производится с помощью электрич, нагревателя, помещенного внутрь камеры; охлаждение - путем погружения камеры в дьюар с жидким азотом. Скорость изменения т-ры может регулироваться изменением силы тока нагревателя, глубиной погружения камеры в дьюар и изменением давления газа внутри камеры. Т-ра измеряется термопарой, один спай которой вмонтирован в электрод на расстоянии 0,75 мм от поверхности образца. В соединении с мостом, измеряющим емкость и tg 8, нулевым индикатором которого служит осциллограф, включенный через усилитель, устройство позволяет измерять емкость с точностью $\pm 1.10^{-2}$ $n\phi$ и tg δ с точностью $\pm 1.10^{-4}$. Межэлектродная емкость вместе с емкостью вводов не превышает 5 пф. Н. Крайник

Роль доменных процессов в поликристаллическом титанате бария. Мак-Куорри (Role of domain processes in polycrystalline barium titanate. McQuarrie Malcolm), J. Amer. Ceram.

Soc., 1956, 39, № 2, 54-59 (англ.)

Рассматривается теория магнитных доменов под углом зрения ее сравнения с сегнетоэлектрич. явлениями. Суммируются имеющиеся данные о доменных процессах в титанате Ва и делается попытка использовать эти данные для объяснения механизма некоторых электрич. процессов в титанате Ва. При этом предполагается, что начальная диэлектрич. проницаемость материала (при малом переменном поле) обусловлена главным образом индуцированной поляризациейи, в некоторой степени (~20%), движением в направлении поля 90°-ных доменных стенок; последнее обстоятельство является главной причиной наличия диэлектрич. потерь при 1000 гч. Процесс поляризации для придания материалам пьезоэлектрич. активности представляется как смещение 180°-ных доменных стенок в направлении поля, сопровождаемое временным движением 90°-ных до-менных стенок. Процесс старения трактуется как поTh

ТЬ

вапь-

14.

MA ICH

 d_{31}

пет

ова

KHX

ion

D.,

r.),

пре-

H OT

алоія с вале

цует-

ncer-

ты в

о ка-

щему

вари-

кень,

орый

браз-

я, по-

и по-

рость

силы

ры в . Т-ра

нтиро-

CHOCTH

икость ит ос-

ойство

2 ng H

ть вме-

райник алличе-

tole of

tanate. Ceram.

под уг-

ениями. процес-

ать эти

ектрич. тся, что

ла (при образом

степени

ных до-

вляется

ерь при

материа-

как сме-

ии поля,

ных до-

как по-

степенное возвращение 90°-ных доменных стенок в прежнее (до поляризации) положение. А. Черепанов 12584. Влияние нагрева на диалектрические свойства

2584. Влияние нагрева на диалектрические свойства керамических материалов. I.— (Effect of heat on the dielectric properties of ceramics. A survey of recent experiments. I.—), Ceramics, 1955, 7, № 73, 33—35 (авгл.)

Излагаются результаты некоторых исследований влияния стекловидной фазы на диэлектрич, свойства керамич, материалов. Для исследования было взято стекло, при зарухании которого образуется метатан-талат Na. Изучена скорость роста кристаллов метанталата Nа и измерена диэлектрич. проницаемость материала в интервале т-р 25—500°. Установлено, что скорость роста кристаллов зависит от вязкости стекла, степени его переохлаждения, от т-ры ликвидуса и кол-ва материала, способного кристаллизоваться. Скорость роста кристаллов R может быть выражена ур-нием R=K $(1/\eta)^2 \ (T_A - T)$, где K — константа, η — внзкость, $T_A -$ т-ра ликвидуса, T — т-ра опыта, $(T_A - T)$ степень переохлаждения. Ур-ние оказалось также применимым для оценки скорости роста кристаллов в нат-риево-известковых силикатных стеклах. Рассмотрены факторы, влияющие на диэлектрич, потери керамич. материалов и стекол (присутствие щел. ионов, т-ра, вязкость, дефекты в кристаллич. структуре и др.). Изучена зависимость величины электрич. сопротивления натриево-силикатного стекла от продолжительности отжига при 580°. Измерено электрич. сопротивление для стеклообразных и кристаллич. кварца и полевого шца-та: кристалл 3,3·10³ Мом, стекло 7,0·10-² Мом. Кратко изложены результаты влияния щелочей на диэлектрич. свойства фарфора и влияние термообработки титансодержащей керамики на ее свойства. А. Борисенко

2585. Зависимость диэлектрических свойств керамики ВаТіО₃ на высокой частоте от технологии приготовления образцов. Еже вский, Псх (Dependence of the dielectric properties of ceramic BaTiO₃ for high frequency currents on the technology of the preparation of samples. Jeżewski M., Piech T.), Acta phys. polon., 1955, 14, № 5, 395—405 (англ.;

рез. русс.)
С помощью обычной керамич. технологии приготовлено 4 группы образцов ВаТіО₃ (А, В, С, D). Каждая последующая получена из предыдущей путем размельчения, прессовки и повторного обжига при т-ре~1350°. Выдержка образцов А, В, С при максим. т-ре составляла 4 часа, образцов D — 8 час., общее время нахождения в печи образцов А, В, С равинлось 18 час., D — 130 час. Абс. пористость составляла (в %): образцов А 61, В 20, С 19, D 11,7. Измерения диэлектрич. проницаемости ε и коэфф. диэлектрич. потерь tg 8 проводилось резопансным методом на частоте 5 Мец на специально разработанном приборе. Максим. ε образцов D в 2 раза больше, чем у образцов В и С, достигает 8000, и образцов В в 10 раз больше, чем А. Максим. ε образцов В и С мало отличается. tg8 проходит через минимум в области т-р 70° и затем через максимум при т-ре, несколько меньшей т-ры Кюри. У образцов В максимум лежит ближе к т-ре Кюри. У образцов А. Н. Крайник

12586. Пьезоэлектрическая керамика. Смит (Piezoelectric ceramics. Smith Paull.), Prod. Engng,

1954, 25, № 10, 161—165 (англ.)
Пьезоэлектрическая керамика на основе титаната Ва (I) готовится с помощью обычной керамич. технологии. Может быть использована техника простого литья, литья с центрифугированием, выдавливания, но навболее воспроизводимые результаты получаются при применении сухого прессования (давл. 200 кг/см²).
Т-ра обжига составляет ~1400° с выдержкой 2 часа.

Электроды наносятся электролитически, напылением или вжиганием серебряной пасты. Затем образцы поляризуются электрич. полем ~ 20 кв/см при комнатной т-ре в течение 20—30 мин. или в более низких полях с нагревом до 130° и охлаждением в поле. Образцы могут иметь различную форму и размеры. Пьезоэлектрич. керамика характеризуется компонентами пьезомодуля d (заряд на единицу площади, производимый единичным усилием) или в (разность потенциалов на единицу толщины, производимая единичным усилием), а также коэфф. электромеханич. связи К (корень квадратный из отношения полученной мощности к мощности затраченной). Для применения в акустике необходимо знать значения двух компонент пьезоконстант. При комнатной т-ре пьезоконстанты I имеют следующие значения: ной т-ре пьезоконстанты и вмеют следующие значеным: $d_{33} = 190 \cdot 10^{-12} \ (\kappa/ньютон); g_{33} = 0,013 \ (см/ньютон); /м); K_{33} = 0,5; d_{31} = 78,10^{-12}; \kappa/ньютон); g_{31} = 0,005 \ (см/ньютон); K_{31} = 0,22. В I, кроме фазового перехода при 120°, при которой пьезоэффект исчезает, наблюдается переход при 10°. Для ружеличения стабыль$ ности к I добавляют небольшие кол-ва СаТіОз или Рь-TiO₃. Пьезокерамика применяется в фонографах, микрофонах, гидрофонах, акселерометрах, в ультразву-ковых излучателях и приемниках и т. д. Ультразвуковая энергия используется для эмульгирования жилкостей, стимулирования или подавления развития бактерий, смешивания красок, ускорения хим. р-ций и т. д. Н. Крайник

12587. Ферроэлектрические керамические материалы. X е р ш п в н г (Ferroelektrische keramische Werkstoffe. H e r s р i n g A l f o n s), Elektrotechn. Z., 1956, A77, № 2, 53—58 (нем.)

Рассматриваются основные свойства ферроэлектрич. керамич. материалов, главным представителем которых является ВаТіОз. Эти материалы как диэлектрики с высокой диэлектрич, постоянной в имеют большое значение для конденсаторов в тех случаях, когда наряду с стабильностью в и допустимыми диэлектрич. потерями выдвигается требование высокого значения емкости конденсаторов малых габаритов. Широкому применению этих материалов противостоят такие свойства, связанные с ферроэлектрич. явлениями, как зависимость в от тры и равномерности поля, изменение с от времени (старение), относительно высокие потери и недостаточный пьезоэлектрич. эффект. Указывается, что исследовательские работы по ВаТіОз направлены на повышение стабильности его электрич. характеристик. Приводятся данные по изменению температурной зависимости в смешанных титанатов состава: (BaPb) (TiSn)O₃, BaTiO₃—CaTiO₃—SrTiO₃, BaTiO₃—CaTiO₃—BaZrO₃— -CaZrO3, крупно- и тонкокристаллич. ВаТіО3, а также данные по изменению т-ры Кюри и старения диэлектри-ков в зависимости от состава. Улучшение свойств ферромагнитных керамич. материалов может быть достигнуто путем использования новых материальных и структурных видов. Г. Масленникова

2588. Приготовление и свойства керамических постоянных магнитов. Гордон (Preparation and properties of a ceramic permanent magnet. Gordon Irwin), Amer. Ceram. Soc. Bull., 1956, 35, № 5, 173—175; Ceramics, 1956, 8, № 89, 112—114, 117 (англ.)

Среди синтетич. материалов особый интерес представляют соединения общей ф-лы xFe₁₂O₁₉ (где x могут быть Ba, Sr или Pb), обладающие свойствами постояных магнитов. Следовательно, наряду с магнитномигкими керамич. материалами, типичным представителем которых является маргандово-цинковый феррит, имеется группа магнитножестких материалов, среди которых особого упоминания заслуживает гексаферрит бария Ва Fe₁₂O₁₉. Основное отличие Ва Fe₁₂O₁₉ от магнитомягких материалов заключается в их кристаллич.

C!

66

III TO

31

K

61

II,

30

o_c

ca

m

структуре: ферриты имеют куб. структуру, Ва Fe₁₂O₁₉гексагональную. Магнитная анизотропия, характерная для гексагональных кристаллич, решеток, обусловливает наличие свойств постоянного магнита у Ва Fe₁₂O₁₉. Остаточный магнетизм зависит от плотности материала. Ва Fe₁₂O₉ был получен обжигом: 1) прессовок из смеси исходных окислов; 2) прессовок из предварительно прокаленной и тонкоизмельченной смеси окислов того же состава; 3) прессовок, в которых во время прессования и спекания производилась ориентация частиц с помещью постоянного магнитного поля. Материал, полученный по 3-му свособу, отличается наименьшей коэрцитивной силой и наибольшим остаточным магнетизмом. Материалы синтезировались из карбоната бария и окиси железа методами обычной керамич. технологии. Размер частиц после помола доводился до 0,5-1,0 µ. Масса замешивалась на органич, связке, прессование велось под давл. 800—1600 кг/см2, термообработка велась при 1225°. Время обжига составляло немногим больше 1 часа. Синтезируя материалы с желасмой коэрцитиввой силой и остаточным магнетизмом, можно получать образцы с высокой магнитной энергией. А. Борисенко 12589. Применение керамических материалов в ядерных энергетических установках. Мак-Крейт, Соуман (Ceramics for nuclear power applications. М c Creight L. R., Sowman H. G.), Amer. Ceram. Soc. Bull., 1956, 35, № 5, 176—179 (англ.) Обзор. См. также РЖХим, 1954, 47025.

А. Борисенко 12590. Керметы для применения при высоких температурах. Нортон (Cermets... for high-temperature service. Norton J. T.), Mech. Engng, 1956, 78, № 4, 319—322. Mach. Design, 1956, 28, № 8, 143—

146, 148 (англ.)

Рассматриваются свойства и области применения при высоких т-рах изделий из керметов (1). Наиболее распространены I на освове карбида Ті, связанного металлич. связкой. Содержание связки обычно берется 50 вес. %. В качестве связки рекомендуется применять Ni-Co-Cr-сплав, содержащий 3 ч. Ni, 1 ч. Со и 1 ч. Cr по весу. При комнатных т-рах увеличение содержания связки с 30 до 60% увеличивает прочность как при растяжении, так и изгибе. При высоких т-рах (напр., 1000°) наибольшую прочность при растяжении имеют I, содержащие миним. процент связки (30%). Изучение свойств боридов переходных металлов показывает, что на их основе могут быть также получены 1 с удовлетворительными свойствами. Представляют наибольший интерес I на основе боридов Zr и Cr, которые известны под названием «боролит». І на основе борида Zr имеют удовлетворительную прочность при т-ре ~1100°. При этих т-рах их устойчивость против окисления такова, что они могут служить 200 час. без разрушения. Сопротивляемость против окисления I на основе борида Ст еще выше. Особый класс I составляют I на основе окислов металлов, связанных металлич. связкой. Некоторое распространение из I этого класса получили I жа смеси 30% Al₂O₃ с 70% Ст (по весу). Изделия из I этого состава имеют высокую устойчивость против окисления при т-рах ~1200° и удовлетворительную механич. прочность, однако механич. прочность их ниже, чем у І на основе карбида Ті. Разрабатываются также І на основе интерметаллидов, напр. на основе NiAl, MoSi2, С. Тресвятский Cr₂Ti и др.

12591. Улучшенные метолы нанесения керметов. Лорант (Cermets. Details of some improved application methods. Lorant Michael), Sheet Metal Inds, 1956, 33, № 348, 247—249 (англ.)

Рассматриваются методы нанесения предохранительвых покрытий (ПП) на металлич. изделия. Для приготовления ПП рекомендуется применять смеси Cr-B-Niворошка с керамич. фриттой и глиной. ПП такого со-

става, нанесенные на металл, после обжига обладают отличной термич. устойчивостью и достаточно упруги. Для нанесения ПП рекомендуется следующий состав (в вес. ч.): Cr-В-Nі-порошок 18, фритта № 332 в порошке 2. глина, применяемая при эмалировании, 1, вода 5. При нанесении ПП толщиной с.1-0.17 мм смесь необходимо размалывать 1 час, а для ванесевия ПП<0,1 мм-Уд. вес эмалевого должен быть соотве: час. шликера размола соответственно 3.25 m 2,60 г/см³. Обжиг нанесенных покрытий должен производиться при 1038—1150° с выдержкой до 2 мин. При нанесении ПП на жаропрочные сплавы обжиг ПП может производиться в среде воздуха, а при нанесении на легко окисляющиеся металлы, напр. Мо или Fe.в защитной газовой среде. ПП этого типа удовлетворительно защищают низколегированную сталь от окисления в течение 800 час. при \$15°. С. Тресвятский Эффективные материалы для строек Москвы. Дикерман Н., Строит. материалы, изделия ж конструкции, 1956. № 7, 6—9

Помимо увеличения продукции обычных стройматериалов, в шестой пятилетке предстоит освоить произво новых эффективных изделий, позволяющих осуществить индустриализацию строительных работ, 40% продукции кирпичных з-дов Главмосстройматериалов в период 1956-1960 гг. будет вспользовано в виде крупных кирпичных блоков. Началось изготовление стеновых и престеночных крупных блоков из кирпича. а также фундаментальных блоков иля стен полвалов. Для облицовки этих блоков предполагается использовать главным образом лицевой кирпич, а также белую керамику, семищелевые камни, малогабаритную плитку и т. д. Произ-во лицевого кирпича достигнет в 1960 г. 20% общего выпуска кирпича. Предвидится также выпуск цветного и офактуренного кирпича. Развивается произ-во легких бетонных заполнителей: освоено произ-во керамзитгравия (об. в. 0.7-0.8) во вращаюшейся печи. Разрабатывается новый материал — глинопенсстекло из подмосковных глин с добавкой болотной руды с об. в. 0.35-0,40, теплопроводностью 0,08-0,09, сопротивлением сжатию 100-110 кг/см2 и легко распиливающийся. Для более широкого внедрения пеностекла в строительство для его произ-ва приспособляется кирпичеобжигательная туннельная с применением разборных керамич. форм. Созданы новые типы перегородочных плит из двух листов органич. сухой штукатурки с внутренними древесноволов-нистыми прокладками высотой 4 мм, образующие ячейки в виде сот. Начато произ-во двухребристых корытообразных гипсовых плит с воздушной прослойкой. С глазурованными облицовочными плитками начинают конкурировать более дешевые крашеные эмалированные асбестофанерные и древесноволокнистые плитки. Вместе с этим стали выпускаться глазурованные плитки толщиной 3.8—4.0 мм, что повлекло удешевление их продукции на 10—15%. А. Говоров А. Говоров 12593. Влияние распределения пустот в керамических

изделиях на их морозостойкость. Бергман (Der Einfluß der Hohlraumverteilung in keramischen Erzeugnissen auf deren Frostbeständigkeit. Bergmann K.), Ziegelindustrie, 1956, 9, № 8, 253—262

Морозостойкость (М) кирпича и черепицы зависит от характера распределения пор в черепке, их размеров и строения. Эти факторы не могут быть определены по водопоглощению, поэтому коэфф. М (КМ) не может служить критерием M, тем более, что КМ при заморажива-нии (3) изменяется. Характер изменения КМ после 3 также не отражает М. Хорошая М может быть как у образцов с повышающимся при 3 КМ, так и с понижающимся и неизменным. Морозостойкой можно считать черепицу, КМ которой после 3 ≤0,9. При оценке М

107

TH.

Tan

шке

1 5. еоб-

M-

осле

25 m

жен

ANH. пп

нии

e .--ODM-

сле-

КИЙ

KEM.

R R

йма-

00И3-

уще-

40%

алов

руп-

сте-

пича,

лов.

пьзо-

елую

ІЛИТ-

er B

так-

азви-

свое-

шаю-

глиолот-

,08-

легко

я пе-

испо-

печь

Ы НО-

орга-

олок-

ячей-

рыто-

йкой.

инают анны•

Вме-

литки

ие их

BODOB

неских

Man

ischen

e r g-3—262

ависит

вмеров

ены по

ет слу-

жива-

осле 3

как у

ижаю-

читать

нке М

по КМ после З необходимо принимать во внимание структуру черепка. Ангобированная черепица более морозостойка, чем простая, даже в тех случаях, когда ее черепок имеет более высокое водопоглощение. Если пористость ангобированной черепицы очень велика, то при З ангоб скалывается. Кирпич ручной формовки более морозостоек, чем машинной, так как 1-й имеет замкнутые поры, в 2-й — соединенные друг с другом каналы. Черепица, изготовленная на лентпрессе, имеет однородную структуру, различие между размерами пор и капилляров невелико, но строение основного тела ее плотнее, чем шипа. При 3 происходит растрескывание в месте перехода. М черепицы зависит от дисперсности. Черепица, изготовленная из глины с большим содержанием частиц размером 2—20 µ, неморозостойка. Невелика М слабо обсжженных изделий. Введение вглину выгорающих добавок улучшает М. На стеклянвых моделях изучался механизм заполнения водой пор и капилляров разной формы и влияние степени заполнения на их растрескивание при 3. Приведены микрофотографии тенких шлифов черепицы с разной структурой до и песле 3. турой до и после 3. 12594. Двухгодичный опыт наблюдения за качеством

стенового кирпича в связи с рекламациями. Мак Erfahrungen anläßlich Mauerziegelreklamationen in 2 Jahren der Güteüberwachung. Maack Paul), Ziegelindustrie, 1956, 9, № 13, 491—495 (нем.) Почти во всех случаях рекламаций кирпичные стены промокали из-за неправильного подбора р-ра для кладки и расшивки швов. Предлагается классифицировать стеновой кирпич по абс. водопоглещению (в г на 1 шт. кирпича), подобрать к каждому типу свей р-р и издать точные инструкции по изготовлению каждого типа стенового кирпича. 5995. Строительный кирпич. Гранж (La brique pleine élément de construction. Grange P.), Terre

cuite, 1954. № 29, 27—32 (франц.) Проведено сравнительное определение пористости ппрочности 73 партий нормального и пустотелого (дырчатого, средняя пустотность 30 %) строительного кирпича (СК) французских з-дов, изготовленного способаин: а) полусухого прессования (7 партий); б) пластич. формования на вертикальных глиномялках (10 партий); в) на ленточных прессах (26 партий нормального кирпича и 30 партий дырчатого). По французским нермам AFNORP 13-301 СК должен обладать следующими свойствами: перистесть < 18%, предел прочнести при сжатин ($\sigma_{\rm CK}$ в $\kappa e/c M^2$): класс А в среднем 350, но не <250, класс В соответственно 250 и 125, класс С 125 и 60, класс Д 60 и 40, пустотелого кирпича класса В 200; размеры СК $220 \times 110 \times 60$ мм. Средние значения пористости СК составляли: полусухого прессования 12.5%, пластич. (на вертикальных глиномялках) 13,7% и пустотелого кирпича пластич. формования 11.8%; лишь некоторые партии СК из областей Средиземноморского района и Эльзаса имели пористесть 20-30% за счет повышенного содержания в сырье СаО. осы оказался равным (в ке/см2): СК полусухого прессования 227; пластич. прессования: на вертикальной глиномялке 230, на лентпрессе 323, а пустотелого (за вычетом влияния пустот) 320. Был изучен также разброс значений $m = (\sigma_{_{\mathrm{CHF}}\ \mathrm{Marc}} - \sigma_{_{\mathrm{CHF}}\ \mathrm{MBH}}) / \sigma_{_{\mathrm{CHF}}\ \mathrm{средн}}.$ Коэфф. т колебался в пределах 0,21-1,19, т. е. был весьма высоким; для СК из ленточного пресса *т* оказался равным 0,46—0,51, что свидетельствует о преимуществе этого вида произ-ва СК во Франции. Хороший контроль произ-ва на всех стадиях должен привести к уменьшению коэфф. т для СК, изготовленного по всем способам произ-ва. С. Глебов Нилсон 2596. Сушка строительного кирпича. Нилсон (The drying of building bricks. Neilson J. F.), Clay Prod. J. Australia, 1954, 21, No. 8, 7-9, 11, 13, 15, 17 (англ.)

2597. Сушка — узкое место при производстве кир-пича. Вергмаи (Die Trocknung — ein Engpaβ der Ziegelindustrie. Вегд mann K.), Ziegelindust-rie, 1954, 7, № 17, 684—689 (нем.)

Сухое прессование и обжиг в туннельной печи. Бенда (Trockenpressung und Brennen im Tunnel-ofen. Benda L.), Sprechsaal Keramik, Glas, Emsil, 1955, 88, № 8, 165—169 (нем.) Отмечается недостаточное использование туннель-

ных печей в произ-ве строительной керамики в ГДР. Рекомендуется применение метода полусухого прессования как наиболее экономичного. Н. Фельдман

2599. Обжиг кирпича, сформованного с выгераю-щими добавъами. Матьяшовский - Жол-цаи (Das Brennen von Ziegeln mit eingeformten Brennstoff. Mattyasovsky-Zsolnay Tho-mas), Epitöanyag. 1955, 7, № 5, 172–181 (венг.); Silikattechnik, 1956, 7, № 1, 23–26 (нем.)

Указывается на преимущества введения в кирпич выгорающих добавок. В качестве добавок пригодны угольная пыль, зола паровозов и ТЭЦ, котельный шлак, кексик, шлак печей, древесные опилки, пеньковая и льняная труха, лен, а также рисовая шелуха. Приводятся способы приготовления, дозировки и замещивания заполнителей. Разбираются процессы, протекающие при обжиге материалов с высоким содержанием СаСО₃ и Fe. Д. Пюшпеки

12600. Отопление с помощью механических стокеров промышленности. Кертис, керамической AHCTH (Mechanical stoker firing for the clay industry. Curtis W. J., Anstee J.), Claycraft, 1955, 28, № 5, 310—315 (англ.)

Доклад на заседании сотрудников филиала Института керамич. технологии по вопросам экономики теплива, размещения стокеров, тяги, регулировки, безопасности и возможности применения подсвых наборов. Указываются причины введения автоматич, стскеров с нежним питанием и описывается принцип их действия. Задавшись максим. т-рой и подъемом ее, определяют нужное число стокеров. Их кол-во предлагается в зависимости от внутреннего диаметра кольцевых печей. Механизмы выгодно располагать по периферии на одинаковом расстоянии, вблизи проемов. Реторты лучше всего помещать внутри печной стены. Приспособление для загрузки находится на одном уровне с кирпичной регенераторной решеткой или немного ниже ее (~150 мм). Приводится таблица, иллюстрирующая перядок пода-чи теплива в печь с 5 трехскоростными стекерами, обжигающую за 108,5 час. 19 m товара при расходе угля 9,8 т. Практикуется систематич, покрытие механизма антикоррозионной краской. На случай попадания в стокер инородных тел на нем должны иметься сигнальные средства (колокол, красная лампа). Рекомендуется применение особого устройства при перегрузке мотора. Предохравители должны быть поставлены на стартере мотора, в регулировочных контурах и переключателих времени. На примере 2 кольцевых печей с внутренним двам. 8 и 7 м, с 5 и 9 стокерами соответственно экономия теплива при стокерном питании достигает 20-30%. Ввиду разбора многих стен-мешков, оказывающихся лишними при употреблении стокеров, вместимость печи увеличивается на 30%. Указывается, что экономично пользоваться особыми подовыми наборами, состоящими из реторты, фурм, подовых илит, ретортной в топливной труб, воздухопровода конца реторты и очистительных люков. Стокеры, помимо употребления в печах, применяются также при сущке товара на горячем поду (где экономия топлива доходит до 40%), а также при котлах.
В. Роговпев В. Роговцев

Производительность и экономичность в производстве кирпича. Вейсбарт (Produktivität und Wirtschaftlichkeit in der Ziegelindustrie. Weiss-barth Kaufmann F.), Ziegelindustrie,

1956, 9, № 13, 509—511 (нем.) В ФРГ с 1949 по 1955 г. произ-во кирпича увеличи-

лось на 70%, так как свыше половины всех кирпичных з-дов переведено на круглогодовую Произ-во черепицы уменьшилось. И. Мушлин 12602. Прессование черепьцы. Способ противодействия прилипанию к верхней полуформе. Б е л ь о л ь sur le

(Le pressage des tuiles: un remède au collage sur le moule supérieur. B e l l i o l C h.), Terre cuite, 1954,

№ 29, 23-26 (франц.)

При формовке крепких масс в чугунных закрытых формах (Ф) наблюдаются 2 существенных недостатка: f) плоская и смазанная лепешка скользит в направлении передней части нижней Ф, черепица получается со слишком толстым заусенцем в передней части, в то время как для задней части Ф иногда не хватает глины:2) лепешка прилипает к верхней части Ф, что может привести даже к блокированию пресса. Для борьбы с этими недостатками в передней части Ф с помощью гаек закрепляются 3 шипа в виде ласточкина хвоста длиною 32 мм с квадратным сечением 16 × 16 мм, в верхней части Ф устраиваются соответствующие гнезда для обеспечения нормальной сборки. При этом лепешка хорошо центрируется, а при разъеме черепица остается в нижней Ф, не прилипая к верхней, благодаря образованию вокруг нее удерживающего глинистого фланца, не препятствующего, однако, разъему Ф.

Л. Даугач 603. Глиномещалка с наровым обогревом. X ю б-нер (Der dampfbeheizte Maukmischer. H ü b n e r F r i t z), Ziegelindustrie, 1956, 9, № 12, 438—440 12603.

Паровая обработка глин способствует лучшей гомогенизации в процессе перемешивания. Описываются преимущества глиномешалки с паровым обогревом (пат. ФРГ 942015), состоящей из цилиндрич. сосуда с медленно вращающимся дном и шнековым выгрузочным устройством. Поступающая из бегунов в цилиндрич. сосуд глина с помощью пара транспортируется сверху вниз по вращающемуся спиральному многоярусному сетчатому основанию. При введении в цилиндрич. сосуд теплого воздуха мешалка может быть использована для сушки глины.

Опыт по эксплуатации энергетических установок на кирпичных и керамических заводах в период сильных морозов прошлой зимы. Стршибрный (Zkušenosti s provozem energetických zařízení cihlářských a keramických závodů v období mimořádných mrazů uplynulé zimy. Stříbrný A.), Stavivo. 1956, 34, № 9, 324—325 (чеш.; рез. русс., нем.)

12605. Механизация на плиточных заводал Ind.— nal Tile and Manufacturing Co, Anderson, Ind.— national tile—). Ceramic Ind., Механизация на плиточных заводах Natio-(They've mechanized at national tile .-), Ceramic Ind.,

1955, 65, № 6, 68-70 (англ.)

12606. Реконструкция кирпичных заводов. В е рникке (Die Rekonstruktion der Ziegelwerke. Wernicke Hans), Silikattechnik, 1956, 7,

№ 9, 363-368 (нем.; рез. русс., англ.)

2607. Проблемы качества при производстве огне-упоров. Матиба (Qualitäts- und Qualitätenprobleme in der Feuerfest-Industrie. Matiba Richard), Silikattechnik, 1954, 5, № 3, 114-115 (нем.)

Использование сульфидов в качестве огнеупорных материалов. Пикон, Флао (L'utilisation des sulfures comme matériaux réfractaires. P icon M., Flahaut J.), Colloq. nat. Centre nat. rech. scient., 1955, N 10, 147-152, discussion 153 (франц.)

Обаор свойств и способов изготовления тиглей (Т) для плавки металлов из сульфидов (C) Th, Ce, U и редких металлов. С обладают следующими свойствами: редких металлов. С ооладают следующими своиствами: огнеупорность ThS₂ 1925 ± 25°, ThS>2200°, CeS 2450± ±100°, US>2000°, J₂S₃ 1900—1950°, La₂S₃ 2100—2150°, Ce₂S₃ 2000—2200°, Nd₂S₃ 2200°, Sm₂S₃ 1900°, Th₂S₃ 1950±50°, Ce₃S₄ 2050±75°, т-ра начала испарения под вакуумом 1 мм рт. ст. 1900—2100°, т-ра начала разложения большей частью >2000°, при ~2000° они не репримоть с разделения и упруссть из дажно агируют с графитом, не плавятся и упругость их паров большей частью незначительна, ввиду чего С подходят для плавки большинства тугоплавких металлов. С указанных металлов типа «субсульфидов» MS изготовляют пропусканием H2S при 400-500° над гидратом соответствующего металла с последующим прокаливанием остатка при ~2000°. Изготовление Т из С типа MS (по Истмену) производят путем прессования смеси из порошка С N 200 или 325 с 5 об. % р-ра нафталина в эфи-ре с последующим прессованием при давл. 3500—7000 кг/см2, сушкой при 100—150° и спеканием в течение 10— 30 мин. в вакууме <1 мм рт. ст.при 1600-2000° (в зависимости от типа MS). Т из CeSuThSпри 1500° в течение 5—10 мин. не реагируют с металлич. Ве, Al, Fe, Ce; Т ва ThS до 1900° пригодны для плавки U и Th, T из Ces при быстром расплавлении Ті не загрязняют его S, T из CesS4 при плавке Ti с поверхности легко образуют тонкую желтую корочку CeS. T из субсульфидов типа MS практически пригодны для плавки большинства металлов (кроме Pt) до ~1800°. В. Злочевский О некоторых изменениях свойств огнеупоров

при высоких температурах. Бодсуэрт (Some changes in the properties of refractories at high temperatures. Bodsworth C.), Iron and Steel, 1956. 29, № 7, 297-301, 322 (англ.)

Дан анализ причин, вызывающих изменения свойств огнеупоров при их нагревании выше т-ры обжига или при службе в кладке печей, в частности, усадки и разбухания шамотных и основных хромсодержащих огнеупоров и изменения состава и строения их в службе. В. Злочевский

12610. Капсули для обжига изделий тонкой керамики. Борда (Capsule pentru ars produse de ceramică fină. Вог d a Моліса), Ind. uscara, 1956, 3, № 3,

121—126 (рум.; рез. русс., нем.)

Описаны методы изготовления и приведен состав шихт для приготовления капсулей для обжита тонкой керамики и рассматриваются пути улучшения их качества. Я. Матлис

Исследование фазового состава талько-глв-12611. ноземистого капсельного черепка. Б е з н о с и к о в а А. В., Кордонская Р. К., Стекло и

мика, 1956, № 7, 23-26

Повышению термостой кости капсульного черенка (для санитарно-строительного фаянса) способствует введение в состав шамотной массы или до 15% талька, или 13% талька совместно с 15% глинозема, или только глинозема. Проведено рентгеновское исследование капсульных масс с указанными добавками после обжига их до 1300, 1350, 1375 и 1400°, а также расчет их фазового состава на основе данных хим. анализа. Установлено, что введение глинозема в шамотную массу значительно снижает кол-во свободного кремнезем в составе черепка после обжига, а введение талька вызывает образование кордиерита, что значительно снижает коэфф. термич. расширения черепка. При об жиге масс, содержащих тальк и глинозем, уменьшается кол-во свободного кремнезема в составе черепка, что и обусловливает его высокую термич. стойкость. Рекомендуется производить обжиг шамотного припаса при т-рах, способствующих образованию черепка с установившимся фазовым составом: обжиг изделий в масс с добавкой талька — при 1300°, а с добавкої

ой (T) , U и

твами:

2450+

-2150

Th2S3

поп вы

разло-

паров

дходят С ука-

тонила

OOTBET-

MS (no

ИЗ ПО-

в эфи-7000

ие 10-

в зави-

гечение

e; T 13

из CeS

ero S.

разуют

ов типа

пинства

чевский

еупоров

tempe-1, 1956,

свойств

ига или

и разбу-

х огне-

службе.

чевский

рамию. ceramică

3. No 3.

ден со-

обжига

учшения Матлис

ько-гли-

и кова

кера-

ика (шля

т введе

ька, или

и только

следова-

ии после

е расчет анализа.

ую массу

емнезема

алька -

чительно

При об-

ньшается

епка, чт

гь. Реко-

паса при

с уста

целий и

добавкої

(Some

глинозема или глинозема с тальком— при 1350°. Г. Масленникова 12612. Конструирование и изготовление кансулей

для тонкого фарфора. Шоу (Design and production of kiln furniture for fine china. S h a w C. F.), Amer. Ceram. Soc. Bull., 1955, 34, № 3,88—91 (англ.) Решающими факторами при выборе того или иного вида капсули (К) являются способы его изготовления и состав обжигаемого в нем фарфора. Грамотным конструпрованием К уменьшают потери от трещин, коробления и пороков глазури, сокращают расход топлива и увеличивают (путем умелого использования площади под обжигом) производительность печи. Различают 3 вида фарфорообжигательных К: бисквитный, глазурпый и декоративный. Материал К должен обладать миним. отклонением от заданных размеров и сопроти-вляемостью усадке и термоудару. Описывается поря-док конструирования К. Сначала выбирают материал, потом определяют превалирующий вид усадки матервала: намечают способ изготовления (прессование, литье, обработка на гончарном круге). Обычно предпочитают литье. После распланировки профиля К с учетом, как правило, необожженного в нем заключенного изделия изготовляют модель, блочную форму, опоку и формы. Наиболее подробно описана распланировка профиля бисквитного К, для которого построение и выбор того или иного отрезка или зазора детальпо обесновываются. Указывается, что обжигать пробные и производственные К необходимо в одной и той же печи. В случае глазурного К составляется чертеж только обожженного профиля, и изделие ставится на особые приливы. Декоративные К изготавливаются «паучковыми» с тремя опсрными плечами, исходящими из общего центра. Главные требования, предъявляемые к ним,устойчивость, удобство размещения в них извелия и малая массивность. Рекомендуется в случае износа поверхности К вместо шлифовки применять гончарный В. Роговцев

12613. Печи периодического действия с кладкой из легковесных отнеупоров. Робинсон, Паркер (Operating periodic kilns constructed of insulating fire brick. Robinson Richard R., Parker Ray mond W.), Amer. Ceram. Soc. Bull., 1956, 35, № 5, 182—183 (англ.)

Дан краткий историч. обзор и описание круглых и прямоугольных периодич. печей с нижней тягой, с кладкой из легковесных огнеупоров вместо обычных. Приведены сравнительные эксплуатационные характеристики периодич. и нормальных печей, показывающие преимущества легковесной кладки, при которой достигается экономия топлива, сокращается длительпость обжига и увеличивается объем садки в печи. В. Злочевский

12614. Проблема испытаний, обсуждение и опенка качества огнеупорных керамических материалов для целей металлургии. Завеский (Problém zkoušení, posuzování a hodnocení jakosti žárovzdorných keramických staviv pro hutnické učely. Z ž v e s k ý V á c l a v). Hutnické listy, 1956, 11, № 4, 257—265 (чеш.: рез. русс., нем., англ., франц.)

(чеш.; рез. русс., нем., англ., франц.) Сделаны обзор и детальное сравнение чехословацких, советских и американских методов испытаний свойств огнеупорных материалов (ОМ) для металлургия, а именно: внешний вид, отклонения в размерах, структура, огнеупорность, хим. состав, об. и уд. веса, пористость, деформация под нагрузкой при высоких грах, обен, дополнительная усадка, термостойкость (челословацкий стандарт ČSN 1291—1938). Сравнена классификация шамотных и высокоглиноземистых (днаспорсодержащих) ОМ по нормам ASTM (США) и по ČSN 1921—1944 и приведены данные определения свойств

некоторых ОМ США по нормам ASTM и ČSN. Намечены пути усовершенствования методики испытаний С. Глебов 12615. Исследование износа огнеупорвой футеровки металлургических печей при помощи радиоактивных изотопов. Грузи и П. Л., Земский С. В. (放泉性同位元素による高炉耐火ライニンが損耗の研究. Р. L. Gruzin, S. V. Zemskyi), ソ連經濟・電工家レポート, Сорэн кэйдэай. Дзюкогё рэното, 1956, № 14—15,

87—110 (япон.) Перевод. См. РЖХим, 1956, 65759.

12616. Применение шамотных ванных брусьев. Дагган (The use of clay flux blocks. D u g g a n J. J.), Amer. Ceram. Soc. Bull., 1955, 34, № 3, 85—87

В американской практике произ-ва огнеупоров для стекловарения определенное место занимает метод изготовления шамотных ванных брусьев литьем из шликера с вакуумированием, значительно улучшенный за последнее время. Эти огнеупоры обладают рядом преимуществ по сравнению с литыми электроплавлеными огнеупорами. Они меньше загрязняют стекломассу и обладают приблизительно вдвое меньшей теплопроводностью, весят в два раза меньше, а стоимость их примерно в три раза ниже. В целях долговечности службы не рекомендуется сооружать ванные печи из одних только шамотных брусьев. Их применение следует сочетать с электроплавлеными огнеупорами, которые устанавливаются в местах, подвергающихся наиболее сильному агрессивному воздействию стекломассы. шихты и т-ры. Это удешевляет сооружение ванных печей и обеспечивает равномерный износ огнеупоров во всех частях печи. Далее указывается, что в проточных печах произ-ва тарного стекла электроплавленые огнеупоры рекомендуется применять в загрузочных карманах, под горелками, для кладки псперечной стены над протоком, бековых стен варочной части. В ванных печах по произ-ву зеленого и янтарного стекол дно варочной части может выкладываться из шамотных брусьев. Е. Глиндзич

брусьев.

12617. Разъедание ванных брусьев стеклом в свете исследовательских работ и производственного опыта. І. Применение теории химических связей к огнеупорным материалам. И. Кристаллохимические представления о строении шамотных брусьев. ИІ. Теория воздействия стекла на огнеупоры. IV. Результаты исследований разъедания огнеупоры. IV. Результаты исследований разъедания огнеупоров стеклом. V. Разъедание ванных брусьев стеклом в производственной практике. Р а ш (Der Glasangriff auf Wannensteine im Spiegel von Forschung und Betriebserfahrung. I. Die Anwendung der Theorie der chem. Bindungsart auf die Verhältnisse bei feuerfesten Steinen. II. Kristallchemische Überlegungen über den Aufbau der Schamottesteine. III. Theorie des Glasangriffs auf feuerfeste Steine. IV. Forschungsergebnisse bezüglich des Glasangriffs auf feuerfreste Steine. V. Die Praxis des Glasangriffs auf Geuerfreste Steine. R a s c h R u d o l f), Glas-Email-Keramo-Technik, 1954, 5, № 9, 313—322; № 11, 393—399; 1955, 6, № 1, 1—5; № 5, 150—153; № 10, 342—344 (нем.; рез. англ., франц.)

рез. англ., франц.)

7. У кремнеземистых соединений. — корунда, муллита и шпинели наблюдаются переходные формы между гетеро-в гомеополярной связью, которые определяют поведение отдельных компонентов. В давном случае следует рассматривать реальный кристалл с искажениямы в его строении. Дырчатая структура в-ва зависит от т-ры и достигает максимума вблизи т-ры плавления или при переходе одних кристаллич. модификаций в другие. Чем выше дырчатый порядок, тем выше реакционная способность. Рассматривается связь структуры в-ва с явлениями смачиваемости и диффузии.

11. Рассмотрен вопрос о шамотных брусьях с кристаллохим, точки зрения, в частности, с точки зрения их смачиваемости стекломассой. Решетки с плотным расположением структурных групп (SiO4, AlO4, AlO6) устойчивы к действию смачивания и диффузии. Но по мере того, как происходит разрушение решетки (при введении катионов, измельчении или изменении кристаллич, модификаций), появляются в образовавшихся трещинах отдельные ионы. 4-валентный ион TiO2 действует на решетки разрушающим образом; из практич. соображений следует избегать присутствия TiO2 в высокоогнеупорных брусьях. Диффузию стекломассы в муллитовые брусья следует также объяснить разрыхлением решетки, происходящим при обжиге кианита.

111. На основании исследования фазовой диаграммы системы Na2O - Al2O3 - SiO2 указывается граница предельного содержания Al₂O₃ в огнеупоре (35%), ниже которой происходит растворение огнеупора в стекломассе Для осуществления смачивания и взаимного растворения шамотного огнеулора и расплава необходимо наличие однородных хим, связей - ионных и ковалентных. При динасовых огнеупорах строение нарушается вследствие разрыхления, обусловленного превращением кварцитов. Кварцевая составная часть в массе особенно реакционноспособна после обжига и разрыхления. При муллитовом огнеупоре из обожженного кнанита, вследствие увеличения объема при обжиге, идет дальнейшее нарушение структуры, что является благоприятным для смачивания и впитывания расплава. При пропитывании огнеупора расплавом следует различать два процесса — капиллярное действие и диффузию. Капиллярное действие требует открытых пор в огнеупоре. При пропитывании происходит обмен понами путем диффузии, часть огнеупора переходит в р-р. Обычно оба процесса идут одновременно. Для корундового и цирконового огнеупора характерны ковалентные связи, чем обусловливается их трудная растворимость в расплавленной стекломассе. Высоковязкий пограничный слой защищает огнеупор от дальнейшего растворения, так как небольшое обогащение расплава цирконом ведет к повышению т-ры илавления. При варке сульфатного стекла наиболее сильное растворение огнеупора расплавом происходит в наиболее холодных частях печи, где наблюдается образование глубоких каверн в огнеупоре в результате воздействия Na.S. В. Мейтина

IV. Метод дифференциального термич, анализа позволяет различить отдельные минералы в огнеупорах. В качестве вспомогательного средства для практич. целей служит опытная ванна, в которой можно одновременно испытывать различные виды огнеупоров. Исследования спец. видов огнеупоров показали, что с возрастанием кол-ва кристаллич, фазы брусья становятся более устойчивыми; это явление можно объяснить соображениями кристаллохим, и структурного порядка. Очень большое влияние на устойчивость огнеупоров оказывают явления смачиваемости и поверхностного натяжения. Опыты по повышению срока службы огнеупоров в стекловаренных печах производились путем введения щелочей в стекломассу в виде силикатов.

V. Факторами, определяющими разъедание брусьев в ванных печах, являются организация процесса горения, конструкция печи, способ кладки и характер произ-ва. Большой избыток воздуха при сгорании гавов, увеличивающий напряженность печи, создает дополнительную нагрузку для огнеупорных материалов, особенно в процессе выводки печи. Для того чтобы приблизиться к идеальному состоянию плавки «стекла в стекле», что имеет место при очень сильном охлаждении ванных брусьев, необходимо подвергать их интенсивному охлаждению. Показаны способы кладки ванной

печи, обеспечивающие удлинение срока службы огнеупора. Приведены данные советских и иностранных авторов о поведении в условиях эксплуатации ванных печей брусьев различного состава: шамотных, литых муллитовых, из литого корунда, динасовых и магнезитовых. Уменьшение разъедания брусьев при сульфатной плавке достигается лучше всего путем применения обожженного при очень высокой т-ре стеклоприпаса с большим содержанием кристаллич. фазы и с малым содержанием плавней. В целях получения высококачественного стеклоприпаса рекомендуется: применять возможно более чистые сырьевые материалы с малым содержанием плавней (включая двуокись титана); шамотные брусья должны содержать >35% глинозема и обжигаться при максимально высокой т-ре; при изготовлении литых брусьев следует добиваться возможно большего содержания кристаллич, фазы; следует стремиться изготовлять брусья стандартных Бябл. 41 назв. 12618. Количественное спектрохимическое опреде-

ление малых количеств элементов в карбиде кремния с помощью угольной вольтовой дуги. X е геман, Гизен, Зибель (Quantitative spektr-chemische Bestimmung der Spurenelemente in Silicium-carbid mit dem Kohlelichtbogen. Hegemann F., Giesen K., Sybel C. von), Ber. Dtsch. keram. Ges., 1955, 32, № 11, 329—333 (нем.)

Описан колич. спектрографич. анализ малых кол-в примесей в SiC при помощи кварцевого спектрографа О 24. Сжигание анализируемой пробы в смеси со спектрально-чистым С (1:2) производится в электрич. дуге постоянного тока (6.5 а) с графитовым анодом, диам. 3 мм, длиной 8 мм, имеющим отверстие диам. 2 мм, глубиной 4 мм, при расстоянии между электродами 4 мм. Определение элементов Al, Fe, Ti и Zr производят по градуировочным кривым, полученным фотометрически на двух снимках (в качестве элемента сравнения используют Si); точность определения 2.8—3.6% (относительных). В качестве эталонного в-ва используют искусств. смеси с технич. SiC, примеси в котором определены хим. методом. Для быстрейшего колич. опре-деления Al, Fe, Ti, Zr, Ca, Mg. Cu и V используют ви-зуальный метод сравнения со шкалой почернения по Аддинку (Addink N. W. H., Spectro-chim. Acta, 1950, В. Карлин

12619. Шлифование металлов абразивной лентой. Дайер (Abrasive belt grinding of metals. Dyer Hugh N), Industr. and Engng Chem., 1955, 47, № 12, 2500—2505 (англ.)

Приведены результаты изучения на лабор, и промышленном оборудовании износа абразивных лент (АЛ) в зависимости от условий шлифования. Шлифование производили всухую и с охлаждающей жидкостью: эмульсией смеси минер, масла и мыла, разб. 80 ч. воды или маслом, содержащим химически активные добавки — S, Cl и лярдовый жир. При шлифовании без охлаждающей жидкости скорость съема металла углеродистой стали в 2-3 раза выше, чем при нержавеющей. На углеродистой стали АЛ теряет зерна почти до основания, на нержавеющей происходит затупление зерен и засаливание АЛ металлом. Применение охлаждающих жидкостей на углеродистой стали снижает эффективную жизнь АЛ, при нержавеющей стали происходит также ускоренное разрушение АЛ, но повышается съем металла. С применением активной охлаждающей жидкости процесс резания значительно улучшается. Эмульсия дает хорошие результаты на углеродистой стали и непригодна для нержавеющей. Минер, масло и его смеси с активными добавками вызывают выпадение зерна. Наиболее эффективной добавкой при обработке нержавеющей стали является S. Сплавы с повышенным содержанием S обрабатываются значительно лучше. При 7 г.

огне-

иных

ван-

ных.

ых и

при

утем

CTO-

фазы

ения

ется:

иалы

b TH-

>35%

т-ре; аться

фазы;

тных

Иофе

гредеемнил ман,

hemi-

cium-

n F.,

eram.

кол-в

графа

спект-

. дуге

диам.

4 мм.

on TRI

ически

нения

% (отвызуют

опре-

опре-

IOT BH-

оп вил

1950, Сарлин

ентой.

Dyer

5, 47,

омыш-I) в за-

произ-

эмуль-

ды или

авки аждаю-

пистой

а угле-

нин, на

засали-

тивную

также

ьем ме-

жидко-

Эмуль-

стали и

его сме-

зерна.

гке не-

ным со-

пе. При

енижении скорости ленты с 1200 до 600 м/мин срок службы ленты сокращается; при 2400 м/мин скорость резания и износа АЛ уменьшаются. Н. Згонник

12620 К. Технология производства керамических крисок. Мартынов М. А., Визир В. А., Киев, Гостехиздат. 1956, 179 стр., илл., 4 р. 15 к. 12621 К. Строительные материалы. І. (Учебник для ВУЗ'ов). Каллаунер (§taviva. Celost. vysokoškolskà učebnice. 1. dfl. Каllauner Otakar. Praha, SNTL, 1956, 203, (1) s.. il., 18,95 Kčs) (чеш.) 12622 К. Технология и оборудование шамотного производства. Учебник для школ мастеров. Василев ский П. А. Свердловск, Металлургиздат, 1956, 388 стр., илл., 9 р. 50 к.

12623 Д. Фасадная керамика на базе глин Латвийской ССР. К и с и с Э. Р. Автореф. дисс. канд. техн. и., Таллинск. политехн. ин-т, Рига, 1956. 12624 Д. Обрабатываемость высокочастотной керамики резанием. Не й м а и М. И. Автореф. дисс. канд. техн. и., Ленингр. технол. ин-т им. Ленсовета, Л., 1956

12625 П. Медное покрытие на керамике (Copper coating for ceramics) [Erie Resistor Corp.]. Англ. пат. 733248, 6.07.55

Прочное Си-покрытие, свободное от окиси, образуется на поверхности свободной от О₂ титановой керамики смешением какого-либо инертного газа с парами ацетиланетоната Си при т-ре ниже т-ры ее разложения, вагреванием керамики до т-ры выше т-ры разложения указанной смеси и пропусканием над ней газовой смеси, В качестве инертных газов могут применяться N₂. СО₂, Ar. С. Туманов

12626 П. Производство покрытий с малым теплоизлучением для металлических поверхностей. Брандес, Уотерхаус (Low emissivity coatings for metal surgaces. Brandes E. A.. Waterhouse R. B.) [Fulmer Research Institute]. Англ. пат. 714309. 25.08.54 [Chem. Zbl., 1955, 126, № 22, 5155 (нем.)]

Перед нанесением покрытия на поверхность металла наносят промежуточный слой, являющийся газотвепроницаемым и антикоррозионным, который вместе с тем является хорошим связывающим между покрытием и металлом. Материалом для получения промежуточного слоя служит фритта, состоящая из (вес.
ч.): SiO₂ 38, BaCO₂ 57, B(OH)₂ 11,5, CaCO₂ 7, BeO 2,5

и ZnO 5.70 частей этой фритты перемалывают с (вес.
ч.): Cr₂O₃ 30, глины 5 и H₂O 50. Полученный шликер
наносят на поверхность металла и обжигают при 1000°.
И. Лосева

12627 П. Украшение керамических изделий. М и и с к, В а и-Д ь ю с е и (Decorating ceramic objects. М i n s k L o u i s M.. Van D e u s e n W e r t e r P.) [Eastman Kodak Co.]. Пат. СПІА 2732297, 24.01.56 Метод украшения состоит в нанесении на бисквитный товар смолистого покрытия, содержащего керамич. пигмент, который после обжига дает свою окраску и светочувствительный синтетич. полимер, состоящий из структурных единиц состава: R — СН = СН — СО — О — СН = СН2, где R представляет моноячейковую арильную группу бенаольного ряда. На покрытие накладывают трафарет и подвергают действию света, отчего освещенные участки становятся нерастворимыми в органич. р-рителях, затем снимают трафарет, смывают растворимую защищенную от действия света часть покрытия, сущат, глазуруют и обжигают. С. Туманов 12628 П. Керамическая декалькомания и способ ее изготовления. К е й и (Ceramic decalcomania and

method of making same. Капе Laurence E.) [Сомметсіа] Decal, Inc.]. Пат. США 2734840, 14.02.56 Метод изготовления декалькомании состоит в нанесении на гуммированную бумагу последовательно слоев: пигмента, легкоплавкого стекла и лака. При наложении лепка деколи на глазурованную поверхность и по растворении гуммированного слоя и снятии бумажной подкладки на изделии остается слой пигмента, покрытый слоем стекла. После обжига пигмент остается под глянцевитой поверхностью стекла. Легкоплавкое стекло, представляет собою свинцово-боросиликатное стекло, к которому добавляется один на следующих окислов: Li₂O, CdO, Na₂O, CaO и MgO.

С. Туманов 12629 П. Паста для нечати по стеклу, каменному товару и фарфору. Керридж, Купер (Printing paste for glass, earthenware or chinaware. Kerridge Frank E., Couper Cyril S.)[Johnson, Matthey & Co. Ltd]. Канад, пат. 514368 5.07.55

Золотая паста для печати через шелковое сито состоит из смеси Аи-порошка (50—89%), амальгамы Аи (10—49%) и свинцового боросиликатного флюса (1—15%) с т. пл. ≤500°, окиси Ві и связующего, состоящего из р-ра нитроцеллюлозы. С. Туманов 12630 II. Способ приготовления керамических или аналогичных им материалов (Procédé de préparation des matières céramiques ou analogues.) [Soc. Gle de Carrelages et de Produits Céramiques.] Франц. пат. 1100872, 26.09.55 [Ind. céram., 1955, № 470, d15 (франц.)]

Материалы дробятся до величины зерна, проходящего через сито № 200, затем тщательно перемениваютси с отделением через сито органич. примесей и таких примесей, как пирит и др. Материалы брикетируются, снова размалываются на определенные фракции и прессуются с добавлением 2—10% воды под давл. 30 т при разрежении 500—700 мм рт. ст. в виде образацов диам. 100 мм. С. Туманов 12631 П. Способ приготовления плотной мелкозер-

12631 П. Способ приготовления плотной мелковернистой керамической массы, содержащей окись титана с высокой пробивной прочностью и малыми диэлектрическими потерями. Шустериус (Verfahren zur Herstellung eines dichten, feinkörnigen Scherbens mit hoher Durchschlagfestigkeit und niedrigem' dielektrischen Verlust für Titanoxydmassen. Schusterius Carl) [Rosenthal-Isolatoren G. m. b. H.]. Пат. ФРГ 914986, 12.07.54 [Chem. Zbl., 1955, 126, № 37, 8701 (нем.)]

К массе TiO₂ прибавляют соединение Al, разлагающееся при обжиге до чистой Al₂O₃ (напр., гидроокись или ацетат Al) в кол-ве до 5% (в пересчете на Al₂O₃). К смеси можно еще добавлять CdO или Bi₂O₃. Получают плотный мелкокристаллич, диэлектрик, пригодный для конденсаторов.

В. Шацкий

12632 П. Окислы, обладающие высокой магнитной проницаемостью. Карасава, Комацу (高導磁率酸化物・ 柄澤忠義, 小松正 -).[東京電氣化學工業株式會社, Токе дэнки кагаку когё кабусики кайся]. Япон. пат. 8781, 30.11.55

Предлагается оксидный магнитный материал состава (в %): МпО 20, ZпО 12, Fe₂O₃ 68, содержащий в качестве добавки один или несколько окислов кремния, Al, Cr, Ti, B. Начальная магнитная проницаемость такого материала состазляет 1000. Введение в состав шихты 0 01—1.0% борного ангидряда и до 0.002% других добавок позволяет улучшить магнитные свойства патентуемого материала. Увеличение продолжительности термообработки при 1300° с 4 до 6—8 час. способствует улучшению магнитных свойств синтеавруемого материала, а повышение т-ры с 1300 до 1400° позволяет сократить время обжига. Вместо борного ангидрида можно также вводить борную к-ту. Материал

1264

06

15

0

126

ЩИ

ден тан

ли

Ter

CI

am

ВО

cpa

Be;

гл

12

П

126

со стабильными магнитными свойствами (температурный коэфф. магнитной проницаемости и др.) может быть получен из масс, содержащих до 1.5% двуокиси кремеия и обожженных при 1250°. Магнитная проницаемость указанного материала реако снижается при содержании в нем борного ангидрида >1%. Содержание основных ингредиентов шихты может варьировать в следующих пределах: МпО 15—25, ZnO 5—17, Fe₂O₃ 55—77 и В₂О₃ 0,01—1.0 всс. %. М. Гусев 12633 П. Оксидные магнитные материалы. Такэи,

Сугимото, Окамото (酸化金属磁心材料・ 武井武,杉本光男, 岡本祥一)[株式會社科學研究所, Кабусики кайся кагаку кэнкюсё]. Япон. пат. 1792,

Для улучшения технич. свойств Zn-ферритов, повышения начальной магнитной проинцаемости, увеличения намагниченности насыщения и снижения коэрцитивной силы в шихту, содержащую (в %): CuO 10-30. ZnO 15-35 и Fe_2O_3 40-60, вводится As_2O_3 и Bi_2O_3 0.05-1.0. Термообработка материала пронаводится при $900-1100^\circ$. Приводятся данные об эффективности влияния добавок As_2O_3 и Bi_2O_3 на свойства феррита состава (в %): CuO 22.5, ZnO 27.5 и Fe_2O_3 50, полученного обжигом при 1050° . Так, напр., введение 0.1% As_2O_3 позволяет повысить начальную магнитную проницаемость μ_0 с 612 до 1010, максим. магнитную проницаемость с 1510 до 6310 2c/3, уменьшить коэрцитивную силу H_c с 0.55 до 0.245 3, увеличить остаточный магнетизм — Br с 1386 до 2025 2c по сравнению с ферритом, не содержания добавок окиси As. Если в качестве добавки используется не As_2O_3 , а Bi_2O_3 , то также наблюдается увеличение значений μ_0 , μ_m . μ_r и уменьшение μ_c . Если содержание CuO в феррите выходит за пределы 10-30%, а содержание ZnO за пределы 15-35%. то введение окислов μ_0 0 в μ_0 1 оказывается малоэффективным. A. Борисенко μ_0 1 μ_0 2 μ_0 3 μ_0 4 μ_0 4 μ_0 5 μ_0 5 μ_0 6 μ_0 6 μ_0 6 μ_0 6 μ_0 6 μ_0 7 μ_0 8 μ_0 9 μ_0 9

(Procédé de préparation de ferromanganèse) [Hüttenwerke Phoenix A.-G.]. Франц. пат. 1076291, 27.10.54 [Chimie et industrie, 1955, 74, № 3, 471 (франц.)]

(франц.)]
Вначале для обеспечения степени основности порядка 0,5 приблизительно составленную смесь CaO:
: SiO₂ подвергают спеканию, затем в печи с дутьем при
700—900° обрабатывают до степени основности (0,9—
1,2) манганат кремния состава (в %): Мп 40—70; Si
8—15; С 3—5. Остатек состоит из Fe и обычных примесей. Затем пересодят манганат кремния окислением Si
в ферроманганат с обычным содержанием Si.

С. Туманов 12635 П. Огнеупорное волокно и способ его производства. Николсон (Refractory fiber body and method of making same. Nicholson Kenneth C.) [The Carberundum Co.]. Пат. США 2731359, 17.01.56 Предметом изобретения является волокнистый материал, обладающий теплостойкостью порядка 1200-1400°, имеющий примерный состав (в вес. %): Al₂O₃ 52,67, SiO₂ 45.77, B₂O₃ 1.06, Na₂O 0.50. Соединение волокон между собой для получения матов, пластин или бумаги производится путем введения в волокнистую массу прослойки из металлич. Si в виде шлама или колл. суспензин; при последующем обжиге жидкая фаза испаряется, а металлич. Si превращается в силипид. В случае обжига в атмосфере N2 или NH3 при 1350-1400° дементирующий материал представляет собой нитрид кремния; обжигватмосфере СОпри 1250° приводит к образованию цементирующего материала в виде карбида кремния. Приведены примеры, иллюстрирующие способ получения изделий из огнеупорного волокна.

12636 П. Окрашенный строительный материал в виде гранул и процесс его изготовления. Джоббине, Теллер (Colored building granule and process of preparing the same. Jobbins Howell S., Teller Albert W.) [The Patent and Licensing Corp.]. Пат. США 2724659, 22.11.55

Патентуется неоргания, минерал в виде гранул для кровельных и отделочных работ, имеющих на поверхности нерастворимое обожженное покрытие из светлоокрашенного пигмента и связки из силиката Na. Снаружи гранулы покрыты полнстироловой смолой, И. Михайлова

2637 П. Вспенивание шлака. Стюарт (Slag foaming. Stuart John C. K.) [Denman Enterprises, Ltd]. Пат. США 2716843, 6.09.55

Предлагается способ и аппарат для произ-ва пеношлака. Метод основан на приведении в соприкосновение расплавленного шлака (Ш) с жидкостью. Образующиеся при этом пары жидкости вспучивают III, вследствие чего образуется пористая масса, имеющая объем, значительно превосходящий объем расплавленного III. Аппарат имеет камеру для вспенивания, дно которой выполнено из влагонепроницаемого материала. Часть дна снабжена большим кол-вом отверстий для пропускания струй жидности. Аналогичные отверстия имеются также на спец. наклонной загрузочной платформе, прикрепленной к дну камеры. На платформу выливается расплавленный III. Контролируемое кол-во вспенивающей жидкости под давлением непрерывно подается через упомянутые отверстия в расплавленный Ш снизу вверх. Расплавленный и частично вспененный Ш с наклонной плоскости стекает далее в камеру, на дне которой также имеется относительно тонкий слой жидкости. Течение Ш постепенно прекращается с тем, чтобы завершился процесс порообразования. А. Бережной

12638 П. Способ получения пористого шаваа. A lung ман (Verfahren und Vorrichtung zur Herstellung poröser Schlacke, Dingmann Theodor) Westfalenhütte A.-G.]. Пат. ФРГ 932359, 29.08.55 Струю расплавленного шлака направляют по лотку под определенным углом на поверхность вращающегося барабана, представляющую собой ряд вогнутых секторов. Сюда же подается струя воды. Вращение барабана вызывается живой силой и весом струи шлака и воды. Струя шлака распадается при этом на отдельные капли, которые тут же начинают вспучиваться. Вспучивание и охлаждение шлака заканчивается на наклонном лотке, также орошаемом другой струей воды. Гранулированный пеношлак попадает по лотку в вагонетку. Регулируя скорость течения шлака и угол наклона лотка над барабаном, можно изменять степень вспучивания плака. Эксплуатация подобной установки, состоящей из барабана, днам. 1 м с 12 секторами, обеспечила скорость подачи шлака $0.3-0.5\ m/мun;$ насыпной вес вспученного шлака $0.3-0.6\ m/м^3.$ А. Полинковская

Вяжущие материалы, бетон и другие строительные материалы

Редакторы Ю. М. Бутт, А. С. Пантелеев

12639. О морозостойкости песков, закрепленных химическими методами. Ж м а к о Н. М., Д р о з д П. А., И о с е л е в а М. А., Сб. науч. работ. Белорус. политехн. ин-та, 1956, № 54, 57—62

Водные р-ры смесей на силиката натрия и солей двухили трехвалентных металлов (напр., MgSO₄), будучи введенными в песчаный грунт, делают последний механически прочным (временное сопротивление сжатию до 8 кг/см²). Замена ¹/₈ MgSO₄ техн. борной к-той повышает прочность песчаного грунта. Д. Трифонов

F. ind

11

Li-

INA px-

Na.

OŬ.

lag

ter-

HO-

)Be-

тел-

бъ-

ен-

дно

ла.

пля

THE lat-

рму

I-BO

вно

тен-

спе-

ка-

FOH-

aetия.

ной

Hrlung

or)

8.55

TKY

гося

сек-

аба-B0ка-

учи-

лон-Гра-

нет-

тона cuv-

вки,

ами,

MUH:

ская

165

ных

озд

ело-

BYX-

дучи

exa-

тию

по-

онов

640. Производство химически устойчивых строи-тельных материалов. Томан (Výroba chemicky odolních stavebních hmot. Toman A.), Stavivo,

000m ch stavenine iniot. I o in a i A.), stavivo, 1956, 34、№ 7, 253—254 (чеш.; рез. русс., нем.) 2641. Связывание порошков и измельченных материалов и зернение. Дзимбо (粉粒體の結合と澄粒・神保元二),化學工學,Кагаку когаку, Chem. Engng (Japan). 1956, 20、№ 4, 215—218 (япон.)

0бзор. Библ. 48 назв. И. Михайлова Быстрое определение влажности сыпучих материалов и образнов измерением электропроводности. Ломмацы (Schnellbestimmung des Wassergehaltes von Schüttgütern und Formstücken durch Messung der elektrischen Leitfähigkeit. Lommatzsch Alexander), Silikattechnik, 1956, 7, № 4, 159-160 (нем.)

Описывается метод определения влажности связую-щих материалов, формовочных песков, отливок и т. п. путем измерения электропроводности. Для проведения измерений использовалась выпрямительная установка напряжением 2 в, питаемая от сети 220 в. Величина электродов была постоянной и плотность матернала установленной. Приводится схема установки, с помощью которой можно непосредственно по шкале амперметра или гальванометра читать показатель влаж-ности испытуемого образца. Разница в значениях по сравнению с данными гравиметрич, метода для отливок составляет 3-6%, для песка 0,3-0,6%. Были произведены измерения влажности портландцемента, гипса, глины, песка, каолина и других сыпучих материалов. Г. Масленникова

2643. Известняки как материал для строительства на Сахалине. С т р а д Я. П., Сообщ. Сахалинского фил. АН СССР, 1956, вып. 3, 99—101

Описаны известняки, обнаруженные в районе Южно-Сахалинского хребта. Изложены соображения о возможности их использования для произ-ва вяжущего И. Михайлова материала и стройдеталей.

2644. О некоторых вопросах производства клеточ-вых карбонизврованных материалов. Златанов (По някои въпроси за клетъчните карбонатизирани материали. Златанов Васил), Строителство, 1956, 3, № 3—4, 30—36 (болг.)

Сущность произ-ва карбонизированных материалов что к частично гидратированной извести, смешанной с наполнителем, добавляются пенообразующие в-ва или заранее приготовленная пена. Полученная масса выливается в формы, в которых она выдерживается до начала твердения, после чего масса (уже имеющая форму строительной детали, блока и т. п.) извлекается из формы, высушивается до строго определенной влажности и идет на карбонизацию (К). Процесс К состоит в образовании CaCO3 в результате взаимодействия Ca(OH)2 с CO2. К можно проводить двумя методами: клеточным (КМ) и диффузнонным (ДМ). При КМ изделие помещается в камеру, в которую поступает газ, богатый CO2 (обычно газ, выделяющийся при обжиге известняка). Образующийся карбонат Са связывает частички наподнителя и образует скелет изделия, Скорость р-ции и характер структуры полученного материала зависит от конц-ии CO₂, от скорости и степени проникновения его внутрь изделия и т. д. При КМ скорость проникновения СО2 к центру изделия можно увеличить путем применения автовакуума, заключающегося в том, что газ, богатый со2, поступает в герметически закрывающуюся камеру периодически отдельными порциями. Происходящая рция между CO₂ и Ca(OH)₂ сопровождается резким уменьшением давления в камере, поэтому при следуюшем впуске СО2 засасывается внутрь изделия. При КМ необходимо уделять большое внимание отводу тепла, так как при бурно происходящей р-ции т-ра может лег-

ко превысить 100° и вызвать бурное испарение влаги, что ведет к механич. разрушениям изделия. При ДМ производится продувка газа, богатого CO₂, через изделие. Преимуществом ДМ является его простота, возможность применения более плотных масс и ненужность особого охлаждения, так как оно происходит автоматически. Однако ДМ требует значительно большего расхода газа. Детали из полученного материала были использованы в строительстве и показали хорошие результаты.

Влияние режима обжига на свойства магнезнальной извести-кипелки. Бубенин И., Строит. материалы, изделия и конструкции, 1956, № 7, 29 Чем выше т-ра обжига (исследован интервал 1000-1200°) и чем больше выдержка при данной т-ре (в пределах 1—3 часа), тем медленнее протекает гидратация извести-кипелки. Скорость гидратации существенно замедляется при увеличении содержания MgO. Прочность извести с повышением т-ры ее обжига может понижаться. При обжиге известняков, содержащих 5-10% MgO, и при их нахождении в зоне наивысшей т-ры ≤1 часа рекомендуется т-ра ≤1100°. При более длительном обжиге т-ра должна быть снижена до 1000°. Г. Копелянский

12646. Перевод известковообжигательных печей с твердого топлива на природный газ. Лобачев И. Ф., Сахарная пром-сть, 1956, № 5, 53—54

Описан опыт перевода известковообжигательной печи с твердого на газообразное топливо. Приводится схема газификации печи. Отмечается хорошая работа печи, обжигающей в сутки до 70 м известкового камня.

Вспомогательные устройства известковообжигательной печи. Подгородецкий (Uradzenia pomocnicze pieca wapiennego. Pod horodecki Jan), Gaz. cukrown., 1956, 58, № 5, 117—118 (польск.)

Гидратор без давления для обычной и доломитизированной извести. Коит (Hydrateur sans pression pour les chaux ordinaires et les chaux dolomitiques. Com te J.), Rev. matér. constr. et trav. publics, 1956, № 489, 148—151 (франц.; рез. англ.) Описан гидратор фирмы Kennedy Van Saun Mfg. Eng., состоящий из трех машин: смесителя-дозатора, малаксера и холодильника, Малаксер снабжен рубаш-кой, заполненной маслом. Циркуляция масла дает возможность подогреть материал у выхода из аппарата за счет избытка тепла, выделяющегося у входа в него. Таким способом поддерживается т-ра, необходимая для завершения р-ций. Производительность гидратора может доходить до 10 т/час. Установочная мощность моторов 55 л. с.

2649. Тепловая обработка блоков из сырья, измельченного в вибромельнице. Фальков И., Зильберфарб П., Строит. материалы, изделия и конструкции, 1956, № 7, 27-28

Известково-песчаные, известково-глинопесчаные и известково-шлаковые блоки (Б), изготовляемые на основе извести-кипелки, размолотой (как и глина) до уд. поверхности 5000—6000 см²/г, формуются немед-ленно после приготовления смесей. Тепловая обработка Б в формах, заключающаяся в 24-36-часовом пропаривании при 80-90°, производится после 2-суточного предварительного выдерживания во влажной среде при 5—20°. По окончании пропаривания производится подсушка Б в течение 4 час. Активность смесей не должна превышать 6—8%. Содержание глины в известково-глинопесчаных смесях целесообразно доводить до 40% от веса смеси. Г. Копелянский

650. Автоматизация управления процессом за-паривания автоклавных изделий. В а н а с е л ь я Л.,

изделия и конструкции, Строит. материалы, 1956, № 7, 14-17

Описывается регулятор процесса запаривания в автоклавах (РЗ-2), позволяющий полностью автоматизировать автоклавный процесс, включая перепуск пара из одного автоклава в другой и выпуск конденсата. Управление процессом запаривания определяется профилем целлулондного программного диска, вставляемого в регулятор. Температурный режим регистрируется на диаграмме через каждые 2° и каждые 15 мин. Пределы регулирования 50—190°, точность +2°. Регулирование осуществляется пневматич, мембранно-исполнительными механизмами. Е. Штейн 12651. О звуконзолирующих и звуконоглощающих стеновых материалах. Гусев Н., Строит. материалы, изделия и конструкции, 1956, № 4, 3—5

На основании отечественного и зарубежного опыта строительства рекомендуется наладить произ-во звукопоглощающих и звукоизолирующих материалов: гипсовых перфорированных плит, дрегесноволокнистых плит, плит типа «пемзолит» и ЦНИПС, плит «зонолит» и звукопоглощающих матов. Приводятся характеристика, технология изготовления и методы применения указанных материалов. П. Беренштейн 2652. О ванимодействии портландцемента с кристаллическим кремнеземом при автоклавной обработке. Бутт Ю. М., Рашкович Л. Н., Цемент, 1956, № 2, 21—26

Приводятся результаты исследования взаимодействия кристаллич, кремнезема с основными минералами портландцементного клинкера C2S и C3S, а также с портландцементами (П) различного минералогич. состава. Установлено, что прочность чистого C₃S, запаренного при 8 ати, превышает прочность запаренного в этих условиях β -C₂S. При 16 ати получаются противоположные результаты. При добавке песка >10% и до 60% прочность образцов на основе С2S превышает прочность образцов на основе CaS. Отмечается, что при запаривании П образуются те же гидросиликаты, что и в случае запаривания образцов на основе C₃S и C₂S. Максимум прочности соответствует максим, содержанию в образце малоосновного гидросиликата. Указывается, что при запаривании под давл. 16 ами алитовый цемент без добавки песка и с добавкой его до 40% менее прочен, чем белитовый. Оптимальная дозировка песка при 16 ати равна 30%. Оптимальная дозировка песка при давлении в 8 *аты* составляет 30% для белитовых цементов и 50% для алитовых. Для произ-ва автоклавных изделий можно применять П с добавкой кварцевого песка, изготовленный на клинкере с любым содержанием алита и белита. Е. Штейн Микроскопия цементов. Климбов (Місroscopy in cements. Klim b o f f M.), Indian Ceram., 1956, 2. № 11, 331—338 (англ.)

Описаны оптич. свойства важнейших минералов, встречающихся в портландцементных клинкерах, и методика приготовления аншлифов. Рекомендуется протравливать аншлифы 1%-ным р-ром азотной к-ты в этиловом спирте ≥ 5 сек. Рассматриваются способы определения в аншлифе алита (А), белита (Б), браун-миллерита (БМ) и компонента Д, а также MgO и СаО. Компонент Д представляет зернистую массу, окружающую кристаллы А и Б, и тесно ассоциированную с БМ. Он протравливается слабее, чем А и Б, и имеет более низкую отражательную способность, чем БМ. Состав Д не определен с достаточной точностью. Он пред-ставляет смесь ЗСаО · Al₂O₃ с CaO , Al₂O₃ , Fe₂O₃ и SiO₂ , которая полностью выкристаллизовывается при условиях равновесия. Компонент Д изотропен, но протравливание позволяет отличить С₃А от стекла. Отмечено, что в некоторых клинкерах, содержащих до 4% MgO, кристаллизация MgO не наблюдается, и неизвестно

входит ли MgO в состав твердого р-ра или стекла. Предварительные подсчеты под микроскопом показали, что фактич, содержание А выше расчетного, а кол-во Д меньше вычисленного кол-ва СаА. А. Майер Термографическое исследование 2654. Термографическое исследование кислото-упорных цементов. Домбровская Н. С., Мительман М. Р., Ж. прикл. химин, 1953, № 1, 18—21

12655. Удельный объем испаряемой воды в затветлевшем портландцементном тесте. Копленд (Specific volume of evaporable water in hardened portland cement pastes. С о р е l a n d L. Е.). J. Amer. Concrete Inst., 1956, 27. № 8, 863—874 (англ.) Средний уд. объем химически не связанной воды

в затвердевнем насыщ, портландцементном камие не зависит от степени гидратации и от В/Ц и равняется 0,99. Это означает, что нет разницы между уд. объемами воды геля и капиллярной воды в насыц, цементном камне. Суммарный объем пор затвердевшего теста, следовательно, равен 0,99 объема испаряемой воды. Уд. объем продуктов гидратации, равный 0,398, совпадает с величиной, полученной другим методом Пауэрсом и Браунярдом, Кол-во воды, которое тесто должно поглотить, чтобы находиться в насыщ, состоянии в пропессе гидратации цемента, определяется ур-нием: W_t $-W_{0} = 0.25 \; W_{n}$, где W_{t} — водосодержание теста, W_{0} кол-во воды затворения, W_n — свизанная (неиспаряющаяся) вода. И. Смирнова

12656. Сульфатостойкость цементов с активными добавками вулканического происхождения. Рояк С. М., Мышляева В. В., Тандилова С. М., Мышляева В. В., Тандилова К. Б., Тр. Гос. всес. н.-и. ин-та цемент. пром-ста, 1956. № 9, 82—108 Изучалась зависимость сульфатостойкости пущо-

лановых портландцементов (П) с кислыми и основными добавками вулканич, происхождения от природы добавок и содержания в них глинозема. Подтвердилась зависимость между величиной п. п. п., содержанием растворимого глинозема и активностью по поглощению СаО для туфов. С увеличением п. п. п. и активности добавок по поглощению СаО увеличивается содержание растворимого глинозема. Добавки вулканич. провсхождения основного типа такой закономерности в обнаружили. Изучены процессы коррозии в 1 и 5%ном р-рах Na₂SO₄ (I) П. содержащих С₃А 13.8; 8.4 ш 3.1% и пуццолановых П. Твердение цементов в 1%ном p-pe I сопровождается образованием сульфоальмината Са (II); кол-во которого зависит от содержания СвА в клинкере и степени участия глинозема добавки в образовании II. Твердение цементов в 5%-ном p-peI сопровождается, кроме того, кристаллизацией гипса. Кол-во его для П составляет 17—25 % СаSO₄ к 6 меся-цам твердения, а для пуццолановых П зависит от активности и дозировки добавок и доходит до 20% CaSO4. Исследование кинетики процессов коррозии пущолановых П на основе определения кол-ва связанном и свободного гипса показало, что только 1 — 1,5% Al₂O₃ добавки участвует в образовании II в процессе твердения в течение 6 месяцев, Образование II в пуццолановых II как за счет C_3A клинкера, так и за счет глинозема добавки, отрицательно влияет на сульфатостойкость пуццоланового П, если отношение СаО (мг) к содержанию растворимого Al₂O₃ (%) <10—15. Величина п. п. п. для трассов и туфов дол-</p> жна быть >6%. Необходимо уточнить технич. требования к активным добавкам вулканич. происхождения для произ-ва сульфатостойкого пуццоланового П. И. Смирнова

Первые успехи опытов по улучшению химичского состава клинкера путем использования откодов огнеупорного кирпича. Ван Цзин-тац

Пред-

и, что

во Д

Майер

слото-

· C.,

атвер-

ленд

d port-

Amer.

.)

мне не няется объема-

ентном

а, сле-

ы. Уп.

впадает

рсом и

погло-

в про-

: W,-

. Wo-

паряю-

ирнова ыми до-

Рояк

лова

DOM-CTH,

пуццоовными оды до-

рдилась

жанием

ошению

ости до-

ержание

проис-

ости не

и 5%-

,8; 8,4 H

в в 1%-

ьфоалю-

ержания

добавки

ом р-ре І

й гипса.

к 6 меся-

IT OT ak-

6 CaSO4.

язанного

- 1.5%

в процес-

вание П

кера, так

лияет н

тношение

203 (%)

уфов дол-

ч. требо-

хождения

ового П.

Смирнова

о химичения отхо и н-т а в, ХуЧжуав-ци (利用慶火磚改造爐流化學組成研究初步成功・王景唐, 胡壯饒), 科學通報, Кэсюэ тунбао, 1954, № 8, 60—61 (кит.)

Правильное стандартное испытание цементов

способствует экономии их в строительстве. К у р и пн ы й Т. Г., Строит, пром-сть, 1956, № 8, 33—36 В связи с наличием противоречивых данных, получаемых при испытании цементов в ряде лабораторий, предлагается точно соблюдать требования ГОСТ 310-41 на методы физ.-мех, испытаний цемента, тщательно проверять имеющиеся приборы и оборудование и периодически проводить повториые сравнительные испытания одной и той же пробы цемента, хранящейся 7—10 дней в сухом месте. Г. Копелянский 12659. Соблюдение технологических режимов является решающим для правильного протекания производственного процесса. Цеслик (Przestrzeganie rezimów technologicznych decyduje o prawidłowóści procesu produkcyjnego. С i e š l i k F r a nc i s z e k). Семепt. Wapno. Gips., 1956, 12, № 7—8,

176—179 (польск.)
Приводятся данные о влиянии точного соблюдения технологич. режима на качество получаемого цемента.

E. Стефановский 12660. Исследование новых цементов и их стандартизации. Корнгут (Zagadnienie nowych cementów i ich normalizacji. Когп g u t Józef), Семенt. Wapno. Gips., 1956, 12, № 7—8, 169—175 (подъек)

Описаны свойства и условия получения портлаидского, глиноземистого, декоративного и других цементов, Высказаны соображения о развитии произ-ва этих цементов в ПНР. Е. Стефановский 12661. Строительство нового цементного завода в

12661. Строительство нового цементного завода в Эдмонтоне. Ратерфорд (Construction of a new cement plant at Edmonton. Rutherford W.), Engng J.. 1956, 39. № 4, 412—420 (англ.)

Описан строящийся с 1955 г. з-д по произ-ву цемента мокрым способом. На з-де установлена вращающаяся печь длиной 112 м и диам. 3,3 м. В зоне обжига печь футерована огнеупором, содержащим 70% глинозема. Для отопления печи предусмотрено применение природного газа. Хранение готового демента будет осуществляться в 6 силосах высотой 33,9 м и диам. 7.2 м. И. Смирнова

Боровецкий Цементная черепица. (Dachówka cementowa. Вогоwiecki Jerzy), Mater. budowl., 1956, 11, № 7, 212—213 (польск.) Цементная черепица, изготовленная из смеси цемента с песком в отношении 1:4 или 1:5, позволяет использовать местные материалы и является экономически более выгодной, чем керамическая. Е. Стефановский 12663. О проверке качества цементных изделий. Кайпонен (Sementtituotteiden lastutarkastuk-sesta ja sen vaikutuksesta tuotteiden laatuun. Каіроnen Urho), Sementtituote, 1956, № 1, 11—13 (фин.) Приводятся результаты проверки качества цементных изделий за 1949-1955 гг., организованной Финляндским обществом цементных изделий и Цементным обществом. Проверялось качество следующих изделий: водонепроницаемость и прочность на сжатие труб; 2) водонепроницаемость колодезных колец; 3) прочность на изгиб кровельной чер пицы и тротуарных плит, в некоторых случаях — водонепроницаемость кровельной черепицы; 4) прочность на изгиб и раскалывание по-

В 1951 г. 82%.

12664. Ускоренный метод определения активности естественных гидравлических добавок. М а р т о в а Т. Г., Сообщ. Сахалинского фил. АН СССР, 1956, № 3, 87—98

кровной черепицы для кабелей. Положительную оцен-

ку получили в 1949 г. 39% изделий, в 1950 г. 64%,

Предлагается ускоренный метод определения активности гидравлич, добавок осадочного происхождения (диатомиты, туфы, пемза и т. д.). Принцип предлагаемого метода основан на изменении рН насыш, р-ра, вызываемого тем, что в процессе взбалтывания порошка исследуемой добавки в насыш, р-ре извести происходит связывание части гидрата окиси Са. Одновременно уменьшается конц-ия последнего и увеличивается степень диссоциации оставшейся в р-ре части гидрата окиси Са. Приводится расчетная таблица, пользование которой упрощает вычисление активности гидравлич, добавок.

Г. Копелинский

12665. Вяжущие на основе шлака. Феррари (Leganti a base di loppa. Ferrari F.), Cemento, 1956, 53, № 3, 12—21, № 4, 3—7 (итал.; рез. англ., франц.)

 Приведен обзор работ различных авторов по исследованию свойств доменных шлаков и вяжущих на их основе. Библ. 53 назв.

11. Приведено описание итальянского з-да по изготовлению шлакового демента производительностью до 500 тыс. т в год. Исходным сырьем являются известняк, шлак. кремнеземистая порода и пиритные огарки. Обжиг клинкера производится во вращающейся печи длиной 130 м и диам. 3.60 м. Клинкер размалывают до остатка в 2% на сите 4900 ome/cм². И. Смирнова

12666. Тисовецкий доменный шлак как добавка к смещанным цементам. Гумпола (Tisovecká haldová troska ako prísada do zmesných cementov. H u mp o l a H.), Stavivo, 1956, 34, № 7, 249—252 (словац., рез. русс., нем.)

Приведены результаты опытов по изучению влияния шлака с высоким (до 6%) содержанием MnO как гидравлич. добавки к портландцементу. Рекомендуется добавка до 30%.

Е. Стефановский

12667. Поведение шлаков цветных металлов при их использовании в качестве заменителя колчеданной золы и влияние ZnO, содержащегося в этих шлаках, на свойства цементов. Ц и ц е ю, Б а л т э (Comportarea zgurilor de metale neferoase ca înlocuitor al cenușii de pirită si influenta oxidului de zinc din compoziția lor asupra proprietăților cimenturilor. Т ițe i u О.. В а l t ă Р.). Ind. construcțiilor și mater. constr., 1956, 7, № 5, 307—310 (рум.)

Приведены результаты опытов, проведенных с целью установления возможности использования шлаков, полученных при переработке цветных металлов, в качестве заменителя колчеданных огарков при произ-ве цемента. Наряду с относительно высоким содержанием Fe₂O₃ (до 40%) эти шлаки содержат Си до 0.064%, Рb до 0.14% и, в особенности, Zn, доходящего иногда до 9%. Опыты показали, что схватывание цементов, приготовленных с применением шлака из цветных металлов, превышает 10 час. Цементы с повышенным содержанием ZnO (1.82 и 2.06%) не обладают постоянством объема. Механич, свойства цементов, приготовленных с применением шлака цветных металлов, меньше, чем цементов с применением колчеданных огарков. При содержании ZnO 1,82 и 2,06% механич. свойства цементов Я. Матлис равны 0.

12668. Использование в качестве вяжущего вещества золы известковых и кирпичных обжигательных печей. Тарго (Tellise- ja lubjapoletusahjude jääktuhkade kasutamine sideainena. Тагдо G.), Uue tehn. büll. ENSV Ehitusmaterjal. tööst. ministeerium, 1956, № 4, 47—52 (эст.)

12669. Яченстые строительные материалы, затвердевающие в автоклаве. Лакатош (Autoklávban szilárdított sejtesített èpítőanyagok. Lakatos T i bor), Magyar építőipar, 1956, 5, № 2, 62—70 (венг.)

Описано произ-во газобетона, газосиликата, пеносиликата и пенобетона. Отмечены факторы, влияющие на прочность (дозировка цемента, тонкость помола песка, кол-во воды). Д. Пюшпеки 12670. Определение тепловых коэффициентов веществ

в условнях экзотермических реакций. Казанский (Визначения теплових коеэфіціэнтів речовин в умовах скзотермічних реакцій. Казанський М.Ф.), Наук. зап. Київськ. держ. пед. ін-ту, 1954, 16, физ.-матем. сер., № 5, 97—105 (укр.)

Рассматриваются методы определения тепловых констант твердеющего бетона и др. масс. В. Рыжиков 12671. Керамзит — заполнитель легких бетонов. Никитин П. В., Бюл. строит. техники, 1956,

№ 4,6—8
Краткое описание технологии изготовления керамачта, принятой на строящемси керамавтовом з-де Сталинградстроя. Основным агрегатом является вращающаяся печь для обжига дробленой глинистой породы; длина 18 и днам. 1,8 м. Годовая производительность печи составляет 50 тыс. м³. Г. Копелянский 12672. Использование морекого песка в качестве нанолнителя. О с и ма (細骨材としての海砂の利用 大鳥久太),雖疾技術,Кэнтику гидзюцу, Build. Engng, 1956, № 61,61—71,21 (япон.; рез. англ.)

В последние годы в Японии в качестве наполнителя при изготовлении бетонов применяется морской песок; содержащиеся в нем соли вызывают коррозию арматуры. Описаны методы определения содержания солей в песке, а также способы защиты арматуры от коррозии, ссетоящие в добавлении небольших кол-в NaNO₂, K₂C₁O₄ или других спец. в-в. М. Степанова 12673. Наполнитель для бетона из дробленого известняка. Матер (Crushed limestone aggregates for concrete. Mather Katharine, Mining Engng, 14953 5 M 10 4022—41028 (англ.)

1953, 5, № 10, 1022—1028 (англ.)

12674. Исправление к статье. Пауэрс, Стэйнор «О реакциях между щелочами и заполнителями. Часть І. Химические реакции и механизм расширения» (Errata. Powers T. C., Steinour H. H.), J. Amer. Concrete Inst., 1955, 27, № 4, Part 2 (англ.)

«КРЖХим, 1956, 13674.

КРЖХим, 1956, 13674.

12675. К вопросу об эквиваленте песка. Лорти (Considerations sur l'équivalent de sable. L hort y M.), Rev. gén. routes et aérodr., 1956, 26, № 289,

57—64, 67—72 (франц.)
Автор оценивает способ определения эквивалента песка как метод нахождения содержания в заполнителе очень тонких частиц взамен определения показателя пластичности по Аттенбергу. Рассмотрено влияние на точность определения различных факторов (влажности, гранулометрии и др.).
И. Смирнова

12676. Применение порообразователей в производетве легкого бетона. Чанда, Миттал (Use of foaming technique to produce lightweight concrete. Сhanda S. K., Mittal S. K.), Indian Ceram., 1956, 2, № 12, 371—374 (англ.)

Описаны опыты получения легкого бетона при использовании в качестве пенообразователя спец. препарата «Афрозоль». Применяя его, можно получить бетон, содержащий до 80% вовлеченного воздуха. Блоки из пенобетона имеют об. в. 320—1280 кг/м³ и предел прочности при сжатии в зависимости от состава 5—43 кг/см². Блок из пенобетона толщиной 75 мм (об. в. 480 кг/м³) обладает почти такой же теплопроводностью, как слой пробки толщиной 25 мм. Усадка пенобетона значительно больше, чем тяжелого бетона. Начальная усадка составляет 0,2—0,5%. Пенобетон рекомендуется применять для ве несущих конструкций. И. Смирнова 12677. Гравий и вода как составные части бетона. А и д же е в с к и й (Kruszywo i woda jako składniki

betonu. Andrzejewski Ludwik), Budown, wiejskie, 1956, 8, № 7, 24—25 (польск).

Описаны характеристики гравия и влияние их на свойства бетона.

Е. Стефановский 12678. Увеличение прочности бетона электроосмосом. Поганый (The improvement of concrete strength by electro-osmosis. Pogany A.), Indian Concrete J., 1954, 28, № 1, 15—16 (англ.)

12679. О бетоне, приготовленном на шлакопортландцементе с применением хлористого кальция. А раки (フライアツシュと鹽化カルンウムとを混和したコンク リートについて、 荒木熊一), 土木枝橋, Добоку гидзюцу, 1954, 12, № 12, 11—15 (япон.)

Рассматривается возможность частичной замены цемента в бетоне шлаком и смесью шлака с CaCl₂. На основе проведенных опытов автор сделал следующие выоды: при добавке к бетону шлака сроки схватывания несколько увеличиваются, а при добавлении вместе со шлаком CaCl₂ срок схватывания уменьшается. Растекаемость р-ра и бетона, при постоянном кол-ве воды, увеличивается по мере увеличения в цементе шлака. При одновременном добавлении в бетон CaCl₂ результаты не меняются. При постоянной величине растекаемости кол-во воды при добавке шлака может быть уменьшено. С увеличением добавке шлака прочность в первые сроки уменьшается, а в последующие — увеличивается. Добавление CaCl₂ к шлакопортландцементам повышает прочность последних в первые сроки тверения.

12680. Производство огнеунорных бетонов в РНР.

Дей к э (Fabricarea betoanelor refractare in R. P. R. Deică N.), Metalurgia şi constr. maş., 1956, 8, № 2, 48—57 (рум.)

Описана технология произ-ва огнеупорных бетонов (ОБ), применяемая с 1955 г. на двух з-дах РНР. Опыты по использованию ОБ показали, что ОБ, состоящий из портландцемента, марок 300 и 400, с добавкой 30% так называемого «керамич. стабилизатора» (КС) (15-30%) и в качестве наполнителя (85-70%) отходов красного кирнича или шамота, может быть с успехом использован взамен шамотного кирпича для футеровки большинства промышленных печей с т-рой до 900°. В качестве «ста-билизатора» используют огнеупорные глины, отходы строительного кирпича, обожженного шамота или боксита; перед смешиванием с цементом стабилизатор должет быть размолот и просеян через сито 0,2 мм. ОБ с портландцементом и КС с наполнителем из шамота с огнеупорностью >1710° может быть использован при т-ре до 1300°, а при употреблении основных огнеупорных наполнителей (отходов хромомагнезита, обожженного серпентинита, форстерита и др.) — до 1.00°. ОБ с глиноземистым пементом (10—25%) и шамотным наполнителем (90—75%) с огнеупорностью >1720° может применяться до 1400°, а при использовании основных огнеупорных наполнителей, а также обожженного боксита или хромита — до 1550°. Теплоизоляционный ОБ с портландцементом и КС или глиноземистым цементом и с наполнителем из обожженного диатомита, при об. в. 1-1,3 г/см³, может быть использован до 1100° в качестве заменителя легковесных огнеупоров. Дан ряд рекомендаций по замене шамотного кирпича ОБ в металлургич., хим. и в пром-сти строительных материа-Я. Матлис JOB

12681. Опыт и выводы из ускоренного дозревания бетонов на строительной площадке. Мон и ковский (Doświadczenia i wnioski z przyśpieszonego dojrzewania betonów na placu budowy. Моп i kowski Edward), Budown. przemysł., 1956, 5, № 7—8, 29—33 (польск.)

С целью ускорения стройтельных работ рекомендуется изготовление стройдеталей непосредственно на строительных объектах при условии тщательного подбора

own.

х на

Ский

смоcrete

dian

iann-

aRM

y n

боку

и це-

a oc-

е вы-

ания

месте

Pac-

воды.

лака.

зульекае-

мень-

пер-

личи-

ентам

твер-

Гусев PHP.

P.R.

56, 8,

TOHOR

пыты

ий из

% Tak

сного

зован

нства

тходы

и бок-

затор

. OB

амота

еупор-

жжен-°. ОБ

лм на-

может

овных

о бок-

ый ОБ

иентом

об. в.

каче-

яд ре-

в ме-

териа-

Латлис

иня бе-

KOB-

zonego

k o w-

56, 5,

ендует-

строи-

одбора

материалов, добавления CaCl2 (в зимнее время) и тепловой обработки при т-рах до 75°. Е. Стефановский Механический метод испытания бетонов без их разрушения. Во и на (O metodă mecanică de încercare nedestructivă a betoanelor. Voin a H.), Ind. con strucțiilor și mater. constr., 1956, 7, № 5,

304—307 (рум.; рез. русс., нем.) Предлагается способ определения прочности бетона, позволяющий осуществлять измерения непосредственно на готовых сооружениях без их разрушения. Для этой цели пользуются прибором, имеющим металлич. маятник длиною 35 см. оканчивающийся цилиндром, в котором находится шарик диам. 25 мм из твердой стали. Вес цилиндра с шариком 2 кг. Второй конец маятника смонтирован на металлич, кронштейне. Прибор устанавливается на вертикальной стене сооружения и поддерживается рукой испытателя, который второй рукой поднимает маятник на 90 или 180° и отпускает его. При ударе шарик оставляет отпечаток в бетоне, размер которого измеряется лупой, и затем с помощью спец. графика определяется прочность бетона. Градуировка прибора осуществляется на различных образцах бето-нов, имеющих известную прочность. Я. Матлис 12683. Испытания бетона. И трехус (Prévning av betong. Ytrehus Arne), Tekn. ukebl., 1956, 103, № 21, 475—479 (норв.)

К. Герцфельд Контроль и оценка качества бетона. Розенак (The control and testing of concrete quality. Rosenak S.), Indian Concrete J., 1956, 30, № 6, 177—179, 183 (англ.)

Обзор методов испытания бетона. Библ. 15 назв.

Рассматриваются условия, необходимые для получения бетона хорошего качества. Указывается на целесообразность промывки заполнителей (3) и весовой дозировки составляющих, подчеркивается роль правильного назначения В.Ц. Отмечается значение суммар-ной уд. поверхности 3 при подборе состава Б. Описан способ определения удобообрабатываемости бетонной смеси по величине коэфф. уплотнения, применимый для пластичных и жестких смесей. Указывается на необходимость тщательного уплотнения Б в конструкциях и применения для этой пели вибрации или вибропрессования. Отмечается, что прочность (П) Б на изгиб при равной П на сжатие зависит от размера и формы зерен крупного З. Контроль II по скорости ультразвука воз-можен лишь при постоянном составе Б и определен-В. Довжик Задачи в области расчета состава бетона.

Попович (Feladatok a betontervezés köréből. Pороvics Sándor), Magyar tud. akad. Müsz. tud. oszt. közl., 1955, 15, № 1—4, 261—277 (венг.) Рассмотрена взаимосвязь В/Ц, консистенции, прочно-

сти и состава бетона. Дана ф-ла для определения В/Ц бетонов жесткой и пластичной консистенции:

$$(B/II)_{Hect} = (60/C)[(3f+d)/100+1,40]+0,10$$

$$(B / Ц)_{пласт} = 1.20 (B / Ц)_{жест}$$

где C — кол-во цемента в 1 M^3 уплотненного бетона в $\kappa \varepsilon$; весовое кол-во песчаного гравия фракции 0—1 мм в %; d— весовое кол-во песчаного гравия фракции 1—5 мм в %. Д. Пюшпеки Д. Пюшпеки 686. Международная конференция по вопросам гидротехнического бетона в Чехословакии. С и м е онов (Международна конференция по «Хидротехнически бетон» в Чехословакия. Симеонов И ордан, Изв. Техи. ин-та Българ. АН, 1956, кн. 4, 197—203 (болг.)

Исправление к статье: Калоусек «Основные факторы усадки бетонных блоков при сушке»

(Errata. Kalousek George L.), J. Amer. Concrete Inst., 1955, 27, № 4, Part 2 (англ.) К РЖХим, 1956, 36751

12688. Новые крупноразмерные силикатные и армосиликатные конструкции. К р а с н ы й И. М., Строит. пром-сть, 1956, № 8, 36—39

Описываются осваиваемые произ-вом новые виды силикатных и армосиликатных конструкций: сплошные армосиликатные плиты, пустотелый армосиликатный настил, щелевидные блоки и золосиликатные перегородочные плиты. Первые 3 вида изделий изгоговляются из обычной силикатной смеси с добавлением в отдельных случаях 80-120 кг цемента на 1 м⁸ массы и перегородочные плиты — из известково-зольной смеси. Плиты и настилы приготовляются из пластичных (штыкование, вибрирование) или жестких смесей (на вибростолах), блоки — из особо жестких смесей (трамбование) и перегородочные плиты — литьем. Марки силикатного бетона приняты для плит в 110 кг/см2. настила — 200 кг/см² и блоков —50 кг/см². Прочность золосиликата в контрольных образцах составляет 75—150 кг/см² при об. в. 1,2—1,4 m/м³. Е. Штейн 12689. Коррозия армированного бетона морскими водами. Эриксен (Sobre la destruccion de hor-migon armado a orilla del mar. Егісһ s e n. L o thar von), Scientia (Valparaiso), 1955, 22, № 3, 134-136 (исп.)

Описываются причины разрушения армированного бетона (Б) и указываются пути их устранения. Разрушение появляется главным образом в непосредственной близости от берега и характерны только для железобетона. В Б без арматуры не проявляются признаки разрушения в течение многих лет. Возникающие трещины начинаются от места соприкосновения Б с металлом. Поверхность металла вблизи трещин покрыта окисью, которая достигает толщины в 1 см. Разрушение армированного Б объясняется тем, что при употреблении крупного неска Б приобретает большую пористость, что способствует проникновению влаги, воздуха и солей к Fe. Кислород, вода и соли создают условия, способствующие окислению Fe. Объем окислившегося Fe увеличивается в 2,8 раза. Изменение объема Fe вызывает растяжение и сжатие Б и возникновение трешин. Необходимо делать бетон непроницаемым для влаги и воздуха. Там, где это невозможно, необходимо отказаться от металлич. арматуры.

Изготовление длинных предварительно напряженных железобетонных желобчатых плит. И е рcone (Casting long — span prestressed concrete channel slabs. Persons Hubert H.), Rock Prod., 1956, 59, № 3, 149—151 (англ.)

Описывается технология произ-ва длиннопролетных предварительно напряженных железобетонных желобчатых плит для перекрытий заводских зданий полигонного типа. Длина плит 15,2 м. Бетон изготовляется из быстротвердеющего портландцемента. В теплую погоду расход цемента составляет 296 кг/м3 бетона при осадке конуса 2,5-3,25 см. В холодную погоду расход цемента увеличивается на 21 кг и вводится небольшая добавка CaCl2. Кроме того, производится термообработка твердеющих плит наром с помощью спец. передвижного подогревателя. После 18 час. твердения бетон приобретает прочность 245 кг/см2.

В качестве арматуры для предварительного напряжения применяется семижильный кабель диам. 78-93 мм. Помимо длиннопролетных плит, на з-де производя ся и сборные предварительно напряженные строительные детали. Об испытании огнестойкости напряженно-ар-

мированного железобетона в Голландии. К у о м о (Su alcune prove di resistenza al fuoco di travi di cemento armato precompresso eseguite in Olanda. C u o-

ли

Ba

пе

m o Salvatore), Antincendio, 1956, 8, № 4, 179—189 (итал.; рез. англ., нем., франц., исп.)

Определяли огнестойкость нагруженных напряженно-армированных балок длиной 8 м и различного сечения в специально построенной печи. Арматура балок имела эллиптич. и круглое сечение. Т-ра в печи, ота-пливаемой пропаном, составляла 1200°. При высокой т-ре в балках возникают термич. напряжения. Даны предложения по расчету огнестойкости балок. Приведены диаграммы, пользуясь которыми можно определить крит. т-ру нагрева арматуры и время, в течение которого арматура может выдержать эту т-ру. Опыты продол-И. Смирнова жаются.

2692. Киевский завод железобетонных изделий. Нарижный В. А., Артемцев В. П., Бетон и железобетон, 1956, № 9, 310—314 12692.

В Киеве осваивается новый з-д железобетонных изделий мощностью 100 тыс. м³ в год. Стоимость з-да 23 млн. рублей. 3-д оборудован одним универсальным широким конвейером, что дало возможность значительно сократить производственную площадь. Приводится подробное описание оборудования. М. Степанова подробное описание оборудования. Прочность на растяжение раствора и бетона

с добавкой «силикона». М у ш и и с к и й, Ф л ё р е к (Wytrzymalość na rozciąganie zaprawy i betonu z domieszką «silikonu». M u s z y ń s k i Wła d y-sła w, Florek Andrzej), Mater. budowl., 1956, 11, № 8, 247—249 (польск.)

Добавка в кол-ве 10% от веса цемента, приготовленная на основе гидрата глинозема и хлорной извести, оказывает положительное влияние на водонепроницаемость р-ра или бетона. Е. Стефановский 2694. Кислотоупорность и сульфатостойкость це-ментных растворов. Я маути, Кондо, Сакаи (混合セメントの化學抵抗性. 山内後吉,近藤連一,酒井 亨),窯 協會誌, Érë кёканси, J. Ceram. Assoc. Japan., 1954, 62, № 696, 407—410 (япон.; рез. англ.) 12695. Влияние поверхностноактивных добавок на физико-механические свойства асбестоцемента. Л у-кошкина Л. А., Давыдова Ф. Л., Тр. Всес.

и.-и. ин-та асбеста, слюды, и асбестоцемент. изделий, 1956, № 4, 58-79

Изучалось влияние поверхностноактивных добавок (ПАД), введенных в асбестоцементную суспензию, на свойства суспензии и готового асбестоцемента, а также свойства асбестоцемента, изготовленного на цементе с пластифицирующими и гидрофобизирующими добавками. В качестве ПАД применяли винсол, древесный пек, сульфатно-спиртовую барду (ССБ), нефтяной контакт, пластимент СПА и лейканол. В цементы вводили следующие ПАД: мылонафт, оленновую к-ту, мы-лонафт + оленновую к-ту, ССБ и пластимент СПА. ПАД, введенные в асбоцемент, улучшают его физ.-мех. свойства: повышают предел прочности на удар и изгиб, уменьшают водопоглощение и увеличивают об. вес. ПАД улучшают пластичность свежеотформованного асбестоцементного листа. Наиболее эффективной ПАД из числа исследованных является ССБ в кол-ве 0,15% к весу цемента. При введении в асбестоцементную суспензию она увеличивает пластичность свежеотформованных листов, улучшает распушку асбеста и увеличивает производительность листоформовочных машин. И. Смирнова

Исследование кинетики и природы поглощения хризотил-асбестом гидрата окиси кальция. Б е ркович Т. М., Тр. Всес. н.-и. ин-та асбеста, слюды, и асбестоцемент. изделий, 1956, № 4, 19—37 Кинетику поглощения Са(ОН)₂ (I) асбестом (А) изу-

чали двумя способами, основанными на методике определения активности кислых гидравлич. добавок. Основные опыты производились на товарном А марки Г-5-60. За первые 10 мин. А поглощает ~20% полного кол-ва I, поглощаемого за 30 суток. Средняя скорость поглощения в первые 10 мин. в 600-700 раз больше, чем в последующие дальние сроки. Предварительная распушка увеличивает поглощение I асбестом. Зависимость между увеличением степени распушки А и поглощением I характеризуется величиной углового коэфф. tga кривой, описывающей эту зависимость. Установлена возможность характеризовать с помощью величины tga процессы, происходящие при механич. обработке А на различных аппаратах. Добавка гинса увеличивает поглощение 1 А в короткие и дальние сроки. Проведенные исследования приводят к выводу о хемосорбционной природе поглощения извести А. И. Смирнова Физико-химические производства основы шифера на песчанистом цементе с применением запа-

ривания в автоклавах. Беркович Т. М., Раби-нов И. Л., Солицева В. Л., Смирнов Н. Н., Тр. Всес. н.-и. ин-та асбеста, слюды и асбесто-

цемент. изделий, 1956, № 4, 3-18

Применяли песчанистые цементы, полученные помолом портландцементных клинкеров различного минералогич. состава с кварцевым песком в соотношении 1:1. Цемент размалывали с 3,6% двуводи. гинса дополучения 7,5-8,5% остатка на сите № 0085. Применяемый асбест состоял из 50% М-50-60 и 50% П-6-30. Образцы запаривали под давл. 2—15 ати при выдержко от 15 мин. до 24 час. и затем подвергали физ.-мех. испытаниям, хим. анализу, рентгеноструктурному и петрографич. исследованию. Ca(OH)₂ реагирует с волкнами асбеста с образованием гидросиликатов Са. Прочность асбестоцемента находится в сложной зависимости от продолжительности и давления запаривания. При достижении высоких показателей прочности автоклавированного асбестоцемента Са(ОН)2, выделяющаяся в процессе гидратации портландцемента, полностью связывается в гидросиликат тонкодисперсным кварцевым песком. Кол-во прореагировавшего песка пропорционально продолжительности запаривания и т-ре. Глубина силикатизации зерен песка возрастает с увеличением давления или времени запаривания. Температурный коэфф. процесса хим. связывания песчанистого компонента при запаривании асбестоцемента равен в среднем 1,2. При кол-ве прореагировавшего песка, обеспечивающем достижение максим. прочности асбестоцемента, расчетная глубина силикатизации зерев песка составляет в среднем 0,3 и. И. Смирнова

12698 К. Природные и искусственные каменные материалы в строительстве. Скальмовский (Naturalne i sztuczne materiały kamienne w budownictwie. S k a 1 m o w s k i W. Warszawa, «Budown. i Architektura», 1956, 242, 1 nlb. s., il., 19.60.zl)

12699 К. Труды III Международного конгресса похимии цемента (Proceedings of the 3 rd international symposium on the chemistry of cement. London, 1952. London, Cement and Concrete Assoc., 1954, 870 pp.,

ill.) (англ.)

700 К. Новые бетонные заводы. Дембовский, Клоуб (Nové betonàrny. Dembowski Mi-lan, Kloub Jan. Praha, SNTL, 1956, 350, (1) s., 12700 K. il., 22 Kas) (чеш.)

12701 К. Кабельный бетон. Проектирование и про-изводство. Клюз (Beton kablowy. Projektowaniei wykonawstwo. Kluz Tomasz. Warszawa, wykonawstwo. Kluz Tomasz. Warszawa, «Budown. i Architek., 1956, 211, 1 nlb. s., il., 14 zł.) (польск.)

12702 К. Технология бетона. Елен (Praktickà technologie betonu. Jelen Ladislav. Praha, SNTL, 1956, 407, (1) s., il., 25,80 Kčs) (чеш.) 12703 К. Методы исследования и характеристика материалов для заливки трещин в бетонном покрыскоболььная висиопло-

7 г.

эфф. злена ыtga ке А ивает еленчон-

нова ДСТВа запааби-HOR бестое по-

0 ми-

пении са до риме--6-30. сржке х. исп петюкна-Прочсимо-

. При гоклашаяся ОСТЬЮ варцеопорт-ре.

с уве-Гемпесчанита рапеска, и ас-3epem

приова ые маский oudowidown. (lz.06.6

сса по ational , 1952. 70 pp.,

кий, i Mi-(1) 8., и про-

owaniei rszawa, s., il., aktickà

. Pra-) (чеш.) ристика покры-

тии. Дабен (Méthodes d'examen et caractéristiques utiles des matières de scellement pour joints de revetements en béton. Dabin J. Bruxelles, Centre rech. routières, 1955, ill., 54 Bfr.) (франц.)

Технологические методы улучшения железобетона. Лом (Technologiai eloírások a betonvasszereléshez. Tervezet. Lomb Marcel. Budapest, Müszaki Kiado, 1955 (1956), 106, l., 10,50 ft) (венг.)

Исследование морозостойкости бетона. Блэкберн (A study of variability in concrete freeze-thaw test data. Blackburn Jack Bailey. Doct. diss. Purdue Univ., 1955), Dissert. Abstrs; 1955, 15, № 12, 2499 (англ.)

Опыты проведены с бетоном разных составов с использованием трех различных крупных заполнителей в разных цементов, из которых два содержали повышенвое кол-во щелочей. Для каждой комбинации заполнителя и цемента готовились четыре смеси. Из каждой смеси приготовлялось 9 образцов. Все образцы подвергались замораживанию при т-ре-27,8°, а затем подразделадись на 3 группы по 3 образца в каждой для оттанвания при т-рах 1,7; 12,8; 37,8°. Образцы, приготовленные из двух смесей, ежедневно подвергались одвому циклу замораживания и оттаивания, а остальпые образцы — двум циклам. Полученные данные показали, что различие в сопротивлении попеременному замораживанию и оттаиванию в значительной степени зависит от разрушения частиц крупного заполнителя. Выяснилось также, что большее разрушение образцов наблюдалось при условии одноразового замораживания в сутки, нежели двухразового.

П. Зильберфарб 706 Д. Исследование бетонов и растворов для зимних работ. С и з о в В. Н. Автореф. дисс. докт. техн. н. Центр. н.-и. ин-т пром. сооружений, М.,

Получение известкового молока с низкой вязкостью. Сугимото, Кондо (低粘性石灰乳の製法・杉本入一・近藤英男)・[旭硝子株式會社, Асахи гарасу кабусики кайся]. Япон. пат. 2619, 21.04.55 Описаны 2 способа получения известкового молока: 1.250 г CaO гасят 1 л воды. Затем берут 500 см³ полученного при гашении известкового молока и 500 см3 воды и гасят новые 250 г СаО, так повторяют несколько раз. 2. 250 г СаО гасят 1 л щел. р-ра, содержащим 25, 26 г NaOH и 1,72 г N₂CO₃. Затем новые 250 г СаО гасят смешанным р-ром, состоящим из 500 см³ известкового молока и щел. р-ра; этот процесс повторяют нескольko pas. 3. Завьялов

Изготовление силиката кальция (Preparation of calcium silicate) [Columbia-Southern Chemical Согр.]. Англ. пат. 731406, 8.06.55

Силикат Са получают взаимодействием CaCl₂ с силикатом щел. металла. Осадок выдерживают при т-ре от 40 до 200—250° в автоклаве в води. среде, содержащей растворенный хлорид металла. В качестве последнего рекомендуется взять Са в кол-ве≥1% от веса водн. р-ра. Можно также использовать хлористые соли Na, K, Mg, Sr, Ва, Al и Cu. Продолжительность нагревания составляет от 50 час. при 50° до 5 час. при 100°. Готовый продукт применяют в качестве пигмента.

И. Смирнова 2709 П. Цементные смеси. Кристиани, Кристиани (Cement mixtures. Christia-ni F. R., Christiani A. O.) [Christiani & Nielsen]. Англ. пат. 724674, 23.02.55

Состав, использующийся в качестве добавки к портмидцементам или подобным ему другим гидравлич. пементам, включает хлорную известь с одним или бо-

лее добавочными в-вами, которые разлагают эту известь. Добавочные компоненты должны составлять 2, 5% от веса извести. К ним относятся FeCl2, MnCl2, NH4Cl, $CoCl_2$, $FeSO_4$, $MnSO_4$, $NiSO_4$, Fe_2O_3 , MnO_2 и H_2SiF_4 . в количестве 2 ε -эке на ε -моль хлорной навести.

П. Зильбегфарб. 12710 П. Водоустойчивое покрытие (для бетона, цемента и т. п.). Судзуки (防水劑製造法.鈴木信一), Япон. пат. 3063, 9.05.55

Алкидную смолу или же денатурированную алкидную смолу растворяют в р-рителе, к полученному р-ру добавляют растворимые соли щел. металлов жирных к-т и жирные масла, все это хорошо эмульгируют и добавляютманнит и соли Са или вместо солей Са-известковое молоко, или же соли Al. В результате получают эмульсию, которая и используется для придания цементу, бетону и т. п. водонепроницаемости. Патентуемый состав разводится в воде, из расчета 1 ч. на 3—7 ч. воды, и наносится на поверхность бетона. Примерно через 5 час. образуется прочная водонепроницаемая пленка. Состав может быть нанесен на бумагу, ткань, дерево и т. п., в этом случае плотная водонепроницаемая пленка образуется через 3 чася. Состав содержит (в ч.): 1) алкидная смола 20, бензол 20, льняное масло 2, стеариновокислый натрий 100, маннит 20, CaCl₂ 5 в вода 20; 2) денатурированная алкидная смола (смесь льняного или тунгового масла с многоосновными или нейтр. смолами, как напр. ангидрид фталевой к-ты, смола, подогревают до 260—270°, затем добавляют глицерин и вновь подогревают до 200°) 20, льняное масло 5, стеариновокислый натрий 100, бензол 20, маннит 20, гашеная известь 3 и вода 200. Качество материала, пропитанного патентуемым составом. 1. При однократном пропитывании бумага не пропускает воду в течение 7 час., ткань — в течение 8 час. 30 мин. При 2-кратном пропитывании бумага не пропускает воду в течение 26 час., ткань — в течение 31 часа. 2. При однократной обработке составом, разведенным в воде (1 ч. на 3 ч. воды), поверхности бетона и цемента бетон пропускает воду под давл. З атм-0,1 см3/м2 в час, цемент — под дави. 5 am_M —0,06 c_M 9/ m^2 в час. То же самое при обработке металлич. мылами: бетон—1,2 c_M 3/ m^2 в час и цемент — 0,5 c_M 3/ m^2 в час. При обра-1,2 см⁻/м⁻ в час и цемент — 0,5 см⁻/м⁻ в час. При обра-ботке растворимым стеклом: бетон — 3,3 см³/см² в час и цемент — 1,7 см³/м² в час. З. Завьялов 12711 П. Долговечный бетон. К и т и и г (Weather-resistant concrete. K e a t i n g P a t г i c k J., Jr) [Texaco Development Corp.]. Канад. пат. 519536, 13.12.55

Высокая прочность и морозостойкость бетона достигаются за счет введения во влажную бетонную смесь (БС) воздухововлекающей добавки (ВВД), содержащей летучие соединения нафтена: красные сульфокислоты, полученные сульфированием минер. смазочного масла канифольное масло и нафтенат Na. Введение ВВД в кол-ве 0,002—0,1% от веса цемента приводит к во-влечению в БС 3—6% воздуха. В. Довжик 12712 П. Материал для стыкования труб и др. Т е й-

nop (Joint-making materials for pipes and the like. Taylor Charles H.) [Philplug Products Ltd]. Канад. пат. 511865, 12.04.55

Материал состоит из прядей волокон, в том числе ас-бестовых, покрытых смесью, которая имеет 70—80% по весу порошкообразного цемента типа портландского (8 ч.), ускоритель твердения цемента (1,25 ч.), представляющего собой карбонаты и силикаты щел. металлов, и добавки гидрата окиси Са (1 ч.), придающей во-И. Смирнова донепроницаемость.

12713 П. Способ изготовления массивных или профилированных строительных плит или тел. Ф и-шер, Сидов (Verfahren zur Herstellung von massiven oder profilierten Bauplatten bzw. Körpern.

1957 г.

Fischer Karl, Sydow Herbert) [Deutsche Erdöl-A.-G.]. Πατ. ΦΡΓ 927537, 12.05.55

Предлагается способ изготовления массивных или профилированных строительных плит из различных волокнистых, крошко- и порошкообразных материалов, отличающихся тепло- и звукоизолирующими свойствами (ТЗС), а также эластичностью и негорючестью. Плиты можно изготовлять из древесной стружки, опилок, соломы, камыша, бумаги, отходов текстиля, асбеста, пробки, пробковой муки и т. п. Для этого указанные материалы смешивают с р-ром альгината, применяемого в качестве связующего в-ва, и смесь прессуют под давлением и обрабатывают р-ром в-ва, превращающего растворимый альгинат в нерастворимый, напр. р-ром CaCl2. Так как избыток CaCl2 придает плитам гигроскопичность, то их обрабатывают затем растворимым сульфатом, напр. сульфатом К, Ге или Аl. Эта обработка придает материалу одновременно и невоспламеняемость. По снятии давления плиты сушат при повышенной т-ре, напр. при 80°. Механич. прочность, а также ТЗС плит зависят от величины давления, примененного при их изготовлении. Пример. Смесь опилок с равным весовым кол-вом 5%-ного р-ра альгината Na прес-суют в форме при давл. 1 кг/см². Через перфорированную крышку, не снамая давления, просасывают 40%ный p-p CaCl2. Избыток жидкости отсасывают и обрабатывают плиту кенц. p-ром K₂SO₄. Жидкость снова отсасывают, давление снимают и плиту сущат при 80°. Готовые плиты имеют уд. вес ~0,3, почти не гигроскопичны, отличаются высокой механич. прочностью и пластичностью, высокими ТЗС. Они могут применяться как обычные строительные плиты, но особенно пригодны как эластичные звукоглушители, настил на полу, для изоляции трубопроводов и холодильных помещений и т. п. К. Бокарев 12714 II. Свободно перемещающееся, некомкующее-

ся, истирающе действующее средство для чистки. К и р ш е и б а у э р (Freibewegliches, nichtklumpendes, abschleifend wirkendes Reinigungsmittel. К i r s c h e n b a u e r H a n s G e o r g e) [Colgate-Palmolive Co.]. Пат. 4ФРГ 919552, 28.10.54 [Chem. Zbl., 1955, 126, № 20, 4730 (нем.)]

Сыпучее, некомкующееся, истирающе действующее средство для чистки состоит в основном из ≤50% нерастворимого, кремнеземистого, абразивного в-ва (силекса, трепела, полевого шпата, пемзы, вулканич пепла, пумицита) и 0,5—20% тонкомолотого гидросиликата Mg, в котором MgO и SiO₂ находятся в соотношении ≥1: 2, напр., MgO 2,5 SiO₂·H₂O. Смесь содержит, кроме того, пезначительное кол-во в-в (в данном случае с активным анионом) (мыл, сульфокислот или их солей, фосфатов, соды).

См. также: Техника безопасности 14266

получение и разделение газов

Редактор В. Г. Фастовский

12715. Производство технологического кислорода и кислородных установок за границей. М о р о з А. И., Тр. Всес. н.-и. ин-та кислород. машиностр., 1956, № 1, 102—109

Обзор состояния произ-ва технологич. кислорода и кислородных установок в Германии, США, Франции и Англии. Библ. 27 назв. Ю. Петровский 12716. Получение озона в тихом электрическом разряде. Фастовский В. Г., Ровинский А. Е., Ж. прикл. химии, 1956, 29, № 9, 1309—1315 Экспериментально исследован процесс образования

озона (1) в трубчатых стеклянных озонаторах (диаметр

внутреннего электрода 51 мм, средняя ширина разрядного промежутка 3,2 мм). Измерено содержание I в сухом O_2 и воздухе при напряжении на внутрением электроде $U=8\div 12.5$ кв и времени экспозиции т до 125 сек. Найдено, что процесс озонирования описывает. ся кинетич. ур-нием, полученным в предположении. что скорость образования і постоянна, а скорость разложения I пропорциональна его конц-ии. Приведены значения максим. конц-ий I и константы кинетич. урния для исследованных напряжений; при 12,5 кв и т=2 мин. конц-ия I достигла: в О2 свыше 6 вес. % и в воздухе — 2,75 вес. %. При озонировании О2, насып. влагой, конц-ия I падает (при других неизменных условиях) на 77-90%. Приведены схема и описание озонатора, который позволяет получать >70 л/час газа с содержанием I>5,5 вес. %. Энергетич. выход I в этом аппарате при наибольших конц-иях I составляет ~14; I на кет/час; с уменьшением конц-ии I и понижением U выход I заметно увеличивается. Компиримированная окись углерода. Ш у л ц.

Схуневейс, Андерсон (Compressed carbon monoxide. Shultz J. F., Schoen eweis F. J., Anderson R. B.), Industr. and Engag Chem., 1956, 48, № 8, 1365 (англ.)

Описана установка для разделения газовой смеся ${
m H_2}+{
m CO},$ позволяющая получать в течение 6 час. до 2,8 ${
m {\it M}^3}$ чистой CO при 70 ${\it amu}$. Газовая смесь из баллона проходит адсорбционную очистку и конденсационный сосуд (КС) емк. 2 л, охлаждаемый жидким азотом; при этом СО конденсируется, а Н2 удаляется через газовый счетчик. После заполнения КС подача газа прекращается. КС нагревается и СО газифицируется в спец. баллон под требуемым давлением. Адсорбер емк. 1 л заполняется активированным углем, аскаритом и силикагелем, которые удаляют следы влаги и СО2, предотвращая забивку входной и выходной трубок на КС, а также удаляют следы сернистых соединений. Анализ на масс-спектрометре установил наличие в продукте 0,15% Н2 и 0,05% СН4. Расход жидкого азота на один цикл (2.8 м³ CO) составляет 25-30 л. А. Ровинский

См. также: Разделение смеси Ne, Ar, H₂, O₂, N₂ конвективной диффузией 11096

подготовка воды. сточные воды

. Редактор М. И. Лапшин

12718. Быстрый способ определения жесткости воды с помощью комлексона. И. И. (Brzi način utvrdivani tvrdoće vode pomoću kompleksona. P. P.), Tekstilm

ind., 1956, 4, № 4, 142-144 (хорв.)

Дли определения общей жесткости к 100 мл исследуемой воды прибавляют 5 мл буферного р-ра с рН 10 (1 л р-ра содержит 54 г NH₄Cl, 350 мл 25%-ного NH₄ и 100 мг Zn в виде ZnSO₄ · 7 H₂O) и титруют 0,1 м комплексоном III (1) в присутствии смеси эриохромчерного Т и метилового красного до зеленого окрашивания. При определении кальциевой жесткости к 100 м и ноды прибавляют NaOH до рН 12 и титруют I в присусствии мурексида до синего окрашивания. Н. Туркеви

12719. Определение жесткости воды комплексоно III. X ш о и ц (Oznaczanie twardości wody metody wąrsenianowa. C h r z ą s z c z J e r z y), Gospod. węglem, 1956, 5, № 6, 131 —133 (польск.)

Для определения жесткости катионированной вод (жесткость < 0,02 ме-эке/л) применяют титровани комплексоном III (I) при добавлении 0,5%-ного спирт р-ра эриохромчерного (II). Смесь 50 мл дистилл. воды 5 мл стандартного р-ра CaCl₂ (0,5 г CaCO₃ растворяют

азряд-

пе I в

реннем

IN T NO сывает-

жения.

ть разведены

ич. ур-

H T=2

I B B03-

насып.

х усло-

9 030на-

газа с B STON

T ~14 a

Вимем П

винский

Пулц, ed car-

eweis

Engag

й смеси час. до

баллона

ционный

том: при

газовый

крашаеттеп. балл заполиликаге-

твращая

а также нализ на

те 0.15%

дин цикл **ОВИНСКИ**Й

, O2, N3

сти воды

vrdivanj

Tekstilna

исследуе-

c pH 10 HOTO NH

тот 0,1 М

охромчер-

ашивания.

100 M

в присут-

Туркеви

пілексоном

dy metoda

нной воды

титрование

того спирт.

илл. воды растворяю

Gospod.

ДЫ

в небольшом кол-ве разб. HCl и дополняют водой до 1 a), 10мл буферного p-pa (67,7 e NH₄Cl и 570 мл NH₄OH уд. в. 0,91, в 1 л) и 5 капель II титруют 0,01 н. р-ром I до синего окрашивания. Прибавляют 500 мл исследуемой воды (жестность < 0,02 ме-эке/л), 30 капель II и про-должают тигрование при помощи I. В случае вод с жесткостью > 0,02 мг-эке/а титруют 50 мл пробы 0,1 н. р-ром I в присутствии 1 мл буферного р-ра и 5 ка-пель II. Р-ры I приготовляют с прибавлением 0,05 г/л MgCl₂ · 6H₂O. При наличии солей тяжелых металлов при титровании прибавляют кристаллик КСN или NaCN. Титр р-ра I вычисляют из результатов титрования стандартного p-pa CaCl2. Н. Туркевич Определение лигнинсульфоновых кислот в

воде посредством хлорной поды. Ганчарчик (Oznaczanie kwasów lignosulfonowych w wodzie za pomocą wody chlorowej. G ańc z arc z y k Jerzy), Roczn. chem., 1956, 30, № 1, 331—332 (польск.; рез. англ.)

Разработан новый колориметрич. метод определеиля лигнинсульфоновых к-т (1) в воде, заключающийся в образовании, при действии хлорной воды, окрашенного в желтый цвет соединения. Для определения берут 100 мл воды с рН 6,5—7,5, содержащих до 10 мг I, и добавляют 2 мл хиорной воды (5 мг Cl₂ в 1 мл). Через 15 мин. добавляют 0,2 мл аммиачной воды и сравнивают полученную окраску с соответствующими J. Młodecka стандартами. 12721. Техника бактериологического анализа с при-

менением мембранных фильтров. Лидберг (Membranfiltermetoden för bakteriologisk undersökning av vatten. Liedberg Åke), Nord. hyg. tidskr., 1956, 37, № 5-6, 132-140 (швед.; рез.

12722. Грибки в загрязненных и сточных водах. II. Техника выделения. III. Грибки в малых загрязненных реках. Кук (Fungi in polluted water and sewage. II. Isolation technique. III. Fungi in a small polluted stream. Cooke Wm. Bridge), Sewage and Industr. Wastes, 1954, 26, № 5, 661 — 674; № 6, 790-794 (англ.)

Сообщение I см. РЖХим, 1955, 12122.

723. Скорость распространения бактериальных и химических загрязнений в почве.— (Die Bewegung bakterieller und chemischer Verunreinigungen im Untergrund. —), Cas- und Wasserfach, 1955, 96, № 9— 10, 325—236 (нем.).

Приведены данные, полученные американскими ателями. С. Конобеев Токсичность для пресноводных рыб примесей, исследователями.

содержащихся в сточных водах нефтеперерабатывающих заводов. Терибулл, Де-Мани, Уэстон (Toxicity of various refinery materials to fresh water fish. Turnbull Harry, De Mann J. G., Weston R. F.), Industr. and Engng Chem., 1954, 46, № 2, 324—333 (англ.)

Описана методика и результаты опытов по изучению действия на рыб (окунь) ряда чистых и технич продуктов, содержащихся в сточных водах (СВ). Конц-ия растворенного О₂ поддерживалась ≥5 мг/л, т-ра 20°, акклиматизация рыб ≥10 дней. Безопасная конц-ия (БК) для рыб вычислялась по ф-ле: $\mathbf{E}\mathbf{K}=0,3,\ \mathbf{K}_{48}^3:\mathbf{K}_{24}^2,\ \mathbf{M}c/a,\ \mathbf{r}$ де К48 и К24 — конц-ии исследуемой примеси, при которых за время 48- и 24-часовой экспозиции погибало 50% подопытных рыб. Значения К₂₄, К₄₈ и БК (в мг/л) для СN-(соответственно) 0,28; 0,28; 0,08; фенола 19; 19; 5,7; тетраэтилсвинца (Рb) 2; 1,4; 0,2; алкиларилсульфоната (додекабензолсульфонат) 4,2; 3,7; 0,86; керосина 2992; 2820; 750; СВ от крекинг-процесса 31; 28; 7 об. %; общеваводский сток 21; 18; 4 об. % (приведены данные о ряде других в-в и объектов). При использовании этих

данных на практике необходимо учитывать: состав и свойства воды (жесткость, рН, т-ра), возможные изменения конц-ии токсичного в-ва (летучесть, гидролиз, осаждение), характер рыб, населяющих водоем и пр.

Н. Ваксберг Сточные воды нефтеперегонных заводов и санитарные нормы. II. II о песку (Apele reziduale de la rafinării și normele sanitare (II). Роресси Теоdог), Petrol și gaze, 1955, 6, № 8, 380—383

(рум.) Указаны предельно допустимые в водоемах конц-ии Указаны предельно допустимые в водоемах конц-ии токсичных примесей, содержащихся в сточных водах нефтеперегонных з-дов. Сообщение I см. РЖХим, 1956, Я. Матлис

Биологические проблемы при очистке промышленных сточных вод. Либман (Biologische Probleme bei der Reinigung von industriellen Abwässern. Liebmann H.) Osterr. Wasserwirtsch., 1955,7, № 5-6, 213-126 (нем.)

Для нормального протекания процессов самоочищения водоемов важнейшим фактором является сохранение в них естественного биоценоза организмов, подавляющего развитие патогенных бактерий. Для этого при сбросе промышленных сточных вод необходимо строго регулировать конц-ию содержащихся в них токсичных примесей, а также максимально снижать избыточные дозы реагентов, используемых при их обеззараживании.

Предварительные опыты использования сульфата меди для уничтожения водной растительности фата меди для уничтожения водной растительности в щелочных водах. Банерджи, Митра (Preliminary observations on the use of copper sulphate to control submerged aquatic weeds in alkaline waters. Вапегјеа Santimoy, Mitra Eva), Indian J. Fish., 1954, 1, № 1-2, 204—216 (англ.) В щел. водах применение CuSO₄-5H₂O (1) для уничтосиния водах применение CuSO₄-5H₂O (1) для уничтосиния водах применение СиSO₄-5H₂O (1) для уничтосиния водах применение СиSO₄-5H₂O (1) для уничтосиния водах применение (ВВ)

жения води. растительности (ВР) мало эффективно (осаждение ионов Cu²⁺). Конц-ия I 10 мг/л приводит только к временному увяданию ВР в первые дни. Опыты, проведенные в лаборатории и в прудах, заросших Ottelia alismoides, Limnanthemum cristatum и Naias foveolata, показали, что доза I в 10 мг/л оказывается достаточной для полного уничтожения ВР только при понижении pH до 6,0 (полное подавление жизнедея-тельности BP через ~ 25 суток). Для обработки значительных площадей I подвязывают в мешках к лодкам. Вследствие токсичности высоких конц-ий I для рыб способ применим для очистки заросших и заброшенных

7728. Комитет санитарной техники и сфера его деятельности. Гриффит (The Sanitary Engineering Committee. Its scope and objectives. Griffith George M.), Tappi, 1956, 39, № 4, 46A, 48A, 50A (англ.)

Будущее 12729. общественного Уайр (Public water supply and the future. Weir Paul), J. Amer. Water Works Assoc., 1956, 48, № 7, 755—760 (англ.)

Опыт эксплуатации двухпоточных механических фильтров. Ткаченко В. К., Информ. материалы Мосэнерго, 1955, вып. 8, 53-55

Описаны конструктивные изменения, произведенные на стандартных осветлительных фильтрах напорного типа (диам. 3 м) для работы их по схеме двухноточного фильтрования. Работа на некоагулированной воде показала возможность увеличения производительности фильтров в 2 раза и грязеемкости в 3-4 раза. Промывка фильтров проводилась нефильтрованной водой. В период паводка при работе на некоагулированной воде производительность каждого фильтра снижалась до 10 $M^3/4ac$, при применении коагуляции — возрастала до 50—60 $M^3/4ac$. Н. Субботина Н. Субботина

22 XHMHH, No 4

12731. Обеззараживание воды для питьевых целей при помощи препаратов серебра. Ричардсон (Revolutionary «Katadyn» water filter claimed to be perfect process. Richardson J. B.), Rhodesian Mining J., 1955, 27, № 332, 13—15 (англ.) Для условий Центральной Африки рекомендуется

Для условий Центральной Африки рекомендуется олигодинамич. метод обеззараживании воды, основанный на бактерицидном действии Ад. Полное обеззараживание воды, содержащей 90 бактерий Сой в 1 мл., достигается при пропуске ее через трубчатый фильтр из необожженной тонкопористой керамики, поверхность пор которой покрыта металлич. Ад. Подобные фильтры выпускаются с производительностью до 0,14 м³/час. Миним. по производительностыю до 0,14 марманный фильтр имеет длину 200 мм и весит ~600 г. Разновидностью метода является применение Ад. в ионной форме с использованием спец. электролизера с Ад-электродами, работающего с 50%-ным выходом по току при напряжении 1,5 г. Расчетная бактерицидная конц-ия Ад+ составляет 100 γ/л. Производительность таких установок до 230 м³/час. О. Ленчевский 12732. Эффект известкования воды. Р и л, Х артун г, Тейлор (Effects of lime softening. Riehl Merrill L., Hartung Herbert O., Тауlот Frank S.), I. Amer. Water Works Assoc., 1954, 46, № 5, 493—498 (англ.)

Исследованиями бактерицидного эффекта, наблюдающегося при известковании воды, установлено, что при значениях рН 11,0—11,5 и времени контакта ~4 часа наблюдается гибель ~100% микроорганиямов. Эксплуатационные данные показывают, что при времени контакта ~3,5 час. и рН 10,6—10,9 общее кол-во В. coli в осветленной воде составляет ~1%, в хлорированной 0,1% от содержания их в исходной воде. Недостатками известкования воды с доведением рН до 10,5—11,5 (рассматривая это мероприятие как обеззараживание) являются: резкое повышение жесткости и корродирующее воздействие на некоторые 2n-содержащие сплавы.

О. Мартынова dricksvatten. F i s c h e r G.), Hyg. revy, 1955, 44, № 3, 124—127 (швед.)

Кариес зубов распространен преимущественно среди населения городов, снабжаемых водой поверхностных источников с невысокой минерализацией. Употребление сладостей, плохой уход за полостью рта также способствуют развитию кариеса. Фторидирование воды (ФВ) предназначается для восполнения недостатка F в организме. Нормальной профилактич. конц-ией F считается 1 ме/л. При повышении конц-ии F до 2 ме/л развивается флюороз. Конц-ии F ≥ 5 ме/л считаются токсичными. Опыты на животных показали, что для профилактики кариеса имеет значение F лишь в понной форме, а не в виде каких-либо комплексных или органич. соединений. Олечевский 12734. Фторидирование воды, I. Влияние концентра-

2734. Оторидирование воды. І. Влияние концентрации фторидов в питьевой воде на состояние зубов. К о э н. II. Практические методы фторидирования питьевой воды. В у д (Fluoridation of water. I. The influence upon teeth of fluorides in drinking water. C o h e n B. II. Practical methods of the fluoridation of drinking waters. W o o d R. A.), J. Dental Assoc. S. Africa, 1954, 9, № 6, 191—197; 197—204 (англ.) І. Приведены статистич. данные по отдельным райо-

І. Приведены статистич. данные по отдельным районам Южной Америки, характернаующие связь между конц-ней F⁻в питьевой воде и заболеваемостью кариесом (в особенности у дегей). Оптимальная конц-ия F⁻в питьевой воде в нетропич. районах ~1 мг/л F⁻, в тропич. районах ≤ 0,6 мг/л F⁻.

П. Перечислены методы дефторидирования питьевой воды (адсорбция F при помощи Al (ОН)3 и Mg(ОН)2 и посредством иопирования). Указаны применяемые

при фторидировании воды реагенты (NaF, HF, Na₂SiF₆, H₂SiF₆) и даны их хим. и технологич. характеристики. Рекомендованы оптимальные конц-ии р-ров дозируемых реагентов, условия дозирования и применяемое оборудование.

О. Мартынова О. Мартынова 12735. О применении отходов ацетиленового про-

наводства для умягчения воды. Гущина М. М., Информ. материалы Мосанерго, 1955, вып. 8, 51—52 На водоочистке, работающей с известкованием воды, проводились опыты по использованию Са (ОН), являющейся отходом при произ-ве С₂Н₂. Опыты дали положительные результаты. Устранение запаха доствалось подачей в известковый р-р воздуха, а также прибавлением хлорной извести. Н. Субботива 12736. Гидравлические сопротивления противоточ

12736. Гидравлические сопротивления противоточного катионитового фильтра. В о с к р е с е и с к п п И. И., Водоснабжение и сан. техника, 1955, № 9, 3—5

Проведено эксперим. определение гидравлич. сопротивления катионитного фильтра на модели циам. 100 мм при прямоточном и противоточном фильтрования. Высота слоя катионита (крупный сульфоуголь) изменялась в пределах 0,25—2,61 м, скорость фильтрования от 3,44 до 37,4 м/час. При противотоке загрузка фильтра несколько расширялась. При прочих равных условиях сопротивление фильтра при противотоке меньше, чем при прямотоке; при скорости фильтрования 3,44 м/час—в 9 раз; при 12,9 м/час—в 3,6 раза; при 23,25 м/час—в 3,4 раза. Увеличение высоты слоя катионита значительно больше отражается на увеличении сопротивления при прямотоке, чем при противотоке. Н. Субботива 12737. Некоторые особенности совместного Н — Nакатионирования. Б а б к и и Р. Л., Электр. станции,

1955, № 8, 15—18 На промышленной установке водоподготовки, работающей по схеме: совместное Н- Nа-катионирование (1-я ступень), Nа-катионирование (2-я ступень), декарбонизация, проводились наблюдения за изменением качества фильтрата после обенх ступеней катионирования. Исходная вода имела общую жесткость 4,0-6,0, щелочность 3,5—5,5 ме-экв/л, сухой остаток 300—500 µг/л. Отмечено, что фильтры совместного Н — Na-катионирования не обеспечивают постоянства качества фильтрата; жесткость изменялась от 20 до 200 µг-эке/л, щелочность от 0,3 до 3,5 мг-эке/л. Фильтры 2-й ступени оказывали буферное действие как вотношении жесткости (она снижается до 2—5 µг-эке/л), так и в отношении щелочности (поддерживалась на уровне 1,9-2,0 мг-эке/л). Приводятся выходные кривые, иллюстрирующие работу Н. Субботина фильтров 1-й и 2-й ступеней.

2738. Спижение щелочности воды при ее обработже. Римберг (Dealkalization and its application in water treatment. Rimberg Edward), Nat. Engr. 1955. 59. № 11, 24—27 (англ.)

Для целей одновременного умягчения и снижения щелочности воды рекомендуется схема: Nа-катионирование — СІ-анионирование с применением сильно-основного анионита, регенерируемого р-ром NaCl с добавлением NaOH (10% от кол-ва NaCl для повышения емкости поглощения анионита). Обработанная вода имеет рН ~8,5, щелочность 0,17—0,34 мг-экг/а. Применение схемы рационально для вод с невысокой конц-ней понов SO₄2- и NO₃-, так как с повышением их конц-ни возрастают капитальные и эксплуатационные затраты. Н. Субботина

ПИ

OCI

12739. Анпониговый метод снижения щелочности воды при ее умитчении. К л я ч к о В. А. В сб.: Исследования по водоподготовке. М., Гос. изд-во лит. по стр-ву и архитектуре, 1955, 49—53

по стр-ву и архитектуре, 1955, 49—53 В лабораторных условиях проверены схемы: 1) последовательного Na-Cl-ионирования воды (пропуск воды через Na-катионитный и Cl-аннонитный фильтры); iF6,

epn--ров HMG-

Вова

про-

-52

нем

H)a,

дали

OCTH-

акже

тина

POTO-

KRÄ

N 9,

опро-

u.m. 00

ании.

изме-

вания

льтра

OBURX

, чем vac -

час -

а зна-

гивлеотина

- Na-

нции,

рабование карбо-

IOM Ka-

вания.

О, ще-

0 us/s.

тиони-

филь-

тупени

TKOCTH

нии ше-

-3K8/A). работу ботина

аботке.

ion in

. Engr.

ижения

иониро-

сильно-1 NaCl

я повы-

отанная

ue-are/a

высокой

нием их

тацион-

бботина

ГОЧНОСТВ

В сб.:

ц-во лит.

схемы:

пропуск ильтры);

 совместного Na-Cl-понирования. Иониты регене-рировались 5-% ным р-ром NaCl. Установлено, что щелочность обработанной воды составляет 0,2—0,4 мгэкв/а и лишь в небольшой степени зависит от щелочности исходной воды. Исходной водой служила водопроводвая вода, в отдельных опытах в нее добавлялся NaHCO3

Н. Субботина Аммоний-натрий-катионирование на сахарном заводе. Лыский А.К., Сахарная пром-сть, 1955, № 7, 20—22

Сильно щелочные воды с преобладанием временной жесткости рекомендуется подготовлять для питания паровых котлов (сахарных з-дов) по схеме параллельного NH₄-Nа-катионирования: часть воды пропускается через NH₄-катионит, другая— через Nа-катионит. Колич. соотношение той и другой воды может изменяться. Работа по этой схеме осуществляется в период до получения на з-де производственных конденсатов, после чего применяется только Na-катионирование. При относительно кратком периоде применения NH₄-Na-катионирования отрицательного действия NH₃ на детали турбин и арматуры не наблюдается. Г. Бенин

12741. Термическое обессоливание соленой воды. Лестер (Production of fresh water from salt or brackish water. Leicester J.), Engineer, 1955, 199, № 5172, 338—341 (англ.)

193, 302 5112, 303 511 (апгл.) См. РЖХим, 1956, 30006. 2742. Дистилиция морской воды. Джарман (Sea water distillation. Jarman E.), Oil Forum,

(Sea water distillation. 5 a г m a n E.), Оп голын, 1954, 8, № 1 19—20 (англ.) 12743. Установка для обессоливания воды. Д н к (Water without minerals D i c k I. B.), Water and Sewage Works, 1955, 102, № 10, 402—404 (англ.) Описана схема установки обессоливания воды на заектростанции в Нью-Йорке (производительность 1125 м3/час), введенной в эксплуатацию в 1954 г. Для снижения шелочности воды применяется Н-катионирование и декарбонизация, после чего следует совместное Н — ОН-ионирование. Предусмотрена возможность регенерации фильтров автоматически, полуавтоматически или вручную. При регенерации фильтров совместного Н — ОН-ионирования р-ры к-ты и щелочи подаются одновременно. Затрата обессоленной воды на регенерацию ~1% от производительности установки. Кремнесодержание воды снижается с 2,4—6,3 до 0,02 мг/л. Управление установкой сосредоточено Н. Субботина в одном месте. 12744. Обессоливание воды для питания паровых

котлов. Кост (Déminéralisation de l'eau d'alimenta-tion des chaudières. Costes G.), Chaleur et ind,

1955, **36**, № 357, 103—125 (франц.) Обзор. В США широко применяется совместное Н — ОН-ионирование с использованием сульфокатиоштов и сильноосновных анионитов. Перед регенера-щей смесь их разделяется гидравлически. В Германии в целях экономии регенерирующих в-в применяется многоступенчатая схема обессоливания, при которой вода последовательно проходит через несколько фильт-ров, загруженных катионитами различной кислотвости и анионитами с последовательно возрастающей основностью. В качестве слабокислотных применяются карбоксикатиониты, сильнокислотных — сульфокатио-

1714.

2745. Совместное Н—ОН-понирование воды. Симпознум по теории, проектированию промышленных установок и опыту их эксплуатации. Часть ІІ. Опыт
эксплуатации. Том псои, Мак-Гарви,
Уонц, Аллинг, Гилвуд, Бабб (Mixedbed ion exchange. A symposium covering theory,
design of production would be resulted. design of production units, and production results. Part II. Production results. Thompson Joseph,

McGarvey Francis, Wantz John F., Alling S. F., Gilwood M. E., Babb Da-vid R.), Chem. Engng. Progr, 1953, 49, Ne 8, 437—442 (англ.)

Описаны типичные операции совместного Н-ОН ионирования со следующими понитами: 1) сильноосновные аниониты — сильнокислотные катиониты; 2) слабоосновные аниониты — сильнокислотные катиониты; 3) сильноосновные аниониты — слабокислотные катиониты; 4) слабоосновные аниониты — слабокислотные катиониты. Показаны преимущества и недостатки подобных сочетаний для различных случаев водоподготовки и особенности регенерации ионитов. Приведен перечень требований к воде, поступающей на водоподготовку (предельно допустимая конц-ия Al3+, Cl2 и пр.). Указаны методы предварительной обработки воды в случае высокой конц-ии в ней вредных примесей. Приведены требования к воде для питания паровых котлов высокого давления и данные о стоимости водоподготовки с применением различных схем. Часть 1 см. РЖХим, 1955, 4345. Н. Кононов

Получение питьевой воды из высокомиверализованных вод Средней Азии с помощью неко горых отечественных ионообменных смол. Маркарян М. К., Штанников Е. В., Гигиена и санита-

рия, 1955, № 9, 6-11

Изучалась возможность применения некоторых марок ионитов (эспатит-1, эспатит-ТМ, АН-2Ф, ЭДЭ-10) для опреснения воды путем последовательного фильтрования через катионитный (эспатит-1) и анионитный фильтры. Изменения в составе обрабатываемой воды характеризовались резким уменьшением конц-ий ионов Ca²⁺, Mg²⁺, SO₄²⁻, J⁻ и F⁻ и в меньшей степени Na⁺ и Cl⁻. Аниониты АН-2Ф и эспатит-ТМ обогащают воду формальдегидом, фенолом и сильно повышают ее окисляемость, почему применение их не рекомендуется. Вода, профильтрованная через анионит ЭДЭ-10, не токсична в отношении дафний. Опреснение воды сопровождается ее обеззараживанием. Бактерицидное действие в отношении кишечной палочки объясняется адсорбцией клеток микробов и действием к-т, образующихся в процессе Н-катионирования. Для изучения влияния всего комплекса примесей, извлекаемых из ионитов, были поставлены опыты на кроликах; какие-либо патоморфологич. изменения у них не обнаружены. Эспатит-1 и ЭДЭ-10 могут быть рекомендованы для получения питьевой воды из высокоминерализованных вод Средней Азии. Н. Субботина

12747. Опыты по обескремниванию питательной воды осадком, получаемым при очистке рассола на предприятиях содовой промышленности. Крыге-лова, Кухарский (Proby odkrzemiania wody do celów kotłowych za pomocą odpadkowego szlamu z oczyszczania solanki w zakładach przemysłu sodowego. Krygielowa W., Kucharski J.), Przem. chem., 1955, 11, № 5, 230—232 (польск.)

Для обескремнивания воды, идущей для питания паровых котлов, использовался осадок, получаемый при очистке рассолов на предприятиях содовой пром-сти; состав осадка (в %): CaO 32,94, MgO 3,15, SiO₂ 1,18, Fe₂O₃ + Al₂O₃ 1,08, CO₂ 34,77; NaCl 26,80. Осадок применялся необработанный и после отмывки его от NaCl. Дозы осадка 0,6—1,2 г/л вводились в обескремниваемую воду при т-ре кипения; спустя 45 мин. нагревание прекращалось, а после снижения т-ры до 50° прекращалось и перемешивание. При конц-ии SiO2 в исходной воде ~20 мг/л, общей жесткости 2,54 мг-экг/л и рН 7,65—8,0 были достигнуты следующие результаты: при дозе 9 г/л необработанного осадка — SiO₂ 1,2 мг/л, Cl- 1532 мг/л, общая жесткость 1,82 мг-эке/л рН 9,75; при дозе 10 г/л промытого осадка — SiO₂ 0,6 мг/л, общая жесткость 1,82 мг-экв/л, рН 9,3. О. Ленчевский

2748. Водоподготовка на электростанции Стелла Cayr.—(Feedwater treatment at Stella South.—), Engng and Boiler House Rev., 1955, 70, №10, 328—332 (англ.) Обработка добавочной воды котлов высокого давле-

ния производится по следующей схеме: коагуляция, Н-катионирование, ОН-анионирование (слабоосновный п-китионирование, от-анионирование (отмонирование), декарбонизация, совместное Н-ОН-ионирование. Установка состоит из 3 осветлительных фильтров диам. 2,5 м, 2 Н-катионитеных фильтров диам. 1,8 м (вы-сота слоя катионита 1,2 м), 2 анионитных фильтров диам. 1,5 м, декарбонизатора и 2 фильтров совместного Н-ОН-ионирования диам. 1,35 м. Производительность установки нетто 60 м3/час. Обработанная вода характеризуется следующими показателями (Me/A): сухой остаток < 1, Fe^{2+} < 0,01, SiO_2 0,05. Защита от коррозии осуществлена с помощью гуммирования и применения кислотоупорных материалов (эбонит, нержа-веющая сталь и др.). Применение фосфористой бронзы нежелательно из-за возможности обогащения обессоленной воды медыо. Н. Субботина

Обработка питательной воды промышленных котлов I—IV. Эмерсон (Feed water treatment for industrial boilers. I—IV. E m e r s o n A. G. D.), Steam Engr, 1954, 24, № 279, 84—86; 1955, 24, № 280, 142—144; №281, 183—184; № 282, 213—214, 223

Рассматриваются причины образования отложений в питательном тракте промышленных котлов низкого давления (термич. разложение Са (НСОз)2; нестабильность воды, обработанной содой и известью; неправильный выбор места ввода реагентов при внутрикотловой обработке воды) и способы их предотвращения (умягчение и стабилизация воды, применение органо-фосфатных смесей, ввод кислых солей, целесообразнее всего NaHSO₃ для одновременного поглощения O₂).

Н. Субботина Для предотвращения коррозии питательного тракта рекомендуется добавка NaOH или части продувочной волы (для поглощения CO2) и Na2SO3 (для поглощения О2). Целесообразно предварительно деаэрировать воду механич. способом. Для предотвращения накипеобразования в котлах на малых установках при жесткости воды <3 мг-экв/л можно ограничиться внутрикотловой обработкой воды (добавка NaOH). При давл. > 13 ата необходимо вводить также и фосфаты. Для придания текучести шламу следует добавлять таннин.

Для предотвращения коррозии котлов следует обеспечить гидратную щелочность котловой воды > 3 мг-экв/л. Во избежание появления каустич, хрупкости в котловой воде должно поддерживаться соотношение конц-ий $Na_2SO_4/NaOH > 2,5$. Г. Крушель

Образование отложений в наровом тракте обусловлено перебросами котловой воды, для борьбы с которыми рекомендуется применение пеногасителей. удаления О2, для предотвращения коррозии, вызываемой также СО2, рекомендуется аминирование котловой воды (напр., циклогексиламином). При аналитич. контроле котловой воды обязательными являются определения: общей жесткости, щелочности по фенолфталеину, гидратной щелочности и сухого остатка. М. Лапшин 12750.

2750. Развитие и современное состояние подго-товки питательной и охлаждающей воды. С т а х (Entwicklung und derzeitiger Stand der Aufbereitung von Kesselspeisewasser und Kühlwasser. Stach Hans), Braunkohle, Wärme und Energie, 1954, 6, № 15/16,

306-314 (нем.)

Лана характеристика современного состояния водоподготовки. Приведен ряд схем ионирования, при которых в результате различного сочетания в ионитах функциональных групп (- SO₃H, -COOH, - OH, -

-SO₃Na, -СООNа и т. д.) могут осуществляться процессы полного или частного обессоливания и умяг. чения, лекарбонизации и др. Указано, что при пропессах ионирования происходит также снижение конц-ии органич. примесей воды (по-видимому, гуминовых к-т): окисляемость в некоторых случаях снижается на 15% Для снижения кремнесодержания добавочной воды нап-более реальны магнезиальный и алюминатный метопы осаждения и. кроме того, понирование. Приведен график зависимости кремнесодержания пара от давления и кремнесодержания котловой воды. Для обескислороживания воды все большее значение приобретает роживания N_2H_4 (конц-ии 2—2,5 мг/л). Слишком большие избытки N_2N_4 приводят, однако, к восстановлению защитной пленки Fe₃O₄ и к образованию комплексных соединений с ионами меди типа Cu[NH-NH2 14 (ОН)2. Большой интерес представляют так называемые редокситы — смолы, вступающие в обратимые процессы. окислительно-восстановительные фильтровании воды через редокситы происходит ее О. Мартынова обескислороживание.

12751. К вопросу определения качества пара по щелочности. Желудкова А. М., Говоро-ва Л. С., Информ. материалы Мосэнерго, 1955,

вып. 8, 60-64

Показано, что определение щелочности конденсата пара даже при соблюдении оптимальных условий (титрование 0,01 н. р-ром к-ты с двойным индикатором, отсутствие CO₂) и введении поправки на NH₂ дает погрешность (3,5 µг-экв/л), превышающую допустимые нормы солесодержания пара. Поэтому определение щелочности может применяться только для выявления резкого ухудшения качества пара.

Н. Субботина Причины загрязнения пара котлов. стрикин Ю. М. Электр. станции, 1953, № 1, 6-9 Суммируя результаты наблюдений над солесодержанием (С) котловой воды и пара, автор приходит к следующим выводам. В прямоточных котлах предельное содержание в-в в наре обусловлено их растворимостых в нем. В котлах с естественной циркуляцией следует различать загрязнение пара в докритич. и закритич. области. В первой (когда С пара слабо возрастает с повышением С котловой воды) основную роль играет грубодисперсных примесей котловой води Са₅(PO₄)₃ОН, (SiO₂)_ж и др., собирающихся на поверхности раздела пар-вода. В закритич, области (когда С пара резко возрастает с повышением С котловой воды) основную роль играет капельный унос. Докритич. пар представляет собой систему, аналогичную дыму, закритич.аналогичную туману.

12753. Загрязнение водяного пара солями. Ш п л и тrepбep (Verunreinigung von Kesseldampf durch Salze. Splittgerber A.), Energietechnik, 1956, 6, № 2, 66—59 (нем.)

Критический обзор работ последних лет по вопросам загрязнения пара прямоточных и барабанных котлог и заноса турбин. Отмечается, что представлени Ю. М. Кострикина (см. предыдущий реферат) о «докритич.» и «закритич.» паре сталкивается с рядом противоречий как практич., так и теоретич. характера. Автор придерживается концепции существования конц. плени на поверхности металла и придает большое значени явлению временного исчезновения хорошо растворь мых солей из котловой воды (Hide Out) в результан их отложения в виде твердой фазы. На этой теори основано введение калийного режима котловой вод (замена натриевых солей калиевыми, имеющими боле высокие т-ры кипения насыщ. р-ров). Явление вспепя вания котловой воды связано прежде всего с наличием в ней взвешенных частиц определенных размеров (диам. 0,1—0,01 μ), нейтр. соли при наличии этих ч 7 г.

про-

HDO-

нц-ик

K-T);

15%.

л наи-

етоды

гра-

ления

кисло

ретает

ишком

стано-

ванию

INH.

ак на-

при При

дит ее

тынова

пра по воро-1955,

пенсата

словий

ликато-

ia NH3

ую до-

у опре-

ко для

бботина

песолер-

т к сле-

едельное

имостью

следует акритич.

зрастает

ь играет

й воды

верхнос-

да С пара ы) основ-

гар пред-

ритич.-

Лапшш

Іплит

pf durch

etechnik,

вопросам

IX КОТЛОВ

ставления о «докри-

противо

ра. Автор

щ. пленка

значени

растворь

результат

ой теоры

овой воды

ими боле не вспень

наличием

размеро

. Ko-

a.

стиц вспенивания не вызывают, в то время как NaOH и Na₂PO₄ ему способствуют. На ряде западногерманских станций эффективным средством борьбы с заносом турбин оказалась добавка в питательную воду Na₂SO₃. Равновесие гидролиза этой соли: Na₂SO₃ + H₂O_√ 2 NaOH + SO₂ в зоне насыщ, пара турбины смещено влево. Содержащийся в паре SO₂ связывает NaOH, способствующий образованию отложений. О. Мартынова 12754. Опыт применения нитратного и чисто фосфатного режима котловой воды на станициях системы мосэнерго. Ж е л у д к о в а А. М., Информ. материалы Мосэнерго, 1956, № 8, 16—19

Для предотвращения хрупких разрушений котельного металла, наряду с мероприятиями по устранению механич. напряжений, на ряде котлов был осуществлен витратный режим котловой воды (котлы низкого давления) и режим чисто фосфатной щелочности (котлы высокого давления). Имеющиеся наблюдения еще не позволяют оценить влияния указанных измеьений води, режима.

Н. Субботина

12755. Применение гексаметафосфата натрия для стабилизации циркуляционной воды и фосфатирования когловой воды. К р а с и о в а Л. Н., Информ. материалы Мосэнерго, 1955, вып. 8, 56—59

Опыт применения (NaPO₃)₆ на 3 электростанциях системы Мосэнерго показал, что для устранения накинеобразования в конденсаторах турбин необходимо поддерживать избыток PO₄³⁻ в циркуляционной воде~1мг/л (карбонатная жесткость воды 2,5—6, 1 мг-экв/л). С целью поддержания режима чисто фосфатной щелочности котловой воды (NaPO₃)₆ подается в котлы высокого давления вместе с Na₃PO₄ в соотношении 1:6.

H. Субботина 12756. Методы удаления накипи из паровых котлов нефтенерерабатывающих заводов. Роман (Procede de curățire a depunerilor la cazane de abur dintr-o rafinărie. R o m a n I.), Petrol și gaze, 1956, 7. № 3. 145—149 (рум.: рез. русс., нем.)

7, № 3, 145—149 (рум.; рез. русс., нем.)
Описаны современные хим. методы удаления накипи изложен опыт применения комбинированной промывки горячими щел. р-рами с последующей продувкой влажным паром труб котлов среднего давления производительностью 45 т пара в час. Метод позволил полностью отказаться от механич. очистки труб. Я. Матлис 12757. Водород-натрий-катионитовый способ водоприготовления и связанная с ним коррозия питательного тракта. М и х а й л е н к о П. С., Информ. материалы Мосэнерго, 1955, вып. 8, 26—29

материалы мосэнерго, 1955, вып. 8, 20—29
Приведены результаты наблюдений за коррозней отдельных элементов питательного тракта (трубопроводы, баки) на одной из электростанций системы Мосэнерго.

Н. Субботина 12758.

2758. Опыт работы котлов 64 ат с большим добавком конденсата производства. Чернявский В. М., Информ. материалы Мосэнерго, 1955, вып. 8, 20—25

В общем балансе питательной воды конденсат, возвращаемый на ТЭЦ тепловыми потребителями, составляет до 60%. В результате коррозии конденсатного тракта в котлы поступает большое кол-во продуктов коррозии (конц-ия Fe²+ в конденсате 0,5—1,5 мг/а), способствующих образованию отдулин на экранных трубах. Для их предотвращения на ТЭЦ применяютсях периодич. кислотные промывки, повышенные продувки усиленное фосфатирование.

И. Субботина 12759. Водный режим котлов высокого давления на алектростанциях Мосэнерго. Чер и о в а Л. А., Асее ва А. В., Информ. материалы Мосэнерго, 1955, № 8, 3—15

Отмечаются трудности, связанные с коррозией оборудования, низким качеством конденсата, возвращаемого с произ-ва, повышенным уносом SiO₂ с паром. Рекомен-

дуется повысить требования к чистоте пара (кремпесодержание ≤0,01 мг/кг), осуществлять обескремнивание добавочной воды, производить очистку ковденсата.

Н. Субботина

К статье Жака «Химические основы подготовки питательной воды для локомотивов». Фоньял (Pripomienky k článku J. Žáka «Uprava napájacích vôd pre lokomotívy odami chemika». Fón yad József), Dopravní techn., 1955, 3, № 6, 156—159 (словац.) Отмечена опибочность одновременного применения NaOH и Na₂CO₃ ввиду содержания в воде растворенной СО2. Применение для замедления коррозии смолистых в-в сульфитных щелоков и вытяжек из древесины дуба не дало положительных результатов. Эффективными были вытяжки из олг хи (Alnus glutinosa Gaertn.), содержашие до 7% колл. в-в. Правильная обработка воды позволила повысить продолжительность работы паровозных котлов без промывки с 2000 км до 8000 км. Начало С. Яворовская см. РЖХим, 1956, 23255. Обработка охлаждающей воды. Филиатрик (El tratamiento del agua de refrigeración. Fitz-patrick L. W.), Ingenieria e ind., 1956, **24**, № 265, 89—92 (исп.)

12762. Применение гексаметафосфата натрия в технике водоподготовки. А п е л ь ц и н И. Э., З о л ото в а Е. Ф. В сб.: Исследования по водоподготовке. М., Гос. изд-во лит. по стр-ву и архитектуре, 1955. 93—115

Рассматривается применение (NaPO₃)₆ (I) для борьбы с коррозней стальных труб, предотвращения обра-зования карбонатных отложений и выделения Fe (ОН). из воды, содержащей Fe²⁺, а также для удаления карбо-натных и железистых отложений. Исследование кор-розионных процессов в присутствии I (проведенное с при-менением радионаютопа Ca⁴⁵) показало, что защитное действие (NaPO₃)₆ обусловлено образованием на катодных участках труднорастворимых комплексов тина Ме[Ме₂(PO₃)₆], главным образом Са[Са₂(PO₃)₆]. Скорость протока воды влияет на защитное действие, которое быстро возрастает при скоростях > 0,4-0,5 м/сек. При малых скоростях I не может рассматриваться как при малых своростих в по може рассова. Дозу I рекомендуется определять из соотношения $C_{(NaPO_s)}$: $C_{Ca^{s+}} < 3,5$. При применении I для обработки воды систем оборотного охлаждения рекомендуется исходить из величины ного охлаждения рекомендуется положения на положений и проставов по воды, для подсчета которой дается следующая эмпирич. ϕ -ла: Щел $_{\rm H}=7-0$,15 (${\rm C_{Ca^{1+}}}$: 20 — Щел $_{\rm H}$), где Щелц — наибольшая щелочность циркуляционной воды, мг-эке/л; Щелд — щелочность добавочной воды в мг-эке/л; С $_{\rm Ca^{1+}}$ — конц-ия ${\rm Ca^{2+}}$ в добавочной воде в мг/л. Исследование скорости растворения Fe (ОН)3, залержанного песчаным фильтром, показало пригодность для целей удаления этих отложений р-ров I с конц-ией 0,1—0,5%. Даны указания по приготовлению и дозированию р-ров. Н. Субботина

12763. Биохимическое окисление. Экке и фелдер, Мур (Bio-oxidation. Eckenfelder W. W., Jr., Мооге Т. L.), Chem. Engng., 1955, 62, № 9, 189—206 (англ.)

Рассчитаніпоє на инженеров-химиков изложение основ биохим. окислительных процессов, используемых при очистке сточных вод. Изложены принципы устройства и проектирования биофильтров и аэротенков.
М. Губарь

12764. Использование или сброс сточных вод? Риган («Wastes: utilisation or disposal?». Regan C. J.), J. and Proc. Inst. Sewage Rurific., 1955, № 3, 212—220 (англ.)

Общие соображения. Дискуссия. Библ. 29 назв. М. Лапшин 12765. Развитие очистки и сброса сточных вод в Австрии. Зейдлинг (Development in the treatment and disposal of sewage in Austria. Seilding Josef E.), J. and Pros. Inst. Sewage Purific., 1955, № 3, 221—223 (англ.)

12766. Биологическая коагуляция в процессе отстаивания бытовых сточных вод. Стоунс (The occurrence of biological flocculation during the sedimentation of sewage. Stones T.), J. and Proc. Inst. Sewage Purific., 1953, № 4, 337—338 (англ.)

В параллельных опытах по отстанванию в течение 18 час. необеззараженных и обеззараженных (добавлением HgCl₂) бытовых сточных вод (СВ) наблюдались следующие изменения их состава. Исходная СВ: грубодисперсные примеси 123,5 мг/л; 4-часовая окисляемость 92,5 мг/л; аммонийный N 40,6 мг/л; необеззараженная СВ (соответственно): 169,5; 73,3; 44,1; обеззараженная СВ: 127,8; 93,8; 39,8. Таким образом, в процессе отстаивания происходит не только чисто механич. осаждение грубодисперсных примесей, но также частичное разложение органич. в-в под действием микроорганизмов.

С. Конобеев 12767. Влияние продолжительности отстанвания на

химическое осаждение. Стоунс (The influence of settling time on chemical precipitation. Stones T.), J. and Proc. Inst. Sewage Purific., 1953, № 4, 339—340 (англ.)

Определялся эффект очистки бытовых сточных вод (СВ) различными дозами СаО (I), H₂SO₄ (II) и Сг₂ (SO₄)₃.

15 H₂O(III) при 2- и 18-часовом отстанвании. Контроль очистки — снижение 4-часовой окисляемости. При 2-часовом отстанвании дозы I до100 мг/л и III до 150 мг/л не оказывают практич. влияния на эффект очистки; дозы II до 150 мг/л снижают его на ~5% (по сравнению с необработанной СВ). При увеличении доз реагентов эффект очистки возрастает: для I при дозе 500 мг/л на 30%; для II при дозе 350 мг/л на 8%; для II при дозе 350 мг/л на 8%; для III при дозе 350 мг/л на 20%; для III при дозе 350 мг/л на 11 (тоже) 220 мг/л на 20%; для III—8 мг/л на 11%; для II (тоже) 220 мг/л на 20%; для III—8 мг/л на 9%. При дальнейшем повышении доз реагентов наблюдается повышение эффекта очистки, имеющее оптимум для: I при дозе 500 мг/л (36%); для III—500 мг/л (36%); для III—500 мг/л (36%); для III—500 мг/л (20%).

500 ме/м (36%); для II (тоже) 400 ме/м (3%); для III — 500 ме/м (20%).

Н. Ваксберт 12768. Роль фотосинтеза в обработке сточных ворт. Осуолд, Готас (Photosynthesis in sewage treatment. Os wald William J., Gotaas Harold B.), Proc. Amer. Soc. Civil Engrs, 1955, 81, № 686, 27 (англ.)

Изучался процесс фотосинтеза на водорослях Chlorella как метод очистки сточных вод (СВ) в окислительных прудах. Предлагается определение размеров прудов производить по следующим ф-лам, исходя из положения, что интенсивность света на дне пруда равна нулю: $D = dhc_c / FT_c 1000S$ и $d = \ln I_i / c_c \alpha$, где D - время пребывания воды в пруду, сутки; d — глубина пруда, c_{m} ; S — инсоляция, $\kappa a_{n}/c_{m}^{2}$ в день; h — теплота, выделяемая клетками водорослей; с -конц-ия водорослей. мг/л; F — коэфф. использования света; T_c — температурный коэфф.; I_i — интенсивность света на поверхности; а - коэфф. поглощения, Разбираются хим., биологич., конструктивные и экономич. факторы, влияющие на практич, применение фотосинтеза, как метода очистки СВ. Указывается на необходимость дополнительного изучения в-в, поглощаемых водорослями из СВ и в-в, С. Стефанович

2769. Дискуссия по докладу: О с у о л д и Г о т а с «Роль фотосинтеза в обработке сточных вод». Заключительное слово авторов. (Discussion of «Photosynthesis in sewage treatment» by William J. Oswald and

Harold B. Cotaas. (Closure). Os wald William J., Gotaas Harold B.), J. Sanit. Engag Div. Amer. Soc. Civil Engrs, 1956, № 2, 932-9 — 932-12 (англ.)

Существуют два типа окислительных прудов: 1-й тип. где главным источником О является атмосферный воздух, приток О2 мал, окислительный процесс идет мелленно, сточные воды (СВ) задерживаются в пруду по 30 суток, в плах возникают анаэробные процессы: 2-й тип, где основным источником О2 является фотосинтез, осуществляемый водорослями, приток О. значительно больший, пруд имеет меньшую площадь, менее глубок, солнечные лучи проникают до два, очистка СВ идет в несколько разбыстрее и срок задержки СВ в пруду более короток. Одновременно с очисткой СВ идет накопление водорослей (на единицу плошали в 10-14 раз большее кол-во, чем в прудах 1-го типа). Снижение БПК окисленных СВ (после удаления водорос-лей) доходит до 95—97%, число Coli-бактерий (после фильтрования через песок) падает с 107-108 до 102-104 В течение лета при хорошей погоде с ~3800 м3 бытовых СВ можно получить > 1 *т* высущенных водорослей, содержащих 45—55% белков, углеводов и жиров и содержащих чо-3070 осиков, утиводого для живот-ных. Н. Ваксберг

12770. Дискуссия по статье: Томлинсеп, Холл «Очистка бытовых сточных вод на двухступенчатых фильтрах с перемежающимся фильтрованием при отстое и без отстоя после первой ступени». (Discussion on paper by T. G. Tomlinson, M. Sc., and H. Hall: Treatment of sewage by alternating double filtration without settlement of primary effluent.—) J. and Proc. Inst. Sewage Purific., 1954, № 1, 55—56 (англ.)
См. РЖХим, 1956, 16935

12771. Дискуссия по статье: Ранкии «Оценка трех методов работы биофильтрационных установов». Хомак (Discussion of the performance of biofiltration plants by three methods. Proceedingsseparate № 336. Номас к Реter), Proc. Amer. Soc. Civil Engrs, 1954, 80, № 481, 17—27 (англ.) См. РЖХим, 1954, 29486

12772. Проектирование канализации и очистых сооружений для бытовых сточных вод. Грабб (The design of sewerage and sewage disposal works. Grubb E. Dixon), J. Instn. Municip. Engrs, 1955, 82, № 3, 101—110 (англ.)

Лан ряд замечаний по устройству и эксплуатации канализационной и дождевой сети, а также по очистке бытовых сточных вод (СВ). При проектировании содержание сухого в-ва в СВ принимается равным 40 см3 на 1 человека в сутки; влажность осадка после 24 час. уплотнения 97,5%, после 7 суток — 95%, с возможностью доведения ее до 90% (при более длительном времени). Для населенных пунктов до 50 000 жителей более экономичны биофильтры (2-ступенчатые с рециркуляцией предпочитаются одноступенчатым). Ненормированное пользование детергентами вызывает масел и жиров. Катионноактивные детергенты весьма токсичны. Для подсушивания осадков (6 месяцев) на 1 человека требуется 0,21 м² площади. Для сброженного осадка эта норма может быть сокращена в 2 раза. Несброженный осадок после подсушивания на иловых площадках до влажности 50% не усваивается в почве. Сброженный осадок после подсушивания до 30% влажности может быть использован в качестве удобрения. Конобеев

12773. Факторы, влияющие на очистку бытовых сточных вод, которые должны учитываться при проектировании канализационной сети. Фрейзер (Factors in sewer design that affect sewage purification.

a m

Div.

32-12

THII.

B03.

мел-

V IO

ессы; осин-

паль.

дна.

ржки

сткой али в

гипа).

lopoc-

после —104

TOBLIX

ослей.

ров н

кивотксберг

cен,

тупен-

(Dis-1. Sc.,

nating

ry ef-, 1954,

Оценка

HOBOR.

tration Nº 336.

Engrs,

истных

рабб

works.

Engrs,

уатации

ОЧИСТКЕ

нии сом 40 см³

24 час.

жностью

ремени).

лее эко-

уляцией рованное

льгацию

весьма

месяцев)

сброжен-

в 2 раза.

иловых

в почве.

)% влаж-

гобрения.

Конобеев

бытовых

гри проек-

зер (Fac-

rification.

428-431 (чет.)

Fraser Jas. McL.), J. and Proc. Inst. Sewage Purific., 1953, № 4, 316—322 (англ.)

Основными факторами, влияющими на режим работы очистных станций, являются: неравномерность расхода сточных вод, инфильтрация грунтовых и дождевых вод в канализационную сеть, наличие устройств, регулирующих сброс ливневых вод, вентиляция и конструкция сети.

С. Конобеев 12774. Первая крупная станция очистки сточных

ция сети.

12774. Первая крупная станция очистки сточных вод, сбрасываемых в реку Теннесси. У и с м а н (Tennessee's first major sewage treatment plant. W h i s—m а п J. W.), Amer. City, 1956, 71, № 8, 97—100 (англ.)

12775. Северная станция очистки сточных вод в Ройал-Танбридж-Уэлс. Б и ш о п (Northern Sewage Works Royal Tunbridge Wells. В i s h о р H u g h P.), J. and Proc. Inst. Sewage Purific., 1955, № 3, 237—241 (англ.)

12776. Схема канализации и очистки сточных вод в Уилмингтоне. Р и т т е р (The Wilmington, Delaware sewerage system, R i t t e r R o y H.), Sewage and Industr. Wastes, 1956, 28, № 5, 644—650 (англ.) 12777. Отчет о 1-й Конференции по промышленным сточным водам (Онтарио 19—22 июня 1955 г.) (Disposal of industrial wastes.—), Canad. Chem. Process., 1955, 39, № 9, 42, 44, 46 (англ.)

12778. Очистка промышленных сточных вод. Блэк (Industrial waste treatment as varied as inductry. Вlаск Науѕе Н.), Givil Engng, 1955, 25, № 10, 96—103, 158—159 (англ.)

Дана краткая характеристика состава примесей и методов очистки сточных вод следующих отраслей пром-сти: черной металлургии и проката, автомобильной, металлообрабатывающей (гальванич. установки), вефтеперерабатывающей, коксохим., текстильной, бумажной, пищевой (консервной), мясной, молочной, кожевенной, фармацевтич., органич. синтеза.

Л. Милованов 12779. Закачка промышленных сточных вод в глубокие скважины. Хенкел (Deep-well disposal of chemical wastes. Henkel H.O.), Chem. Engng Progr., 1955, 51. № 12, 551—554 (англ.)

Описаны 2 действующие скважины для закачки сточных вод (СВ) от произ-ва адипонитрила (промежуточный продукт произ-ва найлона). СВ являются конц, p-ром NaCl с небольшим содержанием других солей и органич. в-в. До закачки в скважины СВ от-станваются и проходят угольные фильтры. Общая глубина скважин ~1,5 км. Скважины оборудованы 2 обсадными трубами (одна идет до дна скважины, другая, наружная, защищающая поверхностные слои почвы. — до глубины 600—700 м) и внутренией трубой, подающей СВ (заканчивается на глубине ~1,2 км). Кольцевое пространство между подающей СВ и внутренней обсадной трубой заполняется пресной волой или дизельным маслом. Во внутренней обсадной трубе на глубине <1,2 км имеются отверстия для выпуска СВ в грунт. Зоны выпуска расположены в песчаных водо-проницаемых пластах. Необходимо соблюдать следующие условия, препятствующие заиливанию зоны выпуска: СВ должны быть свободны от грубодисперсных примесей, не должны давать осадков с подземными водами, не должны в течение 8 час. давать осадка при нагревании до 60° (т-ра зоны выпуска). В скважину не должен поступать воздух, замедляющий поглощение СВ и окисляющий Fe²⁺ подземных вод с образованием осадка. За 2,5 г эксплуатации через 2 скважины закачено в грунт ~ 380 000 м³ СВ. Н. Ваксберг 12780. Исследование работы отстойников типа Дорра. Mopx (Výzkum čistícího efektu Dorrovych nádrží. Morch V.), Vodni hospodářství, 1955, 5, № 12,

Эффективность работы отстойников типа Дорра, применяемых для очистки сточных вод (СВ) коксохим., металлургич. и углеобогатительных з-дов, зависит от уд. веса грубодисперсных примесей, вязкости и т-ры СВ, глубины и формы отстойников. При конц-ии грубодисперсных примесей 200—300 г/л в результате простого отстанвания достигается снижение ее для СВ: коксохим. з-дов на 90—96%; сталелитейных 98—99,5%; углеобогатительных 70—84%. Применение коагуляции (FeCl₂ в дозах 20—30 мг/л) несколько повышает эффект очистки, но образующийся осадок менее плотен. С. Яворовская

Очистка сточных вод металлообрабатывающих заводов. Ланси (Integrated treatment for metal-finishing wastes. Lancy L. E.), Sewage and Industr. Wastes, 1954, 26, № 9, 1117—1125 (англ.) Сточные воды (СВ) цехов гальванич, покрытий делятся на конц. (использованные кислые травильные р-ры, щел. р-ры, р-ры от нассивирования) и на разб. (про-мывные воды). Кол-во конц. СВ невелико и обработка их относительно проста. Кол-во разб. СВ значительно больше и они требуют полной хим, очистки. СВ, содержащие комплексные цианиды Cu, Zn и Cd, обрабатывают Cl₂ или CaOCl₂ в дозах, обеспечивающих избыток Cl₂ 30—80 мг/л; рН должен быть равен 9—10,5. При этом сперва образуются цианаты (р-ция заканчивается очень быстро), а затем происходит их окисление до СО2 и N₂ (2—4 часа; набыток Cl₂ ускоряет р-цию). При обработке CB, содержащих Cu, необходима добавка CaCl₂ или CaO. Очищ. CB могут быть повторно использованы. Вода оборотного цикла должна освежаться каждые 2—4 месяца из-за накопления в ней NaCl, Na_2CO_3 и др. Очистку промывных вод от процессов меднения производят, переводя Cu^{2+} в кислой среде в труднорастворимый Cu_2 Fe $(CN)_6$: Na_4 Fe $(CN)_6+2Cu^{2+} \rightarrow$ →Cu₂Fe (CN)₆+4Na⁺. Применяющийся Na₄Fe(CN)₆ не токсичен; набыточная конп-ия его должна быть равна 200—400 ме/л. Очистку промывных вод от процессов пассивирования, содержащих хромовую к-ту, производят, восстанавливая сперва 6-валентный Сг в 3-валентный, а затем осаждая Сг³⁺. Лучшим реагентом для восстановления CrVI является SO₂; р-ция протекает быстро, pH p-ра поддерживается низким в результате образования H₂SO₄; осаждение Cr³⁺ производят p-ром Na₂CO₃ при pH 6—8. Осадок Cr(OH)₃ является товарным продуктом. См. также РЖХим, 1955, 32354. 12782. Oбe Л. Милованов Обезвреживание и нейтрализация сточных

вод гальванических установок. Эльспер (Die Entgiftung und Neutralisation der Abwässer aus galvanischen Anlagen. Elssner G.), Metallwaren-Ind. und Galvanotechn., 1955, 46, № 10, 452—461 (нем.)
Указания для персонала промышленных предприятий по обезвреживанию гипохлоритом или хлорной известью циансодержащих сточных вод (СВ) и хром-содержащих СВ восстановителями (FeSO₄. NaHSO₂) в кислой среде с последующей нейтр-цией Са(ОН)₂, сопровождаемой осаждением тяжелых металлов. Краткие сведения о законоположениях в ФРГ по выпуску производственных СВ в городскую канализацию и в водоемы. И. Губарь

доемы.

12783. Очистка сточных вод путем химической обработки и последующего окисления на высоконагружаемых биофильтрах. С т а рр (Combined chemical
treatment and high rate filtration. S t a r r J o h n
T.), Wastes Engng, 1955, 26, № 5, 227—230 (англ.)
Рекомендуется следующая схема очистки СВ, содержащих органич. примеси, смазочные масла, нефть,
фенолы, механич. примеси, травильные р-ры, хром
и др. СВ подвергаются предварительному отстаиванию
(удаление осадков и всплывающей нефти и масел),

рН их доводится до 8, а затем они коагулируются FeSO₄ и Са(ОН)₂. После отстаивания осветленные СВ поступают на высоконагружаемые биофильтры, пройдя которые отстанваются еще раз и могут быть сброшены. Все осадки поступают в накопитель. Л. Милованов Повторное использование промывных вод

после очистки их методами нонирования. Б ь ю л тман, Майндлер (Rinse water re-use by ion exchange. Bueltman Charles, Mindler A. B.), Plating, 1955, 42, № 8, 1012-1018

(англ.)

Обзор технологич. схем ионирования промывных вод цехов гальванич. покрытий с приведением технико-экономич. показателей Н. Субботина 12785. План исследования сточных вод нефтеперерабатывающих заводов. Деннис (Plan for surveying refinery waste streams. Dennis A. P., Jr),

Petrol. Engr, 1954, 26, № 9, С-14 — С-19 (англ.) Обследование должно начинаться с выбора точек отбора проб для получения характеристики отдельных стоков. Отбор проб должен производиться в течение нескольких часов при помощи рекомендуемых автором пробоотборников. При хим. анализе отобранных проб в первую очередь должны определяться рН, кислотность или щелочность, сульфиды и меркаптаны. Дифференциация общего стока на отдельные составляющие и выяснение причин загрязнения того или иного частного стока способствует более целесообразному канализованию з-да. Л. Милованов

Коагуляция сточных вод нефтеперерабатывающих заводов. Уэстон, Мерман (Chemical flocculation of refinery waste. Weston Roy F., Merman R. G.), Oil and Gas J., 1954, 53, № 15, 118—121; Petrol. Engr. 1954, 26, № 11, C-35—C-38, C-40—C-42, C-44—C-48 (англ.)

Описана схема станции очистки сточных вод (СВ) крекинг-завода в Филадельфии. СВ поступают в отстойники, из которых отделившаяся нефть возвращается в произ-во, а осадок обезвоживается на вакуумфильтрах и сжигается. Вода, выходящая из отстойника нейтрализуется известью (нейтрализаторы оборудованы мешалками турбинного типа и автоматич. рН-метрами) и коагулируется FeCl₃ или другими коагуляторами. Осадок обезвоживается на вакуум-фильтрах и сжигается. Очищ. СВ сбрасывается в реку. Л. Милованов Биохимическое окисление сточной воды, со-

держащей нефть, на опытных биофильтрах. О с т и и, Михан, Стокем, (Biological oxidation of oilcontaining waste waters...in pilot scale trickling filters. Austin R. J., Meehan W. F., Stock-ham J. D.), Industr. and Engng Chem. 1954, 46, № 2, 316—318 (англ.)

Эффективность очистки проверялась по содержанию в профильтрованной воде нефти и фенолов, по величине ВПК и по порогу запаха. Варьировались: разбавление сточной воды (СВ), суточная подача ее на биофильтр и кратность рециркуляции (от 0,5:1 до 2:1). Фильтрующий материал — куски известника 6 — 7,5 см, высота биофильтра ~1,8 м, диам. ~1,1 м. Средний состав исходной СВ (мг/л): нефть 79; БПК 56; ХПК 9,9; фенолы 2,2; аммиак 3,4; фосфаты 0,2; взвешенные в-ва 15; рН 7,1. Скорость фильтрования — от 9,5 до 47 κ^3/κ^2 в сутки. При нагрузке БПК \sim 0,19 κ^2/κ^3 в сутки снижение БПК достигало 85%; при 1,4 кг/м³ - 52%. При нагрузке пефти 0,75 л/м³ в сутки снижение ее конц-ии достигало 60% (без рециркуляции); при 7,5 а/м³—37%. Рециркуляция с кратностью 2: 1 повышает эффект удаления нефти на 10-15%, но мало влияет на снижение БПК. Н. Ваксберг

2788. Состав вод, получаемых при полукоксовании, газификации и гидрировании топлива. Мейснер (Zusammensetzung der Starkwässer der Schwelereien,

Gas-und Hydrierwerke. Meissner Bernhard), Wasserwirtschaft- Wassertechnik, 1954, 4, N. 6. 218-221 (нем.)

На основании исследований (РЖХим, 1956, 23267) дана обобщенная характеристика сточных вод (СВ) по соотношению конц-ий отдельных примесей. Установлены следующие ряды (в порядке убывания конц-ий) для газогенераторных СВ: фенолы, органич. к-ты. NH₈, CO₂, неорганич. S-соединения, N-основания, спирты, альдегиды, кетоны; для CB от гидрирования, угля: NH₃, H₂S, фенолы, органич. к-ты, СО₂, N-основания, спирты, альдегиды, кетоны. Соотношение содержания органич. и неорганич. примесей для первых СВ равно 2,5:1; для вторых 1:2,5. Органич. примеся СВ в основном состоят из фенолов; соотношение содержания фенолов и остальных органич. примесей колеблется 1:1-2:1; примерно таково же соотношение NH₃ и СО2 + неорганич. S-соединения. Отдельные фенолы располагаются в следующем убывающем порядке: крезолы, С₆Н₅ОН, пирокатехин, резорцин, ксиленолы, пирогаллол, гидрохинон, флороглюцин. Перманганатная окисляемость численно равна 7-кратному содержанию фенолов; БПК5 — общему содержанию органия, при-О. Мартынова К вопросу об извлечении фенола из разбавлен-12789.

ных водных растворов. Майдановская Л.Г., Глумов И. Л., Уч. зап. Томский ун-т, 1955, № 26, 79—86

Исследовались различные методы выделения и разрушения фенола (I) в води. p-рах с целью применения их для обезвреживания фенольных сточных вод. По методу экстракции хорошие результаты получены с хлопковым маслом. Лучшими в качестве сорбентов оказались активный уголь и древесные опилки (последние предварительно обрабатывались ${\rm H_2SO_4}$ и NaOH). Методы аэрации и электрохим, не дали положительных результатов. Обработка води. p-ров I КМпО4 и Cl2 мало эффективиа и требует большого расхода реактивов. Эффективным оказался метол нитрования с последующей сорбцией древесными опилками. К 4%-ному водн. p-ру I добавля-лась HNO₃ (уд. в. 1,37) в весовых соотношениях к I 1:1-1:3, и смесь оставлялась на сутки. В выпадающей смолообразной массе до 65% от исходной конц-ии I находилось в виде о- и n-нитрофенола, остальное смола. Остаточная конц-ия I в воде < 0.2% от исходной. Доизвлечение 1 проводилось фильтрованием воды через древесные опилки. А. Фихман

12790. Очистка сточных вод углеобогатительных фабрик. Брада (Cištěnií odpadních vod z prádel unli. Brada M.), Vodni hospodářství, 1955, 5, № 5, 171—174 (чеш.)

Описаны способы очистки сточных вод (СВ) углеобогатительных ф-к, содержащих 56-120 г/л грубодисперсных примесей. Осаждение неуглеродистых примесей размером < 1 мм ускоряется добавкой Са(ОН)₂, FeSO₄ и крахмала (без добавок за 32 часа оседает 25,8% взвеси, в присутствии добавок — 34,0%). Скорость и полнота осаждения углеродистых примесей определяются их уд. весом, размерами, т-рой СВ, площадью очистного сооружения. При высоте слоя СВ 20-30 см для осаждения частиц размером 0,01 мм нагрузка СВ на отстойнике должна быть 1,92 м³/м² в сутки. Осадок, обезвоженный на вакуум-фильтрах, содержит ~30% влаги. Высушенный осадок (в виде порошка или брикетов) используется в качестве топлива. В основу проектирования очистных устройств должны быть положены кривые скорости осаждения грубодисперсных примесей, а также должен учитываться хим. и физ. состав СВ. С. Яворовская Очистка сточных вод бумажной и сульфит-

целлюлозной промышленности. Страка (Cištení odpadních vod papírenských a sulfitových. Straka

r d),

€ 6,

3267)

(СВ) Уста-

Ц-ий)

K-TH.

ания.

ания,

осно-

e co-

ых СВ

имеси

солер-

олеб-

e NHa

енолы

оядке: нолы, атная

канию

ынова

авлен-

Л. Г.,

1955,

разру-

XN RNI

методу

КОВЫМ

актив-

двари-

рации

татов.

ктивна

ИВНЫМ

рбцией

бавля-

ях к І

падаю-

ни-ии I

альное

исход-

и воды

Рихман ельных

prádel 955, 5,

глеобо-

убодис-

a(OH)2,

25,8%

ость и

опреде-

ощадыю

-30 см

зка СВ

Эсадок,

 $\sim 30\%$ и бри-

основу

і быть исперс-. и физ.

овская

тифапу (Cištení

raka

P.), Vodní hospodářství, 1955, 5, № 12, 426-

Сопоставляются результаты очистки сточных вод (СВ) бумажной и целлюлозной пром-сти методами осаждения, флотации и фильтрования. Два первые метода позволяют синзить концию грубодисперсных примесей на 98—99%, фильтрование — на 60—85%. Хорошие результаты дает применение в качестве фильтрующего материала самих удаляемых при фильтровании в-в. фильтрование должно проводиться при pH 4,6—8,0. Осаждение может быть ускорено в 10—12 раз при применении в качестве коагуляторов гуминовых в-в, получаемых из бурых углей. При этом также заметно уменьшается окисляемость СВ. С. Яворовская меньшается окасимемость С. Люоровская 2792. Осветление и повторное использование про-мывных и декантационных вод сахарвой промыш-ленности. Пиккерт (Ueber die Klärung und Rück-nahme der Wasch- und Schwemmwässer. Pickert Friedrich), Z. Zuckerind., 1955, 5, № 9, 436—

Friedrich), Z. Zuckerma., 440 (нем.; рез. англ., франц.) Даны указания для расчета очистных сооружений. О. Ленчевский Повторное использование сточных вод на сахарных заводах — (Възвръщане на отпадните води в захарните фабрики.—), Лека промишленост, 1956,

в захарили (болг.) 5, № 7, 49 (болг.) 794. Выделение нитчатых организмов из промышленных сточных вод путем флотации. Коржан (Anapleiické odlučování vláknitých látek z tekutin. Kořán V.), Vodni hospodářství, 1955, 5, N 6,

206—208 (чеш.)

Для удаления Oidium lactis и Fusarium bulbigenum из кислых сточных вод (СВ) винокуренного и сахарного произ-ва предложена флотация воздухом. Основное требование - образование пузырьков воздуха непосредственно на выделяемых организмах, что позволяет удалять их на 90-100%. Очистка СВ заканчивается в 12-20 раз быстрее, чем при их отстаивании; очистные сооружения имеют значительно меньшие габариты. Всплывшие организмы удерживаются на поверхности С. Яворовская

О новых принципах очистки и удаления промышленных сточных вод. Применение их к сточным водам молочного производства. Пье и (De nou-veaux principes dans l'étude du traitment et de l'évacuation des eaux résiduaires industrielles. Application aux eaux résiduaires de laiterie. Pi en Jean), Chimie et industrie, 1954, 71, № 5, 929—

934 (франц.)

Выпуск в водотоки (при условии разбавления в 10-20 раз) сточных вод (СВ) молочных з-дов, не содержащих сыворотки, возможен после предварительного фильтрования их через спец. обработанный торф. При величине БПК исходных СВ 1—2 г/л фильтрованию должна предшествовать коагуляция $Al_2(SO_4)_3$ и Са(ОН) $_2$. СВ сыроваренных з-дов, содержащие в больших концилх сахаристые и протеиновые в-ва, рекомендуется подвергать 6-часовому аэробному брожению (при 35°) для разложения лактозы, а затем 20-часовому полуаваэробному (разложение протенновых в-в с образованием NH₃ и низкомолекулярных полипептидов). Последующая коагуляция снижает БПК СВ до~200 мг/л, допуская сброс их в реку при разбавлении 1:10.

Н. Ваксберг Повторное использование сточных вод на Заводе по производству мыла и пищевых массл. Сеслер (Waste water use in a soap and edible-oil plant. Sessler R. E.), Sewage and Industr. Wastes, 1955, 27, № 10, 1178—1182 (англ.)

Сточные воды (СВ) делятся на три группы: 1) от произ-ва растительных масел; 2) от произ-ва мыл и синтетич. детергентов; 3) условно чистые воды.

Последние обрабатываются фосфатами (для предотвращения образования отложений) и бромом для уничтожения водорослей и направляются на повторное ис-пользование. Первые две группы CB флотируются воздухом; при этом из них удаляется ~96% грубодисперсных примесей и все жиры, в результате чего они начинают удовлетворять нормам, предъявляемым к промышленным СВ при присоединении их к городской канализации.

С. Стефанович ской канализации.

12797. Сточные воды заводов химической промышленности. Дженкинс (Process wastes from chemicals manufacture. Jenkins George F.), Sewage and Industr. Wastes, 1955, 27, № 6, 715—727

Значения БПК сточных вод (СВ) хим. пром-сти, полученные обычным методом, малонадежны для суждения о загрязнении водотоков: процесс биохим. окисления ряда органич. примесей, сбрасываемых с этими СВ, идеттолько при больших разбавлениях и с очень малой скоростью, так напр. БПК₅ р-ра метилизобутилкетона составляет~5% от полной величины БПК; оквеление егона 50-е сутки достигает 65%, то же для бутанола (соответственно) ~ 0 и 78%; для бутиламина — 25 и 53% (аналогичные данные приведены для ряда других примесей). Основной мерой борьбы с загрязнением водотоков СВ хим, пром-сти является уменьшение потерь в произве. С этой целью на хим. з-де в Саут-Чарлстоне (Зап. Виргиния) в процессах вакуумной дистилляции барометрич. конденсаторы заменены поверхностными холодильниками. Предусмотрено электростатич. улавливание золы при сжигании угольной пыли в установке по регенерации пара. В новом цеху получения акрилонитрила запроектирована локальная очистка СВ. Лабораторно прорабатывается очистка СВ на высоконагружаемых биофильтрах, в аэротенках и методом дисперсного заражения по Эйкелекяну (Heukelekian, Ind. Engag Chem., 1949, 41, № 7) С. Конобеев 12798. Обработка и сброе сточных вод от производ-

ства шеллака. Сетх, Де, Бхаскаран (Treatment and disposal of liquid wastes from lac industry. Seth G. K., De S., Bhaskaran T.R.), Indian J. Med. Res., 1955, № 3, 539—553(англ.) При произ-ве шеллака (смола Laccifer lacca) образуются сточные воды (СВ) в кол-ве 5,7—7,6 м³ на 1 т готовой продукции, содержащие белок, сахар, жиры и минер. соли. СВ имеют рН 4,9-5,05, цветность 2000-8000 и другие показатели (в е/я): сухой остаток 22,5—30,5; грубодисперсные примеси 12,6—27,0 (из них тонущих 0,6—1,4); БПК₅ 7,6—20,3; окисляемость 1,2—6,6; Р₂0₅ 0,8—1,2; N (общий) 0,8—2,6; К₂0 0,61—0.66: възгратовательно примеси 1,2—2,3 Понката 0,66; в-ва, растворимые в эфире, 0,7-2,3. При отстанвании СВ в течение 1 часа грубодисперсные примеси снижаются на 45%, БПК на 65%; то же после добавления извести (500 мг/л) соответственно на 96 и 79%. СВ после известкования, пройдя песчаные фильтры, могут быть очищены на биофильтрах при разбавлении их речной водой в отношении 1:4 и при нагрузке по БІГК 2,2 кг/м³ в сутки. В результате очистки цветность СВ снижается на 60—97%, БІГК, на 95,4—98,8%, грубодисперсные примеси на 93,5-99,8%. При рециркуляции 2: 1 БПК очищ. СВ составляло 50-95 мг/л, содержание грубодисперсных примесей 16-196 мг/л. Из осадков (на песчаном фильтре и после биофильтра) могут быть выделены смолы и воск. Л. Милованов 12799. Утилизация и обработка осадков бытовых сточных вод. Тауненд (Utilisation and disposal of sewage sludge. Тоwnend C. B.), Brit. Construct Engr., 1954, 5, № 3, 53—55, 57—59 (англ.)

Осадок первичных отстойников имеет влажность 90-97%, содержит до 60% органия. в-ва и 1,5-3% Избыточный активный ил имеет влажность 98-99,5%, содержит (в %): органич. в-в 80, N 6-8, Р 3—4. Рассмотрено обезвоживание осадков (вловые площадки, вакуум-фильтры, фильтр-прессы, подсушивание в печах) и их сбраживание, после которого
они могут использоваться для удобрения и для компостирования. Экономично перекачивание осадков
и месту потребления в жидком виде (до 45 км). Норма
напуска осадка на поля орошения в Англии ∼25 m сухого
органич. в-ва на 1 га. В последние годы, особенно
в Америке, из избыточного активного ила получают
витамин В₁₂. Съмоства обработка бытовых сточных вод

2800. Совместная обработка бытовых сточных вод и коммунальных отбросов. Холингер (Kombination von Abwasserreinigung mit Kehrichtbeseitigung Holinger Ed.), Monatsbull. Schweiz Verein Gas-und Wasserfachmännern, 1955, 35, № 4, 93—94,

95-97 (нем.; рез. франц.)

При совместной обработке коммунальных отбросов с бытовыми сточными водами (СВ) БПК последних повышается на ~35%. Объемы метантенков при этом увеличиваются вдвое. При компостировании отбросов вместе с осадками СВ необходимо их обезараживание при 70°. Для обеспечения нормального процесса компостирования необходимо поддерживать соотношение С: N = 30—35. Влажность отбросов должна лежать в пределах 40—60%. С. Конобеев 42801. Влияние отдельных факторов на процесс

2801. Влияние отдельных факторов на процесс ваккум-фильтрования осадков. Бек, Сакеллариу, Круп (A method for evaluating the variables in vacuum filtration of sludge. Веск А. J., Sakellariou E. N., Krup Max), Sewage and Industr. Wastes, 1955, 27, № 6, 689—705

(англ.)

Описан лабор, метод исследования вакуум-фильтруемости осадков сточных вод (с применением воронки Бюхнера), пользуясь которым было прослежено влияние ряда факторов на процесс вакуум-фильтрования активного ила (АИ) и сброженного осадка. Изменение вакуума от 25 до 525 мм рт. ст. (при дозе FeCl₃, равной 11% к сухому в-ву АИ, 5 мин. контакта и 4 мин. подсущивания) уменьшает влажность АИ с 87,5 до 78,1%. Увеличение дозы FeCl₃ с 7,3 до 9,8% (при тех 78,1%. Увеличение дозы гес13 с 7,5 до 9,5% (при геж же условиях и вакууме 525 мм) уменьшает влажность с 79,5 до 77,6%. Изменение времени подсушки с 1 до 7 мин. (при дозе FeCl₃ 9,6% и вакууме 525 мм) уменьшает влажность с 83,1 до 77,8%. Увеличение кол-ва сухого в-ва АИ на единицу площади фильтра увеличивает влажность обезвоженного осадка. Промывка АИ двойным объемом водопроводной воды лишь в незначительной степени улучшает эффект обезвоживания. Время контакта АЙ с FeCl₃ и перемешивание не оказывает влияния на влажность. Повышение возраста АИ увеличивает влажность: АИ с возрастом 6 час. имел влажность (при 8,25% FeCl₃) 78,7%, с возрастом 53 часа 82%. Понижение рН до оптимальных значений для FeCl₃ не влияет на эффект вакуум-фильтрования. Обработка сброженного осадка дозами FeCl₃ от 0,28 до 1,68% понижает влажность с 67,8 до 64,8%.

С. Конобеев 12802. Содержание сульфида железа в осадках сточных вод. Брук (Ijzersulfide in zuiveringsslijk. Вгое k Juliana С. Н.), Landbouwkund tijdschr., 1954, 66, № 3, 181—188 (голл.; рез. англ.) С целью выяснения наличия в осадках сточных вод ГеS (который в кислых почвах может разлагаться с образованием Н₂S, вредно действующего на растения) был произведен анализ 74 образцов. Установлено, что в свежих влажных осадках содержится в среднем (30% связанного Н₂S. В осадках из отстойников и метантенков содержание связанного Н₂S составляет 0,008—1,02%. В ~50% проб сброженных осадков, взятых с иловых площадок, Н₂S содержался в виде следов. М. Лапшин

12803. Изучение обезвоживания осадка. Кокан (Research reports on sludge dewatering. Соасkley P.), Municip. J. 1955, 63, № 3231, 177—179 (англ.)

Опыты по электроосмотич. обезвоживанию осадка бытовых сточных вод (СВ) показали, что расход энергии возрастает с повышением градиента вольтажа и содержания твердого в-ва в осадке. Колебания ультразвуковой частоты улучшают отстаивание таких суспензии, как уголь, стекло, сера и нефть. Наилучшим коагулятором является FeCl_s. Коагуляция в кислой среде более эффективна. Повышение т-ры до 70° также способствует коагуляции. Осадок хорошо обезвоживается, когда содержит много газа, что наблюдается на 17—21-е сутки сбраживания.

Л. Милованов 12804.

2804. Необходимость тщательного регулирования процесса сбраживания осадка. Стоитои (For better control in sludge digestion. Staunton Jack L.), Engng News-Rec., 1955, 154, № 12, 39

(англ.)

Сокращение времени сбраживания осадка может быть достигнуто при рационально спроектированной системе илопроводов, позволяющей отсасывать осадок из различных точек метантенка, смешивать его с сырым или сброженным осадком и после подогрева в выносных теплообменниках до оптимальной т-ры возвращать в те же точки метантенка. При этом возможно создать оптимальные условия для термофильного брожения (43—57°). Так как осадок после термофильного сбраживания плохо обезвоживается, рекомендуется следующая схема обработки осадка: термофильное брожение, мезофильное брожение (2?—40°), обезвоживание (пеобходимо наличие двух метантенков). Регулирование т-р осуществляется устройством выносной камеры охлаждения.

С. Конобеев

2805. Влияние высущенного ила сточных вод ва процессы нитрификации в почве. Фуллер, Джурди (Effect of dried sewage sludge on nitification in soil. Fuller James E., Jourdian G. W.) Sewage and Industr. Wastes, 1955, 27, № 2, 161—165

(ан л.)

Опыты проводились в стеклянных сосудах, в которых к 100 г воздушно-сухой почвы добавлялось по ~0,25 СаСОз и по 1 г воздушно-сухого ила. Смесь увлаживлась и оставлялась в темноте при ~20°. Через 1,2 и 3 месяца определялось кол-во нитратного N. Если кол-во нитратного N в кон-рольном сосуде принять за 1, то в присутствии ила оно составляет 1,12—1,5. Аналогичные опыты с предварительной добавкой удобрени (соли NH₄⁴, растительные и животные протенны также покачали увеличение нитратного N (по сравнению с контролем). Сделан вывод, что удобрение почвы сухим илом не задержит в ней процессы интрификации. Н. Ваксберг

12806. Применение эжектирующих анпаратов на Н-Nа-катнонитовых установках. Чериявский В. М., Информ. материалы Мосэнерго, 1955, вып. 8,

44-50

Описан положительный опыт применения эжекторов: для транспортирования p-ров NaCl; для создания вакуума при сливе $\mathrm{H}_2\mathrm{SO}_4$ из ж.-д. цистерн; в пескоструйных аппаратах, применяемых для очистки металлич. поверхностей. H. Субботина

12807. Новая станция очистки воды г. Роттердам.—
(Nouvelles installations pour la purification des eaux de ta ville de Rotterdam.—), Philips Ind., 1955, 5, № 24, 7—15 (франд.); Philips Serving science and industry, 1, № 1 (англ.)

Описание электрич. контрольно-измерительной, пусковой и защитной аппаратуры, примененной на станции.

В. Клячко

7 г.

кли

ley -179

адка

ргин

одер-

азву-

нзий.

оагу-

среде спо-

ется. -21-e ванов

вания (For

12, 39

MORRET

анной

салок

сырым

вынос-

ашать

оздать жения

ражи-

педуюжение,

re (ne-

ORBHUM

камеры

нобеев

вод на

ж у р-ication

G. W.)

1-165

оторых ~0,25

лажня-

1.2 m 3

кол-во

a 1, 70

алогич-

обрений

отенны)

сравне-

е почвы

икапии. аксберг

гов на

ский

вып. 8,

EKTODOB:

оздания в песко-

тки ме-

бботина

рдам. —

des eaux

1955, 5, ence and

тельной,

нной на

Клячко

Автоматизация управления водопроводными и канализационными сооружениями. Горин Г., Жил-коммун. х-во, 1955, № 6, 6—9 Описаны применяемые Сталинской водопроводной

станцией схемы автоматизации: дозировки коагуляторов; регулирования скорости фильтрования; определения мутности, цветности и остаточного Cl2 и примевяемая на Люблинской станции очистка сточных вод схема автоматизации управления рыботой отстойников. С. Конобеев

Непрерывный автоматический контроль концентрации фторидов в воде. Ноултон (Investigation of the continuous recording of fluoride concentration in water. KnowltonKennethf.), J. New England Water Works, 1954, 68, № 1, 16—38

Описан непрерывно действующий автоматич. прибор для контроля конц-ии F- в воде водопроводных станций. Действие прибора (типа дифференциального солемера) основано на измерении уд. электропроводности воды до п после введения фторидирующего реагента (NaF или Na₂SiF₆). Измерение электропроводности должно производиться в точках, где исключено влияние других реагентов. О. Мартынова

химводоподготовительных Автоматизация установок. Красоткин Е. Н., Информ. материалы по экономии энергии и эксплуат. электро-оборудования (сб. № 24). Молотов, 1954, 34—48

Рассматриваются объекты и операции, подлежащие автоматизации на установках водоподготовки электростанций, принципиальные схемы автоматов для промывки осветлительных фильтров и регенерации катионятных фильтров, схемы автоматов для приготовления и подачи регенерирующих р-ров, а также аппаратура Н. Субботина автоматики. эксплуатации автоматизированной

химической водоочистки. Богословский П. Н., Информ. материалы Мосэнерго, 1955, вып. 8,30 — 43 Дано описание принципиальных схем автоматизации работы осветлительных и катионитных фильтров, использующих в качестве запорной и регулирующей арматуры клапаны с мембранными исполнительными механизмами (МИМ). Импульс на открытие и закрытие клапана МИМ получает от электрич. датчика электрогидравлич. переключатель времени через (электроклапан). Автоматич. устройства промывки и регенерации фильтров, находящиеся в эксплуатации 2,5 года, обеспечивают надежную работу водоподготовки, способствуют улучшению технологии и сокращению объема ремонтных работ по запорной арматуре. Н. Субботина

Дискуссия по статье Трусдейла «Измерение скорости течения сточных вод при помощи радиоактивных индикаторов». — (Discussion on paper by C. A. Truesdale, B.Sc. measurement of sewage flow using radioactive tracers.—), J. and Proc. Inst. Sewage Furilic., 1954, № 1, 53—55 (англ.) См. РЖХим, 1954, 11508.

Пробоотборник АзНИИ-2. Григорян В. Ф., Новости нефт. техники. Нефтепереработка, 1956, № 5, 22-24

Описан принцип действия и конструкция пробоотборника клапанного типа, позволяющего отбирать пробы нефтезаводских сточных вод независимо от глубины, М. Людмирский па которой протекает сток.

814 П. Осветление воды (Clarification of water) [Monsanto Chemical Co.]. Австрал. пат. 163501, 12814 П. 163502, 7, 07, 55

При осветлении воды коагуляцией или отстаиванием предусматривается введение в нее растворимых полимеров, диссоциирующих с образованием положительно

заряженных полимерных ионов, содержащих 3- и 5-валентный N. Кол-во добавляемого к воде полимера не должно превышать 0,1% по весу. Пат. 163502 отличается тем, что применяемые полимеры должны содержать СООН-группу. Н. Суботина

2815 П. Аппарат для водоочистки. Лолор (Water treating apparatus. Lawlor Joseph P.) General Filter Co.] Пат. США 2721173, 18. 10. 55 Аппарат состоит из камеры отстаивания, в которой частицы шлама образуют взвешенный слой. Под ним

в центре камеры устроен осадкоуплотнитель. Вода в аппарат подается снизу и, проходя через язвешенный слой, освобождается от грубодисперсных примесей, слои, освоюждается от груоодисперсных примесеи, которые поступают в осадкоуплотнитель. А Фихман 12816 II. Метод очистки воды. III е й н (Method for the purification of water. S c h e i n H a r r y L.) [Merkantila Ingeniorsbyran Pehr Husberg A. B.). Канад. пат 511851, 12. 04. 55
Для очистки воды плавательных бассейнов пред-

лагается ее перехлорирование дозами Cl2, лежащими выше точки перелома на кривой хлороемкости, с последующим фильтрованием воды через щел. материал, содержащий окислы, карбонаты и гидроокиси Са или Mg. При этом свободный Cl₂ превращается вгипохлорит и рН воды повышается до 8. Л. Фальковская 12817 II. Способ дехлорирования питьевых и хозяйственных вод, обработанных хлором или хлорной водой и содержащих остаточный хлор. Рихтер (Verfahren zum Entchloren von mit Chlorgas oder

Chlorwasser behandelten und aktives Restchlor enthaltenden Trink - und Brauchwässern. Richter Adolf (VEB Farbenfabrik Wolfen). Пат. ГДР 8562, 17. 10. 55 Для дехлорирования воды предлагается фильтрование ее через поверхностноактивные аминосмолы с круп-норешетчатой структурой. Дехлорирующий фильтр должен периодически промываться обратным током воды

для удаления образующихся осадков и поддержания загрузки в рыхлом состоянии Л. Фальковская 12818 П. Установка для очистки воды. Линн (Wasserreinigungsanlage. Linn Harry Arthur Donald). Пат. ФРГ 924858, 7. 03. 55

Для снижения в грунтовых водах конц-ин Fe2+, Mn2+ и NH₄⁺ вода интенсивно аэрируется в трубке Вентури. Кол-во засасываемого воздуха регулируется скоростью движения воды в суженном отрезке трубки (Re \geqslant 12000). Далее вода через сетку поступает на песчаный вакуумфильтр с такой скоростью, чтобы уровень ее не поднимал-ся над поверхностью фильтра. В воде, содержавшей до очистки (в мг/л): Fe2+ 1,3, Mn2+ 0,12 и NH + 6, конц-ии их после очистки снизились соответственно до 0,06; 0; 0,1 В. Ваксберг

12819 П. Аппарат для обработки воды (Water conditioning apparatus) [Fram Corp.]. Англ. пат. 715454, 15. 09. 54

Аппарат состоит из цилиндрич. корпуса и съемной крышки, через которую по трубам подводится вода в камеру фильтрования, расположенную внутри корпуса так, чтобы между ней и стенками корпуса оставался зазор, в котором собирается обработанная вода. Камера выполнена из фибры и заполнена фильтрующим материалом настолько, чтобы в ней оставалось пространство для накопления шлама. Материал, загружаемый в камеру, состоит из смеси реагентов для умягчения: фосфаты, бораты, полнамины карбоновых к-т, иониты различных типов (природные цеолиты, полистирольные, дивиниловые, сульфобензольные, сульфофенольные смолы) и замедлителей коррозии типа хроматов, боратов, нитритов, силикатов, растворимых масел Н. Субботина

12820 П. Обработка воды известью Кларк, Терстон (Treatment of water with

lime and/or soda. Clark Leslie M., Thurston Inne and/or soda. Статк Сезтте м., In d r s t on E r i c F.) [Imperial Chemical Industries Ltd]. Канад. пат. 513295, 31. 05. 55 Предлагается способ умягчения воды путем добавки

к ней 0,1~5 мг/л полифосфата натрия (с молекуляр-ным соотношением Na₂O: P₂O₅ = 1:12), извести, соды или их смеси и пропуска воды через ранее образовавшийся осадок. Скорость движения воды должна быть достаточной для поддерживания осадка во взвешенном состоянии. Л. Фальковская

821 П. Умигчение воды карбонатом бария. Хекман, Клейн (Verfahren und Vorrichtung 12821 П. Умягчение хекман, клейн (Verlahren und Vorrichtung zur Enthärtung von Wasser mittels Bariumkarbonat. Heckmann Wilhelm, Klein Robert) [Maschinenbau-Akt.-Ges. Balcke]. Пат. ФРГ 920960 2. 12. 54 [Chem. Zbl., 1955, 126, № 26, 6103 (пем.)] Тонкоизмельченный карбонат бария (I) подается в верхнюю часть реактора и поддерживается в нем во взвешенном состоянии при помощи механич, перемешивания (продувкой воздуха). Вода поступает в нижнюю часть реактора, где перемешивается с почти отработанным I, а затем, поднимаясь вверх, перемешивается со свежедобавляемым 1. Л. Фальковская Метол Н-катионирования воды (Hydrogen-12822 II. ion-exchange processes for the treatment of water) The Permutit Co. Ltd. Австрал. пат. 166053, 1.12.55

Патентуется метол Н-катионирования воды на фильтре, загруженном слабо- и сильнокислотными катионитами. Сильнокислотные катиониты имеют больший уд. вес и больший пиаметр зерен, вследствие чего при промывке располагаются внизу фильтра. Вода фильтруется сверху вниз, регенерационный р-р к-ты снизу вверх. В. Клячко

8823 П. Фильтрование жидкостей, содержащих бактерии, кислоты и органические вещества (Ver-fahren zur Filtration von Flüssigkeiten, wie z. B. Bakterien, Säuren und organische Stoffe enthaltenden Wässern) [Cadic Co. Americana de Desarrollo Indu-strial y Comercial; Cadic American industrial and Commercial Development Co. Inc.]. Швейц. пат. 295384, 1.03. 54 [Chem. Zbl., 1955, 126, № 37, 8704 (нем.)]

Для получения реакционноспособной извести, применяемой при фильтровании кислых вод, рекомендуется следующий способ. CaO, полученную при обжиге CaCO₃, гидратируют водой, профильтрованной через специально приготовленный асбесто-палладиевый фильтр. Для приготовления последнего пропитывают асбест сперва р-ром соли Pd, подвергшейся действию электрич. поля с частотой 3 · 102 и 10 ги, а затем НСООН, подвергшейся такой же обработке. При этом образуется активированный металлич. Pd. М. Лапшин

Очистка сточных вод. Дженкс (Sewage treatment. Jenks Harry Neville). CIIIA 2713028, 12.07.55

В схему биохим, очистки сточных вод включена подача активного ила из аэроколлоидора (АК), представляющего собой низкий биофильтр с грубой загрузкой. Нагрузка на АК 190—750 м³/м² в сутки. Время прохождения жидкости через АК 10—40 сек. АК питают рециркуляционной жидкостью из аэротенка.

для биохимической аэробной Аппарат очистки сточных вод при насыщении их кислородом. Перни (Apparatus or separating oxidizable material from liquid by oxygenation and aerobic biochemical action. Pirnie Malcolm) [Research Corp.]. Канад. пат. 507826, 30. 11. 54

Патентуется метод биохим. очистки бытовых сточных вод (СВ), состоящий в предварительном разбавлении их очищ. СВ и насыщении полученной смеси О2. Разбавление производится в подводящем трубопроводе, выше места подачи О2, который вводится на значительном расстоянии от точки ввода СВ в аэротенк. Разб.

и насыщ. О2 CB поступает в аэротенк снизу под слой активного ила. Предложено также пропускать СВ (после насыщения О2 и до поступления в аэротены) (после насыщении С2 и до поступлении в аэротенку через газовые колокола, в которых от нее отделяется избыточное кол-во О2. Колокола связаны с линией подачи свежего О2 и линией подачи О2 в СВ. С. Конобеев 12826 II. Аппарат для промывки осадков. Здан ось и й (Sludge washing apparatus. Z d a n s k y E. A.). Англ. пат. 728791, 27. 04. 55

Патентуется аппарат (А) для противоточной промывки осадков от содержащихся в них растворимых в-в. А представляет собой вертикальную колонну, в которой расположены 3 конич. сосуда, являющихся отстойня. ками. Осадок подается в верхнее отделение А и при помощи автоматически работающих вентилей перепускается в нижерасположенные конусы. Промывная вола подается в нижнюю часть А и поочередно проходит все отстойники, поступая в них по трубкам с клапанами, расположенными у основания конусов. В. Разношие

См. также: Анализ Са²⁺, Mg²⁺ 11973, 11987; Са²⁺ 12049; В 12095; NO₃-12100; NO₂-12101; F 12117. Св-ва примесей: кристаллич. структура ү-А100Н ү- FeOOH 10949; фенолы от гидрирования бурого угля 12881. Физ.-хим. основы технологии: теория фильтрования 14139; рост кристаллов 11160; 11202. Иониты: равновесие на бифункциональных катионитах 11403; синтез катионитов 13562. Коррозия: конденсаторов 14105: котлов 14107; канализационных систем 14108; под действием рудничных вод 14103. Утилизация и удаление отходов: регенерация сульфитных щелоков 13670; сбраживание сульфитных щелоков 13673; использование оборотных вод на бумажных фабриках 13690, 13691. Подготовка воды в нивоваренной пром-ств 13814.

ПЕРЕРАБОТКА ТВЕРДЫХ ГОРЮЧИХ ИСКОПАЕМЫХ

Редактор М. О. Хайкин

Проект международной научной классификации каменных углей. Пахалок И. Ф., Стандарти-

зация, 1955, № 3, 22—30

Проект составлен в 1953 г. рабочей группой при Комитете по углю Экономической комиссии для Европы. Все угли разбиваются на классы по выходу летучих в-в на сухую массу, а угли с выходом летучих в-в более 3% классифицируются еще по теплоте сгорания влажного беззольного угля; всего в проекте 10 классов углей. Описавы также методы определения параметров, указанных в проекте классификации. И. Руденская Основные проблемы развития каменноуголь-

ной промышленности. Ватанабэ (石炭鑛業振興 に關する問題點,渡邊扶),化學工業 , Кагаку коге, Chem, Ind. (Токуо), 1955, 6, № 3, 207—210 (япон.) Условия безопасности при смешении воздуха и газа промышленного отопления. Ван-Тиг-гелен (Conditions de sécurité dans l'addition d'air à un gaz de chauffage industriel. V a n T i g g e-l e n A.), Ind. chim. belge, 1956, 21, № 2, 119—130

(франц.; рез. флам., англ., нем.)

Обсуждается проблема расчета максим. кол-ва воздуха, которое допустимо прибавлять в горючую смесь, исходя из условий безопасности. После изложения основных принципов горения и распространения пламени предложен общий метод расчета, пригодный для любой промышленной смеси горючих газов. Необходимыми данвыми являются: т-ра смеси; кол-во кислорода в смеси до разбавления воздухом; состав газа или, в случае отсутствия такового, теплотворность и расход его. Приведены примеры некоторых расчетов в примене-3. Векслер. нии к промышленным газам.

Г.

лой

СВ енк)

erea

нией беев

а и А.).

JBKE

B. A

орой

VCКа-

вода

T BCe

eame,

Ca2+

Св-ва

угля

ьтро-

1403;

торов

4108:

и уда-

локов

поль

13690.

M-CTH

есифи-

дарти-

й при вропы.

етучих

их в-в

рания

лассов

етров,

енская

уголь-

業振り

(япон.)

оздуха Тиг-

ddition

i g g e-9—130

ва воз-

смесь,

ламени

ля лю-

ТИМРИИ

в смеси

случае

од его.

римене-

екслер.

12830. Исследования в области твердых топлив в Чехословании. — (Vyzkum v oboru tuhých paliv v ČSR.—), Paliva., 1955, 35, № 5, 135—139 (чеш.) Краткая информация о проведенных за последние годы исследованиях в Чехословании по изучению хим. и физ.-хим. свойств твердых топлив, по обогащению, сушке и брикетированию их, а также по технологии коксования и энергетич. использованию.

12831. Коксохимическая промышленность США и Европы. Часть I, II, III, IV, V, VI. Йосида (職米に於けるタール工業.I—VI 吉田尚), コールタール, Кору тару, J. Japan Tar Ind. Assoc., 1953, 5, № 1,2—7; № 2, 2—5; № 3, 2—5, № 4,2—7; № 6,2—6, № 7,2—6 (япов.)

12832. Бездымное твердое топливо и газовая промышленность. К и и г (Solid smokeless fuel and the gas industry. K i n g S. J.), Gas J., 1956, 285, № 4831, 48. 51 (апгл.)

12833. Использование низкосортных углей. К у р окава (低品位发の活用. 黑川眞武), 化學工業, Кагаку когё, Chem. Ind. (Токуо), 1955, 6, № 3, 211— 214 (япон.)

12834. Западноморавские газовые заводы. Д у бский (Ze západomoravských plynáren, N. P., Brno. D u b s k ý J.), Paliva, 1955, 35. № 5, 152— 154 (чеш.)

Приведены данные по развитию производительности западноморавских газовых и коксохим. з-дов, в частности з-да в Брно. Отмечены внедренные технологич. усовершенствования и, особенно, развитие крекинга природного газа. К. Зарембо

12835. Развитие средних и малых газовых заводов. Часть І. М и льчевский (Zasady ruchu średnich i malych gazowni. Część I. M i l c z e w s k i M a k-sy m i lia n), Gas, woda, techn. sanit., 1955, 29, № 3, 92—94 (польск.)

12836. О происхождении угля. Драйден (How was coal formed? Dryden) Coke and Gas., 1956, 18, № 204, 181—184 (англ.)

12837. О возможности применения Нижне-Юрских угаей Северного Кавказа для получения кокса. И о р ж и ц к и й Ю., Р е й н и ш Р.,Науч. работы студентов Моск. горн. ин-та, Донец. индустр. ин-та, 1955, № 3, 241—266

Исследованы пробы угля Хумаринского и Кубрянского пластов, причем в качестве отощающей присадки использовался полукокс, полученный предварительно из тех же углей. Коксовалась двухкомпонентная шихта с соотношением угля и полукокса 5, 10, 20 и 30, а также проводилось промышленное коксование на одном из з-дов. Исследованные угли отнесены к марке Г, имеют низкое содержание S и P и низкую зольность; установлена полная возможность коксования указанных углей, причем оптимальным соотношением компонентов шихты является смесь 30% полукокса и 70% угля. Прочность полукокса, полученного из указанной шихты, составляет 850 г/см, т. е. на 15% ниже, чем у кокса заводской шихты, зольность его составляет 6% и S, 0,8%; такая зольность и сернистость кокса, примерно ла 50% ниже, чем у кокса, получаемого из донецких углей. Стоимость металлургич. кокса, полученного из газовых углей Северного Кавказа, будет значительно ниже стоимости донецкого кокса. У. Андрес О химическом составе каменных углей и измевении его при окислении. Забави в В. И., Гордие и ко Н. П., Клейменова Л. А., Русенанова Н. Д., Суркова В. Л., Шары пки на М. Я., Химин и технол. топлива, 1956,

Приведены результаты исчерпывающей «горячей» экстракции (при которой навеска обогревается парами

№ 12, 3038—3039 (англ.)
12841. Влияние шламов на флотацию каменноугольной мелочи. П ла к с и и И. Н., В ла с о в а Н. С.,

Нав. АН СССР, Отд. тех. н. 1953, 6, 882—895 12842. Опыт Советского Союза и коксохимическая промышленность Чехословакии. Тейницкий, Харват (Sovětske zkušenosti a koksárenství ČSR. Тејпіскý В., Gharvát V.), Paliva, 1954, 34, № 11, 287—290 (чеш.) 12843. Исследования по сухой перегонке пламенных углей в печах газового завода. Часть 1. Киевы

12843. Исследовання по сухой перегонке пламенных углей в печах газового завода. Часть 1. К певский, Клосинский, Рога (Badania nad odgazowaniem węgli płomiennych w pieciach gazowniczych. Część 1. Kijewski Wacław, Kłosinski Jan, Roga Błasej), Gaz, woda, techn. sanit., 1955, 29, № 9, 290—297 (польск.)

С целью расширения ассортимента углей для коксования были поставлены промышленные опыты на газовом з-де, с загрузкой вертикальных камерных печей системы Дидье неспекающимися газовыми и газопламенными углями польских месторождений, а также смесями этих углей с коксующимися. Описаны условия и полученные данные по первым опытам, в которых в печи загружался неспекающийся уголь с зернами размером 16—31,5 и 25—30 мм.

К. З. 12844. Обезвоживание смолы. И лоппа (Теегепtwässerung. Р 1 о р р а М.), Bitum., Teere, Asph., Peche und verw. Stoffe, 1956, 7, № 6, 218—222 (нем.)

wasserung. Р То р р а м.), Бісшін, теете, язра., Ресье илd verw. Stoffe, 1956, 7, № 6, 218—222 (нем.) Предлагается классификация установок для обезвоживания смолы на коксогазовых з-дах. Исключая американский способ, состоящий в добавке к эмульсии препарата «Амин 220», все остальные способы разбиваются на 2 категории: 1. Получение смолы (С), содержащей ≤5% воды (В), в ходе технологич. процесса. 2. Предварительное грубое отделение С от В с последующим более четким разделением на спец. установках. К первой группе относится широко употребляемый способ разделения в больших хранилищах, позволяющий получать С с содержанием В до 3%. По способу Копперса и аналогичному способу фирмы Отто, помимо разделения в резервуаре, обводненияя С обезвожива-

ется в волоотпелителе при 80° под давлением. Ко второй группе установок относится обезвоживание в открытых резервуарах с паровым обогревом, причем обводненная С периодич, спускается снизу. Недостатки этого способа: потеря легкой части С. разложение некоторой ее части за счет перегрева и окисления на поверхности. По методу Комблеса обезвоживание производится под давл. 0,5 атм при 114° в горизонтальном паровом котле: пары С и В конденсируются и разделяются. В сочетании с предварительным обезвоживанием этот метод дает возможность получить С с 3%-ной влажностью. Метод Люпке заключается в обезвоживании С в тонкой пленке при ее стекании по внутренней поверхности трубок, обогреваемых снаружи паром до 130°. Содержание В и С снижается при этом с 20 до 0,4%. Автор дает следующие рекомендации при выборе способа обезвоживания; разделение С и В на малых и средних з-дах целесообразно производить непрерывно в потоке, на коксогазовых з-дах окончательное обезвоживание рекомендуется производить на спец. установках обособленно от барильетного цикла для экономии энергии. Е. Мильвипкая 12845. Выделение пиридиновых оснований из коксо-

вого газа. Тон эмура, Хигути, Тамаки, Нагао (コークス爐ガス中のピリジン鹽基の回收に就 いて.種村正,樋口重雄,玉置喜平次,長月正義),コールタール, Kopy, Tapy, Coal Tar., 1954, 6, № 2,

18-21 (япон.)

12846. Влияние режима коксования на качество кокса. Сепар А. М., Кроль В. Л., Быков Г. М., Сталь, 1953, № 11, 967—972

2847. Некоторые механические свойства кокса. Иноуэ, Тани (コークスの機械的性質について. 井上勝也・谷秀夫)・燃料協會誌・ Нэнрё кёкайси, J. Fuel Soc Japan, 1954, 33, № 331, 587—592 12847.

(япой.; рез. англ.) 848. Связующее для угольных электродов. Т е м м е (Bindemittel für Kohlenstoff-Elektroden. Temme), Bitum, Teere, Asph., Peche und verw. Stoffe, 1955, 6, No. 10, 340-343 (Hem.)

Методы, применяемые обычно для характеристики прочности пека, как связующего для угольных электродов, не пригодны для пеков различного происхождения. Найдено, что прочность пека, назависимо от его происхождения (нефтяной, каменноугольный), лучше характеризуется двумя показателями: произведением коксового числа пека на отношение углерода к водороду в исходном пеке и произведением процентного содержания в-в, нерастворимых в С6Н6, на соотношение углерода и водорода в них и на отношение углерода к водороду в растворимой в С₆Н₆ части пека. С. Гордон Применение полукокса бурых углей в качестве отощающей присадки к коксовой шихте для частич-

ной замены углей марки ПС. Весельман С. Г., Науч. тр. Харьковск. Горн. ин-т, 1956, 3, 35—55 Обзор и общие замечания по вопросу применения полукокса бурых углей СССР в качестве отощающей присадки к коксовой шихте с целью расширения ассортимента углей для коксования и частичной замены углей марки ПС. Библ. 19 назв.

850. Очистка сырых фенолов термической обра-боткой их натриевых солей. II. Получение очищенных крезолов из смолы полукоксования. А и д о, Усиба (タール酸ソーダ壁の熱處理について・第2報・ 低乾ガス輕油より精製タレゾール類の製造・安東新午, 牛場紀典),コールタール, Kopy rapy, J. Japan. Tar. Ind. Assoc., 1953, 5, №4, 8—11 (япон.) Ч. І. См. Кору тару, 1952, 4, 77

Выделение ароматических углеводородов из сольвент-нафты с применением водного раствора метанола. Кияма, Кодзаки, Кидо (含水メ タノールによる低乾ソルベントナフタ成分の分離 ・ 木山

正義,古崎滋,木戸恒和),コールタール, Kopy rapy, J. Japan Tar. Ind. Assoc., 1953, 5, № 7, 20-25 (япол.) Промышленность переработки горючьх слав. цев. Матич (Pred četvrti međunarodni kongres za naftu (i simpozijum za uljne škriljce.) Matič Dimitrije), Tehnika, 1955, 10, № 6, 796—801 (сербо-хорв.; рез. англ.)

Обзор состояния сланцеперерабатывающей пром-сти во всем мире к IV Международному нефтяному ковгрессу, в частности развития техники и экономики ее в Колорадо (США) и Югославии. К. 3.

К вопросу получения малосеринстых углево. дородных и других компонентов при термической обработке горючих сланцев. Илларионов И. К.,

Тр. Воронежск. ун-та, 1955, 39, 107—119 Многосернистые чувашские горючие сланцы (С) с содержанием общей S от 7 до 9% и отношением органия. и минер. S ~ 1: 1 подвергались обработке в два этапа: в первом т-ра поднималась с различными интервалами до 185°, во втором до 350°. Бурное выделение H₂S начиналось при 130° и продолжалось до 185°, что связывается с разложением керогена при этой т-ре. Проба С после первого этапа содержала большое кол-во битума в сравнении с исходными С. Появление H₂S, вероятно, обусловлено разрушением бывших ранее в С углеводородов, перегруппировкой элементов керогена празрушением сульфидов F_e , что выражается p-пией $3F_eS + {}_nCO + {}_nH_2 \rightarrow H_2S \uparrow + C_nH_2 + F_e_3C_4$. Heofходимые СО и Н2 образуются в результате разрушения легко кипяших органич, соединений, имеющихся в С до опыта. Во втором этапе H₂S начинал обильно выделяться лишь при 278—300°. Такое скачкообразное выделение H₂S обусловлено перегруппировкой при этой ленее H_2 S обусловлено перегруппаровкой при этом т-ре наиболее устойчивой части керогена. Разрушение оставшихся в С сульфидов, очевидно, идет по р-ции $FeS_2 + 2H \rightarrow FeS + H_2S$, а затем по р-ции, описанной выше. При термич. обработке С в условиях 120-350° идет в основном процесс преобразования керогена в углеводороды, а также удаления минер. S из С. Если образовавшиеся при этом газы направить в один генератор, а последующие массы газов, образующиеся уже при повышенной т-ре, в другой, то последние окажутся более калорийными, без дополнительного облагоражи-вания. Е. Мильвицкая

12854. Влияние растворителей при термическим разложении керогена битуминозного сланда. III на-кенберг, Прии (Effect of solvent properties in thermal decomprosition of oil shale kerogen. Schnackenberg Werner D., Prien Charles H.), Industr. and Engng chem., 1953, 45, № 2, 313—322 (англ.)

855. Адсорбционный хроматографической анализ сланцевого бензина вращающейся реторты. Р ю н-12855. дал Л. Я., Тр. Таллинск. политехн. ин-та, 1954, № 52, сер. А, 1—28

Развитие газоснабжения в Англии за двадцать ner. II oprep (Gas distribution — twenty-one years of development. Porter W. H. B.), Gas Times, 1955, 21 anniv. number, oct., 47—52,57—60, 121(англ.)

Двадцать один год газовой промышленности 12857. Англии. Бернс (Twenty-one years of gas manufacture. Burns J.), Gas Times, 1955, 21 anniv. number, oct. 28, 33, 34, 36—40, 45, 46, 94 (англ.) Исследования в английской газовой промыш-

ленности. — (Research in the gas industry.—), Coke and Gas, 1955, 17, № 188, 17—23, 32 (англ.)

12859. Газификация каменного угля. Баба(石炭のガス化・馬場有政), 化學工業, Кагаку когё, Сhem. Ind. (Tokyo), 1955, 6, № 3, 222—224 (япон.) 12860. Проблема подземной газификации угля. Рольфес (Probleme der Untertagevergasung von T.

apv.

IOH.

nan-

es za

t i č -801

4-CTI

KOH-

MINTER

£. 3.

левоеской

. K.,

(C) e

анич. тапа:

TOWN

S Ha-

вязы-

оба С

итума

онтно. глево-

a n

о-пией Henn-

шения

ся в С

выде-

выдет этой

пение

р-ции

санной -350°

рогена

. Если

н гене-

ся уже

ажутся

оражи-

винкая

ческим Ш н а-

perties chnaarles

13-322

анализ

Рюп-

вадцать ne years

Times. 1(англ.)

енности

manu-

anniv.

(англ.) ромыш--), Coke

a(石炭 , Chem.

угля.

ung von

Kohle. Rolfes Joachim B.), Braunkohle, Wärme und Energie, 1955, 7, № 21-22, 478-483 (нем.) Рассмотрены по зарубежным данным основы процесса я технич. вопросы подземной газификации (ПГ) угля: применение дутья (воздух, кислород), распределение газовых потоков в слое газифицируемого угля, приголность различных типов углей для ПГ, способы проведения подготовительных работ для процесса, качество получаемого газа в зависимости от способа работы и применяемого дутья. Указана необходимость применения высоких т-р при процессе ПГ и организации этого процесса в малых объемах; подчеркивается высокая стоимость процесса ПГ. Критически оценивается возможность развития ПГ в ФРГ. В. Кельцев разоння процесса подземной газификации угля. Дзюниковский (Sposób przeprowadzenia

analizy procesu rodziemnego zgazowania wegla. D z iunikowski Kazimierz), Przegl. górniczy, 1955, 11, № 9, 329—333 (польск.)

В развитие проводимой в Польше работы по оценке современного состояния подземной газификации углей рассмотрены способы контроля этого процесса: а) определение выходов газа по балансу азота, б) определение кол-ва прогазифицированного в пласте угля по данным элементарного анализа последнего, кол-ва получен-ного газа и его состава (баланс по С), в) определение степени газификации угля по балансу Н (в угле и газе). Приведены примеры расчета процесса для вариантов газификации на воздушном, обогащенном кислородом и кислородном дутье.

Газификация низкосортных топлив (отходов углемойки). Лорензен (不燃性分の多い燃料 (ボタ) のガス化 ・ ゲルハルト . ロレ | シツェン) , 燃料協 會誌 , Нэнрё кёкайси, J. Fuel Soc. Japan, 1954, 33, 會議, Нэнрё кёкайси, л. гист № 327, 340—345 (япон.; рез. англ.)

2863. Способы и аппаратура для определения точки росы газов. Лоске (Verfahren und Geräte zur Bestimmung des Taupunktes von Gasen. Loske K.), Erdoel-Z., Bohr- und Fördertechn., 1956, 72, No 4. 340-341 (нем.)

Кратко изложены расчетные зависимости влажности газов от давления и т-ры и перечислены современные В. Кельцев методы определения точки росы газов. 12864. Содержание серы в генераторных газах из югославских топлив. К о с и ц к и й (Количина сумпора у мешаном гасу добивеном од неких домаћих горива. Косицки Александар), Гласник Хем. друштва, 1955, 20, № 8, 529—533 (сербо хорв.;

рез. англ.) На основании анализа данных по выходам газов, получаемых в газогенераторах при газификации углей различных месторождений и с различным содержанием S, сделан вывод о возможности оценки пригодности углей для газификации по конц-ии SO₂ (в об. %) в продуктах сжигания этих углей с коэфф. избытка

водуха > 1. К. 3. 12865. Повышение производительности газогенератора, работающего на буром угле. Коцанда (Zvýšení výkonu generátor na zplyněmí hnědého uhlí. Kocanda B.), Paliva, 1955, 35, № 9, 274-275

Описан опыт амортизации загрузки газогенератора (IT) со швель-шахтой, работающего на буром угле; приведены конструкция загрузочного устройства и показатели работы ГГ. После автоматизации загрузки производительность ГГ увеличилась на 12%. К. З. Повышение производительностии и к. п. д.

rasorенераторов. Томайер (Zvýšení výkonu a účin-nosti vestavěných generátorů. Tomaier Josef), Paliva, 1955, 35. № 7, 204—206 (чеш.)

Рассмотрены способы повышения производительности в к. п. д. газогенераторов, особенно работающих на

многозольных топливах. Описаны способы охлаждения пода газогенератора, автоматизации его работы. Приложены схемы и эскизы.

2867. Неметаллические трубы в газовой промышлен-ности. Фаленцкий (Rury nieżelazne w przemyśle gazowniczym. Falęcki Marian), Caz, woda, techn. sanit., 1955, 29, № 3, 85—86 (польск.) 2868. О способах гидрирования каменного угля. И васаки (石炭水素添加法の動向・岩崎高雄), 化 摩工業, Кагаку коге, Chem. Ind. (Токуо), 1955, 6, № 6, 487—493 (япон.) Обзор. Библ. 29 назв.

2869. Исследование гидрогенизации каменного угля при давлении водорода выше 1000 атм. Казан при давлении водорода выше 1000 атм. Казан-екий В. А., Гоникберг М. Г., Лозовой А. В., Гаврилова А. Е., Блонская А. И., Тр. Ин-та горючих ископаемых АН СССР, 1955, 6, 3—15.

Исследовалась в лабор, условиях гидрогенизация каменного угля при 420° и давл. 300—1700 ати на Fекатализаторе и без него. Показано, что Fе-катализатор. в данных условиях не влияет на процесс гидрогенизапии. Повышение давления от 300—400 до 1200—1500 ати удванвает суммарный выход бензина и среднего масла. увеличивает степень ожижения угля с 78,6 до 95% и выход воды с 3 до 12,4%, снижает содержание асфальтенов с 41,1 до 3,1%, фенолов (в среднем масле) с 22,4 до 12,8%; в среднем масле, кроме того, увеличивается содержание пизкокпиящих фракций (содержание фракции 200—240° возрастает в 1,4—1,6 раза), уменьшается сопержание непредельных и увеличивается содержание ароматич. углеводородов, увеличивается содержание $\mathrm{H} + \mathrm{C}\ \mathrm{c}\ 95,2$ до 97,7%. В бензине гидрогенизации происходят аналогичные изменения. Делается заключение, что повышение давления значительно увеличивает скорость и глубину процесса гидрогенизации каменного угля.
В. Кельцев 12870. Возможности использования дымовых газов. В. Кельпев

Bopkonekuń (Spaliny – źródło gospodarczych możliwości. Borkowski Bogdan), Caz, mozliwości. Borkowski Bogdan), Gaz, woda, techn. sanit., 1955, 29, № 9, 297—299 (польск.) Дан краткий обзор и рассмотрены возможности практич. использования компонентов дымовых газов СО2, SO2, N2 в качестве сырья для хим. произ-в. Упоминается о начатых в 1952 г исследованиях по использованию нагретых дымовых газов для очистки (обесфеноливания) точных вод. Приведена схема процесса очистки дымовых газов от SO₂ аммиачным методом. К. 3. 12871. Прочность пековых брикетов. К и т а ($\mathfrak{L}^{\circ}\mathfrak{P}$

2071. Прочность пековых орижетов. К и та (ビケ ・ 葉多信之) ・ コールタール ・ Кору тару, Соаl Таг. 1954, 6, № 8, 18—23 (япон.) 2872. Методы получения и свойства битумных эмульсий на основе торфяной смолы. Ермоленко Н. Ф., Новикова Е. Н., Гинзбург Д. 3. (Методы атрымання і уласцівасці бітумных эмульсій

(Методы атрымання і уласцівасці бітумных эмульсій на аснове тарфяной смалы. Ермоленка Н. Ф., Новікава Е. Н., Гінзбург Д. З.), Весці АН БССР, 1954, № 3, 116—122 (белорусс.) Перевод см. РЖхим, 1956, 48050 12873. Селективная абсорбщия сероводорода из синтез-газа. У эйнрайт, Эглсон, Брок, Фишер, Сандс (Selective absorption of hydrogen sulfide from synthesis gas. W ain wright H. W., Egleson G. C., Brock C. M., Fisher J., Sands A. E.), Industr. and Engng. Chem., 1953, 45, № 6, 1378—1384 (англ.) 12874. Методы определения содержання гумнювых кислот в твердых горючих ископаемых. К ухаренко

кислот в твердых горючих ископаемых. К у х а р е н к о Т. А.,Химия и технол. топлива, 1956, № 5, 32—43

Приведены результаты изучения и сравнительных исследований методов определения содержания гуминовых к-т (ГК) в торфе, бурых и выветрившихся каменных углях при извлечении ГК води. p-ром NaOH.

Г. Марголива

Е. Мильвицка

23

Рекомендуется вести извлечение ГК на водяной бане в течение 2 час., для исчерпывающего извлечения ГК проводить многократную обработку образцов р-ром NaOH до получения слабоокрашенного фильтрата применять 1%-ный р-р NaOH в кол-ве 100 мл на 1 г угля с содержанием ГК до 25% и 200 мл при более высоком содержании. Сопоставлением различных методов определения ГК: весового, заключающегося в осаждении ГК из щел. p-ров разб. H₂SO₄ и HCl, промывке, сушке и взвешивании осадка, объемного, основанного на опрепелении С в шел. р-ре при действии сильного окислителя, м колориметрического — по измерению оптич. плот-ности щел. р-ров ГК, показано, что весовой метод наиболее точный, но и наиболее трудоемкий, поэтому в зависимости от цели исследования целесообразно применять один из описанных методов. В. Кельцев 12875. Определение следов кислорода в газовых смесях. Петер (Über die Bestimmung von Sauerсмесях. H е т е р (Uper die Bestimmung von Sauer-stoffspuren in Gasgemischen. P e t e p M a x), Monat-sbull. Schweiz. Verein Cas- und Wasser-fachmännern, 1956, 36, № 2, 40—47 (нем.) Исследовалась возможность применения колори-

метрич. метода определения O2 с помощью аммиачного p-ра CuCl для анализа городского газа, содержащего небольшие кол-ва О2 и С2Н2. Установлено, что в присутствии C₂H₂ образуется ацетилид меди, мешающий определению: это можно устранить путем центрифугирования либо использования способности ацетилида меди приклеиваться к жировому слою, наносимому на поверхность газовой пипетки. Миним. кол-во O_2 , которое может быть определено в 1-литровой газовой пробе, составляет 0,01 мл. Проводились также предварительные колориметрич, спектрофотометрич, определения O2 с помощью щел. p-ра пирокатехина + FeSO4, которые показали, что этот метод также позволяет определять O₂ при соблюдении определенных условий. Предыдущее сообщение см. РЖХим, 1956, 66058 Б. Энглин

ROTHI

12876 К. Химия угля. Рога, Вненковская Ихнатович (Chemia węgla. Roga B., Wnę-kowska L., Ihnatowicz A., Warszawa, Panstw. Wydawn. Techn., 1955, 311, 1 nlb. s., mapa,

il., 31 zf.) (польск.) 12877 К. Технология 2877 К. Технология сушки, разогрева и нуска коксовых печей. Лгалов К. И., Халабу-аарь Г. С., Кафтан С. И. Харьков, Металлург-издат, 1954, 367 стр. 13 р. 50 к.

878 К. Опыты по подземной газификации в Англин (British trials in underground gasification, 1949-1955. London, H. M. S. O., 1956, iv, 90 pp., ill., 8 sh.) (англ.)

2879 Д. К вопросу об исследовании углерода и ископаемых углей. Ле-Ра (Contribution à l'étude du carbone et des charbons minéraux. Le Rat Bernard. Thése. Ing.-doct. Paris, 1954, 152 ff. ill.-Dactylogr), Bibliogr. France, 1955, 144, № 47, Suppl. thèses, 1954, № 10, 161 (франц.) 2880 Д. Исследования в области органических

соединений серы каменных углей в связи с их обогащением для целей коксования. Рубинштейн А. Л. Автореф. дисс. канд. техн. н. Всес. н.-и. ин-та по обогащению и брикетированию углей, М., 1955

12881 Д. Исследования фенолов, получаемых при тидрогенизации бурого угля. Кольбе (Untersuchungen über die Phenole der Braunkohlenhydrierung. Kolbe Joachim. Diss., Math.-naturwiss. F., Halle, 1953, BL.), Dtsch. Nationalbibliogr., 1955, B, № 1, 69 (нем.)

12882 Д. Исследование некоторых параметров

лвухзонного процесса газификации торфа повышенной

зольности в газомоторной установке небольной мощности. Федосов И. М., Автореф. дисс. канд. техн. н., Объедин. уч. совет Всес. н.-и. ин-та механиз. с. х. и Всес. н.-и. ин-та с. х., М., 1955 12883 Д. Исследование термической электрифик

подготовки антрацитов при слоевом сжигании. М и т у л и и ский В. Д. Автореф. дисс. канд. техн. н., Азерб. индусть

ин-т. Новочеркасск. 1955

Способ обезвоживания каменноугольной смолы (Procédé pour deshydrater le goudron de houille.) [Heinrich Koppers G. m. b. H.]. Франц. пат. 1091157 7. 04. 55 [J. usines gaz., 1955, 79, № 8, 335 (франд.) Некоторые сорта смол образуют эмульсии, содержашие до 40% воды. Обычным методом обезвоживания таких смол путем нагревания под давлением нельзя получить допустимого для современных перегонных установок содержания воды. Возникающая при этом необходимость нагрева смолы до кипения сопряжена с трудностями и потерями. Фирма Koppers разработала способ. позволяющий исключить эту операцию. Эмульсню с высоким содержанием воды помещают в сепаратор как промежуточный слой между смолой и водой, нагревают до 175° и перепускают в резервуар, где часть

воды испаряется. Наряду с этим механич. воздействие выделяющихся в эмульсии пузырьков воляного папа облегчает последующее разделение воды и смолы. Жидкую фракцию возвращают в сепаратор, а испарившаяся фракция присоединяется к сырому газу. В случае относительно легко разделяющихся эмульсий выделенную фракцию эмульсии вновь не нагревают, а вводят в слой горячей смолы в баке для промывки пол атмосферным давлением, который расположен перед сепаратором повышенного давления. Регулируют время пребывания смолы и эмульсии таким образом, что смола. поступающая в сепаратор, содержит не более 25-30%

12885 II. Очистка низкокипящих сырых фенолов. Hьюуэрт (Purification of low boiling tar acids. Neuworth Martin B.) [Pittsburgh Consolidation Coal Co.]. Har. CIIIA 2734925, 14.02.56 Сбособ удаления низших алифатич, карбоновых к-т (I) (в частности, масляной к-ты) из смеси низконинящих фенолов (11), получаемой из каменноугольной, буроугольной, сланцевой и нефтяной смол, включает сле дующие ступени: II, практически освобожденные от нейтр. углеводородов путем экстракции р-рителем либо обычной щел. экстракцией, растворяются в органич. р-рителе, напр., метиловом спирте, адетове, метилэтилкетоне; полученный р-р пропускается через слой сильнощел. анионообменной смолы (III), содержащей четвертичные аммониевые группы; p-р II, освобожденный от I и тиофенолов, направляется в колонну ректификации для отделения р-рителя. Для некоторы целей, напр., в произ-ве синтетич. смол. возможно не посредственное использование очищ, р-ра; отработанна III регенерируется 5—10% NaOH, вытесняющим тольк При применении полярного органич р-рителя неко торое кол-во III переходит в р-р, основание може быть легко извлечено с помощью катионообменно смолы, содержащей сульфогруппы. Ис ионообменные агенты марок Amberlite Использовали TRA - 400 1 Amberlite IR -100 произ-ва Resinous Product and

Способ совместных очистки и метаниров ння газовых смесей, содержащих водород и кислоро ные соединения углерода (Procédé de purification et méthanisation combinées de melanges gazeur contenant de l'hydrogêne et des oxydes de carons [Ruhrchemie A.-G.]. Франц. пат. 1090550, 31. 03. 5 [J. usines gaz, 1955, 79, № 8, 333 (франц.)]

Chemical Co.

South писе ИН-та ифик. отовки CRHÎ дустр. ดสมสตก ouille) 091157 ранц.) держаивания ьзя поих устанеобхотрудноспособ. **СУЛЬСИЮ** паратор дой, наде часть пействие ого пара смолы. испарив-. В слуьсий выenaior. a ывки под ен перед ют время то смола, 25-30% арголина фенолов. tar acids. gh Conso-14.02.56 новых к-т окипящи ной, буроочает слебожденные р-рителем ся в орга-, ацетоне. ется через), содержа-I, освобож-

в колонну некоторых зможно неработанная щим только ителя неко ание може онообменноі ользовалис TRA - 400 I Product an Мильвицка метанирова и кислоро purification

anges gazeu

de carbon 50, 31. 03. 5

((.m

Метанирование смесей H₂ и CO позволяет получать гозы с повышенной теплотворной способностью для пром-сти, а также нетоксичный бытовой газ. Метанирование является результатом известных р-ций, протекаюших в присутствии катализаторов, обычно никелевых. Продолжительность срока службы катализаторов зависит от чистоты обрабатываемого газа. Очистка последнего с одновременным метанированием и является предметом изобретения Ruhrchemie, Газ, в котором содержание СО составляет от 0,5/10 до 1/10 от кол-ва Не предварительно очищают обычным способом от большей части содержащегося в нем H₂S. При т-ре 400—500° под давл. 5—25 кг/см² газ проходит последовательно через три псевдоожиженных слоя мелкозернистых материалов. Первый из этих слоев состоит из истощенного окисленного и сульфированного катализатора, содержащего Ni, MgO и кизельгур; величина зерен такова, что они проходят через сита с 500-5000 отверстий в 1 см2. При соответствующей скорости газа, при которой твердые частицы поддерживаются в состоянии турбулентной взвеси, органич. Ѕ переходит $_{\rm B}$ ${\rm H_2S}$, а ненасыщ. углеводороды, осмоляющиеся при $_{\rm ПОЛИМ}$ еризации, превращаются в насыщ. углеводороды. Второй слой состоит из щел-зем. соединений: негашеной извести или известняка, в смеси с активатором, состоящим из кислородных соединений Fe, Al, Ті или Si. Второй слой поглощает продукты H2S, образуюшиеся при введении в газ воздуха или O₂ в кол-ве, в 4-7 раз превышающем теор. расход О2 на р-цию образования SO4. Полностью очищ. газ с добавкой водяного пара, если его содержание в газе нелостаточно, поступает в третий псевдоожиженный слой свежего катализатора, в котором заложены охлаждающие устройства для отвода тепла р-ции. Получаемый после удаления CO₂, газ может содержать более 90% СН₄. Г. Марголина

12887 П. Метод отделения углеводородов хиноидной структуры от углеводородов бензоидной структуры. CBen (Verfahren zur Abtrennung von einem oder mehreren Kohlenwasserstoffen mit chinoider Struktur, wie Anthracen von einem oder mehreren Kohlenwasserstoffen mit benzoider Struktur, wie Phenan-thren. Sweep Eduard) [N. V. De Bataafsche Petroleum Maatschappij]. Пат. ФРГ 939572, 23. 02. 56 Для отделения одного или нескольких углеводородов хиноидной структуры (напр., антрацена) от одного или нескольких углеводородов бензоидной структуры (вапр., фенантрена) смесь углеводородов обрабатывается селективным р-рителем, который полностью или частично состоит из фторсульфоновой к-ты (FSO₃H). Экстракция производится при т-ре $<0^{\circ}$, предпочтительно около -20°. Экстрагируемая смесь может быть растворена в продукте, не смешивающемся (полностью им частично) с селективным р-рителем. Е. Соколова

2888 II. Скоростная сухая перегонка углей и исполь-зование полученных продуктов (Distillation instan-tanée des charbons et utilisation des produits obtenus) [Soc. de Technique Industrielle]. Франц. пат. 1071031, 24.08.54 [Chemie et industrie, 1955, 73, № 5, 936 франц.)]

ри сухой перегонке угля с величиной зерен до 3 мм во взвешенном виде в печах в течение < 30 сек. можно варыировать содержание летучих и полукокса и, в значительной степени, кол-во смолы, а также кол-во и качество получаемого газа. Е. Покровская

Метод удаления и получения смолы, аммиака и сероводорода из газов сухой перегонки, Брейтбах Шмидт, Шнейдер (Verfahren zur Abscheidung und Gewinnung von Teer. Ammoniak und Schwefelwasserstoff aus Gasen der trockenen Distillation. Breitbach Fritz, Schmidt Josef, Schneider. Theodor)

[Fa. Carl Still]. Har. ФРГ 914175, 28.06.54 (Chem. Zbl., 1955, 126, № 1, 260 (нем.)]

Сырые газы сухой перегонки твердых топлив охлаждают вначале непосредственным разбрызгиванием движущейся в кругообороте воды, а затем посредством теплообмена до ~20° и промывают в колоние NH₃-водой, полученной от предълущей обработки газа. Далее из этой воды, обогащенной H_2S , выделяется H_2S . Движущаяся в кругообороте вода в горячем состоянии непосредственно подогревает газы па дальнейшей ступени процесса. Часть этой воды регулярно отбирают и для удаления солей NH, обрабатывают в горячем состоянии известковым молоком с последующей продувкой частью газового потока после поглощения NH₃ из исходных газов. Газы, обогащенные при этом NHs. соединяются с основным газовым потоком перед теплообменником. А. Монарева 12890 II.

Обессеривание полуковса. 2890 П. Ооессеривание полукокса. Горин, Зилке (Desulfurization of low temperature car-bonization char. Gorin Everett, Zielke Clyde W). [Pittsburgh Consolidation Coal Co.]. Пат. США 2717868, 13. 09. 55 По предложенному методу обессеривание многосер-

нистого полукокса осуществляется путем контактирования его газом, содержащим Н2, СН4 и практически не содержащим H₂S, при давл. 5—15 am, т-ре 590—930° в течение 10—100 мин. Дана схема процесса.

Н. Кельпев Установка для газификации твердых мелкодробленных топлив (Installation servant à la gazéification de combustiblis solides finement divisés) [Heinrich Koppers G. m. b. H.]. Франц. пат. 1086774, 16. 02. 55 [J. usines gaz., 1955, 79, № 8, 333—334

(франц.)] При газификации пылевидного топлива подают его в газогенератор через фурмы в виде взвеси в воздухе, более или менее обогащенной О2; фурмы, расположенные концентрически по отношению к первым, позволяют добавлять водяной пар или СО2. Скорость р-ций зависит от скорости диффузии между различными фазами и требует повышенных т-р, что обусловливает применение O₂ Фирмой Коррег предложено непосредственное использование физ. тепла газа для получения перегретого пара высокого давления, используемого в произ-ве электрич. энергии. Газогенератор может быть объединен с котлом и перегревателем в общем металлич. кожухе в один компактный агрегат, полностью свободный от потерь пригодного для использования тепла. Пар для газогенератора (в данном случае не нужен пар высокого давления) производится в спец. котле. По другому варианту предлагается газовая турбина с замкнутым циклом работы: газ после его расширения в турбине подогревают в теплообменнике, рекомпримируют и вновь подают в турбину. Лопатки турбины так же, как стенки теплообменника нельзя без риска быстрого износа их нагревать выше определенного уровня, который ограничивает т-ру у входа генераторного газа в теплообменник. Избыток тепла отнимается в паровом котле, расположенном между газогенератором и теплообменником. При выходе из последнего газ имеет т-ру порядка 550° и может часть своего тепла отдать либо в другом котле, либо в подогревателе воды. В случае остановки газовой турбины автоматич. устройство изолирует турбину от теплообменника и включает в работу вентилятор, который начинает подавать в теплообменник холодный воздух Г. Марголина

12892 П. Производство горючего газа из твердого углеводородеодержащего топлива, в частности, на битуминозных углей. Леффер (Production of combustible gas from hydrocarbonaceous solids, particularly bituminous coals. Leffer Frederick A. W.) [Universal Oil Products Co.]. Пат. США 2727813,

Предложен непрерывный способ произ-ва горючего газа из твердых топлив, по которому мелкодробленные частицы топлива вводят в зону перегонки (ЗП) и контактируют в ней со смесью перегретого пара и горячих продуктов горения (ПГ), имеющих небольшую конц-ию О2, в результате чего происходит окислительная и деструктивная перегонка топлива, с образованием кокса и газообразных продуктов перегонки, лишенных О2. Частицы кокса из ЗП и нагретые циркулирующие частицы твердого остатка с низким содержанием С вводятся в газогенераторную зону (ГЗ); газообразные продукты перегонки из ЗП также вводятся в ГЗ в смеси с горячими ПГ; т-ра в ГЗ выше чем в ЗП и обеспечивает р-цию С с Н₂О с образованием СО и Н. Частицы топлива с пониженным содержанием С направляются из ГЗ в нагревательную зону (НЗ), куда подается окислительный газ, содержащий регулируемое кол-во O₂; в НЗ происходит частичное сжигание остаточного С топлива при т-ре более высокой, чем требуется для р-ции С + H₂O; образующиеся здесь ПГ, не содержащие О2, и часть потока горячих, частично выгоревших частиц топлива вводятся отсюда в ГЗ. Остальной поток частиц топлива из НЗ вводится в зону полного горения, где дожигается С топлива при избытке О2; часть ПГ из зоны полного горения, сочержащих О2 и имеющих т-ру выше, чем т-ра в ЗП, смешивается с перегретым паром и вводится в ЗП. Горючий газ из ГЗ направляется по назначению. Приведена схема В. Кельцев пропесса.

12893 II. Газификация битуминозных материалов. Руммель (Gasification of bituminous materials. R'u m m e l R'o m a n). Канад. пат. 517501, 18. 10. 55

При карбонизации и газификации битуминозных материалов последние обрабатываются осущающим газом с низкой влажностью, после чего подаются первичный, вторичный и дополнительный промывные газы, которые хорошо контактируют с указанными материалами. В промывных газах также содержится У. Андрес незначительное кол-во влаги.

Способ и установка для производства из твердых топлив газа, карбюрированного нефтепродуктами. Вагнер (Procédé et installation de production de gaz intégral carburé à l'huile à partir de combustibles solides. Wagner O.). Франц. пат. 1090764, 4. 04. 55 [J. usines gaz., 1955, 79, № 8,

333 (франц.)]

Тепловой баланс произ-ва полностью карбюрированного газа можно улучшить, если сэкономить хотя бы часть того тепла, которое расходуется для достижения т-ры, необходимой для карбюрирования выходящего из реторты газа, а затем непроизводительно теряется в холодильных и промывочных аппаратах. Нет необходимости карбюрировать более ¹/₄ объема газа; этот газ может быть водяным, отбираемым в газогенераторе и следовательно имеющим достаточную т-ру; его теплотворную способность доводят до 6000—7000 ккал. Частицы остаточной нефти удаляют из карбюратора и фиксатора, пропуская через них после фазы газования в обратном направлении водяной пар, который затем вводят в газогенератор Важно, чтобы реторта для перегонки и сушки получала необходимое кол-во тепла и были учтены требования процесса произ-ва водяного газа. Г. Марголина

Газогенератор прямоугольного поперечного сечения. Гёбель, Кронахер (Gaserzeuger mit einem im waagerechten Querschnitt rechteckigen Vergasungsschacht. Goebel Max, Kronacher Hermann) [Dr. C. Otto & Co. G. m. b. H.]. Пат. ФРГ 929440, 27. 06. 55

Предложена конструкция газогенератора прямоуголь ного поперечного сечения с двумя регенеративными нагревателями, имеющими общие продольные стенки с шахтой газогенератора, отличающаяся конструктивным размещением камер горения, регенеративных нагревателей, обогревательных каналов и мест ввода воздуха и газа. Даны эскизы. В. Кельпев

См. также: Продукты коксования углей, использование 12788, 12789. Анализ углей 11528, 12140. Сточные воды 12790. Техника безопасности 14271

ПЕРЕРАБОТКА ПРИРОДНЫХ ГАЗОВ И НЕФТИ. моторное топливо. смазки

Редакторы И. М. Руденская, М. О. Хайкин

Роль нефтяных продуктов в химической промышленности Европы. Майор (Le rôle des produits petroliers dans l'industrie chimique europèenne, Mayor Y.), Ind. pétrole, 1955, 23, № 262, 173, 175, 177, 179 (франц.)

Общие направления в нефтяной промышлен-

12897. Оощие направления в нефтинои промышлености. М и л ле р (Petroleum industry trends. М іІ-1 е г D. Е.), Rev. Petrol. Technol., 1952—1954 (1955), 14, 207—217 (англ.) Обаор статей по спросу на нефтиные продукты за 1951—1954 гг. в США, Канаде, Западной Европе, Среднем и Дальнем Востоке и других странах, запасам и добыче нефти, а также технико-экономич. показателя

лии.—(Italy's oil and gas industry.—), Petrol. Times, 1955, 59, № 1506, 481—482 (англ.)
2900. Обзор по топливу за 1955 год. (昭和 30 年度 における重要な燃料閥係事項), 燃料協會誌, Hanpi Rëkaŭcu, J. Fuel Soc. Japan, 1956, 35, № 348, 178—256 (япон.) Библ. 627 назв.

Некоторые аспекты исследовательской работы в нефтяной промыпленности. Катчпол (Some aspects of research in the pertoleum industry. Catchроle W. M., Publ. Instn. Gas Engrs, 1955, № 479, 28 pp., ill.) (англ.)

2902. Актуальные вопросы химии нефти. Брейбрук (Aspects actuels de la chimie du pétrole. Braybrook F. H.), Techn. et applic. petrole, 1955, Usines pétrochimie, 11-21 (франц.) 12902.

Международный нефтяной конгресс в Рим. Хегедю m (A római nemzetközi kőolajkongres-Szus. Hegedűs Ferenc), Bányászati lapok, 1955, 10, № 11, 614-615 (венг.) Аннотации прочитанных докладов.

Новое в области переработки нефти по мате рналам IV Международного нефтяного конгресса. Руф. (Die neuere Entwicklung auf dem Gebiete der Erdölaufarbeitung (Refining) im Spiegel des IV. Welt-Erdölkongresses. 5. bis 15 Juni 1955, in Rom. Ruf H.], Chem. Rundschau, 1955, 8, № 11, 225—226 (нем.)

12905. Настоящее и будущее нефтехимической промышленности. Ридел (Petrochemicals today and tomorrow. Reidel John C.), Oil and Gas J., 1954, 53, № 18, 83—86 (англ.)

12906. Развитие нефтехимической промышленност B Германии. X o р и (Die Entwicklung der petrochemischen Industrie in Deutschland, H o r n O.), Erdöl оуголь ыми на-CTERRY руктивг ввола

957 r

(ельцев пользо-Сточные

ІЕФТИ. низ

кой проproduits 173, 175, мышлен-

s. Mil-4 (1955), УКТЫ за Европе,

запасам казатели родуктов Векслер ри (Petustr. and англ.)

ol. Times, 和 30 年度 Нэнрё 178—256

ой работы л (Some (Some 5, No 479,

. Брейn pétrole. . petrole, в Риме. ajkongres

ti lapok, К. 3. и по матеконгресса m Gebiete el des IV. , in Rom.

еской про-today and nd Gas J.,

пиленности petrochemi O.), Erdől und Kohle, 1955, 8, № 6, 387-388 (нем.; рез. англ. франц.)

12907. Десять лет нефтеперерабатывающей промышженности в Югославии. Боранич (Deset godina prerade nafte u ENRJ. Boranić Vilim), Nafta (Zagreb), 1955, 6, № 8, 257—261 (сербо-хорв.;

Сбор и транспорт нефтей. Симонович танаскович, Тасич (Sabiranje i transport nafte. Simonović Moměilo, Tanas-ković Pavle, Tasić Moměilo), Nafta (Zagreb), 1955, 6, № 3, 87—93 (сербо-хорв.; рез. англ.) Приведены расчетные и графич. данные по вязкостям сырых нефтей при различных т-рах; рассмотрены технич. условия сбора и транспорта по трубопроводам вязких нефтей и, в частности, метод прогрева трубопроводов млектрич. током (с учетом опыта Канады и ФРГ).

12909. Хранение и транспорт тяжелого жидкого топлива. Эмерик (The storage and handling of fuel oil. Еmerick Robert H.), J. Plumb., Heat., Air Condit., 1955, 127, № 1, 66—69 (англ.) Рассматриваются вопросы траспорта и хранения тяжелого жидкого топлива, размещения емкостей под няженого и при вышения выполния выполния выполния выполния вышения выполния выполния вышения вышения выполния вышения
У. Андрес Мейвин Транспорт нефтепродуктов. (Bulk handling of petroleum products. Mavin S.),

Australas. Engr, 1955, 46, Sept., 61—66 (англ.)
Кратко описаны водн., трубопроводный, железнодорожный и автомобильный транспорт нефтепродуктов. Приведены историч, сведения о развитии каждого из видов транспорта, основные технич, характеристики транспортных средств, условия их использования и опыт, вакопленный в области каждого из видов транспорта вефтепродуктов. У. Андрес 12911. Транспорт, хранение и распределение. С т е р д-

жесс, Уотсон (Transport, storage and distribution. Sturgess E. J., Whatson R. N.), Rev. Petrol. Technol., 1952—1954 (1955), 14, 194— 206 (англ.)

Обзор за 1952 —1954 гг. развития трубопроводного транспорта, а также перевозок нефтепродуктов в танкерах (устройство, эксплуатация, контроль, техника безопасности). В области хранения нефтепродуктов рассмотрены работы по устройству резервуаров, автоматизации слива нефтепродуктов, возможности подземного хранения, а также направления в решении проблемы борьбы с потерями нефтепродуктов при хранении. Дана характеристика развития перевозочных средств, заправочных станций, способов замера и от-пуска нефтепродуктов. Библ. 142 назв. 3. Векслер 3. Векслер Перекачка газового бензина по трубопроводам для сырой нефти. А д а м с (Batching natural gasoline through crude oil pipe lines. A d a m s C. N.), Pipe Line News, 1955, 27, № 10, 40—42 (англ.)

Описаны работы по перекачке газового бензина по тубопроводам для сырой нефти на участке протяженюстью более 160 км в штате Оклахома США, проводившеся с 1951г. Указаны методы предотвращения загрязвения бензина, получения миним. кол-ва смеси, а также контроля перекачки. У. Андрес 12913. Производственно-технологическая опенка

пефтей. Джамбов (Производственно-технолопческа оценка на нефта. Джамбов Гошо), Тежка промишленост, 1955, 4, № 6, 48—52 (болг.) 12914. Производство продуктов нефтехимического синтеза и его рентабельность. Рейдел (Do petro-chemicals pay? Reidel John C.), Petroleo Interaтег., 1955, 13, № 3, 38-44, 71 (англ., исп.)

2915. Модернизация нефтенерерабатывающего завода в Антверпене. Джонс (Antwerp refinery completely modernized. Jones G. Morgan), Petrol. Engr., 1955, № 4, С19, С21, С22, С24 (англ.) 2916. Новый завод синтеза по Фишеру — Троппу 12915.

В Сасольбурге (Южная Африка). Трамм (In-betriebnahme der Ruhrchemie/ Lurgi-Fischer-Tropsch-Synthese in Sasolburg (Südafrika). Тгатт Неі п-гісh), Brennstoff-Chemie, 1956, 37, № 7-8, 117— 119 (нем.)

Описание нового з-да синтеза жидкого топлива из СО и Н₂. Синтез-газ, получаемый в генераторах высокого давления (Лурги), подвергается ректизольной очистке и поступает в 5 реакторов для синтеза фирмы Рурхеми-Лурги общей производительностью 80 000 м в 1 год первичных продуктов. В процессе применяется высокопроизводительный стационарный Fе-катализа-Е. Соколова тор. 12917.

Пуск нефтеперерабатывающего завода в Аль-(Австралия). Сваминатхан (Altona, тоне (Австралия). Сваминатхан (Altona, Australia, refinery on stream. Swaminathan V.S.), Petrol. Engr. 1955, 27, № 4, С47—С49 (англ.) 2918. Роль микробов в образовании нефти. Бирстекер (How ticrobes affect the formation of oil. Веегstecher Ernest), Oil and Gas J., 1955, 54, № 6, 357—358, 360 (англ.)

Рассмотрены гипотезы и литературные данные, обосновывающие роль микробов в образовании нефти. Описаны 3 основные типа микробов и представления о воздействии их на превращение сульфатов в сульфиды. образование циклич. углеводородов, полимеризацию легких углеводородов, превращение нефти парафинового основания в нафтеновую. Коэффициенты сжимаемости природных газов

венгерских месторождений. В арконь (Földgázaink tùlsüríthetöségi tényezője. Várkony Rezso), Bányászati lapok., 1955, 10, № 11,601—605 (венг.) Изложен метод расчета и приведены графики по коэфф. сжимаемости природных газов венгерских месторождений; даны примеры расчетов этого коэфф. при различных давлениях и температурах. К. З.

2920. Исследование по синжению поверхностного натяжения на границе раздела вода — нефть. Черкез, Негоеску (Reducerea tensiunii interfaciale apă — ţiţei. Сегсhеz V., Negoescu G.), Studii şi cercetări chim., 1955, 3, № 3-4, 209—224

(рум.; рез. русс., франц.) Измерениями поверхностного натяжения на границе раздела вода — нефть было установлено, что эта величина в большой степени зависит от чистоты нефти. Опыты с введением добавок: нафтеновых к-т, сульфокислот, Na-соли сульфокислоты и сульфированного касторового масла показали, что сульфокислоты и их Naсоли уменьшают поверхностное натяжение в наибольшей степени. Проведение тех же опытов в присутствии гексаметафосфорнокислого (I), хлористого (II) и сернокислого (III) Nа показало, что II несколько усиливает снижение этой величины, I незначительно влияет на него, а III не влияет вовсе. Показано, что глина не оказывает никакого влияния на снижение поверхностного натяжения на границе раздела вода — нефть. К. З.

12921. Физические свойства нефтиных фракций. Ван-Уинкл (Physical properties of petroleum fractions. Van Winkle M.), Petrol. Refiner, 1955, 34, № 6, 136—138 (англ.)

Сырая нефть и нефтепродукты. — (Crude petroleum and its products. A symposium.—), Rev. Petrol. Technol., 1952—1954 (1955), 14, 111—155.

Обзор работ по методам классификации нефтей, характеристике нефтей ряда стран (США, Канады, Южной Америки, Италии, Германии, Среднего Востока, Индонезии, Мексики, Румынии, Венецуэлы), запасам, потреблению природных газов и их подземному хранению. Рассмотрены работы по методам разделения легких углеводородов, их характеристике и использованию, произ-ву ожиженных нефтяных газов и газового бензина. Отмечены основные направления работ по моторным и авиационным бензинам, топливам для авиационных турбин, дизельным топливам, смазочным материалам, охлаждающим и гидравлич. жидкостям, присадкам, битумам и битумным эмульсиям, пефтяным парафинам, а также спец. продуктам. Библ. 599 назв. 3. Векслер

2923. Техническое состояние нефтехнинческой промыпленности. Ватанабэ (石油化學工業技術の 概要、渡邊伊三郎). コールタール. Кору тару, Coal Таг, 1954, 6, № 12, 12—16 (япон.)

12924. Новые задачи в области химии и химической переработки нефти. Сергиенко С. Р., Вести. АН КазССР, 1956, № 8, 25—43

Обзор направлений исследования нефтей и химизации нефтяной пром-сти в шестой пятилетке. Библ. 37 назв. И. Руденская

12925. Эволюция понятия о вязкости смазочных материалов. В и т тадии (Evoluzione del concetto di viscosita nel campo dei lubrificanti. Vittadini Annibale), Chimica, 1955, 31, № 5, 189—191 (итал.)

12926. Промыпленные способы выделения этилена из газов нефтепереработки. Платонов В. М., Хим. пром-сть, 1956, № 5, 52—59 Обзор. Рассмотрены методы: адсорбционно-ректи-

Обзор. Рассмотрены методы: адсорбционно-ректификационный, низкотемпературного фракционирования, а также непрерывной адсорбции (гиперсорбции) др. Библ. 51 назв. И. Руденская

2927. Основные направления химической переработки нефтяных углеводородов. Топчиев А. В., Кренцель Б. А., Хим. наука и пром-сть, 1956, 1, № 3, 248—258

Обзор современного состояния нефтехимич. синтеза и основных направлений его развития — получение кислородсодержащих продуктов, хлорпроизводных углеводородов, полимеризация непредельных углеводородов. Рассмотрены источники сырья для нефтехим. синтеза — термич. превращение тижелых нефтемых остатков, высокотемиературные процессы переработки газообразных парафиновых углеводородов, использование жидких углеводородов пефти, способы разделения углеводородных смесей. Вибл. 28 назы. Р. Ошер

12928. Необходимость специализированного оборудования для процессов нефтехнинческого синтеза. О у э н (Is the equipment specialized? О w e n E r n e s t V.), Petrol. Refiner, 1954, 33, № 12, 197—206 (англ.)

12929. Развитие производства нефтехнинческих продуктов. Джексон, Краусс (It's an easy road from conventional fuels to petrochemicals. Jackson W. K., Krausse D. M.), Petrol. Process., 1955, 10, № 6, 872—875 (англ.)

Краткий обзор развития произ-ва химиналий одной из нефтеперерабатывающих компаний СПІА. Из щел. отброса после очистки крекинг-бензинов извлекают технич. крезол, из меркаптанов, получаемых при обессеривании бензинов, получают одоранты для природного газа. На основе высокоароматизированных фракций платформинга получают ароматич. углеводороды: бензол, толуол, ксилолы; из смеси последних фракционированной кристаллизацией выделяют л-ксилол. Изобутилен перерабатывается на полибутены, применяемые для приготовления пластмасс, а также в качестве присадок для смазочных масел и асфальта. Г. Марголина

12930. Реконструкция комбинированной двухлечной установки для повышенного отбора дизельного топлива. О в ч и н н и к о в Б. Н., В е р е щ а г и и А. Н. В сб.: Вопр. нефтяного произ-ва. Молотов, Книгоиздат, 1955, 29—53

Дается описание схемы работы комбинированной двухпечной установки до и после реконструкции, проведенной с целью увеличения отбора дизельного топива (ДТ) за счет введения в его состав всех керосиновых и хвостовых бензиновых фракций. Реконструкция установки позволила повысить выход светлых с 57 до 66% и отбор ДТ с 14 до 33%. Выход бензина при этом снижается с 41 до 33%. Приводятся результаты исследования процесса легкого крекинга мазута при повышенном отборе ДТ из краснокамской и туймазинской нефтей. Рекомендуется принципиальная технологич схема двухпечной комбинированной установки, пе имеющая недостатков реконструированной установки и позволяющая получить 33% автобензина с повышеным октановым числом и 35% ДТ.

Б. Энгли

12931. Исследование конверсии углеводородов в реакторе с движущимся катализатором. Ф а б у m m (Szénhidrogénak átalakitása mozgóágyas reaktorban, F a b u s s B é l a), Magyar kémik. lapja, 1955, 10, № 7, 213—216 (венг.)

Приведено содержание доклада Шегеди на физхим. конференции о результатах лабор, исследований конверсии углеводородов в реакторе с движущимся катализатором. Дано описание установки и условий опитов, приведены графики выходов продуктов каталитич, крекинга (газа, бензина, масел, кокса) в зависимости от параметров процесса, напр. т-ры (до 600°). Приведены расчетные термодинамич. показатели процесса с сопоставлением их с данными зарубежных, в частности советских исследователей. К. 3.

12932. Высокотемпературный крекинг углеводородов в паровой фазе. — (High temperature, vapor-phase cracking of hydrocarbons. —), Industr. and Engag Chem., 1955, 47, № 12, 2467—2469 (англ.) Описана проточная лабор. установка для изучения

Описана проточная лабор, установка для изучения процесса высокотемпературного парофазного термич крекинга (пиролиза) газообразного и жидкого утлеводородного сырья (пропана, бутана, газового бензива, дистиллатных и остаточных нефтепродуктов, слащевой смолы) с целью получения топливного газа и сиры для нефтехим. пром-сти. Указана применяемая методика опытов и приведены полученые результаты. Библ. 54 назв.

12933. Процессы ароматизации в нефтяной промышленности. Получение чистых ароматических углеводородов. Ривас-Капдевила (Procesos de aromatiszación en la industria del petróleo. Obtenciónd hidrocarburos aromáticos puros. Rivas Capdevila Ni-colas), Combustibles, 1955, 15, № 77, 14—29 (исп.)

Обзор. Библ. 158 назв. Предыдущее сообщение см. РЖХим, 1956, 37038. И.Р.

12934. Химическая переработка нефти и газа. Увличение добычи газолина. Кроккетт, Увлжери (Petrochemicals. A growing natural gasolim outlet. Сгоскеtt Lucien O., Widgery Rolande C.), Petrol Engr., 1955, 27, № 10. С-15—С-16, С-18—С-19, С-22—С-24 (англ.) Отмечается значительное увеличение в США произыхим. продуктов на основе нефти и природного газилифатич. и ароматич. соединений, синтетич. моющи средств и др. Для хим. переработки используется 8% природного и 30% сжиженных газов. Кратко расмот

рены основные направления и размеры хим. переработя компонетов природного газа: СН₄, С₂Н₆, С₃Н₈, С₄В, и газового бензина. хпечной го топ-(агин (олотов,

957 r.

ованной ин, проого топеросиногрукция с 57 до при этом

ы исслеои повызинской нологич, вки, пе становки овышеи-

Энглин ов в ребу и и ktorban. ja, 1955, на физ.-

едований (имся кавий опыталитич. исимости О°). Припроцесса

, в част-К. З. водородов por-phase ad Engag

нзучения отермич. ого углеобензина, сланцеа и сырым метозультаты.

Cоколова ной проских угжrocesos de btenciónde Сар de-15, № 77,

иение см. И.Р. газа. Уют, Уил al gasoline i d g e ry 27, № 10. (англ.) А произ-м

цного газа:
ч. моющи
ъзуется 8%
ко рассмог
переработы
СаНа, СаНа
Н. Кельще

2935. Восстановление завода по гидрокрекингу при высоком давлении. Морикава, Такаки (高壓水素添加工場の復興建設概要。森川清,高木智雄), 化學」學, Кагаку когаку, Chem. Engng (Tokyo), 1954, 18, № 3, 120—128 (япон.)

2936. О глубине гидрирования ароматических углеводородов в процессе деструктивной гидрогенизации пефтиных остатков. Кацобашвили Я. Р., Куркова Н. С., 1956. № 3, 31—37

Рассмотрены вопросы термодинамически возможных степеней превращения ароматич. углеводородов в нафтеновые при различных т-рах и давлениях Н2 и сравнительной глубины гидрирования их в процессе деструктивной гидрогенизации нефтяных остатков под давл. 30 и 300 атм. Показано, что независимо от применяемого давления при деструктивной гидрогенизации нефтяных остатков не удается достигнуть полного гидрирования ароматич. соединений; при давл. 30 и 300 атм глубина гидрирования и содержание ароматич. углеводородов в конечных продуктах практически одинаковы и составляют, напр. в керосиновых фракциях 30-35 вес. %: для достижения достаточно высоких степеней гидрирования ароматич, углеводородов при деструктивной гидрогенизации нужно идти по пути полбора высокоактивных катализаторов, чтобы приблизиться к термодинамич. равновесным выходам. Библ. 21 назв. Л. Андреев 12937. Получение ароматических соединений из нефти.

Луетич (Dobivanje aromata iz nafte. Luetic Pavica), Kemija u industriji, 1955, 4, № 7, 128—132 (хорв.) Рассмотрены основные методы и технологич. прин-

шпы получения ароматич. углеводородов на основе вефтяного сырья и их отделения от других углеводородов.

К. З. 12938. Катализатор для производства метана из водорода и окнеи углерода. Шлезиигер, Димитер, Грейсон (Catalyst for producing methane from hydrogen and carbon monoxide. Schle-

ane from hydrogen and carbon monoxide. Schlesinger M. D., Demeter J. J., Greyson Murray), Industr. and Engng Chem., 1956, 48, № 1, 68—70 (англ.)

Для получения газа с высокой теплотворностью вз сивтез-газа путем гидрирования СО в СН4 применен Ni (или Со) катализатор Ренея, получаемый выщела-шванием р-ром NaOH или КОН 3—5% Al из сплава 42% Ni и 58% Al, с последующей промывкой водой до нейтр. реции. Катализатор в виде зерен размером 2,5—3,5 мм применен для гидрирования СО в стационарном слое, а зерна размером 0,06—0,18 мм применялись в исседожиженном слое. При гидрировании под давл. 21 amu, т-ре 300-400° и объемной скорости подачи смеси состава H₂: CO = 2,94 от 1500 до 10 000 час-1 степень превращения достигала 95-97%, содержание СН₄ в газе 81-90%, высшая теплотворность газа 7650-8120 $\kappa \kappa a_A/м^3$. Катализатор стоек к перегреву вначале слоя (до 450°) и допускает регенерацию путем повторного выщелачивания. Большое влияние на пропесс оказывает соотношение Н2:СО, так при На: СО <2,6 возможны углистые отложения на катализаторе, а при избытке Н2 за счет неполной его конверсии снижается теплотворность газа. В. Щекин 12939. Производство нефтехимических продуктов в

условиях небольного нефтезавода. Джэксен, Краусе (How a small company got into petrochemicals. Jackson W. K., Krausse D. M.), Oil and Gas J., 1955, 54, № 9, 102, 104—105 (англ.) Показано развитие произ-ва нефтехимикатов, наряду с получением различных топлив, одной из нефтеперерабатывающих компаний США. Освоено получение следующих продуктов: технич. крезола, меркаптанов

(для одорации природного газа), остаточного масла для произ-ва сажи, индивидуальных ароматич. углеводородов, в том числе *п*-ксилола, а также полибутивов.

Е. Соколова 12940. Переработка пефтиных остатков. А для и не

2940. Переработка нефтяных остатков. Аллиндер (Handling reduced crudes. Allinder Forrest S.), Petrol. Refiner, 1955, 34, № 11, 197—200 (англ.)

Описание схемы переработки остатка от перегонки нефти методом вакуум-испарения с последующим легким крекингом остатка из вакуум-испарение увеличивает выход газойля-сырья для каталитич. крекинга и снижает кол-во тяжелого остатка. Процесс позволяет получить дополнительное кол-во бензина и газойля и уменьшает потребность в дистиллатном топливе для разбавления получаемого тяжелого остатка до кондиций котельного топлива. Е. Соколова 12941. Современные вопросы сжигания мазута. Л ёринц (А ракитаtüzelés időszerű kérdései. Lő гіпс z József), Маgyar energiagazd, 1955, 8, № 10, 386—390 (венг.)

Рассмотрены теоретич. вопросы горения мазута и образования факела пламени при сжигании мазута в горелках промышленных печей. К.З. 12942. Установка длягидрообессеривания в Стонлоу. (Stanlow hydrodesulphurization unit brought on stream.—),

nlow hydrodesulphurization unit brought on stream.—), Petroleum, 1955, 18, № 7, 262—263 (англ.) 12943. Работа установки «Барисол» по депарафини-

2943. Работа установки «Барисол» по депарафинизации тижелых парафиновых масся. Бега (Prace instalecji «Barisol» dla odparafinowania cięzkich olejów parafinowych. Віеда Ріоtт), Nafta (Polska), 1956, 12, № 1, 17—19 (польск.) Изложена сущность внедряемого в нефтяной пром-сти

Изложена сущность внедряемого в нефтяной пром-сти польши метода «Барисол» по депарафинизации тяжелых парафиновых масел, заключающегося в растворении масла в дихлорэтане, с добавкой к нему 18—22% бензола, охлаждении р-ра до —25°, отделения парафина (церезина) и регенерации р-рителя. Описан опыт работы з-да по этому методу и приведены показатели.

К. 3.

12944. Производство газа из нефтяного сырыл.—
(The manufacture of gas from oil.—), Industr. Heat.
Engr., 1954, 16, № 100, 57—59 (англ.) | |
Описан процесс (Segaz) каталитич. газификации
нефтяного сырыя.

А. Гейдерих

2945. Получение заменителей природного газа термическим крекингом пропана, бутана и газового бензина. Линдеи, Брукс, Миллер (Production of natural gas substitutes by thermal cracking of natural gas liquids. Linden Henry R., Brooks Charles E., Miller Loren N), Industr. and Engng Chem., 1955, 47, № 12, 2475—2478 (англ.)

Исследование влияния основных условий процесса высокотемпературного парофазного крекинга пропана, бутана и газового бензина на выход и состав газообразных продуктов показывает, что при давлении газификации 3 ат газ желаемого состава может быть получен без заметного коксообразования при т-ре ~815° и продолжительности р-ции 4—5 сек. или при ~760° и продолжительности 9—14 сек. При постоянном давлении газификации независимо от природы сырья, т-ры и продолжительности р-ции имеется соответствие между составом газообразных продуктов и их теплотворностью, способной служить критерием при оценке жесткости условий крекинга. Увеличение давления газификации благоприятно влияет на состав получаемого газа, способствуя образованию СН $_4$ п С $_2$ Н $_6$ и снижая выход Н $_2$ и олефинов. Одновременно усиливается образование высокомолекулярных жидких продуктов и кокса и снижается общий выход газа. Е. Соколова

О механизме реакции разложения метана. рс. Рудольф, Феттер (Über den Петерс, Рудольф, Феттер Reaktionsverlauf der Methanspaltung. Peters Kurt, Rudolf Max, Voetter Heinz, Brennst.-Chem., 1955, 36, № 17/18, 257—266 (нем.) В развитие ранее проведенных работ (Brennst.-Chem., 1952, 33, 296; Gas-Wasser-Wärme, 1952, 6, 189) исследовалась конверсия СН₄ в СО и Н₂ р-цией с СО₂, воздухом, Н₂О, СО₂ + воздух и Н₂О + воздух на Ni-катализаторе состава: Ni 3 ε, Al₂O₂ 2,5 ε и шамот 100 ε, при т-ре >700°. Показано, что скорость р-ции СН4 с воздухом наиболее высокая (время пребывания, достаточное для завершения р-ции 0,004 сек.), р-ция с H₂O идет в 10 раз медленнее (время пребывания 0,05-0,08 сек.). Делается вывод, что каталитич. конверсия СН4 с воздухом в СО и Н2 не идет через стадию образования промежуточных продуктов, а вероятнее всего протекает с образованием радикалов, первичным актом этого механизма является дегидрирование СН4 до СН3 — Показано также, что различные скорости р-ций СН4 с О2 и с СО2 или Н2О делают невозможным термич, выравнивание экзотермич, и эндотермич. р-ций путем их одновременного проведения, и перегрев катализатора при р-ции СН4 с О2 путем добавки Н2О может быть только подавлен, но не пред-В. Кельпев отврашен. 12947.

12947. Ацетилен. Расширение производства на основе нефтяного сырья. С и т т и г (Acetylene. A challenge to the petrochemical industry. S i t t i g M a г s h a l l), Petrol. Process, 1955, 10, № 7, 1011—1023 (англ.) Рассмотрение вопросов получения и использования С₂Н₂ для различных хим. произ-в в США в настоящее время и перспективы на дальнейшее.

Л. Андреев

12948. [†]Химическая переработка природных газов. Жестер, Мак-Доналд (Natural gas hydrocarbons for petrochemicals. Hester Alberts., McDonald James F.), Industr. and Engng Chem., 1956, 48, № 2, 168—177 (англ.)

Описание з-да нефтехимич. компании в Тусколе (США) с принципиальной схемой выделения этана, пропана, изо- и и-бутанов, пентанов и более высокомолекулярных углеводородов.

Л. Андреев

12949. Газ подводных месторождений как источник энергии и сырье для химических заводов. Рисен (Gas gathered from offshore locations will power and feed large chemical plants. Resenf. Lawrence), Oil and Gas J., 1954, 53, № 29, 100—102, 104, 107 (англ.)

Описана система сбора газа и его компрессии на подводных месторождениях. Дана схема газолиновой установки в Новом Орлеане (США) с суточной переработкой по маслоабсорбционному методу 1,4 млн. м³ газа при 35—70 ат и 1,85 млн. м³ газа при 35—42 ат; извлечение С₃Н₃ составляет 40%, С₄Н₁0—90%, С₀Н₁2—98%. Остаточный газ используется частично на соседних нефтехимич. з-дах, частично передается по магистральному газопроводу. Н. Кельцев 12950. Перевод оборудования на отопление природ-

2990. Перевод осорудования на отопление природным газом. С м и т (They converted to natural gas. S m i t h A r t h u r Q.), Baking Ind., 1954, 102, № 1283, 45—47 (англ.)

12951. Изменение структуры и свойств газовой сажи при тепловой обработке. Шеффер, Смит, Полли (Structure and properties of carbon black changes induced by heat treatment. Schaeffer W. D., Smith W. R., Polley M. H.), Industr. and Engng Chem., 1953, 45, № 8, 1721—1725 (англ.) 12952. Дополнительные источники получения топлив и масел. Кем р. А. Туэлл (Petroleum supplements. Кем р. L. С., Jr, Atwell H. W.), Industr. and Engng Chem., 1953, 45, № 7, 1436—1440 (англ.)

Обзор. Библ. 17 назв.

12953. Процессы получения мекусственного жидаюю топлива. С тор ч (Synthetic liquid fuel processes. S torch Henry H.), Industr. and Engag Chem., 1953, 45, № 7, 1444—1447 (англ.)
Обаор. Библ. 18 назв. Э.Т.
12954. Синтетические жидкие топлива из угля и горь.

12954. Синтетические жидкие топлива из угля и горочего сланца. Голл (Synthetic liquid fuels from coal and shale. Gall D.), Rev. Petrol. Technol., 1952—1954, (1955), 14, 179—193 (англ.)
В обзоре за 1952—54 гг. дана характеристика 3 про-

В обзоре за 1952—54 гг. дана характеристика 3 пропессов переработки угля — синтеза по Фишеру — Тропшу, гидрогенизации и карбонизации. Рассмотрены
работы по технологич, развитию синтеза Фишера —
Тропша, включающие основные способы применения
катализаторов, исследования катализаторов, кинетиве
и механизму р-ций, изучению продуктов. Приведены
работы по развитию техники гидрирования углейи исследованию продуктов. Рассмотрены новые данные по
составу смол, получаемых в процессе карбонизации,
и схема анализов. Приведены сведения по промышленной эксплуатации, технологии переработки горючих
сланцев и анализу получаемых продуктов. Рассмотрены
работы по составу и способам переработки битумпнозных песков. Библ. 134 назв. 3. Векслер
12955. Состав продуктов синтеза из СО и Н2 над ки-

2955. Состав продуктов синтеза из СО и Н₂ над иззельгуровыми катализаторами. Башкиров А. Н., Локтев С. М., Хотимскаи М. И., Хатимская М. И., Хатимская М. И., Хатимская М. И., Хатимская Состава газования состава состава газования состава газования состава состава состава газования состава соста

Излагактся результаты исследования состава газообразных и жидких продуктов синтеза из СО и Н, полученных на катализаторе кизельгур +5% К₄СО₈ при давл. 30 ат., объемной скорости 100 час-1, г-раз 350, 400 и 450°. Показано, что жидкие продукты синтеза из СО и Н₂ состоят из углеводородов (У) с небольшой примесью кислородсодержащих соединений. Бевановые фракции синтеза содержат небольшие кол-ва последних (5,68—8,05%) в основном спиртов и карбонильных соединений. После удаления кислородсодержащих соединений бевзиновые фракции содержат ~60% олефиновых, 6—7% ароматич. и 33—36% парафиновых У; октановые числа их по моторному методу 76—81. В гидрированной бензиновой фракции обнаружеш методом комбинационного рассеяния наряду с пормальными парафиновыми У изопарафиновые и пафтновые У. Газообразные продукты (газоль) синтем содержат 60% непредельных У, на 45—55% газов состоит из углеводородов С₃. Г. Марголия 12956. Синтез Фишера — Тропипа. У т и да (Fischet Tropsch 会成. 內田際), 化學工業, Кагаку когё, Среш. Ind. (Токуо), 1955, 6, № 11, 998—1001 (япон.)

Ind. (Tokyo), 1955, 6, № 11, 998—1001 (япон.)
12957. Синтез углеводородов под нормальным даванием с применением железного катализатора. Миторай (Synteza węglowodorów pod ciśnieniem normalnym przy użyciu katalizatora żelazowego. М i toraj K.), Przem. Chem., 1955, 11, № 8, 439—442 (польск.; рез. русс., англ.)

Подготовка поверхности Fe-Cu-MgO-катализатора да синтеза углеводородов методом Фишера — Тропш производилась путем термич. активации с применением различных газов; активация осуществляли при 220°, синтез — при 220° и 1 ата. Целью исследования было изыскание Fe-катализаторов, работающи в таких же условиях как Co-Th-катализаторы. Для синтеза применялся обессеренный водяной газ, со-держащий ~ 80% СО + Н2 (отношение СО: Н2 = 1:1,2), а также СО2 (~7,6%), N2 и СН4. Для активаци были взяты газы или смеси газов: Н2, N2, H2 + N3 а также СО + Н2. В случае активации при 220° крагчайший период индукции наблюдается при применени смеси СО + Н2, причем уже после 2 дней копверсы СО достигает 91%. Использование смеси СО + Н при 250° сокращает время индукции, но немного умевь

жидкого processes. g Chem..

1957 r.

3.T. s n ropefrom coal ., 1952—

ка 3 прог — Тропсмотрень
именения,
кинетике
риведень
йи неслекиные по
ринанция,
омышленгорючих
смотрены
битумиВекспер
12 над ки-

В А. Н., И., Хи-8—22 гава газо-СО и Н₄, % К₂СО₈ с⁻¹, т-рах ты синтеза пебольшой й. Бензипе кол-ва о и карбородсодеркат ~ 60%

рафиновы цу 76—81. наружевы цу с норе и нафтемарголим а (Fischerогё, Chem.

Anon.)
LIM CARRETORN APPROXIMATION Mito, 439—442

затора дв — Тропп с приме ествлялась ю исследовотающи горы. Дв в так, со СО: Н = активация конверсы конверсы конверсы с СО + Н ного умен-

шает активность катализатора (К). Продолжительность работы К, активированного смесью СО + Н₂, была ниже, чем в случае активации смесью Н₂ + №. Активированный при 220° К дает более высокие выходы парафина и тяжелого когазина (т. кип. 200—350°), чем активированный при 250°. К, активированный при 220° смесью Н₂ + СО или Н₂ + №, активированный при 20° смесью Н₂ + СО или Н₂ + №, активен в углеводородном синтезе при давл. 1 ата и т-ре 220—224°. Максим. выход продуктов на этом К равен 115 г на 1 нм³ синтез-газа, а средний (за 1000 час. работы) 90 г на 1 нм³, причем образуются небольшие кол-ва СН₄. Максим. конверсия СО 95%. S. Sommer 12958. Об улучшении качества автомобильного бен-

зана. Врусянцев Н., Облеухова О., Автомоб. транспорт, 1955, № 12, 14—15 Авализ бензина, используемого автохозяйствами различных областей, показал, что в 1953 г., неэтплированный бензин имел октановые числа (ОЧ) в пределах 55—59,6, а этилированный 56—65. Для обеспечения автомарка бензином с ОЧ 66, на которое запроектированы новые марки автомащин, необходимо применять способы каталитич. крекинга, реформинга и др., при добавлении этиловой жидкости в кол-ве не более 1 мл/кг бензина, а также добавлять эффективный ингибитор, предотвращающий осмоляемость при хранении и работе в двигателе. Н. Кельцев

12959. Ирименение тяжелых топлив для мощных дизельных двигателей. Бюргар (L'emploi des fuels lourds dans les moteurs diesel de grande puissance. В urgart P.), Techn. mod., 1954, 46, № 12, 471—475 (франц.)

12960. Повышение мощности дизеля при работе на обычных топливах с добавкой спирта. Хавеман, Рао, Натараджан, Нарасимхан (En combinaison avec les fuels l'alcool augmente la puissance des diesel. Наvеmann Н.-А., Rao М. R. K., Natarajan A., Narasimhan T.-L.), Alcool et dérivés, 1955, № 51, 17—25 (франц.) 12961. Влияние современных методов очистки на качество топлив для судовых двигателей. Мартин (Influence des techniques modernes de raffinage sur la qualité des fuels de la marine. Мartin C. W. G.), Bull. techn. Bur., «Veritas», 1955, 37, № 8, 157—162

12962. Самовосиламенение топлив и углеводородов. Джонсон, Креллин, Кархарт (Spontaneous ignition properties of fuels and hydrocarbons. Johnson Enoch J., Grellin W., Carhart Homer W.), Industr. and Engng Chem., 1953, 45, № 8, 1749—1753 (англ.)

2963. Минимальная температура самовоспламенения топливно-воздупных смесей. Забетакис, Фурно, Джоне (Minimum spontaneous ignition temperatures of combustibles in air. Zabetakis M.G., FurnoA.L., Jones G.W.,) Industrand Engng Chem., 1954, 46, № 10, 2173—2178 (англ.)

С помощью нового прибора исследуется т-ра самовоспламенения паров горючего с воздухом: прибор представляет собой тигельную электрич. печь мощностью 1200 с, высота тигля 12,7 см., диам. 12,7 см. В тигель помещается конич. колба на 200 мл из боросиликатного стекла. Тремя термопарами замеряются т-ры верхней, средней и нижней частей колбы, которые записываются автоматически. При достижении в колбе заданной т-ры образец горючей жидкости в кол-ве 0,25—1,0 мл вводится в колбу с помощью иглы медицинского шприца ва нержавеющей стали; горючие газы предварительно сжижаются. Испытание проводится при затемнении, причем вспышка фиксируется электрич. счетчиком премени. Установлено, что миним. т-ра вспышки связана с критич. объемом горючего, при отклонении объема от критич. Т-ра вспышки повышается. Опыты

с различными объемами горючего повтог яются до установления критич. объема. Результаты испытания наносятся на кривую зависимости т-ры воспламенения и времени задержки воспламенения от объема испытуемой жидкости, с приближением к критич. объему задержка воспламенения значительно возрастает при малом изменении т-ры воспламенения. Приводятся кривые для и-гептана и и-декана. По описанному методу определена т-ра воспламенения в воздухе при нормальном давлении, а также в атмосфере кислорода для многочисленных соединений. Результаты испытаний рассматриваются в зависимости от хим. структуры углеводородов.

А. Чочна 12964. Присадки к топливам и смазочным материа-

лам. — (Additivi per carburanti e lubrificanti. —) Riv. ital. petrol., 1955, 23, № 267, 43—48 (нтал.) 2965. Присадки к нефтиным топлинам. Присадки к бензину. Ямамото (燃料油の添加劑について、 ガソリンの添加劑。山本晴文), 有機合成化學協會誌。 Юки госэй кагаку кёкайси, J. Soc. Organ. Synth. Chem. Japan, 1955, 13, № 4, 160—170 (япон.) Обзор. 31 назв.

Обзор. 31 назв. 12966. Присадки к жидкому топлину. Сили (Fuel oil additives. Seely Nigel), Scient. Lubricat., 1955, 7, № 10, 19—20 (англ.)

Рекомендуется одновременно с добавлением детергентов к смазочному маслу добавлять присадки к жидкому топливу для увеличения полноты сгорания и, следовательно, для снижения кол-ва углеродистых отложений в двигателе, а также для нейтр-ции вредного действия H₂SO₄, образующейся за счет содержащейся в топливе S. Г. Марголина

2967. Антиокислители для нефтяных топлив. Х иракава (燃料油の酸化防止劑。平川芳彦), 有機合 成化學協會誌, Юки госэй кагаку кёкайси J. Soc. Organ. Synth. Chem. Japan, 1955, 13, № 11, 509— 511 (япон.)

Обаор. Библ. 13 назв. И. Р. 12968. Вопросы использования топочных мазутов в энергетике СССР. Коробцов И. М., Науч. тр. Одесск. ин-та инж. мор. флота. Юбилейный вып.. М., 1955, 93—110

вып., М., 1955, 93—110
12969. Исследование образования нагара в камере сгорания с применением радиоактивного тетраэтилсвинца. Лендерл, Стерджис (Tetraethyl radiolead studies of combustion chamber deposit formation. Landerl H. P., Sturgis B. M.), Industr. and Engng. Chem., 1953, 45, № 8, 1744—1748 (англ.)

12970. Исследование нагарообразования в двигателе. Хьюз, Мейджор (The diagnosis of engine deposit problems. Hughes J., Major C. R.), J. Inst. Petrol., 1953, 39, № 356, 513—518 (англ.)

2971. Влияние некоторых химических и физических факторов на образование отложений из остаточных топлив. Зульцер (The influence of some chemical and physical factors on the formation of deposits from residual fuels. Sulzer P. T.), Trans. ASME, 1955, 77, № 7, 995—1001 (англ.)

Для выяснения причин образования зольных отложений при сжигании остаточных топлив в газовых турбинах проводились испытания ряда остаточных топлив на опытной установке. Полученная зависимость между весом образующихся отложений и основными показателями работы турбины: т-рой газа, рабочим давлением, коэфф. избытка воздуха, зольностью топлива и длительностью испытания, выражена графически и в виде аналитич. ур-ния. Показано, что при горении топлива с высоким содержаним V в золе образуется значительное кол-во отложений. Топлива, содержащие в золе щел. металлы, образуют чтри горении в присутствии SO₂ и SO₃ сульфаты; топлива с высоким содержа-

No

S

E

I

элег

све

при

сад

с д

HOB

кам

сис

же

шен

при

печ

pan

POB

их

OT '

был с ш

кол

mn

cyn

of

чие нут

гиј

MOI

гиј

OKI

кл

эле

дуг

np

125

129

12

нием Si в золе почти не образуют отложений. Основными компонентами отложений являются V_2O_5 , Na_2O+K_2O , SO_3 , Fe_2O_3 и SiO_2 . Г. Марголина

2972. Современные достижения в области смазочных материалов. Фукая (潤滑に陽する最近の研究。 深谷敏夫), 日本機械學會誌, Нихон кикай гаккайси, J. Japan Soc. Mech., Engrs., 1955,58, № 432, 2—6 (япон.)

Обзор. Бабл. 92 назв. И. Р. 12973. Новые тенденции в области смазочных масел. В и ду элл, В ильям с (The new look in lubricating oils. В id we 11 J. В., W il 1 i a m s R. K.), SAE Trans., 1955, 63, 349—361 (англ.)

Для обеспечения нормальной работы автомобильных двигателей с повышенной степенью сжатия разработаны и применены новые смазочные масла (НСМ), характеризующиеся незначительной склонностью к образованию отложений в камере сгорания и индексом вязкости >100; НСМ приготовляются смешением узкой, сравнительно низкокипящей, фракции масляного дистиллата с вязкостной присадкой. Проведено исследование (в стендовых и эксплуатационных условиях) влияния НСМ на экономию топлива, износ деталей двигателя и образование нагароотложений. Показано, что при запуске автомобильных двигателей НСМ обеспечивают запуске по положения до по сравнению с обычными маслами, в условиях городской езды экономия топлива снижается до 2%, а при загородной езде различия в расходе топлива, связанного с качеством применяемых масел, не наблюдается. Противоизносные свойства НСМ сравнительно невысоки, но они могут быть значительно улучшены добавлением присадки дитнофос-фата цинка (0,12% Zn на масло). По способности давать меньшее кол-во отложений в камере сгорания НСМ значительно превосходят автомобильные масла других сортов. В отношении отложений на всасывающих клапанах наблюдается обратная закономерность. Причина образования большого кол-ва отложений на всасывающих клапанах при работе двигателей на НСМ не установлена. А. Виппер 12974. Масла из восточных серинстых нефтей. Ж е р-

12974. Масла из восточных сериистых нефтей. Жердева Л. Г., Карасева А. А., Вознесевская Е. В., Химия и технология топлива, 1956, № 1, 50—57

Детально исследованы туймазинская, ставропольская, бавлинская и ромашкинская нефти девонских отложений как сырье для получения масел, причем по выходу и качеству масел лучшей оказалась туймазинская нефть. Основной составной частью (50—60% и выше) масляных фракций сернистых нефтей является сложная смесь ароматич. углеводородов и S-соединений разного строения и свойств. В результате деасфальтизации пропаном (не менее 95% чистоты), очистки фенолом и депарафинизации метилэтилкетоном в смеси с бензолом и толуолом из сернистых нефтей удается получить новый сорт масел, отличающийся значительным содержанием ароматич, углеводородов — 50% (тогда как для бакинских масел — 30%), причем фракции ароматики со-держат 1—4,5% S. Имеющиеся в маслах нафтеновые и ароматич. углеводороды (в основном малоциклич.) экранированы длинными парафиновыми цепями, содержание последних в средней молекуле масла составляет ~70% и выше. Приведена подробная хим. и технич. характеристика масел и сделан вывод, что по физ.хим. показателям базовые моторные масла из сернистых нефтей отвечают требованиям современных ГОСТ. Л. Андреев

12975. Маловязкие часовые масла. Оуке Г. И., Гальцова Н. Е., Усе И. И., Часовые механизмы. Сб. 1, М., Машгиз, 1955, 165—185

Получение маловязких масел для часовых механизмов из масел средней вязкости возможно тремя спо-

собами: разбавлением маловязким синтетич. компонентом, удалением вязких компонентов жира путем вымораживания или их адсорбционного отделения (снижение визкости костиного масла достигается при этом не более чем на 16%), хим. воздействием на масла путем переэтерификации глицеридов жирных к-т. Библ. 28 назв.

1. Андреев 12976. Смазка подпишников. Х и р а и о (極受 2)

Обзор. Библ. 124 назв. И.Р. 12977. Смазка зубчатых передач. Яматика (歯車の潤滑法。 山近純一郎), 日本機械學會誌, Нихон кикай гаккайси, Ј. Јарап. Soc. Mech. Engrs., 1955, 58, № 432, 14—19 (япон.)

12978. Структура и смазочное действие отработанных могорных масел. В е и ц е л ь С. В., Коллоид. ж., 4053 45 М. 5 234 333

1953, 15, № 5, 331—333
12979. Основные принципы оценки моторных смазочных масел. Кендалл, Ричардс [Basic principles of the evaluation of engine lubricating oils. Kendall Norman, Richards L. J.], J. Inst. Petrol., 1953. 39. № 356, 502—504 (англ.)

Kendall Norman, Richards LJ.J, J. Inst. Petrol., 1953, 39, № 356, 502—504 (англ.) 12980. К вопросу определения качества моторных смазочных масел. (Симпознум по моторным испытаниям смазочных масел. — [Some aspects involved in the evaluation of engine lubricating oils. (Symposium on engine testing of lubricating oils.)—]. J. Inst. Petrol., 1953, 39, № 356, 501—502 (англ.) См. рефераты: 12970, 12980—12982.

12981. Некоторые стандартные методы испытаний моторных смазочных масел. Аткинсон, Голотан (Some standard test methods used in the evaluation of engine lubricating oils. Atkinson J., Golthan D.), J. Inst. Petrol., 1953, 39, № 356, 504—507 (англ.)

12982. Применимость анализа для оценки моторных смазочных масел. Флеминг, Хьюз [The usefulness of oil analysis in the evaluation of engine lubricating oils. Flem in g K., Hughes J.), J. Inst. Petrol., 1953, 39, № 356, 518—524

12983. Влияние состава смазочных масел на их вязкость при низкой температуре. Климов К. И., Кичкин Г. И., Новости нефт. техн., Нефтепереработка, 1955, № 6, 19—26

Исследовалась температурная зависимость вязкости для остаточных масел МК-22 бакинского и МС-20 грозненского и эмбенского, а также отдельных групп углеводородов, выделенных из этих масел адсорбционным методом на силикагеле. Установлено, что в очищ. остаточных маслах «носителями» аномалии вязкости являются нафтены (Н), обладающие большей аномалией вязкости, чем масла, из которых они выделены. Н, выделенные из эмбенского МС-20, имеют аномалию вязкости в более широком интервале т-р и характеризуются менее крутой вязкостно-температурной кривой, чем Н, выделенные из бакинского МК-22. Аномалия вязкости Н проявляется в ограниченной области т-р: от +10°-минус 10° до минус 40°; ниже -40° они опять ведут себя как ньютоновские жидкости. Среди ароматич. углеводородов (АУ), содержащихся в исследованных остаточных маслах, аномалией вязкости обладают только моноциклич. При одном и том же числе ароматич. циклов в молекуле АУ, выделенные из эмбенского МС-20 имеют более высокий уровень вязкости и более крутую вязкостно-температурную кривую, чем АУ, выделевные из бакинского МК-22. 12984. Исследование масел, работающих в тяжелых

условиях, с помощью электронного микроскопа. Баруэлл, Грунберг, Скотт (An investiMS

ев

aŭ

58,

E a

rs.,

nax

ж.,

rin-

oils.

ных

mu-

ved

npo-

пл.)

inui

Γothe

s o n 39,

рных

b 10 3

n of

u g--524

вяз-

ефте-

KOCTH

грозугле-

очиш.

кости

лены.

малию

ктери-

ривой, малия и т-р:

опять

аромадован-

тадают

матич.

MC-20

срутую

делен-Энглив желых

оскопа.

investi-

gation of heavy duty lubricating oils by electron mikroscopy. Barwell F.T., Grunberg L., Scott D.), Proc. Automob. Div. Insta. Mech. Engrs., 1954—1955, № 5, 153—164 (англ.) Приведены результаты исследований с помощью электронного микроскопа (5000-кратное увеличение)

свежих и отработанных масел, содержащих моющие присадки, а также отдельных образцов масел без присадок и с противоизносными присадками, отобранных с двигателей автобусов и дизелей тепловозов. Установлено, что смеси свежих масел с моющими присадками представляют собой истинные р-ры, а не колл. системы, как считалось раньше; высказано предположение, что это объясняется применением более совершенной методики подготовки образцов, либо смешением присадок с такого характера маслами, которые обеспечивают лучшее растворение присадок. Поэтому выражено сомнение в целесообразности применения электронной микроскопии для идентификации свежих масел с моющими присадками и определения эффективности их действия. В отработанных маслах, независимо от того содержались в них моющие присадки или нет, было обнаружено два типа частиц, загрязняющих масла: с диам. $\sim 0,05~\mu$ и с диам. $\sim 0,5~\mu$ (и больше). Общее кол-во частиц размером менее $0,1~\mu$, обычно группирующихся в агрегаты в виде цепочек, составляло 46,5% от суммарного кол-ва частиц, обнаруженных в маслах. В образце, содержащем противоизносную присадку, наличие агрегатов наблюдалось особенно четко. Подвергнута сомнению точка зрения, согласно которой диспергирующая способность считается основной функцией моющих присадок. Предложено объяснение действия моющих присадок, учитывающее, наряду с их диспергирующей способностью, влияние указанных присадок на процесс старения масла и адсорбцию продуктов окисления на деталях двигателя. В дискуссии по покладу предложено при исследовании масел с помощью электронного микроскопа учитывать природу продуктов, загрязняющих масла, и содержание моющих присадок в маслах (т. к. присадки удаляются из масла при работе двигателя). А. Виппер

12985. Особые требования к коррозионным испытаниям смазочных масел. Буковецкий (Die besonderen Anforderungen an die Korrosionsprüfung von Schmierölen. BukowieckiA.), Schweiz. Arch. angew. Wiss. und Techn., 1953, 19, № 1, 22—31

(нем.)
12986. Самопроизвольное воспламенение смазочных масел. Франк, Блэкхем, Суорте (Spontaneous ignition of lubricating oils: Frank Charles E., Blackham Angus U., Swarts Donald E.), Industr. and Engng Chem., 1953, 45, № 8, 1753—1759 (англ.)

12987. Исследование маслинистости парафиновых и нафтеновых смазочных масел в атмосфере SO₂. Воловик (Étude de l'onctuosité des lubrifiants paraffiniques et naphténiques en milieu SO₂. Volovick Grégoire), C. r. Acad. sei., 1953, 237, № 7, 459—461 (франц.)

1988. Синтетические смазочные материалы. Ногути (合成潤滑劑. 野口靜夫), 日本機械學會誌, Нихон кикай гаккайси, J. Japan. Soc. Mech. Engrs., 1955, 58, № 432, 27—30 (япон.)

12989. Смазка турбодвигателей синтетическими маслами. Крамитон, Глисон, Лифсон, Иениеками (Synthetic oils simplify turbo-engine lubrication. Grampton A. B., Gleason W. W., Lifson W. E., Pennekamp E. F. H.), Soc. Automot. Engrs. J., 1953, 61, № 8, 27—29 (англ.) 2290. Синтетические смазочные материалы для турбореактивных двигателей. — (Synthetic lubricants for

turbojet engines.—), World Petrol., 1955, 26, № 2, 48—50 (англ.)

12991. Поведение масел, загущенных полнизобутиленом, в агрегатах трансмиссии. Климов К. И., Фомина А. М., Новости нефт. техи. Нефтепереработка, 1955, № 6, 17—18

Проводилась опытная эксплуатация на автомобилях ЗИС-151 и ГАЗ-63 транемиссионного масла, полученного загущением смеси, состоящей из 53%-летнего нигрола с 47% арктич, дизтоплива, полинаобутиленом (I) с мол. вес. (МВ) 24 000 в кол-ве 3%. Автомобили прошли по 12 000 км при т-ре воздуха от +2 до—32%, со сменой масла через 6000 км. Показано, что I данного МВ подвергается деструкции и вязкость масла при 100° после 6000 км пробега понижалась во всех агрегатах с 15,6 сст до 5,40—7,89 сст, при исходной вязкости незагущенного масла 4,13 сст. МВ отдельных проб I, выделенного из образдов отработанных массл, составлял 4000—7000.

12992. Антнокислители для смазочных масел. Тоёгути (潤滑油酸化防止劑について.豊口滿),有機合成化學協會誌, Юки госэй кагаку кёкайся, J. Soc. Organ. Synth. Chem., Japan, 1955, 13, № 11, 512—516, 508 (япон.)

Обзор. Библ. 40 назв.

12993. Присадки к смазочным маслам и смазкам. Тоёгути, Мори (潤滑油およびグリースの添加 剰.豊口滿、森井治彦), 日本機械學會誌, Нахон кикай гаккайси, J. Japan. Soc. Mech. Erngrs, 1955, 58, № 432, 20—26 (япон.) Обзор. Библ. 14 назв.

Обаор. Библ. 14 назв. 12994. Синтез ингибиторов и присадок для масел. Мосурский (Synteza inhibitorów i dodatków olejowich. Mosurski Henryk), Nafta Biul. Inst. neftowego, 1953, 9, № 9, 9—10 (польск). 12995. Охлаждающие масла. І. Противозадирные свой-

12995. Охлаждающие масла. 1. Противозадирные свойства нефтяных сульфокислот и их натриевых солей. П. Влияние концентрации нефтяных сульфокислот и их натриевых солей. О гасавара (切削油に関する研究. 第1報. 石油スルホン酸及びソーダ鹽の極壓性について. 第2報. 石油スルホン酸及びソーダ鹽の濃度による極壓性の壁化・ 小空原貞夫),工業化學雜誌, Korë кагаку дзасси, J. Chem. Soc. Japan. Industr. Chem. Sec., 1954, 57, № 4, 305—306 (япон.)

12996. Длительно действующие растворимые в воде эмульсии, применяемые при механической обработке. Il ревел (Maintenance of water-soluble machining coolants during use. Prevel J. A.), Lubricat. Engng., 1955, 11, № 3, 178—179 (англ.) Употребление при механич. обработке растворимых

Употребление при механич. обработке растворимых в воде эмульсий сильно расширилось за последние годы. Выбор эмульсии зависит от многих переменных: употребляемой воды, чистоты оборудования, способа приготовления эмульсии, ее растворимости, токсичности, стабильности, условий работы и т. д. Большое значение имеет рН эмульсии,большая часть которых характеризуется рН 8,0—9,0. Снижение рН ниже 7,0 вызывает расслаивание (кислая среда).

Л. Андреев 12997. Смажа герметически закрытых компрессоров

расслаивание (кислая среда). Л. Андреев 12997. Смажа герметически закрытых компрессоров холодильников. Бора (Hermetically sealed refrigeration compressor lubrication. Вога К.), Lubricat. Engng, 1955, 11, № 5, 319—324 (англ.)

Обсуждаются требования к смазочному маслу, применяемому в герметич. закрытых компрессорах холодильных установок, в которых охлаждающим агентом являются хорошо растворимые в минер. масле ефреоны». Для этой цели используются масла парафинового основания после селективной депарафинизации; т-ра застывания должна быть —12°, пидекс вязкости \$90, диэлектрич. прочность \$25кст. В масле не допускается присутствие влаги, оно должно быть практически не вспенивающимся и стабильным.

Г. Марголина

и Ансидф2впп

HI MI MI JA

II) CT

ун зо ре ка Д

Ha 13

RO

KO

no

2998. Оструктуре консистентной смазки. Камбэ (潤滑グリースの構造. 神戸博太郎), 油化學, Абура кагаку, J. Japan Oil Chemists Soc., 1956, 5, № 4, 12998. 5-14 (япон.)

Обаор. Библ. 54 назв. 1999. Тиксотропия консистентных смазок. X o Tтен, **Фаррингтон** (Thixotropy of lubricating greases. A report from committee D-2. Hotton B. W.,

greases. A report from committee D-2. Hotton B.W., Farring ton B. B.), Amer. Soc. Test. Mater. Bull., 1953, № 189, 53–56 (англ.)

3000. Автоматический отбор проб углеводородов. Гибсон (Automatic sampling of hydrocarbons. Gibson W. E.), Oil and Gas J., 1954, 52, № 39,

68-69 (англ.)

Номограмма для определения вязкости нефти Надьлендьелского месторождения. В а м о ш (No-morgamm Nagylengyeli eredetű fűtűolajok viszkozitásának megállapítására. Vámos Endre), Magyar kémik. lapja, 1955, 10, № 11, 350—351 (венг.) Дана номограмма для определения вязкости нефти интервале т-р 40—170°. К. 3.

13002. Фурфурольное число как мера оценки электромзоляционных масел. Вёрпер (Die Furfurolzahl als Bewertungsmaβ für Isolieröle. Wörner Theodor), Elektrotechn. Z., 1953, 74A, № 17, 513—514

(нем.)

Испытания эксплуатационных качеств мо-

13003. Испытания эксплуатационных качеств моторных масел. Катаяма (自動車エンジン油の性能試験. 片山寬), 日本機械學會誌, Нихон кикай гаккайси, Ј. Јарап. Soc. Mech. Engrs., 1955, 58, № 432, 37—44 (япон.)

13004. Исследование образцов битума из старых дорожных покрытий. Мар нан и (Ricerche su campioni di conglomerati bituminosi prelevati de vecchi manti stradali. Магіапі Е u g e піо), Giorn. genio civile, 1954, 92, № 5, 333—339 (итал.)

13005. Определение перастворимых веществ в выветрившихся битумых покрытиях. Хан, Лар и в к (The determination of insoluble constituents in weat-

(The determination of insoluble constituents in weathered bituminous surfacings. Hahn H. H., Larink A. M. U.), Chemistry and Industry, 1955, № 25, 703—704 (англ.)

13006 К. Химия углеводородов нефти. Т. 1. Ред. Брукс (Chemistry of petroleum hydrocarbons. V. 1. Brooks Benjamin Talbott (ed.), Reinhold, 1954, 664 р., 18 doll.) (англ.)
13007 К. Пропан-бутан. Свойства и области приме-

нения сжиженных газов. Ольден бург (Propan-butan. Eigenschaften u. Anwendungsgebiete d. Flüssiggase. Ölden burg Geert. Berlin — Göttingen — Heidelberg, Springer, 1955, 101 S.,

13. (11., 6.— DM) (нем.)

13008 К. Естественные и искусственные газы. (Учеб. пособие для коммун.-строит. техникумов). Рябцев Н. И., М., М-во коммун. х-ва РСФСР, 1956, 328 стр., илл., 8 р. 55 к.

13009 К. Вопросы безопасности при хранении и обращении с нефтяными продуктами. Ро ш фор (La космуні с dans le stockage et la manutention des pro-

sécurite dans le stockage et la manutention des produits pétroliers. Rochefort Beauvoir de. Paris, Eyrolles, 1954, 288 p., ill., 2 100 fr.) (франд.)

13010 К. Процессы сгорания в двигателях. Ред. Льюис, Пис, Тейлор (Combustion processes. Eds. Lewis B., Pease R. N., Taylor H. S. Princeton, N. J., Univ., Press., 1956, 662 pp., ill.,

12.50 doll.) (англ.)

Производство и применение консистентных смазок. Бонер (Manufacture and application of lubricating greases. Boner Charles John, New York, Reinhold; London, Chapman & Hall, 1954, v 977 p., ill., 7L, 8 sh.) (англ.)

3012 Д. О термическом и каталитическом крежинге углеводородных смесей. В ю тр и х (Über die thermische und katalytische Crackung von Kohlenwasserstoffgemischen. W ü t h r i c h H a n s. Diss. techn., Wiss. ETH, Zürich., 1954, VI+III+100 S., ill.), Schweiz. 13012 Л. Buch., 1955, B55, № 1, 50 (нем.)

13013 Д. Гидрогенизация тяжелых остатков восточной нефти. Вишневский Н. Е. Автореф. дисс. канд. хим. н.,Ленингр. технол. ин-т им. Лен-

совета, Л., 1956 г. 13014 Д. Об окислении минеральных масел. Изучение процесса старения трансформаторных масел и методов их улучшения. Цартль (Über die Oxydation von Mineralölen. Ein Beitrag zur Kenntnis der Alterungs-Mineralolen. Ein Beitrag zur Kenntnis der Alterungseigenschaften von Transformatorenölen und deren Verbesserung. Zartl Josef. Diss., Techn. Hochsch Wien, 1955, 85 Bl., Phot., Maschinschr), Oestert. Bibliogr., 1955, № 12, 17 (нем.) 3015 Д. Исследования в области синтетических смазочных масел. Кауфхольд (Untersuchungen an synthetischen Schmierölen. Kaufhold Robert. Diss., Math.-naturwiss. F., Halle, 1953, 121 Bl., Abb.), Dtsch. Nationalbibliogr., 1955, B, № 1.68 (нем.)

№ 1, 68 (Hem.)

13016 Д. Исследования синтетических смазочных масел с помощью селективной адсорбции. Херольд (Untersuchungen an synthetischen Schmierölen mit Hilfe der selektiven Adsorption. Herold Hans. Diss., Math.-naturwiss. F., Halle, 1953, 110 Bl), Dtsch. Nationalbibliogr., 1955, B, Na 1, 67 (нем.)

13017 П. Способ разрушения нефтяных эмульсий. Де-Гроте (Process for breaking petroleum emulsions. De Groote Melvin) [Petrolite Corp.]. Пат. США 2695886, 30.11.54

Деэмульгатор для разрушения нефтяных эмульсий типа вода в масле, состоит из гидрофильных синтетич, продуктов с ф-лой: $(\mathrm{HOOC})_{n''} - \mathrm{R} - \mathrm{C}(\mathrm{O}) - (\mathrm{C_3H_0O})_n -0-R'-S-R''-O-(C_3H_6O)_{n''}-C(O)-R-(COOH)_{n'}$ где n''— целое число $\leqslant 2, -0-R'-S-R''-O$ есть 2-валентный радикал, полученный путем удаления атомов Н из фенольных групп ацил-фенолмопосульфида, имеющего ф-лу (I), в которой R¹ и R²—алкильные группы, содержащие от 1 до 20 атомов С; R³ и R⁴—члены группы, состоящей из алкила, арила, алкоксиалкила,

аралкила, ароксиалкила,

алкарилового и циклоалкилового радикалов; п и п' являются целыми числами, сумма которых составляет 15—80; R — связанный с углеродом радикал многоосновной к-ты, выбранной в группы ациклич. и изоциклич. многоосновных кт HOOC — R — (СООН)_п», в которой n" имеет предыдуще значение. Начальный моносульфид и исходное двугидроксильное соединение до этерификации должны быть А. Чочи нерастворимы в воде.

Гидроочистка и каталитический креквиг (Hydrofining and catalytic cracking) [Anglo-Iranian Oil. Co. Ltd]. Австрал. пат. 161413, 10.03.55

Процесс состоит из гидроочистки углеводородов, типа парафиновых дистиллатов, в присутствии катализатора, состоящего из окислов Со и Мо, нанесенных на Al₂O₃. после чего продукт подвергают крекнигу в присусствии катализатора из группы синтетич. Al—Si, Mg—Si, а также природных катализаторов крекинга.

019 П. Стабилизация бензина каталитического кре кинга. Дженнингс, Стрикленд (Stabilization of catalytically cracked gasoline. Jennings Louis A., Strickland Barney R.) [Esso Hre

er-

m.

eiz.

POH-

Ien-

HBe

Дов

von

ngs-

eren hsch terr.

ckux ngen

R o-

953, , **B**,

к мальд

rölen o l d

1953,

Ne 1,

emul-

огр.]. льсий

етич. О)_n —

)H),,

-0ления фида,

уппы,

члены

OH COR

слами.

OH III

X R-T

дущее

гидро-

и быть Чочна

рекинг I ranian

B, THUA

Al₂O₃,

присут-

Mg-Si,

Векслер

Stabili-

ings (Esso

MUX

Research and Engineering Co.]. Har. CIIIA 2721831,

Процесс произ-ва стабильного крекинг-бензина вклюмает: каталитич. крекинг газойля, кипищего при т-ре
> 205° и содержащего > 0.8% S; фракционирование
продуктов крекинга и выделение дистиллатной фракции (ДФ) с пределами кипения бензина, практически
не содержащей Н₂S, но имеющей значительные кол-ва
ароматич. меркаптанов, образовавшихся при крекинге
наряду с олефинами и диолефинами; обработку ДФ
реагентом, представляющим р-р CuCl₂, не содержащий
свободного О₂: отделение отработанного реагента от ДФ
у регенерацию его в отдельной зоне с применением 90—
98% О₂, теоретически требуемого для полной регенерации, после чего реагент полностью или частично
возвращается на обработку дистиллатной фракции.

Н. Кельпев

13020 П. Изомеризация нормальных углеводородов, особенно н-бутана. Кох, Гильферт (Verfahren zur Isomerisierung von n-Paraffinkohlenwasserstoffen, insbesondere von n-Butan. Косh Herbert, Gilfert Wilhelm) [Studien- und Verwertungs-Ges. m. b. H.]. Пат. ФРГ 906930, 18.03.54 [Chem. Zbl., 1955, 126, № 31, 7312 (нем.)]

Изомеризацию нормальных парафиновых углеводородов, особенно № бутана (I), производят пропусканием их в газовой фазе с НС1 при повышенном давлении над АlСl₃ или AlCl₃-содержащим катализатором. Содержание НС1 (предварительно очищ. от примесей, напр. СО) составляет ≥50 вес. % по отношению к обрабатываемому углеводороду. II р и м е р: осушенный, не содержащий олефинов I пропускают с 65% НС1 (очищ. фракционированием под давлением) над AlCl₃ при 85°, 25 ам и времени контакта ~3 мин.: при 60%-ном превращении в изобутан (II) образуется 0,05% побочных продуктов. НС1 может быть рекуперирован. После получения 5 кг II со 100 г AlCl₃, снижения активности катализатора не обнаружено. Н. Кельцев

натализатора не обнаружено. Н. Кельцев 13021 П. Процесс гидрирования углеводородных дистиллатов. Хариер, Лутер (Process for hydrogenating hydrocarbon oils. Нагрег James J., Luther Martin W.), [Sun Oil Co.]. Пат.

США 2706167, 12.04.55

Дистиллаты (Д), кипящие в пределах кипения газойля в смазочных масел, в жидкой фазе подают в контактечую зону с гидрирующим катализатором (К). В зоне поддерживают т-ру и давление, необходимые для р-ции между Н₂ и Д без образования паровой фазы; жидкий Д выводят в расширенную часть отстойной зоны; в нижнюю часть контактной зоны подают Н₂ в избытке против необходимого для р-ции со скоростью, препятствующей образованию осадка К с определенным размера уносятся в нижнюю расширенную часть отстойной зоны; из верхней части отстойной зоны; из верхней части отстойной зоны выводят непререагировавший Н₂ и обработанный Д, свободный от катализатора, а из нижней части смесь Д и К, отделяют Д от К и возвращают его в зону контактирования для дальнейшей обработки; истертые частицы К удаляют из системы.

3. Векслер

из системы. 3. Векслер 13022 П. Гидроформинг (Hydroforming) [Standard Oil Development Co.]. Англ. пат. 718452, 17.11.54 [Fuel Abstrs, 1955, 17, № 4, 64 (англ.)] При гидроформинге нафтеновой бензино-лигроиновой бензино-лигроино-

При гидроформинге нафтеновой бензино-лигронновой фракции без подачи Н₂ извне нафтены дегидрируют контактированием в паровой фазе над слоем исевдоожименного катализатора, содержащего Рt и Рd и летучий фторид, в котором кол-во F, выраженное как HF, колеблется от 0,1 до 1,0 вес. %. Процесс ведут при повышенной т-ре и давлении в течение времени, достаточного дли конверсии углеводородов; активность

катализатора поддерживают добавлением фторида в количестве соответствующем потерям от улетучивания. 3. Векслер

13023 П. Метод дегидрирования высокомолекулярных углеводородов. Роттиг (Verfahren zu Dehydrierung von höhermolekularen Kohlenwasserstaffen. Rottig Walter) [Ruhrchemie A.-G.]. Пат. ФРГ 928168, 26,05.55

Предложен метод дегидрирования высокомолекулярных углеводородов с числом атомов С ≥ 16, с применением SiO₂-содержащих в-в, в основном силикатов Al и Mg с небольшой добавкой активаторов (Сг₂О₃, СпО), отличающийся тем, что носитель перед нанесением активирующих в -в подвергается термич. обработие (которая может быть выполнена ступенчато) в течение продолжительного времени при т-рах >500°, предпочтительно >1000°. Для снижения нежелательного аромативирующего действия хрома к катализатору добавляется 5—10% щел. соединений, в основном гадроокисей щел.-зем. металлов.

BAHNEM.

Bray H. Gesonacher Torinus Arkeningo-Bahnem.

Bray H, Ctarm, Xattore (Production of safety fuels by alkylation. Brown Cecil L., Stahly Eldon E., Hattox Erwin M.) [Esso Ressearch and Engineering Co.].

Канад. пат. 516289, 6.09.55
Способ получения жидких углеводородов с пределами кипения бензина состоит в алкилировании газобразных изопарафинов (фракция С4, содержащая изобутан) моноолефинами с т-рой кипения более низкой, чем у желаемого конечного продукта (напр., бутенами) в жидкой фазе при т-рах от —12 до 38° в присутствии 90—100%-ной (по одному из вариантов патента 93—98%-ной) Н₂SO₄. Продукты р-ции разделяются на 3 фракции: C5——С7, С8—С12 и С13 и выше. Вторая фракция выводится из процесса, а первая и третья или только первая фракция возвращаются в реакционный объем.

Е. Соколова

13025 П. Аппаратура и метод производства топливного газа. Бэрер (Means and method for producing fuel gas. Bearer Louis C.) [Phillips Petroleum Co.]. Пат. США 2714059, 26.07.55

Схема непрерывного получения топливного газа желаемой теплотворности включает: зону нагрева гальки (теплоносителя), зону нагрева газа и зону конверсии. Нагретая галька поступает в зону нагрева газа, имея запас тепла, достаточный для поддержания в этой зоне т-ры 900—1370°. Через зону нагрева газа пропускают пар, теплообмен между паром и галькой осуществляется прямым путем, при этом получают перегретый пар. Сравнительно холодную гальку пропускают через зону конверсии, туда же вводят перегретый пар и углеводородное сырье. В зоне конверсии происходит р-ция между углеводородами и паром с образованием СО и На. Углерод, образующийся в результате р-ции, отлагается на гальке и вместе с ней переносится в зону нагрева газа, где взаимодействуя с водяным паром, образует водяной газ, который из зоны нагрева газа проходит через зону конверсии. Газообразные продукты выводятся через верхнюю часть зоны конверсии. Галька и зоны конверсии. Галька в верхнюю часть зоны нагрева газа, а вводится в верхнюю часть зоны нагрева газа, и. Шебло

13026 П. Остаточные жидкие топлива (Residual fuels) [Standard Oil Development Co.]. Австрал. пат. 200447,

Коррознонные свойства золы остаточных жидких топлив, содержащих V, могут быть понижены растворением в них Ca-, Mg- или Ва-комплексных мыл органич. к-т с пизкими и высокими мол. весами. Мыла содержат 10—80 вес. % низкомолекулярных к-т и 90—20 вес. % высокомолекулярных к-т. 3. Векслер

вкгими ум (орси

TO AD TO DO

PE CT JII BB

B

ra

бо

со од от

(л_. за

13027 П. Способ получения котельного топлива улучшенного качества. Рикардс, Бетц, Харцбанд (Heating oil processing for improved quality. Ricards Harold A., Betts Raymond L., Hartzband Harry M.) [Esso Research and Engineering Co.]. Пат. США 2717856, 13.09.55

апd Engineering Co.]. Пат. США 2717856, 13.09.55 Предложен улучшенный способ получения котельного топлива, в котором из нефти путем дистилляции выделяют фракции котельного топлива и газойля, причем последний подвергается крекингу с получением более низкокинящих углеводородов. При дистилляции продуктов крекинга отбирается фракция крекингового котельного топлива, которая подвергается быстрой щелочной очистке до контактирования с воздухом. Котельное топливо прямой гонки, содержащее меркаптаны, очищается до содержания меркаптанной S в кол-ве 15—30 мг на 100 мл, после чего смешивается с котельным топливом, полученным путем крекинга. Н. Кельцев

13028 П. Обессеривание нефтяных углеводородов. Портер (Desulphurization of petroleum hydrocarbons. Porter F. W. B.) [Anglo-Iranian Oil Co., Ltd]. Англ. пат. 719231, 1.12.54 [Fuel Abstrs., 1955, 17, № 4, 67 (англ.)]

При гидрокаталитич. обессеривании бензино-лигроиновых фракций крекинга, 90% которых кипит ниже 200°, их смешивают с прямогонными фракциями, тех же пределов кипения, в таком соотношении, чтобы при пропускании смеси над сероустойчивым дегидрирующим-гидрирующим катализатором, при соответствующих условиях т-ры и давления, кол-во Н2, получаемого дегидрированием нафтеновых углеводородов, соответствовало без значительного избытка требуемому для конвертирования органич. соединений S в Н2S и достаточному для того, чтобы смесь оставалась в паровой фазе без подвода Н2 из постороннего источника.

13029 П. Очистка жидких углеводородов (Purification of liquid hydrocarbons) [Badische Anilin & Soda-Fabrik]. Англ. пат. 719156, 24.11.54 [Fuel Abstrs., 1955, 17, № 4, 67 (англ.)]

Для очистки жидких углеводородов с т. кип. <300° их пропускают в паровой фазе при 350—450° над ZnO или массой, состоящей в основном из ZnO, со скоростью 1 объеми. ч. ZnO на 2 объем.ч. жидких углеводородов в час; образующийся Н₂S вступает в соединение с ZnO. 3. Векслер

13030 II. Обработка нефтяных сульфонатов щелочноземельных металлов. Кларк, Шрейбер, Кни-ленд (Treatment of alkaline earth metal petroleum sulfonates. Clarke Edgar W., Schreiber William, Kneeland Paul D.) [The At-lantic Refining Co.]. Пат. США 2713034, 12.07.55 Метод получения очищенного конц. масляного р-ра сульфонатов Ва включает нейтр-цию дистиллатов нефти Мидконтинента, кипящих в пределах выкипания смазочных масел. После обработки их конц. H₂SO₄ образуется слой отработанной к-ты, включающий кислый гудрон и зеленые сульфокислоты, и слой кислого масла, содержащий масла с низким и высоким индексом вязкости (ИВ), сульфокислоты типа красных сульфокислот и нежелательные примеси. После разделения слой кислого масла нейтрализуют соединением Ва. Полученный масляный р-р сульфоната Ва (Ва-соль красных сульфокислот), смол и углеводородного масла обрабатывают -3 (лучше 2,5) объемами водн. изопропилового спирта (I) (20—30% воды, лучше 25%). Затем отделяют слой, состоящий в основном из водн. p-ра I, смол и масла с низким ИВ от слоя рафинированного сульфоната Ва и масла с высоким ИВ. Л. Андреев Л. Андреев Выделение парафинов из дистиллатов получением комплексов с мочевиной или тиомочевиной.

(Separation of mineral waxes from oils by complex formation with urea or thiourea) [Socony-Vacuum Oil Co., Inc.]. Англ. пат. 717743, 3.11.54 [Petroleum, 1955, 18, № 5, 196 (англ.)]

Парафины отделяют от масла обработкой смеси достаточным кол-вом р-ра мочевины при т-ре ниже т-ры разложения; из полученной смеси сначала выделяют кристаллич. комплекс, а затем в жидкой фазе отработанный р-р мочевины; комплекс обрабатывают отработанным р-ром и нагревают до т-ры (~66°), достаточной для разложения, отделяют парафин от примесей масла и повыпают конц-ию р-ра мочевины; нагревают загрязненный парафин с этим р-ром для образования комплекса и отделяют парафин.

3. Векслер

3032 П. Разложение комплексов мочевины с алифатическими соединениями. К а т о (Decomposition of urea-aliphatic compound addition products. K a to N ag a h a r u, e t a l.) [Maruzen Petroleum Oil Co.]. Япон. пат. 2085, 19.04.54 [Chem. Abstrs, 1955, 49, № 4, 2723 (англ.)]

49, № 4, 2723 (англ.)]
Комплекс разлагают обработкой 50%-ным р-ром мочевины (М), насыщенным СО₂, с 100%-ным выходом парафиновых углеводородов. Р-р М, ненасыщенный СО₂, дает 80%-ный выход парафиновых углеводородов. Маточный р-р при охлаждении дает М. После насыщения СО₂ фильтрат возвращают в процессов

3. Векслер 13033 II. Процесс экстрактивной кристаллизации с помощью мочевны. Шампанья (Extractive crystallization processes by means of urea. Champagnat Alfred) [The British Petroleum Co. Ltd]. Пат. США 2710855, 14.06.55

Минеральное масло обрабатывается р-ром мочевины в содержащем воду р-рителе в присутствии биурета в кол-ве 0,2—0,5 вес. % на мочевину. Образующиеся твердые комплексы некоторых компонентов минермасла с мочевиной отделяются, разлагаются и из них выделяются указанные компоненты. 3. Саблина 13034 П. Получение парафинов. А рабя и (Preparation of paraffin waxes. A rabian Karekin G.), [Shell Development Co.]. Канад. пат. 510017, 8.02.55

Твердый и пластичный высокоплавкие парафины (П) из деасфальтированию и очищ, сольвентной очисткой сырого парафинового остатка нефти парафино-пафтенового основания (напр., нефти Восточного Техаса) получают растворением остатка при повышенной т-ре в депарафинирующем р-рителе; р-р охлаждают и отделяют при 4,4—15,5° высокоплавкий мелкокристалич. П. Его растворяют при повышенной т-ре в депарафинирующем р-рителе, охлаждают р-р и при 37,8° выделяют высокоплавкий твердый П, а на р-рителя выделяют относительно высокоплавкий пластичный П. В варианте процесса первое выделение П производят при 37,8° и получают высокоплавкий твердый П, а из фильтрата при 4,4—15,5° выделяют относительно высокоплавкий пластичный П. Пластичный П имеет т. пл. 54,5—69,5° и содержит главным образом смесь изопарафиновых и нафтеновых углеводородов с т. пл. 47,2—71°, свободную от н-парафинов с т. пл. ~ 87,7°.

E. Покровская 13035 II. Способ навлечения углекислого газа и сероводорода на горючих газов путем промывки. В е б е р (Verfahren zum Auswaschen von Kohlendioxyd und Schwefelwasserstoff aus Rohgasen. W e b e r Richard (Gesellschaft für Linde's Eismaschinen A.-G.). Пат. ФРГ 929808, 4.07.55

Метод раздельного извлечения CO₂ и H₂S из отопительных и синтез-газов состоит в том, что сырой газ промывается р-ром металлич, соли в органич, р-рителе при т-ре от —30 до —70° и давл. 5—50 ати, причем CO₂ и H₂S растворяются в р-рителе, а металлич, соль

a

P

of

il

5,

MO

ый

DB.

cc.

iep-

C

ive

m-

Co.

ета

еся iep.

HHI

ина

Pre-

reпат.

ГКОЙ

фте-

aca) T-pe

OT-

тал-

јепа-37,8

теля

й П.

тидо

а из

высо-

. пл.

пара-

вская

cepo-

бер und

Ri-

.-G.].

TOHE-

н газ ителе

ричем . соль образует с H₂S трудно растворимое комплексное соединение. В качестве р-рителя могут быть использованы: апетон, метилэтилкетон или метилпропилкетон, в качестве металлич, соли — галоидное соединение Al, Ве, Sn или Тi. Промывку газа можно также произволить p-ром HgCl2 в метиловом спирте. Выпавший осадок отпеляется от р-ра. При раздельной дегазации р-ра и комплексного соединения получают CO2 и H2S в чис-Б. Товбин том виде. 13036 П. Способ получения ацетилена неполным

сжиганнем углеводородов в смеси с кислородом. Лерер (Verfahren zur Herstellung von Acetylen durch unvollständige Verbrennung von Kohlenwasserstoffen mit Sauerstoff. Lehrer Erwin) [Badische Anilin-& Soda-Fabrik A.-G.]. Пат. ФРГ 939992,

В методе получения С2Н2 неполным сжиганием углеводородов в смеси с кислородом компоненты подогреваются раздельно и поступают в смесительную камеру круглого сечения, а из нее в реакционное пространство, где происходит их взаимодействие с образованием пламени. Продукты р-ции подвергаются быстрому охлаждению путем впрыска воды. Для предупреждения воспламенения в смесительной камере с образованием стационарного пламени необходимо соблюдение следующих условий: 1) скорость компонентов смеси на входе в камеру смещения должна быть не ниже 150 м/сек (с учетом рабочих условий), 2) скорость потока углеводородов должна быть больше скорости кислорода, причем соотношение этих скоростей должно лежать между отношением плотности кислорода к плотности углеводородов и квадратным корнем из этого отношения. Е. Соколова

Способ получения твердой гранулированной сажи. Брей, Доббин (Process of making hard carbon black pellets. Bray Richard, Dobbin Rolins E.) [Codfrey L. Gabot. Inc.]. Пат. США 2719779, 4.01.55.

Способ состоит в пропускании углеводородов в газовой фазе через пористую гранулированную, без свизующего, сажевую массу в кипящем слое в закрытом пространстве при т-ре >760°, причем углеводороды диссоциируют до сажи и блестящего углерода, отлагающихся на поверхности отдельных частичек гранулированной сажи. В качестве углеводородов используются природный газ или пары нефтепродуктов. В описанном процессе происходит увеличение плотности сажи с 0,19— 0,44 кг/л до 0,48—0,96 кг/л, а также изменение окраски до сероватой.

13038 П. Метод конверсии окиси углерода с водородом. Венцель (Verfahren zur Umsetzung von Kohlen-oxyd mit Wasserstoff. Wenzel Wilhelm) [Badische Anilin- & Soda-Fabrik A.-G.]. Пат. ФРГ 933985, 6.10.55

Предложен метод конверсии СО с Н2 в жидкие или твердые кислородсодержащие органич. соединения наряду с многочисленными углеводородами в несколько ступеней в присутствии восстановительных Fе-катализаторов. Газ, содержащий ≥30% CO, перерабатывается при т-ре <250° (рекомендуется при 180—230°) в присутствии Fe-катализатора, который восстановлен газом-восстановителем, пропускаемым со скоростью более 500 м³/м³ катализатора в час. Путем поддержания соответствующей т-ры при пропуске синтез-газов через одну из ступеней содержание образующейся СО₂, отнесенное к конечному газу, из которого удалены жидкие и твердые продукты, не поднимается выше 20 (лучше 15%). Рекомендуется также применять катализаторы, приготовленные плавлением Fe (желательно в присутствии активаторов) в токе О2 с последующим в присутствии активатором, в семестов железа. Восстановлением образующихся окислов железа. Н. Кельцев

13039 П. Способ синтеза углеводородов. Ш тейнер (Verfahren zur Synthese von Kohlenwasserstoffen. Steiner Walter). Швейц. пат. 298872, 2.08.54 [Chem. Zbl., 1955, 126, № 22, 5175 (нем.)] Синтез углеводородов посредством каталитич. гидрирования СО отличается тем, что образовавшийся при р-ции водяной пар конвертируется с CO (напр., из оста-точного синтез-газа) и получающийся газ, богатый СО2 и Н2, применяется для регенерации катализатора. Напр., на регенерацию могут быть поставлены те реакционные камеры, из которых выходят продукты, со-держащие <50% СО. Если спитез и конверсия произ-водятся одновременно, то получается конверсионный газ постоянного качества, применяемый для непрерывной регенерации катализатора (в частности, он может быть использован как неядовитый светильный газ). Далее катализатор можно в псевдоожиженном состоянии переводить из реакционной камеры в регенератор и обратно, при этом в реакционную камеру вводится хорошо очищенный синтез-газ, в конвертер — газ, полученный в результате р-ции, и в регенератор - кон-Б. Энглин вертированный газ. 040 П. Конверсия углеводородов и аппаратура для этого процесса. Кассел (Hydrocarbon conver-

sion process and apparatus. Kassel Louis S.) [Universal Oil Products Co.]. Hat. CIIIA 2722501, 01.11.55

Предложен метод конверсии производственного сырья, в котором все сырье или часть его пропускается в горизонтальном направлении по радиусу через слой твердых частиц каталитич, или лучше некаталитич, природы (напр. SiO2, Al2O3, песок и др.) в зоне фильтрации (ЗФ), а затем сверху вниз через зону конверсии (ЗК), заполненную катализатором (К); полученный продукт удаляется снизу ЗК. После того, как К дезактивируется, через ЗК снизу вверх пропускается О₂-содержащий газ; при этом между ЗФ и ЗК вводится через распределительное устройство охлаждающий поток в таком кол-ве, чтобы т-ра газа регенерации существенно не превышала рабочей т-ры в ЗФ.Смесь газов регенерации и охлаждающего потока выводится сверху ЗФ. Конверсия углеводородов (У) в присутствии циркуляционного газа (Г) осуществляется путем пропуска Г через слой твердых частиц в ЗФ, Г собирается в центральной части этой зоны и проходит сверху вниз через ЗК вместе с конвертируемыми У, вводимыми в аппарат выше ЗК, заполненную К; условия в ЗК обеспечивают проведение конверсии. Продукт, выходящий из ЗК может разделяться на жидкую и газообразную фракции, причем последняя (вся или часть ее) направляется на рециркуляцию через ЗФ. В патенте предложен процесс сероочистки углеводородных фракций, в котором циркуляционный ${\rm H_2\text{-}codep}$ жащий газ пропускается в горизонтальном направлении по радиусу через слой твердых частиц в ЗФ, Не собирается в центральной части ЗФ и проходит сверху вниз через зону сероочистки ЗК вместе с У в присутствии катализатора сероочистки в условиях, обеспечивающих сероочистку. Продукт выводится из ЗК и разделяется на жидкую и газообразную фракции. Г возвращается в ЗФ, рециркулирующий через ЗФ водородсодержащий Г подвергается удалению H2S. К сероочистки может содержать Со, Мо и Al2O3. T-ра в ЗК поддерживается между 175 и 400°, а давл. 14 ам. По варианту патента в процессе сероочистки У в присутствии Н₂-содержащего газа У и Г вместе пропускаются сначала через ЗФ, а затем через ЗК. Регенерация осуществляется как описано выше. Н. Кельцев

Частичное окисление и пиролиз насыщенных углеводородов. Эванс, Форд, Мур (Partial oxidation and pyrolysis of saturated hydrocar-Форд, bons. Evans Edgar Charles, Ford

cal

пр

пр

фa

THI

c c

130

бел

KAI

зем

BBO

W30

HIJI

130

R

ПВ

лич или ф-ли R —

ветн

вой

такс

пред

ную

2,4,4

5%

мета

эфиј

спир

JATE

гани

прод

или

MEIX

N3 I

чи

SI

Ep

П

смаз

держ

щел.

водо

прак

~0,

0,3-

PACTE

2,0

тверд

НОГО

13054

бe

wa:

Hugh, Moore Nolan Peter William) [National Research Development Corp.]. Пат. США 2727933, 20.12.55

Пиролиз углеводородов в двигателе внутреннего сгорания осуществляется за счет тепла, получаемого при сжигании части топлива, поступающего в камеру сгорания. Углеводородное топливо вводится в смеси с практически чистым кислородом, кол-во которого достаточно для взаимодействия лишь с небольшой частью углеводородов. Продукты пиролиза адиабатически расширяются внутри камеры сгорания и охлаждаются до такой т-ры, при которой предупреждается возможность их нежелательной порчи. Е. Соколова 13042 П. Способ получения детонационностойкого бензина. Этти и гер (Verfahren zur Herstellung klopffester Benzine. O et tinger Willi) [Badische Anilin-& Soda-Fabrik A.-G.]. Пат. ФРГ 934245,

Предлагается способ получения бензинов с высокой детонационной стойкостью из азотсодержащих масел, смол и их фракций, содержащих ~0,1% азота, посредством очистки, с последующим деструктивным гидрированием, заключающийся в том, что гидроочистку проводят в таких условиях, чтобы получаемый продукт имел так называемое число основания (ЧО, показывающее содержание основного N) 20-500 мг/л NH3, а при деструктивном гидрировании в качестве носителя катализатора используются силикаты. Примеры: 1. Среднее масло с ЧО 1875 мг/л NH₃ на литр пропускается со скоростью 1,7 кг на л катализатора в час с 2,3 м³/кг Н2 при 390° и 260 ат над катализатором, состоящим из 25% WS2 и 3% NiS на глиноземе; образующийся продукт с ЧО 115 мг/л NH3 пропускается с 1,5 M^3/κ_E H_2 при 260 am и 420° над синтетич. алюмосиликатным катализатором, содержащим 3,5% МоО $_3$. Получаемый бензин содержит 30% ароматич, углеводородов и имеет октановое число (ОЧ) по исследовательскому методу 82; 2. Среднее масло с ЧО 3000 мг/л NH₃ при 390° и 240 ат в присутствии Н₂ пропускается над катализатором, состоящим из силиката Ni с 10% моО₃, со скоростью 1 кг масла на 1 л катализатора в час. Образующийся продукт с ЧО 370 мг/л NH₃ при 430° и 240 ст. пропускают над апомосиликатным катализатором с 3,5% MoO₃ со скоростью 1,3 ке масла на 1 л катализатора в час.Получают бензин с октановым числом 74. Б. Энглин 3043 П. Моторное топливо (Motor fuel) [Standard Oil Development Co.]. Англ. пат. 721430, 5.01.55 13043 II.

Моторное топливо состоит из смеси углеводородов, выкипающих в пределах, характерных для бензина, имеет 50%—ную точку (по ASTM)<154° и содержит 0,5—1,0 об. % морфолина. Топливо может содержит Велагильные антидетонаторы, краски, ингибиторы смолообразования и окисления. Топливо может быть применено в автомобильных, судовых, стационарных и авиационных двигателях, причем присутствие морфолина предупреждает снижение скорости, обусловленное обледенением карбюратора во время работы в холодных условиях при большой влажности. Напр., бензин прямой гонки с пределами кипения 38—162°, имеющий 50%—ную точку 93,5° и содержащий 0,25 об% морфолина, использовался для работы авиационного двигателя.

13044 П. Углеводородный состав и способ его получения. (Hydrocarbon composition and process of making) [Universal Oil Products Co.]. Австрал. пат. 200748, 1.03.56

Углеводородный дистиллат, кипящий в пределах кипения бензина и склонный к ухудшению качества при хранении, содержит небольшое кол-во растворенной в нем присадки для предотвращения изменения качества, представляющей собой соль карбоновой к-ты

и алкилзамещенного алкиленполиамина. Эта соль содержит ≥20 атомов С в молекуле. И. Руденская 13045 П. Смазочный материал и снособ его получения. Ботке, Бернингер (Matière lubrifiante et dispositif pour sa fabrication. Воt t k е Егп st, Вегп і п gег А.). Франц. пат. 1080362, 8.12.54 [Chimie et industrie, 1956, 75, № 1, 87 (франц.)] Смазочный материал содержит индий (1%) в тонко-измельченном состоянии. И. Р. 13046 П. Улучшение качества минерального масав. Ук. в Сорват с (Mineral cil benefication).

13046 П. Улучшение качества минерального масла. Хьюз, Сковилл (Mineral oil benefication. Нид в е в с е г е t t С., S с о v i l l W a г n е г Е.) [Тhe Standard Oil Со]. Канад. пат. 514634, 12.07.55 Предлагается присадка к минер. маслу — пролукт р-ции полимера олефина, содержащего < С₁6 в молекуле, с сернистым фосфором. Пример: продукт р-ции полимера пропилена с Р₂Ѕъ. Е. Покровская 13047 П. Смазочные составы. Эванс, Хитчкок, Эллиотт (Lubricating compositions. E vans E. A., Hitchcock N. E. F., Elliot t J. S.) [Wakefield & Co., Ltd, C. C.]. Англ. пат. 696064, 26.08.53 [J. Appl. Chem., 1954, 4, part 11,

іі579 (англ.)] Маловязкий смазочный состав для применения в широком температурном интервале от -60 до 175° получают смешением: сложного эфира $CO_{\circ}R' \cdot R \cdot CO_{\circ}R'$ лучают смешением: сложного эфира CO₂R'·R·CO₂R' (где R представляет собой группу CH=CH или (CH₂) в при п, равном 2—8, R' и R" — алкил с числом атомов С≥4 или алкилциклоалкил, напр. 2-отилгексил или 3,5,5-триметилгексил); 0,05—2% соли многовалентного металла (Са, Ва, Zn, Al, Cr, Ni, Co, Мп или Мg) дитиофосфорной к-ты, а именно ОRIII (ОRIV)·P·(S)·SH, (где RIII и RIV—алкил, арил, алкиларил, циклоалкил или алкилоксналкил); 0,01—5% металлич. (Са, Ва, Sr, Mg, Zn, Al, Ni, Co, Mn, Cd, Cr или Sn) соли, растворимой в масле нафтеновой сульфокислоты; антикоррозионного компонента. полученного ванимолействием зионного компонента, полученного взаимодействием альдегида или кетона с растворимым в воде первичным или вторичным амином, напр. диморфолинилфенилметаном; ≤ 50% минер. масла, органич. фосфата или фосфита, напр. трикрезилфосфата. Примерный состав, полученный компаундированием ди-2-этилгексилового эфира себациновой к-ты (50%), ди-3,5,5-триметилгексилового эфира себациновой к-ты (49,55%), нефтяного сульфоната Са (0,1%), диморфолинфенилментана, (0,1%) Zn-соли ди-1,3-диметилбутилдитиофосфорной (0,1%) Zn-соли ди-1,3-диметилбутилдитиофосфорнов к-ты (0,25%), имел т. вспышки $\sim 220^\circ$, т. заст. $\sim 28^\circ$ и индекс вязкости 168. Е. Калайтан 048 II. Масло для судовых двигателей. Уоссов (Marine lubricating oil. Wasson Jones I.) (Esso Research and Engineering Co.). Канад. пат. 13048 II.

516936, 27.09.55
Патентуется смазочная композиция для судовых двигателей, способная давать с водой стабильную водномасляную эмульсию, состоящая из 90—98,8 вес. % минер. смазочного масла с вязкостью ≥ 155 сст при 38°, 0,2—3% растворимого в масле сульфоната Са, радикал которого имеет мол. в. ≥ 350 и 1—6% (точнее 1—3%) ворвани. По варианту патента в композиции содержится кроме того до 2% сурепного масла.

Е. Покровская

(Зизати и Минеральным смазочным маслам (Zusätze zu Mineralschmierölen) [Régie Nationale des Usines Renault]. Пат. ФРГ 935270, 17.11.55

Предлагается в качестве присадок к минер. смазочным маслам применять сульфохлориды моно-, дити трихлорметанов, раздельно или в смеси, в кол-ве 0,5—5 вес. %. А. Андреев 13050 П. Сульфированные продукты крекинга нефтиных дистиллатов. Зиммер, Моруэй (Sulfurized steam cracked petroleum distillates. Zimmer John C., Morway Arnold J.)

Th.

et

n,

55

KT

ie,

RK

RE

4-

ns.

i-

aT.

11,

UHno-

R'

2) n HOR

алк OTO

ди-

SH,

кил

Ba. TRO-

po-

нем

MLIB илили

TaB.

BOTO

лгеного

ана.

ной

28°

йтан

HOS s I.)

пат.

DBMX дно-. %

при

99НРС

мпоасла.

ская

слам

e des

азоч-

диол-ве

дреев

неф-(Sul-i m-

[Esso Research and Engineering Co.]. Канад. пат. 515488, 9.08.55

Патентуется способ получения сульфированной присадки к смазочным маслам из полимера с вязкостью при 37,8° в пределах 109—2200 (1760) ссм, полученного при контактировании с глиной (атапульгитом) в паровой фазе при 150—205° продукта крекнига (с паром) неф-тяного дистиллата. Указанный полимер нагревают с сульфирующим агентом при 160—170° в течение 0,5— Е. Покровская 3 час. 3051 П. Кабельные изоляционные масла (Cable insulating oils) [Standard Oil Development Co.]. Англ. пат. 721229, 5.01.55 [Paint, Oil and Colour J., 13051 П. 1955, 127, № 2937, 262 (англ.)]

Очистка канифоли с целью использования ее в кабельных маслах осуществляется путем обработки р-ра канифоли в органич, р-рителях глиноземом, кремнеземом или активированным углем. Очищ. канифоль вводится в кол-ве 5—50 вес. % в масло для электр. изоляции кабелей. Способ обработки сходен с описанным в англ. пат. 718601 (РЖХим, 1956, 56352).

М. Гольлберг 052 П. Смазочное средство, в частности гидравлическая жидкость. Моррис, Уинкл (Schmiermittel, insbesondere hydraulische Flüssigkeit. Моггіз Rupert Clarke, Minkle John Louis van) [N. V. De Bataafsche Petroleum Maatschappij]. Πατ. ΦΡΓ 929207, 20.06.55

В качестве смазочного средства, в частности гидравлич. жидкости предлагается применять самостоятельно или в смеси с другими в-вами Р-соединения (I) общей ф-лы OP(R)(X)₂, где X — R или OR, хотя бы один Ř — разветвленный поитуму R — разветвленный ионильный радикал с $\geqslant 2-3$ разветвлениями и остальные R — углеводородные радикалы. І представляют собою сложные эфиры фосфоновой или фосфиновой к-т, либо окись фосфина; примером такого Р-соединения с двумя нонильными радикалами, представляющими собой разветвленную углеводородную цепочку, является *бис-*(3,5,5-триметилгексил)-2,4,4-триметилпентенилфосфонат. К I добавляется 0,5— 5% полимеризатов сложных эфиров акриловой, или метакриловой к-т или смешанных полимеризатов этих эфиров, с мол. в. 5000—25 000, полученных из алифатич. спиртов с 2—15 атомами С. Кроме то о к I может добав-ляться 0,05—5% эпоксидных или S-содержащих органич. соединений; I могут также разбавляться 5—50% продукта, представляющего собой гидравлич. жидкость или смазочное масло. Приводится перечень рекомендуемых I, а также способ получения и свойства некоторых ва них. Б. Энглин

Эмульгируемая смазка, не дающая ржавчины. III оуолтер (Stainless emulsible grease. Showalter Jere C.) [Esso Research and Engineering Co.]. Канд. пат. 515719, 16.08.55

Предложена не дающая ржавчины эмульгируемая смазка, состоящая из 26—75 (~60) вес. % масла, совержащего 10—15% (на масло) нефтяных сульфонатов щел. металлов, остальное представляет собой: углеводородное масло с вязкостью 15-110 ccm, при 38°, практически свободное от ароматич. углеводородов; 0,5-2,0 (~0,6) вес. % таллового масла; 0,5-2,0 (~0,6) вес. % многоатомного спирта (диэтиленгликоля); 0,3-1,0 (~0,4) вес. % циклогексиламина, являющегося растворимым в масле ингибитором коррозии; 0,05-2,0 (~0,1) вес. % стеариновой к-ты и ~38 вес. % твердого продукта, обладающего свойствами смазочного материала, напр., слюды или талька.

Е. Покровская 13054 П. Синтетическое углеводородное масло. К ё льбель, Принц, Цвак (Synthetisches Kohlen-wasserstofföl. Kölbel Herbert, Prinz Hans, Zwack Franz) [Rheinpreußen A.-G. für

Bergbau und Chemie]. Пат. ФРГ 930934, 28.07.55 Способ получения электроизоляционного масла путем конденсации галогенированных углеводородов синтеза бензина из СО и H₂ с многоядерными ароматич. угле-водородами при помощи катализатора Фриделя— Крафтса. Применяют галогенированные фракции, получаемые при синтезе бензина, кипящие в пределах 280-320° и преимущественно тяжелые бензины, получаемые при том же синтезе, и кипящие в пределах 150—250°. Способ отличается тем, что к углеводородному маслу для снижения диэлектрич, потерь и уменьпения смолообразования добавляют обычные минер, масла в кол-ве 15—50 об. %. И. Шебло масла в кол-ве 15—50 об. %. И. Шебло 13055 П. Консистентная смазка. Бонди (Lubri-

cating grease composition. Bondi Arnold A.) [Shell Development Co.]. Канад. пат. 512109, 19.04.55 Патентуется механически стабильная, термически обратимая и не выделяющая масла Li-консистентная. смазка, состоящая из минер. смазочного масла, 5— 25% Li-мыла смеси из 10—90% 12-оксистеариновой или 9,10-диоксистеариновой к-ты и 90-10% гидрированной к-ты рыбьего жира не ниже С8 - С10 и полиалкиленгликоля. Смесь масла с мылом нагревают до 185—230° и прибавляют 0,1—1,0% полимера поливл-киленгликоля со средним мол. в. 400—7000, либо его киленгликоли со средним мол. в. чосткое виде простого или сложного эфира. Смазку охлаждают в виде слоев толщиной 0,3—2,5 см со скоростью достаточной, чтобы смазка через 30 мин. застыла в виде геля.

Е. Покровская

Консистентные смазки, содержащие литиевое мыло полимеризованной 12-оксистеариновой кислоты и способ их производства. Энтуисл (Greases containing a lithium soap of polymerized 12-hydroxy stearic acid and their method of manufacture. Entwistle George) [Sinclair Refining Co.]. Пат. США, 2695878, 30.11.54

Патентуется способ приготовления смазок на основе минер. смазочного масла, загущенного при максим. т-ре 150—155° мылом, полученным при 75—120° из полимеризованной 12-оксистеариновой к-ты (I) и Liоснования. I готовится путем нагревания до 66-150° 12-оксистеариновой к-ты до практического достижения равновесия. Li-основание берется в кол-ве, достаточном Ф. Неволин для омыления I. 13057 II.

1057 П. Теломерные смазки. Беннинг, Хилл (Telomer greases. Benning Anthony F., Hill Frederick B., Jr) [E. I. du Pont de Nemours and Co.]. Канад. пат. 512914, 17.05.55 Смазка с высоким индексом вязкости (сохраняющая

свои реологич. свойства при очень высоких т-рах) представляет собой гомогенную смесь из следующих компонентов: 70-90 вес. % теломерного масла с т. кип. >70° при 10 мм на теломеров СНСІ_в с монохлортрифтор-этиленом (I), теломеров ССІ₄ с I, смешанных теломеров СНСІ₈ с I и тетрафторэтиленом (II), смешанных теломеров CCl4 с I и II или смесей указанных теломеров; причем концевой галонд теломерного масла должен быть Cl или F; 10-30 вес. % теломерного загустителя с мол. в. 2500-4000, представляющего собой теломеры СНСІ3 с II или теломеры ССІ4 с II (последний суспендирован в 4-5 вес. ч. исходного телогена, который затем отгоняют). Теломеры стабилизируют фторированием. Пример смазки: 70—90% смещанного теломера СНСІ_в с 70—80% **I** и 20—30% **II** в смеси с 10—30 вес. ч. теломера CHCl₃ с II (средний мол. в. 2500—4000), суспендированного в 4—5 вес. ч. CHCl₃, который затем отго-Е. Покровская

13058 II. Констистентные смазки на литиевых мылах. Bуде, Плантфибер (Lithium soap greases. Woods Harold A., Plantfeber Jacob u s M.) [Sheel 511882, 12.04.55 [Sheel Development Co.]. Канад. пат.

C H He Ge

4

B

це

по

HO HR

по

38

CTI

13

C T

He

381

KO

CTE

HOE

3117 n r

аце

III.

вел

130

Tan CHH

Низкотемпературная консистентная смазка, стойкая к окислению, состоящая в основном из углеводородного масла с вязкостно-весовой константой >0.84 и с т-рой заст. ниже —51° (по одному из вариантов патента с вязкостью 20,6 *сст.* содержит 3—10 вес. % Li-мыла жирной к-ты с ≥12 атомами С, от 0,01 до 0,5 вес. % свободной жирной к-ты с ≥12 атомами С и 0,01-2 вес. % антнокислителя, принадлежащего к классу алкилированных при N парафенилдиаминов и липолициклич. ароматич. аминов (напр., фенил-а-нафтиламин).

Бентонитовые смазки. О'Халлоран (Bentonite greases. O'Halloran Rosemary) Esso Research and Engineering Co.]. Канад. пат. 515718, 16.08.55

Бентонит обрабатывают солями низкомолекулярных к-т первичных или четвертичных алифатич. высоко-молекулярных аминов, напр. солянокислым октадециламином, в результате чего образуется комплексный продукт р-ции. 5-50% этого продукта обрабатывают практически равным объемом полярного в-ва (ацетона, эфира, изопропилового спирта, толуола, ксилола или мх смесей); полученный продукт распыляют, пользунсь мешалкой, в 50—95% минер. смазочного масла или силиконовой жидкости и нагревают смесь до т-ры выше т-ры кипения полярного в-ва для его удаления. Е. Покровская

См. также: Происхожд. нефти 11535-11539, 11541-11543. Состав нефтей 11540. Смазочные масла, спектр поглощ. 12210. Разгонка 14171. Автоматизация 14259. Коррозия и борьба с ней 14118, 14120. Сточные воды 12724, 12725, 12786, 12787, 12813

промышленный органический синтез

Редакторы С. З. Тайц, В. П. Фабричный

Вопросы сырья в промышленности химического синтеза. Мязга (Zagadnienia surowcowe w przemyšle syntezy chemicznej. Miazga Maria), Chemik. 1955, 8, № 11, 317—320 (польск.) Рассмотрены вопросы сырья, связанные с развитием в ПНР в 1956-1960 гг. пром-сти хим. синтеза (NH₃,

полимеры, синтетич. моющие в-ва, продукты основного С. Войткевич органич. синтеза). 13061. Проблема надлежащего использования органического сырыя. Свентославский (Problem należytego wyzyskania surowców organicznych. Świętocławski W.), Przem. chem., 1955, 11, № 10,

539-540 (польск.)

Рассмотрены вопросы комплексного использования продуктов синтеза жидкого топлива и переработки каменноугольной смолы. Войткевич Этан, пропан и бутаны, как пенсчерпаемый источник сырья для нефтехимического синтеза. Часть 3. Галондные производные углеводородов нефти. Шервуд (Petrochemicals unlimited, from ethane, propane, butanes. Part 3. Halogenated petrochemicals. Scherwood Peter W.), Petrol. Engr., 1955, 27, № 11, C41, C44—C48, C50 (англ.) Обзор методов произ-ва и путей использования хлористого этила, дихлорэтана, дибромэтана, хлористого винила, этилен- и пропиленхлоргидрина, хлоргидрина стирола, дихлоргидрина глицерина, 1,1,2-трихлорэтана, тетрахлорэтилена, хлористого аллила, хлористого винилидена и 1,4-дихлорбутена-2. Приведены данные о произ-ве некоторых из этих продуктов в США в 1953 г. Библ. 17 назв. Часть II см. РЖХим, 1957, Н. Дабагов 5502.

Усовершенствованные способы производства этилена. III ервуд (Méthodes perfectionnées pour la fabrication de l'éthylène. Sherwood Peter W.), Chimie et industrie, 1954, 71, № 4, 723—725 (франц.)

Краткий обзор методов произ-ва и очистки этилена, Отмечается, что дегидрирование этана, проходящее в лабор. условиях с выходом >88%, может быть прв. менено только в таких произ-вах, где возможно достижение очень высоких т-р. Крекинг пропана идет с выходом $\sim 50\%$ вследствие побочного образования пропилена. Крекинг и частичное окисление углеводородов в цилиндрич. печах с движущимся теплоносителем (гравий) при 760—843° и давл. 0,7—2 ат позволяет получать довольно высокий выход этилена, но требует сложных механич, приспособлений. Окисление этана проводят в камере, заполненной керамич. шарами, при т-ре 882° и давл. 300—400 мм рт. ст. с выходом 60—65%. Перечислены способы очистки этилена: фракционирование при пизкой т-ре, абсорбция углеводородами с последующей фракционировкой, непрерывная адсорбция на угле по способу противотока (гиперадсорбция), и абсорбция солями Си с последующим разложением при повышенной т-ре. Для последнего случая необходима хорошая очистка от ацетилена, во избежание образования ацетиленида Си. Повышение выхода этплена при новом проnecce ero получения. С и, Фаулер (New process increases ethylene yield. Seay J. Glenn, Fowler Frank C.), Petrol. Refiner, 1954, 33, No 12. 183-185 (англ.)

Описание процесса получения C₂H₄ из C₂H₆ конверсией последнего с перегретым водяным паром (~1100°). Для получения пара применяется 2-секционный пароперегреватель. В верхней секции производится нагрев керамич. теплоносителя сжиганием газа, а в нижней перегрев пара. С. Н. смешивают с паром (1:8) и подают в реактор. Время контакта ~0,015 сек. Продукты р-ции поступают на закалку, осуществляемую вспрыском воды. Выход за проход достигает 60%, а при рециркулядии >85%. Преимущество процесса, помимо высокого выхода, - высокая чистота целевого продукта. Приведена схема процесса. В. Щекин

065. Каталитическая полимеризация пропилена. **Петров** (Katalytische Polymerisation von Propen. Petrow A.), Fette-Seifen-Anstrichmitt., 1955, 57, № 10, 798—799 (нем.; рез. англ. франц., исп.) Каталитическую полимеризацию пропилена обычно проводят в присутствии Н₃РО₄ при 180-240° и 50-80 *ат* для получения ди- и тримеров, применяемых в качестве антидетонирующей прибавки к жидкому горючему, и тетра- и пентамеров, применяемых для синтеза моющих средств. Исследована полимеризация пропилена в присутствии ZnCl₂, обладающего понижевным корродирующим действием (по сравнению с НаРО4). и изучен состав получаемых полимеров. Ноненовая фракция (т. кнп. 132—136°) состоит главным образом из 3,4,5-триметилгексена-2, 3-этил-4,4-диметилиен тена-2 и небольшого кол-ва 3,4-диметилгентена-3. При отборе этой фракции в более пироких пределах (т. кип. 122—142°) выделены также 2,3,5-триметилгексен-2, 2,4-диметилгептен-1, 2,6-диметилгептен-2 в 7-метилоктен-3. Оказалось, что фракция димера, со-стоящая из 2-метилиентена-1 и 4-метилиентена-1, полимеризуется главным образом до 3,3-диметилбутилена-1. Исследован процесс обратной изомеризации олефинов, приводящий к образованию менее разветвленных продуктов, который проходит при более длительном контакте с катализатором; при этом выход додециленовой фракции увеличивается с 20 до 55%. Установлено, что полимеры, полученные с применением ZnCl2, вследствие своего более разветвленного характера,

r.

rBa

er 725

Ha TIEE pu-

TH-

BЫ-

IPO-

ДОВ

мец THET

oyer

гана

при

5%.

иро-

цами

ал-

орб-

оже-

учая

ежавина

ocess

0 W-

€ 12,

нвер-

100%

паро-

агрев

ей -

одают

р-ции

ыском

ирку-

высо-

цукта.

Цекин илена. ropen.

5, 57,

ончно

a 50-

пемых ІДКОМУ

их для

изапия нижен-13PO4),

еновая

бразом

илпен-

тена-3.

ределах

иметил-

ен-2 и

pa, co-

тена-1,

илбути-

оизации развет-

тее дли-

выход

0 55%

енением

рактера,

(сп.)

для целей синтеза моющих в-в уступают полимерам, получаемым с применением H₃PO₄. В. Уфимцев 13066. Прямое окисление этилена до окиси этилена. Ландау (Direct oxidation of ethylene to ethylene oxide. Landau Ralph), Industr. Chemist., 1955, 31, № 364, 233—236; Petrol. Engr. 1955, 27, № 5, C71, C72, C74, C75 (англ.)

Приведены некоторые данные и основные принципы процесса получения окиси этилена прямым окислением этилена, разработанного фирмой Scientific Design Co., пс. и осуществленного на двух опытных установках; выход окиси этилена >60%. Применен новый катализатор, подробности приготовления и состав которого не указаны. В. Уфимпев

ве указаны. В. Уфимцев 13067. Концентрирование разбавленных растворов формальдегида под давлением. Фарберов М. И., Сперанская В. А., Ж. прикл. химии, 1955,

28, № 2, 222—226 Изучено концентрирование разб. р-ров формальдегида (I). Определена зависимость состава пара и жидкости для системы I — вода при различных давлениях. С увеличением давления кривые состава жидкости и пара сильнее отклоняются от диагонали, т. е. кон-центрирование протекает легче. Это отклонение особенно значительно при изменении давления с 2 до 4 ama. С увеличением давления растет содержание I в азеотропной смеси. Оптимальным давлением для конпентрирования I является 3-4 ата. Приведен график, показывающий зависимость содержания І в азеотропной смеси от давления. Определена величина разложения I в зависимости от времени нагрева 22%-ного р-ра I со стружками Сu, Al, стали ЭЯ-1Т и стали-3 при 140°. Сталь-3 существенно ускоряет р-цию разложения I по ур-нию: 2CH₂O + H₂O → HCOOH + CH₃OH. Потери I в присутствии Cu, Al и стали ЭЯ-1Т незначительно отличаются от потерь при работе в стекле. Под действием НСООН сильно корродируют сталь-3 и сталь ЭЯ-1Т; Cu и Al достаточно стойки к коррозии под действием слабых р-ров НСООН. А. Евдокимов-Скопинский 13068. Гидратация ацетилена в жидкой фазе. М е д онос, Кадлец (Hydratace acetylenu v kapané fázi. Medonos V., Kadlec M.), Chem. prù-mysl, 1956, 6, № 3, 92—95 (чеш.; рез. русс., англ.) На лабор, установке с реактором емк. 1,5 л., рас-счатанной на выработку 70 г СН₃СНО в 1 час, исследовали процесс конверсии С2Н2 в СН3СНО с применением катализатора, содержащего 1% HgO. Показано, что оптимальными условиями процесса являются, конц-ия H_2 SO4 20—25%, т-ра > 70° и пропускная скорость C_2H_2 , зависящая от параметров аппаратуры, 60-85 л/час на 1 л жидкого катализатора; максим. степень конверсии за 1 час достигала 64-66%. Приведена схема установки. К. 3. зано, что оптимальными условиями процесса являются:

Промышленные синтезы на основе ацетона. Шервуд (Industrials syntheses based on acctone. Sherwood Peter W.), Industr. Chemist, 1956, 32, № 374, 99—104 (англ.)

Обзор промышленных способов получения диацетонового спирта (применяемого для получения окиси мезитила, метилизобутилкетона, метилизобутилкарбинола и гексиленгликоля), кетена (для уксусного ангидрида), ацетонциантидрина, изофорона, форона, 4,4'-изопропалидендифенола и некоторых других продуктов. При-ведены основные методы и условия синтезов. Библ. 18 назв. В. Уфимцев 13070. Разделение синтетических кислот методом экстрактивной кристаллизации при помощи мочевины.

Фрейдин Б. Г., Таммик К. Д., Ж. прикл. химин, 1956, 29, № 6, 935—940 Исследованы 2 варианта метода экстрактивной крис-

таллизации при помощи мочевины (I) для разделения синтетич. жирных к-т с прямой и разветвленной цепью,

а именно: обработкой насыщ. p-ром I в присутствии нерастворенного избытка I или без него, или растиранием I с жирными к-тами в присутствии незначительного кол-ва активатора. Разделению подвергались к-ты, полученные окислением дизельной фракции искусств. жидкого топлива (т. кип. 220—330°), а также керосина, деароматизированного обработкой H₂SO₄. а) P-р синтетич. жирных к-т в двойном объеме дег-кого бенанна (т. кип. < 100°) или C₆H₆ при 20—22° и при интенсивном перемещивании 30—60 мин. обрабатывают насыщ. p-pом I (в присутствии нерастворенной I), взятой в кол-ве ≥ 120% от теоретич.; причем насыщ. p-pа I берут ~ 350 мл на 80 г к-т нормального строения. Образовавшийся комплекс вместе с избытком I отфильтровывают и промывают бензином или C₆H₆. Из бензинового (бензольного) слоя отгонкой р-рителя выделяют к-ты, непрореагировавшие с І. Води. слой перемещивают при нагревании до 80° с отфильтрованным осадком, выделившиеся к-ты отделяют, промывают ным осадком, выделявшиеси к-ты огделяют, промывают водой и сушат, а води. р-р I охлаждают и вместе с выпавшим осадком I используют для повторных опытов; б) I, взятую в кол-ве 120% от теоретич., растирают со смесью синтетич. жирных к-т, лучше в присутствии 3% (по отношению к I) воды или СН₃ОН, дальнейшую промывку образовавшегося комплекса от непрореагировавших к-т, их выделение и разложение комплекса проводят как указано выше. Приведены результаты разделения смесей насыщ. к-т, полученных из арахи-сового масла и окислением фракции синтина (т. кип. 220—330°). Установлена возможность применения экстрактивной кристаллизации при помощи I для разделения синтетич. жирных к-т, получаемых окислением жидких углеводородных смесей, в том числе их твердых фракций, а также для очистки от вторичных продуктов окисления. При изменении условий экстрактивной кристаллизации (изменением кол-ва I) возможно выделение более чистых к-т нормального строения.

В. Уфилцев Синтез спиильной кислоты из метана и ее использование. Ямамото (メタンを原料とする 青綾の合成とその用途。山本爲親),有機合成化學協會誌, Юки госэй кагаку кёкайси, J. Soc. Organ. Synth. Chem., Japan, 1956, 14, № 2, 69—75 (япон.)

Обзорная статья. Библ. 19 назв. В. Каратаев Усовершенствование способов синтеза моче-Вины. Сибата (尿素合成工業の現状と粉來、柴田 勝太郎),有機合成化學協會誌, Юки госэй кагаку кёкайси, J. Soc. Organ. Synth. Chem., Japan, 1956, 14, № 2, 75—79 (япон.)

Обзорная статья. В. Каратаев 1073. Мочевина и ее промышленное производство. Камбои (L'urée et sa fabrication industrielle. Саmbon Th.), Chimie et industrie, 1955, 74, № 5, 917—928 (франц.)

Описывается способ произ-ва мочевины (I) из CO2 и NH₃, принятый на з-де Office National Industriel de l'Azote (Франция). NH3 поступает на з-д с чистотой не ниже 99,9% (без вредных примесей), хранится под давл. 13-15 ат и в реакторы-автоклавы подается насосами под давл. 160 ат. Углекислота состоит из 83% ${\rm CO_2},\,0,6\%$ ${\rm CO},\,5,4\%$ ${\rm N_2},\,\,$ 11% ${\rm H_2}$ и содержит следы ${\rm O_2}$ и органич. S. Очистка ее осуществляется в 2 фазы. В 1-й фазе газ пропускают последовательно через пылеи водоотделитель, 2 компрессора давл. 45 am, маслоотделитель, 2 холодильника с жидкой CO_2 и 2 холодильника с жидким NH3 и, паконец, через резервуар, где происходит отделение несконденсированных газов (H₂, N₂) от жидкой CO₂ чистоты 98-98,5%. Во 2-й фазе жидкую CO₂ вновь переводят в газ, для чего ее пропускают в качестве хладоагента через вышеуказан-ные холодильники, потом через 2 теплообменника, питаемые очищ. газом, и сепаратор, в котором происходит отделение газообразной СО2 от жидкой. Из сепаратора CO₂ проходит через 2 компрессора давл. 210 am (в реакторе-автоклаве давл. 170—180 am), сепаратор со спец. фильтром для отделения следов масла и пыли через 2 колонны-десульфуратора с PbO в качестве по-глотителя органич. S и с фильтрами в верхней части для удержания пыли. По выходе из десульфураторов очищ. от S газ проходит через теплообменник, питаемый очищ. от О2 газом, и с т-рой 110° поступает в обогреваемый паром подогреватель и из него с т-рой 200° — во 2-й электрич. нагреватель, из которого с т-рой 240° по-ступает в контактные печи с Ni-Cu-катализатором, поглещающим следы О2. На выходе газа печи снабжены фильтрами. Очищ. газ содержит 98,5% CO₂ n 1,5% примесей, состоящих из 15% CO, 46% H₂ и 39% N₂. Реакторы для синтеза I производительностью 30 m в сутки снабжены рубашками, в которые сначала подают пар для инициирования р-ции, а потом воду для поглощения теплоты р-ции. Продолжительность р-ции~2 час. По ее окончании p-р I поступает в конич. резервуар го наружным обогревом, где происходит выделение не-прореагировавших СО₂ и NH₃ (60%), направляемых на произ-во (NH₄)₂SO₄. Из резервуара р-р, содержащий ~600 г/л I, поступает в дистилляционную колонну, где происходит частичное его концентрирование и полное удаление свободных NH₃ и CO₂, потом через мерники в приемники испарителя (работающего под давл. 500 мм), где происходит дальнейшее концентрирование р-ра, и дальше в 2 приемника, питающие фильтры, для максим. удаления осажденных Fe и Pb, сообщающих I красный цвет, что делает ее непригодной для произ-ва пластич. масс. После фильтрации p-р поступает во 2-й испаритель, также работающий под давл. 500 мм, а из него в приемники, где он хранится при 120°; пары же из обоих испарителей поступают после кон-денсации в цех произ-ва (NH₄)₂SO₄. Кристаллизация I осуществляется распылением р-ра горячим воздухом в распылителе, представляющем камеру из листового железа длиной 14 м, вертикальные стенки которой имеют наклон к центру в нижней части и заканчиваются над резиновой конвейерной лентой шириной 2,5 м, служащей для выгрузки I. Покидающие камеру пыль и пары поступают через аспиратор в промывную колонну, где их снова переводят в p-p, который рециркулирует в вышеуказанные приемники перед фильтрами. Окончательной сушке I подвергают во вращающейся печи длиной 15,5 м и диам. 1,8 м, обогреваемой воздухом до 130°. Высушенную I просенвают и направляют в бункер-хранилище. Более крупные куски на сите пропускают через магнитный сепаратор, измельчают, переводят в р-р и также рециркулируют в приемники перед фильтрами. Изложены также теоретич. основы процесса, области применения I и ее физ. показатели. Приведена технологич. схэма процесса. Я. Кантор Не прерывное получение алкилнитритов ре-

акцией азотистой кислоты с низшими алифатическими спиртами. III пенглер, Хон (Kontinuerliche Darstellung von Estern der salpetrigen Säure mit niederen aliphatischen Alkoholen. Spengler Günter, Hohn Hannsheinz), Chem.-Ingr.-Techn, 1953, 25, № 12, 706—710 (пем.)

Описаны метод получения низших алифатич. алкилнитритов и аппаратурное оформление модельной усталовки. Приведены схема аппаратов, сведения о физиологич. действии продуктов и технич. данные работы установки. Я. Ротштейн

Получение и применение акрилонитрила. Щ упачинская (Otrzymywanie i stosowanie nitrylu kwasu akrylowego. Szczupaczyńska Ma-ria), Chemik, 1955, 8, № 2, 50—54 (польск.) Рассмотрены способы получения акрилонитрила,

в том числе, а) метод дегидратации в-этиленциангилонна

и б) синтез из С₂Н₂ и НСN. Перечислены продукты, пра которых акрилонитрил является исходным сырьем.

С. Войткевич Метилсиликонат натрия. Катер, Торкелсов (Sodium methylsiliconate. William S., Torkelson Arnold), Industrand Engng Chem., 1954, 46, № 2, 381—384 (ART.) Рассмотрены способы получения Nа-метилсиликовата (I) и его применение для гидрофобизации различных материалов. Подробно описан синтер 1, материалов. Подробно описан синтер 1, 9H₂O. Б. Фабричный Б. Фабричный

Ямакава (+д 13077. Применение толуола. エンの用途. 山川通雄), (1 學工業, Karaky korë, Chem. Ind. (Japan), 1956, 7, № 2, 273—274 (япоп.)

Рассмотрено потребление толуола в Японии пля произ-ва взрывчатых в-в, промежуточных продуктов, синтетич. волокон, для применения в лакокрасочной пром-сти и прочих целей. Приведены схемы нитрования толуола и произ-ва сахарина. В. Уфимцев 13078. О хлорировании технических ксиленолов. М ю д-

лер, Линде (Über die Chlorierung des technischen Xylenols. Müller Heinz, Linde Hel-mut), Chem. Technik, 1956, 8, № 7, 382—386

Исследовано хлорирование фракции ксиленолов (т. кип. 206—226°), полученной перегонкой смолы бурого угля. Хлорирование проводили при т-ре ≤ 40°, в особенности в 1-й стадии процесса до содержания в хлорированном продукте 45—48% Cl. В 1-й стадии провеходит замещение на Cl атомов H, находящихся в орто и пара-положениях к фенольной оксигруппе, с выделением ~ 540 ккал на каждый 1 кг примененного кснленола. Во 2-й стадии хлорирование ведут без заменого выделения тепла до содержания ~ 60% СІ в продукте; при этом происходит замещение атома Н фе нольной оксигруппы на Cl, перегруппировка получевного соединения в соответствующие хлорпроизводные циклогексадиенона, а затем присоединение Cl к двой ной связи последнегос образованием производных циклогексанона; при перегонке при т-ре выше 160°/20 мм продукты 2-й стадии хлорирования образуют знач-тельное кол-во смол. Рассмотревы 3 возможных мемнизма конденсации при смолообразовании. В качесты индивидуальных продуктов хлорирования выделени 4-хлор-3,5-диметилфенол (выход 4%, т. пл. 114—116°). 2,4,6-трихлор-3,5-диметилфенол н 2,4,4,5,6,6,-тека-хлор-3-метилциклогексен-2-он-1 (т. пл. 117—118). Полученные кристаллич. трихлорксиленолы пригоды в качестве фунгицидов, а смесь продуктов хлорирования — в качестве дезинфекционных средств и средст для пропитки древесины. 13079. Фенол и его возрастающее значение в в

честве сырья для химической промышленность Бейер (Das Phenol und seine wachsende Bedeutum als Ausgangsprodukt für die chemische Industri (Nylon, Perlon usw.). Beier Ernst), Bergban-Rundschau, 1956, 8, № 2, 80—83 (нем.) Обзор методов получения фенола и областей его

применения. Б. Энгли Автоматизация процесса окисления нафталии во фталевый ангидрид. Трыбальский, Ре коссовский (Studium nad automatyzacja procesu utleniania naftalenu na bezwodnik ftalow. Trybalski Z., Rokossowski Z.), Przem. chem., 1956, 12, № 2, 74—76 (польск.)

Проведены опыты автоматизации процесса каталите. окисления нафталина во фталевый ангидрид. Дам технологич. и конструктивное оформление автомат зации. Производится дополнятельной дополнятельной дерен внедруждующих перед внедруждующих и за производительной дерен внедруждующих дерен в за применения зации. Производится дополнительная проверка р нием автоматизации в пром-сть.

7 r.

г, для

ъем. кевич

Top her , In-aurn.)

оната

ZMHPB

сили-

ИЧНЫЙ

(ha I.)

и для

YKTOB. ионро

Ванка

римцев М ю л-

ischen

Hel-

2 - 386

енолов

бурого в осо-

в хло-

проис-

в орто-

выде-

TO RCH-BAMET-

в про-

Н фе-

олучев-

водные

к пвой-

цикло-/20 мл

зиачи-

х меза-

ачеств

делены —116°), 5,-гекса-—118°).

ригодии

лориро-

с редсп фимпа е в п нность

edeutum

ndustrie

Bergban-

тей еп

фталин

acja pro-

ftalowy. Przem

талити. д. Даво

втомать

ерка ре внедре К. 3. 3081. Возможности электролитического производства п-аминофенола в Индии. Дей, Удупа, Криш-намуртки (Commercial possibility of producing electrolytic para-aminophenol in India. Dey B. B., U dupa H. V. K., Krishnamurthy G. S.), Bull. Centr. Elektrochem. Res. Inst., 1955, 2, № 2, 62-64 (англ.)

Краткий историч. обзор способов произ-ва п-амино**бенола**, начиная с получения его в 1874 г. фирмой Bayer & Co. восстановлением n-нитрофенола Sn и HCl (к-той). Описывается электролитич. способ получения в-аминофенола восстановлением интробензола с применением вращающихся катодов из амальгамированной Си или монель-металла. Дан экономич. расчет завод-ского произ-ва n-аминофенола. К. М.

3082. Контроль регенерации катализатора. К ратохвил, Берджер (Catalyst regeneration control. Kratochvil K. V., Berger D. E.), Petrol. Engr., 1953, 25, № 7, С-13—С-15 (англ.)

Для контроля процесса регенерации катализатора в произ-ве бутадиена установлен ИК-газоанализатор (ИКГ) для анализа отходящих газов на содержание CO2, конц-ия которого резко снижается в конце регенерации. Установка ИКГ улучшила качество регенерированного катализатора, что дало повышение выхода бутадиена на 8—14%. ИКГ фирмы Phillips Petroleum Co. paботает без разложения света со светофильтром. Окна кюветы сделаны из Са F2. Светофильтры представляют собой систему из двух пластин: кварцевой и сапфировой. Приемниками излучения служат два болометра, включенные в автоматически уравновешиваемую мостовую схему. Кроме балансирного мотора, урагновешиваю-щего мост, в ИКГ предусмотрен другой балансирный мотор для автоматич. проверки нуля, для чего спец. переключающим устройством в ИКГ периодич. подают воздух. Цвил проверки ИКГ синхронизирован с циклом процесса регенерации. Шкала ИКГ нелинейная, с наичувствительностью в начале при малых кон-циях СО2 (0,5%). Проба газа для анализа фильтруется и охлаждается для уменьшения влагосодержания. Давление и расход газа регулируется автоматич. регуляторами. Воздух, подаваемый для установки нуля, увлажняется примерно до той же влажности, что и аналивруемый газ. Расход газа (2 л/мин) контролируется ротаметром. ИКГ помещен во взрывобезопасный кожух.

13083 K. Общая технология органических Коданашвили Вахтанг А. ществ. (ორგანულ ნივთიერებათა ზოგადი ტექნოლოგია. კო დანა-შვილი ვ. ა.), თბილისი, ტექნიკა და შრომა, 1955, 363 გვ., 8 მან. 80 კაპ., Тонлиси, «Техника да шрома», 1955, 363 стр., илл., 8 р. 80 к. (груз.)

3084 К. Химин производства органически: веществ. Камэя (有機製造化學. 戴谷哲治. 廣用書店, 3 月, 287—551 頁, 850 圓 Хирокава-сётэн, 1955, 838 стр.,

850 пен) (япон.) 13085 К. Промыпленность органической химин. К а мэтани (有機合成工業. 龜谷哲治. 接報堂, 331 頁, 23 頁.附錄 156 頁, 900 圓 Гиходо, 1954, 331+23 стр., прилож. 150 стр., 900 иен.) (япон.)

Кремнийорганические соединения. Я с и иский (Związki krzemoorganiczne. Jasiński Tadeusz, Warszawa, PWN, 1955, 80 s., 7 zł.)

(польск.) 3087 П. Удаление примесей кетонного характера при получении бутадиена-1,3. Рейлли, Каруордин, Финиган (Removal of ketone impurities in the preparation of butadiene-1,3. Reilly Park M., Carwardine John E. D., Finigan Charles M.), [Polymer Corp., Ltd.]. Канад. пат. 518576, 15.11.55

Бутадиен-1,3 (I) получают каталитич. дегидрированием (при нагревании) над Са-Ni-фосфатным катализатором смеси углеводородов, содержащей значи-тельное кол-во и-бутилена. Продукты дегидрирования фракционируют для выделения С₄-фракции и извлекают из нее I при помещи С4-NH4-ацетата; причем до извлечения 1 С₄-фракцию экстрагируют водой для уда-ления по крайней мере кетонов, образующихся при дегидрировании. Эту промывку водой осуществляют непрерывно в промывной зоне. В частности, указано прабавление С2Н4 к исходной смеси углеводородов, благодаря чему он присутствует при дегидрировании; по оксичании дегидрирования из С₄-фракции свачала извлекают С₂Н₄ промывкой небольшим кол-вом Cu-NH4-ацетата, а затем извлекают I промывкой сравнительно большим кол-вом Cu-NH $_4$ -ацетата. Извлеченный C_2 Н $_4$ регенерируют из экстракта и возвращают в процесс. Приведена технологич. схема.

В. Уфимцев 13088 П. Способ получения диолефинов. Реппе, Певихофер, Даумиллер (Verfahren zur Herstellung von Diclefinen. Reppe Walter, Steinhofer Adolf, Daumiller Gün-ther [Badische Anilin- & Soda-Fabrik A.-G.]. Пат. ФРГ 899350, 10.12.53 [Chem. Zbl., 1955, 126,

№ 15, 3483 (нем.)] Способ состоит в парофазном отщеплении воды при повышенной т-ре от дволов, содержащих > 4 атомов С в смеси с водяным паром в присутствии соответствующих катализаторов (см. герм. пат. 578994 и 610371) и рециркулируемого парообразного тетрагидрофурана. Из 1,4- и 1,3-бутиленгликолей получают бутадиен; выход > 90%. Добанки тетрагидрофурана подавляют сбразование побочных продуктов, повышают выход и удлиняют срок службы катализаторов. 2-Метилбутандиол-1,3 дает изопрен. Я. Кантор 13089 П. Каталитическая дегидратация гександнола в гексадеев. X аммонд (Catalytic dehydration of a hexandiol to a hexadiene. H a m m o n d J o h n A. S.) [Food Machinery and Chemical Corp.]. Пат. США 2715649, 16.08.55

[(CH₂)₂C(OH)CH₂]₂ дегидратируют в [(CH₂)₂C=CH]₂ пропускавнем паров над катализатором, приготовленным обработкой Al₂O₃ ортофосфорной к-той (I) (5—10% I от веса Al₂O₃) и нагреванием при 200—300°. Приведена кривая зависимости конверсии от содержания I в катализаторе (при 10% І конверсия составляет 10%).

Ю. Голынец i3090 П. Процесс и катализатор для производства хлористого метилена. Томас, Хайндли (Process and catalyst for methylene chloride production. Thomas Edward Boaden, Hindles Frank) [British Celanese Ltd.]. Пат. США 2715146,

CH2Cl2 получают пропусканием CH3Cl и Cl2 в жидкую S₂Cl₂ при 65—75°; при этом образуется небольшое кол-во

полихлорированных продуктов.

В. Смет 13091 П. Способ получения дифтортрихлоротана. Шмидт, Тейх (Verfahren zur Herstellung von Difluortrichloräthan. Smidt Jürgen, Teich Horst) [Wacker-Chemie G.m.b.H.]. Пат. ФРГ 931465 8.08.55 Дифтортрихлорэтан получают действием НF под

давлением на пентахлорэтан в присутствии катализаторов (AsCl₅ и (или) AsF₈), причем жидкую фазу нагревают до 240°, а паровую до 140°, до тех пор, пока не образуется монофтортетрахлорэтан, после чего с целью дальней шего фторирования смесь вагревают еще на 20°. В автоклав емк. 5 л помещают 1600 г пентахлорэтана, 800 г H F, 100 г AsCl₅ и 100 г AsF₈. Т-ру жидкости постепенно доводят до 240°, в то время как т-ра паровой фазыне должна превышать 140°. Через 17 час. давление

No

CTB пев

фра

nar

гил

TOB

хол

IIIIJ

жи

них

TRE

~1

pea

чен

или

пие

пол

или

r) (

KHE

TOJI

uác

mui

про

сод

иис

H 2кла

аль

H I

>13,5

вф ГИД

пос

160

спи

нсх

MOT мер 130

r.

2. C

рего

I oc

Tem.

B a

соп

гир

ЧИВ

жат

1309

T

fa

Z

10

gi

K

K

лен

нил

теле

BRT

T T

жап

равно 15 ати. Затем т-ру жилкости повышают по 265° и продолжают фторирование, так что спустя ~ 21 час (считая с начала процесса) давление составляет 110 ами. После спуска давления получают 1600 г конденсата состоящего из 94% 1,1-дифтор-1,2,2-трихлорэтана и 6% недофторированных и высокофторированных продуктов. Б. Дяткин Получение фтористого винила и 1,1-ди-

фторэтана. Скайлс (Preparation of vinyl fluoride and 1.1-difluorethane and catalyst therefor. Skiles Ве n j a m i n F.) [E. I. du Pont de Nemours and Co]. Пат. США 2716143, 23.08.55

Указанные в-ва получают пропусканием газообразной смеси Н F и С2Н2 (молярные соотношения реагентов 2-5: 1) над катализатором при 250-400° со скоростью 20-205 объемов С. Н. на 1 объем катализатора в 1 час. Катализатор получают пропусканием газообразной смеси НF и N₂ над слоем частиц Al₂(SO₄)₃ при 100— 200° с такой скоростью, чтобы поглошение было полным и до тех пор пока Н Г не перестанет поглощаться, с последующим нагреванием указанного слоя при 250-Л. Герман Получение 1,4-дихлорбутана и 4,4'-дихлор-4009

13093 П. дибутилового эфира. Крёпер (Herstellung von 1,4-Dichlorbutan und 4,4'-Dichlordibutyläther. Кгöрег Hugo) [Badische Anilin-& Soda-Fabrik]. Пат. ФРГ 859884, 5.02.53 [Chem. Zbl., 1953, 124,

№ 44, 7403 (нем.)] 1,4-дихлорбутан и 4,4'-дихлордибутиловый эфир получают нагреванием тетрагидрофурана с конц. водн. р-ром HCl при т-ре ≥110° и повышенном давлении в присутствии H₂SO₄ или других катализаторов присоединения HCl к олефинам таких, как хлориды Fe, Bi, Hg, Zn, J, активированный уголь или кизельгур.

13094. П Способ получения дихлорпентана или дихлорбутана из соответствующих диолов и (или) циклических эфиров. И и дест (Verfahren zur Herstellung von Dichlorpentan bzw. Dichlorbutan aus den entsprechenden Diolen und/oder den entsprechenden cyclischen Äthern. In dest Heinz) [Vereinigte Glanzstoff-Fabriken A.-G.]. Пат. ФРГ

926186, 7.04.55

Дихлорпентан (I) или дихлорбутан получают по непрерывному способу р-цией соответствующих диолов и (или) циклич, простых эфиров с избытком води. HCl конц-ией 200-350 г/л (преимущественно 250-290 г/л). Р-цию проводят при 60—100° (лучше 70—90°) при нормальном давлении, а также в присутствии 10-60% (лучше 30-60%) ZnCl₂ в качестве катализатора в водн. p-pe. Смесь 4,5 кг 36%-ной HCl, 4,5 кг безводн. ZnCl2 и 3 кг пентандиола (II) нагревают 4 часа при 80-90°, пропуская HCl-газ, причем смесь разделяется на 2 слоя. Верхний слой, составляющий ~25—35% общего объема, содержащий в основном I и только небольшие кол-ва побочных продуктов, передают в колонну колбы для перегонки, из которой полученный I отгоняется, а образовавшийся дихлорамиловый эфир, который может содержать примесь І, остается в колбе, а затем возвращается в реакционный сосуд для дальнейшего взаимодействия. Нижний водн. слой, содержащий ~50% ZnCl₂ и 260—280 г/л HCl и растворенный II, а также образовавшийся тетрагидропиран (ІІІ), передают в другую колонну другой колбы для перегонки, причем отгоня-ющийся из колонны III вместе с небольшим кол-вом HCl возвращают в нижний слой реакционного сосуда; из колбы отгоняют 20%-ную HCl вместе с небольшим кол-вом I, который отделяют отстаиванием, а оставшийся в колбе водн. p-p, содержащий в основном ZnCl2 и II, возвращают в реакционный сосуд. Конц-ию HCl в реакционном сосуде поддерживают на уровне 260—280 г/л непрерывным введением HCl-газа. Приливанием II

(пля пополнения прореагировавшего кол-ва II) в реакционный сосуд процесс осуществляют непрерывно: получают 200—400 г/час I, выход 97,5%. Аналогично при применении 4,5 кг 25%-ной HCl, 4,5 кг безводи. ZnCl₂, 10 г КЈ и 3 кг III получают I, выход~98%; применении тетрагидрофурана получают 1.4-дихлорбутан, выход 98%. Приведена схема прибора. В. Уфимпев

П. Способ получения кислородсодержащих соединений. Пистор, Кёльш, Эккерт (Verfahren zur Herstellung sauerstoffhaltiger Verелинений. bindungen. Pistor Hans Joachim, Kölsch Walter, Eckert Ernst) [Chemische Verwertungsgesellschaft Oberhausen m.b.H.]. Пат. ФРГ

921935, 7.01.55

Кислородсодержащие соединения получают р-пией олефиновых углеводородов, газообразных при нормальных условиях, с СО и Н2 при нагревании под давлением в присутствии растворенных Со-соединений с тем отдичием, что р-цию проводят непрерывно в вертикальной колонне (К), не содержащей твердого катализатора и работающей под высоким давлением. Реакционная жидкость в К находится на постоянном уровне, в нижнюю часть К вводят олефин и синтез-газ, к р-ру прибавляют Со-соединение, а из нижней части К выводят кол-во жидкости, соответствующее кол-ву образующихся продуктов. В К емк. 6 об. ч. в течение 24 час. вводят 72,6 об. ч. жидкого пропилена, 88000 об. ч. синтезгаза (1:1) и 5 об. ч. р-ра Со-нафтената в и-бутиловом спирте (катализатор; содержание Со 2%), кол-во от-ходящих газов 40000 об. ч. при нормальных условиях, т-ра 220°, давл. 300 ат. Отходящие газы не содержат пропилена. Получают 81,4 об. ч. первичного продукта пропилена. Получают 31,4 ос. ч. первичного продукта с карбонильным числом 625, который без дальнейшей обработки гидрируют при 160°/300 ат с образованием смеси н- и изо-С₄Н₉ОН. Приведена технологич. схема.

Способ получения кислородсодержащих соединений. единений. Гемасмер, Берг (Verfahren zur Herstellung sauerstoffhaltiger Verbindungen. Ge-Hersteining sauersteiniatinger verhaldingen.

maßmer Alois, Berg Otto) [Chemische Verwertungsges. Oberhausen m.b.H.]. Пат. ФРГ 919226, 18.10.54 [Chem. Zbl., 1955, 126, № 36, 8494] [Chem. Zbl., 1955,

(HeM.)]

Способ состоит в обработке одефинов смесью СО и Н2 при повышенных т-ре и давлении в присутствии Со-катализатора и отличается тем, что образование карбонила Со из катализатора во время присоединения СО и Н2 к двойным связям олефина доведено до минимума благодаря созданию большой поверхности соприкосновения между жидкостью и газом, напр., путем применения турбинной мешалки или путем разбрызгивания, распыления или стекания жидкости (в смеси с катализатором) по стенкам реакционной камеры. Предпочтительно низкое содержание СО в синтез-газе (<20%).

3097 П. Способ получения кислородсодержащих ор ганических соединений. Хейбигоу, Гич, Рей (Verfahren zur Herstellung von sauerstoffhaltigen organischen Verbindungen. Habeshaw John, Geach Charles John, Rae Robin William) [The British Petroleum Co. Ltd.]. Пат. ФРГ

937890, 19.01.56

Кислородсодержащие органич. в-ва получают р-цией материалов, включающих один или несколько С6-9-моноолефинов, с СО и Н2 в условиях оксосинтеза. Р-цию проводят без прибавления (до или во время р-ции) металлич. Со или его твердых соединений, в присутствии специально приготовленного катализатора, напр. Сокарбонила (I) или Со-карбонилгидрида, с применением в качестве исходного материала продуктов полимеря-зации пропилена или бензиновой фракции (преимущеen.

ŭO

- N

TR

СЯ

TR

OM

ne-

IX.

ат

Ta

ей

ew

RN.

Ieb

co-

zur

che

26.

494

CO

BHH

ние

RH

ни-

Бп-

тем

H3-

еси

ред-

%).

тор

ей

rga-

PPF

ией

OHO-

цию

(иид

BHH

Co-

Men

epu-

ственно с т. кип. 50—130°), полученной перегонкой сланпевого масла или продуктов крекинга высококипящих певого масла вля продуктов крепи папр., газойля, парафин-дистиллата и других парафинов); полученные продукты оксореакции, содержащие С7-10-альдегиды, гидрируют полностью или частично с образованием спиртов. В частности указано: а) применение в качестве исходного материала фракции смещанных полимеров про-пилена с т. кип. 30—510° (преимущественно 50—120°); б) газообразные продукты оксосинтеза отделяют от жидких продуктов, разлагают содержащиеся в последних I или Co-карбонилгидрид, и жидкость, содержащую тверлый Со, перегоняют, выделяя фракцию с т. кип. ~120°, которую возвращают в процесс на стадию оксореакции; в) обессеривают бензиновую фракцию, полученную крекингом парафин-дистиллата или газойля, или фракцию, полученную экстрактивной дистилляпией и содержащую ароматич, соединения, после чего полученную очищ. фракцию, содержащую моноолефины или ароматич. соединения, подвергают оксореакции; г) бензиновую фракцию, полученную каталитич. кревингом газойля или парафин-листиллата и содержащую толуол, подвергают оксореакции и после гидрирования части или всего полученного альдегида до спирта оставшийся неизменным толуол выделяют. 320 г фракции продуктов полимеризации пропилена с т. кип. 50-120°. содержащей 50% гексенов (в основном 2-метилнентен-2, иис-и транс-3-метилпентены-2, а также 4-метилепентен-2 и 2-метилпентен-1) и 0,25 г/л Со в форме I, вводят в автоклав с 80 л СО и 95 л Н2 и нагревают 2,5 часа при 148° и 209 am. Полученный продукт, содержащий 47,5% альдегидов (считая на С7-альдегиды), перегоняют и непрореагировавшие олефины (фракция с т. кип. >120°) подвергают повторной оксореакции в течение 3,5 часа при 150° и 211 ам в присутствии 0,27 г/л Со в форме I, получаемый продукт содержит 45% альдегидов (считая на С7-альдегиды). Полученные альдегиды после отделения от углеводородов гидрируют при 140-160° и 120 ат в присутствии Ni-катализатора, получают спирты с 7-8 атомами С, выход 80-85%, считая на исходную смесь альдегидов. Регенерированные олефины могут быть возвращены в процесс. Приведены еще 5 примеров и технологич. схе та. В. Уфимпев 3098 П. Способ обезвоживания спиртов с помещью гликолей. Беклунд (Förfaringssätt vid avvattning av alkohol med tillhjälp av glykol. Ваескlund G.) [AB Kemisk-Teknisk Apparatur]. Швед. пат. 148544,

Спирты обезвоживают с помощью гликолей (I) переговкой на колонне; перед повторным использованием I освобождают от поглощенной воды. Способ отличается тем, что обезвоживание как спвртов, так и I производят в аппаратуре, поверхность которой (по крайней мере соприкасающаяся с I при высокой т-ре) сделана из летированной стали, обладающей повышенной устойчивостью против хим. коррозни. Сталь может содержать от 0 до 10% Си.

Л. Крюкова 13099 II. Способ производства карбинолов ряда ацетилена. Цельтиер, Генас (Process for manufacturing carbinols having an acetylenic function. Zeltner Joseph, Genas Michailas (Compagnie de Produits Chimiques et Electrométallurgiques Alais, Froges et Camarque, Fabrique Réunies de Produits Chimiques de Thann et de Mulhouse).

Канад. пат. 505526, 31.08.54
Карбинолы ряда ацетилена получают р-цией ацетиленового соединения (I) и в-ва, содержащего карбонильную группу, в присутствии твердого КОН и р-рителей, которыми служат ацетали, причем вначале готовят смесь КОН и р-рителя, затем вводят в нее часть I в только потом начинают добавлять карбонилсодержащее соединение.

И. Шалавина

13100 П. Производство многоатомных спиртов. X а мблет (Production of polyhydric alcohols. H a mblet Clement H.) [E. I. du Pont. de Nemours and Co.]. Канад. пат. 516096, 30.08.55

Циклогексан, циклогексанол или циклогексанон окисляют О₂ или HNO₃ при 50—175° в жидкой фазе. Остаток после выделения адипиновой к-ты из продукта окисления нагревают при 80—250° со спиртом, не добавляя катализатора этерификации. Образовавшуюся смесь сложных эфиров подвергают гидрированию при 175—325° и повышенном давлении в присутствии катализатора — Си-хромита или смеси восстановленных окислов Си и Zn (гидрирование можно проводить непрерывно в присутствии фиксированного каталитич. слоя, состоящего из восстановленных окисей Си и Zn). Получаемые многоатомные спирты выделяют из реакционной массы. И Шалавина 13101 П. Производство простых эфиров реакцией

3101 П. Пронзводство простых эфиров реакцией оксисоединений, окиси углерода и водорода. Г решам м (Ethers produced by reacting hydroxy compounds, carbon monoxide and hydrogen. G resham William F.) [E. I. du Pont de Nemours and Co.].

Канад. пат. 516932, 27.09.55
Органические О-содержащие в-ва получают р-цией спирта, СО и Н2 (соотношение последних реагентов 3:1—1:3) при 100—350° и 1000—5000 ат в присутствин Со-содержащего катализатора. Р-цию проводит в автоклаве. Из образующейся смеси выйсляют продукт р-ции. Действием СО и. Н2 на СН3ОН в указанных условиях в присутствии катализатора—соли СО (напр., Со-ацетата), растворенной в СН3ОН, получают монометиловые эфиры пропилентликоля. И. Шалавина 13102 П. Стабилизация престых эфиров. Маллинкродт, Руле (Ether preservation. Mallinck rod t Edward, Jr, Ruehle Archie E.) [Mallinckrodt Chemical Works]. Пат. США 2720544, 2720545, 11.10.55

Для стабилизации простых эфиров к ним добавляют дитваон, Cu(2+), Pb- или Sn(2+)-дитизонат (пат. 2720544), а также купферрон и его Co(2+)-, Cu(2+)-, Pb- Ni(2+)-или Sn(4+)-ксмплексы (пат. 2720545). В. Уфимцев 13103 П. Окисление олефинов в окиси олефинов (Oxidation of olefines) [Chempatents Inc.]. Австрал.

пат. 166901, 23.02.56
Окиси олефинов получают газофазным окислением олефинов О2 в присутствии Ад-катализатора при 220—350°, времени контакта 1—6 сек. Превращение олефина за проход 23—85% (ближе к нижнему пределу). Окись олефина отделяют, часть смеси газов отдувают на 2-ю стадию, остаток возвращеют в пикл. На 2-й стадии к газам добавляют О2. При 220—350°, времени контакта 1—6 сек., в присутствии Ад-катализатора превращение олефина за проход 23—85% (ближе к верхнему пределу). Выход окиси олефина выше при более низкой степени прегращения.

13104 П. Синтез кислородсодержащих органических сеселенний меделу за бала с в. С. Кил т. (Synthesecontents).

3104 П. Синтеа кислородеодержащих органических соединений. Мерцувйллер, Смит (Synthesis of oxygenated organic compounds. Mertz-weiller Joseph K., Smith Warren M.) [Esso Research and Engineering Co.]. Пат. США 2725401, 29.11.55

Альдегилы получают с хорошими выходами действием СО + H_2 на олефины в присутствии жидкого карбонила Со. Способ состоит в том, что в 1-й реакционной зоне на металлич. Со в отсутствие олефина действует СО, в результате чего образуется жидкий карбонил Со, который вместе с олефином, СО и H_2 (конц-ия карбонила 0,1—0,3%) поступает во 2-ю реакционную зону, гле происходит непрерывное окисление олефина и образование жидких соединений Со; из этой непрерывное ону с пасадкой, где соединения Со разлагаются с образону с насадкой, где соединения Со разлагаются с обра-

[T 22 Cr

c HI

TO T

CYTC

шел.

леги

MOTO

1311

KH

88 73

риро

напі

такж

MOTE

лина

рире

DILIG

меня

али

пол ным

пик

coen 1311

> fa m

M MAP

лети

170 131

п

38

3

рам III.

10% на

HAR

доб лев

BOC

131

X KN

C00

≤1 300

BBO лев

ход

р-ц

зованием металлич. Со. отлагающегося на насалку. и откупа извлекают продукты окисления олефина. Периодически, после накопления на насадке в 3-й зоне достаточного кол-ва металлич. Со, процесс реверсируют: в 3-й зоне, куда направляют струю СО, отложенный металлич. Со переходит в жидкий Со-карбонил. а в 1-й зоне происходит разложение соединений Со. Приведена технологич. схема. Я. Кантор 105 П. Способ получения триформиата алюминия (Prosess for the preparation of aluminium triformate)

Soc. Normande de Produits Chimiques!. Англ.пат.

692903, 71.06.53 (HCOO)₈Al (I) нолучают р-цией водн. р-ра НСООН с Al мылом водорастворимой карбоновой к-ты, содержащей ≥8 атомов С. Конц-ия р-ра НСООН должна быть такой, чтобы получаемый р-р I был перенасыщен при т-ре ~20°. Выпадающий I отделяют от образующейся свободной карбоновой к-ты и высущивают. Al-мыло готовят обменным разложением води. р-ра мыла щел. металла нерастворимой карбоновой к-ты и соли Al (сульфата или хлорида). Для приготовления мыла берут следующие к-ты и их смеси: каприловую, лауриновую, пальмитиновую, стеариновую, оленовую, нафтеновые к-ты, а также пальмовое или кокосовое масла. Предпочтительно берут такую смесь к-т. чтобы получить мыло, плавящееся при ~100°. Для облегчения отмывания мыла понижают его т-ру плавления, что достигают добавлением к мылу с т. пл. ~100° избытка достигают дооавлением к мылу с т. ил. ~100 изом ка к-ты. Напр., смесь жирных к-т, затвердевающую при 25°, нейтрализуют NaOH при 50°. При добавлении р-ра Al₂(SO₄₎₃ образуется Al-мыло, которое отмывают и смепивают для понижения т-ры плавлений с добавочным кол-вом жирной к-ты. При добавлении р-ра НСООН при 40° образуется р-р I (конц-ня 60—90%). Продукты р-ции образуют два слоя, из которых нижний, представляющий собой пересыщенный р-р тригидрата I, подают в кристаллизатор и высущивают, а верхний слой (весь или частично) используют для получения АІ-мыла на следующей операции. М. Шекина

13106 II. Способ получения уксусной кислоты из окиси углерода и метилового спирта. II о п п (Verfahren zur Herstellung von Essigsäure aus Kohlenoxyd und Methanol. Popp Bernhard). Пат. ФРГ

929128. 20.06.55

СН3СООН получают из СН3ОН и СО при нагревании в присутствии катализаторов, причем р-цию проводят в камере с внутренними степками из сплавов, содержащих Cr, Al, Si, а также немного других металлов (преимущественно, примерного состава (в ч.): Сг 4, AI 3, Si 1, Mn 0,5, Мо 0,5 и С~0,08 ч.) или фарфора, содержащего значительное кол-во SiO₂. Р-цию начинают при т-ре, выше необходимой для образования СН₃СООН при т-ре, выше неооходимой для образования Сизсоон (напр., ~600—700°), а после некоторого времени снижают до т-ры, благоприятствующей образованию СН₃СООН (напр., ~350—400°). В реакционную камеру, состоящую из вертикальных трубок из сплава (в ч.) Сг ~4, Al ~3, Si ~1, Mn ~0,5, Mo ~0,5 и С ~0,08, с электрич, обогревом, наполненную кусочками проволоки из того же сплава, при ~400—450° снизу вверх пропускают нагретую до 350° газовую смесь из 5 вес. ч. СО и 1 вес. ч. СН₃ОН с 10%-ным содержанием водяного нара со скоростью 10-30 л/мин. Одновременно противотоком впрыскивают ~750 г/час H₃PO₄, нагретой до ~350°, смачивая внутреннюю поверхность трубок и наполнитель. Стекающую вниз НаРО4 собирают и удаллют; отходящую газовую смесь охлаждают для отделения продуктов р-ции от СО, которую вводят обратно в процесс. Смесь продуктов р-цин из СН₃СООН, СН₃СООСН₃, воды и небольших кол-в побочных продуктов подвергают перегонке. Процесс можно проводить при нормальном и повышенном давлении. Применение указанных материалов для аппаратуры пре-

пятствует отложению угля на стенках, нарушающему нормальное течение процесса. Проведение р-ции в ее нормальное течение процесса. Проводение точного начале при ~600—700° вызывает образование точного графитообразного слоя на стенках, препятствующего дальней шему углеобразованию при последующем синжении т-ры до т-ры р-ции (~350—400°). В. Уфимцев 13107 П. Способ получения водных растворов глипосто подучения водима, растворов гав-оксиловой кислоты. Ш пе н иг, Тр им (Ver-fahren zur Herstellung von wäßrigen Glyoxylsäurelösungen. Spänig Hermann, Triem Georg) [Badische Anilin- & Soda-Fabrik A.-G.]. Пат. ФРГ

933987, 06.10.55 Доп. к пат. ФРГ 932369 (см. РЖХим, 1956, 37135). Водн. р-ры глиоксиловой к-ты (I) получают обработкой водн. р-ров глиоксаля (II) окислами N и (или) 30—65%-ной HNO₈ по пат. ФРГ 932369 с тем отличием, что водв. р-р II вместе с 30-65%-ной HNO₃ непрерывно пропускают через систему труб, нагретых >40° (90-110° снабженную в большинстве мест соединения приспособлениями для понижения давления. Через реакционную трубу, состоящую из 4 отрезков (длина каждого 1 м. днам. 40 мм), обогреваемую паровой рубашкой до т-ры ~100° и соединенную с приспособлениями для удаления нитрозных газов и паров воды, пропускают в 1 час 5350 г HNO₃, уд. в. 1,27, и 6100 г 30%-ного води. р-ра II; выходящий реакционный р-р охлаждают до т-ры ~10° и отфильтровывают небольшое кол-во щавелевой к-ты. Получают 5100 г в 1 час 32,6%-ного p-ра I. Приведена схема аппарата В. Уфимпев 13108 П. Способ выделения адипиновой кислоты.

Хамблет, Джи (Adipic acid recovery process. Нат blet Clement H., Gee Robert E.) [E. I. du Pont de Nemours and Co.]. Пат. США 2713067,

Адипиновую к-ту (1), полученную окислением HNO₃ реакционной смеси, образующейся при окислении циклопарафинов воздухом, выделяют кристаллизацией части ее из реакционной массы, затем уменьшают конц-ию HNO₃ в маточном p-pe, полученном от вышеуказанной кристаллизации, и кристаллизуют I из маточного р-ра, содержащего разб. HNO₃.

И. Шалавина 13109 П. Способ получения эфиров карбоновых кислот.

13109 П. Способ получения эфиров карбоновых кислот. Крёпер, Кутепов, Хухлер, Кёльш, Химмеле (Verfahren zur Herstellung von Carbonsäuereestern. Kröper Hugo, Kutepow Nikolaus V., Huchler Otto, Kölsch Walter, Himmele Walter) [Badische Anilin- & Soda-Fabrik A.-G.]. Пат. ФРГ 920244, 18.11.54 [Chem. Zbl., 1955, 126, № 25, 5996 (нем.)] Способ получения сложных эфиров р-цией олефинов с СО и спиртами при 150—300° и давл. >50 ат (100—

300 ат) в присутствии карбонилобразующих металлов или их соединений отличается тем, что р-цию проводят в присутствии воды или карбоновых к-т, особенно тех, которые дают требуемые эфиры. 4 вес. ч. С₄H₉OH, которые дают треоуемые эфиры. 4 вес. ч. C_4H_9OH , 1 вес. ч. H_5C_2COOH и 5 вес. ч. Ni-карбоннла нагревают во вращающемся автоклаве под давлением C_2H_4 и CO 200 ам и 240° до насыщения. Получают при 100%-ном превращении C_4H_9OH смесь из 71.8% $H_5C_2COOC_4H_9$, 16% $H_5C_2COOC_4H_9$ и 12.2% ($H_5C_2CO)_2O$. В. Смит 13110 П. Регенерация катализатора синтеза винил-

ацетата. Вайнинг (Regeneration of vinyl acetate catalyst. Vining William H.) [E. I. du Pont de Nemours and Co.]. Пат. США 2715140, 9.08.55 При получении винилацетата р-цией С2Н2 и паров При получении выпылацетата р-цией С2112 и паров СИзСООН катализатор (активированный древесный уголь, пропитанный Zn-ацетатом) регенерируют про-пусканием перегретого пара при 400—900° и после-дующей обработкой СН₃СООН. В. Смит

Дегидратация сложных эфиров оксикислот жирного ряда. Ханн (Process for dehydrating esters of hydroxy fatty acids. Hunn James V.) гу

0

H-

B

'n

O

)3

a,

IT

T

te

55

ıŭ

TT

T

[The Sherwin-Williams Co.]. Канад. нат. 511269,

Сложные эфиры высших оксикислот жирного ряда с низшими спиртами дегидратируют, перегревая эфир до т-ры выше критич. (по крайней мере до 260°) в отсутствие в-в, образующих в этих условиях кислые или дегидратации, напр. в виде конц. р-ра в р-рителе, которым может быть исходный эфир. Ю. Голынец 13112 П. Получение эфиров 4,3-дихлориропионовой кислоты (Preparation of 4,3-dichlorpropionic acid esters) [General Aniline & Film Corp.], Англ. пат. 739746, 2.11.55

394чо, с.11.50
Эфиры α,β-дихлорпропионовой к-ты получают хлорированием соответствующих акриловых эфиров в присутствии 1—10% слабого N-содержащего основания, вапр. пиридина или хинолина. Могут присутствоватакие и ингибиторы полимеризации. При хлорировании метнлового эфира акриловой к-ты в присутствии пиридина и небольшого кол-ва гидрохинона получают метнловый эфир α,β-дихлорпропионовой к-ты. Дегидрохлорированием полученного продукта получают метиловый эфир α-хлоракриловой к-ты. Для р-ции можно применять другие эфиры моно-, ди- и трехатомных спиртов, получаемые продукты являются насыщ. хлоралкильными эфирами. В качестве оснований можно применять двилины, хинолины, а также азотистые гетероциклич.

соединения, содержащие О и S. В. Красева 13113 П. Способ получения метилового эфира 3-кетопимелиновой кислоты. Натта, Пино (Verfahren zur Herstellung von Methylestern der 3-Ketopimelinsäure. Natta G., Pino P.) [Lonza Elektrizitätswerke und Chemische Fabriken A.-G. (Gampel)]. Швейц. пат. 300938, 1.11.54 [Chem. Zbl., 1955, 126, № 20, 4697—4698 (нем.)]

Метиловый эфир 3-кетопимелиновой к-ты (I) получают из C₂H₂ и CO в среде CH₃OH в присутствии скелетного Со при 200—250 ат и 85° Т. кип. I 150—170°/15 мм.

3114 П. Способ получения эфиров 12-кетостеарино-

ы получения эфиров 12-кетостеариновой кислоты (Procédé de fabrication des esters de l'acide 12-cétostéarique) [Soc. Organico]. Франц. пат. 1043797, 12.11.53 [Chem. Zbl., 1955, 126, № 17, 3965 (нем.)]

3965 (нем.)]
Эфир рицинолевой к-ты нагревают с Си-катализаторами, содержащими невосстанавливаемую окись металла III, IV или V группы (напр. окись Al, Th, Zr или Сr). 32 г Th (NO₃)₂ смешивают с 16,2 г Сu(NO₃)₂ (оба в виде 10%-ного р-ра) и добавляют 122 мл КОН (100 г КОН ва 1 л). Промытый и высушенный катализатор восстанавливают в автоклаве Н₂ при 250°. Затем в автоклав добавляют 250 г 90%-ного метилового эфира рицинолевой к-ты и 3 часа поддерживают т-ру 250—275° при 2—3 ат. Получают 245 г 12-кетостеариновой к-ты, тл. 41°. В качестве катализатора можно применить восстановленный Си-хромит.

Б. Дяткин

13115 П. Способ получения моно- и диалкилформамидов. Итикава, Сига, Сюдо (モノ政はデアルキルフオルムアミドの製造法.市川正,志賀謹,主藤太郎)[新日本空来肥料株式會社,Син Нихон тиссо хирё кабусики найся]. Япон. пат. 8415, 21.12.54

Моно- или диалкилформамид получают нагреванием соответствующего моно- или диалкиламина, СО, спирта и алкоголята щел. металла (катализатор) при т-ре ≤100° и 20—200 ат. В р-р 2,5 г Nа в 50 г СН₃ОН и 300 г NH(СН₃)г, находящийся в автоклаве емк. 1 л, вводят при 20° СО до давл. 100 ат. В начале р-ции давление падает вследствие поглощения СО и поэтому расход СО пополняют; вследствие экзотермич. характера р-ции т-ра повыщается до 40°, эту т-ру поддерживают еще ~3 часа. По охлаждении из автоклава удалнот газы

и перегонкой жидкой части выделяют $450\ e$ $\sim 100\%$ -ного диметилформамида, т. кип. $150-153^\circ$, выход 93%, считая на NH(CH₈)₂ или 90%, считая на CO. В р-р $2,5\ e$ Na в $50\ e$ CH₂OH и $300\ e$ NH(CH₉)₂ вводят СО до давл. $30\ am$ и нагревают ~ 1 час. при 100° , получают $420\ e$ диметилформамида; в р-р $2,5\ e$ Na в $50\ e$ безводн. C_2H_6 OH и $300\ e$ NH₂C₂H₅ вводят СО до давл. $50\ am$ и нагревают ~ 2 часа при 60° , получают $400\ e$ этилформамида, т. кип. $195-199^\circ$.

В. Уфимцев $13116\ H$. Способ получения амидов α , β -ненасыщен-

HEAN RUCHOOT HIS AMBIGOR β-ГАЛОНДКАРБОНОВЫХ КИСЛОТ. H oppe, Лейман (Verfahren zur Herstellung von α, β-ungesättigten Carbonsäureamiden aus β-Halogencarbonsäureamiden. Porret Daniel, Leumann Ernst) [Ciba A.-G.]. Пат. ФРГ 932964, 12.09 55

Амиды алифатич., аралифатич. или гетероциклоалифатич. В-хлор- или В-бромкарбоновых к-т, не содержащих в амидном радикале алифатически связанных галондов, в частности амиды В-хлорпропионовой к-ты, обрабатывают (в чистом виде или не выделяя их ив реакционных смесей) безводн. третичными алифатич. аминами, содержащими ≥4 атомов С, предпочтительно с 4—9 атомами С [лучше всего (С₂Н₅)3N], возможно в присутствии безводи. органич. р-рителя (C₆H₆Cl, C₆H₄Cl₂, ксилолы, бензин), при 100—180°, предпочтительно при 130—140°. В случае получения легко полимеризующихся амидов р-цию целесообразно про-водить в присутствии небольших кол-в ингибитора полимеризации, напр. S, Cu-порошка или гидрохинона. Способ особенно пригоден для получения акриламидов, в частности легкорастворимых в воде низкомолекулярных акриламидов. 100 ч. N, N-диметил-3-хлорпропионамида и 0,5 ч. Си-порошка нагревают при перемешивании до 130—140°, добавляют по каплям (не слишком медленно) 75 ч. $(C_2H_5)_3N$, спустя 1 час. охлаждают, отфильтровывают осадок $(C_2H_5)_3N$ ·HCl, который промымильтранами осадок (суть), ком от фирм остаток перегоняют и получают с хорошим выходом N,N-диметилакриламид, т. кип. 63—64°/0,5 мм. Аналогично получены N, N-диатилакриламид, т. кип. $66-67^{\circ}/0,2$ мм; изопропилакриламид, т. ил. 59° (из петр. 3ϕ . + 63π .); изопропилакриламид, т. пл. 59° (из петр. эф. + озл.); и-бутилакриламид, т. кип. 106—108°/0,3 мм; пиперидилакриламид, т. кип. 93—94°/0,3 мм; N.N'-диэтилэтилен-диамицакриламид, т. кип. 118—120°/0,4 мм; неочиц. N-метилакриланилид, т. пл. 73—75°; циклогексилакриламид, т. пл. 110—111° (из воды или водн. СН₂ОН). Продукты находят применение в качестве компонентов полимеризации в пром-сти пластич. масс. Я. Кантор 13117 П. Производство гидразида маленновой кисло-

ты. (Manufacture of dihydropyridazinedione) [Genatosan, Ltd.]. Англ. пат. 739204, 26.10.55
1,2-Дигидропиридазиндион-3,6 (гидразид маленновой к-ты) получают р-цией гидразингидрата (1) с избытком маленнового ангидрида (11) и (или) маленновой к-ты (III) в водн. среде. Желательно применять в начале р-ции молекулярное отношение 1 к II и (или) III—1: 2. После р-ции продукт отфильтровывают; фильтрат можно нагревать с еще одним эквивалентом I и одним эквивалентом II и (или) III. Последующие фильтраты можно обрабатывать таким образом 4—5 разесли реагентом являются III, то к реакционной сределучше прибавлять нейтр. водорастворимую металлич. соль, напр. NaCl. Приведены примеры. В. Красева 13118 П. Получение замещенных циангуанидинов. Редим от в пределяются с пределяются и примеры об выразинания.

13118 П. Получение замещенных циангуанидинов. Редмои, Надь (Preparation of substituted cyanoguanidines. Red mon Bryan C., Nagy Daniel E.) [American Cyanamid Co.]. Канад. пат. 516685, 20.09.55

1-Замещ. 3-циангуанидины получают нагреванием при 75—115° эквивалентных кол-в дицианимида (I) или его металлич. соли с первичными или вторичными

13130

Ha

org

CI

OF (R -

ради

линз

рова

или

1313

zu

Go

AI

X

Hamk

жаш

на м

Р-ци

ным

4-yp

тан

рый

соко

1313

ste

h

П

N

0

зем.

B K

чива

+ 3

Так

дибу

дво CH2

1313

SU

G

19

A

MOB

обра

шел

паби нен

пред

CI

D

ато

пен

BI

пир

вер

ных

131

d

аминами (чаще всего в виде их солей с к-тами) в среде воды, водорастворимого органич. р-рителя или их смеси. Р-цией I или его металлич. соли с солью nхлоранилина и к-ты при 75-95° получают 1-n-хлорфенил-3-циангуанидин. 1,1'-декаметилен-бис-3,3'-циангуанидин синтезируют из I или его металлич. соли и соли декаметилендиамина с к-той при 50-125°

3119 П. Способ получения аммонийных производных полинитроспиртов. Шенк, Веттерхольм (Sätt att framställa ammoniakderivat av polynitroalkoholer. Schenck R., Wetterholm G. A.) [Nitroglycerin A. B.]. IIIвед. пат. 148217, 28.12.54

Полинитроспирты, содержащие нитрогруппы, находящиеся при одном и том же атоме С, и имсющие одну или несколько ОН-групп, соединенных с атомом С. смежным с атомом С, связанным с нитрогруппами, вводят в р-цию с NH3 или его производным, содержащим при атоме N способный к заменению атом Н. Р-цию проводят в присутствии растворителя. М. Нагорский Соли оксиалкилированных жирных аминов

с трифторуксусной кислотой. Честер (Oxyalkylated fatty amine salts of trifluoroacetic acid. С h e ster Allan E.) [Poor & Co.]. Пат. США 2725395, 29.11.55

Соли F: ССООН и оксиалкилированных жирных аминов, содержащих > 4 окспалкиленовых групп (окспатиленовых или оксипропиленовых) и 8-60 атомов С в алифатич. цепи, проявляют катионную активность и устойчивы в кислых р-рах. И. Шалавина 13121 П.

Очистка этаноламинов. Полсен (Purification of ethanolamines. Paulsen Henry C.) [Esso Research and Engineering Co.]. Пат. США

2716136, 23.08.55

В способ регенерации отработанного води. р-ра соли моно- или диэтаноламина с органич. к-той, содержащего в качестве примеси соответствующий свободный амин (конц-ия р²ра соли амина ≥ 12%, считая на основание), вводится улучшение, заключающееся в смешении р-ра с гидроокисью щел.-зем. металла, напр. Са(ОН)2, взятой в избытке относительно присутствующей соли амина, и нагревании смеси до 82—121° для превращения соли амина с органич. к-той в органич. соль щел.зем. металла и свободный амин. После этого прибавляют 1-2 объема изо-С₃Н;ОН (1) на 1 объем р-ра для осаждения органич. соли щел.-зем. металла, а затем отделяют ее от фильтрата, содержащего в основном воду, свободный амин и I, после этого перегонкой фильтрата отделяют I от водн. р-ра амина. Приведена технологич. В. Уфимцев схема. 13122 П. Диамины и их соли. Л и берман (Diamines and salts thereof. Lieberman Samuel V.)

Реакцией алкилендиамина, содержащего 2—12 ато-мов C и имеющего незамещ. NH₂-группы, с водн. HCOOH при т-ре ниже т-ры кипения реагентов получают диформиат алкилендиамина, который выделяют в безводн. форме. Указанным способом из этилендиамина получают его диформиат. И. Шалавина 13123 П.

[American Home Products Corp.]. Канад. пат. 515668,

3123 П. Производство нитрилов. Копелин (Production of nitriles. Сорей и Наггу В.) [Е. І. du Pont de Nemours and Co.]. Пат. США 2715137,

9.08.55

Нитрилы получают р-цией цианидов металлов с галоидалкилами, содержащими по крайней мере 1 атом галонда с атомным весом ≥ 35 и несущими ≤ 2 атомов галоида у одного атома С, причем хотя бы один из атомов галонда должен находиться не у третичного атома С. Р-цию проводят в жидкой реакционной смеси, содержащей первоначально ≥ 40 вес. % по крайней мере одного N-диалкиламида муравьиной, уксусной или

пропионовой к-т. N-алкильные радикалы этих N-лиалкиламидов должны содержать ≤ 2 атомов С каждый

Каталитическое дегидратирование этиленпиангидрина в акрилонитрил. Карпентер (Саtalytic dehydration of ethylene cyanohydrin to acrylonitrile. Carpenter Erwin L.) [American Cyanamid Co.]. Канал. пат. 518186, 8,11.55

Жидкий этиленциангидрин пропускают через дегидратационную зону, нагреваемую до 170-210° и содержатационную зону, нагреваемую до 112—121 тиро HCOONa (дегидратирующий агент) и измельченное твердое инертное в-во (Na₂SO₄, Al-сплав, NaH₂PO₄). Б. Фабричный

Способ получения акриленитрила. Пор-

рет (Sätt vid framställning av akryllsyranitril ur bläsyra och acetylen i närvaro av en så kallad Nieuwlandkatalysator. Porret D.) [Ciba A.-G.). III Ben.

пат. 146681, 31.08.54

Акрилонитрил получают из HCN и C2H2 в присутствии так называемого катализатора Ньюлэнда, при этом образуются побочные продукты, загрязняющие катализатор и снижающие его эффективность. Способ отличается тем, что загрязненный катализатор вводят в контакт с органич. или минер. абсорбентом с твердой поверхностью, адсорбирующим примеси. Л. Крюкова 13126 П. Стабилизация акрилонитрила (Stabiliza-

tion of acrylonitrile) [Monsanto Chemical Co.]. Англ. пат. 708100, 28.04.54

Монобензиловый эфир гидрохинона в конц-ии 0,5-1000 вес. ч. на 1 млн. вес. ч. акрилонитрила можно использовать как ингибитор полимеризации при перегонке

акрилонитрила, причем его можно вводить прямо перегонные колонны. 127 П. Произведство адиподинитрита. Крейн (Production of adiponitrile. Crane George B.) E. I. du Pont de Nemours and Co. J. Hat. CIIIA 2715138,

При получении адиподинитрила (I) р-цией 1,4-дихлорбутана с NaCN в среде р-рителя, состоящего в основном из неочищ. І, к р-рителю для повышения выхода I и подавления побочных р-цией добавляют CaCl₂.

Способ получения симметричных соединений, содержащих CN-группу. Креспан (Symmetrical cyanocontaining compounds and their prepara-tion. Krespan Carl George) [E. I. du Pont de Nemours and Co.]. IIar. CIIIA 2717261, 6.05.54 Соединения общей ф-лы $R[C(CN)_2C(CN)_2]_nR$, где n = 1 или 2, R — органич. радикал, содержащий третичный атом C, связанный с N ±C-группой, получают р-цией 1-моля тетрацианэтилена с ≥0,5 моля α, α'-азобис-нитрила, каждый из N-атомов азогруппы которого связан с третичным С, несущим № С-группу. И. Шалавива

Получение диацилцианидов (Preparation of diacyl cyanides) [Goodrich Co., В. F.]. Англ. пат.

738456, 12.10.55

Диацилцианиды получают р-цией ангидрида карбоновой к-ты с HCN в жидкой фазе в присутствии пиколина (катализатор). Катализатор можно растворить в ангидриде карбоновой к-ты, а затем пропускать в охлаждаемый р-р газообразный НСМ; можно смешивать 3 компонента в автоклаве или пропускать смесь под давлением через трубку. Могут присутствовать инертные р-рители (C₆H₆, диоксан или C₆H₅NO₂). В общем применяют 0,01-5% катализатора. На 1 моль HCN лучше брать ~1,2-4 моля ангидрида. Обычно применяют т-ру ≤100°, однако р-цию можно проводить и при т-ре 1-Ацетокси-1,1-дицианэтан получают из (CH₃CO)₂O и НСN в присутствии α-, β- и γ-пиколинов. Приведены выходы продукта при использовании других катализаторов. В. Красева H-

UT

H-

a-

an

H-

III

pur

H. 77-

pи

ne об

HT

OH

Ba

za-

וניו

MC-

ке

MO

HT

i H

B.)

38,

ци-

oc-

ода

Ila.

THE

не-

et-

ra-

.54

где

pe-IOT

30-

oro

яна

of

ат.

ინი-

ина

pn-

иы

нта рез

ели

1-

00°,

70°. 1)20

ены

ЛИ-

ева

2-

13130 II. Способ получения органических диизоциаматов. Херуин, Отен (Process for preparing organic disocyanates. Hurwitz Melwin D., Auten Robert W.) [Rohm & Haas Co.]. Пат. США 2728787, 27.12.55

Органические динзоцианаты общей ф-лы OCNRNCO (R — 2-валентный, насыщ. алифатич. или алициклич. радикал, содержащий ≥ 4 атомов С), в частности 1,8радинанато-и-ментан, получают дегидрогаловди-рованием в-в общей ф-лы HCON(X)RN(X)COH, (X — Cl ллн Вг) в присутствии третичного амина. Jl. Герман 13131 II. Способ получения хлоруретанов. (Verfabren zur Herstellung von Chlorurethanen) Cold- und Silber-Scheideanstalt vormals Roessler]. Австр. пат. 180062, 10.11.54 [Chem. Zbl., 1955, 126, № 17, 3965 (нем.)]

Хлоруретаны, в данном случае совместно с двурета-нами, получают действием CICN на соединения, содержащие по крайней мере 2 спиртовых ОН-группы, напр. на многоатомные спирты, в частности бутиленгликоль. Р-пию можно проводить с расплавленным многоатомвым спиртом. CICN и бутиленгликоль дают 1-хлорбутил-4-уретан, пентаэритрит и ClCN образуют дихлордиуретан ф-лы H₂NCOOCH₂C(CH₂Cl)₂CH₂OOCNH₂, который дает с альдегидами затвердевающие смолы с высокой т-рой размягчения.

13132 П. Способ получения бис-(в-оксиалкия)-полисульфидов. Шпильбергер (Verfahren zur Herstellung von Bis-(β-oxyalkyl)-polysulfiden. Spielberger Georg) [Farbenfahriken Bayer A.-G.]. Пат. ФРГ 918927, 7.10.54 [Chem. Zbl., 1955, 126, № 20, 4695 (нем.)]

Окиси 1,2-алкиленов конденсируют со шел. или шел.зем. полисульфидами в води. p-ре в присутствии S в качестве катализатора, а также в присутстви сма-

чивающих в-в по схеме: 12Na₂S₄ + 42S + 68CH₂CH₂O+ + 35 H₂O-34 S₂(CH₂CH₂OH)₂ + 11Na₂S₂O₃ + 2 NaOH. Так, Na2S-9H2O и окись этилена в присутствии S, Naдибутилнафталинсульфоната и воды дают при 70-80° двоксидиэтилполисульфид, а восстановление Sp. 25 (СН2-СН₂ОН)₂ амальгамой Na дает оксиэтилмеркаптав+ H₂S. Я. Кантор

13133 П. Способ производства оксиалкансульфокислот и их солей (Procédé de fabrication d'acides oxyalcanesulfoniques ou de leurs sels) [Bohme Fettchemie G. m. b. H.]. Франц. пат. 1102301, 19.10.55 [Teintex, 1956, 21, № 5, 433 (франц.)]

Алифатические ненасыщ. спирты, содержащие >3 атомов С (предпочтительно в виде р-ра в низшем спирте), обрабатывают нейтр. или слегка щел. р-ром сульфита щел. металла или NH4 (предпочтительно в 20—60%-ном избытке) в присутствии O2 или выделяющих его соедивений, напр. в присутствии перекиси, равномерно распределенной в реакционной смеси. Я. Кантор 134 П. Получение фосфорсодержащих органиче-ских соединский. Стайлс, Раст (Preparation of phosphorus-containing organic compounds. Stiles Alan R., Rust Frederick F.) [Shell Development Co.]. Пат. США 2724718, 22.11.55 Органические соединения, содержащие группировку атомов ССР → О, получают р-цией Р-содержащих соедишений, которые имеют группировку атомов ${
m HP} \to {
m O}$ в качестве единственной реакционноспособной группировки, с ненасыщ. органич. соединениями, содержашими 2 атома С, связанных олефиновой связью, подвергая смесь указанных реагентов воздействию свободных радикалов в качестве инициаторов р-ции.

В. Уфимцев 13135 П. Способ получения диалкилтионохлорфосфатов. Той, Мак-Доналд (Method of preparing dialkyl thionochlorophosphates. Toy Arthur

Dock Fon, McDonald Guy A.) [Victor Chemical Works]. Пат. США 2715136, 9.08.55

Метод одновременного получения диалкилтионохлорфосфата и тиофосфорилхлорида состоит в р-ции PCl₅ с солями щел. металлов диалкилтионотиолфосфорной к-ты или самой к-той в летучем инертном жидком разбавителе с последующим удалением хлорида металла или HCl и отгонкой разбавителя и тиофосфорилхлорида от диалкилтионохлорфосфата. В. Смит 13136 П. Гидрирование галоидсиланов. Уагиер,

Эриксон (Hydrogenation of halogenosilanes. W agner George H., Erickson Charles E.) [Union Carbide and Carbon Corp.]. Канад. пат. 515100,

SiCl₄ и алкилтрихлорсиланы гидрируют пропусканием смеси паров одного из них с Н2 над хорошо измельченным Si в комбинапни с металлом, катализирующим пропесс (Cu, Ni). Р-цию проводят при т-ре ≥ 400°; получают продукты, в которых по крайней мере 1 атом Cl исходных в-в замещен на атом H. SiCl₄ гидрируют над ферросилицием, содержащем 75—97% Si, при т-ре 3400° и повышенном давлении; алкилтрихлорсилан гидрируют при 400—525° и 35 ат над сплавом Си и Si (содержание Si≥ 30%). И. Шалавина Продукты реакции гликолей и винилтри-

хлорсилана. Брукс, Эварт (Reaction products of glycols and vinyl trichlorosilane. Brooks Marvin C., Ewart Roswell H.) [United States

Rubber Co.]. Пат. США 2715135, 9.08.55

Патентуются продукты, являющиеся при обычных т-рах подвижными жидкостями, получаемые р-цией. алифатич. двухатсмного спирта с винилтрихлорсиланом. Р-цвя идет с отщеплением НСІ, молярное соотнешение ОН-групп, имеющихся в гликеле, к атемам СІ в винилтрихлеренлане должно быть > 1,3:1. 13138 П. Кремнийсрганические вещества, обладаю-

шие водостальные ишеми свойствами. Клапсей дл (Waterproofing agents. Clapsadle Leo J.) [Union Carbide Canada Ltd.]. Канад. пат. 512358,

26.04.55

Указанные в-ва получают р-цией в-в общей ф-лы $R_m Si(OR')_{4-m}$ при нагревании с в-вом общей ф-лы HOR''(R и R' — алкил; R" — алкил, содержащий по крайней мере одну аминогруппу; m=1 или 2). В частности указано: а) р-цви в-ва ф-лы $\mathrm{RSi}(\mathrm{OC}_2\mathrm{H}_5)_3$ с алкилоламинсм; б) получение в-ва ф-лы $\mathrm{C}_5\mathrm{H}_{11}\mathrm{Si}(\mathrm{OC}_2\mathrm{H}_5)_2\mathrm{OC}_2$ -Н4NНС2Н4NН2 р-цией амилириэтоксисилана с оксиэтилэтилев диамином и в) получение в-в общей ф-лы $R_n \mathrm{Si}(\mathrm{CR}')_p (\mathrm{CC}_2 \mathrm{H_4NH_2})_{4-n-p}$ (n и $p \leqslant 2;$ $n+p \leqslant 3)$ р-цией алкилалкоксисилана с моноэтаноламином.

В. Уфимцев 13139 П. Синтез замещенных циклооктатетраснов. Кол, Кинтер (Synthesis of substituted cyclooctatetraenes, Cope Arthur C., Kinter Mark R.) [United States Secretary of the Navy]. Har. CIIIA 2715147, 9.08.55

Фенилциклооктатетраен (I) получают нагреванием циклооктатетраена в инертной атмссфере с р-ром C6H5Li или C₆H₅Na с последующим гидролизом смеси I и мепродуктов р-пин.

В. Смит продуктов р-цин. В. Смит 13140 П. Обработка Δ^3 -тетрагидробензальдегида (Treof Δ3-tetrahydrobenzaldehyde)

Co.,Ltd.]. Англ. пат. 711424. 30.06.54

Гликоль (I) ф-лы CH-CH2CH=CHCH2CHCH(OH)- $^{
m C}({
m CH_2OH}){
m CH_2CH_2CH} = {
m CHC^{
m H}_2}$ и Δ^3 -тетрагидробензойную к-ту (II) получают обработкой Δ^3 -тетрагидробензальдегида или его жидкого тримера води, или спирт. p-ром щел. соединения щел. или щел.-зем, металла в жидкой фазе при т-ре <200°. Процесс может далее

1957 г.

II B II

or 10

р-ра 1 20° вы

13148

пил

fahr

rox

le

t.e

14.1 Гид

ФРГ

фазе 1

сокой

чием.

кол-в

нию в

115°>

13149

met

Cla

Спо

эмног

H OTP

вален

осади

Этим

бенза:

чисты

полут

の事

яку

13.0

Hp

пропа

TOM I

ствук

стым оксал

в сред

нии д

при :

HCl 1

суща

13151

duc

Che

Хл

сана (окис

13152

H a

七月二月

цуб 28.

n-A

NHC

CoH 5

охдаз

немн

Смес

привести к образованию Δ^1 -тетрагидробензойной к-ты, а при более высокой т-ре I разлагается на Δ^3 -тетрагидробензиловый спирт и II или до пимелиновой к-ты. При живичении Δ^3 -тетрагидробензальдегида с води. р-ром NaOH выделены (после нейтр-ции) I, II и немного Δ^3 -тетрагидробензилового спирта; нагревание I в автоклаве с NaOH дает пимелиновую к-ту и II. В качестве щел. агентов приведены Na₂CO₃, KOH, Ca(OH)₂, Na₃PO₄ и Na-алкоголяты.

В. Смит

43141 П. Способ получения ненасыщенных алициклических производных 2-метилбутаналя. И н х о ф ф е н (Process for the preparation of unsaturated alicyclic 2-methylbutanal compounds. I n h o f f e n H a n s H e r l o f f) [Hoffmann-La Roche Inc.]. Пат. США 2705728, 5.04.55

Соединения общей ф-лы (H₃C)₂CCH₂CH₂CH₂CH(CH₃)C-(OH)CH=C(CH₃)(OH)CH₂OR или (H₃C)₂CCH₂CH₂CH₂-

СН(СН₃)С(ОН)СН=СНС(СН₃)=СНОR, где R — низший алкил, подвергают дегидратации. Кислотным расщеплением продукта дегидратации получают ненасыщ. альдегид, имеющий тот же углеродный скелет, что и исходное в-во, но 2 двойных связи. Нагреванием 1-метокси-2-окси-2-метил-4-(1'-окси-2', 6', 6'-триметилциклогексил)бутилена-3 в сильнокислой среде получают соответствующий ненасыщ. альдегид, имеющий 2 двойные связи. УФ-максимум альдегида ~294 мµ, УФ-минимум ~245 мµ.

Б. Мерков

13142 П. Способ получения железодициклопентадиения и продуктов его замещения (Procédé de préparation du fer dicyclopentadiényle et de ses produits de substitution) [«Shell» Refining & Marketing Co. Ltd.]. Франц. пат. 1090321, 29.03.55 [Chimie et industrie, 1956, 75, № 3, 551 (франц.)] Соединения общей ф-лы RMgX вля RY (R — замещ.

Соединения общей ф-лы RMgX или RY (R — замещ, или незамещ, циклопентадиенил, X — Cl, Br или J, а Y — щел. металл) нагревают с безводи, Fe^{2+} -галогенидом в инертном p-рителе $[C_6H_6, C_6H_5CH_9, C_6H_4(CH_8)_2]$.

Я. Кантор 13143 П. Способ предотвращения самоконденсации хлористого бензила. Нарита (聖化ベンデルの 縮合防止法・成田正二) [吳羽化學工業株式會社, Курэха кагаку кочё кабусики кайся]. Япон. пат. 6469, 18.09.55

 $C_6H_5CH_2CI$ предохраняют от самоконденсации при хранении добавлением небольших кол-в глицерина. $C_6H_5CH_2CI$ с добавкой 0,1% глицерина сохраняется без изменения в железной таре в течение 6 мес. и в жестяной таре в течение 3 летних месяцев. К 500 г $C_6H_5CH_2CI$ прибавляют 5 г глицерина и 5 г Fe-стружки, сохраняют в склянке в течение 4 мес. при 20°, жидкость остается бесцветной и 96% ее перегопяется в пределах 176—183°.

13144 П. Непрерывный способ получения фенола из соответствующей сульфокислоты. Л о к (Kontinuerligt förfarande för framställning av fenol ur motsvarande sulfonsyra genom upphettning av en blandning av ett salt av sulfonsyran och en jordalkalihydroxid och efterföljande utvinning av fenol ur den bildade reaktionsprodukten. L o c k J. J.) [De Direkctie van de Staatsmijnen in Limburg, handelend voor en namens den Staat der Nederlanden]. Швед. пат. 149549, 12.04.55

Фенол получают из соответствующей сульфокислоты нагреванием смеси соли сульфокислоты и гидроокиси щел. зем. металла с последующим выделением фенола из продуктов р-ции. Способ отличается тем, что через псевдоожиженную смесь реагентов пропускают снизу вверх нагретый инертный газ или водяной пар, р-ция проходит при 400—420°. В процессе р-ции реагирую-

щие в-ва непрерывно вводят в вверхнюю часть анпарата, продукты р-ции выводят из его нижней части. Приведена схема аппарата.

Л. Крюкова 13145 П. Способ получения трет-октилфенода.

Φyτ (Process for making tertiaryoctylphenol. Foote John K.) [California Research Corp.]. Πατ. США 2732408, 24.01.56

трет-Октилфенол получают р-цией безводи. фенода (I) с практически безводи. диизобутиленом при т-ре $\sim 30-90^{\circ}$ ($\sim 75-85^{\circ}$) в присутствии активированной к-той глины, содержащей 0.6-5% (1-2%) воды, которую предварительно удаляют азеотропной отгонкой с толуолом (П). Р-цию можно проводить также в присутствии II. Активированную к-той глину сущат при 100—160° для уменьшения содержания влаги до 0,5—5% (1-2%), высушенную глину в кол-ве 5-40% (лучше 10-20%) от веса I, загружают в II и азеотропной перегонкой отгоняют воду, прибавляют сухой технич. І и диизобутилен в молярном соотношении 1:1 (лучше 2: 1) при 30-90° и 3-4 часа выдерживают, размешивая при этой т-ре, до окончания р-ции. Катализатор отфильтровывают и перегонкой выделяют трет-октилфенол, выход 75-85%. Приведена технологич. схема. В. Уфимпев

13146 П. Разделение смесей фенолов с нейтральными маслами экстрактивной перегонкой. Корт (Verfahren zur Trennung von Gemischen aus Phenolen und neutralen Oelen durch destillative Extraktion. Коhrt Hans-Ulrich) [Metall. Ges. Akt.-Ges.]. Пат. ФРГ 897104, 19.11.53 [Chem. Zbl., 1955, 126, № 31,

7320, (нем.) Смесь из фенолов и нейтр, масел разделяют экстрактивной перегонкой с введением парафиновых углеводородов (I), т-ра кипения которых лежит выше вли ниже пределов кипения удаляемых фенолов. При такой экстрактивной перегонке отгоняется и конденсируется смесь из I и фенолов, которая при охлаждении или прибавлении небольшого кол-ва воды разделяется на два слоя: слой I возвращают обратво в зону экстрактивной перегонки, а слой, содержащий преимущественно феноли наряду с I и водой, освобождают перегонкой от I воды.

В. Уфимцев 13147 II. Очистка пентахлорфенола. Н а га с а в в,

3147 П. Очистка пентахлорфенола. Нагасава, Нуитани, Окаяма, Сато, Канэко (ベンタクロワフエノールの精製方法. 長澤不二男, 谷正治, 岡山政管, 佐藤芳春、金子昭六) [三菱化成工業株 式會計, Мицубиси касэй когё кабусики кайся]. Япон. пат. 2371, 11.04.55

Пентахлорфенод (I), получаемый разложением гексахлорбензола (II) водой в присутствии спиртов, всегда содержит примеси фениловых эфиров и потому вмеет-ру плавления не выше 160—170°. Очистка I кристаллазацией приводит к большим потерям. Предлагаемый метод очистки I основан на различной растворимости I и побочных продуктов в води. р-рах NH₃. При обработке порошка неочищ. I води. р-ром NH₃ любой конц-яв при 20—30° в течение нескольких часов примеси растворяются, а I остается нерастворенным и выделяется в очищ. виде (т. пл. > 180°). К 10 ч. неочищ. I с т. пл. 160—170° (получен из II в присутствии СН₃ОН, содержит ~15% примесей) прибавляют 100 ч. 30%-ного води. р-ра NH₃ и оставляют на 3 часа при 20°, время от времени встряхиван. Нерастворившееся в-во отфильтровывают, промывают водой и после высушивания получают 8,3 ч. I с т. пл. 182—185°. К 10 ч. неочищ. I с т. пл. 160—170°, содержащего 15% примесей, прибавляют 150 ч. 10%-ного р-ра NH₃, перемешивают 1.5 часа при 20°. Выделяют 7,3 ч. I с. т. пл. 182—185°. К 10 ч. неочищ. I с т. пл. 160—170° добавляют 125 ч. 5%-ного р-ра NH₃, перемешивают 3 часа при 20° выделяют 5,3 ч. очищ. I. Приготовляют ~5%-ный води. р-р Nа-соли неочищ. I (получен разложением водой

ая

þe-

er-

rt

AT.

31,

ak-

до-

же

есь леоя:

epe-

олы

II

пев

вa,

R O

業株

RCa-

егда

Meet

пля-

MHÜ OCTH

брац-ни

pac-

OTCH

пл.

HOTO

TO RE

иль-

ания

чиш.

при-

т 1,5 185°.

25 4.

20°, -ный

водой

Пв присутствии СНвОН), к 200 ч. этого р-ра прибавляют 10%-ную НСІ до нейтр-ции и затем 6 мл 25%-ного р-ра NНs; после перемешивания в течение 3 час. при 20° выделяют 6,7 ч. І с т. пл. 182—185°. В. Каратаев 13148 П. Способ получения гидроперекиси изопропилбензола. Армстронг, Быюли, Турк (Verfahren zur Herstellung von Isopropylbenzolhydroperoxyd. Armstrong Godfrey Paul, Ве wley Thomas, Tuerck Heinrich Walter) [The Destillers Co. Ltd.]. Пат. ФРГ 899501, 14.12.53 [Сhem. Zbl., 1955, 126, № 15, 3488 (нем.)] Гидроперекись изопропилбензола получают по пат. ФРГ 819092 окислением изопропилбензола в жидкой фазе газами, содержащими избыток свободного О2 в высокой конц-ии, в отсутствие катализаторов с тем отличием, что окисление проводят при 105—120°, а миним. кол-во вводимого водяного пара составляет по отношению к О3 при 105° ≥1: 0,76, при 110° ≥1: 0,97 и при 115° ≥ 1: 1,6. В. Уфимцев 13149 П. Способ получения э-оксиметилбензальногия.

11349 П. Способ получения поставальдегида. Лоц (Verfahren zur Herstellung von Охуmethylbenzaldehyd. Lotz Rudolf (Vereinigte
Glanzstoff-Fabriken Akt.-Ges.]. Пат. ФРГ 906220,
11.03.54 [Chem. Zbl., 1955, 126, № 29, 6851 (нем.)]
Способ получения п-оксиметиленбензальдегида окисленем п-ксилилендихлорида НNОв отличается тем,
что при окислении добавляют AgNOs в кол-ве, эквивалентном кол-ву п-ксилилендихлорида для того, чтобы
осадить НСІ, выделяющийся при окислении, в виде AgCI.
Этим предотвращают побочные р-ции; п-оксиметилбензальдегид получают с выходом 95% и настолько
чистым, что его можно непосредственно применять как
полупродукт для получения поликонденсатов.

В. Красева 13150 П. Получение 1-фенил-1-оксипропанона-2. Цуруга (1-フェニル-1-ヒドロオキシ-2-プロパノーンの製造法・教質正教), [富士薬品工業株式會計, Фудав якухин когё кабусики кайся]. Япон. пат. 5624, 13 08 55

Предложен новый способ получения 1-фенил-1-окси-пропанона-2 (I), являющегося промежуточным продуктом при синтезе эфедрина. В противоположность существующим методам предлагаемый способ являются простым и доступным. І получают конденсацией метилглиюкаля (II) с С₆Н₆ в присутствии AlCl₃. Р-цию проводят всреде С₆Н₆ при т-ре <20°. 10.8 г II смешивают с 200 мл абс. С₆Н₆, прибавляют при перемешивании и охлаждения до 10° 42 г AlCl₃, продолжают перемешивать 10 час. при т-ре <20°, выливают реакционную смесь в 100 мл НСl и 300 г льда, экстрагируют 100 мл С₆Н₆, экстракт сушат и перегоняют в вакууме. Получают 8 г I с т. пл. 143—145°/31 мл, оксим I имеет т. пл. 112°. В. Каратаев 13151 II. Производство хлоранила. Ф о к с (Production of chloranil. F о х Jо h n E.) [Monsanto Chemical Co.]. Пат. США 2722537, 1.11.55 Хлоранил получают при 180—260° р-цией циклогекана в НСl и О. в применення при 180—260° р-цией циклогекана в НСl и О. в применення при 180—260° р-цией циклогекана в НСl и О. в применення при 180—260° р-цией циклогекана в НСl и О. в применення получают при 180—260° р-цией циклогекана в НСl и О. в применення получают при 180—260° р-цией циклогекана в НСl и О. в применення получают при 180—260° р-цией циклогекана в НСl и О. в применення получают при 180—260° р-цией циклогекана в НСl и О. в применення получают при 180—260° р-цией циклогекана в НСl и О. в применення получают при 180—260° р-цией циклогекана в нестрани получают при 180—260° р-

Хлоранил получают при 180—260° р-цией циклогексана с HCl и O₂ в присутствии катализаторов окисления (окис**и и** соли Cu, Fe, Bi, Co, Al или их смеси).

13152 П. Получение п-ацетиламинометилацетофенона Нагасава, Такаги, Тосака (パラ・アセチルアミノメチル・アゼトフエノンの製造方法、長澤不二男、高木蛇・、遠坂勳)、[三菱化成工業株式會社、Мицубиси касэй когё кабусики кайся].Япон. пат. 1372, 28.02.55

п-Ацетиламинометилацетофенон, п-Н₃ССОС₆Н₄СН₂-NECOCH₃ получают р-цией галондного ацетила с С₆Н₅СН₂NHCOCH₃ в присутствин AlCl₃. К р-ру 30 г с₆Н₅СН₃NHCOCH₃ в 80 мл ССІ₄ при перемешивании измаждении прибавляют 39 г СН₃СОВг, затем понемногу прибавляют 88 г AlCl₃, поддерживая т-ру ~0°. Смесь нагревают 30 мин. на кипящей водяной бане

и выливают в ледяную воду. Органич. слой промывают водой, перегонкой в вакууме выделяют n-ацетиламинометилацетофенон, т. кип. 218—219°/6 мм, выход \sim 69%.

В. Каратаев 13153 П. Способ получення N, N-диметиламида салициловой кислоты. Сугимото, Оки, Хирамацу (N,N-チメチルサリ チルアミド の製造法. 杉本 奥夫, 大城進, 平松一) [田邊製業株式會社, Танабэ сэйяку кабусики кайся]. Япон. пат. 3322, 9,06,54.

Обработкой диметиламиновой соли салициловой к-ты (I, к-та) PCl₃ или SOCl₂ в инертном р-рителе получают N,N-диметиламид I. К 105 г 25%-ного р-ра NH(CH₃)₂ В С₆Н₆ при перемешивании и охлаждении прибавляют 40 г I. Полученную диметиламиновую соль I нагревают до 20—50° и при 30—60° в течение 1—15 час. по каплям приливают 13,2 г PCl₃ или 34 г SOCl₂. Вязкую массу нагревают несколько часов при 50—60°, по охлаждении нейтрализуют водн. р-ром соды до щел. р-ции и отфильтровывают выделившиеся кристаллы. Бензольный слой отделяют от водн. слоя, сущат Na₂SO₄ и отгоняют С₆Н₆, кристаллизацией остатка вместе с ранее полученными кристаллизацией остатка вместе с ранее полученными кристаллами из 50%-ного спирта выделяют 32 г N,N-диметиламида I, выход 67%, т. пл. 165°.

В. Уфимпев В. Уфимпев В. Уфимпев В. Уфимпев В. Уфимпев Ока, Фукусима, Хоси (無水フタール酸の製造法. 岡秀明, 編島弘, 是健), [三菱化成工業株式會社, Муцибиси касай когё кабусики кайся]. Лпон. пат. 7315, 9.11.54

Каталитическое окисление нафталина (I) до фталевого ангидрида (II) воздухом проводят с применением солей ванадневой к-ты, а также с прибавлением 3-15% К-солей. 250 мл пемзы (III), измельченной на кусочки К-солей. 250 мл. пемаы (111), измельченной на кусочки диам. 10 мм, пропитывают р-ром 23 г Sn(VO₃)₃ (получен смешением р-ров SnCl₂ и NH₄VO₃, промывкой осадка водой и сушкой) и 2,3 г К₂CO₃ в воде и сушат. Полученным катализатором (К) наполияют трубку и при нагревании ее на бане до 364° пропускают смесь газов с соотношением 24,1 л воздуха на 1 г I и объемной скоростью 4800 в 1 час, в течение 1 часа получают 41,98 г II, выход 84,3%. Аналогично при пропускании над тем же К при 360° газовой смеси (22,3 л воздуха на 1 г I) при объемной скорости 3600 в 1 час, получают в течение 1 часа 34,26 г II, выход 84,8%. Р-ром 20 г Sn(VO₈)₃ и 1 г К₂SO₄ пропитывают 250 мл III, измельченной на кусочки днам. 10 мм и сущат; над этим К пропускают при 355° газовую смесь (22 л воздуха на 1 г I) при объемной скорости 4800 в 1 час, в течение 1 часа получают 47,36 € II, выход 85%. Аналогично при пропускании над тем же К при 352° газовой смеси (20,5 л воздуха на 1 г I) прв К при 302 газовой смеси (20,5 в воздука на 1 г зу пробъемной скорости 3600 в 1 час, в течение 1 часа получают 37,49 г II, выход 85,4%. Р-ром 20 г Ві(VO₃)в (получен смешением р-ров ВіСl₃ и NH₄VO₃, промывкой осадка водой и сушкой) и 1 г К₂CO₂ в воде пропитывают 250 мл III и сущат. Полученным К наполняют реактор и при нагревании при 380° пропускают газовую смесь (23,8 а воздуха на 1 г 1) через слой К при объемной скорости 4800 в 1 час, в течение 1 часа получают 42,08 г скорости чосо в 1 час, в гочение 1 часа получают 25.05 в 11, выход 83.5%. Аналогично при применении К из $20 \ \varepsilon$ Ві $(VO_3)_3$ и 1 ε К $_2SO_4$ на $250 \ м_4$ III при пропускании при 375° газовой смеси $(20,4 \ s$ воздуха на $1 \ \varepsilon$ I) при объемной скорости $3600 \ s$ 1 час, в течение 1 часа получают 37,35 г П, выход 84.7%. В. Уфимцев Карбонилирование галоидсодержащих аро-13155 II.

матических соединений. Причард, Тейбет (Carbonylation of aromatic halides. Prichard William W., Tabet Georges E.) [E. I. du Pont. de Nemours and Co.]. Канад. пат. 516097. 30.08.55

Метод карбонилирования в-в, содержащих галонд (Cl, Вт или J), связанный с ароматич. углеводородным ядром, состоит в том, что эти соединения вводят в р-цию

No

ной

pa,

CYT

BOI BM 486

дер

апр c (

B 5

CH

чен

Cal

paa обр

HHE

BLIE

вод

10

pac

POE

HILD

INX

п 6

AlC

310

отф с 2

фил

его ны

3-(2

Na-

4 9 вод

охл

вук

кра 131

ti

K

1

XHH

1316

PEd

с карбонилами металлов подгруппы Fe при повышенных т-ре и давлении в присутствии органич, в-в (спиртов, алкоксиалканов, фенолов), способных превращать образующиеся галондангидриды к-т в эфиры. Алкильный (напр. метиловый) эфир терефталевой к-ты получают нагреванием смеси п-дихлорбензола (I), Ni(CO)₄ (II), CO и спирта, содержащего 1—6 атомов С (напр., CH₃OH) при 250—350° и 200—1500 ат; из реакционной смеси выделяют продукт. Нагреванием в тех же условинх смеси I, CO, диалкильного эфира, содержащего 2—8 атомов C, и Ni(CO)₄ (последний берут в кол-ве 0,5—5 молей на 1 моль I) получают алкильный эфир терефталевой к-ты. И. Шалавина 13156 П. Получение аминов. У орд, Лам, Ходжео и (Production of amines. Ward S., Lamb S. A., Hodgson M. A. E.) [Imperial Chemical Industries, Ltd.]. Англ. пат. 712100, 21.07.54

Ароматические алкилированные амины получают непрерывным пропусканием ароматич, нитросоединения двалкилкетона и Н2 при нормальном или повышенном давлении над катализатором, содержащим металлич. Си. N. N'-ди-втор-бутил-п-фенилендиамин пропусканием п-нитроанилина вместе с СН «СОС» Н в и Н » над Си-хромитом при 160° и 50 ат. Аналогично получают N,N'-диизопропил-м-фенилендиамин. Б. Дяткин 13157 П. Производство п-аминофенола. Суда, Камисина (パラアミノフエノールの製造法、須田清 二郎, 上島健也、 吉村昌光), Йосимура Масамицу]. Япон. пат. 6570, 15.10.54

Для удешевления процесса произ-ва п-аминофенола заключающегося в восстановлении нитробензола (II) металлич. Al в органич. к-те, предлагается способ, исключающий применение органич. к-т, а именно, восстановление II в фенилгидроксиламин с последующей перегруппировкой в I при действии металлич. Аl или Mg в водн. p-ре H₂SO₄. Основными условиями получения I с миним. образованием побочных продуктов (анилин и продукты сульфирования фенилгидроксиламина) являются конц-ия H₂SO₄ 60—80% и т-ра р-ции 80—90°. К смеси 100 ч. II, 500 ч. H₂SO₄ и 140 ч. воды при 75—80° постепенно прибавляют 50 ч. Al-стружки, через 0,5 часа т-ру доводят до 80—95°, через 1 час р-цию заканчивают, прибавляют 500 ч. воды, нейтрализуют содой и отгоняют продукт р-ции с водяным паром. Нейтрализуя H₂SO₄ известью и экстрагируя реакпринную смесь кипятком, получают 60 ч. основной в. Каратаев Способ получения 1,1-диарил-3-аминопро-13158. П

пиленов-1 (Тара valmistaa 1,1-diaryyli-3-aminopropeen-(1)-eja) [H. Lundbeck & Co., Kemisk Pharma-ceutisk Lab. A/S]. Фин. пат. 27711, 40.06.55 сентія Іль. А/S). Оли. пат. 27711, 10.06.55 Соединения общей ф-лы $(R^1)(R^2)NCH(R^3)C(R^4)=$ $=C(R^5)(R^6)$, где R^1 и R^2 —алкилы, R^3 и R^4 —Н или $CH_3(R^3$ и R^4 не могут быть одновременно атомамиН), R⁵ и R⁶— фенилы, которые могут содержать заместители, получают р-цией соединения общей ф-лы (R^1) - (R^2) NCH (R^3) CH (R^4) C (R^5) (R^6) OH с хлористым тионилом при т-ре~<100° и последующим отщеплением HCl от образовавшегося хлорида. Б. Фабричный

1159 П. Способ получения 4,4-диамино-ди-(гек-сагидро)-дифениламина. Рихе, Веше (Verfahren zur Herstellung von 4,4'-Diamino-di-hexahydro-diphenylamin. Rieche Alfred, Wesche Hans) [VEB Farbenfabrik Wolfen]. Пат. ГДР 4565,

4,4'-диамино-ди-(гексагидро)-дифениламин (I) получают каталитич. гидрированием 4,4'-диаминодифениламина при помощи Н 2 под давлением в присутствии металлов или их соединений (в особенности Со-соединений), в отсутствие или присутствии основных соединений щел. или щел.-зем. металлов. 500 ч. 4,4'-диаминодифениламина с добавлением 25 ч. Со-окиси гидрируют при 200-250° и давлении H₂ ~ 100 am, отделяют катализатор и перегонкой выделяют ~ 420 ч. 1. т. кип. 170-176°/7 мм, состоящего из смеси стереоизомеров. І пригоден в качестве промежуточного продукта для синтеза красителей, вспомогательных в-в. пластич. масс и, в особенности, синтетич. волокон, В. Уфимцев

Способ получения аралифатических интрилов (Fremgangsmåde til fremstilling af aralifatiske nitriler) [Knoll A.-G]. Дат. пат. 79703.

Аралифатические нитрилы получают нагреванием производных жирноароматич. углеводородов, содержащих в боковой цепи Cl или Br, с цианидами шел металлов в присутствии небольшого кол-ва йодида или бромида щел. металла и индифферентного органия. р-рителя, в котором цианид щел. металла растворим хотя бы в небольшой степени. 100 г п-метоксибензилхлорида растворяют в 600 мл абс. ацетона, прибавляют 40 г NaCN и 3 г NaJ и кипятят 4 часа. Получают 4-метоксибензилцианид, выход 88-94%, т. кип. 147-150°/12 мм. По этому способу синтезированы бензилцианид (омылением этого нитрила получена фенилуксусная к-та, т. пл. $75-76^\circ$, выход 94%, считая на $C_0H_5CH_2Cl)$; 3,4-метилендиоксибензилцианид (омылением этого нитрила 10%-ным NaOH получена гомопиперониловая к-та, т. пл. 128—129°, выход 96%, считая на исходный хлорид); 3-фтор-4-метоксибев-зилцианид, т. кип. 158°/10 мм, т. пл. 45—46°, выход 82%; 9-цианметилфенантрен (выход 92%); 1-цианметил-2-метилнафталин, т. кип. 155°/0,3 мм, т. пл. 77°, выход 95,4%; 3,4-диметоксибензилцианид, т. кип. 140°/1 мм, выход 77-95%, т. пл. 65-67°

Б. Фабричный 161 П. Винилсульфиды. Ландау, Ирани (Vinyl sulfides, Landau Edward F., Irany Ernest P.) [Camille Dreyfus]. Канад. пат. 509807.

Несимметричные винилсульфиды получают пиро-лизом в инертной, свободной от O₂ атмосфере при 350— 500° (365—375°) этилендисульфида ф-лы RSCH₂CH₂SR, где R— термостойкий одновалентный заместитель. Пиролизом (C₆H₅SCH₂)₂ при 365-370° получают фе-Ю. Васильев нилвинилсульфид. Способ получения соли гванколсульфо-13162 П. кислоты с β-диметиламиноэтилбензгидрилэтилом. Ямагути. Кавамура (β-チメチルアミノエチ ルベンツヒドリル エーテルのグア ヤコールスルホン酸酸 の製造法、山口剛一、川村良夫)、 [日本化薬株式食社 Нихон каяку кабусики кайся]. Япон. пат. 898

Соль гваяколсульфокислоты (1) с (С6Н5)2(С2Н5)ССН2 СН₂N(СН₃)₂ (II) получают растворением К-соли I в в горячей воде и прибавлением води. р-ра хлоргидрата II. 7,3 г хлоргидрата II растворяют в 12 ма воды рата п. 7,5 г хлоргидота п растворил в и приливают к р-ру 6 г К-соли I в 38 мл горячей воды, получают 13 г соли I с II, выход 92%, бесцветные иглы, т. пл. 160°.

В. Уфимцев 3163 П. Получение арилдихлорсиланов (Preparation of aryldichlorosilanes) [Union Carbide & Carbon Corp.]. Англ. пат. 738541, 12.10.55

Лиарилдихлорсиланы получают нагреванием моноарилдихлорсиланов, имеющих 1 атом Н, соединенный с атомом Si, в присутствии катализатора р-ци Фриделя-Крафтса, напр. AlCl3 или BCl3. Катализатор может присутствовать в кол-ве от 0.0001 вес. % до 5 вес. % от веса силана. При употреблении AlCl₃ р-дшо лучше проводить при т-ре ≥ 50°, при применении BCl₃ при т-ре ≥ 100°. Получен дифенилдихлорсилан. B. Rpacesa

13164 П. Способ получения 6-ацил-2-нафтолов. Моршель (Verfahren zur Herstellung von 6-Acylr.

-пп . I.

peo-

про-

В-В,

кон.

пев

HRT-

lifa-

703

Inew

дерщел.

или

нич. орим BIUI-

бав-

олу-

кип

ваны чена

счи-

анид

чена

96%.

ибен-

ыход

нме-

77°. KMD.

йинр

ann

any

9807.

пиро-

350-

SR.

тель.

г фе-

ильев

льфо-

илом.

ノエチ

一般藍 會社

CCH2-

IB

ргид-

воды

рячей

пвет-

импев ration

orp.].

MOинен-

р-цп ЛИЗ8-

% до

о-цшо

нения

илан.

acesa

голов.

Acyl-

2-oxy-naphthalinen. Morschel Heinrich) [Farbenfabriken Bayer A.-G.]. Пат. ФРГ 941373,

6-Ацил-2-нафтолы получают р-цией 2-окси-1-нафтой-ной к-ты или 2-нафтол-1-сульфокислоты (I) с ангид-ридами или хлорангидридами карбоновых к-т в присутствии AlCl3, после чего от полученных ацилироизводных отщепляют карбокси- пли сульфогруппу. Вместо чистой I можно применять сульфомассу, получаемую при сульфпровании CISO₃H 2-нафтола и содержащую р-ритель, пригодный для последующего ацилирования. К молекулярному соединению AlCl₃ с CH3COCI, полученному внесением 60 вес. ч. AlCl3 с спасост, полученному внесением об вес. ч. Агста 50 об. ч. $C_8H_5NO_2$, а затем добавлением 32 вес. ч. CH_5COCI , при $30-40^\circ$ прибавляют сульфомассу (получена сульфированием 29 вес. ч. 2-нафтола в 80 об. ч. $C_8H_5NO_2$ приливанием при $0-5^\circ$ 25 вес. ч. $CISO_2H$ и размешиванием в течение 1 часа; содержит главным образом I), затем нагревают 8 час. при 70° до окончания выделения HCl-газа, выливают на лед, отфильтровывают кристаллы, растворяют в 400 об. ч. горячей воды, прибавляют 80 вес. ч. H₂SO₄ и кипятят 1 час с отгонкой остатка C₆H₅NO₂; застывшее по охлаждении до 100° масло отфильтровывают, промывают водой растворяют в разб. NaOH и высаливанием NaCl выделяют Na-соль 6-ацетил-2-нафтола, которую отфильтровывают, растворяют в горячей воде (с активированным углем) и подкислением НСІ выделяют 6-ацетил-2нафтол, выход 80%, т. пл. 171°. В смесь 700 об. ч. дихлорэтана (II), 94 вес. ч. 2-окси-1-нафтойной к-ты л 60 вес. ч. янтарного ангидрида прибавляют 250 вес. ч. AlCls, нагревают 5 час. при 70—80°, приливают при этой т-ре ~ 800 ч. воды, отгоняют II, продукт р-ции отфильтровывают и промывают водой; кипятят его 2 часа 2000 ч. 10%-ной H₂SO₄, по охлаждении до 50° отфильтровывают и промывают водой осадок, растворяют его в разб. содовом p-pe, после очистки активирован-ным углем при 40—50° подкислением НСІ выделяют 3. (2-оксинафтопл-6)-пропноновую к-ту, выход 60%, т. пл. 229—230° (очистка через труднорастворимую Na-соль). В смесь 300 об. ч. II, 60 ч. янтарного ангидрида и 250 вес. ч. AlCl₃ прибавляют сульфомассу (из 62 вес. ч. CISO₃H, 400 об. ч. II, 72 вес. ч. 2-нафтола, 0-5°), содержащую главным образом I, нагревают 3-4 часа при 60°, после отгонки II приливают 1200 об. ч. воды и 180 вес. ч. конд. $\rm H_2SO_4$, кпилятя 1 час. и по охлаждении выделяют β -(2-оксинафтоил-6)-пропионовую к-ту. Получаемые 6-ацил-2-нафтолы пригодны в в качестве промежуточных продуктов для синтеза красителей и лекарственных веществ. В. Уфимцев асителей и лекарственных веществ. 13165 П. Некоторые новые 1,4-нафтохинонимины и способы их получения. И и глиш, Клапп (Сегtain new 1,4-napthoquinoniamines and methods of preparing the same. English Jackson P., Clapp Richard C.) [American Cyanamid Co.]. Канад. пат. 516691, 20.09.55 1,4-нафтохинонимины ф-лы (I), где R — циклогек-

сил, R' и R"- Н, низшие алкилы, низшие алкил-

амино- и диалкиламиногрунпы, и их соли с к-тами получают при 60—130° в инертном р-рителе р-цией циклогексиламина с соеди-нением ф-лы (II). Полу-

чен N-n-толил-2-(4-метилциклогексиламино)-1,4-нафтохинонимин. И. Шалавина Новый способ получения различных ме-

зодиарилантраценов. Этьени, Дежан (Nouveau procédé d'obtention de divers mésodiarylanthracènes. Etienne André, Degent Charles) [Gaz de France (Service National)]. Франц. пат. 1085860,

8,02.55 [Chimie et industrie, 1956, 75, Na 3, 551 (франц.)]

Антрацен или его производные, замещ, в боковых бензольных ядрах, вводят в р-цию с арилдиазосоединеннями или ароматич. N-нитрозоациламинами, среди которых наиболее пригодны стабилизированные или нестабилизированные соли диазония, сложные диазоофиры, основания диазония, диазотаты щел. металлов и явоматич. N-нитвозоацетиламины. Я. Кантор ароматич. N-нитрозоацетиламины. 3167 П. Получение алкиламине

13167 II. алкиламиноантрахинонов. Мак-Шихи (Preparation of alkylaminoanthra-quinones. McSheehy Justin A.) [The Ame-rican Cyanamid Co.]. Пат. США 2727045, 13.12.55 В производных антрахинона общей ф-лы (I), где X и X'— H, галоид, ОН-, СN-, или NO₂-группа, по крайней мере одну ОН-группу, на-

ходящуюся в α-положении, замещают на амино-, моноалкиламино- или монооксиалкиламиногруппу. Для этого в-во ф-лы I нагревают с NH₃, первичным алифатич. амином, первичным алифатич. монооксиамином или



Фуран (I) получают пропусканием паров фурфурола (II) и водяного пара при т-ре >200° над катализатором (К), состоящим из окисла, обладающего дегидрирующим действием, или смеси этих окислов, а также в соединении с окислом металла, обладающим более кислым характером, чем ZnO. В частности, указано: а) применение для р-ции смеси 1 моля II с 2—6 молями водяного пара; б) К в качестве основной активной части содержит хромиты Zn, Mn, Cd или Sn, или хромит металла Fe-группы, модифицированный Cd или Sn, или состоит из смешанного хромита Zn-Mn, или Zn-Fe. К из смеси хромитов Zn и Fe в молярном соотношении 9:1 получают следующим образом: 1258 г ZnO постепенно при размешивании прибавляют к 2665 г 37%-ной холодной HCl и нагревают 12 час. при 100° после отделения непрореагировавшей ZnO получают фильтрат, содержащий 12,84 молей ZnCl₂. Этот р-р смешивают с р-ром 398 г технич. FeSO₄ и прибавлением дистилл. воды доводят объем до 7,1 м. при перемешивании прибавляют р-р 2170 г (NH₄)₂CrO₄. в 7,1 л дистилл. воды и нейтрализуют 800 мл 28%-ного води. NH3, осадок отфильтровывают, почти полностью отмывают дистилл. водой от Cl-, сущат при 110°, прокаливают 4 часа при 400° и прессуют в таблетки. Этими таблетками наполняют вертикальную трубу и восстанавливают К слабым током Н₂ при 450°; затем смесь 1 объеми. ч. паров II и 5 объеми. ч. водяных паров пропускают при 425° со скоростью ~ 500 объеми. ч. паров на 1 объеми. ч. К в 1 час. Газы пропускают через ряд холодильников с т-рой от 0° до — 60°, перегонкой сконденсировавшейся части выделяют 1, выход 85%, т. кип. 31—32°; отходящие после холодильников газы (2 объемн. ч. на 1 объемн. ч. К в 1 час) содержат примерно равные объемы H₂ и GO₂. Аналогично напол-няют трубку восстановленным при 400° таблетированным К из Mn-хромита с примесью K2CrO4 и пропускают смесь 1 объеми. ч. И и 5 объеми. ч. водяных паров со скоростью ~ 375 объеми. ч. паров на 1 объеми. ч. К при 400°; эту т-ру в случае надобности повышают, чтобы кол-во газов, отходящих после холодильников, составляло 2 объеми. ч. на 1 объеми. ч. К в 1 час; выход I 50%. Экстрагированием водн. части выделяют > 10% примененного И. Приведены еще 3 примера получения I с применением смешанного Zn-Mn-хромита или смеси

No

лам лов

CTB

ден (pl

KO

ил

по

пр

по

ма

CH

HO

рга

BO

pa Tu

13

CI

Cl

M P H

85 мол. % Ге-хромита и 15 мол. % Сd-хромита или Zn-Cu-хромита (в молярном соотношении 2:1). В. Уфимпев

13169 П. Производство тнофена. Стюарт, Девейни (Production of thiophene. Stewart Maredith M., Devaney Lawrence W.) [Texaco Development Corp.]. Канад. пат. 514645, 12.07.55

Усовершенствование метода получения в-в, имеющих твофеновое ядро, р-цией H_2S и (или) летучих при нагревании сульфидов с соединениями, содержащими алифатич. пень, имеющую $\geqslant 2$ атомов С, при т-ре $\geqslant 370^\circ$, заключается в том, что р-цию проводят в присутствии катализатора, состоящего из $\sim 85\%$ Al₂O₃, стабилизованной $\sim 5\%$ SiO₂, и 10% окисей и (или) сульфидов металлов VI группы периодической системы; катализатором служит, напр. окись Cr или Мо на Al₂O₃, стабилизованной SiO₂.

3170 П. Производство соединений ряда фенантридина (Phenanthridine compounds and the manufacture thereof) [Wellcome Foundation, Ltd]. Англ. пат. 734934, 10.08.55

Четвертичные соли N-этил-2,7-диамино-9-α-тиенилфенантридина получают действием этглсульфата на 2,7-бис-карбэтоксиамино-9-α-тиенилфенантридин (I) или превращением в четвертичную соль любого поста ходящего 2,7-замещенного 9-α-тиенилфенантридина, который может быть превращен загем в 2,7-диаминопроваводное. Описано получение N-этилсульфата I, который гидролизуют H₂SO₄ и превращают в N-этилбромид, йодид и хлорид. В. Смит 13171 II. Способ получения n-толуолсульфоната ме-

тил-4-винилпиридиния. Рейнолдс, Лаксо (Process of preparing methyl 4-vinyl-pyridinium p-toluenesulfonate. Reynolds Delbert D., Laakso. Thomas T. M.) [Eastman Kodak Co.]. Пат. США 2725381, 29.11.55

Перемешиванием 4-винилпиридина с метил-п-толуолсульфонатом при т-ре ≤ 25° в присутствии безводи. р-рителя (алкилацетатов, алкил которых содержит 1—5 атомов С; метилалкилкетонов, алкил которых содержит 2—4 атома С; С₅Н₅, С₅Н₅СН₃, диэтилового или диизопропилового эфиров) и выдерживанием
реакционной смеси при этой т-ре получают п-толуолсульфонат метил-4-винилпиридиния, выпадающий
и. Палавина
И. Палавина

13172 П. Способ получения β-фенил-β-(пиридил-2)-проинонового альдегида и его производных. Сунагава, Накадзава (β-フェニル-β(2-ビリギロル) プロピオンアルデヒド類の製造法. 砂川玄俊・中澤準一). [三共株式會社. Санкё кабусики кайся]. Япон. пат. 728, 6.02.56

β-Фенил-β-(пиридил-2)-пропионовый альдегид и его производные общей ф-лы n-XC₆H₄CH (CH₂CHO)C-

СНСН=СНСН=N (I) (X — Н или галонд) получают

р-цией 2-бензилпиридина (II) или его *п*-галоидзамещ с BrCH₂CH(OC₂H₅)₂ (III) в присутствии NaNH₂, после чего полученный этилацеталь I разлагают кипччением с разб. к-той в водн. среде; образуется I. К р-ру 15,7 г II и 29,5 г III в 80 мл толуола прибавляют 6 г NaNH₂ и книятия 8 час., по охлаждении промывают водой, отгоняют толуол и перегонкой при 170—180°/3 мм выделяют 20 г этилацеталя I. Последний кипятят ~30 мин. с 60 мл разб. HCl, по охлаждении подщелачивают NaOH, извлекают С₆H₆, а затем отгонкой С₆H₆ и перегонкой в вакууме выделяют 11 г β-фенил-β-(пиридил-2)-пропнонового альдегида, т. кип. 150—155°/3 мм; оксим, т. кип. 174—180°/1,5 мм. Аналогично из 20, 3 г 2-(п-хлорбенаял)-пиридина и 29,5 г III в 85 мл толуола (6,5 г NaNH₂, кипччение 10 час.)

получают 23,4 г диэтилацеталя β-(п-хлорфенил)-в-(пиридил-)-пропионового альдегида, т. кип. 185—195°/3 м.м., а из него киппячением ~ 30 мин. с 70 м.л разб. НСІ — 12 г β-(п-хлорфенил)-β-(пиридил-2)-пропионового альдегида, т. кип. 165—169°/2 мм. В. Уфимцев 13173 П. Получение 2-(4-ациламинобензолсузьф. амидо)-хиноксалинов. В ейлард, Тишлер (Preparation of intermediates of sulfaquinoxaline. We i jl a r d J o h n, T i shler Max) [Merck & Co., Inc.]. Канад. пат. 516554, 13.09.55

Реакцией 2-аминохиноксалина с *п*-ациламинобензолсульфогалогенидом получают соответствующие 2-(4-ациламинобензолсульфамид)-хиноксалины общей ф-лы (I), где

NHO₂SC₂H₄NHR-n

салины общей ф-лы (I), где R—ацил, в частности, CH₃CO или C₆H₅CO. В. Уфимцев 13174 П. Производство хлорпиразинов. Джерман (Manufacture of chloropyrazines. Germann Richard P.) [American Cyanamid Co.]. Канад. пат. 514518, 12.07.55

Парофазный метод получения галоидированных пиразинов состоит в том, что предварительно подогретую до 250—450° смесь паров 1 моля пиразина, 0,85—0,95 моля галоида (Вг2 или Сl2), 0,5—2 моля SO2 и разбытеля (последний берут в кол-ве, достаточном для поддержания контакта реагентов в течение 0,5—15 сек. при т-ре р-ции 350—500°, разбавителем могут служить пары Н2О. N2 или СО2) пропускают через реакционную камеру при указанных выше условиях. Реакционную смесь конденсируют и выделяют моногалоидпиразин. И. Шалавина

13175 П. Способ получения производных 1,2,3тризамещенных пиразолонов. Ледрю (Process for the preparation of 1,2,3-trisubstitured pyrazolone derivatives. Ledrut Jules R. T.). Канад. пат. 510619, 8.03.35

Бисульфитные соединения шиффовых оснований 1,2,3-тризамещ. пиразолонов общей ф-лы (I) OCNR NR'CR = CCH(SO₃Na)NHR''' (R, R' и R'-ме

тил, этил, пропил, фенил или нафтил; R"— остаток первичного амина) получают р-цией равномолекулярных кол-в 1,2,3-замещ. пиразолональдегида общей ф-лы ОС NR" NR'CR = CCHO с первичными аминами и

NaHSO_{3.} В частности указано выполнение способа сначала р-цией пиразолональдегида с NaHSO₃ с образованием бисульфитного соединения общей ф-лы OCNR"NR'CR = CCH(SO₃Na)OH, а затем р-цией пос-

леднего с первичным амином.Патентуется продукт р-пп общей ф-лы I (R и R' — метил, R"-фенил, R"-л-C₆H₄SO₂NH₂). В. Уфимцев 13176 П. Производство меламина (Melamine production) [Monsanto Chemical Co.]. Австрал. пат. 166541, 2.02.56

Непрерывный способ произ-ва меламина (I) состоит в непрерывном введении в-ва, образующего I, в реакционную зону, содержащую значительный избыток расплавленного I, под давлением, достаточным для предотвращения испарения I. Расплавленный I выводят из р-ции с такой скоростью, чтобы в реакционной зоне постоянно оставался значительный избыток I и давление было бы по крайней мере таким, при котором пе происходит заметного испарения I. И. Шалавши 13177 П. Получение водорастворимого метилолмента.

амина. Сугино, Симидзуя, Коэда (水溶性メチロールメラミンの製法・杉野喜一郎、湾水屋 仁佐久ゝ 小枝幾久雄). [日本カーバイド工美株式會社 Нихон кабайдо коге кабусики кайся]. Япон. пат. 3374, 20.05.55 7 r.

n)-β-

185-

O ALS

оппо-

мпев

аьф.

лер

line.

ferck

iR-a

мцев

kepann

анал.

X III-

етую -0.95

азба-

для сек.

нную

азин.

авина

1,2,3-

rocess

пат.

ваний

- Me-

к пер-

трных

ф-лы

гособа

бразо-

ф-лы

импев

OCTOBT

реак-

пред-

ІВОДЯТ

й зоне

ром не

тавина

олиел-

оэда

荷木星

大會社,

Метилолмеламин (I), получаемый конденсацией меламина (II) и CH₂O, обычно выделяется в виде кристаллов, плохо растворимых в воде (растворимость ~ 10% при 70°), малая растворимость в воде создает неудобства в случае применения I для обработки тканей и других материалов. Водорастворимый I получают путем изменения условий р-ции и выделения продукта конденсации. Р-цию проводят при нагревании в щел. среде (рН ≥7) с добавлением в качестве замедлителей р-ции низших спиртов — метилового или этилового. Продукт конденсации выделяют высушиванем p-pa в вакууме или продуванием пара, I получается в виде порошка, пли продуванием пара, 1 получается в выде поролика, поглощающего влагу и легко растворимого в воде; при т-ре ~ 20° его растворимость > 50%. Води. р-ры полученного I устойчивы при т-ре ~ 20° в течение 8 час. в могут быть использованы для обработки различных материалов. К 130 ч. 37% -ного СН₂О прибавляют 30 ч. СН₃ОН и р-р NаОН до рН 9,0; при нагревании и перемещивании добавляют 63 ч. П, при т-ре ~70° П полестью постью ностью растворяется в течение 15 мин. После растворения II т-ру 75-80° поддерживают еще 5 час. при рН 9—9,5. При охлаждении р-ра кристаллы не выпадают; p-р высушивают продуванием пара и получают 100 ч. р-р высущивают продужанием дар. белого аморфного порошка I, со средним мол. в. 250— 270. В. Каратаев 3178 П. Производные тиазола (Thiazole derivatives) [May & Baker, Ltd]. Англ. пат. 729331, 4.05.55

Гвдразиды общей ф-лы $SC(R)=CHN=CCONHNH_2$, где R-H или алкил с 1-3 атомами C, получают р-цней гидразина с низшим алкиловым эфиром или галоидангидридом соответствующей тиазол-2-карбоновой к-ты (1). Гидразид I получают р-цней гидразингидрата с этиловым эфиром I в спирт. р-ре; гидразид 5-метилтиазол-2-карбоновой к-ты получают аналогично из этилового эфира 5-метилтиазол-2-карбоновой к-ты. Б. Фабричный

13179 II. Получение 2-меркаптотиазолона-5 (Preparation of 2-mercaptothiazolone-5) [Beecham Research Labs, Ltd]. Англ. пат. 733092, 6.07.55 2-Маркаптотиазолон-5 или его соль получают р-цией аминоацетамида (I) с CS₂ в среде р-рителя (напр.,

2-Маркантотиазолон-5 или его соль получают р-цней аминоацетамида (I) с CS₂ в среде р-рителя (напр., спирта) с последующим постепенным прибавлением сильного основания (напр., NаОН) и подкислением реакционной смеси через некоторое время (напр., через 1 час). Если I используют в виде хлоргидрата или применяют I, содержащий хлоргидрат I, то соль предварирительно нейтрализуют эквивалентным кол-вом сильного или слабого основания, а затем прибавляют постепенно (напр., в течение 30 мин. или 1 часа) по крайней мере 1 эквивалент сильного основания на 1 моль I.

В. Смнт 13180 П. Фентиазины (Phenthiazines) [Societe des Usines Chimiques Rhone-Poulenc]. Австрал. пат. 166955, 1.03.56

Фентиазины получают нагреванием дифенилсульфидов, одно из ядер которых имеет в орто-положении NH₂-группу, а другое — галоид (остальные положения в ядрах или не замещены или замещены галоидом, нашим алкоксилом или феноксигруппой), в присутствии безводн. р-рителя и связывающего к-ту агента; при этом происходит циклизация исходных дифенилсульфидов. И. Піалавина 13181 П. Способ получения низкогаломпированных

13181 П. Способ получения низкогалондированных производных фентназина. Штрелль, Рупрехт (Verfahren zur Herstellung niedrig halogenierter Phenthiazinabkömmlinge. Strell Martin, Rupprecht Manuel). Пат. ФРГ 938669, 2.02.56

Низкогалоидированные производные фентиазина (I) получают р-цией I с в-вами общей ф-лы РХ₅ (X —галоид) в таких кол-вах, что на каждый входищий в моле-

кулу атом галовда применяют 1 моль РХ_в или небольшой избыток. К р-ру 6 ч. I в 200 ч. CHCl₃ прибавляют при размешивании 18,8 ч. PCl₈ и кипитят 3 часа, отгоняют р-ритель, к остатку прибавляют воду и осадок отфильтровывают; неочищ. продукт растворяют в ацетоне, обеспвечивают Na₂S₂O₃ и разбавлением водой выделяют дихлорфентивазин, выход 89%, т. пл. 227°. Аналогично из 6 ч. I, 200 ч. CHCl₃ и 30 ч. PBг₈ (кипячение 5 час.) получают дибромфентивани, выход 97,5%, т. пл. 190—196° (разл., из бэл.); из 6 ч., I 200 ч. POCl₃ и 6,3 ч. PCl₅ (кипячение 2 часа) получают 6,8 ч. монохлорфентиванна с примесью I и дихлорфентиванна. Продукты пригодны в качестве исходных в-в для получения фармацевтич. средств, напр., N-(3-диметиламинопропил)-3-хлорфентиванна.

В. Уфимдев

3182 Ú. Способ и аппарат для пиролиза органических соединений. Халл (Process and apparatus for the pyrolysis of organic compounds. H u l l D avid C.) [Eastman Kodak Co.]. Канад. пат. 507968, 7.12.54

Пиролиз органич. в-в, способных к образованию кетенов (напр., пиролиз СН₃СООН с образованием кетена и других продуктов), проводят в паровой фазе при т-ре ~1000° в аппарате, изготовленном из высоколегированной стали, не обладающей каталитич. активностью, содержащей 18—40% Сг, ~ 0,2—1,5% N и небольшие кол-ва Мп, Ni и С (остальное—Fe).

В. Уфимцев

13183 П. Приспособление для непрерывного нитрования, в частности для нитрования ароматических углеводородов (Vorrichtung zur kontinuierlichen Nitrierung, insbesondere von aromatischen Kohlenwasserstoffen) [Poudreries Réunies de Belgique Soc. An.]. Австр. пат. 180569, 27.12.54 [Chem. Zbl., 1955, 126 № 17, 3967 (нем.)]

Нитрование производят нитросмесью в трубчатой системе, снабженной охлаждающей рубашкой, причем для предотвращения проникновения воды в реакционное пространство избегают вальцовки и сварки между охлаждающим агрегатом и нитрационной системой. Аппарат применяют для получения нитробензола и нитротолуола.

Б. Дяткин

См. также: Нефтехим. синтез 12896, 12905—12907, 12914, 12923, 12924, 12927—12929, 12948. Алифатич. углеводороды, синтез 12932, 13031. Этвлен 12926, 12939. Ацетилен, произ-во, применение 12947, 13036. Хлорирование пропана 11808. Оксосинтез 11613. Алифатич. кетоны 11623. Маленновая к-та 11629. Адипиновая к-та 11632, 11665. Алифатич. сульфокислоты 11811. Ароматич. углеводороды 12937. Толуол, применение 11681. 3,5-Диметилфенол, получение 11812

промышленный синтез красителей

Редактор Н. А. Медаыховская

13184. Применение новых методов при производстве промежуточных продуктов и красителей. III тёклин, Вальпьяно, Цоллингер (Anwendung neuerer Methoden in der Verfahrenstechnik von Zwischenprodukten und Farbstoffen. Stöcklin E., Valpiana L., Zollinger H.), Chimia, 1956, 10, № 2, 33—40 (нем.)

С точки зрения новейших физ.-хим. представлений рассмотрено влияние среды на скорости основной и побочных р-ций, как средство для увеличения выходов. На примере азосочетания показано, что р-ция должна проводиться в такой среде, чтобы равновесие было возможно сильнее сдвинуто в сторону пона двазония, пона фенолята или свободного амина. Рассмотрено

No 4

95%,

прочи

ф-лы

ной

орана

крась

новал

новы

бино

вый,

фиол II (ун SO₂N

NO2,

краси

80-KI

вый,

CFs,

оран

1318

pe

Dy

Пр

тифи

в 19

Смит

пден

царс

При

M IIIe

сред

DOME

Ton

вых ботк

1318

KĮ

к XI Ц С (I

веле

Вані При

пок

VBe.

сле

ние

пол

СБ

KHC

non

ДО

ней

0,0

309

CMP

B 5

131

увеличение выходов азокрасителей под влиянием солевого эффекта среды (при проведениир-ции в присутствии,
напр., значительного кол-ва NaCl); влияние этого эффекта на азосочетание и побочные р-ции разложения
диазосоединения. Проведение р-ций без выделения промежуточных стадий для снижения потерь, связанных
с фильтрованием, отделением, сушкой и т. п. (напр., в
в синтезе 4,6-диметил-5,7-дихлор-3-окситионафтена
из 3,5-диметил-6-хлорбензол-1-тиогликолевой к-ты;
применение PCl₃ и Cl₂ вместо PCl₅). Ацетилирование
ароматич. аминов при помощи CH₃COOH с отгонкой
(напр., азеотропной) воды в качестве примера техничиспользования хим. равновесия. В. Уфимцев
13185. О производстве красителя прямой черный

3. Бенбасат, Цанев [Върху производството на директната черна (прямой черный 3). Бенбасат Нели, Цанев Димитър], Тежка промишленост, 1956, 5, № 3, 24—32 (болг.)

Исследован процесс получения азокрасителя прямой черный 3, получаемого сначала односторонним сочетанием бисдиазотированного бензидина с Аш-кислотой в кислой среде, затем сочетанием полученного моноазокрасителя с диазотированным анилином в щел. среде и, наконец, сочетанием полученного дисазокрасителя, содержащего диазогруппу, с м-фенилендиамином (I). При первом сочетании в начале р-ции следует поддерживать рН среды 1-2, в конце сочетания ~5, что достигается прибавлением соды. При восстановлении м-динитроанилина до I загружают мелкую чугунную стружку в кол-ве ~ 50% избытка от теоретич. При определении содержания I по бромометрич, методу получают результаты, близкие к получаемым при анализе его сочетанием с хлористым фенилдиазонием. Поэтому бромометрич. метод может быть использован в пром-сти В. Уфимцев цля анализа I.

3186. Влияние введения в моноазокрасители атома фтора на цвет и прочность окрасок. Дики, Таун, Влум, Тейлор, Хилл, Корбитт, Мак-Колл, Мур, Хедберг (Effect of fluorine substitution on color and fastness of monoazo dyes. Dickey J. B., Towne E. B., В loom M. S., Taylor G. J., Hill H. M., Corbitt R. A., McCall M. A., Moore W. H., Hedberg D. G.), Industr. and Engng Chem., 1953, 45, №8, 1730—

1734 (англ.) Исследованы F-содержащие моноазокрасители для ацетатного шелка, у которых F может находиться как в азосоставляющей, так и в диазосоставляющей красителя. Рассмотрено влияние заместителей и их положения в молекуле на цвет и светопрочность красителей. Наличие N-фторалкильных групп в красителе изменяет окраску от фяолетовой до желтой в следующем порядке: $\mathrm{CH_3CF_2CH_2CH_2CH_2-}$, $\mathrm{CH_2FCH_2-}$, $\mathrm{CH_3CF_2CH_2CH_2-}$, $\mathrm{CH_3CF_2CH_2-}$, $\mathrm{CH_3CF_2CH_2-}$, $\mathrm{CH_5CH_2-}$ раски зависит от числа и положения атомов Г. Если при втором или третьем от азота атоме С N-фторалкильной группы находятся не менее 2 атомов F, то краситель обладает повышенной светопрочностью и исключительной прочностью к действию обесцвечивающих газов. Присутствие 2-трифторметильной или 2-F-группы в 4-нитрофенилдиазонии слегка изменяет окраску в сторону синей и повышает прочность к свету; при наличии к тому же нитрогруппы в положении 6 получают краситель, обладающий значительно более синим оттенком, но не светопрочный. n-Нигрофенилдиазосоединения, содержащие заместители: 2-SO₂H₃, или 2-CF₃ и 6-Cl или 2-CF₃ и 6-Вг, или 2-СГ₃ при сочетании с азосоставляющими, содержащими СГ₃СН₂—, СН F₂CH₂—, СН₃СГ₂СН₂— или CF₈CH₂CH₂-группу, дают оранжевые до красных окраски на ацетатном шелке, обладающие превосходной прочностью к свету и действию обеспвечивающих газов.

Красители общей ф-лы I, где F находится в азосоставляющей, обладают исключительно хорошей прочностью к свету и действию обесдвечивающих газов, хорошю выбираются из ванны, ровняют и вытравляются, устойчивы к трению и к сублимации. Красители общей ф-лы II, где F находится в диазосоставляющей, обладают исключительной прочностью к действию обесдвечивающих газов, для достижения большей светопрочности взята также F-содержащая азосоставляющая,

0,5 моля бромистого 2,2-дифторэтила, 0,5 моля анилина. 0.5 моля NaHCO3 и 0,0067 моля NaJ нагревают 15 час. при 150° в автоклаве, получают N-(2,2-дифторэтил)анилин, выход 74%, т. кип. 104—106°/19 мм. 0.1 моля N-(2,2-дифторэтил)-анилина и 0,12 моля окиси этилена в 15 мл спирта нагревают в автоклаве 15 час. при 200° выход N-(2,2-дифторэтил)-N-(2-оксиэтил)-анилина 75%, т. кип. 123—125°/3 мм. Суспензию 0,445 моля 4-нитро-2-грифторметилклорбензола в 300 мл конц. NH40H нагревают в автоклаве 12 час. при 170°, выход 4-нитро-2-(трифторметил)-анилина (III) 86%, т. пл. 90—92°. Аминирование можно также с хорошим выходом проводить в спирт. p-ре NH₃ при 120° в течение 8 час. Суспензию 0,9 моля 4-нитро-1,2-дифторбензола в 630 мм 28%-ного NH₄OH нагревают в автоклаве при 150-160° 6 час., выход 4-нигро-2-фторанилина 96%, т. пл. 135—136° (из 50%-ного сп.). В p-р 0,77 моля 2,4-динитро-6-трифторметилхлорбензола в 1500 мл. спирта насыщ. NH₃,вводят в течение 2,5 час. при 25-30° NH₃, кипятят 30 мин., на другой день выливают в 3 л холодной воды, выход 2,4-динитро-6-(трифторметил)-анвлина 97%, т. пл. 114—115°. 0,102 моля 4-интро-2,6бис- (трифторметил)-хлорбензола в 300 мл спирта насыщают 33 г NH₃, нагревают в автоклаве при 105° 7 час. и охлажд. продукт выливают в воду, выход 4-нитро-2,6бис-(трифторметил)-анилина 75%, т. пл. 147—149° (п. сп.). Р-р 0,05 моля III в 50 мл СН₃СООН хлорируют при сп.). Р-р 0,05 моля III в эо мл Сп₃СоОп хлорируют при 20—40° в присутствии J₂, как катализатора до погли енения теоретич. кол-ва Cl₂, после стояния в течение 16 час. при 20° получают 2-хлор-4-нитро-6-трифторметиланилин, выход 50%, т. пл. 115—116°. К р-ру 0,1 моля III в 100 мл СН₃СООН постепенно прибавляют при 40° 16,8 г вг₂ в 100 мл СН₃СООН, нагревают 4 часа при 100° и по охлаждении выливают в воду, выход 2-бром-4-нитро-6-трифторметиланилина 91,3%, т. ил. 140—142°. 2-Метилсульфонил-4-нитрохлорбензол нагревают с избытком 28%-ного NH₄OH в автоклаве при 170—180° 12 час., получают 2-метилсульфонил-4-ингроанилин, т. пл. 204—205°. 2-Хлор-5-нигробензол-сульфохлорид восстанавливают Na₂SO₃ в щел. р-ре и образующуюся Na-соль сульфиновой к-ты обрабатывают CH₂ClCOONa в водн. р-ре в присутствии следов КJ, выход 2-метилсульфонил-4-интрохлорбензола 80%, т. ил. 171—173°. Для получения красителя в нитрозилсерную к-ту (из 0,11 моля NaNO₂ и 92 г 96% -ной И₂SO₄) прибавляют при 15—20° по каплям 100 г CH₃COOH, затем постепенно вносят 21,6 г (0,1 моля) тонкоизмельченного 2-метилсульфонил-4-нитроанилина и еще 100 г СН3СООН. Диазосоединение выливают на 500 г льда, фильтруют и добавлением 1 г мочевины или сульфаминовой к-ты разрушают избыток HNO₂ (диазотирование 2-хлор- и 2-фгор-4-нитроанилина ведут обычным образом в разб. H₂SO₄ или HCl). P-р 10 г H₂SO₄ в 20 мл воды охлаждают до $+5^\circ$, прибавляют 20,1 ε (0,1 моля) N-(2,2-дифторэтил)-N-(2-оксиэтил)-анилина и затем 400 г ледяной воды. К полученному р-ру прибавляют при перемешивании p-p диазосоединения и через 15 мин. нейтрализуют 100 г соды, выход I (R=CH₂CHF₃) an-

04-30B, гся, цей

іда-

TBe--POC цая.

CHOK

CHF

ина,

час. ел)-

пполя

пена

200°.

5%,

4ÔH TDO--92°

OB0-

Cyc-

AM C

50лл. 2,4-

NHa.

олод-

ани-

-2,6-

Iacu-

Tac.

o (M3

т при

огло-

чение

орме-

моля

е при

часа

выход

пл.

агре-

при

-HHT-

Н30Л--ре и баты-

ледов

80%

003ИЛ-

12SO4)

OOH,

змель-

100 a

льда, фами-

вание гм об-

20 Ms моля)

3a TeM

вляют

через

CHF3)

TPO

95%, т. пл. 125-130°, цвет оранжево-красный, светопрочность 4. Аналогично получены другие красители Вып., от 1, от 1 \$50₈N НС₂П₅, фиолеговыя, 1, 100₂, СГ₃, рубиновыя, 1, NO₂, СІ, рубиновый с розовым оттенком, 1; Н, SO₂CH₃, красный, 3; NO₂, Н, красный, 1; Н, СГ₃, оранжево-красный, 3; Н, F, оранжево-красный, 2; Н, СІ, оранжево-красный, 3; Н, СН₃, оранжевый, 1; Н, Н, оранжевый, 1—2; СГ₃, СГ₃, коричневато-оранжевый, 4; Вг, СF3, коричневато-оранжевый, 5; Сl, СF3, коричневатооранжевый, 4. Приведены кривые поглощения красите-М. Михайлова лей в видимой части спектра.

ден в выдимон части спектра. М. Миханлова 18187. Идентификация кубовых красителей. Дерретт-Смит, Грей (The identification of vat dyes. Derrett-Smith D. A., Gray J.), J. Soc. Dyers and Colourists, 1956, 72, № 5, 211—227 (англ.) Приведены дополнительные данные к таблицам идентификации кубовых красителей, опубликованным в в 1940 г. Дерретт-Смит и Бредли и в 1947 г. Дерретт-Смит и Ге. Указаны качеств. р-ции, пригодные для пдентификации, всех английских, германских и швейцарских кубовых красителей, выпущенных после 1940 г. Приведены р-ции этих красителей с Na₂S₂O₄ (в кислой ищелочной среде), с HNO₃, H₂SO₄ и с KMnO₄ в кислой среде. Красители включены в таблицы в основном под торговыми названиями английских фирм, параллельно приведены соответствующие названия других фирм. Лополнительно приведены данные о некоторых кубовых красителях, дающих различные окраски при обра-ботке ${
m Na_2S_2O_4}$ в содовой и едкощел. среде. В. Уфимцев Исследование методов получения лакового красного «С» и его лаков. Титов Е. А., Бород-кин В. Ф., Максимова Р. А., Тр. Ивановск. хим. технол. ин-та, 1956, № 5, 190—193

Целью работы являлось получение лакового красного С (І) и лака красного СК (ІІ) при одновременном проведении диазотирования, азосочетания и лакообразования путем сливания р-ров или суспензий реагентов. При этом I и II получаются с хорошими колористич. показателями, но расход к-ты и щелочи значительно увеличивается по сравнению с обычным способом с последовательным проведением р-ций. Рассмотрено влияние условий синтеза на колористич. характеристику получаемых I и II. Установлена возможность одновременного проведения указанных р-ций и при синтеае пигмента красного Ж, лака оранжевого, лака красного СБ и лака красного Б. К p-ру 0,036 моля амино-Тобиаскислоты, 0,036 моля 2-нафтола, 0,036 моля NaNO2,250 мл воды и 18,1 мл 30%-ного NaOH в течение 5—10 мин. при 20° приливают 10,4 мл 27,6%-ной HCl, нагревают до 60°, размешивают 2 часа при 60°, разбавляют 2—3кратным кол-вом воды, фильтруют, промывают до вейтр. р-ции и сушат при 50—60° полученный І. К р-ру 0,036 моля амино-Тобиас-кислоты, 0,038 моля 2-нафтола, 0,036 моля NaNO₂, 250 мл воды и 11,4 мл 30%-ного NaOH в течение 10 мин. при 20° приливают смесь 10,4 мл 27,6%-ной НСІ и р-ра 0,042 моля СаСІ₂ в 50 мл воды, нагревают до 90°, размешивают 3 часа при 60° и выделяют II, аналогично указанному выше. В. Уфимцев

13189. Хроматография на бумаге продуктов восстановления азокрасителей, полученных из бензидина и его производных. Китахара, Хилма (<>

ジジン系色素構成成分のペーパークロマトグラフ イーに ついて、北原新哉・ 檜 山八郎) , 工業化學雑誌, Korë кагаку дзасси, J. Chem. Soc. Japan Industr. Chem. Sec., 1955, 58, № 8, 620—625 (япон.)

Восстановлены SnCl₂ в кислой среде следующие 27 бензидиновых азокрасителей: конго красный, бензопурпурин 4В, прямой синий 2В, диаминовый числования в В зопурпурин 4В, прямой синин 2В, диаминовын чисто-голубой, прямой фиолетовый RN, ацетопурпурин 8В, сочетающийся оранжевый экстра, пирамин оранжевый R, толуиленовый оранжевый G, прочный красный F, бензооранжевый R, прямой коричневый М, прямой красный G, бензопрочный красный GL, конго оранже-вый R, бензокоричневый CL, конго коринф G, бриллиантовый бордо NS, прямой черный ВН, дкамине-раль синий CVB, конго рубин, прямой коричневый ЗG, прямой зеленый G, прямой темно-зеленый, конго коричневый G, прямой прочный черный HW и глубокочерный экстра. Приведено строение красителей и продуктов их расщепления. Продукты восстановления подвергнуты хроматографированию на бумаге с приме-нением NH₄OH или FeCl₂ в качестве окращивающих реагентов и смеси бутилового спирта с конц. НСІ (4:1) в качестве проявляющего р-рителя. Установлены ка-рактерные окраски и величины R₁ продуктов восстановления. В. Уфимпев

13190 П. Моноазокрасители и их получение (Мо-

поаго dyestuffs and process for their manufacture) [Sandoz, Ltd]. Англ. пат. 731448, 8.06.55 Моноазокрасители общей ф-лы (I) (R—алкилен; X—H, Br, алкил или алкил-SO₂-группа; Y—H или алкил; Z—алкил или оксиалкил) получают сочета нием соответствующих

пиазотированных нитроанилинов, преимущественно в кислой среде с третичными аро-

матич. аминами. В частности, указаны в качестию диазосоставляющих: 2,6-дибром-, 2-бром-6-алкил- (непр., метил) и 2-бром-4-интроанилины; в качестве азосоставляющих: N-метил-, N-этил-, N-оксиэтил-, N-оксипро-пил- и N-оксибутил-N-цианэтиланилины, N-метил-N-этил- и N-оксиэтил-N-цианметиланилины, 1-(Nметил-N-цианэтил)-,1-(N-этил-N-цианэтил)- и 1-(N-ок-сиэтил-N-цианэтил-)-3-метиланилины. Получаемые красители окрашивают полиамидные, полиэфирные и волокна ацетатного шелка в желтовато-коричневые до красных цвета. Приведеныпримеры применения некоторых вышеназванных компонентов для синтеза красителей для ацетатного шелка. В. Уфимцев

191 П. Азокрасители. Мюллер, Шмид (Azo dyestuffs. Mueller Willy, Schmid Max) [Ciba Ltd]. Канад. пат. 511166, 22.03.55

Патентуются азокрасители общейф-лы R'—N=N—R'' (R' — остаток диазосоставляющей; R''— остаток ариламида β-кетокарбоновой к-ты, связанный с азогруппой атомом С, соседним с

карбоксильной группой в-кетокарбоновой к-ты; эта карбоксильная группа подвергну-

та функциональному превра-щению и содержит остаток сернокислого эфира лейкосоединения антрахино-нового ряда, содержащего амидный атом N в β-положении антрахинонового ядра). В частности, приведены азокрасители общей ф-лы (I) у которых R — остаток диазосоставляющей бензольного ряда, не содержащей групп, способствующих растворению (напр., n-толил).

В. Уфимцев п-толил).

No

1319

lu [(Z

1-

6-ф1

талл

80-

сули

пент NaC

краз

рячи

Heor

CHa

чест

теле

1319

XE

1

B

H XI

друг

лови

24,2

в пр

метт

B Te

ной

дянь

его пере чим

оста жел

лага

крас

10 e

4a101

C.H

NHA

(наг

18 2

разм

при

р-ра ной

Ш.

сите

a Ta

чени

1319

C

dy

па

A

алки

указ 75—

Способ получения азокрасителей, нерастворимых в воде. Петерсен, Митровский (Verfahren zur Herstellung von wasserunlöslichen Azofarbstoffen. Petersen Siegfried, Mitrowsky Alexander) [Farbenfabriken Bayer A.-G.].

Пат. ФРГ 927286, 31.05.55

Нерастворимые в воде азокрасители получают сочетанием диазотированных или бис-диазотированных аминов ароматич. или гетероциклич. рядов с N-(2-нитро-1арилэтил)-анилинами или их замещ., способными к азосочетанию, причем компоненты не должны содержать карбоксильных или сульфогрупп. Получаемые красители растворяются в органич. р-рителях и пригодны для окраски лаков, восков, сапожных кремов и, в особенности, в качестве дисперсных красителей для ацетилнеллюлозных и полиамидных волокон; они обладают очень хорошей светопрочностью. Горячий р-р 13,8 ч. *п*-нитроанилина (I) в 30 ч. конц. НСI и 70 ч. воды выливают на лед, диазотируют 7 ч. NaNO2 и разводы выливают на лед, диазотируют 7 ч. како₂ и раз-бавляют водой до 750 ч.; диазораствор приливают к прозрачному р-ру 25 ч. N-(2-нитро-1-фенилэтил)-ани-лина (II) в 750 ч. лед. СН₃СООН и через 24 часа от-фильтровывают 32 ч. красного красителя, т. пл. 105— 106°. 12,7 ч. n-хлоранилина диазотируют в солянокислой среде 7ч. NaNO₂ и диззораствор приливают к 25 ч. II в 600 ч. HCOOH, получнот краситель, окрашивающий ацетилцеллюлозные волокна в желтый цвет. Аналогичные красители получают сочетанием в лед. CH₃COOH (привелены диазо- и азосоставляющие и цвета выкраски красителя на ацетилцеллюлозных и полиамидных волокнах): 2-хлор-I → II, т. пл. 152—154°, оранжевый, красный; 2-нитро-4-хлоранилин → II, т. пл. 132°, оранжевый, красный; 2-метокси-4-нитроанилин (III) - II, т. пл. 164-166°, оранжево-красный краситель, -, -; 7. пл. 141°, оранжево-красный краси-тель, —, —; 1 → N-[2-нитро-1-(*n*-нитрофенил)-этил[-ани-лин, т. пл. 146—148°, желтовато-оранжевый, желтоватокрасный; n-аминобензофенон \rightarrow II, τ . пл. 148—150° (из $\mathrm{CH_3OH}$), красновато-желтый, то же; $\mathbf{I} \rightarrow \mathrm{N}\text{-}[2\text{-нитро-1-}(n\text{-хлор-(IV})$ или м-хлорфенил)-этил]-анилин (V), желтовато-оранжевый, красновато-оранжевый; $\mathbf{III} \rightarrow \mathbf{IV}$ или III → V, оранжевый, желтовато-красный; n-амино-ацетофенон → IV, красновато-желтый, желтовато-оранжевый; I или III → N-[2-нитро-1-(м-нитрофенил)-этил] -анилин, оранжевый, желтовато-красный; I → N-[2-нитро-1-(4'-хлорфенил)-этил]-м-хлоранилин, желтовато-оранжевый, красновато-оранжевый; І→N-(2-нитро-2-хлор-1-фенилэтил)анилин, желтовато-оранжевый, красновато-оранжевый; I → N-(2-нитро-2-метил-1-фенилэтил) анилин, оранжевый, желтовато-красный. 18 ч. о-нитро-л-хлорстирола и 10.25 ч. свеженерегнанного анилина переменнявают 30 мин. при 100°, разбавляют эфиром и прибавлением конц. HCl осаждают хлоргидрат N-[2-нигро-1-(n-хлорфенил)-этил]-анилина, выход 80%, т. пл. 105° (осаждением петр. эф. из р-ра в хлф.). Аналогично получены остальные N-(2-интро-1-арилэтил)-анилины. В. Уфимцев 13193 П. Азокрасители — производные моноэфиров гидрохинона. Серуто (Azo dyes derived from hydroquinone mono-ethers. Seruto Joseph)

[American Cyanamid Co.]. Пат. США 2709698, 31.05.55 Патентуются моноазокрасители общей ф-лы 2,5-(ОН) ·(OR)С $_6$ Н $_3$ —N=N—R' (R — углеводородный остаток с \leqslant 10 атомами C; R' — сульфированный арил, содержащий

2 колец и единственную комплексную лакообразующую группу в орто-положении к азогруппе).

Уфимцев 13194 П. Дисазокрасители (Colorants dis-azoïques nouveaux) [Imperial Chemical Industries Ltd]. Франц. пат. 1094215, 16.05.55 [Teintex, 1955, 20, № 12, 1001 (франц.)] Патентуются красители, получаемые обработкой

в-вами, отдающими Си, дисазокрасителей общей ф-лы

(I) (один R'-сульфогруппа, другой R'-H; R - H или бензоил, фенильный остаток которого может содержать

метил, трифторметил, алкоксил или галонд; R"-метил или этил) в таких условиях, чтобы произошло рас-щепление групп ОК'' с образованием о, о'-диоксиазо-Си-комплексов. І окрашивают хлопок в синий цвет. очень прочный к свету. получения кобальтсодержащего Способ

азокрасителя (Verfahren zur Herstellung eines kobalthaltigen Azofarbstoffes) [Ciba Akt.-Ges.]. Швейц. пат. 297840, 16.06.54 [Chem. Zbl., 1955, 126, № 26, 6141

Моноазокраситель ф-лы (I) так обрабатывают при 70-80° р-ром Со-сульфата или Со-ацетата или свеже-Co(OH)2, осажденным OTP

образуется комплекс из лекул красителя, связанных 1 атомом Со; растворимый в воде порошок, окрашивающий шерстяные волокна из слабощел., нейтр. или уксуснокислой ванны в

в красно-фиолетовый цвет, с хорошими прочностями к мокрым обработкам, карбонизации и декатировке.

Способ получения кубовых красителей автрахинонового трахинонового ряда. Браун, Вейссауэр (Verfahren zur Herstellung von Küpenfarbstoffen der Anthrachinonreihe. Braun Willy, Weissauer Hermann) [Badische Anilin- & Soda-Fabrik A.-G.]. Пат. ФРГ 940243, 15.03.56
Эти красители получают р-цией производного бис-

хлорхиназолина общей ф-лы (I) (R — Н или галоид)

с 2 молями способного переходить в куб. амина. 10 ч. І (R — Й), 9,2 ч. 1-аминоантрахинона и 60 ч. безводн. C6H5NO2 нагрева-

ют~2 часа при размешивании при 180°, охлаждают до 100°, отфильтровывают выпавший ситель, промывают нагретым до 100° С6H5NO2, затем С. Н. в сущат. Краситель очищают растворением 1 ч. его в 10 ч. конц. H₂SO₄ и выделением в форме хорошо кристаллизующегося сульфата путем разбавления 2 ч. воды, после чего подвергают обычной обработке; окрашивает хлопковые волокна из красно-фиолетового куба в светопрочный яркий желтый цвет. При аналогичной конденсации I (R — H) с 1-амино-5-бензопламиноантрахиноном получают краситель, окрашивающий в желто-оранжевый цвет; при конденсации I (R - H)c 1,4-диамино- 2- ацетилантрахиноном краситель, красящий из коричнево-красного куба в оливковый цвет; при конденсации I (R — Cl в параположении) с 1-аминоантрахиноном — краситель, окрашивающий в зеленовато-желтый цвет.5 ч. I(R—H),6,9ч. 4-амино-3',5'- дихлорантрахинон -2,1 (N)-1', 2'(N)-бензолакридона и 150 ч. фенола кипятят при размешивании 15 мин., охлаждают до 60°, прибавляют СН₃ОН и выделившийся краситель промывают ${
m CH_3OH}$ и сущат, после переосаждения из ${
m H_2SO_4}$, как это было выше указано, окрашивает из фиолетового куба в зеленый цвет. Получаемые красители обладают улучшенным сродством к растительным волокнам и лучшими прочностями, в частности к кипячению с содой, а также очень высокой светопрочностью. Уфимцев

— 386 **—**

Г.

THE

ТЬ

Me-

ac-

30-

вет,

яна

ero

alt-

lat.

141

при

же-

HMR

вке.

ицев

ан-

rap

der

e is-

oda-

bucюид)

HAR

кра-

затем

1 4.

рото 2 ч.

; OK-

ОВОГО

нало-

30MJ-

иваю-

ии I

OM -

уба в

пара-, or-

)-беншива-

H₃OH

и су-

выше

леный

енным

npoq-

очень имцев

ı

13197 П. Способ получения промежуточного продукта антрахинонового ряда ((Verfahren zur Herstellung eines Zwischenproduktes der Anthrachinonreihe) Illige inter 2 system (Страна (Страна Страна (Страна (Страна Страна (Страна (Страна Страна (Страна (Страна Страна (Страна
1-хлор-6-фторантрахинон (I) получают обработкой 6-фторантрахинон-1-сульфокислоты хлоратом щел. металла, целесообразно в водн. солянокислой среде при 80-100°. К р-ру 37 ч. Na-соли 6-фторантрахинон-1сульфокислоты в 3000 ч. воды и 240 ч. конц. НСІ в течение 2 час. при 90-95° по канлям приливают р-р 130 ч. NaClO₃ в 330 ч. воды и размешивают до полного прекращения выделения хлорпроизводного. Фильтруют горячим, промывают кипящей водой и сушат; получают неочин. 1, который после кристаллизации из лед. CH₃CCOH имеет т. пл. 191—192°. I применяют в качестве промежуточного продукта для кубовых краси-В. Уфимцев

198 П. Способ получения 1-амино-4-окснантра-хинона. Бансё (1-アミノ-4-オキシ・アントラキノ ッの製造法・番匠吉衛), [工業技術院長], Когё гидзю-пу интё]. Япон. пат. 5236, 21.08.54 13198 II.

Взаимодействием лейкохинизарина (I) или смеси I ихинизарина (II) с мочевиной или NH4OCN или другими соединениями, образующими мочевину в условиях р-ции, получают 1-амино-4-оксиантрахинон (III). 24.2 г I (полученного восстановлением II Na₂S₂O₄ в в присутствии едкой щелочи) смешивают с 60 г технич. мочевины, прибавляют 200 г бутилового спирта, размешивают 30 мин. при 20°, а затем при перемешивании в течение 20 час. кипятят (при т-ре 100-120°) на масляной бане, по окончании р-ции отгоняют р-ритель с водяным паром и выделяют 24 г неочищ. III. Для очистки его смешивают с 800 г 60%-ной H₂SO₄, нагревают при перемешивании 1 час при 130°, отфильтровывают горячим от небольшого кол-ва темного нерастворимого остатка и по охлаждении фильтрата отфильтровывают желтовато-коричневые иглы сульфата III, которые разжагают водой с образованием чистого III, выход 21,6 г, красные иглы, т. пл. 215°. Аналогично из 14,2 г I, 10 г II, 60 г мочевины и 200 г бутилового спирта получают 24,2 г III; из 24,2 г I, 85 г этилуретана, 200 г GHsCl (20 час., 110°) — 18,5 г III; из 24,2 г I, 60 г NH₄CNO, 200 г бутилового спирта и 15 г 5%-ной HCl (нагревание 2 часа до 100° и 15 час. при кипении) — 18 г III. 24,2 г I, 60 г мочевины и 200 мл лед. СН₃СООН размешивают 30 мин. при 20°, смесь кипятят ~ 15 час. при перемешивании; р-ция заканчивается, когда цвет р-ра меняется из коричневого в красный. Из реакционной смеси регенерируют СН вСООН и выделяют 20,8 г Ш. Полученный ІІІ применяют в качестве красного красителя для ацетилцеллюлозных и синтетич. волокон, а также в качестве промежуточного продукта для полу-В. Уфимцев чения других красителей.

13199 П. Получение нитроантрахиноновых красителей. Cалвин, Адамс ((Production of anthraquinone dyestuffs. Salvin Victor S., Adams John R., Jr) [Celanese Corp. of America]. Канад. пат. 510479, 1.03.55

Антрахиноновые красители общей ф-лы (I) (R алкил или оксиалкил; n=1-5) получают каталитич.

р-цией в водн. среде 1-амино-4-бромантрахинон-2-сульфокислоты с амином общей ф-лы H₂N— $(CH_2)_nOR$, а затем цианированием полученного продукта пу-NH(CH3) NOR тем обработки цианидом щел.

металла в водн. среде, содержа-щей буферную соль (напр., Nа-борат). В частности, указаны: а) выполнение р-ции в течение 12—16 час. при 75-90° с применением буферной соли в кол-ве, доста-

точном для поддержания рН среды $\sim 9,2-9,5,$ и 8,5-17 молей цианида щел. металла на каждый моль исходного антрахинонового соединения; п б) ~1 моль 1-амино-4-бромантрахинон-2-сульфокислоты обрабатывают ~ 8 молями в-метоксиэтиламина в води. среде, содержащей Си-ацетат в качестве катализатора и соду для связывания выделяющейся к-ты. Полученную 1-амино-4-(β-метоксиэтиламино)-антрахинон-2-сульфокислоту обрабатывают 8,5-17 молями NaCN 12-16 час. при $75-90^\circ$ в води. среде, содержащей 8,5-17 молей ${\rm KH_2PO_4}$ (на каждый моль исходной антрахинонсульфокислоты), через реакционную смесь пропускают воздух и выделяют 1-амино-2,3-дициан-4-(β-метоксиэтиламино)-антрахинон. В. Уфимцев Способ получения фталоцианинов кобальта 13200 П.

Procédé de production de phtalocyanines de cobalt) Farbenfabriken Bayer A.-G.]. Франц. пат. 1088720, 9.03.55 [Chimie et industrie, 1956, 75, № 3, 552 (франц.)]

Для получения фталоцианинов Со применяют р-ры в-в, получаемых по франц. пат. 1007346, р-цией комплексных соединений Со с полиаминами. О. Славина 13201 II. Способ получения уксуснокислой соли nаминодифениламина. Кимура (рアミノチフエニルアミンアセタートの製造法.木村武), [三共株学會社), Санкё кабусини кайся]. Япон. пат. 2771, 25.04.55 л-Аминодифениламин (I) получают восстановлением

оранжевого IV щел. р-ром гидросульфита и обработкой СН₃СООН переводят его в уксуснокислую соль, применяемую для окраски меха и волос. 145 г оранжевого 1 Уприбавляют к р-ру 100 г № ОН в 2780 мл воды, нагревают до 50° и при перемешивании добавляют 160 г $Na_2S_2O_4$, смесь перемешивают 1 час. при 60—100° прибавляют NaOH до сильнощел. р-ции и извлекают І 1 л С6Н6, экстракт промывают водой, отгоняют 300 мл С6Н6 и подкислением остатка СН вСООН до слабо-Сей в подкислением остатка Сизсоон до слаоб-кислой р-ции получают 70 г уксуснокислой соли I, выход 70%, т. пл. 73—75°. В. Каратаев 13202 П. Диализиланинобензилиденовые краеители. К и з, Брукер (Dialkylaminobenzylidene dyes. К e y e s G r a f t o n H., B r o o k e r L e s l i e G. S.) [Canadian Kodak Co., Ltd]. Канад. пат. 519391,

13 12 55

Патентуются диалкиламинобензилиденовые красители обшей ф-лы HO = C(O) = Q = C(O) = NH = D = C(O) = C(CN) = CH = D' = N (R)R' (D и D' = n-арилен бензольного ряда; <math>Q = 2-валентный углеводородный оста ток с 2-3 атомами С или о-арилен бензольного ряда; R и R' — алкил) и их карбоновые соли. В частности указаны: а) красители общей формулы n-[o- $(COOH)C_0H_4$ — $COHN]C_0H_4$ —C(O)—C(CN) = CH— C_0H_4 —N(R)R'-n, где R— алкил с 1—4 атомами C; б) способ получения диалкиламинобензилиденовых красителей р-цией фталевого ангидрида с а-(п-аминобензовл)-а-(п-диэтиламинобензилиден)-ацетонитрилом или маленнового ангидрида с а-(n-аминобензоил)-а-(n-ди-н-бутиламинобензилиден)-ацетонитрилом в пиридиве и обработкой реакционной смеси HCl (к-той) для освобождения полученного красителя из его пиридиновой соли. В. Уфимпев

расители из его пиридиновой соли.

В. буммера вазовать и способ их получения. Рид (Pyrrole dyes and methods of making them. Reed Kenneth J.) [Eastman Kodak Co.]. Пат. США 2725378, 29.11.55

Монометиновые красители получают нагреванием

5-алкилпиррола, не содержащего заместителей в положении 3, содержащего алкил, циклоалкил, фенил, пиридил или анилиногруппу в положении 1, и алкил или фенил в положении 2, с НСООН. При этом НСООН применяют по крайней мере в эквивалентном соотно-шении к указанному пирролу.
 В. Уфимпев
 13204 П. Окситетрагидрокарбазолы.
 Лоиг (Hydroxytetrahydrocarbozoles. Long Robert Sid-

No

пиа

R 26

HOM

C 26

c 06

ной

пар

так

B a

раз

све

рон

Тка

дера

Noc

B031

5.5

усл

пел

в це

BOJI

20°

Ro

eros

PTC S

т-ры

ется

с по

Re 4

изво

MOCT

I BB

обра

Зате

(до т

нута

ной

±0,3

Ha I

роли

Пол

4,48

на л

шеле

тых

жени

рабо

туре

вате:

Mare ~ 1

цирк

чато

ному

пара

Mera,

прот

Воло

СТВИ

ной

класс

ная

обра

13200

на

por

y n

me

n e y) [American Cyanamid Co.]. Пат. США 2731474,

Производные тетрагидрокарбазола, легко превращаемые в соответствующие карбазольные производные и близкие по строению к *n*-хлоранилиду 2-оксикарбазол-з-карбоновой к-ты и его аналогам, общей ф-лы (I) (Т—тетрагидрокарбоциклич. остаток бензольного или нафталинового ряда; В— замещ. бензольное кольцо, содержащее по крайней мере оксигруппу) получают конденсацией соответствующего оксифенилгидразина с циклогексаноном (II) или его производными; полученные

2 T B 1

(II) или его производными; полученные продукты перегруппировывают и циклизуют в тетрагидрокарбазолы, содержащие в замещ, ароматич, ядре по крайней мере оксигруппу. Полученные производения предостать при примения производения предостать пр

тетрагидрокарбазольные производные могут быть дегидрированы до соответствующих карбазольных производных, напр. нагрева-нием в присутствии Рd-черни. Патентуется полу-чение *п*-хлоранилида 2-окси-5, 6, 7, 8-тетрагидрокар-базол-3-карбоновой к-ты (III) (к-та —IV) следующим образом: а) диазотируют 4-аминосалициловую к-ту (V) и обработкой диазосоединения Na-гидросульфитом в води. среде превращают в 4-гидразиносалициловую к-ту (VI); б) р-цией VI с II получают циклогексанон-4карбокси-3-оксифенилгидразон (VII); в) VII нагревают в кислой среде, причем происходит перегруппировка и циклизация с образованием IV; г) р-цией IV с n-хлоранилином (VIII) получают III; указанные промежуточные и конечный продукты выделяют из реакционной массы. По другим вариантам сначала ацилированную V превращают в n-хлоранилид ацил-V, который деацилируют, а затем диазотируют, восстанавливают, конденсируют с ІІ или его производными и полученный п-хлоранилид VII превращают в III, или маминофенол превращают в м-оксифенилгидразин, который конденсируют с производным П, а затем циклизуют в производное I. 76,5 ч. V, 175 ч. воды, 115 ч. 20%-ного р-ра NaOH и 35 ч. NaNO2 постепенно при размешавании при 0-5° прибавляют к 500 ч. 5 н. HCl, размещивают до окончания диазотирования, а затем прибавляют к суспензии 435 ч. Na-гидросульфита и 205 ч. Na-ацетата в 500 ч. воды при 5° и размещивают до окончания р-ции, осадок отфильтровывают, растворяют в разб. р-ре соды, фильтруют и сильно подкисляют фильтрат HCl (к-той) до осаждения хлоргидрата VI, отфильтровывают и промывают. 100,9 ч. хлоргидрата VI растворяют в 1600 ч. воды при 70°, прибавляют 48,2 ч. II ряют в 1000 ч. воды при 70°, приозвляют 49,2 ч. и и выдерживают при 60° до окончания р-ции, по охлаждении отфильтровывают VII, т. пл. 183° (разл., из сп.). 10 ч. VII суспендируют в 50 ч. лед СН₃СООН, насыщ. HCl-газом, и размешивают при 85° до окончания р-ции, выливают в 100 ч. льда и подщелачивают содой, фильтруют и подкислением выделяют IV, т. пл. 230— 232° (разл.). IV получают также размещиванием 0,525 ч. VII в 20 ч. 10%-ной Н₂SO4 при 20°, а затем нагреванием до кипения; дальнейшая обработка реакционной смеси аналогична с описанной выше. К смеси 8 ч. IV, 43 ч. то-луола и 4,85 ч. VIII приливают при 70° 2,08 ч. PCl₃ и кипятят до окончания р-ции, по охлаждении отфильтровывают III; непрореагировавшую IV удаляют на осадка извлечением води. р-ром соды. К р-ру 76,5 ч. V и 106 ч. соды в 500 ч. воды постепенно приливают 102 ч. (CH₃CO)₂O, размешивают до окончания (в основном) р-ции и подщелачивают 100 ч. 10%-ного води. р-ра соды, дополнительно прибавляют 26 ч. (СН 3СО) 2О и 100 ч. 10%-ного р-ра соды и размешивают до окончания р-ции, разбавляют 300 ч. воды, нагревают до растворения и подкислением конц. HCl выделяют ацетил-V. Смесь 90 ч. ацетил-V, 600 ч. толуола нагревают до 45°, прибавляют 64,5 ч. VIII, нагревают до 70° и постепенно при 70—80° приливают 27,7 ч. РСl₃, после

чего кипятят до окончания р-ции, по охлаждении отфильтровывают п-хлоранилид ацетил-У и обработкой осадка 10%-вым р-ром соды извленают непрореагировавшую ацетил-V. 126 ч. n-хлоранилида ацетил-V кипятят в p-ре 18,2 ч. NaOH в 218 ч. воды до окончания р-ции, причем во время р-ции добавляют еще 18.2 ч. NaOH в 164 ч. воды, подкислением лед. СН₃СООН выделяют n-хлоранилид V, который отфильтровывают и очищают растворением в конц. HCl и подщелачиванием фильтрата, т. пл. его хлоргидрата 201—202° (из сп. + конц. HCl). 145,2 ч. *п*-хлоранилида V смещивают с 222 ч. воды, 127,5 ч. 5 н. NaOH и р-ром 38,8 ч. NaNO₂ в 55,5 ч. воды и при 0° приливают к 5 н. HCl. полученную диазосуспензию постепенно приливают к р-ру 240 ч. Na-сульфита и 114 ч. Na-ацетата в в 1110 ч. воды при 10° и размешивают при нагревании до 20° до окончания р-ции, продукт отфильтровывают и очищают растворением в водн. NaOH с прибавлением угля и вновь выделяют подкислением лед. СН_вСООН плюда VI в 125 ч. спирта кипятит с 1,98 ч. П. до окончания р-ции, по охлаждении разбавляют 200 ч. воды и отфильтровывают n-хлоранилид VII, т. пл. 228-229° (из води. СН₃ОН). 10 ч. n-хлоранилида VII кипятят в 50 ч. лед. CH₃COOH, насыщ. HCl-газом до окончания р-ции, по охлаждении разбавлением 200 ч. воды выделяют III, т. пл. 182—198° (из сп.). Р-р 54,6 ч. м-аминофенола в 500 ч. 5 н. HCl при 0—30° диазотируют 35 ч. NaNO2 в 50 ч. воды, диазораствор приливают к суспензии 435 ч. Na-гидросульфита и 206 ч. Na-апетата в 500 ч. воды при 5-10°, фильтруют, к фильтрату прибавляют 49,1 ч. II и размещивают до окончания р-циц, при 10° отфальтровывают циклогексанон-моксифенилгидразон, т. ил. 49° (из водн. сп.); 5 ч. последнего размешивают в 25 ч. лед. СН₃СООН, насыщ. HCl-газом, до окончания р-ции, отфильтровывают смесь изомерных хлоргидратов окситетрагидрокарбазола и NH₄Cl. осадок извлекают кипячением с 16 объеми. ч. лед. СН₃СООН, фильтруют при 20° для удаления NH₄Cl и выливанием в воду выделяют смесь изомерных оснований, кристаллизацией из ксилола выделяют 2-окситетрагидрокарбазол, т. пл. 162—163°, 4-изомер остается в маточном р-ре и легко может быть выделен. III может быть дегидрирован до n-хлоранилида 2-оксикарбазол-3-карбоновой к-ты, являющегося важной азосоставляющей для холодного крашения. Следует отметить: а) в описываемом способе получения карбазольных производных нет необходимости выделения из реакционной среды гидразинов для дальнейшей р-ции со II; б) замыкание цикла осуществляется в кислой среде (напр., H₂SO₄) в различных условиях, луч-шие результаты получены с CH₃COOH насыщ. HCl; р-иня осуществляется и с производными И, не содержащего заместителя в орто-положении к кетогруппе (напр., с алкилциклогексаноном или с бензоциклогексаноном). В. Уфимпев

См. также: Азокрасители 11985. Трифенилметановые 11982. Цианиновые 11746. Прочие 11723, 13164

КРАЩЕНИЕ И ХИМИЧЕСКАЯ ОБРАБОТКА ТЕКСТИЛЬНЫХ МАТЕРИАЛОВ

Редакторы О. В. Матвеева, А. И. Матецкий

13205. Цианэтилирование хлопка. Комитов, Мартин, Уорд, Барбер (The cyanocthylation of cotton. Сотретоп Jack, Martin W. H., Word B. H., Jr, Barber Richard P.), Text. Res. J., 1956, 26, № 1, 47—66 (англ.)
Выполнены лабор. и полупроизводственные опыты

г.

T-

йC

0-V

RN

Ч. Ы-

И

из

III-

Cl.

ЮТ

IUI TOI

IeM

n-

HH-

ча-

29

TRT

RME

Де-.м-

VIOT alor

-9116

arv

RNA

1-M-

пос-

ыщ.

40ch

a n

IACI

ных

яют омер

лен.

2-0K-

кной

дует

рба-

ения

ишей

KHC-

HCl:

ржа-

HOM)

мцев

OBM

A

ros,

ethy-

rtin

ard

7 - 66

пыты

планэтилирования хлопка в волокие, пряже и ткани в жидкой фазе по двухванному способу с предварительной пропиткой р-ром NaOH и последующей р-цией сжидким акрилонитрилом (1) и по однованному способу с обработкой дисперсией NaOH в I, а также в газообразной фазе путем пропитывания р-ром NaOH и обработки парами I. В обоих случаях применены как периодич., так и непрерывные способы. Лабор. опыты выполнены в аппарате паковочной системы на один патрон. Образны отваренного и отбеленного миткаля длиной 3.7 м свертывали в полосы шириной 14,5 см, навивали на патрон диам. 1,5 см и закрепляли с помощью тесьмы. Ткань обрабатывали 15 мин. р-ром NaOH (5,5 л), содержащим 0,1% смачивателя тергитол Р-28, при циркуляции с переменой направления через каждые 2 мин. После отжима в центрифуге (2 мин.) патрон с тканью возвращали в аппарат и обрабатывали при циркуляции 5,5 % акрилонитрила. Установлена зависимость между условиями обработки и кол-вом NaOH, поглощенным целлюлозой, выходом цианэтилата (по содержанию N в целлюлозе) и образованием побочного продукта оксилипропионитрила (II). Соотношение конц-ий NaOH на двиропионатрила (11). Соотношение компанатов по волокне и в р-ре (в мл на 1 г волокна) составило при 20° от 2,1 при 0,11%-ном р-ре до 1,2 при 11%-ном р-ре. В области конц-ий 0,25—3% соотношение остается постоянным (~1,75). Степень цианэтилирования повыша-ется при увеличении конц-ии р-ра NaOH и повышении т-ры I от 46 до 85°. Скорость цианэтилирования понижается с увеличением времени обработки и увеличивается с повышением т-ры. При 85° и содержании N в хлопке 4.4% соотношение П/I составило 20.0. В полупроизводственных условиях на аппаратах большей вместимости обрабатывали пряжу и хлопок в форме холста. І вводили в аппарат после вытеснения воздуха азотом; обработку 24 кг пряжи производили 30 мин. при 68°. Затем NaOH нейтрализовали 25% фосфорной к-той (до рН 5-6) и пряжу промывали 4 раза водой. Достигпута равномерная обработка как суровой, так и отваренной и беленой пряжи (и хлопка) с содержанием N 4,0± ±0,3%. Обработку расшлихтованной ткани производили па плосовке (пропитка NaOH) и герметизированной роликовой красильной машине (цианэтилирование). Получены ткани (до 16 тыс. м) с содержанием N 3,58-4,48%. Непрерывное цианэтилирование осуществляли ва лабор. установке из 5 последовательно соединенных щелевых плюсовок, расположенных уступами и закрытых общим герметизированным кожухом. Скорость движения ткани от 0,45 до 0,9 м/мин. При однованной обработке, производившейся в той же (периодич.) аппаратуре, что и двухванная, p-p NaOH (с добавкой смачивателя) смешивали с I до ввода волокнистого материала. Материал обрабатывали эмульсией NaOH при модуле ~ 1:10, 30 мин. при 24° и 30 мин. при 38°; скорость шркуляции составляла ~120 л/мин. Обработку хлопчатобумажного корда I в паровой среде по непрерыввому двухванному способу производили в спец. аппаратуре, с щелевыми затворами из расплавленного металла (при 75°). Во всех случаях цианэтилирование протекает с миним. изменением морфологич. структуры волокна хлонка. Образующийся продукт устойчив к действию микроорганизмов, кислот, к тепловой и абразивной обработке. Повышается накрашиваемость всеми классами красителей. Наиболее экономичны однованвая периодич. обработка в аппаратах и двухванная обработка в парах І. Л. Беленький Влияние распределения метоксильных групп

13206. Влияние распределения метоксильных групп на некоторые текстильные свойства волокон метилированного хлопка. Ривс, Армстронг, Блоуин, Маззено (The effect of the distribution of methoxyl groups upon some textile properties of methylated cotton fiber. Reeves Richard E., Arm strong Anne C., Blouin Flo-

rine A., Mazzeno Laurence W., Jr), Text. Res. J., 1955, 25, № 3, 257—261 (англ.)

Метилирование целлюлозы проводилось обработкой мотков нитей различных структур, а также мерсеризованных нитей диазометаном (I) и диметил сульфатом и щелочью (II) в различных условиях. Степень метилирования целлюлозы I в случае мерсеризованных нитей была достигнута до 16%, а немерсеризованных до 8%. Прочность нитей в сухом состоянии практически не изменялась, а в мокром состоянии несколько снизилась: по жесткости образцы остались без заметного изменения. но с повышением степени метилирования повысились противогнилостные свойства. Степень метилирования целлюлозы II доводилась до 12%. Прочность в сухом состоянии для этих образцов не изменилась, но сильно понизилась в мокром состоянии при содержании мето-ксильных групп (МГ) > 10%. С возрастанием со-держания МГ образцы приобрели повышенную жесткость, а по противогнилостным свойствам не отличались от необработанного хлопна. Различие свойств нитей с одинаковым содержанием МГ, но полученных различными способами, может быть объяснено различным расположением МГ в целлюлове. Для определения соотношения между числом замещ. и незамещ. глюкозных остатков метилированный продукт подвергали гидролизу до образования моносахаридов и определяли содержание в гидролизате редуцирующего сахара. В результате установлено, что способ метилирования не оказывает заметного влияния на число незамещ. глюкозных остатков при любой степени замещения. Для выяснения различия в расположении МГ при разных способах метилирования был произведен частичный гидролиз, после чего определены потеря в весе и содержание оставшихся МГ. Установлено, что при метилировании (I) замещающие группы сконцентрированы в зонах волокна, более подверженных гидролизу, что и проявляется в непосредственном уменьшении содержания МГ в остатке после кислотного гидролиза. В случае же метилирования (II) сначала происходит потеря в весе, не сопровождаемая заметным уменьшением содержания МГ, что указывает, что потеря МГ происходит не за счет расщепления эфирных связей, а за счет растворения метилированных глюкозных остатков. Наибольшее сохранение исходных свойств волокна и придание ему противогнилостности при степени за мещения 0,25—1,0 на каждый глюкозный остаток могут быть достигнуты при проведении замещения в условиях миним. набухания, которое хотя и повышает степень замещения, но ведет к неравномерному распределению МГ и снижению противогнилостных свойств. З. Панфилова Исследование химической модификации шелка.

Часть 4. Формализация фибронна инелка действием гексаметилентетрамина. Оку, Симидзу (絹の品質の化準的強化改善に関する研究. 第4報日examethylenetetramine によるフォルマール化について. 奥正巳) 清水周) 裁維學會誌, Санъи гаккайси, J. Soc. Text. and Cellulose Ind. Japan, 1954, № 10, 487—491 (япон.; рез. англ.)

Проведенные (в развитие предыдущих работ) обработки шелка вместо СН₂О кислыми р-рами гексаметилентетрамина (0,5—1%-ный р-р (СН₂)₆N₄ с добавкой 8 е-эке СН₃СООН; длина ванны 1: 50; 90°, 40—60 мин.) установили, что фиброин шелка в этих условиях присоединиет 0,7% СН₂О при снижении растворимости в щелочи до 0,4% (снижение против соответствующего показателя для исходного шелка в 6 раз). Обработка заметно повышает прочность волокия (особенно во влажном состоянии) и обеспечивает величину соотношения между показателями прочности в мокром и в сухом виде, приблежающуюся к выявленной для пайлона (92,5%). Формализованный по этому способу фиброин нерастворим в реактиве Швейцера и обнаруживает более

сле,

CTB

Поп

пов

(y 1

тел

BaH

нер

чив

вля

пап пон

B 3

ຄົດກ

830

195

132

INT

TOO

py

col

20

HЫ

TP

KI

пр

ПН

pai

13

ка

CH

Te:

He

ше

ях

пр

38

3

TH

значительное снижение сродства к красителям и способности к абсорбции брома, чем образцы, обработанные Это позволяет предполагать, что обработка (СН₂)₆N₄ приводит к образованию поперечных связей между остатками не только серина, но и тирозина. Совпадение характера рентгенограмм для образцов исходного и обработанного шелка свидетельствует о том, что формализация распространяется лишь в пределах аморфной (но не кристаллич.) части структуры. В связи с большей эффективностью действия (CH₂)₆N₄ сравнительно с CH₂O при одинаковой стоимости обработки новый способ получает преимущественное значение для пром-стн. Часть 3 см. РЖХим, 1957, 9559. К. Шафир Смазочные масла в трикотажной промышленности. Карретт (Lubricating oils in the hosiery and knitwear trade. Саггеtte G. V.), Text. Mercury and Argus, 1954, 130, № 3397, 873—875, 876 (англ.) В трикотажной пром-сти широко применяются масла (М) для замасливания волокон и смазки машин. Возможность попадания М на волокна заставляет при подборе М учитывать их цвет, запах, смазочное действие, вязкость, корродирующие свойства, способность образовывать стабильные эмульсии и легко смываться. Исходными материалами для получения замасливающих эмульсий являются омыляемые животные и растительные М невысыхающего типа, минер. М различной вязкости, сульфированные М, синтетич. эмульгаторы. Требования к замасливателям уточняются применительно к отдельным видам волокон (шерсть, хлопок, 3. Панфилова найлон, шелк, вискоза). 209. Валка шерстяных тканей. I, II. Белвуд (Woolen cloth milling. I. II. Ве I I wood L.), Text. Manufacturer, 1956, 82, № 975, 147—149; № 977,

253—255 (англ.) Сопоставление кислотной, щел. и нейтр. валки показывает, что кислотная валка экономичнее щел., так как протекает значительно быстрее, обеспечивает более высокую прочность и удлинение ткани, а для окрашенных тканей — сохранение яркости и чистоты расцветки при отсутствии заломов и належек. Но при этом ткань делается грубее (для предупреждения добавляется к к-те ализариновое масло); получаемый застил оказывается недостаточным для ворсованных тканей, а также спец. антикоррозийное оборудование. Валка без предварительной промывки, применяемая для низкосортных тканей из коротковолнистого сырья, дает сокращение кол-ва угаров и более плотную ткань, но вызывает затруднения при последующей промывке ткани и не обеспечивает яркости окрасок. Наиболее распространено применение в валке, проводимой после промывки, р-ров мыла. Необходимо оборудовать сукновальные машины рН-метрами, термометрами, приспособлением для механич. залива р-ров, обогревателем под ложным дном. Применение синтетич. препаратов особенно эффективно при валке смешанных тканей. А. Болденко

13210. Термическая стабилизация найлоновых тканей. Фурвик, Берншёльд, Грален (Heatsetting of nylon fabrics. Furvik N. B.; Bernskiöld A., Gralén N.), J. Text. Inst., 1955,

s k i ö l d A., G r a l é n N.), J. Техt. Inst., 1955, 46, № 10, Т662—Т667 (англ.) Термическая стабилизация (ТС) найлона придает нитям постоянство размеров и формы, а потому повышает устойчивость к сминанию. ТС считается удовлетворительной, если стабилизованное изделие после обработки кипящей водой в течение 30 мин. дает усадку ≤ 1%. ТС осуществляют, подвергая волокно обработке наром под давлением или применяя сухое нагревание. В процессе ТС нагревание временно разрушает связи между макромолекулами и вызывает релаксацию последних, после чего связи восстанавливаются снова. Для оценки эффективности ТС наиболее пригоден ме-

тод, основанный на измерении сопротивления сминанию образдов, предварительно замоченных при 60° в воде с несколькими каплями смачивателя. Установлено, что достигаемая степень стабилизации определяется факторами длительности обработки и т-ры. Но параметры процесса должны устанавливаться в пределах, не вызывающих разрушения изделии. При проведении ТС путем обработки паром т-ру устанавливают более низкую, чем при применении сухого нагревания. Напр., обработка насыш, паром при 134° в течение 2 мин. дает те же результаты, что и сухое нагревание при 205° в течение 2 мин. или при 220° в течение 30 сек. В. Штуцер

13211. Новая фабрика по крашению пряжи. Лондон (Reeves Bros. completes its new yarn dyehouse. London Michael), Text. World, 1954, 104, № 11, 148—150 (англ.)

Описание оборудования и организации работы. ф-ки. П. Морыганов

13212. Некоторые опытные данные по крашению при высоких температурах. Роджерс (Some practical aspects of high temperature dyeing, Rogers W. F.), Text. J. Australia, 1955, 29, № 11, 1400—1404 (англ.)

Преимущества крашения при т-ре > 100°: 1) получение прочных окрасок новых синтетич. волоков; 2) сокращение длительности процесса; 3) большая равномерность окраски. Выявлена возможность крашения в этих условиях, помимо синтетич., также хлопка, искусств. целлюлозных волокон, шерсти при использования красителей различных групп; однако при этом требуется особо тщательный контроль и регулирование процесса, а также затрудняется подгонка окраски под заданный цвет.

А. Болденко

13213. Об изменении окрасок кубовыми и нерастворимыми азокрасителями после мыльной обработки. И о с с (Ueber die Veränderung von Küpen- und Naphtolfärbungen beim nachträglichen Seifen. Joss Kurt), SVF Fachorgan Textilveredlung, 1953, 8, № 44 407—504 № 42 548—555 (им.)

№ 11, 497—504, № 12, 548—555 (нем.) Исследовано влияние т-ры (до 140°), длительности мыльной обработки (до 2 час.), а также величины рН применяемого р-ра на изменение оттенка (контроль трехцветных координат- Х, Ү, Z) и прочность к трению, свету и хлору окрасок красителями: диброминдиго (I), хлориндантреном (II) и дибензантроном (III). При 90° изменение оттенка прекращается для окрасок II и III через 1 час, для I — не заканчивается даже в течение 2-х часовой обработки мылом, но при этом достигается повышение показателей всех видов прочности окраски. Наличие диспергаторов в р-ре мыла усиливает изменение оттенка. В нейтр. и слабокислой среде оттенок окраски и показатели прочности мало изменяются. Повышение т-ры сверх 100° резко изменяет оттенок и снижает прочность к трению. Обработка р-ром NaCl (30 г/л, 2 часа при 90°) мало влияет на прочность окраски. Нагревание (8 час. при 160°) ухудшает прочность окраски к трению. Исследовано влияние на окраски хлопчатобумажной ткани индигоидными, антрахиюновыми и бензантроновыми красителями: а) обработки (в запаянной трубке) при 140—150° водой (рН в) и р-ром NaOH 1 z/Λ (начальное рН 9, конечное — 13,2); б) обработки в течение 1 часа при 90° р-рами $\rm H_2O_2$ (10 $_{M}\Lambda/\Lambda$ 30%-ной $\rm H_2O_2$, рН 5,8) и глюкозы (5 z/Λ , рН 5,8). В результате обработок водой и NaOH ухудшается прочность окраски к трению, улучшается прочность к свету и хлору. H₂O₂ вызывает по-темнение дихлориндантрена (переход дигидразина в азин); глюкоза не изменяет оттенков. Во всех случаях под микроскопом (увел. × 3800) не обнаружено изменения величины частиц красителей. Общие выводы по работе: характер изменения окрасок как кубовыми, так сми-

€00

нов-

реде-

Ho

пре-

про-

Baiot ния.

ение

ание сек.

уцер

O H-

ouse.

104.

)-кп.

анов

енщо

pra-

Ro-

ê 11,

полу-

OKOH:

рав-

тения опка.

поль

ЭТОМ

вание

и под

денко

ство-

OTKE. Vaph-088

3, 8,

HOCTH

ы рН

Tpex-

ению,

o (I),

и 90°

и III

чение

ается

ackn.

мене-

K OK-

Товы-

тэкает

) e/a,

аски.

ность

раски

хино-

обраpH 6)

10e -

90° глюдой и

улуч-

ет по-

азина

учаях

изме-

ты по

I, TAR

и нерастворимыми азокрасителями в результате по-следующих обработок одинаков, по кубовые красители пзменяются медленнее. Р-ры с хорошим моющим действием почти не изменяют прочности к трению. Понижение дисперсности красителей, их перемещение к каналу и наружной поверхности волокон, некоторое повышение светопрочности и прочности к хлору (у кубовых) определяется величиной рН, т-рой и дли-тельностью воздействия, но не зависит от хим. состава вани. Термич. действие влияет особенно заметно на перастворимые азокрасители (возгонка); при 90° изменне оттенка наступает уже через 10 мин. и заканчивается через 1 час. Нагревание на воздухе не влияет на дисперсность; при этом оттенки «притупляются» в отличие от их «оживления» в результате мыльной обработки. Изменение красителей на волокне в значительной мере зависит от их хим. состава: оно более выражено в случае индигоидных и нерастворимых 13214. Новые исследования повреждений при хра-

нении вискозного штапельного волокна, окрашенного красителем сернистым черным, и влияние различных заключительных после крашения обработок. Ничке (Neuere Untersuchungen über Faserschädigungen durch Alterung von Schwefelschwarzfärbungen auf Viskosezellwolle bei verschiedener Nachbehandlung. Nitschke G.), Melliand Textilber., 1955, 36, № 4, 369—372 (нем.)

Красители сернистые черные, напр., получаемые из двиитрооксидифениламина и динитрофенола, при ванесении на волокна (В) обнаруживают явление автоокисления с отщеплением H2SO4, вызывающей разрушение целлюлозных В. В проведенных опытах окрашивали ленту из вискозного штапельного В р-ром, содержащим 12% красителя, 12% Na₂S, 3% Na₂CO₃, 20% NaCl в течение 1 часа при 90°. В результате проведенных после пятикратной промывки заключительных облаботом по различими промывки промывки промывки промывания промыв вых обработок по различным вариантам установлено, что при сушке окрашенных В в условиях нормального климата (65% относительной влажности, т-ра 22°) или при 100—105° в течение 1—2 час. явления карбонизации не наблюдается. Сушка в этих условиях после обработки p-ром $\mathrm{CH_3COOH}$ (2 ε/n) не изменяет, а после обработки p-ром $\mathrm{Na_2CO_3}$ (2 ε/n) незначительно ухуд-шает физ.-мех. свойства В. Сушка в течение 6 час. при 135° с периодич. обработкой влажным паром (по 1 мин. каждый час) приводит к значительному повреждению В. Сушка в этих условиях после обработки р-ром СН₂СООН (2 г/л) оказывается еще более разрушительной. Наоборот, после обработки р-ром соды (2 г/л) физ.-мех. свойства высушенных В остаются без изменений. Рекомендуется в случае, когда сушка после крашения проводится при умеренной т-ре, и окрашенные изделия не подвергаются длительному хранению в условиях высокой влажности и т-ры, применять тщательную промывку водой и заключительную нейтр-цию слабой органич. к-той. Но в случаях сушки при высокой т-ре и необходимости учитывать вероятность хранения в неблагоприятных условиях следует обработку к-той заменять обработкой слабой щелочью. А. Яшунская Крашение шерсти неопалатиновыми красителями. В юрц (La tintura della lana con i coloranti neopalatino. Wuerz Albrecht), Fibre e colori, 1955, 5, № 5, 175—177 (итал.)

Неопалатиновые красители содержат в молекуле 1 атом металла на 1 молекулу красителя и характеризуются высокой растворимостью и константой диссоциации при рН, близком к изоэлектрич. точке шерсти. Они хорошо выравниваются и пригодны для крашения тканей, пряжи и волокна. Гамма неопалатиновых марок охватывает желтые, оранжевые, красные, фио-

летовые, синие и коричневые тона; все они очень устойчивы к свету кроме синих, у которых светоустойчивость несколько понижена. Крашение происходит в кипя-щей ванне с содержанием 1—3% выравнивателя и 3—4% ${
m H_2SO_4-(96\%-ной)}$ (или 4% HCOOH 85%-ной) и продолжается 1—1.5 часа (для очень плстных тканей и дольше). Чем дольше кипячение, тем прочнее окраска Желтые, оранжевые и красные марки окрашивают шерсть и в нейтр, вание с 1—3% выравнивателя. Слишком темный или неравномерно окрашенный материал исправляется 30-минутным кипячением с 3-4% выравнивателя и 4-5% $\rm H_2SO_4-(96\%$ -ной). 3. Бобырь 13216. Крашение синтетических волокон. А й р ольди (La tintura delle fibre sintetiche. A i rold i Alberto), Laniera, 1955, 69, № 1, 29—39

Для крашения синтетич, волокон необходимо: выбирать красители с малой величиной молекулы; проводить крашение при возможно высокой т-ре; применять в-ва, способствующие набуханию волокон. Разработаны режимы крашения: найлона (металлсодержащие красители при 120° в нейтр. среде); полиэфирных волокон (дисперсные и прямые красители при 70—120° и выше); орлона (кислотные, дисперсные, основные красители при 100° и выше); акрилана (кислотные, кислотнопротравные, дисперсные красители при 115-120°). Для полиэфирных волокон применим процесс термозоль, состоящий в пропитывании красящим р-ром, в высу-шивании и в фиксации красителя при высокой т-ре (2 мин. при 205°). Для акрилонитриловых полимеров и сополимеров разработан метод с применением понов Си+. 3. Бобырь

К вопросу систематики и технологии крашения синтетических волокои дисперсными красителями. В е б е р (Ein Beitrag zur Systematik und Technologie der Färbung der synthetischen Fasern mit Dispersionsfarbstoffen. Weber Franz), Z. ges. Textilind., 1956, 58, № 13, 516—518 (нем.)

Обзор способов крашения полиамидных, полиэфирных, полиакрилонитриловых и триацетатных волокон дисперсными красителями, включая методы крашения при повышенном давлении и т-ре, термозольный и с добавками интенсификаторов-носителей. Дана характеристика красителей в части светопрочности, способности к сублимации, пригодности для крашения отдельных разновидностей волокон, а также возможности использования для получения модных смесовых окра-К. Маркузе сок. Библ. 24 назв.

Красители для крашения синтетических волокон. Поцца (Coloranti per la tintura delle fibre sintetiche. Pozza Girolamo), Fibre e Colori,

1955, 5, № 12, 455—460 (нтал.) Наибольшее значение для синтетич. волокон получают методы крашения в условиях повышенного давления и т-ры > 100°. Технологич. комиссией международного комитета по искусств. и синтетич. волокнам на основе спец. обследования составлены списки кра-

сителей, пригодных для использования по этому методу. Д. Кантер

3219. О статьях Пакшвера и других по крашению найлона. С табс. Ответ автора. Пакшвер А. Б. (Papers on nylon dyeing by Pakshver et al. S t u b b s A. E., Author's reply. Paksh ver A. B.), J. Soc. Dyers and Colourists, 1955, 71, № 4, 182—183

Дискуссия по материалам статей А. Б. Пакшвера и др. (РЖХим, 1954, 35127, 37061; 1955, 4647)

13220. Печатание трикотажных изделий. Линдnep (Das Bedrucken von Strickware, Lindner S.), Reyon, Zellwolle und and, Chemifasern, 1954, 32, № 10, 626-627 (нем.) Обзор способов печатания трикотажных изделий

ванн

B K

1322

BO

ct

J. 57

B

pasj

ино

выд

CO2

Обр

обр

дос

щей

пол

зап

вол

C T

осл

бы

HH

рас

cer

XЛ

CO;

ОЦ

ЯE

пе 13

(сетчатые шаблоны, аэрография, нанесение ворса). З. Панфилова

13221. Химическая чистка в применении к современным тканям и аппаратам. Рингейссен (Le nettoyage à sec devant les tissus et apprêts modernes. Ringeissen M.), Teinture et nettoyage, 1956, 9, № 90, 17, 19, 21 (франд.)

Доклад о принципах выбора органич. р-рителей для хим. чистки (использование хлорпроизводных),

Л. Беленький 13222. Устойчивые к стирке аппреты. Ш траух (Waschfeste Appreturen. Strauch G.), Melliand Textilber., 1955, 36, № 11, 1166—1168 (нем.)

Одним из основных требований к наносимым на ткани аппретирующим в-вам является устойчивость к стирке, определяемая преимущественно по изменениям веса аппретированной ткани после многократных воздействий, воспроизводящих стирку. Определение привеса ткани после обработки, а также потери веса после стирки затруднено влиянием поглощения влаги из окружающей атмосферы, а также неизбежными потерями мельчайших волоконец при механич, воздействиях применяемых при испытании. Поэтому предлагается заменить для целей испытания образцы тканей полосками фильтровальной бумаги, подвергаемыми об-работке испытуемым аппретом по режиму обработки тканей и затем многократной стирке при последовательном определении веса полоски. Стирка производится в водн. р-ре, содержащем 3 г/л марсельского мыла и 2 г/л N₂CO₃ при 50-60° в течение 30 мин. Установлена полная идентичность результатов испытаний, получаемых для ткани и для фильтровальной бумаги при возможности более быстрого проведения последних. 3. Панфилова

13223. Исследование процессов, вызывающих полное фиксирование шерстяных изделий. І. Экспериментальный пресс и метод намерения блеска изделий. О к а д з и м а, И н о у э (毛織物のパーマネントセ ットに関する研究、第1報、仕上機のモデルと布の光澤測 定法について、岡島三郎、井上哲男), 機維學會誌, Сэнъи гаккайси, J. Soc. Text. and Cellulose Ind. Jарап, 1956, 12, № 3, 217—221 (япон.; рез. англ.)

рап, 1350, 12, 3e 3, 211—221 (инон.; рез. англ.; Для исследования процессов заварки на крабб-машине и прессования шерстяных тканей изготовлен спец, пресс с поверхностью прессования 15×15 см, позволяющий проводить обработку образдов ткани в мокром и сухом состоянии при различных вариантах интенсивности и т-ры прессования. Степень полноты достигаемого фиксирования оценивается по устойчивости блеска обработанных изделий. А. Матецкий 13224. Влияние различных добавок к растворам смол

материалов. Гарви (The effect of additives to thermosetting resin baths on the physical properties of the treated fabric. Garvey Thomas F.), Amer. Dyestuff Reporter, 1955, 44, № 23, P791—P794 (англ.)

Исследование влияния добавок в р-ры синтетич. смол на сминаемость, эластичность, прочность на разрыв и на пстирание обработанных тканей из целлюлозных волокон выявило, что различные добавки могут в значительной степени улучшить показатели указанных свойств. Результаты введения в р-р эластич. в-в и термопластич, смол во многом зависят от природы пленки, образующейся на поверхности волокон. При использовании в качестве добавок умягчающих и водоотталкивающих в-в улучшение физ. свойств волокна зависитот их замасливающей способности. Достигаемая несминаемость ткани значительно улучшается за счет введения в р-р препаратов акванел S-437 и эмульсии 105. Эти же препараты, а также зелан АР способствуют повышению прочности. Сопротивление истиранию уве-

личивается за счет добавок хикара 1562 и аквапела S-437. П. Морыганов

Обработка целлюлозных тканей для придания 13225. несминаемости. Бохове, Схюринга (Quelques considérations fondamentales sur le traitement infroissable des tissus cellulosiques. B o c h o ve C., van, Schuringa G. J.), Teintex. 1954, 19, № 7, 505—506, 509, 511—512, 515, 517—518 (франц.) При обработке деллюлозных тканей для придания несминаемости мочевино-, меламино-, фенолформальдегидными смолами, а также CH₂O обычно увеличивается жесткость и уменьшается эластичность этих тканей. Избежать этого можно применением бифункциональных соединений с длинной парафиновой цепью, образующих между макромолекулами целлюлозы гибкие «мостики». В качестве таких в-в можно применять соединения диаминов алифатич, карбоновых к-т с $\mathrm{CH}_2\mathrm{O}$, отвечающих ϕ -ле: $\mathrm{HO-H}_2\mathrm{C-NH-CO(CH}_2)_n\mathrm{CO-}$ —NH — CH₂OH, напр. производное диамина адипиновой к-ты (n=4). Образование «мостиков» с целлюлозой происходит в кислой среде (рН 2,5), при повышенной т-ре в условиях, когда неизбежна некоторая деструкция целлюлозы. Жесткость ткани после обработки не увеличивается, эластичность почти не уменьшается, но прочность снижается на ~ 20%. С. Савина Придание хлопчатобумажным тканям несминаемости. Дженнингс (Crease-resistant finishes on cotton. Jennings H. Y.), Text. Res. J. 1955, 25, № 1, 20-24 (англ.)

По одному из существующих взглядов на суть взаимодействия применяемых для придания тканям несминаемости мочевино- и меламиноформальдегидных смол с целлюлозой здесь происходит хим. процесс, а по другому - смолы после полимеризации лишь проникают и осаждаются механически внутри волокон. Второе мнение находит обоснование в восстановлении исходных свойств ткани после удаления нанесенных смол путем их гидролиза. Но при применении, напр., модифицированных мочевиноформальдегидных смол и других подобных продуктов, проявляющих в условиях нагревания в большей мере способность к хим, р-ции с целлюлозой, чем к конденсации, достигаемые изменения свойств оказываются устойчивыми. Это заставляет точно соблюдать режим процесса, так как необратимость р-ции не позволяет исправлять образовавшиеся пороки. Источником брака может являться также щелочность ткани, особенно после мерсеризации. Наличие шелочи ослабляет, или совершенно нейтрализует, действие катализаторов полимеризации. В связи с этим рекомендуется либо вводить нейтрализующие щелочь в-ва, либо соответственно увеличивать кол-во катализатора. Следует учитывать, что слишком быстрая сушка может вызвать миграцию смолы и ее неравномерное распределение. Ткань, которой придана несминаемость, может вызывать затруднения при раскрое и пошивке, если она не обладает термопластичными свойствами. При применении препаратов, придающих несминаемость, и особенно при их сопоставлении необходимо обращать внимание на степень их устойчивости в условиях нормального хранения и на создание однородных постоянных условий в этой части, а также в части применяемых режимов обработки. 3. Панфилова

13227. Придание текстильным изделиям огнестойкости. Столбовский (L'ignifugation des textiles. Stolbowsky W.), Teintex, 1955, 20, № 2, 113, 115, 116, 119 (франц.)

Для придания целлюлозным изделиям огнестойкости применяют: фосфаты в смеси с меламиновыми смолами и с солями Sb; водн. р-ры хлорированных титановой и сурьмяной к-т; минер. соли-карбонаты Са и Zn, борат Zn, SbO в диспергированном состоянии в хлориро-

ела

HOR

REIT

uel-

ite-

19.

нц.)

ния

аль-

ется

ней.

аль-

бра-

жие нять

TC

20-

ОВОЙ

про-

т-ре

уве-

ется.

вина emufinis. J.

338 u-

CMII-

смол

я по

OHH-

Вто-

и ис-

смол

дру-

х на-

пел-

ения зляет

MOCTI

иеся

е ще-

пичне

зует, этим елочь

тали-

ушка ерное

TOCTL.

ивке, вами.

инае-

усло-

дных

при-

илова

естой-

tex-№ 2,

KOCTH

олами

новой

n, бо-

ванном парафине и хлорированном каучуке; хлорвинил в комбинации с хлорированным парафином и SbO. С. Савина

13228. Принципы и практика придания тканям невоспламеняемости. У о р д (The principles and practice of the flameproofing of textiles. Ward F.), J. Soc. Dyers and Colourists, 1955, 71, № 10, 569—

В отличие от огнестойких невоспламеняемые ткани разрушаются огнем, но не распространяют пламени и иногда не тлеют. При нагревании до 275° целлюлоза (I) выделяет в качестве продуктов сухой перегонки СО, СО2 и воду, причем обугленный остаток может тлеть. Обработка, придающая невоспламеняемость, должна каталитически направлять разложение I в сторону образования меньшего кол-ва СО и большего СО₂, что достигается, напр., при применении $\mathrm{Sb_2O_3}$, образующей мостики между макромолекулами I. Кроме того должны выделяться негорючие газы (напр., $\mathrm{NH_3}$), защитное в-во должно плавиться, образуя покрытие на волокие, а также способствовать отводу тепла. Вместе с тем применяемые для обработки в-ва не должны: ослаблять ткани, портить ее вид и свойства наощупь, быть ядовитыми, кристаллизоваться во влажной атмоомть ядонитыми, кристаллизоваться во влажной атмо-фере, давать привес > 15—20% и тлеть. Для прида-ния невоспламеняемости I применяют: обработки водо-растворимыми в-вами (сульфамат аммония, смеси буры и борной к-ты, ZnCl₂); модифицирование I (образование сернокислого или фосфорнокислого эфиров, обработка хлористым тетракисоксиметилфосфонием); осаждение окислов металлов (препараты эрифон, титанокс FR, содержащие в своем составе хлорокиси Sb и Ti), проводимое иногда с дополнительным фиксированием синтетич. смолами. Создан ряд методов испытаний для оценки степени невоспламеняемости текстильных изделий, основанных на измерении скорости распространенения пламени по образцу. В. Штуцер 2229. 50-лстие применения гидросульфита и рон-галита. Я и с о и (50) Jahre Hydrosulfit und Ronga-lit R. Janson A.), Melliand Textilber., 1956, 37,

№ 1, 98—100 (нем.; рез. англ., франц., исп.)

13230. Исследование закрепителя ДЦМ.Рол л (Studiu asupra fixatorubui D. C. M. R o I I E r wi n), Ind. textila, 1956, 7, № 1, 30—33 (рум.; рез. русс., нем.) Закрепитель ДЦМ—продукт конденсации дицианамида с формальдегидом с содержанием соли меди. Разработанный метод колич. определения ДЦМ основан на окислении его КМпО4 (I) в щел. среде. К 20 мл 1/100 н. I и 10 мл р-ра NаОН (30 г NаОН на 1 л р-ра) добавляют р-р ДЦМ и оставляют на 10 мин.; подкисляют 10 мл 50%-ной Н₂SО4, прибавляют 20 мл НСООН (II) (3.4 г кты на 1 л р-ра) и 10 мл р-ра I и нагревают до 40—50°, р-р обесцвечивается, избыток II титруют I.Кол-во I, прореагировавиче с ДЦМ, находят по разности результатов титрования исследуемого р-ра и глухого опыта проводимого в следующих условиях: в колбу вводят 20 мл II, подкисляют 5 мл Н₂SO4 и нагревают на водямой бане до 40—50°; прибавляют 10 мл р-ра I и титруют избыток II р-ром I. Проверка методики проводилась с р-ром ДЦМ конц-ии 10 г/л. Построена кривая зависимости расхода I от содержания ДЦМ в ананзируемом р-ре. В виду того, что при анализе рабочих р-ров ДЦМ получаются неточные результаты из-за перехода в р-р небольших кол-в красителей и других органич. в-в, также окисляющихся I, вносят поправку, определяя расход I на води. р-р органич. в-в, полученный при обработке окрашенного материала дистилл. водой при 70° без ДЦМ. Показано, что рекомендуемая рабочая конц-ия 10 г/л ДЦМ завышена, так как такой р-р может служить 3—4 раза без подкрепления. Р-р ДЦМ с содержанием 2 г/л обеспечивает заметное повышение

прочности окраски прямыми красителями к стирке. Для каждой комбинации красителей необходимо эмпирически установить потребное кол-во закрепителя. Содержание ДЦМ на волокие определяется по содержанию меди, если раньше не проводились обработки другими солями меди.

Г. Маркус 13231. Разрушение окрасок при действии света

Нидерхаузер (Quelques n hotogas. If h dep x a y a e p (querques observations sur la dégradation des teintures aux intem-péries. N i e d e r h a u s e r J. P.), Teintex, 1956, 21, № 6, 456, 459, 461—462, 465, 467—471 (франц.) Изучение влияния инсоляции под открытым небом в различных местностях и в различное время года на степень выгорания 38 окрасок красителями разных групп на хлопке и шерсти показало, что действие на окраску света и погоды значительно интенсивнее, чем воздействие дневного света на образцы, защищенные стеклом. Степень выгорания отдельных образцов под влиянием этих двух факторов не находится в прямой зависимости. Для опенки результатов выгорания окрасок на открытом воздухе не могут быть использованы голубые эталоны на шерсти, так как последние не дают в этих условиях правильной отстройки. Испытания устойчивости окрасок к действию света и погоды, выполненные в различное время года и в различных местностях Франции, не дали совпадающих результатов. Для отбора устойчивых к свету и погоде окрасок об-разцы необходимо инсолировать в течение нескольких недель, в различные периоды года. Результаты испытания окрасок на везерометре не обнаружили совпадения с полученными в условиях естественной инсоляции. Таким образом достаточно надежный метод характеристики устойчивости окрасок к действию погоды пока еще не разработан. К. «Маркузе 13232. Испытание прочности окрасок текстильных паделий. Аммахер (Prüfung von Farbechtheiten an Textilien. Аммахер (Prüfung von Farbechtheiten an Textilien. Аммас her Günter), Melliand Textilber., 1955, 36, № 8, 828—829 (нем.)

В Германии разработаны в соответствии с положениями, утвержденными в 1953 г. Европейской континентальной конвенцией по прочности окрасок, методы испытаний прочности окрасок текстильных изделий к свету, стирке, воде, трению и др. Полное описание методов приведено в выпущенных инструкциях DIN № \$ 53949—53976.

3233. Новые методы контроля способности вискозного штанельного волокия к окрашиванию. Флёри, Мебек (Nouveaux tests pour le contrôle de l'affinité tinctoriale de la fibranne viscose en bourre. Fleury J. P., Mey beck J.), Bull. Inst. text France, 1956, № 59, 41—55 (франц.; рез. англ.)

Пля опенки равномерности вискозного штапельного волокна в отношении способности к окрашиванию от соответствующих партий отбирают пробные образцы, которые подвергают лабор, крашению при модуле ванны 1:200 по двум способам: а) при 65° в течение 45 мян. 1% красителя солофенил голубого зеленоватого ВL в присутствии 30% NaCl, б) при 65° в течение 2 час. 0,4% красителя диазоль чисто голубого 6В в присутствии 20% NaCl. Крашение ведут в стеклянных сосудах на водяной бане с термостатом, с применением спец. механич. мешалок, на которых укрепляются образцы. Образцы предварительно отваривают в мыльно-содовом р-ре, промывают, сущат и кондиционируют, отбирая затем для крашения усредненные и расчесанные пробы по 1 г. Окрашенное волокно сущат, расчесывают, раскладывают на белой бумаге, накрывают стеклом и подвергают колориметрированию в отраженном свете на фотоколориметре «Люметрон». Результаты испытания окрасок, полученных по способу «а», характеризуют различия в коэфф. диффузии красителя в во-локно, а по способу «б» — различия в величине срод-

ROO

MH

CH

ROI

13

на

ла 13

110

бе

сл

не

B-

CT

He

HJ

пе

HO

TO

ar

Щ

ar

ат

pa HE

де 0,

01

RC 30

ф

HC CM

6,

He

co

3

ства волокна к красителю. Предлагаемый метод дает хорошо воспроизводимые результаты испытания и пригоден для контроля качества продукции различных поставшиков. К. Маркузе

Исследование качества хлопка. III. Устой-13234. чивость к загрязнению. Гетчелл (Cotton quality study. III. Resistance to soiling. Getchell Nelson F.), Text.Res. J.,1955,25, № 2, 150—194 (англ.)

Обзор. Рассмотрены: природа частиц загрязнений, степень их дисперсности, процесс проникновения, силы адгезии, характеристика ассортимента хлончатобумажных и других тканей (распределенных по степени важности для них защиты от загрязнения), методы измерения степени загрязнения и грязеустойчивости, способа обработки хлопчатобумажных тканей для повышения грязеустойчивости. Приведены микрофотографии и электроно-микроскопич. снимки. Библ. 131 назв. Сообщение II см. Text. Res. J., 1949, № 4, № 11.

Л. Беленький Методы определения содержания персти в смесях с целлюлозными волокнами. Хансен, Сёренсен (Bestemmelse af cellulosefiberindholdet i uldblandiger. Hansen Kirsten Sehe-sted, Sørensen Tormod), Tidsskr. textiltekn., 1956, 14, № 5, 69-71 (дат.; рез. англ.)

В результате сопоставления трех методов определения колич, содержания шерсти в смесях с целлюлозными волокнами установлено, что метод, основанный на растворении шерсти в p-ре NaOH, пригоден для смесей с содержанием целлюлозных волокон

40% при поправочных коэфф.в расчетах: для хлопка 1,03,для гидратцеллюлозных волокон 1,04. Метод, применяющий карбонизацию p-ром AlCla, дает хорошие результаты для смесей с содержанием целлюлозных волокон > 40% при поправочных коэфф.: для хлопка 0,99, для вискозного волокна блестящего 1,02, матированного 1,01. Метод с проведением карбонизации p-ром H₂SO₄ применим для смесей с содержанием целлюлозных волокон > 60%. А. Матецкий

Модифицирование персти В-пропиолактоном. Роз. Лундгрен (Beta-propiolactone modification of wool. Rose William Gor-don, Lundgren Harold P.) [United States of America as represented by the Secretary of Agri-

culture]. Пат. США 2717194, 6.09.55 Метод хим. модифицирования шерсти предусматривает ее обработку β-пропиолактоном в жидкой среде содержанием ≥ 10% высокомолекулярного фатич. сцирта (> 8 атомов С.). А. Матецкий 237 П. Мойка терсти с помощью растворителей (Solvent scouring of wool) [Distillers Co., Ltd]. Англ.

пат. 738014, 5.10.55

Способ мойки шерсти с применением полиатомного спирта (гексиленгликоля, напр. 2-метилпентан-2:4диоля) или кетоспирта с содержанием 4 — 6 атомов С напр., диацетонового спирта). Спирты могут содержать влагу и небольшие кол-ва моющих препаратов. Шерсть погружают в спирт (лучше при 50-60°) на 1-2 часа, выгружают, отжимают и погружают в спирт повторно. Возможно также использование циклоалифатич. спир-А. Матецкий тов, напр. циклогексанола. 1238 П. Мойка шерсти (Wool scouring) [The Disstillers Co., Ltd and W. and J. Waitehead (Laisterdyke) Ltd]. Австрал. пат. 166592, 2.02.56 13238 П.

Способ мойки шерсти, основанный на использовании бутилового спирта.

13239 П. 239 П. Мойка шерсти (Scouring of wool) [Pacific Mills]. Англ. пат. 730250, 18.05.55

Разработан метод (англ. пат. 700215, РЖХим, 1956. 34351) регенерации шерстяного жира из щел. сточных

вод шерстомоек, содержащих анионактивное моющее в-во, предусматривающий добавку небольшого кол-ва водорастворимой нонизируемой соли, не образующей нерастворимых осадков, напр.соли щел. металла или аммония и органич, к-ты с содержанием ≤3 атомов С или минер. к-ты. Затем жидкость нагревают до потемнения проверка также по характеру пятна, оставляемого каплей жидкости на фильтровальной бумаге: внешнее светлое кольцо и темная центральная часть) и отстаивают в течение 4-65 час. Это способствует снижению содержания влаги в жире и осаждению некоторых металлич. солей, что уменьшает степень загрязнения водоемов, в которые поступают сточные воды. После отстаивания жидкость подвергают центрифугированию для выделения жира. Дополнительно предлагается измененный метод обработки, по которому отстаивание и предварительное центрифугирование проводятся до добавки ионизируемой соли, что обеспечивает получение жира более высокого качества. А. Матенкий 13240 П. Обескленвание шелка с одновременным от-

беливанием. Граховина, Робинсон, Гронский (Odglejenie fibroinových vlákien so vybielenim. Robinson Tibor. sùčastním Hrachovina Gustav, Gronský Ju-

га ј). Чехосл. пат. 82874, 1.09.54

Способ обесклеивания шелка (bombyx mori, tussah) с одновременным отбеливанием предусматривает применение органич, к-т и восстановителей (формальдегидсульфоксилаты). Напр., для обесклеивания проводят обработку шелка в течение 1 часа при 95° при расходе 3% (от веса шелка) НСООН 80%-ной с последующей тщательной промывкой; обесклеивания совместно с отбеливанием достигают при применении в тех же условиях 1—3% НСООН и 1—3% лептостана (фор-Л. Песин мальдегидсульфоксилата цинка). Состав для замасливания шерстяных смеceй. Бугарчев (Oil composition for the treatment

of wool. Bougartchew K.). Англ. пат. 733619,

Рекомендуемый состав, способный легко эмульгироваться, представляет собой гомогенную смесь минер. масла, нейтрализованного сульфированного растительного масла, полиэфирного спирта и металлич. или аммониевого мыла (иногда с добавкой алифатич. спирта с содержанием 5 атомов С). Напр., смесь может состоять из веретенного масла, сульфированного касторового масла (с содержанием до 72% сульфированных жирных к-т), полиэфирного спирта «тритон», этилового спирта А. Матецкий и олеиново-натриевого мыла. Способ подготовки текстильных волоков 13242 П.

к прядению (Method of preparing textile fibres for spinning) [Metallges, A.-G.], Англ.пат. 728748, 27.04.55 Для замасливания текстильных волокон перед прядением применяют водн. эмульсию нерастворимого в воде нейтр, сложного третичного эфира ортофосфорной к-ты или диэфира органозамещ, фосфиновой к-ты, характеризуемого наличием группы (или групп) с содержанием > 6 атомов С. В молекулу сложного эфира могут быть включены для повышения эмульгирующих свойств содержащие гидрофильные группы гликоль, полигликоль, глицерин, полиглицерин, эритрол, сорбитол, пентаэритритол, аминоспирты, аминосахара. Для этих же целей используются соединения, состоящие из радикалов фосфорной к-ты, связанных стиками», образуемыми бифункциональными соеди-нениями (диэтаноламином, триэтаноламином, гексанобразуемыми бифункциональными соедидиолем, октадиолем, октадекандиолем). В состав эмульсии можно включать также нейтр. жиры, жирные спирты, жирные к-ты, амиды жирных к-т и продукты их конденсации с полигликолями, сахара, защитные коллонды, природные или синтетич. загустители, мыла, анионактивные, катионактивные и неионогенные поверхностГ.

(ee

Ba

-91

10-N-

00-

ей 90

TO-

ka-ИЧ. OB,

RH

леме-

ЛЬ-

нилее

пи OT-

a,

80 or, u-

sah)

ри-

де-

BOoac-

yio-

THO

же

op-

син

еме-

ent

319,

PLH-

HeD.

ель-

или

рта

ATR

вого

ных

грта

кий

for

4.55пря-OTON

фор-

-ты,

co-

рира щих

оль. cop-

apa.

TOH-

≪M0-

еди-

сан-

УЛЬ-

рты,

енса-

иды,

нак-

HOCT-

воактивные в-ва, органич. р-рители, минер. масла, воски, петролатум, перафин. В качестве примера упоминается обработка мытой шерсти 4%-ной води. эмульсией третичного эфира ортофосфорной к-ты и лаурилового спирта.

А. Матецкий Предупреждение образования статического электричества е помощью полимеризованного 3-пропиолактона. Лундгрен, Бинкли, Heilcep (Control of static electricity with polymeric beta-propiolactone. Lundgren Harold P., Binkley Charles H., Yeiser Andrew S.) [United States of America as represented by

16.08.55 Для предупреждения образования статич, электричества при трении шерсти о металл на волокна шерсти наносят предварительно полимеризованный 3-пропис-А. Матепкий лактон.

the Secretary of Agriculture]. Har. CIIIA 2715592,

13244 II. Моющие и белящие составы для волокнистых материалов и способ их применения. Линдnep (Method and composition for washing and bleaching fibrous materials. Lindner Kurt) [«Tepha» Ges.für pharmazeutische und chemisch-technische Erzeugnisse m. b. H.]. Пат. США 2730428, 10.01.56

Для предупреждения вредного воздействия на волокна кислорода, выделяющегося при промывке, отбелке или стирке волокнистых материалов в щел. среде, следует добавлять к применяемым щел. р-рам соединений, способных выделять активный кислород, в качестве защитного средства органич. или неорганич. в-ва, содержащие в молекуле радикал SO2, непосредственно связанный с атомом N аминогруппы, т. е. соединения, имеющие в молекуле группу SO2N или SO2N H, или SO2NH2, напр. сульфамиды аминокарбоновых к-т, пептидов и продуктов распада альбуминов. В частности, пользуются: для создания щел. среды фосфа-том щел. металла; в качестве соединений, выделяющих активный кислород, перекисями; для обеспечения защитного действия алкилсульфамидами (алкил с 8—20 атомами С), алкиларилсульфамидами (алкил с 8—20 атомами С), или додецилбензолсульфамидом продуктов расщепления альбуминов. Примеры: 1) Льняные тка-ни после обычной стирки отбеливают в теплом p-pe, coдержащем в 1 л: 0,8 г пербората натрия, 0,5 г Na₄P₂O₇ и 0,1 г бензолсульфамида. Даже очень тонкие ткани при такой обработке практически не повреждаются. 2) Для отбелки тканей из смесей штапельного волокна с хлопком (или шерстью, или шелком) применяют (4—6 час.; 30—40°) p-p, содержащий в 1 л: 25 мл 30%-ной Н₂О₂, 2 г Na₄P₂O₇ и 0,5 г продукта конденсации алкилсуль-фохлорида (алкил с 12—16 атомами С) и натриевой соли метиламиноуксусной к-ты. 3) Для промывки, расшлихтовки и беления пряжи, тканей или трикотажа из хлопка или вискозного, медноаммиачного или ацетат-ного воложна их обрабатывают (при начальной т-ре ~ 30° с постепенным повышением до 85—90°) р-ром смеси 40 вес. ч. № 4Р₂О 7, 30 ч. надуглекислого № и 30 ч. сульфированного производного альбумина в конц-ии 2—3 г/а.

С. Светов 13245 II. Процесс очистки ткани. Блау (Process for cleaning fabrics. В l a и М.). Англ. пат. 719114,

Для очистки ткани от загрязнений, растворимых в в воде и р-рителе, ее перемещают на конвейере, подвергая сверху и снизу действию пара, направляемого из сопла под давл. 3,4-8,5 ам (предпочтительно 5,3-6,8 ат), затем действию р-ра детергента (может быть обычным мылом для хим. чистки с добавкой (или без нее) соснового масла или аммиака), направляемого из сопел под давл. 5,1-13,6 ат (предпочтительно 10,2 ат). Загрязнения и образованные ими эмульсии удаляются р-рителем, также направляемым из сопла, после чего Г. Молдованская ткань высущивается. 2246 П. Крашение и другие обработки тканей. Ханией, Килби (Dyeing or like treatment of textile or like materials. Hannay Robert S. E., Kilby William) [Standfast Dyers and Prin-

ters Ltd]. Канад. пат. 514012, 21.06.55 Для крашения или других обработок тканей, а также подобных им ленточных материалов по непрерывному способу сконструирована установка, отличающаяся наличием камеры U-образной формы, через которую и пропускается ткань, пропитанная применяемым для обработки р-ром. При этом ткань подвергают нагреванию с помощью нагревательных элементов, расположенных вдоль стенок камеры, с таким расчетом, чтобы расстояние между их поверхностью и проходя-щей тканью составляло 3—25 мм. Возможно также заполнение камеры металлич, сплавом (т. пл. 60-100°), что позволяет подвергать ткань на ее пути через камеру воздействию расплавленного металла. Ю. Петровский 13247 II. Способ и аппарат для крашения и других мокрых обработок нитей из природных или некусственных волокон на паковках. А и и и к (Procédé

et appareil pour teindre ou autrement traiter par voie humide les fils textiles, naturels ou artificiels sur fuseaux de filature. A n n i с q J.). Франц. пат. 1087511, 25.02.55 [Bull. Inst. text. France, 1955, № 55, 174

(франц.)] Для крашения пряжи на бобинах используют металлич. шпули с перфорированными стенками. Крашение проводят в жидкой среде в открытой или, предпочтительно, закрытой емкости, в которой помещена каретка для бобин. Нижняя часть каретки соединена трубопроводом с одним ответвлением линии всасывающего и нагнетающего насоса, другое ответвление которой соединено с емкостью. На верхней поверхности каретки предусмотрены отверстия для вставки перфорированных шпуль, вставляемых на стержни с винтовой нарезкой, жестко закрепленные на дне каретки. Спец. гайками прижимают шпули ко дну каретки для уплотнения загруженных нитей в продольном направлении. По окончании загрузки емкость закрывают крышкой и проводят циркуляцию жидкости с помощью всасывающего и нагнетающего насоса. О. Славина

13248 П. Крашение шерсти (Dyeing of wool) [J. R. Geigy Soc. An.]. Австрал. пат. 166768, 16.02.56 Крашение шерсти металлсодержащими красителяпредставляющими собой комплексные соединения тижелых металлов и моноваю- или азометиновых красителей (при соотношении: 2 молекулы красителя на 1 атом металла), не содержащие кислотных гидрофильных групп, проводят путем погружения изделия в нагретый красильный р-р при рН≫7,5 при последующей циркуляции р-ра или передвижении ткани в этом р-ре в условиях постепенного снижения рН. А. Матецкий 13249 П. Способ образования нерастворимых азо-

красителей на волокие. Еллинек (Verfahren zur Erzeugung von wasserunlöslichen Azofarbstoffen auf der Faser. Jellinek Karl) [Farbwerke Hoechst A.-G. vormals Meister Lucius & Brüning]. Пат. ФРГ

933023, 15.09.55

Образование нерастворимых азокрасителей на волокие при величине модуля ванны > 1:2,5 обычно проводят для обеспечения быстрого и равномерного сочетания при избытке солей диазония, составляющем 100—300% кол-ва их, выбирающегося волокном. Но для ряда диазониевых соединений (I) возможно снизить этот избыток до ~30%, проводя сочетание в слабощел. среде. Непригодны для этого способа I, неустойчивые в слабощел. среде, напр., получающиеся из аминоазосоединений с отрицательными заместителями. В этом случае продукты разложения І фиксируются волокном, загрязняют оттенок и дают желтоватый ореол при последующей щед, обработке, сублимируются при хранении или влажном глажении. Эти непостатки устранимы, если при сочетании ариламидов о-оксика рбоновой к-ты и I с отрицательными заместителями в условиях молуля ванны >1:2.5 I берут в почти теоретич. кол-ве и одновременно прибавляют на 1 д проявительной ванны 5—30 мл 50%-ной уксусной или другой слабой к-ты, напр., муравьиной, гликолевой, пропионовой. Иля особо чистых тонов можно брать код-во I ниже теоретич. Хотя процессы выбирания I и сочетания добавлением большого избытка к-ты замедляются, но при этом обеспечиваются ровнота и яркость окраски при устранении вышеуказанных недостатков. Пример: 500 г хлопчатобумажной пряжи на бобинах обрабатывают в аппарате Обермайера при модуле ванны 1:10 р-ром 1-(2'-, 3'-оксинафтиламино)-4-метоксибензола и отжимают на центрифуге до остаточного содержания в пряже 8 г этого в-ва. Затем на таком же аппарате проявляют окраску, применяя 10 г двойной ZnCl2соли хлористого диазония 2-амино-4-метокси-5-метил-2'-хлор-4'-нитро-1.1'-азобензола (67,2% -ного при расчете на свободное основаниес мол. в. 320.5). Эту соль диазония растворнот в 5 м холодной воды, содержащей 5 мл 33%-ного води. р-ра продукта р-дии окиси этилена с оленловым спиртом и 100 мл СНаСООН 50%-ной. Далее следуют тщательная промывка, обработка к-той, промывка, обработка горячни мылом, промывка и сушка. Получают равномерно прокрашенную пряжу коричневого цвета высокой прочности. О. Славина 13250 П. Крашение белковых волокон в смеси с синтетическими линейными полиамидными волокнами

(Dyeing animal fibres in admixture with synthetic linear polyamide fibres) [Sandoz, Ltd]. Англ. пат. 731005, 1.06.55

Крашение белковых волокон (шерсти или шелка) в смесях с синтетич. линейными полиамидными волокнами при резервировании последних проводят в водн. кислом р-ре кислотного, кислотнопротравного или металлсодержащего красителя с содержанием азотнокислых, бромистых, йодистых или роданистых солей аммония или металлов с ат. № 3-56 (Na, K, Mg, Ca, Ba, Zn, Sn). В p-p можно вводить также водорастворимый хлорид металла с ат. № 20-56, напр. ZnCl2, и диспергаторы (алкилированные полигликолевые эфиры, алкиларил-сульфонаты, алкилсульфаты, продукты конденсации А. Матецкий 13251 П. Суспензионное крашение вискозной пряжи.

пленок и т. д. (Production of pigmented viscose yarns, ribbons, films or the like) [Manufactures de Produits Chimiques du Nord Kuhlmann]. Англ. пат. 723514, 9.02.55 [J. Soc. Dyers and Colourists, 1955, 71, № 4, 198 (англ.)]

Ультратонкие суспензии пигментов в эфирах целлюлозы получают путем крашения целлюлозного эфира (напр. кубовыми или азокрасителями) до его растворения в NaOH. O. C.

252 П. Способ и пренараты для става формация и набивок. Альбрехт, Фрей, ности окрасок и набивок. Альбрехт, (Verfahren Способ и препараты для повышения прочund Präparate zum Verbessern von Echtheitseigenschaften von Färbungen ober Drucken. Albrecht Otto, Frei Jost, Landolt Albert, Kaiser Otto, Gunst Raymond) [Ciba A.-G.]. Пат. ФРГ 933143, 22.09.55

Для упрочнения окрасок и набивок прямыми красипоследующая предлагается р-рами комплексных солей Си с щел. р-цией в отличие от ранее применявшихся некомплексных солей. Для этого могут найти применение комплексные формиаты, ацетаты, сульфаты, хлориды или нитраты, соли оксикарбоновых к-т — гликолевой, молочной, винной, со-

держащие аммиак или амины, как триметиламин, тоиэтаноламин, этилендиамин, пиридин, 8-аминохинолин, напр. тетраммин-Си-ацетат, сульфат, сульфамат, нитрат. Применимы также смеси продуктов конденсации соединений, содержащих по крайней мере 1 группу --N=C(-N=)2, напр. дициандиамида, дициандиамидина. гуанидина, ацетогуанидина, дигуанида или меламина и CH₂O (2—4 моля CH₂O на 1 моль соединения) с комплексной солью Сu. II р и м е р: 100 вес. ч. окращенной хлопчатобумажной пряжи обрабатывают в течение 0,5 часа при 20° р-ром 2,25 вес. ч. водорастворимого пролукта конленсации дициандиамидина с СН20. 0,75 вес. ч. ацетата Си, 3 вес. ч. конц. p-ра NH₄OH в в 3000 ч. воды. К образовавшемуся в р-ре тетраммин-Си-апетату побавляют 2 вес. ч. Na2CO3. Пряжу отжимают и сущат. При этом прочность окраски к стирке в p-ре мыла и соды при 60° значительно повышается. Продукт конденсации получают нагреванием при 100° в течение ~ 10 мин. дициандиамидина с 4-крат-ным кол-вом 30%-ного технич. СН₂О. О. Славина 13253 П. Способ снижения способности шерстяных в смещанных изделий к усадке (Process for imparting shrink resistance to woollen and wool-containing tex-

tile material) [British Industrial Plastica, Ltd]. Англ. пат. 730872, 1.06.55

Пля снижения способности шерстяных и смешанных изделий к свойлачиванию и усадке на них наносят продукт конденсации аминотриазинальдегила с последующей термич. обработкой в нагретой води, среде в присутствии к-ты. В термич, обработку изделия направляют в воздушно-сухом состоянии или после промежуточного высущивания при повышенной т-ре. Для пропитывания изделия применяют, напр., водн. р-ры метилол- или метилированного триметилолмеламина или кислые води. колл. р-ры этих продуктов с содержанием НСООН, СН₃СООН или HCl. В последнем случае термич. обработку проводят действием горячей воды или пара. Обычно же для этого применяют кипящий (или нагретый до т-ры, близкой т-ре кипения) р-р уксусной, соляной, серной, шавелевой или фосфорной к-т. В этот же р-р можно вводить кислотнохромовый краситель с протравой или без нее, предусматривая во втором случае отдельную предварительную или последующую обработку протравой. А. Матецкий 13254 П. Способ получения несминаемых

(Procédé de fabrication de tissus infroissables) [L. Debiesse et Cie]. Франц. пат. 1088880, 11.03.55 Inst. text. France, 1955, № Rull (франц.)]

Преимущества предлагаемого способа: возможность регулирования рельефного эффекта; обеспечение стабильности размеров без применения спец. последующих обработок: устойчивая несминаемость. Способ основан на выработке в ткачестве 2-слойной ткани спец, переплетения, причем верхний слой, обеспечивающий несминаемость, содержит различные волокна, а нижний состоит из синтетич. волокон, способных усаживаться под действием соответствующей обработки. Ткань подвергают термич, обработке, вызывающей усалку нижнего слоя, вследствие чего на верхнем появляется множество перехватов, длина которых определяется расстоянием между двумя точками соединения слоев. В результате только нижний слой ткани подвергается действию усилий, вызывающих сминаемость. Несминаемость же верхнего слоя достигается лишь при значительном преобладании его массы сравнительно с массой нижнего слоя. Сжатые или ненатянутые эффекты можно получать, изменяя либо расстояние между двумя точками связи переплетения, либо коэфф. усадки нижнего слоя. О. Славина r.

DW-

III

HT-

Ha.

на

-пм

oro

20,

инкирке

CH.

oar-

wwa

X H

ing

tex-

ных

Ipo-

yio-

ри-

Dan-

жv-

ipo-

MA-

или

тер-

или или

ной.

STOT

гель

DOM

цую

кий

аней

De-

3.55

161

ОСТЬ

ста-

ших

ован

repe-

не-

кний ться

под-

ниж-

MHO-

pac-

g pe-

ется

сми-

3118-

мас-

екты

вумя

ниж-

вина

См. также: Строение фиброина шелка 11894, 11895. Строение и св-ва шерсти 11916. Полимеризация виниловых соед. в шелковом волокие 11949.

ВЗРЫВЧАТЫЕ ВЕЩЕСТВА. ПИРОТЕХНИЧЕСКИЕ СОСТАВЫ. СРЕДСТВА ХИМИЧЕСКОЙ ЗАПИТЫ

Редактор М. С. Фишбейн

43255. О происхождении окиси углерода в продуктах детонации промыпленных взрывчатых веществ. Мумицкий detonacije civilnog eksploziva. Mušicki Dušan), Tehnika, 1956, 11, № 6, 888—890 (сербохорв.; рез. англ.)

Показано, что основным источником образования СО в продуктах детонации промышленных взрывчатых в-в является парафини, применяемый для парафинирования патронов. Для уменьшения кол-ва СО в взрывных газах необходимо заменить парафин другим материалом, не снижающим кислородный баланс взрывчатых в-в, или же уменьщить их гигроскопичность. М. Финбейн

13256. Варывчатые нитраты (нитриты) и нитропроизводные ациклических и циклических органических соединений. Различные области их применения без использования варывных свойств. Лангханс (Anwendungsgebiete nichtexplosiver Natur der als explosiv bekannten Nitrate (Nitrite) und Nitroverbindungen organischer Ketten- und Ringkörper. Langhans Alfred), Explosivstoffe, 1956, 3, № 9, 134—138; № 10, 160—163; № 11, 183—186; № 12, 209—212; 1956, 4, № 1, 15—18; № 3, 53—56; № 4, 79, 82, 83; № 7, 148—150; № 8, 177—181; № 10, 230—233; 1957, 5, № 1, 12—15; № 2, 33—46 (нем.)

Обзор. Применение нитратов (питритов) и питропроизводных: при решении теоретич. проблем органич. кимии; в анализе органич. и неорганич. в-в; в органич. синтезе; в различных областях химич. технологии (произ-зо целлулоида, коллодия, фото- и кинопленки, лаков, искусственного шелка, дубильных в-в, красителей, вкусовых и лекарственчых в-в, боевых отравляющих в-в, пестицидов, консервирующих средств); в качестве добавок к горючему для двигателей внутреннего сгорания и в качестве ракетного горючего; для изготовления окрашенных дымов и туманов; для травления металла при его исследовании; для тушения пожаров. Пряводится физиологич. действие нитроссединений на человека. М. Фишбейн

13257. Бездымный порох. Гонсалес-Гарсия-Гутьеррес (Polvora sin humo. Gonzalez Garcia-Gutierrez Alejo), Rev. industr. y fabril, 1955, 10, № 105, 307—313; № 106, 365—372 (исп.)

Обзор способов получения различных типов бездымного порожа на летучем и нелетучем р-рителях, а также исходных в-в, р-рителей, желатинизаторов нитроцеллюлозы и стабилизаторов бездымного пороха.

И. Гонса́лес 13258. Нолупронзводственная установка для получения 2-4-динитрорезордина. О и прулль, Суль (Fabrication semi-industrielle de la dinitro-résorcine 2-4. Ficheroulle Henri, Soule René), Mem. poudres. 1955. 37. 339—341 (франц.)

Мет. poudres, 1955, 37, 339—341 (франц.) 2,4-Динитрорезордин (I) с т. пл. 144°, получают окислением 2,4-динитрозорезордина (II) разб. HNO₃ при низкой т-ре. 30 г резордина растворяют в смеси 32 г H₂SO₄, 750 г воды и 300 г льда. При перемешивании приливают р-р 40 г NaNO₂ в 100 мл воды. Для облегчения фильтрования прибавляют Na₂SO₄

и фильтруют выпавший II. В колбу емк. З а с мешалкой, термометром и капельной воронкой помещают 750 мл толуола и 168 г измельченного II, охлаждают до—5°, медленно приливают при перемешиваниии и при—4° 500 м.а. HNO2 уд. в. 1.35 и перемешивают еще 1 час, затем отсасывают, отжимают и сущат. І растворяют в 2 м эфира для отделення остатков II, фильтруют и отгоннют эфир. Выход неочищ. І 175 г (87%), т. пл. 132—133°. После перекристаллизации из 2,2 м кипящей воды получают 120 г I с 142—143°. При применении вместо эфира других р-рителей получают I с более низкой т-рой плавления. Описана полузаводская установка получения І. В эмалированный ап-парат емк. 500 л с мещалкой, рубашкой и штуцером для выгрузки загружают 280 л воды и 6,24 л H₂SO₄ 65,5° Ве́. В течение 20 мин. прибавляют 11,2 кг резорцина и 100 кг льда. Приливают при перемешивании р-р 15 кг NaNO₂ в 28 л воды, затем быстро прибав-ляют теплый р-р 480 г Na₂SO₄ в 2 л воды. Отфильтровывают на нутч-фильтре, промывают сначала холоднов водой до нейтр. р-ции, затем 2 л спирта, сушат и просеввают через сито 50 меш. Получают 16 кг П. В эмалированный аппаратемк. 150 л с рубашкой для охлаждения и мешалкой загружают 45 л толуола и 10 кг П. Охлаждают до —5° и приливают в течение 8 час. ~15 л НОО3 уд. в. 1,35. Отделяют толуол, фильтруют ва нутчфильтре и промывают 3 раза 30 л воды. Высушенный I переносят в аппарат емк. 250 л с рубашкой, мешалкой, прямым и обратным холодильниками и загружают 80 л эфира. Перемешивают 45 мин., затем фильтруют. Фильтрат переносят опять в аппарат и отгоняют эфир. После кристаллизации из 140 л воды получают 6,5 кг I. В. Красева Общий выход I 54-55%.

3259. Измерение давлений, возникающих при варыве иниципрующих варывчатых веществ. И о ддак, Грои (Messungen von Explosionsdrucken an Initialsprengstoffen. Noddack W., Grosch E.), Explosivstoffe, 1956, 4, № 4, 69—78 (нем.)

Определялось давление детонации инициирующих взрывчатых в-в (азидов и фульминатов) при помощи пьезоэлектрич. прибора как в бомбе, так и на открытом воздухе, а также работоспособность и зависимость между получаемыми величинами и расстоянием взрывчатого в-ва от прибора. На основании полученных данных вычислялось давление детонации на поверхность испытуемого взрывчатого в∗ва. М. Фишбейн

13260. Испытание взрывчатых веществ. И. Определение чувствительности к трению пинциирующих и других очень чувствительных к трению взрывчатых веществ. К ё не н, И де (Über die Prüfung explosiver Stoffe. II. Ermittlung der Reibempfindlickeit von Zünd-(Initial-) Sprengstoffen und anderen sehr reibempfindlichen explosiven Stoffen. К о е п е п Н., I d е К. Н.), Explosivstoffe, 1956, 4. № 1, 1—10 (нем.). Исправление (Berichtigung), № 3,56

Дано описание устройства и действия аппарата, применяемого автором для определения чувствительности к трению инициирующих взрывчатых в-в. Приведены полученные результаты, а также данные сравнительного исследования их чувствительности по Ратсбургу, Тайлору и Ринкенбаху и методу трения в неглазурованной фарфоровой чашке. Показано, что наиболее пригодным методом определения степени чувствительности всех взрывчатых в-в к трению является метод, основанный на скользящем трении о неглазурованную фарфоровую поверхность фарфорового маятника с нагрузкой, колеблющейся от 2 до 36 000 г, величина которой однозначно определяет степень чувствительности варывчатого в-ва к трению. Часть I см. РЖХим, 1956, 37353. М. Оншбей 13261. Применение свинцового цилиндра для испытания взрывчатых веществ. Гор до н, Р и д, Л е п пер (Lead-block test for explosives. G o r d o n W i l-

N

И

16

CI

H

pa Ha

Ky Ba

BI

Щ

(4

BL

nj

He

13

ра H: дл оп не СХ

р-ме фи

B-1

BO

13

Tal

HO

co;

НЫ

ко

por

KO

FRI

(Ha COE

ШИ

прі

BHS

(B

доб

liam E., Reed F. Everett, Lepper Bessie A.), Industr. and Engng Chem., 1955, 47, № 9,

Part 1, 1794—1800 (англ.)

Были испытаны в сферич. свинцовом цилиндре (видоизмененная проба Трауцля) следующие взрывчатые в-ва: TNT (тротил), RDX (гексоген), НМХ (циклотетраметилентетранитрамин), медина (метилендинитрамин) и тетрил (2 4.6-тринитрофенилметилнитрамин). На основании полученных данных было выведено ур-ние, устанавливающее зависимость между навеской взрывчатого в-ва (w) и объемом получающегося в бомбе расширения (v_n) : $kw/v_n = a - b \lg v_n$, гда a и b — коэфф., которые, напр. для TNT, равны: a = 0.09442, b = 0.02445. а величина k по своему численному значению довольно точно совпалает с величиной nRT, гле n— число молей газообразных продуктов взрыва, R — газовая константа. Т — абс. т-ра взрыва при постоянном объеме.

Взрывчатые вещества. Раздел из курса промышленной органической химии. Джуа (Esplosivi. Estratto dal corso di chimica organica industriale. Gina Michelle. Torino, Ed. Levrotto e Bella, 1954, 117 p., ill., 900 L.) (итал.)

Свободносыпучий циклотриметилентринитрамин. Шульц (Free flowing cyclotrimethylene-trinitramine. Schulz William Earle) [E. I. du Pont de Nemours and Co.]. Пат. США 719153.

27.09.55

Иля получения пиклотриметилентринитрамина, обладающего хорошей сыпучестью, к нагретой взвеси этого в-ва в воде добавляют 0,5--5% водорастворимой соли какой-либо жирной к-ты и избыток води. р-ра соли такого металла, который при взаимодействии с ней дает нерастворимую в воде соль жирной к-ты. М. Фишбейн Способ изготовления желатин-динамита. (Gelatin dynamite explosive and method of 13264 П. Смит

making the same. Smith Joseph, Jr) [Atlas

Powder Co.]. Пат. США 2727814, 20.12.55

Запатентован желатин-динамит, состоящий из нитроглицерина, нитроцеллюлозы и мелкоизмельченного диспергированного в нем в кол-ве 0,005-1% производного оксазолина общей ф-лы RC=NC(R'R")СН₂О, где

R — алкил с 7—17 атомами С; R — Н, метил, этил, оксиметил, оксиэтил или заместитель общей ф-лы R"--A-OH, где R"-группа, состоящая из метиленового или этиленового радикалов, А — радикал, состоящий из 1—6 оксиэтиленовых групп, R''' — оксиметильный или оксиэтильный радикал или группа В"-А-ОН, где R" - метиленовая или этиленовая группа, а А радикал, состоящий из 1-6 оксиэтиленовых групп, общее число которых не должно превышать шести. М. Фишбейн

13265 П. Воспламенитель. В лехимидт (Feueranzünder. В lechscmidt Friedrich Her-

mann). Пат. ГДР 10280, 23.08.55

В качестве воспламенителя предлагается применять губчатые отходы произ-ва искусств. материалов, в частности вискозные отходы, которые обычным способом пропитывают легко воспламеняемыми в-вами, напр. жидкими углеводородами. При пропитке увеличивается пористость материала, лучше всего при соотношении 290-320 вес. ч. пропитывающей массы на 100 вес. ч. носителя. Б. Энглин

ЛЕКАРСТВЕННЫЕ ВЕЩЕСТВА. ВИТАМИНЫ. АНТИБИОТИКИ

Редактор Н. А. Медзыховская

Роль фармацевта в промышленных исследованиях. Виньерои (Le pharmacien devant la recherche pharmaceutique industrielle. Vigneron Maurice), Prod. pharmac., 1956, 11, № 4, 261-270 (франц.)

13267. О дважды перегнанной воде. Ш м а р у к Л. Г.

Аптеч. дело, 1955, 4, № 2, 40-41

Обсуждаются вопросы произ-ва дважды перегнанной воды и снабжения ею аптек для приготовления инъекционных р-ров, согласно требованию фармакопейной статьи № 67.

О. Червиов О. Черицов Поливинилпирролидон в качестве дополнения 13268.

к антибактериальным средствам. Шейнаус, Сперандио (Polyvinylpyrrolidone as an adjunct to antibacterials. Shein aus Harold, Speran-dio G. J.), Drug standards, 1955, 23, № 3,

96-99 (англ.)

Ввиду того, что поливинилпирролидон (I) является заменителем кровяной плазмы, повышает раствори-мость некоторых лекарственных в-в, в некоторых случаях проявляет протрагирующее действие и понижает токсичность, авторы исследовали влияние I на антибактериальное действие in vitro на M. pyogenes var. aureus 26 в-в из группы антибиотиков, соединений Нд, соединений, содержащих галоид, соединений четвертичного аммония, фенольных соединений, красителей и смещанных (нитрофуразона и Zn SO₄). Подробно описаны условия опытов, которые показали, что в большинстве случаев I не повышает или незначительно повышает антибактериальное действие антисептиков и антибиотиков, понижает его в комбинации с йодом, п-хлорметаксиленолом и ZnSO4. Только в комбинации I с гипохлоритом Na повышается антибактериальное действие последнего. Поставленные опыты показывают, что I может иметь определенное влияние на антибактериальное действие некоторых лекарственных в-в, но не дают картины Ю. Вендельштейн определенной закономерности. 13269. Контрастное вещество при рентгеноскопии.

Восстановление п-метокси-а-фенилкоричной кислоты. | X y Бин-чэн, Бао Кэ, Ван Шичжэнь (хя 線對比劑. I. 對甲氧基-α-苯代肉科酸的還原. 市场 & 包珂, 王世真), 化學學報, Xyacюэ сюэбао, Acta chim sinica, 1955, 21, № 2, 206—211 (кит.; рез.

Подробно описан синтез а-фенил-3-(3,5-дийод-4-оксифенил)-пропионовой к-ты (Priodax), являющейся олним из лучших пренаратов при рентгеноскопии желчного пузыря. Из анисового альдегида и фенилуксусной к-ты получают п-метокси-а-фенилкоричную к-ту (I), из «-фенил-3-n-метоксифенилиропионовую получают к-ту (II), из II получают а-фенил-3-n-оксифенилпропионовую к-ту (III). Далее описаны два способа получения из III α-фенил-β-(3,5-дийод-4-оксифенил)-пропионовой к-ты. Получены два производных Priodax'а, причем один новый. Полученное соединение обладает более низкой токсичностью по сравнению с подобным немецким препаратом Biliselectan и дает хорошие холецистографич. тени. Была сделана безуспешная попытка использовать НЈ и красный фосфор для одновременного восстановления и деметилирования п-метокси-а-фенилкоричной к-ты. Автор считает, что эта зам.-щ. коричная к-та может быть с лучшим результатом восстановлена натриевой амальгамой. Описанный метод фактически является видоизмененным методом Бейкера и Бригca (J. Soc. Chem. Ind., 1943, 16, 48). Ю. Тотров Определение содержания капсанцина. Ш п а-

ньяр, Кевен, Кисел (Kapszaicintartalom meghatározása. Spanyár Pál, Kevei Jáno-sné, Kiszel Józsefné), Élelm. ipar, 1956, 10, № 2, 52—58 (венг.; рез. русс., нем., англ.)

Предложен метод определения капсанцина (I), дающий воспроизводимые результаты и обладающий точностью ± 10% для препаратов, содержащих небольшое кол-во воды при большом содержании I. Метод основав

70

ой

180-

ой

OB

BB ti-

n-

3,

поп

OH-IV-

ает

ak-

eus

ди-

010

an-

710-

лу-

TH-

OB. ле-

TOM

ине-

жет

тей-

ины

ейн INH.

ты.

нь 万晨,

Acta

pea.

KCH-

цвим ного

К-ТЫ

, из-

овую

-OHIIC

ения

ОВОЙ ичем

более

емеп-

исто-

а иснного

енил-

орич-

ановтиче-Бриг-

отров

II ni a-

talom

á n o-1956,

даю-і точ-

льшое

нован

.)

па р-ции I с диазотированной сульфаниловой к-той. на румы и навестные до сих пор методы имеют ряд недостатков и навестные до сих пор методы имеют ряд недостатков и н. Медзыховская сложны. Смеси растворителей для хроматографиче-

ского разделения алкалондов на бумаге. Т и с, Рейтер (Verbesserte Lösungsmittelgemische für papierchromatographische Trennungen von Alkaloiden. Thies H., Reuther F. W.), Naturwissenschaf-

ten, 1955, 42, № 16, 462 (нем.)

Для хроматографич, разделения на бумаге алкалоидов обычно применяют смеси р-рителей из бутанола, дед. уксусной к-ты (I) и воды, не являющихся хим. стабильными, ввиду протекающей этерификации и повижения содержания I; поэтому при хранении наступает расслаивание, которое иногда происходит при подъеме на бумаге, вследствие чего образуется 2-й, медленно текущий фронт, искажение пятен и неконтролируемые изменения хроматографич. постоянной. Предложено вводить в смесь р-рителей бутилацетат, препятствующий этерификации и расслаиванию при хранении. Расслаивание смеси бутилацетата, бутанола, 1 и воды (47: 9: 28: 16) на бумаге протекает только при т-рах выше 20° с сильными колебаниями, за счет испарения, и тотчас прекращается после охлаждения. Кроме того, прибавление эфира раздвигает значения хроматографич. постоянных некоторых алкалоидов, напр. папаверина и наркотина, одинаковых для этих алкалоидов при применении обычной смеси р-рителей без эфира, и дает возможность их хроматографич. разделения.

Ю. Венделыптейн 13272. Применение ионитов в анализе алкалоидов. Романчук М. А., Рабинович Ф. Е., Калинкина З. В., Тр. Комис. по аналит. хи-мии АН СССР, 1955, 6, 381—386

Катпонит КУ-1 применен для колич. определения авабазина (в водн. р-рах его сульфата и в экстрактах растительного сырья); десорбция производилась 40%-ной HsO4. Для анализа сферофизина (новый препарат для лечения доброкачественной гипертонии), обычное определение которого продолжается 5-7 дней, применен неорганич. алюмосиликатный обменник (пермутит) СХ; десорбция сферофизина проводилась 10%-ным р-ром NaCl. Для разделения морфина от кодеина применен анионит марки Н—О (сорбируется только морфин), морфин десорбировался 5%-ной Н₂SO₄. Во всех случаях установлена полная сорбция анализируемых в-в нонитами и их полная десорбция, следовательно возможность адсорбционного выделения их из смесей. Ю. Вендельштейн

Элюирование адсорбатов кобаламинов на угле. Молнар, Колеман (Elution von Kohlead-sorbaten der Kobalamine. Molnár I., Kele-men A. M.), Naturwissenschaften, 1956, 43, № 6,

129 (пем.)

Одним из методов очистки кобаламинов (I) является адсорбция I углем с последующим элюированием очищ. I органич. р-рителями, напр. разб. пиридином, спиртами (CH₃OH, C₂H₅OH, C₃H₇OH, C₄H₉OH) или ацетоном. В тех случаях, когда очищаемые концентраты І содержат поличентиды (II), наблюдаются значитель-шье потери, обусловленные необратимой адсорбцией комплекса I — II. Авторы нашли возможность элюнровать указанные комплексы р-рителями из трех и более компонентов, причем одним из них является вода, другим — органич. р-ритель, смешивающийся с водой (напр., низшие спирты, ацетон), и третьим—органич. соединения, растворимые в разб. р-рителях и обладаю-щие низкой диэлектрич. постоянной. В качестве примера приведены результаты элюпрования в одинаковых условиях адсорбированного углем I различными р-рителями (в скобках указан выход в %): 66%-ный спирт (45), при добавлении к нему 5% нафталина (88), 7% CCl₄ (96),

5% бензола (93), 5% нитробензола (100), 5% нитронафтола (88), 5% фенола (76). Состав р-рителей можно широко варьировать, изменяя их элюирующую способность. Нитробензол не принадлежит к числу соединений с низкой диэлектрич. постоянной, но в качестве производного бензола, легко адсорбируемого, обладает способностью вытеснять другие в-ва с активной поверхности угля. Исследование продолжается с ароматич. амино-Ю. Вендельштейн кислотами и т. п. Получение антибиотиков с протрагирующим действием. Элайас (Producing repository forms of antibiotics. Elias William F.), Chem. Prod., 1955, 18, № 9, 338—340 (англ.)

Перечисляя известные препараты пенициллина (I) с протрагирующим действием (соль I-G и N-этилпиперидина, суспензия сырого Са-І в пчелином воске и масле, прокаин-1), автор подробно останавливается на свойствах бензатин-I-G (N, N'-дибензилэтилендиамин дипенициллина) и описывает способы получения дибензилэтилендиамина и бензатин-I-G. Ю. Вендельштейн

Проблема инактивации прокаинпенициллина при определении стерильности. Ш мейкал, Херольд (Problém inaktivace prokain penicilinu při zjišťování sterilit. Smejkal F., Herold M.), Českosl. farmac., 1956, 5, № 6, 323—326 (чеш.; рез. русс., англ., нем.)

Контрольные опыты определения стерильности препаратов прокаинпенициллина с инактивацией гидроксиламином (I) не дали надежных результатов вследствие сильно бактерицидных свойств І. При применении для опыта HCl-I нестерильными были признаны 13% образцов, сомнительными — 33% образцов, совершенно стерильными — 53% образцов. При применении же в этом опыте пенициллиназы все образцы были нестерильными. Из проведенных опытов следует непригодность I при определении стерильности, необходимость проводить определения с пенициллиназой. Авторы предлагают приготовление парентеральных пенициллиновых препаратов осуществлять в стерильных условиях. Н. Медзыховская 13276. О пригодности углеводов как связующих

средств для пилюль. Ц в и к к и (Über die Eignung von Kohlehydrat-Schleimen als Anstossmittel für Pillen. Zwicky R.), Schweiz. Apoth.-Ztg, 1954, 92, № 14,

245-249 (нем.; рез. франц.)

Изучены в качестве связующих средств (СС) при изготовлении пилюль трагант, гуммиарабик и крахмал в сочетании с 5 лекарственными в-вами различных физ.-хим. свойств; наполнителем служил молочный сахар. Установлено, что пластичность пилюльной массы незначительно зависит от природы СС. По влиянию на уменьшение распадаемости пилюль СС располагаются в следующий возрастающий ряд: гуммиарабик — крахмал - трагант, что объясняется увеличением их гелеобразующей способности в этом ряду. Трагант может применяться только в тех случаях, когда распадаемость этих пилюль доказана экспериментально.

Новое применение а-крахмала. Мицуда (New uses of α-starch. Mitsuda Hisateru), Bull. Inst. Chem. Res. Kyoto Univ., 1955, 33, № 3,

114. (англ.)

Для формования таблеток до сих пор применяли тальк и лактозу. Автор показал возможность использования для этих целей с-крахмала и установил, что последний в отличие от β-крахмала дает положительные результаты. Таблетки, сформованные с а-крахмалом, подвергаясь во рту воздействию птиалина и мальтазы, быстро растворяются вместе с Са и другими медикаментами, применяемыми обычно в больших дозах или Н. Баканов очень горькими.

Nof KO

PE Ka

re

N

CT

P-I poo pa:

HH:

132

132

132

e (P

n fa

26

13278. Каучук как основной элемент липкого пластыря. II у ч (La goma, elemento básico de los esparadrapos adhesivos. Puig Ignacio), Goma, 1955, 3, № 27, 6—9 (исп.)

Обзор требований, предъявляемых к ингредиентам липкой массы для пластырей. Рассмотрены рецепты для некоторых типов пластырей, в состав которых, кроме каучука, входят ZnO, ланолин, скинидар и т. д.

3. Бобырь

13279. Возможность использования муцина из семян льна в медицине и фармации. Ш и малякова (Moźnosti poużitia mucínu z l'ancvého semena vo farmácii a v medicíne. Šímaljaková Jarmila), Farmácia, 1955, 24, № 2, 45—52 (словац.;

рез. русс., нем.)
Предложен способ выделения муцина (I) из семян льна для фармацевтич. целей. Разработаны методы его вдентификации. I в кол-ве 1,5% применяют (вместо аравийской камеди) в эмульсиях, суспенвиях и микстурах. Из I готовят микрокристаллич. суспензии экстрогенных в-в. 2,5%-ный гидрогель I применяют в качестве основы для мазей, порошкообразный I употребляют в качестве кровеостанавливающего средства для ран.

Н. Медзыховская 13280. «Дезоген-таблетки» G-25268, как заменитель

13280. «Дезоген-таблетки» G-25268, как заменитель ртутно цианистых таблеток. А н к е р (Ersatz der Quecksilberoxyzyanid-Tabletten durch» Desogentabletten G-25268 in der Armee. A n k e r L.), Schweiz. Apoth.-Ztg., 1954, 92, № 39, 755—765 (нем.)

Предложены дезинфицирующие таблетки — «Дезоген-таблетки» G-25268 (I) для применения в армии в качестве заменителя высокотоксичных ртутно-цианистых таблеток. Действующим в-вом I является додеканоил— N'-метиламиноэтилфенилкарбамилметилдиметиламмоний хлорид. Установлены критерии оценки I по бактериостатич. активности, стойкости, прочности, растворимости. Приведены методы испытания. I применяют для дезинфекции рук (0,5% p-p), для дезинфекции инструментов (2³/00 p-p), для стерильного сохранения инструментов (2³/00 p-p), для стерильного сохранения инструментов и шприцев (0,5°/00 p-p с добавкой нитрита натрия 2,5 г на 1 л), для обработки ран 0,1—0,5% p-p. I выпускают в трубках по 30 таблеток днам. 13 мм с содержанием 0,25 г действующего в-ва.

13281. Количественное определение салициловой кислоты фотометром Пульфриха. Морозова (Количествено определяне на салициловата киселина на Пулфрих фотометър. Морозова А.), Фармация (Бълг.), 1956, 6, № 1, 28—29 (болг.; рез.

Для колориметрич. определения салициловой к-ты (I) пользуются известной цветной р-цией I с квасцами в СН₃СООН. Конц-ия I составляет 0,20—1,30 мг в 1 мл воды; квасцы готовят растворением 0,2 г FeNH₄(SO₄)₂ в в 3%-ной СН₃СООН. Н. Медзыховская 13282. Точность фотометрического метода. Гр дый

(Chyby a presnost při fotometrii H r d ý O.), Českosl. farmac., 1955, 4, № 5, 258—262 (чеш.) Обзор. Библ. 12 назв. Н. М.

Обзор. Библ. 12 назв. Н. М. 13283. К анализу препаратов хлорофилла. Сообщение І.Ш трелль, Калоянов, Цутер (Zur Analytik von Chlorophyll-Praparaten. 1. Mitteilung. Strell M., Kalojanoff A., Zuther F.), Arzneimittel-Forsch., 1955, 5, № 11, 640—642 (нем.;

рез. англ.)
Исследование 4 образдов обращающихся в торговле хлорофиллинов, содержащих Си, показало, что они содержат значительное кол-во производных хлорофилла различного строения, причем почти все из них представтяют собой комплексные соединения Си. Представителей ряда хлорофилла-В не обнаружено. Найдено, наряду с небольшим кол-вом хлорина е_в, в качестве

главных продуктов изохлории е₄, 2-а-окси-мезо-изохлории е₄, ипрофеофорбид, 2-а-окси-мезо-пирофеофорбид, родохлории, 2-а-окси-мезо-родохлории и пурпурии. Исследования показывают, что при омылении хлорофилла в присутствии солей Си ожидаемые первичные производные образуются в незначительной степени, условия р-ции приводят к образованию смеси продуктов дальнейшего распада. Работа продолжается над исследованием других торговых препаратов.

13284. Усовершенствование методики анализа мази Вилькинсона. Медведовский А. А., Аптеч, дело, 1955, 4, № 6, 35—36

Предложен улучшенный способ определения CaCO₃ и серы в мази Вилькинсона (I). 1) Точную навеску I (0,5—0,6 г) растворяют в 10 мл ксилола, прибавляют 5 мл 20%-ного р-ра CaCl₂, 30 мл воды и 1 мл р-ра фенолфталенна и нейтрализуют 0,1 и. NaOH; прибавляют 40 мл 0,1 и. HCl, кипитят 2—3 мин. и избыток HCl титруют 0,1 и. NaOH. 2) При определении в I серы по прописи ФУИІ для промывания колбы и фильтра вместо воды употребляют 5%-ный р-р NaCl.

А. Травин 13285. Стойкость водных растворов, применяемых обычно при лечении первичной глаукомы. Часть III. Экспериментальный метод и результаты. Резюме в выводы. Моррисон (Stability of aqueous solutions commonly employed in the treatment of primary glaucoma. Part III. Experimental procedure and findings. Summary and conclusions. Morrison W. Howard, Amer. J. Ophthalmol., 1954, 37, № 5, 744—757 (англ.)

Описаны результаты определения стабильности води, р-ров следующих препаратов: хлоргидрата пилокарпина (I), сульфата физостигмина (II), бромида неостигмина (III), хлорида метахолина (IV) и хлорида карба-хола (V). Установлено, что водн. р-ры миотиков ста-бильны в течение 6 месяцев. I (1% в 1:5000 хлористом бензалконии (VI) + NaH₂ HPO₄ и Na₂HPO₄) почти не изменял рН (6,36) своего р-ра и сохранял 8 месяцев способность проявлять активность в отношении радужной оболочки. II (0,25% в 1:5000 VI + борная к-та и NaHSO₃) сохранял рН 3,32 и активность в течение 11 месяпев. III (5% в 1%-ном р-ре борной к-ты) сохранял рН 5,84 не менее, чем 11 месяцев, и активно стимулировал зрачки людей в течение 9 месяцев. IV (20% в в 1: 3000 VI) имел начальное рН 4,55, а через 10 мемяцев рН 1,0. Сохранял свою активность в течение 7 месяцев. V (1,5% в 1:3000 VI) сохранял рН 7,13 в течение 8 месяцев. Его активность сохранялась невзменной в течение 6 месяцев. Ни один из препаратов не претерпевал изменения в активности под влиянием замораживания или нагревания в течение часа при 95°. Часть II см. РЖХимБх, 1955, 6479. Л. Михельсон Об определении коденна в таблетках, содержащих кофеин, аспирин, фенацетин, и в таблетках, со-

щих кофенн, аспирии, фенацетии, и в таолетках, содержащих кофенн. И е р и а р о в с к и й (A note on the determination of codeine in APC and C tablets. Pern a rows k i M.), Drug Standards, 1955, 23, № 5, 157—158 (англ.)

Для замены потенциометрического метода II определения фосфата коденна в присутствии апетилсалициловой к-ты, фенацетина и кофениа (см. РЖХим, 1955, 34797) исследован ряд индикаторов, причем удовлетворительным оказался хлорфенол красный (ХК). Кодени экстрагируют из р-ра основания хлф, прибавляют 2 капли 0,5%-ного р-ра ХК в р-ре 8 г фенола в 100 мл хлф и титруют до обесцвечивания 0,05 н. р-ром надхлорной к-ты в диоксане. Приведена сводка результатов определения кодеина. Момент конда титрования с ХК совпадает с моментом окончания при потенциометрическом определении, хотя последнее требует прибав-

r.

to-

p-

ıy-

10-

ые

nn'

MC-

йн

1311

05

y I

TOL

-pa

ICI

еры

вин

THE

III.

e H

ary

and W.

£ 5,

HTO.

кар-

THI-

рба-

ста-

ори-

NTPC

нцев

к-та

ение

xpa-

иму-

% B

ение

,13 в

неиз-

DB He

нием

95°.

ержа-

K. CO-

te on

blets.

, 23,

onpe-

сали-

1955,

. Ко-

тогиля

00 мл

хлор-

татов

c XK

иетри-

рибав-

ления стабилизирующего р-рителя— ацетонитрила. Ю. Вендельштейн

13287. Колориметрическое определение и хроматография на бумаге кальциевой соли N-бензонл-n-аминосалициловой кислоты. Вацек, Лаштёвко ва (Kolorimetrické stanovení a papírová chromotografie vápenaté soli kyseliny N-benzoyl-p-aminosalicylové. V a c e k J., L a š t o v k o v á M.), Českosl. farmac., 1956, 5, № 2, 75—77 (чеш.; рез.

русс., англ., нем.) Колориметрическое определение кальциевой соли N-бензоил-л-аминосалициловой к-ты (I) основано на образовании окрашенного комплекса I с Fe³+. Окраска комплекса устойчивая, ее сила в широких пределах прямо пропорциональна конц-ии (максимум экстинции при применении фильтра S 53 на фотометре Пульфриха; приведена калибровочная кривая). В таблет-ках «Бензацил» фирмы Вандер I определяют с точностью ∓2%; для экстракции берут 65%-ный спирт, хорошо растворяющий в-во. Хроматографией на бума-ге (ватман № 1) в смеси пиридин-бутанол-насыщ. р-р NаСI и 25%-ный р-р NН₃ (6:6:5:3) можно полуколичественно определить в 200—250 мг I 0,5—5 мг ПАСК'а и м-аминофенола.

11. Медзыховская 13288. Исследование растворов В-пиперидинатыл-а-пропоксифенилкетона (фаликаии) при помощи электрофореза на бумаге. Б р ё й н и г е р, Р а у д о н а т (Papierelektrophoretische Untersuchungen an Lösungen des-β-Piperidinaethyl -p- propoxyphenylketons (Falicain). В г ä u n i g е г Н., R a u d o n a t Н. -W.), Pharmaz. Zentralhalle, 1954, 93, № 4, 136—138 (нем.) Описывается электрофоретич. метод определения в р-рах фаликаина, применяемого для местной анестезин, и продуктов его распада — пиперидина и л-пропоксифенилвинилкетона. С. Тер-Казарьян

13289. Разделение органических веществ на ионообменных смолах с помощью избирательного элюнрования в замкнутом цикле. Тома, Ролан (Séparation de composés organiques sur échangeurs d'ions para élution sélective en cycle fermé. Т h о m a s G., R о l a n d P.), Pharmac. weekbl., 1955, 90, № 4, 129—138 (франц.)

Описана аппаратура, техника работы, типы смол и -рителей, регенерация смол, применение их для спектрофотометрич. анализа и р-рителя для фиксации для разделения органич. в-в с помощью ионообменных смол и последующего избирательного элюирования в замкнутом цикле. Приведен пример выделения и разделения папаверина, кодеина и бензоата-Na из их смесей в лекарственных препаратах. В. Вендельштейн

13290 К. Химия лекарственных веществ. Изд. 2. Адаманис (Chemia leków. Wyd. 2. Adamanis Francis zek. Warszawa, Państw. Zakład Wydawn. Lekars., 1956, 810, 1 nlb. s., il., 48. 60 zł) (польск.)

13291 Д. Хроматография на бумаге и распределительные системы в химико-фармацевтическом анализе. Солива (Papierchromatographie und Verteilungssysteme in der pharmazeutischehemischen Analyse. Soliva Marcel. Diss. naturwiss. ETH Zürich, 1955, 79 S., ill.), Schweiz. Buch., 1956, **B56**, № 1, 42 (нем.)

13292 П. Способ получения лечебных препаратов, содержащих четвертичные аммониевые соединения (Verfahren zur Herstellung von therapeutisch wirksamen Präparaten mit einen Gehalt an quartären Ammoniumverbindungen) [Kutiak and Co. Arzneimittelfabrik]. Австр. пат. 180359, 10.12.54 [Chem. Zbl., 1955, 126, № 28, 6569 (пем.)]

Названные препараты получают при взаимодействии, преимущественно в водн. р-ре, солей тетраэтиламмония или его свободного основания (I) с нитритами или с с HNO2 в присутствии нейтрализующих средств, в молярном соотношении от 1:5 до 5:4. Препараты, приготовленные различными способами, напр. р-цией водн. р-ров AgNO2 и галовдной соли I в рассчитанных кол-вах с последующим отделением р-ра от галовдной соли Ag, дают в незначительных кол-вах максим. расширение сосудов без побочного действия.

И. Горбовнцкий 13293 П. Способ получения алкоксибензамидов, обладающих анальгетическим действием. Макрей, Симор (Sätt att framställa analgetisk verksamma alkoxibensamider. Масгае F. J., Seymor D. E.) [Herts Pharmaceuticals, Ltd]. Швед. пат.

149548, 12.04.55 Салициламид известным способом алкилируют до о-алкоксибензамида алкилирующим агентом, насыщ. алкил которого содержит нормальную цепь с 3—6 атомами С. Б. Фабричный

13294 II. Способ получения ациламидов. Блэк (Process for preparing acylamides. В lack Martin L.) [Parke, Davis & Co]. Пат. США 2721212, 18,10.55

1-фенил-2-дихлорацетиламинопропандиол-1,3 ф-лы RC₆H₄-n-CH(OH)CH(NHCOCHCl₂)CH₂OH получают р-цией аминодиола ф-лы RC₆H₄-n-CH(OH)CH(NH₂)CH₂-ОН (R— метилмеркапто, метилсульфинил или метилсульфонил) с пентахлорацетоном при 0—80°. Ю. Веплельштейн

13295 П. Способ получения аминодиолов и промежуточные продукты, применяемые в этом способе. Бамбае (Process for the production of amino diols and intermediate products utilized in said process, Ва m bas Louis I.) [Parke, Davis & Co.]. Пат. США 2721207, 18.10.55

Патентуется соединение общей ф-лы R²R³C₆H₄-n-R⁴—CH(NHR)—R', где R — карбалкоксил; R'— H нли оксиметил; R²— низший алкил; R³—S, SO или SO₂; R⁴—CO или CHOH; R'— всегда оксиметил, если R⁴— CHOH.

13296 П. Способ получения ациламидодиолов. Траутман (Process for producing acylamido diols. Т r o u tman Harvey D.) [Parke Davis & Co.]. Пат. США 2721214, 18.10.55
Патентуется способ получения 1-д-алкилмеркап-

Патентуется способ получения 1-л-алкилмеркацтофенил-2-ациламидопропан-1,3-диола (1)ф-лы RSC₆H₄n-CH(OH)CH(NHR')CH₂OH (R—низший алкил; R'ацил карбоновой к-ты, не содержащий заместителей
чувствительных к щелочам) путем взаимодействия 1-ламинофенил-2-ациламидопропан-1,3-диола (II) в присутствии разбавленной минер. к-ты с HNO₂, р-цией
полученной соли диазония в водно-щелоч. р-ре с металлич. солью алкилксантата с образованием алкилксантата 1-фенил-2-ациламидопропан-1,3-диола ф-лы
ПК'-О-С(=S)-S]-С₆H₄-n-CHOH-CH(NHR')CH₂OH.
(R'-ацил; R" —алкил), гидролизом води. щелочью
полученного ксантана в соответствующем 1-л-меркаптофенил-2-ацетиламидопропандиол-1,3 (III) ф-лы
HSC₆H₄-n-CH(OH)-CH(NHR')CH₂OH и превращением
III действием алкилирующего агента в I.

Ю. Вендельштсйн

13297 П. Способ получення замещенных аминоалкильных сложных эфиров аминооксибензойных кислот. Ш м и ц (Sätt att framställa substituerade aminoalkylestrar av aminooxibensoesyror. S c h m i t z H.) [Rheinpreussen A.-G. für Bergbau und Chemie]. Швед. пат. 148218, 28.12.54

Для получения указанных сложных эфиров восстанавливают известным способом галондалкильные сложные эфиры нитрооксибензойных к-т в соответствующие галоидалкильные эфиры аминооксибензойных к-т, которые затем вводят в р-цию с замещ, амином.

Б. Фабричный 13298 П. Противовирусные соединения. X и тчинге, Расселл, Фалко (Anti-viral compounds. Hitchings George H., Russell Peter B., Falco Elvira A.) [The Wellcome Foundation Ltd]. Канад. пат. 506019, 21.09.54

Противовирусные соединения общей ф-лы (I) (R'— галоид; R'— H, галоид или низший алкил; R''— H

д или назыпы алкыл, к — п или галоид) получают р-цией в-в общей ф-лы ROOCCH₂— О — С₀H₂(R') (R')R" (R низший алкил; R', R'' и R''' имсют вышеуказанные значения) с алкилфоо-

миатом в присутствии основного катализатора, после чего полученный формилфеноксиуксусный эфир конденсируют с образованием цикла с тиомочевиной. Указано также проведение р-ции в присутствии конденсирующих средств и применение тиомочевины в кол-ве 2 молей.

В. Уфимцев

13299 П. Диниперазинкальцийцитрат и метод его получения. Эйбрамсон, Билс (Dipiperazine calcium citrate and method of preparing same. A bramson Bernard, Beals Ernest L.) [Burroughs Wellcome and Co. Inc.]. Пат. США 2708195, 10.05.55

Дипиперазинкальцийцитрат получают р-цией 2 молей лимонной к-ты с 1 молем СаСО₂ и 2 молями пипера-

зингексагидрата. И. III. 13300 II. Способ получения новых гидразонов гетероциклических альдегидов (Verfahren zur Herstellung von neuen Hydrazonen heterocyclischer Aldehyde) [Farbenfabriken Bayer]. Австр. пат. 181274, 10. 03:55 [Chem. Zbl., 1955, 126, № 29, 6806 (нем.)] Пиридинальдегид или пиперональ вводят в р-цию с гидразидом пиридинкарбоновой к-ты. Р-р 69 вес. ч. гидразида никотиновой к-ты растворяют в 1000 объеми. ч. теплого СН₃ОН и кипятят 3 часа с 75 вес. ч. пипероналя. Из охлажденного р-ра выделяют 127 вес. ч. гидразона пиперональникотиновой к-ты, т. пл. 200°. Аналогично получают гидразон пиперональнаюникотиновой к-ты, т. пл. 236°, гидразон а-пиридинальдегидизоникотиновой к-ты, т. пл. 190° (разл.) и гидразон у-пиридинальдегидизоникотиновой к-ты, т. пл. 216°. Продукты обладают бактерицидным действием.

B. Красева 13301 II. Способ получения фталилсульфатиазола или сукцинилсульфатиазола. Делмар, Макалум (Sätt för framställning av ftalylsulfatiazol obsucsinylsulfatiazol. Delmar G. S., Macallum E. N.) [Sharp & Dohme (Canada), Ltd]. Швед. пат. 148907, 22.02.55

148907, 22.02.55 Способ получения фталилсульфатиазола или сукцинилсульфатиазола состоит в том, что водн. р-р соли щел. металла (напр., Nа-соли) сульфатиазола вводят в р-цию с фталевым или янтарным ангидридом без дополнительного подогрева. Б. Фабричный

13302 П. Способ получения веществ, тормозящих свертывание крови из фосфорилированных пектинов. В и и к л е р (Verfahren zur Herstellung blutgerinnungshemmender Stoffe aus phosphorylierten Pektinen. Winkler Gerhard) [Pomosin-Werke G. m. b. H.]. Пат. ФРГ 933776, 6.10.55

Исследования показали, что для применения сульфированных пектинов в качестве средства, препятствующего свертыванию крови не только внутривенно, но ш перорально и перректально, необходимо этернфицировать H₃PO₄ пектиновые цепи, перед тем, как подвергать их обработке хлорсульфоновой к-той Настоящим

патентом защищается способ получения в-в, препятствующих свертыванию крови при внутривенном и (вли) энтеральном применении путем обработки хлорсульфоновой к-той в пиридине обычным способом фосформлированных пектинов, содержащих свыше 0,3% эфроподобно связанной H₃PO₄. Такие препараты хорошо усваиваются слизистой оболочкой кишечника.

КО. Венлельштейм

13303 П. Алкилсульфаты полналкоксиморфолиния. Нидерл, Мак-Грил, Харт (Pol-alkoxy-morpholinium alkyl sulfates. Niederl Joseph B., McGreal Martin E., Hart William F.) [J. B. Niederl & Associates, Inc.]. Пат. США 2695291, 23.11.54

Предлагаются четвертичные алкилсульфаты морфолиния следующего строения: $[CH_2CH_2-O-CH_2CH_2N]$

 $R(CH_2CH_2O)_nCH_2CH_2OH]^+SO_4Y^-$, где R в Y — непрерывные углеродные цепи с 1-18 атомами C, а n=3-6. О. Магидсон

13304 П. Способ получения 2,17-диметил-3-оксиморфинана, его оптических антиподов и их солей. Ш и идер (Sätt att framställa 2,17-dimetyl-3-oximorfinan, dess optiska antipoder och deras salter. S c h nider och j F. Hoffmann-La Roche & Co. A.-G.]. Швед. пат. 149380, 29.03.55

Способ характеризуется тем, что 3-окси-N-метилморфинан взаимодействует с формальдегидом или с соединением, которое отщепляет формальдегид, и вторпуным амином. Образующийся таким способом 2-дналильнаминометил-3-окси-N-метилморфинан каталитчески гидрируют и полученное основание превращают в водорастворимую соль.

М. Нагорский

13305 П. Способ получения ацетил-а-дигитоксина. Ш толль, Крейс (Förfarande för framställning av acetyldigitoxin-а). S t oll A., Kreis W.) [Sandoz A.-G.]. Швед. пат. 146682, 31.08.54

Способ отличается тем, что ацетил-β-дигитоксин растворяют в подходящем безводн. или содержащем воду органич. р-рителе при нейтр., слабо кислом или слабо щел. рН, нагревают полученный р-р и выделяют ацетил-а-дигитоксин из р-ра фракционированной кристаллизацией.

Б. Фабричный 13306 П. Выделение витаминов А и D из неомыляе-

ых веществ рыбьего жира. Исидзака, Хоры (Separation of vitamins A and D from the unsaponisable substance of fish liver oil. Is hizaka Otoharu, Hori Masayoshi). Япон. пат. 2650, 14.05.54 [Chem. Abstrs, 1955, 49, № 3, 2037 (англ.)]

Очищенные неомыляемые в-ва, содержащие витамины А и D, получают омылением рыбьего жира спирт. р-ром КОН и выделением стеринов при охлажденив. Продукт обрабатывают РОСІз для получения сложного эфира дихлорфосфорной к-ты и витаминов А и D, который гидролизуют и обрабатывают р-ром кальциевой соли для образования кальциевой соли эфира НэРО4 и витаминов А и D. Полученную соль обрабатывают абсинртом или (СН з)2СО для отделения нерастворимой соли витамина A от растворимой соли витамина D.

А. Емельянов 13307 II. Усовершенствованный способ нолучения концентратов, содержащих витамин В₁₂. Бригс, Денкуолтер, Хьюи (Procédé perfectionne d'obtention de concentrés contenant de la vitamine В-12. В гіддз S tandford W., Denke walter Robert G., Hughey George B.) [Ste Merck & Co., Inc.]. Франц. пат. 1057804, 11.03.54 [Chem. Zbl., 1955, 126, № 17, 3921 (нем.)]

Для элюпрования адсорбированного активированным углем комплекса витамина В₁₂ применяют 2-фазг.

CT-

(RE

Jb-

DW-

on-

mo

ейн

NA. or-

291.

фо-l₂N-

ipe-

ICOH

-GOM

H H-

orfi-

n i-

вел.

MOD-

еди-

рич-

иал-

WTWцают

СКИЙ

енна.

lning

San-

pac-

слабо

аце-

ЙИНР

ыляеорн poni-

Oto-

2650.

2037

тами-

пирт.

тения.

жного

D, RO-

певей

HaPO4

от абс. римой).

воннаг

учения

H T C.

tionne tamine

nke

g e B.) 1.03.54

рован-

2-фаз-

ную систему, состоящую из воды и органич, полярного р-рителя, не полностью смешивающегося с водой. напр. нормального или вторичного бутилового, амилового или бензилового спирта или метилэтилкетона. Витамин В₁₂ и родственные ему в-ва выделяют из элюата и очищают с помощью хроматографич, методов. Описанным способом получают улучшенные выходы продукта.

3308 II. Ποηναθημα α-τοκοφέροπα. Сурматис, Уибер (Preparation of alpha-tocopherol. Surma-tis Joseph Donald, Weber Joseph) [Hoffmann-La Roche Inc.]. Пат. США 2723278, 13308 II.

α-Токоферол получают конденсацией фитилхлорида с триметилгидрохиноном в присутствии В Га-катали-Б. Фабричный затора.

13309 II. Способ получения циклопентанофенантреновых соединений. Кайзер, Сварз (Process for the production of cyclopentanophenanthrene com-pounds. Kaiser E., Svarz J.) [Armour and Co.]. Англ. пат. 708955, 12.05.54 [J. Appl. Chem., 1954, 4,

№ 11, іі 648 (англ.)]

Циклопентанофенантреновые соединения, ные для применения в способах, описанных в пат. США 2520726, представляют в-ва изоформы, содержащей у атома С₍₉₎ группы —СН(СООН)₂, -СН(СОО—алкил)₂ или—СН(СООН₂)₂. Эти группы превращают в-СН₂СООН декарбоксилированием при нагревании в высоком вакууме или превращением в амид обработкой SOCl2 и NH₃, после чего амид гидролизуют р-ром щелочи в гликоле. Изо-холестерилмалоновую к-ту декарбоксили-руют при 175° в высоком вакууме, а затем при 200° в высоком вакууме до холестерил-9-уксусной к-ты. Получены также следующие в-ва: изостигмастерил малонамид и 9-уксусная к-та, холестен-9-уксусная к-та, изоситостерил-9-уксусная к-та и циклопентенофенантреновые соединения, содержащие СН 3 при атомах С(2) и С(4'), — СП₂СООН при атоме С(9)и – СН(СН₃) (СН₂)₃-- CH₂COOH при атоме С(9)В- СП(СН₃)₂ или - CH(CH₃)СН=CHCH(C₂H₅)СH(CH₃)₂ или С(2). В. Уфимцев СН(СН3)(СН2)2С6Н13 при С(3'). Способ выделения стеринов и родственных циклопентанофенантреновых соединений. Дректер, Конрад (Process of recovering sterols and like cyclopentanophenanthrene compounds. Drekter Isaac J., Conrad Lester I.) [American Cholesterol Products, Inc.]. Канад. пат. 509874,

Предложен способ выделения стеринов (I) и родственных циклопентанофенантреновых соединений (II), находящихся в форме сложных эфиров в восках, маслах и жирах (напр., шерстяном жире). Материал, содержащий I и II, обрабатывают 20%-ным водн. p-ром Ва(ОН)2 при ~ 100°, промывают, высушивают нерастворимый остаток и экстрагируют его р-рителем (напр., низшим спиртом или кетоном при выделении холестерина из воскообразных в-в), из которого при охлаждении вы-А. Травин падают I и II. Получение соединений стероидов 13311 П.

paration of steroid compounds) [Merck & Co., Inc.]. Англ. пат. 707733, 21.04.54

Содержащие в положении 9,11 двойную связь 12-оксистероиды получают восстановлением соответствующих 12-кетостероидов Н2 в присутствии катализатора гидрирования и каталитич. кол-в минер. к-ты в р-ре низшего алифатич. спирта, содержащего 1—6 атомов С. Способ применим, в частности, для восстановления 3-окси-Д9.11-12-кетохоленовой к-ты (I) или низшего алкильного эфира ее, получаемого действием на нее низшего алифатич. спирта, содержащего 1-6 атомов С, и минер. к-ты (до прибавления катализатора гидрирования) в низший алкильный эфир 3-окси-Д9.11-12-оксихоленовой к-ты, который можно далее превратить в соот-

ветствующий 12-алкокси низший эфир удалением катализатора и обработкой низким алифатич, спиртом в присутствии минер, к-ты. В качестве катализаторов гидрирования применяют, предпочтительно, благород-ный металл и HCl или H₂SO₄. Haup., I обрабатывают при 20° метанолом в присутствии следов НС1 (к-ты). полученный p-р метилового эфира встряхивают с H_2 в присутствии окиси Pt, последнюю отфильтровывают, к фильтрату прибавляют метанольный p-р HCl и дают стоять при 0°, получая метил-3-окси-Δ°, 11-12-метоксихоленат: в другом примере опускают начальную стадию выдержки при 20° при этерификации кетокислоты.

Ю. Венлельштейн Солюбилизация стероидов (Solubilization of steroids) [Merck and Co. Inc.]. Австрал. пат. 200265, 22.12.55

Предлагается состав, содержащий гормон налночечников и солюбилизирующее в-во (соли желчных чечников и солюовинопрувещее в солю конъюгированных желчных к-т, N-ацилированных желчных к-т, N-ацилирования общественных мелчных к-т, N-ацилирования общественных желчных к-т, N-ацилирования общественных к-т, N-ацилир 13313 II. Получение 3-ацилокси- Δ^{16} -аллопрегнен-

20-onos [Badische Anilin-& Soda-Fabrik]. Ahrz. nar.

718883, 24.11.54

Для получения 3-ацилокси-∆16-аллопрегнен-20-онов диацилтоматидины подвергают интенсивному световому облучению или нагревают с карбоновыми к-тами, причем образуются диацилисевдотоматидины, которые окисляют, напр., CrO3, V2O5, H2O2, КМпO4 или OsO4.

Ю. Венлельштейн 13314 П. Стерондный эполят щелочного металла. Нейтан, Хогг (Steroid alkali-metal enolates. Nathan Alan H., Hogg John A.) [The Upjohn Co.]. Пат. США 2719855, 4.10.55

Патентуется энолят 21алкоксиоксалил- 16-дегидропрогестерона ф-лы (I), где Мметалл, R — низший алкил, содержащий 1-8 ато-MOB C. Н. Медзыховская

16-галондопрогестероны, их 21-оксипронаводные и эфиры последних. Додсон, Солман (16-haloprogesterones, their 21-hydroxy derivatives and esters thereof. Dodson Raymond M., Sollmann Paul B.) [G. D. Searle and Co.]. Пат. США 2708201, 10.05.55

Патентуются соединения ф-лы (1), где R — H, ОН, С₆H₅COO — (низший алкил)—COO — или радикал

ф-лы СН2СН2(СН), СН2СН-(низший алкилен) — СОО — (п-число менее 3), R'—хлор или бром. И. Горбовицкий

13316 П. Стероидный кеталь. Магерлейн, Левин, Tomncon (Steroid ketal, Le-

vin Robert H., Magerlein Berney J., Thompson John L.) [The Upjohn Co.]. Har. CIIIA 2719856, 4.10.55

Для получения кеталя 17 а, 21-диокси-5-прегнентриона-3,11,20 (I) и 3-тногликолевой к-ты (II), смесь I и II нагревают при 0—100° в присутствии конденси-рующего средства (сухой HCl, смеси сухого HCl и ZnCl₂ или смеси безводи. Na₂SO₄ и плавленного ZnCl₂).

3317 П. Способ получения эпоксидов стероидов ряда тигогенина. Чеймберлии, Чемерда (Förfarande för framställning av epoxider av steroider av tigogeninserien. Chamberlin E. M., Che-merda J. M). [Merck & Co., Inc.]. Швед. пат. 150002, 17.05.55

Стероид ряда тигогенина, содержащий конъюгиро-

ванные двойные связи в положениях 7, 8 и 9, 11, окисляют до соответствующего эпоксида. Б. Фабричный 13318 П. Выделение саногенинов. У о л л (Isolation of sapogenins. Wall Monroe E.) [United States of America as represented by the Secretary of Agriculture]. Пат. США 2719845, 4.10.55

Предложен способ очистки стероидных сапогенинов (сарсапогенин, гекогенин, маногенин и их смеси).
 Неочищ. I кипятят при атмосферном давлении с избытком (СН₃СО)₂О, реакционную смесь экстрагируют несмешивающимся с $(CH_3CO)_2O$ р-рителем, содержащим не менее 80% алифатич. углеводородов C_5-C_8 и не более 20% ароматич. углеводородов (С6Н6, С6Н5СН3), и из экстракта выделяют ацетильные производные 1.

A. Травин Способ получения антибиотиков (Verfahren zur Gewinnung von neuen, therapeutisch wirksamen antibiotischen Stoffen) [Chas. Pfizer and Co.]. Австр. пат. 181365, 10.03.55 [Chem. Zbl., 1955, 126, № 35,

8215-8216 (нем.)]

Антибиотик получают выращиванием культуры Streprimosus на жидкой питательной среде в аэробных условиях и выделяют экстракцией культуральной жидкости или адсорбата из нее (уголь) органич. р-рителем, мало смешивающимся с водой (напр., бутанолом, амиловым сп. и др.), в слабощел. или сильнокислой среде. Из водн. р-ра аморфного в-ва антибиотик (террамиции) получают в кристаллич. форме, И. Горбовицкий в частности в виде соли.

Усовершенствование в способах получения антибиотиков-оснований (Perfectiпроизводных onnements apportés aux procédés de préparation de dérives de substances antibiotiques basiques) (Laboratoires Pharmacentiques Debarge]. Франц. пат. 1031467, 24.06.53 [Chem. Zbl., 1955, 126, № 17, 3923

(Hem.)

Смешивают р-р, напр., стрептомицина, ауреомицина, террамицина, полимиксинена или одной из их солей с р-ром высокомолекулярного в-ва кислотного характера, напр. оленновой или пальмитиновой к-ты, жирных к-т хаульмугрового масла, кефалина, гепарина, карбоксицеллюлоз, рибо- или дезоксирибонуклеиновой к-ты, дубильной к-ты, узниновой к-ты (экстракт Usnea barbata) или одной из их солей. Полученный осадок фильтруют, промывают дистилл. водой и сушат. Напр., 2%-ный р-р олеата Na прибавляют к 10%-ному р-ру сульфата стрентомицина. 13321 П. Антибиотик Ю. Вендельштейн Streptomyces Антибиотик из albo-niger.

Портер, Крупка, Богоное (Antibiotic from S. albo-niger. Porter John N., Кгирка George C., Вонопос Nestor) [Americain Cyanamid Co.]. Канад. пат. 509641, 1.02.55 Крупка, Богонос

Предложен новый, задерживающий рост бактерий и простейших антибиотик (1), получаемый выращиванием вроительной среде при $20-37^\circ$ и при рН 4,5-9,0. I состоит из С (56,55%), Н (6,35%), N (20,88%), О (16,22%), мало растворим в воде, этилацетате, CHCl₃, метилэтилжетоне, спирте, ацетоне и бутаноле, нерастворим в C_6H_6 , толуоле, CCl_4 и эфире; УФ-спектр (в 0,1 н. NaOH): $\lambda_{\rm MRIC}$ 275 м μ и $\lambda_{\rm MRIH}$ 240 м μ ; ИК-спектр (в минер. масле): 3309, 3200, 3125, 1645, 1600, 1560, 1512, 1428, 1403, 1345, 1303, 1248, 1230, 1184, 1158, 1107, 1070, 1040, 998, 968, 930, 871, 820, 791, 758 см⁻¹; показатель преломления кристаллов (парадлельно длине) 1,610. Описан обладающий трипаноцидным действием хлоргидрата I (II). II получают вышеописанным образом, причем после выдерживания в течение 48 час. ферментационную жидкость доводят до щел. рН, экстрагируют п-бутанолом, бутаноловый р-р обрабатывают разб. НСI и из водн. р-ра получают II; показатель препомления кристацлов (параллельно длине) 1,522;

ИК-спектр, 3400, 3212, 3160, 3080, 1662, 1570, 1415, 1308, 1250, 1210, 1168, 1102, 1063, 1045, 1026, 980, 876, 842, 820, 758 cm-1.

Способ получения лекарственного средства (Verfahren zur Herstellung eines Arzneimittels) [Dr. Madaus & Co.]. Пат. ФРГ 925062, 10.03.55

Хлорофилл или его растворимые в воде произволные вводят в р-цию с пептидами, содержащими твоаминокислоты с 3 или более остатками аминокислот, напр. с глутатионом, в среде, содержащей ионы Н и ОН, и получают в-во с обратимыми окислительно-восстановительными свойствами (продукт присоединения сульфгидрильной группы к производному хлорофилла), не обладающее бактерицидными свойствами, но способное изменять потенциал среды, создавая этим неблагоприятные условия для развития бактерий, напр. бактерий Coli. Практически патентуемое в-во, наряду с различными областями применения, целесообразно применять для лечения ран в виде тонких дисперсий с разбавителями (напр., тальком, сахаром), мазей, повязок, пропитанных им, и в смесях с различными носителями, не вступающими в р-цию с патентуемым в-вом.

Ю. Вендельштейн 323 П. Кристаллическая соль фумаровой кислоты и N-(2-пиридил)-N'-(2-тенил)-N', N'-диметилотилендиамина (Crystaline fumaric acid salt of n-(2-pyridyl)-n-13323 II. (2-thenyl-n-n'dimethyl ethylenediamine) [Mo Chemical Co.]. Англ. пат. 694805, 29.04.53 Monsanto

Патентуемую соль получают нагреванием в р-ре 3 молей фумаровой к-ты с 2 молями тенилипрамина. Ее применяют в качестве антигистаминного агента в препаратах в смеси с ацетилсалициловой к-той, в виде препаратов, содержащих 1-20 ч. соли тенилпирамина и фумаровой к-ты и 1-20 ч. ацетилсалициловой к-ты, в присутствии или отсутствие кофеина, фенолфталенна, ацетофенетидина или других лекарственных в-в. 13324 П. Ю. Вендельштейн

Способ получения продуктов деполимеризации декстрана для фармацевтических целей. Л и ллиен шёльд, Вилленберг (Verfahren zur Herstellung von Dextranabbauprodukten für pharmazeutische Zwecke. Lillienskiold Montag-ne von, Willenberg Werner). Har. ФРГ

930652 21.07.55

В процессе получения декстрана (I) для фармацевтич. целей, особенно для вливаний, с мол. весом от 10⁴ по 4,105, путем сбраживания р-ра сахаров (напр., 12%-ного р-ра в присутствии питательных солей с помощью чистой культуры Leuconostoc mesenteroides в течение 3 дней при 25°) и гидролиза сырого I с помощью к-т, щелочей, энзима или Н2О2, патентуется прибавление к p-ру продуктов гидролиза в-ва (II) не являющегося р-рителем, напр. спирта или ацетона, и центрифугирование с помощью отделяющего и осветляющего сепаратора для разделения на более легкую и тяжелую жидкую фазу, причем разделение проводят прибавлением II к нейтрализованному p-ру продуктов гидролиза I при 20°, частично осажденный продукт нагреванием снова переводит в p-p, охлаждают до 20° и центрифугируют, или II прибавляют при повышенной т-ре затем охлаждают. Сначала центрифугируют в делительной центрифуге при быстрой подаче, затем слегка мутную, более легкую фазу начисто отделяют в осветляющей центрифуге. Напр., к 82 л 8%-ного р-ра 1, полученного гидролизом 0,056 н. HCl с относительной визкостью 2,96 при 3,63 % остатка, прибавляют 60 л 93%-ного спирта; при 48° наступает помутнение. В течение 45 мин. охлаждают до 18° при размешивании и охлаждении водой и центрифугируют со скоростью 60 л/час. Содержащийся в более легкой фазе І обладает в води. 5,96%-ном р-ре относительной визкостью 4,33, а таковая высокомолекулярной фракции при 6,01% p.

0-

6-0-

13-

16-

K, m,

TH

en--n-

ato

MO-Ee

peпи-

ло-

фе-

вен-

ейн

ри-

и л-

zur

ma-PPT

цев-

104

пр.,

по-

Te-

111110

вле-

1910-

три-

цего

лую

вле-

дротре-

ient.

т-ре

T B

ватем

TOIRE

p-pa

ьной 60 4

В те-

N HH

остью лада-

остью

,01%

остатка = 9,14. В других примерах описаны упомянутые выше варианты разделения фракций.

Ю. Вендельштейн

См. также: Общие вопр. 3777Бх. Органич. лекарств. в-ва 11624, 11670, 11695—11697, 11703, 11704, 11734, 11740—11742, 11758, 11767, 11772, 11782, 11796, 11810, 13164, 13181; 4065Бх, 4417Бх, 4419Бх, 4430Бх, 447Бх, 4450Бх, 4455Бх, 4457Бх, 4465Бх, 4471Бх, 4447Бх, 4450Бх, 4455Бх, 4457Бх, 4465Бх, 4471Бх, 4475Бх, 4477Бх, 4485Бх, 4491Бх, 4496Бх, 4498Бх, Ал-калонды 12200—12204; 3887—3889Бх, 3923Бх, 4428Бх, 449Бх. Витамины 11861, 11871, 12120, 12205; 3389Бх, 3472Бх, 3573Бх, 3879Бх, 3880Бх, 3920Бх. Гормоны 11668, 11836, 11845, 11847, 11848, 11853; 3377Бх, 3395Бх, 3396Бх, 3415Бх, 3604Бх, 3663Бх, 3678Бх. Антибистики 11863; 3754Бх, 3755Бх, 3757—3761Бх, 3768Бх, 3771Бх, 3772Бх, 3776Бх, 3827Бх, 3828Бх. Методы анализа 12143, 12180, 12181, 12183, 12207; 3378Бх

ФОТОГРАФИЧЕСКИЕ МАТЕРИАЛЫ

Редактор В. С. Чельнов

О связи между ростом кристаллов, светочувствительностью и центрами проявления в галоидосеребряных эмульсиях. Фаленс (Über die Beziehung zwischen Kristallwachstum, Lichtempfindlich-keit und Entwicklugszentren in Silberhalogenidemulsionen. Faelens P.), Z. wiss. Photogr., 1955, 50, Teil 1, № 1-12, 197—204 (нем.)

Исследована взаимозависимость между ростом микрокристаллов, положением и числом центров проявления (ЦП) и светочувствительностью (S) эмульсии. Круп-нозернистые эмульсии получали добавлением р-ра AgNO₃ при т-ре 75° в течение 70 мнн. к р-ру КВг с по-следующим физ. созреванием в течение 0,1, 2, 3 и 4 час. Содержание желатины в 1-м созревании 0,2% к конечному объему эмульсии; избыток КВг - большой. Микрофотографич. изучение показало, что при длительном физ. созревании происходит интенсивный рост первоначально плоских таблитчатых гекса- или триагональных зерен в 3-м измерении, что ведет к об-разованию октаэдров. При таком росте зерен присходит падение S и максим. плотности как при поверхностном, так и глубинном проявлении. В образовании фотолитич. почернения не отмечено различий в исследованных эмульсиях. Однослойные препараты эмульсий с наибольшей S (I) и с меньшей S (II) подвергали экспозиции, при которой все зерна становились проявляемыми, и обрабатывали их в течение 1,2,3, 5 и 7 мин. при 18° метологидрохиноновым проявителем с рН 8. Установлено, что при равной продолжительности (t) проявления число ЦП на зернах I намного больше, чем на зернах II. При 7 мин. обработки все зерна I полностью проявились, в то время как на зернах II наблюдались лишь частично проявленные участки. Опыты с меньшей t проявления показали, что низкая S II объясняется меньшим числом ЦП, а не малой скоростью восстановления. ЦП чаще образуются на экспонированной поверхности и реже на диагональных поверхностях зерен. В II ЦП расположены преимущественно в тех же геометрич. участках, которые свойственны форме кристалла; в I— располагаются беспорядочно. Падение S эмульсий при длительной рекристаллизации объясняется не только получением микрокристаллов более идеальной формы, но и меньшим числом нарушений и, следова-тельно, ЦП. Этот процесс может рассматриваться, как аналогичный обжигу кристаллов галондного серебра, полученных из расплава. С. Бонгард 13326. Об исследованиях процессов созревания в галоидосеребряных желатиновых эмульсиях. Влияние

желатины. Амман-Брасс (Über Untersuchungen des Reifungsprozesses in Silberhalogenid-Gelatine-emulsionen. Der Einfluß der Gelatine. Ammann Brass H.), Z. wiss. Photogr., 1955, 50, Teil 1, № 1-12, 173—197 (нем.)

Рассмотрены вопросы о свойствах фотожелатины (I). Изложены общие представления о составных частях 1. Определено понятие «инертная» I, т. е. свободная от ускоряющих созревание в-в - сернистых сенсибили. заторов (II). Рассмотрены методы получения инертной I и изучена дезактивация I с помощью AgNO3 и AgCl. Добавление AgNO3 к I связывает активную S, содержащуюся в II, с образованием Ag₂S. Погружением в p-р I AgCl-проволоки (30 мин. при 60—80°) дезактивированы многие активные І. Сделан вывод, что при изготовлении эмульсии, вследствие наличия Ад-солей, I необратимо изменяется, приобретая инертный характер. Дана сравнительная оценка аналитич. методов опре-деления активной S в I. По разработанному методу наличие II в I (при условии содержания ≥ 0,3 г активной S на 100 кг) устанавливается по кривым забисимости между мутностью и продолжительностью физ. симости между мутностью и продолжительностью физ-созревания спец. AgCl-эмульсии, содержащей малое к-во AgCl. Чувствительность метода возрастает при увеличении отношения I: AgCl (в наиболее чувствитель-ной эмульсии 1,5 г AgNO₃ на 1 кг I). При исследовании 27 образцов различных I установлено, что при конц-ив I в эмульсии 0,1% специфич. различий между ними не наблюдается, проявляется лишь защитное действие I. Различия I мало заметны при конц-ии 0,5% и становятся определенными при конц-ии 5%. Общей характери-стикой исследованных I оказался прирост мутности за вторую минуту созревания при конц-ии I 0,5%; который для 290 образцов из 326 составил 59% (±10%). Специфич. показателем свойств I служат максим. подъем кривой мутности при конц-ии I 5,3% и продолжительность созревания для его достижения. Найденным максим, подъемам кривых соответствовали приросты мутности от 0% до 250—300%, и I показали широкую кривую распределения по этому признаку. 1, дающие прирост мутности выше 75—85%, содержат активную S. Кривая распределения I по наибольшему приросту мутности для I, обработанных AgNO₃, сужена, и ее мак-симум смещен в сторону меньших значений прироста

симум смещен в сторону меньших значении прироста мутности (< 75%).

13327. К вопросу о проявлении диаминофенолом. Метр (A propos de développement: le diaminophenol. Maitre A.), Photo-rev., 1956, 68, août, 198

(франц.) Предлагается проявитель для пластинок и пленок следующего состава: воды 1 л, сульфита натрия безводн. З е, диаминофенола 1 г, молочной и-ты 10 капель. Продолжительность проявления 20 мин. при 17-19°; она может быть изменена, в зависимости от экспозиции, от 15 до 30 мин. Можно получить удовлетворительные результаты при 2—3-кратной недодержке, при 30 мин. проявления. После 8—10 мин. проявления можно пользоваться относительно ярким желтым светом для визуального контроля изображения. К. Мархилевич 328. О подборе проявителей для фотографических снимков метеоров. И в а и и к о в В. И., Бюл. Сталинаб. астрон. обсерв., 1955, № 14, 12—13

Диффузия гидрохинона и нонов стронция в желатине. Лю-Валле, Даннингтон, Марньетти (The diffusion of hydroquinone and маривания принадамия и принадамия принадамия на принадамия принадамия принадамия принадамия произволяющего ред Диффузия составных частей проявляющего ред

в эмульсионный слой и продуктов р-ции из слоя имеет значение при исследовании механизма хим. проявления. Описывается методика и результаты начатого

H

C

O B

ROUGH BYEK

исследования по диффузии проявляющих в-в. Использовался метод с применением радноактивного углерода. Приводятся результаты, полученные в отношении гидрохинона, а также результаты предварительных опытов, проведенных с SrCl₂. К. Мархилевич 13330. Влияние предварительной обработки на реак-

пию перекиси водорода с серебром изображения. Лакки, Джеймс, Ванселоу (The effect of various pretreatments on the reaction of hydrogen peroxid with a silver image. Luckey G. W., James T. H., Vanselow W.), Photogr. Sci. and Techn., 1955, 2, № 4, 130—134 (англ.)

Исследовались факторы, влияющие на взаимодействие Н2О2 с серебром изображения в желатиновом слое на более плотных участках, в результате которого происходит растворение Ад и содержащей его желатины. Процесс применяют при получении рельефных изображений. Для изучения факторов, влияющих на разложение H₂O₂ серебром, кружок (диаметром 1,9 см.) рав-номерно экспонированной и проявленной пленки на ацетилбутилатцеллюлозной основе погружали в p-p H_2O_2 и измеряли время (t), необходимое для накопления пленкой пузырьков O_2 и всплывания ее на поверхность. Установлено, что t обратно пропорционально плотности (D) Ag-изображения в пределах 0,6-2,0; при больших D, по-видимому, влияет диффузия, при меньших — пузырьки отделяются от пленки до ее всплывания. В пределах конц-ий 4—33% t обратно пропорционально конц-ии Н2О2; t экспоненциально уменьшается с ростом т-ры в пределах от 0° до 63°. Кажущаяся энергия активации E=12-13 к кал/моль мало изменяется от предварительной обработки (ПО) и лишь в случае содержащего Se тонирующего p-ра возрастает до 15 ккал/мол». От pH p-ров ПО в пределах pH 4—13 t практически не зависит. ПО пленки р-рами КСN, $Na_2S_2O_3$ и Ag-солей снижает t. Так, ПО в 0,001 M р-ре конц-ии дает незначительный эффект; ПО в 0,01 M р-ре КВг или КЈ повышает t в 4 раза. Дубление формальдегидом увеличивает t. ПО в р-рах в-в, содержащих S и Se, и производных тиомочевины также увеличивает t. Результаты опытов согласуются с механизмом процесса, предложенным Вейссом и Абелем. Электроны переносятся с Ад к Н2О2. Образующиеся при этом ОН-радикалы реагируют с желатиной или другими составными в-вами слоя. Если эти в-ва окисляются, радикал отдает заряд и выделяет O₂. В-ва, тормозящие этот процесс, напр., содержащие Se в-ва тонирующего р-ра, и в-ва, содержащие S, препятствуют переносу электрона с Ag или реагируют с H₂O₂ и радикалами. С. Бонгард

13331. Упрощенный метод удаления одного из эмульсионных слоев с двухсторонней рентгенопленки. Голден (A simplified method for removing one emulsion of a double-coated X-ray film. Golden R.), Photogr. Sci. and Techn., 1956, 3, № 1, 10 (англ.)

Описан прием удаления одного из эмульсионных слоев двухсторонней рентгенопленки без повреждения второго слоя. С. Бонгард 13332. Исследование мутности неэкспонированного проявленного фотографического слоя. Зеликман В. Л., Дмитриева В. А., Ж. научи. и прикл. фотогр. и кинематогр., 1956, 1, № 3,

Описаны методика и результаты исследования зависимости мутности проявленного неэкспонированного слоя от различных факторов. Мутность выражается величной коэфф. Каллье. Мутность повышается с увеличением \bar{a} — средней величины микрокристаллов галловидного серебра (от 0,2 до 2,84 μ^2), с уменьшением ρ — плотности упаковки микрокристаллов (от 4,0 до

0,5) и с ростом уд. электропроводности эмульсии (от 3800·10-6 до 8200·10-6 ом-1 см-1). Увеличение толщины защитного слоя (с 1,5 до 3,0 µ) уменьшает мухность, которая увеличивается под действием матирующих в-в защитного слоя. Рассматриваются причины мутности и объясняются найденные закономерности.

К. Мархилевич 13333. Новая высокочувствительная инфрахроматическая пленка. Соловьев С. М., Ж. научи. и прикл. фотогр. и кинематогр., 1956, 1, № 3, 233—234

Описаны свойства и области применения высокочувствительной инфрахроматич. пленки Кодак. Даны рекомендации по съемке, а также химико-фотографич. С. Бонгард 13334. Фотографические изображения, отличающиеся высокой деталированностью; способы и процессы их изготовления. Ла шено (Images photographiques d'une grande finesse. Méthods et procédés pour les obtenir. La chenaud M.), Phoro-Revue, 1956, 68, juin, 130—134 (франц.)

Обзор. Рассматриваются в историческом аспекте средства улучшения качества фотографич. изображений в отношении уменьшения зернистости и увеличения разрешающей способности: мелкозернистое проявление, физ. проявление, мелкозернистые бромосеребряные желатиновые эмульсии, способы мокрый и сухой коллодионные и их варианты, способ Гольдберга и слои с хромированными коллондами. К. Мархилевич 13335. Дублирование микрофильмов дназотипным способом. Бе и бр у к (Diazotype duplication of microfilm. Ве е п b го о к С h a r l e s H.), Phorogr. Engng, 1956, 7, № 1, 7—11 (англ.)

Для дублирования микрофильмов на диазотипных магах применяется способ обработки NH3-газом. Для изготовления диазотипной бумаги на бумажную основу наносят при помощи ролика р-р диазосоединении и компоненты или смеси их, а также нелетучей к-ты (лимонной), стабилизатора ($\mathrm{ZnCl_2}$) и в-ва, препятствующего окислению (тиомочевины). Избыток р-ра удаляют струей воздуха, после чего бумагу сущат при повышенной т-ре, охлаждают, и сматывают в рулон. Для приготовления диазотипного материала на пленке (обычно ацетатной) применяют два способа. В первом р-р наносят при помощи нескольких набрасывающих валиков; после удаления избытка р-ра пленка поступает в камеру для сушки, охлаждается и сматывается в рулов. Во втором способе пленка проходит по направляющему купающему валику, соприкасаясь при этом с поверхностью р-ра, и сразу поступает в сушку. Наносимый на основу р-р содержит в-ва, размягчающие и растворяющие основу, чтобы облегчить проникновение в нее р-ра. Для обработки диазотипных копий с микрофильмов имеется спец. машина Озалид (модель J). В ней ролик оригинального микрофильма в 300 м и ролик диазотипной пленки расположены на двух осях; при движении пленки вступают в контакт у поверхности стеклянного цилиндра (диам. 10 см), в центре которого находится ртутная лампа (1000 см). Экспозицию регулируют скоростью движения пленок от 6 до 15 м в 1 мин. После экспонирования пленка поступает в отделение для проявления NH3-газом, затем в сушильную камеру и на приемную ось. Диазотипные копии на пленке отличаются высоким качеством изображения. Тон изображений— черный, вначале иногда красноватый. Стабильность изображения удовлетворительная. К. Мархилевич

13336. Применение фенидона при обработке цветных пленок с обращением. Монакези (Impiego del phenidone nel trattamento dei materiali invertibili a colori. Моnасhesi Paolo), Progr. fotogr., 1956, 63, № 6, 254—256 (итал.)

TO

T-

0-

ы

P a-

H.

3,

ы

14.

рд m-

10-

0-

lés

10,

сте

Ke-

RH

иe, ые

ол-

HO

ич

ым

ic-

gr.

MX

OM.

yio

не-

чей

rct-

давы-

ри-

ОНР

HO-

OB;

ка-

IOH.

emv

px-

иый

TBO-

нее

иль-

ней

JINK

при

OCTH

ото

егу-

тпе-

ную

ния.

CHOная. евич гных

ibili

ogr.,

Разработан фенидоногидрохиноновый проявитель для цветной пленки анскоколор (для первого проявления). Состав проявителя: гексаметафосфата К. Na или калгона 2 г, Na₂SO₃ безводн. 50 г, гидрохинона 6 г, _{соды} безводн. 30 г, фенидона 0,2 г, KCNS 2 г, KBr 4 г, р-ра антивуалирующего в-ва 40 мл, воды до 1 л. Р-р автивуалирующего в-ва содержит в 1 ж: нитробена-шмидазолнитрата 0,5 г, соды безводн. 10 г, калгона (не обязательно) 0,5 г. Приводится состав р-ров и условия всего процесса обработки пленки анскоколор с обрашением. К. Мархилевич

Особый случай вертикального эффекта проявления в цветных многослойных пленках. В и л е иевий Ю. Б., Ж. научн. и прикл. фотогр. и кинематогр., 1956, 1, № 3, 206—208 Описан особый случай вертикального эффекта цвет-

ного проявления, связанный с диффузией продуктов окисления проявляющего в-ва из слоя, где они образовались, в смежные слои, где эти продукты с имеющимися компонентами образуют красители. Описанное явление наблюдается в случае малоактивных желтых компонент — производных бензоилуксусной к-ты. К. Мархилевич

338. Развитие ксерографии (электрофотографии). Ляликов К. С., Ж. научи. и прикл. фотогр. и кинематогр., 1956, 1, № 3, 226—230

Обвор способов усовершенствования материалов и процессов ксерографии (К): повышения светочувствительности, увеличения разрешающей способности, улучшения градационных характеристик. Рассматривается пригодность К для получения полутоновых изображений, выпуск ксерографич. бумаги, усовершенствование анпаратуры, применение в радиографии, репродуцирование аэроснимков и др.; преимущества К— быстрота и дешевизна, существенный недостаток наличие частей аппарата, заряженных до высокого потенциала. К. Мархилевич

Фотохимический процесс печати на стекле и металле. Балонов М. Х., Радиотехн. произ-во, 1956, Сб. 1, М., 46—47

На обезжиренную поверхность стеклянной или металлич. пластинки наносят светочувствительный коллонд (I). Фотографич. слой в контакте с негативом, калькой или диапозитивом экспонируют УФ-лучами от дуговой или ртутной кварцевой лампы и проявляют изображение 3%-ным води. р-ром анилинового красителя. Участки I, подвергшиеся действию УФ-лучей, нерастворимы в воде и окрашиваются, а неэкспонированные участки растворяются в проявителе. Для укрепления полученного изображения проводят дубление отпечатка. Состав I: вода 1 л, столярный клей 94 г, треблением).

Изготовление цветных алюминиевых табличек фотохимическим способом. Померанц И. И., Ривлина А. И., Информ.-техн. сб. М-ва элекротехн. пром-сти СССР, 1955, № 79, 31—33

Описано приготовление р-ров светочувствительного коллонда и красителя и процесс фотографич. изготовления одно- и двухцветных паспортных алюминиевых табличек. Пленка хромированного коллоида, покрывающая таблички, после экспозиции и проявления окрашивается водорастворимыми красителями способом погружения. Для повышения качества пленки ее попо ружении. Дли повышения паком УВЛ-1 (при горячей сушке — 1 час при 120—150°), разбавленным ксилолом до вязкости 11—12 сек. по ВЗ-4. Красители должны быть термостойкими (выдерживать 🝃 1000 час. при 120-150°) и светопрочными (не изменяться в течение 8 месяцев при солнечном освещении). Двухцветные таблички изготовляют в два приема при точном нало-

жении негативов на поверхность пластинкии покрытии ее лаком между двумя процессами.

Основы фотографии с лабораторными опы-13341 K. ramu. Hag. 3-e E o y u e p (Fundamentals of photography; with laboratory experiments. 3 ed. B o u-c h e r P a u l E d w a r d. Van Nostrand; London, Macmillan, 1955, 473 pp., ill., 6.75 doll., 37 sh. 6 d.) (англ.)

13342 П. Суперсенсибилизация сложными мероцианикрасителями. Карролл (Supersensiti-HORLIMH zation with complex merocyanine dyes. Carroll Burt H.) [Canadian Kodak Co. Ltd]. Канад. пат. 511770, 12.04.55

Патентуется галоидосеребряная эмульсия, сенсибилизированная суперсенсибилизирующей смесью, включающей по крайней мере один мезозамещ, краситель строения R-(Z)N-C=CH-C(D)=CH-(Z')C=N(X)-R'(I) и по крайней мере один сложный мероцианиновый краситель строения R^2 — $(Z^2)N$ — $C(=L-L)_{n-1}$ =C(S)—

CO-N(R3)-C=C-CO-N(R4)-CS-S(II). B I R II R'алкилы; D-алкил или арил; Z и Z'-неметаллич. атомы для замыкания гетероциклич. ядра бензотиазольного, бензоселеназольного или β-нафтотиазольного ряда; Х--анион. В II R², R³, R⁴-алкилы: L-метиновая группа: n=1-2; Z2— неметаллич. атомы для замыкания гетероциклич. ядра бензотиазольного или В-нафтотиазольного ряда. В частности, патентуется смесь красителей, где в I R', R' и D — C_2H_5 ; Z и Z' — неметаллич. атомы для замыкания. β-нафтотиазольного ядра, в—II R²--С₂H₅; $(L-L)_{n-1}$ — $CH-C(C_2H_5)$; R^3 и R^4 — β -метоксильные группы; Z²— неметаллич. атомы для замыкания β-нафтотиазольного ядра. Указаны суперсенсибилизирующие смеси пля сенсибилизации галондосеребряных эмульсий: а) соль 3,3'-диалкил-9-фенилтиакарбоцианина и 2-(3-алкил-4-оксо-2-тионо-5-тиазолидилиден)-3-алкил-5--[(3-алкил-2(3) -бензтиазолилиден) этилиден]-4-тиазолиден; б) 3,3′,9-триэтил-4, 5,4′,5′-дибензотиа карбоцианин-бромид и 5-[(1-этил-2(1)- β -нафтотиазолиден)- α -этилэтилиден 1-3-3-метоксиэтил-2-(3-3-метоксиэтил-4-оксо-2тионо-5-тиазолидилиден)-4-тиазолидон. С. Бонгард 13343 П. Способ изготовления противоореольных

фильтровых слоев (Procédé de fabrication de couches фильтровых слоев (Trocute to fabrication de Couches filtrantes) [Agfa Akt.-Ges. für Photofabrikation]. Франц. пат. 1097421, 5.07.55 [Teintex, 1956, 21, № 2, 145 (франц.)] Предлагается для получения противоореольных и

фильтровых слоев применять красители, образующиеся при конденсации карбазолальдегида, у которого атом N содержит органич. заместитель, с в-вом (I), содержащим активную метиленовую группу, причем по крайней мере одно из этих соединений содержит группу, повышащую растворимость. В качестве I указаны малодинитрил, амид или сложный эфир циануксусной к-ты, цианацетобензол и его производные, содержащие различные заместители в ядре, метиленовые производные пиразолона, малоновые эфиры и N-содержащие гетероциклич. соединения, имеющие метиленовую группу в а- или ү-положении к атому N.

13344 П. Новый порошкообразный фотографический проявитель. Крайдел, Винтала (Nou-veau révélateur photographique en poudre. Kridel Donals I., Wiitala Edwin S.) [Kodak-Pathe]. Франц. пат. 1079629, 1.12.54 [Chimie et in-dustrie, 1956, 75, № 1, 99 (франц.)]

являющее в-во, растворимый, стабильный и удовлетворяющий требованиям фотографии борат, суль-

ee

MH

H H

Ол

MAG

c 0

nce

133

Ma

Tel

THE

лех

пи

486

ма

LIE

13

по ри 1 :

HH

60

BM

Ba

CT. HO TR

ДЯ

фит или карбонат щел. металла и стабилизатор — метабориую к-ту. С. Бонгард 13345 П. Снособ регенерации остатков фото- и кинонленок. Кенель, Боден (Procédé de récupération des déchets de pellicules photographiques on cinématographiques. Q u e s n e 1 G., B a u d i n I.). Франц. пат. 1080393, 8.12.54 [Chimie et industrie, 1956, 75. № 1.99 (Франц.)]

Остатки пленки разрезают на мелкие куски (напр., 1×1 см) и погружают в жидкость (к-ту, щелочь или нейтр. жидкость, минер. или органич.), содержащую минер. или органич.), содержащую минер. или органич.), содержащую мощих в-в или детергентов, с уд. в. 1,2—1,5. Эта жидкость позволяет разделить путем флотации остатки нитроцеллюлозы (I) и других органич. эфиров целлюлозы (II). I оседают на дно, II—всплывают на поверхность.

С. Бонгард 13346 П. Стабилизации фототермографических отпечатков. В а и се л о у, Л и р ме й к е р с (Stabi-

lization of photothermographic prints. Vanselow Waldemar, Leermakers John [Eastman Kodak Co.]. Пат. США 2732304, 24.01.56 Патентуется способ защиты фототермографич, изображений от действия света. Так как применяемые в термографии оксалаты Ад и Нд в основном чувствительны к УФ-лучам, для стабилизации требуется защита от этих лучей. При изготовлении фототермографич. ма-териала на светочувствительный слой, содержащий оксалаты Ag или Hg, наносят слой в-ва (I), которое про-пускает УФ-лучи. После нагревания слоя для проявления изображения I становится непрозрачным к УФлучам. В случае материалов на прозрачной подложке наносят слои I с обеих сторон. В качестве I могут применяться поливинилбутираль, поливиниловый спирт, сахара, салициловый альдегид, пиперональ-ацетофенон, бензонлацетон, днацетил и моноэтиловый эфир этиленгликоля. Наиболее пригодны ОН-содержащие соединения: сахара (d- и l-арабиноза, d-галактоза и d-ликсоза, l-рамноза и l-ксилоза), поливиниловый спирт и поливинилбутираль, дающий наибольшую стабилизацию из указанных в-в. Примеры: 1) на Нд-оксалатный колл. слой наносят слой (толщиной 0,2 мм) поливинилбутираля с пластификатором триэтиленгликоль-ди-2-этилбутиратом. Слой пропускает УФ-лучи до 286 ми. После эспонирования слоя и проявления изображения в течение 6 мин. при 145° защитный слой пропускает свет лишь до 358 мµ; 2) 2 г l-ксилозы в 5 мл воды добавляют к 100 мл 7% -ного р-ра желатины при рН 4,0. Защитный слой наносят из расчета 1 мл р-ра на 10 см^2 поверхности (1—2 мг l-ксилозы на 1 см²).

C. Бонгард
13347 П. Диазотипные слои, содержащие карбоксамиды. Боткин, Сулих (Light-sensitive diazotype layers containing carboxamides. Во t k i n C a r l, S u l i c h J o h n, Jr) [General Aniline & Film Corp.]. Пат. США 2727820, 20.12.55

Патентуется способ изготовления диазотипных отпечатков, заключающийся в нанесении на подложку светочувствительного р-ра (I), высушивании фотоматериала, экспонировании его УФ-лучами и проявлении NH₃-газом. I содержит стабилизированное диазосоединение, по крайней мере одну азокомпоненту и 10—50 вес. % карбоксамида строения RCONH₂ или R'NHCONH₂, где R—H, CH₃-, CH₃O- или C₂H₅O-группа; R'—H, CH₃- или C₂H₆-группа. С. Бонгард 13348 П. Метод получения фотографических изображений. Алфен, Диппел, Лели (Method of producing photographic images. Alphen Pieter M., Dippel Cornelis J., Lely Jan A.) [N. V. Philips' Gloeilampenfabriken]. Канад. пат. 519250, 6.12.55

Патентуется способ получения фотографич. металличизображения, включающий экспонирование светочув-

ствительного материала, полученного при обработке слоя лиофильного коллонда р-ром светочувствительного диазосоединения (I), и физ. проявление скрытого металлич. изображения, образованного при р-ции продуктов светового распада I с солью ртути. Конц-ия I в слое должна быть не менее 1000/К.м.моль/см², где К.—десятичный коэфф. абсорбции I по отношению к применяемому актиничному свету, выраженный в см²/ммоль Продолжительность и интенсивность освещения контролируют для предотвращения образования изображения во внутренних участках слоя светочувствительного материала. В качестве I указано оксидиазониевое соединение.

С. Бонгард 13349 П. Фотографический многослойный материала.

Чаллис, Ли (Photographisches Mehrschichtmaterial. Challis Kenneth John, Lee Edward William) [Піото Ltd]. Пат. ФРГ 921067, 6.12.54 [Сhem. Zbl., 1955, 126, № 26, 6179 (нем.)] Патентуется способ нанесения желатиновых, в частности галондосеребряных эмульсионных слоев (I), на сильно гидрофобную подложку (II) из смещанных полимеризатов винилхлорида с винилиденхлоридом или другими полимеризующимися виниловыми соединениями (напр., ацетатом, ацеталем и т. п.). Сначала на II наносят тонкий слой из метилметакрилатиолимеризата (напр., искусств. смолы диакон-Д), а затем тонкий слой нитроцеллюлозы, на который наносят I; в отдельных случаях предварительно наносят слой чистой желатины. Способ применим для нанесения в обратном порядке защитных слоев из в-ва II на обработанную кинопленку. С. Бонгард

Окрашенные цветные компоненты, содер-13350 TL жащие группы, придающие растворимость. Грехэм, Виттум, Вейсбергер (Colored couplers, containing solubilizing groups. Graham Bruce) Vittum Paul W., Weissberger Arnold) [Eastman Kodak Co.]. Пат. США 2725292, 29.11.55 Патентуются галондосеребряные эмульсии, содержащие цветные компоненты общей ф-лы R :: :: C-N=N--C6H4-X-CH2-Z (R-атомы для замыкания кольца пиразолона, фенола или нафтола; С — атом С, находящийся в положении 4 указанного кольца; Х — О или простая связь в пара-положении к азогруппе; Z карбоксильная или сульфогруппа, их растворимые в воде соли или алкильные эфиры). В. Уфимцев 13351 П. Способ получения цветного фотографи-ческого изображения (Procédé pour la production d'une image photographique en couleurs) [Gevaert Photo-Producten N. V.]. Франд. пат. 1080061, 6.12.54 [Chimie et industrie, 1956, 75, № 1, 98 (франд.)] Один из двух галоидосеребряных эмульсионных слоев повторно (после проявления) экспонируют светом, пропускаемым, по крайней мере, одним окрашенным изображением в другом слое, и подвергают первый слой селективному цветному проявлению. С. Бонгард

См. также: Хромиров. коллоиды 11313. Проявление 11320. Красители 13202, 13203. Фотограф. матер., св-ва 11317—11319

ДУШИСТЫЕ ВЕЩЕСТВА. ЭФИРНЫЕ МАСЛА. ПАРФЮМЕРИЯ И КОСМЕТИКА

Редактор В. Н. Белов

13352. Первый международный конгресс по взучению эфирных масел.—(Premier congres international d'études et de recherches sur les essences. Reggio de Calabre 27—28 et 29 mars 1956.—), Inds parfum., 1956, 11, № 8, 292—294 (франд.)

3353. Производство перечной мяты в Болгарии. Части I, II. Возделывание перечной мяты в БолTRO

oro

po-

Me-

120

HT-

же-

:0e-

ард

ma-E d-067,

M.)]

(I),

ных

ине-

на

ери-

KER

ель-

же-

HOM

HVIO

гард

дер-

pe-

lers,

ce)

1.55

ржа-

льна

одя-

или

Z -

ые в

мцев

афи-

ction vaert

12.54

нных

CBe-

шен-

рвый

гард

тение

тер.,

١.

зуче-

ional

io de fum.,

арии.

Бол-

гарии. Иринчев (Bulgaria's peppermint industry. I. II. The cultivation of peppermint in Bulgaria. Irinchev Ivan), Perfum. and Essent. Oil Rec., 1954, 45, № 8, 249—251; 1955, 46, № 2, 42—45 (англ.) I. История культивирования перечной мяты, районы ее возделывания.

11. Указано, что почвенные и климатич. условия в Болгарии благоприятны для возделывания перечной инты и оказывают благоприятное влияние на урожай и качество масла осенних посадок. Перечная мята возделывается как однолетнее растение, иногда—2-летнее. Однолетняя перечная мята дает урожай и качество масла очень хорошие. Средний урожай перечной мяты с0,4 га составляет 16—18 кг масла, при применении всего агротехнич. комплекса—28—36 кг масла. А. Баскакова

A. Васкакова 13354. Индийское эфирное масло перечной мяты и нути для его дальнейшего улучшения. Датт (Indian peppermint oil and its scope for further improvement. Dutt Krishna Bhushan), Indian Soap J., 1955, 20, № 7, 179—182 (англ.)

В Йндии имеется много разных видов мяты, но их масло содержит мало ментола. Указано, что для получения масла высокого качества требуется создать оптимальные условия произрастания, собрать урожай в в оптимальные сроки (полная стадия цветения), надлежащим образом провести дистилляцию, ректификадию. Если при соблюдении всех условий масло получается невысокого качества, то для получения хорошего масла остается единственное средство — выведение гибридов мяты в соответствии с климатич., почвенными и другие географич. особенностями страны.

А. Баскакова

13355. Карбонильные и карбинольные соединения эфирного масла Artemisia eucina Р. Роі. Сообщение І. Горяев М. И., Игнатова Л. А., Шабанов И. М., Изв. АН КазССР, Сер. хим., 1955, № 8. 144—153 (рез. казах.)

Изучены карбонильные и карбинольные соединения эфирного масла Artemisia eucina P. Poi, полученного из недозрелых семяпочек полыни, собранной в южной части Казахстана. Масло имеет $n^{20}D$ 1,4581; d_{20}^{20} 0,9277; [а] D +3.43°, кислотное число 0,73; эфирное число 33,70; эфирное число после ацетилирования 47,2; поверхностное натяжение $\sigma=29,88$ $\partial un/c m$; растворимость в 70%-ном спирте 1:0,48; в 80%-ном 1:0,28; в 90%-ном спирте 1:0,48; в 80%-ном спирте 1:0,48; в 80%-ном 1:0,28; в 90%-ном синтрите при 20°—3,8; 40°—2,26; 60°—1,45; 80°—0,959; 97°—0,72 (определена в висковителено метре Оствальда). При исследовании масла в нем впервые обнаружено присутствие карбонильных соединений в кол-ве 6%, представленных в основном туйоном (смесь α - и β -изомеров). Остаток, получающийся при вакуумной разгонке карбонильных соединений, представляет собой, вероятно, смесь различных компонентов, полученных в результате изомеризации туйона под действием к-т, щелочей и нагревания. Накопление туйона, по-видимому, происходит в более поздней стадии развития растения, когда процессы ассимиляции и роста значительно замедляются. В масле найдено также 5—7% туйилового спирта, который, по-видимому, яв-явется основным терпеновым спиртом этого масла.

H. Любониц 13356. Состав эфирного масла листьев Thuja standishii Carr. Накацука, Хиросэ (Composition of the essential oil from leaves of «Nezuko» (Thuja standishii Carr). Nakatsuka Tomoichiro, Нігозе Yoshiyuki), 日本林學會誌, Нихон рингаккайси, Ј. Јарап. Forest. Soc., 1955, 37, № 11, 496—498 (англ.; рез. япон.) Исследован состав эфирного масла, полученного пе-

регонкой с наром листьев Thuja standishii Carr., с выходом 0,73%. Желтоватое с приятным запахом маслоимеет n³7D 1,4695, d47 0,8920, [α]¹7D +8,01°, кислотное число 0, эфирное число (ЭЧ) 49,1, ЭЧ после адетилирования 78,3; р-ция с FeCl₃ отрицательная, р-ция Толленса и дназореакция положительные. При исследовании состава масла найдено, что оно содержит α-пинен, камфен, І-фенхон, І-борнеол, борнилацетат, небольшое кол-во сесквитерпеновых спиртов и пендентифицированных углеводородов. Н. Любониц 13357. О новом методе определения эфирных масел в пряностях и лекарственных травах. Хадори, Юнгкупц, Бифер (Über eine neue Methode zur Bestimmung der ätherischen Cle in Gewürzen und Drogen. Н ad orn H., Jungkun z R., В i efer R. W.), Mitt Gebiete Lebensmitteluntersuch. und Hyg., 1954, 45, № 3, 200—221 (нем.; рез. франц., англ.)

При обсуждении и эксперим. проверке различных методов определения эфирных масел в пряностях и аптекарских товарах найдено, что все они обладают недостатками: весовой метод Грибеля дает низкие и колеблющиеся выходы; объемный метод Клевенжера дает удовлетворительные результаты, но требует большого кол-ва в-ва (50 г), методом Флюка не полностью опре-деляется эфирное масло в лимонных корках. Предлагается новый так называемый диффузионный метод определения эфирных масел в пряностях и аптекарских товарах. В чистом сухом цилиндрике с дужками взвешивают 20-150 мг испытуемого материала с точностью до 0,02 ме, добавляют 1 мл воды и кварцевый песок на кончике шпателя. Цилиндрик тотчас подвешивается в спец. аппарат, куда предварительно загружают 10 мл 0,25 п. смеси бихромата с серной к-той, аппарат закрывают и ставят в нагретый до 105° сушильный шкаф. Через 1,5-2 часа аппарат вынимают и приливают из капельной воронки еще 1 мл воды и опять ставят на 1,5 час. в сушильный шкаф. Эфирное масло улетучивается с водой, адсорбируется хромовой смесью и окисляется. Кол-во K2Cr2O 7, пошедшего на окисление эфирного масла, определяется йодометрически. Содержание эфирного масла в сырье вычисляется по кол-ву пошедmero на окисление K₂Cr₂O₇ с помощью установленных для каждого масла факторов окисления. При сопоставлении с методом Флюка найдено, что в некоторых случаях (мускатный орех, анис, бадьян, цветы ромашки) содержание эфирного масла, определенное предложенным методом, ниже. Метод дает воспроизводимые резуль-

13358. Применение полярографических методов в анализе эфирных масел. Трифонов (L'emploi des méthodes polarographiques dans l'analyse des essences. Trifonow A.), Inds. parfum., 1956, 11, № 8, 281—284 (франц)

281—284 (франц.)
Краткий обзор полярографич. метода определения альдегидов (цитраля, цитронеллаля, коричного и др.) и кетонов (понона, прона, карвона и др.) в эфирных маслах.

Е. Смольянинова 13359. Парфюмерная промышленность в Англии.

Уэлс (L'industrie de la parfumerie en Angleterre. Wells F. W.), Inds parfum., 1956, 11, № 8, 285—291 (франд.)

Краткий обзор парфюмерной пром-сти Англии: произ-во эфирных масел (мяты, лаванды и др.), синтетич, душистых в-в (указано на высокое качество фенилэтилового спирта, линалилацетата и др.) и произ-во готовых отдушек. Приведены константы х. ч. душистых синтетич. в-в. Е. Смольянинова 13360. Современные отдушки для мыла. Х а г е м а и

3360. Современные отдушки для мыла. Хаге ман (Die neuzeitliche Seifenparfümierung. Hage man n Alfre d), Seifen-Öle-Fette-Wachse, 1956, 82, № 11,

No

рая

HAR

7,4

KOB

CAC

лен

CBS

вяз

пал यात

Ча

СЯ

yer

CT

Пр

СЛЕ

про

133

HO.

MO

110

ря ня

HO.

гра

299; № 12, 337-338 (нем.; рез. англ., франц.,

Краткие сведения о современных отдушках для мыла. Даны указания по применению различных отдушек.

13361. Применение водного раствора уксуснокислого алюминия в косметике. Лейдериц (Inwiefern die klassische Essigsaure Tonerdelösung, der Liquor Aluminii acetici, kosmetisch interessant ist. Lei de-ritz Hans), Parfum. und Kosmetik, 1954, 35, № 9, 356-359 (нем.; рез. англ., франц.)

Отмечается возможность применения водн. p-pa уксуснокислого алюминия (I) в косметич. препаратах. Описаны свойства и получение I и приводятся рецептуры косметич. средств, содержащих наряду с I са-лициловую к-ту, сапонин, Zn, медь. А. Войцеховская 13362. Мёд как будущее сырье в косметике. Трюте (Le miel, matière première de l'avenir en cosmétologie. Trutey A.), Inds parfum., 1956, 11, № 8, 295

(франц.) Указано на возможность применения меда в косме-

тике и на его целебные свойства. Приведено несколько рецептур косметич. препаратов, составленных на основе Е. Смольянинова Некоторые химические и физические свойст-13363.

ва жира выдры. Кросс (Mink oil some chemical and physical characteristics. Cross John M.), Drug and Allied Inds, 1955, 41, № 9, 5 (англ.)

Рассмотрена возможность применения в косметич. и фармацевтич. пром-сти рафинированного жира выдры, характеризующегося следующими показателями: d25₂₅ характеризующегоси следующими менеста (по Ганусу) 79,4, число омыления 202,7, кислотное число 4,9 мл 0,1 н. NaOH на 10 г масла, вязкость (по Оствальду) 50 слуда при 29°, поверхностное натяжение 31 при 29°, [а]28 D 0,0°, неомыляемых 0,2%, т-ра застывания свободных жирных к-т 29°; прозрачная желтоватая жидкость с жирным запахом и слабым привкусом, не растворяется в воде, спирте и CH₃OH, растворяма в CHCl₃, CCl₄, эфире, С. Н., ацетоне. Жир легко всасывается кожей и не вызывает раздражения. М. Колосова

364. Окрашивание косметических изделий, пище-вых продуктов и лекарственных средств. Кёниг (Über die Färbung von Lebensmitteln, Arzneimitteln und kosmetischen Erzeugnissen. König Roderich), Med. Monatsschr., 1955, 9, № 2, 110—113 (нем.;

рез. англ.)

Обсуждается возможность применения красителей. Приводятся наименования некоторых безвредных синтетич. и естественных красителей. А. Войцеховская Препараты против загара. А г р а в а л (Anti-

sunburn preparations. Agrawal S. K.), Brit. and Overseas Pharmacist, 1955, 108, № 7, 199—200 (англ.) Отмечено положительное действие солнечных лучей в умеренных дозах, но указано на значительный вред, наносимый повышенными дозами солнечных лучей; описан механизм действия лучей, изменения, происходящие в коже и в организме; отмечены факторы, обусловливающие степень загара, и перечислены современные средства защиты от загара, предохраняющие и смягчающие; подчеркнуто, что рациональных средств лечения ожога не существует.

Ю. Вендельштейн 13366. Действие 1, 2-пропиленгликоля на кожу человека. Фридерих, Виль (Über die Verträglich-keit von 1, 2-Propylenglykol an der menschlichen Haut. Friederich H. C., Wiehl R.), Seifen-Öle-Fette-Wachse, 1955, 81, № 2, 37—39 (нем.; рез. англ., франц., исп.) Обзор. Библ. 22 назв.

Холодная завивка. Часть 1, 2. У о к е р (Die 13367. Kaltwelle. 1,2 Teil. Walker G. T.), Seifen-ÖleFette-Wachse, 1956, 82, № 11, 297-299; № 13, 365-366; № 14, 390 (нем.; рез. англ., франц., исп.)

Обзор развития средств для холодной завивки и теоретич. обоснование этого процесса. О действии меркаптановых соединений на изменение формы волос. Хейлингёттер (Über die Wirksamkeit einer Mercaptoverbindung bei der Haarformung. Heilingötter R.), Seifen-Öle-Fette-Wachse, 1955, 81, Na 3, 59-61 (нем.)

Рассматривается пригодность различных меркаптановых соединений для холодной завивки волос в зависимости от их устойчивости в щел. р-рах, доступности в приготовлении, токсичности и неприятного Н. Кологривова

Измерение рН в косметике. Небе (Die pH-Messung in der Kosmetik. N e b e), Seifen-Ole-Fette-Wachse, 1955, 81, № 23, 680 (нем.)

Отмечается необходимость измерения рН кремов и эмульсий как для поддержания рН 4-6, близкого к рН кислотного покрова кожи, так и для получения более стойких эмульсий. А. Войцеховская

Предохранение косметических эмульсий от действия бактерий. — (Preservatives for cosmetic emulsions.—), Amer. Perfumer and Arom., 1956, 67, № 6, 33—34, 48 (англ.)

3371 П. Дерматологические составы (Dermatological compositions) [Midland Silicones, Ltd, for-Dow mely 1 21.09.55 Corning Ltd]. AHTH. HAT. 737134,

Состав содержит 5-15 вес. % полисилоксана, имеющего 2-3 углеводородных радикала (метил, этил, пропил, октадецил, лаурил или фенил) у каждого атома Si, 5-15% нетоксичного эмульгатора и 70-90% воды. В качестве эмульгатора предпочтительны гликоль или эфиры глицерина и высших жирных к-т, напр. моностеарат глицерина в сочетании с полидиметилсилоксаном. Состав содержит также соответствующие медикаменты и (или) пигменты.

13372 П. Средства ухода за зубами (Dentifrices) [Ваdische Anilin- & Soda-Fabrik (I. G. Farbenindustrie A.-G. «In Auflösung»)]. Франц. пат. 1030214, 10.06.53 [Chem. Zbl., 1955, 126, № 21, 4890 (франц.)]

Средства для чистки зубов — зубная паста, крем, вода для полоскания рта и т. д., содержат высокомолекулярный полигликолевый эфир (I), имеющий в молекуле один алифатич. остаток с 6—12 атомами С и оказывающий анестетич. действие. І получают из 1 моля нонилового спирта и 6 молей окиси этилена (II); 1 моля гексагликолевого эфира, 1 моля децилмеркантана и 7 молей II; 1 моля гентагликолевого эфира, 1 моля лауриновой к-ты и 9 молей II или 1 моля нонилгликолевого эфира. 13373 П. Н. Фрумкина

3373 П. Средства ухода за полостью рта и зубам (Mund-und Zahnpflegemittel) [Blendax-Werke G. m. b. H.]. Австр. пат. 177525, 10.02.54 [Chem. Zbl., 1955,

126, № 5, 1103 (нем.)]

Особенно сильного подавления роста кислотообразующих бактерий полости рта (в основном молочнокислых стрептококков и дрожжевых клеток, образурщих пировиноградную к-ту и молочную к-ту) достигают применением зубных паст, зубных порошков или вод для полоскания рта, содержащих 1—3% Li₂CO₃, который при рН 7,0 действует бактериостатически на молочнокислые бактерии даже в разведении 1:1500. Л. Михельсов

Вещества, фиксирующие завивку riel pour arrêter l'action des agents ondulants) [Salea Soc. An.]. Швейц. пат. 295538, 1.03.54 [Chem. Zbl., 1954, 125, № 47, 10834 (нем.)]

Закрепитель для перманента состоит из в-ва, выделяющего кислород, напр. 8 г NaClO2 и смеси в-в, кото365— Teoкевич й ва (Über Haar-

7 r.

Fetteкапта-B 3aоступ-ТНОГО ивова

e pH-Fette-MOB H 13Koro чения

ВСКАЯ th or emul-Nº 6. rmato-

, for-37134. имею**про**ма Si, волы. нь или

гостеасаном. менты **Еданов** s) [Badustrie 0.06.53

омолемолеи окаполя 1 моля и 7 молаурииколе-

умкина , 1955, гообра--онропо разую-

тигают ли вод Li₂CO₃, ски на : 1500. сельсон (Maté-

[Salea . Zbl.,

, выде-в, кото-

рая вызывает отщепление кислорода (соли Fe, Ni, CO или Mn). Напр., смесь состоит (в г): из 0,1 MnSO₄, 7,4 NaH₂PO₄ и 0,5 Na-метилсульфоната. Эту смесь упаковывают и хранят отдельно от в-ва, выделяющего ки-Н. Фрумкина

См. также: Терпены: образование тетралкилазу-лена 11824; хамазулена 11825. Эфирное масло дикой мари 11828. Алкилирование анизола В-амиленом 11684. Связь между изомерией и запахом 11830

КАУЧУК НАТУРАЛЬНЫЙ И СИНТЕТИЧЕСКИЙ. **РЕЗИНА**

Редактор Д. М. Сандомирский

Высокомолекулярная химия. Химия каучука. Кирияма, Имото (за化學.桐山茂, 井本稔), 化學, Karaky, Chemistry Japan, 1956, 11, ル 4, 18-20 (ЯПОН.)

Обзор за 1955 г. Д. С. 3376. Опытное приготовление заменителя каучука из coka Ficus locora. Юй Жуй-минь (黃葛樂試 製代練膠的研究. 俞瑞民), 化學世界, Хуасюэ шицзе, 1956, № 1, 41—43 (кит.)

Сок из дерева Ficus locora представляет собой белую вязкую жидкость. При нагревании его вязкость сильно падает, но при последующем охлаждении вновь увели-чивается. Сухое в-во (I) нерастворимо в воде и спирте. Частично растворяется в бал. и полностью растворяетчастично раствориется в озл. и полностью раствориется в сероуглероде и хлф., устойчиво к действию HCl и неустойчиво к действию H₂SO₄ и HNO₃. Уд. в. 1,0113, примерный состав: вода 53,54%, водорастворимые в-ва 18,01%, ацетоновый экстракт 5,42%, бензольный экстракт 16,44%, белки 4,72%, другие в-ва 1,57%. При нагревании I с S получается жесткий продукт. При смешении его с фактисом из тунгового масла и последующей дополнительной вулканизации получается продукт, обладающий хорошей эластичностью и небольшим остаточным удлинением. Этот продукт может быть применен как заменитель каучука. Ван Мань-ся 13377. Диспергирование порошкообразных ингредиентов в водных дисперсиях каучука. Альтов А. И.,

Эпштейн В. Г., Уч. зап. Ярославск. технол. ин-та, 1956, 1, 169—171 Для получения устойчивых дисперсий ускорителей вулканизации в латексах в последних эмульгируют р-р ускорителей. Дифенилгуанидин (I) растворяют в фенолоспиртах при 60°; при охлаждении р-ра до 30° происходит пересыщение и помутнение без выпадения I. Присутствие I в фенолоспиртах снижает их растворимость в воде и при смешении p-ра I с латексом СКС-30 получается устойчивая эмульсия. Альтакс (II) растворяется в полидиенах при 80°. 6—7%-ный р-р II сохраняет устойчивость при охлаждении до ~20°. Эмульсии р-ров II в латексе СКС-30 в присутствии Na-солей жирных к-т не расслаиваются несколько суток. Метод применим и для других ускорителей. Ю. Дубинкер

3378. Графт-нолимеры, полученые из натурально-го каучука. Блумфилд, Мерретт, Попем, Свифт (Graft polymers derived from natural rubber. Bloomfield G. F., Merrett F. M., Popham F. J., Swift P. McL.), Rubber World, 1954, 131, № 3, 358—360, 418 (англ.) Описаны физ.-мех. свойства графт-полимеров (ГП), полученных полимеризацией виниловых производных

на НК в р-ре и в латексе. Природа и кол-во мономера сильно влияют на свойства получающихся ГП. При графт-полимеризации передача цепи молекулами НК выражена незначительно. ГП, полученные со стиролом и метилметакрилатом (I), легко смешиваются и вулканизуются, давая вулканизаты с высоким сопротивлением разрыву, а в случае І вулканизаты имеют умень-

шенные гистерезисные потери и повышенное сопротивление утомлению. И. Туторский п. туторский 3379. Действие бутилинтрита на каучук. Фурукава, Нисида (ゴムに對する亜硝酸ブチルの作用.古川淳二,西田政三).日本ゴム協會誌, Нихон гомукёкайсн, J. Soc. Rubber. Ind., 1956, 29, № 5, 377—380 (япон.; рез. англ.)

Свободные радикалы, образующиеся при распаде бутилнитрита, вызывают деструкцию каучука в р-ре; р-ция идет с участием $O_2: C_4H_9ONO \cdots C_4H_9O \cdots + NO \cdot;$ $RH + C_4H_9O \cdots + C_4H_9OH;$ $R \cdot + O_2 \rightarrow RO_2 \cdot;$ $R + NO \rightarrow R \dots NO \xrightarrow{O_1} NO \cdot + ROO$. Бутиливтрит способствует деструкции, так как радикал С4НоО. рит спосотвуєт деогрукция, так раздана отщепляет атом Н от молекулы каучука, а стабильный радикал NO предотвращает р-цию структурирования путем образования неустойчивого соединения с полимерным радикалом. И. Туторский

380. Новый завод синтетического каучука. Бауман (Neue Kautschuk-Syntheseanlage der Bunawerke Hüls GmbH. Baumann Paul), Kautschuk und Gummi, 1956, 9, № 7, WT169—WT174 13380.

В 1958 г. компанией Bunawerke Hüls GmbH запланирован пуск нового з-да СК в Марле (округ Реклинг-хаузен) мощностью 45000 m в год. Предусмотрены: синтез бутадиена по Гудри одностадийным дегидрированием бутана (выход 11% на пропущенный бутан); экстракция бутадиена медно-аммиачно-ацетатным р-ром при 0° с последующим разложением комплекса при нагревании; полимеризация бутадиена со стиролом (70:30) при +6° непрерывным способом в 10 последовательно соединенных аппаратах с мешалками с при-менением солей модифицированной канифоли в качестве эмульгатора; коагуляция H2SO4 и NaCl, обработка крошки в дисковой мельнице и сушка на ленте при 80°. 3-д будет выпускать «холодный» СК с твердостью по Дефо 800, не требующий термопластикации: а) заправленный фенил-в-нафтиламином, б) заправленный не изменяющим цвет противоокислителем, в) «масляные каучуки» с 25, 37 и 50 вес. ч. масла на 100 ч. СК, г) в виде латекса. Приведены технологич. схемы производства.

А. Лебедев Применение монодисперсных латексов для изучения механизма эмульсионной полимеризации с помощью электронного микроскопа. Брадфорд, Вандерхофф, Алфрей (The use of mono-disperse latexes in an electron microscope investigation of the mechanism of emulsion polymerization. Bradford E. B., Vanderhoff J. W., Alfrey T., Jr), J. Colloid. Sci., 1956, 11, № 2, 135—149 (англ.)

Проверялась применимость монодисперсных латексов (МЛ) полистирола в качестве стандарта при электронномикроскопических измерениях (Backus R. C., Williams R. C., J. Appl., Phys., 1949, 20, 224; 1950, 21, величины частиц в синтетич. латексах. Получены воспроизводимые данные с точностью ~1%. Облучение в электронном микроскопе вызывает увеличение размера частиц тем больше, чем больше их диаметр. Опыты эмульсионной полимеризации стирола с использованием в качестве затравки двух образцов МЛ с различной величиной частиц и последующим измерением ее на различных стадиях полимеризации показали несправедливость одного из основных постулатов теории Смита эмульсионной П — о независимости скорости ее от величины растущих глобул. Фактически скорость изменения объема частицы при полимеризации dV/dt $\sim k D^{2,5}$ (D—диаметр глобулы, k—константа, зависящая от условий полимеризации). Оптимальные кол-ва добавляемого эмульгатора составляют в данном случае 1-3% (в расчете на мономер); уменьшение этого кол-ва

No 4

Ch

SI

Carr

тели

Cao

PO 3

BaS

BETT

PhO

Har

ляе'

HAT

ne i

aKT CaO пен

так ZnC 133

H O

пер (66 40 а

30B

Ha

c y RMI

сут

CTB

133

IRC

dus

De

ниже 1% приволит к частичной коагуляции латекса. ниже 1% приводит к частичной колтульных мелких повышение более 3% — к появлению новых мелких А. Дебедев

Огнестойкость неопрена и хайпалона. Л а н-13382. HHHr (Flame resistance of neoprene and hypalon. нин Г (Flame resistance of neoprene and пурагол. Lanning H. J.), Rubber and Plast. Age, 1956, 37, № 4, 227—229, 231—232 (англ.) Неопрен и, в меньшей степени, новый синтетич.

эластомер хайпалон (хлорсульфированный полиэтилен). отличаются от других эластомеров сравнительно высокой огнестойкостью благодаря присутствию атомов Cl в молекуле этих материалов Введение 15-30 вес. ч. окиси сурьмы и ограничение содержания горючих мягчителей позволяет повысить огнестойкость неопреновых резин, введение до 10 вес. ч. бората Zn снижает продолжительность тления таких резин после удаления источника тепла. При термич. разложении неопрена выделяются СО, СО₂ и НСІ; выделения фосгена не про-Ю. Лубинкер 13383. Маслостойкие 2-метил-5-винилпиридиновые

эластомеры. Светлик, Рейлсбак, Купер (2-methyl-5-vinylpyridine elastomers in oil-resistant service. Svetlik J. F., Railsback H. E., Cooper W. T.), Industr. and Engng Chem., 1956, 48, № 6, 1084—1089 (англ.)

При обработке сополимеров буталиена (I) с 2-метил-5-винилпиридином (II) или с II и акрилнитрилом (III), трихлорметилбензолом (IV), n-ди -(трихлорметил)-бен-золом (V) или хлоранилом (VI) в процессе вулканизации образуются маслостойкие резины (вследствие об-разования четвертичных солей). С повышением дозировок IV до 15 вес. ч. физ.-мех. свойства и маслостойкость резин из сополимера I и II (85:15) улучшаются. Резины с V обладают наилучшей маслостойкостью, высокими модулями и твердостью, резины с VI— вы-сокой морозостойкостью. В качестве наполнителей могут применяться различные типы саж (МТ, SRF, FEF) или каолин, 2-винил-5-этилпиридин придает худшие свойства, чем II. С возрастанием содержания II в цепи полимера физ.-мех, свойства резин с 20 вес. ч. IV улучшаются, но повышается т-ра замерзания. Резины из сополимера I и II (85:15) при экспозиции 7 дней при комнатной т-ре в ацетоне показывают лучшие результаты, чем из сополимера I, III и II (70: 15: 15 или 70:20:10). Резины с каолином обладают большей прочностью в набухшем состоянии, чем сажевые резины. Резины из сополимеров I и II набухают в H_2SO_4 больше, чем резины из сополимеров I и III, но обладают большей прочностью в набухшем состоянии. При набухании в диизооктилсебацинате при 70 и 148° наилучшие результаты показывают резины из сополимера I, II и III, полученные с IV и V. Резины с IV или V выделяют НС1 при вулканизации и вызывают коррозию металлов; резины с VI не обладают этим недостатком. Теплообразование в резинах из сополимеров I, II и III при испытании на флексометре Гудрича не превышает теплообразования в контрольных резинах из сополимеров I и III. Ходимость резин из сополимера I и II (85: 15) с 20 вес. ч. IV при испытании на многократный изгиб на машине Де-Маттиа равиа 116000 циклов, по сравнению с 9000 для резин из GR-S.

И. Туторский 384. Действие частично фторированных сложных диэфиров на эластомеры. Канинигем, Тейлор, Локхарт (Effects of partially fluorinated diesters on elastomers. Cunningham F. X., Taylor R. C., Lockhart L. B., Jr), Industr. and Engng Chem., 1956, 48, No. 3, Part 1, 465 — 466

Исследовано объемное набухание вулканизатов НК, GRS-1000, хайкара OR-25, паракрила АJ, неопрена GNA и WRT, бутилкаучука, силиконового каучу-

ка SE-76, тиокола ST и филпрена VP в х. ч. ди-и-амилглутарате (I) и в диэфире глутаровой к-ты и Н (СF₂). СН₂ОН (II) при 20° и 70° в течение 14 суток; набухапце в II исследовалось также при 150°. Выдержка в I приволит к значительному набуханию образцов, кроме вулканизатов бутилкаучука и тиокола ST. II вызывает уменьшение объема образцов вследствие экстрагирова. ния пластификаторов, приблизительно пропорина ния пластафикаторов, присопальности пропорцио-нальное первоначальному содержанию их в реание, После 10 суток при 150° все образцы стали хрупкими, за исключением силиконового, что объясняется, повидимому, влиянием высокой т-ры и воздуха, а не самой жилкости. Полученные результаты позволяют считать. что применение частично фторированных сложных пвэфиров в качестве гидравлич. и смазочных материалов позволит эксплуатировать резиновые детали, соприкасающиеся с ними, при более высоких т-рах, чем в ва-Ю. Дубинкер стоящее время. Влияние сажи на окисление, гистерезис в

потирание резины. А меронген (Influence of carbon black on oxidation, hysteresis and wear of rubber. A merongen G. J. van), Trans. and Proc. Instn. Rubber Ind., 1955, 31, № 2, Т70-Т80(англ.) Изучалось действие термич. (МТ и FT), печной (FEF, HAF, ISAF и SAF) и канальной (EPC, MPC, HPC) саж (С) на скорость окисления, гистерезисные потери и сопротивление истиранию вулканизатов из НК, содержащих 50 вес. ч. С. С увеличением уд. поверхноств С (уменьшением размера частиц) скорость окисления при 80° смесей и вулканизатов и растворимость 0, при 25 и 50° в вулканизате увеличиваются. Между растворимостью O2 при 50° и скоростью окисления паблюдается зависимость, близкая к линейной. В зависимости от кол-ва поглощенного О2 сопротивление разрыву (СР), относительное удлинение и твердость по Шору вулканизатов с печной С НА F уменьшаются. По-вышение т-ры окисления от 80 до 120° при одинаковом кол-ве присоединенного О2 приводит к более резному падению СР. Смеси с канальной С окисляются быстре смесей с печной С, причем в последнем случае наблюпается более медленное падение СР. С увеличением уд. поверхности С гистерезисные потери, жесткость вулканизатов и теплообразование при многократном сжатии на флексометре Гудрича увеличиваются. При за-мене печной С НАГ сажами ISAF или SAF, уд. поверхность которых в 1,7 раз выше, сопротивление износу протектора покрышек 6.70×15 увеличивается ш 36-42%. Повышение дозировок С HAF от 40 до 60 вес. ч. или C SAF от 40 до 50 вес. ч. не приводит к повышению сопротивления износу. Канальная С придает смесям сопротивления намочу.

более низкое сопротивление износу, чем С НАF, хотя

поверхность последней меньше.

И. Туторский уд. поверхность последней меньше. Исследование диффузии серы в кабельных ре-

зинах методом радноактивных изотопов. Блох Г. А., Кормильцева З. П., Ольшавская Л. А., Колобенин В. Н., Вести электропром-сти, 1956, № 6, 66—69 При помощи S25 изучалась диффузия свободной и по-

лисульфидной S из шланговой резины в изоляционную в процессе вулканизации. Коэфф. диффузии рассч-тывались по методу Бреслера (РЖХим, 1955, 22485). Прослойки из непрорезиненного или прорезиненного прословки из непрорезиненного или прорезиненного минткаля (0,31 мм), поливиных хлорида (0,24 мм) или полистирола не устраняю, а прослойки из бумаги телефонной (0,05 мм), кабельной (0,12 мм) или металлизированной полностью устраняют диффузию S. Из изоляционной резины S диффундирует в медь токоведущих жил и вступает с ней в р-цию. И. Туторский

13387. О влиянии неорганических активаторов из степень вулканизации резиновых смесей. Перем ский (Ó vlivu anorganických aktivátorů na stupeň 57 r.

-SMWW.

CF.)

хание

I при-

кроме

Вывает

H DORa.

орино-

езине

IKHMU

n, no самой

итать.

их дв риалов

IDHKo.

M B Ha-MHRED

зие и

nce of

ear of

s. and (ahra.)

(FEF, HPC)

потери

К, со-

XHOCTE сления

сть 0,

ty pacия на-зависи-

ie pas-

сть по

ся. По-

аковом

езкому

ыстрее

наблю-

лем уд.

ъ вул-

м сжа-

ри заговерх-

износу

ся на

60 Bec.

шению

смесян

F, xorn

орский

ных ре-

Блох

m a H-

Вести.

й и по-

ионную

рассчи-22485).

ненного

эняют.

ельной

раняют

ндирует

горский

ров т e pe m

stupen

-пию.

vulkanisace gumárenských směsi. Peremský R.), Chem. průmysl, 1956, 6, № 3, 110—114 (чем.; рез.

русс., англ.) Изучалось действие ZnO, MgO, CaO и PbO на физ.мех, свойства вулканизатов и на кол-во присоединенной S при вулканизации ненаполненных смесей из НК и сажевых смесей из НК и Буна-S3, содержащих ускорители каптакс и дифенилгуанидин (денакс) (ДФГ). Свободная S определялась путем окисления ацетонового экстракта Br₂ с последующим осаждением в виде BaSO4. По убыванию влияния на кол-во присоединенной S через 20 мин. вулканизации в прессе с каптаксом активаторы располагаются в ряд: ZnO — MgO — CaO рьо. В начальной стадии вулканизации (8 мин.) кол-во грисоединенной S с ZnO меньше, чем с CaO и MgO. Навлучшим активатором в вулканизатах с ДФГ яв-ляется CaO, затем MgO, PbO и ZnO. При вулканизации в котле наилучшим активатором каптакса, особенно в начальной стадии вулканизации, является ZnO. В конпе вудканизации MgO по эффективности действия приближается к ZnO. При вулканизации в котле с ДФГ активаторы располагаются в ряд (по убыванию): МgO-CaO — PbO — ZnO. Хорошие результаты дает применение комбинации Zn и CaO. Для комбинации каптакса с ДФГ наилучшим активатором является смесь Талон MgO.

13388. К изучению вулканизации высокоаластиче-И. Туторский

ских полимеров. Сообщение 7. Вулканизация натурального каучука тиурамдисульфидом. IV. III еле, III танге (Zer Kenntnis der Vulkanisation hochelastischer Polymerisate. 7. Mitt. Die Vulkanisation des Naturkautschuks durch Thiuramdisulfide (IV). Scheele Walter, Stange, Peter), Kautschuk und Gummi, 1956, 9, № 5, WT 110-WT 113 (Hem.)

Кинетика разложения тетраэтилтиурамдисульфида (I) побразования дитиокарбамата Zn (II) при вулканизации НК I в присутствии ZnO при 120° подчиняется ур-нию первого порядка. Предельное кол-во образующегося II (66 мол. %) не зависит от конц-ии ZnO в пределах 2,5-40 г на 100 г смеси. Константы скорости образования II в разложения I с повышением конц-ии ZnO увеличиваются, но отношение их сохраняется постоянным, что указывает на взаимосвязь р-ций разложения I и образования II. По-видимому, молекулы I адсорбируются на поверхности кристаллов ZnO, после чего I реагирует є углеводородом каучука. Активность ZnO должна повышаться с увеличением степени дисперсности. В присутствии CaO, Ni₂O₃, Fe₂O₃, Al₂O₃ или MgO получаются вулканизаты низкого качества, в то время как присутствие Sb₂O₃, Bi₂O₃ или TeO₂ приводит к получению хороших вулканизатов. Сообщение 6 см. РЖХим, 1956, 48624. И. Туторский

13389. К вопросу о предельном количестве дитиокарбамата, образующегося при вулканизации натуральвого каучука тиурамдисульфидом. Шеле, Лоренц (Zur Frage des Grenzwertes der Dithiocarbaminat-Bildung bei der Vulcanisation des Naturkautschuks durch Thiuramdisulfide. Scheele Walter, Lorenz 0 t t o), Kautschuk und Gummi, 1956, 9, № 2, WT27-WT30 (нем.)

Представлены дополнительные данные по вопросу об «бразовании предельного кол-ва дитнокарбамата (I) (66 мол. %) при вулканизации НК тиурамом (РЖХим, 1956, 27074), что подвергалось сомнению Зейном в его лиссертации (Zijp H. W. Topassing van de papierchro-matographie bij de identificatie van in de rubberindustrie gebruiklijke versnellers en antioxydantien. Delt, 1955). Кондуктометрич. и потенциометрич. методы определения І дают совпадающие результаты, что свидетельствует о надежности методики определения I в экстракте. При экстракции вулканизатов кипящим ацетоном получают завышенные результаты для содержания I при малых временах вулканизации вследствие продолжающейся вулканизации, однако это не влияет на предельное кол-во образующегося І. При экстракции уксусно-этиловым эфиром в темноте это явление устраняется и получают верные результаты. Кол-во образующегося I не зависит от конц-ии тиурама и ZnO. Утверждение, что значительное кол-во I образуется при вальцевании, неверно, это не может повлиять на предельное кол-во образующегося І. И. Туторский 13390. К вопросу о предельном количестве дитнокар-

бамата, образующегося при вулкавизации натурального каучука тнурамдисульфидом. Ответ Шеле и Лорещу. З е й п. Ответ на замечания. Щ е л е, Лоренц (Zur Frage des Grenzwertes der Dithio-carbaminat-Bildung bei der Vulkanisation des Naturkautschuks durch Thiuramdisulfide. An twort an W. Scheele und O. Lorenz. Zijp J. W. H.—Erwiderung auf Bemerkungen, Schele Walter, Lorenz Otto), Kautschuk und Gummi, 1956, 9, № 5, WT 114—WT 117 (нем.)

При изготовлении тиурамовых вулканизатов из НК возможно частичное разложение тиурама (I) при смешении, вулканизации, старении, а также при экстракции. Поэтому в ацетоновом экстракте резин обнаруживается дитнокарбамат Zn (II), однако из этого не следует делать вывода, который приписывает автору Шеле (см. пред. реф.), что II образуется уже в процессе пла-стикации. Утверждение Шеле, что при вулканизации образуется предельное кол-во II (66 мол. %), неверно, так как превращение тиурамдисульфилов в II при экстракции зависит от кол-ва II, образовавшегося при вулканизации, а также от характера алкильной группы. На основании характера зависимости логарифма конц-ин II от 1/t, где t — время р-ции, нельзи судить о кол-ве образующегося II, так как указан-ная зависимость справедлива в крайне узком участке в области больших времен р-ций. Низкий выход II при вулканизации можно объяснить также частичным разложением II в процессе вулканизации (J. Mann., Trans. IRI, 1951, 27, 232). В своем ответе Шеле и Лоренц утверждают, что при вулканизации как НК, так и Буна-S I образуется 66 мол. % II. Разложение I и образование II при вулканизации являются р-циями первого порядка при невысокой т-ре, так как контроли-рующей стадией процесса является диффузия. При высокой т-ре наблюдается отклонение от ур-ния первого порядка. Разложение I и образование II при р-ции гераниола с тетраэтилтиурамдисульфидом являются р-циями первого порядка при всех изученных т-рах, причем в этом случае также образуется 66 мол. %. II. Кол-во образующегося II не зависит от дозировок ZnO (РЖХим, 1957, 13388). При длительном кипячении р-ра наблюдается разложение I, а кол-во образовавшегося II оста-ется постоянным. Отсутствие максимума на кривой образования II в процессе вулканизации указывает на достаточную устойчивость ІІ. И. Туторский Термодинамика аластичности каучука в свете

работ Баргенева. X а й м (Termodinámica elasticității, cauciucului în lumina lucrărilor lui G. M. Bartenev. Haim E.) Ind uscara 3, № 8, 321—330 (рум.; рез. русс., англ.) Обзор. Библ. 18 назв.

О применении каучука и каучукоподобных материалов в горной промышленности. Ханнафорд (Some aspects of rubber and rubber-like materials in mining. Hannaford S. V.), Proc. Australas. Inst. Mining and Metallurgy, 1954, M 172,

81—112(англ.) Обзор. Рассматривается произ-во и применение рукавов, антикоррозионных покрытий и транспортерных лент в горной пром-сти. Библ. 13 назв. И. Туторский

ve

19

П

жак

мака

пане

RaHI

1340

K

II

Д

тек

оди

гие

Rak

Koa

тер

R J

на

BLI

TOT

KOL

Ra7

134

ms

13393. Резиновые смеси для починки и сростки кабелей с резиновой изоляцией. Кашин В. А., Янтовская Э. Б., Вестн. электропром-сти, 1956, № 4, 65—69

Исследована кинетика вулканизации и воздушно-тешловое старение починочных смесей для изоляции кабелей различных типов. Установлены оптимальные режимы вулканизации. В нормальных условиях резина III H-40 может храниться 6 месяцев, ПИ-35 до 8 месяцев, ПШ-35 до 11 месяцев, ОВР-40 18—24 месяца.

Ю. Дубинкер 13394. Регенерация вулканизированных отходов резины на основе кремнийорганического каучука (СКТ). Лахман Л. С., Сб. рац. предлож. М-во электротехн. пром-сти СССР, 1956, № 3, (61), 8

Регенерация изоляционной резины из СКТ производится на 40-дюймовых вальцах с механич. ножом при 50—60°; для ускорения процесса прибавляют небольшое кол-во каптакса. Продолжительность 33—43 мин. Регенерат хорошо смешивается с каучуком СКТ и ингреднентами и может вулканизоваться. Обычная дозировка 15—20 вес. ч. на 100 вес. ч. каучука. Технологич., физ.-мех. и диэлектрич. свойства, а также теплостойкость при 250° вулканизатов не отличаются от соответствующих показателей резины из СКТ без регенерата.

13395 Д. Исследование некоторых смешанных свойств натурального каучука и некоторых синтетических ластомеров. І. Электрические свойства. ІІ. Сототношение между вязкостью и молекулярным весом и распределение молекулярных весов. ІІІ. Релаксация напряжения в чистом азоте. К а р т е р (A study of some miscellaneous properties of natural rubber and several synthetic elastomers: I. Electrical properties. II. Viscosity-molecular weight relations and molecular weight distributions. III. Stress relation in pure nitrogen. C a r t e r W a l t e r C r u m b l e y. Doct. diss., Princeton Univ.), Dissert. Abstrs, 1955, 15, № 4, 506—507 (англ.)

13396 Д. Исследование новых методов нагрева в технологии резинового производства (электронагрев ТВЧ). Малкина Х. Э. Автореф, дисс. докт. техн. и., Моск. ин-т хим. машиностр., М., 1956

13397 П. Синтетические латексы (Synthetic rubber latices) [United States Rubber Co.]. Англ. пат. 734392, 27.07.55

Смешивают каучуковый синтетич. латекс, полученный эмульсионной полимеризацией, 70—80 ч. бутадиена и 30—20 ч. стирола при 4—13°, с поливинилхлоридным латексом со средним диам. частиц (рассчитан по величине их поверхности) 100—1000 А. Соотношение латексов таково, что на 100 ч. сухого в-ва в каучуковом латексе приходится 5—35 ч. поливинилхлорида. Смесь может содержать обычные наполнители и вулканизующие агенты. Смесь можно вулканизовать после отложения сухого в-ва на форме. См. также англ. пат. 627265 и пат. США 2579908. М. Лурье 13398 П. Эластомерные латексы и способ их изго-

товления. Маллоне (Latex d'élastomères et leur procédé de préparation. Mallonee James E.) [E. I. du Pont de Nemours and Co.]. Франц. пат. 1108785, 17.01.56 [Rev. gén. caoutchouc, 1956, 33, № 5, 485—486 (франц.)]

Для наготовления устойчивых латексов продуктов р-ции органич. днизоцианатов с длинной цепью приводят во взаимодействие органич. соединение с≥ 2 активными атомами Н и с мол. в. ≥750, напр., простой эфир политетраметиленгликоля, с избытком диизоцианата, напр. 2,4-диизоцианата толилена; затем удлиняют цепь начального продукта присоединения, эмульгируя в воде в присутствии первичного диамина,

напр., м-толилендиамина. Полученный таким образом латекс пригоден для произ-ва маканых резиновых изделий.

13399 П. Изделия из пенистой резины и способ их получения. Сандмейер (Method of manufacturing articles from foam rubber, and articles manufactured by this method. Sandmeier F.), Англ. пат. 726965, 23.03.55

Форму макают в термосенсибилизированную латексную пену, при этом на ней остается слой пены. Его немедленно нагревают до т-ры не ниже т-ры желатинирования пены в условиях, предотвращающих высыхание пены. Происходит желатинирование без образования капли. Операции повторяют до получения требуемой толщины пенистого слоя, затем вулканизуют и снимают с формы. Нагревание ведут горячим воздухом, другим газом или паром или их смесью и (или) током ВЧ: нагревающая среда может содержать пары муравьиной или уксусной к-т. Высыхание слоя пены устраняют, применяя атмосферу насыщ, пара и (или) нагревая не дольше, чем нужно для желатинирования, т. е. 10-30 сек. Формы могут быть горячими или холодными. Метол пригоден для произ-ва обуви, чулок, перчаток и для М. Лурье их обклалки

13400 П. Твердая пенистая резина. Талалай, Коффи, Талалай (Stiffening foam rubber. Talalay A., Coffey W. D., Talalay J. A.). Австрал. пат. 166927, 23.02.56

Яченстые изделия получают из жидких дисперсий эластомера при их затвердевании в виде трехмеркой сетки в форме яченстой структуры; затем на внутренних стенках ячеек откладывают колл. кремнезем с добавлением или без добавления латекса. М. Монастырская 13401 П. Вспененная резиновая губка. О с те р х о ф.

Роджерс (Frothed rubber sponge. Osterhol Harold J., Rogers Thomas H.) [Wingfoot Corp.]. Канад. пат. 510833, 8.03.55

Натуральный или синтетич. латексы — полихлоропреновый, бутадиенстирольный или бутадиенакрилнитрильный вспенивают до 25—75% окончательного объема, добавляют 1—10 ч. (на 100 ч. каучука в латексе) линтера со средним размером волокна ~0,46 мм и временем смачивания волокна ≥30 мин. Последнее проверяют, нанося 1 г линтера на поверхность 10%-ного р-ра NаОН и замечая время, необходимое для полного смачивания. Затем заканчивают вспенивание желатинируют и вулканизуют. М. Монастырская 13402 П. Получение резиновых изделий из латекса,

содержащего. фторотитанат и фторид. Мак-Фадден, Беннетт, Бойд (Manufacture of rubber goods from a latex containing a fluotitanate and a fluoride. McFadden George H., Bennett Bailey, BoydRobert E.). Пат. США 2731427, 17.01.56

При получении изделий из натурального или синтетич. латекса с применением в качестве коагулирующего агента (I) замедленного действия фторотитаната № или К в латексе повышают конц-ию аниона F, предверительно вводя в I 7,5—9,5 г (на 1 моль I) № F, К или № 4F. При этом предотвращается местная коагуляция, повышается рН и увеличивается время желатынрования.

М. Лурье. 13403 II. Желатинирование дисперсий каучука (Gel-

13403 П. мелатинирование дисперсии каучука (ошling rubber dispersions) [Dunlop Rubber Co. Ltd]. Австрал. пат. 166603, 2.02.56

Вулканизующуюся води. дисперсию каучука смешвают с органич. тиосоединением и окислителем и формуют. Желатинирование происходит под действием тиосоединения и окислителя. Гель вулканизуют. М. Лурье

13404 II. Новый способ получения каучуковых по крытий. Фишмейстер, Коецкий (Nou-

57 r.

разон

изде-Лурье об их

ifactn-

nufac-

п. пат.

атекс-

го не-

атини-Ахание Ования

буемой пимают

пругим Ч; на-

вынной

т, при-

е доль-

30 сек.

Метод

и для

Лурье

алай,

rubber.

alay

персий

мерной

ренних обавлеърская рхоф, егроб

Wing-

ихлоро-

накрил-

ельного

в латек-

0,46 MM

следнее

%-ного

ля пол-

ивание,

гы рская патекса.

of rub-

ate and

n nett 2731427,

и синтерующего

цата Na

предва-

н коагу-

желать

Лурые. ка (Gel-

o. Ltd].

смеши-

и и фор-

ействием

анизуют.

і. Лурые вых пой (Nouveau procédé pour l'obtention d'objets recouverts de caoutchouc. Fischmeister O., Kojecky O.). Франц. пат. 1064480, 13.05.54 [Chem. Zbl., 1955, 126, № 30, 7096 (нем.)]

Подложку из пробки или из ячеистой резины погружают в латекс, высушивают приставший слой и затем макают в коагуляционную ванну. Последующие слои ваносят попеременно с погружением в коагуляционную ванну. М. Монастырская

13405 П. Способ приготовления каучукового порощена из латекса. Далфсен (Verfahren zur Herstellung eines Kautschukpulvers aus Kautschukmilch. Dalfsen Jan Willem van) [Indonesisch Instituut voor Rubberonderzoek]. Пат. ФРГ 937494,

Для получения стойкого порошкообразного каучука, поддающегося дальнейшему измельчению, с весьма малым содержанием (≤5%) некаучуковых в-в к латексу прибавляют вулканизующие агенты (S, Se, ZnO),
один или несколько стабилизаторов, наполнители и другие требующиеся ингредиенты. Смесь оставляют стоять
дительное время; для ускорения процесса ее подогревают. Процесс заканчивают, когда получающийся
коагулюм или пленка полностью или почти полностью
теряют прочность. Для получения эбонитового порошка
к латексу прибавляют кроме ZnO 20—40% S (считая
ша каучук). Полученный порошок дополнительно нагревают перед дальнейшим измельчением. Каучуковый порошок пригоден для смещения с асфальтом, изготовления производных каучука, для пресс-порошков и формовых изделий. П р и м е р: К 100 ч. свежего
натурального латекса (конц-ия 35,9%), заправленного аммиаком (1,3 г/л), прибавляют 1 ч. ZnO, 2 ч. S и
1 ч. диэтилдитиокарбамата Na. М. Лурье

13406 П. Вулканизующиеся термопластические смеси (Compositions thermoplastiques vulcanisables.) [Imperial Chemical Industries Ltd]. Франц. пат. 1105241, 29.11.55 [Rev. gén. caoutchouc, 1956, 33, № 5, 486 (франц.)]

Эмульсионной сополимеризацией стирола с бутадвеном приготовляют смолоподобный продукт и эмульсконной сополимеризацией бутадиена со стиролом каучукоподобный продукт. Оба латекса хорошо смешвают и коагулируют. Коагулюм вводят в вулканизующуюся смесь из НК или СК и вулканизуют. Продукт применяют для изготовления подошв. М. Лурье

13407 П. Способ получения производных каучуков. Гарнье (Procédé de préparation de substances diverses et producits obtenus par ce procédé. G a r n i e r A. A. M.). Франц. пат. 1063418, 3.05.54 [Chem. Zbl., 1955, 126, № 30, 7103 (нем.)]

Латекс выдерживают в темноте, в присутствии O_2 пли O_3 , при $38-40^\circ$, фильтруют, растворяют в бзл. при $38-40^\circ$, смешивают с порошкообразными отходами целлюлозы, смешанными с кристаллич. фанолом при добавлении порошка Fe («дыхательный фермент»), 40% бзл. и небольшого кол-ва каучука. Смесь прессуют в вакууме при 4-6 кI'/cм² и 15-24 часа, при $38-40^\circ$, пропускают над поверхностью ток O_2 или O_3 . Затем 15-50 час. обрабатывают при $40-60^\circ$ гексаметилентетрамином и NH_3 , удаляют бзл. и получают эластичную каучукоподобную массу, смешивающуюся с каучуком и поляризующую свет. Способ применим для смешения и обработки совмещающихся в-в. М. Монастырская

13408 П. Способ получения дисперсий каучука или продуктов его циклизации или окисления. Гордон (Verfahren zum Herstellen einer Dispersion von Kautschuk, bzw. seinen Cyclisierungs-oder Oxydationsprodukten. Gordon Manfred) [Dunlop Rubber Co. Ltd]. Пат. ФРГ 938755, 9.02.56

К натуральному или синтетич. латексу с 2—5 вес.ч. (на 100 вес. ч. каучука) неионного стабилизатора, напр. полнэтиленгликолевого эфира олеилового спирта, прибавляют води. р-р ${\rm H_2SO_4}$ с $\geqslant 80\%$ ${\rm H_2SO_4}$ до рН <5. Затем прибавляют кони. ${\rm H_2SO_4}$ или олеум до содержания ${\rm H_2SO_4}$ б0—90%. Для циклизации каучука к полученной дисперсии прибавляют фенол, доводят содержание ${\rm H_2SO_4}$ до 70-75% и нагревают до $80-120^\circ$. Для окисления каучука в приготовленной, как выше указано, дисперсии растворяют пер-соединение, напр. надсерную к-ту, ${\rm H_2O_2}$ или персульфат и оставляют стоять при $\sim 20^\circ$. П р и м е р : 95 ч. 60%-ного натурального латекса стабилизируют 2,4 ч. продукта конденсации олеилового спирта с 20 молями окиси этилена; при охлаждении быстро прибавляют 27 ч. 75%-ной ${\rm H_2SO_4}$ и затем повышают ее конц-ию до 79%, прибавляя 155 ч. 98%-ной ${\rm H_2SO_4}$, нагревают 3 часа при 85° , вливают и 2000 г горячей ${\rm H_2O}$, фильтруют, промывают и сушат. М. Лурье

13409 П. Способ изготовлення растворимого хлоркаучука. Нейвелд (Verfahren zur Herstellung von löslichem Chlorkautschuk. Nijveld Hendrik Albert Wildrik) (Rubber-Stichting]. Пат. ФРГ 937551, 12.01.56

Для получения хлоркаучука (I), растворимого в ароматич. и хлорированных углеводородах, сложных эфирах и кетонах, хлорированее осуществляют в 2 стадии. Стабилизованный латекс хлорируют при ∼50° по крайней мере 2 н. к-той до содержания в образовавшемся I ≥50% СІ. Продукт осаждают, вновь диспергируют, разбавляют водой до содержания сухого в-ва ≤30%, если нужно, прибавляют к-ту (0,8 н.)или щелочь(0—6 н.) и хлорируют далее (5—20 л Сl₂ в 1—2 часа) при т-ренвже 90° до получения води. дисперсии растворимого І. Пример: Через 200 г 60%-ного латекса, стабилизованного 2% производного жирного спирта и подкисленного 140 мл соляной к-ты (уд. в. 1,19), пропускают 7,5 час. при 20° 20 л/час Сl₂. Полученный 1 содержит 55,4% Сl и нерастворим в обычных р-рителях. Из него приготовляют дисперсию конц-ней 7% и кислотностьюсреды 0,3 н. 150 г этой дисперсии хлорируют 3 часа при 40° (5 л/час). Получают растворимый 1 с 56,2% Сl и вязкостью при 25° 20%-ного р-ра в толуоле 29 спуав. М. Лурье

13410 П. Способ получения гипогалондированного каучука (Method of preparing a hypohalogenated rubber derivative) [Goodrich Co. В. F.]. Англ. пат. 732932, 29.06.55

Гипогалондированные производные каучука можно получать, диспергируя СК (полимер бутадиена, изопрена, хлоропрена, 2,3-ди-метилбутадиена или их сополимеров с акралнитрилом, стиролом, метилакрилатом, метилметакрилатом, метилметакрилатом, метилметакрилатом, метилметакрилатом, метилметакрилатом, метилметакрилатом, метилметакрилатом, метилметакрилатом, метилметакрилатом, метилметакрилитрилом или изобутиленом) в органич. р-рителе и действия на дисперсию 0,45—1,0 молями гипогалондной к-ты (на 100 г каучука) в води. р-ре с рН 4—9 и 1,3—5,4·10-2 молями металлич. соли гипогалондной к-ты на 100 г каучука в води. р-ре с рН 9—14. Каучук можно растворить в ксилоле, толуоле, гексане, гентане, бзл., ССІ₄, хлф., дихлоратане, моно-, ди- или трихлоратилене или дипентене, если нужно с небольшим кол-вом бензина или бутилацетата. Предпочтительно пользуются хлорноватистую. В качестве соли можно применять Nа, К или Сасоли гипогалоидной к-ты. Гипохлорированный Продукт можно употреблять в смеси с хлорированным НК, ксилолом и ССІ₄ для крепления НК или GR-S к стали.

13411 П. Смеси из каучукоподобных сополимеров (Compositions of rubbery interpolymers) [Goodrich Co. B. F.]. Англ. пат. 734737, 3.08.55

H

BO

Ti

J

ж

KJ CO BO

CT

III M

H

HO

п

ге

MI

27

Бромированные сополимеры изоолефинов и полиолефинов стабилизуют 1—100% силиката металла II группы периодич. системы. Стабилизатор можно вволить в бромированный сополимер во время его изготовления. на вальцах в твердом состоянии или же смешивать дисперсию, напр. водн. силиката, с дисперсией или р-ром сополимера в толуоле, бутане, гексане, гептане, метил-или этилхлориде, трихлорэтане, CCl, или хлорбензоле. Стабилизованные бромированные сополимеры совмещаются с НК или с СК, напр. бутадиенстирольным, буталиеннитрильным, полихлоропреном, бутилкаучуком или полисульфидным каучуком; улучшаются физ. свойства невулканизованных и вулканизованных сополимеров. Получаемые продукты пригодны для крепления каучукоподобных резиновых материалов друг к другу и к металлу, их применяют в произ-ве камер и покрышек. Пленки из гидрохлорида каучука (Rubber 13412 П. hydrochloride film) Wingfoot Corp.]. Англ. пат. 727306,

Пленку из гидрохлорида каучука, содержащую тверлого диалкилового простого эфира больше, чем может раствориться в нерастянутой пленке, растягивают до тех пор, пока эфир не растворится полностью. Можно применять эфиры: дидодециловый, дитетрадециловый, диоктадециловый и имеющие ≥20 атомов С в каждой алкильной группе с нормальной или разветвленной ценью. Эфира прибавляют предпочтительно 1,0-1,5%, после чего пленку медленно растягивают до 4-кратного увеличения поверхности. В качестве пластификатора применяют дибутилфталат, дигидрометилабиетат, три-толил-, этилдифенил-, дибутилфенил-, 2-этилгексил,дифенил-, триметоксиметил-, триметоксиэтил-, трипропокенбутилфосфат, днизобутил-, октил-, децил-, диоктадецил-, днизобхтил-, дн-(2-этилгексил)-адипат, дибутил- или дипропилсебацинат. Кроме того, р-римость эфира можно повысить прибавлением гидрированного трифенила, хлорированного парафина или кумаронинденовой смолы. См. также англ. пат. 726500 (РЖХим, 1956, 37540). Стабилизатор гидрохлорида каучука. М а к-

Вей (Agent stabilisant du chlorbydrate de caoutchouc. M с V e y W arren C.) [Goodyear Tire & Rubber Co.]. Франц. пат. 1107444, 30.12.55 [Rev. gén. caoutchouc. 1056, 23, 25, 5486. (Аради.)]

сhouc, 1956, 33, № 5, 486 (франц.)]
Стабилизатором служит кристаллизующийся продукт конденсации гваякола, морфолина и формальдерида.
М. Лурье

3414 П. Способ улучшения окрашиваемости продуктов реакции каучукоподобных полимеров и получаемые окрашенные материалы. Рум и е й дт (Process for improving the dyeability of rubbery polymer reaction products, and the resulting dyed materials. Rumscheidt Gottfried E.) [Shell Development Co.]. Канад. пат. 519791, 20.12.55

Для окращивания продуктов р-ции НК или диеновых СК с SO₂ их приводят в соприкосновение в набухшем виде с р-ром красителя и стабилизатора органич. амина или амида (мочевины, тиомочевины, гексаметилентетрамина, меламина или их смесей) в жидкости, не вызывающей заметного набухания каучука. Р-р полимера можно впускать в коагуляционную ванну, содержащую достаточно SO₂, при этом продукт р-ции с SO₂ осаждается в виде непрерывного набухшего волокна, извлекаемого из ванны и пропитываемого в набухшем состоянии р-ром красителя и стабилизатора. М. Лурье 13415 П. Процесс обработки коагулюма эмульсион-

ных полимеров (Procédé de traitement de coagulats de polyméres obtenus en émulsions.) [N. V. de Bataafsche Petroleum Maatschappij]. Франц. пат. 1103357, 2. 11. 55 [Rev. gén. caoutchouc, 1956, 33, № 5, 486 (франц.)]

Для удаления воды и эмульгаторов влажный коагулюм обрабатывают в прессе с бесконечным винтом (тыпа, применяемого для выжимания масла) и затем пластыцируют.
М. Лурье

13416 II. Вулканнаующиеся хлорбутадиеновые полимеры (Vulcanizing chlorobutadiene polymers) [Атегісап Суапатіd Со.]. Австрал. пат. 200903, 15.03.56 Для вулканизации полимеров 2-хлор-1,3-бутадиена применяют ускорители, относящиеся к классу тиоамидов с общей ф-лой R'C(S)N(R"R"), дитиооксамидов с общей ф-лой [—C(S)N(R"R")]2 или дитиосукцинамидов с общей ф-лой [—CH2—C(S)N(R" R")]2, содержащие; по крайней мере, одну тиоамидную группу, где R'HC2H50, фенил или фурил, R" и R" H, алкил (С1—С8), фенил или циклогексил. Группировка — NR" R", может быть также морфолилом, пирролидилом или пиперидилом. И. Туторский 13417 II. Обработка каучука (Rubber treatment) [United States Rubber Co.]. Англ. пат. 730267, 18.05.55

Бутилкаучук с ≥25 ч. усиливающей сажи (на 100 ч. каучука) нагревают при одновременной пластикации или без нее при т-ре ≥149°, вводят вулканизующие и другие ингредиенты и вулканизуют. В смесь можно вводить также промоторы р-цин, напр. трет-бутилиерокси-бензоат, 2,2-бис-(трет-бутилиерокси)-бутан, ацетат или 2-этилгексаноат 2-валентной Hg. М. Лурье

13418 П. Регулирование индукционного перпода вулканизации синтетических полимеров (Procédé de réglage du mûrissage des polymères synthétiques.) [Standard Oil Development Cny]. Франц. пат. 1102244, 18.10.55 [Rev. gén. caoutchouc, 1956, 33, № 4, 394 (франц.)]

Для сокращения индукционного периода вулканвзации бутилкаучука к води. дисперсии полимера (полученного полимеризацией при—50° с катализатором Фриделя— Крафтса) прибавляют стеарат Zn, поддерживая рН системы 4,5—6,5.

13419 П. Водные дисперсии бутилкаучука и способ их приготовления. Фликкингер. (Aqueous dispersions of butyl rubber and method of producing same. Flickinger John A.) [Dominion Rubber Co., Ltd]. Канад. пат. 510691, 8.03.55

Дисперсии приготовляют в закрытом смесителе путем прибавления воды к смеси 100 ч. бутилкаучука с 25—100 ч. неколл. неорганич. наполнителя (в частности, каолина или мела) и 3—15 вес. % (от веса каучука) аммонийного мыла жирной к-ты с 10—20 атомами С в молекуле. Воду прибавляют до обращения фаз.

IO. Дубинкер 13420 П. Органосилоксановые эластомеры (Organosiloxane elastomers) [Midland Silicones, Ltd; form. Dow Corning, Ltd]. Англ. нат. 731166, 1.06.55

Вулканизующаяся смесь состоит из растворимого в бал. полидиорганосилоксана (I) с вязкостью при 25° ≥2000 ccm, вулканизующего агента и 30—100 вес. % (от веса I) нерастворимого в воде полициклич, бензоидного органич. соединения с т. пл. >250° и размером частиц <150 мµ, стойкого к окислению ≥ 24 час. при 250°. I содержит предпочтительно метильные и фенильные группы (последних может и не быть). Вулканизационными агентами являются трет-бутилпербензоат, перекись бензоила или п-дихлорбензоила или трет-бутилперацетат; бензоидными наполнителями: перилон, тиоиндигоидные коронен. 2,3,8,9-дибензкоронен; красители, фталоцианин и их Cu-, Mg- и хлорированные Си-производные. Смесь, приготовленную обычным способом, нагревают в прессе 10 мин., напр., при 150°, затем вулканизуют при 250°. Ожижение силиконового каучука и получаемые при этом продукты (Liquefaction of silicone 7 r.

oarv-

a (TH-

урье

Ame-

03.56

гвена

MW.

с об-

сидов

III We

где И.

Груп-

илом

рский

ment)

30267

100 y.

капии

HING H

O BRO-

окси-

петат

Турье

риода rocédé

ques.)

пат

56, 33,

ткани-

(полу-

и Фри-

(ержи-

способ

queous

ducing

Rub-

путем c 25гности,

учука) Свмо-

бинкер

rganoform.

MOTO B

три 25°

Вес.%

ензоид-

ром ча-

ои 250°.

запион-

, пере-

-бутил-

ерилон.

оилные

ванные

ым спо-

и 150°.

Лурье

и полу-

silicone

rubber gum and products thereof) [Connecticut Hard Rubber Co.]. Англ. пат. 738318, 12.10.55

Сырой или вулканизованный тверлый лиметилсилоксановый каучук (I) ожижают, подвергая его действию HCl, HBr, HJ, тионил-, ацетил-,бензоил- или фталилхлоопла. Пример: измельченный І обрабатывают газообразным HCl при 21° под пониженным давлением, до полуения вязкой жидкости. Она может вновь затвердеть при стоянии на воздухе, при продувке через нее воздуха жин №, осторожном нагревании, при введении в нее воды или пара для растворения HCl, или при нейтр-ции упслотности углекислым аммонием или елким натром. В ожиженный I можно также вводить усилители, напр. TiO2 или инфузорную землю в виде пасты с CCl4, удадвемого затем нагреванием. Смесь пластицируют и вулжить для пропитки текстильных тканей, бумаги, стекла и асбеста, после чего I регенерируют на месте при соприкосновении с воздухом или водяным паром. Углеводородные радикалы І можно хлорировать в присутствии УФ-лучей. По обработке газообразным NH2 жидкий I дает масло, которое при нагревании преврашается в липкую смолу, пригодную для склеивания между собой I. Это масло можно обработать определенными кислотными агентами с получением твердого каучука; избыток реагента вновь вызывает ожижение. Ожиженный I можно стабилизовать глицерином при нагревании до 130°. Для регенерации I, использован-ного, напр., как покрытие стеклянной ткани, его ожижают, отфильтровывают от наполнителя и стеклянных регенерируют в твердый продукт. волокон и

М. Лурье M. 13 pbe M22 II. Силиконовые каучуки (Silicone rubbers) [Midland Silicones Ltd form, Dow Corning Ltd], Англ.

пат. 739116, 26.10.55

Смесь, твердеющая при нагревании, состоит из органополисилоксана (I) с ф-лой $R_n SiO_{(14-n)/2}$ (R — метил-(>50%) или фенил; n=1,95-2,05); кремнеземного наполнителя, вулканизующего агента и >0.5 вес. ч. (на 100 ч. I) цирконатной соли металла, силиката Zr или фтороцирконата металла. В качестве наполнителя применяют инфузорную землю, аэросилиполители применные SiO_2 или ксерогель, предпочтительно с объемом пор $\gg 3$ см³/с и с теплотой смачивания гексаметилдисилоксаном 0,1-1,8 к кал/мл объема пор, и меньшее кол-во ZnO, TiO2 или Fe2O3. Вулканизующими агентами являются: *терет*-бутилпербензоат или пережись бензоила, ацетилбензоила, динафтила, бензоиллаурила и галоидированного или нитрированного бензоила. Zr-соединениями являются: цирконаты Ва, Са, Cd, Sr или Mg; силикаты Zn, ZnZr, BaZr, CaZr или MgZr; фтороцирконаты Na, K, Li, Cs или Ca. Силикаты употребляются в кол-ве (считая на 100 ч. силоксана) предпочтительно 20-80 вес. ч., вулканизующие агенты 1—10 вес. ч., Zr-соединения 0,5—40 вес. ч. В при-мерах указаны полимеры диметилиолисилоксана и сополимеры фенилметилсилоксана с диметилсилокса-ном или дифенилсилоксаном. М. Лурье Искусственные каучукоподобные

риалы (Matières caoutchouteuses artificielles.) [Imperial Chemical Industries Ltd]. Франц. пат. 1102420, 20.10.55 [Rev. gén. caoutchouc, 1956, 33, № 4, 394

(франц.)] СК получают взаимодействием полимеров сложных эпров с органич. полиизоцианатом, при этом получаются материалы, которые можно хранить при обычной т-ре без обычного для этого типа затвердевания. Исходным материалом являются полимеры сложных эфиров с мол. в. 2000—10000, полученные из этиленгликоля, янтарной и адипиновой к-т. М. Лурье в. Хилл

M24 П. Способ получения эластомеров. Хилл (Procédé de fabrication d'élastomeres. Hill Fre-

d e r i c k B., J r) [E. I. du Pont de Nemours and Co.]. Франц. пат. 1108786, 17.01.56 [Rev. gén. caoutchouc. 1956, 33, № 5, 488 (франц.)]

Для получения эластомеров типа полиуретанов и. частности, лля их вулканизации смещивают не вулв частности, дли их вузгканизации слединвают не вул-канизованный продукт р-ции простого эфира полнал-киленгликоля, напр., эфира политетраметиленгликоля, диизоцианата, напр. 2,4-диизоцианата, толилена, и волы с ди-изоцианатом арилмочевины и нагревают для вулканизации. Для предохранения от преждевременной вулканизации прибавляют пиперидин. М. Лурье ной вулканизации приоавляют пиперидии. М. Лурье 13425 П. Продукт, повышающий устойчивость резиновых смесей. Клейн, Орт (Standfestigkeitsverbesserer für Kautschuk-Mischungen. Klein Wilhelm, Orth Philipp) [Chemische Werke Hüls A. G.]. Пат. ФРГ 937552, 12.01.56

Для обеспечения введения в каучук сополимера бутадиена со стиролом, содержащего ≥50% стирола, в маточную смесь вводят кроме водорастворимого эмуль-гатора 0,1—5% (на сополимер) водонерастворимых органич. к-т, предпочтительно высших жирных к-т с нормальной или разветвленной цепью, напр. пальмитиновой, стеариновой, арахиновой, ненасыщ. к-т оленновой, к-т рыбьего жира, льняной, нафтеновой, ароматич. или замещ. ароматич. остатками алифатич. к-т. Применяют также их сложные эфиры, преимущественно алкильные с низшими членами ряда, напр., бутиловые. Пример: 100 вес. ч. сополимера с 90% стирола, 3% стеариновой или абиетиновой к-т или их бутилового эфира смешивают со 100 вес. ч. НК, предварительно нагретого в течение 3 мин. в резиносмесителе до 80°; смесь сополимера со стеариновой к-той делят на 3 равные части и прибавляют одну за другой через 1,5 мин.; смешение продолжают еще 12 мин. при 150°. Охлажд. смесь вводят в НК. М. Лурье 13426 П. Ячемстая резяна (Gas expanded rubber) [United States Rubber Co.]. Австрал. пат. 200504,

В сырую резиновую смесь вводят азодикарбонамил (1) и ≥5 ч. на 100 г каучука полиоксисоединения — гликоля или глицерина и нагревают до разложения 1. Выделяющийся газ расширяет смесь, после чего ее вулканизуют.

М. Монастырская

3427 П. Эластомеры, стабилизированные против из-менения цвета (Elastomeric products stabilized against changes in colour) [Farbenfabriken Bayer A.-G.]. Англ. пат. 735489, 24.08.55 Светлоокрашенные эластомеры получают из синте-13427 П.

тич. латексов, если требуется, их смесей с натуральным латексом. Коагулюм сушат в присутствии дифениламина, замещенного в кольце, и восстановителей. Амин может быть продуктом р-ции дифениламина со стиролом, циклогексеном или изогептанолом. Восстановителями могут быть соли щел. металлов и к-т — сернистой, фосфористой, фосфорноватистой, мышьяковой, или H2S; свободные основания и соли гидроксиламина или гидразина; соли 2-валентных Fe, Ti или Sn; глюкоза, алифатич. или гетероциклич. меркаптаны; соли оксиалкилсульфиновой или арилсерной к-т; эфиры фосфористой к-ты, фенилгидразинсульфокислоты и фенилгидразина. СК могут быть полимерами бутадиена, изопрена или хлоропрена или сополимеры этих мономеров со стиролом, акрилнитрилом, акриловой к-той, метилметакрилатом, винилметилкетоном или винилиденхлоридом. Пример: в водн. эмульсию бутадиенакрилнитрильного сополимера вводят продукт р-ции дифениламина со стиролом и с 1-5% восстановителя, состоящего из полисульфида Na, глюкозы, Na-соли оксиметансульфиновой к-ты, сульфата гидроксиламина, SnCl₂, до-децилмеркацтана, сульфита Na, тиофенола или 2-мер-каптобензотназола. Смесь коагулируют и сущат. М. Лурье 29.06.55

13428 П. Обработка каучука. Док (Rubber treatment. Doak Kenneth W.) [United States Rubber Co.]. Пат. США 2715618, 2715650, 16.08.55

НК или СК (полимер диена с сопряженными двойными связями или сополимер, содержащий ≥25% такого диена и сополимеризующийся моноолефин) смешивают с относительно большим кол-вом усиливающей сажи и с 0,75—3 ч. нитрита щел. или щел.-зем. металла. Смесь нагревают ≥135°, но ниже т-ры разрушения каучука, пластицируют, вводят вулканизующие и другие требуемые ингредиенты, формуют и вулканизуют. М. Лурье

13429 П. Вулканизация каучука (Vulcanization of rubber) [Rhein-Chemie Ges.]. Англ. пат. 731347, 8.06.55

Для вулканизации СК — полихлоропрена, сополимеров бутадиена со стиролом или акрилнитрилом, полиэтилентетрасульфида — его смешивают с белым или светлоокрашенным синтетич. наполнителем и алкилиридиниевой солью, алкильная группа которой связана с атомом N пиридина через одну из функциональных групп: О или С(О) N. Наполнителями могут служить предпочтительно МgO, Al₂O₈, силикаты Са или Al, карбонаты Мg или Са или же прокаленная кремнежислота. Из пиридиниевых солей предпочтительны октадецилоксиметилиридинхлорид и олеил-N-метиламидо-метилиридинхлорид, которые можно приготовить согласно англ. пат. 475130 и 575119. М. Лурье 13430 П. Вулканизация каучука (Vulcanization of rubber) [United States Rubber Co.]. Англ. пат. 732948,

Вулканизующиеся S каучукоподобные полимеры углеводородов — полибутадиен, сополимеры бутадиена со стиролом или с *п*-метилстиролом — можно вулканизовать, нагревая в присутствии 1—200% частично дехлорированного гексахлорииклопентадиена, содержащего 60—75% СІ. Присутствие S и активаторов — окисей металлов, не обязательно, но 0,5—20% (считая на каучук) ZnO, магнезии, глета или 2-меркаптобензотивазола могут ускорить процесс. Можно также прибавить сажу.

13431 П. Замедлители вулканизации (Vulcanisation retarders) [Monsanto Chemicals Ltd]. Австрал. пат. 167072, 8.03.56

Замедлителем вулканизации является N-нитрозопроизводное, получающееся при действии азотистой к-ты на полимер 2,2,4-триметил-1,2-дигидрохинолина. Последний образуется при полимеризации 2,2,4-триметил-1,2-дигидрохинолина под действием неокисляющей неорганич. к-ты. М. Лурье

13432 П. Непрерывное производство профилированных изделий (Continuous production of profiled shapes or articles) [Accumulatoren-Fabrik. A.-G.]. Англ. пат. 723664, 9.02.55

Длинные эбонитовые детали любого профиля производят нагреванием невулканизованной смеси на коротких лентах, в частности металлич., надлежащей формы или между ними, в течение времени, достаточного для подвулканизации. Окончательную вулканизацию для получения эбонитовых полос ведут после удаления с лент подвулканизованных профилированных полос без применения наружных форм. Пример. Смесь из 50 ч. каучука и 16 ч. S смешивают с каолином, битумом, парафиновым маслом и бензотназилдисульфидом, затем каландруют и получают полосы или пластины толщиной 0,5-1,0 мм. Их нагревают 0,5-2,0 мин. при 150° между гофрированными металлич. лентами, затем полосы наматывают на валики диам. 50 см и М. Лурье вулканизуют 3,5 часа при 3 ати.

13433 П. Стабилизаторы. Беммелс (Stabilizers. Вет m e l s Суги s W.) [Permacel Tape Corp.]. Канад. пат. 517646, 18.10. 55

Стабилизатором может служить невулканизующаяся, сухая и в нормальной степени клейкая смесьиз 32—60% мягкого, растворимого и невулканизованного НК, 21—41% клейкой совместимой с НК смолы и наполнителя и 0,03—10% (от веса смеси) стабилизатора двалкилдитиокарбамата с 1—10 атомами С в каждой диалкильной группе, с ф-лой [R(R') N — С (=S)]S_пМе, где R — насыщ, или ненасыщ, алкил, арил или аминозамещ, алкил или арил, R'—Н или алкил или аминозамещ, алкил; Ме— Sb, Bi, Cd, Pb, Cu, Se, Na, Sa или Zn, n равен валентности Ме. М. Лурье 13434 П. Противостаритель (Rubber stabilizer) [Universal Oil Products Co.]. Австрал, пат. 200541, 26.01 56

versal Oil Products Co.]. Австрал. пат. 200541, 26.01.56 Для защиты резины от растрескивания в нее вводят N, N'-диалкил-п-фенилендиамин, в каждой алкильной группе которого содержится ≥7 атомов С.

Ю. Дубинкер 13435 П. Противоокислители для каучука (Rubber antioxidants) [Monsanto Chemicals Ltd]. Австрал. пат. 166544, 2.02.56

В качестве противоокислителя применяют дипиклогексиламин или его смесь с 2,4-диметил-6 (или 4)-октирфенолом, полученым из диизобутилена, или 2,6-дибутил-4-метилфенолом, в котором бутил является третбутилом.

13436 П. Противоокислитель для каучука (Antioxi-

13436 П. Противоокислитель для каучука (Antioxidant for rubber) [Wingfoot Corp.]. Австрал. пат. 166949, 1.03.56
Каучук обрабатывают смолоподобным продуктом

полимеризации алкенилфенола.

13437 П. Синергические комбинации стабилизаторов.

Олленберг (Synergistic stabilizing compositi-

Олденберг (Synergistic stabilizing compositions. Olden burg Edgar Bradley) [Ethyl Corp.]. Пат. США 2729690, 3.01.56

Производные (I) гидразина (моно- или дизамещенные при N на углеводородный или гетероциклич. радикал) повышают эффективность действия противостарителей класса ариламинов (II). При ускоренном старении вулканизатов в бомбе (96 час. при 70° и давл. О2 21,7 кГ/см²) 1 повышают эффективность действия и устраннот миграцию II. Комбинацию I и II (30—100 вес. ч. II на 100 вес. ч. II) применяют в дозировках 0,1—2 ч. на 100 ч. смеси. И. Туторский

13438 П. Каучукоподобные полимеры контыогированных диенов, стабилизованные моноарилфосфатами. Б илл, X а и т е р (Rubbery conjugated diene polymers stabilized with monoaryl phosphites. B ill J o h n C., H u n t e r B y r o n A.) [United States Rubber Co.]. Пат. США 2732365, 24.01.56

В качестве противоокислителей для сополимеров бутадиена со стиролом, интрилом акриловой к-ты, внилпиридином, метилакрилатом или метилметакрилатом применяют моноарилфосфиты (1) с общей ф-лой RC₆H₄OP (ОН)₂, где R — алкил с > 4 атомов C, n > 1 синтезируют действием PCl₃ на соответствующие фенолы с последующими разгонкой, гидролизом, удаленем HCl и вакуумной сушкой. Благодари наличив длинной алкильной группы I не гидролизуются и могут вводиться непосредственно в латекс. Наличие ~1,5% в GR-S предохраняет его от теплового и светового старения. Наибольшее стабилизующее действие оказывают моно(ди-втор-амилфенил)фосфит, моно(вымоно(2,4-ди-треть-бутил-5-метилфенил)фосфит

А. Лебедев 13439 П. Покрытие из синтетического каучука, стойкое к маслам и старению, для защиты изделий из натурального каучука (Enduit à base de caoutchout 57 r.

lizers.

Corp.].

цаяся.

3 32-

TO HK.

напол-

ра пи-

ажпой

S, Me,

HIM BILL

и ами-

Na, Sp Лурье) [Uni-

6.01.56

ВВОЛЯТ

ильной

бинкер

Rubber

встрал.

иклоге-

2,6-ди-

Лурье

ntioxi-

пат.

дуктом Лурье

аторов.

) [Et-

шенные

рителей

ни вул-О₂ 21,7

устра-100 вес.

,1-2 T.

торский

PIOL MDO-

d diene

. Bill

d States

ров бу-TH, BE

акрилаф-лой

C, n≥1. цие фе-

, удале-

причис

и могут ~1,5%1

Betoror0

ие ока-

моно(но-

Лебедев

каучука,

издели

outchouc

рит

synthétique, résistant à l'huile et au vieillissement, pour la protection d'articles en caoutchouc naturel) Fiat (Sta Per A.)]. Франц. пат. 1106923, 27.12.55 Rev. gén. caoutchouc, 1956, 33, № 4, 395 (франц.)] Эластические детали подвесок автомобильных моторов обычно делают из СК в виду его стойкости к маслам и старению. Но у НК лучшие показатели по гистерезису и старению. Для замены СК на НК в деталях на последний наносят покрытие из р-ра неопреновой смеси с ускорителем, позволяющим вулканизовать при низкой т-ре.

ое. Вулканизационный аппарат. Ри, Кок-13440 П. Вулканизационный аппарат. Р и, Кок-бер и (Appareil de wulcanisation. R h e e D a-niel, Cockburn Donald) [Rhee Elas-tic Thread Corp. Soc. An.]. Франц. пат. 1102224, 18.10.55 [Rev. gén. caoutchouc, 1956, 33, № 4, 396 (франц.)] Для рот

Іля равномерной вулканизации очень длинных резиновых пластин, идущих на произ-во нитей, применяют автоклав с системой двоякого обогрева, позволяющей быстро нагреть резину до т-ры вулканизации и сохранять ее без изменения во время вулканизации. Подогрев ведется водяным паром и токами ВЧ. Резиновые пластины вводят в автоклав на тележке, позволяющей вращать их для равномерного обогрева. М. Лурье ращать их для равномерного сообрева.

А441 II. Изготовление сложных резиновых изделий.
Герни (Manufacture of composite articles. Gurney William A.) [Dunlop Tire and Rubber Goods Co. Ltd]. Канад. пат. 515880, 23.08.55

При изготовлении сложных изделий из резины, скрепленной с твердым материалом, поверхность или поверхности последнего покрывают термореактивной альдегидной или фенолальдегидной смолой; между резиновой смесью и смолой помещают пленку из полиизоцианата, полиизотиоцианата, алкилендиизоцианата, арилендиизоцианата, полиарилметанполиизоцината, НК. полимера углеводорода с сопряженными двойными связями или его сополимера. Собранную конструкцию нагревают под давлением для отверждения смолы Ю. Дубинкер и вулканизации каучука.

3442 П. Скленвание каучуковых материалов (Joining rubbery materials) [Standard Oil Development Co.]. Англ. пат. 727703, 6.04.55 Пля склеивания весьма ненасыщ, каучукоподобного материала (I) (диенстирольный сополимер или НК или

их смесь) с другим малоненасыщ, каучукоподобным материалом (II) между ними прокладывают третий каучукоподобный материал (III)— изобутиленбутадиеновый сополимер, полученный сополимеризацией при инзкой т-ре с катализатором Фриделя— Крафтса низкой т-ре с катализатором Фриделя— Крафтса смеси из 50—750 вес. ч. бутадиена на 100 ч. изобутилена. Предпочтительно, чтобы исходная смесь содержала 400-600 ч. бутадиена и конверсия была <10% (от всех мономеров). ПП может содержать р-ритель, напр., гексан. І может иметь йодное число 50—450. П может быть изоолефиндиолефиновым сополимером, полученвзаимодействием изоолефина (составляющего большую часть) с дволефином с сопряженными двой-ными связями (меньшая часть) с 5—8 атомами С в присутствии катализатора Фриделя — Крафтса и иметь йодное число <80. III может иметь йодное число 15-100; его можно смешать с вулканизующими агентами и вулканизовать между I и II. Сложные резиновые изделия (Rubber com-

posites) [Dunlop Rubber Aust. Ltd]. Австрал. пат. 166879, 23.02.56

При изготовлении изделий, в которых резина связана с жесткими деталями, одну или обе поверхности последних покрывают слоем эпоксилиновой смолы, между резиновой смесью и смолой помещают пленку из полиизоцианата или полиизотноцианата. Собранную конструкцию нагревают под давлением для вулканизации каучука и крепления резины к жесткой детали. Ю. Дубинкер Пневматические шины и способ их изготовления (Pneumatic tyres and methods of making same) [General Tire and Rubber Co.]. Англ. пат.

737086, 21.09.55

Пластичные резиновые смеси получают смешением синтетич. полимера бутадиена, изопрена, диметилбутадиена, или их сополимеров (днена ≥ 50%) с α- или пацетил-α-метилстиролом, стиролом, 3,4-диметилстиролом, метилизопропенилкетоном, метилвинилкетоном, метилметакрилатом, метилакрилатом или амидами акриловой или метакриловой к-т, с совместимым с ним пластификатором, в кол-ве ≥ 20% (считая на полимер). Пластичность полимера по Муни ≥ 85. Пластификато рами могут быть минер. или дегтярное масло, замещ. фенолы, напр. фенолы масла скорлупы ореха кашу, и, менее предпочтительно, дибутил- или диоктивлфталат или трикрезилфосфат. Пластификатор можно вводить в виде дисперсной фазы в синтетич. латекс или после коагуляции в закрытом резиносмесителе, или при получении полимера в присутствии катализатора, напр., алфинового. В смесь можно вводить сажу, предпочтительно в кол-ве 30—35 ч. на 100 ч. пластификатора и полимера. Води. дисперсию полимера можно смешать с жидким пластификатором и води. суспензией сажи, затем скоагулировать и удалить жидкость. Полимеризовать можно при пониженной т-ре, напр. ниже 10°. Вулканизуемая смесь может содержать обычные вулканизационные ингредиенты, а также НК. Лучшая пла-

стичность по Муни — 90 и даже ≥ 120. М. Лурье 13445 П. Бескамерные шины (Pneumatic tyres of the tubeless type) [United States Rubber Co.]. Англ. пат. 739898, 2.11.55 Бескамерная шина имеет каркас из корда, покрытого

НК или GR-S, и обкладку, состоящую из смеси 45—75 вес. % продукта р-ции 0,1—1,5 ч. n-хинондиоксима со 100 ч. бутилкаучука и 55—25% НК или GR-S. Смесь лучше готовить, смешивая сначала бутилкаучук с 25-75 ч. сажи, вводя затем п-хинондиоксим, с последующей пластикацией от 3 мин. при 204° до 60 мин. при 149°, предпочтительно 10—20 мин. при 177—191°. Прореагировавший бутилкаучук смешивают с НК или GR-S. в которые предварительно введена сажа, затем прибавляют обычные наполнители: углеводородное масло, стеариновую к-ту, ZnO, бензотиазилдисульфид, тетра-метилтиурамоносульфид и S. Начало р-ции бутилкаучука облегчается в присутствии небольших кол-в окислителя, напр., свинцового сурика. М. Лурье 13446 П. Самозакленвающиеся камеры и бескамер-

ные шины (Self-sealing inner tubes and tubeless tyre casing) [United States Rubber Co.]. Англ. пат. 739525,

Слой, закленвающий прокол, содержит термореактивный продукт, состящий из 100 ч. бутилкаучука, 0,2—2,5 ч. 2,6-диметилол-R (I), где R — 4-замещенный фенол (или смолоподобный продукт его самоконденсации), и 0,1—5,0 ч. галогенида тяжелого металла. Бутилкаучук представляет собой сополимер изобутилена или этилметилэтилена с диолефином — изопреном, бутадиеном, пипериленом, 1,2-, 1,3-, 1,4- или 2,3-диметил- или 1-этил-бутадиеном. Предпочтительным I является 2,6-диметилол-4-алкилфенол (алкил — один из низших членов ряда); 4-замещенный фенол, в част-ности, содержит третичный бутил или третичный октил, но может быть также метил, додецил, фенил, бензоил, циклогексил или а, а-лиметилбензоил. Галогенидами являются хлориды Sn, Fe, Al, Cr, Ni, Co, Mn, Cu или Zn. или AlBr₃,AlF₃ или SnJ₄. Подходящими наполнителями и пластификаторами являются сажа, каолин, слюда, CaCO3, ZnO, инфузорная земля, древесная мука, осажденный гидрат SiO2 или CaSiO2, а также полибутен, п-кумаронинденовая смола, минер, или ка-М. Лурье нифольные масла. Самозакленвающиеся пневматические из-

делия и способ их изготовления (Puncture-sealing pneumatic article and method of making same) [United States Rubber Co.]. Англ. пат. 733126, 6.07.55

Для устранения пластич. текучести материалы (I), служащие для заклеивания проколов бескамерных покрышек, камер и т. п., изготовляют из продукта р-ции бутилкаучука (II) с 0,2—2,5 вес. ч. (на 100 ч. I) диметилолфенола (III), смешиваемых между собой в закрытом резиносмесителе. Кроме того, вводят 40—150 вес. ч. наполнителя: сажу, каолин, слюду, осажденный гидра-тированный кремнезем или силикат Са, ZnO, инфузорную землю, древесную муку и т. п. Затем в смесь вводят 10-50 г не мигрирующего на поверхность пластификатора, напр., минер. или канифольное масло, поли-бутен или синтетич. смолы типа n-кумаронинденовых. III может быть смолоподобным, как напр., 2,6диметилол-4-R-фенол, где R — низший алкил, напр., октил. По другому способу непрореагировавшие друг с другом II и III вводят в невулканизованные изделия. При вулканизации последнего происходит р-ция II с III. 13448 П. Способ крепления вулканизованного или

невудканизованного каучука к пластическим массам с разветвленными или неразветвленными молекулами и к твердым телам (Procédé pour l'assemblage du caoutchouc vulcanisé ou non avec des matières plastiques ramifiées ou non et avec des corps solides) [Phaenix-Gummiwerke A.-G.J. Франц. nar. 1106006, 12.12.55 [Rev. gén. caoutchouc, 1956, 33, M 5, 488

(франц.)]

Для крепления НК или СК к эластомерам на основе изоцианатов (вулколлан, кемигам SL и т. п.) при изготовлении из них протекторов покрышек поверхность сырой резиновой смеси обрабатывают хим. агентами, вызывая появление на ней активных по отношению к изоцианатам атомов Н. Этими агентами являются р-ры моно- или полиазотистых алифатич, соединений, органич. или неорганич. окислители (N2O3 или SO2). В случае склеивания НК с СК склеиваемые поверхности обрабатывают р-ром моно-или полназотистых алифатич. соединений, а затем ди- или полиизоцианатом. В случае крепления эластомеров типа вулколлана к металлам применяют промежуточный слой из НК или СК, об-рабатываемый как указано выше. М. Лурье М. Лурье

449 П. Формование полых резиновых изделий. (Forming hollow articles of rubber and the like) [Elastine Process & Development Ltd]. Англ. пат.

726784, 23.03.55

Для получения полого изделия с изменяющейся толициной стенок, напр. сапог, внутреннюю поверхность формы покрывают соответствующей жидкостью, каучуковым латексом или синтетич. пластиком смесью сополимера винилхлорида и винилацетата с наполнителями; нагревают, чтобы вызвать схватывание и подвулканизацию покрытия, затем вводят жидкую смесь, чтобы заполнить форму, и нагревают ее различно в разных частях поверхности, чтобы образовывался и подвулканизовывался гель различной толщины. После этого из формы удаляют избыток жидкости, напр., переворачивая ее, окончательно вулканизуют и снимают изделие с формы. Если требуется, то до окончательной вулканизации на покрытие можно наложить хлопьевидный или усиливающий материал тканевую подошву и прокладку, можно также между покрытиями поместить металлич. супинатор. Покрытия могут быть разного цвета. Форма предпочтительно тонкостенная металлич., ее можно изготовить нанесением на восковую форму коллондного графита с последующим отложением слоя Ni толщиной 0,05 мм. Дифференцированное нагревание достигается экранированием частей формы при нагревании ИК-лампами.

13450 П. Самозакленвающиеся изделия (Self-sealing article) [Goodrich Co., B. F.]. Англ. пат. 734149.

27.07.55

Смесь содержит каучукоподобный сополимер, большую часть которого составляет изоолефии с 4-7 атомами С, а меньшую — нормального строения днолефин с сопряженной двойной связью с 4-8 атомами С напр., сополимеры изобутилена или метилэтилэтилена с изопреном, бутадиеном, пипериленом диметил- или на с наопреном, оугадиеном, пипериленом диметил-или этилбутадиеном),0,2—1,0 вес. % (считая на сополимер) вулканизующего агента, 0,5—4% вспомогательного вулканизующего агента и 60—95% черной окиси Fe. Вулканизующим агентом служит S с меркантобенаотиазолом, тетраметилтиурамдисульфид, или *п*-хинон-диоксим, или *n*,*n*′дибензоилхинондиоксим, а вспомогательным вулканизующим агентом — перекиси металлов (Pb, Ba, Zn, Cu, K, Ag, Na, Ca, Mg) или пиро-фосфата Na; металлич. пероксибораты, хроматы, нибаты, -дикарбонаты,-дифосфаты,-дисульфаты, -германаты, -молибдаты, -монокарбонаты, -монофосфаты, - моносульфаты, -нитраты: органич, перекиси — каприловая. лауриловая, гептиловая, каприновая, нониловая, ундециловая, тридециловая, миристиловая, фенацетиловая, бензоиловая; полисульфиды металлов (Са, Na, K, Ba); органич. полисульфиды — адкильные, арильные, аралкильные, ацилалкильные или алкиларильные. В смесь можно также ввести противоокислители, мягчители, в-ва, придающие клейкость, красители, наполнители и усилители. Смесь можно вулканизовать 5—8 мин. при 121-199° и получить подвулканизованный продукт, который используется для получения самозакленвающихся изделий.

13451 П. Ткани, стойкие к отравляющим веществам и изготовляемая из них защитная одежда (Tissu résistant aux gaz de guerre et vêtements protecteurs fabriqués en ce tissu] [Trelleborgs Gummifabriks Aktiebolag]. Франц. пат. 1103182, 31.10.55 caoutchouc, 1956, 33, № 5, 487 (франц.)] 31.10.55 [Rev. gén-

Ткань из найлона или нитей с такой же стойкостью пропитывают или покрывают с одной или обеих сторон вулканизованным на ткани бутилкаучуком. М. Лурье 3452 П. Изоляционный материал для электротехнических целей. X е р и и г (Isolierstoff für elektrotechnische Zwecke. H e e r i n g H a r r y) [Siemens-Schuckertwerke A.-G.]. Пат. ФРГ 915580, 26.07.54 [Chem. Zbl., 1055, 126, № 15, 3456 (нем.)] 13452 II.

Изоляционный материал состоит из СК без добавок в-в, препятствующих образованию сетчатых структур, и без вулканизующих агентов, но с добавлением воско-М. Лурье образных углеводородов.

13453 П. Надувные изделия (Inflatable articles.) Dunlop Rubber Aust, Ltd1. Австрал. пат. 200571,

Изделия состоят из каучукоподобного сополимера диолефина и ненасыщ, кетона или содержат слой указанного материала. Ю. Лубинкер Способ и средства для маркировки рези-

новых поверхностей при помощи декалькомании. Мессеримитт (Procédé et moyens pour marquer des surfaces de caoutchouc en employant des décalcomanies. Messerschmitt E.) [Messerschmitt G.m.b. H.]. Франц. пат. 1102794, 24.10.55 [Rev. gén. caoutchouc, 1956, 33, № 4,395 (франц.)]

Для нанесения рисунка на поверхность резины пользуются декалькоманией, причем подложку удаляют после вулканизации. В качестве подложки применяют прозрачные листы, не волокнистые, стойкие при вулканизации, напр., гидрат целлюлозы. Изображение, симметричное требующемуся, отпечатывают чернилаГ.

ова-

VDье

Sea-

149.

270-

ола-

AR C

иле-Witte

мер) Ного

Fe.

9нзо-HOH-

OMO-

Me-INDO-

HNOерма-

OHO-

овая.

Унде-

овая,

Bal:

арал-

смесь

тели.

ители

MHH.

дукт,

IBaio-

Іурье

ствам

su réfabri-

ktie-

gén-

остью

Турье

отех-

ektro-

mens

.07.54

бавок

ктур,

воско-

Лурье

cles.).

00571.

имера

й ука-

инкер

рези-

ании.

marles délesser-

.10.55

анц.)]

поль

топиль тогина и вулжение,

рнила-

ми, содержащими в качестве связующего вулканизуюшийся каучук.

См. также: Анализ синтетич. латексов 11911. Хлори-рованный каучук 13475, 14061. Полиуретаны 11923, 13505. Полиизобутилен 13524. Эластичные сополимеры 13530. Совместимость каучуков 11927. Водостойкость СК 13465. Сажа 12285, 12951. Лигинн 13641. Примевение: формы для отверждения смол 13534; произ-во пластыря 13278. Техн. безопасности 14274

СИНТЕТИЧЕСКИЕ ПОЛИМЕРЫ. ПЛАСТМАССЫ

Редакторы А. А. Жданов, Н. С. Левкина

3455. Пластмассы и эластомеры на весенней ярмарке в Лейициге, 1956 г. Закее (Plaste und Elaste zur Leiphziger Frühjahrsmesse 1956. S a c h s e A.), Plaste und Kautschuk, 1956, 3, № 6, 134—135 (нем.) 3456. Пластмасън как строительные материалы. Летстрём (Plast som byggnadsmaterial. Let tström Gustaf), Byggmästaren, 1954, B33, № 10, 177—181 (швед.)

Обзор применения пластмасс (органич. стекла, поливинилхлоридных материалов, красок на основе стиролбутадиеновых латексов и поливинилацетатных эмульсий, полистирольных пенопластов, стеклопластиков на основе полиэфирных смол, полиэтилена и др.) в строи-Л. Песин тельстве.

Пластмассы как конструкционный материал в самолетостроении. Шликельман (Kunststoffen (plastics) als constructiemateriaal in de vliegtuigbouw. Schliekelmann R. J.), Ingenieur, 1954, 66, № 8, L9—L15 (голл.)

Обзор свойств и применения пластмасс (полиметилметакрилата, поливинилхлорида, фенолформальдегид-ных, полиэфирных, эпоксидных, а также стеклопластиков) в самолетостроении. Роль пластмасс в области реактивных двигателей с жидким топливом. Терлицци (The role of plastics in the liquid propellant rocket field. Ter-lizzi Paul M.), Amer. Rocket Soc. Paper,

1954, № 132, 11 (англ.)

Описана возможность использования пластмасс (П) в качестве конструктивного материала для резервуаров янертного газа высокого давления, предназначенного для впрыскивания топлива в камеру сгорания; при этом требуется, чтобы П выдерживали давл. 154 $\kappa I'/cm^2$ (в векоторых случаях даже 420 $\kappa I'/cm^2$) и т-ру от —54 до + 71°. Замена в резервуарах металла П позволит уменьшить их вес до 30%. Целесообразно применять II также для баков с окислителем, а также в качестве материала для трубопроводов. Перспектигно закрепление на металле листового пластика в бесшовных конструкциях, что позволит сочетать высокую механич. прочность с большой хим. стойкостью. Для обслуживающего персонала рекомендуется изготовлять защитную одежду из фторопластов.

31. Песин 2459. Применение пластмасс в телевидении. IV. Сакураути (テレビジョンに用いられる プラスチ ックス、 櫻内秀泰), プラスチックス, Пурасутикку-су, Japan Plastics, 1954, 5, № 2, 47—48 (япон.) Описано применение в цветном телевидении свето-

фильтров, изготовленных из полиакрилатов, ацетилцеллюлозы или полистирола, а также некоторые перспективы дальнейшего использования пластмасс в ра-В. Иоффе диотелевизионной пром-сти. 460. Деструкция пластиков. Мейджер (Degradation of plastics. Мајет S. R.), Chem. Age, 1955, 72, № 1852, 149—153, 154 (англ.)

Обзор современной литературы по вонросам деструкции пластиков; рассматриваются механизм деструкции

полимеров под действием различных факторов (УФлучей, перекиси бензоила, радиоактивного облучения, термич. и механич. воздействия), процессы пластификации, полимеризации под действием различных катализаторов, влияние на полимеризацию ненасыш, соединений, поглощения света содержащимися в пластиках красителями, методы идентификации полимеров, в частности по анализу продуктов пиролиза. Библ. 48 назв. С. Шишкин 13461. Определение способности к гелеобразованию 5401. Определение спосооности к гелеооразованию поливинилхлорида при температуре 100—160° при помощи пластографа Брабенда. Ш м и д т (プラベンダープラストグラフを用いた 100~160°С の温度範閣における鹽化ビニルのゲル化能の測定。ボール、シユミット), プラスチックス, Пурасутвикусу, Japan Plastics, 1955, 6, № 4, 33—34 (япон.)

Описан метод определения способности к гелеобразованию пластифицированного поливинилхлорида.

3462. Определение светостойкости пластмасс при экспозиции на погодостойкость. Хант, Бауман (Measuring yellowing and darkening in weathered plastics. Hunt W. C., Bauman R. P.), Mod. Plast., 1954, 32, № 2, 156, 158, 244 (англ.)

Описан метод оценки светостойкости стеклопластика на основе полиэфирных смол «стипол». Исследования старения проводились в федометре. Приспособление для измерения прочности склейки пластмассовых пленок. Фойгт (Vorrichtung zur Messung der Klebefestigkeit von Kunst-stoff-Folien. Voigt Wilfried), Kunststoffe,

1954, 44, № 5, 199 (нем.)

Описано пневматич, приспособление для производ-ственного контроля прочности склейки пластмассовых пленок, которое позволяет производить замер прило-мочной нагрузки с точностью до 1 г. Л. Песин женной нагрузки с точностью до 1 г. Л. Песин 13464. Кривые усилие — деформация для облучен-ных в реакторе пластиков. Бопп, Сисман (Stress-strain curves for reactor-irradiated plastics. Ворр С. D., Sisman O.), Nucleonics, 1956, 14, № 3, 52—53 (англ.)

Приведены кривые усилие — деформация, получен-ные измерением по методике ASTM D638-49T облученных в графитовом реакторе промышленных пластиков: немодифицированного полистирола, полистирола с наполнителем черным пигментом, сополимера стирола с акрилонитрилом, полиэтилена, полихлортрифторэтилена, политетрафторэтилена, фенолформальдегидных смол без наполнителей, а также с наполнителями из бумаги, асбеста и графита, полиамида (найлона), сополимера винилхлорида с винилиденхлоридом, поливинилбутираля, мочевино- и меламиноформальдегилной смол, алкидной смолы, полиметилметакрилата, казеинового пластика, полимера аллилгликолькарбоната, сополимера винилхлорида с винилацетатом, анилиноформальдегидной смолы, поливинилкарбазола, фурановой смолы с наполнителем из асбеста и сажи, нитроцеллюлозы, ацетилцеллюлозы, поливинилхлорида, полиэфира и формвара.

С. Шишкин 13465. Водостойкость виниловых пленок. Части 2,3. Такада (ビニル膜の透濕性、第 2,3 回、武田文七), プラスチックス, Пурасутиккусу, Japan Plastics, 1954, 5, № 2, 41—46; № 6, 22—24 (япон.)

Изучалась водостойкость пленки из сополимера винилиденхлорида и винилхлорида, полистирола, сополимера бутадиена и акрилонитрила, бутадиена и стирола и приведены результаты. 3466. Состояние и перспективы развития производства полнэтилена. Е горов Н. М., Хим. наука и пром-сть, 1956, 1, № 3, 312—316

Обзор состояния и перспектив развития произ-ва, а также методов полимеризации этилена и свойств по-

T.70

134

эле

134

ŀ

gan

лар

але

a T

CB0

134

эфи лиз

134

пла

FR

no.

DMS

HON

TOR JR

вру

при

CBO

134

лиэтилена, получаемого при высоком и низком давлениях. Библ. 16 назв. Н. Левкина Облученный полиэтилен. Кемпбелл (Ele-13467. ctron bombardment produces new plastic irradiated polyethylene. C a m p b e l l J o h n B.), Mater. and Methods, 1954, 40, № 3, 91—95 (англ.)

Облученный полиэтилен — ирратен 101 (I) получен воздействием пучка электронов, полученного от антикатода рентгеновской трубки, питаемой от резонансного трансформатора на 1 млн. в. І представляет собой полиэтилен с небольшим кол-вом поперечных связей. Кол-во поперечных связей пропорционально степени облучения. Уже одна поперечная связь на 1000 атомов С значительно изменяет свойства полиэтилена. При этом свойства облученного полиэтилена не зависят от природы обладающих высокой энергией частиц. І отличается от обычного полиэтилена тем, что он не плавится, не образует трещин под действием р-рителей и хим. реагентов, сохраняет свою форму при повышенных т-рах; при приложении нагрузки он деформируется только до определенной степени, после чего не обнаруживает заметной текучести, имеет при повышенных т-рах лучшую электрич. прочность и лучшую стойкость к p-ри-телям, чем обычный полиэтилен. Облучение не меняет механич. прочности полиэтилена при ~20°, не делает его более стойким против старения (І без применения защитных покрытий не рекомендуется применять для длительной работы при т-ре выше 105°), не устраняет усадку ленты при нагревании. Процесс облучения полиэтилена ограничивается следующими факторами: 1) невозможность шприцевания или выдавливания I изза неплавкости материала, вследствие чего облучению должны подвергаться готовые изделия; 2) способ применим только для тонких сечений; 3) невозможность получения желаемой окраски из-за обеспвечивания мно-гих красителей; 4) высокая стоимость оборудования и защиты от облучения. І может применяться там, где требуются высокие электроизолирующие свойства, влагостойкость, механич. прочность и другие свойства обычного полиэтилена в сочетании со стабильностью формы при т-рах свыше 100-110° или высокой стойкостью против растрескивания, напр., для тары, подвергающейся стерилизации паром или для электрич. изоляции, длительно работающей при т-ре класса А или кратковременно при т-рах 150—200°. Приведена таблица основных свойств I и отмечена возможность полимеризации этилена под действием у-излучения при т-ре ~20° и давл. 70 кГ/см2. 13468.

Покрытия из фторсодержащих смол и полиэтилена. Сэндо (弗素樹脂およびポリエチレンライニン グ. 仙波猛), プラスチックス, Пурасути pan Plastics, 1954, 5, № 6, 44—47 (япон.) Пурасутиккусу, Ја-

Описаны методы изготовления покрытий из полиэтилена. Приведена подробная таблица хим. стойкости полиэтилена к различным реагентам при 20-60°

В. Иоффе Прозрачные материалы для самолетостроения. Райли (Les matériaux transparents destinés a l'aviation. Riley C. R.), Ind. plast. mod., 1954, 6, № 9, 30—33 (франц.)

Для повышения длительности службы прозрачных пластиков в самолетостроении было предложено применять полиметилметакрилат (I) в виде материала из двух листов I, соединенных промежуточным слоем поливинилбутираля (II). Однако пластификатор, содержащийся в II, вызывает растрескивание I и поэтому такая конструкция себя не оправдала. Хорошие результаты дает прозрачный материал «Gafite M.A.C.A.» [полиметил-а-хлоракрилат (III)]. III размягчается при 130° и имеет предел прочности на растяжение 1100 $\kappa \Gamma / c M^2$ (вместо 560—750 $\kappa \Gamma / c M^2$ для обычных видов I), он стоек к растрескиванию и обладает хорошей формуе-

мостью. Значительный интерес для самолетостроения представляет акриловый полимер «К» с т-рой размягч. 110°, высокой стойкостью к растрескиванию, более доступный, чем III. Применяют также предварительную вытяжку І в двух направлениях (по двум осям), благодаря чему значительно улучшаются его механич. свойства. Формование изделий из такого материала производится с учетом тенденции материала к возвращению в исходное состояние.

31. Песин 3470. Светящиеся акриловые пластики. К лей-вер (Akrylplasten visar vägen. K leiner Lo-renz), Plastvärlden, 1954, 4, № 17, 279—280, 284, 288, 291—292 (швед.)

Обзор свойств и применения. Поливинилацетали и их термостойкость. Окамура, Мотояма (жув = лт + х - ло 黎安定性. 岡村誠三, 本山卓彥), 高分子化學, Ro-бунси кагаку, Chem. High. Polymers, 1953, 10, № 96, 161—166 (япон.)

Изучалась термостойкость поливинилформаля (I) и поливинилбутираля (II). При нагревании I и II в течение 60 мин. при т-рах 50-400° установлено, что термич. устойчивость I и II увеличивалась при обработке их 0,5%-ной NaOH. Результаты опытов показаны на графиках. В. Иоффе 13472. Свойства и применение фурановых смол.

(フラン樹脂の特性とその應用. Ута. Такано , 高野憲三), プラスチックス; Пурасутик-Japan Plastics, 1954, 5, № 11, 40-43 萬田四郎, KVCV. (нопк)

Изучались хим. и физ. свойства фурановых смол и их применение для различных защитных покрытий частности, электроизоляционных), способных противостоять действию к-т, щелочей и органич. р-рителей. В. Иоффе

в химию полиэфиров. Бар-POH (Introduction to the chemistry of polyesters. Barron Harry), Rubber Age and Synth., 1953, 34, № 4, 162—163 (англ.)

Популярно изложены основные вопросы химии полиэфиров. 13474. И. Р. 474. Эпоксидные смолы. Уолб (Epoxy resins. Walb T. A.), Таррі, 1954, 37, № 7, 129А—134А

(англ.)

Приведены характеристики ряда марок смол Эпон, выпускаемых в США и различающихся между собой по мол. весу, эпоксиэквиваленту [(ЭЭ) - кол-во г смолы, содержащей ј г-эк эпокендной группы и эквива-лентному весу [(ЭВ) — кол-во г смолы, необходимой для полной эфиризации 1 г-моля одноосновной к-ты]. У жидких смол Эпон 562, 828, 834 (литьевых и клеевых) большинство молекул содержит 1 звено остатка ЭВ 175, 200, 220. Даны таблицы физ.- хим. и электрич. свойств отливок из смол Эпон 828, клеев на основе этой смолы (отвердитель диэтиламинопропиламин) и стеклотекстолита на основе смолы Эпон 828 (отвердитель дициандиамид, т-ра прессования 165°). Л. Песин 1475. Пленочные материалы из пластмасс и их свойства. Кох (Plastfolierna och deras egenskaper. Кос h Е. J.), Plastvärlden, 1955, 5, № 4, 65—68,

Кратко охарактеризованы пленочные материалы (целлофановые. полиэтиленовые, ацетилцеллюлозные, хлоркаучуковые, поливинилиденхлоридные, поливинилP.

RHH

PII

IVIO TO-

ич.

ала

вра-

СИН

е й-L o-284,

П.

CTL. れの

Ko-10, (I)

Te-

тер-

отке

л на

無用.

тик-—43

и их

HBOлей.

a pers.

1953,

оли-

I. P.

sins

134A

пон.

оп по

смо-

вива-

имой

-ты]. клеегатка

-165:

изко-

1001

на І, плав-

. пл. 5—11

4000;

трич.

снове

ин) и

итель

Тесин и их

aper.

(пел-

зные.

инил-

глоридные, майлар), и описаны методы получения упаковочных изделий из них. Л. Песин 13476. Полиэфирная пленка майлар. Общая характеристика. Венцель (ポリエステル、フイルムペマイ ラー経論. Kurt Wenzel), プラスチックス, Пурасу-тиккусу, Japan Plastics, 1956, 7, № 2, 1—4 (япон.) тикку, у арап тысков объета пленки майлар, области в плименения и стандарты В. Иоффе е применения и стандарты ® применения и стандарты
13477. Диэлектрические свойства полиэфирной плен-ки майлар. — (使用上の問題蟹.ボリエステルフイルムの 透電體特性), プラスチックス, Пурасутиккусу, Japan Plastics, 1956, 7, № 2, 16—20 (япон.) Рассмотрены тангенс угла диэлектрич. потерь и ди-

электрич. постоянная кристаллич. и аморфных полифиров, а также влияние влаги и т-ры на эти величины.

Области применения полиэфирной пленки имплар.— (使用上の問題點. 特殊用途), プラスチック ҳ,Пурасутиккусу, Japan Plastics, 1956, 7, № 2, 27—29 (япон.)

Кратко рассмотрен вопрос изготовления металлизованных полиэфирных пленок, применение пленки майдар в качестве влагонепроницаемого (упаковочного), атектроизоляционного конструкционного материала, а также отмечено влияние хим. реагентов на механич. войства пленки. В. Иоффе 3479. Применение полиэфирной пленки майлар в авектрических устройствах. Тогава (使用上の問題監. 電氣機器. 戸川幹夫), プラスチックス, Пурасутиккусу, Japan Plastics, 1956, 7, № 2, 5—7

(MIOH.) (1940). Применение полиэфирной пленки майлар в заектрических устройствах. Фудзимото (使用上の問題點. 電氣機器. 藤本正男), ブラスチックス, Пурасутиккусу, Japan Plastics, 1956, 7, № 2, 8—15

(806). Применение полиэфирной пленки майлар в промыпленном оборудовании. Сакураи (使用 上の問題點. 蓬業用機械. 櫻井洪一), プラスチックス, Пурасутиккусу, Japan Plastics, 1956, 7, № 2, 21—22 (япон.)

Консервация биологических экспонатов в полизфирных смолах. Сэто(ポリエステル樹脂による封人技術. 瀬戸正二), プラスチックス, Hypacy-тиккусу, Japan Plastics, 1954, 5, № 5, 2—6 (япон.) Приведены примеры консервации экспонатов в полифирвых смолах, полимеризованных в присутствии катализатора — перекиси бензоила. В. Иоффе Кислотостойкие пластмассы для химического аппаратостроення. III ю ккинг (Säurefeste Kunststoffe für den chemischen Apparatebau. Schücking Günter), Chem.-Ingr.-Techn., 1954,

26, № 10, 565—567 (нем.) Описаны изготовление и свойства кислотостойких пластмасс (I) на основе фенол- или крезолформальдеподных резольных смол, содержащих в качестве на-полнителей шпат, сажу, графит или асбест. Путем эфиризации свободных метилольных групп дихлорэтиленом вли дихлоргидрином получаются резолы для изго-товления щелочестойких I («Kera S»). Формовка изделий производится из тестообразной массы в прессе или вручную с последующим отвердеванием в автоклавах при 140° и 8 атм в течение 8 час. Приведены физ.-мех. свойства I и их применение для произ-ва труб, арматуры, теплообменников, испарителей, адсорбционных колонок и т. п. в хим. аппаратостроении.

Н. Александров Вещества, получаемые из фурфурола и его производных. І. Феноло-фурфуроловая смола. И са-ческу Димитрие, Урсу Виктория, Гольденберг И., Хим. ж. Акад. РНР, 1954, 3, 97-106

Описан метод получения новолачной фенолфурфурольной смолы путем конденсации эквимолекулярных кол-в фенола и фурфурола в присутствии щел. катализатора. На основе этой смолы, уротропина и древесной муки получены пресспорошки с пределом прочности (кГ/см², средние величины) при статич. изгибе 800, при сжатии 2500, при растяжении 350, уд. ударной вязкостью 9 кГсм/см², диэлектрич. прочностью 14 кв/мм. Получены также слоистые древесные пластики на этой смоле (фуррифур) с пределом прочности ($\kappa \Gamma/c_{\rm M}^2$) при сжатии 1547—1815, при сдвиге 231—257, твердостью по Бринелю 23—29 $\kappa \Gamma/m_{\rm M}^2$ и водопоглощением 3%. Л. Песии 13485. Силиконы и их применение в промышленности. Морель (Les silicones et leurs applications industrielles. Моге 1 Р. Н.), Chimia, 1953, 7, № 2,

25—36 (франц.) 3486. Растворимость и растворители. Дейкстра (Oplosbaarheid en oplosmiddelen. Dijkstra H.), Chem. courant, 1956, 55, № 1768, 147—148, 151—153

Обзор растворимости различных термопластов (преимущественно эфиров целлюлозы) в р-рителях и пластификаторах. Библ. 5 назв. 13487. Компоненты поливинилхлоридных литьелька паст. Часть II. Роуленд (Compounding of PVC pouring pastes. Part II. Rowland Jaffrey), Rubber and Plast. Age, 1954, 35, № 11, 532—533 (англ.)

Описаны различные ингредиенты (пластификаторы, разбавители, наполнители, дезодораторы и др.), применяемые для поливинилхлоридных паст. Часть I см. РЖХим, 1956 73088. 13488. Применение высокомолекулярных веществ в качестве пластификаторов. Тиниус (Die Verwendung von Substanzen höheren Molekulargewichtes als

Weichmacher. Thinius Kurt), Plaste und Kautschuk, 1956, 3, № 2, 33—36; № 3, 54—57 (нем.) Обзор полимерных пластификаторов, полученных по-

лимеризацией диеновых и виниловых мономеров. Библ. 78 назв. 1489. Полимерные пластификаторы. Клос (Polymere-Weichmacher. Kloos G. R.), Kunststoffe, 1954, 44, № 10, 429—430 (нем.)

Из полимерных пластификаторов (П) в практике при-меняют полиэфиры адипиновой, азеланновой и себациновой к-т, обладающие хорошим сопротивлением к экстракции р-рителями, жирами и маслами, пониженной летучестью и повышенным сопротивлением к миграции. Применяют также смеси моно- и полимерных П. Приведена таблица потерь П поливинилхлоридом (со-держащим различные П) в р-рителях (ксилоле, керо-сине, бензине, четыреххлористом углероде и спирте, в соевом масле, свином сале и трансформаторном масле),

которой показано преимущество полимерных П. Н. Александров 490. Синтез производных левулиновой кислоты. Возможное применение некоторых эфиров 2-метил-5оксопирролидин-2-карбоновой кислоты в качестве пластификаторов. Такениси, Симамура (The syntheses from levulinic Acid. A possible uze of some 2-methyl-5-oxopurrolidine-2-carboxylic esters as plasticizers. Takenishi Tadao, Sima-mura Osamu), Bull. Chem. Soc. Japan, 1954, 27, № 4, 207-209 (англ.)

Из левулиновой к-ты (побочный продукт пищевой пром-сти) получена 2-амино-2-метилглутаровая к-та (I) и ее производные: 2-бензамидо-2-метилглутаровая к-та, 2-ацетамидо-2-метилглутаровая к-та и ее ангидрид, диэтиловый эфир I, 2-метил-5-оксопирролидин-2-карбоновая к-та (II) (путем дегидратации I при 180-200° с колич. выходом) и ее эфиры (этиловый, бутиловый, октиловый, этилгексиловый, додециловый и бензило-

шы

на

CM

cu

10

180

вый). І получалась из левулиновой к-ты по методу Штрекера (Strecker A., Ann., 1850, 75, 27). Полученные эфиры II исследовались в качестве пластификаторов для винилхлоридных пластмасс. Приведены данные по свойствам пластикатов, полученных с применением и-октилового, 2-этилгексилового и додецилового эфира II.

13491. Трение и смазка изделий из найлона. Бауэрс, Клинтон, Зисман (Friction and lubrication of nylon. Bowers R. C., Clinton W. C., Zisman W. A.), Industr. and Engng Chem., 1954, 46, № 11, 2416—2419 (англ.)

13492. Фурфуриловый спирт — исходный продукт для получения смол. Рейнек (L'alcool furfurylique source de résines. Reineck E. A.), Ind. plast. mod., 1954, 6, № 9, 17—20 (франц.)

На основе смол из фурфурилового спирта (I) и фенолформальдегидных смешением их с инертными наполнителями изготовляют антикоррозионные цементы. Цементы применяют для скрепления футеровочных плиток по слою каучука или виниловой смолы, а также для футеровки различных емкостей, напр. варочных котлов, хранилищ к-т и прочего оборудования в произве сульфитной и сульфатной пеллюлозы. Эти покрытия особенно рекомендуются в условиях одновременного воздействия агрессивной среды и истирания (получение к-т, красителей, органич. р-рителей, детергентов, мыл, инсектицидов и пр.). Применяется пропитка фуриловой смолой плиток и других пористых материалов, что делает их непроницаемыми, увеличивает твердость, прочность и антикоррозионные свойства. Эти смолы применяются также для пропитки ткани, которая затем наматывается на стальные трубы, покрытые битумом для предохранения газо- и маслопроводов от коррозии. Хорошо ноказали себя защитные покрытия по бетону и дереву. Покрытия по металлу требуют спец. подготовки поверхности. І применяется для клеев, в композиции с мочевиноформальдегидной смолой, для склеивания дерева и пластмасс в авиапионной пром-сти. Приведены физ.-хим. свойства цементов. Т. Фабрикант Литье эфиров целлюлозы под давлением. М е л-Jep (Cellulosics. Injection molding. Moeller W. P.), Mod. Plast., 1954, 32, № 1A, 73—74, 76, 78

Приводятся данные по ацетилцеллюлозе, ацетобутирату целлюлозы и этилцеллюлозе. Испытания показали, что с увеличением т-ры отливаемого материала ударная вязкость его повышается, а предел прочности при растяжении уменьшается. Установлено также, что изменение т-ры задней части цилиндра при сохранении неизменной т-ры в передней части цилиндра не вызывает изменения свойств отлитого материала. Поэтому т-ру задней части цилиндра варьируют в зависимости от кол-ва материала, которое необходимо пластицировать. Если вес отливки приближается к заливочной мощности литьевой машины, то т-ра задней части цилиндра должна быть возможно более высокой. Внутренние напряжения в этилцеллюлозе, отливаемой при низких т-рах, столь велики, что поверхность ее может легко сниматься (нажатием ногтя или трением суконкой). Поэтому этилцеллюлозу следует отливать при возможно более высоких т-рах. Т-ра цилиндра для литья ацетилцеллюлозы и ацетобутирата целлюлозы также должна быть возможно выше, лишь бы она не вызвала изменения цвета пластика. Это обеспечивает миним. код-во разводов (линий течения) на изделии и хороший спай. Следует учесть, что длительное пребывание эфи-ров целлюлозы при 232° и выше приводит к их обугливанию. Т-ра прессформы также должна быть возможно выше, но так, чтобы не было прилипания изделий к стенкам прессформ, не было слишком большой усадки и чрезмерного удлинения цикла. Ее можно в качестве

первого приближения принять равной 55—60°. Порошок, поступающий в литьевую машину, не должен содержать более 0,5% влаги, поэтому обычно он нуждается в предварительной сушке. В сушилках с циркуляцией воздуха при 70° сушка длится 2—4 часа. Е. Хургин 13494. Определение давления пластмассы в литьевой мащине. Челобов Н. Д., Оси пова М. П., Хим. пром-сть, 1954, № 8, 477—479

Описана методика определения давления пластмассы в материальном цилиндре литьевой машины и в оформляющей полости литьевой формы в момент ее заполнения при помощи стальных закаленных мембрав и тепзодатчиков сопротивления, наклеенных на мембравы.

13495. Литье виниловых пластиков под давлением. Гарвин (Vinyls, Injection molding. Garvin G. S.), Mod. Plast., 1954, 32, № 1 A, 82—84 (англ.) Обзор. Библ. 9 назв. Е. Х.

13496. Литье политрифторхлорэтилена под давлением. Джупа (Polytrifluorochloroethylene. J u-p a J. A.), Mod. Plast., 1954, 32, № 1A, 78—79, 81—82 (англ.)
Обзор. Библ. 5 назв. Е. X.

13497. Литье найлона под давлением. II аджи (Nylon. Injection molding. Paggi L.), Mod. Plast., 1954, 32, № 1А, 67—68, 70—73 (англ.) Обзор. Библ. 11 назв. E. X.

3498. Слоистые пластики. Кларк (Laminates. Clark George H.), Mod. Plast., 1954, 32, № 1A, 696, 698, 700, 702, 707—709, 712 (англ.)

Обаор физ., электрич., термич. и хим. свойств словстых пластиков, их промышленного произ-ва при высоком и низком давлениях, а также новых областей применения. Библ. 12 назв.

С. Иоффе 13499. Стеклопластики. Галлагер (Fiberglas reinforced plastics. Gallagher W. C.), Austral. Plastics, 1955, 11, № 119, 33 (англ.)

Описаны способы формования стеклопластиков на

основе полиэфирных смол.

13500. Формование и конструирование стеклопластиков. Брокмёллер (Formgebung und Konstruktion bei glasfaserverstärkten Kunststoffen. Brockmöller Fritz), Kunststoffe, 1954, 44, № 10,

475-477 (нем.) Описаны преимущества стеклопластиков (I) и их применение. Возможность изменения свойств І в широких пределах создается благодаря применению различных видов армирующих стекловолокнистых материалов (непрерывного и штапельного волокна, стекломатов, ровницы); при этом наибольшее значение имеют соотношения стекла и связующего и ориентация стекловолокна в I. Когда требуется высокая прочность на разрыв или на сжатие, то большинство волокон располагают в продольном направлении; в случае работы на кручение или сдвиг следует волокна располагать по диагонали; в трубах, находящихся под внутренним павлением, лишь небольшую часть волокон располагают в продольном направлении, остальную же их часть. в поперечном направлении, в изделиях, которые подвергаются равномерным нагрузкам, волокна можно располагать беспорядочно. Предел прочности на разрыв у I с продольным расположением волокон составляет ~8000 кГ/см2, а с перпендикулярным направлением составляет всего несколько сот кГ/см²; при расположении волокон под углом 90° прочность I в каждом направлении составляет ~4000 кГ/см²; при угле в 45° к каждому из предыдущих направлений прочность не превышает 2000 кГ/см2; при равномерном распределения волокон по всем направлениям прочность составляет 2500-3000 кГ/см2. Даны кривые, показывающие предел прочности на разрыв и удлинение стеклянных волокон в зависимости от их диаметра. В качестве исходПороен соклает. япией ургин Гьевой

57 r.

массы офори тенраны. ерлин ением. rvin

англ.) E. X давле-J u-81-82 E. X.

ДЖИ Plast. E. X. inates № 1A.

слои-DH BHластей Иоффе erglas ustral.

ов на С. И. слопла-Kon-Bro-№ 10.

и их в шию разтериаматов, T COOTкловоia pas-

сполаоты на ать по ренним лагают асть ие пол-

но расразрыв авляет лением оложем нап-45° K

еления авляет пе преых воисходных данных для конструирования приведена наблица спавнительных физ.-мех. показателей: а) І. изготовленпых из стеклянной ровницы, стеклоткани и стекломатов на основе полиэфирной смолы; б) чистой полиэфирной смолы: в) конструкционной стали и г) алюминиевых сплавов. Даны соображения о креплении металлич. леталей при формовании I и о получении лостаточно жестких легких конструкций с применением заполнителей (поропластов на основе изоцианатов и др.). С. Иофе Механические свойства стеклопластиков на

основе полиживых смол. У ил кокс (Mechanical properties of polyester-glass. Willcocks C. H.), Motor Body, 1955, 155, № 4, 24, 26 (англ.)

В результате исследования стеклопластиков (I), изготовленных на шести видах полиэфирных смол, устаповлено, что при повышении т-ры прочность на сжатие и изгиб снижается в большей степени, чем прочность на растяжение; влияние т-ры сказывается больше на прочности, чем на модуле упругости. Данные напряжениеразрыв для шести типов I показывают, что прочность при длительном испытании значительно меньше прочности при кратковременной нагрузке; в присутствии воды результаты длительных испытаний снижаются еще больше. Для конструкционных целей (особенно для труб, испытывающих длительное напряжение при воздействии воды) имеют практич. значение испытания под нагрузкой (на разрыв) при выдерживании в воде с т-рой 23° в течение 1000 час. Влияние времени, т-ры в окружающей среды на прочность I выражается в том, что сопротивление изгибу уменьшается: при удлинении времени напряжения, при повышении т-ры и в присутствии воды. Кривые напряжения — время для указанных I обнаруживают тенденцию к выравниванию при периодах испытания до 1000 час.; экстраполяция этих данных для более длительных периодов является рискованной. Описанный метод исследования примевяется также для оценки прочности I, изготовляемых на основе фенольных, эпоксидных и силиконовых смол.

Получение труб и профилированных стержней путем намотки стеклянных нитей, пропитанных по-лиэфирной смолой. Тавьер (Le tissage direct des tubes et poutres creuses en résines polyesters stratifiées. Tavière J.-A.), Ind. plast. mod., 1955, 7, № 10, 34-36 (франц.)

Предлагается способ получения труб и профилированных стержней путем непрерывной намотки продольных и перекрестных пропитанных смолой нитей на круглую или прямоугольную оправку диам. 40-60 мм, вамотка производится с большого числа катушек на оплеточной машине. Преимущества этого способа заключаются в большей однородности величины механич. показателей изделий; возможности регулирования в заданных пределах соотношения смолы, армирующего материала и наполнителя; повышение постоянства показателей (97% для труб и полых изделий, 69% для соединений и сплошных изделий). С. Иофе

13503. Искусственные смолы для контактного прес-сования. И ьянтанида (Le resine articficiali di contatto. Piantanida Cesare), Riv. ingegneria, 1954, 4, № 12, 1485-1487 (итал.) Кратко описаны методы получения полиэфирных смол, свойства и применение стеклопластиков на их основе,

допускающих формование при контактном давлении.

Применение ненасыщенных полиэфирных смол, в частности для производства крупногабаритных изделий. Паркии (Die Anwendung ungesättigter Polyesterharze unter besonderer Berücksichtigung der Verarbeitung mit einteiligen Formen. Par-k yn Brian S.), Kunststoffe, 1954, 44, № 10, 439-443 (нем.)

Описано произ-во крупногабаритных изделий (частей самолетов, лодок, труб и др.) из стеклопластиков на основе полиэфирных смол. 505. Пенопласты на основе полнурстанов. Берни (I poliuretani espansi. Вегпі Е.), Materie plast., 1956, 22, № 3, 180—183 (нтал.)

Обзор методов получения, свойств и применения жестких и эластичных пенопластов на основе полиурета-

5506. Пористый полистирол. Йосимура(膨脹 性ポリスチレン. 吉村好道), ブラスチツクス, Пу-pacyтиккусу, Japan Plastics, 1956, 7, № 3, 18—22 (япон.)

Описаны основные свойства полистирола и методы изготовления поропластов. Приведены физ.-мех. свойства пористого полистирола. В. Иоффе Адгезия полимеров к целлюлозе. Мак-Ларен (Adgesion of polymers to cellulose, Mc Laren A. D.), Mod. Plast, 1954, 31, № 11, 114, 116, 181

(англ.)

Величина адгезии (А) изовязких полимеров к целлюлозе (целлофановая пленка) — функция содержания полярных групп в молекуле полимера и, в частности, при наличии в молекуле COOH-групп, $A = \kappa$ (COOH)ⁿ, где n = 0.5 - 0.7. Величина A тем больше, чем меньше т-ра липкости(ТЛ) (ТЛ определяется как миним. т-ра, при которой склеиваются две пеллофановые пленки, покрытые слоем испытуемого полимера под давл. 1,4 кГ/см2, приложенным в течение 2 сек.). У полибутилметакрилата с ТЛ 80° величина Авг/см ширины склейки равна 58, у с ТЛ 80° величива А в г/см ширивы склепки равна ос., у полипропилметакрилата с ТЛ 90°, A=18, полинзопропилметакрилата с ТЛ 105° A=8, полинзобутилметакрилата с ТЛ 105° A=2; у сополимеров винилхлорид — этилен (82—18) с ТЛ 25° A=216, с ТЛ 55° — A=86.

13508. Синтетические продукты в приготовлении клеев. Состав, свойства, применение. Ремон (Les produits de synthèse dans la préparation des colles et adhésifs. Composition — Propriétes — Emplois. Remond J.), Rev. prod. chim., 1954, 57, N. 1208, 469-472 (франц.)

Приведены основные типы синтетич, клеев на основе термопластичных и термореактивных смол, эфиров целлюлозы, НК и СК и указаны скленваемые ими материалы. Рассмотрена природа сил адгезии и обсуждены основные правила склейки. 5509. Термореактивные клеп. — (Thermosetting adhesives.—), Rubber Age and Synth., 1953, 34, № 4,

161-162 (англ.)

Описаны основные типы термореактивных клеев на основе фенолформальдегидных, резорцинформальдегидных и мочевиноформальдегидных смол, а также области их применения. И. Рез Новый смоляной клей. Романов Н. Т., 13510.

Гриншпун С. Д., Деревообрабат. пром-сть, 1955, № 7, 3—5

Разработаны рецептура и технология холодно-поли-меризующегося клея ЦНИИМОД-1 (I), исходными компонентами которого являются фенолформальдегидная смола марки ЦНИИМОД и керосиновый контакт ГОСТ 463—52. Клей I содержит 2,0—3% свободного фенола и полимеризуется при 20°. Он водо-, бензо-, маслостоек и грибоустойчив. Клей I образует эластичную клеевую пленку (что увеличивает срок службы деревообрабатывающего инструмента) и, будучи прозрачным, дает клеевую фугу практически незаметной.

Н. Левкина 3511. Виниловые полимеризаты. Краузе (Die Vinylpolymerisate. Krause Anneliese), Elektrotechn. Z., 1955, В7, № 10, 349—354 (нем.)

Обзор виниловых полимеров, применяемых в произве электрооборудования в качестве электроизоляцион-

DOB

трет

спос

RODE

пите

фени

нени

заме

HHTI

быть

рова M3OII

менд

пучи

TAKI

KDO

HHT 1352

ne

fa

Д

фта.

ROB

BYK

p-pe

OTH

исп

гру

есл

апе

mei

при

гру гру тал

THE апе фал

c 9

OH

MO

дит

43

H₂

лег

Na

OT

CY

ных и конструктивных материалов. Привелена таблипа физ.-мех. и электрич. свойств. Библ. 12 назв.

3512. Новые машины для переработки пластмасс. П. Хираи (最近のプラスチックス・成型機械・11. 平井式): プラスチックス : Пурасутиккусу, Japan Plastics, 1954, 5, № 11, 29—35 (япон.)

Описаны новые экструзионные литьевые машины, а также машины для формования, каландрования и распыления через пламя.См. также РЖХим, 1956, 14378.

В. Иоффе Б. иоффе 3513. Каландры. Браун (Machines de calandrage. Вго wn Јоѕер h), Ind. plast. mod., 1954, 6, № 7, 27—28 (франц.)

Дискуссия. См. РЖХим, 1956, 59692. Практические указания по конструированию прессформ для прямого и литьевого прессования. прессиорм для примого и литьевого прессования. Части 1, 2. Батлер (Practical do's and don'ts in tool design. Part 1. Compression tools. Part 2. Transfer tools. Butler J.), Trans. and J. Plast. Inst., 1955, 23, № 53, 173—218 (англ.)

13515. 型彫盤 デッケル型式 KF. 神戸霧 -) ງ プラスチックス j Ilypacyturkycy, Japan Plastics, 1955, 6, № 6, 48—50 (нопк)

Описан гравировальный станок типа «К F», применяемый для гравировки пластмассовых изделий (корпусов радиоприемников, деталей пишущих машин и т. д.).

В. Иоффе Металлизация пластмасс. Абрахамсон 13516. (Metallisering av plast. Abrahamson C. H.), Plastvärlden, 1955, 5, № 4, 59—62, 64 (швед.)

Описаны методы металлизации пластмасс. Л. П. 13517. Покрытия пластмасе под вакуумом. Хаяем (プラスチックスへの仮空蒸着法・林主稅), プラスチックス、Пурасутиккусу, Japan. Plastics, 1954, 5, № 4, 34—38 (япон.)

Обзор. Библ. 10 назв. 5518. Применение форм, полученных электрогаль-ванически методом в производстве декоративных пластиков. Чаттертон (The use of electroformed molds in decorating pastics. Chatterton Frank), Canad. Plastics, 1955, July, 28-30, 48

Дана технология нанесения декоративных эффектов на полиэтилен при помощи электрогальванич, покрытий.

Обработка полиэтилена для улучшения его восприимчивости к краскам (печатанию). Эрвинг (Treatment of polyethylene to improve ink receptivity. Ir ving Ted), Paper, Film and Foil Converter, 1955, 29, № 6, 28—29, 58 (англ.)

Обзор методов (хлорирование, окисление, односторонняя термич. обработка, ВЧ-обработка). Л. Песин

Фенольные смолы. Изд. 2. У айтхаус, Притчетт (Phenolic resins. 2nd rev. ed. W h i-tehouse Arthur Arnold Keer, Pritchett Eric George Kemp. London, Plas-tics Inst., 1955, 108 pp., ill.) (англ.)

Температуропроводность, удельная плоемкость и теплопроводность системы полистиролклофен. К вопросу о пластификации. II у р у к е р (Temperaturleitlähigkeit, spezifische Wärme und Wärmeleitlähigkeit des Systems Polystyrol—Clophen. Ein Beitr. zum. Problem d. Weichmachg. PuruckerSusanne, geb. Nens—Diss., F. f. alg. Ingenieurwiss., T. U. Berlin, 1954, 73, B1., ill.), Dtsch. Nationalbibliogr, 1955, № 19 (нем.)

13522 II. Конверсия олефинов с помощью окисей месталлов группы VIa и реакционноспособных боргидридов металлов. Филд, Феллер (Olefin conversion with group 6a metal oxides and reactive metal borohydrides. Field Edmund, Feller Mor-ris) [Standard Oil Co.]. Пат. США 2728758, 27.12.55 Твердые в нормальных условиях углеводороды по-лучают контактированием этилена при 75—325° с боргидридом металла, способным реагировать с волой при указанной т-ре полимеризации с выделением Н₂, и окисью металла группы VIa периодической системы.

523 П. Смолы из продуктов пиролиза углеводоро-дов. У о д с у э р т (Synthetic resins from hydrocarbon pyrolysis products. Wadsworth Fran-cis T.) [Pan American Refining Corp.]. Пат. США 2712538, 5.07.55

Для получения углеводородных смол газ, сопержащий углеводороды, имеющие ≥2 атомов С в молекуле, подвергают пиролизу при 705°, продукты пиролиза охлаждают, отделяют газообразную фазу и сжимают ее при давл. 24,5 атм. Конденсируемые углеводороды абсорбируют при этом давлении легким маслом, полученный р-р разгоняют и выделяют соединения, содержащие в молекуле <6 атомов С. Оставшиеся высоко ненасыщ, соединения, не содержащие в основном в-в с сопряженными двойными связями, подвергают каталитич. полимеризации. Отличие способа состоит в том, что процесс полимеризации проводят в присутствии 0,5—5 вес. % ВF₃ при 150—343°. Катализатор и легкокипящие примеси удаляют из полимера при этой же т-ре. Получаемая смола имеет йодное число ≤80 и цвет (no Barret) <5. Б. Киселев Обработка полнизобутилена (Curing of po-13524 П. lyisobutylene) [United States Rubber Co.]. Англ. пат. 728758, 23.03.55

Доп. к англ. пат. 725905 (РЖХим, 1956, 37550). Полиизобутилен отверждают при нагревании с ≥ 0,5% S, 2-7% перекиси трет-бутила и 2-10% поли-л-нитрозобензола, *п*-динитрозобензола или хинондионсима. При включении в смесь наполнителей, напр. сажиглины или диатомита, получают продукт с повышен, ными модулем и прочностью на разрыв.

13525 П. Получение однородных растворов и смесей

из высокополимерного поливинилхлорида. Длаб (Způsob přípravy stejnorodých roztoků a směsí z vysoce polymerisovaného polyvinýlchloridu. Dlab Jan), Чехосл. пат. 83078, 1. 09. 54

Однородные р-ры и смеси высокополимерного поливинилхлорида (I), поливинилиденхлорида (II) и их сополимеров с хлорированным или гидрохлорированным НК или СК получают растворением последних в ароматич. р-рителе (напр., в бзл., его гомологах, или С1-замещ. продуктах) и смещением р-ра с I, II или их сополимерами. В 200 ч. технич. бзл. растворяют 50 ч. хлоркаучука и добавляют к p-py 150 ч. I, нерастворимого в апетоне. После 45 мин. перемешивания 1 растворяется и образует однородный р-р, пригодный для по-крытий, в качестве клея и т. д. После отгонки бал. получают однородную массу, имеющую термопластичные свойства, в которую можно добавлять пластификаторы, наполнители, красители или ароматич. вещества. Ю. Васильев

Способ получения продуктов полимеризации. Швейтцер, Кверфурт (Verfahren zur Herstellung von Polymerisationsprodukten. Schweitzer Ötto, Querfurth Wilhelm) [Deutsche Gold-und Silber-Scheideanstalt vormals Rossler]. Πατ. ΦΡΓ 928734, 10.06.55

Способ получения полимеров, применяемых в произве зубных протезов, заключается в полимеризации орr.

ar-

ro-

55

10-

C OH

I2.

op ooar-

IA

īe,

)X-

TOI TILL

ıy-

ерко

8-B

M,

10-

Re Bet

ieb

рогл.

0).

HT-

4a.

KH-

eн,

ан

eă

аб

осе

n),

IN-

HX

H-

B

ЛИ

их

ч.

-MC

BO-

10-

10-

4-P

Ka-

Ba.

ьев

M.

er-

t-

ut-

es-

из-

op-

ганич, виниловых соединений (метилметакрилата, эфиров акриловой к-ты, диаллилфталата) в присутствии третичных аминов и перекисных соединений. Отличие способа состоит в том, что применяемый в качестве ускорителя полимеризации третичный амин (напр., фенилэтиллибутиламин) имеет ≥ 1 атома Н, замещенного на менилетильную группу, у атома и. Перекисное соеди-вение (напр., перекись бензоила) имеет ≥1 атома И, замещенного на электроотрицательные атомы (СІ, Вг или янтрогруппой). Кроме перекиси хлорбензоила может быть также использована перекись бензоила, активированная замещением атома Н в фенильном остатке на взопродильную группу. Перекисный инициатор рекомендуется применять в порошкообразной форме для лучшего смешения с порошкообразным полиметилметакрилатом. Паста для изготовления зубных протезов, кроме вышеуказанных в-в, содержит пигмент, напол-Б. Киселев витель и мономерный метилметакрилат. 5527 П. Способ получения поливинилбевзалей и поливинилнафталей. Ланц, Скофилд (Ver-fahren zur Herstellung von Polyvinylbenzalen und -naphthalen. Lantz Louis Amedee, Scho-field Arthur) [The Calico Printers Association Ltd]. Пат. ФРГ 928323, 31.05.55

Пля получения поливинилбензалей и поливинилнафталей ароматич, альдегил бензольного или нафталинового ряда, не содержащий заместителей, способствующих растворению его в воде, диспергируют в водн. р-ре поливинилового спирта (I) с конц-ней 1—10% и выдерживают при 1—80° и рН 0,5—2,6. Молекулярное отношение альдегида к I составляет 0,1—0,8:1. При опользовании I, почти не содержащего ацетильных групп, в процессе р-ции ацеталируют ≥30% ОН-групп; если же для р-ции применяют I, содержащий ≤20% ацетильных групп, ацеталирование проводят до заме-щения 20—60% ОН-групп. Можно также использовать частично ацеталированный алифатич. альдегидом, причем в получающемся конечном продукте ≤50% ОНгрупп связано с алифатич. альдегидом, 20-70% ОНгрупп — с ароматич. альдегидом, а общее число ацеталированных ОН-групп составляет 30-75%. Аналотично, конечный продукт может содержать ≤20% ацетальных групп, ≤30% ОН-групп, связанных с алифатич. альдегидом, и 15—60% ОН-групп, связанных с ароматич, альдегидом. Общее число ацеталированных ОН-групп в этом случае составляет 20-60%. Р-цию можно проводить в присутствии эмульгаторов или вводить готовую эмульсию альдегида в p-р I. Напр., p-р 43 г I, содержащего 5% ацетильных групп, и 1,7 г H₂SO₄ в 812 мл воды добавляют к эмульсии 41 г бензальдегида в 95 г 2%-ного р-ра диоктилсульфосукцината Na, перемешивают (1100 об/мин.) 1 час. при 60—70°, отфильтровывают продукт, промывают разб. NH₃ и сушат. Поливинилбензаль содержит 48,5% незамещ. ОН-групп и имеет дисперсность ≤7 μ (70% частиц имеют размеры ~3µ).

3. Зазулина
13528 П. Пианалкоксиалкильные эфиры акриловой

3528 П. Цианалкоксиалкильные эфиры акриловой кислоты и полимеры. Ватлер (Cyano ether-esters of acrylic acid and polymers. Butler John Mann) [Monsanto Chemical Co.]. Пат. СНІА 2720512, 11.10.55

Патентуются соединения ф-лы CH₂ = CHCOOCH₂-(CH₂)n CH₂OCH₂CCH₂CN, где n = 1 или 2. Я. К. 13529 П. Способ получения полимеров N-винилкарбазола. Фикенчер, Фриккер (Verfahren zur Herstellung von Polymerisaten des N-Vinylcarbasols. Fikenscher Haus, Fricker Rolf) [Badische Anilin-& Soda-Fabrik A.-G.]. Пат. ФРГ 936421, 15.12.55

Способ отличается тем, что в качестве основного инициатора полимеризации применяют перекись трембутила, а в качестве дополнительного инициа-

тора — азосоединение, распадающееся при нагревании с образованием радикалов; полимеризация происходит в отсутствие воздуха. Расплавленный N-винилкарбазол тщательно перемешивают с 0.02% перекиси
терем-бутила и 0.1% нитрила азо-бис-(изомасляной)
к-ты, реакционный сосуд продувают N₂ и полимеризуют
смесь при 80°. Р-ция протекает с энергичным выделением тепла. По окончании р-ции сосуд выдерживают при
160° (снаружи) в течение 5 час. Полимер имеет характеристическую визкость 80—90, т. размигч.>200° и содержит <1% мономера.

М. Альбам
13530 П. Способ получения сополимеров. Н и (Ver-

13530 Π. Способ получения сополимеров. Н и (Verfahren zur Herstellung von Kopolymerisationsproduk ten. N i e W illem Leendert Johannes de) (N. V. De Bataafsche Petroleum Maatschappij). Πατ. ΦΡΓ 929876, 4.07.55

Способ получения сополимеров винилгалогенилов с винилиденгалогенидами и с акриловыми и (или) метакриловыми соединениями (напр., акрилатами или метакрилатами) отличается тем, что полимеризующая-ся смесь содержит такое кол-во акриловых или метакриловых соединений, что их кол-во в сополимере составляет <20 вес. %, напр., 5-10 вес. %. В частности, винилиденхлорид, метилакрилат и винилхлорид полимеризуют в соотношении 86: 4: 10. В автоклав с мешалкой из нержавеющей стали емк. 10 л вводят (в г): 5000 воды, 40 30%-ного p-ра H₂O₂, 140 цетилсульфата Na и 10 4 н. Н₂SO₄. устанавливая рН 4,8. При 43° в автоклав вводят смесь 625 г винилиденхлорида, 500 г винилхлорида и 125 г метилакрилата. Полимеризация заканчивается через ~17 час. После коагуляции (вымораживанием), промывки и сушки образуется высокоэластичный сополимер, хорошо растворимый в сложных эфирах, кетонах и ароматич. углеводородах. При выпаривании высоковязкого р-ра образуются мягкие, но механически прочные пленки, не требующие пластификаторов и имеющие хорошую адгезию к металлу, дереву и особенно к алюминиевым сплавам. М. Альбам

3531 П. Материал для хирургических или зубных протезов и пломб (Material for surgical or dental protheses and for dental repairs) [Farbenfabriken Bayer]. Англ. пат. 714652, 1.09.54

Смесь мономера (метилметакрилата) и сополимера винилхлорида (I) и (или) 1,1-дихлорэтена с одним или несколькими виниловыми соединениями (стиролом, винилацетатом, акрилатом, метакрилатом или эфиром малеиновой или фумаровой к-ты) с К № 85 полимеризуют в присутствии катализатора (перекиси бензоила) после формования под давлением при повышенной т-ре. Описано получение: 1) сополимеров I, метилмаленната и этилмаленната сополимеризацией смеси мономеров в води. эмульсии в присутствии Na-соли оксноктадекансульфокислоты в качестве эмульгатора, 2) сополимеров метилакрилата и I с использованием в качестве эмульгатора парафиновой фракции (т. кип. 185—220°), подвергшейся последовательному сульфохлорированию и омылению, 3) сополимера I и метилакрилата с тем же эмульгатором и смесью оксиоктадекансульфината и H₂SO₄ в качестве катализатора. 5532 П. Сополимеры винилиденцианида и алкилмет-акрилатов. Фолт (Copolymers of vinylidene cya-nide gith alkyl methacrylates. Folt Vernon L.) 13532 П.

nide gith alkyl methacrylates. Folt Vernon L.) [The B. F. Goodrich Co.]. Канад. пат. 509259, 18.01.55 Способ получения сополимера состоит в том, что смось, содержащую 20—90 мол. % винилиденцианида, алкилметакрилат и перекисный инициатор (напр., 0.01—2 вес. % перекиси o,o'-дихлорбензонла), нагревают при 20—80° до завершения полимеризации. Образующьйся сополимер имеет структуру— M_1 — M_2 (M_1 — M_3)_x— M_1 — M_2 —, где M_1 — авено винилиденцианида, M_2 — звено алкилметакрилата и x—многозначное число. Применяе-

DANIE

1354

175

H

P

ec

0

Ci

CTOE

ами.

собы

ляр

при

PAHI

MON

HDV

TBO]

хло

при

MOG

135

li

I

ами

ren

0.0

сло

пер

при

con

135

n in R_n: ≥5

Bar

me

HHO

CME

BI

CKO

мый винилиденцианид является жидким при ~20°, кристаллич. в-вом при 0° (чистый имеет т. пл. 9.0—9.7°), и в контакте с водой при ~20° мгновенно полимеризуется, образуя твердый, не растворимый в воде поли-Ю. Васильев мер. 13533 П.

Способ получения полиэфирных смол (Verfahren zur Herstellung von esterartigen Harzen) [Reichhold Chemie A. G.]. Πατ. ΦΡΓ 923700, 21. 02. 55

Пля получения смол маленновую к-ту или ее ангидрил конденсируют при т-ре <200° с многоатомным спиртем (глицерином) до получения продукта с кислотным числом < 50, который постепенно вносят в расплавленную канифоль, и завершают этерификацию при т-ре ≤250°. Спирт берется в р-цию в кол-ве по крайней мере эквивалентном по отношению к сумме к-т. а канифоль — в значительном избытке против к-ты. Первую фазу р-ции проводят в стеклянной или эмалированной аппаратуре, вторую фазу — в аппаратуре из нержавеющей стали, никеля или алюминия. По этому способу получают светлые, твердые и высокоплавкие смолы. Так. 90 ч. малеинового ангидгида и 150 ч. 98%ного глицерина нагревают в эмалированном реакторе при 170-180 по снижения кислотного числа <50, после чего вязкий продукт (лучше в горячем состоянии) вносят постепенно при 180° в расплавленную канифоль, паходящуюся в реакторе из нержавеющей стали, ни-келя или алюминия, повышают т-ру до 240° и нагревают при этой т-ре без доступа воздуха до снижения кислотного числа <35. Р-дия ускоряется при пониженном давлении и (или) при пропускании медленного тока инлифферентного газа. Т-ра во второй фазе может быть >240°, но ≤265°; при более высокой т-ре смола темнеет. Полученная светлая смола имеет т. пл. 115-Я. Кантор 125° (в капилляре). Способ отверждения полиэфирных смол в

резиновых формах. Фринер (Process of curing a polyester resin in a rubber mold. Phreaner Ellis H.) [H. Calvin White]. Пат. США 2720004, 11.10.55 Способ формования и отверждения полиэфирных смол в резиновых формах, отверждение которых ингибирует-

ся антиоксидантами, присутствующими в резине, от-личается тем, что изделия из полиэфирной смолы отверждают в формах из вулканизованного полихлорпрена, сополимера бутадиена и акрилонитрила или стиили из резины на основе хлорированного сополимера бутадиена и акрилонитрила. Материал формы содержит равномераю распределенные окисляющие в-ва, которые проявляют свои свойства также и на новерхности раздела между формой и изделием.

Б. Киселев 13535 П. Способ получения жидких фенолальдегидных смол. X е с с е и (Verfahren zur Herstellung von flüssigen Phenolaldehydkondensationsprodukten. He ssen Richard) [Süd-West-Chemie G. m. b. H.]. Πατ. ΦΡΓ 928557, 2.06.55

Непрерывный способ получения жидких фенолальдегидных смол отличается тем, что реакционная смесь после прохождения через зону р-ции сразу же (лучше под давлением) охлаждается без значительного испарения. При проведении р-ции в обогреваемом змеевике смесь при выходе из змеевика мгновенно охлаждают, напр., разделяя ее на несколько отдельно охлаждаемых мелких потоков (в трубчатом холодильнике), после чего отдельные потоки вновь соединяют и направляют в змеевик для полного охлаждения. Давление в холодильном агрегате может быть несколько ниже или несколько выше, чем в зоне р-ции, но не намного, чтобы при охлаждении не было резкого спада давления. Приведена схема уста-Полученье пресскомпозиций из искусствен-

ных смол на основе мочевины. Хессен (Verfahren zur Herstellung von Harnstoffharzpreß mischungen.

Hessen Richard) [Süd-West-Chemie G. m. b. H.]. Πατ. ΦΡΓ 923165, 3.02.55

Гилрофобные пролукты конденсации мочевины ее произволных или их смесей с формальдегидом получают обычным способом и отделяют води, слой. После старения в присутствии возможно малых кол-в волы емолу растворяют при нагревании с побавлением моще. вины, ее производных или их смесей и (или) СН₂О, пропитывают теплым р-ром порошкообразный, волокиястый или слоистый наполнитель, отделяют выделившуюся воду и высушивают массу. Напр., смесь (в вес. ч.): 50 мочевины, 64 тиомочевины, 285 35%-ного СН₂О ж 0.5 безволи. Na₂CO₂ конденсируют в течение 115 мин. до образования выпадающей на холоду смолы. После охлаждения и стояния в течение нескольких часов отпеляют воду от выделившейся вязкой гидрофобной смолы. Через 3 дня 100 вес. ч. полученной смолы растворяют при 70° в смеси (в вес. ч.): 100 воды, 75 37%-ного СН₂0, 21 мочевины и 9 тиомочевины, к р-ру добавляют 100 вес. ч. превесной муки или волокнистого в-ва ч перемещивают при 70°. Композицию охлаждают, отжимают воду, подсушивают на воздухе при~20° или в сущильном шкафу при 60—100° и измельчают. Продукг пе-рабатывают при 140—160° под давлением.

Ю. Васильев Модифицированные аминоальлегилные смолы (Modified amine-aldehyde resins) [Ciba A. -G.].

Австрал. пат. 164479, 18.08.55 Амилополобные полимеризующиеся продукты получают при р-ции: а) продукта конденсации СН2 О и аминотриазина типа мочевины, содержащего не менее одной свободной или этерифицированной низшим спиртом метилольной группы; б) нитрила или амида ненасыщ, полимеризующейся к-ты; в) соединения, содержащего по крайней мере один активный атом Н и способного присоединяться к двойным связям ненасыщ. соединений. Получаемый при р-ции продукт имеет по меньшей мере одну двойную связь, по которой в пальнейшем протекает полимеризация. Ю. Васильев Получение пластических масс. Д'А л е л ь о 13538 II.

(Verfahren zur Herstellung von Kunstmassen. D'Alelio Gaetano F.) [Allgemeine Elektricitäts-Ges]. Πατ. ΦΡΓ 928976, 16.06.55

Пластические массы получают из СН2-содержащего соединения (СН2О, диметилолмочевины, триметилолмеламина) и аралкилсульфамида, имеющего по крайней мере 1 атом Н, связанный с атомом N сульфамидной пери неро на пом 11, съязания и столом и сульфамиды про на бензилсульфамиды. 170 ч. бензилсульфамиды и 90 ч. 37,1%-ного води. р-ра СН₂О смешивают и кипятят З часа. Образовавшийся спроп обезвоживают и получают бесцветную, термореактивную смолу, прии получают оесцветную, термореактива устаную для изготовления прессматериалов, клеев и Ю. Васильев

Способ получения продуктов конденсации из эфиров карбаминовой кислоты и альдегидов. Кёлер (Verfahren zur Herstellung von Kondensationsprodukten aus Carbamidsäureestern und Aldehyden. Köhler Franz) [Deutsche Goid-und Silber-Scheideanstalt vormals Roessler]. Πατ. ΦΡΓ

Отличие способа состоит в том, что моно-, ди-или полиэфиры карбаминовой к-ты, подвергают р-ции с акролеином или его α-замещ, производными при нагревания в присутствии нейтр. или основных катализаторов с последующей обработкой кислыми катализаторами. Пролукты р-ции применяют в качестве пластификаторов, для получении клеев, лаков, пресскомпозиций, а также в текстильной, кожевенной, бумажной и металлургия. пром-сти. 220 ч. этилового эфира карбаминовой к-ты и 30 ч. сульфомочевины смешивают с 140 ч. акроленна; при стоянии в течение нескольких часов при ~20° образуется липкая, прозрачная, бесцветная смола, содерг.

. b.

ee

олу-

осле

CMO-

очеnno-

ТЫЙ

пося

0 2

иии осле

отде-

олы. TOUR

H.O.

100

гере-

иают

иль-

г пе-

льев

дные

-G.].

юлу-

ами-

е од-

спир-

He-

одер-

спо-

CHIM

имеет

ой в

ильев

льо

Ale--Ges].

ашего

олме-

край-

идной

ісуль-

ивают

ивают

, при-

еев н

ильев

сании

гидов.

densa-

ldehy-

d- und

ФРГ

ли по-

: акро-

BAHER

в с по-

. Про-

TOPOB,

также ургич. й к-ты

леина;

20° обсодержащая кристаллич. включения, которые после нагре-вания до 150—200° также превращаются в смолу,

Способ получения плавких высокополимер-13540 II. ных линейных полнамидов. III лак (Verfahren zur Herstellung von schmelzbaren hochpolymeren, linearen Polyamiden. Schlack Paul) [Farbwerke Hoekst A. G. vormals Meister Lucius & Brüning]. Пат. ФРГ 929933, 7.07.55

Способ получения легко формуемых полиамидов состоит в том, что высокомолекулярные линейные полиамилы смешивают в любом соотношении с мономерами (в частности, с полимеризующимися лактамами). способными образовать полнамиды, или с низкомолекудярными полнамидами и нагревают смесь, также в присутствии катализаторов и р-рителей (напр., фенолов), до получения гомог. смолы, пригодной для формования. Сплавляемый высокомолекулярный полнамид может содержать наполнитель, матирующие в-ва и другие добавки. 25 ч. высокомолекулярного полнамида ва в-капролактама, в виде стружки или обрезков растворяют в 75 ч. є-капролактама, содержащего 0,5% хлоргидрата є-аминокапроновой к-ты и 0,02 моля воды ва 1 моль лактама, и р-р нагревают сначала 24 часа при 250° в закрытом сосуде в атмосфере N2 и затем 12 час. при 255° (также без доступа воздуха) и атмосферном давлении. Продукт р-ции обладает хорошей формуемостью и образует волокно с прочностью ~4,5 г/денье. Я. Кантор

Полимиды пиромеллитовой кислоты. Эдуарде, Робинсон (Polyimides of pyromeilitic acid. Edwards Walter M., Robinson Ivan Maxwell) [E. I. du Pont de Nemours and Co.]. Пат. США 2710853, 14.06.55

Патентуется полипиромеллитимид из нонаметилендиамина, 4,4-диметилгентаметилендиамина или 3-метилтептаметилендиамина, пленки которого толщиной 0,075—0,175 мм могут быть согнуты под углом 180°, сложены, снова согнуты под углом 360° и сложены вдоль первоначальной линии перегиба, не разрушаются при испытании указанным методом после нагревания ири испытания указанняя яколом в токе № в течение 20 мин. Полимер имеет визкость €7·10⁶ пуаз при 360°, сопротивление срезу ≤2,8 кГ/см² и т-ру_стеклования Д. Кардашов >100°

3542 П. Усовершенствование материалов для кон-струкций из силоксановых пенопластов. Гофман (Perfectionnement aux matériaux de construction multicellulaires en siloxane. H of f m a n K.) [Dow Corning Corp.]. Франц. пат. 1073432, 24.09.54 [Chimie et industrie, 1955, 74, № 2, 266 (франц.)] Смола для пенопластов имеет звенья ф-лы R_nSiO (4-n)/2, где R — CH₈ или C₆H₅, причем

≥50% R составляют метильные группы. n-число от 1 no 1.5

А. Жданов 13543 II. Производные полисилоксанов и их производство (Produits dérivant de poly-siloxanes et leur fabrication) [Dr. Alexander Wacker Ges. für Elektrochemische Industrie G. m. b. H.]. Франц. пат. 1078333, 17.11.54 [Chimie et industrie, 1955, 74, № 5, 983 (франц.)]

илоксаны, содержащие группы Si — H, обрабатывают (лучше в присутствии катализаторов и при повышенной т-ре) многоатомными спиртами или их функциональными производными, причем в реакционную смесь можно вводить соединения, обычно применяемые в произ-ве лаков, алифатич. или ароматич. многоос-новные кислоты или их ангидриды. Эти в-ва могут быть сконденсированы с одним или обоими основными реагентами до, во время или после реакции. Я. Кантор 13544 П. Модифицированные простые эфиры из целлюлозы и оксикислот (Modified cellulose hydroxy

acid ethers) [Johnson & Johnson]. Австрал. пат. 164936, 15.09.55

Патентуются полимеры, представляющие собой про-стые эфиры целлюлозы и гликолевой или оксипропионовой к-ты, имеющие поперечные сшивки, образовавшиеся в результате действия формальдегида или глиоксаля. Указанные простые эфиры имеют степень полимеризации, соответствующую вязкости 0,5%-ного (по весу) р-ра полимера в 0,5 н. NaOH при 25,5° не ниже 5,7 сек. (вязкость определяется в вискозиметрич. пипетке Оствальда-Фенске по методу ASTM D-445 № 300: 0.5 н. NaOH при той же т-ре в нулевой пипетке имеет вязкость 5,0 сек.). Полимеры применяют для про-из-ва пленок, волокна или для пропитки тканей.

13545 П. Процесс получения тноуретанов целлюлозы. Аллевелт (Process for producing cellulose thio-urethanes. Allewelt Arthur L.) [American Viscose Corp.]. Пат. США 2705231, 29.03.55

Способ получения тноуретанов целлюлозы, в которых, по крайней мере, один атом Н амидной группы замещен на органич радикал, состоит во взаимодействии ксантогената целлюлозы и металла I, II, IV или VIII группы периодич. системы, с первичным или вторичным амином, в смеси, содержащей указанное производное целлюлозы, амин и воду. Д. Кардашов

13546 П. Способ получения аминолигнинофенольных смол. Гиюхтель (Verfahren zur Herstellung von Lignin-Phenol-Aminharzen. G n ü c h t e l A l-f r e d) [VEB Farbenfabrik Wolfen]. Пат. ГДР 4585, 3.09.54

Способ состоит в том, что в лигнинофенольные или лигнинофенолформальдегидные смолы в любой стадии конденсации (в последнем случае перед введениемСН2О) вводит ароматич. амины (анилин, нафтиламин), причем конденсацию лигнина со смесью фенола и амина проводят при ≥150° в присутствии кислого катализатора. Так, смесь 150 ч. фенола и с 2 ч. конц. Н₂SO₄ добавляют постепенно при 100° и непрерывном перемешивании к 150 ч. содержащего лигнин в-ва (сульфитный щелок или очищ. лигнинсульфокислота), после чего повышают т-ру до 170—175° с одновременной отгонкой реакционной воды, выдерживают смесь при этой т-ре час. (отгенка остатков воды), добавляют 70 ч. анилина и охлаждают до 80°. 12 ч. полученного продукта смешивают постепенно (лучше при охлаждении) с 4 ч. 30%-ного CH₂O и завершают конденсацию при кипячении. Жидкая в горячем состоянии смола затвердевает при ~ 20° и дает, при обработке на вальцах с наполнителями и обычными агентами отверждения, пресскомпозиции высокой водостойкости. Я. Кантор Способ получения пластической массы на

каменноугольного пека. Мёрле, Зейдлер, Бауэрфельд, Рихтер (Verfahren zur Her-stellung einer plastischen Masse aus Steinkohlenteerpech. Moehrle Eduard, Seidler Christian, Bauerfeld Franz, Richter Friedrich) [Ges. für Teerverwertung m. b. H.). Пат. ФРГ 934014, 6.10.55

Для получения пластич, массы из каменноугольного пека и каменноугольной смолы брикетный пек сплавляют при перемешивании с антраценовыми остатками (сырым антраценом), взятыми в кол-ве ~ 10% от общей массы, и мягчителем (напр., антраценовым маслом) при возможном добавлении наполнителей (тонкой золы) до, во время или после сплавления. Полученные массы имеют широкий интервал между т-рой размягчения и т-рой хрупкости и применяются, напр., в качестве покрытий для толя, для гидроизоляции, для дорожных покрытий и т. д. Масса, полученная из 80% брикетного пека, 10% антраценового остатка и 10% антраценового масла имеет т. размягч. 38° и т-ру хрупкости—2°; аналогичная масса из 70% пека, 24% антраценового остатка и 6% антраценового масла с добавлением 30% золы имеет т. размягч. 84° и т-ру хрупкости 1°. М. Альбам

Пластификаторы для азотеодержащих линейных полимеров. Тиниус (Weichmacher für stickstoffhaltige Linear-Polykondensate. Thinius Kurt). Пат. ГДР 8601, 18.11.54

Пластификатор для линейных азотсодержащих полимеров (полнамидов и полиуретанов) представляет собой продукт конденсации хлораля и лактамов и имеет CCl₃CH(OH)NHCO(CH₂)_n (CO)_mOR, где R спиртовой остаток, m=0 или 1, если n=0, или $m \ge 1$, если n=1. Напр., 1 моль є-капролактама сметивают с 1,5-2 молями хлоралгидрата, нагревают 30-90 мик. при 50- 80°, продукт отмывают холодной водой и получают N-хлоралькапролактам (т. пл. 106-108°). 15-20%-ный р-р полиамида из гексаметилендиаминадипината и капролактама (60:40) растворяют в смеси, содержашей 80%-ный спирт и этиленхлоргидрин (65:15) с 25. 50 или 75% (от полимера) N-хлоралькапролактама. Пленки, отлитые из р-ра, имеют после 24 час. выдерживания при 25° и 65% ной влажности прочность (при толщине 0.1-0.15 мм) 1.85-2.9 к $\Gamma/мм^2$, удлинение 966-1174%, обладают хорошей морозостойкостью (-16°) и светостойкостью. 3. Зазулина

13549 П. Пластификаторы, растворители в желати-низаторы (Lösungs-. Weichmachungs- und Gelatinie-rungsmittel) [DEHYDAG Deutsche Hydrierwerke G. m. b. H.]. Пат. ФРГ 931730, 16.08.55

В качестве р-рителей, пластификаторов и агентов желатинизации для продуктов полимеризации соединений. имеющих по крайней мере одну группу СН2 = С (винилхлорид, винилалкиловые эфиры, виниламин, акриловая к-та, стирол, бутадиен, изопрен и др.), применяют эфиры двуосновных к-т (адипиновой себациновой, дигликолевой, фталевой и др.) и циклоалифатич. и алифатич. спиртов (циклопентанола, циклогексанола); алифатич. спирты содержат 4-10 атомов С. Напр., 80 вес. ч. поливинилхлорида смешивают с 20 вес. ч. метилциклогексил-октилового эфира фталевой к-ты при 160° до получения гомогенной пластич. массы, обладающей эластичностью, морозостойкостью и хорошими изолирующими свойствами. Материал применяют для изготовления оболочек кабелей.

13550 П. Агенты набухания, вещества для желати-низации и пластификаторы. В а г н е р, Б и к к е л ь низации и пластификаторы. В в г и р, (Quellungs-, Gelatinierungs-und Weichmachungsmittel. Wagner Hans, Bickel Hans) [Deutsche Cold-und Silber-Scheideanstalt vormals Roessler Gummi-Werke A.-G.]. Пат. ФРГ und Continental

926326, 14.04.55

В качестве агентов набухания и пластификаторов для пористых высокомолекулярных в-в или формованных изделий применяют продукты хлорирования циклич. ацеталей двух- или многоатомных спиртов (напр., 1.2или 1,3-пропиленгликоля, 1.3-бутиленгликоля, глицерина) и алифатич. альдегидов - форм-, ацет- или бутиральдегида; толуилового альдегида, фурфурола и т. д. 41 вес. ч. поливинилхлорида смешивают с 18 вес. ч. порообразователя и 41 вес. ч. хлорированного дистилиденпентаэритрита (с содержанием Cl 35-60%). Полученную пасту применяют для изготовления пористых изделий, отличающихся хорошей твердостью, постоянством формы и негорючестью. М. Альбам

Способ предотвращения появления хрупкости у линейных высокополимеров с повторяющимися CONH-группами в цепи. Хагедори, Шмиц-Хиллебрехт (Verfahren zur Verhin-derung det Versprödung von linearen Hochpolymeren mit ständig wiederkehrenden CONH-Gruppen in der

Kette, Hagedorn Max, Schmitz-Hillebrecht Ernst) [VEB Filmfabrik Agfa Wolfen]. Пат. ГДР 5326, 8,10.54

Для предотвращения появления хрупкости у полиамидов, полиуретанов и полимочевин под действием тепла или света к ним добавляют во время или после их получения при формовании в изделия 0.01-5% (лучme 0.01-1%) N-арилзамещенных вторичных ароматич. ди-или полиаминов (в частности, N. N'-дифенил-1.3или -1,4-диаминобензол- N, N'- дифенил-2 7-диаминонафталин. N, N°-ди-3-нафтил-1,4-диаминобензол. N, N°-дифенил-9,10-диаминоантрацен, N, N°-дифенилбенаедин и т. д.). К полимерам могут быть также добавлены пластификаторы, наполнители или антиоксиданты. Так. 100 ч. є-капролактама, 4 ч. гексаметилендиаминадипината и 0,2 ч. N, N'-дифенил-1,4-диаминобензола сплавляют при ~200° и перемешивают в атмосфере СО₂ до получения однородного р-ра. После дальнейшего нагревания в течение 24 час. без доступа воздуха из полученного полимера отливают пленку толщиной 100-120 д. Пленка становится хрупкой после 140 час. нагревания при 150°, тогда как аналогичная нестабильзированная пленка разрушается через 10 час. при 150°.

Поливинилиденхлоридные композиции. Сердинский, Гауинг, Уайли (Polymeric vinylidene chloride compositions. Serd ynsky Eugene D., Gowing James S., Wiley Ralph M.) [The Dow Chemical Co.]. Канад. пат.

H

Щ

CT

HO

Te

mp

по

ни

на

ку

Ba

13

ДЛ

yk.

TOJ CTO

non

505769. 14.09.54

Композиция, обладающая антистатич, эффектом, содержит полимер с преобладающим кол-вом винилиленхлорида и 0,5-5 вес. % (от полимера) пентаалкилтрифосфата или гексаалкилтетрафосфата, алкильная групфосфата или гексаалкилистрафосфата, па в которых (напр., н-C₄H₉) имеет 3—8 атомов С. Е. Мордкович

Методы смешения и оборудование. Самnep (Blending method and apparatus. Samler Lee F.) [The National Plastic Products Co.]. Пат.

США 2718471, 20.09.55

Способ пластификации мелкораздробленного материала заключается в том, что частицы термопластичного материала непрерывно суспензируют в быстро перемещающейся инертной газовой среде, постепенно распыляют в суспензии пластификатор, отделяют обработанные частицы от газовой среды и возвращают их в исходную массу термопластичного материала, Б. Киселев 13554 П. Производство сухих порошкообразных термопластичных композиций. Биксби (Production

of dry powdery thermoplastic compositions. Bix by Willard F. [The B. F. Goodrich Co.]. Kanazara. 509257, 18.01.55

Для произ-ва сыпучих порошкообразных композиций, на основе термопластичных полимеров и пластификаторов, инертный по отношению к полимеру газ нагревают до 93—171° и подают в вертикальную печь со скоростью ≤ 30,5 м/сек, достаточной для удержания частиц полимера размером 10-300 меш во взвешенном состоянии в течение времени ≤5 сек. В одном из участков печи в газовом потоке диспергируют влажную гомог. смесь полимера и пластификатора. При движении дисперсии полимер нагревается до 93—121°. абсорбирует основное кол-во пластификатора и собирается в приспособлении (циклоне), отделенном от участка, где вводится полимер. Собранный полимер вы держивают дополнительно при 93-121° до окончани абсорбции полимером пластификатора и охлаждают. Термопластичные полимеры (напр., поливинилхлорид пригодные для произ-ва подобных порошкообразных композиций, получают из мономеров, содержащих одлу группу CH₂ = C < и образующих линейные полимеры Б. Киселев 110-

fen].

Юли-

вием

те их

(луч-

ATHY.

1-1,3-

CHECK

, N'ензклены

HTH.

мина-

нзола

сфере

ьнейздуха

иной

O yac. били-

150°

антор

иции. lyme-

sky

iley . цат,

M. CO-

пиден-

илтри-

груп-

MOB C.

ГКОВИЧ

Cam-

mler

. Пат,

Mare-

ичного

емеща-

БИЛЯЮТ ные ча-

одную

иселег

ах тер-

duction

ixby

Канад.

мпози-

пластию печь

пержа

O B3B6-

одном

т влаж

ри дви —121°

и соби

OT YAR nep BN-

нчани

ждают.

разны

их одну

пимеры.

Киселе

13555 II. Термо- и дугостойкие изоляционные материалы (Temperature and arc resistant insulating materials) [General Electric Co.]. Англ. пат.712228,21.07.54 Изделия получают при прессовании термореактив-ной композиции из 2—3.5 ч. волокон хризотилового асбеста и 1 ч. конц. ортофосфорной к-ты. Изделие затем вагревают при 800—1000°. В качестве наполнителя может быть также использован пиркон. Б. Киселев 13556 П. Композиция из пластмассы для производства химического оборудования. И с а г и р р е-Т о л ьca (Composición de materia plástica para manufactura de equipo quimico. I z a g u i r r e T o l s a E n r i-q u e). Мексик. пат. 55550, 55551, 23.06.55

Композиции для изготовления коррозионно-стойкого хим. оборудования состоят из смеси фенольной (пат. 55550) или фурановой (пат. 55551) смолы с фенолсульфокислотой в качестве катализатора отверждения в пропоссе формования.

Я. Кантор
13557 П. Получение диспергаторов. В и ль с о н Дейвидсон (Dispersing agents and method of producing the same. Wilson Thomas L., Davidson John A.) [Deminion Rubber Co., Ltd]. Канад. пат. 512030, 19.04.55

Полимерный эфир 2-этилгександиола-1,3 и сульфоянтарной к-ты, являющийся диспергатором, получают нагреванием 1 моля алкидной смолы (из малеиновой к-ты) с кислотным числом 40—50 и 0.7—1 моля (или 0.85— 1 моля) бисульфита щел. металла. Алкидную смолу подучают нагреванием полуэфира из 2-этилгександиола-1.3 и малеиновой к-ты. Ю. Васильев Производство изделий из минеральной ваты 13558 II. п связующих веществ (Production of moulded bodies from mineral wool and binding agents) [Grunzweig & Hartmann Ges]. Англ. пат. 704610. 24.02.54

Патентуется процесс изготовления пористых теплои звукоизоляционных листов из минер, шерсти или аналогичных материалов. Слой ватки определенной тол-щины проходит через ванну, где он пропитывается р-ром или эмульсией связующего или клея, напр., крахмала, производных целлюлозы, декстрина, жидкого стекла, битума, поливиниловой смолы, казеина февол-, крезол- или мочевиноальдегидными смолами, затем материал проходит через конвейер, где призводится отсос избытка связующего; пропитанная ватка подается в сушильную камеру, где она обрабаты-вается горячим воздухом, Полученная после отверждения смолы плита из пористого материала разрезается на отрезки требуемых размеров. По другому варианту вместо пропиточной ванны применяется пресс с вакуумным отсосом. Готовый материал может применяться в качестве многослойной изоляции для труб, покрываемой слоем гипса или другого материала. С. Иофе 13559 П. Способ формования пластической наружной облиняки. Додж (Method of forming plastic weather stripping and vindlaces. Dodge Howard M.) [The General Tire and Rubber Co.]. Пат. США 2671041, 2.03.54

Для формования пластич, общивки материал выдавливают в форме плоской ленты, гравируют одну поверхность ленты, изгибают ее, придавая изделию круглое поперечное сечение и скленвают по шву. Б. Киселев

13560 П. Способ изготовления оправы для очков. Колльер (Method of making spectacle frames. Collier Herbert P., Jr) [Titmus. Optical Со., Inc.]. Пат. США 2677634, 4.05.54

Способ изготовления оправы из пластич, материала для очков состоит в том, что на лист пластич. материала укладывают лист другого пластич. материала равной толщины, но контрастирующего по цвету с первым листом. При этом один из листов имеет на совпадающей поверхности впадины, а другой лист — выступы, имею-

щие аналогичные размеры и форму. При укладке листов соответствующими продольными сторонами зубцы и впадины совпадают. На этот сложный лист укладывают еще один лист, контрастирующий по цвету с одним излистов, имеющих выступы или впадины, и из полученного слоистого материала штампуют оправу для очков, так, что благодари соответствующему расположению выступов седловина оправы и ободки стекол получаются из материалов разного цвета.

Сеператоры аккумуляторных батарей изготавливают из термопластичной смолы с мол. в. >25000. Сепаратор имеет поры, образовавшиеся в результате введения в материал выщелачиваемой соли в 4-кратном (по объему) кол-ве по отношению к другим ингредиентам, которые представляют собой летучие р-рители и поверхностно-активный пластификатор и выщелачиваются вместе с солью. В. Киселев 13562 П.

3562 П. Способ получения катнонообменной смолы, содержащей слабокислую ионообменную группу. Хаген (Verfahren zur Herstellung von Kationenaustauschern, welche eine schwach saure austauschaktive Atomgruppe enthalten. Haagen Karl) [Farbenfabriken Bayer A.-G.]. Пат. ФРГ 915036, 15.07.54 [Chem. Zbl., 1955, 126, № 17, 3981—3982

(Hem.)]

Катионообменную смолу получают из способных к конденсации органич. соединений, содержащих слабокислую ионообменную группу, и альдегидов (преимущественно СН₂О), в присутствии сильнокислых катализаторов. Отличие способа состоит в том, что: а) в молекулу ионообменной смолы путем конденсации вводят также соединения, не содержащие ни фенольной ОНгруппы, ни другой способной к ионообмену группы, но являющиеся полифункциональными относительно альдегидов; б) конденсация производится в соответствующем р-рителе и, при необходимости, с применением в-ва, облегчающего растворение или в отсутствие р-рителя; в) полученные продукты конденсации превращаются дальнейшей обработкой води, щелочами или аналогично действующими в-вами, особенно при повышенной т-ре, в ионообменные смолы; г) в качестве кислых катализаторов применяются органич. сульфокислоты, также вхо-дящие в результате конденсации в молекулу смолы; д) из активных и не активных к обменной р-ции соединений сначала получают низкомолекулярные продукты конденсации, которые затем конденсируют с альдеги-дами с образованием смол. В расплав из 186 ч. с-нафтилуксусной к-ты, 50 ч. n-толуолсульфоновой к-ты и 50 ч. дифенилового эфира вводят при 95° 105 ч. параформальдегида, смесь нагревают до 105° и выдерживают при этой т-ре 15 мин. Прозрачный коричневый расплав постепенно застывает в гель; после измельчения и нагревания в течение 2 суток при 120° образуются черные гранулы, которые после дальнейшей обработки разб. щелочью при повышенной т-ре приобретают понообменные свойства. Получаемые продукты отличаются корошей устойчивостью формы и хорошо переносят частую смену величины рН, а также регенерацию.

Протектированный клеевой листовой пластический материал и способ его изготовления. С и-м о р (Protected adhesive plastic sheet materials and methods of making the same. Seymour Mal-colm [B. B. Chemical Co.]. Har. CIIIA 2725325,

Для изготовления протектированного клеящего листового материала на нерастягиваемую гладкую по-

2

OCH

фир

LHH

135

E

(1

Ул

сии

eg I

Пр

cpa

28 M

CRM

amv

CMO

MI

135

M 2 P

pac

THE

co (

лат

TAN

ста

мер

пер

сли

mae

вле

135

6

2

нат

Da3

BK

no.

ore.

c 2

RT

rea

HOE

пут

ЩП

135

аце

28

верхность бумажного листа наносят (из дисперсии или р-ра) равномерную пленку клея, так, что клей только удерживается, но не прочно приклеивается к полложке. Из клеевой пленки удаляют р-ритель, увлажняют летучими р-рителями поверхность тонкого листа на пластифицированной сложными эфирами водостойкой поливиниловой смолы и напрессовывают лист на сухую клеевую пленку, в результате чего образуется непрерывная связь между клеевой пленкой и листом, благодаря действию пластификатора. Для получения клеевой пленки используется р-р смеси сополимера винилхлорила и винилацетата, содержащий 85—93% винилхлорида, и сополимера бутадиена и акрилонитрила в летучем органич, р-рителе. Поливиниловая смола представляет собой поливинилхлорид, сополимер винилхлорида и винилацетата, содержащий 85—95% винилхлорида, или сополимер винилхлорида и винилиденхлорида. Клеевая пленка не обладает пластичностью. Б. Киселев Клейкие листы, прилипающие при нажиме. M y p (Matière adhésive en feuille applicable par pres-

sion. Moore Frank G.) [Hert Pharmacenticals Ltd]. Франц. пат. 1077490, 8.11.54 [Teintex, 1955,

20. № 6, 499 (франц.)]

Листы состоят из гибкой, предпочтительно водонепроницаемой, основы, напр. тонкого листа из металла, винилового полимера или целлофана, покрытого клеем или из пропитанной клеем редкой ткани или марли. Я. Кантор

Производство термопластичных изделий. Чадбури (Manufacture of thermo-plastic articles. Chadbourne Joseph H.) [The Danielson Manufacturing Co.]. Канад. пат. 512026, 19.04.55 Кабельные изделия состоят из одного или нескольких скрученных проводников и изоляции из термопластичного материала на основе полиамидов (найлона). При изготовлении кабельных изделий проводник быстро и непрерывно протягивают через головку экструдера, благодаря чему наносимая изоляция вытягивается и приобретает ориентацию. Б. Киселев Элемент электрической цепи, изолирован-

ный синтетической смолой. Шелл (Synthetic resin insulated electric circuit element. Schell John W.) [Erie Resistor Corp.]. Har. CIIIA 2725312, 29.11.55 Элемент электрич, цепи имеет влагостойкое изолирующее покрытие, состоящее из полихлортрифторэтилена, покрытого слоем отвержденной кремнийорганич. смолы. Кремнийорганич. смола солержит небольшие кол-ва неионных смачивающих в-в на основе высших спиртов, снижающих угол смачивания между поли-хлортрифторэтиленом и кремнийорганич. лаком.

Б. Киселев Пронаводство толетых слонстых волокнистых материалов. Кларк (Production of thick, laminated, fibrous structures. Clark James d'A)
[A. B. Dick Co.]. Пат. США 2698271, 28.12.54

Пля получения волокнистых материалов, имеющих наружные слои из тонких волокон и внутренние слои из недорогих грубых волокон, воздушный поток, содержащий взвешенные в нем тонкие волокна, пропускают через первую стационарную перегородку с отверстиями, сквозь которую волокна проходят свободно и затем осаждаются на второй, поступательно передвигающейся перегородке. Вторая перегородка, перемещаясь, попадает под следующее аналогичное устройство, где на уже отложенный слой тонких волокон отлагается слой толстых волокон, и затем под третье устройство, с помощью которого укладывается наружный слой тонких волокон. Поступающий воздух отсасывается через отверстия в движущейся перегородке с помощью со-ответствующих приспособлений. В необходимых местах, в воздушном потоке, несущем волокна, распы-Б. Киселев ляют связующее для склейки волокон.

13568 П. Способ обработки изделий из полиэтилена. BOAHHCKHÜ (Process for treating polyethylene structures. Wolinski Leon E.) [E. I. du Pont de Nemours and Co.]. Пат. США 2715077, 9.08.55 Пленку из полиэтилена подвергают действию газовой среды, содержащей ≥5 объемн. % NO при т-ре от 150° по т-ры деструкции полиэтилена, в течение времени. лостаточного для придания пленке адгезионных свойств по отношению к типографским краскам.

Способ изготовления наполненных воздухом декорированных мячей. М е й е р (Verfahren zur Herstellung von dekorierten luftgefullten Bällen, Mever Gerhard). Har. FIP 7901, 18.08.54 Способ нанесения рисунков на поверхность мячей. изготовляемых из пластифицированных высокополимеров, напр. из поливинилхлорида, состоит в том, что на наружную поверхность обоих плоских кружков. до формования их в половинки мяча, наносят, предпочтительно методом печати, рисунок с такими искажениями, которые исчезают при последующем формовании половинок и надувании готового мяча.

Я. Кантор

См. также: Общие вопросы 11958, 13375. Физ.-хим, исслед. св-в полимеров 11899—11901, 11903—11911, 11915, 11917, 11920—11922, 11924, 11928—11930, 11932, 11935, 11944, 11953, 11954, 11962, 11963. Полимеривация 11936, 11941—11943, 11960, 11961, 13381; инициаторы полимеризации 11939, 11959. Конденсация 11947. Поливинилхлорид 11945, 11948. Полиакрилаты 11897, 11925, 11938. Фенолальдегидные смолы 11950, 11951. Аминоальдегилные смолы 11952, 11955, 13177, Поли-Аминоальдегидные смолы 11952, 11953, 13177. Полнамиды 13711, 13733. Полиуретаны 11923, 13728. Полинентиды 11878, 11879, 11894. Кремнийорганич. смолы 13076, 13086, 13137, 13138, 13420—13422, 13603. Целлюлозные пластики 13610, 13622. Битумы 13609. Природи. смолы 13602, 13638—13640. Клей 11914, 11933. Электроизоляционные материалы 13051. Изделия из пластиков 13623, 13698. Анализ полимеров и пластмасс 12144, 12208, 12209, 12211, 12214

ЛАКИ, КРАСКИ, ЭМАЛИ, ОЛИФЫ, СИККАТИВЫ

Редактор М. Ф. Сорокин

Новое в дакокрасочной промышленности Португалии. - (Progress in the Portuguese paint industry. -), Paint Manufact., 1955, 25, № 9, 351-354 (англ.) Краткое описание лакокрасочного з-да в предместы Лиссабона. З-д готовит полимеризованные масла, алкидные смолы на льняном и дегидратированном касторовом маслах, в отдельных случаях с применением маленновой к-ты, пентаэритрита и диглицерина, фенольные смолы (эмульсионным методом), светлые и твердые канифольно-маленновые смолы и эфир гарпиуса.

13571. Исследовательская работа определяет будущие рынки сбыта для высыхающих масел. У и лхелми, Барр (Research, the key to future markets for drying oils. Wilhelm y Odin, Jr, Barr Harry W., Jr), J. Amer. Oil. Chemists' Soc., 1955, 32, № 4, 204—207 (англ.)

Подчеркивается необходимость составления техноэкономич. обзора по маслам и их заменителям, на базе которого должны быть поставлены исследования, направленные на обеспечение рынка сбыта для высыхающих масел в условиях конкуренции с безмасляными синтетич. материалами и талловым маслом. К. Беляева 13572. Новые сырьевые материалы и покрытия. Гиллис (What's new in raw materials and coatings. Ha.

ene

Ont

.55

30-

OT

ре-

TOD

UV-

zur

en.

54

тме-

OTH

OB.

mo-

жe-

DRA-

COTE

CHM.

911.

932

W38-

пиа-

947

897.

951.

ONN-

оли-

ипо

Цел-

1 ри-933

I M3

масс

ВЫ

Пор-

y .-),

естын

, алка-

нием

TBeD-

иуса.

іяева

буду-

mar-

Jr,

nists'

ехно-

базе

, на-

IXAD-

и син-

ляева

tings.

л.)

Gillies D. J.), Paint Ind. Mag., 1956, 71, № 3, 23—25 (англ.)

Краткий перечень новых синтетич. смол с описанием основных пленкообразующих свойств и указанием фирм-поставщиков, но без указания состава и технологии изготовления.

К. Беллева 13573. Ультразвук в технологии покрытий. Д и кеин с о и (Ultrasonic processing of coatings. D i c k i n s o n T h o m a s A.), Industr. Finish. (Engl.), 1954, 7, № 77, 266, 268, 274 (англ.)

(Engl.), 1954, 7, № 77, 266, 268, 274 (англ.) Описан принцип работы ультразвуковых установок ультразвуковых обработка позволяет готовить дисперсиндля нанесения покрытий из таких несмешивающихся материалов, как вода и масло, спирт и ртуть и т. п. Приготовление эмульсий этим способом ускоряется по сравнению с обычным в 5—10 раз. Кроме того, можно заменять водой дорогне р-рители, смещивать химически несовместиные смолы, иластификаторы, пирменты

заменять водои дорогие р-рители, смешивать химически несовместимые смолы, пластификаторы, пигменты, мульгировать в воде даже такие в-ва, как силиконовые смолы и медный порошок, смешивать р-рители с моющими средствами при очистке поверхности металлич. и неметаллич. деталей. М. Гольдберг 13574. Полимеризация и сополимеризация диметилэтиильнииларбинола с различными непредельны-

ми соединениями в присутствии ингибиторов. Д м и триев П. И., Леонтьева Е. Ф., Бюл. по обмену опытом в лакокрас. пром-сти, 1954, № 6, 23—28

Разработан новый способ получения лаковых смол, растворимых в этиловом спирте, основанный на сополимеризации технич. диметилэтинилвинилкарбинола со стиролом, винилацетатом, метил-, этил- и бутилакрилатами, метил- и бутилметакрилатами без предварительной их очистки от ингибиторов. Для устранения стабилизирующего действия ингибитора процесс полимеризации ведут при введении повышенного кол-ва перекиси бензоила или других в-в. Возможно также вести полимеризацию и сополимеризацию диметилячинлвинилкарбинола в присутствии ингибиторов вокистичельно-восстановительной среде. Новый способ упрощает технологич. процесс и снижает потери, обусловлениые очисткой мономеров от ингибиторов.

Т. Кастерина 13575. Исследование пленкообразующих свойств бутилортотитаната и получение термостойких покрытий на его основе. К и с е л е в В. С., Е р м ола е в а Т. А., Ж. прикл. химии, 1956, 29, № 2, 288—292

Исследование процесса высыхания бутилортотитаната (I) на воздухе и в вакууме показало, что иленкообразование происходит только на воздухе, следы влаги в котором обеспечивают гидролиз I и дальнейшую его поликонденсацию. Однако полученные пленки быстро отслаиваются от поверхности. При нанесении смеси 2 ч. I с 2 ч. АІ-пудры и 0,24, ч. глифталевой смолы, модифипированной получвысыхающим маслом и сушке при 200° в течение 1 часа было получено покрытие с хорошей адгезией и высокой твердостью, выдерживающее длительное воздействие т-р в пределах 500—600°. I получалсь путем взаимодействия ТіСІ4 с бутанолом, с последующим пропусканием газообразного сухого NH₃.

К. Беляева 13576. Поливинилацетатные омульсионные красочные системы. Терр и (Polyvinyl acetate emulsion paint systems. Теггу Herbert), Paint Ind. Mag., 1956, 71, № 4, 14, 16—17; Amer. Paint J., 1956, 40, 32, 14—15, 18, 20, 22 (англ.)

Кратко обсуждается опыт применения поливинилацетатных эмульспонных красок в США, Канаде, Англии в течение 5—10 лет. Б. Брейтман 13577. Классификация алюминиевых пигментов. Бабкок, Ретун ш (Classification of aluminum

pigments. B a b c o c k S. M., R e t h w i s c h F. B.), Paint, Oil and Chem. Rev., 1954, 117, № 7, 37—39, 46—48 (англ.)

Алюминиевые пигменты можно подразделять на всплывающие (I) и невсплывающие (II). Частички I имеют форму чешуек, а II — чешуек или зерен; и те и другие могут быть в виде порошка или пасты. Приведены характеристики дисперсности некоторых сортов I: а) 0,2% остатка на сите № 100 (149 µ), б), 1,0% остатка на сите № 325 (44µ), в) 0,1% остатка на сите № 325. Для стойких нестирающихся покрытий применяют II в виде паст. Можно пользоваться также І, со связующими, вызывающими потерю всплываемости, на что требуется некоторое время, иногда неделя и более. Такие связующие содержат полярные соединения, в частности спирты, кетоны, альдегиды и т. п. Повышение т-гы (до~50°) ускоряет потерю всплываемости и соответствующее изменение оттенка. Измельчение алюминиевого порошка со связующим в шаровых мельницах и т. п. аппаратах нежелательно, так как может вызвать изменение физ. свойств частиц порошка. Чем грубее частицы, тем светлее оттенок накраски. Вместе стем покрытия с грубодисперсными частицами менее укрывисты и гладки, чем с тонкодисперсными и поэтому иногда применяют смеси тех и других. Намечается тенденция применять тонкоизмельченные порошки в красках, где алюминиевый порошок является единственным пигментом, а грубои среднедисперсные сорта в смесях с другими пигментами. Рассмотрены связующие для алюминиевых пигментов, методы нанесения красок, правила хранения. М. Гольпберг

13578. Магнезит в качестве наполнителя в защитных покрытиях. В и льсон (Magnesite as an extander in protective coatings. Wilson Frank), West. Paint Rev., 1956, 42, № 3, A63—A64 (англ.)

Разработан новый наполнитель — магнезит (I), который после размола и промывки содержит 92% MgCO₃ и 8% MgSiO₃, уд. в. 2,789, маслоемкость 30—32 и рН 9,1—9,3. І легко перетирается на краскотерочных машинах, или другом оборудовании, и не снижает блеск эмалей. Благодаря высокому рН, І может быть использован для стабилизации эмульсионных красок на основе ТіО₂ и смол (акриловых, стирольно-бутадиеновых и поливинилацетатных). При этом, наряду со стабилизацией их вязкости, І уменьшает скорость оседания пигментов и предотвращает образование плотных неразмесинающихся осадков. Ускоренные испытания І в масляных красках и алкидных эмалих показали лучшие результаты по сравненню с таким наполнителем, как MgSiO₃. К. Беляева

MgSiO₃.

13579. Краски, стойкие к высоким температурам.
Валлон (Peintures résistant aux hautes températures. Wallon Jean), Bâtir, 1954, № 39, 18—20 (франц.)

При выборе матерналов для взготовления термостойких красок следует учитывать, что краски белые и светлых тонов не должны желтеть от действия повышенной т-ры. Пленки льняного масла желтают при т-ре 60—70°. Пленки воздушной сушки глифталевых смол, модифицированных соевым или дегидратированным касторовым маслом, не желтеют в пределах т-р 110—120°. Для т-р 120—150° нежелтеющие покрытия, но уже горячей сушки (0,5—1 ч. при 120—140°), можно получить на основе глифталевых смол, модифицированных кокосовым маслом, с добавлением мочевиноформальдегидных или мочевиномеламиновых смол. Глифталевая эмаль на основе сиптетич. масле не желтеет при действии т-ры 180—190°. Пленки красок на основе свликоновых смол, высушенные при т-ре выше 200°, выдерживают без пожелтения действие т-ры 400—500°. Новые алкидносиликоновых смол и т-ра отвержде-

али

CTO

135

ОДЕ BOL

диц

при

287

рис

B 8

дух

фор

RHH

THE

сты

фен 135

In K

вер:

оце

тери

Ha E

рич 1358

H

st

ar

G

76

0

изде

HI I

рива

Hoe)

xpox

сени

лени

KOBO

посл

дели

усма

кузо

Заме

Meto

пред

THE,

1358

PH

ry

(ar

CT

расп

расп BLIX :

поми

ния их ниже 200°. За исключением силиконовых смол все остальные связующие желтеют при т-ре выше 200°. Желтеющие покрытия воздушной сушки на основе алменленольных и глифталевых смол выдерживают без разрушения действие т-ры 250—260°, в то время как покрытия на основе масел начинают разрушаться при т-ре 180°. Желтеющие покрытия горячей сушки на основе: а) глифталевых смол, модифицированных мочевиноформальдегидными смолами, выдерживают действие т-ры 280°, б) фено-пластов (дюрофен) — 350°, в) эпоксидных смол (аралдит) — 350°, г) алкидносили-коновых смол — 400°. В качестве пигментов для термостойких покрытий применяют алюминиевую пудру, двуокись титана, сажу, окись хрома, искусств. железно-окисную красную. Свинцовый крон начинает темнеть при т-ре 150°, органич. красные пигменты при 140— 170°. Хорошей термостойкостью обладает красный кадмий, но он дорог. Нанося термоотверждающийся лак на цветной грунт, можно при горячей сушке получить декоративные покрытия с красивым коричневатым отимеющим золотистый отлив. М. Гольдберг Промышленные краски и их применение. тенком, имеющим золотистый отлив. Кол (Industrial paints and their application. Cole J. M.), Voice Ind., 1956, 9, № 10, 22—24 (англ.)

Краткие сведения о различных эмалевых красках. К. Беляева

13581. О причинах коагуляции грунтовки № 138 в окуночных ваннах. Остриков М. С., Шиф-рин Г. Е., Корюшенко А. И., Нисаева Е. Д., Сельхозмашина, 1956, № 5, 29—30 Нанесение груптовки № 138 методом окунания тре-

бует применения в окуночных ваннах перемешивающих устройств, которые предотвращают образование плотного осадка пигментов. Исследование процессов перемешивания циркуляционной насосной установкой и лопастной мешалкой ЦИТМ показало, что второй способ, обусловливающий перемешивание только в нижних слоях, наиболее рационален. Циркуляционная установка непригодна, так как она засасывает кислород воздуха, что вызывает оксидацию пленкообразующего, нарастание вязкости и последующую коагуляцию грун-К. Беляева

13582. Асфальтовая кровельная алюминиевая краска и ее влияние на всплываемость алюминиевого пигжан се вличние на вельываемость алюминесого пли-мента. Фредерик, Вусли (Asphalt roofing aluminum paint and its effect on leafing. Frederic Raymond H., Woosley W. P.), Paint and Varnish Prod., 1954, 44, № 8, 28—33 (англ.)

Всплываемость алюминиевого пигмента в асфальтовом кровельном покрытии определялась так называемым методом «ползучести» (сгеер): 45 г алюминиевой пасты помещают в банку, емк. 0,12 л, в которую затем медленно при помешивании добавляют асфальтовое связующее. Банку запечатывают и оставляют стоять на ночь, а затем содержимое перемешивают и выливают в стакан, смачивая краской внутреннюю поверхность всего стакана. После 20-сек. выдержки стакана в опрокинутом положении его оставляют приблизительно на 30 мин. до прекращения всплывания частичек вдоль стенок. Расстояние от уровня краски в стакане до раз-рыва в слое всплывших частичек вдоль стенки, выраженное в мм, называется «ползучестью», а выраженное в процентах (к высоте стакана) — характеризует всилываемость. Наилучшая всилываемость достигается при содержании в асфальтовом связующем 43-46% мелетучих, и влакости его 11—20 сек. (по вискозиметру Ф № 4). При влакости 11—15 сек. уд. вес. связующего должен быть не менее 0,880, а при влакости 16— 20 сек. — не менее 0,895. Асфальт, очищенный острым паром, с т-рой размитчения 46—49° слишком мягок, а гильсонит с т-рой размягч. 135—140° дает хрупкие пленки: целесообразно применять смесь асфальта с гиль-

сонитом (в соотношении 80-20) с т-рой размягчения ≥74—80° или смесь 60% гильсонита и 40% уплотненного рыбьего жира. Аналогично масляно-смоляным лакам чем выше уд. вес и ниже вязкость асфальтовых красок, тем лучше у них всплываемость. Поэтому замена уайт. спирита сильнее растворяющими ароматич. р-рителями. повышая уд. вес., улучшает всплываемость и качество М. Гольдберг пленки. 13583.

ленки. 5583. Кристаллизация фталоцианинового сипето в красках. Бруайр, Мутаффис (Crystalliza-tion of phthalocyanine blue. Brouillard R.E., Mutaffis T. D.), Paint and Varnish Prod., 1954. 44, № 7, 30-31 (англ.)

Измерение оттенка и блеска в процессе старения красок, содержащих фталоцианиновый синий (1), объясняется кристаллизацией частиц I, принимающих игловидную форму под влиянием ароматич. р-рителей. Применявшийся метод проверки стабильности в среде кси-лола или толуола при 60—80° под микроскопом, не давал результатов, достаточно точных для практич. использования. Предложено готовить белую эмаль с применением ароматич. p-рителей, пигментируя ее I по светло-синего оттенка; эту эмаль наносят методом распыления на пластинку тотчас же после изготовления, а также после 100 и 200-часового старения. Оттенки полученных накрасок сравнивают между собой спектрофотометрически. Стабильные к действию ароматич. р-рителей I можно приготовить либо путем экстрагирующего измельчения, либо с помощью введения стабилизатора. М. Гольдберг

м. Гольдоерг 584. Проблемы получения огнезащитных кра-сок. Кредентсер (Truly fire retardant pa-int can be developed. Kredentser H.), Manu-fact. and Industr. Engng, 1954, 32, № 9, 42—44, 46, 48

(англ.)

Приведены требования к огнезащитным краскам для стальных и деревянных поверхностей. Покрытия по дереву могут быть органич. или неорганич. и могут становиться одним целым с древесиной (пропитка) или образовывать отдельный поверхностный слой (поверхностная обработка). Имеются три типа пропитки: 1) с использованием растворимых солей; а) аммонийных, выделяющих при нагревании NH₃, б) буры, выделяющей H₂O и сублимирующейся, в) карбонатов и бикар-бонатов, выделяющих H₂O и CO₂, г) гидратированих солей, выделяющих H2O; 2) с использованием нерастворимых комплексов: а) окислы металлов с хлорированными материалами, освобождающими свободный хлор или HCl, б) осадок нерастворимого материала, освобождающий воду, газы и т. п., в) дисперсия водонерастворнмых фосфориламидов; 3) с использованием хим. р-ций: а) с многоосновными к-тами, напр., р-ция фосфорной к-ты в присутствии органич. основания, как напр. мочевины, б) хлорокиси фосфора в присутствии неводи. р-рителей, как напр. ССІ4 или пиридина, с последующей р-цией с аммиаком. Поверхностные покрытия делятся на 4 группы: 1) водные, невспучивающиеся при нагреве: а) бура, или ее производные — использование углеводного связующего с отобранными пигментами, б) аммонийные соли к-т, напр. фосфат аммония, пигменты, альгинат натрия и углеводное связующее, в) высокопигментированное покрытие, содержащее слюду, асбест и т. п. с углеводородным связующим, д) силикат ватрия с абестом и пигментами; 2) водные вспучивающие ся: фосфат аммония, пигменты, крахмал и загуститель; 3) неводные вспучивающиеся: аминоальдегидные смолы, фосфат аммония, пигменты и связующее; 4) неводные невспучивающиеся: а) бура и ее производные, пигменты в льняное масло, б) окись сурьмы, пигменты, хлорпарафин или хлоркаучук. Вспучивающиеся краски обычно более эффективны. Хорошими огнезадерживающим добавками являются борат цинка, карбонат кальция,

BHHR

HOTO

Kam

COK.

aŭT-

HMR

CTBO

Rem

liza-954,

краъяс-

гло-

I pu-

KCH-

е да-

. ис-

при-

1 до

pac-

ния. енки

KTPO-

р-рирую-

берг

кра-

lanu-

6, 48

и для

OH RI

могут

) или верх-

H: 1)

ных, еляю

икар-

HHMX

CTB0-OBSH-

хлор OCBOrepac-

XHM.

сфор-

водв.

ющей

лятся нагре-

углеи, б)

тмен-

высо-

у, ас-ат нат-

юшие-

нтель: молы,

одные

HITH

торпа-

бычно

MINE

тьция,

алкидные смолы и иногда смесь карбоната и сульфата свинца. Приведены рецептура некоторых огнезащитных составов и ссылки на методики испытания огнем. Гольдберг 3585. Лаки для морщинестых пленок. М аржи-валь (Les vernis à films ridès. Margival F.), Peintures, pigments, vernis, 1956, 32, № 4, 314—315 стойкости.

Описаны свойства морщинистых пленок, имеющих однородный рельеф, не собирающий пыли, с удовлет-ворительной твердостью, с сушкой при 95—120°. Приведены патенты на подобные лаки. Указано, что для получения морщинистости необходимо избегать излишней степени полимеризации смолы или масла, применять минимум сиккатива Со или Mg, увеличивать кол-во высококинящих р-рителей, включать стабили-заторы (литопоп, ZnO, TiO₂), для получения мелкого рисунка — вводить колл. пигменты, проводить сушку в атмосфере озонированного воздуха, или смеси воздуха с перекисью азота. Рекомендуют заменять фенольформальдегидную смолу мочевино- или меламиноформальдегидной, для повышения твердости. Применение ИК-лами при соблюдении перечисленных условий сокращает время сушки с 1 до 0,5 часа. Приведены типичные рецептуры лаков для получения морщинистых пленок типа тощих и жирных алкидных, алкидноенольных и описано их изготовление. Б. Брейтман Проблема лакирования изделий из жести и ли-

стового железа. Фрёлих (Lackierprobleme der blechverarbeitenden Industrie. Frölich Kurt), Ind.-Anz., 1956, 78 № 14, 192—194 (нем.)

Кратко описаны способы подготовки металлич. поверхностей под окраску, приводится сравнительная опенка различных методов нанесения лакокрасочных материалов (кистью, распылением, окунанием, наливом, на вальцах, окраска в барабанах и распыление в электрич. поле). Н. Аграненко

Техника и практика производства окрасочных работ по металлу. Сторди, Аплтон (Industrial metal finishing technique and practice-paints and organic coatings. Stordy J. J., Appleton G. J.), Instn Prod. Engrs J., 1955, 34, № 11, 752— 769 (англ.)

Описание технологич. процесса окраски металлич. изделий и применяемой для этого аппаратуры. Приведены различные методы подготовки поверхности: обезжи-ривание (механич., хим. и в р-рителях), пескоструйная обработка и фосфатирование (холодное, горичее, струй-ное) с последующим пассивированием 0,02 %-ным р-ром хромпика. Описаны конструкции установок для нанесения лакокрасочных покрытий двумя методами распыления: обычным и в электростатич. поле, а также роликовой накаткой на плоские поверхности. В качестве последнего достижения отмечается применение для отделки кузовов автомобилей рото-дип процесса, пред-усматривающего погружение непрерывно вращающегося кузова в ряд последовательно расположенных ванн. Замечено, что нанесение лакокрасочных материалов методом окунания обеспечивает более ровное их распределение и отсутствие воздушных пузырей на покрытии, имеющих место при нанесении распылением. К. Беляева

Сравнение стоимости покрытия методами горячего и холодного распыления. Наф (How hot lacquers cost less than cold lacquers. K n a f H e n-ry G.), Industr. Finish., 1956, 32, № 6, 50, 52, 54, 56

Стоимость покрытий при помощи лаков горячего распыления ниже стоимости покрытий лаками холодного распыления, даже и в том случае, если стоимость первых лаков выше стоимости вторых. Сравнивается экономичность лаков горячего распыления, содержащих

30% твердых в-в, с лаками холодного распыления, содержащими 20% твердых в-в. При одинаковой толщине пленок укрывистость первых превышает укрывистость вторых более чем на 50%. Исходя из этого, 1 кг твердых в-в «горячего» лака стоит меньше 1 катвердых в-в холодного лака и соответственно стоимость покрытия первым лаком, содержащим 30% твердых в-в, может быть значительно ниже стоимости второго, содержащего быть значительно наже стоямести втерого, 20% твердых в-в. В. Шемякин 13589. Схемы окраски морских судов.— (Marine finishing schemes.—), Prod. Finishing, 1954, 7, № 10, 72—76, 124 (англ.)
Обзор методов борьбы с обрастанием подводной ча-

сти морских судов морскими организмами. Защита стальных корпусов судов от коррозии. Окраска корпусов из древесины и из алюминиевых сплавов, легированных магнием. Окраска пластиков, упрочненных стекловолокном. Технологич. режимы окраски корпусов, изготовленных из стали, дерева и алюминиевых сплавов.
М. Гольдберг

5590. Стойкость глифталевых эмалей. Козлова И. К., Закс Л. С., Степанова И. В., Сб. науч.-исслед. работ Всес. и-и. ин-т с.-х. машиностр., 1956, № 8, 70—86 13590.

Проверялся процесс окраски сельхозмашин глифталевыми эмалями методом окупания в подогретые до $45-50^{\circ}$ ванны. Установлено, что с увеличением времени выдержки эмалей в ванне, даже при условии 15%ного обмена краски, происходит значительное нара-стание вязкости, увеличивается % разбавления р-ри-телем и получаемые при этом покрытия обладают пониженной толщиной и отличаются увеличенной волонабухаемостью и ухудшенными защитными свойствами. На основании полученных данных авторы делают вывод о невозможности применения для окраски сельхозмашин указанной технологии. К. Беляева

Бернхард (Bebandlung von Werkstücken mit Effentlacken. Bernhard P.), Techn. Rundschau, 1956, 48, № 3, 15 (нем.)

Обзор данных по применению декоративных лаков (лака с морозным узором, морщинистого лака, растре-скивающегося лака и др.). Н. Аграненко 13592. Окраска военных самолетов.— (Painting military planes.—), Industr. Finish. (Indianopolis), 1954, 30, № 11, 36—38, 40 (англ.)
Окраску военных самолетов производят в спец. ан-

гаре, имеющем размеры 96,0×45,7×9,1 м и общую ку-батуру 40 000 м³. Боковые его стены (по ширине) снабжены движущимися вверх дверями, что позволяет в любом месте закатить самолет или удалить его из ангара. Одна из продольных стен состоит из фильтров приточной вентиляции, через которые 14 вентиляторов, производительностью 158 000 м³/час, подают 2 100 000 м³/час—свежего воздуха. Противоположная стена состоит из непрерывного ряда распылительных камер с гидрофильтрами. 14 вентиляторов производи-тельностью 85 000 м³/час каждый просасывают 1 188 000 м3/час воздуха через водяные завесы. Над камерами смонтированы вытяжные воздуховоды, обслуживаемые другими 14 вентиляторами той же мощности. Всего из ангара отсасывается воздуха 2 377 000 м3/чае за 60 сек. Весь ангар равномерно освещается флуоресцентными лампами; стены его окрашены в светлый кремово-серый цвет, обеспечивающий хорошее отражение света. Краски и грунт поступают по трубам из центрального краскозаготовительного отделения. Промывка поверхности обезжиривающим р-рителем и защита неокрашиваемых поверхностей бумагой, удерживаемой липкой лентой, производится рабочими на переносных подмостках. По-

верхность сначала покрывают цинкхроматным грунтом.

а затем после воздушной сушки окрашивают летучей

1360

m

пле

резу

II pe

пле

при

peay

HVIO

DHT!

1360

re

1360

L

K

HUH

H C

вой

CMO:

nam

SEL

mie

р-ро

CMO:

p-pa

СИЛА

буха

PACT

R II

Kak

Ана

ac (N

CHI

Соде

CO2)

BREG соль

М. Гольдберг

эмалью, содержащей 30% сухого остатка. Давление воздуха, расходуемого на распыление, — 4,2 am, дав-ление краски — 1,4 am. Плина воздушных и красочных коммуникаций находится в пределах от 7,6 м до 18.3 м. Через 4 часа после окраски на поверхность ставят номер и опознавательные знаки. М. Гольлберг Окраска фильтров на заводе Фрама. Ф о р к ьоне (Filter painting at Fram. Forchione

chael), Industr. Finish. (Indianapolis), 1954, 30, No. 12,

26-28, 30, 32 (англ.)

Описан конвейерный процесс окраски воздушных масляных, водяных и других фильтров. После сверления и нанесения резьбы корпуса фильтров подвергают лвукратной промывке водой с т-рой 82°, фосфатированию, промывке и обработке р-ром хромового ангидрида. Краску наносят в камере с гидрофильтрами, методом распыления в электростатич. поле, при напряжении 110 жв., из автоматически работающих распылителей. Окращенные детали после 5-мин. выдержки сущат ИК-лучами, дают остыть в течение 20 мин. и передают на сборку. М. Гольдберг 13594. Факторы, влияющие на эффективность элек-

трической инфракрасной сушки и обычной сушки горячим воздухом. В а л ь т е р (Factors influencing the effeciency of electric infra-red drying and baking. Walter Leo), Organ. Finish., 1954, 15, No 11,

6-9 (англ.)

Приведены диаграммы, показывающие скорость нагрева и теплопередачу при сушке ИК-лучами и при конвекционной сушке горячим воздухом. При проведении сушки ИК-лучами на конвейере нужно принимать во внимание скорость нагрева, зависящую от отношения поверхности изделий к их весу, тип применяемой краски, природу материала окращенного изделия, общий ритм произ-ва на предприятии. Расход электроэнергии в конвейерных сущилках значительно экономится посредством блокировки выключателя лами с линией конвейера, или применения фотоэлементов для включения пополнительных секций ламп, в случае пропускания через супплку крупных изделий. Путем выключения соответствующих секций лами тупнельную ламповую сушилку можно использовать для сушки изделий, имеющих различную форму и окрашенных красками, требующими различное время сушки. Во избежание перегревов ламновые сущилки снабжают термостатирующями устройствами. Автоматич. управление осуществляется с помощью электрорелейного механизма, который должен быть достаточно надежен даже при наличии в воздухе пыли, дыма, кислотных паров и т. п. М. Гольлберг

13595. Основной цвет и граничащие с ним цветовые оттенки. Вы шецкий (Soll-farbe und zugehörige Grenzfarben. Wyszecki Günter), Farbe, 1955, 3, № 5/6, 151—156 (нем.; рез. англ., франц.) Предлагается система расположения цветовой гам-

мы, состоящей из 12 оттенков основного цвета. Оттенки помещают по 12 углам кубич. октаэдра, в центре которого находится основной цвет. По разрезании этого октардра получаются 4 карты, могущие служить цвето-К. Беляева выми стандартами. 13596. Влагозащитные свойства различных лакокра-

сочных покрытий по дереву. Дан тума (Die hem-mende Wirkung vorschiedener Anstrichsysteme auf das Eindringen von Feuchtigkeit in hölzerne Probekör-per. Dan tuma R.S.), Farbe und Lack, 1954, 60, № 8, 338-342 (нем.)

Приведены результаты одногодичных испытаний (в Голландии) атмосферостойности деревянных образцов, с начальной влажностью 9%, окрашенных и неокрашенных. Путем периодич. взвешивания образцов установлено, что изменения их влажности во времени соответствуют колебаниям влажности атмосферы. При

сравнении накрасок, покрытых одним слоем грунта на синтетич, основе и того же грунта с одним и двумя слоями покровного синтетич. лака, оказалось, что чем больше слоев нанесено на образен, тем больше величина его влагопоглощения. Обычно применяемая «классическая» четырехслойная система; свинцово-белильный грунт, шпатлевка, подготовительный лак и покровная краска, на основе уплотненного масла, имеет влагопроницаемость примерно такую же, как слой синтатич. грунта с одним слоем покрывного синтетич, лака и намного меньшую, чем покрытие только одним словы свинцово-белильного грунта. Полученные результаты не совпадают с лабор., проводившимися в течение более короткого времени, и показывают необходимость дальнейших исследований процессов, происходящих в условиях длительного испытания окрашенных перевянных образцов под открытым небом. Предыдущее сообщение см. РЖХим, 1955, 36139. М. Гольдберг М. Гольдберг 13597. Водопроницаемость красочных пленок. У в-

лер (Water permeability of paint films. Wheeler W. C. G.), Chemistry and Industry, 1954, № 47, 1441—1442 (англ.)

Описан метол определения водопронипаемости красочных пленок. На стеклянную пластинку наносят р-р, содержащий 7 г гуммиарабика и 12 г кристаллич. СоСl, в 100 мл воды, распределяя его в центре пластинки на плошали ~102 × 51 мм. Если испытывается краска черного цвета, то поверх налитого р-ра помещают 1-2 капли сильно разбавленной взвеси алюминиевой пасты в смеси уайт-спирита и бензина. Когда пленка посинеет. пластинку помещают на 10 мин. в термостат. Испытуемую краску наносят на еще теплую пластинку. После трехлиевной сушки краски пластинку погружают на воловину ее высоты в морскую воду (или 3,5 %-ный р-р соли). Отмечают число дней, требуемых для порозовения гуммиарабикового слоя. Это соответствует проникновению ~2 мг воды на 1 см2. В заключение опыта пленку краски, покрывающую гуммиарабик, удаляют, проми вают водой, сущат между листами фильтровальной бумаги и измеряют толщину микрометром. Приведены в обсуждены результаты испытаний некоторых лакокрасочных материалов. М. Гольдберг Об исследовании покрытий (набухание пле-13598.

HOR). A'A H c (Über anstrichtechnische Forschung insbesondere über die der Filmquellung. D'Ans J.) Farbe und Jack, 1955, 61, № 2, 54-59 (нем.) Прочность на растяжение пленок пигменти-

мацеконис, Мартин (Stress-strain properties of films of pigmented or emulsified alkyds. Bosch Wouter, Macekonis Frank J., Martin Properties of Frank J., M tin Patrick H.), Amer. Paint J., 1954, 39, No. 13, 75, 78-79, 82, 84, 86, 88, 91-93, 96, 98 (AHTAL) Исследовалось влияние пигментирования цинковым белилами, наполнителями и их смесями, эмульгирования алкидов на удлинение и прочность в растяжение свободных пленок алкидных смол. Объекная конц-ия пигментов во всех образцах составлям 15%. Сушка пленок и испытания на динамометре производились в спец. камере с т-рой $30\pm2^\circ$, при относттельной влажности воздуха $60\pm5\%$. Добавление пи ментов повышает прочность алкидных пленок на растяжение и понижает их удлинение. Реакционноспособные цинковые белила гораздо сильнее повышают проность на растяжение, чем инертный тальк. Замена 🕸 сти окиси цинка тальком уменьшает прочность, но не повышает растяжимость пленки. Окись пинка иголь чатой формы придает более высокую прочность плени чем ZnO сферич. формы; однако у талька эта зависимост не подтвердилась. Эмульгирование алкидов оказывае некоторое влияние на прочность и удлинение непи-

ментированных пленок,

га на

BVMH

HOP (

THUW.

асси-

ьный BHRO

JIRTO.

интепака

слоем

ьтаты

более

даль-

усло-

евян-

импее

дберг У и-

hee-1954.

и кра-Tr p-p,

нки на

краска T 1-2

пасты. инеет.

пытуе-

После

на по-

ый р-р ORCHUR

-онивно-

пленку II DOMNной бу-

едены п кокра-

пьдберг

не пле-

rschung

ns J.),

гменти-Бош,

proper-Bosch

Mar

954, 39,

8 (англ.)

HKOBHNI также

ность ш . Объем-

тавлял

тре про OTHOCH

ние шп

на растя-

оспособют прочмена ча-

ть, но № а иголь

пленке,

исимост

казывае

не нешт-

ольдберг

Сравнение показателей твердости лаковых ыленок при определении различными методами. Хайрон, Радд, Зоневелд (A comparison of the hardness of varnish films using different test methods. Hiron F. P., Rudd H. W., Zonsveld J. J.), Verskroniek, 1954, 27, № 5, 122—126 (англ.: рез. нем., франц., голл.)

Проводились параллельные определения твердости пленок по 5 различным методам. Наиболее совпадающие результаты получены методом царапания с применением еты с грузом, оканчивающейся шариком диам. 1 мм. При этом твердость выражается весом груза в е, при котором прорезается пленка, проходящая с постоянной скоростью под иглой. Показатель твердости лаковой пленки зависит от ее толщины, полноты высыхания и природы подложки. Для получения взаимосравнимых результатов следует наносить пленки равных толщин на одинаковую подложку, предпочтительно зачищенную сталь (алюминий не пригоден), а также произвопить определение после достаточного времени выдерж-К. Беляева

м. Белиева 3601. Химические материалы, применяемые в тех-нике глубокой печати. Х е й г л ь (Chemikalien und Materialien in der Tiefdruck-Chemigraphie. H e i g l Alois), Polygraph, 1955, 8, № 10, R13—R15 (нем.) Рассмотрены обработка, свойства, р-ции и практич. применение хим, материалов для полиграфии.

Н. Аграненко

13602 К. Шеллак и другие природные смолы. Изд. 2-е Гидвани (Shellac and other natural resins. 2nd. rev. ed. Gidvani Bhawan Showkiram. London, Plastics Inst., 1954, 130 pp., ill.) (англ.)

3603 П. Растворы полисилоксановых смол (Silicone resin solutions) [British Thomson Houston Co., Ltd]. Англ. пат. 731673, 15.06.55
Композиция содержит 1—40%-ный (или 20—35%-

ши) р-р неплавкой и не растворимой в углеводородах п спиртах, желатинированной полиорганосилоксановой смолы в триалкиламине, каждая алкильная групш которого содержит 2-3 атома С. Для растворения смолу смешивают с амином и при необходимости нагремют. Р-р применяют для нанесения пленок, которые являются более теплостойкими, чем пленки, получен-ше из p-ров нежелатинированных смол или из рров желатинированных смол в триметилбензиламмонийбутоксиде (I). Гель полиорганосилоксановой смолы получают при выпаривании досуха толуольного р-ра продуктов гидролиза смеси 1 моля аллилтрихлорсклана, 7 молей метилтрихлорсилана, 1 моля фенил-трихлорсилана и 1 моля диметилхлорсилана. Гель набухает в смеси толуола и бутанола и в трибутиламине, мстично растворяется в диэтиламине и этилендиамине в корошо растворим в I и триэтиламине (II). Р-р смолы в II образует светлые термостойкие пленки, в то время как p-p смолы в I дает темные пленки с запахом амина. Апалогично готовят р-ры продукта согидролиза фенил-и метилтрихлорсилана в II. А. Жданов 13604 П. Метод получения лакокрасочных материа-

лов на основе эпоксидных смол и высыхающих масел (Method of producing coating compositions from epo-nide resins and unsaturated triglyceride oils) [Devoe & Reynolds Co., Inc.]. Англ. пат. 737272, 21.09.55 Лаковая основа может быть получена путем нагре-мняя при 232—240° смеси эпоксидной смолы (I) с высыхающим маслом до получения однородной массы. Содержание I в смеси может быть 5—90%. Процесс осуществляется как в открытых, так и в закрытых (в атм. 002) реакторах или в аппаратах с обратным холодильшкой. Полученная основа растворяется в ксилоле или сольвент-нафте, или в их смеси. В качестве отверждаю-

щего агента может вводиться диэтилентриамин. Рекомендуется применение I, полученной из дифенилолпропана и эпихлоргидрина, в присутствии NaOH. В качестве масел применяются дегидратированное касто-

честве масел применяются дегидратированное касторовое, соевое и льняное.

К. Беляева 13605 П. Композиции для покрытий и процессы их применения. Бак, Коилон (Coating compositions and processes of applying same. В u c k Allen C., Conlon Joseph F.) [E. I. du Pont de Nemours and Co.] Канад. пат. 516283, 6.09.55

Композиция, имеющая высокую алгезию к стеклу. солержит способную к этерификации эпоксигидроксиполиэфирную смолу и к-ту, в качестве которой можно взять лимонную трикарбаллиловую, аконитовую, итаконовую, цитраконовую, маленновую или дигликолевую, способную к образованию, стивающих связей в смоле, при нагревании до 151,3° в течение 1 часа (в частности, используют малеиновую к-ту). Смола может быть свободным от хлора, способным к этерификации конденсационным полимером бисфенола с избытком эпихлоргидрина. Покрывная композиция стойка к воде, разбавленным щел. р-рам, мыльным р-рам, умеренно кислым р-рам и органич. р-рителям после супки 1 час при 151;3°. В композицию входит также окрашивающий материал. Сушку можно производить 10 мин. при 230°. Б. Брейтман

13606 П. Морщинистые лаки из смеси виниловых и алкидных смол. Уолди (Vinyl resin-alkyd resin wrinkle coating composition. Waldie William A.) [New Wrinkle, Inc.]. Канад. пат. 519758, 20.12.55

Патентуются морщинистые лаки из смеси смол мелкодисперсной виниловой (I) и алкидной (II) при вес. соотнош. между I и II от 1:1 до 1:10. II нолучается при совместном нагревании смеси, состоящей (в вес. %) из 12,28 глицерина, 19,93 фталевого ангидрида, 1,15 маленнового ангидрида, 16, 94 к-т льняного масла, 23,12 канифоли и 26,58 тунгового масла, с последующим растворением в растворителе. В качестве I могут быть применены поливинилхлоридная смола или сополимер К. Беляева винилхлорида с винилацетатом.

13607 II. Процесс приготовления лаковых основ на высыхающем масле и модифицированном эфире ка-нифоли. Раст (Modified rosin ester-drying oil var-nish bases and process of making same. R u s t J o h n B.) [Montclair Research Corp.]. Канад. пат. 519483, 13.12.55

Процесс приготовления лаковой основы состоит в нагревании (при 260—300°) высыхающего масла с измельченной смолой, при соотношении между маслом и смолой 1:1 (или 0,5:1), до получения однородной смеси, после чего дополнительно загружается масло, в кол-ве, обеспечивающем требуемую жирность основы. Нагревание продолжается при 250—275° до получения гомогенной и достаточно вязкой массы. Смола представляет собой продукт, полученный при нагревании (при 200—300°) смеси, состоящей из 75% эфпра канифоли и многоатомного спирта (напр., глицерина) и 25% эфира одноатомного ненасыш. спирта с 3—4 атомами С (напр., аллилового) и двухосновной к-ты (напр., ма-К. Беляева

Ленновон).
13608 П. Декоративные лаки. Гизин (Effektlacke. Gysin Werner) [Badische Anilin-& Soda-Fabrik A. G.]. Пат. ФРГ № 907103, 22.03.54 [Fette-Seifen-Anstrichmittel, 1956, 58, № 4, 304 (нем.)] В доп. к пат. 870002 (РЖХим, 1956, 37752). Декора-

тивные лаки готовятся из смесей, совместимых с маслом сополимеров винилхлорида, с высыхающими алкидными смолами, модифицированными маслами или жирными к-тами. Н. Аграненко 13609 II. Эмультирование битумов (Emulsification of bitumens) [Esse Standard Soc. An. Francaise]. Англ. пат. 714998, 8.09.54 [Paint, Oil and Colour J.,

1954, 126, № 2928, 1237 (англ.)]

Эмульгатор, позволяющий получать эмульсии битумов (т. пл. до 75°), а также каменноугольных, древесных, жировых и масляных пеков, представляет собой смесь частично омыленных жирных к-т и оксикислот, имеющих кислотное число (после омыления) 60-120. К. Беляева

13610 II. Способ получения эмульсий нитроцеллюлозы с высоким содержанием сухого вещества. Хартман (Verfahren zur Herstellung von Nitrocellulose Emulsionen mit hohem Trockengehalt. Hartmann Fritz) [Wasag-Chemie A.-G.]. Пат. ФРГ 918286, 20.09.54 [Dtsch. Farben. -Z., 1955,

9, Na 4, 140 (Hem.)]

Нитроцеллюлозу механически дробят в воде с добавлением пластификаторов и пигментов в присутствии эмульгаторов и небольших кол-в р-рителей и (или) в-в, вызывающих набухание: 15 кг нитроцеллюлозы, содержащей 33,3% воды обрабатывают 8 кг дибутилфталата и 1 ка ализаринового масла в смесителе в течение 1 часа, причем добавляют 2 кг воды. Получают 26 кг эмульсии нитроцеллюлозы с содержанием 73,1% сухого в-ва. Ю. Вендельштейн

3611 П. Эмульсии для красок. Лехлер (Emulsions pour peintures. Lechler Paul). Франц. пат. 1103979, 15.11.55 [Peintures, pigments, vernis, 1956, 32, № 4, 332 (франц.)] 13611 П.

Эмульсии на основе органич. связующих с минер. колловдами такими, как глина, бентонит, Al (OH)₃, содержат небольшое кол-во (0,1—0,2 %) растворимых в H₂O органич. соединений Si. H. Аграненко

13612 П. Покрывные материалы на основе барита и синтетических смол, содержащих амидогруппы. Φayπep (Baryta coating compositions containing amido group-containing synthetic resins. Fowler William F.) [Canadian Kodak Co., Ltd]. Канад. пат. 519392, 13.12.55

Патентуется водн. суспензия, содержащая на 1 ч. BaSO₄ 1/300 или 1/150 ч. продукта обработки смолы аммиаком, первичным или вторичным низшими алкиламинами. Смола получается сополимеризацией 1 моля ангидрида ненасыщ. карбоновой к-ты (напр., акриловой) с 1—4 молями мономера, содержащего группу СН₂ = С — (напр., стирола). К. Беляева К. Беляева

13613 П. Регенерация пигментов из аэрозольного cocтояния. Стоке, Холл (Recovery of pigments from aerosols. Stokes Charles A., Hall Arthur Z.) [Godfrey L. Cabot, Inc.]. Канад. пат.

516 909, 27.09.55

Процесс регенерации газовой сажи из дымовых газов на сажевой установке состоит из следующих стадий: охлаждение газов; удаление уносимых с газовым потоком частиц сажи осаждением при помощи распыляемой воды; осаждение остающейся во взвешенном состоянии сажи путем электростатич. обработки; образование 1-20% сажевого шлама, способного перекачиваться насосом, из остаточной, осажденной сажи при водн. очистке дымовых газов и добавление к шламу 1-2% смачивающего и диспергирующего в-ва. Часть шлама распыляется в газовом потоке, имеющем достаточно высокую т-ру, для отделения влаги и охлаждения пигментного аэрозоля, остаток шлама постепенно добавляется при перемешивании к сухой порошкообразной саже для уменьшения влажности шлама до 75-25%. Получаемый продукт представляет собой пигмент сажи в виде дискретных гранул. Б. Шемякин

3614 П. Производство красок. Джирард, Ар-нолд (Manufacture of paint. Girard M. V., Arnold M. H. M.) [British Ceca Co., Ltd Postans,

Ltd]. Англ. пат. 736590, 14.09.55

Технология приготовления красок, исключающая обычные методы перетира пигментов (I), состоит в том, что I после измельчения на струйной мельнице и сепарации, с отбором частиц $\leqslant 10\mu$, предварительно смачи. ваются частью связующего (II), подаваемого в смеситель в виде распыленной струи, или р-рителем для II, напр., уайт-спиритом, ксилолом и др., или р-ром II. Слипшиеся при этом агрегаты частиц I отделяются от газовой фазы и затем смешиваются с основной массой П В качестве II приведены высыхающие масла, олифы, лаки и т. п. Распыление осуществляется инертным газом (N2, CO2) или воздухом. Приведена аппаратурная схема. К. Беляева 13615 П.

1615 П. Дезинфицирующие и инсектицидные лако-красочные составы (Pest-controlling coating compositions) [National Research Development Corp.]. Ang.

пат. 736968, 14.09.55

Лакокрасочный состав (I), образующий дезинфицьрующее и инсектицидное покрытие, применяющееся для отделки кабин самолетов и мебели, состоит из растворимых в органич. р-рителях бутанолизированных мочевино- или меламиноформальдегидных смол, иластифицированных касторовым маслом, трикрезилфосфатом или алкидами тощими и средней жирности, лаковых р-рителей (сложных или простых эфиров, углеводородов, кетонов, спиртов) и дезинфицирующих и инсектицидных в-в (II). В I могут также вводиться пигменты. наполнители и красители. Приведен общирный перечень II, которые добавляются в кол-вах, обусловливающих их кристаллизацию, выпотевание или испарение из покрытия, отверждаемого при облучении УФ-светом. Для ускорения процесса пленкообразования можно вводить кислотные катализаторы (напр., серную, соляную, этилсерную и фосфорную к-ты) и применять горячую сушку ИК-лучами или нагретым воздухом. В одном из примеров I содержит ксилольнобутанольный р-р мочевиноформальдегидной смолы, пластифицированной ал-кидом, модифицированным касторовым маслом, сер-ную к-ту и в качестве II (ү-ГХЦГ или смесь пиретрума пиперонилбутоксидом). К. Беляева

3616 П. Получение красок, покрытий и т. п. с вы-сокой люминесценцией (Revêtements peintures, en-13616 П. duits et similaires a grande luminosité) [Ardennaise des Paintures et Mann]. Франц. пат. 1027980, 18.05.53 [Chem. Zbl., 1955, 126, № 14, 3263 (нем.)]

Получение красок с высокой люминесценцией достигается введением таких пигментов, которые сами по се-бе или в контакте с другими в-вами способны образовывать покрытия (двух- и многоцветные) с двойным лучепреломлением. Такое покрытие может также содержать параллельно ориентированные, прозрачные, светящиеся нити органич. или неорганич. происхождения.

617 П. Высыхающие масла. Брэдли (Drying oils. Bradley Theodore F.) [American Cyan-13617 П. (Drying amid Co.]. Канад. пат. 517516, 18.10.55

Метод получения высыхающих масел, основанный на

изомеризации жирных к-т (I), состоит из следующи последовательно проводимых операций: нагревание води. p-ра мыл I с избытком щелочи в закрытом реакторе при 200—250°, до получения требуемого кол-ы коньюгированных двойных связей; разложение мыс с выделением свободных I; этерификация получении I многоатомным спиртом, содержащим ≥3 реакционно-способные ОН-группы. В качестве I могут быть взяты I, содержащие ≥2 несопряженных двойных связи, напр., І, рыбьего жира, соевого и льняного масел. В последнем случае изомеризация проводится до получения 40% І с двумя и 8% І с тремя сопряженными двойным связями. 13618 II.

Способ получения полимеризованных м сел для морщинистых покрытий. Полик (FormaII:

ющая

TOM.

сепа

мачи-

нтель

II.

II MC

OT TRoŭ II.

пифы,

и га-

урная

ляева

лако-

nposi-Англ.

фици-

шееся

a pac-

хиння

плабосфа-

ковых одоро-

секти-

ленты,

речень

HX HX

13 no-. Для

водить -пите суш-

з при-

очевий ал-, cep-

етрума

еляева

C Bid-

nnaise 3.05.53

дости-

по се-

азовы-

и луче-

ржать тящие-

ения.

еляева

Drying

Cyan-

ний на

ующи

евание

реакто

кол-ва

е мыл

ченных

(понновзяти

связа,

. В по-

учения

ТИМНИО

еляем

PIX Mg-

Forma-

tion of wrinkling oils by polymerizing nonwrinkling bases. Pawlyk Peter [New Winkle. Inc.]. Канад. пат. 517201, 4.10.55

Способ получения масел для составов, образующих морщинистые покрытия, состоит в полимеризации смеси тунгового (или касторового) масла с металлич. сиккативом [нафтенат кобальта, $Co(CH-CH=CH_2)_2$] и толуолом в качестве разбавителя или толуолсульфокислотой. Перечисленные в-ва образуют анолит. Через анолит и католит (состоящий из NaOH и H2O, или разб. Н₂ЅО4 в виде 5%-ного р-ра в случае применения тунгового масла или 2,5%-ного - при применении касторового масла) пропускают электрич. ток до получения масла с нужной вязкостью. 13619 П. Эмульсионный по Б. Шемякин

3619 П. Эмульсионный порозаполнитель — програ-ва. Фишер, Прайс (Stain-filler emulsion. Fisher John R., Jr, Price James E.) [The Chadeloid Corp.]. Канад. пат. 518016, 1.11.55 Водоэмульсионный протравливающий и заполняющий поры древесины состав, избыток которого легко удаляется с поверхности путем протирки после полного высыхания, представляет собой смесь р-ра кислотного органич. красителя и смоляного связующего в общем для них органич. р-ре, сырого растительного масла, внертного пигмента (железоокисного, органич. черного, фарблаков, сажи или активированного угля), наполштеля (древесной или кукурузной муки, крахмала), пластификатора (трикрезилфосфата), воды и диспергирующего агента. Последний состоит (в вес. ч.) из 5,56 гептадецилсульфата Na и 1,86 полимериз. Na-соли алкилнафталинсульфокислоты. В качестве смол могут применяться алкидные, фенолформальдегидные, ка-ифоль, ацетобутират- или нитроцеллюлоза. Рецеп-тура состава (в вес. ч.): 23,8 тетрагидрофурфурилового спирта, 8,51 алкидной смолы, 9,1 поверхностно обработанного СаСО₃, 10,2 бентонита, 1,0 трикрезилфосфата, 18,2 инертного наполнителя, 4,5 древесной муки, 1,14 активированного угля, 1,82 полимериз. Nа-соли ал-килнафталинсульфокислоты. 5,56 гептадецилсульфата Na, 5,07 сырого льняного масла, 13,7 воды. В указанную смесь вводятся смеси красителей в виде р-ров, со-стоящих (в вес. ч.) из 89,5 этилиеллозольва, 2,89 красного, 6,03 светопрочного оранжевого, 1,53 черного красителей, и разбавитель, состоящий (в вес. ч.) из 11,2 циклогенсанола, 37,5 тетрагидрофурфурилового спирта, 43,7 метанола и 7,5 толуола. К. Беляева 13620 П.

Порозаполняющая композиция. Браун, Пифо, Томас (Wood filler composition. Brown Kenneth R., Piepho Harvey L., Tho-mas Francis H.) [Sherwin-Williams Co.]. Канад.

пат. 516350, 6.09.55

Порозаполняющая композиция для древесины содержит связующее, состоящее в основном из высыхающего продукта взаимодействия растительного масла с маленновым ангидридом, этерифицированного многоатомным сшртом (напр., пентаэритритом), для получения высо-кополярного масла. Избыток маленнового ангидрида берут 1 вес. % (но не более 5 вес. %) от общего кол-ва масла, кислоти. число полученного связующего 15-40. Порозаполнитель содержит большое кол-во пигментных материалов, диспергированных в меньшем кол-ве связующего. Б. Брейтман

13621 П. Оборудование для окраски распылением и метод нанесения. Джоханссон (Spray coating means and method. Johansson Inguar O.) [Binks Manufacturing Co.]. Канад. пат. 514307, 5.07.55 Для окраски двухкомпонентными лакокрасочными составами (напр., эпоксидными) применяют пистолет с двумя отверстиями (приведен чертеж), позволяющий получать гомогенные смеси из лака и отверждающего пленку агента непосредственно в момент нанесения на поверхность. К. Беляева

13622 П. Лакированные целлюлозвые пленки и метод их получения. Грантем (Coated cellulosic pellicles and methods of producing the same. Grantham William G.) [American Viscose Corp.], пат. США 2721151, 18.10.55

Патентуется новый вид изделия, представляющего собой целлюлозную пленку с покрытнем из тонкодисперсного сополимера. Последний получается из смеси, со-стоящей (в вес. %): из 50—95 хлорвинила и 50—5 сложного диэфира низшего алифатич. спирта и α, β-нена-сыш. ликарбоновой к-ты. К. Беляева сыщ. дикарбоновой к-ты. 13623 П. Процесс отделя ARRAPOSTOBON R-ТМ. К. БЕЛЯЕВА
3623 П. Процесс отделки бутылочных колизиков
(капсюлей). Я н. Стери (Capsule finishing process. Yen Ernest Chu, Stirn Frank
Edwin) [American Cyanamid Co.]. Пат. США
2727833, 20.12.55

Процесс отделки желатиновых бутылочных колпачков (капсюлей) состоит в промывке и покрытии их жидким составом такой плотности, чтобы соответственно на полненные колпачки погружались бы в него. Состав содержит частично водорастворимый, летучий органич. р-ритель и 0,5-10% растворимого в нем низшего альдегида в качестве в-ва, отверждающего желатин, 0,25-5% смолы воздушной сушки, способной образовывать покрывную пленку, и добавку в-ва приятного вкуса и аромата. Кол-во состава должно быть достаточным для покрытия колпачков, которые вынимают после всплывания, удаляют с них избыток жидкого покрывного со-Б. Шемякин става и высушивают.

13624 П. Защитные покрытия для посеребренной поверхности зеркал (Procédé de protection de l'argenповерхности зеркал (ггосене не ргосестоп не гагден-ture des glaces et des verres) [Ets Masly-Nautes; Soc. a. r. l. Ets Marly-Limoges et Soc. a. r. l. Ets Marly-Toulouse]. Франц. пат. 1048153, 21.12.53 [Chem. Zbl., 1955, 126, № 6, 1355 (нем.)] Посеребренную поверхность зеркала покрывают р-ром полистирола, поливинилацетата (хлорида), по-

лиметилметакрилата или полиэтилена и нагревают, после сушки, до образования плотного покрытия. 3. Зазулина

13625 П. Непачкающая копировальная Aрметронг, Кредентсер (Non-smudging duplicating ink. Armstrong William N. B., Kredentser Hyman S.) [Ontario Research Foundation]. Канад. пат. 512971, 17.05.55

Непачкающая черная краска для копировальной бумаги, наносимая из р-ра, содержит (в вес. ч.): 126 — смеси воска, масла и красителя, 30 — глины-наполнителя (напр., бентонита), 26 — совместимой твердой смолы, устойчивой к окислению и полимеризации (напр., глицеринового эфира гидрированной канифоли), 26 — смеси первичных амидов высших жирных к-т, 1—3— связующего, образующего пленку за счет испарения р-рителя (напр., этилцеллюлозы N-200) и 172— ароматич. нефтяного р-рителя с т. кип. 174— 215°, в котором перечисленные выше ингредиенты растворимы. К. Беляева 13626 П. Типографские краски и печатные пленки.

Адамс (Printing inks and films printed therewith. Adams George M.) [The Visking Corp.]. Канад. пат. 517243, 2.10.55

Пля печатных пленок применим состав, содержащий бутадиенакрилонитриловый сополимер, полимер типа поливинилхлорида, сополимер винилхлорида с винилацетатом (в котором первый находится в большем колве), сополимер не >70% винилиденхлорида с винилхлоридом и защитное (против слипания) в-во. Типографская краска содержит цветные пигменты, алкилфосфатное связующее типа триэтил-, три- (и-пропил-) и три-(и-бутил) фосфатов, 25—33 1/3% от веса последних растворимого в них сополимера винилхлорид-винилацетата, в котором первый находится в большем

П

CH

1

瓜瓜里

JI) M

кол-ве (86%), 15—30% от общего веса твердых в-в, связующего, смоляного низколетучего, немигрирующего пластификатора, совместимого с этим сополимером и растворимого в алкилфосфате (напр., полиэфира себациновой к-ты и пропиленгликоля). Типографская краска не содержит летучего р-рителя и оседает (схва-тывается) на пленке путем абсорбирования алкилфосфата. Б. Шемякин

См. также: Пластики, деструкция 13460. Трем.-бутилфенол, получение 13145. Фталевый ангидрид, получение 13164. Кремнийорганич. соед. 13086. Метилолмеламин, получение 13177. Фурановые смолы, св-ва и применение 13472. Смолы из фурилового спирта 13492. Толуол, применение 13077. Декалькомания по резине 13454.

ЛЕСОХИМИЧЕСКИЕ ПРОДУКТЫ. ПЕЛЛЮЛОЗА И ЕЕ ПРОИЗВОДНЫЕ. БУМАГА

Редактор А. П. Хованская

13627. Финский научно исследовательский лесной институт. Лехто (The Finnish forest research institute. Lehto Jakko), Indian Pulp and Paper, 1956, 10, № 9, 449—452 (англ.)

Краткое описание структуры ин-та. В числе 7 отделов этого ин-та имеется технологический, занимающийся изучением хим. состава древесины местных пород. Н. Рудакова 13628. Самопроизвольное нагревание и возгорание опилок в кучах. Боу з (Spontaneous heating and ignition in sawdust heaps. Bowes P. C.), Wood, 1956, 21, № 1, 20—22 (англ.)

Этот процесс, происходящий в результате окисления, чаще наблюдается при хранении опилок во влажном состоянии в высоких рыхлых кучах, в смеси с более крупными отходами древ сины при хорошей вентиляции. Рекомендуется хранить опилки в виде невысокого слоя, уплотияя их сверху дорожными катками или бульдозером; целесообразно покрывать кучи слоем плотной земли. Высота куч опилок не должна превы-Н. Рудакова шать 6 м. О лигиине и гемицеллюлозах джута. 13629. кар, Мазумдар (Note on the lignin and hemicellulose of jute. Sarkar P. B., Mazum dar A. K.), Text. Res. J., 1955, 25, № 12, 1016—1020 (англ.)

Отмечается существование между лигнином и полиуронидными гемицеллюлозами в волокнах джута связи, которая разрушается при действии разб. NaOH на холоду. В 10%-ном p-ре NaOH при т-ре~20° гемицел-пюлозы растворяются больше (15.1% и 11.4%), чем при действии 1%-ного NaOH (7,5% и 5,3%). Полная делигнификация волокон джута без щел. обработки невозможна. Разб. щел. экстракт обезжиренного джу-та при перегонке давал NH₃ в кол-ве, соответствующем М. Чочиева 10% N₂ от веса волокна. М. Чочиева 13630. Химические исследования по использованию лигинна. Гаррис (Chemical research on the utilization of lignin. Harris Elwin E.), Forest Prod. J., 1955, 5, № 5, 345—351 (англ.)

Обзор работ по вопросу использования лигнина из отработанных щелоков целлюлозного произ-ва (сульфитных, сульфатных), гидролизного лигнина и лигнина, содержащегося в древесных отходах. Общее колво лигнина по даннымавтора ~50 000 000 т в год. Библ. 52 назв. Приведена дискуссия по этому вопросу.

Ю. Вендельштейн 13631. Сухая перегонка древесины в кипящем слое. Соколова А., Гидролизная и лесохим. пром-сть, 1956, № 6, 30—31 Обзор. Библ. 9 назв.

13632. Гидролиз метоксифенолов. Тищенко Д., Фолнадов В., Носова Н., Ж. прикл. химии, 1956, 29, № 9, 1447—1449

Для получения многоатомных фенолов омыляли воли рами калийной щелочи креозотные фенолы (т. кип. р-рами калиинои щелоча кросолом и высококипящие 190—220°, содержание ОСН₃~10%) и высококипящие болосовой смоды Сявского фенолы из сухоперегонной березовой смолы Сявского з-да (т. кип. 250-265°, уд. вес. 1,14; содержание ОСН, 24%). Показана возможность получения многоатомных фенолов путем гидролиза неполных метиловых эфиров многоатомных фенолов. Затраченная щелочь может быть возвращена в производственный цикл. А. Хованская 3633. Выделение фурфурола и летучих фенолов из жижки. Чалов Н. В., Гордон Л. В., Скворцов С. О., Гидролизная и лесохим. пром-сть, 1956,

№ 5, 8-10

Разработан и экспериментально проверен новый режим обесспиртовывания жижки, позволяющий выделить более 90% содержащегося в ней фурфурола (I) в виде фурфурольнофенольных масел и получить повышенного качества метанол-сырец (не дающий опалесценции при разбавлении водой — отсутствие I и фенола). Фурфурольнофенольные масла содержат 50% 1 и последний выделяют фракционированной разгонкой. Стоимость такого фурфурола будет в 2—3 раза неже существующей.

А. Хованская

3634. Термическая переработка лигнина гидролив-ной промышленности. Панасюк В. Г., Тр. Ленингр. лесотехн. акад., 1956, № 75, 133—143 При сухой перегонке гидролизного лигнина хлопковой шелухи (ЛХ) получается уголь, вполне пригодный для активации, и до 2% фенолов (в смоле) от веса лигнина. Выход фенолов повышается при применении вакуум-термич. процесса в жидкой фазе. Пастообразователем для этого процесса служит антраценовое масло: для ЛХ может быть использована своя же сухоперегонная смола. Из смолы ЛХ выделено 9-10% фенолов с преобладанием крезолов. Полученный уголь ЛХ легко активируется, как и полученный при сухой перегонке. А. Хованская

13635. Расщепление лигнинового комплекса в среде инертного теплоносителя. Чудаков М. И., Сухановский С. И., Тр. Ленингр. лесотехн. акад., 1956, № 75, 121—131

Разработан новый метод щел. расщепления гидролизного лигнина (Л) в среде инертного теплоносителя с миним. затратой щелочи. Сущность метода: Л тщательно смешивали с щел. реагентом и катализаторами в присутствии воды до образования однородной густой и пластичной массы, из которой продавливанием в шнекпрессе через фильеры получали «колбаски» диам. 1-2 мм. После их сушки при 105° получали гранулы (влажность 3-4%) для термолиза. В качестве теплоносителя применяли петролатум т. пл. 42-46°. При 200° meл. термолиз приводит к образованию С₂О₄О₂ (I). Максим. выход I из Л 34,2% при 150%-ном расходе NaOH на Л. При проведении щел. термолиза при 270° получали протокатеховую к-ту (II). Параллельно с образованием I или II часть лигнинового комплекса выделяется в виде лигниновых к-т или активированного щелоче-растворимого лигнина.

А. Хованская 3636. Карбонизация гидролизного древесного лиг-нина. Мельников Н. П., Сухановский С.И., Чалов Н.В., Тр. Ленингр. лесотехн. акад., 1956, № 5, 163—171 13636.

Приведены выходы угля и летучих продуктов пиролиза при карбонизации аморфного и гранулированного лигнина (Л) в ретортах стационарного типа. В условиях непрерывного процесса карбонизации Л уксусная к-та в парогазах появляется при 260—280° (выделение заканчивается при 330-350°), смолаД.,

юдн.

кип.

шие

CH3 иных

иров

быть ская B H3 o p-

ŭ pe-

выде-

(I) B

10BN-

алес-

фено-

% 1

нкой.

ниже ская

олиз-Tp. -143

пко-

ДНЫЙ лиг-

еппи

pa30мас-

хопе-

фе-

голь

yxon

нская среде

Cyкад.,

идро-

ителя

тща-

рами

устой

пнек-

. 1нулы

епло-

При Pac-

олиза

арал-

ового

акти-

нская

лиг-

кий

акад., в пи-

овантипа.

ии Л —280°

ма —

при 330°, основная ее часть выделяется при 360-490°, затем выделяются в значительных кол-вах неконденспруемые газы. Приведен рисунок конструкции непрерывнодействующей печи. шнекового типа для карбонизации Л. Для гранулирования Л последний увлажняли до 60-65% и пропускали через матрицу с отверстия-А. Хованская ми нужного диаметра.

А. Аованская 13637. Внедрить многоярусную подсочку леса. Сергев М. П., Гидролизная и лесохим. пром-сть, 1956, № 6, 22—23

1838. Канифоль, абиетиновая кислота и их исполь-зование в промыпленности. Дюпон (La colo-phane, l'acide abiétique et leurs usages industriels. Dupont Georges), Técnica, 1955, 29, № 252,

447-451 (франц.) Описаны хим. свойства канифоли и смоляных к-т (ненасыщенность, способность к этерификации, омы-лению, окислению) с указанием областей их примевения в пром-сти. Отмечается необходимость усиления исследовательских работ по получению на ее основе вовых, ценных для пром-сти продуктов, в связи с конкуренцией со стороны продуктов нефтяной пром-сти и пром-сти пластмасс. Н. Рудакова

13639. Определение показателя преломления смол. Маркович, Пое (Prilog odrediyanju indeksa loma kod smola. Магкоvic Dragan, Роје Branko). Acta pharmac. jugosl., 1955, 15, No 4, 175-178 (сербо-хорв.; рез. англ.)

Описан способ определения показателя преломления канифоли в аппарате Кофлера.

3640. О качестве отечественной экстракционной кавифоли. Николов, Мирева (Върху качеството на нашия екстракционен колофон. Н и к о л о в Н. Ив., Мирева С.), Тежка промишленост, 1956, 5, № 8. 38—41 (болг.)

Приведены физ.-хим. характеристики экстракцион-ной канифоли, выработанной в 1955 г. (Болгария).

13641. Методы получения щелочного активированвого лигинна и применение его в резиновой промыш-ленности. Сухановский С.И., Чуда-ков М.И., Тр. Ленингр. лесотехн. акад., 1956, № 75, 109—119

Активация лигнина (Л) достигается обработкой его щелочью. Оптимальные условия растворения Л: 180°, отношение щелочи к Л равно 40: 100, гидромодуль 10, время нагревания 4 часа. Растворяется в этих условиях~85% от исходного Л. При размоле Л на вибромельнице, при всех прочих условиях, он растворяется на 95—96%. Влияние каталитич. добавок (фенол. сульфит, Na₂S, H₂BO₃, гидроперекись изопропилбензола) оказалось малоэффективным. Высказано предположение, что при щел. активации происходит совместное жёствие сильного гидролизующего агента и термич. жеструкции, приводищих к разрыву простых эфирных п углерод-углеродных связей. Щел. активация приводет к деполимеризации Л, отделению низкомолекулярных продуктов автоокисления и распаду большой молекулы Л, наблюдается отщепление метоксильных групп и появление новых гидроксильных групп, обусловливающих растворимость активированного Л в щело-А. Хованская

Оценка антисептиков для древесины. Часть II. Колли (The evaluation of wood preservatives. Part II. Colley Reginald H.), Bell System Techn. J., 1953, 32, № 2, 425—505 (англ.) Часть I см. РЖХим, 1954, 19174.

3643. Вредители древесины и защитные материалы. Берихард (I nemici del legno e le vernici di protezione. Bernhard Paul), Ind. vernice, 1955, 9, № 2, 39-42 (итал.) Для борьбы с вредителями древесины ценными

свойствами обладают продукты перегонки каменноугольной смолы, а также нефтиные продукты, напр. мазуты и др. Из числа неорганич. препаратов рассматриваются ZnCl₂, HgCl₂, CuSO₄, MgSiF₄, ZnSiF₄ и др. Изложен опыт применения защитных средств для древесины, применяемой в гражданском, промышленном, весины, примениемой в граждальном, примениемом в граждальном, с.-х. и в др. видах строительства. См. также РЖХим, 1956, 24014.
И. Золотницкий

3644. Коллондные растворы для консервирования древесины. Хаутман, Брейн, Дейкейзен (Colloidal solutions for timber preservation. Houtman J. P. W., Bruijn J. A., Jr, Dijkhuizen H.), Timber Technol., 1956, 64, № 2200, 87 (англ.)

Испытаны консервирующие свойства колл. p-ров нафтената Си или Hg, гидрата окиси Си и основного сульфата меди на образцах древесины тропич. пород. Практич. применения колл. р-ры иметь не могут. Защитное действие по отношению к различным микроорганизмам оказывают только такие р-ры, размер частиц которых много меньше 2 µ и которые сохраняют частиц которых много меньше 2 д на с древесиной. устойчивость при соприкосновении с древесиной. Н. Рудакова

13645. Последние достижения в целлюлозно-бумажной промышленности. Даве, Маривала (Some recent advances in pulp and paper industry. Dave H. V., Mariwala K. V.), Bombay Technologist, 1955—1956, 6, March, 29—32 (англ.)

Отмечается применение гидравлич. окорки и окорки древесины после рубки на щепу путем суспендирования в подходящей среде и размешивания (отделение коры от щены вследствие разницы в уд. весах). Целлюлозу получают непрерывной варкой древесины при высо-кой т-ре и конц-ии в течение 10—15 мин.; приведена схема варки, предложенная Ноланом. Отбелку производят С102 при высокой конц-ии массы. Отработанные щелока упаривают, сжигают с регенерацией хим. реагентов или из них выделяют лигнин с последующим использованием его на произ-во ванилина и других веществ. С. Иванов

3646. Окорка лиственной древесным и сосны. X укс (Barking hardwoods and pine. Hooks Ralph A.). Paper Mill News, 1956, 79, № 25, 130, 13646. 132, 152 (англ.)

Даны характеристики наиболее распространенных методов окорки древесины, предназначенной для пере-работки на целлюлозу, и применяемого для окорки обо-рудования, а также условия выбора способа окорки. Б. Брахман

647. Прочность, формование и пористость. Скид (Strength formation and porosity. Schied Louis J.), Paper Mill News, 1956, 79, № 12, 43, 44, 46 (англ.) Освещен опыт работы предприятия фирмы General Superintendent Watervliet Paper Co. Описана схема технологич. процесса и используемого оборудования для произ-ва нейтр. сульфитной целлюлозы (I) из дредля произ-ва неитр. сульфитнои целлюлозы (1) из древесины твердых пород (осина, дуб) и переработка I на ряд сортов бумаги (печатные). Регенерационная установка (для щелока) рассчитана на возврат 98% натрия и 86% S. Выход беленой I 62—64%, из дуба — может падать до 50%. Из I получают бумагу высокой прочности при низкой плотности и улучшенных печат-М. Белецкая ных свойствах.

13648. Достижения в производстве сульфатной и сульфитной облагороженной целлюлозы. Джан (Progress in the production of refined cellulose. Jah'n Edwin C.), Таррі, 1955, 38, № 10, А194—А197

Обзор. Библ. 32 назв. Состав смолы в щепе и опилках балансовой древесины. Смола в паренхимных клетках и смоляных жаналах. I. Бак. Карлсон (Composition of resin in chips and chipping sawdust from picea excelsa pulpwood. Resin in parenchymatous cells and resin canals I. Back Ernst, Carlson Ove T.), Svensk papperstidn., 1955, 58, № 11, 415—420 (англ.; рез. швед., нем.)

Определено содержание и состав смолы в щепе и опилках балансовой древесины Picea excelsa. Показано, что опилки, отсеянные от шепы, солержат смолы в 3-10 раз больше чем щепа. Чем более сильно измельчены опилки, тем больше смолы они содержат. Смола, содержащаяся в опилках, представляет собой смолу из смоляных каналов древесины. Эта смола по сравнению со смолой, извлеченной из баланса, содержит двойное кол-во свободных к-т, а также эфиров и менее Л. Коршун чем половинное кол-во неомыляемых в-в. Определение ценности древесины тропических

пород для бумажного производства. Петер и (Dé-Peteri Robert), Chimie et industrie, 1954, 71,

6. 1140-1143 (франц.)

Исследованы тропич, породы древесины (хим. анадиз. морфологич. изучение древесных тканей, получение целлюлозы и бумаги из древесины исследуемых пород). Отмечено, что превесина леса, вырашенного на старых лесосенах, более пригодна для изготовления бумаги, чем древесина природных лесных массивов. М. Нагорский 13651. Получение целлюлозы из багассы. В а с к е с

(Un procedimiento para obtener pulpa o pasta de papel del bagazo dela caña de azúcar. V á z q u e z E. A n t on i o), Bol. ofic. Asoc. técn. azucareros Cuba, 1956,

15, № 6, 365—376 (исп.) 13652. Произволетте Производство целлюлозы из тростника в Китайской Народной Республике. Фотеев С. II., Бум. пром-сть, 1956, № 8, 25—26

Приведена схема подготовительного отдела для получения сечки тростника и схема варочного отдела. Общие потери в подготовительном отделе составляют 3,0-3,5% от веса тростника. Варки производят главным образом сульфитным способом. К-ту приготовляют на магниевом основании, так как кальциевое менее пригодно. Варки ведут при низкой крепости варочной к-ты. Общее содержание SO_2 в варочной к-те $\sim 3\%$. Отношение связанного SO_2 к свободному $\sim 2:1$. Продолжительность варки 1 час. 40 мин. -2 часа 45 мин., начальная т-ра 92°, конечная 160—164°. Общий оборот котла 5 час. 56 мин. А. Хованская О расширении сырьевой базы для целлюлозно-

бумажной промышленности. В е и ц к о (О rozszerzenie bazy surowcowej dla przemysłu celulozowo-papierniczego. W i ę c k o E d w a r d), Przegl. pa-piern., 1956, 12, № 4, 95—100 (польск.) Обзор по использованию однолетних растений (со-

ломы зерновых, сурепицы, мака, мальвы, камыша **н** др.). Библ. 36 назв. **13654.** Влияние весен Влияние весенней и осенней древесины на качество бумаги. І. И мамура (第1報. 春材及び秋

такство оумаги. г. и м а м у р а (第 1 %). 春 б 及 О 校 材 が 紙 の 強 度 的 性質に 及 ぼ 子 影響。 今村 力 造). 機維學 會 誌, Сэнъ и гакка й с и , J Soc. Text. and Cellulose Ind., Japan., 1953, 9, № 1, 11—14 (япон.; рез. англ.) Из весенней и летней древесины Кагата и крафт-целлюлозу (Ц). Ц весенней древесины имела

высокую прочность на растяжение, низкое сопротив-ление надрыву и слабо фибриллировалась в процессе размола; Ц летней древесины обладала низкой прочностью на растяжение, высоким сопротивлением надрыву и заметно фибриллировалась при размоле. Исходная древесина дает смесь этих двух различных воло-ROH. Л. Михеева

655. О сульфитной варке сосновой древесны. Розенбергер Н. А., Бум. пром-сгь, 1956,

№ 4, 5-10

Проведен ряд опытов с целью исследования режимо сульфитной варки (с ядровой сосновой древесиной с предварительной обработкой ее формальдегидом для устранения действия пиносильвинов, с к-той с повыустранении денствии инпольтыванов, с ктом с новы-шенной конп-ией растворенной и связанной SO₂, с к-той на смешанном кальций-аммониевом основании, с вакуумированной щепой, с пропиткой после заварки при 90 и 110°, из смеси ядровой и заболонной древесины при различных отношениях 6:4 и 4:6). Рекомендуется в результате полученных данных следующий режим получения сосновой целлюлозы при одноступенчатой варке с к-той на кальшиевом или смешанном основании: окорка на корообдирках трения; мелкая однородная щепа, крепкая варочная к-та (не менее 80 г/я всего SO₂; повышенная конц-ия связанного SO₂ (15-16 г/л): возможно более высокое давление в котле: принудительная циркуляция варочного щелока; про-питка при 90 и 110°; конечная т-ра варки не выше 130°: опорожнение котла вымывкой или выдувкой при давлении не выше 2 ат; ступенчатое сортирование с применением современных вибрационных сортировок. При сульфитной варке сосновой древесины с долей ядра ~40% кол-во непровара в сцеже составляет 5-10%: если в щепе 60—65% ядровой древесины, непровар увеличивается до 10—15%. Отмечены недостатки этого способа (длительность варки, пониженный выход в связи с увеличением непровара; жесткость и неоднородность целлюлозы, нестабильность щелока). Для радикального решения проблемы сульфитной варки рекомендуется использовать к-ту на натриевом или аммониевом основании. Л. Михеева

13656. Автоматизация сдувок из варочных котлов при сульфитной варке целлюлозы. В о р о ш и-л о в М. С., Солюс Н. Г., Бум. пром-сть, 1956, № 2, 15—16

Описана схема автоматизации процесса сдувок из всех котлов варочного цеха. Автоматизация осуществляется при помощи стандартного регулятора давления типа 04-МГ-410 и регулирующего клапана вз кислотоупорного материала типа КЯ-16/150 с пнев-матич. сервоприводом. Для предотвращения засорения регулирующего клапана и холодильника на линии сдувки установлен фильтр с металлич. сеткой. Ука-заны преимущества новой схемы: сохраняется максимально одинаковое давление в котлах, что обусловливает равномерную подачу пара в котел, уменьшает колебание давления пара в паровой магистрали и облегчает работу ТЭЦ; улучшается работа регенерационной системы и сокращаются потери SO₂; улучшается качество целлюлозы, вследствие равномерного прогрева.
Л. Михеева

Изучение целлюлозы. 2. Влияние концентрации водородных ионов сульфитной варочной жидкости на сульфирование лигнина. К у р и я м а, М о р и (パルプに関する研究・第 2 報・木材リグニンのスルホン 化量と配硫酸薬液の H⁺ イオン漫度・栗山拾三・森見二)、 工業化學雜誌, Korë кагаку дааси, J. Chem. Soc. Japan Industr. Chem. Sec., 1953, 56, № 7, 499—501

Проведены опыты по сульфированию различными способами древесины красной сосны. Степень сульфирования определяли по содержанию серы. Установлено, что конц-ия ионов Н определяет предельное кол-во вошедших в р-цию сульфогрупп. Часть І, см. РЖХим, 1956, 14540. Левия

13658. Отношение слабосульфитированной весины к медноаммиачному раствору. Рихценхайн, Абрахамссон, Дрюселиус (Über das Verhalten von niedrig sulfitiertem Holz gegen Cuproxamlösung. Richtzenhain Hermann, Abrahamsson Birgitta, Dry-

жима чиой

пля

IOBLI-

SO.

AHHR.

арки

Сины

OMen-

оший

упен-

OCHO-

опно-

0 e/a (15-

отле:

провыше и при

При

ядра

10%:

ровар

oro-

выход

одно-

я ра-

рекоамможеева

СОТЛОВ

m H -

1956.

OK H3

суще-

а дав-

на из

рения

линии

макси-

товли-

ьшает

облег-

йонної

ся каогрева.

ихеева

ентра-

и орв

ルホソ

集見二), 1. Soc. 9—501

имыны

ульфи-

влено,

кол-во

ЖХим,

Левин

к цен-

лиус a Holz

Her-

Dry-

selius Elisabeth), Svensk papperstidn., 1954, 57, № 13, 473—477 (нем.; рез. англ.,

Еловая сульфитированная древесина (при рН 6—4,14 до 38 час. при 115 и 135°) растворялась в медноаминачном р-ре. Кол-во нерастворившегося остатка изменялось от 37 до 7% от веса исходной древесины. Нерастворимый остаток содержал примерно одинаковые кол-ва лигнина и углеводов. Гидролиз сульфитированной древесины способствует более полному ее растворению. Присутствие кислорода при обработке медноаммиачным р-ром увеличивает растворение древесины. Часть лигнина переходит в р-р в виде лигносульфоновой к-ты. Обсуждено существование хим. связи между лигнином и углеводами. М. Нагорский 13659. Предварительные исследования щелочной варки бамбука. С п р о у л л (Preliminary investigations on alkaline pulping of bamboo. S p r o u 1 l R e a v i s C.), Таррі, 1955, 38, № 10, 595—596 (англ.)

Приведены режимы щел. варки различных образцов бамбука, выходы целлюлозы и ее свойства.

М. Чочиева древесины сосны на целлюлозные волокна, выделенные из нее сульфатным снособом. К о р ч е м к и н Ф. И., Ж. прикл. химии, 1956, 29, № 9, 1440—1442 Водный предгидролиз древесины сосны способствует волучению по сульфатному способу целлюлозных волокон с разрушенными (ослабленными) наружными слоями по сравнению с волокнами, получающимися в тех же условиях, но из древесины, не подвергнутой предгидролизу. Предгидролиз положительно влияет ва реакционную способность сульфатных целлюлоз при переработке их на вискозу. Гидролиз проводился в автоклаве в течение 2,5 час. при т-ре масляной бани 150°.

А. Хованская 13661. Полуцельнолоза и ее применение как товарного

полуфабриката. Фредриксе и (Semichemical pulp and its possibilities as a market pulp. Fredriks en Olaf), Norsk. skogind., 1955, 9, № 4, 132—135 (англ.)

Приведены способы получения полуцеллюлозы (ПЦ) вее отбелки, а также свойства и применение. ПЦ в США получают в основном нейтрально-сульфитным способом, при рН р-ра ~7, причем предпочтительно используют лиственные породы. Варочным реагентом является сульфит натрия, буфером служат карбонат или бикарбонат натрия и зеленый щелок крафтцеллюлозного произ-ва. Расход хлора при отбелке ПЦ высокий (12—20% от веса небеленой ПЦ). ПЦ не используют лишь в ограниченном числе бумаг. Самостоятельный способрегенерапии нейтрально-сульфитных щелоков еще не разработан (регенерация производится совместно с сульфатными щелоками).

М. Белецкая

13662. Непрерывная варка древесной полуцеллилозы в трубчатом аппарате. Медведев П. А., Бум. пром-сть, 1956, № 9, 11—14

Разработан технологич, режим непрерывной варки полуцеллюлозы из осиновой и буковой древесины, а также пихто-еловых отходов деревообрабатывающего произ-ва. Приведена и описана схема установки для непрерывной варки полуцеллюлозы. А. Хованская 13663. Современные способы отбелки в целлюлознобумажной промышленности. Б е р и д т (Moderne Bleichverfahren in der Papier- und Zellstoffindustrie. В е г и d t W.), Algem. Papier-Rundschau, 1956, № 12,

580, 582 (нем.) Отбеливающие средства: Na₂O₂ и ClO₂ являются сильными окислителями. Na₂O₂ отбеливает, не оказывая влияния на основные составные части отбеливаемого материала; ClO₂ начинает отбеливать лишь после

растворения и удаления лигнина. Автор доказывает больщую выгодность применения Na₂O₂. Г. Брахман 13664. Трехступенчатая отбелка сульфитной целлюлозы с промежуточной щелочной обработкой. Я й м е,

лозы с промежуточной щелочной обработкой. Яйме, Ротамель (Beitrag zur Kenntnis der Dreistufenbleiche von Sulfitzellstoffen mit alkalischer Zwischenbehandlung. Jayme Georg, Rothamel Ludwig), Wochenbl. Papierfabr., 1954, 82, № 11, 421—426 (нем.)

Рассмотрено значение щел. обработки при трехступенчатой отбелке и приведены данные о влиянии отбелки на химич, и физ.-мех. свойства целлюлозы.

Г. Брахман 13665. Изучение процесса отбелки полубеленой сульфатной целлюлозы двуокисью хлора. Гаррисон, Калкинс (A study of variables affecting chlorine dioxide bleaching of semibleached sulphate pulp. Наггіво п Ward D., Calkins C. R.), Таррі, 1955, 38, № 11, 641—648 (англ.,) Отбелку целлюлозы (Ц) в стандартных условиях проводили при 68°, конц-ии массы 14,0%, конц-ии ClO₂ 0,55% и атмосферном давлении в течение 2 час.

Отбелку целлюлозы (Ц) в стандартных условиях проводили при 68°, конц-ии массы 14,0%, конц-ии СlО2 0,55% и атмосферном давлении в течение 2 час. Установлено, что прочность Ц изменяется мало с изменением т-ры в пределах до 82,2°; повышение т-ры и увеличение продолжительности отбелки (свыше 2 час.) вызывает небольшое увеличение белизны. Дополнительное кол-во СlО2 по сравнению со стандартным вызывает небольшое, но вполне заметное увеличение белизны Ц. Давление (свыше 2,1 кг/см²) и конц-ия массы (выше 14%) не влинет на прочность Ц и не увеличивает ее белизны. Введение NаOH (больше чем в стандартных условиях) и последовательное повышение рН в процессе отбелки снижает степень белизны Ц. Первоначальная степень белизны Ц не оказывает значительного влияния на конечную белизну (в стандартных условиях).

Л. Михеева 13666. Отбелка крафт - целлюлозы перекисими.

3666. Отбелка крафт-целлюлозы перекисими. Нореус, Хелла (Bleaching northern kraft with peroxides. Noreus R. E., Hella R. P.), Таррі, 1955, 38, № 10, А168 — А170 (англ.)

Рекомендуется 4-ступенчатая схема отбелки крафтпеллолозы (Ц) Na₂O₂ (I): хлорярование в кислой среде;
хлорярование с последующей нейтр-пией р-ром извести; обработка р-ром I (0,8% I, 2% Na₂SiO₃ 42° Bé,
0,12% MgSO₄·7H₂O на воздушно-сухую Ц, конп-ия
массы 11%, считая на воздушно-сухую Ц, т-ра 71,1°);
добелка р-ром гипохлорита кальцяя (0,4% хлора
на воздушно-сухую Ц). Отбелка I позволяет повысить
степень белизны Ц от 78—75 до 81—82 без потери ее
крепости. Дополнительная отбелка крафт-Ц для повышения степени белизны Ц от 81—82 до 84—85 проводится путем пропитки пачки Ц р-ром, содержащим
(на воздушно-сухую Ц) 0,4% 50%-ной H₂O₂, 2,5%
Na₂SO₃ 42° Ве́ и 2,268 кг мgSO₄·7H₂O па 4546 я р-ра.
Л Мичеева

13667. Исследование реакционной способности древесной целлюлозы. С о л е ч н и к Н. Я., Б а к к А. А., Ж. прикл. химии, 1956, 29, № 5, 768—774

Реакционную способность (РС) исходных целлюлоз (Ц) (хлопковой, сульфитной и сульфатной) характеризовали кривыми скорости их ацетилирования, а также определениями фильтруемости вискозных р-ров. Установлено, что одним из главных факторов, влияющих на РС древесной Ц, является ее фракционный состав. В особенности важно содержание фракций со степенью полимеризации (СП) до 200 и >1200. Наименьшая РС наблюдается у Ц, содержащих больше фракций со СП>1200 и меньше фракций со СП до 200. При полном отсутствии фракций со СП до 200 Ц нереакционноспособна и непригодна для вискозного произ-ва. Фракции со СП свыше 1200 снижают фильтруемость вискозных р-ров. Кол-во поперечных связей между макромолеку-

лами Ц влияет на РС в меньшей степени, чем длина макромолекул. РС целлюлозы (сульфатной) при ксантогенировании повышается активацией ее при 50° разб. минер. к-той (1%-ной соляной) в течение 6 час.

Л. Михеева 13668. О реакционной способности целлюлозы. С и-

вохин С. П., Бум. пром-сть, 1956, № 2, 6—9 Реакционная способность целлюлозы (РСЦ), по мнению автора, не может быть в достаточной степени увеличена режимом варки. РСЦ может регулироваться независимо от условий варки путем разрушения первичной оболочки волокна острым паром в шнеках перед облагораживанием, конц-ия массы при этом должна быть не ниже 10—12%. Показано, что РСЦ не зависит от влакости целлюлозы; увеличение времени облагораживания, против обычного не изменяет РСЦ, увеличение расхода каустика на облагораживания также не оказывает достаточного влияния на РСЦ. А. Михеева

13669. Технические аспекты проблем использования отходов в целлюлозно-бумажной промышленности. Гем (Technical aspects of waste treatment problems in the pulp and paper industry. Gehm Harry W.), Pulp and Paper Mag. Canada, 1956, 57, № 5, 152—157 (англ.)

Приведены данные о росте продукции сульфитцеллюлозных з-дов США с 1937 по 1952 г. и о синжении отходов произ-ва за счет их использования (лигносульфонаты, вапилин и др.) и применения контрольной аппаратуры в произ-ве. Отмечается большой прогресс в развитии выпарных и сжигающих регенерационных систем для регенерации хим. реагентов в сульфитном процессе с использованием магниевого, аммонийного и кальциевого основания.

С. Иванов

13670. Регенерация сульфитных щелоков. Коллин с (A sodium base sulfite recovery process. CollinsT.T., Jr), South. Pulp and Paper Manufacturer, 1956, 19, № 1, 92—93 (англ.)

Приведены схемы регенерации отработанных сульфитных щелоков.

13671. Идентификация компонентов сульфитного пелока, полученного при варке древесные сли. К васичка, Мак-Лафлии (Identification of spruce sulphite liquor components. K v a specific process.

піс ка Е. А., Мс L a u g h l i n R. R.), Canad. J. Chem., 1955, 33, № 4, 637—645 (англ.) Сульфитный щелок экстрагировали бутилацетатом. Фракционированыем экстракта р-рителями и хроматографией изолированы и идентифицированы: ванилин; 1-(3-метокси-4-оксифенил)-пропандион-1,2; дигидроконифериловый спирт; 3,3'-диметокси-4,4'-диоксистильбен (небольшие кол-ва) и новое фенольное соединение С20 Н24О5 с т. пл. 134° и спектрами (УФ и ИК), близкими к спектрам дигидрокониферилового спирта.

М. Чочнева 13672. Изучение лигнина, извлеченного в процессе нейтральной сульфитной варки осины. С то у и (A study of the lignin removed during a neutral sulphite cook of aspen. S t o n e J. E.), Таррі, 1955, 38, № 10, 610—612 (англ.)

Варочные щелока, извлеченные через 30, 60, 90, 120, 150, 180 и 210 мин. от начала варки, окисляли интробензолом в щел. среде, путем нагревания смеск в бомбе при 160°, ~2 час. Параллельно проводили окисление древесной муки Populus tremuloides. Выходы ванилина и сиреневого альдегида (I) определяли спектрофотометрически. Отношение их беспрерывно менялось в течение всей варки. В начале варки (через 30 и 60 мин.) І не был обнаружен в щелоке, но затем кол-во его в р-ре быстро увеличивалось по сравнению с ванилином. В конце варки (через 210 мин.) отношение ванилина к I составляло 1: 1,9. По отношению к со-

держанню лигнина в щелоке выход ванилина в течение всей варки был примерно постоянным, а выход 1 беспрерывно увеличивался.

М. Чочиева 13673. Молочнокислое ебраживание сульфитных щелоков. Маливанкова (Mléčné kvašení sulfitových výluhů. Маlivánková Vlasta), Papir a celulosa, 1954, 9, № 5, 111—113 (чет.; рез. русс.)

Описан способ сбраживания сахаров сульфитных пелоков на молочную к-ту (I). Выход I (в виде Са — соли I) с примесью 2%-ной СН₃СООН доходит до 93% от сахаров. После переработки полученного молочнокислого Са (упаривание, разложение Н₂SO₄, удаление СаSO₄, экстракция фильтрата амиловым спиртом при 90°, отгонка СН₃СООН, упаривание) получают сырую молочную к-ту, содержащую 6% примесей. Л. Песин 13674. Потери при выпаривании сульфатиого черного щелока. Басберг (Zur Frage der Verluste bei

щелока. Басберг (Zur Frage der Verluste bei Abgaseindampfung der Sulfat-Schwarzlauge. В а sberg A.). Das Papier, 1955, 9, № 718, 131—132 (нем.; рез. англ., франц.)

Сопоставляются потери S и теплотворной способности конп. черного щелока при использовании дисковых и многокорпусных выпарных аппаратов. Сделан вывод, что в выпарном аппарате дискового типа потери S и снижение теплотворной способности щелока более значительны.

М. Белецкая

13675. Пути усовершенствования энергетического хозяйства сульфатно-целлюлозного производства. С о л о м к о В. С., Бум. пром-сть, 1956, № 4, 15—17

Рекомендуется организация теплоэнергетич. хозяйства с учетом рационального использования внутренних ресурсов по замкнутой схеме. Даны указания потдельным стадиям произ-ва. В частности, для выпарных установок рекомендуется использовать длиннотрубные аппараты пленочного типа и упаривание черного щелока до 55—65% сухих в-в перенести на каскадный или циклонный испаритель за счет тепла дымовых газов. При выполнении предлагаемых мероприятий общий расход пара по всему произ-ву будет составлять 5.5 m на 1 m товарной целлюлозы. Л. Михеева 13676. Карбоксильные группы в щелочном лигнине. Никитин В. М., Оболенская А. В., Тр. Ленингр. лесотехн. акад., 1956, № 75, 79—82

Для выяснения этого вопроса применили метод получения сложных эфиров лигнина (Л) с последующим омылением щелочью и хемосорбционный метод определения содержания карбоксильных групп в исходном Л. Сложные эфиры получали З способами (обработка метиловым или этиловым сп. в присутствии Н₂SO₄, йодистыми алкилами Nа- или К-солей щел. лигнина, диазометаном). Карбоксильные группы в Л определяли по разности содержания алкоксильных групп в эфире Л до и после омыления. В этилированном Л определено 2,5% алкоксильных групп, что соответствует содержанию одной СООН-группы на 1240 г Л. Метилированный Л содержал 2.4% метоксильных групп, что соответствует содержанию одной СООН-группы на 1290 г Л. Таким образом показано, что щел. Л (патронной и сульфатной варки) содержит ~ одной СООН-группы на молекулярный вес Л 1200—1300.

А. Хованская 13677. Характеристика хлора в хлорлигиннах. І. ІІ олч и и (Charakteristika chlóru v chlórligninoch. І. Р о Іč і п J á n), Chem. zvesti, 1956, 10, № 7, 450—459 (словац.; рез. русс., нем.)

Исследована кинетика отщепления хлора в хлорлигинах (ХЛ). При омылении ХЛ водой или р-ром Na₂CO₃ отщепляется хлор, связанный в алифатичцепи, что указывает на его большую лабильность. Реакционноспособность хлора алифатич. цепи лигина

10-

HO

Ba

ne-

fi-

ЫX

3%

HO-

не

IDN

ую син

oro

bei

a s-132

соб-

ко-

лан

ери

лее

кая

X0-TBa.

зяй-

рен-

I HO

парpyő-

ного

ный

ВЫХ

нитн

лять

еева ине.

Tp.

по-

щим

npe-

EXOII-

абот-

SO4, гина,

ляли фире

лено

одер-

пиро-

, что и на

трон--HOC

иская

Пол-Pol-

-459

хлор-

р-ром

ность.

гнина

82

определяется характером углерода и соседними функпиональными группами. А. Хованская

Быстрый способ определения общего содержания твердых веществ в концентрированном щело-ке от аммонийбисульфитной варки. У и в е р (A гаpid total solids determination for concentrated ammonium bisulphite spent liquor. Weaver Robert W.), Таррі, 1956, 39, № 1, A138—A139 (англ.)

Метол предназначен для производственного контроля работы выпарных установок и основан на определении уд. веса щелока с последующим использованием диаграммы: конц-ия щелока — уд. вес. Диаграмму состав-ляют заранее на основании определений в большом кол-ве проб щелока содержания твердых в-в по ТАРРІ т 629 m-49 и уд. веса при определенной т-ре. Показан способ построения диаграмм. Для определения уд. веса применяют: стакан из стекла пирекс или стальной пилиндр высотой 38 см и внутрен. диам. 3,8 см; набор ареометров со шкалами в пределах 1,05-1,40 и термоарсометров со шпальны в прометров в приметр. Температурная поправка к уд. весу также на-Анализ щелоков для сульфатной варки. В еne map k (Om vitlutsana lyser. En elegant driftsme-tod Sulfitets inverkan vid acid imetrisk titrering. Venemark Emil), Svensk papperstidn., 1954, 57, № 6, 194—203 (швед.; рез. англ., нем.) 13680. Некоторые новые исследования в области

бумажного производства. Кемпбелл (Some recent basic research in papermaking. Campbell W. Boyd), Tappi, 1956, 39, № 1, A147 — A151

Дан обзор по вопросам: 1) изменения внешней поверхности волокна при размоле бумажной массы (приводятся численные значения величины удельной поверхности различных волокнистых материалов, вычисленные по скорости фильтрации на основании ур-ния Козени), 2) распределения волокон в волокнистой суспензии и флокуляции при отливе на бумагоделательной машине (работы Мезона), а также 3) исследования в области изучения физ.-хим. свойств бумаги.

С. Иванов 13681. Новое в производстве бумаги и картона. Лью и с (New developments in converting paper and board. Lewis R. L.), Таррі, 1954, 37, № 6, 139A

(англ.)

Перечислены сорта бумаги, полученные с применением синтетич. смол, восков, стекловолокна. М. Б. Основы бумажного производства. Часть 4. Влияние гаучиресса, мокрого пресса, движения, а также высушивания на прочность бумажного полотна. Часть 5. О совместном влиянии физических воздействий на формование бумажного полотна и готовность бумаги. О и б и ге р (Grundlagen der Papierherstellung 4. Über die Wirkung der Gautsche, der Naßpressen, der Züge sowie des Trocknens auf die Festigkeitzeitzensch die Festigkeitseigenschaften der Papierbahn. 5. Über das Zusammenwirken physikalischer Einflüsse auf die Blattbildung und Fertigung des Papiers. Fiebiger Harald, Wochenbl. Papierlabr., 1954, 82, № 1, 7—9; № 5, 147—150 (нем.)

Часть 3 см. РЖХим, 1957, 6289. А. Х. 13683. Влияние патяжения при сушке на свойства бумаги. Брехт, Потман (Der Einfluß der beim von Papier herrschenden Zugkräfte auf Trocknen von Fapier herrschenden Zugkrate auf das Verhalten des Papiers. Brecht Walter, Pothmann Dieter), Das Papier, 1955, 9, № 17—18, 429—437 (нем.; рез. англ., франц.) Бумага (Б) в процессе сушки при натяжении подвер-

гается действию двух противоположно направленных сил; растяжению (удлинению) под действием натяжения полотна и усадке, обуславливаемой сокращением размеров волокна при снижении влажности. Установ-

лено, что удлинение Б в процессе сушки (при натяжении) тем больше, чем меньше содержание в ней сухого в-ва, вследствие чего оно особенно проявляется в начале сушильной части машины. Натяжение Б при сушке также препятствует последующей ее усадке, которая наиболее сильно проявляется при содержании абс. сухого в-ва в Б ~60—70%. Влияние натижения и усадки бумажного полотна (при его сушке) на механич. прочность Б представлено многочисленными диаграммами. Начало см. РЖХим, 1956, 59897. М. Белецкая

Лабораторное изучение использованных мокных сукон бумагоделательной машины. Арнолд, рых сукон оумагодскательной машины. Арнонд, Рифстал, Грант (Laboratory studies on used paper machine wet felts. Arnold George C., Riefstahl D. L. Jr, Grant N. S.), Pulp and Paper Mag. Canada, 1956, 57, № 3, 277—282 (англ.) Исследована скорость водоотдачи, впитывающая способность, толщина и объемный вес, содержание золы и в-в, экстрагируемых спиртом. Удаление загрязнений лучше всего достигается промывкой сукон кислыми соединениями с последующей промывкой их после полоскания щел. соединениями. Метод достаточно эффективно применяется в произ-ве. Изучение износа ткани сукна проводилось снятием профиля, веса и толщины ткани по ширине сукна. Выявлено влияние состояния поверхности прессовых валов и качества излифовки валов на износ сукон. Причиной износа может быть неравномерность запрессовки и неисправность работы автоматич. устройства присадки прессовых валов. Приведена методика отбора образцов, их хранение и С. Иванов

3685. Испытания сукон бумагоделательной машины. Лабораторные опыты по забиванию сукон. Дрешер, Кристенсен (Performance of paper machine wet felts III. Experimental plugging of felt strips in the laboratory. Drescher R. F., Christensen Cly de M.), Tappi, 1955, 38, № 2, 445—420 (англ.)

115-120 (англ.)

Исследованы причины забивания сукон. Установлено, что канифоль, каолин, гидролизаты шерсти, смесь канифоли с каолином и крахмал вызывают забивание сукон, степень которого уменьшается в порядке пере-численных материалов. Использование препарата «BSM-II» для устранения бактерий, грибков и других микроорганизмов уменьшает степень забивания (на 30-50%) всеми материалами, за исключением крахмала. Бактерии в значительной степени способствуют забиванию сукон. М. Белепкая

3686. Исследование основ формования бумажного полотна на сетке круглосеточной бумажной машины. Стенберг, Бергстрём, Ченш орд (Model experiments of sheet formation on the calling wire. Steen being Borries. cylinder wire. Steenberg Borje, Bergstrom Jan, Kjensjord R. I.), Pulp and Paper Mag. Canada, 1954, 55, № 13, 109—118 (англ.) См. также РЖХим, 1956, 37821

Влияние наполнителей на свойства бумаги и их удержание. М и л ч е в (Влияние на пълнителите върху свойствата на хартията и тяхното задържане. М илчев Георги М.), Тежка пром-ст, 1953, 2, № 6, 44—52 (болг.)

Воздухопроницаемость (общий обзор). Белл (Air permeability: A general review. Bell J. H. B.), World's Paper Trade Rev., 1955, 143, № 16, 1309— 1310, 1312 (англ.)

Описаны приборы для измерения воздухопроницаемости бумаги (Б) с изложением теоретич. основ этого определения. Рассмотрено влияние проклейки Б на ее воздухопроницаемость и влияние величины последней на прочность покровного слоя мелованных Б, на их пылимость и маслоемкость. М. Белецкая 13689. Долговечность бумаги. Фаульхабер, Петшин (Über die Dauerhaftigkeit von Papier. Faulhaber Mat, Pietrzyk Kurt), Wochenbl. Papierfabr., 1956, 84, № 3, 75—82; № 4, 111-117 (нем.)

При испытании бумаги (Б) на долговечность, ее подвергают искусств. старению путем: 1) нагревания при 105° в электрич. печи в течение 72 час.; 2) облучения УФ-светом; 3) воздействия воздуха, содержащего SO₂; 4) выдерживания в атмосфере кислорода под давл. 15 ат в течение 10 дней и т-ре 50—60°; 5) воздействия циркулирующего воздуха с относительной влажностью 45% и при 38° в течение 200 суток. Предложен прибор, в котором Б в течение определенного времени (от 45 до 180 суток) подвергается действию влажного воздуха (относительная влажность 75%), кислорода или другого агрессивного газа, напр. SO₂, при 37-38°. Приведено устройство прибора и методика испытаний. После искусств. старения Б определяют ее разрывную длину, излом, продавливание, раздирание, белизну, медное число, содержание а-целлюлозы и степень полимеризации. Мерой долговечности Б служит относительная величина падения показателей, выраженная в процентах от исходной. Приведены данные об изменении ряда показателей (растяжение при разрыве, сопротивление излому, сопротивление продавливанию, сопротивление раздиранию), полученные после старения по приведенной методике и при нагревании Б до 105° в электрич. нечи (американская методика).

С. Иванов 13690. Использование оборотных вод на канадской бумажной фабрике. Кросс (Water conservation at Dalhousie. Сгоss Н. М.), Pulp and Paper Mag. Canada, 1953, 54, № 11, 134—135 (англ.)

13691. Оценка стоимости обработки оборотной воды. Кейлис, Китинг (Estimating costs for white water treatment Calica V. I. Каста по Т. Г.

water treatment. C a lise V. J., K e a ting R. J.), Tappi, 1955, 38, № 11, 697—701 (англ.)

При выборе оборудования для улавливания волокна из оборотных вод учитывают: 1) требования, предъявляемые к сбрасываемым сточным водам; 2) качество воды и конц-ни массы в произ-ве и 3) тип улавливающего аппарата. Выбор типа оборудования ограничен: аппаратами фильтрующего типа без предварительной обработки воды; отстойниками, работающими по принцину осаждения волокна с хим. обработкой для коагуляции или без нее; флотационными аппаратами с предварительной обработкой воды хим. реагентами и аэрадией. Даны принципиальные схемы установок, анализ их работы и стоимость, подсчет которой необходим для определения рентабельности процесса обработки оборотных вод. 13692. Бум С. Иванов Бумага для автоматов пищевой промышленности. Оляте Д. М., Бум. пром-сть, 1956, № 4,

Приведены требования к бумаге — основе для изготовления бутылок под молоко, для стаканов под мороженое и для полужестких коробок под сыпучие пролукты. Л. Михеева продукты.

Применение суспензий полнамидных смол 13693. в качестве защитного покрытия бумаги. Браун (The use of polyamide resin suspensoids as protective coating for paper. Brown Wilson F.), Таррі, 1955, 38, № 12, 739—744 (англ.)

Листы, покрытые водн. суспензией полиамидной смолы $(1,27\ \kappa r)$ на стопу), непроницаемы для масла земляного ореха в течение 1000 час. при 23° и 50%-ной относительной влажности. Покрытие $(3,8\ r/M^2)$ из смеси, содержащей 1% метилцеллюлозы проницаемо для водяного пара при испытании в течение 24 час. при 38° и 90-95%-ной относительной влажности; увеличение кол-ва метилцеллюлозы, так же как и применение гли-

ны приводит к повышению проницаемости для водяного пара. Введение в покрытие микрокристаллич. воска дало отрицательные результаты: слабощел. эмульсии воска осаждаются при смешивании с слабокислыми суспензиями смол. Приведены данные о вязкости суспензий, являющихся, видимо, псевдопластич. материалом, приобретающим тиксотропные свойства при добавлении метилцеллюлозы. Предложен шабер для доовыения метыпистикованые, гидратированые нанесения покрытия на прозрачные, гидратированые бумаги.

Ю. Вендельштейн

Применение крахмала в бумажной промышлен-13694. ности. Рёдерер (Verwendung von Stärke in der Papierindustrie. Roederer Helmut), Das Papier, 1956, 10, № 5—6, 77—83 (нем.; рез. англ.,

Описаны различные способы применения крахмала и крахмальных продуктов при произ-ве бумаги, ее переработке и эффект, который достигается применением этих материалов. Разработан непрерывный способ приготовления крахмального клея. Для повышения удержания крахмала в бумаге рекомендуют использовать пля проклейки крахмально-мыльный комплекс. Установлено, что различные виды крахмала ведут себя различно при осаждении Al2(SO4)3. Крахмально-мыльный комплекс из кукурузного крахмала осаждается в этих условиях количественно, другие виды крахмала осаждаются в меньших кол-вах. Расход крахмала в 1950 г. в США составил 230 000 т.

Использование новых химических реагентов в бумажной промышленности. Бартел (Progress report on paper chemicals. Вагthell J. C.), Paper Mill News, 1955, 78, № 52, 42, 44 (англ.) Отмечается применение жидкого Al₂(SO₄)₃·14H₂O

(I), представляющего собой 49%-ный р-р (36° Ве). Стоимость 1 m I ниже стоимости сухого I на 2—4 доллара. Применение I не требует спец. установок для разведения и хранения. Приведена схема установки, используемой для подвода I к ротаметру. Для произ-ва жиронепроницаемых бумаг (Б) и картона используют эмульсии анионной смолы «СҮРЕL». Последнюю применяют для поверхностного покрытия одну или в сочетании с крахмалом, казеином, протеннами сои и дисперсиями метил- и каброксиметилцеллюлозы. Сушку покрытия проводят при ~55°. Для увеличения смачиваемости и смягчения поверхности влагопрочных Б используют новое в-во «CYNOL» в кол-ве 0,03—0,3% к весу волокна (в ролл или на проклеивающем прессе). Использование смолы «Melostrenght» (сухой порошок с содержанием .97—100% твердого в-ва) позволяет изготовлять более мягкую, с лучшими абсорбционными свойствами Б. Переработку брака влагопрочных Б осуществляют на различном разбивающем, размольном оборудовании или варкой в котлах, но во всех случаях необходимо использование пара и сернокислого алюминия. М. Белецкая

Кремнеземные наполнители в бумажной промышленности. Подшус, Клейн (Kieselsäurefüllstoffe in der Papierindustrie. Podschus Ernest, Klein Caspar), Das Papier, 1955, 9, № 23—24, 584—587 (нем.; рез. англ., франц.)

Описаны появившиеся за последние годы в США новые наполнители для бумаги. Они представляют, в основном, кальциевые силикаты и выпускаются под разными марками, напр., «Silene» и «Baysical». Состав последнего (в %): SiO₂ 65,0; Al₂O₃ 0,4; CaO 16,0; Na₂O 2.0; CO₂ 5,0; H₂O 11,0; NaCl 1,0. Эти наполнители обладают свойствами оптически отбеливающих в-в, хорошо удерживаются волокном и не ослабляют бумагу. Они успешно конкурируют с окисью титана в в настоящее время получают распространение в Гер-М. Нагорский

ного

ОСКа

ьсин

ыми су-

при

пля

ные

тейн

лен-

der

Das

нгл.,

мала

t, ee

нием

при-

удер-

вать

Уста-

раз-

ьный

OCA-

950 r.

ванов

ентов

gress

Paper

4H20

Ве).

: для

OBKII.

ьзуют

риме-

соче-

ушку

мачи-

ых Б

-0.3%

ecce).

ошок оляет

ными

ых Б

моль-

всех кислоецкая

і про-

säure-

hus

1955,

англ.,

А но-

TOIRIL

ся под

Состав

16,0;

ители

бляют

тана п

в Гер-

рский

13697. Требования к качеству основы для гофрированного картона. Нумеров Б. Н., Бум. пром-сть, 1956, № 2, 9—13

Наружные гладкие слои трехслойного картона изготовляют из картона весом 250—240 г/м², внутренний, гофрированный — из бумаги весом 125—200 г/м². Слои склеивают жидким стеклом (уд. в. 1,45-1,5). В зарубежной практике используют крахмальный клей, или крахмальный клей, модифицированный фенольно-формальдегидной смолой, когда не допускает-ся разбухание клеевой пленки в воде. Для повышения водоустойчивости тары применяют склеивание слоев битумными пленками, используют битумированный картон, или обработанный меламиновыми и другими смолами. При испытании тары определяют максим. нагрузку при сжатии ящиков в статич. условиях (испытание проводится в прессе с измерением нагрузки) и проверяют прочности при сбрасывании (во вращающемся барабане с перегородками для перебрасывания ящика). Гофрированный картон должен выдерживать, не давая трещин и расслоений вблизи линии изгиба, не менее 10 двойных перегибов при перегибе на 180°. Крайние значения показателя сопротивления продавливанию (как основного показателя ГОСТ'а) у картона различных марок и веса 1 м² установлены: 2,5 и 8 кг/см², а бумаги—1,7 и 4 кг/см². Величина показателя сопротивления излому в среднем по обоим направлениям для картона различных марок установлена 60—500 двойных перегибов. Колебания влажности картона 6-10% (оптимальная 8%). ГОСТ'ом установлены пониженные допустимые отклонения толщины поширине рулона. Норма впитываемости при 5-минутном погружении образца в воду 25-65%. Отслоение поверхностного слоя картона при прохождении его по плитам гофренного агрегата не допустимо ГОСТ'ом. Предусмотрен выпуск картона четырех марок, картон выс-шей марки должен вырабатываться из 100%-ной суль-Л. Михеева фатной целлюлозы.

13698. Использование смол при изготовлении плит из древесной мелочи, получаемой в дисковой мельнице. К у к, Ф р а ш о р (Resin application in attrition-mill type particle board. С о о k е W. H., F r ash о u r R. G.), Forest Prad. J., 1955, 5, № 4, 214—218 (англ.)

Для опытов применяли сухую и влажную измельченную древесину. Смолу, жидкую или в виде порошка, вводили в разных кол-вах до или после размола древесины (отходы фанерного произ-ва). Увеличение кол-ва смол от 4 до 6% улучшало все показатели плит. Аналогичио влияло на показатели (за исключением устойчивости к влагопоглощению (УВ)) введение жидкой смолы. Введение порошкообразной смолы улучшало УВ. Плиты из влажного древесного материала имели лучшее сопротивление разрыву и лучшее УВ. Плиты из сухой древесины отличались большим постоянством размеров.

М. Нагорский

13699. Применение коррозионноустойчивых материалов в бумажном производстве. Лайдик (The application of noncorrosive materials. Lydick George R.), Таррі, 1954, 37, № 3, 162A — 164A (англ.)

13700. Конструкция изоляционной камеры (изолярия). Патнем (Construction of an isolarium. P ut n a m A. H.), Таррі, 1955, 38, № 12, 163А — 165А (англ.)

Описана конструкция камеры, предназначенной для проведения исследовательских работ по изучению свойств бумаги при различной относительной влажности воздуха. Приведена методика испытаний бумаги. В качестве материала для камеры использован листовой политилен.

С. Иванов

13701. Дефибрирование бумаги для микроскопического исследования ее. Коноп (Rozvlákňováni papírů k mikroskopickým rozborům. Копор R adovan), Papír a celulosa, 1953, 8, № 4, 90—92

(чеш., рез. русс.)
Приведены методы дефибрирования различных сортов бумаги (цветной, проклеенной, непроклеенной, пергаментной и др.) для исследования состава массы микроскопич. методом.

Е. Шнайдер и методы. Роу (Paper strength testing—equipment and

3702. Определение прочности бумаг, аппаратура и методы. Роу (Paper strength testing—equipment and methods. Rowe Herbert W.). Tappi, 1954, 37, 179A—181A (англ.)

3703. Сопротивление бумаги на излом. Келер (The folding endurance of paper. Köhler Sigurd), World's Paper Trade Rev., 1955, 143, № 21, 1749, 1750, 1752, 1754, 1756, 1758, 1760, 1764, 1767, 1768, 1770, 1772 (англ.)

Рассмотрены результаты исследований методов определения сопротивления бумаги излому. Сопоставлены данные, полученные на приборе системы Келер — Молина, с результатами испытаний тех же бумаг на приборе Шоппера. Установлено, что определение на приборе Келер — Молина происходит в более жестких условиях. Рассмотрены динамика возникающих напряжений при различных углах излома и зависимость между нагрузкой и сопротивлением излому. Приведены дваграммы.

М. Белецкая 13704. Развитие работ в области полумаесы и бума-

13704. Pазвитие работ в области полумассы и бумаги. Б р е х т (Entwicklungsarbeiten auf dem Gebiete der Halbstoff- und Papierprüfung. B r e c h t W.), Schweiz. Arch. angew. Wiss. und Techn., 1954, 20, № 5, 137—148 (нем.)

13705 К. Технологическое оборудование гидроливных и сульфитно-спиртовых заводов [Учеб. пособие для лесотехи. вузов]. Мартыненко К. Д. М.—Л., Гослесбумиздат, 1956, 251 стр., илл., 6 р. 85 к.

13706 Д. Исследование некоторых реакций щелочного лигина. Оболенская А.В. Автореф. дисс. канд. техн. и., Ленингр. лесотехн. акад., Л., 1956

13707 II. Метод улучшения выхода метилсульфида, получаемого при нагревании отработанных щелоков целлюлозного производства, путем добавки неорганических сульфидов. Хеглунд, Энквист (Method of improving the yield of methyl sulfide obtained by heating waste liquors from cellulose manufacture by adding inorganic sulfides. Hägglund Erik Karl Mauritz, Enkvist Terje Ulf Eugen) [Svenska Cellulosaforeningens Centrallaboratorium (Cellulosaindustriens Centrallaboratorium)]. Hat. CIIIA 2711430, 21.06.55

К отработанным щелокам от щел. варки целлюлозы добавляют неорганич. сульфид, и смесь нагревают при 150 и 500°; образующийся метилсульфид улавливают.

М. Нагорский

13708 П. Способ изготовления бумаги, непроницаемой для водяных паров (Procédé pour la production de papiers étanches à la vapeur d'eau.) [Chemische Werke Hüls A.-G.]. Франц. пат. 1105124, 28.11.55 [Rev. gén. caoutchouc, 1956, 33, № 5, 487 (франц.)] Бумагу пропитывают дисперсией стиролбутадиенового сополимера, затем под давлением на нее в нагретом виде накладывают очень тонкий лист полистирола (> 25 µ). Такие листы можно получить по способу «стирофлекс» или раздуванием. Полученную бумагу применяют для завертывания пищевых продуктов.

См. также: Адсорбция, динамика 11406. Пьезоэлектрич. св-ва древесины 11927. Ксиленолы, хлорирование 13078. Ацетон, определение 11862. α-пинен и камфен, определение 12154, 12155. Глюкоза, кинетика разложения 13796. Моносахариды, спектрофотометрич. определение 12194. d-Глюкозы и d-маннозы, определение 12195. Целлюлоза: св-ва 11902, 11918; автоматизация варки 14260. Вискоза, вязкость 11408. Пентозаны, определение 12198. Лигносульфоновые к-ты, определение 12720. Сточные воды 12791

искусственные и синтетические волокна

Редактор В. А. Деревицкая

13709. Роль инженера в производстве искусственного и синтетического волокна. Ланген (lets over het werk van werktuigkundigen in de industrie van kunstmatige garens en vezels. Langen L. H. de), Ingenieur (Nederl.), 1956, 68, № 24, W. 83—W. 86

(голл.; рез. англ.)

Обзор развития пром-сти искусств. и синтетич. шелка и штацельного волокна в Голландии, в частности история развития концерна AKU. Отмечается большая роль инженеров-механиков и энергетиков в организации энергетического хозяйства предприятий, кондиционирования воздуха, вентиляции, автоматики и организации технологич. процесса. А. Пакшвер 13710. Текстильные изделия из хьмических волокон.

Кумараппа-Котвал (Man — made textiles of today — the synthetics. Kumarappa-Kotwal Lalita), Indian Text. J., 1956, 66, № 784,

228-232 (англ.)

Популярная статья о свойствах и областях применения хим. волокон.

13711.. Состав циклических полиамидов, выделенных из найлона 66. Браун, Хилл, Юл (Constitution of the cyclic polyamides isolated from nylon 66 polymer. Brown C. J., Hill A., Youle P. Nature, 1956, 177, № 4499, 128 (англ.)

При нагревании найлона 66 (І) в инертной среде выше т-ры его плавления на холодных поверхностях конденсируется белое кристаллич. в-во с т. пл. 249-251°, идентичное по своим свойствам выделенному из водн. экстракта I путем испарения воды и растворения в этилацетате (т. пл. 248°). На основании элементарного анализа, а также криоскопич. и эбулноскопич. методов определения мол. веса в метаноле (210 и 218, соответственно) это в-во было идентифицировано как мономерный циклич. гексаметиленадинамид. Из води. экстракта I после испарения воды было выделено также в-во, нерастворимое в этилацетате, с т. пл. 237° и мол. весом 445, которое может быть идентифицировано как димерный циклич. гексаметиленадинамид. Смесь этих в-в можно выделить также после растворения I в НСО-ОН, осаждения полимера большим кол-вом метанола и испарения последнего. Кол-во в-в, растворимых в метаноле, зависит от т-ры предварительного нагревания I и составляет 1.9%. 4.3%, 5.9%, после нагревания при 275°, 295—300° и 310°, соответственно. А. Волохина 13712. Исследование вискозного процесса с помощью

электронного микроскопа. І Ронбю, Гирц, Трей-6 e p (An electron microscopic investigation of the viscose process. I. Ranby Bengt G., Giertz Hans Wilhelm, Treiber Erich), Svensk papperstidn., 1956, 59, № 4, 117—127 (англ.; рез. нем.,

Кратко описан процесс получения вискозы (I). Отмечено большое значение изучения тонкой структуры целлюлозы (II) и регенерировачной II. Приведены данные (включая микрофотографии) исследований с по-

мощью электронного микроскопа сульфитной, сульфатной, хлопковой II и продуктов всех стадий произ-ва I — щел. И, ксантогената И, регенерированией П
из нормальной технич. и разб. І. Ввиду неустойчиюсти промежуточных продуктов произ-ва I из них регенерировалась II. Во избежание «ороговения» образпы хранились в воде и, перед наблюдением под электронным микроскопом, диспергировались в воде с помощью Ю. Вендельштейн ультразвука. 13713. Разрушение полнамидных волокон под дей-

ствием света и тепла. Холл (Deterioration of polyamide fibres by hest and light. H a l l A. J.), Texture,

1956, 3, № 1, 18-20 (англ.)

Обзор патентов по увеличению свето- и термостойкости полнамидных волокон путем введения при полимеризации, прядении или в готовое волокно солей металлов — Cu, Cr, Mg и др. Напр., образец найлона, обработанный K₂Cr₂O₇, а затем восстановителем с пелью перевода иона бихромата в хромат, теряет за 4 летних месяца 26% прочности, а необработанный образец 80%. Введение солей Си (стеарата, ацетата) в кол-ве 0,05% при поликонденсации или непосредственно перед пряделием повышает термостойкость найлона. Полученное по этому способу моноволокно теряет прочность при обработке в токе горячего воздуха при 150° червз 816 час., а обычное — через 48 час. Термо- и светостойкость найлона могут быть также повышены путем изменения исходных компонентов, напр., путем частичной замены адипиновой к-ты на щавелевую к-ту. Библ. 10 назв. С. Савина

13714. Преимущества крашения вискозного штапельного волокна в массе. Мёсмер (Die Vorteile der düsengefärbten Zellwolle in der Praxis, Мозяте er Viktor), Prakt. Chem., 1956, 7, № 7,

200, 202-205 (нем.)

Обсуждение техно-экономич, преимуществ крашения в массе. Приводятся микросрезы окрашенных волоков, штапельные диаграммы, статистич. данные о равномерности титра, данные о прочности окращенных в массе и неокрашенных волокон, сравнительные данные о прочности выкрасок к светопогоде, стирке, трению и др. Крашение в массе имеет очевидные преимущества перед последующим крашением при условии применения дисперсий красителей с размером частиц в пределах 0,5—1,0 µ. А. Пакшвер 13715. Анализ серы в вискозном волокие. Флёри

(Nouvelle contribution au dosage du soufre residuaire dans les viscoses. Fleury J. P.), Bull. Inst. text. France, 1956, № 59, 57—64 (франц.; рез. англ.) Разработан колориметрич. метод микроанализа, который позволяет в навеске вискозного волокна 50-70 мг определять содержание S в кол-ве 0,005-0,004 мг с точностью $\pm 5\%$. Сущность метода заключается в образовании красителя метиленовой голубой за счет восстановления S, находящейся в вискозном волокие, сначала в щел. среде, а затем в разб. соляной к-тедо H₂S, поглощаемого р-ром (CH₃COO)₂Zn, в который добавляют диметилнарафенилендиамян и соль Fe⁵⁺. Описана методика работы. Дан рисунок аппарата (из стекла). 13716. Новое искусственное волокно. Пожидаев

Н. Н., Текстильная пром-сть, 1956, № 5, 68 Искусственное белковое волокно, изготовленное из отходов кожевенной, мясной и рыбной пром-сти, по прочности мало уступает персти и теряет в мокром состоянии 34—35% прочности. Ю. Васильев 7717. Промывка и фиксация волокна перлон. Фурне (Waschen und Fixieren von Perlon. Fourné Franz), Melliand Textilber., 1956, 37, № 4, 434—

436 (нем.; рез. англ., франц., исп.) Фиксация перлонового шелка без предварительного вымывания низкомолекулярных в-в (острый пар при 57 г.

тьфат-

она-ва

П йо

-опира

pere-

разцы

ктрон-

ощью

штейн

дейpoly-

xture,

ОСТОЙ-

поли-

ей ме-

илона.

целью

10ТНИХ 80%.

0,05%

д пряченное

гь пра

через

ем па-

астич-

Библ.

Савина

Шта-

orteile

1 öss-№ 7,

шения

локон.

равно-

пенных

ле пан-

е, тре-

реиму-

СЛОВИИ

частии

акшвер

iduaire t. text.

англ.)

нализа,

на 50-

,004 мв

очается

за счет

олокне.

оторый

Fe3+.

ата (пз

Кантер

ное из

сти, по

мокром асильев

Фyp;

urne

, 434-

ельного

ар при

68

K-TO -

90—100°) под вакуумом привела к ряду затруднений при переработке шелка из-за высаживания лактама на нитегроводящих деталях. Фиксация при 115—117° оказалась также не вполне пригодной, так как изготовление чулок из шелка, обработанного при этой т-ре, затруднялось. Т-ра фиксации перлонового шелка при крутке должна быть ≤ 95°. Поэтому, наиболее пелесообразным оказалось совмещение фиксации волокна с вакуум-промывкой шелка для удаления лактама до содержавия <1%. При 75° под вакуумом промывка должна продолжаться З часа, при 95°—1 час. При этом достигается требующийся эффект фиксации крутки, полное удаление лактама и ликвидация разнотова в суровом шелке из-за разного содержания в нем между внешними и внутренними слоями шелка на шпулях.

13718. Отбелка триацетатных волокой хлоритом натрия. В р и н е р (Das Bleichen von Zellulose-Triacetatisern mit Natriumchlorit. В г у п е г М.), SVF-Fachorgan Textilveredlung, 1956, 11, № 5, 232 (нем.) Описаны хим. свойства триацетатных волокой и их отличие от ацетатного шелка. Отбелка триацетатного волокна может проводиться NaOCl, H₂O₂ и NaClO₂, наиболее эффективным является последний. Обычно конц-ия NaClO₂ составляет 0,5—1,5 в/л (80%-ной), рН 3,5—4, т-ра 60—80°, модуль ванны 1:20, время обработки 0,5—1 час. В таких и даже более конц. р-рах NaClO₂ деструкция целлюлозы не происходит. С. Зеликман

13719. Шелк и штапельное волокно из триацетилцелмолозы. И о ц ц а (11 raion ed il fiocco di triacetato di cellulosa. Роzza Cirolamo), Fibre e colori, 1956, 6, № 1, 13—19 (итал.)

Указаны предприятия (в Англий, Канаде, США), вырабатывающие ацетатный шелк и штапельное волокею из триацетилцеллюлозы (матированные и блестяще), под названием: трицел, трилан, ариел и курплета, с N_м для шелка: 30—225 (число элементарных волокон 10—70) и для штапеля 1500—3000 при длине отрезка 35—150 мм. Наиболее интересными свойствами этих волокон являются: высокая т. пл. ~300°, устойчивость к омылению, к обработкам при повышенных грах, хорошая термопластичность. Разрывная прочность в сухом состоянии 1,2—1,3 г/денье, в мокром 0,7—0,9 г/денье. Разрывное удлинение в сухом состояние ~25%, в мокром ~35%. Уд. в. 1,28. Устойчивость к облучению такая же как и у хлопчатобумажного волокна. Описаны хим. свойства, устойчивость к р-рителям, методы и рецептура отделки и крашения, технология крашения. Детально рассмотрены марки применяемых красителей, вопросы прочности окрасок. Д. Кантер

13720. Целон — новое волокно фирмы Celanese Ltd. Фитер («Celon» the new «Celanese» fibre. Fish er J. W.), Fibres, 1956, 17, № 4, 126—128 (англ.) Приводятся физ.-мех. и физ.-хим. свойства волокна целон (полиамидное волокно на основе г-капролактама, выпускаемое английской фирмой Celanese). Указываются области применения штапельного волокна целон. См. РЖХим, 1956, 66838. А. Волохина 13721. Динамические исследования текстильных материалов. 2. Влияние амплитуды на вязкоэластические свойства волокон при низких частотах нагружения. С и р а к а с и, О г у т и (粉織材料の動力學的研究・第2 報・低周波領域における機能の粘彈性に及ぼす振幅の影響・白藤侃・小口登)。 Сэнъй гаккайси, J. Soc. Text. and Cellulose Ind. Јарап, 1956, 12, № 3, 208—211 (япон.; рез. англ.)

Изучалось поведение текстильных волокон при циклич. синусоидальных нагрузках низкой частоты (длительность периода 60—200 сек.) и при растяжении, нзменявшемся от 1,9 до 15,2%. Установлено, что при синусоидальном растяжения кривая нагрузка — удлинение при больших амплитудах не соответствует модели Вуа или Максвелла, но приближается к поведению этих моделей при малых амплитудах. При больших амплитудах кривая нагрузка — удлинение при растяжении имеет более сложный характер, чем при разгрузке. Малые удлинения шерсти, ацетатного и вискозного волокая в основном складываются из пластич. деформаций. Часть I см. РЖХим, 1956, 14606. А. Роговина 13722. Скорость взаимодействия гидратцеллюлозных волоком и пленок с растворами едких щелочей. П а кли ве р А. Б., Тр. Ивановск. хим. технол. ин-та, 1956, № 5, 131—138

Взаимодействие определяется скоростью диффузии реактива в глубь волокна. При нестационарных условиях р-ции, обычных ири отделке гидратцеллюлозных волокон, р-ция определяется коэфф, внутренней дифузии D₁ для нестационарного процесса. При стационарных условиях диффузии реактивов через пленки, наряду со скоростью диффузии, некоторое значение приобретает константа скорости р-ции К. Величина коэфф, диффузии D₂ для стационарного процесса в тысячи раз больше, чем величина коэфф, диффузии. Натяжение волокна при формовании или при супике уменьшает величины D₁ в 3—8 раз. Релаксация волокон или пленок путем обработки в условиях сильного набухания без натяжения увеличивает D₁ в 1,5—2 раза. Кислотная обработка волокои и пленок при 100° (гидролаз) вызывает уплотнение структуры. Те же наблюдения подтверждаются для стационарного процесса диффузии через пленки, но в меньших масштабах. С. Зеликман 13723. Роль синтетических волокои в текстильной промышленности. К и р м ай е р (Rolul fibrelor sintetice in industria textilă. К i r m ai e г G.), Ind. textilă, 1956, 7, № 3, 121—124 (рум.; рез. русс.,

нем.)
Обзор свойств и областей применення. С. Савина
13724. Применение различных текстильных волокон
для изготовления сетей. Брандт (Der Wandel der
Netzrohstoffe. BrandtA.v.), Fette, Seifen, Anstrichmittel, 1956, 58, № 6, 426—429 (нем.)

Обсуждение преимуществ и нелостатков с точки зрения рыболовной пром-сти различных природных, искусств. и синтетич. волокон: хлопка, вискозного штапельного волокна, перлона, поливинилхлоридных волокон и др. Наибольшее значение получили для произ-ва сетей волокна перлон и найлон, РеСе и волокна из поливинилового спирта (в Японии). Наилучшие результаты при ловле сельдей были получены с перлоновыми сетями из прозрачного моноволокна, окрашенного в сине-зеленые или коричневые тона.

[А. Пакшвер

13725 К. Химия и технология искусственных и синтетических волокон. Роговии З. А. Перев. с русс. (Chimia si tehnologia fibrelor artificiale. R о-g o v i n Z. A., Trad. din limba rusă, București, Ed. tehnica, 1954, 521 p. cu ilustr, 41 lei) (рум.)

13726 К. Ткани из искусственного и синтетического волокон и натурального шелка (Davison's rayon, silk and synthetic textiles, 1955, Davison, 1955, 500 pp., maps, 8 doll) (англ.)

13727 П. Способ получения синтетических волокон (Verfahren zur Herstellung von synthetischen Fasern) [The Chemstrand Corp.]. Швейц. пат. 304678, 1.04.55 [Textil-Praxis, 1956, 11, № 5, 502 (нем.)]

Для получения хорошо накрашиваемых волоков предлагается применять для приготовления прядильного р-ра смешанный полимер акрилонитрила (75—

99.5%) и эфира алифатич, монокарбоновой к-ты, содержащей галоид, со спиртом, содержащим 3-4 атома Си группу СН2 — С < (0,5-25%). 13728 II.

Способ получения продуктов поликонденсации из производных карбамидной кислоты. Ш л а к Centin na производных кароалидной калогы. In так (Verfahren zur Herstellung von Polycarbamidsäure-verbindungen. S c h l a c k P a u l) [VEB Filmfabrik Agfa Wolfen]. Пат. ГДР 5386, 4.11.54

Патентуется способ получения полиуретанов из аминосоединений с двумя атомами азота основного характера, содержащими водород, и эфира бис-хлормуравынной к-ты, которые кроме уретановых связей солержат и пругие амидные связи, напр. карбамидные, сульфонамидные или мочевинные, при обменных р-циях возникают боковые открытые или циклич. ацетали (кетали) или меркаптали. Подобные группы влияют на растворимость и переработку полимеров и обладают ценными свойствами путем мягкого гидролиза и отщепления карбонильных групп способны превращаться в гидроксильные или сульфгидрильные группы. Для получения полиуретанов с боковыми ацетальными группами используются в качестве эфира бис-хлормуравьиной к-ты: 1,4-диокси-2,3 (метилен-диокси)-бутан-бис-хлормуравьиная к-та; 2,3,4,5-диформальгексаоксигексан-бис-хлормуравьиная к-та; полный эфир хлормуравьиной к-ты с этиленгликолем, бутандиолом-1.4.3метилгександиолом-1,6; тетраметилендимеркаптан-бис-хлормуравыная к-та. В качестве диаминов: 1,2-диаминоэтан. 1.3-диамино-2-метилпропан, 1,4-диаминобутан, 1,6-диаминогексан, 1,6-диамино-3-метилгексан, NN'-диметил-1,6-диаминогексан, N-монобутил-1,6-диаминогексан, 3,3'-диаминодипропилсульфид, тетраметиленбис-ү-аминопропиловый эфир, N-метилди-ү-аминопропиламин, NN'-диметил-NN'-ди-(6-аминогексил) мочевина, NN'-ди-(6-аминогексил) диамид себациновой к-ты и др. Напр., растворяют 1 моль 1,4-диокси-2,3-(мети-ленднокси)-бутан-бис-хлормуравьиной к-ты и 4 моля 1,4-диоксибутан-бис-хлормуравьиной к-ты в двойном кол-ве циклогексанола и сливают этот p-р при 0—10° при сильном перемешивании в 20%-ный води. p-р 10 молей 1,6-диаминогексана. Р-р нагревают до 30—40° и перемешивают еще 1 час. Выпавший полиуретан отсасывают после разбавления реакционной массы ацетоном, затем промывают ацетоном и водой. Он растворим в крезоле, конц. НСООН и горячем этиленхлоргидрине и плавится при 165—175°. Из расплава можно получать прочные вытянутые волокна. При нагревании с разб. HCOOH при 40° отщепляется связанный CH₂O. 13729 П. Способ производства нитей, волоса или

шелка из производных поливинилхлорила (Procédé pour la production de fils, de crins ou de soies en composés polychlorovinyliques) [Badische Anilin- & Soda-Fabrik A.-G.]. Франц. пат 1103870, 1.06.55 [Bull. Inst. text. France, 1956, № 59, 163 (франц.)] Состоит в прядении по мокрому способу смеси полимеров (винилхлорида или винилиденхлорида и их сополимеров), растворенных в смесях алифатич. или циклич. кетонов с циклич. эфиром, имеющим 5 и более членов в цикле. Циркуляция осадительной ванны (вода или водные р-ры) осуществляется в направлении хода нити. Нить подвергают вытяжке при 60—100° с постепенным увеличением скорости ее прохождения последовательно через две или более водные ванны. Р. Нейман

13730 П. Волокна из смеси поливинилхлорида и полимеров винилпиридина и аналогов пиридина (Fibres mixtes homogènes de chlorure de polyvinyle et de polymères de la vinylpyridine et des composés analogues de la pyridine) [Polymer Industrie Chimique S. P. A.]. Франц. пат. 1103865, 1.06.55 [Bull. Inst. text. France, 1956, № 59, 163—164 (франц.)]

Способ получения модифицированных поливинилхлоридных волокон с повышенным сродством к кислот. ным красителям заключается в приготовлении смеси состоящей из 50—99 вес. % полимеров соединений его сополимеров и 50—1 вес. % полимеров соединений ряда пирилина, его производных или гомологов, содержащих в молекуле одну или несколько двойных связей. Можно применять полимер 2-этил-, 5-этилили 2-метил-5-винилпиридина или поливинилхинолины

Р. Нейман 13731 П. Формование волокна из полимеров и сополимеров акрилонитрила (Spinning process) [Imp. Chem. Ind., Ltd]. Англ. пат. 737937, 05.10.55

Формование волокна из полимеров акрилонитрила и его сополимеров, содержащих небольшое кол-во другого винилового мономера (но не из привитых сополимеров), производится из р-ров их в смеси этиленкарбоната и воды в воды. прядильной ванне. Для растворения предпочтительно использовать смеи, со-держащие >60% этиленкарбоната. Этиленкарбонат, накапливающийся в прядильной ванне, извлекается из нее вымораживанием. Ю. Васильев 13732 II. Способ прядения из расплава и механизм

для его осуществления (Schmelzspinnverfahren und Vorrichtung zu dessen Durchführung) [Imp. Chem. Ind., Ltd]. Швейц. пат. 304675, 1.04.55 [Textil-Praxis, 1956, 11, № 5, 502 (нем.)]

Частицы или куски волокнообразующего материала подводят и прижимают к нагретой пластинке, и образующийся при этом расплав продавливают через отверстия пластинки. Затем расплав направляют к прядильному насосику. Приводится описание предложенного устройства. Р. Неймав Способ непрерывной полимеризации лакта-13733 П.

ма с прядением и вытяжкой полученных полиамидов ма с придением и вытыжкой полученных поличеных (Procédé de polymérisation en continu de lactames et de filage et d'étirage des polyamides obtenues) [Inventa A.-G.]. Франц. пат. 1103251, 18.05.55. [Bull. Inst. text. France, 1956, № 59, 164 (франц.)] Способ непрерывной полимеризации лактама в присутствии миним, кол-ва воды (служащей катализатором полимеризации и стабилизатором вязкости), без необ-ходимости удаления ее перед прядением. Аппаратура состоит из бачка для реакционной смеси, насоса и реакпионной трубы, соединяющей насос с прядильным насосиком. Аппаратура обогревается посредством рубашек. К лактаму прибавляют воды <1%. Смесь выдерживают при т-ре выше т. пл. смеси и <110° в таких условиях, чтобы вода из нее не могла испариться. Способ позволяет

ством к кислотным красителям и очень хорошо поддающийся вытягиванию. Р. Нейман 13734 П. Получение высокопрочного вискозного шелка. Татикава (Process for manufacturing of artificial fiber by viscose method. Tachikawa Shozo). Пат. США 2732279, 24.01.56

обойтись без процесса эвакупрования и получать про-

дукт равномерный по вязкости, с повышенным срод-

Описан процесс получения высокопрочного шелка из разб. вискозного р-ра при использовании целлюлозы с высокой степенью полимеризации (СП). Для этого древесная целлюлоза с СП 780 мерсеризуется 2 час. в 17,5% NaOH при 20°, отжимается до 2,75-кратного веса, измельчается 2 часа при 15°, ксантогенируется (50% СS₂ от веса целлюлозы) при начальной т-ре <15°, затем еще 2,5 часа при 20° и один час при 25°. Ксантогенат растворяется в чистой воде и превращается в вискозу, содержащую 6% целлюлозы и 2,82% NaOH. Вязкость p-ра 520 сек. Без созревания вискоза направляется на прядение в ванну, содержащую только 10,3 г/м H₂SO₄ (при 25°). Одновременно нить вытягивается на 4-ступенчатом ролике с соотношением окружностей 1:2:2,5:3. Полученное волокно имеет разрывную

нил-

nor.

ecw.

или)

ений

со-

THE

UHLI

йман

cono-

Imp.

грила

0.H-RO

x co-

илен-

pac-

co-

, со-онат,

ается

ильев

энизм

Chem.

extil-

риала

обра-

отверялиль-

отонна

Гейман

лакта

амидов

ctames

tennes) .05.55 ранц.)] в при атором

необ-

ратура

и реак-

ым на-

батек

кивают

товиях,

зволяет

ть про-

и срод-

поддаю-

Неймав

козного

iring of

kawa

елка из

иколозы

OTOTE R

2 час.

ратного

ируется oe <15°,

Ксанто-

ся в ви-

NaOH.

направ-

10,3 e/a

ается на

жностей

зрывную

прочность 3,33 г/денье в сухом п 2,51 г/денье в мокром состоянии. СП шелка 500. Благодаря 4-кратному вытягиванию разрывное удлинение сухого шелка увеличивается до 9,8%, а в мокром состояния — до погло-число двойных изгибов возрастает с 15 до 310, а погло-с 12.5 до 72.8%. А. Пакшвер Снижение набухания вискозного волокна Production of shaped articles of regenerated cellulose)

American Cyanamid Co.]. Англ. пат. 734010, 20.07.55 С пелью снижения набухания волокна в воде и уменьшения удлинения в мокром состоянии предлагается побавлять к вискозе полимеры акриламида или его произволных (N-алкилакриламид, метилолакриламид, метакриламил) и их сополимеры. Полимер (1) добавляют к вискозе после ее созревания или вводят в поток вискозы, поступающей на прядение. Добавляют 2-20%, лучше 5-15% 1. После прядения волокна обрабаты вают р-ром кислого катализатора (HCl, H₃PO₄, NH₄Cl или винная или щавелевая к-ты, солянокислый триэтаноламин, кислые фосфаты, сульфаты, тиоцианаты, и нагревают при 140—160°. В зависимости от вязкости п натревают при 140—100. В зависимости от визкости 1 (200—3500 *спуаз* при 25°) к 2000 ч. вискозы, содержа-шей 8,5% целлюлозы, добавляют 255—85 ч. I, в виде 10%-вого води. р-ра. Прядение волокна проводят через ~2 час. после добавки I. Применяют обычную осадительную ванну. После промывки волокно пропитывают 0,25%-ным р-ром кислого аммонийфосфата и нагревают 5-30 мин. при 150° до полной полимеризации на волокие. Если применяется I, не содержащий метилоль-ных групп, то волокно обрабатывают p-pom CH₂O. Содержание I в готовом волокие составляет 5-17%. После обработки снижается удлинение волокна в мокром состоянии, повышается устойчивость волокна к сминанию, разрывная прочность падает ≤ 20%. I A. Пакшвер

Вискозный процесс и изделия, получаемые по этому процессу. Митчелл, Берри, Уодман (Procédé de la viscose et produits obtenus par ce procédé. Mitt chell Reid L., Berry James W., Wadman William H.) [Rayonier Incorporated]. Франц. пат. 1102017, 27.04.55 [Bull. Inst. text. France, 1956, № 59, 161—162 (франц.)]

Пля получения вискозного шелка с высокой степенью упорядоченности элементарных кристаллитов и малой способностью к набуханию волокна получают в условиях очень равномерной регенерации по всему поперечному сечению, при одинаковой доступности внутренних и внешних частей воздействию реагентов; при этом получается волокно, поддающее большей вытяжке. Применяют вискозу с соляным индексом 6—20, в которой целлюлоза имеет степень полимеризации 300-800 и прядут ее в ванну, содержащую 6—12% ZnSO₄, или эквивалентный сульфат другого металла и 9—10% H₂SO₄ при т-ре 45—70°. Получаемые волокна вытягивают на 70/200% и более. В прядильный р-р вводят непонизирующиеся в-ва, такие как блокополимеры полвоксиэтилена и полипропилена. Можно также применять в качестве реагентов, замедляющих коагуляцию, окись пропилена и продукты конденсации фенола и окиси этилена, к которым можно добавлять амины (диметиламин, циклогексиламин и пр.). Эти в-ва добавляют вепосредственно в вискозу в кол-ве 0,1—1,0 вес%. Р. Нейман

Способ производства штанельного волокна (Verfahren zur Herstellung von Zellwollfasern) [Spinnfaser A.-G.]. Швейц. пат. 304350, 16.03.55 [Textil-Praxis, 1956, 11, № 5, 501 (нем.)]

Свежеспряденные пучки нити разрезают и обрабатывают для удаления остатков прядильной ванны. Чтобы при этом волокна не свалялись в руно, нити, поступающие с режущего приспособления, распределяются при помощи тока воздуха по наклонно направляющему

желобу, по которому непрерывно течет тонким слоем жидкость, в затем подводятся к проходящему у нижнего конца направляющего желоба сетчатому конвейеру для последующей обработки. 13738 II. Приспособление для разрезания нитей на

одинаковые отрезки (Vorrichtung zum Schneiden von Fäden in gleich lange Stücke) [Ing. A. Maurer S. A.]. Швейц. пат. 304677, 01.04.55 [Textil-Praxis, 1956, 11. № 5, 502 (нем.)]

Чтобы бесконечные нити, или пучок нитей, непрерывно нарезать на куски одинаковой длины, рекомендуется оси вращающихся шкивов с насаженными на них ножами наклонить друг к другу. Затем ножи отгибаются от поверхности шкивов настолько, что их режущие края во время нарезания лежат практически параллельно. При этом режущие края в момент нарезания могут быть приведены в положение наибольшего возможного сближения.

77. делман 3739 П. Непрерывный способ формования и от-делки медноаммиачного волокиа, спряденного по вороночному способу (Procédé et dispositif pour pro-13739 П. duire en marche continue des filés à partir d'une solution cuproammoniacale de cellulose suivant la méthode du filage «á l'entonnoir») [Bemberg S. р. А.]. Франц. пат. 1090254, 29.03.55 [Inst Text. France, 1955, № 56, 152 (франц.)]

Выходящие из фильер волокиа направляются в виде слоя, образующего холст, через отделочные ванны и сущильную зону. Холст передвигается в ваннах си-стемой ролнков, расположенных позади промывной секции. После промывки слой нитей проходит все последующие обработки в венатянутом состоянии. Сушка также проводится в свободном состоянии. Система роликов позволяет производить обработки при слабом, заранее заданном натяжении. А. Пакшвер слабом, заранее заданном нагличным.

13740 II. Способ производства искусственных волокон. Ферретти (Verfahren zur Herstellung von künstlichen Fäden oder Fasern. Ferretti Angel) [American Patents Corp.]. Пат. ФРГ 915730, 26.07.54 [Chem. Zbl., 1955, 126, № 37, 8766—8767 (Hem.)]

Искусственные белковые волокна получают обработкой исходного материала перед растворением, или уже сформованных нитей жиром (напр., рыбым жи-ром), содержащим ненасыщ. жирные к-ты по крайней мере с одной двойной связью, или жирным спиртом, имеющим не менее одной ненасыщ, связи или ненасыщ, окси- или кетопроизводные к-ты, или их смеси. Имеются в виду для этой обработки: ненасыщ, жирные к-ты, полученные расшеплением животных или растительных масел; растигельные масла, содержащие >10% ненасыщ, жирной к-ты не менее как с 1 двойной связью; води. эмульсии дубящих жирных в-в (рапсовое масло), содержащие добавку натурального или искусств. десодержащие доовьку натурально. В Al₂(SO₄)в. граса. Осадительная ванна содержит Al₂(SO₄)в. Р. Нейман

13741 II. Получение искусственных белковых волокон (Process for the production of artificial filaments and staple fibres of proteins) [American Patents Corp.]. Англ. пат. 723214, 2.02.55

Не растворимые в воде глобулярные белки предварительно обрабатывают водн. р-рами солей Sn, напр. SnCl₂, SnCl₄, или (NH₄)₂(SnCl₆) и ацетатами, формнатами и солями щел. металлов оловянной к-ты. Олово связывается протеинами, при этом значительно уменьшается скорость возрастания вязкости прядильного р-ра при хранении (за исключением добавок Na- или -станнитов). Волокно, сформованное из обработанного белка, можно обработать в осадительной ванне или после води. р-рами солей Al или солями Sn, а также до или после прядения фосфорной или кремневой к-тами или их Na-солями. Напр., 1000 г молочного назенна

с 10% влажности смещивают в течение 13 час. с 3000 мл водн. р-ра 10 г SnCl₂·2H₂O. Затем добавляется 200 мл р-ра NaOH, уд. в. 1,33, и 300 мл воды. Прядение, вытяжка, дубление и обработки CH₂O производятся обычным способом.

А. Пакшвер 13742 П. Способ изготовления искусственных волокон. Стой (Zpuśob vyroby umélých vláken. Stoy Artur). Чехосл. пат. 84022, 1.02.55

Способ изготовления искусств. (синтетич.) волокон с шероховатой поверхностью отличается тем, что волокно из синтетич. линейного полимера, напр. полиамида, сначала частично ориентируют путем вытягивания желательно >80% от общего удлинения, затем наносят покрытие из термопластичного или термореактивного материала и дополнительно вытягивают волокно, завершая полную его ориентацию в условиях, когда по крайней мере поверхностный слой покрытия становится хрупким, после чего в-во фиксируют на волокне при нагревании. Варианты этого способа: 1) значительное вытягивание волокна проводят после частичного или полного удаления р-рителя при т-рах, при которых поверхностное покрыгие становится хрупким; 2) волокно перед нанесением поверхностного покрытия подвергают поверхностной обработке соединением, способным к конденсации с в-вом покрытия (пленкообразующим в-вом), напр., CH₂O; 3) покрытие из термороактивной смолы на волокне высущавают настолько быстро, что нижний слой, соединенный непосредственно с волокном еще не нарушен, тогда как поверхность покрытия уже хрупкая и при дополнительном вытягивании волокна ломается; 4) волокно перед нанесением на него термореактивной смолы подвергают набуханию в жидкости, способной растворить покрытие, напр., в алифатич. спирте. Напр., полиамидное волокно с титром 40 денье, полученное полимеризацией 6-капролактама и формованием из расплава, вытягивают на холоду до 90% от предельного удлинения, затем проводят через пространство, насыщенное парами фенола, а затем через спирт. р-р фенольно-формальдегидной смолы и после полного испарения р-рителя в нагретом пространстве охлаждают в каме-ре до (—5)—(—10)° при значительном вытягивании волокна. При этом слой смолы толщиной ~1/2 от диаметра волокна разрывается на большое кол-во частей длиной 0,01 мм с острыми кромками, образующими прямой угол с поверхностью волокна. После вытягивания волокио проводят через 2 ряда ведущих роли-ков в сущилку, где при т-ре 140—180° происходит быстрый переход резола в резит; в сущилку одновременно вводят CH₂O (образующийся из параформа); при этой же т-ре сообщают волокнам извитость умеренным закручиванием и разматыванием через нагретый валик небольшого диаметра. Полученное таким способом волокно пригодно для выработки фетра (войлока), сукна и пряжи. Л. Песин Извитое полиамидное волокно (Crimped

3743 П. Извитое полнамидное волокно (Crimped yarn) [British Nylon Spinners Ltd]. Австрал. пат. 200740, 23.02.56

Извитость достигается при вытяжке путем контактирования волокна с одним или большим числом углов, расположенных таким образом, что волокно под натяжением огибает эти углы. Вытяжка производится при т-ре от 100° до т-ры на 15° ниже т-ры плавления полиамида. Ю. Васильев

13744 П. Получение белковых волокон. Уэрмелл, Ходжес (Verfahren zur Herstellung von Proteinfäden. Wormell Robert Louis, Hodges Leonard Ernest) [Courtaulds Ltd]. Пат. ФРГ 935496, 24.11.55

Для повышения водостойности белковых волоков из назеина, белков сои, земляного ореха и др. готовое волокно после дубления обрабатывают СН₂О при

прохождении нити через ванну, содержащую СН₃ОН или С₂Н₃ОН и кислый катализатор. Пряводится описание обработки штапельного жгуга титром 140 000 денье из казениа (выделенного из молока) в течение 2 час. в р-ре, содержащем 400 г/л Nа₂SO₄ 10 г/л СН₃О (при 15°). После отмывки жгута от дубильного р-ра его отжимают и пропускают через ванну, содержащую СН₃ОН и затем через вторую ванну, содержащую (в г/л) 500 Н₂SO₄, 460 СН₃ОН и 240 Н₂О. После этого жгут вновь отжимают и пропускают в виде витков через U-образные трубы (90 мин. при 25°). Далее жгут непрерыяно зигзагами проходит через воду и обрабатывается NaCN для придания волокну нерастворимости в воде. Полученные нити отличаются высокой устойчивостью к действию кипящей воды и поглощают только 1% жидкости из води. р-ров соды.

А. Пакшвер 13745 П. Аппарат для непрерывного созревания в обозвоздущавания вискозы (Production of viscose) [Celanese Corp. of America]. Англ. пат. 722889, 2.02.55

Аппарат представляет собой цилиндрич. бак с конич. крышкой и конич. днищем. В верхней и нижней части бака, кроме того, установлены конуса, по которым вискоза стекает вняз тонким слоем. Внутри бака имеются вингообразные поверхности для стекания вискозы. Бак обогревается через рубашку горячей водой. Обогревающая рубашка разделена на секции для лучшей регулировки процесса созревания вискозы. А. Пакшвер

См. также: Сырье 11917, 11958, 13466, 13540, 13544, 13667. Фэрмование волокон 11931. Св-ва волокон 11912, 11919, 11963

жиры "и "МАСЛА. ВОСКИ. мыла, моющие средства. Флотореагенты

Редактор А. А. Зиновьев

13746. Некоторые масла Эквадора. Ойлар (Several rare and uncatalogued oils of Ecuador. Oilar Rozier D.), J. Amer. Oil Chemists' Soc., 1954, 31, № 4, 142—143 (англ.)
Дано описание 9 малоизвестных масличных семян в

орехов местного происхождения и приведены показатели полученных из них масел. Семена Brazilargo (сем. Myristicaceae) содержат ~ 60% масла светло-коричне-вого в твердом виде и черного в расплавленном виде, кислотность (К) на олеиновую к-ту 14-15%, т. пл. 46—47°. Семена Caracolillo (сем. Anacardiaceae, рода Anacardium excelsum) содержат 50% масла, К 11%, т. пл. 47—48°. Семена Chapil (сем. Palmae) дают жидкое масло приятного запаха с небольшим кол-вом стеарина (при 18°), К 9,5%. Семена Guangara (сем. Myristicaceae, рода Dial — yanthera gordoniacefolia) содержат 40% масла желто-коричневого цвета в твердом виде и темно-коричневого цвета в расплавленном виде, после рафинации приобрет ет ярко-розовую окраску, К 16%, т. пл. 43—44°. Семена Tangare (сем. Meliaceae, рода Сагара guianensis) содержат 45% масла светло-коричиевого цвета в твердом виде и темно-коричневого цвета в расплавленном виде, К 30—40% и выше, т. пл. 38—39°, число омыления (ЧО) 198—200, йодное число (ИЧ) 58—75, титр жирных к-т 35—37°. Семена *Tagua* (сем. Palmae, рода Pytelephas macrocarpa) дают 35-38% полутвердого пищевого масля с незначительной горечью, напоминающего хлопковое масло с высоким содержанием стеарина, К 10-30%, ЧО 202. Семена Palma Real (сем. Palmae, рода Cocus butyriaceae) содержат 48-50% масла типа кокосового, К (на лауриновую к-ту) 5-6%

HO

IIII-

000 tac.

H₂O

o-pa

цую

цую

0101

гков

KFYT

бра-

ори-

кой (ают

цвер

IA H

cose)

2889,

K0-

жней

ко-

утри

cre-

y ro-

вания

сшвер

3544,

токов

нты

everal

R o-

4, 31,

и неме

казате-

(cem.

-ончие-

виде,

т. пл.

, рода К 11%,

от жид-

SOM CTE-

. Myri-

одержат

виде и

K 16%,

ае, рода

коричие-

о цвета

пл. 38-

иа (сем.

38% по-

горечью,

содержа-

lma Real

48-50%

y) 5-6%

после

быстро возрастает при хранении, ЧО 250—253, ИЧ 15—16, т. пл. 24°. Семена Pinon (сем. Euphorbiacae, рода Jairopa curcus) дают 38% жидкого месла, К 2.3%, ЧО 189—193, ИЧ 92—107, т. пл. 27—29°. Семена Ceiba — Карок (сем. Bombacaeeae, рода Bombac ceiba) дают 40% масла нормального вкуса, ЧО 189—195, ИЧ 86—100, титр жирных к-т 27—32°, К 6—8%, р-пия глафена — положительная. Высказывается мысль о незкономичности рафинации перечисленных масел и целесообразности их использования в мыловаренном произветногоодом карбонатного омыления. Г. Фрим 13747. Пути развития экстракинонного произвол-

3747. Пути развития экстракционного производства. Лерман (Trends and developments in solvent-extraction. Lerman Frank), J. Amer. Oil Chemists Soc., 1954, 31, № 4, 27—28 (англ.)

13748. Получение легкорафинируемого экстракционного хлопкового масла. Гавриленко И. В., Безуглов И. Е., Маслоб.-жир. пром-сть, [1955, № 8. 5—9

Описан режим подготовки мезги к форпрессованию па маслоэкстракционных заводах, который в соединение со смягчением режима дистилляции позволяет получить легкорафинируемое экстракционное масло Г. Молдованская 13749. О потерях в весе масличных семян во время переработки. В и т т к а (Sulle perdite di peso durante la lavorazione dei semi oleosi. W i t t k a F r a nc e s c o), Olearia, 1955, 9, № 3-4, 55—64 (итал.; рез. англ., франц., нем.)

Указано, что потери в весе при переработке масличных семян зависят от содержания в них белковых в-в, теряющих воду вследствие интермолекулярных р-пий.

Л. Фрейдкин

13750. Цвет и запах растительных и животных жиров и масел. Обата (油脂の色と香小轎甕太郎),油脂化學協會誌, Юси катаку кёкайси, J. Oil Chemists Soc. Japan, 1955, 4, № 3, 115—124 (япон.)
Обзор. Библ. 113 назв. Н. Л.

13751. Изучение масел из выжимок оливок Туниса. Фурман (Étude des huiles de grignons d'olives de Tunisie. Fuhrmann Robert), J. rech. Centre nat. rech. scient., 1954, 5, № 27, 325—329 (франд.)

(франц.) Масло оливковых выжимок (М) получают экстракцией р-рителями (CS2, трихлорэтилен, петр. эфир) жмыха после 2-го и 3-го прессования оливок. В составе жирных к-т найдены к-ты (в вес.%): миристиновая 0.7, пальмитиновая 13.9, стеариновая 1.9, к-ты выше C_{20} 0.9; пальмитинолеиновая 1,6, оленновая 64,0, линолевая 15,1, к-ты выше C_{20} 2,1. Темно-зеленый цвет M обусловлен присутствием продуктов разложения хлорофилла. Неомыляемая часть (2—2,5% от веса М) содержит в-во, обладающее сильной голубой флуоресценцией, а также углеводороды, в основном сквален и парафиновые углеводороды (до 80%). М содержит сравнительно много стеринов (480-540 мг на 100 г М), в том числе лево- (почти чистый β-ситостерии) и правовращающие стерины, а также провитамии D (2,9% от всех стеринов). Общее содержание каротина составляет ~900 ү на 100 г М, а жирных спиртов (смесь спиртов С₂₄, С₂₆ п С₂₈) 200 и 300 жг на 100 г М. Неомыляемая часть М по составу отличается от неомыляемых оливкорых масел, полученных прессованием, что позволяет обнаружить наличие M в масле, получаемом прессованием. Описан метод выделения и фракционирования неомыляемой фракции М, а также идентификации некоторых С. Энгель ее ксмпонентов. 13752. Определение кислотных чисел темных хлоп-

3752. Определение кислотных чисел темных хлопковых масел с применением индикатора бромтимоловая синь. О мельченко Ф. С., Маслоб.-жир. пром-сть, 1954, № 2, 27—28

Спиртоэфирный метод видоизменен путем замены индикатора фенолфталениа (I) бромтимоловой синью (II) (1%-ный р-р в 20%-ном спирте), чистой или в смеси с I, и применением навески 1—3 г. При употреблении I в точке перехода жидкость окращивается в синий цвет, при I + II изменение окраски отчетлиео видно на синем фоне.

Н. Соловьева

инео видно на синем фоне.

13753. О йодных числах масла Prunus mahaleb.

Чивелекоглу (Über die Jodzahl des Mahaleböls.
Сіvеlекоglu Halidun), Istanbul Üniv.
fen. fak. mec., 1954, C19, № 4, 263—275 (нем.; рев. турец.)

Найдево, что йодные числа (ИЧ) для масла из косточек Prunus mahaleb L., определенные по методу Гануса лежат в пределах 150—190, по методу Вийса ~148, по методу Кауфмана 143—146, по методу Россмана 175—180. Водородно-йодное число по Кауфману 176. Такая развица в определениях получается из-за различного определения этими методами трех конъюгированных связей элеостеариновой к-ты, входящей в состав масла. По методу Вийса ИЧ элеостеариновой к-ты, выделенной из различных масел, колеблется от 164 до 178, по методу Гануса от 220—320. А. Бугоркова

13754. Полупроизводственная молекулярная перегонка жиров. III. Молекулярная перегонка льинного масла. Комори, Синсуги, Окава (油脂の半工業的分子蒸留・第3報・距離仁油の分子蒸留・小森三郎・新杉身・大河池ー)・工業化産業誌、Korē кагаку дасси, J. Chem. Soc. Japan Industr. Chem. Sec., 1953, 56, № 6, 433—435 (япон.)

Показана возможность промышленного получения концентрата токоферола (I) (30—60 ме/е) из льняного масла (с содержанием I > 1 ме/е) двукратной молекулярной перегонкой. І при большой конц-ин его в масле с высокой степенью ненасыщенности быстро разлагается в результате окисления, поэтому его рекомендуют хранить в сосуде под вакуумом. Указано, что масло, оставшееся после отгонки І, высыхает вдвое быстрее, чем исходное.

О. Сладкова

13755. Метод определения малых количеств углеводородов нефти в маслах и жмыхах. К а (Méthode de dosage de faibles quantités d'hydrocarbures pétroliers dans les huiles et tourteaux. С a s м.), Oléagineux, 1954, 9, № 1, 7—12 (франц.)

Метод определения углеводородов нефти в маслах и жмыхах масличных семян, подвергавшихся экстракции бензином (I), основан на удалении I нагреванием анализируемого продукта, смешении I с воздухом и последующем колич. определении I с помощью эксплозиметра M-S-A, модель 2. Плоскодонную широкогорлую колбу объемом 1 л нагревают в термостате до 120° в течение 20 мин., быстро вводят в нее пробу масла, герметично закрывают корковой пробкой и снова номенают в термостат на 20 мнн. (колбу со жмыхами помещают в термостат на 10 мнн. при 100°). Затем в колбу быстро вводят всасывающую трубку эксплозиметра и, включив прибор, отсчитывают показания гальнанометра. Относительная погрешность определения этим методом содержания I в синтетич. смесях из арахисового масла и 0,05—1% I ≤ 8%. Определение I в жмыхах удается выполнить с достаточной точностью, если устранить потери I за счет испарения в атмосферу. В масле пальмовой капусты, полученном в заводском экстракционном аппарате, найдено 0,04—0,30% І. В жмыхах, извлеченных из аппарата и сохраняещихся в закрытых со-судах, найдено 0,006—0,46% І. По мнению автора, эти потери р-рителя могут быть сокращены. Необходимость снижения потерь р-рителя диктуется главным образом тем, что при хранении жмыхов, содержащих I, и испарении I в окружающий воздух могут возникнуть опасные взрывчатые смеси. Хранение масла менее опасно Новое в области использования жиров. Тояма (最近における油脂利用の趨勢・外山修之)) 化學と工業) Когаку то когё, Chem. and Chem. Ind., 1956, 9, № 6, 264—269 (япон.) Обзор. Библ. 47 назв. Н. А. 3757. Фальсификация жиров и ее предотвращение.

Barлe (Adulteration of fats and its prevention. Wagle N. G.), Bombay Technologist, 1955—1956, 6, March, 76—78 (англ.)

Описаны цветные р-ции, позволяющие открывать фальсификацию жиров низкосортными продуктами.

Применение роданометрического анализа для определения жираокислотного состава свиного жира. Дроздов Н. С., Грушецкая Л. А., Тр. Моск. технол. ин-та мяс. и молоч. пром-сти, 1956,

вып. 6. 44-49

На ряде образцов свеженолученного практически нейтр, свиного жира, взятого из различных участков туши животного (подкожная клетчатка, околопочечный жир), установлено (эксперим, данные приведены в таблинах), что применение роданометрич, вычислительного анализа для приближенного определения основных фракций триглицеридов позволяет получить результаты, не уступающие по точности другому способу вычислительного анализа, основанному на определении йодного числа и насыш, к-т (Бертрама: Томаса и Чея). Определение насыш, к-т различными способами дает значительные расхождения получае-мых результатов (10—15%): точность определения этими методами несколько ниже точности определения по родановым числам. Ощибки приближенного вычислительного анализа свиного жира связаны с тем, что состав жирных к-т в жире сложнее, чем это принято при выводе расчетных ур-ний. Неточность самого роданометрич, метода не оказывает существенного влияния на результаты вычислительного анализа. А. Бугоркова

Изучение возможности повышения биологической активности рыбьего жира. І. Применение метода хроматографии на бумаге для выбора растворителя. Фунаки, Инагаки. П. Применение метода хроматографии на бумаге для выбора растворителя. И нагаки, Фунаки. Ш. Обогащение масел фурфуролом, анилином и т. д. И нагаки, Мацуда(肝油の濃縮に関する研究・I.溶媒の選定に對するペーパークロマトグラフィーの應用について、その1. 舟木好右衛門、稻垣誠、II. 溶媒の選定に對するペーパーク ロマトグラフィーの應用について、その2.稻垣減,舟木好右 ロマドクラフィーの應用について、その4. 箱里 城, ボ木 サ 右 衛門 III. フルフラール, アニリンおよびその他の溶媒による 濃縮について・稻垣蔵, 松田和夫), 木田水産學會誌, Huxon cyücan raққайсп, Bull. Japan. Soc. Scient. Fisheries, 1954, 20, № 8, 726—730, 731—735; 1955, 21, № 1, 42—45 (япон.; рез. англ.)

1. Получены и исследованы хроматограммы на бумаге витамина A из рыбьего жира. Изучено влияние способа обработки бумаги и различных р-рителей. Установлено, что анилин и пиколин могут быть использованы как р-рители для обогащения рыбьего жира, если будет найдена возможность отделения их от жира. Указано, что растворяющее действие фурфурола и изопропанола обусловлено не только силами Вандер-Ваальса, но и взаимодействием π-электронов в не-

изсыщ. связи.

11. Получены и исследованы хроматограммы фракций жира печени трески. Для получения хроматограмм применен спец. прибор, в котором на колонку, состоящую из 450 дисков фильтровальной бумаги, помещали диски фильтровальной бумаги, пропитанные испытуемой пробой. Р-ритель поступал сверху. С различными

р-рителями проведено исследование жира с числом омыления (ЧО) 184.5. йолным числом 161.8 и витаминной активностью 19 510 и. е. В качестве р-рителей испытаны изопропанол, петр. эфир, метанол, фурфу. рол. Исследованы 5 жировых фракций, которые соответствуют 5 зонам бумажных дисков, составляющих колонку. Считая сверху, 1-я зона содержала 50, 2-я 50, 3-я 100, 4-я 100 и 5-я 150 дисков. Во всех случаях основное кол-во жира адсорбировалось 1-й и 2-й зонами. Приведены результаты исследования жира, находящегося в 1-й и 2-й зонах. При всех р-рителих, кроме фурфурода, 1-я зона содержада фракцию жива с пониженными ЧО и витаминной активностью, а во 2-й зоне эти показатели жира были повыщены, причем между различными р-рителями наблюдалась некоторая разница. Максим, повышение витаминной активности во 2-й зоне наблюдалось при применении петр. эфира и метанола. Г. Новоселова

111. Обогащение печеночных жиров трески, акулы и тунца, что произведено при помощи обработки жиров фурфуролом, метанолом, этанолом, изопропанолом и анилином в разных условиях. Оценка производилась на основании содержания витамина А в концентратах. Максим, содержание его в концентратах получалось при т-ре экстракции 20—30°, а хороший выход при 60°. Для получения наилучших результатов рекомендуется брать 3-кратный объем р-рителя по отношению к жиру и такой же объем для повторного извлечения.

М. Стребейко

13760. Щуп для твердых жиров. Комарова В., Кравченко Н., Мясн. индустрия СССР, 1954, 1. 25-26

Описаны щупы для отбора проб твердого и полутверлого жиров. Г. М.

Изменения некоторых показателей животных жиров при облучении люминеспентным светом и светом лами накаливания. Сообщение I. Наблюдения над сливочным маслом. Сообщение II. Наблюдения над свиным жиром. Бенинати (Sul comportamento di alcuni indici dei grassi animali irradiati con luce biancafredda ed a filamento incandenscente. Nota I. Osservazione sul burro. Nota II. Osservazione sul grasso suino. В e n i n a t i F.), Riv. med. veterin. e zootech., 1954, 6, № 2, 81—84, 85—88 (нтал.) Сообщение І. Исследовано влияние люминесцент ного света (А) (длина трубки 35 см, 14 см) и света ламп накаливания (Б) (40 *вт.*, 160 *в*) при одинаковых условиях аэрации и т-ры на кислотное число (КЧ), перекисное число (ПЧ), число Рейхерта — Мейсля, число Поленске, число омыления (ЧО). Установлено, что из 16 проб, находящихся под действием А, число Поленске в 15 пробах и число Рейхерта — Мейсля

при действии Б. Сообщение 11. При облучении свиного жира А или Б наблюдается рост ЧО и числа Рейхерта— Мейсля, Поленске, ПЧ и КЧ. Между длительностью облучения и КЧ зависимости не обнаружено. ПЧ при длительности облучения <400 час. было выше под действием Б, при >400 час. по действием А. Другие показатели больше возрастали при облучении А. Г. Вигдорович О прогоркании хлебных злаков. І. Участие

в 12 были выше чем в пробах, находящихся под действием Б. ПЧ и ЧО, в зависимости от действия света и т-ры, изменялись по-разному. КЧ в 14 пробах выше

липидов в реакции. И. Зависимость между самоокислением жиров и образованием прогорклости. III. К вопросу о механизме реакции. Роте (Über das Bitterwerden von Cerealien. I. Lipoide als Reaktions-partner. II: Zusammenhang zwischen Fett-Autoxy-Bitterstoff-Bildung. III: Zur Frage des dation und Reaktionsmechanismus. Rothe M.), Fette und Seifen, 1953, 55, № 12, 877—880; Fette, Seifen, Anst-

ислом

AMOU.

телей

урфу-

COOT

иншон

). 2-я

vчаях

и 2-й

жира.

елях, жира

а во ричем

торая

ности

эфира елова

акулы

-иж и молон

илась

ратах.

влось

и 60°.

уется

жиру

ебейко

a B.,

1954.

полу-

Г. М.

кивот-

ветом

блюде-

Іаблю-

ompor-

radiati

scente.

azione

veteитал.)

спент-

а ламп

усло-

пере-

число

о, что число

Гейсля

д дей-

выше

А или

ейсля,

чения

итель-

ствием

затели

орович

частие

n. III. oer das

ktionsutoxy-

age des

e und

Anst-

richmittel, 1954, 56, № 9, 667—670; 1955, 57, № 6, 425—428 (нем.; рез. франц., англ., исп.) Часть I. Изучены причины образования горечи

в овсе при исследовании шрота после экстракции масла из очищ. и измельченного овса. При оптимальных для образования горечи условиях т-ры и влажности воздуха горечь не была обнаружена в шроте в течение 40 час., по уже через 2-3 часа при тех же условиях она появилась при добавлении к шроту экстрагированного масла или какого-либо другого высоконенасыщ. масла, что указывает на участие в р-ции липидов. Показано, что горечь образуется лишь при наличии венасыщ, жирных к-т. Добавление к шроту метиловых эфиров пальмитиновой и стеариновой к-т не вызывало горечи в течение 30 час, а при добавлении к нему метеловых эфиров динолевой и линоленовой к-т горечь появлялась уже через 1—1,25 часа. Аналитич, определение мол. весов жирных к-т макового масла до и после их добавления к шроту показало, что процесс образования горечи происходит при их частичной полимерязации. Возможно, что образующийся полимер и является в-вом, придающим горечь. Отмечается, что помимо липидов в образовании горечи участвует и фактор ферментативного характера. Часть 11. Указано, что прогоркание овса является результатом р-ции самоокисления жировой его части. причем прогоркание зависит от 2 факторов, во-первых, от наличия противоокислителя (растворимого в петр. эф.) и, во-вторых, от фермента, содействующего окислению, это в-во не растворимо в эфире и петр. эфире. Роль фермента состоит в переносе на противоокисли-тель кислорода перекисей. Рассмотрена зависимость между временем появления прогоркания и величиной перекисного числа. А. Войцеховская

Часть 111. При образовании горечи в овсе происходит существенное уменьшение йодного числа, его жировой части без одновременного заметного образования перекисси. Предполагается, что перекиси, в начале прогоркания, разрушаются противоокислительным комплексом липидной части овса. Фермент пероксидаза ускоряет р-цию между противоокислительным комплексом и образующимися перикисями жира. В образовании горечи участвует термолабильный фактор типа липоксидазы, но при высоком перекисном числе жира горечь образуется и в отсутствие этого фермента.

Г. Фрид 13763. Самоокисление метилолеата в присутствии кислых веществ. Пако, Гальто (Die Autoxydation von Metyloleat in Gegenwart saurer Substanzen. Раquot С., Galletaud С.), Fette, Seifen, Anstrichmittel, 1955, 57, № 12, 1003—1005

(нем.; рез. англ., франц., исп.)
Изучено влияние некоторых алифатич., ароматич., алкилбензолсульфоновых к-т (0,1%), α-нафталинсульфоновой (0,1%),бутилнафталинсульфоновой к-ты (0,1%), кислых сульфатов (R·O·SO₃H) (0,01%) на процесс самоокисления метилолеата. Образцы метилолеата (4 пробы по 15 г метилолеата каждой серии) окисляли в термостате при 60° (±0,2°) током кислорода (60°). Процесс окисления контролировался определением перекисных чисел. Результаты выражены графически. Установлено, что все испытанные к-ты обладают или очень слабыми антиокислительными свойствами или являются прооксидантами.

А. Войцеховская 13764. Об ускоренном кинетическом методе испытання стойкости пищевых жиров. Э м а и у э л ь Н.,

тания стойкости пищевых жиров. Эман уэль Н., Кнорре Д., Лясковская Ю., Пиульская В., Мясная индустрия СССР, 1955, № 5,

Рекомендуется метод, основанный на применении повышенных т-р. В работе устанавливалась зависимость роста перекисного числа от времени. Различные образ-

цы жира имели практически одну и ту же энергию активации процесса окисления. Установлено, что в процессе производственной обработки жира происходят изменения, определяющие скорость его порчи при хранении и не обнаруживаемые хим. анализом. Вытопка жира под вакуумом повышает его стойкость.

A. Войцеховская 13765. Применение кристаллических комплексов мовины при исследовании жиров. III. Разделение жирных кислот и их эфиров в колоние с мочевиной. IV. Разделение различных смесей жирных продуктов при иомощи мочевины. Марти и ес - Морено, Васке-Роисеро, Ханер-дель-Валье (Aplicacion de los complejos cristalinos de urea a la quimica de las grasas. III. Fraccionamiento de ácidos grasas y sus esteres en columnas de urea. IV. Separaciones de mezclas diversas de productos grasos por medio de la urea. Martínez Moreno Juan M., Vázquez Roncero A., Janer del Vale Carmen), An. Real. Soc. española fis. y quím., 1953, 49(B); № 7-8, 539 — 546; № 9-10, 639—644 (исп.)

3766. О сопряженной растворимости при выделении жирных кислот из окисленного парафина. Фрейди и Б. Г., Ж. прикл. химии, 1955, 28, № 12, 1322—1326

При выделении синтетич. к-т нейтр-цией окисленного парафина сопряженная растворимость в молях растворенного в-ва (вторые неомыляемые) на моль эмульгатора (синтетич. мыла) уменьшается при уменьшении конц-ии р-ра синтетич. мыл. Содержание вторых неомыляемых в мылах увеличивается с повышением конц-ии нейтр. кислородсодержащих в-в в окисленном парафине. Присутствие летучих продуктов окисления (их маслянистого конденсата) влияет на величину сопряженной р-римости. В условиях опытов она минимальна при 0,5—1% их содержания.

Г. Молдованская 13767. Очистка глицерина дистилияцией с современной точки зрения. Штаге (Die destillative Reinigung des Glycerins in moderner Sicht. Stage H.), Fette, Seifen, Anstrichmittel, 1955, 57, № 6, 415—420 (нем.)

Обзор работ по совершенствованию режима и аппаратурного оформления процесса дистилляции глицерина. Описаны аппараты дефлегмационной и ректификационной дистилляции и лабор. установка, конструктивно отличающаяся от существующих промышленных установок. В первой части установки, состоящей из подогревателя, колонны с насадкой, охлаждающей и вакуумной системы, производится предварительное отделение легко летучих загрязнений и воды при давл. 10—15 мм рт. ст. Освобожденный от легко лету-чих загрязнений глицерин непрерывно поступает во вторую часть установки, где проводится дистилляция глицерина с острым паром при давл. 2-3 мм рт. ст. Подщелачивание глицерина производят в кубе второй части установки. Гудрон дистиллируют в третьей ча-сти установки. Установка обеспечивает выход 80— 85% динамитного глицерина с конц-ией 99,2%. Последний погон (из гудрона) содержит 90% глицерина. Ф. Неволин

13768. Количественное определение витамина А в маргарине. Фудзита, Аояма, Кавагути (マーガリン中のピタミンA定量法. 藤田秋治 > 青山 政太郎, 川口露子), ピタミン, Битамин (Витамин), 1953,6, № 1, 139—142 (япон.)

13769. Изучение маргарина, обогащенного витамином А. Часть 2. Влияние составных частей молока и некоторых эмульгаторов на витамин А в маргарине. Часть 3. Влияние водорастворимых коллондных веществ на витамин А в маргарине. На й т о, М о р и

ва: фв ро до оп со

му ля

yc

100 . E

В.

Te

дe ж

(Studies on margarine enriched with vitamin A. Part 2. Effects of milk components and some emulsifiers on vitamin A in margarine. Part 3. The effects of watersoluble colloidal substances on vitamin A in margarine. Naito Koji, Mori Takajiro) 本農藝 化學會誌 Нихон ногэй кагаку кайси, J. Agric. Chem. Soc. Japan, 1953, 27, №5, 265—268, 268—272 (япон.;

рез. англ.)
Часть 2. Найдено, что снятое молоко эффективно предохраняет витамин А от порчи в маргарине. При исследовании активности составных частей молока установлено, что казени, альбумин и глобулин так-же очень эффективны, а лактоза и зола промотируют окисление витамина А. Эффективность уменьшается по ряду: лактоглобулин, казеин, желатин, лактальбумин, клейковина. Все они менее эффективны, чем пропилгаллат. При испытании эмульгаторов найдено, что моноглицериды промотируют окисление. Лецитин не

так эффективен.

Часть 3. Испытаны водорастворимые коллондные в-ва в отношении их влияния на сохранение витамина А в маргарине. Найдено, что желатин, казеин, альгинат Na, агар-агар и аравийская камедь обладают активностью, а крахмал и трагакант — не обладают. Воностью, а крахмал и трагакант — не обладают. Во-дорастворимые протеины более эффективны, чем кол-лондные углеводы. 0,5 или 0,1% казенната Na и смесь 0,5% желатина и 0,01 или 0,005% пропилгаллата бо-лее эффективна в маргарине, чем 0,02% пропилгалла-та. Применение коллондных в-в ускорнет эмультиро-вание. Часть 1 см. Битамин, 1952, 5, 191—192. Н. Любошин

Н. Любошиц Изучение сохраняемости витаминов в маргарине, майонезе и эмульсиях типа стущенного молока. Козии Н. И., Кошелева А. В., Сб. науч. работ Моск. ин-та нар. х-ва, 1953, № 3, 45—53,

54-64

13771. Определение содержания твердой фазы в пластических жирах методом окращивания. Зобел, Хелман, Сенти (A dye-dilution method for estimating solids content of plastic fats. Zobel H. F., Hellman N. N., Senti F. R.), J. Amer. Oil Chemists' Soc., 1955, 32, № 12, 706—709 (англ.) Пластические жиры (Ж) могут быть разделены на жидкую (ЖФ) и твердую (ТФ) фазы с помощью ультрапентрифуги, однако часть ЖФ всегда остается в ТФ.

ЖФ совершенно свободна от присутствия твердых в-в. На этом основан точный метод определения содержания ТФ в Ж. Известное кол-во жирорастворимой краски добавляют к Ж при тщательном перемешивании, обеспечивающем равномерное распределение краски в ЖФ. Ультрацентрифугой отделяют часть ЖФ, определяют спектрофотометрически конц-ию краски и по величине этой конц-ии краски вычисляют кол-во ЖФ во взятом образце Ж; кол-во ТФ вычисляют по разности между навеской Ж и вычисленным кол-вом ЖФ в нем. Из изученных 37 разных красок хорошие результаты дали 1,4-бис-метиламиноантрахинон и 1,4-бис-изопропиламиноантрахинон при определении ТФ в пищевых намазках. Метод пригоден также для определения содержания твердых в-в в коровьем масле, маргарине, свином жире и шортенингах. Полученные результаты для указанных продуктов (кроме лярда) хорошо совпадают с дилатометрич. измерениями. Определение этим методом истинного содержания без предварительного расплавления образца жира весьма важно при изучении изменений консистенции в зависимости от раз-Г. Фрид ных производственных условий. Восстановление шерстяного жира натрием.

Эйснер, Сканлан, Олт (The sodium reduction of wool wax. Eisner Abner, Scanlan John T., Ault Waldo C.), J. Amer. Oil Chemists'Soc., 1955, 32, № 11, 556—558 (англ.)

Восстановление с помощью металлич. На ланолива и шерстяного жира дает хорошие выходы спиртов с низким содержанием эфиров и кислот. Присутствие стеринов не оказывает влияния на восстановление. От устойчивой эмульсии, образованной Nа-мылом, освобождаются переводом его в не растворимое в соде Ва-мыло. Восстановление целесообразно вести в присут-Восстановленный метилизобутилкарбинола. ланолин представляет собой полутвердый, воскообразный продукт, не обладающий неприятым запахом исходного ланолина, выход до 79%, т. пл. 42°.
Г. Молдаванская

Ивановский Энциклопедия восков. Ivanovszky L.), (Wachs-Enzyklopädie. Ivanovszky L.), Seifen-Öle-Fette-Wachse, 1955, 81, № 8, 217—221 (нем.;

рез. англ., франц., исп.)

Описана разработанная автором методика анализа восковых составов для наведения глянца, являющаяся достаточно простой и не требующая спец. оборудования. Приведены 4 схемы анализа кремнесодержаших восковых составов как не содержащих влаги, так и Н. Зеленецкий Устранение недостатков при производстве

восковых дисперсий. К зелик (Abstellen der Febberdonak der Herstellung von Selbstglanz-Dis-persionen. K s e l i k G e o r g), Seifen-Cle-Fette-Wachse, 1955, 81, № 12, 363—364; № 13, 396—397

(нем.; рез. англ., франц., исп.)

При произ-ве восковых дисперсий, после высыхания дающих без натирания блеск, наиболее важным является соблюдение определенных условий их изготовления, особенно на стадии диспергирования. Даны подробные указания по проведению отдельных фаз в процессе диспергирования с учетом необходимой т-ры, условий, требующихся при добавке отдельных компонентов, оценки их и др.

775. Методы омыления, новые непрерывные методы приготовления и обработки мыла. В е б е р (Verseifungsverfahren, neue kontinuierliche Seifen-Nerstellungen und Seifenverarbeitungen. Weber K. L.), Seifen-Öle-Fette-Wachse, 1955, 81, № 8, 201-202; № 9, 241-243 (нем.; рез. англ., франц.,

Описаны методы: Шарплесса, Проктера и Гембла, Гоффмана, Альбрехта, а также методы непрерывной сушки и (или) охлаждения мыла по методу Маццони, Крулль и др. 13776. Высу Ф. Неволив

Высушивание мыла подвакуумом. Лантери (Drying soap under vacuum. Lanteri A.), Soap and Chem. Specialities, 1954, 30, № 11, 42-45 (англ.) Описан метод Маццони непрерывного высушивания и охлаждения мыла.

Прозрачные глицериновые мыла. — (Transpaglycerine soaps.—), Soap and Chem. Special-1954, **30**, № 8, 85, 87, 89 (англ.) Оценка бактерицидных мыл.—(Evaluation of rent ties.

germicidal soaps.—), Soap and Chem. Specialties, 1954, 30, № 8, 42—45, 159, 161, 163 (англ.)

Дан способ сравнительной оценки, пригодный для определения относительной способности туалетных С. Энгель мыл снижать запах пота. Текстильные мыла. Тум (Textilseifen. Tum Joh.), Seifen-Öle-Fette-Wachse, 1956, 82, No 14, 380 (нем.)

Мыла, применяемые в текстильной пром-сти, требования, предъявляемые к ним, исходное сырье, тех-Л. Фрейдкин нология. 780. Быстрое определение жирных кислот в не-наполненных мылах. Уэбстер, Робертсоп (The rapid determination of total fatty acid in unbuilt soap products. We bster H. L., Robertson A.), Analyst, 1955, 80, № 953, 616—619 (англ.)

лина

HH3-

cre-

. Or

OCBO-

e Ba-

исут-

нын

браз-

axom

ская

кий Seiнем.;

ализа

цаяся Дова-

аших

ак п

цкий

дстве

Feh-Dis-

Fette-

—397 гания

TIRET-

ения,

обные пессе

овий.

нтов, нгель

e me-

бер

eifen-

ber

№ 3 8, оанц.,

мбла, звной

HOHE,

ери

Soap

англ.)

вания

D. H. anspa-

ecial-

on of

alties, й для

етных

нгель Ги т

à 14,

тре-

, Tex-

йдкин в не-

COH

n unert-

англ.)

Предложен способ, позволяющий за 15 мин. определить в ненаполненных мылах общее содержание жирделить без неомыляемых в-в. К води. р-ру навески мыла прибавляют избыток 0,1 М р-ра CaCl₂ и нагревают до кипения. Затем, после охлаждения до ~20° фильтруют для удаления Са-мыл. Колбу и осадок хорошо промывают холодной дистилл. водой. После побавления к фильтрату избытка 5%-ного p-ра NaOH определяют Са титрованием 0,1 М р-ром двунатриевой соли этилендиаминтетрауксусной к-ты в присутствии мурексида в качестве индикатора, который прибавдяют в твердом состоянии. Титруют до появления устойчивой малиновой окраски р-ра. Расчет производят по ϕ -ле: содержание жирных к-т в $\% = (A-10\cdot BC)\times M/50\times W; (A-05-60)$ м/50 ж (A-05-60) вма, В — объем р-ра двунатриевой соли этилендиаминтетрауксусной к-ты в мл, С — молярная конц-ия этого рра; M — средний мол. вес жирных к-т и W — вес образца). Если присутствует карбонат натрия, то содержание жирных к-т в процентах = (содержание держание жирных кт, вычисленное по предыдущему ур-нию) — жирных кт, вычисленное по предыдущему ур-нию) — 0 с. Энгель (С. Энгель 2хсодержание Na2CO3 в %). Строение сульфированных масел. V. Влияние методов изготовления на состав сульфированной оденновой кислоты. VI. Влияние различных методов производства на состав сульфированного рыбьего жира. Бертон, Берн (The constitution of sulphated oils. V. Effects of variations in preparation of the composition of sulphated oleic acid. VI. Effects on variations in the method of manufacture on the composition of a sulphated fish oil. Burton D., Byrne L. F.), S. Leather Trades Chemists, 1953, 37, № 10, 321—330; 1954, 38, № 1, 10—22 (англ.) Часть V. Обзор работ по сульфированию оленновой

кты. Библ. 24 вазв.

Часть VI. Опытами по сульфированию рыбьего жира уставовлено, что повышение т-ры с 20 до 40° при сульфировании рыбьего жира серной к-той (20% от веса жира) оказывает небольшое влияние на кол-во образующихся сернокислых эфиров. Увеличение кол-ва Н₃SO₄ с 20 до 60% повышает кол-во сульфопродукта трюе. Гидролиз глиперидов больше, когда 100 ч. рыбьего жира обрабатывают 100 ч. Н₂SO₄ и 25 ч. лед. СН₃COOH при 20°, чем при обработке 100 ч. жира 39 ч. люрсульфоновой к-ты и 20 ч. лед. СН₃COOH при 20°. Набольшее кол-во сульфоэфиров образуется при применении 60 ч. Н₂SO₄ при 20° или 100 ч. 20%-ного олеума, 25 ч. лед. СН₃COOH и 25 ч. бензола при 5°. Образование оксижирных к-т и их производных наибольшее при применении 100 ч. 20%-ного олеума, 25 ч. лед. СН₃COOH 25 ч. бензола при 5° или 39 ч. хлорсульфоновой к-ты, 20 ч. лед. СН₃СООН при 20°. Нейтр-ция аммиаком вместо NаOH практически не влияет на кол-во образовавшегося сульфопродукта. Снижение йодного числа не является показателем кол-ва образовавшегося сульфопродукта. Снижение йодного числа не является показателем кол-ва образовавшегося сульфопродукта. Часть IV см. РЖХвм, 1956, 52869. Ф. Неволин 13782. Шампуни в США. ЛИ ве й с х е й м е р (Shampoos in USA. S c h w e i s h e i m e r W.), Seifen-(le-Fette-Wachse, 1956, 82, № 14, 388—389 (нем.)

13783. Прозрачные моющие шампуни.—(Clear detergent shampoos.—) Soap and Chem. Specialties, April, 1954, 30, № 7, 77, 79 (англ.)

13784. Оценка синтетических моющих средств. Эспектор (Valoracion de los detergentes sinteticos. Espector Juan Carlos), Industria y quimica, 1954, 16, № 2, 105—107 (исп.)

Краткий анализ поверхностноактивных моющих средств и описание метода Дрейвса-Кларксона для вмерения смачивающей способности. Моток хлопковой пряжи помещают в p-p поверхностноактивного в-ва. Время, в течение которого моток опускается на дно, карактеризует скорость смачивания. Этот способ позволяет характеризовать качество различных синтетич. детергентов.

В. Машкин 13785. Ксантогенаты. Шинделарж, Коларж (Xantogenáty. Šindelář VI., Kolář VI.), Rudy, 1955, 3, № 4, 123 — 125 (чеш.; рез. русс., нем.)

Описаны свойства ксантогенатов, применяемых при флотации сернистых руд. Получение ксантогенатов в лаборатории и произ-во их в промышленном масштабе. Процесс гидролиза ксантогенатов. Их собирательная способность. Процесс флотации сернистых руд. Е. III.

13786 П. Процесс стабилизации масел, изменяющихся при самоокислении (Procédé d'amélioration des huiles altérables par autoxydation) [Chemische Werke Albert]. Франц. пат. 1065985, 1.06.54 [Chimie et industrie, 1954, 72, № 5, 974 (франц.)]

Способ состоит в том, что масла смешивают с алко-

голятами двух- (или более) валентных металлов. За-

тем очищают масла. Можно использовать алкоголяты алюминия, обычно стабилизированные при помощи затетуксусного эфира.

13787 П. Жировая эмульсия и способ ее изготовления (Fat emulsion and method of manufacture) [Western Condensing Co.]. Англ. пат. 721499, 5.01.55 Патентуется стерильная водножировая эмульсия в качестве составной части корма для животных. Эмульсия имеет рН 6,8—7,2 и состоит из 52—10% жира, напр. свиного или говяжьего, 45—89% воды и 1,2—3,1% растворимого казенната натрия. Добавка такой эмульсии к освобожденному от молочного сахара снятому молоку дает продукт, аналогичный по составу молоку собак и пригодный для кормления шенят.

13788 П. Детергент (Detergent) [Monsanto Chemicals Ltd]. Австрал. пат. 167031, 8.03.56

Для увеличений моющих свойств к понному детергенту прибавляют алкиламин, содержащий одну алкильную группу с ≥ 7 атомами С. О. Сладкова 13789 П. Синтетический детергент и способ егеприготовления. Витале, Леонард (Composición detergente sintética y procedimiento para preparar la misma. Vitale Peter T., Leonar dRalph Spencer) [Colgate Palmolive Peet Co.]. Мексик. пат. 55203, 14.03.55

Улучшенный жидкий детергент состоит главным образом из анионного детергента, содержащего сульфаты и сульфонаты, и диалкилоламида высшей жирной к-ты с 10—14 атомами С, способствующего повышению эффективности действия детергента в води. р-ре, а также в среде разб. р-рителя.

p-pe, а также в среде разб. p-рителя.
И. Гонсалес-Фернандес
13790 П. Синтетические детергенты. Л и ф т е и,
В и т а л е (Composiciones detergentes sintéticas.
Liftin M u r i e l E i l e e n, Vital e Pet e r T.). Мексик. пат. 55216, 14.03.55

Улучшенный синтетич. детергент состоит главным образом из ароматич. детергента, полифосфатов в меньшем кол-ве из высших амидов.

И. Гонсалес-Фернандес 13791 И. Состав высококачественных шампуней. Вудхед (Compositions pour shampooing perfectionnés. Woodhead Joseph A.) [Colgate Palmolive Peet Co.]. Франд. пат. 1094336, 18.05.55 (Inds parfum, 1955, 10, № 11, 477 (франд.)]

Шампуни содержат главным образом синтетич. органич. детергент, растворимый в воде, и небольшое кол-вофлуоресцирующего в водн. среде органич. в-ва. Е. Кабопина. 13792 П. Терапевтические шампуни, стабилизованные дисульфидом селена. Болдуни, Янг (Stabilized selenium disulfide therapeutic shampoo. В ald win Maynard M., Young Amps P., Jr.) [Abbott Labs]. Пат. США 2694669, 16.11.54 Патентуется состав, представляющий собой устой

чивую води. суспензию, содержащую активированный стабилизованный гидрофильный дисульфид селена и в-во кислотного характера, поддерживающее рН **∼**2—6,6, а также детергент. М. Колосова Изготовление и применение флотореаген-

тов. Прайор, Флеминг, Робел (Manufacture and use of froth-flotation agents. Pryor E. J., Fleming M. G., Wrobel S. A.). Англ. пат. 708475, 5.05.54 [J. Appl. Chem., 1954, 4, № 11, іі586 (англ.)]

Водная суспензия или водн. р-р продукта (1)-(или его Na-соли), полученного сульфированием высококипящей фракции пефти, нагревается с водн. р-ром Na₂SiO₃ (0,33—8). Затем смесь разбавляется водой (8—50 ч.) и снова нагревается с оленновой к-той (2—50 ч.) при т-ре $\geqslant 50^\circ$. После охлаждения до $\sim 20^\circ$ образуется однородный продукт (отношение I: Na₂SiO₃: : вода : оленновая к-та = 1:0,5-5:15-50:10-50), успешно применяемый в качестве собирателя при пенной флотации флюорита из руд, содержащих плавиковый шпат. І характеризуется своей Nа-солью, растворимой в воде, минер. масле, оленновой к-те, бал. и хлф. и частично растворимой в HCl. Соли Са и Ва этого продукта нерастворимы.

См. также: Определение жирных к-т 12177, 12178. Изучение природн. и синтетич. жиров 3578Бх. Мыло, применение 12401. Сточные воды 12796. Детергенты 11394

УГЛЕВОДЫ И ИХ ПЕРЕРАБОТКА

Редактор М. С. Гарденин

13794. Влияние этилового спирта на оптическую активность сахарозы. Залеский, Высоцкая (Wpływ alkoholu etylowego na skrecalnosc optyczną sacharozy. Zaleski Jerzy, Wysocka Jani-na), Gaz. cukrown., 1955, 57, Ne 10, 180—181

Установлено, что присутствие спирта вызывает завышенные результаты при поляриметрич. определении сахара. Ошибка тем больше, чем выше содержание спирта в р-ре. Длительность хранения спиртовых р-ров влияет на результаты измерений.

Я. Штейнберт 3795. Очистка сырого тростниково-сахарного раствора понитами. Сарма, Келлер (Purification of a raw cane sugar solution with synthetic resins. Sarma P. L., Keller Arthur G.), Sugar J., 1955, 18, № 1, 31—34 (англ.)

Для очистки ионитами тростниково-сахарных р-ров, приготовленных из низкодоброкачественного сахара (турбинадо), были испытаны в лабор. масштабе схемы: 1) последовательный пропуск р-ра через колонки с катионитом (фенольного, сильнокислотного типа, Duolite C-3) и анионитом (Duolite A-7); 2) применение одной колонки с катионитом (C-3) и анионитом (A-7); 3) пропуск p-ра через колонки в обрат-ной последовательности—анионит (спльноосновного типа, Duolite-40)-катионит (стирольного типа с сильными кислотными группами, Chempro C-20); 4) в одну колонку помещали катионит (Chempro C-20) и анионит (А-40); 5) пропуск р-ра в обратной последовательности - анионит (сильноосновного типа, Атberlite IRA-410) — катионит (слабокислотного типа, Amberlite IRC-50); 6) в одну колонку помещали катионит (IRC-50) и анионит (IRA-410). Опыты вели с р-рами, содержащими 21% сухих в-в, при 30—31°. Наименьшее (20%) накопление инвертного сахара в очищ. р-рах показали схемы 5 и 6; при очистке поивтами р-ров по остальным схемам увеличение инвертного сахара составляло ~172% по отношению к со-держанию его в исходном p-pe. Степень удаления зольных элементов при применении любой из перечисленных схем была одинакова (~80%). Испытанию полвергли также новые синтетически полученные смолы, предназначенные для удаления красящих в-в из сахарных р-ров. Опыты показали, что адсорбция красящих в-в в данном случае протекает так же как и при применении костяной крупки или активированного Кинетика разложения глюкозы в разбавлен-

ных соляной и серной кислотах. Смирнов В. А., Тр. Ленингр. технол. ин-та пищ. пром-сти, 1955. **12**, 231—239

Исследована кинетика разложения глюкозы в соляной и серной к-тах при высоких т-рах (123,4-168,3°) и установлена зависимость константы скорости р-ции от конц-ии к-ты (0,025—0,3 М/л) и т-ры. Физико-химические свойства красящих и гуминовых веществ, образующихся при кислотном разложении глюкозы. Смирнов В. А., Тр.

Ленингр. технол. ин-та пищ. пром-сти, 1955, 12,

Приложение физ.-хим. методов к изучению продуктов кислотного разложения глюкозы и других моносахаридов позволило установить, что красящие и гуминовые в-ва имеют кольцевую структуры; элементарным звеном в молекулах этих в-в служит соединение, возникающее из оксиметилфурфурола и стоящее в непосредственной близости к нему; красящие вы ведут себя как колл. электролиты с отрицательны зарядом; восстановление красящих в-в может быть произведено SO2; присутствие красящих в-в в глюкозном сиропе не влияет на кристаллизационную ем способность. сть. Г. Бени Состав накипи сахарного завода им. Фрунзе.

13798. Белова О. И., Тр. Ин-та химии (Киргизск. фил. АН СССР), 1953, № 5, 9—14

13799. Определение степени полимеризации водно растворимых полисахаридов при помощи исследования их кислотного гидролиза. Холло, Фейем, Сейтли (Bestimmung des Polymerisationsgrades von wasserlöslichen Polysacchariden durch Prüfung waserbarden Tolyace Holló J., Fejes P., Szejtli J.), Fette und Seifen, 1955, 57, № 11, 923—924 (нем.; рез. англ., франд., исп.) Для определения степени полимеризации воднорас

творимых полисахаридов - крахмала, амилозы и декстрана — проведены наблюдения над скоростью гидролиза их разб. p-ров (от 0,1 до 0,5%). В частности декстран с мол. в. 30 000 в 0,6%-ном p-ре гидролизовался при 100° с помощью HCl при конц-ии 0,25%. Были получены данные о кол-ве образованиейся глюкозы в процессе гидролиза для крахмала в пределах 5-80 мин. и для декстрана в течение 3-180 миг. В результате рассмотрения различных математич ур-ний для определения константы скорости реакции гидролиза авторы дали свои ф-лы, вывод которы приводится. При достаточной точности аналити. методов и для определенных исходных условий ф-лы определения константы скорости р-ции и степен полимеризации полисахаридов оказываются достаточно точными, что и подтверждается сравнением вычисленных и фактически найденных результатов. Н. Баканов

O THUS.

мещали

аты ве

30-31

caxapa

ке нони-

инверт-

Ю К со-

ия золь-

ечислению подсмоли, из са-

ия кра-

к и при

ванного

. Бения

збавленв В. А., п, 1955,

в соля-

-168,3°)

и р-ции Бения

IX II ry-

СЛОТНОК

A., Tp. 955, 12,

продук-

ие и гу-

ементарцинение.

стоящее

цие в-ва

тельным

ет быть

в глю-

ную его

. Бени

Фрунзе.

водио-

исследо

ейеш,

nsgrade

Prüfung es P.,

Nº 11,

однорас-

PIO LIE

астност пролизо-

0.25%.

авшейся

80 MHE

гематич.

реакци

которых

алитич.

ий ф-ли

степен

статочно

гчислен

Баканов

13800 Д. Растворение белков ржаной муки и выделение их из щелочно-белковой жидкости в процессе производства ржаного крахмала. Ш т ы р к о в а Е. А. Автореф. дисс. канд. техн. н., Моск. технол. ин-т пиш. пром-сти, М., 1956

13801 П. Синтез альдогексозида флавонола. У эндер, A й с (Synthesis of an aldohexoside of a flavonol. Wender Simon H., I се Clark H.) [United States of America as represented by the United States Atomic Energy Commission]. Пат. США 2727890, 20.12.55

Реакцию между ацетогалогенальдогексозой и солью щел.металла соответствующего флавонола осуществляют в среде жидкого NH₃ и выделяют полученный альдогексозид флавонола из реакционной смеси. В. Гурни 13802 П. Очистка сахарных растворов при помощи понитов. Дей, Вротновский (Demineralization of sucrose solutions by ion exchange. Day Harold M., Wrotnowski Arthur C., Jr) [American Cyanamid Co.]. Канад. пат. 517761, 25.10.55

Процесс очистки водн. р-ра, содержащего сахар, при помощи катионита и анионита отличается тем, то катионит регенерируется NH4OH, а анионит способен расщеплять соли аммония с поглощением иклотного радикала. Сахаросодержащий р-р пропускается через слой катионита, переведенного в аммощего кислотные радикалы, и дальше полученный р-р подвергается выпариванию, при котором NH3 улетучивается; уловленный NH3 в виде води. р-ра используется для регенерации катионита. Г. Бенин 13803 П. Процесс обработки сахариых растворов. Унитерс, Кунии (Process of treating sugar solutions. Winters James C., Kunin Robert) [Rohm and Haas Co.]. Канад. пат. 512989, 17.05.55

Улучшение очистки сока 2-й сатурации при помощи ионитов отличается тем, что сок, для более полного удаления зольных в-в, спачала пропускают через слой катионита с карбоксильными функциональными группами, а затем последовательно через катионит с спльнокислотными группами и анионит. В качестве первого катионита может быть применен поперечноевзанный полимер полимеризующейся карбоновой к-ты или сополимер дивинилоензола и группами, содержащими акриловую, метакриловую и маленновую к-ты или сополимер дивинилоензола (2,5—10%) и метакриловой к-ты (90,0—97,5%). Г. Бенин 13804 П. Деионизация сахарных растворов. К ь ю и,

Mar-Гарви (Deionization of sugar solutions. Kuin Robert, McGarvey Francis X.) [Robm and Haas Co.]. Канад. пат. 513582, 7.06.55 Процесс удаления понизированных несахаров из сахарного р-ра характеризуется тем, что р-р пропускают через слой понитов, состоящий из катионита с функциональными группами преимущественно в виде карбоксильных групп и анионита, содержащего премущественно гидроксильные группы четвертичного аммониевого основания; в качестве анионита может быть использована смола в виде соединения, в котором поперечно-связанный полимер ароматич. винила имеет гидроксильные группы четвертичного аммониевого основания, соединенные при помощи метиленовых групп в ароматич. ядра, а в качестве катионита сополимер полимеризующейся к-ты с соединением дивинила; в смеси нонитов для очистки сахарного р-ра анионит может представлять из себя сополимер стирола и дивинилоензола, имеющего гидроксильные группы четвертичного аммониевого основания, образующие через метиленовые группы ароматич. ядра, а катионит — сополимер дивинилбензола и кислотной группы, содержащей акриловую и метакриловую к-ты: Анионит в последнем случае может содержать 0,5—2% дивинилбензола в качестве поперечно-связывающего компонента. Г. Бенин

13805 П. Производство кленовых сахарных продуктов, имеющих улучшенный запах. У и л л и т с, П о р т е р (Production of maple sugar products having enhanced flavor. Willits C h a r l e s O., P o r t e r William L.) [United States Secretary of Agriculture]. Пат. США 2715581, 16.08.55 Кленовый сок сначала уваривают под вакуумом при 40° до содержания 65% сухих в-в, а затем ири атмосферном давлении до содержания 90% сухих в-в; полученный сироп выдерживают при 107—127° в течение времени, достаточного для приобретения спропом сильного кленового запаха. Г. Бенин 13806 П. Переработка мелассы. Блиш (Processing of molasses, Blish Morris J.) [Internation]

tional Minerals & Chemical Corp.]. Канад. пат. 517604.

Процесс переработки свекловичной мелассы с целью извлечения из нее аминосоединений отличается тем, что: 1) водн. р-р мелассы последовательно обрабатывают катионитом в Н-цикле и анионитом; при р-ции катионированного р-ра с рН<1,5 и р-ра после анионита \geqslant 6,0 аминокислоты поглощаются катионитом, а пирролидонкарбоновая к-та (пироглютаминовая к-та) поглощается аннонитом, из которого она затем извлекается; 2) при пропуске р-ра мелассы через колонки с катионитом и анионитом как в случае первого и извлечении поглощенных в-в NH₄OH в элюате после катионита будут находиться аминокислоты, а после анионита — пирролидонкарбоновая к-та; 3) аналогично случаю первому, но извлечение из ионитов в-в производится сильной неорганич. щелочью; при наличии в р-ре мелассы большего кол-ва пирролидонкарбоновой к-ты по сравнению с другими аминокисло-тами в элюате после катнонита будут находиться аминокислоты, а после анионита — пирролидонкарбоновая к-та; 4) предусматривается также извлечение к-т из катионита р-ром NH₄OH с последующей регене-рацией его H₂SO₄; для анионита извлечение пирролидонкарбоновой к-ты и регенерация производятся Г. Бенин Процесс извлечения сахара. Шейфор

3807 П. Процесс нзвлечения сахара. Пейфор (Sugar recovery process. Shafor Ralph W.) [International Minerals & Chemical Corp.]. Канад. пат. 516540, 13.09.55

Процесс очистки сахарного p-pa (I), приготовленного в результате разложения сахарата кальция, полученного в свою очередь путем добавления извести к сахаросодержащему р-ру, отличается тем, что р-р I последовательно обрабатывают катионитом в водородном цикле и кислотоадсорбируемым анионитом. Обработку ионитами p-ра I, полученного из свекловичной мелассы, ведут при т-ре ниже 30°, причем кол-во катионита в Н-цикле и анионита берут такими, чтобы рН катионированного р-ра было бы <3,5 и удаление анионитом к-т было бы полным. Предусматривается также пропуск сахарного p-ра I при т-ре <30° через слой катионита, а затем через слой анионита. Процесс извлечения сахарозы из мелассы отличается тем, что сначала всю сахарозу добавлением достаточного кол-ва СаО переводят в осадок (кальциевый сахарат); из осадка после его отделения приготовляют сахаратное молоко, которое затем разлагают CO2, SO2 или P2O5 или их гидратами; после вторичной фильтрации, при которой удаляются нерастворимые неорганич. кальциевые соединения, полученный сахарный р-р пропускают при т-ре $<30^\circ$ через слой катионита в Н-цикле до тех пор, пока рН катионированного сока не достигнет

No 4

IIp

TODOL

METOI

коне

восст ния. повал

RAHE

побал

р-ши

ного

побаз

при

вся

B P

кр

ca

Re

Ili

Oran

рыно

aane

венн

опис

ных

1381

e i

be

d m

w. 20

1382

ce

72

Γ.

xap

жил

(наг

три

ния

бро: твеј

сод

HCIT

так

KOP

HOR

CH.

кой

Tec

coc

Ha

coc

час

ван

MOS

Bar

бой

180

ROJ B

PIN BH,

3,5 и через слой анионита до тех пор, пока очищ. сок сохраняет нейтр. р-цию. Г. Бенин

См. также: Моносахариды, определение 12194, 12195. Сточные волы 12792, 12793

БРОЛИЛЬНАЯ ПРОМЫШЛЕННОСТЬ

Редакторы М. С. Гардении. А. М. Емеліянов

13808. Идентификация и определение Р-витаминных факторов в различных сброженных напитках. М аскелье (Identication et dosage des facteurs vitaminiques P dans diverses boissons fermentées. М as q u e l i e r J.), Bull. Soc. chim. biol., 1956, 38, № 1, 65—70 (франц.; рез. англ., нем.)

Изучено содержание антопланов (1) и флавоновых аглюконов (11) в напитках, полученных брожением. І определяли экстракцией бутанолом и эфиром, с последующим удалением эфира и измерением фотометром окрашивания р-ра после добавлений конц. НСІ. ІІ определяли после кислотного гидролиза в эфирной вытяжке, обработанной Св-Ив и спиртом в виде кристалич. продукта, весовым способом. Белые вина (в том числе ликерные) содержат (в мг в 1 м) от следов до 50 І и 50—500 ІІ; сидр соответственно 300—500 и 50—250; пиво (Эльзасское) — до 60 ІІ. В. Девяткин 13809. Непрерывное вакум-охлаждение и осахаривание заторов. Денщиков М. Т. (Răcîrea continuă în vid și zaharificarea plămezii. De nse i k o v М. Т.), Rev. ind. aliment. prod. vegetale, 1956, № 5, 21—22 (рум.)
Перевод. См. РЖХим, 1956, 60086. Г. Н.

1810. Научные основы пивоварения. Кук (The science of brewing. Cook A. H.), J. Roy Soc. Arts., 1956, 104, № 4971, 243—286 (англ.)

Материал, изложенный в виде трех лекций по всем основным проблемам биохимии пивоварения в свете новейших исследований 1951—55 гг. Библ. 38 назв.

И. Скурихин 13811. Исследование способа получения пищевого продукта, обогащенного каротнюм с помощью Neurospora sitophita IX. О причине увеличения содержания каротина при пивоварении из жмыха. И с и и, И в а г а к и (Neurospora sitophila によるカロチン強化食品の研究・第9報・味噌熟成中のカロチン増加とその原因・石井隆一郎、岩垣智惠子)、嚴摩工學雑誌 Хакко когаку дзасси, J. Ferment. Technol., 1954, 32, № 7, 279—284, 27 (япов.; рез. англ.)

Описаны результаты исследования причины увеличения содержания каротина (1) при пивоварении измыхов. Во время пивоварения увеличение содержания I обусловлено абс. приростом кол-ва I, вызванным ростом микроорганизмов, в частности, плесени Aspergillus, тогда как прирост, обусловленный лишь потреблением субстрата, значительно меньше. Прирост I в образцах, укрепленных конидиями п СаСО₃, оказался меньшим, чем в образцах, укрепленных только конидиями. В случае соевого необезжиренного тмыха (miso), укрепленного только нагретыми конидиями, фракции I, ликопина и всех каротиноидов в образце обнаружили тенденцию к возрастанию. В образце, укрепленном как конидиями, так и СаСО₃, фракция I уменьшилась по кол-ву, а фракция ликопина возросла через 2 месяца, после чего первая начала расти, а вторая уменьшаться. Авторы приходят к выводу, что ликопиновая фракция защищает I от разложения. Сообщение VIII см. РЖХим, 1957, 10282. Л. Михельсон 13812. Современные продукты из солода.— (Моdеги malt products.—), Food Manufacture, 1956, 31, № 5, 177—178, 184 (англ.)

Краткое описание произ-ва мальц-экстракта (свропа и сушеного) на з-де Fison Limited в Стоумаркете (Англия).

3813. Методы определения протеолитической активности ячменя, солода и ферментных препаратов. В ильдие р (Über die Messung der enzymatieschen Proteolyse in Gerste, Malz und Enzympräparaten. Wildner H.), Brauwissenschaft, 1954, № 5, 96—100 (нем.: рез. англ.)

100 (нем.; рез. англ.)
Обзор методов определения протеолитич. активноств с применением в качестве субстрата эдестина, желатины, гемоглобина. Библ. 22 назв. Н. Леонович 13814. Вода в пивоваренном производстве с биологической точки эрения. Бургер, Гленистер, Бекер (Brewing water in relation to biological aspects of beer production. В urger Martin, Glenister Paul R., Вескег Kurt), Brewer's Digest, 1956, 31, № 2, 54—58, 61—62 (англ.)

Дается описание и приведены результаты лабор. исследований микрофлоры в осадках и слязи на трубопроводах, стенках танков и прочем оборудовании води. системы инвоваренного произ-ва. Рассмотрено влияние отдельных видов микроорганизмов на качество продукта на разных стадиях произ-ва пива. Описаны методи, наиболее пригодные для микробиологич. испытания в данных условиях. Исследования установили наличие в осадках бактерий, дрожжей и плесеней, вредвых для сусла и пива. Наиболее опасными являются Aerobacter sp., Pichia sp., они размножаются в сусле при наизком рН (напр., 4,7), в атмосфере СО2 и при наличии 4% спирта. Очистка подающей воду системы и хлорирование воды (при дозах активного хлора ~1 мг на 1 м) предохраняет пиво от заражения и биологич. С. Светов 13815. Новая конструкция крана для разлива шива

13815. Нован конструкция крана для разлива пива в США. Торитон - Берри (New beer tap system in USA. Тhоги ton - Веггу R u pert), Brewers' Guardian, 1955, 84, № 5, 56—57 (англ.) Дано описание и чертеж дозировочно-раздаточного крана для разлива пива из бочек новой конструкции. Самозакрывающийся клапан крана предупреждает проливание пива и потерю СО₂. Кран снабжен обрагыми клапаном, предупреждающим возвращение пива в боченок, и предохранительным, выпускающим газ при избыточном давлении.

А. Кононов

3816. Проверка метода определения яблочной кислоты в винах. Феррейра-ди-Алмейда (Considérations au sujet d'une méthode de dosage de l'acide malique dans les vins. Ferreira de Almeida E., M-me), Bull. Office internat. vin., 1955, 28, № 298, VII Congrès intern. vigne et vin, 289—293 (франц.)

Проверялся метод определения яблочной к-ты, сущность которого заключается в изолировании яблочной к-ты на основании летучести одних к-т вина и различной растворимости аммонийных солей других к-т и последующем ее титровании. Найдены следующе погрешности метода: 1) аммонийные соли винной, лимонной и янтарной к-т в спирт. р-рах несколько растворимы и ошибочно при анализе учитываются как соли яблочной к-ты; 2) яблочная к-та частично теряется благодаря неполной растворимости ее аммонийной соли, а также при отгонке молочной к-ты; 3) на потерю яблочной к-ты влянот формы к-т, спирт, глицерии и, возможно, некоторые другие в-ва вина; 4) потери различны для разных вин и зависят от формы к-т, в какой они находятся в вине.

1801. Простосердова 13817. Определение свободной и общей SO2 в белых

3817. Определение своюдной и общей SO₂ в ослых столовых винах. Джослин (Determination of free and total sulfur dioxide in white table wines. Joslyn M. A.), J. Agric. and Food Chem., 1955, 3, № 8, 686—695 (англ.)

(cm-

Kere E.

THB-

hen

ten.

96-

ости

arn-

BHY

0.00-

e p, gical i n,

Bre-

пл.)

бор. убо-

наио Дук-

OIIM

HHE

ичие

ных

Aero.

при

ичии

хло-

огич. петов пива syrt),

ного

ции.

пает

рат-

пива газ

онов

кисй да

e de

rnat.

ie et

сущ-

лоч-

раз-

ошие

ли-

pac-

как

ется

йной

терю

IH B,

раз-

акой

пова

елых

ines.

1955,

Приводятся данные по изучению влияния ряда факторов на определение общего кол-ва SO₂ йодометрич. методом в белых столовых винах. Установлено, что конец р-ции трудно точно установить, так как йод восстанавливает и некоторые несульфитные соединения. Получение ясно выраженной конечной точки титрования зависит от конц-ии крахмала. Скорость титрования сказывается на результатах анализа. Кол-во добавленной щелочи и сокращение времени для еер-ции могут быть значительно уменьшены без заметного влияния на конечный результат. Щелочи следует добавлять столько, чтобы рН среды повысилось до 12, при этом обычно за 2 мин. освобождается практически вся SO₂. Приводятся данные по определению SO₂ в разных условиях другими хим. методами.

О. Захарина 13818. Безалкогольные напитки в банках с плоскими крышками. Фриман (Now soft drinks in flat top cans. Free man William), Canad. Bever. Rev., 1955, 25, № 4, 32—34, 36, 38, 41—42 (англ.) Две фирмы Mason Products Co. (Чикаго) и Mission Огапде Canning (Воллейфилд) выпустили на канадский рынок безалкогольные напитки в жестиных банках, заделываемых плоскими крышками по типу обыкновенных фруктовых консервов. Дано сравнительное описание оборудования и приведены снимки отдельных цехов предприятий обеих фирм. В. Гурни

13819 К. Производство безалкагольных напитков из овощей и плодов. Богданская, Богданский, Василевский (Pzemysłowa produkcja bezalkoholowych napojów z owoców i warzyw. Водаńska Halina, Bogdański Kazimierz, Wasilewski Zygmunt. Warszawa, Wydawn. Przem. Lekkiego i Spozywcz., 1954, 201 s., 1 nlb., ill., 19, 70 zł.) (польск.)

13820 П. Получение глицерина (Recovery of glyerol) [Imperial Chemical Industries Ltd]. Англ. пат. 723230. 2.02.55

Глицерин получают сбраживанием углеводов: сахара, крахмала или мелассы. К сброженной конц. жидкости добавляют гранулированные материалы (напр., песок, кокс, трепел, безводи. сернокислый натрий) в кол-ве и на время, достаточные для образова-ния свободнотекучей смеси. Полученную в результате брожения смесь, состоящую из глицерина, воды и твердых частиц, при перемешивании и подогревании при пониженном давлении, перегоняют в виде паров, содержащих глицерин, непрерывно пополняя убыль испаряющейся жидкости притоком новых ее порций; таким образом глицерин в течение минимально короткого времени находится в соприкосновении с горячей поверхностью. Отходящие пары конденсируют в смеси, из которой затем получают чистый глицерин. Глицерин может быть получен и сразу дробной перегонкой. Перемешивание жидкости осуществляют механически при помощи лопастной мешалки или вибрацией сосуда, в котором находится испаряющаяся жидкость. Нагревают жидкость или паром, впускаемым в кожух сосуда, или лучистой теплотой, или в поле высокой частоты. Гранулированный материал по использовавании посредством промывки и сушки или прокалки может быть восстановлен для повторного использования. Приводится описание перегонного аппарата, состоящего из загрузочной воронки, соединенной с трубой, обогреваемой через кожух паром, нагретым до 180—200°. Трубе от гидравлич. насоса сообщается колебательное движение с частотой 1500 циклов в 1 мин. В трубе поддерживается давление в 2 мм рт. ст. Дру-гим своим концом труба соединена с циклоном для выделения в нем и удаления твердых взвесей из потока

паров, поступающих в него из трубы. Из циклона пары поступают в конденсатор, из которого конденсат собирают в приемник.
С. Светов

См. также: Ацетоно-бутиловое брожение 4391Бх.

пишевая промышленность

Редакторы М. С. Гарденин, А. М. Емельянов, А. Л. Прогорович

13821. Успехи технологии пищевых продуктов. Ольсен, Милс (Recent advances in food technology. Olsen Aksel G., Mills Daniel A.), Mech. Engng, 1956, 78, № 9, 802—814 (англ.) Обзор. Библ. 44 назв.

13822. Хранение и технология пищевых продуктов.— A review of advances in storage and processing tech-(niques. —), Food. Inds. S. Africa, 1955, 8, № 4, 32, 33 (англ.)

Обзор работ в области переработки и хранения мяса, рыбы и плодов в Англии. И. Гутин 13823. Связь химин пищевых продуктов с органической химией. Телегди-Ковач (Az élelmiszerkémia szerves kémiai vonatkozásai. Теleg dy-Kováts László), Magyar tud. akad. Kém. tud. oszt. közl., 1955, 6, № 3-4, 347—361 (венг.)

озд. кол., 1993, с. се 5-ч, от — от святт, Доклад комиссии по органич. химии Отделения химии Венгерской академии наук. Библ. 68 назв. Г. Юдкович

13824. Научно-неследовательский институт консервной, мясной и холодильной промышленности в Буданеште. Пезацкий, Хухла (Naukowo-badawczy instytut przemysłu konserwowego, mięsnego i chłodniczego w Budapeszcie. Реzacki Wincenty, Chuchla Stanisław), Gospod. mięsna, 1955, 7, № 10, 27—28 (польск.)

13825. Холодная стервлизация — новый метод сохранения пищевых продуктов животного происхождения. Джинлеский (Hladna sterilizacija nova metoda za konzervisanje životnih namirnica animalnog porekla. Džinleski Borivoje), Tehnika, 1956, 11, № 5, 753—758; Veterin. glasnik, 1955, 9, № 10, 695—704 (сербо-хорв.; рез. англ.) Обзор. Енбл. 21 назв. Г. Н. 13826. Стерилизация ионизирующим облучением про-

13826. Стерилизация ионизирующим облучением продуктов растительного и животного происхождения. И и к к е р с о и, П р о к т о р, Г о л д б л и т (lonizing radiations in the processing of plant and animal products. Nickerson John T. R., Proct or Bernard E., Goldblith Samuel A.), Food Technol., 1956, 10, № 7, 305—311 (англ.)

Изучено влияние облучения катодными лучами на органолептику и некоторые хим. показатели ряда пищевых продуктов растительного и животного происхождения. Опыты проводили со спаржей, брокколи, брюссельской и дветной капустой, овощной фасолью, лимской фасолью, зеленым горошком, шпинатом, бататами, черносливом, изюмом, макаронами, палтусом, треской. Облучение производили на генераторе Ван-де-Граафа при напряжении 3 млн. е; дозы облучения от 1,5·10 до 2,0·10 фр. Показано, что без ухудшения органолепти. показателей выдерживают стерилизацию облучением следующие продукты: овощная фасоль, брюссельская капуста, бататы, чернослив, изюм, треска, палтус. Вкус остальных продуктов ухудшается. Показано, что при облучении овощей, экспериментально зараженных СІ. sporogenes устойчивость данных микроорганизмов по отношению к облучению увелинается при облучении в атмосфере №, в замороженном состоянии и при применении вакуумукупории.

No

time

138

вав

Ba

час

CTH

дар

Pea

луч

пел

Tex 138

138

дов

138

u li C

ван

пля

ляв кле

кра

пел кра

CTH

KOH

Вп

KON H J

ROE

HOB

пер 138

3

138

Показано, что содержание аскорбиновой к-ты в овощах при облучении резко понижается. Упаковка в атмосфере N₂ и облучение в замороженном состоянии не предохраняет аскорбиновую к-ту от разрушения. Напротив, хлорофилл меньше разрушается при замораживании и вакуумукупорке продукта.

Т. Сабурова Определение термических коэффициентов кол-13827. лондных материалов. Лепилкий А. Н., Тр. Моск. технол. ин-та мяс. и молочи. пром-сти, 1956, № 6, 49-57

Лан расчет распределения т-ры по толщине системы, состоящей из двух неограниченных пластин с разными термич. коэфф. (теплопроводность, температуропроводность и теплоемкость). Описан прибор для определения термич. коэфф., сконструированный с учетом условий решения приведенной задачи. Изложена методика расчета термич. коэфф. при нестационарном температурном поле. Приведены установленные на основании эксперим. данных значения термич. коэфф. для дефибринированной крови и желатины. Точность работы прибора и правильность предложенной методики проверены на дистилл. воде. Прибор и методика рекомендованы для определения термич. коэфф. различных пищевых продуктов. Даны схемы прибора. В. Долговский

Замораживание и сушка скоропортящихся 13828. пищевых продуктов при пониженном давлении. Б алуха-Маркос (Congelación y secado a presión reducida de sustancias inestables. В a l u j a M a rcos Gonzalo), Rev. cienc. apl., 1956, 10, No 4, 324-333 (исп.) Обзор. Библ. 17 назв.

Стерилизация продуктов животного происхождения. Грэмадь (Conservarea prin sterilizare a produselor de origină animală. Grămadă G.), Rev. ind. aliment. prod. animale, 1955, № 5, 4-6

(рум.) Рассмотрено влияние основных факторов (род и кол-во микроорганизмов, кислотное число продукта, скорость проникновения тепла к центру сосуда, т-ра и продолжительность стерилизации) на эффективность стерилизации. Дана оценка методов контроля готовой А. Марин

830. Пищевые продукты-заменители. Бхатия, Бейне (Substitute foods. В hatia D. S., Ваіп s G. S.), Food Manufacture, 1956, 31, № 9, 376—380, 13830. 390 (англ.)

Обзор литературы по вопросам произ-ва заменителей молока, сливок, масла, риса, янц, мяса, кофе, чая, какао. Библ. 100 назв. Г. Н.

Значение предварительного ознакомления дегустатора с характером качественного различия образцов. Реффенспергер, Пилгрим (Knowledge of the stimulus variable as an aid in discrimination tests. Raffensperger Elsie L., Pil-grim Francis J.), Food Technol., 1956, 10, № 6, 254—257 (англ.)

При органолептич. пробах, определяющих различие по вкусу двух пищевых продуктов, дегустатору не дается никаких указаний на то, в чем заключается разница между образцами. Так испытываются образцы по методу, при котором на испытание предлагают три образца, из которых два являются дубликатами, и дегустатор должен определить третий— непарный образец. Между тем ознакомление дегустатора с характером изменений, внесенных в непарный образец, способствует более правильному установлению разницы между образцами. В подтверждение такого положения были проведены опытные дегустации апельсинного сока. Всего было проведено 4 серии испытаний,

для установления образцов, в которые было добавлево: 1) 1,5% сахара, 2) 0,075% лимонной к-ты; 3) 0,125% лимонной к-ты и 4) 1,5% сахара + 0,25% лимонной к-ты. Дегустацию проводили 2 группы, приблизительно одинаковые по численности: одна из квалифица-рованных дегустаторов, другая— из лиц, не имерщих опыта. Сравнивалось кол-во правильных ответов, полученных в том случае, когда дегустаторы не получали никакой информации о характере изменений внесенных в непарвый образец, и в тех случаях, когла дегустатором давались указания: «в отличающийся образец прибавлен сахар» или он «менее кисел» и т. п. Всего испытана эффективность 7 подобных характеристик, в том числе и заведомо неправильных (напр., для образца с прибавленной лимонной к-той давалось «указание» — «отличающийся образец слаще»). Результаты испытаний показали, что правильная информация о характере различия между испытываемыми образцами дает положительные результаты в отношении увеличения процента правильных ответов, сравнительно с ответами, полученными при отсутствии всякой информации. Результаты показали также, что дегустаторы принимают к руководству и дезориентв-рующую, неправильную информацию, приводящую к снижению процента правильных ответов по сравнению с случаем отсутствия информации. С. Светов 832. Зависимость порога вкусового ощущения от структуры продукта. Макки, Валасси (The discernment of primary tastes in the presence of different food textures. Маске у Andrea Over-

man, Valassi Kyriake), Food Technol., 1956, 10, № 5, 238—240 (англ.)

Проведено сравнительное определение порога ощущения сладкого, кислого, горького и соленого вкуса, для чего брали сахарозу, виннокаменную к-ту, поваренную соль и кофеин в р-рах дистилл. воды, томатном соке и молочном креме, изготовленном на яйцах. Последние два продукта были опробованы в жидком виде, в виде желе и в сбитом виде. Показано, что ощутимая конц-ия всех в-в наиболее низкая в листила. воде и в жидкой фазе, и наиболее высокая в желе. Сбитые продукты занимают промежуточное положение между жидкой фазой и желем. Независимо от конц-ии в-в и от структуры продукта присутствие соли, сахарозы и кофеина легче обнаруживается в креме, чем в томатном соке, и наоборот, в томатном соке легче обнаруживается добавление виннокаменной к-ты, что объясняется буферным действием белков янц и молока

Определение тиамина в пищевых продуктах. Кевец, Кисел, Шимек (Tiamin meghatáro-zása élelmiszerekben. Kevei Jánosné, Kis-zel Józsefné, Simek Ferencné), Élelm. ipar, 1955, 9, № 12, 370—374 (венг.; рез. русс., нем., англ.)

Навеску продукта (40—100 г) в течение 90 мив. экстрагируют смесью 50—100 мл 80°-ного спирта и 10— 40 мл 0,1 н. HCl. К экстракту прибавляют 50 мл р-ра такадиаставы (0,25—1 г) в Na-ацетатном буфере с рН 4,5 и выдерживают 2 часа при 40°. Экстракт осветляют р-ром, содержащим 300 г (СН₃СОО)₂Рb и 100 г Рb0 на 1 л воды, избыток свинца осаждают насыц. p-pom Na₂HPO₄. Тиамин экстракта адсорбируют на 0,75 г активированного угля, который после этого 3—4 раза промывают водой при 40—50°. Тивмин вымывают 0,05 н. и 0,1 н. НСІ и дважды 25°-ным спиртом (по 5 мл). Нейтрализуют 5 мл экстракта 1 н. щелочью (метилрот) и прибавляют 2 мл Na-ацетатного буфера с рН 6,2, 0,5 мл насыщ. р-ра КСІ, 0,5 мл 0,5%-ного р-ра аммониевой соли бутилнафтилсульфокислоты, доводят до 10 мл и полярографируют в промежутке 0,9-1,6 с в токе азота капающим ртутным катодом. Расхожде

25% HHON

тель HIII-

men-

етов,

0II 9

inas

когда инйся

JI» H

арак-

апр.,

алось

Pe.

нфор-

MIJME

OTHOветов.

ствии

e, TTO

енти-

ящую

BHe-

ветов

TO RH

of dif-

verbnol..

omv-

вкуса,

томат-

ипах.

идком

ощустилл.

. Сби-

жение

нц-ни

caxa-

e, Tem

легче

ы, что

олока

бурова

уктах.

atáro-

Kis-

Élelm.

pycc.,

MHH.

и 10-

л р-ра

c pH

TOIRLTS

e Pb0

p-poм 0,75 €

4 pasa

ывают 5 MA). илрот)

H 6.2

аммо-

дят до

-1,6 6

кожде-

ние параллельных определений ±5%. Предыдущее яме парамеданых определения ±5%. Предалущее сообщение см. РЖХим, 1956, 38030. Г. Юдкович 13834. Эмульсионный метод определения жиров в пише. Федотов В. П., Вопр. питания, 1956, 15,

Описан метод определения пищевых жиров, основанный на извлечении их р-ром трихлоруксусной к-ты в ацетоне (50 г в 25 мл) с последующим разбавлением части фильтрата водой (в 100 раз) и измерении мутности р-ра путем сравнения со шкалой разведений стансти p-ра путем сравнения со шкалов разведсива стап-дартного p-ра комбижира (0,1 г в 9,9 мл p-рителя). Результаты хорошо совпадают с результатами, по-лученными экстракционным методом. На одно опре-поление требуется 5—10 мин.

В. Сафонов деление требуется 5—10 мин. В. Сафонов 13835. Измерения и методы контроля технологи-ческих процессов в пищевой промышленности. Часть І. Значение рН в повышении качества продукчасть 1. Значение ргі в повышении качества продук-пин. Нью элл (Measurement and control in food processing — Part I. pH can improve product quali-ty. Newell J. Geoffrey), Food in Canada, 1954, 14, № 7, 7, 8, 29 (англ.)

технологич. процессов. 836. Оборудование пищевого производства. Террелл (Behind the scenes in food preparation. Тугell A. E.), Gas World, 1955, 142, № 3709, 50—51 (англ.)

Описано применение оборудования, работающего на газе, в произ-ве пищевых продуктов. И. Г. 1837. Йод и санитария. Гершенфелд (Iodine and sanitation. Gershenfeld Louis), J. Milk and Food Technol., 1955, 18, № 9, 220-225 (англ.)

Рассматриваются вопросы, связанные с применением свободного йода и йодофоров для дезинфекции оборудования пищевой пром-сти. В. Новикова

Использование излишков сельскохозяйственных продуктов, в частности мокрая переработка тукурузы. **II** р a й с (Surplus agricultural products utilization, with particular reference to the wet milling of maize. Pryce N. A. C.), S. Afric. Industr. Chemist, 1956, 10, № 6, 125—127 (англ.) Обсуждаются вопросы промышленного использо-

вания излишков урожая с.-х. продуктов в условиях Ю.-Африканского Союза. При сухом размоле кукурувы от зерен отделяют зародыши, которые используют для произ-ва масла. При мокрой переработке разделяют основные части кукурузных зерен — зародыш, клетчатку, белки в виде глютена и крахмал. Дается краткое описание процессов получения различных продуктов из замоченных кукурузных зерен (белковый корм для скота, крахмал для производственных целей бумажной и текстильной пром-сти; мука из очищ. крахмала; кристаллич. крахмал для прачечных; частично гидролизованный крахмал для текстильной и кондитерской пром-сти; декстрины для произ-ва клеев и для использования в литейном произ-ве; жидкая глюкоза, используемая в кондитерском произ-ве, в произ-ве безалкогольных напитков и при дублении кожи; твердая глюкоза, используемая в пивоварении и для других целей; медицинская глюкоза). Из белковых в-в кукурузы могут быть получены глутамивовая к-та и зеин. Семена подсолнечника и арахиса перерабатываются на масло и жмых. 13839. Возможность улучшения кач С. Светов рераоатываются на масло и жмых. С. Светов 18839. Возможность улучшения качества муки при помощи витамина С. Черутти (Possibilità di miglioramento delle farine con vitamina С. Сеги t-ti Giuseppe), Alimentazione, 1956, 6, № 5,

30—32 (итал.) Обзор. Библ. 19 назв. 3840. Химические добавки, улучшающие качество муки и хлеба. В ердехо-Вивас (Aditivos químicos intencionales en la barina yen el pan. Verdejo Vivas Guillermo), Farmac. nueva, 1956, 21, № 233, 332—342 (исп.) Обзор. Библ. 52 назв. Г. Н.

3841. Об улучшении муки химическими добавками. Тёйфель (Mehl- «Verbesserung» mit Chemika-lien? Täufel K.), Umschau, 1956, 56, № 14,

426-429 (нем.)

Обсуждение вопроса отбелки и повышения хлебопекарных качеств муки с точки зрения безвредности употребляемых для этих целей хим. в-в. Для отбелки муки обычно используются окислители: NO2, NCls, ClO₂, не безвредные физиологически и не улучшающие пищевых достоинств муки, а, наоборот, снижающие их, вследствие разрушения отдельных витаминов. Для повышения хлебопекарных качеств используются препараты различных торговых названий, в основе их лежат: броматы, персульфаты, бораты, йодаты или их комбинации в кол-ве 0,001—0,02%. Эти в-ва уплотняют клейковину (образование S-мостиков между ами-нокислотами и пр.), что объективно сказывается на увеличении пористости и объема хлеба. Однако продукты их распада остаются в хлебных изделиях и вместе с последними поступают в организм (с 140 г хлеба поглощается 3 мг КВг и 7—12 мг NH₄HSO₄). Для выяснения физиологич. действия аккумулируемых организмом в-в подобного рода необходимо проведение длительных опытов на животных. В. Гурни 13842. Каталаза и оксидазная активность пшеничной муки. Хотори, Тодд (Catalase in relation to the unsaturated-fat oxidase activity of wheat flour. Hawthorn J., Todd J. P.), Chemistry and Industry, 1955, № 16, 446—447 (англ.)

Рассматривается роль каталазы (К) в процессе отбеливания каротинондных пигментов в хлебном и макаронном тесте. Добавление незначительного кол-ва К ускоряет разрушение каротиноидных пигментов теста при обильном насыщении О₂. При воздействии К (из бычьей печени) свободной от липооксидазы в присутствии линолевой к-ты в качестве субстрата значительное разрушение каротина наступало через 2 мин. при конц-ии К 0,2 ү/кг. Пшеничная мука 80%-ного выхода содержит 0,6 ү/ке чистой К, что вполне достаточно для отбеливания каротина в указанной выше смеси. Считается установленным, что К принимает участие в процессах окисления жиров, содержащих ненасыщ. к-ты,

регулируемых оксидазными системами. А. Орлов 13843. Сорта муки, используемые в СССР для произ-водства макаронных изделий. Мельничу к Fainurile folosite pentru fabricarea pastelor fainoase in U. R. S. S. Melniciuc Gh.), Rev. ind. aliment. prod. vegetale, 1956, No. 4, 3-4 (pym.)

8844. Основные принципы хлебопечения и способ производства хлеба. I, II. Аран(製水ン原理の一数 考と S780製パン法. その 1,2. 荒井喜作) ラ 等菓製パンラ C эйка сэйпан, Baking and Confection,1955, 21,№ 1, 69—73; № 2, 124—128 (япон.)

Описан технологич. процесс произ-ва хлеба сорта S 780. Приведены данные, характеризующие технологич. режим и качеств. показатели. 13845.

Ва45. Влияние температуры на выход теста. III тефа и (Teigtemperatur und Teigausbeute. S t e p h a n H.), Brot und Gebäck, 1956, 10, № 7, 147—148 (нем.) См. также РЖХим, 1956, 49212.

13846. Влияние воды, извлеченной солью из дрожжевых клеток, на свойства теста. III ульц (Die Beeinflussung der Teigbeschaffenheit durch das Hefezellwasser. Schulz A.), Brot und Gebäck, 1956, 10, № 7, 151 (нем.)

Приводятся данные о влиянии 1-5% воды, извлеченной солью из дрожжевых клеток, на ход газообразования и газоудерживающую способность теста. См. также РЖХим, 1956, 67068. А. Емельянов

お土の

0

TE

BOBB

TO TO

13847. Влияние температуры и консистенции закваски на содержание редуцирующих сахаров (мальтозы) в хлебе. Древс (Der Einfluß der Sauer-Temperatur und Festigkeit auf den Gehalt des Sauerteigbrotes an reduzierenden Zuckern (Maltose). Drews E.), Brot und Gebäck, 1956, 10, № 7, 142 (Hem.)

В опытных выпечках ржаного хлеба с оставлением «основной закваски на ночь» при различном температурном режиме брожения и различной консистенции теста, наряду с молочной и уксусной к-тами, определя-дось и содержание мальтозы. Установлено, что последнее возрастает с увеличением содержания уксусной к-ты и с уменьшением молочной к-ты в хлебе. Большое кол-во уксусной к-ты подавляет деятельность микроорганизмов, продуцирующих молочную к-ту из редуцирующих сахаров, и, одновременно, задерживает сбраживание сахаров дрожжами. Содержание мальтозы в хлебе, поставленном на дрожжах, значительно увеличивается с увеличением кол-ва добавленной в тесто уксусной к-ты. См. РЖХим, 1956, 60239. А. Емельянов 13848. О содержании молочной и уксусной кислот

в хлебе в зависимости от температуры и консистен-ции закваски. Древс (Der Milch- und Essigsäuregehalt des Sauerteigbrotes in Abhängigkeit von der Sauertemperatur und Festigkeit. Drews E.), Brot und Gebäck, 1956, 10, № 7, 141 (пем.) Результаты опытных выпечек ржаного хлеба с остав-

лением «основной закваски на ночь» при различном теммературном режиме брожения и различной консистен-ции теста. См. РЖХим, 1956, 60239. А. Емельянов Эмульгаторы в хлебопекарной промыпленности. X арпер (Emulsifiers in the bakery industry. Нагрег В. Е.), Australas., Baker and Millers J., 1956, 59, № 5, 40, 43, 45, 47 (англ.) Краткий обаор применения моностеаратов глицерина

других эмульгаторов в произ-ве хлеба и мучных кон-А. Емельянов дитерских изделий. Об образовании муравьиной кислоты в процессе хлебопечения и ее определении. Древс (Über

die Entstehung von Ameisensäure beim Backprozeß und ihre Bestimmung. Drews E.), Brot und Gebäck, 1956, 10, № 8, 166—171 (нем.)

Хроматографией на бумаге установлено присутствие заметных кол-в муравьиной к-ты (І) в образцах ржаного хлеба из цельного зерна, что объясняет его устойчивость при хранении. Содержание І возрастает с увеличением времени и т-ры выпечки хлеба. Такое же влияние оказывает и стерилизация паром нарезанного хлеба. С увеличением кол-ва I повышается интенсивность окраски мякиша, что указывает на тесную связь содержания I в хлебе с р-цией потемнения мякища в процессе выпечки, а также на значение карамелизации сахаров для образования I. Как при карамелизации сахаров, так и при р-ции потемнения, происходящей между сахарами и азотистыми соединениями со свободными аминогруппами, образуется оксиметилфурфурол, который в кислой среде хлеба разлагается на I и левулиновую к-ту. Связь образования I с р-цией потемнения подтверждена опытами с применением патоки при изготовлении хлеба. Добавление в тесто безазотистых гидролизатов крахмала (глюкозная патока) не привело к повышению содержания I в ржаном хлебе из обойной муки; напротив, применение содержащей азот патоки, которая приобретает темный цвет уже в процессе гидролиза крахмала, дало значительное повышение кол-ва І в хлебе. Большую роль играет здесь и крупнота помола муки из цельного зерна. Тонкий помол обеспечивает лучшие условия для осахаривания крахмала при тестоведении и одновременно большее кол-во способных к р-ции азотистых соединений. Поэтому при тонком номоле получают в хлебе больше I, чем при грубом.

Определение содержания I проводилось гравиметрич. методом с HgCl2, описание которого приводится.

881. Опыты по выделению и определению аромати-ческих веществ ржаного хлеба. Томас, Роте (Versuche zur Isolierung und Identifitierung der Aro-13851. mastoffe des Roggenbrotes. Thomas B., Rothe M.), Ernährungsforschung, 1956, 1, No. 2, 362-371 (HeM.)

В поисках объективных методов оценки вкуса хлеба проведены опыты по выделению, идентификации и колич. определению ароматич. в-в (АВ) ржаного хлеба экстрагированием эфиром мякиша в аппарате Сокслета и исследованием полученного экстракта. Перегонка экстракта с водяным паром оказалась неприменимой ввиду больших потерь АВ вследствие их окисления и полимеризации. Разделение экстракта на 3 фракции осуществлено обработкой его петр. эфиром в смеси с води. р-ром спирта (95 ч. воды и 5 ч. спирта). І фракция, растворимая в петр. эфире, после удаления последнего в вакууме, представляла маслообразный остаток со слабым запахом фруктов, содержащий, по-видимому, незначительную часть АВ хлеба, не растворимых в воде, типа эфиров или высших спиртов. Большая часть АВ найдена во фракции, извлеченной из водн. фазы взбалтыванием с эфиром. После его испарения остался маслообразный продукт (II фракция) с явно выраженным запахом хлеба и ощутимым запахом ромашки. Установлено наличие в ней оксиметилфурфурола и фурфурола. Для удаления свободных к-т водн. фаза обработана 2 и. Na₂CO₃, после чего из эфирного р-ра изолировано незначительное кол-во в-в (III фракция) со слабым ароматом неченья. Распределительной хроматографией на Al₂O₃ II фракции установлено наличие в ней по крайней мере четырех соединений с карбонильными группами. Для определения общего содержания АВ в хлебе испробованы два метода: 1) определение редуцирующих в-в с помощью смеси бихромата калия и серной к-ты и 2) с динитрофенилгидразином. Предложена оригинальная методика получения водн. конденсата АВ из нагреваемого до 100—110° каравая хлеба с последующей обработкой динитрофенилгидразином и фотометрированием. Содержание АВ в хлебе находится в пределах 0,1 ме %; наиболее сильным запахом обладают в-ва типа альдегидов и кетонов, быстро изменяющиеся при выделении.

А. Емельянов Исследования ароматических веществ хлеба. Tomac, Pore (Versuche zur Erfassung des Aromagehaltes von · Brot. Thomas B., Rothe M.), Brot und Gebäck, 1956, 10, № 8, 157—162 (HeM.)

Разработанный авторами метод колич. определения общего содержания альдегидов (I) в хлебе применен к изучению зависимости аромата различных сортов хлеба, определяемого органолептически, от суммарной величины кол-ва I, выраженной в мг% фурфурола к сухим в-вам хлеба. Для определения из середины исследуемого хлеба отбирают цилиндрич. пробоотборником 5-25 г мякиша (в зависимости от типа хлеба) и номещают его в U-образную стеклянную трубку с запаянными концами и двумя горизонтальными отверстиями в каждом колене, через одно из которых постоявно подают азот со скоростью 15 мл/мин в течение 2 час. при нагревании трубки до 130°. Через отверстие в другом колене трубки выходят летучие в-ва и водяные пары, собираемые последовательно в 3 приемника (1-й с 15 мм дистилл. воды, 2-й с 20 мл дистилл. воды и 3-й контрольный, для проверки скорости движения газов). Дальнейшее определение I проводят фотометрически после добавления к 10 мл полученного p-ра I 2 мл 0,2% ного водно-солянокислого p-ра 2,4-дифенилгидразина, отмечая степень помутнения и сравнивая ее с калибровоч-

грич.

янов

O T e

Aro-

the -371

хлеба

ОЛИЧ. СТРа-

H HC-

стра-

ввиду

р-ром

вори-

ууме,

запа-

тель-

фиров

анием йынке

хлеба

личие

ления

после

льное ненья.

акции

тырех

еделе-

ы два

ощью

нитромето-

аемого

боткой

Содер-

ме %; альде-

пении.

принов

хлеба.

roma-

M.)

7-162

еления

именен сортов марной

рурола редины

отбор-

хлеба)

у с за-

отвер-

2 Tac.

в дру-

е пары, с 15 ма нтроль-Даль-

после %-ного

, OTMO-

бровоч-

ной кривой, построенной по р-рам фурфурола известной конц-ии при аналогичной их обработке. Точность метода \pm 5%. Применение этого метода к анализу различных сортов хлеба установило четкое соответствие кол-ва I с интенсивностью аромата, напр., ржаной хлеб из обойной муки, имеющий сильный запах, имел и относительно большее кол-во I. В корке найдено I больше, чем в мякише. Хлеб более длительной выпечки содержал большее кол-во I и имел более сильный аромат. Влияние выходов ржаной муки сказывается особенно сильно при переходе от 80 к 100%, когда резко повыщается содержание I. В пшеничной муке помол оказывает незначительное влияние на содержание I. Добавление ячменного солода повышает содержание I. Добавление ячменного солода повышает содержание в хлебе I. Отмечено наличие в ржаном хлебе из цельного зерна двух видов I. 1885. О природе ароматических веществ, образующихся при выпечке хлеба. Ро ч (Über die Natur der

beim Backen entstehenden Aromstoffe. Rotsch A.),

Brot und Gebäck, 1956, 10, № 8, 162—166 (нем.) Титриметрическое определение общего содержания ароматич. в-в в хлебе по величине окисляемых в-в путем продувания образца мякища воздухом и окисления КMnO4 или дистилляцией летучих в-в мякища с водяным паром и окислением K2Cr2O7 и H2SO4 не установило четкой зависимости интенсивности аромата хлеба от кол-ва окисляемых в-в, что объясняется наличием в мякише спирта, также окисляемого этими методами. Для выделения летучих ароматич. в-в из хлеба оказался более пригодным способ продувания воздухом мякиша, нагреваемого на водяной бане. Анализ этим методом, подробное описание которого приведено, различных видов хлеба и печенья установил преобладание уксусной к-ты (I) и фурфурола (II) среди летучих в-в мякища в ржаном и ржано-пшеничном хлебе (50:50), приготовленном на закваске. В образцах хлеба, поставленных на дрожжах, полностью отсут-ствуют как I, так и II. В хлебе на сухой закваске найдено лишь небольщое кол-во II при отсутствии I. Кол-во II возрастает с увеличением закваски и времени выпечки, а в хлебе из смеси пшеничной и ржаной муки с увеличением кол-ва последней. Тесто в конце брожения еще не содержит II, последний образуется из содержащих пентозы слизевых в-в ржаной муки под действием к-т и ферментов лишь при выпечке хлеба. В мякише пшеничного хлеба, поставленного на закваске, II не вайдено. И образуется в корке ржаного и пшеничного хлеба, а также различных сортов печенья в качестве продукта р-ции потемнения из сахаров и декстринов. Приводится описание спец. аппаратуры и колориметрич. метода определения II в хлебе и печенье. А. Емельянов 1854. Об измерении рН в тесте и в хлебе. Д ё р и е р, Ш тефан (Über рН-Untersuchungen an Teigen und Broten. Dörner H., Stephan H.), Brot und Gebäck, 1956, 10, № 8, 171—175 (нем.)

проведено измерение рН при помощи стеклянного каломельного электрода непосредственно в тесте и хлебе (ржаном, смешанном и пшеничном) по стадиям тестоведения. При изготовлении ржаного хлеба по берлинской укороченной схеме тестоведения значения рН спелого теста и готового хлеба совпадали; при изменении рН в зависимости от кол-ва закваски изменялась эластичность мякиша: лучшая эластичность получена при рН спелого теста и хлеба 4,15 и градусе кислотности 9,5, когда на закваски брали 45% муки. При увеличении выходов закваски (с 160 до 220) возрастает градус кислотности хлеба (с 7,8 до 8,3), но его рН остается на одном уровне (4,3). При увеличении выходов теста (с 149,1 до 163,9) рН хлеба не изменяется (4,30—4,35). Чем выше т-ра закваски, тем быстрее снижается ее рН: элияния т-ры теста на его рН не наблюдалось. При выдержке закваски в течение 2—4 час. при 35° рН ее

уменьшается (с 4,75 до 4,00), что влияет и на эластичность мякиша. Величина рН смешанного (ржанопшеничного) хлеба возрастает с увеличением в смеси пшеничной муки. Установлено, что в пшеничном тесте величина рН снижается скорее при меньшей задаче дрожжей в опару. рН пшеничного хлеба выше, чем рН теста, из которого он выпечен. А. Емельянов

13855. К определению пропионата кальция в ржаном хлебе. Древс (Zur Bestimmung von Calciumpropionat im freigeschobenen Roggenbrot. Drews E.), Brot und Gebäck, 1956, 10, № 7, 156 (нем.)
См. также РЖХим, 1956, 49218.

См. также РЖХим, 1956, 49218.
13856. Исследование хлеба и хлебо-булочных изделий методом хроматорафии на бумаге. Сообщение 2.
Обнаружение летучих кислот. Древс (Papierchromatographische Untersuchungen an Brot und Backwaren. 2. Mitteilung. Nachweis flüchtiger Säuren. Drews E.), Brot und Gebäck, 1955, 9, № 3, 45—47

Рекомендуется метод хроматографии на бумаге для идентификации летучих жирных к-т в хлебе (муравыной, уксусной, пропионовой, масляной). Из эфирной вытяжки хлеба, подкисленного 10%-ной Н₂SO₄, удаляют омылением жиры и дистиллящией получают смесь летучих к-т, которые определяют на фильтровальной бумаге Шлейхер и Шюлль № 204 b при помощи различных проявителей(напр., бромкрезоловый зеленый и др.). Отмечается пригодность метода для одновременного обнаружения консервирующих в-в в хлебе. Приводится детальное описание метода и схема установки для дистилляции летучих к-т. Сообщение і см. Getreide und Меhе, 1953, 3, № 11, 85—88; № 12, 90—91. Г. Канеман 13857. Таблица пороков хлеба для оценки его качест

13857. Таблица пороков хлеба для оценки его качества. III у л ь ц (Die Brotfehlertabellei zur Vereinfachung der Brotbeurteilung. Schulz A.), Brot und Gebäck, 1956, 10, № 7, 146—147 (нем.)
Предлагается 30-балльная схема оценки качества

Предлагается 30-балльная схема оценки качества хлеба, в которой на форму и объем хлеба отведено 3, на качество корки 3, мякника 12, свойства при разрезании 2, вкус 8 и градус кислотности 2 балла. При общей оценке в 27—30 баллов хлеб признается очень хорошего, при 24—26 баллах хорошего, при 21—23 баллах посредственного, <21 балла очень посредственного качества. Подробно рассмотрены пороки хлеба, сикжающие балльную оценку по всем показателям качества.

A. Емельянов 13858. Глубокое замораживание мелких хлебобулочных изделий. Штефан (Tiefkühlung von Weizenkleingebäck. Stephan H.), Brot und Gebäck, 1956, 10, № 7, 148 (нем.)

Указания по замораживанию, хранению и размораживанию. См. также РЖ Хим, 1956, 80027. А. Емельянов 13859. Хлебные изделия на химических разрыхлителях. Харки и (Powder aerated goods. Нагкіп W m.), Australas. Baker and Millers J., 1954, 57, № 692, 86—89 (англ.)

Даны рецептуры и способы приготовления малиновых, кофейных, миндальных, вишневых и других сладких булочек на хим. разрыхлителях Г. Канеман 13860. Предупреждение усадки печеныя струцель. Д ёр и е р (Мавлаhmen zur Verhütung des Setzens von Streuselkuchen. D ö r n e r H.), Brot und Gebäck, 1956, 10, № 7, 149 (нем.)

См. РЖХим, 1956, 49227. 13861. К исследованию миндальных пряников. Менгер (Bemerkungen zur Untersuchung von Elisenlebkuchen. Menger A.), Brot und Gebäck, 1956, 10, № 7, 149—151 (нем.)

Приводятся расчеты для определения содержания муки, миндаля и орехов при различном содержании влаги в миндальных пряциках. А. Емельянов

13862. Формование конфет выдавливанием. Мейхью (Extruding candy. Мауће w James E.), Manufact. Confectioner, 1956, 36, № 4, 23—24

Описывается способ изготовления кондитерских изделий на шнековых прессах различных конструкций путем выдавливания конфетной массы. Производительность машин от 90 до 900 кг/час. Указываются рецептуры и способ подготовки.

А. Цыбульский 13863. Определение молочных продуктов в шоколаде

863. Определение молочных продуктов в шоколаде и других пищевых продуктах методом хроматографии на бумаге. Цербулие (Detection of milk products in chocolate and other foods by paper chromatography. Сег b u l i s J.), Rev. internat. chocolat, 1955, 10, № 9, 342, 344—346 (англ., франц.)

Описан метод, основанный на определении лактозы. Пятна испытуемого 5—8%-ного р-ра диам. 5—7 мм наносили на фильтровальную бумагу Ватман № 1. В качестве р-рителя применяли смесь бутанол-пиридинвода (3:2:1,5). Через 24—48 час. бумагу подсупива-ли, промывали эфиром, обрабатывали соответствующими р-рами и подогревали. 0,5 г п-анизидина в 3 мл 85—88%-ной фосфорной к-ты разбавляли 100 мл 80%-ного метанола. Полученным р-ром обрабатывали полоски бумаги и выдерживали их в течение 5 мин. при 100°. Кетозосолержащие сахара проявлялись в виде желтых пятен, все другие сахара— коричневых. 2 г трифенилтетразолхлорида растворяли в 100 мл воды и смешивали со 100 мл 1 н. NaOH. Обработанные этим р-ром полоски бумаги выдерживали в течение 5—10 мин. при 70°, промывали водой и сушили на воздухе. Редуцирующие сахара проявлялись в виде красных пятен. Этим методом легко определить коровье масло топленое и сливочное, цельное и снятое молоко в порошке, сухие сливки, пахту и сыворотку, добавленные в шоколад, жиры и другие продукты даже А. Орлов в небольших кол-вах.

3864. Оборудование для кондитерских фабрик и хлебозаводов и его эксплуатация. 1, 2, 3, 4, 5, 6. Влиние оборудования и вентиляции на процессы разложения инщевых продуктов и появление плесени. И и с и м а (シ東製パン工場の理想的設備とその運營法. 1. 工場の設備並に通風と鴨敗. 徽の關係(シ東製パン工場の理想的設備とその運營法. (二,三,四,五六)、飯島友治)、製菓製パン、 Сайка сайпаи, Вакіпд апd Confection, 1955, 21, № 6, 70—74; № 7, 122—123; № 8, 126—127; № 9, 92—94; № 10, 88—89; № 11, 92—93 (япон.)

13865. Вкусовые и ароматические добавки в кондитерских изделиях. Яновский (Flavor additives in candy. Janovsky Harold), Amer. Perfumer and Essent. Oil Rev., 1955, 65, № 6, 70, 72

Рассматривается вопрос о хим., ароматич. и вкусовых в-вах, используемых в пищевой пром-сти в качестве добавок, с точки зрения их токсичности. В. Н.

13866. К вопросу об истории применения вкусовых веществ. К ё й п е р (Enkele heschouwingen betreffende de geschiedenis der smaakstoffen. K u i р е г L.), Cacao, chocolade, suikerwerken, 1955, 23, № 7, 263—266 (голл.)

Доклад на конгрессе работников кондитерской пром-сти в Амстердаме. Г. Н.

13867. Изучение возможности использования в плодоовопной промыпленности плодов земляничного дерева Arbutus unedo L. Шульц, Кведер, Xоргас (Prilog poznavanju ploda maginje (Arbutus unedo L.) i mogućnosti njegove primjene u voćnoj industriji. Šulc D., Kveder H., Horgas D.), Kemija u industriji, 1956, 5, № 6, 113—117 (сербохорв.; рез. франц., англ., нем.)

Изучен хим. состав и технологич. качества плодов. Показано, что плоды обладают высоким содержанием

сухих в-в (28,2%), сахаров, пектина, являются богатым источников витаминов (тиамина, рибофлавина, никотиновой и аскорбиновой к-т), железа и минер. солей, что делает их ценным пищевым продуктом. Технологич. испытание показало, что плоды земляничного дерева можно с успехом использовать для приготовления варенья и джемов, особенно в смеси с другими плодами (земляника, абрико ы и др.). Благодаря высокому содержанию пектиновых в-в (1,32%) плоды являются хорошей основой для приготовления джемов и желе. Т. Сабурова

13868. Органические кислоты персиков. Дейвид, Лу, Мар m (Organic acids in peaches. David J. J., Luh B. S., March G. L.), Food Res., 1956, 21, № 2, 184—194 (англ.)

Методом хроматографии на бумаге и на силикателевой колонке изучено изменение состава органия, к-т некоторых сортов персиков с отделяющейся и неотделяющейся косточкой в период развития и созревания плодов. Показано, что основными к-тами персиков являются лимонная, яблочная и хинная; возможно присутствие уксусной, аспарагиновой, слизевой гадактуроновой к-т. Общая титруемая кислотность и конц-ия лимонной и яблочной к-т увеличивается по мере развития плодов и уменьшается по мере созревания. Для сортов персиков с неотделяющейся косточкой характерно при созревании более быстрое убывание лимонной к-ты по сравнению с яблочной. В консервной стадии зрелости отношение яблочной к-ты к лимонной для персиков с неотделяющейся косточкой равно 6,0, а для персиков с отделяющейся косточкой равно 2,0. Т. Сабурова

13869. Сравнение результатов газового хранения яблок с холодильным и обычным хранением. Ланфаль (Lagringsforsøk med epler 1948—1952. Gasslagring sammenlikna red lagring i kjølelager og ventilert lager. Landfald Rolf), Forskn. og forsøk landbr., 1956, 7, № 3, 205—255 (норв.; рез. англ.)

Изучена возможная длительность хранения яблок в холодильной камере при 1° и 4-5°, при тех же т-рах в атмосфере, содержащей различное кол-во СО2 и О2, и в обычных вентилируемых плодохранилищах, охлаждаемых наружным воздухом. Т-ра колебалась в пределах 1—12°. Опыты проводили с 5 сортами яблок в течение 3-8 месяцев. Скорость дозревания яблок в процессе хранения характеризовали определением жесткости на прокол, кислотностью и содержанием растворимых сухих в-в. Показано, что газовое хранение во всех случаях замедляет дозревание плодов и уменьшает потерю в весе. В атмосфере, содержащей 10% CO₂ + 11%O₂, созревание плодов протекает быстрее, чем при 5% CO₂ + 3%O₂. При прочих равных условиях, чем выше т-ра хранения, тем быстрее дозревание. Газовое хранение уменьшает поражаемость плодов плесневыми грибками, но увеличивает поражаемость загаром. Наименьшая порча плодов имеет место при хранении в вентилируемых плодохранилищах. Приведены подробные данные сохраняемости отдельных сортов яблок. Т. Сабурова 13870.

870. Опыты 1954—1955 гг. по сохраняемости яблок сорта «босконский красавец». Ульрих, Леблон (Expériences de 1954—1955 sur da conservation de la pomme Belle de Boskoop. Ulrich R., Leblond Cl.), Rev. gén. froid, 1956, 33, № 2, 139—145 (франц.)

Изучено влияние упаковки на сохраняемость яблок; опыты проводили с сортом «боскопский красавец», подверженным загару. Проведены три серии опытов при 4°. В результате 7-месячного хранения установлено, что упаковка в бумагу типа папиросной увеличивает потерю в весе плодами, что способствует пожелтению,

MLITE

HINO.

лей. огич. рева

na-

пами

KOMV

ются

келе.

рова

вид, J. J.,

, 21.

геле-

. K-T

отле-

вания сиков

OHERO

гала-

нп-ня

Mene

ания.

очкой вание

iceps-

имон-การกา

очкой

урова

нения

Лан-

lelager

orskn.

норв.;

яблок

ех же

30 CO2

ищах.

балась

яблок

яблок

пением

RAHHAM

одов и

жащей

быстравных

дозреемость ражаеместо

лищах.

имнап.

бурова

ти яб-

ьрих,

conser-

h R., № 2,

яблок;

савеп»,

ОПРІДОВ

овлено,

ичивает

птению,

а также появлению темных пятен. Промасленная бумага уменьшает потери в весе, но в условиях опыта плохо защищает плоды от потемнения и сообщает плоду по-сторонний запах (особенно арахидное масло). Алюминиевая фольга содействует появлению пятен и сообщает плолам неприятный посторонней запах. Полиэтилен задерживает появление пятен, но препятствует развитию аромата плодов; по выходе из холодильной камеры плоды быстро темнеют. В. Павлова

Некоторые опыты холодильного хранения яблок сорта «ренет канадский» (1954—1955 гг). Ульрих, Леблон, Полен (Quelques expérien-ces sur la réfrigération des pommes de la variété Reinette de Canada. (Année 1954—55). Ulrich R., Leblond Cl., Paulin A.), Rev. gén. froid, 1956, 33, № 4, 339—342 (франц.)

Изучалось влияние относительной влажности воздуха на поведение яблок сорта «ренет серый канад-ский», помещенных в термостатную камеру при 4° с постоянным притоком свежего воздуха в кол-ве 5 л в 1 мин. Средняя относительная влажность воздуха для трех партий составляла соответственно: 87, 93, 100% (насыщение). После 5—5,5 месячного хранения сохранность яблок урожая 1954 г. была ниже, чем в предыдущем году, что было связано с метеорологич. условиями лета 1954 г. Установлено, что 90%-ная влажность воздуха является оптимальной, а атмосфера, насыщенная влагой, гибельна для плодов. Исследова-лась сохраняемость яблок при + 4° в полиэтиленовых пакетах с толщиной пленки 0,05 и 0,12 мм. В противоположность данным 1953 г., положительным для полиэтиленовых пакетов с пленкой толшиной 0.05 мм. при опытах с урожаем 1954 г. в обоих случаях получили

отрицательные результаты. В. Павлова 13872. Влияние способов упаковки на сохраняе-мость цитрусовых плодов. Позинети (Nuovo contributo allo studio delle «dermatosi» degli agrumi in rapporto all'ambiente di conservazione. P a si n e t-ti L.), Ann. fitopatol., 1954, 2, № 5-6, 159-183

(итал.; рез. англ.)

Проведены опыты по хранению цитрусовых плодов в картонных ящиках, обработанных внутри фунгицидами; в картонных ящиках с отверстиями для вентиляции; в обыкновенных деревянных ящиках. Показано, что обработка тары фунгицидом не предохраняет плоды от порчи. Картонные ящики при достаточном кол-ве отверстий для вентиляции вполне могут заменить деревянную тару. Герметичная упаковка оказывает на плоды отрицательное влияние. Т. Сабурова

Применение рентгеновских лучей для отбора апельсинов, поврежденных морозом. Маньяно-ди-Лио (Applicazione dei raggi X nella selezione degli colpiti da gelo o da altre cause determinanti asciugamento. M a g n a n o di S. Lio Alfio), Tecn. agric., 1956, 8, № 1—2, 61—63 (итал.) Описан способ распознавания апельсинов, поврежденных морозом. Дается указание, как по внешнему

виду определить, коснулось ли повреждение только кожуры или проникло до мякоти плода. Рекомендуется использовать для отделения замороженных плодов просвечивание и указана техника использования пере-М. Денисова носного аппарата.

Снятие кожицы с яблок методом инфракрасного облучения. Асселберге, Поури (The peeling of applex with infra-red radiation. Assel-

bergs E. A., Powrie W. D.), Food Technol., 1956, 10, № 7, 297—298 (англ.)
Описан опыт удаления кожицы термич. способом путем нагревания яблок инфракрасным облучением в спец. туннеле с электронагревом. Яблоки проходили через туннель на транспортере, насаженные на шипы в висячем состоянии. Т-ра туннеля 660-830°, продол-

жительность нагревания 9-30 сек. Отходы при очистке яблок составляли в среднем 2,5% вместо обычных 15—18%.

Т. Сабурова
13875. Сушка нижира. Ребур (Le séchage des figues. Rebour H.), Rev. agric. Afrique Nord, 1956,
54, № 1930, 778—779 (франд.)

Практические советы по уборке инжира, его сортировке, мойке, сульфитации и другим подготовитель-ным процессам, а также сушке, которую рекомендуется проводить не более трех дней на солние, а затем в тени. что обеспечивает высокое качество сущеного инжира.

Влияние условий хранения на содержание аскорбиновой кислоты в варенье из черной смородины. Hурднес (Askorbinsyrens holdbarhet i solbaersyltetøy ved forskjellige lagringsforhold. Nordnes Thora), Tidsskr. hermetikind., 1956, 42, № 9, Thora), Tidss. 355—358 (норв.)

Изучено содержание аскорбиновой к-ты в варенье, хранившемся при 2—4° и 12—20° в герметичной стеклянной таре и в пленке. из пластиката Герметичная тара и пониженная т-ра задерживали разрушение аскор-

Влияние различных сахаров на качество замороженной земляники, предназначенной для варки мороженной землиния, предназначений дли варки варенья. Ареф, Сидуэлл, Литуиллер (The effects of various sweetening agents on frozen strawberries for preserve manufacture. Aref M., Sidwell A. P., Litwiller E. M.), Food Technol., 1956, 10, № 7, 293—297 (англ.)

Описаны опыты по изучению влияния различных сахаров, добавляемых при замораживании земляники. на качество получаемого из нее варенья. Ягоды смешивали с чистой сахарозой, чистой кристаллич. глюкозой, гранулированным сахаром, полученным из кукурузной патоки, и смесью указанных сахаров. Отношение ягод к сахарам составляло 4:1; 6:1; 9:1. Ягоды смешивали с сахаром вручную или засыпали сахаром сверху. Ягоды замораживали и хранили при — 18°. Через 3 и 6 месяцев хранения производили опытные варки ренья, добавляя по рецептуре сахарозу и пектин. Показано, что внешний вид дефростированных ягод и их вес зависит в основном от кол-ва добавленного сахара и от способа смешения ягод с сахаром, а не от вида сахара. При прочих равных условиях, при добавлении сахарозы вес получается больше, а внешний вид ягод и вкус варенья лучше, чем при добавлении других Т. Сабурова Замораживание плодов и овощей. Ч о б а и у, сахаров. 13878.

Кришан (Congelarea fructelor şi legumelor. Ciobanu Aurel, Crisan Lidia), Rev. ind. aliment. prod. vegetale, 1956, № 5, 1—5 (рум.) О производстве цитрусовых соков в Марокко. Hatpon (Quelques reflexions sur les procédés de préparations des jus d'agrumes en usage au Maroc. Patron A.), Fruits et prim. Afrique Nord, 1956,

26, № 277, 132—134 (франц.)

Извлечение сока производится вручную без калибровки апельсинов, причем опасность попадания в сок эфирного масла сводится к минимуму. В связи с при-сутствием кислорода (в кол-ве 30—50 см³ на 1 л) сок подвергается деаэрации. Пастеризация нагреванием сока в теплообменниках до 92-95° в течение 20—30 секунд и быстрым охлаждением до 70—85°. Для расфасовки соков преимущественно используют тару из белой жести, обработанной холодным способом, несмотря на вредное влияние, которое оказывают на жесть соки с высоким содержанием к-ты. Применение лакированных баков себя не оправдывает.

Некоторые вопросы технологии производства виноградного сока. Кордонье (Quelques aspects

de la technologie du jus de raisin.C o r d o n n i e r R.), Progr. agric. et vitic., 1956, 146, № 31, 70-78 (франц.) Рассматриваются различия в технологии произ-ва виноградного сока и виноградного сусла. Для виноградного сока выбираются другие сорта винограда, причем различаются сорта, дающие сок для непосредственного потребления («пино», «кариньян», «аликанте» идр.), и сорта, дающие сок, предназначаемый для купажа («мускат», «мускатель», «клинтон» и др.). Для произ-ва сока виноград снимается несколько недозрелым. Оптимальным считается содержание в соке сахара 17,5-20% и к-ты (в пересчете на серную) 0,39-0,45% (отношение сахара к к-те ~45). Во избежание сильного обсеменения винограда микроорганизмами и особенно дрожжами рекомендуется избегать повреждения ягод во время сбора винограда, транспортировки и т. п. и проводить мойку сырья, что не практикуют в виноделии. Отмечено, что для стабилизации сока в течение 6 месяцев достаточно 0.012% свободного SO₂ летом и 0,007% зимой. В. Павлова

пероксидазы при нагревании Разрушение овощей. Эсселен, Андерсон (Thermal destruction of peroxidase in vegetables at high temperatures. E s s e l e n W. B., A n d e r s o n E. E.), Food Res., 1956, 21, № 3, 322—325 (англ.)

Изучена устойчивость по отношению к нагреванию при 100, 121 и 143° пероксидазы (П) пекоторых свежих овощей. Отсутствие активности П проверяли непосредственно после нагревания овощного сока и после его последующей выдержки при 1,7° в течение 2—7 дней. Показано, что для одних и тех же овощей нагревание, потребное для защиты от последующего восстановления активности П, должно быть в несколько раз продолжительнее, чем для получения отрицательной пробы на П непосредственно после нагревания. Наиболее термоустойчивой оказалась П фасоли, брокколи и турнепса, наименее термоустойчивой у - свеклы, моркови, пастернака. У разных образцов одних и тех же овощей разница в термоустой-Т. Сабурова отмечается значительная чивости П. Сушка бататов: влияние продолжительности

и температуры хранения на органолептические показатели сущеных бататов. Ламбоу (Sweet potato dehydration: time and temperature of storage related to organoleptic evaluations. Lambou M.G.), Food Technol., 1956, 10, № 6, 258—264 (англ.)

С целью выявления наиболее подходящих для сушки сортов бататов и разработки оптимальных условий хранения сырья проведена широкая органолептич. оценка сушеных бататов. Показано, что качество сушеных бататов зависит от т-ры хранения клубней (допустимая т-ра хранения 15-24°) и в меньшей степени от продолжительности их хранения (максим. допустимый срок хранения 5 месяцев). Т-ра и длительность хранения сушеного продукта мало отражаются на его ка-WACTRO. Т. Сабурова

13883. Метод прямого подсчета обсемененности смывов с овощной фасоли. Мандт (The direct microscopic enumeration of bacteria in the washings of green beans. Mundt J. Orvin), Food Res., 1956, 21, № 1, 21—26 (англ.)

Проверена методика прямого подсчета под микроскопом кол-ва микроорганизмов в окрашенных мазках смывов с овощной фасоли применительно к санитарнобактериологич. контролю холодильного Показано, что наиболее подходящим красителем для овощной фасоли является кристаллинолет; продолжительность окрашивания мазка 5 мин. Ввиду присутствия на фасоли энифитной микрофлоры, указанный метод определения общей обсемененности не является показательным для суждения о санитарном состоянии предприятия. Т. Сабурова

Брожение при квашении капусты. И е д е р-13884. сон (Sauerkraut fermentation. Pederson Carl S.), Food Packer, 1956, 37, № 6, 26, 28, 31 (англ.)

В производственных условиях изучено влияние т-ры на брожение квашеной капусты (К). Из опытов выдерживания К в дошниках в неотапливаемом помещении и в отапливаемом (21°), установлено, что т-ра ускоряет сквашивание. К, заложенная в дошники в теплые дни сентября, сквашивалась скорее, чем загруженная в холодные дни октября. Загруженная в теплую погоду и выдерживаемая в неотапливаемом помещении К сквашивалась в те же сроки, что и находившаяся в отапсквашивалась в тежесроки, то и насодильных помещениях. Рекомендовано выдерживать кочаны К перед загрузкой на сквашивание в условиях комнатной температуры.

В. Гурни 885. О качестве квашеной капусты. Педер-сон, Олбери, Робинсон (Sauerkraut quali-

ty. Pederson Carl S., Albury Margaret N., Robinson Willard B.), Food Packer, 1956, 37, № 7, 28, 39 (англ.)

Обсуждение вопроса об установлении требований к качеству квашеной капусты, выпускаемой в стеклянных консервных банках с жестяной крышкой. На основании органолептич. исследования и физ.- хим. ана-лизов (определяли кислотность, NaCl, аскорбиновую к-ту, цветность) установлено, что основными показателями качества капусты являются: отношение между кол-вом NaCl и кислотностью (К), содержание аскорбиновой к-ты и цветность. Особенно большое значение авторы придают коэфф. К. Найдено, что капуста, получившая оценку выше 87 баллов, имела К = 1,10 — —1,46; у образдов среднего качества (82—87 баллов) К было >1,50 и <1,10; у образдов плохого качества (<82 баллов) К = 2,11—2,37. Приведены сравнительные данные качества капусты, выпущенной в США за 1932, 1940 и с 1953-55 гг. В. Гурни Изучение консервированного хрена.

Влияние некоторых веществ на процесс хранения консервированного хрена. Кодзима (わさび漬に 陽する研究. 第2報. 各種薬劑添加による影響. 小鳥操), 酵醸工學雑誌. Хакко когаку дзасси, J. Ferment. Technol., 1954, 32, № 10, 389—391, 37—38 (япон.; рез. англ.)

Для сохранения аромата и вкуса консервированного хрена (КХ) в течение длительного времени к КХ прибавпяли: Nа-соль дегидрацетовой к-ты, молочную к-ту, уксусную к-ту, витамин К (I), сульфаминовую к-ту, β-нафтол, витамин С, фраскин. Из числа этих в-в I и молочная к-та предохраняли КХ от испарения из него аллил-горчичного масла (II) во время хранения КХ в открытом или закрытом виде. Автор прибавлял к синтетич. II салициловую к-ту, I, бутил-n-оксибензоат, Na-соль дегидрацетовой к-ты. Из них I предохранял в известной степени испарение масла при открытом хранении, а при хранении в закрытом виде масло почти не изменялось. Часть І см. РЖХим, 1956, 49246. Л. Михельсон Технические достижения в молочной промыш-

ленности. Джонсон (Contributions of industrial research in dairy manufacturing. Johnson Arnold H.), J. Dairy Sci., 1956, 39, № 6, 804-811 (англ.) Обзор развития технологич. методов в молочной пром-сти (произ-во молока, масла, сгущенного и сухого молока, сыра, мороженого, использование отходов).

13888. Новейшие достижения в производстве питьевого молока. Беднарчик (Najnowsze osiągnięcia w zakresie produkcji mleka spożywczego. Bednar-czyk Władysław), Przegl. mleczarski, 1955, 3, № 9, 17—18 (польск.)

Описаны новейшие методы транспортировки, приемки и пастеризации молока. З. Ф. p-

31

ы

ии

er

HH

-07 ду

III-

ATL

ни

p -

ali-

a -

boo

ии

ян-HO-

на-

ую

13a-

кду

би-

лу-

) —

IOB)

< 82

ные 932,

рни

(II).

ния

遺に

燥),

ent.

он.;

Horo

бав-

ту,

вую

хите ния виня

ялк

BOAT.

ял в

ане-

е из-

ьсон

нш-

strial Ar-

нгл.) **НОНР**

cyxo-

дов).

янов

итье-

ięcia ar-1955,

овки, 3. Ф.

Об унификации терминологии в молочной промышленности. Градомский (O ujednolicenie słownictwa w mleczarstwie. Gradomski Wac-ław), Przegl. mleczarski, 1955, 3, № 9, 2—3; Дискуссия, № 12, 20-21 (польск.)

8890. Швейцарский федеральный институт молочной промышленности. Кестли (Recent advances in dairy science and technology by the Swiss Federal Institute for dairy research, Liebefeld / Bern. Kästli P.), Dairy Inds, 1955, 20, № 9, 735—740

Обзор методов исследования молока. Библ. 24 назв.

E. 3K. Исследования в области переработки молока, проведенные Департаментом земледелня США. [1895—1956 гг.]. Ходжсон (Dairy production research in the United States Department of Agriculture. Hodgson R. E.), J. Dairy Sci., 1956, 39,

№ 6, 674-682 (англ.)

Ультразвуковые волны и перспективы их применения в молочной промышленности. Галеслот (Ultra-geluidsgolven en de mogelijke toepassing ervan in de zuivelindustrie. G a l e s l o o t T h. E.), Nederl. melk-en zuiveltijadschrift, 1955, 9, № 1, 88—106 (голл.; рез. англ.)

Обзор литературы по влиянию ультразвуковых волн (УВ) на бактерии, бактериофаги, вирусы, дрожжи и ферменты с описанием аппаратуры. Рассматриваются работы, касающиеся бактерицидного действия УВ в цельном и гомогенизированном молоке и сыре, а также их влияния на витамины С, В₂ и В₁. Библ. 70 назв.

Радионзотопы в исследовании молока. Л а г они, Мертен (Radioisotope in der Milchforschung. Lagoni H., Merten D.), Molk.-und Käser.-Ztg 1956, 7, № 19, 593—594 (нем.)

Описано применение радиологич. методов, в частности меченых электролитов и авторадиографии, в исследованиях молока и молочных продуктов. С помощью радиологич. методов установлена тесная взаимосвязь между структурой масла и его стойкостью, объяснена сущность р-ций порчи в молоке и молочных вызванных действием металлов хранении, изучено действие моющих средств и др. Е. Жданова

894. О качестве молока. [Франция]. Гиларди (La question du lait. Ghilardi F.), Rev. prat. froid,

1955, 11, № 23, 69—72 (франц.)

895. Питательная ценность молока. Русов (The miracle of milk. An important message for people of all ages. Rusoff L. L.), J. Dairy Sci., 1955, 38,

№ 9, 1057-1068 (англ).

Рассматривается роль молока в питании человека, в частности в детском и диетич. питании. Приведены хим. состав молока различных животных, калорийность, питательная ценность и витаминность молока и молочных продуктов и существующий в настоящее время в США ассортимент. Библ. 69 назв. В. Новикова Некоторые наблюдения о соотношении между

содержанием жира и обезжиренного сухого вещества молока. В и льсо и (Some observations on the relationship between fat and solids-not-fat contents of milk. Wils on W. K.), Austral. J. Dairy Technol., 1954, 9, № 4, 148—150 (англ.)
В 1952—1954 гг. ежемесячно исследовалось молоко

9 гернзейских, 25 айрширских, 37 фризских, 113 джерсейских коров и 163 коров смешанных пород. Исследовано 9716 образцов. Определение жира производилось методом Бебкока; сухого обезжиренного в-ва — при помощи лактометра. Для выявления фальсификации определяли точку замерзания каждой пробы молока. Для некоторых пород содержание жира не вполне

коррелирует с содержанием сухого обезжиренного Л. Карунина Проблема содержания сухого обезжиренного

остатка в молоке. Прован (The solids-not-fat problem. Provan L. A.), Austral. J. Dairy Technol., 1955, 10, № 3, 127—139 (англ.)

Приведены результаты обработки массовых анализов молока на содержание жира и сухого обезжиренного в-ва (СОВ), проведенных в Англии в 1947-1952 гг. в связи с тем, что миним. жирность по стандарту пред-полагается установить 3%, а СОВ 8,5%. Результаты показывают, что в отношении молока жирномолочного скота этот вопрос затруднений не встречает, но для скота со средней годовой жирностью молока скота со средней годовой жирностью молока значительное число образцов содержало СОВ <8,5%. Г. Титов

Опыт и результаты определений содержания белка в молоке 1500 коров в Шлезвит-Содыптинии в течение года. Маркман, Хингст (Erfahrungen und Ergebnisse einer einjährigen Untersuchung des Eiwei ßgehaltes der Milch von 1500 ganzjährig kontrollierten Kühen in Schleswig-Holstein. Marckmann E., Hingst G.), Milchwissenschaft, 1956, 11, № 5, 169—176 (нем.)

Небелковые азотистые соединения молока. Часть III. Влияние различной термической обработии. Венкатаппая, Басу (Non-protein nitroge-nous constituents of milk. Part III. Effect of different heat treatments. Venkatappaiah D., Вази К. Р.), Indian J. Dairy Sci., 1955, 8, № 1, 1—8 (англ.) Коровье и буйволиное молоко подвергали следующей термич. обработке: пастеризации при 62,5° в течение 30 мин., пастеризации при 75°-15 сек., нагреванию до т-ры кипения и кипячению 30 мин. Ни один из видов обработки не вызывал изменений общего азота. Пастеризация оказывала влияние на небелковый азот. При кипячении небелковый азот и азот аминокислот не изменялись, содержание азота мочевины и мочевой к-ты понижалось при увеличении содержания аммиачного азота, причем эти изменения незначительны при

доведении молока до кипения и увеличивались при кипячении 30 мин., составляя соответственно снижение с 9,96 до 8,47, с 0,314 до 0,265 и повышение с 0,20 до 0,417 мг на 100 мл. Общее содержание азота креатина оставалось без изменений, но при кинячении 30 мин. незначительное кол-во креатина превращалось в креатинин. Уменьшение мочевины, наряду с увеличением аммиака, позволяет предполагать возможность распада части мочевины с образованием амминска и планистой к-ты. Часть II см. Indian J. Dairy Sci., 1952, 5, 95. В. Новикова

Центральные пункты для охлаждения молока. Anke (Les centres de groupage pour le refroidissement du lait à la production. An quez Michell, Génie rural, 1955, juillet-août, numéro spécial,

281-284 (франц.)

Стационарные пункты, рассчитанные на 400-500 л молока в сутки, строят в центре расположения производителей молока. Поступающее молоко охлаждается путем погружения фляг в бак с водой при 1—5°, орошения их или же циркуляции молока по трубам, погруженным в воду. Вода подается из холодных водоемов или охлаждается льдом. Подвижные пункты монтируются на одноосном автоприцепе с оросительной системой охлажде-А. Орлов 13901.

9901. Об охлаждении молока в условиях молочных ферм. Сипиля (Maidon jäähdytyksesta maatiloil-la. Sipilä Martti), Karjatalous, 1956, 32, №5,

125—128 (фин.)

Описаны различные типы молокоохладителей: рота-ционный, ванный, трубчатый, холодильный танк, холодильные шкафы и т. д. На американских фермах отдельного холодильного помещения нет. Молоко охлаждают в холодильных шкафах или танках. Часто молоко поступает непосредственно из доильной машины в холодильный танк. Из холодильного танка молоко перекачивают в автоцистерну для перевозки.

М. Тойкка Возможность усовершенствования гомогенизации. Данкли, Брокмейер (Can homogenization de improved? Dunkley W. L., Brockmeyer R. L.), Amer. Milk Rev., 1955, 17, № 4, 50-52, 54 (англ.)

Оценка эффективности гомогенизации лишь по дисперсности жировых шариков считается недостаточной. При модернизации гомогенизаторов предлагается учитывать изменения физ.- хим. свойств молока, в частности вязкости, стойкости к нагреванию и др. Г. Титов 13903. Предложения, обеспечивающие эффективную пастеризацию молока. Лампе (Vorschläge zur Sicherung der Milchpasteurisierung. Lampe Bern-hard), Arch. Lebensmittelhyg, 1955, 6, № 7-8,

78-83 (нем.) 13904. 904. Уперизация. Ланьесс (L'upérisation. Laniesse P.), Lait, 1955, 35, № 343—344,

151-158 (франц.)

Уперизация (ультрапастеризация) — метод непрерывной стерилизации молока в течение 0,75 сек. при 150° непосредственно паром под давл. 10-13 кг/см2. Молоко и пар в уперизаторе находятся в вихревом движении. При этом возникают ультразвуковые волны, бактерицидно действующие на микрофлору молока. Для предупреждения разрушения витамина С и появления прогорклого привкуса молоко перед уперизацией фильтруют, нагревают в трубчатом теплообменнике до 50° и под вакуумом на 80—90% освобождают от воздуха и от кислорода. Вновь подогревают до 80-85° во втором отделении теплообменника и направляют в уперизатор. После уперизации молоко поступает в сосуд при атм. давлении, где оно, расширяясь, освобождается от сконденсировавшегося в нем пара. За счет этого испарения понижается т-ра молока и его кислотность. Специальное приспособление гомогенизирует молоко, затем молоко поступает в охладитель, а из него в бак иля хранения. Вся система абсолютно герметична и стерильна. Установка на 5000 л/час расходует в час 900 кг пара, 5000 л воды с т-рой 20° и 13 кет-ч электроэнергии. Возвращаемое тепло нагревает 7000 л воды с 20 до 65° за 1 час. Уперизованное молоко в герметичной упаковке сохраняется длительное время и может транспортироваться без охлаждения на длительные расстояния. Масло из уперизованных сливок обладает высоким качеством и устойчиво при хранении.

А. Орлов 905. Уперизация молока. — A uperização do leite.—), Rev. mens. inds brasileiras, 1955, 23, № 264,

60-62 (порт.)

Описана технология мгновенной пастеризации молока. Приведена схема процесса.

Приспособление для отбора и быстрого охлаждения проб молока из пастеризационной установки. Кауфман, Тобайас, Уэйнесс (A device for collecting and rapidly cooling samples from hinghtemperature short-time heating units. Kaufmann O. W., Tobias J., Wainess Harold), J. Dairy Sci., 1955, 38, № 6,645—650 (англ.)

Описаны способ и приспособление для отбора проб молока в процессе работы пластинчатой пастеризационной установки и быстрого охлаждения образцов в целях повышения точности бактериологич. анализа. Дан метод оценки скорости и эффективности охлаждения проб. В. Страхов Вопросы контроля качества молока. Стур-

горде (Problemet «kontrollmjölk». Storgårds

Torsten), Svenska mejeritidn., 1955, 47, № 51, 749—752, 755—757 (швед.)

Рассматривается организация хим. и бактериологич. контроля, обеспечивающего снабжение потребителя доброкачественным молоком. Приведены результаты анализов различно обработанного молока. Г. Н. 13908. Методы контроля в молочной лаборатории. Джексон (Control methods in the dairy laboratory.

Jackson E.), Lab. practice, 1955, 4, No 10,

405-410 (англ.)

Описание системы и методов контроля сырья, технологич. процессов и готовой продукции в лаборатории молочного завода в Бирмингеме. 13909. Опыты с таблетками «перфикс» при испытании

молока на свежесть. II фиценмайер (Erfahrungen mit der Perfixtablette bei der Frischeprüfung der Milch. Pfizenmaier Karl), Milchwirtsch., 1955, 2, № 10, 235—236 (нем.)

Опубликован способ определения свежести молока при помощи таблеток «перфикс». Проба дает возможность выявить молоко с повышенной или пониженной кислотностью при приемке молока. 1 таблетку растворяют в 1 л воды. При смешивании этого р-ра с молоком (1:1) молоко с кислотностью 15—18° Тернера давало нормально серую окраску, с кислотностью 22,5° Тернера серовато-желтую, нейтрализованное или ненормальное молоко — синеватый оттенок. В. Фавстова Сравнение результатов определения редуктазы в молоке с метиленовым голубым и с резазурином.

Блейер, Бранднер (Vergleich der Methylenblaureduktase mit der Resazurinreduktase. Bleier, Brandner), Österr. Milchwirtsch., 1955, 10, Brandner),

№ 9, 116-119 (нем.)

Приведены результаты сравнительных определений качества молока в 732 пробах по редуктазной пробе с метиленовым голубым (I) и с резазурином (II). В молоке, низкого качества, с коротким временем обесцвечивания I, изменение оттенка II установить легче. Установлено соотношение между временем обесцвечивания I и II пробой. Молоко, восстанавливающее I через 15 мин., обесцвечивало II также через 15 мин. Молоко, восстанавливающее I более чем через 5,5 час., не изменяло окраски II за 50 мин.

Применение 2,3,5-трифенилтетразолхлорида для обнаружения антибиотиков в молоке. Н и л, Konfept (The use of 2,3,5-triphenyltetrasolium chloride as a test for antibiotic substances in milk. Neal C. E., Calbert H. E.), J. Dairy Sci, 1955,

38, № 6,629-633 (англ.)

Разработан простой метод определения антибиотиков. Превращение 2,3,5-трифенилтетразолхлорида в формазан в результате жизнедеятельности бактериальных клеток, развивающихся в молоке, сопровождается изменением его окраски - молоко приобретает красноватый оттенок. В опытах с S. thermophilus присутствие в молоке антибиотиков при конц-ии в 1 мл: пенициллина 0,04 ед.; ауреомицина 0,2 ү; террамицина 0,25 ү стрептомицина 4,0 у тормозило цветную р-цию. Молоко следует пастеризовать перед внесением культур. В. Новикова

Посторонние примеси в молочных продуктах. Пикхейвер (Foreign matter in dairy products. Pickhaver G.S.), J. Dept Agric. S. Australia, 1955, 59, № 5, 185—191, 198 (англ.)

Описана методика проверки молока и молочных продуктов на чистоту и идентификации загрязнений. Ватный кружок после фильтрования молока высушивают, сравнивают с эталоном и по стандарту определяют молоко как «чистое», «удовлетворительное» или «загрязненное.» Молочные продукты растворяют в цитрате натрия, жидкость пропускают через фильтр, который высущивают и сравнивают с эталоном. При просмотре

51,

)ЛО-

ебиль-

H.

NN.

10,

-OH

рии

нии

run-

ung

sch.

юка

Юж-

ной

TBO-

ком

зало

Гер-

HOD-

гова газы

HOM.

len-

er.

10,

ний

робе

оке.

ния

пено

H II

ин.,

нав-

рас-Брио

рида

ил,

lium nilk. 955,

KOB.

рма-

ных ных

юва-

твие

лли-25 у

цию. ьтур.

кова

ктах.

ucts.

про-

ний.

пива-

ТОІВП

гряз-

грате

орый иотре высушенных фильтров под микроскопом быстро приобретается навык идентификации и определения источников загрязнений. Г. Титов

3913. Проверка молока методом «кольца» на приемных пунктах в Женеве. Новель (Qu'en est-il résultats obtenus par la méthode de l'anneau (Abortus-Bang-Ringprode) dans les laits de mélange genevois? Novel Emile, Mitt. Gebiete Lebensmetteluntersuch und Hyg., 1955, 46, № 2, 220—225 (Мранц., нем., англ.)

(франц., нем., англ.)
Метод агглютинации («кольцо») — простой и быстрый способ проверки молока (М) на бруцеллез: в пробирку днам. 6 мм помещают 1 мл М, взбалтывают, добавлиот одну каплю препарата АВК, вновь взбалтывают, ставят в термостат при 37° на 30 мин. При положительной пробе образуется темно-синее кольцо сливок над бесцветным М. При отрицательной пробе все М однородно-филлетового цвета. Чувствительность метода 1/500, т. е 1 л М от больной коровы на 500 л здорового М. Исследования сборного М обнаружили, что М от коров, подвергнутых вакцинации против бруцеллеза, также дает положительную р-цию при пробе на «кольцо». А. Орлов

13914. Определение фальсификации свежего молока добавлением сухого. Валье (La solubilisation de la caséine par l'ammoniaque: son utilisation dans la recherche des falsifications du lait frais par addition de lait en poudre. Vallier Georges), Lait, 1955, 35, № 347, 372—377 (франд.)

Рекомендуется модифицированный метод Мельера, основанный на растворимости казевна в аммиаке: смесь из 5 мл молока, 4 мл продажного аммиака, разбавленного на 50%, и 1 мл амилового спирта помещают на 90 мин. на водяную баню при 77,5°. Фальсификацию обнаруживают по интенсивности окраски и степени мутности образца при просвечивании. Дано описание аппарата, позволяющего с большой точностью определять кол-во добавленного сухого молока. В. Новикова 13915. Определение пенициллина в молоке и молоч-

ных продуктах. Галеслот (Het aantonen van penicilline in melken zuivelproducten. Galesloot Th. E.), Nederl. melk- en zuiveltijdschr., 1955, 9, № 2—3, 158—164 (голл.; рез. англ.)

Описаны 3 метода определения пенициллина (I) в молоке и молочных продуктах: 1) В 2 пробирки наливают по 15 мл молока, выдерживают на водяной бане 10 мин. при 80° ; в одну из пробирок вводят некоторое кол-во пенициллиназы, обе пробирки выдерживают 30 мин. при 37°, в каждую прибавляют по 0,1 мл культуры S. thermophilus (16-20 час., 37°) и 0,4 мл p-pa метиленового голубого (1 таблетка Блауенфельда и Тведе в 200 мл воды) и выдерживают при 45°, определяя время восстановления. Разница во времени указывает на присутствие І. 2) 30 мл кисломолочного продукта нейтрализуют 10%-ным р-ром NaOH до рН 6,8 и анализируют как молоко. Разработан особо чувствительный способ экстракции: 0,5 л продукта подкисляют до коагуляции, фильтруют, к 250 мл фильтрата прибавляют 15 мл колл. Fe, фильтруют, 250 мл фильтрата охлаждают ледяной водой, подкисляют H₂SO₄ до рН 2—3, экстрагируют 250 мл эфира, вытяжку промывают водой, подкисленной $\rm H_2SO_4$, упаривают до 2 мл, смешивают с 30 мл снятого молока, добавляют NaOH до рН 6,8, отгоняют эфир и анализируют как молоко. 3) 100 г сыра эмульгируют в 900 мл 0,1 н. Na₂CO₃, подкисляют Н₂SO4 до рН 4-4,5, фильтруют, к фильтрату прибавляют 100 мл колл. Fe, фильтруют, охлаждают в ледяной воде, подкисляют H₂SO₄ до pH 2—3, экстрагируют 500 мл эфира, промывают водой, подкисленной H2SO4, и упаривают до 2 мл. Ю. Вендельштейн Фотоэлектрический метод определения содер-

жания жира в обезжиренном молоке. И и с е ц к и й

(Fotometrická metoda ke stanovení tuku vodstředěnem mléce. Pisecky Jan), Průmysl potravin, 1955, 6, № 7, 335—339 (чеш.; рез русс., англ. нем.)

6. № 7, 335—339 (чеш.; рез русс., англ. нем.)
Разработан метод определения жира с точностью до 0,002% в молоке, содержащем 0,002—0,05% жира. К 5 мл молока добавляют 5 мл 0,25 н. NаОН, перемещивают, помещают в фотоколориметр с двумя фотоэлементами (тип Ланге) и по шкале прибора определяют величину экстинкции. По величине экстинкции, пользуясь графиком или таблицей, вычисляют содержание жира. Метод пригоден для производственного контроля сепарирования молока, при отборе молока для произ-ва казенна и других целей.

Е. Шнайдер 13917. О необходимости санитарного контроля молока

13917. О необходимости санитарного контроля молока и молочных продуктов. Петерс (Über die Notwendigkeit der hygieinischen Überwachung von Milch und Milcherzeugnissen. Peters Jürgen), Arch. Lebensmittelhyg., 1956, 7, № 3—4, 27—29 (нем.)

13918. Психрофильные бактерии молока. Ю иггреи (Psykrofila bakterier i mjölk. Ljunggren Bertil), Svenska mejeritidn., 1956, 48, № 9, 117—120, 123—125 (швед.) Обаор. Библ. 30 назв. Г. н.

13919. Новые данные по бактериологии стерилизованного молока. Р и д ж у э й (Some recent observations on the bacteriology of sterilizec milk. R i d g w a y J. D.), J. Appl. Bacteriol., 1955, 18, № 2, 374—387 (англ.)

Обзор. Библ. 13 назв. См. также РЖХим, 1955, 47897. Е. Ж.

13920. Действие гипохлорита на количественный и качественный состав микрофлоры молока. Мак-Кензи, Букер (Observations on the effect of added hypochlorite on the numbers and kinds of bacteria in milk. МсКепzie D. A., Воокег Еlizabeth М. К.), J. Appl. bacteriol., 1955, 18, № 3, 401—407 (англ.)

Изучено бактерицидное действие NaClO. Приконц-ии активного хлора <500 мг/л кол-во микробов в молоке. не снижалось в течение 15 мин. При хранении такого молока в течение 24 час. при 20° снижалось кол-во микробов при понижении конц-ии активного хлора до 10 мг/л. Микрококки более чувствительны к бактерицидному действию хлора, чем стрептококки, которые преобладали в остаточной микрофлоре при исходной конц-ии активного хлора 250 и 500 мг/л. Конц-ия активного хлора 250 и 500 мг/л. Конц-ия активного хлора в р-ре NaClO после стерилизации оборудования ничтожна.

В. Богданов

3921. Метод отмеривания вязких молочных продуктов при определении содержания жира бутирометрическим методом. Брюс, Берг (Een methode voor het afmeten van pappen en vlaas ten behoeve van de butyrometrische vetbepaling. Brus J. B. F., Berg J. C. T. van den), Nederl. melk- en zuiveltijdschrift, 1955, 9, № 1, 42—55 (голл.; резангл.)

Описан бутирометрич. метод определения жира в вязких молочных кашах и кремах. Необходимое кол-во предукта отмеривают шприцем емк. 10,77 мл (по выливаемой воде), наружный диаметр кончика которого несколько меньше диаметра горла бутирометра. Отмеренную однородную массу продукта полностью переносит в бутирометр с 10 мл H_2 SO4 и приливают 1,05 мл амилового спирта. Определение ведут с двойным центрифугированием. К показаниям бутирометра (V_a) вносит поправки: C_a на жириость применяемого молока, S на неполное растворение продукта H_2 SO4, H на плотность продукта, которую определяют по Φ -ле: (ax1, 030)/a, где a-10,77, b- вес продукта, взятого для анализа; % жира = $(V_a + C_a + S) \cdot H$. Даны таблицы поправок для проязводственных целей метод дает хорошие результаты.

13922. Сравнительные исследования стойкости пастеризованного питьевого и гарантированного молока с учетом аэробных и анаэробных споровых и протеолитических бактерий. Краус (Vergleichende Untersuchungen zur Haltbarkeit der pasteurisierten Trinkmilch und Vorzugsmilch unter besonderer Berücksichtigung des Nachweises aërober und anaërober Bazillen und Kaseolyten. Kraus H.), Arch. Lebensmittelhyg., 1956, 7, № 1-2, 13-21 (нем.)

Рассмотрены изменения качества сырого и пастеризованного молока в процессе хранения. Первое сквашивается под воздействием образующейся молочной к-ты, во втором протекают процессы, связанные с разложением белка. В результате этого пастеризованное молоко становится вредным для здоровья человека. При определении наличия протеолитич. бактерий рекомен-дуется выдерживать пробу молока при 30°. Библ. В. Богданов 82 назв. 13923. Лабланши

923. Новая тара для молока. Лабланши (Un nouvel emballage du lait. Lablanchy André), Rev. prat. froid, 1955, 11, № 24, 55-57

(франц.) Описан автоматич. асептический разлив молока в бумажные тетраэдры, покрытые с внутренней стороны термопластичным в-вом, а с наружной — парафином. Емкость тетраэдра 0,5 л, вес 9 г. Заполненные тетраэдры плотно укладывают в шестигранные проволочные корзины. На 1 м² площади помещается 850 л молока вместо 216 л в бутылках. В Швеции в 1955 г. выпускались машины для изготовления тетраэдров емк. 0.5. 0,33, 0,1 л. В 1956 г. будут изготовляться тетраэдры емк. 1 л. А. Орлов 13924. Тара из стекла янтарного цвета и покрытого воском картона для защиты молока от солнечного

света. Поит (The effectiveness of amber glass and waxed paper in protecting milk from sunlight. Pont E.G.), Austral. J. Dairy Technol., 1956, 11,

№ 2. 69-70 (англ.)

Цельное пастеризованное молоко при 5° разливали в бутылки из стекла (С) янтарного цвета, из покрытого воском картона и из обыкновенного С и выдерживали на солнечном свету в течение 24 час. Периодически определяли вкус, цвет, степень зараженности микро-организмами и другие качества молока. Установлено, что янтарное С лучше защищает молоко, чем картонная тара, а последняя— лучше, чем обыкновенное С. Лучшими теплоизоляционными свойствами обладает покрытый воском картон, на втором месте стоит обыкновенное С, на последнем — С янтарного цвета. В. Гурни 13925. Устранение привкуса и запаха корма из молоч-

ных продуктов. Бергман, Трулле, Юст (Försök med utluftning av grädde. Bergman Т., Trolle R. af, Joost Kr.), Mejeritekn., 1956,

17, № 1, 5-9 (швед.)

Описаны способы и аппаратура для обработки молочных продуктов. Библ. 13 назв. 3326. Новый завод в Саут Мордене (США) для выпуска пастеризованного молока в бутылках (The express dairy, South Morden.—), Dairy Inds, 1955, 20, № 5, 405—408; (New milk bottling plant), Mod. Refrig., 1955, 58, № 688, 150—153

Очистка и санитарная обработка оборудования молочного производства. К о л (Cleaning and sanitizing dairy equipment. Cole W. C.), Milk Plant Monthly, 1955, 44, № 8, 16—19, 32 (англ.) 1928. Новый метод выделения чистых культур

и количественного учета бетакокков (Leusonostoc) и содержание последних в шведских заквасках. Ервик (Eine neue Methode zur Isolierung und quantitativen Bestimmung der Betakokken (Leuconostoc) und die Keimzahl der Betakokken in schwedischen Säureweckern. Järvik Mart), Milchwissenschaft. 1956, 11, № 3, 94-98 (нем.)

В целях облегчения выделения чистых культур ароматообразующих бактерий рекомендуется производить предварительное обогащение обезжиренного молока дрожжевым автолизатом и ацетатным буфером (104,9 & CH3COONa + 14,1 & CH3COOH + 1 A BOTH) рН 5,2) или α-бромпроционовой к-той. В этой среде хорошо развиваются бетакокки и подавляется рост молочнокислых стрептококков; наличие бетакокков распознается по образованию газа. Данный метод пригоден для учета бетакокков. Содержание последних в шведских заквасках колеблется от 10° до 10° в 1 мл. В. Богданов

Производство мороженого. Лукае cream manufacture. Lucas P. S.), J. Dairy Sci.,

1956, 39, N 6, 833-837 (англ.)

Обзор развития произ-ва мороженого в США за 1906-56 rr. 13930. Применение глюкозы в производстве мороженого. Часть І. Браун, Гибсон (The use of glucose in ice cream. Part I. Brown R. W., Gibson D. L.), Canad. Dairy und Ice Cream J., 1955, 34, № 9, 66, 68—70, 75 (англ.)

Изучено влияние глюкозы на качество мороженого. Введение в мороженое 10% глюкозы не изменяет титруемой кислотности, рН, стабильности белков и поверх-ностного натяжения смеси. Повышение содержания сухих в-в до 42% (10% глюкозы, 10% сахарозы, 12% сухого обезжиренного в-ва молока и 10% жира) увеличивает уд. вес и вязкость смеси, улучшает структуру и стабильность мороженого, снижая точку замерзания только на 0,583°. Н. Бойко Бактериология производства морожевого.

Стургордс (Bakteriologisia näkökohtia jäätelön-valmistuksessa. Storgårds Torsten), Karjan-tuote, 1955, 38, № 21, 640—642 (фин.)

Густая консистенция смесей мороженого снижает эффективность пастеризации. Необходимо повышение т-ры или увеличение экспозиции. По американским данным, лучше увеличивать длительность пастеризации, чем повышать т-ру. При длительной пастеризации B. coli совершенно погибают, а термофильных бактерий остается не более нескольких десятков тысяч в 0,1 мл. Если мороженое не содержит В. coli, то наличие 30-100 тыс. других бактерий в 0,1 же совершенно безопасно. Кол-во бактерий в мороженом уменьшается при длительном глубоком охлаждении. В Норвегии и Дании допускается не более 50 тыс. бактерий в 0,1 мл мороженного и не допускается присутствие B. coli М. Тойкка 13932. Техническое развитие и практическое осуществ-

ление методов сушки молока. Эк кардт (Technische Entwicklung und Handhabung der Milchtrocknung Eckardt Gottfried), Dtsch. Molkerei-Ztg.,

1956, 77, № 11, 349—352 (нем.)

Доклад о развитии техники сушки молока. Указы вается, что производительность вальцовой сушки может быть увеличена примерно на 50% повышением т-ры поступающего на сушку молока и увеличения до известных пределов числа оборотов вальцев сушилки. Плотность сухого молока зависит от метода сушки, размеров форсунки, давления при распылении молока, степени сгущения и составляет для вальцовой сушки, 0,3—0,5 г/мл, распылительной 0,5-0,6 г/мл. В процессе хранения сухого молока отмечается возможность появления рыбного привкуса, который образуется в результате гидролиза лецитина при повы**шенной** влажности и усиливается в присутствия солей меди и железа. Рекомендуется избегать упаковки готового продукта в горячем состоянии, так как жидкое состояние жира ведет к его выделению и окисле-

пьтур H3B0отонн рером воды, среде

7 r.

haft.

POCT ОККОВ ригоедних 1 MA. данов

(Ice Sci., IA aa 1. E. DOMe-Gib-

1955, enoro. итруеоверхжания , 12% увеликтуру зания Бойко

еного. ätelön-Karjanижает ппение HCKUM геризаизапии

льных тысяч coli, D,1 MA эженом пении. 60 тыс. я при-

Тойкка тцеств-Technicknung ei-Ztg..

Ука зы сушки шением од вине шилки. сушки, молока, сушки, роцессе

сть поpasyerповы-**УТСТВИЕ** упаковгак как окислению. Повышенная кислотность молока усиливает его салистый привкус. При нагревании >88° в молоке образуются антиокислители. В. Фавстова образуются антиокислители. образуются антиокислители.

3933. Молочные концентраты и перспективы развития их производства. Тушселль (Maitosäilykkeistä ja niiden tulevaisuudesta. Тогssell Нагаld), Karjantnote, 1955, 38, № 16, 505—508 (фин.)

1934. Производство сухого молока. Коул ер (Dry milk manufacture. Coulter S. T.), J. Dairy Sci., 1956, 39, № 6, 843—846 (англ.)

Обзор развития произ-ва сухого молока в США за 1906—56 гг.

1935. Вопросы снабжения молоком. Хальден (Die weltgeltung der Milch. Halden W.), Österr. Milchwirtsch., 1955, 10, № 21, 315—316 (нем.)

Ставится вопрос о необходимости получения сухого молока для стран с малым кол-вом собственной продукции. В 1956 г. намечается расширение произ-ва консервов. Производство сухого молока распылительной

сушкой. Хартль (Preparation of milk powder by spray-drying. Hartl Hans), Chem. Age, Jndia, 1955, 6, № 1, 71—72 (англ.)

Описание з-да сухого молока в Австрии, работающего по новой, экономичной схеме. Молоко предварительно сгущают до содержания сухих в-в 40-50%, затем распыляют при помощи полого диска, вращающегося со скоростью 7-10 тыс. об/мин. Возрастающая скорость распылнемого молока обеспечивает гомогенизацию его перед сушкой. Отделение порошка от воздуха выполняется циклоном, что облегчает сушку. Техноэкономич. показатели з-да: испарение воды в сушильной намере 295 жг/час, т-ра нагретого воздуха 182°, г-ра отходящего воздуха 80°, общий расход пара на испарение 1 же воды 1 же. Расход механич. Энергии на испарение 100 же воды 5,5 кет-ч. Расход механич. энергии на распыление 100 кг жидкости 1-1,5 кет-ч. 3-д занимает 38 м², обслуживающий персонал 2 человека. Продолжительность подготовки к сушке 25 мин., сушка с момента пуска до очистки оборудования после остановки 2 часа. Сушильная камера изготовлена из чистого алюминия, диск — из кислотоупорной стали высшей марки; нагреваемые поверхности изолированы стеклянной ватой. Растворимость выпускаемого сухого молока 99—99,5%, влажность 2—2,5%, диам. частиц 0,03-0,04 мм.

молока без сахара. Флейк (Progress on quality control in the evaporated milk industry. Flake J.C.), J. Milk and Food Technol., 1955, 18, № 10, 246—249

(англ.) Обсуждается организация контроля.

13938. Производство, состав и стойкость сухого солодового молока из солода Ragi (E-eusine Cora-cana) и молока. Чандрасекхара, Сва-минатхан, Бхатия, Субрахманьян (Production, composition and shell-life of malted milk powder from ragi malt and milk. Chendrasek hara M. R., Swaminathan M., Bhatia D. S., Subrahmanyan V.), Proc. Soc. Biol. Chemists (India), 1954, 12, 41 (англ.)

Описан продукт на солода Ragi (зерновая культура) в коровьего молока. Продукт с влажностью 3—4% в герметичной таре достаточно стоек при хранении при 25—30°, а при 37—43° темнеет и приобретает посторонний запах, что может быть предотвращено введением тилоксианизола или лецитина. Г. Новоселова 13939. К вопросу об определении влажности молоч-

тых пороников. Куметат (Note on moisture determination in milk powders. Kumetat K.), Austral. J. Dairy Technol., 1955, 10, № 3, 114—115 (англ.)

В Англии и Австралии рекомендуется высущивание при 102—103°, в Италии и США — вакуум-сушка. Американский Ин-т сухого молока рекомендует также способ дистилляции с толуолом и метод титрования по Карлу Фишеру, не требующий длительного высущива-ния. Однако методом Фишера может определяться не только адсорбированная влага, но также влага кристаллизационная, связанная гидратом с-лактозы, содержащим 5% кристаллизационной воды. Если бы вся лактоза в обезжиренном сухом молоке содержалась в виде гидрата α-лактозы, то по методу Фишера результаты на 2,5% превышали бы полученные методом высушивания. На практике эта разница значительно-ниже (0,3—0,6%), т. к. большая часть лактозы находится в аморфном состоянии. Л. Карунина

13940. Быстрая дефростация— условие получения хорошего качества сливок. Брайант (Rapid melting key to good gream from frozen fat. Bryant F. L.), Amer. Milk Rev., 1954, 16, № 10, 120,

121, 155 (англ.)

Некоторые пороки вкуса и консистенции молочных продуктов, изготовленных с замороженными сливками или маслом, наблюдаемые при медленной дефростации (Д) сливок или плавлении масла, объясняются окислением молочного жира, его частичной дестабилизацией и повышением кислотности сырья. Большая поверхность мельчайших пузырьков воздуха, содержащегося в продукте, способствует окислению жира. Быстрая, но осторожная Д сливок или ускоренное плавление масла не создают условий для физ.-хим. изменений жира и повышают качество молочных продуктов. В этом случае на поверхности не наблюдается капелек жира при добавлении сливок в кофе, не прогрессируют в готовом масле скрытые пороки сливок, не отмечается олеистый привкус и наличие комочков масла в сметане. поэтому не требуется вторичной гомогенизации, режевстречается горечь в стерилизованном масле, не ощущается привкус окисленного жира в мороженом. Для получения молочных продуктов высокого качества. кроме быстрой Д сливок или плавления масла, следует исходные сливки приготовлять в надлежащих санитарных условиях, быстро замораживать и сохранять

до использования при т-ре ≤ 20°. Г. Титов 13941. Новый завод сухого молока в Марслеве—. (F. A. O. K.'s nye mælkepulverfabrik i Marslev. Den smukkeste i Danmark.—), Nord. mejeri-tidsskr., 1955,

21, № 11, 165—170 (дат.)

13942. Определение жира в сливках по Гербер-Кёлеру с применением навески. III ульц, Клей (Rahmfettbestimmung nach Gerber-Köhler mit Rahmeinwaage. Schulz Max Erich, Kley Walter), Milchwissenschaft, 1955, 10, № 10, 328—334 (нем.; рез. англ., франц., исп.)

Модифицирован метод Кёлера. В бутирометр поме-щают 10 мл H₂SO₄, уд. в. 1,817, осторожно приливают 5 мл воды, по возможности не смешивая с к-той, затем, с помощью шприца, ~5 г сливок, точный вес которых устанавливают по разности веса шприца со сливками и после выливания их в бутирометр, и 1 мл амилового спирта. От момента приливания воды до встряхивания должно проходить не более 15 мин., растворение должно заканчиваться в течение 30—60 сек., центрифугируют 5 мин. в центрифуге с обогревом, отсчет после 5 мин. выдержки в водяной бане при 65°. Отклонения от данных, получаемых по методу Розе-Готлиба, составляют: от 0 до 0,3% для 80% образцов, от 0,3 до 0,5% для 18% образцов, выше 0,5% для 2% образцов.

3943. Производство сливочного масла. Томсе н (Butter manufacture. Thom sen L. C.), J. Dairy Sci., 1956, 39, № 6, 819—823 (англ.)

бы

Ш

н

H

98

П

27

Очерк истории развития маслоделия в США. Приводится тематич, сводка 469 оригинальных статей по химии, микробиологии и технологии произ-ва сливочного масла, напечатанных вт. т. 1—38 журнала. А. Емельянов 1944. Внедрение прогрессивной технологии на маслодельных заводах, Молоч. пром-сть, 1956, № 1,

Приводятся материалы пленума Технического Совета Министерства пром-сти мясных и молочных продуктов Союза ССР по результатам впедрения поточного произ-в масла по методу Мелешина, подтвердившие преимущества во ой технологии. Намечены мероприятия к дальнейшему широкому внедрению в пром-сть данного способа произ-ва сливочного масла. В.Богданов Производство масла из стерилизованных

санвок. Mop (Herstellung von Butter aus sterilisiertem Rahm. Mohr W.), Kieler milchwirtsch. Forschungsber., 1955, I, № 5, 583—598 (нем.; рез.

англ., франц., исп.)

Стерилизация сливок дает возможность длительного хранения их и сбивания в масло по мере необходимости, непосредственно, или после смешивания со свежими сливками. Изучены условия стерилизации сливок, содержащих 80% жира. Продолжительность процесса сильно зависит от формы и размера тары. Один из размеров (высота или диаметр) должен быть минимальным. При неблагоприятной форме и размере упаковки рекомендуется тиндализация - многократный нагрев до 100° с выдержкой при 20—40° для прорастания спор. В. Фавстова

Производство масла непрерывным способом. Антчак (Ciagle metody wyrobu masła. Ant czak Romuald), Przem. spożywczy, 1956, 10, № 2,

57—63 (польск.; рез. русс., англ.) Обзор. Библ. 60 назв. 3. Ф. 13947.. Влияние света люминесцентных ламп, пропущенного сквозь светофильтр, на качество масла. Aürnep, Ayer (Über den Einflu370n gefiltertem Leuchtstoffröhren licht auf die Qualität der Butter. Aigner Martin, Aust Hellmut), Milchwiss. Ber., 1955, 5, № 1, 43-60 (нем.)

Изучена стойкость масла в процессе хранения при 4° в течение 3 недель после облучения светом люминесцентных ламп, снабженных светофильтрами, при интенсивности освещения 180—250 лк и экспозиции 24-96 час. Лучшие результаты получены при испытании люминесцентных ламп TL 40 W/16 «желтой» и TL 40 W/32. Рекомендуется применение на маслозаводах и холодильниках люминесцентных ламп, снабженных светофильтрами. Е. Жданова Исследование причин повышенного содержа-

ния сухого обезжиренного вещества в масле, выработанном по методу Фритца. Добинский (Unter-suchungen zum überhöhten Gehalt der Fritz-Butter an fettfreier Trockenmasse. Dobinsky E.), Dtsch. Milchwirtsch., 1955, 2, № 10, 233—235 (нем.)

При произ-ве масла в маслоизготовителе системы Фритца содержание сухого обезжиренного в-ва в нем не должно превышать 11,6% от содержания воды. Более высокий процент характеризует ненормальный процесс сбивания. Причиной повышенного содержания сухого обезжиренного в-ва может быть коагуляция альбумина при пастеризации сливок, адсорбция белка свободным жиром при его раздроблении в процессе сбивания и повышенная т-ра сбивания сливок. Значительное влияние на содержание обезжиренного в-ва оказывает В. Фавстова костояние сливок

Влияние содержания меди на появление пороков вкуса в масле во время хранения при низкой температуре. Крёйсхер, Крол (The effect of the copper content on the development of flavour defects in cold-stored butter. Kruisheer C. I.,

K r o l B. M.), Nederl. melk- en zuiveltijdschr., 1955, 9, № 2—3, 173—181 (англ.; рез. голл.)

Изучена стойкость масла в зависимости от содержания в нем меди. В масле, выработанном летом, допустимо ≤ 50 мг/кг меди, а в зимнем < 70 мг/кг. Н. Бойко Замечания по вопросу определения стойкости масла. Цывинский (Kilka uwagoapriorycznym ustalaniu trwałosci masła. Суwiński T.), Przem.

spo2ywczy, 1955, 9, № 5, 212 (польск.) В основу официально принятого в Польше способа оценки стойкости масла перед его закладкой на хранение положены: определение кислотности плазмы и балльная оценка вкуса и запаха. Эти критерии недостаточно надежны, автор предлагает определять продолжительность индукционного периода по Зайковскому или распределение воды в масле по Кингу. В. Новикова Контроль пастеризованного масла. Серр

(Le controle des beurres pasteurisés. Serres Lucie),

Ind. laitière, 1955, № 103, 73—86 (франц.) Описание принципов и организации контроля, Гарантированное (марочное) масло должно удовлетворять следующим требованиям: отрицательная р-ция на фосфатазу, отсутствие антисептиков (в частности, борной к-ты), содержание воды не более 16%; бактерий группы кишечной палочки не более 25 в 1 г масла. Органолентич. оценку качества масла производят после 10 дней выдержки при 10° по 20-балльной системе. Общая оценка не менее 14 баллов, в том числе за вкус не менее 7.

13952. Вопросы сыроварения. Шалвинский O niektórych problemach z dziedziny serowarstwa. Szałwinski Feliks], Przegl. mleczarski,

1955, 3, № 8, 8-10 (польск.)

Рассмотрены проблемы, возникшие в связи с раз-гием сыпова вения в Польше. Я. Ш. витием сыроварения в Польше. Ш. Технология сыра Sbrinz. Росси (Note techologiche sul formaggio Sbrinz Rossi Giuseppe),

Latte, 1956, 30, № 2, 129 (итал.)

Изложены предварительные условия (пастбища, качество кормов, гигиена и т. д.) для получения доброкачество кормов, гигнена и г. д., до для произ-ва сыра качественного молока, пригодного для произ-ва сыра А. М.

Производство сыра. II р а й с (Cheese manu-13954. facture. Price Walter V.), J. Dairy Sci., 1956, 39, № 6, 824—832 (англ.)

Обзор развития сыроделия в США за 1906-56 гг.

Физическая структура сыра. К и и г (Ostens fysiske struktur. K i ng N.), Nord mejeri-tidsskr., 1955, 21, № 9, 128—131; № 10, 155—158 (дат.) Обзор. Библ. 40 назв.

Производство сыра в Норвегии в 1955 году и вопросы повышения его качества. М о р к (Ostens kvalitet og kvalitetsforbedringsarbeidet i 1955. Mork Inge), Meieriposten, 1956, 45, № 23. 429-434 (норв.)

13957. Вопросы качества сыра в 1955 г. Хельстранд (Kvalitetsutfallet av osttillverkningen 1955. Hellstrand Helmer), Mejeritekn. medd., 1956, 17, № 3, 72—75 (швед.)

Приведены данные, характеризующие развитие в Швеции произ-ва различных сортов сыра и качество выпускаемой продукции. Производство сыра с кристаллическим сычуж-

ным ферментом. Берридж (Preparation of a cheese with crystalline rennin. Веггі dge N. J.), J. Dairy Res., 1955, 22, № 3, 384—385 (англ.)

Изучена возможность применения кристаллич. препарата сычужного фермента (Ф) при произ-ве сыра. Испытания сыров, приготовленных из одного и того же молока с применением обычного продажного сычуга, кристаллич. Ф и обычного сычуга с добавлением откопов. остающихся после кристаллизации Ф, показали, что кислотность сгустка, полученного с кристаллич. Ф, была пониженной, проба с горячим железом давала вити много короче нормальных, сгусток же, полученный при применении сычуга с добавлением отходов, давал нити и крепче и длиннее нормальных. Сыр, приготовленный с обычным Ф, после созревания имел приятные вкус и аромат, приготовленный с сычугом, с добавлением отходов — тот же вкус и аромат, но более выраженный, сыр выработанный с кристаллич. Ф был безвкусным и пеприятным. п. Брио 1995). Посолка сыра гауда. Лабюшань (Salting of Gouda cheese. Labus chagne J. H.), Farm. S. Africa, 1955, **30**, № 351, 285—286, 300 (англ.)

Изучено качество сыра гауда в зависимости от способа посолки. Посолка в 20%-ном p-ре NaCl сыра весом 450 г в течение 6—8 час. при 16° позволяет получить сыр лучшего качества, чем при посолке сухой солью. После такой посолки сыр содержит 3-3,5% соли на сухое в-во. При конц-ии рассола >20% соли образуется нежелательная плотная корка. Продолжительность посолки зависит от конц-ии и т-ры р-ра, от содержания влаги в сыром сыре и его размера. В сыре, весящем 1800 г, после 6-недельного созревания еще не обнаруживалось полного и однородного распределения соли. Для получения сыра хорошего качества необходим постоянный контроль т-ры, конц-ии и кислотно-Л. Карунина

Созревание упакованного сыра чеддер и изготовление унаковки для его расфасовки.— (Die Reifung von Cheddarkäse in der Verpackung und die Herstellung von Verbraucherpackungen.—), Milchwissenschaft, 1956, 11, 1, 18—23 (нем.)
Описан способ упаковки и условия созревания сыра

чеддер. Сыры подпрессовывают в течение 45 мин., завертывают в ткань и снова прессуют в течение 3-4 час. Т-ра помещения для прессования регулируется в пределах 20-21°. После второго прессования сыры освобождают от ткани и упаковывают в двойной слой плиофильма (гидрохлорид каучука). Для предотвращения развития плесени сыр помещают в камеру при 27° на 24—36 час., либо на 48 час. при 22—26°. Для созревания сыры помещают в камеру со средней т-рой 10° (7-13°). Е. Жданова

13961. Определение пригодности обезжиренного сухого молока для производства сыра коттедж. Р озенбергер, Нилсен (Determining suitability of non fat dry milk solids for cottage cheese. R o s e n-berger W. S., N ie l s e n V. H.), Amer. Milk Rev., 1955, 17, № 9, 74 (англ.)

Вполне надежные результаты можно получить, определяя кол-ва сывороточного белка в исходном не нагретом обезжиренном молоке и конечном высушенном продукте, вычисляя процент денатурации. Сыр коттедж удовлетворительного качества можно вырабатывать из обезжиренного молока при денатурации сыво-роточного белка \leqslant 60%. Л. Карунина

13962. Бактериофаги эмментальского сыра. Ру и д-ман (Bakteriofagerna i våra emmentalysterier. Rundman C. O.), Majeritidskrift, 1955, 17, No 1,

7—10 (швед.)

Обзор. Библ. 6 назв. Г. Н. 963. Опыт применения способа «S—P» при производстве эмментальского сыра из пастеризованного молока. Антила, Хиэтаранта (Kokemuksia S-P-menetelmästä valmistettaessa emmentaljuustoa pastöroidusta maidosta. Antila Matti, Hietaranta Matti), Karjantuote, 1955, 38, № 22, 667—671 (Фин.)

Молоко пастеризовали при 71-73° и вносили в него культуры Lb. helveticus, Str. thermophilus, Str. faccalis (во всех случаях одно и то же кол-во) и пропионово-

кислых бактерий (различные кол-ва). Т-ра сквашивания 32°, продолжительность 30—37 мин. Т-ра второго нагревания 54—55°. При прессовании давление посте-пенно повышали от 1,5 до 8,0 атм. При произ-ве сыра по способу «S — Р» пастеризация молока повышает качество готового продукта и производительность труда.

Роль пропионовокислых бактерий в развитии

окраски эмментальского сыра. Антила, Хиэтаранта (Om propionbakteriernas andel i uppkomsten av fargfel i emmentalost. Antila Matti, Hietaranta Matti), Mejeritidskrift, 1955, 17. № 5, 127—128; № 6, 160—162 (швед.)

Обзор. Библ. 10 назв. сыра. Созревание эдамского Закваски для производства эдамского сыра. Антила, Лехто, Хиэтаранта (Edam-juuston kyp-syminen. Hapatteista edam-juuston valmistuksessa. Antila Matti, Lehto Arvo, Hietaranta Matti), Karjantuote, 1956, 39, № 4—6, 99—107 (фин.)

Обзор литературы по произ-ву эдамского сыра с применением различных заквасок и чистых культур Strep-tococcus diacetilactis 38 и Betacoccus cremoris Norge 30. Библ. 23 назв.

Изучение бетакокков шведского сыра. Е рвик, Челль (Preliminar rapport över betakockundersökningen (Leuconostoc) i svensk ost. Järvik M., K jell S.), Mejeritekn. medd., 1956, 17, No. 3, 59— 64 (швед.)

Изучено влияние различных факторов на развитие бетакокков и качество сыра. Библ. 8 назв. 1967. Брынза. Войнов (Бяло саламурено сирене. Войнов Димитър Георгиев), Природа (София), 1955, 4, № 4, 45—49 (болг.)

Для произ-ва болгарской брынзы берут пастеризованное овечье молоко с кислотностью менее 26° Тернера, на 100 ке молока добавляют 10-15 г или 20-30 г 50%-ного p-ра CaCl2, вносят закваску, содержащую культуру Strept. termophilus и выдерживают 1,5—2 часа при 28—30°. При расчете необходимого кол-ва закваски учитывают свертывающую способность ее, что определяется отдельной пробой. Сырной массе дают обтечь, разрезают сырным ножом и прессуют до влажности массы 65—70%. Из сырной массы формуют куски (12×12 см), которые обрабатывают рассолом, содержапим 22—24 кг соли в 100 л воды, в течение 6—18 час. при 10—12° (летом) или 16—18° (зимой). Просоленные куски брынзы укладывают в бочки и оставляют на 30 дней при 13—15° (летом) или 16—18° (зимой) для созревания. Готовая брынза содержит 50—52% воды, 19% белков, 23% жира и 6% минер. солей. Б. Белов

13968. Опыт применения чистых культур в производстве брынзы из овечьего молока. Савицкая (Próba zastosowania czystych kultur przy wyrobie bryndzy owczej. Sawicka Janina), Przem. spozywczy, 1955, 9, № 10, 418—421 (польск.; рез. русс.,

Описаны результаты микробиологич., органолептич. и хим. исследования полуфабриката и готовой брынзы. Добавление чистых культур как к сырому, так и к пастеризованному молоку улучшает качество. Лучшей комбинацией культур является смесь Streptococcus lac-

комоннациен пунку tis и Lactobacillus helveticus.

3. Фаоинский 13969. Маслянокислое брожение сыра. Ренко (Sulla fermentazione butirrica nei formaggi. Ren-ko Paolo), Latte, 1955, 29, № 11, 785—788 (итал.) 13970. Применение различных массл для наведения корки сыра.— (Voorlopig verslag van de proefnemingen inzake de behandeling van de korst van kaas met verschillende oliesoorten.-), Zuivel., 1955, 61, M 17,

— 475 —

391—393 (голл.)

1955. ержадопу-

7 r.

бойко KOCTH znym rzem. особа

сранемы и достародолскому икова Cepp

icie),

троля. летвор-ция HOCTH. ктерий масла. зводят

истеме. а вкус Годель ский arstwa. zarski,

сти рассола.

с раз-Я. Ш. e techoppe), стбища, добро-

ва сыра А. М. manu-., 1956, —56 гг. A. E. (Ostens

r., 1955, Г. Н. 55 году (Ostens i` 1955. № 23,

сельсen 1955. medd.,

развитие ка чество Г. Н. и сычужof a che-N. J.),

.) пич. преве сыра. O H TOPO о сычуга, HOM OTXO

13978.

H

971. О красной окраске сыра. Штоккер (Eine Rotfärbung des Käseteiges. Stocker Wilhelm), 13971. Milchwissenschaft, 1955, 10, № 10, 324—327 (нем.;

рез. англ., франц., исп.)

Изучены причины красной окраски сыра ромадур. Установлено, что кокки являются причиной образования окрашенных в красный цвет в-в. Для их образования необходим аневрин, в кол-ве 0,017, вызывающий уже значительное красное окрашивание. Интенсивное обрзование красного в-ва происходило на агаре. Кокки разрушают сырное тесто так же, как и желатину. Пиримидиновый и тиазоловый компоненты аневрина вырабатываются кокками совместно или по отдельности. После образования окрашенных в-в в сыре могут развиваться Л. Карунина дрожжи и плесневые грибки. Модифицированный метод определения фосфа-

тазы при анализе сыров зрелых и с голубой плесенью. Махои, Англии, Чапман (A modified Махон, Англин, Cornell phosphatase test for the analysis of blue mold and aged cheeses. Mahon John H., Anglin Constance, Chapman Ross A.), J. Assoc. Offic. Afric. Chemists, 1955, 38, N. 2, 482—493

(англ.)

Обсуждаются фаторы, влияющие на метод определения фосфатазы по Корнелю (Kosikowsky, F. V., ibid., 1951, 34, 1151) в сырах. С целью получения лучшей воспроизводимости результатов и устранения некоторых помех, встречающихся при определении активности фосфатазы, разработана модификация метода Корпеля и проверена на сырах зрелых и с голубой плесенью.

Нейтрализация зелени и ее концентратов для применения в производстве коричневого сыра. В и к, X адлан и (Néytralisering av myse og mysekonsentrat of brunostproduksjon. V i k Aslak В., H adland Gunnar), Meieriposten, 1956, 45, № 9, 149—154; № 10, 175—180; № 11, 192—198; № 12, 218—223 (норв.)
Обаор. Библ. 17 назв.

Г. Н. применения в производстве коричневого сыра. В и к,

13974. Использование отходов молочной промышлен-HOCTH. Y a 6 6 (By-products manufacture. Webb Byron H.), J. Dairy Sci., 1956, 39, N. 6, 847—853

Приводятся данные по переработке отходов молочной пром-сти в США за 1906-56 гг.

13975. Производство молочного казенна высшего качества. III нак (Observations synthetiques et mesures a conseiller en vue de prèparer une caséine lactique de la milleure gualité. S c h n a c k A g u s t o A.), Lait, 1955, 35, № 347, 378—382 (франц.)

Приводятся требования, предъявляемые к молочному казенну сорта экстра новым аргентинским стандартом,

и технология его изготовления. B. H. 3976. Заменитель молока из кокосового ореха. Мурджани [Milk substitute from coconut (Cocos nucifera L.) L.), Moorjani M.N.], Bull. Central Food Technol. Res. Inst. Mysore, 1954, 4,

№ 3, 60-61 (англ.)

Разработан способ произ-ва кокосового молока и изучен его состав. Молоко содержит (в %): сухих в-в 10,2, белков 0,8, жира 7,1, углеводов 1,75 (сахарозы 1,4, редуцирующих сахаров 0,35), минер. в-в 0,55, Са 3,2 ме%, Р 33 ме %. Оно вмеет консистенцию натурального молока, привлекательный белый цвет и приятный запах. При кипячении кокосовое молоко расслаивается. Для стабилизации эмульсии добавляют 0,8% казенна, растворенного в миним. кол-ве NaOH.

А. Орлов Новая технология убоя скота. П л о х о т н и к (Noua tehnologie de tăiere a animalelor în abatoare. Plohotnic S.), Rev. ind. aliment. prod. animale, 1956, № 4, 1—5 (рум.)

мяса. Инграм, Барис (Problems in the use of antibiotics for preserving meat. Ingram M., Barnes Ella M.), J. Appl. Bacteriol., 1955, 18, № 3, 549—564 (англ.) Обзор. Наиболее эффективно сохраняют мясо аурео-

Применение антибиотиков для сохранения

мицин, хлоромицетин и террамицин. Библ. 51 назв.

Г. Л. Новое сырье для производства белковых гизролизатов. Пекаж (Nowe surowce do produkcji hydrolizatów białkowych. Piekarz J.), Przem. spożywczy, 1955, 9, № 8, 317—318 (польск.)

Обсуждается проблема применения новых видов сырья для получения белковых гидролизатов, применяемых в пищевой пром-сти при изготовлении различных приправ, сухих бульонов и т. д. Перспективны глютенин пшеницы, зеин кукурузы, соевый белок, Я. Штейнберг рыбная мука. Вакуум-упаковка мясопродуктов и предотвра-13980.

щение изменения окраски и разложения. Дайсов (Vacuum packaging of meats: solving fade and spojlage problems. Dyson David), Canad. Packag., 1956, 9, № 2, 59-61 (англ.)

Рассмотрены требования к упаковке мясопродуктов и свойства упаковочных пленок. Для сохранения окраски свежего мяса и предупреждения чрезмерной усушки ки свежего миса и предупреждения чреамернои усущи необходимо, чтобы упаковочный материал пропускал О2 и задерживал влагу. Рекомендуются прозрачвая целлюлозная пленка 300 MSAT 80 или гидрохлорид каучука 80 FMI (плиофильм). Продукт, упакованны в эти пленки, теряет 0,6% веса за 18 час. и 2% за 69 час., при + 4,5° и относительной влажности воздука 60%, что соответствует срокам и условиям хранения в торговой сети. При упаковке в прозрачную пленку колбасных изделий и конченостей необходимо удалить О2, ускоряющий р-цию перехода NO-миоглобина в метмноглобин под действием света, в результате чего происходит изменение окраски продукта. Удаление О2 достьгают путем создания вакуума внутри пакета. Для вкуум-упаковки применяют комбинированные пленки: винил-целлофановые, плиофильм-целлофановые и много слойные винилиденовые. Проницаемость их для 0_1 $\leqslant 0,00023~c.m^3/c.m^2$ за 24 часа при 4,5° и относит. влаж ности воздуха 85%. Вакуум-упаковка не предохраняе продукт от анаэробного ослизнения. Высокая влаж ность ускоряет порчу, а при применении влагопромцаемых пленок происходит усуппка, потеря веса в ухудшение внешнего вида продукта. Пленок, сохраняющих умеренную влажность продукта без образования слизи и усушки, пока не существует, относительн удовлетворительные результаты дают целлофан LSAI и плиофильм FF12O. Контроль первоначальной мис рофлоры продукта и правильное хранение его в тор говой сети повышают эффективность вакуум-упаковка Описан новый способ определения газопроницаемост пленок, основанный на окислении вольфрамовой нип которая приобретает светло-коричневый конц-ии О2 ~ 40 ү/г, красный — при 60 ү/г и темно-ю ричневый — при 80 у/г. Приведены свойства некоторы упаковочных пленок. Библ. 10 назв. Г. Любовски 13981. Микробиологическое разложение мяса и миных изделий. По песку-Баран (Alterarea carm

rilor și a produselor carnate-putrefacțüle microbies ale cărnnii. Popescu Băran M.), Rev. ind prod. animale, 1955, aliment.

рум.) Описано действие разнообразных микроорганизмо на мясо, их происхождение и пути проникновени в мясо, оптимальные условия для их развития, а таки предотвращение порчи мяса. М. Мари 13982. О химических и бактериологических покан

телях при санитарной экспертизе мяса. II е т респу

ранения use of

m M.,

1955.

1 назв.

Г. Л.

PIX LAIL

cji hyd-

. spoży.

видов приме-

различ-

СКТИВИИ

белок.

гейнбери

едотвра

ancon

nd spoi-Packag.,

родуктов

я окрас-

усущки

опускал

озрачная

роклория ованный

2% sa 69

воздуха

хранения о пленку удалиъ на в мет-

го проис-

Оз доста-

Для ва-

пления:

отонм и е

для 0 ит. влаж-

охраняет

ая влаж-

агопром.

я веса в

к, сохра-

образова

осительн

ban LSAT

HOH MUR

TO B TOP упаковки

ицаемост

вой нить,

HBeT III

темно-ко

некоторы **Тюбовски**

нса и мж

rea cărm

microbie

Rev. ind 10, 9-11

рганизми

икновен

я, а така

М. Мари их показа

T peck!

Айзикович, Шерцер, Петреску (Cerce-tări cu privire la valoarea unor indici chimici și bacteriologici in expertiza sanitară a cărnii. Petrescu S., Aizicovici H., Schertzer P., Petrescu Z.), Rev. igienă, microbiol. și epide-miol., 1955, № 3, 78—87 (рум.)

Параллельно с органолептич. определениями изучались некоторые хим. и бактериологич. показатели 100 образцов свежего и испорченного говяжьего мяса. Найдено, что значения рН, H2S, PH3 и аминного азота не характеризуют в отдельности качество мяса; р-ции Несслера (NH₃ < 20 ме%) и осаждения глобулинов (методы Корежнова и с сулемой), а также бактериологич, исследование мяса могут служить показателями качества мяса. Рассмотрено соответствие между органолептич. и хим. бактериологич. результатами определений. Даны диаграммы показывающие изменения этих показателей при хранении мяса. 13983. Новая поточная линия для боенской обработки гусей и уток. Тихомиров А., Фадеев Р., Баталов А., Мясная индустрия СССР, 1956, № 3. 16_19

Всес, н.-и-ин-том птицепром-сти разработана конструкция и изготовлен образец непрерывно действующей вамеры для тепловой обработки тушек гусей и уток при 72°. Создание камеры позволило механизи овать процессы ощинки пера водоплавающей птицы и спроектировать конвейерную линию боенской обработки производительностью 2400 гусей или уток в смену. Операции тепловой обработки и удаления оперения с шеи птицы автоматизированы. Крупное покровное перо удаляется валковыми машинами, а мелкое и пух — гребенчатыми. Линия несколько меньшей производительности (1600 гусей или 2400 уток в смену) смонтирована и успешно работает на Волоколамском инцекомбинате. Описываются устройство камеры и особенности этой линии. Приведена схема линии боенской обработки водоплавающей птицы. В. Долговский Новый способ хранения битой птицы. М и длер (Introduce new method to keep poultry fresh. Miller Wilbur H.), Food in Canada, 1956, 16, № 2, 32, 34, 36, 38 (англ.)

Обсуждено применение антибиотиков для предотвращения порчи битой птицы, рыбы и говядины. Описан способ увеличения возможного срока хранения охлажд. итицы при 4,5° с 1 до 2-3 недель. В смесь дробленого льда с водой, где тушки охлаждают после потрошения и мойки, вводят ауреомицин в конц-ии 10 мг/л.

Г. Любовский 13985. Влияние температурных колебаний на качест-BO Замороженных индеек. Клоз, Пул, Лай-шунвер (Effect of fluctuating temperatures on frozen turkeys. Klose A. A., Pool M. F., Li-neweaver Hans), Food Technol., 1955, 9, № 8, 372-376 (англ.)

Исследовано качество обработанных и замороженвых тушек индеек, хранившихся в течение 18 месяцев при постоянных т-рах — 34, — 23, — 18 и — 12° и колеблющейся в течение суток по синусоидальному циклу от —12 до — 23°. Потеря влаги в относительно влагопроницаемой упаковке увеличивалась с повыше-шем т-ры, а при колеблющейся т-ре была выше чем при среднесуточной. Тушки в относительно влагонепроницаемой упаковке теряли влагу в виде инея, осевшего внутри упаковки. На тушках, ошпаренных при 60°, кол-во инея было в 2 раза больше, чем на оппаренных при 52°. После хранения прогорклость жира и связанный с этим ненормальный вкус жира и мяса после кулинарной обработки были почти одинаковы у тушек, хранившихся при колеблющейся т-ре и при постоянной т-ре —18°. Иней, осевший внутри упаковки, ухудшал внешний вид тушек, но не влиял на вкусовые 13986. Применение ауреомицина для сохранения свежей птицы. Миллер (Antibiotic introduced as spoilage inhibitor for fresh poultry. Miller Wilbur H.), Food Engng, 1956, 28, № 1, 43—48, 194 (англ.)

Обзор литературы о применении антибиотика ауреомицина (I) для предотвращения разложения птицы, рыбы и мяса. Птица, обработанная I, сохраняется в торговой сети 2-3 недели. Допускается в мясе птицы 7 ү/г I. В процессе кулинарной обработки птицы I полностью разрушается. I токсичен для большинства микроорганизмов, вызывающих разложение мяса и рыбы. Он в 5 раз более активен, чем окситетрациклин. Отмечается возможность использования I для сохранения свежих фруктов и овощей, мороженых продуктов в случае оттаивания в пути, туш добытых китов во время буксировки. Приведены данные о действии I на микрофлору птицы, рыбы, мяса. Библ. 34 назв.

Г. Любовский 13987. Замораживание мяса. Плохотник (Congelarea cărnii și congelarea cărnii în blocuri. Plohotn i c S.), Rev. ind aliment. prod. animale, 1955, A 4, 6—8 (рум.)

Рассмотрены преимущества быстрого замораживания мяса мелкими кусками или в блоках. Подробно описано замораживание мяса в блоках и работа установки советской конструкции непрерывного действия производительностью в 20 м в сутки. Описаны методы оттанвания мяса. Лучший из них —медленное оттаивание на воздухе при 0° и затем при 6—8° или 3—4°. А. Марин

13988. Быстрозамороженные мясные полуфабрикаты. Хаммонд (Quick-frozen meat packs. Нат-mond A. Edward), Food, 1956, 25, № 295, 136-137, 142 (англ.)

Описаны способы упаковки и широкий ассортимент мороженых мясных полуфабрикатов, произв-во которых организовано при магазинах с самообслуживанием. Одним из видов упаковки являются штампованные из тонких листов спец. алюминиевого сплава лоточки размером 19 × 12 × 2,5 см с целлофановой оберткой. Т-ра плавления сплава (~650°) позволяет после удаления обертки производить в лоточках поджаривание полуфабриката. Г. Любовский жаривание полуфабриката. 13989. Влияние созревания и посола мяса на способность к поглощению воды мышечной и соединительной тканью. Земёнтковский. (Wpływ dojrzewania i solenia mięsa na zdolność wiązania wody przez tkankę mięśniową i łączną. Siemiątko w-ski Bolesław), Cospod. mięsna, 1955, 7, № 10,

28-31 (польск.) На основании проведенных опытов по установлению хим, и физ.-хим. изменений мяса при созревании сделаны следующие выводы. Переработку мяса на фарш с разным содержанием соединительной ткани надо вести различно: при изготовлении вареных колбас мясо с небольшим кол-вом соединительной ткани измельчать, смещивать, набивать в оболочки и варить только по наступлении его посмертного окоченения. Мясо с преобладанием соединительной ткани можно обрабатывать тотчас после убоя, поскольку способность его к поглощению воды зависит, главным образом, от высо-кого значения рН. При изготовлении колбас следует обращать внимание на рН мяса: применение мяса с рН, близким к изоэлектрич. точке, для изготовления вареных колбас может снизить их выход и уменьшить сочность с образованием под оболочкой скоплений воды; для изготовления копченых и копчено-вареных колбас, требующих подсущивания, более подходит мясо с низким рН, возможно близким к изоэлектрич. точке, поскольку оно легко теряет излишек воды. Сравнительно высокая кислотность его способствует стойкости колбас, затрудняя развитие бактерий. Л. Шапиро 13990. Производство венгерской колбасы салями.

Пезацкий (Produkcja salami węgierskiego. Реzacki Wincenty), Gospod. miesna, 1955, 7, № 8, 4-10 (польск.)

Описаны 4 сорта колбасы, их рецептура и технологич, процесс произ-ва,

13991. Применение мононатриевой соли глутаминовой кислоты для сохранения качества мороженых свиных колбас. Кемп (The use of monosodium glutamate in frozen pork sausage. Kemp James D.), Food Technol., 1955, 9, № 7, 340—341 (англ.) Исследовано влияние глутамата натрия (I) на органолептич. показатели продукта при хранении его до 1 года. Для опытов были использованы обрезь и лепаточная часть туш хряков и подсвинков живого веса ~90 кг. охлажд. до 1,1-3,3° за 48 час. Мясо, содержащее 25-35% жира, измельчали на мясорубке с диаметром отверстий решетки 3 мм, затем определялись содержание жира в фарше методом непрерывной экстракции этиловым эфиром в течение 6 час. и влажность высушиванием в вакуум-шкафу при 70° в течение 24 час. Фарш содержал 31,2% в-в, извлекаемых эфиром, и 48% влаги. Перед измельчением на мясорубке к 10 кг мяса добавляли 158 г соли, 52 г черного перца и 26 г шалфея. I вводили со специями или смешивали непосредственно с мясом. Готовый фарш плотно упаковывали по 450 г в толстую оберточную бумагу, замораживали и хранили при — 18°. После 2 месяцев хранения и в дальнейшем через каждый месяц производили органолептич. оценку продукта, для чего фарш выдерживали ~24 час. при 4°, перемешивали и формовали в брикеты, которые поджаривали на газовой горелке, сливая жир. В фарш, замороженный без соли и специй, последние добавляли после оттаивания. Результаты органолептич. испытаний оценивали по 7-балльной системе и обрабатывали методами математич, статистики. Добавление I к фаршу, содержавшему соль и специи, заметно улучшало товарные качества продукта после 4 месяцев хранения. Увеличение содержания І от 0.1 до 0.3% не давало дополнительных преимуществ. После годичного хранения качество всех партий продукта, содержавших I, несколько ухудшилось, но оставалось вполне приемлемым. Качество фарша с солью и специями, не содержавшего І, значительно снижалось уже после 4 ме-Г. Любовский

992. Основы требований к качеству мясных изде-лий и их значение для надзора за сбытом мясных и колбасных товаров.Ш ё и б е р г (Die Qualitäts-richtlinien für Fleischerzeugnisse und inre Bedeutung für die Überwachung des Wurstmarktes und der Fleischwaren überhaupt. Schönberg F.), Arch. Lebensmittelhyg., 1956, 7, № 15—16, 176—178 (neм.) Подробно изложены требования, разработанные на съезде представителей союзов мясоперерабатывающих предприятий (Ганновер, 1956), в отношении качества всех видов колбасных изделий, а также консервов: гуляша, рагу и корн-бифа. Товароведная характеристика обосновывает деление изделий на торговые сорта.

В. Гурни Предохранение бекона от мясных мух. Д е й-Buc (Protecting bacon against blowflies. Davies Mary), Minicip. Engng, 1955, **132**, № 3426, 1128-1129 (англ.)

Бекон опыляют для защиты от мух calliphora crythrocephala гороховой мукой, содержащей на 1 м2 его поверхности: 0,2 г пиретрина и 2 г пиперонилбутоксида, а для защиты от мух lucilia sericata соответственно Определение пряностей посредством поляризационного микроскопа. Зинелль (Polarisationsmikroskopische Untersuchungen Gewürzen. von Sinell Hans-Jürgen), Arch. Lebensmittelhyg, 1956, 7, № 15—16, 178—183 (нем.)

Гистологический (с применением окрашивания) метод определения пряностей в колбасных изделиях не дает удовлетворительных результатов, вследствие слабого окращивания (или полного его отсутствия) растительных клеток. Однако субмикроскопич. структура клеток пряностей хорошо сохраняется в процессе изготовления колбас, что дает возможность обнаружить ее по двойному лучепреломлению. При помощи поляризационного микроскопа (Цейсс-Винкель) исследованы добавленные в колбасы неизмельченные и в порошкообразном виде пряности. Приведены фотоснимки и охарактеризовано отношение к поляризованному свету отдельных клеток, клеточных включений и тканей. Метод дает возможность безопибочно определять природу пряностей, добавляемых в колбасные вале-Новые методы дезинфекции кишок.—(Metode

noi pentru dezinfecția mațelor.-), Rev. ind. aliment. prod. animale, 1955, № 10, 29 (pym.)

Изложены результаты применения советского метода дезинфекции кишок р-рами активного Cl, приготовленными растворением 30—50 г CaCl₂ в 1 л воды или же электролизом 3%-ного р-ра NaCl постоянным током (5-78, 0,75a).13996. Некоторые вопросы консервирования кишок

в мясной промыпленности. Лёринц (A húsipari bél tartósításának néhány kérdése. Lőrincz Fe-renc), Èlelm. ipar, 1955, 9, № 9, 279—283 (венг.;

рез. русс., нем., англ.)

Разработан метод консервирования кишок р-ром, содержащим NaCl, муравьнную и молочную к-ты. После 6 недель хранения в этом р-ре тонкие кишки крупного рогатого скота содержали (в %): NaCl ≤ 14,1, муравыной к-ты < 0,03 и следы молочной к-ты. Кишки, копсервированные этим способом, содержат мало микробов и имеют хорошие вкусовые и механич, свойства. Г. Юдкович

Проблема микробиологической порчи мясных презервов в банках. Бютьо (Le difficile problème bactériologique des semi-conserves de viandes en boites. Buttiaux R.), Antonie van Leeuwenhoek I. Microbiol. Serol., 1955, 21, № 3, 257—276 (франц.) Подробно описаны возможности заражения микроорганизмами мясных презервов на всех этапах их произ-ва. Дана исчерпывающая характеристика разнообразных видов бактерий и условий и развития по стадиям производства, рекомендованы меры борьби с микрофлорой. В. Гурпи Количественное определение карнозина мето

дом хроматографии на бумаге. Тем пус, Хёгль (Quantitative Carnosinbestimmung mittels Papierchromatographie. Tempus P., Högl O.), Mitt. Gebiete Lebensmitteluntersuch. und Hyg., 1955, 46, N. 6,

527-536 (нем.)

Описано колич, определение карнозина методом хроматографии на бумаге в экстрактах из говяжьего. свиного, бараньего, куриного и китового мяса. 3-3,5 г экстракта при подогревании растворяют в 25 ме 10%-вого изопропилового спирта. Пробы наносят на ватманскую бумагу № 1 (для хроматографического анализа), сущат теплым воздухом, выдерживают 3 часа и вновь сущат 5—10 мин. при 80°. Хроматограмму обрабатывают смесью равных частей 1%-ного р-ра *п*-анизидин в 0,1 н. спирт. p-ре HCl и 10%-ного p-ра амилнитрин в и-бутаноле и после высущивания на 2 мин. помещают в атмосферу, содержащую 3% NH₃. Измерение проводят с помощью фотоэлектрич. лейкометра. 1999. Изучение реакции тиобарбитуровой каслоты с жирами в пищевых продуктах. І. Реакция тиобар ürzen, elhyg, вания) елиях дствие

ствия) руктуоцессе ужить яризацованы рошко-

анному и ткаеделять е изде-Гурни Metode

liment.
метода
товленили же
током

Mapun Mapun Kumok húsipari z Fe-(Benr.;

р-ром, 1. После рупного куравыки, ковмикровойства.

войства. Одковня мясных problème s en boinhoek J. (франд.)

пах их разнообн по стаборьбы в. Гурпи на мето-Хёгль pierchro-

tt. Gebie-

46, № 6, методом овяжьего. . 3—3,5 г 10%-вого тманскую а), сущат овь сущат

пнизидина илнитрита помещают проводят В. Гурва кислоты из тиобар битуровой кмелоты с конеким жиром (новый снособ обнаружения конекого мяса). Фудзимаки, Одагири (食品中の脂肪と Thiobarbituric Acid との反應について、其の1. 馬脂と TBAとの反應 (馬肉の一新検出法)。應卷正生,小田切敷),日本農藝化學會誌, Нихон ногой катаку кайси, J. Agric. Chem. Soc. Jарап, 1954, 28, № 12, 963—967 (япон., рез. англ). Изучена р-ция взаимодействия 2-тнобарбитуровой к-ты (I) с конским жиром. Последний дает с пей более спльную цветную р-цию, чем топленое говяжье сало или свиной жир. Интенсивность окраски коррелирует с кол-вом конины, добавленной к говядине. Интенсивность цветной р-ции конского жира объясняют присутствием линоленовой к-ты и продуктов ее окисления. Р-ция пригодна для обнаружения фальсификации говядины кониной. Э. Симановская 14000. Новый мясной склад с машинным охлаждением. (New refragerated meat depot.—), Mod. Refrig., 1956, 59, № 701, 266—268 (англ.)

14001. Сухие вещества сыворотки и использовапие их в хлебопечении. Эйле III (Whey solids: their use in baking. A lesch Ed.), Baker's Digest, 1956, 30, № 3, 52—55, 71 (англ.)

Описан процесс сушки сыворотки. Приведена схема процесса. В различные хлебопекарные изделия вводят 1—10% (от веса муки) сухих в-в сыворотки.Г. Н. 14002. Техника очистки и консервирования органопрепаратов.— (Tehnica curățirii și conservării glandelor.—), Rev. ind. aliment. prod. animale, 1955, №4, 9—11 (рум.)

Описаны способы извлечения из туш животных желез и других органов, их очистки от жира п соединительной ткани, способы консервирования (в ацетоне, посолкой, сушкой, замораживанием), упаковки и транспортирования с боен к месту произвалекарственных средств.

А. Марин 14003. Современные методы хранения янц. С т е л и а и (Metode moderne pentru conservarea ouălor.

aπ (Metode moderne pentru conservarea ouălor. Stelian Andrei), Rev. ind. aliment. prod. animale, 1956, № 4, 22—24 (рум.)

14004. Применение ауреомицина для консервирования мяса, птицы и рыбы.— (Aureomycine als conserveermiddel voor gevogelte, vlees en vis!—), Chem. courant, 1956, 55, № 1776, 333 (голл.)

14005. Рыба как сырье для пищевой промыпленности. X е н (Fisk som råstoffi naeringsmiddelindustrien. Нее п Е i r i k), Tekn. ukebl., 1956, 103, № 34, 783—791 (норв.)

14006. Определение содержания жира в кильке (анчоусах) в 1955 году.—(Bestemmelser av fellinnboldet i Brisling 1955.—), Tidsskr. hermetikind., 1956, 42, № 4, 165—170 (норв.)

Приведены данные о содержании жира в кильках из 10 наиболее важных промысловых районов Норвегии 1946—1955 гг. Л. К.

14007. Применение новых антибиотиков для предотвращения разложения рыбы. Ланглуа (How the modern antibiotics help prevent fish spoilage. Langlois Jack D.), Pan Amer. Fisherman 1956, 11, № 1, 14 (англ.)

Сообщение о применении антибиотиков, в частности, окситетрациклина в комбинации с хододильным хранением рыбы. Г. Н.

14008. Применение антибиотиков для консервирования рыбы. Альбертсен (Antibiotica som konserveringsmiddel til fisk. Albertsen B.), Konserves, 1956, 14, № 8, 85—87 (дат.)

14009. Микроорганизмы и температура хранения рыбопродуктов. Артиоли (Microorganismi e temperature nell'igiene dei prodotti ittici. Artioli Delfo), Freddo, 1955, 9, № 5, 9—13, 15—18 (птал.) Обзор. Библ. 41 назв. Г. Н.

4010. Замораживание рыбы на судне-базе. Тужанский (Mrozenie ryb na statku-bazie. Turzański Czesław), Techn. i gospod. morska, 1955, 5, № 9, 241—243 (польск.)

Описан технологич. процесс замораживания рыбы путем орошения р-ром NaCl в морозилке абсорбционной системы (300000 ккал/час), установленной на судне «Шопен». Отсортированную промытую рыбу загружают слоями в ящики на 50 кг, поливают рассолом при т-ре — 20°, охлаждают в течение 2 час. до — 15°, глазуруют, обрызгивая холодной соленой водой, упаковывают в ящики и хранят при —20°. З. Фабинский 14011. Быстрое замораживание рыбы. (Quick-freezing of fish.—), Austral. Food Manufact., 1956, 25,

№ 9, 26 (англ.)

Описаны два способа быстрого замораживания рыбы. В многоплиточных аппаратах брикеты рыбного филепомещают на охлаждаемые металлич. плиты. Теплоотдача от замораживаемого продукта происходит в нижнем и верхнем направлениях, что способствует интенсивной отдаче тепла и равномерному и быстрому замораживанию продукта. Морозильные аппараты с т-рой охлаждающей жидкости — 33° снижают т-ру брикета рыбного филе толщиною 25 мм с 16 до — 18° за 1 час. Замораживание в тоннелях с форсированным воздушным охлаждением рекомендуется для замораживания рыбы в целом виде. Скорость движения воздуха ~4,5 м/сек при т-ре воздуха ~29°, при этом рыбное филе толщиной 13 мм охлаждается до — 18° за 30 мин. При скорости воздуха ослее критической для данной т-ры происходит интенсивное усыхание продукта.

1. Кондратьева 14012. Глазурование мороженой рыбы. П о с т о л ь

dolle. Глазурование мороженой рыбы. Постольский (Clazurowanie ryb mrożonych — ważny czynnik przedłuzenia ich trwałości. Postolski Jacek), Gospod. rybna, 1955, 7, № 9, 12—14 (польск.)

Приводятся доказательства положительного влияния глазурования, заключающегося в покрытии рыбы тонким слоем льда путем опрыскивания или многократного погружения в холодную воду, на длительность хранения и физ.-хим. изменения рыбы. 3. Ф-14013. О хранении печени трески. К е м п а (О ргзе-

chowywaniu watroby dorsza. Kem pa Bolesław), Gospod. 1ybna, 1955, 8, № 1, 10—12 (польск.) Описаны способы консервирования тресковой печени при помощи замораживания, посола и обработки формалином и смесью альдегидов, спиртов и органич. к-т, а также антибиотиками ауреомицином, террамицином и неомицином. Все эти способы отрицательно влииют на качество рыбьего жира и содержание в нем витамина. Следует перерабатывать свежую печень.

3. Фабинский 14014. О сохранении качества охлажденного мяса крабов в герметической таре. Карлеоп (Keeping guality of chilled dungeness crab meat packed in hermetically-sealed containers. Carlson Clarence J.), Commerc. Fisheries Rev., 1954, 16, № 11, 20—21 (англ.) № 11, 20—21 (англ.) Приводятся результаты опытов по хранению при 4,4° крабового мяса в банках, герметически укупориваемых в вакууме и при атмосферном давлении. Установлено, что в первом случае мясо сохранилось без порчи 7 дней, во втором — 5 дней. Несмотря на значительное увеличение общего числа бактерий на 2 и 3 день хранения, изменений в качестве мяса по органолептич. показателям не было установлено. А. Емельянов 14015. О сохранснии качества охлажденного мяса крабов в герметической металлической таре. К а р л, Kanr (Keeping guality of chilled dungeness crab meat in hermetically-sealed metall containers. Carle Louise A., Kyte Lydiane), Commers. Fisheries Rev., 1955, 17, № 2, 12—14 (англ.)

O

q

H

PI (I H) X) BE III

Ж Bi

Проведено опытное хранение 3 партий крабового мяса при 4,4°: 1) упакованного в свежем виде в вакууме в жестяные, герметически укупориваемые банки; 2) предварительно хранившегося в замороженном виде в течение 5 недель и упакованного, как в предыдущем случае; 3) то же, но упакованного без вакуума. Данные бактериологич. счета и органолентич. оценки установили, что образцы 3-ей партин начали портиться через 2, 2-й — через 7 и 1-й — через 9 дней. Отмечается сильная бактериальная обсеменность образцов 3-ей партии в начале опытного хранения. Органолентич. показатели наступающей порчи крабового мяса отстают от показателей бактериологич. и хим. анализа. А. Емельянов

14016. Производство консервов из крабов Paralithodes camtschaticus (Tilesius). III. Зависимость между образованием азота летучих аминов в мясе крабов при нагревании и его свежестью. Таникава, Акиба, Такасава (On the manufacture of canned crab from Paralithodes camtschaticus (Tilesius). III. The relation between volatile basic nitrogen produced in crab meat during heating and the freshness of the meat. Тапікаwа Еііспі, Акіра Міпоги, Таказаwа Nаоніго), 日本太產學會誌, Нихон суйсан чаккайси, Bull. Japan Soc. Scient. Fish., 1955, 21, № 6, 405—408 (англ.)

Изучено содержание азота летучих аминов в мясе крабов до и после прогрева при различных т-рах. С повышением т-ры содержание азота летучих аминов, образующихся во время подогрева, возрастает в интервале до 111,3°. Кол-во азота летучих аминов, образующихся при подогреве до 115,2°, менее кол-ва, образующегося при подогреве до 112,7°. Часть II см. РЖХим, 1957, 10442. Л. Кондратьева

14017. . Проект комплексной механизированной линии производства консервов из мелкой рыбы в томатном соусе. Белоусов Д. П., Рыб. х-во, 1956, № 7, 28—35

Ин-том Гипропищепром спроектирована механизированная линия произ-ва консервов, предназначенная для выполнения операций от приема рыбы до передачи готовой продукции на склад. Приводится перечень машин и аппаратов, составляющих линию. Описываются особенности и преимущества принятого аппаратурного решения задач новой технологии, а именно: 5-минутной выдержки обжаренной рыбы в стерильной среде, горячей расфасовки рыбы и соуса в стерильную тару, полной поточности произ-ва с миним. продолжительностью цикла операций при переработке свежего сырья и др. Дается краткое описание и технич. характеристика введенного в линию нового оборудования: термоаппарата, наполнителя для мелкой рыбы и соусонаполнителя. Производственные показатели линии (в смену): производительность 20 000 банок № 8, кол-во рабочих 20 человек, расход пара 5400 жг, расход воды 80 м3, потребная мощность 50 квт; производственная площадь 300 м2. По сравнению с произ-вом в обычных условиях запроектированная линия предусматривает снижение размера производственных площадей в 2 раза, потребности в рабочей силе в 2,5 раза и расхода лара на 30%. Приведено 6 схем и чертежей. В. Долговский

14018. Хроматография на бумаге. Определение свежести консервированной рыбы методом хроматографии на бумаге. Яманиси, Ханаи, Фукухара, Инагаки (Рарег chromatography による雛結魚肉の鮮度判定法. 山西貞, 花井精子, 編原惠子 > 稍垣長典), お茶の水女子大學自然科學報告, Отяномидзу даёси дайгаку сидээн кагаку хококу, Natur. Sci. Rept. Ochanomizu Univ., 1954, 5, № 1, 101—108 (япон.; рез. англ.)

Разработан точный и простой способ определения степени свежести консервированной рыбы по содержанию гистамина в води. вытяжке хроматографией на бумаге. Установлена зависимость между содержанием гистамина в изгне и площадью изтна. Напр., при содержании гистамина в изтне 0,625 у площадь изгна= 0,50 см², при 1,25 у — 1,13 см², при 7,5 у — 3,10 см², при 15,0 у — 4,5 см² и при 25,0 µ — 6,14 см². Проведено сравнятельное определение гистамина в рыбе хроматографически и методом Розы Любошец, а также сравнение оценки степени свежести рыбы органолентически и по содержанию гистамина, триметиламина и азота летучих оснований. Свежая рыба не давала пятна гистамина, рыба, имевшая сомнительный запах, содержала 25,8 мг % гистамина, а с гнилостным запахом 154,8 мг %.

14019. Стеклянная тара в рыбной промышленностя. В ра и де с (Die Glaspackung in der Fischindustrie.

Брандес (Die Glaspackung in der Fischindustrie, Brandes Arnold), Fischwirtschaft, 1956, 8, № 8, 203—204 (нем.)

14020. Экспорт замороженных съедобных ракушев. Судзуки (貝類(アサリ, ハマグリ)の冷凍輸出, 鈴木直辰), 冷凍, Рэйто, Refrigeration, 1955, 30, № 336, 78 (япон.)

Изложены требования Американского Санитарного управления к санитарному состоянию р-нов промыслового лова съедобных ракушек и условий их обработки и хранения. Приведены экономич. данные об экспорте ракушек в 1951—1954 гг.

Г. Н.

14021. Выделение углекислого газа при хранении чая. Херн, Ли (The evolution of carbon dioxide from tea. Hearne J. F., Lee H. N.), Chemistry and Industry, 1955, № 50, 1633 (англ.)

Образцы чая с влажностью 3,6 и 9%, герметически упакованные в жестяные банки, хранились 15 двей при 15, 25, 37, 55 и —10°. При хранении обнаружено выделение чаем СО₂. Кол-во последнего находится в прямой зависимости от влажности чая, т-ры и длительности хранения.

В. Гурия

14022. Влияние состава воды на вкус заваренного кофе. Локхарт, Таккер, Мерритт (The effect of water impurities on the flavor of brewed coffee. Lockhart E. E., Tucker C. L., Merritt M. C.), Food. Res., 1955, 20, № 6, 598—605 (2017)

В лабор, условиях изготовлены образцы воды с примесью различного кол-ва входящих в состав обычной воды солей. Эта вода использована для заварки кофе. Вкус последнего оценивался органолентически. Установлены пределы конц-ии отдельных ионов солей, благоприятствующие вкусовым достинствам заваревного кофе.

В. Гурия

14023. Определение цвета соевого соуса фотометром Пульфриха. П. Изменение цвета соевого соуса при хранении. И р и э, Я м а с а к и (醬油の色澤に就て. 第2報. 入江利夫. 山崎何惠), 日本職造協會雜誌. Нихон дзёдзо кёкай дзасси, J. Soc. Втеw. Јарап, 1954, 49, № 1, 28—25 (япон.; рез. англ.)
Цвет торгового образца соевого соуса, хранившегося

Цвет торгового образца соевого соуса, хранившегося в бутылке, стал в два раза темнее за год хранения. Консервирование воздействием высоких т-р ускоряя изменение цвета соевого соуса, полученного хим. или полухим. способом («аминокислотный», «новый соевый соус № 2» и др.), более заметно, чем у полученного брожением. Часть 1 см. J. Soc. Вгеw. Јарап, 1951, 46, 223. III. Фолы, 14024. Активность бактерий в процессе ферментация

4024. Активность бактерий в процессе ферментация соевого соуса. І. Подсчет жизнеспособных бактерий в культурах, содержащих плесневые грибы и дрожжи. Сакагуты (醬油細菌の活動に闘する研究. 第 1 報. 徽、酵母と混在する細菌の生菌数測定法、坂口健二), 日本曼藝化學會誌, Ныхон могэй жагаку

RHI

ер-

CO-

la=

CM2.

Hốe

KIKE

TTW-

и в

CO-

ana-

лова

CTH.

trie.

mer.

ного сло-

OTKE

орте . Н.

ения

oxide

istry

TOCKE

дней

дится

урни

HHOTO (The

rewed

Мет-8—605 с при-

НОНРИ

кофе.

Уста-

солей, варен-Гурни

нетром

а при

こ就て.

會雜誌, Japan,

тегося

нения.

коряет

coyca,

кислот-

аметно,

J. Soc.

Фольц

нтация

х бак-

こ関する

測定法.

Maraky

кайси, J. Agric. Chem. Soc. Japan, 1954, 28, № 9, 758—764 (япон.; рез. англ.)

Изучена микрофлора сусла соевого соуса, содержащего 18% NaCl и 1,4% N. Споры Aspergillus sojae вносили в смесь вареных соевых бобов и пшеницы После развития мицелия смесь насыщали рассолом и подвергали вития вицелия свественной ферментации в течение года при участии загрязняющих дрожжей и бактерий, после чего производили подсчет бактерий. Испытано влияние антибиотиков-фунгицидов. Эуроцидин (I) (30—100 у/мл), антибиотик w—2 (25 у/мл), трихомицин (500 у/мл) при онотик и — 2 (23 у/мя), грихомиции (300 у/мя) при введении в агар, содержащий глюкозу, эффективно тор-мозили развитие Aspergillus, Mucor, Rhizopus Penicil-lium, Saccharomyces, Zygosaccharomyces и Candida и не оказывали влияния на развитие 38 видов бактерий. В среде, содержащей I и выдержанной при 100° в течение 15 мин., через 8 дней не происходило снижения его активности. Она мало зависит от рН, но зависит от характера среды. Г. Новоселова от характера среды. 14025. Порча пищевых продуктов при действии микрофлоры, вносимой с пряностями. Хют ман (Fehlfabrikate durch keimhaltige Gewürze. Untersuchung über den Keimgehalt der in Deutschland üblichen Gewürze und seine Beziehung zur Entstehung von Fehlfabrikaten. Hüttmann Hildegard), Fleischwirtschaft, 1956, 8, № 7, 451—453 (нем.) Изучена микрофлора 86 видов пряностей, используемых для сдабривания пищевых продуктов. Установлено, что пряности в значительной степени заражены микроорганизмами, относящимися к различным группам спорообразующих аэробов. Как правило, степень заражения больше у пряностей, полученных из частей растений, сопринасающихся с почвой в период произрастания или уборки. Для предупреждения пищевых отравния или усорки. Для предупреждения пищевых ограв-пений рекомендовано вводить пряности в пищевые продукты после стерилизации, особенно в вареные колбасы, ветчину и мясные консервы. В. Гурни 4026. Органические красители и их применение в пищевой промышленности США. Море но-Кальво (Los colorantes orgánicos y su papel en la industria de la alimentación en los Estados Unidos. Moreno Calvo S.), Ion, 1956, 16, № 181,

474—481 (исп.)
Обзор. Библ. 31 назв.
Г. Н.
14027. Сорбиновая кислота как фунгистатическое средство для пищевых продуктов. VII. Эффективность сорбиновой кислоты для предохранения сыра. Смит, Ролин (Sorbic acid as a fungistatic agent for foods. VII. Effectiveness of sorbic acid in protecting cheese. Smith Donald P., Rollin Norbert J.), Food Res. (Chicago), 1954, 19, № 1, 59—65 (англ.)

Показано, что добавление к плавленному или натуральному американскому сыру 0,01% сорбиновой к-ты (I) тормозит распространение плесени на его поверхности и внутри, а добавление 0,05% I полностью предограняет от плесневения. Аналогичное действие оказывает опыление упаковочного материала I. Применение пеллофана, опыленного I в кол-ве 0,4—0,8г на 1000 см², что соответствует 0,042%—0,084% I к весу сыра, задерживало появление и распространение плесени. На вкусе сыра добавка I не отразилась. Организмом I усваивается подобно капроновой к-те, присутствующей в сливочном масле. Часть VI см. РЖХим, 1957, 10456.

14028. Новые достижения в упаковке пищевых продуктов. Эластичные упаковки. Р и д д е л л (Recent developments in food packates. Flexible packages. R i d d e l l G. L.), Chemistry and Industry, 1954, № 52, 1570—1573 (англ.)

Приводятся данные о проницаемости водяных паров (в г на м²/24 час.) различных групп упаковочных мате-

риалов (металлич. фольги, влагонепроницаемой целлюлозной пленки, парафинированной бумаги, полихлорвиниловой пленки, бумаги, покрытой пластиком,
крафт-бумаги, растительного пергамента и др.) при
25° и 75% относительной влажности и для тропич.
условий (т-ра 38°, 90% относительная влажность).
Для предохранения продукта от влияния кислорода
рекомендуется вакуум-упаковка или упаковка в атмосфере инертного газа. Особое значение имеет укупорка упакованного продукта, так как неплотность
упаковки может полностью уничтожить преимущества,
получаемые от применения хорошего упаковочного
материала. Усовершенствована упаковка мяса и птицы
в сжимающуюся обертку: продукт помещается в пакет из поливинилиденхлорида и под вакуумом укупоривается горячим способом; затем упаковка нагревается, чтобы вызвать сжатие обертки вокруг мяса.
В. Грживо

14029. Упаковка пищевых продуктов. II е й н (The packaging of foodstuffs. P a i n e F. A.), Food, 1955, 24, № 288, 317—320, 328 (англ.)

Автор делит факторы, вызывающие порчу пищевых продуктов, на зависящие от их природы и зависящие от окружающих условий, считая вторые устранимыми путем поштучной упаковки. При разборе причин порчи вследствие механич. повреждений, от измерения влажности, от окисления, благодаря приобретению постороннего или потере натурального запаха, особое внимание сосредоточенона отношении продуктов к влажности воздуха. Найдена математич. зависимость между потерей продуктами влаги, давлением водяных паров воздуха и упаковки. В. Гурни 14030. Новые упаководные материалы.

14030. Новые упаковочные материалы, предупреждающие порчу пищевых продуктов. Дейвис (New packaging developments can cut food contamination. Davies Leslie), Municip. Engng, 1956, № 3470, 660 (англ.)

Обсуждение вопроса об удобстве и гигиеничности упаковки мяса и рыбы в диофан GSAT. Описаны физ.-хим. свойства этой бумаги, покрытой смесью полимеризатов винилиденхлорида. Упаковка обеспечивает доступ к продуктам О₂ и вместе с тем предохраняет их от высыхания. Обработку упаковки на машинах пронзводят горячим способом.

В. Гурни 14031. Пищевые аэрозоли. Хежка (Food aerosols. Herzka A.), Food Manufacture, 1956, 31, № 8,

317-320 (англ.) В США получила широкое распространение упаковка пищевых продуктов полужидкой консистенции сливки, приправы для салатов, майонезы и т. п.) в бан-ки с газом (NO₂, смесь NO₂ и CO₂) под давлением выше атмосферного. Таких «аэрозолей» в 1955 г. было продано 70 млн. банок (главным образом со взбитыми слив-ками) и ~220 млн. банок непищевых товаров. Продукты упаковывают в жестяные банки, снабженные клапаном, при открывании которого давление газа над поверхностью продукта выталкивает его из банки. По мере выхода продукта давление в банке падает и может оказаться недостаточным для вытеснения всего продукта. Поэтому банки наполняют продуктом непол-ностью, напр. в банки на 338 г сливок дают 198 г. По выходе сливок из банки растворенный в них газ расширается и взбивает сливки. Обычно давление в банках устанавливают в пределах 4,5-6.0 ам при т-ре 4,5°, при которой в дальнейшем и хранится продукт до его использования. Для продуктов, которые плохо переносят соприкосновение с газом, применяют видоизмененный способ упаковки. В металлич. сосуд помещают эластичный мешок, соединенный с выпускным клапаном, мешок заполняют продуктом, а пространство между мешком и внешним сосудом заполняют парами сжиженного газа, наливаемого на дно метал-

No 4

Ge

734

Co

жела

в-ва

CM

14193

3epH 4390

Гриб

ECCJI

3469

Mace

REHE

(9

про

TER

MH.

лич. сосуда; в этом случае в качестве выталкивателей могут быть использованы газы органич. происхождения (фреон), которые обычно применяются в упаковках непищевых «аэрозолей». Приведены чертежи и подробное описание сосудов и способов их заполнения.

С. Светов

14032. Упаковки из бумаги, картона, фольти и ткани, как средство защиты пищевых продуктов от насе-комых. Шельхори (Verpackungen aus Papier, Karton, Folien und Geweben als Schutz für Nahrungsmittel vor Insekten. Schelhorn M. V.), Verpackungsrundschau, 1956, 7, № 1, Beilage 5—9 (нем.) Рассмотрены работы, проведенные за последние 15 лет в США, Австралии и Англии по разработке защитных упаковок для пищевых продуктов (от насе-

15 лет в США, Австралии и Англии по разрасотке защитных упаковок для пищевых продуктов (от насскомых субтропич. и тропич. зон). Экспериментально проверена возможность использования результатов этих работ для климата ФРГ, применительно к местным разновидностям насекомых-вредителей пищевых продуктов. Библ. 24 назв. В. Гурни 14033. О промышленном использовании сельскохо-

4033. О промыпленном использовании сельскохозяйственных продуктов в 10.-Африканском Союзе. Рапеон (The industrial use of agricultural products. Rар s o n W. J.), S. Agric. Industr. Chemist., 1956, 10, № 6, 136—138 (англ.) 4034. О возможности использования сельскохо-

14034. О возможности использования сельскохоаяйственных отходов в Ю.-Африканском Союзе. Ш а удер (Wastes-South Africas challenge and opportunity. Schauder H.), J. Agric. Industr. Chemist, 1956, 10, № 6, 132—135 (англ.)

14035. Отходы сельскохозяйственных продуктов в Ю.-Африканском Союзе. Суордт (Agricultural wastes. S w a s t e s. S. J. J. de), J. Afric. Industr. Chemist, 1956, 10, № 6, 128 (англ.)

14036 К. Брожение теста на дрожжах и закваске. В ой це ш а к (Fermentacja ciasta na drożdżach i zakwasie. W o j c i e s z a k P a w e ł. Warszawa, Wydawn. Przem. Lekkiego i Spożywcz., 1956, 88 s., 4.30 zł) (польск.)

4037 К. Техно-химический контроль кондитерского производства [Учебник для сред. спед. учеб. заведений]. Кафка Б. В. М., Пищепромиздат, 1956, 320 стр., илл., 8 р. 30 к.

14038 К. Переработка плодов и овощей. Учебник по технологии для сельскохозяйственных школ. Червинка, Филип, Пруха, Штепанек, Виган (Zpracování ovoce a zeleniny. Učební text pro vyucování technologii na zeměd. mistrovskych školach. Čeryinka K., Filip B., Prucha J., Štěpanek K., Vihan Z. Praha, SZN, 1954, 98, 1 s., 11, 20 Kés.) (чеш.)

pro vyucoyani technologii na zemed. mistrovskych školach. Če ryinka K., Filip B., Prucha J., Štėpanek K., Vihan Z. Praha, SZN, 1954, 98, 1 s., 11, 20 Kės.) (чеш.) 14039 К. Технология молока и молочинх продуктов. Изд. 2-ое, исправленное и переработанное. Це суль (Technologia mleczarstwa. Wyd. 2 popri uzupeln. Če s u l Jan. Warszawa, Państw. Wydawn. Roln. i Leśne, 1955, 431, 1 nld. s., 43,70 zl) (польск.) 4040 К. Июдиненевеные системы молока и молока.

14040 К. Полидисперсные системы молока и молочных продуктов. К е т т и н г (Теј és tejtermékek polidiszperz rendszerei. K e t t i n g F e r e n c. Mérnöki Továbbképzo Intelöadássorozatából Budapest,1955/1956, 109 l.ill., 23 ft) (венг.)

14041 К. Микробиологические исследования в молочной промышленности. Калиновский, Хаттовская (Badania mikrobiologiczne w przemyśle mlećzarskim. Kalinowski L., Hattowska H. Warszawa, Wydawn. Przem. Lekkiego i Spozywcz., 1956, 207, l. nlb. s., il., 15. 90 zl) (польск.)

14042 К. Специи и вспомогательные материалы в мясоперерабатывающей промышленности. Гж егожевич (Przyprawy i surowce pomocnicze przy przerobie mięsa. Grzegozewicz Józef. Warszawa Wydawn. Przem. Lekkiego i Spożywcz, 1956, 125, № 2, nlb. s., ił., 9. 40 zl) (польск.)

14043 К. Обработка и ферментация герцеговинского табака. Делач, Поштеняк (Obrada i fermentacija duhana hercegovačkog tipa. Delač Ivo, Poštenjak Konstantin. Grude, Pred. za otkup i obradu duhana, 1955, 100 str., il.) (сербохорв.)

14044 Д. Исследование технологических свойств сортов крупяных культур (просо, гречиха, рис). Козьмина Е. П. Автореф. дисс. докт. техн. н., Моск. технол. ин-т пищ. пром-сти, М., 1956

14045 Д. Исследование процессов сульфитации плодов. Самсонова А. Н. Автореф. дисс. канд. техн. н., Моск. технол. ин-т пищ. пром-сти, М., 1956 14046 Д. Электротепловые пастеризаторы. В и ноградов Е. П. Автореф. дисс. докт. техн. и.,

градов Е. П. Автореф. дисс. докт. техн. и., Ленингр. технол. ин-т холодильн. пром-сти, Харьков, 1956

14047 П. Продукт из ппеничной клейковины и способ его получения. Кофман (Wheat gluten product and process. Coffman John R.) (General Mills. Inc.). Канад. пат. 513500, 07. 06. 55

Патентуются способ изменения свойств пшеничной клейковины и получаемый продукт. К клейковиве в водн. среде добавляют окись кальция или другого щел.-зем. металла в кол-ве 2—5% от сухого веса клейковины. Реагирующую смесь нагревают до 145—155° в течение 15—60 мин. Избыток вонов кальция в р-ре осаждают в виде карбоната и удаляют. Полученый продукт не обладает эластичными и тестообразным свойствами, присущими необработанной клейковине, хорошо растворим в воде при любом значении рН (минимально при рН 4—5), а также в разб. спирте, обладает высокими клеющими свойствами. С. Светов 14048 П. Способ изготовления быстро развариваю

точения объетро вазарным объетро вазарным объетро риса. ОдзаиД ур ран и (Verfahren zur Herstellung von schnell kochbarem Reis. Одај- D u г га п і А t а и І І а h К h а п). Пат. ФРГ 902815, 13. 02. 54 [Stärke, 1954, 6, № 10, 257 (нем.)] Рисовые зерна доводят до 25%-ной влажности, затем подвергают прессованию, пропуская через вальцы или каким-либо другим способом. Отпрессованную массу доводят до постоянной влажности (обычно до 10—14%).

14049 П. Обогащенное сухое молоко с нежной консистенцией. Ф и р (Fortified soft curd milk powder. F e a r E r n e s t D.). Канад. пат. 511946, 19.04.55 Обогащенное сухое молоко нежной консистенции представляет собой смесь сухих в-в молока, соевой муки, декстрозы, сухих в-в сыворотки и минер. солей молока, добавленных в кол-ве, достаточном для получения нейтр. продукта при определении кислотности по Нейфису.

14050 П. Ткань для обертывания тупи, покрытая

4050 П. Ткань для обертывания туш, покрытал искусственными смолами. Госер, Лонер (Beel clothing (plastic coated cloth). Goeser Paul A., Lohner Carl L.) [Swift and Co.]. Канадлат. 512121, 19.04.55

Способ обработки туш животных заключается в обертывании туши после снятия шкуры тканью, имеющей покрытие из пластич. матернала. Ткань с покрытие имеет паропроницаемость при 37° из атмосферы с отнесительной влажностью 85—90% в сухую атмосферу 0,006—0,028 г влаги на 1 см² поверхности в течение 24 час. Применение ткани улучшает внешний вид и уменшает усущку туши.

Б. Киселея 14051 И. Состав для покрытия колбас и других изделий (Enduit pour saucissons, salami ou autres.) [Carla

przy z e f. 1956, нского

rmen-

I vo,

ed. za

сербо-

BONCTR pue).

H. H.,

ташо канд. , 1956 и и о-н. и.,

Харь-

и спо-

n proeneral

НОВРЕ КОВИПО

ругого

клей-—155°

в р-ре

евный

ЗНЫМИ

овине.

ии рН

пирте,

Светов

рикаю-

rfahren

Zai ФРГ

(нем.)] , затем

цы или

Maccy -14%).

Тапиро ой кон-

owder.

. 04. 55

тенции

соевой

. солей и полу-

THOCTE

Брио крытая Paul

Канад.

теюще

рытием

C OTHO сосферу ение 24

умень-

иселев

их изле-

(Carla

57 r.

Gewurz Fabrik Karl Fried Baumann]. Франц. пат. 1057537, 9. 03. 54 [Chem. Zbl., 1955, 126, № 31, 7341 (нем.)] Состав содержит 8 ч. воды, 4 ч. гипса, 0,4 ч. порошка жилтины, 0,3 ч. глицерина, 0,01 ч. консервирующего във (Nа-бензоата) и 0,05 ч. лимонной к-ты. В. Гурни

См. также: Общие вопросы: сушка сублимацией. 14193; содержание Мп в растит. продуктах 4396Бх. Зарво, прогоркание 13762. Мука, методы исслед. 12180; зарно, прогоркавие 13702. Мука, методы исслед. 12180; 390Вх. Плоды: питательная ценность 3881Бх; хранеше 4395Бх. Овощи, прорастание картофеля 12448. Грибы, питательная ценность 4353Бх. Молоко, методы ислед. 3420Бх, 3433Бх. Малознво 3582Бх. Состав меберж. Сыр, созревание 4393Бх. Сточные воды 12795. Инсо, ферментативная обработка 4401Бх. Рыба, хранение 4400Бх. Упаковка 13457, 13692, 13770

кожа. мех. желатина. дубители. ТЕХНИЧЕСКИЕ БЕЛКИ

Редактор О. В. Матесева

4052. Стандартизация в кожевенной промыплен-ности. Шумандлова, Валента (Normalisace у koźedelnem pramyslu. Schumandlová A., Valenta F.), Normalisace, 1956, 5, № 4, 76-78

(чеш.; рез. англ., русс.) Отмечается большой уд. вес кожевенного и обувного произ-в в народном хоз-ве Чехословании и в экспорте. Для успешной работы большое значение имеет качество сырья, зависящее от состояния с. х. Важным условием обеспечения качества сырья и кожи является стандартвация. Указываются объем этой работы и ее дальнейшие перспективы. Особые трудности представляет стандартизация сортировки, для которой намечается систеа, основанная на 2 критериях: а) характер лицевой поверхности и толщина, определяющие сорт и подсорт вожи по ее назначению; б) процент использования пло-щади кожи с учетом пороков. М. Люксембург 14053. Обзор достижений в производстве кожи. Туоминен (Nahkateollisuuden viimeaikaisesta kehityksestä. Tuominen Erkki), Tekn. kemian aikakauslehti, 1956, 13, № 7, 200—202, 204—207

(фин.; рез. англ.) 14054. Пороки мокросоленого кожевенного сырья. Рабе (Uszkodzenia skor surowych konserwowanych

metoda solenia. R a a b e E d u a r d), Przegl. skorzang., 1956, 11, № 2, 35—38 (польск.)
Приведены обзор литературы по рациональным метомм консервирования парного кожсырья NaCl и описание наиболее распространенных пороков мокросоле-ных шкур и мер борьбы с ними. Указывается эффекпристь добавки к соли 2% кальцинированной соды ля предупреждения порока «солевые пятна». Против и другие.
14055. Изменения трехмерных высокомолекулярных

веществ при механической деструкции в различных средах. Барамбойм Н. К., Науч. тр. Моск. технол. ин-та легкой пром-сти, 1956, сб. 6, 45-51 Исследовались особенности процесса разрушения трехмерных систем — склеропротеннов с естественными, а также ослабленными или усиленными пространственными хим. межмолекулярными связями. Размол производился в газовой (воздух) и жидкостной (вода, спирт, бензин) средах. Установлено, что предел измельчения связан с хим. природой полимера и характером окружающей среды. Чем меньше частота поперечных

связей полимера, тем ниже возможная степень измельчения полимера в воздушной среде. В жидких средах предел измельчения определяется природой полимера и жидкости, наличием или отсутствием сродства между ними. Размол в водн. среде способствует разрушению структуры по поверхностям, связанным водородными и солевыми связями. При этом происходит преимущественно разволокнение без хрупкого излома волокон. Размол в бензоле и других неполярных р-рителях, не смачивающих волокна, дает только излом, хрупкий разрыв и деформацию волокон. Влияние среды долж-но быть учтено при проведении любых связанных но быть учтено при проведении перес питенсивным механич. воздействием операций пересоботии трехмерных полимеров. Р. Колчина 1056. Применение гидросульфида кальция при золе-нии шкур. Рестек (Primjena kalcijumhidrosulfida

kod luženja koža. Restek Ivan), Tehnika, 1956, 11, № 4, 570-572 (сербо-хорв.; рез. нем.)

В процессе золения в шкурах происходито слабление волоса и эпидермиса, нажор коллагена, омыление жиров и растворение некоторых белков дермы. Ослабление волоса происходит вследствие гидролиза и восстановления цистина, для чего необходимо одновременное присутствие гидросульфидного и гидроксильного ионов. Гидросульфид кальция (1) вызывает значительное ослабление волоса, но недостаточный нажор. Поэтому рекомендуется применять для золения I и Na₂S в отношении 2: 1 вместе с известью; при этом достигается оптимальный рН р-ра, хорошее ослабление волоса, нормальный нажор и сохранение лицевого слоя кож. І с успехом может применяться в намази для шкур овец и ягнят, т. к шерсть при этом сохраняется лучше, чем при применении Na₂S. Частичная замена Na₂S I при золении дает положительный экономич. эффект. Приведены рецепты золения различного сырья с учетом его назначения.

3. Лебедева 14057.

057. К химии процесса дубления желатины. Вейденбах В. А., Ж. прикл. химии, 1956, 29, № 6, 918—922

Изучался характер взаимодействия различных ду-бителей с желатиной методом окращивания предварительно задубленной желатины кислотными (прямой розовый С) и основными (основной фуксин) красителями. Обнаружено, что дубящие в-ва ацидоидного типа (формалин и растительные танниды) взаимодействуют (формални и ристами желатины, что и кислотные краси-тели, т. е. с аминогруппами. Дубители базоидного типа (хромовые квасцы) взаимодействуют с гидроксильными группами желатины. Дубление желатины хиноном относится, как и хромовое дубление, к базоидному типу. Предложен сравнительно простой способ определения характера дубления путем окрашивания предварительно задубленной желатины кислотным красителем. Р. Колчина

14058. Механизм растительного дубления кожи. Ягуе-Хиль, Торпер-Очоа (Mecanismo de la curtición vegetal. Yagüe Gil Ångel, Torner Ochoa Antonio), Rev. cienc apl., 1954, 8, № 4, 331—337(исп.)

Рассмотрена хим. природа в-в, участвующих в процессе дубления: коллагена шкуры и таннидов. Обсужден характер связи между таннидом и коллагеном (электростатич. взаимодействие, водородные связи, адсорбция и т. д.). Рассмотрены отдельные стадии процес-са дубления (адсорбция, диффузия, финсация).

659. Использование кислотности каштанового экстракта при дублении подошвенной кожи. М а р т е и каштанового (Utilisation rationnelle de l'acidité de l'extrait de châtaignier dans le tannage du cuir lissé. Martin H.), Bull. Assoc. franc. chimistes inds. cuir, 1955, 17, № 10, 169-198 (франц.)

тро

Ma'

Изучено поглощение к-ты из вани сокового хода в процессе дубления подошвенной кожи. Исследовалось влияние степени обеззоливания, рН экстракта, т-ры ванны. Установлено, что поглощение к-ты протекает параллельно поглощению таннидов и наиболее эффективно в ваннах средней конц-ии. Поглошение к-ты в этой стадии дубления определяет жесткость готовой кожи. Начало см. РЖХим, 1957, 10513. Е. Лившиц 14060. Отделка кожи смолами. Стал (Resin finishes. Stahl Louis E.), Leather Manufact., 1956,

73. № 3, 29-30, 47-48 (англ.)

Современные требования к качеству верхней кожи (водонепроницаемость, гибкость, продолжительность срока службы и др.) заставляют прибегать к покрытию кожи различного типа пленками на основе синтетич. смол. Первоначально использовавшиеся фенол- и мочевиноформальдегидные и алкидные смолы обладают рядом существенных недостатков (твердость, хрупкость, необходимость отверждения при высоких т-рах и т. д.). Применяются также полимеризационные смолы (виниловые, винилиденовые, поливинилацетат, поливинилхлорид, полнакриловые смолы, полистирол, сополимеры бутадиена и стирола, бутадиена и акрилонитрила). Добавление в эмульсию смолы дисперсий белков улучшает механич. устойчивость пленок. Существенно влияет также выбор смачивающего реагента и красителя. Для лучшего качества отделки целесообразно полимеризовать смолы специально для этой пели, так как это дает возможность регулировать размеры частиц дисперсной фазы (проницаемость лака) в зависимости от типа кожи. Выбор подходящих мономеров позволяет регулировать мягкость отделки.

1061. Лаковые эмульсии. Сайдботтом (Lacquer emulsions. Side bottom L. W.), Leather Manufact., 1956, 73, № 3, 20—22, 25—26 (англ.) Нитроцеллюлозный лак для отделки кожи может быть применен в виде води. эмульсии типа масло в воде. Кроме нитроцеллюлозы, можно применять этилцеллюлозу, хлорированный каучук, ацетилцеллюлозу и др. Р-ритель для нитроцеллюлозы не должен гидролизоваться, а скорость его испарения должна быть меньше, чем у воды. Вода для эмульсии и эмульгирующие средства не должны содержать электролитов. Стабильность эмульсии увеличивается при применении защитных коллондов: р-ров казенна и метилцеллюлозы, увеличивающих вязкость. В лаковую фазу до эмульгирования вводят красители. Отношение лаковой фазы к водной должно быть от 3:1 до 2:1 по весу. Содер-жание твердого в-ва не должно превышать 50%. Недостатком пленок, полученных из лаковых эмульсий, является меньшая водоустойчивость по сравнению с пленками, полученными из р-ров. Лаковые эмульсии пригодны для отделки мягких кож (перчаточных и одежных).

Применение высших алифатических спиртов в кожевенной промышленности. И с э й л э (Intrebintarea alcoolilor grasi în tăbăcărie. Is ă i l â N.), Ind. usoara, 1956, 3, 95—98 (рум.; рез. русс., нем.) Алифатич. спирты, содержащие более 6 атомов С в молекуле, применяют в кожевенной пром-сти в виде сульфопроизводных как поверхностноактивные в-ва, эмульгаторы, диспергаторы, пенообразователи. Наи-большее применение находят производные следующих миристинового спиртов: лауринового С12Н25ОН, ${
m C_{14}H_{29}OH}$, петилового ${
m C_{16}H_{39}OH}$, стеаринового ${
m C_{18}H_{37}OH}$, октадецилового ${
m C_{18}H_{35}OH}$. Интенсивность действия сульфопроизводных высших алифатич. спиртов (I) зависит от характера ненасыщенности спиртов. от вида связи сульфогруппы и расположения ее в молекуле. І могутприменяться в отмоке кож с большим содержанием жира, для обезжиривания овчинных, свиных и других шкур в присутствии р-рителей, для диспергирования дубильных в-в. Прибавление I при экстрак. ции увеличивает кол-во экстрагированных таннилов. сохраняет прозрачность р-ров, увеличивает скорость диффузии таннидов в кожу. I применяются при кращенин для получения равномерных оттенков, в качестве эмульгаторов при приготовлении эмульсий для жирования кож. В РНР имеются возможности создания от-Г. Маркус чественного произ-ва І. Изучение восков, применяемых в производстве

кожи и вспомогательных материалов І. Чамие (Contributii la studiul cerurilor folosite in industria de pielărie și a produselor auxiliare (I). Ce a m is M.). Ind. usoara, 1956, 3, № 4, 135-142 (рум.; рез русс.

Рассмотрены происхождение, способы выделения в очистки, физ.-хим. свойства и применение в кожевенной пром-сти отдельных видов воска животного и растительного происхождения. Г. Маркус Об устойчивости юфти к циклическим механи-

ческим воздействиям. М ихеева Е. Я., Закато ва Н. Д., Науч.-исслед. тр. Центр. н.-н. ин-а кож-обув. пром-сти, 1955, 25, 114—123

Исследовалась устойчивость юфти хромрастительного, хромсульфитцеллюлозно-хромового, хромсульфит-целлюлозно синтанного и растительного дубления к мыгократному растяжению и изгибу. Характер изменени в размерах образцов показывает, что при циклич воздействиях протекают два процесса: орнентацияструктурных элементов в направлении растягивающих усилий и процесс разрыхления структуры кожи, связавный с поднятием пучков волокон и увеличением толщины под влиянием многократных изгибов. Установлено что юфть очень устойчива к механич. циклич. воздествиям (кроме юфти растительного дубления). Наблюдающийся быстрый износ юфти хромсульфитцеллюло но-хромового дубления в реальных условиях носы происходит в результате изменения ее свойств под дей-Р. Колчин ствием физ. и хим. факторов. Продолжительность срока службы мебельно

кожи из спилка. II. Иннес, Мейер, Митто (Durability of upholstery leather from split hides—II. Innes R. F., Mayer M. H., Mitton R. G., J. Soc. Leather Trades' Chemists, 1953, 37, Ne 12

384-393 (англ.)

Изучалось защитное действие различных солей и кожу, выдубленную таннидами пирогаллового тип обработанные этими солями, методами ўскоренного старения: в газовой каме в присутствии SO_2 , в кислородной бомбе в присут пероксидной проб O₂ и SO₂ и методом (обработка серной к-той и H₂O₂). Некоторыми защити ми свойствами обладают находящиеся в коже водовым ваемые. Из испытанных солей только лактат кал обнаружил защитное действие при всех трех метода испытания. Сульфат алюминия дал лучшие результать чем лактат при испытании в газовой камере, но худш при испытании другими методами. Защитное действ хлористого натрия и щавелевокислого кальция не уст новлено. Кожи, выдубленные пирогалловыми и пир катехиновыми таннидами, показали одинаковые р зультаты. Имеется некоторое соответствене меж результатами механич. испытаний и содержанием ра творимого азота. Однако при определении последи могут получаться ошибочные результаты, если в ко могут образоваться летучие аммониевые соединены Часть. I, см. РЖХим, 1957, 10516. И. Этпиго 14066. Изучение таннидов Sqirogyra arcta I. Выг ление таннидов. Накабаяси, Хада (あ みどろタンニンの研究.其の1.タンニン成分の分離.中棋 郎,波田典正),日本農藝化學會誌, Нихон ногэй каги кайси, J. Agric. Chem. Soc. Japan, 1955, 28, Ni

387-391 (япон.; рез. англ.)

кстракннидов. КОРОСТЬ крашекачестве я жирония оте-

Маркус зводстве I амие ndustria is M.) в русс.

ления в кожевени расти-Маркус механикато и. ин-та

ительно сульфит-NH H MHOзменений циклич. ия струкцих уси-, СВЯЗАН-М ТОЛЩЕ-

новлено . воздей-. Наблюеллюлоз IX HOCK под дей-

Колчин ебельно HTTO ides-II R. G.) 7, No 12

солей в oro THE пытывал й камер присутся й проб защиты ОДОВЫМ

ат кал х метод зультать ю худи действ я не уст и и пир ковые ре

ие меж нием рас **госледы** ли в ко единени . Этинго са І. Вых а (あ)

эй кага 5, 28, N

кулы сахаров, предполагается, что исследованные запиды подобно таннидам китайского орешка предствляют собой депсиды. Выделенные из растворимой в эфире фракции таннидов игольчатые беспветные кристалы (т. пл. 200°) идентифицированы как метилгаллат, который может находиться в природном пролукте или образовываться при изменении главного помпонента в процессе спиртовой экстракции. П. Френкель 14067. О влиянии сульфитирования на поведение растительных дубителей в растворах. Р у (Über die Wirkung, der Sulfitierung auf das Lösungsverhalten von pflanzlichen Gerbstoffen. Roux D. G.), Leder,

результаты хроматографии на бумаге таннидов

Spirogyra arcta (вытяжка метиловым спиртом) позво-

предположить наличие шести компонентов;

поматограмма подобна хроматограмме таннидов ки-

міского орешка. Исследованные танниды содержат радовую к-ту и главный компонент, который может

ыть выделен в виде аморфного белого порошка. Так

вк при гидролизе получается галловая к-та и 2 моле-

1956. 7. № 5. 111-112 (рез.; нем. англ., франц., исп.) На основании хроматографич. исследований опроергается представление о том, что результатом сульытирования растительных дубильных экстрактов вляется диспергирование частиц таннидов (Т). Увеличение растворимости дубителей после сульфитироваим не является следствием повышения степени дисперсвости. При сульфитировании не происходит хим. де-струкция Т. Хроматограммы на бумаге сульфитированвого и несульфитированного квебрахового экстракта доказывают, что при сульфитировании не происходит уменьшения частичек, но наступает сильное увеличеше водорастворимости; кроме того, сродство дубителя к целлюлозе падает. Сродство к целлюлозе аналогично сродству к коллагену. Степень связывания дубителя воллагеном нельзя считать функцией размеров частиц Т. 3. Лебедева

Статистическое изучение отбора проб таннидов. Патнам, Крандалл, Фейсер (Statistical study of tannin and sampling. Putnam R. C., Crandall C.B. Facer E. Jr), J. Amer. Leather Chemists Assoc., 1955, 50, № 11, 534—546 (англ.) Из нескольких партий экстракта квебрахо было

взято на анализ по две пробы из разных мешков одной партии. Рассчитано отклонение аналитич. показателей дя проб из разных мешков. Проведена статистич. обработка полученных результатов и сравнение с результатами, полученными по стандартной методике. С. Басс 14069. Местные растительные дубильные материалы,

применяемые в румынской кожевенной промышленвости. Попеску (Materii tanante vegetale indige-ne in industria pielăriei din R. P. R. Рорезси Mircea), Ind. usoara, 1956, 3, № 5, 183—189

(рум.; рез. русс., нем.) Приведены характеристики производимых в Румыши растительных дубильных экстрактов, отмечены их ведостатки, указаны пути улучшения их качества в возможности расширения базы снабжения местными О. Матвеева

Проблемы и перспективы снабжения дубильвыми веществами. З ю с с е р (Probleme și perspective de aprovizionere a țării cu materiale tanante. S ü s z e r A.), Rev. chim., 1956, 7, № 5, 302—303 (рум.; рез. русс.)

Для обеспечения РНР местными дубильными материалами необходимо осуществление следующих мероприятий: 1) предотвращение потерь таннидов в процессе дубления добавлением до 15% синтетич. дубителя солутан, что даст экономию до 25% таннидов (иля синтеза солутана применяют фенолы из неиспольуемых отходов); 2) расширение и реорганизация сбора

дубильных материалов путем использования наряду с дубовой и еловой корами также коры ивы и введением обязательного сбора дубильных материалов для всех лесных участков; 3) использование еловых шишек в качестве дубильного сырья, что обеспечит 1/3 необ-ходимого кол-ва таннидов; 4) внедрение синтетич. дубителей из отечественного сырья и хим. отходов.

Г. Маркус 14071. Влияние дрожжей на пирогалловые танинды. Абади, Буаден (Action des levures sur les tanins pyrogalliques. A bad i e F., Boid in J.), Bull. Assoc. franç. chimistes inds cuir, 1954, 16, N 11-12, 9-44

Изучено влияние на танниды (Т) 13 дрожжевых грибков разного рода, выделенных из дубильных р-ров-Испытывалось влияние на рост дрожжей конц-ии Т, галловой к-ты, пирогаллола и рН среды. Большин-ство изученных грибков не разрушает Т, а размножается за счет других в в среды. Лишь два вида— Saccharomyces strasburgensis и Pichia регифоротурно— оказались способными разрушать Т с выделением гал-ловой к-ты и пирогаллола. С увеличением конц-ии Т уменьшалась степень их разрушения. При содержании 15% Т утилизация его дрожжами ясно выражена. При рН 4, обычно применяемом при дублении, дрожжи разрушают Т; более высокая активная кислотность замедляет влияние дрожжей на Т. Описан способ хроматографии на бумаге, примененный для колич. опредепения Т, галловой к-ты и пирогалнова в культураль-ных свепах.

14072. Влияние хлорирования и последующего дехлорирования на дубящие свойства дигносульфонатов. рырования на дуожщие своиства личносульфонатов. Ньюком, Маршала (The effect of chlorination and subsequent dechlorination on the tanning properties of ligninsulphonates. New combe Alan G., Marshall H. Borden), Canad. J. Technol., 1955, 33, № 3, 152—160 (англ.)

Для исследования применяли сырой отработанный сульфитный щелок мягких варок древесины ели и бальзамина и высокомолекулярную францию сульфитного щелока, полученную диализом. Для снижения рН среды лигносульфонаты превращали в свободные лигносульфоновые к-ты при помощи катнонообменной смолы, сернистая к-та удалялась анионообменной смолой. Хлорирование высокомолекулярной фракции вызывает интенсивное деметоксилирование и небольшое увеличение содержания фенольных гидроксилов. Последующий щел. гидролиз p-ром NaOH при 100° и рН 12,8 и 12 вызывает дальнейшее увеличение содержания фенольных гидроксилов. В результате этих двух обработок число ОН-групп увеличивается втрое (в расчете на звено C_0). Хлорирование улучшает дубящие свойства лигносульфонатов, в частности повышает т-ру сваривания выдубленной кожи. Последующий гидролиз приводит к дальнейшему улучшению дубящих свойств, за исключением повышения т-ры сваривания. Л. Михеева 14073. Получение и свойства желатины. В и л ь я м е (Elaboración y propiedades de la gelatina. William s A. E.), Industria y química, 1954, 16, № 4, 217—219, 245 (псп.)

Обзор методов получения, физ. и хим. свойств и обла-3. Бобырь стей применения желатины. 14074. Изучение воспроизводимости определений вязкости желатиновых золей. Лаппас, Кинг (A study of the reproducibility of viscosity determinations using gelatin sols. Lappas Lewis C., King Edgar P.), J. Amer. Pharmac. Assoc. Scient. Ed., 1955, 44, № 3, 164—169 (англ.)

Для изучения воспроизводимости определения вязкости золей желатины (из костей, свиной и телячей шкуры) в нескольких лабораториях и различными аналитиками в пределах одной лаборатории произво-

пр

Ta

дились определения вязкости одних и тех же образцов одинаковым способом до и после нагревания золей в течение 17 час при 60°. Установлено, что расхождение между анализами одного и того же аналитика составило в среднем 0,4%, между разными аналитиками 0,9—1,5% и 6—9% между лабораториями; последнее объясняется различным способом калиброирования инпеток для определения вязкости и режимом нагревания.

10. Вендельштейн 14075. Производство казеина. Паттеи (Lactic casein production and problems. Раtten J. L.), J. Agric., 1956, 54, № 2, 65—69, 86 (англ.)

Дан анализ причин повышенной жирности, влажности, зольности, ненормального цвета и других дефектов казенна при существующем технологич. режиме. Разбирается вопрос об усовершенствовании технологии и снижении трудоемкости за счет освоения поточного процесса осаждения белка сывороткой повышенной кислотности, а также внедрения барабанных прессов непрерывного действия, конвейерной подачи белковой массы на пресс, с пресса в сущилку и готового продукта после охлаждения в камеру хранения.

Г. Титов 14076. Определение морозостойкости пластических кож. Ордельт (Zjišt'ování mrazuvzdornosti plastických kůži. Оrdelt Oldřich), Kožařství, 1956, 6, №2, 28—31; Chem. průmysl, 1956, 6, №6, 240—243 (чеш.; рез. русс., англ.)

Разработана новая методика определения морозостойкости пластич. кож. (заменителей кожи), основанная на многократном сжатии и растяжении опытного образца при его охлаждении с применением спец, прибора. Морозостойкость выражается в кол-ве изгибов, после которого наступает повреждение слоев пластич. материала. Несмотря на значительные колебания в цифрах, получаемых при испытании одного и того же образца, общую оценку его морозостойкости можно признать правильной. Прибор пригоден для оценки продукции на з-дах, где отбор достаточного кол-ва образцов не вызывает затруднений. М. Люксембург

14077 К. Кожа и заменители кожи.. III татер Перев. с нем. (Skóra i jej namiastki. S t a t h e r F. Tłum. z niem. Warszawa Wydawn. Przem. Lekkiego i Spoźywcz., 1956, 118; 2 nlb. s., il., 16. 40 zł) (польск.)

14078 П. Способ закрепления таннидов в коже. Тассель, Пешмез (Procédé de fixation des tanins dans le cuir. Tassel Edmond. Pechmeze Jacques) [Cie Francaise de Marières Colorantes]. Франц. пат. 1085872, 8. 02. 55 [Chimie et industrie, 1956, 75, № 3, 560 (франц.)]

Проводят дубление растительными или синтетич. таннидами с одновременной обработкой води. р-ром органич. азотсодержащего соединения, которое осаждает танниды не непосредственно в води. р-ре, а впоследствии. 3. Лебедева

14079 П. Способ получения растворимых в воде смолообразных продуктов конденсации и их применение для дубления кожи и меха (Procédé de préparation de produits résineux de condensation solubles dans l'eau et son application au tannage des peaux et des fourrures.) [Böhme Fettchemie G. m. b. H.]. Франц. пат. 1082885, 3. 01. 55 (Chimie et industrie, 1956, 75, № 3, 595 (франц.)]

Органические сульфамиды совместно с оксосоединениями или в-вами, выделяющими оксосоединения, донденсируют с амидосоединениями, способными к конденсации, содержащими хотя бы одну аминогруппусвязанную с группами СО—, СS—, С(NH)— или СN и имеющими атом H, способный к замещению. го щелока и сульфитцеллюлозного экстракта. Бабель (Verfahren zur Herstellung von Gerbmitteln aus Sulfitablauge und Ligninextrakten. Babel Hermann). Пат. ФРГ 930341, 14.07.55 В изменение описанного в пат. ФРГ 898350 (РЖХим,

14080 П. Способ получения дубителя из сульфитно-

1956, 14849) способа получения дубителя из сульфитного щелока и сульфитцеллюлозного экстракта предложено после побавления железисто- или железосиневодистых солей выдерживать смесь в темноте в присутствии щелочи, а также добавлять к ней щел. промывные воды от промывки осадков. Пример: к 200 г ные воды от примывки осадков. И р и м е р. к 200 г сульфитного щелока, разб. 200 мм воды (рН 4,5), прв. бавляют р-р 4 г Na₂CO₃ и 40 г железистосинеродистого калия в 400 мм воды (рН 10) в затемненном помещении при взбалтывании и затем смесь выдерживают в течение 14 дней в сосуде, завернутом в светонепроницаемую бумагу. Выпадающий осадок промывают несколько раз содовым р-ром (рН 10) до обеспвечивания осадка. Сухой остаток смеси основного р-ра и промывных вол используется для дубления. З же сухого остатка этой смеси растворяют в 24 л воды с добавлением 270 ма конц. муравьиной к-ты до рН 4 и отделением выпадарщего осадка.

14081 П. Кожеподобиь полиэфир-полиамиды и пропесс их получения. Джейн, Кропа, Дей (Leather-like polyester-polyamides and process of producing same. Jayne David W., Jr, Kropa Edward L. Day Old.) [American Cyanamid Co.]. Канад. пат. 508735. 4.01.55

Указанные продукты получают при взаимодействия первичных моновлкилоламинов (I) ф-лы НО—Y—NH₁ (Y—2-валентный, насыщ, алифатич, углеводородный радикал с неразветвленной ценью) с насыщ, дикарооновой к-той (II), не образующей ангидрида при нагревании и полифункциональным соединением (III), напр. многоатомным алифатич. спиртом с числом ОН-групп не менее 3, алифатич. полиамином, с числом NH₂-групп не менее 3; и алифатич. аминоспиртом с числом ОН-и NH₂-групп не менее 3, причем атом азота каждой NH₂-группы связан с атомом Н. По одному из вариантов продукт взаимодействия I и II реагирует затем с III. Молярное отношение II к I от 1: 0,6 до 1: 1; II к III от 1: 0,05 до 1; 0,2 и II к III от 1: 0,8 до 1: 1,1.1 Применяется термореактивный высокоориентированный кристаллич. полимер. Аналогичный продукт получается при конденсации себациновой к-ты, моноэтаноламина и дизтаноламина в молярном соотношении 1: 0.85: 0.15. С. Басе

См. также: Изучение коллагена 3463Бх. Исслед растительных белков 11898. Исслед. сывороточного альбумина 11946

прочие производства

Редакторы В. И. Елинек, В. Д. Матвеев, Н. А. Ширлева

14082 П. Способ получения гелей, применяемых для улучшения структуры почвы и обладающих физиологической активностью по отношению к растения. Зе йферт (Verfahren zur Herstellung von als Bodenverbesserungsmittel geeigneten pflanzenphysiologisch wirksamen Gelen. Seifert Ernst). Пат. ФРГ 940404, 15.03.56

Гели (I) получают осаждением золей одного или нескольких силикатов щел. металлов органич. к-тами или их солями с последующим обезвоживанием и высущиванием. Перед осаждением к золю добавляют полимеризат одной или нескольких органич. к-т. Для получения I могут применяться смеси силикатов Na и К и смеси органич. к-т или их солей. К I можно также

3. Лебедева

ритио-

nitteln

abel KXIIM. льфит-

инеро-

рисут-

200 ·

, при-

нстого шении течеaewym RO pas салка.

их вод

а этой

270 MA

nanan-

енкель

и про-

ducing

E d-

Канал.

йствин

-NH

дород-

васыт. идрида пением числом

числом мотом а азота

о ол-

йствия

ние II

,2 H II

ореак-

лимер.

нсапин тамина

. Басс

[сслед.

отонро

иряева ых для

физио-

ениям.

Boden-

logisch . ФРГ

ли нек-тами

и выавляют

т. Для гов Na

также

прибавлять карбонаты щел. или щел.-зем. металлов, напр. в виде природных минералов — мергелей и т. п.

44083 П. Состав для кондиционирования почвы. Моррилл (Soil conditioning composition. Morrill Henry Leighton) [Monsanto Chemical Co.]. Пат. США 2717884, 13.09.55
Состав приготовляют из аммонийной соли сополи-

мера изобутилена и малеиновой к-ты с примесью гли-коля с общей формулой НО-R-ОН, где R — алкиленовый и оксаалкиленовый радикалы с мол. в. 42 -÷ 116, а гидроксильные группы присоединены к несмежным углеродным атомам. к несмежным углеродным атомам. В. Борисова 14084. II. Получение электроизоляционных слоев на металле. Гендерсон (Preparation for the pro-duction of electrical insulating layers on metal. Hen-derson Sydney G. [Colin Stewart Ltd]. Ка-над. пат. 509109, 11.01.55

Новые изделия — металлич, листы, покрытые слоем повые изделии — металлит. Лисии, покрывая металл соста-вом из тонкого порошка SiO₂ и связки — Na_SSiO₂, последний берется в кол-ве 5—20% от веса SiO₂.

В. Борисова 14085 II. Способ покрытия сопротивления. Литл (Resistor coating method. Lytle William O.) [Pittsburgh Plate Glass Co.]. Пат. США 2724658,

Для нанесения на огнеупорный лист (Л) неоднородвой прозрачной электропроводящей пленки Л нагревают до т-ры >205° (но ниже т-ры размягчения) и устававливают его в плоскости, перпендикулярной направпению разбрызгивания пленкообразующего состава ПС), затем Л перемещают в той же плоскости через разбрызгиваемый ПС и удаляют, прежде чем толщина пленки превысит 800 мµ. В. Шацкий Изделия из неорганического изоляционного маростойкого материла с электропроводящим слоем (Articles consisting of inorganic, insulating, heat-resistant material comprising an electrically conductive layer) [Philips Electrical Industries, Ltd]. Англ. пат. 732566, 29.06.55

Изделия из неорганич, изоляционного жаростойкого материала, имеющего т. пл. или т. размягч. >300° покрывают электропроводящим слоем из окислов Sn и Р посредством нанесения (испарением, погружением ит посредством нанесения (испарением, погружением или распылением на детали, нагреваемые затем при т-ре≥300°), гидролизуемой соли Sn (лучите SnCl₄), к которой добавлены 0,1—25 вес. % (относительно солей Sn) соединения Р (PCl₃, POCl₂, PCl₅ и другие-галогеницы, N4₄-фосфат или эфиры Р, напр. трикрезилофосфат). В качестве растворителя употребляются ССl₄, бевзол или этилацетат; могут применяться водн. р-ры, содержащие НСІ. Материал применяется для изготовления домашних нагревательных приборов (решеток для жарения); лабор. сосудов (колбы и ректификационные колонки); катодных трубок и окошек электроизмерительной аппаратуры для снятия статич. зарядов; электрич. сопротивлений и стеклянных пластин, способных нагреваться (особенно для смотровых окон). Покрытую поверхность можно защитить силиконовым лаком или, в случае обогреваемого окна, второй стеклянной пластинкой. Токоподводящие контакты можно изготовить путем испарения или вжигания металла в проводящий слой.

В. Шацкий

См. также: Покрытия 12626

коррозия. защита от коррозии

Редактор И. Я. Клинов

14087. Вопросы подземной коррозии (Всес. совещание в Москве). Томашов Н. Д., Щиго-дев П. В., Вестн. АН СССР, 1956, № 8, 108—110 Работы в области коррозии в исследовательском отделе Британских железных дорог. Хэр (Corrosion work by British Railways Research De-partment. Hair W. S.), Corros. Technol., 1956,

3, № 1, 8—11 (англ.) Работы отдела охватывают вопросы адгезии защитвых красок, подготовки поверхности, нанесения металлич. покрытий распылением, применения Al-сплавов и пр. Приводится методика испытаний, по результатам которых можно дать оценку защитным покрытиям для различных эксплуатационных условий. Предыду-щее сообщение см. РЖХим, 1956, 60392. И. Левин 14089. Вопросы экономики борьбы с коррозией. Кейн с (Some economic aspects of corrosion. K e y-nes A.), Corros. Technol., 1956, 3, № 7, 226—227

Общие соображения по вопросам экономики в области борьбы с коррозией и основные положения для определения убытков, причиняемых коррозией.

В. Притула 4090. Механизм электрохимической коррозии металов в почве. Томашов Н.Д., Михайловский Ю. Н., Докл. АН СССР, 1956, 108, № 4,

В развитие представлений об электрохим. механизме почвенной коррозни указываются следующие характершье типы макрокоррозионных пар, возникновение ко-торых часто определяет наиболее сильные разрушения подземных металлич. конструкций. 1. Макропары, обусловленные различной кислородной проницаемостью почв различной природы (глина, песок). 2. Макропары, связанные с местной неоднородностью почв. 3. Макропары, образующиеся в результате краевого эффекта диффузии O2 в почве на краях конструкции. Обсуждены результаты модельных опытов, подтверждающих механизм возникновения коррозионных пар типов 1, 2 и 3. Подчеркивается превалирующая роль макропар в случае почвенной коррозии, приводящих к глубоким язвенным поражениям на участках с затрудненным доступом O₂. А. Шаталов 14091. О соотношении между поляризационным и

омическим сопротивлениями в локальных элементах, работающих под тонкими слоями электролитов. Розенфельд И. Л., Павлуцкая Т. И., Ж. физ. химии, 1956, 30, № 6, 1427—1428

С помощью спец. методики рассмотрены соотношения между омич., катодным и анодным поляризационным сопротивлениями для некоторых моделей коррозиокных пар, работающих под пленками электролитсв (NaCl, Na₂SO₄, H₂O) различной толщины (70—165 µ). Сделан вывод, что работа коррозионных макропар под тонкой пленкой электролита почти не зависит от омич. сопротивления. Высказано предположение, что этот вывод распространяется и на реальные коррозионные микроэлементы, работа которых протекает с анодно-катодным контролем. А. Шаталов 14092. К вопросу об электрохимическом и корро-зионном поведении железа в водных растворах электролитов. І. Электродный потенциал и скорость

В

коррозии железа в водных растворах хлоридов щелочных и щелочноземельных металлов. И урин Б. А., Лепинь Л. К., Изв. АН ЛатвССР, 1956, № 5, 83—92 (рез. лат.)

На основании измерений электродных потенциалов Е и скорости коррозии v Fe в р-рах хлоридов К, Na, Мя. Са от 0,001 н. до конц-ии насыщ. р-ра рассмотрен механизм коррозии Fe в нейтр. солевом р-ре. Скорость катодной р-ции в стационарных условиях, как полагают авторы, задерживается в результате электрофореза колл. частичек γ-FeOOH к катодвым участкам и блокировки последних. Положение и форма кривых для разных катионов мало различались, в соответствии с чем конц. зависимость Е и v для всех взятых солевых р-ров выражалась одинаковыми кривыми. По мере увеличения конц-ии до 1,0 н. Е принимает более отрицательные значения. При увеличении конц-ии выше 1,0 н. отрицательное значение *E* для Fe уменьшается. В то же время *v* сохраняет постоянное значение, а в конц. р-рах резко понижается. Авторы объясняют этот факт уменьшением растворимости О2 и коллоидноэлектрохим. эффектами. А. Шаталов

14093. Дискуссия по статье: Смельцер «Окисление металлов и сплавов». Дравникс. — Ответ автора (Discussion on «Principles applicable to oxidation and corrosion of metals and alloys» by W. W. Smeltzer. Dravnieks Andrew Authors reply), Corrosion, 1955, 11, № 12, 69 (англ.)

Оксидная пленка на поверхности Al растет в результате диффузии ионов Al и электронов, которые взанимодействуют с кислородом на границе раздела окись/кислород; такому механизму отвечает тот факт, что скорость окисления Al не зависит от парц. давления кислорода и УФ-облучения. Поскольку заряд диффундирующего иона Al неизвестен, привито считать, что он диффундирует в виде обычного иона Al³⁺. См. РЖХим, 1956, 41928. И. Левин

диффундирующего нона Аг неизвестен, привято считать, что он диффундирует в виде обычного нона АГз+. См. РЖХим, 1956, 41928. И. Левин 14094. Скорость образования пленок на металлах и сплавах. Чаттерджи (Rate of formation of film on metals and alloys. C hatterjee G. P.), S. Appl. Phyd., 1956, 26, № 4, 363—365 (англ.)

Изучена закономерность роста окисной пленки при обычной т-ре на некоторых Сu-Zn и Cu-Mg-сплавах в зависимости от влажности воздуха и добавок к ним в качестве легирующих элементов Al и Мп. Показано, что 1) введение Al и Мп замедляет атмосферную коррозию обоих сплавов; 2) кривые роста пленок со временем изменяются от параболич. (без добавок) до логарифмич. (при наличии Al и Mn); 3) скорость роста окисной пленки на Cu-Mg-сплаве при влажности воздуха 65%, 22° и давл. 755 мм рт. ст. укладывается в следующее ур-ние: $x^{1/2} = k_1 \lg t + k_2$, где x — толщина пленки, t — время и t, t, t — константы; а при влажности, приближающейся к 100%, пленка прогрессивно увэличивается, подчиняясь эксперим. данных может быть дана, если 2 или более факторов, влияющих различно на развитие окисной пленки, будут рассматриваться одновременно.

4095. Окисление железо-молибденовых и никельмолибденовых силавов. Бреннер (Oxidation of iron-molybdenum and nickel-molybdenum alloys. № 1, 7—15 (англ.

При изучении поведения Fe-Mo и Ni-Mo-силавов при высоких т-рах обнаружено, что сплав, содержащий, (в %): Сr 16, Ni 25 и Мо 6 при 900° и нормальном давлении, корродирует весьма интенсивно (50 г. его в течение 24 час. полностью превращается в окисел). Это явление, названное «катастрофич. окислением», объясняется образованием МоО₃, который вследствие своей низкой т-ры плавления (795°) и большой летучести (давление

паров 0,25 атм при 1000°) мешает образованию защитной пленки на сплаве. Приводятся механизм и результаты окисления бинарных Мо-содержащих сплавов, а также обсуждается роль больших добавок к сплаву Мо. Найдено, что Fe-Mo-сплавы, содержащие ат. % Мо 12,5 и Ni-Mo-сплавы 19,7 при 1000°, не образуют летучего МоОз и являются более устойчивыми в указанных условиях. Данные диффракции рептгеновских лучей и микрофотоснымки показали, что при благоприятных условиях окисления на Fe-Mo-сплаве образуют 3 слоя пленок: внешний слой Fe2O3; средний слой Fe3O4 и непосредственно прилегающий к сплаву слой, состоящий из смеси МоО2 (внутри сплава) и однородной фазы двойного окисла (FexMoy)O, а на Ni-Mo-сплаве такими слоями являются NiO, NiMoO4 и МоО2. Последний в обоих случаях изолирует окисный слой от металла, мешая тем самым его самодиффузии в вакантые места кристаллич, решетки окисла. Приболее низких копи-изх Мо имеет место катастрофич. окисление сплавов. М. Голомбик

14096. Интенсивное окисление некоторых молибденсодержащих сплавов. Бреннер (Catastrophic oxidation of some molybdenum-containing alloys. Brenner S. S.), J. Electrochem. Soc., 1955, 102,

№ 1, 16-21 (англ.) Изучен процесс окисления Fe-Mo-сплавов, содержа щих Cr и Ni, которые будучи прибавлены в определенных границах конц-ий вызывают интенсивное окисление их, причем оказалось, что Сг в этих сплавах способствует еще более быстрому окислению, нежели Ni. Предлагается следующий механизм этого явления: обогащенная молибденом поверхность сплава (в начале окисления) благодаря трещинам, образующимся в окислах в процессе окисления и более свободному доступу (к сплаву) через них O2, образует жидкий MoO3, располагающийся на поверхности раздела сплав—окисел. Находящиеся в сплаве Fe и Cr (в качестве добавки) в контакте с MoO₃ окисляются за его счет до Fe₂O₃ и Cr₂O₃, растворяются в нем и снова переосаждаются на границе МоОз- окисные слои. При этом залечивания трещин не происходит и сплав продолжает интенсивно окисляться. В Fe-Мо-сплавах с большим содержанием Ni такого агрессивного разрушения не наблюдается. Хотя образующийся окисел и имеет трещины, но сплав под ним настолько насыщен Ni, что образования жидкого МоОз не происходит и трещины залечиваются. Мо-Fe-Ni-Cr-сплав, содержащий 40% Ni в 20% Мо, является коррозионностойким и рекомен-дуется для промышленного применения. М. Голомбик 097. Окисление хромокремнистых сталей в воздухе при высоких температурах. Орлова Г. М., Ипатьев В. В., Ж. прикл. химии, 1956, 29, № 6,

819-828 Изучение влияния добавки Si в кол-вах 1,43, 1,86 к 3,34% к 6%-ной Сг-стали на кинетику окисления в диа-пазоне 800—1200° показало, что кривые зависимоств квадрата увеличения в весе от времени окисления состоят из двух прямолинейных участков: 1-й участок проходит через начало координат; угол наклона 1-го участка больше, чем 2-го. Чем выше т-ра и чем меньше содержание Si в стали, тем короче 1-й участок. При т-ре выше 1100° 1-й участок отсутствует и зависимость квадрат привеса — время превращается в прямую линию, проходящую через начало координат. Окисление всех изученных сталей при установившемся процессе подчиняется параболич. закону. Для всех испытанных сталей существует линейная зависимость между ло-гарифмом константы скорости окисления и обратий величиной абс. т-ры. С увеличением содержания Si в стали кажущаяся энергия активации резко возрастает. Окалина на всех исследованных сталях состоит из наружного слоя (Fe₂O₃), среднего слоя (Fe₃O₄) ащитезульпавов, плаву ar. 9 asym в ука-

57 r.

BCKEX гопри-Уются Слой слой ООДНОЙ сплаве

оследталла. места ни-нях лавов. омбик молибrophic alloys.

5, 102, держа пеленкислепособu Ni. ления: начале

B OKECоступу s, pacокисел. бавки) Fe₂O₃ даются

течивасодернаблюещины, образозалечи-Ni в

екоменломбик воздухе Г. М., 9, № 6,

1,86 x я в диасимоств участок на 1-го меньше к. При

симость иую лиисление роцессе танных кду лобратной ания Si

возра-COCTON (Fe304)

в внутреннего слоя, так называемого шпинельно-файвыу ренью до во в в окалине не содержится. Весь Cr и Si находятся во внутреннем слое. Перелом на кривых квадрат привеса-время связан с изменением структуры окалины: увеличивается толщина слоя Fe₂O₃ за счет внутреннего и среднего слоев. И. Левин

мутреннего с поев.

11. Левин (4098. Окисление металлического кобальта. Картер, Ричардсон (Oxidation of cobalt metal. Carter R. E., Richardson F. D.), S. Metals., 1955, 7, № 2, sec. 2, 336—343 (англ.)
При помощи радиоактивной Рt установлено, что

окисление Со происходит за счет диффузии его ионов через кристаллич. решетку окислов. Основные опыты окисления Со велись в чистом О₂ при 1148° и давлении 0,0055 — 1 атм и при 1000 и 1350° при 1 атм. Найдено совпадение между скоростью экспериментально полу-ченной по самодиффузии Со и скоростью, подсчитанной согласно ур-нию Вагнера. Скорость окисления Со подчиняется параболич. закону и представляется следующим ур-нием: $W/A = K_p \ t^{*}/z$, где W — кол-во 0_2 в ε ; A — воздух; K_p — константа, t — время. Изучена кинетика распределения изотопа Со при высоких т-рах в растущих окислах, но согласованности в данном вопросе с окислительной теорией Вагнера обнаружено не было. Были сделаны попытки измерить параметры кристаллич. решетки окиси Со в зависимости от состава и других факторов. М. Голомбик Влияние термической обработки на сопротив-

ление коррозии закаливаемых хромистых сталей с содержанием 13% Сг. Труман (The effect of tempering treatment on the corrosion resistance of hardened 13% chromium steels. Truman J. E.), Corros. Technol., 1955, 2, № 8, 243—246 (англ.)

Исследования 3 марок нержавеющей стали с содержа-нем Cr 12—14% и С 0,05—0,3% в водопроводной воде нем СГ 12—14% и С 0,05—0,5% в водопроводной воде и в 3%-ном р-ре NaCl показали, что отпуск >450° для стали с содержанием С в 0,23 и 0,29% приводит к уменьшению ее коррозионной стойкости (КС), достигая максимума при 500—550°, в то время как у стали ссодержанием С в 0,06% понижение КС наблюдается. Высокотемпературный отпуск (750°) восстанавливает КС высокоуглеродистой стали. Испытания в 3%-ном p-pe NaCl показали, что у всех 3 марок стали после отпуска>400° уменьшается КС, достигая максимума для стали с 0,06%С при 600—650°, а для высокоуглеродистых 500—550°. Понижение КС объясияется уменьшением содержания Сг в твердом р-ре, благодаря образованию карбидов Сг.
Л. Курочкина

Влияние химического состава и термической обработки на структуру и коррозионную стойкость сталей марок 309 и 310 по номенклатуре Американ-ского института чугуна и стали. Карии, Рознау (Effects of chemical composition and heat treatment upon the microstructure and corrosion resistance of AISI types 309 and 310. Carney D. J., Rosenow E. R.), Trans. Amer. Soc. Metals, 1956, 48, 456—472. Discuss. 472—473 (англ.)

Исследованы строение и коррозионная стойкость плавок стали марок 309 (25—12) и 2 плавок стали 310 (25—20). Стали отличались и по содержанию углерода (0,06 и 0,16%). В сталях марки 309 менялось также содержание азота (0,04-0,19%). Для исследования влияния 8-фазы одна малоуглеродистая плавка марки 309 имела пониженное содержание Ni и повышенное Cr. Исследовалось влияние 2 т-р нагрева: при одной имело место полное растворение карбидов, а при второй растворялась лишь половина карбидов. Скорости охлаждения с высоких т-р исследовались при охлаждении в воде и охлаждении со скоростями 720 и 165° в час. Коррозионные испытания производи-

лись как в кипящей 65%-ной HNO3, так и в кипящем p-ре CuSO₄ и H₂SO₄. После медленного охлаждения с т-р нагрева наиболее высокой стойкостью обладала сталь марки 310, если в ее микроструктуре содержались беспорядочно распределенные частицы карбидов. Если же до нагрева в микроструктуре стали карбиды располагаются по границам зерен, сталь марки 310 после медленного охлаждения становится склонной к межкристаллитной коррозии. Сталь 309 с низким содержанием N показывала наиболее высокую стойкость в том случае, когда при нагреве растворялась лишь часть беспорядочно распределенных карбидов. При более высоком содержании N и малой скорости охлаждения преимущество низкой т-ры нагрева не сказывается. Если содержание С в стали высокое (0,16%), то содержание N не оказывало большого влияния на стойкость к межкристаллитной коррозии. Содержание 8-феррита в стали марки 309 в кол-ве 20% заметно повышает ее стойкость к межкристаллитной коррозии после медленного охлаждения с т-ры полного раство-рения карбидов. Наличие в структуре 20% 8-феррита привело к уменьшению кол-ва выделившихся карби-дов. И. Левин 14101.

Борьба с коррозионным растрескиванием латунных коллекторов жидкого топлива. III рей-дер А. В., Ж. прикл. химии, 1956, 29, № 7, 1044—1056

Исследование коррозионного растрескивания (КР) латунных коллекторов жидкого топлива, работающих под давлением, показало, что это разрушение происходит не под действием топлива, содержащего до 0,13% сульфидной S, а под действием загрязненного аммиаком воздуха. Защита от КР латуни (Л) в медноаммиачных средах кадмированием обусловлена сдвигом потенциала Л в отрицательном направлении; благодаря этому уменьшается склонность как к адсорбционному понижению прочности, так и к растворению Л на обнаженных от покрытия участках. Сравнение сопротивляемости КР латуни 68 и мельхиора (31,82% Ni) показало целесообразность замены в коллекторах латунных трубок мельхиоровыми. Стойкость мельхиора к КР можно объяснить существенным отличием склонности мельхиора, по сравнению с Л к адсорбционному понижению твердости, из-за разницы положений стационарных потенциалов мельхиора и Л в аммиачных средах по отношению к потенциалам нулевого заряда для этих сплавов. Высказаны соображения о целесообразности оценки склонности к КР по определению потери прочности образцами, частично разрушенными в результате коррозии под напряжением в среде паров амми-ака. И. Левин

102. Основы коррозионного действия жидких металлов. Манли (Fundamentals of liquid metal corrosion. Manly W. D.), Corrosion, 1956, 12, 14102. № 7, 46-52 (англ.)

В отличие от электрохим, коррозии твердых металлов их коррозия под действием жидких металлов (КЖМ) не сопровождается обменом электронов и ее можно понимать как растворение. Наиболее важным фактором КЖМ является т-ра, с увеличением которой растворимость и скорость диффузии возрастают. К числу существенных факторов КЖМ относится соотношение между корродирующей поверхностью и объемом жидкой фазы, чистота жидкого металла, скорость протекания процесса, состояние поверхности металла, некоторые характерные свойства твердого металла (наличие каких-либо примесей на границе зерен, присутствие второй фазы, внутренние напряжения, размеры зерен). Устанавливаются следующие типы КЖМ: 1) простое растворение; 2) образование сплава между твердым и жидким металлом; 3) межкристаллитная коррозия; 4) коррозия под действием примесей; растворение, обусловленное наличием градиента т-ры; 6) растворение, обусловленное наличием градиента конц ии. Приведены характерные примеры КЖМ различных типов.

А. Шаталов

14103. Коррозионное и эрозионное действие кислых рудничных вод на металлы и сплавы для рудничных насосных установок и дренажных устройств. А п., Д ир к с, Феледь, Хастон, Кениеди, Миллер, Розелла (Corrosive and erosive effects of acid mine waters on metals and alloys for mine pumping equipment and drainage facilities. Anthraite region of Pennsylvania. As h J. H., Dierks H. A., Felegy E. W., Huston K. M., Kennedy D. O., Miller P. S., Rosella J. J.), Bull. Bur. Mines, 1955, № 555, 1—46 (англ.)

С целью практич. подбора материалов, стойких по отношению к действию кислых рудничных вод уголь-ных шахт, изучено поведение 25 различных металлов, применяемых для оборудования насосных установок и дренажных устройств, преимущественно в угольной пром-сти, в том числе нержавеющие Cr-Ni-стали нескольких марок, Pb-Sn-бронза, Al-бронза и Ti. Образцы в закаленном или отожженном состоянии испытывались в условиях покоя в отстойниках, питавшихся шахтной водой из нескольких угольных шахт. В друтой серни опытов образцы испытывались в условиях вращения в агрессивной среде. Миним. рН шахтных вод составляло 2,9 ~ 3,3. Продолжительность испытаний 30—150 дней. Нержавеющие стали марок 302, 303, 304, 410, 430, 446, армко, СЕЗО, СF8М и Ті даже по истечении 150 дней не обнаружили видимых следов коррозии в обеих сериях опытов. Pb-Sn-бронзы показали значительно меньшую коррозионную стойкость. От-мечено вредное влияние увеличения % Рb. Скорость коррозии Al-бронзы имела такой же порядок, что и бронза с 15% Рb. Сделан вывод, что полное предотвращение коррозии нержавеющих сталей в указанных условиях достигается при содержании ≥11—12% Сг. В опытах с вращающимися образцами, несмотря на наличие знакопеременных внутренних напряжений, не было обнаружено изломов вследствие коррозионной усталости. На основании проведенных исследований коррозионной стойкости даны некоторые рекомендани для выбора нанболее подходящих конструкцион-лых материалов. ных материалов.

14104. Кислотостойкость высокохромистых нержавеющих сталей. Тагая, Иса (The acid resisting property of high chromium stainless steels. Тадауа Мазауозhi, Isa Shigeteru), Technol. Repts Osaka Univ., 1955, 5, № 163—187, 433—410

Исследовалась коррознонная стойкость (КС) 6 плавок вержавеющих сталей с содержанием 20—27% Сг, 5 и 11% Ni, 1—1,5% Мо и 1—1,5% Си в кипящей 5%-ной И₂SO₄ в зависимости от характера обработки сталей в области т-р 700—1100°. Структура стали, содержащей (в %): Сг 27, Ni 10, Си 1,5, и Мо 1,5, состоит из двух фаз: а и ү. Ее КС ниже, чем у стали, состоящей только из а-фазы или только из ү-фазы. Поэтому содержание Ni в сталях с таким высоким содержанием Сг не должно превышать 5%. КС стали с 27 % Сг и 10% Ni, не содержащей Си и Мо, более чем в 100 раз меньше, чем у других сталей (содержавших 1—1,5% Си и 1—1,5% Мо). При содержании в стали (в %): Ni 5, Мо 1 и Си 1, для достижения высокой КС содержание Сг должно быть \$25%. Наличие в стали Мо, который значительно повышает КС стали, приводит в результате длительной выдержки стали при 800° к образованию а-фазы. Наиболее высокой КС обладает сталь, содержащая (в %): Сг 27, Ni 5, Мо 1 и Си 1. Обработка лри 700° может вызвать снижение ее КС. Обработка

при 1000—1100° улучшает эту КС. Сталь с 25% Ст обладает высокой КС после обработки при 700—900°, но КС понижается, если ее обработать при 1000—1100°. Очень хорошим замедлителем коррозии исследовавшихся сталей в кипищей 5%-ной H₂SO₄ является К₂Сг₂O₇ в кол-ве 0,005%. И. Левив 14105. Конденсаторы, охлаждаемые морской волой.

4105. Конденсаторы, охлаждаемые морской водой. Долан (Condensers cooled by sea water. Dollan E. D.), Petroleum, 1956, 19, № 6, 214—215 (англ.)

Указывается, что обычные стальные камеры кондевсаторов или теплообменников, охлаждаемых морской водой, можно защитить от коррозни при небольших затратах путем сочетания трех мероприятий: покрытие фланцев, присоединяющих камеру к корпусу, цветным сплавом; нанесение на стальные детали покрытия среднего качества, возобновляемого при каждом осмотре аппарата; установка спец. анодов для катодной защиты металла в местах повреждения покрытия.

А. Мамет 14106. Проблемы коррозии на приморских заводах в Техасе. Часть I, II. Раст (Corrosion problems on the Texas Gulf coast. Part I, II. Rust A. D.), Corros. Technol., 1956, 3, № 5, 134—137; № 6, 185—190

 На основании опыта борьбы с атмосферной коррозией оборудования и системы водоснабжения двух приморских з-дов фирмы Доу в Техасе указывается, что основной причиной атмосферной коррозни является наличие солей в воздухе в связи с близостью моря, а также полутропич. климат и загрязненность атмосферы промышленными газами. Для защиты применяются краски и металлопокрытия. Перед окраской поверхность стальных конструкций опескоструивается или под-вергается травлению и фосфатированию. В 1-м случае 1-й слой грунта наносится в тот же день, а во 2-м окраска производится по возможности в теплую погоду после высыхания поверхности металла. Оцинкование производится методом горячего погружения при миним. кол-ве цинка 570 г/м². В менее агрессивных районах такое покрытие служит 3-4 года; в более агрессивных районах оно служит грунтом под окраску, увеличивая срок службы последней на 25—50%. Приведены технико-экономич. данные для различных покрытий. в частности — 15%-ной силиконовой краски. Для предотвращения гниения деревянных конструкций применяется обработка р-ром пентахлорофенола в нефти под давлением. Применяется также пропитка креозо-

11. При борьбе с морской коррозней, кроме битумных покрытий, применяются Му-аноды (воздействие почвы), трубопроводы из пластмасс и покрытие «сараном» (при т-ре < 50°). Насосы изготовляются из оловянистой бронзы (10% Sn, 88% Cu, 2% Zn), К-монеля, S-монеля, а также из чугуна и стали с присадкой Ni. Сетки для первичной фильтрации морской воды гуммированы; применяется также фосфористая бронза и небольшие Му-аноды. Сетки для вторичной фильтрации изготовлены из монель-металла. Для защиты насосов, теплообменников, конденсаторов, морских судов и наружной поверхности трубопроводов широко применяется защита Му-анодами, в частности «гальвомат» (сплав чистого Му с Мп). В конденсаторах применяются трубки из Аl-латуни, трубные доски из мунц-металла и Му-аноды для защиты водяных камер. А. Мамет 14107. К статье Дьенеш-Холло, Куров-

ский «Исследование коррозии парогенерарующих труб прямоточных котлов». Мо ш о ((Hozzászólás a «Kényszerkeringésű egycsöves kazánok algözölögtető csövei kórróziójának vizsgálgáta» с. cikkhez. Мо só D e z s ő), Magyar onergiagazd., 1955, 8, № 3, 105—107; 107—110 (венг.)

7 г.

Cr

000°

пих-

r20,

PRWH

дой.

Do.

-215

гден-

СКОЙ

mar.

ытне

IBeT-

LITHE

КДОМ дной

THE.

амет

одах

is on

Cor-

-190

двух

ется. чется оя, а

TMOC-

FOTOR

верх-

под-

гучае

-M -

огоду

зание

IHHM.

онах

вных

пвая

TOX-

ATHM.

пред-

риме-

нефти

e030-

нтум-

ствие

capa-

оло-

неля, й Ni.

умми-

и не-

рации

OCOB.

и на-

риме-

омаг»

нотся

талла

Мамет

poB-

ющих

szólás

zölög-

Mosó 105-

Указывается, что причиной коррозии пароотводных труб однотрубных котлов является повреждение защитного слоя ${\rm Fe_3O_4}$ на внутренией поверхности труб. По мнению автора, перегрев и колебания т-ры не являются первостепенными и единственными причинами коррозии, а лишь способствуют ей. Основное влияние на коррозию оказывает более высокое содержание, чем это положено по норме, кислорода в питательной воде. Для устранения коррозии следует снизить кол-во кислорода, растворенного в питательной воде, что легко выполнимо путем ее деаэрации См. РЖХим, 1956, 8717, 53224.

108. Коррозия в системах канализации. С то-уэлл (Corrosion in sewage works. Stowell Ed-win R.), Sewage and Industr. Wastes, 1956, 28, № 3, 328—330 (англ.)

Приведен ряд примеров коррозионных повреждений в канализационных системах. Так, износу цепей шламовых скребков часто способствует коррозия металла. Описаны явления графитизации чугунных трубопроводов и обесцинкования латунных деталей, а также перечислены другие виды коррозии. Перечислены основные факторы коррозии (наличие влаги и кислорода, визкое значение рН и т. д.). Отмечено положительное влияние вентиляции для предотвращения конденсапии влаги.

14109. Нефть и коррозия при высокой температуре. Кеннеди (Oil and corrosion at high temperature. Kennedy S. W.), Canad. Oil and Gas Inds, 1956, 9. № 5, 47—51 (англ.)

Указывается, что при переработке нефти наиболее часто встречающимися видами коррозии (К) при т-рах >122° являются окисление поверхности, питтинго-образование, межкристаллитная К, К под напряжением, коррозионная усталость. Разобраны некоторые способы защиты от К: легирование, поверхностная обработка (алитирование, керамич. покрытия). Наиболее опас-шми коррозионными агентами являются H₂S, SO₂, HCl, H₂SO₄ и нафтеновые к-ты как в жидкой, так и в газообразной фазах. Рассматриваются типичные случап К в результате воздействия этих сред на конструкционные материалы. Описаны случаи К, встречающиеся при использовании в качестве топлива нефтиных остатков, содержащих ${
m V_2O_5}$, а также описаны способы борьбы с этим видом К. Р. Альтровский 14110. Сравнительный анализ результатов измере-14110. иий глубины коррозии целлюлозоварочных котлов. Ангар, Кейвуд (Comparative analysis of digester corrosion measurements. Ungar A., Сау-wood T. E.), Таррі, 1954, 37, № 5, 177—190 (англ.) Обработаны данные измерений глубины коррозии в отношении 198 варочных котлов сульфатцеллюлозного произ-ва с учетом их конструкции и эксплуатафонных условий. Данные показывают, что в котлах, установленных после 1940 г. и изготовленных из обычных сталей невысокой и средней прочности, коррозия происходит быстрее, чем в котлах более раннего изготовления. Приводятся некоторые данные о преимуществах внутренней облицовки котлов сплавом инко-нель или нержавеющей сталью марки 410. И. Левин 14111. Новые способы обработки и защиты поверхвости металлов. Фрейтаг (Neue Wege der Ober-flächentechnik, Freitag Rudolf), Sprechsaal Keramik, Glas, Email, 1956, 89, № 5, 96—98 (нем.)

Краткое описание новых методов очистки металлов от ржавчины (применение ацетилено-кислородного пламени, обезжиривание нагреванием в ИК-лучах, обезжиривание с использованием ультразвука). Рассматривается метод горячего напыления пластмассами типа полиэтиленов в виде порошка, пропускаемого через пламя газовой горелки; горячие частицы смолы осаж-

даются на предварительно подогретую до 200-300°

поверхность металла, образуя сплошное покрытие. Мелкие детали сложной конфигурации покрывают способом погружения. М. Серебрякова 14112. Сравнение очистки двухфазными очистителями и предочными солями. О с и по в, Пайн, С нелл, С нелл (Comparative cleaning by diphase cleaners and alkaline salts. O sipov Lloyd, Pine Herbert, Snell Cornelia T., Snell Foster Dee), Industr. and Engng Chem., 1955, 47, № 4, 845—847 (англ.)

тасиликата Na, тринатрийфосфата, углекислого Na, бикарбоната Na, очистка в бинарных смесях, содержащих равные вес. кол-ва метасиликата натрия и тринатрийфосфата, карбоната Na и тринатрийфосфата, и в двухфазном очистителе, содержащем (в вес. %): уайт-спирит 67, сосновое масло 22,5, оленновую к-ту 5,4, триэтаноламин 3,6, бутилцеллозолов 1,5, а также воду, образующую 2-ю фазу. На предварительно обезжиренные стальные пластинки, изготовленные из стали SAE 1010, наносилось 150 ме смеси минер. масла, петролатума, сажи, стеариновой, оленновой и лауриновой к-т, взятых в 6 различных соотношениях. Испытания производились путем переменного погружения и выгружения пластинок в р-ры и из р-ров для очистки со скоростью 36 циклов в мин. Степень очистки, выраженная в процентах, устанавливалась по весу. При т-ре 25° и продолжительности очистки 3 мин. 2%-ные щел. р-ры оказались неэффективными. В двухфазном очистителе удалялось от ~74 до 88% загрязнений. При т-ре 50° и продолжительности очистки 1 мин. все щел. р-ры оказывали примерно одинаковое действие, но загрязнения, не содержащие свободные жирные к-ты, удалялись относительно плохо как в щел. р-рах, так и в двухфазном очистителе. По сравнению со стеариновой и лауриновой к-тами при наличии в загрязнениях оленновой к-ты очистка стали протекала более легко. Это различие в эффективности очистки не наблюдалось при применении двухфазного очистителя. Как при т-ре 50°, так и 75° двухфазный очиститель обладал большей эффективностью, чем щел. р-ры, действие которых заметно улучшалось по мере повышения т-ры. рН щел. р-ров не оказывал существенного влияния на скорость Е. Заредкий 14113. Применение электролитически оцинкованной

тонколистовой стали. В ик (Die Verwendung elektro-lytischverzinkter Bleche im Feinblechabau. Wick K.), Metalloberfläche, 1956, 10, № 5, 154—155 (нем.) Цинкор (Ц) — тонколистовя сталь, покрытая элек-тролитич. Zn с последующим фосфатированием и хроматированием. Раскроенные заготовки и готовые детали из Ц могут долго храниться без дополнительной временной защиты, так как Zn анодно защищает оголенные участки. Обладая гладкой и чистой поверхностью, детали из Ц могут подвергаться лакировке и окраске без предварительного обезжиривания. Лаковое покрытие на Ц обладает хорошей сцепляемостью, высоким блеском и долговечностью. Перечисленные преимущества оправдывают широкое применение Ц вместо обычной стали, несмотря на ее более высокую стоимость в холодильной технике, для кухонной мебели, стиральных машин, нагревателей, в радио- и автомобильной пром-стях и т. д. Я. Матлис Сталь, покрытая никелем и монель-металлом,

в химическом машиностроении. Брадбери (Nic-kel- and monel-clad steel in the chemical engineering мет зна поветска зест на продел на

и монель-металла, применяемых в качестве защитных покрытий на стали. Оказалось, что по термич. свойствам эти металлы не уступают углеродистой стали,

а по прочности на разрыв первое место занимает монельметалл, а затем следуют обычная мягкая сталь и. наконец. Ni. Приводятся эксперим. данные коррозии этих металлов в пресной и морской воде, а также в минер. к-тах, щелочах, кислых, основных и нейтр. со-лях и других при различных конц-иях и т-ре р-ров. М. Голомбик

Диффузионное покрытие при помощи галоreнидов металлов. Дженкине (Diffusion coating with metallic halides. Jenkins I.), Prod. Fi-

пізь., 1955, 8, № 9, 61-67 (англ.)

При диффузионном покрытии металлами зависимость константы равновесия K_T р-ции от т-ры T выражается ур-нием $K_T = Ae^{QV}/RT$, где Q_p — теплота, адсорбируемая в процессе 1 г-молем при постоянном объеме, R газовая постоянная, А — парц. давление газа. Механизм р-шии взаимодействия наров хлорида метадла с покрываемым металлом может быть установлен при помощи кривых, показывающих зависимость своболной энергии образования хлоридов от т-ры р-ции. Расчет показывает, что при 1000° хромирование железа в газообраз-ном CrCl₃ сопровождается восстановлением ~1% CrCl_в до металла. Исследование возможности каталитич. восстановления хлоридов металлов водородом показывает, что при 1000° равновесные конц-ии HCl и H₂ равны соответственно ~9 и 91%, что указывает на положительное влияние высокой конц-ии Н2 на скорость р-шии восстановления. Образующийся в активной форме металл лиффундирует в покрываемое изпелие. Путем введения углеводородов в смесь, содержащую хло-рид металла и водород, удается получить комплексное покрытие, представляющее собой твердый TiC, образующийся по р-ции: $TiCl_4 + H_2 + C_x H_y \rightleftarrows TiC +$ + HCl + CH. Для покрытия нитридом Zr в смесь хлористого Zr и водорода вводят азот. С целью получения покрытий из SiO₂ к SiCl₄ добавляют CO₂ и H₂. Нанесе-

4116. Регулирование температуры увеличивает срок службы ванны для горячего цинкования. И м х о ф ф

(Temperature control key to longer pot life. I m-h o f f W. G.), Iron Age, 1955, 175, № 3, 92—94 (англ.) Опыт эксплуатации показывает, что значительное разрушение ванн под воздействием расплавленного Zn начинается при т-ре, превышающей 480°. В результате исследования, проведенного с листовым холоднокатанным Fe при разных т-рах, установлено, что до 455° Fe практически не растворяется в Zn. При т-ре ~455-480° скорость разрушения Fe с повышением т-ры очень слабо возрастает. Кол-во Fe, растворяющегося в Zn за 6 час., в интервале т-р 480—510° возрастает в 10 раз, достигая значения, равного ~ 1,005 г. При т-рах 510—595° происходит рекристаллизация сплава Fe-Zn, причем ромбоэдрич, решетка гексагональной системы кристаллитов Fe-Zn перестраивается в пирамиду первого порядка. Этим обстоятельством объясияется наступающее уменьшение скорости растворения Fe в Zn. При повышении т-ры Zn-ванны от 595 до 705° скорость перехода Fe в Zn снова возрастает, что обусловливается образованием шестигранных кристаллов сплава Fe-Zn.

Е. Зарецкий 3117. Окраска судов. Банфилд (The painting of ships. Ban field T. A.), Corros. Technol., 1955, 2, № 10, 302—306, 316 (англ.) 14117.

В подготовку поверхности под окраску входят кислотное травление, механич. обработка и др. Исследования показали, что для подводных поверхностей лучшую адгезию дают шероховатые поверхности, слегка по-

крытые ржавчиной. Успешно применяется праймен состоящий из р-ра поливинилбутираловой смолы, пигментированного хроматом Zn, хромата Pb или фос-фата Cr с добавлением фосфорной к-ты. Такая грунтовка дает после нанесения тонкую пленку фосфата на поверхности металла. Для грунтовки надводных конструкций применяются алкидные или фенольные смолы с добавками хромата Zn. Для подводных конструкций не годятся обычные атмосферные грунтовки, напр. Pb₃O₄, который размягчается под действием морской воды. Стандартной грунтовкой для английских судов в настоящее время является состав адмар 173. Покровная краска для надводных конструкций должна быть быстросохнушей. Обычно применяются алкилные или сильно полимеризованные глянцевые краски. Для подводных частей судна покровная краска должна применяться вместе с антнобрастающей. Обычными противообрастающими в-вами являются СиО и Асо. Состав покровных красок зависит от условий эксплуа-Состав покровных красок заявал от условня тации и условий нанесения (в доке и на судостроительной плопыно) В. Притула

Замедлители коррозни в нефтеперерабатываюшей промышленности. — (Corrosion inhibitors in промышленности.— (Corroston Infinitors in petroleum refinery service.—), Corros. Technol. 1955, 2, № 11, 343—347 (англ.) См. РЖХим, 1955, 36424. 1119. Борьба с разрушением стали, алюминия и

магния, подвергающихся периодическому воздейстмагния, подвергающихся периодическому возденствию солевых растворов, с помощью замедлителей коррозни. Бест, Мак-Гру (Inhibiting corrosion of steel, aluminum and magnesium intermitently exposed to brines. Вез Сеогде Е., Мс Сгем John W.), Corrosion, 1956, 12, № 6, 42—48 (англ.) Исследовалось защитное действие добавок Na₂CrO₄ марск 28 (≥ 99,0% Al), 38 (1,2% Mn), 24 S (4,5% Cu, 1,5% Mg, 0,6% Mn), 75S (5,5% Zn, 2,5% Mg, 1,5% Cu, 0,3% Cr и 0,2% Mn), а также Mg-сплавов FS-1 (3% Al, 1% Zn, 0,3% Mn) и R (9% Al, 0,7% Zn и 0,2% Mn), 1% 2п, 0,3% мп) и К (9% АІ, 0,7% 2п и 0,2% мп), в условнях периодич. погружениях образцов в р-ры NaCl и CaCl₂ конц-ий: 1; 2,5; 5; 10 и 25%. Испытания продолжались 15 дней. Из исследованных р-ров максим, скорость коррозии(СК) стали 1020 была при конц-ии сим. скорость коррозин(ск.) стали 1020 оыла при конц-ии 2,5%. При этой конц-ии в р-ре CaCl₂ СК была более интенсивной, чем в р-ре NaCl. С повышением конц-ии коррозионная активность р-ров CaCl₂ снижается быстрее, чем активность р-ров NaCl. При конц-ии 10 и 25% СК в р-рах NaCl больше, чем в р-рах CaCl₂. Добавка 1% Na₂CrO₄ к солевым р-рам значительно уменьшает СК стали. Добавка Na₂Cr₂O₇ менее эффективна. нает СК стали. Доовка карство в менее зарестивана А1 марки 2S и сплав 3S в р-рах NaCl обладают высокой коррозионной стойкостью. Сплав 75 S корродирует медленно (в 10 раз медленнее, чем сталь); СК Мg-сплавов с повышением конп-ии p-pa растет. P-ры CaCl₂ для этих сплавов более активны, чем p-ры NaCl. Сплав В менее стоек, чем FS-1. Добавкой в p-р 0,5% Na₂CrO₄ достигается почти полная защита Mg-сплавов от коррозии. 14120.

1420. Борьба с коррозней оборудования для переработки нефти. Фаррар (Here's what they're doing to stop that costly corrosion in refining equipment. Farrar Gerald L.), Oil and Gas J., 1955, 54, № 5, 120, 123 (англ.)

Указывается, что доступ воздуха препятствует проникновению водорода в сталь и связанному с этим образованию водородных пузырей. В результате р-ции кислорода с ионом HS образуется элементарная S, которая взаимодействует с сульфидным поном и образует покрытие из полисульфидных ионов, непроницаемое для водорода. Наличие цианистых соединений приводит к превращению полисульфида в тиоцианат. Для уменьшения возможности образования цианида желаT.

ep, Br. -200

RKR

no-BCT.

LIE

TIWE

anp.

кой

/IOB

По-

жна

ные

Для

жна

ыми

\g0. луа-

ель-

тула

Baio-

nol.

IR W

ейст-

гелей

osion ently rew

нгл.)

CrO.

павов

6 Cu, 6 Cu, % Al,

Mn).

р-ры тания

мак-

нп-ии

более

нц-ин

я бы-

10 m

е. До-

мень-

гивна.

сокой

прует

-спла-

l₂ для

лав R a2CrO

т кор-Левин

пере-

hey're

equip-

т про-

им об-

р-ции

ная S.

а обра-

эницае-

ий при-

т. Для

жела-

тельно иметь в системе избыток воздуха. Однако при слишком большом избытке воздуха и происходит про-никновение водорода. Образование NH₄CNS в значительных конц-иях, в присутствии кислорода или полительных конц-иих, в присутствии кислорода или поли-сульфида, при повышенных т-рах может привести к сильной коррозии аппаратуры из углеродистой стали. Если же NH₄CN содержится в кол-вах, не превышаю-щих 10%, а рН р-ра поддерживается > 7,8, то скорость коррозии очень мала даже при 88° И. Левин

коррозии очень мала даже при со 14121. Опыт борьбы с коррозней свайных сооруже-ний. Джонсон (Integration of corrosion control in rier substructures. Johnson Carl R.), Corrosion, 1956, 12, № 4, 19—22 (англ.)

Описан опыт катодной защиты свайных сооружений в Нью-Йоркском порту с применением графитовых анодов. Предусмотрена сигнальная система, которая предупреждает о снижении тока ниже установленной предупреждает с спласний тома инже установленной нормы. Защитный потенциал составлял—0,8 в по от-ношению к хлорсеребряному электроду. Осуществлен замер потенциалов в различных зонах свай. Коррозионные разрушения для незащищенных свай имеют место в основном в результате дифференциальной аэрации, на что указывает более положительное значение потенциала верхних зон по отношению к нижним. расположенным в зоне меньшей аэрации. Это явление устраняется применением католной зашиты. Эксплуатация сооружений показала, что применение катодной защиты полностью исключало коррозию свай как в летних, так и в зимних условиях.

Р. Альтовский Борьба с коррозией городских подземных сооружений. Миллер (Corrosion mitigation in a metropolitan area. Miller M. C.), Corrosion, 1956, 12, № 5, 67—73 (англ.)

Описана катодная защита подземных городских сооружений в г. Майами, не имеющем трамвайных линий. Необходимость применения катодной защиты с наложенным током поставила вопрос о комплексной защите всех подземных сооружений. По почвенным условиям было решено устанавливать заземления в прилегающем к городу заливе и реке. Это потребовало соединительных кабелей значительной длины. На основании имевшегося опыта без предварительных испытаний была запроектирована установка 10 выпрямителей с выходом тока из каждого в 50 а. Наиболее полную защиту получили силовые, телефонные и телеграфные кабели города, в то время как газопроводная и водопроводная системы получили лишь частичную защиту, поскольку на них еще не было заметных проявлений коррозии. Для установления эффективности защиты после установки выпрямителей производились измерения потенциалов подземных линий по отношению к окружающей земле как при включенной, так и при выключенной защите. В результате измерений было признано необ-ходимым установить ряд взаимных соединений между силовыми кабелями и кабелями связи главным образом вблизи мест присоединения отсасывающих фидеров. В качестве критерия достаточности защитных условий было принято изменение потенциала в отрицательную сторону на 0,2 в вблизи пунктов присоединения обратных проводов и на 0,1 е в наиболее удаленных участках. На отдельных участках защитных условий удалось добиться только после устройства взаимных соединений и регулировки установленных сопротивлений. Новые высоковольтные кабели были защищены поверх Pbоболочки пластмассовой или неопреновой изоляцией. Низковольтные и распределительные кабели были изолированы главным образом резиной или пластмассой. Указывается, что комплексная система подземных городских сооружений оказалась настолько успешной, что нашла себе применение и в ряде других городов. В. Притула

4123. Новейшие тенденции в применении катодной защиты в Англии. If a уэлл (Recent trends in the use of cathodic protection in the United Kingdom. 14123. Powell H. M.), Corros. Prevent. and Control., 1956, 3, № 3, 34 (англ.)

В Англии учрежден национальный координационный комитет по катодной защите (КЗ). Комитет устанавливает условия выполнения и эксплуатации КЗ. имея в виду, главным образом, возможное опасное влияние КЗ на соседние металлич. сооружения. Разработаны упрошенные методы расчета и проектирования, а также определены необходимые материалы и оборудование. В последнее время применяются гальванич. аноды из Zn высокой чистоты, что обеспечивает большой выход тока из них. Для систем с наложенным током разработаны Fe-Si-аноды. Улучшены конструкции выпрямителей для питания, в частности, исподьзуются полупроводники для выпрямляющих элементов, напр. Ge и Si. Сравнительно с прежними новые источники тока более эффективны. В. Притула 14124. Защита от коррозни. В а с и л ь е в (Предпазване от корознята. В а с и л е в Д.), Транспортно дело, 1955, 7, № 6, 26—30 (болг.)

Лучшим анодом при катодной защите Fe является Мд, потенциал которого в морской воде среднего со-става — 1,55 с. Особенно эффективным анодом яв-ляется Мд-сплав состава (в %): Al 5,3—6,7 Мп до 0,15, Ni до 0,003, Fe до 0,005, Zn 2,3—3,5, Si 0,3, Си до 0,05. Защита Мд-анодами применяется для подземных трубопроводов (увеличиваат капиталовложения на 3%, но снижает расход труб в эксплуатации на 60-70%), паровых котлов и особенно корпусов судов и портовых сооружений; Му может защищать не только

Ге, но и бронзу, Zn и Cu.

3. Бобырь 14125. Испытание на коррозню в туманной камере. Сообщение III. О влиянии формы образца. Б ь и и и, Гандольфи (Ricerche sulle prove di corrosione in nebbia salina. Nota III. Sull'effetto di forma dei campioni. Bianchi G., Gandolfi U.), Metallurgia ital., 1955, 47, № 12, 551—554 (итал.; рез.

англ., франц., нем.)

Исследовано влияние формы Zn-образца на коррозию при испытании в туманной камере в условиях воз-действия брызг NaCl. Подчеркнуто, что такое же явление будет иметь место с Fe-образцами. Этого можно изние оудет иметь место с ге-соразцамы. Этого можно на бежать, если проводить испытания с р-ром цитрата Na с добавкой 3% NaCl. Описана камера для проведения опытов. Сообщение II см. Metallurgia ital, 1952, 44, 330.

Дискуссия по статье: Флорной «Предварительное определение свойств защитных покрыварительное определение своиств защитых покрытий». Кавиноки.— Ответ автора (Preliminary evaluation of protective coating systems (topic of the month) by R. W. Flournoy. Questions. Kavinoky R. B. Author's reply), Corrosion, 1956, 12, № 6, 61 (англ.)

Измерения электросопротивления в электролитич. цепи, в которой одним из проводников является образец с защитным покрытием с высокими диэлектрич. свойствами, показывают, что этим способом можно установить качество покрытия, если измерения произво-дить после 1-минутного, 24- и 48-часового пребывания образца в р-ре. Подготовка поверхности металла под покрытие оказывает влияние на качество покрытия. Предпочтительно производить измерения при низких напряжениях. См. РЖХим, 1956, 14945. И. Левин

14127 К. Защита строительных конструкций от коррозии. Григорьев И. Н., Доронен-ков И. М. М., Госхимиздат, 1955, 360 стр., илл., 12 p. 40 R.

14128 Д. Сопротивление пограничного слоя, электродный потенциал и коррозия алюминия в растворах сульфатов и хлоридов алюминия и калия. Балодие 10. Р. Автореф. дисс. канд. хим. н., Латв. ун-т, Рига, 1956

14129 Д. О влиянии некоторых добавок на коррозию железа и цинка в кислых средах. Петренко А. Т. Автореф. дисс. канд. хим. н., Новочеркас. политехн. ин-т, Новочеркасск, 1956

Исследование электрохимического и кор-14130 Л. рознонного поведения алюминия и его сплавов в условиях атмосферной коррозии. Луконина Т. И. Автореф. дисс. канд. хим. н., Ин-т физ. химин АН СССР, М., 1956

См. также: Теоретич. вопр.: пассивирование железа 11368; применение полярографии при изучении коррозии 11369. Защита от коррозии: покрытия из пластмасс 13468; кислотостойкие пластмассы 13483

процессы и оборудование химических производств

пропессы и аппараты химической ТЕХНОЛОГИИ

Редакторы В. А. Жужиков, В. Г. Лукьянов, В. Г. Фастовский

Протекание жидкостей или газов сквозь неподвижный слой твердых частиц. Сундарам, Венкатесварлу (Fluid flow through fixed beds. Sundaram P. S., Venkateswarlu D.), Research, 1956, 9, № 4, S18 (англ.)

Путем преобразввания ур-ния Лева (Leva M., Chem. Engng, 1949, 55, 115) получено ур-ние, выражающее безразмерный комплекс $f_{\mathbf{m}} \operatorname{Re}^2_{\mathbf{m}} (f_{\mathbf{m}} - \text{модифицированный коэфф. трения, } \operatorname{Re}_{\mathbf{m}} - \text{модифицированный критерий}$ Рейнольдса) как функцию от диаметра частиц, пористости слоя, разности давлений и других параметров. В соответствии с полученным ур-нием для частиц с ровной, шероховатой и сильно шероховатой поверхностью построены 3 кривые в координатах $f_{\rm m} \, {\rm Re}_{\rm m}^2$ — — Re_m. Кривые дают возможность по вычисленному значению $f_{
m m} \ {
m Re}_{
m m}^2$ определить ${
m Re}_{
m m}$ и затем найти весовую скорость газа. В. Реутский

Определение характера потока вблизи поверхности раздела жидкость—твердая фаза. Брет ш на йдер, Лесневич (Określenie charakteru przepływu w pobliżu granicy płyn — faza stała (Komunikat wstępny). В retsznajder S., Leśniewicz L.), Przem. chem., 1956, 12, № 6, 315 (польск.)

Разработан и подвергнут эксперим. проверке метод определения величины Re, основанный на зависимости скорости проникновения в-ва из потока жидкости к поверхности твердой фазы — от характера потока. Был использован фотометрич. метод, который состоит в затемнении светочувствительной бумаги (напр., применяемой для светокопий чертежей) диффундирующим из потока (воздух + 10% аммиака) хим. реагентом с последующим измерением силы отраженного света от затемненной и незатемненной бумаги. Опытами, проводимыми в изотермич. условиях при т-ре 18°, найдено, что в области ламинарных или промежуточных потоков (Re = 400 \div 3040) степень затемнения D связана с Re отношением: D=0,044 Re 0,294 . Для области турбулентных потоков (Re = 5240 \div 11 140) найдено, что D не зависит от Re; это явление пока не имеет объясне-BHS. Ю. Скорецкий 14133.

133. Удерживающая способность колони со смоченными стенками. Камэн, Оиси (Hold-up in a wetted wall tower. Каме i Saburo, Oishi Jun), Met. Fac. Engng, Kyoto Univ, 1956, 18, № 1, 1—12 (англ.)

Исследовалась удерживающая способность колонн со смоченными стенками на системах воздух — вода или води. р-ры мыла или клея. Уд. вес. р, вязкость μ и поверхностное натяжение σ жидкости изменялись соответственно 1-1,26 г/см³; 0,011-0,562 nyas; 33,3-

77.9 ди/см. Расход жидкости на единицу длины смоченной поверхности L изменялся 0.06-4.4 г/см сех, что соответствовало изменению $\mathrm{Re}=4L/\mu$ от 4 до 16 700. Опыты проводились на стеклянных трубах 7 различных размеров: высота 2,5 м и диаметр $d=1,9\div4,9$ см; высота 1 м и $d=3\div5,1$ см. Кол-во жидкости, удерживающейся в колоние, определялось взвешиванием. Опытные данные сопоставлены с теорией Нуссельта. При малых числах Re зависимость между вычисленными по опытным данным величинами $B (1-2B/d)^{1/6} (B-$ толщина пленки жидкости) и Re согласуется с теорией Нуссельта при любых значениях с. При увеличении Re эксперим, точки отклоняются от теоретич, зависимости в связи с образованием воли на поверхности; происходит переход к псевдоламиварному режиму. Крит. значение (Re)_{кр.,} соответствующее этому переходу, выражается ур-нием $({
m Re})_{
m Rp_1}=1,63\cdot 10^7\sigma^{-3.43}~(
ho/\mu)^{0.398}$. При дальнейшем увеличении ${
m Re}$ происходит переход к турбулентному режиму. Крит. значение критерия (Re) соответствующее этому переходу, значительно изменяется с изменением **с.** Однако зависимость между (Re) и о проявляется нечетко. Для жидкостей со средними значениями о величина (Re)_{кр2} лежит между 2000 и 4500. Толщина пленки жидкости в области псевдоламинариого режима определяется ур-нием: $B(1-2B/d)^{q_0}$ = $(1-5,8\cdot10^{-6}\sigma^{2,38}\rho^{0,1}\mu^{-0,1})$ X $= B_{\text{Nu}} (1 - 2B_{\text{Nu}}/d)^{1/s}$

imes Re $^{8\cdot 10^{-4}\sigma^{3}}$, где $B_{
m Nu}$ — толщина пленки жидкости, вычисленная по теории Нуссельта. В области турбулентного режима для жидкостей с $\mu < 0.03$ nyasa; $B(1-2B/d)^{1/6} =$ =0,0140(µ/ρ)^{0,68}Re^{0,578}. Толщина пленки жидкости воз-растает с увеличением скорости газа, по достижении крит. значения которой происходит обрашение движения жидкости. Толщина пленки жидкости при этом B=1,59 B_0 , B_0 —толщина пленки жидкости при ско-В= 1,35 В₀, В₀ В В Коган рости газа, равной нулю. В Коган 14134. Исследования в области гидродинамики.—

(Hydromechanics research. Current investigations of the B. H. R. A.—), Engineering, 1955, 180, A 4683, 595-596 (англ.)

Обзор н.-и. работ, выполняемых Британским обще-ством гидромеханич. исследований (пневмотранспортв-

ровка угля по трубам, разделение неоднородных жидких систем, течение жидкостей в узких каналах и т. д.). Е. Бодров

Применение циклонов и мультициклонов для очистки промышленных газов. Дэскэлеску очестки промышленных газов. Дэскэлеску (Ciclonul și multiciclonul în epurarea gazelor industriale. Dăscălescu A.), Rev. chim., 1956, 7, № 8, 452—458 (рум.; рез. русс., нем.) Обзор. Библ. 14 назв. 17. Фонарева 1436. Улавливание твердых частиц вз газов. Грам, Енсен (Kostbar røg. Gram Niels, Jensen A. Liisberg), Ingeniøren, 1956, 65, № 28, 539—545 (мэт.)

№ 26, 539-545 (дат.)

7 T.

MIII

лези

кор-

смосек, 700.

ных

ваюпыти ма-

и по

тол-

рией

и Ве

ости роисиму.

коду,

. При

туре)_{кр:},

яется

Re) RP2

ними

4500. арно-

1) X

I, ВЫ-

тного

d)1/0 =

н возкении

виже-

MOTE I

и ско-Коган ки.—

ations

4683.

обще-

порти-

жид-

т. д.).

ов для

ecky

56, 7,

нарева

газов.

i e l s, 66, 65, Описаны результаты эксплуатации 2 электрофильтров для очистки печных газов от Zn, Pb, Sn и Sb. Через несколько месяцев работы обнаружились изломы коронирующих электродов, изготовленных из аустениталектродов, которая подвергалась растяжению, была обнаружена внутрикристаллич. коррозия, которую вызывал, по-видимому, Cl₂, содержавшийся в газах Очистка газов при 80—90°, содержавшийся в газах Очистка газов при 90°, содержавшийся в
Обсуждаются общие вопросы работы гидроциклона (ГЦ) в различных областях хим. пром-сти. Разбираются параметры, влияющие на эффективность работы ГЦ: дваметр и сечение питательного патрубка, диаметр нижнего отверстия, высота цилиндрич. вихревой камеры, двяление в питающей трубе, уд. вес суспензии и др. Приведена классификации ГЦ и обсуждены вопросы их

обслуживания и контроля за их работой.

С. Крашениников 14138. Применение гидроциклонов для сепарации 1. Принции действия и значения основных факторов. Беднарск ий (Hydrocyklony jako urządzenia rozdzielające. I. Zasada działania i ruch czynników w aparatach odśrodkowych. В е d n a r s k i S.), Przem. chem., 1956, 12, № 6, 303—309 (польск.) Описаны принципы действия, схема устройства, теория работы и значение параметров гидроциклона (П) для сгущения суспензий твердых частиц в жиджести или разделения этих частиц на фракции по размеру и уд. весу. Дано сопоставление ГЦ с центрифугой, а также описание промежуточного между ними аппарата — «центриклона», представляющего собой усложенный 2-камерный ГЦ, снабженный во входной качере вращающимся от внешнего привода диском, состащам. Детально охарактеризованы значение и взаймняя зависимость параметров при работе ГЦ: а) распределение окружных скоростей потока и центробежных ускорений взвещенных частиц; б) днаграмым действия сел на частицу; в) границы раздела части разных рамеров для шести дваметров ГЦ от 12 до 350 мм; г) влияние числа входных сопел на производительносты качество продукта; д) распределение изобар.

14139. Вопросы фильтрационной техники. В идерхольд (Offene Fragen der Filtertechnik. Wiederhold Wilhelm), Gas und Wasserfach, 1954, 95, № 19/20, 658—664; № 22, 719—725 (нем.) Описаны способы определения коэфф. фильтруемости

Описаны способы определения коэфф, фильтруемости (КФ) поверхностной воды при ее очистке на осветивлым фильтрах. По 1-му способу, применимому к испедуемой воде (ИВ), содержащей относительно грубые загрязнения, на стандартном лабор, фильтре с фильтрующей перегородкой из спекшегося стеклянного порошка путем фильтрации чистой воды определяют возрастающее сопротивление прибора после каждой фильтрации равных порций ИВ. Величину КФ вычисляют по наклочу прямой в координатах In (H/H₀)—V, где H— сопротивление фильтра после фильтрации ИВ, — объем отфильтрованной ИВ. По 2-му способу, применяемому к ИВ, содержащей тонкие загрязнения, КФ находят по данным фильтрации ИВ на мембранном фильтре с размерами пор 0,4—0,3 µ при постоянном разрежении ~ 700 мм рт. ст. и определения зависимости V = f(t), где t— продолжительность фильтрации. Недостатком 1-го способа является невозможность за-

держать на фильтре мелкие частицы. а 2-го — нестабильность проницаемости фильтрующей перегородки.
Описаны диаграммы в координатах высота слоя песка
на фильтре x — статич. напор фильтруемой жидкости P, на которых по опытным данным нанесены семейства
кривых P = f(x) для различных значений t. Эти диаграммы позволяют судить о распределении загрязнений в порах фильтрующего слоя. Даны результаты
опытов на полузаводской установке по исследованию
изменения P от x и t. Установлено, что в зависимости
изменения P от x и t. Установлено, что в зависимости
от рН фильтруемой жидкости и характера содержапихся в ней загрязнений возможен как линейный, так
и показательный вид функции P = f(t) при x = const.
Отмечено, что при значительном насыщении фильтруюпего слоя загрязнениями в средних зонах этого слоя
появляются области давления ниже атмосферного,
вследствие чего из жидкости могут выделяться растворенные в ней газы. Рекомендовано оборудовать на
крупных установках один фильтр приборами для измерении давления в различных зонах фильтрующего слоя.

Ламинарное движение жидкости при фильтрации сквозь слой париков одинакового размера диам. 1—10 мм характеризуется числом Re < 10, а турбулентное Re > 300, причем коэфф. сопротивления ξ равен соответственно 2000 Re-1 и 94 Re-0,10. Уменьшение статич. давления в направлении движения жидкости $\Delta P = \xi(\gamma W^2/2g) (L/d_{\rm m})$, где γ — уд. вес жидкости, e/cM^3 ; W — скорость фильтрации, см/сек; g — ускорение силы тяжести, см/сек 2 ; L — длина пористого слоя, см; d_т -- диам. шариков, см. По данным опытов по фильтрапни воды сквозь слой частиц различного размера и формы, напр. слой песка, при помощи этих ур-ний вычисляют «гидравлически эффективный диаметр частвц» $d_{\rm p}$, эквивалентный $d_{\rm m}$. При использовании $d_{\rm p}$ для графич. изображения функции $\xi = f$ (Re) в ламинарной области получается прямая линия. В данном случае турбулизация потока воды наступает при Re < 10. Таким образом характер движения воды при скорой фильтрации на песочных фильтрах, для которой Re = 1, должен быть исследован дополнительно. Ламинарное и турбулентное движения жидкости сквозь пористый слой исследовались на модели, состоящей из расположенных на некотором расстоянии один от другого горизонтальных бронзовых листов с отверстиями диам. 0,3-1,0 мм. Эти исследования еще не были закончены. На этой же модели изучался процесс отложения частиц цемента при фильтрации пыльного воздуха. Было установлено, что частицы цемента оседают на листах вокруг отверстий и что каналы для прохождения воздуха постоянно сохраняются. Это явление было объяснено разбрасыванием твердых частиц в разпальных направлениях от осей отверстий при расширении ла-минарных струй воздуха по выходе их из этих отверстий и в виде гипотезы принято для объяснения механизма отложения осадка в скорых несочных фильтрах при ламинарном движении воды. Нарушением лами-нарного движения воды в грунте вблизи скважин и при фильтрации воды на песочных фильтрах под давлением объяснено выпадение в осадок окислов Fe, образующихся при турбулентном движении в результате интенсивного взаимодействия растворенных в воде солей Fe и O₂. Рассмотрены также некоторые вопросы конструкции скорых фильтров в связи с улучшением условий промывки слоя песка и применением предварительной фильтрации при очистке поверхностных вод. В. Жужинов

14140. Тенденции в осуществлении непрерывных пропессов центрифугирования и фильтрации. Бе н дер (Zentrifugieren und Filtern — Tendenz zum kontinuierlichen Arbeiten. Bender W.), Chem. Ind., 1956, 8, № 7, 358—359 (нем.)

Обзор конструкций непрерывно действующих центрифуг. фильтров и смесителей, выпускаемых немецкими фирмами. Л. Хазин 14141.

1/44. Герметичные центрифуги. Салливан (The hermetic centrifugal. Sulliva.n Frank E.), Сhem Engng Progr., 1956, 52, № 2, 83F—84F (англ.) Описаны устройство и применение центробежных се-параторов (ЦС) для разделения эмульсий, работающих пол павлением, превышающим 10 ам, Суспензия поступает в закрытый корпус тарельчатого ЦС снизу, по каналу внутри вала ЦС. Разделение происходит в промежутках между конич. тарелками с крутым наклоном конуса, находящимися на расстоянии, пример-но, 0,8 мм друг от друга. Полученные фракции удаляются по двум каналам из верхней части ЦС. На выходе легкой фракции установлен обратный клапан, служащий для регулирования зоны сепарации внутри ЦС; приведены ур-ния для расчета клапана. Приведены данные о высокой степени отделения смол при обработке растительных масел в ЦС. Л. Хазин 14142. Исследование процесса переменивания зер-

нистых материалов. Ояма, Аяки (固體粒子の混合について、大山義年、綾木一夫), 化學工學, Кагаку когаку, Chem. Engng (Japan), 1956, 20, № 4, 148—155 (япон.; рез. англ.)

Перемешивание производилось в горизонтальном бапеременивание производылось в горизопальном обрабанном смесителе. Степень смешения определялась путем сопоставления состава образдов проб, взятых из различных мест. Теоретич. рассмотрение процесса перемешивания при допушении, что механизм перемешивания не зависит от времени и места расположения в смесителе, позволило провести аналогию процесса перемешивания с броуновским движением. Механизм перемешивания был рассмотрен не только во всем объеме, но и в отдельных местах смесителя. При этом было обнаружено, что по сравнению со скоростью перемешивания в осевом направлении, скорость перемешивания в радиальном направлении очень велика, и в течение очень короткого времени состав смеси в радиальном направлении становится однороден. Благодаря этому время перемешивания определяется главным образом скоростью перемешивания в осевом направлении. Скорость перемешивания в осевом направлении увеличивается с увеличением скорости вращения до тех пор, пока вся смесь не начнет вращаться вместе с барабаном. Кроме того, увеличение скорости перемешивания в осевом направлении происходит при увеличении отношения объемов перемешиваемого материала и смесителя 0,3, после чего она начинает падать. В. Реутский

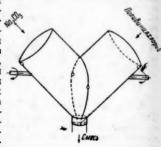
Новый подход к процессам перемешивания.-14143. (A new approach to mixing operations.—), Brit. Chem. Engng, 1956, 1, № 1, 24—29 (англ.) Приводятся теоретич. соображения о степени по-

стоянства состава и вероятности отклонения состава отобранной пробы от среднего состава смеси твердых частиц. Рассматриваются методы интенсификации процесса смешения твердых частиц и аппаратурное оформление процесса сухого смешения, а также случаи расслоения смеси вследствие различия уд. веса и размеров частиц.

4144. Смещение порошков в V-образном смесителе. Яно, Канисэ, Танака (V型混合機による物體の混合について. 矢野武夫, 蟹瀬殿, 田中邦雄), 化學工學, Karaky когаку, Chem. Engng (Japan), 1956, 20, № 4, 156—162 (япон.; рез. англ.)

В последнее время получил распространение новый V-образный смеситель (см. рис.), в котором исследовался процесс перемешивания и оптимальные условия работы. Для этой цели были поставлены опыты по перемешиванию порошков Na₂CO₃ и поливинилхлорида одинакового гранулометрич. состава в рассматриваемых смесителях емк. 2 и 1/4 л. В качестве критерия степени смешения было принято отклонение конп-и Na. CO2 в пробах, взятых из различных мест смесителя от теоретич. конц-ии. В результате опытов установлено. что полное число оборотов смесителя, необходимое для постижения желаемой

степени перемешивания, и миним. отклонение конп-ии находятся в зависимости от числа оборотов в смесителя. заполнения коэфф. смесителя, отношения объемов загруженных материалов и метода загрузки. Под методом загрузки понимается последовательность загрузок компонентов с меньшим



и большим объемом. Оптимальное число оборотов, соминим. значениям полного числа ответствующее оборотов смесителя при достижении степени перемешивания, составляло для большого смесителя 50 об/мин, а для малого 60 об/мин.

В. Реутский 145. Высокоэффективный смеситель для лабораторий и производства. — (Präzisions-Minuten-Miтории и производства. — (Frazisions-міпцеп-мі-scher für Labor und Betrieb.—), Chem. Rundschau, 1954, 7, № 18, 359—360 (ием.) В смесительном барабане быстро вращаются установ-

ленные на одном валу и смещенные друг относительно друга лопатки, причем барабан медленно вращается в том же направлении. При помощи лопаток перемешьваемый материал (М) разрыхляется и подбрасывается кверху; при этом, благодаря смещенному расположению лопаток, траектории полета отдельных частичек М перекрещиваются между собой. Подброшенный М. падая. перемешивается также с той частью М, которая перемещается вместе с барабаном. Вращение барабана позволяет устранить образование в смесителе (C) «мертвых» пространств и расслоение перемешнаваемого М по уд. весу. С может быть использован как для сыпучы так и тестообразных М (при условии, что тестообразное состояние наступает в конце перемешивания). Опасность истирания и размола перемешиваемого М при степени заполнения С 20—60% практически отсутствует. При полном заполнении С истирание М происходит в заметных кол-вах. При желании усилить истрающее действие С может быть дополнительно оборудован истирающими элементами. Применение описанного С позволяет достигнуть очень высокой степени перемешивания. С изготовляются емкостью 4—8000 4. Длительность перемешивания при степени заполнения смесителя 20—60% составляет 0,5—8 мин. В. Реутский 146. Применение вакуума для дистиллиции термо-лабильных веществ. Пупп (Vakuumtechnik für die

Destillation wärmeempfindlicher Stoffe. Pupp W.), Riechstoffe und Aromen, 1956, 6, № 6, 178—181

H L H

16

3

(**Hem.**)

Кратко описываются конструкции вакуум-насосов и их эксплуатационные характеристики, а также способы измерения и регулирования вакуума. В. Коган Простой расчет струйного насоса. Форстер

(Simple jet pump design. Forster R. H. B.), Brit. Chem. Engng. 1956, 1, № 1, 12—15 (англ.) Рассмотрен упрощенный метод расчета насоса без учета термодинамич. эффекта сжатия среды. Разобраны факторы, влияющие на эффективность работы насоса: форма и сечение входного отверстия, форма диффузора и сопла. С. Кращенинников и сопла.

CTe-

Ц-це теля

тено.

э пли

B, C0-

числа

уемой

ьшого

TCRIÉ

абораen-Mi-

schau,

ганов-

ельно

зается

меши-

вается

M ne-

падая,

пере-

на по-

«мерт-

oro M

пучи

разное

Опас-

rcyrer-

оисхо-

обору-

писан-

0000 a.

пнения

утский

термо-

für die

TACOCOB

ке спо-

Koran

ретер Н. В.),

оса без

обраны

насоса: фузора

нников

гл.)

14148. Новый насос-дозатор для химических реагентов. Румпис М. Ф., Энерг. бюл., 1956, № 8, 25—26

Приводится описание конструкции и даются основные технич. характеристики нового горизонтального двухпилиндрового насоса прямого действия производительностью до 100 л/час для работы под давлением до
250 кс/см², выпущенного Рижским турбомеханич.
з-дом. Все детали насоса, поверхности которых соприкасаются с р-ром (цилиндры, плунжер, клапанные камеры и др.), изготовляются из нержавеющей хромистой и кислотостойкой Сг-Ni-стали М. Людмирский

14149. Оборудование для получения вакуума. К а ф-ка (A vákuum előállítás gépi berendezései és gazdaságos üzemeltetésük. K a f f k a K á r o l y), Olaj, szappan, kozmetika, 1956, májusjúnius, 19—26 (венг.) 14150. Тенлоотдача при турбулентном движении газов в трубе на входе. Г р а с с (Wärmeübergang an turbulent strömende Gase im Rohreinlauf. G r a s s G.),

Allgem. Wärmetechnik, 1956, 7, № 3, 58-64 (нем.) Изучалось влияние формы входного сечения на ло-нальные значения коэфф. теплоотдачи по длине трубы при турбулентном движении газов. Опытная установка при туроунством деликали изов. Спатнам установическое состояла из концентрически расположенных труб. Газ подавался в 1-ю (внутреннюю) трубу, обогреваемую насыщ, паром, который подавался во 2-ю трубу. Кольцевое пространство между 1-й и 2-й трубами было разделено вертикальными перегородками на ряд обособленных конденсационных камер. Раздельный отвод конденсата из каждой камеры производился через нижние спуск-вые отверстия. Изучено влияние 13 различных форм входных сечений на характер зависимости между местным коэфф. теплоотдачи и расстоянием до входа (выраженном в диаметрах внутренней трубы), обусловлен-ное различной структурой потоков газа. Получены следующие расчетные ур-ния: $a_{\omega} = a_{\infty} [1 + c_0/(x/D)],$ $c_0 = \text{const} \ \mathbf{H} \ a_{\mathbf{m}} = a_{\mathbf{\infty}} \{ 1 + c_0 \left[\ln \left(x / D \right) / \left(x / D - 1 \right) \right] \}, \ \ \text{где}$ a_{ω} — местный коэфф. теплоотдачи; a_{∞} — коэфф. теплоотдачи на бесконечно большом расстоянии от входа (x/D > 50); x — расстояние от входа до зоны, в которой определяется значение a_{ω} ; D — диаметр внутренней трубы; $a_{\rm m}$ — среднее значение коэфф. теплоотдачи-Последнее ур-ние может быть упрощено для случаев лосявдае урган $a_{\rm m} = a_{\rm m} [1 + c_{\rm m}/(x/D)],$ $c_{\rm m} = {\rm const.}$ Приведена таблица значений коэфф. c_0 и $c_{\mathbf{m}}$ в зависимости от типа входного отверстия.

мости от типа входного отверстия.

В. Реутский 14151. Теплоотдача к воде, текущей параллельно пучку стержней. Миллер, Берис, Беифорадо (Heat transfer to water flowing parallel to a rod bundle. Miller Philip, Byrnes James J., Benforado David M.), A. I. Ch. E. Journal, 1956. 2, № 2, 226—234 (англ.)

Исследована теплоотдача от пучка вертикально расположенных стержией (С) к воде, текущей параллельно
вх осям. С выполнены из алюминия и характеризуются
днам. 15,9 мм и длиной 1220 мм; они размещены в трубвых решетках, в вершинах правильных треугольников,
с шагом 23,2 мм и ограничены кожухом внутренним
днам. 158 мм. Один из С снабжен электронагревателем
и 4 термопарами для намерения т-ры его поверхности
в различных точках; этот С размещался в различных
местах пучка. Для входа и выхода воды в решетках
выполнены отверстия днам. 12 мм; суммарная площадь
этих отверстий составляет 44,3% полного сечения кожуха. Циркуляция воды осуществлялась насосом с
предельным расходом 4160 л/мии; нагрев производился
паром, а также электронагревателем мощностью 14 кем.
Ошыты проводились при т-ре воды 66, 93, 121, 149,
163°; предельное давление в системе 9,8 ами; наивысшая т-ра поверхности греющего С 182°. Значения Re=

 $=(70 \div 700) \times 10^3$, чему соответствуют скорости воды $v=1,5 \div 6$ м/се к; тепловые нагрузки составили $(136 \div 542) \times 10^3$ к кал/м²час. Установлено, что вдоль С па длине, превышающей 1,6 D_e (где D_e — эквивалент ный дламетр), не происходит изменения коэфф. теплоотдачи h; не были обнаружены также и какие-либо изменения h по окружности С. Для С, расположенных у поверхности кожуха, значение h на 40% ниже, чем для следующих, более удаленных С; однако уже во втором ряду h достигает предельной величны. Опытные по ур-нию Колберна (Colburn A. P., Trans. Amer. Inst. Chem. Engrs., 1933, 29, 174), в котором в качестве определяющего линейного размера принимается D_e . Сопротивление трения на 65% выше расчетного, определенного по ур-нию Фаннинга с использованием D_e . Данные по теплоотдаче для исследованного пучка отображаются ур-нием: $Nu=0.032~(Re)^{0.8}~(Pr)^{1/6}$. Применимость ур-ния к пучкам С или труб с другими геометрич. характеристиками требует проверки. Ю. Петровский 14152. Уравнения для вычисления

теплоотдачи и трения между плоским потоком больнюй скорости и омываемой им поверхностью при ламинарном и турбулентном граничных слоях и постоянных давлении и температуре. Эккерт (Engineering relations for heat transfer and friction in high-velocity laminar and turbulent boundarylayer flow over surfaces with constant pressure and temperature. Eckert E. R. G.), Trans. ASME, 1956, 78. № 6, 1273—1283 (англ.)

Разработан метод расчетного определения коэфф. теплоотдачи и трения при движении потока вдоль пластины или цклиндрич. поверхности. Сделаны допущения 1) рассматривается плоский поток; 2) исключаются условия, в которых плотность газового потока очень низка и т-ра торможения весьма высока; 3) давление и т-ра вдоль поверхности неизменны; 4) условия стационарны. Получены решения для двух случаев — ламинарного и турбулентного граничных слоев — в форме ур-ний, удобных для практич. использования. Результаты расчетов сопоставлены с опытными данными и проанализированы причины расхождений.

14153. О начале пленочного кипения в вертикальных выпарных аппаратах с естественной циркуляцией. Обработка американских опытных данных. То и и (Ueber den Beginn der Filmverdampfung in Steilrohrverdampfern mit Selbstumlauf. Weitergehende Auswertung amerikanischer Versuchsergebnisse. T o n n H.), Z. Zuckerind., 1956, 6, № 8, 425—429 (пем.: рез. англ.. франц.)

(нем.; рез. англ., франц.)
На основании опубликованных опытных данных были получены расчетные ур-ния для определения значений критерия Ñu, уд. тепловых нагрузок и разностей т-р между стенкой и сахарным сиропом для начала пленочного кипения. Для облегчения возможности применения полученных ур-ний при расчете приведена таблица значений необходимых физ. констант и критериев Рг для сахарных р-ров. Кроме того, приведена методика расчета поверхностных натяжений сахарных р-ров. Предыдущее сообщение см. РЖХим, 1956, 11802.

В. Реутский 14154. Характеристика иленочных выпарных аппаратов. У и т т (Performance of climbing film evaporators. W h i t t F. R.), J. Appl. Chem., 1956, 6, № 5, 230—240 (англ.)

Исследована теплоотдача при кинении в вертикальных пленочных выпарных аппаратах с трубками различных диаметров d, равных 13, 19 и 50 мм, при отношении $l/d \approx 100$ (где l — длина трубки). Опыты проводились с органич. жидкостями и их смесями. Нагревание трубок

1416

(L

28

Texa

ф-ль

мета

21 (

H2BC

(C.C

т-рь 1416

A

st

M

ne

E

y

ch

W

26

I

вып

епро

KOTO

ност

pact

суда

H C

1416

Pa (VP)

P

MeH

B381

peay n B

BHT

ОДН

c pe

дов

был

при

душ

TORI

10C

8 91

пен

под

pasi

141

P

Г

u

K

пес

Teci

MPI

1416

1416

производилось горячей водой. Значения разности т-ры пара органич. жидкостей, выходящего из трубок, и средней т-ры греюней воды составили $8,5-41,5^\circ$. Установлено, что максим. тепловой пагрузке $q_{\rm M}=32\,^\circ$ 100 ккал/м² час соответствует крит. разность т-р 11° . Тепловая нагрузка q увеличивается с ростом разности ${\rm Tr}$ до враит точки, следуя ур-нию $q=565\times \times \Delta T^{1,25}$. Полученные результаты сопоставлены с давными других исследователей.

4155. Влияние химических реакций в пограничном слое на конвективный теплообмен. Олтман, Уайа (Effect of chemical reactions in the boundary layer on convective heat transfer. Altman David, Wise Henry), Jet Propuls., 1956, 26, № 4, 256—258, 269 (англ.)

Выведены ур-ния для ламинарного и турбулентного режимов, выражающие изменение теплового потока от газа к стенке при наличии хим. р-ций в газе или на стенке. Если коэфф. молекулярной диффузии *D* равен коэфф. термич. диффузии *K* или если р-ция происходит в условиях, когда D и К значительно меньше, чем коэфф. турбулентного обмена, то относительное изменение теплового потока определяется только термодинамич. свойствами системы. Для указанных случаев введено понятие о т-ре недиссоциированного пламени, относяп ейся к общей энтальнии системы. Введение этого понятия облегчает расчет теплоотдачи при высоких т-рах по данным измерений при низких т-рах. Приводится пример расчета влияния хим. р-ций на величину теплового потока для случая сгорания стехиометрич. смеси жидкого аммиака и газообразного кислорода при давл. 20 ат. При т-ре недиссопиированного пламени 3555°K увеличение теплового потока за счет хим. р-ций составляет 20,7% В. Коган

4156. Теплообмен при непосредственном контакте. Барбуто (Échange de chaleur par contact direct. В ar bouteau I.), Rev Inst. franç. pétrole, 1956, 11. № 3. 358—388 (фрац.)

Выполнен теоретич, анализ теплообмена при вепосредственном контакте двух несмешивающихся жидкостей, одна из которых образует сплошную фазу (СФ), а другая— дисперсную фазу (ДФ); жидкости движутся противотоком. В основу анализа положена теория Манро в Амундсона (Munro W. O., Amundson N. R., Industr. and Engng Chem., 1950, 42, 1481). При выводе основных дифференциальных ур-ний сделаны допушения: 1) ПФ представляет собою сферич. капли одинакового диаметра; 2) скорость подъема капель гостоявна, и они не совершают каких-либо вихревых движений; 3) теплообмен радиацией не принимается во внимание. Решением системы дифференциальных ур-ний получена вависимость между основными петеменными, на основании которой может быть рассчитан теплообменный аппарат. Для определения коэфф. теплоотдачи а и проверки полученного теоретич. решения проведены эксперименты на лабор. и промышленной установках. Лабор. теплообменник выголнен из стеклянной трубки внутренним диам. 44 мм и высотой 1130 мм, в нижней части которой размещен распределитель ДФ (очищ. керосин) в форме сферы диам. 30 мм со 100 отверстиями диам. 0,75—1,0 мм. В качестве СФ использована вода. Керосин нагревался, а затем охлаждался водой в теплообменнике, причем изметялись ты жидкостей на входе и выходе, их расход. Радиус R сферич. капель ДФ и скорость их годъема U устанавливались по метолу Хейуэрта и Трейбала (Hayworth C. B., Treybal R. E., Industr. and Engng Chem., 1950, 42. № 6). Установлена зависимость $\text{Nu} \times \text{Pr}^{-1_0} = 0,002 \, \text{Re}$, где Nu = $= \alpha (2R)/\lambda_c;$ $\Pr = C_c \mu_c/\lambda_c;$ $\operatorname{Re} = (2R) U \rho_d/\mu_c.$ Здесь λ_{c} — теплопроводность СФ; μ_{c} — вязкость СФ; C_{c} —

теплоемкость СФ; ра — плотность ДФ. Промышленный теплообменник выполнен в виде двух параллельных вертикальных стальных труб диам. 400 мм и высотой 4400 мм каждая, объединенных сверху и снизу сборниками жидкости; в основании каждой трубы размешен никами мидкости; в основании камдон 1930м разлачаем распределитель ДФ типа разбрызгивающих устройств диам. 290 мм с 70 отверстиями диам. 7 мм. Производялось охлаждение очиш. кетосина и газойля (ДФ) водой (СФ); поток ДФ составлял 1,5—8 м³/час, поток СФ 2—7,5 м³/час. При скоростях, не превышающих определенного предела, уноса одной жидкости другой практически не наблюдалось (контактировавшие жидкости подвергались центрифугированию). Результаты выражаются зависумостью $\text{Nu} \times \text{Pr}^{-1/3} = 0.002 \, \text{Re}^{0.01}$ Полученное теоретич. решение применено к расчету теплообменника: определены расчетным путем т-ры потоков жидкостей, выходящих из анпарата, а также вычислены размеры теплообменника по заданным т-рам и потокам жидкости. Отмечено удовлетворительное совпадение расчетных и опытных данных.

10. Петровский поэффициент теплоотдачи при сущие в псевдоожиженном состояния. Хертьес, Мак-Киббинс (The partial coefficient of heat transfer in a drying fluidized bed. Heertjes P. M., McKibbins S. W.), Chem. Engng Sci., 1956, 5, № 4, 161—167 (англ.; рез. франц.)

Экспериментально определен коэфф. теплоотдачи а, $\kappa \pi a a / M^2 \cdot u a c \cdot p a d$, в процессе сушки гранулированного съликателя (диаметр частиц $D_{\rm p}=0,3 \div 0,9$ мм), псевдоожиженного в потоке воздуха; аппаратура, методика исследования и обработки данных описаны ранее (РЖХим, 1954, 26534). Эксперим. данные отображаются ур-нием $\alpha=6,39\cdot {\rm Re}^{0.76}$, которое охватывает область Re от 9 до 52. В исследованном процессе Re определялось по ур-нию ${\rm Re}=D_{\rm p}G/\eta$, где G— весовая скорость воздуха и η —его вязкость.

14158. Исследование теплоизоляционной способности изолирующих материалов. Гюнст, Зат (Onderzoek naar het verschil tussen het werkelijk isolatievermogen van isolatiematerialen en de in het laboratorium gemeten isolatiewaarde. Gunst E. van, Zaat J. C. A.), Meded. Nederl. ver. koeltechn., 1956, № 114, 5—28 (голл.)

Обзор. Библ. 45 назв. К. Герпфельд 14159. О нагреве дисперсной среды протекающим сквозь нее газом. Ш е лечник М. М., Изв. АН СССР. Отд. техн. н., 1956, № 9, 115—116

Получены ур-ния для определения т-р дисперсной среды и протекающего сквозь нее газа при условии, что начальная т-ра среды является произвольной функцией длины камеры.

Г. Фонарева 14160. Расчет процесса испарительного охлаждения

по способу конечных разностей. Хаузен (Stufenverfahren zur Berechnung der Verdunstungskühlung. Наизеп Н.), Allgem. Wärmetechnik, 1955, 6, № 8-9, 169—175 (нем.)

Рассмотрены предложенные автором методы расчета процесса испарительного охлаждения, позволяющие найти т-ру и влажность газа способом конечных разностей в любом сечении аппарата и пригодные при значительных отклонениях процесса от соотношения, полученного Льюисом. Методы расчета применимы дли определения эффекта охлаждения при испарении любой жидкости в произвольном газе. Приводятся графики изменения состояния воздуха для 2 примеров расчета градирен.

3. Ниги

4161. Сравнение различных холодыльных машии. Сейбринг (Toepassingsgebieden van de verschillende koelprocessen. Sijbring P. H.), Meded. Nederlver koeltechn., 1956, № 116, 12—19 (голл.)

ИŘ

H mo

IOH

TB

йO

CΦ

oň

ил.

TH

91 ету -DH

же

MBC

HOE

кий IIRe

a Knfer M.,

956.

I a.

CH-

HII-

сле-

UM.

HEM

52.

HINO

- ero

кий

ости der-

atie-

ora-

a n,

chn.,

ельп

HINM AH

сной

, TTO

YHK-

рева

ения

(Stusküh-

hnik,

счета

ющие

раз-

і, по-

и для побой фики

счета

HHTHE

ALUNH.

llende

ederl.

(162. Расширские группы фреонов. Андреев (La grande famille «Freon» s'élargit. Andreieff Georges). Rev. prat. froid, 1956, 12, № 32, 28—32 (франд.)

Отмечено возросшее значение фреонов в холодильной технике. Приведен перечень фреснов с указанием хим. флы и областсй применения. Фресны— производные ф-лы и осласти применения. Фреоны — производные метана: 11 (CCl₃F); 12 (CCl₂F₂); 13 (CClF₃); 14 (СF₄); 22 (CH Cl₂F₂); 23 (CH F₃). Фреоны — проваводные этана: 113 (С₂Cl₃F₃); 114 (С₂Cl₂F₄); 115 (C.CIF5). С помощью фреонов можно получать низкие т-ры до -130° (фресн-14). Ю. Петровский 7-ры до — 130° (фресы-14).

14163. Холодильные агенты и их характеристика.

Альварес (Fluidos frigorificos y sus caracteristicas. Alvarez Jose Maria), Metalurgía y electr., 1956, 20, № 227, 101—105, 107—110 (исп.) 164. Новые конструкции холодильных машин. Марты новский В., Алексеев В., Холодильн. техвика, 1956. № 3, 39—43

165. Послед не достижения в химической очистке выпарных аппаратов. Беннетт, Шмидт, Унггине, Уайз (Recent developments in the chemical cleaning of evaporators. Bennett M. C., Schmidt N. O., Wiggins L. E., Wise W. S.), Indian Sugar, 1956, 6, N. 4, 259, 261, 263,

265 (англ.)

Пля упаления слоя накипи с поверхности нагревания выпарных аппаратов, концентрирующих сахарный еврси применен p-p этилендиаминтстрауксусной к-ты, который в течение короткого времени (~4 часа) полвостью удаляет накипь. Рассмотрен химизм процесса растворения. Аппаратура для очистки состоит из сосуда для р-ра, насоса для его перекачивания по системе ода для ред. нассе для его перека паваля по сесуда для регенерации р-ра. Пстери реагента незвачительны.

10. Петровский 14166. Теплопередача и массообмен при больших разностях парциальных давлений. Хейзер Wärmeübergang und Stoffübertragung bei großen Partialdruckdifferenzen, Heyser A.), Chem.-Jngr.-Techn. 1956, 28, № 3, 161—164 (нем.; рез.

англ., франц.)

Рассмотрены трудности при решении задач одновременного тепло- и массосбмена (ТМ), обусловленные взаимным влиянием т-р, парц. давлений (ПД) и скоро-стей и пограничном слое. Метод Акермана основан на результатах опытов по ТМ при малых разностях ПД и внесении поправок, учитывающих влияние допол-вительных факторов при высоких разностях ПД, что, однако, приводит к большим расхеждениям (до 100%) с результатами опытов. Для проверки теоретич. выводов автора применительно к высоким разностям ПД были проведены опыты по определению коэфф. ТМ при ксиденсации паров воды или бензола из паровозлушней смеси. Даны описание схемы установки и метолики экспериментирования. Разность ПД в опытах достигала 70% общего давления, т-ры смеси изменяжеь от 40 до 100°, скерости потока от 2 до 10 м/сек, а чвело Re от 5000 до 30 000. Получено хорошее севпажине эксперим. результатов с теоретич. выводами, подтверждающее подобие ТМ и в области больших Э. Нигин разностей ПД. Процессы, протекание которых обусловлено

разностью температур, концентраций или скоростей. Современные возарения на тепло- и массопередачу. Грасман (Ausgleichsvorgänge. Neuere Anschau-ungen über Wärme- und Stoffaustausch. Grassmann P.), Techn. Rundschau, 1956, 48, № 30,

—5 (нем.)

Кратко изложены современные представления о пропессах тепло- и массопередачи и о наличии между ними тесной связи. Приведены разнообразные примеры проимпленного использования этих процессов. В. Реутский

14168. Система определения числа переменных в проneccax разделения. Кваук (A system for counting variables in separation processes. Kwauk Mooson), A. I. Ch. E. Journal, 1956, 2, № 2, 240—248

Предложена методика определения числа независи-мых переменных в процессах разделения. Методика основана на том, что все процессы разделения рассматриваются как совокупность ряда элементов (теплооб-менник, кипятильник, теоретич. тарелка и др.), для каждого из которых определено число независимых переменных. Рассматривается различие между переменными, характерными для процесса, и переменными. которые могут быть приняты для расчета. Предложен-ная классификация для элементарных процессов представлена в виде таблиц. Выведены ур-ния для определения числа независимых переменных в сложных пропессах. Предложенная методика определения числа независимых переменных в процессах разделения иллюстрируется примерами.

юстрируется примерами.

8. Коган
4469. Гидродинамика канель и пузырей в диффузионных процессах. Гарнер (Mechanics of drops
and bubbles in diffusion processes. Garner F. H.),
Chemistry and Industry, 1956, № 8, 141—445 (англ.)
Рассмотрены факторы, влияющие на процесс межфазового обмена в дисперсионных системах. При обтекании жидкой сферы газом она деформируется и совер-шает колебания; жидкость внутри сферы совершает циркуляционное движение и благодаря этому, а также благодаря колебаниям формы, процессы переноса ускоряются. Циркуляция внутри капли усиливается с уменьшением поверхностного натяжения жидкости и с увеличением вязкости среды. Поверхностноактивные в-ва тормозят или вовсе прекращают циркуляцию и колебания и уменьшают скорость диффузии, т. е. тормозят процессы переноса: вместе с тем эти в-ва увеличивают деформацию капель, что ускоряет процессы переноса.

В. Дунский 14170. Определение частичной конденсации в дефлегматорах. Ридигер (Ermittlung der Teilkondensation in Dephlegmatoren. Riediger Bruno), Erdöl und Kohle, 1956, 9, № 5, 311—315

Описываются методы расчета процесса разделения при дефлегмации многокомпонентных смесей в прямоточном и противоточном дефлегматорах. Состав нара. отбираемого из дефлегматора, определяется с помощью кривых дистилляции по Энглеру. Предлагаемые методы расчета поясняются примерами. 14171. О соотношении между взика О соотношении между кривыми дистилляции

по Энглеру и кривыми равновесия при кипении для смол. Ланда, Шешулка (Über die Beziehun-gen zwischen Engler-Destillationskurven und Gleichgewichtssiedekurven für Teere. Landa Stanislav, Šešulka Wilhelm), Chem. Technik, 1956, 8, № 5, 270—273 (нем.)

Предложен метод построения кривых равновесия при кипении жидких смесей, выражающих зависимость относительного кол-ва испарившейся жидкости от ее т-ры кипения, с помощью кривых дистилляции по Энглеру. 14172.

Нестационарность и время установления равновесия при непрерывной ректификации. Роз, Джонсон, Вильямс (Transients and equilibration time in continuous distillation. Rose Arthur, Johnson Clarence L., Williams Theodore J.), Industr. and Engng Chem., 1956, 48, N_2 7, 1473—1479 (англ.)

Исследовалось влияние различных факторов на время установления равновесия t в колоние путем решения с помощью электронных счетных машии лифференциальных ур-ний материального баланса пестационар-

X0

14

HB

KO

CT

на

cT pa

er

III

BO

BO

Ter

T;

14

бу: pal

Ль

BHG

HOL

HOO

La

MO.

Пр

MH(

рен

ПОВ

вер

Typ

KOC

Ин

тер

эму. обой для

ного процесса ректификации совместно с ур-нием, выражающим условия равновесия, на примере процесса ректификации идеальной бинарной смеси. Объектом исследования являлась колонна с 7 теоретич. тарелками, кол во жидкости на которых принималось одинаковым. Переменными величинами являлись: состав исходной смеси Х, и начальный состав Х, жидкости на тарелках, относительная летучесть α , флегмовое число R, число тарелок п и положение тарелки питания. Результаты расчетов, производившихся на двух счетных машинах разного типа, дававших одинаковые результаты, приведены в виде графиков. Из полученных данных следует, что для каждой колонны при заданных условиях ее работы имеется крит. состав исходной смеси $X_{t \, \mathrm{KP}}$, для которого t значительно больше, чем для смесей другого состава. $X_{\text{f нр}}$ соответствует составу, при котором разделительное действие колонны максим. При значительных отклонениях $X_{\mathbf{f}}$ от $X_{\mathbf{f}$ кр величина t резко уменьшается. Степень влияния $X_{\mathbf{f}}$ на t зависит от величины α . Для $X_{\mathbf{f}} > X_{\mathbf{f}}$ кр при заполнении тарелок чистым более летучим компонентом t уменьшается, а менее летучим компонентом—увеличивается. Если $X_t < X_{f \ \ \ \ \ \ \ \ \ \ }$ то имеет место обратная зависимость. Влияние X_i на t зависит от разности между фактич. составом исходной смеси и $X_{\mathbf{f}\,\mathbf{kp}}$. Если $X_{\mathbf{f}}=X_{\mathbf{f}\,\mathbf{kp}}$, то влияние изменения $X_{\mathbf{i}}$ отсутствует. При заданном $X_{\mathbf{i}}$ и постепенном увеличения а величина t вначале быстро возрастает. При дальнейшем увеличении а величина t возрастает. При дальнейшим увеличений величина t уменьшается. С увеличением R до 9 происходит быстрое увеличением t. С дальнейшим увеличением R практически не изменяется t. С увеличением числа тарелок t значительно возрастает. Степень увеличения t возрастает с увеличением а. На основании расчетов получено следующее эмпирич. ур-ние для определения максим. времени установления равновесия $t_{\text{макс}} = [1 + 20,3 \mid 0,5 -X_{\text{f HP}}$ [8] {210+3,5 R+R/4[1-0,8 (R-4)/(R/2+4)] a^z }, где $Z=1/a+5,5/a^5+1,74$ $n/a^{1/2}-(1/50)(n-2)^{2+0,17(n-2)}$. В. Коган

14173. Влияние нагрузки и давления на показатели работы промышленной ректификационной колонны с колпачковыми тарелками. Клей, Хатсон, Клейсс (Effect of load and pressure on performance of a commercial bubble-tray fractionating column. Clay H. A., Hutson T., Jr., Kleiss L. D.), Chem. Engng Progr., 1954, 50, № 10, 517—524 (англ.)

Исследовано влияние нагрузки и давления на показатели работы ректификационной колонны (К)
с 50 колпачковыми тарелками (Т), расстояние между
которыми составляло 610 мм; днаметр К 915 мм.
Жидкость протекала по Т в поперечном направлении.
Число колпачков на Т 20; днаметр патрубков 75 мм,
днаметр колпачков 105 мм; прорези в колпачках
примоугольной формы размером 5 × 25 мм. Имелась
возможность отбирать пробы пара и жидкости через
каждые 4 Т. Опыты проводились со смесями изобутана и н-бутана, которые по своим свойствам близки
к идеальным и легко анализируются методом ИК-спектрометрии. В диапазоне давл. 4,2—10,5 ата определены
крит. пагрузки, соответствующие захлебыванию К
как в условиях полного возврата флегмы, так и при
конечных значениях флегмового числа. На основании
сопоставления опытных данных с результатами расчетного определения крит. нагрузок различными методами
авторы приходят к выводу, что наиболее достоверным
является метод Соудерса и Брауна (Souders М., Јг,
Вгоwп G. G., Jndustr. and Engng Chem., 1934, 26,
98—103) при введении поправочного множителя 1,2

для случая ректификации легких углеводородов. Опытные данные подтверждают, что захлебывание наступает в нижней части К, где кол-во флегмы максимально вследствие дополнительной конденсации паров. обусловленной теплопотерями. Установлено, что сопротивление К возрастает пропорционально нагрузке вплоть до точки захлебывания, где оно резко возрастает: при очень медленном приближении к крит. нагрузке удается превысить ее и небольшой отрезок времент поддерживать такой неустойчивый режим работы. Выявлено совместное влияние т-ры и давления на эффективность работы Т: с повышением давления от 4,9 до 10,6 ama (соответственно повышение т-ры с 42 до 74°) разделительное действие реальной Т возрастает с 0,92 до 1,07 теоретич. ступени. Установлено, что кон-цевые Т, на которых происходит разделение смеси, содержащей небольшое кол-во одного из компонентов. работают значительно более эффективно, чем Т в средней части К; авторы объясняют это тем, что на концевых Т происходит перенос меньшего кол-ва в-ва. Возрастание нагрузки К в пределах 25—75% от крит. сопровожд-дается повышением эффективности работы Т; в области нагрузок, составляющих 75-90% от крит. эффективность резко падает, что объясняется влиянием уноса. Оптимальное давление в К, при котором достигается максим. производительность, определяется следующими обстоятельствами: 1) возрастанием производительности с ростом давления до определенного предела; 2) уменьшением относительной летучести компонентов смеси с ростом давления; 3) повышением эффективности Т с возрастанием давления, что позволяет уменьшить флегмовое число при сохранении заданной степени разделения. Кривая, выражающая зависимость производительности К при определенных условиях разделения от давления, имеет ясно выраженный максимум, который выражен тем резче, чем более четкое разделение достигается в К. Определены значения оптимального давления для разделения смеси 50% избутана и 50% и-бутана в К с 30, 50 и 80 Т при различных степенях извлечения изобутана с дистиллатом (80-Ю. Петровский

14174. Зависимость эффективности колонки е насыпной пасадкой от давления. Буш макии И. Н., Лутуги на Н. В., Ж. прикл. химин, 1956, 29, № 8, 1164—1169

Исследовалось влияние давления на эффективность ректификационной колонки диам. 1,6 см., заполнению слоем насадки высотой 140 см. Опыты проводились при давл. 760 и 100 мм рт. ст. на системе С₆Н₆ — ССІ₄, для которой при давл. 100 мм рт. ст. получены данные о равновесии между жидкостью и паром. Данные опытов поназывают, что при изменении давления в указанных пределах эффективность колонки практически не меняется. Отмечается, что при применении мелкой насадки может происходить уменьшение эффективности из-за ухудшения предварительного смачивания насадки. Предыдущее сообщение см. РЖХим, 1956, 12358. В. Котав

14175. Минимально допустимая скорость паров в колоннах с ситчатыми тарелками. Камэн, Такамацу, Гото, Комэтани (多孔板塔の許等最低蒸氣速度. 龍井三郎,高松武一郎),後藤宏造,米谷睦, 化學工學, Кагаку когаку, Chem. Engng (Tokyo, 1954, 18, № 7, 308—313 (япон.; рез. англ.)

Минимально допустимая скорость паров в колоше с ситчатыми тарелками, при которой еще наблюдается равномерное прохождение пара через все отверстия в тарелке, определяется ур-нием: $(z + \Delta z)/h = 0,0337$ $(V'/R')^{-0.6} + (u^2 \rho_g)/(c^2 \cdot 2gh \cdot \rho_1)$, где R'— кол-во орошающей жидкости, $\kappa c/4ac$; V'— кол-во паров или газа, $\kappa c/4ac$; z— высота сливного порога на тарелке, cж,

7 г.

дов.

Ha-

KCH-

pos,

проузке

raer:

узке

меня Вы-

фек-

2 до

стает

кон-

I, co-

HTOB,

едней

ых Т

гание

ORII-

3 06-

рит.,

пинем

OCTE-

яется

роиз-

о пре-

OMIIO-

оляет

анной мость

х раз-

ланси-

чения 6 изо-

хынри —08)

ВСКИЙ

с на-

KHH

. XII-

понной

сь при

14. для

о рав-

TOB HO.

их пре-

пется.

ки мои ухуди Пре-12358.

Koran

apob B 「a Ra-の許容-告,米谷 Tokyo)。

опоние

одается

рстия в = 0,0397

рошаю.

н газа,

Re, CM,

 Δz — напор жидкости на тарелке, c M; c — коэфф. растода; u — скорость паров или газа в отверстни, $c M/ce \kappa$; g=981 $c M/ce \kappa^2$; h — высота слоя пены, c M; $\rho_{\rm g}$ и $\rho_{\rm l}$ — плотность паров (газа) и жидкости, $e/c M^3$.

Ю. Петровский 14176. Исследование ректификационных колони с ситчатыми тарелками. Камэн, Такамацу (Studies on perforated plate fractionating column. Камей Saburo, Такамаtsu Такейскіго), Мет. Fac. Engng, Kyoto Univ., 1953, 15, № 2, 88—115 (англ.)

Описываются результаты эксперим, исследования уноса с тарелок (T) днам. 127 мм с отверстиями днам. 2 мм и шагом 4 мм (383 отверстия на Т). Исследование проводилось на системе воздух - води. р-ры поваренной соли. Опыты показали, что высота слоя жидкости на Т зависит от скорости газа и расхода жидкости. В зависимости от состояния жидкости на Т выделяются два режима работы колонны: 1) жидкость находится в виде пены; 2) жидкость находится в состоянии турбулентного движения. Закономерности, характеризующие зависимость унсса от определяющих его факторов, для каждой из этих областей различны. При малых расстояниях между Т унос обусловливается тем, что пена достигает вышележащей Т. Рекомендуется выбирать расстояние между Т так, чтобы исключалась возможность подъема пены на вышележащую Т. Приводится пример расчета степени уменьшения к. п. д. для системы бензол—толуол. На основе пленочной теории выведены ур-ния для определения к. п. д. Т для случаев, когда сопротивление массопередаче сосредоточено в паровой или в жидкой, или в обеих фа-Анализ работы и моделирование ректифика-

ционных и абсорбционных колони. Кафаров В. В., Тр. Моск. хим.-технол. ин-та, 1956, № 22, 232—246 На основания анализа ур-ний молекулярной и турбулентной диффузии и их совместного решения разработана схема обмена энергии и массы в колоннах с веорошаемой и орошаемой насадками, которая про-тивопоставляется известной двухиленочной теории Лькиса и Уитмана. Перевос энергии и массы определяется коэфф. молекулярвого обмена (у-кинематич. вязкостью и Д-коэфф. молекуля ной диффузии), зависящими от физ. грироды в-в, и коэфф. турбулент-вого обмена $(\varepsilon_{\rm p}, \varepsilon_{\rm D})$, определяемыми гидродивамич. условиями обмена: La = $\Delta pl/(\mu W) \approx (v + \epsilon_p)/v$ и Nu = $=kl/Dpprox(D+arepsilon_{
m D})/D$, (где pprox обозначает пропорциональность величин). При малых ${
m Re}$ величины ${
m \epsilon}_{
m p}=0$ и ${
m \epsilon}_{
m D}=0$, $La \to {
m const}$ и $Nu \to {
m const}$, что соответствует режиму модекулярного обмена (ламинарному). С увеличением Re возрастают ε_{p} и ε_{D} , причем возможно существование двух режимов: 1) промежуточного, когда $\mathbf{v} > \mathbf{\varepsilon}_{\mathbf{p}} > 0$ и $D > \mathbf{\varepsilon}_{\mathbf{D}} > 0$; 2) турбулентного, когда $\mathbf{\varepsilon}_{\mathbf{p}} > \mathbf{v}$ и $\mathbf{\varepsilon}_{\mathbf{D}} > D$. При этом на графиках $\mathbf{La} = f$ (Re) и $\mathbf{Nu} = f_{\mathbf{p}}$ (Re) су ществуют две точки перелома, выявленные обработкой меогочисленных обытных данных. В рыссмотренных режимах возникающая турбулентность определяется поверхностью насадки, которой пропорциональна поверхность фазового контакта. Дальнейшее развитие турбулентности 1 риводит к развитию и проникновению в жидкую фазу газовых вихрей и инверсии фаз; жидкость становится сплошной фазой, а газ — дисперсной. Инверсия фаз имеет все черты кризисного явления и сопровсикдается резким возрастанием сбмена, что характеризуется вертикальными участками кривых La = f (Re) и Nu = f_1 (Re) — везвикает так называемый режим змульгирования (РЭ). Для точки инверсии возможно обобщение данных по гидродинамике и массопередаче для процессов абсорбции, ректификации и экстракции.

Зависимость между кол-вом передаваемого в-ва и энергией выражается критерием: $k\sigma w_{\mathbf{r}} \rho/[\Delta p/l) F^2] = \mathrm{idem},$ где k — коэфф. массопередачи; $w_{\mathbf{r}}$ — скорость газа; ho — плотность газа; ($\Delta p/l$) — перепад давления, затрачиваемый на трение между потоками; с — уд. поверхность насадки и F — свободное сечение насадки. Выведены ур-ния для определения в точке инверсии ($\Delta p/l$), перепада давления в орошаемой насадочной колоние, линейной скорости газа, кол-ва удерживаемой жидкости, фиктивного уд. веса газо-жидкостной эмульсии. Обширный эксперим. материал подтверждает теоретич. выводы. Проведена аналогия в работе насадочных колони и колони с ситчатыми тарелками в РЭ, позволяющая осуществлять их взаимное моделирование и определять к. п. д. ситчатой колонны. Расчеты по полученным ур-ниям показывают, что к. п. д. ситчатых тарелок в оптимальных условиях работы составляет 60-85%, а перепад давления на одну тарелку равен перепаду давления на высоту васадки, эквивалентной одной теоретич тарелке, и лежит в пределах 25—45 мм вод. ст. Опытные данные подтверждают правильность Ю. Петровский расчетных значений.

14178. Массопередача на ситчатых тарелках при различном их наклоне. К у з ь м и н ы х И. И., Р о д но н о в А. И., Ж. прикл. химии, 1956, 29, № 9, 1330—1336

Исследовано влияние параметров процесса и наклона ситчатых тарелок на коэфф. массопередачи через газовую $k_{\Gamma}^{}a$ и жидкую $k_{\mathcal{R}}^{}a$ фазы. Опыты проводились на тарелках размером 700×85 мм из листовой стали толпінной 2 мм є диаметром отверстий 2, 4 и 6 мм при шаге 7—21 мм как в горизонтальном положении, так и при наклонах 3 и 5° к горизонту. Изучался процесс одновременного испарения воды и десороции кислорода в изотермич. условиях; т-ра воды составляла $28\pm0.3^\circ$; скорость воздуха w=0.32-2.6 м/сек, интенсивность орошения $L=7\div23.5$ м³/час м. Установлено, что при наличии режима яченстой пены значение $k_{\rm sc}a$ проходит через максимум, положение которого зависит от w и наклона тарелки. При отсутствии ячеистой пены и утечек жидкости через отверствя значение $k_{\rm ss}a$ мало зависит от w. Увеличение наклона тарелок приводит к существенному снижению $k_{\mathbf{m}}a$ и уменьшению отношения $k_{_{\rm H}}a$ к сопротивлению тарелки; при этом $k_{_{
m T}}a$ также несколько уменьшается, но отношение $k_{\mathbf{r}}a$ к затрачиваемому напору практически не меняется. За пределами ленного режима $k_{_{\rm H\!H}}a=CL^{0,62}$, а $k_{_{
m T}}a$ пропорционален $w^{0.85}$ и $L^{0.17}$. Для массопередачи через жидкую фазу более благоприятны ситчатые тарелки с небольшим свободным сечением, которое, как и диаметр отверстви, мало влияет на $k_p a$. Ю. Петровский мало .влияет на $k_{\mathrm{P}}a$.

14179. Проверка работы набораторных дисковых колонн для абсорбини газа. Тейлор, Робертс (The calibration of disc-type laboratory gas-absorption columns. Тау lor R. F., Roberts F.), Chem. Engng Sci., 1956, 5, № 4, 168—177 (англ.; рез. франц.) На системах CO_2 — года и NH_3 — вода проведено эксперим. исследование работы лабор. дисковой колонны. Определялась зависимость коэфф. скорости абсорбири от плотности орошения на гладких пирофиллитовых дисках, на пирофиллитовых дисках с пасечкой и на дисках Дальтона. Найдено, что для системы CO_2 — вода аввисимость коэфф. скорости абсорбции от плотности орошения выражается двумя ур-ниями. Для плотности орошения $\Gamma \leqslant 155$ фунт/час фут $K_1/D = 58,0$ (4 Γ/μ). $(\mu/(\rho D))^{0.5}$ [фут $(\rho D))^{0.5}$] фут $(\rho D)^{0.5}$ [фут $(\rho D))^{0.5}$] (фут $(\rho D))^{0.5}$

no n

л

C

л

CT

го

ла

кр

пе

Me

TO;

коэфф. скорости абсорбции для жидкостной пленки; μ , фунт массы/фут час — вязкость жидкости; ρ , фунт/фут³ — уд. вес жидкости; D, фут²/час — коэфф. диффузии. Различная степень зависимости $K_{\rm L}$ от T объясняется образованием волн в стекающей жидкостной пленке. Для системы ${\rm NH_3}$ — вода изучена зависимость коэфф. скорости абсорбции от относительной скорости газа и плотности орошения. Зависимость коэфф. скорости абсорбции от относительной скорости газа приT > 236 фунт/час фут выражается ур-инем $K_{\rm G} = 4,84\,V_{\rm O.67}$, где $K_{\rm G}$ — пленочный коэфф. скорости абсорбции для газовой пленки в фунт/час фут² ат; V — относительная линейная скорость газа в фут/сек. Зависимость $K_{\rm G}$ от плотности орошения при T < 155 футт/час фут определяется по ур-иню $K_{\rm G} = 18,5$, при T > 155 — по ур-иню $K_{\rm G} = 53\,\Gamma^{\rm O.25}$. Рассмотрено влияние характера обработки поверхности дисков на скорость абсорбции С. Крапиенининков

14180. Динамика нейтрализации сложных эфиров водным раствором соды в безнасадочных колоннах. Фальковский В. Б., Истрова Л. И., Ж. прикл. химии, 1956, 29, № 9, 1453—1456

Исследован процесс нейтр-ции примеси уксусной к-ты (I) в сложных эфирах води. р-ром кальцинированной соды в безнасадочных колоннах при неподвижном и медленно движущемся сплошном слое р-ра соды; исхолное содержание I составляло $y_{\rm H} = 0.014 \div$ → 0,953 г-молг/л. Нейтр-ции подвергались технич.

н-пропилацетат (II), н-бутилацетат, наобутилацетат, изоамилацетат (III), циклогексилацетат и изоамиловый спирт. Р-ры содержали 2, 10 и 20 вес. % соды, высота слоя р-ров в колоннах составляла 1100—2000 мм, диаметр колони 23-31 мм. Опыты показали, что процесс пойтр-ции может быть описан дифференциальным ур-нием первого порядка. В результате однократной нейтр-ции, в зависимости от $y_{\rm H}$, содержание I на выходе из колонны уменьшалось в 1,4—7,5 раз и доходило до меним. значения 0,003 г-моль I в 1 л эфира. Установлено, что для каждого эфира, независимо от диаметра капель d и высоты колонны H, безразмерный комплекс H/S d(где $S = \ln (y_{_{\rm H}}/y_{_{
m R}})$ есть величина постоянная. Для смесей II в III значение H / Sd могут рассчитываться по правилу аддитивности. При движении р-ра соды со скоростью 50 см/мин скорость нейтр-ции удв швается по сравнению со скоростью пропесса в неподвижном слое р-ра. А. Ровинский 14181. Абсорбция углекислоты раствором поташа в пузырьке пены. Плит И.Г., Шишки к и К.Н., Ж. прикл. химин, 1956, 29, № 9, 1323—1329 Изучена зависимость процесса CO₂ р-ром карбоната

Изучена зависимость процесса CO_2 р-ром карбоната калия (I) от основных факторов. Опыты проводились на установке, в которой абсорбция осуществлялась в отдельно взятом пузырьке пены и, следовательно, поверхность контакта фаз могла быть определена расчетным путем. Изучено влияние добавки поверхностноактивного в-ва сапонина (II) на кинетику абсорбции и установлено, что при малых конц-нях II x < 0.6 e/a наблюдается уменьшение скорости абсорбции и коэфф. абсорбции k, а при 0.6 < x < 1.0 эти величины возрастают и при $x \approx 1.1$ приобретают наибольшее значение, которое с дальнейшим увеличение x остается непаменым. При увеличении конц-ии $k_2\mathrm{CO}_3$ в $\mathbf{I}.(y)$ величина k падает, но так как увеличение хим. емкости р-ра с возрастанием y идет быстрее, чем падение k, скорость абсорбции возрастиет по мере увеличения y до 150 e/a. Найдено, что k растет c увеличение конц-цин CO_2 в газе по эмпирич. закону $k_1 = P^{1.23}$, где k_1 — коэфф. абсорбции при 18.5° $\epsilon e/m^2$ час(e-mon/a), P— конц-ия CO_2 в долях от единицы. C ростом T-ры k

падает и в области $t=14\div18^\circ$ может быть определег по ур-нию $k_{\mathbf{t}}=k_1\cdot257\,/\,P^{\mathbf{1},\mathbf{9}}$. Отмечено, что при грувповом стесненном движении пузырьков в производственном аппарате k в значительной степени определяется также кол-вом пузырьков и скоростью их движения.

4182. Разделение компонентов газовой смеси с помощью фракционной изотермической абсорбции селективными растворителями. Часть І. Фракциопрование бинарной смеси. Часть ІІ. Фракциопрование тройной смеси. Натта, Негри, Гадина (Separazione dei componenti di miscele gassose per absorbimento frazionato isotermico in un solvente selettivo. Nota I: Frazionamento di mescele binarie. Nota II: Frazionamento di miscele ternarie. Natta G., Negri G., Gadina P. L.). Chimica e industria, 1953, 35, № 6, 403—413; № 9, 622—636 (итал.)

Проведено теоретич. исследование процесса разделения газовых смесей, состоящих из компонентов, которые имеют очень близкие т-ры кипения. Приведены схемы установок.

Б. Лукьянов

14183. Применение адсорбции в химической промышленности.— (Improved adsorption processes developed in chemical industry.—). Industr. Rev. Africa, 1956, 8. № 1, 2—3, 5 (англ.)

Кратко охарактеризованы основные способы периодич, адсорбции и перечислены требования, предъявляемые к адсорбентам. Отмечено, что непрерывная адсорбция в движущемся слое адсорбента сложнее, но значительно более эффективна.

Ю. Петровский

14184. Непрерывный противоточный процесс адсорбции или ионообмена. Льюис (Continuous countercurrent absorption or exchange process. Lewis s J. A.), Chemistry and Industry, 1956, № 16, 296—297 (англ.)

Приводится обзор работ, посвященных применению адсорбции и ионообмена в относительно крупных масштабах. Описывается технологич, схема процесса разделения многокомпонентных смесей в серии последовательно соединенных адсорберов (А). В нижнюю часть каждого А подается р-ритель, а в верхнюю - адсорбент; скорость жидкости регулируется так, чтобы обеспечивалось движение адсорбента вниз. Разделяемая смесь подается в середину А. Один из продуктов разделения отбирается вверху А в виде р-ра, другой адсорбируется на адсорбенте и отбирается вместе с ним. Применение описанного А поясняется на примере разделения смеси хлористых Си и Со. Отмечается трудность транспортировки адсорбента для регенерации из-за вызываемой им эрозии. Указывается на возможность применения эрлифта для транспортировки ад-B. Koran сорбента. 1185. Адеорбция во взвещенном слое. Романков П.Г., Лепилин В. Н., Немет Е.С., Хим. наука и пром-сть, 1956, 1, № 3, 317—324 14185.

Хим. наука и пром-сть, 1956, 1, № 3, 317—324 Методами теории подобия получена совокупность критериев, описывающих кинетику процесса сорбщи из потока смеси для периода постоянной скорости сорбщии (до проскока) и периода падающей скорости сорбщии (после проскока). Для определения характера функциональной зависимости между критериями экспериментально исследована адсорбция в динамич. условиях паров бензина из воздуха (начальная конц-ия С₀=4 ÷ 30 мг/л). Опыты проводились с активированными углями марки БАУ, АГ, АР с диаметром части 0.5—3.5 мм в колоннах с диам. 32—125 мм и начальной высотой слоя $L = 50 \div 700$ мм. Скорость паро-воздушной смеси составляла 1—3 л/мин см² сечения колонны и в каждом случае выбиралась так, что слой сорбента переходил в псевдоожиженное состояние.

елев

руп-

ввод-

HBM-

Ский

0110

I ce-

они-

про-

u na se per vente narie. V a t-

ica e

-636

аздев. ко-

елены

ВОНКА

мыш-

evelofrica,

юдич. яемые рбция значи-

ВСКИЙ

nuous

L e-

Nº 16,

нению

х мас-

а раз-

следо-

адсор-

и обес-

іяемая в раз-

другой

с ним.

ое раз-

труд-

OSMOM:

ки ад-

Коган

ман-Е. С.,

пность

орбции

и сорб-

и сорб-

рактера

экспе-

. усло-

ви-днов

ирован-

частиц

понакы

ро-воз-

ная коо слой

тояние.

324

ад-

Найдено, что для таких условий прямые в системе координат $\tau - L$ (τ — время до момента проскока от начала опыта) проходят через начало координат, и ур-ине Шилова приобретает вид $\tau = kL$. В результате обработки эксперим. данных по углям БАУ и АР получены критериальные ур-иия, включающие симплексы концентрационного и геометрич. подобия. Высказаны некоторые соображения об аналогии между кривыми скорости сорбции из потока смеси и кривыми скорости сушки материала в потоке воздуха.

А. Ровинский

14186. О методе расчета очистки газов от сероводорода гидроокисью железа. Кузнецов М. Д., Сагаловский Ш. М., Тр. Хим.-технол. фак. Донецк. индустр. ин-та, 1956, № 1, 14—18

Предложен метод расчета размеров поглотительной аппаратуры на основе теории динамич. активности твердых поглотителей, дающий возможность определить сечение аппаратов, чеобходимый объем и толщину слоя поглотителя с учетом конц-ии H₂S в газе, гидравлич. сопротивления. активности поглотителя, производительности установки и продолжительности работы установки до перезарядки. Г. Фонарева

4487. Экстракция в системе жидкость — жидкость. Часть І. Выражение и определение состояния равновесия и растворимости. Эллис, Фрешуотер (Liquid—liquid extraction. Part I. Representation and prediction of equilibria and solubility data. Еllis S. R. M., Freshwater D. C.), Perfum. and Essent. Oil Rec., 1956, 47, № 8, 297—301 (англ.)

Отмечены особенности экстракции в системе жидкость — жидкость и значение этого процесса в произ-ве
эфирных масел и душистых в-в, многие из которых
совершенно не допускают воздействия повышенной т-ры,
что исключает возможность применения процессов диствлляции. Сделаны общие указания о выборе р-рителя. Рассмотрены различные способы выражения данных о равновесии в 3-компонентных двухфазных системах жидкость — жидкость. Показано приложение
выводов из термодинамики р-ров к решению задач
равновесия в указанных системах.

Ю. Петровский

14188. Анпарат с отстойными и смесительными камерами для экстракции в системе жидкость — жидкость. Роберт с, Белл (Horizontal mixersettler equipment for liquid—liquid extraction. Roberts F. Bell B. T.), Industr. Chemist, 1956, 32, N276, 221—222 (англ.)

Проведено исследование влияния типа крыльчатки, геометрич, размеров аппарата и отражательных перегородок на эффективность смешения и на величину создаваемого напора. На основании исследования предлагается 4-каскадная экстракционная установка с крыльчаткой типа судового винта. Указывается, что вз 6 исследованных типов эта крыльчатка обеспечивает наиболее эффективное перемещивание и перемещение жидкости. Отмечается, что рециркуляция р-ра в отстойной камеры в смеситель значительно повышает эффективность процесса массопередачи при соотношении объемных скоростей фаз 10:1—50:1.

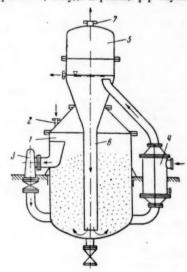
С. Крашенинников 14189. Методика расчета кристаллизаторов. Гулы й И. С., Тр. Кневск. технол. ин-та пищ. промсти, 1956, 2, 37—42

Предложен графоаналитич. метод расчета кристаллизаторов утфелей в сахарном произ-ве, который сводится к разбивке аппарата на ряд секций и определешю поверхности охлаждения каждой секции по методу конечных разностей.

А. Ровинский

14190. Кристаллизатор «Кристалл». Бамфорт (The «Krystal» crystalliser. Вам forth A. W.), Chem. Prod., 1956, 19, № 7, 284—286 (англ.)

Рассмотрены метод и аппарат для получения однородных по величине кристаллов. Пропесс кристаллизации осуществляется следующим образом: маточный р-р, содержащий кристаллизуемое в-во, из верхнего осветленного слоя суспензии в сосуде 1, совместно с небольшим кол-вом свежего р-ра кристаллизуемого в-ва, поступающего по штуцеру 2, непрерывно подается с помощью циркуляционного насоса 3 через подогреватель 4 в испаритель 5, откуда пересыщ, р-р опускается по



пентральной трубе 6 кристаллизатора под слой суспенани в нижнюю часть сосуда 1, а затем поднимается вверх, выделяя при этом кристаллизуемое в-во с одновременным ростом кристаллов суспенани. Размер полученных кристаллов регулируется путем изменения условий получения пересыц. р-ра и его взаимодействия с исходными кристаллами. Пары растворителя удаляются из 5 через штуцер 7. Во избежание образования осадка кристаллизуемого в-ва на теплообменных поверхностях, разность т-р между теплоносителем и р-ром кристаллизуемого в-ва должна быть по возможности минимальной.

В. Реутский

223—229 (япон.; рез. англ.) Предложен графич. метод расчета сущилки для периодов постоянной и падающей скоростей сушки. Выведено ур-ние для определения наклона кривой в координатах t-H по ур-нию: $dH/dt=-([(k'_Gac_H)/(h_Ga)]\{x(H_1-H)/[t-t_1+(1-x)(t_1-T)+(c/B)(t-t'_0)]\}$, где H—абс. влажность в ке водяного пара на ке сухого воздуха; t— t—тра газа в градусах; k'_G —коэфф. массопередачи для газовой фазы в $\kappa e/M^2$ час (единица абс. влажности); a— поверхность контакта в единице объема в M^2/M^3 ; c_H — t— t—теплоемкость влажного газа в t0 кал/ке t0 граф. t1 газовой фазы в t2 кал/ке t3 граф t4 геплоетдачи для газовой фазы в t4 геллого t5 геллого материала; t6 граф t7 геллого материала; t7 граф t8 градусах; t7 t7 гра t8 градусах; t7 t7 гра t8 градусах; t7 гра t8 градого

тела в градусах, $c=4h_0/(Dk_G'a), h_0$ — коэфф. теплоотдачи в окружающую среду при разности т-р t и t_0' в ккал/м² час град; t_0' — т-ра окружающей среды, D — внутренний диаметр сушилки в м, $B = h_{{
m G}a} / (k_{{
m G}}'a)$. Для постоянной скорости сушки x=1, для падающей скорости сушки $0\leqslant x < 1$. С. Крашенивников скорости сушки $0 \le x < 1$. С. Крашенивников 14192. Факторы $j_{\rm H}$ и $j_{\rm D}$ для воздуха, используемого при сушке. Хертьес, Рингенс (The $j_{\rm H}$ and in factor of air use for drying. Heertjes P. M., Ringens W. P.), Chem. Engn Sci., 1956, 5, № 5, 226—231 (англ.; рез. франц.)
На 4 жидкостях (С₆Н₆, CCl₄, С₂Н₅ОН, Н₂О) в усло-

виях постоянного периода скорости сушки проведено эксперим. определение факторов тепло- и массопередачи ји и јо при испарении р-рителя из пористого керамич. тела. При постановке эксперимента было принято, что изменение т-ры поверхности и всего тела в процессе сушки учитываться не будет, так как эти изменения лежат в пределах ошибки опыта. Приводится описание эксперим. установки и методики проведения опытов. Указывается, что расчет факторов j_{H} и j_{D} производился по ур-ниям Чилтона и Кольбурна. Установлено, что для постоянного периода скорости сушки $i_{
m H}=i_{
m D}$.

С. Крашенинников 4193. Сушка сублимацией. Црпчевич (Su³enje sublimacijom. Сгпсе v i ć V lasti m i r), Теh-nika, 1956, 11, № 8, 1225—1228 (сербо-хорв.; рез. англ.)

Рассмотрены принции, техника и основные области применения процесса сушки сублимацией в пищевой и фармацевтич. пром-сти. А. Ровинский 14194. 194. Тепловой расчет воздушных размольно-су-шильных установок. Боришейн (Die Wär-merechnung für Luftstrom-Mahltrocknurgsanlagen.

Silikattechnik.

Bornschein Gerhard), 1956, 7, № 4, 162-165 (Hem.)

Даны расчетные ур-ния и ход теплового расчета размольно-сушильной установки с циркуляцией воздуха. Приводятся расчетные характеристики (расход тепла, потоки воздуха, материала и др.) для установки с шаровой мельницей днам. 2.2 м и длиной 4,4 м, производительностью 7860 кг/час измельченного материала, которые хорошо согласуются с эксперим. данными. В. Коган

14195. Расчет непрерывно действующего реактора. Ристич (Proračun reaktora za kontinualne procese. Ristić Momčilo), Tehnika, 1956, 11, № 8, 1205—1207 (сербо-хорв.; рез. франц.). Для реактора, снабженного мешалкой, выведены

ур-ния, характеризующие отношение между угловой скоростью и размером лопастей мешалки и высотой уровня жидкости в аппарате. Г. Фонарева уровня жидкости в аппарате. 14196. Экранированный элект 196. Экранированный электроденгатель для хи-мической аппаратуры. В и ш н е в с к и й Н. Е., Хим. пром-сть, 1956, № 2, 102—105

Описаны конструкции экранированных бессальниковых электродвигателей, предназначенных для работы в агрессивных средах. Приведены табличные характеристики материалов, пригодных для изготовления экранирующих гильз, позволяющие выбрать материал в зависимости от величины рабочего давления.

О процессе дробления хрупких материалов путем ударного воздействия. Накагава, Окуда, Tocaka (脆い材料の衝撃壓縮による破碎過程について、中川有三、奥田穂、遠坂登), 化學工學、Karaky Koraky, Chem. Engng (Japan), 1956, 20, № 5, 240—247 (япон.; рез. англ.) Производилось дробление опытных образцов мате-

риалов (мел, обожженная глина) путем бросания с определенной высоты груза. Развиваемая при этом сила удара измерялась проволочным тензометрич. динамометром и пьезоэлектрич. прибором. Обусловленная ударом деформация измерялась при помощи фотоэлекрич. трубки и трубчатого осциллоскопа Брауна. Распределение размеров частиц продуктов дробления, полученных при ударе, было установлено методом ситового анализа. На основе полученных данных показано, что в процессе ударного дробления хрупких материалов следует различать три стадии: 1-я стадия — чистое ударное дробление, названное так авторами в отличие от последующих стадий сложного дробления; 2-я стадия — сложное дробление, обусловленное ударным сжатием и слвигом; 3-я стадия—укрупнение измельченного материала, вызыванное ударом. Было отмечено, что при определении затрат энергии на дробление необходимо принимать в расчет все три указанные стадии процесса дробления. Приведена схема дробильной усизмельчение. 14198. Постепенное и регулируемое

Лаба (Le broyage progressif et contrôlé. Labat M.), Génie chim., 1956,76, № 1,1—11 (франц.; рез.

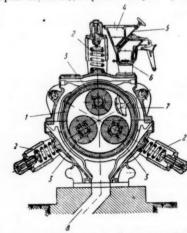
исп., англ.)

Излагается теория классич. методов измельчения твердых материалов, включая расчетные ур-ния и графики определения производительности, коэфф. измельчения, расхода энергии и гранулометрич. состава. Предложен и описан новый метод постепенного и регулируемого измельчения, состоящий в многократном пропускании измельченного материала через дробилку (при малой интенсивности одного цикла) и отсеивании мелких фракций перед каждым циклом. Приведена схема метода и перечислены его преимущества. Ю. Скорецкий Оборудование по дроблению и перемешиванию.

Флемминг (Zerkleinern und Mischen gut vertreten. Flemming W.), Chem. Ind., 1956, 8, № 7, 360—362 (нем.)

Приведено описание конструкций новых типов дробилок, мельниц, спец. центрифуг, фильтров, мешалок, разнообразных смесителей, грануляторов. В. Гриншпун Улучшенная мельница Максекон Н/ММ 9. Пфейффер (Die verbesserte Maxeconmulle Н/ММ9. Pfeiffer H.), Silikattechnik, 1955, 6, Maxeconmühle № 4. 177-178 (нем.)

Цается описание усовершенствованной мельници, которой к свободновращающемуся размольному



кольцу 1 посредством пружин 2 прижаты три размольных вала 3. Каждый из этих валов опирается на два

pe-

MO-

ная

тек-

Pac-

П0-

HTO-

ано.

лов

CTOE

ЧНе

ста-

ного

TO

reof-

адии

yc-

ский ение. bat

pea.

TBeD-

фики ния.

ожен

отоме

ания

иолой

лких

схема

ПКИЙ

анию.

ver-

6, 8,

про-

алок,

пшпун

M 9.

mühle

55, 6,

нипы.

ьному

самоустанавливающихся роликовых подшипника, имеющих одну общую опору. Подшипники защищены от действия пыли. Верхний вал является приводным и дедает 200 об/мин. Остальные два вала и кольцо вращащаются с той же скоростью и в том же направлении, что и верхний вал. Размалываемый материал загружается в мельницу через отверстие 4, снабженное шибером 5, регулирующим загрузку, и шибером 6, предусмотренным на случай необходимости быстрого прекращения доступа материала в мельницу. Поступив в мельницу, материал посредством распределительного приспособления 7 подается на размольный вал с двух противоположных концов. Размолотый продукт удадяется через выгрузное отверстие 8. Размер загружаеных кусков не должен превышать 30 мм. Подводимая мощность 15-22 кет (в зависимости от твердости материала) при производительности от 3 до 9 m/час. Приведены схемы мельничных установок с ситовой и воздушной сепарацией. При ситовой сепарации можно получить продукт, дающий ~15% остатка на сите 1600 отв/см²; при воздушной сепарации 10—15% остатка на сите 4900 отв/см². При наличии воздушной сепарации можно размалывать продукт повышенной Н. Баскина влажности. Опыты по измельчению некоторых материалов на каскадно-ударной взрывной мельниде. Геллер З. И., Тр. Грозненск. нефт. ин-та, 1956, № 19, 173—175

На основании опытов с некоторыми рудными ископаемыми, в частности, железомагнетитовыми и малофосфористыми кварцитами, установлено, что каскадноударная мельница может быть применена для тонкого измельчения твердых материалов. Г. Фонарева 14202. Исправление к статье: Танака «Теорети-

ческие основы распределения частиц по размерам и механизма измельчения» (報文:粒度分布の法則性 と粉碎機構。田中達夫), 化學工學, Кагаку когаку, 1955, **19**, № 6, 332 (япон.)

К РЖХим, 1956, 49575

Истечение сыпучих материалов из бункеров под действием силы тяжести. Танака, Каван (粉粒體がホッパーから活出する速度について. 田中達夫, 川 清一), 化學工學、Karaky когаку, Chem. Engng (Japan), 1956, 20, № 4,144—147 (япон.; рез. англ.) При обработке эксперим. данных методом анализа размерностей получено ур-ние, позволяющее определить скорость истечения зернистых материалов из бункера под дейстрием силы тяжести: $W/(\rho \ V g \ d^{2,5}) =$ $= k \left[\mu \operatorname{tg} (\varphi / 2) \right]^{-0.32} (d / B)^n$, где B - диаметр выпусквого отверстия бункера, c.м.; d — размер частицы, c.м.; g — ускорение силы тяжести, $c.м/cc\kappa^2$; W — весовая скорость потока частиц, $c/ce\kappa$; μ — коэфф. трения частицы; ф — угол наклона стенок бункера, в градусах; ре— насыпной вес материала, s/cm^3 . Для d/B < 0.10 значеня k = 0.18 п n = -2.7; для 0.1 < d/B < 0.23 величина k = 0.10 и n = -3.0. Ур-ния применимы при условии, если размер частиц $d \ge 150$ μ . Вторым пределом применимости полученных ур-ний является d/B < 0.23, так как при d/B > 0.23 начинает заметно сказываться эффект сводообразования. В. Реутский

14204 К. Технологические процессы, связанные с теплопередачей. К у р и и о и др. (傳黎工學. 栗野誠一等. 丸善, 308頁, 650 圓, Марудзэн, 1954, 308 стр., 650 иен) (япон.)

1205 К. Дистиляция и ректификация. Лёф-лер, Пошта, Купст (Destilace a rektifikace. Löffler, Jiří, Pošta Jiří, Kunst Arnošt. Praha, SNTL, 1956, 392 [3], s., il., 29.90 Kčs.)

14206 Д. Измерение плотности гидросмесей, рекачиваемых по трубам диаметром 200—300 мм. Литвиненко А. М. Автореф, дисс. канд. техн. н., Всес. н.-и. ин-т ж.-д. стр-ва и проектирования,

14207 Д. Исследование конвективного теплообмена между гранулированным материалом и потоком газа. Круглов С. А. Автореф. дисс. канд. техн. н., Моск. нефт. ин-т, М., 1956

14208 Д. Математическая обработка регулируемых процессов охлаждения и вагревания. Еккель (Mathematische Behandlung gesteuerter Abkühl- und Anwärmvorgänge (Autoref. Diss.). Jäckel Hans), Bergakademie, 1956, 8, № 8, 381 (нем.)

Рассмотрено распределение т-р в твердом теле как функция координат любой точки тела в времени. В. Жужиков

14209 Л. Исследование вакуум-эжекционных лодильных установок для кондиционирования воздуха. Грундфельд И. Автореф. дисс. канд. техн. н., Моск. инж.-строит. ин-т, М., 1956
14210 Д. Тепло- и массообмен в полуограниченных

дисперсных средах. Порхаев А. П. Автореф. дисс. докт. техн. н., Моск. технол. ин-т пищ. промсти, М., 1956

14211 П. Метод и аппарат для осаждения частиц на жидкости (Method and apparatus for settling particles from fluids) [Standard Oil Development Co.]. Англ. пат. 731287, 8.06.55
Предложен метод осаждения из поднимающегося

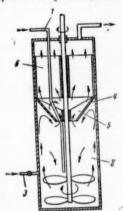
вверх потока суспендированных в нем частиц, применяемый, в частности, в аппарате для каталитич. полимеризации олефинов. Газообразные олефины подаются

по трубопроводу 1 в контактную зону 2, где происходит их полимеризация в присутствии катализатора (фосфорной к-ты, осажденной на кизельгуре или аналогичном материале), вводимом в аппарат в виде суспензии по трубопроводу 3. Твердые частицы удерживаются во взвешенном состоянии при помощи пропеллерной мешал-Непрореагировавшие олефины, полимер и взвешенный катализатор непрерывно удаляются из зоны 2 и проходят через зону осаждения, в которой находятся конич. вставка 4 с четырьмя радиальными перегородками 5 и расположенные

выше вертикальные перегородки 6 (кол-во вертикальных перегородок восемь).

14212 П. Способ повышения производительности фильтров с намывным слоем. Гутман, Мон-хейм (Verfahren zur Steigerung der Leistung von Anschwemmfiltern. Gutmann Walter, Monh e i m Josef) [Farbwerke Hoechst A.-G.]. Пат. ФРГ 910533, 3.05.54 [Chem. Zbl., 1954, 125, № 46, 10552 (нем.)].

В процессе нанесения намывного слоя и во время фильтрации к фильтруемой суспензии добавляют поверхностноактивные в-ва, напр. мыла, сульфокислоты спиртов жирного ряда, продукты конденсации жирных к-т соксиили аминокарбоновыми к-тами, алкилированный ди-метилсульфатом октодециламин и др. В. Жужиков



азмольна два 14213 П. Метод фильтрации. Франкенхофф (Filtration method. Frankenhoff les A.). Канад. пат. 510267, 22.02.55

Описан метод фильтрации с нанесением на вертикальную фильтрующую перегородку намывного слоя вспомогательного в-ва, отличающегося значительной проницаемостью и состоящего из твердых частиц различного размера: скорость образования намывного слоя поддерживается настолько большой, что исключаетя седиментация и сегрегация суспендированных частип вспомогательного в-ва. В результате этого образуется намывной слой с равномерным гранулометрич, составом, что обеспечивает получение в дальнейшем гомог. осадка, отличающегося одинаковой проицаемостью по всей поверхности. Л. Хазин 1214 П. Фильтр. Фурмейстер (Filter. Fuhr-meister Charles, Jr) [Dorr-Oliver Inc.]. ницаемостью по всей поверхности. 14214 П.

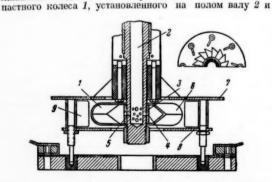
Канад. пат. 516930, 27.09.55 Фильтр представляет собой круглый горизонтальный вращающийся диск, состоящий из смежных фильтровальных камер. Каждая камера при помощи автоматически действующего вентиля периодически присоелиняется к зоне, из которой в камеру под давлением поступает фильтрат для разрыхления образовавшегося слоя осадка. Посредством разгрузочного устройства, расположенного над фильтром и имеющего вид вращаюпетося колеса с ножами, осадок с фильтра снимается таким образом, что на фильтрующей перегородке таким образом, остается тонкий слой твердых частиц. Присоединение к вакууму осуществляется так, что в начале и конце пикла фильтрации разность давлений равна нулю. Л. Хазин

Способ получения эмульсий с помощью 14215 П. ультразвука. Заутер (Verfahren zur Herstellung von Emulsionen mittels Ultraschall. Sauter Eugen). [Siemens-Schuckertwerke ΦΡΓ 940344, 15.03.56 А.-G.]. Пат.

Способ приготовления эмульсий характеризуется тем, что жидкая смесь подвергается воздействию ультразвука и механич. обработке, напр. перемешиванию. Механич. обработка предшествует ультразвуковому воздействию или проводится одновременно с послед-Н. Баскина 14216 II.

п. Баскина 1216 П. Аэрация жидкостей. Эненкель, Мау-рер (Aeration of liquids. Enenkel A., Mau-rer R.) [Weinessigfabrik A. Enekel.]. Англ. пат. 724791, 23.02.55

Предложен аппарат для насыщения воздухом сбраживаемых жидкостей. Аппарат состоит из полого ло-



имеющего на своей ступице 3 ряд отверстий 4. Отверстия 4 совнадиот с отверстиями 5 в стенке вала. Рабочие поверхности лопастей колеса 6 расположены по отношению к 4 таким образом, чтобы при вращении колеса происходило подсасывание воздуха из отверстий. Вращение 1 происходит в корпусе, состоящем из пластин 7 и 8, а также лопаток 9, расположенных под углом 30° к радиальным плоскостям, проходящим через ось колеса. В. Реутский

14217 П. Установка для приготовления смеси двух жидкостей в заранее заданной пропорции (Device for quantitatively forming and dispensing a mixture of two liquids in predetermined relative amounts) [Zancangeloni Petroli Soc. Per Azioni]. AHTA, nar.

725847, 9.03.55

Установка состоит из 2 вертикальных смесителей (С), соединенных с 2 цилиндрич. мерными сосудами (МС). объем которых можно регулировать с помощью перемещающихся в них поршней. Движение потоков регулируется распределительными устройствами золотникового типа таким образом, что когда готовая смесь удаляется из одного С, то в соединенный с ним МС поступает одна из жидкостей в требуемом объеме. В этот момент во 2-й С сверху поступает отмеренное кол-во этой же жидкостииздругого МС, а снизу под давлением другая жидкость. Благодаря противоположному направлению потоков происходит их интенсивное перемешивание. При достижении в С определенного уровня происходит прекращение подачижидкостей с помощью поплавкового регулятора, а затем готовая смесь выгружается из С. Таким образом, когда в одном С происходит выгрузка получаемой смеси, то в другом С происходит перемешивание. Б. Сумм

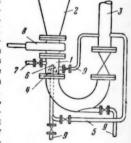
14218 П. Устройство для непрерывной подачи химикалий в поток жидкости (Device for the continuous supply of chemicals to a stream of liquid) [Uddnas Gjuteri & Verkstads Aktiebolag]. Англ. пат. 731511,

8.06.55

Описано устройство для непрерывной подачи химикалий (Х), напр. моющих средств, в текущую по трубе жидкость. Порошкообразные Х загружаются в закрывающийся крышкой цилиндрич. сосуд, нижняя часть которого заканчивается патрубком с наружной винтовой нарезкой и внутренним сквозным каналом малого диаметра. С помощью прокладки из резины или другого упругого материала сосуд с X ввинчивается в подставку, насаженную на трубу. Жидкость проникает в сосуд и растворяет часть X, поступающих затем за счет диффузии в жидкость. Регулирование подачи Х производится поворотом сосуда, чем изменяется расстояние его выходного отверстия от клапанного гнезла в подставке. Ю. Скорецкий

14219 П. Способ перемешивания и поддержания циркуляции. Фишер (Mischungs- und Umwälzverfahren. Fischer Emil). Пат. ФРГ 933624, 29.09.55 Предлагается способ, обеспечивающий интенсивное перемешивание и предупреждающий оседание твердых

частиц на дно реактора. Способ рекомендуется для случаев смешения жидкостей с жидкостями, с аморфными и кристаллич. в-вами. Интенсивное перемешивание исходных пролуктов производится до входа их в реактор в подвесной камере которая прикреплена к конич. днищу реактора 2. Обрабатываемая жидкость входит в трубу 3 и разделяется на два потока: один направляется к устройству 4 с винтообразными лопастя-



ми и приобретает здесь спиралеобразное двяжение; другой движется по трубе 5 и проходит сопло 6, в результате чего плотной струей поднимается вверх, пересекая первый поток. По трубе 7 подается второе KH B

под

кий

vice

ture ints)

пат

MC),

emepery-

месь

ио-

этот

)Л-ВО

ем-

Ha-

пере-

ОВНЯ

шыо

гру-

ICXO-

роис-

Сумм

XII-

uous

ldnas

1511,

инка-

грубе

кры-

часть инто-

алого

дру-

ается

рони-

затем

х игр

pac-

незда

епкий

цир-

erfah-

.09.55

ивное

ердых

кение;

в ре-

х, пе-

второв

исходное в-во и реакционная смесь турбулентным потоком через шибер 8 поступает в реактор. Регулировка скорости потоков производится раздельно с помощью вентилей. Для промывки 3 и 1 предусмотрены трубы 9.

H. Баскина на баскина смесь. Горг (Exothermic composition. Gaurgues Albert). Канад. пат. 515136, 2.08.55

Для нагревання резервуаров предложена смесь (в вес. %): силицид Са 35, окись Fe 56, хромат Sr 5, свинцовый сурпк 5. Ю. Петровский 14221 П. Нагреватель жидкости (Fluid heaters) [Foster Wheeler]. Англ. пат. 726443, 16.03.55

Трубчатый нагреватель для жидкостей, отличающийся системой подогрева воздуха, необходимого для сжигания топлива, состоит из корпуса 1, футерованного

огнеупорной кладкой, внутри которого размещена система вертикальных трубок 2; в них снизу вверх движется нагреваемая жидкость. Внутри 1 находится конус 3, являющийся радиационным экраном. Сжигание газообразного или жидкого топлива производится в нижней части межтрубного пространства, где размещены горелки или форсунки 4. Газообразные продукты сгорания омывают 3, нагревая его до высокой т-ры, при которой возникает интенсивное тепловое излучение, направленное как в сторону 2, так и

во внутреннюю полость 3; затем продукты сгорания выводятся через систему трубок 5. Воздух, необходимый для сжитания топлива, проходит снизу вверх по газоходу 6, нагреваясь за счет теплового излучения поверхности 3, затем проходит вдоль 5 и поступает во внутреннюю полость 3, двигаясь сверху вниз и продолжая нагреваться при соприкосновении со стенками 3 и 6. Горячий воздух подводится к 4, где смешивается с топливом и обеспечивает его сгорание. Ю. Петровский 14222 П. Способ равномерного нагревания слоя ка-

14222 П. Способ равномерного нагревания слоя катализатора. Клейи (Verfahren zur gleichmäßigen Erhitzung katalytisch wirksamer Beläge. Klein Hans) [Badische Anilin- und Soda-Fabrik A.-G.]. Пат. ФРГ 936330, 7.12.55 Способ отличается тем, что слой катализатора (К)

Способ отличается тем, что слой катализатора (К) разделяется по высоте перегородками (П), через которые пропускается электрич. ток; равномерное нагревание К обеспечивается подбором сопротивления П, которые соединяются параллельно. В случае опасности перегревания К, могущей возникнуть из-за изменения сопротивления П, могут включаться дополнительные сопротивления.

В Коган 14223 П. Аппарат с псевдоожнженным слоем для

(4223 П. Аппарат е псевдоожиженным слоем для поддержания постоянной температуры потоков жидкости и метод регулирования температуры последних. М и л м о р (Fluidized bed temperature conditioner and method of controlling temperatures of fluid streams. Milmore Oswald H.) [Shell Development Co.]. Пат. США 2729428, 3.01.56 Аппарат состонт из камеры с тепловой изоляцией,

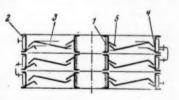
разделенной вертикальными перегородками на ряд разделенной вертикальными перегородами на рид отсеков, которые частично наполнены твердыми ча-стицами термически стойких в-в, напр. просеянным песком с размерами частиц 0,12—2,5 мм. Через каждый отсек проходит погруженный в слой частиц пучок труб, по которым протекает жидкость. Каждый отсек имеет топку для сжигания газообразного топлива с приспособлением для распределения продуктов сгорания в слое твердых частиц. Псевдоожижение достигается за счет движения сквозь слой твердых частиц продуктов сгорания, а также воздуха или пара (образующегося за счет испарения воды, разбрызгиваемой в нагретый псевдоожиженный слой), которые предназначаются для регулирования т-ры в аппарате. Газы и пар отводятся из верхней части камеры через циклон, из которого уловленные частицы ссыпаются в камеру под уровень псевдоожиженного материала. Благодаря интенсивному движению частиц достигается высокий коэфф. теплопередачи между потоком жидкости, движущимся в пучке труб, и псевдоожиженным слоем, составляющий 120—500 ккал/м² час град. В. Коган Испарение летучих жидкостей (Vaporizing volatile liquids.) [Union Carbide and Carbon Corp.]. Австрал. пат. 200638, 9.02.56

Австрал. нат. 2000оо, 10.2.30 Аппарат для испарения летучих жидкостей состоит пз ряда оребренных трубок, объединенных в несколько групп, к каждой из которой жидкость подводится по отдельному каналу, образованному перегородками в крышке аппарата. Система автоматич. вентилей периодически осуществляет переключения потоков жидкости, направляя их в различные группы трубок. Оребренные трубки нагреваются снаружи. Ю. Петровский

14225 П. Устройство для непрерывной дистиллиции и ректификации. Зейдель, Фадингер (Vorrichtung zum kontinuerlichen Destillieren und Rektifizieren. Seidel Willy, Fadinger Willy). Пат. ФРГ 941366, 12.04.56 Конструкция ректификационной колонны непрерыв-

Конструкция ректификационной колонны непрерывного действия с малым объемом жидкости основана на использовании принципа выпаривания в тонком слое, Колонна состоит из кипятильника 1 и находящейся

на определенном расстоянии от него охлаждающей поверхности 2, пространство между которыми по высоте разделено перегородками 3. На 2 под каждой перегородкой имеется карман



для жидкости 4, а на греющей поверхности—паправляющие ребра 5, в которых может быть размещена дополнительная поверхность нагревания. В качестве охлаждающего в-ва используется исходная смесь, подаваемая в виде пленки между укрепляющей и исчерпывающей частями колонны.

14226 П. Ситчатые тарелки для ректификационных и абсорбционных колони. III то к (Siebboden für

и абсорбционных колони. III ток (Siebboden für Distillier-, Fraktionier- und Waschkolonnen. Stock Hellmut) [Eigentum des Volkes. VEB Gaselan]. Пат. ГДР 7777, 10.08.54

Тарелки (Т) для ректификационных и абсорбционных колонн с продолговатыми колпачками имеют форму двухскатной крыши с небольшим наклоном. Стенки колпачков перфорированы и по длине снабжены направляющими ребрами. Под колпачками расположены продолговатые паровые патрубки. Жидкость с вышележащей Т по переливной трубе стекает в распределительный карман, из которого при помощи спец. патруб-ков подается на Т в пространство между колпачками, движется вдоль их оси, а затем при помощи направляюших ребер изменяет направление движения на противоположное и через порог сливается в расположенную под распределительным карманом приемную коробку, откуда по переливной трубке стекает на нижележащую Т. На конпах направляющих ребер имеется переливной порог, с помощью которого наТ поддерживается определенный уровень жидкости. Достоинством Т является их способность работать при изменяющейся производительности колони. При малой производительности происходит барботаж через отверстия, расположенные в верхней части колпачков. При увеличении производительности в работу включаются отверстия, находящиеся ближе к периферии колпачков, имеющие большую глубину погружения. Благодаря наличию направляющих ребер в массообмене участвует вся жидкость. В. Коган

14227 П. Аппарат для осуществления тесного контакта между газами и жидкостями. Кох (Apparat zum Herbeiführen einer innigen Berührung zwischen Gasen und Flüssigkeiten. Koch Fred C.). Пат. ФРГ 939323, 5.04.56

Аппарат состоит из нескольких секций, одна из которых показана на рис. Внутри корпуса 1 ступенчато установлены концентрич. перфорированные пластины 2 с загнутыми верхними краями. К нижнему концу пластин прикреплены желоба 3. В центре расположен

3

распределитель 4 для жидкости, стекающей на нижерасположенную секпию. Направление движения жидкости показано сплошными стрелками, газа пунктирными. Газ, входя с большой скоростью в желоба, захватывает часть жид-

кости и увлекает ее вдоль перфорированной повеј хности пластин. Поэтому контакт между газом и жидкостью осуществляется как в желобах, так и на поверхности пластии, а также в отверстиях последних. Аппарат может работать при весьма высоких скоростих жидкости и газа; при этом, чем больше скорость газа, тем выше поднимается пена по перфорированным пластинам, что способствует улучшению контакта фаз. Аппарат пригоден для дефлегмации паров (в процессах дистилляции), абсорбции газов и для проведения процессов взаимодействия газов и паров с жидкостями.

К. Сакодынский

14228 П. Абсорбиня газов (Absorption of gaseous components) [Metallgesellschaft A.-G.]. Австрал, пат. 166112, 8.12.55

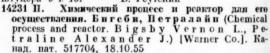
Описан метод абсорбции компонентов из газовой смеси жидкостью в полой вертикальной башне. Газовая смесь и жидкость раздельными потоками впрыскиваются в башню снизу вверх. Для обеспечения высокой степени распыления жидкость подается в башню под давлением, а газовая смесь — со скоростью 2,5—10 м/сек. При движении сначала вверх, а затем вниз, распылен-

ные частицы жидкости адсорбируют из газовой смеси нужные компоненты. С. Крашенинников 14229 П. Сушка газов. Стриплин (Drying gases. Striplin Marcus M. Jr) [Tennessee Valley Authority]. Пат. США 2734596, 14.02.56 Предложен способ сушки газов с помощью фосфор-

Предложен способ сушки газов с помощью фосфорной к-ты, концентрация которой изменяется в течение процесса от 77 до 75 вес. % в пересчете на Р₂О_в. Обнаружено, что в указанных пределах фосфореая кислота (ФК) может быть применена для осуществления процесса сушки в широком интереале температур от —60° до +254°С. Давный процесс сушки происходит в насадочной колопне (К1), заполненной кольцами Рашига. Влажный газ подается снизу, а в верхнюю часть К1 поступает 77%-ная ФК, которая стекает вниз, двигаясь противотоком к влажному газу. Осушенный газ отводится из верхней части К1. Процесс отрегулирован таким образом, чтобы на дне К1 собиралась 75%-ная ФК, которая направляется далее во 2-ю насадочную колонну (К2), где она насыщается парами Р₂О_в до конц-ии 77%. Из К2 77%-ная ФК возвращается в К1.

14230 П. Реактор для осуществления каталитических реакций (Reactor for catalytic reactions) [Chempatents, Inc.]. Англ. пат. 724452, 23.02.55

Патентуемый реактор применяется для проведения р-ций окисления олефинов. Реактор состоит из тонких трубок из высокохромистой стали 1, закрепленных в трубных решетках 2 и заполненных катализатором. обечайке 3 установлены штуцера 4 и 5, служащие соответственно для входа и выхода циркулирующего между трубками теплоносителя. З может быть сделана из мягкой стали, термич. коэфф. расширения которой немного выше, чем термич. коэфф. расширения трубок, благодаря чему устраняется возможность деформации трубок. Между 3 и 1 может быть установлена кольцевая перегородка 6. 2 образуют фланцы, служащие для подсоединения верхнего 7 и вижнего 8 сферич. двиш. Вход и выход реагирующих в-в осуществляется соответственно через штуцера 9 и 10. В. Реутский



Предложен аппарат для непрерывного осуществления хим. р-ций путем перемешивания поступающих в него жидких реагентов и непрерывного удаления образующегося вязкого продукта р-ции. Аппарат состоит из наклонного цилиндрич. корпуса, устройств для подачи исходных материалов в нижнюю часть реактора и устройств для петемен ивания поданаемых матегиалов, а также для вепретывного перемешения голученного продукта р-ции в его верхнюю часть; при этом жидкая часть полученной смеси собирается в нижней части реактора. Указанные устрейства для перемешивания материалов и перемещения вязкого пропукта р-цви состоят из трех симметрично расположенных червячных винтов, монтаж которых осуществляется таким образом, что поверхность червячных винтов и стенки корпуса реактора постоянно очищаются от налипающего продукта. В. Реутский

14232 П. Реакционный и сепарационный сосуд. III улц (Reaction and separation vessel. Schultz r.

CIR

es.

ley

пие

CHC-

00°

-POI

ara.

K1

цви-

ras

ван

ная ную

mo

K1.

уми

hem-

. 7

я его

mical , Pe-|. Ka-

ствлекощих

гобра-

остоит ля по-

гора и

иалов,

евного

кидкая ти реия ма-

р-цви

ервяч-

таким

стенки

липаюутский

eocyд.

Rudolph C.) [United States Atomic Energy Commission]. Канад. пат. 516613, 13.09.55

Описан аппарат, состоящий из корпуса, в котором помещены скребковые устройства особой конструкции, смонтированные на параллельных приводных валах. Каждый скребок (С) в поперечном сечении имеет профиль звездочки с дугообразно вогнутыми впадинами, межлу которыми расположены выступающие углы. На внутренней поверхности корпуса выполнены дугообразные впадины, соответствующие профилю выступающих углов скребков. Аппарат снабжен переключающим приспособлением, которое обеспечивает попеременное вращение приводных валов через равные интервалы. При этом вогнутые части неподвижного С и внутренняя поверхность корпуса обскребываются выступающими углами вращающегося С. Предложено 2 варианта: с двумя и с несколькими С. В последнем случае вокруг центрального С расположены остальные, попеременно ра-ботающие С, а кол-во вогнутых участков на поверхности каждого С равно кол-ву окружающих его скребков. Б. Сумм

14233 П. Метод проведения экзотермических химических реакций в газовой фазе. В и к д а л ь (Method of carrying out exothermic chemical reactions in the gaseous phase. Wikdahl L.). Англ. пат. 739483, 2.11.55

Метод проведения каталитич. хим. р-ций в газовой фазе отличается тем, что с целью использования хим. энергии и превращения ее в кинетич. р-ция проводится в расширительном пространстве газовой турбины, образованном рабочими лопатками ротора и направляющими лопатками статора. Катализатор может быть суспендирован в расширительном пространстве или нанесен на ограничивающие его поверхности. К реагентам может быть добавлен инертный газ. Реагенты поступают в турбину под давлением. Описанным путем могут осуществляться окисление SO₂ до SO₃, аммиака до окислов N, метанола до формальдегида, этанола до ацетальдегида и последнего до уксусной к-ты, а также процесс Фишера — Тропша.

В Коган 14234 П. Системы с псевдоожиженным каталыза-

14234 П. Системы с псевдоожиженным катализатором (Fluidized system) [Kellogg Co., M. W.]. Англ. пат. 717547, 27.10.54

Газообразный реагент контактирует с псевдоожиженным мелкозернистым катализатором (К) в цилиндрич, вертикальном реакторе, а отработанный К удалистся из него ниже места ввода реагента по трубе в зону десорбции. Зона десорбции расположена над реактором, и К транспортируется по трубе газом. Псевдоожиженный материал контактирует в зоне десорбции с десорбирующим газом, а затем поступает в регенератор, где выжигаются загрязнившие К отложения. Регенератор расположен ниже зоны десорбции, и К в него поступает под действием силы тяжести. Из регенератора, который охлаждается водой, К поступает в нижнюю часть реактора. В качестве примера рассмотрена переработка лигроина, когда транспортирующим газом является газ, содержащий водород. С. Забродский 14235 П. Анпават для непревывного проведения пе

14235 П. Аппарат для непрерывного проведения реакции в исевдоожиженном слое между порошкообразным материалом и газом. (Vorrichtung zur kontinuierlichen Durchführung von Reaktionen zwischen einem pulverförmigen Gut und einem Gas im Wirbelschichtverfahren) [Ammonia Casale Soc. An. und Léon Jéquier] Пат ФРГ 936386, 45 42 55

Léon Jéquier]. Пат. ФРГ 936386, 15.12.55
Рассматривается ряд конструктивных усовершенствований аппаратов тарельчатого типа для проведения р-цпи в псевдоожиженном слое (ПС) твердой фазы (ТФ). Предложено снабдить переточные стаканы тарелок телескопически выдвигающимися патрубками и поворотными заслоиками. Это позволяет регулировать в пироких пределах высоту ПС на тарелке и предотвращать

проникновение газа вверх по стакану, возникающее вследствие отсутствия в стакане порошка ТФ в момент пуска аппарата. Описана конструкция тарелки туннельного типа. В целях устранения неравномерного распределения газа по тарелке при больших диаметрах аппаратов предложено разделить ее вертикальными перегородками на несколько зон, соединенных между собой параллельно или последовательно. В 1-м случае вертикальные перегородки на тарелке являются глухими, и поступивший из соответствующей зоны вышележащей тарелки порошок ТФ, пройдя одну из зон данной тарелки, стекает в соответствующую зону ниже-лежащей тарелки. Во 2-м случае порошок ТФ проходит последовательно через все зоны данной тарелки. Под каждой из зон предусмотрен газоподводящий конус, обращенный своей узкой частью вниз и снабженный заслонкой, позволяющей регулировать поступление газа в каждую из зон тарелки. В. Гриншпун таза в каждую из зон тарелки.

В. Гриншпун 14236 П. Реакционная камера с псевдожиженным слоем (Wirbelschichtreaktionskammer) [Standard Oil Development Co.]. Пат. ФРГ 937768, 12.01.56 Аппарат тарельчатого типа для проведения р-ций в псевдоожиженном слое (ПС) твердой фазы отличается наличием большого числа расположенных в ПС и параллельных друг другу отражательных пластин (ОП). Последние установлены параллельно плоскости тарелки и перпендикулярно направлению движения твердой фазы. Положение ОП относительно плоскости тарелок может регулироваться с помощью зубчатой рейки или пепной передачи. Введение ОП в ПС обеспечивает равномерное распределение газовой фазы на тарелке и исключает неравномерность плотности ПС в различных точках аппарата. В. Гриншпун 14237 П. Газгольдер и метод его наготовления. Уисмиллер, Ларсен (Vapor storage vessel and method of making same. Wissmiller Ivan

L., Larsen Lyle V.) [Chicago Bridge and Iron Co.]. Пат. США 2731334, 17.01.56 Подробно описана конструкция сухого сферич. газгольдера для хранения паров легколетучих в-в. Описанные газгольдеры рассчитаны на избыточное давление до 0,01 ати. Газгольдеры изготавливаются емк. 140—4000 м³. В. Реутский

См. также: Теория подобия 10809. Изотопы в пропессах смешения 1111. Сушка строит. кирпича 12596. Опред. коэфф. диффузии 11069. Адсорбция сахаров из р-ров 11395. Адсорбция Н₂S из синтез-газа 12873. Экстрактивная дистилляция смесей фенолов 13146. Реактор с движущимся катализатором для конверсии углеводородов 12931

КОНТРОЛЬНО-ИЗМЕРИТЕЛЬНЫЕ ПРИБОРЫ. АВТОМАТИЧЕСКОЕ РЕГУЛИРОВАНИЕ

Редакторы А. М. Дробия, Н. Я. Феста

14238. Какова должна быть степень автоматизации. К рофорд (How far do we go with instrumentation? C r a w f o r d W. A.), Industr. and Engng Chem., 1956, 48, № 8, А36—А39 (англ.)
В современном хим. произ-ве стоимость приборов

В современном хим. произ-ве стоимость приборов и средств автоматизации составляет от 6 до 14% от капиталовложений, включая строительную часть. Хоти в основном степень автоматизации определяется экономич. соображениями, необходимо также учитывать повышение качества продукции и безопасности труда при автоматизации. Особо стоит вопрос об автоматизации контроля загрязнений воздуха и сточных вод. Во многих случаях существуют соответствующие нормы и законы. Однако и в случаях отсутствия подобных огра-

ничений рекомендуется применять регистрацию указанных параметров для возможности доказательства непричастности к порче растительности или животного мира. Часто приходится устанавливать дополнительные приборы для целей изучения и усовершенствования пропесса. Пля повышения надежности приборов они или дублируются, или делаются легкосменными. Необходимо учитывать затраты на эксплуатацию приборов автоматизации. Один приборист обслуживает приборы на сумму 50-80 тыс. долларов. На каждого человека, освобождаемого при автоматизации, следует учитывать увеличение труда прибориста на 5—12%. Повышение стоимости щита за счет мнемонич. схемы окупается понижением расходов на обучение операторов. Дальнейшее развитие автоматизации предвидится в направлении автоматизации анализа и применении автоматич. анализаторсв для управления пропессом, возможно в виде каскадного регулирования. Предполагается также применение счетно-решающей техники для обработки диаграмм и для повышения оперативности управления произ-вом. 14239. Выбор оптимальной шкалы измерительного прибора. Долинский Е. Ф. В сб.: Теплоэнерг. приборы и ревуляторы. М.-Л., Машгиз, 1954, 6-15

Устанавливается зависимость погрешности приборов, складывающейся из погрешности отсчета и случайной погрешности, от соотношения между параметрами прибора. Эта зависимость дает возможность решать задачи, заключающиеся в подборе оптимальной шкалы для заданного качества механизма. Изучение зависимости позволяет указать оптимальные условия, которым должны удовлетворять шкалы приборов. Постановка задачи предполагает отсутствие систематич. погрешностей. Случайные погрешности распределены по нормальному закону, однако приведенные методы расчета сохраняют силу и для других законов. Делается вывод, что при создании новых приборов одним из задаваемых параметров должно быть отношение а/с=т (где а-значение измеряемой величины, соответствующее миним. уверенно различимой наблюдателем доле деления шкалы, напр. 1/2, 1/4, 1/10 деления; σ — средняя квадратичная погрешность, обусловленная качеством механизма прибора), являющееся одной из основных характеристик прибора, позволяющих судить о его метрологич. качествах. В зависимости от величины т приборы можно разделить следующим образом: т>3,5шкала прибора слишком груба по сравнению с механизмом; прибор может быть переведен в более высокий класс точности путем изменения только шкалы, т. е. уменьшения погрешности отсчета; 2,5≤м≤3,5— норприбор для однократных измерений; мальный <1<m<2,5 — прибор, неудобный ни для однократных, ни для многократных измерений; 0,5 < m<1 — прибор, пригодный для многократных измерений; т<0,5 прибор с излишней чувствительностью. М. Людмирский Создание французского объединения по раз-14240.

витию автоматики и ассоциации по регулированию и автоматизации. — (Création du groupement français pour le développement de l'automatisation. Fondation de l'Association française de régulation et d'automatisme.—). Mesures et contrôle industr., 1956, 21, № 228. 337—338 (франц.)

matisme.—). Mesures et contrôle industr., 1956, 21, № 228, 337—338 (франц.)
14241. Компаратор «микрокатор». Ю ханссон (Comparateurs «Mikrokator» 500. Johansson C. E.), Mesures et contrôle industr., 1955, 20, № 223, 891 (франц.)

№ 223, 631 (франц.)
Описан прецизионный компаратор переносного типа—
прибор для линейных измерений малых величин в интервале от 0,4 до 0,02 мм. Точность +1% от верхнего
предела измерений. Корпус прибора круглый, диам.
68 мм. Вариант конструкции «микрокатора» предусматривает установку электроконтактного устройства для

повышения точности отсчета. Рабочее напряжение контактной системы 10 є, сила тока 5 µа К. Шелапутин 14242. Простыє контактные и дистанцконные манометры. (Manomètres simples, à contacts et transmetteurs.—), Mesures et contrôle industr., 1956, 21, № 228, 371, 373 (франц)

Описаны выпускаемые во Франции манометры для щитового монтажа. Циферблат прибора квадратный, с длиной стороны 60, 95, 120 и 144 мм. Точность показаний 1% от максимума шкалы в интервале 25—75% шкалы и 2% в крайних участках шкалы. Контактыме манометры имеют следующую электрич. характеристику: максим. ток 0,2 а, максим. напряжение 380 в переменного тока и 220 в постоянного. В основе конструкции манометров с электрич. датчиксм лежит сельсинное устрейство.

А. Немировский 14243. Развитие метода измерений при помощи

14243. Развитие метода измерений при помощи сужающих устройств. Войлс (Developments in orifice meter measurement. Voils Richmond M., Jr), Instrum. and Automat., 1956, 29, № 1, 108—111 (англ.)

Краткая историч. справка о развитии метода измерения расхода жидкостей и газов с помсщью дроссельных расходомеров. Данные о действукщих в США нормах по измерению расхода этим методом.

К. Шелапутин намерительных диафрагм. Хол м с (Flow calculations for flat plate orifices. Holmes Howard H), ISA Journal, 1956, 3, № 2, 46—51, 56 (англ.)

Теоретические основы, методика расчета и числовые примеры определения расхода газа, жидкостей и пара в закрытых трубопроводах с помощью плоских измерительных диафрагм. Приведены таблицы некоторых коэфф., учитывающих поправки при расчетах (на вязкость, на расширение среды за сужающим устройством и др.).

К. Шелапутин

14245. Применение термонар в условиях высоких температур. Миле (La tenue au feu des cannes pyrométriques. Mills M.), Terre cuite, 1953, № 26, 17—19 (франц.)

Описано применение промышленных терменар в условиях открытого пламени при т-рах до 950°

К. Шелапутив
14246. Улучиненный цвето-яркостный пирометр и
его применение. Незер (Über ein verbessertes
Farb-Helligkeitspyrometer und seine Anwendung.
Naeser Gerhard), Stahl und Eisen, 1956, 76,
№ 15, 968—970 (нем.)
Фирма Schmidt und Haensch разработала новый пе-

реносный прибор для измерения т-ры — цвето-яркостный пирометр. В этом приборе при помон и лвух оптич. клиньев уравниваются яркость и цвет излучения от нагретого тела с яркостью и цветом эталонного осветителя, в результате чего одновременно определяются цветовая т-ра и т-ра абсолютно черного тела. Прибор предназначен для применения в сталелитейных произвах, где он позволяет определять качество расплавленного металла. Этот прибор позволяет определять истинную т-ру светящегося пламени и отдаваемую им энергию излучения, а также размер части сажи. Для последнего наносят тонкий слой сажи на стекло и определяют изменение обеих т-р при измерении определенного излучения через слой сажи. Для сравнения это же излучение измеряется и без слоя сажи. Размер частиц определяется по кривым. И. Ихлов Некоторые соображения по эксплуатации пи-

рометров. В альтер (Quelques suggestions concernant l'entretien des pyrcmètres. Walter Léo, Chaleur et ind., 1955, 36, № 365, 370—374 (франц.) Рассматривается выбор материала термопары и ее защитного чехла в зависимости от величины измеряе-

r.

OH-

тин

ma-

ns-

21.

пля

838-

75% ные

80 e

кон-

ельский

опш

s in

, 29,

изме-

сель-США

ТУТИН

ьеых

plate

urnal,

повые

пара

изме торых х (на

строй-

DYTHE

SCORWX cannes

№ 26,

пар в

путин

етр п

essertes

ndung. 56, 76,

вый пе-0-ярко-

BVX OIIения от

O OCBE-

пяются Прибор

произ-

асплав-

епелять

MYIO UM жи. Для

текло и мерении

сравнеп сажи.

Ихлов

ации пи-

s concer-

(франц.)

ры и ее

измеряе-

L é 0),

мой т-ры. Перечислены основные типы современных оптич. радиационных пирометров и указаны области их применения. Описана методика проверки и тарировки пирометров и приведен перечень необходимых для этого оборуд вания и приборов. Перечислены основные возможные неисправности пирометров и указаны спо-собы их устранения. А. Немировский Измерение и регулирование температуры дви-

жущихся частей машин. Синьор (Measurement жущихся частен мания. Сий вор (месзытелься and control of the temperature of moving parts. Part I. Senior D. A.), Mach. Llyod. Oversess Ed., 1956, 28, № 12, 70—71, 73—74 (англ.), 72 (исп.) В ряде случаев требуется измерять или поддерживать постоянной т-ру движущихся частей машин или изделий (паровозных букс, валов прокатных станов, вал-ков в произ-ве резины и пластмасс и т. п.). Простейший способ измерения т-ры движущихся частей состоит в применении «башмаков», прижимаемых к движущемуся телу и принимающих благодаря теплопровод-ности т-ру, близкую к т-ре этого тела. Чувствительный элемент термометра (напр. термобаллон газового термометра или термопара) заключен в теле башмака. Этот иетод измерения непригоден в тех случаях, где требуется измерительный прибор с малой инерционностью, так как вследствие высокой теплоемкости башмака т-ра его изменяется очень медленно. Более новый бесконтактный метод измерения т-ры основан на улавливании с помощью спец. чувствительных элементов теп-ловой радиации движущихся тел (этот метод описывается во второй части работы). В работе дается общая характеристика средств измерения т-ры, основанных на эффекте теплового расширения, термоэлектрич. эф-

фекте и др.

А. Немировский 14249. Счетчики количества тепла. Рейсхаус (W.rmemengenzähler. Reishaus Max), Maschinenmarkt, 1956, 62, № 65, 23—24 (нем.) Описаны 3 типа счетчиков кол-ва тепла, в которых измеряется расход воды при помощи водомера, дроссельного расходомера и т. п., а также измеряется разность т-р воды до и после потребителя. Показания обоих приборов перемножаются и интегрируются. Обычно

в счетчиках тепла имеются два суммирующих счетчика для указания кол-в тепла и воды. Кроме того, указывается или регистрируется мгновенное значение раз-ности т-р. И. Ихлов

1250. Дозировка жидкостей. Лоун (Liquid proportioning. Lowy Lawrence), Chem. Engng. 1956, 63, № 5, 175—188 (англ.)

Поясняются термины «дозирование» и «регулирование расхода» жидкостей. Приводится обзор методов измерения и регулирования расхода жидкостей. Описаны расходомеры: дроссельные с постоянным и пере-менным перепадом давления; объемные (поршневые, ротационные, эксцентриковые и дисковые); скоростные с крыльчаткой или с турбинкой; электромагнит-ные и ультразвуковые. Указываются основные недостатки и преимущества каждого метода. Для дозирования жидкости применяются напорные баки с переливом, крыльчатки, вращаемые мотором, и различного рода насосы (плунжерные, поршиевые, экспентриковые и т. д.). Применение для приведения в действие плунжерного дозатора поршневого расходомера позволяет производить точное дозирование двух или нескольких жидкостей в заданном соотношении. Пропорциональное смешение нескольких жидкостей может производиться или путем раздельной стабилизации расходов отдельных компонентов, или (что чаще применяется в последнее время) стабилизацией расхода только основного компонента и регулированием расхода или дозированием остальных компонентов в зависимости от расхода главного компонента. Приведено несколько схем такого смешения. Дозпрование жидко-

стей по весу может быть осуществлено весовым дозатором. Описан весовой дозатор, в котором непрерывно развешивается танк с жидкостью, а расход жидкости регулируется автоматически так, чтобы вес танка изменялся по заданной программе. И. Ихлов 14251. Дозирование при непрерывных пропессах.
Гофман (Desieren bei kentinuierlichen Verfahren.
Hoffmann Hermann), Chem. Ind., 1956,
8, № 7, 330—335 (нем.)

Дозирование твердых материалов в виде зерен или пыли производится различного рода питателями (шнековые, вибрационные), а также весовыми дозаторами. Дозирование жидкостей или эмульски преще всего производится плунжерными дозирующеми насосами. Такие насосы работают с точностью до +1% и даже до 0,1% при расходах от 1 до 100 м³ в час. Газы дозируют с помощью расходомеров, однако во многих случаях лучше дозировать газы в сжиженном состоянии при помощи указанных дозирующих насосов. Приведены несколько схем технологич. процессов с применением для дозирования указанных выше насосов. И. Ихлов 14252. Регулирующие клапаны. Бирд (Control valves. Beard C. S.), Instrum. and Automat., 1956, 29, № 1, 72—73 (англ.)

Даются общие определения и назначения регулирующих клапанов в промышленных установках и срав-нение их с ручным управлением. Приведены примеры

использования клапанов в пневматич, системах регулирования с дополнительным подключением таймера, осуществляющего программирование процесса. К. Шелапутин

Линейная гидравлическая аналогия. Хасс, Cayəp (Design analysis of linear hydraulic analog. Hass R. H., Sauer P. J.), Industr. and Engng Chem., 1955, 47, № 3, Part 1, 398—403 (англ.)

Гидравлические аналогии (ГА) ввиду своей простоты часто применяются для изучения систем автоматич, регулирования. Динамич. характеристики процессов в обычной гидравлич, системе описываются нелинейными дифференциальными ур-ниями, поскольку гид-равлич. сопротивления дросселей и трубопроводов, в них входящих, зависят от расхода жидкости. Рассматривается линейная двухъемкостная ГА, в которой происходящие процессы описываются линейными дифференциальными ур-ниями. Линейность достигается применением вместо труб и дросселей спец. щелей со свободным сливом, гидравлич. сопротивление которых постоянно и не зависит от расхода жидкости. Описываемая ГА состоит из двух открытых и каскадно расположенных баков, имеющих профилированные переливные шели. Испытание заключалось в регулировании уровня внижнем баке путем изменения подачи жидкости в верхний. Применялся электрич, регулятор с пропорциональной и изодромной характеристиками и дополнительной настройкой воздействия по производной. Рассчитаны теоретически и подтверждены экспериментально постоянные времени процесса. См. также РЖХим, 1956, 21389 А. Немировский

Автоматическое регулирование непрерывной 14254. дистиляции. Роз, Вильяме (Automatic control in continuous distillation. Rose Arthur, Williams Theodore J.), Industr. and Engng Chem., 1955, 47, № 11, 2284—2289 (англ.) Составлены структурная схема и дифференциальные ур-ния колонны непрерывной дистилляции с теоретич. тарелками в условиях автоматич, регулирования по качеству продукции. На электронной модели изучено поведение системы при различных настроечных данных регуляторов и при различных точках отбора импульса (пробы) для регулирования. Выявлены области оптимальных настроек регуляторов и области нестабильного и колебательного режимов. Наилучшее качество

1957 г.

регулирования получается при миним, расстоянии точки отбора от регулирующего клапана, т. е. при отборе с верхней тарелки. Выигрыш в чувствительности от применения отбора с промежуточных тарелок компенсируется необходимостью уменьшения коэфф. усиления системы в результате увеличения запаздывания. Рекомендуется изодромное регулирование. Применение предварения не эффективно.

Регулирование температуры перегретого пара в прямоточных котлах. Вестхофф (Heißdampftemperaturregelung bei Zwangdurchlauf-Dampferzeugern. Westhoff G.), Brennstoff-Wärme-Kraft, 1956, 8, № 8, 387—391 (нем.; рез. англ., франц.) Ввиду того, что в современных прямоточных котлах материалы нагружены почти до предела, необходимо так регулировать котел, чтобы в перегревателе не могло

возникнуть недопустимого повышения т-ры. Для этого необходимо применять многоимпульсное регулирование. Приведены 3 схемы регулирования прямоточных котлов. Необходимо так конструировать перегреватель, чтобы максимально облегчить его регулирование. В особенности это важно для контактных перегревателей. И. Ихлов 14256.

M256. Централизация контроля на французских теп-лоэлектроцентралях. Ламираль (Le contrôle centralise dans les centrales thermiques d'«Électrictité de France». L a m i r a l G.), Mesures et contrôle industr., 1956, 21, № 228, 327—334 (франц.) Послевоенное развитие французских ТЭЦ характе-

ризуется все большим распространением централизованного контроля. Центральные щиты, помимо регистрирующих приборов и регуляторов, помещаемых обычно в средней по высоте части щита, имеют многочисленные показывающие приборы, кнопки управления, сигнализаторы и т. п. Подробно описано устройство щитов крупнейших современных французских ТЭН и дается полный перечень применяемых приборов. Приборы, контролирующие наиболее важные параметры, для удобства обслуживания выделены на щитах особо. Из новых приборов, применяемых на ТЭЦ, отмечаются приборы для регистрации смещений, эксцентриситета и вибраций ротора турбины. В недавно построенных ТЭЦ введен контроль содержания кислорода в воде. питающей котлы. В проектируемых электростанциях предполагается измерять содержание кислорода в дымовых газах и водорода, растворенного в воде, питаю-А. Немировский

Измерения и регулирование в промышленных ламерения и регулирование в промышленных печах. Дебус (Messen und Regeln an Industrieöfen. De bus Friedrich), Werkstatt und Betrieb, 1956, 89, № 4, 165—170 (пем.; рез. англ., франц.) Обзорная статья с описанием контрольно-измери-

тельных приборов и регулирующей аппаратуры для печей: электроконтактные манометры, термопары, гальванометрич. приборы — показывающие, самопишущие и регулирующие, расходомеры типа кольцевых весов с водяным или масляным заполнением, регуляторы давления, газоанализаторы, а также вторичные электрич, приборы и комплектующие изделия (измерительные диафрагмы, регулирующие клапана и др.). Описанные приборы преимущественно общепромышленного применения. К. Шелапутин

Контрольно-измерительные приборы и гуляторы тоннельной печи. И аккетт (Instrumentation and control of the tunnel kiln. Puckett John P., Jr), Centr. Glass and Ceram. Res. Inst.

Bull., 1956, 3, № 1, 27—32, 46 (англ.) В печах для обжига керамич. пэделий автоматически регулируется т-ра в зоне обжига и соотношение топливо-воздух. Кроме того, контролируется т-ра в зонах подогрева и охлаждения, давление в печи и содержа-ние O_2 в топочных газах. Автоматич. регулирование

т-ры производится двухпозиционными или проповциональными регуляторами по показаниям радиационного пирометра или термопары. Давление измеряется колокольным манометром. Регулирование электрич. или пневматич. Контроль состава топочных газов производится магнитным газоанализатором. И. Ихлов Д259. Автоматизация переработки природного пефтяного газа. Клейр (Natural gasoline plant instrumentation. Kleir E. E.), ISA Journal, 1956, 3, № 1, 2—5; № 2, 57—60 (англ.)

Приводятся технологич. схемы важнейших процессов переработки сжиженного природного нефтяного газа. Указываются точки контроля и регулирования этих процессов. Дан краткий обзор современных приборов, применяемых для этих процессов, в том числе: латчиков с силовой компенсацией для измерения расхода и т-ры, малогабаритных вторичных приборов пневматич, системы и электронных мостов. И. Ихлов 14260. Об автоматизации процесса варки целлюлозы, Николаев А. С., Бум. пром-сть, 1956, № 1.

6-8

Наиболее целесообразным при варке целлюлозы является программное автоматич. регулирование. Введение упругой обратной связи в систему регулирования не оправдывается. Поскольку варочный котел представляет собой объект с большим положительным самовыравниванием, для него следует рекомендовать астатич. регулирование без обратной связи. Эксперим. проверка указанных положений была проведена автором статьи на Няньдомском целлюлозном з-де, где была испытана система регулирования с командным прибором в виде однопозиционного астатич. регулятора ЭРМ-47, с программной приставкой, воздействующей на рейку датчика. Погрешность регулирования составила +2°, аналогично ручному управлению. Регуляторы с предварением не имеют особых преимуществ.

К. Шелапутин 261. Четыре года без аварий. Бец (Four years without a break. Веt z Jack M.), Instrumentation, 1955, 8, № 1, 7—10 (англ.)

Опыт эксплуатации контрольно-измерительных и регулирующих приборов на станции очистки сточных вод в г. Лос-Анжелесе, США. Для измерения расхода загрязненных вод применены трубы Вентури. Измерение уровня — пьезометрич, с продувкой, К. Шелапутив

262. П. Уровнемер для жидкостей. Мартии (Liquid level indicators. Martin J. R.) [Oldham and Son, Lid]. Англ. пат. 709371, 19.05.54

Метод регулирования уровня нефти в баках. С повышением уровня воздух над зеркалом жидкости сжимается, упругость его возрастает. Увеличение давления воздуха передается по трубне под измерительный колокол, смонтированный в спец. круглом контейнере, расположенном рядом с баком-хранилищем нефти. При возрастании давления колокол перемещается и тянет цепь, перекинутую через звездочку. Последняя поворачивает шпиндель крана, открывающего спуск воды, играющей в баке роль гидравлич. буфера. К. Шелапутив 14263. П. Прибор для измерения расхода газа. Исицука(流量測定裝置.石塚英四郎),帝國石魚株式會社.

Тэйкоку сэкию кабусики кайся]. Япон. пат.

8992, 9.12.55

Прибор для язмерения расхода газа с автоматич. поправкой на давление газа, для чего на оси дифманометра-измерителя перепада давлений, на дросселирующей диафрагме и на оси манометра-измерителя статич. давления в трубопроводе установлены логарифмич. лекала. Перемещения ощупывающих пальцев обонх лекал суммируются при помощи рычажного дифференциала и через выпрямляющее лекало передаются на И. Ихлов интегратор.

57 r.

опорцион-

Retea

PMQT3

в про-

Ихлов

о не-

nstru-56, 3,

роцес-

отонка

Ванка

к при-

числе:

я рас-

иборов

Ихлов ОЛОЗЫ Nº 1,

ислозы е. Вве-OBSERS

предельным

повать

сперим.

ена ав-

де, где

анлным

регуля-иствую-

рования

ию. Ре-

лапутин ur years

umenta-

их и ре-

ных вод

загряз-

ие уровлапутия

Oldham

С повы-

ти сжи-

павления ьный ко-

тейнере

фти. При и тянет

яя пово-

ск воды, елапутив

ца газа.

株式會社

втоматич.

дифмано-

селирую-

и статич. арифиич.

ев обонх

тифференаются на

I. Ихлов

264 П. Прибор для обнаружения окисляющихся газов. Берджер (Manufacture of gas detecting apparatus. ВегдегН.). Англ. пат. 716031, 20.09.54 [J. Appl. Chem., 1955, 5, № 4, 1688 (англ.)]

В термохим, газоанализаторе для обнаружения горючих (окисляющихся) газов элементы катализатора представляют собой кольца из прессованного порошка морской пенки или кокосовой скорлупы, пропитанной р-ром соли Pd или Pt (20 вес. % металла) под действием ультразвуковых колебаний таким образом, что на кольпах осаждается 3-5% Pd или Pt. В кольцах заключен электрич, элемент, который при окислении горючих газов нагревается и включает сигнал. Кольца окружены фильтром из угольных гранул, пропитанных 5-10% Ад, Mn или Си для поглощения СО и других газов, отравляющих катализатор. Все устройство заключено в пористый керамич, корпус. Е. Покровская 14265 П. Смеситель жидкостей. Harran (Liquid proportioner. Duggan James J.) [Union Carbide and Carbon Corp.]. Канад. пат. 520123, 27.12.55

Устройство для смешения жидкостей, в котором расход обеих жидкостей измеряется заслонками с экспентрично проходящей через них осью. Оси обеих заслоном могут быть совмещены и угол их поворота может быть сделан одинаковым при заданном соотношении расхо-пов И. Ихлов

См. также: Контроль состава воды 12809. Регенерация катализатора 13082. Измерение конц-ии пыли 14280. Измерение т-ры печи 12266, 12268. Регулирование печи для отжига стекла 12527. Автоматизация процесса запаривания изделий в автоклаве 12650. Управление водопроводными сооруж, 12808. Автоматизация водопод-готовки на электростанциях 12810. Автоматизация хим. водоочистки 12811

ТЕХНИКА БЕЗОПАСНОСТИ, САНИТАРНАЯ ТЕХНИКА

Редакторы Н. Ф. Кононов, И. В. Саноцкий

Вопросы охраны труда при проектировании пементных заводов. Димитреску (Problema de protecție a muncii în proiectarea tehnologică a fabricilor de ciment. Dimitrescu C.), Ind. construcțiilor și mater. constr., 1956, 7, № 5, 310— 313 (рум.)

Рассматриваются мероприятия по технике безопасности.

Я. Матлис Опыты по снижению растворимости свинца, 14267. содержащегося в керамических глазурях и фриттах. Ленк (Versuche zur Senkung der Bleilöslichkeit in keramischen Glasuren bzw. Fritten. Lenk Sieg-fried), Keram. Z., 1956, 8, № 2, 57—59 (нем.) Свинецсодержащие силикаты не стойки по отношеиню к к-там и в том числе к к-там, содержащимся в организме человека. Для уменьшения вредного действия

свинцово-силикатных глазурей (I) изготовляются так называемые облицовочные фритты, получаемые путем обработки I в-вом органич. происхождения, устойчи-вым в слабых к-тах. Предлагается вводить 3-компонентные добавки (II), способствующие образованию более прочных I. В качестве добавок рекомендуются окислы щел. и щел.-зем. металлов, металлов IV группы и др. Устойчивость I устанавливается по отношению к0,25%-ному p-ру HCl. Была определена растворимость I, в состав которых вводились II (Na₂O, TiO₂ и SiO₂). Установлено, что введение II в кол-ве 10—20% снижает растворимость I в HCl. С увеличением содержания свинца в глазурях эффект действия добавки умень-

1268. Опыт обследования предприятий, на которых работают со свинцом. Хок, Барт, Спурный, Чермакова (Naše zkušenosti z průzkumu závodů pracujících s olovem. Hock J., Bárt, Spurný, Cermáková), Pracovní lékař., 1956, 8, № 2, 106—110 (чеш.; рез. русс., англ.) Отбирались пробы воздуха на содержание Ръчерез

ватные респираторы, которыми пользуются рабочие. Определено, что предельно допустимая конц-ия Рь в воздухе рабочих помещений (0,05 у/л) превышалась, как правило, во всех цехах. В типографиях конц-ии Рb в среднем были равны 0,47—2,10, в литейных цехах 0,24-1,09, в аккумуляторных цехах 0,8-10,48, при произ-ве сурика 1,84—15,71 у/л. В двух последних отмечены случаи отравления Рь. Наибольшее число отравлений обнаружено в пыльных цехах. Наимень-

шие конц-ии Pb, при которых наблюдались отравления, 1,53 ү/л и 2,60 ү/л. Рекомендуется при гигиенич. оценке рабочего места учитывать вид обрабатываемого материала, его состояние, дисперсность аэрозолей. Необходимо ношение ватного респиратора, периодич. замена рабочих на местах с высокими конц-ими Рв. Приводятся схема гигиенич. оценки рабочих мест, проект мероприятий по технике безопасности. Т. Бржевская 14269. Санитарно-гигиенические условия труда в про-изводстве полихлорвиниловой смолы и меры их оз-

доровления. Филатова В. С. Гронсберг Е. Ш., Гигиена и санитария, 1957, № 1, 38—42 (рез. англ.) Санитарно-гигиенические условия труда в произ-ве полихлорвиниловой смолы характеризуются наличием в воздухе рабочих помещений паров хлористого винила (1) чаще всего в конц-нях 0,05—0,8 ме/л, а также высокой т-рой воздушной среды (26—42° в зимие-весенний период и 33—58° летом при наружной т-ре соответственно — 6 — (—14) и 21,5—27,5°). У лиц, занятых в произ-ве, выявлены, случан токсич. ангионервоза, в том числе у работниц отделения сушки полижлорвиниловой смолы, где конц-ии 1 более инэки (0,01— 0,04 мг/л). Считают, что временно утвержденная предельно допустимая конц-ия I (1 мг/л) является завышенной. Предложен ряд мероприятий, которые значительно оздоровили условия труда. Замена камерных сушильных печей старой конструкции сушильными агрегатами системы инженера Строганова почти полностью ликвидировала выделение паров I в воздух рабочих помещений и способствовала улучшению метеорологич, условий. Разработана методика определения I в воздухе рабочих помещений, основанная на бромировании р-ра I в CHCl₃ р-ром Вг в смеси CHCl₃ и лед CH₃COOH при освещении.

Н. Шумская

270. Профессиональное хроническое отравление ртутью. Батолская (Професионально хронично отравяне с живак. Батолска Ант.), Съврем. мед., 1956, 7, № 4, 51-61 (болг.)

II ри медицинском обследовании 66 человек, имевших контакт с Нд на протяжении ~20 лет, установлены жалобы на головные боли, бессоницу, апатию, кровотечения из носа, металлич. вкус во рту, боли в области желудка. У 17 человек определены тахикардия, систолич. шум, глухость тонов сердца; у 17 — красный дермографизм, тремор пальцев, повышение кожных д сухожильных рефлексов; у 26 — гингивит, стоматит,

33 XEMUII. No 4

глоссит: изменений кровяного давления не наблюдалось. V 29 человек с многолетним рабочим стажем, v которых были отмечены симптомы отравления Нд, среднее содержание гемоглобина в крови составляло 72,31%, среднее кол-во эритроцитов — 3,76 млн/ил. У многих рабочих в моче обнаружена Нд. Для лечения хронич. отравления Не предлагается тиосульфат Na, витамины В и С, серусодержащие минер, воды, кальциевые пренараты, УФ-облучение, Подчеркивается роль вентиляпии и тшательного контроля возлушной среды, низкой т-ры в рабочих помещениях (12-16°), санитарнопросветительной работы. Необходим медико-профессиональный отбор рабочих и периодич. медицинские осмотры не реже 1 раза в гол.

Т. Бржевская

отравлений 14271. Исследования хронических окисью углерода на газовых заводах города Цюриха. Борбели (Untersuchungen im Gaswerk der Stadt Zürich in Schlieren über die chronische Kohlenoxydvergiftung. B or b é l y Franz), Wärme, 1956, 10, № 1, 7—23 (нем.) См. РЖХим, 1956, 45826. Gas, Wasser,

14272. Трихлоротилен в выдыхаемом воздухе. Б а рдодей, Кривуцова (Trichlorethylen ve vyde-chovaném vzduchu. Bardoděj Zdenek, Krivucová Marie), Pracovní lékař., 1956, 8, № 3, 186—188 (чеш.; рез. русс., англ.)

При изучении спектров поглощения соединения CHCl= ← CCl. (I) с чистым пиридином и с пиридином, предварительно обработанным СО., установлено, что СО. мешает определению I, основанному на р-ции Фудживара. Эта р-ция не применима для определения I в выдыхаемом воздухе, а также в атмосфере производственных помещений при условии отбора проб воздуха, превы-Т. Бржевская тающих 1 л.

1273. Гематологические сдвиги при промышленных интоксикациях. В еллинг Е. И., Материалы по вопр. гигиены труда и клиники проф. болезней.Сб. 5.

Горький, 1956, 174—180 Указано, что в начальных стадиях острой интоксикации цианидами, Рb(C₂H₅)₄, Hg в периферич. крови наблюдались эритроцитоз, увеличение содержания гемоглобина, умеренный ретикулоцитоз, появление единичных нормобластов, значительные качеств, изменения. При остром отравлении Рь отмечена гипохромная анемия, базофильная зернистость эритроцитов, выраженный ретикулоцитоз, увеличение кол-ва незрелых клеток эритробластич, ряда в костном мозге, изменения физ.-хим, свойств крови. Острое отравление тринитротолуолом вызвало образование метгемоглобина, темолитич. анемию, пойкилоцитоз, анизоцитоз, ретн-кулоцитоз до 70—80%, появление телец Гейнице, лей-копению, относительный лимфоцитоз, моноцитоз, пикноз ядра, гиперсегментацию и вакуолизацию протоплазмы белых кровяных клеток, повышенное содержание в крови непрямого билирубина. При хронич. отравлении бензолом наблюдались анемия, нарушение лейкопоэза, тромбоноэза, аплазия костного мозга: тринитротолуолом — гипорегенераторная анемия, замещение костного мозга жировой тканью, уменьшение общей массы крови, изменение осмотич. стойкости эритро-цитов, нарушение холестеринового обмена. Полученные материалы важны для диагноза промышленных отравлений. К. Лобанова

14274. Пневмокониоз, вызванный вдыханием пыли талька в резиновой промышленности. Носаль, Ульрих, Велварт (Pneumokonióza z talku v gumárenstve. Nosàl M., Ulrich L., Velvart J.), Pracovnì lékař., 1956, 8, № 3, 175-177

(словац.; рез. русс., англ.) Описано заболевание пневмокониозом (развитый односторонний массивный фиброз) у рабочего резиновой пром-сти, занимавшегося приготовлением рези-

новых смесей (стаж 20 лет). В воздухе рабочей зопи определено высокое содержание пыли, состоящей из талька, магнезни, каолина (5—10%), мела, сажи, SiO₂ (следы) и др. (640—23 000 частиц в 1 с.ж³). Считают, что причиной пневмоконноза явилась пыль талька Т. Бржевская 14275. Нейтрализация запахов в потоке воздуха.-

(Kill odours in the air stream .-), Clean, and Mainten

1956, 4, № 6, 37-39 (англ.)

Описаны молели аппаратов для дезодорации вентиляпионного воздуха производственных помещений содержащего меркаптаны, амины, диамины и другие неприятно пахнущие в-ва. Типовая установка состоит из компрессора, одной или нескольких форсунов пля тонкого распыления нейтрализующей занах жидкости и напорного сосуда для жидкости. При добавлении к потоку неприятно пахнущего воздуха тонкого аэрозоля специально подобранной сильно нахнушей жилкости возникает комбинированный запах, который может быть вполне приемлемым и даже приятным. Ю. Скорецкий

14276. Влияние влажности воздуха на интенсивность запаха. Кюнер (Humidity effects on the odor problem. Kuehner Richard L.), Heat., Piping and Air Condit., 1955, 27, № 9, 155-158

Установлено, что интенсивность запаха (3) зависит от влажности воздуха, а также от разности между влажностью воздуха снаружи и внутри помещений. Испытуемый воздух разбавлялся измеренным объемом очищ. воздуха до едва обнаруживаемого оператором 3, относительная конц-ия которого принималась за порог восприятия. Для устранения ошибок измерения проводились 2 или более операторами, чувствительность обоняния которых проверялась по порогу восприятия 3 сгоревшего табака (0,001 г на 28,3 л воздуха). Интенсивность З насыщ, ксилолом воздуха принималась за 380 порогов. При исследовании 3 регистрировалась т-ра воздуха по влажному и сухому термометрам внутри и вне помещения. Приведены таблицы и кривые, характеризующие зависимость чувствительности обоняния при обнаружении различных 3 от влажности возлуха. Б. Товбин

14277. Критерий безопасности в атомной промышленности. Фармер (Safety criteria in atomic energy. Farmer F. R.), Brit. J. Industr. Med., 1955, 12,

№ 2, 163—168 (англ.)

Критерием безопасности труда считают частоту несчастных случаев со смертельным исходом. В среднем по пром-сти она равна 8-12 в год на 100 000 работающих, на шахтах и рудниках 80, а в атомной пром-сти при существующей защитной технике эта величина может быть снижена до 1 случая. Н. Волкова

Фотодозиметрия. Ослабление плотности скрытого изображения. Мак-Лафлин, Эрлик (Film badge dosimetry: how much fading occurs? Мс Laughlin William L., Ehrlich Margarete), Nucleonics, 1954, 12, № 10, 34—36 (англ.)

Фотодозиметрия является одним из методов индивидуального контроля при работе с радиоактивными в-вами. Ослабление плотности (ОП) скрытого изображения, вызванного действием рентгеновских или у-лучей, в зависимости от времени хранения различно для разных эмульсий. ОП выражается полуэмпирич. ф-лой $[D_0-D(t)]/D_0=1-\exp{[-ct^n]},$ где D(t)- плотность в момент времени t, D_0- плотность при t=0, c и n- константы (n зависит от вида эмульсии, а c- от начальной плотности). Для четырех образцов *n* заключено в пределах 0,01—0,18, для двух образцов *n*—отрвпательная величина, c — увеличивается с уменьшением D_0 , за исключением D_0 , лежащих в нижней части ха7 r.

301114

ей на

сажи.

CM3).

TIME

вская

vxa.-

nten.

венти-

йинот

ругие

к пля

IKOCTR

лении

аэро-

жил-

торый

минтя

репкий

вность

Heat.

5 - 158

ависит

межлу

шений.

бъемом

атором

ерения

витель-

воспри-

оинима-

стриро-

рмомет-

витель-

Товбин

нышлен-

energy. 955, 12,

TOTY HE-

среднем работаю-

пром-сти

величина

Волкова

ти скры-

K (Film

c Lau-

arete),

индиви-

ТИВНЫМИ

о изобра-1 ү-лучей,

для раз-

ч. ф-лой

плотность

), с и п-

заключе-

n — отри-

ньшением

части ха-

OT Ha-

odor

рактеристич. кривой. При фотодозиметрии необходимо вводить поправки на ОП. В. Левин 14279. Вопросы пылеулавливания. Эйхлер (Fragen der Staubabscheidung. Eichler E.), Technik, 1956, 11, № 8, 585—590 (нем.)

Приводится график для выбора пылеулавливающих устройств (свыше 10 наименований) в зависимости от требующейся степени очистки и размера частиц пылей, туманов и лымов различного происхождения (свыше 25 наименований).

14280. Измерение концентрации пыли. Ю д а (Ро-

14280. Измерение концентрации пыли. 10 да (Pomiar stęzenia pylu. J u d a J a n), Pomiary, automat., kontrola, 1955, 1, № 2, 37—44 (польск.)

Приведены методы определения и классификация пылей в воздухе и в промышленных газах. Рассмотрен способ отбора проб запыленных газов из воздуховодов с помощью особых зондов, обеспечивающих те же скорости воздуха и фракционный состав пыли, что и в воздуховоде. Размеры зондов зависят от скорости воздушного потока (для интервала скоростей 3—15 м/сек требуются, напр., насадки четырех размеров). Приводятся схемы заборных устройств. Описаны пылемеры для определения кол-ва пылинок и общего содержания пыли: а) теплопылемеры, позволяющие определять частицы <20 µ; б) оптич. приборы, определяющие конц-ню пыли по степени рассеяния света — тиндаллометр, тиндаллоскоп; в) прибор Вильнера, действующий по принципу ультрамикроскопа и позволяющий обнаруживать места с наибольшей запыленностью при размере пылинок до 0.5 д. К устройствам для весового определения содержания пыли относятся циклоны, различные фильтры и электрич. микровесы Гаста, применимые при конц-иях пыли от 0 до 1000 мг/м³. С. Яворовская 1281. Каскадный кониметр с движущимися стеклами. Мей (A cascade impactor with moving slides. Мау К. R.), Arch. Industr. Health, 1956, 13, № 5, 481—488 (англ.)

Описывается усовершенствование ранее предложеньюй автором конструкции (Мау К. R., J. Scient. Instrum., 1945, 22, 187) прибора для отбора образцов аэрозоля из атмосферного воздуха в полевых условиях, представляющее собой многокаскадное устройство из 4 ковиметров (К), установленных последовательно по ходу воздуха под углом 90° друг к другу. Каждый К снабжен тележкой, передвигающейся перпендикулярно струе вдуваемого воздуха. Приведены схема К, эскиз тележки, фото прибора и его узлов. Описана методика отбора проб. Для частиц аэрозоля <20 µ прибор дает эффективность улавливания в 94—100% при скоростях ветра <22,4 км/час и объеме пробы 17,5 л/мин. Библ. 15 назв. 10. Скорепкий

14282. Новая техника в борьбе за чистый воздух. Томпсон, Блум (Some new engineering tools and techniques for cleaner air. Thompson O.C., Blum G.W.), Chem. Engng Progr., 1956, 52, № 8, 332—336 (англ.)

Для выявления новых методов и аппаратуры в области борьбы с загрязнением воздуха Американским институтом инженеров-химиков проведен опрос 372 организаций. Приведены краткие характеристики 57 наиболее интересных новинок, сгруппированных в три раздела: а) обнаружение загрязнений, б) измерение загрязнений, в) снижение их конц-ии. Библ. 48 назв. Ю. Скорепкий

14283. Сигнальное устройство для обнаружения кислотных наров в воздухе. Шлоссер, Ковач (Signalizačné zariadenie na indikovanie kyselinovych pár v ovzduší laboratória. Schlosser A. Kováts K.), Chem. průmysl, 1956, 6, № 4, 165—166 (словац.)

Прибор представляет собою трехгорлую колбу с дистилл. водой, в которую погружены сурьмяный и кало-

мелевый электроды. При просасывании через воду используемого воздуха изменение рН воды вследствие наличия кислотных паров меняет величину потенциала на электродах, что приводит в действие сигнальное устройство.

Е. Стефановский 14284. Предосторожности при пользовании фарту-

4284. Предосторожности при пользовании фартуками из дерматина. В е й де а к о в а (Pozor na zástery z nitrokożenek. V e j d è l k o v á V.), Bozpečn, a hyg. práce, 1956, 6, № 7, 203—204 (чеш.)

Описан случай воспламенения фартука из дерматина (ткань с нитроцеллюлозной пропиткой) при работо у печи.

Т. Бржевская

4285. Исследование характера горения горючих жидкостей в хранилищах. Крюгер, Раду ш (Untersuchungen zur Ermittlung des Brandverlaufes bei Lagertanks brennbarer Flüssigkeiten. Krüger A., Radusch R.), Erdöl und Koble, 1955, 8, № 7.

482—486 (нем.)

В 4 моделях резервуаров двам. 12—30 см и высотою 16—40 см изучалось влияние атмосферных условий на процесс сгорания этилового спирта (I) и моторного бензина (II). Показано, что относительная влажность воздуха и т-ра его в пределах 38—55% и 5—20° соответственно, влияния на процесс сгорания не оказывают. Максим. скорость горения и максим. кол-во выделяющегося тепла у II выше, чем у I, при этом с увеличением размеров резервуара обе величины позрастают быстрее при горении II. Максим. т-ра горения II на 5—10% выше, чем I. Т-ра на поверхности горючего после воспламенения быстро достигает его т-ры кипения, причем в слоях, расположенных ниже поверхности, т-ра резко падает. Последнее свидетельствует о том, что тепловые лучи абсорбируются относительно тонким слоем жидкости и в основном тепло расходуется на ее испарение. II нагревается медлениее, чем I.

14286 П. Защитный контейнер для работы с радиоактивными веществами (Safety container for operation with radio active substances) [Gamma Rays, Ltd, Gilks E. N.]. Англ. пат. 711559, 7.07.54

Запатентована конструкция защитного контейнера для радиоактивного материала (М), который укреплен на конце стержия и помещен в сквозное отверстие в защитном блоке, изготовленном из поглощающего излучение материала. С одного конца отверстие имеет расширение, закрываемое откидной крышкой. На противоположный конец стержия навинчивается конец гибкого троса или присоединяется градуированный шток, с помощью которого М может быть выдвинут из блока в ту или другую сторову.

В. Левин 14287 П. Пенообразующие составы (Foam forming

14287 П. Пенообразующие составы (Foam forming composition) [National Foam System Inc.]. Австрал, пат. 167019,1.03.56

Пенообразующие жидкие составы для использования в пенных огнетушителях состоят из гидролизованного протенна (I) и мыла (II), образованного из солей металлов и жирных к-т, содержащих 8—18 атомов углерода. I содержат алкиларилсульфонаты для перевод II в p-р.

14288 П. Состав, образующий отнегасительную пену, Перри, Словитер (Composition de formation de mousse extinctrice. Perri Joseph M., Sloviter Benjamin) [National Foam System Inc.]. Франц. пат. 1092611, 25.05.55 [Chimie et Industrie, 1956, 75, № 5, 953 (франц.)]

Состав содержит главным образом водн. p-р продуктов гидролиза белков в сочетании с нерастворимым металлич. мылом, предварительно переведенным в растворимое состояние. Ю. Михайленко

См. также: Отравления: силикоз 4098Бх; триметили триэтилфосфаты 4505Бх, СS₂ 4507Бх, As 4508 Бх,

33*

НСПО 4509Бх, Рь 4511Бх, 3988Бх. Рак легких 4312 Бх. Ткани, стойкие к ОВ 13451. Пожары, взрывы: газовоздушныесмеси 12829; самовоспламенениетоплив 12962, опилок 13628; топливо-воздушных смесей 12963; сма-

зочных масел 12986; хранение нефтепродуктов 13009; обнаружение горючих газов 14264. Огнестойкие ткаши 13227, 13228, краски 13584.

новые книги, поступившие в редакцию

Полярография в медицине, биохимии и фармации. Бржезина, Зуман. Перев. с чешск. (Die Polarographie in der Medizin, Biochemie und Pharmazie. Březina M., Zuman P. Übers, aus der tschech. Sprache. Leipzig, Akad. Verlagsges. Geest und Portig K.-G., 1956, 800 S., ill.) (нем.) Переработанный и дополненный перевод с чешского

Переработанный и дополненный перевод с чешского издания 1952 г. При переработке книги использована литература до 1954 г. включительно.

В книге подробно описаны методы полярографического определения органических соединений, а также определения неорганических веществ в биологических матерналах. Специальные главы посвящены использованию в аналитических целях каталитических воли белков в растворах солей кобальта и полярографических максимумов.

В конце книги приведены таблицы потенциалов полуволн важнейших неорганических и органических соединений. Книга снабжена алфавитными указателями: авторским, материалов (объектов), предметным.

Книга рассчитана на врачей, научных работников медицинских учреждений, биохимических и фармацевтических лабораторий; может быть использована также лаборантами-химиками.

В. Лосев

3009: TKAR

ользо-Воли фичес-

B noеских элями:

НИКОВ мацев-TAR-Лосев

АВТОРСКИЙ УКАЗАТЕЛЬ

Абдуллаева X. M. 12157 Афанасьев В. H. 12261 Абдулханров Р. 11562 Ахматович О. 11667 Аблов А. В. 10956 Абрикосова И. И. 11328 Аюханов А. Х. 11058 Абруков С. А. 11249 Аяки 14142 Абр 11650, 11651 Августинии А. И. 12509 Аграновская А. И. 11028 **ARAFH 11595** Акадзава 11392 Акаси 12139 Акиёси 11677 Акиёси 11948 Акияма 12046, 12047 Акулов Н. С. 11051 Акуловіч В. М. 11267 Александрова Г. И. 11393 Алексеев В. 14164 Алешин С. Н. 11524 Алмазов А. Б. 10826 Альбицкая В. М. 11652 Альтов А. И. 13377 Амелин 12328 Андо 12850 Андреев П. Ф. 11540 Андреев С. Н. 12288 Андреева Э. В. 12163 Андрейченно А. М. 12311 Андрианов К. А. 11292 Аникин А. Г. 12297 Аникин И. Н. 12271 Анкудимова В. В. 12072 Антонова И. Н. 11220 Антощук И. А. 12295 Антелес О. М. 10760 Аояма М. 13768 Апаршева М. И. 12054 Апельини И. Э. 12762 Apan 11912 Apan 11924 Apan 11949 Apan 13844 Арани 12255 Арани 12679 Арбузов А. Е. 11795 Артемцев В. П. 12692 Бенбасат Н. 13185 Артемьев А. А. 10908 Бергман А. Г. 11183 Асано Я. 12377 П Березовская Б. Е. Асахина 12204 12209 Асеева А. В. 12759 Беркович Т. М. 12696, Aco 11948 12697

Асташева А. А. 11981 Атлаєов А. Г. 12027 Блонская А. И. 12869 Васильев 12328 Авров М. Э. 11097 Баба 12859 Бабкин Р. Л. 12737 Багбанлы И. JI. 12043 Багров Н. Н. 11069 Бадалов С. Т. 11504 Баев Ф. К. 12003 Баженов В. А. 11927 Бакк А. А. 13667 Бакумская Е. Л. 11183 Балашова М. Н. 11054 Балевски А. 12411 Балодис Ю. Р. 14128 Д Балонов М. X. 13339 Банашек Е. И. 11138 Бансё Е. 13198 П Бао К. Э. 13269 Барамбойм Н. К. 14055 Баранников Г. И. 11475 Баранов В. И. 11503 Баранов И. В. 11553 Баранова 12328 Бардиян А. С. 11221 Баталин А. Х. 12101. 12102 **Баталов** A. 13983 Батолска А. 14270 Башкиров А. Н. 11286, 12955 Бевзенко П. Е. 11532 Безбородов М. А. 12520 Безносикова А. В. 12611 Безуглов И. Е. 13748 Безуглый Д. В. 11991, 12125 Белова О. И. 13798 Белопольский А. П. 11241, 12382 Белоусов Д. П. 14017 Белый М. У. 10872

Берман С. Л. 11814 Блох Г. А. 13386 Богданов В. Т. 12410 Ватанабэ 11340 Богомолов А. И. 11540 Ватанабэ 12828 Богословский П. Н. 12811 Бокий Г. В. 10759, 10956 Болдырев В. В. 12273 Болотов Б. А. 11623 Бонштедт-Куплетская Э. M. 11507 Борисов Н. В. 11547 Борисова Т. И. 11925 Бормосов Ю. Н. 12247 Борн Г. И. 12059 Боровщук M. II. 11991 Бородин Э. С. 11308 Бородкин В. Ф. 11731, 13188 Ботвина М. П. 12402 Бочвар Д. А. 10826 Бреслав В. И. 11082 Бродский В. Б. 12241 Броуде В. Л. 10851 Брунс В. П. 11301 Брусянцев Н. 12958 Бубении И. 12645 Бугаев А. Л. 11489 Будевский Е. 11343 Булгакова К. И. 12352 Бут Т. С. 12505 Бутт Ю. М. 12652 Бушмакин И. Н. 14174 Быков Г. М. 12846

Быстров П. Д. 11437 Вайнштейн Э. Е. 12035, Врубель Г. 11667 12071 Вайсс К. Ф. 12059 Вакаяма 12081 Валитова Ф. Г. 11795 Ванаселья Л. 12650 Ван Куй 11978 Ван Цзин-тан 12657 Ван Ши-чжэнь 13269 11230, 11231 Варюхина Л. В. 10888 Василев Д. 14124

Василевский П. А. 12622 Генкина Е. В. 10908 Васильев В. П. 11060 Гинабург Г. С. 11376 Ватанабэ 12923 Вахтин В. Г. 11684 Вейденбах В. А. 14057 11182 Величкина Т. С. 10997 Гласс И. 11022 Венцель 13476 Верещагин А. Н. 12930 Глумов И. Л. 12789 Верещетина И. П. 11184 Веркин Б. И. 11069 Вишневский Н. Е. 13013, 14196 Власов К. А. 11530 Власова Н. С. 12841 Горин Г. 12808 Вознесенская Е. В. 12974 Войнов Д. Г. 13967 Вонсовский С. В. 11050 Грелевич Л. 11022

Воскресенский И. И. Гавря Н. А. 12334 Галант Е. И. 12556 Ганчев Н. 12055 Вартанян Л. С. 11229, Гвоздовер С. Д. 10884 Гусев Н. 12651 Гейн В. О. 11982 Геллер З. И. 14201 Гельфер Е. А. 11551 Гэрун 12433

Гинзбург Д. 3. 12872 Глаголева В. П. 10929 Гладновский В. В. 11039 Гладышевский Е. И. Веллинг Е. И. 14273 Глауберман А. Е. 11024 Глинка Н. Л. 10793 Венцель С. В. 12978 Глориозов П. А. 10776 Говоров И. Н. 11516 Говорова Л. С. 12751 Гогуадзе В. П. 12408 Вершинин П. В. 12386 Годжелло М. Г. 13008 Вессельман С. Г. 12849 Голинова О. И. 11000 Визир В. А. 12620 Головатый Р. Н. 1199 Виленский Ю. Б. 13337 Голуб А. М. 11446 Головатый Р. Н. 11992 Вильборг С. С. 11980 Голубцов И. В. 12251 Винниченко Н. Т. 11505 Голубцов С. А. 11292 Виноградов Е.П.14046 Д Голутвин Ю. М. 11139 Виноградова Е. Г. 11558 Гольденберг И. 13484 Вишневский А. Н. 12336 Гольдинов А. Л. 12051 Гоникберг М. Г. 12869 Гордиенко Н. П. 12838 Гордон Л. В. 13633 Воевудская З. Л. 11387 Горяев М. И. 13355 Гостунская И. В. 11593 Гото 14175 Грачева Т. А. Воробьев Ф. К. 12443 Григорьев П. Н. 14127 К Воробьева Г. П. 11216 Григорян В. Ф. 12813 Воронцова Л. Г. 10974 Гринберг И. В. 11535 Ворошилов М. С. 13656 Гринкевич Н. И. 12209 Гриншпун С. Д. 13510 Вавер В. А. 11792 12736 Гриппун Е. В. 11308 Вайнштейн Б. К. 10979 Воюцкий С. С. 11911 Гронсберг Е. Ш. 14269 Грузин П. Л. 12615 Грунфельд И. 14209 Д Грушецкан Л. А. 13758 Гавриленко И. В. 13748 Грыцкевіч Е. 10778 Гаврилова А. Е. 12869 Грязнов Г. В. 11811 Д Губская Г. Ф. 11201 Гудыменно К. Ф. 19872 Гальцова Н. Е. 12975 Гулый И. С. 14189 Гуреева Л. И. 12056

Гущина М. М. 12 Гъльбов Н. 10805

12735

Герасимова В. А. 12037

	200000000 C A 42444	H-0 44674 44675	Ttom 5-m H H 10/00	
Д	Зайнутдинов С. А. 12414 Закатова Н. П. 14064	Ицкевич Е. С. 11127	Кельберт Д. Л. 12439 Кельцева О. Б. 11812 Д	
Даваннов А. Б. 12045	Закс Л. С. 13590	_	Кидо 12851	Корчемкин Ф. И. 13660
Давыдова Ф. A. 12695	Захаваева Н. Н. 12285	И		Коршун М. О. 12141
Дарашкевич М. Л. 12175	Звонкова З. В. 10974	Йокон 12139	Кириллов И. П. 11287	Корюшенко А. И. 13581
Дацко В. Г. 11559	Звягинцев О. Е. 11468		Кирияма 13375	Косановић Б. 11193
Делоне Б. Н. 10762	Зейналова Т. 12157	Йокота 11681	Киркина Д. Ф. 10941	
Денисов А А. 10786	Зеленский А. И. 12520		Киселев В. С. 13575	Костанян К. А. 12530
Денисов П. В. 11489	Зеликман В. Л. 13332		Киселев В. Ф. 11393	
Денисова А. С. 11292 Деревенских Л. В.	Землянский Н. И. 11794 Земский С. В. 12615		Киселева Е. В. 11461, 11474	
11216	Зильберман Е. Н. 11632		Кисис Э. Р. 12623	Кочененко М. Д. 12298 Кочман Э. Д. 12280
Дерягин Б. В. 11382,			Кита 12871	Кочнев М. И. 11520
12285	Зимина К. И. 12023,	K	Китагава 11624	Кошелева А. В. 13770
Джамбов Г. 12913	12024	Кавабути 14191	Китадзима 12154, 12155	
Даимбо 12641	Златанов В. 12644	Кавагути 11276	Китахара 13189	Кояма 11945
Диев Н. П. 11434	Зобов Е. В. 12172	Кавагути И. 13768	Китано 11565	Кравченко Н. 13760
Дикерман Н. 12592	Золотова Е. Ф. 12762		Кияма 12851	Крайнер З. Я. 11746
Дмитриев П. И. 13574 Дмитриева В. А. 13332	Зонис С. А. 10796 Зосимович Д. П. 11348	Каван 14203 Каваками М. 12493	Клейменов Н. A. 11220	
Дмитроченно Д. А.	Зыков С. И. 11509	Кавамура И. 13162 П	Клейменова Л. А. 12838 Климова В. А. 12141	11393 Краснова П. Н. 1976
11925	Dianos C. II. 11000	Кавтарадзе Н. Н. 11302	Климова Л. А. 10868	
Добкина Б. М. 12124	И	Каган Ц. А. 11551	Клопцова О. В. 12209	
Долгополов Д. Г. 11069	Иваки 11624	Каданер Л. И. 11346	Клячко В. А. 12739	
Доленко Г. Н. 11539	Иваников В. И. 13328		Кнорре Д. 11229, 13764	
Долинский Е. Ф. 14239	Иваницкий Т. В. 11508		Кобалалзе М. Г. 12059	Крешков А. П. 11980,
Дольберг Е. Б. 11786		Казанская А. С. 11305	Кобата 10902	12111
Домбровская Н. С.	Иванов К. 10806 Иванов Л. И. 11120,	Казанский Б. А. 11593, 12869		Кривоглаз М. А. 10988
12654 Дороненков И. М.	11148	Казанський M. Ф. 12670	Коблянский А. Г. 11999 Кобозев Н. И. 11273	
14127 К	Иванова М. С. 11993			Крицкая И. И. 11803
Дрозд П. A. 12639		Калантарова М. С. 11929	Ковачевски И. 12411	Кричевский И. Р. 11167
Дроздов В. А. 11980	Ивасаки 12868	Калинкина З. В. 13272		
Дроздов Н. С. 13758	Игнатова Л. А. 13355		Коган Ф. 12185	Кропоткин П. Н. 11534
Дроздов С. И. 10894	Измайлов Н. А. 11198	10823		Круглов С. А. 14207 Д
Друтман З. С. 11200		Кальпчиев К. И. 10783		Круглякова П. П. 11523
Дубовицкий Ф. И. 11219 Дульнев Г. Н. 12267		Камада 12019 Камбэ 13515	Коданашвили В. А.	Крылов Е. И. 11362
Дьяконов Г. К. 10809			13083 Worzawy 12851	Крылов О. В. 11284 Ксенжек О. С. 12485
дынонов 1. 1. 1000	Ильина Д. Е. 11808 Д		Кодзима 11778	Кудрявцев А. А. 10794
E	Имамура 13654	Камэтани 13085	Кодаима 13886	Кудрявцев Н. А. 11543
Евстюхин А. И. 11437	Имаэда 12135	Камэя 13084	Козин Н. И. 13770	Кузнецов М. Д. 14186
Евтеева З. В. 10772		Канадзава 11692		Кузьмин К. И. 11802
Егоров Н. М. 13466		Канисэ 14144	Козловская Е. И. 12577	
Елисеев Н. А. 10761 Емельянов В. С. 11437		Канно 12065 Кано 12204		Кузьминых И. Н. 14178
Епштейн Д. А. 10801		Капустинский А. Ф.	Козьмина Е. П. 14044 Д Кондзуми 11188	Куликов И. С. 11120,
Е ремин В. В. 11216		10916, 12264	Кокошко З. Ю. 10888	
Ермолаева Т. А. 13575		Карандашева Е. Ф.	Конубу 11506	Кунашова К. Г. 11503
Ермоленко Н. Ф. 12872	Иноуэ 12847	11468	Кокума 11840	Куплетская Н. Б. 12163
Ерыкалов Ю. Г. 12156		Карасава Т. 12632 П		Кургатов М. С. 12348
Есин О. А. 11258	Иоселева М. А. 12639	•		Курдюмов К. П. 12534
Ж	Иоффе А. Ф. 11162 Иоффе Б. В. 11171.	Каргин В. А. 11930 Карлюка Т. Н. 12125		Куринный Т. Г. 12658
Жарковский Д. В.	11172	Каринцкий В. А. 12006		
11918	Ипатьев В. В. 14096		Командровская Л. В.	Куринма 13037 Куркова Н. С. 12936
Жданов Г. С. 10929,		Касима 12127	11143	Курокава 12833
10974	Исаков М. Г. 11515	Касима 12204	Комарова В. 13760	Курсанов Д. Н. 11570,
	Исакова Р. А. 11159			
Желудкова А. М. 12751,		Катаяма 13003	Комацу М. 12632 П	Кухаренко Т. А. 12874
12754	Исибаси 12005, 12007,		Комори 13754	Кушкин В. В. 11785
Жердева Л. Г. 12974 Жмако Н. М. 12639		Кафаров В. В. 14177 Кафка Б. В. 14037	Комэтани 14175 Кондо 12694	Л
Жуковецкий В. В.	Исино 12314	Кафтан С. И. 12877		Лавров В. В. 11526
12351	Исихара 11908	Кац Г. И. 11216	Коно 12137	Ланге Л. В. 11176
Жунина Л. А. 12524		Кацобашвили Я. Р.	Константинов А. А.	Лапин Л. Н. 11982
Жуховицкий А. А. 11986	Исицука Э. 14263 П	12936	12295	Ларюхин М. А. 12406
3		Кацумата 12052, 12110		Лауфер В. М. 12045
	Исобе 12137	Качухашвили С. И.	Корабельник Р. К. 12063	
Забавин В. И. 12838 Завгородний С. В. 11684	Исупов В. А. 11028	11482	Кордонская Р. К. 1261	
	Итинава Т. 13115 П	Кашин В. А. 13393 Келер Э. К. 12577	Кормильцева З. П. 13386 Коробицына И. К. 11649	Лебелев В. И. 11491, 11521
		2.5mcp 0. 11. 12011	мороонцыва н. н. 1104;	11021

Лебелев Н. Н. 11304 Левин А. И. 11350 Левина И. И. 11189 **Левитман** X. **Я.** 12039 Левицкий Г. Д. 12435 Леонов А. И. 12347 Леонтьева Е. Ф. 13574 Лепилин В. Н. 14185 Лепилкин А. Н. 13827 Лепинь Л. К. 14092 Лилер М. 11193 Липилина И. И. 12264 Литвиненко А. М. 14206 TI Литвиненно С. П. 12245 Ли Чжэнь-су 11839 Лобачев И. Ф. 12646 Лозовой А. В. 12869 Локтев С. М. 11286, 12295, 12955 Лорензен 12862 Лотменцева Е. М. 11406 Лужная Н. П. 11184 Луконина Т. И. 14130 Лукошкина Л. А. 12695 Лутугина Н. В. 14174 Луфт Б. Д. 12129 Луцкий А. Е. 10893, 10903, 10904 Лыский А. К. 12740 Любецкий Х. З. 12439 Любушин А. А. 11561 **Ляликов** К. С. 13338 **Ляликов Ю. С. 12172** Лясковская Ю. 13764 Мазуров С. М. 10796 Майдановская Л. Г. 12789 11230, 11231 Макаров С. 3. 12343

12968

10779

13660

12141

13581

12530

12752

12054

12298

12280

13770

520

П

760

1746

. г.

12755

12688

12810

12927

12512

10988 .

12281

11803

. 11167

. 11534

14207 II

1. 11523

11362

12485

10794

. 11543

. 14186

11219

2036

I. 14178

11120,

11503

Б. 12163

. 12348

I. 12534

12658

12936

. 11570,

A. 12874

11785

11526

176

982

A. 12405

12045

13394

12877

. 11491,

11802

1284

46

10786

11980.

1193

64

Майзус З. К. 11229. **Макаревич Г. А. 12524** Мак-Артур К. К. 12319 Маки 11998 **Маклаков А. И. 11248 Максимова И. С. 11809 Д** Максимова Р. А. 13188 Максимычева З. Т. 12142 **Максимюк Е. А. 11376** Малиновский М. С. 11794 Малиновский Т. И. 10956 **Малинский Ю. И. 11930 М**алкина **Х**. Э. 13396 Мамедалиев Ю. Г. 12157 Мамеднулиева М. М. 12043 Манака 11226 **Манвелян** М. Г. 12530 Мано К. 12494 П Марголис Л. Я. 11285 **Маркарян М. К.** 12746 **Маркевич** А. М. 11220 Марков Б. Ф. 11170 Мартова Т. Г. 12664 Мартыненко К. Д. 13705

Мартынов М. А. 12620

Мартыневекий В. 14164

Масан 12179 Масима 11965 Матвеева M. II. 11120, Набоков В. A. 12405 11148 Матвеенко Л. 11813 Л Мацуда 11677 Мануда 13759 Мануи 11674, 11675 Мацуи 12052, 12110 Мацун 12169 Манумото 11840 Мацумото 11941 Мацумото 12152 Манумото 12203 Медведев II. A. 13662 Медведева 3. С. 10925 Медведовский А. А. 13284 Меженный Я. Ф. 11324 Мейкляр II. В. 11039 Мелик-Анхазарян А. Ф. **Мельников Н. Н. 12394 Мельников Н. П. 13636** Миладинов П. 10806 Милчев Г. М. 13687 Минами 12314 Минэ 10867 Мирева С. 13640 Мирзоева III. 12157 Мита X. 12377 П Мительман М. 12654 Митулинский В. Д. 12883 Михайленко П. С. 12757 Михайлов Б. М. 11792 Михайлов Г. П. 11925 **Михайлов** М. А. 11481 **Михайлов Н. В. 11919** Михайловский Ю. Н. 14090 Михеева Е. Я. 14064 Михеева Л. Ф. 10997 Михлина Е. Е. 11738 Миядзава 10873, 10875 Миядзима 11392 Миямото 11188 Мияока 12169 Можей П. Д. 10781 Мокроносов В. С. 11434 Молева В. А. 11507 Мононобу 11630 Мори 12993 Мори 13657 Мори 13769 Морикава 12935 Мороз А. И. 12715 Морозова А. 13281 Морозова С. Н. 11547 Моспан В. С. 11797 Мотояма 13471 Музурова Н. Н. 11358 **Нунтани** М. 13147 П Нумеров Б. Н. 13697 Мураками 11595 Мураки 12000 Мурата 11995 Мурина В. В. 11393 Мустаев А. К. 11449

Муся 12116

12656

Мухачева О. 11793

Мытляева В. В.

Мухтаров Ч. К. 10912

Мушкало Л. К. 11783

H Haran 11994 Нагаи 12002 Нагаи К. 12494 П Нагакура 10905 Harao 12845 Нагасава Ф. 13147 П. 13152 П Наито 13769 Накабаяси 14066 Накагава 14197 Накадзава 12503 Накадзава Л. 13172 П Накадзима 11828 Накамура 10902 Накамура 11900 Накамура 11956 Накамура 12029 Накамура 12350 Накацука 13356 Налбандян А. Б. 11220, 11294 Налчаджян С. О. 12530 **Нарижный** В. А. 12692 Нарита 12068 Нарита 12099 Нарита С. 13143 П Насима 11595 Нахманович М. И. 11814 Нейман М. И. 12624 Немет Е. С. 14185 **Несменнов А. Н. 11803** Неуймин Г. Г. 10843 Нечаева Н. Е. 11348 Нешпор В. С. 11176 Нигматуллин Р. Ш. 12279 Никитин В. М. 13676 Никитин П. В. 12671 Никифорова А. В. 12405 **Николаев** А. С. 14260 Николаев В. А. 11493 Николић Д. 11117 Николов Н. И. 13640 Нисаева Е. Д. 13581 Нисида 13379 Новаковский М. С. 10766 Новиков И. А. 10784 Новикова Е. Н. 12872 Новоселова А. А. 10941 Ногути 12988 Нода 11952 Нодзаки 12069 Нодзов 11674, 11675 Номура 11844 Носиков О. В. 12577 Носова Н. 13632

Harnen 11949 0 Обата 13750 Облеухова О. 12958 Оболенская А. В. 13676, 13706 Обухова Л. К. 11228 Овада 11692 Овчинников Б. Н. 12930 Плеханов А. 11520

Огава 11031 Огава 12202 Огасавара 12995 Огути 13721 Одагири 13999 Одзаки 12190 Оларки 11674, 11675 Ока 11935 Она 12065 Она Х. 13154 П Окава 13754 Окада 11821 Окадзани 12098 Окадзима 13223 Окамото С. 12633 Окамура 13471 Онаяма М. 13147 П Оки С. 13153 П Оку 13207 Онуда 14197 Окунев А. И. 11434 Ольшанская Л. А. 13386 Ольшанский Я. И. 11552 Омельченко Ф. С. 13752 Ониси 11624 Оно 12400 Оранская М. А. 111 і 3 Орджоникидзе К. 11093 Орлова Г. М. 14096 Осима 12672 Осипова М. П. 13494 Остапеня П. В. 11551 Остриков М. С. 13581 Отани 11336 Оттесен Б. В. 11097 Ошмян Г. Л. 11191 Ояма 14142

Павленко Л. И. 12071 Павленко М. М. 10780 Павлов В. Л. 11436 Павлова К. 10805 Павлуцкая Т. И. 14091 Падучев В. В. 11434 Паншвер А. Б. 13722 Панасюк В. Г. 13634 Панин П. С. 10777 Панич Р. М. 11911 Панта С. 11193 Панченков Г. М. 11189 Парнес 3. Н. 11570 Паўлючэнка М. М. 11267 Пахалок И. Ф. 12827 Пацукова Н. Н. 11138 Пенев А. 10805 Первеев Ф. Я. 11590 **Перлин Ю. Е. 11011** Петрашень В. И. 12072 Петренко А. Т. 14129 Ц Петров А. А. 11652 Петрова Л. И. 14180 Петровский Ю. В. 11157 Петрусевич И. А. 12125 Петухова И. М. 12226 Пилюгин Г. Н. 11746 Пиульская В. 13764 Пишнамаззаде Б. Ф. 11639 Плансин И. Н. 12841 Платонов В. М. 12926

Плит И. Г. 14181 Подковырин И. А. 12252 Пожидаев Н. Н. 13716 Поминов И. С. 12226 Полян Л. Я. 12061 Полякин Ю. Л. 11272 Полякова А. А. 12023, 12024 Полякова А. Л. 10884 Померанц И. И. 13340 Померанцев Н. М. 10884 Пономарев В. Д. 11159 Пономаренко А. А. 12245 Пономаренко А. Г. 11197 Порисицкий Ю. 12837 Порхаев А. П. 14210 Д Посон П. 11804 К Поспелова Т. А. 11303 Постовский И. Я. 11785 Потапов И. И. 11538, 11541 Праведников А. Н. 11943 Предводителев А. С. 11062 Приселнов Ю. А. 12251 Прокофьев В. И. 10758 Пурин Б. А. 14092 Пушкарева З В. 10888 Пушкарева С. А. 11350 Пхеидзе Т. А. 12408 Пятигорский М. Г. 12096 Пятницкий Б. А. 10869,

10870

Рабинов И. JI. 12697 Рабинович Б. Я. 11197 Рабинович Ф. Е. 13272 Радченко О. А. 11537 Разумов А. 11793 Рассонская И. С. 11138 Рафальский Р. П. 11552 Рашкович Л. Н. 12652 Ребиндер II. A. 11407 Регель В. Р. 10921 Регирер Е. И. 11929 Редченко Л. Ф. 12088 Рейниш Р. 12837 Ремизов А. Л. 11697 Ривлина А. И. 13340 Ровинский А. Е. 12716 Рогинская Б. С. 12051 Рогинский С. З. 11284, 11285 Родина М. В. 10785 Родионов А. И. 14178 Розенбергер Н. А. 13655 Розенфельд И. Л. 14091 Романков П. Г. 14185 Романов И. М. 12215 Романов Н. Т. 13510 Романчук М. А. 13272 Ронов А. Б. 11503 Рояк С. М. 12656 Рубинштейн А. Л. 12880 Рубцов М. В. 11738 Румпис М. Ф. 14148 Румш М. А. 12228 Руссианова Н. Д. 12838 Рюндал Л. Я. 12855 Рябцев Н. И. 13008

C Сабирова Г. В. 11286 Савинов В. П. 12267 Сагаловский Ш. М. 14186 Сайто 11956 Сайфуллин Р. С. 12484 Сакагути 14024 Сакан 12694 Сакан 11856 Сакович Г. В. 11300, 12273 Сакуран 11624 Санураи 11950 Сакуран 13481 Самойлов О. Я. 12264 Самсон А. М. 10846 Самсонов Г. В. 11176. 11177 Самсонова А. Н. 14045 Д Санто И. 11961 Д Саруханян Т. А. 11241 Сато 10905 Сато 11674 Сато 11692 Сато 11935 Care 12137 Сахураути 13459 Свешников М. А. 12311 Свяжин Н. В. 11515 Сейидов Ю. М. 11050 Селиванов Е. Д. 11299 Семененко Н. П. 11530 Семенов Е. И. 11507, 11512 Сенецкая Л. П. 12111 Сенявин М. М. 11967 Сергеев М. П. 13637 Сергиенко С. Р. 12924 Серебрякова А. В. 11297 Сеткина В. Н. 11574 Сиба 11291 Сибасаки 12433 Сибата 13072 Сивохин С. П. 13668 Сига К. 13115 П Сида 11307 Сизов В. Н. 12706 Силин В. П. 11114 Сима 11567 Симанов Ю. П. 10941 Симеонов И. 12686 Симидзу 13207 Симидзуя H. 13177 II Синодзука 12005 Синохара 12098 Синсуги 13754 Сиранаси 13721 Сироткина Н. Л. 12505 Сиути 12204 Скворцов С. О. 13633 Слудская Н. Н. 11507 Смирнов В. А. 13796, 13797 Смирнов Н Н. 12697 Смирнова Л. К. 11623 Смоленский Г. А. 11028 Смолян 3. С. 11632 Снарский А. Н. 11542 Соболев В. Д. 12246

Соболев Н. Н. 11295

Сонолов В. А. 11137

Сонолов П. Ф. 12097 Сонолов Л. Б. 11960 Д Соколов Н. С. 12444 Соколова А. 13631 Солечник Н. Я. 13667 Солнцева В. Л. 12697 Соловьев С. М. 13333 Соловьева Т. Е. 12245 Соломко В. С. 13675 Солюс Н. Г. 13656 Сомия 12502 Сорочан А. М. 11967 Сосина Н. С. 12023. 12024 Соснина Е. И. 11059 Сосновский С. И. 12439 Сперанская В. А. 13067 Спрысков А. А. 12156 Стайков В. М. 12432 Стальмахова Л. С. 11216 Станчев В. 10797 Старобинец И. С. 11536 Стасова М. М. 10979 Степанов Б. И. 10847 Степанов Ф. А. 12414 Степанова И. В. 13590 Степухович А. Д. 11216 Страд Я. П. 12643 **Стрелков П. Г. 11127** Стышнов А. И. 10787 Суббота М. И. 11547 Суворова С. Н. 11632 Сугимото Н. 13153 П Сугимото К. 12707 П Сугимото М. 12633 П Сугино К. 13177 П Суда С. 13157 П Судзита А. 13768 Судзуки 11917 Судзуки 11940 Судауки 12013 Судзуки 12137 Судзуки 14020 Судзуки С. 12710 П Судауа Т. 12494 П Сунагава Г. 13172 П Суркова В. Л. 12838 Сухановский С. И. 13635, 13636, 13641 **Сцяпанау** Б. І. 10846 Сысоев Е. А. 11393 Сакидо 12017 Сэндо 13468 Свто 12190 Сэто 13482 Сюдо 12127 Сюдо Т. 13115 П Сявцилло С. В. 12209

Табата 12284 Тагиров Р. Б. 10845 Тагути 11778 Тада 11951 Такаги 11912 Такаги 12553 Такаги С. 13152 П Такани 12935 Такамапу 14175 Такано 13472 Такахаси 11670 Танода 13465

Такэн Т. 12633 П Такомото 11828 Такэсита 12154, 12155 Талаев М. В. 12285 Талипов III. Т. 12142 Тамаки 12845 Таммик К. Д. 13070 Тамура 11840 Танана 12019 Фальковский В. Б. Танака 14144 Танака 14203 Тананаев И. В. 12039 Тандилова К. Б. 12656 Тани 12847 Танигути 12152 Танэмура 12845 Тарасов В. В. 11122 Тарасова Л. М. 11122 Татамити 11940 Тацуми 12087 Тейс Р. В. 11548 Тепер Г. Э. 12088 Тепляков II. A. 10870 Терентьев А. П. 12163 Титов Е. А. 13188 Тихомиров А. 13983 Тихомиров М. В. 12024 Тищенко Д. 13632 **Ткаченко В. К. 12730** Товбин М. В. 11387 Тогава 13479 Тоёгути 12992, 12993 Толмачева Т. А. 11143 Толстой Н. А. 11000 Томашов Н. Д. 14087, 14090 Топорова В. В. 11434 Топчиев А. В. 12927 Торин 11567, 12085 Тосака 14197 Тосака К. 13152 П Тояма 13756 Троицкий К. В. 11997, 12028 Трофимова И. В. 11292 Тугаринов А. И. 11509 Тулупов В. А. 11293 Турецкая Р. А. 11292 Туркельтауб Н. М. 11986 Турьян Я. И. 12088 Тутуниић 11193 Тэмп А. Н. 10782 Тэмп Е. В. 10782 Тэрасаки 11681 Тюнькина Н. И. 11593 Хада 14066

Уно 11627 Урсу В. 13484 Усатенко Ю. И. 12056 Усиба 12850 Усс И. И. 12975 Устинский Б. З. 11360 VTa 13472 Утевский А. М. 10789 Утида 12956 Ушакова Н. И. 11483 Уэда 11340 Урда 12052 Уэла 12110 Уэн 12503 **Уэцуни** 12503

Фадесва В. С. 12505 Файзуллин Ф. Ф. 11358, 12279, 12280 Фалеев Р. 13983 Фальков И. 12649

14180 Фарберов М. И. 13067 Хоси Т. 13154 П Фастовский В. Г. 11157, Хосино 11958 К 12716

Федосов И. М. 12882 Фелотов В. П. 13834 Фельтыновский А. 11022 Ху Бин-чэн 13269 Фиалнов Ю. Я. 11436 Филатова В. С. 14269 Финкельштейн А. И. 10908

Флягина А. В. 12413 Фляте Д. М. 13692 Фокина Е. А. 11284 Фолиадов В. 13632 Фотеев С. П. 13652 Фотинич И. Д. 12337 Франке А. К. 11198 Франк-Каменецкий В.А. Цудзи 11340 12228

Фрейдин Б. Г. 13070, Цурута 11950 13766 Фридман Н. Г. 11523 Фридман Я. Д. 11449 Цутихаси 12017 Фудзивара 12446 Фудзимани 13999 Фудзимото 13480

12041, 12087 Фукая 12972 Фукс Г. И. 12975 Фунуда 11845 Фунумото 11595 Фунусима Х. 13154 П Фукухара 14018 Фунаки 13759 Фунакубо 12152 Фурман М. С. 11221 Фурукава 11901 Фурукава 13379

Фурштатова В. Я. 11738 Фусисаси 11821 Футино 11912

Халабузарь Г. С. 12877 Халдин В. Г. 12288 Халецкий А. М. 11839 Ханаи 14018 Хаянава 12041 Хаями 12066 Хаяси 12098 Хаяси 13517 Хаясибара 12019 Хигаси 10890 Хигасино 12116 Хигути 12845 Хираи 13512 Хиракава 12967 Хирамацу И. 13153 П Хирано 12976 Хиросэ 12087

XHDOCS 13356 Хияма 13189 Хлапова А. Н. 10925 Ходаков Ю. В. 10801. 10802 Файнберг Э. З. 11919 Ходеева С. М. 11461 Ходзуми 12135 Холлис Р. Ф. 12319 Хори 11670 Хориути 12190 Хотимская М. И. 12955 Хромов-Борисов Н. н. 11697 Ху Чжуан-им 12657

> **Цанев** П. 13185 Цапив И. И. 12276 Цветков Л. А. 10801. 10802 Центер М. Я. 11000 Цируга М. 13150 П Цокова В. 10805 Цубота 11565 Пукамото 11650 Цуруха 11670 Путила 11465 Цутия 12255

Фудзината 12005, 12007, Чайка М. П. 10823 Чалов Н. В. 13633, 13636 Челобов Н. А. 13494 Черкашин Е. Е. 11182 Чернихов Ю. А. 12124 Чернова Л. А. 12759 Чернявский В. М. 12758. 12806 Чижиков. Д. М. 11360 Чистяков Ю. Д. 12251 Чудаков М. И. 13635,

13641 Чумаченко М. Н. 12141 Чучупак В. Д. 12245

Ш

Шабанов И. м. 13355 Шаповаленко С. Г. 10801, 10802 Шарыпкина М. Я. 12838 Шафрановский И. И. 10763, 11054 Шведова С. Н. 11649 Шекун Л. Я. 10914 **Шелечник М. М. 14159** Шемякин Ф. М. 12061 Шемякина Т. С. 11143 Шер Е. С. 12129 Шешина Л. С. 11537 Шилов Е. А. 11605 Шифрин Г. Е. 13581 Шихов В. Н. 11258 Шишкин К. Н. 14181 Ши Шу-цзянь 12148 Шмарук Л. Г. 13267 Шмидт Н. В. 11137

MMMAT II. 13461 Шпольский Э. В. 10868 Шпунт С. Я. 12382 Шрейдер А. В. 14101 **Штанинов** Е. В. 12746 **Штырнова Е. А.** 13800 Шубников А. В. 10918 Шугам Е. А. 10922 Шуйкин Н. И. 11293 Шульгина М. Н. 12382 Шур А. С. 11484 **Шустер** Р. Л. 12537

10925

10801.

461

319

. 12956

H. B.

2657

76

000

0 II

0823

13494

3, 13636

E. 11182

. 12124

M. 12758,

Ц. 12251

1. 13635,

H. 12141

Д. 12245

M. 13355

Я. 12838

И. И.

11649

10914

M. 14159 L. 12061

C. 11143

. 11537

11605

13581

11258

H. 14181

B. 11137

12148 13267

29

С. Г.

12759

11360

10801,

Щеголева Г. А. 11792 **Шелкин К. И. 11254** Щиголев П. В. 14087 Щукарев С. А. 11143

Ш

3 Эманувль Н. М. 11229, 11230, 11231, 11294, 13764 Эми 12066 Шютце В. 11093, 11094 Энунидзе И. Я. 12408 Яги 12284

Anderson B. W. 11522

Эпштейн В. Г. 33771 Эпштейн Д. А. 10801, 10802 Этигоя 11291

Эфрос С. М. 12108 Ю 11484

Юдин И. А. Юй Жуй-минь 13376 Юрьев Ю. К. 11649 Я

Arm 11392

Ягупольский Л.М. 11797 Ямамото 13071 Яковлев И. А. 10997 Ямагата 11567 Ямагиси 12183 Ямагути Г. 13162 П Ямада 11465

Ямада 11630 Ямада 11945 Ямала 12179 Ямадзаки 11307 Яманава 13077 Ямамото 11650

Ямамото 12965

Яманиси 14018 Ямасаки 14023 Яматика 12977 Ямаути 12502 Ямаути 12694 Яно 14144 Янтовская Э. В. 13396 Ярош Н. А. 11511 Ясницкий Б. Г. 11786 Ясун 12013 Яцимирский К. Б. 11981 Яшвили Г. М. 12408

Abadie F. 14071 Abrahamson C. H. 13516 Anderson J. H. 10882 Abrahamsson B. 13658 Abramovitch R. A. 11777 Abramson B. 13299 Π Achhammer B. G. 11915 Achinatowicz O. 11667 Ackerman E. 11373 Adam J. 11283 Adamanis F. 13290 Adamec M. 12300 Adams A. 11013 Adams C. N. 12912 Adams G. M. 13626 II Adams J. R. 13199 II Adelman A. H. 11309 Afifi S. E. D. 12407 Agarwal B. K. 11134 Aggarwal J. S. 11631, 11773 Agrawal S. K. 13365 Aigner M. 13947 Airoldi A. 13216 Airicovici H. 13982 Akida M. 14016 Albers-Schönberg E. 12559 II Albertsen B. 14008 Albrecht O. 13252 II Albury M. N. 13885 Alder K. 11661 Alesch E. 14001 Alexander L. E. 12231 Alfrey T. 13381 Allen A. O. 11314 Allen K. A. 12078 Allen R. R. 11634 Allewelt A. L. 13545 H Allinder F. S. 12940 Alling S. F. 12745 Almin K. E. 12151 Alphen P. M. 13348 II Altman D. 14155 Alvarez J. M. 14163 Amdur I. 10821 Amerongen G. J. 13385 Ames D. E. 11863 Amiard G. 11870 Amis E. S. 11224, 11333 Ammacher G. 13232 Ammann-Brass H. 13326 Amorosa M. 11711 Anders O. U. 12305

Anderson E. E. 13881 Anderson G. 12104 Anderson J. J. 11703 Anderson R. B. 12717 Andreieff G. 14162 Andrews R. 12571 II Andrews R. D. 11934 Bacon A. 12070 Andrzejewski L. 12677 Anglin C. 13972 Anker L. 13280 Annicq J. 13247 II Anno T. 10853 Anguez M. 13900 Anstee J. 12600 Antézak R. 13946 Antikainen P. J. 11454 Antila M. 13963-13965 Appleton G. J. 13587 Arabian K. G. 13034 II Arbeit P. 12566 II Arcus C. L. 11587 Aref M. 13877 Arend A. G. 12536 Arens J. F. 10771 Aries R. S. 12313 Arnold G. C. 13684 Arnold M. H. M. 13614 II Armstrong A. C. 13206 Armstrong G. P. 13148 II Armstrong W. 13625 II Baranowski S. J. 12549 Aron A. 11018 Arshid F. M. 10906 Arthur H. R. 11891 Artioli D. 14009 Ash S. H. 14103 Ashton G. C. 12018 Asselbergs E. A. 13874 Aston J. G. 10901 Atkins K. R. 11073 Atkinson J. 12981 Atkinson R. H. 12090 Atoji M. 10892 Atwell H. V. 12952 Atzwanger H. 11435 Aubrey N. E. 11591 Audubert R. 11353 Auleytner J. 10977 Ault W. C. 13772 Aust H. 13947 Austin R. J. 12787 Auten R. W. 13130 II

B

Babb A. L. 11194 Babb D. R. 12745 Babcock G. M. 13577 Babel H. 14080 II Back E. 13649 Backer R. O. 11103 Bacon G. E. 10980 Baecklund G. 13098 II Baer G. 10926 Baes C. F. 11476 Bailey W. J. 11637 Bains G. S. 13830 Baker M. J. 12149 Balducci A. 11721 Baldwin M. M. 13792 II Balescu R. 10837 Ballard D. G. H. 12187 Ballini R. 11086 Balta P. 12667 Baluja Marcos G. 13828 Bambas L. L. 13295 II Bamford C. H. 12187 Bamforth A. W. 14190 Banciu S. A. 12325 Banerjea S. 12727 Banerice A. 11679 Banfield T. A. 14117 Banthien H. 12387 II Baranger P. 10861 Bårbat I. 12447 Barber E. J. 11156 Barber R. P. 13205 Barbour J. P. 12234 Barbouteau I. 14156 Bardòcz A. 12225 Bardoděj Z. 14272 Barker G. R. 11757 Barloutaud R. 11086 Barnes D. E. 12453 Barnes E. M. 13978 Barnes R. G. 10881 Baron M. M. 12464 II Barr H. E. 12431 Barr H. W. 13571 Barron H. 13473 Barry V. C. 11704 Baršauskas K. 12232 Bárt 14268 Bártfai F. 11174 Barthel J. C. 13695 Autenrieth H. 12361 II Bartlett A. D. 12516

Bartok D. 12342 Barton D. H. R. 11568 Barton P. B. 11501 Barwell F. T. 12984 Basberg A. 13674 Basolo F. 11225, 11470 Basu K. P. 13899 Bateman E. W. 12456 II Bates R. G. 11335, 11969 Batres E. 11848 Baudin J. 13345 Bauer S. H. 10898 Bauerfeld F. 13547 II Bauman R. P. 13462 Baumann P. 13380 Baumgartner L. L. R. Bergström I. 11080 12465 II Baur J. P. 11262 Bayerlein C. 12330 II Beals E. L. 13299 II Beals R. E. 11710 Beard C. S. 14252 Bearer L. C. 13025 II Beaven G. H. 10858 Bebenburg W. 11707 Becherer G. 10899 Beck A. J. 12801 Beck M. 11457 Becker E. I. 11657 Becker H. 11442 Becker K. 13814 Bednarczyk W. 13888 Bednarski S. 12380, 14138 Beerstecher E. 12918 Beier E. 13079 Bell B. T. 14188 Bell F. 11693 Bell J. H. B. 13688 Belliol C. 12602 Bellomo A. 11441 Bellwood L. 13209 Belton J. G. 11704 Bemberg S. p. A. 13739 Bemmels C. W. 13433 II Bénard J. 11266 Benbrook C. H. 13335 Benda L. 12598 Bender W. 14140 Benedek G. B. 11012 Bianchi G. 14125 Benfield D. A. 12470

Beninati F. 13761

Bennett B. 13402 II

Bennett M. C. 14165 Benning A. F. 13057 II Benoît R. J. 11546 Benson G. C. 11126 11549 Bent H. A. 11116 Beresniewicz A. 11396 Berg J. C. T. 13921 Berg O. 13096 II Berger D. E. 13082 Berger H. 14264 II Berger R. L. 11373 Bergkvist K. . E. 11080 Bergman T. 13925 Bergmann J. G. 11225 Bergmann K. 12593. 12597 Bergstrom J. 13686 Berka A. 12174 Berl W. G. 11251 Berndt W. 13663 Bernhard P. 13591. 13643 Berni E. 13505 Berninger A. 13045 II Bernskiöld A. 13210 Bernstein S. 11853 Berntsson S. 12171 Berridge N. J. 13958 Веггу В. 11620 Веггу Н. 12839 Веггу J. W. 13736 П Веssе Y. 11933 Best G. E. 14119 Bethell D. 11578 Bethge P. O. 12198 Betts R. L. 13027 II Betz J. M 14261 Bewley T. 13148 II Beyer H. 11776 Bezold D. 12010 Bhaskaran T. R. 12798 Bhatia A. B. 11014 Bhatia D. S. 13830. 13938 Bhattacharya K. A. 11271 Bhattacharyya В. К. 11678, 11679 Bhattacharyya H. P. 11384 Biberacher C. 11439 Benforado D. M. 14151 Bickel H. 13550 II

Bidwell J. B. 12973 Biefer K. W. 13357

Andersen L. 10859, 11579 Ayers C. W. 12176 34 химин. № 4

Bartlett P. D. 11625 - 521 -

Biega P. 12943 Bierbrauer G. 12540 Biletch H. 11680 Він Ј. С. 13438 П Billman J. H. 11805 K Binkley C. H. 13243 II Binnie W. P. 10930 Biondi M. A. 12282 Birch S. F. 11724 Bird G. R. 10858 Birr K. H. 11791 Bishop E. L. 12526 Bishop H. P. 12775 Bisi A. 12253 Bitter F. 11001 Bixby W. E. 13554 II Black A. H. 11984 Black D. R. 11820 Black H. H. 12778 Black M. L. 13294 II Blackburn J. B. 12705 Blackbam A. U. 12986 Blackwood R. K. 11645 Blake J. H. 11236 Blandin J. 10955 Blatter H. M. 11680 Bradshaw W. 12092 Blau M. 13245 II Brady J. G. 12265 Bleier 13910 Bloem J. 11180 Bloom M. 10883 Bloom M. S. 13186 Bloomfield G. F. 13378 Blouin F. A. 13206 Blout E. R. 10878 Blum G. W. 14282 Boatman S. G. 12177 Bransom S. 11268 Boato G. 11488 Boberg F. 11621 Bobtelsky M. 11463, 12091 Bochove C. 13225 Bodsworth C. 12609 Boehm J. 11698 Bogdanska H. 13819 Bogdan ski K. 13819 Bogusławski L. 11983 Bohonoc N. 13321 II Boidin J. 14071 Bojarski Z. 12344 Bojin S. 11074 Boll M. 10911 Böltz G. 12038 Bömmel H. E. 11034 Bondi A. A. 13055 II Boner C. J. 13011 Bonner W. A. 11582 Booker E. M. K. 13920 Booth E. 11084 Booth H. 11726 Bopp C. D. 13464 Borach K. 12997 Boranić V. 12907 Borbély F. 14271 Borda M. 12610 Borlowski B. 12870 Bornschein G. 14194 Borowiecki J. 12662 Bosch C. 12564 n Bosch W. 13599

Boschke F. L. 12317 Brooks W. B. 11192 Bose A. N. 11423 Bigsby V. L. 14231 II Bothnar-By A. A. 12133 Botkin C. 13347 II Böttcher C. J. F. 10807 Bottke A. 13045 Π Boucher P. E. 13341 Bougartchew K. 13241 II Bourgeaux M. M. E. 12569 П Boutelje E. 12291 Bowden S. T. 11118 Bower V. E. 11335, 11969 Bowers R. 11040 Bowers R. C. 13491 Bowes P. C. 13628 Bowman R. E. 11863 Воуд R. E. 13402 П Bozdog G. 12514 Bozorth R M. 11015 Broż J. 10923 Bozsai I. 12067 Brada M. 12790 Bradbury E. J. 14114 Braden R. T. 11088 Bradford E. B. 13381 Bradley T. F. 13617 II Bruno M. 11313 Braibanti A. 10950 Blish M. J. 13806 II Braithwaite E. R. 10924 Brandenberger H. 11774 Brandes A. 14019 Brandes E. A. 12626 II Bryner M. 13718 Brandner 13910 Brandt A. 13724 Brandt E. 11612 K Brandt J. L. 10895 Braun W. 13196 II Bräuniger H. 13288 Bray R. 13037 II Braybrook F. H. 12902 Brecht W. 13683, 13704 Breil H. 11936 Breitbach F. 12889 II Brenneisen K. 11835 Brenner S.S. 14095,14097 Bretschneider O. 12355 II Bretsznajder S. 12340, 12341, 14132 Bretteville A. P. 12582 Brettle R. 11643 Bridges D. W. 11262 Briggs D. R. 12195 Briggs S. 13307 II Briggs S. W. 13307 Brindley G. W. 10915, 10961, 10962 Brinkman H. C. 11210 Brinkmann R. 11525 Brito A. C. 11528, 11529 Brock C. M. 12873 Brockhouse B. N. 10995 Brockmeyer R. L. 13902 Brockmöller F. 13500 Broek J. C. H. 12802 Brooker L. G. S. 13202 II Buvet M. R. 12472 Brooks B. T. 13006 Brooks C. E. 12945 Brooks H. 11012

Brouillard R. E. 13583 Brovetto P. 11329 Brown C. J. 13711 Brown C. L. 13024 II Brown C. P. 11146 Brown H. C. 10864. 11576, 11616 Brown H. R. 12839 Brown I. 11150 Brown J. 13513 Brown K. D. 12182 Brown K. R. 13620 II Brown R. D. 10828 Brown R. R. 11695 Brown R. W. 13930 Brown W. F. 13693 Brown W. H. 11710 Brownlie G. 11831 Bruce J. M. 11730 Brüche E. 12535 Bruckner V. 11869 Bruijn J. A. 13644 Brunnauer S. 12050 Brunton G. 10958 Brus J. B. P. 13921 Brüschweiler H. 12146 Bryant F. L. 13940 Bryce-Smith D. 11597 Bryjak E. 12344 Büchi J. 11767 Buck A. C. 13605 m Buck C. J. 11744 Buck K. R. 11693 Buck W. L. 10999 Buckley D. 11763 Budan G. 12375 II Bueltman C. 12784 Buerger M. J. 10959 Buisman J. A. K. 11841 Bukowiecki A. 12985 Bunge M. 10808 Bünnagel R. 11385 Burchfield H. P. 12429 Casadevall A. 11790 Burgart P. 12959 Burger A. 11703 Burger M. 13814 Burkhardt W. 10928 Burness D. M. 11749 Burnett G. M. 11942 Burns J. 12857 Burr A. C. 12269 Burson S. B. 11083 Burstein E. 11037 Burton D. 13781 Burton H. 11689 Buša J. 11161 Butler J. 13514 Butler J. A. V. 11414 Butler J. M. 13528 II Buttiaux R. 13997 Buu-Hoi N. P. 11633. 11733 Byler R. E. 12359 II. 12360 П Byrne L. F. 13781 Brooks M. C. 13137 II Byrnes J. J. 14151

C Cady G. H. 11156 Cagniant P. 11722 Caimann V. 12057 Cairns T. L. 11659 Calbert H. E. 13911 Calderon Martinez J. 11989 Caldwell C. S. 11194 Calikowski R. 12519 Calise V. J. 13691 Caikins C. R. 13665 Calkins G. D. 11109 Calvet E. 12263 Cambi J. 12469 Cambon T. 13073 Camerino B. 11644 Campbell J. B. 13467 Chatterton F. 13518 Capon D. 11577 Capper H. 12552 Carasso J. I. 12277 Carbon J. A. 11810 A Childs C. E. 12138 Carboni P. 12034 Chiurdoglu G. 1087 Carhart H. W. 12962 Carle L. A. 14015 Carlsmith L. A. 11580, Chou A. 11417 11581 Carlson C. J. 14014 Carlson O. T. 13649 Carman P. C. 11064 Carney D. J. 14100 Carpenter E. L. 13124 II Christiani F. 12709 II Carter R. E. 14098 Carter W. C. 13395 Cartmell E. 10909 Carwardine J. E. D. 13087 П Cas M. 13755 Casadevall E. 11790 Case F. H. 11744 Catchpole W. M. 12901 Cates D. M. 11931 Cauquil G. 11790 Caurgues A. 14220 II Cavalca L. 10950 Cavalla J. F. 11863 Caywood T. E. 14110 Ceamis M. 14063 Čech E. 10798 Cennap A. M. 12846 Cerbulis J. 13863 Cerchez V. 12920 Čermáková 14268 Černy A. 12201 Cerutti G. 13839 Červinka R. 14038 Cesul J. 14039 K Cetini G. 11056 Chabrier P. 11782 Chadbourne J. H. 13565 П

Chakravarty D. N. 11152 Chakravarti P. B. 12322 Challis K. J. 13349 n Chamberlin E. M. 13317 П Champion W. M. 11391 Chanda S. K. 12676 Chandrasekhara M. R. 13938 Chang P. K. 11751 Chanu J. 11323 Chapman R. A. 13972 Charvat V. 12842 Chatt J. 10876, 11467 Chatterjee A. 11958 Chatteriee B. 11288 Chatterjee G. P. 14094 Campbell A. D. 11618 Chatterjee R. C. 11678 Campbell J. L. 12462 II Chaudhuri N. K. 11837 Campbell R. D. 11709 Chaudhury N. K. 11006 Campbell W. B. 13680 Cheldelin V. H. 11871 Canales A. M. 12136 Chemerda J. M. 13317 II Cheronis N. D. 12131 Chester A. E. 13120 II Chilardi F. 13894 Chiurdoglu G. 10878 Chmurny D. 12266 Chopin J. 11720 Chovin P. 11701 Christensen C. M. 13685 Christensen W. G. A. 12393 П Christiani A. O. 12709 II Carpenter F. H. 11400 Christiansen R. G. 11694 Carrette G. V. 13208 Christie W. 11761 Carroll B. H. 13342 II Christman D. R. 11105, 12133 Chrzaszcz J. 12719 Chuchla S. 13824 Chwalibôg H. 12326 Chynoweth A. G. 11030 Cieślik F. 12659 Cimino A. 11277 Ciobanu A. 13878 Cipoliini E. 11277 Civeleko glu H. 13753 Clabaugh W. S. 11431 Claiborne E. B. 12153 Clapp R. C. 13165 II Clapsadle L. J. 13138 II Clark G. H. 13498 Clark J. d'A. 13567 II Clark L. M. 12820 II Clark L. W. 11237 Clark P. J. 12431 Clarke E. W. 13030 II Clandon M. M. 11577 Clay H. A. 14173 Clearfield A. 10947 Cleland E. S. 11805 K Cleugh J. 12430 Clusius K. 11131 Coackley P. 12803 Cockburn D. 13440 П Cockerill D. A. 11732 Coekelbergs R. 11283 Coffey W. D. 13400 II

C

C

0

C

C

C

C

C

C

C

C

C

Co

Cor

Coo

Coc

Coc

Coc

Cop

Cor

Cop

Cop

Cor

Cor

Cor

Cor

Cor

Cor

Cor

Corr

Core

Cost

Cost

Cost

Cott

Coul

Cou

Cour

Cow

Crag

Cran

Cran

Cran

Craw

Craw

Crell

Cride

Crisa

Crnč

Croc)

Crom

Crom

Crom

Cross

Cross

Crow

11

coffman J. R. 14047 II Cruickshank P. A. Cohen B. 12734 Cohen B. L. 10818 Cohen D. 11224 Cohen K. 12574 Cohen L. A. 11874 Cohen P. P. 12260 Colange G. 11260 Cole J. W. 13580 Cole R. M. 12455 II Cole W. C. 13927 Colley R. H. 13642 Collie C. H. 11102 Collier H. P. 13560 II Dabin J. 12703 Collins C. J. 11582-11584 Collins T. T. 13670 Colton E. 11455 Comber R. 12177 Comin J. 11857 Compton J. 13205 Comte I. 12648 Condon E. U. 11073 Conlon J. F. 13605 II Conrad L. I. 13310 II D'Ans J. 13598 Constant A. 12391 II Cook A. H. 11067, 13810 Das P. P. 11288 Cook M. A. 11253 Cook W. H. 11412 Cooke W. B. 12722 Cooke W. H. 13698 Coombs M. M. 11587 Cooper R. S. 11359 Cooper W. T. 13383 Cope A. C. 13139 II Copeland J. E. 12655 Copelin H. B. 13123 II Copet A. 12409 Corbellini A. 11842 Corbitt R. A. 13186 Cordonnier R. 13880 Cork J. M. 11083 Cornaz J. P. 11403 Cornubert R. 11577 Corrodi H. 11868 Corsi G. 11846 Costa Neto C. 12189 Costa Novella E. 12327 Costes G. 12744 Cotter W. B. 11549 Coulter S. T. 13934 Couper C. S. 12629 Courtney J. L. 11832, Davis R. J. 12130 11833 Cowley J. M. 10978 Craggs J. D. 10841 Crampton A. B. 12989 De S. 12798 Crandall C. B. 14068 Deak G. 11602 Crane G. B. 13127 II Deal A. S. 12417 Crawford B. L. 11257 Crawford W. A. 14238 Dean R. A. 11724 Crellin J. W. 12962 Crider W. L. 11149 Crișan L. 13878 Crnčevič V. 14193 Crockett L. O. 12934 Defries M. G. 11932 Crombie W. M. L. 12177 Degens E. 11525 Cromer D. T. 10944, 10946 Degent C. 13166 II Cromwell N. H. 11709 De Groote M. 13017 Cross H. M. 13690 Cross J. M. 13363 Delaby R. 11742 Crowell T. I. 11239 Delač I. 14043 K

152.

2322

9 n

1391

76

R.

3972

1467

4094

1678

1837

1004

11871

17 II

12131

20 n

878

13685

. A.

709 B

9 11

11694

11105,

1

9

26

753

11431

12153

165 II

138 II

567 II

820 II

030 II

805 K

10 O

1283

11732

3400 II

1577

37

31

73

47

11030

8

11864 Csürös Z. 11602 Cunningham F. X. 13384 Demarcq J. 11933 Cuomo S. 12691 Cupr V. 12474 Curry N. A. 10980 Curtis S. G. 11800 Curtis W. J. 12600 Cygański A. 11983

Cywinski T. 13950 Da Costa E. W. B. 12440 D'Alelio G. F. 13538 II Detzer H. 10857 Dalfsen J. W. 13405 II Deuel H. 11403 Dalton R. L. 11409 Devaney L. W. 1 Damodaran V. 11968 D'Amore G. 11440, 11441 Dandliker W. B. 11066 Danielson R. R. 12538 Danilcenko P. T. 12338 Dantuma R. S. 13596 Das R. 11451 Das S. S. 12578 Dáscálescu A. 14135 Das Sarma B. 11456 Datta S. K. 11985 Dauben C. H. 10931 Daudel P. 11232 Daumiller G. 13088 II Dauphinee T. M. 11133 Dave H. V. 13645 David E. 11095 David J. J. 13868 David S. 11729 Corcoran W. H. 12243 Davidson J. A. 13557 II Davidson N. 11310 Davidson N. R. 11242 Davies A. G. 11599, 12428 Davies C. W. 11332 Davies D. R. 10972 Davies L. 14030 Davies M. 13993 Davis H. M. 12153 Davis J. M. 12419 Davis L. 11013 Davis R. B. 11628 Dawson J. 11136 Day H. M. 13802 II Day O. 14081 II Deambre J. 12492 II De Bruijn W. 12483 Debus F. 14257 DeCarlo V. J. 12239 Decrue J. 11274 Deica N. 12680

De Maldé M. 11641 DeMann J. G. 12724 Dembowski M. 12700 DeMent J. D. 12383 Demeter J. J. 12938 Denkewalter R. G. 13307 П Dennis A. P. 12785 De Nora V. 12487 Denscikov M. T. 13809 Derrett-Smith D. A. 13187 Detmar D. A. 12106 Devaney L. W. 13169 II Dey B. B. 13081 Diament R. 12229 Diamond R. M. 11469 Dibeler V. H. 10840. 10842 Dick I. B. 12743 Eager R. L. 12265 Dickerson R. T. 11238 Earley J. W. 10962 Dickey J. B. 13186 Dickinson T. A. 13573 Dien C. K. 11572 Dierks H. A. 14103 Dietrich 2. 11767, 12224 Eckhardt W. 10879 Di Fonzo M. 11743 Edman P. 11756 Dijkhuizen H. 13644 Dijkstra H. 13486 Dimitrescu C. 14266 Dimler R. J. 12199 Dlab J. 13525 II Doak K. W. 13428 II Eichenberger E. 11767 Dobbin R. E. 13037 II Eicher J. H. 11646 Dobeneck H. 11604 Dobinsky E. 13948 Dodge H. M. 13559 II Eisner A. 13772 Dodson R. M. 13315 H Ekman A. 11448 Dodson V. H. 11984 Elias W. F. 13274 Doehaerd T. 10878 Elkik E. 11635 Dolan E. D. 14105 Dolezel B. 11910 Dörner H. 13854, 13860 Dörr F. 10857 Douglass R. M. 10933, 10936, 10943, 10945 Dourgnon J. 10911 Drescher R. F. 13685 Dresdner R. 11477 Dressel W. 12354 II Drews E. 13847, 13848, 13850, 13855, 13856 Engelhardt W. 12250 Drickamer H. G. 12289 Dryden 12836 Dryselius E. 13658 Dubrisay R. 11260, 11478 Dubšký J. 12834 Dufay M. 10844 Duff J. G. 11686 Duffield J. 11390 Duggan J. 14265 II

Delmar G. S. 13301 II Duncanson L. A. 10876 Epelboin 1. 11355 Dunn R. C. 12359 II, Erdey L. 12120 12360 П Dunnavant W. R. 11588 Erichsen L. 12689 Dupont G. 13638 Düring O. 10899 Durovič S. 10920 Durr G. 11615 Dutt K. B. 13354 Dutta R. L. 12042 Dutta S. 11728 Dyer H. N. 12619 Dyke W. P. 12234 Dykes F. W. 12259 Dyson D. 13980 Džinieski B. 13825 Dziunikowski K. 12861 Etienne A. 13166 II

Eberhard E. 10970 Eckardt G. 13932 Dickson A. D. 11257 Eckenfelder W. W. 12763 Ewald A. H. 11175 Eckert E. 13095 II Eckert E. R. G. 14152 Exner O. 11668 Edwardis G. 11485, 11487 Dillingham R. P. 12507 Edwards M. H. 11072 Fabuss B. 12931 Edwards W. M. 13541 II Dippel C. J. 13348 H Egleson G. C. 12873 Faillard H. 11886
Dittman A. L. 11598 Ehrhart G. 11865 Falco R. A 424 Eichenberger E. 11767 Fall W. 12123 Eichhorn G. L. 11445 Farrar G. L. 14120 Eichler E. 14279 Elliott A. 11894 Elliott J. F. 11046 Elliott J. S. 13047 II Fauconnier P. 10792 Ellis S. R. M. 14187 Faulhaber M. 13689 Elmore D. T. 11879 Elssner G. 12782 Elving P. J. 11970 Drekter I. J. 13310 II Emerick R. H. 12909 Feigl F. 12165, 12189 Emerson A. G. D. 12749 Fejes G. 11345 Endres H. 10860, 12188 Fejes P. 13799 Enenkel A. 14216 II Engelbrecht A. 11435 Engelkemeir D. 11081 Felegy E. W. 14103 English J. P. 13165 II Feller M. 13522 II Englund B. E. 11659 Feng I-Ming 12236 Engström A. 12009 Enkvist T. 11662 Enkvist T. U. E.

Entel J. 12840

Entwistle G. 13056 II

Dunkley W. L. 13902 Erb B. 10885, 10886 Duniap W. C. 11010 Erdem B. 11398 Erdmann D. 11827 Dunnington F. M. 13329 Erickson C. E. 13136 II Erickson J. G. 11654 Eriksson A. P. V. 11938 Eriksson E. 11492 Erkama J. 10775 Erlenmeyer B. 11760 Erlenmeyer H. 11789 Espector J. C. 13784 Espenschied H. 12366 II Espinosa Peijoe J. M. 12327 Esselen W. B. 13881 Esslinger P. 10928 Eugster C. H. 11860 Evans D. D. 11863 Evans E. A. 13047 II Evans E. C. 13041 ft Evans J. B. 11092 Evans J. V. 11587 Evernden J. P. 11486 Ewart R. H. 13137 II Eyring H. 11394

Pabitschowitz H. 11875 Facer B. 14068 Fadinger W. 14225 II Falco B. A. 13298 II Falecki M. 12867 Farmer F. R. 14277 Farrington B. B. 12999 Fartouat J. 11806 K Farvis W. E. J. 11380 Fassel V. A. 10874 Fassell W. M. 11262 Fast J. D. 10807 Fathalla A. H. 11974 Fava A. 11394 Fay J. A. 11252 Fear E. D. 14049 II Feld R. 11599 Feldman J. A. 11971 Feldts V. 10803 Fernald G. H. 13561 II Ferrari F. 12665 Ferreira de Almeida E. 13707 П 13816 Enloe K. M. 13561 П Ferretti A. 13740 П Ferris J. W. 12356 II Pétizon M. 10861

Pener H. 11766 Picheroulle H. 13258 Piebiger H. 13682 Field E. 13522 II Field F. H. 12025 Fields B. K. 11658 Fields P. R. 11081 Fierens P. J. C. 11234 Pierz M. 11115 Pikentscher H. 13529 II Filbert R. B. 11155 Filip B. 14038 Filipovič I. 12033 Filipowicz B. 11881, 11882 Filler A. S. 11253 Finestone A. B. 11939 Frei J. 13252 II Pinigan C. M. 13087 II Fink J. 11696 Piorentini M. C. 11497 Pischer E. 14219 II Fischer H. C. 12508 Pischer G. 12733 Fischer K. 12713 II Pischmeister O. 13404 II Fried V. 10810 Fishbein L. 11780 Fisher D. 12173 Fisher J. 12873 Fisher J. R. 13619 II Friedrich H. 13265 II Fisher J. W. 13720 Fisher S. 11897 Fishman E. 12289 Fitzgerald W. E. 11798 Fitzpatrick L. W. 12761 Flahaut J. 12608 Flake .J. C. 13937 Flaschka H. 11973 Fleming K. 12982 Fleming M. G. 13793 Flemming W. 14199 Fletcher R. D. 12259 Fletcher W. 12456 II Pleury J. P. 11779, 13233, 13715 Plickinger J. A. 13419 II Flock F. H. 11661 Florek A. 12693 Floris T. 11721 Fodor J. 11602 Polinsbee R. E. 11494, 11519 Folt V. L. 13532 II Foltin O. 12436 Folz E. 11702 Fönyad J. 12760 Foote J. K. 13145 II Forchione M. 13593 Ford H. 13041 II Porster R. H. B. 14147 Fort A. W. 11573 Foss O. 10951, 10952 Poster A. B. 11815 Foster N. G. 11333 Fourné F. 13717 Fowden J. 11575 Powier F. C. 13064 Fowler W. F. 13612 II Garcia Gonzalez F. 11819 Fowles C. W. A. 10909 Fox J. E. 13151 П Fram P. 11932 Franchi G. 11750 Francini M. 11363 Garret H. J. 12501

Francis S. A. 12210 Frank C. E. 12986 Frankenhoff C. A. 14213 Frankenthal R. 11342 Franklin R. E. 10976 Franks F. 11996 Fraser J. M. L. 12773 Frashour R. G. 12698 Frederick R. H. 13582 Frederikse H. P. R. 11017 Fredriksen O. C. 13661 Freeman E. S. 11473 Freeman J. P. 11705. 44745 Freeman R. D. 10935 Freeman W. 13818 Freitag R. 14111 Frennet A. 11283 Fréon P. 11626 Fresenius W. 12030 Freshwater D. C. 14187 Frevel L. K. 10948 Fricker R. 13529 II Friedberg A. L. 12544 Friederich H. C. 13366 Friedman A. M. 11081 Fries B. A. 11111 Fritel H. 10861 Frölich K. 13586 Froment M. 11357 Frommhagen L. H. 12194 Frondel G. 11500 Frow F. R. 11142 Fryer H. C. 12407 Fuhrmann R. 13751 Fuhrmeister C. 14214 II Fujinaga T. 12004 Fujita H. 11413 Fukai R. 11556 Fukumoto T. 11594 Fukuoka N. 11043 Fuller J. E. 12805 Funakubo E. 11685 Furcht F. W. 11772 Furno A. L. 12963 Furst A. 11762 Furvik N. B. 13210

G Gadina P. L. 14182 Galesloot T. E. 13892, 13915 Gall D. 12954 Gallaghan J. A. 11780 Gallagher W. C. 13499 Galletaud C. 13763 Gamba A. 10812 Gamlen G. A. 11467 Ga.,czarczyk J. 12720 Gandolfi U. 14125 Ganguly S. C. 11004 Garcia de Figuerola C. 11518 Gardner P. D. 11589 Garner E. F. 12195 Garner F. H. 14169 Garnier A. A. M. 13407 II

Garvey T. F. 13224 Garvin G. S. 13495 Gascoigne R. M. 11832. 11833 Gattermayer M. 10900 Gaudefroy G. 11227 Gaudemar F. 11714 Gaudemar M. 10829 Gault H. 11635 Gaylord N. G. 11480 Gazzi V. 12219 Geach C. J. 13097 II Gee R. E. 13108 II Gehm H. W. 13669 Geib A. F. 12424 Gellings P. J. 11370 Gemaßmer A. 13096 II Gordon S. 11473 Gemmill C. L. 11703 Genas M. 13099 Geniil V. 12165 Genzel L. 10879 Georg A. 11607 George K. J. 12062 Gerdil R. 10824 Germagnoli E. 12253 Germann R. P. 13174 II Germey K. 11379 Gernon G. D. 12452 Gerold C. 11849-11851 Gerrens H. 11909 Gershenfeld L. 13837 Getchell N. F. 13234 Geuze J. 11682 Geyer H. 11817 Ghosh T. N. 11728 Giacomello G. 10971 Giacometti G. 10831 Giannattasio E. 12476 Giavino A. 12217 Gibb T. R. P. 10838 Gibson D. L. 13930 Gibson W. E. 13000 Gidvani B. 13602 Giebeler E. 12213 Giertz H. W. 13712 Giesen K. 12618 Gilchrist R. 11431 Giles C. H. 10906 Gilfert X. 13020 II Gillies D. J. 13572 Gilman J. J. 12239 Gilwood M. E. 12745 Ginsburg D. 11859 Girard M. V. 13614 II Giua M. 13262 Giudicelli R. 11782 Gjullin C. M. 12427 Glafkidés P. 11319 Glasson D. R. 11270 Glauber R. J. 10814 Gleason W. W. 12989 Glemser O. 12083, 12089 Glendenin J. E. 11087 Glenister P. R. 13814 Glicksman R. 12468 Gnüchtel A. 13546 II Godt H. C. 11665 Goebel M. 12895 II Goel R. N. 11889 Goeser P. A. 14050 II Gold V. 11578

Goldish E. 10897 Goldschmidt S. 11876 Golling E. 12014 Gollmick H. L. 12471 Gunst E. 14158 Golothan D. 12981 Gomez R. 11848 Gômez-Sánchez A. 11819 Günther 12528 Gonzalez Garcia-Gutierrez A. 13257 Gonzalez-Vical J. 10856 Gupta P. N. 12416 Gonala Rao G. 11976, Gupta V. S. 11151 12075, 12076 Gordon I. 12588 Gordon M. 13408 II Gordon W. E. 13261 Gyenesné Hollo M. 14107 Gorin E. 12890 II Goring D. A. I. 11816 Gorke K. 11903 Görög L. 12445 Gosselain P. A. 11283 Haagen K. 13562 II Goswami A. 11263 Gotaas H. B. 12768, 12769 Gottfried J. 12275 Gould D. 11852 Gowing J. S. 13552 II Hadorn H. 13357 Goyaerts J. 11235 Gradomski W. 13889 Graham B. 13350 II Graham G. E. 11645 Gralén N. 13210 13707 II Gram N. 14136 Gramadă G. 13829 Grămstăd T. 11799 Grange P. 12595 Grant N. S. 13684 Grass G. 14150 Grassmann P. 14167 Grassmann W. 12188 Grauer A. D. 11772 Halász A. 12511 Grautham W. G. 13622 Halden W. 13935 Gray G. W. 11164 Gray J. 13187 Graziotti R. 11247 Green A. L. 11471 Hall A. L. 13613 II Green N. 11885 Greene F. D. 11600 Hall H. 12770 Hall M. D. 10858 Greenland D. J. 11395 Hall N. 12479 Greenwood N. N. 11447 Hällström M. Gresham W. F. 13101 II Halperin A. 11007 Greyson M. 12938 Halsey G. D. 11391 Griffel M. 11130 Hamblet C. H. 13100 II, Griffith G. M. 12728 13108 Grimsley R. L. 11708 Hamill W. H. 11316 Grisard J. W. 11154 Hammond A. E. 13988 Grob C. A. 11867 Hammond J. A. S. Grob R. L. 12095 13089 II Gronier G. L. 12492 II Hampton J. 11603 Hamran J. 12445 Gronsky J. 13240 II Grosch E. 13259 Hanlon L. 11268 Hannaford S. V. 18392 Gross B. 10829 Gross R. A. 11245 Hannam J. C. 12482 Grossman P. U. A. 11920 Hannay R. S. E. 13246 I Grossman R. F. 11666 Hannewijk J. 11173 Grossweiner L. I. 11312 Hans W. 11374

Grubb E. D. 12772

Grunberg L. 12984

H

H

H

H

H

H

H

H

H

H

н

H

н

н

п

н

H

H

н

H

H

п

H

H

H

H

H

H

H

H

H

H

H

H

B

H

H

H

H

H

H

11153

Hanselman R. B. 12162

Hansen D. J. 11361

Gruntfest I. J. 11928 Hansen K. S. 13235

Grzegozewicz J. 14042 K Hanson A. W. 12281

Golden R. 13331

Hardegger E. 11868 Hardesty J. O. 12384 Helbert J. R. 12182 Hardy A. E. 12221 Harkin W. 13859 Harkort H. 12515 Harper B. E. 13849 Harris E. D. 12582 Harris E. E. 13630 Harris F. E. 11405 Harris P. M. 10940 Harrison F. P. 12451 Harrison W. D. 13665 Harrison W. N. 12521 Hart R. 11653 Hart V. E. 11944 Hart W. F. 13303 II Hartinger L. 12060 Hartingsveldt W. 11683 Hartl H. 13936 Hartmann F. 13610 II Hartmann H. 11791 Hartoulari R. 11433 Hartung H. O. 12732 Hartzband H. M. 13027 II Hartzell A. 12429 Harvey M. R. 11915 Harvey R. B. 10898 Hass R. H. 14253 Hassall K. A. 12396 Hassan A. S. A. 10906 Hassid M. A. 12570 II Hastings S. H. 12025 Haszeldine R. N. 11799 Hattowska H. 14041 K Hattox E. M. 13024 II Hauck G. 11375 Hauptman Z. 12272 Hausen H. 14160 Hauser E. A. 11533 Havel V. 10923 Havemann H. A. 12960 Hawkins E. G. E. 11619 Hawthorn J. 13842 Hawthorne M. F. 11715 Hay A. S. 11695 Hayden K. J. 12180 Hayes F. N. 11316. 12286 Hazlett T. H. 11341 Head E. L. 12134 Hearne J. F. 14021 Heath D. F. 12430 Heaton L. R. 10981 Hecker E. 11636 Heckmann W. 12821 II Hedberg D. G. 13186 Hedberg K. 10897 Heen E. 14005 Heering H. 13452 II Heertjes P. M. 14157, 14192 Hegedüs F. 12903 Hegemann F. 12012, V. 13392 C. 12482 12057, 12618 3. 13246 M Heigl A. 13601 Heijboer J. 10807 B. 12162 . 11361 . 13235 Heiks J. R. 11065 Heilbronner E. 10824 Heilingötter R. 13368

108

811

п

230

416

151

842

3444 n

212 H

. 14107

ВП

2 n

097 n

1339

973

2223

3551 II

3360

. M.

0883

3005

1103

4088

11

35

13

358

2395

3613 H

11153

11007

11391

13100 H.

H. 11315

E. 13988

11173

W. 1223

12374 II

. S.

603

2445

268

74

5

19

ı

ŧ

57

a

11662

10824

Hejja A. 12342 Hella R. P. 13666 Heliman N. N. 13771 Hellmann H. 11702 Hellstrand H. 13957 Harper J. I. 13021 II Hellwege K. H. 11009 Hems H. R. 12531 Henbest H. B. 11592. 11763 Henderson R. S. 10880 Henderson S. G. 14084 II Henkel H. O. 12779 Hennig I. 11865 Henry-Basch E. 11626 Herbrandson H. F. 11238 Hermann A. 11290 Herold H. 13016 Herold M. 13275 Herout V. 11822-11825 Herrlander C. J. 11080 Hershberg E. B. 11849-11852 Hersping A. 12587 Herz W. 11663 Herzka A. 14031 Herzog B. 10883 Herzog H. L. 11852 Herzog S. 11452 Hess A. D. 12425 Hess G. P. 11400 Hesse C. 12525 Hessen R. 13535 II. 13536 П Hester A. S. 12948 Hey D. H. 11596, 11735 Heyman M. 12558 Heymann D. 11096 Heymés R. 11870 Heyns K. 11707 Heyrovsky J. 11377 Heyser A. 14166 Hickling A. 11356 Hidalgo A. 11005 Hietaranta M. 13963-13965 Higgins J. K. 11356 Hirgs P. W. 10917 Hignett T. P. 12381 II Huang P. T. 11680 Higuchi T. 11971 Hill A. 13711 Hill F. B. 13057 II, 13424 П Hill H. M. 13186 Hill R. 12186 Hills G. J. 12287 Himmele W. 13109 II Hinch R. 10969 Hinderling R. 11760 Hindley F. 13090 H Hindman J. C. 11224 Hindson W. R. 12440 Hingst C. 13898 Hinman R. L. 12161 Hiron F. P. 13600 Hirshberg Y. 11311 Hitchcock N. E. F. 13047 H Hitchings G. H. 11757, Heintzeler M. 12371 II, 13298 П Hlavička A. 10798

Hoaran J. 10829 Hock J. 14268 Hodge E. S. 12227 Hodges L. E. 13744 II Hurwi'z M. D. 13130 II Janoušková D. 12554 Hodgson M. A. E. 13156 II Huston K. M. 14103 Janovsky H. 13865 Hodgson R. E. 13891 Hoffman J. D. 11027 Hoffman К. 13542 П Hoffman O. L. 12467 II Hoffman R. A. 12426 Hoffmann H. 14251 Hoffmann P. 11326 Hofmann H. J. 10913 Hogg J. A. 13314 П Högl O. 13998 Hohn H. 13074 Holdrege C. T. 11862 Holinger E. 12800 Holleck L. 12060 Holley C. E. 12134 Holló J. 13799 Holmes A. W. 12497 II Holmes H. H. 14244 Holt B. D. 12132 Holzkamp E. 11936 Holzman G. R. 10882 Homack P. 12771 Hooks R. A. 13646 Hopkins D. P. 12397 Hopkins R. H. 10768 Horak M. 11823 Horeau A. 11836 Horiguchi Y. 12339 Horgas D. 13867 Hörmann H.10860, 12188 Horn O. 12906 Horner L. 11937 Horsch W. 12181 Hotten B. W. 12999 Hough J. M. 11416 Houtman J. P. W. 13644 Howard H. C. 12840 Howard W. L. 11712 Howes V. R. 11055 Hrackovina G. 13240 II Hradský K. 12082, 12333 Hrapia H. 12294 Hrdý O. 13282 Hruša K. 10798 Hubbard W. N. 11142 Hübner F. 12603 Huchler O. 13109 II Huckaby J. 12160 Hückel W. 11606 R Hudson P. B. 11104 Huggins M. L. 11077 Hughes E. C. 13046 II Hughes E. D. 11575 Hughes J. 12970, 12982 Hughes V. L. 11203 Hughey G. B. 13307 II Jacquignon P. 11733 Huitric A. C. 10889 Hull D. C. 13182 II Hull D. E. 11111 Humphry J. M. 12265 Humpola II. 12666 Hünig S. 11672 Hunn J. V. 13111 II Hunt W. C. 13462

Hunter B. A. 13438 II Janer del Valle C. Hurd R. M. 11339 Hurth M. F. 12126 Hutchinson E. W.12459 II Janson A. 13229 Hutchinson G. C. 12462 II Janz G. J. 11798 Hutchinson G. E. 11549 Jarman E. 12742 Hutson P. 14173 Hüttmann H. 14025

I. Ibl N. 11351 Ice C. H. 13801 II Ide K. H. 13260 Ihnatowicz A. 12876 Ikeda R. M. 12159 Ikekawa N. 11739 Her R. K. 11409 Illarionow W. 12346 Illchner B. 10993 Imhoff W. G. 14116 Impey N. R. M. 12170 Imper L. 11345
Indelli A. 11330
Indest H. 13094
Ingham R. K. 11642
Ingold C. K. 11464, Jensen A. L. 14436 11575 Ingraham L. L. 12197 Ingram M. 13978 Inhoffen H. H. 11827, 13141 TI Innes R. F. 14065 Irany E. P. 13161 II Irinchew I. 13353 Irving T. 13519 Isa S. 14104 Isăilă H. 14062 Iselin B. 11866 Ishii R. 13811 Isler D. A. 12419 Issa I. M. 11974 Issa R. M. 11974 Itihara-Okazaki Y. 11564 Ito M. 10848 Ivancova M. 10803 Ivanovszky L. 13773 Iwagaki C. 13811 Izaguirre Tolsa E. 13556

Jäckel H. 14208 Jacks H. 12431 Jackson E. 13908 Jackson P. J. 12140 Jackson W. K. 12929, 12939 Jacques J. 10764, 11836 Jaenicke W. 11421 Jahn E. C. 13648 Jain A. C. 11719, 11889 Hultberg S. 11080 Jain S. K. 10906 Hummel R. W. 12053 Jakubovic A. O. 12287 James F. L. 11588 Jame: G. S. 12296 James T. H. 11320, 11330 Janak J. 11988 Jander G. 11325, 12030 Jungreis B. 11463

13765 Janetzko W. 12270 Hutchinson R. W. 11510 Jarvie J. M. S. 11798 Järvik M. 13928, 13966 Jasiúski T. 13086 Jaumot F. E. 10994 Jaunin R. 11691 Jayme G. 13664 Jayne D. W. 14081 II Jech č. 11427 Jeffery P. G. 12074 Jelen L. 12702 Jellinek K. 13249 II Jenckel E. 11903 Jendrot M. C. 11742 Jenkins D. P. 10985 Jenkins G. F. 12797 Jenkins I. 14115 Jenkins W. A. 11099 Jensen A. L. 14136 Jensen L. H. 10973 Jeskey H. 11610 R Jevinš A. 12030 Jevnik M. A. 11852 Jezewski M. 12585 Jobbins H.S. 12636 II Johansson A. 12164 Johansson C. B. 14241 Johansson I. O. 13621 II John U. 11700 Johnson A. H. 13887 Johnson C. L. 14172 Johnson C. R. 14121 Johnson D. H. 11601 Johnson E. J. 12962 Johnson R. G. 11642 Johnson W. H. 12299 Johnston C. K. 12138 Jonas H. 12369 II Jones B. 11164 Jones C. M. 12915 Jones G. W. 12963 Jones J. W. 11772 Jones M. M. 11455 Jones P. 11366 Jones R. W. 12199 Joost K. 13925 Jordan J. 11373 Jorgensen G. 11313 Joshi B. D. 10852 Joslyn M. A. 13817 Joss K. 13213 Jost W. 11250 Joubert F. J. 11898 Jourdian N. G. W. 12805 Joussot-Dubien J. 12237 Juda J. 14280 Judel G. K. 12011 Jungerman J. A. 12220 Jungkunz R. 13357 Junglut F. 12084

Junk R. 11847 Jupa J. A. 13496 Jutz C. 11876

Kadlec M. 13068 Kaess F. 12362 П Kaffka K. 14149 Kahanek H. 11672 Kahlert W. 12528 Kaironen U. 12663 Kaiser E. 13309 II Kaiser F. 11855 Kaiser H. 11817 Kaiser O. 13252 II Kaiser R. 12489 II Kaiser W. 11053 Kalinowski L. 14041 R Kaljunen H. 10774 Kallauner O. 12621 Kalle K. 11557 Kalojanoff A. 13283 Kalsing H. 12523 Kamei S. 14133, 14176 Kampf G. 12244 Kandel R. J. 10839 Kane L. E. 12628 II Kistemaker J. 11096, Kane P. O. 12274, 12278 Kantro D. L. 12050 Karasz F. E. 11391 Kardos O. 12495 II Karlson R. H. 11878 Kjell S. 13966 Karrer T. 11860 Kasper J. S. 10982 Kassel L. S. 13040 II Klein H. 14222 II Kastha · C. S. 10877 Kästli P. 13890 Kather W. S. 13076 Kato N. 13032 II Kaufhold R. 13015 Kaufmann A. R. 11042 Kaufmann O. W. 13906 Kavinoky R. B. 14126 Kawai T. 11899 Kazyak L. 12220 Keating P. J. 12711 II Keating R. J. 13691 Keefer R. M 11236 Kehl H. 11847 Keirns G. H. 11111 Kelemen A. M. 13273 Klosa J. 11716 Keller A. G. 13795 Kellermann I. 11432 Kemball C. 11282 Kemp J. C. 12952 Kemp J. D. 13991 Kempa B. 14013 Kendall N. 12980 Kennedy D. O. 14103 Kennedy S. W. 14109 Kent T. B. 12242 Kepner R. E. 12159 Kerker M. 11417 Kerr V. N. 11316 Kerridge F. E. 12629 II Ketting F. 14040 K Kevei J. 13270, 13833 Keyes G. H. 13202 II Keyes R. T. 11253 Keyes R. W. 11016 Keynes A. 14089 Khi-Ruey Tsai 10940

Kickhöfen B. 11768 Kihlborg J. 11144 Kiho H. 11057 Кіјеwski W. 12843 Kilby W. 13246 П Killer K. 11351 Kimata M. 11003 King E. G. 11135 King E. P. 14074 King F. E. 11726 King J. G. 12832 King N. 13955 King T. E. 11871 Kingma Boltjes T.Y. 10769 Kingston R. S. T. 11920 Kinter M. R. 13139 II Komers R. 12144 Kirchner F. 11008 Kirby H. W. 11089 Kirkbride F. W. 11140 König H. 11036 Kirkpatrick G. P. 12221 Kirmaier G. 13723 Kirschenbauer H. G. 12714 II Kirschner S. 11443 Kirstahler A. 12496 II Korán V. 12794 Kissinger H. E. 12510 Kornblum N. 11645, 12257 Kiszel J. 13270, 13833 Kitchener J. A. 12287 Kivalo P. 11448 Kjensjord R. I. 13686 Klein C. 13696 Klein R. 11217 Klein R. 12821 II Klein W. 13425 II Kleiner L. 13470 Kleinwort W. 12114 Kleir E. E. 14259 Kleiss J. D. 14173 Klenk E. 11886 Klement R. 11439 Klemm W. 11460 Kley W. 13942 Klier M. 10879 Klimboff M. 12653 Klinton W. C. 13491 Kloos G. R. 13489 Klose A. A. 13985 Klosinski J. 12843 Kloub J. 12700 Klug A. 10976 Kluz T. 12701 Knaf H. G. 13588 Kneeland P. D. 13030 II Knop L. 12353 II Knott E. B. 11787 Knowlton K. F. 12809 Kobayashi M. 12103 Kocanda B. 12865 Koch C. W. 12149 Koch E. J. 13475 Koch F. C. 14227 II Косh Н. 13020 П Kocsárdi S. 11326 Koděra M. 11514 Koenen H. 13260 Koeppe W. 11076

Köhler F. 13539 II Köhler S. 13703 Kohlschütter H.W. 12244 Kohn E. 10856 Kohn J. A. 11053 Kohrt H. U. 13146 II **Којеску** О. 13404 П Kojima M. 11671 Kołakowska H. 12315 Kolář V. 13785 Kolbe J. 12881 Kölbel H. 13054 II Kolos W. 10834 Kölsch W. 13095 II. 13109 II Kondoh H. 11043-11044 König L. 12525 König R. 13364 Könnecke H. G. 12294 Konop R. 13701 Kopac M. J. 10866 Kořán V. 12794 11646 Korngut J. 12660 Kossel W. 11021 Koth W. 10882 Koukal F. 12555 Kovács J. 11869 Kovács O. 11823 Kováts K. 14283 Koyama T. 11546, 11555 Kozawa A. 11555 Kozin I. D. 12338 Kraffczyk K. 11325 Kratochvil K. V. 13082 Kraus C. A. 11327 Kraus H. 13922 Krause A. 11290 Krause A. 13511 Krausse D. M. 12929, 12939 Kraut J. 11066 Krc J. 10969 Kredentser H. 13584 Kredentser H. S. 13625 II Kreis W. 13305 II Kremer D. A. 11089 Krespan С. G. 13128 П Kridel D. J: 13344 II Krier C. A. 11204 Krischer B. 11250 Krishnamurthi M. 11190 Krishnamurthy G. S. 13081 Krivucová M. 14272 Křiž M. 12128 Kröger C. 12270 Kröger F. A. 11180 Krogh J. A. 11966 Krogt S. M. H. 10865 Krol B. M. 13949 Kronacher H. 12895 II Krone L. H. 11209 Кгорег Н. 13093 П. 13109 II Krüger A. 14285 Lanteri A. 13776

Krup M. 12801 Krupka G. C. 13321 II Lapiere C. 11784 Kruys P. 11234 Krygielowa W. 12747 Kselik G. 13774 Kučera J. 12554 Kucharski J. 12747 Kuehner R. L. 14276 Laštovková M. 13287 Kuhn S. 11648 Kuiper L. 13866 Kulcsar F. 12580 Kulkarni Y. D. 11741 Lauterbur P. C. 10882 Kumagai R. 12384 Kumetat K. 13939 Kumler W. D. 10889 Kummerow F. A. 11861 Lax M. 11037 Kuna M. 10866 Kunin R. 11897, 13803 II, Lazar N. H. 11085 13804 II Kunst A. 14205 Künzle F. 11770 Küronya I. 10804 Kurovszky I. 14107 Kutepow N. 12374 П. 13109 II Kvasnicka E. A. 13671 Kveder H. 13867 Kwauk M. 14168 Kyle E. 11075 Kyte L. 14015 Laakso T. T. M. 13171 П Labat M. 14198 Lablanchy A. 13923 La Burthe P. 12566 II Lehto A. 13965 Labuschagne J. H. 13959 Lehto J. 13627 Lachenaud M. 13334 Lacy W. 12160 Lader S. 12109 Laffitte M. 10987 Laffitte P. 11243, 11247 Lely J. A. 13348 H La Forge F. B. 11885 Lemanceau B. 12237 Lagoni H. 13893 Lakatos T. 12669 Lal G. 12449 Lamb B. 11378 Lamb S. A. 13156 II Lenormant H. 11895 Lambou M. G. 13882 Leo A. 11603 Lamiral G. 14256 Lampe B. 13903 Lampson G. P. 11755 Lepoutre G. 11322 Lancy L. E. 12781 Landa S. 14171 Landau E. F. 13161 II Lerman F. 13747 Landau R. 13066 Landerl H. P. 12969 Lesniewicz L.1432, 12340, Landfald R. 13869 Landolt A. 13252 II Langen L. H. 13709 Lettström G. 13456 Langer J. 11438 Langer S. 11655 Langevin-Joliot H. 10815 Levin R. H. 13316 II Langham W. H. 12286 Levine . M. 11202 Langhans A. 13256 Levisalles J. 108 Langlois J. D. 14007 Levitas A. 11038 Kropa E. L. 14081 II Langmaid R. N. 11429 Levy A. 11214 Laniesse P. 13904

Lapidus L. 11404 Lappas L. C. 14074 Larink A. M. U. 13005 Larsen L. V. 14237 H Larson H. O. 11645 Lassettre E. N. 10940 Lauber K. 11756 Laubie H. 12166, 12167 Laurie C. M. 11215 Law H. D. 11873 Lawlor J. P. 12815 II Lawson A. 11754 Layne T. B. 12415 Leach A. L. 12482 Leandri G. 10862 Le Baron I. M. 12392 n Leblond C. 13870, 13871 Le Clerc P. 11364 Lederer E. 11884 Lederer M. 11397 Ledrut J. H. T. 13175 H Lee E. W. 13349 II Lee H. N. 14021 Leech J. W. 10835, 11045 Leermakers J. A.13346 II Lees L. 11244 Leffer F. A. W. 12892 II Lefferts E. B. 11625 Legvold S. 11046 Lehnerer W. 11604 Lehrer E. 13036 II Leicester J. 12741 Leideritz H. 13361 Leitner G. L. 12312 Lekawa E. 11252 Lemke H. 11613 Lemoine H. 11577 Lenk S. 14267 Lenoble J. 11323 Leonard F. 11932 Leonard R. S. 13789 II Lepper B. A. 13261 Le Rat B. 12879 Lerner L. L. 12463 II 12341 Lesslie M. S. 10858 Leumann E. 13116 II Levčenko V. 10803 Levisalles J. 10861 Levy J. B. 11218 Lanning H. J. 13382 Levy J. P. 12367 I Levy M. 11946 Kohlbrenner P. J. 11687 Kruisheer C. I. 13949 Lantz J. A. 13527 II Levy S. 11569

Lewan G. 11322 04 Lewis B. 13010 Lewis H. E. 12026 4074 Lewis H. W. 11124 . 13005 Lewis J. A. 14184 14237 II Lewis R. L. 13681 1645 Leyko W. 11882 10940 Lhorty M. 12675 13287 Libowitz G. G. 10838 6 Lichty R. 12423 . 12167 Liddell R. W. 12357 II 1215 Liebaert R. 12249 . 10882 Liebderg A. 12721 Lieberman S. V. 13122 II Luetić P. 12937 12815 n Liebmann H. 12726 54 Liehn W. 12527 Lieser K. H. 10989 2415 Lietzke M. H. 11334 1085 Lifson W. E. 12989 2482 Liftin M. E. 13790 II 62 Lignon J. 11611 K 12392 п Lillienskiold M. 13324 0, 13871 Lin S. T. 11042 1364 Linchtenberger J. 11779 84 Linde H. 13078 97 Linden H. R. 12945 13175 H Lindenberger K. H. 10813 49 II Lindner E. 11847 Lindner K. 13244 II 5, 11045 Lindner S. 13220 13346 II Lindstrom H. V. 11352 12892 П Lineweaver H. 13985 Linn H. A. D. 12818 11625 Linner E. 11860 46 Lipparini L. 11711 1604 Lippold O. C. J. 12026 16 II Lipson J. 11494, 11495 Liquori A. M. 10971 Littell R. 11853 11 Littlejohn A. C. 10858 Litwiller E M. 13877 61 12312 Livingston R. L. 10895, 2 48 H Livingstone S. E. 11462, 2237 11465 Ljunggren B. 13918 Loan L. D. 11942 77 Lock J. J. 13144 II Lockhart E. E 14022 Lockhart L. B. 13384 1895 Löffler J. 14205 32 Logan R. A. 11181 13789 II Lohner C. L. 14050 II 22 Löken B. 11848 261 Lomb M. 12704 Lommatzsch A. 12642 7 London F. 10836 463 II London M. 13211 2, 12340, Long F. A. 11233 Long L. H. 11215 858 Long R. D. 11206 456 Long R. S. 13204 II 116 II Loor G. P. 11026 803 Lorant M. 12591 3316 II Lorenz O. 13389, 13390 02 Lorenz W. 11337 861 Lorincz F. 13996 . Lorincz J. 12941 Losa G. C. 11131

9

218

7 m

Loske K. 12863

Lothe J. J. 12117

Lotz R. 13149 II

Löwdin P. O. 10984 Lowenstein J. M. 12260 Lowy L. 14250 Lübben H. 12250 Lucas P. S. 13929 Lucena-Conde F. 12072, 12073 Luckey G. W. 13330 Lucquin M. 11243 Ludekens W. L. W. 11977 Lüdy-Tenger F. 12207 Lueg P. 12369 II Luh B. S. 13868 Lundgren H. P. 13243 II. 13236 П Lusinchi X. 11742 Luther M. W. 13021 II Majer J. R. 13460 Luthy N. C. 11378, 11759 Lutz O. 11121 Lutz E .R. 11572 Lutze-Birk S. 12341 Lu Valle J. E. 13329 Lydick G. R. 13699 Lyle G. F. 11736 Lyle R. E. 11736 Lynn S. 12243 Lytle W. O. 14085 II M Maack P. 12594 Mabille P. 11638 McAndrew J. 10957 McAtee J. L. 10949 McBee E. T. 11800 McCall M. A. 13186 Maccailum E. N. 13301 II Maccioni A. 11660 McClure D.S. 10849, 10850 McComb E. A. 11820 McCoubrey J. C. 11063 McCredy R. M. 11820 McCreight L. R. 12589 McCrone W. C. 10919 McDaniel D. H. 10864 McDonald A. 12093 MacDonald D. K. C. 11014 McDonald G. A. 13135 II McDonald J. F. 12948 Macek K. 11740, 12201 Macekonis F. J. 13599 McFadden G. H. 13402 II McGarvey F. X. 12745, 13804 П McCreal M. E. 13303 II McGrew J. W. 14119 Machell G. 11617 McKenzie D. A. 13920 McKenzie D. E. 11158 McKetta J. J. 11192 Mackey A. O. 13832 McKibbins S. W. 14157 Mackie J. D. H. 11575 MaLain W. H. 11128 Mc Laren A. D. 13507 McLaughlin R. R. 13671 Martin D. S. 11107 McLaughlin W. L. 14278 McMahon W. 11926

McMurdie H. F. 12510

Lovering T. G. 11502

McMurray W. R. 11102 MacPherson A. R. 12516 McPherson J. E. 12464 McQuarrie M. 12583 Macrae F. J. 13293 II McShuhy J. A. 13167 II Mc Veagh W. J. 10962 McVey W. C. 13413 II Magerlein B. J. 13316 II Magnano di Lio A. 13873 Magneli A. 11144 Magnusson L. B. 11081 Magyarossy I. 12342 Mahaffy D. A. 11256 Mahon J. H. 13972 Maieru O. 12345 Maitre A. 13327 Majer J 12032 Major C. R. 12970 Malandrino E. 12466 II Malat M. 11972 Malcolm B. R. 11894 Malinek M. 12044 Malivánkova V. 13673 Mallinckrodt E. 13102 II Mallonée J. E. 13398 II Mandansky L. 11084 Mandel M. 11338 Mandeville C. E. 11078 Mangini A. 10862 Manly W. D. 14102 Mann F. G. 11801 Manning D. L. 12048 Mansfield R. C. 11737 Manuel A. J. 11045 Manz R. 12158 Maquestiau A. 10878 Marathey M. G. 11717, 11718 Marchand N. D. 11445 Marckmann E. 13898 Mare P. B. D. 11575 Margival F. 13585 Margnetti C. 13329 Margoshes M. 10874, 12015 Mariani E. 13004 Maričová D. 12105 Mariwala K. V. 13645 Märker R. 12547 Markkanen R. 11444 Markovic D. 13639 Markowitz J.M. 11970 Markson A. A. 12357 II Marmasse C. 11896 Marondel G. 11713 Marongiu E. 11660 Marriott J. 10841 de Mars G. A. 11013 Marsh D. J. 12184 Marsh G. L. 13868 Marsh J. W. 12419 Marshall F. J. 11752 Marshall H. B. 14072 Marszak-Fleury A. 11647 Martin C. W. F. 12961 Martin D. L. 11133 Martin D. W. 11083 Martin H. 11936 Martin H. 14059

Martin J. R. 14262 II Martin P. C. 10814 Martin P. H. 13599 Martin W. G. 11412 Martin W. H. 13205 Martineau R. 12419 Martinet A. 11748 Martinez Moreno J. M. 13765 Maruyama S. 11057 Marx P. C. 11962 Д Marzolph H. 11907 Mašek J. 11372 Mason E. A. 10821 Masquelier J. 13808 Mastagli P. 11614 Mather K. 12673 Mathes W. 11745 Mathiesen R. 11669 Mathieson A. R. 11146 Mathieu J. P. 10983, 11834, 11836 Matiba R. 12607 Matič D. 12852 Matossi F. 11002 Matoush W. R. 11470 Matsen F. A. 10856 Matsuda H. 12256 Matsunaga V. 10887 Mattson G. C. 11734 Mattyasovszky Z. T. 12599 Matubara I. 10853 Matumoto K. 11843 Mauer F. A. 12501 Maurer R. 14216 II Maute R. L. 12168 Mavin S. 12910 May K. R. 14281 Mayburg S. 10990 Mayer B. 12091 Mayer M. H. 14065 Mayfield P. 12457 II Mayhev J. E. 13862 Mayor Y. 12896 Mazumdar A. K. 13629 Mazzeno L. W. 13206 Medonos V. 13068 Meehan W. F. 12787 Meeker R E. 11225 Mehr L. 11657 Mehrotra K. N. 11423 Meier W. 11867 Meinke W. W. 12305 Meinwald J. 11666 Meissner B. 12788 Meissner H. G. 10928 Melcner I. 12031 Mellish C. E. 11091 Melniciuc G. 13843 Menarry A. 12233 Meneret J. 12499 Menger A. 13861 Menon M. C. 11773 Menzel E. 11021 Menzel T. J. 12495 II Mercier P. L. 11327 Merker L. 12366 II Merman R. G. 12786 Merrett F. M. 13378 Merritt M. C. 14022 Merry W. H. 12550 Merten D. 13893

Mertzweiller J.K. 13104H Merz K. W. 11696 Messerschmitt E. 13454 II Mercalf R. E. 12399 Metze R. 11775 Metzger F. R. 10816 Meulen P. A. 11352 Meulenhoff J. 12193 Meurer E. 11374 Meybeck J. 13233 Meyer A. S. 12048 Meyer G. 13569 Meyers E. E. 12138 Meyrowitz R. 11500 Miazga 13060 Michel A. 11259, 11279 Michel M. C. 11079 Michels A. 11136 Mielczarek E, V. 11017 Mierzecki R. 12216 Mifsud J. F. 11070 Milazzo G. 10855 Milczweski M. 12835 Miles N. M. 12192 Miller D. E. 12897 Miller L. N. 12945 Miller M. C. 14122 Miller P. 14151 Miller P. S. 14103 Miller W. H. 13984, 13986 Miller W. T. 11598 Milligan W. O. 10949 Mills D. A. 13821 Mills M. 14245 Milmore O. H. 14223 II Milner G. W. C. 12070 Milone M. 11056 Mindler A. B. 12784 Minisci F. 11641 Minkoff G. J. 12146 Minsk L. M. 12627 II Mishima H. 11739 Missol W. 12344 Mitchell R. F. 11107 Mitchell R. L. 13736 II Mitoraj K. 12957 Mitra E. 12727 Mitra S. S. 11381 Mitrowsky A. 13192 II Mitsuda H. 13277 Mittal S. K. 12676 Mitton R. G. 14065 Mitulski J. D. 12138 Mizushima W. 10848 Moehrle Е. 13547 П Moeller W. P. 13493 Moffett K. D. 12115 Mohler F. L. 10842 Mohr W. 13945 Molinari E. 11277 Molnár I. 13273 Moncachesi P. 13336 Moncassolı A. 10812 Monger J. M. 11223 Monheim J. 14212 II Monikowski E. 12681 Monnier J. 11729 Monnier D. 11964 Montgomery R. 12195 Montmory R. 11169 Mooberry D. D. 11645 Mool J. 11390

Moon K. A. 11178 Moore D. G. 12521 Moore F. G. 13564 II Moore L. E. 11278 Moore N. P. W. 13041 II Moore T. J. 12763 Moore W. H. 13186 Moorjani M. N. 13976 Moosbrugger F. 12387 II Moran S. G. 12532 Morch V. 12780 Moreau J. 11266 Morehouse C. K. 12468 Morel P. H. 13485 Moreno Calvo J. 14026 Morette A. 11227 Mori Y. 10830 Morisi Chiorboli G. 10795 Morita H. 12192 Moritani I. 11576 Mork I. 13956 Morley H. V. 11754 Morren H. 11764 Morrill H. L. 14083 Morris R. C. 13052 II Morrison D. C. 11762 Morrison J. A. 11129 Morrison W. H. 13285 Morschel H. 13164 II Morton A. A. 11585 Morway A. J. 13050 II Moso D. 14107 II Mössmer V. 13714 Mosurski H. 12994 Moureu H. 11701 Mueller W. 13191 II Mukharji P. C. 11837, 11838 Mukherjee S. 11818 Mulford R. N. R. 11179 Müller H. 13078 Munday D. A. 11689 Mundt J. O. 13883 Murakami M. 11594 Murphrie E. V. 12898 Murray J. R. 10927 Murray R. S. 12571 II Murthy A. R. V. 11399, 12112 Murty B. V. S. R. 12075 Musashi A. 11872 Mušicki D. 13255 Mussa C. 11905 Muszyński W. 12693 Mutaffis T. D. 13583 Muzzioli J. 12248 Myers C. E. 10931 Myers I. T. 11100

N

Naeser G. 14246 Nagata I. 12490 II Nagy D. E. 13118 II Nagy J. 12258 Najer H. 11638, 11782 Nakagawa M. 11576 Nalder K. H. 12570 II Nambiar M. D. 11545 Nancollas G. H. 11145 Nanda C. B. 11450 Narasimhan T. L. 12960

Narayan V. A. 11399. 12112 Nardelli M. 10950 Näsänen R. 11444 Nash T. 10827 Nashima T. 11594 Natarajan A. 12960 Nath B. 11773 Nath R. J. 11456 Nathan A. H. 13314 II Nathansohn G. 11842 Natta G. 13113 II Natta G. 14182 Naumann G. 11021 Nauta W. T. 11699 Naves Y. R. 11826 Navlor T R. 14137 Neal C. E. 13911 Neal E. G. 11347 Neale E. 12184 Nebe 13369 Néel L. 11047, 12372 II Neeman M. 11747 Negoescu C. 12920 Negri G. 14182 Neil D. J. 12269 Neilson J. F. 12596 Nerdel F. 11700 Nervik W. E. 11079 Nesemann G. 11847 Nester R. C. 12301 Nethaway D. R. 11079 Neumann J. 12548 Neuworth M. B. 12885 II Newbury N. F. 11609 K Newcombe A. G. 14072 Newell J. G. 13835 Newsom L. D. 12404 Newton A. S. 12304 Nguyen Ba Tuoc 11890 Niccolini P. 11830 Nichols C. M. 12320 Nicholson K. C. 12635 II Nickerson J. T. R. 13826 Nickon A. 11695 Niculiu C. 12514 Nie W. L. J. 13530 II Niederhauser J.P. 13231 Niederl J. B. 13303 II-Nielsch W. 12038 Nielsen V. H. 13961 V Niessen G. 11955 Nijveld H. A. W. 13409 II Nishioka A. 11029 Nitschke G. 13214 Noddack W. 13259 Noel-Bixton M. B. 12403 Nolle A. W. 11070 Nomura T. 11003 Nordnes T. 13876 Noreus R. E. 13666 Northpor D. C. 10871 Norton J. T. 12590 Nosál M. 14274 Noszkó L. H 11796 Novel E. 13913 Nudelman S. 11002 Nyholm R. S. 11464

Oatley C. W. 12235 Odeblad E. 11098

Oesper R. E. 12165, 12189 Pařízek R. 12293 Oettinger W. 13042 II Offenbach J. A. 11923 Ogata K. 12256 Ogle J. R. 11879 O'Halloran R. 13059 II Ohmart P. E. 11110 Oilar R. D. 13746 Oishi J. 14133 Okajima S. 11916 Okamoto Y. 11576 Oláh G. 11648 Olàh G. 11796 Oldenbur, E. B. 13437 II Oldenburg G. 13007 Oldham G. 12316 Oliver C. D. 11154 Oliveto E. P. 11645, 11849-11852 Olsen A. G. 13821 Olszewski P. 11554 Onogi S. 11922 Orban E. 11065 Ordelt O. 14076 Orth P. 13425 II Osipow L. 14112 Osmond A. H. 12462 II Oster G. 11309 Osterhof H. J. 13401 II Paulsen H. C. 13121 II Oswald W. J. 12768, 12769 Ott D. G. 11316 Otter I. K. H. 12430 Overbeek J. T. G. 10807, 11415 Overberger C. G. 11680. 11939 Owaki M. 11029 Owen B. 11332 Owen E. V. 12928 Owen H. R. 11550 Owens M. L. 12168

Øyum P. 10952

Pacault A. 12237 Packter A. 11160, 11426 Paggi L. 13497 Paidassi J. 11264 Paine F. A. 14029 Pakshver A. B. 13219 Pala G. 10863 Palfy F. 12447 Palit S. R. 11071 Pallini U. 11641 Palmer R. F. 11100 Pancaldi G. 11330 Pancrazio G. 11846 Panda S. 11450 Panduranga Rao V.12075, 12076 Pani S. 11450, 11451 Pannetier G. 11433 Panson G. S. 11706 Paoloni C. 12486 Π Paoloni L. 10855 Papadakis P. E. 11669 Paquot C. 13763 Paris R. 11890 Parisi F. 11401

Park P. O. 12430 Parker C. O. 11705 Parker E. R. 11341 Parker R. W. 12613 Parks T. D. 12136 Parkyn B. S. 13504 Parr T. 12458 II Parravano G. 11048 Parrick J. 11726 Pascal P. 11478 Pascu E. 11957 Pasinetti L. 13782 Passerini R. 10862 Pasternak R. A. 10972 Pastouriaux L. 11611 K Patel G. A. 12422 Pathak K. D. 11631 Patrick C. R. 11213 Patron A. 13879 Pattelli B. 11644 Patten J. L. 14075 Patterson D. 11129 Patterson J. 12542 Patton J. 12049 Paul F. W. 10998 Paul W. 11012 Paulin A. 13871 Pavláth A. 11796 Pawlyk P. 13618 II Payne C. C. 11852 Payne C. J. 11522 Payne D. H. 11205 Payne J. A. 11091 Peacock R. D. 11459 Pearson R. G. 11225 Pearson S 11655 Pease R. N. 13010 Pechmeze J. 14078 П Pederson C. S. 13884. 13885 Pelcová V. 11740 Ozai-Durrani A. K. 14048 Pelišek J. 11544 Pengilly B. W. 11596 Penndorf R. 11419 Pennekamp E. F.H. 12989 Pennetti P. 12486 Π Pepper J. M. 11686 Perakis N. 11048 Peremský R. 13387 Perlasca G. 12448 Perlowski E. F. 11736 Pernarowski M. 13286 Perri J. M. 14288 II Persons H. C. 12690 Peter M. 12875 Peteri R. 13650 Peters A. T. 11723 Peters J. 13917 Peters K. 12946 Peters R. F. 12427 Peters T. 11112 Petersen S. 13192 II Petit A. 11836 Petit L. 11701 Petraline A. J. 14231 TI Petrescu S. 13982 Petrescu Z. 13982 Petrovič J. 12500 Petrow A. 13065

Petržilka V. 11318

Peychès I. 11364 Pezaki W. 13824, 13990 Pfahnl A. 12306 Pfeiffer H. 14200 Pfeizenmaier K. 13900 Pflugmacher A. 11432 Phadke R. J. 11688 Phereaner E. H. 13534 m Piantanida C. 13503 Pick J. 10810 Pickert F. 12792 Pickhaver G. S. 13912 Picon M. 12608 Piech T. 12585 Piekarz J. 13979 Pien J. 12795 Piepho H. L. 13620 H Pierotti R. A. 11390 Pietrzyk K. 13689 Pietsch R. 12100 Pilgrim F. J. 13831 Pincherle L. 10985 Pine H. 14112 Pinkus A. G. 12302 Pinner R. 12478 Pino P. 13113 II Piontelli R. 11363 Piotrowska H. 11781 Pipparelli E. 11721 Pirine M. 12825 II Pisecky J. 13916 Piskorski I. 12341 Pistor H. J. 13095 II Pittman R. W. 12277 Plantfeber J. M. 13058 n Plašil Z. 12122 Plohotnic S. 13977, 13987 Ploppa M. 12844 Podhorodecki J. 12647 Poschus E.12364 II, 13696 Pogany A. 12678 Poje B. 13639 Polák S. 11513 Polčin J. 13677 Poley J. P. 10807 Polgar N. 11643 Polissar M. J. 12309 H Pollard C. B. 11734 Polley M. H. 12951 Polli B. 12222 Polonsky J. 11893 Ponizovski A. M. 12338 Pont E. G. 13924 Pool M. F. 13985 Popescu M. 14069 Popescu T. 12725 Popescu Båran M. 13981 Popham F. J. 13378 Popoff K. 11113 Popovics S. 12685 Рорр В. 13106 П Рорра Н. 12535 Porat D. I. 12262 Porowska N. 11698 Porret D.13116 II,13125B Porter J. N. 13321 Π 1 Porter F. W. B. 14028 II Porter W. 13805 II Porter W. H. B. 12856 Posp šil J. 10798 Pošta J. 14205 Poštenjak K. 14043 K

Postma H. 11557 Postolski J. 14012 Pothmann D. 13683 Potratz H. A. 12116 Povondra P. 12105 Powell A. R. 11430 Powell H. M. 14123 Powles J. G. 11921 Powrie W. D. 13874 Pozza G. 13218, 13719 Prasad C. 11271 Preisler E. 12083 Pressier E. E. 12050 Preston-Thomas H. 11133 Preuss L. E. 11106 Prevel J. A. 12996 Přibil R. 11987 Pribilla O. 12191 Price C. C. 11758 Price J. B. 13619 II Price P. J. 11019 Price T. D. 11104 Price W. V. 13954 Prichard W. W. 13155 II Prien C. H. 12854 Prijs B. 11398, 11760, 11789 Prill B. A. 12173 Pringle D. H. 11380 Prinkman K. 10800 Prinz H. 13054 II Pritchard H. O. 10825 Pritchard J. G. 11233 Pritchett B. G. K. 13520 Proctor B. E. 13826 Protiva M. 11668 Provan L. A. 13897 Prucha J. 14038 Prudhomme R. O. 11353 Pruša J. 12122 Pryce N. A. C. 13838 Pryor B. J. 13793 Pryszczewska M. 11196 Puckett J. P. 14258 Pudles J. 11884 Puia I. 12447 Puig I. 13278 Pullman A. M. 10832 Pullman B. 10832 Pummerer R. 11713 Pupp W. 14146 Purucker S. 13521 Putmam A. H. 13700 Putnam R. C. 14068 Pyl T. 11776

13996

909

432

534 R

88

3

912

20 H

90

11

02

81

I

5 TI

2277

3058 n

13987

2647

, 13696

309 II

734

951

12338

13981

3378

98

13125m

21 11 1

14028 M

12856 8

43 K

п

Quak P. 12434 Quayle J. P. 12206 Querfurth W. 13526 II Quesnel G. 13345 Quilico A. 11641 Quin D. C. 11619 Quinn B. I. 10842 Quinn J. F. 11665

R

Raabe B. 14054 Raats B. 11269 Rabourn W. J. 12205 Rice J. L. 11251 Rader B. 11052 Rice S. A. 11405

Radt F. 11607 Radusch R. 14285 Rae R. W. 13097 II Raffaele I. 12212 Raffensperger E. L. 13831 Rai L. 12407 Railsback H. E. 13383 Raiteri E. 12218 Rama S. 12268 Ramanjaneyulu J. V. S. Ridgway K. 11147 12094, 12119 Rama Rao M. V. 12076 Ramirez F. 11569 Rånby B. G. 13712 Rancke-Madsen E. 11966 Rao M. R. A. 12112 Rao M. R. K. 12960 Rapson W. S. 14033 Rasch R. 12617 Rasetti F. 11084 Raudonat H. W. 13288 Rausser R. 11850, 11851 Raut H. K. 10817 Raw C. J. G. 11075 Ray R. N. 12578 Rebenfeld L. 11957 Rebour H. 13875 Redlich O. 11223 Redmon B. C. 13118 II Reed F. E. 13261 Reed K. J. 13203 II Reed R. I. 11240, 12093 Reeder W. 12049 Reese K. M. 12481 Reese R. M. 10840 Reeves R. E. 13206 Regan C. J. 12764 Řehák B. 12044 Rehm C. R. 11971 Reichstein T. 11835 Reidel J. C. 12905, 12914 Reilly P. M. 13087 II Reimer H. 12525 Rein J. E. 12259 Reineck E. A. 13492 Reingruber F. 12308 Reingruber J. 12308 Reishaus M. 14249 Reitsema R. H. 11887 Remen R. E. 12346 Remond J. 12337, 13508 Renko R. 13969 Reppe W. 13088 П Rérat B. 10955 Resen F. L. 12949 Restek I. 14056 Rethwisch F. B. 13577 Reuther F. W. 13271 Reynolds D. D. 13171 II Reynolds H. T. 12417 Reynolds J. A. 11416 Reynolds J. H. 11494 Rhee D. 13440 II Rhoda R. N. 12090 Ribes Romero V. 12327

Ricards H. A. 13027 II

Ricca B. 11440, 11441

Rice S. A. 11405

Richards L. E. 12521 Richards L. J. 12980 Richardson F. D. 14098 Richardson J. B. 12731 Richter A. 12817 II Richter F. 13547 II Richtzenhain H. 13658 Riddell G. L. 14028 Ridgway J. D. 13919 Rieche A. 13159 II Rieck H. G. 11100 Riedel L. 12533 Riediger B. 14170 Riefstahl D. L. 13684 Riehl M. L. 12732 Riley C. R. 13469 Rimberg E. 12738 Ringeissen M. 13221 Ringens W. P. 14192 Ringold H. J. 11848 Rinn H. W. 10948 Ripamonti A. 10971 Ristič M. 14195 Ritter H. A. 11008 Ritter R. H. 12776 Rivas Capdevila N. 12933 Rivet C. A. 12153 Roan C. C. 12407 Robb J. C. 11213 Roberts B. W. 10982 Roberts C. W. 11800 Roberts F. 14179, 14188 Roberts J. D. 11573, 11580, 11581, 11656 Roberts R. M. 10907 Robertson A. 13780 Robins R. K. 11771, 11772 Robinson I. M. 13541 II Robinson R. 11732 Robinson R. R. 12613 Robinson T. 13240 II Robinson W. B. 13885 Robison B. L. 11765 Rochefort B. 13009 Rodd E. H. 11608 K Rodger W. A. 11420 Rodrigues Pereira A. S. 12434 Roederer H. 13694 Roeper E. 12523 Roga B. 12843, 12876 Rogers B. S. 11316, 12286 Rogers M. A. T. 11601 Rogers T. H. 13401 II Rogers W. F. 13212 Rogovin Z. A. 13725 Rohde W. 11761 Rohlffs G. 12362 II Rokossowski Z. 13080 Rol R. K. 12257 Roland P. 13289 Rolfes J. B. 12860 Roll E. 13230 Rollin N. J. 14027 Roman I. 12756

Rose H. E. 11429 Rose W. C. 13236 II Rosella J. J. 14103 Rosen P. 11251 Rosenak S. 12684 Rosenberger G. 12365 II Rosenberger W. S. 13961 Rosenkranz G. 11848 Rosenow E. R. 14100 Rosenthal B. 12572 Rosenthal I. 11970 Rosi D. 12477 Rosotte R. 12058 Rossberg M. 12290 Rossi G. 13953 Rotenberg D. L. 11257 Roth M. 12109 Rothamel L. 13664 Rothe M. 13762, 13851, 13852 Rothhardt L. 11119 Rothman E. S. 11854 Rotsch A. 13853 Rottig W. 13023 II Roussel J. S. 12404 Roux D. G. 14067 Rowe H. W. 13702 Rowland J. 13487 Royon J. 11354 Rozkos M. 11318 Rubin R. J. 11061 Rubinstein M. 12480 Rudd H. W. 13600 Rudd J. F. 11934 Rudolf M. 12946 Rüdorff W. 11442 Ruehle A. E. 13102 II Ruf H. 12904 Ruhlman E. R. 12379 Ruinard C. 11682 Rummel R. 12893 II Rumscheidt G.E.13414 II Rundman C. O. 13962 Ruof C. H. 12840 Rupprecht M. 13181 II Ruscetta R. A. 12491 II Rusoff L. L. 13895 Russel P. B. 11757. 13298 II Rust A. D. 14106 Rust F. F. 13134 II Rust J. B. 13607 II Rutherford W. 12661 Rutner E. 11128 Rydberg J. 12079 S Sachse A. 13455 Sage B. H. 12243 Saini G. 11329

St. Pierre P. D. S. 11185 Sakellarion E. V. 12801 Sakuragi T. 11861 Salceanu C. 11074 Salmon J. E. 11402 Salt F. W. 11367 Salter L. 11123 Salvin V. S. 13199 II Samson S. 12008 Sánchez Robles A. 11349 Sandin R. B. 11695 Sandmeier F. 13399 II

12854

Schneider L. 11932

Schneider T. 12889 II

Sands A. E. 12873 San Miguel de la Cámara M. 11518 Santavý F. 11677 Sara J. 12040 Saracini C. 11743 Sarkar P. B. 13629 Sarma P. L. 13795 Sasaki Y. 11594 Sastri T. P. 11976 Satch Y. 11739 Satpathy J. M. 12418 Sauchelli V. 12385 Sauer P. J. 13253 Sauermilch W. 11745 Sauter E. 14215 II Sawicka J. 13968 Saxton J. E. 11732 El Sayed Amin 11636 Scanlan J. T. 13772 Schäcking G. 13483 Schaefer F. C. 11629 Schaefer W. C. 12196 Schaeffer H. J. 11584 Schaeffer O. A. 11550 Schaeffer W. D. 12951 Schaffer W. 10968 Schafroth M. R. 11125 Schall E. D. 12205 Scharrer K. 12011 Schauder H. 14034 Schechter M. S. 11885 Scheele W. 13388, 13389 Scheer M. D. 11217 Scheibe G. 10857 Scheiber D. H. 11628 Schein H. L. 12816 II Schelhorn M. 14032 Schell J. W. 13566 II Scheller K. 11128 Scheludko A. 11411 Schenck R. 13119 II Schertzer P. 13982 Schied L. J. 13647 Schiffers B. 12387 II Schimmels M. 11479 Schlack P. 13540 II, 13728 Schlesinger M. D. 12938 Schliekelmann R. J. 13457 Schlögi K. 11875 Schlosser A. 14283 Schmellenmeier H. 11379 Schmid G. 12473 Schmid H. 11208 Schmid M. 13191 II Schmidle C. I. 11737 Schmidt J. 12889 II Schmidt M. 12525 Schmidt N. D. 14165 Schmidt O. 12158 Schmidt-Thome J. 11847 Schmitt J. 11788 Schmitz H. 13297 II Schmitz-Hillebrecht E. 13551 II Schmutz J. 11770 Schnack A. A. 13975 Schnackenberg W. D.

Rose A. 14172, 14254

Rose H. A. 10975

Rondestvedt C. S. 11708,

Romaňuk M. 11825

Rösch M. 11913

11751

Schneyder J. 12310 II Schnider O. 13304 II Schoen L. J. 11217 Schoeneweis F. J. 12717 Schofield A. 13527 II Scholze H. 12518 Schomaker V. 10897 Schönberg F. 13992 Schöne H. H. 11886 Schotte L. 11725 Schreckenbach M. 11383 Schreiber W. 13030 II Schröck-Vietor W. 11009 Schroeder J. 12380 Schubert H. 11753 Schubert K. 10928 Schuerch C. 11687 Schulbert J. 12324 II Schuler F. W. 12522 Schuler R. H. 11314 Schultz H. P. 11761 Schultz R. C. 14232 II Schultze G. R. 11621 Schulz A. 13846, 13857 Schulz G. V. 11907, 11909 Schulz M. E. 13942 Schulz W. E. 13263 II Schumandlova A. 14052 Schuringa G. J. 13225 Schurz J. 11408 Schusterius C. 12631 II Schütt W. 10928 Schutten J. 12257 Schwabe K. 11141 Schwartz M. A. 12501 Schwarzenbach G. 11472 Schwarzl F. 10807 Schweisheimer W. 13782 Schweitzer O. 13526 II Schwyzer R. 11774, 11866 Scott D. 12984 Scott D. W. 11142 Scovill W. E. 13046 II Seaborg G. 11469 Searcy A. W. 11211 Seatz L. F. 12383 Seay J. G. 13064 Séchaud G. 11691 Seel F. 11438 Seely N. 12966 Segel S. L. 10881 Segrove H. D. 11388 Seidel W. 14225 II Seidler C. 13547 II Seidling J. E. 12768 Seifert E. 14082 II Seiler H. 11398 Seim J. 11424 Sekerka I. 11369 Seki H. 11073 Sekikawa K. 11029 Sellas J. T. 11690 Sellner J. 12353 II Selwood P. W. 11278 Semenow D. A. 11580, 11581 Semonsky M. 12201 Sen A. B. 11741 Sen S. K. 10854 Senior D. A. 14248

Sense K. A. 11155

Senti F. R. 13771

Serdynsky E. D. 13552 II Sisman O. 13464 Serra S. 10862 Serratosa J. M. 11005 Serres A. 11048 Serres L. 13951 Seruto J. 13193 II Seshadri T. R. 11719. 11880 Sessier R. E. 12796 Sešulka W. 14171 Seth G. K. 12798 Seymour D. E. 13293 II Seymour M. 13563 II Shafer R. W. 13807 II Shain I. 11342 Shank R. C. 12259 Shapiro D. 11777 Shapiro E. L. 11852 Shapiro I. 11331 Sharpentier L. J. 12420 Shaw C. F. 12612 Shearer H. M. M. 10966 Sheehan I. 11864 Sheinaus H. 13268 Shemwell R. 12160 Sherfey J. M. 12303 El Sherif J. M. 11974 SherwoodA. M. 11499 Scherwood P. W. 13062. 13063, 13069 Shida S. 11306 Shinagawa M. 12103 Shiokawa F. 11556 Shobl D. 11261 Shooter K. V. 11414 Showalter J. C. 13053 II Shreiner P. 12539 Shreir J. L. 11347 Shukla B. K. 12094. 12110 Shuler K. E. 11061 Shulman R. G. 11020 Shultz J. F. 12717

Sidebottom L. W. 14061 Sidhu S. S. 10981 Sidman J.W. 10849.10850 Sidwell A. P. 13877 Siemiatkowski B. 13989 Sijbring P. H. 14161 Sillen L. G. 11424 Silva N. R. 11977 Silverman L. 12092 Silvestre J. 12126 Simaljakova J. 13279 Simamura O. 13490 Simek F. 13833 Simmingsköld B. 12517 Simmler J. R. 12115 Simmons H. E. 11580 Simon S. 12143 Simonovič M. 12908 Simpson B. S. 12510 Simpson O. 10871 Sindelar V. 13785 Sinell H. J. 13994 Singh B. 11975 Singh R. P. 11453 Singh S. 11975 Singher H. O. 11755 Sipila M. 13901 Sir Z. 12144

Sittig M. 12947 Sixma F. L. J. 10771 Skalmowski W, 12698 Skertchly A. R. B. 12230 Skiles B. 13092 II Skochdopole R. E. 11130. 11132 Skramovsky S. 12272 Slätis H. 11080 Slawew A. 11281 Šlijvić S. 12020 Sloviter B. 14288 II Smales A. A. 12053 Šmeikal F. 13275 Smeltzer W. W. 11265 Smets G. 11947 Smidt J. 13091 II Smirous K. 11035 Smith A. Q. 12950 Smith B. D. 11289 Smith C. 11963 I Smith C. G. 12254 Smith D. P. 14027 Smith E. R. 11335 Smith F. 11150, 12195 Smith H. 11906 Smith H. Q. 11850 Smith J. 13264 II Smith J. C. 10960 Smith J. W. 10858 Smith K. C. A. 12235 Smith P. L. 12586 Smith R. L. 10994 Smith R. N. 11390 Smith W. M. 13104 II Smith W. R. 12951 Smith W. T. 11690 Smith-Allen E. 12467 II Smolinski J. 12482 Smythe B. 11268 Snell C. T. 14112 Snell F. D. 14112 Snyder M. J. 11155 Soeterbroek J. 11682 Soini E. 10773 Sojka J. 12321 Sokolowski E. 11080 Soler Ruiz A. 12327 Soliva M. 13291 Sollman P. B. 13315 II Solovjovs N. 10803 Sommers A. H. 11727 Sommers E. E. 11239 Sondneimer F. 11848 Sonsbeek J. J. M. 12193 Sørensen T. 13235 Sorge G. 12145 Sorm F. 11822-11825 Souffie R. D. 11315 Soule R. 13258 Sowden R. G. 11310 Sowman H. G. 12589 Spacek M. 10798 Spähn H. 12473 Spain R. W. 12529 Spalding D. B. 11246 Spänig H. 13107 II Spanyár P. 13270 Spedding F. H. 11130, 11046

Spengler G. 13074 Sperandio G. J. 13268 Spielberger G. 13132 II Spingler H. 11855 Spinrad B. I. 10992 Splittgerber A. 12753 Spoerri P. E. 11657 Spring F. S. 11831 Springall H. D. 11878 Sproull R. C. 13659 **Spruny 14268** Srinivasan N. R. 11498 Srivastava B. K. 12450 Srivastava G. P. 10891 Srivastava H. C. 11818 Srivastava P. D. 12401 Srivastava U. S. 12401 Staats H. N. 12549 Stach H. 12750 Stackelberg M. 11375 Stage H. 13767 Stahl L. E. 14060 Stahly E. E. 13024 D Stanford II. 11296 Stange P. 13388 Staritzky E. 10932--10934, 10936-10939, 10942-10946 Starr J. T. 12783 Staskun B. 11586 Stather F. 14077 H Statz H. 11013 Standinger H. 11955 Staunton J. L. 12804 Steenberg B. 13686 Stefanye D. 11712 Stegemann K. 12030 Stegerhoek L. J. 11883 Stegmüller L. 12506 Stehlik B. 10900 Stein L. H. 11064 Steinberg E. P. 11087 Steinberger R. 11255 Steiner W. 13039 II Steinfink H. 10958 Steinhofer A. 13088 II Steinrauf L. K. 10973 Stelian A. 14003 Stelt C. 11699 Stěpanek K. 14038 Stephan H. 13845, 13854, 13858 Stephen H. 11586 Stern F. 11023 Stern T. W. 11499 Sternheim G. 11363 Stevels J. M. 10807 Stevens G. D. 12147 Stevens I. D. R. 11618 Stevenson R 11831 Stewart C. J. 11871 Stewart F. H. C. 11769 Stewart J. E. 11915 Stewart M. M. 13169 II Stieff L. R. 11499 Stiegter D. 11415

Stiles A. R. 13134 II

Stirn F. E. 13623 II

Stirton A. J. 11422

Stirling C. J. M. 11735

Stock H. 14226 II Stock J. 11317 Stocker W. 13971 Stockham J. D. 12787 Stöcklin E. 13184 II Stokes C. A. 13613 II Stolbowsky W. 13227 Stoll A. 13305 II Stone J. E. 13672 Stones T. 12766, 12767 Storch H. H. 12953 Stordy J. J. 13587 Storgards S. 13907, 13931 Stoughton R. W. 11334 Stowell E. R. 14108 Stoy A. 13742 II Strachan K. G. A. 12470 Strachan W. S. 11831 Straka P. 12791 Strauch G. 13222 Straumanis M. E. 12030 Strauss S. W. 12521 Strauss W. 12496 II Street K. 11469 Strell M. 13181 II, 13281 Streuli C. A. 12162 Střibrný A. 12604 Strickland B. R. 13019 II Striplin M. M. 14229 Strnad V. 12272 Strubbe H. 11764 Stuart J. C. K. 12637 II Stuart M. R. 11025 Stubbs A. E. 13219 Stuber J. E. 12133 Sturdy G. E. 11179 Sturgess E. J. 12911 Sturgis B. M. 12969 Subba Rao B. C. 11616 Subrahmanyan V. 13938 Suchy M. 11824 Sugawara K. 11555 Suk V. 11972 Sulc D. 13867 Sulich J. 13347 II Sullivan F. E. 14141 Sullivan J. C. 11224 Sully A. H. 12349 Sulzer P. T. 12971 Summerfield M. 11256 Sumner F. H. 10825 Sundaram P. S. 14131 Sundara Rao R. V. G. 10953 Superceanu C. 12345 Suquet M. 11788 Surmatis J. D. 13308 II Süszer A. 14070 Sutherland G. S. 11256 Sutton P. M. 10996 Suurmond B. G. 11699 Suzuki 11924 Svarz J. 13309 II Swehla G. 12120 Svetlik J. E. 13383 Swaminathan M. 13938 Swaminathan V. S. 12917 Swank R. K. 10999 Swardt S. J. J. 14035 Swarts D. E. 12986 Sweep E. 12887 II Sweet E. W. 12563 H

Sweet J. L. 12495 II Swenson C. A. 11165 Swietosłmski W. 13061 Swift P. M. L. 13378 Swiggard E. M. 11431 Sy M. 11633 Sybel C. 12012, 12618 Sydow E. 10963 Sydow H. 12713 II Sekora V. 11822 Syneček V. 10923 Szabados K. 12067 Szabo K. 12445 Szalwinski F. 13952 Szczupaczyńska M. 13075 Szeitli J. 13799 Szekerke M. 11869

2787

п

13 II

227

12767

, 13931

. 12470

11831

12090

. 13281

3019 H

2637 II

1025

3219

133

179

12911

2969

55

п

69

71

14141

11224

11256

0825

. 14131

12345

13308 II

. 11256

10996

п

20

13383

10999

1. 13938

. 14035

12563 H

12986

7 II

S. 12917

. 11699

. V. G.

. 11616

14229

2521

п

162

M

11334

108

3

Szumer A. Z. 11833 T Tabert G. E. 13155 II Tachikawa S. 13734 II Tagaya M. 14104 Taguchi T. 11671 Tahara A. 11888 Takaishi T. 11275 Takamatsu T. 14176 Takasawa N. 14016 Takenishi T. 13490 Talalay A. 13400 П Talalay J. A. 13400 II Talgeri G. M. 12422 Tall B. S. 11246 Talley R. 11023 Tamm C. 11835 Tanasković P. 12908 Tanikawa E. 14016 Targo G. 12668 Tarián I. 12258 Tashinian V. H. 12149 Tasic M. 12908 Tassel E. 14078 II Taube R. 11452 Täufel K. 13841 Taviére J. A. 13502 Taylor C. H. 12712 II Taylor F. S. 12732 Taulor G. J. 13186 Taylor H. S. 13010 Taylor R. C. 13384 Taylor R. F. 14179 Tejnický B. 12842 Telegdy-Kováts L. 13823 Teller A. W. 12636 II Temme 12848 Templeton D. H. 10931 Tempus P. 13998 Terao N. 10991 Terlizzi P. M. 13458 Terry H. 13576 Tertian L. 10991 Tesquet G. 11425 Tesser K. 12471 Tewksbury J. G. 11111 Teyssie P. 11947 Theilacker W. 10833

Thelen A. 11036

Thomaes G. 11321

Thinius K. 13488, 13548

Thirsk H. R. 11365, 11366

Thomas B. 13851, 13852 Tum J. 13779

Thies H. 13271

Thomas E. B. 13090 II Thomas F. H. 13620 II Thomas G. 13289 Thomas J. G. N. 11367 Thomas L. R. 12231 Thomas M. 12214 Thompson F. W. 11129 Thompson J. 12745 Thompson J. L. 13316 II Thompson O. C. 14282 Thomsen L. C. 13943 Thorne R. P. 10822 Thornley M. B. 11240 Thornton-Berry R. 13815 Thuillier G. 11232 Thurmont C. D. 11181 Thurston E. F. 12820 II Thynne J. C. J. 11146 Tillien J. 10829 Tincknell R. C. 12464 Tishler M. 13173 II Titeiu O. 12667 Tjaomsland O. 10951 Tobe M. L. 11464 Tobias J. 13906 Tobolsky A. V. 11923 Todd A. 11880 Todd J. P. 13842 Tokuda P. 11163 Tolansky S. 11055 Tomaier J. 12866 Toman A. 12640 Tomita K. 10986 Tomita K. 11872 Tomlinson M. 12770 Toner S. D. 12211 Tonn H. 14153 Tootill J. P. R. 12018 Torkelson A. 13076 Torner Ochoa A. 14058 Torsell H. 13933 Tosseland P. A. 11879 Tóth K. 11457 Towne E. B. 13186 Townend C. B. 12799 Toy A. D. F. 13135 II Tramm H. 12916 Trappe G. 11601 Trees R. E. 10820 Trehan Y. N. 11263 Treiber E. 13712 Treindl L. 12064 Trice V. G. 11420 Triem G. 13107 II Trifonow A. 13358 Trillat J. J. 10991 Trimonis J. 12232 Trippett S. 11829 Trivedi A. H. 11860 Trolle R. 13925 Trousil Z. 12238 Troutman H. D. 13296 П Trtflek J. 10798 Truesdale B. 12812 Truman J. E. 14099 Trümpler G. 11351 Trutey A. 13362 Trybalski Z. 13080 Tsatsas G. 11742 Tsuda K. 11739

Tucker C. L. 14022

Tuominen E. 14053 Turck H. W. 13148 II Turek M. 12504 Turek W. N. 11637 Turk E. H. 12259 Turnau-Morawska M. 11531 Turnbull H. 12724 Turner E. E. 10858 Turzanski C. 14010 Tust P. 11479 Tyrrell A. E. 13836 TI Uchida E. 11043, 11044 Udupa H. V. K. 13081 Ueberreiter K. 12145 Uebersfeld J. 10885, 10886

Ui K. 11922 Ulbricht T. L. V. 11758 Ulfvarson U. 11424 Ulrich L. 14274 Ulrich R. 13870, 13871 Ungar A. 14110 Ungethüm H. 11990 Urbański T. 11781 Urey H. C. 11485 Utzinger G. E. 12460 П Vacek J. 13287 Valassi K. 13832 Valenta F. 14052 Vallee B. L. 12015 Vallier G. 13914 Valpiana L. 13184 Vámos E. 13001 Van Camp A. 10975 Van Cleve J. W. 12196 Vand V. 10966

Vanden-Heuvel R. C.

10962

Vanderhoff J. W. 13381 Van Deusen W. P. 12627 II Van Grunderbeeck F.11418 Vann A. 11106 Vanneek S. 12201 Van Rutten F. 11328 Vanselow W. 11320. 13330, 13346 П Van Tiggelen A, 12829 Van Winkle M. 12921 Varadi P. F. 12240 Varček C. 11517 Varka J. 12001 Várkony R. 12919 Varnis V. J. 11887 Varshni Y. P. 10891 Vasilecu Karpen N. 11371 Vasilos T. 12582 Vaughan C. W. 11581 Vaughan G. 10896 Vaughan P. A. 10947 Vázquez E. A. 13651 Vázquez Roncero A.13765 Večeřa M. 11261 Vejdělek Z. J. 11740 Vejdělková V. 14284 Velde W. 12106

Venanzi L. M. 10876 Venemark E. 13679 Venkatappaiah D. 13899 Venkateswarlu D. 14131 Venugopalan M. 12062 Verbeek F. 12086 Verdejo Vivas G. 13840 Verdier E. T. 12170 Verhoeven W. 10769 Verhoogen J. 11486 Verkade P. E. 11682. 11683, 11883 Verma J. S. 12406 Ver Noov C. D. 11708 Vetter K. J. 11368 Vigneron M. 13266 Vihan Z. 14038 Vik A. B. 13973 Villers G. 11049 Vining W. H. 13110 II Vinogradov A. P. 11490 Viswamitra M. A. 10953 Vitale P. T. 13789 II. 13790 FT Vittadini A. 12925 Vittum P. W. 13350 II Voetter H. 12946 Voigt J. 11207 Voigt W. 13463 Voils R. M. 14243 Voina H. 12682 Voisinet E. 11782 Volger J. 10807 Volovick G. 12987 Volterra E. 11641 Vorliček J. 11369 Vries C. 12257 Vuccino S. 11101

Vuillard G. 11186 Waddington G. 11142 Wade K. 11447 Wadman W. H. 13736 II Wadsworth F. T.13523 II Waggaman W. H. 12379 Wagle N. G. 13757 Wagner F. 11081 Wagner G. H. 13136 II Wagner H. 13550 II Wagner O. 12894 II Wahl K. 11460 Wainess H. 13906 Wainwright H. W. 12873 Walb T. A. 13474 Waldichuk M. 11560 Waldie W. A. 13606 II Waldman M. H. 11389 Waldron J. D. 12021, 12022 Waldron R. D. 11006 Walker D. 11723 Walker D. I. 10934, 10942 Walker G. N. 11892 Walker G. T. 13367 Walker P. L. 11269 Wall F. T. 11396 Wall M. E.11854, 13318II Wallon J. 13579 Walsh L. 11862 Walter G. 11442 Walter L. 13594, 14247 Whatson R. N. 12911

Wangersky P. J. 11549 Wantz J. F. 12745 Wapstra A. H. 11080 Ward F. 13228 Ward S. 13156 II Warenr R. C. 11946 Wasilewski Z. 13819 Wassenaar T. 11136 Wasserman H. H. 11591 Wasson J. I. 13048 II Watanabe A. 11685 Waterhouse R. B.12626 H Waterlot G. 11563 Waters W. E. 12419 Watillon A. 11418 Watson A. J. 12440 Wayman D H 12118 Waymouth J. F. 11001 Weatherley E. G. 12113 Weaver R. W. 13678 Webb A. D. 12159 Webb B. H. 13974 Weber B. C. 12501 Weber F. 13217 Weber J. 13308 II Weber K. L. 13775 Weber L. 11850 Weber R. 13035 II Webster H. L. 13786 Weeks W. F. 11527 Wegst J. 10928 Wehrmeyer G. 11460 Weichsel H. 11953, 11954 Weidenmüller H. L. 11877 Weillard J. 13173 II Weil J. K. 11422 Weill C. E. 11706 Weinstein J. 11238 Weir P. 12729 Weiss F. 11807 K Weiss H. G. 11331 Weissauer H. 13196 II Weissbarth K. F. 12601 Weissberger A. 13350 II Weisz P. B. 11280 Welander P. 11492 Wellman E. J. 12307 Wells F. W. 13359 Welsh H. K. 10964 Wender S. H. 13801 H Wenger P. E. 11964 Wentorf R. H. 11166 Wenzel W. 13038 II Wepster B. M. 10865, 11682, 11683 Wernick S. 12478 Wernicke H. 12606 Wertheim E. 11610 R Wesche H. 13159 II Wessel-Ewald M. L. 10832 Weßlau H. 11904 West W. 10910 Westerhof P. 11841 Westhelmer F. H. 11603 Westhoff G. 14255 Weston R. F. 12724, 12786 Wetherill G. W. 11496 Wetmore F. E. W. 11361 Wetterholm G. A. 13119 II Weygand F. 11886 Weymouth F. Y. 12187

Velden P. F. 11195

Velluz L. 11870

Velvart J. 14274

Wheatley W. B. 11862 Wildner H. 13813 Wheeler O. H. 11576 Wheeler W. C. G. 13597 Whisman J. W. 12774 Whitcomb W. D. 12412 White H. J. 11931 White J. C. 12048 White R. R. 11289 Whitehead E. V. 11724 Whitehead R. L. S. D. 11726 Whitehouse A. A.K.13520 Whitehouse N. I. G. 12323 Whitman G. M. 13168 П Whitt F. R. 14154 Whittaker N. 11757 Whorton R. 11333 Wibaut J. P. 11571 Wick K. 14113 Widgery R. C. 12934 Więcko E. 13653 Wiederhold W. 14139 Wiedling T. 11080 Wiehl R. 13366 Wieland T. 11877 Wiesendanger H. U. D. 11298 Wiggins L. F. 14165 Wiitala E. S. 13344 II Wikdahl L. 14233

Wiley R. M. 13552 II Wilhelmy O. 13571 Wilke H. 12551 Wilkens M. 10928 Willard J. E. 11092 Willcocks C. H. 13501 Willenberg W. 13324 Williams A. E. 14073 Williams G. H. 11596. 44795 Williams R. K. 12973 Williams R. R. 11315 Williams T. J. 14172, 14254 Willits C. O. 13805 II Willmund W. D. 12496 II Wilson F. 13578 Wilson R. A. L. 11592 Wilson S. 11404 Wilson T. L. 13557 II Wilson W. K. 13896 Wingo W. J. 12299 Winkle J. L. 13052 II Winkler C. A. 11412 Winkler G. 13302 II Winter G. 11621 Winters J. C. 13803 II Wise C. S. 12199 Wise H. 14155

Wise W. S. 14165 Wissmiller I. I. 14237 II Witkop B. 11874 Wittká F. 13749 Wladow D. 11281 Wnekowska L. 12876 Wojcieszak P. 14036 K Wolf A. P. 11105 Wolfgang R. 11090 Wolfkowitsch S. I. 12346 Xuong N. D. 11633 Wolinski L. E. 13568 II Wolkers G. J. 11136 Wood E. A. 10954 Wood J. L. 10901 Wood R. A. 12734 Woodhead J. A. 13791 П Woods H. A. 13058 II Woods H. J. 11902 Woosley W. P. 13582 Word B. H. 13205 Wormell R. L. 13744 II Wörner T. 13002 Wróbel J. 11667 Wrobel S. A. 13793 Wrotnowski A. C. 13802II Wucher J. 11041, 11048 Wuerz A. 13215 Wulkan F. 12573 Wüthrich H. 13012 Wyluda B. J. 11020

Wyman J. E. 11766 Wyndaele R. 12086 Wynne-Jones W. F. K. 11365, 11366 Wysocka J. 13794 Wystrach V. P. 11629 Wyszhecki G. 13595

Y

Yague Gil A. 14058 Yamaguchi S. 11914 Yamazaki H. 11306 Yeiser A. S. 13243 II Yen E. C. 13623 Π Yoe J. H. 12095 York J. L. 11428 Youle P. V. 13711 Young A. P. 13792 II Young E. G. 11816 Young P. D. 12442 Yreula A. M. 11819 Ytrehus A. 12683

Zaat J. C. A. 14158 Zabetakis M. G. 12963 Zaleski J. 13794 Zappa L. 12253

Zartl J. 13014 Zato J. 12072, 12073 Zauberis D. D. 10981 Zăveský V. 12614 Zdansky E. A. 12826 Zega B. 11049 Zeltner J. 13099 Zemánek J. 12437 Ziegler K. 11936 Ziegler M. 12083 12089 Zielke C. W. 12890 n Zietz A. 12475 Zigeuner G. 11953 11954 Zijp J. W. H. 13390 Zikán V. 12201 Zimen K. E. 10819 Zimmer J. C. 13050 H Zimmerhakl F. 12358 II Zingaro R. A. 11458 Zisman W. A. 13491 Zobel H. F. 13771 Zoellner H. 12292 Zolki T. P. 10901 Zollinger H. 13184 Zoltan Ö. T. 12208 Zonsveld I. I. 13600 Zuther F. 13283 Zwack F. 13054 II Zwicky R. 13276 Zýka J. 12174

კოდანაშვილი ვ. ა. 13083

三根隆雄 10867 上井勳 12503 上田忠雄 12110, 12052 上田靜男 11340 上島健也 13157 II 中川有三 14197 中村弘陸 10902 中村好雄 11900 中村重男 12029 中村隆壽 12350 K 中村儀郎 11956 中林敏郎 14066 中島正 11828 中澤泰朗 12503 中澤準一 13172 Ⅱ 井上三郎 12183 井上正敏 11392 井上英一 11222, 11664 井上哲男 13223 井上勝也 12847 井本稔 13375 市川正 13115 Π 主藤千枝子 12127 主藤太郎 13115 今村力造 13654 今枝一男 12135 仙波猛 13468 伏崎彌三郎 11821 佐藤良泰 11935 佐 好毅 19905 佐藤芳春 13147 11 佐藤惠子 12137 佐藤徹雄 11692 俞瑞民 13376

内田熈 12956 八木干糖子 11392 八木國夫 12284 八江利夫 14023 加納宏一郎 12204 加藤剛志 12080 包珂 13269 北川晴雄 11624 北野康 11565 北島正榮 12154, 12155 北原新哉 13189 南普一 12314 古川淳二 13379 古川孝志 11901 古崎滋 12851 吉田尚 12831 吉田眞 11692 吉村好道 13506 吉村長藏 12077 喜多信之 12871 玉馬一芳 11840 土屋利一 12255 土橋正二 12017 坂口健二 14024 坪田博行 11565 堀内光 12190 烟幹夫 11670 外山修之 13756 多田彦二 11951 大山義年 14142 大西岳雄 11624 大谷正康 11336 大和田悅郎 11692 大河涉一 13754

大城進 13153 II 大野稔 12400 大島久夫 12672 太幡利一 12284 建田塘 14197 奥正巴 13207 安井永三 12013 安東新午 12850 宗宫重行 12502 宫本弘 11188 宫岡字一郎 12169 宮嶋鼎 11392 宮澤辰雄 10873, 10875 寺崎孝一 11681 小川忠彦 12202 小山浩 11945 小口登 13721 小島正治 11778 小田切做 13999 小玉數信 12107 小林義隆 12150 小枝幾久雄 13177 II 小島操 13886 小泉英 11188 小松正- 12632 小笠原貞夫 12995 小森三郎 13754 小幡一郎 10902 小幡彌太郎 13750 尾崎公一 12190 山川通雄 13077 山口剛— 13162 II 山內俊吉 12502, 12694 山西貞 14018

山田正一 12179 山田正成 11630 山田昌男 11945 山田祥一郎 11465 山本為親 13071 山本晴天 12965 山岸正治 12183 山近純一郎 12977 山崎何惠 14023 山崎秀郎 11307 山縣脊 11567 岩垣智惠子 13811 岩城利一郎 11624 岩崎高雄 12868 岡小天 11935 岡山政賢 13147 II 岡本祥— 12633 II 岡田幸雄 11821 岡村誠三 13471 岡好良 12065 岡秀明 13154 II 岡島三郎 13223 岡崎光雄 12098 鳥滅 11567 川口露子 13768 川合清一 14203 川村良夫 13162 II 川淵光雄 14191 師樹簡 12148 平川芳彦 12967 平井式 13512 平松一 13153 II 平野富士夫 12976 摩瀬清 12087

後藤宏浩 14175 志內容查 12204 志田正二 11307 志賀謹 13115 П 成田正二 13143 II 成田貴一 12068. 12099 戶川幹夫 13479 敦賀正教 13150 II 新井克育 11912 新井幸三 11949 新杉晃 13754 斯波忠夫 11291 早川久雄 12041 明石修三 12139 星野敏雄 11958 K 足健 13154 II 朝比奈晴也 12204 木山正義 12851 木戶恒和 12851 木名爾亘 11032 木村武 11320t II 本山卓彦 13471 末田秀夫 12277 Ⅱ 村上增维 11595 村木勇夫 12600 村田旭 11995 杉本久一 12707 II 杉本光男 12633 II 杉本典夫 13153 II 杉野喜一郎 13177 II 板谷廣子 12127 東野利昌 12116 東健 10390

林主稅 13517 林茂助 12098 松井武夫 12169 松井進作 12052, 12110 松田和夫 13759 松田島 11677 松本太郎 11840 松本昌 - 11941 松本和夫 12203 松本祐太郎 12152 析澤忠義 12632 柴田勝太郎 13072 栗山捨三 13657 栗野誠一 14204 K 桐山茂 13375 根岸道治 11949 樋口重雄 12845 泰川清 12935 森井治彦 12993 森見二 13657 植月做 12503 贈田龍太郎 11465 檜山八郎 13189 横山祐之 11566, 12121 请井花子 12139 **衡田**普 11681 横尾亮 12183 **极**淵晴三郎 12446 櫻內秀泰 13459 想井圭介 11624 櫻井洪一 13481 櫻井清 11950 正井成之 12179 武井武 12633 II 武田文七 13465 武者宗一郎 12116 永井外代士 12002

6

2089

n

1954

0 11

58 TI

58

404

00

П

п

Π

П

7 II

0

永井**健**三 12494 II 江見浩良 12066 池田重一 12016 沙田典正 14066 河上益夫 12493 II 河口武夫 12276 河合徽 11900, 11901 河野哲郎 12137 西井享 12694 **淺野泰資 12377 Π** 深谷敏夫 12972 清水周 13207 清水屋仁佐久 13177 Ⅱ 淵野桂六 11912 照井堯造 12433 渡邊伊三郎 12923 渡邊扶 12828 渡邊昌 11340 爾戶正二 12190, 13482 片山寬 13003 牛場紀典 12850 野正文 11998 物延一男 11630 王世ር 13269 王景唐 12657 王蹇 11978 玉置喜平次 12845 田口胤三 11778 田中邦雄 14144 田中誠之 12019 田中達夫 14202, 14203 田村利武 11840 番匠吉衛 13198 II 白樫侃 13721 目武雄 11856 **餌野國夫 12494 Ⅱ [[島美智雄 11965** 矢野武夫 14144

砂川玄俊 13172 II 石井隆一郎 13811 石野俊夫 12314 石原明 11908 石塚英四郎 14263 II 石橋推義 12002, 12005. 12041, 12087 磯部育子 13137 神戶第一 13515 神戶博太郎 12998 神保元二 12641 福元次夫 11595 福田俊冶 11845 福原惠子 14018 福島弘 13154 II 秋山知行 12047 秋吉三郎 11948, 11677 種村正 12845 稻垣長典 14018 稻垣誠 13759 稻村耕雄 11979 糖積啓一郎 12135 立.道秀麿 11940 竹下常一 12154, 12155 竹本常松 11828 篠原全一 12098 **篠塚富士子** 12005 米谷陸 14175 字野虹兒 11627 **綾木一夫 14142 Ⅱ 総**谷正治 13147 II 胡壯麒 12657 胡炳晨 13269 勝又茂 12052, 12110 舟木好右衛門 18759 船久保英一 12152 芝崎助 12433 **花井精子 14018**

若松茂雄 12081 **荒井喜作 13844 荒井潔吉 11924 荒木峻** 12255 菅野卓治 12065 藤本正男 13480 藤田秋治 13768 藤永太一郎 12005, 12041. 12087 藤栎正生 13999 藤原康郎 12446 智淵殿 14144 西田政三 13379 谷口宏 12152 谷秀天 12847 豊口滿 12992, 12993 赤木甲膏 11595 赤澤彌三郎 11392 越後谷悅郎 11291 计福壽 11340 近藤英男 12707 II 近藤連一 12694 速水漏 12066 遠坂登 14197 遠坂勳 13152 金子昭六 13147 11 金澤定一 11692 鈴木汎 12013 鈴木直辰 14020 鈴木昭三 11917 给木信一 12710 II 給木重成 11940 鈴木惠 11924 鈴木瑞枝 12137 给江武查 12494 II

長倉三郎 10905 長澤不二男 13147 FL 長尾正義 12845 野口靜夫 12998 野村站次郎 11844 對田美芳 11952 野崎東 12069 間中和夫 11226 關戶榮一 12017 阿部久二 11651 青山政太郎 13768 須田清二郎 13157 II 仮島友治 13864 仮感里安 12565 II 馬場有政 12859 高木宗一 11912 高木貞惠 12553 K 高木智雄 12935 高木鈴一 13152 II 高松武一郎 14175 高野憲三 13472 高橋西藏 11670 島居鉄也 11567, 12085 108 田四郎 11950, 13472 **第33章** 11670 **鹿島** 東島 12127 鹿島哲 12204 麻生忠二 11948 黒川眞武 12833 齋藤實 11956 **创井三郎 14175** 整谷春治 13085 K 13084 ローレンフェン・ゲ 12862 シュミット . お 13461

УКАЗАТЕЛЬ ДЕРЖАТЕЛЕЙ ПАТЕНТОВ

Abbott Labs. 13792 AB Kemisk-Teknisk Apparatur 13098 Accumulatoren-Fabrik Akt. Ges.

永井英夫 11994

13432 AGFA Akt. Ges. für Photofabrikation 13343

Allgemeine Elektricitäts-Ges.

Amer cam Cholesterol Products, Inc. 13310

American Cyanamid Co. 13118, 13124, 13165, 13167, 13174, 13193, 13204, 13321, 13416, 13617, 13623, 13735, 13802, 14081

American Home Products Corp. 13122

American Patents Corp. 13740, 13741

American Viscose Corp. 13545, 13622

Ammonia Casale Soc. Anon. und Léon Jéquier 14235

Anglo-Iranian Oil Co. Ltd. 13018, 14028

Aquex Development and Sales Corp. 12563 Ardennaise des Peintures et Mann. 13616 Armour & Co. 13309

Asahi Garasu Kabushiki Kaisha 12707 Atlantic Refining Co. 13030

Atlas Powder Co. 13264

Badische Anilin & Soda-Fabrik Akt. Ges. 12329, 12371,
12374, 13029, 13036, 13038,

rik Akt. Ges. 12329, 12371, 12374, 13029, 13036, 13038, 13042, 13088, 13093, 13107, 13109, 13196, 13313, 13372, 13529, 13608, 13729, 14222 Bamag-Meguin Akt. Ges. 12330 B. B. Chemical Co. 13563

Bamag-Meguin Akt. Ges. 12330 B. B. Chemical Co. 13563 Beecham Research Labs. Ltd 13179

Benckiser J. A. G. m. b. H. 12357 Binsk Manufacturing Co. 13621

Binsk Manufacturing Co. 13621 Blendax-Werke G. m. b. H. 13373

Bohme Fettchemie G. m. b. H. 13133, 14079 British Ceca Co., Ltd 13614

British Ceca Co., Ltd 13614 British Celanese Ltd 13090 British Industrial Plastics, Ltd 13253 British Nylon Spinners Ltd13743 British Petroleum Co. Ltd 13033, 13097

British Thomson-Houston Co., Ltd 13603

Burroughs Wellcome & Co. Inc. 13299

Cadic American Industrial & Commercial Development Co. Inc. 12823

Calico Printers Association Ltd 13527

California Research Corp. 13145 Calvin H. White 13534 Canadian Kodak Co., Ltd 13202

13342, 13612 Carborundum Co. 12635 Carla Gewürz Fabrik Karl Fried

Baumann 14051 Celanese Corp. of America 13199, 13745

Chadeloid Corp. 13619 Chas Pfizer & Co. 13319 Chemical Elabirations, Inc. 12455

Chemische Ververtungsgesellschaft Oberhausen m. b. H. 13095, 13096 Chemische Werke Albert 13786 Chemische Werke Hüls Akt. Ges. 13425, 13708 Chempatents Inc. 13103, 14230

Chemstrand Corp. 13727 Chicago Bridge & Iron. Co. 14237

Chimie et Industrie 13045 Christiani & Neilsen 12709 Ciba Akt. Ges. 13116, 13125, 13191, 13195, 13197, 13252, 13537

13537 Cie Française de Matières Colorantes 14078

Colgatè-Palmolive Co. 12714 Colgate Palmolive Peet Co. 13789, 13791

Colin Stewart Ltd 14084 Columbria-Southern Chemical Corp. 12708

Commercial Decal, Inc. 12628 Connecticut Hard Rubber Co. 13421

Continental Gummi Werke Akt. ges. 13550

Co. Salitrera Anglo-Lautaro 12356 Courtaulds Ltd 13744 Danielson Manufacturing Co. 49565 Debiesse L. et Cie 13254 De Directie van de Staatsmilnen in Limburg, hanldelend voor en namens den Staat der Nederlanden 13144 Dehydag Deutsche Hydrierwerke G. m. b. H. 12496 Dema Glass, Ltd 12570 Demnan Enterprises, Ltd 12637 Deroe & Reynolds Co., Inc. 13604 Detsillers Co., Ltd 13148 Deutsche Erdöl-Akt. Ges. 12713 Deutsche Gold-und Silber-Scheideanstalt vormals Roessler 12355, 13131, 13526, 13539, 13550 Deutsche Hydrierwerke G. m. b. H. 13549 Deutsche Solvay-Werke G.m.b. H. 12354 Diamond Alkali Co. 12373 Dick A. B. Co. 13567 Distillers Co., Ltd 13140, 13237, 13238 Dominion, Rubber Co., Ltd 12467, 13419, 13557 Dorr Oliver Inc. 14214 Dow Chemical Co. 13552 Dow Corning Corp. 13542 Drakenfield B. F. and Co. 12571 Dreyfus C. 13161 Dunlop Rubber Aust. Ltd 13443. 13453 -

Dunlop Rubber Co. Ltd. 13403. 13408 Duniop Tire and Rubber Goods Co. Ltd 13441 Du Pont de Nemours E. I. and Co. 12376, 13057, 13092, 13100, 13101, 13108, 13110, 13123, 13127, 13128, 13155, 13168, 13263, 13398, 13424, 13541, 13568, 13605

Eastman Kodak Co. 12627. 13171, 13182, 13203, 13346, 13350 Blastinep rocess & Development Ltd. 13449 Erie Resistor Corp. 12625, 13566 Esso Research and Engineering

Co. 13019, 13024, 13027, 13048, 13050, 13053, 13059, 13104, 13121 Esso Standard Soc. An. Fran-

caise 13609 Ethyl Corp. 13437 Fa Carl Still 12889 Fa. C. Conradty. 12568 arbenfabriken Bayer Akt. Ges.

12364, 12369, 13132, 13164, 13192, 13200, 13300, 13427, 13531, 13562

Farbenfabrik Wolfen 12817, 13159

Farbwerke Hoechst Akt. Ges. vormals Meister Lucius & Brüning 12387, 13249, 13540, 14212

Fiat (Sta Per A.) 13439 Filmfabrik Agfa Wolfen 13551. 13728 Food Michinery and Chemical Corp. 13089 Foster Wheeler 14221 Fox, Wells and Co. 12564 Fram Corp. 12819 Fuji Jakuhin Kabushiki Kaisha 13150 Fulmer Research Institute 12626 Gamma Roys, Ltd. Gilks E. N. 14286 Gaselan VEB 14226

Gaz de France 13166 Geigy J. R. Soc. An. 13248 Genatosan, Ltd 13117 General American Transportation Corp. 12378 General Aniline & Film Corp. 13112, 13347 General Electric Co. 12491.

13555 General Filter Co. 12815 General Mills, Inc. 14047 General Motors Corp. 13402 General Tire & Rubber Co. 13444, 13559 Gesellschaft für Linde's Lis-

maschinen Akt. Ges. 13035 Ges, für Teerverwertung m. b. H. 13547 Gevaert Photo Producten N. V. 13351

Godfrey L. Cabot, Inc. 13037. 13613 Goodrich B. F. Co. 12465, 13129

13410, 13411, 13450, 13532, 13554 Goodyear Fire & Rubber Co.

13413 Grunzweig & Hartmann Ges. 13558

Hanson-Van Winkler Munning Co. 12495 Harpener Bergbau Akt. Ges.

12363 Hawley Products Co. 12562 Heinrich Koppers G. m. b. H. 12884, 12891

Hercules Powder Co. 12457 Herts Pharmaceuticals, Ltd 13293, 13564

Hoffmann-La Roche F. & Co. Akt. Ges. 13304 Hoffmann-La Roche Inc. 13141. 13308 Hüttenwerke Phoenix Akt. Ges.

12634 Hüttenwerk Horde Akt. Ges. 12388

Hüttenwerk Huckingen Akt. Ges. 12388 Ilford Ltd 13349

Imperial Chemical Industries Ltd 12820, 13194, 13156, 13406, 13423, 13731, 13732, 13820

Indiana Steel & Wire Co. 12497 Indonesisch Instituut voor Rubberonderzoek 13405

mical Corp. 12392, 13806. Inventa Akt. Ges. 13733 Jeigy J. R. Akt. Ges. 12454 Johnson & Johnson 13544 Johnson, Matthey & Co. Ltd. 12629

International Minerals & Che-

Joshimura Masamitan 13157 Kabushiki Kaisha Kacaku Kenkyusho 12633 Kellogg M. W. Co. 14234

Kimisk Pharmaceutisk Lab. A/S. 13158

Knapsack-Griesheim Akt. Ges. 12368

Knoll Akt. Ges. 13160 Kodak-Pathé 13344 Kogyo Gijutsu Incho 13198 Kumarappa-Kotwal L. 13710 Kureha Kagaku Kogyo Kabushiki Kaisha 13143

Kutiak & Co. Arzneimittelfabrik 13292 Laboratoires Pharmaceutiques

Debarge 13320 Langbein-Pjanhauser Werke Akt. Ges. 12489 Lechler P. 13611

Lonza Elektrizitätswerke und Chemische Fabriken Akt. Ges. 13113

Lundbeck H. & Co. 13158 Madaus & Co. 13322 Mallinckrodt Chemical Works 13102

Manufactures de Produits Chimiques du Nord Kuhlmann 13251

Maruzen Petroleum Oil Co. 13032 Maschinenbau Akt. Ges. Bal-

cke 12821 Matholin Corp. 12335

Matsubishi Kasei Kogyo Kabushiki Kaisha 12377, 13147, 13152, 13154 Maurer S. A. 13738

May & Baker Ltd. 13178 Merck & Co. Inc. 13173, 13307, 13311, 13312, 13317 Merkantila Ingeniorsburan Pehr Husberg A. B. 12816 Merrill Co. 12359

Messerschmitt G. m. b. H. 13454 Metall Ges. Akt. Ges. 13146. 13242, 14228

Metall & Thermit Corp. 12498 Midland Silicones Ltd., formely Dow Corning Ltd 13371, 13420, 13422

Minnesota Mining & Manufacturing Co. 12488 Monsanto Chemical Co. 12461, 12464, 12814, 13136, 13151, 13176, 13323, 13435, 13431, 13528, 13788, 14083 Montclair Research Corp. 13607

National Foam System Inc. 14287, 14288

National Lead Co. 12366

National Plastic Products Co. 43553

National Research Development Corp. 13041.13615 New Wrinkle, Inc. 13606, 13618 Niederl J. B. & Associates Inc. 13303

Nihon Kabaido Kogyo Kabushiki Kiasha 13177 Nihon Kayaki Kabushiki Ka-

isha 13162 Nippon Chemical Condenses Co 12490

Nitroglycerin AB 13119 N. V. De Bataafsche Petroleum Maatschappij 12887, 13052, 13415, 13530 N. V. Philips Gloeilampen-

fabriken 13348 Oesterreichische Stickstoffwerke Akt. Ges. 12389, 12390 Oldham & Sohn, Ltd 14262 Ontario Research Foundation 13695

Otto C. & Co. G. m. b. H. 12895 Owens Corning Fiberglas Corp. 12561

Pacific Mills 13239 Paent and Licensing Corp. 12636 Pan American Refining Corp.

13523 Parke, Davis & Co. 13294-

13296 Pennsylvania Salt Manufacturing Co. 12458.

Permacel Tape Corp. 13433 Permutit Co. Ltd. 12822 Petrolite Corp. 13017

Philips Electrical Industries. Ltd 14086 Phil Kalech, Jack I. Le Vant

and Nat Kalech 12463 Phillips Petroleum Co. 13025 Philplug Products Ltd 12712 Phoenix-Gummiwerke Akt. Ges. 13448

Pittsburgh Consolidation Coal Co. 12885, 12890 Pittsburgh Plate Glass Co. 14085 Polymer Corp., Ltd. 13087 Polymer Industrie Chimiche

S. P. A. 13730 Pomosin-Werke G. m. b. H. 13302

Poor & Co. 13120 Postans, Ltd. 13614 Poudreries Réunies de Belgique Soc. An. 13183 Rayonier Inc. 13736

Régie National des Usienes Renault 13049 Reichhold Chemie Akt. Ges.

13533 Research Corp. 12825 Rhee Elastic Thread Corp. Soc. An. 13440

Rhein-Chemie Ges. 13429 Rheinpreußen Akt. Ges. für Bergbau und Chemie 13054, 13297

Richardson Co. 13561 Riedel de Haen Akt. Ges. 12353 Rohm & Hass Co. 13130, 13803, 13804 Rosenthal-Isolatoren G. m. b. H. 12631 Rubber Stichting 13409 Ruhrchemie Akt. Ges. 12886, 13023 Rumianca S. p. A. 12486 Salea Soc. Anon. 13374

Salea Soc. Anon. 13374 Samica, Soc. des Applications du Mica 12557 Sandoz Akt. Ges., Ltd 13190, 13250, 13305

13250, 13305 Sankyo Kabushiki Kaisha 13172, 13201

Searle g. D. & Co. 13315 Sharp & Dohme Ltd 13301 Shell Development Co. 13034, 13055, 13058, 13134, 13414, 14223 shells Refining & Marketing

Co. Ltd 13142 Sherwin-Williams Co. 13111,

Shin Nihon Chisso Hiryo Kabushiki Kaisha 13115 Siemens & Halske Akt .Ges.

12365 Siemens-Schuckertwerke Akt. Ges. 13452, 14215

Ges. 13452, 14215
Sinclair Refining Co. 13056
Soc. Anon. des Manufactures
des Glaces et Produits Chimiques de Saint-Gobain, Chauny & Cirey12391, 12566,
12569Soc. per Azioni Vetreria
Italiana Balzaretti Modigliani
12560

Rohm & Hass Co. 13130, Soc. &r l Établissements Marly-13803, 13804 Limoges 13624

Soc. år i Établissements Marly-Nantes 13624

Soc. ár.i Établissements Marly-Toulouse 13624

Soc. d'Ejectro-Chimie, d'Electro-Métallurgie et des Acieries électriques d'Ugine 12372

Soc. Gle de Carrelages et de Produits Céramiques 12630 Soc. Normande de Produits Chimiques 13105

Socony-Vacuum Oil Co. Inc.

Soc. de Technique Industrielle 12888

Soc. des Usines Chimiques
Rhone-Poulenc 13180

Soc. Verreries Charbonneaux 12567 Spinnfaser Akt. Ges. 13737

Standard Oil Co. 13046, 13522 Standard Oil Development Co. 13022, 13026, 13043, 13051, 13418 13442, 14211, 14236

Standfast Dyers and Printers Ltd. 13246 Steatit-Magnesia Akt. Ges.

12559 Studien- und Verwertungs-Ges. m. b. H. 13020

Süddeustsche Kalkstickstoff-Werke Akt. Ges. 12362 Süd-West-Cheime G. m. b. W.

13535, 13536 Sun Oil Co. 12021 Svenska Cellulosaforeningens Centrallaboratorium 13707 Swift and Co 14050

TanabeSeiyaku Kabushiki Kaisha 13153 Teikoku Sekiyu Kabushiki Kai-

sha 14263
Tennessee Valley Authority

Tennessee Valley Authority 14229 Tennas Ges. für pharmazeu-

•Tepha• Ges. für pharmazeutische und chemisch -technische Erzeugnisse m. b. H. 13244

Texaco Development Corp. 12711, 13169

Thyssen-Hütte Akt. Ges. 12388 Titan Co. Akt. Ges. 12370 Titmus Optical Co., Inc. 13560

Tokyo Denki Kagaku Kogyo Kabushiki Kaisha 12632

Trelleborgs Gummifabriks Aktiebolag. 13451

Uddnas Gjuteri & Verkstads Aktiebolag 14218 Union Carbide Canada Ltd

13138 Union Carbide and Carbon Corp. 13136, 13163, 14224,

14265 Universal Oil Products Co. 12892, 13040, 13044, 13434 Uniobn Co. 43344, 13346

Upjohn Co. 13314, 13316
USA , Secretary of Agriculture 13236, 13243, 13318, 13805

USA, Secretary of the Navy

U.S. Atomic Energy Commission 12309, 12324, 13801, 14232 US Rubber Co. 13137, 13397, 13417, 13426, 13428, 13430,

13438, 13445—13447, 13524 Vereinigte Glanzstoff-Fabriken Akt. Ges. 13094, 13149 Verkaufsgemeinschaft Deut-

scher Kaliwerke G. m. b. H.

12361 Victor Chemical Works 13135 Visking Corp. 13626

Vitax, Ltd 12459 Wacker A. Ges. für Elektrochemische Industrie G. m.b. H. 13543

H. 13543 Wacker-Cheime G. m. b. H.

Wakefield & Co., Ltd. Co. 13047

Wasag-Chemie Akt. Ges.

13610 Weinessigfabrik A. Enekel 14216

Weilcome Foundation, Ltd 13170, 13298

Werner Co. 14231 Wessex Aircraft EngineeringCo. Ltd 12456

Western Condensing Co. 13787 Westfalenhütte Akt. Ges. 12638 Westfalenhütte DortmundAkt. Ges. 12388

Wingfoot Corp. 13401, 13412, 13436

Wintershall Akt. Ges. 12375 Zancangeloni Petroli, Soc. Per. Azioni 14217

s Co.

5 13618 iates,

a busi Ka-

Petro-

penf-12390 4262

12895 Corp.

12636 Corp.

3433

tries,
e Vant
3
13025

12712

Akt. n Coal

miche b. H.

Bel-

rp. Soc. 429 für Ber-

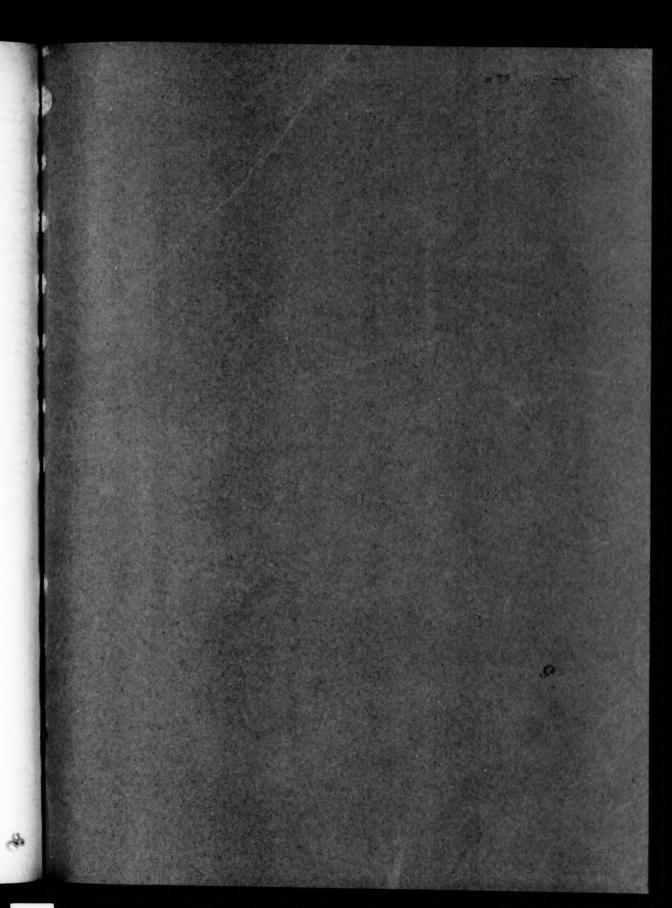
t. Ges.

s. 12353

13054,

Технический редактор Т. П. Поленова

Подписано к печати 27. V. 57 г. Тираж 4525 Печ, л. 54,94 Бум. л. 16³/₄ Формат бумаги 84×108³/₁₀ Зак. 1244



Printed in the USSR

